



ΕΘΝΙΚΟ ΜΕΤΣΟΒΙΟ ΠΟΛΥΤΕΧΝΕΙΟ
ΣΧΟΛΗ ΑΓΡΟΝΟΜΩΝ ΚΑΙ ΤΟΠΟΓΡΑΦΩΝ ΜΗΧΑΝΙΚΩΝ
ΤΟΜΕΑΣ ΕΡΓΩΝ ΥΠΟΔΟΜΗΣ ΚΑΙ ΑΓΡΟΤΙΚΗΣ ΑΝΑΠΤΥΞΗΣ
ΕΡΓΑΣΤΗΡΙΟ ΣΥΓΚΟΙΝΩΝΙΑΚΗΣ ΤΕΧΝΙΚΗΣ

ΔΙΠΛΩΜΑΤΙΚΗ ΕΡΓΑΣΙΑ

*Προσδιορισμός Τιμών Πρόσφυσης κατά την Πέδηση Οχημάτων
Εφοδιασμένων με Σύστημα ABS
σε Αυξημένες κατά Μήκος Κλίσεις*



ΠΑΛΙΓΓΙΝΗΣ ΕΥΑΓΓΕΛΟΣ
ΦΟΙΤΗΤΗΣ ΑΓΡΟΝΟΜΩΝ ΚΑΙ ΤΟΠΟΓΡΑΦΩΝ ΜΗΧΑΝΙΚΩΝ Ε.Μ.Π

ΑΘΗΝΑ, ΟΚΤΩΒΡΙΟΣ 2008

Προσδιορισμός Τιμών Πρόσφυσης κατά την Πέδηση Οχημάτων Εφοδιασμένων με
Σύστημα ABS σε Αυξημένες κατά Μήκος Κλίσεις

ΠΕΡΙΕΧΟΜΕΝΑ

| | |
|--|-------------------------|
| 1. ΥΦΙΣΤΑΜΕΝΗ ΠΡΑΚΤΙΚΗ | 5 |
| 1.1 Γενικά..... | 5 |
| 1.2 Μήκος Ορατότητας για Στάση (ΜΟΣ) | 8 |
| 2. ΠΡΟΣΦΥΣΗ (f) | 11 |
| 2.1 Γενικά | 11 |
| 2.2 Τιμές Πρόσφυσης και Ελληνική Πραγματικότητα | 11 |
| 2.3 Συσκευές Μέτρησης Πρόσφυσης..... | 13 |
| 2.4 Επιτρόχιος Συντελεστή Πρόσφυσης –Σύστημα Πέδησης ABS..... | 17 |
| 2.5 Διατύπωση Προβλήματος | 23 |
| 3 ΣΤΟΙΧΕΙΑ ΔΥΝΑΜΙΚΗΣ ΚΙΝΗΣΗΣ ΟΧΗΜΑΤΩΝ | 23 |
| 3.1 Δυνάμεις που Ασκούνται στο Όχημα | 23 |
| 3.2 Η Αεροδύναμη | 24 |
| 3.2.1 Μετωπική αντίσταση..... | 25 |
| 3.2.2 Δυναμική άνωση | 25 |
| 3.2.3 Πλευρική αντίσταση | 26 |
| 3.2.4 Πυκνότητα του αέρα | 27 |
| 3.3 Η Εξ' επαφής Δύναμη | 28 |
| 3.3.1 Παραμόρφωση των ελαστικών κατά την κίνησή τους σε ευθύγραμμη τροχιά | 29 |
| 3.4 Η Δύναμη του Βάρους | 35 |
| 3.5 Κατηγορίες Ελαστικών | 36 |
| 3.5.1 Διαγώνια ή σταυρωτά (Bias-Ply or Cross-Ply) | 36 |
| 3.5.2 Ακτινικά (Radial) | 36 |
| 4..... | ΣΧΕΤΙΚΕΣ ΜΕΛΕΤΕΣ |
| | 39 |
| 4.1 Γενικά | 39 |
| 4.2 μετρήσεις πεδίου και χρήση σημειακού μοντέλου Έρευνα Durth, Bernhard (2000) .. | 40 |
| 4.2.1 Γενικά..... | 40 |
| 4.2.2 Μεθοδολογία | 40 |
| 4.2.3 Αποτελέσματα | 40 |
| 4.3 Χρήση Δεδομένων Πρόσφυσης Και Χρήση Δυναμικού Μοντέλου..... | 41 |

Προσδιορισμός Τιμών Πρόσφυσης κατά την Πέδηση Οχημάτων Εφοδιασμένων με
Σύστημα ABS σε Αυξημένες κατά Μήκος Κλίσεις

| | |
|--|----|
| Μελέτη Μαυρομάτης, Ψαριανός, Κασάπη (2005) | 41 |
| 4.3.1 Γενικά..... | 41 |
| 4.3.2 Διαδικασία..... | 43 |
| 4.3.3 Συμπεράσματα – Εφαρμογή του μοντέλου | 43 |
| 4.4 Μετρήσεις δεδομένων πρόσφυσης και χρήση δυναμικού μοντέλου | 46 |
| 4.4.1 Γενικά..... | 46 |
| 4.4.2 Συμπεράσματα | 49 |
| 5. ΜΕΤΡΗΣΕΙΣ | 50 |
| 5.1. Γενικά | 50 |
| 5.2 Στόχος..... | 50 |
| 5.3 Επιλογή Πεδίου..... | 51 |
| 5.3.1 Γενικά..... | 51 |
| 5.3.2 Κριτήρια επιλογής | 51 |
| 5.3.3 Διαδικασία επιλογής | 51 |
| 5.3.4 Το πεδίο μετρήσεων..... | 53 |
| 5.3.5 Εργαλεία που χρησιμοποιήθηκαν για το πείραμα..... | 54 |
| 5.3.6 Εγκατάσταση-προετοιμασία πεδίου - Πείραμα..... | 56 |
| 5.4 Εφαρμογή του Μοντέλου | 60 |
| 5.5 Αποτελέσματα..... | 65 |
| 5.5.1 Γενικά..... | 65 |
| 5.5.2 Αποτελέσματα μετρήσεων | 66 |
| 5.6 Εφαρμογή Μοντέλου | 73 |
| 5.6.1 Χαρακτηριστικά οχημάτων..... | 73 |
| 5.6.3 Λοιπά στοιχεία..... | 75 |
| 5.6.4 Εφαρμογή μοντέλου, στάδιο πρώτο | 75 |
| 5.6.5 Εφαρμογή μοντέλου, στάδιο δεύτερο | 76 |
| 5.6.6 Εξαγωγή μέσω τιμών πρόσφυσης | 81 |
| 6. ΣΥΜΠΕΡΑΣΜΑΤΑ - ΠΡΟΤΑΣΕΙΣ | 86 |
| 7. ΒΙΒΛΙΟΓΡΑΦΙΑ | 86 |
| ΠΑΡΑΡΤΗΜΑ Α | 94 |

ΠΕΡΙΛΗΨΗ

Η παρούσα εργασία αποτελεί διπλωματική εργασία με θέμα «Προσδιορισμός Τιμών Πρόσφυσης κατά την Πέδηση Οχημάτων Εφοδιασμένων με Σύστημα ABS σε Αυξημένες κατά Μήκος Κλίσεις» που ανατέθηκε στο φοιτητή της σχολής Αγρονόμων και Τοπογράφων Μηχανικών του Εθνικού Μετσόβιου Πολυτεχνείου:

➤ Παλιγγίνη Ευάγγελο

η οποία υλοποιήθηκε κατά την ημερολογιακή περίοδο από τον Ιανουάριο του 2008 έως των Σεπτέμβριο του 2008 υπό την επίβλεψη του κυρίου Βασιλείου Ψαριανού, καθηγητή Συγκοινωνιακής Τεχνικής της Σχολής Αγρονόμων και Τοπογράφων Μηχανικών του Εθνικού Μετσόβιου Πολυτεχνείου.

Η εργασία εκκινεί από μία ιστορική αναδρομή στο σύνολο των μελετών που έχουν πραγματοποιηθεί πάνω στους κανονισμούς που διέπουν την χάραξη οδών, εστιάζοντας στην επίδραση αυτών στα ατυχήματα. Βασική διαπίστωση ήταν το γεγονός ότι δεν υπήρχε μοντέλο πρόληψης των ατυχημάτων, αλλά μόνο-και κατά περιόδους-μοντέλα που εμπλουτίζονταν και εξελίσσονταν από την εμπειρία που προέκυπτε από το σύνολο των ατυχημάτων.

Τα τελευταία 20 χρόνια περίπου εμφανίστηκαν (κυρίως στις Η.Π.Α και την Γερμανία) μοντέλα ως αποτέλεσμα μετρήσεων πάνω στα ατυχήματα, όπου ενσωμάτωναν πληροφορία και τμηματικά ανέπτυσαν βάσεις στατιστικών δεδομένων πάνω στο δείκτη ατυχημάτων. Σε κάθε περίπτωση δεν υπήρχε δυνατότητα πρόληψης των ατυχημάτων, ενώ τα μοντέλα σχεδιασμού που προέκυψαν δεν εμπεριείχαν στοιχεία αφενός από την ανάπτυξη του συστήματος αντιμπλοκαρίσματος των τροχών, γνωστού ως ABS και αφετέρου από την εξέλιξη των ελαστικών.

Στα πλαίσια διερεύνησης της επιρροής των τεχνολογικών αυτών εξελίξεων (abs, νέου τύπου ελαστικά radial), στο σχεδιασμό οδών, χρησιμοποιήθηκε μοντέλο υπολογισμού της απόστασης πέδησης (το οποίο είναι ανεξάρτητο των διαθέσεων και αντιδράσεων του οδηγού) , καθώς και μετρήσεις της παρεχόμενης πρόσφυσης.

Απώτερος στόχος είναι η εξαγωγή συμπερασμάτων σχετικά με την εγκυρότητα ή μη της υφιστάμενης πρακτικής προσδιορισμού του Μήκους Ορατότητας για Στάση (ΜΟΣ). Δεδομένης της άμεσης εξάρτησης του ΜΟΣ με κρίσιμες για την ασφάλεια παραμέτρους (H_k , όριο ταχύτητας), στην υπόψη εργασία προτείνονται νέες τιμές πρόσφυσης, οι οποίες όντας πιλοτικού χαρακτήρα, προτού υιοθετηθούν θα πρέπει να πιστοποιηθούν με μετρήσεις ευρύτερου φάσματος.

Όπως αναφέρθηκε παραπάνω, για τη συγκέντρωση των δεδομένων απαιτήθηκαν μετρήσεις πρόσφυσης οι οποίες διεξήχθησαν με τέσσερα (4) αντιπροσωπευτικά οχήματα με τη χρήση του οργάνου VC 3000DAQ.

Μεταξύ άλλων, στόχος των μετρήσεων αυτών ήταν να αποδειχθεί η αποτελεσματικότητα της χρήσης του μοντέλου προσδιορισμού του ΜΟΣ και για το σκοπό αυτό διεξήχθησαν μετρήσεις σε ποικίλες συνθήκες οδοστρώματος, διάφορες καιρικές συνθήκες, έντονες κλίσεις, με διαφορετικής δυναμικότητας και όγκου

Προσδιορισμός Τιμών Πρόσφυσης κατά την Πέδηση Οχημάτων Εφοδιασμένων με Σύστημα ABS σε Αυξημένες κατά Μήκος Κλίσεις

οχήματα με ή χωρίς ABS. Τα δεδομένα που προέκυψαν μετά από μία διαδικασία διαλογής και αξιολόγησης ως προς την ορθότητα και την ακρίβεια εισήλθαν στο μοντέλο, το οποίο μέσα από έναν υπολογιστικό αλγόριθμο κατέληξε σε ένα σύνολο αποτελεσμάτων. Τα αποτελέσματα πιστοποιήθηκαν επιστημονικά ότι αποτελούν την θεμελίωση για τη βελτίωση ή και αναπροσαρμογή συγκεκριμένων οδηγιών χάραξης οδών, καθώς, αποδεικνύουν την υπερεκτίμηση των τιμών του ΜΟΣ όπως αυτή δίδεται από την υφιστάμενη πρακτική.

Συνοψίζοντας, η εν λόγω έρευνα, εναρμονισμένη με τις τελευταίες εξελίξεις στην τεχνολογία των αυτοκινήτων, αποτελεί αιχμή ως προς τις νέες κατευθύνσεις σχεδιασμού οδών δεδομένου ότι μέσω του προσδιορισμού του ΜΟΣ, δίδονται ρεαλιστικές παράμετροι σχεδιασμού κρίσιμων παραμέτρων και άρα πιο οικονομικές χαράξεις. Παρόλα αυτά, μη γνωρίζοντας τον ρυθμό αφομοίωσης του συστήματος πέδησης ABS, στο σύνολο του στόλου των οχημάτων που κυκλοφορούν στους ελληνικούς δρόμους, καθώς και το φάσμα των τιμών της διατιθέμενης πρόσφυσης σε αυτούς, απαιτούνται περαιτέρω έρευνες όσον αφορά στην δυνατότητα εφαρμογής των μετρημένων τιμών. Τέλος, ο ανθρώπινος παράγοντας ο οποίος αγνοείται στην παρούσα εργασία ενδεχομένως να επιβάλλει πρόσθετους περιορισμούς και συνεπώς να επηρεάζει σε σημαντικό βαθμό τη διαδικασία πέδησης.

ABSTRACT

This project is a diplomatic work, on the subject "Determination of SSD values upon braking application using Vehicles equipped with the ABS system in increased slopes' entrusted to the school student, attending the Rural and Surveying Engineering Class, of the National Technical University Of Athens

➤ Palinginis Evangelos

which has been implemented during the calendar period from January 2008 until September 2008, under the supervision of the professor Vasileiou Psariannou, Professor Technical Transportation on the class of Agronomists and Surveyors Engineers of the National Technical University Of Athens.

The experimental procedure starts with a historic recursion on all of the studies have been published over to the regulations governing the designing of roads, focusing on the effects of these studies, on the accidents. The Basic conclusion came down to the fact that there was no model of prevention for accidents, but only periodical models that were enriched and evolved from the experience, that came as a result from the total of all of the accidents.

The last 20 years approximately (particularly in U.S.A and Germany), models were developed as a result of measurements taking accidents into account, which incorporated information and partly unfolded statistical databases on the indicator of the accidents. In every occasion there was still no model for preventing these accidents, whereas models that accrued, did not contain data of the implementation of the ABS on one hand, and next generation of tire technology on the other.

On the frame of investigation concerning the influence of such technological advancements (ABS Technology, evolution of Tire Generation) on the road designing, a model was used for calculation of the SSD (which is independent of mood state and reaction state of the driver), as well as field measurements of the provided traction.

The ulterior goal was the education and extraction of conclusions relevant with the validity or not of the preexisting practice for the Stopping Sight Distance (SSD) specification.

Given the immediate dependency of the SSD on critical for the safety, road parameters (H_k , speed limit), new traction values are suggested, which however are of a primitive nature and should be verified with measurement of a wider spectrum, before being adopted and fully implemented.

As mentioned beforehand, for the gathering of data, field measurements of traction were required which were conducted with 4 representative vehicles, equipped with the VC3000DAQ Dynamometer/Accelerometer.

Among others, the goal of these measurements was to prove the efficiency of this model for practical use on the determination of SSD values and for this purpose measurements took place on a variety of road surfaces, on different weather

Προσδιορισμός Τιμών Πρόσφυσης κατά την Πέδηση Οχημάτων Εφοδιασμένων με Σύστημα ABS σε Αυξημένες κατά Μήκος Κλίσεις

conditions, with acute increased slopes on various dynamics and volumes vehicle with ABS equipment and without.

The data resulted from a procedure of selection and evaluation with emphasis to accuracy and precision, were input into the model and from within a calculation algorithm concluded into a total of results.

These results were scientifically verified that they constitute the fundamental base for the improvement and readjustment of specific road design instructions, as they justify the overestimation of current SSD values.

Summing up, the current research, updated with the latest changes in the automobile technology, constitutes a pioneer in reference to the latest directions of road design due to the fact that, with the specification of the SSD values, realistic parameters of critical road designing factors are produced and therefore more financial flexibility is achieved, with reduced costs.

Not knowing the rate of absorption of ABS, on the total vehicles sold on the markets, as well as the spectrum of the assumed friction, lead to the request of further investigations, in order for the potential of the application of measured values to be achieved.

Finally, the human factor is not taken into account and that may affect the whole braking procedure significantly.

1. ΥΦΙΣΤΑΜΕΝΗ ΠΡΑΚΤΙΚΗ

1.1 Γενικά

Οι εκάστοτε κανόνες χάραξης οδικών δικτύων ήταν ανέκαθεν αντικείμενο διαμάχης μεταξύ των οδοποιών. Δεν είναι λίγοι αυτοί που πιστεύουν πως οι κανόνες χάραξης οδικών δικτύων δεν αποτελούν ταυτόχρονα και μέτρο εκτίμησης του επιπέδου ασφάλειας τους. Κατά τους Feuchtinger και Christoffers [2] η εμπειρία που αποκτάται μέσω των ατυχημάτων μετά την παράδοση ενός οδικού δικτύου στην κυκλοφορία, είναι και η μόνη ένδειξη της ασφαλούς ή όχι συμπεριφοράς του. Το πρόβλημα εστιάζεται στο ότι δεν έχουν αναπτυχθεί μοντέλα πρόληψης των ατυχημάτων, ήτοι μοντέλα με τα οποία μπορεί να αξιολογηθεί το επίπεδο ασφαλείας μίας οδού.

Με παρόμοιο τρόπο εκφράζονται και οι απόψεις του Bitzl [3], ο οποίος πιστεύει πως σε αντίθεση με άλλους σχεδιαστικούς κλάδους - όπως πχ. αυτόν που ασχολείται με τις κατασκευές κτιρίων - στον σχεδιασμό οδικών δικτύων είναι σχεδόν αδύνατο να εκτιμηθεί το επίπεδο ασφαλείας συναρτήσει των παραμέτρων σχεδιασμού και των συνθηκών κυκλοφορίας.

Κατά τους Krebs και Kloeckner [4], αν οι κανόνες χάραξης οδικών δικτύων εγγυούνταν την ασφάλεια του δικτύου, τότε καθόλου ή ελάχιστα ατυχήματα πρέπει να συμβαίνουν στο εν λόγω δίκτυο. Όταν όμως αναφέρονται ατυχήματα οι οδηγοί είναι οι πρώτοι στους οποίους επιρρίπτονται ευθύνες. Οι ίδιοι επίσης αναφέρουν ότι τα ατυχήματα δεν ισοκατανέμονται κατά μήκος των οδικών τμημάτων, αλλά αντιθέτως υπάρχουν συγκεκριμένα σημεία σε οδικά δίκτυα τα οποία χαρακτηρίζονται από μεγάλο αριθμό ατυχημάτων, γεγονός που πιστοποιεί ότι πέρα από λάθος του οδηγού ένα ατύχημα μπορεί (πρέπει) να οφείλεται και σε άλλους παράγοντες.

Σύμφωνα με τους Lamm, Choueiri, Kloeckner και Mailaender [5], πολλοί παράγοντες είναι αυτοί που επηρεάζουν σε μετρήσιμο βαθμό την οδική συμπεριφορά και ασφάλεια. Αυτοί κυρίως είναι :

- Ανθρώπινοι παράγοντες όπως η λανθασμένη εκτίμηση της οδού, της κυκλοφορίας, της ταχύτητας, η έλλειψη εμπειρίας οδήγησης (κυρίως στους νέους οδηγούς), η οδήγηση υπό την επήρεια αλκοόλ, καθώς και δυσκολίες που μπορούν να παρουσιαστούν κυρίως στους μεγαλύτερους σε ηλικία οδηγούς.
- Η ίδια η γεωμετρία του οδικού δικτύου. Ο συνδυασμός της οριζοντιογραφίας, της μηκοτομής και των διατομών ως προς το βαθμό ανάπτυξης των παρόδιων χρήσεων και του επιπέδου πρόσβασης.
- Η παρουσία έντονης κυκλοφορίας σε συνδυασμό με τις ποιοτικές και χρονικές της διαφοροποιήσεις.

Προσδιορισμός Τιμών Πρόσφυσης κατά την Πέδηση Οχημάτων Εφοδιασμένων με Σύστημα ABS σε Αυξημένες κατά Μήκος Κλίσεις

- Θέματα που άπτονται της νομοθεσίας που ισχύει σε μια περιοχή όπως ο έλεγχος της κυκλοφορίας και ο βαθμός επιβολής αυτού.
- Περιβαλλοντικοί παράγοντες όπως οι καιρικές συνθήκες και η κατάσταση του οδοστρώματος.
- Χαρακτηριστικά του οχήματος, όπως τα ελαστικά, το σύστημα πέδησης και η παλαιότητα του.

Στην περίοδο από το 1940 ως το 1970, το μόνο κριτήριο ασφαλούς χάραξης διαθέσιμο στους μελετητές οδοποιίας της Δ.Ευρώπης και των ΗΠΑ, σχετιζόταν με την εκτίμηση της δυναμικής της ασφάλειας κατά την οδήγηση και αφορούσε τον υπολογισμό, για δεδομένη ταχύτητα, της ελάχιστης ακτίνας, της επίκλισης, του μήκους ορατότητας καθώς και άλλων γεωμετρικών στοιχείων.

Γύρω στο 1960 οι ειδικοί διαπίστωσαν ότι πολλά ατυχήματα προκαλούνται μετά από απότομες αλλαγές της λειτουργικής ταχύτητας των οχημάτων, και ότι αυτές οι αλλαγές μπορούν να αποδοθούν στις απότομες μεταβολές της οριζοντιογραφίας. Σε αυτό το συμπέρασμα οδηγήθηκαν και οι έρευνες του Baldwin [20] στις ΗΠΑ, των Pfundt [21] και Bitzl [24] στην πρώην Δ.Γερμανία, του Coburn [22] στην Αγγλία, του Balogh [23] στην Ουγγαρία και των Vasilev [25], Babkov [26] και Silyanov [27] στην πρώην ΕΣΣΔ. Οι παραπάνω μελέτες έδειξαν ότι υπάρχει μια αντιστρόφως ανάλογη σχέση μεταξύ του Δείκτη Ατυχημάτων και της ακτίνας της καμπύλης. Πιο συγκεκριμένα έδειξαν ότι υπάρχει αυξημένη πιθανότητα ατυχήματος ιδιαίτερα σε κλειστές καμπύλες όταν αυτές ακολουθούν μεγάλες ευθυγραμμίες και σε αλληλουχία καμπυλών που επιβάλουν αλλαγή στην λειτουργική ταχύτητα των οχημάτων. Επίσης καμπύλες με μεγάλο πλάτος οδοστρώματος επηρεάζουν τον Δείκτη Ατυχημάτων αλλά όχι στον βαθμό που τον επηρεάζουν καμπύλες με μικρότερα πλάτη.

Έρευνες από τον Solomon [47], που αφορούσαν στη συσχέτιση της πιθανότητας εμπλοκής σε ατύχημα με την απόκλιση από την μέση ταχύτητα κίνησης των οχημάτων σε ένα οδικό τμήμα, έδειξαν ότι οποιαδήποτε και αν ήταν η τιμή της μέσης ταχύτητας των οχημάτων, αυξανόμενη της απόκλισης από την μέση ταχύτητα, αυξανόταν και η πιθανότητα εμπλοκής σε ατύχημα.

Στις αρχές της επόμενης δεκαετίας, δύο έμμεσα κριτήρια σχεδιασμού κυκλοφοριακής ασφάλειας εμφανίστηκαν στους Γερμανικούς, Σουηδικούς και Ελβετικούς κανονισμούς χάραξης οδών. Αυτά αφορούσαν τον συνδυασμό μεταξύ των γεωμετρικών στοιχείων και την εναρμόνιση της λειτουργικής ταχύτητας με την ταχύτητα μελέτης [6-10].

Σε αυξημένες κατά μήκος κλίσεις, η ύπαρξη ανομοιογενούς κυκλοφοριακής ροής, συνεπάγεται την αύξηση της πιθανότητας ατυχήματος. Αρκετοί είναι οι ερευνητές που έχουν ασχοληθεί με την συσχέτιση ατυχήματος και κατά μήκους κλίσης. Σε σχετική έρευνα που αναφερόταν σε Γερμανικά οδικά δίκτυα, ο Bitzl [24] συσχετίζοντας την κατά μήκος κλίση με τον Δείκτη Ατυχημάτων κατέληξε στο συμπέρασμα ότι σε οδικά τμήματα με κατά μήκος κλίσεις της τάξης του 8%-10% ο Δείκτης Ατυχημάτων είναι τετραπλάσιος από ότι σε οδικά τμήματα με κλίση μικρότερη του 2%. Άλλη έρευνα του ίδιου, η οποία παρατίθεται από τον Pucher [29],

Προσδιορισμός Τιμών Πρόσφυσης κατά την Πέδηση Οχημάτων Εφοδιασμένων με Σύστημα ABS σε Αυξημένες κατά Μήκος Κλίσεις

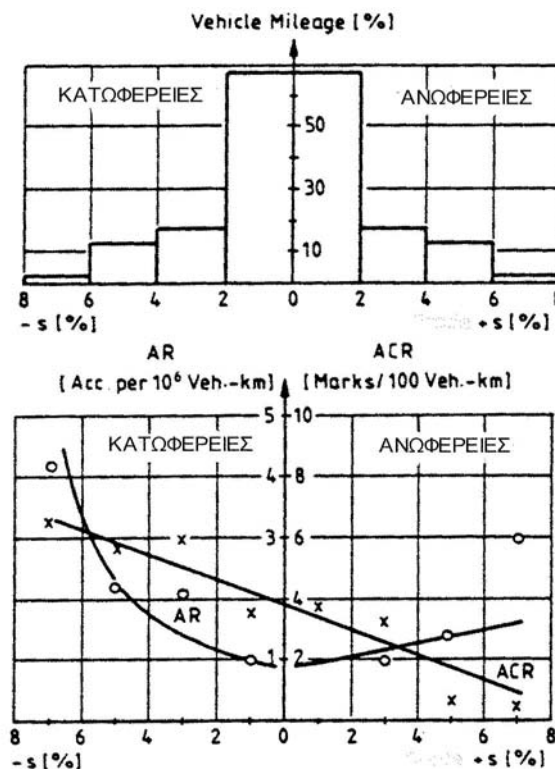
αναφέρει ότι σε οδούς δύο λωρίδων κυκλοφορίας υπάρχει ανάλογη σχέση μεταξύ κλίσης και Δείκτη Ατυχημάτων.

Αντίστοιχα είναι και τα συμπεράσματα σε σχετικές μελέτες στην πρώην ΕΣΣΔ των Vasilev [25], Babkov [26] και Silyanov [27], οι οποίοι κατέληξαν στο ίδιο συμπέρασμα εξετάζοντας στοιχεία από την πρώην ΕΣΣΔ, την Γερμανία και την Αγγλία.

Οι Krebs και Kloeckner [4] μετά από ανάλυση ατυχημάτων σε οδούς δύο λωρίδων κυκλοφορίας στην πρώην Ο.Δ της Γερμανίας κατέληξαν στο συμπέρασμα ότι αυξανόμενη της κλίσης (έως 6%), παρατηρείται μια ελαφρά αύξηση στον Δείκτη Ατυχημάτων. Πέραν αυτού του ορίου (6%), σημειώθηκε δραματική αύξηση στη συχνότητα ατυχημάτων.

Ο Choueiri [30] και οι Lamm et al. [14],[16] σε αντίστοιχη μελέτη δεν βρήκαν σημαντική την επιρροή της κατά μήκος κλίσης στον Δείκτη Ατυχημάτων, για τιμές αυτής έως 5%.

Έρευνα από τους Hiersche et al. [31] που αφορά τη σχέση του Δείκτη Ατυχημάτων, του αντίστοιχου Κόστους και της κατά μήκος κλίσης, έδειξε (Σχήμα 1.3) πως ο Δείκτης Ατυχημάτων για τιμές κλίσεων έως 2% είναι περίπου ο ίδιος σε ανωφέρειες και κατωφέρειες.



Σχήμα 1.1. Συσχέτιση Δείκτη Ατυχημάτων (ACCR), του αντίστοιχου Κόστους και της κατά μήκος κλίσης [5].

Για τιμές μεγαλύτερες του 2%, αυξανόμενη της κλίσης, ενώ παρατηρείται γραμμική αύξηση των ατυχημάτων στις ανωφέρειες, στις κατωφέρειες η αύξηση είναι εκθετική. Στο ίδιο διάγραμμα φαίνεται πως για εύρος κλίσεων από -7% έως +7% το Κόστος

Προσδιορισμός Τιμών Πρόσφυσης κατά την Πέδηση Οχημάτων Εφοδιασμένων με Σύστημα ABS σε Αυξημένες κατά Μήκος Κλίσεις

Ατυχημάτων αυξάνει γραμμικά. Οι μεγαλύτερες τιμές που παρουσιάζονται στις κατωφέρειες, τόσο του Δείκτη Ατυχημάτων όσο και του αντίστοιχου Κόστος τους, οφείλονται στο ότι σε αρνητικές κλίσεις παρατηρούνται μεγαλύτερες λειτουργικές ταχύτητες.

Τα τροχαία ατυχήματα οφείλονται τις περισσότερες φορές σε ένα σύμπλεγμα αιτιών όπου η οριζοντιογραφία και η μηκοτομή των οδικών τμημάτων παίζουν καθοριστικό ρόλο.

Από τις αρχές τις δεκαετίας του '00 ξεκίνησε μία προσπάθεια από πλευράς ερευνητών για τον έλεγχο της επιρροής της εξέλιξης της τεχνολογίας των αυτοκινήτων, του συστήματος πέδησης και των ελαστικών, στην ασφάλεια και κατ' επέκταση στις επιπτώσεις της εξέλιξης αυτής στη χάραξη των δρόμων.

1.2 Μήκος Ορατότητας για Στάση (ΜΟΣ)

Μια από τις προϋποθέσεις για μια ασφαλή κίνηση οποιουδήποτε οχήματος κατά μήκος μιας ορισμένης οδικής επιφάνειας είναι η εξασφάλιση του απαιτούμενου μήκους ορατότητας για στάση (ΜΟΣ) σε κάθε σημείο κατά μήκος του οδοστρώματος.

Η σχέση μεταξύ συχνότητας ατυχημάτων και απόστασης ορατότητας για στάση δεν είναι γραμμική. Έρευνες έχουν δείξει πως με την αύξηση της απόστασης ορατότητας για στάση, επιτυγχάνεται μείωση των ατυχημάτων [60].

Η απόσταση ορατότητας, είναι το μήκος του οδοστρώματος που είναι ορατό εμπροσθεν του οδηγού. Η ελάχιστη απόσταση ορατότητας που είναι διαθέσιμη σε κάθε σημείο του οδοστρώματος πρέπει να είναι αρκετά μεγάλη ώστε να επιτρέψει σε ένα όχημα που ταξιδεύει με ή κοντά στην ταχύτητα σχεδιασμού για να σταματήσει εντελώς προτού φθάσει σε ένα στάσιμο αντικείμενο στην πορεία του. Αυτή το ελάχιστο μήκος ορατότητας για στάση, γνωστό ως (ΜΟΣ), είναι η βάση των κριτηρίων σχεδιασμού για το κατακόρυφο μήκος κορυφών των καμπυλών και τις ελάχιστες αποκλίσεις-αντισταθμίσεις στις οριζόντιες παρεμποδίσεις ορατότητας.[59]

Το μήκος ορατότητας για στάση αποτελείται από την απόσταση που διανύει ο οδηγός μέχρι να αντιληφθεί το εμπόδιο και να αντιδράσει (χρόνος αντίδρασης), και από την απόσταση που διανύει μέχρι να ακινητοποιήσει το όχημα.

Το μοντέλο (ΜΟΣ) που περιγράφεται στους Γερμανικούς κανονισμούς για το γεωμετρικό σχεδιασμό των οδών [63] βασίζεται σε μία κρίσιμη κατάσταση στην οποία ο οδηγός αναγνωρίζει ένα αντικείμενο στάσιμο στο δρόμο, το αντιλαμβάνεται ως επικίνδυνο, και ακινητοποιεί το όχημα έγκαιρα.

Ωστόσο, το μοντέλο αυτό στηρίζεται σε κάποιες προϋποθέσεις οι οποίες μπορεί 20 χρόνια πριν να φάνταζαν λογικές, αλλά δεν είναι ρεαλιστικές για τις υπάρχουσες συνθήκες σήμερα.

Προσδιορισμός Τιμών Πρόσφυσης κατά την Πέδηση Οχημάτων Εφοδιασμένων με Σύστημα ABS σε Αυξημένες κατά Μήκος Κλίσεις

Το μοντέλο χρησιμοποιεί παραμέτρους που βασίζονται σε ένα μέσο οδηγό, όχημα και επιφάνεια οδοστρώματος. Το όχημα θεωρείται σημειακό χωρίς διαστάσεις, αλλά με μετωπική επιφάνεια και χωρίς ABS. Ως αποτέλεσμα δεν λαμβάνονται υπόψη τα χαρακτηριστικά των νέων ελαστικών, ενώ οι τιμές πρόσφυσης που χρησιμοποιούνται αφορούν υγρό οδόστρωμα και έχουν προκύψει από τη δεκαετία του '70 με το όργανο – όχημα PIARC-Tire (μέτρηση με μπλοκάρισμα των τροχών)[60]. Επίσης αγνοούνται οι ψυχολογικές και φυσιολογικές παράμετροι κάθε οδηγού που προφανώς συμμετέχουν στη διαφοροποίηση της απόστασης ορατότητας για στάση.

Οι υιοθετημένες τιμές τριβής στους υπάρχοντες κανονισμούς χάραξης, χρησιμοποιούνται για περισσότερα από 20 χρόνια, και αποτελούν εσφαλμένα υπολογιστικά μέσα δεδομένου ότι δεν εκπροσωπούν πλέον με ρεαλισμό την πράξη. Από άποψη ασφάλειας, η χρήση των σύγχρονων ελαστικών εξυπηρετεί τις καλύτερες κυκλοφοριακές επιδόσεις των οχημάτων δεδομένου ότι οι υψηλότεροι συντελεστές πρόσφυσης που παρατηρούνται μπορούν να χρησιμοποιηθούν και να γίνουν αποδεκτοί.

Αυτό το συμπέρασμα προήλθε από μια σχετική πρόσφατη μελέτη [64] όπου ένας νέος τύπος τροχών εισήχθη και προτάθηκε για σχεδιασμό.

Στην ίδια μελέτη [64], τα στοιχεία τριβής συλλέχθηκαν στην κορυφή της κυρτής κατακόρυφης καμπύλης με την απόδοση οδηγών σε κενό δρόμο και πρόσθετα σε ένα αεροδιάδρομο. Προσδιορίστηκαν οι συντελεστές τριβής στο 100% ολίσθησης καθώς επίσης και οι μέγιστοι συντελεστές τριβής.

Η απόσταση πέδησης μπορεί να υπολογιστεί από τις ακόλουθες σχέσεις[61]:

- Η πρώτη σχέση θεωρεί μία σταθερή τιμή πρόσφυσης, ανεξάρτητη από την ταχύτητα, και αποτελεί μία απλοποίηση της πραγματικότητας η οποία συχνά χρησιμοποιείται στην πράξη.
- Η δεύτερη, η οποία είναι και η περισσότερο ακριβής, λαμβάνει υπ' όψιν το γεγονός ότι η πρόσφυση μειώνεται όσο η ταχύτητα αυξάνεται. Μπορούμε να χρησιμοποιήσουμε τη σχέση αυτή, με την προϋπόθεση πως η σχέση μεταξύ ταχύτητας και πρόσφυσης είναι γνωστή.

$$BreakingDistance = \frac{V_i t}{3.6} + \frac{V_i^2 - V_f^2}{254(f_l \pm G)} \quad (1.3\alpha)$$

ή

$$BreakingDistance = \frac{V_i t}{3.6} + \int_{V_i}^{V_f} \frac{V}{127(f_{lv} \pm G)} dV \quad (1.3\beta)$$

Όπου

V_i =στιγμιαία ταχύτητα

V_f =τελική ταχύτητα

t=χρόνος αντίδρασης

Προσδιορισμός Τιμών Πρόσφυσης κατά την Πέδηση Οχημάτων Εφοδιασμένων με Σύστημα ABS σε Αυξημένες κατά Μήκος Κλίσεις

f_i = συντελεστής κατά μήκους πρόσφυσης

f_b = συντελεστής κατά μήκους πρόσφυσης με ταχύτητα V

G = κλίση (%/100)

το πρότυπο μοντέλο υπολογισμού της SSD που υιοθετείται από τους Αμερικάνικους κανονισμούς [61], αντιπροσωπεύεται από την εξίσωση (1.4), ενώ το αντίστοιχο μοντέλο που αναφέρεται στους ελληνικούς κανονισμούς [62] περιγράφεται στην εξίσωση (1.5).

$$SSD = V \times t + \frac{V^2}{2\left(\frac{a}{g} + s\right)} \quad (1.4)$$

όπου:

V (m/sec): ταχύτητα οχήματος

t (sec): χρόνος αντίληψης οδηγού - χρόνος αντίδρασης [t = 2.5sec]

g (m/s²): η παγκόσμια σταθερά βαρύτητας (g = 9.81 m/s²)

a (m/s²): ποσοστό επιβράδυνσης οχημάτων [3.4m/sec²]

s (%/100): κατά μήκος κλίση [(+) ανωφέρεια, (-) κατωφέρεια]

$$SSD = V \times t_R + \frac{1}{g} \int_0^{V_{ss}} \frac{V}{f_T(V) + \frac{s}{100} + \frac{A_d}{mg}} dv \quad m/s^2 \quad (1.5)$$

όπου:

V (m/sec): ταχύτητα οχήματος

t_R (sec): χρόνος αντίληψης οδηγού - χρόνος αντίδρασης [$t_R = 2.0$ sec]

g (m/s²): η παγκόσμια σταθερά βαρύτητας (g = 9.81 m/s²)

$f_T(V)$: κατά μήκος τριβή ολίσθησης

$$[f_T(V) = 0.59 - 4.85 \times 10^{-3} \times V + 1.51 \times 10^{-5} \times V^2] \quad (1.6)$$

s (%): κατά μήκος κλίση [(+) ανωφέρεια, (-) κατωφέρεια]

m(kgr): μάζα οχήματος

A_d (N): αντίσταση που δέχεται του τον αέρα το αυτοκίνητο έμπροσθεν

$$[A_d / mg = 0.327 \times 10^{-4} \times V^2]$$

2. ΠΡΟΣΦΥΣΗ (f)

2.1 Γενικά

Σύμφωνα με το προηγούμενο κεφάλαιο, η τιμή της πρόσφυσης είναι ιδιαίτερα καθοριστική στον προσδιορισμό του ΜΟΣ καθώς καθορίζει σε μεγάλο βαθμό το μήκος πέδησης.

Ως πρόσφυση ορίζεται η αντίσταση στην κίνηση μεταξύ δύο (2) επιφανειών που έρχονται σε επαφή. Ο συντελεστής πρόσφυσης είναι ο λόγος δύο (2) δυνάμεων, μίας με διεύθυνση παράλληλη στην επιφάνεια επαφής μεταξύ των δύο (2) σωμάτων, και μίας κάθετης. Στην περίπτωση των μετακινήσεων η μία επιφάνεια είναι η επιφάνεια του οδοστρώματος, και η δεύτερη τα ελαστικά του οχήματος. Ο συντελεστής πρόσφυσης κυμαίνεται μεταξύ του μηδέν (0) (συνθήκες πάγου) και πάνω του ένα (1) (ιδανικές συνθήκες επιφάνειας).

Η δύναμη που δημιουργείται από την αλληλεπίδραση μεταξύ του πέλματος και των τροχών στην εφαρμοσμένη μηχανική εθνικών οδών οφείλεται στην τριβή. Η τριβή αναφέρεται στη διαμήκη και πλευρική κατεύθυνση του ταξιδιού. Το ανώτερο όριο του διαμήκους ή πλευρικού παράγοντα τριβής είναι το σημείο στο οποίο η ρόδα ολισθαίνει ή το σημείο της επικείμενης ολίσθησης.

Από την πρόσφυση του οδοστρώματος εξαρτάται η μέγιστη τιμή των δυνάμεων της προώθησης και της πέδησης καθώς και των εγκάρσιων δυνάμεων, που ασκούνται στα ελαστικά των τροχών των αυτοκινήτων και οι οποίες επενεργούν στο οδόστρωμα ως δυνάμεις αντίδρασης.

Η ασφαλής κίνηση ενός οχήματος επιτρέπεται μόνο όταν την αποτρέπει η δύναμη τριβής από την ολίσθηση σε οποιαδήποτε κατεύθυνση του ταξιδιού. Είναι επίσης γνωστό, {πχ. [60], [61], [62], [63]} ότι το ποσοστό της τριβής που παρέχεται στη διαμήκη κατεύθυνση, συνδέεται άμεσα στην τριβή που απαιτείται πλευρικά.

Η συχνότητα των ατυχημάτων αυξάνεται όσο η τριβή που δημιουργείται από την επιφάνεια του οδοστρώματος μειώνεται. Το πρόβλημα επιδεινώνεται όταν η επιφάνεια του οδοστρώματος είναι υγρή, καθώς μειώνεται η επαφή μεταξύ ελαστικών και οδοστρώματος.

Τα ατυχήματα αυξάνονται περισσότερο στα σημεία του οδικού δικτύου που υπάρχει μεγαλύτερη ανάγκη υψηλής πρόσφυσης, όπως π.χ. σε διασταυρώσεις δρόμων.

2.2 Τιμές Πρόσφυσης και Ελληνική Πραγματικότητα

Με βάση τις μετρήσεις του συντελεστή ολίσθησης σε αντιπροσωπευτικά υγρά οδοστρώματα που έγιναν ήδη σε πολλές χώρες, προέκυψε η επιτρεπόμενη τιμή του

Προσδιορισμός Τιμών Πρόσφυσης κατά την Πέδηση Οχημάτων Εφοδιασμένων με Σύστημα ABS σε Αυξημένες κατά Μήκος Κλίσεις

συντελεστή εφαιπτομενικής και εγκάρσιας τριβής. Κατά κανόνα η επιλογή της τιμής του επιτρεπόμενου συντελεστή εφαιπτομενικής και εγκάρσιας τριβής γίνεται κατά κάποιο τρόπο ώστε να καλύπτεται το 80 έως 90% των οδοστρωμάτων της χώρας. Με αυτόν τον τρόπο εξασφαλίζεται με τη μελέτη της οδού, υψηλός συντελεστής ασφαλείας κατά την κίνηση των οχημάτων στις καμπύλες. [62]

Η υιοθέτηση τιμών συντελεστού τριβής που καλύπτουν το 80% των ελληνικών οδοστρωμάτων θα οδηγούσε όχι μόνο σε ιδιαίτερα αντιοικονομικές κατασκευές οδών αλλά και σε κατασκευές, οι οποίες θα είχαν ανεπιθύμητες επιπτώσεις στο περιβάλλον.

Για το λόγο αυτό, κατά την εκπόνηση των ελληνικών οδηγιών, κρίθηκε σκόπιμο να ακολουθηθεί διαφορετική διαδικασία από τη διεθνή πρακτική, προκειμένου να ορισθούν επιτρεπόμενες τιμές του συντελεστή εφαιπτομενικής τριβής, ειδικά για μελέτες οδοποιίας στην Ελλάδα. Με την προϋπόθεση ότι οι επιτρεπόμενες τιμές του συντελεστή εφαιπτομενικής τριβής πρέπει να ανταποκρίνονται στα σύγχρονα δεδομένα της τεχνολογίας στον τομέα της δυναμικής της κίνησης των οχημάτων, λήφθηκαν υπόψη τα δεδομένα των κανονισμών συγκεκριμένων χωρών (Γαλλίας, Γερμανίας, Ελβετίας, ΗΠΑ, και Σουηδίας), στα οποία βασίστηκε η σχετική ανάλυση παλινδρόμησης για τον προσδιορισμό της σχέσης μεταξύ του επιτρεπόμενου συντελεστή εφαιπτομενικής τριβής οδοστρώματος και της ταχύτητας. Η προκύπτουσα γενική σχέση ελέγχθηκε ως προς τον βαθμό σύμπτωσης της με τις αντίστοιχες τράπεζες δεδομένων διαφόρων χωρών με πολύ ικανοποιητικά αποτελέσματα.

$$\max f_{T_{\text{επιτρ}}} = 0,59 - 4,85 \cdot 10^{-3} \cdot V + 1,51 \cdot 10^{-5} \cdot V^2 \quad (2.1)$$

όπου:

$$\max f_{T_{\text{επιτρ}}} = \text{μέγιστος επιτρεπόμενος συντελεστής εφαιπτομενικής τριβής}$$

$$V = \text{ταχύτητα (km/h)}$$

Όσον αφορά την ασφάλεια της κυκλοφορίας των οχημάτων, μεταξύ οδοστρώματος – ελαστικού, πρέπει να εξασφαλίζεται πάντοτε η ύπαρξη τιμών του συντελεστή τριβής σύμφωνα με τη παραπάνω σχέση, στα οδοστρώματα, είτε πρόκειται για την κατασκευή νέων, είτε για την ανακατασκευή ή βελτίωση παλαιότερων οδών. Οι μετρήσεις ολισθηρότητας γίνονται κατά κανόνα σε συγκεκριμένες τιμές ταχυτήτων και συνήθως στις ταχύτητες 40, 60 και 80 km/h. Σύμφωνα με την παραπάνω σχέση, οι απαιτούμενες τιμές του συντελεστή εφαιπτομενικής τριβής για τις ταχύτητες αυτές, είναι:

$$\max f_{T_{\text{επιτρ}}} = 0,42 \text{ για } V=40 \text{ km/h} \quad (2.2\alpha)$$

$$\max f_{T_{\text{επιτρ}}} = 0,35 \text{ για } V=60 \text{ km/h} \quad (2.2\beta)$$

$$\max f_{T_{\text{επιτρ}}} = 0,30 \text{ για } V=80 \text{ km/h} \quad (2.2\gamma)$$

Οι τιμές αυτές προτείνονται (ως σήμερα) ως τυπικές τιμές ολισθηρότητας των ελληνικών οδοστρωμάτων και είναι οι ελάχιστες που αντιστοιχούν στην πρόσφυση του οδοστρώματος.

2.3 Συσκευές Μέτρησης Πρόσφυσης

Κατά καιρούς έχουν εφευρεθεί και χρησιμοποιηθεί διάφορες συσκευές μέτρησης των χαρακτηριστικών της επιφάνειας του οδοστρώματος. Τα αποτελέσματα μίας έρευνας που δημοσιεύτηκε το 1995 από την PIARC [60] δείχνουν πως έχουν εφευρεθεί περισσότερες από 100 τέτοιες συσκευές, 29 από τις οποίες χρησιμοποιούνται για τη μέτρηση της πρόσφυσης.

Κάποιες συσκευές μετρούν απευθείας το συντελεστή πρόσφυσης, ενώ άλλες προσδιορίζουν τα χαρακτηριστικά της επιφάνειας του οδοστρώματος.

Οι έλεγχοι που γίνονται για τον προσδιορισμό της πρόσφυσης, χωρίζονται σε δύο κατηγορίες: Έλεγχοι στατικών δοκιμών, οι οποίοι διενεργούνται σε συγκεκριμένη περιοχή με ακίνητο όργανο μέτρησης (πχ βρετανικό εκκρεμές) και έλεγχοι δυναμικών δοκιμών, οι οποίοι διενεργούνται με κίνηση του οχήματος στην επιφάνεια του δρόμου.

Τα αποτελέσματα των μετρήσεων επηρεάζονται από ποικίλους παράγοντες όπως:

- Χαρακτηριστικά του οδοστρώματος
- Βάθος του νερού που βρίσκεται στην επιφάνεια
- Χαρακτηριστικά των ελαστικών
- Ταχύτητα του οχήματος
- Αναλογία ολίσθησης
- Πίεση ελαστικών
- Θερμοκρασία

Σε διεθνές επίπεδο έχουν γίνει προσπάθειες για να αναπτυχθούν εργαλεία που θα διευκολύνουν τη σχέση μεταξύ των ελέγχων πρόσφυσης που γίνονται σε διαφορετικές χώρες. Έτσι, προτάθηκε ο Διεθνής Δείκτης Πρόσφυσης ο οποίος θεωρείται πλέον δεδομένος.

Άμεση μέθοδος μέτρησης

Η μέθοδος αυτή προϋποθέτει τη διεξαγωγή δοκιμών μέτρησης πρόσφυσης με διαφορετικές τιμές ταχυτήτων. Σαν αποτέλεσμα αναπτύσσεται μία σχέση μεταξύ ταχύτητας και συντελεστή πρόσφυσης. Η επιλογή μίας και μόνο λειτουργικής σχέσης σύνδεσης των δύο στοιχείων είναι αναγκαία, ωστόσο είτε η γραμμική είτε η εκθετική συνάρτηση μας βρίσκει σύμφωνους.

Γραμμική $cf_v = cf_0 - \beta V$ (2.3)

Προσδιορισμός Τιμών Πρόσφυσης κατά την Πέδηση Οχημάτων Εφοδιασμένων με Σύστημα ABS σε Αυξημένες κατά Μήκος Κλίσεις

Εκθετική $cf_v = cf_0 * \exp(-\beta V)$ (2.4)

Έμμεση μέθοδος μέτρησης

Στην περίπτωση που δεν έχουμε τη δυνατότητα να πραγματοποιήσουμε δοκιμές με ποικίλες τιμές ταχυτήτων, η σχέση ταχύτητας – πρόσφυσης μπορεί να απλοποιηθεί. Η μέθοδος αυτή, στηρίζεται στις ιδιότητες της επιφάνειας του οδοστρώματος.

Η **σταθερά ολίσθησης** δεδομένης ταχύτητας μπορεί να εκτιμηθεί από τη σταθερά ολίσθησης για μηδενική ταχύτητα (SN0).

$$SN_v = SN_0 \exp[-(PNFSG / 100)V] \quad (2.5)$$

όπου:

$$SN_0 = -31 + 1.38 BPN \quad (BPN: \text{το αποτέλεσμα του Βρετανικού εκκρεμούς})$$

$$PNFSG = 0.45(MD)^{-0.47}$$

(MD: μέσο βάθος επιφάνειας που μετράται με ειδική δοκιμή)

Vericom VC3000DAQ

Πρόκειται για ένα δυναμόμετρο το οποίο έχοντας ως δεδομένο το ρυθμό μεταβολής της ταχύτητας (επιτάχυνση/ επιβράδυνση) μπορεί να αποφανθεί για τις ακόλουθες ενδείξεις :

- ταχύτητα κίνησης οχήματος (**vehicle speed**)
- μέση και μέγιστη οριακή επιτάχυνση (**average & peak G**)
- συνολική απόσταση φρεναρίσματος (**Braking distance**)
- καθώς και η διάρκεια αυτής (**time elapsed**)

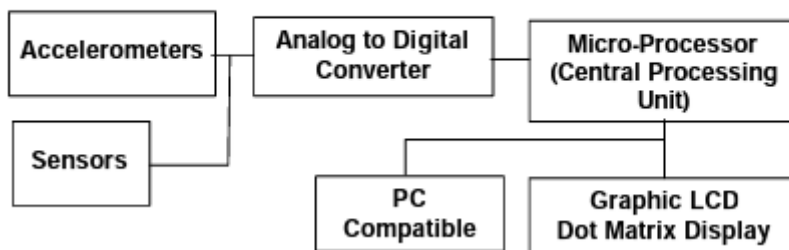
Εμπεριέχει δύο (2) αισθητήρες καταγραφής των διακυμάνσεων των βαρυντικών επιταχύνσεων, ένα για τον κάθε άξονα (διαμήκης/εγκάρσιος) οι οποίοι καθιστούν δυνατή, την καταγραφή αυτή. Ο κάθε αισθητήρας είναι της μορφής ελαστικής μάζας (έλασμα). Η δύναμη της βαρύτητας προκαλεί ταλαντώσεις στην παλλόμενη αυτή μάζα, οι οποίες μετρούνται και καταγράφονται ψηφιακά. Εμπεριέχει επίσης υψηλής ακρίβειας επιταχυνσιόμετρο

Η συσκευή μέτρησης που υλοποιείται στο VC3000DAQ είναι ένα επιταχυνσιόμετρο, ελατήριο-μαζικών τύπων υψηλής ακρίβειας ($\pm 0.003G$), το οποίο μετρά την κίνηση ως ποσοστό μεταβολής της ταχύτητας. Λειτουργεί βασιζόμενος σε μια εκτροπή της μάζας που προκαλείται από την επιτάχυνση (δύναμη επιτάχυνσης της βαρύτητας G), όπου αυτή η μικρή μετακίνηση μετριέται ηλεκτρονικά. Το επιταχυνσιόμετρο μετρά την ικανότητα μετατροπής αυτής της τάση. Τα δείγματα επιταχύνσεως της βαρύτητας G

Προσδιορισμός Τιμών Πρόσφυσης κατά την Πέδηση Οχημάτων Εφοδιασμένων με Σύστημα ABS σε Αυξημένες κατά Μήκος Κλίσεις

του VC 3000, τα οποία μετρώνται 100 φορές ανά δευτερόλεπτο και η μέγιστη δύναμη G καθώς επίσης και η μέση δύναμη G (παράγοντας έλξης). Μέσω της ολοκλήρωσης, και με τη χρήση ενός ρολογιού κρυστάλλου, τα αποτελέσματα συσκευών επιταχύνουν επίσης και τα στοιχεία απόστασης.

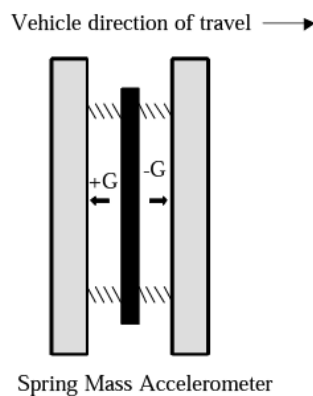
Στο παρακάτω σχήμα παρατηρούμε αναλυτικά τα στάδια της διαδικασίας καταγραφής.



Σχήμα 2.1: Ροή καταγραφής μετρήσεων του VC3000
Πηγή: Vericom manual [54]

Ο αισθητήρας λαμβάνει τις τιμές δεδομένων των διακυμάνσεων των βαρυτικών δυνάμεων. Έπειτα το επιταχυνσιόμετρο μετράει την συσσώρευση του ηλεκτρικού φορτίου την οποία και μετατρέπει σε ηλεκτρική τάση, έτσι ώστε εν συνεχεία, να τη μετατρέψει σε ψηφιακή πληροφορία (Analog-Digital Conversion “ADC”). Οι πληροφορίες κατόπιν επεξεργασίας τους από τον κύκλωμα του ψηφιακού μικροεπεξεργαστή, που περιλαμβάνει ενσωματωμένο το όργανο, δίνουν τη δυνατότητα είτε της άμεσης προβολής τους στην οθόνη του οργάνου είτε την εξαγωγή τους σε ηλεκτρονικό υπολογιστή για αποθήκευση και περαιτέρω ανάλυση των αποτελεσμάτων.

Στο παρακάτω σχήμα γίνεται μία σχηματική αναπαράσταση της ελαστικής μάζας που δρα ως αισθητήρας.

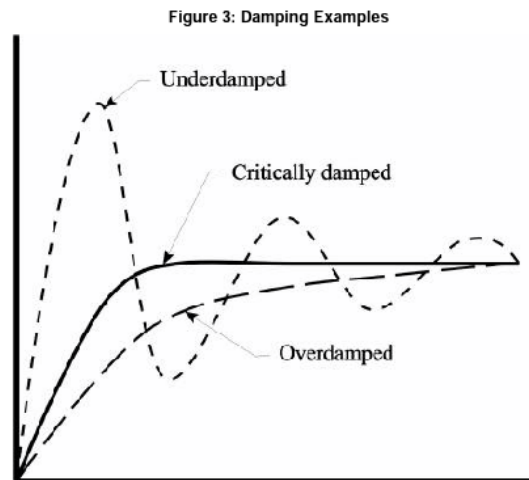


Σχήμα 2.2: Σχηματική αναπαράσταση της ελαστικής μάζας που δρα ως αισθητήρας
Πηγή: Vericom manual [54]

Προσδιορισμός Τιμών Πρόσφυσης κατά την Πέδηση Οχημάτων Εφοδιασμένων με Σύστημα ABS σε Αυξημένες κατά Μήκος Κλίσεις

Από κατασκευαστικής άποψης εύκολα συμπεραίνει κανείς πως όσο καλύτερα ρυθμισμένο είναι το όργανο τόσο μεγαλύτερη είναι και η ακρίβεια των καταγεγραμμένων μετρήσεων.

Στο εγχειρίδιο χρηστή η εταιρία σαφώς αναφέρει πως το όργανο, είναι κρίσιμα ρυθμισμένο ώστε να αποσκοπεί στις καλύτερες δυνατές μετρήσεις και σε πραγματικό χρόνο.

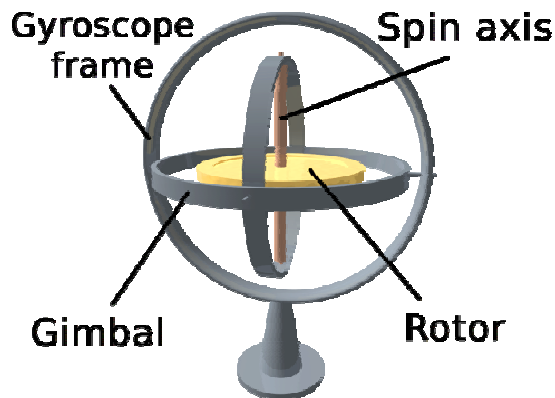


Σχήμα 2.3: Διάγραμμα απεικόνισης της λειτουργίας του οργάνου
Πηγή: Vericom manual [54]

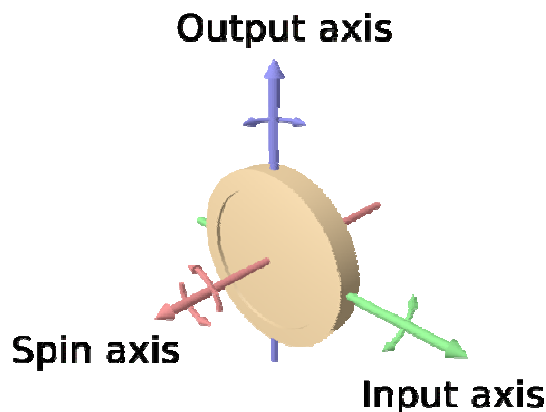
Μελετώντας το παραπάνω διάγραμμα μπορούμε διαπιστώνεται η σχέση **ρύθμισης - αξιοπιστίας** μετρήσεων. Στην περίπτωση που η ρύθμιση είναι στο κρίσιμο σημείο, οι καταγραφή γίνεται σε πραγματικό χρόνο (real time) και έχει ως αποτέλεσμα τις ορθότερες καταγραφές των εκάστοτε G, σε αντίθεση με το να είναι υπορρυθμισμένο ή υπερρυθμισμένο και να παρατηρούνται αποκλίσεις από τις πραγματικές τιμές (από την μεριά του οργάνου πάντα).

Το όργανο χρησιμοποιεί επιταχυνσιόμετρα σαν αισθητήρες καταγραφής κίνησης. Ένα εναλλακτικό σύστημα καταγραφής είναι τα διάφορα γυροσκόπια ή γυροσκοπικά συστήματα τα οποία εμπεριέχουν ένα τρισδιάστατο σύστημα (σύστημα τριών αξόνων) σαν βάση του τρόπου λειτουργίας τους. Πρόκειται για ένα μηχανισμό καταγραφής προσανατολισμού βασισμένο στις αρχές της στροφορμής (ορμή περιστρεφόμενου σώματος/μάζας).

Εξίσου αξιόλογες και συνήθεις προσθήκες στα αδρανειακά συστήματα, είναι διάφοροι μηχανισμοί που λειτουργούν με βάση τα μαγνητόμετρα (magnetometer) καθώς και κάποια άλλα κάνοντας χρήση των υπέρυθρων ακτινών.



Σχήμα 2.4: Μορφή γυροσκοπίου
Πηγή: Wikipedia article [70]



Σχήμα 2.5: Άξονες κίνησης γυροσκοπίου
Πηγή: Wikipedia article [70]

Χαρακτηριστικά

Υψηλή ακρίβεια ($\pm 0.003G$)

Δείγμα 100 φορές το δευτερόλεπτο (0.01 sec).

2.4 Επιτρόχιος Συντελεστή Πρόσφυσης –Σύστημα Πέδησης ABS

Από το πηλίκο της δύναμης πρόσφυσης προς την κάθετη δύναμη που ασκείται στο ελαστικό, προκύπτει ο συντελεστής στατικής τριβής. Στην οδοποιία ο συντελεστής στατικής τριβής αναλύεται στον επιτρόχιο (εφαπτομενικό) και τον εγκάρσιο.

Ο συντελεστής επιτρόχιας πρόσφυσης, ο οποίος καθορίζει άμεσα και την απόσταση πέδησης του οχήματος, ορίζεται ως το πηλίκο της δύναμης επιτρόχιας στατικής

Προσδιορισμός Τιμών Πρόσφυσης κατά την Πέδηση Οχημάτων Εφοδιασμένων με Σύστημα ABS σε Αυξημένες κατά Μήκος Κλίσεις

τριβής προς την ασκούμενη κάθετη δύναμη. Όταν ο τροχός κυλιέται χωρίς την εφαρμογή σε αυτόν ροπής (προωθητικής ή επιβραδυντικής), η ακτίνα του ονομάζεται δυναμική ακτίνα κύλισης και έχει μέτρο:

$$r_{\text{dyn}} = r(1 + k_v) \quad (2.6)$$

όπου:

r_{dyn} (m) : δυναμική ακτίνα κύλισης τροχού

r (mm) : δυναμική ακτίνα για ταχύτητα έως 60km/h

k_v (%) : συντελεστής προσαύξησης (Πίνακας 2.2)

Η τιμή της δυναμικής ακτίνας για $V \leq 60\text{km/h}$ είναι συνάρτηση του τύπου των ελαστικών και οι τιμές της για τα επιβατηγά οχήματα (ταχύτητας έως 160km/h και πίεσης 2,5bar) κυμαίνεται από 258,6mm έως 327,0mm για ελαστικά τύπου 155/65R 13, και 225/65 R15 αντιστοίχως. Για τυπικά ελαστικά τύπου 175/65R 14 η τιμή που λαμβάνει είναι 283,3mm [49].

Οι τιμές του συντελεστή προσαύξησης της δυναμικής ακτίνας, όπως αυτές προκύπτουν για ταχύτητες μεγαλύτερες των 60 km/h παρατίθενται στον ακόλουθο πίνακα(πίνακας 2.1)

| | | | | | | | |
|-----------|----|------|------|------|------|------|------|
| V (km/h) | 60 | 90 | 120 | 150 | 180 | 210 | 240 |
| k_v (%) | 0 | +0,1 | +0,2 | +0,4 | +0,7 | +1,1 | +1,6 |

Πίνακας 2.1. Τιμές συντελεστή προσαύξησης της δυναμικής ακτίνας για $V > 60\text{km/h}$ [49].

Όταν κατά την κύλιση του τροχού εφαρμόζεται προωθητική ροπή (στον τροχό που έχει την κίνηση), τα γειτονικά στοιχεία του ελαστικού που βρίσκονται σε επαφή με το οδόστρωμα συστέλλονται (Artamonov et al. 1976) [46]. Αποτέλεσμα αυτού είναι η μείωση της δυναμικής ακτίνας. Εφόσον όμως ο τροχός κινείται με την ίδια ταχύτητα κινήσεως, η γωνιακή του ταχύτητα αυξάνει και μαζί αυξάνει και η ποσότητα καταναλισκόμενου έργου. Δηλαδή, όταν ασκείται στο ελαστικό επιτρόχια στατική τριβή κατά την προώθησή του, απαιτείται μεγαλύτερη ποσότητα ενέργειας για να διανύσει ο τροχός το ίδιο μήκος με την ίδια ταχύτητα κινήσεως [32]. Έτσι ορίζεται η διολίσθηση του τροχού κατά την προώθηση, που εκφράζεται σε (%) :

$$S_{\text{πρ}}(\%) = \left(1 - \frac{V}{\omega r}\right) \quad (2.7)$$

όπου:

r : ενεργή ακτίνα τροχού (απόσταση άξονα τροχού από την επιφάνεια κύλισης) (m)

V : ταχύτητα κινήσεως αμαξώματος (m/sec)

Η αντίστοιχη ακτίνα υπολογίζεται ως εξής :

$$r_{\text{πρ}} = r_{\text{dyn}}(1 - S_{\text{πρ}}) \quad (2.8)$$

Η μείωση της ακτίνας $r_{\text{πρ}}$ γίνεται έως ότου η επιτρόχια στατική τριβή λάβει την μέγιστη τιμή της. Από το σημείο αυτό και πέρα παρατηρείται ολίσθηση του τροχού [32].

Προσδιορισμός Τιμών Πρόσφυσης κατά την Πέδηση Οχημάτων Εφοδιασμένων με Σύστημα ABS σε Αυξημένες κατά Μήκος Κλίσεις

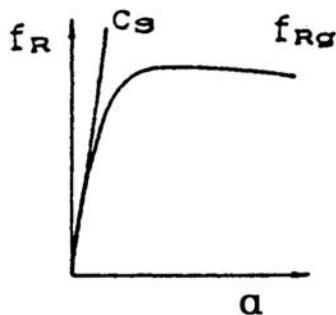
Στο Σχήμα (2.6) φαίνεται η σχέση του συντελεστή εγκάρσιας πρόσφυσης. (Είναι η πρόσφυση που δημιουργείται μεταξύ των τροχών και της επιφάνειας επαφής του, η διεύθυνση της οποίας είναι κάθετη στην διεύθυνση κίνησης του τροχού) στατικής τριβής με τη διολίσθηση του τροχού, όταν σε αυτόν ασκείται επιβραδυντική ροπή. Ως διολίσθηση κατά την επιβράδυνση του τροχού ορίζεται το ποσοστό της υστέρησης της γωνιακής ταχύτητας του τροχού ως προς την μεταφορική ταχύτητα του αμαξώματος.

$$S_{\text{επ}}(\%) = \left(1 - \frac{\omega r}{V}\right) \quad (2.9)$$

Σε αυτήν την περίπτωση παρατηρείται αύξηση της ακτίνας του τροχού και φυσικά μείωση της γωνιακής ταχύτητας. Η ακτίνα τότε δίδεται από την σχέση :

$$r_{\text{επ}} = \frac{r_{\text{dyn}}}{1 - S_{\text{επ}}} \quad (2.10)$$

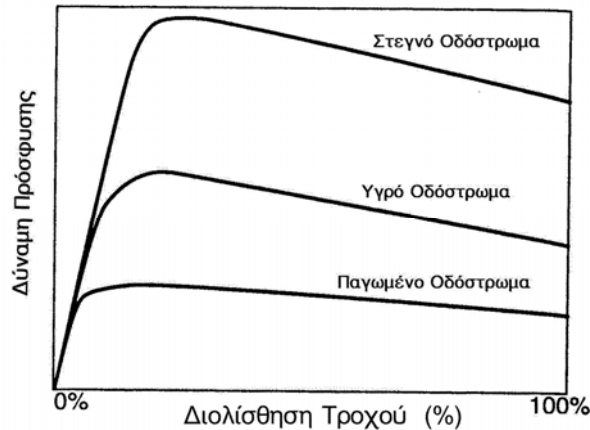
Με βάσει τη σχέση 2.10 , η σχέση μεταξύ της εγκάρσιας στατικής τριβής και της γωνίας πλαγιοδρόμησης του τροχού προκύπτει όπως στο σχήμα 2.6



Σχήμα 2.6. Σχέση συντελεστή εγκάρσιας στατικής τριβής και γωνίας πλαγιοδρόμησης του τροχού [43].

Στο σχήμα (2.7) φαίνεται η σχέση της στατικής τριβής κατά την τροχοπέδηση εκφρασμένη ως προς τη διολίσθηση του τροχού στις περιπτώσεις στεγνού, υγρού και παγωμένου οδοστρώματος.

Προσδιορισμός Τιμών Πρόσφυσης κατά την Πέδηση Οχημάτων Εφοδιασμένων με Σύστημα ABS σε Αυξημένες κατά Μήκος Κλίσεις



Σημείωση : $fT_{max} = (1.10 - 1.45) fT_g$ για επιβατηγά οχήματα.

Σχήμα 2.7. Συντελεστής επιτροχίας πρόσφυσης ως προς την διολίσθηση του τροχού [33].

Η τιμή του συντελεστή τριβής ποικίλει ανάλογα με το ποσοστό διολίσθησης του τροχού και προκύπτει από τη διαφορά της γωνιακής ταχύτητας του από την ταχύτητα του οχήματος κατά τη διαδικασία της πέδησης. Αυξάνεται γρήγορα και όταν η διολίσθηση του τροχού βρίσκεται μεταξύ του φθάνει μία τιμή στο 10 – 20% της διαδικασίας πέδησης, ο συντελεστής πρόσφυσης λαμβάνει τη μέγιστη τιμή του. Έπειτα ακολουθεί μία πτωτική πορεία στην τιμή του συντελεστή πρόσφυσης, μέχρις ότου ομαλοποιηθεί σε μία τιμή χαμηλότερη από τη μέγιστη.

Οι τιμές του συντελεστή πρόσφυσης ποικίλουν από 0 σε συνθήκες πάγου, έως και 1 σε ιδανικές συνθήκες. Ένας τροχός που περιστρέφεται ελεύθερα έχει 0% ολίσθηση, καθώς η ταχύτητα του ισούται με την ταχύτητα του οχήματος. Αντιθέτως, όταν η μεταφορική ταχύτητα ενός οχήματος είναι διάφορη του μηδενός αλλά ο τροχός του είναι πλήρως ακινητοποιημένος παρουσιάζει 100% διολίσθηση, δηλαδή δεν έχει καθόλου γωνιακή επιτάχυνση. Τότε οι τροχοί ολισθαίνουν στην επιφάνεια του οδοστρώματος.

Με βάση τον Fricke[58], οι τιμές του συντελεστή πρόσφυσης για στεγνό και υγρό οδόστρωμα με ταχύτητες μεγαλύτερες ή μικρότερες των 50 km/h για όλους τους τύπους οδοστρωμάτων προκύπτουν βάσει του ακόλουθου πίνακα(πίνακας 2.2)

| ΤΥΠΟΣ ΕΠΙΦΑΝΕΙΑΣ ΟΔΟΣΤΡΩΜΑΤΟΣ | ΣΤΕΓΝΟ | | | | ΥΓΡΟ | | | |
|----------------------------------|---------|------|---------|------|---------|------|---------|------|
| | <50km/h | | >50km/h | | <50km/h | | >50km/h | |
| | ΑΠΟ | ΕΩΣ | ΑΠΟ | ΕΩΣ | ΑΠΟ | ΕΩΣ | ΑΠΟ | ΕΩΣ |
| Τσιμέντο | | | | | | | | |
| Φρεσκοστρωμένο | 0.80 | 1.20 | 0.70 | 1.00 | 0.50 | 0.80 | 0.40 | 0.75 |
| Λίγο φθαρμένο | 0.60 | 0.80 | 0.60 | 0.75 | 0.45 | 0.70 | 0.45 | 0.65 |
| Πολύ φθαρμένο | 0.55 | 0.75 | 0.50 | 0.65 | 0.45 | 0.65 | 0.45 | 0.60 |
| Άσφαλτος / Πίσσα | | | | | | | | |
| Φρεσκοστρωμένη | 0.80 | 1.20 | 0.65 | 1.00 | 0.50 | 0.80 | 0.45 | 0.75 |
| Λίγο φθαρμένο | 0.60 | 0.80 | 0.55 | 0.70 | 0.45 | 0.70 | 0.40 | 0.65 |
| Πολύ φθαρμένο | 0.55 | 0.75 | 0.45 | 0.65 | 0.45 | 0.65 | 0.40 | 0.60 |
| Υπερβολική πίσσα | 0.50 | 0.60 | 0.35 | 0.60 | 0.30 | 0.60 | 0.25 | 0.55 |
| Αμμοχάλικο | | | | | | | | |

Προσδιορισμός Τιμών Πρόσφυσης κατά την Πέδηση Οχημάτων Εφοδιασμένων με Σύστημα ABS σε Αυξημένες κατά Μήκος Κλίσεις

| | | | | | | | | |
|----------|------|------|------|------|------|------|------|------|
| Πιεσμένο | 0.55 | 0.85 | 0.50 | 0.80 | 0.40 | 0.80 | 0.40 | 0.60 |
| Χαλαρό | 0.40 | 0.70 | 0.40 | 0.70 | 0.45 | 0.75 | 0.45 | 0.75 |
| Στάχτη | 0.50 | 0.70 | 0.50 | 0.70 | 0.65 | 0.75 | 0.65 | 0.75 |
| Χαλίκι | 0.55 | 0.75 | 0.55 | 0.75 | 0.55 | 0.75 | 0.55 | 0.75 |
| Πάγος | 0.10 | 0.25 | 0.07 | 0.20 | 0.05 | 0.10 | 0.05 | 0.10 |
| Χιόνι | | | | | | | | |
| Πιεσμένο | 0.30 | 0.55 | 0.35 | 0.55 | 0.30 | 0.60 | 0.30 | 0.60 |
| Χαλαρό | 0.10 | 0.25 | 0.10 | 0.20 | 0.30 | 0.60 | 0.30 | 0.60 |

Πίνακας 2.2: Συντελεστές πρόσφυσης

Πηγή: Fricke 1990[58]

Αξίζει στο σημείο αυτό να επισημανθεί ότι στις περιπτώσεις των οχημάτων χωρίς υποβοήθηση της πέδησης abs, οι τιμές πρόσφυσης που επιτυγχάνονται είναι πάρα πολύ μικρές συγκρινόμενες με τις τιμές που προκύπτουν από το διάγραμμα 2.1 για τις εκάστοτε καιρικές συνθήκες. Το ίδιο πρόβλημα παρατηρήθηκε και στα πρώιμα στάδια δημιουργίας και εφαρμογής του abs.

Το ABS, σήμερα, εμποδίζει τους τροχούς του οχήματος από το να ολισθήσουν ενώ με τη βοήθεια αισθητήρων “ανιχνεύουν” την περιοχή της μέγιστης πρόσφυσης και κατά τη διαδικασία πέδησης στιγμιαία ακινητοποιούν και ελευθερώνουν τον τροχό σε περιοχή όπου η τιμή της πρόσφυσης είναι πολύ κοντά στη μέγιστη αυτή τιμή, μειώνοντας με τον τρόπο αυτό την απόσταση φρεναρίσματος.

Οι παραπάνω αισθητήρες έχουν εξελιχθεί ιδιαίτερα τα τελευταία χρόνια (9^η γενιά ABS) και διαφέρουν πολύ από τις αρχές της δεκαετίας του 90 όπου πρωτοεμφανίστηκαν, καθώς το εύρος “ανίχνευσης” της μέγιστης τιμής πρόσφυσης ήταν τότε αρκετά μεγαλύτερο. Την ίδια περίοδο, δεν ήταν λίγες άλλωστε οι περιπτώσεις όπου ακόμα και μέτριοι οδηγοί παραπονιόντουσαν ότι η όλη διαδικασία πέδησης με σύστημα ABS προσδίδει μάλλον μεγαλύτερο μήκος πέδησης. Παράλληλα στις περιπτώσεις των οχημάτων που δεν διαθέτουν σύστημα ABS, τουλάχιστον σήμερα, είναι κοινώς αποδεκτό πως ο οδηγός κατά τη διαδικασία πέδησης, μπλοκάρει τους τροχούς του οχήματος σε περίπτωση πέδησης πανικού, πράγμα το οποίο αυξάνει την απόσταση ακινητοποίησης.

Κάποιες χώρες έχουν αναπτύξει οδηγίες που καθορίζουν την τιμή πρόσφυσης για τμήματα του οδικού τους δικτύου.

Στη Φιλανδία, η τιμή της πρόσφυσης βασίζεται σε όρια ταχυτήτων. Σε δρόμους 80km/h η ελάχιστη τιμή πρόσφυσης είναι 0,4, σε δρόμους 100km/h είναι 0,5 ενώ σε δρόμους 120km/h 0,6 βάσει των σουηδικών κανονισμών[57].

Στην Αγγλία το δίκτυο χωρίζεται σε 13 κατηγορίες περιοχών, καθεμία από τις οποίες στηρίζεται σε δικό της ερευνητική αφετηρία.

Εργαστηριακές μετρήσεις έχουν δείξει πως η τιμή της διολίσθησης του τροχού $S_{επ}$ (για επιβατηγό όχημα), που αντιστοιχεί στην μέγιστη τιμή f_{Tmax} του συντελεστή επιτρόχιας στατικής τριβής κατά την επιβράδυνση επιβατηγών οχημάτων, κυμαίνεται από 10%-45% [33]. Η τιμή f_{Tg} επιβατηγών οχημάτων που αντιστοιχεί στον συντελεστή επιτρόχιας στατικής τριβής για $S_{επ}=100\%$ (περίπτωση ακινητοποιημένων

Προσδιορισμός Τιμών Πρόσφυσης κατά την Πέδηση Οχημάτων Εφοδιασμένων με Σύστημα ABS σε Αυξημένες κατά Μήκος Κλίσεις

τροχών) σε μετρήσεις που έγιναν στην Γερμανία και αντιπροσωπεύουν το 95% των υγρών οδοστρωμάτων, προσδιορίστηκε ως εξής [6]:

$$f_{Tg} = 0,241\left(\frac{V}{100}\right)^2 - 0,721\left(\frac{V}{100}\right) + 0,708 \quad (2.11)$$

όπου :

V : ταχύτητα (km/h)

Η αντίστοιχη με την σχέση (2.11) που προτείνεται για τα Ελληνικά οδοστρώματα (ΟΜΟΕ-X 1995) [38] έχει την μορφή :

$$f_{Tg} = 0,151\left(\frac{V}{100}\right)^2 - 0,485\left(\frac{V}{100}\right) + 0,590 \quad (2.12)$$

Στην περίπτωση κίνησης του οχήματος υπό την επίδραση προωθητικής ροπής η τιμή του μέγιστου επιτρόχιου συντελεστή στατικής τριβής αντιστοιχεί σε τιμές διολίσθησης S_{π} του τροχού της τάξης του 6%-10% [41]. Η τιμή f_{Tmax} που αντιστοιχεί στην προώθηση του οχήματος είναι μεγαλύτερη από την αντίστοιχη για την επιβράδυνσή του [39]. Η διαφορά αυτή μειώνεται σε συνθήκες υγρού οδοστρώματος ή με την αύξηση της ταχύτητας [40].

Ο λόγος f_{Tmax}/f_{Tg} κυμαίνεται μεταξύ της τιμής 1,10 (ιδιαίτερα κρίσιμη για την ασφάλεια) και 1,45 [42]. Δηλαδή τόσο για την επιτάχυνση, όσο και για την επιβράδυνση των οχημάτων είναι

$$f_{Tmax,επ} = (1,10 - 1,45)f_{Tg} \quad (2.13)$$

$$f_{Tmax,πρ} = (1,10 - 1,45)f_{Tg} \quad (2.14)$$

Επισημαίνεται ότι οι σχέσεις (2.13) και (2.14) αφορούν την κίνηση επιβατηγών οχημάτων και μόνο. Όσον αφορά τα φορτηγά, σχετικά πρόσφατη έρευνα έδειξε ότι οι αντίστοιχες εκφράσεις είναι μειωμένες κατά 30% [48].

Η σχέση που συνδέει τους συντελεστές f_R και f_{Tg} προσδιορίστηκε από τον Krempel (1965) [39] ο οποίος όμως αναφέρεται σε ελαστικά παλαιάς τεχνολογίας (bias-ply). Οι Lamm and Herring (1971) [44] κατέληξαν στο ίδιο περίπου συμπέρασμα αλλά για ταχύτητα 50km/h :

$$f_{Rmax} = 0,925f_{Tg} \quad (2.15)$$

Δεν έχουν γίνει έως τώρα μετρήσεις σε πιο σύγχρονα ελαστικά (radial, bias belted) ώστε να υπάρξει σχέση που να αντιπροσωπεύει την σημερινή κατάσταση, αλλά από τιμές που προκύπτουν από την σχέση του Krempel για μεγάλες ταχύτητες (>100km/h) η σχέση (2.15) παίρνει την μορφή:

$$f_{Rmax} = f_{Tmax} \quad (2.16)$$

2.5 Διατύπωση Προβλήματος

Οι υπάρχοντες οδηγίες σχεδιασμού οδών δεν ενσωματώνουν πλήρως τις σύγχρονες τάσεις της τεχνολογίας οχημάτων. Μια από αυτές τις τεχνολογίες είναι το σύστημα αντιμπλοκαρίσματος των τροχών (ABS), με το οποίο όλα τα σύγχρονα οχήματα είναι εξοπλισμένα. Στην πραγματικότητα, αυτή η αμέλεια οδηγεί σε μια υποτίμηση των δυνατοτήτων πέδησης στα σύγχρονα οχήματα όπου σε συνδυασμό με τις εξελίξεις στην τεχνολογία των ελαστικών πιθανόν να είναι δυνατή η μείωση κρίσιμων γεωμετρικών παραμέτρων με περιβαλλοντικά και οικονομικά οφέλη. Οικονομικά γιατί θα υπάρχουν λιγότερο δαπανηροί προϋπολογισμοί κατασκευής και συντήρησης οδικών έργων, ενώ η καλύτερη εναρμόνιση της γεωμετρίας μιας οδού με το φυσικό ανάγλυφο θα ελαχιστοποιήσει τις περιβαλλοντικές επιπτώσεις.

Επομένως, το αντικείμενο της παρούσας εργασίας είναι η διερεύνηση της δυνατότητας μείωσης του ΜΟΣ σε οχήματα εξοπλισμένα με σύγχρονες τεχνολογικές εξελίξεις (ABS, radial ελαστικά). Ακόμη πιο δόκιμο είναι η έρευνα αυτή να ενσωματώνει κατά το δυνατό το σύνολο των λοιπών παραγόντων που αποτελούν αιτίες για την αύξηση του Δείκτη Ατυχημάτων, όπως η κατά μήκος κλίση μεγαλύτερη του 5% και οι δυσμενείς καιρικές συνθήκες.

Για το σκοπό αυτό χρησιμοποιήθηκε υφιστάμενο μοντέλο προσδιορισμού του ΜΟΣ [65], οι παράμετροι εισαγωγής του οποίου περιγράφονται στο επόμενο κεφάλαιο, καθώς και μετρήσεις πρόσφυσης οδοστρώματος σε ευρύ φάσμα γεωμετρίας οδού, δοκιμαστικών οχημάτων και συνήθων, για τα ελληνικά δεδομένα τουλάχιστον, καταστάσεων οδοστρώματος (υγρό – στεγνό).

3 ΣΤΟΙΧΕΙΑ ΔΥΝΑΜΙΚΗΣ ΚΙΝΗΣΗΣ ΟΧΗΜΑΤΩΝ

3.1 Δυνάμεις που Ασκούνται στο Όχημα

Η εξέταση της κίνησης του οχήματος στην συγκεκριμένη μελέτη γίνεται με την θεώρηση ότι είναι στερεό, άκαμπτο σώμα και ότι ασκούνται σε αυτό μόνο εξωτερικές δυνάμεις και δεν υφίστανται κινήσεις μεταξύ των τμημάτων του.

Οι εξωτερικές δυνάμεις που ασκούνται στο όχημα είναι οι εξής τρεις :

- η αεροδύναμη που προκύπτει από την κίνηση του αέρα
- η εξ' επαφής δύναμη μεταξύ ελαστικού και οδοστρώματος
- το βάρος του

Στα εδάφια που ακολουθούν θα αναλυθούν οι ασκούμενες εξωτερικές δυνάμεις στο

όχημα με τη μορφή επί μέρους συνιστωσών και θα δοθούν χαρακτηριστικές τιμές αυτών.

3.2 Η Αεροδύναμη

Η αεροδύναμη οφείλεται στην σχετική κίνηση του αέρα ως προς το όχημα. Είναι δύναμη αντίστασης με φορά αντίθετη από την φορά κίνησης του οχήματος. Το σημείο εφαρμογής της (κέντρο αεροδυναμικών πιέσεων) βρίσκεται στο κέντρο βάρους της μετωπικής επιφάνειας, σημείο όπου στα επιβατηγά οχήματα μπορεί να θεωρηθεί ότι συμπίπτει με το ύψος του κέντρου βάρους του οχήματος.

Στην περίπτωση άπνοιας η ταχύτητα του αέρα έχει μέτρο ίσο με την ταχύτητα του οχήματος. Σε περίπτωση ανέμου η διεύθυνση του αέρα διαφέρει από την διεύθυνση της ταχύτητας του οχήματος λόγω της ασύμμετρης κίνησης της ροής του και το μέτρο της ταχύτητάς του προσδιορίζεται από το διανυσματικό άθροισμα των ταχυτήτων του οχήματος και του ανέμου. Όταν πνέει ισχυρός άνεμος αντίθετος με την φορά κίνησης του οχήματος αναπτύσσεται μεγαλύτερη αντίσταση και κατά συνέπεια καταναλώνεται περισσότερη ενέργεια προκειμένου η ταχύτητα του οχήματος να μείνει ανεπηρέαστη. Το αντίθετο συμβαίνει όταν η φορά πνοής του ανέμου συμπίπτει με την φορά κίνησης του οχήματος. Επίσης ο εγκάρσιος στην κίνηση του οχήματος άνεμος είναι δυνατόν να προκαλέσει προβλήματα ευστάθειας. Δεδομένου ότι κατά την κίνηση ενός οχήματος σε οποιαδήποτε χάραξη το όχημα δέχεται την αντίσταση του αέρα ανάλογα με την οριζοντιογραφία της οδού, στην συγκεκριμένη μελέτη, αλλά και στην οδοποιία γενικότερα, η παρουσία ανέμου θεωρείται μηδενική και κατά συνέπεια το όχημα εξετάζεται σε συνθήκες άπνοιας.

Η αεραντίσταση αναλύεται σε τρεις συνιστώσες :

- Στην μετωπική αντίσταση A_d στον εφαπτομενικό άξονα του οχήματος
- Στην δυναμική άνωση (A_N) στον κάθετο προς το οδόστρωμα άξονα
- Στην πλευρική αντίσταση N

Το μέτρο και των τριών δυνάμεων εκφράζεται συναρτήσει της μετωπικής επιφάνειας A_f και της ταχύτητάς του οχήματος και προσδιορίζονται ως εξής :

$$A_d = c_d \frac{\rho}{2} A_f V^2 \quad (3.1)$$

$$A_N = c_N \frac{\rho}{2} A_f V^2 \quad (3.2)$$

$$N = c_A \frac{\rho}{2} A_f V^2 \quad (2.3)$$

όπου :

A_d : αεροδυναμική αντίσταση (N)

c_d : αεροδυναμικός συντελεστής μετωπικής επιφάνειας

ρ : σχετική πυκνότητα του αέρα (kg/m^3)

A_f : μετωπική επιφάνεια (N)

V : ταχύτητα οχήματος (m/sec)

A_N : δυναμική άνωση (N)

c_N : αεροδυναμικός συντελεστής άνωσης

c_A : αεροδυναμικός συντελεστής πλευρικής δύναμης

N : πλευρική αντίσταση (N)

3.2.1 Μετωπική αντίσταση

Η μετωπική αντίσταση είναι και η μεγαλύτερη από τις δυνάμεις αεραντίστασης. Οι τιμές του συντελεστή c_d που υπεισέρχονται στον υπολογισμό της κυμαίνονται ανάλογα με τον τύπο αλλά και την αεροδυναμική του οχήματος.

Στα συνήθη επιβατηγά οχήματα ο παραπάνω συντελεστής παίρνει τιμές από 0,30 έως 0,35, στα ελαφρά φορτηγά από 0,42 έως 0,46 και στα μεγάλα φορτηγά από 0,70 έως 1,20 [43]

3.2.2 Δυναμική άνωση

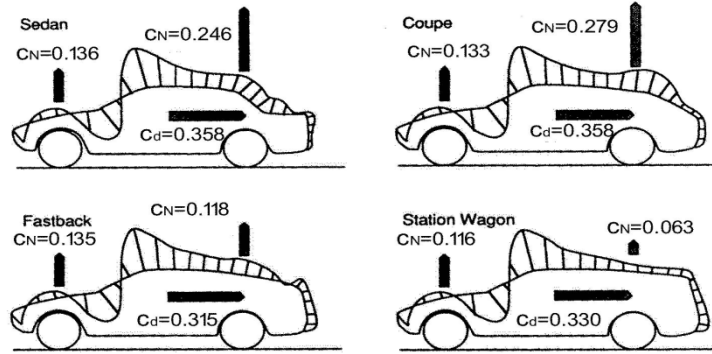
Αν και γενικά η άνωση εμφανίζεται με διαφορετικούς συντελεστές στο οπίσθιο και εμπρόσθιο μέρος ενός οχήματος (Σχήμα 3.1), η σχέση 3.2 δίνει ικανοποιητική ακρίβεια στον υπολογισμό της.

Στα Σχήματα (3.2) και (3.3) [33], φαίνεται η διακύμανση του συντελεστή δυναμικής άνωσης και του αντίστοιχου συντελεστή μετωπικής αντίστασης συναρτήσει της γωνίας διεύθυνσης της αεροδύναμης.

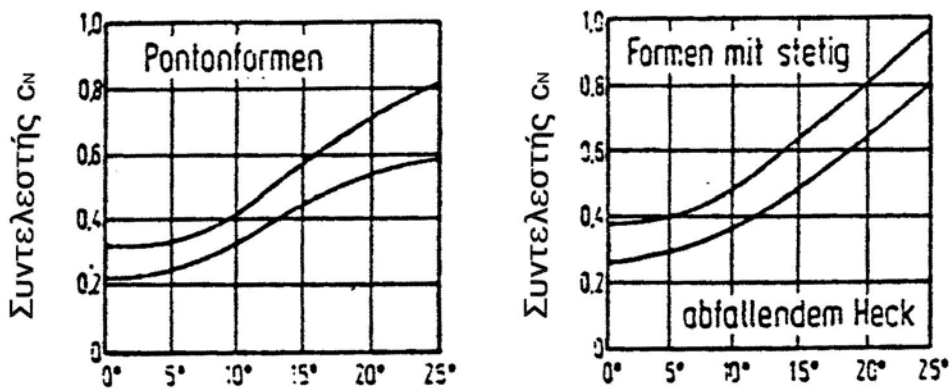
Προσεκτική εξέταση των Σχημάτων (3.1), (3.2) και (3.3) οδηγεί στο συμπέρασμα ότι ο συντελεστής δυναμικής άνωσης (και κατ' επέκταση η άνωση) μπορεί να εκφρασθεί σαν ποσοστό του συντελεστή μετωπικής αντίστασης. Έτσι η άνωση μπορεί να κυμανθεί σε ποσοστό μεταξύ 55%-84% της μετωπικής αντίστασης.

Η παραπάνω θεώρηση ισχύει για κατάσταση άπνοιας και μόνο. Και αυτό διότι στην περίπτωση που πνέουν ισχυροί άνεμοι ο συντελεστής άνωσης είναι δυνατόν να λάβει τιμές ίσες περίπου με την μονάδα με απρόβλεπτες συνέπειες για την σταθερότητα του οχήματος. Οι σύγχρονες αυτοκινητοβιομηχανίες προκειμένου να αντιμετωπίσουν αυτό το πρόβλημα, εφοδιάζουν το όχημα με αεροδυναμικά βοηθήματα (spoilers) ή δίνουν σε αυτό μια εμπρόσθια κλίση της τάξης των 3°, γεγονός που μπορεί να μειώσει την άνωση έως και 40% [34].

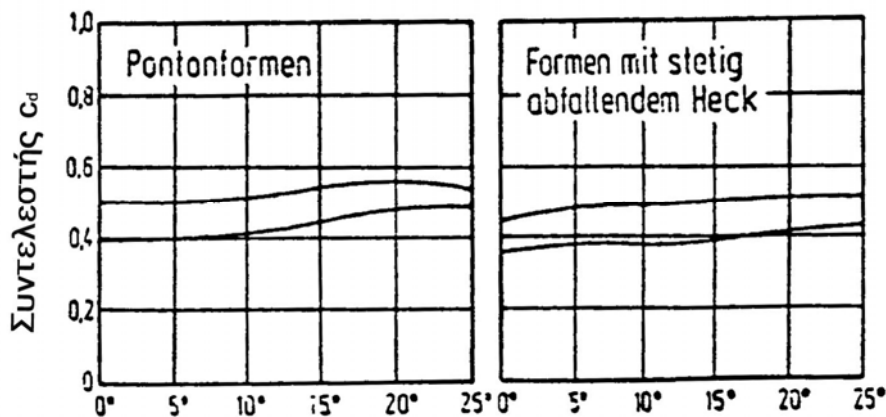
Προσδιορισμός Τιμών Πρόσφυσης κατά την Πέδηση Οχημάτων Εφοδιασμένων με Σύστημα ABS σε Αυξημένες κατά Μήκος Κλίσεις



Σχήμα 3.1. Συντελεστές δυναμικής άωσης και μετωπικής αντίστασης διαφόρων τύπων επιβατηγών οχημάτων [34].



Σχήμα 3.2. Συντελεστής δυναμικής άωσης συναρτήσει της γωνίας διεύθυνσης της αεροδύναμης [33].



Σχήμα 3.3. Συντελεστής μετωπικής αντίστασης συναρτήσει της γωνίας διεύθυνσης της αεροδύναμης [33].

3.2.3 Πλευρική αντίσταση

Η πλευρική αντίσταση προέρχεται από εκείνη τη συνιστώσα του ανέμου η οποία δρα στην εγκάρσια διεύθυνση της τροχιάς του οχήματος. Είναι προφανές ότι η επιρροή

Προσδιορισμός Τιμών Πρόσφυσης κατά την Πέδηση Οχημάτων Εφοδιασμένων με Σύστημα ABS σε Αυξημένες κατά Μήκος Κλίσεις

της πλευρικής αντίστασης στην ασφάλεια κατά την κίνηση ενός οχήματος εξαρτάται τόσο από το ίδιο το όχημα όσο και από την ένταση του ανέμου. Στις περιπτώσεις ισχυρών πλάγιων ανέμων η πλευρική αντίσταση δύναται να υπερβεί ακόμα και την μετωπική [34].

Στην παρούσα μελέτη, δεδομένου ότι το όχημα εξετάζεται σε συνθήκες άπνοιας, η επιρροή της πλευρικής αντίστασης αγνοήθηκε.

3.2.4 Πυκνότητα του αέρα

Η γνώση της πυκνότητας του αέρα είναι απαραίτητη για τον υπολογισμό των συνιστωσών της αεραντίστασης. Εξαρτάται από την θερμοκρασία, την ατμοσφαιρική πίεση και το ύψος από την επιφάνεια της θάλασσας.

Η σχέση που συνδέει την πυκνότητα του αέρα με την θερμοκρασία στο επίπεδο της θάλασσας, όπως αυτή αναπτύχθηκε από το Institut de Machines Hydrauliques από το Ecole Polytechnique de L'Universite De Lausanne, έχει την μορφή :

$$\rho = \frac{273,2}{273,2 + T} \quad (3.4)$$

όπου :

ρ : σχετική πυκνότητα του αέρα (kg/m^3)

T : θερμοκρασία περιβάλλοντος ($^{\circ}\text{C}$)

Η σχετική πυκνότητα του αέρα συνδεόμενη με την ατμοσφαιρική πίεση και την θερμοκρασία περιβάλλοντος, εκφράζεται από την σχέση :

$$\rho = 1,225 \left(\frac{P_r}{101,325} \right) \left(\frac{288,16}{273,16 + T} \right) \quad (3.5)$$

όπου :

ρ : σχετική πυκνότητα του αέρα (kg/m^3)

T : θερμοκρασία περιβάλλοντος ($^{\circ}\text{C}$)

P_r : ατμοσφαιρική πίεση (kPascal)

Τέλος, η σχέση που την συνδέει με το ύψος z από την επιφάνεια της θάλασσας και ισχύει για σταθερή θερμοκρασία περιβάλλοντος 15°C είναι :

$$\rho = 10^{-0,046z} \quad (3.6)$$

όπου :

ρ : σχετική πυκνότητα του αέρα (kg/m^3)

z : ύψος περιοχής της οποίας ζητείται η πυκνότητα από την επιφάνεια της θάλασσας (km)

Θεωρώντας ότι στην Ελλάδα οι συνήθεις θερμοκρασίες κυμαίνονται από 0°C - 35°C και ότι τα συνήθη υψόμετρα κυμαίνονται μεταξύ 0 m και 1500 m, το εύρος τιμών της πυκνότητας του αέρα κυμαίνεται από $1,05-1,29 \text{ kg/m}^3$. Αν και το εύρος τιμών της πυκνότητας για την Ελλάδα είναι μικρό εντούτοις στην παρούσα έρευνα επιλέχθηκε η δυσμενέστερη τιμή ($1,29 \text{ kg/m}^3$).

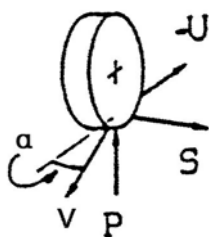
3.3 Η Εξ' επαφής Δύναμη

Το ελαστικό ενός οχήματος υπόκειται σε παραμορφώσεις λόγω των δυνάμεων που ασκούνται σε αυτό. Για την μελέτη αυτών των παραμορφώσεων, το όχημα θα εξετασθεί σαν ανεξάρτητο σώμα στο οποίο ασκούνται δύο δυνάμεις: η δύναμη που αναλαμβάνει από το σώμα του οχήματος και η εξ' επαφής δύναμη μεταξύ ελαστικού και οδοστρώματος. Η ανάλυση των δυνάμεων αυτών γίνεται σε τρισδιάστατο κινούμενο σύστημα αξόνων (ακολουθεί το ίχνος του τροχού) που αποτελείται από τον άξονα κύλισης του τροχού (άξονας X), τον κάθετο σε αυτόν στο επίπεδο κύλισης (άξονας Y), και τον κάθετο στο επίπεδο κύλισης (άξονας Z) [32] (Σχήμα 2.4).

Η κύλιση ενός ελαστικού διακρίνεται σε:

- Κύλιση υπό την επίδραση προωθητικής ροπής
- Κύλιση υπό την επίδραση επιβραδυντικής ροπής

Στην πρώτη περίπτωση (Σχήμα 3.5), τα τμήματα του ελαστικού πριν εισέλθουν στην περιοχή επαφής με το οδόστρωμα συμπιέζονται από την αλληλεπίδραση της ασκούμενης ροπής και της αντίδρασης των τμημάτων που ήδη βρίσκονται σε επαφή με το οδόστρωμα. Αποτέλεσμα αυτού είναι η απόσταση που διανύει ένας τροχός υπό την επήρεια προωθητικής ροπής να είναι μικρότερη από την αντίστοιχη απόσταση ενός υπό κύλιση [67].



όπου :

V : ταχύτητα οχήματος (m/sec)

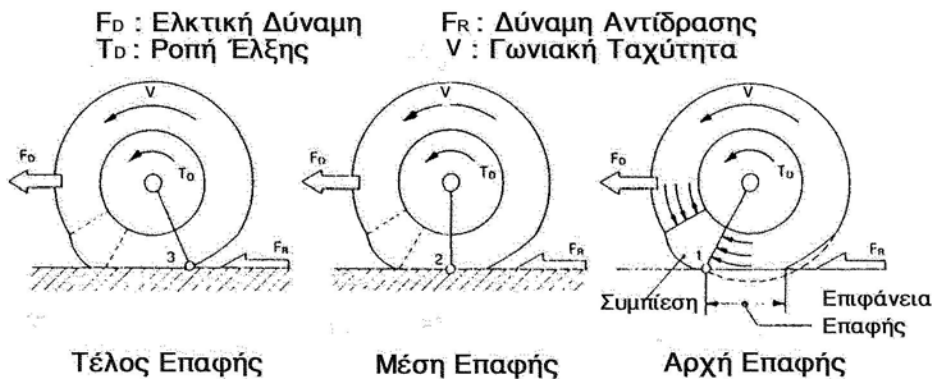
P : κάθετη δύναμη (N)

S : πλευρική δύναμη πρόσφυσης (N)

U : διαμήκης δύναμη πρόσφυσης (N)

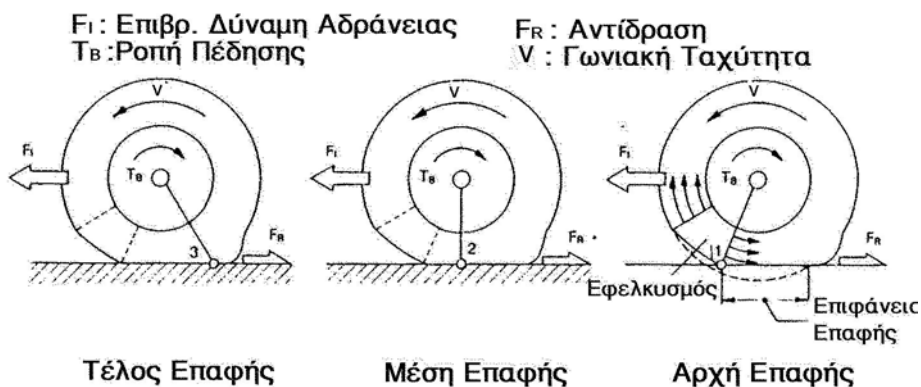
α : γωνία πλαγιοδρόμησης οχήματος (rad)

Σχήμα 3.4. Δυνάμεις που ασκούνται στον τροχό κατά την κύλισή του.



Σχήμα 3.5. Παραμόρφωση του ελαστικού κατά την εξάσκηση προωθητικής ροπής [67].

Όταν σε ένα ελαστικό ασκείται επιβραδυντική ροπή, η αδρανειακή δύναμη θα έχει την φορά της κύλισης, ενώ την ίδια στιγμή η αλληλεπίδραση μεταξύ ελαστικού και οδοστρώματος ανθίσταται στην κίνηση. Το αποτέλεσμα είναι, σε αντίθεση με την προηγούμενη περίπτωση, τα τμήματα του ελαστικού πριν έρθουν σε επαφή με το οδόστρωμα να εφελκύνονται και έτσι, υπό την επίδραση επιβραδυντικής ροπής, ο τροχός να διανύει μεγαλύτερη απόσταση από ότι σε ελεύθερη κύλιση [67] (Σχήμα 3.6).



Σχήμα 3.6. Παραμόρφωση του ελαστικού κατά την εξάσκηση επιβραδυντικής ροπής [67].

3.3.1 Παραμόρφωση των ελαστικών κατά την κίνησή τους σε ευθύγραμμη τροχιά

Κατά την κύλιση ενός τροχού προς τα εμπρός, παρατηρείται παραμόρφωση στην επιφάνεια επαφής του, προκαλούμενη από το κάθετο φορτίο που παραλαμβάνει καθώς και από την επίδραση της ίδιας της κύλισης. Το κάθετο φορτίο που παραλαμβάνει συνεπάγεται αύξηση του ίχνους του, ενώ η κύλιση δημιουργεί μια διαφοροποίηση στην κατανομή των τάσεων στην επιφάνεια επαφής του τροχού, με μεγαλύτερες τιμές να παρατηρούνται στο εμπρόσθιο τμήμα της. Την ίδια στιγμή στο οπίσθιο τμήμα της επιφάνειας επαφής, όπου οι τάσεις είναι πιο μικρές, τα τμήματα εκείνα του ελαστικού που ανασηκώνονται δεν επανέρχονται στην αρχική τους κατάσταση άμεσα, προκαλώντας έτσι έκλυση θερμότητας προς το περιβάλλον. Το

Προσδιορισμός Τιμών Πρόσφυσης κατά την Πέδηση Οχημάτων Εφοδιασμένων με Σύστημα ABS σε Αυξημένες κατά Μήκος Κλίσεις

φαινόμενο ονομάζεται *εσωτερική υστέρηση*.

Το αποτέλεσμα της συνεχούς παραμόρφωσης και ανάκτησης των αρχικών διαστάσεων του ελαστικού είναι η έκλυση ενέργειας στο περιβάλλον αφού για την κύλιση του απαιτείται ενέργεια. Η υστέρηση στην απόδοση της θερμότητας στο περιβάλλον, λόγω χαμηλής θερμικής αγωγιμότητας του ελαστικού, έχει σαν συνέπεια την αύξηση της θερμοκρασίας και της πίεσής του. Το γεγονός αυτό έχει ως αποτέλεσμα την μείωση της αντοχής του ελαστικού στην κόπωση λόγω κάμψης.

Σύμφωνα με τον Gillespie [34] επτά είναι οι κυριότεροι παράγοντες διαμόρφωσης του μέτρου της αντίστασης κύλισης :

- Ενεργειακές απώλειες λόγω παραμόρφωσης των πλευρικών τοιχωμάτων του ελαστικού κοντά στην επιφάνεια επαφής.
- Ενεργειακές απώλειες λόγω εκτροπής των συστατικών του πέλματος του ελαστικού.
- Εμφάνιση τριβών στην επιφάνεια επαφής.
- Διολίσθηση του τροχού τόσο στην επαπτομενική όσο και στην εγκάρσια διεύθυνση.
- Ανομοιόμορφη κατανομή της επιφάνειας του οδοστρώματος.
- Διαφορά της πίεσης μεταξύ εσωτερικής και εξωτερικής επιφάνειας του ελαστικού.
- Ενεργειακές απώλειες κατά την κύλιση του τροχού σε μη λείο οδόστρωμα.

Ο συντελεστής που συσχετίζει τη ροπή κύλισης και το βάρος ονομάζεται συντελεστής αντίστασης κύλισης και εκφράζεται με τον συντελεστή f_k που είναι αδιάστατος και εξαρτάται από την θερμοκρασία και πίεση του ελαστικού, το φορτίο που αναλαμβάνει, την ταχύτητα κίνησης του, καθώς και από την ποιότητα κατασκευής και τα γεωμετρικά χαρακτηριστικά του [34]. Αλγεβρικά η αντίσταση κύλισης σε έναν τροχό είναι ίση με το γινόμενο του συντελεστή f_k επί το φορτίο που αναλαμβάνει.

Όταν ένα όχημα αρχίζει να κινείται τα ελαστικά του έχουν χαμηλή θερμοκρασία. Κατά την κίνησή του όμως η αύξηση της πίεσης και της θερμοκρασίας των ελαστικών, προκαλεί μεγάλη μείωση του συντελεστή αντίστασης κύλισης (f_k). Στη συνέχεια όταν σταθεροποιείται η θερμοκρασία στο εσωτερικό του ελαστικού, ο συντελεστής κύλισης διατηρείται σταθερός. Στα επιβατηγά οχήματα ο απαιτούμενος χρόνος για την σταθεροποίηση της θερμοκρασίας είναι περίπου 20min και η διανυθείσα απόσταση είναι της τάξης των 30km [34].

Σε μεγάλο βαθμό η πίεση των ελαστικών καθορίζει την ελαστικότητά τους ενώ ο συνδυασμός της με το φορτίο που αναλαμβάνουν καθορίζει την κάμψη των τοιχωμάτων και το εύρος της επιφάνειας επαφής. Η τιμή του συντελεστή αντίστασης

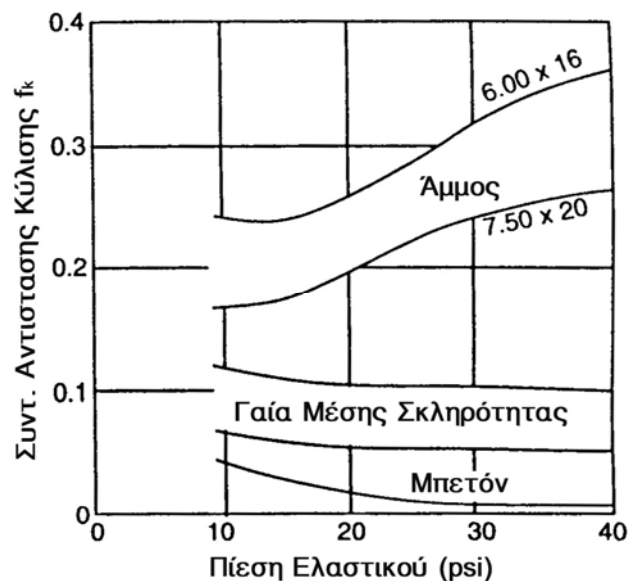
Προσδιορισμός Τιμών Πρόσφυσης κατά την Πέδηση Οχημάτων Εφοδιασμένων με Σύστημα ABS σε Αυξημένες κατά Μήκος Κλίσεις

κύλισης όμως εξαρτάται και από το είδος της επιφάνειας επαφής (Σχήμα 2.7). Γενικά η αύξηση της πίεσης ελαττώνει την επιφάνεια παραμόρφωσης και άρα το καταναλισκόμενο έργο [34]. Για τα συνήθη οδοστρώματα η σχέση του συντελεστή αντίστασης κύλισης f_k με την πίεση των ελαστικών είναι μειούμενη.

Ο συντελεστής f_k αυξάνει με την δύναμη που αναλαμβάνει ο τροχός στην αρχική φάση, όταν η θερμοκρασία είναι χαμηλή. Στη συνέχεια η αύξηση της πίεσης προκαλεί κατάσταση ισορροπίας, με αποτέλεσμα ο παραπάνω συντελεστής να είναι ανεξάρτητος της κάθετης δύναμης [35].

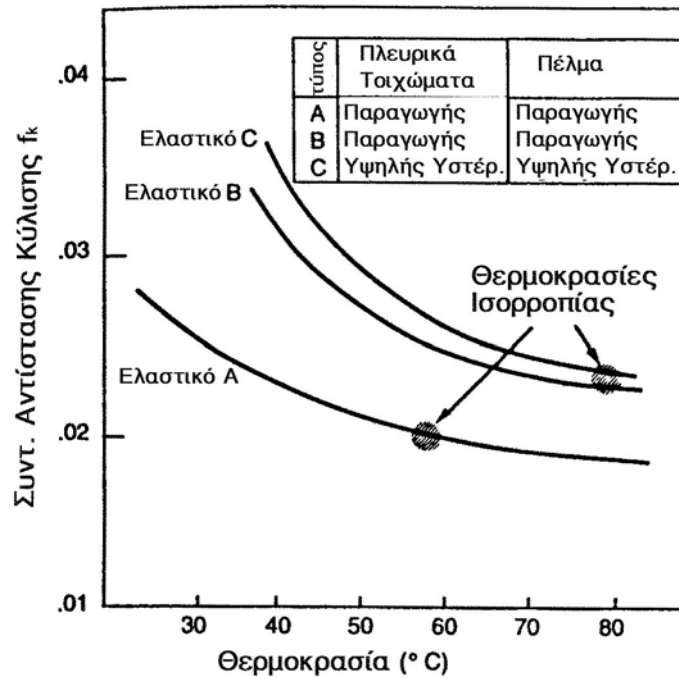
Τα υλικά κατασκευής και το πάχος τόσο των πλευρικών τοιχωμάτων όσο και του πέλματός του ελαστικού, καθορίζουν την ακαμψία και τις ενεργειακές απώλειες του. Στο Σχήμα (3.8) φαίνεται η επιρροή που ασκούν στον συντελεστή αντίστασης κύλισης f_k τρεις τύποι ελαστικών κατασκευασμένοι με διαφορετικό τύπο υλικού στο πέλμα και στις πλευρικές επιφάνειες. Στο ίδιο διάγραμμα φαίνονται έντονα οι απώλειες λόγω υστέρησης στον τύπο ελαστικού Α. Τα φθαρμένα ελαστικά παρουσιάζουν μειωμένες τιμές του f_k ως και 20%.

Όσον αφορά τα γεωμετρικά χαρακτηριστικά τους οι Clark and Dodge [35] έδειξαν πως ο συντελεστής f_k αυξάνει όταν αυξάνουν οι διαστάσεις των ελαστικών μόνο όταν η πίεση αυτών παραμένει ίδια.



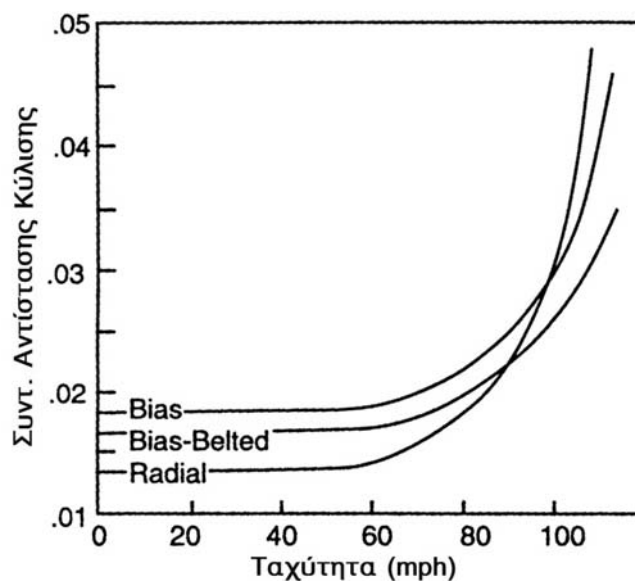
Σχήμα 3.7. Συντελεστής κύλισης του ελαστικού συναρτήσει της πίεσης σε αυτό σε διάφορες επιφάνειες επαφής [34].

Προσδιορισμός Τιμών Πρόσφυσης κατά την Πέδηση Οχημάτων Εφοδιασμένων με Σύστημα ABS σε Αυξημένες κατά Μήκος Κλίσεις



Σχημα 3.8. Συντελεστής αντίστασης κύλισης συναρτήσεϊ της αναπτυσσόμενης θερμότητας για ελαστικά κατασκευασμένα από διάφορα πολυμερή [34].

Η σχέση του συντελεστή f_k με την ταχύτητα είναι ανάλογη λόγω των συνεχών κάμψεων και ταλαντώσεων που παρατηρούνται στο σώμα του ελαστικού. Στις μικρές ταχύτητες όμως ο παραπάνω συντελεστής επηρεάζεται ελάχιστα και συνήθως στους υπολογισμούς η τιμή του λαμβάνεται σταθερή. Η επιρροή της ταχύτητας είναι ακόμα ισχυρότερη όταν αυτή συνδυαστεί με χαμηλή πίεση ελαστικών. Στο Σχήμα (3.9) που ακολουθεί φαίνεται η επιρροή της ταχύτητας στον συντελεστή f_k σε τρεις τύπους ελαστικών.



Σημείωση : 1mph = 1.6km/h
Σχημα 3.9. Συντελεστής αντίστασης κύλισης συναρτήσεϊ της ταχύτητας για

Προσδιορισμός Τιμών Πρόσφυσης κατά την Πέδηση Οχημάτων Εφοδιασμένων με Σύστημα ABS σε Αυξημένες κατά Μήκος Κλίσεις

διάφορους τύπους ελαστικών [34].

Οι πολλοί και αλληλοδεσμευόμενοι παράγοντες που επηρεάζουν τον συντελεστή αντίστασης κύλισης, καθιστούν αδύνατη την κατάστρωση εξίσωσης η οποία να τους λαμβάνει όλους υπόψη. Αρκετοί είναι οι ερευνητές που ασχολήθηκαν με τον προσδιορισμό ποσοτικής ερμηνείας για τον συντελεστή αντίστασης κύλισης f_k .

Ο Clark [36] σε σχετική μελέτη με συμπαγή ελαστικά κατέληξε στην εξίσωση της μορφής :

$$f_k = C \frac{P}{D} \sqrt{\frac{h_t}{w}} \quad (3.7)$$

όπου :

f_k : συντελεστής αντίστασης κύλισης

C : σταθερά έκφρασης της μείωσης των ελαστικών χαρακτηριστικών

D : εξωτερική διάμετρος (m)

P : δύναμη που αναλαμβάνει ο τροχός (N)

h_t : ύψος ελαστικού (m)

w : πάχος ελαστικού (m)

Στην εξίσωση (3.7) φαίνεται ότι ο συντελεστής αντίστασης κύλισης είναι ευθέως ανάλογος του φορτίου ενώ είναι αντιστρόφως ανάλογος του πάχους των ελαστικών. Έρευνες έδειξαν ότι πως η παραπάνω εξίσωση έχει εφαρμογή σε τυπικά ελαστικά επιβατηγών οχημάτων, όπου η φόρτωσή τους είναι κάτω από τις ίδιες συνθήκες.

Άλλες εξισώσεις που αναπτύχθηκαν για τον προσδιορισμό του συντελεστή f_k ήταν συνάρτηση μεταβλητών όπως η πίεση των ελαστικών, η ταχύτητα και η φόρτωση. Σε κάθε περίπτωση πάντως η ακρίβεια προσδιορισμού του συντελεστή αντίστασης κύλισης εξαρτάται από την επιρροή των παραγόντων που δεν λαμβάνονται υπόψη.

Ο Taborek (1957) [45], στηριζόμενος στο γεγονός ότι σε μικρές ταχύτητες ο συντελεστής f_k είναι ανάλογος της ταχύτητας, ανέπτυξε μια σχέση της μορφής :

$$f_k = 0.01(1 + V/100) \quad (3.8)$$

όπου :

V : ταχύτητα σε mph.

Για μεγάλες τιμές ταχύτητας η εξίσωση που αναπτύχθηκε από το Institute of Technology in Stuttgart [37], και αφορά σε επιβατηγά οχήματα κινούμενα σε δύσκαμπτα οδοστρώματα έχει τη μορφή :

$$f_k = f_o + 3.24f_s (V/100)^{2.5} \quad (3.9)$$

όπου :

V : ταχύτητα σε mph.

f_o : βασικός συντελεστής

Προσδιορισμός Τιμών Πρόσφυσης κατά την Πέδηση Οχημάτων Εφοδιασμένων με Σύστημα ABS σε Αυξημένες κατά Μήκος Κλίσεις

f_s : συντελεστής επηρεασμού ταχύτητας

Το εύρος των τιμών που λαμβάνουν οι συντελεστές f_0 και f_s της εξίσωσης (3.9) συναρτήσει της πίεσης των ελαστικών τους, φαίνεται στο Σχήμα (3.10).



Σχήμα 3.10. Συντελεστής αντίστασης κύλισης συναρτήσει της πίεσης [34].

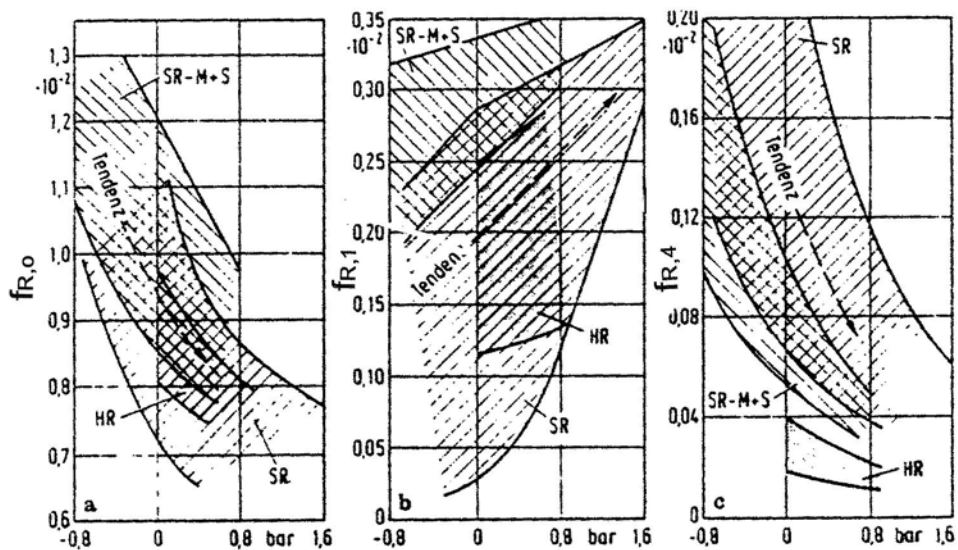
Για τα επιβατηγά οχήματα (ευρωπαϊκά) και για τυπικά ελαστικά η σχέση που δίνει την μεταβολή του συντελεστή f_k συναρτήσει της ταχύτητας, έχει την μορφή[51] :

$$f_k = f_{R,0} + f_{R,1} \left(\frac{V}{100} \right) + f_{R,4} \left(\frac{V}{100} \right)^4 \quad (3.10)$$

όπου :

V : ταχύτητα σε km/h.

$f_{R,i}$: συντελεστές με βάση τον τύπο και την εσωτερική πίεση του ελαστικού (Σχήμα 3.11).



Σχήμα 3.11. Συντελεστές $f_{R,0}$, $f_{R,1}$ και $f_{R,4}$ για διάφορους τύπους και πιέσεις ελαστικών [51].

Για τον συνήθη τύπο ελαστικών που φέρει ο Ελληνικός στόλος επιβατηγών οχημάτων (SR radial, $\max V \approx 180\text{km/h}$) η τάξη τιμών των συντελεστών $f_{R,i}$ είναι :

$$\begin{array}{ll} f_{R,0\min} = 0.0065 & f_{R,0\max} = 0.0111 \\ f_{R,1\min} = 0.0002 & f_{R,1\max} = 0.0035 \\ f_{R,4\min} = 0.00039 & f_{R,4\max} = 0.0020 \end{array}$$

Όσον αφορά στα βαρέα φορτηγά οχήματα, σύμφωνα με το Michigan Transportation Research Institute [43], η αντιπροσωπευτική έκφραση του συντελεστή αντίστασης κύλισης f_k είναι της μορφής :

$$f_k = (0.0041 + 0.000041V) \text{ για ελαστικά Radial} \quad (3.11)$$

$$f_k = (0.0066 + 0.000046V) \text{ για ελαστικά Bias- Ply} \quad (3.12)$$

$$f_k = (0.0053 + 0.000044V) \text{ για μικτά ελαστικά} \quad (3.13)$$

όπου :

V : ταχύτητα σε mph.

Επειδή στην παρούσα εργασία ενδιαφέρει περισσότερο η συμπεριφορά του ελαστικού στην μόνιμη κατάσταση, οι σχέσεις (3.10) και (3.11) που αναφέρονται σε ελαστικά radial μπορούν να χρησιμοποιηθούν, θεωρώντας ότι ο συντελεστής f_k είναι ανεξάρτητος από τους υπόλοιπους παράγοντες. Ο συντελεστής αντίστασης κύλισης γενικά παίρνει μικρότερες τιμές σε σκληρές, λείες και στεγνές επιφάνειες. Τα υγρά οδοστρώματα παρουσιάζουν μεγαλύτερες τιμές στον συντελεστή f_k , λόγω της μικρότερης θερμοκρασίας στην οποία λαμβάνει χώρα η κύλιση του τροχού και η οποία μειώνει την ευκαμψία του [34].

3.4 Η Δύναμη του Βάρους

Στη δύναμη του βάρους του οχήματος ιδιαίτερο ενδιαφέρον παρουσιάζει η μεταβολή στην κατανομή του κατά την κίνηση οχήματος σε καμπύλη τροχιά. Η μεταβολή αυτή λαμβάνει χώρα πάντα προς την εξωτερική στην καμπύλη τροχιά λόγω της παρουσίας της φυγόκεντρης δύναμης, εκτός και αν κινείται με χαμηλή ταχύτητα οπότε η αναπτυσσόμενη φυγόκεντρος είναι μικρής τάξης και τότε αυτή παρατηρείται προς την αντίθετη κατεύθυνση λόγω επίκλισης. Κατά την κίνηση του οχήματος σε ευθεία, δεν επηρεάζει τόσο.

Στην παρούσα έρευνα ελήφθησαν υπόψη και οι τρεις μορφές εξωτερικών δυνάμεων που ασκούνται στο όχημα (αεροδύναμη, βάρος, και εξ' επαφής δύναμη μεταξύ ελαστικού οδοστρώματος).

Όσον αφορά στην αεροδύναμη εξετάστηκαν δύο από τις τρεις συνιστώσες αυτής δεδομένου ότι το όχημα εξετάζεται σε συνθήκες άπνοιας. Η μελέτη αυτή θα δείξει στη συνέχεια ότι η δυναμική άνοση (εκφρασμένη με τον αντίστοιχο συντελεστή της

c_N) υπό ορισμένες συνθήκες δύναται να δημιουργήσει κρίσιμες καταστάσεις στην ασφάλεια του οχήματος.

Η ύπαρξη της αναγκαίας εξ' επαφής δύναμης μεταξύ ελαστικού - οδοστρώματος αποτελεί τον πιο καθοριστικό παράγοντα για την ασφαλή κίνηση ενός οχήματος. Για το λόγο αυτό, όπως επίσης και για τον καθορισμό του περιθωρίου ασφάλειας μεταξύ οδοστρωμάτων ευμενούς και δυσμενούς πρόσφυσης, ελήφθη υπόψη η ακραία τιμή της διαμήκουσ συνιστώσας της εξ' επαφής δύναμης μεταξύ ελαστικού - οδοστρώματος.

3.5 Κατηγορίες Ελαστικών

3.5.1 Διαγώνια ή σταυρωτά (Bias-Ply or Cross-Ply)

Στα ελαστικά αυτά, τα νήματα ενός λινού τοποθετούνται διαγώνια ως προς τα νήματα του επόμενου λινού, έτσι ώστε όλα τα νήματα να σχηματίζουν ορθή γωνία με τη φορά περιστροφής του ελαστικού, που κυμαίνεται από 26° έως 40° (μοίρες). Δεδομένου ότι τόσο κάτω από το πέλματος ελαστικού, όσο και κάτω από τα πλευρικά τοιχώματα υπάρχει η ίδια διάταξη λινών, τότε κάθε παραμόρφωση του ελαστικού προκαλεί αντίστοιχη παραμόρφωση του πέλματος.

Το αποτέλεσμα είναι αν μεταβάλλεται η επιφάνεια πρόσφυσης του ελαστικού με τα έδαφος και να δημιουργούνται τριβές. Έτσι δημιουργείται γρήγορη φθορά του ελαστικού, κακό κράτημα στο δρόμο και αυξημένη κατανάλωση.

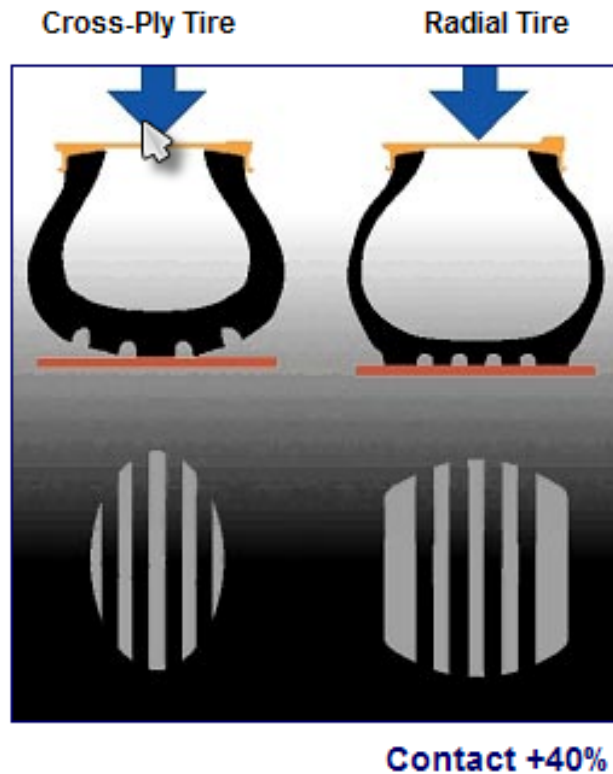
Τέλος, όσο αυξάνει η γωνία μεταξύ των νημάτων και της φοράς περιστροφής του ελαστικού, από τις 26° στις 40°, τόσο περισσότερο αυξάνει ευκαμψία των λινών και η άνεση των επιβατών ενώ παράλληλα μειώνεται και η πλευρική ευστάθεια και η κατευθυντικότητα του ελαστικού.

3.5.2 Ακτινικά (Radial)

Στα ελαστικά αυτά τα νήματα των λινών είναι ακτινικά, δηλαδή σχηματίζουν ορθή γωνία με τη φορά περιστροφή του ελαστικού.

Η διάταξη αυτή αυξάνει σημαντικά την ευκαμψία των λινών και την άνεση των επιβατών, μειώνει όμως πολύ την κατευθυντικότητα του οχήματος. Για να αντιμετωπιστεί το πρόβλημα αυτό, τοποθετείται μεταξύ των λινών και του πέλματος ενισχυτική ζώνη από 2 ή περισσότερα πλέγματα (συνήθως 4) κατά μήκος της περιφέρειας του ελαστικού, τα όποια φέρουν νήματα με γωνία 20° ως προς την φορά περιστροφής. Η ενισχυτική αυτή ζώνη δεν επιτρέπει τη μετακίνηση του πέλματος του ελαστικού, όταν αυτό κυλά στο δρόμο και αυξάνει έτσι την κατευθυντική του ικανότητα.

Η παραμόρφωση των πλευρικών τοιχωμάτων δεν επιδρά στο πέλμα του ελαστικού, με αποτέλεσμα να μεταβάλλεται ελάχιστα η επιφάνεια πρόσφυσης του ελαστικού με το δρόμο και να μειώνονται οι τριβές.



Εικόνα 3.1: Κατεύθυνση πίεσης

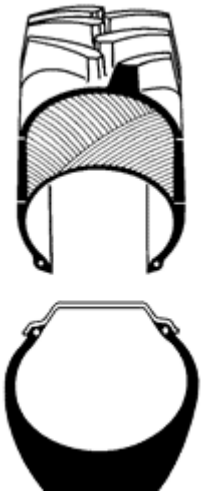
Εισήχθησαν και κατοχυρώθηκαν νομικά από την Michelin® το 1946. Η κατασκευή των ακτινικών ελαστικών, αναγνωρίζετε παγκοσμίως για την ικανότητα της να παραδίδει πολυάριθμα προνόμια, τα οποία τα ελαστικά bias-ply δεν προσφέρουν. Στην γεωργική απασχόληση προσφέρει τα εξής σημαντικά πλεονεκτήματα :

- Παρατεταμένη ζωή, χρήσης ελαστικού
- Αντοχή σε κοψίματα, γδαρσίματα, χαρακιές και σχισίματα
- Έξοχη πρόσφυση
- Βελτιωμένος χειρισμός και οικονομία καυσίμων

Προσδιορισμός Τιμών Πρόσφυσης κατά την Πέδηση Οχημάτων Εφοδιασμένων με Σύστημα ABS σε Αυξημένες κατά Μήκος Κλίσεις

Bias Ply

Τα μειονεκτήματα της τεχνολογίας αυτής



- Το πέλμα και τα πλευρικά τοιχώματα μοιράζονται τα ίδια εσωτερικά λινά
- Τα πλευρικά τοιχώματα μεταδίδονται στο πέλμα με αποτέλεσμα :
 - Γρήγορη φθορά του πέλματος
 - Τριβή με το έδαφος
 - Ραγδαία εξασθένιση
 - Μειωμένη πρόσφυση
 - Αυξημένη κατανάλωση καυσίμων

Radial

Τα πλεονεκτήματα της τεχνολογίας αυτής



- Εξαιρετική πρόσφυση
- Καλύτερη διανομή της πίεσης
- Λιγότερη διολίσθηση, μεγαλύτερη παραγωγικότητα
- Μειωμένη κατανάλωση καυσίμων
- Μεγαλύτερος χρόνος ζωής πέλματος ελαστικού
- Άνεση στο χειρισμό, βελτιωμένη οδηγική συμπεριφορά

BIAS

Under Load



RADIAL

Under Load



4 ΣΧΕΤΙΚΕΣ ΜΕΛΕΤΕΣ

4.1 Γενικά

Το γεγονός ότι οι οδηγίες χάραξης οδών δεν συμβαδίζουν με την τεχνολογική ανάπτυξη οχημάτων, με το να μην αξιοποιούν πλήρως τις αποδόσεις και τα σύγχρονα χαρακτηριστικά των οχημάτων, οδηγεί στον υπερσχεδιασμό - σχεδιασμό με ασύμφορο οικονομικό τρόπο - των οδών. Ένα από τα πρόσφατα επιτεύγματα στον τομέα των οχημάτων είναι η παροχή συστημάτων ABS, τα οποία βελτιώνουν την απόδοση πέδησης. Ένα δεύτερο επίτευγμα στον τομέα των οχημάτων ευρύτερα είναι η εξέλιξη των ελαστικών τα οποία παρέχουν αυξημένα επίπεδα πρόσφυσης στα οχήματα, γεγονός το οποίο βελτιώνει σημαντικά την οδική συμπεριφορά.

Το μήκος ορατότητας, όπως προαναφέρθηκε, είναι το μήκος του οδοστρώματος που είναι ορατό έμπροσθεν του οδηγού. Το ελάχιστο μήκος ορατότητας που είναι διαθέσιμο σε κάθε σημείο του οδοστρώματος πρέπει να είναι αρκετά μεγάλο ώστε να επιτρέψει σε ένα όχημα που ταξιδεύει με ή κοντά στην ταχύτητα σχεδιασμού να σταματήσει εντελώς προτού φθάσει σε ένα στάσιμο αντικείμενο στην πορεία του. Αυτό το ελάχιστο μήκος ορατότητας για στάση γνωστό ως (ΜΟΣ), είναι η βάση των κριτηρίων σχεδιασμού για το κατακόρυφο μήκος κορυφών των καμπυλών και τις ελάχιστες αποκλίσεις-αντισταθμίσεις στις οριζόντιες παρεμποδίσεις ορατότητας [62].

Σύμφωνα με τις υπάρχουσες οδηγίες, το ΜΟΣ αποτελείται από δύο τμήματα απόστασης:

- την απόσταση που διανύεται κατά το διάστημα στο οποίο ο οδηγός αντιλαμβάνεται το εμπόδιο μέχρι και την στιγμή που θα αντιδράσει, αλλιώς γνωστό και ως διάστημα αντίληψης – αντίδρασης και
- την απόσταση φρεναρίσματος, από τη στιγμή της πλήρης πέδησης (πεντάλ ενεργοποιημένο στο έπακρο), μέχρι την πλήρη ακινητοποίηση του οχήματος.

Αντικείμενο της παρούσας εργασίας είναι ο προσδιορισμός της δεύτερης απόστασης.

Το πρότυπο ΜΟΣ που υιοθετείται από τους αμερικανικούς κανονισμούς AASHTO[61] αντιπροσωπεύεται από την εξίσωση (1.4), ενώ το αντίστοιχο μοντέλο που αναφέρεται στους ελληνικούς κανονισμούς περιγράφεται στην εξίσωση (1.5) που παρατίθενται στο κεφάλαιο 1.

Για αυτόν το λόγο, υπάρχον πρότυπο δυναμικής οχημάτων, επεκτάθηκε για να μιμηθεί ένα όχημα που εξοπλίστηκε με τα ABS υπό τους όρους φρεναρίσματος.

Το παραγόμενο πρότυπο λαμβάνει υπόψη την κίνηση των τροχών των οχημάτων, τον οδηγό, την μετατόπιση η μη της μάζας και τη θέση του κέντρου βαρύτητας, την αεροδυναμική έλξη, την κάθετη εφαρμοζόμενη δύναμη, το πλάτος της διαδρομής, το μήκος πέλματος του τροχού, το μεταξόνιο, την κάθετη ακαμψία αναστολής, την εγκάρσια ακαμψία και γενικότερα οριζόντιες ακτίνες καθώς επίσης και την επαφή ελαστικού-οδοστρώματος.

4.2 μετρήσεις πεδίου και χρήση σημειακού μοντέλου Έρευνα Durth, Bernhard (2000)

4.2.1 Γενικά

Η πολυπλοκότητα των σύγχρονων ελαστικών των αυτοκινήτων, η εξέλιξη του ABS και οι σύγχρονες επιφάνειες οδοστρωμάτων, οδηγούν σε υψηλότερους συντελεστές πρόσφυσης και παράλληλα μικρότερες αποστάσεις φρεναρίσματος.

Ο σκοπός της έρευνας που διεξήχθη για λογαριασμό της BASt από τους Walter Durth και Markuw Bernhard[64], ήταν να ερευνηθούν και να μετρηθούν οι πιθανές μειώσεις της απόστασης ορατότητας για στάση, χωρίς τη μείωση της ασφάλειας.

Αρχικά έγινε μία σύγκριση του ελαστικού του PIARC [60](όχημα – όργανο μέτρησης της πρόσφυσης) με ένα σύγχρονο ελαστικό αυτοκινήτου. Μία λεπτομερής μακροσκοπική εξέταση έδειξε πως το ελαστικό του PIARC[60] δεν μπορούσε πλέον να αντιπροσωπεύσει τα χαρακτηριστικά ενός σύγχρονου οχήματος. Επιπλέον, οι μέσες επιβραδύνσεις στο μήκος ορατότητας για στάση, αποδείχθηκε πως ήταν αρκετά υψηλότερες από αυτές που εκτιμώνται από το μοντέλο. Τα ευρήματα αυτά του οδήγησαν στο συμπέρασμα πως η απόσταση ορατότητας για στάση που λαμβάνεται υπόψη στο σχεδιασμό των οδών, μπορεί να μειωθεί επιτυγχάνοντας μεγαλύτερη ασφάλεια στους δρόμους.

Έλαβαν ως μέση επιβράδυνση $4,5\text{m/s}^2$ και θεώρησαν πως ο χρόνος αντίδρασης του οδηγού είναι 2s για να πραγματοποιήσουν αναλυτικούς υπολογισμούς της ελάχιστης δυνατής απόστασης ορατότητας για στάση. (Οι ελάχιστες τιμές της απόστασης ορατότητας για στάση δεν χρησιμοποιήθηκαν σε κρίσιμα σημεία όπως διασταυρώσεις.)

4.2.2 Μεθοδολογία

Όλες οι εφαρμογές πέδησης κινηματογραφήθηκαν από κάμερες, και μετρήθηκαν οι παράμετροι του οχήματος, όπως η ταχύτητα του οχήματος και η κατά μήκος επιβράδυνση.

4.2.3 Αποτελέσματα

Συγκρίθηκαν τα αποτελέσματα των τιμών του μήκους ορατότητας για στάση που προέκυψαν θεωρώντας ως μέση επιβράδυνση $4,5\text{m/s}^2$ με αυτά τα οποία δίδουν οι ισχύουσες οδηγίες [63]. Οι μειωμένες – προτεινόμενες τιμές του ΜΟΣ σε αυτήν την μελέτη επιφέρουν σημαντική μείωση σε κρίσιμα γεωμετρικά μεγέθη όπως οι κυρτές κατακόρυφες καμπύλες.

4.3 Χρήση Δεδομένων Πρόσφυσης Και Χρήση Δυναμικού Μοντέλου

Μελέτη Μαυρομάτης, Ψαριανός, Κασάπη (2005)

4.3.1 Γενικά

Η κίνηση οποιουδήποτε οχήματος μπορεί να αναλυθεί ως αποτέλεσμα τριών κινήσεων: της κατά μήκος, της πλευρικής και της κατακόρυφης, καθώς επίσης και σε τρεις περιστροφικές κινήσεις, εκτροπή, περιστροφή, εκτίναξη. Παρόλα αυτά, στο σχεδιασμό οδών χρησιμοποιείται κυρίως η κατά μήκος και πλευρική κίνηση οι οποίες καθορίζουν τη λειτουργία του δρόμου και την ασφάλεια.

Στις σχέσεις (4.4,4.5), αναπτύχθηκε ένα δυναμικό μοντέλο οχημάτων στο οποίο ενσωματώνεται η οριζόντια κλίση (ακτίνα της καμπύλης), ο βαθμός και το cross-slope ενός δρόμου στιγμιαία.

Στο μοντέλο αυτό, όλες οι δυνάμεις και οι κινήσεις που ασκούνται στο όχημα, αναλύονται σε σχέση με ένα κινούμενο σύστημα συντεταγμένων τριών διαστάσεων, το οποίο ως αρχή έχει το κέντρο βάρους του οχήματος, και το οποίο σχηματίζεται από το v κατά μήκος (X), κατά πλάτος (Y) και κατακόρυφο (Z) άξονα του οχήματος.

$$\sum X_i = 0$$
$$m \frac{dv}{dt} = -\sum U_i - \frac{mV^2}{R} \beta - mgs - A_d \quad (4.1)$$

$$\sum Y_i = 0$$
$$m \frac{dv}{dt} \beta = -\sum S_i - \sum U_i \theta_i + mge - m \frac{V^2}{R} \quad (4.2)$$

$$\sum Z_i = 0$$
$$\sum P_i = mg + m \frac{V^2}{R} e - A_N \quad (4.3)$$

όπου (f=front, r=rear)

$U_f U_r$: Δυνάμεις επιβράδυνσης που ασκούνται στον μπροστά και στον πίσω άξονα N

$S_f S_r$: Πλευρικές δυνάμεις που ασκούνται στον μπροστά και στον πίσω άξονα (N)

$P_f P_r$: Κατακόρυφες δυνάμεις που ασκούνται στον μπροστά και στον πίσω άξονα (N)

m: μάζα οχήματος (kg)

v: ταχύτητα

$A_n A_d$: δυνάμεις που ασκούνται οριζόντια έμπροσθεν του οχήματος

s: κλίση (%100)

Προσδιορισμός Τιμών Πρόσφυσης κατά την Πέδηση Οχημάτων Εφοδιασμένων με Σύστημα ABS σε Αυξημένες κατά Μήκος Κλίσεις

e : ελκτότητα (%/100)
 R : ακτίνα καμπύλης (m)
 β : κλίση
 θ : γωνία στροφής
 g : σταθερά βαρύτητας (9.81 m/s^2)

Η δύναμη πέδησης υπολογίζεται ως το άθροισμα των δυνάμεων που ασκούνται στον εμπρόσθιο και στον πίσω άξονα.

Όταν το όχημα εξετάζεται με το μοντέλο που λαμβάνει υπόψη το ABS, η συνολική δύναμη προκύπτει από τη σχετική μέγιστη δύναμη σύμφωνα με την ακόλουθη ισότητα:

$$U_f + U_r = \eta f_{\max} \left(mg + \frac{mV^2}{R} e - A_n \right) \quad (4.4)$$

όπου
 η : ποσοστό φρεναρίσματος
 f_{\max} : μέγιστος συντελεστής πρόσφυσης

Το μοντέλο που προκύπτει συσχετίζει το όχημα, το ελαστικό και τις παραμέτρους του δρόμου κατά τη διάρκεια ενός φρεναρίσματος.

Χρησιμοποιώντας τις παραπάνω ισότητες, η επιβράδυνση του οχήματος μπορεί να εκφραστεί ως μία λειτουργία του δρόμου και των παραμέτρων της πρόσφυσης του ελαστικού.

$$A \left(\frac{dv}{dt} \right)^4 + B \left(\frac{dv}{dt} \right)^3 + C \left(\frac{dv}{dt} \right)^2 + D \left(\frac{dv}{dt} \right) + E = 0 \quad (4.5)$$

Οι συντελεστές A έως E προκύπτουν σύμφωνα με την προσέγγιση της σχέσης (4.4)
Η απαιτούμενη τιμή είναι η στιγμιαία τιμή της ταχύτητας του οχήματος ως μία λειτουργία της απόστασης που διανύει κατά τη διάρκεια φρεναρίσματος.
Η σχέση αυτών των δύο περιγράφεται στην εξίσωση (4.6)

$$a(v) = \frac{dv}{dd} v \quad (4.6)$$

όπου
 $a(v)$: επιτάχυνση (m/s^2)
 v : ταχύτητα (m/s)
 d : απόσταση (m)

Με σκοπό να λυθεί το πρόβλημα αυτό, εφαρμόστηκε η μέθοδος Range – Kutta

Το προτεινόμενο μοντέλο λαμβάνει υπόψη τη διαφορετική φόρτιση των τροχών κατά το φρενάρισμα.

4.3.2 Διαδικασία

Για τις μετρήσεις χρησιμοποιήθηκε ένα αυτοκίνητο τύπου sedan με ελαστικά τελευταίας τεχνολογίας. Οι παράμετροι του αυτοκινήτου που χρησιμοποιεί το μοντέλο επιλέχθηκαν από βιβλιογραφία, καθώς η εύρεση των παραμέτρων του συγκεκριμένου μοντέλου από την εταιρία κατασκευής, ήταν αδύνατη.

Στο μοντέλο χρησιμοποιήθηκαν μέγιστες τιμές πρόσφυσης (1,20) για εύρος τιμών ταχυτήτων (50-90 km/h) θεωρώντας μοντέλο τύπου sedan. Παρόλα αυτά εάν κατά τη διάρκεια των μετρήσεων επιτυγχάνονταν μικρότερες τιμές πρόσφυσης (1,00), οι αποστάσεις φρεναρίσματος του μοντέλου πλησίαζαν ακόμα περισσότερο.

4.3.3 Συμπεράσματα – Εφαρμογή του μοντέλου

Το προτεινόμενο μοντέλο υπολογίζει τις τιμές ΜΟΣ σε πιθανή έκτακτη κατάσταση, όπου η πέδηση θα είναι "πέδηση πανικού" και το ABS θα δουλέψει πλήρως, αγνοώντας την συμπεριφορά του οδηγού.

Εντούτοις, εξ' αιτίας της εφαρμογής ABS χαμηλότερης αποδοτικότητας, των χαρακτηριστικών του ανθρώπινου παράγοντα καθώς επίσης και της ασφάλειας κατά τη διάρκεια φρεναρίσματος, οι υπόψη ερευνητές προτείνουν μια αύξηση 30% του καθορισμένου «καθαρού» μήκους πέδησης (ΜΟΣ μείον την απόσταση που διανύεται κατά τη διάρκεια της αντίληψης του οδηγού - χρόνος αντίδρασης), προκειμένου να εισαχθούν αυτές οι τιμές στην πρακτική σχεδιασμού. Με άλλα λόγια, οι συντάκτες προτείνουν ως απόσταση, την υπολογισμένη απόσταση αυξημένη κατά 30% (εξίσωση 4.9).

$$SSD_{design} = S_1 + 1.30S_2 \quad (4.7)$$

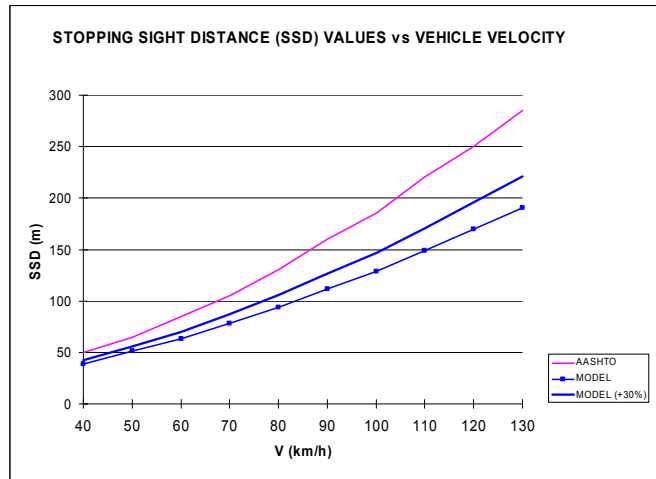
όπου:

S1: απόσταση που διανύεται (m) κατά τη διάρκεια της αντίληψης του οδηγού - χρόνος αντίδρασης [t=2.5sec]

S2: απόσταση φρεναρίσματος που καθορίζεται από το πρότυπο (m)

Το σχήμα απεικονίζει και τις δύο SSD που προκύπτουν, σε σύγκριση με αυτές που προκύπτουν από τους κανονισμούς.

Προσδιορισμός Τιμών Πρόσφυσης κατά την Πέδηση Οχημάτων Εφοδιασμένων με Σύστημα ABS σε Αυξημένες κατά Μήκος Κλίσεις



Χρόνος αντίδρασης του οδηγού: $t=2,5s$

Σχήμα 4.1: Σύγκριση αποτελεσμάτων SSD μοντέλου και AASHTO[61]

Πρέπει να σημειωθεί ότι οι προτεινόμενες, σε αυτή τη μελέτη τιμές ΜΟΣ αναφέρονται γενικά κάτω από το μέσο οδηγό. Επομένως οι συντάκτες συστήνουν μια αύξηση 30% του ελάχιστου ΜΟΣ για το 70% της οδού για να αποτρέψουν μια συνεχή υψηλή πίεση του οδηγού.

Η μείωση των τιμών SSD παράγει την αναπόφευκτη μεταβολή στις παραμέτρους γεωμετρικού σχεδιασμού οδών μεγάλης σημασίας, ειδικά εκείνων που σχετίζονται άμεσα με την SSD.

Μια τέτοια περίπτωση είναι ο προσδιορισμός των τιμών σχεδιασμού για την ακτίνα της κυρτής κατακόρυφης καμπύλης (CVCR). Σύμφωνα με τους ισχύοντες κανονισμούς, (1, 3, 4), ο προσδιορισμός των κυρτών ακτινών καμπυλότητας δίνεται ως εξής:

$$\min H_k = \frac{S_h^2}{2 * (\sqrt{h_A} + \sqrt{h_z})^2} \quad (4.8)$$

όπου:

$\min H_k$: ελάχιστο CVCR (μ)

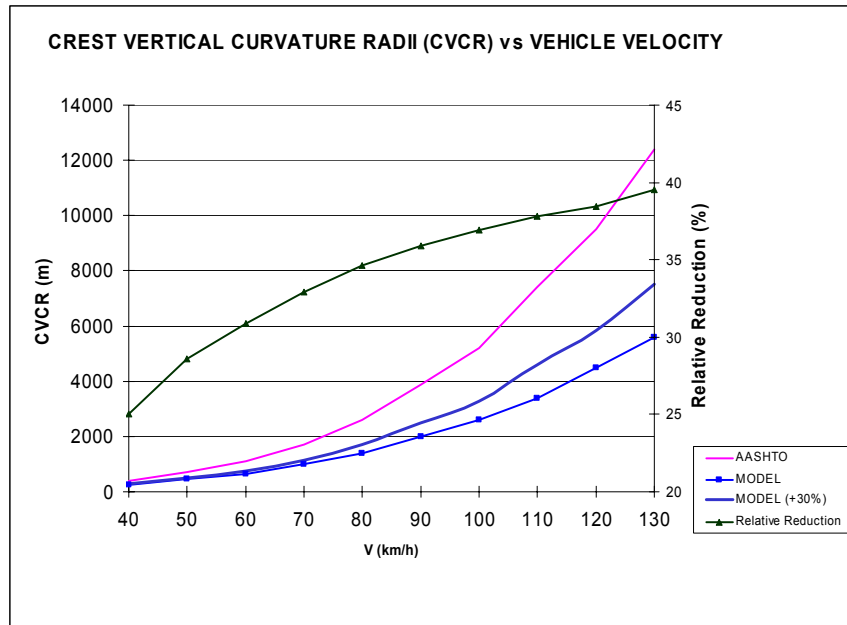
S_h : απαραίτητο SSD (μ)

h_a : ύψος ματιών οδηγών (μ) [1.080m, AASHTO]

h_z : ύψος αντικειμένου (μ) [0.60m, AASHTO]

Η παραγόμενη CVCR από τις αποστάσεις φρεναρίσματος με ABS παρουσιάζεται στο ακόλουθο σχήμα. Παρατηρείται ότι οι προτεινόμενες τιμές για την σχεδιασμό (SSD_{design}) είναι 25% έως 40% χαμηλότερες από τις τιμές που γίνονται αποδεκτές από τους ισχύοντες κανόνες.

Προσδιορισμός Τιμών Πρόσφυσης κατά την Πέδηση Οχημάτων Εφοδιασμένων με Σύστημα ABS σε Αυξημένες κατά Μήκος Κλίσεις



Χρόνος αντίδρασης του οδηγού: $t=2,5s$ (η μείωση οφείλεται στην προτεινόμενη αύξηση κατά 30% των τιμών της κυρτής κατακόρυφης καμπύλης)

Σχήμα 4.2: Σύγκριση αποτελεσμάτων ΜΟΣ μοντέλου και AASHTO[61]

Η απόδοση φρεναρίσματος ενός οχήματος με ABS επισημαίνει γενικά μια υπερεκτίμηση των υιοθετημένων τιμών ΜΟΣ, στην πράξη. Αυτό σημαίνει ότι οι αναγνωρισμένες περιπτώσεις των υπάρχουσών ευθυγραμμίσεων όπου το ΜΟΣ είναι ανεπαρκής, όπως στις αριστερές καμπύλες των αυτοκινητοδρόμων με διαχωριστικό, γίνονται ασφαλείς για τα ΜΟΣ των αυτοκινήτων με ABS.

Παραδείγματος χάριν, η επάρκεια ΜΟΣ λόγω των παρεμποδίσεων θέας στην πάροδο των αριστερών κυρτών διαιρεμένων εθνικών οδών, τουλάχιστον για τις οριζόντιες ακτίνες λιγότερο από 1000m, φαίνεται να είναι ένα θέμα γενικής ανησυχίας. Κατά συνέπεια οι κανονισμοί σχεδιασμού [61] προτείνουν σαφώς τις εναλλακτικές επεμβάσεις σχεδίου όπως:

- αυξάνοντας την πλευρική επέκταση στην παρεμπόδιση
- αυξάνοντας την οριζόντια ακτίνα ευθυγράμμισης
- μειώνοντας την ταχύτητα σχεδιασμού

Ο στόχος της παρούσας ανάλυσης ήταν να συσχετίσει στις κυρτές διατομές των διαιρεμένων εθνικών οδών, το όριο ταχύτητας όπως προκύπτει από την σύγκριση του υπάρχοντος ΜΟΣ και απαραίτητου ΜΟΣ όπως αυτή προκύπτει από τους κανονισμούς (AASHTO) [61] από το δυναμικό μοντέλο που προτείνεται (ABS)

Το όριο ταχύτητας που συνδέεται με το υπάρχον ΜΟΣ και για τις δύο περιπτώσεις, μπορεί να καθοριστεί για συγκεκριμένες τιμές οριζόντιων ακτινών. Η ισοδυναμία του

Προσδιορισμός Τιμών Πρόσφυσης κατά την Πέδηση Οχημάτων Εφοδιασμένων με Σύστημα ABS σε Αυξημένες κατά Μήκος Κλίσεις

υπάρχοντος ΜΟΣ και του απαιτούμενου ΜΟΣ και για τις δύο προσεγγίσεις αποτυπώνεται στην εξίσωση (4.10) και την εξίσωση (4.9) αντίστοιχα.

$$SSD_{available} = S_{1,AASHTO} + S_{2,AASHTO} \quad (4.9)$$

όπου :

$SSD_{available}$: η SSD που μετρείται (m)

$S_{1,AASHTO}$: η απόσταση που διανύθηκε κατά τη διάρκεια της αντίληψης του οδηγού-χρόνος αντίδρασης [$t=2.5\text{sec}$] (m)

$S_{2,AASHTO}$: η απόσταση φρεναρίσματος σύμφωνα με τους κανονισμούς σχεδίασης AASHTO

$$SSD_{available} = S_{1,MODEL} + S_{2,MODEL} \quad (4.10)$$

όπου :

$S_{1,MODEL}$: η απόσταση που διανύθηκε κατά τη διάρκεια της αντίληψης του οδηγού-χρόνος αντίδρασης [$t=2.5\text{sec}$] (m)

$S_{2,MODEL}$: η απόσταση φρεναρίσματος που καθορίζεται από το μοντέλο αυξημένη κατά 30% (m)

Ωστόσο για την υποστήριξη της μελέτης αυτής, χρειάζεται περαιτέρω ανάλυση για να προσδιοριστούν οι ακριβείς τιμές σχεδιασμού της πρόσφυσης, καθώς επίσης και η εξέλιξη του ABS, αλλά και μια περισσότερο ακριβής προσαύξηση της απόστασης φρεναρίσματος (στην παρούσα μελέτη θεωρήθηκε +30%).

4.4 Μετρήσεις δεδομένων πρόσφυσης και χρήση δυναμικού μοντέλου

**Μελέτη Μαυρομάτης, Ψαριανός, Παλάσκας, Σπέντζας (2008),
Μελέτη Roose (2005)**

4.4.1 Γενικά

Σε πιο πρόσφατη έρευνα (παρουσιάστηκε στο 10 Παγκόσμιο Συνέδριο Εφαρμογών Εξελιγμένων Τεχνολογιών στις Μεταφορές) [66], διενεργηθεί για πρώτη φορά στην Ελλάδα η κατάλληλη πειραματική διαδικασία που σκοπό έχει να καταλήξει σε προσδιορισμό μικρότερων αποστάσεων ορατότητας για στάση.

Η διαδικασία που ακολουθήθηκε ήταν παρόμοια με τις προηγούμενες αναφορές.

Χρησιμοποιήθηκε ένα μετρητικό όργανο (VC3000) το οποίο προσαρμόζεται επάνω στο παρμπρίζ των αυτοκινήτων και του οποίου μια λειτουργία είναι να καταγράφει την ταχύτητα του οχήματος, και να προσδιορίζει την απόσταση φρεναρίσματος, και την πρόσφυση.

Η αξιοπιστία του οργάνου, τότε, δεν μελετήθηκε, καθώς δε διαθέτει την ικανότητα να μετρά τη διαφορά της στατικής τριβής και της τριβής ολίσθησης.

Προσδιορισμός Τιμών Πρόσφυσης κατά την Πέδηση Οχημάτων Εφοδιασμένων με Σύστημα ABS σε Αυξημένες κατά Μήκος Κλίσεις

Οι μετρήσεις πεδίου έγιναν σε ευθεία με σταθερή, μικρή κλίση, εντός της Πολυτεχνειούπολης. Χρησιμοποιήθηκαν δύο (2) οχήματα. Ένα μικρό επιβατηγό (Citroen Saxo), και ένα μεσαίο επιβατηγό (Audi A3 Sportback).

Διενεργήθηκαν φρεναρίσματα σε στεγνό και υγρό οδόστρωμα.

Συμπέρασμα

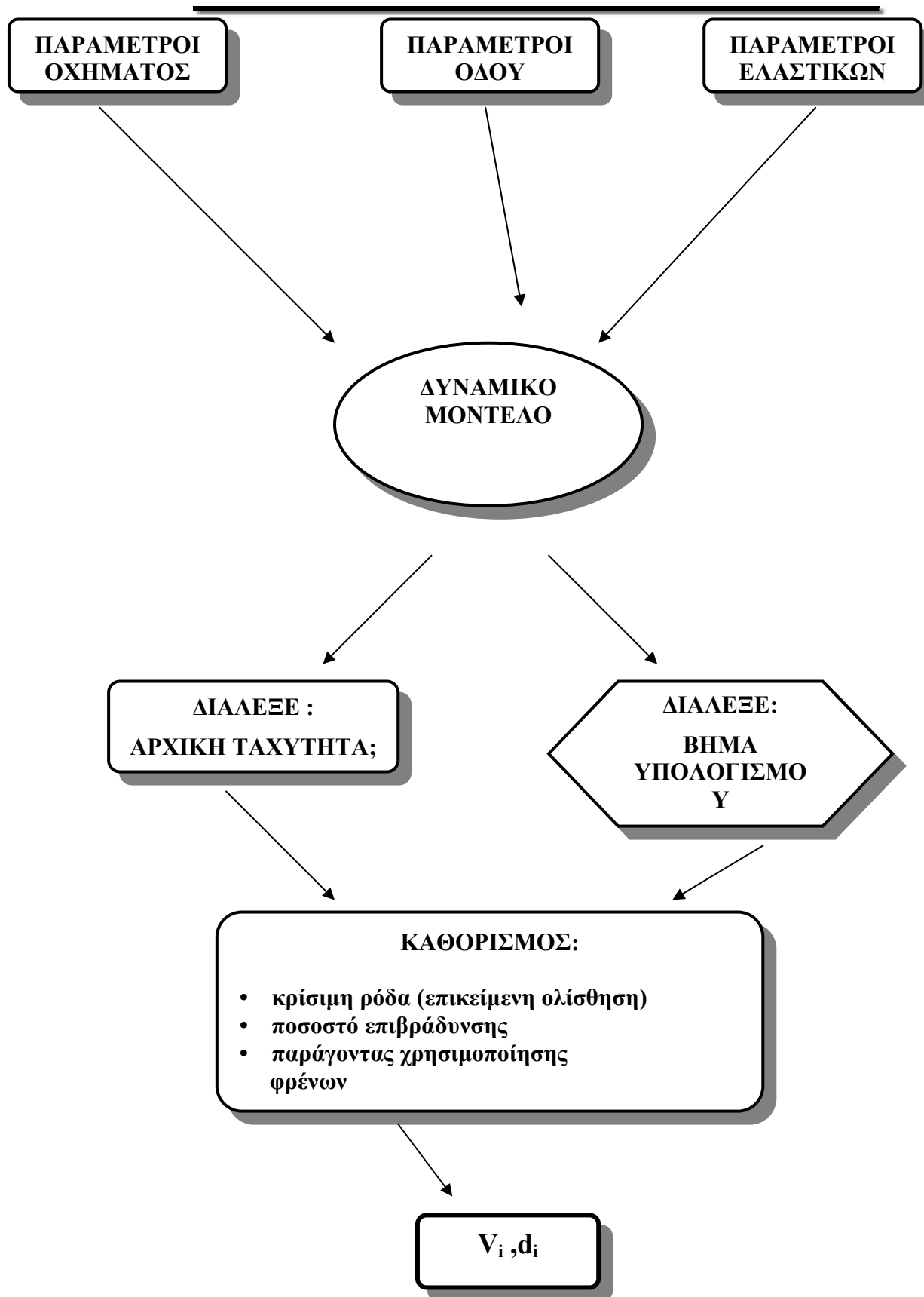
- Για το όχημα χωρίς ABS, οι τιμές του συντελεστή πρόσφυσης στο σύνολο των πεδησεων σε υγρό οδόστρωμα σχετίζονται άμεσα με την εκάστοτε ταχύτητα, σε αντίθεση με το όχημα που διαθέτει ABS.
- Για να απαλειφθεί τι σφάλμα του οδηγού, όλες οι μετρήσεις διεξήχθησαν από τον ίδιο οδηγό.

Κατά τη διάρκεια των μετρήσεων, υπήρχαν περιπτώσεις, όπου το μήκος ορατότητας για στάση ΜΟΣ διέφερε για μετρήσεις που έγιναν με την ίδια ταχύτητα. Στις περιπτώσεις αυτές, οι μετρήσεις που έδιναν μικρότερο συντελεστή πρόσφυσης, απορρίφθηκαν σαν εσφαλμένες, καθώς θεωρήθηκε πως η διαφοροποίηση αυτή οφειλόταν σε πιθανή πλαγιολίσθηση.

Στην έρευνα εφαρμόστηκε το μοντέλο που αναπτύχθηκε για τον υπολογισμό του ΜΟΣ αυτοκινήτων με ABS [33], [51], [66], [67].

Με σκοπό να επιτευχθεί η μέγιστη δυνατή δύναμη πέδησης αποφεύγοντας παράλληλα το μπλοκάρισμα των τροχών, το ποσοστό φρεναρίσματος του εμπρόσθιου άξονα, θεωρήθηκε 68-71%. Τα ποσοστά αυτά τα οποία ελέγχονται ηλεκτρονικά στα νέα μοντέλα από το σύστημα ABD, συμφωνούν με τα βιβλιογραφικά δεδομένα, καθιστώντας το μοντέλο ακριβές, και παρέχουν υψηλή αξιοπιστία στο μοντέλο. Παρόλα αυτά, πρέπει να ειπωθεί πως το μοντέλο προσομοίωσης δεν λαμβάνει υπόψη τη συμπεριφορά του οδηγού.

Προσδιορισμός Τιμών Πρόσφυσης κατά την Πέδηση Οχημάτων Εφοδιασμένων με Σύστημα ABS σε Αυξημένες κατά Μήκος Κλίσεις



Διάγραμμα 4.1: Δυναμικό μοντέλο Μαυρομάτη

4.4.2 Συμπεράσματα

Συγκρίνοντας τις μετρημένες τιμές της SSD του Saxo, με τις τιμές που προέκυψαν από τους κανονισμούς ΟΜΟΕ-Χ (2001) [62], οι ερευνητές κατέληξαν στο συμπέρασμα πως οι ελληνικοί κανονισμοί δίνουν πάντα μεγαλύτερη τιμή ΜΟΣ από την πραγματική – μετρημένη. Οι κανονισμοί, δηλαδή, δίνουν μία απόσταση ΜΟΣ αυξημένη κατά 55% (όπως υπολογίστηκε το περιθώριο ασφαλείας).

Σαν αποτέλεσμα, για την ανάπτυξη των τιμών ΜΟΣ αυτοκινήτων με ABS στους κανονισμούς σχεδιασμού, θεωρείται μία προσαύξηση της τάξης του 55% στις αποστάσεις που υπολογίζει το δυναμικό μοντέλο.

$$SSD_{design} = S_1 + 1.55S_2 \quad (4.11)$$

όπου:

S1: απόσταση που διανύεται (m) κατά τη διάρκεια της αντίληψης του οδηγού - χρόνος αντίδρασης [$t=2.0\text{sec}$]

S2: απόσταση φρεναρίσματος που καθορίζεται από το δυναμικό μοντέλο (m)

Επειδή επιλογή της προσαύξησης 55% έγινε σχετικά αυθαίρετα, οι μελετητές συγκρίνουν τα αποτελέσματα στον παρακάτω πίνακα, θεωρώντας τις προσαυξήσεις 45% και 60%.

Οι τιμές ΜΟΣ στο πείραμα αυτό, αναφέρονται σε έναν μέσο οδηγό [59]. Ο Durth [64] συστήνει προσαύξηση 30% στο ελάχιστο ΜΟΣ για το 70% του δρόμου εμποδίζοντας μια συνεχή πίεση του οδηγού σε όλο το μήκος της διαδρομής.

| V (km/h) | S1 | S2 | SSD $S_1 + 1.45S_2$ | SSD $S_1 + 1.55S_2$ | SSD $S_1 + 1.60S_2$ | SSD Roose et al. (2005) [69] |
|-------------|------|------|------------------------|------------------------|------------------------|------------------------------------|
| 70 | 38.9 | 27.8 | 79.2 | 82.0 | 84.8 | 82.9 |
| 100 | 55.6 | 56.3 | 137.2 | 142.8 | 148.5 | 145.3 |
| 130 | 72.2 | 94.6 | 209.4 | 218.9 | 228.3 | 223.9 |

Πίνακας 3.1: Ερευνητικά αποτελέσματα

5 ΜΕΤΡΗΣΕΙΣ

5.1 Γενικά

Όπως έχει ήδη αναφερθεί, οι ισχύουσες οδηγίες σχεδιασμού οδών που εφαρμόζονται στην κατασκευή των σύγχρονων οδικών έργων δεν συμβαδίζουν με την τεχνολογική ανάπτυξη οχημάτων, που εφαρμόζονται τόσο στο σύστημα πέδησης όσο και στην εξέλιξη των ελαστικών. Έτσι οδηγούμαστε στον υπερσχεδιασμό - σχεδιασμό με ασύμφορο οικονομικό τρόπο-των οδών.

Ένα από τα πρόσφατα επιτεύγματα στον τομέα των οχημάτων είναι η παροχή και η εξέλιξη του συστήματος αντιμπλοκαρίσματος των τροχών (ABS), τα οποία βελτιώνουν την απόδοση φρεναρίσματος.

Πιο συγκεκριμένα, οι πιο σύντομες αποστάσεις φρεναρίσματος που προκύπτουν από την εφαρμογή του ABS αποτελούν σημαντική παράμετρο σχεδιασμού του συνόλου των οδών, δεδομένου ότι συσχετίζονται άμεσα με την μείωση του απαιτούμενου μήκους ορατότητας για στάση (ΜΟΣ), μιας κρίσιμης, επίσης παραμέτρου σχεδίου όχι μόνο από την πλευρά της ασφάλειας, αλλά συγχρόνως και από οικονομικής άποψης, όσον αφορά στα προγράμματα κατασκευής νέων και ανακατασκευής υφιστάμενων έργων.

Το σημαντικότερο πρόβλημα που παρουσιάστηκε στις μέχρι τώρα εφαρμογές ήταν η έλλειψη μετρήσεων πεδίου για την απόδειξη ή μη του εκάστοτε εφαρμοζόμενου μοντέλου. Έχοντας πλέον υλοποιηθεί τα αποτελέσματα των προαναφερόμενων ερευνών πάνω στη χρήση του SSD στα αυτοκίνητα με ABS, θα εξεταστεί διεξοδικά η χρήση και εφαρμογή του SSD στα οχήματα με ABS όταν σε αυτά ασκούνται δυνάμεις πέδησης οριακών τιμών σε οδούς διάφορων τύπων οδοστρωμάτων και μεγάλων κλίσεων (άνω του 5%) στο σύνολο των πιθανών καιρικών συνθηκών. Όλα τα στοιχεία και δεδομένα, τα κριτήρια επιλογής οδών και οχημάτων, τα υπολογιστικά συστήματα όπως και το χρησιμοποιούμενο έμπυχο δυναμικό αναπτύχθηκαν στη συνέχεια του κεφαλαίου.

5.2 Στόχος

Στόχος της πειραματικής διαδικασίας (διαδικασία μετρήσεων) και της γενικότερης έρευνας πάνω στην απόσταση ορατότητας για στάση (ΜΟΣ), ήταν να διερευνηθεί πιθανή διαφοροποίηση του ΜΟΣ σε οχήματα εφοδιασμένα με ABS κατά την πέδησή τους σε αυξημένες κλίσεις, καθώς και η αποτελεσματικότητα, σε αυτήν την περίπτωση, της χρήσης του μοντέλου προσδιορισμού του (ΜΟΣ) [51]. Μετρήσεις έγιναν σε ποικίλες συνθήκες οδοστρώματος, διάφορες καιρικές συνθήκες, καθώς και με διαφορετικής δυναμικότητας και όγκου οχήματα.

5.3 Επιλογή Πεδίου

5.3.1 Γενικά

Η εύρεση και η επιλογή μετά από σύγκριση και ανάλυση του χώρου όπου θα διεξαχθεί η όλη διαδικασία της τέλεσης των μετρήσεων αποτελεί τον πρωταρχικό και συγχρόνως καθοριστικό παράγοντα για το αποτέλεσμα της όλης πειραματικής διαδικασίας.

Η επιλογή του, λοιπόν αποτελεί δύσκολο εγχείρημα και απαιτεί χρονοβόρα προσπάθεια, ενώ πρέπει να συμβαδίζει με τα κριτήρια και τους στόχους που έχουν οριστεί και μελετηθεί πριν την εφαρμογή της πειραματικής διαδικασίας.

5.3.2 Κριτήρια επιλογής

Ο χώρος που θα επιλεγεί για την τέλεση των μετρήσεων του πειράματος έπρεπε να πληροί Τις απαιτούμενες προϋποθέσεις οι οποίες συνοψίζονται στα εξής ακόλουθα:

1. Να διαθέτει επαρκές μήκος ευθυγραμμίας
2. Το οδόστρωμα να έχει, στα πλαίσια του εφικτού, μηδενική επίκλιση (για την ακρίβεια ελάχιστη επίκλιση)
3. Να έχει σταθερή κατά μήκος κλίση καθ' όλο το μήκος της πέδησης των οχημάτων και προς τις δύο κατευθύνσεις (ανηφόρα, κατηφόρα)
4. Η κατά μήκος κλίση να είναι μεγάλη και συγκεκριμένα να υπερβαίνει καθ' όλο το μήκος της πέδησης των οχημάτων την τιμή 5%.
5. Το σύνολο των επιλεγμένων οδών πρέπει να καλύπτει επίσης όλες τις ανάγκες για δεδομένα που προκύπτουν από τα χαρακτηριστικά των ασφαλτικών επιφανειών, όπως συντελεστές πρόσφυσης κ.α. Για αυτό πρέπει να επιλεχθούν οδοί τόσο με καινούργιο ασφαλτοτάπητα, όπου παρατηρούνται αυξημένοι συντελεστές πρόσφυσης, όσο και οδοστρώματα με μειωμένη πρόσφυση ώστε να υπάρξει επαρκής εικόνα στα αποτελέσματα.

5.3.3 Διαδικασία επιλογής

Στόχος ήταν η εύρεση περιοχών - οδών που να είναι ευθείες και να ανταποκρίνονται στα προαναφερθέντα κριτήρια. Η μεθοδολογία που ακολουθήθηκε, κατά σειρά, για την επίτευξη του στόχου είναι η εξής

1^ο βήμα

Βασικό κριτήριο για την επιλογή μίας οδού για την εκπόνηση της πειραματικής διαδικασίας ήταν ο μικρός κυκλοφοριακός φόρτος. Μία οδός με πυκνή ροή θα εγκυμονούσε σημαντικό κίνδυνο τόσο για την ασφάλεια των περαστικών όσο και τη δική μας. Επιπρόσθετα, θα αποτελούσε πρόβλημα για τη σωστή τέλεση του πειράματος.

2^ο βήμα

Μελετήθηκαν τα στοιχεία που προσδοκούνταν να προκύψουν από την έρευνα και ορίστηκε το εύρος ταχυτήτων που πρέπει να έχουν αναπτύξει τα οχήματα μας πριν την εφαρμογή της πέδησης. Βάσει της ταχύτητας αυτής και με δεδομένο προσεγγιστικά (κ.ο.κ) το μήκος που απαιτείται για την πλήρη ακινητοποίηση του οχήματος στο επιθυμητό εύρος των ταχυτήτων, επιλέχθηκαν οδοί που διαθέτουν το ελάχιστο απαιτούμενο μήκος οδού, σταθερής κατά μήκος κλίσεως, ενώ αποκλείστηκαν τις υπόλοιπες περιοχές.

3^ο βήμα

Χρησιμοποιήθηκε ένα ψηφιακό κλισίμετρο, το οποίο δίνει την δυνατότητα να ελεγχθούν οι κατά μήκος και κατά πλάτος κλίσεις στο οδόστρωμα. Ακολούθησε μία σειρά μετρήσεων στα επιλεγμένα οδοστρώματα, η οποία αποτελούταν από μετρήσεις ανά 5m της κατά μήκος κλίσης στα πιθανά σημεία πέδησης των οχημάτων. Οι προεπιλεγμένες περιοχές οδών που δεν συγκέντρωναν σε κάθε σημείο της μέτρησης την απαιτούμενη ελάχιστη κατά μήκος κλίση (5%), απορρίπτονταν.

Αξίζει βέβαια να σημειωθεί ότι σε καμία από τις μετρήσεις κλίσεως στα διαστήματα των 10m ανά οδό δεν παρατηρείται η απόλυτη ομοιότητα (πολύ μικρές αποκλίσεις, της τάξεως του 0.5%) στις τιμές των μετρήσεων. Σε αυτές λοιπόν τις περιπτώσεις και πάντα σε συνεννόηση με τον επιβλέποντα καθηγητή, αποφασίστηκε να χρησιμοποιηθεί ως κατά μήκος κλίση η τιμή του μέσου όρου του πλήθους των μετρήσεων που λήφθηκαν ανά οδό, έχοντας παράλληλα τη γνώση ότι δεν υπάρχει αλλοίωση των αποτελεσμάτων.

Και οι δύο προαναφερθέντες λόγοι θα επηρέαζαν ευμενώς το σύνολο των μετρήσεων, παράλληλα τον γνώμονα ότι το σφάλμα των μετρήσεων του ΜΟΣ που θα προκύψει από τις παραδοχές είναι αμελητέο.

4^ο βήμα

Από την στιγμή που αφαιρέθηκαν οι οδοί που δεν πληρούν τις απαιτούμενες προϋποθέσεις, έμειναν συνολικά τρεις (3) οδοί από τις οποίες επιλέχθηκαν τελικά δύο (2) ποιες και που. Οι λόγοι της απόρριψης της τρίτης οδού (στους Θρακομακεδόνες) ήταν οι εξής τρεις:

Προσδιορισμός Τιμών Πρόσφυσης κατά την Πέδηση Οχημάτων Εφοδιασμένων με Σύστημα ABS σε Αυξημένες κατά Μήκος Κλίσεις

1. Οι κλίσεις της οδού στα σημεία όπου κρίθηκε εύλογη η πέδηση των οχημάτων από το αρχικό προεπιλεγμένο φάσμα ταχυτήτων ήταν οριακές, ενώ
2. η επιφάνεια κύλισης των οχημάτων ήταν στρωμένη ένα μήνα πριν την προκαθορισμένη περίοδο των μετρήσεων, γεγονός που δημιουργεί αυξημένη πρόσφυση στους τροχούς, και επιπρόσθετα παρατηρήθηκε ότι μετά από καταιγίδα, η βροχή αποστραγγιζόταν άμεσα,
3. η οδός αυτή ήταν πολυσύχναστη, γεγονός που εμπόδιζε την ασφαλή και ολοκληρωμένη τέλεση των πειραμάτων ενώ θα έθετε ενδεχομένως σε κίνδυνο την ακεραιότητα των περαστικών και υπολοίπων οδηγών

Είναι κατανοητό ότι λόγω της αυξημένης πρόσφυσης και της μικρής κλίσης η απόσταση πέδησης που θα προέκυπτε θα ήταν σαφώς μειωμένη.

Με την περάτωση της προαναφερθείσας διαδικασίας έμειναν τελικά δύο οδοί, οι οποίες χαρακτηρίζονται ως ιδανικές για την πραγματοποίηση του συνόλου της πειραματικής διαδικασίας (διαδικασίας των μετρήσεων). Και αναφέρεται ο όρος ιδανικές διότι πληρούν όλα τα κριτήρια που είναι σύμφωνα με τους στόχους που έχουν τεθεί ενώ έχουν εντελώς ακραίες τιμές κλίσεων, ποιότητα και ηλικία ασφάλτου. Οι μετρήσεις έγιναν τόσο σε στεγνό όσο και σε βρεγμένο οδόστρωμα και στις δύο οδούς με όλα τα οχήματα.

5.3.4 Το πεδίο μετρήσεων

Οι δύο οδοί που χρησιμοποιήθηκαν στη διαδικασία των μετρήσεων, καθώς και τα χαρακτηριστικά τους ήταν τα εξής:

Η πρώτη οδός που χρησιμοποιήθηκε εντάσσεται στην περιοχή Πανόραμα του Δήμου Βούλας Αττικής σε μία περιοχή όπου χαρακτηρίζεται ως αραιοκατοικημένη και χωρίς υψηλό επίπεδο κυκλοφοριακού φόρτου σε όλη τη διάρκεια της ημέρας. Η μέση κλίση της οδού, η οποία προέκυψε από μετρήσεις κλίσεως σε 4 σημεία που απέχουν 10m είναι κατά απόλυτη τιμή 11,5% τόσο στην ανωφέρεια όσο και στην κατωφέρεια. Το οδόστρωμα είναι σχετικά νέο και σε άριστη κατάσταση. Η οδός δεν είναι πολυσύχναστη ή κεντρική.

Η δεύτερη οδός που χρησιμοποιήθηκε χωροθετείται στην περιοχή εντός του Εθνικού Μετσόβιου Πολυτεχνείου, της Πολυτεχνειούπολης του Δήμου Ζωγράφου. Στην περιοχή δεν υπάρχουν κατοικίες. Η μέση κλίση της οδού, η οποία προέκυψε από μετρήσεις κλίσεως σε 4 σημεία που απέχουν 10m είναι κατά απόλυτη τιμή 6,6 % κατά τη διεύθυνση της ανωφέρειας και 5,3% κατά απόλυτη τιμή πάντα στη διεύθυνση της κατωφέρειας. Το οδόστρωμα είναι σε κακή κατάσταση σε όλο το μήκος της οδού. Δεδομένου ότι η οδός τις καθημερινές είναι πολυσύχναστη, επιλέχθηκε να τελεστούν οι μετρήσεις ημέρες αργίας και Κυριακές προς αποφυγήν ατυχήματος ή παρεμπόδισης της κυκλοφορίας.

Προσδιορισμός Τιμών Πρόσφυσης κατά την Πέδηση Οχημάτων Εφοδιασμένων με Σύστημα ABS σε Αυξημένες κατά Μήκος Κλίσεις

Είναι προφανές ότι στις δύο προαναφερθείσες οδούς εξετάστηκαν ακραίες συνθήκες πρόσφυσης και επομένως είναι αντιληπτό ότι τα προκύπτοντα αποτελέσματα αφού αναλυθούν δύναται να δώσουν ασφαλή συμπεράσματα για το μοντέλο SSD που χρησιμοποιήθηκε καθώς και το εύρος των τιμών πρόσφυσης που προέκυψε.

5.3.5 Εργαλεία που χρησιμοποιήθηκαν για το πείραμα

Τα εργαλεία που χρησιμοποιήθηκαν ήταν τα εξής:

- Ψηφιακό κλισίμετρο, το οποίο χρησιμοποιήσαμε για την εκλογή των οδών
- Ψηφιακό θερμόμετρο για την μέτρηση της θερμοκρασίας την στιγμή τελέσεως των μετρήσεων
- Δύο γιλέκα χρώματος πορτοκαλί για την ασφαλή διακριτότητα και αναγνώριση από τα διερχόμενα οχήματα των συμμετεχόντων στην πειραματική διαδικασία
- Κώνοι χρώματος ερυθρού για την οριοθέτηση της περιοχής πειραμάτων προς αποφυγήν ατυχημάτων.
- Τέσσερα (4) αυτοκίνητα και ένα ακόμη, μάρκας Peugeot και τύπου 206, το οποίο μετά τις πρώτες δοκιμαστικές μετρήσεις αποδείχθηκε ότι αφενός υστερούσε ικανού συστήματος πέδησης(είχε φθαρμένα τακάκια), αφετέρου τα ελαστικά είχαν σημαντική φθορά και βρισκονταν στο τέλος της ζωής τους.
- Όργανο μέτρησης πρόσφυσης

Οχήματα

Ο αριθμός των οχημάτων που χρησιμοποιήθηκε μετά την απόρριψη του Peugeot- απορρίφθηκε λόγω διαπίστωσης της κακής κατάστασης των φρένων του- ανέρχεται σε τέσσερα. Τα οχήματα αυτά επιλέχθηκαν με στόχο να καλύπτουν κατά το δυνατό το σύνολο των κυκλοφορούντων οχημάτων συμβαδίζοντας με τον αντικειμενικό στόχο του πειράματος.

Συγκεκριμένα τα αυτοκίνητα που χρησιμοποιήθηκαν είναι τα εξής:

- VOLVO S40, 1800cc με μικό βάρος 1469kg και πλάτος πέλματος ελαστικού 205. Το εν λόγω αυτοκίνητο αντιστοιχεί στην μεσαία - μεγάλη κατηγορία οικογενειακών οχημάτων.
- OPEL CORSA, 1400cc με μικό βάρος 1150kg και πλάτος πέλματος ελαστικού 195. Το εν λόγω αυτοκίνητο αντιστοιχεί στην μικρό-μεσαία κατηγορία των sport οχημάτων.

Προσδιορισμός Τιμών Πρόσφυσης κατά την Πέδηση Οχημάτων Εφοδιασμένων με Σύστημα ABS σε Αυξημένες κατά Μήκος Κλίσεις

- TOYOTA STARLET, 1300cc με μικτό βάρος τα 950kg και πλάτος πέλματος ελαστικού 165. Το εν λόγω αυτοκίνητο αντιστοιχεί στην μικρή κατηγορία επιβατικών hatch bag αυτοκινήτων.
- NISSAN ALMERA, 1600cc με μικτό βάρος 1145kg και πλάτος πέλματος ελαστικού 175. Το εν λόγω αυτοκίνητο αντιστοιχεί στην μικρό-μεσαία κατηγορία οικογενειακών οχημάτων.

Αξίζει να σημειωθεί ότι τα δύο πρώτα προαναφερθέντα αυτοκίνητα είναι εξοπλισμένα με την τελευταία γενιά του συστήματος αντιμπλοκαρίσματος των τροχών, γνωστό ως ABS (την 9^η), ενώ το VOLVO περιλαμβάνει και το σύστημα SABS το οποίο στις ακραίες συνθήκες πέδησης υποβοηθά ενισχύοντας την πίεση που ασκείται στα δισκόφρενα από τον οδηγό. Το starlet δεν έχει κανένα ηλεκτρονικό βοήθημα της πέδησης και συμπεριλήφθηκε αποκλειστικά για την σύγκριση των αποτελεσμάτων, για την αποφυγή αγνόησης συστηματικών σφαλμάτων και για την εξασφάλιση της αξιοπιστίας των αποτελεσμάτων. Το Nissan διαθέτει ένα σύστημα υποβοήθησης της πέδησης που περιορίζει ελαφρώς την ολίσθηση των κινητήριων των τροχών[55], χωρίς όμως, να αποτελεί παράγοντα επιρροής στην αποφυγή του μπλοκαρίσματος των τροχών κατά την πέδηση.

Όργανο

Οι μετρήσεις της πρόσφυσης από τέσσερις τύπους οχημάτων , δύο συμβατικού φρεναρίσματος οχήματα (Toyota Starlet, Nissan Almera), και δύο οχήματα εξοπλισμένα με την τελευταία γενιά του συστήματος αντιμπλοκαρίσματος των τροχών, ABS (Volvo S40 και Opel Corsa), χρησιμοποιώντας το επιταχυνσιόμετρο Vericom VC3000 [54].

Η συσκευή μέτρησης που υλοποιείται στο VC3000 είναι ένα επιταχυνσιόμετρο, ελατήριο-μαζικών τύπων υψηλής ακρίβειας ($\pm 0.003G$), το οποίο μετρά την κίνηση ως ποσοστό μεταβολής της ταχύτητας. Λειτουργεί βασισμένος σε μια εκτροπή της μάζας που προκαλείται από την επιτάχυνση (δύναμη επιτάχυνσης της βαρύτητας G), όπου αυτή η μικρή μετακίνηση μετριέται ηλεκτρονικά. Το επιταχυνσιόμετρο μετρά την ικανότητα μετατροπής αυτής της τάση. Τα δείγματα επιταχύνσεως της βαρύτητας G του VC 3000, τα οποία μετρώνται 100 φορές ανά δευτερόλεπτο και η μέγιστη δύναμη G καθώς επίσης και η μέση δύναμη Γ (παράγοντας έλξης). Μέσω της ολοκλήρωσης, και με τη χρήση ενός ρολογιού κρυστάλλου, τα αποτελέσματα συσκευών επιταχύνουν επίσης και τα στοιχεία απόστασης.

Η επιλογή πέδησης του οργάνου VC 3000 μας επιτρέπει να μετρήσουμε ακριβώς την απόδοση φρεναρίσματος ενός οχήματος και το μέσο όρο της παραγόμενης επιτάχυνσης της βαρύτητας G (παράγοντας έλξης) πάνω στην οδική επιφάνεια. Μας επιτρέπει να εξετάσουμε την απόδοση πέδησης ενός οχήματος με την προϋπόθεση να εκτελεστεί η δοκιμή σε μια ευθεία και επίπεδη επιφάνεια οδοστρώματος [54] .

5.3.6 Εγκατάσταση-προετοιμασία πεδίου - Πείραμα

Μόλις ολοκληρώθηκε η διαδικασία ευρέσεως των κατάλληλων οχημάτων και των οδών όπου θα διαδραματιστεί η πειραματική μας διαδικασία, άρχισε η προετοιμασία της εγκατάστασης υλικού και ανθρωπίνου δυναμικού και η εξασφάλιση της περιοχής.

Κατά το πρώτο στάδιο ελέγχθηκε και επιβεβαιώθηκαν οι κατά μήκος κλίσεις του οδοστρώματος στα σημεία της εφαρμογής πέδησης. Επιπλέον διατέθηκε ανθρώπινο δυναμικό το οποίο εξοπλίστηκε με τα γιλέκα και ακροβολίστηκε στον χώρο του πειράματος, ούτως ώστε να εξασφαλίσει την απρόσκοπτη τέλεση των μετρήσεων και τον αποκλεισμό των εν λόγω σημείων. Στον αποκλεισμό της περιοχής συντέλεσαν και οι κώνοι που χρησιμοποιήθηκαν.

Κατά το δεύτερο στάδιο, τα χρησιμοποιούμενα οχήματα, πριν την έναρξη της πειραματικής διαδικασίας, ελέγχονταν ως προς συγκεκριμένα χαρακτηριστικά τα οποία βραχυπρόθεσμα θα επηρέαζαν τα μετρούμενα με το όργανο στοιχεία και μακροπρόθεσμα, η πλειοψηφία θα υπεισερχόταν στην διαδικασία εφαρμογής του μοντέλου είτε ως στοιχεία, είτε ως ανεξάρτητες καθοριστικές παράμετροι. Τα στοιχεία αυτά συνοψίζονται ως ακολούθως:

- Ελέγχθηκαν τα ελαστικά των οχημάτων βάσει των προδιαγραφών που ορίζει ο κατασκευαστής για τον εκάστοτε τύπο και μέγεθος ελαστικού. Για το Volvo η τιμή της πίεσης για ελαστικό πλάτους πέλματος 205 είναι 32 bar για όλους τους τροχούς, στο Corsa, η τιμή της πίεσης για ελαστικό πλάτους πέλματος 195 είναι 30 bar για όλους τους τροχούς, στο Nissan, η τιμή της πίεσης για ελαστικό πλάτους πέλματος 175 είναι 28 bar για όλους τους τροχούς ενώ για το Starlet η τιμή της πίεσης για ελαστικό πλάτους πέλματος 165 είναι 26 bar για όλους τους τροχούς. Όλα τα ελαστικά που χρησιμοποιήθηκαν ήταν new radial.
- Καταγράφηκε το φορτίο καυσίμου σε κάθε ένα από τα αυτοκίνητα
- Προσδιορίστηκε το βάρος των αυτοκινήτων μαζί με τους επιβαίνοντες κατά περίπτωση, το ντεπόζιτο καυσίμου και το όργανο μετρήσεων. Σε όλες τις μετρήσεις το κάθε αυτοκίνητο διατηρούσε αναλλοίωτα τα προαναφερθέντα χαρακτηριστικά, δηλαδή, τους επιβαίνοντες, τα καύσιμα και τον πρόσθετο εξοπλισμό.

Για το Volvo, το βάρος υπολογίστηκε από το άθροισμα του απόβαρου του οχήματος προστιθέμενης της μάζας του οδηγού του και του βάρους των καυσίμων που αντιστοιχεί σε ½ δοχείου. Το σύνολο απόβαρου προσαυξήθηκε, δηλαδή, κατά 100kg και ανήλθε στα 1469kg.

Για το Corsa, το βάρος υπολογίστηκε από το αλγεβρικό άθροισμα του απόβαρου του οχήματος προστιθέμενης της μάζας του οδηγού του, του συνοδηγού και του βάρους των καυσίμων που αντιστοιχεί σε ¼ δοχείου. Το σύνολο απόβαρου προσαυξήθηκε, δηλαδή, κατά 100kg και ανήλθε στα 1150kg.

Προσδιορισμός Τιμών Πρόσφυσης κατά την Πέδηση Οχημάτων Εφοδιασμένων με Σύστημα ABS σε Αυξημένες κατά Μήκος Κλίσεις

Για το Starlet, το βάρος υπολογίστηκε από το αλγεβρικό άθροισμα του απόβαρου του οχήματος προστιθέμενης της μάζας του οδηγού του και του βάρους των καυσίμων που αντιστοιχεί σε $\frac{1}{2}$ δοχείου. Το σύνολο απόβαρου προσαυξήθηκε, δηλαδή, κατά 100kg και ανήλθε στα 970kg.

Για το Almera, το βάρος υπολογίστηκε από το αλγεβρικό άθροισμα του απόβαρου του οχήματος προστιθέμενης της μάζας του οδηγού του, του συνοδηγού και του βάρους των καυσίμων που αντιστοιχεί σε $\frac{1}{4}$ δοχείου. Το σύνολο απόβαρου προσαυξήθηκε, δηλαδή, κατά 100kg και ανήλθε στα 1145kg.

Μόλις ολοκληρώθηκε η προετοιμασία, καταγράφηκαν οι καιρικές συνθήκες (στην περίπτωση μας υπήρχαν μετρήσεις σε περιβάλλον στεγνού οδοστρώματος και βρεγμένου οδοστρώματος) και την θερμοκρασία του περιβάλλοντος και επιβιβάστηκε το απαιτούμενο προσωπικό στα αυτοκίνητα. Μοναδική εξαίρεση αποτέλεσε το Nissan όπου οι μετρήσεις έγιναν μόνο σε περιβάλλον ηλιοφάνειας (στεγνό οδόστρωμα) για το σύνολο των επιλεγμένων οδών. Για λόγους ασφαλείας ήταν αναμμένα τα φώτα πορείας των αυτοκινήτων και τα αλάμ.

Αξίζει επιπροσθέτως να σημειωθεί ότι το μοντέλο που θα εφαρμοζόταν δεν ενσωματώνει δεδομένα που προέρχονται από τον αστάθμητο ανθρώπινο παράγοντα. Για το λόγο αυτό έγινε μέριμνα ώστε το σύνολο των μετρήσεων να πραγματοποιηθεί από έναν μόνο οδηγό για το σύνολο των οχημάτων.

Καθοριστικός παράγοντας ήταν η σωστή τοποθέτηση και λειτουργία του οργάνου VC3000 πάνω στον εμπρόσθιο ανεμοθώρακα του αυτοκινήτου. Για να επιτευχθεί αυτό έπρεπε να έχει εξασφαλισθεί η πλήρης οριζοντίωσή του με το όχημά μας κατά τη διεύθυνση του διαμήκη και του εγκάρσιου άξονα στο σημείο που εξετάζεται. Αυτή η διαδικασία επαναλαμβανόταν κάθε φορά που αλλάζαμε φορά πέδησης ή καθίστατο αναγκαίο(μικρομετακινήσεις, άκυρη καταγραφή). Αυτό επιτρέπει στο VC3000 να αντισταθμίσει την κλίση και όλα τα στοιχεία που θα προκύψουν θα είναι ακριβή.

Έπειτα ακολούθησε η διαδικασία συλλογής των μετρήσεων η οποία εκκινούσε με το μηδενισμό του οργάνου ακριβώς στο σημείο εφαρμογής της πέδησης και την απόκτηση επαρκούς αποστάσεως για επιτάχυνση στο φάσμα ταχυτήτων που θέλαμε να εφαρμόσουμε το μοντέλο. Οι μετρήσεις απαιτούσαν απόλυτη εφαρμογή πέδησης, καθώς λήφθηκαν υπ' όψη οι δυσμενέστερες συνθήκες, γεγονός που οδήγησε σε δοκιμαστικές προσπάθειες έως ότου να σταθεροποιηθούν οι τιμές της πρόσφυσης που πιστοποιούν την οριακή πέδηση. Το σύνολο των μετρήσεων ανά όχημα, ανά οδό, ανά κατεύθυνση (ανηφόρα- κατηφόρα) ανέρχεται σε επτά (7), όταν οι καιρικές συνθήκες ήταν καλές (ηλιοφάνεια- στεγνό οδόστρωμα), ενώ σε συνθήκες καταιγίδας (υγρό οδόστρωμα) οι μετρήσεις ανά όχημα, ανά οδό, ανά πλευρά οδοστρώματος (ανηφόρα- κατηφόρα) ήταν δέκα "10". Οι δε ταχύτητες μετρήσεων ανήκαν στο φάσμα 50 με 70 χιλιομέτρων την ώρα.

Η καταγραφή της κάθε μέτρησης εκκινούσε από τη στιγμή που το όργανο αντιλαμβανόταν έντονη μεταβολή της επιταχύνσεως της βαρύτητας τη στιγμή ενάρξεως της πέδησης και ολοκληρωνόταν με την απόλυτη ακινητοποίηση του

Προσδιορισμός Τιμών Πρόσφυσης κατά την Πέδηση Οχημάτων Εφοδιασμένων με Σύστημα ABS σε Αυξημένες κατά Μήκος Κλίσεις

οχήματος. Το όργανο έκανε καταγραφές πέδησης ανά διάστημα του 0.01 δευτερολέπτων. Έπειτα από κάθε μέτρηση, λαμβάναμε τα εξής δεδομένα:

- Περίοδος πέδησης: Ο χρόνος από τη στιγμή που το όργανο ενεργοποιείται μέχρι την πλήρη ακινητοποίηση του οχήματος,
- Ταχύτητα: η αρχική ταχύτητα του οχήματος- η ταχύτητα τη στιγμή εφαρμογής της πέδησης,
- Η απόσταση πέδησης έως την πλήρη ακινητοποίηση του οχήματος,
- Μέσο διάμηκες G από τη στιγμή της ενεργοποίησης του οργάνου έως την πλήρη ακινητοποίηση του οργάνου (παράγοντας έλξης),
- Μέσο εγκάρσιο G από τη στιγμή της ενεργοποίησης του οργάνου έως την πλήρη ακινητοποίηση του οργάνου (παράγοντας έλξης),
- Επιτάχυνση της βαρύτητας μετρημένη σε περιόδους 0,01 δευτερολέπτων
- Μέγιστο διάμηκες G κατά τη διάρκεια της πέδησης και ο χρόνος όπου εμφανίστηκε,
- Μέγιστο εγκάρσιο G κατά τη διάρκεια της πέδησης και ο χρόνος όπου εμφανίστηκε,
- Μέγιστο G κατά τη διάρκεια των πρώτων 0,75 δευτερολέπτων της πέδησης και ο χρόνος όπου εμφανίστηκε. [54]

Τελειώνοντας την διαδικασία των μετρήσεων που σηματοδοτείται από τη συμπλήρωση των απαραίτητων δεδομένων σε συνδυασμό με τον προκαταρκτικό έλεγχο των τιμών της πρόσφυσης και της σχέσης ταχύτητας-απόστασης πέδησης μεταφέρθηκαν τα δεδομένα στους ηλεκτρονικούς υπολογιστές όπου θα εκκίνησε η διαδικασία ανάλυσης των δεδομένων.

Κατά τη διάρκεια της διαδικασίας, υπήρξαν περιπτώσεις, όπου το παραγόμενο ΜΟΣ ποίκιλε σημαντικά για περίπου την ίδια αρχική ταχύτητα. Αυτές οι περιπτώσεις παρήγαγαν τους χαμηλότερους συντελεστές τριβής και αγνοήθηκαν (θεωρημένος ως περισσέυματα)[**παράρτημα 2**]

Χρησιμοποιώντας το παρεχόμενο λογισμικό του οργάνου, εισήχθησαν οι μετρήσεις στον ηλεκτρονικό υπολογιστή και με ακολουθία των βημάτων προέκυψε πίνακας excel [**παράρτημα 2**] που συγκεντρώνει τις μετρήσεις ανά εκατοστό του δευτερολέπτου με παράλληλη ενημέρωση για την αντίστοιχη στιγμιαία:

- ταχύτητα, σε χιλιόμετρα ανά ώρα
- επιτάχυνση της βαρύτητας,

Προσδιορισμός Τιμών Πρόσφυσης κατά την Πέδηση Οχημάτων Εφοδιασμένων με Σύστημα ABS σε Αυξημένες κατά Μήκος Κλίσεις

- απόσταση από το σημείο έναρξης της πέδησης
- Την μέση πρόσφυση
- Την μέγιστη πρόσφυση και το σημείο όπου παρατηρήθηκε
- Το συνολικό χρόνο πέδησης
- Την κλίση της οδού στη συγκεκριμένη μέτρηση και
- Το λόγο dv προς dt .

Έτσι προέκυψαν οι πίνακες που περιέχουν το σύνολο των προαναφερθέντων χαρακτηριστικών ανά όχημα, ανά οδό και ανάλογα με τις καιρικές συνθήκες[**παράρτημα 2**].

Παρατηρείται ότι η πρόσφυση που αποκτούν οι τροχοί κατά την πέδηση είναι εντελώς διαφοροποιημένη από συνθήκες ηλιοφάνειας σε συνθήκες καταιγίδας λόγω του νερού που σχηματίζεται στην επιφάνεια της ασφάλτου και περιορίζει την επιφάνεια του ελαστικού που εφάπτεται της οδού. Αντικείμενο της σύγκρισής μας είναι τα δύο οχήματα που είναι εφοδιασμένα με το σύστημα αντιμπλοκαρίσματος των τροχών, ABS, ενώ άλλα δύο αυτοκίνητα εξυπηρετούν τον απαραίτητο έλεγχο και αυξάνει την αξιοπιστία των αποτελεσμάτων.

Επίσης, είναι εύλογη η διαφοροποίηση της τιμής της μέσης και μέγιστης πρόσφυσης που προκύπτει συγκρινόμενη στα δύο οχήματα που είναι εφοδιασμένα με το σύστημα αντιμπλοκαρίσματος των τροχών, ABS, αφού, όπως προαναφέρθηκε στο κεφάλαιο της δυναμικής κίνησης των οχημάτων, το πλάτος του πέλματος του τροχού διαδραματίζει σημαντικό ρόλο. Έτσι, η πρόσφυση του ελαστικού του Volvo συγκριτικά με του Corsa είναι μεγαλύτερη.

Αλλαγή στην πρόσφυση παρατηρείται και από οδόστρωμα σε οδόστρωμα. Αυτό παρατηρείται καθώς στο σύνολο των επιλεγμένων οδών έπρεπε να καλύπτει επίσης όλες τις ανάγκες για δεδομένα που προκύπτουν από τα χαρακτηριστικά των ασφαλικών επιφανειών. Για αυτό έπρεπε να επιλεγθούν οδοί τόσο με καινούργιο ασφαλτοτάπητα, όπου παρατηρούνται αυξημένοι συντελεστές πρόσφυσης, όσο και παλαιοί ασφαλτοτάπητες όπου παρατηρούνται χαμηλοί συγκριτικά και κατά αυτοκίνητο συντελεστές πρόσφυσης, ούτως ώστε να ελεγχθεί σφαιρικότερα το μοντέλο μας. Στην περιοχή του πολυτεχνείου, όπου το οδόστρωμα είναι σε «κακή κατάσταση και στο τέλος της ζωής του»[53], όλα τα οχήματα επιτυγχάνουν χαμηλούς συντελεστές πρόσφυσης με αποτέλεσμα να έχουν αυξημένες αποστάσεις πέδησης συγκρινόμενες με τη αντίστοιχη περιοχή της Βούλας, όπου θα αναμένονταν μεγαλύτερες αποστάσεις πέδησης στην κατηφόρα λόγω της μεγαλύτερης κλίσης.

5.4 Εφαρμογή του Μοντέλου

Ένα προηγούμενο αναπτυγμένο πρότυπο προσομοίωσης [52], [65] εφαρμόστηκε προκειμένου να αξιολογηθούν τα στοιχεία SSD σχετικά με το όχημα που έχει ABS. Το πρότυπο καθορίζει την επιρροή των ακόλουθων παραμέτρων: ταχύτητα, αεροδυναμική αντίσταση, την άνωση, το πλάτος ανά εμπρόσθιο – οπίσθιο άξονα, μεταξόνιο, κέντρο περιστροφής ακαμψία κατακόρυφων αποσβεστήρων κραδασμών, ακαμψία αναρτήσεων, κλίση, επίκλιση, αντίσταση κύλισης και τιμές πρόσφυσης [65].

Επιπλέον το πρότυπο λαμβάνει υπόψη το πραγματικό φορτίο ανά τροχό λόγω της πλευρικής μεταφοράς φορτίων και της αντίστοιχης αλλαγής της πλευρικής δύναμης σε κάθε τροχό που δημιουργεί έτσι ένα τετράτροχο πρότυπο προσομοίωσης [34], [50], [52], [65], [67].

Με την εφαρμογή των νόμων των μηχανικών, η επιβράδυνση του οχήματος μπορεί να εκφραστεί ως λειτουργία των παραμέτρων τριβής οχημάτων, οδοστρωμάτων και ροδών, διαμορφώνοντας κατά συνέπεια τη διαφορική εξίσωση που παρουσιάζεται στην εξίσωση 2 που επιλύεται με την εφαρμογή της αριθμητικής μεθόδου runge-Kutta.

$$a(v) = \frac{dv}{dd} v \quad (5.1)$$

Όπου:

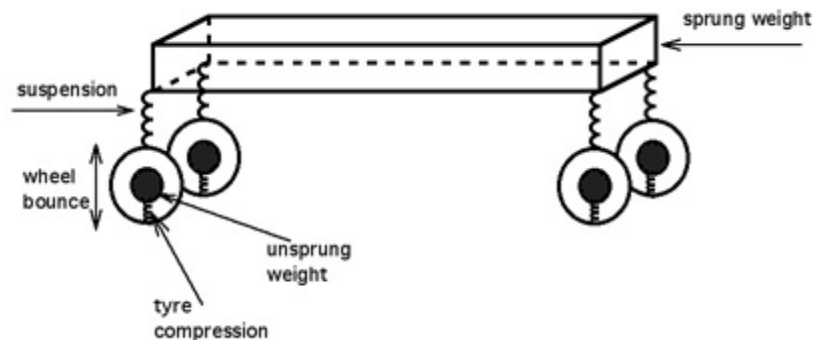
- a: η επιτάχυνση σε m/s^2
- v: η ταχύτητα του οχήματος σε m/s
- d: η απόσταση σε m .

Ο ακόλουθος πίνακας αντιστοιχεί στις έξι βασικές κατηγορίες οχημάτων, όπως αυτές έχουν προκύψει με κάποιες παραδοχές [51]. Σε παρακάτω εδάφιο ακολουθεί πίνακας με τα δεδομένα εισόδου των οχημάτων που χρησιμοποιήθηκαν στις μετρήσεις. Στον Πίνακα 4.1 παρατίθενται τα τεχνικά χαρακτηριστικά των οχημάτων αυτών τα οποία εισήχθησαν στο μοντέλο.

Προσδιορισμός Τιμών Πρόσφυσης κατά την Πέδηση Οχημάτων Εφοδιασμένων με Σύστημα ABS σε Αυξημένες κατά Μήκος Κλίσεις

| | A (sedan) | B (sedan) | C (coupe) | D (sedan) | E (sedan) | F (sports) |
|-------------------------|--------------|--------------|--------------|--------------|--------------|---------------|
| L (m) | 2,040 | 2,398 | 2,580 | 2,770 | 3,075 | 2,500 |
| t_f (m) | 1,206 | 1,362 | 1,440 | 1,480 | 1,560 | 1,540 |
| t_r (m) | 1,164 | 1,324 | 1,440 | 1,440 | 1,540 | 1,540 |
| m (kgr) | 727 | 1045 | 1175 | 1435 | 1945 | 1600 |
| l_f (m) | 0,775 | 1,031 | 1,161 | 1,302 | 1,568 | 1,250 |
| h (m) | 0,550 | 0,610 | 0,620 | 0,635 | 0,672 | 0,500 |
| $K_{\phi f}$ (Nm/rad) | 11631 | 19882 | 27502 | 26241 | 28075 | 81016 |
| $K_{\phi r}$ (Nm/rad) | 6761 | 9282 | 14324 | 19423 | 20168 | 38044 |
| m_{uf} (kgr) | 50 | 80 | 92 | 105 | 115 | 90 |
| m_{ur} (kgr) | 40 | 72 | 120 | 110 | 130 | 100 |
| h_{Rf} (m) | 0,100 | 0,190 | -0,020 | 0,040 | 0,062 | 0,070 |
| h_{Rr} (m) | 0,000 | 0,190 | 0,410 | 0,080 | 0,405 | 0,110 |
| r_{dyn} (m) | 0,237 | 0,260 | 0,290 | 0,295 | 0,320 | 0,300 |
| A_f (m ²) | 1,500 | 1,750 | 1,850 | 2,030 | 2,150 | 1,700 |
| c_N | 0,610 | 0,310 | 0,280 | 0,120 | 0,210 | -0,040 |
| c_d | 0,480 | 0,410 | 0,360 | 0,290 | 0,400 | 0,330 |
| C_{af} (kp/rad) | 1549.8 | 2867.1 | 2295.7 | 3573.0 | 4669.6 | 3896.1 |
| C_{ar} (kp/rad) | 1107.7 | 2316.8 | 2120.7 | 3284.9 | 5142.7 | 3896.1 |
| P (hp) | 50 | 70 | 90 | 100 | 120 | 140 |

Πίνακας 5.1: τεχνικά χαρακτηριστικά των κυριότερων τύπων επιβατηγών [51].



Σχήμα 5.1:ελατήρια στο μοντέλο του οχήματος

Τα χαρακτηριστικά των αυτοκινήτων που χρησιμοποιούνται παραπάνω (πίνακας 5.1) ερμηνεύονται βάσει του ακόλουθου πίνακα 5.2:

| ΣΥΜΒΟΛΟ | ΕΡΜΗΝΕΙΑ |
|-----------|--|
| L (m) | Μήκος μεταξόνιου |
| t_f (m) | Μήκος εμπρόσθιου μετατρόχιου |
| t_r (m) | Μήκος οπίσθιου μετατρόχιου |
| m (kgr) | Μεικτό βάρος |
| l_f (m) | Μήκος εμπρόσθιου άξονα από το κέντρο βάρους του οχήματος |
| h (m) | Θέση της GC από την επιφάνεια |

Προσδιορισμός Τιμών Πρόσφυσης κατά την Πέδηση Οχημάτων Εφοδιασμένων με Σύστημα ABS σε Αυξημένες κατά Μήκος Κλίσεις

| | |
|-------------------------|--|
| $K_{\phi f}$ (Nm/rad) | Ακαμψία ανατροπής του εμπρόσθιου μετατρόχιου |
| $K_{\phi r}$ (Nm/rad) | Ακαμψία ανατροπής του οπίσθιου μετατρόχιου |
| m_{uf} (kgr) | Μάζα κάτω από τα ελατήρια (μπροστά) |
| m_{ur} (kgr) | Μάζα κάτω από τα ελατήρια (πίσω) |
| h_{Rf} (m) | ύψος ανατροπής (εμπρόσθιο) |
| h_{Rr} (m) | ύψος ανατροπής (οπίσθιο) |
| r_{dyn} (m) | Συντελεστής αεροδυναμικής |
| A_f (m ²) | Μετωπική επιφάνεια |
| c_N | Έλξη ανύψωσης |
| c_d | Αεροδυναμική έλξη |
| C_{af} (kp/rad) | Μετωπικός συντελεστής αντίστασης |
| C_{ar} (kp/rad) | Οπίσθιος συντελεστής αντίστασης |
| P (hp) | Ιπποδύναμη οχήματος |

Πίνακας 5.2:ερμηνεία χαρακτηριστικών των οχημάτων

Ενδιαφέρον θα ήταν βέβαια η μελέτη αυτή να στηριχθεί εξ' ολοκλήρου σε πραγματικά δεδομένα και τα τεχνικά χαρακτηριστικά να αντιπροσωπεύουν πραγματικά οχήματα, εργασία όμως που ξεφεύγει από το πλαίσιο της παρούσας έρευνας. Αξίζει, όμως, να αναφέρουμε ότι συγκεντρώθηκε το σύνολο των στοιχείων από τα βιβλία των κατασκευαστών των αυτοκινήτων και έτσι αντικαταστάθηκαν κάποιες προσεγγιστικές τιμές από τις υπάρχουσες πραγματικές. Συγκεκριμένα συλλέχθηκαν πληροφορίες για το μεταξόνιο, τα μετατρόχια (εμπρόσθιο και οπίσθιο) και την μάζα του οχήματος, όπου αυτό αναφερόταν. Αναλυτικά είναι:

- Για το Volvo, όχημα κατηγορίας D βάσει του πίνακα 5.1, το βάρος υπολογίστηκε από το άθροισμα του απόβαρου του οχήματος προστιθέμενης της μάζας του οδηγού του και του βάρους των καυσίμων που αντιστοιχεί σε ½ δοχείου. Το σύνολο απόβαρου προσαυξήθηκε, δηλαδή, κατά 100kg και ανήλθε στα 1469kg. Το μεταξόνιό του ανέρχεται σε 2,640m , το εμπρόσθιο μετατρόχιο σε 1,545m και το οπίσθιο μετατρόχιο σε 1.550m.
- Για το Corsa, το βάρος υπολογίστηκε από το άθροισμα του απόβαρου του οχήματος προστιθέμενης της μάζας του οδηγού του, του συνοδηγού και του βάρους των καυσίμων που αντιστοιχεί σε ¼ δοχείου. Το σύνολο απόβαρου προσαυξήθηκε, δηλαδή, κατά 100kg και ανήλθε στα 1150kg. Το μεταξόνιο του ανέρχεται σε 2,580 m , το εμπρόσθιο μετατρόχιο σε 1,440m και το οπίσθιο μετατρόχιο σε 1.440m.
- Για το Starlet, το βάρος υπολογίστηκε από το άθροισμα του απόβαρου του οχήματος προστιθέμενης της μάζας του οδηγού του και του βάρους των καυσίμων που αντιστοιχεί σε ½ δοχείου. Το σύνολο απόβαρου προσαυξήθηκε, δηλαδή, κατά 100kg και ανήλθε στα 950kg. Το μεταξόνιό του όπως και το εμπρόσθιο και το οπίσθιο μετατρόχιο, λήφθηκαν βάσει του πίνακα 4.1
- Για το Almera, το βάρος υπολογίστηκε από το άθροισμα του απόβαρου του οχήματος προστιθέμενης της μάζας του οδηγού του και του βάρους των

Προσδιορισμός Τιμών Πρόσφυσης κατά την Πέδηση Οχημάτων Εφοδιασμένων με Σύστημα ABS σε Αυξημένες κατά Μήκος Κλίσεις

καυσίμων που αντιστοιχεί σε $\frac{1}{2}$ δοχείου. Το σύνολο απόβαρου προσαυξήθηκε, δηλαδή, κατά 100kg και ανήλθε στα 1145kg. Το μεταξόνιό του ανέρχεται σε 2.535 , το εμπρόσθιο μετατρόχιο σε 1.495m και το οπίσθιο μετατρόχιο σε 1.490m.

Τα στοιχεία που υπεισέρχονται, επίσης, στην επίλυση του μοντέλου είναι:

- Η μέση πρόσφυση των ελαστικών κατά τη διαδικασία της πέδησης του οχήματος
- Η κατά μήκος κλίση της οδού στο σημείο της πέδησης
- Η επίκλιση της οδού που όπως προαναφέρθηκε πρέπει να είναι πολύ μικρή, συγκεκριμένα μετρήθηκε στο 2,5% σε όλες τις οδούς (κριτήριο επιλογής οδού)
- Η ταχύτητα του οχήματος τη στιγμή έναρξης της πέδησης.

Για να επιλυθεί το μοντέλο, θεωρήθηκε ότι το όχημα χρησιμοποιεί τη μέγιστη πιθανή δύναμη πέδησης ($n \approx 100\%$) και συγχρόνως αποφεύγεται το μπλοκάρισμα των οπίσθιων τροχών που θα οδηγούσε σε μια αστάθεια των οχημάτων.

Μόλις ολοκληρωθεί η προαναφερθείσα διαδικασία , 'έτρεξε' το μοντέλο με χρήση μακροεντολής και εξήχθη το παραγόμενο. Το αποτέλεσμα της όλης διαδικασίας μας παρατηρείται ελαφρώς διαφοροποιημένο ως προς τη διανυθείσα απόσταση πέδησης συγκρινόμενο με την απόσταση που έχουμε λάβει από το όργανο μέτρησης.

Σε αυτές τις περιπτώσεις έγινε σύγκριση με τα υπόλοιπα δεδομένα και διαπιστώθηκε ότι αυτή η διαφοροποίηση αποτελεί το σφάλμα των μετρήσεων του οργάνου, το οποίο οφείλεται:

- Στο ότι η μέτρησης δεν έγινε σε συνθήκες απόλυτης πέδησης (πέδηση πανικού ή
- Δεν επιτεύχθηκε στην μέτρηση σωστό καλιμπράρισμα (πλήρης οριζοντίωση του οργάνου)[**παράρτημα 2**].

Στη συνέχεια εφαρμόστηκε η ίδια διαδικασία θέτοντας κάθε φορά ως τιμή πρόσφυσης τον μέσο όρο πρόσφυσης ανά όχημα, ανά φορά πέδησης(ανηφόρα, κατηφόρα) και στις περιπτώσεις στεγνού και βρεγμένου οδοστρώματος.

Οι διαφορές που προέκυψαν από τη σύγκριση των μετρήσεων με το μέσο όρο της πρόσφυσης και των πραγματικών μετρήσεων ήταν μικρές και δικαιολογούνται από την παραδοχή αυτή.

Το διάγραμμα ροής του σχήματος 1 (κεφάλαιο 3) περιγράφει πώς το αναπτυγμένο πρότυπο εφαρμόστηκε για να προβλέψει την παραλλαγή ταχύτητας του εξετασμένου οχήματος ως λειτουργία της διανυμένης απόστασης.

Προσδιορισμός Τιμών Πρόσφυσης κατά την Πέδηση Οχημάτων Εφοδιασμένων με Σύστημα ABS σε Αυξημένες κατά Μήκος Κλίσεις

Ο πίνακας 2 επεξηγεί τη διαφορά μείωσης στο ποσοστό μεταξύ των χαρακτηριστικών μετρήσεων τομέων και ΜΟΣ που παράγονται από το πρότυπο πέδησης.

Εν συνεχεία και αφού έχει επαναληφθεί η ίδια διαδικασία για το σύνολο των μετρήσεων όλων των οχημάτων συγκεντρώσαμε τα αποτελέσματα και δημιουργήσαμε ιστογράμματα ξεχωριστά για κάθε όχημα και διαφορετικά ανά καιρικές συνθήκες όπου συγκρίναμε ανά μέτρηση τα μήκη-αποστάσεις από τη στιγμή της πέδησης μέχρι την πλήρη ακινητοποίηση του οχήματος. Τα στοιχεία της σύγκρισης ανά μέτρηση ήταν τα εξής:

- Η απόσταση πέδησης που μετρήθηκε με το όργανο VC3000
- Η απόσταση πέδησης που προέκυψε ως αποτέλεσμα της εφαρμογής του μοντέλου που προαναφέρθηκε
- Η απόσταση πέδησης, όπως αυτή ορίζεται από τους κανονισμούς ΟΜΟΕ-Χ.

Ο προσδιορισμός της απόστασης πέδησης για τους κανονισμούς την ΟΜΟΕ-Χ διαφοροποιείται ανάλογα με τις συνθήκες τέλεσης των πειραμάτων. Στις μετρήσεις μας διακρίναμε δύο ήδη καιρικών συνθηκών: την ηλιοφάνεια και την περίπτωση βροχής.

Στις συνθήκες βρεγμένου οδοστρώματος ο υπολογισμός της απόστασης πέδησης προκύπτει από τη σχέση:

$$S = 223.2 * \ln\left(1.76 * 10^{-5} * v^2 - 4.85 * 10^{-3} * v + \frac{\frac{S}{100} + 0.59}{0.59 + \frac{S}{100}}\right) + \frac{2.16}{\left(\sqrt{1.81 * 10^{-5} + 7.05 * 10^{-5} * \left(\frac{S}{100}\right)}\right)} *$$
$$\frac{a \tan\left(v * \sqrt{1.81 * 10^{-5} + 7.05 * 10^{-5} * \left(\frac{S}{100}\right)}\right)}{1.18 + 2 * \frac{S}{100} - 4.85 * 10^{-3} * v}$$

(5.2)

Όπου:

S: η απόσταση που προκύπτει βάσει κανονισμών για στεγνό οδόστρωμα σε m

V: η αρχική ταχύτητα του οχήματος σε m/s

s: η κατά μήκος κλίση της οδού στην περιοχή της πέδησης

Στις συνθήκες στεγνού οδοστρώματος ο υπολογισμός της απόστασης πέδησης προκύπτει από τον τύπο που ακολουθεί:

Προσδιορισμός Τιμών Πρόσφυσης κατά την Πέδηση Οχημάτων Εφοδιασμένων με Σύστημα ABS σε Αυξημένες κατά Μήκος Κλίσεις

$$S = \frac{\left\{ \ln \left[F_{TG} + \frac{s}{100} + 0.327 * 10^{-4} * \left(\frac{V}{3.6} \right)^2 \right] \right\}}{2 * 9.81 * 0.327 * 10^{-4} * \left(F_{TG} + \frac{s}{100} \right)} \quad (5.3)$$

Όπου:

S: η απόσταση που προκύπτει βάσει κανονισμών για στεγνό οδόστρωμα σε m

V: η αρχική ταχύτητα του οχήματος σε km/h

s: η κατά μήκος κλίση της οδού στην περιοχή της πέδησης

F_{TG}: η μέση πρόσφυση τη στιγμή της πέδησης

Εν συνεχεία και αφού ολοκληρώθηκε το στάδιο αυτό έγινε η τελική διαλογή των αποτελεσμάτων και επιλέχθηκαν οι μετρήσεις που ήταν αξιόπιστες. Τα κριτήρια της επιλογής ήταν τα εξής:

- Αποκλείστηκαν οι μετρήσεις όπου παρουσιαζόταν εξαιρετικά αυξημένη τιμή της απόστασης πέδησης συγκριτικά με την αρχική ταχύτητα του οχήματος
- Επίσης αποκλείστηκαν μετρήσεις όπου η τιμή της μέσης πρόσφυσης ήταν πολύ επαυξημένη ή πολύ μειωμένη σε σχέση με το σύνολο των υπολοίπων τιμών.

Για τις τιμές που έμειναν δημιουργήθηκε δίστηλος πίνακας με στοιχεία την ταχύτητα και την τιμή της μέσης πρόσφυσης. Με τα δεδομένα αυτά, δημιουργήσαμε για κάθε όχημα, ανά τοποθεσία μετρήσεων και καιρικές συνθήκες ένα διάγραμμα διασποράς, ένα για κάθε διεύθυνση μετρήσεων (ανηφόρα και κατηφόρα). Τα αποτελέσματα του excel παρατίθεται στο παράρτημα [παράρτημα 2]

5.5 Αποτελέσματα

5.5.1 Γενικά

Η λήξη των μετρήσεων σηματοδοτείται από τη συμπλήρωση των απαραίτητων δεδομένων σε συνδυασμό με τον προκαταρκτικό έλεγχο των τιμών της πρόσφυσης και της σχέσης ταχύτητας - απόστασης πέδησης και τη μεταφορά των δεδομένων στους ηλεκτρονικούς υπολογιστές όπου θα εκκίνησε η διαδικασία ανάλυσης των δεδομένων.

Στο πρώτο βήμα εξαγωγής των αποτελεσμάτων εντάχθηκε το σύνολο των στοιχείων που συλλέχθηκαν στην πειραματική μας διαδικασία στο λογισμικό του ηλεκτρονικού υπολογιστή και δημιουργήθηκαν οι πρώτοι πίνακες σε περιβάλλον excel. Δημιουργήθηκε ένας πίνακας για κάθε όχημα, σε κάθε οδό και για συνθήκες στεγνού και βρεγμένου οδοστρώματος, ο οποίος περιλάμβανε τα εξής:

Προσδιορισμός Τιμών Πρόσφυσης κατά την Πέδηση Οχημάτων Εφοδιασμένων με Σύστημα ABS σε Αυξημένες κατά Μήκος Κλίσεις

- Τον αύξοντα αριθμό της μέτρησης της πέδησης για κάθε πίνακα
- Την αρχική ταχύτητα του οχήματος τη στιγμή εφαρμογής της πέδησης
- Την απόσταση που διανύθηκε από τη στιγμή εφαρμογής της πέδησης μέχρι την πλήρη ακινητοποίηση του οχήματος(απόσταση πέδησης)
- Την κατά μήκος κλίση στην οδό στην περιοχή της πέδησης εκπεφρασμένη επί τις εκατό (%). Αξίζει να σημειώσουμε ότι το αρνητικό πρόσημο δηλώνει την κατηφόρα, ενώ το θετικό πρόσημο την ανηφόρα.
- Την μέση πρόσφυση που επιτυγχάνεται από το όχημα στο σύνολο της πέδησης. (Προκύπτει από τον αλγεβρικό μέσο όρο του συνόλου των επί μέρους τιμών της πρόσφυσης ανά μέτρηση ανά διάστημα του 0,01 δευτερολέπτου) f_{Tg}
- Την μέγιστη πρόσφυση και το χρονικό σημείο όπου παρατηρήθηκε f_{Tmax}
- Το λόγο dn προς dt που αποτελεί δείγμα του μέτρου της επιβράδυνσης του οχήματος και τέλος
- Τον δείκτη n που εκφράζει το λόγο της μέγιστης πρόσφυσης προς τη μέση πρόσφυση σε κάθε μέτρηση.

5.5.2 Αποτελέσματα μετρήσεων

Παρατηρείται ότι η πρόσφυση που αποκτούν οι τροχοί κατά την πέδηση είναι εντελώς διαφοροποιημένη από συνθήκες στεγνού οδοστρώματος σε συνθήκες βρεγμένου οδοστρώματος λόγω του «στρώματος» νερού που σχηματίζεται στην επιφάνεια της ασφάλτου και περιορίζει την επιφάνεια του ελαστικού που εφάπτεται της οδού. Η βάση συγκρίσεως μας είναι τα δύο οχήματα που είναι εφοδιασμένα με το σύστημα αντιμπλοκαρίσματος των τροχών, ABS, ενώ τα άλλα δύο αυτοκίνητα εξυπηρετούν τον απαραίτητο έλεγχο και αυξάνουν την αξιοπιστία των αποτελεσμάτων.

Κατά τη διάρκεια της διαδικασίας, υπήρξαν περιπτώσεις, όπου η παραγόμενη πρόσφυση ποίκιλε σημαντικά για περίπου την ίδια αρχική ταχύτητα. Αυτές οι περιπτώσεις παρήγαγαν τους χαμηλότερους συντελεστές τριβής και αγνοήθηκαν (θεωρημένος ως περισσεύματα). Ήταν το πρώτο στάδιο αξιολόγησης των αποτελεσμάτων.

Από την διαδικασία που προαναφέρθηκε συλλέξαμε τις τιμές των χαρακτηριστικών χωριστά για κάθε όχημα, οδό και επικρατούσες καιρικές συνθήκες. Τα εύρη των τιμών στο σύνολο των χαρακτηριστικών για κάθε διαχωρισμό παρατίθεται στους ακόλουθους πίνακες(5.3α-5.6β).

Προσδιορισμός Τιμών Πρόσφυσης κατά την Πέδηση Οχημάτων Εφοδιασμένων με Σύστημα ABS σε Αυξημένες κατά Μήκος Κλίσεις

| | | | ΧΡΟΝΟΣ | Ταχύτητα (km/h) | Απόσταση (m) | FTg | FTmax | Χρόνος FTmax | Μέσο dv/dt | μήκος κλίση S(%) | |
|-------|-------|-----------|--------|--------------------|-----------------|-------|-------|-----------------|------------|------------------------|-------|
| VOLVO | S 40 | Ανηφόρες | Από | 1.47 | 48.18 | 10.51 | 0.792 | 0.929 | 0.27 | 5.95 | 11.5 |
| | | | Έως | 2.01 | 51.25 | 12.52 | 0.847 | 0.953 | 1.43 | 8.31 | 11.5 |
| | | Κατηφόρες | Από | 2.22 | 53.39 | 16.50 | 0.795 | 0.879 | 0.18 | 6.43 | -11.5 |
| | | | Έως | 2.94 | 60.43 | 21.68 | 0.805 | 0.921 | 1.45 | 7.90 | -11.5 |
| OPEL | CORSA | Ανηφόρες | Από | 1.81 | 56.98 | 14.72 | 0.765 | 0.874 | 0.17 | 7.07 | 11.5 |
| | | | Έως | 2.15 | 66.78 | 20.18 | 0.790 | 1.054 | 0.85 | 7.75 | 11.5 |
| | | Κατηφόρες | Από | 2.54 | 56.96 | 20.52 | 0.728 | 0.828 | 0.21 | 7.14 | -11.5 |
| | | | Έως | 2.94 | 68.20 | 27.78 | 0.772 | 0.992 | 0.28 | 7.57 | -11.5 |

Πίνακας 5.3α: Γλυφάδα, οδόστρωμα στεγνό

| | | | ΧΡΟΝΟΣ | Ταχύτητα (km/h) | Απόσταση (m) | FTg | FTmax | Χρόνος FTmax | Μέσο dv/dt | Κατά μήκος κλίση S(%) | |
|-------|-------------------|-----------|--------|--------------------|--------------|-------|-------|--------------|------------|-----------------------------|-------|
| TOYO | TA STARL ET | Ανηφόρες | Από | 1.48 | 39.84 | 8.31 | 0.647 | 0.772 | 0.22 | 6.35 | 11.5 |
| | | | Έως | 2.08 | 61.05 | 18.10 | 0.739 | 1.071 | 0.42 | 7.25 | 11.5 |
| | | Κατηφόρες | Από | 2.09 | 52.88 | 15.64 | 0.818 | 0.945 | 0.21 | 8.02 | -11.5 |
| | | | Έως | 2.43 | 62.00 | 21.26 | 0.840 | 1.093 | 0.36 | 8.24 | -11.5 |
| NISSA | N ALME RA | Ανηφόρες | Από | 2.12 | 38.50 | 12.44 | 0.276 | 0.478 | 1.04 | 2.70 | 11.5 |
| | | | Έως | 2.79 | 43.65 | 16.09 | 0.431 | 0.584 | 2.08 | 4.23 | 11.5 |
| | | Κατηφόρες | Από | 2.98 | 38.65 | 18.03 | 0.446 | 0.589 | 0.43 | 4.38 | -11.5 |
| | | | Έως | 3.74 | 55.09 | 25.46 | 0.562 | 0.680 | 2.65 | 5.51 | -11.5 |

Πίνακας 5.3β: Γλυφάδα, οδόστρωμα στεγνό

| | | | ΧΡΟΝΟΣ | Ταχύτητα (km/h) | Απόσταση (m) | FTg | FTmax | Χρόνος FTmax | Μέσο dv/dt | μήκος κλίση S(%) | |
|-------|-------|-----------|--------|--------------------|-----------------|-------|-------|-----------------|------------|------------------------|-------|
| VOLVO | S 40 | Ανηφόρες | Από | 1.62 | 49.46 | 11.60 | 0.740 | 0.855 | 0.30 | 7.26 | 11.5 |
| | | | Έως | 1.90 | 57.49 | 15.74 | 0.787 | 0.998 | 1.82 | 7.72 | 11.5 |
| | | Κατηφόρες | Από | 2.45 | 49.65 | 17.67 | 0.663 | 0.793 | 0.23 | 6.50 | -11.5 |
| | | | Έως | 3.16 | 68.31 | 31.77 | 0.728 | 0.900 | 3.16 | 7.29 | -11.5 |
| OPEL | CORSA | Ανηφόρες | Από | 1.76 | 48.34 | 12.28 | 0.605 | 0.750 | 0.24 | 5.94 | 11.5 |
| | | | Έως | 2.62 | 69.94 | 25.28 | 0.719 | 0.886 | 1.97 | 7.05 | 11.5 |
| | | Κατηφόρες | Από | 2.74 | 49.13 | 20.31 | 0.570 | 0.745 | 0.45 | 5.23 | -11.5 |
| | | | Έως | 4.06 | 68.21 | 37.22 | 0.653 | 0.861 | 4.06 | 6.99 | -11.5 |

Προσδιορισμός Τιμών Πρόσφυσης κατά την Πέδηση Οχημάτων Εφοδιασμένων με Σύστημα ABS σε Αυξημένες κατά Μήκος Κλίσεις

Πίνακας 5.4α: Γλυφάδα, οδόστρωμα υγρό

| | | | ΧΡΟΝΟΣ | Ταχύτητα (km/h) | Απόσταση (m) | FTg | FTmax | Χρόνος FTmax | Μέσο dv/dt | μήκος κλίση |
|------------|-----------|-----|--------|--------------------|-----------------|-------|-------|-----------------|------------|----------------|
| A STARL | Ανηφόρες | Από | 1.71 | 42.33 | 10.67 | 0.500 | 0.744 | 0.22 | 4.91 | 11.5 |
| | | Έως | 2.53 | 58.55 | 22.56 | 0.586 | 0.849 | 2.60 | 5.75 | 11.5 |
| | Κατηφόρες | Από | 2.40 | 41.98 | 14.56 | 0.460 | 0.757 | 0.45 | 4.51 | -11.5 |
| | | Έως | 3.41 | 65.11 | 33.38 | 0.678 | 1.040 | 3.48 | 6.60 | -11.5 |
| ALMER | Ανηφόρες | Από | - | - | - | - | - | - | - | - |
| | | Έως | - | - | - | - | - | - | - | - |
| | Κατηφόρες | Από | - | - | - | - | - | - | - | - |
| | | Έως | - | - | - | - | - | - | - | - |

Πίνακας 5.4β: Γλυφάδα, οδόστρωμα υγρό

| | | | ΧΡΟΝΟΣ | Ταχύτητα (km/h) | Απόσταση (m) | FTg | FTmax | Χρόνος FTmax | Μέσο dv/dt | μήκος κλίση |
|---------------|-----------|-----|--------|--------------------|-----------------|-------|-------|-----------------|------------|----------------|
| VOLVO S 40 | Ανηφόρες | Από | 1.88 | 54.14 | 14.60 | 0.719 | 0.831 | 0.29 | 6.90 | 6.60 |
| | | Έως | 2.06 | 60.74 | 17.86 | 0.769 | 0.879 | 1.49 | 7.54 | 6.60 |
| | Κατηφόρες | Από | 2.32 | 51.42 | 16.71 | 0.670 | 0.752 | 0.24 | 6.58 | -5.30 |
| | | Έως | 3.01 | 65.70 | 27.64 | 0.692 | 0.948 | 1.71 | 6.78 | -5.30 |
| OPEL CORSA | Ανηφόρες | Από | 1.98 | 54.20 | 15.19 | 0.690 | 0.533 | 0.21 | 6.77 | 6.60 |
| | | Έως | 2.11 | 56.82 | 16.87 | 0.721 | 0.927 | 0.31 | 7.08 | 6.60 |
| | Κατηφόρες | Από | 2.69 | 61.58 | 23.17 | 0.680 | 0.795 | 0.20 | 6.67 | -5.30 |
| | | Έως | 2.92 | 65.54 | 26.94 | 0.702 | 0.873 | 1.11 | 6.89 | -5.30 |

Πίνακας 5.5α: Πολυτεχνείο, οδόστρωμα στεγνό

| | | | ΧΡΟΝΟΣ | Ταχύτητα (km/h) | Απόσταση (m) | FTg | FTmax | Χρόνος FTmax | Μέσο dv/dt | μήκος κλίση |
|------------|-----------|-----|--------|--------------------|-----------------|-------|-------|-----------------|------------|----------------|
| A STARL | Ανηφόρες | Από | 2.01 | 52.87 | 15.41 | 0.664 | 0.844 | 0.23 | 6.52 | 6.60 |
| | | Έως | 2.14 | 57.86 | 17.49 | 0.712 | 1.037 | 1.89 | 6.98 | 6.60 |
| | Κατηφόρες | Από | 2.39 | 55.46 | 19.53 | 0.681 | 0.901 | 0.21 | 6.68 | -5.30 |
| | | Έως | 2.86 | 65.86 | 26.33 | 0.747 | 1.064 | 0.35 | 7.33 | -5.30 |
| ALMER | Ανηφόρες | Από | 2.07 | 47.33 | 14.16 | 0.421 | 0.682 | 0.27 | 4.13 | 6.60 |
| | | Έως | 2.75 | 48.71 | 15.07 | 0.598 | 0.720 | 0.29 | 5.86 | 6.60 |
| | Κατηφόρες | Από | 2.56 | 48.36 | 17.59 | 0.521 | 0.654 | 0.28 | 5.11 | -5.30 |
| | | Έως | 2.99 | 50.05 | 19.46 | 0.592 | 0.718 | 0.43 | 5.81 | -5.30 |

Προσδιορισμός Τιμών Πρόσφυσης κατά την Πέδηση Οχημάτων Εφοδιασμένων με Σύστημα ABS σε Αυξημένες κατά Μήκος Κλίσεις

Πίνακας 5.5β: Πολυτεχνείο, οδόστρωμα στεγνό

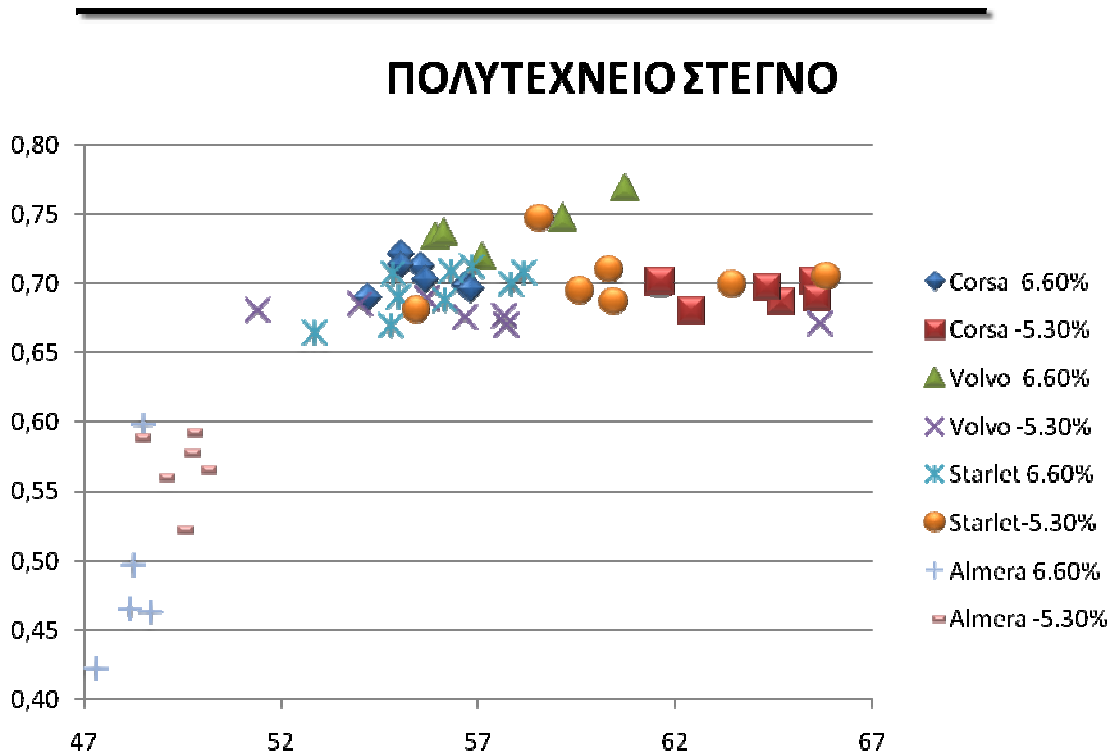
| | | | ΧΡΟΝΟΣ | Ταχύτητα (km/h) | Απόσταση (m) | FTg | FTmax | Χρόνος FTmax | Μέσο dv/dt | μήκος κλίση α(α/λ) |
|---------------|-----------|-----|--------|--------------------|-----------------|-------|-------|-----------------|------------|--------------------------|
| VOLVO S 40 | Ανηφόρες | Από | 1.95 | 49.45 | 13.70 | 0.641 | 0.769 | 1.18 | 6.22 | 6.60 |
| | | Έως | 2.08 | 54.61 | 16.26 | 0.677 | 0.852 | 2.02 | 6.66 | 6.60 |
| | Κατηφόρες | Από | 2.97 | 51.59 | 21.69 | 0.541 | 0.610 | 1.01 | 5.25 | -5.30 |
| | | Έως | 3.55 | 60.91 | 30.79 | 0.561 | 0.721 | 3.25 | 5.51 | -5.30 |
| OPEL CORSA | Ανηφόρες | Από | 2.39 | 46.51 | 16.25 | 0.462 | 0.620 | 0.76 | 4.53 | 6.60 |
| | | Έως | 2.69 | 50.71 | 19.73 | 0.486 | 0.792 | 2.50 | 4.98 | 6.60 |
| | Κατηφόρες | Από | 3.25 | 48.36 | 22.68 | 0.397 | 0.523 | 1.01 | 3.90 | -5.30 |
| | | Έως | 4.65 | 56.52 | 37.38 | 0.448 | 0.687 | 4.16 | 4.72 | -5.30 |

Πίνακας 5.6α: Πολυτεχνείο, οδόστρωμα υγρό

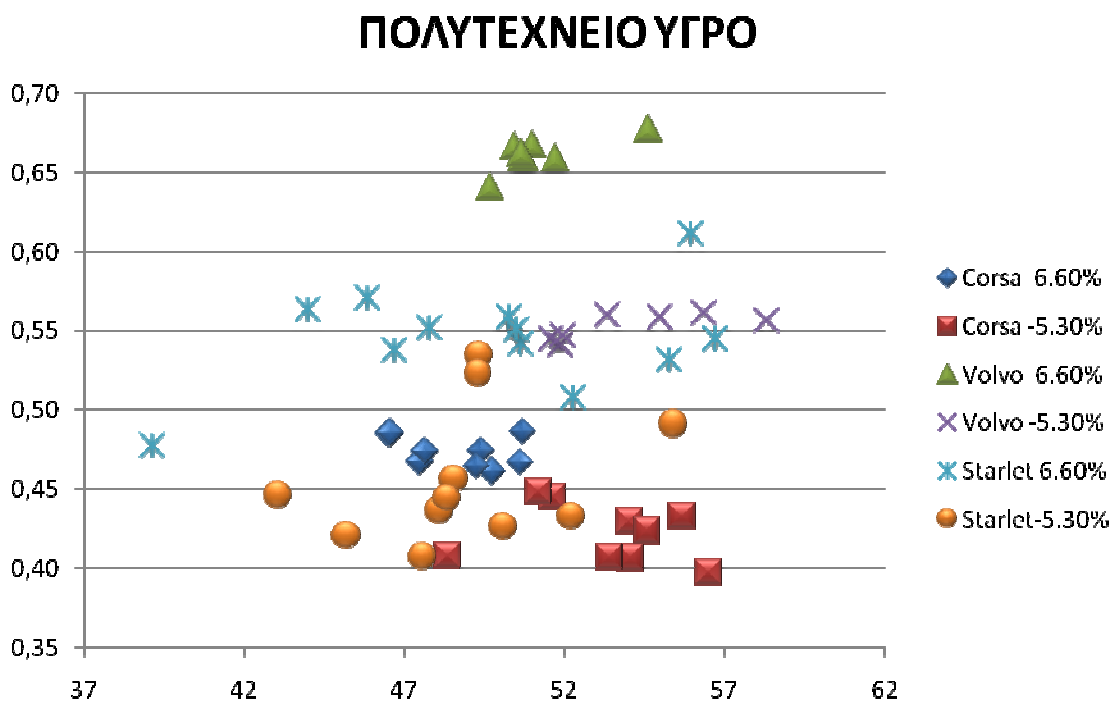
| | | | ΧΡΟΝΟΣ | Ταχύτητα (km/h) | Απόσταση (m) | FTg | FTmax | Χρόνος FTmax | Μέσο dv/dt | μήκος κλίση α(α/λ) |
|------------|-----------|-----|--------|--------------------|-----------------|-------|-------|-----------------|------------|--------------------------|
| A STARL | Ανηφόρες | Από | 1.98 | 39.15 | 12.44 | 0.477 | 0.703 | 0.19 | 4.68 | 6.60 |
| | | Έως | 2.63 | 56.73 | 21.31 | 0.611 | 0.817 | 2.34 | 6.00 | 6.60 |
| | Κατηφόρες | Από | 2.90 | 39.81 | 18.96 | 0.408 | 0.517 | 0.18 | 3.41 | -5.30 |
| | | Έως | 3.82 | 55.43 | 29.04 | 0.535 | 0.724 | 3.55 | 5.25 | -5.30 |
| ALMER | Ανηφόρες | Από | - | - | - | - | - | - | - | - |
| | | Έως | - | - | - | - | - | - | - | - |
| | Κατηφόρες | Από | - | - | - | - | - | - | - | - |
| | | Έως | - | - | - | - | - | - | - | - |

Πίνακας 5.6β: Πολυτεχνείο, οδόστρωμα υγρό

Στα παρακάτω διαγράμματα απεικονίζεται η διασπορά των μετρήσεων σε σχέση ταχύτητας – πρόσφυσης.

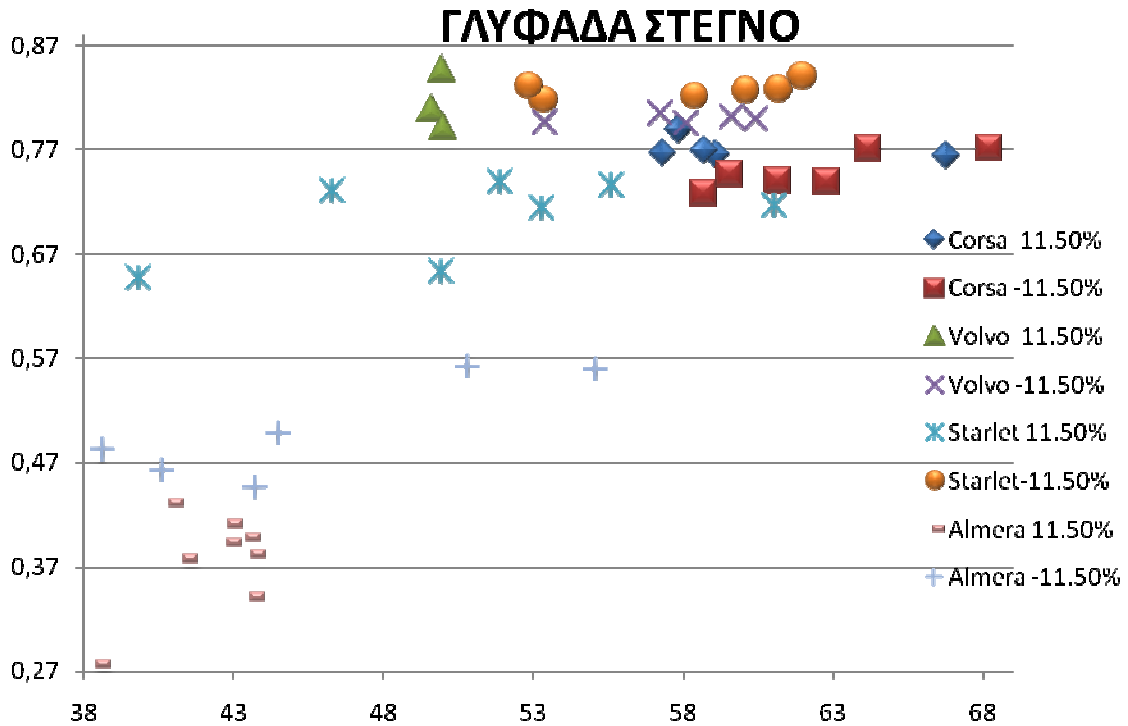


Διάγραμμα 5.1: Διασπορά μετρήσεων στο πολυτεχνείο σε στεγνό οδόστρωμα

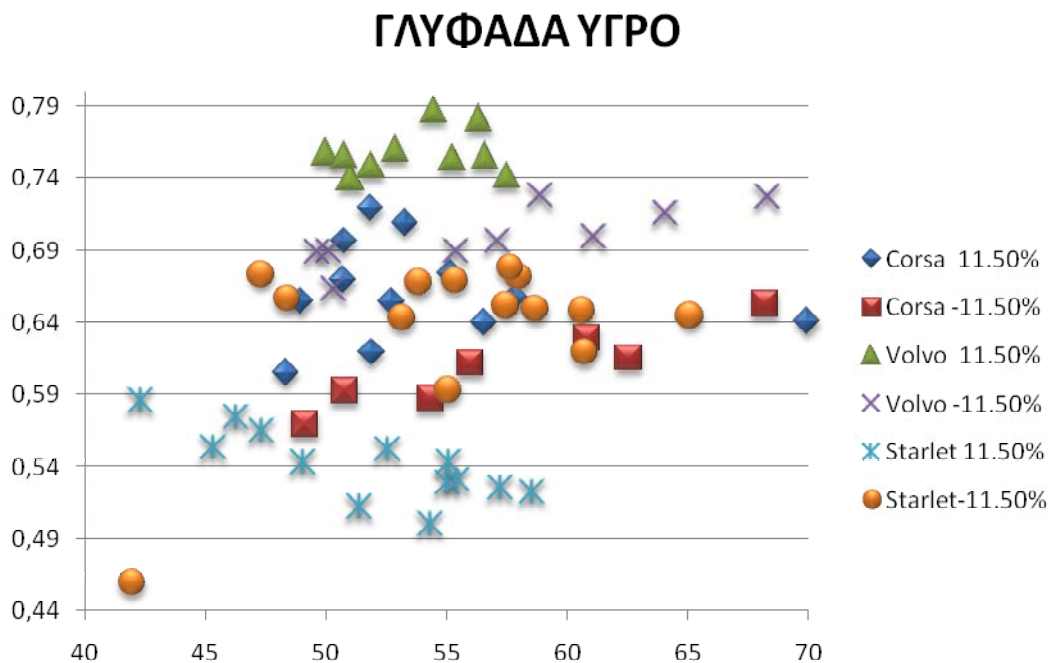


Διάγραμμα 5.2: Διασπορά μετρήσεων στο πολυτεχνείο σε υγρό οδόστρωμα

Προσδιορισμός Τιμών Πρόσφυσης κατά την Πέδηση Οχημάτων Εφοδιασμένων με Σύστημα ABS σε Αυξημένες κατά Μήκος Κλίσεις



Διάγραμμα 5.3: Διασπορά μετρήσεων στη γλυφάδα σε στεγνό οδόστρωμα



Διάγραμμα 5.4: Διασπορά μετρήσεων στη Γλυφάδα σε υγρό οδόστρωμα

Προσδιορισμός Τιμών Πρόσφυσης κατά την Πέδηση Οχημάτων Εφοδιασμένων με Σύστημα ABS σε Αυξημένες κατά Μήκος Κλίσεις

Οι γραμμές παλινδρόμησης δεν χρησιμοποιήθηκαν στα διαγράμματα 5.1 έως 5.4, καθώς τα αποτελέσματά μας είναι πολύ κοντινά και κυρίως εντός των ορίων του στατιστικού λάθους.

Στο στάδιο αυτό αναγκαστήκαμε να απορρίψουμε τις τιμές που προέκυψαν από το starlet, καθώς οι τιμές μας κρίθηκαν αναξιόπιστες. Οι λόγοι που μας οδήγησαν στην απόρριψη των τιμών του οχήματος συνοψίζονται ως εξής:

- Οι τιμές της πρόσφυσης μεταξύ ανηφόρας και κατηφόρας προέκυψαν αντίστροφα. Συγκεκριμένα, οι τιμές της πρόσφυσης για ανηφόρα ήταν μικρότερες από τις τιμές της πρόσφυσης για κατηφόρα, γεγονός αδύνατο.
- Κατά τη διάρκεια των μετρήσεων, σε πολλές περιπτώσεις κατά την πέδηση, το όχημα πλαγιολίσθαινε με αποτέλεσμα η προκύπτουσα τιμή της πρόσφυσης να είναι εξαιρετικά υψηλή, καθώς το όργανο έπαυε να λειτουργεί ορθά.

Ένα ακόμη στοιχείο που πιστοποιεί τα προαναφερθέντα είναι η τιμή του n , που λαμβάνει είτε πολύ μικρές τιμές (0,01) ή και ασυνήθιστα υψηλές (6,00), η οποία τιμή διαδραματίζει σημαντικό ρόλο στην επίλυση του μοντέλου, όπως αναφέρθηκε στο εδάφιο 5.5.1. Είναι εντελώς λανθασμένες αυτές οι τιμές καθώς δεν μπορεί ο λόγος της μέγιστης πρόσφυσης ανά μέτρηση να είναι 6 φορές η 0,01 φορές μεγαλύτερος και μικρότερος αντίστοιχα του συντελεστή της μέσης πρόσφυσης. Αυτό δηλώνει είτε αστάθεια στην πέδηση, είτε μη σωστό καλιμπράρισμα του οργάνου. Όποιο από τα δύο προβλήματα και αν υπήρξε, κατέστησε αναξιόπιστο το αποτέλεσμα και οι μετρήσεις απορρίφθηκαν.

Στην περίπτωση του Almera, σε ορισμένες περιπτώσεις παρατηρήθηκε το ίδιο πρόβλημα (μεγαλύτερες τιμές του συντελεστή της πρόσφυσης f_{TG} για τις κατηφόρες από τις ανηφόρες). Επίσης, οι τιμές που προέκυπταν ήταν ασυνήθιστα μικρές. Ομοίως με την περίπτωση του starlet, οι τιμές του Almera απορρίφθηκαν.

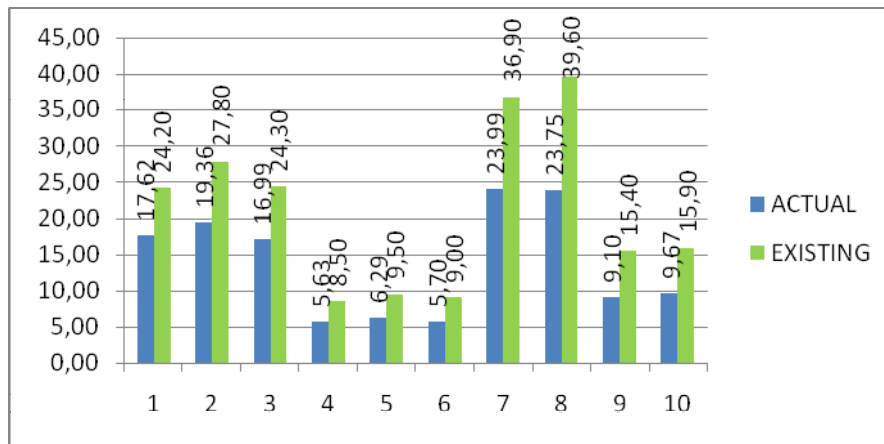
Στην περίπτωση του Almera, υπάρχει εξήγηση για τις απρόσμενα λανθασμένες τιμές στην τιμή του συντελεστή της πρόσφυσης f_{TG} καθώς το όχημα αυτό διαθέτει σύστημα υποβοήθησης της πέδησης, το οποίο η εταιρία ονομάζει brake assist, είναι ένα πρώιμο σύστημα ABS, το οποίο επεμβαίνει στην περίπτωση οριακού φρεναρίσματος και ασκεί την μέγιστη πίεση στο πεντάλ του φρένου με χρήση αισθητήρων, ανεξάρτητα από το αν ο οδηγός εφαρμόζει πλήρη δύναμη στα φρένα (βιβλιογραφία). Αυτό το σύστημα, όπως αποδείχθηκε μεταγενέστερα αδυνατούσε να πετύχει τιμές του συντελεστή της πρόσφυσης f_{TG} κοντά στις τιμές που πετυχαίνουν τα σημερινά οχήματα που διαθέτουν ABS.

Προκειμένου να φανεί ο υποσχεδιασμός στο μήκος πέδησης όπως αυτός προτείνεται από τους ΟΜΟΕ ακόμα και σε όχημα με συμβατικό σύστημα (χωρίς ABS), χρησιμοποιήθηκαν οι μετρήσεις παλαιότερης έρευνας, που έγινε με τον ίδιο ακριβώς τρόπο και όργανο [66]

Οι μετρήσεις αυτές έγιναν σε δρόμο με κλίση 3% για τις ανηφόρες, και -2,1% για τις κατηφόρες, σε δρόμο εντός του πολυτεχνείου, σε βροχή, με συμβατικό όχημα Citroen Saxo.

Προσδιορισμός Τιμών Πρόσφυσης κατά την Πέδηση Οχημάτων Εφοδιασμένων με Σύστημα ABS σε Αυξημένες κατά Μήκος Κλίσεις

Στο Σχήμα 5.5 φαίνεται η απόσταση πέδησης όπως αυτή ελήφθη από μετρήσεις πεδίου (actual) συναρτήσει αυτής που προτείνεται από το σχετικό μοντέλο στους ΟΜΟΕ (existing)



Διάγραμμα 5.5: Σύγκριση αποστάσεων φρεναρίσματος για το Citroen Saxo μεταξύ ΟΜΟΕ και μετρήσεων

Σύμφωνα με το Σχήμα 5.5, είναι σαφής η αδυναμία του μοντέλου που χρησιμοποιείται από τους ΟΜΟΕ να προσεγγίσει την πραγματικότητα. Μάλιστα, παρατηρείται ότι οι τιμές του μοντέλου που χρησιμοποιούν οι ΟΜΟΕ αποτελούν υπερεκτίμηση της πραγματικότητας.

5.6 Εφαρμογή Μοντέλου

5.6.1 Χαρακτηριστικά οχημάτων

Τα στοιχεία που υπεισέρχονται στην επίλυση του μοντέλου είναι τα προαναφερθέντα κατά περίπτωση (πίνακας 5.1). Σε ορισμένες μεταβλητές εισόδου αντικαταστήσαμε τις προσεγγιστικές τιμές της κάθε κατηγορίας με τις πραγματικές τιμές που δίνει ο κατασκευαστής.

Έτσι για την περίπτωση του VOLVO το οποίο ανήκει στην κατηγορία D, αντικαταστάθηκαν οι τιμές του μεικτού βάρους, του εμπρόσθιου και του οπίσθιου μετατροχίου και του μήκους του μεταξονίου. Το σύνολο απόβαρου προσαυξήθηκε, δηλαδή, κατά 100kg και ανήλθε στα 1469kg (αντί 1435 της κατηγορίας D). Το μεταξόνιό του ανέρχεται σε 2,640m (αντί 2.770) , το εμπρόσθιο μετατρόχιο σε 1,545m (αντί 1,440) και το οπίσθιο μετατρόχιο σε 1.550m (αντί 1,440).

Όμοια διαδικασία ακολουθήθηκε για το Corsa, όπου το μεικτό του βάρος ανήλθε σε 1145 kg (αντί 1175 της κατηγορίας C).

Προσδιορισμός Τιμών Πρόσφυσης κατά την Πέδηση Οχημάτων Εφοδιασμένων με Σύστημα ABS σε Αυξημένες κατά Μήκος Κλίσεις

Τα στοιχεία του ακόλουθου πίνακα (πίνακας 5.7) αποτελούν το σύνολο των τιμών ανά όχημα. Με τονισμένους χαρακτήρες παρουσιάζονται τα στοιχεία που λήφθηκαν από τα στοιχεία των οχημάτων ενώ τα υπόλοιπα στοιχεία προήλθαν από τα δεδομένα του πίνακα 5.1. Επίσης, η ερμηνεία των συμβόλων παρουσιάστηκε πιο πάνω (πίνακας 5.2)

| Στοιχεία | volvo s 40 | opel corsa | nissan almera | toyota STARLET |
|----------------------------------|--------------|-------------|---------------|----------------|
| L (m) | 2.640 | 2.580 | 2.535 | 2.580 |
| t _f (m) | 1.545 | 1,440 | 1.495 | 1,440 |
| t _r (m) | 1.550 | 1,440 | 1.490 | 1,440 |
| M (kgr) | 1469 | 1145 | 1150 | 1145 |
| l _f (m) | 1,302 | 1,161 | 1,302 | 1,161 |
| h (m) | 0,635 | 0,620 | 0,635 | 0,620 |
| K _{φf} (Nm/rad) | 26241 | 27502 | 26241 | 27502 |
| K _{φr} (Nm/rad) | 19423 | 14324 | 19423 | 14324 |
| m _{uf} (kgr) | 105 | 92 | 105 | 92 |
| m _{ur} (kgr) | 110 | 120 | 110 | 120 |
| h _{Rf} (m) | 0,040 | -0,020 | 0,040 | -0,020 |
| h _{Rr} (m) | 0,080 | 0,410 | 0,080 | 0,410 |
| r _{dyn} (m) | 0,295 | 0,290 | 0,295 | 0,290 |
| A _f (m ²) | 2,030 | 1,850 | 2,030 | 1,850 |
| c _N | 0,120 | 0,280 | 0,120 | 0,280 |
| c _d | 0,290 | 0,360 | 0,290 | 0,360 |
| C _{af} (kp/rad) | 3573.0 | 2295.7 | 3573.0 | 2295.7 |
| C _{ar} (kp/rad) | 3284.9 | 2120.7 | 3284.9 | 2120.7 |
| P (hp) | 135 | 90 | 100 | 70 |

Πίνακας 5.7: Οι τιμές για κάθε όχημα που εισήχθησαν στο μοντέλο

Ο ορισμός για κάθε ένα από τα στοιχεία του πίνακα παρουσιάζονται στον πίνακα 5.2

5.6.3 Λοιπά στοιχεία

Τα υπόλοιπα στοιχεία που υπεισέρχονται, επίσης, στην επίλυση του μοντέλου είναι:

- Η μέση πρόσφυση των ελαστικών κατά τη διαδικασία της πέδησης του οχήματος
- Η κατά μήκος κλίση της οδού στο σημείο της πέδησης
- Η επίκλιση της οδού που όπως προαναφέρθηκε πρέπει να είναι ελάχιστη (κριτήριο επιλογής οδού)
- Η ταχύτητα που είχε αρχικά το όχημα τη στιγμή έναρξης της πέδησης.
- Ο συντελεστής αεροδυναμικής αντίστασης C_d κάθε οχήματος, όπως προέκυψε από τον πίνακα των κατηγοριών (πίνακας 5.1)

Αξίζει, δε, να σημειωθεί ότι η τιμή της επίκλισης έλαβε την τιμή μηδέν (0), στο σύνολο των μετρήσεων ενώ οι κατά μήκος κλίσεις υπεισέρχονταν στο μοντέλο επίλυσης μαζί με το πρόσημό τους.

5.6.4 Εφαρμογή μοντέλου, στάδιο πρώτο

Για να επιλυθεί το μοντέλο, και αφού ολοκληρώθηκε η διαδικασία εισαγωγής των δεδομένων, θεωρήθηκε ότι το όχημα χρησιμοποιεί τη μέγιστη πιθανή δύναμη φρεναρίσματος ($n \approx 100\%$) και συγχρόνως αποφεύγεται το μπλοκάρισμα των οπίσθιων τροχών.

Επομένως, το μοντέλο εφαρμόστηκε θεωρώντας κρίσιμο άξονα ολίσθησης, κατά την όλη διαδικασία πέδησης, τον εμπρόσθιο, όπου ο συντελεστής κατανομής της πέδησης ανά εμπρόσθιο/οπίσθιο άξονα προέκυψε ανά περίπτωση με τιμές κοντά στο 0,75/0,25 ($B_{ef} \text{ front} / B_{er} \text{ rear} = 0.75/0.25$)

Ο προσδιορισμός της απόστασης πέδησης για τους κανονισμούς κατά ΟΜΟΕ-X διαφοροποιείται ανάλογα με τις συνθήκες τέλεσης των πειραμάτων. Στις μετρήσεις μας διακρίναμε δύο ήδη καιρικών συνθηκών: την περίπτωση του στεγνού οδοστρώματος και την περίπτωση του βρεγμένου οδοστρώματος. Ο τρόπος υπολογισμού του ΜΟΣ για κάθε μια από τις περιπτώσεις παρουσιάστηκε στο εδάφιο 5.4.

Παρατηρείται κατά περίπτωση ότι ο βαθμός διαφοροποίησης της ισχύουσας τιμής για το ελάχιστο μήκος πέδησης από την τιμή που προκύπτει από την εφαρμογή του μοντέλου είναι ανεπαίσθητος υπό συνθήκες στεγνού οδοστρώματος. (διαγράμματα 5.6, 5.8, 5.10, 5.12)

Προσδιορισμός Τιμών Πρόσφυσης κατά την Πέδηση Οχημάτων Εφοδιασμένων με Σύστημα ABS σε Αυξημένες κατά Μήκος Κλίσεις

Στις συνθήκες υγρού οδοστρώματος οι τιμές του ΜΟΣ (μήκος ορατότητας για στάση) που προκύπτει από το μοντέλο είναι σαφώς μικρότερος από την αντίστοιχη ισχύουσα τιμή. Αυτό το γεγονός αποδεικνύει την αρχική μας υπόθεση, ότι δηλαδή, με την ανάπτυξη των συστημάτων αντιμπλοκαρίσματος των τροχών και την εξέλιξη της τεχνολογίας κατασκευής των ελαστικών η ισχύουσα πρακτική προσδιορισμού του ΜΟΣ είναι υπερεκτίμηση της πραγματικότητας και πρέπει να αναθεωρηθεί. (διαγράμματα 5.7, 5.9, 5.11, 5.13).

5.6.5 Εφαρμογή μοντέλου, στάδιο δεύτερο

Ακολούθησε μία πιο διεξοδική παρατήρηση των μετρήσεων, για τον αποκλεισμό όσο το δυνατόν περισσότερων εσφαλμένων, για την αύξηση της ακρίβειας του αποτελέσματος. Η απόρριψη αυτών έγινε για έναν ή περισσότερους από τους παρακάτω λόγους:

- Η πέδηση έδινε πρόσφυση αισθητά μεγαλύτερη της πλειοψηφίας των μετρήσεων. Αυτό οφειλόταν σε πλαγιολίσθηση του οχήματος κατά την πέδηση.
- Το φρενάρισμα έδινε πρόσφυση αισθητά μικρότερη της πλειοψηφίας των μετρήσεων. Αυτό οφειλόταν σε ανεπαρκές φρενάρισμα με ευθύνη του οδηγού.

Αξίζει να σημειωθεί πως και στις παραπάνω περιπτώσεις, το σφάλμα επαληθεύονταν και από το μοντέλο, το οποίο έδινε απόσταση φρεναρίσματος μικρότερη και μεγαλύτερη από τη μέτρηση του οργάνου, με σφάλμα μεγαλύτερο του μισού μέτρου.

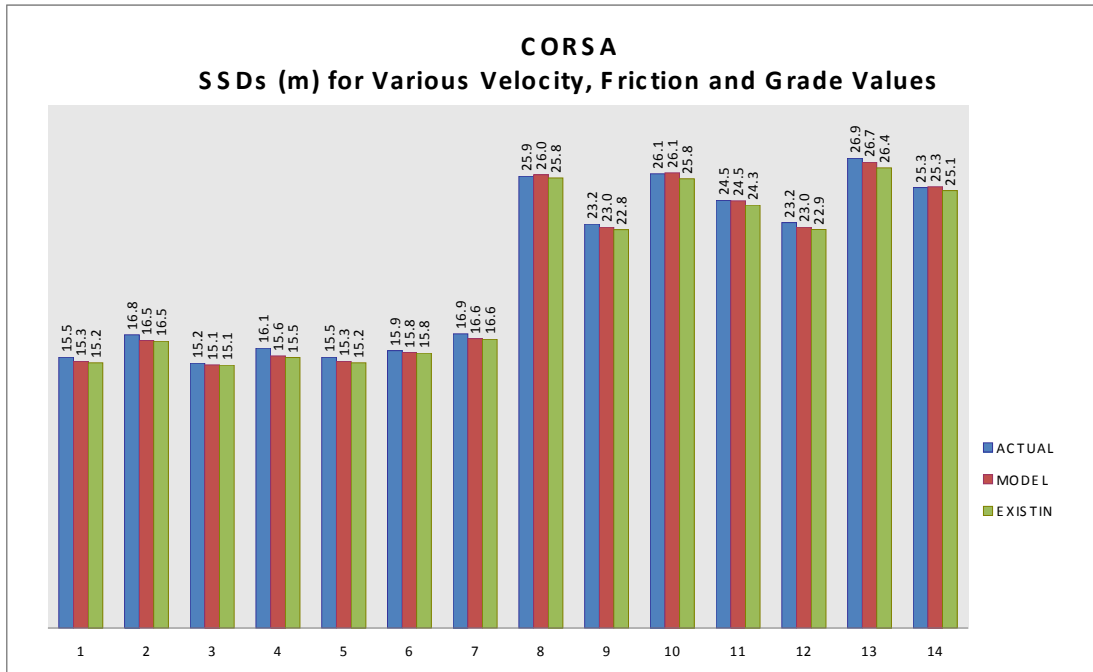
Διαθέτοντας πλέον ένα καθαρό δείγμα μετρήσεων, υπολογίστηκαν οι μέσες τιμές των τιμών του ft ξεχωριστά για ανηφόρα και για κατηφόρα για κάθε όχημα, δρόμο και συνθήκες, και ξαναέτρεξε η μακροεντολή. Υπολογίστηκαν νέες αποστάσεις φρεναρίσματος, οι οποίες και απεικονίζονται στα παρακάτω διαγράμματα συγκριτικά με τις υπολογισμένες από τους τύπους των κανονισμών ΟΜΟΕ-Χ και των μετρημένων από το όργανο.

Τα διαγράμματα αυτά παρατίθενται συγκριτικά σε μορφή ιστογράμματος και αντιστοιχούν στις ακριβείς τιμές(actual), στις τιμές που εφαρμόζονται στην χάραξη των οδών(existing) και στις τιμές που προέκυψαν από την εφαρμογή του μοντέλου (model).

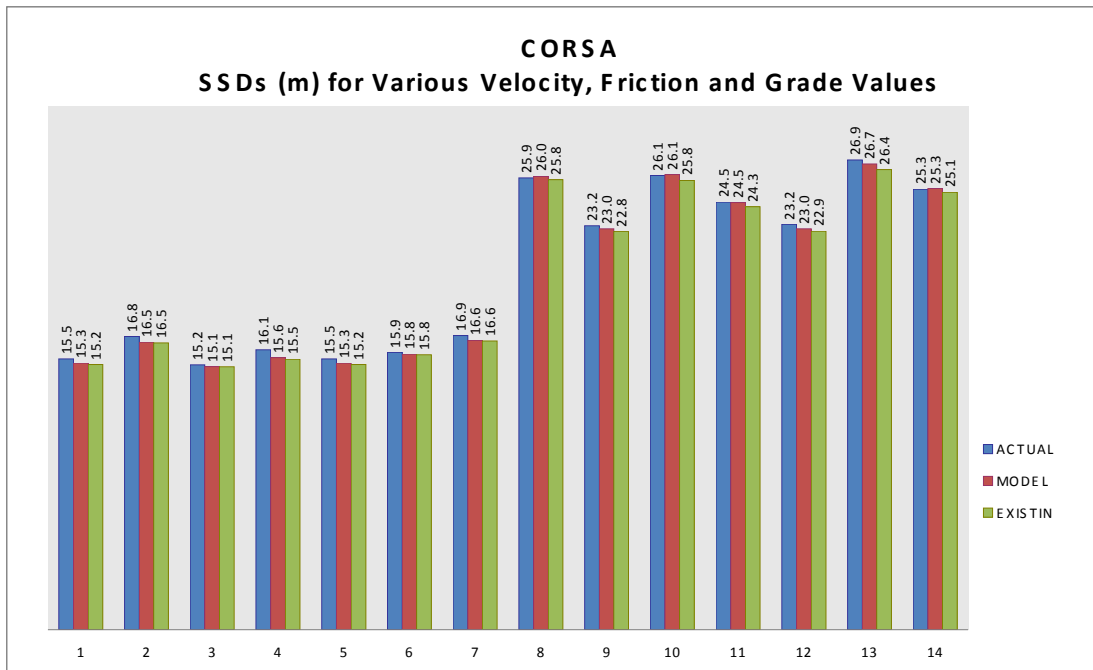
Τα αποτελέσματα κατά περίπτωση και όχημα παρατίθενται ως ακολούθως:

Στεγνό οδόστρωμα

Προσδιορισμός Τιμών Πρόσφυσης κατά την Πέδηση Οχημάτων Εφοδιασμένων με Σύστημα ABS σε Αυξημένες κατά Μήκος Κλίσεις

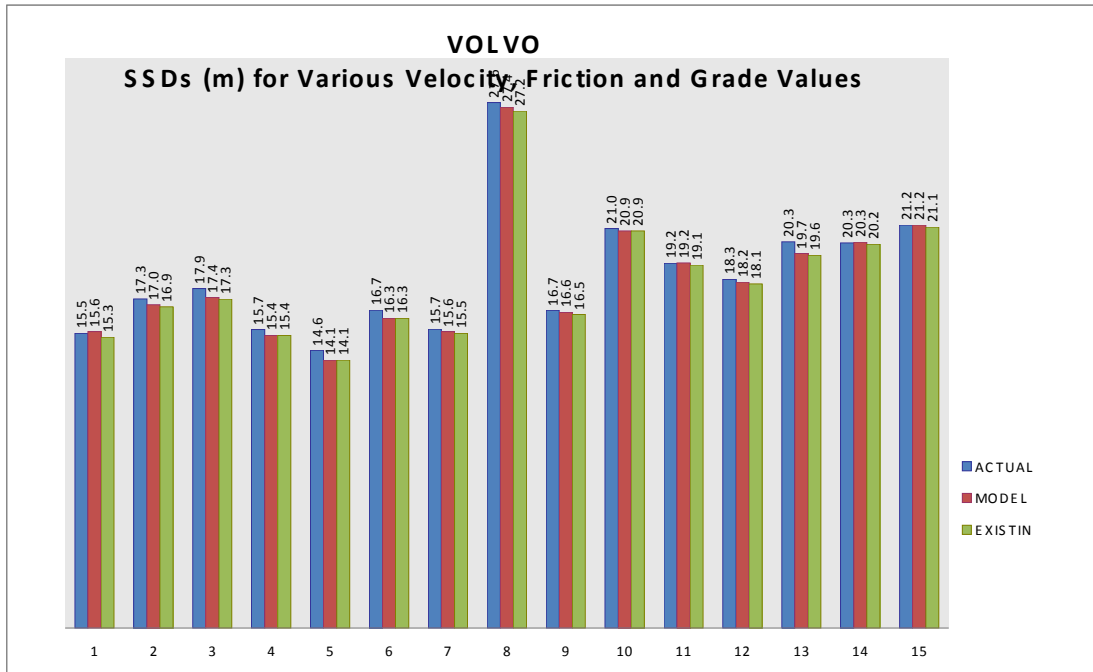


Διάγραμμα 5.6: Πολυτεχνείο, όχημα Opel Corsa, στεγνό οδόστρωμα

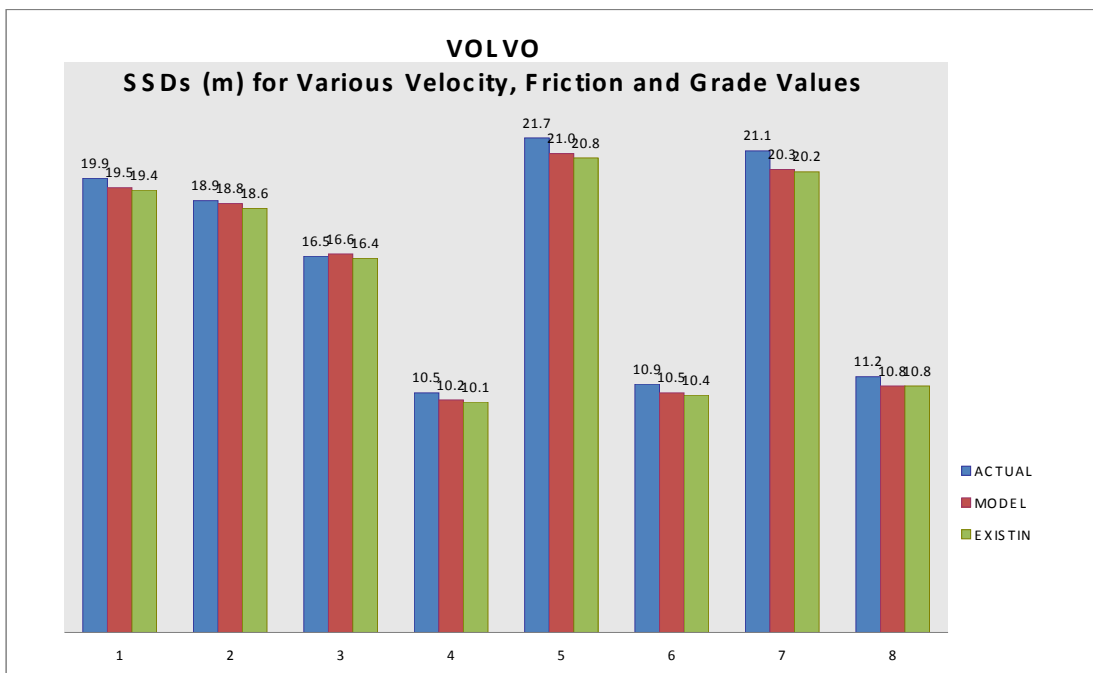


Διάγραμμα 5.7: Γλυφάδα, όχημα Opel Corsa, στεγνό οδόστρωμα

Προσδιορισμός Τιμών Πρόσφυσης κατά την Πέδηση Οχημάτων Εφοδιασμένων με Σύστημα ABS σε Αυξημένες κατά Μήκος Κλίσεις



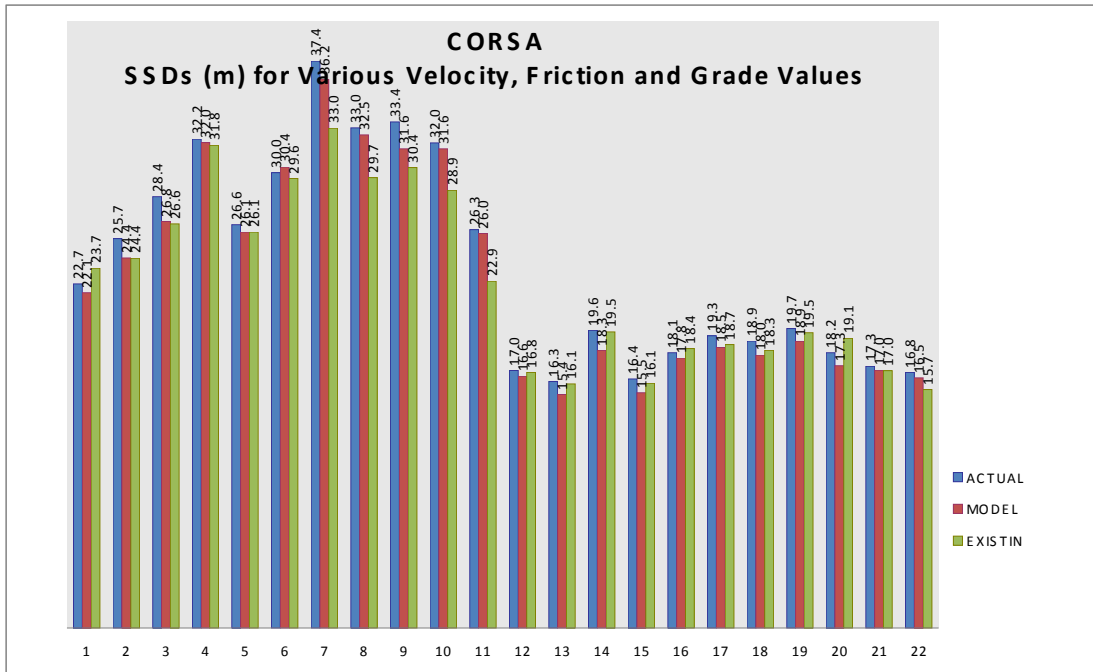
Διάγραμμα 5.8: Πολυτεχνείο, όχημα Volvo S40, στεγνό οδόστρωμα



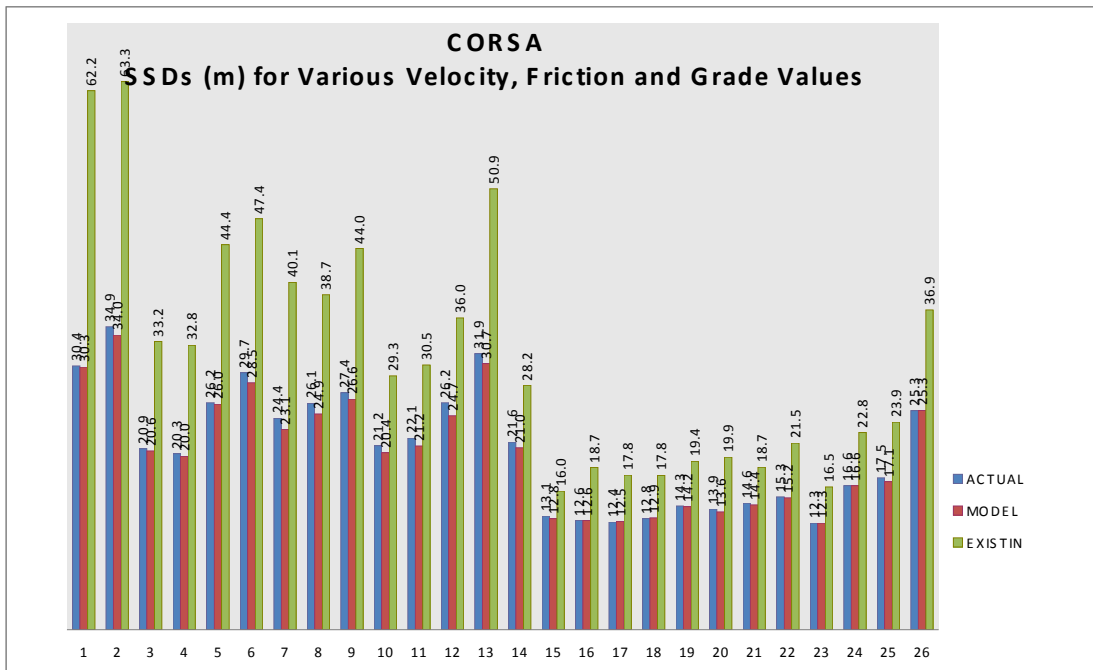
Διάγραμμα 5.9: Γλυφάδα, όχημα Volvo S40, στεγνό οδόστρωμα

Ακολουθούν οι τιμές για συνθήκες βρεγμένου οδοστρώματος που όπως προαναφέρθηκε υπήρξε σημαντική απόκλιση των τιμών της SSD μεταξύ ισχύουσας τιμής στους κανόνες χάραξης και της τιμής που προέκυπτε από το μοντέλο:

Προσδιορισμός Τιμών Πρόσφυσης κατά την Πέδηση Οχημάτων Εφοδιασμένων με Σύστημα ABS σε Αυξημένες κατά Μήκος Κλίσεις

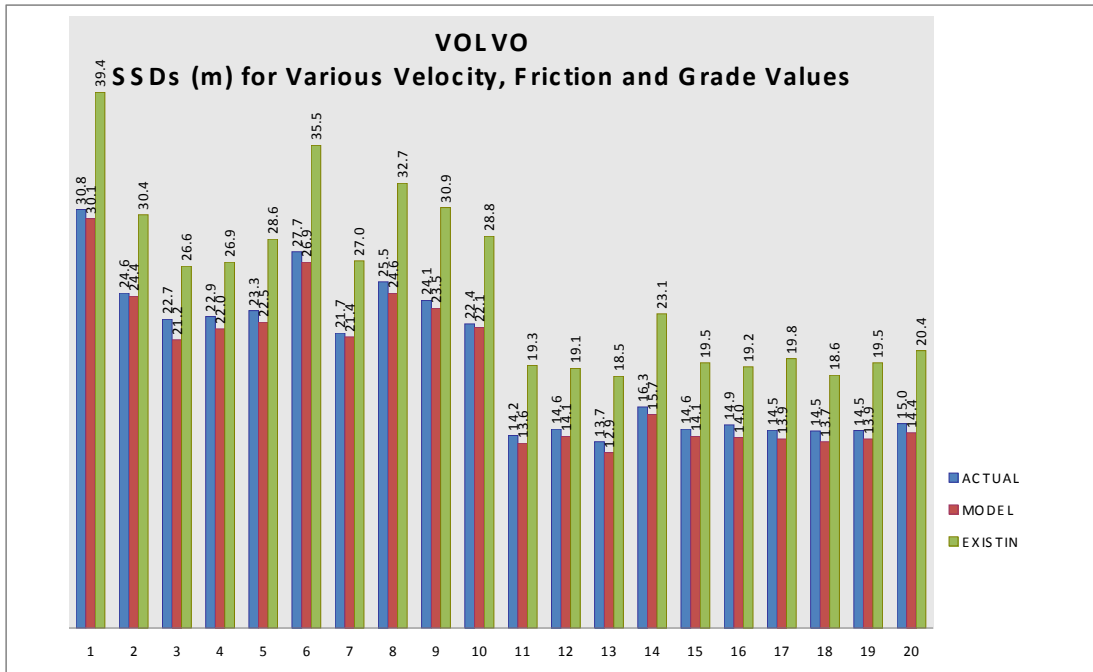


Διάγραμμα 5.10: Πολυτεχνείο, όχημα opel corsa, βρεγμένο οδόστρωμα

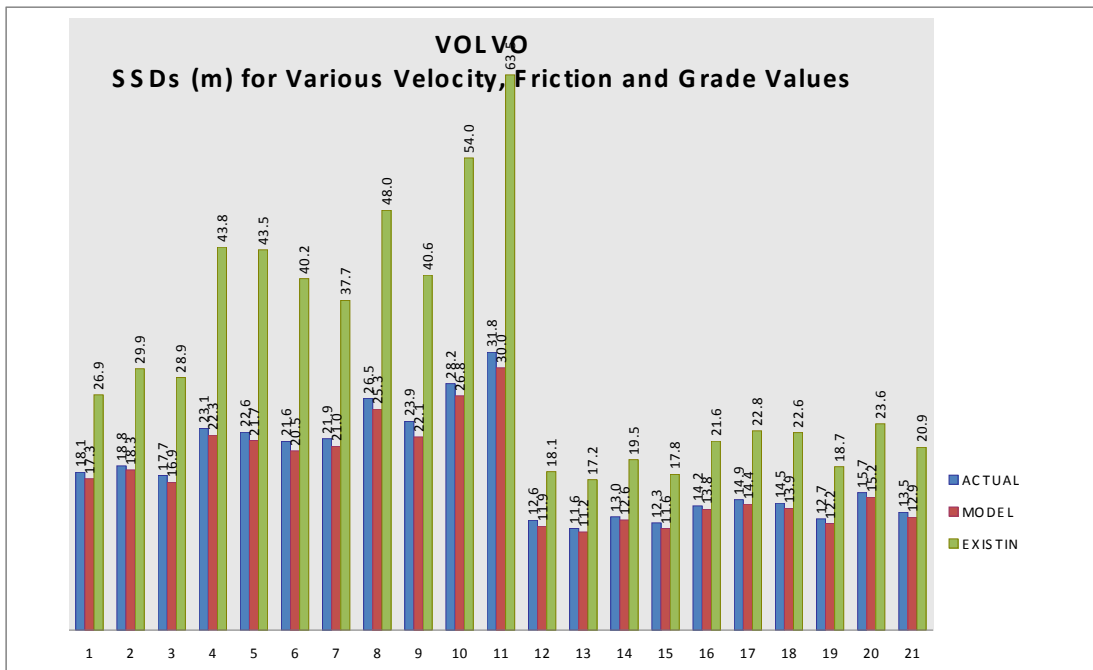


Διάγραμμα 5.11: Γλυφάδα, όχημα opel corsa, βρεγμένο οδόστρωμα

Προσδιορισμός Τιμών Πρόσφυσης κατά την Πέδηση Οχημάτων Εφοδιασμένων με Σύστημα ABS σε Αυξημένες κατά Μήκος Κλίσεις



Διάγραμμα 5.12: Πολυτεχνείο, όχημα Volvo S40, βρεγμένο οδόστρωμα



Διάγραμμα 5.13: Γλυφάδα, όχημα Volvo S40, βρεγμένο οδόστρωμα

Στα παραπάνω διαγράμματα εφαρμόστηκε η μέθοδος που αναφέρθηκε στο εδάφιο 5.4.

Από την σύγκριση των δεδομένων προκύπτει σημαντική διαφοροποίηση των τιμών που εφαρμόζονται σήμερα από τις τιμές που προκύπτουν ως αποτέλεσμα της εφαρμογής του μοντέλου. Οι διαφοροποιήσεις αυτές είναι πιο έντονες στις δυσμενείς

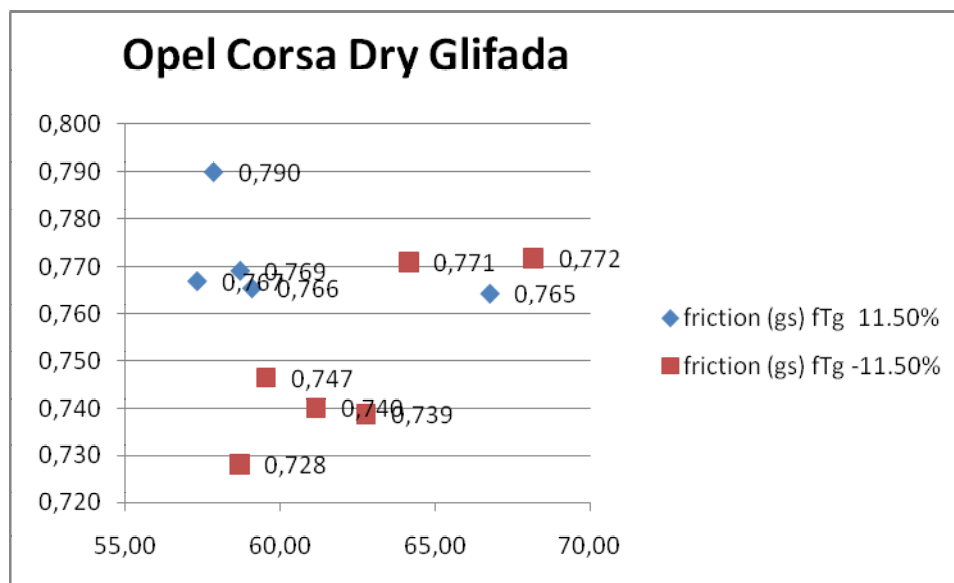
Προσδιορισμός Τιμών Πρόσφυσης κατά την Πέδηση Οχημάτων Εφοδιασμένων με Σύστημα ABS σε Αυξημένες κατά Μήκος Κλίσεις

περιπτώσεις, όπως τις ορίσαμε στο κεφάλαιο 1(βρεγμένο οδόστρωμα, έντονες κλίσεις, φθαρμένο οδόστρωμα). Μάλιστα, ο ρυθμός αύξησης της διαφοράς μεταξύ ισχύουσας τιμής και προκύπτουσας τιμής από το μοντέλο είναι πολύ μεγαλύτερος στις υψηλές ταχύτητες (μεγαλύτερες των 60 km/h) και στις έντονες κλίσεις.

Παρατηρείται επίσης ότι οι υπολογιζόμενες από το μοντέλο αποστάσεις συμπίπτουν, με πολύ μικρό σφάλμα, με τις μετρημένες από το όργανο, επαληθεύοντας την αξιοπιστία του μοντέλου.

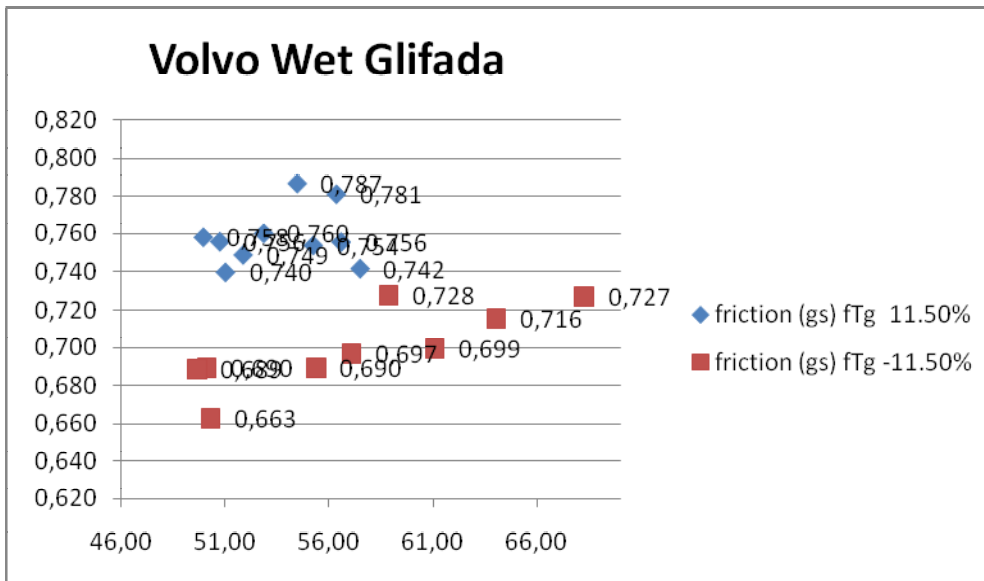
5.6.6 Εξαγωγή μέσω τιμών πρόσφυσης

Σε τελευταίο στάδιο, προσδιορίστηκαν οι μέσες τιμές πρόσφυσης ξεχωριστά για ανηφόρα, κατηφόρα, όχημα, περιοχή και καιρικές συνθήκες από τα παρακάτω διαγράμματα (5.14-5.21).

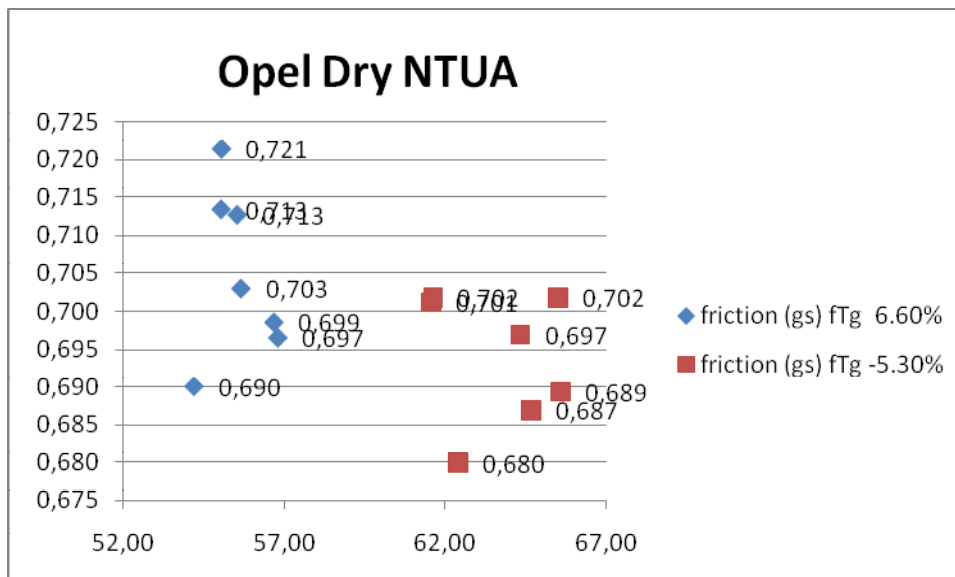


Διάγραμμα 5.14: Διασπορά Opel σε στεγνό οδόστρωμα στη Γλυφάδα

Προσδιορισμός Τιμών Πρόσφυσης κατά την Πέδηση Οχημάτων Εφοδιασμένων με Σύστημα ABS σε Αυξημένες κατά Μήκος Κλίσεις

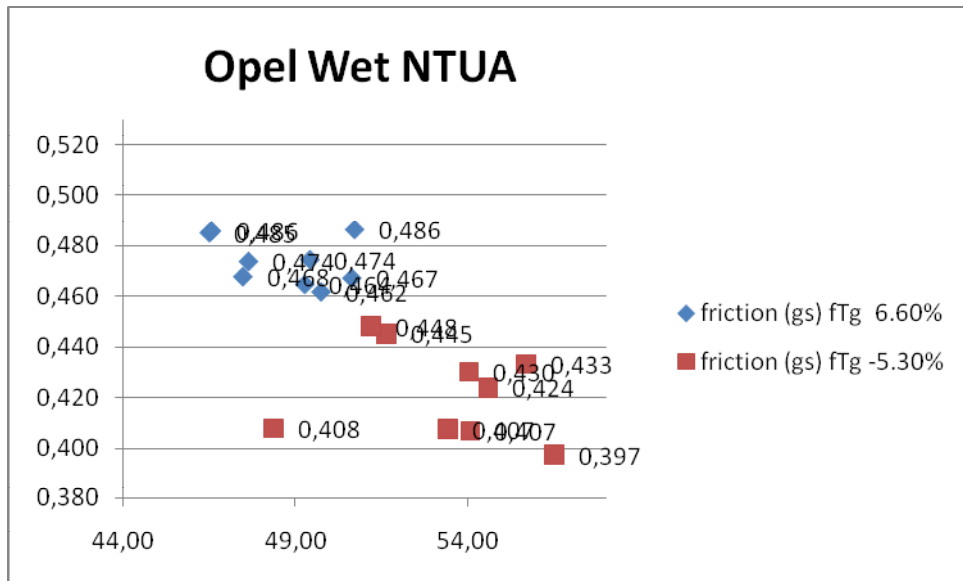


Διάγραμμα 5.17: Διασπορά volvo σε υγρό οδόστρωμα στη Γλυφάδα

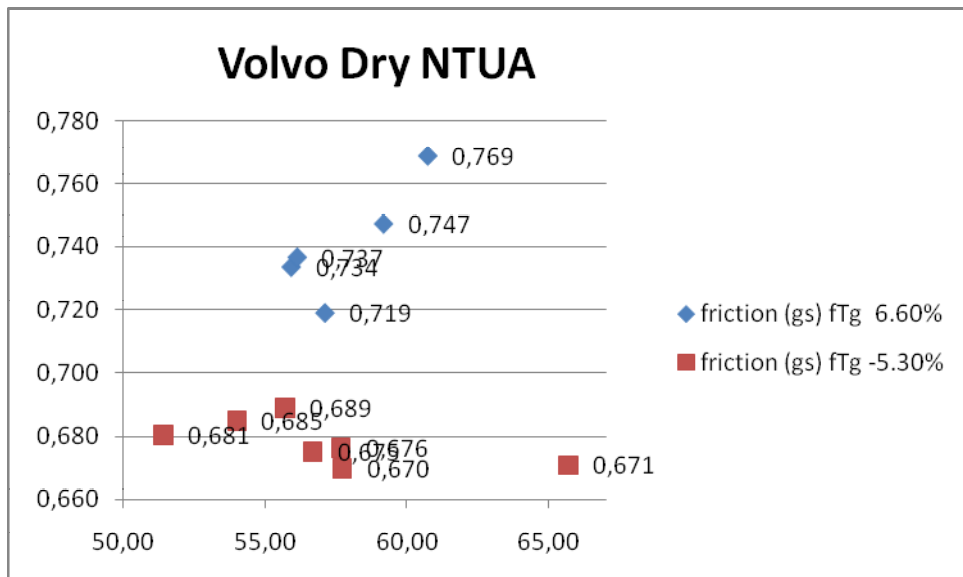


Διάγραμμα 5.18: Διασπορά opel σε στεγνό οδόστρωμα στο ΕΜΠ

Προσδιορισμός Τιμών Πρόσφυσης κατά την Πέδηση Οχημάτων Εφοδιασμένων με Σύστημα ABS σε Αυξημένες κατά Μήκος Κλίσεις

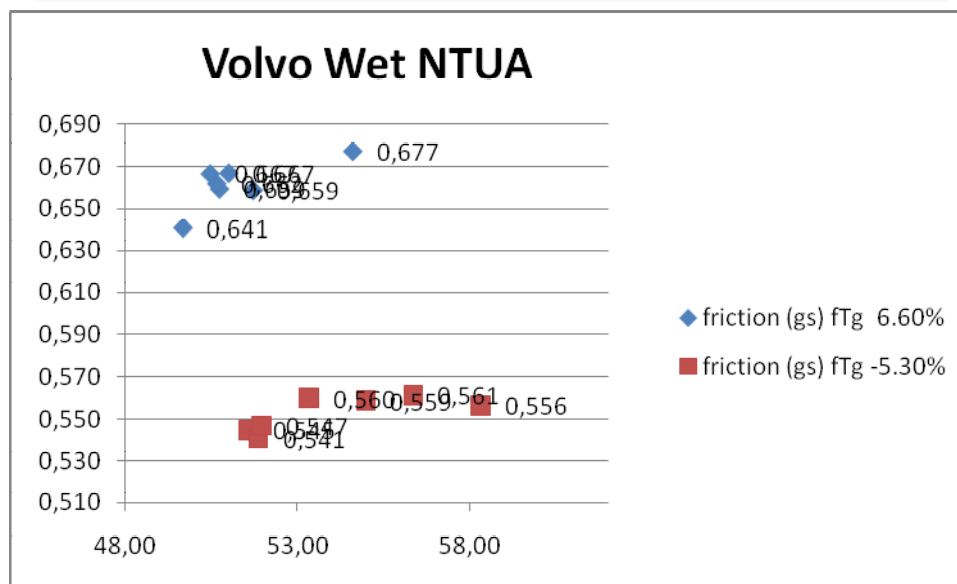


Διάγραμμα 5.19: Διασπορά Opel σε υγρό οδόστρωμα στο ΕΜΠ



Διάγραμμα 5.20: Διασπορά Volvo σε στεγνό οδόστρωμα στο ΕΜΠ

Προσδιορισμός Τιμών Πρόσφυσης κατά την Πέδηση Οχημάτων Εφοδιασμένων με Σύστημα ABS σε Αυξημένες κατά Μήκος Κλίσεις



Διάγραμμα 5.21: Διασπορά νολβο σε υγρό οδόστρωμα στο ΕΜΠ

| Opel | | | | | | |
|---------|-------|-------|--------|------|------|------|
| Γλυφάδα | | | ΕΜΠ | | | |
| Στεγνό | Υγρό | | Στεγνό | Υγρό | | |
| Αν&Κατ | +11,5 | -11,5 | Αν&Κατ | 6,6 | -5,3 | |
| f_t | 0,75 | 0,66 | 0,61 | 0,70 | 0,47 | 0,42 |

Πίνακας 4.8: Τιμές μέσης πρόσφυσης

| Volvo | | | | | | |
|---------|-------|-------|--------|------|------|------|
| Γλυφάδα | | | ΕΜΠ | | | |
| Στεγνό | Υγρό | | Στεγνό | Υγρό | | |
| Αν&Κατ | +11,5 | -11,5 | Αν&Κατ | 6,6 | -5,3 | |
| f_t | 0,80 | 0,76 | 0,70 | 0,71 | 0,66 | 0,55 |

Πίνακας 4.9: Τιμές μέσης πρόσφυσης

Παρατηρείται πως το Νολβο επιτυγχάνει μεγαλύτερες τιμές πρόσφυσης από το Opel, και αυτό οφείλεται στα καλύτερα και πιο σύγχρονα συστήματα φρένων που διαθέτει.

Επίσης παρατηρούνται σημαντικές διαφορές στις τιμές πρόσφυσης σε υγρό οδόστρωμα μεταξύ ανωφέρειας – κατωφέρειας για το ίδιο όχημα, όπου οι κατωφέρειες υπολείπονται σημαντικά σε τιμές πρόσφυσης

Το γεγονός αυτό οφείλεται ότι στις κατωφέρειες η συνιστώσα του βάρους δρα επιβαρυντικά ως προς τη διαδικασία πέδησης με αποτέλεσμα κατά την στιγμή οριακής ολίσθησης των εμπρόςθιων τροχών (εφαρμογή του ABS), το όχημα να επιταχύνει στιγμιαία αυξάνοντας έτσι την απαίτηση σε πρόσφυση γεγονός το οποίο αποφεύγεται στις ανωφέρειες.

6. ΣΥΜΠΕΡΑΣΜΑΤΑ - ΠΡΟΤΑΣΕΙΣ

Με το τέλος της διαδικασίας των μετρήσεων και της καταγραφής των αποτελεσμάτων αναλύθηκαν τα αποτελέσματα και διαπιστώθηκαν οι απόρροιες τους.

- Η όλη διαδικασία στόχευε στην απόδειξη του αρχικού στόχου που ήταν να αποδειχθεί η αποτελεσματικότητα της χρήσης του μοντέλου προσδιορισμού του (ΜΟΣ) που εξελίχτηκε [51] σε ποικίλες συνθήκες οδοστρώματος, διάφορες καιρικές συνθήκες, έντονες κλίσεις, με διαφορετικής δυναμικότητας και όγκου οχήματα,
- Απώτερος στόχος είναι η εξαγωγή συμπερασμάτων σχετικά με την εγκυρότητα ή μη της υφιστάμενης πρακτικής προσδιορισμού του ΜΟΣ.

Το συμπέρασμα που προκύπτει από την εφαρμογή του μοντέλου είναι η μείωση της τιμής του συντελεστή της πρόσφυσης f_{TG} , η οποία παρατηρείται στο σύνολο των μετρήσεων που διεξήχθησαν για το σκοπό αυτό, σε όλες τις κατά μήκος κλίσεις, στο σύνολο των συνθηκών υποστρώματος οδού (υγρό/ στεγνό οδόστρωμα, ανηφόρα/κατηφόρα, καινούριος/παλαιός ασφαλτοτάπητας).

Επίσης παρατηρούνται σημαντικές διαφορές στις τιμές πρόσφυσης σε υγρό οδόστρωμα μεταξύ ανωφέρειας – κατωφέρειας για το ίδιο όχημα, όπου οι κατωφέρειες υπολείπονται σημαντικά σε τιμές πρόσφυσης. Αυτό συμβαίνει καθώς η συνιστώσα του βάρους του οχήματος δρα επιβαρυντικά στην περίπτωση της κατωφέρειας με αποτέλεσμα να απαιτείται μεγαλύτερη δύναμη πέδησης για την ακινητοποίησή του. Το γεγονός αυτό, το οποίο πρέπει να πιστοποιηθεί με νέες μετρήσεις σε ευρύτερο φάσμα οδών, αποτελεί πολύ σημαντική διαπίστωση δεδομένου ότι έως τώρα στη διεθνή πρακτική θεωρείτο ότι οι τιμές πρόσφυσης είναι ανεξάρτητες της κατακόρυφης χάραξης της οδού.

Άμεσο αποτέλεσμα που προκύπτει από τη μείωση της τιμής του συντελεστή της πρόσφυσης f_{TG} είναι η μείωση του ελάχιστου μήκους ορατότητας για στάση ΜΟΣ, διότι απαιτείται μικρότερη εφαρμογή δύναμης πέδησης για την ακινητοποίηση ενός οχήματος από δεδομένη αρχική ταχύτητα συγκριτικά με τις παλαιότερες τιμές.

Απόρροια της μείωσης της ελάχιστης απόστασης ορατότητας για στάση είναι:

- Δυνατότητα Μείωσης της ακτίνας των κυρτών καμπύλων μηκοτομής,
- Δυνατότητα Αύξησης του ορίου ταχύτητας σε αριστερόστροφες καμπύλες στους αυτοκινητοδρόμους,
- Δυνατότητα μείωσης των οριζόντιων ελάχιστων ακτίνων σχεδιασμού (R_{min}).

Προσδιορισμός Τιμών Πρόσφυσης κατά την Πέδηση Οχημάτων Εφοδιασμένων με Σύστημα ABS σε Αυξημένες κατά Μήκος Κλίσεις

Τα προαναφερθέντα στοιχεία είναι πολύ σημαντικά ως προς την εφαρμογή τους στο σχεδιασμό-χάραξη των οδικών έργων καθώς επιτρέπουν την καλύτερη εναρμόνιση της χάραξης μια οδού στο φυσικό περιβάλλον. Κατά συνέπεια υπάρχει ευελιξία στην σχεδίαση και υλοποίηση μιας χάραξης οδού, ειδικά στις περιοχές όπου παρατηρείται έντονο ανάγλυφο όπως η Ελλάδα, άρα θα εξυπηρετεί τα χρονοδιαγράμματα κατασκευής.

Απόρροια των προαναφερθέντων είναι η μείωση του κόστους κατασκευής μίας οδού, καθώς δύναται να αποφευχθεί η κατασκευή τεχνικών έργων υψηλού κόστους και κινδύνου(γέφυρες, τούνελ) .

Αξίζει, επίσης, να σημειωθεί ότι η μείωση των τεχνικών έργων συνεπάγεται αντίστοιχη μείωση στα κόστη συντήρησης και λειτουργίας ενός οδικού έργου γεγονός πολύ σημαντικό για την απόφαση υλοποίησής του, καθώς η διάθεση πόρων είναι ένα ευαίσθητο θέμα που εμπεριέχει τεράστια ρίσκα και κόστη από την μη σωστή διάθεσή του

Ιδιαίτερη έμφαση, βέβαια, πρέπει να δοθεί στην δυνατότητα εφαρμογής του μοντέλου σε νέες αλλά και υφιστάμενες χαράξεις δεδομένης της υψηλής ειδικευσής του όσον αφορά το εύρος των οχημάτων που εκφράζει (υπενθυμίζουμε ότι καλύπτει τα οχήματα που διαθέτουν το ABS).

Παρόλα αυτά, προκειμένου να υιοθετηθούν σε επίπεδο εφαρμογής οι προτεινόμενες , στην την παρούσα εργασία, τιμές πρόσφυσης απαιτείται ένα σύνολο από στατιστικούς ελέγχους του ποσοστού των κυκλοφορούντων οχημάτων που είναι εφοδιασμένα με το σύστημα ABS.

Κλείνοντας, πρέπει να ελεγχθεί η δυνατότητα εφαρμογής των μειωμένων τιμών της πρόσφυσης και η επέκταση των νέων δεδομένων χάραξης σε ευρύτερο φάσμα κατηγοριών οδών, γεγονός που αποτελεί έναν βασικό στόχο καθώς απόρροιά του θα είναι η αναθεώρηση των στοιχείων χάραξης των οδών στις σχετικές οδηγίες που χρησιμοποιούνται σε κάθε χώρα. Ίσως αποτελεί την αφορμή για υλοποίηση ενός ενιαίου συστήματος προδιαγραφών χάραξης που θα καλύπτει το σύνολο των χωρών.

7. ΒΙΒΛΙΟΓΡΑΦΙΑ

1. Lamm, R.,E.M. Choueiri, and T.Mailaender. Traffic Safety on Two Continents - A Ten Year Analysis of Human and Vehicular Involvement. In Proceedings of Proc., Strategic Highway Research Program (SHRP) and Traffic Safety on Two Continents, Swedish Road and Traffic Research Institute, Linkoeeping, Sweden, Gothenburg, Sweden, 18-20 Sept 1991, VTI rapport 372A, Part 1, pp.121-136.
2. Feuchtinger,M.E., and C.Christoffers. Driving Dynamic Investigations as Measure of Road-Traffic-Safety. Journal for Traffic Safety, Vol.1, 1953.
3. Bitzl, F. Influence of Road Features on Traffic Safety. German Road and Transportation Research Association, Planning Meeting, Kirschbaum Publishers, Bad Godesberg, Federal Republic of Germany, July 1, 1965.
4. Krebs,H.G., and J.H.Kloeckner. Investigation of the Effects of Highway and Traffic Conditions Outside Built-Up Areas on Accident Rates. Technical Journal: Forschung Strassenbau und Strassenverkehrstechnik, Vol.223, 1977.
5. Elias M.Choueiri, Ruediger Lamm, Juergen H.Kloeckner, and Theodor Mailaender. Safety Aspects of Individual Design Elements and Their Interactions on Two-Lane Highways: International Perspective. Transportation Research Record 1445. pp. 34-46.
6. Guidelines for the Design of Roads, (RAS-L-1),1984 Ed.German Road and Transportation Research Association, Committee 2.3, Geometric Design Standards.
7. National Swedish Road Administration. Standard Specifications for Geometric Design of Rural Roads. 1982 Ed. Sweden.
8. Swiss Association of Road Specialists (VSS). Swiss Norm SN 640080a/b. Highway Design, Fundamentals. Speed as a Design Element. 1981 and 1991 Eds.
9. Lamm R., J.C.Hayward and J.G.Cargin. Comparison of Different Procedures for Evaluating Speed Consistency. In Transportation Research Record 1100 TRB. National Research Council, Washington D.C., 1980. pp.10-20.

10. Lamm R., A.K.Guenther and E.M.Choueiri. Safety Module for Highway Geometric Design. In Transportation Research Record 1512 TRB. National Academy Press Washington D.C. 1995.pp. 7-15
11. Leisch J.E., and J.P.Leisch. New Concepts in Design Speed Application. In Transportation Research Record 631, TRB, National Research Council, Washington D.C., 1977.
12. Koepfel G. Development for the Design of Radii of Curve, Superelevation Rates and Stopping Sight Distances. Depending on Roadway Geometric. Research Road Construction and Traffic Technique, Vol.429, Minister of Transportation, Bonn, Germany. 1984.
13. Hayward J., R.Lamm, and A.Lyng. Survey of Current Geometric and Pavement Design Practices in Europe. Part: Geometric Design. International Road Federation. 1985.
14. Lamm R., and E.M.Choueiri. A Design Procedure to Determine Critical Dissimilarities in Horizontal Alignment and Enhance Traffic Safety by Appropriate Low-Cost or High-Cost Projects. Final Report for the National Science Foundation (Grant No. ECE-8414755). Washington DC, March 1987.
15. Lamm R. Driving Dynamics and Design Characteristics - A Contribution for Highway Design Under Special Consideration of Operating Speeds. Vol.11. Publications of the Institute for Highway and Railroad Engineering. University of Karlsruhe, Germany, 1973.
16. Lamm R. and E.M.Choueiri. Rural Roads Speed Inconsistencies Design Methods. Research Reports for the State University of New York Research Foundation. Contract No.: RF 320-PH72350. Albany. New York Part I: July 1987. Part II: Oct.1987
17. Lamm R. and E.M.Choueiri. Recommendations for Evaluating Horizontal Design Consistency Based on Investigations in the State of New York. In Transportation Research Record 1122, TRB.
18. Lamm R. Safety Evaluation of Highway Design Parameters. International Journal: Strassen und Tiefbau (Road and Construction), Vol.10, Oct.1980, pp.14-22.

19. Guidelines for the Design of Roads (RAL-L-1), 1973 Ed. German Road and Transportation Research Association, Committee 2.3, Geometric Design Standards.
20. Baldwin D.M. The Relation of Highway Design to Traffic Accident Experience. Convention Group Meetings, AASHTO, 1946, pp. 103-109.
21. Pfundt K. Comparative Accident Investigations on Rural Roads. Strassenbau und Strassenverkehrstechnik, Vol.82,1969.
22. Coburn T.M. Accident, Speed and Layout Data on Rural Roads in Buckinghamshire, Road Research Laboratory, 1952.
23. Balogh T. Effect of Design Parameters, of Public Highways on Traffic Safety. Kozlekedestudományi, Vol.17, 1967, pp.394-403.
24. Bitzl F. The Safety Level of Roads. Strassenbau und Strassenverkehrstechnik, Vol.28,1964.
25. Vasilev A. Road Conditions and Traffic Safety. Mir Publishers, Moscow, 1975.
26. Babkov V.F. Road Conditions and Traffic Safety. Mir Publishers, Moscow, 1975.
27. Silyanov V.V. Comparison of the Pattern of Accident Rates on Roads of Different Countries. Traffic Engineering and Control, Vol.14, 1973, pp.432-435.
28. Rotach M.C. Trucks on Gradients. Strasse und Verkehr, Vol.46, 1960, pp.444-446.
29. Pucher R. Methods to Increase Safety in Traffic. Forschungsarbeiten aus dem Strassenwesen, Neue Folge, Vol.56,1963.
30. Choueiri E.M. Statistical Analysis of Operating Speeds and Accident Rates on Two-Lane Rural Highways. Ph.D. dissertation. Department of Civil Engineering, Clarkson University, Potsdam N.Y.,1987.
31. Hiersche E.U., R.Lamm, K.Dieterle, and A.Nikpour. Effects of Highway Improvements Designed in Conformity with the RAL-L on Traffic Safety of Two-Lane Rural Highways. Technical Journal: Forschung Strassenbau und Strassenverkehrstechnik, Vol.431,1984.
32. Κονταράτος Μ. Σχέσεις Γεωμετρικών Μεγεθών Οδού με Βάση τα Κριτήρια της Ασφάλειας και της Κατανάλωσης Καυσίμου κατά την

- Προώθηση Επιβατηγού Οχήματος. Διδακτορική Διατριβή, Ε.Μ.Π Αθήνα 1990.
33. Mitschke M. Dynamik der Kraftfahrzeuge, Springer-verlag, 1972.
 34. Gillespie T.D. Fundamentals of Vehicle Dynamics. Society of Mining Metallurgy and Exploration Inc. 1992
 35. Clark S.K. and Dodge R.K. The Rolling Resistance of Pneumatic Tires. Final Report. DOT-TSC-NHTSA-79-28 US Department of Transportation, National Highway Traffic Safety Administration, Washington DC, December 1979.
 36. Clark S.K., et al. Rolling Resistance of Pneumatic Tires. The University of Michigan, Interim Report No.UM-010654-3-1, July 1974,65p.
 37. Cole D. Elementary Vehicle Dynamics. course notes in Mechanical Engineering, The University of Michigan, Ann Arbor, MI 1972.
 38. Lamm R., Ψαριανός Β., Δρυμαλίτου Δ. και Σοιλεμέζογλου Γ. Οδηγίες Μελετών Οδικών Έργων. Τεύχος 3, Χαράξεις, Σχέδιο III. Αθήνα 1995.
 39. Krempel G. Experimenteller Beitrag zu Untersuchungen an Kraftfahrzeugreifen. Dissertation. Karlsruhe 1965.
 40. Gengabach H. Pruefstand fuer Fahrzeugreifen. Automobil - Industrie, Nr.2, 1964.
 41. Risse H.J. Rollwiderstand und Kraftstoffverbrauch. Automobiltechnische Zeitschrift. Vol.88. Nr.6, 1986.
 42. Lamm R. und Herring H.E., Der radiale Kraftschlussiwert in Abhaengigkeit von der Geschwindigkeit. Strasse und Autobahn, Heft 11, November 1970.
 43. Harwood D.W., Mason J.M., Glauz W.D., Kulakowski B.T and Fitzpatrick K. Truck Characteristics for Use in Highway Design and Operation. Volume I, II. US. Department of Transportation. Federal Highway Administration. Publication No.FHWA-rd-89-226, August 1990.
 44. Lamm R. und Herring H.E. Ein neuer Vorschlag zur Bemessung von Radius und Querneigung auf Ausserorts Strassen. Strabe und Autobahn, Heft 2, Februar 1971.
 45. Taborek J.J. Mechanics of Vehicles, Machine Design, 1957.

46. Artamonov M.D., Ilarionov V.A. and Morin M.M. Motor Vehicles Fundamentals and Design. MIR Publishers, Moscow 1976.
47. Solomon D. Accidents on Main Rural Highways Related to Speed, Driver and Vehicle. Bureau of Public Roads, US Department of Commerce, July 1964.
48. Reimpell J. and Helmut Stoll. The Automotive Chassis: Engineering Principles. 3rd Edition. Germany 1995.
49. Olson P.L., D.E.Cleveland, P.S.Fancher, L.P.Kostyniuk, and L.W.Schneider. Parameters Affecting Stopping Sight Distance, NCHRP Report 270 (Washington,D.C. Transportation Research Board, June 1984).
50. Dixon J.C. Tires, Suspension and Handling. Second Edition. Society of Automotive Engineers, Inc Warrendale, Pa. United Kingdom 1996.
51. Mitscke M., Dynamic der Kraftfahrzeuge : Antrieb und Bremsung, Band A, Springer – Verlag 1988.
52. Mavromatis S., B. Psarianos et al. Design Speed Ranges to Accommodate a Safe Highway Geometric Design for Heavy Vehicles. Paper presented in the 2nd International Symposium of Highway Geometric Design. TRB, Mein, 1999 Germany.
53. Α.Λοίζος, Στοιχεία οδοστρωμάτων,σημειώσεις οδοποιίας 4,Αθήνα 2007
54. VC 3000, Dynamometer and Braking test Computer, Owner’s Manual
55. Nissan Almera, εγχειρίδιο χρήσης κατασκευαστή,1997
56. Amiri A.(1997) Guire pour identification et diagnostic preliminaire des chaussées glissantes et modes d’intervention. Ministere des Transports du Quebec
57. Wallman, C. and Astrom, H. (2001) Friction measurement methods and the correlation between road friction and traffic safety, A literature review, VTI meddelande 911 A, Swedish National Road and Transport Research Institute, 47 p. (<http://www.vti.se/pdf/reports/M911A.pdf>)
58. Fricke, L.B. (1990) Traffic accident reconstruction, Volume 2of The traffic accident investigation manual, Northmestern University Traffic Institute, Evanston, Illinois.

59. Fambro, D.B., Fitzpatrick, K. and Koppa, R.J. (1997) Determination of stopping sight distances, NCHRP Report 400, Transportation Research Board, Washington, DC
60. Road Safety Manual (2003), PIARC Technical Committee on road safety (C13)
61. A Policy on Geometric Design of Highways and Streets. AASHTO, Washington, DC, 2004.
62. OMOE-X (2001), Οδηγίες μελετών οδικών έργων, 2001. Υ.ΠΕ.ΧΩ.ΔΕ
63. Guidelines for the Design of Roads, (RAS-L-1). Ed. German Road and Transportation Research Association, Committee 2.3, Geometric Design Standards, 1995.
64. Durth W. and M. Bernhard. “*Revised Design Parameters for Stopping Sight Distance*”. Transportation Research Board. 2nd International Symposium on Highway Geometric Design. Mainz Germany, 14th-17th June 2000, pp.410–421.
65. Mavromatis S., B.Psarianos and E.Kasapi. “Computational Determination of Passenger Cars’ Braking Distances Equipped with Anti – Block Brake Systems”. Transportation Research Board. 3rd International Symposium on Highway Geometric Design TRB, Chicago USA, 2005.
66. Mavromatis S., S. Palaskas, B. Psarianos, K. Spentzas. “ABS – Braking Distance Simulation. A Tool for Evaluating Critical Road Design Parameters”. Proceedings of the 10th International Conference on Application of Advanced Technologies in Transportation. Athens, Greece, 2008
67. Heisler H. Advanced Vehicle Technology. Edward Arnold. A Division of Hobber & Stoughton. Germany 1993.
68. Αθηνά Μπελεγρή-Ρομπόλη, Παναγιώτης Μηχαλίδης “Εισαγωγή στην Οργάνωση και Διοίκηση των Επιχειρήσεων, 2006, ”
69. Roos R., M. Zimmermann and W. Von Loeben. “*Moegliche Bremsverzögerung in Abhaengigkeit von der Strassengriffigkeit*”. FGSV Verlag, Cologne, Germany 2005.
70. <http://en.wikipedia.org/wiki/Gyroscope>

ΠΑΡΑΡΤΗΜΑ

1. ΣΥΓΚΕΝΤΡΩΤΙΚΑ ΑΠΟΤΕΛΕΣΜΑΤΑ ΜΕΤΡΗΣΕΩΝ

1.1 Μετρήσεις Γλυφάδας

1.1.1 Volvo S40 - dry

| runs | elapsed time (sec) | speed (km/h) | distance (m) | grade (%) | friction (gs) f_{Tg} | dv / dt (average) | $f_{T,max}$ (gs) | time occurred (sec) | n = max long. friction / friction |
|------|--------------------|--------------|--------------|-----------|------------------------|-------------------|------------------|---------------------|-----------------------------------|
| 1 | 2,94 | 56,09 | 20,28 | -11,50 | 0,655 | 6,43 | 0,931 | 0,97 | 1,42 |
| 2 | 8,06 | 74,61 | 43,53 | -11,50 | 0,377 | 3,70 | 0,900 | 1,43 | 2,39 |
| 3 | 2,42 | 58,10 | 19,92 | -11,50 | 0,795 | 7,80 | 0,901 | 1,37 | 1,13 |
| 4 | 2,01 | 51,25 | 12,52 | 11,50 | 0,607 | 5,95 | 0,950 | 0,39 | 1,57 |
| 5 | 1,38 | 7,92 | 1,34 | 0,00 | 0,163 | 1,59 | 0,214 | 0,47 | 1,32 |
| 6 | 2,35 | 57,26 | 18,94 | -11,50 | 0,805 | 7,90 | 0,870 | 1,45 | 0,00 |
| 7 | 1,77 | 48,18 | 11,12 | 11,50 | 0,656 | 6,43 | 0,938 | 0,34 | 1,43 |
| 8 | 2,22 | 53,39 | 16,50 | -11,50 | 0,796 | 7,81 | 0,929 | 0,18 | 1,17 |
| 9 | 1,47 | 49,94 | 10,51 | 11,50 | 0,847 | 8,31 | 0,953 | 1,43 | 1,13 |
| 10 | 2,50 | 60,43 | 21,68 | -11,50 | 0,799 | 7,84 | 0,879 | 1,25 | 1,10 |
| 11 | 1,52 | 49,61 | 10,89 | 11,50 | 0,809 | 7,94 | 0,929 | 1,29 | 1,15 |
| 12 | 2,46 | 59,63 | 21,11 | -11,50 | 0,801 | 7,86 | 0,885 | 1,42 | 1,10 |
| 13 | 1,56 | 49,98 | 11,22 | 11,50 | 0,792 | 7,77 | 0,930 | 0,27 | 1,17 |

1.1.2 Volvo S40 - wet

| runs | elapsed time (sec) | speed (km/h) | distance (m) | grade (%) | friction (gs) f_{Tg} | dv / dt (average) | $f_{T,max}$ (gs) | time occurred (sec) | n = max long. friction / friction |
|------|--------------------|--------------|--------------|-----------|------------------------|-------------------|------------------|---------------------|-----------------------------------|
| 1 | 2,47 | 50,12 | 18,05 | -11,50 | 0,690 | 6,76 | 0,833 | 2,47 | 1,21 |
| 2 | 2,60 | 50,32 | 18,80 | -11,50 | 0,663 | 6,50 | 0,799 | 1,40 | 1,21 |
| 3 | 2,45 | 49,65 | 17,67 | -11,50 | 0,689 | 6,76 | 0,838 | 0,26 | 1,22 |
| 4 | 5,64 | 55,21 | 40,23 | -11,50 | 0,392 | 3,85 | 0,529 | 0,96 | 1,35 |
| 5 | 2,72 | 58,88 | 23,05 | -11,50 | 0,728 | 7,14 | 0,900 | 0,25 | 1,24 |
| 6 | 2,65 | 58,75 | 22,64 | -11,50 | 0,743 | 7,29 | 0,874 | 0,23 | 1,18 |
| 7 | 2,60 | 56,87 | 21,57 | -11,50 | 0,734 | 7,20 | 0,863 | 2,35 | 1,18 |
| 8 | 2,73 | 55,39 | 21,90 | -11,50 | 0,690 | 6,76 | 0,793 | 0,26 | 1,15 |
| 9 | 2,96 | 61,10 | 26,50 | -11,50 | 0,699 | 6,86 | 0,828 | 2,24 | 1,18 |
| 10 | 2,78 | 57,11 | 23,86 | -11,50 | 0,697 | 6,83 | 0,878 | 2,31 | 1,26 |
| 11 | 3,02 | 64,08 | 28,19 | -11,50 | 0,716 | 7,02 | 0,846 | 1,43 | 1,18 |
| 12 | 3,16 | 68,31 | 31,77 | -11,50 | 0,727 | 7,13 | 0,866 | 3,16 | 1,19 |
| 13 | 1,69 | 51,02 | 12,56 | 11,50 | 0,740 | 7,26 | 0,861 | 1,66 | 1,16 |
| 14 | 1,62 | 49,96 | 11,60 | 11,50 | 0,758 | 7,44 | 0,877 | 1,26 | 1,16 |
| 15 | 1,71 | 52,86 | 12,95 | 11,50 | 0,760 | 7,46 | 0,880 | 1,16 | 1,16 |
| 16 | 1,65 | 50,75 | 12,26 | 11,50 | 0,756 | 7,42 | 0,883 | 1,49 | 1,17 |
| 17 | 1,80 | 55,24 | 14,20 | 11,50 | 0,754 | 7,40 | 0,904 | 0,70 | 1,20 |
| 18 | 1,84 | 56,58 | 14,90 | 11,50 | 0,756 | 7,41 | 0,892 | 0,30 | 1,18 |
| 19 | 1,78 | 56,35 | 14,52 | 11,50 | 0,781 | 7,67 | 0,940 | 1,78 | 1,20 |
| 20 | 1,70 | 51,87 | 12,74 | 11,50 | 0,749 | 7,35 | 0,998 | 0,27 | 1,33 |
| 21 | 1,90 | 57,49 | 15,74 | 11,50 | 0,742 | 7,28 | 0,855 | 1,82 | 1,15 |
| 22 | 1,71 | 54,47 | 13,47 | 11,50 | 0,787 | 7,72 | 0,890 | 1,37 | 1,13 |

Προσδιορισμός Τιμών Πρόσφυσης κατά την Πέδηση Οχημάτων Εφοδιασμένων με Σύστημα ABS σε Αυξημένες κατά Μήκος Κλίσεις

1.1.3 Opel Corsa - dry

| runs | elapsed time (sec) | speed (km/h) | distance (m) | grade (%) | friction (gs) f_{rg} | dv / dt (average) | $f_{r,max}$ (gs) | time occurred (sec) | n = max long. friction / friction |
|------|--------------------|--------------|--------------|-----------|------------------------|-------------------|------------------|---------------------|-----------------------------------|
| 1 | 1,81 | 57,85 | 14,76 | 11,50 | 0,790 | 7,75 | 1,054 | 0,29 | 1,33 |
| 2 | 2,24 | 41,32 | 11,28 | 11,50 | 0,407 | 4,00 | 0,548 | 0,79 | 1,35 |
| 3 | 1,84 | 57,32 | 14,72 | 11,50 | 0,767 | 7,53 | 0,975 | 0,29 | 1,27 |
| 4 | 1,90 | 58,04 | 15,72 | 11,50 | 0,750 | 7,36 | 1,037 | 0,31 | 1,38 |
| 5 | 1,90 | 59,09 | 15,98 | 11,50 | 0,766 | 7,51 | 0,892 | 0,17 | 1,17 |
| 6 | 1,88 | 58,71 | 15,56 | 11,50 | 0,769 | 7,55 | 1,032 | 0,31 | 1,34 |
| 7 | 5,79 | 42,66 | 34,40 | 11,50 | 0,094 | 0,92 | 0,130 | 0,87 | 1,39 |
| 8 | 1,93 | 56,98 | 15,70 | 11,50 | 0,721 | 7,07 | 0,874 | 0,74 | 1,21 |
| 9 | 2,15 | 66,78 | 20,18 | 11,50 | 0,765 | 7,50 | 0,960 | 0,85 | 1,26 |
| 10 | 2,77 | 64,17 | 25,09 | -11,50 | 0,771 | 7,56 | 0,965 | 0,25 | 1,25 |
| 11 | 2,77 | 61,16 | 23,73 | -11,50 | 0,740 | 7,26 | 0,856 | 0,23 | 1,16 |
| 12 | 2,85 | 62,79 | 24,90 | -11,50 | 0,739 | 7,25 | 0,901 | 0,28 | 1,22 |
| 13 | 2,71 | 58,69 | 22,42 | -11,50 | 0,728 | 7,14 | 0,862 | 0,22 | 1,18 |
| 14 | 2,62 | 60,00 | 22,02 | -11,50 | 0,763 | 7,49 | 0,887 | 0,27 | 1,16 |
| 16 | 2,67 | 59,55 | 22,50 | -11,50 | 0,747 | 7,32 | 0,828 | 0,25 | 1,11 |
| 17 | 2,94 | 68,20 | 27,78 | -11,50 | 0,772 | 7,57 | 0,992 | 0,21 | 1,29 |

1.1.4 Opel Corsa - wet

| runs | elapsed time (sec) | speed (km/h) | distance (m) | grade (%) | friction (gs) f_{rg} | dv / dt (average) | $f_{r,max}$ (gs) | time occurred (sec) | n = max long. friction / friction |
|------|--------------------|--------------|--------------|-----------|------------------------|-------------------|------------------|---------------------|-----------------------------------|
| 1 | 4,17 | 40,56 | 17,97 | -11,50 | 0,390 | 3,83 | 0,679 | 1,33 | 1,74 |
| 2 | 3,21 | 67,75 | 30,42 | -11,50 | 0,713 | 6,99 | 0,854 | 2,62 | 1,20 |
| 3 | 3,59 | 68,21 | 34,94 | -11,50 | 0,653 | 6,41 | 0,758 | 3,15 | 1,16 |
| 4 | 2,82 | 52,61 | 20,90 | -11,50 | 0,643 | 6,31 | 0,834 | 1,21 | 1,30 |
| 5 | 2,74 | 52,33 | 20,31 | -11,50 | 0,656 | 6,43 | 0,785 | 0,45 | 1,20 |
| 6 | 3,15 | 59,23 | 26,20 | -11,50 | 0,647 | 6,35 | 0,861 | 3,13 | 1,33 |
| 7 | 3,35 | 60,81 | 29,66 | -11,50 | 0,629 | 6,17 | 0,791 | 2,75 | 1,26 |
| 8 | 2,93 | 56,80 | 24,38 | -11,50 | 0,664 | 6,51 | 0,842 | 2,75 | 1,27 |
| 9 | 3,19 | 55,98 | 26,13 | -11,50 | 0,612 | 6,00 | 0,827 | 3,19 | 1,35 |
| 10 | 3,23 | 59,00 | 27,35 | -11,50 | 0,632 | 6,20 | 0,813 | 2,82 | 1,29 |
| 11 | 2,94 | 49,90 | 21,22 | -11,50 | 0,596 | 5,84 | 0,832 | 2,86 | 1,40 |
| 12 | 3,01 | 50,78 | 22,10 | -11,50 | 0,593 | 5,81 | 0,809 | 2,19 | 1,36 |
| 13 | 3,26 | 54,35 | 26,19 | -11,50 | 0,587 | 5,76 | 0,754 | 2,58 | 1,28 |
| 14 | 4,06 | 59,90 | 37,22 | -11,50 | 0,533 | 5,23 | 0,763 | 4,06 | 1,43 |
| 15 | 3,54 | 62,56 | 31,86 | -11,50 | 0,615 | 6,04 | 0,788 | 2,99 | 1,28 |
| 16 | 3,06 | 49,13 | 21,63 | -11,50 | 0,570 | 5,59 | 0,745 | 0,81 | 1,31 |
| 17 | 1,84 | 41,22 | 10,95 | 11,50 | 0,519 | 5,09 | 0,701 | 1,55 | 1,35 |
| 18 | 1,85 | 39,81 | 10,56 | 11,50 | 0,494 | 4,85 | 0,659 | 1,72 | 1,33 |
| 19 | 1,90 | 48,34 | 13,11 | 11,50 | 0,605 | 5,94 | 0,750 | 0,76 | 1,24 |
| 20 | 1,76 | 51,84 | 12,59 | 11,50 | 0,719 | 7,05 | 0,881 | 0,24 | 1,23 |
| 21 | 1,77 | 50,74 | 12,42 | 11,50 | 0,697 | 6,83 | 0,886 | 0,26 | 1,27 |
| 22 | 1,83 | 50,70 | 12,80 | 11,50 | 0,669 | 6,57 | 0,839 | 0,32 | 1,25 |
| 23 | 1,94 | 52,72 | 14,25 | 11,50 | 0,654 | 6,42 | 0,811 | 0,29 | 1,24 |
| 24 | 1,83 | 53,28 | 13,91 | 11,50 | 0,709 | 6,96 | 0,806 | 1,29 | 1,14 |
| 25 | 2,00 | 51,88 | 14,61 | 11,50 | 0,620 | 6,08 | 0,791 | 0,27 | 1,28 |
| 26 | 1,98 | 55,18 | 15,32 | 11,50 | 0,674 | 6,61 | 0,849 | 1,97 | 1,26 |
| 27 | 1,80 | 48,95 | 12,28 | 11,50 | 0,655 | 6,43 | 0,815 | 0,87 | 1,24 |
| 28 | 3,10 | 64,10 | 27,48 | 11,50 | 0,470 | 4,62 | 0,948 | 0,64 | 2,01 |
| 29 | 2,12 | 56,56 | 16,62 | 11,50 | 0,640 | 6,28 | 0,868 | 0,26 | 1,36 |
| 30 | 2,12 | 57,84 | 17,51 | 11,50 | 0,658 | 6,45 | 0,831 | 1,81 | 1,26 |
| 31 | 2,62 | 69,94 | 25,28 | 11,50 | 0,641 | 6,29 | 0,797 | 1,80 | 1,24 |

Προσδιορισμός Τιμών Πρόσφυσης κατά την Πέδηση Οχημάτων Εφοδιασμένων με Σύστημα ABS σε Αυξημένες κατά Μήκος Κλίσεις

1.1.5 Toyota Starlet - dry

| runs | elapsed time (sec) | speed (km/h) | distance (m) | grade (%) | friction (gs) f_{Tq} | dv / dt (average) | f_{Tmax} (gs) | time occurred (sec) | n = max long. friction / friction |
|------|--------------------|--------------|--------------|-----------|------------------------|-------------------|-----------------|---------------------|-----------------------------------|
| 1 | 1,48 | 39,84 | 8,31 | 11,50 | 0,647 | 6,35 | 0,865 | 0,31 | 1,34 |
| 2 | 1,84 | 49,93 | 13,36 | 11,50 | 0,653 | 6,41 | 0,772 | 0,29 | 1,18 |
| 3 | 1,55 | 46,30 | 10,18 | 11,50 | 0,731 | 7,17 | 0,938 | 0,23 | 1,28 |
| 4 | 1,72 | 51,90 | 12,72 | 11,50 | 0,739 | 7,25 | 1,034 | 0,30 | 1,40 |
| 5 | 0,13 | 0,46 | 0,01 | 11,50 | -0,015 | -0,15 | 0,109 | 0,01 | -7,36 |
| 6 | 2,90 | 0,70 | 3,85 | 11,50 | -0,020 | -0,20 | 0,104 | 0,01 | -5,13 |
| 7 | 1,85 | 55,61 | 14,81 | 11,50 | 0,736 | 7,22 | 0,981 | 0,42 | 1,33 |
| 8 | 1,82 | 53,30 | 13,67 | 11,50 | 0,714 | 7,01 | 0,982 | 0,24 | 1,37 |
| 9 | 2,08 | 61,05 | 18,10 | 11,50 | 0,716 | 7,02 | 1,071 | 0,22 | 1,50 |
| 10 | 4,29 | 63,11 | 41,46 | -11,50 | 0,532 | 5,21 | 0,682 | 0,83 | 1,28 |
| 11 | 2,15 | 53,37 | 16,23 | -11,50 | 0,818 | 8,02 | 0,945 | 0,29 | 1,16 |
| 12 | 2,09 | 52,88 | 15,64 | -11,50 | 0,831 | 8,16 | 0,993 | 0,27 | 1,19 |
| 13 | 2,34 | 58,40 | 19,39 | -11,50 | 0,822 | 8,06 | 0,975 | 0,25 | 1,19 |
| 14 | 2,39 | 60,11 | 20,32 | -11,50 | 0,827 | 8,11 | 1,021 | 0,21 | 1,23 |
| 15 | 2,42 | 62,00 | 21,26 | -11,50 | 0,840 | 8,24 | 1,093 | 0,27 | 1,30 |
| 16 | 2,43 | 61,20 | 20,95 | -11,50 | 0,828 | 8,12 | 1,018 | 0,36 | 1,23 |

1.1.6 Nissan Almera - dry

| runs | elapsed time (sec) | speed (km/h) | distance (m) | grade (%) | friction (gs) f_{Tq} | dv / dt (average) | f_{Tmax} (gs) | time occurred (sec) | n = max long. friction / friction |
|------|--------------------|--------------|--------------|-----------|------------------------|-------------------|-----------------|---------------------|-----------------------------------|
| 1 | 3,51 | 55,09 | 25,46 | -11,50 | 0,559 | 5,49 | 0,685 | 0,43 | 1,22 |
| 2 | 3,22 | 50,82 | 22,55 | -11,50 | 0,562 | 5,51 | 0,680 | 0,97 | 1,21 |
| 3 | 3,29 | 44,52 | 18,73 | -11,50 | 0,498 | 4,89 | 0,672 | 0,51 | 1,35 |
| 4 | 2,98 | 38,65 | 18,08 | -11,50 | 0,482 | 4,73 | 0,620 | 2,65 | 1,29 |
| 5 | 3,31 | 40,62 | 18,03 | -11,50 | 0,462 | 4,54 | 0,603 | 0,99 | 1,30 |
| 6 | 3,74 | 43,73 | 21,83 | -11,50 | 0,446 | 4,38 | 0,589 | 1,04 | 1,32 |
| 7 | 2,79 | 38,50 | 14,54 | 11,50 | 0,276 | 2,70 | 0,478 | 1,94 | 1,73 |
| 8 | 2,39 | 42,85 | 14,35 | 11,50 | 0,393 | 3,85 | 0,550 | 1,17 | 1,40 |
| 9 | 2,71 | 43,61 | 14,29 | 11,50 | 0,341 | 3,34 | 0,531 | 1,04 | 1,56 |
| 10 | 2,12 | 40,91 | 12,44 | 11,50 | 0,431 | 4,23 | 0,547 | 1,68 | 1,27 |
| 11 | 2,38 | 41,39 | 13,97 | 11,50 | 0,377 | 3,70 | 0,568 | 1,37 | 1,50 |
| 12 | 2,31 | 42,88 | 14,67 | 11,50 | 0,411 | 4,03 | 0,550 | 1,69 | 1,34 |
| 13 | 2,40 | 43,48 | 16,09 | 11,50 | 0,398 | 3,90 | 0,584 | 2,02 | 1,47 |
| 14 | 2,49 | 43,65 | 15,96 | 11,50 | 0,381 | 3,74 | 0,573 | 2,08 | 1,50 |

Προσδιορισμός Τιμών Πρόσφυσης κατά την Πέδηση Οχημάτων Εφοδιασμένων με Σύστημα ABS σε Αυξημένες κατά Μήκος Κλίσεις

1.2 Μετρήσεις ΕΜΠ

1.2.1 Volvo S40 - dry

| runs | elapsed time (sec) | speed (km/h) | distance (m) | grade (%) | friction (gs) f_{Tg} | dv / dt (average) | f_{Tmax} (gs) | time occurred (sec) | n = max long. friction / friction |
|------|--------------------|--------------|--------------|-----------|------------------------|-------------------|-----------------|---------------------|-----------------------------------|
| 1 | 1,98 | 55,92 | 15,51 | 6,60 | 0,734 | 7,20 | 0,874 | 0,29 | 1,19 |
| 2 | 2,06 | 59,18 | 17,31 | 6,60 | 0,747 | 7,33 | 0,879 | 0,34 | 1,18 |
| 3 | 2,06 | 60,74 | 17,86 | 6,60 | 0,769 | 7,54 | 0,871 | 1,38 | 1,13 |
| 4 | 1,98 | 56,13 | 15,70 | 6,60 | 0,737 | 7,23 | 0,848 | 0,36 | 1,15 |
| 5 | 1,88 | 54,14 | 14,60 | 6,60 | 0,749 | 7,35 | 0,831 | 1,49 | 1,11 |
| 6 | 2,06 | 57,11 | 16,72 | 6,60 | 0,719 | 7,05 | 0,844 | 0,34 | 1,17 |
| 7 | 2,03 | 55,15 | 15,72 | 6,60 | 0,703 | 6,90 | 0,844 | 0,32 | 1,20 |
| 8 | 3,01 | 65,70 | 27,64 | -5,30 | 0,671 | 6,58 | 0,752 | 0,33 | 1,12 |
| 9 | 2,32 | 51,42 | 16,71 | -5,30 | 0,681 | 6,68 | 0,797 | 0,25 | 1,17 |
| 10 | 2,62 | 57,68 | 21,02 | -5,30 | 0,676 | 6,64 | 0,841 | 0,24 | 1,24 |
| 11 | 2,48 | 55,72 | 19,19 | -5,30 | 0,689 | 6,76 | 0,948 | 0,32 | 1,38 |
| 12 | 2,42 | 54,02 | 18,34 | -5,30 | 0,685 | 6,72 | 0,817 | 0,28 | 1,19 |
| 13 | 2,51 | 56,60 | 20,32 | -5,30 | 0,692 | 6,78 | 0,773 | 1,71 | 1,12 |
| 14 | 2,58 | 56,69 | 20,26 | -5,30 | 0,675 | 6,62 | 0,856 | 0,24 | 1,27 |
| 15 | 2,65 | 57,73 | 21,20 | -5,30 | 0,670 | 6,57 | 0,821 | 0,29 | 1,23 |

1.2.2 Volvo S40 - wet

| runs | elapsed time (sec) | speed (km/h) | distance (m) | grade (%) | friction (gs) f_{Tg} | dv / dt (average) | f_{Tmax} (gs) | time occurred (sec) | n = max long. friction / friction |
|------|--------------------|--------------|--------------|-----------|------------------------|-------------------|-----------------|---------------------|-----------------------------------|
| 1 | 3,55 | 60,91 | 30,79 | -5,30 | 0,539 | 5,29 | 0,665 | 1,20 | 1,23 |
| 2 | 3,21 | 54,61 | 24,63 | -5,30 | 0,535 | 5,25 | 0,610 | 3,20 | 1,14 |
| 3 | 2,97 | 51,59 | 22,71 | -5,30 | 0,545 | 5,35 | 0,672 | 2,83 | 1,23 |
| 4 | 3,01 | 51,88 | 22,91 | -5,30 | 0,541 | 5,31 | 0,710 | 2,64 | 1,31 |
| 5 | 3,05 | 53,25 | 23,34 | -5,30 | 0,547 | 5,37 | 0,674 | 2,21 | 1,23 |
| 6 | 3,28 | 58,32 | 27,67 | -5,30 | 0,556 | 5,46 | 0,673 | 3,25 | 1,21 |
| 7 | 2,98 | 51,97 | 21,69 | -5,30 | 0,547 | 5,36 | 0,721 | 2,98 | 1,32 |
| 8 | 3,14 | 56,36 | 25,46 | -5,30 | 0,561 | 5,51 | 0,695 | 3,14 | 1,24 |
| 9 | 3,08 | 54,99 | 24,10 | -5,30 | 0,559 | 5,48 | 0,715 | 2,94 | 1,28 |
| 10 | 2,98 | 53,35 | 22,35 | -5,30 | 0,560 | 5,49 | 0,674 | 1,01 | 1,20 |
| 11 | 1,95 | 50,46 | 14,16 | 6,60 | 0,667 | 6,54 | 0,772 | 1,18 | 1,16 |
| 12 | 2,03 | 50,20 | 14,63 | 6,60 | 0,634 | 6,22 | 0,782 | 2,02 | 1,23 |
| 13 | 1,88 | 49,45 | 13,70 | 6,60 | 0,679 | 6,66 | 0,850 | 1,75 | 1,25 |
| 14 | 2,08 | 54,61 | 16,26 | 6,60 | 0,677 | 6,65 | 0,769 | 1,73 | 1,14 |
| 15 | 1,98 | 50,73 | 14,63 | 6,60 | 0,659 | 6,47 | 0,808 | 1,67 | 1,23 |
| 16 | 2,01 | 50,32 | 14,94 | 6,60 | 0,643 | 6,31 | 0,852 | 1,98 | 1,33 |
| 17 | 1,97 | 51,00 | 14,54 | 6,60 | 0,667 | 6,54 | 0,801 | 1,70 | 1,20 |
| 18 | 1,99 | 49,67 | 14,48 | 6,60 | 0,641 | 6,29 | 0,825 | 1,99 | 1,29 |
| 19 | 1,97 | 50,65 | 14,53 | 6,60 | 0,662 | 6,49 | 0,777 | 1,85 | 1,17 |
| 20 | 2,02 | 51,71 | 15,03 | 6,60 | 0,659 | 6,46 | 0,774 | 1,59 | 1,17 |

Προσδιορισμός Τιμών Πρόσφυσης κατά την Πέδηση Οχημάτων Εφοδιασμένων με Σύστημα ABS σε Αυξημένες κατά Μήκος Κλίσεις

1.2.3 Opel Corsa - dry

| runs | elapsed time (sec) | speed (km/h) | distance (m) | grade (%) | friction (gs) f_{Tg} | dv / dt (average) | f_{Tmax} (gs) | time occurred (sec) | n = max long. friction / friction |
|------|--------------------|--------------|--------------|-----------|------------------------|-------------------|-----------------|---------------------|-----------------------------------|
| 1 | 2,03 | 54,20 | 15,54 | 6,60 | 0,690 | 6,77 | 0,810 | 0,31 | 1,17 |
| 2 | 2,10 | 56,70 | 16,81 | 6,60 | 0,699 | 6,85 | 0,885 | 0,21 | 1,27 |
| 3 | 1,98 | 55,06 | 15,19 | 6,60 | 0,721 | 7,08 | 0,911 | 0,24 | 1,26 |
| 4 | 2,02 | 55,55 | 16,05 | 6,60 | 0,713 | 6,99 | 0,833 | 0,24 | 1,17 |
| 5 | 2,00 | 55,05 | 15,53 | 6,60 | 0,713 | 7,00 | 0,867 | 0,29 | 1,22 |
| 6 | 2,05 | 55,67 | 15,90 | 6,60 | 0,703 | 6,90 | 0,927 | 0,25 | 1,32 |
| 7 | 2,11 | 56,82 | 16,87 | 6,60 | 0,697 | 6,83 | 0,858 | 0,26 | 1,23 |
| 8 | 2,86 | 65,54 | 25,92 | -5,30 | 0,702 | 6,89 | 0,873 | 0,24 | 1,24 |
| 9 | 2,69 | 61,58 | 23,17 | -5,30 | 0,701 | 6,88 | 0,857 | 0,73 | 1,22 |
| 10 | 2,89 | 64,70 | 26,05 | -5,30 | 0,687 | 6,74 | 0,828 | 1,11 | 1,21 |
| 11 | 2,82 | 62,43 | 24,53 | -5,30 | 0,680 | 6,67 | 0,826 | 0,24 | 1,21 |
| 12 | 2,69 | 61,64 | 23,24 | -5,30 | 0,702 | 6,89 | 0,795 | 0,25 | 1,13 |
| 13 | 2,92 | 65,62 | 26,94 | -5,30 | 0,689 | 6,76 | 0,813 | 0,20 | 1,18 |
| 14 | 2,83 | 64,36 | 25,25 | -5,30 | 0,697 | 6,84 | 0,853 | 0,31 | 1,22 |

1.2.4 Opel Corsa - wet

| runs | elapsed time (sec) | speed (km/h) | distance (m) | grade (%) | friction (gs) f_{Tg} | dv / dt (average) | f_{Tmax} (gs) | time occurred (sec) | n = max long. friction / friction |
|------|--------------------|--------------|--------------|-----------|------------------------|-------------------|-----------------|---------------------|-----------------------------------|
| 1 | 3,25 | 49,13 | 22,68 | -5,30 | 0,481 | 4,72 | 0,687 | 3,25 | 1,43 |
| 2 | 3,53 | 49,71 | 25,67 | -5,30 | 0,452 | 4,43 | 0,616 | 3,47 | 1,36 |
| 3 | 3,73 | 51,64 | 28,44 | -5,30 | 0,445 | 4,37 | 0,599 | 3,73 | 1,35 |
| 4 | 4,15 | 55,69 | 32,23 | -5,30 | 0,433 | 4,25 | 0,613 | 4,15 | 1,42 |
| 5 | 3,67 | 51,20 | 26,59 | -5,30 | 0,448 | 4,40 | 0,610 | 0,97 | 1,36 |
| 6 | 4,06 | 54,04 | 30,03 | -5,30 | 0,430 | 4,22 | 0,593 | 1,09 | 1,38 |
| 7 | 4,65 | 56,52 | 37,38 | -5,30 | 0,397 | 3,90 | 0,551 | 0,01 | 1,39 |
| 8 | 4,33 | 54,08 | 32,98 | -5,30 | 0,407 | 3,99 | 0,555 | 0,77 | 1,36 |
| 9 | 4,17 | 54,59 | 33,36 | -5,30 | 0,424 | 4,16 | 0,655 | 4,16 | 1,55 |
| 10 | 4,27 | 53,43 | 31,98 | -5,30 | 0,407 | 4,00 | 0,523 | 3,65 | 1,28 |
| 11 | 3,86 | 48,36 | 26,25 | -5,30 | 0,408 | 4,00 | 0,543 | 3,73 | 1,33 |
| 12 | 2,52 | 47,48 | 16,98 | 6,60 | 0,468 | 4,59 | 0,655 | 2,35 | 1,40 |
| 13 | 2,39 | 46,51 | 16,25 | 6,60 | 0,485 | 4,76 | 0,792 | 2,39 | 1,63 |
| 14 | 2,60 | 50,71 | 19,62 | 6,60 | 0,486 | 4,77 | 0,725 | 2,08 | 1,49 |
| 15 | 2,39 | 46,57 | 16,42 | 6,60 | 0,486 | 4,77 | 0,675 | 1,88 | 1,39 |
| 16 | 2,59 | 49,42 | 18,14 | 6,60 | 0,474 | 4,65 | 0,620 | 0,76 | 1,31 |
| 17 | 2,67 | 49,74 | 19,28 | 6,60 | 0,462 | 4,53 | 0,615 | 2,45 | 1,33 |
| 18 | 2,63 | 49,27 | 18,92 | 6,60 | 0,464 | 4,56 | 0,668 | 2,33 | 1,44 |
| 19 | 2,69 | 50,63 | 19,73 | 6,60 | 0,467 | 4,58 | 0,664 | 2,44 | 1,42 |
| 20 | 2,48 | 50,20 | 18,15 | 6,60 | 0,507 | 4,98 | 0,695 | 2,41 | 1,37 |
| 21 | 2,50 | 47,64 | 17,26 | 6,60 | 0,474 | 4,65 | 0,620 | 2,50 | 1,31 |
| 22 | 2,51 | 46,05 | 16,84 | 6,60 | 0,453 | 4,45 | 0,710 | 2,46 | 1,57 |

Προσδιορισμός Τιμών Πρόσφυσης κατά την Πέδηση Οχημάτων Εφοδιασμένων με Σύστημα ABS σε Αυξημένες κατά Μήκος Κλίσεις

1.2.5 Toyota Starlet - dry

| runs | elapsed time (sec) | speed (km/h) | distance (m) | grade (%) | friction (gs) f_{Tg} | dv / dt (average) | f_{Tmax} (gs) | time occurred (sec) | n = max long. friction / friction |
|------|--------------------|--------------|--------------|-----------|------------------------|-------------------|-----------------|---------------------|-----------------------------------|
| 1 | 2,05 | 52,87 | 15,41 | 6,60 | 0,664 | 6,52 | 0,844 | 0,32 | 1,27 |
| 2 | 2,01 | 54,87 | 16,10 | 6,60 | 0,707 | 6,94 | 1,037 | 1,89 | 1,47 |
| 3 | 2,06 | 55,00 | 16,18 | 6,60 | 0,690 | 6,77 | 0,912 | 0,31 | 1,32 |
| 4 | 2,11 | 56,18 | 16,75 | 6,60 | 0,688 | 6,75 | 0,867 | 0,26 | 1,26 |
| 5 | 2,14 | 57,86 | 17,42 | 6,60 | 0,700 | 6,86 | 1,001 | 0,25 | 1,43 |
| 6 | 2,11 | 54,81 | 16,36 | 6,60 | 0,670 | 6,57 | 0,915 | 0,23 | 1,37 |
| 7 | 2,07 | 56,87 | 16,55 | 6,60 | 0,712 | 6,98 | 0,965 | 0,31 | 1,36 |
| 8 | 2,13 | 58,18 | 17,49 | 6,60 | 0,707 | 6,94 | 0,945 | 0,39 | 1,34 |
| 9 | 2,06 | 56,34 | 16,49 | 6,60 | 0,708 | 6,95 | 0,904 | 0,36 | 1,28 |
| 10 | 2,78 | 63,47 | 24,66 | -5,30 | 0,699 | 6,86 | 0,922 | 0,35 | 1,32 |
| 11 | 2,50 | 55,46 | 19,53 | -5,30 | 0,681 | 6,68 | 0,901 | 0,28 | 1,32 |
| 12 | 2,60 | 60,35 | 21,59 | -5,30 | 0,710 | 6,97 | 0,931 | 0,21 | 1,31 |
| 13 | 2,39 | 58,58 | 19,71 | -5,30 | 0,747 | 7,33 | 0,886 | 0,28 | 1,19 |
| 14 | 2,86 | 65,86 | 26,33 | -5,30 | 0,705 | 6,92 | 1,064 | 0,30 | 1,51 |
| 15 | 2,70 | 60,47 | 22,58 | -5,30 | 0,687 | 6,74 | 0,924 | 0,21 | 1,34 |
| 16 | 2,63 | 59,60 | 21,50 | -5,30 | 0,695 | 6,81 | 0,979 | 0,29 | 1,41 |

1.2.6 Nissan Almera - dry

| runs | elapsed time (sec) | speed (km/h) | distance (m) | grade (%) | friction (gs) f_{Tg} | dv / dt (average) | f_{Tmax} (gs) | time occurred (sec) | n = max long. friction / friction |
|------|--------------------|--------------|--------------|-----------|------------------------|-------------------|-----------------|---------------------|-----------------------------------|
| 1 | 2,43 | 48,27 | 14,46 | 6,60 | 0,496 | 4,87 | 0,690 | 0,29 | 1,39 |
| 2 | 2,57 | 48,18 | 14,45 | 6,60 | 0,465 | 4,56 | 0,720 | 0,29 | 1,55 |
| 3 | 2,07 | 48,51 | 14,28 | 6,60 | 0,598 | 5,86 | 0,703 | 0,27 | 1,18 |
| 4 | 2,75 | 47,33 | 14,16 | 6,60 | 0,421 | 4,13 | 0,682 | 0,29 | 1,62 |
| 5 | 2,61 | 48,71 | 15,07 | 6,60 | 0,462 | 4,54 | 0,698 | 0,27 | 1,51 |
| 6 | 2,99 | 49,45 | 19,46 | -5,30 | 0,521 | 5,11 | 0,691 | 0,29 | 1,33 |
| 7 | 2,68 | 49,62 | 18,93 | -5,30 | 0,577 | 5,66 | 0,658 | 0,43 | 1,14 |
| 8 | 2,61 | 49,69 | 18,26 | -5,30 | 0,592 | 5,81 | 0,709 | 0,28 | 1,20 |
| 9 | 2,56 | 48,36 | 17,59 | -5,30 | 0,588 | 5,77 | 0,659 | 0,31 | 1,12 |
| 10 | 2,74 | 48,99 | 18,85 | -5,30 | 0,559 | 5,49 | 0,654 | 0,24 | 1,17 |
| 11 | 2,77 | 50,05 | 18,98 | -5,30 | 0,565 | 5,54 | 0,718 | 0,28 | 1,27 |

2. ΑΠΟΤΕΛΕΣΜΑΤΑ ΔΥΝΑΜΙΚΟΥ ΜΟΝΤΕΛΟΥ

2.1 VOLVO S40

2.1.1 NTUA - dry

| run v d ntua 1 | | R(m) | br.front (%) | s(%) | e (%) | coeff | effic (%) | | | time (sec) | | | | | | | |
|----------------|----------|------------|--------------|-----------------|-------------|-------|-----------|-------|-----------|------------|------------|-------|-----------|----------|----------|---------|-----------|
| s= | 100,000 | 1000000,00 | 68,50 | 6,6 | 0,0 | 1,00 | 100 | | | 1,928 | | | | | | | |
| step= | 0,100 | viewstep= | 0,500 | STEPS | | | | | | | | | | | | | |
| s (m) | V (km/h) | n (%) | dv/dt | skid check | R(m) | s(%) | e (%) | coeff | effic (%) | decelera | time (sec) | ft | front out | front in | rear out | rear in | checktime |
| 15,600 | 1,507 | 99,677 | -7,824 | skid front(out) | 1000000,000 | 6,600 | 0,000 | 1,000 | 100,000 | -1,854321 | 1,928 | 0,734 | 0,7339 | 0,7339 | 0,7264 | 0,7264 | |
| 0,000 | 55,920 | 99,676 | -7,868 | O.K | 1000000,000 | 6,600 | 0,000 | 1,000 | 100,000 | 0,000 | 0,000 | 0,734 | | | | | |
| 0,400 | 55,186 | 99,676 | -7,867 | skid front(in) | 1000000,000 | 6,600 | 0,000 | 1,000 | 100,000 | 0,000 | 0,026 | 0,734 | 0,734 | 0,734 | 0,727 | 0,727 | 0,026 |
| 1,000 | 54,066 | 99,676 | -7,865 | skid front(in) | 1000000,000 | 6,600 | 0,000 | 1,000 | 100,000 | 0,000 | 0,065 | 0,734 | 0,734 | 0,734 | 0,727 | 0,727 | 0,040 |
| 1,500 | 53,115 | 99,676 | -7,864 | skid front(in) | 1000000,000 | 6,600 | 0,000 | 1,000 | 100,000 | 0,000 | 0,099 | 0,734 | 0,734 | 0,734 | 0,727 | 0,727 | 0,034 |
| 2,000 | 52,147 | 99,676 | -7,863 | skid front(in) | 1000000,000 | 6,600 | 0,000 | 1,000 | 100,000 | 0,000 | 0,133 | 0,734 | 0,734 | 0,734 | 0,727 | 0,727 | 0,034 |
| 2,500 | 51,161 | 99,677 | -7,861 | skid front(in) | 1000000,000 | 6,600 | 0,000 | 1,000 | 100,000 | 0,000 | 0,168 | 0,734 | 0,734 | 0,734 | 0,727 | 0,727 | 0,035 |
| 3,000 | 50,155 | 99,677 | -7,860 | skid front(in) | 1000000,000 | 6,600 | 0,000 | 1,000 | 100,000 | 0,000 | 0,204 | 0,734 | 0,734 | 0,734 | 0,727 | 0,727 | 0,036 |
| 3,500 | 49,129 | 99,677 | -7,858 | skid front(in) | 1000000,000 | 6,600 | 0,000 | 1,000 | 100,000 | 0,000 | 0,240 | 0,734 | 0,734 | 0,734 | 0,727 | 0,727 | 0,036 |
| 4,000 | 48,082 | 99,677 | -7,857 | skid front(in) | 1000000,000 | 6,600 | 0,000 | 1,000 | 100,000 | 0,000 | 0,277 | 0,734 | 0,734 | 0,734 | 0,727 | 0,727 | 0,037 |
| 4,400 | 47,227 | 99,677 | -7,856 | skid front(in) | 1000000,000 | 6,600 | 0,000 | 1,000 | 100,000 | 0,000 | 0,307 | 0,734 | 0,734 | 0,734 | 0,727 | 0,727 | 0,030 |
| 5,000 | 45,916 | 99,677 | -7,854 | skid front(in) | 1000000,000 | 6,600 | 0,000 | 1,000 | 100,000 | 0,000 | 0,354 | 0,734 | 0,734 | 0,734 | 0,727 | 0,727 | 0,046 |
| 5,500 | 44,794 | 99,677 | -7,853 | skid front(in) | 1000000,000 | 6,600 | 0,000 | 1,000 | 100,000 | 0,000 | 0,393 | 0,734 | 0,734 | 0,734 | 0,727 | 0,727 | 0,040 |
| 6,000 | 43,643 | 99,677 | -7,851 | skid front(in) | 1000000,000 | 6,600 | 0,000 | 1,000 | 100,000 | 0,000 | 0,434 | 0,734 | 0,734 | 0,734 | 0,727 | 0,727 | 0,041 |
| 6,500 | 42,461 | 99,677 | -7,850 | skid front(in) | 1000000,000 | 6,600 | 0,000 | 1,000 | 100,000 | 0,000 | 0,476 | 0,734 | 0,734 | 0,734 | 0,727 | 0,727 | 0,042 |
| 7,000 | 41,246 | 99,677 | -7,848 | skid front(in) | 1000000,000 | 6,600 | 0,000 | 1,000 | 100,000 | 0,000 | 0,519 | 0,734 | 0,734 | 0,734 | 0,727 | 0,727 | 0,043 |
| 7,500 | 39,994 | 99,677 | -7,847 | skid front(in) | 1000000,000 | 6,600 | 0,000 | 1,000 | 100,000 | 0,000 | 0,563 | 0,734 | 0,734 | 0,734 | 0,727 | 0,727 | 0,044 |
| 8,000 | 38,702 | 99,678 | -7,846 | skid front(in) | 1000000,000 | 6,600 | 0,000 | 1,000 | 100,000 | 0,000 | 0,609 | 0,734 | 0,734 | 0,734 | 0,727 | 0,727 | 0,046 |
| 8,500 | 37,365 | 99,678 | -7,844 | skid front(in) | 1000000,000 | 6,600 | 0,000 | 1,000 | 100,000 | 0,000 | 0,656 | 0,734 | 0,734 | 0,734 | 0,727 | 0,727 | 0,047 |
| 9,000 | 35,979 | 99,678 | -7,843 | skid front(in) | 1000000,000 | 6,600 | 0,000 | 1,000 | 100,000 | 0,000 | 0,705 | 0,734 | 0,734 | 0,734 | 0,727 | 0,727 | 0,049 |
| 9,500 | 34,538 | 99,678 | -7,841 | skid front(in) | 1000000,000 | 6,600 | 0,000 | 1,000 | 100,000 | 0,000 | 0,756 | 0,734 | 0,734 | 0,734 | 0,727 | 0,727 | 0,051 |
| 10,000 | 33,034 | 99,678 | -7,840 | skid front(in) | 1000000,000 | 6,600 | 0,000 | 1,000 | 100,000 | 0,000 | 0,810 | 0,734 | 0,734 | 0,734 | 0,727 | 0,727 | 0,053 |
| 10,500 | 31,459 | 99,678 | -7,839 | skid front(in) | 1000000,000 | 6,600 | 0,000 | 1,000 | 100,000 | 0,000 | 0,865 | 0,734 | 0,734 | 0,734 | 0,727 | 0,727 | 0,056 |
| 11,000 | 29,801 | 99,678 | -7,837 | skid front(in) | 1000000,000 | 6,600 | 0,000 | 1,000 | 100,000 | 0,000 | 0,924 | 0,734 | 0,734 | 0,734 | 0,727 | 0,727 | 0,059 |
| 11,500 | 28,045 | 99,678 | -7,836 | skid front(in) | 1000000,000 | 6,600 | 0,000 | 1,000 | 100,000 | 0,000 | 0,986 | 0,734 | 0,734 | 0,734 | 0,727 | 0,727 | 0,062 |
| 12,000 | 26,172 | 99,677 | -7,833 | skid front(out) | 1000000,000 | 6,600 | 0,000 | 1,000 | 100,000 | -2,227 | 1,053 | 0,734 | 0,734 | 0,734 | 0,726 | 0,726 | 0,066 |
| 12,500 | 24,155 | 99,659 | -7,830 | skid front(in) | 1000000,000 | 6,600 | 0,000 | 1,000 | 100,000 | -2,226 | 1,124 | 0,734 | 0,734 | 0,734 | 0,726 | 0,726 | 0,072 |
| 13,000 | 21,954 | 99,642 | -7,829 | skid front(in) | 1000000,000 | 6,600 | 0,000 | 1,000 | 100,000 | -0,632 | 1,202 | 0,734 | 0,734 | 0,734 | 0,726 | 0,726 | 0,078 |
| 13,500 | 19,507 | 99,655 | -7,828 | skid front(out) | 1000000,000 | 6,600 | 0,000 | 1,000 | 100,000 | -0,404 | 1,289 | 0,734 | 0,734 | 0,734 | 0,726 | 0,726 | 0,087 |
| 14,000 | 16,705 | 99,671 | -7,826 | skid front(out) | 1000000,000 | 6,600 | 0,000 | 1,000 | 100,000 | -3,313 | 1,389 | 0,734 | 0,734 | 0,734 | 0,726 | 0,726 | 0,099 |
| 14,500 | 13,327 | 99,655 | -7,825 | skid front(out) | 1000000,000 | 6,600 | 0,000 | 1,000 | 100,000 | -1,085 | 1,508 | 0,734 | 0,734 | 0,734 | 0,726 | 0,726 | 0,120 |
| 15,000 | 8,728 | 99,708 | -7,825 | skid front(out) | 1000000,000 | 6,600 | 0,000 | 1,000 | 100,000 | -4,137 | 1,672 | 0,734 | 0,734 | 0,734 | 0,726 | 0,726 | 0,163 |
| 15,500 | 1,865 | 99,675 | -7,822 | skid front(out) | 1000000,000 | 6,600 | 0,000 | 1,000 | 100,000 | -4,048 | 1,915 | 0,734 | 0,734 | 0,734 | 0,726 | 0,726 | 0,244 |
| 15,600 | 1,507 | 99,677 | -7,824 | skid front(out) | 1000000,000 | 6,600 | 0,000 | 1,000 | 100,000 | -1,854 | 1,928 | 0,734 | 0,734 | 0,734 | 0,726 | 0,726 | 0,013 |

Προσδιορισμός Τιμών Πρόσφυσης κατά την Πέδηση Οχημάτων Εφοδιασμένων με Σύστημα ABS σε Αυξημένες κατά Μήκος Κλίσεις

| run_v_d_ntua_2 | R(m) | br.front (%) | s(%) | e (%) | coeff | effic (%) | | time (sec) | | | | | | | | | |
|----------------|-----------------|--------------|--------|-----------------|-------------|-----------|-------|------------|-----------|-----------|------------|-------|-----------|----------|----------|---------|-----------|
| s= 100,000 | 1000000,00 | 69,00 | 6,6 | 0,0 | 1,00 | 100 | | 2,062 | 0,963 | | | | | | | | |
| step= 0,100 | viewstep= 0,500 | | STEPS | | | | | | | | | | | | | | |
| s (m) | V (km/h) | n (%) | dv/dt | skid check | R(m) | s(%) | e (%) | coeff | effic (%) | decelera | time (sec) | fT | front out | front in | rear out | rear in | checktime |
| 17,000 | 0,220 | 99,288 | -7,923 | skid front(out) | 1000000,000 | 6,600 | 0,000 | 1,000 | 100,000 | -0,293652 | 2,062 | 0,747 | 0,7468 | 0,7468 | 0,7304 | 0,7304 | |
| 0,000 | 59,180 | 99,310 | -7,973 | O.K | 1000000,000 | 6,600 | 0,000 | 1,000 | 100,000 | 0,000 | 0,000 | 0,747 | | | | | |
| 0,400 | 58,477 | 99,310 | -7,972 | skid front(in) | 1000000,000 | 6,600 | 0,000 | 1,000 | 100,000 | 0,000 | 0,024 | 0,747 | 0,747 | 0,747 | 0,731 | 0,731 | 0,024 |
| 1,000 | 57,408 | 99,310 | -7,971 | skid front(in) | 1000000,000 | 6,600 | 0,000 | 1,000 | 100,000 | 0,000 | 0,062 | 0,747 | 0,747 | 0,747 | 0,731 | 0,731 | 0,037 |
| 1,500 | 56,501 | 99,310 | -7,969 | skid front(in) | 1000000,000 | 6,600 | 0,000 | 1,000 | 100,000 | 0,000 | 0,093 | 0,747 | 0,747 | 0,747 | 0,731 | 0,731 | 0,032 |
| 2,000 | 55,579 | 99,310 | -7,968 | skid front(in) | 1000000,000 | 6,600 | 0,000 | 1,000 | 100,000 | 0,000 | 0,125 | 0,747 | 0,747 | 0,747 | 0,731 | 0,731 | 0,032 |
| 2,500 | 54,643 | 99,310 | -7,966 | skid front(in) | 1000000,000 | 6,600 | 0,000 | 1,000 | 100,000 | 0,000 | 0,158 | 0,747 | 0,747 | 0,747 | 0,731 | 0,731 | 0,033 |
| 3,000 | 53,690 | 99,311 | -7,965 | skid front(in) | 1000000,000 | 6,600 | 0,000 | 1,000 | 100,000 | 0,000 | 0,191 | 0,747 | 0,747 | 0,747 | 0,731 | 0,731 | 0,033 |
| 3,500 | 52,720 | 99,311 | -7,963 | skid front(in) | 1000000,000 | 6,600 | 0,000 | 1,000 | 100,000 | 0,000 | 0,225 | 0,747 | 0,747 | 0,747 | 0,731 | 0,731 | 0,034 |
| 4,000 | 51,732 | 99,311 | -7,962 | skid front(in) | 1000000,000 | 6,600 | 0,000 | 1,000 | 100,000 | 0,000 | 0,260 | 0,747 | 0,747 | 0,747 | 0,731 | 0,731 | 0,034 |
| 4,400 | 50,928 | 99,311 | -7,961 | skid front(in) | 1000000,000 | 6,600 | 0,000 | 1,000 | 100,000 | 0,000 | 0,288 | 0,747 | 0,747 | 0,747 | 0,731 | 0,731 | 0,028 |
| 5,000 | 49,698 | 99,311 | -7,959 | skid front(in) | 1000000,000 | 6,600 | 0,000 | 1,000 | 100,000 | 0,000 | 0,331 | 0,747 | 0,747 | 0,747 | 0,731 | 0,731 | 0,043 |
| 5,500 | 48,649 | 99,311 | -7,958 | skid front(in) | 1000000,000 | 6,600 | 0,000 | 1,000 | 100,000 | 0,000 | 0,367 | 0,747 | 0,747 | 0,747 | 0,731 | 0,731 | 0,037 |
| 6,000 | 47,577 | 99,311 | -7,956 | skid front(in) | 1000000,000 | 6,600 | 0,000 | 1,000 | 100,000 | 0,000 | 0,405 | 0,747 | 0,747 | 0,747 | 0,731 | 0,731 | 0,037 |
| 6,500 | 46,481 | 99,311 | -7,955 | skid front(in) | 1000000,000 | 6,600 | 0,000 | 1,000 | 100,000 | 0,000 | 0,443 | 0,747 | 0,747 | 0,747 | 0,731 | 0,731 | 0,038 |
| 7,000 | 45,358 | 99,311 | -7,953 | skid front(in) | 1000000,000 | 6,600 | 0,000 | 1,000 | 100,000 | 0,000 | 0,482 | 0,747 | 0,747 | 0,747 | 0,731 | 0,731 | 0,039 |
| 7,500 | 44,208 | 99,311 | -7,952 | skid front(in) | 1000000,000 | 6,600 | 0,000 | 1,000 | 100,000 | 0,000 | 0,522 | 0,747 | 0,747 | 0,747 | 0,731 | 0,731 | 0,040 |
| 8,000 | 43,026 | 99,311 | -7,951 | skid front(in) | 1000000,000 | 6,600 | 0,000 | 1,000 | 100,000 | 0,000 | 0,564 | 0,747 | 0,747 | 0,747 | 0,731 | 0,731 | 0,041 |
| 8,500 | 41,812 | 99,312 | -7,949 | skid front(in) | 1000000,000 | 6,600 | 0,000 | 1,000 | 100,000 | 0,000 | 0,606 | 0,747 | 0,747 | 0,747 | 0,731 | 0,731 | 0,042 |
| 9,000 | 40,561 | 99,312 | -7,948 | skid front(in) | 1000000,000 | 6,600 | 0,000 | 1,000 | 100,000 | 0,000 | 0,650 | 0,747 | 0,747 | 0,747 | 0,731 | 0,731 | 0,044 |
| 9,500 | 39,271 | 99,312 | -7,946 | skid front(in) | 1000000,000 | 6,600 | 0,000 | 1,000 | 100,000 | 0,001 | 0,695 | 0,747 | 0,747 | 0,747 | 0,731 | 0,731 | 0,045 |
| 10,000 | 37,938 | 99,312 | -7,945 | skid front(in) | 1000000,000 | 6,600 | 0,000 | 1,000 | 100,000 | 0,000 | 0,741 | 0,747 | 0,747 | 0,747 | 0,731 | 0,731 | 0,047 |
| 10,500 | 36,555 | 99,312 | -7,944 | skid front(in) | 1000000,000 | 6,600 | 0,000 | 1,000 | 100,000 | 0,000 | 0,790 | 0,747 | 0,747 | 0,747 | 0,731 | 0,731 | 0,048 |
| 11,000 | 35,119 | 99,312 | -7,942 | skid front(in) | 1000000,000 | 6,600 | 0,000 | 1,000 | 100,000 | 0,000 | 0,840 | 0,747 | 0,747 | 0,747 | 0,731 | 0,731 | 0,050 |
| 11,500 | 33,622 | 99,312 | -7,941 | skid front(in) | 1000000,000 | 6,600 | 0,000 | 1,000 | 100,000 | 0,001 | 0,892 | 0,747 | 0,747 | 0,747 | 0,731 | 0,731 | 0,052 |
| 12,000 | 32,055 | 99,312 | -7,939 | skid front(in) | 1000000,000 | 6,600 | 0,000 | 1,000 | 100,000 | 0,000 | 0,947 | 0,747 | 0,747 | 0,747 | 0,731 | 0,731 | 0,055 |
| 12,500 | 30,408 | 99,312 | -7,938 | skid front(in) | 1000000,000 | 6,600 | 0,000 | 1,000 | 100,000 | 0,000 | 1,005 | 0,747 | 0,747 | 0,747 | 0,731 | 0,731 | 0,058 |
| 13,000 | 28,667 | 99,312 | -7,936 | skid front(in) | 1000000,000 | 6,600 | 0,000 | 1,000 | 100,000 | 0,001 | 1,066 | 0,747 | 0,747 | 0,747 | 0,731 | 0,731 | 0,061 |
| 13,500 | 26,813 | 99,326 | -7,933 | skid front(out) | 1000000,000 | 6,600 | 0,000 | 1,000 | 100,000 | -4,208 | 1,131 | 0,747 | 0,747 | 0,747 | 0,730 | 0,730 | 0,065 |
| 14,000 | 24,822 | 99,321 | -7,933 | skid front(out) | 1000000,000 | 6,600 | 0,000 | 1,000 | 100,000 | -1,561 | 1,200 | 0,747 | 0,747 | 0,747 | 0,731 | 0,731 | 0,070 |
| 14,500 | 22,657 | 99,304 | -7,930 | skid front(out) | 1000000,000 | 6,600 | 0,000 | 1,000 | 100,000 | -3,126 | 1,276 | 0,747 | 0,747 | 0,747 | 0,730 | 0,730 | 0,076 |
| 15,000 | 20,262 | 99,300 | -7,928 | skid front(out) | 1000000,000 | 6,600 | 0,000 | 1,000 | 100,000 | -2,983 | 1,360 | 0,747 | 0,747 | 0,747 | 0,730 | 0,730 | 0,084 |
| 15,500 | 17,544 | 99,312 | -7,929 | skid front(out) | 1000000,000 | 6,600 | 0,000 | 1,000 | 100,000 | -1,208 | 1,455 | 0,747 | 0,747 | 0,747 | 0,731 | 0,731 | 0,095 |
| 16,000 | 14,319 | 99,276 | -7,925 | skid front(out) | 1000000,000 | 6,600 | 0,000 | 1,000 | 100,000 | -0,360 | 1,568 | 0,747 | 0,747 | 0,747 | 0,730 | 0,730 | 0,113 |
| 16,500 | 10,114 | 99,287 | -7,924 | skid front(out) | 1000000,000 | 6,600 | 0,000 | 1,000 | 100,000 | -1,245 | 1,716 | 0,747 | 0,747 | 0,747 | 0,730 | 0,730 | 0,147 |
| 17,000 | 0,220 | 99,288 | -7,923 | skid front(out) | 1000000,000 | 6,600 | 0,000 | 1,000 | 100,000 | -0,294 | 2,062 | 0,747 | 0,747 | 0,747 | 0,730 | 0,730 | 0,347 |

Προσδιορισμός Τιμών Πρόσφυσης κατά την Πέδηση Οχημάτων Εφοδιασμένων με Σύστημα ABS σε Αυξημένες κατά Μήκος Κλίσεις

| run_v_d_ntua_3 | R(m) | br.front (%) | s(%) | e (%) | coeff | effic (%) | | time (sec) | | | | | | | | | | |
|----------------|-----------------|--------------|--------|-----------------|-------------|-----------|-------|------------|-----------|-----------|------------|-------|-----------|----------|----------|---------|-----------|-------|
| s= 100,000 | 1000000,00 | 69,50 | 6,6 | 0,0 | 1,00 | 100 | | 1,990 | | | | | | | | | | 0,963 |
| step= 0,100 | viewstep= 0,500 | | STEPS | | | | | | | | | | | | | | | |
| s (m) | V (km/h) | n (%) | dv/dt | skid check | R(m) | s(%) | e (%) | coeff | effic (%) | decelera | time (sec) | fT | front out | front in | rear out | rear in | checktime | |
| 17,400 | 2,262 | 99,385 | -8,143 | skid front(out) | 1000000,000 | 6,600 | 0,000 | 1,000 | 100,000 | -3,126847 | 1,990 | 0,769 | 0,7689 | 0,7689 | 0,7532 | 0,7532 | | |
| 0,000 | 60,740 | 99,367 | -8,194 | O.K | 1000000,000 | 6,600 | 0,000 | 1,000 | 100,000 | 0,000 | 0,000 | 0,769 | | | | | | |
| 0,400 | 60,037 | 99,367 | -8,193 | skid front(in) | 1000000,000 | 6,600 | 0,000 | 1,000 | 100,000 | 0,000 | 0,024 | 0,769 | 0,769 | 0,769 | 0,753 | 0,753 | 0,024 | |
| 1,000 | 58,966 | 99,367 | -8,191 | skid front(in) | 1000000,000 | 6,600 | 0,000 | 1,000 | 100,000 | 0,000 | 0,060 | 0,769 | 0,769 | 0,769 | 0,753 | 0,753 | 0,036 | |
| 1,500 | 58,059 | 99,367 | -8,190 | skid front(in) | 1000000,000 | 6,600 | 0,000 | 1,000 | 100,000 | 0,000 | 0,091 | 0,769 | 0,769 | 0,769 | 0,753 | 0,753 | 0,031 | |
| 2,000 | 57,138 | 99,367 | -8,188 | skid front(in) | 1000000,000 | 6,600 | 0,000 | 1,000 | 100,000 | 0,000 | 0,122 | 0,769 | 0,769 | 0,769 | 0,753 | 0,753 | 0,031 | |
| 2,500 | 56,202 | 99,367 | -8,187 | skid front(in) | 1000000,000 | 6,600 | 0,000 | 1,000 | 100,000 | 0,000 | 0,154 | 0,769 | 0,769 | 0,769 | 0,753 | 0,753 | 0,032 | |
| 3,000 | 55,250 | 99,367 | -8,185 | skid front(in) | 1000000,000 | 6,600 | 0,000 | 1,000 | 100,000 | 0,000 | 0,186 | 0,769 | 0,769 | 0,769 | 0,753 | 0,753 | 0,032 | |
| 3,500 | 54,281 | 99,367 | -8,184 | skid front(in) | 1000000,000 | 6,600 | 0,000 | 1,000 | 100,000 | 0,000 | 0,219 | 0,769 | 0,769 | 0,769 | 0,753 | 0,753 | 0,033 | |
| 4,000 | 53,295 | 99,367 | -8,182 | skid front(in) | 1000000,000 | 6,600 | 0,000 | 1,000 | 100,000 | 0,000 | 0,253 | 0,769 | 0,769 | 0,769 | 0,753 | 0,753 | 0,033 | |
| 4,400 | 52,494 | 99,367 | -8,181 | skid front(in) | 1000000,000 | 6,600 | 0,000 | 1,000 | 100,000 | 0,000 | 0,280 | 0,769 | 0,769 | 0,769 | 0,753 | 0,753 | 0,027 | |
| 5,000 | 51,267 | 99,368 | -8,179 | skid front(in) | 1000000,000 | 6,600 | 0,000 | 1,000 | 100,000 | 0,000 | 0,321 | 0,769 | 0,769 | 0,769 | 0,753 | 0,753 | 0,042 | |
| 5,500 | 50,223 | 99,368 | -8,178 | skid front(in) | 1000000,000 | 6,600 | 0,000 | 1,000 | 100,000 | 0,000 | 0,357 | 0,769 | 0,769 | 0,769 | 0,753 | 0,753 | 0,035 | |
| 6,000 | 49,157 | 99,368 | -8,177 | skid front(in) | 1000000,000 | 6,600 | 0,000 | 1,000 | 100,000 | 0,000 | 0,393 | 0,769 | 0,769 | 0,769 | 0,753 | 0,753 | 0,036 | |
| 6,500 | 48,067 | 99,368 | -8,175 | skid front(in) | 1000000,000 | 6,600 | 0,000 | 1,000 | 100,000 | 0,000 | 0,430 | 0,769 | 0,769 | 0,769 | 0,753 | 0,753 | 0,037 | |
| 7,000 | 46,952 | 99,368 | -8,174 | skid front(in) | 1000000,000 | 6,600 | 0,000 | 1,000 | 100,000 | 0,000 | 0,468 | 0,769 | 0,769 | 0,769 | 0,753 | 0,753 | 0,038 | |
| 7,500 | 45,810 | 99,368 | -8,172 | skid front(in) | 1000000,000 | 6,600 | 0,000 | 1,000 | 100,000 | 0,000 | 0,507 | 0,769 | 0,769 | 0,769 | 0,753 | 0,753 | 0,039 | |
| 8,000 | 44,639 | 99,368 | -8,171 | skid front(in) | 1000000,000 | 6,600 | 0,000 | 1,000 | 100,000 | 0,000 | 0,547 | 0,769 | 0,769 | 0,769 | 0,753 | 0,753 | 0,040 | |
| 8,500 | 43,437 | 99,368 | -8,169 | skid front(in) | 1000000,000 | 6,600 | 0,000 | 1,000 | 100,000 | 0,000 | 0,588 | 0,769 | 0,769 | 0,769 | 0,753 | 0,753 | 0,041 | |
| 9,000 | 42,201 | 99,368 | -8,168 | skid front(in) | 1000000,000 | 6,600 | 0,000 | 1,000 | 100,000 | 0,000 | 0,630 | 0,769 | 0,769 | 0,769 | 0,753 | 0,753 | 0,042 | |
| 9,500 | 40,927 | 99,368 | -8,167 | skid front(in) | 1000000,000 | 6,600 | 0,000 | 1,000 | 100,000 | 0,000 | 0,673 | 0,769 | 0,769 | 0,769 | 0,753 | 0,753 | 0,043 | |
| 10,000 | 39,613 | 99,368 | -8,165 | skid front(in) | 1000000,000 | 6,600 | 0,000 | 1,000 | 100,000 | 0,000 | 0,718 | 0,769 | 0,769 | 0,769 | 0,753 | 0,753 | 0,045 | |
| 10,500 | 38,255 | 99,369 | -8,164 | skid front(in) | 1000000,000 | 6,600 | 0,000 | 1,000 | 100,000 | 0,000 | 0,764 | 0,769 | 0,769 | 0,769 | 0,753 | 0,753 | 0,046 | |
| 11,000 | 36,846 | 99,369 | -8,162 | skid front(in) | 1000000,000 | 6,600 | 0,000 | 1,000 | 100,000 | 0,000 | 0,812 | 0,769 | 0,769 | 0,769 | 0,753 | 0,753 | 0,048 | |
| 11,500 | 35,382 | 99,369 | -8,161 | skid front(in) | 1000000,000 | 6,600 | 0,000 | 1,000 | 100,000 | 0,000 | 0,862 | 0,769 | 0,769 | 0,769 | 0,753 | 0,753 | 0,050 | |
| 12,000 | 33,854 | 99,369 | -8,159 | skid front(in) | 1000000,000 | 6,600 | 0,000 | 1,000 | 100,000 | 0,000 | 0,914 | 0,769 | 0,769 | 0,769 | 0,753 | 0,753 | 0,052 | |
| 12,500 | 32,255 | 99,369 | -8,158 | skid front(in) | 1000000,000 | 6,600 | 0,000 | 1,000 | 100,000 | 0,001 | 0,968 | 0,769 | 0,769 | 0,769 | 0,753 | 0,753 | 0,054 | |
| 13,000 | 30,572 | 99,369 | -8,156 | skid front(in) | 1000000,000 | 6,600 | 0,000 | 1,000 | 100,000 | 0,001 | 1,025 | 0,769 | 0,769 | 0,769 | 0,753 | 0,753 | 0,057 | |
| 13,500 | 28,791 | 99,369 | -8,155 | skid front(in) | 1000000,000 | 6,600 | 0,000 | 1,000 | 100,000 | 0,000 | 1,086 | 0,769 | 0,769 | 0,769 | 0,753 | 0,753 | 0,061 | |
| 14,000 | 26,894 | 99,370 | -8,152 | skid front(out) | 1000000,000 | 6,600 | 0,000 | 1,000 | 100,000 | -3,190 | 1,151 | 0,769 | 0,769 | 0,769 | 0,753 | 0,753 | 0,065 | |
| 14,500 | 24,852 | 99,339 | -8,150 | skid front(out) | 1000000,000 | 6,600 | 0,000 | 1,000 | 100,000 | 0,148 | 1,220 | 0,769 | 0,769 | 0,769 | 0,753 | 0,753 | 0,070 | |
| 15,000 | 22,627 | 99,378 | -8,150 | skid front(out) | 1000000,000 | 6,600 | 0,000 | 1,000 | 100,000 | -2,164 | 1,296 | 0,769 | 0,769 | 0,769 | 0,753 | 0,753 | 0,076 | |
| 15,500 | 20,158 | 99,380 | -8,148 | skid front(out) | 1000000,000 | 6,600 | 0,000 | 1,000 | 100,000 | -2,608 | 1,380 | 0,769 | 0,769 | 0,769 | 0,753 | 0,753 | 0,084 | |
| 16,000 | 17,342 | 99,369 | -8,145 | skid front(out) | 1000000,000 | 6,600 | 0,000 | 1,000 | 100,000 | -4,245 | 1,476 | 0,769 | 0,769 | 0,769 | 0,753 | 0,753 | 0,096 | |
| 16,500 | 13,970 | 99,405 | -8,146 | skid front(out) | 1000000,000 | 6,600 | 0,000 | 1,000 | 100,000 | -4,160 | 1,591 | 0,769 | 0,769 | 0,769 | 0,753 | 0,753 | 0,115 | |
| 17,000 | 9,465 | 99,365 | -8,142 | skid front(out) | 1000000,000 | 6,600 | 0,000 | 1,000 | 100,000 | -3,333 | 1,745 | 0,769 | 0,769 | 0,769 | 0,753 | 0,753 | 0,154 | |
| 17,400 | 2,262 | 99,385 | -8,143 | skid front(out) | 1000000,000 | 6,600 | 0,000 | 1,000 | 100,000 | -3,127 | 1,990 | 0,769 | 0,769 | 0,769 | 0,753 | 0,753 | 0,246 | |

Προσδιορισμός Τιμών Πρόσφυσης κατά την Πέδηση Οχημάτων Εφοδιασμένων με Σύστημα ABS σε Αυξημένες κατά Μήκος Κλίσεις

| run v_d ntua 4 | | R(m) | br.front (%) | s(%) | e (%) | coeff | effic (%) | | time (sec) | | | | | | | | | |
|----------------|----------|------------|--------------|-----------------|-------------|-------|-----------|-------|------------|-----------|------------|-------|-----------|----------|----------|---------|-----------|--|
| s= | 100,000 | 1000000,00 | 68,50 | 6,6 | 0,0 | 1,00 | 100 | | 1,921 | 0,963 | | | | | | | | |
| step= | 0,100 | viewstep= | 0,500 | STEPS | | | | | | | | | | | | | | |
| s (m) | V (km/h) | n (%) | dv/dt | skid check | R(m) | s(%) | e (%) | coeff | effic (%) | decelera | time (sec) | fT | front out | front in | rear out | rear in | checktime | |
| 15,400 | 1,626 | 99,825 | -7,863 | skid front(out) | 1000000,000 | 6,600 | 0,000 | 1,000 | 100,000 | -2,714703 | 1,921 | 0,737 | 0,7369 | 0,7369 | 0,7326 | 0,7326 | | |
| 0,000 | 56,130 | 99,818 | -7,908 | O.K | 1000000,000 | 6,600 | 0,000 | 1,000 | 100,000 | 0,000 | 0,000 | 0,737 | | | | | | |
| 0,400 | 55,395 | 99,818 | -7,907 | skid front(in) | 1000000,000 | 6,600 | 0,000 | 1,000 | 100,000 | 0,000 | 0,026 | 0,737 | 0,737 | 0,737 | 0,733 | 0,733 | 0,026 | |
| 1,000 | 54,274 | 99,818 | -7,905 | skid front(in) | 1000000,000 | 6,600 | 0,000 | 1,000 | 100,000 | 0,000 | 0,065 | 0,737 | 0,737 | 0,737 | 0,733 | 0,733 | 0,039 | |
| 1,500 | 53,322 | 99,818 | -7,904 | skid front(in) | 1000000,000 | 6,600 | 0,000 | 1,000 | 100,000 | 0,000 | 0,099 | 0,737 | 0,737 | 0,737 | 0,733 | 0,733 | 0,033 | |
| 2,000 | 52,352 | 99,818 | -7,902 | skid front(in) | 1000000,000 | 6,600 | 0,000 | 1,000 | 100,000 | 0,000 | 0,133 | 0,737 | 0,737 | 0,737 | 0,733 | 0,733 | 0,034 | |
| 2,500 | 51,365 | 99,818 | -7,901 | skid front(in) | 1000000,000 | 6,600 | 0,000 | 1,000 | 100,000 | 0,000 | 0,167 | 0,737 | 0,737 | 0,737 | 0,733 | 0,733 | 0,035 | |
| 3,000 | 50,359 | 99,818 | -7,899 | skid front(in) | 1000000,000 | 6,600 | 0,000 | 1,000 | 100,000 | 0,000 | 0,203 | 0,737 | 0,737 | 0,737 | 0,733 | 0,733 | 0,035 | |
| 3,500 | 49,332 | 99,818 | -7,898 | skid front(in) | 1000000,000 | 6,600 | 0,000 | 1,000 | 100,000 | 0,000 | 0,239 | 0,737 | 0,737 | 0,737 | 0,733 | 0,733 | 0,036 | |
| 4,000 | 48,283 | 99,819 | -7,897 | skid front(in) | 1000000,000 | 6,600 | 0,000 | 1,000 | 100,000 | 0,000 | 0,276 | 0,737 | 0,737 | 0,737 | 0,733 | 0,733 | 0,037 | |
| 4,400 | 47,428 | 99,819 | -7,896 | skid front(in) | 1000000,000 | 6,600 | 0,000 | 1,000 | 100,000 | 0,000 | 0,306 | 0,737 | 0,737 | 0,737 | 0,733 | 0,733 | 0,030 | |
| 5,000 | 46,115 | 99,819 | -7,894 | skid front(in) | 1000000,000 | 6,600 | 0,000 | 1,000 | 100,000 | 0,000 | 0,352 | 0,737 | 0,737 | 0,737 | 0,733 | 0,733 | 0,046 | |
| 5,500 | 44,993 | 99,819 | -7,892 | skid front(in) | 1000000,000 | 6,600 | 0,000 | 1,000 | 100,000 | 0,000 | 0,392 | 0,737 | 0,737 | 0,737 | 0,733 | 0,733 | 0,040 | |
| 6,000 | 43,841 | 99,819 | -7,891 | skid front(in) | 1000000,000 | 6,600 | 0,000 | 1,000 | 100,000 | 0,000 | 0,432 | 0,737 | 0,737 | 0,737 | 0,733 | 0,733 | 0,041 | |
| 6,500 | 42,659 | 99,819 | -7,890 | skid front(in) | 1000000,000 | 6,600 | 0,000 | 1,000 | 100,000 | 0,000 | 0,474 | 0,737 | 0,737 | 0,737 | 0,733 | 0,733 | 0,042 | |
| 7,000 | 41,443 | 99,819 | -7,888 | skid front(in) | 1000000,000 | 6,600 | 0,000 | 1,000 | 100,000 | 0,000 | 0,517 | 0,737 | 0,737 | 0,737 | 0,733 | 0,733 | 0,043 | |
| 7,500 | 40,191 | 99,819 | -7,887 | skid front(in) | 1000000,000 | 6,600 | 0,000 | 1,000 | 100,000 | 0,000 | 0,561 | 0,737 | 0,737 | 0,737 | 0,733 | 0,733 | 0,044 | |
| 8,000 | 38,899 | 99,819 | -7,885 | skid front(in) | 1000000,000 | 6,600 | 0,000 | 1,000 | 100,000 | 0,000 | 0,606 | 0,737 | 0,737 | 0,737 | 0,733 | 0,733 | 0,046 | |
| 8,500 | 37,563 | 99,819 | -7,884 | skid front(in) | 1000000,000 | 6,600 | 0,000 | 1,000 | 100,000 | 0,000 | 0,653 | 0,737 | 0,737 | 0,737 | 0,733 | 0,733 | 0,047 | |
| 9,000 | 36,177 | 99,819 | -7,883 | skid front(in) | 1000000,000 | 6,600 | 0,000 | 1,000 | 100,000 | 0,000 | 0,702 | 0,737 | 0,737 | 0,737 | 0,733 | 0,733 | 0,049 | |
| 9,500 | 34,737 | 99,819 | -7,881 | skid front(in) | 1000000,000 | 6,600 | 0,000 | 1,000 | 100,000 | 0,000 | 0,753 | 0,737 | 0,737 | 0,737 | 0,733 | 0,733 | 0,051 | |
| 10,000 | 33,234 | 99,820 | -7,880 | skid front(in) | 1000000,000 | 6,600 | 0,000 | 1,000 | 100,000 | 0,000 | 0,806 | 0,737 | 0,737 | 0,737 | 0,733 | 0,733 | 0,053 | |
| 10,500 | 31,660 | 99,820 | -7,878 | skid front(in) | 1000000,000 | 6,600 | 0,000 | 1,000 | 100,000 | 0,001 | 0,861 | 0,737 | 0,737 | 0,737 | 0,733 | 0,733 | 0,055 | |
| 11,000 | 30,005 | 99,820 | -7,877 | skid front(in) | 1000000,000 | 6,600 | 0,000 | 1,000 | 100,000 | 0,000 | 0,920 | 0,737 | 0,737 | 0,737 | 0,733 | 0,733 | 0,058 | |
| 11,500 | 28,253 | 99,820 | -7,875 | skid front(in) | 1000000,000 | 6,600 | 0,000 | 1,000 | 100,000 | 0,001 | 0,981 | 0,737 | 0,737 | 0,737 | 0,733 | 0,733 | 0,062 | |
| 12,000 | 26,385 | 99,824 | -7,873 | skid front(out) | 1000000,000 | 6,600 | 0,000 | 1,000 | 100,000 | -1,858 | 1,047 | 0,737 | 0,737 | 0,737 | 0,733 | 0,733 | 0,066 | |
| 12,500 | 24,375 | 99,798 | -7,870 | skid front(in) | 1000000,000 | 6,600 | 0,000 | 1,000 | 100,000 | -1,879 | 1,118 | 0,737 | 0,737 | 0,737 | 0,732 | 0,732 | 0,071 | |
| 13,000 | 22,183 | 99,836 | -7,871 | skid front(out) | 1000000,000 | 6,600 | 0,000 | 1,000 | 100,000 | -2,028 | 1,196 | 0,737 | 0,737 | 0,737 | 0,733 | 0,733 | 0,077 | |
| 13,500 | 19,751 | 99,792 | -7,868 | skid front(out) | 1000000,000 | 6,600 | 0,000 | 1,000 | 100,000 | -0,017 | 1,281 | 0,737 | 0,737 | 0,737 | 0,732 | 0,732 | 0,086 | |
| 14,000 | 16,974 | 99,815 | -7,866 | skid front(out) | 1000000,000 | 6,600 | 0,000 | 1,000 | 100,000 | -2,839 | 1,379 | 0,737 | 0,737 | 0,737 | 0,732 | 0,732 | 0,098 | |
| 14,500 | 13,644 | 99,847 | -7,866 | skid front(out) | 1000000,000 | 6,600 | 0,000 | 1,000 | 100,000 | -4,137 | 1,497 | 0,737 | 0,737 | 0,737 | 0,733 | 0,733 | 0,118 | |
| 15,000 | 9,177 | 99,854 | -7,864 | skid front(out) | 1000000,000 | 6,600 | 0,000 | 1,000 | 100,000 | -5,221 | 1,655 | 0,737 | 0,737 | 0,737 | 0,733 | 0,733 | 0,158 | |
| 15,400 | 1,626 | 99,825 | -7,863 | skid front(out) | 1000000,000 | 6,600 | 0,000 | 1,000 | 100,000 | -2,715 | 1,921 | 0,737 | 0,737 | 0,737 | 0,733 | 0,733 | 0,267 | |

Προσδιορισμός Τιμών Πρόσφυσης κατά την Πέδηση Οχημάτων Εφοδιασμένων με Σύστημα ABS σε Αυξημένες κατά Μήκος Κλίσεις

| run_v_d_ntua_5 | | R(m) | br.front (%) | s(%) | e (%) | coeff | effic (%) | | | time (sec) | | | | | | | |
|----------------|----------|------------|--------------|-----------------|-------------|-------|-----------|-------|-----------|------------|------------|-------|-----------|----------|----------|---------|-----------|
| s= | 100,000 | 1000000,00 | 69,00 | 6,6 | 0,0 | 1,00 | 100 | | | 1,741 | 0,963 | | | | | | |
| step= | 0,100 | viewstep= | 0,500 | STEPS | | | | | | | | | | | | | |
| s (m) | V (km/h) | n (%) | dv/dt | skid check | R(m) | s(%) | e (%) | coeff | effic (%) | decelera | time (sec) | fT | front out | front in | rear out | rear in | checktime |
| 14,100 | 4,199 | 99,364 | -7,949 | skid front(out) | 1000000,000 | 6,600 | 0,000 | 1,000 | 100,000 | 0,420646 | 1,741 | 0,749 | 0,7488 | 0,7488 | 0,7344 | 0,7344 | |
| 0,000 | 54,140 | 99,404 | -7,992 | O.K | 1000000,000 | 6,600 | 0,000 | 1,000 | 100,000 | 0,000 | 0,000 | 0,749 | | | | | |
| 0,400 | 53,369 | 99,404 | -7,991 | skid front(in) | 1000000,000 | 6,600 | 0,000 | 1,000 | 100,000 | 0,000 | 0,027 | 0,749 | 0,749 | 0,749 | 0,735 | 0,735 | 0,027 |
| 1,000 | 52,192 | 99,404 | -7,989 | skid front(in) | 1000000,000 | 6,600 | 0,000 | 1,000 | 100,000 | 0,000 | 0,068 | 0,749 | 0,749 | 0,749 | 0,735 | 0,735 | 0,041 |
| 1,500 | 51,190 | 99,404 | -7,988 | skid front(in) | 1000000,000 | 6,600 | 0,000 | 1,000 | 100,000 | 0,000 | 0,103 | 0,749 | 0,749 | 0,749 | 0,735 | 0,735 | 0,035 |
| 2,000 | 50,169 | 99,405 | -7,986 | skid front(in) | 1000000,000 | 6,600 | 0,000 | 1,000 | 100,000 | 0,000 | 0,138 | 0,749 | 0,749 | 0,749 | 0,735 | 0,735 | 0,036 |
| 2,500 | 49,127 | 99,405 | -7,985 | skid front(in) | 1000000,000 | 6,600 | 0,000 | 1,000 | 100,000 | 0,000 | 0,174 | 0,749 | 0,749 | 0,749 | 0,735 | 0,735 | 0,036 |
| 3,000 | 48,062 | 99,405 | -7,983 | skid front(in) | 1000000,000 | 6,600 | 0,000 | 1,000 | 100,000 | 0,000 | 0,211 | 0,749 | 0,749 | 0,749 | 0,735 | 0,735 | 0,037 |
| 3,500 | 46,974 | 99,405 | -7,982 | skid front(in) | 1000000,000 | 6,600 | 0,000 | 1,000 | 100,000 | 0,000 | 0,249 | 0,749 | 0,749 | 0,749 | 0,735 | 0,735 | 0,038 |
| 4,000 | 45,859 | 99,405 | -7,980 | skid front(in) | 1000000,000 | 6,600 | 0,000 | 1,000 | 100,000 | 0,000 | 0,288 | 0,749 | 0,749 | 0,749 | 0,735 | 0,735 | 0,039 |
| 4,400 | 44,948 | 99,405 | -7,979 | skid front(in) | 1000000,000 | 6,600 | 0,000 | 1,000 | 100,000 | 0,000 | 0,320 | 0,749 | 0,749 | 0,749 | 0,735 | 0,735 | 0,032 |
| 5,000 | 43,546 | 99,405 | -7,978 | skid front(in) | 1000000,000 | 6,600 | 0,000 | 1,000 | 100,000 | 0,000 | 0,369 | 0,749 | 0,749 | 0,749 | 0,735 | 0,735 | 0,049 |
| 5,500 | 42,343 | 99,405 | -7,976 | skid front(in) | 1000000,000 | 6,600 | 0,000 | 1,000 | 100,000 | 0,000 | 0,410 | 0,749 | 0,749 | 0,749 | 0,735 | 0,735 | 0,042 |
| 6,000 | 41,104 | 99,405 | -7,975 | skid front(in) | 1000000,000 | 6,600 | 0,000 | 1,000 | 100,000 | 0,000 | 0,454 | 0,749 | 0,749 | 0,749 | 0,735 | 0,735 | 0,043 |
| 6,500 | 39,827 | 99,405 | -7,973 | skid front(in) | 1000000,000 | 6,600 | 0,000 | 1,000 | 100,000 | 0,000 | 0,498 | 0,749 | 0,749 | 0,749 | 0,735 | 0,735 | 0,044 |
| 7,000 | 38,508 | 99,405 | -7,972 | skid front(in) | 1000000,000 | 6,600 | 0,000 | 1,000 | 100,000 | 0,000 | 0,544 | 0,749 | 0,749 | 0,749 | 0,735 | 0,735 | 0,046 |
| 7,500 | 37,142 | 99,406 | -7,971 | skid front(in) | 1000000,000 | 6,600 | 0,000 | 1,000 | 100,000 | 0,000 | 0,592 | 0,749 | 0,749 | 0,749 | 0,735 | 0,735 | 0,048 |
| 8,000 | 35,725 | 99,406 | -7,969 | skid front(in) | 1000000,000 | 6,600 | 0,000 | 1,000 | 100,000 | 0,000 | 0,641 | 0,749 | 0,749 | 0,749 | 0,735 | 0,735 | 0,049 |
| 8,500 | 34,249 | 99,406 | -7,968 | skid front(in) | 1000000,000 | 6,600 | 0,000 | 1,000 | 100,000 | 0,000 | 0,692 | 0,749 | 0,749 | 0,749 | 0,735 | 0,735 | 0,051 |
| 9,000 | 32,707 | 99,406 | -7,966 | skid front(in) | 1000000,000 | 6,600 | 0,000 | 1,000 | 100,000 | 0,001 | 0,746 | 0,749 | 0,749 | 0,749 | 0,735 | 0,735 | 0,054 |
| 9,500 | 31,089 | 99,406 | -7,965 | skid front(in) | 1000000,000 | 6,600 | 0,000 | 1,000 | 100,000 | 0,001 | 0,803 | 0,749 | 0,749 | 0,749 | 0,735 | 0,735 | 0,056 |
| 10,000 | 29,382 | 99,406 | -7,963 | skid front(in) | 1000000,000 | 6,600 | 0,000 | 1,000 | 100,000 | 0,000 | 0,862 | 0,749 | 0,749 | 0,749 | 0,735 | 0,735 | 0,060 |
| 10,500 | 27,570 | 99,406 | -7,962 | skid front(in) | 1000000,000 | 6,600 | 0,000 | 1,000 | 100,000 | 0,002 | 0,925 | 0,749 | 0,749 | 0,749 | 0,735 | 0,735 | 0,063 |
| 11,000 | 25,631 | 99,443 | -7,960 | skid front(out) | 1000000,000 | 6,600 | 0,000 | 1,000 | 100,000 | -4,273 | 0,993 | 0,749 | 0,749 | 0,749 | 0,735 | 0,735 | 0,068 |
| 11,500 | 23,532 | 99,392 | -7,957 | skid front(out) | 1000000,000 | 6,600 | 0,000 | 1,000 | 100,000 | -1,912 | 1,066 | 0,749 | 0,749 | 0,749 | 0,734 | 0,734 | 0,073 |
| 12,000 | 21,228 | 99,385 | -7,956 | skid front(out) | 1000000,000 | 6,600 | 0,000 | 1,000 | 100,000 | -0,825 | 1,147 | 0,749 | 0,749 | 0,749 | 0,735 | 0,735 | 0,080 |
| 12,500 | 18,641 | 99,396 | -7,954 | skid front(out) | 1000000,000 | 6,600 | 0,000 | 1,000 | 100,000 | -2,547 | 1,237 | 0,749 | 0,749 | 0,749 | 0,734 | 0,734 | 0,090 |
| 13,000 | 15,633 | 99,429 | -7,955 | skid front(out) | 1000000,000 | 6,600 | 0,000 | 1,000 | 100,000 | -2,823 | 1,342 | 0,749 | 0,749 | 0,749 | 0,735 | 0,735 | 0,105 |
| 13,500 | 11,887 | 99,419 | -7,952 | skid front(out) | 1000000,000 | 6,600 | 0,000 | 1,000 | 100,000 | -4,252 | 1,473 | 0,749 | 0,749 | 0,749 | 0,735 | 0,735 | 0,131 |
| 14,000 | 6,184 | 99,428 | -7,951 | skid front(out) | 1000000,000 | 6,600 | 0,000 | 1,000 | 100,000 | -3,854 | 1,672 | 0,749 | 0,749 | 0,749 | 0,735 | 0,735 | 0,199 |
| 14,100 | 4,199 | 99,364 | -7,949 | skid front(out) | 1000000,000 | 6,600 | 0,000 | 1,000 | 100,000 | 0,421 | 1,741 | 0,749 | 0,749 | 0,749 | 0,734 | 0,734 | 0,069 |

Προσδιορισμός Τιμών Πρόσφυσης κατά την Πέδηση Οχημάτων Εφοδιασμένων με Σύστημα ABS σε Αυξημένες κατά Μήκος Κλίσεις

| run_v_d_ntua_6 | | R(m) | br.front (%) | s(%) | e (%) | coeff | effic (%) | | | time (sec) | | | | | | | |
|----------------|----------|------------|--------------|-----------------|-------------|-------|-----------|-------|-----------|------------|------------|-------|-----------|----------|----------|---------|-----------|
| s= | 100,000 | 1000000,00 | 68,00 | 6,6 | 0,0 | 1,00 | 100 | | | 2,043 | | | | | | | |
| step= | 0,100 | viewstep= | 0,500 | STEPS | | | | | | | | | | | | | |
| s (m) | V (km/h) | n (%) | dv/dt | skid check | R(m) | s(%) | e (%) | coeff | effic (%) | decelera | time (sec) | ff | front out | front in | rear out | rear in | checktime |
| 16,300 | 0,398 | 99,931 | -7,695 | skid front(out) | 1000000,000 | 6,600 | 0,000 | 1,000 | 100,000 | -2,157460 | 2,043 | 0,719 | 0,7188 | 0,7188 | 0,7175 | 0,7175 | |
| 0,000 | 57,110 | 99,950 | -7,743 | O.K | 1000000,000 | 6,600 | 0,000 | 1,000 | 100,000 | 0,000 | 0,000 | 0,719 | | | | | |
| 0,400 | 56,403 | 99,950 | -7,742 | skid front(in) | 1000000,000 | 6,600 | 0,000 | 1,000 | 100,000 | 0,000 | 0,025 | 0,719 | 0,719 | 0,719 | 0,718 | 0,718 | 0,025 |
| 1,000 | 55,325 | 99,950 | -7,740 | skid front(in) | 1000000,000 | 6,600 | 0,000 | 1,000 | 100,000 | 0,000 | 0,064 | 0,719 | 0,719 | 0,719 | 0,718 | 0,718 | 0,039 |
| 1,500 | 54,411 | 99,950 | -7,739 | skid front(in) | 1000000,000 | 6,600 | 0,000 | 1,000 | 100,000 | 0,000 | 0,097 | 0,719 | 0,719 | 0,719 | 0,718 | 0,718 | 0,033 |
| 2,000 | 53,482 | 99,950 | -7,737 | skid front(in) | 1000000,000 | 6,600 | 0,000 | 1,000 | 100,000 | 0,000 | 0,130 | 0,719 | 0,719 | 0,719 | 0,718 | 0,718 | 0,033 |
| 2,500 | 52,536 | 99,950 | -7,736 | skid front(in) | 1000000,000 | 6,600 | 0,000 | 1,000 | 100,000 | 0,000 | 0,164 | 0,719 | 0,719 | 0,719 | 0,718 | 0,718 | 0,034 |
| 3,000 | 51,573 | 99,950 | -7,735 | skid front(in) | 1000000,000 | 6,600 | 0,000 | 1,000 | 100,000 | 0,000 | 0,199 | 0,719 | 0,719 | 0,719 | 0,718 | 0,718 | 0,035 |
| 3,500 | 50,592 | 99,950 | -7,733 | skid front(in) | 1000000,000 | 6,600 | 0,000 | 1,000 | 100,000 | 0,000 | 0,234 | 0,719 | 0,719 | 0,719 | 0,718 | 0,718 | 0,035 |
| 4,000 | 49,592 | 99,950 | -7,732 | skid front(in) | 1000000,000 | 6,600 | 0,000 | 1,000 | 100,000 | 0,000 | 0,270 | 0,719 | 0,719 | 0,719 | 0,718 | 0,718 | 0,036 |
| 4,400 | 48,777 | 99,950 | -7,731 | skid front(in) | 1000000,000 | 6,600 | 0,000 | 1,000 | 100,000 | 0,000 | 0,299 | 0,719 | 0,719 | 0,719 | 0,718 | 0,718 | 0,029 |
| 5,000 | 47,529 | 99,951 | -7,729 | skid front(in) | 1000000,000 | 6,600 | 0,000 | 1,000 | 100,000 | 0,000 | 0,344 | 0,719 | 0,719 | 0,719 | 0,718 | 0,718 | 0,045 |
| 5,500 | 46,463 | 99,951 | -7,728 | skid front(in) | 1000000,000 | 6,600 | 0,000 | 1,000 | 100,000 | 0,000 | 0,382 | 0,719 | 0,719 | 0,719 | 0,718 | 0,718 | 0,038 |
| 6,000 | 45,373 | 99,951 | -7,726 | skid front(in) | 1000000,000 | 6,600 | 0,000 | 1,000 | 100,000 | 0,000 | 0,422 | 0,719 | 0,719 | 0,719 | 0,718 | 0,718 | 0,039 |
| 6,500 | 44,255 | 99,951 | -7,725 | skid front(in) | 1000000,000 | 6,600 | 0,000 | 1,000 | 100,000 | 0,000 | 0,462 | 0,719 | 0,719 | 0,719 | 0,718 | 0,718 | 0,040 |
| 7,000 | 43,110 | 99,951 | -7,723 | skid front(in) | 1000000,000 | 6,600 | 0,000 | 1,000 | 100,000 | 0,000 | 0,503 | 0,719 | 0,719 | 0,719 | 0,718 | 0,718 | 0,041 |
| 7,500 | 41,933 | 99,951 | -7,722 | skid front(in) | 1000000,000 | 6,600 | 0,000 | 1,000 | 100,000 | 0,000 | 0,545 | 0,719 | 0,719 | 0,719 | 0,718 | 0,718 | 0,042 |
| 8,000 | 40,722 | 99,951 | -7,721 | skid front(in) | 1000000,000 | 6,600 | 0,000 | 1,000 | 100,000 | 0,000 | 0,589 | 0,719 | 0,719 | 0,719 | 0,718 | 0,718 | 0,044 |
| 8,500 | 39,474 | 99,951 | -7,719 | skid front(in) | 1000000,000 | 6,600 | 0,000 | 1,000 | 100,000 | 0,000 | 0,634 | 0,719 | 0,719 | 0,719 | 0,718 | 0,718 | 0,045 |
| 9,000 | 38,186 | 99,951 | -7,718 | skid front(in) | 1000000,000 | 6,600 | 0,000 | 1,000 | 100,000 | 0,000 | 0,680 | 0,719 | 0,719 | 0,719 | 0,718 | 0,718 | 0,046 |
| 9,500 | 36,854 | 99,951 | -7,716 | skid front(in) | 1000000,000 | 6,600 | 0,000 | 1,000 | 100,000 | 0,000 | 0,728 | 0,719 | 0,719 | 0,719 | 0,718 | 0,718 | 0,048 |
| 10,000 | 35,471 | 99,951 | -7,715 | skid front(in) | 1000000,000 | 6,600 | 0,000 | 1,000 | 100,000 | 0,001 | 0,778 | 0,719 | 0,719 | 0,719 | 0,718 | 0,718 | 0,050 |
| 10,500 | 34,033 | 99,952 | -7,714 | skid front(in) | 1000000,000 | 6,600 | 0,000 | 1,000 | 100,000 | 0,000 | 0,830 | 0,719 | 0,719 | 0,719 | 0,718 | 0,718 | 0,052 |
| 11,000 | 32,531 | 99,952 | -7,712 | skid front(in) | 1000000,000 | 6,600 | 0,000 | 1,000 | 100,000 | 0,000 | 0,884 | 0,719 | 0,719 | 0,719 | 0,718 | 0,718 | 0,054 |
| 11,500 | 30,957 | 99,952 | -7,711 | skid front(in) | 1000000,000 | 6,600 | 0,000 | 1,000 | 100,000 | 0,001 | 0,940 | 0,719 | 0,719 | 0,719 | 0,718 | 0,718 | 0,057 |
| 12,000 | 29,298 | 99,952 | -7,709 | skid front(in) | 1000000,000 | 6,600 | 0,000 | 1,000 | 100,000 | 0,001 | 1,000 | 0,719 | 0,719 | 0,719 | 0,718 | 0,718 | 0,060 |
| 12,500 | 27,541 | 99,952 | -7,708 | skid front(in) | 1000000,000 | 6,600 | 0,000 | 1,000 | 100,000 | 0,000 | 1,063 | 0,719 | 0,719 | 0,719 | 0,718 | 0,718 | 0,063 |
| 13,000 | 25,663 | 99,933 | -7,705 | skid front(out) | 1000000,000 | 6,600 | 0,000 | 1,000 | 100,000 | -0,801 | 1,131 | 0,719 | 0,719 | 0,719 | 0,718 | 0,718 | 0,068 |
| 13,500 | 23,638 | 99,937 | -7,705 | skid front(out) | 1000000,000 | 6,600 | 0,000 | 1,000 | 100,000 | 0,568 | 1,204 | 0,719 | 0,719 | 0,719 | 0,718 | 0,718 | 0,073 |
| 14,000 | 21,422 | 99,926 | -7,701 | skid front(out) | 1000000,000 | 6,600 | 0,000 | 1,000 | 100,000 | -0,914 | 1,284 | 0,719 | 0,719 | 0,719 | 0,718 | 0,718 | 0,080 |
| 14,500 | 18,950 | 99,959 | -7,701 | skid front(out) | 1000000,000 | 6,600 | 0,000 | 1,000 | 100,000 | -2,516 | 1,373 | 0,719 | 0,719 | 0,719 | 0,718 | 0,718 | 0,089 |
| 15,000 | 16,102 | 99,913 | -7,698 | skid front(out) | 1000000,000 | 6,600 | 0,000 | 1,000 | 100,000 | -0,659 | 1,476 | 0,719 | 0,719 | 0,719 | 0,717 | 0,717 | 0,103 |
| 15,500 | 12,629 | 99,945 | -7,698 | skid front(out) | 1000000,000 | 6,600 | 0,000 | 1,000 | 100,000 | -2,309 | 1,601 | 0,719 | 0,719 | 0,719 | 0,718 | 0,718 | 0,125 |
| 16,000 | 7,727 | 99,960 | -7,697 | skid front(out) | 1000000,000 | 6,600 | 0,000 | 1,000 | 100,000 | -2,165 | 1,778 | 0,719 | 0,719 | 0,719 | 0,718 | 0,718 | 0,177 |
| 16,300 | 0,398 | 99,931 | -7,695 | skid front(out) | 1000000,000 | 6,600 | 0,000 | 1,000 | 100,000 | -2,157 | 2,043 | 0,719 | 0,719 | 0,719 | 0,717 | 0,717 | 0,265 |

Προσδιορισμός Τιμών Πρόσφυσης κατά την Πέδηση Οχημάτων Εφοδιασμένων με Σύστημα ABS σε Αυξημένες κατά Μήκος Κλίσεις

| run v_d ntua 7 | | R(m) | br.front (%) | s(%) | e (%) | coeff | effic (%) | | | | | | | | | | | time (sec) |
|----------------|----------|------------|--------------|-----------------|-------------|-------|-----------|-------|-----------|-----------|------------|-------|-----------|----------|----------|---------|-----------|------------|
| s= | 100,000 | 1000000,00 | 68,00 | 6,6 | 0,0 | 1,00 | 100 | | | | | | | | | | | 1,961 |
| step= | 0,100 | viewstep= | 0,500 | STEPS | | | | | | | | | | | | | | |
| s (m) | V (km/h) | n (%) | dv/dt | skid check | R(m) | s(%) | e (%) | coeff | effic (%) | decelera | time (sec) | ft | front out | front in | rear out | rear in | checktime | |
| 15,600 | 2,178 | 99,200 | -7,488 | skid front(out) | 1000000,000 | 6,600 | 0,000 | 1,000 | 100,000 | -1,160748 | 1,961 | 0,703 | 0,7029 | 0,7029 | 0,6856 | 0,6856 | | |
| 0,000 | 55,150 | 99,197 | -7,532 | O.K | 1000000,000 | 6,600 | 0,000 | 1,000 | 100,000 | 0,000 | 0,000 | 0,703 | | | | | | |
| 0,400 | 54,437 | 99,197 | -7,531 | skid front(in) | 1000000,000 | 6,600 | 0,000 | 1,000 | 100,000 | 0,000 | 0,026 | 0,703 | 0,703 | 0,703 | 0,686 | 0,686 | 0,026 | |
| 1,000 | 53,351 | 99,197 | -7,529 | skid front(in) | 1000000,000 | 6,600 | 0,000 | 1,000 | 100,000 | 0,000 | 0,066 | 0,703 | 0,703 | 0,703 | 0,686 | 0,686 | 0,040 | |
| 1,500 | 52,429 | 99,197 | -7,528 | skid front(in) | 1000000,000 | 6,600 | 0,000 | 1,000 | 100,000 | 0,000 | 0,100 | 0,703 | 0,703 | 0,703 | 0,686 | 0,686 | 0,034 | |
| 2,000 | 51,490 | 99,197 | -7,526 | skid front(in) | 1000000,000 | 6,600 | 0,000 | 1,000 | 100,000 | 0,000 | 0,135 | 0,703 | 0,703 | 0,703 | 0,686 | 0,686 | 0,035 | |
| 2,500 | 50,534 | 99,197 | -7,525 | skid front(in) | 1000000,000 | 6,600 | 0,000 | 1,000 | 100,000 | 0,000 | 0,170 | 0,703 | 0,703 | 0,703 | 0,686 | 0,686 | 0,035 | |
| 3,000 | 49,560 | 99,197 | -7,523 | skid front(in) | 1000000,000 | 6,600 | 0,000 | 1,000 | 100,000 | 0,000 | 0,206 | 0,703 | 0,703 | 0,703 | 0,686 | 0,686 | 0,036 | |
| 3,500 | 48,566 | 99,198 | -7,522 | skid front(in) | 1000000,000 | 6,600 | 0,000 | 1,000 | 100,000 | 0,000 | 0,243 | 0,703 | 0,703 | 0,703 | 0,686 | 0,686 | 0,037 | |
| 4,000 | 47,552 | 99,198 | -7,521 | skid front(in) | 1000000,000 | 6,600 | 0,000 | 1,000 | 100,000 | 0,000 | 0,280 | 0,703 | 0,703 | 0,703 | 0,686 | 0,686 | 0,037 | |
| 4,400 | 46,725 | 99,198 | -7,520 | skid front(in) | 1000000,000 | 6,600 | 0,000 | 1,000 | 100,000 | 0,000 | 0,311 | 0,703 | 0,703 | 0,703 | 0,686 | 0,686 | 0,031 | |
| 5,000 | 45,457 | 99,198 | -7,518 | skid front(in) | 1000000,000 | 6,600 | 0,000 | 1,000 | 100,000 | 0,000 | 0,358 | 0,703 | 0,703 | 0,703 | 0,686 | 0,686 | 0,047 | |
| 5,500 | 44,372 | 99,198 | -7,517 | skid front(in) | 1000000,000 | 6,600 | 0,000 | 1,000 | 100,000 | 0,000 | 0,398 | 0,703 | 0,703 | 0,703 | 0,686 | 0,686 | 0,040 | |
| 6,000 | 43,261 | 99,198 | -7,515 | skid front(in) | 1000000,000 | 6,600 | 0,000 | 1,000 | 100,000 | 0,000 | 0,439 | 0,703 | 0,703 | 0,703 | 0,686 | 0,686 | 0,041 | |
| 6,500 | 42,120 | 99,198 | -7,514 | skid front(in) | 1000000,000 | 6,600 | 0,000 | 1,000 | 100,000 | 0,000 | 0,481 | 0,703 | 0,703 | 0,703 | 0,686 | 0,686 | 0,042 | |
| 7,000 | 40,948 | 99,198 | -7,512 | skid front(in) | 1000000,000 | 6,600 | 0,000 | 1,000 | 100,000 | 0,000 | 0,524 | 0,703 | 0,703 | 0,703 | 0,686 | 0,686 | 0,043 | |
| 7,500 | 39,741 | 99,198 | -7,511 | skid front(in) | 1000000,000 | 6,600 | 0,000 | 1,000 | 100,000 | 0,000 | 0,569 | 0,703 | 0,703 | 0,703 | 0,686 | 0,686 | 0,045 | |
| 8,000 | 38,497 | 99,198 | -7,510 | skid front(in) | 1000000,000 | 6,600 | 0,000 | 1,000 | 100,000 | 0,000 | 0,615 | 0,703 | 0,703 | 0,703 | 0,686 | 0,686 | 0,046 | |
| 8,500 | 37,212 | 99,198 | -7,508 | skid front(in) | 1000000,000 | 6,600 | 0,000 | 1,000 | 100,000 | 0,000 | 0,663 | 0,703 | 0,703 | 0,703 | 0,686 | 0,686 | 0,048 | |
| 9,000 | 35,881 | 99,199 | -7,507 | skid front(in) | 1000000,000 | 6,600 | 0,000 | 1,000 | 100,000 | 0,000 | 0,712 | 0,703 | 0,703 | 0,703 | 0,686 | 0,686 | 0,049 | |
| 9,500 | 34,499 | 99,199 | -7,506 | skid front(in) | 1000000,000 | 6,600 | 0,000 | 1,000 | 100,000 | 0,000 | 0,763 | 0,703 | 0,703 | 0,703 | 0,686 | 0,686 | 0,051 | |
| 10,000 | 33,059 | 99,199 | -7,504 | skid front(in) | 1000000,000 | 6,600 | 0,000 | 1,000 | 100,000 | 0,000 | 0,816 | 0,703 | 0,703 | 0,703 | 0,686 | 0,686 | 0,053 | |
| 10,500 | 31,554 | 99,199 | -7,503 | skid front(in) | 1000000,000 | 6,600 | 0,000 | 1,000 | 100,000 | 0,001 | 0,872 | 0,703 | 0,703 | 0,703 | 0,686 | 0,686 | 0,056 | |
| 11,000 | 29,974 | 99,199 | -7,501 | skid front(in) | 1000000,000 | 6,600 | 0,000 | 1,000 | 100,000 | 0,000 | 0,931 | 0,703 | 0,703 | 0,703 | 0,686 | 0,686 | 0,059 | |
| 11,500 | 28,306 | 99,199 | -7,500 | skid front(in) | 1000000,000 | 6,600 | 0,000 | 1,000 | 100,000 | 0,001 | 0,992 | 0,703 | 0,703 | 0,703 | 0,686 | 0,686 | 0,062 | |
| 12,000 | 26,533 | 99,193 | -7,497 | skid front(out) | 1000000,000 | 6,600 | 0,000 | 1,000 | 100,000 | -1,139 | 1,058 | 0,703 | 0,703 | 0,703 | 0,686 | 0,686 | 0,066 | |
| 12,500 | 24,634 | 99,218 | -7,497 | skid front(out) | 1000000,000 | 6,600 | 0,000 | 1,000 | 100,000 | -2,662 | 1,128 | 0,703 | 0,703 | 0,703 | 0,686 | 0,686 | 0,070 | |
| 13,000 | 22,576 | 99,202 | -7,494 | skid front(out) | 1000000,000 | 6,600 | 0,000 | 1,000 | 100,000 | -2,744 | 1,205 | 0,703 | 0,703 | 0,703 | 0,685 | 0,685 | 0,076 | |
| 13,500 | 20,311 | 99,202 | -7,493 | skid front(out) | 1000000,000 | 6,600 | 0,000 | 1,000 | 100,000 | -2,914 | 1,289 | 0,703 | 0,703 | 0,703 | 0,685 | 0,685 | 0,084 | |
| 14,000 | 17,761 | 99,220 | -7,492 | skid front(out) | 1000000,000 | 6,600 | 0,000 | 1,000 | 100,000 | -3,241 | 1,383 | 0,703 | 0,703 | 0,703 | 0,686 | 0,686 | 0,095 | |
| 14,500 | 14,776 | 99,190 | -7,490 | skid front(out) | 1000000,000 | 6,600 | 0,000 | 1,000 | 100,000 | -1,798 | 1,494 | 0,703 | 0,703 | 0,703 | 0,685 | 0,685 | 0,111 | |
| 15,000 | 11,012 | 99,211 | -7,488 | skid front(out) | 1000000,000 | 6,600 | 0,000 | 1,000 | 100,000 | -3,972 | 1,633 | 0,703 | 0,703 | 0,703 | 0,685 | 0,685 | 0,140 | |
| 15,500 | 4,917 | 99,217 | -7,488 | skid front(out) | 1000000,000 | 6,600 | 0,000 | 1,000 | 100,000 | -2,770 | 1,859 | 0,703 | 0,703 | 0,703 | 0,686 | 0,686 | 0,226 | |
| 15,600 | 2,178 | 99,200 | -7,488 | skid front(out) | 1000000,000 | 6,600 | 0,000 | 1,000 | 100,000 | -1,161 | 1,961 | 0,703 | 0,703 | 0,703 | 0,686 | 0,686 | 0,102 | |

Προσδιορισμός Τιμών Πρόσφυσης κατά την Πέδηση Οχημάτων Εφοδιασμένων με Σύστημα ABS σε Αυξημένες κατά Μήκος Κλίσεις

| run_v_d_ntua_8 | R(m) | br.front (%) | s(%) | e (%) | coeff | effic (%) | | time (sec) | | | | | | | | | |
|----------------|------------|--------------|--------|-----------------|-------------|-----------|-------|------------|-----------|-----------|------------|-------|-----------|----------|----------|---------|-----------|
| s= 100,000 | 1000000,00 | 67,00 | -5,3 | 0,0 | 1,00 | 100 | | 2,907 | 0,963 | | | | | | | | |
| step= 0,100 | viewstep= | 0,500 | STEPS | | | | | | | | | | | | | | |
| s (m) | V (km/h) | n (%) | dv/dt | skid check | R(m) | s(%) | e (%) | coeff | effic (%) | decelera | time (sec) | fT | front out | front in | rear out | rear in | checktime |
| 27,400 | 2,283 | 99,674 | -6,039 | skid front(out) | 1000000,000 | -5,300 | 0,000 | 1,000 | 100,000 | -3,550931 | 2,907 | 0,671 | 0,6709 | 0,6709 | 0,6638 | 0,6638 | |
| 0,000 | 65,700 | 99,645 | -6,101 | O.K | 1000000,000 | -5,300 | 0,000 | 1,000 | 100,000 | 0,000 | 0,000 | 0,671 | | | | | |
| 0,400 | 65,217 | 99,645 | -6,101 | skid front(in) | 1000000,000 | -5,300 | 0,000 | 1,000 | 100,000 | 0,000 | 0,022 | 0,671 | 0,671 | 0,671 | 0,664 | 0,664 | 0,022 |
| 1,000 | 64,485 | 99,645 | -6,099 | skid front(in) | 1000000,000 | -5,300 | 0,000 | 1,000 | 100,000 | 0,000 | 0,055 | 0,671 | 0,671 | 0,671 | 0,664 | 0,664 | 0,033 |
| 1,500 | 63,870 | 99,645 | -6,098 | skid front(in) | 1000000,000 | -5,300 | 0,000 | 1,000 | 100,000 | 0,000 | 0,083 | 0,671 | 0,671 | 0,671 | 0,664 | 0,664 | 0,028 |
| 2,000 | 63,248 | 99,645 | -6,097 | skid front(in) | 1000000,000 | -5,300 | 0,000 | 1,000 | 100,000 | 0,000 | 0,112 | 0,671 | 0,671 | 0,671 | 0,664 | 0,664 | 0,028 |
| 2,500 | 62,620 | 99,645 | -6,096 | skid front(in) | 1000000,000 | -5,300 | 0,000 | 1,000 | 100,000 | 0,000 | 0,140 | 0,671 | 0,671 | 0,671 | 0,664 | 0,664 | 0,029 |
| 3,000 | 61,986 | 99,645 | -6,095 | skid front(in) | 1000000,000 | -5,300 | 0,000 | 1,000 | 100,000 | 0,000 | 0,169 | 0,671 | 0,671 | 0,671 | 0,664 | 0,664 | 0,029 |
| 3,500 | 61,346 | 99,646 | -6,094 | skid front(in) | 1000000,000 | -5,300 | 0,000 | 1,000 | 100,000 | 0,000 | 0,198 | 0,671 | 0,671 | 0,671 | 0,664 | 0,664 | 0,029 |
| 4,000 | 60,699 | 99,646 | -6,092 | skid front(in) | 1000000,000 | -5,300 | 0,000 | 1,000 | 100,000 | 0,000 | 0,228 | 0,671 | 0,671 | 0,671 | 0,664 | 0,664 | 0,029 |
| 4,400 | 60,176 | 99,646 | -6,091 | skid front(in) | 1000000,000 | -5,300 | 0,000 | 1,000 | 100,000 | 0,000 | 0,252 | 0,671 | 0,671 | 0,671 | 0,664 | 0,664 | 0,024 |
| 5,000 | 59,384 | 99,646 | -6,090 | skid front(in) | 1000000,000 | -5,300 | 0,000 | 1,000 | 100,000 | 0,000 | 0,288 | 0,671 | 0,671 | 0,671 | 0,664 | 0,664 | 0,036 |
| 5,500 | 58,716 | 99,646 | -6,089 | skid front(in) | 1000000,000 | -5,300 | 0,000 | 1,000 | 100,000 | 0,000 | 0,318 | 0,671 | 0,671 | 0,671 | 0,664 | 0,664 | 0,030 |
| 6,000 | 58,040 | 99,646 | -6,088 | skid front(in) | 1000000,000 | -5,300 | 0,000 | 1,000 | 100,000 | 0,000 | 0,349 | 0,671 | 0,671 | 0,671 | 0,664 | 0,664 | 0,031 |
| 6,500 | 57,356 | 99,646 | -6,087 | skid front(in) | 1000000,000 | -5,300 | 0,000 | 1,000 | 100,000 | 0,000 | 0,380 | 0,671 | 0,671 | 0,671 | 0,664 | 0,664 | 0,031 |
| 7,000 | 56,665 | 99,646 | -6,086 | skid front(in) | 1000000,000 | -5,300 | 0,000 | 1,000 | 100,000 | 0,000 | 0,412 | 0,671 | 0,671 | 0,671 | 0,664 | 0,664 | 0,032 |
| 7,500 | 55,964 | 99,646 | -6,084 | skid front(in) | 1000000,000 | -5,300 | 0,000 | 1,000 | 100,000 | 0,000 | 0,444 | 0,671 | 0,671 | 0,671 | 0,664 | 0,664 | 0,032 |
| 8,000 | 55,256 | 99,646 | -6,083 | skid front(in) | 1000000,000 | -5,300 | 0,000 | 1,000 | 100,000 | 0,000 | 0,476 | 0,671 | 0,671 | 0,671 | 0,664 | 0,664 | 0,032 |
| 8,500 | 54,537 | 99,646 | -6,082 | skid front(in) | 1000000,000 | -5,300 | 0,000 | 1,000 | 100,000 | 0,000 | 0,509 | 0,671 | 0,671 | 0,671 | 0,664 | 0,664 | 0,033 |
| 9,000 | 53,810 | 99,646 | -6,081 | skid front(in) | 1000000,000 | -5,300 | 0,000 | 1,000 | 100,000 | 0,000 | 0,542 | 0,671 | 0,671 | 0,671 | 0,664 | 0,664 | 0,033 |
| 9,500 | 53,073 | 99,646 | -6,080 | skid front(in) | 1000000,000 | -5,300 | 0,000 | 1,000 | 100,000 | 0,000 | 0,576 | 0,671 | 0,671 | 0,671 | 0,664 | 0,664 | 0,034 |
| 10,000 | 52,325 | 99,646 | -6,079 | skid front(in) | 1000000,000 | -5,300 | 0,000 | 1,000 | 100,000 | 0,000 | 0,610 | 0,671 | 0,671 | 0,671 | 0,664 | 0,664 | 0,034 |
| 10,500 | 51,567 | 99,646 | -6,078 | skid front(in) | 1000000,000 | -5,300 | 0,000 | 1,000 | 100,000 | 0,000 | 0,645 | 0,671 | 0,671 | 0,671 | 0,664 | 0,664 | 0,035 |
| 11,000 | 50,798 | 99,647 | -6,077 | skid front(in) | 1000000,000 | -5,300 | 0,000 | 1,000 | 100,000 | 0,000 | 0,680 | 0,671 | 0,671 | 0,671 | 0,664 | 0,664 | 0,035 |
| 11,500 | 50,017 | 99,647 | -6,075 | skid front(in) | 1000000,000 | -5,300 | 0,000 | 1,000 | 100,000 | 0,000 | 0,716 | 0,671 | 0,671 | 0,671 | 0,664 | 0,664 | 0,036 |
| 12,000 | 49,223 | 99,647 | -6,074 | skid front(in) | 1000000,000 | -5,300 | 0,000 | 1,000 | 100,000 | 0,000 | 0,752 | 0,671 | 0,671 | 0,671 | 0,664 | 0,664 | 0,036 |
| 12,500 | 48,417 | 99,647 | -6,073 | skid front(in) | 1000000,000 | -5,300 | 0,000 | 1,000 | 100,000 | 0,000 | 0,789 | 0,671 | 0,671 | 0,671 | 0,664 | 0,664 | 0,037 |
| 13,000 | 47,597 | 99,647 | -6,072 | skid front(in) | 1000000,000 | -5,300 | 0,000 | 1,000 | 100,000 | 0,000 | 0,826 | 0,671 | 0,671 | 0,671 | 0,664 | 0,664 | 0,037 |
| 13,500 | 46,763 | 99,647 | -6,071 | skid front(in) | 1000000,000 | -5,300 | 0,000 | 1,000 | 100,000 | 0,000 | 0,864 | 0,671 | 0,671 | 0,671 | 0,664 | 0,664 | 0,038 |
| 14,000 | 45,915 | 99,647 | -6,070 | skid front(in) | 1000000,000 | -5,300 | 0,000 | 1,000 | 100,000 | 0,000 | 0,903 | 0,671 | 0,671 | 0,671 | 0,664 | 0,664 | 0,039 |
| 14,500 | 45,050 | 99,647 | -6,069 | skid front(in) | 1000000,000 | -5,300 | 0,000 | 1,000 | 100,000 | 0,000 | 0,943 | 0,671 | 0,671 | 0,671 | 0,664 | 0,664 | 0,040 |
| 15,000 | 44,168 | 99,647 | -6,067 | skid front(in) | 1000000,000 | -5,300 | 0,000 | 1,000 | 100,000 | 0,000 | 0,983 | 0,671 | 0,671 | 0,671 | 0,664 | 0,664 | 0,040 |
| 15,500 | 43,269 | 99,647 | -6,066 | skid front(in) | 1000000,000 | -5,300 | 0,000 | 1,000 | 100,000 | 0,000 | 1,024 | 0,671 | 0,671 | 0,671 | 0,664 | 0,664 | 0,041 |
| 16,000 | 42,351 | 99,647 | -6,065 | skid front(in) | 1000000,000 | -5,300 | 0,000 | 1,000 | 100,000 | 0,000 | 1,066 | 0,671 | 0,671 | 0,671 | 0,664 | 0,664 | 0,042 |
| 16,500 | 41,413 | 99,647 | -6,064 | skid front(in) | 1000000,000 | -5,300 | 0,000 | 1,000 | 100,000 | 0,000 | 1,109 | 0,671 | 0,671 | 0,671 | 0,664 | 0,664 | 0,043 |
| 17,000 | 40,453 | 99,647 | -6,063 | skid front(in) | 1000000,000 | -5,300 | 0,000 | 1,000 | 100,000 | 0,000 | 1,153 | 0,671 | 0,671 | 0,671 | 0,664 | 0,664 | 0,044 |
| 17,500 | 39,470 | 99,647 | -6,062 | skid front(in) | 1000000,000 | -5,300 | 0,000 | 1,000 | 100,000 | 0,000 | 1,198 | 0,671 | 0,671 | 0,671 | 0,664 | 0,664 | 0,045 |
| 18,000 | 38,462 | 99,648 | -6,061 | skid front(in) | 1000000,000 | -5,300 | 0,000 | 1,000 | 100,000 | 0,000 | 1,245 | 0,671 | 0,671 | 0,671 | 0,664 | 0,664 | 0,046 |
| 18,500 | 37,427 | 99,648 | -6,060 | skid front(in) | 1000000,000 | -5,300 | 0,000 | 1,000 | 100,000 | 0,000 | 1,292 | 0,671 | 0,671 | 0,671 | 0,664 | 0,664 | 0,047 |
| 18,900 | 36,578 | 99,648 | -6,059 | skid front(in) | 1000000,000 | -5,300 | 0,000 | 1,000 | 100,000 | 0,000 | 1,331 | 0,671 | 0,671 | 0,671 | 0,664 | 0,664 | 0,039 |
| 19,500 | 35,267 | 99,648 | -6,057 | skid front(in) | 1000000,000 | -5,300 | 0,000 | 1,000 | 100,000 | 0,000 | 1,391 | 0,671 | 0,671 | 0,671 | 0,664 | 0,664 | 0,060 |
| 20,000 | 34,136 | 99,648 | -6,056 | skid front(in) | 1000000,000 | -5,300 | 0,000 | 1,000 | 100,000 | 0,000 | 1,443 | 0,671 | 0,671 | 0,671 | 0,664 | 0,664 | 0,052 |
| 20,500 | 32,966 | 99,648 | -6,055 | skid front(in) | 1000000,000 | -5,300 | 0,000 | 1,000 | 100,000 | 0,000 | 1,497 | 0,671 | 0,671 | 0,671 | 0,664 | 0,664 | 0,054 |
| 21,000 | 31,754 | 99,648 | -6,054 | skid front(in) | 1000000,000 | -5,300 | 0,000 | 1,000 | 100,000 | 0,000 | 1,552 | 0,671 | 0,671 | 0,671 | 0,664 | 0,664 | 0,056 |
| 21,500 | 30,493 | 99,648 | -6,053 | skid front(in) | 1000000,000 | -5,300 | 0,000 | 1,000 | 100,000 | 0,001 | 1,610 | 0,671 | 0,671 | 0,671 | 0,664 | 0,664 | 0,058 |
| 22,000 | 29,179 | 99,648 | -6,052 | skid front(in) | 1000000,000 | -5,300 | 0,000 | 1,000 | 100,000 | 0,000 | 1,670 | 0,671 | 0,671 | 0,671 | 0,664 | 0,664 | 0,060 |
| 22,500 | 27,802 | 99,648 | -6,051 | skid front(in) | 1000000,000 | -5,300 | 0,000 | 1,000 | 100,000 | 0,000 | 1,734 | 0,671 | 0,671 | 0,671 | 0,664 | 0,664 | 0,063 |
| 23,000 | 26,355 | 99,664 | -6,049 | skid front(out) | 1000000,000 | -5,300 | 0,000 | 1,000 | 100,000 | -1,683 | 1,800 | 0,671 | 0,671 | 0,671 | 0,664 | 0,664 | 0,066 |
| 23,500 | 24,823 | 99,674 | -6,048 | skid front(out) | 1000000,000 | -5,300 | 0,000 | 1,000 | 100,000 | -2,888 | 1,870 | 0,671 | 0,671 | 0,671 | 0,664 | 0,664 | 0,070 |
| 24,000 | 23,191 | 99,670 | -6,046 | skid front(out) | 1000000,000 | -5,300 | 0,000 | 1,000 | 100,000 | -3,361 | 1,945 | 0,671 | 0,671 | 0,671 | 0,664 | 0,664 | 0,075 |
| 24,500 | 21,434 | 99,651 | -6,044 | skid front(out) | 1000000,000 | -5,300 | 0,000 | 1,000 | 100,000 | -3,011 | 2,026 | 0,671 | 0,671 | 0,671 | 0,664 | 0,664 | 0,081 |
| 25,000 | 19,521 | 99,681 | -6,045 | skid front(out) | 1000000,000 | -5,300 | 0,000 | 1,000 | 100,000 | -3,562 | 2,114 | 0,671 | 0,671 | 0,671 | 0,664 | 0,664 | 0,088 |
| 25,500 | 17,400 | 99,629 | -6,042 | skid front(out) | 1000000,000 | -5,300 | 0,000 | 1,000 | 100,000 | -1,482 | 2,211 | 0,671 | 0,671 | 0,671 | 0,664 | 0,664 | 0,098 |
| 26,000 | 14,981 | 99,627 | -6,041 | skid front(out) | 1000000,000 | -5,300 | 0,000 | 1,000 | 100,000 | -0,282 | 2,323 | 0,671 | 0,671 | 0,671 | 0,664 | 0,664 | 0,111 |

Προσδιορισμός Τιμών Πρόσφυσης κατά την Πέδηση Οχημάτων Εφοδιασμένων με Σύστημα ABS σε Αυξημένες κατά Μήκος Κλίσεις

| | | | | | | | | | | | | | | | | | |
|--------|--------|--------|--------|-----------------|-------------|--------|-------|-------|---------|--------|-------|-------|-------|-------|-------|-------|-------|
| 26,500 | 12,089 | 99,644 | -6,040 | skid front(out) | 1000000,000 | -5,300 | 0,000 | 1,000 | 100,000 | -1,667 | 2,456 | 0,671 | 0,671 | 0,671 | 0,664 | 0,664 | 0,133 |
| 27,000 | 8,237 | 99,643 | -6,039 | skid front(out) | 1000000,000 | -5,300 | 0,000 | 1,000 | 100,000 | -2,116 | 2,633 | 0,671 | 0,671 | 0,671 | 0,664 | 0,664 | 0,177 |
| 27,400 | 2,283 | 99,674 | -6,039 | skid front(out) | 1000000,000 | -5,300 | 0,000 | 1,000 | 100,000 | -3,551 | 2,907 | 0,671 | 0,671 | 0,671 | 0,664 | 0,664 | 0,274 |

| run_v_d_ntua_9 | | R(m) | br.front (%) | s(%) | e (%) | coeff | effic (%) | | time (sec) | | | | | | | | |
|----------------|----------|------------|--------------|-----------------|-------------|--------|-----------|-------|------------|-----------|------------|-------|-----------|----------|----------|---------|-----------|
| s= | 100,000 | 1000000,00 | 67,50 | -5,3 | 0,0 | 1,00 | 100 | | 2,193 | 0,963 | | | | | | | |
| step= | 0,100 | viewstep= | 0,500 | STEPS | | | | | | | | | | | | | |
| s (m) | V (km/h) | n (%) | dv/dt | skid check | R(m) | s(%) | e (%) | coeff | effic (%) | decelera | time (sec) | fT | front out | front in | rear out | rear in | checktime |
| 16,600 | 3,119 | 99,144 | -6,102 | skid front(out) | 1000000,000 | -5,300 | 0,000 | 1,000 | 100,000 | -3,051379 | 2,193 | 0,681 | 0,6808 | 0,6808 | 0,6631 | 0,6631 | |
| 0,000 | 51,420 | 99,141 | -6,141 | O.K | 1000000,000 | -5,300 | 0,000 | 1,000 | 100,000 | 0,000 | 0,000 | 0,681 | | | | | |
| 0,400 | 50,797 | 99,141 | -6,140 | skid front(in) | 1000000,000 | -5,300 | 0,000 | 1,000 | 100,000 | 0,000 | 0,028 | 0,681 | 0,681 | 0,681 | 0,663 | 0,663 | 0,028 |
| 1,000 | 49,848 | 99,141 | -6,139 | skid front(in) | 1000000,000 | -5,300 | 0,000 | 1,000 | 100,000 | 0,000 | 0,071 | 0,681 | 0,681 | 0,681 | 0,663 | 0,663 | 0,043 |
| 1,500 | 49,044 | 99,141 | -6,138 | skid front(in) | 1000000,000 | -5,300 | 0,000 | 1,000 | 100,000 | 0,000 | 0,108 | 0,681 | 0,681 | 0,681 | 0,663 | 0,663 | 0,036 |
| 2,000 | 48,226 | 99,141 | -6,137 | skid front(in) | 1000000,000 | -5,300 | 0,000 | 1,000 | 100,000 | 0,000 | 0,145 | 0,681 | 0,681 | 0,681 | 0,663 | 0,663 | 0,037 |
| 2,500 | 47,395 | 99,141 | -6,136 | skid front(in) | 1000000,000 | -5,300 | 0,000 | 1,000 | 100,000 | 0,000 | 0,182 | 0,681 | 0,681 | 0,681 | 0,663 | 0,663 | 0,038 |
| 3,000 | 46,548 | 99,141 | -6,134 | skid front(in) | 1000000,000 | -5,300 | 0,000 | 1,000 | 100,000 | 0,000 | 0,220 | 0,681 | 0,681 | 0,681 | 0,663 | 0,663 | 0,038 |
| 3,500 | 45,686 | 99,141 | -6,133 | skid front(in) | 1000000,000 | -5,300 | 0,000 | 1,000 | 100,000 | 0,000 | 0,260 | 0,681 | 0,681 | 0,681 | 0,663 | 0,663 | 0,039 |
| 4,000 | 44,808 | 99,141 | -6,132 | skid front(in) | 1000000,000 | -5,300 | 0,000 | 1,000 | 100,000 | 0,000 | 0,299 | 0,681 | 0,681 | 0,681 | 0,663 | 0,663 | 0,040 |
| 4,400 | 44,093 | 99,141 | -6,131 | skid front(in) | 1000000,000 | -5,300 | 0,000 | 1,000 | 100,000 | 0,000 | 0,332 | 0,681 | 0,681 | 0,681 | 0,663 | 0,663 | 0,032 |
| 5,000 | 42,998 | 99,141 | -6,130 | skid front(in) | 1000000,000 | -5,300 | 0,000 | 1,000 | 100,000 | 0,000 | 0,381 | 0,681 | 0,681 | 0,681 | 0,663 | 0,663 | 0,050 |
| 5,500 | 42,064 | 99,142 | -6,129 | skid front(in) | 1000000,000 | -5,300 | 0,000 | 1,000 | 100,000 | 0,000 | 0,424 | 0,681 | 0,681 | 0,681 | 0,663 | 0,663 | 0,042 |
| 6,000 | 41,109 | 99,142 | -6,128 | skid front(in) | 1000000,000 | -5,300 | 0,000 | 1,000 | 100,000 | 0,000 | 0,467 | 0,681 | 0,681 | 0,681 | 0,663 | 0,663 | 0,043 |
| 6,500 | 40,132 | 99,142 | -6,126 | skid front(in) | 1000000,000 | -5,300 | 0,000 | 1,000 | 100,000 | 0,001 | 0,511 | 0,681 | 0,681 | 0,681 | 0,663 | 0,663 | 0,044 |
| 7,000 | 39,130 | 99,142 | -6,125 | skid front(in) | 1000000,000 | -5,300 | 0,000 | 1,000 | 100,000 | 0,000 | 0,557 | 0,681 | 0,681 | 0,681 | 0,663 | 0,663 | 0,045 |
| 7,500 | 38,103 | 99,142 | -6,124 | skid front(in) | 1000000,000 | -5,300 | 0,000 | 1,000 | 100,000 | 0,000 | 0,603 | 0,681 | 0,681 | 0,681 | 0,663 | 0,663 | 0,047 |
| 8,000 | 37,047 | 99,142 | -6,123 | skid front(in) | 1000000,000 | -5,300 | 0,000 | 1,000 | 100,000 | 0,001 | 0,651 | 0,681 | 0,681 | 0,681 | 0,663 | 0,663 | 0,048 |
| 8,500 | 35,960 | 99,142 | -6,122 | skid front(in) | 1000000,000 | -5,300 | 0,000 | 1,000 | 100,000 | 0,000 | 0,700 | 0,681 | 0,681 | 0,681 | 0,663 | 0,663 | 0,049 |
| 9,000 | 34,839 | 99,142 | -6,121 | skid front(in) | 1000000,000 | -5,300 | 0,000 | 1,000 | 100,000 | 0,000 | 0,751 | 0,681 | 0,681 | 0,681 | 0,663 | 0,663 | 0,051 |
| 9,500 | 33,682 | 99,142 | -6,120 | skid front(in) | 1000000,000 | -5,300 | 0,000 | 1,000 | 100,000 | 0,000 | 0,804 | 0,681 | 0,681 | 0,681 | 0,663 | 0,663 | 0,053 |
| 10,000 | 32,483 | 99,142 | -6,119 | skid front(in) | 1000000,000 | -5,300 | 0,000 | 1,000 | 100,000 | 0,000 | 0,858 | 0,681 | 0,681 | 0,681 | 0,663 | 0,663 | 0,054 |
| 10,500 | 31,239 | 99,142 | -6,117 | skid front(in) | 1000000,000 | -5,300 | 0,000 | 1,000 | 100,000 | 0,001 | 0,915 | 0,681 | 0,681 | 0,681 | 0,663 | 0,663 | 0,056 |
| 11,000 | 29,943 | 99,142 | -6,116 | skid front(in) | 1000000,000 | -5,300 | 0,000 | 1,000 | 100,000 | 0,000 | 0,974 | 0,681 | 0,681 | 0,681 | 0,663 | 0,663 | 0,059 |
| 11,500 | 28,589 | 99,142 | -6,115 | skid front(in) | 1000000,000 | -5,300 | 0,000 | 1,000 | 100,000 | 0,000 | 1,035 | 0,681 | 0,681 | 0,681 | 0,663 | 0,663 | 0,062 |
| 12,000 | 27,168 | 99,142 | -6,114 | skid front(in) | 1000000,000 | -5,300 | 0,000 | 1,000 | 100,000 | 0,002 | 1,100 | 0,681 | 0,681 | 0,681 | 0,663 | 0,663 | 0,065 |
| 12,500 | 25,668 | 99,152 | -6,112 | skid front(out) | 1000000,000 | -5,300 | 0,000 | 1,000 | 100,000 | -2,478 | 1,168 | 0,681 | 0,681 | 0,681 | 0,663 | 0,663 | 0,068 |
| 13,000 | 24,076 | 99,125 | -6,110 | skid front(out) | 1000000,000 | -5,300 | 0,000 | 1,000 | 100,000 | -1,566 | 1,240 | 0,681 | 0,681 | 0,681 | 0,663 | 0,663 | 0,072 |
| 13,500 | 22,371 | 99,152 | -6,110 | skid front(out) | 1000000,000 | -5,300 | 0,000 | 1,000 | 100,000 | -1,654 | 1,318 | 0,681 | 0,681 | 0,681 | 0,663 | 0,663 | 0,078 |
| 14,000 | 20,524 | 99,138 | -6,108 | skid front(out) | 1000000,000 | -5,300 | 0,000 | 1,000 | 100,000 | -2,197 | 1,402 | 0,681 | 0,681 | 0,681 | 0,663 | 0,663 | 0,084 |
| 14,500 | 18,495 | 99,180 | -6,108 | skid front(out) | 1000000,000 | -5,300 | 0,000 | 1,000 | 100,000 | -3,764 | 1,494 | 0,681 | 0,681 | 0,681 | 0,663 | 0,663 | 0,092 |
| 15,000 | 16,215 | 99,146 | -6,106 | skid front(out) | 1000000,000 | -5,300 | 0,000 | 1,000 | 100,000 | -2,694 | 1,598 | 0,681 | 0,681 | 0,681 | 0,663 | 0,663 | 0,104 |
| 15,500 | 13,556 | 99,099 | -6,103 | skid front(out) | 1000000,000 | -5,300 | 0,000 | 1,000 | 100,000 | -0,627 | 1,719 | 0,681 | 0,681 | 0,681 | 0,663 | 0,663 | 0,121 |
| 16,000 | 10,230 | 99,147 | -6,103 | skid front(out) | 1000000,000 | -5,300 | 0,000 | 1,000 | 100,000 | -3,130 | 1,870 | 0,681 | 0,681 | 0,681 | 0,663 | 0,663 | 0,151 |
| 16,500 | 5,056 | 99,147 | -6,103 | skid front(out) | 1000000,000 | -5,300 | 0,000 | 1,000 | 100,000 | -0,999 | 2,105 | 0,681 | 0,681 | 0,681 | 0,663 | 0,663 | 0,236 |
| 16,600 | 3,119 | 99,144 | -6,102 | skid front(out) | 1000000,000 | -5,300 | 0,000 | 1,000 | 100,000 | -3,051 | 2,193 | 0,681 | 0,681 | 0,681 | 0,663 | 0,663 | 0,088 |

Προσδιορισμός Τιμών Πρόσφυσης κατά την Πέδηση Οχημάτων Εφοδιασμένων με Σύστημα ABS σε Αυξημένες κατά Μήκος Κλίσεις

| run_v_d_ntua_10 | | R(m) | br.front (%) | s(%) | e (%) | coeff | effic (%) | | | time (sec) | | | | | | | |
|-----------------|----------|-----------------|--------------|-----------------|-------------|--------|-----------|-------|-----------|------------|------------|-------|-----------|----------|----------|---------|-----------|
| s= 100,000 | | 1000000,00 | 67,00 | -5,3 | 0,0 | 1,00 | 100 | | | 2,495 | | | | | | | |
| step= 0,100 | | viewstep= 0,500 | STEPS | | | | | | | | | | | | | 0,963 | |
| s (m) | V (km/h) | n (%) | dv/dt | skid check | R(m) | s(%) | e (%) | coeff | effic (%) | decelera | time (sec) | ff | front out | front in | rear out | rear in | checktime |
| 20,900 | 2,714 | 99,882 | -6,102 | skid front(out) | 1000000,000 | -5,300 | 0,000 | 1,000 | 100,000 | -2,491247 | 2,495 | 0,676 | 0,6759 | 0,6759 | 0,6734 | 0,6734 | |
| 0,000 | 57,680 | 99,882 | -6,152 | O.K | 1000000,000 | -5,300 | 0,000 | 1,000 | 100,000 | 0,000 | 0,000 | 0,676 | | | | | |
| 0,400 | 57,124 | 99,882 | -6,151 | skid front(in) | 1000000,000 | -5,300 | 0,000 | 1,000 | 100,000 | 0,000 | 0,025 | 0,676 | 0,676 | 0,676 | 0,674 | 0,674 | 0,025 |
| 1,000 | 56,281 | 99,882 | -6,149 | skid front(in) | 1000000,000 | -5,300 | 0,000 | 1,000 | 100,000 | 0,000 | 0,063 | 0,676 | 0,676 | 0,676 | 0,674 | 0,674 | 0,038 |
| 1,500 | 55,569 | 99,882 | -6,148 | skid front(in) | 1000000,000 | -5,300 | 0,000 | 1,000 | 100,000 | 0,000 | 0,095 | 0,676 | 0,676 | 0,676 | 0,674 | 0,674 | 0,032 |
| 2,000 | 54,847 | 99,882 | -6,147 | skid front(in) | 1000000,000 | -5,300 | 0,000 | 1,000 | 100,000 | 0,000 | 0,128 | 0,676 | 0,676 | 0,676 | 0,674 | 0,674 | 0,033 |
| 2,500 | 54,116 | 99,882 | -6,146 | skid front(in) | 1000000,000 | -5,300 | 0,000 | 1,000 | 100,000 | 0,000 | 0,161 | 0,676 | 0,676 | 0,676 | 0,674 | 0,674 | 0,033 |
| 3,000 | 53,375 | 99,883 | -6,145 | skid front(in) | 1000000,000 | -5,300 | 0,000 | 1,000 | 100,000 | 0,000 | 0,194 | 0,676 | 0,676 | 0,676 | 0,674 | 0,674 | 0,033 |
| 3,500 | 52,624 | 99,883 | -6,144 | skid front(in) | 1000000,000 | -5,300 | 0,000 | 1,000 | 100,000 | 0,000 | 0,228 | 0,676 | 0,676 | 0,676 | 0,674 | 0,674 | 0,034 |
| 4,000 | 51,862 | 99,883 | -6,142 | skid front(in) | 1000000,000 | -5,300 | 0,000 | 1,000 | 100,000 | 0,000 | 0,263 | 0,676 | 0,676 | 0,676 | 0,674 | 0,674 | 0,034 |
| 4,400 | 51,244 | 99,883 | -6,142 | skid front(in) | 1000000,000 | -5,300 | 0,000 | 1,000 | 100,000 | 0,000 | 0,291 | 0,676 | 0,676 | 0,676 | 0,674 | 0,674 | 0,028 |
| 5,000 | 50,304 | 99,883 | -6,140 | skid front(in) | 1000000,000 | -5,300 | 0,000 | 1,000 | 100,000 | 0,000 | 0,333 | 0,676 | 0,676 | 0,676 | 0,674 | 0,674 | 0,043 |
| 5,500 | 49,507 | 99,883 | -6,139 | skid front(in) | 1000000,000 | -5,300 | 0,000 | 1,000 | 100,000 | 0,000 | 0,369 | 0,676 | 0,676 | 0,676 | 0,674 | 0,674 | 0,036 |
| 6,000 | 48,696 | 99,883 | -6,138 | skid front(in) | 1000000,000 | -5,300 | 0,000 | 1,000 | 100,000 | 0,000 | 0,406 | 0,676 | 0,676 | 0,676 | 0,674 | 0,674 | 0,037 |
| 6,500 | 47,873 | 99,883 | -6,137 | skid front(in) | 1000000,000 | -5,300 | 0,000 | 1,000 | 100,000 | 0,000 | 0,443 | 0,676 | 0,676 | 0,676 | 0,674 | 0,674 | 0,037 |
| 7,000 | 47,035 | 99,883 | -6,136 | skid front(in) | 1000000,000 | -5,300 | 0,000 | 1,000 | 100,000 | 0,000 | 0,481 | 0,676 | 0,676 | 0,676 | 0,674 | 0,674 | 0,038 |
| 7,500 | 46,182 | 99,883 | -6,135 | skid front(in) | 1000000,000 | -5,300 | 0,000 | 1,000 | 100,000 | 0,000 | 0,520 | 0,676 | 0,676 | 0,676 | 0,674 | 0,674 | 0,039 |
| 8,000 | 45,313 | 99,883 | -6,133 | skid front(in) | 1000000,000 | -5,300 | 0,000 | 1,000 | 100,000 | 0,000 | 0,559 | 0,676 | 0,676 | 0,676 | 0,674 | 0,674 | 0,039 |
| 8,500 | 44,427 | 99,883 | -6,132 | skid front(in) | 1000000,000 | -5,300 | 0,000 | 1,000 | 100,000 | 0,000 | 0,599 | 0,676 | 0,676 | 0,676 | 0,674 | 0,674 | 0,040 |
| 9,000 | 43,524 | 99,883 | -6,131 | skid front(in) | 1000000,000 | -5,300 | 0,000 | 1,000 | 100,000 | 0,000 | 0,640 | 0,676 | 0,676 | 0,676 | 0,674 | 0,674 | 0,041 |
| 9,500 | 42,601 | 99,883 | -6,130 | skid front(in) | 1000000,000 | -5,300 | 0,000 | 1,000 | 100,000 | 0,000 | 0,682 | 0,676 | 0,676 | 0,676 | 0,674 | 0,674 | 0,042 |
| 10,000 | 41,659 | 99,883 | -6,129 | skid front(in) | 1000000,000 | -5,300 | 0,000 | 1,000 | 100,000 | 0,000 | 0,725 | 0,676 | 0,676 | 0,676 | 0,674 | 0,674 | 0,043 |
| 10,500 | 40,694 | 99,884 | -6,128 | skid front(in) | 1000000,000 | -5,300 | 0,000 | 1,000 | 100,000 | 0,000 | 0,769 | 0,676 | 0,676 | 0,676 | 0,674 | 0,674 | 0,044 |
| 11,000 | 39,707 | 99,884 | -6,127 | skid front(in) | 1000000,000 | -5,300 | 0,000 | 1,000 | 100,000 | 0,000 | 0,813 | 0,676 | 0,676 | 0,676 | 0,674 | 0,674 | 0,045 |
| 11,500 | 38,694 | 99,884 | -6,125 | skid front(in) | 1000000,000 | -5,300 | 0,000 | 1,000 | 100,000 | 0,001 | 0,859 | 0,676 | 0,676 | 0,676 | 0,674 | 0,674 | 0,046 |
| 12,000 | 37,654 | 99,884 | -6,124 | skid front(in) | 1000000,000 | -5,300 | 0,000 | 1,000 | 100,000 | 0,000 | 0,906 | 0,676 | 0,676 | 0,676 | 0,674 | 0,674 | 0,047 |
| 12,500 | 36,585 | 99,884 | -6,123 | skid front(in) | 1000000,000 | -5,300 | 0,000 | 1,000 | 100,000 | 0,000 | 0,955 | 0,676 | 0,676 | 0,676 | 0,674 | 0,674 | 0,048 |
| 13,000 | 35,484 | 99,884 | -6,122 | skid front(in) | 1000000,000 | -5,300 | 0,000 | 1,000 | 100,000 | 0,000 | 1,005 | 0,676 | 0,676 | 0,676 | 0,674 | 0,674 | 0,050 |
| 13,500 | 34,348 | 99,884 | -6,121 | skid front(in) | 1000000,000 | -5,300 | 0,000 | 1,000 | 100,000 | 0,000 | 1,056 | 0,676 | 0,676 | 0,676 | 0,674 | 0,674 | 0,052 |
| 14,000 | 33,173 | 99,884 | -6,120 | skid front(in) | 1000000,000 | -5,300 | 0,000 | 1,000 | 100,000 | 0,001 | 1,110 | 0,676 | 0,676 | 0,676 | 0,674 | 0,674 | 0,053 |
| 14,500 | 31,956 | 99,884 | -6,119 | skid front(in) | 1000000,000 | -5,300 | 0,000 | 1,000 | 100,000 | 0,001 | 1,165 | 0,676 | 0,676 | 0,676 | 0,674 | 0,674 | 0,055 |
| 15,000 | 30,690 | 99,884 | -6,117 | skid front(in) | 1000000,000 | -5,300 | 0,000 | 1,000 | 100,000 | 0,000 | 1,222 | 0,676 | 0,676 | 0,676 | 0,674 | 0,674 | 0,057 |
| 15,500 | 29,370 | 99,884 | -6,116 | skid front(in) | 1000000,000 | -5,300 | 0,000 | 1,000 | 100,000 | 0,001 | 1,282 | 0,676 | 0,676 | 0,676 | 0,674 | 0,674 | 0,060 |
| 16,000 | 27,988 | 99,884 | -6,115 | skid front(in) | 1000000,000 | -5,300 | 0,000 | 1,000 | 100,000 | 0,001 | 1,345 | 0,676 | 0,676 | 0,676 | 0,674 | 0,674 | 0,063 |
| 16,500 | 26,535 | 99,906 | -6,114 | skid front(out) | 1000000,000 | -5,300 | 0,000 | 1,000 | 100,000 | -2,522 | 1,411 | 0,676 | 0,676 | 0,676 | 0,674 | 0,674 | 0,066 |
| 17,000 | 24,997 | 99,872 | -6,111 | skid front(out) | 1000000,000 | -5,300 | 0,000 | 1,000 | 100,000 | -2,038 | 1,481 | 0,676 | 0,676 | 0,676 | 0,673 | 0,673 | 0,070 |
| 17,500 | 23,359 | 99,890 | -6,111 | skid front(out) | 1000000,000 | -5,300 | 0,000 | 1,000 | 100,000 | -2,450 | 1,556 | 0,676 | 0,676 | 0,676 | 0,673 | 0,673 | 0,074 |
| 18,000 | 21,597 | 99,900 | -6,110 | skid front(out) | 1000000,000 | -5,300 | 0,000 | 1,000 | 100,000 | -2,028 | 1,636 | 0,676 | 0,676 | 0,676 | 0,674 | 0,674 | 0,080 |
| 18,500 | 19,679 | 99,868 | -6,107 | skid front(out) | 1000000,000 | -5,300 | 0,000 | 1,000 | 100,000 | -2,177 | 1,723 | 0,676 | 0,676 | 0,676 | 0,673 | 0,673 | 0,087 |
| 18,900 | 17,998 | 99,906 | -6,108 | skid front(out) | 1000000,000 | -5,300 | 0,000 | 1,000 | 100,000 | -2,681 | 1,799 | 0,676 | 0,676 | 0,676 | 0,674 | 0,674 | 0,076 |
| 19,500 | 15,130 | 99,908 | -6,106 | skid front(out) | 1000000,000 | -5,300 | 0,000 | 1,000 | 100,000 | -3,768 | 1,930 | 0,676 | 0,676 | 0,676 | 0,673 | 0,673 | 0,130 |
| 20,000 | 12,238 | 99,913 | -6,106 | skid front(out) | 1000000,000 | -5,300 | 0,000 | 1,000 | 100,000 | -3,168 | 2,061 | 0,676 | 0,676 | 0,676 | 0,674 | 0,674 | 0,132 |
| 20,500 | 8,406 | 99,869 | -6,102 | skid front(out) | 1000000,000 | -5,300 | 0,000 | 1,000 | 100,000 | -3,246 | 2,236 | 0,676 | 0,676 | 0,676 | 0,673 | 0,673 | 0,174 |
| 20,900 | 2,714 | 99,882 | -6,102 | skid front(out) | 1000000,000 | -5,300 | 0,000 | 1,000 | 100,000 | -2,491 | 2,495 | 0,676 | 0,676 | 0,676 | 0,673 | 0,673 | 0,259 |

Προσδιορισμός Τιμών Πρόσφυσης κατά την Πέδηση Οχημάτων Εφοδιασμένων με Σύστημα ABS σε Αυξημένες κατά Μήκος Κλίσεις

| run v d ntua 11 | | R(m) | br.front (%) | s(%) | e (%) | coeff | effic (%) | | time (sec) | | | | | | | | | | |
|-----------------|----------|------------|--------------|-----------------|-------------|--------|-----------|-------|------------|-----------|------------|-------|-----------|----------|----------|---------|-----------|--|-------|
| s= | 100,000 | 1000000,00 | 67,50 | -5,3 | 0,0 | 1,00 | 100 | | 2,388 | | | | | | | | | | 0,963 |
| step= | 0,100 | viewstep= | 0,500 | STEPS | | | | | | | | | | | | | | | |
| s (m) | V (km/h) | n (%) | dv/dt | skid check | R(m) | s(%) | e (%) | coeff | effic (%) | decelera | time (sec) | fT | front out | front in | rear out | rear in | checktime | | |
| 19,200 | 2,231 | 99,505 | -6,204 | skid front(out) | 1000000,000 | -5,300 | 0,000 | 1,000 | 100,000 | -3,002690 | 2,388 | 0,689 | 0,6888 | 0,6888 | 0,6784 | 0,6784 | | | |
| 0,000 | 55,720 | 99,515 | -6,251 | O.K | 1000000,000 | -5,300 | 0,000 | 1,000 | 100,000 | 0,000 | 0,000 | 0,689 | | | | | | | |
| 0,400 | 55,135 | 99,515 | -6,250 | skid front(in) | 1000000,000 | -5,300 | 0,000 | 1,000 | 100,000 | 0,000 | 0,026 | 0,689 | 0,689 | 0,689 | 0,679 | 0,679 | 0,026 | | |
| 1,000 | 54,247 | 99,515 | -6,248 | skid front(in) | 1000000,000 | -5,300 | 0,000 | 1,000 | 100,000 | 0,000 | 0,065 | 0,689 | 0,689 | 0,689 | 0,679 | 0,679 | 0,039 | | |
| 1,500 | 53,495 | 99,515 | -6,247 | skid front(in) | 1000000,000 | -5,300 | 0,000 | 1,000 | 100,000 | 0,000 | 0,099 | 0,689 | 0,689 | 0,689 | 0,679 | 0,679 | 0,033 | | |
| 2,000 | 52,733 | 99,515 | -6,246 | skid front(in) | 1000000,000 | -5,300 | 0,000 | 1,000 | 100,000 | 0,000 | 0,133 | 0,689 | 0,689 | 0,689 | 0,679 | 0,679 | 0,034 | | |
| 2,500 | 51,960 | 99,515 | -6,245 | skid front(in) | 1000000,000 | -5,300 | 0,000 | 1,000 | 100,000 | 0,000 | 0,167 | 0,689 | 0,689 | 0,689 | 0,679 | 0,679 | 0,034 | | |
| 3,000 | 51,175 | 99,515 | -6,244 | skid front(in) | 1000000,000 | -5,300 | 0,000 | 1,000 | 100,000 | 0,000 | 0,202 | 0,689 | 0,689 | 0,689 | 0,679 | 0,679 | 0,035 | | |
| 3,500 | 50,379 | 99,515 | -6,243 | skid front(in) | 1000000,000 | -5,300 | 0,000 | 1,000 | 100,000 | 0,000 | 0,238 | 0,689 | 0,689 | 0,689 | 0,679 | 0,679 | 0,035 | | |
| 4,000 | 49,569 | 99,515 | -6,242 | skid front(in) | 1000000,000 | -5,300 | 0,000 | 1,000 | 100,000 | 0,000 | 0,274 | 0,689 | 0,689 | 0,689 | 0,679 | 0,679 | 0,036 | | |
| 4,400 | 48,912 | 99,515 | -6,241 | skid front(in) | 1000000,000 | -5,300 | 0,000 | 1,000 | 100,000 | 0,000 | 0,303 | 0,689 | 0,689 | 0,689 | 0,679 | 0,679 | 0,029 | | |
| 5,000 | 47,910 | 99,516 | -6,239 | skid front(in) | 1000000,000 | -5,300 | 0,000 | 1,000 | 100,000 | 0,000 | 0,347 | 0,689 | 0,689 | 0,689 | 0,679 | 0,679 | 0,045 | | |
| 5,500 | 47,059 | 99,516 | -6,238 | skid front(in) | 1000000,000 | -5,300 | 0,000 | 1,000 | 100,000 | 0,000 | 0,385 | 0,689 | 0,689 | 0,689 | 0,679 | 0,679 | 0,038 | | |
| 6,000 | 46,192 | 99,516 | -6,237 | skid front(in) | 1000000,000 | -5,300 | 0,000 | 1,000 | 100,000 | 0,000 | 0,424 | 0,689 | 0,689 | 0,689 | 0,679 | 0,679 | 0,039 | | |
| 6,500 | 45,308 | 99,516 | -6,236 | skid front(in) | 1000000,000 | -5,300 | 0,000 | 1,000 | 100,000 | 0,000 | 0,463 | 0,689 | 0,689 | 0,689 | 0,679 | 0,679 | 0,039 | | |
| 7,000 | 44,408 | 99,516 | -6,235 | skid front(in) | 1000000,000 | -5,300 | 0,000 | 1,000 | 100,000 | 0,000 | 0,503 | 0,689 | 0,689 | 0,689 | 0,679 | 0,679 | 0,040 | | |
| 7,500 | 43,489 | 99,516 | -6,233 | skid front(in) | 1000000,000 | -5,300 | 0,000 | 1,000 | 100,000 | 0,000 | 0,544 | 0,689 | 0,689 | 0,689 | 0,679 | 0,679 | 0,041 | | |
| 8,000 | 42,550 | 99,516 | -6,232 | skid front(in) | 1000000,000 | -5,300 | 0,000 | 1,000 | 100,000 | 0,000 | 0,586 | 0,689 | 0,689 | 0,689 | 0,679 | 0,679 | 0,042 | | |
| 8,500 | 41,590 | 99,516 | -6,231 | skid front(in) | 1000000,000 | -5,300 | 0,000 | 1,000 | 100,000 | 0,000 | 0,629 | 0,689 | 0,689 | 0,689 | 0,679 | 0,679 | 0,043 | | |
| 9,000 | 40,607 | 99,516 | -6,230 | skid front(in) | 1000000,000 | -5,300 | 0,000 | 1,000 | 100,000 | 0,000 | 0,673 | 0,689 | 0,689 | 0,689 | 0,679 | 0,679 | 0,044 | | |
| 9,500 | 39,601 | 99,516 | -6,229 | skid front(in) | 1000000,000 | -5,300 | 0,000 | 1,000 | 100,000 | 0,000 | 0,718 | 0,689 | 0,689 | 0,689 | 0,679 | 0,679 | 0,045 | | |
| 10,000 | 38,568 | 99,516 | -6,228 | skid front(in) | 1000000,000 | -5,300 | 0,000 | 1,000 | 100,000 | 0,000 | 0,764 | 0,689 | 0,689 | 0,689 | 0,679 | 0,679 | 0,046 | | |
| 10,500 | 37,507 | 99,516 | -6,227 | skid front(in) | 1000000,000 | -5,300 | 0,000 | 1,000 | 100,000 | 0,000 | 0,811 | 0,689 | 0,689 | 0,689 | 0,679 | 0,679 | 0,047 | | |
| 11,000 | 36,416 | 99,516 | -6,225 | skid front(in) | 1000000,000 | -5,300 | 0,000 | 1,000 | 100,000 | 0,000 | 0,860 | 0,689 | 0,689 | 0,689 | 0,679 | 0,679 | 0,049 | | |
| 11,500 | 35,291 | 99,517 | -6,224 | skid front(in) | 1000000,000 | -5,300 | 0,000 | 1,000 | 100,000 | 0,001 | 0,910 | 0,689 | 0,689 | 0,689 | 0,679 | 0,679 | 0,050 | | |
| 12,000 | 34,129 | 99,517 | -6,223 | skid front(in) | 1000000,000 | -5,300 | 0,000 | 1,000 | 100,000 | 0,000 | 0,962 | 0,689 | 0,689 | 0,689 | 0,679 | 0,679 | 0,052 | | |
| 12,500 | 32,926 | 99,517 | -6,222 | skid front(in) | 1000000,000 | -5,300 | 0,000 | 1,000 | 100,000 | 0,000 | 1,015 | 0,689 | 0,689 | 0,689 | 0,679 | 0,679 | 0,054 | | |
| 13,000 | 31,678 | 99,517 | -6,221 | skid front(in) | 1000000,000 | -5,300 | 0,000 | 1,000 | 100,000 | 0,000 | 1,071 | 0,689 | 0,689 | 0,689 | 0,679 | 0,679 | 0,056 | | |
| 13,500 | 30,379 | 99,517 | -6,220 | skid front(in) | 1000000,000 | -5,300 | 0,000 | 1,000 | 100,000 | 0,000 | 1,129 | 0,689 | 0,689 | 0,689 | 0,679 | 0,679 | 0,058 | | |
| 14,000 | 29,022 | 99,517 | -6,219 | skid front(in) | 1000000,000 | -5,300 | 0,000 | 1,000 | 100,000 | 0,000 | 1,190 | 0,689 | 0,689 | 0,689 | 0,679 | 0,679 | 0,061 | | |
| 14,500 | 27,599 | 99,517 | -6,217 | skid front(in) | 1000000,000 | -5,300 | 0,000 | 1,000 | 100,000 | 0,001 | 1,253 | 0,689 | 0,689 | 0,689 | 0,679 | 0,679 | 0,064 | | |
| 15,000 | 26,099 | 99,545 | -6,215 | skid front(out) | 1000000,000 | -5,300 | 0,000 | 1,000 | 100,000 | -4,228 | 1,320 | 0,689 | 0,689 | 0,689 | 0,679 | 0,679 | 0,067 | | |
| 15,500 | 24,507 | 99,532 | -6,214 | skid front(out) | 1000000,000 | -5,300 | 0,000 | 1,000 | 100,000 | -3,288 | 1,392 | 0,689 | 0,689 | 0,689 | 0,679 | 0,679 | 0,071 | | |
| 16,000 | 22,804 | 99,520 | -6,213 | skid front(out) | 1000000,000 | -5,300 | 0,000 | 1,000 | 100,000 | -1,591 | 1,468 | 0,689 | 0,689 | 0,689 | 0,679 | 0,679 | 0,076 | | |
| 16,500 | 20,965 | 99,476 | -6,210 | skid front(in) | 1000000,000 | -5,300 | 0,000 | 1,000 | 100,000 | -0,418 | 1,550 | 0,689 | 0,689 | 0,689 | 0,678 | 0,678 | 0,082 | | |
| 17,000 | 18,948 | 99,527 | -6,210 | skid front(out) | 1000000,000 | -5,300 | 0,000 | 1,000 | 100,000 | -3,366 | 1,640 | 0,689 | 0,689 | 0,689 | 0,679 | 0,679 | 0,090 | | |
| 17,500 | 16,689 | 99,480 | -6,208 | skid front(out) | 1000000,000 | -5,300 | 0,000 | 1,000 | 100,000 | -0,328 | 1,741 | 0,689 | 0,689 | 0,689 | 0,678 | 0,678 | 0,101 | | |
| 18,000 | 14,073 | 99,534 | -6,209 | skid front(out) | 1000000,000 | -5,300 | 0,000 | 1,000 | 100,000 | -1,687 | 1,858 | 0,689 | 0,689 | 0,689 | 0,679 | 0,679 | 0,117 | | |
| 18,500 | 10,844 | 99,483 | -6,205 | skid front(out) | 1000000,000 | -5,300 | 0,000 | 1,000 | 100,000 | -1,704 | 2,003 | 0,689 | 0,689 | 0,689 | 0,678 | 0,678 | 0,145 | | |
| 18,900 | 7,297 | 99,495 | -6,205 | skid front(out) | 1000000,000 | -5,300 | 0,000 | 1,000 | 100,000 | -0,922 | 2,161 | 0,689 | 0,689 | 0,689 | 0,679 | 0,679 | 0,159 | | |
| 19,200 | 2,231 | 99,505 | -6,204 | skid front(out) | 1000000,000 | -5,300 | 0,000 | 1,000 | 100,000 | -3,003 | 2,388 | 0,689 | 0,689 | 0,689 | 0,678 | 0,678 | 0,227 | | |

Προσδιορισμός Τιμών Πρόσφυσης κατά την Πέδηση Οχημάτων Εφοδιασμένων με Σύστημα ABS σε Αυξημένες κατά Μήκος Κλίσεις

| run_v_d_ntua_12 | | R(m) | br.front (%) | s(%) | e (%) | coeff | effic (%) | | | time (sec) | | | | | | | |
|-----------------|----------|------------|--------------|-----------------|-------------|--------|-----------|-------|-----------|------------|------------|-------|-----------|----------|----------|---------|-----------|
| s= | 100,000 | 1000000,00 | 67,50 | -5,3 | 0,0 | 1,00 | 100 | | | 2,334 | | | | | | | |
| step= | 0,100 | viewstep= | 0,500 | STEPS | | | | | | | | | | | | | |
| s (m) | V (km/h) | n (%) | dv/dt | skid check | R(m) | s(%) | e (%) | coeff | effic (%) | decelera | time (sec) | fT | front out | front in | rear out | rear in | checktime |
| 18,200 | 2,179 | 99,285 | -6,152 | skid front(out) | 1000000,000 | -5,300 | 0,000 | 1,000 | 100,000 | 0,487381 | 2,334 | 0,685 | 0,6848 | 0,6848 | 0,6707 | 0,6707 | |
| 0,000 | 54,020 | 99,327 | -6,197 | O.K | 1000000,000 | -5,300 | 0,000 | 1,000 | 100,000 | 0,000 | 0,000 | 0,685 | | | | | |
| 0,400 | 53,422 | 99,327 | -6,196 | skid front(in) | 1000000,000 | -5,300 | 0,000 | 1,000 | 100,000 | 0,000 | 0,027 | 0,685 | 0,685 | 0,685 | 0,671 | 0,671 | 0,027 |
| 1,000 | 52,513 | 99,328 | -6,194 | skid front(in) | 1000000,000 | -5,300 | 0,000 | 1,000 | 100,000 | 0,000 | 0,068 | 0,685 | 0,685 | 0,685 | 0,671 | 0,671 | 0,041 |
| 1,500 | 51,743 | 99,328 | -6,193 | skid front(in) | 1000000,000 | -5,300 | 0,000 | 1,000 | 100,000 | 0,000 | 0,102 | 0,685 | 0,685 | 0,685 | 0,671 | 0,671 | 0,035 |
| 2,000 | 50,961 | 99,328 | -6,192 | skid front(in) | 1000000,000 | -5,300 | 0,000 | 1,000 | 100,000 | 0,000 | 0,137 | 0,685 | 0,685 | 0,685 | 0,671 | 0,671 | 0,035 |
| 2,500 | 50,168 | 99,328 | -6,191 | skid front(in) | 1000000,000 | -5,300 | 0,000 | 1,000 | 100,000 | 0,000 | 0,173 | 0,685 | 0,685 | 0,685 | 0,671 | 0,671 | 0,036 |
| 3,000 | 49,362 | 99,328 | -6,190 | skid front(in) | 1000000,000 | -5,300 | 0,000 | 1,000 | 100,000 | 0,000 | 0,209 | 0,685 | 0,685 | 0,685 | 0,671 | 0,671 | 0,036 |
| 3,500 | 48,543 | 99,328 | -6,189 | skid front(in) | 1000000,000 | -5,300 | 0,000 | 1,000 | 100,000 | 0,000 | 0,246 | 0,685 | 0,685 | 0,685 | 0,671 | 0,671 | 0,037 |
| 4,000 | 47,709 | 99,328 | -6,187 | skid front(in) | 1000000,000 | -5,300 | 0,000 | 1,000 | 100,000 | 0,000 | 0,283 | 0,685 | 0,685 | 0,685 | 0,671 | 0,671 | 0,037 |
| 4,400 | 47,032 | 99,328 | -6,186 | skid front(in) | 1000000,000 | -5,300 | 0,000 | 1,000 | 100,000 | 0,000 | 0,314 | 0,685 | 0,685 | 0,685 | 0,671 | 0,671 | 0,030 |
| 5,000 | 45,998 | 99,328 | -6,185 | skid front(in) | 1000000,000 | -5,300 | 0,000 | 1,000 | 100,000 | 0,000 | 0,360 | 0,685 | 0,685 | 0,685 | 0,671 | 0,671 | 0,046 |
| 5,500 | 45,119 | 99,328 | -6,184 | skid front(in) | 1000000,000 | -5,300 | 0,000 | 1,000 | 100,000 | 0,000 | 0,399 | 0,685 | 0,685 | 0,685 | 0,671 | 0,671 | 0,040 |
| 6,000 | 44,222 | 99,328 | -6,183 | skid front(in) | 1000000,000 | -5,300 | 0,000 | 1,000 | 100,000 | 0,000 | 0,440 | 0,685 | 0,685 | 0,685 | 0,671 | 0,671 | 0,040 |
| 6,500 | 43,306 | 99,328 | -6,182 | skid front(in) | 1000000,000 | -5,300 | 0,000 | 1,000 | 100,000 | 0,000 | 0,481 | 0,685 | 0,685 | 0,685 | 0,671 | 0,671 | 0,041 |
| 7,000 | 42,371 | 99,328 | -6,181 | skid front(in) | 1000000,000 | -5,300 | 0,000 | 1,000 | 100,000 | 0,000 | 0,523 | 0,685 | 0,685 | 0,685 | 0,671 | 0,671 | 0,042 |
| 7,500 | 41,415 | 99,329 | -6,179 | skid front(in) | 1000000,000 | -5,300 | 0,000 | 1,000 | 100,000 | 0,000 | 0,566 | 0,685 | 0,685 | 0,685 | 0,671 | 0,671 | 0,043 |
| 8,000 | 40,437 | 99,329 | -6,178 | skid front(in) | 1000000,000 | -5,300 | 0,000 | 1,000 | 100,000 | 0,000 | 0,610 | 0,685 | 0,685 | 0,685 | 0,671 | 0,671 | 0,044 |
| 8,500 | 39,435 | 99,329 | -6,177 | skid front(in) | 1000000,000 | -5,300 | 0,000 | 1,000 | 100,000 | 0,000 | 0,655 | 0,685 | 0,685 | 0,685 | 0,671 | 0,671 | 0,045 |
| 9,000 | 38,406 | 99,329 | -6,176 | skid front(in) | 1000000,000 | -5,300 | 0,000 | 1,000 | 100,000 | 0,000 | 0,701 | 0,685 | 0,685 | 0,685 | 0,671 | 0,671 | 0,046 |
| 9,500 | 37,350 | 99,329 | -6,175 | skid front(in) | 1000000,000 | -5,300 | 0,000 | 1,000 | 100,000 | 0,000 | 0,749 | 0,685 | 0,685 | 0,685 | 0,671 | 0,671 | 0,048 |
| 10,000 | 36,263 | 99,329 | -6,174 | skid front(in) | 1000000,000 | -5,300 | 0,000 | 1,000 | 100,000 | 0,001 | 0,798 | 0,685 | 0,685 | 0,685 | 0,671 | 0,671 | 0,049 |
| 10,500 | 35,142 | 99,329 | -6,173 | skid front(in) | 1000000,000 | -5,300 | 0,000 | 1,000 | 100,000 | 0,000 | 0,848 | 0,685 | 0,685 | 0,685 | 0,671 | 0,671 | 0,050 |
| 11,000 | 33,985 | 99,329 | -6,171 | skid front(in) | 1000000,000 | -5,300 | 0,000 | 1,000 | 100,000 | 0,000 | 0,900 | 0,685 | 0,685 | 0,685 | 0,671 | 0,671 | 0,052 |
| 11,500 | 32,788 | 99,329 | -6,170 | skid front(in) | 1000000,000 | -5,300 | 0,000 | 1,000 | 100,000 | 0,000 | 0,954 | 0,685 | 0,685 | 0,685 | 0,671 | 0,671 | 0,054 |
| 12,000 | 31,545 | 99,329 | -6,169 | skid front(in) | 1000000,000 | -5,300 | 0,000 | 1,000 | 100,000 | 0,001 | 1,010 | 0,685 | 0,685 | 0,685 | 0,671 | 0,671 | 0,056 |
| 12,500 | 30,251 | 99,329 | -6,168 | skid front(in) | 1000000,000 | -5,300 | 0,000 | 1,000 | 100,000 | 0,000 | 1,068 | 0,685 | 0,685 | 0,685 | 0,671 | 0,671 | 0,058 |
| 13,000 | 28,900 | 99,329 | -6,167 | skid front(in) | 1000000,000 | -5,300 | 0,000 | 1,000 | 100,000 | 0,001 | 1,129 | 0,685 | 0,685 | 0,685 | 0,671 | 0,671 | 0,061 |
| 13,500 | 27,482 | 99,329 | -6,166 | skid front(in) | 1000000,000 | -5,300 | 0,000 | 1,000 | 100,000 | 0,002 | 1,193 | 0,685 | 0,685 | 0,685 | 0,671 | 0,671 | 0,064 |
| 14,000 | 25,988 | 99,322 | -6,163 | skid front(out) | 1000000,000 | -5,300 | 0,000 | 1,000 | 100,000 | -1,566 | 1,260 | 0,685 | 0,685 | 0,685 | 0,671 | 0,671 | 0,067 |
| 14,500 | 24,403 | 99,352 | -6,163 | skid front(out) | 1000000,000 | -5,300 | 0,000 | 1,000 | 100,000 | -2,435 | 1,332 | 0,685 | 0,685 | 0,685 | 0,671 | 0,671 | 0,071 |
| 15,000 | 22,707 | 99,347 | -6,161 | skid front(out) | 1000000,000 | -5,300 | 0,000 | 1,000 | 100,000 | -3,790 | 1,408 | 0,685 | 0,685 | 0,685 | 0,671 | 0,671 | 0,076 |
| 15,500 | 20,875 | 99,337 | -6,159 | skid front(out) | 1000000,000 | -5,300 | 0,000 | 1,000 | 100,000 | -4,369 | 1,491 | 0,685 | 0,685 | 0,685 | 0,671 | 0,671 | 0,083 |
| 16,000 | 18,866 | 99,356 | -6,160 | skid front(out) | 1000000,000 | -5,300 | 0,000 | 1,000 | 100,000 | -2,812 | 1,581 | 0,685 | 0,685 | 0,685 | 0,671 | 0,671 | 0,091 |
| 16,500 | 16,616 | 99,336 | -6,158 | skid front(out) | 1000000,000 | -5,300 | 0,000 | 1,000 | 100,000 | -1,648 | 1,683 | 0,685 | 0,685 | 0,685 | 0,671 | 0,671 | 0,101 |
| 17,000 | 14,010 | 99,345 | -6,157 | skid front(out) | 1000000,000 | -5,300 | 0,000 | 1,000 | 100,000 | -3,051 | 1,800 | 0,685 | 0,685 | 0,685 | 0,671 | 0,671 | 0,118 |
| 17,500 | 10,792 | 99,348 | -6,155 | skid front(out) | 1000000,000 | -5,300 | 0,000 | 1,000 | 100,000 | -3,536 | 1,945 | 0,685 | 0,685 | 0,685 | 0,671 | 0,671 | 0,145 |
| 18,000 | 6,056 | 99,346 | -6,154 | skid front(out) | 1000000,000 | -5,300 | 0,000 | 1,000 | 100,000 | -3,153 | 2,159 | 0,685 | 0,685 | 0,685 | 0,671 | 0,671 | 0,214 |
| 18,200 | 2,179 | 99,285 | -6,152 | skid front(out) | 1000000,000 | -5,300 | 0,000 | 1,000 | 100,000 | 0,487 | 2,334 | 0,685 | 0,685 | 0,685 | 0,671 | 0,671 | 0,175 |

Προσδιορισμός Τιμών Πρόσφυσης κατά την Πέδηση Οχημάτων Εφοδιασμένων με Σύστημα ABS σε Αυξημένες κατά Μήκος Κλίσεις

| run_v_d_ntua_13 | | R(m) | br.front (%) | s(%) | e (%) | coeff | effic (%) | | | time (sec) | | | | | | | |
|-----------------|----------|------------|--------------|-----------------|-------------|--------|-----------|-------|-----------|------------|------------|-------|-----------|----------|----------|---------|-----------|
| s= | 100,000 | 1000000,00 | 67,50 | -5,3 | 0,0 | 1,00 | 100 | | | 2,436 | | | | | | | |
| step= | 0,100 | viewstep= | 0,500 | STEPS | | | | | | | | | | | | | |
| s (m) | V (km/h) | n (%) | dv/dt | skid check | R(m) | s(%) | e (%) | coeff | effic (%) | decelera | time (sec) | ff | front out | front in | rear out | rear in | checktime |
| 19,700 | 1,694 | 99,644 | -6,245 | skid front(out) | 1000000,000 | -5,300 | 0,000 | 1,000 | 100,000 | 0,394639 | 2,436 | 0,692 | 0,6919 | 0,6919 | 0,6847 | 0,6847 | |
| 0,000 | 56,600 | 99,656 | -6,291 | O.K | 1000000,000 | -5,300 | 0,000 | 1,000 | 100,000 | 0,000 | 0,000 | 0,692 | | | | | |
| 0,400 | 56,021 | 99,656 | -6,290 | skid front(in) | 1000000,000 | -5,300 | 0,000 | 1,000 | 100,000 | 0,000 | 0,026 | 0,692 | 0,692 | 0,692 | 0,685 | 0,685 | 0,026 |
| 1,000 | 55,141 | 99,656 | -6,289 | skid front(in) | 1000000,000 | -5,300 | 0,000 | 1,000 | 100,000 | 0,000 | 0,064 | 0,692 | 0,692 | 0,692 | 0,685 | 0,685 | 0,039 |
| 1,500 | 54,397 | 99,656 | -6,287 | skid front(in) | 1000000,000 | -5,300 | 0,000 | 1,000 | 100,000 | 0,000 | 0,097 | 0,692 | 0,692 | 0,692 | 0,685 | 0,685 | 0,033 |
| 2,000 | 53,643 | 99,656 | -6,286 | skid front(in) | 1000000,000 | -5,300 | 0,000 | 1,000 | 100,000 | 0,000 | 0,131 | 0,692 | 0,692 | 0,692 | 0,685 | 0,685 | 0,033 |
| 2,500 | 52,878 | 99,656 | -6,285 | skid front(in) | 1000000,000 | -5,300 | 0,000 | 1,000 | 100,000 | 0,000 | 0,164 | 0,692 | 0,692 | 0,692 | 0,685 | 0,685 | 0,034 |
| 3,000 | 52,102 | 99,656 | -6,284 | skid front(in) | 1000000,000 | -5,300 | 0,000 | 1,000 | 100,000 | 0,000 | 0,199 | 0,692 | 0,692 | 0,692 | 0,685 | 0,685 | 0,034 |
| 3,500 | 51,315 | 99,657 | -6,283 | skid front(in) | 1000000,000 | -5,300 | 0,000 | 1,000 | 100,000 | 0,000 | 0,234 | 0,692 | 0,692 | 0,692 | 0,685 | 0,685 | 0,035 |
| 4,000 | 50,515 | 99,657 | -6,282 | skid front(in) | 1000000,000 | -5,300 | 0,000 | 1,000 | 100,000 | 0,000 | 0,269 | 0,692 | 0,692 | 0,692 | 0,685 | 0,685 | 0,035 |
| 4,400 | 49,867 | 99,657 | -6,281 | skid front(in) | 1000000,000 | -5,300 | 0,000 | 1,000 | 100,000 | 0,000 | 0,298 | 0,692 | 0,692 | 0,692 | 0,685 | 0,685 | 0,029 |
| 5,000 | 48,877 | 99,657 | -6,279 | skid front(in) | 1000000,000 | -5,300 | 0,000 | 1,000 | 100,000 | 0,000 | 0,341 | 0,692 | 0,692 | 0,692 | 0,685 | 0,685 | 0,044 |
| 5,500 | 48,038 | 99,657 | -6,278 | skid front(in) | 1000000,000 | -5,300 | 0,000 | 1,000 | 100,000 | 0,000 | 0,378 | 0,692 | 0,692 | 0,692 | 0,685 | 0,685 | 0,037 |
| 6,000 | 47,183 | 99,657 | -6,277 | skid front(in) | 1000000,000 | -5,300 | 0,000 | 1,000 | 100,000 | 0,000 | 0,416 | 0,692 | 0,692 | 0,692 | 0,685 | 0,685 | 0,038 |
| 6,500 | 46,313 | 99,657 | -6,276 | skid front(in) | 1000000,000 | -5,300 | 0,000 | 1,000 | 100,000 | 0,000 | 0,455 | 0,692 | 0,692 | 0,692 | 0,685 | 0,685 | 0,039 |
| 7,000 | 45,427 | 99,657 | -6,275 | skid front(in) | 1000000,000 | -5,300 | 0,000 | 1,000 | 100,000 | 0,000 | 0,494 | 0,692 | 0,692 | 0,692 | 0,685 | 0,685 | 0,039 |
| 7,500 | 44,523 | 99,657 | -6,274 | skid front(in) | 1000000,000 | -5,300 | 0,000 | 1,000 | 100,000 | 0,000 | 0,534 | 0,692 | 0,692 | 0,692 | 0,685 | 0,685 | 0,040 |
| 8,000 | 43,600 | 99,657 | -6,272 | skid front(in) | 1000000,000 | -5,300 | 0,000 | 1,000 | 100,000 | 0,000 | 0,575 | 0,692 | 0,692 | 0,692 | 0,685 | 0,685 | 0,041 |
| 8,500 | 42,658 | 99,657 | -6,271 | skid front(in) | 1000000,000 | -5,300 | 0,000 | 1,000 | 100,000 | 0,000 | 0,617 | 0,692 | 0,692 | 0,692 | 0,685 | 0,685 | 0,042 |
| 9,000 | 41,695 | 99,657 | -6,270 | skid front(in) | 1000000,000 | -5,300 | 0,000 | 1,000 | 100,000 | 0,000 | 0,659 | 0,692 | 0,692 | 0,692 | 0,685 | 0,685 | 0,043 |
| 9,500 | 40,709 | 99,657 | -6,269 | skid front(in) | 1000000,000 | -5,300 | 0,000 | 1,000 | 100,000 | 0,000 | 0,703 | 0,692 | 0,692 | 0,692 | 0,685 | 0,685 | 0,044 |
| 10,000 | 39,698 | 99,657 | -6,268 | skid front(in) | 1000000,000 | -5,300 | 0,000 | 1,000 | 100,000 | 0,000 | 0,748 | 0,692 | 0,692 | 0,692 | 0,685 | 0,685 | 0,045 |
| 10,500 | 38,662 | 99,658 | -6,267 | skid front(in) | 1000000,000 | -5,300 | 0,000 | 1,000 | 100,000 | 0,000 | 0,794 | 0,692 | 0,692 | 0,692 | 0,685 | 0,685 | 0,046 |
| 11,000 | 37,597 | 99,658 | -6,265 | skid front(in) | 1000000,000 | -5,300 | 0,000 | 1,000 | 100,000 | 0,000 | 0,841 | 0,692 | 0,692 | 0,692 | 0,685 | 0,685 | 0,047 |
| 11,500 | 36,501 | 99,658 | -6,264 | skid front(in) | 1000000,000 | -5,300 | 0,000 | 1,000 | 100,000 | 0,000 | 0,889 | 0,692 | 0,692 | 0,692 | 0,685 | 0,685 | 0,049 |
| 12,000 | 35,372 | 99,658 | -6,263 | skid front(in) | 1000000,000 | -5,300 | 0,000 | 1,000 | 100,000 | 0,000 | 0,940 | 0,692 | 0,692 | 0,692 | 0,685 | 0,685 | 0,050 |
| 12,500 | 34,205 | 99,658 | -6,262 | skid front(in) | 1000000,000 | -5,300 | 0,000 | 1,000 | 100,000 | 0,000 | 0,991 | 0,692 | 0,692 | 0,692 | 0,685 | 0,685 | 0,052 |
| 13,000 | 32,998 | 99,658 | -6,261 | skid front(in) | 1000000,000 | -5,300 | 0,000 | 1,000 | 100,000 | 0,000 | 1,045 | 0,692 | 0,692 | 0,692 | 0,685 | 0,685 | 0,054 |
| 13,500 | 31,744 | 99,658 | -6,260 | skid front(in) | 1000000,000 | -5,300 | 0,000 | 1,000 | 100,000 | 0,000 | 1,100 | 0,692 | 0,692 | 0,692 | 0,685 | 0,685 | 0,056 |
| 14,000 | 30,440 | 99,658 | -6,259 | skid front(in) | 1000000,000 | -5,300 | 0,000 | 1,000 | 100,000 | 0,000 | 1,158 | 0,692 | 0,692 | 0,692 | 0,685 | 0,685 | 0,058 |
| 14,500 | 29,077 | 99,658 | -6,257 | skid front(in) | 1000000,000 | -5,300 | 0,000 | 1,000 | 100,000 | 0,001 | 1,219 | 0,692 | 0,692 | 0,692 | 0,685 | 0,685 | 0,060 |
| 15,000 | 27,648 | 99,658 | -6,256 | skid front(in) | 1000000,000 | -5,300 | 0,000 | 1,000 | 100,000 | 0,001 | 1,282 | 0,692 | 0,692 | 0,692 | 0,685 | 0,685 | 0,063 |
| 15,500 | 26,140 | 99,659 | -6,252 | skid front(out) | 1000000,000 | -5,300 | 0,000 | 1,000 | 100,000 | -3,951 | 1,349 | 0,692 | 0,692 | 0,692 | 0,684 | 0,684 | 0,067 |
| 16,000 | 24,541 | 99,665 | -6,252 | skid front(out) | 1000000,000 | -5,300 | 0,000 | 1,000 | 100,000 | -3,100 | 1,420 | 0,692 | 0,692 | 0,692 | 0,685 | 0,685 | 0,071 |
| 16,500 | 22,830 | 99,644 | -6,250 | skid front(out) | 1000000,000 | -5,300 | 0,000 | 1,000 | 100,000 | -2,700 | 1,496 | 0,692 | 0,692 | 0,692 | 0,684 | 0,684 | 0,076 |
| 17,000 | 20,981 | 99,689 | -6,252 | skid front(out) | 1000000,000 | -5,300 | 0,000 | 1,000 | 100,000 | -3,254 | 1,578 | 0,692 | 0,692 | 0,692 | 0,685 | 0,685 | 0,082 |
| 17,500 | 18,952 | 99,644 | -6,248 | skid front(out) | 1000000,000 | -5,300 | 0,000 | 1,000 | 100,000 | -2,645 | 1,669 | 0,692 | 0,692 | 0,692 | 0,684 | 0,684 | 0,090 |
| 18,000 | 16,678 | 99,667 | -6,248 | skid front(out) | 1000000,000 | -5,300 | 0,000 | 1,000 | 100,000 | -3,006 | 1,770 | 0,692 | 0,692 | 0,692 | 0,685 | 0,685 | 0,101 |
| 18,500 | 14,042 | 99,625 | -6,246 | skid front(out) | 1000000,000 | -5,300 | 0,000 | 1,000 | 100,000 | -0,481 | 1,887 | 0,692 | 0,692 | 0,692 | 0,684 | 0,684 | 0,117 |
| 18,900 | 11,507 | 99,610 | -6,244 | skid front(out) | 1000000,000 | -5,300 | 0,000 | 1,000 | 100,000 | -0,152 | 2,000 | 0,692 | 0,692 | 0,692 | 0,684 | 0,684 | 0,113 |
| 19,500 | 5,939 | 99,654 | -6,243 | skid front(out) | 1000000,000 | -5,300 | 0,000 | 1,000 | 100,000 | -3,158 | 2,247 | 0,692 | 0,692 | 0,692 | 0,684 | 0,684 | 0,248 |
| 19,700 | 1,694 | 99,644 | -6,245 | skid front(out) | 1000000,000 | -5,300 | 0,000 | 1,000 | 100,000 | 0,395 | 2,436 | 0,692 | 0,692 | 0,692 | 0,685 | 0,685 | 0,189 |

Προσδιορισμός Τιμών Πρόσφυσης κατά την Πέδηση Οχημάτων Εφοδιασμένων με Σύστημα ABS σε Αυξημένες κατά Μήκος Κλίσεις

| run_v_d_ntua_14 | | R(m) | br.front (%) | s(%) | e (%) | coeff | effic (%) | | | time (sec) | | | | | | | |
|-----------------|----------|------------|--------------|-----------------|-------------|--------|-----------|-------|-----------|------------|------------|-------|-----------|----------|----------|---------|-----------|
| s= | 100,000 | 1000000,00 | 67,00 | -5,3 | 0,0 | 1,00 | 100 | | | 2,451 | | | | | | | |
| step= | 0,100 | viewstep= | 0,500 | STEPS | | | | | | | | | | | | | |
| s (m) | V (km/h) | n (%) | dv/dt | skid check | R(m) | s(%) | e (%) | coeff | effic (%) | decelera | time (sec) | ff | front out | front in | rear out | rear in | checktime |
| 20,300 | 2,814 | 99,845 | -6,089 | skid front(out) | 1000000,000 | -5,300 | 0,000 | 1,000 | 100,000 | -3,689621 | 2,451 | 0,675 | 0,6748 | 0,6748 | 0,6714 | 0,6714 | |
| 0,000 | 56,690 | 99,835 | -6,137 | O.K | 1000000,000 | -5,300 | 0,000 | 1,000 | 100,000 | 0,000 | 0,000 | 0,675 | | | | | |
| 0,400 | 56,126 | 99,835 | -6,136 | skid front(in) | 1000000,000 | -5,300 | 0,000 | 1,000 | 100,000 | 0,000 | 0,026 | 0,675 | 0,675 | 0,675 | 0,672 | 0,672 | 0,026 |
| 1,000 | 55,269 | 99,835 | -6,135 | skid front(in) | 1000000,000 | -5,300 | 0,000 | 1,000 | 100,000 | 0,000 | 0,064 | 0,675 | 0,675 | 0,675 | 0,672 | 0,672 | 0,039 |
| 1,500 | 54,546 | 99,835 | -6,134 | skid front(in) | 1000000,000 | -5,300 | 0,000 | 1,000 | 100,000 | 0,000 | 0,097 | 0,675 | 0,675 | 0,675 | 0,672 | 0,672 | 0,033 |
| 2,000 | 53,812 | 99,835 | -6,133 | skid front(in) | 1000000,000 | -5,300 | 0,000 | 1,000 | 100,000 | 0,000 | 0,130 | 0,675 | 0,675 | 0,675 | 0,672 | 0,672 | 0,033 |
| 2,500 | 53,068 | 99,835 | -6,131 | skid front(in) | 1000000,000 | -5,300 | 0,000 | 1,000 | 100,000 | 0,000 | 0,164 | 0,675 | 0,675 | 0,675 | 0,672 | 0,672 | 0,034 |
| 3,000 | 52,314 | 99,835 | -6,130 | skid front(in) | 1000000,000 | -5,300 | 0,000 | 1,000 | 100,000 | 0,000 | 0,198 | 0,675 | 0,675 | 0,675 | 0,672 | 0,672 | 0,034 |
| 3,500 | 51,550 | 99,835 | -6,129 | skid front(in) | 1000000,000 | -5,300 | 0,000 | 1,000 | 100,000 | 0,000 | 0,233 | 0,675 | 0,675 | 0,675 | 0,672 | 0,672 | 0,035 |
| 4,000 | 50,773 | 99,835 | -6,128 | skid front(in) | 1000000,000 | -5,300 | 0,000 | 1,000 | 100,000 | 0,000 | 0,268 | 0,675 | 0,675 | 0,675 | 0,672 | 0,672 | 0,035 |
| 4,400 | 50,144 | 99,835 | -6,127 | skid front(in) | 1000000,000 | -5,300 | 0,000 | 1,000 | 100,000 | 0,000 | 0,297 | 0,675 | 0,675 | 0,675 | 0,672 | 0,672 | 0,029 |
| 5,000 | 49,185 | 99,836 | -6,126 | skid front(in) | 1000000,000 | -5,300 | 0,000 | 1,000 | 100,000 | 0,000 | 0,340 | 0,675 | 0,675 | 0,675 | 0,672 | 0,672 | 0,043 |
| 5,500 | 48,371 | 99,836 | -6,125 | skid front(in) | 1000000,000 | -5,300 | 0,000 | 1,000 | 100,000 | 0,000 | 0,377 | 0,675 | 0,675 | 0,675 | 0,672 | 0,672 | 0,037 |
| 6,000 | 47,543 | 99,836 | -6,123 | skid front(in) | 1000000,000 | -5,300 | 0,000 | 1,000 | 100,000 | 0,000 | 0,414 | 0,675 | 0,675 | 0,675 | 0,672 | 0,672 | 0,038 |
| 6,500 | 46,701 | 99,836 | -6,122 | skid front(in) | 1000000,000 | -5,300 | 0,000 | 1,000 | 100,000 | 0,000 | 0,453 | 0,675 | 0,675 | 0,675 | 0,672 | 0,672 | 0,038 |
| 7,000 | 45,844 | 99,836 | -6,121 | skid front(in) | 1000000,000 | -5,300 | 0,000 | 1,000 | 100,000 | 0,000 | 0,492 | 0,675 | 0,675 | 0,675 | 0,672 | 0,672 | 0,039 |
| 7,500 | 44,971 | 99,836 | -6,120 | skid front(in) | 1000000,000 | -5,300 | 0,000 | 1,000 | 100,000 | 0,000 | 0,531 | 0,675 | 0,675 | 0,675 | 0,672 | 0,672 | 0,040 |
| 8,000 | 44,080 | 99,836 | -6,119 | skid front(in) | 1000000,000 | -5,300 | 0,000 | 1,000 | 100,000 | 0,000 | 0,572 | 0,675 | 0,675 | 0,675 | 0,672 | 0,672 | 0,040 |
| 8,500 | 43,171 | 99,836 | -6,118 | skid front(in) | 1000000,000 | -5,300 | 0,000 | 1,000 | 100,000 | 0,000 | 0,613 | 0,675 | 0,675 | 0,675 | 0,672 | 0,672 | 0,041 |
| 9,000 | 42,243 | 99,836 | -6,117 | skid front(in) | 1000000,000 | -5,300 | 0,000 | 1,000 | 100,000 | 0,000 | 0,655 | 0,675 | 0,675 | 0,675 | 0,672 | 0,672 | 0,042 |
| 9,500 | 41,294 | 99,836 | -6,115 | skid front(in) | 1000000,000 | -5,300 | 0,000 | 1,000 | 100,000 | 0,000 | 0,698 | 0,675 | 0,675 | 0,675 | 0,672 | 0,672 | 0,043 |
| 10,000 | 40,323 | 99,836 | -6,114 | skid front(in) | 1000000,000 | -5,300 | 0,000 | 1,000 | 100,000 | 0,000 | 0,742 | 0,675 | 0,675 | 0,675 | 0,672 | 0,672 | 0,044 |
| 10,500 | 39,329 | 99,836 | -6,113 | skid front(in) | 1000000,000 | -5,300 | 0,000 | 1,000 | 100,000 | 0,000 | 0,787 | 0,675 | 0,675 | 0,675 | 0,672 | 0,672 | 0,045 |
| 11,000 | 38,308 | 99,836 | -6,112 | skid front(in) | 1000000,000 | -5,300 | 0,000 | 1,000 | 100,000 | 0,000 | 0,834 | 0,675 | 0,675 | 0,675 | 0,672 | 0,672 | 0,046 |
| 11,500 | 37,260 | 99,836 | -6,111 | skid front(in) | 1000000,000 | -5,300 | 0,000 | 1,000 | 100,000 | 0,000 | 0,881 | 0,675 | 0,675 | 0,675 | 0,672 | 0,672 | 0,048 |
| 12,000 | 36,182 | 99,837 | -6,110 | skid front(in) | 1000000,000 | -5,300 | 0,000 | 1,000 | 100,000 | 0,000 | 0,930 | 0,675 | 0,675 | 0,675 | 0,672 | 0,672 | 0,049 |
| 12,500 | 35,071 | 99,837 | -6,109 | skid front(in) | 1000000,000 | -5,300 | 0,000 | 1,000 | 100,000 | 0,000 | 0,981 | 0,675 | 0,675 | 0,675 | 0,672 | 0,672 | 0,051 |
| 13,000 | 33,923 | 99,837 | -6,108 | skid front(in) | 1000000,000 | -5,300 | 0,000 | 1,000 | 100,000 | 0,000 | 1,033 | 0,675 | 0,675 | 0,675 | 0,672 | 0,672 | 0,052 |
| 13,500 | 32,736 | 99,837 | -6,106 | skid front(in) | 1000000,000 | -5,300 | 0,000 | 1,000 | 100,000 | 0,001 | 1,087 | 0,675 | 0,675 | 0,675 | 0,672 | 0,672 | 0,054 |
| 14,000 | 31,504 | 99,837 | -6,105 | skid front(in) | 1000000,000 | -5,300 | 0,000 | 1,000 | 100,000 | 0,001 | 1,143 | 0,675 | 0,675 | 0,675 | 0,672 | 0,672 | 0,056 |
| 14,500 | 30,222 | 99,837 | -6,104 | skid front(in) | 1000000,000 | -5,300 | 0,000 | 1,000 | 100,000 | 0,001 | 1,202 | 0,675 | 0,675 | 0,675 | 0,672 | 0,672 | 0,058 |
| 15,000 | 28,884 | 99,837 | -6,103 | skid front(in) | 1000000,000 | -5,300 | 0,000 | 1,000 | 100,000 | 0,000 | 1,262 | 0,675 | 0,675 | 0,675 | 0,672 | 0,672 | 0,061 |
| 15,500 | 27,481 | 99,837 | -6,102 | skid front(in) | 1000000,000 | -5,300 | 0,000 | 1,000 | 100,000 | 0,000 | 1,326 | 0,675 | 0,675 | 0,675 | 0,672 | 0,672 | 0,064 |
| 16,000 | 26,002 | 99,804 | -6,098 | skid front(out) | 1000000,000 | -5,300 | 0,000 | 1,000 | 100,000 | -0,336 | 1,394 | 0,675 | 0,675 | 0,675 | 0,671 | 0,671 | 0,067 |
| 16,500 | 24,435 | 99,822 | -6,099 | skid front(out) | 1000000,000 | -5,300 | 0,000 | 1,000 | 100,000 | 0,266 | 1,465 | 0,675 | 0,675 | 0,675 | 0,672 | 0,672 | 0,071 |
| 17,000 | 22,760 | 99,832 | -6,096 | skid front(out) | 1000000,000 | -5,300 | 0,000 | 1,000 | 100,000 | -2,807 | 1,541 | 0,675 | 0,675 | 0,675 | 0,671 | 0,671 | 0,076 |
| 17,500 | 20,952 | 99,832 | -6,097 | skid front(out) | 1000000,000 | -5,300 | 0,000 | 1,000 | 100,000 | -0,649 | 1,624 | 0,675 | 0,675 | 0,675 | 0,672 | 0,672 | 0,082 |
| 18,000 | 18,973 | 99,821 | -6,094 | skid front(out) | 1000000,000 | -5,300 | 0,000 | 1,000 | 100,000 | -2,185 | 1,714 | 0,675 | 0,675 | 0,675 | 0,671 | 0,671 | 0,090 |
| 18,500 | 16,763 | 99,832 | -6,094 | skid front(out) | 1000000,000 | -5,300 | 0,000 | 1,000 | 100,000 | -1,459 | 1,815 | 0,675 | 0,675 | 0,675 | 0,671 | 0,671 | 0,101 |
| 18,900 | 14,757 | 99,831 | -6,092 | skid front(out) | 1000000,000 | -5,300 | 0,000 | 1,000 | 100,000 | -2,554 | 1,906 | 0,675 | 0,675 | 0,675 | 0,671 | 0,671 | 0,091 |
| 19,500 | 11,091 | 99,820 | -6,090 | skid front(out) | 1000000,000 | -5,300 | 0,000 | 1,000 | 100,000 | -2,277 | 2,073 | 0,675 | 0,675 | 0,675 | 0,671 | 0,671 | 0,167 |
| 20,000 | 6,638 | 99,831 | -6,090 | skid front(out) | 1000000,000 | -5,300 | 0,000 | 1,000 | 100,000 | -2,323 | 2,276 | 0,675 | 0,675 | 0,675 | 0,671 | 0,671 | 0,203 |
| 20,300 | 2,814 | 99,845 | -6,089 | skid front(out) | 1000000,000 | -5,300 | 0,000 | 1,000 | 100,000 | -3,690 | 2,451 | 0,675 | 0,675 | 0,675 | 0,671 | 0,671 | 0,174 |

Προσδιορισμός Τιμών Πρόσφυσης κατά την Πέδηση Οχημάτων Εφοδιασμένων με Σύστημα ABS σε Αυξημένες κατά Μήκος Κλίσεις

| run_v_d_ntua_15 | R(m) | br.front (%) | s(%) | e (%) | coeff | effic (%) | | time (sec) | | | | | | | | | | |
|-----------------|----------|--------------|--------|-----------------|-------------|-----------|-------|------------|-----------|-----------|------------|-------|-----------|----------|----------|---------|-----------|-------|
| s= | 100,000 | 1000000,00 | 67,00 | -5,3 | 0,0 | 1,00 | 100 | 2,524 | | | | | | | | | | 0,963 |
| step= | 0,100 | viewstep= | 0,500 | STEPS | | | | | | | | | | | | | | |
| s (m) | V (km/h) | n (%) | dv/dt | skid check | R(m) | s(%) | e (%) | coeff | effic (%) | decelera | time (sec) | fT | front out | front in | rear out | rear in | checktime | |
| 21,200 | 2,826 | 99,639 | -6,026 | skid front(out) | 1000000,000 | -5,300 | 0,000 | 1,000 | 100,000 | -5,197354 | 2,524 | 0,67 | 0,6699 | 0,6699 | 0,6618 | 0,6618 | | |
| 0,000 | 57,730 | 99,599 | -6,075 | O.K | 1000000,000 | -5,300 | 0,000 | 1,000 | 100,000 | 0,000 | 0,000 | 0,670 | | | | | | |
| 0,400 | 57,182 | 99,599 | -6,074 | skid front(in) | 1000000,000 | -5,300 | 0,000 | 1,000 | 100,000 | 0,000 | 0,025 | 0,670 | 0,670 | 0,670 | 0,662 | 0,662 | 0,025 | |
| 1,000 | 56,350 | 99,599 | -6,072 | skid front(in) | 1000000,000 | -5,300 | 0,000 | 1,000 | 100,000 | 0,000 | 0,063 | 0,670 | 0,670 | 0,670 | 0,662 | 0,662 | 0,038 | |
| 1,500 | 55,647 | 99,599 | -6,071 | skid front(in) | 1000000,000 | -5,300 | 0,000 | 1,000 | 100,000 | 0,000 | 0,095 | 0,670 | 0,670 | 0,670 | 0,662 | 0,662 | 0,032 | |
| 2,000 | 54,936 | 99,599 | -6,070 | skid front(in) | 1000000,000 | -5,300 | 0,000 | 1,000 | 100,000 | 0,000 | 0,128 | 0,670 | 0,670 | 0,670 | 0,662 | 0,662 | 0,033 | |
| 2,500 | 54,215 | 99,599 | -6,069 | skid front(in) | 1000000,000 | -5,300 | 0,000 | 1,000 | 100,000 | 0,000 | 0,161 | 0,670 | 0,670 | 0,670 | 0,662 | 0,662 | 0,033 | |
| 3,000 | 53,485 | 99,599 | -6,068 | skid front(in) | 1000000,000 | -5,300 | 0,000 | 1,000 | 100,000 | 0,000 | 0,194 | 0,670 | 0,670 | 0,670 | 0,662 | 0,662 | 0,033 | |
| 3,500 | 52,745 | 99,599 | -6,067 | skid front(in) | 1000000,000 | -5,300 | 0,000 | 1,000 | 100,000 | 0,000 | 0,228 | 0,670 | 0,670 | 0,670 | 0,662 | 0,662 | 0,034 | |
| 4,000 | 51,994 | 99,599 | -6,065 | skid front(in) | 1000000,000 | -5,300 | 0,000 | 1,000 | 100,000 | 0,000 | 0,262 | 0,670 | 0,670 | 0,670 | 0,662 | 0,662 | 0,034 | |
| 4,400 | 51,386 | 99,599 | -6,065 | skid front(in) | 1000000,000 | -5,300 | 0,000 | 1,000 | 100,000 | 0,000 | 0,290 | 0,670 | 0,670 | 0,670 | 0,662 | 0,662 | 0,028 | |
| 5,000 | 50,460 | 99,599 | -6,063 | skid front(in) | 1000000,000 | -5,300 | 0,000 | 1,000 | 100,000 | 0,000 | 0,333 | 0,670 | 0,670 | 0,670 | 0,662 | 0,662 | 0,042 | |
| 5,500 | 49,676 | 99,600 | -6,062 | skid front(in) | 1000000,000 | -5,300 | 0,000 | 1,000 | 100,000 | 0,000 | 0,369 | 0,670 | 0,670 | 0,670 | 0,662 | 0,662 | 0,036 | |
| 6,000 | 48,878 | 99,600 | -6,061 | skid front(in) | 1000000,000 | -5,300 | 0,000 | 1,000 | 100,000 | 0,000 | 0,405 | 0,670 | 0,670 | 0,670 | 0,662 | 0,662 | 0,037 | |
| 6,500 | 48,068 | 99,600 | -6,060 | skid front(in) | 1000000,000 | -5,300 | 0,000 | 1,000 | 100,000 | 0,000 | 0,442 | 0,670 | 0,670 | 0,670 | 0,662 | 0,662 | 0,037 | |
| 7,000 | 47,244 | 99,600 | -6,059 | skid front(in) | 1000000,000 | -5,300 | 0,000 | 1,000 | 100,000 | 0,000 | 0,480 | 0,670 | 0,670 | 0,670 | 0,662 | 0,662 | 0,038 | |
| 7,500 | 46,406 | 99,600 | -6,058 | skid front(in) | 1000000,000 | -5,300 | 0,000 | 1,000 | 100,000 | 0,000 | 0,519 | 0,670 | 0,670 | 0,670 | 0,662 | 0,662 | 0,038 | |
| 8,000 | 45,552 | 99,600 | -6,056 | skid front(in) | 1000000,000 | -5,300 | 0,000 | 1,000 | 100,000 | 0,000 | 0,558 | 0,670 | 0,670 | 0,670 | 0,662 | 0,662 | 0,039 | |
| 8,500 | 44,683 | 99,600 | -6,055 | skid front(in) | 1000000,000 | -5,300 | 0,000 | 1,000 | 100,000 | 0,000 | 0,598 | 0,670 | 0,670 | 0,670 | 0,662 | 0,662 | 0,040 | |
| 9,000 | 43,796 | 99,600 | -6,054 | skid front(in) | 1000000,000 | -5,300 | 0,000 | 1,000 | 100,000 | 0,000 | 0,638 | 0,670 | 0,670 | 0,670 | 0,662 | 0,662 | 0,041 | |
| 9,500 | 42,891 | 99,600 | -6,053 | skid front(in) | 1000000,000 | -5,300 | 0,000 | 1,000 | 100,000 | 0,000 | 0,680 | 0,670 | 0,670 | 0,670 | 0,662 | 0,662 | 0,042 | |
| 10,000 | 41,966 | 99,600 | -6,052 | skid front(in) | 1000000,000 | -5,300 | 0,000 | 1,000 | 100,000 | 0,000 | 0,722 | 0,670 | 0,670 | 0,670 | 0,662 | 0,662 | 0,042 | |
| 10,500 | 41,021 | 99,600 | -6,051 | skid front(in) | 1000000,000 | -5,300 | 0,000 | 1,000 | 100,000 | 0,000 | 0,766 | 0,670 | 0,670 | 0,670 | 0,662 | 0,662 | 0,043 | |
| 11,000 | 40,054 | 99,600 | -6,050 | skid front(in) | 1000000,000 | -5,300 | 0,000 | 1,000 | 100,000 | 0,000 | 0,810 | 0,670 | 0,670 | 0,670 | 0,662 | 0,662 | 0,044 | |
| 11,500 | 39,063 | 99,600 | -6,049 | skid front(in) | 1000000,000 | -5,300 | 0,000 | 1,000 | 100,000 | 0,000 | 0,856 | 0,670 | 0,670 | 0,670 | 0,662 | 0,662 | 0,046 | |
| 12,000 | 38,047 | 99,600 | -6,047 | skid front(in) | 1000000,000 | -5,300 | 0,000 | 1,000 | 100,000 | 0,000 | 0,902 | 0,670 | 0,670 | 0,670 | 0,662 | 0,662 | 0,047 | |
| 12,500 | 37,003 | 99,601 | -6,046 | skid front(in) | 1000000,000 | -5,300 | 0,000 | 1,000 | 100,000 | 0,001 | 0,950 | 0,670 | 0,670 | 0,670 | 0,662 | 0,662 | 0,048 | |
| 13,000 | 35,928 | 99,601 | -6,045 | skid front(in) | 1000000,000 | -5,300 | 0,000 | 1,000 | 100,000 | 0,000 | 1,000 | 0,670 | 0,670 | 0,670 | 0,662 | 0,662 | 0,049 | |
| 13,500 | 34,821 | 99,601 | -6,044 | skid front(in) | 1000000,000 | -5,300 | 0,000 | 1,000 | 100,000 | 0,000 | 1,050 | 0,670 | 0,670 | 0,670 | 0,662 | 0,662 | 0,051 | |
| 14,000 | 33,678 | 99,601 | -6,043 | skid front(in) | 1000000,000 | -5,300 | 0,000 | 1,000 | 100,000 | 0,000 | 1,103 | 0,670 | 0,670 | 0,670 | 0,662 | 0,662 | 0,053 | |
| 14,500 | 32,494 | 99,601 | -6,042 | skid front(in) | 1000000,000 | -5,300 | 0,000 | 1,000 | 100,000 | 0,000 | 1,157 | 0,670 | 0,670 | 0,670 | 0,662 | 0,662 | 0,054 | |
| 15,000 | 31,266 | 99,601 | -6,041 | skid front(in) | 1000000,000 | -5,300 | 0,000 | 1,000 | 100,000 | 0,000 | 1,214 | 0,670 | 0,670 | 0,670 | 0,662 | 0,662 | 0,056 | |
| 15,500 | 29,988 | 99,601 | -6,040 | skid front(in) | 1000000,000 | -5,300 | 0,000 | 1,000 | 100,000 | 0,000 | 1,273 | 0,670 | 0,670 | 0,670 | 0,662 | 0,662 | 0,059 | |
| 16,000 | 28,654 | 99,601 | -6,038 | skid front(in) | 1000000,000 | -5,300 | 0,000 | 1,000 | 100,000 | 0,000 | 1,334 | 0,670 | 0,670 | 0,670 | 0,662 | 0,662 | 0,061 | |
| 16,500 | 27,254 | 99,601 | -6,037 | skid front(in) | 1000000,000 | -5,300 | 0,000 | 1,000 | 100,000 | 0,003 | 1,398 | 0,670 | 0,670 | 0,670 | 0,662 | 0,662 | 0,064 | |
| 17,000 | 25,779 | 99,576 | -6,034 | skid front(out) | 1000000,000 | -5,300 | 0,000 | 1,000 | 100,000 | -0,765 | 1,466 | 0,670 | 0,670 | 0,670 | 0,662 | 0,662 | 0,068 | |
| 17,500 | 24,214 | 99,613 | -6,034 | skid front(out) | 1000000,000 | -5,300 | 0,000 | 1,000 | 100,000 | -3,339 | 1,538 | 0,670 | 0,670 | 0,670 | 0,662 | 0,662 | 0,072 | |
| 18,000 | 22,542 | 99,602 | -6,033 | skid front(out) | 1000000,000 | -5,300 | 0,000 | 1,000 | 100,000 | -1,977 | 1,615 | 0,670 | 0,670 | 0,670 | 0,662 | 0,662 | 0,077 | |
| 18,500 | 20,735 | 99,608 | -6,031 | skid front(out) | 1000000,000 | -5,300 | 0,000 | 1,000 | 100,000 | -2,982 | 1,698 | 0,670 | 0,670 | 0,670 | 0,662 | 0,662 | 0,083 | |
| 18,900 | 19,168 | 99,578 | -6,030 | skid front(out) | 1000000,000 | -5,300 | 0,000 | 1,000 | 100,000 | -0,636 | 1,771 | 0,670 | 0,670 | 0,670 | 0,662 | 0,662 | 0,072 | |
| 19,500 | 16,542 | 99,602 | -6,030 | skid front(out) | 1000000,000 | -5,300 | 0,000 | 1,000 | 100,000 | -1,033 | 1,892 | 0,670 | 0,670 | 0,670 | 0,662 | 0,662 | 0,121 | |
| 20,000 | 13,981 | 99,589 | -6,027 | skid front(out) | 1000000,000 | -5,300 | 0,000 | 1,000 | 100,000 | -2,828 | 2,010 | 0,670 | 0,670 | 0,670 | 0,662 | 0,662 | 0,118 | |
| 20,500 | 10,833 | 99,593 | -6,026 | skid front(out) | 1000000,000 | -5,300 | 0,000 | 1,000 | 100,000 | -2,279 | 2,155 | 0,670 | 0,670 | 0,670 | 0,662 | 0,662 | 0,145 | |
| 21,000 | 6,264 | 99,577 | -6,025 | skid front(out) | 1000000,000 | -5,300 | 0,000 | 1,000 | 100,000 | -0,711 | 2,365 | 0,670 | 0,670 | 0,670 | 0,662 | 0,662 | 0,211 | |
| 21,200 | 2,826 | 99,639 | -6,026 | skid front(out) | 1000000,000 | -5,300 | 0,000 | 1,000 | 100,000 | -5,197 | 2,524 | 0,670 | 0,670 | 0,670 | 0,662 | 0,662 | 0,158 | |

Προσδιορισμός Τιμών Πρόσφυσης κατά την Πέδηση Οχημάτων Εφοδιασμένων με Σύστημα ABS σε Αυξημένες κατά Μήκος Κλίσεις

2.1.2 NTUA - wet

| run_v_w_ntua_1 | | R(m) | br.front (%) | s(%) | e (%) | coeff | effic (%) | time (sec) | | | | | | | | | |
|----------------|----------|------------|--------------|-----------------|-------------|--------|-----------|------------|-----------|----------|------------|-------|-----------|----------|----------|---------|-----------|
| s= | 100,000 | 1000000,00 | 64,00 | -5,3 | 0,0 | 1,00 | 100 | 3,511 | | | | | | | | | |
| step= | 0,100 | viewstep= | 0,500 | STEPS | | | | | | | | | 0,963 | | | | |
| s (m) | V (km/h) | n (%) | dv/dt | skid check | R(m) | s(%) | e (%) | coeff | effic (%) | decelera | time (sec) | fT | front out | front in | rear out | rear in | checktime |
| 30,100 | 0,862 | 99,282 | -4,730 | skid front(out) | 1000000,000 | -5,300 | 0,000 | 1,000 | 100,000 | 0,897715 | 3,511 | 0,539 | 0,5389 | 0,5389 | 0,5287 | 0,5287 | |
| 0,000 | 60,910 | 99,304 | -4,788 | O.K | 1000000,000 | -5,300 | 0,000 | 1,000 | 100,000 | 0,000 | 0,000 | 0,539 | | | | | |
| 0,400 | 60,501 | 99,304 | -4,788 | skid front(in) | 1000000,000 | -5,300 | 0,000 | 1,000 | 100,000 | 0,000 | 0,024 | 0,539 | 0,539 | 0,539 | 0,529 | 0,529 | 0,024 |
| 1,000 | 59,883 | 99,304 | -4,787 | skid front(in) | 1000000,000 | -5,300 | 0,000 | 1,000 | 100,000 | 0,000 | 0,060 | 0,539 | 0,539 | 0,539 | 0,529 | 0,529 | 0,036 |
| 1,500 | 59,362 | 99,304 | -4,786 | skid front(in) | 1000000,000 | -5,300 | 0,000 | 1,000 | 100,000 | 0,000 | 0,090 | 0,539 | 0,539 | 0,539 | 0,529 | 0,529 | 0,030 |
| 2,000 | 58,838 | 99,304 | -4,785 | skid front(in) | 1000000,000 | -5,300 | 0,000 | 1,000 | 100,000 | 0,000 | 0,120 | 0,539 | 0,539 | 0,539 | 0,529 | 0,529 | 0,030 |
| 2,500 | 58,308 | 99,304 | -4,784 | skid front(in) | 1000000,000 | -5,300 | 0,000 | 1,000 | 100,000 | 0,000 | 0,151 | 0,539 | 0,539 | 0,539 | 0,529 | 0,529 | 0,031 |
| 3,000 | 57,774 | 99,304 | -4,783 | skid front(in) | 1000000,000 | -5,300 | 0,000 | 1,000 | 100,000 | 0,000 | 0,182 | 0,539 | 0,539 | 0,539 | 0,529 | 0,529 | 0,031 |
| 3,500 | 57,236 | 99,304 | -4,782 | skid front(in) | 1000000,000 | -5,300 | 0,000 | 1,000 | 100,000 | 0,000 | 0,213 | 0,539 | 0,539 | 0,539 | 0,529 | 0,529 | 0,031 |
| 4,000 | 56,692 | 99,304 | -4,781 | skid front(in) | 1000000,000 | -5,300 | 0,000 | 1,000 | 100,000 | 0,000 | 0,245 | 0,539 | 0,539 | 0,539 | 0,529 | 0,529 | 0,032 |
| 4,400 | 56,253 | 99,304 | -4,780 | skid front(in) | 1000000,000 | -5,300 | 0,000 | 1,000 | 100,000 | 0,000 | 0,270 | 0,539 | 0,539 | 0,539 | 0,529 | 0,529 | 0,025 |
| 5,000 | 55,588 | 99,304 | -4,779 | skid front(in) | 1000000,000 | -5,300 | 0,000 | 1,000 | 100,000 | 0,000 | 0,309 | 0,539 | 0,539 | 0,539 | 0,529 | 0,529 | 0,039 |
| 5,500 | 55,028 | 99,305 | -4,778 | skid front(in) | 1000000,000 | -5,300 | 0,000 | 1,000 | 100,000 | 0,000 | 0,342 | 0,539 | 0,539 | 0,539 | 0,529 | 0,529 | 0,033 |
| 6,000 | 54,463 | 99,305 | -4,777 | skid front(in) | 1000000,000 | -5,300 | 0,000 | 1,000 | 100,000 | 0,000 | 0,374 | 0,539 | 0,539 | 0,539 | 0,529 | 0,529 | 0,033 |
| 6,500 | 53,892 | 99,305 | -4,776 | skid front(in) | 1000000,000 | -5,300 | 0,000 | 1,000 | 100,000 | 0,000 | 0,408 | 0,539 | 0,539 | 0,539 | 0,529 | 0,529 | 0,033 |
| 7,000 | 53,314 | 99,305 | -4,775 | skid front(in) | 1000000,000 | -5,300 | 0,000 | 1,000 | 100,000 | 0,000 | 0,441 | 0,539 | 0,539 | 0,539 | 0,529 | 0,529 | 0,034 |
| 7,500 | 52,731 | 99,305 | -4,774 | skid front(in) | 1000000,000 | -5,300 | 0,000 | 1,000 | 100,000 | 0,000 | 0,475 | 0,539 | 0,539 | 0,539 | 0,529 | 0,529 | 0,034 |
| 8,000 | 52,141 | 99,305 | -4,773 | skid front(in) | 1000000,000 | -5,300 | 0,000 | 1,000 | 100,000 | 0,000 | 0,510 | 0,539 | 0,539 | 0,539 | 0,529 | 0,529 | 0,034 |
| 8,500 | 51,544 | 99,305 | -4,772 | skid front(in) | 1000000,000 | -5,300 | 0,000 | 1,000 | 100,000 | 0,000 | 0,544 | 0,539 | 0,539 | 0,539 | 0,529 | 0,529 | 0,035 |
| 9,000 | 50,941 | 99,305 | -4,771 | skid front(in) | 1000000,000 | -5,300 | 0,000 | 1,000 | 100,000 | 0,000 | 0,579 | 0,539 | 0,539 | 0,539 | 0,529 | 0,529 | 0,035 |
| 9,500 | 50,330 | 99,305 | -4,770 | skid front(in) | 1000000,000 | -5,300 | 0,000 | 1,000 | 100,000 | 0,000 | 0,615 | 0,539 | 0,539 | 0,539 | 0,529 | 0,529 | 0,036 |
| 10,000 | 49,712 | 99,305 | -4,769 | skid front(in) | 1000000,000 | -5,300 | 0,000 | 1,000 | 100,000 | 0,000 | 0,651 | 0,539 | 0,539 | 0,539 | 0,529 | 0,529 | 0,036 |
| 10,500 | 49,087 | 99,305 | -4,768 | skid front(in) | 1000000,000 | -5,300 | 0,000 | 1,000 | 100,000 | 0,000 | 0,687 | 0,539 | 0,539 | 0,539 | 0,529 | 0,529 | 0,036 |
| 11,000 | 48,453 | 99,305 | -4,767 | skid front(in) | 1000000,000 | -5,300 | 0,000 | 1,000 | 100,000 | 0,000 | 0,724 | 0,539 | 0,539 | 0,539 | 0,529 | 0,529 | 0,037 |
| 11,500 | 47,812 | 99,305 | -4,766 | skid front(in) | 1000000,000 | -5,300 | 0,000 | 1,000 | 100,000 | 0,000 | 0,762 | 0,539 | 0,539 | 0,539 | 0,529 | 0,529 | 0,037 |
| 12,000 | 47,161 | 99,305 | -4,765 | skid front(in) | 1000000,000 | -5,300 | 0,000 | 1,000 | 100,000 | 0,000 | 0,800 | 0,539 | 0,539 | 0,539 | 0,529 | 0,529 | 0,038 |
| 12,500 | 46,502 | 99,305 | -4,764 | skid front(in) | 1000000,000 | -5,300 | 0,000 | 1,000 | 100,000 | 0,000 | 0,838 | 0,539 | 0,539 | 0,539 | 0,529 | 0,529 | 0,038 |
| 13,000 | 45,833 | 99,305 | -4,764 | skid front(in) | 1000000,000 | -5,300 | 0,000 | 1,000 | 100,000 | 0,000 | 0,877 | 0,539 | 0,539 | 0,539 | 0,529 | 0,529 | 0,039 |
| 13,500 | 45,155 | 99,305 | -4,763 | skid front(in) | 1000000,000 | -5,300 | 0,000 | 1,000 | 100,000 | 0,000 | 0,917 | 0,539 | 0,539 | 0,539 | 0,529 | 0,529 | 0,040 |
| 14,000 | 44,466 | 99,305 | -4,762 | skid front(in) | 1000000,000 | -5,300 | 0,000 | 1,000 | 100,000 | 0,000 | 0,957 | 0,539 | 0,539 | 0,539 | 0,529 | 0,529 | 0,040 |
| 14,500 | 43,767 | 99,305 | -4,761 | skid front(in) | 1000000,000 | -5,300 | 0,000 | 1,000 | 100,000 | 0,000 | 0,998 | 0,539 | 0,539 | 0,539 | 0,529 | 0,529 | 0,041 |
| 15,000 | 43,056 | 99,306 | -4,760 | skid front(in) | 1000000,000 | -5,300 | 0,000 | 1,000 | 100,000 | 0,000 | 1,039 | 0,539 | 0,539 | 0,539 | 0,529 | 0,529 | 0,041 |
| 15,500 | 42,334 | 99,306 | -4,759 | skid front(in) | 1000000,000 | -5,300 | 0,000 | 1,000 | 100,000 | 0,000 | 1,081 | 0,539 | 0,539 | 0,539 | 0,529 | 0,529 | 0,042 |
| 16,000 | 41,599 | 99,306 | -4,758 | skid front(in) | 1000000,000 | -5,300 | 0,000 | 1,000 | 100,000 | 0,000 | 1,124 | 0,539 | 0,539 | 0,539 | 0,529 | 0,529 | 0,043 |
| 16,500 | 40,852 | 99,306 | -4,757 | skid front(in) | 1000000,000 | -5,300 | 0,000 | 1,000 | 100,000 | 0,000 | 1,168 | 0,539 | 0,539 | 0,539 | 0,529 | 0,529 | 0,044 |
| 17,000 | 40,090 | 99,306 | -4,756 | skid front(in) | 1000000,000 | -5,300 | 0,000 | 1,000 | 100,000 | 0,000 | 1,212 | 0,539 | 0,539 | 0,539 | 0,529 | 0,529 | 0,044 |
| 17,500 | 39,314 | 99,306 | -4,755 | skid front(in) | 1000000,000 | -5,300 | 0,000 | 1,000 | 100,000 | 0,000 | 1,258 | 0,539 | 0,539 | 0,539 | 0,529 | 0,529 | 0,045 |
| 18,000 | 38,522 | 99,306 | -4,754 | skid front(in) | 1000000,000 | -5,300 | 0,000 | 1,000 | 100,000 | 0,000 | 1,304 | 0,539 | 0,539 | 0,539 | 0,529 | 0,529 | 0,046 |
| 18,500 | 37,714 | 99,306 | -4,753 | skid front(in) | 1000000,000 | -5,300 | 0,000 | 1,000 | 100,000 | 0,000 | 1,351 | 0,539 | 0,539 | 0,539 | 0,529 | 0,529 | 0,047 |
| 18,900 | 37,055 | 99,306 | -4,752 | skid front(in) | 1000000,000 | -5,300 | 0,000 | 1,000 | 100,000 | 0,001 | 1,389 | 0,539 | 0,539 | 0,539 | 0,529 | 0,529 | 0,039 |
| 19,500 | 36,044 | 99,306 | -4,751 | skid front(in) | 1000000,000 | -5,300 | 0,000 | 1,000 | 100,000 | 0,000 | 1,449 | 0,539 | 0,539 | 0,539 | 0,529 | 0,529 | 0,059 |
| 20,000 | 35,180 | 99,306 | -4,750 | skid front(in) | 1000000,000 | -5,300 | 0,000 | 1,000 | 100,000 | 0,000 | 1,499 | 0,539 | 0,539 | 0,539 | 0,529 | 0,529 | 0,051 |
| 20,500 | 34,294 | 99,306 | -4,749 | skid front(in) | 1000000,000 | -5,300 | 0,000 | 1,000 | 100,000 | 0,000 | 1,551 | 0,539 | 0,539 | 0,539 | 0,529 | 0,529 | 0,052 |
| 21,000 | 33,384 | 99,306 | -4,748 | skid front(in) | 1000000,000 | -5,300 | 0,000 | 1,000 | 100,000 | 0,000 | 1,604 | 0,539 | 0,539 | 0,539 | 0,529 | 0,529 | 0,053 |
| 21,500 | 32,450 | 99,306 | -4,747 | skid front(in) | 1000000,000 | -5,300 | 0,000 | 1,000 | 100,000 | 0,000 | 1,659 | 0,539 | 0,539 | 0,539 | 0,529 | 0,529 | 0,055 |

Προσδιορισμός Τιμών Πρόσφυσης κατά την Πέδηση Οχημάτων Εφοδιασμένων με Σύστημα ABS σε Αυξημένες κατά Μήκος Κλίσεις

| | | | | | | | | | | | | | | | | | |
|--------|--------|--------|--------|-----------------|-------------|--------|-------|-------|---------|--------|-------|-------|-------|-------|-------|-------|-------|
| 22,000 | 31,487 | 99,306 | -4,746 | skid front(in) | 1000000,000 | -5,300 | 0,000 | 1,000 | 100,000 | 0,000 | 1,715 | 0,539 | 0,539 | 0,539 | 0,529 | 0,529 | 0,056 |
| 22,500 | 30,495 | 99,306 | -4,745 | skid front(in) | 1000000,000 | -5,300 | 0,000 | 1,000 | 100,000 | 0,000 | 1,773 | 0,539 | 0,539 | 0,539 | 0,529 | 0,529 | 0,058 |
| 23,000 | 29,470 | 99,306 | -4,744 | skid front(in) | 1000000,000 | -5,300 | 0,000 | 1,000 | 100,000 | 0,000 | 1,833 | 0,539 | 0,539 | 0,539 | 0,529 | 0,529 | 0,060 |
| 23,500 | 28,407 | 99,306 | -4,744 | skid front(in) | 1000000,000 | -5,300 | 0,000 | 1,000 | 100,000 | 0,000 | 1,895 | 0,539 | 0,539 | 0,539 | 0,529 | 0,529 | 0,062 |
| 24,000 | 27,304 | 99,306 | -4,743 | skid front(in) | 1000000,000 | -5,300 | 0,000 | 1,000 | 100,000 | 0,003 | 1,960 | 0,539 | 0,539 | 0,539 | 0,529 | 0,529 | 0,065 |
| 24,500 | 26,154 | 99,325 | -4,740 | skid front(out) | 1000000,000 | -5,300 | 0,000 | 1,000 | 100,000 | -3,127 | 2,027 | 0,539 | 0,539 | 0,539 | 0,529 | 0,529 | 0,067 |
| 25,000 | 24,952 | 99,303 | -4,739 | skid front(out) | 1000000,000 | -5,300 | 0,000 | 1,000 | 100,000 | -2,783 | 2,098 | 0,539 | 0,539 | 0,539 | 0,528 | 0,528 | 0,070 |
| 25,500 | 23,689 | 99,306 | -4,739 | skid front(out) | 1000000,000 | -5,300 | 0,000 | 1,000 | 100,000 | -0,670 | 2,172 | 0,539 | 0,539 | 0,539 | 0,529 | 0,529 | 0,074 |
| 26,000 | 22,355 | 99,256 | -4,736 | skid front(out) | 1000000,000 | -5,300 | 0,000 | 1,000 | 100,000 | 0,553 | 2,250 | 0,539 | 0,539 | 0,539 | 0,528 | 0,528 | 0,078 |
| 26,500 | 20,937 | 99,311 | -4,736 | skid front(out) | 1000000,000 | -5,300 | 0,000 | 1,000 | 100,000 | -2,672 | 2,333 | 0,539 | 0,539 | 0,539 | 0,529 | 0,529 | 0,083 |
| 27,000 | 19,416 | 99,314 | -4,736 | skid front(out) | 1000000,000 | -5,300 | 0,000 | 1,000 | 100,000 | -2,476 | 2,422 | 0,539 | 0,539 | 0,539 | 0,529 | 0,529 | 0,089 |
| 27,500 | 17,765 | 99,302 | -4,734 | skid front(out) | 1000000,000 | -5,300 | 0,000 | 1,000 | 100,000 | -1,789 | 2,519 | 0,539 | 0,539 | 0,539 | 0,529 | 0,529 | 0,097 |
| 28,000 | 15,944 | 99,317 | -4,733 | skid front(out) | 1000000,000 | -5,300 | 0,000 | 1,000 | 100,000 | -3,990 | 2,626 | 0,539 | 0,539 | 0,539 | 0,528 | 0,528 | 0,107 |
| 28,500 | 13,888 | 99,362 | -4,734 | skid front(out) | 1000000,000 | -5,300 | 0,000 | 1,000 | 100,000 | -4,368 | 2,747 | 0,539 | 0,539 | 0,539 | 0,529 | 0,529 | 0,121 |
| 29,000 | 11,468 | 99,302 | -4,731 | skid front(out) | 1000000,000 | -5,300 | 0,000 | 1,000 | 100,000 | -2,333 | 2,889 | 0,539 | 0,539 | 0,539 | 0,529 | 0,529 | 0,142 |
| 29,500 | 8,377 | 99,315 | -4,731 | skid front(out) | 1000000,000 | -5,300 | 0,000 | 1,000 | 100,000 | -1,705 | 3,070 | 0,539 | 0,539 | 0,539 | 0,529 | 0,529 | 0,181 |
| 30,000 | 2,978 | 99,360 | -4,731 | skid front(out) | 1000000,000 | -5,300 | 0,000 | 1,000 | 100,000 | -4,366 | 3,387 | 0,539 | 0,539 | 0,539 | 0,529 | 0,529 | 0,317 |
| 30,100 | 0,862 | 99,282 | -4,730 | skid front(out) | 1000000,000 | -5,300 | 0,000 | 1,000 | 100,000 | 0,898 | 3,511 | 0,539 | 0,539 | 0,539 | 0,529 | 0,529 | 0,124 |

Προσδιορισμός Τιμών Πρόσφυσης κατά την Πέδηση Οχημάτων Εφοδιασμένων με Σύστημα ABS σε Αυξημένες κατά Μήκος Κλίσεις

| run_v_w_ntua_2 | R(m) | br.front (%) | s(%) | e (%) | coeff | effic (%) | time (sec) | | | | | | | | | | |
|----------------|-----------------|--------------|--------|-----------------|-------------|-----------|------------|-------|-----------|-----------|------------|-------|-----------|----------|----------|---------|-----------|
| s= 100,000 | 1000000,00 | 64,00 | -5,3 | 0,0 | 1,00 | 100 | 3,080 | | | | | | | | | 0,963 | |
| step= 0,100 | viewstep= 0,500 | STEPS | | | | | | | | | | | | | | | |
| s (m) | V (km/h) | n (%) | dv/dt | skid check | R(m) | s(%) | e (%) | coeff | effic (%) | decelera | time (sec) | fT | front out | front in | rear out | rear in | checktime |
| 24,400 | 2,519 | 99,144 | -4,682 | skid front(out) | 1000000,000 | -5,300 | 0,000 | 1,000 | 100,000 | -2,579403 | 3,080 | 0,535 | 0,5350 | 0,5350 | 0,5221 | 0,5221 | |
| 0,000 | 54,610 | 99,118 | -4,729 | O.K | 1000000,000 | -5,300 | 0,000 | 1,000 | 100,000 | 0,000 | 0,000 | 0,535 | | | | | |
| 0,400 | 54,159 | 99,118 | -4,728 | skid front(in) | 1000000,000 | -5,300 | 0,000 | 1,000 | 100,000 | 0,000 | 0,026 | 0,535 | 0,535 | 0,535 | 0,522 | 0,522 | 0,026 |
| 1,000 | 53,476 | 99,118 | -4,727 | skid front(in) | 1000000,000 | -5,300 | 0,000 | 1,000 | 100,000 | 0,000 | 0,067 | 0,535 | 0,535 | 0,535 | 0,522 | 0,522 | 0,040 |
| 1,500 | 52,900 | 99,118 | -4,726 | skid front(in) | 1000000,000 | -5,300 | 0,000 | 1,000 | 100,000 | 0,000 | 0,100 | 0,535 | 0,535 | 0,535 | 0,522 | 0,522 | 0,034 |
| 2,000 | 52,318 | 99,118 | -4,725 | skid front(in) | 1000000,000 | -5,300 | 0,000 | 1,000 | 100,000 | 0,000 | 0,135 | 0,535 | 0,535 | 0,535 | 0,522 | 0,522 | 0,034 |
| 2,500 | 51,730 | 99,118 | -4,724 | skid front(in) | 1000000,000 | -5,300 | 0,000 | 1,000 | 100,000 | 0,000 | 0,169 | 0,535 | 0,535 | 0,535 | 0,522 | 0,522 | 0,035 |
| 3,000 | 51,135 | 99,118 | -4,723 | skid front(in) | 1000000,000 | -5,300 | 0,000 | 1,000 | 100,000 | 0,000 | 0,204 | 0,535 | 0,535 | 0,535 | 0,522 | 0,522 | 0,035 |
| 3,500 | 50,533 | 99,118 | -4,722 | skid front(in) | 1000000,000 | -5,300 | 0,000 | 1,000 | 100,000 | 0,000 | 0,240 | 0,535 | 0,535 | 0,535 | 0,522 | 0,522 | 0,035 |
| 4,000 | 49,924 | 99,118 | -4,721 | skid front(in) | 1000000,000 | -5,300 | 0,000 | 1,000 | 100,000 | 0,000 | 0,276 | 0,535 | 0,535 | 0,535 | 0,522 | 0,522 | 0,036 |
| 4,400 | 49,431 | 99,118 | -4,720 | skid front(in) | 1000000,000 | -5,300 | 0,000 | 1,000 | 100,000 | 0,000 | 0,304 | 0,535 | 0,535 | 0,535 | 0,522 | 0,522 | 0,029 |
| 5,000 | 48,683 | 99,118 | -4,719 | skid front(in) | 1000000,000 | -5,300 | 0,000 | 1,000 | 100,000 | 0,000 | 0,349 | 0,535 | 0,535 | 0,535 | 0,522 | 0,522 | 0,044 |
| 5,500 | 48,051 | 99,118 | -4,718 | skid front(in) | 1000000,000 | -5,300 | 0,000 | 1,000 | 100,000 | 0,000 | 0,386 | 0,535 | 0,535 | 0,535 | 0,522 | 0,522 | 0,037 |
| 6,000 | 47,411 | 99,118 | -4,717 | skid front(in) | 1000000,000 | -5,300 | 0,000 | 1,000 | 100,000 | 0,000 | 0,423 | 0,535 | 0,535 | 0,535 | 0,522 | 0,522 | 0,038 |
| 6,500 | 46,761 | 99,118 | -4,716 | skid front(in) | 1000000,000 | -5,300 | 0,000 | 1,000 | 100,000 | 0,000 | 0,462 | 0,535 | 0,535 | 0,535 | 0,522 | 0,522 | 0,038 |
| 7,000 | 46,103 | 99,118 | -4,715 | skid front(in) | 1000000,000 | -5,300 | 0,000 | 1,000 | 100,000 | 0,000 | 0,500 | 0,535 | 0,535 | 0,535 | 0,522 | 0,522 | 0,039 |
| 7,500 | 45,436 | 99,119 | -4,714 | skid front(in) | 1000000,000 | -5,300 | 0,000 | 1,000 | 100,000 | 0,000 | 0,540 | 0,535 | 0,535 | 0,535 | 0,522 | 0,522 | 0,039 |
| 8,000 | 44,758 | 99,119 | -4,713 | skid front(in) | 1000000,000 | -5,300 | 0,000 | 1,000 | 100,000 | 0,000 | 0,580 | 0,535 | 0,535 | 0,535 | 0,522 | 0,522 | 0,040 |
| 8,500 | 44,071 | 99,119 | -4,712 | skid front(in) | 1000000,000 | -5,300 | 0,000 | 1,000 | 100,000 | 0,000 | 0,620 | 0,535 | 0,535 | 0,535 | 0,522 | 0,522 | 0,041 |
| 9,000 | 43,373 | 99,119 | -4,711 | skid front(in) | 1000000,000 | -5,300 | 0,000 | 1,000 | 100,000 | 0,000 | 0,661 | 0,535 | 0,535 | 0,535 | 0,522 | 0,522 | 0,041 |
| 9,500 | 42,663 | 99,119 | -4,710 | skid front(in) | 1000000,000 | -5,300 | 0,000 | 1,000 | 100,000 | 0,000 | 0,703 | 0,535 | 0,535 | 0,535 | 0,522 | 0,522 | 0,042 |
| 10,000 | 41,941 | 99,119 | -4,710 | skid front(in) | 1000000,000 | -5,300 | 0,000 | 1,000 | 100,000 | 0,000 | 0,746 | 0,535 | 0,535 | 0,535 | 0,522 | 0,522 | 0,043 |
| 10,500 | 41,207 | 99,119 | -4,709 | skid front(in) | 1000000,000 | -5,300 | 0,000 | 1,000 | 100,000 | 0,000 | 0,789 | 0,535 | 0,535 | 0,535 | 0,522 | 0,522 | 0,043 |
| 11,000 | 40,460 | 99,119 | -4,708 | skid front(in) | 1000000,000 | -5,300 | 0,000 | 1,000 | 100,000 | 0,000 | 0,833 | 0,535 | 0,535 | 0,535 | 0,522 | 0,522 | 0,044 |
| 11,500 | 39,699 | 99,119 | -4,707 | skid front(in) | 1000000,000 | -5,300 | 0,000 | 1,000 | 100,000 | 0,000 | 0,878 | 0,535 | 0,535 | 0,535 | 0,522 | 0,522 | 0,045 |
| 12,000 | 38,923 | 99,119 | -4,706 | skid front(in) | 1000000,000 | -5,300 | 0,000 | 1,000 | 100,000 | 0,000 | 0,924 | 0,535 | 0,535 | 0,535 | 0,522 | 0,522 | 0,046 |
| 12,500 | 38,132 | 99,119 | -4,705 | skid front(in) | 1000000,000 | -5,300 | 0,000 | 1,000 | 100,000 | 0,000 | 0,971 | 0,535 | 0,535 | 0,535 | 0,522 | 0,522 | 0,047 |
| 13,000 | 37,324 | 99,119 | -4,704 | skid front(in) | 1000000,000 | -5,300 | 0,000 | 1,000 | 100,000 | 0,000 | 1,018 | 0,535 | 0,535 | 0,535 | 0,522 | 0,522 | 0,048 |
| 13,500 | 36,498 | 99,119 | -4,703 | skid front(in) | 1000000,000 | -5,300 | 0,000 | 1,000 | 100,000 | 0,000 | 1,067 | 0,535 | 0,535 | 0,535 | 0,522 | 0,522 | 0,049 |
| 14,000 | 35,654 | 99,119 | -4,702 | skid front(in) | 1000000,000 | -5,300 | 0,000 | 1,000 | 100,000 | 0,000 | 1,117 | 0,535 | 0,535 | 0,535 | 0,522 | 0,522 | 0,050 |
| 14,500 | 34,789 | 99,119 | -4,701 | skid front(in) | 1000000,000 | -5,300 | 0,000 | 1,000 | 100,000 | 0,001 | 1,168 | 0,535 | 0,535 | 0,535 | 0,522 | 0,522 | 0,051 |
| 15,000 | 33,902 | 99,119 | -4,700 | skid front(in) | 1000000,000 | -5,300 | 0,000 | 1,000 | 100,000 | 0,000 | 1,220 | 0,535 | 0,535 | 0,535 | 0,522 | 0,522 | 0,052 |
| 15,500 | 32,991 | 99,119 | -4,699 | skid front(in) | 1000000,000 | -5,300 | 0,000 | 1,000 | 100,000 | 0,000 | 1,274 | 0,535 | 0,535 | 0,535 | 0,522 | 0,522 | 0,054 |
| 16,000 | 32,055 | 99,119 | -4,698 | skid front(in) | 1000000,000 | -5,300 | 0,000 | 1,000 | 100,000 | 0,001 | 1,330 | 0,535 | 0,535 | 0,535 | 0,522 | 0,522 | 0,055 |
| 16,500 | 31,091 | 99,119 | -4,697 | skid front(in) | 1000000,000 | -5,300 | 0,000 | 1,000 | 100,000 | 0,000 | 1,387 | 0,535 | 0,535 | 0,535 | 0,522 | 0,522 | 0,057 |
| 17,000 | 30,096 | 99,119 | -4,696 | skid front(in) | 1000000,000 | -5,300 | 0,000 | 1,000 | 100,000 | 0,000 | 1,445 | 0,535 | 0,535 | 0,535 | 0,522 | 0,522 | 0,059 |
| 17,500 | 29,068 | 99,120 | -4,695 | skid front(in) | 1000000,000 | -5,300 | 0,000 | 1,000 | 100,000 | 0,001 | 1,506 | 0,535 | 0,535 | 0,535 | 0,522 | 0,522 | 0,061 |
| 18,000 | 28,001 | 99,120 | -4,694 | skid front(in) | 1000000,000 | -5,300 | 0,000 | 1,000 | 100,000 | 0,000 | 1,569 | 0,535 | 0,535 | 0,535 | 0,522 | 0,522 | 0,063 |
| 18,500 | 26,893 | 99,149 | -4,693 | skid front(out) | 1000000,000 | -5,300 | 0,000 | 1,000 | 100,000 | -2,701 | 1,635 | 0,535 | 0,535 | 0,535 | 0,522 | 0,522 | 0,066 |
| 18,900 | 25,973 | 99,081 | -4,690 | skid front(out) | 1000000,000 | -5,300 | 0,000 | 1,000 | 100,000 | -0,564 | 1,689 | 0,535 | 0,535 | 0,535 | 0,522 | 0,522 | 0,054 |
| 19,500 | 24,528 | 99,135 | -4,691 | skid front(out) | 1000000,000 | -5,300 | 0,000 | 1,000 | 100,000 | -2,335 | 1,775 | 0,535 | 0,535 | 0,535 | 0,522 | 0,522 | 0,086 |
| 20,000 | 23,255 | 99,104 | -4,689 | skid front(out) | 1000000,000 | -5,300 | 0,000 | 1,000 | 100,000 | -1,616 | 1,850 | 0,535 | 0,535 | 0,535 | 0,522 | 0,522 | 0,075 |
| 20,500 | 21,910 | 99,134 | -4,689 | skid front(out) | 1000000,000 | -5,300 | 0,000 | 1,000 | 100,000 | -2,126 | 1,930 | 0,535 | 0,535 | 0,535 | 0,522 | 0,522 | 0,080 |
| 21,000 | 20,476 | 99,149 | -4,689 | skid front(out) | 1000000,000 | -5,300 | 0,000 | 1,000 | 100,000 | -2,320 | 2,015 | 0,535 | 0,535 | 0,535 | 0,522 | 0,522 | 0,085 |
| 21,500 | 18,934 | 99,146 | -4,688 | skid front(out) | 1000000,000 | -5,300 | 0,000 | 1,000 | 100,000 | -2,059 | 2,106 | 0,535 | 0,535 | 0,535 | 0,522 | 0,522 | 0,091 |
| 22,000 | 17,256 | 99,167 | -4,686 | skid front(out) | 1000000,000 | -5,300 | 0,000 | 1,000 | 100,000 | -4,647 | 2,206 | 0,535 | 0,535 | 0,535 | 0,522 | 0,522 | 0,099 |
| 22,500 | 15,396 | 99,082 | -4,684 | skid front(out) | 1000000,000 | -5,300 | 0,000 | 1,000 | 100,000 | -0,153 | 2,316 | 0,535 | 0,535 | 0,535 | 0,522 | 0,522 | 0,110 |
| 23,000 | 13,278 | 99,154 | -4,684 | skid front(out) | 1000000,000 | -5,300 | 0,000 | 1,000 | 100,000 | -3,946 | 2,442 | 0,535 | 0,535 | 0,535 | 0,522 | 0,522 | 0,126 |
| 23,500 | 10,752 | 99,163 | -4,684 | skid front(out) | 1000000,000 | -5,300 | 0,000 | 1,000 | 100,000 | -3,862 | 2,591 | 0,535 | 0,535 | 0,535 | 0,522 | 0,522 | 0,150 |
| 24,000 | 7,409 | 99,104 | -4,682 | skid front(out) | 1000000,000 | -5,300 | 0,000 | 1,000 | 100,000 | 0,359 | 2,790 | 0,535 | 0,535 | 0,535 | 0,522 | 0,522 | 0,198 |

Προσδιορισμός Τιμών Πρόσφυσης κατά την Πέδηση Οχημάτων Εφοδιασμένων με Σύστημα ABS σε Αυξημένες κατά Μήκος Κλίσεις

| | | | | | | | | | | | | | | | | | |
|--------|-------|--------|--------|-----------------|-------------|--------|-------|-------|---------|--------|-------|-------|-------|-------|-------|-------|-------|
| 24,400 | 2,519 | 99,144 | -4,682 | skid front(out) | 1000000,000 | -5,300 | 0,000 | 1,000 | 100,000 | -2,579 | 3,080 | 0,535 | 0,535 | 0,535 | 0,522 | 0,522 | 0,290 |
|--------|-------|--------|--------|-----------------|-------------|--------|-------|-------|---------|--------|-------|-------|-------|-------|-------|-------|-------|

| run_v_w_ntua_3 | | R(m) | br.front (%) | s(%) | e (%) | coeff | effic (%) | time (sec) | | | | | | | | | |
|----------------|----------|------------|--------------|-----------------|-------------|--------|-----------|------------|-----------|-----------|------------|-------|-----------|----------|----------|---------|-----------|
| s= | 100,000 | 1000000,00 | 64,00 | -5,3 | 0,0 | 1,00 | 100 | 2,790 | | | | | | | | | |
| step= | 0,100 | viewstep= | 0,500 | STEPS | | | | | | | | | | | | 0,963 | |
| s (m) | V (km/h) | n (%) | dv/dt | skid check | R(m) | s(%) | e (%) | coeff | effic (%) | decelera | time (sec) | fT | front out | front in | rear out | rear in | checktime |
| 21,200 | 3,192 | 99,559 | -4,802 | skid front(out) | 1000000,000 | -5,300 | 0,000 | 1,000 | 100,000 | -1,778701 | 2,790 | 0,545 | 0,5448 | 0,5448 | 0,5384 | 0,5384 | |
| 0,000 | 51,590 | 99,586 | -4,846 | O.K | 1000000,000 | -5,300 | 0,000 | 1,000 | 100,000 | 0,000 | 0,000 | 0,545 | | | | | |
| 0,400 | 51,101 | 99,586 | -4,845 | skid front(in) | 1000000,000 | -5,300 | 0,000 | 1,000 | 100,000 | 0,000 | 0,028 | 0,545 | 0,545 | 0,545 | 0,539 | 0,539 | 0,028 |
| 1,000 | 50,358 | 99,587 | -4,844 | skid front(in) | 1000000,000 | -5,300 | 0,000 | 1,000 | 100,000 | 0,000 | 0,071 | 0,545 | 0,545 | 0,545 | 0,539 | 0,539 | 0,043 |
| 1,500 | 49,731 | 99,587 | -4,843 | skid front(in) | 1000000,000 | -5,300 | 0,000 | 1,000 | 100,000 | 0,000 | 0,107 | 0,545 | 0,545 | 0,545 | 0,539 | 0,539 | 0,036 |
| 2,000 | 49,096 | 99,587 | -4,842 | skid front(in) | 1000000,000 | -5,300 | 0,000 | 1,000 | 100,000 | 0,000 | 0,143 | 0,545 | 0,545 | 0,545 | 0,539 | 0,539 | 0,036 |
| 2,500 | 48,453 | 99,587 | -4,841 | skid front(in) | 1000000,000 | -5,300 | 0,000 | 1,000 | 100,000 | 0,000 | 0,180 | 0,545 | 0,545 | 0,545 | 0,539 | 0,539 | 0,037 |
| 3,000 | 47,801 | 99,587 | -4,840 | skid front(in) | 1000000,000 | -5,300 | 0,000 | 1,000 | 100,000 | 0,000 | 0,217 | 0,545 | 0,545 | 0,545 | 0,539 | 0,539 | 0,037 |
| 3,500 | 47,141 | 99,587 | -4,839 | skid front(in) | 1000000,000 | -5,300 | 0,000 | 1,000 | 100,000 | 0,000 | 0,255 | 0,545 | 0,545 | 0,545 | 0,539 | 0,539 | 0,038 |
| 4,000 | 46,471 | 99,587 | -4,838 | skid front(in) | 1000000,000 | -5,300 | 0,000 | 1,000 | 100,000 | 0,000 | 0,294 | 0,545 | 0,545 | 0,545 | 0,539 | 0,539 | 0,038 |
| 4,400 | 45,928 | 99,587 | -4,837 | skid front(in) | 1000000,000 | -5,300 | 0,000 | 1,000 | 100,000 | 0,000 | 0,325 | 0,545 | 0,545 | 0,545 | 0,539 | 0,539 | 0,031 |
| 5,000 | 45,102 | 99,587 | -4,836 | skid front(in) | 1000000,000 | -5,300 | 0,000 | 1,000 | 100,000 | 0,000 | 0,372 | 0,545 | 0,545 | 0,545 | 0,539 | 0,539 | 0,047 |
| 5,500 | 44,402 | 99,587 | -4,835 | skid front(in) | 1000000,000 | -5,300 | 0,000 | 1,000 | 100,000 | 0,000 | 0,413 | 0,545 | 0,545 | 0,545 | 0,539 | 0,539 | 0,040 |
| 6,000 | 43,690 | 99,587 | -4,834 | skid front(in) | 1000000,000 | -5,300 | 0,000 | 1,000 | 100,000 | 0,000 | 0,453 | 0,545 | 0,545 | 0,545 | 0,539 | 0,539 | 0,041 |
| 6,500 | 42,968 | 99,587 | -4,833 | skid front(in) | 1000000,000 | -5,300 | 0,000 | 1,000 | 100,000 | 0,000 | 0,495 | 0,545 | 0,545 | 0,545 | 0,539 | 0,539 | 0,042 |
| 7,000 | 42,232 | 99,587 | -4,832 | skid front(in) | 1000000,000 | -5,300 | 0,000 | 1,000 | 100,000 | 0,000 | 0,537 | 0,545 | 0,545 | 0,545 | 0,539 | 0,539 | 0,042 |
| 7,500 | 41,484 | 99,587 | -4,831 | skid front(in) | 1000000,000 | -5,300 | 0,000 | 1,000 | 100,000 | 0,000 | 0,580 | 0,545 | 0,545 | 0,545 | 0,539 | 0,539 | 0,043 |
| 8,000 | 40,723 | 99,587 | -4,830 | skid front(in) | 1000000,000 | -5,300 | 0,000 | 1,000 | 100,000 | 0,000 | 0,624 | 0,545 | 0,545 | 0,545 | 0,539 | 0,539 | 0,044 |
| 8,500 | 39,947 | 99,587 | -4,829 | skid front(in) | 1000000,000 | -5,300 | 0,000 | 1,000 | 100,000 | 0,000 | 0,669 | 0,545 | 0,545 | 0,545 | 0,539 | 0,539 | 0,045 |
| 9,000 | 39,156 | 99,587 | -4,828 | skid front(in) | 1000000,000 | -5,300 | 0,000 | 1,000 | 100,000 | 0,000 | 0,714 | 0,545 | 0,545 | 0,545 | 0,539 | 0,539 | 0,046 |
| 9,500 | 38,349 | 99,587 | -4,827 | skid front(in) | 1000000,000 | -5,300 | 0,000 | 1,000 | 100,000 | 0,000 | 0,761 | 0,545 | 0,545 | 0,545 | 0,539 | 0,539 | 0,046 |
| 10,000 | 37,524 | 99,588 | -4,826 | skid front(in) | 1000000,000 | -5,300 | 0,000 | 1,000 | 100,000 | 0,000 | 0,808 | 0,545 | 0,545 | 0,545 | 0,539 | 0,539 | 0,047 |
| 10,500 | 36,681 | 99,588 | -4,825 | skid front(in) | 1000000,000 | -5,300 | 0,000 | 1,000 | 100,000 | 0,000 | 0,857 | 0,545 | 0,545 | 0,545 | 0,539 | 0,539 | 0,049 |
| 11,000 | 35,819 | 99,588 | -4,824 | skid front(in) | 1000000,000 | -5,300 | 0,000 | 1,000 | 100,000 | 0,000 | 0,906 | 0,545 | 0,545 | 0,545 | 0,539 | 0,539 | 0,050 |
| 11,500 | 34,935 | 99,588 | -4,823 | skid front(in) | 1000000,000 | -5,300 | 0,000 | 1,000 | 100,000 | 0,000 | 0,957 | 0,545 | 0,545 | 0,545 | 0,539 | 0,539 | 0,051 |
| 12,000 | 34,029 | 99,588 | -4,822 | skid front(in) | 1000000,000 | -5,300 | 0,000 | 1,000 | 100,000 | 0,000 | 1,009 | 0,545 | 0,545 | 0,545 | 0,539 | 0,539 | 0,052 |
| 12,500 | 33,098 | 99,588 | -4,821 | skid front(in) | 1000000,000 | -5,300 | 0,000 | 1,000 | 100,000 | 0,000 | 1,063 | 0,545 | 0,545 | 0,545 | 0,539 | 0,539 | 0,054 |
| 13,000 | 32,140 | 99,588 | -4,820 | skid front(in) | 1000000,000 | -5,300 | 0,000 | 1,000 | 100,000 | 0,000 | 1,118 | 0,545 | 0,545 | 0,545 | 0,539 | 0,539 | 0,055 |
| 13,500 | 31,153 | 99,588 | -4,819 | skid front(in) | 1000000,000 | -5,300 | 0,000 | 1,000 | 100,000 | 0,000 | 1,175 | 0,545 | 0,545 | 0,545 | 0,539 | 0,539 | 0,057 |
| 14,000 | 30,134 | 99,588 | -4,819 | skid front(in) | 1000000,000 | -5,300 | 0,000 | 1,000 | 100,000 | 0,000 | 1,234 | 0,545 | 0,545 | 0,545 | 0,539 | 0,539 | 0,059 |
| 14,500 | 29,080 | 99,588 | -4,818 | skid front(in) | 1000000,000 | -5,300 | 0,000 | 1,000 | 100,000 | 0,000 | 1,295 | 0,545 | 0,545 | 0,545 | 0,539 | 0,539 | 0,061 |
| 15,000 | 27,986 | 99,588 | -4,817 | skid front(in) | 1000000,000 | -5,300 | 0,000 | 1,000 | 100,000 | 0,000 | 1,358 | 0,545 | 0,545 | 0,545 | 0,539 | 0,539 | 0,063 |
| 15,500 | 26,848 | 99,541 | -4,813 | skid front(out) | 1000000,000 | -5,300 | 0,000 | 1,000 | 100,000 | -0,316 | 1,423 | 0,545 | 0,545 | 0,545 | 0,538 | 0,538 | 0,066 |
| 16,000 | 25,659 | 99,574 | -4,813 | skid front(out) | 1000000,000 | -5,300 | 0,000 | 1,000 | 100,000 | -1,606 | 1,492 | 0,545 | 0,545 | 0,545 | 0,539 | 0,539 | 0,069 |
| 16,500 | 24,413 | 99,600 | -4,813 | skid front(out) | 1000000,000 | -5,300 | 0,000 | 1,000 | 100,000 | -2,516 | 1,564 | 0,545 | 0,545 | 0,545 | 0,539 | 0,539 | 0,072 |
| 17,000 | 23,101 | 99,619 | -4,812 | skid front(out) | 1000000,000 | -5,300 | 0,000 | 1,000 | 100,000 | -3,106 | 1,639 | 0,545 | 0,545 | 0,545 | 0,539 | 0,539 | 0,076 |
| 17,500 | 21,709 | 99,590 | -4,809 | skid front(in) | 1000000,000 | -5,300 | 0,000 | 1,000 | 100,000 | -4,610 | 1,720 | 0,545 | 0,545 | 0,545 | 0,538 | 0,538 | 0,080 |
| 18,000 | 20,222 | 99,551 | -4,808 | skid front(out) | 1000000,000 | -5,300 | 0,000 | 1,000 | 100,000 | -1,222 | 1,806 | 0,545 | 0,545 | 0,545 | 0,538 | 0,538 | 0,086 |
| 18,500 | 18,617 | 99,584 | -4,807 | skid front(out) | 1000000,000 | -5,300 | 0,000 | 1,000 | 100,000 | -3,765 | 1,898 | 0,545 | 0,545 | 0,545 | 0,538 | 0,538 | 0,093 |
| 18,900 | 17,226 | 99,628 | -4,808 | skid front(out) | 1000000,000 | -5,300 | 0,000 | 1,000 | 100,000 | -4,386 | 1,979 | 0,545 | 0,545 | 0,545 | 0,539 | 0,539 | 0,080 |
| 19,500 | 14,898 | 99,582 | -4,808 | skid front(out) | 1000000,000 | -5,300 | 0,000 | 1,000 | 100,000 | 0,373 | 2,113 | 0,545 | 0,545 | 0,545 | 0,539 | 0,539 | 0,134 |

Προσδιορισμός Τιμών Πρόσφυσης κατά την Πέδηση Οχημάτων Εφοδιασμένων με Σύστημα ABS σε Αυξημένες κατά Μήκος Κλίσεις

| | | | | | | | | | | | | | | | | | |
|--------|--------|--------|--------|-----------------|-------------|--------|-------|-------|---------|--------|-------|-------|-------|-------|-------|-------|-------|
| 20,000 | 12,635 | 99,588 | -4,806 | skid front(out) | 1000000,000 | -5,300 | 0,000 | 1,000 | 100,000 | -0,946 | 2,244 | 0,545 | 0,545 | 0,545 | 0,539 | 0,539 | 0,131 |
| 20,500 | 9,868 | 99,583 | -4,804 | skid front(out) | 1000000,000 | -5,300 | 0,000 | 1,000 | 100,000 | -1,871 | 2,404 | 0,545 | 0,545 | 0,545 | 0,539 | 0,539 | 0,160 |
| 21,000 | 5,924 | 99,567 | -4,802 | skid front(out) | 1000000,000 | -5,300 | 0,000 | 1,000 | 100,000 | -2,404 | 2,632 | 0,545 | 0,545 | 0,545 | 0,538 | 0,538 | 0,228 |
| 21,200 | 3,192 | 99,559 | -4,802 | skid front(out) | 1000000,000 | -5,300 | 0,000 | 1,000 | 100,000 | -1,779 | 2,790 | 0,545 | 0,545 | 0,545 | 0,538 | 0,538 | 0,158 |

| run_v_w_ntua_4 | | R(m) | br.front (%) | s(%) | e (%) | coeff | effic (%) | time (sec) | | | | | | | | | |
|----------------|----------|------------|--------------|-----------------|-------------|--------|-----------|------------|-----------|-----------|------------|-------|-----------|----------|----------|---------|-----------|
| s= | 100,000 | 1000000,00 | 64,00 | -5,3 | 0,0 | 1,00 | 100 | 2,993 | | | | | | | | | |
| step= | 0,100 | viewstep= | 0,500 | STEPS | | | | | | | | | | | | | |
| s (m) | V (km/h) | n (%) | dv/dt | skid check | R(m) | s(%) | e (%) | coeff | effic (%) | decelera | time (sec) | fT | front out | front in | rear out | rear in | checktime |
| 22,000 | 0,496 | 99,432 | -4,754 | skid front(out) | 1000000,000 | -5,300 | 0,000 | 1,000 | 100,000 | -4,439815 | 2,993 | 0,541 | 0,5409 | 0,5409 | 0,5319 | 0,5319 | |
| 0,000 | 51,880 | 99,399 | -4,797 | O.K | 1000000,000 | -5,300 | 0,000 | 1,000 | 100,000 | 0,000 | 0,000 | 0,541 | | | | | |
| 0,400 | 51,398 | 99,399 | -4,796 | skid front(in) | 1000000,000 | -5,300 | 0,000 | 1,000 | 100,000 | 0,000 | 0,028 | 0,541 | 0,541 | 0,541 | 0,532 | 0,532 | 0,028 |
| 1,000 | 50,668 | 99,399 | -4,795 | skid front(in) | 1000000,000 | -5,300 | 0,000 | 1,000 | 100,000 | 0,000 | 0,070 | 0,541 | 0,541 | 0,541 | 0,532 | 0,532 | 0,042 |
| 1,500 | 50,051 | 99,399 | -4,794 | skid front(in) | 1000000,000 | -5,300 | 0,000 | 1,000 | 100,000 | 0,000 | 0,106 | 0,541 | 0,541 | 0,541 | 0,532 | 0,532 | 0,036 |
| 2,000 | 49,426 | 99,399 | -4,793 | skid front(in) | 1000000,000 | -5,300 | 0,000 | 1,000 | 100,000 | 0,000 | 0,142 | 0,541 | 0,541 | 0,541 | 0,532 | 0,532 | 0,036 |
| 2,500 | 48,794 | 99,399 | -4,792 | skid front(in) | 1000000,000 | -5,300 | 0,000 | 1,000 | 100,000 | 0,000 | 0,179 | 0,541 | 0,541 | 0,541 | 0,532 | 0,532 | 0,037 |
| 3,000 | 48,153 | 99,399 | -4,791 | skid front(in) | 1000000,000 | -5,300 | 0,000 | 1,000 | 100,000 | 0,000 | 0,216 | 0,541 | 0,541 | 0,541 | 0,532 | 0,532 | 0,037 |
| 3,500 | 47,504 | 99,399 | -4,790 | skid front(in) | 1000000,000 | -5,300 | 0,000 | 1,000 | 100,000 | 0,000 | 0,254 | 0,541 | 0,541 | 0,541 | 0,532 | 0,532 | 0,038 |
| 4,000 | 46,846 | 99,399 | -4,789 | skid front(in) | 1000000,000 | -5,300 | 0,000 | 1,000 | 100,000 | 0,000 | 0,292 | 0,541 | 0,541 | 0,541 | 0,532 | 0,532 | 0,038 |
| 4,400 | 46,313 | 99,399 | -4,789 | skid front(in) | 1000000,000 | -5,300 | 0,000 | 1,000 | 100,000 | 0,000 | 0,323 | 0,541 | 0,541 | 0,541 | 0,532 | 0,532 | 0,031 |
| 5,000 | 45,502 | 99,399 | -4,787 | skid front(in) | 1000000,000 | -5,300 | 0,000 | 1,000 | 100,000 | 0,000 | 0,370 | 0,541 | 0,541 | 0,541 | 0,532 | 0,532 | 0,047 |
| 5,500 | 44,815 | 99,399 | -4,787 | skid front(in) | 1000000,000 | -5,300 | 0,000 | 1,000 | 100,000 | 0,000 | 0,410 | 0,541 | 0,541 | 0,541 | 0,532 | 0,532 | 0,040 |
| 6,000 | 44,118 | 99,399 | -4,786 | skid front(in) | 1000000,000 | -5,300 | 0,000 | 1,000 | 100,000 | 0,000 | 0,450 | 0,541 | 0,541 | 0,541 | 0,532 | 0,532 | 0,040 |
| 6,500 | 43,409 | 99,399 | -4,785 | skid front(in) | 1000000,000 | -5,300 | 0,000 | 1,000 | 100,000 | 0,000 | 0,491 | 0,541 | 0,541 | 0,541 | 0,532 | 0,532 | 0,041 |
| 7,000 | 42,689 | 99,399 | -4,784 | skid front(in) | 1000000,000 | -5,300 | 0,000 | 1,000 | 100,000 | 0,000 | 0,533 | 0,541 | 0,541 | 0,541 | 0,532 | 0,532 | 0,042 |
| 7,500 | 41,957 | 99,399 | -4,783 | skid front(in) | 1000000,000 | -5,300 | 0,000 | 1,000 | 100,000 | 0,000 | 0,575 | 0,541 | 0,541 | 0,541 | 0,532 | 0,532 | 0,043 |
| 8,000 | 41,212 | 99,399 | -4,782 | skid front(in) | 1000000,000 | -5,300 | 0,000 | 1,000 | 100,000 | 0,000 | 0,619 | 0,541 | 0,541 | 0,541 | 0,532 | 0,532 | 0,043 |
| 8,500 | 40,453 | 99,399 | -4,781 | skid front(in) | 1000000,000 | -5,300 | 0,000 | 1,000 | 100,000 | 0,000 | 0,663 | 0,541 | 0,541 | 0,541 | 0,532 | 0,532 | 0,044 |
| 9,000 | 39,680 | 99,399 | -4,780 | skid front(in) | 1000000,000 | -5,300 | 0,000 | 1,000 | 100,000 | 0,000 | 0,708 | 0,541 | 0,541 | 0,541 | 0,532 | 0,532 | 0,045 |
| 9,500 | 38,891 | 99,400 | -4,779 | skid front(in) | 1000000,000 | -5,300 | 0,000 | 1,000 | 100,000 | 0,000 | 0,754 | 0,541 | 0,541 | 0,541 | 0,532 | 0,532 | 0,046 |
| 10,000 | 38,087 | 99,400 | -4,778 | skid front(in) | 1000000,000 | -5,300 | 0,000 | 1,000 | 100,000 | 0,000 | 0,800 | 0,541 | 0,541 | 0,541 | 0,532 | 0,532 | 0,047 |
| 10,500 | 37,265 | 99,400 | -4,777 | skid front(in) | 1000000,000 | -5,300 | 0,000 | 1,000 | 100,000 | 0,001 | 0,848 | 0,541 | 0,541 | 0,541 | 0,532 | 0,532 | 0,048 |
| 11,000 | 36,425 | 99,400 | -4,776 | skid front(in) | 1000000,000 | -5,300 | 0,000 | 1,000 | 100,000 | 0,000 | 0,897 | 0,541 | 0,541 | 0,541 | 0,532 | 0,532 | 0,049 |
| 11,500 | 35,566 | 99,400 | -4,775 | skid front(in) | 1000000,000 | -5,300 | 0,000 | 1,000 | 100,000 | 0,000 | 0,947 | 0,541 | 0,541 | 0,541 | 0,532 | 0,532 | 0,050 |
| 12,000 | 34,685 | 99,400 | -4,774 | skid front(in) | 1000000,000 | -5,300 | 0,000 | 1,000 | 100,000 | 0,000 | 0,998 | 0,541 | 0,541 | 0,541 | 0,532 | 0,532 | 0,051 |
| 12,500 | 33,781 | 99,400 | -4,773 | skid front(in) | 1000000,000 | -5,300 | 0,000 | 1,000 | 100,000 | 0,001 | 1,051 | 0,541 | 0,541 | 0,541 | 0,532 | 0,532 | 0,053 |
| 13,000 | 32,853 | 99,400 | -4,772 | skid front(in) | 1000000,000 | -5,300 | 0,000 | 1,000 | 100,000 | 0,001 | 1,105 | 0,541 | 0,541 | 0,541 | 0,532 | 0,532 | 0,054 |
| 13,500 | 31,898 | 99,400 | -4,771 | skid front(in) | 1000000,000 | -5,300 | 0,000 | 1,000 | 100,000 | 0,001 | 1,160 | 0,541 | 0,541 | 0,541 | 0,532 | 0,532 | 0,056 |
| 14,000 | 30,913 | 99,400 | -4,770 | skid front(in) | 1000000,000 | -5,300 | 0,000 | 1,000 | 100,000 | 0,001 | 1,218 | 0,541 | 0,541 | 0,541 | 0,532 | 0,532 | 0,057 |
| 14,500 | 29,897 | 99,400 | -4,769 | skid front(in) | 1000000,000 | -5,300 | 0,000 | 1,000 | 100,000 | 0,000 | 1,277 | 0,541 | 0,541 | 0,541 | 0,532 | 0,532 | 0,059 |
| 15,000 | 28,845 | 99,400 | -4,768 | skid front(in) | 1000000,000 | -5,300 | 0,000 | 1,000 | 100,000 | 0,001 | 1,338 | 0,541 | 0,541 | 0,541 | 0,532 | 0,532 | 0,061 |
| 15,500 | 27,753 | 99,400 | -4,767 | skid front(in) | 1000000,000 | -5,300 | 0,000 | 1,000 | 100,000 | 0,001 | 1,402 | 0,541 | 0,541 | 0,541 | 0,532 | 0,532 | 0,064 |
| 16,000 | 26,617 | 99,398 | -4,766 | skid front(out) | 1000000,000 | -5,300 | 0,000 | 1,000 | 100,000 | -0,703 | 1,468 | 0,541 | 0,541 | 0,541 | 0,532 | 0,532 | 0,066 |
| 16,500 | 25,430 | 99,425 | -4,765 | skid front(out) | 1000000,000 | -5,300 | 0,000 | 1,000 | 100,000 | -1,971 | 1,537 | 0,541 | 0,541 | 0,541 | 0,532 | 0,532 | 0,069 |
| 17,000 | 24,186 | 99,403 | -4,762 | skid front(out) | 1000000,000 | -5,300 | 0,000 | 1,000 | 100,000 | -4,202 | 1,610 | 0,541 | 0,541 | 0,541 | 0,532 | 0,532 | 0,073 |
| 17,500 | 22,874 | 99,369 | -4,761 | skid front(out) | 1000000,000 | -5,300 | 0,000 | 1,000 | 100,000 | -1,736 | 1,686 | 0,541 | 0,541 | 0,541 | 0,532 | 0,532 | 0,077 |
| 18,000 | 21,482 | 99,442 | -4,762 | skid front(out) | 1000000,000 | -5,300 | 0,000 | 1,000 | 100,000 | -3,647 | 1,767 | 0,541 | 0,541 | 0,541 | 0,532 | 0,532 | 0,081 |
| 18,500 | 19,994 | 99,423 | -4,761 | skid front(out) | 1000000,000 | -5,300 | 0,000 | 1,000 | 100,000 | -3,398 | 1,854 | 0,541 | 0,541 | 0,541 | 0,532 | 0,532 | 0,087 |
| 18,900 | 18,719 | 99,398 | -4,759 | skid front(out) | 1000000,000 | -5,300 | 0,000 | 1,000 | 100,000 | -2,661 | 1,929 | 0,541 | 0,541 | 0,541 | 0,532 | 0,532 | 0,074 |
| 19,500 | 16,624 | 99,388 | -4,759 | skid front(out) | 1000000,000 | -5,300 | 0,000 | 1,000 | 100,000 | -0,224 | 2,051 | 0,541 | 0,541 | 0,541 | 0,532 | 0,532 | 0,122 |
| 20,000 | 14,653 | 99,369 | -4,756 | skid front(out) | 1000000,000 | -5,300 | 0,000 | 1,000 | 100,000 | -1,945 | 2,166 | 0,541 | 0,541 | 0,541 | 0,532 | 0,532 | 0,115 |

Προσδιορισμός Τιμών Πρόσφυσης κατά την Πέδηση Οχημάτων Εφοδιασμένων με Σύστημα ABS σε Αυξημένες κατά Μήκος Κλίσεις

| | | | | | | | | | | | | | | | | | |
|--------|--------|--------|--------|-----------------|-------------|--------|-------|-------|---------|--------|-------|-------|-------|-------|-------|-------|-------|
| 20,500 | 12,370 | 99,382 | -4,756 | skid front(out) | 1000000,000 | -5,300 | 0,000 | 1,000 | 100,000 | -1,863 | 2,299 | 0,541 | 0,541 | 0,541 | 0,532 | 0,532 | 0,133 |
| 21,000 | 9,559 | 99,380 | -4,755 | skid front(out) | 1000000,000 | -5,300 | 0,000 | 1,000 | 100,000 | -1,259 | 2,463 | 0,541 | 0,541 | 0,541 | 0,532 | 0,532 | 0,164 |
| 21,500 | 5,453 | 99,410 | -4,754 | skid front(out) | 1000000,000 | -5,300 | 0,000 | 1,000 | 100,000 | -3,880 | 2,703 | 0,541 | 0,541 | 0,541 | 0,532 | 0,532 | 0,240 |
| 22,000 | 0,496 | 99,432 | -4,754 | skid front(out) | 1000000,000 | -5,300 | 0,000 | 1,000 | 100,000 | -4,440 | 2,993 | 0,541 | 0,541 | 0,541 | 0,532 | 0,532 | 0,290 |

| run_v_w_ntua_5 | | R(m) | br.front (%) | s(%) | e (%) | coeff | effic (%) | | | time (sec) | | | | | | | |
|----------------|----------|------------|--------------|-----------------|-------------|--------|-----------|-------|-----------|------------|------------|-------|-----------|----------|----------|---------|-----------|
| s= | 100,000 | 1000000,00 | 64,00 | -5,3 | 0,0 | 1,00 | 100 | | | 2,907 | | | | | | | |
| step= | 0,100 | viewstep= | 0,500 | STEPS | | | | | | | | 0,963 | | | | | |
| s (m) | V (km/h) | n (%) | dv/dt | skid check | R(m) | s(%) | e (%) | coeff | effic (%) | decelera | time (sec) | ft | front out | front in | rear out | rear in | checktime |
| 22,500 | 2,566 | 99,668 | -4,827 | skid front(out) | 1000000,000 | -5,300 | 0,000 | 1,000 | 100,000 | -2,782707 | 2,907 | 0,547 | 0,5468 | 0,5468 | 0,5418 | 0,5418 | |
| 0,000 | 53,250 | 99,681 | -4,873 | O.K | 1000000,000 | -5,300 | 0,000 | 1,000 | 100,000 | 0,000 | 0,000 | 0,547 | | | | | |
| 0,400 | 52,774 | 99,681 | -4,872 | skid front(in) | 1000000,000 | -5,300 | 0,000 | 1,000 | 100,000 | 0,000 | 0,027 | 0,547 | 0,547 | 0,547 | 0,542 | 0,542 | 0,027 |
| 1,000 | 52,051 | 99,681 | -4,871 | skid front(in) | 1000000,000 | -5,300 | 0,000 | 1,000 | 100,000 | 0,000 | 0,068 | 0,547 | 0,547 | 0,547 | 0,542 | 0,542 | 0,041 |
| 1,500 | 51,441 | 99,681 | -4,870 | skid front(in) | 1000000,000 | -5,300 | 0,000 | 1,000 | 100,000 | 0,000 | 0,103 | 0,547 | 0,547 | 0,547 | 0,542 | 0,542 | 0,035 |
| 2,000 | 50,824 | 99,681 | -4,869 | skid front(in) | 1000000,000 | -5,300 | 0,000 | 1,000 | 100,000 | 0,000 | 0,138 | 0,547 | 0,547 | 0,547 | 0,542 | 0,542 | 0,035 |
| 2,500 | 50,199 | 99,681 | -4,868 | skid front(in) | 1000000,000 | -5,300 | 0,000 | 1,000 | 100,000 | 0,000 | 0,174 | 0,547 | 0,547 | 0,547 | 0,542 | 0,542 | 0,036 |
| 3,000 | 49,567 | 99,681 | -4,867 | skid front(in) | 1000000,000 | -5,300 | 0,000 | 1,000 | 100,000 | 0,000 | 0,210 | 0,547 | 0,547 | 0,547 | 0,542 | 0,542 | 0,036 |
| 3,500 | 48,927 | 99,681 | -4,866 | skid front(in) | 1000000,000 | -5,300 | 0,000 | 1,000 | 100,000 | 0,000 | 0,247 | 0,547 | 0,547 | 0,547 | 0,542 | 0,542 | 0,037 |
| 4,000 | 48,278 | 99,681 | -4,865 | skid front(in) | 1000000,000 | -5,300 | 0,000 | 1,000 | 100,000 | 0,000 | 0,284 | 0,547 | 0,547 | 0,547 | 0,542 | 0,542 | 0,037 |
| 4,400 | 47,753 | 99,681 | -4,864 | skid front(in) | 1000000,000 | -5,300 | 0,000 | 1,000 | 100,000 | 0,000 | 0,314 | 0,547 | 0,547 | 0,547 | 0,542 | 0,542 | 0,030 |
| 5,000 | 46,954 | 99,681 | -4,863 | skid front(in) | 1000000,000 | -5,300 | 0,000 | 1,000 | 100,000 | 0,000 | 0,359 | 0,547 | 0,547 | 0,547 | 0,542 | 0,542 | 0,046 |
| 5,500 | 46,278 | 99,681 | -4,862 | skid front(in) | 1000000,000 | -5,300 | 0,000 | 1,000 | 100,000 | 0,000 | 0,398 | 0,547 | 0,547 | 0,547 | 0,542 | 0,542 | 0,039 |
| 6,000 | 45,592 | 99,681 | -4,861 | skid front(in) | 1000000,000 | -5,300 | 0,000 | 1,000 | 100,000 | 0,000 | 0,437 | 0,547 | 0,547 | 0,547 | 0,542 | 0,542 | 0,039 |
| 6,500 | 44,896 | 99,681 | -4,860 | skid front(in) | 1000000,000 | -5,300 | 0,000 | 1,000 | 100,000 | 0,000 | 0,477 | 0,547 | 0,547 | 0,547 | 0,542 | 0,542 | 0,040 |
| 7,000 | 44,189 | 99,681 | -4,859 | skid front(in) | 1000000,000 | -5,300 | 0,000 | 1,000 | 100,000 | 0,000 | 0,517 | 0,547 | 0,547 | 0,547 | 0,542 | 0,542 | 0,040 |
| 7,500 | 43,471 | 99,681 | -4,858 | skid front(in) | 1000000,000 | -5,300 | 0,000 | 1,000 | 100,000 | 0,000 | 0,558 | 0,547 | 0,547 | 0,547 | 0,542 | 0,542 | 0,041 |
| 8,000 | 42,741 | 99,681 | -4,857 | skid front(in) | 1000000,000 | -5,300 | 0,000 | 1,000 | 100,000 | 0,000 | 0,600 | 0,547 | 0,547 | 0,547 | 0,542 | 0,542 | 0,042 |
| 8,500 | 41,998 | 99,681 | -4,856 | skid front(in) | 1000000,000 | -5,300 | 0,000 | 1,000 | 100,000 | 0,000 | 0,643 | 0,547 | 0,547 | 0,547 | 0,542 | 0,542 | 0,042 |
| 9,000 | 41,242 | 99,681 | -4,855 | skid front(in) | 1000000,000 | -5,300 | 0,000 | 1,000 | 100,000 | 0,000 | 0,686 | 0,547 | 0,547 | 0,547 | 0,542 | 0,542 | 0,043 |
| 9,500 | 40,472 | 99,682 | -4,854 | skid front(in) | 1000000,000 | -5,300 | 0,000 | 1,000 | 100,000 | 0,000 | 0,730 | 0,547 | 0,547 | 0,547 | 0,542 | 0,542 | 0,044 |
| 10,000 | 39,687 | 99,682 | -4,853 | skid front(in) | 1000000,000 | -5,300 | 0,000 | 1,000 | 100,000 | 0,000 | 0,775 | 0,547 | 0,547 | 0,547 | 0,542 | 0,542 | 0,045 |
| 10,500 | 38,887 | 99,682 | -4,852 | skid front(in) | 1000000,000 | -5,300 | 0,000 | 1,000 | 100,000 | 0,000 | 0,821 | 0,547 | 0,547 | 0,547 | 0,542 | 0,542 | 0,046 |
| 11,000 | 38,069 | 99,682 | -4,851 | skid front(in) | 1000000,000 | -5,300 | 0,000 | 1,000 | 100,000 | 0,001 | 0,867 | 0,547 | 0,547 | 0,547 | 0,542 | 0,542 | 0,047 |
| 11,500 | 37,235 | 99,682 | -4,850 | skid front(in) | 1000000,000 | -5,300 | 0,000 | 1,000 | 100,000 | 0,000 | 0,915 | 0,547 | 0,547 | 0,547 | 0,542 | 0,542 | 0,048 |
| 12,000 | 36,381 | 99,682 | -4,850 | skid front(in) | 1000000,000 | -5,300 | 0,000 | 1,000 | 100,000 | 0,000 | 0,964 | 0,547 | 0,547 | 0,547 | 0,542 | 0,542 | 0,049 |
| 12,500 | 35,507 | 99,682 | -4,849 | skid front(in) | 1000000,000 | -5,300 | 0,000 | 1,000 | 100,000 | 0,000 | 1,014 | 0,547 | 0,547 | 0,547 | 0,542 | 0,542 | 0,050 |
| 13,000 | 34,610 | 99,682 | -4,848 | skid front(in) | 1000000,000 | -5,300 | 0,000 | 1,000 | 100,000 | 0,000 | 1,066 | 0,547 | 0,547 | 0,547 | 0,542 | 0,542 | 0,051 |
| 13,500 | 33,691 | 99,682 | -4,847 | skid front(in) | 1000000,000 | -5,300 | 0,000 | 1,000 | 100,000 | 0,001 | 1,118 | 0,547 | 0,547 | 0,547 | 0,542 | 0,542 | 0,053 |
| 14,000 | 32,745 | 99,682 | -4,846 | skid front(in) | 1000000,000 | -5,300 | 0,000 | 1,000 | 100,000 | 0,000 | 1,172 | 0,547 | 0,547 | 0,547 | 0,542 | 0,542 | 0,054 |
| 14,500 | 31,772 | 99,682 | -4,845 | skid front(in) | 1000000,000 | -5,300 | 0,000 | 1,000 | 100,000 | 0,000 | 1,228 | 0,547 | 0,547 | 0,547 | 0,542 | 0,542 | 0,056 |
| 15,000 | 30,768 | 99,682 | -4,844 | skid front(in) | 1000000,000 | -5,300 | 0,000 | 1,000 | 100,000 | 0,000 | 1,286 | 0,547 | 0,547 | 0,547 | 0,542 | 0,542 | 0,058 |
| 15,500 | 29,731 | 99,682 | -4,843 | skid front(in) | 1000000,000 | -5,300 | 0,000 | 1,000 | 100,000 | 0,001 | 1,345 | 0,547 | 0,547 | 0,547 | 0,542 | 0,542 | 0,060 |
| 16,000 | 28,656 | 99,682 | -4,842 | skid front(in) | 1000000,000 | -5,300 | 0,000 | 1,000 | 100,000 | 0,000 | 1,407 | 0,547 | 0,547 | 0,547 | 0,542 | 0,542 | 0,062 |
| 16,500 | 27,539 | 99,682 | -4,841 | skid front(in) | 1000000,000 | -5,300 | 0,000 | 1,000 | 100,000 | 0,000 | 1,471 | 0,547 | 0,547 | 0,547 | 0,542 | 0,542 | 0,064 |

Προσδιορισμός Τιμών Πρόσφυσης κατά την Πέδηση Οχημάτων Εφοδιασμένων με Σύστημα ABS σε Αυξημένες κατά Μήκος Κλίσεις

| | | | | | | | | | | | | | | | | | |
|--------|--------|--------|--------|-----------------|-------------|--------|-------|-------|---------|--------|-------|-------|-------|-------|-------|-------|-------|
| 17,000 | 26,376 | 99,688 | -4,837 | skid front(out) | 1000000,000 | -5,300 | 0,000 | 1,000 | 100,000 | -4,495 | 1,538 | 0,547 | 0,547 | 0,547 | 0,542 | 0,542 | 0,067 |
| 17,500 | 25,159 | 99,703 | -4,837 | skid front(out) | 1000000,000 | -5,300 | 0,000 | 1,000 | 100,000 | -4,174 | 1,608 | 0,547 | 0,547 | 0,547 | 0,542 | 0,542 | 0,070 |
| 18,000 | 23,881 | 99,712 | -4,837 | skid front(out) | 1000000,000 | -5,300 | 0,000 | 1,000 | 100,000 | -3,441 | 1,681 | 0,547 | 0,547 | 0,547 | 0,542 | 0,542 | 0,073 |
| 18,500 | 22,530 | 99,636 | -4,834 | skid front(out) | 1000000,000 | -5,300 | 0,000 | 1,000 | 100,000 | -0,549 | 1,759 | 0,547 | 0,547 | 0,547 | 0,542 | 0,542 | 0,078 |
| 18,900 | 21,389 | 99,702 | -4,836 | skid front(out) | 1000000,000 | -5,300 | 0,000 | 1,000 | 100,000 | -1,927 | 1,824 | 0,547 | 0,547 | 0,547 | 0,542 | 0,542 | 0,066 |
| 19,500 | 19,552 | 99,658 | -4,834 | skid front(out) | 1000000,000 | -5,300 | 0,000 | 1,000 | 100,000 | 0,005 | 1,930 | 0,547 | 0,547 | 0,547 | 0,542 | 0,542 | 0,106 |
| 20,000 | 17,878 | 99,721 | -4,833 | skid front(out) | 1000000,000 | -5,300 | 0,000 | 1,000 | 100,000 | -3,977 | 2,026 | 0,547 | 0,547 | 0,547 | 0,542 | 0,542 | 0,096 |
| 20,500 | 16,031 | 99,693 | -4,833 | skid front(out) | 1000000,000 | -5,300 | 0,000 | 1,000 | 100,000 | -0,914 | 2,132 | 0,547 | 0,547 | 0,547 | 0,542 | 0,542 | 0,106 |
| 21,000 | 13,941 | 99,656 | -4,829 | skid front(out) | 1000000,000 | -5,300 | 0,000 | 1,000 | 100,000 | -2,264 | 2,252 | 0,547 | 0,547 | 0,547 | 0,542 | 0,542 | 0,120 |
| 21,500 | 11,478 | 99,654 | -4,828 | skid front(out) | 1000000,000 | -5,300 | 0,000 | 1,000 | 100,000 | -1,723 | 2,394 | 0,547 | 0,547 | 0,547 | 0,542 | 0,542 | 0,142 |
| 22,000 | 8,315 | 99,643 | -4,828 | skid front(out) | 1000000,000 | -5,300 | 0,000 | 1,000 | 100,000 | -0,649 | 2,576 | 0,547 | 0,547 | 0,547 | 0,542 | 0,542 | 0,182 |
| 22,500 | 2,566 | 99,668 | -4,827 | skid front(out) | 1000000,000 | -5,300 | 0,000 | 1,000 | 100,000 | -2,783 | 2,907 | 0,547 | 0,547 | 0,547 | 0,542 | 0,542 | 0,331 |

| run_v_w_ntua_6 | R(m) | br.front (%) | s(%) | e (%) | coeff | effic (%) | time (sec) | | | | | | | | | | | |
|----------------|----------|--------------|--------|-----------------|-------------|-----------|------------|-------|-----------|----------|------------|-------|-----------|----------|----------|---------|-----------|-------|
| s= | 100,000 | 1000000,00 | 64,50 | -5,3 | 0,0 | 1,00 | 100 | 3,263 | | | | | | | | | | 0,963 |
| step= | 0,100 | viewstep= | 0,500 | STEPS | | | | | | | | | | | | | | |
| s (m) | V (km/h) | n (%) | dv/dt | skid check | R(m) | s(%) | e (%) | coeff | effic (%) | decelera | time (sec) | fT | front out | front in | rear out | rear in | checktime | |
| 26,900 | 0,715 | 99,078 | -4,884 | skid front(out) | 1000000,000 | -5,300 | 0,000 | 1,000 | 100,000 | 0,264184 | 3,263 | 0,556 | 0,5558 | 0,5558 | 0,5422 | 0,5422 | | |
| 0,000 | 58,320 | 99,127 | -4,939 | O.K | 1000000,000 | -5,300 | 0,000 | 1,000 | 100,000 | 0,000 | 0,000 | 0,556 | | | | | | |
| 0,400 | 57,879 | 99,127 | -4,938 | skid front(in) | 1000000,000 | -5,300 | 0,000 | 1,000 | 100,000 | 0,000 | 0,025 | 0,556 | 0,556 | 0,556 | 0,543 | 0,543 | 0,025 | |
| 1,000 | 57,212 | 99,127 | -4,937 | skid front(in) | 1000000,000 | -5,300 | 0,000 | 1,000 | 100,000 | 0,000 | 0,062 | 0,556 | 0,556 | 0,556 | 0,543 | 0,543 | 0,038 | |
| 1,500 | 56,650 | 99,127 | -4,936 | skid front(in) | 1000000,000 | -5,300 | 0,000 | 1,000 | 100,000 | 0,000 | 0,094 | 0,556 | 0,556 | 0,556 | 0,543 | 0,543 | 0,032 | |
| 2,000 | 56,083 | 99,127 | -4,935 | skid front(in) | 1000000,000 | -5,300 | 0,000 | 1,000 | 100,000 | 0,000 | 0,126 | 0,556 | 0,556 | 0,556 | 0,543 | 0,543 | 0,032 | |
| 2,500 | 55,510 | 99,128 | -4,934 | skid front(in) | 1000000,000 | -5,300 | 0,000 | 1,000 | 100,000 | 0,000 | 0,158 | 0,556 | 0,556 | 0,556 | 0,543 | 0,543 | 0,032 | |
| 3,000 | 54,931 | 99,128 | -4,933 | skid front(in) | 1000000,000 | -5,300 | 0,000 | 1,000 | 100,000 | 0,000 | 0,191 | 0,556 | 0,556 | 0,556 | 0,543 | 0,543 | 0,033 | |
| 3,500 | 54,346 | 99,128 | -4,932 | skid front(in) | 1000000,000 | -5,300 | 0,000 | 1,000 | 100,000 | 0,000 | 0,224 | 0,556 | 0,556 | 0,556 | 0,543 | 0,543 | 0,033 | |
| 4,000 | 53,754 | 99,128 | -4,931 | skid front(in) | 1000000,000 | -5,300 | 0,000 | 1,000 | 100,000 | 0,000 | 0,257 | 0,556 | 0,556 | 0,556 | 0,543 | 0,543 | 0,033 | |
| 4,400 | 53,277 | 99,128 | -4,931 | skid front(in) | 1000000,000 | -5,300 | 0,000 | 1,000 | 100,000 | 0,000 | 0,284 | 0,556 | 0,556 | 0,556 | 0,543 | 0,543 | 0,027 | |
| 5,000 | 52,552 | 99,128 | -4,929 | skid front(in) | 1000000,000 | -5,300 | 0,000 | 1,000 | 100,000 | 0,000 | 0,325 | 0,556 | 0,556 | 0,556 | 0,543 | 0,543 | 0,041 | |
| 5,500 | 51,941 | 99,128 | -4,928 | skid front(in) | 1000000,000 | -5,300 | 0,000 | 1,000 | 100,000 | 0,000 | 0,359 | 0,556 | 0,556 | 0,556 | 0,543 | 0,543 | 0,034 | |
| 6,000 | 51,322 | 99,128 | -4,927 | skid front(in) | 1000000,000 | -5,300 | 0,000 | 1,000 | 100,000 | 0,000 | 0,394 | 0,556 | 0,556 | 0,556 | 0,543 | 0,543 | 0,035 | |
| 6,500 | 50,697 | 99,128 | -4,926 | skid front(in) | 1000000,000 | -5,300 | 0,000 | 1,000 | 100,000 | 0,000 | 0,429 | 0,556 | 0,556 | 0,556 | 0,543 | 0,543 | 0,035 | |
| 7,000 | 50,063 | 99,128 | -4,925 | skid front(in) | 1000000,000 | -5,300 | 0,000 | 1,000 | 100,000 | 0,000 | 0,465 | 0,556 | 0,556 | 0,556 | 0,543 | 0,543 | 0,036 | |
| 7,500 | 49,421 | 99,128 | -4,924 | skid front(in) | 1000000,000 | -5,300 | 0,000 | 1,000 | 100,000 | 0,000 | 0,501 | 0,556 | 0,556 | 0,556 | 0,543 | 0,543 | 0,036 | |
| 8,000 | 48,772 | 99,128 | -4,923 | skid front(in) | 1000000,000 | -5,300 | 0,000 | 1,000 | 100,000 | 0,000 | 0,538 | 0,556 | 0,556 | 0,556 | 0,543 | 0,543 | 0,037 | |
| 8,500 | 48,113 | 99,128 | -4,923 | skid front(in) | 1000000,000 | -5,300 | 0,000 | 1,000 | 100,000 | 0,000 | 0,575 | 0,556 | 0,556 | 0,556 | 0,543 | 0,543 | 0,037 | |
| 9,000 | 47,445 | 99,128 | -4,922 | skid front(in) | 1000000,000 | -5,300 | 0,000 | 1,000 | 100,000 | 0,000 | 0,613 | 0,556 | 0,556 | 0,556 | 0,543 | 0,543 | 0,038 | |
| 9,500 | 46,769 | 99,128 | -4,921 | skid front(in) | 1000000,000 | -5,300 | 0,000 | 1,000 | 100,000 | 0,000 | 0,651 | 0,556 | 0,556 | 0,556 | 0,543 | 0,543 | 0,038 | |
| 10,000 | 46,082 | 99,128 | -4,920 | skid front(in) | 1000000,000 | -5,300 | 0,000 | 1,000 | 100,000 | 0,000 | 0,690 | 0,556 | 0,556 | 0,556 | 0,543 | 0,543 | 0,039 | |
| 10,500 | 45,385 | 99,128 | -4,919 | skid front(in) | 1000000,000 | -5,300 | 0,000 | 1,000 | 100,000 | 0,000 | 0,729 | 0,556 | 0,556 | 0,556 | 0,543 | 0,543 | 0,039 | |
| 11,000 | 44,677 | 99,128 | -4,918 | skid front(in) | 1000000,000 | -5,300 | 0,000 | 1,000 | 100,000 | 0,000 | 0,769 | 0,556 | 0,556 | 0,556 | 0,543 | 0,543 | 0,040 | |
| 11,500 | 43,958 | 99,129 | -4,917 | skid front(in) | 1000000,000 | -5,300 | 0,000 | 1,000 | 100,000 | 0,000 | 0,810 | 0,556 | 0,556 | 0,556 | 0,543 | 0,543 | 0,041 | |
| 12,000 | 43,227 | 99,129 | -4,916 | skid front(in) | 1000000,000 | -5,300 | 0,000 | 1,000 | 100,000 | 0,000 | 0,851 | 0,556 | 0,556 | 0,556 | 0,543 | 0,543 | 0,041 | |
| 12,500 | 42,484 | 99,129 | -4,915 | skid front(in) | 1000000,000 | -5,300 | 0,000 | 1,000 | 100,000 | 0,000 | 0,893 | 0,556 | 0,556 | 0,556 | 0,543 | 0,543 | 0,042 | |
| 13,000 | 41,728 | 99,129 | -4,914 | skid front(in) | 1000000,000 | -5,300 | 0,000 | 1,000 | 100,000 | 0,000 | 0,936 | 0,556 | 0,556 | 0,556 | 0,543 | 0,543 | 0,043 | |
| 13,500 | 40,958 | 99,129 | -4,913 | skid front(in) | 1000000,000 | -5,300 | 0,000 | 1,000 | 100,000 | 0,000 | 0,979 | 0,556 | 0,556 | 0,556 | 0,543 | 0,543 | 0,044 | |
| 14,000 | 40,173 | 99,129 | -4,912 | skid front(in) | 1000000,000 | -5,300 | 0,000 | 1,000 | 100,000 | 0,000 | 1,024 | 0,556 | 0,556 | 0,556 | 0,543 | 0,543 | 0,044 | |
| 14,500 | 39,373 | 99,129 | -4,911 | skid front(in) | 1000000,000 | -5,300 | 0,000 | 1,000 | 100,000 | 0,000 | 1,069 | 0,556 | 0,556 | 0,556 | 0,543 | 0,543 | 0,045 | |
| 15,000 | 38,556 | 99,129 | -4,910 | skid front(in) | 1000000,000 | -5,300 | 0,000 | 1,000 | 100,000 | 0,000 | 1,115 | 0,556 | 0,556 | 0,556 | 0,543 | 0,543 | 0,046 | |
| 15,500 | 37,722 | 99,129 | -4,909 | skid front(in) | 1000000,000 | -5,300 | 0,000 | 1,000 | 100,000 | 0,000 | 1,162 | 0,556 | 0,556 | 0,556 | 0,543 | 0,543 | 0,047 | |
| 16,000 | 36,869 | 99,129 | -4,908 | skid front(in) | 1000000,000 | -5,300 | 0,000 | 1,000 | 100,000 | 0,000 | 1,211 | 0,556 | 0,556 | 0,556 | 0,543 | 0,543 | 0,048 | |
| 16,500 | 35,997 | 99,129 | -4,907 | skid front(in) | 1000000,000 | -5,300 | 0,000 | 1,000 | 100,000 | 0,000 | 1,260 | 0,556 | 0,556 | 0,556 | 0,543 | 0,543 | 0,049 | |
| 17,000 | 35,102 | 99,129 | -4,906 | skid front(in) | 1000000,000 | -5,300 | 0,000 | 1,000 | 100,000 | 0,000 | 1,311 | 0,556 | 0,556 | 0,556 | 0,543 | 0,543 | 0,051 | |
| 17,500 | 34,185 | 99,129 | -4,905 | skid front(in) | 1000000,000 | -5,300 | 0,000 | 1,000 | 100,000 | 0,000 | 1,363 | 0,556 | 0,556 | 0,556 | 0,543 | 0,543 | 0,052 | |

Προσδιορισμός Τιμών Πρόσφυσης κατά την Πέδηση Οχημάτων Εφοδιασμένων με Σύστημα ABS σε Αυξημένες κατά Μήκος Κλίσεις

| | | | | | | | | | | | | | | | | | |
|--------|--------|--------|--------|-----------------|-------------|--------|-------|-------|---------|--------|-------|-------|-------|-------|-------|-------|-------|
| 18,000 | 33,242 | 99,129 | -4,904 | skid front(in) | 1000000,000 | -5,300 | 0,000 | 1,000 | 100,000 | 0,000 | 1,416 | 0,556 | 0,556 | 0,556 | 0,543 | 0,543 | 0,053 |
| 18,500 | 32,272 | 99,129 | -4,903 | skid front(in) | 1000000,000 | -5,300 | 0,000 | 1,000 | 100,000 | 0,000 | 1,471 | 0,556 | 0,556 | 0,556 | 0,543 | 0,543 | 0,055 |
| 18,900 | 31,475 | 99,129 | -4,902 | skid front(in) | 1000000,000 | -5,300 | 0,000 | 1,000 | 100,000 | 0,000 | 1,516 | 0,556 | 0,556 | 0,556 | 0,543 | 0,543 | 0,045 |
| 19,500 | 30,239 | 99,129 | -4,901 | skid front(in) | 1000000,000 | -5,300 | 0,000 | 1,000 | 100,000 | 0,001 | 1,586 | 0,556 | 0,556 | 0,556 | 0,543 | 0,543 | 0,070 |
| 20,000 | 29,170 | 99,129 | -4,900 | skid front(in) | 1000000,000 | -5,300 | 0,000 | 1,000 | 100,000 | 0,001 | 1,647 | 0,556 | 0,556 | 0,556 | 0,543 | 0,543 | 0,061 |
| 20,500 | 28,061 | 99,129 | -4,899 | skid front(in) | 1000000,000 | -5,300 | 0,000 | 1,000 | 100,000 | 0,001 | 1,710 | 0,556 | 0,556 | 0,556 | 0,543 | 0,543 | 0,063 |
| 21,000 | 26,906 | 99,082 | -4,895 | skid front(out) | 1000000,000 | -5,300 | 0,000 | 1,000 | 100,000 | -0,179 | 1,775 | 0,556 | 0,556 | 0,556 | 0,542 | 0,542 | 0,066 |
| 21,500 | 25,699 | 99,118 | -4,895 | skid front(out) | 1000000,000 | -5,300 | 0,000 | 1,000 | 100,000 | -2,803 | 1,843 | 0,556 | 0,556 | 0,556 | 0,542 | 0,542 | 0,068 |
| 22,000 | 24,433 | 99,114 | -4,894 | skid front(out) | 1000000,000 | -5,300 | 0,000 | 1,000 | 100,000 | -2,019 | 1,915 | 0,556 | 0,556 | 0,556 | 0,542 | 0,542 | 0,072 |
| 22,500 | 23,099 | 99,107 | -4,893 | skid front(out) | 1000000,000 | -5,300 | 0,000 | 1,000 | 100,000 | -0,795 | 1,991 | 0,556 | 0,556 | 0,556 | 0,542 | 0,542 | 0,076 |
| 23,000 | 21,682 | 99,137 | -4,893 | skid front(out) | 1000000,000 | -5,300 | 0,000 | 1,000 | 100,000 | -2,308 | 2,071 | 0,556 | 0,556 | 0,556 | 0,542 | 0,542 | 0,080 |
| 23,500 | 20,167 | 99,165 | -4,893 | skid front(out) | 1000000,000 | -5,300 | 0,000 | 1,000 | 100,000 | -3,466 | 2,157 | 0,556 | 0,556 | 0,556 | 0,543 | 0,543 | 0,086 |
| 24,000 | 18,528 | 99,110 | -4,890 | skid front(out) | 1000000,000 | -5,300 | 0,000 | 1,000 | 100,000 | -2,374 | 2,250 | 0,556 | 0,556 | 0,556 | 0,542 | 0,542 | 0,093 |
| 24,500 | 16,730 | 99,133 | -4,890 | skid front(out) | 1000000,000 | -5,300 | 0,000 | 1,000 | 100,000 | -2,733 | 2,353 | 0,556 | 0,556 | 0,556 | 0,542 | 0,542 | 0,102 |
| 25,000 | 14,714 | 99,153 | -4,890 | skid front(out) | 1000000,000 | -5,300 | 0,000 | 1,000 | 100,000 | -2,585 | 2,467 | 0,556 | 0,556 | 0,556 | 0,543 | 0,543 | 0,115 |
| 25,500 | 12,374 | 99,127 | -4,887 | skid front(out) | 1000000,000 | -5,300 | 0,000 | 1,000 | 100,000 | -3,554 | 2,600 | 0,556 | 0,556 | 0,556 | 0,542 | 0,542 | 0,133 |
| 26,000 | 9,474 | 99,140 | -4,887 | skid front(out) | 1000000,000 | -5,300 | 0,000 | 1,000 | 100,000 | -2,531 | 2,765 | 0,556 | 0,556 | 0,556 | 0,542 | 0,542 | 0,165 |
| 26,500 | 5,138 | 99,103 | -4,884 | skid front(out) | 1000000,000 | -5,300 | 0,000 | 1,000 | 100,000 | -2,554 | 3,011 | 0,556 | 0,556 | 0,556 | 0,542 | 0,542 | 0,247 |
| 26,900 | 0,715 | 99,078 | -4,884 | skid front(out) | 1000000,000 | -5,300 | 0,000 | 1,000 | 100,000 | 0,264 | 3,263 | 0,556 | 0,556 | 0,556 | 0,542 | 0,542 | 0,252 |

| run_v_w_ntua_7 | R(m) | br.front (%) | s(%) | e (%) | coeff | effic (%) | time (sec) | | | | | | | | | | |
|----------------|------------|--------------|--------|-----------------|-------------|-----------|------------|-------|-----------|-----------|------------|-------|-----------|----------|----------|---------|-----------|
| s= 100,000 | 1000000,00 | 64,00 | -5,3 | 0,0 | 1,00 | 100 | 2,793 | | | | | | | | | | 0,963 |
| step= 0,100 | viewstep= | 0,500 | STEPS | | | | | | | | | | | | | | |
| s (m) | V (km/h) | n (%) | dv/dt | skid check | R(m) | s(%) | e (%) | coeff | effic (%) | decelera | time (sec) | fT | front out | front in | rear out | rear in | checktime |
| 21,400 | 3,277 | 99,649 | -4,826 | skid front(out) | 1000000,000 | -5,300 | 0,000 | 1,000 | 100,000 | -1,552780 | 2,793 | 0,547 | 0,5468 | 0,5468 | 0,5418 | 0,5418 | |
| 0,000 | 51,970 | 99,681 | -4,871 | O.K | 1000000,000 | -5,300 | 0,000 | 1,000 | 100,000 | 0,000 | 0,000 | 0,547 | | | | | |
| 0,400 | 51,482 | 99,681 | -4,870 | skid front(in) | 1000000,000 | -5,300 | 0,000 | 1,000 | 100,000 | 0,000 | 0,028 | 0,547 | 0,547 | 0,547 | 0,542 | 0,542 | 0,028 |
| 1,000 | 50,741 | 99,681 | -4,869 | skid front(in) | 1000000,000 | -5,300 | 0,000 | 1,000 | 100,000 | 0,000 | 0,070 | 0,547 | 0,547 | 0,547 | 0,542 | 0,542 | 0,042 |
| 1,500 | 50,116 | 99,681 | -4,868 | skid front(in) | 1000000,000 | -5,300 | 0,000 | 1,000 | 100,000 | 0,000 | 0,106 | 0,547 | 0,547 | 0,547 | 0,542 | 0,542 | 0,036 |
| 2,000 | 49,482 | 99,681 | -4,867 | skid front(in) | 1000000,000 | -5,300 | 0,000 | 1,000 | 100,000 | 0,000 | 0,142 | 0,547 | 0,547 | 0,547 | 0,542 | 0,542 | 0,036 |
| 2,500 | 48,841 | 99,681 | -4,866 | skid front(in) | 1000000,000 | -5,300 | 0,000 | 1,000 | 100,000 | 0,000 | 0,179 | 0,547 | 0,547 | 0,547 | 0,542 | 0,542 | 0,037 |
| 3,000 | 48,191 | 99,681 | -4,865 | skid front(in) | 1000000,000 | -5,300 | 0,000 | 1,000 | 100,000 | 0,000 | 0,216 | 0,547 | 0,547 | 0,547 | 0,542 | 0,542 | 0,037 |
| 3,500 | 47,532 | 99,681 | -4,864 | skid front(in) | 1000000,000 | -5,300 | 0,000 | 1,000 | 100,000 | 0,000 | 0,253 | 0,547 | 0,547 | 0,547 | 0,542 | 0,542 | 0,038 |
| 4,000 | 46,865 | 99,681 | -4,863 | skid front(in) | 1000000,000 | -5,300 | 0,000 | 1,000 | 100,000 | 0,000 | 0,291 | 0,547 | 0,547 | 0,547 | 0,542 | 0,542 | 0,038 |
| 4,400 | 46,324 | 99,681 | -4,862 | skid front(in) | 1000000,000 | -5,300 | 0,000 | 1,000 | 100,000 | 0,000 | 0,322 | 0,547 | 0,547 | 0,547 | 0,542 | 0,542 | 0,031 |
| 5,000 | 45,500 | 99,681 | -4,861 | skid front(in) | 1000000,000 | -5,300 | 0,000 | 1,000 | 100,000 | 0,000 | 0,369 | 0,547 | 0,547 | 0,547 | 0,542 | 0,542 | 0,047 |
| 5,500 | 44,803 | 99,681 | -4,860 | skid front(in) | 1000000,000 | -5,300 | 0,000 | 1,000 | 100,000 | 0,000 | 0,409 | 0,547 | 0,547 | 0,547 | 0,542 | 0,542 | 0,040 |
| 6,000 | 44,094 | 99,681 | -4,859 | skid front(in) | 1000000,000 | -5,300 | 0,000 | 1,000 | 100,000 | 0,000 | 0,450 | 0,547 | 0,547 | 0,547 | 0,542 | 0,542 | 0,040 |
| 6,500 | 43,374 | 99,681 | -4,858 | skid front(in) | 1000000,000 | -5,300 | 0,000 | 1,000 | 100,000 | 0,000 | 0,491 | 0,547 | 0,547 | 0,547 | 0,542 | 0,542 | 0,041 |
| 7,000 | 42,642 | 99,681 | -4,857 | skid front(in) | 1000000,000 | -5,300 | 0,000 | 1,000 | 100,000 | 0,000 | 0,533 | 0,547 | 0,547 | 0,547 | 0,542 | 0,542 | 0,042 |
| 7,500 | 41,898 | 99,681 | -4,856 | skid front(in) | 1000000,000 | -5,300 | 0,000 | 1,000 | 100,000 | 0,000 | 0,575 | 0,547 | 0,547 | 0,547 | 0,542 | 0,542 | 0,043 |
| 8,000 | 41,140 | 99,682 | -4,855 | skid front(in) | 1000000,000 | -5,300 | 0,000 | 1,000 | 100,000 | 0,000 | 0,619 | 0,547 | 0,547 | 0,547 | 0,542 | 0,542 | 0,043 |
| 8,500 | 40,368 | 99,682 | -4,854 | skid front(in) | 1000000,000 | -5,300 | 0,000 | 1,000 | 100,000 | 0,000 | 0,663 | 0,547 | 0,547 | 0,547 | 0,542 | 0,542 | 0,044 |
| 9,000 | 39,581 | 99,682 | -4,853 | skid front(in) | 1000000,000 | -5,300 | 0,000 | 1,000 | 100,000 | 0,000 | 0,708 | 0,547 | 0,547 | 0,547 | 0,542 | 0,542 | 0,045 |
| 9,500 | 38,779 | 99,682 | -4,852 | skid front(in) | 1000000,000 | -5,300 | 0,000 | 1,000 | 100,000 | 0,000 | 0,754 | 0,547 | 0,547 | 0,547 | 0,542 | 0,542 | 0,046 |
| 10,000 | 37,959 | 99,682 | -4,851 | skid front(in) | 1000000,000 | -5,300 | 0,000 | 1,000 | 100,000 | 0,000 | 0,801 | 0,547 | 0,547 | 0,547 | 0,542 | 0,542 | 0,047 |
| 10,500 | 37,122 | 99,682 | -4,850 | skid front(in) | 1000000,000 | -5,300 | 0,000 | 1,000 | 100,000 | 0,000 | 0,849 | 0,547 | 0,547 | 0,547 | 0,542 | 0,542 | 0,048 |
| 11,000 | 36,266 | 99,682 | -4,849 | skid front(in) | 1000000,000 | -5,300 | 0,000 | 1,000 | 100,000 | 0,000 | 0,898 | 0,547 | 0,547 | 0,547 | 0,542 | 0,542 | 0,049 |
| 11,500 | 35,388 | 99,682 | -4,848 | skid front(in) | 1000000,000 | -5,300 | 0,000 | 1,000 | 100,000 | 0,001 | 0,948 | 0,547 | 0,547 | 0,547 | 0,542 | 0,542 | 0,050 |

Προσδιορισμός Τιμών Πρόσφυσης κατά την Πέδηση Οχημάτων Εφοδιασμένων με Σύστημα ABS σε Αυξημένες κατά Μήκος Κλίσεις

| | | | | | | | | | | | | | | | | | |
|--------|--------|--------|--------|-----------------|-------------|--------|-------|-------|---------|--------|-------|-------|-------|-------|-------|-------|-------|
| 12,000 | 34,489 | 99,682 | -4,847 | skid front(in) | 1000000,000 | -5,300 | 0,000 | 1,000 | 100,000 | 0,000 | 0,999 | 0,547 | 0,547 | 0,547 | 0,542 | 0,542 | 0,052 |
| 12,500 | 33,566 | 99,682 | -4,846 | skid front(in) | 1000000,000 | -5,300 | 0,000 | 1,000 | 100,000 | 0,001 | 1,052 | 0,547 | 0,547 | 0,547 | 0,542 | 0,542 | 0,053 |
| 13,000 | 32,617 | 99,682 | -4,846 | skid front(in) | 1000000,000 | -5,300 | 0,000 | 1,000 | 100,000 | 0,000 | 1,107 | 0,547 | 0,547 | 0,547 | 0,542 | 0,542 | 0,054 |
| 13,500 | 31,640 | 99,682 | -4,845 | skid front(in) | 1000000,000 | -5,300 | 0,000 | 1,000 | 100,000 | 0,001 | 1,163 | 0,547 | 0,547 | 0,547 | 0,542 | 0,542 | 0,056 |
| 14,000 | 30,632 | 99,682 | -4,844 | skid front(in) | 1000000,000 | -5,300 | 0,000 | 1,000 | 100,000 | 0,000 | 1,221 | 0,547 | 0,547 | 0,547 | 0,542 | 0,542 | 0,058 |
| 14,500 | 29,590 | 99,682 | -4,843 | skid front(in) | 1000000,000 | -5,300 | 0,000 | 1,000 | 100,000 | 0,000 | 1,280 | 0,547 | 0,547 | 0,547 | 0,542 | 0,542 | 0,060 |
| 15,000 | 28,510 | 99,682 | -4,842 | skid front(in) | 1000000,000 | -5,300 | 0,000 | 1,000 | 100,000 | 0,000 | 1,342 | 0,547 | 0,547 | 0,547 | 0,542 | 0,542 | 0,062 |
| 15,500 | 27,387 | 99,682 | -4,841 | skid front(in) | 1000000,000 | -5,300 | 0,000 | 1,000 | 100,000 | 0,002 | 1,407 | 0,547 | 0,547 | 0,547 | 0,542 | 0,542 | 0,064 |
| 16,000 | 26,217 | 99,639 | -4,838 | skid front(out) | 1000000,000 | -5,300 | 0,000 | 1,000 | 100,000 | 0,494 | 1,474 | 0,547 | 0,547 | 0,547 | 0,542 | 0,542 | 0,067 |
| 16,500 | 24,992 | 99,706 | -4,839 | skid front(out) | 1000000,000 | -5,300 | 0,000 | 1,000 | 100,000 | -2,129 | 1,544 | 0,547 | 0,547 | 0,547 | 0,542 | 0,542 | 0,070 |
| 17,000 | 23,705 | 99,691 | -4,836 | skid front(out) | 1000000,000 | -5,300 | 0,000 | 1,000 | 100,000 | -2,682 | 1,618 | 0,547 | 0,547 | 0,547 | 0,542 | 0,542 | 0,074 |
| 17,500 | 22,344 | 99,668 | -4,834 | skid front(out) | 1000000,000 | -5,300 | 0,000 | 1,000 | 100,000 | -2,840 | 1,696 | 0,547 | 0,547 | 0,547 | 0,542 | 0,542 | 0,078 |
| 18,000 | 20,895 | 99,678 | -4,835 | skid front(out) | 1000000,000 | -5,300 | 0,000 | 1,000 | 100,000 | -1,236 | 1,780 | 0,547 | 0,547 | 0,547 | 0,542 | 0,542 | 0,083 |
| 18,500 | 19,337 | 99,640 | -4,832 | skid front(out) | 1000000,000 | -5,300 | 0,000 | 1,000 | 100,000 | -0,519 | 1,869 | 0,547 | 0,547 | 0,547 | 0,542 | 0,542 | 0,090 |
| 18,900 | 17,995 | 99,659 | -4,832 | skid front(out) | 1000000,000 | -5,300 | 0,000 | 1,000 | 100,000 | -1,091 | 1,946 | 0,547 | 0,547 | 0,547 | 0,542 | 0,542 | 0,077 |
| 19,500 | 15,769 | 99,664 | -4,830 | skid front(out) | 1000000,000 | -5,300 | 0,000 | 1,000 | 100,000 | -3,021 | 2,074 | 0,547 | 0,547 | 0,547 | 0,542 | 0,542 | 0,128 |
| 20,000 | 13,639 | 99,687 | -4,830 | skid front(out) | 1000000,000 | -5,300 | 0,000 | 1,000 | 100,000 | -2,933 | 2,197 | 0,547 | 0,547 | 0,547 | 0,542 | 0,542 | 0,122 |
| 20,500 | 11,109 | 99,703 | -4,831 | skid front(out) | 1000000,000 | -5,300 | 0,000 | 1,000 | 100,000 | -2,369 | 2,342 | 0,547 | 0,547 | 0,547 | 0,542 | 0,542 | 0,146 |
| 21,000 | 7,798 | 99,663 | -4,827 | skid front(out) | 1000000,000 | -5,300 | 0,000 | 1,000 | 100,000 | -2,844 | 2,532 | 0,547 | 0,547 | 0,547 | 0,542 | 0,542 | 0,190 |
| 21,400 | 3,277 | 99,649 | -4,826 | skid front(out) | 1000000,000 | -5,300 | 0,000 | 1,000 | 100,000 | -1,553 | 2,793 | 0,547 | 0,547 | 0,547 | 0,542 | 0,542 | 0,260 |

| run_v_w_ntua_8 | R(m) | br.front (%) | s(%) | e (%) | coeff | effic (%) | time (sec) | | | | | | | | | | |
|----------------|----------|--------------|--------|-----------------|-------------|-----------|------------|-------|-----------|-----------|------------|-------|-----------|----------|----------|---------|-----------|
| s= | 100,000 | 1000000,00 | 64,50 | -5,3 | 0,0 | 1,00 | 100 | 3,020 | 0,963 | | | | | | | | |
| step= | 0,100 | viewstep= | 0,500 | STEPS | | | | | | | | | | | | | |
| s (m) | V (km/h) | n (%) | dv/dt | skid check | R(m) | s(%) | e (%) | coeff | effic (%) | decelera | time (sec) | fT | front out | front in | rear out | rear in | checktime |
| 24,600 | 2,375 | 99,400 | -4,948 | skid front(out) | 1000000,000 | -5,300 | 0,000 | 1,000 | 100,000 | -3,115490 | 3,020 | 0,561 | 0,5610 | 0,5610 | 0,5510 | 0,5510 | |
| 0,000 | 56,360 | 99,361 | -4,997 | O.K | 1000000,000 | -5,300 | 0,000 | 1,000 | 100,000 | 0,000 | 0,000 | 0,561 | | | | | |
| 0,400 | 55,899 | 99,361 | -4,996 | skid front(in) | 1000000,000 | -5,300 | 0,000 | 1,000 | 100,000 | 0,000 | 0,026 | 0,561 | 0,561 | 0,561 | 0,551 | 0,551 | 0,026 |
| 1,000 | 55,199 | 99,361 | -4,995 | skid front(in) | 1000000,000 | -5,300 | 0,000 | 1,000 | 100,000 | 0,000 | 0,065 | 0,561 | 0,561 | 0,561 | 0,551 | 0,551 | 0,039 |
| 1,500 | 54,610 | 99,361 | -4,994 | skid front(in) | 1000000,000 | -5,300 | 0,000 | 1,000 | 100,000 | 0,000 | 0,097 | 0,561 | 0,561 | 0,561 | 0,551 | 0,551 | 0,033 |
| 2,000 | 54,014 | 99,361 | -4,993 | skid front(in) | 1000000,000 | -5,300 | 0,000 | 1,000 | 100,000 | 0,000 | 0,130 | 0,561 | 0,561 | 0,561 | 0,551 | 0,551 | 0,033 |
| 2,500 | 53,412 | 99,361 | -4,992 | skid front(in) | 1000000,000 | -5,300 | 0,000 | 1,000 | 100,000 | 0,000 | 0,164 | 0,561 | 0,561 | 0,561 | 0,551 | 0,551 | 0,034 |
| 3,000 | 52,803 | 99,361 | -4,991 | skid front(in) | 1000000,000 | -5,300 | 0,000 | 1,000 | 100,000 | 0,000 | 0,198 | 0,561 | 0,561 | 0,561 | 0,551 | 0,551 | 0,034 |
| 3,500 | 52,187 | 99,362 | -4,990 | skid front(in) | 1000000,000 | -5,300 | 0,000 | 1,000 | 100,000 | 0,000 | 0,232 | 0,561 | 0,561 | 0,561 | 0,551 | 0,551 | 0,034 |
| 4,000 | 51,563 | 99,362 | -4,989 | skid front(in) | 1000000,000 | -5,300 | 0,000 | 1,000 | 100,000 | 0,000 | 0,267 | 0,561 | 0,561 | 0,561 | 0,551 | 0,551 | 0,035 |
| 4,400 | 51,059 | 99,362 | -4,988 | skid front(in) | 1000000,000 | -5,300 | 0,000 | 1,000 | 100,000 | 0,000 | 0,295 | 0,561 | 0,561 | 0,561 | 0,551 | 0,551 | 0,028 |
| 5,000 | 50,294 | 99,362 | -4,987 | skid front(in) | 1000000,000 | -5,300 | 0,000 | 1,000 | 100,000 | 0,000 | 0,338 | 0,561 | 0,561 | 0,561 | 0,551 | 0,551 | 0,043 |
| 5,500 | 49,647 | 99,362 | -4,986 | skid front(in) | 1000000,000 | -5,300 | 0,000 | 1,000 | 100,000 | 0,000 | 0,374 | 0,561 | 0,561 | 0,561 | 0,551 | 0,551 | 0,036 |
| 6,000 | 48,992 | 99,362 | -4,985 | skid front(in) | 1000000,000 | -5,300 | 0,000 | 1,000 | 100,000 | 0,000 | 0,410 | 0,561 | 0,561 | 0,561 | 0,551 | 0,551 | 0,036 |
| 6,500 | 48,328 | 99,362 | -4,984 | skid front(in) | 1000000,000 | -5,300 | 0,000 | 1,000 | 100,000 | 0,000 | 0,447 | 0,561 | 0,561 | 0,561 | 0,551 | 0,551 | 0,037 |
| 7,000 | 47,655 | 99,362 | -4,983 | skid front(in) | 1000000,000 | -5,300 | 0,000 | 1,000 | 100,000 | 0,000 | 0,485 | 0,561 | 0,561 | 0,561 | 0,551 | 0,551 | 0,038 |
| 7,500 | 46,973 | 99,362 | -4,982 | skid front(in) | 1000000,000 | -5,300 | 0,000 | 1,000 | 100,000 | 0,000 | 0,523 | 0,561 | 0,561 | 0,561 | 0,551 | 0,551 | 0,038 |
| 8,000 | 46,281 | 99,362 | -4,981 | skid front(in) | 1000000,000 | -5,300 | 0,000 | 1,000 | 100,000 | 0,000 | 0,561 | 0,561 | 0,561 | 0,561 | 0,551 | 0,551 | 0,039 |
| 8,500 | 45,578 | 99,362 | -4,980 | skid front(in) | 1000000,000 | -5,300 | 0,000 | 1,000 | 100,000 | 0,000 | 0,600 | 0,561 | 0,561 | 0,561 | 0,551 | 0,551 | 0,039 |
| 9,000 | 44,864 | 99,362 | -4,979 | skid front(in) | 1000000,000 | -5,300 | 0,000 | 1,000 | 100,000 | 0,000 | 0,640 | 0,561 | 0,561 | 0,561 | 0,551 | 0,551 | 0,040 |
| 9,500 | 44,139 | 99,362 | -4,978 | skid front(in) | 1000000,000 | -5,300 | 0,000 | 1,000 | 100,000 | 0,000 | 0,681 | 0,561 | 0,561 | 0,561 | 0,551 | 0,551 | 0,040 |

Προσδιορισμός Τιμών Πρόσφυσης κατά την Πέδηση Οχημάτων Εφοδιασμένων με Σύστημα ABS σε Αυξημένες κατά Μήκος Κλίσεις

| | | | | | | | | | | | | | | | | | |
|--------|--------|--------|--------|-----------------|-------------|--------|-------|-------|---------|--------|-------|-------|-------|-------|-------|-------|-------|
| 10,000 | 43,402 | 99,362 | -4,977 | skid front(in) | 1000000,000 | -5,300 | 0,000 | 1,000 | 100,000 | 0,000 | 0,722 | 0,561 | 0,561 | 0,561 | 0,551 | 0,551 | 0,041 |
| 10,500 | 42,653 | 99,362 | -4,976 | skid front(in) | 1000000,000 | -5,300 | 0,000 | 1,000 | 100,000 | 0,000 | 0,764 | 0,561 | 0,561 | 0,561 | 0,551 | 0,551 | 0,042 |
| 11,000 | 41,890 | 99,362 | -4,975 | skid front(in) | 1000000,000 | -5,300 | 0,000 | 1,000 | 100,000 | 0,000 | 0,806 | 0,561 | 0,561 | 0,561 | 0,551 | 0,551 | 0,043 |
| 11,500 | 41,113 | 99,362 | -4,974 | skid front(in) | 1000000,000 | -5,300 | 0,000 | 1,000 | 100,000 | 0,000 | 0,850 | 0,561 | 0,561 | 0,561 | 0,551 | 0,551 | 0,043 |
| 12,000 | 40,322 | 99,363 | -4,973 | skid front(in) | 1000000,000 | -5,300 | 0,000 | 1,000 | 100,000 | 0,000 | 0,894 | 0,561 | 0,561 | 0,561 | 0,551 | 0,551 | 0,044 |
| 12,500 | 39,515 | 99,363 | -4,972 | skid front(in) | 1000000,000 | -5,300 | 0,000 | 1,000 | 100,000 | 0,000 | 0,939 | 0,561 | 0,561 | 0,561 | 0,551 | 0,551 | 0,045 |
| 13,000 | 38,691 | 99,363 | -4,971 | skid front(in) | 1000000,000 | -5,300 | 0,000 | 1,000 | 100,000 | 0,000 | 0,985 | 0,561 | 0,561 | 0,561 | 0,551 | 0,551 | 0,046 |
| 13,500 | 37,849 | 99,363 | -4,970 | skid front(in) | 1000000,000 | -5,300 | 0,000 | 1,000 | 100,000 | 0,001 | 1,032 | 0,561 | 0,561 | 0,561 | 0,551 | 0,551 | 0,047 |
| 14,000 | 36,988 | 99,363 | -4,969 | skid front(in) | 1000000,000 | -5,300 | 0,000 | 1,000 | 100,000 | 0,000 | 1,080 | 0,561 | 0,561 | 0,561 | 0,551 | 0,551 | 0,048 |
| 14,500 | 36,107 | 99,363 | -4,968 | skid front(in) | 1000000,000 | -5,300 | 0,000 | 1,000 | 100,000 | 0,000 | 1,129 | 0,561 | 0,561 | 0,561 | 0,551 | 0,551 | 0,049 |
| 15,000 | 35,205 | 99,363 | -4,967 | skid front(in) | 1000000,000 | -5,300 | 0,000 | 1,000 | 100,000 | 0,000 | 1,180 | 0,561 | 0,561 | 0,561 | 0,551 | 0,551 | 0,050 |
| 15,500 | 34,278 | 99,363 | -4,966 | skid front(in) | 1000000,000 | -5,300 | 0,000 | 1,000 | 100,000 | 0,000 | 1,232 | 0,561 | 0,561 | 0,561 | 0,551 | 0,551 | 0,052 |
| 16,000 | 33,326 | 99,363 | -4,965 | skid front(in) | 1000000,000 | -5,300 | 0,000 | 1,000 | 100,000 | 0,000 | 1,285 | 0,561 | 0,561 | 0,561 | 0,551 | 0,551 | 0,053 |
| 16,500 | 32,346 | 99,363 | -4,964 | skid front(in) | 1000000,000 | -5,300 | 0,000 | 1,000 | 100,000 | 0,000 | 1,340 | 0,561 | 0,561 | 0,561 | 0,551 | 0,551 | 0,055 |
| 17,000 | 31,336 | 99,363 | -4,963 | skid front(in) | 1000000,000 | -5,300 | 0,000 | 1,000 | 100,000 | 0,000 | 1,396 | 0,561 | 0,561 | 0,561 | 0,551 | 0,551 | 0,057 |
| 17,500 | 30,292 | 99,363 | -4,963 | skid front(in) | 1000000,000 | -5,300 | 0,000 | 1,000 | 100,000 | 0,000 | 1,455 | 0,561 | 0,561 | 0,561 | 0,551 | 0,551 | 0,058 |
| 18,000 | 29,212 | 99,363 | -4,962 | skid front(in) | 1000000,000 | -5,300 | 0,000 | 1,000 | 100,000 | 0,001 | 1,515 | 0,561 | 0,561 | 0,561 | 0,551 | 0,551 | 0,061 |
| 18,500 | 28,090 | 99,363 | -4,961 | skid front(in) | 1000000,000 | -5,300 | 0,000 | 1,000 | 100,000 | 0,002 | 1,578 | 0,561 | 0,561 | 0,561 | 0,551 | 0,551 | 0,063 |
| 18,900 | 27,159 | 99,363 | -4,960 | skid front(in) | 1000000,000 | -5,300 | 0,000 | 1,000 | 100,000 | 0,001 | 1,630 | 0,561 | 0,561 | 0,561 | 0,551 | 0,551 | 0,052 |
| 19,500 | 25,700 | 99,372 | -4,958 | skid front(out) | 1000000,000 | -5,300 | 0,000 | 1,000 | 100,000 | -1,118 | 1,712 | 0,561 | 0,561 | 0,561 | 0,551 | 0,551 | 0,082 |
| 20,000 | 24,418 | 99,406 | -4,957 | skid front(out) | 1000000,000 | -5,300 | 0,000 | 1,000 | 100,000 | -4,680 | 1,784 | 0,561 | 0,561 | 0,561 | 0,551 | 0,551 | 0,072 |
| 20,500 | 23,065 | 99,366 | -4,956 | skid front(out) | 1000000,000 | -5,300 | 0,000 | 1,000 | 100,000 | -1,748 | 1,859 | 0,561 | 0,561 | 0,561 | 0,551 | 0,551 | 0,076 |
| 21,000 | 21,628 | 99,366 | -4,955 | skid front(out) | 1000000,000 | -5,300 | 0,000 | 1,000 | 100,000 | -1,512 | 1,940 | 0,561 | 0,561 | 0,561 | 0,551 | 0,551 | 0,081 |
| 21,500 | 20,088 | 99,367 | -4,954 | skid front(out) | 1000000,000 | -5,300 | 0,000 | 1,000 | 100,000 | -0,791 | 2,026 | 0,561 | 0,561 | 0,561 | 0,551 | 0,551 | 0,086 |
| 22,000 | 18,421 | 99,370 | -4,951 | skid front(out) | 1000000,000 | -5,300 | 0,000 | 1,000 | 100,000 | -4,367 | 2,120 | 0,561 | 0,561 | 0,561 | 0,551 | 0,551 | 0,094 |
| 22,500 | 16,587 | 99,375 | -4,951 | skid front(out) | 1000000,000 | -5,300 | 0,000 | 1,000 | 100,000 | -2,864 | 2,223 | 0,561 | 0,561 | 0,561 | 0,551 | 0,551 | 0,103 |
| 23,000 | 14,524 | 99,339 | -4,949 | skid front(out) | 1000000,000 | -5,300 | 0,000 | 1,000 | 100,000 | -2,345 | 2,338 | 0,561 | 0,561 | 0,561 | 0,551 | 0,551 | 0,116 |
| 23,500 | 12,115 | 99,389 | -4,950 | skid front(out) | 1000000,000 | -5,300 | 0,000 | 1,000 | 100,000 | -3,299 | 2,473 | 0,561 | 0,561 | 0,561 | 0,551 | 0,551 | 0,135 |
| 24,000 | 9,090 | 99,353 | -4,948 | skid front(out) | 1000000,000 | -5,300 | 0,000 | 1,000 | 100,000 | -1,789 | 2,643 | 0,561 | 0,561 | 0,561 | 0,551 | 0,551 | 0,170 |
| 24,500 | 4,298 | 99,362 | -4,946 | skid front(out) | 1000000,000 | -5,300 | 0,000 | 1,000 | 100,000 | -3,445 | 2,912 | 0,561 | 0,561 | 0,561 | 0,551 | 0,551 | 0,269 |
| 24,600 | 2,375 | 99,400 | -4,948 | skid front(out) | 1000000,000 | -5,300 | 0,000 | 1,000 | 100,000 | -3,115 | 3,020 | 0,561 | 0,561 | 0,561 | 0,551 | 0,551 | 0,108 |

| | | | | | | | |
|----------------|-----------------|--------------|------|-------|-------|-----------|------------|
| run_v_w_ntua_9 | R(m) | br.front (%) | s(%) | e (%) | coeff | effic (%) | time (sec) |
| s= 100,000 | 1000000,00 | 64,50 | -5,3 | 0,0 | 1,00 | 100 | 2,909 |
| step= 0,100 | viewstep= 0,500 | STEPS | | | | | |

0,963

| s (m) | V (km/h) | n (%) | dv/dt | skid check | R(m) | s(%) | e (%) | coeff | effic (%) | decelera | time (sec) | fT | front out | front in | rear out | rear in | checktime |
|--------|----------|--------|--------|-----------------|-------------|--------|-------|-------|-----------|-----------|------------|-------|-----------|----------|----------|---------|-----------|
| 23,500 | 3,254 | 99,315 | -4,924 | skid front(out) | 1000000,000 | -5,300 | 0,000 | 1,000 | 100,000 | -4,290159 | 2,909 | 0,559 | 0,5590 | 0,5590 | 0,5476 | 0,5476 | |
| 0,000 | 54,990 | 99,268 | -4,970 | O.K | 1000000,000 | -5,300 | 0,000 | 1,000 | 100,000 | 0,000 | 0,000 | 0,559 | | | | | |
| 0,400 | 54,519 | 99,268 | -4,969 | skid front(in) | 1000000,000 | -5,300 | 0,000 | 1,000 | 100,000 | 0,000 | 0,026 | 0,559 | 0,559 | 0,559 | 0,548 | 0,548 | 0,026 |
| 1,000 | 53,806 | 99,268 | -4,968 | skid front(in) | 1000000,000 | -5,300 | 0,000 | 1,000 | 100,000 | 0,000 | 0,066 | 0,559 | 0,559 | 0,559 | 0,548 | 0,548 | 0,040 |
| 1,500 | 53,204 | 99,268 | -4,967 | skid front(in) | 1000000,000 | -5,300 | 0,000 | 1,000 | 100,000 | 0,000 | 0,100 | 0,559 | 0,559 | 0,559 | 0,548 | 0,548 | 0,034 |
| 2,000 | 52,596 | 99,268 | -4,966 | skid front(in) | 1000000,000 | -5,300 | 0,000 | 1,000 | 100,000 | 0,000 | 0,134 | 0,559 | 0,559 | 0,559 | 0,548 | 0,548 | 0,034 |
| 2,500 | 51,981 | 99,268 | -4,965 | skid front(in) | 1000000,000 | -5,300 | 0,000 | 1,000 | 100,000 | 0,000 | 0,168 | 0,559 | 0,559 | 0,559 | 0,548 | 0,548 | 0,034 |
| 3,000 | 51,358 | 99,268 | -4,964 | skid front(in) | 1000000,000 | -5,300 | 0,000 | 1,000 | 100,000 | 0,000 | 0,203 | 0,559 | 0,559 | 0,559 | 0,548 | 0,548 | 0,035 |
| 3,500 | 50,728 | 99,268 | -4,963 | skid front(in) | 1000000,000 | -5,300 | 0,000 | 1,000 | 100,000 | 0,000 | 0,238 | 0,559 | 0,559 | 0,559 | 0,548 | 0,548 | 0,035 |
| 4,000 | 50,090 | 99,268 | -4,962 | skid front(in) | 1000000,000 | -5,300 | 0,000 | 1,000 | 100,000 | 0,000 | 0,274 | 0,559 | 0,559 | 0,559 | 0,548 | 0,548 | 0,036 |
| 4,400 | 49,574 | 99,268 | -4,961 | skid front(in) | 1000000,000 | -5,300 | 0,000 | 1,000 | 100,000 | 0,000 | 0,303 | 0,559 | 0,559 | 0,559 | 0,548 | 0,548 | 0,029 |
| 5,000 | 48,789 | 99,268 | -4,960 | skid front(in) | 1000000,000 | -5,300 | 0,000 | 1,000 | 100,000 | 0,000 | 0,347 | 0,559 | 0,559 | 0,559 | 0,548 | 0,548 | 0,044 |
| 5,500 | 48,126 | 99,268 | -4,959 | skid front(in) | 1000000,000 | -5,300 | 0,000 | 1,000 | 100,000 | 0,000 | 0,384 | 0,559 | 0,559 | 0,559 | 0,548 | 0,548 | 0,037 |
| 6,000 | 47,454 | 99,268 | -4,958 | skid front(in) | 1000000,000 | -5,300 | 0,000 | 1,000 | 100,000 | 0,000 | 0,422 | 0,559 | 0,559 | 0,559 | 0,548 | 0,548 | 0,038 |
| 6,500 | 46,772 | 99,268 | -4,957 | skid front(in) | 1000000,000 | -5,300 | 0,000 | 1,000 | 100,000 | 0,000 | 0,460 | 0,559 | 0,559 | 0,559 | 0,548 | 0,548 | 0,038 |
| 7,000 | 46,080 | 99,268 | -4,956 | skid front(in) | 1000000,000 | -5,300 | 0,000 | 1,000 | 100,000 | 0,000 | 0,499 | 0,559 | 0,559 | 0,559 | 0,548 | 0,548 | 0,039 |

Προσδιορισμός Τιμών Πρόσφυσης κατά την Πέδηση Οχημάτων Εφοδιασμένων με Σύστημα ABS σε Αυξημένες κατά Μήκος Κλίσεις

| | | | | | | | | | | | | | | | | | |
|--------|--------|--------|--------|-----------------|-------------|--------|-------|-------|---------|--------|-------|-------|-------|-------|-------|-------|-------|
| 7,500 | 45,378 | 99,269 | -4,955 | skid front(in) | 1000000,000 | -5,300 | 0,000 | 1,000 | 100,000 | 0,000 | 0,538 | 0,559 | 0,559 | 0,559 | 0,548 | 0,548 | 0,039 |
| 8,000 | 44,665 | 99,269 | -4,954 | skid front(in) | 1000000,000 | -5,300 | 0,000 | 1,000 | 100,000 | 0,000 | 0,578 | 0,559 | 0,559 | 0,559 | 0,548 | 0,548 | 0,040 |
| 8,500 | 43,940 | 99,269 | -4,953 | skid front(in) | 1000000,000 | -5,300 | 0,000 | 1,000 | 100,000 | 0,000 | 0,619 | 0,559 | 0,559 | 0,559 | 0,548 | 0,548 | 0,041 |
| 9,000 | 43,203 | 99,269 | -4,952 | skid front(in) | 1000000,000 | -5,300 | 0,000 | 1,000 | 100,000 | 0,000 | 0,660 | 0,559 | 0,559 | 0,559 | 0,548 | 0,548 | 0,041 |
| 9,500 | 42,454 | 99,269 | -4,951 | skid front(in) | 1000000,000 | -5,300 | 0,000 | 1,000 | 100,000 | 0,000 | 0,702 | 0,559 | 0,559 | 0,559 | 0,548 | 0,548 | 0,042 |
| 10,000 | 41,692 | 99,269 | -4,950 | skid front(in) | 1000000,000 | -5,300 | 0,000 | 1,000 | 100,000 | 0,000 | 0,745 | 0,559 | 0,559 | 0,559 | 0,548 | 0,548 | 0,043 |
| 10,500 | 40,915 | 99,269 | -4,949 | skid front(in) | 1000000,000 | -5,300 | 0,000 | 1,000 | 100,000 | 0,000 | 0,788 | 0,559 | 0,559 | 0,559 | 0,548 | 0,548 | 0,044 |
| 11,000 | 40,124 | 99,269 | -4,948 | skid front(in) | 1000000,000 | -5,300 | 0,000 | 1,000 | 100,000 | 0,000 | 0,833 | 0,559 | 0,559 | 0,559 | 0,548 | 0,548 | 0,044 |
| 11,500 | 39,316 | 99,269 | -4,948 | skid front(in) | 1000000,000 | -5,300 | 0,000 | 1,000 | 100,000 | 0,000 | 0,878 | 0,559 | 0,559 | 0,559 | 0,548 | 0,548 | 0,045 |
| 12,000 | 38,492 | 99,269 | -4,947 | skid front(in) | 1000000,000 | -5,300 | 0,000 | 1,000 | 100,000 | 0,000 | 0,924 | 0,559 | 0,559 | 0,559 | 0,548 | 0,548 | 0,046 |
| 12,500 | 37,650 | 99,269 | -4,946 | skid front(in) | 1000000,000 | -5,300 | 0,000 | 1,000 | 100,000 | 0,000 | 0,972 | 0,559 | 0,559 | 0,559 | 0,548 | 0,548 | 0,047 |
| 13,000 | 36,790 | 99,269 | -4,945 | skid front(in) | 1000000,000 | -5,300 | 0,000 | 1,000 | 100,000 | 0,000 | 1,020 | 0,559 | 0,559 | 0,559 | 0,548 | 0,548 | 0,048 |
| 13,500 | 35,908 | 99,269 | -4,944 | skid front(in) | 1000000,000 | -5,300 | 0,000 | 1,000 | 100,000 | 0,000 | 1,070 | 0,559 | 0,559 | 0,559 | 0,548 | 0,548 | 0,050 |
| 14,000 | 35,005 | 99,269 | -4,943 | skid front(in) | 1000000,000 | -5,300 | 0,000 | 1,000 | 100,000 | 0,000 | 1,120 | 0,559 | 0,559 | 0,559 | 0,548 | 0,548 | 0,051 |
| 14,500 | 34,078 | 99,269 | -4,942 | skid front(in) | 1000000,000 | -5,300 | 0,000 | 1,000 | 100,000 | 0,000 | 1,172 | 0,559 | 0,559 | 0,559 | 0,548 | 0,548 | 0,052 |
| 15,000 | 33,125 | 99,269 | -4,941 | skid front(in) | 1000000,000 | -5,300 | 0,000 | 1,000 | 100,000 | 0,001 | 1,226 | 0,559 | 0,559 | 0,559 | 0,548 | 0,548 | 0,054 |
| 15,500 | 32,144 | 99,269 | -4,940 | skid front(in) | 1000000,000 | -5,300 | 0,000 | 1,000 | 100,000 | 0,000 | 1,281 | 0,559 | 0,559 | 0,559 | 0,548 | 0,548 | 0,055 |
| 16,000 | 31,132 | 99,269 | -4,939 | skid front(in) | 1000000,000 | -5,300 | 0,000 | 1,000 | 100,000 | 0,000 | 1,338 | 0,559 | 0,559 | 0,559 | 0,548 | 0,548 | 0,057 |
| 16,500 | 30,087 | 99,270 | -4,938 | skid front(in) | 1000000,000 | -5,300 | 0,000 | 1,000 | 100,000 | 0,001 | 1,397 | 0,559 | 0,559 | 0,559 | 0,548 | 0,548 | 0,059 |
| 17,000 | 29,004 | 99,270 | -4,937 | skid front(in) | 1000000,000 | -5,300 | 0,000 | 1,000 | 100,000 | 0,001 | 1,458 | 0,559 | 0,559 | 0,559 | 0,548 | 0,548 | 0,061 |
| 17,500 | 27,879 | 99,270 | -4,936 | skid front(in) | 1000000,000 | -5,300 | 0,000 | 1,000 | 100,000 | 0,001 | 1,521 | 0,559 | 0,559 | 0,559 | 0,548 | 0,548 | 0,063 |
| 18,000 | 26,708 | 99,272 | -4,933 | skid front(out) | 1000000,000 | -5,300 | 0,000 | 1,000 | 100,000 | -3,366 | 1,587 | 0,559 | 0,559 | 0,559 | 0,547 | 0,547 | 0,066 |
| 18,500 | 25,482 | 99,236 | -4,931 | skid front(out) | 1000000,000 | -5,300 | 0,000 | 1,000 | 100,000 | -1,370 | 1,656 | 0,559 | 0,559 | 0,559 | 0,547 | 0,547 | 0,069 |
| 18,900 | 24,458 | 99,227 | -4,931 | skid front(out) | 1000000,000 | -5,300 | 0,000 | 1,000 | 100,000 | -0,042 | 1,714 | 0,559 | 0,559 | 0,559 | 0,547 | 0,547 | 0,058 |
| 19,500 | 22,836 | 99,275 | -4,932 | skid front(out) | 1000000,000 | -5,300 | 0,000 | 1,000 | 100,000 | -0,714 | 1,805 | 0,559 | 0,559 | 0,559 | 0,548 | 0,548 | 0,091 |
| 20,000 | 21,391 | 99,237 | -4,928 | skid front(in) | 1000000,000 | -5,300 | 0,000 | 1,000 | 100,000 | -1,810 | 1,886 | 0,559 | 0,559 | 0,559 | 0,547 | 0,547 | 0,081 |
| 20,500 | 19,842 | 99,237 | -4,927 | skid front(out) | 1000000,000 | -5,300 | 0,000 | 1,000 | 100,000 | -1,139 | 1,974 | 0,559 | 0,559 | 0,559 | 0,547 | 0,547 | 0,087 |
| 21,000 | 18,161 | 99,235 | -4,927 | skid front(out) | 1000000,000 | -5,300 | 0,000 | 1,000 | 100,000 | 0,072 | 2,068 | 0,559 | 0,559 | 0,559 | 0,547 | 0,547 | 0,095 |
| 21,500 | 16,308 | 99,276 | -4,927 | skid front(out) | 1000000,000 | -5,300 | 0,000 | 1,000 | 100,000 | -1,681 | 2,173 | 0,559 | 0,559 | 0,559 | 0,548 | 0,548 | 0,104 |
| 22,000 | 14,216 | 99,276 | -4,924 | skid front(out) | 1000000,000 | -5,300 | 0,000 | 1,000 | 100,000 | -4,560 | 2,291 | 0,559 | 0,559 | 0,559 | 0,547 | 0,547 | 0,118 |
| 22,500 | 11,757 | 99,275 | -4,925 | skid front(out) | 1000000,000 | -5,300 | 0,000 | 1,000 | 100,000 | -2,073 | 2,429 | 0,559 | 0,559 | 0,559 | 0,547 | 0,547 | 0,139 |
| 23,000 | 8,626 | 99,271 | -4,922 | skid front(out) | 1000000,000 | -5,300 | 0,000 | 1,000 | 100,000 | -4,124 | 2,606 | 0,559 | 0,559 | 0,559 | 0,547 | 0,547 | 0,177 |
| 23,500 | 3,254 | 99,315 | -4,924 | skid front(out) | 1000000,000 | -5,300 | 0,000 | 1,000 | 100,000 | -4,290 | 2,909 | 0,559 | 0,559 | 0,559 | 0,548 | 0,548 | 0,303 |

| run_v_w_ntua_10 | R(m) | br.front (%) | s(%) | e (%) | coeff | effic (%) | time (sec) | | | | | | | | | | |
|-----------------|-----------------|--------------|--------|-----------------|-------------|-----------|------------|-------|-----------|-----------|------------|-------|-----------|----------|----------|---------|-----------|
| s= 100,000 | 1000000,00 | 64,50 | -5,3 | 0,0 | 1,00 | 100 | 2,854 | | | | | | | | | | |
| step= 0,100 | viewstep= 0,500 | STEPS | | | | | | | | | | | | | | | |
| s (m) | V (km/h) | n (%) | dv/dt | skid check | R(m) | s(%) | e (%) | coeff | effic (%) | decelera | time (sec) | fT | front out | front in | rear out | rear in | checktime |
| 22,100 | 2,487 | 99,360 | -4,936 | skid front(out) | 1000000,000 | -5,300 | 0,000 | 1,000 | 100,000 | -4,243434 | 2,854 | 0,56 | 0,5600 | 0,5600 | 0,5493 | 0,5493 | |
| 0,000 | 53,350 | 99,315 | -4,980 | O.K | 1000000,000 | -5,300 | 0,000 | 1,000 | 100,000 | 0,000 | 0,000 | 0,560 | | | | | |
| 0,400 | 52,864 | 99,315 | -4,979 | skid front(in) | 1000000,000 | -5,300 | 0,000 | 1,000 | 100,000 | 0,000 | 0,027 | 0,560 | 0,560 | 0,560 | 0,549 | 0,549 | 0,027 |
| 1,000 | 52,127 | 99,315 | -4,978 | skid front(in) | 1000000,000 | -5,300 | 0,000 | 1,000 | 100,000 | 0,000 | 0,068 | 0,560 | 0,560 | 0,560 | 0,549 | 0,549 | 0,041 |
| 1,500 | 51,504 | 99,315 | -4,977 | skid front(in) | 1000000,000 | -5,300 | 0,000 | 1,000 | 100,000 | 0,000 | 0,103 | 0,560 | 0,560 | 0,560 | 0,549 | 0,549 | 0,035 |
| 2,000 | 50,874 | 99,315 | -4,976 | skid front(in) | 1000000,000 | -5,300 | 0,000 | 1,000 | 100,000 | 0,000 | 0,138 | 0,560 | 0,560 | 0,560 | 0,549 | 0,549 | 0,035 |
| 2,500 | 50,236 | 99,315 | -4,975 | skid front(in) | 1000000,000 | -5,300 | 0,000 | 1,000 | 100,000 | 0,000 | 0,174 | 0,560 | 0,560 | 0,560 | 0,549 | 0,549 | 0,036 |

Προσδιορισμός Τιμών Πρόσφυσης κατά την Πέδηση Οχημάτων Εφοδιασμένων με Σύστημα ABS σε Αυξημένες κατά Μήκος Κλίσεις

| | | | | | | | | | | | | | | | | | |
|--------|--------|--------|--------|-----------------|-------------|--------|-------|-------|---------|--------|-------|-------|-------|-------|-------|-------|-------|
| 3,000 | 49,591 | 99,315 | -4,974 | skid front(in) | 1000000,000 | -5,300 | 0,000 | 1,000 | 100,000 | 0,000 | 0,210 | 0,560 | 0,560 | 0,560 | 0,549 | 0,549 | 0,036 |
| 3,500 | 48,936 | 99,315 | -4,973 | skid front(in) | 1000000,000 | -5,300 | 0,000 | 1,000 | 100,000 | 0,000 | 0,246 | 0,560 | 0,560 | 0,560 | 0,549 | 0,549 | 0,037 |
| 4,000 | 48,274 | 99,315 | -4,972 | skid front(in) | 1000000,000 | -5,300 | 0,000 | 1,000 | 100,000 | 0,000 | 0,283 | 0,560 | 0,560 | 0,560 | 0,549 | 0,549 | 0,037 |
| 4,400 | 47,737 | 99,315 | -4,971 | skid front(in) | 1000000,000 | -5,300 | 0,000 | 1,000 | 100,000 | 0,000 | 0,313 | 0,560 | 0,560 | 0,560 | 0,549 | 0,549 | 0,030 |
| 5,000 | 46,920 | 99,315 | -4,970 | skid front(in) | 1000000,000 | -5,300 | 0,000 | 1,000 | 100,000 | 0,000 | 0,359 | 0,560 | 0,560 | 0,560 | 0,549 | 0,549 | 0,046 |
| 5,500 | 46,229 | 99,315 | -4,969 | skid front(in) | 1000000,000 | -5,300 | 0,000 | 1,000 | 100,000 | 0,000 | 0,398 | 0,560 | 0,560 | 0,560 | 0,549 | 0,549 | 0,039 |
| 6,000 | 45,527 | 99,315 | -4,968 | skid front(in) | 1000000,000 | -5,300 | 0,000 | 1,000 | 100,000 | 0,000 | 0,437 | 0,560 | 0,560 | 0,560 | 0,549 | 0,549 | 0,039 |
| 6,500 | 44,814 | 99,315 | -4,967 | skid front(in) | 1000000,000 | -5,300 | 0,000 | 1,000 | 100,000 | 0,000 | 0,477 | 0,560 | 0,560 | 0,560 | 0,549 | 0,549 | 0,040 |
| 7,000 | 44,090 | 99,315 | -4,966 | skid front(in) | 1000000,000 | -5,300 | 0,000 | 1,000 | 100,000 | 0,000 | 0,517 | 0,560 | 0,560 | 0,560 | 0,549 | 0,549 | 0,040 |
| 7,500 | 43,354 | 99,315 | -4,965 | skid front(in) | 1000000,000 | -5,300 | 0,000 | 1,000 | 100,000 | 0,000 | 0,558 | 0,560 | 0,560 | 0,560 | 0,549 | 0,549 | 0,041 |
| 8,000 | 42,606 | 99,316 | -4,964 | skid front(in) | 1000000,000 | -5,300 | 0,000 | 1,000 | 100,000 | 0,000 | 0,600 | 0,560 | 0,560 | 0,560 | 0,549 | 0,549 | 0,042 |
| 8,500 | 41,844 | 99,316 | -4,963 | skid front(in) | 1000000,000 | -5,300 | 0,000 | 1,000 | 100,000 | 0,000 | 0,643 | 0,560 | 0,560 | 0,560 | 0,549 | 0,549 | 0,043 |
| 9,000 | 41,069 | 99,316 | -4,962 | skid front(in) | 1000000,000 | -5,300 | 0,000 | 1,000 | 100,000 | 0,000 | 0,686 | 0,560 | 0,560 | 0,560 | 0,549 | 0,549 | 0,043 |
| 9,500 | 40,278 | 99,316 | -4,961 | skid front(in) | 1000000,000 | -5,300 | 0,000 | 1,000 | 100,000 | 0,000 | 0,731 | 0,560 | 0,560 | 0,560 | 0,549 | 0,549 | 0,044 |
| 10,000 | 39,472 | 99,316 | -4,960 | skid front(in) | 1000000,000 | -5,300 | 0,000 | 1,000 | 100,000 | 0,000 | 0,776 | 0,560 | 0,560 | 0,560 | 0,549 | 0,549 | 0,045 |
| 10,500 | 38,649 | 99,316 | -4,959 | skid front(in) | 1000000,000 | -5,300 | 0,000 | 1,000 | 100,000 | 0,000 | 0,822 | 0,560 | 0,560 | 0,560 | 0,549 | 0,549 | 0,046 |
| 11,000 | 37,809 | 99,316 | -4,958 | skid front(in) | 1000000,000 | -5,300 | 0,000 | 1,000 | 100,000 | 0,000 | 0,869 | 0,560 | 0,560 | 0,560 | 0,549 | 0,549 | 0,047 |
| 11,500 | 36,949 | 99,316 | -4,957 | skid front(in) | 1000000,000 | -5,300 | 0,000 | 1,000 | 100,000 | 0,000 | 0,917 | 0,560 | 0,560 | 0,560 | 0,549 | 0,549 | 0,048 |
| 12,000 | 36,070 | 99,316 | -4,956 | skid front(in) | 1000000,000 | -5,300 | 0,000 | 1,000 | 100,000 | 0,000 | 0,966 | 0,560 | 0,560 | 0,560 | 0,549 | 0,549 | 0,049 |
| 12,500 | 35,168 | 99,316 | -4,955 | skid front(in) | 1000000,000 | -5,300 | 0,000 | 1,000 | 100,000 | 0,000 | 1,017 | 0,560 | 0,560 | 0,560 | 0,549 | 0,549 | 0,051 |
| 13,000 | 34,243 | 99,316 | -4,954 | skid front(in) | 1000000,000 | -5,300 | 0,000 | 1,000 | 100,000 | 0,000 | 1,069 | 0,560 | 0,560 | 0,560 | 0,549 | 0,549 | 0,052 |
| 13,500 | 33,292 | 99,316 | -4,953 | skid front(in) | 1000000,000 | -5,300 | 0,000 | 1,000 | 100,000 | 0,000 | 1,122 | 0,560 | 0,560 | 0,560 | 0,549 | 0,549 | 0,053 |
| 14,000 | 32,314 | 99,316 | -4,952 | skid front(in) | 1000000,000 | -5,300 | 0,000 | 1,000 | 100,000 | 0,001 | 1,177 | 0,560 | 0,560 | 0,560 | 0,549 | 0,549 | 0,055 |
| 14,500 | 31,305 | 99,316 | -4,951 | skid front(in) | 1000000,000 | -5,300 | 0,000 | 1,000 | 100,000 | 0,001 | 1,234 | 0,560 | 0,560 | 0,560 | 0,549 | 0,549 | 0,057 |
| 15,000 | 30,263 | 99,316 | -4,950 | skid front(in) | 1000000,000 | -5,300 | 0,000 | 1,000 | 100,000 | 0,000 | 1,292 | 0,560 | 0,560 | 0,560 | 0,549 | 0,549 | 0,058 |
| 15,500 | 29,184 | 99,316 | -4,949 | skid front(in) | 1000000,000 | -5,300 | 0,000 | 1,000 | 100,000 | 0,000 | 1,353 | 0,560 | 0,560 | 0,560 | 0,549 | 0,549 | 0,061 |
| 16,000 | 28,064 | 99,316 | -4,948 | skid front(in) | 1000000,000 | -5,300 | 0,000 | 1,000 | 100,000 | 0,000 | 1,415 | 0,560 | 0,560 | 0,560 | 0,549 | 0,549 | 0,063 |
| 16,500 | 26,897 | 99,290 | -4,944 | skid front(out) | 1000000,000 | -5,300 | 0,000 | 1,000 | 100,000 | -1,984 | 1,481 | 0,560 | 0,560 | 0,560 | 0,549 | 0,549 | 0,066 |
| 17,000 | 25,678 | 99,353 | -4,945 | skid front(out) | 1000000,000 | -5,300 | 0,000 | 1,000 | 100,000 | -4,589 | 1,549 | 0,560 | 0,560 | 0,560 | 0,549 | 0,549 | 0,068 |
| 17,500 | 24,398 | 99,307 | -4,943 | skid front(out) | 1000000,000 | -5,300 | 0,000 | 1,000 | 100,000 | -2,140 | 1,621 | 0,560 | 0,560 | 0,560 | 0,549 | 0,549 | 0,072 |
| 18,000 | 23,048 | 99,298 | -4,942 | skid front(out) | 1000000,000 | -5,300 | 0,000 | 1,000 | 100,000 | -2,315 | 1,697 | 0,560 | 0,560 | 0,560 | 0,549 | 0,549 | 0,076 |
| 18,500 | 21,613 | 99,289 | -4,940 | skid front(out) | 1000000,000 | -5,300 | 0,000 | 1,000 | 100,000 | -2,018 | 1,778 | 0,560 | 0,560 | 0,560 | 0,549 | 0,549 | 0,081 |
| 18,900 | 20,393 | 99,321 | -4,940 | skid front(out) | 1000000,000 | -5,300 | 0,000 | 1,000 | 100,000 | -4,402 | 1,846 | 0,560 | 0,560 | 0,560 | 0,549 | 0,549 | 0,069 |
| 19,500 | 18,413 | 99,314 | -4,939 | skid front(out) | 1000000,000 | -5,300 | 0,000 | 1,000 | 100,000 | -3,517 | 1,958 | 0,560 | 0,560 | 0,560 | 0,549 | 0,549 | 0,111 |
| 20,000 | 16,583 | 99,308 | -4,939 | skid front(out) | 1000000,000 | -5,300 | 0,000 | 1,000 | 100,000 | -2,013 | 2,061 | 0,560 | 0,560 | 0,560 | 0,549 | 0,549 | 0,103 |
| 20,500 | 14,525 | 99,301 | -4,939 | skid front(out) | 1000000,000 | -5,300 | 0,000 | 1,000 | 100,000 | 0,100 | 2,176 | 0,560 | 0,560 | 0,560 | 0,549 | 0,549 | 0,116 |
| 21,000 | 12,123 | 99,294 | -4,936 | skid front(out) | 1000000,000 | -5,300 | 0,000 | 1,000 | 100,000 | -2,342 | 2,311 | 0,560 | 0,560 | 0,560 | 0,549 | 0,549 | 0,135 |
| 21,500 | 9,109 | 99,332 | -4,936 | skid front(out) | 1000000,000 | -5,300 | 0,000 | 1,000 | 100,000 | -2,866 | 2,481 | 0,560 | 0,560 | 0,560 | 0,549 | 0,549 | 0,170 |
| 22,000 | 4,357 | 99,325 | -4,934 | skid front(out) | 1000000,000 | -5,300 | 0,000 | 1,000 | 100,000 | -4,544 | 2,748 | 0,560 | 0,560 | 0,560 | 0,549 | 0,549 | 0,267 |
| 22,100 | 2,487 | 99,360 | -4,936 | skid front(out) | 1000000,000 | -5,300 | 0,000 | 1,000 | 100,000 | -4,243 | 2,854 | 0,560 | 0,560 | 0,560 | 0,549 | 0,549 | 0,105 |

| run_v_w_ntua_11 | R(m) | br.front (%) | s(%) | e (%) | coeff | effic | time |
|-----------------|------|--------------|------|-------|-------|-------|------|
|-----------------|------|--------------|------|-------|-------|-------|------|

Προσδιορισμός Τιμών Πρόσφυσης κατά την Πέδηση Οχημάτων Εφοδιασμένων με Σύστημα ABS σε Αυξημένες κατά Μήκος Κλίσεις

| s= | 100,000 | 1000000,00 | 67,00 | 6,6 | 0,0 | 1,00 | (%) | | (sec) | | | | | | | | | | |
|--------|----------|------------|--------|-----------------|-------------|-------|-------|-------|-----------|-----------|------------|-------|-----------|----------|----------|---------|-----------|--|-------|
| step= | 0,100 | viewstep= | 0,500 | STEPS | | | | | 1,794 | | | | | | | | | | 0,963 |
| s (m) | V (km/h) | n (%) | dv/dt | skid check | R(m) | s(%) | e (%) | coeff | effic (%) | decelera | time (sec) | fT | front out | front in | rear out | rear in | checktime | | |
| 13,600 | 4,166 | 99,443 | -7,154 | skid front(out) | 1000000,000 | 6,600 | 0,000 | 1,000 | 100,000 | -1,292276 | 1,794 | 0,667 | 0,6668 | 0,6668 | 0,6559 | 0,6559 | | | |
| 0,000 | 50,460 | 99,458 | -7,192 | O.K | 1000000,000 | 6,600 | 0,000 | 1,000 | 100,000 | 0,000 | 0,000 | 0,667 | | | | | | | |
| 0,400 | 49,716 | 99,459 | -7,191 | skid front(in) | 1000000,000 | 6,600 | 0,000 | 1,000 | 100,000 | 0,000 | 0,029 | 0,667 | 0,667 | 0,667 | 0,656 | 0,656 | 0,029 | | |
| 1,000 | 48,578 | 99,459 | -7,189 | skid front(in) | 1000000,000 | 6,600 | 0,000 | 1,000 | 100,000 | 0,000 | 0,073 | 0,667 | 0,667 | 0,667 | 0,656 | 0,656 | 0,044 | | |
| 1,500 | 47,609 | 99,459 | -7,188 | skid front(in) | 1000000,000 | 6,600 | 0,000 | 1,000 | 100,000 | 0,000 | 0,110 | 0,667 | 0,667 | 0,667 | 0,656 | 0,656 | 0,037 | | |
| 2,000 | 46,621 | 99,459 | -7,187 | skid front(in) | 1000000,000 | 6,600 | 0,000 | 1,000 | 100,000 | 0,000 | 0,148 | 0,667 | 0,667 | 0,667 | 0,656 | 0,656 | 0,038 | | |
| 2,500 | 45,611 | 99,459 | -7,185 | skid front(in) | 1000000,000 | 6,600 | 0,000 | 1,000 | 100,000 | 0,000 | 0,187 | 0,667 | 0,667 | 0,667 | 0,656 | 0,656 | 0,039 | | |
| 3,000 | 44,579 | 99,459 | -7,184 | skid front(in) | 1000000,000 | 6,600 | 0,000 | 1,000 | 100,000 | 0,000 | 0,227 | 0,667 | 0,667 | 0,667 | 0,656 | 0,656 | 0,040 | | |
| 3,500 | 43,522 | 99,459 | -7,183 | skid front(in) | 1000000,000 | 6,600 | 0,000 | 1,000 | 100,000 | 0,000 | 0,268 | 0,667 | 0,667 | 0,667 | 0,656 | 0,656 | 0,041 | | |
| 4,000 | 42,439 | 99,459 | -7,181 | skid front(in) | 1000000,000 | 6,600 | 0,000 | 1,000 | 100,000 | 0,000 | 0,310 | 0,667 | 0,667 | 0,667 | 0,656 | 0,656 | 0,042 | | |
| 4,400 | 41,553 | 99,459 | -7,180 | skid front(in) | 1000000,000 | 6,600 | 0,000 | 1,000 | 100,000 | 0,000 | 0,344 | 0,667 | 0,667 | 0,667 | 0,656 | 0,656 | 0,034 | | |
| 5,000 | 40,187 | 99,459 | -7,179 | skid front(in) | 1000000,000 | 6,600 | 0,000 | 1,000 | 100,000 | 0,000 | 0,397 | 0,667 | 0,667 | 0,667 | 0,656 | 0,656 | 0,053 | | |
| 5,500 | 39,012 | 99,459 | -7,177 | skid front(in) | 1000000,000 | 6,600 | 0,000 | 1,000 | 100,000 | 0,000 | 0,443 | 0,667 | 0,667 | 0,667 | 0,656 | 0,656 | 0,045 | | |
| 6,000 | 37,801 | 99,459 | -7,176 | skid front(in) | 1000000,000 | 6,600 | 0,000 | 1,000 | 100,000 | 0,000 | 0,489 | 0,667 | 0,667 | 0,667 | 0,656 | 0,656 | 0,047 | | |
| 6,500 | 36,551 | 99,459 | -7,175 | skid front(in) | 1000000,000 | 6,600 | 0,000 | 1,000 | 100,000 | 0,001 | 0,538 | 0,667 | 0,667 | 0,667 | 0,656 | 0,656 | 0,048 | | |
| 7,000 | 35,256 | 99,460 | -7,173 | skid front(in) | 1000000,000 | 6,600 | 0,000 | 1,000 | 100,000 | 0,000 | 0,588 | 0,667 | 0,667 | 0,667 | 0,656 | 0,656 | 0,050 | | |
| 7,500 | 33,912 | 99,460 | -7,172 | skid front(in) | 1000000,000 | 6,600 | 0,000 | 1,000 | 100,000 | 0,000 | 0,640 | 0,667 | 0,667 | 0,667 | 0,656 | 0,656 | 0,052 | | |
| 8,000 | 32,513 | 99,460 | -7,171 | skid front(in) | 1000000,000 | 6,600 | 0,000 | 1,000 | 100,000 | 0,001 | 0,694 | 0,667 | 0,667 | 0,667 | 0,656 | 0,656 | 0,054 | | |
| 8,500 | 31,051 | 99,460 | -7,169 | skid front(in) | 1000000,000 | 6,600 | 0,000 | 1,000 | 100,000 | 0,001 | 0,751 | 0,667 | 0,667 | 0,667 | 0,656 | 0,656 | 0,057 | | |
| 9,000 | 29,517 | 99,460 | -7,168 | skid front(in) | 1000000,000 | 6,600 | 0,000 | 1,000 | 100,000 | 0,000 | 0,810 | 0,667 | 0,667 | 0,667 | 0,656 | 0,656 | 0,059 | | |
| 9,500 | 27,899 | 99,460 | -7,167 | skid front(in) | 1000000,000 | 6,600 | 0,000 | 1,000 | 100,000 | 0,000 | 0,873 | 0,667 | 0,667 | 0,667 | 0,656 | 0,656 | 0,063 | | |
| 10,000 | 26,182 | 99,444 | -7,163 | skid front(out) | 1000000,000 | 6,600 | 0,000 | 1,000 | 100,000 | -1,689 | 0,940 | 0,667 | 0,667 | 0,667 | 0,656 | 0,656 | 0,067 | | |
| 10,500 | 24,344 | 99,472 | -7,162 | skid front(out) | 1000000,000 | 6,600 | 0,000 | 1,000 | 100,000 | -4,083 | 1,011 | 0,667 | 0,667 | 0,667 | 0,656 | 0,656 | 0,071 | | |
| 11,000 | 22,356 | 99,476 | -7,162 | skid front(out) | 1000000,000 | 6,600 | 0,000 | 1,000 | 100,000 | -2,259 | 1,088 | 0,667 | 0,667 | 0,667 | 0,656 | 0,656 | 0,077 | | |
| 11,500 | 20,174 | 99,454 | -7,161 | skid front(out) | 1000000,000 | 6,600 | 0,000 | 1,000 | 100,000 | -0,471 | 1,173 | 0,667 | 0,667 | 0,667 | 0,656 | 0,656 | 0,085 | | |
| 12,000 | 17,725 | 99,438 | -7,157 | skid front(out) | 1000000,000 | 6,600 | 0,000 | 1,000 | 100,000 | -2,014 | 1,268 | 0,667 | 0,667 | 0,667 | 0,656 | 0,656 | 0,095 | | |
| 12,500 | 14,880 | 99,498 | -7,158 | skid front(out) | 1000000,000 | 6,600 | 0,000 | 1,000 | 100,000 | -4,242 | 1,378 | 0,667 | 0,667 | 0,667 | 0,656 | 0,656 | 0,110 | | |
| 13,000 | 11,342 | 99,422 | -7,154 | skid front(out) | 1000000,000 | 6,600 | 0,000 | 1,000 | 100,000 | -1,253 | 1,515 | 0,667 | 0,667 | 0,667 | 0,656 | 0,656 | 0,137 | | |
| 13,500 | 5,992 | 99,462 | -7,154 | skid front(out) | 1000000,000 | 6,600 | 0,000 | 1,000 | 100,000 | -2,425 | 1,723 | 0,667 | 0,667 | 0,667 | 0,656 | 0,656 | 0,208 | | |
| 13,600 | 4,166 | 99,443 | -7,154 | skid front(out) | 1000000,000 | 6,600 | 0,000 | 1,000 | 100,000 | -1,292 | 1,794 | 0,667 | 0,667 | 0,667 | 0,656 | 0,656 | 0,071 | | |

Προσδιορισμός Τιμών Πρόσφυσης κατά την Πέδηση Οχημάτων Εφοδιασμένων με Σύστημα ABS σε Αυξημένες κατά Μήκος Κλίσεις

| run_v_w_ntua_12 | | R(m) | br.front (%) | s(%) | e (%) | coeff | effic (%) | time (sec) | | | | | | | | | |
|-----------------|----------|------------|--------------|-----------------|-------------|-------|-----------|------------|-----------|-----------|------------|-------|-----------|----------|----------|---------|-----------|
| s= | 100,000 | 1000000,00 | 66,00 | 6,6 | 0,0 | 1,00 | 100 | 1,925 | | | | | | | | | |
| step= | 0,100 | viewstep= | 0,500 | STEPS | | | | | | | | | 0,963 | | | | |
| s (m) | V (km/h) | n (%) | dv/dt | skid check | R(m) | s(%) | e (%) | coeff | effic (%) | decelera | time (sec) | fT | front out | front in | rear out | rear in | checktime |
| 14,100 | 2,581 | 99,882 | -6,857 | skid front(out) | 1000000,000 | 6,600 | 0,000 | 1,000 | 100,000 | -3,364740 | 1,925 | 0,634 | 0,6339 | 0,6339 | 0,6313 | 0,6313 | |
| 0,000 | 50,200 | 99,863 | -6,896 | O.K | 1000000,000 | 6,600 | 0,000 | 1,000 | 100,000 | 0,000 | 0,000 | 0,634 | | | | | |
| 0,400 | 49,483 | 99,863 | -6,894 | skid front(in) | 1000000,000 | 6,600 | 0,000 | 1,000 | 100,000 | 0,000 | 0,029 | 0,634 | 0,634 | 0,634 | 0,631 | 0,631 | 0,029 |
| 1,000 | 48,387 | 99,863 | -6,893 | skid front(in) | 1000000,000 | 6,600 | 0,000 | 1,000 | 100,000 | 0,000 | 0,073 | 0,634 | 0,634 | 0,634 | 0,631 | 0,631 | 0,044 |
| 1,500 | 47,455 | 99,863 | -6,892 | skid front(in) | 1000000,000 | 6,600 | 0,000 | 1,000 | 100,000 | 0,000 | 0,111 | 0,634 | 0,634 | 0,634 | 0,631 | 0,631 | 0,038 |
| 2,000 | 46,505 | 99,863 | -6,890 | skid front(in) | 1000000,000 | 6,600 | 0,000 | 1,000 | 100,000 | 0,000 | 0,149 | 0,634 | 0,634 | 0,634 | 0,631 | 0,631 | 0,038 |
| 2,500 | 45,535 | 99,863 | -6,889 | skid front(in) | 1000000,000 | 6,600 | 0,000 | 1,000 | 100,000 | 0,000 | 0,188 | 0,634 | 0,634 | 0,634 | 0,631 | 0,631 | 0,039 |
| 3,000 | 44,544 | 99,863 | -6,888 | skid front(in) | 1000000,000 | 6,600 | 0,000 | 1,000 | 100,000 | 0,000 | 0,228 | 0,634 | 0,634 | 0,634 | 0,631 | 0,631 | 0,040 |
| 3,500 | 43,530 | 99,863 | -6,886 | skid front(in) | 1000000,000 | 6,600 | 0,000 | 1,000 | 100,000 | 0,000 | 0,269 | 0,634 | 0,634 | 0,634 | 0,631 | 0,631 | 0,041 |
| 4,000 | 42,493 | 99,863 | -6,885 | skid front(in) | 1000000,000 | 6,600 | 0,000 | 1,000 | 100,000 | 0,000 | 0,311 | 0,634 | 0,634 | 0,634 | 0,631 | 0,631 | 0,042 |
| 4,400 | 41,645 | 99,863 | -6,884 | skid front(in) | 1000000,000 | 6,600 | 0,000 | 1,000 | 100,000 | 0,000 | 0,345 | 0,634 | 0,634 | 0,634 | 0,631 | 0,631 | 0,034 |
| 5,000 | 40,339 | 99,863 | -6,882 | skid front(in) | 1000000,000 | 6,600 | 0,000 | 1,000 | 100,000 | 0,000 | 0,398 | 0,634 | 0,634 | 0,634 | 0,631 | 0,631 | 0,053 |
| 5,500 | 39,218 | 99,864 | -6,881 | skid front(in) | 1000000,000 | 6,600 | 0,000 | 1,000 | 100,000 | 0,000 | 0,443 | 0,634 | 0,634 | 0,634 | 0,631 | 0,631 | 0,045 |
| 6,000 | 38,064 | 99,864 | -6,880 | skid front(in) | 1000000,000 | 6,600 | 0,000 | 1,000 | 100,000 | 0,000 | 0,489 | 0,634 | 0,634 | 0,634 | 0,631 | 0,631 | 0,047 |
| 6,500 | 36,874 | 99,864 | -6,879 | skid front(in) | 1000000,000 | 6,600 | 0,000 | 1,000 | 100,000 | 0,000 | 0,538 | 0,634 | 0,634 | 0,634 | 0,631 | 0,631 | 0,048 |
| 7,000 | 35,645 | 99,864 | -6,877 | skid front(in) | 1000000,000 | 6,600 | 0,000 | 1,000 | 100,000 | 0,000 | 0,587 | 0,634 | 0,634 | 0,634 | 0,631 | 0,631 | 0,050 |
| 7,500 | 34,372 | 99,864 | -6,876 | skid front(in) | 1000000,000 | 6,600 | 0,000 | 1,000 | 100,000 | 0,000 | 0,639 | 0,634 | 0,634 | 0,634 | 0,631 | 0,631 | 0,051 |
| 8,000 | 33,051 | 99,864 | -6,875 | skid front(in) | 1000000,000 | 6,600 | 0,000 | 1,000 | 100,000 | 0,000 | 0,692 | 0,634 | 0,634 | 0,634 | 0,631 | 0,631 | 0,053 |
| 8,500 | 31,674 | 99,864 | -6,873 | skid front(in) | 1000000,000 | 6,600 | 0,000 | 1,000 | 100,000 | 0,000 | 0,748 | 0,634 | 0,634 | 0,634 | 0,631 | 0,631 | 0,056 |
| 9,000 | 30,236 | 99,864 | -6,872 | skid front(in) | 1000000,000 | 6,600 | 0,000 | 1,000 | 100,000 | 0,000 | 0,806 | 0,634 | 0,634 | 0,634 | 0,631 | 0,631 | 0,058 |
| 9,500 | 28,725 | 99,864 | -6,871 | skid front(in) | 1000000,000 | 6,600 | 0,000 | 1,000 | 100,000 | 0,001 | 0,867 | 0,634 | 0,634 | 0,634 | 0,631 | 0,631 | 0,061 |
| 10,000 | 27,131 | 99,864 | -6,869 | skid front(in) | 1000000,000 | 6,600 | 0,000 | 1,000 | 100,000 | 0,001 | 0,931 | 0,634 | 0,634 | 0,634 | 0,631 | 0,631 | 0,064 |
| 10,500 | 25,438 | 99,849 | -6,865 | skid front(out) | 1000000,000 | 6,600 | 0,000 | 1,000 | 100,000 | -2,673 | 1,000 | 0,634 | 0,634 | 0,634 | 0,631 | 0,631 | 0,068 |
| 11,000 | 23,624 | 99,869 | -6,866 | skid front(out) | 1000000,000 | 6,600 | 0,000 | 1,000 | 100,000 | -1,079 | 1,073 | 0,634 | 0,634 | 0,634 | 0,631 | 0,631 | 0,073 |
| 11,500 | 21,659 | 99,861 | -6,863 | skid front(out) | 1000000,000 | 6,600 | 0,000 | 1,000 | 100,000 | -2,766 | 1,153 | 0,634 | 0,634 | 0,634 | 0,631 | 0,631 | 0,080 |
| 12,000 | 19,497 | 99,855 | -6,862 | skid front(out) | 1000000,000 | 6,600 | 0,000 | 1,000 | 100,000 | -1,821 | 1,240 | 0,634 | 0,634 | 0,634 | 0,631 | 0,631 | 0,087 |
| 12,500 | 17,065 | 99,852 | -6,860 | skid front(out) | 1000000,000 | 6,600 | 0,000 | 1,000 | 100,000 | -2,803 | 1,339 | 0,634 | 0,634 | 0,634 | 0,631 | 0,631 | 0,098 |
| 13,000 | 14,222 | 99,891 | -6,860 | skid front(out) | 1000000,000 | 6,600 | 0,000 | 1,000 | 100,000 | -4,550 | 1,454 | 0,634 | 0,634 | 0,634 | 0,631 | 0,631 | 0,115 |
| 13,500 | 10,646 | 99,857 | -6,859 | skid front(out) | 1000000,000 | 6,600 | 0,000 | 1,000 | 100,000 | -1,342 | 1,598 | 0,634 | 0,634 | 0,634 | 0,631 | 0,631 | 0,145 |
| 14,000 | 4,946 | 99,864 | -6,856 | skid front(out) | 1000000,000 | 6,600 | 0,000 | 1,000 | 100,000 | -4,000 | 1,829 | 0,634 | 0,634 | 0,634 | 0,631 | 0,631 | 0,231 |
| 14,100 | 2,581 | 99,882 | -6,857 | skid front(out) | 1000000,000 | 6,600 | 0,000 | 1,000 | 100,000 | -3,365 | 1,925 | 0,634 | 0,634 | 0,634 | 0,631 | 0,631 | 0,096 |

Προσδιορισμός Τιμών Πρόσφυσης κατά την Πέδηση Οχημάτων Εφοδιασμένων με Σύστημα ABS σε Αυξημένες κατά Μήκος Κλίσεις

| run_v_w_ntua_13 | | R(m) | br.front (%) | s(%) | e (%) | coeff | effic (%) | time (sec) | | | | | | | | | |
|-----------------|----------|------------|--------------|-----------------|-------------|-------|-----------|------------|-----------|-----------|------------|-------|-----------|----------|----------|---------|-----------|
| s= | 100,000 | 1000000,00 | 67,50 | 6,6 | 0,0 | 1,00 | 100 | 1,735 | | | | | | | | | |
| step= | 0,100 | viewstep= | 0,500 | STEPS | | | | | | | | | 0,963 | | | | |
| s (m) | V (km/h) | n (%) | dv/dt | skid check | R(m) | s(%) | e (%) | coeff | effic (%) | decelera | time (sec) | ft | front out | front in | rear out | rear in | checktime |
| 12,900 | 4,106 | 99,072 | -7,245 | skid front(out) | 1000000,000 | 6,600 | 0,000 | 1,000 | 100,000 | -3,400690 | 1,735 | 0,679 | 0,6789 | 0,6789 | 0,6594 | 0,6594 | |
| 0,000 | 49,450 | 99,048 | -7,280 | O.K | 1000000,000 | 6,600 | 0,000 | 1,000 | 100,000 | 0,000 | 0,000 | 0,679 | | | | | |
| 0,400 | 48,681 | 99,048 | -7,279 | skid front(in) | 1000000,000 | 6,600 | 0,000 | 1,000 | 100,000 | 0,000 | 0,029 | 0,679 | 0,679 | 0,679 | 0,659 | 0,660 | 0,029 |
| 1,000 | 47,504 | 99,048 | -7,278 | skid front(in) | 1000000,000 | 6,600 | 0,000 | 1,000 | 100,000 | 0,000 | 0,074 | 0,679 | 0,679 | 0,679 | 0,659 | 0,660 | 0,045 |
| 1,500 | 46,501 | 99,048 | -7,276 | skid front(in) | 1000000,000 | 6,600 | 0,000 | 1,000 | 100,000 | 0,000 | 0,113 | 0,679 | 0,679 | 0,679 | 0,659 | 0,660 | 0,038 |
| 2,000 | 45,476 | 99,048 | -7,275 | skid front(in) | 1000000,000 | 6,600 | 0,000 | 1,000 | 100,000 | 0,000 | 0,152 | 0,679 | 0,679 | 0,679 | 0,660 | 0,660 | 0,039 |
| 2,500 | 44,427 | 99,048 | -7,273 | skid front(in) | 1000000,000 | 6,600 | 0,000 | 1,000 | 100,000 | 0,000 | 0,192 | 0,679 | 0,679 | 0,679 | 0,660 | 0,660 | 0,040 |
| 3,000 | 43,353 | 99,048 | -7,272 | skid front(in) | 1000000,000 | 6,600 | 0,000 | 1,000 | 100,000 | 0,000 | 0,233 | 0,679 | 0,679 | 0,679 | 0,660 | 0,660 | 0,041 |
| 3,500 | 42,252 | 99,048 | -7,271 | skid front(in) | 1000000,000 | 6,600 | 0,000 | 1,000 | 100,000 | 0,000 | 0,275 | 0,679 | 0,679 | 0,679 | 0,660 | 0,660 | 0,042 |
| 4,000 | 41,122 | 99,048 | -7,269 | skid front(in) | 1000000,000 | 6,600 | 0,000 | 1,000 | 100,000 | 0,000 | 0,318 | 0,679 | 0,679 | 0,679 | 0,660 | 0,660 | 0,043 |
| 4,400 | 40,196 | 99,048 | -7,268 | skid front(in) | 1000000,000 | 6,600 | 0,000 | 1,000 | 100,000 | 0,000 | 0,353 | 0,679 | 0,679 | 0,679 | 0,660 | 0,660 | 0,035 |
| 5,000 | 38,764 | 99,049 | -7,267 | skid front(in) | 1000000,000 | 6,600 | 0,000 | 1,000 | 100,000 | 0,000 | 0,408 | 0,679 | 0,679 | 0,679 | 0,660 | 0,660 | 0,055 |
| 5,500 | 37,530 | 99,049 | -7,265 | skid front(in) | 1000000,000 | 6,600 | 0,000 | 1,000 | 100,000 | 0,000 | 0,455 | 0,679 | 0,679 | 0,679 | 0,660 | 0,660 | 0,047 |
| 6,000 | 36,254 | 99,049 | -7,264 | skid front(in) | 1000000,000 | 6,600 | 0,000 | 1,000 | 100,000 | 0,000 | 0,504 | 0,679 | 0,679 | 0,679 | 0,660 | 0,660 | 0,049 |
| 6,500 | 34,932 | 99,049 | -7,263 | skid front(in) | 1000000,000 | 6,600 | 0,000 | 1,000 | 100,000 | 0,000 | 0,555 | 0,679 | 0,679 | 0,679 | 0,660 | 0,660 | 0,051 |
| 7,000 | 33,557 | 99,049 | -7,261 | skid front(in) | 1000000,000 | 6,600 | 0,000 | 1,000 | 100,000 | 0,000 | 0,607 | 0,679 | 0,679 | 0,679 | 0,660 | 0,660 | 0,053 |
| 7,500 | 32,125 | 99,049 | -7,260 | skid front(in) | 1000000,000 | 6,600 | 0,000 | 1,000 | 100,000 | 0,000 | 0,662 | 0,679 | 0,679 | 0,679 | 0,660 | 0,660 | 0,055 |
| 8,000 | 30,625 | 99,049 | -7,259 | skid front(in) | 1000000,000 | 6,600 | 0,000 | 1,000 | 100,000 | 0,000 | 0,719 | 0,679 | 0,679 | 0,679 | 0,660 | 0,660 | 0,057 |
| 8,500 | 29,049 | 99,049 | -7,257 | skid front(in) | 1000000,000 | 6,600 | 0,000 | 1,000 | 100,000 | 0,001 | 0,780 | 0,679 | 0,679 | 0,679 | 0,660 | 0,660 | 0,060 |
| 9,000 | 27,383 | 99,049 | -7,256 | skid front(in) | 1000000,000 | 6,600 | 0,000 | 1,000 | 100,000 | 0,003 | 0,844 | 0,679 | 0,679 | 0,679 | 0,660 | 0,660 | 0,064 |
| 9,500 | 25,608 | 99,060 | -7,254 | skid front(out) | 1000000,000 | 6,600 | 0,000 | 1,000 | 100,000 | -1,458 | 0,911 | 0,679 | 0,679 | 0,679 | 0,659 | 0,659 | 0,068 |
| 10,000 | 23,702 | 99,031 | -7,252 | skid front(out) | 1000000,000 | 6,600 | 0,000 | 1,000 | 100,000 | -0,044 | 0,984 | 0,679 | 0,679 | 0,679 | 0,659 | 0,659 | 0,073 |
| 10,500 | 21,628 | 99,049 | -7,252 | skid front(out) | 1000000,000 | 6,600 | 0,000 | 1,000 | 100,000 | -0,335 | 1,064 | 0,679 | 0,679 | 0,679 | 0,659 | 0,659 | 0,079 |
| 11,000 | 19,334 | 99,088 | -7,250 | skid front(out) | 1000000,000 | 6,600 | 0,000 | 1,000 | 100,000 | -4,163 | 1,152 | 0,679 | 0,679 | 0,679 | 0,659 | 0,659 | 0,088 |
| 11,500 | 16,729 | 99,045 | -7,248 | skid front(out) | 1000000,000 | 6,600 | 0,000 | 1,000 | 100,000 | -1,580 | 1,252 | 0,679 | 0,679 | 0,679 | 0,659 | 0,659 | 0,100 |
| 12,000 | 13,635 | 99,089 | -7,247 | skid front(out) | 1000000,000 | 6,600 | 0,000 | 1,000 | 100,000 | -4,438 | 1,370 | 0,679 | 0,679 | 0,679 | 0,659 | 0,659 | 0,119 |
| 12,500 | 9,591 | 99,046 | -7,246 | skid front(out) | 1000000,000 | 6,600 | 0,000 | 1,000 | 100,000 | -0,496 | 1,525 | 0,679 | 0,679 | 0,679 | 0,659 | 0,659 | 0,155 |
| 12,900 | 4,106 | 99,072 | -7,245 | skid front(out) | 1000000,000 | 6,600 | 0,000 | 1,000 | 100,000 | -3,401 | 1,735 | 0,679 | 0,679 | 0,679 | 0,659 | 0,659 | 0,210 |

Προσδιορισμός Τιμών Πρόσφυσης κατά την Πέδηση Οχημάτων Εφοδιασμένων με Σύστημα ABS σε Αυξημένες κατά Μήκος Κλίσεις

| run_v_w_ntua_14 | | R(m) | br.front (%) | s(%) | e (%) | coeff | effic (%) | time (sec) | | | | | | | | | |
|-----------------|----------|------------|--------------|-----------------|-------------|-------|-----------|------------|-----------|-----------|------------|-------|-----------|----------|----------|---------|-----------|
| s= | 100,000 | 1000000,00 | 67,00 | 6,6 | 0,0 | 1,00 | 100 | 1,963 | 0,963 | | | | | | | | |
| step= | 0,100 | viewstep= | 0,500 | STEPS | | | | | | | | | | | | | |
| s (m) | V (km/h) | n (%) | dv/dt | skid check | R(m) | s(%) | e (%) | coeff | effic (%) | decelera | time (sec) | fT | front out | front in | rear out | rear in | checktime |
| 15,700 | 3,040 | 99,950 | -7,283 | skid front(out) | 1000000,000 | 6,600 | 0,000 | 1,000 | 100,000 | -3,901840 | 1,963 | 0,677 | 0,6769 | 0,6769 | 0,6754 | 0,6754 | |
| 0,000 | 54,610 | 99,930 | -7,327 | O.K | 1000000,000 | 6,600 | 0,000 | 1,000 | 100,000 | 0,000 | 0,000 | 0,677 | | | | | |
| 0,400 | 53,910 | 99,930 | -7,326 | skid front(in) | 1000000,000 | 6,600 | 0,000 | 1,000 | 100,000 | 0,000 | 0,027 | 0,677 | 0,677 | 0,677 | 0,676 | 0,676 | 0,027 |
| 1,000 | 52,843 | 99,930 | -7,324 | skid front(in) | 1000000,000 | 6,600 | 0,000 | 1,000 | 100,000 | 0,000 | 0,067 | 0,677 | 0,677 | 0,677 | 0,676 | 0,676 | 0,040 |
| 1,500 | 51,937 | 99,930 | -7,323 | skid front(in) | 1000000,000 | 6,600 | 0,000 | 1,000 | 100,000 | 0,000 | 0,101 | 0,677 | 0,677 | 0,677 | 0,676 | 0,676 | 0,034 |
| 2,000 | 51,015 | 99,930 | -7,322 | skid front(in) | 1000000,000 | 6,600 | 0,000 | 1,000 | 100,000 | 0,000 | 0,136 | 0,677 | 0,677 | 0,677 | 0,676 | 0,676 | 0,035 |
| 2,500 | 50,077 | 99,930 | -7,320 | skid front(in) | 1000000,000 | 6,600 | 0,000 | 1,000 | 100,000 | 0,000 | 0,172 | 0,677 | 0,677 | 0,677 | 0,676 | 0,676 | 0,036 |
| 3,000 | 49,120 | 99,930 | -7,319 | skid front(in) | 1000000,000 | 6,600 | 0,000 | 1,000 | 100,000 | 0,000 | 0,208 | 0,677 | 0,677 | 0,677 | 0,676 | 0,676 | 0,036 |
| 3,500 | 48,145 | 99,930 | -7,317 | skid front(in) | 1000000,000 | 6,600 | 0,000 | 1,000 | 100,000 | 0,000 | 0,245 | 0,677 | 0,677 | 0,677 | 0,676 | 0,676 | 0,037 |
| 4,000 | 47,150 | 99,930 | -7,316 | skid front(in) | 1000000,000 | 6,600 | 0,000 | 1,000 | 100,000 | 0,000 | 0,283 | 0,677 | 0,677 | 0,677 | 0,676 | 0,676 | 0,038 |
| 4,400 | 46,339 | 99,930 | -7,315 | skid front(in) | 1000000,000 | 6,600 | 0,000 | 1,000 | 100,000 | 0,000 | 0,314 | 0,677 | 0,677 | 0,677 | 0,676 | 0,676 | 0,031 |
| 5,000 | 45,095 | 99,931 | -7,313 | skid front(in) | 1000000,000 | 6,600 | 0,000 | 1,000 | 100,000 | 0,000 | 0,361 | 0,677 | 0,677 | 0,677 | 0,676 | 0,676 | 0,047 |
| 5,500 | 44,032 | 99,931 | -7,312 | skid front(in) | 1000000,000 | 6,600 | 0,000 | 1,000 | 100,000 | 0,000 | 0,401 | 0,677 | 0,677 | 0,677 | 0,676 | 0,676 | 0,040 |
| 6,000 | 42,942 | 99,931 | -7,311 | skid front(in) | 1000000,000 | 6,600 | 0,000 | 1,000 | 100,000 | 0,000 | 0,443 | 0,677 | 0,677 | 0,677 | 0,676 | 0,676 | 0,041 |
| 6,500 | 41,824 | 99,931 | -7,309 | skid front(in) | 1000000,000 | 6,600 | 0,000 | 1,000 | 100,000 | 0,000 | 0,485 | 0,677 | 0,677 | 0,677 | 0,676 | 0,676 | 0,042 |
| 7,000 | 40,676 | 99,931 | -7,308 | skid front(in) | 1000000,000 | 6,600 | 0,000 | 1,000 | 100,000 | 0,000 | 0,529 | 0,677 | 0,677 | 0,677 | 0,676 | 0,676 | 0,044 |
| 7,500 | 39,495 | 99,931 | -7,307 | skid front(in) | 1000000,000 | 6,600 | 0,000 | 1,000 | 100,000 | 0,000 | 0,574 | 0,677 | 0,677 | 0,677 | 0,676 | 0,676 | 0,045 |
| 8,000 | 38,278 | 99,931 | -7,305 | skid front(in) | 1000000,000 | 6,600 | 0,000 | 1,000 | 100,000 | 0,000 | 0,620 | 0,677 | 0,677 | 0,677 | 0,676 | 0,676 | 0,046 |
| 8,500 | 37,020 | 99,931 | -7,304 | skid front(in) | 1000000,000 | 6,600 | 0,000 | 1,000 | 100,000 | 0,000 | 0,668 | 0,677 | 0,677 | 0,677 | 0,676 | 0,676 | 0,048 |
| 9,000 | 35,719 | 99,931 | -7,303 | skid front(in) | 1000000,000 | 6,600 | 0,000 | 1,000 | 100,000 | 0,000 | 0,717 | 0,677 | 0,677 | 0,677 | 0,676 | 0,676 | 0,049 |
| 9,500 | 34,369 | 99,931 | -7,301 | skid front(in) | 1000000,000 | 6,600 | 0,000 | 1,000 | 100,000 | 0,001 | 0,769 | 0,677 | 0,677 | 0,677 | 0,676 | 0,676 | 0,051 |
| 10,000 | 32,964 | 99,931 | -7,300 | skid front(in) | 1000000,000 | 6,600 | 0,000 | 1,000 | 100,000 | 0,000 | 0,822 | 0,677 | 0,677 | 0,677 | 0,676 | 0,676 | 0,053 |
| 10,500 | 31,496 | 99,932 | -7,299 | skid front(in) | 1000000,000 | 6,600 | 0,000 | 1,000 | 100,000 | 0,000 | 0,878 | 0,677 | 0,677 | 0,677 | 0,676 | 0,676 | 0,056 |
| 11,000 | 29,957 | 99,932 | -7,297 | skid front(in) | 1000000,000 | 6,600 | 0,000 | 1,000 | 100,000 | 0,000 | 0,937 | 0,677 | 0,677 | 0,677 | 0,676 | 0,676 | 0,059 |
| 11,500 | 28,335 | 99,932 | -7,296 | skid front(in) | 1000000,000 | 6,600 | 0,000 | 1,000 | 100,000 | 0,001 | 0,998 | 0,677 | 0,677 | 0,677 | 0,676 | 0,676 | 0,062 |
| 12,000 | 26,614 | 99,911 | -7,292 | skid front(out) | 1000000,000 | 6,600 | 0,000 | 1,000 | 100,000 | -1,051 | 1,064 | 0,677 | 0,677 | 0,677 | 0,675 | 0,675 | 0,066 |
| 12,500 | 24,775 | 99,960 | -7,293 | skid front(out) | 1000000,000 | 6,600 | 0,000 | 1,000 | 100,000 | -3,440 | 1,134 | 0,677 | 0,677 | 0,677 | 0,676 | 0,676 | 0,070 |
| 13,000 | 22,788 | 99,908 | -7,289 | skid front(out) | 1000000,000 | 6,600 | 0,000 | 1,000 | 100,000 | -1,229 | 1,210 | 0,677 | 0,677 | 0,677 | 0,675 | 0,675 | 0,076 |
| 13,500 | 20,611 | 99,941 | -7,288 | skid front(out) | 1000000,000 | 6,600 | 0,000 | 1,000 | 100,000 | -3,997 | 1,293 | 0,677 | 0,677 | 0,677 | 0,675 | 0,675 | 0,083 |
| 14,000 | 18,175 | 99,898 | -7,286 | skid front(out) | 1000000,000 | 6,600 | 0,000 | 1,000 | 100,000 | -0,416 | 1,386 | 0,677 | 0,677 | 0,677 | 0,675 | 0,675 | 0,093 |
| 14,500 | 15,359 | 99,948 | -7,287 | skid front(out) | 1000000,000 | 6,600 | 0,000 | 1,000 | 100,000 | -2,249 | 1,493 | 0,677 | 0,677 | 0,677 | 0,676 | 0,676 | 0,107 |
| 15,000 | 11,893 | 99,917 | -7,284 | skid front(out) | 1000000,000 | 6,600 | 0,000 | 1,000 | 100,000 | -2,237 | 1,625 | 0,677 | 0,677 | 0,677 | 0,675 | 0,675 | 0,132 |
| 15,500 | 6,857 | 99,948 | -7,283 | skid front(out) | 1000000,000 | 6,600 | 0,000 | 1,000 | 100,000 | -4,562 | 1,817 | 0,677 | 0,677 | 0,677 | 0,675 | 0,675 | 0,192 |
| 15,700 | 3,040 | 99,950 | -7,283 | skid front(out) | 1000000,000 | 6,600 | 0,000 | 1,000 | 100,000 | -3,902 | 1,963 | 0,677 | 0,677 | 0,677 | 0,675 | 0,675 | 0,146 |

Προσδιορισμός Τιμών Πρόσφυσης κατά την Πέδηση Οχημάτων Εφοδιασμένων με Σύστημα ABS σε Αυξημένες κατά Μήκος Κλίσεις

| run_v_w_ntua_16 | | R(m) | br.front (%) | s(%) | e (%) | coeff | effic (%) | time (sec) | | | | | | | | | |
|-----------------|----------|------------|--------------|-----------------|-------------|-------|-----------|------------|-----------|-----------|------------|-------|-----------|----------|----------|---------|-----------|
| s= | 100,000 | 1000000,00 | 66,50 | 6,6 | 0,0 | 1,00 | 100 | 1,852 | | | | | | | | | 0,963 |
| step= | 0,100 | viewstep= | 0,500 | STEPS | | | | | | | | | | | | | |
| s (m) | V (km/h) | n (%) | dv/dt | skid check | R(m) | s(%) | e (%) | coeff | effic (%) | decelera | time (sec) | fT | front out | front in | rear out | rear in | checktime |
| 14,000 | 4,141 | 99,278 | -6,910 | skid front(out) | 1000000,000 | 6,600 | 0,000 | 1,000 | 100,000 | -0,090103 | 1,852 | 0,643 | 0,6428 | 0,6428 | 0,6296 | 0,6296 | |
| 0,000 | 50,320 | 99,308 | -6,949 | O.K | 1000000,000 | 6,600 | 0,000 | 1,000 | 100,000 | 0,000 | 0,000 | 0,643 | | | | | |
| 0,400 | 49,598 | 99,308 | -6,948 | skid front(in) | 1000000,000 | 6,600 | 0,000 | 1,000 | 100,000 | 0,000 | 0,029 | 0,643 | 0,643 | 0,643 | 0,630 | 0,630 | 0,029 |
| 1,000 | 48,497 | 99,308 | -6,946 | skid front(in) | 1000000,000 | 6,600 | 0,000 | 1,000 | 100,000 | 0,000 | 0,073 | 0,643 | 0,643 | 0,643 | 0,630 | 0,630 | 0,044 |
| 1,500 | 47,560 | 99,308 | -6,945 | skid front(in) | 1000000,000 | 6,600 | 0,000 | 1,000 | 100,000 | 0,000 | 0,110 | 0,643 | 0,643 | 0,643 | 0,630 | 0,630 | 0,037 |
| 2,000 | 46,604 | 99,308 | -6,944 | skid front(in) | 1000000,000 | 6,600 | 0,000 | 1,000 | 100,000 | 0,000 | 0,149 | 0,643 | 0,643 | 0,643 | 0,630 | 0,630 | 0,038 |
| 2,500 | 45,629 | 99,308 | -6,942 | skid front(in) | 1000000,000 | 6,600 | 0,000 | 1,000 | 100,000 | 0,000 | 0,188 | 0,643 | 0,643 | 0,643 | 0,630 | 0,630 | 0,039 |
| 3,000 | 44,632 | 99,308 | -6,941 | skid front(in) | 1000000,000 | 6,600 | 0,000 | 1,000 | 100,000 | 0,000 | 0,227 | 0,643 | 0,643 | 0,643 | 0,630 | 0,630 | 0,040 |
| 3,500 | 43,613 | 99,308 | -6,940 | skid front(in) | 1000000,000 | 6,600 | 0,000 | 1,000 | 100,000 | 0,000 | 0,268 | 0,643 | 0,643 | 0,643 | 0,630 | 0,630 | 0,041 |
| 4,000 | 42,569 | 99,309 | -6,938 | skid front(in) | 1000000,000 | 6,600 | 0,000 | 1,000 | 100,000 | 0,000 | 0,310 | 0,643 | 0,643 | 0,643 | 0,630 | 0,630 | 0,042 |
| 4,400 | 41,716 | 99,309 | -6,937 | skid front(in) | 1000000,000 | 6,600 | 0,000 | 1,000 | 100,000 | 0,000 | 0,344 | 0,643 | 0,643 | 0,643 | 0,630 | 0,630 | 0,034 |
| 5,000 | 40,402 | 99,309 | -6,936 | skid front(in) | 1000000,000 | 6,600 | 0,000 | 1,000 | 100,000 | 0,000 | 0,397 | 0,643 | 0,643 | 0,643 | 0,630 | 0,630 | 0,053 |
| 5,500 | 39,274 | 99,309 | -6,934 | skid front(in) | 1000000,000 | 6,600 | 0,000 | 1,000 | 100,000 | 0,000 | 0,442 | 0,643 | 0,643 | 0,643 | 0,630 | 0,630 | 0,045 |
| 6,000 | 38,113 | 99,309 | -6,933 | skid front(in) | 1000000,000 | 6,600 | 0,000 | 1,000 | 100,000 | 0,000 | 0,489 | 0,643 | 0,643 | 0,643 | 0,630 | 0,630 | 0,047 |
| 6,500 | 36,915 | 99,309 | -6,932 | skid front(in) | 1000000,000 | 6,600 | 0,000 | 1,000 | 100,000 | 0,000 | 0,537 | 0,643 | 0,643 | 0,643 | 0,630 | 0,630 | 0,048 |
| 7,000 | 35,678 | 99,309 | -6,930 | skid front(in) | 1000000,000 | 6,600 | 0,000 | 1,000 | 100,000 | 0,001 | 0,586 | 0,643 | 0,643 | 0,643 | 0,630 | 0,630 | 0,050 |
| 7,500 | 34,396 | 99,309 | -6,929 | skid front(in) | 1000000,000 | 6,600 | 0,000 | 1,000 | 100,000 | 0,000 | 0,637 | 0,643 | 0,643 | 0,643 | 0,630 | 0,630 | 0,051 |
| 8,000 | 33,065 | 99,309 | -6,928 | skid front(in) | 1000000,000 | 6,600 | 0,000 | 1,000 | 100,000 | 0,000 | 0,691 | 0,643 | 0,643 | 0,643 | 0,630 | 0,630 | 0,053 |
| 8,500 | 31,679 | 99,309 | -6,926 | skid front(in) | 1000000,000 | 6,600 | 0,000 | 1,000 | 100,000 | 0,001 | 0,746 | 0,643 | 0,643 | 0,643 | 0,630 | 0,630 | 0,056 |
| 9,000 | 30,229 | 99,309 | -6,925 | skid front(in) | 1000000,000 | 6,600 | 0,000 | 1,000 | 100,000 | 0,000 | 0,805 | 0,643 | 0,643 | 0,643 | 0,630 | 0,630 | 0,058 |
| 9,500 | 28,706 | 99,309 | -6,924 | skid front(in) | 1000000,000 | 6,600 | 0,000 | 1,000 | 100,000 | 0,000 | 0,866 | 0,643 | 0,643 | 0,643 | 0,630 | 0,630 | 0,061 |
| 10,000 | 27,098 | 99,309 | -6,923 | skid front(in) | 1000000,000 | 6,600 | 0,000 | 1,000 | 100,000 | 0,001 | 0,930 | 0,643 | 0,643 | 0,643 | 0,630 | 0,630 | 0,065 |
| 10,500 | 25,389 | 99,291 | -6,919 | skid front(out) | 1000000,000 | 6,600 | 0,000 | 1,000 | 100,000 | -1,556 | 0,999 | 0,643 | 0,643 | 0,643 | 0,630 | 0,630 | 0,069 |
| 11,000 | 23,557 | 99,294 | -6,917 | skid front(out) | 1000000,000 | 6,600 | 0,000 | 1,000 | 100,000 | -2,632 | 1,072 | 0,643 | 0,643 | 0,643 | 0,630 | 0,630 | 0,074 |
| 11,500 | 21,570 | 99,340 | -6,918 | skid front(out) | 1000000,000 | 6,600 | 0,000 | 1,000 | 100,000 | -4,207 | 1,152 | 0,643 | 0,643 | 0,643 | 0,630 | 0,630 | 0,080 |
| 12,000 | 19,380 | 99,261 | -6,914 | skid front(out) | 1000000,000 | 6,600 | 0,000 | 1,000 | 100,000 | 0,328 | 1,240 | 0,643 | 0,643 | 0,643 | 0,630 | 0,630 | 0,088 |
| 12,500 | 16,910 | 99,295 | -6,914 | skid front(out) | 1000000,000 | 6,600 | 0,000 | 1,000 | 100,000 | -2,101 | 1,339 | 0,643 | 0,643 | 0,643 | 0,630 | 0,630 | 0,099 |
| 13,000 | 14,012 | 99,305 | -6,912 | skid front(out) | 1000000,000 | 6,600 | 0,000 | 1,000 | 100,000 | -3,357 | 1,456 | 0,643 | 0,643 | 0,643 | 0,630 | 0,630 | 0,116 |
| 13,500 | 10,332 | 99,325 | -6,913 | skid front(out) | 1000000,000 | 6,600 | 0,000 | 1,000 | 100,000 | -1,675 | 1,604 | 0,643 | 0,643 | 0,643 | 0,630 | 0,630 | 0,148 |
| 14,000 | 4,141 | 99,278 | -6,910 | skid front(out) | 1000000,000 | 6,600 | 0,000 | 1,000 | 100,000 | -0,090 | 1,852 | 0,643 | 0,643 | 0,643 | 0,630 | 0,630 | 0,249 |

Προσδιορισμός Τιμών Πρόσφυσης κατά την Πέδηση Οχημάτων Εφοδιασμένων με Σύστημα ABS σε Αυξημένες κατά Μήκος Κλίσεις

| run_v_w_ntua_17 | | R(m) | br.front (%) | s(%) | e (%) | coeff | effic (%) | time (sec) | | | | | | | | | |
|-----------------|----------|------------|--------------|-----------------|-------------|-------|-----------|------------|-----------|-----------|------------|-------|-----------|----------|----------|---------|-----------|
| s= | 100,000 | 1000000,00 | 67,00 | 6,6 | 0,0 | 1,00 | 100 | 1,820 | | | | | | | | | 0,963 |
| step= | 0,100 | viewstep= | 0,500 | STEPS | | | | | | | | | | | | | |
| s (m) | V (km/h) | n (%) | dv/dt | skid check | R(m) | s(%) | e (%) | coeff | effic (%) | decelera | time (sec) | fT | front out | front in | rear out | rear in | checktime |
| 13,900 | 4,028 | 99,472 | -7,154 | skid front(out) | 1000000,000 | 6,600 | 0,000 | 1,000 | 100,000 | -2,885860 | 1,820 | 0,667 | 0,6669 | 0,6669 | 0,6560 | 0,6560 | |
| 0,000 | 51,000 | 99,458 | -7,193 | O.K | 1000000,000 | 6,600 | 0,000 | 1,000 | 100,000 | 0,000 | 0,000 | 0,667 | | | | | |
| 0,400 | 50,264 | 99,458 | -7,192 | skid front(in) | 1000000,000 | 6,600 | 0,000 | 1,000 | 100,000 | 0,000 | 0,028 | 0,667 | 0,667 | 0,667 | 0,656 | 0,656 | 0,028 |
| 1,000 | 49,139 | 99,459 | -7,190 | skid front(in) | 1000000,000 | 6,600 | 0,000 | 1,000 | 100,000 | 0,000 | 0,072 | 0,667 | 0,667 | 0,667 | 0,656 | 0,656 | 0,043 |
| 1,500 | 48,181 | 99,459 | -7,189 | skid front(in) | 1000000,000 | 6,600 | 0,000 | 1,000 | 100,000 | 0,000 | 0,109 | 0,667 | 0,667 | 0,667 | 0,656 | 0,656 | 0,037 |
| 2,000 | 47,204 | 99,459 | -7,188 | skid front(in) | 1000000,000 | 6,600 | 0,000 | 1,000 | 100,000 | 0,000 | 0,147 | 0,667 | 0,667 | 0,667 | 0,656 | 0,656 | 0,038 |
| 2,500 | 46,207 | 99,459 | -7,186 | skid front(in) | 1000000,000 | 6,600 | 0,000 | 1,000 | 100,000 | 0,000 | 0,185 | 0,667 | 0,667 | 0,667 | 0,656 | 0,656 | 0,039 |
| 3,000 | 45,188 | 99,459 | -7,185 | skid front(in) | 1000000,000 | 6,600 | 0,000 | 1,000 | 100,000 | 0,000 | 0,225 | 0,667 | 0,667 | 0,667 | 0,656 | 0,656 | 0,039 |
| 3,500 | 44,146 | 99,459 | -7,184 | skid front(in) | 1000000,000 | 6,600 | 0,000 | 1,000 | 100,000 | 0,000 | 0,265 | 0,667 | 0,667 | 0,667 | 0,656 | 0,656 | 0,040 |
| 4,000 | 43,079 | 99,459 | -7,182 | skid front(in) | 1000000,000 | 6,600 | 0,000 | 1,000 | 100,000 | 0,000 | 0,306 | 0,667 | 0,667 | 0,667 | 0,656 | 0,656 | 0,041 |
| 4,400 | 42,206 | 99,459 | -7,181 | skid front(in) | 1000000,000 | 6,600 | 0,000 | 1,000 | 100,000 | 0,000 | 0,340 | 0,667 | 0,667 | 0,667 | 0,656 | 0,656 | 0,034 |
| 5,000 | 40,862 | 99,459 | -7,180 | skid front(in) | 1000000,000 | 6,600 | 0,000 | 1,000 | 100,000 | 0,000 | 0,392 | 0,667 | 0,667 | 0,667 | 0,656 | 0,656 | 0,052 |
| 5,500 | 39,707 | 99,459 | -7,178 | skid front(in) | 1000000,000 | 6,600 | 0,000 | 1,000 | 100,000 | 0,000 | 0,437 | 0,667 | 0,667 | 0,667 | 0,656 | 0,656 | 0,045 |
| 6,000 | 38,518 | 99,459 | -7,177 | skid front(in) | 1000000,000 | 6,600 | 0,000 | 1,000 | 100,000 | 0,000 | 0,483 | 0,667 | 0,667 | 0,667 | 0,656 | 0,656 | 0,046 |
| 6,500 | 37,291 | 99,459 | -7,175 | skid front(in) | 1000000,000 | 6,600 | 0,000 | 1,000 | 100,000 | 0,001 | 0,530 | 0,667 | 0,667 | 0,667 | 0,656 | 0,656 | 0,047 |
| 7,000 | 36,023 | 99,460 | -7,174 | skid front(in) | 1000000,000 | 6,600 | 0,000 | 1,000 | 100,000 | 0,000 | 0,579 | 0,667 | 0,667 | 0,667 | 0,656 | 0,656 | 0,049 |
| 7,500 | 34,708 | 99,460 | -7,173 | skid front(in) | 1000000,000 | 6,600 | 0,000 | 1,000 | 100,000 | 0,000 | 0,630 | 0,667 | 0,667 | 0,667 | 0,656 | 0,656 | 0,051 |
| 8,000 | 33,342 | 99,460 | -7,171 | skid front(in) | 1000000,000 | 6,600 | 0,000 | 1,000 | 100,000 | 0,000 | 0,683 | 0,667 | 0,667 | 0,667 | 0,656 | 0,656 | 0,053 |
| 8,500 | 31,918 | 99,460 | -7,170 | skid front(in) | 1000000,000 | 6,600 | 0,000 | 1,000 | 100,000 | 0,001 | 0,738 | 0,667 | 0,667 | 0,667 | 0,656 | 0,656 | 0,055 |
| 9,000 | 30,428 | 99,460 | -7,169 | skid front(in) | 1000000,000 | 6,600 | 0,000 | 1,000 | 100,000 | 0,001 | 0,796 | 0,667 | 0,667 | 0,667 | 0,656 | 0,656 | 0,058 |
| 9,500 | 28,861 | 99,460 | -7,167 | skid front(in) | 1000000,000 | 6,600 | 0,000 | 1,000 | 100,000 | 0,000 | 0,857 | 0,667 | 0,667 | 0,667 | 0,656 | 0,656 | 0,061 |
| 10,000 | 27,204 | 99,460 | -7,166 | skid front(in) | 1000000,000 | 6,600 | 0,000 | 1,000 | 100,000 | 0,003 | 0,921 | 0,667 | 0,667 | 0,667 | 0,656 | 0,656 | 0,064 |
| 10,500 | 25,440 | 99,464 | -7,165 | skid front(out) | 1000000,000 | 6,600 | 0,000 | 1,000 | 100,000 | -0,392 | 0,989 | 0,667 | 0,667 | 0,667 | 0,656 | 0,656 | 0,068 |
| 11,000 | 23,545 | 99,455 | -7,163 | skid front(out) | 1000000,000 | 6,600 | 0,000 | 1,000 | 100,000 | -0,686 | 1,063 | 0,667 | 0,667 | 0,667 | 0,656 | 0,656 | 0,073 |
| 11,500 | 21,484 | 99,484 | -7,162 | skid front(out) | 1000000,000 | 6,600 | 0,000 | 1,000 | 100,000 | -2,819 | 1,143 | 0,667 | 0,667 | 0,667 | 0,656 | 0,656 | 0,080 |
| 12,000 | 19,203 | 99,455 | -7,159 | skid front(out) | 1000000,000 | 6,600 | 0,000 | 1,000 | 100,000 | -2,004 | 1,231 | 0,667 | 0,667 | 0,667 | 0,656 | 0,656 | 0,088 |
| 12,500 | 16,612 | 99,465 | -7,158 | skid front(out) | 1000000,000 | 6,600 | 0,000 | 1,000 | 100,000 | -3,167 | 1,332 | 0,667 | 0,667 | 0,667 | 0,656 | 0,656 | 0,101 |
| 13,000 | 13,535 | 99,484 | -7,157 | skid front(out) | 1000000,000 | 6,600 | 0,000 | 1,000 | 100,000 | -3,134 | 1,451 | 0,667 | 0,667 | 0,667 | 0,656 | 0,656 | 0,119 |
| 13,500 | 9,510 | 99,473 | -7,155 | skid front(out) | 1000000,000 | 6,600 | 0,000 | 1,000 | 100,000 | -3,170 | 1,607 | 0,667 | 0,667 | 0,667 | 0,656 | 0,656 | 0,156 |
| 13,900 | 4,028 | 99,472 | -7,154 | skid front(out) | 1000000,000 | 6,600 | 0,000 | 1,000 | 100,000 | -2,886 | 1,820 | 0,667 | 0,667 | 0,667 | 0,656 | 0,656 | 0,213 |

Προσδιορισμός Τιμών Πρόσφυσης κατά την Πέδηση Οχημάτων Εφοδιασμένων με Σύστημα ABS σε Αυξημένες κατά Μήκος Κλίσεις

| run_v_w_ntua_18 | | R(m) | br.front (%) | s(%) | e (%) | coeff | effic (%) | time (sec) | | | | | | | | | |
|-----------------|----------|------------|--------------|-----------------|-------------|-------|-----------|------------|-----------|-----------|------------|-------|-----------|----------|----------|---------|-----------|
| s= | 100,000 | 1000000,00 | 66,50 | 6,6 | 0,0 | 1,00 | 100 | 1,842 | | | | | | | | | |
| step= | 0,100 | viewstep= | 0,500 | STEPS | | | | | | | | | | | | | |
| s (m) | V (km/h) | n (%) | dv/dt | skid check | R(m) | s(%) | e (%) | coeff | effic (%) | decelera | time (sec) | fT | front out | front in | rear out | rear in | checktime |
| 13,700 | 3,912 | 99,208 | -6,884 | skid front(out) | 1000000,000 | 6,600 | 0,000 | 1,000 | 100,000 | -3,517833 | 1,842 | 0,641 | 0,6408 | 0,6408 | 0,6258 | 0,6258 | |
| 0,000 | 49,670 | 99,214 | -6,923 | O.K | 1000000,000 | 6,600 | 0,000 | 1,000 | 100,000 | 0,000 | 0,000 | 0,641 | | | | | |
| 0,400 | 48,942 | 99,214 | -6,921 | skid front(in) | 1000000,000 | 6,600 | 0,000 | 1,000 | 100,000 | 0,000 | 0,029 | 0,641 | 0,641 | 0,641 | 0,626 | 0,626 | 0,029 |
| 1,000 | 47,830 | 99,215 | -6,920 | skid front(in) | 1000000,000 | 6,600 | 0,000 | 1,000 | 100,000 | 0,000 | 0,074 | 0,641 | 0,641 | 0,641 | 0,626 | 0,626 | 0,045 |
| 1,500 | 46,883 | 99,215 | -6,919 | skid front(in) | 1000000,000 | 6,600 | 0,000 | 1,000 | 100,000 | 0,000 | 0,112 | 0,641 | 0,641 | 0,641 | 0,626 | 0,626 | 0,038 |
| 2,000 | 45,917 | 99,215 | -6,917 | skid front(in) | 1000000,000 | 6,600 | 0,000 | 1,000 | 100,000 | 0,000 | 0,151 | 0,641 | 0,641 | 0,641 | 0,626 | 0,626 | 0,039 |
| 2,500 | 44,930 | 99,215 | -6,916 | skid front(in) | 1000000,000 | 6,600 | 0,000 | 1,000 | 100,000 | 0,000 | 0,190 | 0,641 | 0,641 | 0,641 | 0,626 | 0,626 | 0,040 |
| 3,000 | 43,922 | 99,215 | -6,915 | skid front(in) | 1000000,000 | 6,600 | 0,000 | 1,000 | 100,000 | 0,000 | 0,231 | 0,641 | 0,641 | 0,641 | 0,626 | 0,626 | 0,041 |
| 3,500 | 42,890 | 99,215 | -6,913 | skid front(in) | 1000000,000 | 6,600 | 0,000 | 1,000 | 100,000 | 0,000 | 0,272 | 0,641 | 0,641 | 0,641 | 0,626 | 0,626 | 0,041 |
| 4,000 | 41,832 | 99,215 | -6,912 | skid front(in) | 1000000,000 | 6,600 | 0,000 | 1,000 | 100,000 | 0,000 | 0,315 | 0,641 | 0,641 | 0,641 | 0,626 | 0,626 | 0,042 |
| 4,400 | 40,967 | 99,215 | -6,911 | skid front(in) | 1000000,000 | 6,600 | 0,000 | 1,000 | 100,000 | 0,000 | 0,350 | 0,641 | 0,641 | 0,641 | 0,626 | 0,626 | 0,035 |
| 5,000 | 39,633 | 99,215 | -6,909 | skid front(in) | 1000000,000 | 6,600 | 0,000 | 1,000 | 100,000 | 0,000 | 0,403 | 0,641 | 0,641 | 0,641 | 0,626 | 0,626 | 0,054 |
| 5,500 | 38,487 | 99,215 | -6,908 | skid front(in) | 1000000,000 | 6,600 | 0,000 | 1,000 | 100,000 | 0,000 | 0,449 | 0,641 | 0,641 | 0,641 | 0,626 | 0,626 | 0,046 |
| 6,000 | 37,306 | 99,215 | -6,907 | skid front(in) | 1000000,000 | 6,600 | 0,000 | 1,000 | 100,000 | 0,000 | 0,497 | 0,641 | 0,641 | 0,641 | 0,626 | 0,626 | 0,047 |
| 6,500 | 36,087 | 99,215 | -6,905 | skid front(in) | 1000000,000 | 6,600 | 0,000 | 1,000 | 100,000 | 0,001 | 0,546 | 0,641 | 0,641 | 0,641 | 0,626 | 0,626 | 0,049 |
| 7,000 | 34,825 | 99,216 | -6,904 | skid front(in) | 1000000,000 | 6,600 | 0,000 | 1,000 | 100,000 | 0,000 | 0,597 | 0,641 | 0,641 | 0,641 | 0,626 | 0,626 | 0,051 |
| 7,500 | 33,515 | 99,216 | -6,903 | skid front(in) | 1000000,000 | 6,600 | 0,000 | 1,000 | 100,000 | 0,000 | 0,649 | 0,641 | 0,641 | 0,641 | 0,626 | 0,626 | 0,053 |
| 8,000 | 32,153 | 99,216 | -6,902 | skid front(in) | 1000000,000 | 6,600 | 0,000 | 1,000 | 100,000 | 0,000 | 0,704 | 0,641 | 0,641 | 0,641 | 0,626 | 0,626 | 0,055 |
| 8,500 | 30,731 | 99,216 | -6,900 | skid front(in) | 1000000,000 | 6,600 | 0,000 | 1,000 | 100,000 | 0,001 | 0,761 | 0,641 | 0,641 | 0,641 | 0,626 | 0,626 | 0,057 |
| 9,000 | 29,240 | 99,216 | -6,899 | skid front(in) | 1000000,000 | 6,600 | 0,000 | 1,000 | 100,000 | 0,000 | 0,821 | 0,641 | 0,641 | 0,641 | 0,626 | 0,626 | 0,060 |
| 9,500 | 27,669 | 99,216 | -6,898 | skid front(in) | 1000000,000 | 6,600 | 0,000 | 1,000 | 100,000 | 0,000 | 0,885 | 0,641 | 0,641 | 0,641 | 0,626 | 0,626 | 0,063 |
| 10,000 | 26,004 | 99,242 | -6,896 | skid front(out) | 1000000,000 | 6,600 | 0,000 | 1,000 | 100,000 | -3,484 | 0,952 | 0,641 | 0,641 | 0,641 | 0,626 | 0,626 | 0,067 |
| 10,500 | 24,224 | 99,196 | -6,892 | skid front(out) | 1000000,000 | 6,600 | 0,000 | 1,000 | 100,000 | -1,893 | 1,023 | 0,641 | 0,641 | 0,641 | 0,626 | 0,626 | 0,072 |
| 11,000 | 22,304 | 99,189 | -6,891 | skid front(out) | 1000000,000 | 6,600 | 0,000 | 1,000 | 100,000 | -0,814 | 1,101 | 0,641 | 0,641 | 0,641 | 0,626 | 0,626 | 0,077 |
| 11,500 | 20,203 | 99,189 | -6,890 | skid front(out) | 1000000,000 | 6,600 | 0,000 | 1,000 | 100,000 | -1,637 | 1,185 | 0,641 | 0,641 | 0,641 | 0,626 | 0,626 | 0,085 |
| 12,000 | 17,856 | 99,232 | -6,890 | skid front(out) | 1000000,000 | 6,600 | 0,000 | 1,000 | 100,000 | -3,113 | 1,280 | 0,641 | 0,641 | 0,641 | 0,626 | 0,626 | 0,095 |
| 12,500 | 15,151 | 99,247 | -6,889 | skid front(out) | 1000000,000 | 6,600 | 0,000 | 1,000 | 100,000 | -3,277 | 1,389 | 0,641 | 0,641 | 0,641 | 0,626 | 0,626 | 0,109 |
| 13,000 | 11,844 | 99,232 | -6,888 | skid front(out) | 1000000,000 | 6,600 | 0,000 | 1,000 | 100,000 | -2,109 | 1,522 | 0,641 | 0,641 | 0,641 | 0,626 | 0,626 | 0,133 |
| 13,500 | 7,142 | 99,224 | -6,885 | skid front(out) | 1000000,000 | 6,600 | 0,000 | 1,000 | 100,000 | -3,128 | 1,712 | 0,641 | 0,641 | 0,641 | 0,626 | 0,626 | 0,190 |
| 13,700 | 3,912 | 99,208 | -6,884 | skid front(out) | 1000000,000 | 6,600 | 0,000 | 1,000 | 100,000 | -3,518 | 1,842 | 0,641 | 0,641 | 0,641 | 0,626 | 0,626 | 0,130 |

Προσδιορισμός Τιμών Πρόσφυσης κατά την Πέδηση Οχημάτων Εφοδιασμένων με Σύστημα ABS σε Αυξημένες κατά Μήκος Κλίσεις

| run_v_w_ntua_19 | | R(m) | br.front (%) | s(%) | e (%) | coeff | effic (%) | time (sec) | | | | | | | | | |
|-----------------|----------|------------|--------------|-----------------|-------------|-------|-----------|------------|-----------|-----------|------------|-------|-----------|----------|----------|---------|-----------|
| s= | 100,000 | 1000000,00 | 67,00 | 6,6 | 0,0 | 1,00 | 100 | 1,904 | | | | | | | | | |
| step= | 0,100 | viewstep= | 0,500 | STEPS | | | | | | | | | 0,963 | | | | |
| s (m) | V (km/h) | n (%) | dv/dt | skid check | R(m) | s(%) | e (%) | coeff | effic (%) | decelera | time (sec) | ft | front out | front in | rear out | rear in | checktime |
| 13,900 | 1,945 | 99,236 | -7,089 | skid front(out) | 1000000,000 | 6,600 | 0,000 | 1,000 | 100,000 | -4,717268 | 1,904 | 0,662 | 0,6618 | 0,6618 | 0,6463 | 0,6463 | |
| 0,000 | 50,650 | 99,224 | -7,129 | O.K | 1000000,000 | 6,600 | 0,000 | 1,000 | 100,000 | 0,000 | 0,000 | 0,662 | | | | | |
| 0,400 | 49,915 | 99,224 | -7,127 | skid front(in) | 1000000,000 | 6,600 | 0,000 | 1,000 | 100,000 | 0,000 | 0,029 | 0,662 | 0,662 | 0,662 | 0,647 | 0,647 | 0,029 |
| 1,000 | 48,792 | 99,224 | -7,126 | skid front(in) | 1000000,000 | 6,600 | 0,000 | 1,000 | 100,000 | 0,000 | 0,072 | 0,662 | 0,662 | 0,662 | 0,647 | 0,647 | 0,044 |
| 1,500 | 47,837 | 99,225 | -7,125 | skid front(in) | 1000000,000 | 6,600 | 0,000 | 1,000 | 100,000 | 0,000 | 0,110 | 0,662 | 0,662 | 0,662 | 0,647 | 0,647 | 0,037 |
| 2,000 | 46,862 | 99,225 | -7,123 | skid front(in) | 1000000,000 | 6,600 | 0,000 | 1,000 | 100,000 | 0,000 | 0,148 | 0,662 | 0,662 | 0,662 | 0,647 | 0,647 | 0,038 |
| 2,500 | 45,866 | 99,225 | -7,122 | skid front(in) | 1000000,000 | 6,600 | 0,000 | 1,000 | 100,000 | 0,000 | 0,186 | 0,662 | 0,662 | 0,662 | 0,647 | 0,647 | 0,039 |
| 3,000 | 44,849 | 99,225 | -7,121 | skid front(in) | 1000000,000 | 6,600 | 0,000 | 1,000 | 100,000 | 0,000 | 0,226 | 0,662 | 0,662 | 0,662 | 0,647 | 0,647 | 0,040 |
| 3,500 | 43,808 | 99,225 | -7,119 | skid front(in) | 1000000,000 | 6,600 | 0,000 | 1,000 | 100,000 | 0,000 | 0,267 | 0,662 | 0,662 | 0,662 | 0,647 | 0,647 | 0,041 |
| 4,000 | 42,742 | 99,225 | -7,118 | skid front(in) | 1000000,000 | 6,600 | 0,000 | 1,000 | 100,000 | 0,000 | 0,308 | 0,662 | 0,662 | 0,662 | 0,647 | 0,647 | 0,042 |
| 4,400 | 41,870 | 99,225 | -7,117 | skid front(in) | 1000000,000 | 6,600 | 0,000 | 1,000 | 100,000 | 0,000 | 0,342 | 0,662 | 0,662 | 0,662 | 0,647 | 0,647 | 0,034 |
| 5,000 | 40,527 | 99,225 | -7,115 | skid front(in) | 1000000,000 | 6,600 | 0,000 | 1,000 | 100,000 | 0,000 | 0,395 | 0,662 | 0,662 | 0,662 | 0,647 | 0,647 | 0,052 |
| 5,500 | 39,373 | 99,225 | -7,114 | skid front(in) | 1000000,000 | 6,600 | 0,000 | 1,000 | 100,000 | 0,000 | 0,440 | 0,662 | 0,662 | 0,662 | 0,647 | 0,647 | 0,045 |
| 6,000 | 38,184 | 99,225 | -7,113 | skid front(in) | 1000000,000 | 6,600 | 0,000 | 1,000 | 100,000 | 0,000 | 0,486 | 0,662 | 0,662 | 0,662 | 0,647 | 0,647 | 0,046 |
| 6,500 | 36,958 | 99,225 | -7,111 | skid front(in) | 1000000,000 | 6,600 | 0,000 | 1,000 | 100,000 | 0,000 | 0,534 | 0,662 | 0,662 | 0,662 | 0,647 | 0,647 | 0,048 |
| 7,000 | 35,689 | 99,225 | -7,110 | skid front(in) | 1000000,000 | 6,600 | 0,000 | 1,000 | 100,000 | 0,001 | 0,584 | 0,662 | 0,662 | 0,662 | 0,647 | 0,647 | 0,050 |
| 7,500 | 34,374 | 99,225 | -7,109 | skid front(in) | 1000000,000 | 6,600 | 0,000 | 1,000 | 100,000 | 0,000 | 0,635 | 0,662 | 0,662 | 0,662 | 0,647 | 0,647 | 0,051 |
| 8,000 | 33,007 | 99,226 | -7,107 | skid front(in) | 1000000,000 | 6,600 | 0,000 | 1,000 | 100,000 | 0,000 | 0,689 | 0,662 | 0,662 | 0,662 | 0,647 | 0,647 | 0,053 |
| 8,500 | 31,581 | 99,226 | -7,106 | skid front(in) | 1000000,000 | 6,600 | 0,000 | 1,000 | 100,000 | 0,000 | 0,744 | 0,662 | 0,662 | 0,662 | 0,647 | 0,647 | 0,056 |
| 9,000 | 30,088 | 99,226 | -7,105 | skid front(in) | 1000000,000 | 6,600 | 0,000 | 1,000 | 100,000 | 0,000 | 0,803 | 0,662 | 0,662 | 0,662 | 0,647 | 0,647 | 0,058 |
| 9,500 | 28,517 | 99,226 | -7,103 | skid front(in) | 1000000,000 | 6,600 | 0,000 | 1,000 | 100,000 | 0,001 | 0,864 | 0,662 | 0,662 | 0,662 | 0,647 | 0,647 | 0,061 |
| 10,000 | 26,854 | 99,243 | -7,100 | skid front(out) | 1000000,000 | 6,600 | 0,000 | 1,000 | 100,000 | -4,205 | 0,929 | 0,662 | 0,662 | 0,662 | 0,646 | 0,646 | 0,065 |
| 10,500 | 25,082 | 99,210 | -7,098 | skid front(in) | 1000000,000 | 6,600 | 0,000 | 1,000 | 100,000 | -2,713 | 0,998 | 0,662 | 0,662 | 0,662 | 0,646 | 0,646 | 0,069 |
| 11,000 | 23,176 | 99,238 | -7,099 | skid front(out) | 1000000,000 | 6,600 | 0,000 | 1,000 | 100,000 | -1,648 | 1,073 | 0,662 | 0,662 | 0,662 | 0,647 | 0,647 | 0,075 |
| 11,500 | 21,098 | 99,202 | -7,095 | skid front(out) | 1000000,000 | 6,600 | 0,000 | 1,000 | 100,000 | -2,113 | 1,154 | 0,662 | 0,662 | 0,662 | 0,646 | 0,646 | 0,081 |
| 12,000 | 18,793 | 99,229 | -7,095 | skid front(out) | 1000000,000 | 6,600 | 0,000 | 1,000 | 100,000 | -3,087 | 1,245 | 0,662 | 0,662 | 0,662 | 0,646 | 0,646 | 0,090 |
| 12,500 | 16,162 | 99,187 | -7,092 | skid front(out) | 1000000,000 | 6,600 | 0,000 | 1,000 | 100,000 | -1,022 | 1,348 | 0,662 | 0,662 | 0,662 | 0,646 | 0,646 | 0,103 |
| 13,000 | 13,010 | 99,248 | -7,093 | skid front(out) | 1000000,000 | 6,600 | 0,000 | 1,000 | 100,000 | -2,792 | 1,471 | 0,662 | 0,662 | 0,662 | 0,647 | 0,647 | 0,123 |
| 13,500 | 8,794 | 99,236 | -7,092 | skid front(out) | 1000000,000 | 6,600 | 0,000 | 1,000 | 100,000 | -1,241 | 1,636 | 0,662 | 0,662 | 0,662 | 0,647 | 0,647 | 0,165 |
| 13,900 | 1,945 | 99,236 | -7,089 | skid front(out) | 1000000,000 | 6,600 | 0,000 | 1,000 | 100,000 | -4,717 | 1,904 | 0,662 | 0,662 | 0,662 | 0,646 | 0,646 | 0,268 |

Προσδιορισμός Τιμών Πρόσφυσης κατά την Πέδηση Οχημάτων Εφοδιασμένων με Σύστημα ABS σε Αυξημένες κατά Μήκος Κλίσεις

| run_v_w_ntua_20 | | R(m) | br.front (%) | s(%) | e (%) | coeff | effic (%) | time (sec) | | | | | | | | | |
|-----------------|----------|------------|--------------|-----------------|-------------|-------|-----------|------------|-----------|----------|------------|-------|-----------|----------|----------|---------|-----------|
| s= | 100,000 | 1000000,00 | 67,00 | 6,6 | 0,0 | 1,00 | 100 | 1,877 | 0,963 | | | | | | | | |
| step= | 0,100 | viewstep= | 0,500 | STEPS | | | | | | | | | | | | | |
| s (m) | V (km/h) | n (%) | dv/dt | skid check | R(m) | s(%) | e (%) | coeff | effic (%) | decelera | time (sec) | fT | front out | front in | rear out | rear in | checktime |
| 14,500 | 3,969 | 99,070 | -7,053 | skid front(out) | 1000000,000 | 6,600 | 0,000 | 1,000 | 100,000 | 0,264170 | 1,877 | 0,659 | 0,6589 | 0,6589 | 0,6410 | 0,6410 | |
| 0,000 | 51,710 | 99,084 | -7,092 | O.K | 1000000,000 | 6,600 | 0,000 | 1,000 | 100,000 | 0,000 | 0,000 | 0,659 | | | | | |
| 0,400 | 50,994 | 99,084 | -7,091 | skid front(in) | 1000000,000 | 6,600 | 0,000 | 1,000 | 100,000 | 0,000 | 0,028 | 0,659 | 0,659 | 0,659 | 0,641 | 0,641 | 0,028 |
| 1,000 | 49,901 | 99,084 | -7,089 | skid front(in) | 1000000,000 | 6,600 | 0,000 | 1,000 | 100,000 | 0,000 | 0,071 | 0,659 | 0,659 | 0,659 | 0,641 | 0,641 | 0,043 |
| 1,500 | 48,972 | 99,084 | -7,088 | skid front(in) | 1000000,000 | 6,600 | 0,000 | 1,000 | 100,000 | 0,000 | 0,107 | 0,659 | 0,659 | 0,659 | 0,641 | 0,641 | 0,036 |
| 2,000 | 48,025 | 99,085 | -7,087 | skid front(in) | 1000000,000 | 6,600 | 0,000 | 1,000 | 100,000 | 0,000 | 0,144 | 0,659 | 0,659 | 0,659 | 0,641 | 0,641 | 0,037 |
| 2,500 | 47,059 | 99,085 | -7,085 | skid front(in) | 1000000,000 | 6,600 | 0,000 | 1,000 | 100,000 | 0,000 | 0,182 | 0,659 | 0,659 | 0,659 | 0,641 | 0,641 | 0,038 |
| 3,000 | 46,073 | 99,085 | -7,084 | skid front(in) | 1000000,000 | 6,600 | 0,000 | 1,000 | 100,000 | 0,000 | 0,221 | 0,659 | 0,659 | 0,659 | 0,641 | 0,641 | 0,039 |
| 3,500 | 45,066 | 99,085 | -7,083 | skid front(in) | 1000000,000 | 6,600 | 0,000 | 1,000 | 100,000 | 0,000 | 0,260 | 0,659 | 0,659 | 0,659 | 0,641 | 0,641 | 0,039 |
| 4,000 | 44,036 | 99,085 | -7,081 | skid front(in) | 1000000,000 | 6,600 | 0,000 | 1,000 | 100,000 | 0,000 | 0,301 | 0,659 | 0,659 | 0,659 | 0,641 | 0,641 | 0,040 |
| 4,400 | 43,195 | 99,085 | -7,080 | skid front(in) | 1000000,000 | 6,600 | 0,000 | 1,000 | 100,000 | 0,000 | 0,334 | 0,659 | 0,659 | 0,659 | 0,641 | 0,641 | 0,033 |
| 5,000 | 41,901 | 99,085 | -7,079 | skid front(in) | 1000000,000 | 6,600 | 0,000 | 1,000 | 100,000 | 0,000 | 0,385 | 0,659 | 0,659 | 0,659 | 0,641 | 0,641 | 0,051 |
| 5,500 | 40,791 | 99,085 | -7,077 | skid front(in) | 1000000,000 | 6,600 | 0,000 | 1,000 | 100,000 | 0,000 | 0,428 | 0,659 | 0,659 | 0,659 | 0,641 | 0,641 | 0,044 |
| 6,000 | 39,651 | 99,085 | -7,076 | skid front(in) | 1000000,000 | 6,600 | 0,000 | 1,000 | 100,000 | 0,000 | 0,473 | 0,659 | 0,659 | 0,659 | 0,641 | 0,641 | 0,045 |
| 6,500 | 38,478 | 99,085 | -7,075 | skid front(in) | 1000000,000 | 6,600 | 0,000 | 1,000 | 100,000 | 0,000 | 0,519 | 0,659 | 0,659 | 0,659 | 0,641 | 0,641 | 0,046 |
| 7,000 | 37,267 | 99,085 | -7,073 | skid front(in) | 1000000,000 | 6,600 | 0,000 | 1,000 | 100,000 | 0,000 | 0,566 | 0,659 | 0,659 | 0,659 | 0,641 | 0,641 | 0,048 |
| 7,500 | 36,017 | 99,085 | -7,072 | skid front(in) | 1000000,000 | 6,600 | 0,000 | 1,000 | 100,000 | 0,001 | 0,616 | 0,659 | 0,659 | 0,659 | 0,641 | 0,641 | 0,049 |
| 8,000 | 34,721 | 99,085 | -7,071 | skid front(in) | 1000000,000 | 6,600 | 0,000 | 1,000 | 100,000 | 0,000 | 0,666 | 0,659 | 0,659 | 0,659 | 0,641 | 0,641 | 0,051 |
| 8,500 | 33,375 | 99,085 | -7,069 | skid front(in) | 1000000,000 | 6,600 | 0,000 | 1,000 | 100,000 | 0,000 | 0,719 | 0,659 | 0,659 | 0,659 | 0,641 | 0,641 | 0,053 |
| 9,000 | 31,974 | 99,086 | -7,068 | skid front(in) | 1000000,000 | 6,600 | 0,000 | 1,000 | 100,000 | 0,000 | 0,774 | 0,659 | 0,659 | 0,659 | 0,641 | 0,641 | 0,055 |
| 9,500 | 30,508 | 99,086 | -7,067 | skid front(in) | 1000000,000 | 6,600 | 0,000 | 1,000 | 100,000 | 0,000 | 0,832 | 0,659 | 0,659 | 0,659 | 0,641 | 0,641 | 0,058 |
| 10,000 | 28,968 | 99,086 | -7,065 | skid front(in) | 1000000,000 | 6,600 | 0,000 | 1,000 | 100,000 | 0,001 | 0,893 | 0,659 | 0,659 | 0,659 | 0,641 | 0,641 | 0,061 |
| 10,500 | 27,342 | 99,086 | -7,064 | skid front(in) | 1000000,000 | 6,600 | 0,000 | 1,000 | 100,000 | 0,001 | 0,957 | 0,659 | 0,659 | 0,659 | 0,641 | 0,641 | 0,064 |
| 11,000 | 25,613 | 99,085 | -7,062 | skid front(out) | 1000000,000 | 6,600 | 0,000 | 1,000 | 100,000 | -0,536 | 1,025 | 0,659 | 0,659 | 0,659 | 0,641 | 0,641 | 0,068 |
| 11,500 | 23,760 | 99,064 | -7,059 | skid front(out) | 1000000,000 | 6,600 | 0,000 | 1,000 | 100,000 | -1,115 | 1,097 | 0,659 | 0,659 | 0,659 | 0,641 | 0,641 | 0,073 |
| 12,000 | 21,749 | 99,103 | -7,060 | skid front(out) | 1000000,000 | 6,600 | 0,000 | 1,000 | 100,000 | -2,356 | 1,177 | 0,659 | 0,659 | 0,659 | 0,641 | 0,641 | 0,079 |
| 12,500 | 19,533 | 99,070 | -7,057 | skid front(out) | 1000000,000 | 6,600 | 0,000 | 1,000 | 100,000 | -0,534 | 1,264 | 0,659 | 0,659 | 0,659 | 0,641 | 0,641 | 0,087 |
| 13,000 | 17,031 | 99,063 | -7,055 | skid front(out) | 1000000,000 | 6,600 | 0,000 | 1,000 | 100,000 | -0,656 | 1,362 | 0,659 | 0,659 | 0,659 | 0,641 | 0,641 | 0,098 |
| 13,500 | 14,093 | 99,085 | -7,054 | skid front(out) | 1000000,000 | 6,600 | 0,000 | 1,000 | 100,000 | -2,935 | 1,478 | 0,659 | 0,659 | 0,659 | 0,641 | 0,641 | 0,116 |
| 14,000 | 10,353 | 99,101 | -7,053 | skid front(out) | 1000000,000 | 6,600 | 0,000 | 1,000 | 100,000 | -3,945 | 1,625 | 0,659 | 0,659 | 0,659 | 0,641 | 0,641 | 0,147 |
| 14,500 | 3,969 | 99,070 | -7,053 | skid front(out) | 1000000,000 | 6,600 | 0,000 | 1,000 | 100,000 | 0,264 | 1,877 | 0,659 | 0,659 | 0,659 | 0,641 | 0,641 | 0,251 |

Προσδιορισμός Τιμών Πρόσφυσης κατά την Πέδηση Οχημάτων Εφοδιασμένων με Σύστημα ABS σε Αυξημένες κατά Μήκος Κλίσεις

2.1.3 Γλυφάδα - dry

| run_v_d_glif_1 | R(m) | br.front (%) | s(%) | e (%) | coeff | effic (%) | time (sec) | | | | | | | | | | |
|----------------|-----------------|--------------|--------|-----------------|-------------|-----------|------------|-------|-----------|-----------|------------|-------|-----------|----------|----------|---------|-----------|
| s= 100,000 | 1000000,00 | 70,00 | -11,5 | 0,0 | 1,00 | 100 | 2,308 | | | | | | | | | | |
| step= 0,100 | viewstep= 0,500 | STEPS | | | | | | | | | | 0,963 | | | | | |
| s (m) | V (km/h) | n (%) | dv/dt | skid check | R(m) | s(%) | e (%) | coeff | effic (%) | decelera | time (sec) | fT | front out | front in | rear out | rear in | checktime |
| 19,500 | 2,782 | 99,605 | -6,637 | skid front(out) | 1000000,000 | -11,500 | 0,000 | 1,000 | 100,000 | -4,125380 | 2,308 | 0,795 | 0,7947 | 0,7947 | 0,7843 | 0,7843 | |
| 0,000 | 58,100 | 99,612 | -6,686 | O.K | 1000000,000 | -11,500 | 0,000 | 1,000 | 100,000 | 0,000 | 0,000 | 0,795 | | | | | |
| 0,400 | 57,500 | 99,612 | -6,685 | skid front(in) | 1000000,000 | -11,500 | 0,000 | 1,000 | 100,000 | 0,000 | 0,025 | 0,795 | 0,795 | 0,795 | 0,785 | 0,785 | 0,025 |
| 1,000 | 56,589 | 99,612 | -6,683 | skid front(in) | 1000000,000 | -11,500 | 0,000 | 1,000 | 100,000 | 0,000 | 0,063 | 0,795 | 0,795 | 0,795 | 0,785 | 0,785 | 0,038 |
| 1,500 | 55,819 | 99,612 | -6,682 | skid front(in) | 1000000,000 | -11,500 | 0,000 | 1,000 | 100,000 | 0,000 | 0,095 | 0,795 | 0,795 | 0,795 | 0,785 | 0,785 | 0,032 |
| 2,000 | 55,038 | 99,612 | -6,681 | skid front(in) | 1000000,000 | -11,500 | 0,000 | 1,000 | 100,000 | 0,000 | 0,127 | 0,795 | 0,795 | 0,795 | 0,785 | 0,785 | 0,032 |
| 2,500 | 54,245 | 99,612 | -6,680 | skid front(in) | 1000000,000 | -11,500 | 0,000 | 1,000 | 100,000 | 0,000 | 0,160 | 0,795 | 0,795 | 0,795 | 0,785 | 0,785 | 0,033 |
| 3,000 | 53,442 | 99,612 | -6,679 | skid front(in) | 1000000,000 | -11,500 | 0,000 | 1,000 | 100,000 | 0,000 | 0,194 | 0,795 | 0,795 | 0,795 | 0,785 | 0,785 | 0,033 |
| 3,500 | 52,626 | 99,612 | -6,678 | skid front(in) | 1000000,000 | -11,500 | 0,000 | 1,000 | 100,000 | 0,000 | 0,228 | 0,795 | 0,795 | 0,795 | 0,785 | 0,785 | 0,034 |
| 4,000 | 51,797 | 99,612 | -6,677 | skid front(in) | 1000000,000 | -11,500 | 0,000 | 1,000 | 100,000 | 0,000 | 0,262 | 0,795 | 0,795 | 0,795 | 0,785 | 0,785 | 0,034 |
| 4,400 | 51,124 | 99,612 | -6,676 | skid front(in) | 1000000,000 | -11,500 | 0,000 | 1,000 | 100,000 | 0,000 | 0,290 | 0,795 | 0,795 | 0,795 | 0,785 | 0,785 | 0,028 |
| 5,000 | 50,099 | 99,612 | -6,674 | skid front(in) | 1000000,000 | -11,500 | 0,000 | 1,000 | 100,000 | 0,000 | 0,333 | 0,795 | 0,795 | 0,795 | 0,785 | 0,785 | 0,043 |
| 5,500 | 49,228 | 99,613 | -6,673 | skid front(in) | 1000000,000 | -11,500 | 0,000 | 1,000 | 100,000 | 0,000 | 0,369 | 0,795 | 0,795 | 0,795 | 0,785 | 0,785 | 0,036 |
| 6,000 | 48,342 | 99,613 | -6,672 | skid front(in) | 1000000,000 | -11,500 | 0,000 | 1,000 | 100,000 | 0,000 | 0,406 | 0,795 | 0,795 | 0,795 | 0,785 | 0,785 | 0,037 |
| 6,500 | 47,439 | 99,613 | -6,671 | skid front(in) | 1000000,000 | -11,500 | 0,000 | 1,000 | 100,000 | 0,000 | 0,443 | 0,795 | 0,795 | 0,795 | 0,785 | 0,785 | 0,038 |
| 7,000 | 46,519 | 99,613 | -6,670 | skid front(in) | 1000000,000 | -11,500 | 0,000 | 1,000 | 100,000 | 0,000 | 0,482 | 0,795 | 0,795 | 0,795 | 0,785 | 0,785 | 0,038 |
| 7,500 | 45,580 | 99,613 | -6,668 | skid front(in) | 1000000,000 | -11,500 | 0,000 | 1,000 | 100,000 | 0,000 | 0,521 | 0,795 | 0,795 | 0,795 | 0,785 | 0,785 | 0,039 |
| 8,000 | 44,622 | 99,613 | -6,667 | skid front(in) | 1000000,000 | -11,500 | 0,000 | 1,000 | 100,000 | 0,000 | 0,561 | 0,795 | 0,795 | 0,795 | 0,785 | 0,785 | 0,040 |
| 8,500 | 43,644 | 99,613 | -6,666 | skid front(in) | 1000000,000 | -11,500 | 0,000 | 1,000 | 100,000 | 0,000 | 0,602 | 0,795 | 0,795 | 0,795 | 0,785 | 0,785 | 0,041 |
| 9,000 | 42,642 | 99,613 | -6,665 | skid front(in) | 1000000,000 | -11,500 | 0,000 | 1,000 | 100,000 | 0,000 | 0,643 | 0,795 | 0,795 | 0,795 | 0,785 | 0,785 | 0,042 |
| 9,500 | 41,617 | 99,613 | -6,664 | skid front(in) | 1000000,000 | -11,500 | 0,000 | 1,000 | 100,000 | 0,000 | 0,686 | 0,795 | 0,795 | 0,795 | 0,785 | 0,785 | 0,043 |
| 10,000 | 40,567 | 99,613 | -6,663 | skid front(in) | 1000000,000 | -11,500 | 0,000 | 1,000 | 100,000 | 0,000 | 0,730 | 0,795 | 0,795 | 0,795 | 0,785 | 0,785 | 0,044 |
| 10,500 | 39,488 | 99,613 | -6,662 | skid front(in) | 1000000,000 | -11,500 | 0,000 | 1,000 | 100,000 | 0,000 | 0,775 | 0,795 | 0,795 | 0,795 | 0,785 | 0,785 | 0,045 |
| 11,000 | 38,379 | 99,613 | -6,660 | skid front(in) | 1000000,000 | -11,500 | 0,000 | 1,000 | 100,000 | 0,000 | 0,821 | 0,795 | 0,795 | 0,795 | 0,785 | 0,785 | 0,046 |
| 11,500 | 37,238 | 99,613 | -6,659 | skid front(in) | 1000000,000 | -11,500 | 0,000 | 1,000 | 100,000 | 0,000 | 0,869 | 0,795 | 0,795 | 0,795 | 0,785 | 0,785 | 0,048 |
| 12,000 | 36,061 | 99,614 | -6,658 | skid front(in) | 1000000,000 | -11,500 | 0,000 | 1,000 | 100,000 | 0,000 | 0,918 | 0,795 | 0,795 | 0,795 | 0,785 | 0,785 | 0,049 |
| 12,500 | 34,844 | 99,614 | -6,657 | skid front(in) | 1000000,000 | -11,500 | 0,000 | 1,000 | 100,000 | 0,000 | 0,969 | 0,795 | 0,795 | 0,795 | 0,785 | 0,785 | 0,051 |
| 13,000 | 33,583 | 99,614 | -6,656 | skid front(in) | 1000000,000 | -11,500 | 0,000 | 1,000 | 100,000 | 0,001 | 1,021 | 0,795 | 0,795 | 0,795 | 0,785 | 0,785 | 0,053 |
| 13,500 | 32,273 | 99,614 | -6,655 | skid front(in) | 1000000,000 | -11,500 | 0,000 | 1,000 | 100,000 | 0,000 | 1,076 | 0,795 | 0,795 | 0,795 | 0,785 | 0,785 | 0,055 |
| 14,000 | 30,909 | 99,614 | -6,653 | skid front(in) | 1000000,000 | -11,500 | 0,000 | 1,000 | 100,000 | 0,000 | 1,133 | 0,795 | 0,795 | 0,795 | 0,785 | 0,785 | 0,057 |
| 14,500 | 29,481 | 99,614 | -6,652 | skid front(in) | 1000000,000 | -11,500 | 0,000 | 1,000 | 100,000 | 0,000 | 1,192 | 0,795 | 0,795 | 0,795 | 0,785 | 0,785 | 0,060 |
| 15,000 | 27,981 | 99,614 | -6,651 | skid front(in) | 1000000,000 | -11,500 | 0,000 | 1,000 | 100,000 | 0,001 | 1,255 | 0,795 | 0,795 | 0,795 | 0,785 | 0,785 | 0,063 |
| 15,500 | 26,396 | 99,598 | -6,647 | skid front(out) | 1000000,000 | -11,500 | 0,000 | 1,000 | 100,000 | -2,212 | 1,321 | 0,795 | 0,795 | 0,795 | 0,784 | 0,784 | 0,066 |
| 16,000 | 24,709 | 99,605 | -6,647 | skid front(out) | 1000000,000 | -11,500 | 0,000 | 1,000 | 100,000 | -1,805 | 1,392 | 0,795 | 0,795 | 0,795 | 0,785 | 0,785 | 0,070 |
| 16,500 | 22,900 | 99,623 | -6,647 | skid front(out) | 1000000,000 | -11,500 | 0,000 | 1,000 | 100,000 | -2,001 | 1,467 | 0,795 | 0,795 | 0,795 | 0,785 | 0,785 | 0,076 |
| 17,000 | 20,935 | 99,623 | -6,645 | skid front(out) | 1000000,000 | -11,500 | 0,000 | 1,000 | 100,000 | -4,013 | 1,549 | 0,795 | 0,795 | 0,795 | 0,785 | 0,785 | 0,082 |
| 17,500 | 18,765 | 99,578 | -6,642 | skid front(out) | 1000000,000 | -11,500 | 0,000 | 1,000 | 100,000 | -0,344 | 1,640 | 0,795 | 0,795 | 0,795 | 0,784 | 0,784 | 0,091 |
| 18,000 | 16,310 | 99,628 | -6,644 | skid front(out) | 1000000,000 | -11,500 | 0,000 | 1,000 | 100,000 | -2,243 | 1,743 | 0,795 | 0,795 | 0,795 | 0,785 | 0,785 | 0,103 |
| 18,500 | 13,413 | 99,631 | -6,642 | skid front(out) | 1000000,000 | -11,500 | 0,000 | 1,000 | 100,000 | -2,887 | 1,864 | 0,795 | 0,795 | 0,795 | 0,785 | 0,785 | 0,121 |
| 18,900 | 10,538 | 99,636 | -6,641 | skid front(out) | 1000000,000 | -11,500 | 0,000 | 1,000 | 100,000 | -4,329 | 1,984 | 0,795 | 0,795 | 0,795 | 0,785 | 0,785 | 0,120 |
| 19,500 | 2,782 | 99,605 | -6,637 | skid front(out) | 1000000,000 | -11,500 | 0,000 | 1,000 | 100,000 | -4,125 | 2,308 | 0,795 | 0,795 | 0,795 | 0,784 | 0,784 | 0,324 |

Προσδιορισμός Τιμών Πρόσφυσης κατά την Πέδηση Οχημάτων Εφοδιασμένων με Σύστημα ABS σε Αυξημένες κατά Μήκος Κλίσεις

| run_v_d_glif_3 | R(m) | br.front (%) | s(%) | e (%) | coeff | effic (%) | time (sec) | | | | | | | | | | |
|----------------|------------|--------------|--------|-----------------|-------------|-----------|------------|-------|-----------|-----------|------------|-------|-----------|----------|----------|---------|-----------|
| s= 100,000 | 1000000,00 | 70,00 | -11,5 | 0,0 | 1,00 | 100 | 2,308 | | | | | | | | | | 0,963 |
| step= 0,100 | viewstep= | 0,500 | STEPS | | | | | | | | | | | | | | |
| s (m) | V (km/h) | n (%) | dv/dt | skid check | R(m) | s(%) | e (%) | coeff | effic (%) | decelera | time (sec) | fT | front out | front in | rear out | rear in | checktime |
| 19,500 | 2,782 | 99,605 | -6,637 | skid front(out) | 1000000,000 | -11,500 | 0,000 | 1,000 | 100,000 | -4,112797 | 2,308 | 0,795 | 0,7947 | 0,7947 | 0,7843 | 0,7843 | |
| 0,000 | 58,100 | 99,612 | -6,686 | O.K | 1000000,000 | -11,500 | 0,000 | 1,000 | 100,000 | 0,000 | 0,000 | 0,795 | | | | | |
| 0,400 | 57,500 | 99,612 | -6,685 | skid front(in) | 1000000,000 | -11,500 | 0,000 | 1,000 | 100,000 | 0,000 | 0,025 | 0,795 | 0,795 | 0,795 | 0,785 | 0,785 | 0,025 |
| 1,000 | 56,589 | 99,612 | -6,683 | skid front(in) | 1000000,000 | -11,500 | 0,000 | 1,000 | 100,000 | 0,000 | 0,063 | 0,795 | 0,795 | 0,795 | 0,785 | 0,785 | 0,038 |
| 1,500 | 55,819 | 99,612 | -6,682 | skid front(in) | 1000000,000 | -11,500 | 0,000 | 1,000 | 100,000 | 0,000 | 0,095 | 0,795 | 0,795 | 0,795 | 0,785 | 0,785 | 0,032 |
| 2,000 | 55,038 | 99,612 | -6,681 | skid front(in) | 1000000,000 | -11,500 | 0,000 | 1,000 | 100,000 | 0,000 | 0,127 | 0,795 | 0,795 | 0,795 | 0,785 | 0,785 | 0,032 |
| 2,500 | 54,245 | 99,612 | -6,680 | skid front(in) | 1000000,000 | -11,500 | 0,000 | 1,000 | 100,000 | 0,000 | 0,160 | 0,795 | 0,795 | 0,795 | 0,785 | 0,785 | 0,033 |
| 3,000 | 53,441 | 99,612 | -6,679 | skid front(in) | 1000000,000 | -11,500 | 0,000 | 1,000 | 100,000 | 0,000 | 0,194 | 0,795 | 0,795 | 0,795 | 0,785 | 0,785 | 0,033 |
| 3,500 | 52,626 | 99,612 | -6,678 | skid front(in) | 1000000,000 | -11,500 | 0,000 | 1,000 | 100,000 | 0,000 | 0,228 | 0,795 | 0,795 | 0,795 | 0,785 | 0,785 | 0,034 |
| 4,000 | 51,797 | 99,612 | -6,677 | skid front(in) | 1000000,000 | -11,500 | 0,000 | 1,000 | 100,000 | 0,000 | 0,262 | 0,795 | 0,795 | 0,795 | 0,785 | 0,785 | 0,034 |
| 4,400 | 51,124 | 99,612 | -6,676 | skid front(in) | 1000000,000 | -11,500 | 0,000 | 1,000 | 100,000 | 0,000 | 0,290 | 0,795 | 0,795 | 0,795 | 0,785 | 0,785 | 0,028 |
| 5,000 | 50,099 | 99,613 | -6,674 | skid front(in) | 1000000,000 | -11,500 | 0,000 | 1,000 | 100,000 | 0,000 | 0,333 | 0,795 | 0,795 | 0,795 | 0,785 | 0,785 | 0,043 |
| 5,500 | 49,228 | 99,613 | -6,673 | skid front(in) | 1000000,000 | -11,500 | 0,000 | 1,000 | 100,000 | 0,000 | 0,369 | 0,795 | 0,795 | 0,795 | 0,785 | 0,785 | 0,036 |
| 6,000 | 48,342 | 99,613 | -6,672 | skid front(in) | 1000000,000 | -11,500 | 0,000 | 1,000 | 100,000 | 0,000 | 0,406 | 0,795 | 0,795 | 0,795 | 0,785 | 0,785 | 0,037 |
| 6,500 | 47,439 | 99,613 | -6,671 | skid front(in) | 1000000,000 | -11,500 | 0,000 | 1,000 | 100,000 | 0,000 | 0,443 | 0,795 | 0,795 | 0,795 | 0,785 | 0,785 | 0,038 |
| 7,000 | 46,519 | 99,613 | -6,670 | skid front(in) | 1000000,000 | -11,500 | 0,000 | 1,000 | 100,000 | 0,000 | 0,482 | 0,795 | 0,795 | 0,795 | 0,785 | 0,785 | 0,038 |
| 7,500 | 45,580 | 99,613 | -6,668 | skid front(in) | 1000000,000 | -11,500 | 0,000 | 1,000 | 100,000 | 0,000 | 0,521 | 0,795 | 0,795 | 0,795 | 0,785 | 0,785 | 0,039 |
| 8,000 | 44,622 | 99,613 | -6,667 | skid front(in) | 1000000,000 | -11,500 | 0,000 | 1,000 | 100,000 | 0,000 | 0,561 | 0,795 | 0,795 | 0,795 | 0,785 | 0,785 | 0,040 |
| 8,500 | 43,644 | 99,613 | -6,666 | skid front(in) | 1000000,000 | -11,500 | 0,000 | 1,000 | 100,000 | 0,000 | 0,602 | 0,795 | 0,795 | 0,795 | 0,785 | 0,785 | 0,041 |
| 9,000 | 42,642 | 99,613 | -6,665 | skid front(in) | 1000000,000 | -11,500 | 0,000 | 1,000 | 100,000 | 0,000 | 0,643 | 0,795 | 0,795 | 0,795 | 0,785 | 0,785 | 0,042 |
| 9,500 | 41,617 | 99,613 | -6,664 | skid front(in) | 1000000,000 | -11,500 | 0,000 | 1,000 | 100,000 | 0,000 | 0,686 | 0,795 | 0,795 | 0,795 | 0,785 | 0,785 | 0,043 |
| 10,000 | 40,567 | 99,613 | -6,663 | skid front(in) | 1000000,000 | -11,500 | 0,000 | 1,000 | 100,000 | 0,000 | 0,730 | 0,795 | 0,795 | 0,795 | 0,785 | 0,785 | 0,044 |
| 10,500 | 39,488 | 99,613 | -6,662 | skid front(in) | 1000000,000 | -11,500 | 0,000 | 1,000 | 100,000 | 0,001 | 0,775 | 0,795 | 0,795 | 0,795 | 0,785 | 0,785 | 0,045 |
| 11,000 | 38,379 | 99,613 | -6,660 | skid front(in) | 1000000,000 | -11,500 | 0,000 | 1,000 | 100,000 | 0,001 | 0,821 | 0,795 | 0,795 | 0,795 | 0,785 | 0,785 | 0,046 |
| 11,500 | 37,238 | 99,613 | -6,659 | skid front(in) | 1000000,000 | -11,500 | 0,000 | 1,000 | 100,000 | 0,000 | 0,869 | 0,795 | 0,795 | 0,795 | 0,785 | 0,785 | 0,048 |
| 12,000 | 36,061 | 99,614 | -6,658 | skid front(in) | 1000000,000 | -11,500 | 0,000 | 1,000 | 100,000 | 0,000 | 0,918 | 0,795 | 0,795 | 0,795 | 0,785 | 0,785 | 0,049 |
| 12,500 | 34,844 | 99,614 | -6,657 | skid front(in) | 1000000,000 | -11,500 | 0,000 | 1,000 | 100,000 | 0,000 | 0,969 | 0,795 | 0,795 | 0,795 | 0,785 | 0,785 | 0,051 |
| 13,000 | 33,583 | 99,614 | -6,656 | skid front(in) | 1000000,000 | -11,500 | 0,000 | 1,000 | 100,000 | 0,000 | 1,021 | 0,795 | 0,795 | 0,795 | 0,785 | 0,785 | 0,053 |
| 13,500 | 32,273 | 99,614 | -6,655 | skid front(in) | 1000000,000 | -11,500 | 0,000 | 1,000 | 100,000 | 0,000 | 1,076 | 0,795 | 0,795 | 0,795 | 0,785 | 0,785 | 0,055 |
| 14,000 | 30,909 | 99,614 | -6,653 | skid front(in) | 1000000,000 | -11,500 | 0,000 | 1,000 | 100,000 | 0,000 | 1,133 | 0,795 | 0,795 | 0,795 | 0,785 | 0,785 | 0,057 |
| 14,500 | 29,481 | 99,614 | -6,652 | skid front(in) | 1000000,000 | -11,500 | 0,000 | 1,000 | 100,000 | 0,000 | 1,192 | 0,795 | 0,795 | 0,795 | 0,785 | 0,785 | 0,060 |
| 15,000 | 27,981 | 99,614 | -6,651 | skid front(in) | 1000000,000 | -11,500 | 0,000 | 1,000 | 100,000 | 0,001 | 1,255 | 0,795 | 0,795 | 0,795 | 0,785 | 0,785 | 0,063 |
| 15,500 | 26,396 | 99,598 | -6,647 | skid front(out) | 1000000,000 | -11,500 | 0,000 | 1,000 | 100,000 | -2,201 | 1,321 | 0,795 | 0,795 | 0,795 | 0,784 | 0,784 | 0,066 |
| 16,000 | 24,709 | 99,605 | -6,647 | skid front(out) | 1000000,000 | -11,500 | 0,000 | 1,000 | 100,000 | -1,793 | 1,392 | 0,795 | 0,795 | 0,795 | 0,785 | 0,785 | 0,070 |
| 16,500 | 22,900 | 99,623 | -6,647 | skid front(out) | 1000000,000 | -11,500 | 0,000 | 1,000 | 100,000 | -1,990 | 1,467 | 0,795 | 0,795 | 0,795 | 0,785 | 0,785 | 0,076 |
| 17,000 | 20,935 | 99,624 | -6,645 | skid front(out) | 1000000,000 | -11,500 | 0,000 | 1,000 | 100,000 | -4,116 | 1,549 | 0,795 | 0,795 | 0,795 | 0,785 | 0,785 | 0,082 |
| 17,500 | 18,765 | 99,578 | -6,642 | skid front(out) | 1000000,000 | -11,500 | 0,000 | 1,000 | 100,000 | -0,333 | 1,640 | 0,795 | 0,795 | 0,795 | 0,784 | 0,784 | 0,091 |
| 18,000 | 16,310 | 99,628 | -6,644 | skid front(out) | 1000000,000 | -11,500 | 0,000 | 1,000 | 100,000 | -2,231 | 1,743 | 0,795 | 0,795 | 0,795 | 0,785 | 0,785 | 0,103 |
| 18,500 | 13,413 | 99,631 | -6,642 | skid front(out) | 1000000,000 | -11,500 | 0,000 | 1,000 | 100,000 | -2,875 | 1,864 | 0,795 | 0,795 | 0,795 | 0,785 | 0,785 | 0,121 |
| 18,900 | 10,538 | 99,636 | -6,641 | skid front(out) | 1000000,000 | -11,500 | 0,000 | 1,000 | 100,000 | -4,316 | 1,984 | 0,795 | 0,795 | 0,795 | 0,785 | 0,785 | 0,120 |
| 19,500 | 2,782 | 99,605 | -6,637 | skid front(out) | 1000000,000 | -11,500 | 0,000 | 1,000 | 100,000 | -4,113 | 2,308 | 0,795 | 0,795 | 0,795 | 0,784 | 0,784 | 0,324 |

Προσδιορισμός Τιμών Πρόσφυσης κατά την Πέδηση Οχημάτων Εφοδιασμένων με Σύστημα ABS σε Αυξημένες κατά Μήκος Κλίσεις

| run_v_d_glif_6 | R(m) | br.front (%) | s(%) | e (%) | coeff | effic (%) | time (sec) | | | | | | | | | | |
|----------------|-----------------|--------------|--------|-----------------|-------------|-----------|------------|-------|-----------|-----------|------------|-------|-----------|----------|----------|---------|-----------|
| s= 100,000 | 1000000,00 | 70,50 | -11,5 | 0,0 | 1,00 | 100 | 2,287 | 0,963 | | | | | | | | | |
| step= 0,100 | viewstep= 0,500 | STEPS | | | | | | | | | | | | | | | |
| s (m) | V (km/h) | n (%) | dv/dt | skid check | R(m) | s(%) | e (%) | coeff | effic (%) | decelera | time (sec) | ft | front out | front in | rear out | rear in | checktime |
| 18,800 | 1,985 | 99,109 | -6,696 | skid front(out) | 1000000,000 | -11,500 | 0,000 | 1,000 | 100,000 | -3,254346 | 2,287 | 0,805 | 0,8048 | 0,8048 | 0,7808 | 0,7808 | |
| 0,000 | 57,260 | 99,106 | -6,742 | O.K | 1000000,000 | -11,500 | 0,000 | 1,000 | 100,000 | 0,000 | 0,000 | 0,805 | | | | | |
| 0,400 | 56,646 | 99,106 | -6,741 | skid front(in) | 1000000,000 | -11,500 | 0,000 | 1,000 | 100,000 | 0,000 | 0,025 | 0,805 | 0,805 | 0,805 | 0,781 | 0,781 | 0,025 |
| 1,000 | 55,713 | 99,107 | -6,740 | skid front(in) | 1000000,000 | -11,500 | 0,000 | 1,000 | 100,000 | 0,000 | 0,064 | 0,805 | 0,805 | 0,805 | 0,781 | 0,781 | 0,038 |
| 1,500 | 54,924 | 99,107 | -6,739 | skid front(in) | 1000000,000 | -11,500 | 0,000 | 1,000 | 100,000 | 0,000 | 0,096 | 0,805 | 0,805 | 0,805 | 0,781 | 0,781 | 0,033 |
| 2,000 | 54,123 | 99,107 | -6,737 | skid front(in) | 1000000,000 | -11,500 | 0,000 | 1,000 | 100,000 | 0,000 | 0,129 | 0,805 | 0,805 | 0,805 | 0,781 | 0,781 | 0,033 |
| 2,500 | 53,310 | 99,107 | -6,736 | skid front(in) | 1000000,000 | -11,500 | 0,000 | 1,000 | 100,000 | 0,000 | 0,163 | 0,805 | 0,805 | 0,805 | 0,781 | 0,781 | 0,034 |
| 3,000 | 52,485 | 99,107 | -6,735 | skid front(in) | 1000000,000 | -11,500 | 0,000 | 1,000 | 100,000 | 0,000 | 0,197 | 0,805 | 0,805 | 0,805 | 0,781 | 0,781 | 0,034 |
| 3,500 | 51,647 | 99,107 | -6,734 | skid front(in) | 1000000,000 | -11,500 | 0,000 | 1,000 | 100,000 | 0,000 | 0,231 | 0,805 | 0,805 | 0,805 | 0,781 | 0,781 | 0,035 |
| 4,000 | 50,795 | 99,107 | -6,733 | skid front(in) | 1000000,000 | -11,500 | 0,000 | 1,000 | 100,000 | 0,000 | 0,267 | 0,805 | 0,805 | 0,805 | 0,781 | 0,781 | 0,035 |
| 4,400 | 50,104 | 99,107 | -6,732 | skid front(in) | 1000000,000 | -11,500 | 0,000 | 1,000 | 100,000 | 0,000 | 0,295 | 0,805 | 0,805 | 0,805 | 0,781 | 0,781 | 0,029 |
| 5,000 | 49,048 | 99,107 | -6,731 | skid front(in) | 1000000,000 | -11,500 | 0,000 | 1,000 | 100,000 | 0,000 | 0,339 | 0,805 | 0,805 | 0,805 | 0,781 | 0,781 | 0,044 |
| 5,500 | 48,150 | 99,107 | -6,729 | skid front(in) | 1000000,000 | -11,500 | 0,000 | 1,000 | 100,000 | 0,000 | 0,376 | 0,805 | 0,805 | 0,805 | 0,781 | 0,781 | 0,037 |
| 6,000 | 47,236 | 99,107 | -6,728 | skid front(in) | 1000000,000 | -11,500 | 0,000 | 1,000 | 100,000 | 0,000 | 0,413 | 0,805 | 0,805 | 0,805 | 0,781 | 0,781 | 0,038 |
| 6,500 | 46,304 | 99,107 | -6,727 | skid front(in) | 1000000,000 | -11,500 | 0,000 | 1,000 | 100,000 | 0,000 | 0,452 | 0,805 | 0,805 | 0,805 | 0,781 | 0,781 | 0,038 |
| 7,000 | 45,353 | 99,107 | -6,726 | skid front(in) | 1000000,000 | -11,500 | 0,000 | 1,000 | 100,000 | 0,000 | 0,491 | 0,805 | 0,805 | 0,805 | 0,781 | 0,781 | 0,039 |
| 7,500 | 44,382 | 99,108 | -6,725 | skid front(in) | 1000000,000 | -11,500 | 0,000 | 1,000 | 100,000 | 0,000 | 0,531 | 0,805 | 0,805 | 0,805 | 0,781 | 0,781 | 0,040 |
| 8,000 | 43,389 | 99,108 | -6,724 | skid front(in) | 1000000,000 | -11,500 | 0,000 | 1,000 | 100,000 | 0,000 | 0,572 | 0,805 | 0,805 | 0,805 | 0,781 | 0,781 | 0,041 |
| 8,500 | 42,373 | 99,108 | -6,722 | skid front(in) | 1000000,000 | -11,500 | 0,000 | 1,000 | 100,000 | 0,000 | 0,614 | 0,805 | 0,805 | 0,805 | 0,781 | 0,781 | 0,042 |
| 9,000 | 41,332 | 99,108 | -6,721 | skid front(in) | 1000000,000 | -11,500 | 0,000 | 1,000 | 100,000 | 0,000 | 0,657 | 0,805 | 0,805 | 0,805 | 0,781 | 0,781 | 0,043 |
| 9,500 | 40,265 | 99,108 | -6,720 | skid front(in) | 1000000,000 | -11,500 | 0,000 | 1,000 | 100,000 | 0,000 | 0,701 | 0,805 | 0,805 | 0,805 | 0,781 | 0,781 | 0,044 |
| 10,000 | 39,168 | 99,108 | -6,719 | skid front(in) | 1000000,000 | -11,500 | 0,000 | 1,000 | 100,000 | 0,000 | 0,747 | 0,805 | 0,805 | 0,805 | 0,781 | 0,781 | 0,045 |
| 10,500 | 38,041 | 99,108 | -6,718 | skid front(in) | 1000000,000 | -11,500 | 0,000 | 1,000 | 100,000 | 0,000 | 0,793 | 0,805 | 0,805 | 0,805 | 0,781 | 0,781 | 0,047 |
| 11,000 | 36,879 | 99,108 | -6,717 | skid front(in) | 1000000,000 | -11,500 | 0,000 | 1,000 | 100,000 | 0,001 | 0,841 | 0,805 | 0,805 | 0,805 | 0,781 | 0,781 | 0,048 |
| 11,500 | 35,679 | 99,108 | -6,715 | skid front(in) | 1000000,000 | -11,500 | 0,000 | 1,000 | 100,000 | 0,000 | 0,891 | 0,805 | 0,805 | 0,805 | 0,781 | 0,781 | 0,050 |
| 12,000 | 34,438 | 99,108 | -6,714 | skid front(in) | 1000000,000 | -11,500 | 0,000 | 1,000 | 100,000 | 0,000 | 0,942 | 0,805 | 0,805 | 0,805 | 0,781 | 0,781 | 0,051 |
| 12,500 | 33,150 | 99,108 | -6,713 | skid front(in) | 1000000,000 | -11,500 | 0,000 | 1,000 | 100,000 | 0,000 | 0,996 | 0,805 | 0,805 | 0,805 | 0,781 | 0,781 | 0,053 |
| 13,000 | 31,811 | 99,108 | -6,712 | skid front(in) | 1000000,000 | -11,500 | 0,000 | 1,000 | 100,000 | 0,000 | 1,051 | 0,805 | 0,805 | 0,805 | 0,781 | 0,781 | 0,055 |
| 13,500 | 30,413 | 99,108 | -6,711 | skid front(in) | 1000000,000 | -11,500 | 0,000 | 1,000 | 100,000 | 0,000 | 1,109 | 0,805 | 0,805 | 0,805 | 0,781 | 0,781 | 0,058 |
| 14,000 | 28,948 | 99,109 | -6,710 | skid front(in) | 1000000,000 | -11,500 | 0,000 | 1,000 | 100,000 | 0,001 | 1,170 | 0,805 | 0,805 | 0,805 | 0,781 | 0,781 | 0,061 |
| 14,500 | 27,406 | 99,109 | -6,709 | skid front(in) | 1000000,000 | -11,500 | 0,000 | 1,000 | 100,000 | 0,003 | 1,233 | 0,805 | 0,805 | 0,805 | 0,781 | 0,781 | 0,064 |
| 15,000 | 25,771 | 99,112 | -6,707 | skid front(out) | 1000000,000 | -11,500 | 0,000 | 1,000 | 100,000 | -1,363 | 1,301 | 0,805 | 0,805 | 0,805 | 0,781 | 0,781 | 0,068 |
| 15,500 | 24,025 | 99,121 | -6,706 | skid front(out) | 1000000,000 | -11,500 | 0,000 | 1,000 | 100,000 | -1,828 | 1,373 | 0,805 | 0,805 | 0,805 | 0,781 | 0,781 | 0,072 |
| 16,000 | 22,143 | 99,093 | -6,703 | skid front(out) | 1000000,000 | -11,500 | 0,000 | 1,000 | 100,000 | -1,197 | 1,451 | 0,805 | 0,805 | 0,805 | 0,781 | 0,781 | 0,078 |
| 16,500 | 20,086 | 99,133 | -6,704 | skid front(out) | 1000000,000 | -11,500 | 0,000 | 1,000 | 100,000 | -2,834 | 1,537 | 0,805 | 0,805 | 0,805 | 0,781 | 0,781 | 0,085 |
| 17,000 | 17,792 | 99,135 | -6,703 | skid front(out) | 1000000,000 | -11,500 | 0,000 | 1,000 | 100,000 | -3,333 | 1,632 | 0,805 | 0,805 | 0,805 | 0,781 | 0,781 | 0,095 |
| 17,500 | 15,156 | 99,094 | -6,699 | skid front(out) | 1000000,000 | -11,500 | 0,000 | 1,000 | 100,000 | -2,525 | 1,741 | 0,805 | 0,805 | 0,805 | 0,781 | 0,781 | 0,109 |
| 18,000 | 11,953 | 99,127 | -6,699 | skid front(out) | 1000000,000 | -11,500 | 0,000 | 1,000 | 100,000 | -4,292 | 1,874 | 0,805 | 0,805 | 0,805 | 0,781 | 0,781 | 0,133 |
| 18,500 | 7,487 | 99,115 | -6,697 | skid front(out) | 1000000,000 | -11,500 | 0,000 | 1,000 | 100,000 | -4,685 | 2,059 | 0,805 | 0,805 | 0,805 | 0,781 | 0,781 | 0,185 |
| 18,800 | 1,985 | 99,109 | -6,696 | skid front(out) | 1000000,000 | -11,500 | 0,000 | 1,000 | 100,000 | -3,254 | 2,287 | 0,805 | 0,805 | 0,805 | 0,781 | 0,781 | 0,228 |

Προσδιορισμός Τιμών Πρόσφυσης κατά την Πέδηση Οχημάτων Εφοδιασμένων με Σύστημα ABS σε Αυξημένες κατά Μήκος Κλίσεις

| run_v_d_glif_8 | R(m) | br.front (%) | s(%) | e (%) | coeff | effic (%) | time (sec) | | | | | | | | | | |
|----------------|-----------------|--------------|--------|-----------------|-------------|-----------|------------|-------|-----------|-----------|------------|-------|-----------|----------|----------|---------|-----------|
| s= 100,000 | 1000000,00 | 70,00 | -11,5 | 0,0 | 1,00 | 100 | 2,197 | | | | | | | | | | 0,963 |
| step= 0,100 | viewstep= 0,500 | STEPS | | | | | | | | | | | | | | | |
| s (m) | V (km/h) | n (%) | dv/dt | skid check | R(m) | s(%) | e (%) | coeff | effic (%) | decelera | time (sec) | fT | front out | front in | rear out | rear in | checktime |
| 16,600 | 0,662 | 99,666 | -6,654 | skid front(out) | 1000000,000 | -11,500 | 0,000 | 1,000 | 100,000 | -1,460706 | 2,197 | 0,796 | 0,7960 | 0,7960 | 0,7870 | 0,7870 | |
| 0,000 | 53,390 | 99,659 | -6,692 | O.K | 1000000,000 | -11,500 | 0,000 | 1,000 | 100,000 | 0,000 | 0,000 | 0,796 | | | | | |
| 0,400 | 52,736 | 99,659 | -6,691 | skid front(in) | 1000000,000 | -11,500 | 0,000 | 1,000 | 100,000 | 0,000 | 0,027 | 0,796 | 0,796 | 0,796 | 0,787 | 0,787 | 0,027 |
| 1,000 | 51,740 | 99,659 | -6,690 | skid front(in) | 1000000,000 | -11,500 | 0,000 | 1,000 | 100,000 | 0,000 | 0,068 | 0,796 | 0,796 | 0,796 | 0,787 | 0,787 | 0,041 |
| 1,500 | 50,896 | 99,660 | -6,689 | skid front(in) | 1000000,000 | -11,500 | 0,000 | 1,000 | 100,000 | 0,000 | 0,104 | 0,796 | 0,796 | 0,796 | 0,787 | 0,787 | 0,035 |
| 2,000 | 50,037 | 99,660 | -6,688 | skid front(in) | 1000000,000 | -11,500 | 0,000 | 1,000 | 100,000 | 0,000 | 0,139 | 0,796 | 0,796 | 0,796 | 0,787 | 0,787 | 0,036 |
| 2,500 | 49,163 | 99,660 | -6,686 | skid front(in) | 1000000,000 | -11,500 | 0,000 | 1,000 | 100,000 | 0,000 | 0,176 | 0,796 | 0,796 | 0,796 | 0,787 | 0,787 | 0,036 |
| 3,000 | 48,274 | 99,660 | -6,685 | skid front(in) | 1000000,000 | -11,500 | 0,000 | 1,000 | 100,000 | 0,000 | 0,212 | 0,796 | 0,796 | 0,796 | 0,787 | 0,787 | 0,037 |
| 3,500 | 47,368 | 99,660 | -6,684 | skid front(in) | 1000000,000 | -11,500 | 0,000 | 1,000 | 100,000 | 0,000 | 0,250 | 0,796 | 0,796 | 0,796 | 0,787 | 0,787 | 0,038 |
| 4,000 | 46,445 | 99,660 | -6,683 | skid front(in) | 1000000,000 | -11,500 | 0,000 | 1,000 | 100,000 | 0,000 | 0,288 | 0,796 | 0,796 | 0,796 | 0,787 | 0,787 | 0,038 |
| 4,400 | 45,693 | 99,660 | -6,682 | skid front(in) | 1000000,000 | -11,500 | 0,000 | 1,000 | 100,000 | 0,000 | 0,320 | 0,796 | 0,796 | 0,796 | 0,787 | 0,787 | 0,031 |
| 5,000 | 44,541 | 99,660 | -6,681 | skid front(in) | 1000000,000 | -11,500 | 0,000 | 1,000 | 100,000 | 0,000 | 0,368 | 0,796 | 0,796 | 0,796 | 0,787 | 0,787 | 0,048 |
| 5,500 | 43,559 | 99,660 | -6,679 | skid front(in) | 1000000,000 | -11,500 | 0,000 | 1,000 | 100,000 | 0,000 | 0,408 | 0,796 | 0,796 | 0,796 | 0,787 | 0,787 | 0,041 |
| 6,000 | 42,554 | 99,660 | -6,678 | skid front(in) | 1000000,000 | -11,500 | 0,000 | 1,000 | 100,000 | 0,000 | 0,450 | 0,796 | 0,796 | 0,796 | 0,787 | 0,787 | 0,042 |
| 6,500 | 41,524 | 99,660 | -6,677 | skid front(in) | 1000000,000 | -11,500 | 0,000 | 1,000 | 100,000 | 0,000 | 0,493 | 0,796 | 0,796 | 0,796 | 0,787 | 0,787 | 0,043 |
| 7,000 | 40,469 | 99,660 | -6,676 | skid front(in) | 1000000,000 | -11,500 | 0,000 | 1,000 | 100,000 | 0,000 | 0,537 | 0,796 | 0,796 | 0,796 | 0,787 | 0,787 | 0,044 |
| 7,500 | 39,385 | 99,660 | -6,675 | skid front(in) | 1000000,000 | -11,500 | 0,000 | 1,000 | 100,000 | 0,000 | 0,582 | 0,796 | 0,796 | 0,796 | 0,787 | 0,787 | 0,045 |
| 8,000 | 38,272 | 99,661 | -6,674 | skid front(in) | 1000000,000 | -11,500 | 0,000 | 1,000 | 100,000 | 0,000 | 0,628 | 0,796 | 0,796 | 0,796 | 0,787 | 0,787 | 0,046 |
| 8,500 | 37,125 | 99,661 | -6,673 | skid front(in) | 1000000,000 | -11,500 | 0,000 | 1,000 | 100,000 | 0,000 | 0,676 | 0,796 | 0,796 | 0,796 | 0,787 | 0,787 | 0,048 |
| 9,000 | 35,941 | 99,661 | -6,671 | skid front(in) | 1000000,000 | -11,500 | 0,000 | 1,000 | 100,000 | 0,000 | 0,725 | 0,796 | 0,796 | 0,796 | 0,787 | 0,787 | 0,049 |
| 9,500 | 34,718 | 99,661 | -6,670 | skid front(in) | 1000000,000 | -11,500 | 0,000 | 1,000 | 100,000 | 0,000 | 0,776 | 0,796 | 0,796 | 0,796 | 0,787 | 0,787 | 0,051 |
| 10,000 | 33,450 | 99,661 | -6,669 | skid front(in) | 1000000,000 | -11,500 | 0,000 | 1,000 | 100,000 | 0,000 | 0,829 | 0,796 | 0,796 | 0,796 | 0,787 | 0,787 | 0,053 |
| 10,500 | 32,132 | 99,661 | -6,668 | skid front(in) | 1000000,000 | -11,500 | 0,000 | 1,000 | 100,000 | 0,000 | 0,884 | 0,796 | 0,796 | 0,796 | 0,787 | 0,787 | 0,055 |
| 11,000 | 30,758 | 99,661 | -6,667 | skid front(in) | 1000000,000 | -11,500 | 0,000 | 1,000 | 100,000 | 0,000 | 0,941 | 0,796 | 0,796 | 0,796 | 0,787 | 0,787 | 0,057 |
| 11,500 | 29,320 | 99,661 | -6,666 | skid front(in) | 1000000,000 | -11,500 | 0,000 | 1,000 | 100,000 | 0,001 | 1,001 | 0,796 | 0,796 | 0,796 | 0,787 | 0,787 | 0,060 |
| 12,000 | 27,808 | 99,661 | -6,665 | skid front(in) | 1000000,000 | -11,500 | 0,000 | 1,000 | 100,000 | 0,001 | 1,064 | 0,796 | 0,796 | 0,796 | 0,787 | 0,787 | 0,063 |
| 12,500 | 26,209 | 99,666 | -6,662 | skid front(out) | 1000000,000 | -11,500 | 0,000 | 1,000 | 100,000 | -2,180 | 1,131 | 0,796 | 0,796 | 0,796 | 0,787 | 0,787 | 0,067 |
| 13,000 | 24,506 | 99,677 | -6,661 | skid front(out) | 1000000,000 | -11,500 | 0,000 | 1,000 | 100,000 | -3,115 | 1,202 | 0,796 | 0,796 | 0,796 | 0,787 | 0,787 | 0,071 |
| 13,500 | 22,676 | 99,674 | -6,661 | skid front(out) | 1000000,000 | -11,500 | 0,000 | 1,000 | 100,000 | -1,613 | 1,278 | 0,796 | 0,796 | 0,796 | 0,787 | 0,787 | 0,076 |
| 14,000 | 20,686 | 99,653 | -6,658 | skid front(out) | 1000000,000 | -11,500 | 0,000 | 1,000 | 100,000 | -1,853 | 1,361 | 0,796 | 0,796 | 0,796 | 0,787 | 0,787 | 0,083 |
| 14,500 | 18,482 | 99,672 | -6,659 | skid front(out) | 1000000,000 | -11,500 | 0,000 | 1,000 | 100,000 | -1,366 | 1,453 | 0,796 | 0,796 | 0,796 | 0,787 | 0,787 | 0,092 |
| 15,000 | 15,978 | 99,673 | -6,657 | skid front(out) | 1000000,000 | -11,500 | 0,000 | 1,000 | 100,000 | -2,759 | 1,558 | 0,796 | 0,796 | 0,796 | 0,787 | 0,787 | 0,104 |
| 15,500 | 13,002 | 99,656 | -6,655 | skid front(out) | 1000000,000 | -11,500 | 0,000 | 1,000 | 100,000 | -1,479 | 1,682 | 0,796 | 0,796 | 0,796 | 0,787 | 0,787 | 0,124 |
| 16,000 | 9,099 | 99,649 | -6,654 | skid front(out) | 1000000,000 | -11,500 | 0,000 | 1,000 | 100,000 | -0,627 | 1,845 | 0,796 | 0,796 | 0,796 | 0,787 | 0,787 | 0,163 |
| 16,500 | 3,483 | 99,634 | -6,651 | skid front(out) | 1000000,000 | -11,500 | 0,000 | 1,000 | 100,000 | -2,256 | 2,079 | 0,796 | 0,796 | 0,796 | 0,786 | 0,786 | 0,235 |
| 16,600 | 0,662 | 99,666 | -6,654 | skid front(out) | 1000000,000 | -11,500 | 0,000 | 1,000 | 100,000 | -1,461 | 2,197 | 0,796 | 0,796 | 0,796 | 0,787 | 0,787 | 0,118 |

Προσδιορισμός Τιμών Πρόσφυσης κατά την Πέδηση Οχημάτων Εφοδιασμένων με Σύστημα ABS σε Αυξημένες κατά Μήκος Κλίσεις

| run_v_d_glif_9 | | R(m) | br.front (%) | s(%) | e (%) | coeff | effic (%) | time (sec) | | | | | | | | | |
|----------------|----------|------------|--------------|-----------------|-------------|--------|-----------|------------|-----------|-----------|------------|-------|-----------|----------|----------|---------|-----------|
| s= | 100,000 | 1000000,00 | 71,50 | 11,5 | 0,0 | 1,00 | 100 | 1,369 | | | | | | | | | |
| step= | 0,100 | viewstep= | 0,500 | STEPS | | | | | | | | | 0,963 | | | | |
| s (m) | V (km/h) | n (%) | dv/dt | skid check | R(m) | s(%) | e (%) | coeff | effic (%) | decelera | time (sec) | fT | front out | front in | rear out | rear in | checktime |
| 10,200 | 3,715 | 99,103 | -9,362 | skid front(out) | 1000000,000 | 11,500 | 0,000 | 1,000 | 100,000 | -1,838668 | 1,369 | 0,847 | 0,8468 | 0,8468 | 0,8211 | 0,8211 | |
| 0,000 | 49,940 | 99,127 | -9,397 | O.K | 1000000,000 | 11,500 | 0,000 | 1,000 | 100,000 | 0,000 | 0,000 | 0,847 | | | | | |
| 0,400 | 48,955 | 99,127 | -9,396 | skid front(in) | 1000000,000 | 11,500 | 0,000 | 1,000 | 100,000 | 0,000 | 0,029 | 0,847 | 0,847 | 0,847 | 0,822 | 0,822 | 0,029 |
| 1,000 | 47,439 | 99,127 | -9,394 | skid front(in) | 1000000,000 | 11,500 | 0,000 | 1,000 | 100,000 | 0,000 | 0,074 | 0,847 | 0,847 | 0,847 | 0,822 | 0,822 | 0,045 |
| 1,500 | 46,138 | 99,127 | -9,392 | skid front(in) | 1000000,000 | 11,500 | 0,000 | 1,000 | 100,000 | 0,000 | 0,112 | 0,847 | 0,847 | 0,847 | 0,822 | 0,822 | 0,038 |
| 2,000 | 44,800 | 99,127 | -9,391 | skid front(in) | 1000000,000 | 11,500 | 0,000 | 1,000 | 100,000 | 0,000 | 0,152 | 0,847 | 0,847 | 0,847 | 0,822 | 0,822 | 0,040 |
| 2,500 | 43,420 | 99,127 | -9,389 | skid front(in) | 1000000,000 | 11,500 | 0,000 | 1,000 | 100,000 | 0,000 | 0,193 | 0,847 | 0,847 | 0,847 | 0,822 | 0,822 | 0,041 |
| 3,000 | 41,996 | 99,128 | -9,388 | skid front(in) | 1000000,000 | 11,500 | 0,000 | 1,000 | 100,000 | 0,000 | 0,235 | 0,847 | 0,847 | 0,847 | 0,822 | 0,822 | 0,042 |
| 3,500 | 40,522 | 99,128 | -9,386 | skid front(in) | 1000000,000 | 11,500 | 0,000 | 1,000 | 100,000 | 0,000 | 0,279 | 0,847 | 0,847 | 0,847 | 0,822 | 0,822 | 0,044 |
| 4,000 | 38,992 | 99,128 | -9,385 | skid front(in) | 1000000,000 | 11,500 | 0,000 | 1,000 | 100,000 | 0,000 | 0,324 | 0,847 | 0,847 | 0,847 | 0,822 | 0,822 | 0,045 |
| 4,400 | 37,724 | 99,128 | -9,383 | skid front(in) | 1000000,000 | 11,500 | 0,000 | 1,000 | 100,000 | 0,000 | 0,361 | 0,847 | 0,847 | 0,847 | 0,822 | 0,822 | 0,038 |
| 5,000 | 35,737 | 99,128 | -9,381 | skid front(in) | 1000000,000 | 11,500 | 0,000 | 1,000 | 100,000 | 0,000 | 0,420 | 0,847 | 0,847 | 0,847 | 0,822 | 0,822 | 0,059 |
| 5,500 | 33,994 | 99,128 | -9,380 | skid front(in) | 1000000,000 | 11,500 | 0,000 | 1,000 | 100,000 | 0,000 | 0,472 | 0,847 | 0,847 | 0,847 | 0,822 | 0,822 | 0,052 |
| 6,000 | 32,156 | 99,128 | -9,378 | skid front(in) | 1000000,000 | 11,500 | 0,000 | 1,000 | 100,000 | 0,000 | 0,526 | 0,847 | 0,847 | 0,847 | 0,822 | 0,822 | 0,054 |
| 6,500 | 30,208 | 99,128 | -9,377 | skid front(in) | 1000000,000 | 11,500 | 0,000 | 1,000 | 100,000 | 0,001 | 0,584 | 0,847 | 0,847 | 0,847 | 0,822 | 0,822 | 0,058 |
| 7,000 | 28,125 | 99,128 | -9,375 | skid front(in) | 1000000,000 | 11,500 | 0,000 | 1,000 | 100,000 | 0,000 | 0,646 | 0,847 | 0,847 | 0,847 | 0,822 | 0,822 | 0,062 |
| 7,500 | 25,875 | 99,103 | -9,372 | skid front(out) | 1000000,000 | 11,500 | 0,000 | 1,000 | 100,000 | 0,243 | 0,712 | 0,847 | 0,847 | 0,847 | 0,821 | 0,821 | 0,067 |
| 8,000 | 23,410 | 99,126 | -9,370 | skid front(out) | 1000000,000 | 11,500 | 0,000 | 1,000 | 100,000 | -2,464 | 0,785 | 0,847 | 0,847 | 0,847 | 0,821 | 0,821 | 0,073 |
| 8,500 | 20,654 | 99,142 | -9,370 | skid front(out) | 1000000,000 | 11,500 | 0,000 | 1,000 | 100,000 | -2,417 | 0,867 | 0,847 | 0,847 | 0,847 | 0,822 | 0,822 | 0,082 |
| 9,000 | 17,469 | 99,125 | -9,368 | skid front(out) | 1000000,000 | 11,500 | 0,000 | 1,000 | 100,000 | -0,943 | 0,962 | 0,847 | 0,847 | 0,847 | 0,822 | 0,822 | 0,094 |
| 9,500 | 13,555 | 99,152 | -9,367 | skid front(out) | 1000000,000 | 11,500 | 0,000 | 1,000 | 100,000 | -2,990 | 1,078 | 0,847 | 0,847 | 0,847 | 0,822 | 0,822 | 0,116 |
| 10,000 | 7,897 | 99,140 | -9,364 | skid front(out) | 1000000,000 | 11,500 | 0,000 | 1,000 | 100,000 | -3,493 | 1,245 | 0,847 | 0,847 | 0,847 | 0,821 | 0,821 | 0,168 |
| 10,200 | 3,715 | 99,103 | -9,362 | skid front(out) | 1000000,000 | 11,500 | 0,000 | 1,000 | 100,000 | -1,839 | 1,369 | 0,847 | 0,847 | 0,847 | 0,821 | 0,821 | 0,124 |

Προσδιορισμός Τιμών Πρόσφυσης κατά την Πέδηση Οχημάτων Εφοδιασμένων με Σύστημα ABS σε Αυξημένες κατά Μήκος Κλίσεις

| run_v_d_glif_10 | R(m) | br.front (%) | s(%) | e (%) | coeff | effic (%) | time (sec) | | | | | | | | | | |
|-----------------|-----------------|--------------|--------|-----------------|-------------|-----------|------------|-------|-----------|-----------|------------|-------|-----------|----------|----------|---------|-----------|
| s= 100,000 | 1000000,00 | 70,00 | -11,5 | 0,0 | 1,00 | 100 | 2,485 | | | | | | | | | | 0,963 |
| step= 0,100 | viewstep= 0,500 | STEPS | | | | | | | | | | | | | | | |
| s (m) | V (km/h) | n (%) | dv/dt | skid check | R(m) | s(%) | e (%) | coeff | effic (%) | decelera | time (sec) | fT | front out | front in | rear out | rear in | checktime |
| 21,000 | 0,389 | 99,772 | -6,692 | skid front(out) | 1000000,000 | -11,500 | 0,000 | 1,000 | 100,000 | -0,161259 | 2,485 | 0,799 | 0,7988 | 0,7988 | 0,7934 | 0,7934 | |
| 0,000 | 60,430 | 99,800 | -6,743 | O.K | 1000000,000 | -11,500 | 0,000 | 1,000 | 100,000 | 0,000 | 0,000 | 0,799 | | | | | |
| 0,400 | 59,849 | 99,800 | -6,742 | skid front(in) | 1000000,000 | -11,500 | 0,000 | 1,000 | 100,000 | 0,000 | 0,024 | 0,799 | 0,799 | 0,799 | 0,794 | 0,794 | 0,024 |
| 1,000 | 58,966 | 99,800 | -6,741 | skid front(in) | 1000000,000 | -11,500 | 0,000 | 1,000 | 100,000 | 0,000 | 0,060 | 0,799 | 0,799 | 0,799 | 0,794 | 0,794 | 0,036 |
| 1,500 | 58,221 | 99,800 | -6,740 | skid front(in) | 1000000,000 | -11,500 | 0,000 | 1,000 | 100,000 | 0,000 | 0,091 | 0,799 | 0,799 | 0,799 | 0,794 | 0,794 | 0,031 |
| 2,000 | 57,466 | 99,801 | -6,739 | skid front(in) | 1000000,000 | -11,500 | 0,000 | 1,000 | 100,000 | 0,000 | 0,122 | 0,799 | 0,799 | 0,799 | 0,794 | 0,794 | 0,031 |
| 2,500 | 56,701 | 99,801 | -6,737 | skid front(in) | 1000000,000 | -11,500 | 0,000 | 1,000 | 100,000 | 0,000 | 0,154 | 0,799 | 0,799 | 0,799 | 0,794 | 0,794 | 0,032 |
| 3,000 | 55,926 | 99,801 | -6,736 | skid front(in) | 1000000,000 | -11,500 | 0,000 | 1,000 | 100,000 | 0,000 | 0,186 | 0,799 | 0,799 | 0,799 | 0,794 | 0,794 | 0,032 |
| 3,500 | 55,140 | 99,801 | -6,735 | skid front(in) | 1000000,000 | -11,500 | 0,000 | 1,000 | 100,000 | 0,000 | 0,218 | 0,799 | 0,799 | 0,799 | 0,794 | 0,794 | 0,032 |
| 4,000 | 54,343 | 99,801 | -6,734 | skid front(in) | 1000000,000 | -11,500 | 0,000 | 1,000 | 100,000 | 0,000 | 0,251 | 0,799 | 0,799 | 0,799 | 0,794 | 0,794 | 0,033 |
| 4,400 | 53,697 | 99,801 | -6,733 | skid front(in) | 1000000,000 | -11,500 | 0,000 | 1,000 | 100,000 | 0,000 | 0,278 | 0,799 | 0,799 | 0,799 | 0,794 | 0,794 | 0,027 |
| 5,000 | 52,713 | 99,801 | -6,732 | skid front(in) | 1000000,000 | -11,500 | 0,000 | 1,000 | 100,000 | 0,000 | 0,318 | 0,799 | 0,799 | 0,799 | 0,794 | 0,794 | 0,041 |
| 5,500 | 51,879 | 99,801 | -6,730 | skid front(in) | 1000000,000 | -11,500 | 0,000 | 1,000 | 100,000 | 0,000 | 0,353 | 0,799 | 0,799 | 0,799 | 0,794 | 0,794 | 0,034 |
| 6,000 | 51,031 | 99,801 | -6,729 | skid front(in) | 1000000,000 | -11,500 | 0,000 | 1,000 | 100,000 | 0,000 | 0,388 | 0,799 | 0,799 | 0,799 | 0,794 | 0,794 | 0,035 |
| 6,500 | 50,169 | 99,801 | -6,728 | skid front(in) | 1000000,000 | -11,500 | 0,000 | 1,000 | 100,000 | 0,000 | 0,423 | 0,799 | 0,799 | 0,799 | 0,794 | 0,794 | 0,036 |
| 7,000 | 49,293 | 99,801 | -6,727 | skid front(in) | 1000000,000 | -11,500 | 0,000 | 1,000 | 100,000 | 0,000 | 0,459 | 0,799 | 0,799 | 0,799 | 0,794 | 0,794 | 0,036 |
| 7,500 | 48,400 | 99,801 | -6,726 | skid front(in) | 1000000,000 | -11,500 | 0,000 | 1,000 | 100,000 | 0,000 | 0,496 | 0,799 | 0,799 | 0,799 | 0,794 | 0,794 | 0,037 |
| 8,000 | 47,492 | 99,801 | -6,725 | skid front(in) | 1000000,000 | -11,500 | 0,000 | 1,000 | 100,000 | 0,000 | 0,534 | 0,799 | 0,799 | 0,799 | 0,794 | 0,794 | 0,038 |
| 8,500 | 46,565 | 99,802 | -6,723 | skid front(in) | 1000000,000 | -11,500 | 0,000 | 1,000 | 100,000 | 0,000 | 0,572 | 0,799 | 0,799 | 0,799 | 0,794 | 0,794 | 0,038 |
| 9,000 | 45,620 | 99,802 | -6,722 | skid front(in) | 1000000,000 | -11,500 | 0,000 | 1,000 | 100,000 | 0,000 | 0,611 | 0,799 | 0,799 | 0,799 | 0,794 | 0,794 | 0,039 |
| 9,500 | 44,655 | 99,802 | -6,721 | skid front(in) | 1000000,000 | -11,500 | 0,000 | 1,000 | 100,000 | 0,000 | 0,651 | 0,799 | 0,799 | 0,799 | 0,794 | 0,794 | 0,040 |
| 10,000 | 43,669 | 99,802 | -6,720 | skid front(in) | 1000000,000 | -11,500 | 0,000 | 1,000 | 100,000 | 0,000 | 0,692 | 0,799 | 0,799 | 0,799 | 0,794 | 0,794 | 0,041 |
| 10,500 | 42,660 | 99,802 | -6,719 | skid front(in) | 1000000,000 | -11,500 | 0,000 | 1,000 | 100,000 | 0,000 | 0,733 | 0,799 | 0,799 | 0,799 | 0,794 | 0,794 | 0,042 |
| 11,000 | 41,627 | 99,802 | -6,718 | skid front(in) | 1000000,000 | -11,500 | 0,000 | 1,000 | 100,000 | 0,000 | 0,776 | 0,799 | 0,799 | 0,799 | 0,794 | 0,794 | 0,043 |
| 11,500 | 40,568 | 99,802 | -6,717 | skid front(in) | 1000000,000 | -11,500 | 0,000 | 1,000 | 100,000 | 0,000 | 0,820 | 0,799 | 0,799 | 0,799 | 0,794 | 0,794 | 0,044 |
| 12,000 | 39,481 | 99,802 | -6,715 | skid front(in) | 1000000,000 | -11,500 | 0,000 | 1,000 | 100,000 | 0,000 | 0,865 | 0,799 | 0,799 | 0,799 | 0,794 | 0,794 | 0,045 |
| 12,500 | 38,363 | 99,802 | -6,714 | skid front(in) | 1000000,000 | -11,500 | 0,000 | 1,000 | 100,000 | 0,000 | 0,911 | 0,799 | 0,799 | 0,799 | 0,794 | 0,794 | 0,046 |
| 13,000 | 37,211 | 99,802 | -6,713 | skid front(in) | 1000000,000 | -11,500 | 0,000 | 1,000 | 100,000 | 0,000 | 0,959 | 0,799 | 0,799 | 0,799 | 0,794 | 0,794 | 0,048 |
| 13,500 | 36,024 | 99,802 | -6,712 | skid front(in) | 1000000,000 | -11,500 | 0,000 | 1,000 | 100,000 | 0,001 | 1,008 | 0,799 | 0,799 | 0,799 | 0,794 | 0,794 | 0,049 |
| 14,000 | 34,795 | 99,802 | -6,711 | skid front(in) | 1000000,000 | -11,500 | 0,000 | 1,000 | 100,000 | 0,000 | 1,059 | 0,799 | 0,799 | 0,799 | 0,794 | 0,794 | 0,051 |
| 14,500 | 33,522 | 99,802 | -6,710 | skid front(in) | 1000000,000 | -11,500 | 0,000 | 1,000 | 100,000 | 0,001 | 1,111 | 0,799 | 0,799 | 0,799 | 0,794 | 0,794 | 0,053 |
| 15,000 | 32,199 | 99,803 | -6,708 | skid front(in) | 1000000,000 | -11,500 | 0,000 | 1,000 | 100,000 | 0,000 | 1,166 | 0,799 | 0,799 | 0,799 | 0,794 | 0,794 | 0,055 |
| 15,500 | 30,820 | 99,803 | -6,707 | skid front(in) | 1000000,000 | -11,500 | 0,000 | 1,000 | 100,000 | 0,001 | 1,223 | 0,799 | 0,799 | 0,799 | 0,794 | 0,794 | 0,057 |
| 16,000 | 29,376 | 99,803 | -6,706 | skid front(in) | 1000000,000 | -11,500 | 0,000 | 1,000 | 100,000 | 0,001 | 1,283 | 0,799 | 0,799 | 0,799 | 0,794 | 0,794 | 0,060 |
| 16,500 | 27,858 | 99,803 | -6,705 | skid front(in) | 1000000,000 | -11,500 | 0,000 | 1,000 | 100,000 | 0,001 | 1,346 | 0,799 | 0,799 | 0,799 | 0,794 | 0,794 | 0,063 |
| 17,000 | 26,252 | 99,786 | -6,702 | skid front(out) | 1000000,000 | -11,500 | 0,000 | 1,000 | 100,000 | -0,675 | 1,413 | 0,799 | 0,799 | 0,799 | 0,793 | 0,793 | 0,067 |
| 17,500 | 24,542 | 99,815 | -6,702 | skid front(out) | 1000000,000 | -11,500 | 0,000 | 1,000 | 100,000 | -1,643 | 1,483 | 0,799 | 0,799 | 0,799 | 0,794 | 0,794 | 0,071 |
| 18,000 | 22,703 | 99,832 | -6,701 | skid front(out) | 1000000,000 | -11,500 | 0,000 | 1,000 | 100,000 | -4,377 | 1,560 | 0,799 | 0,799 | 0,799 | 0,794 | 0,794 | 0,076 |
| 18,500 | 20,702 | 99,811 | -6,700 | skid front(out) | 1000000,000 | -11,500 | 0,000 | 1,000 | 100,000 | -1,590 | 1,643 | 0,799 | 0,799 | 0,799 | 0,794 | 0,794 | 0,083 |
| 18,900 | 18,951 | 99,822 | -6,698 | skid front(out) | 1000000,000 | -11,500 | 0,000 | 1,000 | 100,000 | -3,589 | 1,715 | 0,799 | 0,799 | 0,799 | 0,794 | 0,794 | 0,073 |
| 19,500 | 15,967 | 99,812 | -6,697 | skid front(out) | 1000000,000 | -11,500 | 0,000 | 1,000 | 100,000 | -2,094 | 1,839 | 0,799 | 0,799 | 0,799 | 0,794 | 0,794 | 0,124 |
| 20,000 | 12,968 | 99,805 | -6,695 | skid front(out) | 1000000,000 | -11,500 | 0,000 | 1,000 | 100,000 | -2,188 | 1,963 | 0,799 | 0,799 | 0,799 | 0,794 | 0,794 | 0,124 |
| 20,500 | 9,021 | 99,815 | -6,695 | skid front(out) | 1000000,000 | -11,500 | 0,000 | 1,000 | 100,000 | -3,076 | 2,127 | 0,799 | 0,799 | 0,799 | 0,794 | 0,794 | 0,164 |
| 21,000 | 0,389 | 99,772 | -6,692 | skid front(out) | 1000000,000 | -11,500 | 0,000 | 1,000 | 100,000 | -0,161 | 2,485 | 0,799 | 0,799 | 0,799 | 0,793 | 0,793 | 0,358 |

Προσδιορισμός Τιμών Πρόσφυσης κατά την Πέδηση Οχημάτων Εφοδιασμένων με Σύστημα ABS σε Αυξημένες κατά Μήκος Κλίσεις

| run_v_d_glif_11 | | R(m) | br.front (%) | s(%) | e (%) | coeff | effic (%) | time (sec) | | | | | | | | | |
|-----------------|----------|------------|--------------|-----------------|-------------|--------|-----------|------------|-----------|-----------|------------|-------|-----------|----------|----------|---------|-----------|
| s= | 100,000 | 1000000,00 | 70,50 | 11,5 | 0,0 | 1,00 | 100 | 1,459 | | | | | | | | | |
| step= | 0,100 | viewstep= | 0,500 | STEPS | | | | | | | | | 0,963 | | | | |
| s (m) | V (km/h) | n (%) | dv/dt | skid check | R(m) | s(%) | e (%) | coeff | effic (%) | decelera | time (sec) | fT | front out | front in | rear out | rear in | checktime |
| 10,500 | 2,220 | 99,303 | -9,006 | skid front(out) | 1000000,000 | 11,500 | 0,000 | 1,000 | 100,000 | -5,415135 | 1,459 | 0,809 | 0,8088 | 0,8088 | 0,7895 | 0,7895 | |
| 0,000 | 49,610 | 99,294 | -9,041 | O.K | 1000000,000 | 11,500 | 0,000 | 1,000 | 100,000 | 0,000 | 0,000 | 0,809 | | | | | |
| 0,400 | 48,656 | 99,294 | -9,040 | skid front(in) | 1000000,000 | 11,500 | 0,000 | 1,000 | 100,000 | 0,000 | 0,029 | 0,809 | 0,809 | 0,809 | 0,790 | 0,790 | 0,029 |
| 1,000 | 47,189 | 99,294 | -9,038 | skid front(in) | 1000000,000 | 11,500 | 0,000 | 1,000 | 100,000 | 0,000 | 0,074 | 0,809 | 0,809 | 0,809 | 0,790 | 0,790 | 0,045 |
| 1,500 | 45,932 | 99,294 | -9,037 | skid front(in) | 1000000,000 | 11,500 | 0,000 | 1,000 | 100,000 | 0,000 | 0,113 | 0,809 | 0,809 | 0,809 | 0,790 | 0,790 | 0,039 |
| 2,000 | 44,639 | 99,294 | -9,035 | skid front(in) | 1000000,000 | 11,500 | 0,000 | 1,000 | 100,000 | 0,000 | 0,153 | 0,809 | 0,809 | 0,809 | 0,790 | 0,790 | 0,040 |
| 2,500 | 43,307 | 99,294 | -9,033 | skid front(in) | 1000000,000 | 11,500 | 0,000 | 1,000 | 100,000 | 0,000 | 0,194 | 0,809 | 0,809 | 0,809 | 0,790 | 0,790 | 0,041 |
| 3,000 | 41,934 | 99,295 | -9,032 | skid front(in) | 1000000,000 | 11,500 | 0,000 | 1,000 | 100,000 | 0,000 | 0,236 | 0,809 | 0,809 | 0,809 | 0,790 | 0,790 | 0,042 |
| 3,500 | 40,515 | 99,295 | -9,030 | skid front(in) | 1000000,000 | 11,500 | 0,000 | 1,000 | 100,000 | 0,000 | 0,280 | 0,809 | 0,809 | 0,809 | 0,790 | 0,790 | 0,044 |
| 4,000 | 39,044 | 99,295 | -9,029 | skid front(in) | 1000000,000 | 11,500 | 0,000 | 1,000 | 100,000 | 0,000 | 0,325 | 0,809 | 0,809 | 0,809 | 0,790 | 0,790 | 0,045 |
| 4,400 | 37,826 | 99,295 | -9,028 | skid front(in) | 1000000,000 | 11,500 | 0,000 | 1,000 | 100,000 | 0,000 | 0,362 | 0,809 | 0,809 | 0,809 | 0,790 | 0,790 | 0,037 |
| 5,000 | 35,922 | 99,295 | -9,026 | skid front(in) | 1000000,000 | 11,500 | 0,000 | 1,000 | 100,000 | 0,000 | 0,421 | 0,809 | 0,809 | 0,809 | 0,790 | 0,790 | 0,059 |
| 5,500 | 34,256 | 99,295 | -9,024 | skid front(in) | 1000000,000 | 11,500 | 0,000 | 1,000 | 100,000 | 0,000 | 0,472 | 0,809 | 0,809 | 0,809 | 0,790 | 0,790 | 0,051 |
| 6,000 | 32,504 | 99,295 | -9,023 | skid front(in) | 1000000,000 | 11,500 | 0,000 | 1,000 | 100,000 | 0,000 | 0,526 | 0,809 | 0,809 | 0,809 | 0,790 | 0,790 | 0,054 |
| 6,500 | 30,653 | 99,295 | -9,021 | skid front(in) | 1000000,000 | 11,500 | 0,000 | 1,000 | 100,000 | 0,001 | 0,583 | 0,809 | 0,809 | 0,809 | 0,790 | 0,790 | 0,057 |
| 7,000 | 28,683 | 99,295 | -9,019 | skid front(in) | 1000000,000 | 11,500 | 0,000 | 1,000 | 100,000 | 0,000 | 0,644 | 0,809 | 0,809 | 0,809 | 0,790 | 0,790 | 0,061 |
| 7,500 | 26,567 | 99,287 | -9,015 | skid front(in) | 1000000,000 | 11,500 | 0,000 | 1,000 | 100,000 | -3,155 | 0,709 | 0,809 | 0,809 | 0,809 | 0,790 | 0,790 | 0,065 |
| 8,000 | 24,268 | 99,290 | -9,014 | skid front(out) | 1000000,000 | 11,500 | 0,000 | 1,000 | 100,000 | -2,283 | 0,780 | 0,809 | 0,809 | 0,809 | 0,790 | 0,790 | 0,071 |
| 8,500 | 21,728 | 99,304 | -9,013 | skid front(out) | 1000000,000 | 11,500 | 0,000 | 1,000 | 100,000 | -3,375 | 0,858 | 0,809 | 0,809 | 0,809 | 0,790 | 0,790 | 0,078 |
| 9,000 | 18,849 | 99,302 | -9,012 | skid front(out) | 1000000,000 | 11,500 | 0,000 | 1,000 | 100,000 | -3,380 | 0,947 | 0,809 | 0,809 | 0,809 | 0,790 | 0,790 | 0,089 |
| 9,500 | 15,443 | 99,282 | -9,009 | skid front(out) | 1000000,000 | 11,500 | 0,000 | 1,000 | 100,000 | -2,267 | 1,052 | 0,809 | 0,809 | 0,809 | 0,790 | 0,790 | 0,105 |
| 10,000 | 11,033 | 99,332 | -9,009 | skid front(out) | 1000000,000 | 11,500 | 0,000 | 1,000 | 100,000 | -5,453 | 1,188 | 0,809 | 0,809 | 0,809 | 0,790 | 0,790 | 0,136 |
| 10,500 | 2,220 | 99,303 | -9,006 | skid front(out) | 1000000,000 | 11,500 | 0,000 | 1,000 | 100,000 | -5,415 | 1,459 | 0,809 | 0,809 | 0,809 | 0,790 | 0,790 | 0,272 |

Προσδιορισμός Τιμών Πρόσφυσης κατά την Πέδηση Οχημάτων Εφοδιασμένων με Σύστημα ABS σε Αυξημένες κατά Μήκος Κλίσεις

| run_v_d_glif_12 | R(m) | br.front (%) | s(%) | e (%) | coeff | effic (%) | time (sec) | | | | | | | | | | |
|-----------------|-----------------|--------------|--------|-----------------|-------------|-----------|------------|-------|-----------|-----------|------------|-------|-----------|----------|----------|---------|-----------|
| s= 100,000 | 1000000,00 | 70,00 | -11,5 | 0,0 | 1,00 | 100 | 2,353 | | | | | | | | | | 0,963 |
| step= 0,100 | viewstep= 0,500 | STEPS | | | | | | | | | | | | | | | |
| s (m) | V (km/h) | n (%) | dv/dt | skid check | R(m) | s(%) | e (%) | coeff | effic (%) | decelera | time (sec) | fT | front out | front in | rear out | rear in | checktime |
| 20,300 | 2,566 | 99,906 | -6,720 | skid front(out) | 1000000,000 | -11,500 | 0,000 | 1,000 | 100,000 | -3,684531 | 2,353 | 0,801 | 0,8009 | 0,8009 | 0,7980 | 0,7980 | |
| 0,000 | 59,630 | 99,895 | -6,769 | O.K | 1000000,000 | -11,500 | 0,000 | 1,000 | 100,000 | 0,000 | 0,000 | 0,801 | | | | | |
| 0,400 | 59,039 | 99,895 | -6,768 | skid front(in) | 1000000,000 | -11,500 | 0,000 | 1,000 | 100,000 | 0,000 | 0,024 | 0,801 | 0,801 | 0,801 | 0,798 | 0,798 | 0,024 |
| 1,000 | 58,141 | 99,895 | -6,767 | skid front(in) | 1000000,000 | -11,500 | 0,000 | 1,000 | 100,000 | 0,000 | 0,061 | 0,801 | 0,801 | 0,801 | 0,798 | 0,798 | 0,037 |
| 1,500 | 57,381 | 99,895 | -6,765 | skid front(in) | 1000000,000 | -11,500 | 0,000 | 1,000 | 100,000 | 0,000 | 0,092 | 0,801 | 0,801 | 0,801 | 0,798 | 0,798 | 0,031 |
| 2,000 | 56,612 | 99,895 | -6,764 | skid front(in) | 1000000,000 | -11,500 | 0,000 | 1,000 | 100,000 | 0,000 | 0,124 | 0,801 | 0,801 | 0,801 | 0,798 | 0,798 | 0,032 |
| 2,500 | 55,833 | 99,895 | -6,763 | skid front(in) | 1000000,000 | -11,500 | 0,000 | 1,000 | 100,000 | 0,000 | 0,156 | 0,801 | 0,801 | 0,801 | 0,798 | 0,798 | 0,032 |
| 3,000 | 55,042 | 99,895 | -6,762 | skid front(in) | 1000000,000 | -11,500 | 0,000 | 1,000 | 100,000 | 0,000 | 0,188 | 0,801 | 0,801 | 0,801 | 0,798 | 0,798 | 0,032 |
| 3,500 | 54,241 | 99,896 | -6,761 | skid front(in) | 1000000,000 | -11,500 | 0,000 | 1,000 | 100,000 | 0,000 | 0,221 | 0,801 | 0,801 | 0,801 | 0,798 | 0,798 | 0,033 |
| 4,000 | 53,427 | 99,896 | -6,760 | skid front(in) | 1000000,000 | -11,500 | 0,000 | 1,000 | 100,000 | 0,000 | 0,255 | 0,801 | 0,801 | 0,801 | 0,798 | 0,798 | 0,033 |
| 4,400 | 52,767 | 99,896 | -6,759 | skid front(in) | 1000000,000 | -11,500 | 0,000 | 1,000 | 100,000 | 0,000 | 0,282 | 0,801 | 0,801 | 0,801 | 0,798 | 0,798 | 0,027 |
| 5,000 | 51,761 | 99,896 | -6,757 | skid front(in) | 1000000,000 | -11,500 | 0,000 | 1,000 | 100,000 | 0,000 | 0,323 | 0,801 | 0,801 | 0,801 | 0,798 | 0,798 | 0,041 |
| 5,500 | 50,909 | 99,896 | -6,756 | skid front(in) | 1000000,000 | -11,500 | 0,000 | 1,000 | 100,000 | 0,000 | 0,358 | 0,801 | 0,801 | 0,801 | 0,798 | 0,798 | 0,035 |
| 6,000 | 50,041 | 99,896 | -6,755 | skid front(in) | 1000000,000 | -11,500 | 0,000 | 1,000 | 100,000 | 0,000 | 0,394 | 0,801 | 0,801 | 0,801 | 0,798 | 0,798 | 0,036 |
| 6,500 | 49,159 | 99,896 | -6,754 | skid front(in) | 1000000,000 | -11,500 | 0,000 | 1,000 | 100,000 | 0,000 | 0,430 | 0,801 | 0,801 | 0,801 | 0,798 | 0,798 | 0,036 |
| 7,000 | 48,261 | 99,896 | -6,753 | skid front(in) | 1000000,000 | -11,500 | 0,000 | 1,000 | 100,000 | 0,000 | 0,467 | 0,801 | 0,801 | 0,801 | 0,798 | 0,798 | 0,037 |
| 7,500 | 47,345 | 99,896 | -6,751 | skid front(in) | 1000000,000 | -11,500 | 0,000 | 1,000 | 100,000 | 0,000 | 0,505 | 0,801 | 0,801 | 0,801 | 0,798 | 0,798 | 0,038 |
| 8,000 | 46,412 | 99,896 | -6,750 | skid front(in) | 1000000,000 | -11,500 | 0,000 | 1,000 | 100,000 | 0,000 | 0,543 | 0,801 | 0,801 | 0,801 | 0,798 | 0,798 | 0,038 |
| 8,500 | 45,460 | 99,896 | -6,749 | skid front(in) | 1000000,000 | -11,500 | 0,000 | 1,000 | 100,000 | 0,000 | 0,582 | 0,801 | 0,801 | 0,801 | 0,798 | 0,798 | 0,039 |
| 9,000 | 44,488 | 99,896 | -6,748 | skid front(in) | 1000000,000 | -11,500 | 0,000 | 1,000 | 100,000 | 0,000 | 0,622 | 0,801 | 0,801 | 0,801 | 0,798 | 0,798 | 0,040 |
| 9,500 | 43,494 | 99,896 | -6,747 | skid front(in) | 1000000,000 | -11,500 | 0,000 | 1,000 | 100,000 | 0,000 | 0,663 | 0,801 | 0,801 | 0,801 | 0,798 | 0,798 | 0,041 |
| 10,000 | 42,477 | 99,896 | -6,746 | skid front(in) | 1000000,000 | -11,500 | 0,000 | 1,000 | 100,000 | 0,000 | 0,705 | 0,801 | 0,801 | 0,801 | 0,798 | 0,798 | 0,042 |
| 10,500 | 41,435 | 99,897 | -6,744 | skid front(in) | 1000000,000 | -11,500 | 0,000 | 1,000 | 100,000 | 0,000 | 0,748 | 0,801 | 0,801 | 0,801 | 0,798 | 0,798 | 0,043 |
| 11,000 | 40,366 | 99,897 | -6,743 | skid front(in) | 1000000,000 | -11,500 | 0,000 | 1,000 | 100,000 | 0,000 | 0,792 | 0,801 | 0,801 | 0,801 | 0,798 | 0,798 | 0,044 |
| 11,500 | 39,269 | 99,897 | -6,742 | skid front(in) | 1000000,000 | -11,500 | 0,000 | 1,000 | 100,000 | 0,000 | 0,837 | 0,801 | 0,801 | 0,801 | 0,798 | 0,798 | 0,045 |
| 12,000 | 38,141 | 99,897 | -6,741 | skid front(in) | 1000000,000 | -11,500 | 0,000 | 1,000 | 100,000 | 0,000 | 0,884 | 0,801 | 0,801 | 0,801 | 0,798 | 0,798 | 0,047 |
| 12,500 | 36,978 | 99,897 | -6,740 | skid front(in) | 1000000,000 | -11,500 | 0,000 | 1,000 | 100,000 | 0,000 | 0,932 | 0,801 | 0,801 | 0,801 | 0,798 | 0,798 | 0,048 |
| 13,000 | 35,777 | 99,897 | -6,739 | skid front(in) | 1000000,000 | -11,500 | 0,000 | 1,000 | 100,000 | 0,000 | 0,981 | 0,801 | 0,801 | 0,801 | 0,798 | 0,798 | 0,049 |
| 13,500 | 34,535 | 99,897 | -6,737 | skid front(in) | 1000000,000 | -11,500 | 0,000 | 1,000 | 100,000 | 0,000 | 1,032 | 0,801 | 0,801 | 0,801 | 0,798 | 0,798 | 0,051 |
| 14,000 | 33,247 | 99,897 | -6,736 | skid front(in) | 1000000,000 | -11,500 | 0,000 | 1,000 | 100,000 | 0,000 | 1,086 | 0,801 | 0,801 | 0,801 | 0,798 | 0,798 | 0,053 |
| 14,500 | 31,907 | 99,897 | -6,735 | skid front(in) | 1000000,000 | -11,500 | 0,000 | 1,000 | 100,000 | 0,000 | 1,141 | 0,801 | 0,801 | 0,801 | 0,798 | 0,798 | 0,055 |
| 15,000 | 30,509 | 99,897 | -6,734 | skid front(in) | 1000000,000 | -11,500 | 0,000 | 1,000 | 100,000 | 0,001 | 1,198 | 0,801 | 0,801 | 0,801 | 0,798 | 0,798 | 0,058 |
| 15,500 | 29,044 | 99,897 | -6,733 | skid front(in) | 1000000,000 | -11,500 | 0,000 | 1,000 | 100,000 | 0,000 | 1,259 | 0,801 | 0,801 | 0,801 | 0,798 | 0,798 | 0,060 |
| 16,000 | 27,500 | 99,897 | -6,732 | skid front(in) | 1000000,000 | -11,500 | 0,000 | 1,000 | 100,000 | 0,003 | 1,323 | 0,801 | 0,801 | 0,801 | 0,798 | 0,798 | 0,064 |
| 16,500 | 25,866 | 99,891 | -6,728 | skid front(out) | 1000000,000 | -11,500 | 0,000 | 1,000 | 100,000 | -3,313 | 1,390 | 0,801 | 0,801 | 0,801 | 0,798 | 0,798 | 0,067 |
| 17,000 | 24,121 | 99,876 | -6,727 | skid front(out) | 1000000,000 | -11,500 | 0,000 | 1,000 | 100,000 | -0,827 | 1,462 | 0,801 | 0,801 | 0,801 | 0,798 | 0,798 | 0,072 |
| 17,500 | 22,241 | 99,904 | -6,727 | skid front(out) | 1000000,000 | -11,500 | 0,000 | 1,000 | 100,000 | -1,848 | 1,540 | 0,801 | 0,801 | 0,801 | 0,798 | 0,798 | 0,078 |
| 18,000 | 20,185 | 99,897 | -6,726 | skid front(out) | 1000000,000 | -11,500 | 0,000 | 1,000 | 100,000 | -1,737 | 1,625 | 0,801 | 0,801 | 0,801 | 0,798 | 0,798 | 0,085 |
| 18,500 | 17,896 | 99,908 | -6,725 | skid front(out) | 1000000,000 | -11,500 | 0,000 | 1,000 | 100,000 | -2,243 | 1,719 | 0,801 | 0,801 | 0,801 | 0,798 | 0,798 | 0,095 |
| 18,900 | 15,828 | 99,896 | -6,723 | skid front(out) | 1000000,000 | -11,500 | 0,000 | 1,000 | 100,000 | -2,999 | 1,805 | 0,801 | 0,801 | 0,801 | 0,798 | 0,798 | 0,085 |
| 19,500 | 12,082 | 99,864 | -6,720 | skid front(out) | 1000000,000 | -11,500 | 0,000 | 1,000 | 100,000 | -1,036 | 1,959 | 0,801 | 0,801 | 0,801 | 0,798 | 0,798 | 0,155 |
| 20,000 | 7,672 | 99,868 | -6,719 | skid front(out) | 1000000,000 | -11,500 | 0,000 | 1,000 | 100,000 | -1,371 | 2,142 | 0,801 | 0,801 | 0,801 | 0,798 | 0,798 | 0,182 |
| 20,300 | 2,566 | 99,906 | -6,720 | skid front(out) | 1000000,000 | -11,500 | 0,000 | 1,000 | 100,000 | -3,685 | 2,353 | 0,801 | 0,801 | 0,801 | 0,798 | 0,798 | 0,211 |

Προσδιορισμός Τιμών Πρόσφυσης κατά την Πέδηση Οχημάτων Εφοδιασμένων με Σύστημα ABS σε Αυξημένες κατά Μήκος Κλίσεις

| run_v_d_glif_13 | | R(m) | br.front (%) | s(%) | e (%) | coeff | effic (%) | time (sec) | | | | | | | | | |
|-----------------|----------|------------|--------------|-----------------|-------------|--------|-----------|------------|-----------|-----------|------------|-------|-----------|----------|----------|---------|-----------|
| s= | 100,000 | 1000000,00 | 70,00 | 11,5 | 0,0 | 1,00 | 100 | 1,448 | | | | | | | | | |
| step= | 0,100 | viewstep= | 0,500 | STEPS | | | | | | | | | 0,963 | | | | |
| s (m) | V (km/h) | n (%) | dv/dt | skid check | R(m) | s(%) | e (%) | coeff | effic (%) | decelera | time (sec) | fT | front out | front in | rear out | rear in | checktime |
| 10,800 | 3,742 | 99,479 | -8,856 | skid front(out) | 1000000,000 | 11,500 | 0,000 | 1,000 | 100,000 | -2,313811 | 1,448 | 0,792 | 0,7919 | 0,7919 | 0,7781 | 0,7781 | |
| 0,000 | 49,980 | 99,471 | -8,890 | O.K | 1000000,000 | 11,500 | 0,000 | 1,000 | 100,000 | 0,000 | 0,000 | 0,792 | | | | | |
| 0,400 | 49,049 | 99,472 | -8,889 | skid front(in) | 1000000,000 | 11,500 | 0,000 | 1,000 | 100,000 | 0,000 | 0,029 | 0,792 | 0,792 | 0,792 | 0,778 | 0,778 | 0,029 |
| 1,000 | 47,619 | 99,472 | -8,887 | skid front(in) | 1000000,000 | 11,500 | 0,000 | 1,000 | 100,000 | 0,000 | 0,074 | 0,792 | 0,792 | 0,792 | 0,778 | 0,778 | 0,045 |
| 1,500 | 46,394 | 99,472 | -8,886 | skid front(in) | 1000000,000 | 11,500 | 0,000 | 1,000 | 100,000 | 0,000 | 0,112 | 0,792 | 0,792 | 0,792 | 0,778 | 0,778 | 0,038 |
| 2,000 | 45,136 | 99,472 | -8,884 | skid front(in) | 1000000,000 | 11,500 | 0,000 | 1,000 | 100,000 | 0,000 | 0,151 | 0,792 | 0,792 | 0,792 | 0,778 | 0,778 | 0,039 |
| 2,500 | 43,843 | 99,472 | -8,882 | skid front(in) | 1000000,000 | 11,500 | 0,000 | 1,000 | 100,000 | 0,000 | 0,192 | 0,792 | 0,792 | 0,792 | 0,778 | 0,778 | 0,040 |
| 3,000 | 42,510 | 99,472 | -8,881 | skid front(in) | 1000000,000 | 11,500 | 0,000 | 1,000 | 100,000 | 0,000 | 0,234 | 0,792 | 0,792 | 0,792 | 0,778 | 0,778 | 0,042 |
| 3,500 | 41,134 | 99,472 | -8,879 | skid front(in) | 1000000,000 | 11,500 | 0,000 | 1,000 | 100,000 | 0,000 | 0,277 | 0,792 | 0,792 | 0,792 | 0,778 | 0,778 | 0,043 |
| 4,000 | 39,710 | 99,472 | -8,878 | skid front(in) | 1000000,000 | 11,500 | 0,000 | 1,000 | 100,000 | 0,000 | 0,321 | 0,792 | 0,792 | 0,792 | 0,778 | 0,778 | 0,045 |
| 4,400 | 38,534 | 99,472 | -8,877 | skid front(in) | 1000000,000 | 11,500 | 0,000 | 1,000 | 100,000 | 0,000 | 0,358 | 0,792 | 0,792 | 0,792 | 0,778 | 0,778 | 0,037 |
| 5,000 | 36,699 | 99,472 | -8,875 | skid front(in) | 1000000,000 | 11,500 | 0,000 | 1,000 | 100,000 | 0,000 | 0,415 | 0,792 | 0,792 | 0,792 | 0,778 | 0,778 | 0,057 |
| 5,500 | 35,097 | 99,473 | -8,873 | skid front(in) | 1000000,000 | 11,500 | 0,000 | 1,000 | 100,000 | 0,000 | 0,465 | 0,792 | 0,792 | 0,792 | 0,778 | 0,778 | 0,050 |
| 6,000 | 33,419 | 99,473 | -8,872 | skid front(in) | 1000000,000 | 11,500 | 0,000 | 1,000 | 100,000 | 0,000 | 0,518 | 0,792 | 0,792 | 0,792 | 0,778 | 0,778 | 0,053 |
| 6,500 | 31,652 | 99,473 | -8,870 | skid front(in) | 1000000,000 | 11,500 | 0,000 | 1,000 | 100,000 | 0,000 | 0,573 | 0,792 | 0,792 | 0,792 | 0,778 | 0,778 | 0,055 |
| 7,000 | 29,781 | 99,473 | -8,869 | skid front(in) | 1000000,000 | 11,500 | 0,000 | 1,000 | 100,000 | 0,000 | 0,632 | 0,792 | 0,792 | 0,792 | 0,778 | 0,778 | 0,059 |
| 7,500 | 27,785 | 99,473 | -8,867 | skid front(in) | 1000000,000 | 11,500 | 0,000 | 1,000 | 100,000 | 0,001 | 0,694 | 0,792 | 0,792 | 0,792 | 0,778 | 0,778 | 0,063 |
| 8,000 | 25,634 | 99,495 | -8,865 | skid front(out) | 1000000,000 | 11,500 | 0,000 | 1,000 | 100,000 | -2,593 | 0,762 | 0,792 | 0,792 | 0,792 | 0,778 | 0,778 | 0,067 |
| 8,500 | 23,285 | 99,446 | -8,862 | skid front(out) | 1000000,000 | 11,500 | 0,000 | 1,000 | 100,000 | 0,444 | 0,835 | 0,792 | 0,792 | 0,792 | 0,778 | 0,778 | 0,074 |
| 9,000 | 20,673 | 99,489 | -8,862 | skid front(out) | 1000000,000 | 11,500 | 0,000 | 1,000 | 100,000 | -1,895 | 0,917 | 0,792 | 0,792 | 0,792 | 0,778 | 0,778 | 0,082 |
| 9,500 | 17,678 | 99,464 | -8,860 | skid front(out) | 1000000,000 | 11,500 | 0,000 | 1,000 | 100,000 | -0,067 | 1,011 | 0,792 | 0,792 | 0,792 | 0,778 | 0,778 | 0,094 |
| 10,000 | 14,060 | 99,480 | -8,858 | skid front(out) | 1000000,000 | 11,500 | 0,000 | 1,000 | 100,000 | -2,227 | 1,125 | 0,792 | 0,792 | 0,792 | 0,778 | 0,778 | 0,113 |
| 10,500 | 9,104 | 99,480 | -8,857 | skid front(out) | 1000000,000 | 11,500 | 0,000 | 1,000 | 100,000 | -1,803 | 1,280 | 0,792 | 0,792 | 0,792 | 0,778 | 0,778 | 0,155 |
| 10,800 | 3,742 | 99,479 | -8,856 | skid front(out) | 1000000,000 | 11,500 | 0,000 | 1,000 | 100,000 | -2,314 | 1,448 | 0,792 | 0,792 | 0,792 | 0,778 | 0,778 | 0,168 |

Προσδιορισμός Τιμών Πρόσφυσης κατά την Πέδηση Οχημάτων Εφοδιασμένων με Σύστημα ABS σε Αυξημένες κατά Μήκος Κλίσεις

2.1.4 Γλυφάδα – wet

| run_v_w_glif_1 | R(m) | br.front (%) | s(%) | e (%) | coeff | effic (%) | time (sec) | | | | | | | | | | |
|----------------|-----------------|--------------|--------|-----------------|-------------|-----------|------------|-------|-----------|-----------|------------|-------|-----------|----------|----------|---------|-----------|
| s= 100,000 | 1000000,00 | 67,50 | -11,5 | 0,0 | 1,00 | 100 | 2,473 | 0,963 | | | | | | | | | |
| step= 0,100 | viewstep= 0,500 | STEPS | | | | | | | | | | | | | | | |
| s (m) | V (km/h) | n (%) | dv/dt | skid check | R(m) | s(%) | e (%) | coeff | effic (%) | decelera | time (sec) | ft | front out | front in | rear out | rear in | checktime |
| 17,300 | 0,049 | 99,515 | -5,608 | skid front(out) | 1000000,000 | -11,500 | 0,000 | 1,000 | 100,000 | -0,285035 | 2,473 | 0,69 | 0,6897 | 0,6897 | 0,6803 | 0,6803 | |
| 0,000 | 50,120 | 99,563 | -5,647 | O.K | 1000000,000 | -11,500 | 0,000 | 1,000 | 100,000 | 0,000 | 0,000 | 0,690 | | | | | |
| 0,400 | 49,533 | 99,563 | -5,646 | skid front(in) | 1000000,000 | -11,500 | 0,000 | 1,000 | 100,000 | 0,000 | 0,029 | 0,690 | 0,690 | 0,690 | 0,681 | 0,681 | 0,029 |
| 1,000 | 48,638 | 99,563 | -5,645 | skid front(in) | 1000000,000 | -11,500 | 0,000 | 1,000 | 100,000 | 0,000 | 0,073 | 0,690 | 0,690 | 0,690 | 0,681 | 0,681 | 0,044 |
| 1,500 | 47,880 | 99,563 | -5,644 | skid front(in) | 1000000,000 | -11,500 | 0,000 | 1,000 | 100,000 | 0,000 | 0,110 | 0,690 | 0,690 | 0,690 | 0,681 | 0,681 | 0,037 |
| 2,000 | 47,110 | 99,563 | -5,643 | skid front(in) | 1000000,000 | -11,500 | 0,000 | 1,000 | 100,000 | 0,000 | 0,148 | 0,690 | 0,690 | 0,690 | 0,681 | 0,681 | 0,038 |
| 2,500 | 46,328 | 99,563 | -5,642 | skid front(in) | 1000000,000 | -11,500 | 0,000 | 1,000 | 100,000 | 0,000 | 0,187 | 0,690 | 0,690 | 0,690 | 0,681 | 0,681 | 0,039 |
| 3,000 | 45,532 | 99,563 | -5,641 | skid front(in) | 1000000,000 | -11,500 | 0,000 | 1,000 | 100,000 | 0,000 | 0,226 | 0,690 | 0,690 | 0,690 | 0,681 | 0,681 | 0,039 |
| 3,500 | 44,722 | 99,563 | -5,640 | skid front(in) | 1000000,000 | -11,500 | 0,000 | 1,000 | 100,000 | 0,000 | 0,266 | 0,690 | 0,690 | 0,690 | 0,681 | 0,681 | 0,040 |
| 4,000 | 43,897 | 99,563 | -5,639 | skid front(in) | 1000000,000 | -11,500 | 0,000 | 1,000 | 100,000 | 0,000 | 0,306 | 0,690 | 0,690 | 0,690 | 0,681 | 0,681 | 0,041 |
| 4,400 | 43,226 | 99,563 | -5,638 | skid front(in) | 1000000,000 | -11,500 | 0,000 | 1,000 | 100,000 | 0,000 | 0,339 | 0,690 | 0,690 | 0,690 | 0,681 | 0,681 | 0,033 |
| 5,000 | 42,200 | 99,563 | -5,637 | skid front(in) | 1000000,000 | -11,500 | 0,000 | 1,000 | 100,000 | 0,000 | 0,390 | 0,690 | 0,690 | 0,690 | 0,681 | 0,681 | 0,051 |
| 5,500 | 41,325 | 99,563 | -5,636 | skid front(in) | 1000000,000 | -11,500 | 0,000 | 1,000 | 100,000 | 0,000 | 0,433 | 0,690 | 0,690 | 0,690 | 0,681 | 0,681 | 0,043 |
| 6,000 | 40,432 | 99,563 | -5,635 | skid front(in) | 1000000,000 | -11,500 | 0,000 | 1,000 | 100,000 | 0,000 | 0,477 | 0,690 | 0,690 | 0,690 | 0,681 | 0,681 | 0,044 |
| 6,500 | 39,519 | 99,563 | -5,633 | skid front(in) | 1000000,000 | -11,500 | 0,000 | 1,000 | 100,000 | 0,000 | 0,522 | 0,690 | 0,690 | 0,690 | 0,681 | 0,681 | 0,045 |
| 7,000 | 38,584 | 99,563 | -5,632 | skid front(in) | 1000000,000 | -11,500 | 0,000 | 1,000 | 100,000 | 0,000 | 0,568 | 0,690 | 0,690 | 0,690 | 0,681 | 0,681 | 0,046 |
| 7,500 | 37,627 | 99,563 | -5,631 | skid front(in) | 1000000,000 | -11,500 | 0,000 | 1,000 | 100,000 | 0,001 | 0,615 | 0,690 | 0,690 | 0,690 | 0,681 | 0,681 | 0,047 |
| 8,000 | 36,644 | 99,564 | -5,630 | skid front(in) | 1000000,000 | -11,500 | 0,000 | 1,000 | 100,000 | 0,000 | 0,664 | 0,690 | 0,690 | 0,690 | 0,681 | 0,681 | 0,048 |
| 8,500 | 35,634 | 99,564 | -5,629 | skid front(in) | 1000000,000 | -11,500 | 0,000 | 1,000 | 100,000 | 0,000 | 0,714 | 0,690 | 0,690 | 0,690 | 0,681 | 0,681 | 0,050 |
| 9,000 | 34,596 | 99,564 | -5,628 | skid front(in) | 1000000,000 | -11,500 | 0,000 | 1,000 | 100,000 | 0,000 | 0,765 | 0,690 | 0,690 | 0,690 | 0,681 | 0,681 | 0,051 |
| 9,500 | 33,525 | 99,564 | -5,627 | skid front(in) | 1000000,000 | -11,500 | 0,000 | 1,000 | 100,000 | 0,000 | 0,818 | 0,690 | 0,690 | 0,690 | 0,681 | 0,681 | 0,053 |
| 10,000 | 32,419 | 99,564 | -5,626 | skid front(in) | 1000000,000 | -11,500 | 0,000 | 1,000 | 100,000 | 0,000 | 0,872 | 0,690 | 0,690 | 0,690 | 0,681 | 0,681 | 0,055 |
| 10,500 | 31,275 | 99,564 | -5,625 | skid front(in) | 1000000,000 | -11,500 | 0,000 | 1,000 | 100,000 | 0,000 | 0,929 | 0,690 | 0,690 | 0,690 | 0,681 | 0,681 | 0,057 |
| 11,000 | 30,087 | 99,564 | -5,624 | skid front(in) | 1000000,000 | -11,500 | 0,000 | 1,000 | 100,000 | 0,001 | 0,988 | 0,690 | 0,690 | 0,690 | 0,681 | 0,681 | 0,059 |
| 11,500 | 28,850 | 99,564 | -5,623 | skid front(in) | 1000000,000 | -11,500 | 0,000 | 1,000 | 100,000 | 0,000 | 1,049 | 0,690 | 0,690 | 0,690 | 0,681 | 0,681 | 0,061 |
| 12,000 | 27,558 | 99,564 | -5,622 | skid front(in) | 1000000,000 | -11,500 | 0,000 | 1,000 | 100,000 | -0,001 | 1,113 | 0,690 | 0,690 | 0,690 | 0,681 | 0,681 | 0,064 |
| 12,500 | 26,203 | 99,573 | -5,620 | skid front(out) | 1000000,000 | -11,500 | 0,000 | 1,000 | 100,000 | -3,125 | 1,179 | 0,690 | 0,690 | 0,690 | 0,681 | 0,681 | 0,067 |
| 13,000 | 24,774 | 99,568 | -5,618 | skid front(out) | 1000000,000 | -11,500 | 0,000 | 1,000 | 100,000 | -3,843 | 1,250 | 0,690 | 0,690 | 0,690 | 0,680 | 0,680 | 0,071 |
| 13,500 | 23,258 | 99,545 | -5,616 | skid front(out) | 1000000,000 | -11,500 | 0,000 | 1,000 | 100,000 | -2,387 | 1,325 | 0,690 | 0,690 | 0,690 | 0,680 | 0,680 | 0,075 |
| 14,000 | 21,636 | 99,599 | -5,618 | skid front(out) | 1000000,000 | -11,500 | 0,000 | 1,000 | 100,000 | -3,682 | 1,405 | 0,690 | 0,690 | 0,690 | 0,681 | 0,681 | 0,080 |
| 14,500 | 19,883 | 99,572 | -5,617 | skid front(out) | 1000000,000 | -11,500 | 0,000 | 1,000 | 100,000 | -0,927 | 1,492 | 0,690 | 0,690 | 0,690 | 0,681 | 0,681 | 0,087 |
| 15,000 | 17,959 | 99,526 | -5,613 | skid front(out) | 1000000,000 | -11,500 | 0,000 | 1,000 | 100,000 | -0,531 | 1,587 | 0,690 | 0,690 | 0,690 | 0,680 | 0,680 | 0,095 |
| 15,500 | 15,804 | 99,559 | -5,612 | skid front(out) | 1000000,000 | -11,500 | 0,000 | 1,000 | 100,000 | -2,990 | 1,694 | 0,690 | 0,690 | 0,690 | 0,680 | 0,680 | 0,107 |
| 16,000 | 13,304 | 99,575 | -5,612 | skid front(out) | 1000000,000 | -11,500 | 0,000 | 1,000 | 100,000 | -3,267 | 1,817 | 0,690 | 0,690 | 0,690 | 0,681 | 0,681 | 0,124 |
| 16,500 | 10,210 | 99,570 | -5,612 | skid front(out) | 1000000,000 | -11,500 | 0,000 | 1,000 | 100,000 | -0,967 | 1,970 | 0,690 | 0,690 | 0,690 | 0,681 | 0,681 | 0,153 |
| 17,000 | 5,613 | 99,542 | -5,609 | skid front(out) | 1000000,000 | -11,500 | 0,000 | 1,000 | 100,000 | -1,260 | 2,198 | 0,690 | 0,690 | 0,690 | 0,680 | 0,680 | 0,228 |
| 17,300 | 0,049 | 99,515 | -5,608 | skid front(out) | 1000000,000 | -11,500 | 0,000 | 1,000 | 100,000 | -0,285 | 2,473 | 0,690 | 0,690 | 0,690 | 0,680 | 0,680 | 0,276 |

Προσδιορισμός Τιμών Πρόσφυσης κατά την Πέδηση Οχημάτων Εφοδιασμένων με Σύστημα ABS σε Αυξημένες κατά Μήκος Κλίσεις

| run_v_w_glif_2 | | R(m) | br.front (%) | s(%) | e (%) | coeff | effic (%) | time (sec) | | | | | | | | | | | | |
|----------------|----------|------------|--------------|-----------------|-------------|---------|-----------|------------|-----------|-----------|------------|-------|-----------|----------|----------|---------|-----------|--|--|--|
| s= | 100,000 | 1000000,00 | 67,00 | -11,5 | 0,0 | 1,00 | 100 | 2,584 | | | | | | | | | 0,963 | | | |
| step= | 0,100 | viewstep= | 0,500 | STEPS | | | | | | | | | | | | | | | | |
| s (m) | V (km/h) | n (%) | dv/dt | skid check | R(m) | s(%) | e (%) | coeff | effic (%) | decelera | time (sec) | fT | front out | front in | rear out | rear in | checktime | | | |
| 18,300 | 0,643 | 99,258 | -5,326 | skid front(out) | 1000000,000 | -11,500 | 0,000 | 1,000 | 100,000 | -2,485914 | 2,584 | 0,663 | 0,6628 | 0,6628 | 0,6482 | 0,6482 | | | | |
| 0,000 | 50,320 | 99,271 | -5,365 | O.K | 1000000,000 | -11,500 | 0,000 | 1,000 | 100,000 | 0,000 | 0,000 | 0,663 | | | | | | | | |
| 0,400 | 49,764 | 99,271 | -5,364 | skid front(in) | 1000000,000 | -11,500 | 0,000 | 1,000 | 100,000 | 0,000 | 0,029 | 0,663 | 0,663 | 0,663 | 0,649 | 0,649 | 0,029 | | | |
| 1,000 | 48,919 | 99,271 | -5,363 | skid front(in) | 1000000,000 | -11,500 | 0,000 | 1,000 | 100,000 | 0,000 | 0,073 | 0,663 | 0,663 | 0,663 | 0,649 | 0,649 | 0,044 | | | |
| 1,500 | 48,203 | 99,271 | -5,362 | skid front(in) | 1000000,000 | -11,500 | 0,000 | 1,000 | 100,000 | 0,000 | 0,110 | 0,663 | 0,663 | 0,663 | 0,649 | 0,649 | 0,037 | | | |
| 2,000 | 47,477 | 99,271 | -5,361 | skid front(in) | 1000000,000 | -11,500 | 0,000 | 1,000 | 100,000 | 0,000 | 0,147 | 0,663 | 0,663 | 0,663 | 0,649 | 0,649 | 0,038 | | | |
| 2,500 | 46,740 | 99,271 | -5,360 | skid front(in) | 1000000,000 | -11,500 | 0,000 | 1,000 | 100,000 | 0,000 | 0,185 | 0,663 | 0,663 | 0,663 | 0,649 | 0,649 | 0,038 | | | |
| 3,000 | 45,991 | 99,271 | -5,359 | skid front(in) | 1000000,000 | -11,500 | 0,000 | 1,000 | 100,000 | 0,000 | 0,224 | 0,663 | 0,663 | 0,663 | 0,649 | 0,649 | 0,039 | | | |
| 3,500 | 45,229 | 99,271 | -5,358 | skid front(in) | 1000000,000 | -11,500 | 0,000 | 1,000 | 100,000 | 0,000 | 0,264 | 0,663 | 0,663 | 0,663 | 0,649 | 0,649 | 0,039 | | | |
| 4,000 | 44,455 | 99,272 | -5,357 | skid front(in) | 1000000,000 | -11,500 | 0,000 | 1,000 | 100,000 | 0,000 | 0,304 | 0,663 | 0,663 | 0,663 | 0,649 | 0,649 | 0,040 | | | |
| 4,400 | 43,826 | 99,272 | -5,356 | skid front(in) | 1000000,000 | -11,500 | 0,000 | 1,000 | 100,000 | 0,000 | 0,337 | 0,663 | 0,663 | 0,663 | 0,649 | 0,649 | 0,033 | | | |
| 5,000 | 42,865 | 99,272 | -5,355 | skid front(in) | 1000000,000 | -11,500 | 0,000 | 1,000 | 100,000 | 0,000 | 0,386 | 0,663 | 0,663 | 0,663 | 0,649 | 0,649 | 0,050 | | | |
| 5,500 | 42,048 | 99,272 | -5,354 | skid front(in) | 1000000,000 | -11,500 | 0,000 | 1,000 | 100,000 | 0,000 | 0,429 | 0,663 | 0,663 | 0,663 | 0,649 | 0,649 | 0,042 | | | |
| 6,000 | 41,215 | 99,272 | -5,353 | skid front(in) | 1000000,000 | -11,500 | 0,000 | 1,000 | 100,000 | 0,000 | 0,472 | 0,663 | 0,663 | 0,663 | 0,649 | 0,649 | 0,043 | | | |
| 6,500 | 40,364 | 99,272 | -5,352 | skid front(in) | 1000000,000 | -11,500 | 0,000 | 1,000 | 100,000 | 0,000 | 0,516 | 0,663 | 0,663 | 0,663 | 0,649 | 0,649 | 0,044 | | | |
| 7,000 | 39,496 | 99,272 | -5,351 | skid front(in) | 1000000,000 | -11,500 | 0,000 | 1,000 | 100,000 | 0,000 | 0,561 | 0,663 | 0,663 | 0,663 | 0,649 | 0,649 | 0,045 | | | |
| 7,500 | 38,608 | 99,272 | -5,350 | skid front(in) | 1000000,000 | -11,500 | 0,000 | 1,000 | 100,000 | 0,000 | 0,607 | 0,663 | 0,663 | 0,663 | 0,649 | 0,649 | 0,046 | | | |
| 8,000 | 37,699 | 99,272 | -5,349 | skid front(in) | 1000000,000 | -11,500 | 0,000 | 1,000 | 100,000 | 0,000 | 0,654 | 0,663 | 0,663 | 0,663 | 0,649 | 0,649 | 0,047 | | | |
| 8,500 | 36,768 | 99,272 | -5,348 | skid front(in) | 1000000,000 | -11,500 | 0,000 | 1,000 | 100,000 | 0,000 | 0,703 | 0,663 | 0,663 | 0,663 | 0,649 | 0,649 | 0,048 | | | |
| 9,000 | 35,814 | 99,272 | -5,347 | skid front(in) | 1000000,000 | -11,500 | 0,000 | 1,000 | 100,000 | 0,000 | 0,752 | 0,663 | 0,663 | 0,663 | 0,649 | 0,649 | 0,050 | | | |
| 9,500 | 34,833 | 99,272 | -5,346 | skid front(in) | 1000000,000 | -11,500 | 0,000 | 1,000 | 100,000 | 0,000 | 0,803 | 0,663 | 0,663 | 0,663 | 0,649 | 0,649 | 0,051 | | | |
| 10,000 | 33,824 | 99,272 | -5,345 | skid front(in) | 1000000,000 | -11,500 | 0,000 | 1,000 | 100,000 | 0,000 | 0,856 | 0,663 | 0,663 | 0,663 | 0,649 | 0,649 | 0,052 | | | |
| 10,500 | 32,784 | 99,272 | -5,344 | skid front(in) | 1000000,000 | -11,500 | 0,000 | 1,000 | 100,000 | 0,001 | 0,910 | 0,663 | 0,663 | 0,663 | 0,649 | 0,649 | 0,054 | | | |
| 11,000 | 31,710 | 99,272 | -5,343 | skid front(in) | 1000000,000 | -11,500 | 0,000 | 1,000 | 100,000 | 0,000 | 0,966 | 0,663 | 0,663 | 0,663 | 0,649 | 0,649 | 0,056 | | | |
| 11,500 | 30,599 | 99,272 | -5,342 | skid front(in) | 1000000,000 | -11,500 | 0,000 | 1,000 | 100,000 | 0,000 | 1,023 | 0,663 | 0,663 | 0,663 | 0,649 | 0,649 | 0,058 | | | |
| 12,000 | 29,446 | 99,272 | -5,341 | skid front(in) | 1000000,000 | -11,500 | 0,000 | 1,000 | 100,000 | 0,000 | 1,083 | 0,663 | 0,663 | 0,663 | 0,649 | 0,649 | 0,060 | | | |
| 12,500 | 28,246 | 99,273 | -5,340 | skid front(in) | 1000000,000 | -11,500 | 0,000 | 1,000 | 100,000 | 0,001 | 1,146 | 0,663 | 0,663 | 0,663 | 0,649 | 0,649 | 0,062 | | | |
| 13,000 | 26,993 | 99,272 | -5,339 | skid front(in) | 1000000,000 | -11,500 | 0,000 | 1,000 | 100,000 | -0,001 | 1,211 | 0,663 | 0,663 | 0,663 | 0,649 | 0,649 | 0,065 | | | |
| 13,500 | 25,680 | 99,276 | -5,337 | skid front(out) | 1000000,000 | -11,500 | 0,000 | 1,000 | 100,000 | -2,601 | 1,279 | 0,663 | 0,663 | 0,663 | 0,648 | 0,648 | 0,068 | | | |
| 14,000 | 24,296 | 99,287 | -5,336 | skid front(out) | 1000000,000 | -11,500 | 0,000 | 1,000 | 100,000 | -2,322 | 1,351 | 0,663 | 0,663 | 0,663 | 0,649 | 0,649 | 0,072 | | | |
| 14,500 | 22,828 | 99,293 | -5,335 | skid front(out) | 1000000,000 | -11,500 | 0,000 | 1,000 | 100,000 | -3,038 | 1,428 | 0,663 | 0,663 | 0,663 | 0,648 | 0,648 | 0,076 | | | |
| 15,000 | 21,260 | 99,260 | -5,333 | skid front(out) | 1000000,000 | -11,500 | 0,000 | 1,000 | 100,000 | -1,603 | 1,509 | 0,663 | 0,663 | 0,663 | 0,648 | 0,648 | 0,082 | | | |
| 15,500 | 19,567 | 99,285 | -5,333 | skid front(out) | 1000000,000 | -11,500 | 0,000 | 1,000 | 100,000 | -2,830 | 1,598 | 0,663 | 0,663 | 0,663 | 0,648 | 0,648 | 0,088 | | | |
| 16,000 | 17,713 | 99,270 | -5,332 | skid front(out) | 1000000,000 | -11,500 | 0,000 | 1,000 | 100,000 | -1,878 | 1,694 | 0,663 | 0,663 | 0,663 | 0,648 | 0,648 | 0,097 | | | |
| 16,500 | 15,641 | 99,247 | -5,329 | skid front(out) | 1000000,000 | -11,500 | 0,000 | 1,000 | 100,000 | -1,922 | 1,802 | 0,663 | 0,663 | 0,663 | 0,648 | 0,648 | 0,108 | | | |
| 17,000 | 13,249 | 99,288 | -5,329 | skid front(out) | 1000000,000 | -11,500 | 0,000 | 1,000 | 100,000 | -4,995 | 1,927 | 0,663 | 0,663 | 0,663 | 0,648 | 0,648 | 0,125 | | | |
| 17,500 | 10,318 | 99,248 | -5,327 | skid front(out) | 1000000,000 | -11,500 | 0,000 | 1,000 | 100,000 | -2,161 | 2,079 | 0,663 | 0,663 | 0,663 | 0,648 | 0,648 | 0,153 | | | |
| 18,000 | 6,115 | 99,274 | -5,328 | skid front(out) | 1000000,000 | -11,500 | 0,000 | 1,000 | 100,000 | -2,347 | 2,299 | 0,663 | 0,663 | 0,663 | 0,648 | 0,648 | 0,219 | | | |
| 18,300 | 0,643 | 99,258 | -5,326 | skid front(out) | 1000000,000 | -11,500 | 0,000 | 1,000 | 100,000 | -2,486 | 2,584 | 0,663 | 0,663 | 0,663 | 0,648 | 0,648 | 0,285 | | | |

Προσδιορισμός Τιμών Πρόσφυσης κατά την Πέδηση Οχημάτων Εφοδιασμένων με Σύστημα ABS σε Αυξημένες κατά Μήκος Κλίσεις

| run_v_w_glif_3 | | R(m) | br.front (%) | s(%) | e (%) | coeff | effic (%) | time (sec) | | | | | | | | | |
|----------------|----------|------------|--------------|-----------------|-------------|---------|-----------|------------|-----------|-----------|------------|-------|-----------|----------|----------|---------|-----------|
| s= | 100,000 | 1000000,00 | 67,50 | -11,5 | 0,0 | 1,00 | 100 | 2,346 | | | | | | | | | 0,963 |
| step= | 0,100 | viewstep= | 0,500 | STEPS | | | | | | | | | | | | | |
| s (m) | V (km/h) | n (%) | dv/dt | skid check | R(m) | s(%) | e (%) | coeff | effic (%) | decelera | time (sec) | ft | front out | front in | rear out | rear in | checktime |
| 16,900 | 2,258 | 99,496 | -5,595 | skid front(out) | 1000000,000 | -11,500 | 0,000 | 1,000 | 100,000 | -2,448073 | 2,346 | 0,689 | 0,6888 | 0,6888 | 0,6784 | 0,6784 | |
| 0,000 | 49,650 | 99,516 | -5,633 | O.K | 1000000,000 | -11,500 | 0,000 | 1,000 | 100,000 | 0,000 | 0,000 | 0,689 | | | | | |
| 0,400 | 49,058 | 99,516 | -5,633 | skid front(in) | 1000000,000 | -11,500 | 0,000 | 1,000 | 100,000 | 0,000 | 0,029 | 0,689 | 0,689 | 0,689 | 0,679 | 0,679 | 0,029 |
| 1,000 | 48,157 | 99,516 | -5,631 | skid front(in) | 1000000,000 | -11,500 | 0,000 | 1,000 | 100,000 | 0,000 | 0,074 | 0,689 | 0,689 | 0,689 | 0,679 | 0,679 | 0,044 |
| 1,500 | 47,394 | 99,516 | -5,630 | skid front(in) | 1000000,000 | -11,500 | 0,000 | 1,000 | 100,000 | 0,000 | 0,111 | 0,689 | 0,689 | 0,689 | 0,679 | 0,679 | 0,038 |
| 2,000 | 46,618 | 99,516 | -5,629 | skid front(in) | 1000000,000 | -11,500 | 0,000 | 1,000 | 100,000 | 0,000 | 0,150 | 0,689 | 0,689 | 0,689 | 0,679 | 0,679 | 0,038 |
| 2,500 | 45,828 | 99,516 | -5,628 | skid front(in) | 1000000,000 | -11,500 | 0,000 | 1,000 | 100,000 | 0,000 | 0,189 | 0,689 | 0,689 | 0,689 | 0,679 | 0,679 | 0,039 |
| 3,000 | 45,026 | 99,516 | -5,627 | skid front(in) | 1000000,000 | -11,500 | 0,000 | 1,000 | 100,000 | 0,000 | 0,228 | 0,689 | 0,689 | 0,689 | 0,679 | 0,679 | 0,040 |
| 3,500 | 44,208 | 99,516 | -5,626 | skid front(in) | 1000000,000 | -11,500 | 0,000 | 1,000 | 100,000 | 0,000 | 0,268 | 0,689 | 0,689 | 0,689 | 0,679 | 0,679 | 0,040 |
| 4,000 | 43,376 | 99,516 | -5,625 | skid front(in) | 1000000,000 | -11,500 | 0,000 | 1,000 | 100,000 | 0,000 | 0,310 | 0,689 | 0,689 | 0,689 | 0,679 | 0,679 | 0,041 |
| 4,400 | 42,699 | 99,516 | -5,624 | skid front(in) | 1000000,000 | -11,500 | 0,000 | 1,000 | 100,000 | 0,000 | 0,343 | 0,689 | 0,689 | 0,689 | 0,679 | 0,679 | 0,033 |
| 5,000 | 41,662 | 99,516 | -5,623 | skid front(in) | 1000000,000 | -11,500 | 0,000 | 1,000 | 100,000 | 0,000 | 0,394 | 0,689 | 0,689 | 0,689 | 0,679 | 0,679 | 0,051 |
| 5,500 | 40,778 | 99,516 | -5,622 | skid front(in) | 1000000,000 | -11,500 | 0,000 | 1,000 | 100,000 | 0,000 | 0,438 | 0,689 | 0,689 | 0,689 | 0,679 | 0,679 | 0,044 |
| 6,000 | 39,875 | 99,516 | -5,621 | skid front(in) | 1000000,000 | -11,500 | 0,000 | 1,000 | 100,000 | 0,000 | 0,483 | 0,689 | 0,689 | 0,689 | 0,679 | 0,679 | 0,045 |
| 6,500 | 38,951 | 99,516 | -5,620 | skid front(in) | 1000000,000 | -11,500 | 0,000 | 1,000 | 100,000 | 0,000 | 0,528 | 0,689 | 0,689 | 0,689 | 0,679 | 0,679 | 0,046 |
| 7,000 | 38,004 | 99,516 | -5,619 | skid front(in) | 1000000,000 | -11,500 | 0,000 | 1,000 | 100,000 | 0,000 | 0,575 | 0,689 | 0,689 | 0,689 | 0,679 | 0,679 | 0,047 |
| 7,500 | 37,034 | 99,516 | -5,618 | skid front(in) | 1000000,000 | -11,500 | 0,000 | 1,000 | 100,000 | 0,000 | 0,623 | 0,689 | 0,689 | 0,689 | 0,679 | 0,679 | 0,048 |
| 8,000 | 36,038 | 99,516 | -5,617 | skid front(in) | 1000000,000 | -11,500 | 0,000 | 1,000 | 100,000 | 0,000 | 0,672 | 0,689 | 0,689 | 0,689 | 0,679 | 0,679 | 0,049 |
| 8,500 | 35,013 | 99,517 | -5,616 | skid front(in) | 1000000,000 | -11,500 | 0,000 | 1,000 | 100,000 | 0,000 | 0,723 | 0,689 | 0,689 | 0,689 | 0,679 | 0,679 | 0,051 |
| 9,000 | 33,958 | 99,517 | -5,615 | skid front(in) | 1000000,000 | -11,500 | 0,000 | 1,000 | 100,000 | 0,000 | 0,775 | 0,689 | 0,689 | 0,689 | 0,679 | 0,679 | 0,052 |
| 9,500 | 32,869 | 99,517 | -5,614 | skid front(in) | 1000000,000 | -11,500 | 0,000 | 1,000 | 100,000 | 0,000 | 0,829 | 0,689 | 0,689 | 0,689 | 0,679 | 0,679 | 0,054 |
| 10,000 | 31,743 | 99,517 | -5,613 | skid front(in) | 1000000,000 | -11,500 | 0,000 | 1,000 | 100,000 | 0,001 | 0,885 | 0,689 | 0,689 | 0,689 | 0,679 | 0,679 | 0,056 |
| 10,500 | 30,576 | 99,517 | -5,612 | skid front(in) | 1000000,000 | -11,500 | 0,000 | 1,000 | 100,000 | 0,001 | 0,942 | 0,689 | 0,689 | 0,689 | 0,679 | 0,679 | 0,058 |
| 11,000 | 29,363 | 99,517 | -5,611 | skid front(in) | 1000000,000 | -11,500 | 0,000 | 1,000 | 100,000 | 0,001 | 1,003 | 0,689 | 0,689 | 0,689 | 0,679 | 0,679 | 0,060 |
| 11,500 | 28,098 | 99,517 | -5,610 | skid front(in) | 1000000,000 | -11,500 | 0,000 | 1,000 | 100,000 | 0,000 | 1,065 | 0,689 | 0,689 | 0,689 | 0,679 | 0,679 | 0,063 |
| 12,000 | 26,773 | 99,531 | -5,607 | skid front(out) | 1000000,000 | -11,500 | 0,000 | 1,000 | 100,000 | -3,432 | 1,131 | 0,689 | 0,689 | 0,689 | 0,679 | 0,679 | 0,066 |
| 12,500 | 25,379 | 99,524 | -5,607 | skid front(out) | 1000000,000 | -11,500 | 0,000 | 1,000 | 100,000 | -1,527 | 1,200 | 0,689 | 0,689 | 0,689 | 0,679 | 0,679 | 0,069 |
| 13,000 | 23,905 | 99,499 | -5,604 | skid front(out) | 1000000,000 | -11,500 | 0,000 | 1,000 | 100,000 | -1,803 | 1,273 | 0,689 | 0,689 | 0,689 | 0,678 | 0,679 | 0,073 |
| 13,500 | 22,333 | 99,548 | -5,604 | skid front(out) | 1000000,000 | -11,500 | 0,000 | 1,000 | 100,000 | -4,765 | 1,351 | 0,689 | 0,689 | 0,689 | 0,679 | 0,679 | 0,078 |
| 14,000 | 20,643 | 99,516 | -5,602 | skid front(out) | 1000000,000 | -11,500 | 0,000 | 1,000 | 100,000 | -3,816 | 1,435 | 0,689 | 0,689 | 0,689 | 0,678 | 0,678 | 0,084 |
| 14,500 | 18,802 | 99,529 | -5,602 | skid front(out) | 1000000,000 | -11,500 | 0,000 | 1,000 | 100,000 | -2,467 | 1,526 | 0,689 | 0,689 | 0,689 | 0,679 | 0,679 | 0,091 |
| 15,000 | 16,760 | 99,523 | -5,600 | skid front(out) | 1000000,000 | -11,500 | 0,000 | 1,000 | 100,000 | -3,606 | 1,627 | 0,689 | 0,689 | 0,689 | 0,679 | 0,679 | 0,101 |
| 15,500 | 14,434 | 99,494 | -5,598 | skid front(out) | 1000000,000 | -11,500 | 0,000 | 1,000 | 100,000 | -2,276 | 1,742 | 0,689 | 0,689 | 0,689 | 0,678 | 0,678 | 0,115 |
| 16,000 | 11,650 | 99,551 | -5,598 | skid front(out) | 1000000,000 | -11,500 | 0,000 | 1,000 | 100,000 | -4,067 | 1,880 | 0,689 | 0,689 | 0,689 | 0,679 | 0,679 | 0,138 |
| 16,500 | 7,948 | 99,550 | -5,598 | skid front(out) | 1000000,000 | -11,500 | 0,000 | 1,000 | 100,000 | -4,930 | 2,064 | 0,689 | 0,689 | 0,689 | 0,679 | 0,679 | 0,184 |
| 16,900 | 2,258 | 99,496 | -5,595 | skid front(out) | 1000000,000 | -11,500 | 0,000 | 1,000 | 100,000 | -2,448 | 2,346 | 0,689 | 0,689 | 0,689 | 0,678 | 0,678 | 0,282 |

Προσδιορισμός Τιμών Πρόσφυσης κατά την Πέδηση Οχημάτων Εφοδιασμένων με Σύστημα ABS σε Αυξημένες κατά Μήκος Κλίσεις

| run_v_w_glif_5 | | R(m) | br.front (%) | s(%) | e (%) | coeff | effic (%) | time (sec) | | | | | | | | | |
|----------------|----------|------------|--------------|-----------------|-------------|---------|-----------|------------|-----------|-----------|------------|-------|-----------|----------|----------|---------|-----------|
| s= | 100,000 | 1000000,00 | 68,50 | -11,5 | 0,0 | 1,00 | 100 | 2,667 | | | | | | | | | |
| step= | 0,100 | viewstep= | 0,500 | STEPS | | | | | | | | | 0,963 | | | | |
| s (m) | V (km/h) | n (%) | dv/dt | skid check | R(m) | s(%) | e (%) | coeff | effic (%) | decelera | time (sec) | ft | front out | front in | rear out | rear in | checktime |
| 22,300 | 1,403 | 99,375 | -5,968 | skid front(out) | 1000000,000 | -11,500 | 0,000 | 1,000 | 100,000 | -1,844200 | 2,667 | 0,728 | 0,7278 | 0,7278 | 0,7138 | 0,7138 | |
| 0,000 | 58,880 | 99,394 | -6,019 | O.K | 1000000,000 | -11,500 | 0,000 | 1,000 | 100,000 | 0,000 | 0,000 | 0,728 | | | | | |
| 0,400 | 58,348 | 99,394 | -6,018 | skid front(in) | 1000000,000 | -11,500 | 0,000 | 1,000 | 100,000 | 0,000 | 0,025 | 0,728 | 0,728 | 0,728 | 0,714 | 0,714 | 0,025 |
| 1,000 | 57,540 | 99,394 | -6,016 | skid front(in) | 1000000,000 | -11,500 | 0,000 | 1,000 | 100,000 | 0,000 | 0,062 | 0,728 | 0,728 | 0,728 | 0,714 | 0,714 | 0,037 |
| 1,500 | 56,859 | 99,394 | -6,015 | skid front(in) | 1000000,000 | -11,500 | 0,000 | 1,000 | 100,000 | 0,000 | 0,093 | 0,728 | 0,728 | 0,728 | 0,714 | 0,714 | 0,031 |
| 2,000 | 56,169 | 99,394 | -6,014 | skid front(in) | 1000000,000 | -11,500 | 0,000 | 1,000 | 100,000 | 0,000 | 0,125 | 0,728 | 0,728 | 0,728 | 0,714 | 0,714 | 0,032 |
| 2,500 | 55,471 | 99,394 | -6,013 | skid front(in) | 1000000,000 | -11,500 | 0,000 | 1,000 | 100,000 | 0,000 | 0,157 | 0,728 | 0,728 | 0,728 | 0,714 | 0,714 | 0,032 |
| 3,000 | 54,764 | 99,394 | -6,012 | skid front(in) | 1000000,000 | -11,500 | 0,000 | 1,000 | 100,000 | 0,000 | 0,190 | 0,728 | 0,728 | 0,728 | 0,714 | 0,714 | 0,033 |
| 3,500 | 54,048 | 99,394 | -6,011 | skid front(in) | 1000000,000 | -11,500 | 0,000 | 1,000 | 100,000 | 0,000 | 0,223 | 0,728 | 0,728 | 0,728 | 0,714 | 0,714 | 0,033 |
| 4,000 | 53,322 | 99,394 | -6,010 | skid front(in) | 1000000,000 | -11,500 | 0,000 | 1,000 | 100,000 | 0,000 | 0,257 | 0,728 | 0,728 | 0,728 | 0,714 | 0,714 | 0,034 |
| 4,400 | 52,735 | 99,394 | -6,009 | skid front(in) | 1000000,000 | -11,500 | 0,000 | 1,000 | 100,000 | 0,000 | 0,284 | 0,728 | 0,728 | 0,728 | 0,714 | 0,714 | 0,027 |
| 5,000 | 51,841 | 99,394 | -6,008 | skid front(in) | 1000000,000 | -11,500 | 0,000 | 1,000 | 100,000 | 0,000 | 0,325 | 0,728 | 0,728 | 0,728 | 0,714 | 0,714 | 0,041 |
| 5,500 | 51,085 | 99,394 | -6,007 | skid front(in) | 1000000,000 | -11,500 | 0,000 | 1,000 | 100,000 | 0,000 | 0,360 | 0,728 | 0,728 | 0,728 | 0,714 | 0,714 | 0,035 |
| 6,000 | 50,317 | 99,395 | -6,006 | skid front(in) | 1000000,000 | -11,500 | 0,000 | 1,000 | 100,000 | 0,000 | 0,396 | 0,728 | 0,728 | 0,728 | 0,714 | 0,714 | 0,036 |
| 6,500 | 49,538 | 99,395 | -6,005 | skid front(in) | 1000000,000 | -11,500 | 0,000 | 1,000 | 100,000 | 0,000 | 0,432 | 0,728 | 0,728 | 0,728 | 0,714 | 0,714 | 0,036 |
| 7,000 | 48,746 | 99,395 | -6,003 | skid front(in) | 1000000,000 | -11,500 | 0,000 | 1,000 | 100,000 | 0,000 | 0,468 | 0,728 | 0,728 | 0,728 | 0,714 | 0,714 | 0,037 |
| 7,500 | 47,942 | 99,395 | -6,002 | skid front(in) | 1000000,000 | -11,500 | 0,000 | 1,000 | 100,000 | 0,000 | 0,506 | 0,728 | 0,728 | 0,728 | 0,714 | 0,714 | 0,037 |
| 8,000 | 47,123 | 99,395 | -6,001 | skid front(in) | 1000000,000 | -11,500 | 0,000 | 1,000 | 100,000 | 0,000 | 0,543 | 0,728 | 0,728 | 0,728 | 0,714 | 0,714 | 0,038 |
| 8,500 | 46,291 | 99,395 | -6,000 | skid front(in) | 1000000,000 | -11,500 | 0,000 | 1,000 | 100,000 | 0,000 | 0,582 | 0,728 | 0,728 | 0,728 | 0,714 | 0,714 | 0,039 |
| 9,000 | 45,443 | 99,395 | -5,999 | skid front(in) | 1000000,000 | -11,500 | 0,000 | 1,000 | 100,000 | 0,000 | 0,621 | 0,728 | 0,728 | 0,728 | 0,714 | 0,714 | 0,039 |
| 9,500 | 44,580 | 99,395 | -5,998 | skid front(in) | 1000000,000 | -11,500 | 0,000 | 1,000 | 100,000 | 0,000 | 0,661 | 0,728 | 0,728 | 0,728 | 0,714 | 0,714 | 0,040 |
| 10,000 | 43,699 | 99,395 | -5,997 | skid front(in) | 1000000,000 | -11,500 | 0,000 | 1,000 | 100,000 | 0,000 | 0,702 | 0,728 | 0,728 | 0,728 | 0,714 | 0,714 | 0,041 |
| 10,500 | 42,801 | 99,395 | -5,996 | skid front(in) | 1000000,000 | -11,500 | 0,000 | 1,000 | 100,000 | 0,000 | 0,744 | 0,728 | 0,728 | 0,728 | 0,714 | 0,714 | 0,042 |
| 11,000 | 41,883 | 99,395 | -5,995 | skid front(in) | 1000000,000 | -11,500 | 0,000 | 1,000 | 100,000 | 0,000 | 0,786 | 0,728 | 0,728 | 0,728 | 0,714 | 0,714 | 0,043 |
| 11,500 | 40,945 | 99,395 | -5,994 | skid front(in) | 1000000,000 | -11,500 | 0,000 | 1,000 | 100,000 | 0,000 | 0,830 | 0,728 | 0,728 | 0,728 | 0,714 | 0,714 | 0,043 |
| 12,000 | 39,986 | 99,395 | -5,993 | skid front(in) | 1000000,000 | -11,500 | 0,000 | 1,000 | 100,000 | 0,000 | 0,874 | 0,728 | 0,728 | 0,728 | 0,714 | 0,714 | 0,044 |
| 12,500 | 39,002 | 99,395 | -5,992 | skid front(in) | 1000000,000 | -11,500 | 0,000 | 1,000 | 100,000 | 0,000 | 0,920 | 0,728 | 0,728 | 0,728 | 0,714 | 0,714 | 0,046 |
| 13,000 | 37,994 | 99,396 | -5,991 | skid front(in) | 1000000,000 | -11,500 | 0,000 | 1,000 | 100,000 | 0,000 | 0,966 | 0,728 | 0,728 | 0,728 | 0,714 | 0,714 | 0,047 |
| 13,500 | 36,958 | 99,396 | -5,989 | skid front(in) | 1000000,000 | -11,500 | 0,000 | 1,000 | 100,000 | 0,000 | 1,014 | 0,728 | 0,728 | 0,728 | 0,714 | 0,714 | 0,048 |
| 14,000 | 35,893 | 99,396 | -5,988 | skid front(in) | 1000000,000 | -11,500 | 0,000 | 1,000 | 100,000 | 0,000 | 1,064 | 0,728 | 0,728 | 0,728 | 0,714 | 0,714 | 0,049 |
| 14,500 | 34,795 | 99,396 | -5,987 | skid front(in) | 1000000,000 | -11,500 | 0,000 | 1,000 | 100,000 | 0,000 | 1,115 | 0,728 | 0,728 | 0,728 | 0,714 | 0,714 | 0,051 |
| 15,000 | 33,662 | 99,396 | -5,986 | skid front(in) | 1000000,000 | -11,500 | 0,000 | 1,000 | 100,000 | 0,000 | 1,167 | 0,728 | 0,728 | 0,728 | 0,714 | 0,714 | 0,053 |
| 15,500 | 32,489 | 99,396 | -5,985 | skid front(in) | 1000000,000 | -11,500 | 0,000 | 1,000 | 100,000 | 0,000 | 1,222 | 0,728 | 0,728 | 0,728 | 0,714 | 0,714 | 0,054 |
| 16,000 | 31,273 | 99,396 | -5,984 | skid front(in) | 1000000,000 | -11,500 | 0,000 | 1,000 | 100,000 | 0,001 | 1,278 | 0,728 | 0,728 | 0,728 | 0,714 | 0,714 | 0,056 |
| 16,500 | 30,007 | 99,396 | -5,983 | skid front(in) | 1000000,000 | -11,500 | 0,000 | 1,000 | 100,000 | 0,000 | 1,337 | 0,728 | 0,728 | 0,728 | 0,714 | 0,714 | 0,059 |
| 17,000 | 28,686 | 99,396 | -5,982 | skid front(in) | 1000000,000 | -11,500 | 0,000 | 1,000 | 100,000 | 0,000 | 1,398 | 0,728 | 0,728 | 0,728 | 0,714 | 0,714 | 0,061 |
| 17,500 | 27,302 | 99,396 | -5,981 | skid front(in) | 1000000,000 | -11,500 | 0,000 | 1,000 | 100,000 | 0,003 | 1,463 | 0,728 | 0,728 | 0,728 | 0,714 | 0,714 | 0,064 |
| 18,000 | 25,843 | 99,362 | -5,977 | skid front(out) | 1000000,000 | -11,500 | 0,000 | 1,000 | 100,000 | -0,322 | 1,530 | 0,728 | 0,728 | 0,728 | 0,714 | 0,714 | 0,068 |
| 18,500 | 24,298 | 99,384 | -5,977 | skid front(out) | 1000000,000 | -11,500 | 0,000 | 1,000 | 100,000 | -1,438 | 1,602 | 0,728 | 0,728 | 0,728 | 0,714 | 0,714 | 0,072 |
| 18,900 | 22,987 | 99,386 | -5,976 | skid front(out) | 1000000,000 | -11,500 | 0,000 | 1,000 | 100,000 | -2,067 | 1,663 | 0,728 | 0,728 | 0,728 | 0,714 | 0,714 | 0,061 |
| 19,500 | 20,868 | 99,373 | -5,974 | skid front(out) | 1000000,000 | -11,500 | 0,000 | 1,000 | 100,000 | -1,467 | 1,762 | 0,728 | 0,728 | 0,728 | 0,714 | 0,714 | 0,099 |
| 20,000 | 18,922 | 99,398 | -5,974 | skid front(out) | 1000000,000 | -11,500 | 0,000 | 1,000 | 100,000 | -2,014 | 1,852 | 0,728 | 0,728 | 0,728 | 0,714 | 0,714 | 0,090 |
| 20,500 | 16,751 | 99,404 | -5,974 | skid front(out) | 1000000,000 | -11,500 | 0,000 | 1,000 | 100,000 | -1,781 | 1,953 | 0,728 | 0,728 | 0,728 | 0,714 | 0,714 | 0,101 |
| 21,000 | 14,255 | 99,421 | -5,972 | skid front(out) | 1000000,000 | -11,500 | 0,000 | 1,000 | 100,000 | -4,044 | 2,069 | 0,728 | 0,728 | 0,728 | 0,714 | 0,714 | 0,116 |
| 21,500 | 11,216 | 99,382 | -5,970 | skid front(out) | 1000000,000 | -11,500 | 0,000 | 1,000 | 100,000 | -1,905 | 2,210 | 0,728 | 0,728 | 0,728 | 0,714 | 0,714 | 0,141 |
| 22,000 | 6,957 | 99,388 | -5,970 | skid front(out) | 1000000,000 | -11,500 | 0,000 | 1,000 | 100,000 | -0,890 | 2,408 | 0,728 | 0,728 | 0,728 | 0,714 | 0,714 | 0,198 |
| 22,300 | 1,403 | 99,375 | -5,968 | skid front(out) | 1000000,000 | -11,500 | 0,000 | 1,000 | 100,000 | -1,844 | 2,667 | 0,728 | 0,728 | 0,728 | 0,714 | 0,714 | 0,258 |

Προσδιορισμός Τιμών Πρόσφυσης κατά την Πέδηση Οχημάτων Εφοδιασμένων με Σύστημα ABS σε Αυξημένες κατά Μήκος Κλίσεις

| run_v_w_glif_6 | | R(m) | br.front (%) | s(%) | e (%) | coeff | effic (%) | time (sec) | | | | | | | | | |
|----------------|----------|------------|--------------|-----------------|-------------|---------|-----------|------------|-----------|-----------|------------|-------|-----------|----------|----------|---------|-----------|
| s= | 100,000 | 1000000,00 | 69,00 | -11,5 | 0,0 | 1,00 | 100 | 2,534 | | | | | | | | | |
| step= | 0,100 | viewstep= | 0,500 | STEPS | | | | | | | | | | | | | |
| s (m) | V (km/h) | n (%) | dv/dt | skid check | R(m) | s(%) | e (%) | coeff | effic (%) | decelera | time (sec) | ft | front out | front in | rear out | rear in | checktime |
| 21,700 | 2,970 | 99,115 | -6,094 | skid front(out) | 1000000,000 | -11,500 | 0,000 | 1,000 | 100,000 | -4,122422 | 2,534 | 0,743 | 0,7427 | 0,7427 | 0,7219 | 0,7219 | |
| 0,000 | 58,750 | 99,123 | -6,145 | O.K | 1000000,000 | -11,500 | 0,000 | 1,000 | 100,000 | 0,000 | 0,000 | 0,743 | | | | | |
| 0,400 | 58,205 | 99,123 | -6,144 | skid front(in) | 1000000,000 | -11,500 | 0,000 | 1,000 | 100,000 | 0,000 | 0,025 | 0,743 | 0,743 | 0,743 | 0,722 | 0,722 | 0,025 |
| 1,000 | 57,379 | 99,123 | -6,142 | skid front(in) | 1000000,000 | -11,500 | 0,000 | 1,000 | 100,000 | 0,000 | 0,062 | 0,743 | 0,743 | 0,743 | 0,722 | 0,722 | 0,037 |
| 1,500 | 56,681 | 99,123 | -6,141 | skid front(in) | 1000000,000 | -11,500 | 0,000 | 1,000 | 100,000 | 0,000 | 0,094 | 0,743 | 0,743 | 0,743 | 0,722 | 0,722 | 0,032 |
| 2,000 | 55,974 | 99,123 | -6,140 | skid front(in) | 1000000,000 | -11,500 | 0,000 | 1,000 | 100,000 | 0,000 | 0,126 | 0,743 | 0,743 | 0,743 | 0,722 | 0,722 | 0,032 |
| 2,500 | 55,259 | 99,124 | -6,139 | skid front(in) | 1000000,000 | -11,500 | 0,000 | 1,000 | 100,000 | 0,000 | 0,158 | 0,743 | 0,743 | 0,743 | 0,722 | 0,722 | 0,032 |
| 3,000 | 54,535 | 99,124 | -6,138 | skid front(in) | 1000000,000 | -11,500 | 0,000 | 1,000 | 100,000 | 0,000 | 0,191 | 0,743 | 0,743 | 0,743 | 0,722 | 0,722 | 0,033 |
| 3,500 | 53,800 | 99,124 | -6,137 | skid front(in) | 1000000,000 | -11,500 | 0,000 | 1,000 | 100,000 | 0,000 | 0,224 | 0,743 | 0,743 | 0,743 | 0,722 | 0,722 | 0,033 |
| 4,000 | 53,056 | 99,124 | -6,136 | skid front(in) | 1000000,000 | -11,500 | 0,000 | 1,000 | 100,000 | 0,000 | 0,258 | 0,743 | 0,743 | 0,743 | 0,722 | 0,722 | 0,034 |
| 4,400 | 52,453 | 99,124 | -6,135 | skid front(in) | 1000000,000 | -11,500 | 0,000 | 1,000 | 100,000 | 0,000 | 0,285 | 0,743 | 0,743 | 0,743 | 0,722 | 0,722 | 0,027 |
| 5,000 | 51,536 | 99,124 | -6,134 | skid front(in) | 1000000,000 | -11,500 | 0,000 | 1,000 | 100,000 | 0,000 | 0,326 | 0,743 | 0,743 | 0,743 | 0,722 | 0,722 | 0,042 |
| 5,500 | 50,759 | 99,124 | -6,133 | skid front(in) | 1000000,000 | -11,500 | 0,000 | 1,000 | 100,000 | 0,000 | 0,362 | 0,743 | 0,743 | 0,743 | 0,722 | 0,722 | 0,035 |
| 6,000 | 49,970 | 99,124 | -6,131 | skid front(in) | 1000000,000 | -11,500 | 0,000 | 1,000 | 100,000 | 0,000 | 0,397 | 0,743 | 0,743 | 0,743 | 0,722 | 0,722 | 0,036 |
| 6,500 | 49,168 | 99,124 | -6,130 | skid front(in) | 1000000,000 | -11,500 | 0,000 | 1,000 | 100,000 | 0,000 | 0,434 | 0,743 | 0,743 | 0,743 | 0,722 | 0,722 | 0,036 |
| 7,000 | 48,354 | 99,124 | -6,129 | skid front(in) | 1000000,000 | -11,500 | 0,000 | 1,000 | 100,000 | 0,000 | 0,471 | 0,743 | 0,743 | 0,743 | 0,722 | 0,722 | 0,037 |
| 7,500 | 47,525 | 99,124 | -6,128 | skid front(in) | 1000000,000 | -11,500 | 0,000 | 1,000 | 100,000 | 0,000 | 0,508 | 0,743 | 0,743 | 0,743 | 0,722 | 0,722 | 0,038 |
| 8,000 | 46,682 | 99,124 | -6,127 | skid front(in) | 1000000,000 | -11,500 | 0,000 | 1,000 | 100,000 | 0,000 | 0,546 | 0,743 | 0,743 | 0,743 | 0,722 | 0,722 | 0,038 |
| 8,500 | 45,824 | 99,124 | -6,126 | skid front(in) | 1000000,000 | -11,500 | 0,000 | 1,000 | 100,000 | 0,000 | 0,585 | 0,743 | 0,743 | 0,743 | 0,722 | 0,722 | 0,039 |
| 9,000 | 44,949 | 99,124 | -6,125 | skid front(in) | 1000000,000 | -11,500 | 0,000 | 1,000 | 100,000 | 0,000 | 0,625 | 0,743 | 0,743 | 0,743 | 0,722 | 0,722 | 0,040 |
| 9,500 | 44,058 | 99,124 | -6,124 | skid front(in) | 1000000,000 | -11,500 | 0,000 | 1,000 | 100,000 | 0,000 | 0,665 | 0,743 | 0,743 | 0,743 | 0,722 | 0,722 | 0,040 |
| 10,000 | 43,148 | 99,125 | -6,123 | skid front(in) | 1000000,000 | -11,500 | 0,000 | 1,000 | 100,000 | 0,000 | 0,707 | 0,743 | 0,743 | 0,743 | 0,722 | 0,722 | 0,041 |
| 10,500 | 42,218 | 99,125 | -6,122 | skid front(in) | 1000000,000 | -11,500 | 0,000 | 1,000 | 100,000 | 0,000 | 0,749 | 0,743 | 0,743 | 0,743 | 0,722 | 0,722 | 0,042 |
| 11,000 | 41,268 | 99,125 | -6,120 | skid front(in) | 1000000,000 | -11,500 | 0,000 | 1,000 | 100,000 | 0,000 | 0,792 | 0,743 | 0,743 | 0,743 | 0,722 | 0,722 | 0,043 |
| 11,500 | 40,296 | 99,125 | -6,119 | skid front(in) | 1000000,000 | -11,500 | 0,000 | 1,000 | 100,000 | 0,000 | 0,836 | 0,743 | 0,743 | 0,743 | 0,722 | 0,722 | 0,044 |
| 12,000 | 39,299 | 99,125 | -6,118 | skid front(in) | 1000000,000 | -11,500 | 0,000 | 1,000 | 100,000 | 0,000 | 0,881 | 0,743 | 0,743 | 0,743 | 0,722 | 0,722 | 0,045 |
| 12,500 | 38,277 | 99,125 | -6,117 | skid front(in) | 1000000,000 | -11,500 | 0,000 | 1,000 | 100,000 | 0,000 | 0,928 | 0,743 | 0,743 | 0,743 | 0,722 | 0,722 | 0,046 |
| 13,000 | 37,227 | 99,125 | -6,116 | skid front(in) | 1000000,000 | -11,500 | 0,000 | 1,000 | 100,000 | 0,000 | 0,975 | 0,743 | 0,743 | 0,743 | 0,722 | 0,722 | 0,048 |
| 13,500 | 36,147 | 99,125 | -6,115 | skid front(in) | 1000000,000 | -11,500 | 0,000 | 1,000 | 100,000 | 0,000 | 1,024 | 0,743 | 0,743 | 0,743 | 0,722 | 0,722 | 0,049 |
| 14,000 | 35,034 | 99,125 | -6,114 | skid front(in) | 1000000,000 | -11,500 | 0,000 | 1,000 | 100,000 | 0,000 | 1,075 | 0,743 | 0,743 | 0,743 | 0,722 | 0,722 | 0,051 |
| 14,500 | 33,884 | 99,125 | -6,113 | skid front(in) | 1000000,000 | -11,500 | 0,000 | 1,000 | 100,000 | 0,000 | 1,127 | 0,743 | 0,743 | 0,743 | 0,722 | 0,722 | 0,052 |
| 15,000 | 32,695 | 99,125 | -6,112 | skid front(in) | 1000000,000 | -11,500 | 0,000 | 1,000 | 100,000 | 0,000 | 1,181 | 0,743 | 0,743 | 0,743 | 0,722 | 0,722 | 0,054 |
| 15,500 | 31,460 | 99,125 | -6,111 | skid front(in) | 1000000,000 | -11,500 | 0,000 | 1,000 | 100,000 | 0,001 | 1,237 | 0,743 | 0,743 | 0,743 | 0,722 | 0,722 | 0,056 |
| 16,000 | 30,175 | 99,125 | -6,110 | skid front(in) | 1000000,000 | -11,500 | 0,000 | 1,000 | 100,000 | 0,000 | 1,296 | 0,743 | 0,743 | 0,743 | 0,722 | 0,722 | 0,058 |
| 16,500 | 28,834 | 99,125 | -6,108 | skid front(in) | 1000000,000 | -11,500 | 0,000 | 1,000 | 100,000 | -0,001 | 1,357 | 0,743 | 0,743 | 0,743 | 0,722 | 0,722 | 0,061 |
| 17,000 | 27,427 | 99,125 | -6,107 | skid front(in) | 1000000,000 | -11,500 | 0,000 | 1,000 | 100,000 | 0,003 | 1,421 | 0,743 | 0,743 | 0,743 | 0,722 | 0,722 | 0,064 |
| 17,500 | 25,944 | 99,135 | -6,106 | skid front(out) | 1000000,000 | -11,500 | 0,000 | 1,000 | 100,000 | -2,031 | 1,488 | 0,743 | 0,743 | 0,743 | 0,722 | 0,722 | 0,067 |
| 18,000 | 24,371 | 99,133 | -6,104 | skid front(out) | 1000000,000 | -11,500 | 0,000 | 1,000 | 100,000 | -2,761 | 1,560 | 0,743 | 0,743 | 0,743 | 0,722 | 0,722 | 0,072 |
| 18,500 | 22,690 | 99,123 | -6,102 | skid front(out) | 1000000,000 | -11,500 | 0,000 | 1,000 | 100,000 | -2,798 | 1,636 | 0,743 | 0,743 | 0,743 | 0,722 | 0,722 | 0,077 |
| 18,900 | 21,249 | 99,141 | -6,103 | skid front(out) | 1000000,000 | -11,500 | 0,000 | 1,000 | 100,000 | -2,679 | 1,702 | 0,743 | 0,743 | 0,743 | 0,722 | 0,722 | 0,066 |
| 19,500 | 18,885 | 99,135 | -6,101 | skid front(out) | 1000000,000 | -11,500 | 0,000 | 1,000 | 100,000 | -2,244 | 1,810 | 0,743 | 0,743 | 0,743 | 0,722 | 0,722 | 0,108 |
| 20,000 | 16,660 | 99,126 | -6,099 | skid front(out) | 1000000,000 | -11,500 | 0,000 | 1,000 | 100,000 | -2,932 | 1,911 | 0,743 | 0,743 | 0,743 | 0,722 | 0,722 | 0,101 |
| 20,500 | 14,089 | 99,107 | -6,096 | skid front(out) | 1000000,000 | -11,500 | 0,000 | 1,000 | 100,000 | -2,869 | 2,028 | 0,743 | 0,743 | 0,743 | 0,722 | 0,722 | 0,117 |
| 21,000 | 10,930 | 99,142 | -6,097 | skid front(out) | 1000000,000 | -11,500 | 0,000 | 1,000 | 100,000 | -3,882 | 2,172 | 0,743 | 0,743 | 0,743 | 0,722 | 0,722 | 0,144 |
| 21,500 | 6,359 | 99,133 | -6,094 | skid front(out) | 1000000,000 | -11,500 | 0,000 | 1,000 | 100,000 | -5,547 | 2,380 | 0,743 | 0,743 | 0,743 | 0,722 | 0,722 | 0,208 |
| 21,700 | 2,970 | 99,115 | -6,094 | skid front(out) | 1000000,000 | -11,500 | 0,000 | 1,000 | 100,000 | -4,122 | 2,534 | 0,743 | 0,743 | 0,743 | 0,722 | 0,722 | 0,154 |

Προσδιορισμός Τιμών Πρόσφυσης κατά την Πέδηση Οχημάτων Εφοδιασμένων με Σύστημα ABS σε Αυξημένες κατά Μήκος Κλίσεις

| run_v_w_glif_7 | R(m) | br.front (%) | s(%) | e (%) | coeff | effic (%) | time (sec) | | | | | | | | | | |
|----------------|-----------------|--------------|--------|-----------------|-------------|-----------|------------|-------|-----------|-----------|------------|-------|-----------|----------|----------|---------|-----------|
| s= 100,000 | 1000000,00 | 68,50 | -11,5 | 0,0 | 1,00 | 100 | 2,475 | 0,963 | | | | | | | | | |
| step= 0,100 | viewstep= 0,500 | STEPS | | | | | | | | | | | | | | | |
| s (m) | V (km/h) | n (%) | dv/dt | skid check | R(m) | s(%) | e (%) | coeff | effic (%) | decelera | time (sec) | ft | front out | front in | rear out | rear in | checktime |
| 20,500 | 2,832 | 99,684 | -6,048 | skid front(out) | 1000000,000 | -11,500 | 0,000 | 1,000 | 100,000 | -2,804429 | 2,475 | 0,734 | 0,7339 | 0,7339 | 0,7263 | 0,7263 | |
| 0,000 | 56,870 | 99,676 | -6,094 | O.K | 1000000,000 | -11,500 | 0,000 | 1,000 | 100,000 | 0,000 | 0,000 | 0,734 | | | | | |
| 0,400 | 56,312 | 99,676 | -6,093 | skid front(in) | 1000000,000 | -11,500 | 0,000 | 1,000 | 100,000 | 0,000 | 0,025 | 0,734 | 0,734 | 0,734 | 0,727 | 0,727 | 0,025 |
| 1,000 | 55,464 | 99,676 | -6,092 | skid front(in) | 1000000,000 | -11,500 | 0,000 | 1,000 | 100,000 | 0,000 | 0,064 | 0,734 | 0,734 | 0,734 | 0,727 | 0,727 | 0,039 |
| 1,500 | 54,748 | 99,676 | -6,091 | skid front(in) | 1000000,000 | -11,500 | 0,000 | 1,000 | 100,000 | 0,000 | 0,097 | 0,734 | 0,734 | 0,734 | 0,727 | 0,727 | 0,033 |
| 2,000 | 54,022 | 99,676 | -6,090 | skid front(in) | 1000000,000 | -11,500 | 0,000 | 1,000 | 100,000 | 0,000 | 0,130 | 0,734 | 0,734 | 0,734 | 0,727 | 0,727 | 0,033 |
| 2,500 | 53,287 | 99,676 | -6,089 | skid front(in) | 1000000,000 | -11,500 | 0,000 | 1,000 | 100,000 | 0,000 | 0,163 | 0,734 | 0,734 | 0,734 | 0,727 | 0,727 | 0,034 |
| 3,000 | 52,541 | 99,676 | -6,087 | skid front(in) | 1000000,000 | -11,500 | 0,000 | 1,000 | 100,000 | 0,000 | 0,197 | 0,734 | 0,734 | 0,734 | 0,727 | 0,727 | 0,034 |
| 3,500 | 51,785 | 99,677 | -6,086 | skid front(in) | 1000000,000 | -11,500 | 0,000 | 1,000 | 100,000 | 0,000 | 0,232 | 0,734 | 0,734 | 0,734 | 0,727 | 0,727 | 0,035 |
| 4,000 | 51,018 | 99,677 | -6,085 | skid front(in) | 1000000,000 | -11,500 | 0,000 | 1,000 | 100,000 | 0,000 | 0,267 | 0,734 | 0,734 | 0,734 | 0,727 | 0,727 | 0,035 |
| 4,400 | 50,396 | 99,677 | -6,084 | skid front(in) | 1000000,000 | -11,500 | 0,000 | 1,000 | 100,000 | 0,000 | 0,295 | 0,734 | 0,734 | 0,734 | 0,727 | 0,727 | 0,028 |
| 5,000 | 49,448 | 99,677 | -6,083 | skid front(in) | 1000000,000 | -11,500 | 0,000 | 1,000 | 100,000 | 0,000 | 0,339 | 0,734 | 0,734 | 0,734 | 0,727 | 0,727 | 0,043 |
| 5,500 | 48,645 | 99,677 | -6,082 | skid front(in) | 1000000,000 | -11,500 | 0,000 | 1,000 | 100,000 | 0,000 | 0,375 | 0,734 | 0,734 | 0,734 | 0,727 | 0,727 | 0,037 |
| 6,000 | 47,828 | 99,677 | -6,081 | skid front(in) | 1000000,000 | -11,500 | 0,000 | 1,000 | 100,000 | 0,000 | 0,413 | 0,734 | 0,734 | 0,734 | 0,727 | 0,727 | 0,037 |
| 6,500 | 46,996 | 99,677 | -6,080 | skid front(in) | 1000000,000 | -11,500 | 0,000 | 1,000 | 100,000 | 0,000 | 0,451 | 0,734 | 0,734 | 0,734 | 0,727 | 0,727 | 0,038 |
| 7,000 | 46,151 | 99,677 | -6,079 | skid front(in) | 1000000,000 | -11,500 | 0,000 | 1,000 | 100,000 | 0,000 | 0,489 | 0,734 | 0,734 | 0,734 | 0,727 | 0,727 | 0,039 |
| 7,500 | 45,289 | 99,677 | -6,078 | skid front(in) | 1000000,000 | -11,500 | 0,000 | 1,000 | 100,000 | 0,000 | 0,529 | 0,734 | 0,734 | 0,734 | 0,727 | 0,727 | 0,039 |
| 8,000 | 44,411 | 99,677 | -6,077 | skid front(in) | 1000000,000 | -11,500 | 0,000 | 1,000 | 100,000 | 0,000 | 0,569 | 0,734 | 0,734 | 0,734 | 0,727 | 0,727 | 0,040 |
| 8,500 | 43,516 | 99,677 | -6,075 | skid front(in) | 1000000,000 | -11,500 | 0,000 | 1,000 | 100,000 | 0,000 | 0,610 | 0,734 | 0,734 | 0,734 | 0,727 | 0,727 | 0,041 |
| 9,000 | 42,601 | 99,677 | -6,074 | skid front(in) | 1000000,000 | -11,500 | 0,000 | 1,000 | 100,000 | 0,000 | 0,651 | 0,734 | 0,734 | 0,734 | 0,727 | 0,727 | 0,042 |
| 9,500 | 41,667 | 99,677 | -6,073 | skid front(in) | 1000000,000 | -11,500 | 0,000 | 1,000 | 100,000 | 0,000 | 0,694 | 0,734 | 0,734 | 0,734 | 0,727 | 0,727 | 0,043 |
| 10,000 | 40,712 | 99,677 | -6,072 | skid front(in) | 1000000,000 | -11,500 | 0,000 | 1,000 | 100,000 | 0,000 | 0,738 | 0,734 | 0,734 | 0,734 | 0,727 | 0,727 | 0,044 |
| 10,500 | 39,734 | 99,677 | -6,071 | skid front(in) | 1000000,000 | -11,500 | 0,000 | 1,000 | 100,000 | 0,000 | 0,783 | 0,734 | 0,734 | 0,734 | 0,727 | 0,727 | 0,045 |
| 11,000 | 38,731 | 99,678 | -6,070 | skid front(in) | 1000000,000 | -11,500 | 0,000 | 1,000 | 100,000 | 0,000 | 0,829 | 0,734 | 0,734 | 0,734 | 0,727 | 0,727 | 0,046 |
| 11,500 | 37,702 | 99,678 | -6,069 | skid front(in) | 1000000,000 | -11,500 | 0,000 | 1,000 | 100,000 | 0,000 | 0,876 | 0,734 | 0,734 | 0,734 | 0,727 | 0,727 | 0,047 |
| 12,000 | 36,644 | 99,678 | -6,068 | skid front(in) | 1000000,000 | -11,500 | 0,000 | 1,000 | 100,000 | 0,000 | 0,924 | 0,734 | 0,734 | 0,734 | 0,727 | 0,727 | 0,048 |
| 12,500 | 35,555 | 99,678 | -6,067 | skid front(in) | 1000000,000 | -11,500 | 0,000 | 1,000 | 100,000 | 0,001 | 0,974 | 0,734 | 0,734 | 0,734 | 0,727 | 0,727 | 0,050 |
| 13,000 | 34,432 | 99,678 | -6,066 | skid front(in) | 1000000,000 | -11,500 | 0,000 | 1,000 | 100,000 | 0,000 | 1,025 | 0,734 | 0,734 | 0,734 | 0,727 | 0,727 | 0,051 |
| 13,500 | 33,271 | 99,678 | -6,065 | skid front(in) | 1000000,000 | -11,500 | 0,000 | 1,000 | 100,000 | 0,001 | 1,079 | 0,734 | 0,734 | 0,734 | 0,727 | 0,727 | 0,053 |
| 14,000 | 32,068 | 99,678 | -6,064 | skid front(in) | 1000000,000 | -11,500 | 0,000 | 1,000 | 100,000 | 0,001 | 1,134 | 0,734 | 0,734 | 0,734 | 0,727 | 0,727 | 0,055 |
| 14,500 | 30,818 | 99,678 | -6,062 | skid front(in) | 1000000,000 | -11,500 | 0,000 | 1,000 | 100,000 | 0,000 | 1,191 | 0,734 | 0,734 | 0,734 | 0,727 | 0,727 | 0,057 |
| 15,000 | 29,516 | 99,678 | -6,061 | skid front(in) | 1000000,000 | -11,500 | 0,000 | 1,000 | 100,000 | 0,001 | 1,251 | 0,734 | 0,734 | 0,734 | 0,727 | 0,727 | 0,060 |
| 15,500 | 28,154 | 99,678 | -6,060 | skid front(in) | 1000000,000 | -11,500 | 0,000 | 1,000 | 100,000 | 0,000 | 1,313 | 0,734 | 0,734 | 0,734 | 0,727 | 0,727 | 0,062 |
| 16,000 | 26,723 | 99,661 | -6,057 | skid front(out) | 1000000,000 | -11,500 | 0,000 | 1,000 | 100,000 | -1,066 | 1,379 | 0,734 | 0,734 | 0,734 | 0,726 | 0,726 | 0,066 |
| 16,500 | 25,211 | 99,663 | -6,056 | skid front(out) | 1000000,000 | -11,500 | 0,000 | 1,000 | 100,000 | -0,959 | 1,448 | 0,734 | 0,734 | 0,734 | 0,726 | 0,726 | 0,069 |
| 17,000 | 23,603 | 99,681 | -6,055 | skid front(out) | 1000000,000 | -11,500 | 0,000 | 1,000 | 100,000 | -3,040 | 1,522 | 0,734 | 0,734 | 0,734 | 0,726 | 0,726 | 0,074 |
| 17,500 | 21,877 | 99,658 | -6,054 | skid front(out) | 1000000,000 | -11,500 | 0,000 | 1,000 | 100,000 | -1,324 | 1,601 | 0,734 | 0,734 | 0,734 | 0,726 | 0,726 | 0,079 |
| 18,000 | 20,004 | 99,711 | -6,055 | skid front(out) | 1000000,000 | -11,500 | 0,000 | 1,000 | 100,000 | -3,725 | 1,687 | 0,734 | 0,734 | 0,734 | 0,727 | 0,727 | 0,086 |
| 18,500 | 17,936 | 99,691 | -6,052 | skid front(out) | 1000000,000 | -11,500 | 0,000 | 1,000 | 100,000 | -3,468 | 1,782 | 0,734 | 0,734 | 0,734 | 0,726 | 0,726 | 0,095 |
| 18,900 | 16,092 | 99,681 | -6,050 | skid front(out) | 1000000,000 | -11,500 | 0,000 | 1,000 | 100,000 | -5,039 | 1,866 | 0,734 | 0,734 | 0,734 | 0,726 | 0,726 | 0,085 |
| 19,500 | 12,839 | 99,669 | -6,049 | skid front(out) | 1000000,000 | -11,500 | 0,000 | 1,000 | 100,000 | -2,260 | 2,016 | 0,734 | 0,734 | 0,734 | 0,726 | 0,726 | 0,149 |
| 20,000 | 9,296 | 99,667 | -6,049 | skid front(out) | 1000000,000 | -11,500 | 0,000 | 1,000 | 100,000 | -1,165 | 2,178 | 0,734 | 0,734 | 0,734 | 0,726 | 0,726 | 0,163 |
| 20,500 | 2,832 | 99,684 | -6,048 | skid front(out) | 1000000,000 | -11,500 | 0,000 | 1,000 | 100,000 | -2,804 | 2,475 | 0,734 | 0,734 | 0,734 | 0,726 | 0,726 | 0,297 |

Προσδιορισμός Τιμών Πρόσφυσης κατά την Πέδηση Οχημάτων Εφοδιασμένων με Σύστημα ABS σε Αυξημένες κατά Μήκος Κλίσεις

| run_v_w_glif_8 | R(m) | br.front (%) | s(%) | e (%) | coeff | effic (%) | time (sec) | | | | | | | | | | |
|----------------|-----------------|--------------|--------|-----------------|-------------|-----------|------------|-------|-----------|-----------|------------|-------|-----------|----------|----------|---------|-----------|
| s= 100,000 | 1000000,00 | 67,50 | -11,5 | 0,0 | 1,00 | 100 | 2,666 | 0,963 | | | | | | | | | |
| step= 0,100 | viewstep= 0,500 | STEPS | | | | | | | | | | | | | | | |
| s (m) | V (km/h) | n (%) | dv/dt | skid check | R(m) | s(%) | e (%) | coeff | effic (%) | decelera | time (sec) | FT | front out | front in | rear out | rear in | checktime |
| 21,000 | 1,388 | 99,539 | -5,609 | skid front(out) | 1000000,000 | -11,500 | 0,000 | 1,000 | 100,000 | -0,733356 | 2,666 | 0,69 | 0,6898 | 0,6898 | 0,6805 | 0,6805 | |
| 0,000 | 55,390 | 99,562 | -5,655 | O.K | 1000000,000 | -11,500 | 0,000 | 1,000 | 100,000 | 0,000 | 0,000 | 0,690 | | | | | |
| 0,400 | 54,858 | 99,562 | -5,654 | skid front(in) | 1000000,000 | -11,500 | 0,000 | 1,000 | 100,000 | 0,000 | 0,026 | 0,690 | 0,690 | 0,681 | 0,681 | 0,681 | 0,026 |
| 1,000 | 54,051 | 99,562 | -5,653 | skid front(in) | 1000000,000 | -11,500 | 0,000 | 1,000 | 100,000 | 0,000 | 0,066 | 0,690 | 0,690 | 0,681 | 0,681 | 0,681 | 0,040 |
| 1,500 | 53,369 | 99,562 | -5,652 | skid front(in) | 1000000,000 | -11,500 | 0,000 | 1,000 | 100,000 | 0,000 | 0,099 | 0,690 | 0,690 | 0,681 | 0,681 | 0,681 | 0,034 |
| 2,000 | 52,678 | 99,562 | -5,651 | skid front(in) | 1000000,000 | -11,500 | 0,000 | 1,000 | 100,000 | 0,000 | 0,133 | 0,690 | 0,690 | 0,681 | 0,681 | 0,681 | 0,034 |
| 2,500 | 51,979 | 99,562 | -5,650 | skid front(in) | 1000000,000 | -11,500 | 0,000 | 1,000 | 100,000 | 0,000 | 0,168 | 0,690 | 0,690 | 0,681 | 0,681 | 0,681 | 0,034 |
| 3,000 | 51,270 | 99,562 | -5,649 | skid front(in) | 1000000,000 | -11,500 | 0,000 | 1,000 | 100,000 | 0,000 | 0,203 | 0,690 | 0,690 | 0,681 | 0,681 | 0,681 | 0,035 |
| 3,500 | 50,551 | 99,562 | -5,648 | skid front(in) | 1000000,000 | -11,500 | 0,000 | 1,000 | 100,000 | 0,000 | 0,238 | 0,690 | 0,690 | 0,681 | 0,681 | 0,681 | 0,035 |
| 4,000 | 49,822 | 99,563 | -5,647 | skid front(in) | 1000000,000 | -11,500 | 0,000 | 1,000 | 100,000 | 0,000 | 0,274 | 0,690 | 0,690 | 0,681 | 0,681 | 0,681 | 0,036 |
| 4,400 | 49,231 | 99,563 | -5,646 | skid front(in) | 1000000,000 | -11,500 | 0,000 | 1,000 | 100,000 | 0,000 | 0,303 | 0,690 | 0,690 | 0,681 | 0,681 | 0,681 | 0,029 |
| 5,000 | 48,331 | 99,563 | -5,644 | skid front(in) | 1000000,000 | -11,500 | 0,000 | 1,000 | 100,000 | 0,000 | 0,347 | 0,690 | 0,690 | 0,681 | 0,681 | 0,681 | 0,044 |
| 5,500 | 47,568 | 99,563 | -5,643 | skid front(in) | 1000000,000 | -11,500 | 0,000 | 1,000 | 100,000 | 0,000 | 0,385 | 0,690 | 0,690 | 0,681 | 0,681 | 0,681 | 0,038 |
| 6,000 | 46,793 | 99,563 | -5,642 | skid front(in) | 1000000,000 | -11,500 | 0,000 | 1,000 | 100,000 | 0,000 | 0,423 | 0,690 | 0,690 | 0,681 | 0,681 | 0,681 | 0,038 |
| 6,500 | 46,005 | 99,563 | -5,641 | skid front(in) | 1000000,000 | -11,500 | 0,000 | 1,000 | 100,000 | 0,000 | 0,462 | 0,690 | 0,690 | 0,681 | 0,681 | 0,681 | 0,039 |
| 7,000 | 45,203 | 99,563 | -5,640 | skid front(in) | 1000000,000 | -11,500 | 0,000 | 1,000 | 100,000 | 0,000 | 0,501 | 0,690 | 0,690 | 0,681 | 0,681 | 0,681 | 0,039 |
| 7,500 | 44,388 | 99,563 | -5,639 | skid front(in) | 1000000,000 | -11,500 | 0,000 | 1,000 | 100,000 | 0,000 | 0,541 | 0,690 | 0,690 | 0,681 | 0,681 | 0,681 | 0,040 |
| 8,000 | 43,557 | 99,563 | -5,638 | skid front(in) | 1000000,000 | -11,500 | 0,000 | 1,000 | 100,000 | 0,000 | 0,582 | 0,690 | 0,690 | 0,681 | 0,681 | 0,681 | 0,041 |
| 8,500 | 42,710 | 99,563 | -5,637 | skid front(in) | 1000000,000 | -11,500 | 0,000 | 1,000 | 100,000 | 0,000 | 0,624 | 0,690 | 0,690 | 0,681 | 0,681 | 0,681 | 0,042 |
| 9,000 | 41,846 | 99,563 | -5,636 | skid front(in) | 1000000,000 | -11,500 | 0,000 | 1,000 | 100,000 | 0,000 | 0,666 | 0,690 | 0,690 | 0,681 | 0,681 | 0,681 | 0,043 |
| 9,500 | 40,964 | 99,563 | -5,635 | skid front(in) | 1000000,000 | -11,500 | 0,000 | 1,000 | 100,000 | 0,000 | 0,710 | 0,690 | 0,690 | 0,681 | 0,681 | 0,681 | 0,043 |
| 10,000 | 40,062 | 99,563 | -5,634 | skid front(in) | 1000000,000 | -11,500 | 0,000 | 1,000 | 100,000 | 0,000 | 0,754 | 0,690 | 0,690 | 0,681 | 0,681 | 0,681 | 0,044 |
| 10,500 | 39,141 | 99,563 | -5,633 | skid front(in) | 1000000,000 | -11,500 | 0,000 | 1,000 | 100,000 | 0,000 | 0,800 | 0,690 | 0,690 | 0,681 | 0,681 | 0,681 | 0,045 |
| 11,000 | 38,197 | 99,563 | -5,632 | skid front(in) | 1000000,000 | -11,500 | 0,000 | 1,000 | 100,000 | 0,000 | 0,846 | 0,690 | 0,690 | 0,681 | 0,681 | 0,681 | 0,047 |
| 11,500 | 37,229 | 99,563 | -5,631 | skid front(in) | 1000000,000 | -11,500 | 0,000 | 1,000 | 100,000 | 0,000 | 0,894 | 0,690 | 0,690 | 0,681 | 0,681 | 0,681 | 0,048 |
| 12,000 | 36,236 | 99,564 | -5,630 | skid front(in) | 1000000,000 | -11,500 | 0,000 | 1,000 | 100,000 | 0,000 | 0,943 | 0,690 | 0,690 | 0,681 | 0,681 | 0,681 | 0,049 |
| 12,500 | 35,215 | 99,564 | -5,629 | skid front(in) | 1000000,000 | -11,500 | 0,000 | 1,000 | 100,000 | 0,000 | 0,993 | 0,690 | 0,690 | 0,681 | 0,681 | 0,681 | 0,050 |
| 13,000 | 34,163 | 99,564 | -5,628 | skid front(in) | 1000000,000 | -11,500 | 0,000 | 1,000 | 100,000 | 0,000 | 1,045 | 0,690 | 0,690 | 0,681 | 0,681 | 0,681 | 0,052 |
| 13,500 | 33,079 | 99,564 | -5,627 | skid front(in) | 1000000,000 | -11,500 | 0,000 | 1,000 | 100,000 | 0,000 | 1,099 | 0,690 | 0,690 | 0,681 | 0,681 | 0,681 | 0,054 |
| 14,000 | 31,958 | 99,564 | -5,626 | skid front(in) | 1000000,000 | -11,500 | 0,000 | 1,000 | 100,000 | 0,000 | 1,154 | 0,690 | 0,690 | 0,681 | 0,681 | 0,681 | 0,055 |
| 14,500 | 30,796 | 99,564 | -5,625 | skid front(in) | 1000000,000 | -11,500 | 0,000 | 1,000 | 100,000 | 0,001 | 1,212 | 0,690 | 0,690 | 0,681 | 0,681 | 0,681 | 0,057 |
| 15,000 | 29,589 | 99,564 | -5,624 | skid front(in) | 1000000,000 | -11,500 | 0,000 | 1,000 | 100,000 | 0,001 | 1,271 | 0,690 | 0,690 | 0,681 | 0,681 | 0,681 | 0,060 |
| 15,500 | 28,331 | 99,564 | -5,623 | skid front(in) | 1000000,000 | -11,500 | 0,000 | 1,000 | 100,000 | 0,001 | 1,333 | 0,690 | 0,690 | 0,681 | 0,681 | 0,681 | 0,062 |
| 16,000 | 27,014 | 99,563 | -5,622 | skid front(in) | 1000000,000 | -11,500 | 0,000 | 1,000 | 100,000 | 0,004 | 1,398 | 0,690 | 0,690 | 0,681 | 0,681 | 0,681 | 0,065 |
| 16,500 | 25,630 | 99,567 | -5,618 | skid front(out) | 1000000,000 | -11,500 | 0,000 | 1,000 | 100,000 | -3,481 | 1,467 | 0,690 | 0,690 | 0,680 | 0,681 | 0,681 | 0,068 |
| 17,000 | 24,168 | 99,555 | -5,617 | skid front(out) | 1000000,000 | -11,500 | 0,000 | 1,000 | 100,000 | -2,403 | 1,539 | 0,690 | 0,690 | 0,680 | 0,680 | 0,680 | 0,072 |
| 17,500 | 22,611 | 99,558 | -5,617 | skid front(out) | 1000000,000 | -11,500 | 0,000 | 1,000 | 100,000 | -2,363 | 1,616 | 0,690 | 0,690 | 0,681 | 0,681 | 0,681 | 0,077 |
| 18,000 | 20,939 | 99,542 | -5,616 | skid front(out) | 1000000,000 | -11,500 | 0,000 | 1,000 | 100,000 | 0,004 | 1,699 | 0,690 | 0,690 | 0,681 | 0,681 | 0,681 | 0,083 |
| 18,500 | 19,123 | 99,572 | -5,616 | skid front(out) | 1000000,000 | -11,500 | 0,000 | 1,000 | 100,000 | -1,796 | 1,789 | 0,690 | 0,690 | 0,681 | 0,681 | 0,681 | 0,090 |
| 18,900 | 17,534 | 99,544 | -5,613 | skid front(out) | 1000000,000 | -11,500 | 0,000 | 1,000 | 100,000 | -1,660 | 1,867 | 0,690 | 0,690 | 0,680 | 0,680 | 0,680 | 0,079 |
| 19,500 | 14,838 | 99,544 | -5,613 | skid front(out) | 1000000,000 | -11,500 | 0,000 | 1,000 | 100,000 | -0,072 | 2,001 | 0,690 | 0,690 | 0,681 | 0,681 | 0,681 | 0,133 |
| 20,000 | 12,141 | 99,551 | -5,610 | skid front(out) | 1000000,000 | -11,500 | 0,000 | 1,000 | 100,000 | -3,229 | 2,134 | 0,690 | 0,690 | 0,680 | 0,680 | 0,680 | 0,133 |
| 20,500 | 8,641 | 99,574 | -5,611 | skid front(out) | 1000000,000 | -11,500 | 0,000 | 1,000 | 100,000 | -2,493 | 2,307 | 0,690 | 0,690 | 0,681 | 0,681 | 0,681 | 0,173 |
| 21,000 | 1,388 | 99,539 | -5,609 | skid front(out) | 1000000,000 | -11,500 | 0,000 | 1,000 | 100,000 | -0,733 | 2,666 | 0,690 | 0,690 | 0,681 | 0,681 | 0,681 | 0,359 |

Προσδιορισμός Τιμών Πρόσφυσης κατά την Πέδηση Οχημάτων Εφοδιασμένων με Σύστημα ABS σε Αυξημένες κατά Μήκος Κλίσεις

| run_v_w_glif_9 | R(m) | br.front (%) | s(%) | e (%) | coeff | effic (%) | time (sec) | | | | | | | | | | |
|----------------|-----------------|--------------|--------|-----------------|-------------|-----------|------------|-------|-----------|-----------|------------|-------|-----------|----------|----------|---------|-----------|
| s= 100,000 | 1000000,00 | 68,00 | -11,5 | 0,0 | 1,00 | 100 | 2,899 | 0,963 | | | | | | | | | |
| step= 0,100 | viewstep= 0,500 | STEPS | | | | | | | | | | | | | | | |
| s (m) | V (km/h) | n (%) | dv/dt | skid check | R(m) | s(%) | e (%) | coeff | effic (%) | decelera | time (sec) | ft | front out | front in | rear out | rear in | checktime |
| 25,300 | 1,824 | 99,028 | -5,661 | skid front(out) | 1000000,000 | -11,500 | 0,000 | 1,000 | 100,000 | -2,602801 | 2,899 | 0,699 | 0,6989 | 0,6989 | 0,6778 | 0,6778 | |
| 0,000 | 61,100 | 99,010 | -5,714 | O.K | 1000000,000 | -11,500 | 0,000 | 1,000 | 100,000 | 0,000 | 0,000 | 0,699 | | | | | |
| 0,400 | 60,613 | 99,010 | -5,713 | skid front(in) | 1000000,000 | -11,500 | 0,000 | 1,000 | 100,000 | 0,000 | 0,024 | 0,699 | 0,699 | 0,699 | 0,678 | 0,678 | 0,024 |
| 1,000 | 59,876 | 99,010 | -5,712 | skid front(in) | 1000000,000 | -11,500 | 0,000 | 1,000 | 100,000 | 0,000 | 0,060 | 0,699 | 0,699 | 0,699 | 0,678 | 0,678 | 0,036 |
| 1,500 | 59,255 | 99,010 | -5,711 | skid front(in) | 1000000,000 | -11,500 | 0,000 | 1,000 | 100,000 | 0,000 | 0,090 | 0,699 | 0,699 | 0,699 | 0,678 | 0,678 | 0,030 |
| 2,000 | 58,627 | 99,010 | -5,710 | skid front(in) | 1000000,000 | -11,500 | 0,000 | 1,000 | 100,000 | 0,000 | 0,120 | 0,699 | 0,699 | 0,699 | 0,678 | 0,678 | 0,031 |
| 2,500 | 57,992 | 99,010 | -5,709 | skid front(in) | 1000000,000 | -11,500 | 0,000 | 1,000 | 100,000 | 0,000 | 0,151 | 0,699 | 0,699 | 0,699 | 0,678 | 0,678 | 0,031 |
| 3,000 | 57,351 | 99,010 | -5,708 | skid front(in) | 1000000,000 | -11,500 | 0,000 | 1,000 | 100,000 | 0,000 | 0,182 | 0,699 | 0,699 | 0,699 | 0,678 | 0,678 | 0,031 |
| 3,500 | 56,702 | 99,010 | -5,707 | skid front(in) | 1000000,000 | -11,500 | 0,000 | 1,000 | 100,000 | 0,000 | 0,214 | 0,699 | 0,699 | 0,699 | 0,678 | 0,678 | 0,032 |
| 4,000 | 56,046 | 99,010 | -5,706 | skid front(in) | 1000000,000 | -11,500 | 0,000 | 1,000 | 100,000 | 0,000 | 0,246 | 0,699 | 0,699 | 0,699 | 0,678 | 0,678 | 0,032 |
| 4,400 | 55,516 | 99,011 | -5,705 | skid front(in) | 1000000,000 | -11,500 | 0,000 | 1,000 | 100,000 | 0,000 | 0,272 | 0,699 | 0,699 | 0,699 | 0,678 | 0,678 | 0,026 |
| 5,000 | 54,711 | 99,011 | -5,704 | skid front(in) | 1000000,000 | -11,500 | 0,000 | 1,000 | 100,000 | 0,000 | 0,311 | 0,699 | 0,699 | 0,699 | 0,678 | 0,678 | 0,039 |
| 5,500 | 54,032 | 99,011 | -5,703 | skid front(in) | 1000000,000 | -11,500 | 0,000 | 1,000 | 100,000 | 0,000 | 0,344 | 0,699 | 0,699 | 0,699 | 0,678 | 0,678 | 0,033 |
| 6,000 | 53,343 | 99,011 | -5,702 | skid front(in) | 1000000,000 | -11,500 | 0,000 | 1,000 | 100,000 | 0,000 | 0,377 | 0,699 | 0,699 | 0,699 | 0,678 | 0,678 | 0,034 |
| 6,500 | 52,646 | 99,011 | -5,701 | skid front(in) | 1000000,000 | -11,500 | 0,000 | 1,000 | 100,000 | 0,000 | 0,411 | 0,699 | 0,699 | 0,699 | 0,678 | 0,678 | 0,034 |
| 7,000 | 51,940 | 99,011 | -5,700 | skid front(in) | 1000000,000 | -11,500 | 0,000 | 1,000 | 100,000 | 0,000 | 0,446 | 0,699 | 0,699 | 0,699 | 0,678 | 0,678 | 0,034 |
| 7,500 | 51,224 | 99,011 | -5,699 | skid front(in) | 1000000,000 | -11,500 | 0,000 | 1,000 | 100,000 | 0,000 | 0,481 | 0,699 | 0,699 | 0,699 | 0,678 | 0,678 | 0,035 |
| 8,000 | 50,498 | 99,011 | -5,698 | skid front(in) | 1000000,000 | -11,500 | 0,000 | 1,000 | 100,000 | 0,000 | 0,516 | 0,699 | 0,699 | 0,699 | 0,678 | 0,678 | 0,035 |
| 8,500 | 49,761 | 99,011 | -5,696 | skid front(in) | 1000000,000 | -11,500 | 0,000 | 1,000 | 100,000 | 0,000 | 0,552 | 0,699 | 0,699 | 0,699 | 0,678 | 0,678 | 0,036 |
| 9,000 | 49,014 | 99,011 | -5,695 | skid front(in) | 1000000,000 | -11,500 | 0,000 | 1,000 | 100,000 | 0,000 | 0,589 | 0,699 | 0,699 | 0,699 | 0,678 | 0,678 | 0,036 |
| 9,500 | 48,255 | 99,011 | -5,694 | skid front(in) | 1000000,000 | -11,500 | 0,000 | 1,000 | 100,000 | 0,000 | 0,626 | 0,699 | 0,699 | 0,699 | 0,678 | 0,678 | 0,037 |
| 10,000 | 47,485 | 99,011 | -5,693 | skid front(in) | 1000000,000 | -11,500 | 0,000 | 1,000 | 100,000 | 0,000 | 0,663 | 0,699 | 0,699 | 0,699 | 0,678 | 0,678 | 0,038 |
| 10,500 | 46,701 | 99,011 | -5,692 | skid front(in) | 1000000,000 | -11,500 | 0,000 | 1,000 | 100,000 | 0,000 | 0,701 | 0,699 | 0,699 | 0,699 | 0,678 | 0,678 | 0,038 |
| 11,000 | 45,905 | 99,011 | -5,691 | skid front(in) | 1000000,000 | -11,500 | 0,000 | 1,000 | 100,000 | 0,000 | 0,740 | 0,699 | 0,699 | 0,699 | 0,678 | 0,678 | 0,039 |
| 11,500 | 45,094 | 99,011 | -5,690 | skid front(in) | 1000000,000 | -11,500 | 0,000 | 1,000 | 100,000 | 0,000 | 0,780 | 0,699 | 0,699 | 0,699 | 0,678 | 0,678 | 0,040 |
| 12,000 | 44,269 | 99,011 | -5,689 | skid front(in) | 1000000,000 | -11,500 | 0,000 | 1,000 | 100,000 | 0,000 | 0,820 | 0,699 | 0,699 | 0,699 | 0,678 | 0,678 | 0,040 |
| 12,500 | 43,428 | 99,012 | -5,688 | skid front(in) | 1000000,000 | -11,500 | 0,000 | 1,000 | 100,000 | 0,000 | 0,861 | 0,699 | 0,699 | 0,699 | 0,678 | 0,678 | 0,041 |
| 13,000 | 42,571 | 99,012 | -5,687 | skid front(in) | 1000000,000 | -11,500 | 0,000 | 1,000 | 100,000 | 0,000 | 0,903 | 0,699 | 0,699 | 0,699 | 0,678 | 0,678 | 0,042 |
| 13,500 | 41,697 | 99,012 | -5,686 | skid front(in) | 1000000,000 | -11,500 | 0,000 | 1,000 | 100,000 | 0,000 | 0,946 | 0,699 | 0,699 | 0,699 | 0,678 | 0,678 | 0,043 |
| 14,000 | 40,804 | 99,012 | -5,685 | skid front(in) | 1000000,000 | -11,500 | 0,000 | 1,000 | 100,000 | 0,000 | 0,989 | 0,699 | 0,699 | 0,699 | 0,678 | 0,678 | 0,044 |
| 14,500 | 39,891 | 99,012 | -5,684 | skid front(in) | 1000000,000 | -11,500 | 0,000 | 1,000 | 100,000 | 0,000 | 1,034 | 0,699 | 0,699 | 0,699 | 0,678 | 0,678 | 0,045 |
| 15,000 | 38,957 | 99,012 | -5,683 | skid front(in) | 1000000,000 | -11,500 | 0,000 | 1,000 | 100,000 | 0,000 | 1,080 | 0,699 | 0,699 | 0,699 | 0,678 | 0,678 | 0,046 |
| 15,500 | 38,000 | 99,012 | -5,682 | skid front(in) | 1000000,000 | -11,500 | 0,000 | 1,000 | 100,000 | 0,000 | 1,126 | 0,699 | 0,699 | 0,699 | 0,678 | 0,678 | 0,047 |
| 16,000 | 37,018 | 99,012 | -5,681 | skid front(in) | 1000000,000 | -11,500 | 0,000 | 1,000 | 100,000 | 0,000 | 1,174 | 0,699 | 0,699 | 0,699 | 0,678 | 0,678 | 0,048 |
| 16,500 | 36,010 | 99,012 | -5,680 | skid front(in) | 1000000,000 | -11,500 | 0,000 | 1,000 | 100,000 | 0,000 | 1,224 | 0,699 | 0,699 | 0,699 | 0,678 | 0,678 | 0,049 |
| 17,000 | 34,973 | 99,012 | -5,679 | skid front(in) | 1000000,000 | -11,500 | 0,000 | 1,000 | 100,000 | 0,000 | 1,274 | 0,699 | 0,699 | 0,699 | 0,678 | 0,678 | 0,051 |
| 17,500 | 33,905 | 99,012 | -5,678 | skid front(in) | 1000000,000 | -11,500 | 0,000 | 1,000 | 100,000 | 0,000 | 1,327 | 0,699 | 0,699 | 0,699 | 0,678 | 0,678 | 0,052 |
| 18,000 | 32,802 | 99,012 | -5,677 | skid front(in) | 1000000,000 | -11,500 | 0,000 | 1,000 | 100,000 | 0,000 | 1,381 | 0,699 | 0,699 | 0,699 | 0,678 | 0,678 | 0,054 |
| 18,500 | 31,661 | 99,012 | -5,676 | skid front(in) | 1000000,000 | -11,500 | 0,000 | 1,000 | 100,000 | 0,001 | 1,436 | 0,699 | 0,699 | 0,699 | 0,678 | 0,678 | 0,056 |
| 18,900 | 30,717 | 99,012 | -5,675 | skid front(in) | 1000000,000 | -11,500 | 0,000 | 1,000 | 100,000 | 0,000 | 1,483 | 0,699 | 0,699 | 0,699 | 0,678 | 0,678 | 0,046 |
| 19,500 | 29,246 | 99,012 | -5,673 | skid front(in) | 1000000,000 | -11,500 | 0,000 | 1,000 | 100,000 | 0,000 | 1,555 | 0,699 | 0,699 | 0,699 | 0,678 | 0,678 | 0,072 |
| 20,000 | 27,960 | 99,012 | -5,672 | skid front(in) | 1000000,000 | -11,500 | 0,000 | 1,000 | 100,000 | 0,002 | 1,618 | 0,699 | 0,699 | 0,699 | 0,678 | 0,678 | 0,063 |
| 20,500 | 26,613 | 98,993 | -5,669 | skid front(out) | 1000000,000 | -11,500 | 0,000 | 1,000 | 100,000 | -1,018 | 1,684 | 0,699 | 0,699 | 0,699 | 0,678 | 0,678 | 0,066 |
| 21,000 | 25,195 | 99,004 | -5,669 | skid front(out) | 1000000,000 | -11,500 | 0,000 | 1,000 | 100,000 | -0,381 | 1,753 | 0,699 | 0,699 | 0,699 | 0,678 | 0,678 | 0,069 |
| 21,500 | 23,692 | 99,002 | -5,667 | skid front(out) | 1000000,000 | -11,500 | 0,000 | 1,000 | 100,000 | -1,910 | 1,827 | 0,699 | 0,699 | 0,699 | 0,678 | 0,678 | 0,074 |
| 22,000 | 22,087 | 98,987 | -5,666 | skid front(out) | 1000000,000 | -11,500 | 0,000 | 1,000 | 100,000 | -1,425 | 1,905 | 0,699 | 0,699 | 0,699 | 0,677 | 0,677 | 0,079 |
| 22,500 | 20,357 | 98,988 | -5,664 | skid front(out) | 1000000,000 | -11,500 | 0,000 | 1,000 | 100,000 | -1,784 | 1,990 | 0,699 | 0,699 | 0,699 | 0,677 | 0,677 | 0,085 |
| 23,000 | 18,465 | 98,975 | -5,664 | skid front(out) | 1000000,000 | -11,500 | 0,000 | 1,000 | 100,000 | 0,052 | 2,083 | 0,699 | 0,699 | 0,699 | 0,677 | 0,677 | 0,093 |
| 23,500 | 16,356 | 99,013 | -5,664 | skid front(out) | 1000000,000 | -11,500 | 0,000 | 1,000 | 100,000 | -2,381 | 2,186 | 0,699 | 0,699 | 0,699 | 0,678 | 0,678 | 0,103 |
| 24,000 | 13,933 | 99,038 | -5,664 | skid front(out) | 1000000,000 | -11,500 | 0,000 | 1,000 | 100,000 | -2,619 | 2,305 | 0,699 | 0,699 | 0,699 | 0,678 | 0,678 | 0,119 |
| 24,500 | 10,988 | 99,047 | -5,662 | skid front(out) | 1000000,000 | -11,500 | 0,000 | 1,000 | 100,000 | -5,453 | 2,450 | 0,699 | 0,699 | 0,699 | 0,678 | 0,678 | 0,144 |
| 25,000 | 6,882 | 99,003 | -5,660 | skid front(out) | 1000000,000 | -11,500 | 0,000 | 1,000 | 100,000 | -2,242 | 2,651 | 0,699 | 0,699 | 0,699 | 0,678 | 0,678 | 0,201 |

Προσδιορισμός Τιμών Πρόσφυσης κατά την Πέδηση Οχημάτων Εφοδιασμένων με Σύστημα ABS σε Αυξημένες κατά Μήκος Κλίσεις

| | | | | | | | | | | | | | | | | | |
|--------|-------|--------|--------|-----------------|-------------|---------|-------|-------|---------|--------|-------|-------|-------|-------|-------|-------|-------|
| 25,300 | 1,824 | 99,028 | -5,661 | skid front(out) | 1000000,000 | -11,500 | 0,000 | 1,000 | 100,000 | -2,603 | 2,899 | 0,699 | 0,699 | 0,699 | 0,678 | 0,678 | 0,248 |
|--------|-------|--------|--------|-----------------|-------------|---------|-------|-------|---------|--------|-------|-------|-------|-------|-------|-------|-------|

| | | | | | | | |
|-----------------|------------|--------------|-------|-------|-------|-----------|------------|
| run_v_w_glif_10 | R(m) | br.front (%) | s(%) | e (%) | coeff | effic (%) | time (sec) |
| s= 100,000 | 1000000,00 | 67,50 | -11,5 | 0,0 | 1,00 | 100 | 2,675 |
| step= 0,100 | viewstep= | 0,500 | STEPS | | | | |

0,963

| s (m) | V (km/h) | n (%) | dv/dt | skid check | R(m) | s(%) | e (%) | coeff | effic (%) | decelera | time (sec) | fT | front out | front in | rear out | rear in | checktime |
|--------|----------|--------|--------|-----------------|-------------|---------|-------|-------|-----------|----------|------------|-------|-----------|----------|----------|---------|-----------|
| 22,100 | 2,038 | 99,843 | -5,699 | skid front(out) | 1000000,000 | -11,500 | 0,000 | 1,000 | 100,000 | 0,398318 | 2,675 | 0,697 | 0,6967 | 0,6967 | 0,6943 | 0,6943 | |
| 0,000 | 57,110 | 99,892 | -5,748 | O.K | 1000000,000 | -11,500 | 0,000 | 1,000 | 100,000 | 0,000 | 0,000 | 0,697 | | | | | |
| 0,400 | 56,586 | 99,892 | -5,748 | skid front(in) | 1000000,000 | -11,500 | 0,000 | 1,000 | 100,000 | 0,000 | 0,025 | 0,697 | 0,697 | 0,697 | 0,695 | 0,695 | 0,025 |
| 1,000 | 55,791 | 99,892 | -5,746 | skid front(in) | 1000000,000 | -11,500 | 0,000 | 1,000 | 100,000 | 0,000 | 0,064 | 0,697 | 0,697 | 0,697 | 0,695 | 0,695 | 0,038 |
| 1,500 | 55,119 | 99,892 | -5,745 | skid front(in) | 1000000,000 | -11,500 | 0,000 | 1,000 | 100,000 | 0,000 | 0,096 | 0,697 | 0,697 | 0,697 | 0,695 | 0,695 | 0,032 |
| 2,000 | 54,440 | 99,892 | -5,744 | skid front(in) | 1000000,000 | -11,500 | 0,000 | 1,000 | 100,000 | 0,000 | 0,129 | 0,697 | 0,697 | 0,697 | 0,695 | 0,695 | 0,033 |
| 2,500 | 53,752 | 99,893 | -5,743 | skid front(in) | 1000000,000 | -11,500 | 0,000 | 1,000 | 100,000 | 0,000 | 0,162 | 0,697 | 0,697 | 0,697 | 0,695 | 0,695 | 0,033 |
| 3,000 | 53,055 | 99,893 | -5,742 | skid front(in) | 1000000,000 | -11,500 | 0,000 | 1,000 | 100,000 | 0,000 | 0,196 | 0,697 | 0,697 | 0,697 | 0,695 | 0,695 | 0,034 |
| 3,500 | 52,349 | 99,893 | -5,741 | skid front(in) | 1000000,000 | -11,500 | 0,000 | 1,000 | 100,000 | 0,000 | 0,230 | 0,697 | 0,697 | 0,697 | 0,695 | 0,695 | 0,034 |
| 4,000 | 51,633 | 99,893 | -5,740 | skid front(in) | 1000000,000 | -11,500 | 0,000 | 1,000 | 100,000 | 0,000 | 0,265 | 0,697 | 0,697 | 0,697 | 0,695 | 0,695 | 0,035 |
| 4,400 | 51,054 | 99,893 | -5,739 | skid front(in) | 1000000,000 | -11,500 | 0,000 | 1,000 | 100,000 | 0,000 | 0,293 | 0,697 | 0,697 | 0,697 | 0,695 | 0,695 | 0,028 |
| 5,000 | 50,172 | 99,893 | -5,738 | skid front(in) | 1000000,000 | -11,500 | 0,000 | 1,000 | 100,000 | 0,000 | 0,336 | 0,697 | 0,697 | 0,697 | 0,695 | 0,695 | 0,043 |
| 5,500 | 49,426 | 99,893 | -5,737 | skid front(in) | 1000000,000 | -11,500 | 0,000 | 1,000 | 100,000 | 0,000 | 0,372 | 0,697 | 0,697 | 0,697 | 0,695 | 0,695 | 0,036 |
| 6,000 | 48,668 | 99,893 | -5,736 | skid front(in) | 1000000,000 | -11,500 | 0,000 | 1,000 | 100,000 | 0,000 | 0,408 | 0,697 | 0,697 | 0,697 | 0,695 | 0,695 | 0,037 |
| 6,500 | 47,898 | 99,893 | -5,735 | skid front(in) | 1000000,000 | -11,500 | 0,000 | 1,000 | 100,000 | 0,000 | 0,446 | 0,697 | 0,697 | 0,697 | 0,695 | 0,695 | 0,037 |
| 7,000 | 47,116 | 99,893 | -5,734 | skid front(in) | 1000000,000 | -11,500 | 0,000 | 1,000 | 100,000 | 0,000 | 0,484 | 0,697 | 0,697 | 0,697 | 0,695 | 0,695 | 0,038 |
| 7,500 | 46,321 | 99,893 | -5,733 | skid front(in) | 1000000,000 | -11,500 | 0,000 | 1,000 | 100,000 | 0,000 | 0,522 | 0,697 | 0,697 | 0,697 | 0,695 | 0,695 | 0,039 |
| 8,000 | 45,512 | 99,893 | -5,732 | skid front(in) | 1000000,000 | -11,500 | 0,000 | 1,000 | 100,000 | 0,000 | 0,561 | 0,697 | 0,697 | 0,697 | 0,695 | 0,695 | 0,039 |
| 8,500 | 44,688 | 99,893 | -5,730 | skid front(in) | 1000000,000 | -11,500 | 0,000 | 1,000 | 100,000 | 0,000 | 0,601 | 0,697 | 0,697 | 0,697 | 0,695 | 0,695 | 0,040 |
| 9,000 | 43,850 | 99,893 | -5,729 | skid front(in) | 1000000,000 | -11,500 | 0,000 | 1,000 | 100,000 | 0,000 | 0,642 | 0,697 | 0,697 | 0,697 | 0,695 | 0,695 | 0,041 |
| 9,500 | 42,995 | 99,893 | -5,728 | skid front(in) | 1000000,000 | -11,500 | 0,000 | 1,000 | 100,000 | 0,000 | 0,683 | 0,697 | 0,697 | 0,697 | 0,695 | 0,695 | 0,041 |
| 10,000 | 42,123 | 99,894 | -5,727 | skid front(in) | 1000000,000 | -11,500 | 0,000 | 1,000 | 100,000 | 0,000 | 0,726 | 0,697 | 0,697 | 0,697 | 0,695 | 0,695 | 0,042 |
| 10,500 | 41,232 | 99,894 | -5,726 | skid front(in) | 1000000,000 | -11,500 | 0,000 | 1,000 | 100,000 | 0,000 | 0,769 | 0,697 | 0,697 | 0,697 | 0,695 | 0,695 | 0,043 |
| 11,000 | 40,322 | 99,894 | -5,725 | skid front(in) | 1000000,000 | -11,500 | 0,000 | 1,000 | 100,000 | 0,000 | 0,813 | 0,697 | 0,697 | 0,697 | 0,695 | 0,695 | 0,044 |
| 11,500 | 39,391 | 99,894 | -5,724 | skid front(in) | 1000000,000 | -11,500 | 0,000 | 1,000 | 100,000 | 0,000 | 0,858 | 0,697 | 0,697 | 0,697 | 0,695 | 0,695 | 0,045 |
| 12,000 | 38,438 | 99,894 | -5,723 | skid front(in) | 1000000,000 | -11,500 | 0,000 | 1,000 | 100,000 | 0,000 | 0,904 | 0,697 | 0,697 | 0,697 | 0,695 | 0,695 | 0,046 |
| 12,500 | 37,461 | 99,894 | -5,722 | skid front(in) | 1000000,000 | -11,500 | 0,000 | 1,000 | 100,000 | 0,000 | 0,952 | 0,697 | 0,697 | 0,697 | 0,695 | 0,695 | 0,047 |
| 13,000 | 36,458 | 99,894 | -5,721 | skid front(in) | 1000000,000 | -11,500 | 0,000 | 1,000 | 100,000 | 0,000 | 1,001 | 0,697 | 0,697 | 0,697 | 0,695 | 0,695 | 0,049 |
| 13,500 | 35,427 | 99,894 | -5,720 | skid front(in) | 1000000,000 | -11,500 | 0,000 | 1,000 | 100,000 | 0,000 | 1,051 | 0,697 | 0,697 | 0,697 | 0,695 | 0,695 | 0,050 |
| 14,000 | 34,365 | 99,894 | -5,719 | skid front(in) | 1000000,000 | -11,500 | 0,000 | 1,000 | 100,000 | 0,000 | 1,102 | 0,697 | 0,697 | 0,697 | 0,695 | 0,695 | 0,052 |
| 14,500 | 33,269 | 99,894 | -5,718 | skid front(in) | 1000000,000 | -11,500 | 0,000 | 1,000 | 100,000 | 0,000 | 1,155 | 0,697 | 0,697 | 0,697 | 0,695 | 0,695 | 0,053 |
| 15,000 | 32,136 | 99,894 | -5,717 | skid front(in) | 1000000,000 | -11,500 | 0,000 | 1,000 | 100,000 | 0,000 | 1,210 | 0,697 | 0,697 | 0,697 | 0,695 | 0,695 | 0,055 |
| 15,500 | 30,962 | 99,894 | -5,716 | skid front(in) | 1000000,000 | -11,500 | 0,000 | 1,000 | 100,000 | 0,001 | 1,268 | 0,697 | 0,697 | 0,697 | 0,695 | 0,695 | 0,057 |
| 16,000 | 29,742 | 99,894 | -5,715 | skid front(in) | 1000000,000 | -11,500 | 0,000 | 1,000 | 100,000 | 0,000 | 1,327 | 0,697 | 0,697 | 0,697 | 0,695 | 0,695 | 0,059 |
| 16,500 | 28,470 | 99,894 | -5,714 | skid front(in) | 1000000,000 | -11,500 | 0,000 | 1,000 | 100,000 | 0,001 | 1,389 | 0,697 | 0,697 | 0,697 | 0,695 | 0,695 | 0,062 |
| 17,000 | 27,138 | 99,894 | -5,713 | skid front(in) | 1000000,000 | -11,500 | 0,000 | 1,000 | 100,000 | -0,001 | 1,453 | 0,697 | 0,697 | 0,697 | 0,695 | 0,695 | 0,065 |
| 17,500 | 25,738 | 99,875 | -5,710 | skid front(out) | 1000000,000 | -11,500 | 0,000 | 1,000 | 100,000 | -1,164 | 1,521 | 0,697 | 0,697 | 0,697 | 0,694 | 0,694 | 0,068 |
| 18,000 | 24,258 | 99,904 | -5,708 | skid front(out) | 1000000,000 | -11,500 | 0,000 | 1,000 | 100,000 | -4,394 | 1,593 | 0,697 | 0,697 | 0,697 | 0,694 | 0,694 | 0,072 |
| 18,500 | 22,681 | 99,863 | -5,708 | skid front(out) | 1000000,000 | -11,500 | 0,000 | 1,000 | 100,000 | 0,512 | 1,670 | 0,697 | 0,697 | 0,697 | 0,694 | 0,694 | 0,077 |
| 18,900 | 21,337 | 99,909 | -5,708 | skid front(out) | 1000000,000 | -11,500 | 0,000 | 1,000 | 100,000 | -1,964 | 1,736 | 0,697 | 0,697 | 0,697 | 0,695 | 0,695 | 0,065 |
| 19,500 | 19,144 | 99,903 | -5,706 | skid front(out) | 1000000,000 | -11,500 | 0,000 | 1,000 | 100,000 | -3,058 | 1,842 | 0,697 | 0,697 | 0,697 | 0,695 | 0,695 | 0,107 |
| 20,000 | 17,104 | 99,890 | -5,705 | skid front(out) | 1000000,000 | -11,500 | 0,000 | 1,000 | 100,000 | -2,240 | 1,942 | 0,697 | 0,697 | 0,697 | 0,694 | 0,694 | 0,099 |
| 20,500 | 14,785 | 99,900 | -5,704 | skid front(out) | 1000000,000 | -11,500 | 0,000 | 1,000 | 100,000 | -2,482 | 2,055 | 0,697 | 0,697 | 0,697 | 0,695 | 0,695 | 0,113 |
| 21,000 | 12,028 | 99,932 | -5,704 | skid front(out) | 1000000,000 | -11,500 | 0,000 | 1,000 | 100,000 | -3,776 | 2,189 | 0,697 | 0,697 | 0,697 | 0,695 | 0,695 | 0,134 |
| 21,500 | 8,411 | 99,916 | -5,702 | skid front(out) | 1000000,000 | -11,500 | 0,000 | 1,000 | 100,000 | -4,111 | 2,365 | 0,697 | 0,697 | 0,697 | 0,695 | 0,695 | 0,176 |
| 22,000 | 2,519 | 99,892 | -5,699 | skid front(out) | 1000000,000 | -11,500 | 0,000 | 1,000 | 100,000 | -3,974 | 2,652 | 0,697 | 0,697 | 0,697 | 0,694 | 0,694 | 0,287 |
| 22,100 | 2,038 | 99,843 | -5,699 | skid front(out) | 1000000,000 | -11,500 | 0,000 | 1,000 | 100,000 | 0,398 | 2,675 | 0,697 | 0,697 | 0,697 | 0,694 | 0,694 | 0,023 |

Προσδιορισμός Τιμών Πρόσφυσης κατά την Πέδηση Οχημάτων Εφοδιασμένων με Σύστημα ABS σε Αυξημένες κατά Μήκος Κλίσεις

| run_v_w_glif_11 | | R(m) | br.front (%) | s(%) | e (%) | coeff | effic (%) | time (sec) | | | | | | | | | |
|-----------------|----------|------------|--------------|-----------------|-------------|---------|-----------|------------|-----------|-----------|------------|-------|-----------|----------|----------|---------|-----------|
| s= | 100,000 | 1000000,00 | 68,00 | -11,5 | 0,0 | 1,00 | 100 | 2,993 | | | | | | | | | |
| step= | 0,100 | viewstep= | 0,500 | STEPS | | | | | | | | | 0,963 | | | | |
| s (m) | V (km/h) | n (%) | dv/dt | skid check | R(m) | s(%) | e (%) | coeff | effic (%) | decelera | time (sec) | ft | front out | front in | rear out | rear in | checktime |
| 26,800 | 0,485 | 99,788 | -5,880 | skid front(out) | 1000000,000 | -11,500 | 0,000 | 1,000 | 100,000 | -1,280690 | 2,993 | 0,716 | 0,7158 | 0,7158 | 0,7114 | 0,7114 | |
| 0,000 | 64,080 | 99,807 | -5,940 | O.K | 1000000,000 | -11,500 | 0,000 | 1,000 | 100,000 | 0,000 | 0,000 | 0,716 | | | | | |
| 0,400 | 63,598 | 99,807 | -5,939 | skid front(in) | 1000000,000 | -11,500 | 0,000 | 1,000 | 100,000 | 0,000 | 0,023 | 0,716 | 0,716 | 0,716 | 0,712 | 0,712 | 0,023 |
| 1,000 | 62,867 | 99,807 | -5,938 | skid front(in) | 1000000,000 | -11,500 | 0,000 | 1,000 | 100,000 | 0,000 | 0,057 | 0,716 | 0,716 | 0,716 | 0,712 | 0,712 | 0,034 |
| 1,500 | 62,252 | 99,807 | -5,937 | skid front(in) | 1000000,000 | -11,500 | 0,000 | 1,000 | 100,000 | 0,000 | 0,085 | 0,716 | 0,716 | 0,716 | 0,712 | 0,712 | 0,029 |
| 2,000 | 61,631 | 99,807 | -5,936 | skid front(in) | 1000000,000 | -11,500 | 0,000 | 1,000 | 100,000 | 0,000 | 0,115 | 0,716 | 0,716 | 0,716 | 0,712 | 0,712 | 0,029 |
| 2,500 | 61,004 | 99,807 | -5,935 | skid front(in) | 1000000,000 | -11,500 | 0,000 | 1,000 | 100,000 | 0,000 | 0,144 | 0,716 | 0,716 | 0,716 | 0,712 | 0,712 | 0,029 |
| 3,000 | 60,371 | 99,807 | -5,933 | skid front(in) | 1000000,000 | -11,500 | 0,000 | 1,000 | 100,000 | 0,000 | 0,174 | 0,716 | 0,716 | 0,716 | 0,712 | 0,712 | 0,030 |
| 3,500 | 59,730 | 99,807 | -5,932 | skid front(in) | 1000000,000 | -11,500 | 0,000 | 1,000 | 100,000 | 0,000 | 0,204 | 0,716 | 0,716 | 0,716 | 0,712 | 0,712 | 0,030 |
| 4,000 | 59,083 | 99,807 | -5,931 | skid front(in) | 1000000,000 | -11,500 | 0,000 | 1,000 | 100,000 | 0,000 | 0,234 | 0,716 | 0,716 | 0,716 | 0,712 | 0,712 | 0,030 |
| 4,400 | 58,561 | 99,807 | -5,930 | skid front(in) | 1000000,000 | -11,500 | 0,000 | 1,000 | 100,000 | 0,000 | 0,258 | 0,716 | 0,716 | 0,716 | 0,712 | 0,712 | 0,024 |
| 5,000 | 57,768 | 99,808 | -5,929 | skid front(in) | 1000000,000 | -11,500 | 0,000 | 1,000 | 100,000 | 0,000 | 0,295 | 0,716 | 0,716 | 0,716 | 0,712 | 0,712 | 0,037 |
| 5,500 | 57,099 | 99,808 | -5,928 | skid front(in) | 1000000,000 | -11,500 | 0,000 | 1,000 | 100,000 | 0,000 | 0,327 | 0,716 | 0,716 | 0,716 | 0,712 | 0,712 | 0,031 |
| 6,000 | 56,422 | 99,808 | -5,927 | skid front(in) | 1000000,000 | -11,500 | 0,000 | 1,000 | 100,000 | 0,000 | 0,359 | 0,716 | 0,716 | 0,716 | 0,712 | 0,712 | 0,032 |
| 6,500 | 55,737 | 99,808 | -5,926 | skid front(in) | 1000000,000 | -11,500 | 0,000 | 1,000 | 100,000 | 0,000 | 0,391 | 0,716 | 0,716 | 0,716 | 0,712 | 0,712 | 0,032 |
| 7,000 | 55,044 | 99,808 | -5,925 | skid front(in) | 1000000,000 | -11,500 | 0,000 | 1,000 | 100,000 | 0,000 | 0,423 | 0,716 | 0,716 | 0,716 | 0,712 | 0,712 | 0,032 |
| 7,500 | 54,342 | 99,808 | -5,924 | skid front(in) | 1000000,000 | -11,500 | 0,000 | 1,000 | 100,000 | 0,000 | 0,456 | 0,716 | 0,716 | 0,716 | 0,712 | 0,712 | 0,033 |
| 8,000 | 53,631 | 99,808 | -5,923 | skid front(in) | 1000000,000 | -11,500 | 0,000 | 1,000 | 100,000 | 0,000 | 0,489 | 0,716 | 0,716 | 0,716 | 0,712 | 0,712 | 0,033 |
| 8,500 | 52,911 | 99,808 | -5,922 | skid front(in) | 1000000,000 | -11,500 | 0,000 | 1,000 | 100,000 | 0,000 | 0,523 | 0,716 | 0,716 | 0,716 | 0,712 | 0,712 | 0,034 |
| 9,000 | 52,181 | 99,808 | -5,921 | skid front(in) | 1000000,000 | -11,500 | 0,000 | 1,000 | 100,000 | 0,000 | 0,557 | 0,716 | 0,716 | 0,716 | 0,712 | 0,712 | 0,034 |
| 9,500 | 51,440 | 99,808 | -5,919 | skid front(in) | 1000000,000 | -11,500 | 0,000 | 1,000 | 100,000 | 0,000 | 0,592 | 0,716 | 0,716 | 0,716 | 0,712 | 0,712 | 0,035 |
| 10,000 | 50,689 | 99,808 | -5,918 | skid front(in) | 1000000,000 | -11,500 | 0,000 | 1,000 | 100,000 | 0,000 | 0,627 | 0,716 | 0,716 | 0,716 | 0,712 | 0,712 | 0,035 |
| 10,500 | 49,927 | 99,808 | -5,917 | skid front(in) | 1000000,000 | -11,500 | 0,000 | 1,000 | 100,000 | 0,000 | 0,663 | 0,716 | 0,716 | 0,716 | 0,712 | 0,712 | 0,036 |
| 11,000 | 49,153 | 99,808 | -5,916 | skid front(in) | 1000000,000 | -11,500 | 0,000 | 1,000 | 100,000 | 0,000 | 0,700 | 0,716 | 0,716 | 0,716 | 0,712 | 0,712 | 0,036 |
| 11,500 | 48,367 | 99,808 | -5,915 | skid front(in) | 1000000,000 | -11,500 | 0,000 | 1,000 | 100,000 | 0,000 | 0,736 | 0,716 | 0,716 | 0,716 | 0,712 | 0,712 | 0,037 |
| 12,000 | 47,568 | 99,808 | -5,914 | skid front(in) | 1000000,000 | -11,500 | 0,000 | 1,000 | 100,000 | 0,000 | 0,774 | 0,716 | 0,716 | 0,716 | 0,712 | 0,712 | 0,038 |
| 12,500 | 46,755 | 99,809 | -5,913 | skid front(in) | 1000000,000 | -11,500 | 0,000 | 1,000 | 100,000 | 0,000 | 0,812 | 0,716 | 0,716 | 0,716 | 0,712 | 0,712 | 0,038 |
| 13,000 | 45,929 | 99,809 | -5,912 | skid front(in) | 1000000,000 | -11,500 | 0,000 | 1,000 | 100,000 | 0,000 | 0,851 | 0,716 | 0,716 | 0,716 | 0,712 | 0,712 | 0,039 |
| 13,500 | 45,087 | 99,809 | -5,911 | skid front(in) | 1000000,000 | -11,500 | 0,000 | 1,000 | 100,000 | 0,000 | 0,891 | 0,716 | 0,716 | 0,716 | 0,712 | 0,712 | 0,040 |
| 14,000 | 44,229 | 99,809 | -5,910 | skid front(in) | 1000000,000 | -11,500 | 0,000 | 1,000 | 100,000 | 0,000 | 0,931 | 0,716 | 0,716 | 0,716 | 0,712 | 0,712 | 0,040 |
| 14,500 | 43,355 | 99,809 | -5,909 | skid front(in) | 1000000,000 | -11,500 | 0,000 | 1,000 | 100,000 | 0,000 | 0,972 | 0,716 | 0,716 | 0,716 | 0,712 | 0,712 | 0,041 |
| 15,000 | 42,463 | 99,809 | -5,908 | skid front(in) | 1000000,000 | -11,500 | 0,000 | 1,000 | 100,000 | 0,000 | 1,014 | 0,716 | 0,716 | 0,716 | 0,712 | 0,712 | 0,042 |
| 15,500 | 41,551 | 99,809 | -5,907 | skid front(in) | 1000000,000 | -11,500 | 0,000 | 1,000 | 100,000 | 0,000 | 1,057 | 0,716 | 0,716 | 0,716 | 0,712 | 0,712 | 0,043 |
| 16,000 | 40,620 | 99,809 | -5,906 | skid front(in) | 1000000,000 | -11,500 | 0,000 | 1,000 | 100,000 | 0,000 | 1,101 | 0,716 | 0,716 | 0,716 | 0,712 | 0,712 | 0,044 |
| 16,500 | 39,667 | 99,809 | -5,905 | skid front(in) | 1000000,000 | -11,500 | 0,000 | 1,000 | 100,000 | 0,000 | 1,145 | 0,716 | 0,716 | 0,716 | 0,712 | 0,712 | 0,045 |
| 17,000 | 38,690 | 99,809 | -5,903 | skid front(in) | 1000000,000 | -11,500 | 0,000 | 1,000 | 100,000 | 0,000 | 1,191 | 0,716 | 0,716 | 0,716 | 0,712 | 0,712 | 0,046 |
| 17,500 | 37,689 | 99,809 | -5,902 | skid front(in) | 1000000,000 | -11,500 | 0,000 | 1,000 | 100,000 | 0,000 | 1,238 | 0,716 | 0,716 | 0,716 | 0,712 | 0,712 | 0,047 |
| 18,000 | 36,660 | 99,809 | -5,901 | skid front(in) | 1000000,000 | -11,500 | 0,000 | 1,000 | 100,000 | 0,000 | 1,287 | 0,716 | 0,716 | 0,716 | 0,712 | 0,712 | 0,048 |
| 18,500 | 35,601 | 99,809 | -5,900 | skid front(in) | 1000000,000 | -11,500 | 0,000 | 1,000 | 100,000 | 0,000 | 1,337 | 0,716 | 0,716 | 0,716 | 0,712 | 0,712 | 0,050 |
| 18,900 | 34,732 | 99,809 | -5,899 | skid front(in) | 1000000,000 | -11,500 | 0,000 | 1,000 | 100,000 | 0,000 | 1,378 | 0,716 | 0,716 | 0,716 | 0,712 | 0,712 | 0,041 |
| 19,500 | 33,385 | 99,810 | -5,898 | skid front(in) | 1000000,000 | -11,500 | 0,000 | 1,000 | 100,000 | 0,000 | 1,441 | 0,716 | 0,716 | 0,716 | 0,712 | 0,712 | 0,063 |
| 20,000 | 32,220 | 99,810 | -5,897 | skid front(in) | 1000000,000 | -11,500 | 0,000 | 1,000 | 100,000 | 0,000 | 1,496 | 0,716 | 0,716 | 0,716 | 0,712 | 0,712 | 0,055 |
| 20,500 | 31,011 | 99,810 | -5,896 | skid front(in) | 1000000,000 | -11,500 | 0,000 | 1,000 | 100,000 | 0,000 | 1,553 | 0,716 | 0,716 | 0,716 | 0,712 | 0,712 | 0,057 |
| 21,000 | 29,754 | 99,810 | -5,895 | skid front(in) | 1000000,000 | -11,500 | 0,000 | 1,000 | 100,000 | 0,001 | 1,612 | 0,716 | 0,716 | 0,716 | 0,712 | 0,712 | 0,059 |
| 21,500 | 28,441 | 99,810 | -5,894 | skid front(in) | 1000000,000 | -11,500 | 0,000 | 1,000 | 100,000 | 0,000 | 1,674 | 0,716 | 0,716 | 0,716 | 0,712 | 0,712 | 0,062 |
| 22,000 | 27,065 | 99,810 | -5,893 | skid front(in) | 1000000,000 | -11,500 | 0,000 | 1,000 | 100,000 | -0,001 | 1,739 | 0,716 | 0,716 | 0,716 | 0,712 | 0,712 | 0,065 |

Προσδιορισμός Τιμών Πρόσφυσης κατά την Πέδηση Οχημάτων Εφοδιασμένων με Σύστημα ABS σε Αυξημένες κατά Μήκος Κλίσεις

| | | | | | | | | | | | | | | | | | |
|--------|--------|--------|--------|-----------------|-------------|---------|-------|-------|---------|--------|-------|-------|-------|-------|-------|-------|-------|
| 22,500 | 25,616 | 99,799 | -5,889 | skid front(out) | 1000000,000 | -11,500 | 0,000 | 1,000 | 100,000 | -2,232 | 1,807 | 0,716 | 0,716 | 0,716 | 0,711 | 0,711 | 0,068 |
| 23,000 | 24,079 | 99,824 | -5,890 | skid front(out) | 1000000,000 | -11,500 | 0,000 | 1,000 | 100,000 | -2,053 | 1,880 | 0,716 | 0,716 | 0,716 | 0,712 | 0,712 | 0,072 |
| 23,500 | 22,439 | 99,794 | -5,887 | skid front(out) | 1000000,000 | -11,500 | 0,000 | 1,000 | 100,000 | -2,487 | 1,957 | 0,716 | 0,716 | 0,716 | 0,711 | 0,711 | 0,077 |
| 24,000 | 20,668 | 99,828 | -5,888 | skid front(out) | 1000000,000 | -11,500 | 0,000 | 1,000 | 100,000 | -2,569 | 2,040 | 0,716 | 0,716 | 0,716 | 0,712 | 0,712 | 0,084 |
| 24,500 | 18,732 | 99,804 | -5,885 | skid front(out) | 1000000,000 | -11,500 | 0,000 | 1,000 | 100,000 | -3,183 | 2,132 | 0,716 | 0,716 | 0,716 | 0,711 | 0,711 | 0,091 |
| 25,000 | 16,571 | 99,813 | -5,883 | skid front(out) | 1000000,000 | -11,500 | 0,000 | 1,000 | 100,000 | -4,758 | 2,234 | 0,716 | 0,716 | 0,716 | 0,711 | 0,711 | 0,102 |
| 25,500 | 14,083 | 99,794 | -5,884 | skid front(out) | 1000000,000 | -11,500 | 0,000 | 1,000 | 100,000 | -0,735 | 2,351 | 0,716 | 0,716 | 0,716 | 0,712 | 0,712 | 0,117 |
| 26,000 | 11,049 | 99,810 | -5,882 | skid front(out) | 1000000,000 | -11,500 | 0,000 | 1,000 | 100,000 | -2,509 | 2,495 | 0,716 | 0,716 | 0,716 | 0,712 | 0,712 | 0,143 |
| 26,500 | 6,769 | 99,796 | -5,880 | skid front(out) | 1000000,000 | -11,500 | 0,000 | 1,000 | 100,000 | -3,574 | 2,697 | 0,716 | 0,716 | 0,716 | 0,711 | 0,711 | 0,202 |
| 26,800 | 0,485 | 99,788 | -5,880 | skid front(out) | 1000000,000 | -11,500 | 0,000 | 1,000 | 100,000 | -1,281 | 2,993 | 0,716 | 0,716 | 0,716 | 0,711 | 0,711 | 0,297 |

| run_v_w_glif_12 | R(m) | br.front (%) | s(%) | e (%) | coeff | effic (%) | time (sec) | | | | | | | | | | |
|-----------------|-----------------|--------------|--------|-----------------|-------------|-----------|------------|-------|-----------|-----------|------------|-------|-----------|----------|----------|---------|-----------|
| s= 100,000 | 1000000,00 | 68,50 | -11,5 | 0,0 | 1,00 | 100 | 3,037 | | | | | | | | | | |
| step= 0,100 | viewstep= 0,500 | STEPS | | | | | | | | | | | | | | | |
| s (m) | V (km/h) | n (%) | dv/dt | skid check | R(m) | s(%) | e (%) | coeff | effic (%) | decelera | time (sec) | ft | front out | front in | rear out | rear in | checktime |
| 30,000 | 2,926 | 99,381 | -5,957 | skid front(out) | 1000000,000 | -11,500 | 0,000 | 1,000 | 100,000 | -4,487170 | 3,037 | 0,727 | 0,7269 | 0,7269 | 0,7121 | 0,7121 | |
| 0,000 | 68,310 | 99,346 | -6,022 | O.K | 1000000,000 | -11,500 | 0,000 | 1,000 | 100,000 | 0,000 | 0,000 | 0,727 | | | | | |
| 0,400 | 67,851 | 99,346 | -6,021 | skid front(in) | 1000000,000 | -11,500 | 0,000 | 1,000 | 100,000 | 0,000 | 0,021 | 0,727 | 0,727 | 0,727 | 0,712 | 0,712 | 0,021 |
| 1,000 | 67,158 | 99,346 | -6,020 | skid front(in) | 1000000,000 | -11,500 | 0,000 | 1,000 | 100,000 | 0,000 | 0,053 | 0,727 | 0,727 | 0,727 | 0,712 | 0,712 | 0,032 |
| 1,500 | 66,575 | 99,346 | -6,019 | skid front(in) | 1000000,000 | -11,500 | 0,000 | 1,000 | 100,000 | 0,000 | 0,080 | 0,727 | 0,727 | 0,727 | 0,712 | 0,712 | 0,027 |
| 2,000 | 65,986 | 99,346 | -6,018 | skid front(in) | 1000000,000 | -11,500 | 0,000 | 1,000 | 100,000 | 0,000 | 0,107 | 0,727 | 0,727 | 0,727 | 0,712 | 0,712 | 0,027 |
| 2,500 | 65,393 | 99,346 | -6,017 | skid front(in) | 1000000,000 | -11,500 | 0,000 | 1,000 | 100,000 | 0,000 | 0,135 | 0,727 | 0,727 | 0,727 | 0,712 | 0,712 | 0,027 |
| 3,000 | 64,794 | 99,346 | -6,016 | skid front(in) | 1000000,000 | -11,500 | 0,000 | 1,000 | 100,000 | 0,000 | 0,162 | 0,727 | 0,727 | 0,727 | 0,712 | 0,712 | 0,028 |
| 3,500 | 64,189 | 99,346 | -6,015 | skid front(in) | 1000000,000 | -11,500 | 0,000 | 1,000 | 100,000 | 0,000 | 0,190 | 0,727 | 0,727 | 0,727 | 0,712 | 0,712 | 0,028 |
| 4,000 | 63,579 | 99,346 | -6,014 | skid front(in) | 1000000,000 | -11,500 | 0,000 | 1,000 | 100,000 | 0,000 | 0,218 | 0,727 | 0,727 | 0,727 | 0,712 | 0,712 | 0,028 |
| 4,400 | 63,087 | 99,346 | -6,013 | skid front(in) | 1000000,000 | -11,500 | 0,000 | 1,000 | 100,000 | 0,000 | 0,241 | 0,727 | 0,727 | 0,727 | 0,712 | 0,712 | 0,023 |
| 5,000 | 62,342 | 99,346 | -6,011 | skid front(in) | 1000000,000 | -11,500 | 0,000 | 1,000 | 100,000 | 0,000 | 0,276 | 0,727 | 0,727 | 0,727 | 0,712 | 0,712 | 0,034 |
| 5,500 | 61,714 | 99,347 | -6,010 | skid front(in) | 1000000,000 | -11,500 | 0,000 | 1,000 | 100,000 | 0,000 | 0,305 | 0,727 | 0,727 | 0,727 | 0,712 | 0,712 | 0,029 |
| 6,000 | 61,079 | 99,347 | -6,009 | skid front(in) | 1000000,000 | -11,500 | 0,000 | 1,000 | 100,000 | 0,000 | 0,334 | 0,727 | 0,727 | 0,727 | 0,712 | 0,712 | 0,029 |
| 6,500 | 60,438 | 99,347 | -6,008 | skid front(in) | 1000000,000 | -11,500 | 0,000 | 1,000 | 100,000 | 0,000 | 0,364 | 0,727 | 0,727 | 0,727 | 0,712 | 0,712 | 0,030 |
| 7,000 | 59,791 | 99,347 | -6,007 | skid front(in) | 1000000,000 | -11,500 | 0,000 | 1,000 | 100,000 | 0,000 | 0,393 | 0,727 | 0,727 | 0,727 | 0,712 | 0,712 | 0,030 |
| 7,500 | 59,136 | 99,347 | -6,006 | skid front(in) | 1000000,000 | -11,500 | 0,000 | 1,000 | 100,000 | 0,000 | 0,424 | 0,727 | 0,727 | 0,727 | 0,712 | 0,712 | 0,030 |
| 8,000 | 58,475 | 99,347 | -6,005 | skid front(in) | 1000000,000 | -11,500 | 0,000 | 1,000 | 100,000 | 0,000 | 0,454 | 0,727 | 0,727 | 0,727 | 0,712 | 0,712 | 0,031 |
| 8,500 | 57,805 | 99,347 | -6,004 | skid front(in) | 1000000,000 | -11,500 | 0,000 | 1,000 | 100,000 | 0,000 | 0,485 | 0,727 | 0,727 | 0,727 | 0,712 | 0,712 | 0,031 |
| 9,000 | 57,128 | 99,347 | -6,003 | skid front(in) | 1000000,000 | -11,500 | 0,000 | 1,000 | 100,000 | 0,000 | 0,517 | 0,727 | 0,727 | 0,727 | 0,712 | 0,712 | 0,031 |
| 9,500 | 56,443 | 99,347 | -6,002 | skid front(in) | 1000000,000 | -11,500 | 0,000 | 1,000 | 100,000 | 0,000 | 0,548 | 0,727 | 0,727 | 0,727 | 0,712 | 0,712 | 0,032 |
| 10,000 | 55,750 | 99,347 | -6,001 | skid front(in) | 1000000,000 | -11,500 | 0,000 | 1,000 | 100,000 | 0,000 | 0,580 | 0,727 | 0,727 | 0,727 | 0,712 | 0,712 | 0,032 |
| 10,500 | 55,048 | 99,347 | -6,000 | skid front(in) | 1000000,000 | -11,500 | 0,000 | 1,000 | 100,000 | 0,000 | 0,613 | 0,727 | 0,727 | 0,727 | 0,712 | 0,712 | 0,032 |
| 11,000 | 54,338 | 99,347 | -5,998 | skid front(in) | 1000000,000 | -11,500 | 0,000 | 1,000 | 100,000 | 0,000 | 0,646 | 0,727 | 0,727 | 0,727 | 0,712 | 0,712 | 0,033 |
| 11,500 | 53,618 | 99,347 | -5,997 | skid front(in) | 1000000,000 | -11,500 | 0,000 | 1,000 | 100,000 | 0,000 | 0,679 | 0,727 | 0,727 | 0,727 | 0,712 | 0,712 | 0,033 |
| 12,000 | 52,888 | 99,347 | -5,996 | skid front(in) | 1000000,000 | -11,500 | 0,000 | 1,000 | 100,000 | 0,000 | 0,713 | 0,727 | 0,727 | 0,727 | 0,712 | 0,712 | 0,034 |
| 12,500 | 52,148 | 99,348 | -5,995 | skid front(in) | 1000000,000 | -11,500 | 0,000 | 1,000 | 100,000 | 0,000 | 0,747 | 0,727 | 0,727 | 0,727 | 0,712 | 0,712 | 0,034 |
| 13,000 | 51,398 | 99,348 | -5,994 | skid front(in) | 1000000,000 | -11,500 | 0,000 | 1,000 | 100,000 | 0,000 | 0,782 | 0,727 | 0,727 | 0,727 | 0,712 | 0,712 | 0,035 |
| 13,500 | 50,636 | 99,348 | -5,993 | skid front(in) | 1000000,000 | -11,500 | 0,000 | 1,000 | 100,000 | 0,000 | 0,817 | 0,727 | 0,727 | 0,727 | 0,712 | 0,712 | 0,035 |
| 14,000 | 49,864 | 99,348 | -5,992 | skid front(in) | 1000000,000 | -11,500 | 0,000 | 1,000 | 100,000 | 0,000 | 0,853 | 0,727 | 0,727 | 0,727 | 0,712 | 0,712 | 0,036 |
| 14,500 | 49,079 | 99,348 | -5,991 | skid front(in) | 1000000,000 | -11,500 | 0,000 | 1,000 | 100,000 | 0,000 | 0,889 | 0,727 | 0,727 | 0,727 | 0,712 | 0,712 | 0,036 |
| 15,000 | 48,282 | 99,348 | -5,990 | skid front(in) | 1000000,000 | -11,500 | 0,000 | 1,000 | 100,000 | 0,000 | 0,926 | 0,727 | 0,727 | 0,727 | 0,712 | 0,712 | 0,037 |
| 15,500 | 47,471 | 99,348 | -5,989 | skid front(in) | 1000000,000 | -11,500 | 0,000 | 1,000 | 100,000 | 0,000 | 0,964 | 0,727 | 0,727 | 0,727 | 0,712 | 0,712 | 0,038 |
| 16,000 | 46,646 | 99,348 | -5,988 | skid front(in) | 1000000,000 | -11,500 | 0,000 | 1,000 | 100,000 | 0,000 | 1,002 | 0,727 | 0,727 | 0,727 | 0,712 | 0,712 | 0,038 |
| 16,500 | 45,807 | 99,348 | -5,987 | skid front(in) | 1000000,000 | -11,500 | 0,000 | 1,000 | 100,000 | 0,000 | 1,041 | 0,727 | 0,727 | 0,727 | 0,712 | 0,712 | 0,039 |
| 17,000 | 44,952 | 99,348 | -5,985 | skid front(in) | 1000000,000 | -11,500 | 0,000 | 1,000 | 100,000 | 0,000 | 1,081 | 0,727 | 0,727 | 0,727 | 0,712 | 0,712 | 0,040 |
| 17,500 | 44,081 | 99,348 | -5,984 | skid front(in) | 1000000,000 | -11,500 | 0,000 | 1,000 | 100,000 | 0,000 | 1,121 | 0,727 | 0,727 | 0,727 | 0,712 | 0,712 | 0,040 |
| 18,000 | 43,193 | 99,348 | -5,983 | skid front(in) | 1000000,000 | -11,500 | 0,000 | 1,000 | 100,000 | 0,000 | 1,163 | 0,727 | 0,727 | 0,727 | 0,712 | 0,712 | 0,041 |

Προσδιορισμός Τιμών Πρόσφυσης κατά την Πέδηση Οχημάτων Εφοδιασμένων με Σύστημα ABS σε Αυξημένες κατά Μήκος Κλίσεις

| | | | | | | | | | | | | | | | | | |
|--------|--------|--------|--------|-----------------|-------------|---------|-------|-------|---------|--------|-------|-------|-------|-------|-------|-------|-------|
| 18,500 | 42,285 | 99,348 | -5,982 | skid front(in) | 1000000,000 | -11,500 | 0,000 | 1,000 | 100,000 | 0,000 | 1,205 | 0,727 | 0,727 | 0,727 | 0,712 | 0,712 | 0,042 |
| 18,900 | 41,546 | 99,348 | -5,981 | skid front(in) | 1000000,000 | -11,500 | 0,000 | 1,000 | 100,000 | 0,000 | 1,239 | 0,727 | 0,727 | 0,727 | 0,712 | 0,712 | 0,034 |
| 19,500 | 40,411 | 99,348 | -5,980 | skid front(in) | 1000000,000 | -11,500 | 0,000 | 1,000 | 100,000 | 0,000 | 1,292 | 0,727 | 0,727 | 0,727 | 0,712 | 0,712 | 0,053 |
| 20,000 | 39,440 | 99,349 | -5,979 | skid front(in) | 1000000,000 | -11,500 | 0,000 | 1,000 | 100,000 | 0,000 | 1,337 | 0,727 | 0,727 | 0,727 | 0,712 | 0,712 | 0,045 |
| 20,500 | 38,445 | 99,349 | -5,978 | skid front(in) | 1000000,000 | -11,500 | 0,000 | 1,000 | 100,000 | 0,000 | 1,383 | 0,727 | 0,727 | 0,727 | 0,712 | 0,712 | 0,046 |
| 21,000 | 37,424 | 99,349 | -5,977 | skid front(in) | 1000000,000 | -11,500 | 0,000 | 1,000 | 100,000 | 0,000 | 1,431 | 0,727 | 0,727 | 0,727 | 0,712 | 0,712 | 0,047 |
| 21,500 | 36,375 | 99,349 | -5,976 | skid front(in) | 1000000,000 | -11,500 | 0,000 | 1,000 | 100,000 | 0,000 | 1,479 | 0,727 | 0,727 | 0,727 | 0,712 | 0,712 | 0,049 |
| 22,000 | 35,294 | 99,349 | -5,975 | skid front(in) | 1000000,000 | -11,500 | 0,000 | 1,000 | 100,000 | 0,000 | 1,530 | 0,727 | 0,727 | 0,727 | 0,712 | 0,712 | 0,050 |
| 22,500 | 34,180 | 99,349 | -5,974 | skid front(in) | 1000000,000 | -11,500 | 0,000 | 1,000 | 100,000 | 0,000 | 1,581 | 0,727 | 0,727 | 0,727 | 0,712 | 0,712 | 0,052 |
| 23,000 | 33,028 | 99,349 | -5,973 | skid front(in) | 1000000,000 | -11,500 | 0,000 | 1,000 | 100,000 | 0,000 | 1,635 | 0,727 | 0,727 | 0,727 | 0,712 | 0,712 | 0,054 |
| 23,500 | 31,835 | 99,349 | -5,971 | skid front(in) | 1000000,000 | -11,500 | 0,000 | 1,000 | 100,000 | 0,000 | 1,690 | 0,727 | 0,727 | 0,727 | 0,712 | 0,712 | 0,056 |
| 24,000 | 30,595 | 99,349 | -5,970 | skid front(in) | 1000000,000 | -11,500 | 0,000 | 1,000 | 100,000 | 0,001 | 1,748 | 0,727 | 0,727 | 0,727 | 0,712 | 0,712 | 0,058 |
| 24,500 | 29,304 | 99,349 | -5,969 | skid front(in) | 1000000,000 | -11,500 | 0,000 | 1,000 | 100,000 | 0,001 | 1,808 | 0,727 | 0,727 | 0,727 | 0,712 | 0,712 | 0,060 |
| 25,000 | 27,953 | 99,349 | -5,968 | skid front(in) | 1000000,000 | -11,500 | 0,000 | 1,000 | 100,000 | 0,000 | 1,871 | 0,727 | 0,727 | 0,727 | 0,712 | 0,712 | 0,063 |
| 25,500 | 26,533 | 99,327 | -5,965 | skid front(out) | 1000000,000 | -11,500 | 0,000 | 1,000 | 100,000 | -1,326 | 1,937 | 0,727 | 0,727 | 0,727 | 0,712 | 0,712 | 0,066 |
| 26,000 | 25,034 | 99,328 | -5,965 | skid front(out) | 1000000,000 | -11,500 | 0,000 | 1,000 | 100,000 | 0,118 | 2,007 | 0,727 | 0,727 | 0,727 | 0,712 | 0,712 | 0,070 |
| 26,500 | 23,439 | 99,368 | -5,964 | skid front(out) | 1000000,000 | -11,500 | 0,000 | 1,000 | 100,000 | -3,724 | 2,081 | 0,727 | 0,727 | 0,727 | 0,712 | 0,712 | 0,074 |
| 27,000 | 21,727 | 99,329 | -5,962 | skid front(out) | 1000000,000 | -11,500 | 0,000 | 1,000 | 100,000 | -0,598 | 2,161 | 0,727 | 0,727 | 0,727 | 0,712 | 0,712 | 0,080 |
| 27,500 | 19,869 | 99,360 | -5,962 | skid front(out) | 1000000,000 | -11,500 | 0,000 | 1,000 | 100,000 | -1,637 | 2,247 | 0,727 | 0,727 | 0,727 | 0,712 | 0,712 | 0,087 |
| 28,000 | 17,819 | 99,338 | -5,959 | skid front(out) | 1000000,000 | -11,500 | 0,000 | 1,000 | 100,000 | -3,162 | 2,343 | 0,727 | 0,727 | 0,727 | 0,712 | 0,712 | 0,096 |
| 28,500 | 15,501 | 99,390 | -5,961 | skid front(out) | 1000000,000 | -11,500 | 0,000 | 1,000 | 100,000 | -4,442 | 2,451 | 0,727 | 0,727 | 0,727 | 0,712 | 0,712 | 0,108 |
| 29,000 | 12,768 | 99,355 | -5,958 | skid front(out) | 1000000,000 | -11,500 | 0,000 | 1,000 | 100,000 | -2,821 | 2,578 | 0,727 | 0,727 | 0,727 | 0,712 | 0,712 | 0,127 |
| 29,500 | 9,262 | 99,362 | -5,958 | skid front(out) | 1000000,000 | -11,500 | 0,000 | 1,000 | 100,000 | -2,238 | 2,742 | 0,727 | 0,727 | 0,727 | 0,712 | 0,712 | 0,163 |
| 30,000 | 2,926 | 99,381 | -5,957 | skid front(out) | 1000000,000 | -11,500 | 0,000 | 1,000 | 100,000 | -4,487 | 3,037 | 0,727 | 0,727 | 0,727 | 0,712 | 0,712 | 0,295 |

Προσδιορισμός Τιμών Πρόσφυσης κατά την Πέδηση Οχημάτων Εφοδιασμένων με Σύστημα ABS σε Αυξημένες κατά Μήκος Κλίσεις

| run_v_w_glif_13 | | R(m) | br.front (%) | s(%) | e (%) | coeff | effic (%) | time (sec) | | | | | | | | | #Δ/Υ |
|-----------------|----------|-----------|--------------|-----------------|-------------|--------|-----------|------------|-----------|-----------|------------|-------|-----------|----------|----------|---------|-----------|
| s= | 100,000 | 2,50 | 100,00 | 99,6 | 46,3 | 1,00 | 1 | 1,577 | | | | | | | | | |
| step= | 0,100 | viewstep= | 0,500 | STEPS | | | | | | | | | | | | | |
| s (m) | V (km/h) | n (%) | dv/dt | skid check | R(m) | s(%) | e (%) | coeff | effic (%) | decelera | time (sec) | ft | front out | front in | rear out | rear in | checktime |
| 11,900 | 3,352 | 99,984 | -8,383 | skid front(out) | 1000000,000 | 11,500 | 0,000 | 1,000 | 100,000 | -5,821733 | 1,577 | 0,74 | 0,7398 | 0,7398 | 0,7387 | 0,7387 | |
| 0,000 | 51,020 | 99,960 | -8,421 | O.K | 1000000,000 | 11,500 | 0,000 | 1,000 | 100,000 | 0,000 | 0,000 | 0,740 | | | | | |
| 0,400 | 50,157 | 99,960 | -8,419 | skid front(in) | 1000000,000 | 11,500 | 0,000 | 1,000 | 100,000 | 0,000 | 0,028 | 0,740 | 0,740 | 0,740 | 0,739 | 0,739 | 0,028 |
| 1,000 | 48,835 | 99,961 | -8,418 | skid front(in) | 1000000,000 | 11,500 | 0,000 | 1,000 | 100,000 | 0,000 | 0,072 | 0,740 | 0,740 | 0,740 | 0,739 | 0,739 | 0,044 |
| 1,500 | 47,705 | 99,961 | -8,416 | skid front(in) | 1000000,000 | 11,500 | 0,000 | 1,000 | 100,000 | 0,000 | 0,109 | 0,740 | 0,740 | 0,740 | 0,739 | 0,739 | 0,037 |
| 2,000 | 46,547 | 99,961 | -8,415 | skid front(in) | 1000000,000 | 11,500 | 0,000 | 1,000 | 100,000 | 0,000 | 0,148 | 0,740 | 0,740 | 0,740 | 0,739 | 0,739 | 0,038 |
| 2,500 | 45,361 | 99,961 | -8,413 | skid front(in) | 1000000,000 | 11,500 | 0,000 | 1,000 | 100,000 | 0,000 | 0,187 | 0,740 | 0,740 | 0,740 | 0,739 | 0,739 | 0,039 |
| 3,000 | 44,143 | 99,961 | -8,412 | skid front(in) | 1000000,000 | 11,500 | 0,000 | 1,000 | 100,000 | 0,000 | 0,227 | 0,740 | 0,740 | 0,740 | 0,739 | 0,739 | 0,040 |
| 3,500 | 42,890 | 99,961 | -8,410 | skid front(in) | 1000000,000 | 11,500 | 0,000 | 1,000 | 100,000 | 0,000 | 0,268 | 0,740 | 0,740 | 0,740 | 0,739 | 0,739 | 0,041 |
| 4,000 | 41,601 | 99,961 | -8,409 | skid front(in) | 1000000,000 | 11,500 | 0,000 | 1,000 | 100,000 | 0,000 | 0,311 | 0,740 | 0,740 | 0,740 | 0,739 | 0,739 | 0,043 |
| 4,400 | 40,539 | 99,961 | -8,407 | skid front(in) | 1000000,000 | 11,500 | 0,000 | 1,000 | 100,000 | 0,000 | 0,346 | 0,740 | 0,740 | 0,740 | 0,739 | 0,739 | 0,035 |
| 5,000 | 38,893 | 99,961 | -8,406 | skid front(in) | 1000000,000 | 11,500 | 0,000 | 1,000 | 100,000 | 0,000 | 0,400 | 0,740 | 0,740 | 0,740 | 0,739 | 0,739 | 0,054 |
| 5,500 | 37,467 | 99,961 | -8,404 | skid front(in) | 1000000,000 | 11,500 | 0,000 | 1,000 | 100,000 | 0,000 | 0,448 | 0,740 | 0,740 | 0,740 | 0,739 | 0,739 | 0,047 |
| 6,000 | 35,984 | 99,962 | -8,403 | skid front(in) | 1000000,000 | 11,500 | 0,000 | 1,000 | 100,000 | 0,000 | 0,497 | 0,740 | 0,740 | 0,740 | 0,739 | 0,739 | 0,049 |
| 6,500 | 34,438 | 99,962 | -8,401 | skid front(in) | 1000000,000 | 11,500 | 0,000 | 1,000 | 100,000 | 0,000 | 0,548 | 0,740 | 0,740 | 0,740 | 0,739 | 0,739 | 0,051 |
| 7,000 | 32,819 | 99,962 | -8,400 | skid front(in) | 1000000,000 | 11,500 | 0,000 | 1,000 | 100,000 | 0,000 | 0,601 | 0,740 | 0,740 | 0,740 | 0,739 | 0,739 | 0,054 |
| 7,500 | 31,117 | 99,962 | -8,398 | skid front(in) | 1000000,000 | 11,500 | 0,000 | 1,000 | 100,000 | 0,000 | 0,658 | 0,740 | 0,740 | 0,740 | 0,739 | 0,739 | 0,056 |
| 8,000 | 29,316 | 99,962 | -8,397 | skid front(in) | 1000000,000 | 11,500 | 0,000 | 1,000 | 100,000 | 0,001 | 0,717 | 0,740 | 0,740 | 0,740 | 0,739 | 0,739 | 0,060 |
| 8,500 | 27,397 | 99,962 | -8,395 | skid front(in) | 1000000,000 | 11,500 | 0,000 | 1,000 | 100,000 | 0,001 | 0,781 | 0,740 | 0,740 | 0,740 | 0,739 | 0,739 | 0,063 |
| 9,000 | 25,334 | 99,950 | -8,392 | skid front(out) | 1000000,000 | 11,500 | 0,000 | 1,000 | 100,000 | -1,448 | 0,849 | 0,740 | 0,740 | 0,740 | 0,739 | 0,739 | 0,068 |
| 9,500 | 23,088 | 99,957 | -8,391 | skid front(out) | 1000000,000 | 11,500 | 0,000 | 1,000 | 100,000 | -1,678 | 0,923 | 0,740 | 0,740 | 0,740 | 0,739 | 0,739 | 0,074 |
| 10,000 | 20,599 | 99,961 | -8,391 | skid front(out) | 1000000,000 | 11,500 | 0,000 | 1,000 | 100,000 | 0,063 | 1,006 | 0,740 | 0,740 | 0,740 | 0,739 | 0,739 | 0,082 |
| 10,500 | 17,765 | 99,989 | -8,389 | skid front(out) | 1000000,000 | 11,500 | 0,000 | 1,000 | 100,000 | -3,816 | 1,099 | 0,740 | 0,740 | 0,740 | 0,739 | 0,739 | 0,094 |
| 11,000 | 14,383 | 99,982 | -8,387 | skid front(out) | 1000000,000 | 11,500 | 0,000 | 1,000 | 100,000 | -2,482 | 1,211 | 0,740 | 0,740 | 0,740 | 0,739 | 0,739 | 0,112 |
| 11,500 | 9,908 | 99,967 | -8,384 | skid front(out) | 1000000,000 | 11,500 | 0,000 | 1,000 | 100,000 | -3,703 | 1,360 | 0,740 | 0,740 | 0,740 | 0,739 | 0,739 | 0,148 |
| 11,900 | 3,352 | 99,984 | -8,383 | skid front(out) | 1000000,000 | 11,500 | 0,000 | 1,000 | 100,000 | -5,822 | 1,577 | 0,740 | 0,740 | 0,740 | 0,739 | 0,739 | 0,217 |

Προσδιορισμός Τιμών Πρόσφυσης κατά την Πέδηση Οχημάτων Εφοδιασμένων με Σύστημα ABS σε Αυξημένες κατά Μήκος Κλίσεις

| run_v_w_glif_14 | | R(m) | br.front (%) | s(%) | e (%) | coeff | effic (%) | time (sec) | | | | | | | | | |
|-----------------|----------|------------|--------------|-----------------|-------------|--------|-----------|------------|-----------|-----------|------------|-------|-----------|----------|----------|---------|-----------|
| s= | 100,000 | 1000000,00 | 69,00 | 11,5 | 0,0 | 1,00 | 100 | 1,526 | | | | | | | | | |
| step= | 0,100 | viewstep= | 0,500 | STEPS | | | | | | | | | 0,963 | | | | |
| s (m) | V (km/h) | n (%) | dv/dt | skid check | R(m) | s(%) | e (%) | coeff | effic (%) | decelera | time (sec) | ft | front out | front in | rear out | rear in | checktime |
| 11,200 | 2,918 | 99,807 | -8,548 | skid front(out) | 1000000,000 | 11,500 | 0,000 | 1,000 | 100,000 | -2,734708 | 1,526 | 0,758 | 0,7577 | 0,7577 | 0,7533 | 0,7533 | |
| 0,000 | 49,960 | 99,828 | -8,586 | O.K | 1000000,000 | 11,500 | 0,000 | 1,000 | 100,000 | 0,000 | 0,000 | 0,758 | | | | | |
| 0,400 | 49,061 | 99,829 | -8,584 | skid front(in) | 1000000,000 | 11,500 | 0,000 | 1,000 | 100,000 | 0,000 | 0,029 | 0,758 | 0,758 | 0,758 | 0,754 | 0,754 | 0,029 |
| 1,000 | 47,681 | 99,829 | -8,583 | skid front(in) | 1000000,000 | 11,500 | 0,000 | 1,000 | 100,000 | 0,000 | 0,074 | 0,758 | 0,758 | 0,758 | 0,754 | 0,754 | 0,045 |
| 1,500 | 46,500 | 99,829 | -8,581 | skid front(in) | 1000000,000 | 11,500 | 0,000 | 1,000 | 100,000 | 0,000 | 0,112 | 0,758 | 0,758 | 0,758 | 0,754 | 0,754 | 0,038 |
| 2,000 | 45,289 | 99,829 | -8,579 | skid front(in) | 1000000,000 | 11,500 | 0,000 | 1,000 | 100,000 | 0,000 | 0,151 | 0,758 | 0,758 | 0,758 | 0,754 | 0,754 | 0,039 |
| 2,500 | 44,044 | 99,829 | -8,578 | skid front(in) | 1000000,000 | 11,500 | 0,000 | 1,000 | 100,000 | 0,000 | 0,191 | 0,758 | 0,758 | 0,758 | 0,754 | 0,754 | 0,040 |
| 3,000 | 42,764 | 99,829 | -8,576 | skid front(in) | 1000000,000 | 11,500 | 0,000 | 1,000 | 100,000 | 0,000 | 0,233 | 0,758 | 0,758 | 0,758 | 0,754 | 0,754 | 0,041 |
| 3,500 | 41,444 | 99,829 | -8,575 | skid front(in) | 1000000,000 | 11,500 | 0,000 | 1,000 | 100,000 | 0,000 | 0,276 | 0,758 | 0,758 | 0,758 | 0,754 | 0,754 | 0,043 |
| 4,000 | 40,081 | 99,829 | -8,573 | skid front(in) | 1000000,000 | 11,500 | 0,000 | 1,000 | 100,000 | 0,000 | 0,320 | 0,758 | 0,758 | 0,758 | 0,754 | 0,754 | 0,044 |
| 4,400 | 38,956 | 99,829 | -8,572 | skid front(in) | 1000000,000 | 11,500 | 0,000 | 1,000 | 100,000 | 0,000 | 0,356 | 0,758 | 0,758 | 0,758 | 0,754 | 0,754 | 0,036 |
| 5,000 | 37,206 | 99,829 | -8,570 | skid front(in) | 1000000,000 | 11,500 | 0,000 | 1,000 | 100,000 | 0,000 | 0,413 | 0,758 | 0,758 | 0,758 | 0,754 | 0,754 | 0,057 |
| 5,500 | 35,682 | 99,829 | -8,569 | skid front(in) | 1000000,000 | 11,500 | 0,000 | 1,000 | 100,000 | 0,000 | 0,462 | 0,758 | 0,758 | 0,758 | 0,754 | 0,754 | 0,049 |
| 6,000 | 34,091 | 99,829 | -8,567 | skid front(in) | 1000000,000 | 11,500 | 0,000 | 1,000 | 100,000 | 0,001 | 0,514 | 0,758 | 0,758 | 0,758 | 0,754 | 0,754 | 0,052 |
| 6,500 | 32,422 | 99,830 | -8,566 | skid front(in) | 1000000,000 | 11,500 | 0,000 | 1,000 | 100,000 | 0,000 | 0,568 | 0,758 | 0,758 | 0,758 | 0,754 | 0,754 | 0,054 |
| 7,000 | 30,662 | 99,830 | -8,564 | skid front(in) | 1000000,000 | 11,500 | 0,000 | 1,000 | 100,000 | 0,000 | 0,625 | 0,758 | 0,758 | 0,758 | 0,754 | 0,754 | 0,057 |
| 7,500 | 28,795 | 99,830 | -8,563 | skid front(in) | 1000000,000 | 11,500 | 0,000 | 1,000 | 100,000 | 0,000 | 0,686 | 0,758 | 0,758 | 0,758 | 0,754 | 0,754 | 0,061 |
| 8,000 | 26,800 | 99,834 | -8,561 | skid front(out) | 1000000,000 | 11,500 | 0,000 | 1,000 | 100,000 | -0,713 | 0,751 | 0,758 | 0,758 | 0,758 | 0,754 | 0,754 | 0,065 |
| 8,500 | 24,643 | 99,844 | -8,560 | skid front(out) | 1000000,000 | 11,500 | 0,000 | 1,000 | 100,000 | -1,787 | 0,820 | 0,758 | 0,758 | 0,758 | 0,754 | 0,754 | 0,070 |
| 9,000 | 22,279 | 99,846 | -8,558 | skid front(out) | 1000000,000 | 11,500 | 0,000 | 1,000 | 100,000 | -2,103 | 0,897 | 0,758 | 0,758 | 0,758 | 0,754 | 0,754 | 0,077 |
| 9,500 | 19,633 | 99,842 | -8,556 | skid front(out) | 1000000,000 | 11,500 | 0,000 | 1,000 | 100,000 | -1,880 | 0,983 | 0,758 | 0,758 | 0,758 | 0,754 | 0,754 | 0,086 |
| 10,000 | 16,571 | 99,859 | -8,555 | skid front(out) | 1000000,000 | 11,500 | 0,000 | 1,000 | 100,000 | -4,177 | 1,083 | 0,758 | 0,758 | 0,758 | 0,754 | 0,754 | 0,099 |
| 10,500 | 12,795 | 99,837 | -8,553 | skid front(out) | 1000000,000 | 11,500 | 0,000 | 1,000 | 100,000 | -2,549 | 1,205 | 0,758 | 0,758 | 0,758 | 0,754 | 0,754 | 0,123 |
| 11,000 | 7,271 | 99,835 | -8,550 | skid front(out) | 1000000,000 | 11,500 | 0,000 | 1,000 | 100,000 | -3,539 | 1,385 | 0,758 | 0,758 | 0,758 | 0,754 | 0,754 | 0,179 |
| 11,200 | 2,918 | 99,807 | -8,548 | skid front(out) | 1000000,000 | 11,500 | 0,000 | 1,000 | 100,000 | -2,735 | 1,526 | 0,758 | 0,758 | 0,758 | 0,753 | 0,753 | 0,141 |

Προσδιορισμός Τιμών Πρόσφυσης κατά την Πέδηση Οχημάτων Εφοδιασμένων με Σύστημα ABS σε Αυξημένες κατά Μήκος Κλίσεις

| run_v_w_glif_15 | | R(m) | br.front (%) | s(%) | e (%) | coeff | effic (%) | time (sec) | | | | | | | | | |
|-----------------|----------|------------|--------------|-----------------|-------------|--------|-----------|------------|-----------|-----------|------------|-------|-----------|----------|----------|---------|-----------|
| s= | 100,000 | 1000000,00 | 69,00 | 11,5 | 0,0 | 1,00 | 100 | 1,704 | | | | | | | | | |
| step= | 0,100 | viewstep= | 0,500 | STEPS | | | | | | | | | | | | | |
| s (m) | V (km/h) | n (%) | dv/dt | skid check | R(m) | s(%) | e (%) | coeff | effic (%) | decelera | time (sec) | fT | front out | front in | rear out | rear in | checktime |
| 12,600 | 0,175 | 99,923 | -8,578 | skid front(out) | 1000000,000 | 11,500 | 0,000 | 1,000 | 100,000 | -0,086125 | 1,704 | 0,76 | 0,7600 | 0,7600 | 0,7581 | 0,7581 | |
| 0,000 | 52,860 | 99,923 | -8,616 | O.K | 1000000,000 | 11,500 | 0,000 | 1,000 | 100,000 | 0,000 | 0,000 | 0,760 | | | | | |
| 0,400 | 52,008 | 99,923 | -8,615 | skid front(in) | 1000000,000 | 11,500 | 0,000 | 1,000 | 100,000 | 0,000 | 0,027 | 0,760 | 0,760 | 0,760 | 0,758 | 0,758 | 0,027 |
| 1,000 | 50,704 | 99,923 | -8,613 | skid front(in) | 1000000,000 | 11,500 | 0,000 | 1,000 | 100,000 | 0,000 | 0,070 | 0,760 | 0,760 | 0,760 | 0,758 | 0,758 | 0,042 |
| 1,500 | 49,591 | 99,923 | -8,612 | skid front(in) | 1000000,000 | 11,500 | 0,000 | 1,000 | 100,000 | 0,000 | 0,105 | 0,760 | 0,760 | 0,760 | 0,758 | 0,758 | 0,036 |
| 2,000 | 48,453 | 99,923 | -8,610 | skid front(in) | 1000000,000 | 11,500 | 0,000 | 1,000 | 100,000 | 0,000 | 0,142 | 0,760 | 0,760 | 0,760 | 0,758 | 0,758 | 0,037 |
| 2,500 | 47,287 | 99,923 | -8,609 | skid front(in) | 1000000,000 | 11,500 | 0,000 | 1,000 | 100,000 | 0,000 | 0,180 | 0,760 | 0,760 | 0,760 | 0,758 | 0,758 | 0,038 |
| 3,000 | 46,093 | 99,923 | -8,607 | skid front(in) | 1000000,000 | 11,500 | 0,000 | 1,000 | 100,000 | 0,000 | 0,218 | 0,760 | 0,760 | 0,760 | 0,758 | 0,758 | 0,039 |
| 3,500 | 44,866 | 99,924 | -8,606 | skid front(in) | 1000000,000 | 11,500 | 0,000 | 1,000 | 100,000 | 0,000 | 0,258 | 0,760 | 0,760 | 0,760 | 0,758 | 0,758 | 0,040 |
| 4,000 | 43,606 | 99,924 | -8,604 | skid front(in) | 1000000,000 | 11,500 | 0,000 | 1,000 | 100,000 | 0,000 | 0,299 | 0,760 | 0,760 | 0,760 | 0,758 | 0,758 | 0,041 |
| 4,400 | 42,571 | 99,924 | -8,603 | skid front(in) | 1000000,000 | 11,500 | 0,000 | 1,000 | 100,000 | 0,000 | 0,332 | 0,760 | 0,760 | 0,760 | 0,758 | 0,758 | 0,033 |
| 5,000 | 40,970 | 99,924 | -8,601 | skid front(in) | 1000000,000 | 11,500 | 0,000 | 1,000 | 100,000 | 0,000 | 0,384 | 0,760 | 0,760 | 0,760 | 0,758 | 0,758 | 0,052 |
| 5,500 | 39,586 | 99,924 | -8,600 | skid front(in) | 1000000,000 | 11,500 | 0,000 | 1,000 | 100,000 | 0,000 | 0,428 | 0,760 | 0,760 | 0,760 | 0,758 | 0,758 | 0,045 |
| 6,000 | 38,152 | 99,924 | -8,598 | skid front(in) | 1000000,000 | 11,500 | 0,000 | 1,000 | 100,000 | 0,000 | 0,475 | 0,760 | 0,760 | 0,760 | 0,758 | 0,758 | 0,046 |
| 6,500 | 36,663 | 99,924 | -8,596 | skid front(in) | 1000000,000 | 11,500 | 0,000 | 1,000 | 100,000 | 0,000 | 0,523 | 0,760 | 0,760 | 0,760 | 0,758 | 0,758 | 0,048 |
| 7,000 | 35,111 | 99,924 | -8,595 | skid front(in) | 1000000,000 | 11,500 | 0,000 | 1,000 | 100,000 | 0,000 | 0,573 | 0,760 | 0,760 | 0,760 | 0,758 | 0,758 | 0,050 |
| 7,500 | 33,487 | 99,924 | -8,593 | skid front(in) | 1000000,000 | 11,500 | 0,000 | 1,000 | 100,000 | 0,000 | 0,625 | 0,760 | 0,760 | 0,760 | 0,758 | 0,758 | 0,052 |
| 8,000 | 31,781 | 99,924 | -8,592 | skid front(in) | 1000000,000 | 11,500 | 0,000 | 1,000 | 100,000 | 0,000 | 0,681 | 0,760 | 0,760 | 0,760 | 0,758 | 0,758 | 0,055 |
| 8,500 | 29,978 | 99,924 | -8,590 | skid front(in) | 1000000,000 | 11,500 | 0,000 | 1,000 | 100,000 | 0,001 | 0,739 | 0,760 | 0,760 | 0,760 | 0,758 | 0,758 | 0,058 |
| 9,000 | 28,060 | 99,925 | -8,589 | skid front(in) | 1000000,000 | 11,500 | 0,000 | 1,000 | 100,000 | 0,001 | 0,801 | 0,760 | 0,760 | 0,760 | 0,758 | 0,758 | 0,062 |
| 9,500 | 26,002 | 99,901 | -8,586 | skid front(out) | 1000000,000 | 11,500 | 0,000 | 1,000 | 100,000 | 0,205 | 0,868 | 0,760 | 0,760 | 0,760 | 0,758 | 0,758 | 0,067 |
| 10,000 | 23,766 | 99,931 | -8,583 | skid front(out) | 1000000,000 | 11,500 | 0,000 | 1,000 | 100,000 | -4,431 | 0,940 | 0,760 | 0,760 | 0,760 | 0,758 | 0,758 | 0,072 |
| 10,500 | 21,297 | 99,959 | -8,584 | skid front(out) | 1000000,000 | 11,500 | 0,000 | 1,000 | 100,000 | -4,062 | 1,020 | 0,760 | 0,760 | 0,760 | 0,758 | 0,758 | 0,080 |
| 11,000 | 18,502 | 99,927 | -8,582 | skid front(out) | 1000000,000 | 11,500 | 0,000 | 1,000 | 100,000 | -1,215 | 1,110 | 0,760 | 0,760 | 0,760 | 0,758 | 0,758 | 0,090 |
| 11,500 | 15,202 | 99,918 | -8,580 | skid front(out) | 1000000,000 | 11,500 | 0,000 | 1,000 | 100,000 | -0,712 | 1,217 | 0,760 | 0,760 | 0,760 | 0,758 | 0,758 | 0,107 |
| 12,000 | 10,949 | 99,936 | -8,579 | skid front(out) | 1000000,000 | 11,500 | 0,000 | 1,000 | 100,000 | -2,999 | 1,355 | 0,760 | 0,760 | 0,760 | 0,758 | 0,758 | 0,138 |
| 12,500 | 2,945 | 99,917 | -8,577 | skid front(out) | 1000000,000 | 11,500 | 0,000 | 1,000 | 100,000 | -0,874 | 1,614 | 0,760 | 0,760 | 0,760 | 0,758 | 0,758 | 0,259 |
| 12,600 | 0,175 | 99,923 | -8,578 | skid front(out) | 1000000,000 | 11,500 | 0,000 | 1,000 | 100,000 | -0,086 | 1,704 | 0,760 | 0,760 | 0,760 | 0,758 | 0,758 | 0,090 |

Προσδιορισμός Τιμών Πρόσφυσης κατά την Πέδηση Οχημάτων Εφοδιασμένων με Σύστημα ABS σε Αυξημένες κατά Μήκος Κλίσεις

| run_v_w_glif_16 | R(m) | br.front (%) | s(%) | e (%) | coeff | effic (%) | time (sec) | | | | | | | | | | |
|-----------------|------------|--------------|--------|-----------------|-------------|-----------|------------|-------|-----------|-----------|------------|-------|-----------|----------|----------|---------|-----------|
| s= 100,000 | 1000000,00 | 69,00 | 11,5 | 0,0 | 1,00 | 100 | 1,565 | 0,963 | | | | | | | | | |
| step= 0,100 | viewstep= | 0,500 | STEPS | | | | | | | | | | | | | | |
| s (m) | V (km/h) | n (%) | dv/dt | skid check | R(m) | s(%) | e (%) | coeff | effic (%) | decelera | time (sec) | fT | front out | front in | rear out | rear in | checktime |
| 11,600 | 2,659 | 99,709 | -8,521 | skid front(out) | 1000000,000 | 11,500 | 0,000 | 1,000 | 100,000 | -2,342613 | 1,565 | 0,756 | 0,7557 | 0,7557 | 0,7490 | 0,7490 | |
| 0,000 | 50,750 | 99,734 | -8,560 | O.K | 1000000,000 | 11,500 | 0,000 | 1,000 | 100,000 | 0,000 | 0,000 | 0,756 | | | | | |
| 0,400 | 49,868 | 99,734 | -8,559 | skid front(in) | 1000000,000 | 11,500 | 0,000 | 1,000 | 100,000 | 0,000 | 0,029 | 0,756 | 0,756 | 0,756 | 0,750 | 0,750 | 0,029 |
| 1,000 | 48,515 | 99,734 | -8,557 | skid front(in) | 1000000,000 | 11,500 | 0,000 | 1,000 | 100,000 | 0,000 | 0,073 | 0,756 | 0,756 | 0,756 | 0,750 | 0,750 | 0,044 |
| 1,500 | 47,359 | 99,734 | -8,556 | skid front(in) | 1000000,000 | 11,500 | 0,000 | 1,000 | 100,000 | 0,000 | 0,110 | 0,756 | 0,756 | 0,756 | 0,750 | 0,750 | 0,038 |
| 2,000 | 46,173 | 99,734 | -8,554 | skid front(in) | 1000000,000 | 11,500 | 0,000 | 1,000 | 100,000 | 0,000 | 0,149 | 0,756 | 0,756 | 0,756 | 0,750 | 0,750 | 0,038 |
| 2,500 | 44,957 | 99,734 | -8,553 | skid front(in) | 1000000,000 | 11,500 | 0,000 | 1,000 | 100,000 | 0,000 | 0,188 | 0,756 | 0,756 | 0,756 | 0,750 | 0,750 | 0,040 |
| 3,000 | 43,707 | 99,734 | -8,551 | skid front(in) | 1000000,000 | 11,500 | 0,000 | 1,000 | 100,000 | 0,000 | 0,229 | 0,756 | 0,756 | 0,756 | 0,750 | 0,750 | 0,041 |
| 3,500 | 42,420 | 99,734 | -8,550 | skid front(in) | 1000000,000 | 11,500 | 0,000 | 1,000 | 100,000 | 0,000 | 0,270 | 0,756 | 0,756 | 0,756 | 0,750 | 0,750 | 0,042 |
| 4,000 | 41,094 | 99,735 | -8,548 | skid front(in) | 1000000,000 | 11,500 | 0,000 | 1,000 | 100,000 | 0,000 | 0,314 | 0,756 | 0,756 | 0,756 | 0,750 | 0,750 | 0,043 |
| 4,400 | 40,001 | 99,735 | -8,547 | skid front(in) | 1000000,000 | 11,500 | 0,000 | 1,000 | 100,000 | 0,000 | 0,349 | 0,756 | 0,756 | 0,756 | 0,750 | 0,750 | 0,036 |
| 5,000 | 38,303 | 99,735 | -8,545 | skid front(in) | 1000000,000 | 11,500 | 0,000 | 1,000 | 100,000 | 0,000 | 0,404 | 0,756 | 0,756 | 0,756 | 0,750 | 0,750 | 0,055 |
| 5,500 | 36,830 | 99,735 | -8,543 | skid front(in) | 1000000,000 | 11,500 | 0,000 | 1,000 | 100,000 | 0,000 | 0,452 | 0,756 | 0,756 | 0,756 | 0,750 | 0,750 | 0,048 |
| 6,000 | 35,295 | 99,735 | -8,542 | skid front(in) | 1000000,000 | 11,500 | 0,000 | 1,000 | 100,000 | 0,000 | 0,502 | 0,756 | 0,756 | 0,756 | 0,750 | 0,750 | 0,050 |
| 6,500 | 33,690 | 99,735 | -8,540 | skid front(in) | 1000000,000 | 11,500 | 0,000 | 1,000 | 100,000 | 0,000 | 0,554 | 0,756 | 0,756 | 0,756 | 0,750 | 0,750 | 0,052 |
| 7,000 | 32,005 | 99,735 | -8,539 | skid front(in) | 1000000,000 | 11,500 | 0,000 | 1,000 | 100,000 | 0,001 | 0,609 | 0,756 | 0,756 | 0,756 | 0,750 | 0,750 | 0,055 |
| 7,500 | 30,227 | 99,735 | -8,537 | skid front(in) | 1000000,000 | 11,500 | 0,000 | 1,000 | 100,000 | 0,000 | 0,667 | 0,756 | 0,756 | 0,756 | 0,750 | 0,750 | 0,058 |
| 8,000 | 28,338 | 99,735 | -8,536 | skid front(in) | 1000000,000 | 11,500 | 0,000 | 1,000 | 100,000 | 0,000 | 0,728 | 0,756 | 0,756 | 0,756 | 0,750 | 0,750 | 0,061 |
| 8,500 | 26,314 | 99,744 | -8,533 | skid front(out) | 1000000,000 | 11,500 | 0,000 | 1,000 | 100,000 | -2,864 | 0,794 | 0,756 | 0,756 | 0,756 | 0,749 | 0,749 | 0,066 |
| 9,000 | 24,121 | 99,752 | -8,532 | skid front(out) | 1000000,000 | 11,500 | 0,000 | 1,000 | 100,000 | -3,573 | 0,866 | 0,756 | 0,756 | 0,756 | 0,749 | 0,749 | 0,071 |
| 9,500 | 21,709 | 99,748 | -8,530 | skid front(out) | 1000000,000 | 11,500 | 0,000 | 1,000 | 100,000 | -3,588 | 0,944 | 0,756 | 0,756 | 0,756 | 0,749 | 0,749 | 0,079 |
| 10,000 | 18,993 | 99,702 | -8,528 | skid front(out) | 1000000,000 | 11,500 | 0,000 | 1,000 | 100,000 | 0,292 | 1,033 | 0,756 | 0,756 | 0,756 | 0,749 | 0,749 | 0,088 |
| 10,500 | 15,818 | 99,763 | -8,528 | skid front(out) | 1000000,000 | 11,500 | 0,000 | 1,000 | 100,000 | -3,543 | 1,136 | 0,756 | 0,756 | 0,756 | 0,750 | 0,750 | 0,103 |
| 11,000 | 11,819 | 99,750 | -8,525 | skid front(out) | 1000000,000 | 11,500 | 0,000 | 1,000 | 100,000 | -4,840 | 1,266 | 0,756 | 0,756 | 0,756 | 0,749 | 0,749 | 0,130 |
| 11,500 | 5,403 | 99,754 | -8,524 | skid front(out) | 1000000,000 | 11,500 | 0,000 | 1,000 | 100,000 | -3,893 | 1,475 | 0,756 | 0,756 | 0,756 | 0,749 | 0,749 | 0,209 |
| 11,600 | 2,659 | 99,709 | -8,521 | skid front(out) | 1000000,000 | 11,500 | 0,000 | 1,000 | 100,000 | -2,343 | 1,565 | 0,756 | 0,756 | 0,756 | 0,749 | 0,749 | 0,089 |

Προσδιορισμός Τιμών Πρόσφυσης κατά την Πέδηση Οχημάτων Εφοδιασμένων με Σύστημα ABS σε Αυξημένες κατά Μήκος Κλίσεις

| run_v_w_glif_17 | | R(m) | br.front (%) | s(%) | e (%) | coeff | effic (%) | time (sec) | | | | | | | | | |
|-----------------|----------|------------|--------------|-----------------|-------------|--------|-----------|------------|-----------|----------|------------|-------|-----------|----------|----------|---------|-----------|
| s= | 100,000 | 1000000,00 | 69,00 | 11,5 | 0,0 | 1,00 | 100 | 1,736 | | | | | | | | | 0,963 |
| step= | 0,100 | viewstep= | 0,500 | STEPS | | | | | | | | | | | | | |
| s (m) | V (km/h) | n (%) | dv/dt | skid check | R(m) | s(%) | e (%) | coeff | effic (%) | decelera | time (sec) | ff | front out | front in | rear out | rear in | checktime |
| 13,800 | 2,037 | 99,637 | -8,498 | skid front(out) | 1000000,000 | 11,500 | 0,000 | 1,000 | 100,000 | 0,144492 | 1,736 | 0,754 | 0,7540 | 0,7540 | 0,7453 | 0,7453 | |
| 0,000 | 55,240 | 99,639 | -8,540 | O.K | 1000000,000 | 11,500 | 0,000 | 1,000 | 100,000 | 0,000 | 0,000 | 0,754 | | | | | |
| 0,400 | 54,433 | 99,639 | -8,539 | skid front(in) | 1000000,000 | 11,500 | 0,000 | 1,000 | 100,000 | 0,000 | 0,026 | 0,754 | 0,754 | 0,754 | 0,745 | 0,745 | 0,026 |
| 1,000 | 53,199 | 99,639 | -8,537 | skid front(in) | 1000000,000 | 11,500 | 0,000 | 1,000 | 100,000 | 0,000 | 0,066 | 0,754 | 0,754 | 0,754 | 0,745 | 0,745 | 0,040 |
| 1,500 | 52,149 | 99,639 | -8,536 | skid front(in) | 1000000,000 | 11,500 | 0,000 | 1,000 | 100,000 | 0,000 | 0,101 | 0,754 | 0,754 | 0,754 | 0,745 | 0,745 | 0,034 |
| 2,000 | 51,077 | 99,639 | -8,534 | skid front(in) | 1000000,000 | 11,500 | 0,000 | 1,000 | 100,000 | 0,000 | 0,135 | 0,754 | 0,754 | 0,754 | 0,745 | 0,745 | 0,035 |
| 2,500 | 49,983 | 99,640 | -8,533 | skid front(in) | 1000000,000 | 11,500 | 0,000 | 1,000 | 100,000 | 0,000 | 0,171 | 0,754 | 0,754 | 0,754 | 0,745 | 0,745 | 0,036 |
| 3,000 | 48,864 | 99,640 | -8,531 | skid front(in) | 1000000,000 | 11,500 | 0,000 | 1,000 | 100,000 | 0,000 | 0,207 | 0,754 | 0,754 | 0,754 | 0,745 | 0,745 | 0,036 |
| 3,500 | 47,720 | 99,640 | -8,530 | skid front(in) | 1000000,000 | 11,500 | 0,000 | 1,000 | 100,000 | 0,000 | 0,245 | 0,754 | 0,754 | 0,754 | 0,745 | 0,745 | 0,037 |
| 4,000 | 46,547 | 99,640 | -8,528 | skid front(in) | 1000000,000 | 11,500 | 0,000 | 1,000 | 100,000 | 0,000 | 0,283 | 0,754 | 0,754 | 0,754 | 0,745 | 0,745 | 0,038 |
| 4,400 | 45,588 | 99,640 | -8,527 | skid front(in) | 1000000,000 | 11,500 | 0,000 | 1,000 | 100,000 | 0,000 | 0,314 | 0,754 | 0,754 | 0,754 | 0,745 | 0,745 | 0,031 |
| 5,000 | 44,109 | 99,640 | -8,525 | skid front(in) | 1000000,000 | 11,500 | 0,000 | 1,000 | 100,000 | 0,000 | 0,362 | 0,754 | 0,754 | 0,754 | 0,745 | 0,745 | 0,048 |
| 5,500 | 42,839 | 99,640 | -8,523 | skid front(in) | 1000000,000 | 11,500 | 0,000 | 1,000 | 100,000 | 0,000 | 0,404 | 0,754 | 0,754 | 0,754 | 0,745 | 0,745 | 0,041 |
| 6,000 | 41,530 | 99,640 | -8,522 | skid front(in) | 1000000,000 | 11,500 | 0,000 | 1,000 | 100,000 | 0,001 | 0,446 | 0,754 | 0,754 | 0,754 | 0,745 | 0,745 | 0,043 |
| 6,500 | 40,178 | 99,640 | -8,520 | skid front(in) | 1000000,000 | 11,500 | 0,000 | 1,000 | 100,000 | 0,000 | 0,491 | 0,754 | 0,754 | 0,754 | 0,745 | 0,745 | 0,044 |
| 7,000 | 38,780 | 99,640 | -8,519 | skid front(in) | 1000000,000 | 11,500 | 0,000 | 1,000 | 100,000 | 0,000 | 0,536 | 0,754 | 0,754 | 0,754 | 0,745 | 0,745 | 0,046 |
| 7,500 | 37,329 | 99,641 | -8,517 | skid front(in) | 1000000,000 | 11,500 | 0,000 | 1,000 | 100,000 | 0,000 | 0,583 | 0,754 | 0,754 | 0,754 | 0,745 | 0,745 | 0,047 |
| 8,000 | 35,820 | 99,641 | -8,516 | skid front(in) | 1000000,000 | 11,500 | 0,000 | 1,000 | 100,000 | 0,000 | 0,633 | 0,754 | 0,754 | 0,754 | 0,745 | 0,745 | 0,049 |
| 8,500 | 34,245 | 99,641 | -8,514 | skid front(in) | 1000000,000 | 11,500 | 0,000 | 1,000 | 100,000 | 0,000 | 0,684 | 0,754 | 0,754 | 0,754 | 0,745 | 0,745 | 0,051 |
| 9,000 | 32,594 | 99,641 | -8,513 | skid front(in) | 1000000,000 | 11,500 | 0,000 | 1,000 | 100,000 | 0,000 | 0,738 | 0,754 | 0,754 | 0,754 | 0,745 | 0,745 | 0,054 |
| 9,500 | 30,856 | 99,641 | -8,511 | skid front(in) | 1000000,000 | 11,500 | 0,000 | 1,000 | 100,000 | 0,001 | 0,795 | 0,754 | 0,754 | 0,754 | 0,745 | 0,745 | 0,057 |
| 10,000 | 29,013 | 99,641 | -8,510 | skid front(in) | 1000000,000 | 11,500 | 0,000 | 1,000 | 100,000 | 0,000 | 0,855 | 0,754 | 0,754 | 0,754 | 0,745 | 0,745 | 0,060 |
| 10,500 | 27,046 | 99,641 | -8,508 | skid front(in) | 1000000,000 | 11,500 | 0,000 | 1,000 | 100,000 | 0,000 | 0,919 | 0,754 | 0,754 | 0,754 | 0,745 | 0,745 | 0,064 |
| 11,000 | 24,925 | 99,652 | -8,506 | skid front(out) | 1000000,000 | 11,500 | 0,000 | 1,000 | 100,000 | -3,206 | 0,988 | 0,754 | 0,754 | 0,754 | 0,745 | 0,745 | 0,069 |
| 11,500 | 22,605 | 99,638 | -8,502 | skid front(in) | 1000000,000 | 11,500 | 0,000 | 1,000 | 100,000 | -4,047 | 1,064 | 0,754 | 0,754 | 0,754 | 0,745 | 0,745 | 0,076 |
| 12,000 | 20,020 | 99,636 | -8,502 | skid front(out) | 1000000,000 | 11,500 | 0,000 | 1,000 | 100,000 | -2,830 | 1,148 | 0,754 | 0,754 | 0,754 | 0,745 | 0,745 | 0,084 |
| 12,500 | 17,047 | 99,616 | -8,500 | skid front(out) | 1000000,000 | 11,500 | 0,000 | 1,000 | 100,000 | -0,826 | 1,246 | 0,754 | 0,754 | 0,754 | 0,745 | 0,745 | 0,097 |
| 13,000 | 13,432 | 99,608 | -8,497 | skid front(in) | 1000000,000 | 11,500 | 0,000 | 1,000 | 100,000 | -1,361 | 1,364 | 0,754 | 0,754 | 0,754 | 0,745 | 0,745 | 0,118 |
| 13,500 | 8,383 | 99,645 | -8,497 | skid front(out) | 1000000,000 | 11,500 | 0,000 | 1,000 | 100,000 | -3,266 | 1,529 | 0,754 | 0,754 | 0,754 | 0,745 | 0,745 | 0,165 |
| 13,800 | 2,037 | 99,637 | -8,498 | skid front(out) | 1000000,000 | 11,500 | 0,000 | 1,000 | 100,000 | 0,144 | 1,736 | 0,754 | 0,754 | 0,754 | 0,745 | 0,745 | 0,207 |

Προσδιορισμός Τιμών Πρόσφυσης κατά την Πέδηση Οχημάτων Εφοδιασμένων με Σύστημα ABS σε Αυξημένες κατά Μήκος Κλίσεις

| run_v_w_glif_18 | R(m) | br.front (%) | s(%) | e (%) | coeff | effic (%) | time (sec) | | | | | | | | | | | | |
|-----------------|------------|--------------|--------|-----------------|-------------|-----------|------------|-------|-----------|-----------|------------|-------|-----------|----------|----------|---------|-----------|--|--|
| s= 100,000 | 1000000,00 | 69,00 | 11,5 | 0,0 | 1,00 | 100 | 1,731 | | | | | | | | | 0,963 | | | |
| step= 0,100 | viewstep= | 0,500 | STEPS | | | | | | | | | | | | | | | | |
| s (m) | V (km/h) | n (%) | dv/dt | skid check | R(m) | s(%) | e (%) | coeff | effic (%) | decelera | time (sec) | ft | front out | front in | rear out | rear in | checktime | | |
| 14,400 | 3,345 | 99,757 | -8,524 | skid front(out) | 1000000,000 | 11,500 | 0,000 | 1,000 | 100,000 | -3,851715 | 1,731 | 0,756 | 0,7559 | 0,7559 | 0,7494 | 0,7494 | | | |
| 0,000 | 56,580 | 99,733 | -8,569 | O.K | 1000000,000 | 11,500 | 0,000 | 1,000 | 100,000 | 0,000 | 0,000 | 0,756 | | | | | | | |
| 0,400 | 55,789 | 99,733 | -8,567 | skid front(in) | 1000000,000 | 11,500 | 0,000 | 1,000 | 100,000 | 0,000 | 0,026 | 0,756 | 0,756 | 0,756 | 0,750 | 0,750 | 0,026 | | |
| 1,000 | 54,582 | 99,733 | -8,566 | skid front(in) | 1000000,000 | 11,500 | 0,000 | 1,000 | 100,000 | 0,000 | 0,065 | 0,756 | 0,756 | 0,756 | 0,750 | 0,750 | 0,039 | | |
| 1,500 | 53,556 | 99,734 | -8,564 | skid front(in) | 1000000,000 | 11,500 | 0,000 | 1,000 | 100,000 | 0,000 | 0,098 | 0,756 | 0,756 | 0,756 | 0,750 | 0,750 | 0,033 | | |
| 2,000 | 52,510 | 99,734 | -8,563 | skid front(in) | 1000000,000 | 11,500 | 0,000 | 1,000 | 100,000 | 0,000 | 0,132 | 0,756 | 0,756 | 0,756 | 0,750 | 0,750 | 0,034 | | |
| 2,500 | 51,442 | 99,734 | -8,561 | skid front(in) | 1000000,000 | 11,500 | 0,000 | 1,000 | 100,000 | 0,000 | 0,167 | 0,756 | 0,756 | 0,756 | 0,750 | 0,750 | 0,035 | | |
| 3,000 | 50,352 | 99,734 | -8,560 | skid front(in) | 1000000,000 | 11,500 | 0,000 | 1,000 | 100,000 | 0,000 | 0,202 | 0,756 | 0,756 | 0,756 | 0,750 | 0,750 | 0,035 | | |
| 3,500 | 49,239 | 99,734 | -8,558 | skid front(in) | 1000000,000 | 11,500 | 0,000 | 1,000 | 100,000 | 0,000 | 0,238 | 0,756 | 0,756 | 0,756 | 0,750 | 0,750 | 0,036 | | |
| 4,000 | 48,099 | 99,734 | -8,557 | skid front(in) | 1000000,000 | 11,500 | 0,000 | 1,000 | 100,000 | 0,000 | 0,275 | 0,756 | 0,756 | 0,756 | 0,750 | 0,750 | 0,037 | | |
| 4,400 | 47,168 | 99,734 | -8,555 | skid front(in) | 1000000,000 | 11,500 | 0,000 | 1,000 | 100,000 | 0,000 | 0,305 | 0,756 | 0,756 | 0,756 | 0,750 | 0,750 | 0,030 | | |
| 5,000 | 45,736 | 99,734 | -8,554 | skid front(in) | 1000000,000 | 11,500 | 0,000 | 1,000 | 100,000 | 0,000 | 0,352 | 0,756 | 0,756 | 0,756 | 0,750 | 0,750 | 0,046 | | |
| 5,500 | 44,508 | 99,734 | -8,552 | skid front(in) | 1000000,000 | 11,500 | 0,000 | 1,000 | 100,000 | 0,000 | 0,392 | 0,756 | 0,756 | 0,756 | 0,750 | 0,750 | 0,040 | | |
| 6,000 | 43,245 | 99,734 | -8,550 | skid front(in) | 1000000,000 | 11,500 | 0,000 | 1,000 | 100,000 | 0,000 | 0,433 | 0,756 | 0,756 | 0,756 | 0,750 | 0,750 | 0,041 | | |
| 6,500 | 41,944 | 99,735 | -8,549 | skid front(in) | 1000000,000 | 11,500 | 0,000 | 1,000 | 100,000 | 0,000 | 0,475 | 0,756 | 0,756 | 0,756 | 0,750 | 0,750 | 0,042 | | |
| 7,000 | 40,602 | 99,735 | -8,547 | skid front(in) | 1000000,000 | 11,500 | 0,000 | 1,000 | 100,000 | 0,000 | 0,519 | 0,756 | 0,756 | 0,756 | 0,750 | 0,750 | 0,044 | | |
| 7,500 | 39,214 | 99,735 | -8,546 | skid front(in) | 1000000,000 | 11,500 | 0,000 | 1,000 | 100,000 | 0,000 | 0,564 | 0,756 | 0,756 | 0,756 | 0,750 | 0,750 | 0,045 | | |
| 8,000 | 37,776 | 99,735 | -8,544 | skid front(in) | 1000000,000 | 11,500 | 0,000 | 1,000 | 100,000 | 0,000 | 0,611 | 0,756 | 0,756 | 0,756 | 0,750 | 0,750 | 0,047 | | |
| 8,500 | 36,281 | 99,735 | -8,543 | skid front(in) | 1000000,000 | 11,500 | 0,000 | 1,000 | 100,000 | 0,001 | 0,659 | 0,756 | 0,756 | 0,756 | 0,750 | 0,750 | 0,049 | | |
| 9,000 | 34,721 | 99,735 | -8,541 | skid front(in) | 1000000,000 | 11,500 | 0,000 | 1,000 | 100,000 | 0,000 | 0,710 | 0,756 | 0,756 | 0,756 | 0,750 | 0,750 | 0,051 | | |
| 9,500 | 33,089 | 99,735 | -8,540 | skid front(in) | 1000000,000 | 11,500 | 0,000 | 1,000 | 100,000 | 0,000 | 0,763 | 0,756 | 0,756 | 0,756 | 0,750 | 0,750 | 0,053 | | |
| 10,000 | 31,372 | 99,735 | -8,538 | skid front(in) | 1000000,000 | 11,500 | 0,000 | 1,000 | 100,000 | 0,000 | 0,819 | 0,756 | 0,756 | 0,756 | 0,750 | 0,750 | 0,056 | | |
| 10,500 | 29,556 | 99,735 | -8,537 | skid front(in) | 1000000,000 | 11,500 | 0,000 | 1,000 | 100,000 | 0,001 | 0,878 | 0,756 | 0,756 | 0,756 | 0,750 | 0,750 | 0,059 | | |
| 11,000 | 27,622 | 99,735 | -8,535 | skid front(in) | 1000000,000 | 11,500 | 0,000 | 1,000 | 100,000 | 0,001 | 0,941 | 0,756 | 0,756 | 0,756 | 0,750 | 0,750 | 0,063 | | |
| 11,500 | 25,541 | 99,753 | -8,533 | skid front(out) | 1000000,000 | 11,500 | 0,000 | 1,000 | 100,000 | -3,363 | 1,009 | 0,756 | 0,756 | 0,756 | 0,749 | 0,749 | 0,068 | | |
| 12,000 | 23,276 | 99,752 | -8,531 | skid front(out) | 1000000,000 | 11,500 | 0,000 | 1,000 | 100,000 | -3,348 | 1,082 | 0,756 | 0,756 | 0,756 | 0,749 | 0,749 | 0,074 | | |
| 12,500 | 20,765 | 99,739 | -8,529 | skid front(out) | 1000000,000 | 11,500 | 0,000 | 1,000 | 100,000 | -2,609 | 1,164 | 0,756 | 0,756 | 0,756 | 0,749 | 0,749 | 0,082 | | |
| 13,000 | 17,906 | 99,711 | -8,527 | skid front(out) | 1000000,000 | 11,500 | 0,000 | 1,000 | 100,000 | -0,971 | 1,257 | 0,756 | 0,756 | 0,756 | 0,749 | 0,749 | 0,093 | | |
| 13,500 | 14,495 | 99,762 | -8,527 | skid front(out) | 1000000,000 | 11,500 | 0,000 | 1,000 | 100,000 | -3,924 | 1,368 | 0,756 | 0,756 | 0,756 | 0,749 | 0,749 | 0,111 | | |
| 14,000 | 9,979 | 99,738 | -8,523 | skid front(out) | 1000000,000 | 11,500 | 0,000 | 1,000 | 100,000 | -4,422 | 1,515 | 0,756 | 0,756 | 0,756 | 0,749 | 0,749 | 0,147 | | |
| 14,400 | 3,345 | 99,757 | -8,524 | skid front(out) | 1000000,000 | 11,500 | 0,000 | 1,000 | 100,000 | -3,852 | 1,731 | 0,756 | 0,756 | 0,756 | 0,749 | 0,749 | 0,216 | | |

Προσδιορισμός Τιμών Πρόσφυσης κατά την Πέδηση Οχημάτων Εφοδιασμένων με Σύστημα ABS σε Αυξημένες κατά Μήκος Κλίσεις

| run_v_w_glif_19 | | R(m) | br.front (%) | s(%) | e (%) | coeff | effic (%) | time (sec) | | | | | | | | | |
|-----------------|----------|------------|--------------|-----------------|-------------|--------|-----------|------------|-----------|-----------|------------|-------|-----------|----------|----------|---------|-----------|
| s= | 100,000 | 1000000,00 | 69,50 | 11,5 | 0,0 | 1,00 | 100 | 1,728 | | | | | | | | | |
| step= | 0,100 | viewstep= | 0,500 | STEPS | | | | | | | | | 0,963 | | | | |
| s (m) | V (km/h) | n (%) | dv/dt | skid check | R(m) | s(%) | e (%) | coeff | effic (%) | decelera | time (sec) | fT | front out | front in | rear out | rear in | checktime |
| 13,900 | 1,611 | 99,928 | -8,782 | skid front(out) | 1000000,000 | 11,500 | 0,000 | 1,000 | 100,000 | -3,151596 | 1,728 | 0,781 | 0,7808 | 0,7808 | 0,7789 | 0,7789 | |
| 0,000 | 56,350 | 99,933 | -8,827 | O.K | 1000000,000 | 11,500 | 0,000 | 1,000 | 100,000 | 0,000 | 0,000 | 0,781 | | | | | |
| 0,400 | 55,532 | 99,933 | -8,826 | skid front(in) | 1000000,000 | 11,500 | 0,000 | 1,000 | 100,000 | 0,000 | 0,026 | 0,781 | 0,781 | 0,781 | 0,779 | 0,779 | 0,026 |
| 1,000 | 54,282 | 99,933 | -8,824 | skid front(in) | 1000000,000 | 11,500 | 0,000 | 1,000 | 100,000 | 0,000 | 0,065 | 0,781 | 0,781 | 0,781 | 0,779 | 0,779 | 0,039 |
| 1,500 | 53,218 | 99,933 | -8,823 | skid front(in) | 1000000,000 | 11,500 | 0,000 | 1,000 | 100,000 | 0,000 | 0,099 | 0,781 | 0,781 | 0,781 | 0,779 | 0,779 | 0,033 |
| 2,000 | 52,133 | 99,933 | -8,821 | skid front(in) | 1000000,000 | 11,500 | 0,000 | 1,000 | 100,000 | 0,000 | 0,133 | 0,781 | 0,781 | 0,781 | 0,779 | 0,779 | 0,034 |
| 2,500 | 51,025 | 99,933 | -8,820 | skid front(in) | 1000000,000 | 11,500 | 0,000 | 1,000 | 100,000 | 0,000 | 0,168 | 0,781 | 0,781 | 0,781 | 0,779 | 0,779 | 0,035 |
| 3,000 | 49,892 | 99,933 | -8,818 | skid front(in) | 1000000,000 | 11,500 | 0,000 | 1,000 | 100,000 | 0,000 | 0,203 | 0,781 | 0,781 | 0,781 | 0,779 | 0,779 | 0,036 |
| 3,500 | 48,734 | 99,933 | -8,817 | skid front(in) | 1000000,000 | 11,500 | 0,000 | 1,000 | 100,000 | 0,000 | 0,240 | 0,781 | 0,781 | 0,781 | 0,779 | 0,779 | 0,037 |
| 4,000 | 47,547 | 99,933 | -8,815 | skid front(in) | 1000000,000 | 11,500 | 0,000 | 1,000 | 100,000 | 0,000 | 0,277 | 0,781 | 0,781 | 0,781 | 0,779 | 0,779 | 0,037 |
| 4,400 | 46,576 | 99,933 | -8,814 | skid front(in) | 1000000,000 | 11,500 | 0,000 | 1,000 | 100,000 | 0,000 | 0,308 | 0,781 | 0,781 | 0,781 | 0,779 | 0,779 | 0,031 |
| 5,000 | 45,081 | 99,934 | -8,812 | skid front(in) | 1000000,000 | 11,500 | 0,000 | 1,000 | 100,000 | 0,000 | 0,355 | 0,781 | 0,781 | 0,781 | 0,779 | 0,779 | 0,047 |
| 5,500 | 43,796 | 99,934 | -8,811 | skid front(in) | 1000000,000 | 11,500 | 0,000 | 1,000 | 100,000 | 0,000 | 0,395 | 0,781 | 0,781 | 0,781 | 0,779 | 0,779 | 0,041 |
| 6,000 | 42,472 | 99,934 | -8,809 | skid front(in) | 1000000,000 | 11,500 | 0,000 | 1,000 | 100,000 | 0,000 | 0,437 | 0,781 | 0,781 | 0,781 | 0,779 | 0,779 | 0,042 |
| 6,500 | 41,107 | 99,934 | -8,808 | skid front(in) | 1000000,000 | 11,500 | 0,000 | 1,000 | 100,000 | 0,000 | 0,480 | 0,781 | 0,781 | 0,781 | 0,779 | 0,779 | 0,043 |
| 7,000 | 39,694 | 99,934 | -8,806 | skid front(in) | 1000000,000 | 11,500 | 0,000 | 1,000 | 100,000 | 0,000 | 0,525 | 0,781 | 0,781 | 0,781 | 0,779 | 0,779 | 0,045 |
| 7,500 | 38,230 | 99,934 | -8,804 | skid front(in) | 1000000,000 | 11,500 | 0,000 | 1,000 | 100,000 | 0,000 | 0,571 | 0,781 | 0,781 | 0,781 | 0,779 | 0,779 | 0,046 |
| 8,000 | 36,707 | 99,934 | -8,803 | skid front(in) | 1000000,000 | 11,500 | 0,000 | 1,000 | 100,000 | 0,000 | 0,619 | 0,781 | 0,781 | 0,781 | 0,779 | 0,779 | 0,048 |
| 8,500 | 35,119 | 99,934 | -8,801 | skid front(in) | 1000000,000 | 11,500 | 0,000 | 1,000 | 100,000 | 0,000 | 0,669 | 0,781 | 0,781 | 0,781 | 0,779 | 0,779 | 0,050 |
| 9,000 | 33,456 | 99,934 | -8,800 | skid front(in) | 1000000,000 | 11,500 | 0,000 | 1,000 | 100,000 | 0,000 | 0,722 | 0,781 | 0,781 | 0,781 | 0,779 | 0,779 | 0,052 |
| 9,500 | 31,706 | 99,934 | -8,798 | skid front(in) | 1000000,000 | 11,500 | 0,000 | 1,000 | 100,000 | 0,000 | 0,777 | 0,781 | 0,781 | 0,781 | 0,779 | 0,779 | 0,055 |
| 10,000 | 29,853 | 99,935 | -8,797 | skid front(in) | 1000000,000 | 11,500 | 0,000 | 1,000 | 100,000 | 0,001 | 0,835 | 0,781 | 0,781 | 0,781 | 0,779 | 0,779 | 0,058 |
| 10,500 | 27,879 | 99,935 | -8,795 | skid front(in) | 1000000,000 | 11,500 | 0,000 | 1,000 | 100,000 | 0,001 | 0,898 | 0,781 | 0,781 | 0,781 | 0,779 | 0,779 | 0,062 |
| 11,000 | 25,754 | 99,933 | -8,792 | skid front(out) | 1000000,000 | 11,500 | 0,000 | 1,000 | 100,000 | -2,968 | 0,965 | 0,781 | 0,781 | 0,781 | 0,779 | 0,779 | 0,067 |
| 11,500 | 23,437 | 99,934 | -8,791 | skid front(out) | 1000000,000 | 11,500 | 0,000 | 1,000 | 100,000 | -2,089 | 1,038 | 0,781 | 0,781 | 0,781 | 0,779 | 0,779 | 0,073 |
| 12,000 | 20,865 | 99,937 | -8,790 | skid front(out) | 1000000,000 | 11,500 | 0,000 | 1,000 | 100,000 | -1,835 | 1,119 | 0,781 | 0,781 | 0,781 | 0,779 | 0,779 | 0,081 |
| 12,500 | 17,929 | 99,941 | -8,788 | skid front(out) | 1000000,000 | 11,500 | 0,000 | 1,000 | 100,000 | -2,230 | 1,212 | 0,781 | 0,781 | 0,781 | 0,779 | 0,779 | 0,093 |
| 13,000 | 14,407 | 99,946 | -8,786 | skid front(out) | 1000000,000 | 11,500 | 0,000 | 1,000 | 100,000 | -3,430 | 1,323 | 0,781 | 0,781 | 0,781 | 0,779 | 0,779 | 0,111 |
| 13,500 | 9,680 | 99,921 | -8,784 | skid front(out) | 1000000,000 | 11,500 | 0,000 | 1,000 | 100,000 | -1,975 | 1,473 | 0,781 | 0,781 | 0,781 | 0,779 | 0,779 | 0,149 |
| 13,900 | 1,611 | 99,928 | -8,782 | skid front(out) | 1000000,000 | 11,500 | 0,000 | 1,000 | 100,000 | -3,152 | 1,728 | 0,781 | 0,781 | 0,781 | 0,779 | 0,779 | 0,255 |

Προσδιορισμός Τιμών Πρόσφυσης κατά την Πέδηση Οχημάτων Εφοδιασμένων με Σύστημα ABS σε Αυξημένες κατά Μήκος Κλίσεις

| run_v_w_glif_20 | R(m) | br.front (%) | s(%) | e (%) | coeff | effic (%) | time (sec) | | | | | | | | | | |
|-----------------|------------|--------------|--------|-----------------|-------------|-----------|------------|-------|-----------|-----------|------------|-------|-----------|----------|----------|---------|-----------|
| s= 100,000 | 1000000,00 | 69,00 | 11,5 | 0,0 | 1,00 | 100 | 1,566 | | | | | | | | | | |
| step= 0,100 | viewstep= | 0,500 | STEPS | | | | | | | | | | | | | | |
| s (m) | V (km/h) | n (%) | dv/dt | skid check | R(m) | s(%) | e (%) | coeff | effic (%) | decelera | time (sec) | ff | front out | front in | rear out | rear in | checktime |
| 12,200 | 4,251 | 99,435 | -8,432 | skid front(out) | 1000000,000 | 11,500 | 0,000 | 1,000 | 100,000 | -3,623923 | 1,566 | 0,749 | 0,7490 | 0,7490 | 0,7348 | 0,7348 | |
| 0,000 | 51,870 | 99,404 | -8,469 | O.K | 1000000,000 | 11,500 | 0,000 | 1,000 | 100,000 | 0,000 | 0,000 | 0,749 | | | | | |
| 0,400 | 51,016 | 99,404 | -8,468 | skid front(in) | 1000000,000 | 11,500 | 0,000 | 1,000 | 100,000 | 0,000 | 0,028 | 0,749 | 0,749 | 0,749 | 0,735 | 0,735 | 0,028 |
| 1,000 | 49,708 | 99,405 | -8,466 | skid front(in) | 1000000,000 | 11,500 | 0,000 | 1,000 | 100,000 | 0,000 | 0,071 | 0,749 | 0,749 | 0,749 | 0,735 | 0,735 | 0,043 |
| 1,500 | 48,592 | 99,405 | -8,465 | skid front(in) | 1000000,000 | 11,500 | 0,000 | 1,000 | 100,000 | 0,000 | 0,108 | 0,749 | 0,749 | 0,749 | 0,735 | 0,735 | 0,037 |
| 2,000 | 47,450 | 99,405 | -8,463 | skid front(in) | 1000000,000 | 11,500 | 0,000 | 1,000 | 100,000 | 0,000 | 0,145 | 0,749 | 0,749 | 0,749 | 0,735 | 0,735 | 0,037 |
| 2,500 | 46,280 | 99,405 | -8,462 | skid front(in) | 1000000,000 | 11,500 | 0,000 | 1,000 | 100,000 | 0,000 | 0,183 | 0,749 | 0,749 | 0,749 | 0,735 | 0,735 | 0,038 |
| 3,000 | 45,080 | 99,405 | -8,460 | skid front(in) | 1000000,000 | 11,500 | 0,000 | 1,000 | 100,000 | 0,000 | 0,223 | 0,749 | 0,749 | 0,749 | 0,735 | 0,735 | 0,039 |
| 3,500 | 43,847 | 99,405 | -8,459 | skid front(in) | 1000000,000 | 11,500 | 0,000 | 1,000 | 100,000 | 0,000 | 0,263 | 0,749 | 0,749 | 0,749 | 0,735 | 0,735 | 0,040 |
| 4,000 | 42,579 | 99,405 | -8,457 | skid front(in) | 1000000,000 | 11,500 | 0,000 | 1,000 | 100,000 | 0,000 | 0,305 | 0,749 | 0,749 | 0,749 | 0,735 | 0,735 | 0,042 |
| 4,400 | 41,536 | 99,405 | -8,456 | skid front(in) | 1000000,000 | 11,500 | 0,000 | 1,000 | 100,000 | 0,000 | 0,339 | 0,749 | 0,749 | 0,749 | 0,735 | 0,735 | 0,034 |
| 5,000 | 39,922 | 99,405 | -8,454 | skid front(in) | 1000000,000 | 11,500 | 0,000 | 1,000 | 100,000 | 0,000 | 0,392 | 0,749 | 0,749 | 0,749 | 0,735 | 0,735 | 0,053 |
| 5,500 | 38,526 | 99,405 | -8,453 | skid front(in) | 1000000,000 | 11,500 | 0,000 | 1,000 | 100,000 | 0,000 | 0,438 | 0,749 | 0,749 | 0,749 | 0,735 | 0,735 | 0,046 |
| 6,000 | 37,077 | 99,406 | -8,451 | skid front(in) | 1000000,000 | 11,500 | 0,000 | 1,000 | 100,000 | 0,000 | 0,486 | 0,749 | 0,749 | 0,749 | 0,735 | 0,735 | 0,048 |
| 6,500 | 35,569 | 99,406 | -8,450 | skid front(in) | 1000000,000 | 11,500 | 0,000 | 1,000 | 100,000 | 0,000 | 0,535 | 0,749 | 0,749 | 0,749 | 0,735 | 0,735 | 0,050 |
| 7,000 | 33,995 | 99,406 | -8,448 | skid front(in) | 1000000,000 | 11,500 | 0,000 | 1,000 | 100,000 | 0,000 | 0,587 | 0,749 | 0,749 | 0,749 | 0,735 | 0,735 | 0,052 |
| 7,500 | 32,345 | 99,406 | -8,447 | skid front(in) | 1000000,000 | 11,500 | 0,000 | 1,000 | 100,000 | 0,000 | 0,641 | 0,749 | 0,749 | 0,749 | 0,735 | 0,735 | 0,054 |
| 8,000 | 30,606 | 99,406 | -8,445 | skid front(in) | 1000000,000 | 11,500 | 0,000 | 1,000 | 100,000 | 0,000 | 0,698 | 0,749 | 0,749 | 0,749 | 0,735 | 0,735 | 0,057 |
| 8,500 | 28,763 | 99,406 | -8,444 | skid front(in) | 1000000,000 | 11,500 | 0,000 | 1,000 | 100,000 | 0,000 | 0,759 | 0,749 | 0,749 | 0,749 | 0,735 | 0,735 | 0,061 |
| 9,000 | 26,793 | 99,412 | -8,442 | skid front(out) | 1000000,000 | 11,500 | 0,000 | 1,000 | 100,000 | -1,424 | 0,824 | 0,749 | 0,749 | 0,749 | 0,735 | 0,735 | 0,065 |
| 9,500 | 24,667 | 99,417 | -8,439 | skid front(out) | 1000000,000 | 11,500 | 0,000 | 1,000 | 100,000 | -2,872 | 0,894 | 0,749 | 0,749 | 0,749 | 0,735 | 0,735 | 0,070 |
| 10,000 | 22,341 | 99,425 | -8,439 | skid front(out) | 1000000,000 | 11,500 | 0,000 | 1,000 | 100,000 | -2,339 | 0,970 | 0,749 | 0,749 | 0,749 | 0,735 | 0,735 | 0,077 |
| 10,500 | 19,742 | 99,407 | -8,437 | skid front(out) | 1000000,000 | 11,500 | 0,000 | 1,000 | 100,000 | -1,174 | 1,056 | 0,749 | 0,749 | 0,749 | 0,735 | 0,735 | 0,086 |
| 11,000 | 16,745 | 99,389 | -8,433 | skid front(out) | 1000000,000 | 11,500 | 0,000 | 1,000 | 100,000 | -2,428 | 1,155 | 0,749 | 0,749 | 0,749 | 0,734 | 0,734 | 0,099 |
| 11,500 | 13,080 | 99,436 | -8,434 | skid front(out) | 1000000,000 | 11,500 | 0,000 | 1,000 | 100,000 | -3,580 | 1,275 | 0,749 | 0,749 | 0,749 | 0,735 | 0,735 | 0,121 |
| 12,000 | 7,860 | 99,387 | -8,430 | skid front(out) | 1000000,000 | 11,500 | 0,000 | 1,000 | 100,000 | -1,904 | 1,447 | 0,749 | 0,749 | 0,749 | 0,734 | 0,734 | 0,172 |
| 12,200 | 4,251 | 99,435 | -8,432 | skid front(out) | 1000000,000 | 11,500 | 0,000 | 1,000 | 100,000 | -3,624 | 1,566 | 0,749 | 0,749 | 0,749 | 0,735 | 0,735 | 0,119 |

Προσδιορισμός Τιμών Πρόσφυσης κατά την Πέδηση Οχημάτων Εφοδιασμένων με Σύστημα ABS σε Αυξημένες κατά Μήκος Κλίσεις

| run_v_w_glif_21 | | R(m) | br.front (%) | s(%) | e (%) | coeff | effic (%) | time (sec) | | | | | | | | | |
|-----------------|----------|------------|--------------|-----------------|-------------|--------|-----------|------------|-----------|-----------|------------|-------|-----------|----------|----------|---------|-----------|
| s= | 100,000 | 1000000,00 | 69,00 | 11,5 | 0,0 | 1,00 | 100 | 1,805 | | | | | | | | | |
| step= | 0,100 | viewstep= | 0,500 | STEPS | | | | | | | | | | | | | |
| s (m) | V (km/h) | n (%) | dv/dt | skid check | R(m) | s(%) | e (%) | coeff | effic (%) | decelera | time (sec) | ft | front out | front in | rear out | rear in | checktime |
| 15,200 | 3,192 | 99,070 | -8,339 | skid front(out) | 1000000,000 | 11,500 | 0,000 | 1,000 | 100,000 | -0,675751 | 1,805 | 0,742 | 0,7419 | 0,7419 | 0,7202 | 0,7202 | |
| 0,000 | 57,490 | 99,077 | -8,386 | O.K | 1000000,000 | 11,500 | 0,000 | 1,000 | 100,000 | 0,000 | 0,000 | 0,742 | | | | | |
| 0,400 | 56,729 | 99,076 | -8,385 | skid front(in) | 1000000,000 | 11,500 | 0,000 | 1,000 | 100,000 | 0,000 | 0,025 | 0,742 | 0,742 | 0,742 | 0,720 | 0,720 | 0,025 |
| 1,000 | 55,568 | 99,077 | -8,383 | skid front(in) | 1000000,000 | 11,500 | 0,000 | 1,000 | 100,000 | 0,000 | 0,064 | 0,742 | 0,742 | 0,742 | 0,720 | 0,720 | 0,038 |
| 1,500 | 54,582 | 99,077 | -8,381 | skid front(in) | 1000000,000 | 11,500 | 0,000 | 1,000 | 100,000 | 0,000 | 0,096 | 0,742 | 0,742 | 0,742 | 0,720 | 0,720 | 0,033 |
| 2,000 | 53,577 | 99,077 | -8,380 | skid front(in) | 1000000,000 | 11,500 | 0,000 | 1,000 | 100,000 | 0,000 | 0,130 | 0,742 | 0,742 | 0,742 | 0,720 | 0,720 | 0,033 |
| 2,500 | 52,554 | 99,077 | -8,378 | skid front(in) | 1000000,000 | 11,500 | 0,000 | 1,000 | 100,000 | 0,000 | 0,164 | 0,742 | 0,742 | 0,742 | 0,720 | 0,720 | 0,034 |
| 3,000 | 51,511 | 99,077 | -8,377 | skid front(in) | 1000000,000 | 11,500 | 0,000 | 1,000 | 100,000 | 0,000 | 0,198 | 0,742 | 0,742 | 0,742 | 0,720 | 0,720 | 0,035 |
| 3,500 | 50,446 | 99,077 | -8,375 | skid front(in) | 1000000,000 | 11,500 | 0,000 | 1,000 | 100,000 | 0,000 | 0,233 | 0,742 | 0,742 | 0,742 | 0,720 | 0,720 | 0,035 |
| 4,000 | 49,359 | 99,077 | -8,374 | skid front(in) | 1000000,000 | 11,500 | 0,000 | 1,000 | 100,000 | 0,000 | 0,270 | 0,742 | 0,742 | 0,742 | 0,720 | 0,720 | 0,036 |
| 4,400 | 48,471 | 99,077 | -8,373 | skid front(in) | 1000000,000 | 11,500 | 0,000 | 1,000 | 100,000 | 0,000 | 0,299 | 0,742 | 0,742 | 0,742 | 0,720 | 0,720 | 0,029 |
| 5,000 | 47,109 | 99,078 | -8,371 | skid front(in) | 1000000,000 | 11,500 | 0,000 | 1,000 | 100,000 | 0,000 | 0,344 | 0,742 | 0,742 | 0,742 | 0,720 | 0,720 | 0,045 |
| 5,500 | 45,943 | 99,078 | -8,369 | skid front(in) | 1000000,000 | 11,500 | 0,000 | 1,000 | 100,000 | 0,000 | 0,383 | 0,742 | 0,742 | 0,742 | 0,720 | 0,720 | 0,039 |
| 6,000 | 44,747 | 99,078 | -8,368 | skid front(in) | 1000000,000 | 11,500 | 0,000 | 1,000 | 100,000 | 0,000 | 0,423 | 0,742 | 0,742 | 0,742 | 0,720 | 0,720 | 0,040 |
| 6,500 | 43,519 | 99,078 | -8,366 | skid front(in) | 1000000,000 | 11,500 | 0,000 | 1,000 | 100,000 | 0,000 | 0,463 | 0,742 | 0,742 | 0,742 | 0,720 | 0,720 | 0,041 |
| 7,000 | 42,255 | 99,078 | -8,365 | skid front(in) | 1000000,000 | 11,500 | 0,000 | 1,000 | 100,000 | 0,000 | 0,505 | 0,742 | 0,742 | 0,742 | 0,720 | 0,720 | 0,042 |
| 7,500 | 40,952 | 99,078 | -8,363 | skid front(in) | 1000000,000 | 11,500 | 0,000 | 1,000 | 100,000 | 0,000 | 0,549 | 0,742 | 0,742 | 0,742 | 0,720 | 0,720 | 0,043 |
| 8,000 | 39,607 | 99,078 | -8,362 | skid front(in) | 1000000,000 | 11,500 | 0,000 | 1,000 | 100,000 | 0,000 | 0,593 | 0,742 | 0,742 | 0,742 | 0,720 | 0,720 | 0,045 |
| 8,500 | 38,214 | 99,078 | -8,360 | skid front(in) | 1000000,000 | 11,500 | 0,000 | 1,000 | 100,000 | 0,000 | 0,640 | 0,742 | 0,742 | 0,742 | 0,720 | 0,720 | 0,046 |
| 9,000 | 36,770 | 99,078 | -8,359 | skid front(in) | 1000000,000 | 11,500 | 0,000 | 1,000 | 100,000 | 0,000 | 0,688 | 0,742 | 0,742 | 0,742 | 0,720 | 0,720 | 0,048 |
| 9,500 | 35,266 | 99,078 | -8,357 | skid front(in) | 1000000,000 | 11,500 | 0,000 | 1,000 | 100,000 | 0,000 | 0,738 | 0,742 | 0,742 | 0,742 | 0,720 | 0,720 | 0,050 |
| 10,000 | 33,695 | 99,079 | -8,356 | skid front(in) | 1000000,000 | 11,500 | 0,000 | 1,000 | 100,000 | 0,000 | 0,790 | 0,742 | 0,742 | 0,742 | 0,720 | 0,720 | 0,052 |
| 10,500 | 32,048 | 99,079 | -8,354 | skid front(in) | 1000000,000 | 11,500 | 0,000 | 1,000 | 100,000 | 0,001 | 0,844 | 0,742 | 0,742 | 0,742 | 0,720 | 0,720 | 0,055 |
| 11,000 | 30,312 | 99,079 | -8,353 | skid front(in) | 1000000,000 | 11,500 | 0,000 | 1,000 | 100,000 | 0,000 | 0,902 | 0,742 | 0,742 | 0,742 | 0,720 | 0,720 | 0,058 |
| 11,500 | 28,471 | 99,079 | -8,351 | skid front(in) | 1000000,000 | 11,500 | 0,000 | 1,000 | 100,000 | 0,000 | 0,963 | 0,742 | 0,742 | 0,742 | 0,720 | 0,720 | 0,061 |
| 12,000 | 26,502 | 99,049 | -8,347 | skid front(out) | 1000000,000 | 11,500 | 0,000 | 1,000 | 100,000 | -0,572 | 1,029 | 0,742 | 0,742 | 0,742 | 0,720 | 0,720 | 0,065 |
| 12,500 | 24,376 | 99,071 | -8,347 | skid front(out) | 1000000,000 | 11,500 | 0,000 | 1,000 | 100,000 | -0,653 | 1,100 | 0,742 | 0,742 | 0,742 | 0,720 | 0,720 | 0,071 |
| 13,000 | 22,045 | 99,082 | -8,345 | skid front(out) | 1000000,000 | 11,500 | 0,000 | 1,000 | 100,000 | -3,154 | 1,177 | 0,742 | 0,742 | 0,742 | 0,720 | 0,720 | 0,078 |
| 13,500 | 19,438 | 99,083 | -8,343 | skid front(out) | 1000000,000 | 11,500 | 0,000 | 1,000 | 100,000 | -3,815 | 1,264 | 0,742 | 0,742 | 0,742 | 0,720 | 0,720 | 0,087 |
| 14,000 | 16,422 | 99,070 | -8,342 | skid front(out) | 1000000,000 | 11,500 | 0,000 | 1,000 | 100,000 | -2,300 | 1,364 | 0,742 | 0,742 | 0,742 | 0,720 | 0,720 | 0,100 |
| 14,500 | 12,710 | 99,075 | -8,341 | skid front(out) | 1000000,000 | 11,500 | 0,000 | 1,000 | 100,000 | -1,882 | 1,488 | 0,742 | 0,742 | 0,742 | 0,720 | 0,720 | 0,124 |
| 15,000 | 7,311 | 99,099 | -8,340 | skid front(out) | 1000000,000 | 11,500 | 0,000 | 1,000 | 100,000 | -2,683 | 1,668 | 0,742 | 0,742 | 0,742 | 0,720 | 0,720 | 0,180 |
| 15,200 | 3,192 | 99,070 | -8,339 | skid front(out) | 1000000,000 | 11,500 | 0,000 | 1,000 | 100,000 | -0,676 | 1,805 | 0,742 | 0,742 | 0,742 | 0,720 | 0,720 | 0,137 |

Προσδιορισμός Τιμών Πρόσφυσης κατά την Πέδηση Οχημάτων Εφοδιασμένων με Σύστημα ABS σε Αυξημένες κατά Μήκος Κλίσεις

2.2 Opel Corsa

2.2.1 NTUA - dry

| run_c_d_ntua_1 | R(m) | br.front (%) | s(%) | e (%) | coeff | effic (%) | time (sec) | | | | | | | | | | |
|----------------|-----------------|--------------|--------|-----------------|-------------|-----------|------------|-------|-----------|-----------|------------|----------|-----------|----------|----------|---------|-----------|
| s= 100,000 | 1000000,00 | 76,00 | 6,6 | 0,0 | 1,00 | 100 | 1,922 | | | | | | | | | | 0,963 |
| step= 0,100 | viewstep= 0,500 | STEPS | | | | | | | | | | | | | | | |
| s (m) | V (km/h) | n (%) | dv/dt | skid check | R(m) | s(%) | e (%) | coeff | effic (%) | decelera | time (sec) | fT | front out | front in | rear out | rear in | checktime |
| 15,300 | 3,163 | 99,163 | -7,358 | skid front(out) | 1000000,000 | 6,600 | 0,000 | 1,000 | 100,000 | -2,104034 | 1,922 | 0,690017 | 0,6898 | 0,6898 | 0,6663 | 0,6663 | |
| 0,000 | 54,200 | 99,165 | -7,404 | O.K | 1000000,000 | 6,600 | 0,000 | 1,000 | 100,000 | 0,000 | 0,000 | 0,690 | | | | | |
| 0,400 | 53,487 | 99,165 | -7,403 | skid front(in) | 1000000,000 | 6,600 | 0,000 | 1,000 | 100,000 | 0,000 | 0,027 | 0,690 | 0,690 | 0,690 | 0,667 | 0,667 | 0,027 |
| 1,000 | 52,400 | 99,166 | -7,402 | skid front(in) | 1000000,000 | 6,600 | 0,000 | 1,000 | 100,000 | 0,000 | 0,068 | 0,690 | 0,690 | 0,690 | 0,667 | 0,667 | 0,041 |
| 1,500 | 51,477 | 99,166 | -7,400 | skid front(in) | 1000000,000 | 6,600 | 0,000 | 1,000 | 100,000 | 0,000 | 0,102 | 0,690 | 0,690 | 0,690 | 0,667 | 0,667 | 0,035 |
| 2,000 | 50,537 | 99,166 | -7,399 | skid front(in) | 1000000,000 | 6,600 | 0,000 | 1,000 | 100,000 | 0,000 | 0,137 | 0,690 | 0,690 | 0,690 | 0,667 | 0,667 | 0,035 |
| 2,500 | 49,579 | 99,166 | -7,397 | skid front(in) | 1000000,000 | 6,600 | 0,000 | 1,000 | 100,000 | 0,000 | 0,173 | 0,690 | 0,690 | 0,690 | 0,667 | 0,667 | 0,036 |
| 3,000 | 48,603 | 99,166 | -7,396 | skid front(in) | 1000000,000 | 6,600 | 0,000 | 1,000 | 100,000 | 0,000 | 0,210 | 0,690 | 0,690 | 0,690 | 0,667 | 0,667 | 0,037 |
| 3,500 | 47,606 | 99,166 | -7,394 | skid front(in) | 1000000,000 | 6,600 | 0,000 | 1,000 | 100,000 | 0,000 | 0,248 | 0,690 | 0,690 | 0,690 | 0,667 | 0,667 | 0,037 |
| 4,000 | 46,589 | 99,166 | -7,393 | skid front(in) | 1000000,000 | 6,600 | 0,000 | 1,000 | 100,000 | 0,000 | 0,286 | 0,690 | 0,690 | 0,690 | 0,667 | 0,667 | 0,038 |
| 4,400 | 45,759 | 99,166 | -7,392 | skid front(in) | 1000000,000 | 6,600 | 0,000 | 1,000 | 100,000 | 0,000 | 0,317 | 0,690 | 0,690 | 0,690 | 0,667 | 0,667 | 0,031 |
| 5,000 | 44,485 | 99,166 | -7,390 | skid front(in) | 1000000,000 | 6,600 | 0,000 | 1,000 | 100,000 | 0,000 | 0,365 | 0,690 | 0,690 | 0,690 | 0,667 | 0,667 | 0,048 |
| 5,500 | 43,396 | 99,166 | -7,389 | skid front(in) | 1000000,000 | 6,600 | 0,000 | 1,000 | 100,000 | 0,000 | 0,406 | 0,690 | 0,690 | 0,690 | 0,667 | 0,667 | 0,041 |
| 6,000 | 42,278 | 99,166 | -7,387 | skid front(in) | 1000000,000 | 6,600 | 0,000 | 1,000 | 100,000 | 0,000 | 0,448 | 0,690 | 0,690 | 0,690 | 0,667 | 0,667 | 0,042 |
| 6,500 | 41,131 | 99,166 | -7,386 | skid front(in) | 1000000,000 | 6,600 | 0,000 | 1,000 | 100,000 | 0,000 | 0,491 | 0,690 | 0,690 | 0,690 | 0,667 | 0,667 | 0,043 |
| 7,000 | 39,950 | 99,167 | -7,384 | skid front(in) | 1000000,000 | 6,600 | 0,000 | 1,000 | 100,000 | 0,000 | 0,535 | 0,690 | 0,690 | 0,690 | 0,667 | 0,667 | 0,044 |
| 7,500 | 38,734 | 99,167 | -7,383 | skid front(in) | 1000000,000 | 6,600 | 0,000 | 1,000 | 100,000 | 0,000 | 0,581 | 0,690 | 0,690 | 0,690 | 0,667 | 0,667 | 0,046 |
| 8,000 | 37,479 | 99,167 | -7,381 | skid front(in) | 1000000,000 | 6,600 | 0,000 | 1,000 | 100,000 | 0,000 | 0,628 | 0,690 | 0,690 | 0,690 | 0,667 | 0,667 | 0,047 |
| 8,500 | 36,180 | 99,167 | -7,380 | skid front(in) | 1000000,000 | 6,600 | 0,000 | 1,000 | 100,000 | 0,000 | 0,677 | 0,690 | 0,690 | 0,690 | 0,667 | 0,667 | 0,049 |
| 9,000 | 34,833 | 99,167 | -7,378 | skid front(in) | 1000000,000 | 6,600 | 0,000 | 1,000 | 100,000 | 0,000 | 0,728 | 0,690 | 0,690 | 0,690 | 0,667 | 0,667 | 0,051 |
| 9,500 | 33,433 | 99,167 | -7,377 | skid front(in) | 1000000,000 | 6,600 | 0,000 | 1,000 | 100,000 | 0,001 | 0,781 | 0,690 | 0,690 | 0,690 | 0,667 | 0,667 | 0,053 |
| 10,000 | 31,971 | 99,190 | -7,376 | skid front(out) | 1000000,000 | 6,600 | 0,000 | 1,000 | 100,000 | -1,819 | 0,836 | 0,690 | 0,690 | 0,690 | 0,667 | 0,667 | 0,055 |
| 10,500 | 30,440 | 99,184 | -7,373 | skid front(out) | 1000000,000 | 6,600 | 0,000 | 1,000 | 100,000 | -2,841 | 0,893 | 0,690 | 0,690 | 0,690 | 0,666 | 0,666 | 0,058 |
| 11,000 | 28,827 | 99,144 | -7,370 | skid front(out) | 1000000,000 | 6,600 | 0,000 | 1,000 | 100,000 | -1,327 | 0,954 | 0,690 | 0,690 | 0,690 | 0,666 | 0,666 | 0,061 |
| 11,500 | 27,120 | 99,172 | -7,370 | skid front(out) | 1000000,000 | 6,600 | 0,000 | 1,000 | 100,000 | -1,612 | 1,018 | 0,690 | 0,690 | 0,690 | 0,667 | 0,667 | 0,064 |
| 12,000 | 25,297 | 99,142 | -7,367 | skid front(out) | 1000000,000 | 6,600 | 0,000 | 1,000 | 100,000 | -1,156 | 1,087 | 0,690 | 0,690 | 0,690 | 0,666 | 0,666 | 0,069 |
| 12,500 | 23,334 | 99,162 | -7,367 | skid front(out) | 1000000,000 | 6,600 | 0,000 | 1,000 | 100,000 | -0,946 | 1,161 | 0,690 | 0,690 | 0,690 | 0,667 | 0,667 | 0,074 |
| 13,000 | 21,189 | 99,143 | -7,364 | skid front(out) | 1000000,000 | 6,600 | 0,000 | 1,000 | 100,000 | -1,817 | 1,242 | 0,690 | 0,690 | 0,690 | 0,666 | 0,666 | 0,081 |
| 13,500 | 18,803 | 99,152 | -7,364 | skid front(out) | 1000000,000 | 6,600 | 0,000 | 1,000 | 100,000 | -1,038 | 1,332 | 0,690 | 0,690 | 0,690 | 0,666 | 0,666 | 0,090 |
| 14,000 | 16,065 | 99,170 | -7,363 | skid front(out) | 1000000,000 | 6,600 | 0,000 | 1,000 | 100,000 | -0,981 | 1,435 | 0,690 | 0,690 | 0,690 | 0,667 | 0,667 | 0,103 |
| 14,500 | 12,754 | 99,141 | -7,359 | skid front(out) | 1000000,000 | 6,600 | 0,000 | 1,000 | 100,000 | -2,174 | 1,560 | 0,690 | 0,690 | 0,690 | 0,666 | 0,666 | 0,125 |
| 15,000 | 8,201 | 99,142 | -7,358 | skid front(out) | 1000000,000 | 6,600 | 0,000 | 1,000 | 100,000 | -1,464 | 1,732 | 0,690 | 0,690 | 0,690 | 0,666 | 0,666 | 0,172 |
| 15,300 | 3,163 | 99,163 | -7,358 | skid front(out) | 1000000,000 | 6,600 | 0,000 | 1,000 | 100,000 | -2,104 | 1,922 | 0,690 | 0,690 | 0,690 | 0,666 | 0,666 | 0,190 |

Προσδιορισμός Τιμών Πρόσφυσης κατά την Πέδηση Οχημάτων Εφοδιασμένων με Σύστημα ABS σε Αυξημένες κατά Μήκος Κλίσεις

| run_c_d_ntua_2 | | R(m) | br.front (%) | s(%) | e (%) | coeff | effic (%) | time (sec) | | | | | | | | | |
|----------------|----------|------------|--------------|-----------------|-------------|-------|-----------|------------|-----------|-----------|------------|----------|-----------|----------|----------|---------|-----------|
| s= | 100,000 | 1000000,00 | 76,00 | 6,6 | 0,0 | 1,00 | 100 | 1,980 | | | | | | | | | |
| step= | 0,100 | viewstep= | 0,500 | STEPS | | | | | | | | | 0,963 | | | | |
| s (m) | V (km/h) | n (%) | dv/dt | skid check | R(m) | s(%) | e (%) | coeff | effic (%) | decelera | time (sec) | fT | front out | front in | rear out | rear in | checktime |
| 16,500 | 3,347 | 99,469 | -7,462 | skid front(out) | 1000000,000 | 6,600 | 0,000 | 1,000 | 100,000 | -1,501309 | 1,980 | 0,698526 | 0,6981 | 0,6981 | 0,6839 | 0,6839 | |
| 0,000 | 56,700 | 99,516 | -7,515 | O.K | 1000000,000 | 6,600 | 0,000 | 1,000 | 100,000 | 0,000 | 0,000 | 0,699 | | | | | |
| 0,400 | 56,009 | 99,516 | -7,513 | skid front(in) | 1000000,000 | 6,600 | 0,000 | 1,000 | 100,000 | 0,000 | 0,026 | 0,699 | 0,698 | 0,699 | 0,685 | 0,685 | 0,026 |
| 1,000 | 54,956 | 99,516 | -7,512 | skid front(in) | 1000000,000 | 6,600 | 0,000 | 1,000 | 100,000 | 0,000 | 0,064 | 0,699 | 0,698 | 0,699 | 0,685 | 0,685 | 0,039 |
| 1,500 | 54,063 | 99,516 | -7,510 | skid front(in) | 1000000,000 | 6,600 | 0,000 | 1,000 | 100,000 | 0,000 | 0,098 | 0,699 | 0,698 | 0,699 | 0,685 | 0,685 | 0,033 |
| 2,000 | 53,155 | 99,516 | -7,509 | skid front(in) | 1000000,000 | 6,600 | 0,000 | 1,000 | 100,000 | 0,000 | 0,131 | 0,699 | 0,698 | 0,699 | 0,685 | 0,685 | 0,034 |
| 2,500 | 52,232 | 99,516 | -7,507 | skid front(in) | 1000000,000 | 6,600 | 0,000 | 1,000 | 100,000 | 0,000 | 0,165 | 0,699 | 0,698 | 0,699 | 0,685 | 0,685 | 0,034 |
| 3,000 | 51,292 | 99,516 | -7,506 | skid front(in) | 1000000,000 | 6,600 | 0,000 | 1,000 | 100,000 | 0,000 | 0,200 | 0,699 | 0,699 | 0,699 | 0,685 | 0,685 | 0,035 |
| 3,500 | 50,335 | 99,516 | -7,505 | skid front(in) | 1000000,000 | 6,600 | 0,000 | 1,000 | 100,000 | 0,000 | 0,235 | 0,699 | 0,699 | 0,699 | 0,685 | 0,685 | 0,035 |
| 4,000 | 49,360 | 99,517 | -7,503 | skid front(in) | 1000000,000 | 6,600 | 0,000 | 1,000 | 100,000 | 0,000 | 0,272 | 0,699 | 0,699 | 0,699 | 0,685 | 0,685 | 0,036 |
| 4,400 | 48,565 | 99,517 | -7,502 | skid front(in) | 1000000,000 | 6,600 | 0,000 | 1,000 | 100,000 | 0,000 | 0,301 | 0,699 | 0,699 | 0,699 | 0,685 | 0,685 | 0,029 |
| 5,000 | 47,349 | 99,517 | -7,500 | skid front(in) | 1000000,000 | 6,600 | 0,000 | 1,000 | 100,000 | 0,000 | 0,346 | 0,699 | 0,699 | 0,699 | 0,685 | 0,685 | 0,045 |
| 5,500 | 46,311 | 99,517 | -7,499 | skid front(in) | 1000000,000 | 6,600 | 0,000 | 1,000 | 100,000 | 0,000 | 0,384 | 0,699 | 0,699 | 0,699 | 0,685 | 0,685 | 0,038 |
| 6,000 | 45,250 | 99,517 | -7,497 | skid front(in) | 1000000,000 | 6,600 | 0,000 | 1,000 | 100,000 | 0,000 | 0,424 | 0,699 | 0,699 | 0,699 | 0,685 | 0,685 | 0,039 |
| 6,500 | 44,163 | 99,517 | -7,496 | skid front(in) | 1000000,000 | 6,600 | 0,000 | 1,000 | 100,000 | 0,000 | 0,464 | 0,699 | 0,699 | 0,699 | 0,685 | 0,685 | 0,040 |
| 7,000 | 43,050 | 99,517 | -7,494 | skid front(in) | 1000000,000 | 6,600 | 0,000 | 1,000 | 100,000 | 0,000 | 0,505 | 0,699 | 0,699 | 0,699 | 0,685 | 0,685 | 0,041 |
| 7,500 | 41,906 | 99,517 | -7,493 | skid front(in) | 1000000,000 | 6,600 | 0,000 | 1,000 | 100,000 | 0,000 | 0,548 | 0,699 | 0,699 | 0,699 | 0,685 | 0,685 | 0,042 |
| 8,000 | 40,731 | 99,517 | -7,492 | skid front(in) | 1000000,000 | 6,600 | 0,000 | 1,000 | 100,000 | 0,000 | 0,591 | 0,699 | 0,699 | 0,699 | 0,685 | 0,685 | 0,044 |
| 8,500 | 39,522 | 99,517 | -7,490 | skid front(in) | 1000000,000 | 6,600 | 0,000 | 1,000 | 100,000 | 0,000 | 0,636 | 0,699 | 0,699 | 0,699 | 0,685 | 0,685 | 0,045 |
| 9,000 | 38,274 | 99,517 | -7,489 | skid front(in) | 1000000,000 | 6,600 | 0,000 | 1,000 | 100,000 | 0,000 | 0,682 | 0,699 | 0,699 | 0,699 | 0,685 | 0,685 | 0,046 |
| 9,500 | 36,985 | 99,518 | -7,487 | skid front(in) | 1000000,000 | 6,600 | 0,000 | 1,000 | 100,000 | 0,000 | 0,730 | 0,699 | 0,699 | 0,699 | 0,685 | 0,685 | 0,048 |
| 10,000 | 35,649 | 99,518 | -7,486 | skid front(in) | 1000000,000 | 6,600 | 0,000 | 1,000 | 100,000 | 0,000 | 0,780 | 0,699 | 0,699 | 0,699 | 0,685 | 0,685 | 0,050 |
| 10,500 | 34,261 | 99,518 | -7,484 | skid front(in) | 1000000,000 | 6,600 | 0,000 | 1,000 | 100,000 | 0,000 | 0,831 | 0,699 | 0,699 | 0,699 | 0,685 | 0,685 | 0,051 |
| 11,000 | 32,815 | 99,518 | -7,483 | skid front(in) | 1000000,000 | 6,600 | 0,000 | 1,000 | 100,000 | 0,001 | 0,885 | 0,699 | 0,699 | 0,699 | 0,685 | 0,685 | 0,054 |
| 11,500 | 31,303 | 99,505 | -7,480 | skid front(out) | 1000000,000 | 6,600 | 0,000 | 1,000 | 100,000 | -1,275 | 0,941 | 0,699 | 0,698 | 0,698 | 0,684 | 0,684 | 0,056 |
| 12,000 | 29,714 | 99,530 | -7,479 | skid front(out) | 1000000,000 | 6,600 | 0,000 | 1,000 | 100,000 | -2,160 | 1,000 | 0,699 | 0,698 | 0,698 | 0,685 | 0,685 | 0,059 |
| 12,500 | 28,035 | 99,514 | -7,476 | skid front(out) | 1000000,000 | 6,600 | 0,000 | 1,000 | 100,000 | -2,433 | 1,062 | 0,699 | 0,698 | 0,698 | 0,684 | 0,684 | 0,062 |
| 13,000 | 26,250 | 99,495 | -7,474 | skid front(out) | 1000000,000 | 6,600 | 0,000 | 1,000 | 100,000 | -1,691 | 1,129 | 0,699 | 0,698 | 0,698 | 0,684 | 0,684 | 0,066 |
| 13,500 | 24,335 | 99,515 | -7,473 | skid front(out) | 1000000,000 | 6,600 | 0,000 | 1,000 | 100,000 | -3,211 | 1,200 | 0,699 | 0,698 | 0,698 | 0,684 | 0,684 | 0,071 |
| 14,000 | 22,256 | 99,511 | -7,472 | skid front(out) | 1000000,000 | 6,600 | 0,000 | 1,000 | 100,000 | -1,936 | 1,277 | 0,699 | 0,698 | 0,698 | 0,684 | 0,684 | 0,077 |
| 14,500 | 19,961 | 99,527 | -7,472 | skid front(out) | 1000000,000 | 6,600 | 0,000 | 1,000 | 100,000 | -1,183 | 1,362 | 0,699 | 0,698 | 0,698 | 0,685 | 0,685 | 0,085 |
| 15,000 | 17,367 | 99,516 | -7,470 | skid front(out) | 1000000,000 | 6,600 | 0,000 | 1,000 | 100,000 | -1,554 | 1,459 | 0,699 | 0,698 | 0,698 | 0,684 | 0,684 | 0,096 |
| 15,500 | 14,311 | 99,526 | -7,468 | skid front(out) | 1000000,000 | 6,600 | 0,000 | 1,000 | 100,000 | -2,769 | 1,573 | 0,699 | 0,698 | 0,698 | 0,684 | 0,684 | 0,114 |
| 16,000 | 10,392 | 99,532 | -7,467 | skid front(out) | 1000000,000 | 6,600 | 0,000 | 1,000 | 100,000 | -2,676 | 1,718 | 0,699 | 0,698 | 0,698 | 0,684 | 0,684 | 0,146 |
| 16,500 | 3,347 | 99,469 | -7,462 | skid front(out) | 1000000,000 | 6,600 | 0,000 | 1,000 | 100,000 | -1,501 | 1,980 | 0,699 | 0,698 | 0,698 | 0,684 | 0,684 | 0,262 |

Προσδιορισμός Τιμών Πρόσφυσης κατά την Πέδηση Οχημάτων Εφοδιασμένων με Σύστημα ABS σε Αυξημένες κατά Μήκος Κλίσεις

| run_c_d_ntua_3 | | R(m) | br.front (%) | s(%) | e (%) | coeff | effic (%) | time (sec) | | | | | | | | | |
|----------------|----------|------------|--------------|-----------------|-------------|-------|-----------|------------|-----------|-----------|------------|----------|-----------|----------|----------|---------|-----------|
| s= | 100,000 | 1000000,00 | 76,50 | 6,6 | 0,0 | 1,00 | 100 | 1,867 | | | | | | | | | 0,963 |
| step= | 0,100 | viewstep= | 0,500 | STEPS | | | | | | | | | | | | | |
| s (m) | V (km/h) | n (%) | dv/dt | skid check | R(m) | s(%) | e (%) | coeff | effic (%) | decelera | time (sec) | fT | front out | front in | rear out | rear in | checktime |
| 15,100 | 3,227 | 99,639 | -7,697 | skid front(out) | 1000000,000 | 6,600 | 0,000 | 1,000 | 100,000 | -2,414477 | 1,867 | 0,721407 | 0,7213 | 0,7213 | 0,7098 | 0,7098 | |
| 0,000 | 55,060 | 99,618 | -7,741 | O.K | 1000000,000 | 6,600 | 0,000 | 1,000 | 100,000 | 0,000 | 0,000 | 0,721 | | | | | |
| 0,400 | 54,326 | 99,618 | -7,740 | skid front(in) | 1000000,000 | 6,600 | 0,000 | 1,000 | 100,000 | 0,000 | 0,026 | 0,721 | 0,721 | 0,721 | 0,710 | 0,710 | 0,026 |
| 1,000 | 53,207 | 99,618 | -7,738 | skid front(in) | 1000000,000 | 6,600 | 0,000 | 1,000 | 100,000 | 0,000 | 0,067 | 0,721 | 0,721 | 0,721 | 0,710 | 0,710 | 0,040 |
| 1,500 | 52,256 | 99,618 | -7,737 | skid front(in) | 1000000,000 | 6,600 | 0,000 | 1,000 | 100,000 | 0,000 | 0,101 | 0,721 | 0,721 | 0,721 | 0,710 | 0,710 | 0,034 |
| 2,000 | 51,288 | 99,619 | -7,735 | skid front(in) | 1000000,000 | 6,600 | 0,000 | 1,000 | 100,000 | 0,000 | 0,135 | 0,721 | 0,721 | 0,721 | 0,710 | 0,710 | 0,035 |
| 2,500 | 50,301 | 99,619 | -7,734 | skid front(in) | 1000000,000 | 6,600 | 0,000 | 1,000 | 100,000 | 0,000 | 0,171 | 0,721 | 0,721 | 0,721 | 0,710 | 0,710 | 0,035 |
| 3,000 | 49,295 | 99,619 | -7,732 | skid front(in) | 1000000,000 | 6,600 | 0,000 | 1,000 | 100,000 | 0,000 | 0,207 | 0,721 | 0,721 | 0,721 | 0,710 | 0,710 | 0,036 |
| 3,500 | 48,268 | 99,619 | -7,731 | skid front(in) | 1000000,000 | 6,600 | 0,000 | 1,000 | 100,000 | 0,000 | 0,244 | 0,721 | 0,721 | 0,721 | 0,710 | 0,710 | 0,037 |
| 4,000 | 47,219 | 99,619 | -7,729 | skid front(in) | 1000000,000 | 6,600 | 0,000 | 1,000 | 100,000 | 0,000 | 0,282 | 0,721 | 0,721 | 0,721 | 0,710 | 0,710 | 0,038 |
| 4,400 | 46,363 | 99,619 | -7,728 | skid front(in) | 1000000,000 | 6,600 | 0,000 | 1,000 | 100,000 | 0,000 | 0,312 | 0,721 | 0,721 | 0,721 | 0,710 | 0,710 | 0,031 |
| 5,000 | 45,048 | 99,619 | -7,727 | skid front(in) | 1000000,000 | 6,600 | 0,000 | 1,000 | 100,000 | 0,000 | 0,360 | 0,721 | 0,721 | 0,721 | 0,710 | 0,710 | 0,047 |
| 5,500 | 43,923 | 99,619 | -7,725 | skid front(in) | 1000000,000 | 6,600 | 0,000 | 1,000 | 100,000 | 0,000 | 0,400 | 0,721 | 0,721 | 0,721 | 0,710 | 0,710 | 0,040 |
| 6,000 | 42,768 | 99,619 | -7,724 | skid front(in) | 1000000,000 | 6,600 | 0,000 | 1,000 | 100,000 | 0,000 | 0,442 | 0,721 | 0,721 | 0,721 | 0,710 | 0,710 | 0,042 |
| 6,500 | 41,581 | 99,619 | -7,722 | skid front(in) | 1000000,000 | 6,600 | 0,000 | 1,000 | 100,000 | 0,000 | 0,484 | 0,721 | 0,721 | 0,721 | 0,710 | 0,710 | 0,043 |
| 7,000 | 40,360 | 99,619 | -7,721 | skid front(in) | 1000000,000 | 6,600 | 0,000 | 1,000 | 100,000 | 0,000 | 0,528 | 0,721 | 0,721 | 0,721 | 0,710 | 0,710 | 0,044 |
| 7,500 | 39,101 | 99,619 | -7,719 | skid front(in) | 1000000,000 | 6,600 | 0,000 | 1,000 | 100,000 | 0,000 | 0,574 | 0,721 | 0,721 | 0,721 | 0,710 | 0,710 | 0,045 |
| 8,000 | 37,800 | 99,620 | -7,718 | skid front(in) | 1000000,000 | 6,600 | 0,000 | 1,000 | 100,000 | 0,000 | 0,620 | 0,721 | 0,721 | 0,721 | 0,710 | 0,710 | 0,047 |
| 8,500 | 36,453 | 99,620 | -7,717 | skid front(in) | 1000000,000 | 6,600 | 0,000 | 1,000 | 100,000 | 0,000 | 0,669 | 0,721 | 0,721 | 0,721 | 0,710 | 0,710 | 0,048 |
| 9,000 | 35,055 | 99,620 | -7,715 | skid front(in) | 1000000,000 | 6,600 | 0,000 | 1,000 | 100,000 | 0,000 | 0,719 | 0,721 | 0,721 | 0,721 | 0,710 | 0,710 | 0,050 |
| 9,500 | 33,598 | 99,620 | -7,714 | skid front(in) | 1000000,000 | 6,600 | 0,000 | 1,000 | 100,000 | 0,000 | 0,772 | 0,721 | 0,721 | 0,721 | 0,710 | 0,710 | 0,052 |
| 10,000 | 32,076 | 99,620 | -7,712 | skid front(in) | 1000000,000 | 6,600 | 0,000 | 1,000 | 100,000 | 0,000 | 0,826 | 0,721 | 0,721 | 0,721 | 0,710 | 0,710 | 0,055 |
| 10,500 | 30,479 | 99,631 | -7,711 | skid front(out) | 1000000,000 | 6,600 | 0,000 | 1,000 | 100,000 | -1,211 | 0,884 | 0,721 | 0,721 | 0,721 | 0,710 | 0,710 | 0,058 |
| 11,000 | 28,793 | 99,600 | -7,707 | skid front(out) | 1000000,000 | 6,600 | 0,000 | 1,000 | 100,000 | -0,587 | 0,945 | 0,721 | 0,721 | 0,721 | 0,710 | 0,710 | 0,061 |
| 11,500 | 27,002 | 99,612 | -7,707 | skid front(out) | 1000000,000 | 6,600 | 0,000 | 1,000 | 100,000 | -0,527 | 1,009 | 0,721 | 0,721 | 0,721 | 0,710 | 0,710 | 0,065 |
| 12,000 | 25,085 | 99,630 | -7,706 | skid front(out) | 1000000,000 | 6,600 | 0,000 | 1,000 | 100,000 | -1,459 | 1,078 | 0,721 | 0,721 | 0,721 | 0,710 | 0,710 | 0,069 |
| 12,500 | 23,008 | 99,632 | -7,704 | skid front(out) | 1000000,000 | 6,600 | 0,000 | 1,000 | 100,000 | -1,722 | 1,153 | 0,721 | 0,721 | 0,721 | 0,710 | 0,710 | 0,075 |
| 13,000 | 20,725 | 99,615 | -7,702 | skid front(out) | 1000000,000 | 6,600 | 0,000 | 1,000 | 100,000 | -1,270 | 1,236 | 0,721 | 0,721 | 0,721 | 0,710 | 0,710 | 0,082 |
| 13,500 | 18,158 | 99,599 | -7,699 | skid front(out) | 1000000,000 | 6,600 | 0,000 | 1,000 | 100,000 | -1,864 | 1,328 | 0,721 | 0,721 | 0,721 | 0,709 | 0,709 | 0,093 |
| 14,000 | 15,163 | 99,612 | -7,699 | skid front(out) | 1000000,000 | 6,600 | 0,000 | 1,000 | 100,000 | -1,227 | 1,436 | 0,721 | 0,721 | 0,721 | 0,710 | 0,710 | 0,108 |
| 14,500 | 11,408 | 99,631 | -7,699 | skid front(out) | 1000000,000 | 6,600 | 0,000 | 1,000 | 100,000 | -1,817 | 1,572 | 0,721 | 0,721 | 0,721 | 0,710 | 0,710 | 0,135 |
| 15,000 | 5,511 | 99,626 | -7,697 | skid front(out) | 1000000,000 | 6,600 | 0,000 | 1,000 | 100,000 | -1,527 | 1,784 | 0,721 | 0,721 | 0,721 | 0,710 | 0,710 | 0,213 |
| 15,100 | 3,227 | 99,639 | -7,697 | skid front(out) | 1000000,000 | 6,600 | 0,000 | 1,000 | 100,000 | -2,414 | 1,867 | 0,721 | 0,721 | 0,721 | 0,710 | 0,710 | 0,082 |

Προσδιορισμός Τιμών Πρόσφυσης κατά την Πέδηση Οχημάτων Εφοδιασμένων με Σύστημα ABS σε Αυξημένες κατά Μήκος Κλίσεις

| run_c_d_ntua_4 | | R(m) | br.front (%) | s(%) | e (%) | coeff | effic (%) | time (sec) | | | | | | | | | |
|----------------|----------|------------|--------------|-----------------|-------------|-------|-----------|------------|-----------|-----------|------------|----------|-----------|----------|----------|---------|-----------|
| s= | 100,000 | 1000000,00 | 76,50 | 6,6 | 0,0 | 1,00 | 100 | 1,921 | | | | | | | | | |
| step= | 0,100 | viewstep= | 0,500 | STEPS | | | | | | | | | 0,963 | | | | |
| s (m) | V (km/h) | n (%) | dv/dt | skid check | R(m) | s(%) | e (%) | coeff | effic (%) | decelera | time (sec) | fT | front out | front in | rear out | rear in | checktime |
| 15,600 | 2,974 | 99,255 | -7,586 | skid front(out) | 1000000,000 | 6,600 | 0,000 | 1,000 | 100,000 | -1,551684 | 1,921 | 0,712684 | 0,7125 | 0,7125 | 0,6905 | 0,6905 | |
| 0,000 | 55,550 | 99,258 | -7,632 | O.K | 1000000,000 | 6,600 | 0,000 | 1,000 | 100,000 | 0,000 | 0,000 | 0,713 | | | | | |
| 0,400 | 54,833 | 99,258 | -7,631 | skid front(in) | 1000000,000 | 6,600 | 0,000 | 1,000 | 100,000 | 0,000 | 0,026 | 0,713 | 0,713 | 0,713 | 0,691 | 0,691 | 0,026 |
| 1,000 | 53,740 | 99,258 | -7,629 | skid front(in) | 1000000,000 | 6,600 | 0,000 | 1,000 | 100,000 | 0,000 | 0,066 | 0,713 | 0,713 | 0,713 | 0,691 | 0,691 | 0,040 |
| 1,500 | 52,812 | 99,258 | -7,628 | skid front(in) | 1000000,000 | 6,600 | 0,000 | 1,000 | 100,000 | 0,000 | 0,100 | 0,713 | 0,713 | 0,713 | 0,691 | 0,691 | 0,034 |
| 2,000 | 51,868 | 99,258 | -7,626 | skid front(in) | 1000000,000 | 6,600 | 0,000 | 1,000 | 100,000 | 0,000 | 0,134 | 0,713 | 0,713 | 0,713 | 0,691 | 0,691 | 0,034 |
| 2,500 | 50,906 | 99,258 | -7,625 | skid front(in) | 1000000,000 | 6,600 | 0,000 | 1,000 | 100,000 | 0,000 | 0,169 | 0,713 | 0,713 | 0,713 | 0,691 | 0,691 | 0,035 |
| 3,000 | 49,926 | 99,258 | -7,623 | skid front(in) | 1000000,000 | 6,600 | 0,000 | 1,000 | 100,000 | 0,000 | 0,205 | 0,713 | 0,713 | 0,713 | 0,691 | 0,691 | 0,036 |
| 3,500 | 48,927 | 99,258 | -7,622 | skid front(in) | 1000000,000 | 6,600 | 0,000 | 1,000 | 100,000 | 0,000 | 0,241 | 0,713 | 0,713 | 0,713 | 0,691 | 0,691 | 0,036 |
| 4,000 | 47,907 | 99,258 | -7,620 | skid front(in) | 1000000,000 | 6,600 | 0,000 | 1,000 | 100,000 | 0,000 | 0,278 | 0,713 | 0,713 | 0,713 | 0,691 | 0,691 | 0,037 |
| 4,400 | 47,075 | 99,258 | -7,619 | skid front(in) | 1000000,000 | 6,600 | 0,000 | 1,000 | 100,000 | 0,000 | 0,309 | 0,713 | 0,713 | 0,713 | 0,691 | 0,691 | 0,030 |
| 5,000 | 45,800 | 99,259 | -7,618 | skid front(in) | 1000000,000 | 6,600 | 0,000 | 1,000 | 100,000 | 0,000 | 0,355 | 0,713 | 0,713 | 0,713 | 0,691 | 0,691 | 0,047 |
| 5,500 | 44,709 | 99,259 | -7,616 | skid front(in) | 1000000,000 | 6,600 | 0,000 | 1,000 | 100,000 | 0,000 | 0,395 | 0,713 | 0,713 | 0,713 | 0,691 | 0,691 | 0,040 |
| 6,000 | 43,591 | 99,259 | -7,615 | skid front(in) | 1000000,000 | 6,600 | 0,000 | 1,000 | 100,000 | 0,000 | 0,436 | 0,713 | 0,713 | 0,713 | 0,691 | 0,691 | 0,041 |
| 6,500 | 42,444 | 99,259 | -7,613 | skid front(in) | 1000000,000 | 6,600 | 0,000 | 1,000 | 100,000 | 0,000 | 0,478 | 0,713 | 0,713 | 0,713 | 0,691 | 0,691 | 0,042 |
| 7,000 | 41,266 | 99,259 | -7,612 | skid front(in) | 1000000,000 | 6,600 | 0,000 | 1,000 | 100,000 | 0,000 | 0,521 | 0,713 | 0,713 | 0,713 | 0,691 | 0,691 | 0,043 |
| 7,500 | 40,053 | 99,259 | -7,610 | skid front(in) | 1000000,000 | 6,600 | 0,000 | 1,000 | 100,000 | 0,000 | 0,565 | 0,713 | 0,713 | 0,713 | 0,691 | 0,691 | 0,044 |
| 8,000 | 38,802 | 99,259 | -7,609 | skid front(in) | 1000000,000 | 6,600 | 0,000 | 1,000 | 100,000 | 0,000 | 0,611 | 0,713 | 0,713 | 0,713 | 0,691 | 0,691 | 0,046 |
| 8,500 | 37,510 | 99,259 | -7,608 | skid front(in) | 1000000,000 | 6,600 | 0,000 | 1,000 | 100,000 | 0,000 | 0,658 | 0,713 | 0,713 | 0,713 | 0,691 | 0,691 | 0,047 |
| 9,000 | 36,172 | 99,259 | -7,606 | skid front(in) | 1000000,000 | 6,600 | 0,000 | 1,000 | 100,000 | 0,000 | 0,707 | 0,713 | 0,713 | 0,713 | 0,691 | 0,691 | 0,049 |
| 9,500 | 34,783 | 99,259 | -7,605 | skid front(in) | 1000000,000 | 6,600 | 0,000 | 1,000 | 100,000 | 0,000 | 0,757 | 0,713 | 0,713 | 0,713 | 0,691 | 0,691 | 0,051 |
| 10,000 | 33,336 | 99,259 | -7,603 | skid front(in) | 1000000,000 | 6,600 | 0,000 | 1,000 | 100,000 | 0,001 | 0,810 | 0,713 | 0,713 | 0,713 | 0,691 | 0,691 | 0,053 |
| 10,500 | 31,824 | 99,269 | -7,601 | skid front(out) | 1000000,000 | 6,600 | 0,000 | 1,000 | 100,000 | -1,739 | 0,865 | 0,713 | 0,713 | 0,713 | 0,691 | 0,691 | 0,055 |
| 11,000 | 30,237 | 99,244 | -7,598 | skid front(out) | 1000000,000 | 6,600 | 0,000 | 1,000 | 100,000 | -1,385 | 0,923 | 0,713 | 0,712 | 0,713 | 0,690 | 0,690 | 0,058 |
| 11,500 | 28,562 | 99,250 | -7,597 | skid front(out) | 1000000,000 | 6,600 | 0,000 | 1,000 | 100,000 | -1,605 | 0,985 | 0,713 | 0,713 | 0,713 | 0,690 | 0,690 | 0,061 |
| 12,000 | 26,782 | 99,290 | -7,598 | skid front(out) | 1000000,000 | 6,600 | 0,000 | 1,000 | 100,000 | -2,518 | 1,050 | 0,713 | 0,713 | 0,713 | 0,691 | 0,691 | 0,065 |
| 12,500 | 24,877 | 99,237 | -7,593 | skid front(out) | 1000000,000 | 6,600 | 0,000 | 1,000 | 100,000 | -1,409 | 1,119 | 0,713 | 0,712 | 0,712 | 0,690 | 0,690 | 0,070 |
| 13,000 | 22,813 | 99,282 | -7,594 | skid front(out) | 1000000,000 | 6,600 | 0,000 | 1,000 | 100,000 | -2,239 | 1,195 | 0,713 | 0,713 | 0,713 | 0,691 | 0,691 | 0,075 |
| 13,500 | 20,543 | 99,251 | -7,590 | skid front(out) | 1000000,000 | 6,600 | 0,000 | 1,000 | 100,000 | -2,827 | 1,278 | 0,713 | 0,712 | 0,712 | 0,690 | 0,690 | 0,083 |
| 14,000 | 17,989 | 99,303 | -7,592 | skid front(out) | 1000000,000 | 6,600 | 0,000 | 1,000 | 100,000 | -3,737 | 1,371 | 0,713 | 0,713 | 0,713 | 0,691 | 0,691 | 0,093 |
| 14,500 | 15,007 | 99,245 | -7,587 | skid front(out) | 1000000,000 | 6,600 | 0,000 | 1,000 | 100,000 | -2,275 | 1,480 | 0,713 | 0,712 | 0,712 | 0,690 | 0,690 | 0,109 |
| 15,000 | 11,263 | 99,247 | -7,585 | skid front(out) | 1000000,000 | 6,600 | 0,000 | 1,000 | 100,000 | -3,617 | 1,617 | 0,713 | 0,712 | 0,712 | 0,690 | 0,690 | 0,137 |
| 15,500 | 5,341 | 99,265 | -7,585 | skid front(out) | 1000000,000 | 6,600 | 0,000 | 1,000 | 100,000 | -3,755 | 1,834 | 0,713 | 0,712 | 0,712 | 0,690 | 0,690 | 0,217 |
| 15,600 | 2,974 | 99,255 | -7,586 | skid front(out) | 1000000,000 | 6,600 | 0,000 | 1,000 | 100,000 | -1,552 | 1,921 | 0,713 | 0,713 | 0,713 | 0,690 | 0,690 | 0,087 |

Προσδιορισμός Τιμών Πρόσφυσης κατά την Πέδηση Οχημάτων Εφοδιασμένων με Σύστημα ABS σε Αυξημένες κατά Μήκος Κλίσεις

| run_c_d_ntua_5 | | R(m) | br.front (%) | s(%) | e (%) | coeff | effic (%) | time (sec) | | | | | | | | | |
|----------------|----------|------------|--------------|-----------------|-------------|-------|-----------|------------|-----------|-----------|------------|----------|-----------|----------|----------|---------|-----------|
| s= | 100,000 | 1000000,00 | 76,50 | 6,6 | 0,0 | 1,00 | 100 | 1,897 | | | | | | | | | |
| step= | 0,100 | viewstep= | 0,500 | STEPS | | | | | | | | | 0,963 | | | | |
| s (m) | V (km/h) | n (%) | dv/dt | skid check | R(m) | s(%) | e (%) | coeff | effic (%) | decelera | time (sec) | fT | front out | front in | rear out | rear in | checktime |
| 15,300 | 3,061 | 99,232 | -7,592 | skid front(out) | 1000000,000 | 6,600 | 0,000 | 1,000 | 100,000 | -0,421236 | 1,897 | 0,713392 | 0,7130 | 0,7130 | 0,6916 | 0,6916 | |
| 0,000 | 55,050 | 99,287 | -7,640 | O.K | 1000000,000 | 6,600 | 0,000 | 1,000 | 100,000 | 0,000 | 0,000 | 0,713 | | | | | |
| 0,400 | 54,326 | 99,287 | -7,639 | skid front(in) | 1000000,000 | 6,600 | 0,000 | 1,000 | 100,000 | 0,000 | 0,026 | 0,713 | 0,713 | 0,713 | 0,692 | 0,692 | 0,026 |
| 1,000 | 53,221 | 99,287 | -7,637 | skid front(in) | 1000000,000 | 6,600 | 0,000 | 1,000 | 100,000 | 0,000 | 0,066 | 0,713 | 0,713 | 0,713 | 0,692 | 0,692 | 0,040 |
| 1,500 | 52,283 | 99,287 | -7,636 | skid front(in) | 1000000,000 | 6,600 | 0,000 | 1,000 | 100,000 | 0,000 | 0,101 | 0,713 | 0,713 | 0,713 | 0,692 | 0,692 | 0,034 |
| 2,000 | 51,328 | 99,287 | -7,634 | skid front(in) | 1000000,000 | 6,600 | 0,000 | 1,000 | 100,000 | 0,000 | 0,135 | 0,713 | 0,713 | 0,713 | 0,692 | 0,692 | 0,035 |
| 2,500 | 50,355 | 99,287 | -7,633 | skid front(in) | 1000000,000 | 6,600 | 0,000 | 1,000 | 100,000 | 0,000 | 0,171 | 0,713 | 0,713 | 0,713 | 0,692 | 0,692 | 0,035 |
| 3,000 | 49,363 | 99,287 | -7,631 | skid front(in) | 1000000,000 | 6,600 | 0,000 | 1,000 | 100,000 | 0,000 | 0,207 | 0,713 | 0,713 | 0,713 | 0,692 | 0,692 | 0,036 |
| 3,500 | 48,351 | 99,288 | -7,630 | skid front(in) | 1000000,000 | 6,600 | 0,000 | 1,000 | 100,000 | 0,000 | 0,244 | 0,713 | 0,713 | 0,713 | 0,692 | 0,692 | 0,037 |
| 4,000 | 47,318 | 99,288 | -7,629 | skid front(in) | 1000000,000 | 6,600 | 0,000 | 1,000 | 100,000 | 0,000 | 0,281 | 0,713 | 0,713 | 0,713 | 0,692 | 0,692 | 0,038 |
| 4,400 | 46,475 | 99,288 | -7,627 | skid front(in) | 1000000,000 | 6,600 | 0,000 | 1,000 | 100,000 | 0,000 | 0,312 | 0,713 | 0,713 | 0,713 | 0,692 | 0,692 | 0,031 |
| 5,000 | 45,181 | 99,288 | -7,626 | skid front(in) | 1000000,000 | 6,600 | 0,000 | 1,000 | 100,000 | 0,000 | 0,359 | 0,713 | 0,713 | 0,713 | 0,692 | 0,692 | 0,047 |
| 5,500 | 44,073 | 99,288 | -7,624 | skid front(in) | 1000000,000 | 6,600 | 0,000 | 1,000 | 100,000 | 0,000 | 0,400 | 0,713 | 0,713 | 0,713 | 0,692 | 0,692 | 0,040 |
| 6,000 | 42,938 | 99,288 | -7,623 | skid front(in) | 1000000,000 | 6,600 | 0,000 | 1,000 | 100,000 | 0,000 | 0,441 | 0,713 | 0,713 | 0,713 | 0,692 | 0,692 | 0,041 |
| 6,500 | 41,772 | 99,288 | -7,621 | skid front(in) | 1000000,000 | 6,600 | 0,000 | 1,000 | 100,000 | 0,000 | 0,483 | 0,713 | 0,713 | 0,713 | 0,692 | 0,692 | 0,042 |
| 7,000 | 40,572 | 99,288 | -7,620 | skid front(in) | 1000000,000 | 6,600 | 0,000 | 1,000 | 100,000 | 0,000 | 0,527 | 0,713 | 0,713 | 0,713 | 0,692 | 0,692 | 0,044 |
| 7,500 | 39,337 | 99,288 | -7,619 | skid front(in) | 1000000,000 | 6,600 | 0,000 | 1,000 | 100,000 | 0,000 | 0,572 | 0,713 | 0,713 | 0,713 | 0,692 | 0,692 | 0,045 |
| 8,000 | 38,061 | 99,288 | -7,617 | skid front(in) | 1000000,000 | 6,600 | 0,000 | 1,000 | 100,000 | 0,000 | 0,619 | 0,713 | 0,713 | 0,713 | 0,692 | 0,692 | 0,047 |
| 8,500 | 36,741 | 99,288 | -7,616 | skid front(in) | 1000000,000 | 6,600 | 0,000 | 1,000 | 100,000 | 0,000 | 0,667 | 0,713 | 0,713 | 0,713 | 0,692 | 0,692 | 0,048 |
| 9,000 | 35,373 | 99,288 | -7,614 | skid front(in) | 1000000,000 | 6,600 | 0,000 | 1,000 | 100,000 | 0,000 | 0,717 | 0,713 | 0,713 | 0,713 | 0,692 | 0,692 | 0,050 |
| 9,500 | 33,950 | 99,289 | -7,613 | skid front(in) | 1000000,000 | 6,600 | 0,000 | 1,000 | 100,000 | 0,000 | 0,769 | 0,713 | 0,713 | 0,713 | 0,692 | 0,692 | 0,052 |
| 10,000 | 32,464 | 99,289 | -7,611 | skid front(in) | 1000000,000 | 6,600 | 0,000 | 1,000 | 100,000 | 0,002 | 0,823 | 0,713 | 0,713 | 0,713 | 0,692 | 0,692 | 0,054 |
| 10,500 | 30,908 | 99,299 | -7,609 | skid front(out) | 1000000,000 | 6,600 | 0,000 | 1,000 | 100,000 | -1,469 | 0,880 | 0,713 | 0,713 | 0,713 | 0,692 | 0,692 | 0,057 |
| 11,000 | 29,269 | 99,273 | -7,607 | skid front(out) | 1000000,000 | 6,600 | 0,000 | 1,000 | 100,000 | -0,993 | 0,939 | 0,713 | 0,713 | 0,713 | 0,692 | 0,692 | 0,060 |
| 11,500 | 27,534 | 99,299 | -7,605 | skid front(out) | 1000000,000 | 6,600 | 0,000 | 1,000 | 100,000 | -2,730 | 1,003 | 0,713 | 0,713 | 0,713 | 0,692 | 0,692 | 0,063 |
| 12,000 | 25,681 | 99,277 | -7,603 | skid front(out) | 1000000,000 | 6,600 | 0,000 | 1,000 | 100,000 | -2,193 | 1,071 | 0,713 | 0,713 | 0,713 | 0,692 | 0,692 | 0,068 |
| 12,500 | 23,685 | 99,267 | -7,602 | skid front(out) | 1000000,000 | 6,600 | 0,000 | 1,000 | 100,000 | -0,507 | 1,143 | 0,713 | 0,713 | 0,713 | 0,692 | 0,692 | 0,073 |
| 13,000 | 21,504 | 99,293 | -7,600 | skid front(out) | 1000000,000 | 6,600 | 0,000 | 1,000 | 100,000 | -3,415 | 1,223 | 0,713 | 0,713 | 0,713 | 0,692 | 0,692 | 0,080 |
| 13,500 | 19,076 | 99,287 | -7,600 | skid front(out) | 1000000,000 | 6,600 | 0,000 | 1,000 | 100,000 | -1,507 | 1,312 | 0,713 | 0,713 | 0,713 | 0,692 | 0,692 | 0,089 |
| 14,000 | 16,291 | 99,269 | -7,598 | skid front(out) | 1000000,000 | 6,600 | 0,000 | 1,000 | 100,000 | -0,571 | 1,414 | 0,713 | 0,713 | 0,713 | 0,692 | 0,692 | 0,102 |
| 14,500 | 12,920 | 99,319 | -7,598 | skid front(out) | 1000000,000 | 6,600 | 0,000 | 1,000 | 100,000 | -2,518 | 1,537 | 0,713 | 0,713 | 0,713 | 0,692 | 0,692 | 0,123 |
| 15,000 | 8,275 | 99,303 | -7,597 | skid front(out) | 1000000,000 | 6,600 | 0,000 | 1,000 | 100,000 | -1,413 | 1,707 | 0,713 | 0,713 | 0,713 | 0,692 | 0,692 | 0,170 |
| 15,300 | 3,061 | 99,232 | -7,592 | skid front(out) | 1000000,000 | 6,600 | 0,000 | 1,000 | 100,000 | -0,421 | 1,897 | 0,713 | 0,713 | 0,713 | 0,692 | 0,692 | 0,191 |

Προσδιορισμός Τιμών Πρόσφυσης κατά την Πέδηση Οχημάτων Εφοδιασμένων με Σύστημα ABS σε Αυξημένες κατά Μήκος Κλίσεις

| run_c_d_ntua_6 | | R(m) | br.front (%) | s(%) | e (%) | coeff | effic (%) | time (sec) | | | | | | | | | |
|----------------|----------|------------|--------------|-----------------|-------------|-------|-----------|------------|-----------|-----------|------------|----------|-----------|----------|----------|---------|-----------|
| s= | 100,000 | 1000000,00 | 76,00 | 6,6 | 0,0 | 1,00 | 100 | 1,941 | | | | | | | | | 0,963 |
| step= | 0,100 | viewstep= | 0,500 | STEPS | | | | | | | | | | | | | |
| s (m) | V (km/h) | n (%) | dv/dt | skid check | R(m) | s(%) | e (%) | coeff | effic (%) | decelera | time (sec) | fT | front out | front in | rear out | rear in | checktime |
| 15,800 | 2,999 | 99,694 | -7,521 | skid front(out) | 1000000,000 | 6,600 | 0,000 | 1,000 | 100,000 | -1,451751 | 1,941 | 0,702946 | 0,7028 | 0,7028 | 0,6940 | 0,6940 | |
| 0,000 | 55,670 | 99,699 | -7,568 | O.K | 1000000,000 | 6,600 | 0,000 | 1,000 | 100,000 | 0,000 | 0,000 | 0,703 | | | | | |
| 0,400 | 54,961 | 99,699 | -7,567 | skid front(in) | 1000000,000 | 6,600 | 0,000 | 1,000 | 100,000 | 0,000 | 0,026 | 0,703 | 0,703 | 0,703 | 0,694 | 0,694 | 0,026 |
| 1,000 | 53,880 | 99,699 | -7,565 | skid front(in) | 1000000,000 | 6,600 | 0,000 | 1,000 | 100,000 | 0,000 | 0,066 | 0,703 | 0,703 | 0,703 | 0,694 | 0,694 | 0,040 |
| 1,500 | 52,962 | 99,700 | -7,564 | skid front(in) | 1000000,000 | 6,600 | 0,000 | 1,000 | 100,000 | 0,000 | 0,099 | 0,703 | 0,703 | 0,703 | 0,694 | 0,694 | 0,034 |
| 2,000 | 52,028 | 99,700 | -7,563 | skid front(in) | 1000000,000 | 6,600 | 0,000 | 1,000 | 100,000 | 0,000 | 0,134 | 0,703 | 0,703 | 0,703 | 0,694 | 0,694 | 0,034 |
| 2,500 | 51,078 | 99,700 | -7,561 | skid front(in) | 1000000,000 | 6,600 | 0,000 | 1,000 | 100,000 | 0,000 | 0,169 | 0,703 | 0,703 | 0,703 | 0,694 | 0,694 | 0,035 |
| 3,000 | 50,110 | 99,700 | -7,560 | skid front(in) | 1000000,000 | 6,600 | 0,000 | 1,000 | 100,000 | 0,000 | 0,204 | 0,703 | 0,703 | 0,703 | 0,694 | 0,694 | 0,036 |
| 3,500 | 49,122 | 99,700 | -7,558 | skid front(in) | 1000000,000 | 6,600 | 0,000 | 1,000 | 100,000 | 0,000 | 0,240 | 0,703 | 0,703 | 0,703 | 0,694 | 0,694 | 0,036 |
| 4,000 | 48,115 | 99,700 | -7,557 | skid front(in) | 1000000,000 | 6,600 | 0,000 | 1,000 | 100,000 | 0,000 | 0,278 | 0,703 | 0,703 | 0,703 | 0,694 | 0,694 | 0,037 |
| 4,400 | 47,294 | 99,700 | -7,556 | skid front(in) | 1000000,000 | 6,600 | 0,000 | 1,000 | 100,000 | 0,000 | 0,308 | 0,703 | 0,703 | 0,703 | 0,694 | 0,694 | 0,030 |
| 5,000 | 46,035 | 99,700 | -7,554 | skid front(in) | 1000000,000 | 6,600 | 0,000 | 1,000 | 100,000 | 0,000 | 0,354 | 0,703 | 0,703 | 0,703 | 0,694 | 0,694 | 0,046 |
| 5,500 | 44,959 | 99,700 | -7,552 | skid front(in) | 1000000,000 | 6,600 | 0,000 | 1,000 | 100,000 | 0,000 | 0,394 | 0,703 | 0,703 | 0,703 | 0,694 | 0,694 | 0,040 |
| 6,000 | 43,857 | 99,700 | -7,551 | skid front(in) | 1000000,000 | 6,600 | 0,000 | 1,000 | 100,000 | 0,000 | 0,434 | 0,703 | 0,703 | 0,703 | 0,694 | 0,694 | 0,041 |
| 6,500 | 42,727 | 99,700 | -7,550 | skid front(in) | 1000000,000 | 6,600 | 0,000 | 1,000 | 100,000 | 0,000 | 0,476 | 0,703 | 0,703 | 0,703 | 0,694 | 0,694 | 0,042 |
| 7,000 | 41,567 | 99,700 | -7,548 | skid front(in) | 1000000,000 | 6,600 | 0,000 | 1,000 | 100,000 | 0,000 | 0,518 | 0,703 | 0,703 | 0,703 | 0,694 | 0,694 | 0,043 |
| 7,500 | 40,373 | 99,701 | -7,547 | skid front(in) | 1000000,000 | 6,600 | 0,000 | 1,000 | 100,000 | 0,000 | 0,562 | 0,703 | 0,703 | 0,703 | 0,694 | 0,694 | 0,044 |
| 8,000 | 39,143 | 99,701 | -7,545 | skid front(in) | 1000000,000 | 6,600 | 0,000 | 1,000 | 100,000 | 0,000 | 0,608 | 0,703 | 0,703 | 0,703 | 0,694 | 0,694 | 0,045 |
| 8,500 | 37,873 | 99,701 | -7,544 | skid front(in) | 1000000,000 | 6,600 | 0,000 | 1,000 | 100,000 | 0,000 | 0,654 | 0,703 | 0,703 | 0,703 | 0,694 | 0,694 | 0,047 |
| 9,000 | 36,560 | 99,701 | -7,542 | skid front(in) | 1000000,000 | 6,600 | 0,000 | 1,000 | 100,000 | 0,001 | 0,703 | 0,703 | 0,703 | 0,703 | 0,694 | 0,694 | 0,048 |
| 9,500 | 35,198 | 99,701 | -7,541 | skid front(in) | 1000000,000 | 6,600 | 0,000 | 1,000 | 100,000 | 0,000 | 0,753 | 0,703 | 0,703 | 0,703 | 0,694 | 0,694 | 0,050 |
| 10,000 | 33,781 | 99,701 | -7,540 | skid front(in) | 1000000,000 | 6,600 | 0,000 | 1,000 | 100,000 | 0,001 | 0,805 | 0,703 | 0,703 | 0,703 | 0,694 | 0,694 | 0,052 |
| 10,500 | 32,303 | 99,701 | -7,538 | skid front(in) | 1000000,000 | 6,600 | 0,000 | 1,000 | 100,000 | 0,001 | 0,860 | 0,703 | 0,703 | 0,703 | 0,694 | 0,694 | 0,054 |
| 11,000 | 30,754 | 99,708 | -7,536 | skid front(out) | 1000000,000 | 6,600 | 0,000 | 1,000 | 100,000 | -1,845 | 0,917 | 0,703 | 0,703 | 0,703 | 0,694 | 0,694 | 0,057 |
| 11,500 | 29,123 | 99,703 | -7,533 | skid front(out) | 1000000,000 | 6,600 | 0,000 | 1,000 | 100,000 | -2,650 | 0,977 | 0,703 | 0,703 | 0,703 | 0,694 | 0,694 | 0,060 |
| 12,000 | 27,395 | 99,701 | -7,532 | skid front(out) | 1000000,000 | 6,600 | 0,000 | 1,000 | 100,000 | -2,400 | 1,040 | 0,703 | 0,703 | 0,703 | 0,694 | 0,694 | 0,064 |
| 12,500 | 25,551 | 99,704 | -7,532 | skid front(out) | 1000000,000 | 6,600 | 0,000 | 1,000 | 100,000 | -1,104 | 1,108 | 0,703 | 0,703 | 0,703 | 0,694 | 0,694 | 0,068 |
| 13,000 | 23,564 | 99,689 | -7,530 | skid front(out) | 1000000,000 | 6,600 | 0,000 | 1,000 | 100,000 | -0,675 | 1,182 | 0,703 | 0,703 | 0,703 | 0,694 | 0,694 | 0,073 |
| 13,500 | 21,393 | 99,724 | -7,529 | skid front(out) | 1000000,000 | 6,600 | 0,000 | 1,000 | 100,000 | -2,795 | 1,262 | 0,703 | 0,703 | 0,703 | 0,694 | 0,694 | 0,080 |
| 14,000 | 18,977 | 99,692 | -7,525 | skid front(out) | 1000000,000 | 6,600 | 0,000 | 1,000 | 100,000 | -2,357 | 1,351 | 0,703 | 0,703 | 0,703 | 0,694 | 0,694 | 0,089 |
| 14,500 | 16,204 | 99,660 | -7,523 | skid front(out) | 1000000,000 | 6,600 | 0,000 | 1,000 | 100,000 | -0,509 | 1,453 | 0,703 | 0,703 | 0,703 | 0,694 | 0,694 | 0,102 |
| 15,000 | 12,847 | 99,712 | -7,523 | skid front(out) | 1000000,000 | 6,600 | 0,000 | 1,000 | 100,000 | -3,675 | 1,577 | 0,703 | 0,703 | 0,703 | 0,694 | 0,694 | 0,124 |
| 15,500 | 8,217 | 99,746 | -7,524 | skid front(out) | 1000000,000 | 6,600 | 0,000 | 1,000 | 100,000 | -3,474 | 1,748 | 0,703 | 0,703 | 0,703 | 0,694 | 0,694 | 0,171 |
| 15,800 | 2,999 | 99,694 | -7,521 | skid front(out) | 1000000,000 | 6,600 | 0,000 | 1,000 | 100,000 | -1,452 | 1,941 | 0,703 | 0,703 | 0,703 | 0,694 | 0,694 | 0,193 |

Προσδιορισμός Τιμών Πρόσφυσης κατά την Πέδηση Οχημάτων Εφοδιασμένων με Σύστημα ABS σε Αυξημένες κατά Μήκος Κλίσεις

| run_c_d_ntua_7 | | R(m) | br.front (%) | s(%) | e (%) | coeff | effic (%) | time (sec) | | | | | | | | | |
|----------------|----------|------------|--------------|-----------------|-------------|-------|-----------|------------|-----------|-----------|------------|----------|-----------|----------|----------|---------|-----------|
| s= | 100,000 | 1000000,00 | 76,00 | 6,6 | 0,0 | 1,00 | 100 | 1,966 | | | | | | | | | |
| step= | 0,100 | viewstep= | 0,500 | STEPS | | | | | | | | | | | | | |
| s (m) | V (km/h) | n (%) | dv/dt | skid check | R(m) | s(%) | e (%) | coeff | effic (%) | decelera | time (sec) | fT | front out | front in | rear out | rear in | checktime |
| 16,600 | 4,032 | 99,426 | -7,439 | skid front(out) | 1000000,000 | 6,600 | 0,000 | 1,000 | 100,000 | -2,915121 | 1,966 | 0,696513 | 0,6963 | 0,6963 | 0,6799 | 0,6799 | |
| 0,000 | 56,820 | 99,433 | -7,490 | O.K | 1000000,000 | 6,600 | 0,000 | 1,000 | 100,000 | 0,000 | 0,000 | 0,697 | | | | | |
| 0,400 | 56,133 | 99,433 | -7,489 | skid front(in) | 1000000,000 | 6,600 | 0,000 | 1,000 | 100,000 | 0,000 | 0,025 | 0,697 | 0,696 | 0,697 | 0,680 | 0,680 | 0,025 |
| 1,000 | 55,086 | 99,433 | -7,487 | skid front(in) | 1000000,000 | 6,600 | 0,000 | 1,000 | 100,000 | 0,000 | 0,064 | 0,697 | 0,696 | 0,697 | 0,680 | 0,680 | 0,039 |
| 1,500 | 54,198 | 99,433 | -7,485 | skid front(in) | 1000000,000 | 6,600 | 0,000 | 1,000 | 100,000 | 0,000 | 0,097 | 0,697 | 0,696 | 0,697 | 0,680 | 0,680 | 0,033 |
| 2,000 | 53,295 | 99,433 | -7,484 | skid front(in) | 1000000,000 | 6,600 | 0,000 | 1,000 | 100,000 | 0,000 | 0,131 | 0,697 | 0,696 | 0,697 | 0,680 | 0,680 | 0,033 |
| 2,500 | 52,378 | 99,433 | -7,482 | skid front(in) | 1000000,000 | 6,600 | 0,000 | 1,000 | 100,000 | 0,000 | 0,165 | 0,697 | 0,696 | 0,697 | 0,680 | 0,680 | 0,034 |
| 3,000 | 51,444 | 99,433 | -7,481 | skid front(in) | 1000000,000 | 6,600 | 0,000 | 1,000 | 100,000 | 0,000 | 0,200 | 0,697 | 0,696 | 0,697 | 0,680 | 0,680 | 0,035 |
| 3,500 | 50,493 | 99,433 | -7,480 | skid front(in) | 1000000,000 | 6,600 | 0,000 | 1,000 | 100,000 | 0,000 | 0,235 | 0,697 | 0,696 | 0,697 | 0,680 | 0,680 | 0,035 |
| 4,000 | 49,524 | 99,433 | -7,478 | skid front(in) | 1000000,000 | 6,600 | 0,000 | 1,000 | 100,000 | 0,000 | 0,271 | 0,697 | 0,696 | 0,697 | 0,680 | 0,680 | 0,036 |
| 4,400 | 48,735 | 99,433 | -7,477 | skid front(in) | 1000000,000 | 6,600 | 0,000 | 1,000 | 100,000 | 0,000 | 0,300 | 0,697 | 0,696 | 0,697 | 0,680 | 0,680 | 0,029 |
| 5,000 | 47,527 | 99,434 | -7,475 | skid front(in) | 1000000,000 | 6,600 | 0,000 | 1,000 | 100,000 | 0,000 | 0,345 | 0,697 | 0,696 | 0,697 | 0,680 | 0,680 | 0,045 |
| 5,500 | 46,496 | 99,434 | -7,474 | skid front(in) | 1000000,000 | 6,600 | 0,000 | 1,000 | 100,000 | 0,000 | 0,383 | 0,697 | 0,696 | 0,697 | 0,680 | 0,680 | 0,038 |
| 6,000 | 45,443 | 99,434 | -7,472 | skid front(in) | 1000000,000 | 6,600 | 0,000 | 1,000 | 100,000 | 0,000 | 0,422 | 0,697 | 0,696 | 0,697 | 0,680 | 0,680 | 0,039 |
| 6,500 | 44,365 | 99,434 | -7,471 | skid front(in) | 1000000,000 | 6,600 | 0,000 | 1,000 | 100,000 | 0,000 | 0,463 | 0,697 | 0,696 | 0,697 | 0,680 | 0,680 | 0,040 |
| 7,000 | 43,260 | 99,434 | -7,469 | skid front(in) | 1000000,000 | 6,600 | 0,000 | 1,000 | 100,000 | 0,000 | 0,504 | 0,697 | 0,696 | 0,697 | 0,680 | 0,680 | 0,041 |
| 7,500 | 42,126 | 99,434 | -7,468 | skid front(in) | 1000000,000 | 6,600 | 0,000 | 1,000 | 100,000 | 0,000 | 0,546 | 0,697 | 0,696 | 0,697 | 0,680 | 0,680 | 0,042 |
| 8,000 | 40,962 | 99,434 | -7,467 | skid front(in) | 1000000,000 | 6,600 | 0,000 | 1,000 | 100,000 | 0,000 | 0,589 | 0,697 | 0,696 | 0,697 | 0,680 | 0,680 | 0,043 |
| 8,500 | 39,763 | 99,434 | -7,465 | skid front(in) | 1000000,000 | 6,600 | 0,000 | 1,000 | 100,000 | 0,000 | 0,634 | 0,697 | 0,696 | 0,697 | 0,680 | 0,680 | 0,045 |
| 9,000 | 38,527 | 99,434 | -7,464 | skid front(in) | 1000000,000 | 6,600 | 0,000 | 1,000 | 100,000 | 0,000 | 0,680 | 0,697 | 0,696 | 0,697 | 0,680 | 0,680 | 0,046 |
| 9,500 | 37,251 | 99,434 | -7,462 | skid front(in) | 1000000,000 | 6,600 | 0,000 | 1,000 | 100,000 | 0,000 | 0,727 | 0,697 | 0,696 | 0,697 | 0,680 | 0,680 | 0,048 |
| 10,000 | 35,929 | 99,434 | -7,461 | skid front(in) | 1000000,000 | 6,600 | 0,000 | 1,000 | 100,000 | 0,000 | 0,776 | 0,697 | 0,697 | 0,697 | 0,680 | 0,680 | 0,049 |
| 10,500 | 34,558 | 99,434 | -7,459 | skid front(in) | 1000000,000 | 6,600 | 0,000 | 1,000 | 100,000 | 0,000 | 0,827 | 0,697 | 0,697 | 0,697 | 0,680 | 0,680 | 0,051 |
| 11,000 | 33,130 | 99,435 | -7,458 | skid front(in) | 1000000,000 | 6,600 | 0,000 | 1,000 | 100,000 | 0,001 | 0,881 | 0,697 | 0,697 | 0,697 | 0,680 | 0,680 | 0,053 |
| 11,500 | 31,637 | 99,454 | -7,456 | skid front(out) | 1000000,000 | 6,600 | 0,000 | 1,000 | 100,000 | -1,909 | 0,936 | 0,697 | 0,696 | 0,696 | 0,680 | 0,680 | 0,056 |
| 12,000 | 30,072 | 99,418 | -7,453 | skid front(out) | 1000000,000 | 6,600 | 0,000 | 1,000 | 100,000 | -0,924 | 0,995 | 0,697 | 0,696 | 0,696 | 0,680 | 0,680 | 0,058 |
| 12,500 | 28,420 | 99,416 | -7,451 | skid front(in) | 1000000,000 | 6,600 | 0,000 | 1,000 | 100,000 | -2,037 | 1,056 | 0,697 | 0,696 | 0,696 | 0,680 | 0,680 | 0,062 |
| 13,000 | 26,667 | 99,451 | -7,452 | skid front(out) | 1000000,000 | 6,600 | 0,000 | 1,000 | 100,000 | -1,804 | 1,121 | 0,697 | 0,696 | 0,696 | 0,680 | 0,680 | 0,065 |
| 13,500 | 24,790 | 99,461 | -7,450 | skid front(out) | 1000000,000 | 6,600 | 0,000 | 1,000 | 100,000 | -2,545 | 1,191 | 0,697 | 0,696 | 0,696 | 0,680 | 0,680 | 0,070 |
| 14,000 | 22,759 | 99,420 | -7,446 | skid front(out) | 1000000,000 | 6,600 | 0,000 | 1,000 | 100,000 | -2,589 | 1,267 | 0,697 | 0,696 | 0,696 | 0,680 | 0,680 | 0,076 |
| 14,500 | 20,530 | 99,416 | -7,446 | skid front(out) | 1000000,000 | 6,600 | 0,000 | 1,000 | 100,000 | -1,042 | 1,350 | 0,697 | 0,696 | 0,696 | 0,680 | 0,680 | 0,083 |
| 15,000 | 18,026 | 99,455 | -7,446 | skid front(out) | 1000000,000 | 6,600 | 0,000 | 1,000 | 100,000 | -2,003 | 1,444 | 0,697 | 0,696 | 0,696 | 0,680 | 0,680 | 0,093 |
| 15,500 | 15,115 | 99,437 | -7,443 | skid front(out) | 1000000,000 | 6,600 | 0,000 | 1,000 | 100,000 | -2,301 | 1,552 | 0,697 | 0,696 | 0,696 | 0,680 | 0,680 | 0,109 |
| 16,000 | 11,489 | 99,434 | -7,441 | skid front(out) | 1000000,000 | 6,600 | 0,000 | 1,000 | 100,000 | -3,371 | 1,688 | 0,697 | 0,696 | 0,696 | 0,680 | 0,680 | 0,135 |
| 16,500 | 5,962 | 99,421 | -7,438 | skid front(out) | 1000000,000 | 6,600 | 0,000 | 1,000 | 100,000 | -3,127 | 1,894 | 0,697 | 0,696 | 0,696 | 0,680 | 0,680 | 0,206 |
| 16,600 | 4,032 | 99,426 | -7,439 | skid front(out) | 1000000,000 | 6,600 | 0,000 | 1,000 | 100,000 | -2,915 | 1,966 | 0,697 | 0,696 | 0,696 | 0,680 | 0,680 | 0,072 |

Προσδιορισμός Τιμών Πρόσφυσης κατά την Πέδηση Οχημάτων Εφοδιασμένων με Σύστημα ABS σε Αυξημένες κατά Μήκος Κλίσεις

| run_c_d_ntua_8 | R(m) | br.front (%) | s(%) | e (%) | coeff | effic (%) | time (sec) | | | | | | | | | | |
|----------------|-----------------|--------------|--------|-----------------|-------------|-----------|------------|-------|-----------|-----------|------------|----------|-----------|----------|----------|---------|-----------|
| s= 100,000 | 1000000,00 | 76,00 | -5,3 | 0,0 | 1,00 | 100 | 2,833 | 0,963 | | | | | | | | | |
| step= 0,100 | viewstep= 0,500 | STEPS | | | | | | | | | | | | | | | |
| s (m) | V (km/h) | n (%) | dv/dt | skid check | R(m) | s(%) | e (%) | coeff | effic (%) | decelera | time (sec) | ft | front out | front in | rear out | rear in | checktime |
| 26,000 | 0,632 | 99,638 | -6,339 | skid front(out) | 1000000,000 | -5,300 | 0,000 | 1,000 | 100,000 | -1,682148 | 2,833 | 0,701887 | 0,7017 | 0,7017 | 0,6915 | 0,6915 | |
| 0,000 | 65,540 | 99,654 | -6,405 | O.K | 1000000,000 | -5,300 | 0,000 | 1,000 | 100,000 | 0,000 | 0,000 | 0,702 | | | | | |
| 0,400 | 65,031 | 99,654 | -6,404 | skid front(in) | 1000000,000 | -5,300 | 0,000 | 1,000 | 100,000 | 0,000 | 0,022 | 0,702 | 0,702 | 0,702 | 0,692 | 0,692 | 0,022 |
| 1,000 | 64,261 | 99,654 | -6,403 | skid front(in) | 1000000,000 | -5,300 | 0,000 | 1,000 | 100,000 | 0,000 | 0,055 | 0,702 | 0,702 | 0,702 | 0,692 | 0,692 | 0,033 |
| 1,500 | 63,612 | 99,654 | -6,402 | skid front(in) | 1000000,000 | -5,300 | 0,000 | 1,000 | 100,000 | 0,000 | 0,084 | 0,702 | 0,702 | 0,702 | 0,692 | 0,692 | 0,028 |
| 2,000 | 62,957 | 99,654 | -6,400 | skid front(in) | 1000000,000 | -5,300 | 0,000 | 1,000 | 100,000 | 0,000 | 0,112 | 0,702 | 0,702 | 0,702 | 0,692 | 0,692 | 0,028 |
| 2,500 | 62,295 | 99,655 | -6,399 | skid front(in) | 1000000,000 | -5,300 | 0,000 | 1,000 | 100,000 | 0,000 | 0,141 | 0,702 | 0,702 | 0,702 | 0,692 | 0,692 | 0,029 |
| 3,000 | 61,626 | 99,655 | -6,398 | skid front(in) | 1000000,000 | -5,300 | 0,000 | 1,000 | 100,000 | 0,000 | 0,170 | 0,702 | 0,702 | 0,702 | 0,692 | 0,692 | 0,029 |
| 3,500 | 60,949 | 99,655 | -6,397 | skid front(in) | 1000000,000 | -5,300 | 0,000 | 1,000 | 100,000 | 0,000 | 0,199 | 0,702 | 0,702 | 0,702 | 0,692 | 0,692 | 0,029 |
| 4,000 | 60,265 | 99,655 | -6,395 | skid front(in) | 1000000,000 | -5,300 | 0,000 | 1,000 | 100,000 | 0,000 | 0,229 | 0,702 | 0,702 | 0,702 | 0,692 | 0,692 | 0,030 |
| 4,400 | 59,713 | 99,655 | -6,394 | skid front(in) | 1000000,000 | -5,300 | 0,000 | 1,000 | 100,000 | 0,000 | 0,253 | 0,702 | 0,702 | 0,702 | 0,692 | 0,692 | 0,024 |
| 5,000 | 58,874 | 99,655 | -6,393 | skid front(in) | 1000000,000 | -5,300 | 0,000 | 1,000 | 100,000 | 0,000 | 0,289 | 0,702 | 0,702 | 0,702 | 0,692 | 0,692 | 0,036 |
| 5,500 | 58,166 | 99,655 | -6,392 | skid front(in) | 1000000,000 | -5,300 | 0,000 | 1,000 | 100,000 | 0,000 | 0,320 | 0,702 | 0,702 | 0,702 | 0,692 | 0,692 | 0,031 |
| 6,000 | 57,450 | 99,655 | -6,391 | skid front(in) | 1000000,000 | -5,300 | 0,000 | 1,000 | 100,000 | 0,000 | 0,351 | 0,702 | 0,702 | 0,702 | 0,692 | 0,692 | 0,031 |
| 6,500 | 56,725 | 99,655 | -6,389 | skid front(in) | 1000000,000 | -5,300 | 0,000 | 1,000 | 100,000 | 0,000 | 0,383 | 0,702 | 0,702 | 0,702 | 0,692 | 0,692 | 0,032 |
| 7,000 | 55,990 | 99,655 | -6,388 | skid front(in) | 1000000,000 | -5,300 | 0,000 | 1,000 | 100,000 | 0,000 | 0,415 | 0,702 | 0,702 | 0,702 | 0,692 | 0,692 | 0,032 |
| 7,500 | 55,246 | 99,655 | -6,387 | skid front(in) | 1000000,000 | -5,300 | 0,000 | 1,000 | 100,000 | 0,000 | 0,447 | 0,702 | 0,702 | 0,702 | 0,692 | 0,692 | 0,032 |
| 8,000 | 54,492 | 99,655 | -6,386 | skid front(in) | 1000000,000 | -5,300 | 0,000 | 1,000 | 100,000 | 0,000 | 0,480 | 0,702 | 0,702 | 0,702 | 0,692 | 0,692 | 0,033 |
| 8,500 | 53,727 | 99,655 | -6,384 | skid front(in) | 1000000,000 | -5,300 | 0,000 | 1,000 | 100,000 | 0,000 | 0,513 | 0,702 | 0,702 | 0,702 | 0,692 | 0,692 | 0,033 |
| 9,000 | 52,951 | 99,656 | -6,383 | skid front(in) | 1000000,000 | -5,300 | 0,000 | 1,000 | 100,000 | 0,000 | 0,547 | 0,702 | 0,702 | 0,702 | 0,692 | 0,692 | 0,034 |
| 9,500 | 52,164 | 99,656 | -6,382 | skid front(in) | 1000000,000 | -5,300 | 0,000 | 1,000 | 100,000 | 0,000 | 0,581 | 0,702 | 0,702 | 0,702 | 0,692 | 0,692 | 0,034 |
| 10,000 | 51,366 | 99,656 | -6,381 | skid front(in) | 1000000,000 | -5,300 | 0,000 | 1,000 | 100,000 | 0,000 | 0,616 | 0,702 | 0,702 | 0,702 | 0,692 | 0,692 | 0,035 |
| 10,500 | 50,554 | 99,656 | -6,380 | skid front(in) | 1000000,000 | -5,300 | 0,000 | 1,000 | 100,000 | 0,000 | 0,651 | 0,702 | 0,702 | 0,702 | 0,692 | 0,692 | 0,035 |
| 11,000 | 49,730 | 99,656 | -6,378 | skid front(in) | 1000000,000 | -5,300 | 0,000 | 1,000 | 100,000 | 0,000 | 0,687 | 0,702 | 0,702 | 0,702 | 0,692 | 0,692 | 0,036 |
| 11,500 | 48,892 | 99,656 | -6,377 | skid front(in) | 1000000,000 | -5,300 | 0,000 | 1,000 | 100,000 | 0,000 | 0,724 | 0,702 | 0,702 | 0,702 | 0,692 | 0,692 | 0,037 |
| 12,000 | 48,039 | 99,656 | -6,376 | skid front(in) | 1000000,000 | -5,300 | 0,000 | 1,000 | 100,000 | 0,000 | 0,761 | 0,702 | 0,702 | 0,702 | 0,692 | 0,692 | 0,037 |
| 12,500 | 47,172 | 99,656 | -6,375 | skid front(in) | 1000000,000 | -5,300 | 0,000 | 1,000 | 100,000 | 0,000 | 0,799 | 0,702 | 0,702 | 0,702 | 0,692 | 0,692 | 0,038 |
| 13,000 | 46,288 | 99,656 | -6,374 | skid front(in) | 1000000,000 | -5,300 | 0,000 | 1,000 | 100,000 | 0,000 | 0,837 | 0,702 | 0,702 | 0,702 | 0,692 | 0,692 | 0,039 |
| 13,500 | 45,387 | 99,656 | -6,372 | skid front(in) | 1000000,000 | -5,300 | 0,000 | 1,000 | 100,000 | 0,000 | 0,876 | 0,702 | 0,702 | 0,702 | 0,692 | 0,692 | 0,039 |
| 14,000 | 44,468 | 99,656 | -6,371 | skid front(in) | 1000000,000 | -5,300 | 0,000 | 1,000 | 100,000 | 0,000 | 0,916 | 0,702 | 0,702 | 0,702 | 0,692 | 0,692 | 0,040 |
| 14,500 | 43,529 | 99,656 | -6,370 | skid front(in) | 1000000,000 | -5,300 | 0,000 | 1,000 | 100,000 | 0,000 | 0,957 | 0,702 | 0,702 | 0,702 | 0,692 | 0,692 | 0,041 |
| 15,000 | 42,571 | 99,656 | -6,369 | skid front(in) | 1000000,000 | -5,300 | 0,000 | 1,000 | 100,000 | 0,000 | 0,999 | 0,702 | 0,702 | 0,702 | 0,692 | 0,692 | 0,042 |
| 15,500 | 41,590 | 99,657 | -6,367 | skid front(in) | 1000000,000 | -5,300 | 0,000 | 1,000 | 100,000 | 0,000 | 1,042 | 0,702 | 0,702 | 0,702 | 0,692 | 0,692 | 0,043 |
| 16,000 | 40,586 | 99,657 | -6,366 | skid front(in) | 1000000,000 | -5,300 | 0,000 | 1,000 | 100,000 | 0,000 | 1,086 | 0,702 | 0,702 | 0,702 | 0,692 | 0,692 | 0,044 |
| 16,500 | 39,557 | 99,657 | -6,365 | skid front(in) | 1000000,000 | -5,300 | 0,000 | 1,000 | 100,000 | 0,000 | 1,131 | 0,702 | 0,702 | 0,702 | 0,692 | 0,692 | 0,045 |
| 17,000 | 38,500 | 99,657 | -6,364 | skid front(in) | 1000000,000 | -5,300 | 0,000 | 1,000 | 100,000 | 0,001 | 1,177 | 0,702 | 0,702 | 0,702 | 0,692 | 0,692 | 0,046 |
| 17,500 | 37,414 | 99,657 | -6,363 | skid front(in) | 1000000,000 | -5,300 | 0,000 | 1,000 | 100,000 | 0,000 | 1,224 | 0,702 | 0,702 | 0,702 | 0,692 | 0,692 | 0,047 |
| 18,000 | 36,295 | 99,657 | -6,361 | skid front(in) | 1000000,000 | -5,300 | 0,000 | 1,000 | 100,000 | 0,000 | 1,273 | 0,702 | 0,702 | 0,702 | 0,692 | 0,692 | 0,049 |
| 18,500 | 35,141 | 99,657 | -6,360 | skid front(in) | 1000000,000 | -5,300 | 0,000 | 1,000 | 100,000 | 0,000 | 1,323 | 0,702 | 0,702 | 0,702 | 0,692 | 0,692 | 0,050 |
| 18,900 | 34,190 | 99,657 | -6,359 | skid front(in) | 1000000,000 | -5,300 | 0,000 | 1,000 | 100,000 | 0,000 | 1,365 | 0,702 | 0,702 | 0,702 | 0,692 | 0,692 | 0,042 |
| 19,500 | 32,712 | 99,657 | -6,358 | skid front(in) | 1000000,000 | -5,300 | 0,000 | 1,000 | 100,000 | 0,001 | 1,430 | 0,702 | 0,702 | 0,702 | 0,692 | 0,692 | 0,065 |
| 20,000 | 31,427 | 99,639 | -6,355 | skid front(out) | 1000000,000 | -5,300 | 0,000 | 1,000 | 100,000 | -0,739 | 1,486 | 0,702 | 0,702 | 0,702 | 0,692 | 0,692 | 0,056 |
| 20,500 | 30,088 | 99,666 | -6,354 | skid front(out) | 1000000,000 | -5,300 | 0,000 | 1,000 | 100,000 | -1,953 | 1,544 | 0,702 | 0,702 | 0,702 | 0,692 | 0,692 | 0,059 |
| 21,000 | 28,687 | 99,666 | -6,353 | skid front(out) | 1000000,000 | -5,300 | 0,000 | 1,000 | 100,000 | -1,578 | 1,605 | 0,702 | 0,702 | 0,702 | 0,692 | 0,692 | 0,061 |
| 21,500 | 27,214 | 99,675 | -6,352 | skid front(out) | 1000000,000 | -5,300 | 0,000 | 1,000 | 100,000 | -2,559 | 1,670 | 0,702 | 0,702 | 0,702 | 0,692 | 0,692 | 0,064 |
| 22,000 | 25,657 | 99,654 | -6,350 | skid front(out) | 1000000,000 | -5,300 | 0,000 | 1,000 | 100,000 | -1,847 | 1,738 | 0,702 | 0,702 | 0,702 | 0,692 | 0,692 | 0,068 |
| 22,500 | 24,000 | 99,642 | -6,347 | skid front(in) | 1000000,000 | -5,300 | 0,000 | 1,000 | 100,000 | -2,618 | 1,810 | 0,702 | 0,702 | 0,702 | 0,691 | 0,691 | 0,073 |
| 23,000 | 22,220 | 99,663 | -6,347 | skid front(out) | 1000000,000 | -5,300 | 0,000 | 1,000 | 100,000 | -2,870 | 1,888 | 0,702 | 0,702 | 0,702 | 0,692 | 0,692 | 0,078 |
| 23,500 | 20,284 | 99,648 | -6,347 | skid front(out) | 1000000,000 | -5,300 | 0,000 | 1,000 | 100,000 | -1,032 | 1,973 | 0,702 | 0,702 | 0,702 | 0,692 | 0,692 | 0,085 |
| 24,000 | 18,144 | 99,645 | -6,345 | skid front(out) | 1000000,000 | -5,300 | 0,000 | 1,000 | 100,000 | -0,912 | 2,067 | 0,702 | 0,702 | 0,702 | 0,692 | 0,692 | 0,094 |
| 24,500 | 15,715 | 99,654 | -6,343 | skid front(out) | 1000000,000 | -5,300 | 0,000 | 1,000 | 100,000 | -2,638 | 2,173 | 0,702 | 0,702 | 0,702 | 0,692 | 0,692 | 0,106 |
| 25,000 | 12,834 | 99,677 | -6,344 | skid front(out) | 1000000,000 | -5,300 | 0,000 | 1,000 | 100,000 | -1,663 | 2,299 | 0,702 | 0,702 | 0,702 | 0,692 | 0,692 | 0,126 |

Προσδιορισμός Τιμών Πρόσφυσης κατά την Πέδηση Οχημάτων Εφοδιασμένων με Σύστημα ABS σε Αυξημένες κατά Μήκος Κλίσεις

| | | | | | | | | | | | | | | | | | |
|--------|-------|--------|--------|-----------------|-------------|--------|-------|-------|---------|--------|-------|-------|-------|-------|-------|-------|-------|
| 25,500 | 9,082 | 99,657 | -6,340 | skid front(out) | 1000000,000 | -5,300 | 0,000 | 1,000 | 100,000 | -3,224 | 2,463 | 0,702 | 0,702 | 0,702 | 0,691 | 0,691 | 0,164 |
| 26,000 | 0,632 | 99,638 | -6,339 | skid front(out) | 1000000,000 | -5,300 | 0,000 | 1,000 | 100,000 | -1,682 | 2,833 | 0,702 | 0,702 | 0,702 | 0,692 | 0,692 | 0,370 |

| run_c_d_ntua_9 | | R(m) | br.front (%) | s(%) | e (%) | coeff | effc (%) | | time (sec) | | | | | | | | | |
|----------------|----------|------------|--------------|-----------------|-------------|--------|----------|-------|------------|-----------|------------|---------|-----------|----------|----------|---------|-----------|--|
| s= | 100,000 | 1000000,00 | 76,00 | -5,3 | 0,0 | 1,00 | 100 | | 2,682 | | | | | | | | | |
| step= | 0,100 | viewstep= | 0,500 | STEPS | | | | | | | | | | | | | | |
| s (m) | V (km/h) | n (%) | dv/dt | skid check | R(m) | s(%) | e (%) | coeff | effc (%) | decelera | time (sec) | fT | front out | front in | rear out | rear in | checktime | |
| 23,000 | 0,257 | 99,601 | -6,331 | skid front(out) | 1000000,000 | -5,300 | 0,000 | 1,000 | 100,000 | -0,278748 | 2,682 | 0,70121 | 0,7010 | 0,7010 | 0,6901 | 0,6901 | | |
| 0,000 | 61,580 | 99,627 | -6,389 | O.K | 1000000,000 | -5,300 | 0,000 | 1,000 | 100,000 | 0,000 | 0,000 | 0,701 | | | | | | |
| 0,400 | 61,040 | 99,627 | -6,388 | skid front(in) | 1000000,000 | -5,300 | 0,000 | 1,000 | 100,000 | 0,000 | 0,023 | 0,701 | 0,701 | 0,701 | 0,690 | 0,691 | 0,023 | |
| 1,000 | 60,221 | 99,627 | -6,387 | skid front(in) | 1000000,000 | -5,300 | 0,000 | 1,000 | 100,000 | 0,000 | 0,059 | 0,701 | 0,701 | 0,701 | 0,690 | 0,691 | 0,036 | |
| 1,500 | 59,529 | 99,627 | -6,386 | skid front(in) | 1000000,000 | -5,300 | 0,000 | 1,000 | 100,000 | 0,000 | 0,089 | 0,701 | 0,701 | 0,701 | 0,690 | 0,691 | 0,030 | |
| 2,000 | 58,830 | 99,627 | -6,384 | skid front(in) | 1000000,000 | -5,300 | 0,000 | 1,000 | 100,000 | 0,000 | 0,120 | 0,701 | 0,701 | 0,701 | 0,690 | 0,691 | 0,030 | |
| 2,500 | 58,123 | 99,627 | -6,383 | skid front(in) | 1000000,000 | -5,300 | 0,000 | 1,000 | 100,000 | 0,000 | 0,150 | 0,701 | 0,701 | 0,701 | 0,690 | 0,691 | 0,031 | |
| 3,000 | 57,407 | 99,627 | -6,382 | skid front(in) | 1000000,000 | -5,300 | 0,000 | 1,000 | 100,000 | 0,000 | 0,182 | 0,701 | 0,701 | 0,701 | 0,690 | 0,691 | 0,031 | |
| 3,500 | 56,682 | 99,627 | -6,381 | skid front(in) | 1000000,000 | -5,300 | 0,000 | 1,000 | 100,000 | 0,000 | 0,213 | 0,701 | 0,701 | 0,701 | 0,690 | 0,691 | 0,032 | |
| 4,000 | 55,948 | 99,627 | -6,380 | skid front(in) | 1000000,000 | -5,300 | 0,000 | 1,000 | 100,000 | 0,000 | 0,245 | 0,701 | 0,701 | 0,701 | 0,690 | 0,691 | 0,032 | |
| 4,400 | 55,354 | 99,627 | -6,379 | skid front(in) | 1000000,000 | -5,300 | 0,000 | 1,000 | 100,000 | 0,000 | 0,271 | 0,701 | 0,701 | 0,701 | 0,690 | 0,691 | 0,026 | |
| 5,000 | 54,450 | 99,627 | -6,377 | skid front(in) | 1000000,000 | -5,300 | 0,000 | 1,000 | 100,000 | 0,000 | 0,310 | 0,701 | 0,701 | 0,701 | 0,690 | 0,691 | 0,039 | |
| 5,500 | 53,686 | 99,627 | -6,376 | skid front(in) | 1000000,000 | -5,300 | 0,000 | 1,000 | 100,000 | 0,000 | 0,344 | 0,701 | 0,701 | 0,701 | 0,690 | 0,691 | 0,033 | |
| 6,000 | 52,911 | 99,628 | -6,375 | skid front(in) | 1000000,000 | -5,300 | 0,000 | 1,000 | 100,000 | 0,000 | 0,377 | 0,701 | 0,701 | 0,701 | 0,690 | 0,691 | 0,034 | |
| 6,500 | 52,124 | 99,628 | -6,373 | skid front(in) | 1000000,000 | -5,300 | 0,000 | 1,000 | 100,000 | 0,000 | 0,412 | 0,701 | 0,701 | 0,701 | 0,690 | 0,691 | 0,034 | |
| 7,000 | 51,326 | 99,628 | -6,372 | skid front(in) | 1000000,000 | -5,300 | 0,000 | 1,000 | 100,000 | 0,000 | 0,446 | 0,701 | 0,701 | 0,701 | 0,690 | 0,691 | 0,035 | |
| 7,500 | 50,515 | 99,628 | -6,371 | skid front(in) | 1000000,000 | -5,300 | 0,000 | 1,000 | 100,000 | 0,000 | 0,482 | 0,701 | 0,701 | 0,701 | 0,690 | 0,691 | 0,035 | |
| 8,000 | 49,691 | 99,628 | -6,370 | skid front(in) | 1000000,000 | -5,300 | 0,000 | 1,000 | 100,000 | 0,000 | 0,518 | 0,701 | 0,701 | 0,701 | 0,690 | 0,691 | 0,036 | |
| 8,500 | 48,854 | 99,628 | -6,369 | skid front(in) | 1000000,000 | -5,300 | 0,000 | 1,000 | 100,000 | 0,000 | 0,554 | 0,701 | 0,701 | 0,701 | 0,690 | 0,691 | 0,037 | |
| 9,000 | 48,002 | 99,628 | -6,367 | skid front(in) | 1000000,000 | -5,300 | 0,000 | 1,000 | 100,000 | 0,000 | 0,591 | 0,701 | 0,701 | 0,701 | 0,690 | 0,691 | 0,037 | |
| 9,500 | 47,134 | 99,628 | -6,366 | skid front(in) | 1000000,000 | -5,300 | 0,000 | 1,000 | 100,000 | 0,000 | 0,629 | 0,701 | 0,701 | 0,701 | 0,690 | 0,691 | 0,038 | |
| 10,000 | 46,251 | 99,628 | -6,365 | skid front(in) | 1000000,000 | -5,300 | 0,000 | 1,000 | 100,000 | 0,000 | 0,668 | 0,701 | 0,701 | 0,701 | 0,690 | 0,691 | 0,039 | |
| 10,500 | 45,350 | 99,628 | -6,364 | skid front(in) | 1000000,000 | -5,300 | 0,000 | 1,000 | 100,000 | 0,000 | 0,707 | 0,701 | 0,701 | 0,701 | 0,690 | 0,691 | 0,039 | |
| 11,000 | 44,432 | 99,628 | -6,363 | skid front(in) | 1000000,000 | -5,300 | 0,000 | 1,000 | 100,000 | 0,000 | 0,747 | 0,701 | 0,701 | 0,701 | 0,690 | 0,691 | 0,040 | |
| 11,500 | 43,494 | 99,628 | -6,361 | skid front(in) | 1000000,000 | -5,300 | 0,000 | 1,000 | 100,000 | 0,000 | 0,788 | 0,701 | 0,701 | 0,701 | 0,690 | 0,691 | 0,041 | |
| 12,000 | 42,536 | 99,628 | -6,360 | skid front(in) | 1000000,000 | -5,300 | 0,000 | 1,000 | 100,000 | 0,000 | 0,830 | 0,701 | 0,701 | 0,701 | 0,690 | 0,691 | 0,042 | |
| 12,500 | 41,556 | 99,628 | -6,359 | skid front(in) | 1000000,000 | -5,300 | 0,000 | 1,000 | 100,000 | 0,000 | 0,873 | 0,701 | 0,701 | 0,701 | 0,690 | 0,691 | 0,043 | |
| 13,000 | 40,552 | 99,628 | -6,358 | skid front(in) | 1000000,000 | -5,300 | 0,000 | 1,000 | 100,000 | 0,000 | 0,917 | 0,701 | 0,701 | 0,701 | 0,690 | 0,691 | 0,044 | |
| 13,500 | 39,523 | 99,629 | -6,356 | skid front(in) | 1000000,000 | -5,300 | 0,000 | 1,000 | 100,000 | 0,000 | 0,962 | 0,701 | 0,701 | 0,701 | 0,690 | 0,691 | 0,045 | |
| 14,000 | 38,467 | 99,629 | -6,355 | skid front(in) | 1000000,000 | -5,300 | 0,000 | 1,000 | 100,000 | 0,000 | 1,008 | 0,701 | 0,701 | 0,701 | 0,690 | 0,691 | 0,046 | |
| 14,500 | 37,381 | 99,629 | -6,354 | skid front(in) | 1000000,000 | -5,300 | 0,000 | 1,000 | 100,000 | 0,000 | 1,055 | 0,701 | 0,701 | 0,701 | 0,691 | 0,691 | 0,047 | |
| 15,000 | 36,263 | 99,629 | -6,353 | skid front(in) | 1000000,000 | -5,300 | 0,000 | 1,000 | 100,000 | 0,000 | 1,104 | 0,701 | 0,701 | 0,701 | 0,691 | 0,691 | 0,049 | |
| 15,500 | 35,110 | 99,629 | -6,352 | skid front(in) | 1000000,000 | -5,300 | 0,000 | 1,000 | 100,000 | 0,000 | 1,155 | 0,701 | 0,701 | 0,701 | 0,691 | 0,691 | 0,050 | |
| 16,000 | 33,917 | 99,629 | -6,350 | skid front(in) | 1000000,000 | -5,300 | 0,000 | 1,000 | 100,000 | 0,000 | 1,207 | 0,701 | 0,701 | 0,701 | 0,691 | 0,691 | 0,052 | |
| 16,500 | 32,682 | 99,629 | -6,349 | skid front(in) | 1000000,000 | -5,300 | 0,000 | 1,000 | 100,000 | 0,001 | 1,261 | 0,701 | 0,701 | 0,701 | 0,691 | 0,691 | 0,054 | |
| 17,000 | 31,398 | 99,630 | -6,346 | skid front(out) | 1000000,000 | -5,300 | 0,000 | 1,000 | 100,000 | -2,114 | 1,317 | 0,701 | 0,701 | 0,701 | 0,690 | 0,690 | 0,056 | |
| 17,500 | 30,059 | 99,636 | -6,346 | skid front(out) | 1000000,000 | -5,300 | 0,000 | 1,000 | 100,000 | -1,841 | 1,375 | 0,701 | 0,701 | 0,701 | 0,690 | 0,690 | 0,059 | |
| 18,000 | 28,659 | 99,632 | -6,345 | skid front(out) | 1000000,000 | -5,300 | 0,000 | 1,000 | 100,000 | -1,405 | 1,437 | 0,701 | 0,701 | 0,701 | 0,690 | 0,690 | 0,061 | |
| 18,500 | 27,186 | 99,637 | -6,343 | skid front(out) | 1000000,000 | -5,300 | 0,000 | 1,000 | 100,000 | -2,409 | 1,501 | 0,701 | 0,701 | 0,701 | 0,690 | 0,690 | 0,064 | |
| 18,900 | 25,949 | 99,610 | -6,341 | skid front(out) | 1000000,000 | -5,300 | 0,000 | 1,000 | 100,000 | -1,744 | 1,555 | 0,701 | 0,701 | 0,701 | 0,690 | 0,690 | 0,054 | |
| 19,500 | 23,973 | 99,636 | -6,341 | skid front(out) | 1000000,000 | -5,300 | 0,000 | 1,000 | 100,000 | -2,000 | 1,642 | 0,701 | 0,701 | 0,701 | 0,690 | 0,690 | 0,087 | |
| 20,000 | 22,192 | 99,652 | -6,340 | skid front(out) | 1000000,000 | -5,300 | 0,000 | 1,000 | 100,000 | -2,253 | 1,720 | 0,701 | 0,701 | 0,701 | 0,690 | 0,690 | 0,078 | |
| 20,500 | 20,257 | 99,656 | -6,339 | skid front(out) | 1000000,000 | -5,300 | 0,000 | 1,000 | 100,000 | -2,366 | 1,805 | 0,701 | 0,701 | 0,701 | 0,690 | 0,690 | 0,085 | |
| 21,000 | 18,116 | 99,645 | -6,337 | skid front(out) | 1000000,000 | -5,300 | 0,000 | 1,000 | 100,000 | -2,286 | 1,899 | 0,701 | 0,701 | 0,701 | 0,690 | 0,690 | 0,094 | |
| 21,500 | 15,686 | 99,618 | -6,335 | skid front(out) | 1000000,000 | -5,300 | 0,000 | 1,000 | 100,000 | -1,959 | 2,005 | 0,701 | 0,701 | 0,701 | 0,690 | 0,690 | 0,107 | |
| 22,000 | 12,805 | 99,656 | -6,335 | skid front(out) | 1000000,000 | -5,300 | 0,000 | 1,000 | 100,000 | -3,180 | 2,131 | 0,701 | 0,701 | 0,701 | 0,690 | 0,690 | 0,126 | |
| 22,500 | 9,047 | 99,652 | -6,335 | skid front(out) | 1000000,000 | -5,300 | 0,000 | 1,000 | 100,000 | -1,951 | 2,296 | 0,701 | 0,701 | 0,701 | 0,690 | 0,690 | 0,165 | |
| 23,000 | 0,257 | 99,601 | -6,331 | skid front(out) | 1000000,000 | -5,300 | 0,000 | 1,000 | 100,000 | -0,279 | 2,682 | 0,701 | 0,701 | 0,701 | 0,690 | 0,690 | 0,386 | |

Προσδιορισμός Τιμών Πρόσφυσης κατά την Πέδηση Οχημάτων Εφοδιασμένων με Σύστημα ABS σε Αυξημένες κατά Μήκος Κλίσεις

| run_c_d_ntua_10 | | R(m) | br.front (%) | s(%) | e (%) | coeff | effic (%) | time (sec) | | | | | | | | | |
|-----------------|----------|------------|--------------|-----------------|-------------|--------|-----------|------------|-----------|-----------|------------|----------|-----------|----------|----------|---------|-----------|
| s= | 100,000 | 1000000,00 | 76,00 | -5,3 | 0,0 | 1,00 | 100 | 2,857 | | | | | | | | | |
| step= | 0,100 | viewstep= | 0,500 | STEPS | | | | | | | | | 0,963 | | | | |
| s (m) | V (km/h) | n (%) | dv/dt | skid check | R(m) | s(%) | e (%) | coeff | effic (%) | decelera | time (sec) | fT | front out | front in | rear out | rear in | checktime |
| 26,100 | 1,182 | 99,037 | -6,152 | skid front(out) | 1000000,000 | -5,300 | 0,000 | 1,000 | 100,000 | -2,674523 | 2,857 | 0,686921 | 0,6867 | 0,6867 | 0,6598 | 0,6598 | |
| 0,000 | 64,700 | 99,037 | -6,218 | O.K | 1000000,000 | -5,300 | 0,000 | 1,000 | 100,000 | 0,000 | 0,000 | 0,687 | | | | | |
| 0,400 | 64,200 | 99,037 | -6,217 | skid front(in) | 1000000,000 | -5,300 | 0,000 | 1,000 | 100,000 | 0,000 | 0,022 | 0,687 | 0,687 | 0,687 | 0,660 | 0,660 | 0,022 |
| 1,000 | 63,443 | 99,037 | -6,215 | skid front(in) | 1000000,000 | -5,300 | 0,000 | 1,000 | 100,000 | 0,000 | 0,056 | 0,687 | 0,687 | 0,687 | 0,660 | 0,660 | 0,034 |
| 1,500 | 62,805 | 99,037 | -6,214 | skid front(in) | 1000000,000 | -5,300 | 0,000 | 1,000 | 100,000 | 0,000 | 0,085 | 0,687 | 0,687 | 0,687 | 0,660 | 0,660 | 0,029 |
| 2,000 | 62,160 | 99,037 | -6,213 | skid front(in) | 1000000,000 | -5,300 | 0,000 | 1,000 | 100,000 | 0,000 | 0,114 | 0,687 | 0,687 | 0,687 | 0,660 | 0,660 | 0,029 |
| 2,500 | 61,509 | 99,038 | -6,211 | skid front(in) | 1000000,000 | -5,300 | 0,000 | 1,000 | 100,000 | 0,000 | 0,143 | 0,687 | 0,687 | 0,687 | 0,660 | 0,660 | 0,029 |
| 3,000 | 60,851 | 99,038 | -6,210 | skid front(in) | 1000000,000 | -5,300 | 0,000 | 1,000 | 100,000 | 0,000 | 0,172 | 0,687 | 0,687 | 0,687 | 0,660 | 0,660 | 0,029 |
| 3,500 | 60,187 | 99,038 | -6,209 | skid front(in) | 1000000,000 | -5,300 | 0,000 | 1,000 | 100,000 | 0,000 | 0,202 | 0,687 | 0,687 | 0,687 | 0,660 | 0,660 | 0,030 |
| 4,000 | 59,514 | 99,038 | -6,208 | skid front(in) | 1000000,000 | -5,300 | 0,000 | 1,000 | 100,000 | 0,000 | 0,232 | 0,687 | 0,687 | 0,687 | 0,660 | 0,660 | 0,030 |
| 4,400 | 58,971 | 99,038 | -6,207 | skid front(in) | 1000000,000 | -5,300 | 0,000 | 1,000 | 100,000 | 0,000 | 0,256 | 0,687 | 0,687 | 0,687 | 0,660 | 0,660 | 0,024 |
| 5,000 | 58,147 | 99,038 | -6,205 | skid front(in) | 1000000,000 | -5,300 | 0,000 | 1,000 | 100,000 | 0,000 | 0,293 | 0,687 | 0,687 | 0,687 | 0,660 | 0,660 | 0,037 |
| 5,500 | 57,451 | 99,038 | -6,204 | skid front(in) | 1000000,000 | -5,300 | 0,000 | 1,000 | 100,000 | 0,000 | 0,324 | 0,687 | 0,687 | 0,687 | 0,660 | 0,660 | 0,031 |
| 6,000 | 56,747 | 99,038 | -6,203 | skid front(in) | 1000000,000 | -5,300 | 0,000 | 1,000 | 100,000 | 0,000 | 0,356 | 0,687 | 0,687 | 0,687 | 0,660 | 0,660 | 0,032 |
| 6,500 | 56,035 | 99,038 | -6,202 | skid front(in) | 1000000,000 | -5,300 | 0,000 | 1,000 | 100,000 | 0,000 | 0,388 | 0,687 | 0,687 | 0,687 | 0,660 | 0,660 | 0,032 |
| 7,000 | 55,313 | 99,038 | -6,200 | skid front(in) | 1000000,000 | -5,300 | 0,000 | 1,000 | 100,000 | 0,000 | 0,420 | 0,687 | 0,687 | 0,687 | 0,660 | 0,660 | 0,032 |
| 7,500 | 54,582 | 99,038 | -6,199 | skid front(in) | 1000000,000 | -5,300 | 0,000 | 1,000 | 100,000 | 0,000 | 0,453 | 0,687 | 0,687 | 0,687 | 0,660 | 0,660 | 0,033 |
| 8,000 | 53,841 | 99,038 | -6,198 | skid front(in) | 1000000,000 | -5,300 | 0,000 | 1,000 | 100,000 | 0,000 | 0,486 | 0,687 | 0,687 | 0,687 | 0,660 | 0,660 | 0,033 |
| 8,500 | 53,090 | 99,038 | -6,197 | skid front(in) | 1000000,000 | -5,300 | 0,000 | 1,000 | 100,000 | 0,000 | 0,520 | 0,687 | 0,687 | 0,687 | 0,660 | 0,660 | 0,034 |
| 9,000 | 52,328 | 99,038 | -6,196 | skid front(in) | 1000000,000 | -5,300 | 0,000 | 1,000 | 100,000 | 0,000 | 0,554 | 0,687 | 0,687 | 0,687 | 0,660 | 0,660 | 0,034 |
| 9,500 | 51,555 | 99,039 | -6,194 | skid front(in) | 1000000,000 | -5,300 | 0,000 | 1,000 | 100,000 | 0,000 | 0,588 | 0,687 | 0,687 | 0,687 | 0,660 | 0,660 | 0,035 |
| 10,000 | 50,771 | 99,039 | -6,193 | skid front(in) | 1000000,000 | -5,300 | 0,000 | 1,000 | 100,000 | 0,000 | 0,624 | 0,687 | 0,687 | 0,687 | 0,660 | 0,660 | 0,035 |
| 10,500 | 49,974 | 99,039 | -6,192 | skid front(in) | 1000000,000 | -5,300 | 0,000 | 1,000 | 100,000 | 0,000 | 0,659 | 0,687 | 0,687 | 0,687 | 0,660 | 0,660 | 0,036 |
| 11,000 | 49,165 | 99,039 | -6,191 | skid front(in) | 1000000,000 | -5,300 | 0,000 | 1,000 | 100,000 | 0,000 | 0,696 | 0,687 | 0,687 | 0,687 | 0,660 | 0,660 | 0,036 |
| 11,500 | 48,342 | 99,039 | -6,190 | skid front(in) | 1000000,000 | -5,300 | 0,000 | 1,000 | 100,000 | 0,000 | 0,733 | 0,687 | 0,687 | 0,687 | 0,660 | 0,660 | 0,037 |
| 12,000 | 47,505 | 99,039 | -6,188 | skid front(in) | 1000000,000 | -5,300 | 0,000 | 1,000 | 100,000 | 0,000 | 0,770 | 0,687 | 0,687 | 0,687 | 0,660 | 0,660 | 0,038 |
| 12,500 | 46,653 | 99,039 | -6,187 | skid front(in) | 1000000,000 | -5,300 | 0,000 | 1,000 | 100,000 | 0,000 | 0,808 | 0,687 | 0,687 | 0,687 | 0,660 | 0,660 | 0,038 |
| 13,000 | 45,786 | 99,039 | -6,186 | skid front(in) | 1000000,000 | -5,300 | 0,000 | 1,000 | 100,000 | 0,000 | 0,847 | 0,687 | 0,687 | 0,687 | 0,660 | 0,660 | 0,039 |
| 13,500 | 44,902 | 99,039 | -6,185 | skid front(in) | 1000000,000 | -5,300 | 0,000 | 1,000 | 100,000 | 0,000 | 0,887 | 0,687 | 0,687 | 0,687 | 0,660 | 0,660 | 0,040 |
| 14,000 | 44,001 | 99,039 | -6,183 | skid front(in) | 1000000,000 | -5,300 | 0,000 | 1,000 | 100,000 | 0,000 | 0,927 | 0,687 | 0,687 | 0,687 | 0,660 | 0,660 | 0,040 |
| 14,500 | 43,080 | 99,039 | -6,182 | skid front(in) | 1000000,000 | -5,300 | 0,000 | 1,000 | 100,000 | 0,000 | 0,969 | 0,687 | 0,687 | 0,687 | 0,660 | 0,660 | 0,041 |
| 15,000 | 42,140 | 99,039 | -6,181 | skid front(in) | 1000000,000 | -5,300 | 0,000 | 1,000 | 100,000 | 0,000 | 1,011 | 0,687 | 0,687 | 0,687 | 0,660 | 0,660 | 0,042 |
| 15,500 | 41,179 | 99,039 | -6,180 | skid front(in) | 1000000,000 | -5,300 | 0,000 | 1,000 | 100,000 | 0,000 | 1,054 | 0,687 | 0,687 | 0,687 | 0,660 | 0,660 | 0,043 |
| 16,000 | 40,195 | 99,039 | -6,179 | skid front(in) | 1000000,000 | -5,300 | 0,000 | 1,000 | 100,000 | 0,000 | 1,099 | 0,687 | 0,687 | 0,687 | 0,660 | 0,660 | 0,044 |
| 16,500 | 39,186 | 99,040 | -6,177 | skid front(in) | 1000000,000 | -5,300 | 0,000 | 1,000 | 100,000 | 0,000 | 1,144 | 0,687 | 0,687 | 0,687 | 0,660 | 0,660 | 0,045 |
| 17,000 | 38,151 | 99,040 | -6,176 | skid front(in) | 1000000,000 | -5,300 | 0,000 | 1,000 | 100,000 | 0,000 | 1,190 | 0,687 | 0,687 | 0,687 | 0,660 | 0,660 | 0,047 |
| 17,500 | 37,087 | 99,040 | -6,175 | skid front(in) | 1000000,000 | -5,300 | 0,000 | 1,000 | 100,000 | 0,000 | 1,238 | 0,687 | 0,687 | 0,687 | 0,660 | 0,660 | 0,048 |
| 18,000 | 35,992 | 99,040 | -6,174 | skid front(in) | 1000000,000 | -5,300 | 0,000 | 1,000 | 100,000 | 0,000 | 1,288 | 0,687 | 0,687 | 0,687 | 0,660 | 0,660 | 0,049 |
| 18,500 | 34,863 | 99,040 | -6,173 | skid front(in) | 1000000,000 | -5,300 | 0,000 | 1,000 | 100,000 | 0,000 | 1,338 | 0,687 | 0,687 | 0,687 | 0,660 | 0,660 | 0,051 |
| 18,900 | 33,933 | 99,040 | -6,172 | skid front(in) | 1000000,000 | -5,300 | 0,000 | 1,000 | 100,000 | 0,000 | 1,380 | 0,687 | 0,687 | 0,687 | 0,660 | 0,660 | 0,042 |
| 19,500 | 32,488 | 99,040 | -6,170 | skid front(in) | 1000000,000 | -5,300 | 0,000 | 1,000 | 100,000 | 0,000 | 1,445 | 0,687 | 0,687 | 0,687 | 0,660 | 0,660 | 0,065 |
| 20,000 | 31,234 | 99,031 | -6,168 | skid front(out) | 1000000,000 | -5,300 | 0,000 | 1,000 | 100,000 | -0,891 | 1,502 | 0,687 | 0,687 | 0,687 | 0,660 | 0,660 | 0,057 |
| 20,500 | 29,927 | 99,026 | -6,165 | skid front(out) | 1000000,000 | -5,300 | 0,000 | 1,000 | 100,000 | -1,444 | 1,561 | 0,687 | 0,687 | 0,687 | 0,660 | 0,660 | 0,059 |
| 21,000 | 28,560 | 99,037 | -6,165 | skid front(out) | 1000000,000 | -5,300 | 0,000 | 1,000 | 100,000 | -1,500 | 1,622 | 0,687 | 0,687 | 0,687 | 0,660 | 0,660 | 0,062 |
| 21,500 | 27,125 | 99,023 | -6,163 | skid front(out) | 1000000,000 | -5,300 | 0,000 | 1,000 | 100,000 | -1,415 | 1,687 | 0,687 | 0,687 | 0,687 | 0,660 | 0,660 | 0,065 |

Προσδιορισμός Τιμών Πρόσφυσης κατά την Πέδηση Οχημάτων Εφοδιασμένων με Σύστημα ABS σε Αυξημένες κατά Μήκος Κλίσεις

| | | | | | | | | | | | | | | | | | |
|--------|--------|--------|--------|-----------------|-------------|--------|-------|-------|---------|--------|-------|-------|-------|-------|-------|-------|-------|
| 22,000 | 25,611 | 99,046 | -6,162 | skid front(out) | 1000000,000 | -5,300 | 0,000 | 1,000 | 100,000 | -2,435 | 1,755 | 0,687 | 0,687 | 0,687 | 0,660 | 0,660 | 0,068 |
| 22,500 | 24,000 | 99,021 | -6,160 | skid front(out) | 1000000,000 | -5,300 | 0,000 | 1,000 | 100,000 | -1,675 | 1,828 | 0,687 | 0,687 | 0,687 | 0,660 | 0,660 | 0,073 |
| 23,000 | 22,275 | 99,034 | -6,159 | skid front(out) | 1000000,000 | -5,300 | 0,000 | 1,000 | 100,000 | -2,003 | 1,905 | 0,687 | 0,687 | 0,687 | 0,660 | 0,660 | 0,078 |
| 23,500 | 20,404 | 99,019 | -6,157 | skid front(out) | 1000000,000 | -5,300 | 0,000 | 1,000 | 100,000 | -2,316 | 1,990 | 0,687 | 0,687 | 0,687 | 0,660 | 0,660 | 0,084 |
| 24,000 | 18,344 | 99,019 | -6,156 | skid front(out) | 1000000,000 | -5,300 | 0,000 | 1,000 | 100,000 | -1,902 | 2,083 | 0,687 | 0,687 | 0,687 | 0,660 | 0,660 | 0,093 |
| 24,500 | 16,022 | 99,067 | -6,157 | skid front(out) | 1000000,000 | -5,300 | 0,000 | 1,000 | 100,000 | -2,953 | 2,187 | 0,687 | 0,687 | 0,687 | 0,660 | 0,660 | 0,105 |
| 25,000 | 13,300 | 99,056 | -6,156 | skid front(out) | 1000000,000 | -5,300 | 0,000 | 1,000 | 100,000 | -1,700 | 2,310 | 0,687 | 0,687 | 0,687 | 0,660 | 0,660 | 0,123 |
| 25,500 | 9,855 | 99,034 | -6,153 | skid front(out) | 1000000,000 | -5,300 | 0,000 | 1,000 | 100,000 | -2,387 | 2,466 | 0,687 | 0,687 | 0,687 | 0,660 | 0,660 | 0,155 |
| 26,000 | 4,165 | 99,033 | -6,152 | skid front(out) | 1000000,000 | -5,300 | 0,000 | 1,000 | 100,000 | -2,407 | 2,722 | 0,687 | 0,687 | 0,687 | 0,660 | 0,660 | 0,257 |
| 26,100 | 1,182 | 99,037 | -6,152 | skid front(out) | 1000000,000 | -5,300 | 0,000 | 1,000 | 100,000 | -2,675 | 2,857 | 0,687 | 0,687 | 0,687 | 0,660 | 0,660 | 0,135 |

| run_c_d_ntua_11 | | R(m) | br.front (%) | s(%) | e (%) | coeff | effic (%) | | | time (sec) | | | | | | | |
|-----------------|----------|------------|--------------|-----------------|-------------|--------|-----------|-------|-----------|------------|------------|----------|-----------|----------|----------|---------|-----------|
| s= | 100,000 | 1000000,00 | 75,50 | -5,3 | 0,0 | 1,00 | 100 | | | 2,741 | | | | | | | |
| step= | 0,100 | viewstep= | 0,500 | STEPS | | | | | | | | | | | | | |
| s (m) | V (km/h) | n (%) | dv/dt | skid check | R(m) | s(%) | e (%) | coeff | effic (%) | decelera | time (sec) | fT | front out | front in | rear out | rear in | checktime |
| 24,500 | 1,825 | 99,605 | -6,121 | skid front(out) | 1000000,000 | -5,300 | 0,000 | 1,000 | 100,000 | -2,387403 | 2,741 | 0,679863 | 0,6798 | 0,6798 | 0,6685 | 0,6685 | |
| 0,000 | 62,430 | 99,588 | -6,182 | O.K | 1000000,000 | -5,300 | 0,000 | 1,000 | 100,000 | 0,000 | 0,000 | 0,680 | | | | | |
| 0,400 | 61,915 | 99,588 | -6,181 | skid front(in) | 1000000,000 | -5,300 | 0,000 | 1,000 | 100,000 | 0,000 | 0,023 | 0,680 | 0,680 | 0,680 | 0,669 | 0,669 | 0,023 |
| 1,000 | 61,134 | 99,588 | -6,179 | skid front(in) | 1000000,000 | -5,300 | 0,000 | 1,000 | 100,000 | 0,000 | 0,058 | 0,680 | 0,680 | 0,680 | 0,669 | 0,669 | 0,035 |
| 1,500 | 60,475 | 99,588 | -6,178 | skid front(in) | 1000000,000 | -5,300 | 0,000 | 1,000 | 100,000 | 0,000 | 0,088 | 0,680 | 0,680 | 0,680 | 0,669 | 0,669 | 0,030 |
| 2,000 | 59,809 | 99,588 | -6,177 | skid front(in) | 1000000,000 | -5,300 | 0,000 | 1,000 | 100,000 | 0,000 | 0,118 | 0,680 | 0,680 | 0,680 | 0,669 | 0,669 | 0,030 |
| 2,500 | 59,137 | 99,588 | -6,176 | skid front(in) | 1000000,000 | -5,300 | 0,000 | 1,000 | 100,000 | 0,000 | 0,148 | 0,680 | 0,680 | 0,680 | 0,669 | 0,669 | 0,030 |
| 3,000 | 58,456 | 99,588 | -6,174 | skid front(in) | 1000000,000 | -5,300 | 0,000 | 1,000 | 100,000 | 0,000 | 0,179 | 0,680 | 0,680 | 0,680 | 0,669 | 0,669 | 0,031 |
| 3,500 | 57,768 | 99,589 | -6,173 | skid front(in) | 1000000,000 | -5,300 | 0,000 | 1,000 | 100,000 | 0,000 | 0,210 | 0,680 | 0,680 | 0,680 | 0,669 | 0,669 | 0,031 |
| 4,000 | 57,071 | 99,589 | -6,172 | skid front(in) | 1000000,000 | -5,300 | 0,000 | 1,000 | 100,000 | 0,000 | 0,241 | 0,680 | 0,680 | 0,680 | 0,669 | 0,669 | 0,031 |
| 4,400 | 56,508 | 99,589 | -6,171 | skid front(in) | 1000000,000 | -5,300 | 0,000 | 1,000 | 100,000 | 0,000 | 0,266 | 0,680 | 0,680 | 0,680 | 0,669 | 0,669 | 0,025 |
| 5,000 | 55,652 | 99,589 | -6,169 | skid front(in) | 1000000,000 | -5,300 | 0,000 | 1,000 | 100,000 | 0,000 | 0,305 | 0,680 | 0,680 | 0,680 | 0,669 | 0,669 | 0,039 |
| 5,500 | 54,929 | 99,589 | -6,168 | skid front(in) | 1000000,000 | -5,300 | 0,000 | 1,000 | 100,000 | 0,000 | 0,337 | 0,680 | 0,680 | 0,680 | 0,669 | 0,669 | 0,033 |
| 6,000 | 54,197 | 99,589 | -6,167 | skid front(in) | 1000000,000 | -5,300 | 0,000 | 1,000 | 100,000 | 0,000 | 0,370 | 0,680 | 0,680 | 0,680 | 0,669 | 0,669 | 0,033 |
| 6,500 | 53,454 | 99,589 | -6,166 | skid front(in) | 1000000,000 | -5,300 | 0,000 | 1,000 | 100,000 | 0,000 | 0,404 | 0,680 | 0,680 | 0,680 | 0,669 | 0,669 | 0,033 |
| 7,000 | 52,702 | 99,589 | -6,165 | skid front(in) | 1000000,000 | -5,300 | 0,000 | 1,000 | 100,000 | 0,000 | 0,438 | 0,680 | 0,680 | 0,680 | 0,669 | 0,669 | 0,034 |
| 7,500 | 51,938 | 99,589 | -6,163 | skid front(in) | 1000000,000 | -5,300 | 0,000 | 1,000 | 100,000 | 0,000 | 0,472 | 0,680 | 0,680 | 0,680 | 0,669 | 0,669 | 0,034 |
| 8,000 | 51,163 | 99,589 | -6,162 | skid front(in) | 1000000,000 | -5,300 | 0,000 | 1,000 | 100,000 | 0,000 | 0,507 | 0,680 | 0,680 | 0,680 | 0,669 | 0,669 | 0,035 |
| 8,500 | 50,377 | 99,589 | -6,161 | skid front(in) | 1000000,000 | -5,300 | 0,000 | 1,000 | 100,000 | 0,000 | 0,543 | 0,680 | 0,680 | 0,680 | 0,669 | 0,669 | 0,035 |
| 9,000 | 49,578 | 99,589 | -6,160 | skid front(in) | 1000000,000 | -5,300 | 0,000 | 1,000 | 100,000 | 0,000 | 0,579 | 0,680 | 0,680 | 0,680 | 0,669 | 0,669 | 0,036 |
| 9,500 | 48,767 | 99,589 | -6,159 | skid front(in) | 1000000,000 | -5,300 | 0,000 | 1,000 | 100,000 | 0,000 | 0,615 | 0,680 | 0,680 | 0,680 | 0,669 | 0,669 | 0,037 |
| 10,000 | 47,941 | 99,589 | -6,157 | skid front(in) | 1000000,000 | -5,300 | 0,000 | 1,000 | 100,000 | 0,000 | 0,652 | 0,680 | 0,680 | 0,680 | 0,669 | 0,669 | 0,037 |
| 10,500 | 47,102 | 99,590 | -6,156 | skid front(in) | 1000000,000 | -5,300 | 0,000 | 1,000 | 100,000 | 0,000 | 0,690 | 0,680 | 0,680 | 0,680 | 0,669 | 0,669 | 0,038 |
| 11,000 | 46,247 | 99,590 | -6,155 | skid front(in) | 1000000,000 | -5,300 | 0,000 | 1,000 | 100,000 | 0,000 | 0,729 | 0,680 | 0,680 | 0,680 | 0,669 | 0,669 | 0,039 |
| 11,500 | 45,377 | 99,590 | -6,154 | skid front(in) | 1000000,000 | -5,300 | 0,000 | 1,000 | 100,000 | 0,000 | 0,768 | 0,680 | 0,680 | 0,680 | 0,669 | 0,669 | 0,039 |
| 12,000 | 44,489 | 99,590 | -6,152 | skid front(in) | 1000000,000 | -5,300 | 0,000 | 1,000 | 100,000 | 0,000 | 0,808 | 0,680 | 0,680 | 0,680 | 0,669 | 0,669 | 0,040 |
| 12,500 | 43,584 | 99,590 | -6,151 | skid front(in) | 1000000,000 | -5,300 | 0,000 | 1,000 | 100,000 | 0,000 | 0,849 | 0,680 | 0,680 | 0,680 | 0,669 | 0,669 | 0,041 |
| 13,000 | 42,660 | 99,590 | -6,150 | skid front(in) | 1000000,000 | -5,300 | 0,000 | 1,000 | 100,000 | 0,000 | 0,891 | 0,680 | 0,680 | 0,680 | 0,669 | 0,669 | 0,042 |
| 13,500 | 41,715 | 99,590 | -6,149 | skid front(in) | 1000000,000 | -5,300 | 0,000 | 1,000 | 100,000 | 0,000 | 0,933 | 0,680 | 0,680 | 0,680 | 0,669 | 0,669 | 0,043 |
| 14,000 | 40,749 | 99,590 | -6,148 | skid front(in) | 1000000,000 | -5,300 | 0,000 | 1,000 | 100,000 | 0,000 | 0,977 | 0,680 | 0,680 | 0,680 | 0,669 | 0,669 | 0,044 |
| 14,500 | 39,760 | 99,590 | -6,146 | skid front(in) | 1000000,000 | -5,300 | 0,000 | 1,000 | 100,000 | 0,000 | 1,022 | 0,680 | 0,680 | 0,680 | 0,669 | 0,669 | 0,045 |
| 15,000 | 38,745 | 99,590 | -6,145 | skid front(in) | 1000000,000 | -5,300 | 0,000 | 1,000 | 100,000 | 0,000 | 1,068 | 0,680 | 0,680 | 0,680 | 0,669 | 0,669 | 0,046 |
| 15,500 | 37,703 | 99,590 | -6,144 | skid front(in) | 1000000,000 | -5,300 | 0,000 | 1,000 | 100,000 | 0,000 | 1,115 | 0,680 | 0,680 | 0,680 | 0,669 | 0,669 | 0,047 |
| 16,000 | 36,632 | 99,590 | -6,143 | skid front(in) | 1000000,000 | -5,300 | 0,000 | 1,000 | 100,000 | 0,000 | 1,163 | 0,680 | 0,680 | 0,680 | 0,669 | 0,669 | 0,048 |
| 16,500 | 35,529 | 99,590 | -6,142 | skid front(in) | 1000000,000 | -5,300 | 0,000 | 1,000 | 100,000 | 0,000 | 1,213 | 0,680 | 0,680 | 0,680 | 0,669 | 0,669 | 0,050 |
| 17,000 | 34,391 | 99,590 | -6,140 | skid front(in) | 1000000,000 | -5,300 | 0,000 | 1,000 | 100,000 | 0,000 | 1,265 | 0,680 | 0,680 | 0,680 | 0,669 | 0,669 | 0,051 |
| 17,500 | 33,214 | 99,590 | -6,139 | skid front(in) | 1000000,000 | -5,300 | 0,000 | 1,000 | 100,000 | 0,000 | 1,318 | 0,680 | 0,680 | 0,680 | 0,669 | 0,669 | 0,053 |
| 18,000 | 31,994 | 99,571 | -6,136 | skid front(out) | 1000000,000 | -5,300 | 0,000 | 1,000 | 100,000 | -1,092 | 1,373 | 0,680 | 0,680 | 0,680 | 0,668 | 0,668 | 0,055 |

Προσδιορισμός Τιμών Πρόσφυσης κατά την Πέδηση Οχημάτων Εφοδιασμένων με Σύστημα ABS σε Αυξημένες κατά Μήκος Κλίσεις

| | | | | | | | | | | | | | | | | | |
|--------|--------|--------|--------|-----------------|-------------|--------|-------|-------|---------|--------|-------|-------|-------|-------|-------|-------|-------|
| 18,500 | 30,726 | 99,590 | -6,135 | skid front(out) | 1000000,000 | -5,300 | 0,000 | 1,000 | 100,000 | -2,094 | 1,430 | 0,680 | 0,680 | 0,680 | 0,668 | 0,668 | 0,057 |
| 18,900 | 29,673 | 99,580 | -6,134 | skid front(out) | 1000000,000 | -5,300 | 0,000 | 1,000 | 100,000 | -0,702 | 1,478 | 0,680 | 0,680 | 0,680 | 0,668 | 0,668 | 0,048 |
| 19,500 | 28,019 | 99,569 | -6,131 | skid front(in) | 1000000,000 | -5,300 | 0,000 | 1,000 | 100,000 | -1,924 | 1,553 | 0,680 | 0,680 | 0,680 | 0,668 | 0,668 | 0,075 |
| 20,000 | 26,563 | 99,589 | -6,131 | skid front(out) | 1000000,000 | -5,300 | 0,000 | 1,000 | 100,000 | -1,801 | 1,619 | 0,680 | 0,680 | 0,680 | 0,668 | 0,668 | 0,066 |
| 20,500 | 25,022 | 99,581 | -6,130 | skid front(out) | 1000000,000 | -5,300 | 0,000 | 1,000 | 100,000 | -1,595 | 1,689 | 0,680 | 0,680 | 0,680 | 0,668 | 0,668 | 0,070 |
| 21,000 | 23,380 | 99,587 | -6,130 | skid front(out) | 1000000,000 | -5,300 | 0,000 | 1,000 | 100,000 | -0,778 | 1,763 | 0,680 | 0,680 | 0,680 | 0,669 | 0,669 | 0,074 |
| 21,500 | 21,615 | 99,584 | -6,128 | skid front(out) | 1000000,000 | -5,300 | 0,000 | 1,000 | 100,000 | -1,539 | 1,843 | 0,680 | 0,680 | 0,680 | 0,668 | 0,668 | 0,080 |
| 22,000 | 19,692 | 99,597 | -6,127 | skid front(out) | 1000000,000 | -5,300 | 0,000 | 1,000 | 100,000 | -1,769 | 1,930 | 0,680 | 0,680 | 0,680 | 0,668 | 0,668 | 0,087 |
| 22,500 | 17,560 | 99,600 | -6,124 | skid front(out) | 1000000,000 | -5,300 | 0,000 | 1,000 | 100,000 | -3,856 | 2,027 | 0,680 | 0,680 | 0,680 | 0,668 | 0,668 | 0,097 |
| 23,000 | 15,132 | 99,593 | -6,123 | skid front(out) | 1000000,000 | -5,300 | 0,000 | 1,000 | 100,000 | -3,350 | 2,137 | 0,680 | 0,680 | 0,680 | 0,668 | 0,668 | 0,110 |
| 23,500 | 12,231 | 99,602 | -6,123 | skid front(out) | 1000000,000 | -5,300 | 0,000 | 1,000 | 100,000 | -2,069 | 2,269 | 0,680 | 0,680 | 0,680 | 0,668 | 0,668 | 0,132 |
| 24,000 | 8,380 | 99,600 | -6,121 | skid front(out) | 1000000,000 | -5,300 | 0,000 | 1,000 | 100,000 | -2,835 | 2,443 | 0,680 | 0,680 | 0,680 | 0,668 | 0,668 | 0,175 |
| 24,500 | 1,825 | 99,605 | -6,121 | skid front(out) | 1000000,000 | -5,300 | 0,000 | 1,000 | 100,000 | -2,387 | 2,741 | 0,680 | 0,680 | 0,680 | 0,668 | 0,668 | 0,297 |

| run_c_d_ntua_12 | R(m) | br.front (%) | s(%) | e (%) | coeff | effic (%) | time (sec) | | | | | | | | | | |
|-----------------|-----------------|--------------|--------|-----------------|-------------|-----------|------------|-------|-----------|-----------|------------|----------|-----------|----------|----------|---------|-----------|
| s= 100,000 | 1000000,00 | 76,00 | -5,3 | 0,0 | 1,00 | 100 | 2,626 | 0,963 | | | | | | | | | |
| step= 0,100 | viewstep= 0,500 | STEPS | | | | | | | | | | | | | | | |
| s (m) | V (km/h) | n (%) | dv/dt | skid check | R(m) | s(%) | e (%) | coeff | effic (%) | decelera | time (sec) | fT | front out | front in | rear out | rear in | checktime |
| 23,000 | 1,522 | 99,645 | -6,338 | skid front(out) | 1000000,000 | -5,300 | 0,000 | 1,000 | 100,000 | -3,081820 | 2,626 | 0,701842 | 0,7016 | 0,7016 | 0,6913 | 0,6913 | |
| 0,000 | 61,640 | 99,653 | -6,397 | O.K | 1000000,000 | -5,300 | 0,000 | 1,000 | 100,000 | 0,000 | 0,000 | 0,702 | | | | | |
| 0,400 | 61,100 | 99,653 | -6,396 | skid front(in) | 1000000,000 | -5,300 | 0,000 | 1,000 | 100,000 | 0,000 | 0,023 | 0,702 | 0,702 | 0,702 | 0,692 | 0,692 | 0,023 |
| 1,000 | 60,280 | 99,653 | -6,395 | skid front(in) | 1000000,000 | -5,300 | 0,000 | 1,000 | 100,000 | 0,000 | 0,059 | 0,702 | 0,702 | 0,702 | 0,692 | 0,692 | 0,036 |
| 1,500 | 59,589 | 99,653 | -6,394 | skid front(in) | 1000000,000 | -5,300 | 0,000 | 1,000 | 100,000 | 0,000 | 0,089 | 0,702 | 0,702 | 0,702 | 0,692 | 0,692 | 0,030 |
| 2,000 | 58,890 | 99,653 | -6,392 | skid front(in) | 1000000,000 | -5,300 | 0,000 | 1,000 | 100,000 | 0,000 | 0,119 | 0,702 | 0,702 | 0,702 | 0,692 | 0,692 | 0,030 |
| 2,500 | 58,182 | 99,653 | -6,391 | skid front(in) | 1000000,000 | -5,300 | 0,000 | 1,000 | 100,000 | 0,000 | 0,150 | 0,702 | 0,702 | 0,702 | 0,692 | 0,692 | 0,031 |
| 3,000 | 57,466 | 99,653 | -6,390 | skid front(in) | 1000000,000 | -5,300 | 0,000 | 1,000 | 100,000 | 0,000 | 0,181 | 0,702 | 0,702 | 0,702 | 0,692 | 0,692 | 0,031 |
| 3,500 | 56,741 | 99,653 | -6,389 | skid front(in) | 1000000,000 | -5,300 | 0,000 | 1,000 | 100,000 | 0,000 | 0,213 | 0,702 | 0,702 | 0,702 | 0,692 | 0,692 | 0,032 |
| 4,000 | 56,006 | 99,653 | -6,388 | skid front(in) | 1000000,000 | -5,300 | 0,000 | 1,000 | 100,000 | 0,000 | 0,245 | 0,702 | 0,702 | 0,702 | 0,692 | 0,692 | 0,032 |
| 4,400 | 55,412 | 99,653 | -6,387 | skid front(in) | 1000000,000 | -5,300 | 0,000 | 1,000 | 100,000 | 0,000 | 0,271 | 0,702 | 0,702 | 0,702 | 0,692 | 0,692 | 0,026 |
| 5,000 | 54,509 | 99,653 | -6,385 | skid front(in) | 1000000,000 | -5,300 | 0,000 | 1,000 | 100,000 | 0,000 | 0,310 | 0,702 | 0,702 | 0,702 | 0,692 | 0,692 | 0,039 |
| 5,500 | 53,744 | 99,654 | -6,384 | skid front(in) | 1000000,000 | -5,300 | 0,000 | 1,000 | 100,000 | 0,000 | 0,343 | 0,702 | 0,702 | 0,702 | 0,692 | 0,692 | 0,033 |
| 6,000 | 52,969 | 99,654 | -6,383 | skid front(in) | 1000000,000 | -5,300 | 0,000 | 1,000 | 100,000 | 0,000 | 0,377 | 0,702 | 0,702 | 0,702 | 0,692 | 0,692 | 0,034 |
| 6,500 | 52,182 | 99,654 | -6,381 | skid front(in) | 1000000,000 | -5,300 | 0,000 | 1,000 | 100,000 | 0,000 | 0,411 | 0,702 | 0,702 | 0,702 | 0,692 | 0,692 | 0,034 |
| 7,000 | 51,384 | 99,654 | -6,380 | skid front(in) | 1000000,000 | -5,300 | 0,000 | 1,000 | 100,000 | 0,000 | 0,446 | 0,702 | 0,702 | 0,702 | 0,692 | 0,692 | 0,035 |
| 7,500 | 50,573 | 99,654 | -6,379 | skid front(in) | 1000000,000 | -5,300 | 0,000 | 1,000 | 100,000 | 0,000 | 0,481 | 0,702 | 0,702 | 0,702 | 0,692 | 0,692 | 0,035 |
| 8,000 | 49,749 | 99,654 | -6,378 | skid front(in) | 1000000,000 | -5,300 | 0,000 | 1,000 | 100,000 | 0,000 | 0,517 | 0,702 | 0,702 | 0,702 | 0,692 | 0,692 | 0,036 |
| 8,500 | 48,911 | 99,654 | -6,377 | skid front(in) | 1000000,000 | -5,300 | 0,000 | 1,000 | 100,000 | 0,000 | 0,554 | 0,702 | 0,702 | 0,702 | 0,692 | 0,692 | 0,036 |
| 9,000 | 48,059 | 99,654 | -6,375 | skid front(in) | 1000000,000 | -5,300 | 0,000 | 1,000 | 100,000 | 0,000 | 0,591 | 0,702 | 0,702 | 0,702 | 0,692 | 0,692 | 0,037 |
| 9,500 | 47,192 | 99,654 | -6,374 | skid front(in) | 1000000,000 | -5,300 | 0,000 | 1,000 | 100,000 | 0,000 | 0,629 | 0,702 | 0,702 | 0,702 | 0,692 | 0,692 | 0,038 |
| 10,000 | 46,308 | 99,654 | -6,373 | skid front(in) | 1000000,000 | -5,300 | 0,000 | 1,000 | 100,000 | 0,000 | 0,667 | 0,702 | 0,702 | 0,702 | 0,692 | 0,692 | 0,039 |
| 10,500 | 45,408 | 99,654 | -6,372 | skid front(in) | 1000000,000 | -5,300 | 0,000 | 1,000 | 100,000 | 0,000 | 0,706 | 0,702 | 0,702 | 0,702 | 0,692 | 0,692 | 0,039 |
| 11,000 | 44,489 | 99,654 | -6,371 | skid front(in) | 1000000,000 | -5,300 | 0,000 | 1,000 | 100,000 | 0,000 | 0,746 | 0,702 | 0,702 | 0,702 | 0,692 | 0,692 | 0,040 |
| 11,500 | 43,552 | 99,654 | -6,369 | skid front(in) | 1000000,000 | -5,300 | 0,000 | 1,000 | 100,000 | 0,000 | 0,787 | 0,702 | 0,702 | 0,702 | 0,692 | 0,692 | 0,041 |
| 12,000 | 42,594 | 99,655 | -6,368 | skid front(in) | 1000000,000 | -5,300 | 0,000 | 1,000 | 100,000 | 0,000 | 0,829 | 0,702 | 0,702 | 0,702 | 0,692 | 0,692 | 0,042 |
| 12,500 | 41,614 | 99,655 | -6,367 | skid front(in) | 1000000,000 | -5,300 | 0,000 | 1,000 | 100,000 | 0,000 | 0,872 | 0,702 | 0,702 | 0,702 | 0,692 | 0,692 | 0,043 |
| 13,000 | 40,610 | 99,655 | -6,366 | skid front(in) | 1000000,000 | -5,300 | 0,000 | 1,000 | 100,000 | 0,000 | 0,916 | 0,702 | 0,702 | 0,702 | 0,692 | 0,692 | 0,044 |
| 13,500 | 39,581 | 99,655 | -6,364 | skid front(in) | 1000000,000 | -5,300 | 0,000 | 1,000 | 100,000 | 0,000 | 0,960 | 0,702 | 0,702 | 0,702 | 0,692 | 0,692 | 0,045 |
| 14,000 | 38,525 | 99,655 | -6,363 | skid front(in) | 1000000,000 | -5,300 | 0,000 | 1,000 | 100,000 | 0,000 | 1,007 | 0,702 | 0,702 | 0,702 | 0,692 | 0,692 | 0,046 |
| 14,500 | 37,440 | 99,655 | -6,362 | skid front(in) | 1000000,000 | -5,300 | 0,000 | 1,000 | 100,000 | 0,000 | 1,054 | 0,702 | 0,702 | 0,702 | 0,692 | 0,692 | 0,047 |

Προσδιορισμός Τιμών Πρόσφυσης κατά την Πέδηση Οχημάτων Εφοδιασμένων με Σύστημα ABS σε Αυξημένες κατά Μήκος Κλίσεις

| | | | | | | | | | | | | | | | | | |
|--------|--------|--------|--------|-----------------|-------------|--------|-------|-------|---------|--------|-------|-------|-------|-------|-------|-------|-------|
| 15,000 | 36,322 | 99,655 | -6,361 | skid front(in) | 1000000,000 | -5,300 | 0,000 | 1,000 | 100,000 | 0,000 | 1,103 | 0,702 | 0,702 | 0,702 | 0,692 | 0,692 | 0,049 |
| 15,500 | 35,169 | 99,655 | -6,360 | skid front(in) | 1000000,000 | -5,300 | 0,000 | 1,000 | 100,000 | 0,001 | 1,153 | 0,702 | 0,702 | 0,702 | 0,692 | 0,692 | 0,050 |
| 16,000 | 33,977 | 99,655 | -6,358 | skid front(in) | 1000000,000 | -5,300 | 0,000 | 1,000 | 100,000 | 0,000 | 1,205 | 0,702 | 0,702 | 0,702 | 0,692 | 0,692 | 0,052 |
| 16,500 | 32,742 | 99,655 | -6,357 | skid front(in) | 1000000,000 | -5,300 | 0,000 | 1,000 | 100,000 | 0,001 | 1,259 | 0,702 | 0,702 | 0,702 | 0,692 | 0,692 | 0,054 |
| 17,000 | 31,459 | 99,651 | -6,354 | skid front(out) | 1000000,000 | -5,300 | 0,000 | 1,000 | 100,000 | -1,955 | 1,315 | 0,702 | 0,702 | 0,702 | 0,692 | 0,692 | 0,056 |
| 17,500 | 30,122 | 99,654 | -6,353 | skid front(out) | 1000000,000 | -5,300 | 0,000 | 1,000 | 100,000 | -1,606 | 1,374 | 0,702 | 0,702 | 0,702 | 0,692 | 0,692 | 0,058 |
| 18,000 | 28,722 | 99,669 | -6,352 | skid front(out) | 1000000,000 | -5,300 | 0,000 | 1,000 | 100,000 | -2,799 | 1,435 | 0,702 | 0,702 | 0,702 | 0,692 | 0,692 | 0,061 |
| 18,500 | 27,251 | 99,632 | -6,350 | skid front(out) | 1000000,000 | -5,300 | 0,000 | 1,000 | 100,000 | -0,554 | 1,499 | 0,702 | 0,702 | 0,702 | 0,692 | 0,692 | 0,064 |
| 18,900 | 26,015 | 99,689 | -6,351 | skid front(out) | 1000000,000 | -5,300 | 0,000 | 1,000 | 100,000 | -2,810 | 1,553 | 0,702 | 0,702 | 0,702 | 0,692 | 0,692 | 0,054 |
| 19,500 | 24,042 | 99,651 | -6,348 | skid front(out) | 1000000,000 | -5,300 | 0,000 | 1,000 | 100,000 | -1,761 | 1,640 | 0,702 | 0,702 | 0,702 | 0,692 | 0,692 | 0,086 |
| 20,000 | 22,265 | 99,668 | -6,348 | skid front(out) | 1000000,000 | -5,300 | 0,000 | 1,000 | 100,000 | -2,019 | 1,717 | 0,702 | 0,702 | 0,702 | 0,692 | 0,692 | 0,078 |
| 20,500 | 20,334 | 99,673 | -6,347 | skid front(out) | 1000000,000 | -5,300 | 0,000 | 1,000 | 100,000 | -2,092 | 1,802 | 0,702 | 0,702 | 0,702 | 0,692 | 0,692 | 0,085 |
| 21,000 | 18,199 | 99,667 | -6,345 | skid front(out) | 1000000,000 | -5,300 | 0,000 | 1,000 | 100,000 | -2,033 | 1,895 | 0,702 | 0,702 | 0,702 | 0,692 | 0,692 | 0,093 |
| 21,500 | 15,778 | 99,671 | -6,343 | skid front(out) | 1000000,000 | -5,300 | 0,000 | 1,000 | 100,000 | -3,776 | 2,001 | 0,702 | 0,702 | 0,702 | 0,692 | 0,692 | 0,106 |
| 22,000 | 12,912 | 99,660 | -6,344 | skid front(out) | 1000000,000 | -5,300 | 0,000 | 1,000 | 100,000 | -0,641 | 2,127 | 0,702 | 0,702 | 0,702 | 0,692 | 0,692 | 0,126 |
| 22,500 | 9,193 | 99,661 | -6,339 | skid front(out) | 1000000,000 | -5,300 | 0,000 | 1,000 | 100,000 | -4,465 | 2,289 | 0,702 | 0,702 | 0,702 | 0,691 | 0,691 | 0,163 |
| 23,000 | 1,522 | 99,645 | -6,338 | skid front(out) | 1000000,000 | -5,300 | 0,000 | 1,000 | 100,000 | -3,082 | 2,626 | 0,702 | 0,702 | 0,702 | 0,691 | 0,691 | 0,336 |

| run_c_d_ntua_13 | R(m) | br.front (%) | s(%) | e (%) | coeff | effic (%) | time (sec) | | | | | | | | | | |
|-----------------|-----------------|--------------|--------|-----------------|-------------|-----------|------------|-------|-----------|-----------|------------|----------|-----------|----------|----------|---------|-----------|
| s= 100,000 | 1000000,00 | 76,00 | -5,3 | 0,0 | 1,00 | 100 | 2,852 | 0,963 | | | | | | | | | |
| step= 0,100 | viewstep= 0,500 | STEPS | | | | | | | | | | | | | | | |
| s (m) | V (km/h) | n (%) | dv/dt | skid check | R(m) | s(%) | e (%) | coeff | effic (%) | decelera | time (sec) | fT | front out | front in | rear out | rear in | checktime |
| 26,700 | 1,901 | 99,161 | -6,183 | skid front(out) | 1000000,000 | -5,300 | 0,000 | 1,000 | 100,000 | -2,591065 | 2,852 | 0,689329 | 0,6893 | 0,6893 | 0,6651 | 0,6651 | |
| 0,000 | 65,620 | 99,136 | -6,249 | O.K | 1000000,000 | -5,300 | 0,000 | 1,000 | 100,000 | 0,000 | 0,000 | 0,689 | | | | | |
| 0,400 | 65,124 | 99,136 | -6,248 | skid front(in) | 1000000,000 | -5,300 | 0,000 | 1,000 | 100,000 | 0,000 | 0,022 | 0,689 | 0,689 | 0,689 | 0,665 | 0,665 | 0,022 |
| 1,000 | 64,374 | 99,136 | -6,247 | skid front(in) | 1000000,000 | -5,300 | 0,000 | 1,000 | 100,000 | 0,000 | 0,055 | 0,689 | 0,689 | 0,689 | 0,665 | 0,665 | 0,033 |
| 1,500 | 63,742 | 99,136 | -6,245 | skid front(in) | 1000000,000 | -5,300 | 0,000 | 1,000 | 100,000 | 0,000 | 0,083 | 0,689 | 0,689 | 0,689 | 0,665 | 0,665 | 0,028 |
| 2,000 | 63,104 | 99,136 | -6,244 | skid front(in) | 1000000,000 | -5,300 | 0,000 | 1,000 | 100,000 | 0,000 | 0,112 | 0,689 | 0,689 | 0,689 | 0,665 | 0,665 | 0,028 |
| 2,500 | 62,459 | 99,136 | -6,243 | skid front(in) | 1000000,000 | -5,300 | 0,000 | 1,000 | 100,000 | 0,000 | 0,141 | 0,689 | 0,689 | 0,689 | 0,665 | 0,665 | 0,029 |
| 3,000 | 61,808 | 99,136 | -6,242 | skid front(in) | 1000000,000 | -5,300 | 0,000 | 1,000 | 100,000 | 0,000 | 0,170 | 0,689 | 0,689 | 0,689 | 0,665 | 0,665 | 0,029 |
| 3,500 | 61,150 | 99,136 | -6,241 | skid front(in) | 1000000,000 | -5,300 | 0,000 | 1,000 | 100,000 | 0,000 | 0,199 | 0,689 | 0,689 | 0,689 | 0,665 | 0,665 | 0,029 |
| 4,000 | 60,486 | 99,136 | -6,239 | skid front(in) | 1000000,000 | -5,300 | 0,000 | 1,000 | 100,000 | 0,000 | 0,228 | 0,689 | 0,689 | 0,689 | 0,665 | 0,665 | 0,030 |
| 4,400 | 59,948 | 99,137 | -6,238 | skid front(in) | 1000000,000 | -5,300 | 0,000 | 1,000 | 100,000 | 0,000 | 0,252 | 0,689 | 0,689 | 0,689 | 0,665 | 0,665 | 0,024 |
| 5,000 | 59,134 | 99,137 | -6,237 | skid front(in) | 1000000,000 | -5,300 | 0,000 | 1,000 | 100,000 | 0,000 | 0,289 | 0,689 | 0,689 | 0,689 | 0,665 | 0,665 | 0,036 |
| 5,500 | 58,446 | 99,137 | -6,236 | skid front(in) | 1000000,000 | -5,300 | 0,000 | 1,000 | 100,000 | 0,000 | 0,319 | 0,689 | 0,689 | 0,689 | 0,665 | 0,665 | 0,031 |
| 6,000 | 57,751 | 99,137 | -6,235 | skid front(in) | 1000000,000 | -5,300 | 0,000 | 1,000 | 100,000 | 0,000 | 0,350 | 0,689 | 0,689 | 0,689 | 0,665 | 0,665 | 0,031 |
| 6,500 | 57,047 | 99,137 | -6,233 | skid front(in) | 1000000,000 | -5,300 | 0,000 | 1,000 | 100,000 | 0,000 | 0,382 | 0,689 | 0,689 | 0,689 | 0,665 | 0,665 | 0,031 |
| 7,000 | 56,335 | 99,137 | -6,232 | skid front(in) | 1000000,000 | -5,300 | 0,000 | 1,000 | 100,000 | 0,000 | 0,413 | 0,689 | 0,689 | 0,689 | 0,665 | 0,665 | 0,032 |
| 7,500 | 55,613 | 99,137 | -6,231 | skid front(in) | 1000000,000 | -5,300 | 0,000 | 1,000 | 100,000 | 0,000 | 0,445 | 0,689 | 0,689 | 0,689 | 0,665 | 0,665 | 0,032 |
| 8,000 | 54,883 | 99,137 | -6,230 | skid front(in) | 1000000,000 | -5,300 | 0,000 | 1,000 | 100,000 | 0,000 | 0,478 | 0,689 | 0,689 | 0,689 | 0,665 | 0,665 | 0,033 |
| 8,500 | 54,142 | 99,137 | -6,228 | skid front(in) | 1000000,000 | -5,300 | 0,000 | 1,000 | 100,000 | 0,000 | 0,511 | 0,689 | 0,689 | 0,689 | 0,665 | 0,665 | 0,033 |
| 9,000 | 53,392 | 99,137 | -6,227 | skid front(in) | 1000000,000 | -5,300 | 0,000 | 1,000 | 100,000 | 0,000 | 0,545 | 0,689 | 0,689 | 0,689 | 0,665 | 0,665 | 0,033 |
| 9,500 | 52,631 | 99,137 | -6,226 | skid front(in) | 1000000,000 | -5,300 | 0,000 | 1,000 | 100,000 | 0,000 | 0,578 | 0,689 | 0,689 | 0,689 | 0,665 | 0,665 | 0,034 |
| 10,000 | 51,858 | 99,137 | -6,225 | skid front(in) | 1000000,000 | -5,300 | 0,000 | 1,000 | 100,000 | 0,000 | 0,613 | 0,689 | 0,689 | 0,689 | 0,665 | 0,665 | 0,034 |
| 10,500 | 51,075 | 99,137 | -6,224 | skid front(in) | 1000000,000 | -5,300 | 0,000 | 1,000 | 100,000 | 0,000 | 0,648 | 0,689 | 0,689 | 0,689 | 0,665 | 0,665 | 0,035 |
| 11,000 | 50,279 | 99,137 | -6,222 | skid front(in) | 1000000,000 | -5,300 | 0,000 | 1,000 | 100,000 | 0,000 | 0,683 | 0,689 | 0,689 | 0,689 | 0,665 | 0,665 | 0,036 |
| 11,500 | 49,471 | 99,138 | -6,221 | skid front(in) | 1000000,000 | -5,300 | 0,000 | 1,000 | 100,000 | 0,000 | 0,720 | 0,689 | 0,689 | 0,689 | 0,665 | 0,665 | 0,036 |
| 12,000 | 48,649 | 99,138 | -6,220 | skid front(in) | 1000000,000 | -5,300 | 0,000 | 1,000 | 100,000 | 0,000 | 0,756 | 0,689 | 0,689 | 0,689 | 0,665 | 0,665 | 0,037 |
| 12,500 | 47,813 | 99,138 | -6,219 | skid front(in) | 1000000,000 | -5,300 | 0,000 | 1,000 | 100,000 | 0,000 | 0,794 | 0,689 | 0,689 | 0,689 | 0,665 | 0,665 | 0,037 |
| 13,000 | 46,963 | 99,138 | -6,217 | skid front(in) | 1000000,000 | -5,300 | 0,000 | 1,000 | 100,000 | 0,000 | 0,832 | 0,689 | 0,689 | 0,689 | 0,665 | 0,665 | 0,038 |
| 13,500 | 46,097 | 99,138 | -6,216 | skid front(in) | 1000000,000 | -5,300 | 0,000 | 1,000 | 100,000 | 0,000 | 0,870 | 0,689 | 0,689 | 0,689 | 0,665 | 0,665 | 0,039 |
| 14,000 | 45,215 | 99,138 | -6,215 | skid front(in) | 1000000,000 | -5,300 | 0,000 | 1,000 | 100,000 | 0,000 | 0,910 | 0,689 | 0,689 | 0,689 | 0,665 | 0,665 | 0,039 |
| 14,500 | 44,316 | 99,138 | -6,214 | skid front(in) | 1000000,000 | -5,300 | 0,000 | 1,000 | 100,000 | 0,000 | 0,950 | 0,689 | 0,689 | 0,689 | 0,665 | 0,665 | 0,040 |

Προσδιορισμός Τιμών Πρόσφυσης κατά την Πέδηση Οχημάτων Εφοδιασμένων με Σύστημα ABS σε Αυξημένες κατά Μήκος Κλίσεις

| | | | | | | | | | | | | | | | | | |
|--------|--------|--------|--------|-----------------|-------------|--------|-------|-------|---------|--------|-------|-------|-------|-------|-------|-------|-------|
| 15,000 | 43,398 | 99,138 | -6,213 | skid front(in) | 1000000,000 | -5,300 | 0,000 | 1,000 | 100,000 | 0,000 | 0,991 | 0,689 | 0,689 | 0,689 | 0,665 | 0,665 | 0,041 |
| 15,500 | 42,460 | 99,138 | -6,211 | skid front(in) | 1000000,000 | -5,300 | 0,000 | 1,000 | 100,000 | 0,000 | 1,033 | 0,689 | 0,689 | 0,689 | 0,665 | 0,665 | 0,042 |
| 16,000 | 41,501 | 99,138 | -6,210 | skid front(in) | 1000000,000 | -5,300 | 0,000 | 1,000 | 100,000 | 0,000 | 1,076 | 0,689 | 0,689 | 0,689 | 0,665 | 0,665 | 0,043 |
| 16,500 | 40,520 | 99,138 | -6,209 | skid front(in) | 1000000,000 | -5,300 | 0,000 | 1,000 | 100,000 | 0,000 | 1,120 | 0,689 | 0,689 | 0,689 | 0,665 | 0,665 | 0,044 |
| 17,000 | 39,515 | 99,138 | -6,208 | skid front(in) | 1000000,000 | -5,300 | 0,000 | 1,000 | 100,000 | 0,000 | 1,165 | 0,689 | 0,689 | 0,689 | 0,665 | 0,665 | 0,045 |
| 17,500 | 38,483 | 99,138 | -6,207 | skid front(in) | 1000000,000 | -5,300 | 0,000 | 1,000 | 100,000 | 0,000 | 1,211 | 0,689 | 0,689 | 0,689 | 0,665 | 0,665 | 0,046 |
| 18,000 | 37,424 | 99,138 | -6,205 | skid front(in) | 1000000,000 | -5,300 | 0,000 | 1,000 | 100,000 | 0,000 | 1,258 | 0,689 | 0,689 | 0,689 | 0,665 | 0,665 | 0,047 |
| 18,500 | 36,334 | 99,139 | -6,204 | skid front(in) | 1000000,000 | -5,300 | 0,000 | 1,000 | 100,000 | 0,000 | 1,307 | 0,689 | 0,689 | 0,689 | 0,665 | 0,665 | 0,049 |
| 18,900 | 35,437 | 99,139 | -6,203 | skid front(in) | 1000000,000 | -5,300 | 0,000 | 1,000 | 100,000 | 0,000 | 1,347 | 0,689 | 0,689 | 0,689 | 0,665 | 0,665 | 0,040 |
| 19,500 | 34,049 | 99,139 | -6,202 | skid front(in) | 1000000,000 | -5,300 | 0,000 | 1,000 | 100,000 | 0,000 | 1,409 | 0,689 | 0,689 | 0,689 | 0,665 | 0,665 | 0,062 |
| 20,000 | 32,848 | 99,139 | -6,200 | skid front(in) | 1000000,000 | -5,300 | 0,000 | 1,000 | 100,000 | 0,000 | 1,463 | 0,689 | 0,689 | 0,689 | 0,665 | 0,665 | 0,054 |
| 20,500 | 31,601 | 99,142 | -6,198 | skid front(out) | 1000000,000 | -5,300 | 0,000 | 1,000 | 100,000 | -1,761 | 1,519 | 0,689 | 0,689 | 0,689 | 0,665 | 0,665 | 0,056 |
| 21,000 | 30,303 | 99,133 | -6,197 | skid front(out) | 1000000,000 | -5,300 | 0,000 | 1,000 | 100,000 | -0,368 | 1,577 | 0,689 | 0,689 | 0,689 | 0,665 | 0,665 | 0,058 |
| 21,500 | 28,948 | 99,143 | -6,195 | skid front(out) | 1000000,000 | -5,300 | 0,000 | 1,000 | 100,000 | -1,973 | 1,638 | 0,689 | 0,689 | 0,689 | 0,665 | 0,665 | 0,061 |
| 22,000 | 27,526 | 99,152 | -6,195 | skid front(out) | 1000000,000 | -5,300 | 0,000 | 1,000 | 100,000 | -1,569 | 1,702 | 0,689 | 0,689 | 0,689 | 0,665 | 0,665 | 0,064 |
| 22,500 | 26,027 | 99,158 | -6,193 | skid front(out) | 1000000,000 | -5,300 | 0,000 | 1,000 | 100,000 | -2,611 | 1,769 | 0,689 | 0,689 | 0,689 | 0,665 | 0,665 | 0,067 |
| 23,000 | 24,436 | 99,117 | -6,190 | skid front(out) | 1000000,000 | -5,300 | 0,000 | 1,000 | 100,000 | -1,826 | 1,840 | 0,689 | 0,689 | 0,689 | 0,665 | 0,665 | 0,071 |
| 23,500 | 22,735 | 99,117 | -6,189 | skid front(in) | 1000000,000 | -5,300 | 0,000 | 1,000 | 100,000 | -2,249 | 1,916 | 0,689 | 0,689 | 0,689 | 0,665 | 0,665 | 0,076 |
| 24,000 | 20,896 | 99,137 | -6,189 | skid front(out) | 1000000,000 | -5,300 | 0,000 | 1,000 | 100,000 | -2,033 | 1,999 | 0,689 | 0,689 | 0,689 | 0,665 | 0,665 | 0,083 |
| 24,500 | 18,880 | 99,130 | -6,187 | skid front(out) | 1000000,000 | -5,300 | 0,000 | 1,000 | 100,000 | -1,649 | 2,089 | 0,689 | 0,689 | 0,689 | 0,665 | 0,665 | 0,091 |
| 25,000 | 16,620 | 99,172 | -6,188 | skid front(out) | 1000000,000 | -5,300 | 0,000 | 1,000 | 100,000 | -2,680 | 2,191 | 0,689 | 0,689 | 0,689 | 0,665 | 0,665 | 0,101 |
| 25,500 | 14,001 | 99,158 | -6,187 | skid front(out) | 1000000,000 | -5,300 | 0,000 | 1,000 | 100,000 | -1,420 | 2,308 | 0,689 | 0,689 | 0,689 | 0,665 | 0,665 | 0,118 |
| 26,000 | 10,764 | 99,137 | -6,184 | skid front(out) | 1000000,000 | -5,300 | 0,000 | 1,000 | 100,000 | -2,121 | 2,454 | 0,689 | 0,689 | 0,689 | 0,665 | 0,665 | 0,145 |
| 26,500 | 5,974 | 99,139 | -6,183 | skid front(out) | 1000000,000 | -5,300 | 0,000 | 1,000 | 100,000 | -2,108 | 2,669 | 0,689 | 0,689 | 0,689 | 0,665 | 0,665 | 0,215 |
| 26,700 | 1,901 | 99,161 | -6,183 | skid front(out) | 1000000,000 | -5,300 | 0,000 | 1,000 | 100,000 | -2,591 | 2,852 | 0,689 | 0,689 | 0,689 | 0,665 | 0,665 | 0,183 |

| run_c_d_ntua_14 | R(m) | br.front (%) | s(%) | e (%) | coeff | effic (%) | time (sec) | | | | | | | | | | | |
|-----------------|----------|--------------|--------|-----------------|-------------|-----------|------------|-------|-----------|-----------|------------|----------|-----------|----------|----------|---------|-----------|--|
| s= | 100,000 | 1000000,00 | 76,00 | -5,3 | 0,0 | 1,00 | 100 | 2,751 | 0,963 | | | | | | | | | |
| step= | 0,100 | viewstep= | 0,500 | STEPS | | | | | | | | | | | | | | |
| s (m) | V (km/h) | n (%) | dv/dt | skid check | R(m) | s(%) | e (%) | coeff | effic (%) | decelera | time (sec) | fT | front out | front in | rear out | rear in | checktime | |
| 25,300 | 1,959 | 99,442 | -6,275 | skid front(out) | 1000000,000 | -5,300 | 0,000 | 1,000 | 100,000 | -4,269971 | 2,751 | 0,696959 | 0,6966 | 0,6966 | 0,6806 | 0,6806 | | |
| 0,000 | 64,360 | 99,450 | -6,341 | O.K | 1000000,000 | -5,300 | 0,000 | 1,000 | 100,000 | 0,000 | 0,000 | 0,697 | | | | | | |
| 0,400 | 63,847 | 99,450 | -6,340 | skid front(in) | 1000000,000 | -5,300 | 0,000 | 1,000 | 100,000 | 0,000 | 0,022 | 0,697 | 0,697 | 0,697 | 0,681 | 0,681 | 0,022 | |
| 1,000 | 63,070 | 99,450 | -6,339 | skid front(in) | 1000000,000 | -5,300 | 0,000 | 1,000 | 100,000 | 0,000 | 0,057 | 0,697 | 0,697 | 0,697 | 0,681 | 0,681 | 0,034 | |
| 1,500 | 62,416 | 99,450 | -6,338 | skid front(in) | 1000000,000 | -5,300 | 0,000 | 1,000 | 100,000 | 0,000 | 0,085 | 0,697 | 0,697 | 0,697 | 0,681 | 0,681 | 0,029 | |
| 2,000 | 61,754 | 99,451 | -6,337 | skid front(in) | 1000000,000 | -5,300 | 0,000 | 1,000 | 100,000 | 0,000 | 0,114 | 0,697 | 0,697 | 0,697 | 0,681 | 0,681 | 0,029 | |
| 2,500 | 61,086 | 99,451 | -6,335 | skid front(in) | 1000000,000 | -5,300 | 0,000 | 1,000 | 100,000 | 0,000 | 0,143 | 0,697 | 0,697 | 0,697 | 0,681 | 0,681 | 0,029 | |
| 3,000 | 60,410 | 99,451 | -6,334 | skid front(in) | 1000000,000 | -5,300 | 0,000 | 1,000 | 100,000 | 0,000 | 0,173 | 0,697 | 0,697 | 0,697 | 0,681 | 0,681 | 0,030 | |
| 3,500 | 59,727 | 99,451 | -6,333 | skid front(in) | 1000000,000 | -5,300 | 0,000 | 1,000 | 100,000 | 0,000 | 0,203 | 0,697 | 0,697 | 0,697 | 0,681 | 0,681 | 0,030 | |
| 4,000 | 59,036 | 99,451 | -6,332 | skid front(in) | 1000000,000 | -5,300 | 0,000 | 1,000 | 100,000 | 0,000 | 0,233 | 0,697 | 0,697 | 0,697 | 0,681 | 0,681 | 0,030 | |
| 4,400 | 58,477 | 99,451 | -6,331 | skid front(in) | 1000000,000 | -5,300 | 0,000 | 1,000 | 100,000 | 0,000 | 0,258 | 0,697 | 0,697 | 0,697 | 0,681 | 0,681 | 0,025 | |
| 5,000 | 57,629 | 99,451 | -6,329 | skid front(in) | 1000000,000 | -5,300 | 0,000 | 1,000 | 100,000 | 0,000 | 0,295 | 0,697 | 0,697 | 0,697 | 0,681 | 0,681 | 0,037 | |
| 5,500 | 56,913 | 99,451 | -6,328 | skid front(in) | 1000000,000 | -5,300 | 0,000 | 1,000 | 100,000 | 0,000 | 0,327 | 0,697 | 0,697 | 0,697 | 0,681 | 0,681 | 0,031 | |
| 6,000 | 56,188 | 99,451 | -6,327 | skid front(in) | 1000000,000 | -5,300 | 0,000 | 1,000 | 100,000 | 0,000 | 0,358 | 0,697 | 0,697 | 0,697 | 0,681 | 0,681 | 0,032 | |
| 6,500 | 55,454 | 99,451 | -6,326 | skid front(in) | 1000000,000 | -5,300 | 0,000 | 1,000 | 100,000 | 0,000 | 0,391 | 0,697 | 0,697 | 0,697 | 0,681 | 0,681 | 0,032 | |
| 7,000 | 54,710 | 99,451 | -6,324 | skid front(in) | 1000000,000 | -5,300 | 0,000 | 1,000 | 100,000 | 0,000 | 0,423 | 0,697 | 0,697 | 0,697 | 0,681 | 0,681 | 0,033 | |
| 7,500 | 53,956 | 99,451 | -6,323 | skid front(in) | 1000000,000 | -5,300 | 0,000 | 1,000 | 100,000 | 0,000 | 0,456 | 0,697 | 0,697 | 0,697 | 0,681 | 0,681 | 0,033 | |
| 8,000 | 53,191 | 99,451 | -6,322 | skid front(in) | 1000000,000 | -5,300 | 0,000 | 1,000 | 100,000 | 0,000 | 0,490 | 0,697 | 0,697 | 0,697 | 0,681 | 0,681 | 0,034 | |
| 8,500 | 52,415 | 99,452 | -6,321 | skid front(in) | 1000000,000 | -5,300 | 0,000 | 1,000 | 100,000 | 0,000 | 0,524 | 0,697 | 0,697 | 0,697 | 0,681 | 0,681 | 0,034 | |
| 9,000 | 51,628 | 99,452 | -6,319 | skid front(in) | 1000000,000 | -5,300 | 0,000 | 1,000 | 100,000 | 0,000 | 0,559 | 0,697 | 0,697 | 0,697 | 0,681 | 0,681 | 0,035 | |
| 9,500 | 50,829 | 99,452 | -6,318 | skid front(in) | 1000000,000 | -5,300 | 0,000 | 1,000 | 100,000 | 0,000 | 0,594 | 0,697 | 0,697 | 0,697 | 0,681 | 0,681 | 0,035 | |
| 10,000 | 50,017 | 99,452 | -6,317 | skid front(in) | 1000000,000 | -5,300 | 0,000 | 1,000 | 100,000 | 0,000 | 0,630 | 0,697 | 0,697 | 0,697 | 0,681 | 0,681 | 0,036 | |
| 10,500 | 49,192 | 99,452 | -6,316 | skid front(in) | 1000000,000 | -5,300 | 0,000 | 1,000 | 100,000 | 0,000 | 0,666 | 0,697 | 0,697 | 0,697 | 0,681 | 0,681 | 0,036 | |
| 11,000 | 48,353 | 99,452 | -6,315 | skid front(in) | 1000000,000 | -5,300 | 0,000 | 1,000 | 100,000 | 0,000 | 0,703 | 0,697 | 0,697 | 0,697 | 0,681 | 0,681 | 0,037 | |

Προσδιορισμός Τιμών Πρόσφυσης κατά την Πέδηση Οχημάτων Εφοδιασμένων με Σύστημα ABS σε Αυξημένες κατά Μήκος Κλίσεις

| | | | | | | | | | | | | | | | | | |
|--------|--------|--------|--------|-----------------|-------------|--------|-------|-------|---------|--------|-------|-------|-------|-------|-------|-------|-------|
| 11,500 | 47,499 | 99,452 | -6,313 | skid front(in) | 1000000,000 | -5,300 | 0,000 | 1,000 | 100,000 | 0,000 | 0,740 | 0,697 | 0,697 | 0,697 | 0,681 | 0,681 | 0,038 |
| 12,000 | 46,630 | 99,452 | -6,312 | skid front(in) | 1000000,000 | -5,300 | 0,000 | 1,000 | 100,000 | 0,000 | 0,779 | 0,697 | 0,697 | 0,697 | 0,681 | 0,681 | 0,038 |
| 12,500 | 45,744 | 99,452 | -6,311 | skid front(in) | 1000000,000 | -5,300 | 0,000 | 1,000 | 100,000 | 0,000 | 0,818 | 0,697 | 0,697 | 0,697 | 0,681 | 0,681 | 0,039 |
| 13,000 | 44,841 | 99,452 | -6,310 | skid front(in) | 1000000,000 | -5,300 | 0,000 | 1,000 | 100,000 | 0,000 | 0,857 | 0,697 | 0,697 | 0,697 | 0,681 | 0,681 | 0,040 |
| 13,500 | 43,920 | 99,452 | -6,309 | skid front(in) | 1000000,000 | -5,300 | 0,000 | 1,000 | 100,000 | 0,000 | 0,898 | 0,697 | 0,697 | 0,697 | 0,681 | 0,681 | 0,041 |
| 14,000 | 42,979 | 99,452 | -6,307 | skid front(in) | 1000000,000 | -5,300 | 0,000 | 1,000 | 100,000 | 0,000 | 0,939 | 0,697 | 0,697 | 0,697 | 0,681 | 0,681 | 0,041 |
| 14,500 | 42,018 | 99,452 | -6,306 | skid front(in) | 1000000,000 | -5,300 | 0,000 | 1,000 | 100,000 | 0,000 | 0,982 | 0,697 | 0,697 | 0,697 | 0,681 | 0,681 | 0,042 |
| 15,000 | 41,034 | 99,452 | -6,305 | skid front(in) | 1000000,000 | -5,300 | 0,000 | 1,000 | 100,000 | 0,000 | 1,025 | 0,697 | 0,697 | 0,697 | 0,681 | 0,681 | 0,043 |
| 15,500 | 40,026 | 99,453 | -6,304 | skid front(in) | 1000000,000 | -5,300 | 0,000 | 1,000 | 100,000 | 0,000 | 1,069 | 0,697 | 0,697 | 0,697 | 0,681 | 0,681 | 0,044 |
| 16,000 | 38,992 | 99,453 | -6,302 | skid front(in) | 1000000,000 | -5,300 | 0,000 | 1,000 | 100,000 | 0,000 | 1,115 | 0,697 | 0,697 | 0,697 | 0,681 | 0,681 | 0,046 |
| 16,500 | 37,930 | 99,453 | -6,301 | skid front(in) | 1000000,000 | -5,300 | 0,000 | 1,000 | 100,000 | 0,000 | 1,162 | 0,697 | 0,697 | 0,697 | 0,681 | 0,681 | 0,047 |
| 17,000 | 36,838 | 99,453 | -6,300 | skid front(in) | 1000000,000 | -5,300 | 0,000 | 1,000 | 100,000 | 0,000 | 1,210 | 0,697 | 0,697 | 0,697 | 0,681 | 0,681 | 0,048 |
| 17,500 | 35,713 | 99,453 | -6,299 | skid front(in) | 1000000,000 | -5,300 | 0,000 | 1,000 | 100,000 | 0,000 | 1,259 | 0,697 | 0,697 | 0,697 | 0,681 | 0,681 | 0,050 |
| 18,000 | 34,551 | 99,453 | -6,298 | skid front(in) | 1000000,000 | -5,300 | 0,000 | 1,000 | 100,000 | 0,000 | 1,311 | 0,697 | 0,697 | 0,697 | 0,681 | 0,681 | 0,051 |
| 18,500 | 33,349 | 99,453 | -6,296 | skid front(in) | 1000000,000 | -5,300 | 0,000 | 1,000 | 100,000 | 0,000 | 1,364 | 0,697 | 0,697 | 0,697 | 0,681 | 0,681 | 0,053 |
| 18,900 | 32,356 | 99,453 | -6,295 | skid front(in) | 1000000,000 | -5,300 | 0,000 | 1,000 | 100,000 | 0,002 | 1,408 | 0,697 | 0,697 | 0,697 | 0,681 | 0,681 | 0,044 |
| 19,500 | 30,806 | 99,437 | -6,292 | skid front(out) | 1000000,000 | -5,300 | 0,000 | 1,000 | 100,000 | -1,052 | 1,476 | 0,697 | 0,697 | 0,697 | 0,681 | 0,681 | 0,068 |
| 20,000 | 29,453 | 99,458 | -6,291 | skid front(out) | 1000000,000 | -5,300 | 0,000 | 1,000 | 100,000 | -2,682 | 1,536 | 0,697 | 0,697 | 0,697 | 0,681 | 0,681 | 0,060 |
| 20,500 | 28,034 | 99,444 | -6,289 | skid front(out) | 1000000,000 | -5,300 | 0,000 | 1,000 | 100,000 | -2,579 | 1,598 | 0,697 | 0,697 | 0,697 | 0,681 | 0,681 | 0,063 |
| 21,000 | 26,540 | 99,457 | -6,289 | skid front(out) | 1000000,000 | -5,300 | 0,000 | 1,000 | 100,000 | -2,008 | 1,664 | 0,697 | 0,697 | 0,697 | 0,681 | 0,681 | 0,066 |
| 21,500 | 24,957 | 99,454 | -6,288 | skid front(out) | 1000000,000 | -5,300 | 0,000 | 1,000 | 100,000 | -1,238 | 1,734 | 0,697 | 0,697 | 0,697 | 0,681 | 0,681 | 0,070 |
| 22,000 | 23,267 | 99,457 | -6,286 | skid front(out) | 1000000,000 | -5,300 | 0,000 | 1,000 | 100,000 | -2,015 | 1,809 | 0,697 | 0,697 | 0,697 | 0,681 | 0,681 | 0,075 |
| 22,500 | 21,445 | 99,441 | -6,284 | skid front(out) | 1000000,000 | -5,300 | 0,000 | 1,000 | 100,000 | -2,632 | 1,889 | 0,697 | 0,697 | 0,697 | 0,681 | 0,681 | 0,081 |
| 23,000 | 19,453 | 99,430 | -6,283 | skid front(out) | 1000000,000 | -5,300 | 0,000 | 1,000 | 100,000 | -0,832 | 1,977 | 0,697 | 0,697 | 0,697 | 0,681 | 0,681 | 0,088 |
| 23,500 | 17,232 | 99,424 | -6,282 | skid front(out) | 1000000,000 | -5,300 | 0,000 | 1,000 | 100,000 | -0,701 | 2,076 | 0,697 | 0,697 | 0,697 | 0,681 | 0,681 | 0,098 |
| 24,000 | 14,681 | 99,504 | -6,283 | skid front(out) | 1000000,000 | -5,300 | 0,000 | 1,000 | 100,000 | -4,120 | 2,188 | 0,697 | 0,697 | 0,697 | 0,681 | 0,681 | 0,113 |
| 24,500 | 11,581 | 99,454 | -6,279 | skid front(out) | 1000000,000 | -5,300 | 0,000 | 1,000 | 100,000 | -3,695 | 2,325 | 0,697 | 0,697 | 0,697 | 0,681 | 0,681 | 0,137 |
| 25,000 | 7,259 | 99,436 | -6,277 | skid front(out) | 1000000,000 | -5,300 | 0,000 | 1,000 | 100,000 | -2,447 | 2,517 | 0,697 | 0,697 | 0,697 | 0,681 | 0,681 | 0,191 |
| 25,300 | 1,959 | 99,442 | -6,275 | skid front(out) | 1000000,000 | -5,300 | 0,000 | 1,000 | 100,000 | -4,270 | 2,751 | 0,697 | 0,697 | 0,697 | 0,681 | 0,681 | 0,235 |

2.2.2 NTUA - wet

| run_c_w_ntua_1 | R(m) | br.front (%) | s(%) | e (%) | coeff | effic (%) | time (sec) | | | | | | | | | | |
|----------------|----------|--------------|--------|-----------------|-------------|-----------|------------|-------|-----------|-----------|------------|---------|-----------|----------|----------|---------|-----------|
| s= | 100,000 | 1000000,00 | 70,50 | -5,3 | 0,0 | 1,00 | 100 | 3,236 | | | | | | | | | 0,963 |
| step= | 0,100 | viewstep= | 0,500 | STEPS | | | | | | | | | | | | | |
| s (m) | V (km/h) | n (%) | dv/dt | skid check | R(m) | s(%) | e (%) | coeff | effic (%) | decelera | time (sec) | fT | front out | front in | rear out | rear in | checktime |
| 22,100 | 0,131 | 99,835 | -4,190 | skid front(out) | 1000000,000 | -5,300 | 0,000 | 1,000 | 100,000 | -1,744876 | 3,236 | 0,48105 | 0,4810 | 0,4810 | 0,4780 | 0,4780 | |
| 0,000 | 49,130 | 99,812 | -4,238 | O.K | 1000000,000 | -5,300 | 0,000 | 1,000 | 100,000 | 0,000 | 0,000 | 0,481 | | | | | |
| 0,400 | 48,681 | 99,812 | -4,238 | skid front(in) | 1000000,000 | -5,300 | 0,000 | 1,000 | 100,000 | 0,000 | 0,029 | 0,481 | 0,481 | 0,481 | 0,478 | 0,478 | 0,029 |
| 1,000 | 47,999 | 99,812 | -4,236 | skid front(in) | 1000000,000 | -5,300 | 0,000 | 1,000 | 100,000 | 0,000 | 0,074 | 0,481 | 0,481 | 0,481 | 0,478 | 0,478 | 0,045 |
| 1,500 | 47,424 | 99,812 | -4,235 | skid front(in) | 1000000,000 | -5,300 | 0,000 | 1,000 | 100,000 | 0,000 | 0,112 | 0,481 | 0,481 | 0,481 | 0,478 | 0,478 | 0,038 |
| 2,000 | 46,842 | 99,812 | -4,234 | skid front(in) | 1000000,000 | -5,300 | 0,000 | 1,000 | 100,000 | 0,000 | 0,150 | 0,481 | 0,481 | 0,481 | 0,478 | 0,478 | 0,038 |
| 2,500 | 46,252 | 99,812 | -4,233 | skid front(in) | 1000000,000 | -5,300 | 0,000 | 1,000 | 100,000 | 0,000 | 0,189 | 0,481 | 0,481 | 0,481 | 0,478 | 0,478 | 0,039 |
| 3,000 | 45,656 | 99,812 | -4,232 | skid front(in) | 1000000,000 | -5,300 | 0,000 | 1,000 | 100,000 | 0,000 | 0,228 | 0,481 | 0,481 | 0,481 | 0,478 | 0,478 | 0,039 |
| 3,500 | 45,051 | 99,812 | -4,231 | skid front(in) | 1000000,000 | -5,300 | 0,000 | 1,000 | 100,000 | 0,000 | 0,268 | 0,481 | 0,481 | 0,481 | 0,478 | 0,478 | 0,040 |
| 4,000 | 44,438 | 99,813 | -4,230 | skid front(in) | 1000000,000 | -5,300 | 0,000 | 1,000 | 100,000 | 0,000 | 0,308 | 0,481 | 0,481 | 0,481 | 0,478 | 0,478 | 0,040 |
| 4,400 | 43,942 | 99,813 | -4,229 | skid front(in) | 1000000,000 | -5,300 | 0,000 | 1,000 | 100,000 | 0,000 | 0,340 | 0,481 | 0,481 | 0,481 | 0,478 | 0,478 | 0,033 |
| 5,000 | 43,188 | 99,813 | -4,228 | skid front(in) | 1000000,000 | -5,300 | 0,000 | 1,000 | 100,000 | 0,000 | 0,390 | 0,481 | 0,481 | 0,481 | 0,478 | 0,478 | 0,050 |
| 5,500 | 42,549 | 99,813 | -4,226 | skid front(in) | 1000000,000 | -5,300 | 0,000 | 1,000 | 100,000 | 0,000 | 0,432 | 0,481 | 0,481 | 0,481 | 0,478 | 0,478 | 0,042 |
| 6,000 | 41,900 | 99,813 | -4,225 | skid front(in) | 1000000,000 | -5,300 | 0,000 | 1,000 | 100,000 | 0,000 | 0,475 | 0,481 | 0,481 | 0,481 | 0,478 | 0,478 | 0,043 |
| 6,500 | 41,241 | 99,813 | -4,224 | skid front(in) | 1000000,000 | -5,300 | 0,000 | 1,000 | 100,000 | 0,000 | 0,518 | 0,481 | 0,481 | 0,481 | 0,478 | 0,478 | 0,043 |

Προσδιορισμός Τιμών Πρόσφυσης κατά την Πέδηση Οχημάτων Εφοδιασμένων με Σύστημα ABS σε Αυξημένες κατά Μήκος Κλίσεις

| | | | | | | | | | | | | | | | | | |
|--------|--------|--------|--------|-----------------|-------------|--------|-------|-------|---------|--------|-------|-------|-------|-------|-------|-------|-------|
| 7,000 | 40,572 | 99,813 | -4,223 | skid front(in) | 1000000,000 | -5,300 | 0,000 | 1,000 | 100,000 | 0,000 | 0,562 | 0,481 | 0,481 | 0,481 | 0,478 | 0,478 | 0,044 |
| 7,500 | 39,892 | 99,813 | -4,222 | skid front(in) | 1000000,000 | -5,300 | 0,000 | 1,000 | 100,000 | 0,000 | 0,607 | 0,481 | 0,481 | 0,481 | 0,478 | 0,478 | 0,045 |
| 8,000 | 39,201 | 99,813 | -4,221 | skid front(in) | 1000000,000 | -5,300 | 0,000 | 1,000 | 100,000 | 0,000 | 0,652 | 0,481 | 0,481 | 0,481 | 0,478 | 0,478 | 0,046 |
| 8,500 | 38,497 | 99,813 | -4,220 | skid front(in) | 1000000,000 | -5,300 | 0,000 | 1,000 | 100,000 | 0,000 | 0,698 | 0,481 | 0,481 | 0,481 | 0,478 | 0,478 | 0,046 |
| 9,000 | 37,780 | 99,813 | -4,219 | skid front(in) | 1000000,000 | -5,300 | 0,000 | 1,000 | 100,000 | 0,000 | 0,746 | 0,481 | 0,481 | 0,481 | 0,478 | 0,478 | 0,047 |
| 9,500 | 37,049 | 99,813 | -4,218 | skid front(in) | 1000000,000 | -5,300 | 0,000 | 1,000 | 100,000 | 0,000 | 0,794 | 0,481 | 0,481 | 0,481 | 0,478 | 0,478 | 0,048 |
| 10,000 | 36,304 | 99,813 | -4,217 | skid front(in) | 1000000,000 | -5,300 | 0,000 | 1,000 | 100,000 | 0,000 | 0,843 | 0,481 | 0,481 | 0,481 | 0,478 | 0,478 | 0,049 |
| 10,500 | 35,544 | 99,813 | -4,216 | skid front(in) | 1000000,000 | -5,300 | 0,000 | 1,000 | 100,000 | 0,000 | 0,893 | 0,481 | 0,481 | 0,481 | 0,478 | 0,478 | 0,050 |
| 11,000 | 34,767 | 99,813 | -4,214 | skid front(in) | 1000000,000 | -5,300 | 0,000 | 1,000 | 100,000 | 0,001 | 0,944 | 0,481 | 0,481 | 0,481 | 0,478 | 0,478 | 0,051 |
| 11,500 | 33,972 | 99,813 | -4,213 | skid front(in) | 1000000,000 | -5,300 | 0,000 | 1,000 | 100,000 | 0,000 | 0,997 | 0,481 | 0,481 | 0,481 | 0,478 | 0,478 | 0,052 |
| 12,000 | 33,159 | 99,813 | -4,212 | skid front(in) | 1000000,000 | -5,300 | 0,000 | 1,000 | 100,000 | 0,000 | 1,050 | 0,481 | 0,481 | 0,481 | 0,478 | 0,478 | 0,054 |
| 12,500 | 32,325 | 99,813 | -4,211 | skid front(in) | 1000000,000 | -5,300 | 0,000 | 1,000 | 100,000 | 0,001 | 1,105 | 0,481 | 0,481 | 0,481 | 0,478 | 0,478 | 0,055 |
| 13,000 | 31,470 | 99,798 | -4,208 | skid front(out) | 1000000,000 | -5,300 | 0,000 | 1,000 | 100,000 | -1,732 | 1,162 | 0,481 | 0,481 | 0,481 | 0,478 | 0,478 | 0,056 |
| 13,500 | 30,591 | 99,789 | -4,206 | skid front(in) | 1000000,000 | -5,300 | 0,000 | 1,000 | 100,000 | -2,036 | 1,220 | 0,481 | 0,481 | 0,481 | 0,478 | 0,478 | 0,058 |
| 14,000 | 29,686 | 99,852 | -4,208 | skid front(out) | 1000000,000 | -5,300 | 0,000 | 1,000 | 100,000 | -2,437 | 1,279 | 0,481 | 0,481 | 0,481 | 0,478 | 0,478 | 0,060 |
| 14,500 | 28,753 | 99,842 | -4,206 | skid front(out) | 1000000,000 | -5,300 | 0,000 | 1,000 | 100,000 | -1,937 | 1,341 | 0,481 | 0,481 | 0,481 | 0,478 | 0,478 | 0,062 |
| 15,000 | 27,789 | 99,845 | -4,206 | skid front(out) | 1000000,000 | -5,300 | 0,000 | 1,000 | 100,000 | -1,796 | 1,405 | 0,481 | 0,481 | 0,481 | 0,478 | 0,478 | 0,064 |
| 15,500 | 26,791 | 99,800 | -4,202 | skid front(out) | 1000000,000 | -5,300 | 0,000 | 1,000 | 100,000 | -2,372 | 1,471 | 0,481 | 0,481 | 0,481 | 0,478 | 0,478 | 0,066 |
| 16,000 | 25,754 | 99,800 | -4,202 | skid front(out) | 1000000,000 | -5,300 | 0,000 | 1,000 | 100,000 | -1,372 | 1,539 | 0,481 | 0,481 | 0,481 | 0,478 | 0,478 | 0,069 |
| 16,500 | 24,674 | 99,844 | -4,202 | skid front(out) | 1000000,000 | -5,300 | 0,000 | 1,000 | 100,000 | -2,351 | 1,610 | 0,481 | 0,481 | 0,481 | 0,478 | 0,478 | 0,071 |
| 17,000 | 23,544 | 99,808 | -4,199 | skid front(out) | 1000000,000 | -5,300 | 0,000 | 1,000 | 100,000 | -2,464 | 1,685 | 0,481 | 0,481 | 0,481 | 0,478 | 0,478 | 0,075 |
| 17,500 | 22,358 | 99,850 | -4,200 | skid front(out) | 1000000,000 | -5,300 | 0,000 | 1,000 | 100,000 | -2,552 | 1,764 | 0,481 | 0,481 | 0,481 | 0,478 | 0,478 | 0,078 |
| 18,000 | 21,106 | 99,841 | -4,197 | skid front(out) | 1000000,000 | -5,300 | 0,000 | 1,000 | 100,000 | -3,526 | 1,846 | 0,481 | 0,481 | 0,481 | 0,478 | 0,478 | 0,083 |
| 18,500 | 19,775 | 99,811 | -4,195 | skid front(out) | 1000000,000 | -5,300 | 0,000 | 1,000 | 100,000 | -3,058 | 1,934 | 0,481 | 0,481 | 0,481 | 0,478 | 0,478 | 0,088 |
| 18,900 | 18,642 | 99,768 | -4,194 | skid front(out) | 1000000,000 | -5,300 | 0,000 | 1,000 | 100,000 | -1,852 | 2,009 | 0,481 | 0,481 | 0,481 | 0,477 | 0,477 | 0,075 |
| 19,500 | 16,801 | 99,866 | -4,196 | skid front(out) | 1000000,000 | -5,300 | 0,000 | 1,000 | 100,000 | -2,968 | 2,131 | 0,481 | 0,481 | 0,481 | 0,478 | 0,478 | 0,122 |
| 20,000 | 15,097 | 99,843 | -4,195 | skid front(out) | 1000000,000 | -5,300 | 0,000 | 1,000 | 100,000 | -1,785 | 2,244 | 0,481 | 0,481 | 0,481 | 0,478 | 0,478 | 0,113 |
| 20,500 | 13,175 | 99,753 | -4,190 | skid front(out) | 1000000,000 | -5,300 | 0,000 | 1,000 | 100,000 | -1,501 | 2,371 | 0,481 | 0,481 | 0,481 | 0,477 | 0,477 | 0,127 |
| 21,000 | 10,919 | 99,759 | -4,189 | skid front(out) | 1000000,000 | -5,300 | 0,000 | 1,000 | 100,000 | -1,203 | 2,521 | 0,481 | 0,481 | 0,481 | 0,478 | 0,478 | 0,150 |
| 21,500 | 8,058 | 99,780 | -4,189 | skid front(out) | 1000000,000 | -5,300 | 0,000 | 1,000 | 100,000 | -1,389 | 2,711 | 0,481 | 0,481 | 0,481 | 0,478 | 0,478 | 0,190 |
| 22,000 | 3,258 | 99,824 | -4,189 | skid front(out) | 1000000,000 | -5,300 | 0,000 | 1,000 | 100,000 | -2,195 | 3,029 | 0,481 | 0,481 | 0,481 | 0,478 | 0,478 | 0,318 |
| 22,100 | 0,131 | 99,835 | -4,190 | skid front(out) | 1000000,000 | -5,300 | 0,000 | 1,000 | 100,000 | -1,745 | 3,236 | 0,481 | 0,481 | 0,481 | 0,478 | 0,478 | 0,207 |

| run_c_w_ntua_2 | R(m) | br.front (%) | s(%) | e (%) | coeff | effic (%) | time (sec) | | | | | | | | | | |
|----------------|-----------------|--------------|--------|-----------------|-------------|-----------|------------|-------|-----------|-----------|------------|---------|-----------|----------|----------|---------|-----------|
| s= 100,000 | 1000000,00 | 70,00 | -5,3 | 0,0 | 1,00 | 100 | 3,535 | 0,963 | | | | | | | | | |
| step= 0,100 | viewstep= 0,500 | STEPS | | | | | | | | | | | | | | | |
| s (m) | V (km/h) | n (%) | dv/dt | skid check | R(m) | s(%) | e (%) | coeff | effic (%) | decelera | time (sec) | fT | front out | front in | rear out | rear in | checktime |
| 24,400 | 0,037 | 99,426 | -3,885 | skid front(out) | 1000000,000 | -5,300 | 0,000 | 1,000 | 100,000 | -1,844050 | 3,535 | 0,45175 | 0,4515 | 0,4515 | 0,4432 | 0,4432 | |
| 0,000 | 49,710 | 99,444 | -3,938 | O.K | 1000000,000 | -5,300 | 0,000 | 1,000 | 100,000 | 0,000 | 0,000 | 0,452 | | | | | |
| 0,400 | 49,298 | 99,444 | -3,937 | skid front(in) | 1000000,000 | -5,300 | 0,000 | 1,000 | 100,000 | 0,000 | 0,029 | 0,452 | 0,452 | 0,452 | 0,443 | 0,444 | 0,029 |
| 1,000 | 48,673 | 99,444 | -3,936 | skid front(in) | 1000000,000 | -5,300 | 0,000 | 1,000 | 100,000 | 0,000 | 0,073 | 0,452 | 0,452 | 0,452 | 0,443 | 0,444 | 0,044 |
| 1,500 | 48,146 | 99,444 | -3,935 | skid front(in) | 1000000,000 | -5,300 | 0,000 | 1,000 | 100,000 | 0,000 | 0,110 | 0,452 | 0,452 | 0,452 | 0,443 | 0,444 | 0,037 |
| 2,000 | 47,613 | 99,444 | -3,934 | skid front(in) | 1000000,000 | -5,300 | 0,000 | 1,000 | 100,000 | 0,000 | 0,148 | 0,452 | 0,452 | 0,452 | 0,443 | 0,444 | 0,038 |
| 2,500 | 47,075 | 99,444 | -3,933 | skid front(in) | 1000000,000 | -5,300 | 0,000 | 1,000 | 100,000 | 0,000 | 0,186 | 0,452 | 0,452 | 0,452 | 0,443 | 0,444 | 0,038 |
| 3,000 | 46,531 | 99,444 | -3,932 | skid front(in) | 1000000,000 | -5,300 | 0,000 | 1,000 | 100,000 | 0,000 | 0,224 | 0,452 | 0,452 | 0,452 | 0,443 | 0,444 | 0,038 |
| 3,500 | 45,980 | 99,444 | -3,931 | skid front(in) | 1000000,000 | -5,300 | 0,000 | 1,000 | 100,000 | 0,000 | 0,263 | 0,452 | 0,452 | 0,452 | 0,443 | 0,444 | 0,039 |
| 4,000 | 45,423 | 99,444 | -3,930 | skid front(in) | 1000000,000 | -5,300 | 0,000 | 1,000 | 100,000 | 0,000 | 0,303 | 0,452 | 0,452 | 0,452 | 0,443 | 0,444 | 0,039 |
| 4,400 | 44,972 | 99,444 | -3,929 | skid front(in) | 1000000,000 | -5,300 | 0,000 | 1,000 | 100,000 | 0,000 | 0,335 | 0,452 | 0,452 | 0,452 | 0,443 | 0,444 | 0,032 |

Προσδιορισμός Τιμών Πρόσφυσης κατά την Πέδηση Οχημάτων Εφοδιασμένων με Σύστημα ABS σε Αυξημένες κατά Μήκος Κλίσεις

| | | | | | | | | | | | | | | | | | |
|--------|--------|--------|--------|-----------------|-------------|--------|-------|-------|---------|--------|-------|-------|-------|-------|-------|-------|-------|
| 5,000 | 44,287 | 99,444 | -3,928 | skid front(in) | 1000000,000 | -5,300 | 0,000 | 1,000 | 100,000 | 0,000 | 0,383 | 0,452 | 0,452 | 0,452 | 0,443 | 0,444 | 0,048 |
| 5,500 | 43,709 | 99,444 | -3,927 | skid front(in) | 1000000,000 | -5,300 | 0,000 | 1,000 | 100,000 | 0,000 | 0,424 | 0,452 | 0,452 | 0,452 | 0,443 | 0,444 | 0,041 |
| 6,000 | 43,123 | 99,444 | -3,926 | skid front(in) | 1000000,000 | -5,300 | 0,000 | 1,000 | 100,000 | 0,000 | 0,465 | 0,452 | 0,452 | 0,452 | 0,443 | 0,444 | 0,041 |
| 6,500 | 42,529 | 99,444 | -3,924 | skid front(in) | 1000000,000 | -5,300 | 0,000 | 1,000 | 100,000 | 0,000 | 0,507 | 0,452 | 0,452 | 0,452 | 0,443 | 0,444 | 0,042 |
| 7,000 | 41,927 | 99,444 | -3,923 | skid front(in) | 1000000,000 | -5,300 | 0,000 | 1,000 | 100,000 | 0,000 | 0,550 | 0,452 | 0,452 | 0,452 | 0,443 | 0,444 | 0,043 |
| 7,500 | 41,316 | 99,444 | -3,922 | skid front(in) | 1000000,000 | -5,300 | 0,000 | 1,000 | 100,000 | 0,000 | 0,593 | 0,452 | 0,452 | 0,452 | 0,443 | 0,444 | 0,043 |
| 8,000 | 40,697 | 99,444 | -3,921 | skid front(in) | 1000000,000 | -5,300 | 0,000 | 1,000 | 100,000 | 0,000 | 0,637 | 0,452 | 0,452 | 0,452 | 0,443 | 0,444 | 0,044 |
| 8,500 | 40,067 | 99,445 | -3,920 | skid front(in) | 1000000,000 | -5,300 | 0,000 | 1,000 | 100,000 | 0,000 | 0,682 | 0,452 | 0,452 | 0,452 | 0,443 | 0,444 | 0,045 |
| 9,000 | 39,428 | 99,445 | -3,919 | skid front(in) | 1000000,000 | -5,300 | 0,000 | 1,000 | 100,000 | 0,000 | 0,727 | 0,452 | 0,452 | 0,452 | 0,443 | 0,444 | 0,045 |
| 9,500 | 38,779 | 99,445 | -3,918 | skid front(in) | 1000000,000 | -5,300 | 0,000 | 1,000 | 100,000 | 0,000 | 0,773 | 0,452 | 0,452 | 0,452 | 0,443 | 0,444 | 0,046 |
| 10,000 | 38,119 | 99,445 | -3,917 | skid front(in) | 1000000,000 | -5,300 | 0,000 | 1,000 | 100,000 | 0,000 | 0,820 | 0,452 | 0,452 | 0,452 | 0,443 | 0,444 | 0,047 |
| 10,500 | 37,447 | 99,445 | -3,916 | skid front(in) | 1000000,000 | -5,300 | 0,000 | 1,000 | 100,000 | 0,000 | 0,868 | 0,452 | 0,452 | 0,452 | 0,443 | 0,444 | 0,048 |
| 11,000 | 36,763 | 99,445 | -3,915 | skid front(in) | 1000000,000 | -5,300 | 0,000 | 1,000 | 100,000 | 0,001 | 0,916 | 0,452 | 0,452 | 0,452 | 0,443 | 0,444 | 0,049 |
| 11,500 | 36,067 | 99,445 | -3,914 | skid front(in) | 1000000,000 | -5,300 | 0,000 | 1,000 | 100,000 | 0,000 | 0,965 | 0,452 | 0,452 | 0,452 | 0,443 | 0,444 | 0,049 |
| 12,000 | 35,356 | 99,445 | -3,913 | skid front(in) | 1000000,000 | -5,300 | 0,000 | 1,000 | 100,000 | 0,000 | 1,016 | 0,452 | 0,452 | 0,452 | 0,443 | 0,444 | 0,050 |
| 12,500 | 34,632 | 99,445 | -3,912 | skid front(in) | 1000000,000 | -5,300 | 0,000 | 1,000 | 100,000 | 0,000 | 1,067 | 0,452 | 0,452 | 0,452 | 0,443 | 0,444 | 0,051 |
| 13,000 | 33,892 | 99,445 | -3,911 | skid front(in) | 1000000,000 | -5,300 | 0,000 | 1,000 | 100,000 | 0,000 | 1,120 | 0,452 | 0,452 | 0,452 | 0,443 | 0,444 | 0,053 |
| 13,500 | 33,136 | 99,445 | -3,910 | skid front(in) | 1000000,000 | -5,300 | 0,000 | 1,000 | 100,000 | 0,001 | 1,174 | 0,452 | 0,452 | 0,452 | 0,444 | 0,444 | 0,054 |
| 14,000 | 32,363 | 99,445 | -3,909 | skid front(in) | 1000000,000 | -5,300 | 0,000 | 1,000 | 100,000 | 0,000 | 1,229 | 0,452 | 0,452 | 0,452 | 0,444 | 0,444 | 0,055 |
| 14,500 | 31,571 | 99,414 | -3,905 | skid front(out) | 1000000,000 | -5,300 | 0,000 | 1,000 | 100,000 | -1,509 | 1,285 | 0,452 | 0,452 | 0,452 | 0,443 | 0,443 | 0,056 |
| 15,000 | 30,758 | 99,458 | -3,905 | skid front(out) | 1000000,000 | -5,300 | 0,000 | 1,000 | 100,000 | -2,023 | 1,343 | 0,452 | 0,452 | 0,452 | 0,443 | 0,443 | 0,058 |
| 15,500 | 29,924 | 99,471 | -3,906 | skid front(out) | 1000000,000 | -5,300 | 0,000 | 1,000 | 100,000 | -1,328 | 1,402 | 0,452 | 0,452 | 0,452 | 0,443 | 0,444 | 0,059 |
| 16,000 | 29,066 | 99,452 | -3,902 | skid front(out) | 1000000,000 | -5,300 | 0,000 | 1,000 | 100,000 | -2,888 | 1,463 | 0,452 | 0,452 | 0,452 | 0,443 | 0,443 | 0,061 |
| 16,500 | 28,182 | 99,431 | -3,902 | skid front(out) | 1000000,000 | -5,300 | 0,000 | 1,000 | 100,000 | -1,322 | 1,526 | 0,452 | 0,452 | 0,452 | 0,443 | 0,443 | 0,063 |
| 17,000 | 27,270 | 99,440 | -3,901 | skid front(out) | 1000000,000 | -5,300 | 0,000 | 1,000 | 100,000 | -1,701 | 1,591 | 0,452 | 0,452 | 0,452 | 0,443 | 0,443 | 0,065 |
| 17,500 | 26,327 | 99,414 | -3,899 | skid front(out) | 1000000,000 | -5,300 | 0,000 | 1,000 | 100,000 | -0,768 | 1,658 | 0,452 | 0,452 | 0,452 | 0,443 | 0,443 | 0,067 |
| 18,000 | 25,349 | 99,419 | -3,898 | skid front(out) | 1000000,000 | -5,300 | 0,000 | 1,000 | 100,000 | -1,920 | 1,728 | 0,452 | 0,451 | 0,451 | 0,443 | 0,443 | 0,070 |
| 18,500 | 24,331 | 99,457 | -3,899 | skid front(out) | 1000000,000 | -5,300 | 0,000 | 1,000 | 100,000 | -1,403 | 1,800 | 0,452 | 0,452 | 0,452 | 0,443 | 0,443 | 0,072 |
| 18,900 | 23,486 | 99,495 | -3,898 | skid front(out) | 1000000,000 | -5,300 | 0,000 | 1,000 | 100,000 | -2,749 | 1,860 | 0,452 | 0,452 | 0,452 | 0,443 | 0,443 | 0,060 |
| 19,500 | 22,158 | 99,459 | -3,896 | skid front(out) | 1000000,000 | -5,300 | 0,000 | 1,000 | 100,000 | -1,883 | 1,955 | 0,452 | 0,452 | 0,452 | 0,443 | 0,443 | 0,095 |
| 20,000 | 20,987 | 99,457 | -3,896 | skid front(out) | 1000000,000 | -5,300 | 0,000 | 1,000 | 100,000 | -0,707 | 2,038 | 0,452 | 0,452 | 0,452 | 0,443 | 0,443 | 0,083 |
| 20,500 | 19,748 | 99,414 | -3,892 | skid front(out) | 1000000,000 | -5,300 | 0,000 | 1,000 | 100,000 | -2,241 | 2,127 | 0,452 | 0,451 | 0,451 | 0,443 | 0,443 | 0,088 |
| 21,000 | 18,426 | 99,405 | -3,891 | skid front(out) | 1000000,000 | -5,300 | 0,000 | 1,000 | 100,000 | -1,916 | 2,221 | 0,452 | 0,451 | 0,451 | 0,443 | 0,443 | 0,094 |
| 21,500 | 17,002 | 99,513 | -3,893 | skid front(out) | 1000000,000 | -5,300 | 0,000 | 1,000 | 100,000 | -3,623 | 2,323 | 0,452 | 0,452 | 0,452 | 0,443 | 0,443 | 0,102 |
| 22,000 | 15,447 | 99,458 | -3,891 | skid front(out) | 1000000,000 | -5,300 | 0,000 | 1,000 | 100,000 | -2,149 | 2,434 | 0,452 | 0,452 | 0,452 | 0,443 | 0,443 | 0,111 |
| 22,500 | 13,718 | 99,438 | -3,888 | skid front(out) | 1000000,000 | -5,300 | 0,000 | 1,000 | 100,000 | -3,254 | 2,557 | 0,452 | 0,451 | 0,451 | 0,443 | 0,443 | 0,123 |
| 23,000 | 11,738 | 99,458 | -3,889 | skid front(out) | 1000000,000 | -5,300 | 0,000 | 1,000 | 100,000 | -2,197 | 2,698 | 0,452 | 0,452 | 0,452 | 0,443 | 0,443 | 0,141 |
| 23,500 | 9,348 | 99,522 | -3,889 | skid front(out) | 1000000,000 | -5,300 | 0,000 | 1,000 | 100,000 | -3,955 | 2,869 | 0,452 | 0,452 | 0,452 | 0,443 | 0,443 | 0,171 |
| 24,000 | 6,081 | 99,394 | -3,884 | skid front(out) | 1000000,000 | -5,300 | 0,000 | 1,000 | 100,000 | -2,034 | 3,103 | 0,452 | 0,451 | 0,451 | 0,443 | 0,443 | 0,233 |
| 24,400 | 0,037 | 99,426 | -3,885 | skid front(out) | 1000000,000 | -5,300 | 0,000 | 1,000 | 100,000 | -1,844 | 3,535 | 0,452 | 0,452 | 0,452 | 0,443 | 0,443 | 0,432 |

| run_c_w_ntua_3 | R(m) | br.front (%) | s(%) | e (%) | coeff | effic (%) | time (sec) | | | | | | | | | | |
|----------------|----------|--------------|--------|-----------------|-------------|-----------|------------|-------|-----------|-----------|------------|---------|-----------|----------|----------|---------|-----------|
| s= | 100,000 | 1000000,00 | 70,00 | -5,3 | 0,0 | 1,00 | 100 | 3,664 | | | | | | | | | |
| step= | 0,100 | viewstep= | 0,500 | STEPS | | | | | | | | | 0,963 | | | | |
| s (m) | V (km/h) | n (%) | dv/dt | skid check | R(m) | s(%) | e (%) | coeff | effic (%) | decelera | time (sec) | fT | front out | front in | rear out | rear in | checktime |
| 26,800 | 1,148 | 99,154 | -3,806 | skid front(out) | 1000000,000 | -5,300 | 0,000 | 1,000 | 100,000 | -2,869576 | 3,664 | 0,44502 | 0,4447 | 0,4447 | 0,4325 | 0,4325 | |
| 0,000 | 51,640 | 99,166 | -3,865 | O.K | 1000000,000 | -5,300 | 0,000 | 1,000 | 100,000 | 0,000 | 0,000 | 0,445 | | | | | |
| 0,400 | 51,251 | 99,166 | -3,864 | skid front(in) | 1000000,000 | -5,300 | 0,000 | 1,000 | 100,000 | 0,000 | 0,028 | 0,445 | 0,445 | 0,445 | 0,433 | 0,433 | 0,028 |
| 1,000 | 50,661 | 99,166 | -3,863 | skid front(in) | 1000000,000 | -5,300 | 0,000 | 1,000 | 100,000 | 0,000 | 0,070 | 0,445 | 0,445 | 0,445 | 0,433 | 0,433 | 0,042 |
| 1,500 | 50,165 | 99,166 | -3,862 | skid front(in) | 1000000,000 | -5,300 | 0,000 | 1,000 | 100,000 | 0,000 | 0,106 | 0,445 | 0,445 | 0,445 | 0,433 | 0,433 | 0,036 |
| 2,000 | 49,663 | 99,167 | -3,861 | skid front(in) | 1000000,000 | -5,300 | 0,000 | 1,000 | 100,000 | 0,000 | 0,142 | 0,445 | 0,445 | 0,445 | 0,433 | 0,433 | 0,036 |
| 2,500 | 49,157 | 99,167 | -3,860 | skid front(in) | 1000000,000 | -5,300 | 0,000 | 1,000 | 100,000 | 0,000 | 0,179 | 0,445 | 0,445 | 0,445 | 0,433 | 0,433 | 0,036 |
| 3,000 | 48,646 | 99,167 | -3,859 | skid front(in) | 1000000,000 | -5,300 | 0,000 | 1,000 | 100,000 | 0,000 | 0,215 | 0,445 | 0,445 | 0,445 | 0,433 | 0,433 | 0,037 |

Προσδιορισμός Τιμών Πρόσφυσης κατά την Πέδηση Οχημάτων Εφοδιασμένων με Σύστημα ABS σε Αυξημένες κατά Μήκος Κλίσεις

| | | | | | | | | | | | | | | | | | |
|--------|--------|--------|--------|-----------------|-------------|--------|-------|-------|---------|--------|-------|-------|-------|-------|-------|-------|-------|
| 3,500 | 48,129 | 99,167 | -3,858 | skid front(in) | 1000000,000 | -5,300 | 0,000 | 1,000 | 100,000 | 0,000 | 0,253 | 0,445 | 0,445 | 0,445 | 0,433 | 0,433 | 0,037 |
| 4,000 | 47,607 | 99,167 | -3,857 | skid front(in) | 1000000,000 | -5,300 | 0,000 | 1,000 | 100,000 | 0,000 | 0,290 | 0,445 | 0,445 | 0,445 | 0,433 | 0,433 | 0,038 |
| 4,400 | 47,185 | 99,167 | -3,856 | skid front(in) | 1000000,000 | -5,300 | 0,000 | 1,000 | 100,000 | 0,000 | 0,321 | 0,445 | 0,445 | 0,445 | 0,433 | 0,433 | 0,030 |
| 5,000 | 46,545 | 99,167 | -3,855 | skid front(in) | 1000000,000 | -5,300 | 0,000 | 1,000 | 100,000 | 0,000 | 0,367 | 0,445 | 0,445 | 0,445 | 0,433 | 0,433 | 0,046 |
| 5,500 | 46,006 | 99,167 | -3,854 | skid front(in) | 1000000,000 | -5,300 | 0,000 | 1,000 | 100,000 | 0,000 | 0,406 | 0,445 | 0,445 | 0,445 | 0,433 | 0,433 | 0,039 |
| 6,000 | 45,460 | 99,167 | -3,852 | skid front(in) | 1000000,000 | -5,300 | 0,000 | 1,000 | 100,000 | 0,000 | 0,445 | 0,445 | 0,445 | 0,445 | 0,433 | 0,433 | 0,039 |
| 6,500 | 44,907 | 99,167 | -3,851 | skid front(in) | 1000000,000 | -5,300 | 0,000 | 1,000 | 100,000 | 0,000 | 0,485 | 0,445 | 0,445 | 0,445 | 0,433 | 0,433 | 0,040 |
| 7,000 | 44,348 | 99,167 | -3,850 | skid front(in) | 1000000,000 | -5,300 | 0,000 | 1,000 | 100,000 | 0,000 | 0,525 | 0,445 | 0,445 | 0,445 | 0,433 | 0,433 | 0,040 |
| 7,500 | 43,782 | 99,167 | -3,849 | skid front(in) | 1000000,000 | -5,300 | 0,000 | 1,000 | 100,000 | 0,000 | 0,566 | 0,445 | 0,445 | 0,445 | 0,433 | 0,433 | 0,041 |
| 8,000 | 43,209 | 99,167 | -3,848 | skid front(in) | 1000000,000 | -5,300 | 0,000 | 1,000 | 100,000 | 0,000 | 0,607 | 0,445 | 0,445 | 0,445 | 0,433 | 0,433 | 0,041 |
| 8,500 | 42,628 | 99,167 | -3,847 | skid front(in) | 1000000,000 | -5,300 | 0,000 | 1,000 | 100,000 | 0,000 | 0,649 | 0,445 | 0,445 | 0,445 | 0,433 | 0,433 | 0,042 |
| 9,000 | 42,039 | 99,167 | -3,846 | skid front(in) | 1000000,000 | -5,300 | 0,000 | 1,000 | 100,000 | 0,000 | 0,692 | 0,445 | 0,445 | 0,445 | 0,433 | 0,433 | 0,043 |
| 9,500 | 41,442 | 99,167 | -3,845 | skid front(in) | 1000000,000 | -5,300 | 0,000 | 1,000 | 100,000 | 0,000 | 0,735 | 0,445 | 0,445 | 0,445 | 0,433 | 0,433 | 0,043 |
| 10,000 | 40,836 | 99,167 | -3,844 | skid front(in) | 1000000,000 | -5,300 | 0,000 | 1,000 | 100,000 | 0,000 | 0,779 | 0,445 | 0,445 | 0,445 | 0,433 | 0,433 | 0,044 |
| 10,500 | 40,222 | 99,167 | -3,843 | skid front(in) | 1000000,000 | -5,300 | 0,000 | 1,000 | 100,000 | 0,000 | 0,823 | 0,445 | 0,445 | 0,445 | 0,433 | 0,433 | 0,044 |
| 11,000 | 39,598 | 99,167 | -3,842 | skid front(in) | 1000000,000 | -5,300 | 0,000 | 1,000 | 100,000 | 0,000 | 0,868 | 0,445 | 0,445 | 0,445 | 0,433 | 0,433 | 0,045 |
| 11,500 | 38,964 | 99,167 | -3,841 | skid front(in) | 1000000,000 | -5,300 | 0,000 | 1,000 | 100,000 | 0,000 | 0,914 | 0,445 | 0,445 | 0,445 | 0,433 | 0,433 | 0,046 |
| 12,000 | 38,320 | 99,167 | -3,840 | skid front(in) | 1000000,000 | -5,300 | 0,000 | 1,000 | 100,000 | 0,000 | 0,961 | 0,445 | 0,445 | 0,445 | 0,433 | 0,433 | 0,047 |
| 12,500 | 37,665 | 99,167 | -3,839 | skid front(in) | 1000000,000 | -5,300 | 0,000 | 1,000 | 100,000 | 0,000 | 1,008 | 0,445 | 0,445 | 0,445 | 0,433 | 0,433 | 0,047 |
| 13,000 | 36,999 | 99,167 | -3,838 | skid front(in) | 1000000,000 | -5,300 | 0,000 | 1,000 | 100,000 | 0,000 | 1,056 | 0,445 | 0,445 | 0,445 | 0,433 | 0,433 | 0,048 |
| 13,500 | 36,321 | 99,167 | -3,837 | skid front(in) | 1000000,000 | -5,300 | 0,000 | 1,000 | 100,000 | 0,000 | 1,105 | 0,445 | 0,445 | 0,445 | 0,433 | 0,433 | 0,049 |
| 14,000 | 35,629 | 99,168 | -3,836 | skid front(in) | 1000000,000 | -5,300 | 0,000 | 1,000 | 100,000 | 0,000 | 1,155 | 0,445 | 0,445 | 0,445 | 0,433 | 0,433 | 0,050 |
| 14,500 | 34,925 | 99,168 | -3,835 | skid front(in) | 1000000,000 | -5,300 | 0,000 | 1,000 | 100,000 | 0,000 | 1,206 | 0,445 | 0,445 | 0,445 | 0,433 | 0,433 | 0,051 |
| 15,000 | 34,206 | 99,168 | -3,834 | skid front(in) | 1000000,000 | -5,300 | 0,000 | 1,000 | 100,000 | 0,000 | 1,258 | 0,445 | 0,445 | 0,445 | 0,433 | 0,433 | 0,052 |
| 15,500 | 33,472 | 99,168 | -3,833 | skid front(in) | 1000000,000 | -5,300 | 0,000 | 1,000 | 100,000 | 0,001 | 1,312 | 0,445 | 0,445 | 0,445 | 0,433 | 0,433 | 0,053 |
| 16,000 | 32,722 | 99,168 | -3,832 | skid front(in) | 1000000,000 | -5,300 | 0,000 | 1,000 | 100,000 | 0,001 | 1,366 | 0,445 | 0,445 | 0,445 | 0,433 | 0,433 | 0,054 |
| 16,500 | 31,954 | 99,174 | -3,830 | skid front(out) | 1000000,000 | -5,300 | 0,000 | 1,000 | 100,000 | -1,319 | 1,422 | 0,445 | 0,445 | 0,445 | 0,433 | 0,433 | 0,056 |
| 17,000 | 31,168 | 99,138 | -3,827 | skid front(out) | 1000000,000 | -5,300 | 0,000 | 1,000 | 100,000 | -1,753 | 1,479 | 0,445 | 0,445 | 0,445 | 0,433 | 0,433 | 0,057 |
| 17,500 | 30,361 | 99,159 | -3,826 | skid front(out) | 1000000,000 | -5,300 | 0,000 | 1,000 | 100,000 | -2,258 | 1,537 | 0,445 | 0,445 | 0,445 | 0,433 | 0,433 | 0,059 |
| 18,000 | 29,533 | 99,144 | -3,825 | skid front(out) | 1000000,000 | -5,300 | 0,000 | 1,000 | 100,000 | -1,575 | 1,597 | 0,445 | 0,445 | 0,445 | 0,433 | 0,433 | 0,060 |
| 18,500 | 28,682 | 99,124 | -3,824 | skid front(out) | 1000000,000 | -5,300 | 0,000 | 1,000 | 100,000 | -1,243 | 1,659 | 0,445 | 0,445 | 0,445 | 0,433 | 0,433 | 0,062 |
| 18,900 | 27,982 | 99,137 | -3,823 | skid front(out) | 1000000,000 | -5,300 | 0,000 | 1,000 | 100,000 | -1,020 | 1,710 | 0,445 | 0,445 | 0,445 | 0,433 | 0,433 | 0,051 |
| 19,500 | 26,898 | 99,130 | -3,822 | skid front(out) | 1000000,000 | -5,300 | 0,000 | 1,000 | 100,000 | -1,200 | 1,789 | 0,445 | 0,445 | 0,445 | 0,433 | 0,433 | 0,079 |
| 20,000 | 25,961 | 99,159 | -3,822 | skid front(out) | 1000000,000 | -5,300 | 0,000 | 1,000 | 100,000 | -1,596 | 1,857 | 0,445 | 0,445 | 0,445 | 0,433 | 0,433 | 0,068 |
| 20,500 | 24,988 | 99,183 | -3,821 | skid front(out) | 1000000,000 | -5,300 | 0,000 | 1,000 | 100,000 | -2,358 | 1,927 | 0,445 | 0,445 | 0,445 | 0,433 | 0,433 | 0,071 |
| 21,000 | 23,977 | 99,202 | -3,820 | skid front(out) | 1000000,000 | -5,300 | 0,000 | 1,000 | 100,000 | -3,560 | 2,001 | 0,445 | 0,445 | 0,445 | 0,433 | 0,433 | 0,074 |
| 21,500 | 22,921 | 99,145 | -3,818 | skid front(out) | 1000000,000 | -5,300 | 0,000 | 1,000 | 100,000 | -1,711 | 2,078 | 0,445 | 0,445 | 0,445 | 0,433 | 0,433 | 0,077 |
| 22,000 | 21,814 | 99,187 | -3,819 | skid front(out) | 1000000,000 | -5,300 | 0,000 | 1,000 | 100,000 | -1,516 | 2,158 | 0,445 | 0,445 | 0,445 | 0,433 | 0,433 | 0,080 |
| 22,500 | 20,649 | 99,150 | -3,816 | skid front(out) | 1000000,000 | -5,300 | 0,000 | 1,000 | 100,000 | -2,212 | 2,243 | 0,445 | 0,445 | 0,445 | 0,433 | 0,433 | 0,085 |
| 23,000 | 19,414 | 99,142 | -3,815 | skid front(out) | 1000000,000 | -5,300 | 0,000 | 1,000 | 100,000 | -1,013 | 2,333 | 0,445 | 0,445 | 0,445 | 0,433 | 0,433 | 0,090 |
| 23,500 | 18,095 | 99,167 | -3,814 | skid front(out) | 1000000,000 | -5,300 | 0,000 | 1,000 | 100,000 | -2,185 | 2,429 | 0,445 | 0,445 | 0,445 | 0,433 | 0,433 | 0,096 |
| 24,000 | 16,673 | 99,184 | -3,812 | skid front(out) | 1000000,000 | -5,300 | 0,000 | 1,000 | 100,000 | -3,861 | 2,532 | 0,445 | 0,445 | 0,445 | 0,433 | 0,433 | 0,104 |
| 24,500 | 15,118 | 99,237 | -3,814 | skid front(out) | 1000000,000 | -5,300 | 0,000 | 1,000 | 100,000 | -3,546 | 2,646 | 0,445 | 0,445 | 0,445 | 0,433 | 0,433 | 0,113 |
| 25,000 | 13,384 | 99,154 | -3,811 | skid front(out) | 1000000,000 | -5,300 | 0,000 | 1,000 | 100,000 | -2,066 | 2,772 | 0,445 | 0,445 | 0,445 | 0,433 | 0,433 | 0,126 |
| 25,500 | 11,390 | 99,191 | -3,811 | skid front(out) | 1000000,000 | -5,300 | 0,000 | 1,000 | 100,000 | -2,695 | 2,917 | 0,445 | 0,445 | 0,445 | 0,433 | 0,433 | 0,145 |
| 26,000 | 8,963 | 99,175 | -3,810 | skid front(out) | 1000000,000 | -5,300 | 0,000 | 1,000 | 100,000 | -1,594 | 3,094 | 0,445 | 0,445 | 0,445 | 0,433 | 0,433 | 0,177 |
| 26,500 | 5,564 | 99,196 | -3,808 | skid front(out) | 1000000,000 | -5,300 | 0,000 | 1,000 | 100,000 | -3,356 | 3,342 | 0,445 | 0,445 | 0,445 | 0,433 | 0,433 | 0,248 |
| 26,800 | 1,148 | 99,154 | -3,806 | skid front(out) | 1000000,000 | -5,300 | 0,000 | 1,000 | 100,000 | -2,870 | 3,664 | 0,445 | 0,445 | 0,445 | 0,432 | 0,432 | 0,322 |

| run_c_w_ntua_4 | R(m) | br.front (%) | s(%) | e (%) | coeff | effic (%) | time (sec) |
|----------------|---------|--------------|-------|-------|-------|-----------|------------|
| s= | 100,000 | 1000000,00 | 69,50 | -5,3 | 0,0 | 1,00 | 100 |
| step= | 0,100 | viewstep= | 0,500 | STEPS | | | |

0,963

| s (m) | V (km/h) | n (%) | dv/dt | skid check | R(m) | s(%) | e (%) | coeff | effic (%) | decelera | time (sec) | fT | front out | front in | rear out | rear in | checktime |
|--------|----------|--------|--------|-----------------|-------------|--------|-------|-------|-----------|-----------|------------|---------|-----------|----------|----------|---------|-----------|
| 32,000 | 0,012 | 99,415 | -3,702 | skid front(out) | 1000000,000 | -5,300 | 0,000 | 1,000 | 100,000 | -0,290175 | 4,148 | 0,43298 | 0,4326 | 0,4326 | 0,4256 | 0,4256 | |
| 0,000 | 55,690 | 99,511 | -3,772 | O.K | 1000000,000 | -5,300 | 0,000 | 1,000 | 100,000 | 0,000 | 0,000 | 0,433 | | | | | |

Προσδιορισμός Τιμών Πρόσφυσης κατά την Πέδηση Οχημάτων Εφοδιασμένων με Σύστημα ABS σε Αυξημένες κατά Μήκος Κλίσεις

| | | | | | | | | | | | | | | | | | |
|--------|--------|--------|--------|-----------------|-------------|--------|-------|-------|---------|--------|-------|-------|-------|-------|-------|-------|-------|
| 0,400 | 55,338 | 99,511 | -3,772 | skid front(in) | 1000000,000 | -5,300 | 0,000 | 1,000 | 100,000 | 0,000 | 0,026 | 0,433 | 0,433 | 0,433 | 0,426 | 0,426 | 0,026 |
| 1,000 | 54,805 | 99,511 | -3,770 | skid front(in) | 1000000,000 | -5,300 | 0,000 | 1,000 | 100,000 | 0,000 | 0,065 | 0,433 | 0,433 | 0,433 | 0,426 | 0,426 | 0,039 |
| 1,500 | 54,358 | 99,511 | -3,769 | skid front(in) | 1000000,000 | -5,300 | 0,000 | 1,000 | 100,000 | 0,000 | 0,098 | 0,433 | 0,433 | 0,433 | 0,426 | 0,426 | 0,033 |
| 2,000 | 53,907 | 99,512 | -3,768 | skid front(in) | 1000000,000 | -5,300 | 0,000 | 1,000 | 100,000 | 0,000 | 0,131 | 0,433 | 0,433 | 0,433 | 0,426 | 0,426 | 0,033 |
| 2,500 | 53,452 | 99,512 | -3,767 | skid front(in) | 1000000,000 | -5,300 | 0,000 | 1,000 | 100,000 | 0,000 | 0,165 | 0,433 | 0,433 | 0,433 | 0,426 | 0,426 | 0,034 |
| 3,000 | 52,993 | 99,512 | -3,766 | skid front(in) | 1000000,000 | -5,300 | 0,000 | 1,000 | 100,000 | 0,000 | 0,199 | 0,433 | 0,433 | 0,433 | 0,426 | 0,426 | 0,034 |
| 3,500 | 52,531 | 99,512 | -3,765 | skid front(in) | 1000000,000 | -5,300 | 0,000 | 1,000 | 100,000 | 0,000 | 0,233 | 0,433 | 0,433 | 0,433 | 0,426 | 0,426 | 0,034 |
| 4,000 | 52,064 | 99,512 | -3,764 | skid front(in) | 1000000,000 | -5,300 | 0,000 | 1,000 | 100,000 | 0,000 | 0,267 | 0,433 | 0,433 | 0,433 | 0,426 | 0,426 | 0,034 |
| 4,400 | 51,688 | 99,512 | -3,763 | skid front(in) | 1000000,000 | -5,300 | 0,000 | 1,000 | 100,000 | 0,000 | 0,295 | 0,433 | 0,433 | 0,433 | 0,426 | 0,426 | 0,028 |
| 5,000 | 51,119 | 99,512 | -3,762 | skid front(in) | 1000000,000 | -5,300 | 0,000 | 1,000 | 100,000 | 0,000 | 0,337 | 0,433 | 0,433 | 0,433 | 0,426 | 0,426 | 0,042 |
| 5,500 | 50,640 | 99,512 | -3,761 | skid front(in) | 1000000,000 | -5,300 | 0,000 | 1,000 | 100,000 | 0,000 | 0,372 | 0,433 | 0,433 | 0,433 | 0,426 | 0,426 | 0,035 |
| 6,000 | 50,156 | 99,512 | -3,760 | skid front(in) | 1000000,000 | -5,300 | 0,000 | 1,000 | 100,000 | 0,000 | 0,408 | 0,433 | 0,433 | 0,433 | 0,426 | 0,426 | 0,036 |
| 6,500 | 49,668 | 99,512 | -3,759 | skid front(in) | 1000000,000 | -5,300 | 0,000 | 1,000 | 100,000 | 0,000 | 0,444 | 0,433 | 0,433 | 0,433 | 0,426 | 0,426 | 0,036 |
| 7,000 | 49,176 | 99,512 | -3,758 | skid front(in) | 1000000,000 | -5,300 | 0,000 | 1,000 | 100,000 | 0,000 | 0,481 | 0,433 | 0,433 | 0,433 | 0,426 | 0,426 | 0,036 |
| 7,500 | 48,678 | 99,512 | -3,757 | skid front(in) | 1000000,000 | -5,300 | 0,000 | 1,000 | 100,000 | 0,000 | 0,517 | 0,433 | 0,433 | 0,433 | 0,426 | 0,426 | 0,037 |
| 8,000 | 48,175 | 99,512 | -3,756 | skid front(in) | 1000000,000 | -5,300 | 0,000 | 1,000 | 100,000 | 0,000 | 0,555 | 0,433 | 0,433 | 0,433 | 0,426 | 0,426 | 0,037 |
| 8,500 | 47,667 | 99,512 | -3,755 | skid front(in) | 1000000,000 | -5,300 | 0,000 | 1,000 | 100,000 | 0,000 | 0,592 | 0,433 | 0,433 | 0,433 | 0,426 | 0,426 | 0,038 |
| 9,000 | 47,154 | 99,512 | -3,754 | skid front(in) | 1000000,000 | -5,300 | 0,000 | 1,000 | 100,000 | 0,000 | 0,630 | 0,433 | 0,433 | 0,433 | 0,426 | 0,426 | 0,038 |
| 9,500 | 46,636 | 99,512 | -3,753 | skid front(in) | 1000000,000 | -5,300 | 0,000 | 1,000 | 100,000 | 0,000 | 0,669 | 0,433 | 0,433 | 0,433 | 0,426 | 0,426 | 0,038 |
| 10,000 | 46,111 | 99,512 | -3,752 | skid front(in) | 1000000,000 | -5,300 | 0,000 | 1,000 | 100,000 | 0,000 | 0,707 | 0,433 | 0,433 | 0,433 | 0,426 | 0,426 | 0,039 |
| 10,500 | 45,581 | 99,512 | -3,751 | skid front(in) | 1000000,000 | -5,300 | 0,000 | 1,000 | 100,000 | 0,000 | 0,747 | 0,433 | 0,433 | 0,433 | 0,426 | 0,426 | 0,039 |
| 11,000 | 45,045 | 99,512 | -3,750 | skid front(in) | 1000000,000 | -5,300 | 0,000 | 1,000 | 100,000 | 0,000 | 0,786 | 0,433 | 0,433 | 0,433 | 0,426 | 0,426 | 0,040 |
| 11,500 | 44,502 | 99,512 | -3,749 | skid front(in) | 1000000,000 | -5,300 | 0,000 | 1,000 | 100,000 | 0,000 | 0,827 | 0,433 | 0,433 | 0,433 | 0,426 | 0,426 | 0,040 |
| 12,000 | 43,953 | 99,512 | -3,748 | skid front(in) | 1000000,000 | -5,300 | 0,000 | 1,000 | 100,000 | 0,000 | 0,867 | 0,433 | 0,433 | 0,433 | 0,426 | 0,426 | 0,041 |
| 12,500 | 43,397 | 99,512 | -3,747 | skid front(in) | 1000000,000 | -5,300 | 0,000 | 1,000 | 100,000 | 0,000 | 0,908 | 0,433 | 0,433 | 0,433 | 0,426 | 0,426 | 0,041 |
| 13,000 | 42,834 | 99,512 | -3,746 | skid front(in) | 1000000,000 | -5,300 | 0,000 | 1,000 | 100,000 | 0,000 | 0,950 | 0,433 | 0,433 | 0,433 | 0,426 | 0,426 | 0,042 |
| 13,500 | 42,264 | 99,513 | -3,745 | skid front(in) | 1000000,000 | -5,300 | 0,000 | 1,000 | 100,000 | 0,000 | 0,992 | 0,433 | 0,433 | 0,433 | 0,426 | 0,426 | 0,042 |
| 14,000 | 41,686 | 99,513 | -3,744 | skid front(in) | 1000000,000 | -5,300 | 0,000 | 1,000 | 100,000 | 0,000 | 1,035 | 0,433 | 0,433 | 0,433 | 0,426 | 0,426 | 0,043 |
| 14,500 | 41,100 | 99,513 | -3,743 | skid front(in) | 1000000,000 | -5,300 | 0,000 | 1,000 | 100,000 | 0,000 | 1,079 | 0,433 | 0,433 | 0,433 | 0,426 | 0,426 | 0,043 |
| 15,000 | 40,505 | 99,513 | -3,742 | skid front(in) | 1000000,000 | -5,300 | 0,000 | 1,000 | 100,000 | 0,000 | 1,123 | 0,433 | 0,433 | 0,433 | 0,426 | 0,426 | 0,044 |
| 15,500 | 39,902 | 99,513 | -3,741 | skid front(in) | 1000000,000 | -5,300 | 0,000 | 1,000 | 100,000 | 0,000 | 1,168 | 0,433 | 0,433 | 0,433 | 0,426 | 0,426 | 0,045 |
| 16,000 | 39,290 | 99,513 | -3,739 | skid front(in) | 1000000,000 | -5,300 | 0,000 | 1,000 | 100,000 | 0,000 | 1,213 | 0,433 | 0,433 | 0,433 | 0,426 | 0,426 | 0,045 |
| 16,500 | 38,669 | 99,513 | -3,738 | skid front(in) | 1000000,000 | -5,300 | 0,000 | 1,000 | 100,000 | 0,000 | 1,259 | 0,433 | 0,433 | 0,433 | 0,426 | 0,426 | 0,046 |
| 17,000 | 38,037 | 99,513 | -3,737 | skid front(in) | 1000000,000 | -5,300 | 0,000 | 1,000 | 100,000 | 0,001 | 1,306 | 0,433 | 0,433 | 0,433 | 0,426 | 0,426 | 0,047 |
| 17,500 | 37,395 | 99,513 | -3,736 | skid front(in) | 1000000,000 | -5,300 | 0,000 | 1,000 | 100,000 | 0,000 | 1,354 | 0,433 | 0,433 | 0,433 | 0,426 | 0,426 | 0,048 |
| 18,000 | 36,742 | 99,513 | -3,735 | skid front(in) | 1000000,000 | -5,300 | 0,000 | 1,000 | 100,000 | 0,000 | 1,403 | 0,433 | 0,433 | 0,433 | 0,426 | 0,426 | 0,049 |
| 18,500 | 36,077 | 99,513 | -3,734 | skid front(in) | 1000000,000 | -5,300 | 0,000 | 1,000 | 100,000 | 0,000 | 1,452 | 0,433 | 0,433 | 0,433 | 0,426 | 0,426 | 0,049 |
| 18,900 | 35,537 | 99,513 | -3,734 | skid front(in) | 1000000,000 | -5,300 | 0,000 | 1,000 | 100,000 | 0,001 | 1,492 | 0,433 | 0,433 | 0,433 | 0,426 | 0,426 | 0,040 |
| 19,500 | 34,710 | 99,513 | -3,732 | skid front(in) | 1000000,000 | -5,300 | 0,000 | 1,000 | 100,000 | 0,000 | 1,554 | 0,433 | 0,433 | 0,433 | 0,426 | 0,426 | 0,061 |
| 20,000 | 34,007 | 99,513 | -3,731 | skid front(in) | 1000000,000 | -5,300 | 0,000 | 1,000 | 100,000 | 0,000 | 1,606 | 0,433 | 0,433 | 0,433 | 0,426 | 0,426 | 0,052 |
| 20,500 | 33,288 | 99,513 | -3,730 | skid front(in) | 1000000,000 | -5,300 | 0,000 | 1,000 | 100,000 | 0,000 | 1,660 | 0,433 | 0,433 | 0,433 | 0,426 | 0,426 | 0,053 |
| 21,000 | 32,554 | 99,513 | -3,729 | skid front(in) | 1000000,000 | -5,300 | 0,000 | 1,000 | 100,000 | 0,000 | 1,714 | 0,433 | 0,433 | 0,433 | 0,426 | 0,426 | 0,055 |
| 21,500 | 31,803 | 99,485 | -3,726 | skid front(out) | 1000000,000 | -5,300 | 0,000 | 1,000 | 100,000 | -1,068 | 1,770 | 0,433 | 0,433 | 0,433 | 0,426 | 0,426 | 0,056 |
| 22,000 | 31,034 | 99,548 | -3,727 | skid front(out) | 1000000,000 | -5,300 | 0,000 | 1,000 | 100,000 | -2,347 | 1,828 | 0,433 | 0,433 | 0,433 | 0,426 | 0,426 | 0,057 |
| 22,500 | 30,246 | 99,509 | -3,724 | skid front(out) | 1000000,000 | -5,300 | 0,000 | 1,000 | 100,000 | -2,875 | 1,886 | 0,433 | 0,433 | 0,433 | 0,426 | 0,426 | 0,059 |
| 23,000 | 29,437 | 99,490 | -3,723 | skid front(out) | 1000000,000 | -5,300 | 0,000 | 1,000 | 100,000 | -1,804 | 1,947 | 0,433 | 0,433 | 0,433 | 0,426 | 0,426 | 0,060 |
| 23,500 | 28,606 | 99,527 | -3,724 | skid front(out) | 1000000,000 | -5,300 | 0,000 | 1,000 | 100,000 | -0,742 | 2,009 | 0,433 | 0,433 | 0,433 | 0,426 | 0,426 | 0,062 |
| 24,000 | 27,749 | 99,522 | -3,722 | skid front(out) | 1000000,000 | -5,300 | 0,000 | 1,000 | 100,000 | -2,003 | 2,072 | 0,433 | 0,433 | 0,433 | 0,426 | 0,426 | 0,064 |
| 24,500 | 26,866 | 99,539 | -3,722 | skid front(out) | 1000000,000 | -5,300 | 0,000 | 1,000 | 100,000 | -1,603 | 2,138 | 0,433 | 0,433 | 0,433 | 0,426 | 0,426 | 0,066 |
| 25,000 | 25,953 | 99,547 | -3,721 | skid front(out) | 1000000,000 | -5,300 | 0,000 | 1,000 | 100,000 | -1,629 | 2,207 | 0,433 | 0,433 | 0,433 | 0,426 | 0,426 | 0,068 |
| 25,500 | 25,007 | 99,544 | -3,720 | skid front(out) | 1000000,000 | -5,300 | 0,000 | 1,000 | 100,000 | -2,040 | 2,277 | 0,433 | 0,433 | 0,433 | 0,426 | 0,426 | 0,071 |
| 26,000 | 24,024 | 99,493 | -3,717 | skid front(out) | 1000000,000 | -5,300 | 0,000 | 1,000 | 100,000 | -1,084 | 2,351 | 0,433 | 0,433 | 0,433 | 0,426 | 0,426 | 0,073 |
| 26,500 | 22,999 | 99,539 | -3,718 | skid front(out) | 1000000,000 | -5,300 | 0,000 | 1,000 | 100,000 | -1,902 | 2,427 | 0,433 | 0,433 | 0,433 | 0,426 | 0,426 | 0,077 |
| 27,000 | 21,926 | 99,575 | -3,717 | skid front(out) | 1000000,000 | -5,300 | 0,000 | 1,000 | 100,000 | -3,153 | 2,507 | 0,433 | 0,433 | 0,433 | 0,426 | 0,426 | 0,080 |
| 27,500 | 20,799 | 99,561 | -3,715 | skid front(out) | 1000000,000 | -5,300 | 0,000 | 1,000 | 100,000 | -3,016 | 2,592 | 0,433 | 0,433 | 0,433 | 0,426 | 0,426 | 0,084 |
| 28,000 | 19,607 | 99,534 | -3,713 | skid front(out) | 1000000,000 | -5,300 | 0,000 | 1,000 | 100,000 | -3,339 | 2,681 | 0,433 | 0,433 | 0,433 | 0,426 | 0,426 | 0,089 |
| 28,500 | 18,339 | 99,532 | -3,713 | skid front(out) | 1000000,000 | -5,300 | 0,000 | 1,000 | 100,000 | -1,680 | 2,776 | 0,433 | 0,433 | 0,433 | 0,426 | 0,426 | 0,095 |
| 29,000 | 16,976 | 99,516 | -3,713 | skid front(out) | 1000000,000 | -5,300 | 0,000 | 1,000 | 100,000 | -0,396 | 2,877 | 0,433 | 0,433 | 0,433 | 0,426 | 0,426 | 0,102 |
| 29,500 | 15,494 | 99,529 | -3,711 | skid front(out) | 1000000,000 | -5,300 | 0,000 | 1,000 | 100,000 | -1,624 | 2,988 | 0,433 | 0,433 | 0,433 | 0,426 | 0,426 | 0,111 |
| 30,000 | 13,855 | 99,527 | -3,709 | skid front(out) | 1000000,000 | -5,300 | 0,000 | 1,000 | 100,000 | -3,410 | 3,111 | 0,433 | 0,433 | 0,433 | 0,426 | 0,426 | 0,123 |

Προσδιορισμός Τιμών Πρόσφυσης κατά την Πέδηση Οχημάτων Εφοδιασμένων με Σύστημα ABS σε Αυξημένες κατά Μήκος Κλίσεις

| | | | | | | | | | | | | | | | | | |
|--------|--------|--------|--------|-----------------|-------------|--------|-------|-------|---------|--------|-------|-------|-------|-------|-------|-------|-------|
| 30,500 | 11,994 | 99,509 | -3,709 | skid front(out) | 1000000,000 | -5,300 | 0,000 | 1,000 | 100,000 | -0,834 | 3,250 | 0,433 | 0,433 | 0,433 | 0,426 | 0,426 | 0,139 |
| 31,000 | 9,788 | 99,568 | -3,708 | skid front(out) | 1000000,000 | -5,300 | 0,000 | 1,000 | 100,000 | -3,227 | 3,416 | 0,433 | 0,433 | 0,433 | 0,426 | 0,426 | 0,165 |
| 31,500 | 6,909 | 99,565 | -3,707 | skid front(out) | 1000000,000 | -5,300 | 0,000 | 1,000 | 100,000 | -3,951 | 3,631 | 0,433 | 0,433 | 0,433 | 0,426 | 0,426 | 0,216 |
| 32,000 | 0,012 | 99,415 | -3,702 | skid front(out) | 1000000,000 | -5,300 | 0,000 | 1,000 | 100,000 | -0,290 | 4,148 | 0,433 | 0,433 | 0,433 | 0,426 | 0,426 | 0,517 |

Προσδιορισμός Τιμών Πρόσφυσης κατά την Πέδηση Οχημάτων Εφοδιασμένων με Σύστημα ABS σε Αυξημένες κατά Μήκος Κλίσεις

| run_c_w_ntua_5 | R(m) | br.front (%) | s(%) | e (%) | coeff | effic (%) | time (sec) | | | | | | | | | | |
|----------------|-----------------|--------------|--------|-----------------|-------------|-----------|------------|-------|-----------|-----------|------------|---------|-----------|----------|----------|---------|-----------|
| s= 100,000 | 1000000,00 | 70,00 | -5,3 | 0,0 | 1,00 | 100 | 3,568 | 0,963 | | | | | | | | | |
| step= 0,100 | viewstep= 0,500 | STEPS | | | | | | | | | | | | | | | |
| s (m) | V (km/h) | n (%) | dv/dt | skid check | R(m) | s(%) | e (%) | coeff | effic (%) | decelera | time (sec) | FT | front out | front in | rear out | rear in | checktime |
| 26,100 | 1,588 | 99,295 | -3,841 | skid front(out) | 1000000,000 | -5,300 | 0,000 | 1,000 | 100,000 | -3,306006 | 3,568 | 0,44803 | 0,4478 | 0,4478 | 0,4373 | 0,4373 | |
| 0,000 | 51,200 | 99,290 | -3,899 | O.K | 1000000,000 | -5,300 | 0,000 | 1,000 | 100,000 | 0,000 | 0,000 | 0,448 | | | | | |
| 0,400 | 50,804 | 99,290 | -3,898 | skid front(in) | 1000000,000 | -5,300 | 0,000 | 1,000 | 100,000 | 0,000 | 0,028 | 0,448 | 0,448 | 0,448 | 0,438 | 0,438 | 0,028 |
| 1,000 | 50,204 | 99,290 | -3,896 | skid front(in) | 1000000,000 | -5,300 | 0,000 | 1,000 | 100,000 | 0,000 | 0,071 | 0,448 | 0,448 | 0,448 | 0,438 | 0,438 | 0,043 |
| 1,500 | 49,698 | 99,291 | -3,895 | skid front(in) | 1000000,000 | -5,300 | 0,000 | 1,000 | 100,000 | 0,000 | 0,107 | 0,448 | 0,448 | 0,448 | 0,438 | 0,438 | 0,036 |
| 2,000 | 49,188 | 99,291 | -3,894 | skid front(in) | 1000000,000 | -5,300 | 0,000 | 1,000 | 100,000 | 0,000 | 0,143 | 0,448 | 0,448 | 0,448 | 0,438 | 0,438 | 0,036 |
| 2,500 | 48,672 | 99,291 | -3,893 | skid front(in) | 1000000,000 | -5,300 | 0,000 | 1,000 | 100,000 | 0,000 | 0,180 | 0,448 | 0,448 | 0,448 | 0,438 | 0,438 | 0,037 |
| 3,000 | 48,151 | 99,291 | -3,892 | skid front(in) | 1000000,000 | -5,300 | 0,000 | 1,000 | 100,000 | 0,000 | 0,217 | 0,448 | 0,448 | 0,448 | 0,438 | 0,438 | 0,037 |
| 3,500 | 47,625 | 99,291 | -3,891 | skid front(in) | 1000000,000 | -5,300 | 0,000 | 1,000 | 100,000 | 0,000 | 0,255 | 0,448 | 0,448 | 0,448 | 0,438 | 0,438 | 0,038 |
| 4,000 | 47,092 | 99,291 | -3,890 | skid front(in) | 1000000,000 | -5,300 | 0,000 | 1,000 | 100,000 | 0,000 | 0,293 | 0,448 | 0,448 | 0,448 | 0,438 | 0,438 | 0,038 |
| 4,400 | 46,662 | 99,291 | -3,889 | skid front(in) | 1000000,000 | -5,300 | 0,000 | 1,000 | 100,000 | 0,000 | 0,324 | 0,448 | 0,448 | 0,448 | 0,438 | 0,438 | 0,031 |
| 5,000 | 46,009 | 99,291 | -3,888 | skid front(in) | 1000000,000 | -5,300 | 0,000 | 1,000 | 100,000 | 0,000 | 0,370 | 0,448 | 0,448 | 0,448 | 0,438 | 0,438 | 0,047 |
| 5,500 | 45,459 | 99,291 | -3,887 | skid front(in) | 1000000,000 | -5,300 | 0,000 | 1,000 | 100,000 | 0,000 | 0,410 | 0,448 | 0,448 | 0,448 | 0,438 | 0,438 | 0,039 |
| 6,000 | 44,901 | 99,291 | -3,886 | skid front(in) | 1000000,000 | -5,300 | 0,000 | 1,000 | 100,000 | 0,000 | 0,450 | 0,448 | 0,448 | 0,448 | 0,438 | 0,438 | 0,040 |
| 6,500 | 44,337 | 99,291 | -3,885 | skid front(in) | 1000000,000 | -5,300 | 0,000 | 1,000 | 100,000 | 0,000 | 0,490 | 0,448 | 0,448 | 0,448 | 0,438 | 0,438 | 0,040 |
| 7,000 | 43,765 | 99,291 | -3,884 | skid front(in) | 1000000,000 | -5,300 | 0,000 | 1,000 | 100,000 | 0,000 | 0,531 | 0,448 | 0,448 | 0,448 | 0,438 | 0,438 | 0,041 |
| 7,500 | 43,187 | 99,291 | -3,883 | skid front(in) | 1000000,000 | -5,300 | 0,000 | 1,000 | 100,000 | 0,000 | 0,572 | 0,448 | 0,448 | 0,448 | 0,438 | 0,438 | 0,041 |
| 8,000 | 42,600 | 99,291 | -3,882 | skid front(in) | 1000000,000 | -5,300 | 0,000 | 1,000 | 100,000 | 0,000 | 0,614 | 0,448 | 0,448 | 0,448 | 0,438 | 0,438 | 0,042 |
| 8,500 | 42,006 | 99,291 | -3,881 | skid front(in) | 1000000,000 | -5,300 | 0,000 | 1,000 | 100,000 | 0,000 | 0,657 | 0,448 | 0,448 | 0,448 | 0,438 | 0,438 | 0,043 |
| 9,000 | 41,403 | 99,291 | -3,880 | skid front(in) | 1000000,000 | -5,300 | 0,000 | 1,000 | 100,000 | 0,000 | 0,700 | 0,448 | 0,448 | 0,448 | 0,438 | 0,438 | 0,043 |
| 9,500 | 40,791 | 99,291 | -3,879 | skid front(in) | 1000000,000 | -5,300 | 0,000 | 1,000 | 100,000 | 0,000 | 0,744 | 0,448 | 0,448 | 0,448 | 0,438 | 0,438 | 0,044 |
| 10,000 | 40,170 | 99,291 | -3,878 | skid front(in) | 1000000,000 | -5,300 | 0,000 | 1,000 | 100,000 | 0,000 | 0,788 | 0,448 | 0,448 | 0,448 | 0,438 | 0,438 | 0,044 |
| 10,500 | 39,540 | 99,291 | -3,877 | skid front(in) | 1000000,000 | -5,300 | 0,000 | 1,000 | 100,000 | 0,000 | 0,833 | 0,448 | 0,448 | 0,448 | 0,438 | 0,438 | 0,045 |
| 11,000 | 38,899 | 99,291 | -3,876 | skid front(in) | 1000000,000 | -5,300 | 0,000 | 1,000 | 100,000 | 0,000 | 0,879 | 0,448 | 0,448 | 0,448 | 0,438 | 0,438 | 0,046 |
| 11,500 | 38,248 | 99,291 | -3,875 | skid front(in) | 1000000,000 | -5,300 | 0,000 | 1,000 | 100,000 | 0,000 | 0,926 | 0,448 | 0,448 | 0,448 | 0,438 | 0,438 | 0,047 |
| 12,000 | 37,586 | 99,291 | -3,873 | skid front(in) | 1000000,000 | -5,300 | 0,000 | 1,000 | 100,000 | 0,000 | 0,973 | 0,448 | 0,448 | 0,448 | 0,438 | 0,438 | 0,047 |
| 12,500 | 36,913 | 99,291 | -3,872 | skid front(in) | 1000000,000 | -5,300 | 0,000 | 1,000 | 100,000 | 0,000 | 1,022 | 0,448 | 0,448 | 0,448 | 0,438 | 0,438 | 0,048 |
| 13,000 | 36,226 | 99,291 | -3,871 | skid front(in) | 1000000,000 | -5,300 | 0,000 | 1,000 | 100,000 | 0,000 | 1,071 | 0,448 | 0,448 | 0,448 | 0,438 | 0,438 | 0,049 |
| 13,500 | 35,527 | 99,292 | -3,870 | skid front(in) | 1000000,000 | -5,300 | 0,000 | 1,000 | 100,000 | 0,000 | 1,121 | 0,448 | 0,448 | 0,448 | 0,438 | 0,438 | 0,050 |
| 14,000 | 34,814 | 99,292 | -3,869 | skid front(in) | 1000000,000 | -5,300 | 0,000 | 1,000 | 100,000 | 0,000 | 1,172 | 0,448 | 0,448 | 0,448 | 0,438 | 0,438 | 0,051 |
| 14,500 | 34,087 | 99,292 | -3,868 | skid front(in) | 1000000,000 | -5,300 | 0,000 | 1,000 | 100,000 | 0,001 | 1,224 | 0,448 | 0,448 | 0,448 | 0,438 | 0,438 | 0,052 |
| 15,000 | 33,343 | 99,292 | -3,867 | skid front(in) | 1000000,000 | -5,300 | 0,000 | 1,000 | 100,000 | 0,001 | 1,278 | 0,448 | 0,448 | 0,448 | 0,438 | 0,438 | 0,053 |
| 15,500 | 32,583 | 99,292 | -3,866 | skid front(in) | 1000000,000 | -5,300 | 0,000 | 1,000 | 100,000 | 0,001 | 1,332 | 0,448 | 0,448 | 0,448 | 0,438 | 0,438 | 0,055 |
| 16,000 | 31,805 | 99,273 | -3,863 | skid front(out) | 1000000,000 | -5,300 | 0,000 | 1,000 | 100,000 | -1,600 | 1,388 | 0,448 | 0,448 | 0,448 | 0,437 | 0,437 | 0,056 |
| 16,500 | 31,008 | 99,271 | -3,861 | skid front(out) | 1000000,000 | -5,300 | 0,000 | 1,000 | 100,000 | -2,087 | 1,446 | 0,448 | 0,448 | 0,448 | 0,437 | 0,437 | 0,057 |
| 17,000 | 30,190 | 99,296 | -3,862 | skid front(out) | 1000000,000 | -5,300 | 0,000 | 1,000 | 100,000 | -1,016 | 1,504 | 0,448 | 0,448 | 0,448 | 0,438 | 0,438 | 0,059 |
| 17,500 | 29,349 | 99,257 | -3,860 | skid front(out) | 1000000,000 | -5,300 | 0,000 | 1,000 | 100,000 | -0,662 | 1,565 | 0,448 | 0,448 | 0,448 | 0,437 | 0,437 | 0,060 |
| 18,000 | 28,484 | 99,308 | -3,860 | skid front(out) | 1000000,000 | -5,300 | 0,000 | 1,000 | 100,000 | -1,887 | 1,627 | 0,448 | 0,448 | 0,448 | 0,438 | 0,438 | 0,062 |
| 18,500 | 27,591 | 99,293 | -3,860 | skid front(out) | 1000000,000 | -5,300 | 0,000 | 1,000 | 100,000 | -0,284 | 1,691 | 0,448 | 0,448 | 0,448 | 0,438 | 0,438 | 0,064 |
| 18,900 | 26,857 | 99,292 | -3,857 | skid front(out) | 1000000,000 | -5,300 | 0,000 | 1,000 | 100,000 | -2,435 | 1,744 | 0,448 | 0,448 | 0,448 | 0,437 | 0,437 | 0,053 |
| 19,500 | 25,716 | 99,315 | -3,858 | skid front(out) | 1000000,000 | -5,300 | 0,000 | 1,000 | 100,000 | -1,358 | 1,826 | 0,448 | 0,448 | 0,448 | 0,438 | 0,438 | 0,082 |
| 20,000 | 24,724 | 99,322 | -3,856 | skid front(out) | 1000000,000 | -5,300 | 0,000 | 1,000 | 100,000 | -2,547 | 1,898 | 0,448 | 0,448 | 0,448 | 0,438 | 0,438 | 0,071 |
| 20,500 | 23,692 | 99,289 | -3,854 | skid front(out) | 1000000,000 | -5,300 | 0,000 | 1,000 | 100,000 | -2,387 | 1,972 | 0,448 | 0,448 | 0,448 | 0,437 | 0,437 | 0,074 |
| 21,000 | 22,613 | 99,322 | -3,854 | skid front(out) | 1000000,000 | -5,300 | 0,000 | 1,000 | 100,000 | -2,258 | 2,050 | 0,448 | 0,448 | 0,448 | 0,438 | 0,438 | 0,078 |
| 21,500 | 21,480 | 99,241 | -3,851 | skid front(out) | 1000000,000 | -5,300 | 0,000 | 1,000 | 100,000 | -1,105 | 2,132 | 0,448 | 0,448 | 0,448 | 0,437 | 0,437 | 0,082 |
| 22,000 | 20,285 | 99,264 | -3,850 | skid front(out) | 1000000,000 | -5,300 | 0,000 | 1,000 | 100,000 | -1,787 | 2,218 | 0,448 | 0,448 | 0,448 | 0,437 | 0,437 | 0,086 |
| 22,500 | 19,014 | 99,245 | -3,849 | skid front(out) | 1000000,000 | -5,300 | 0,000 | 1,000 | 100,000 | -1,001 | 2,309 | 0,448 | 0,448 | 0,448 | 0,437 | 0,437 | 0,092 |
| 23,000 | 17,654 | 99,259 | -3,847 | skid front(out) | 1000000,000 | -5,300 | 0,000 | 1,000 | 100,000 | -2,666 | 2,408 | 0,448 | 0,448 | 0,448 | 0,437 | 0,437 | 0,098 |
| 23,500 | 16,179 | 99,309 | -3,848 | skid front(out) | 1000000,000 | -5,300 | 0,000 | 1,000 | 100,000 | -2,335 | 2,514 | 0,448 | 0,448 | 0,448 | 0,437 | 0,437 | 0,106 |

Προσδιορισμός Τιμών Πρόσφυσης κατά την Πέδηση Οχημάτων Εφοδιασμένων με Σύστημα ABS σε Αυξημένες κατά Μήκος Κλίσεις

| | | | | | | | | | | | | | | | | | |
|--------|--------|--------|--------|-----------------|-------------|--------|-------|-------|---------|--------|-------|-------|-------|-------|-------|-------|-------|
| 24,000 | 14,556 | 99,271 | -3,845 | skid front(out) | 1000000,000 | -5,300 | 0,000 | 1,000 | 100,000 | -2,930 | 2,631 | 0,448 | 0,448 | 0,448 | 0,437 | 0,437 | 0,117 |
| 24,500 | 12,728 | 99,311 | -3,845 | skid front(out) | 1000000,000 | -5,300 | 0,000 | 1,000 | 100,000 | -3,560 | 2,763 | 0,448 | 0,448 | 0,448 | 0,437 | 0,437 | 0,132 |
| 25,000 | 10,591 | 99,302 | -3,845 | skid front(out) | 1000000,000 | -5,300 | 0,000 | 1,000 | 100,000 | -2,519 | 2,917 | 0,448 | 0,448 | 0,448 | 0,437 | 0,437 | 0,154 |
| 25,500 | 7,894 | 99,333 | -3,843 | skid front(out) | 1000000,000 | -5,300 | 0,000 | 1,000 | 100,000 | -4,316 | 3,112 | 0,448 | 0,448 | 0,448 | 0,437 | 0,437 | 0,195 |
| 26,000 | 3,535 | 99,308 | -3,841 | skid front(out) | 1000000,000 | -5,300 | 0,000 | 1,000 | 100,000 | -4,304 | 3,427 | 0,448 | 0,448 | 0,448 | 0,437 | 0,437 | 0,315 |
| 26,100 | 1,588 | 99,295 | -3,841 | skid front(out) | 1000000,000 | -5,300 | 0,000 | 1,000 | 100,000 | -3,306 | 3,568 | 0,448 | 0,448 | 0,448 | 0,437 | 0,437 | 0,141 |

| | | | | | | | | |
|----------------|---------|--------------|-------|-------|-------|-----------|------------|-------|
| run_c_w_ntua_6 | R(m) | br.front (%) | s(%) | e (%) | coeff | effic (%) | time (sec) | |
| s= | 100,000 | 1000000,00 | 69,50 | -5,3 | 0,0 | 1,00 | 100 | 3,955 |
| step= | 0,100 | viewstep= | 0,500 | STEPS | | | | |

0,963

| s (m) | V (km/h) | n (%) | dv/dt | skid check | R(m) | s(%) | e (%) | coeff | effic (%) | decelera | time (sec) | fT | front out | front in | rear out | rear in | checktime |
|--------|----------|--------|--------|-----------------|-------------|--------|-------|-------|-----------|-----------|------------|-------|-----------|----------|----------|---------|-----------|
| 30,400 | 1,449 | 99,413 | -3,671 | skid front(out) | 1000000,000 | -5,300 | 0,000 | 1,000 | 100,000 | -3,154765 | 3,955 | 0,43 | 0,4298 | 0,4298 | 0,4213 | 0,4213 | |
| 0,000 | 54,040 | 99,388 | -3,734 | O.K | 1000000,000 | -5,300 | 0,000 | 1,000 | 100,000 | 0,000 | 0,000 | 0,430 | | | | | |
| 0,400 | 53,681 | 99,389 | -3,734 | skid front(in) | 1000000,000 | -5,300 | 0,000 | 1,000 | 100,000 | 0,000 | 0,027 | 0,430 | 0,430 | 0,430 | 0,422 | 0,422 | 0,027 |
| 1,000 | 53,137 | 99,389 | -3,732 | skid front(in) | 1000000,000 | -5,300 | 0,000 | 1,000 | 100,000 | 0,000 | 0,067 | 0,430 | 0,430 | 0,430 | 0,422 | 0,422 | 0,040 |
| 1,500 | 52,680 | 99,389 | -3,731 | skid front(in) | 1000000,000 | -5,300 | 0,000 | 1,000 | 100,000 | 0,000 | 0,101 | 0,430 | 0,430 | 0,430 | 0,422 | 0,422 | 0,034 |
| 2,000 | 52,219 | 99,389 | -3,730 | skid front(in) | 1000000,000 | -5,300 | 0,000 | 1,000 | 100,000 | 0,000 | 0,136 | 0,430 | 0,430 | 0,430 | 0,422 | 0,422 | 0,034 |
| 2,500 | 51,754 | 99,389 | -3,729 | skid front(in) | 1000000,000 | -5,300 | 0,000 | 1,000 | 100,000 | 0,000 | 0,170 | 0,430 | 0,430 | 0,430 | 0,422 | 0,422 | 0,035 |
| 3,000 | 51,285 | 99,389 | -3,728 | skid front(in) | 1000000,000 | -5,300 | 0,000 | 1,000 | 100,000 | 0,000 | 0,205 | 0,430 | 0,430 | 0,430 | 0,422 | 0,422 | 0,035 |
| 3,500 | 50,812 | 99,389 | -3,727 | skid front(in) | 1000000,000 | -5,300 | 0,000 | 1,000 | 100,000 | 0,000 | 0,240 | 0,430 | 0,430 | 0,430 | 0,422 | 0,422 | 0,035 |
| 4,000 | 50,334 | 99,389 | -3,726 | skid front(in) | 1000000,000 | -5,300 | 0,000 | 1,000 | 100,000 | 0,000 | 0,276 | 0,430 | 0,430 | 0,430 | 0,422 | 0,422 | 0,036 |
| 4,400 | 49,949 | 99,389 | -3,725 | skid front(in) | 1000000,000 | -5,300 | 0,000 | 1,000 | 100,000 | 0,000 | 0,305 | 0,430 | 0,430 | 0,430 | 0,422 | 0,422 | 0,029 |
| 5,000 | 49,366 | 99,389 | -3,724 | skid front(in) | 1000000,000 | -5,300 | 0,000 | 1,000 | 100,000 | 0,000 | 0,348 | 0,430 | 0,430 | 0,430 | 0,422 | 0,422 | 0,043 |
| 5,500 | 48,875 | 99,389 | -3,723 | skid front(in) | 1000000,000 | -5,300 | 0,000 | 1,000 | 100,000 | 0,000 | 0,385 | 0,430 | 0,430 | 0,430 | 0,422 | 0,422 | 0,037 |
| 6,000 | 48,379 | 99,389 | -3,722 | skid front(in) | 1000000,000 | -5,300 | 0,000 | 1,000 | 100,000 | 0,000 | 0,422 | 0,430 | 0,430 | 0,430 | 0,422 | 0,422 | 0,037 |
| 6,500 | 47,877 | 99,389 | -3,721 | skid front(in) | 1000000,000 | -5,300 | 0,000 | 1,000 | 100,000 | 0,000 | 0,459 | 0,430 | 0,430 | 0,430 | 0,422 | 0,422 | 0,037 |
| 7,000 | 47,371 | 99,389 | -3,720 | skid front(in) | 1000000,000 | -5,300 | 0,000 | 1,000 | 100,000 | 0,000 | 0,497 | 0,430 | 0,430 | 0,430 | 0,422 | 0,422 | 0,038 |
| 7,500 | 46,860 | 99,389 | -3,719 | skid front(in) | 1000000,000 | -5,300 | 0,000 | 1,000 | 100,000 | 0,000 | 0,535 | 0,430 | 0,430 | 0,430 | 0,422 | 0,422 | 0,038 |
| 8,000 | 46,343 | 99,389 | -3,718 | skid front(in) | 1000000,000 | -5,300 | 0,000 | 1,000 | 100,000 | 0,000 | 0,574 | 0,430 | 0,430 | 0,430 | 0,422 | 0,422 | 0,039 |
| 8,500 | 45,820 | 99,389 | -3,717 | skid front(in) | 1000000,000 | -5,300 | 0,000 | 1,000 | 100,000 | 0,000 | 0,613 | 0,430 | 0,430 | 0,430 | 0,422 | 0,422 | 0,039 |
| 9,000 | 45,291 | 99,389 | -3,716 | skid front(in) | 1000000,000 | -5,300 | 0,000 | 1,000 | 100,000 | 0,000 | 0,652 | 0,430 | 0,430 | 0,430 | 0,422 | 0,422 | 0,040 |
| 9,500 | 44,756 | 99,389 | -3,715 | skid front(in) | 1000000,000 | -5,300 | 0,000 | 1,000 | 100,000 | 0,000 | 0,692 | 0,430 | 0,430 | 0,430 | 0,422 | 0,422 | 0,040 |
| 10,000 | 44,215 | 99,389 | -3,714 | skid front(in) | 1000000,000 | -5,300 | 0,000 | 1,000 | 100,000 | 0,000 | 0,733 | 0,430 | 0,430 | 0,430 | 0,422 | 0,422 | 0,040 |
| 10,500 | 43,668 | 99,389 | -3,713 | skid front(in) | 1000000,000 | -5,300 | 0,000 | 1,000 | 100,000 | 0,000 | 0,774 | 0,430 | 0,430 | 0,430 | 0,422 | 0,422 | 0,041 |
| 11,000 | 43,113 | 99,389 | -3,712 | skid front(in) | 1000000,000 | -5,300 | 0,000 | 1,000 | 100,000 | 0,000 | 0,815 | 0,430 | 0,430 | 0,430 | 0,422 | 0,422 | 0,041 |
| 11,500 | 42,552 | 99,389 | -3,711 | skid front(in) | 1000000,000 | -5,300 | 0,000 | 1,000 | 100,000 | 0,000 | 0,857 | 0,430 | 0,430 | 0,430 | 0,422 | 0,422 | 0,042 |
| 12,000 | 41,983 | 99,390 | -3,710 | skid front(in) | 1000000,000 | -5,300 | 0,000 | 1,000 | 100,000 | 0,000 | 0,900 | 0,430 | 0,430 | 0,430 | 0,422 | 0,422 | 0,043 |
| 12,500 | 41,406 | 99,389 | -3,709 | skid front(in) | 1000000,000 | -5,300 | 0,000 | 1,000 | 100,000 | 0,000 | 0,943 | 0,430 | 0,430 | 0,430 | 0,422 | 0,422 | 0,043 |
| 13,000 | 40,822 | 99,390 | -3,708 | skid front(in) | 1000000,000 | -5,300 | 0,000 | 1,000 | 100,000 | 0,000 | 0,987 | 0,430 | 0,430 | 0,430 | 0,422 | 0,422 | 0,044 |
| 13,500 | 40,229 | 99,390 | -3,707 | skid front(in) | 1000000,000 | -5,300 | 0,000 | 1,000 | 100,000 | 0,000 | 1,031 | 0,430 | 0,430 | 0,430 | 0,422 | 0,422 | 0,044 |
| 14,000 | 39,628 | 99,390 | -3,706 | skid front(in) | 1000000,000 | -5,300 | 0,000 | 1,000 | 100,000 | 0,000 | 1,076 | 0,430 | 0,430 | 0,430 | 0,422 | 0,422 | 0,045 |
| 14,500 | 39,017 | 99,390 | -3,705 | skid front(in) | 1000000,000 | -5,300 | 0,000 | 1,000 | 100,000 | 0,000 | 1,122 | 0,430 | 0,430 | 0,430 | 0,422 | 0,422 | 0,046 |
| 15,000 | 38,397 | 99,390 | -3,704 | skid front(in) | 1000000,000 | -5,300 | 0,000 | 1,000 | 100,000 | 0,000 | 1,169 | 0,430 | 0,430 | 0,430 | 0,422 | 0,422 | 0,047 |
| 15,500 | 37,767 | 99,390 | -3,703 | skid front(in) | 1000000,000 | -5,300 | 0,000 | 1,000 | 100,000 | 0,000 | 1,216 | 0,430 | 0,430 | 0,430 | 0,422 | 0,422 | 0,047 |
| 16,000 | 37,126 | 99,390 | -3,702 | skid front(in) | 1000000,000 | -5,300 | 0,000 | 1,000 | 100,000 | 0,000 | 1,264 | 0,430 | 0,430 | 0,430 | 0,422 | 0,422 | 0,048 |
| 16,500 | 36,474 | 99,390 | -3,701 | skid front(in) | 1000000,000 | -5,300 | 0,000 | 1,000 | 100,000 | 0,000 | 1,313 | 0,430 | 0,430 | 0,430 | 0,422 | 0,422 | 0,049 |
| 17,000 | 35,811 | 99,390 | -3,700 | skid front(in) | 1000000,000 | -5,300 | 0,000 | 1,000 | 100,000 | 0,001 | 1,363 | 0,430 | 0,430 | 0,430 | 0,422 | 0,422 | 0,050 |
| 17,500 | 35,135 | 99,390 | -3,699 | skid front(in) | 1000000,000 | -5,300 | 0,000 | 1,000 | 100,000 | 0,000 | 1,413 | 0,430 | 0,430 | 0,430 | 0,422 | 0,422 | 0,051 |
| 18,000 | 34,446 | 99,390 | -3,698 | skid front(in) | 1000000,000 | -5,300 | 0,000 | 1,000 | 100,000 | 0,001 | 1,465 | 0,430 | 0,430 | 0,430 | 0,422 | 0,422 | 0,052 |
| 18,500 | 33,743 | 99,390 | -3,697 | skid front(in) | 1000000,000 | -5,300 | 0,000 | 1,000 | 100,000 | 0,000 | 1,518 | 0,430 | 0,430 | 0,430 | 0,422 | 0,422 | 0,053 |
| 18,900 | 33,171 | 99,390 | -3,696 | skid front(in) | 1000000,000 | -5,300 | 0,000 | 1,000 | 100,000 | 0,000 | 1,561 | 0,430 | 0,430 | 0,430 | 0,422 | 0,422 | 0,043 |
| 19,500 | 32,293 | 99,390 | -3,695 | skid front(in) | 1000000,000 | -5,300 | 0,000 | 1,000 | 100,000 | 0,000 | 1,627 | 0,430 | 0,430 | 0,430 | 0,422 | 0,422 | 0,066 |
| 20,000 | 31,543 | 99,428 | -3,693 | skid front(out) | 1000000,000 | -5,300 | 0,000 | 1,000 | 100,000 | -2,342 | 1,683 | 0,430 | 0,430 | 0,430 | 0,421 | 0,421 | 0,056 |

Προσδιορισμός Τιμών Πρόσφυσης κατά την Πέδηση Οχημάτων Εφοδιασμένων με Σύστημα ABS σε Αυξημένες κατά Μήκος Κλίσεις

| | | | | | | | | | | | | | | | | | |
|--------|--------|--------|--------|-----------------|-------------|--------|-------|-------|---------|--------|-------|-------|-------|-------|-------|-------|-------|
| 20,500 | 30,775 | 99,362 | -3,691 | skid front(out) | 1000000,000 | -5,300 | 0,000 | 1,000 | 100,000 | -0,964 | 1,741 | 0,430 | 0,430 | 0,430 | 0,421 | 0,421 | 0,058 |
| 21,000 | 29,987 | 99,412 | -3,690 | skid front(out) | 1000000,000 | -5,300 | 0,000 | 1,000 | 100,000 | -2,670 | 1,800 | 0,430 | 0,430 | 0,430 | 0,421 | 0,421 | 0,059 |
| 21,500 | 29,179 | 99,386 | -3,689 | skid front(out) | 1000000,000 | -5,300 | 0,000 | 1,000 | 100,000 | -1,615 | 1,861 | 0,430 | 0,430 | 0,430 | 0,421 | 0,421 | 0,061 |
| 22,000 | 28,348 | 99,347 | -3,687 | skid front(out) | 1000000,000 | -5,300 | 0,000 | 1,000 | 100,000 | -0,868 | 1,924 | 0,430 | 0,430 | 0,430 | 0,421 | 0,421 | 0,063 |
| 22,500 | 27,492 | 99,397 | -3,687 | skid front(out) | 1000000,000 | -5,300 | 0,000 | 1,000 | 100,000 | -1,759 | 1,988 | 0,430 | 0,430 | 0,430 | 0,421 | 0,421 | 0,064 |
| 23,000 | 26,608 | 99,437 | -3,687 | skid front(out) | 1000000,000 | -5,300 | 0,000 | 1,000 | 100,000 | -3,061 | 2,055 | 0,430 | 0,430 | 0,430 | 0,421 | 0,421 | 0,067 |
| 23,500 | 25,694 | 99,395 | -3,686 | skid front(out) | 1000000,000 | -5,300 | 0,000 | 1,000 | 100,000 | -1,373 | 2,124 | 0,430 | 0,430 | 0,430 | 0,421 | 0,421 | 0,069 |
| 24,000 | 24,747 | 99,375 | -3,683 | skid front(out) | 1000000,000 | -5,300 | 0,000 | 1,000 | 100,000 | -1,795 | 2,195 | 0,430 | 0,430 | 0,430 | 0,421 | 0,421 | 0,071 |
| 24,500 | 23,763 | 99,413 | -3,684 | skid front(out) | 1000000,000 | -5,300 | 0,000 | 1,000 | 100,000 | -2,195 | 2,269 | 0,430 | 0,430 | 0,430 | 0,421 | 0,421 | 0,074 |
| 25,000 | 22,736 | 99,402 | -3,683 | skid front(out) | 1000000,000 | -5,300 | 0,000 | 1,000 | 100,000 | -1,250 | 2,347 | 0,430 | 0,430 | 0,430 | 0,421 | 0,421 | 0,077 |
| 25,500 | 21,661 | 99,376 | -3,681 | skid front(out) | 1000000,000 | -5,300 | 0,000 | 1,000 | 100,000 | -0,640 | 2,428 | 0,430 | 0,430 | 0,430 | 0,421 | 0,421 | 0,081 |
| 26,000 | 20,529 | 99,335 | -3,679 | skid front(out) | 1000000,000 | -5,300 | 0,000 | 1,000 | 100,000 | -0,465 | 2,513 | 0,430 | 0,430 | 0,430 | 0,421 | 0,421 | 0,085 |
| 26,500 | 19,333 | 99,356 | -3,679 | skid front(out) | 1000000,000 | -5,300 | 0,000 | 1,000 | 100,000 | -0,240 | 2,603 | 0,430 | 0,430 | 0,430 | 0,421 | 0,421 | 0,090 |
| 27,000 | 18,057 | 99,404 | -3,678 | skid front(out) | 1000000,000 | -5,300 | 0,000 | 1,000 | 100,000 | -2,482 | 2,700 | 0,430 | 0,430 | 0,430 | 0,421 | 0,421 | 0,096 |
| 27,500 | 16,686 | 99,395 | -3,676 | skid front(out) | 1000000,000 | -5,300 | 0,000 | 1,000 | 100,000 | -3,246 | 2,803 | 0,430 | 0,430 | 0,430 | 0,421 | 0,421 | 0,104 |
| 28,000 | 15,190 | 99,415 | -3,677 | skid front(out) | 1000000,000 | -5,300 | 0,000 | 1,000 | 100,000 | -2,000 | 2,916 | 0,430 | 0,430 | 0,430 | 0,421 | 0,421 | 0,113 |
| 28,500 | 13,531 | 99,372 | -3,672 | skid front(out) | 1000000,000 | -5,300 | 0,000 | 1,000 | 100,000 | -3,806 | 3,042 | 0,430 | 0,430 | 0,430 | 0,421 | 0,421 | 0,125 |
| 29,000 | 11,637 | 99,450 | -3,675 | skid front(out) | 1000000,000 | -5,300 | 0,000 | 1,000 | 100,000 | -2,961 | 3,185 | 0,430 | 0,430 | 0,430 | 0,422 | 0,422 | 0,143 |
| 29,500 | 9,369 | 99,417 | -3,673 | skid front(out) | 1000000,000 | -5,300 | 0,000 | 1,000 | 100,000 | -3,143 | 3,356 | 0,430 | 0,430 | 0,430 | 0,421 | 0,421 | 0,171 |
| 30,000 | 6,339 | 99,309 | -3,669 | skid front(out) | 1000000,000 | -5,300 | 0,000 | 1,000 | 100,000 | -1,441 | 3,585 | 0,430 | 0,430 | 0,430 | 0,421 | 0,421 | 0,229 |
| 30,400 | 1,449 | 99,413 | -3,671 | skid front(out) | 1000000,000 | -5,300 | 0,000 | 1,000 | 100,000 | -3,155 | 3,955 | 0,430 | 0,430 | 0,430 | 0,421 | 0,421 | 0,370 |

Προσδιορισμός Τιμών Πρόσφυσης κατά την Πέδηση Οχημάτων Εφοδιασμένων με Σύστημα ABS σε Αυξημένες κατά Μήκος Κλίσεις

| run_c_w_ntua_7 | R(m) | br.front (%) | s(%) | e (%) | coeff | effic (%) | time (sec) | | | | | | | | | | |
|----------------|------------|--------------|--------|-----------------|-------------|-----------|------------|-------|-----------|-----------|------------|---------|-----------|----------|----------|---------|-----------|
| s= 100,000 | 1000000,00 | 68,50 | -5,3 | 0,0 | 1,00 | 100 | 4,469 | | | | | | | | | | 0,963 |
| step= 0,100 | viewstep= | 0,500 | STEPS | | | | | | | | | | | | | | |
| s (m) | V (km/h) | n (%) | dv/dt | skid check | R(m) | s(%) | e (%) | coeff | effic (%) | decelera | time (sec) | fT | front out | front in | rear out | rear in | checktime |
| 36,200 | 1,989 | 99,780 | -3,365 | skid front(out) | 1000000,000 | -5,300 | 0,000 | 1,000 | 100,000 | -2,688538 | 4,469 | 0,39717 | 0,3972 | 0,3972 | 0,3937 | 0,3937 | |
| 0,000 | 56,520 | 99,720 | -3,436 | O.K | 1000000,000 | -5,300 | 0,000 | 1,000 | 100,000 | 0,000 | 0,000 | 0,397 | | | | | |
| 0,400 | 56,204 | 99,720 | -3,435 | skid front(in) | 1000000,000 | -5,300 | 0,000 | 1,000 | 100,000 | 0,000 | 0,026 | 0,397 | 0,397 | 0,397 | 0,394 | 0,394 | 0,026 |
| 1,000 | 55,727 | 99,720 | -3,434 | skid front(in) | 1000000,000 | -5,300 | 0,000 | 1,000 | 100,000 | 0,000 | 0,064 | 0,397 | 0,397 | 0,397 | 0,394 | 0,394 | 0,039 |
| 1,500 | 55,326 | 99,720 | -3,433 | skid front(in) | 1000000,000 | -5,300 | 0,000 | 1,000 | 100,000 | 0,000 | 0,097 | 0,397 | 0,397 | 0,397 | 0,394 | 0,394 | 0,032 |
| 2,000 | 54,923 | 99,720 | -3,432 | skid front(in) | 1000000,000 | -5,300 | 0,000 | 1,000 | 100,000 | 0,000 | 0,129 | 0,397 | 0,397 | 0,397 | 0,394 | 0,394 | 0,033 |
| 2,500 | 54,516 | 99,720 | -3,431 | skid front(in) | 1000000,000 | -5,300 | 0,000 | 1,000 | 100,000 | 0,000 | 0,162 | 0,397 | 0,397 | 0,397 | 0,394 | 0,394 | 0,033 |
| 3,000 | 54,107 | 99,720 | -3,430 | skid front(in) | 1000000,000 | -5,300 | 0,000 | 1,000 | 100,000 | 0,000 | 0,195 | 0,397 | 0,397 | 0,397 | 0,394 | 0,394 | 0,033 |
| 3,500 | 53,695 | 99,720 | -3,429 | skid front(in) | 1000000,000 | -5,300 | 0,000 | 1,000 | 100,000 | 0,000 | 0,229 | 0,397 | 0,397 | 0,397 | 0,394 | 0,394 | 0,033 |
| 4,000 | 53,280 | 99,720 | -3,428 | skid front(in) | 1000000,000 | -5,300 | 0,000 | 1,000 | 100,000 | 0,000 | 0,262 | 0,397 | 0,397 | 0,397 | 0,394 | 0,394 | 0,034 |
| 4,400 | 52,945 | 99,720 | -3,427 | skid front(in) | 1000000,000 | -5,300 | 0,000 | 1,000 | 100,000 | 0,000 | 0,289 | 0,397 | 0,397 | 0,397 | 0,394 | 0,394 | 0,027 |
| 5,000 | 52,439 | 99,720 | -3,426 | skid front(in) | 1000000,000 | -5,300 | 0,000 | 1,000 | 100,000 | 0,000 | 0,330 | 0,397 | 0,397 | 0,397 | 0,394 | 0,394 | 0,041 |
| 5,500 | 52,014 | 99,720 | -3,425 | skid front(in) | 1000000,000 | -5,300 | 0,000 | 1,000 | 100,000 | 0,000 | 0,365 | 0,397 | 0,397 | 0,397 | 0,394 | 0,394 | 0,034 |
| 6,000 | 51,586 | 99,720 | -3,424 | skid front(in) | 1000000,000 | -5,300 | 0,000 | 1,000 | 100,000 | 0,000 | 0,400 | 0,397 | 0,397 | 0,397 | 0,394 | 0,394 | 0,035 |
| 6,500 | 51,154 | 99,720 | -3,423 | skid front(in) | 1000000,000 | -5,300 | 0,000 | 1,000 | 100,000 | 0,000 | 0,435 | 0,397 | 0,397 | 0,397 | 0,394 | 0,394 | 0,035 |
| 7,000 | 50,719 | 99,720 | -3,422 | skid front(in) | 1000000,000 | -5,300 | 0,000 | 1,000 | 100,000 | 0,000 | 0,470 | 0,397 | 0,397 | 0,397 | 0,394 | 0,394 | 0,035 |
| 7,500 | 50,280 | 99,721 | -3,421 | skid front(in) | 1000000,000 | -5,300 | 0,000 | 1,000 | 100,000 | 0,000 | 0,506 | 0,397 | 0,397 | 0,397 | 0,394 | 0,394 | 0,036 |
| 8,000 | 49,837 | 99,721 | -3,420 | skid front(in) | 1000000,000 | -5,300 | 0,000 | 1,000 | 100,000 | 0,000 | 0,542 | 0,397 | 0,397 | 0,397 | 0,394 | 0,394 | 0,036 |
| 8,500 | 49,390 | 99,721 | -3,419 | skid front(in) | 1000000,000 | -5,300 | 0,000 | 1,000 | 100,000 | 0,000 | 0,578 | 0,397 | 0,397 | 0,397 | 0,394 | 0,394 | 0,036 |
| 9,000 | 48,940 | 99,721 | -3,418 | skid front(in) | 1000000,000 | -5,300 | 0,000 | 1,000 | 100,000 | 0,000 | 0,614 | 0,397 | 0,397 | 0,397 | 0,394 | 0,394 | 0,037 |
| 9,500 | 48,485 | 99,721 | -3,417 | skid front(in) | 1000000,000 | -5,300 | 0,000 | 1,000 | 100,000 | 0,000 | 0,651 | 0,397 | 0,397 | 0,397 | 0,394 | 0,394 | 0,037 |
| 10,000 | 48,026 | 99,721 | -3,416 | skid front(in) | 1000000,000 | -5,300 | 0,000 | 1,000 | 100,000 | 0,000 | 0,689 | 0,397 | 0,397 | 0,397 | 0,394 | 0,394 | 0,037 |
| 10,500 | 47,563 | 99,721 | -3,415 | skid front(in) | 1000000,000 | -5,300 | 0,000 | 1,000 | 100,000 | 0,000 | 0,726 | 0,397 | 0,397 | 0,397 | 0,394 | 0,394 | 0,038 |
| 11,000 | 47,096 | 99,721 | -3,414 | skid front(in) | 1000000,000 | -5,300 | 0,000 | 1,000 | 100,000 | 0,000 | 0,764 | 0,397 | 0,397 | 0,397 | 0,394 | 0,394 | 0,038 |
| 11,500 | 46,624 | 99,721 | -3,413 | skid front(in) | 1000000,000 | -5,300 | 0,000 | 1,000 | 100,000 | 0,000 | 0,803 | 0,397 | 0,397 | 0,397 | 0,394 | 0,394 | 0,038 |
| 12,000 | 46,147 | 99,721 | -3,412 | skid front(in) | 1000000,000 | -5,300 | 0,000 | 1,000 | 100,000 | 0,000 | 0,842 | 0,397 | 0,397 | 0,397 | 0,394 | 0,394 | 0,039 |
| 12,500 | 45,666 | 99,721 | -3,411 | skid front(in) | 1000000,000 | -5,300 | 0,000 | 1,000 | 100,000 | 0,000 | 0,881 | 0,397 | 0,397 | 0,397 | 0,394 | 0,394 | 0,039 |
| 13,000 | 45,179 | 99,721 | -3,410 | skid front(in) | 1000000,000 | -5,300 | 0,000 | 1,000 | 100,000 | 0,000 | 0,920 | 0,397 | 0,397 | 0,397 | 0,394 | 0,394 | 0,040 |
| 13,500 | 44,687 | 99,721 | -3,409 | skid front(in) | 1000000,000 | -5,300 | 0,000 | 1,000 | 100,000 | 0,000 | 0,961 | 0,397 | 0,397 | 0,397 | 0,394 | 0,394 | 0,040 |
| 14,000 | 44,190 | 99,721 | -3,408 | skid front(in) | 1000000,000 | -5,300 | 0,000 | 1,000 | 100,000 | 0,000 | 1,001 | 0,397 | 0,397 | 0,397 | 0,394 | 0,394 | 0,041 |
| 14,500 | 43,688 | 99,721 | -3,407 | skid front(in) | 1000000,000 | -5,300 | 0,000 | 1,000 | 100,000 | 0,000 | 1,042 | 0,397 | 0,397 | 0,397 | 0,394 | 0,394 | 0,041 |

Προσδιορισμός Τιμών Πρόσφυσης κατά την Πέδηση Οχημάτων Εφοδιασμένων με Σύστημα ABS σε Αυξημένες κατά Μήκος Κλίσεις

| | | | | | | | | | | | | | | | | | |
|--------|--------|--------|--------|-----------------|-------------|--------|-------|-------|---------|--------|-------|-------|-------|-------|-------|-------|-------|
| 15,000 | 43,179 | 99,721 | -3,406 | skid front(in) | 1000000,000 | -5,300 | 0,000 | 1,000 | 100,000 | 0,000 | 1,083 | 0,397 | 0,397 | 0,397 | 0,394 | 0,394 | 0,041 |
| 15,500 | 42,665 | 99,721 | -3,405 | skid front(in) | 1000000,000 | -5,300 | 0,000 | 1,000 | 100,000 | 0,000 | 1,125 | 0,397 | 0,397 | 0,397 | 0,394 | 0,394 | 0,042 |
| 16,000 | 42,145 | 99,721 | -3,404 | skid front(in) | 1000000,000 | -5,300 | 0,000 | 1,000 | 100,000 | 0,000 | 1,168 | 0,397 | 0,397 | 0,397 | 0,394 | 0,394 | 0,042 |
| 16,500 | 41,618 | 99,721 | -3,403 | skid front(in) | 1000000,000 | -5,300 | 0,000 | 1,000 | 100,000 | 0,000 | 1,211 | 0,397 | 0,397 | 0,397 | 0,394 | 0,394 | 0,043 |
| 17,000 | 41,085 | 99,721 | -3,403 | skid front(in) | 1000000,000 | -5,300 | 0,000 | 1,000 | 100,000 | 0,000 | 1,254 | 0,397 | 0,397 | 0,397 | 0,394 | 0,394 | 0,044 |
| 17,500 | 40,545 | 99,721 | -3,402 | skid front(in) | 1000000,000 | -5,300 | 0,000 | 1,000 | 100,000 | 0,000 | 1,298 | 0,397 | 0,397 | 0,397 | 0,394 | 0,394 | 0,044 |
| 18,000 | 39,997 | 99,721 | -3,401 | skid front(in) | 1000000,000 | -5,300 | 0,000 | 1,000 | 100,000 | 0,000 | 1,343 | 0,397 | 0,397 | 0,397 | 0,394 | 0,394 | 0,045 |
| 18,500 | 39,443 | 99,721 | -3,400 | skid front(in) | 1000000,000 | -5,300 | 0,000 | 1,000 | 100,000 | 0,000 | 1,388 | 0,397 | 0,397 | 0,397 | 0,394 | 0,394 | 0,045 |
| 18,900 | 38,993 | 99,721 | -3,399 | skid front(in) | 1000000,000 | -5,300 | 0,000 | 1,000 | 100,000 | 0,000 | 1,425 | 0,397 | 0,397 | 0,397 | 0,394 | 0,394 | 0,037 |
| 19,500 | 38,310 | 99,721 | -3,398 | skid front(in) | 1000000,000 | -5,300 | 0,000 | 1,000 | 100,000 | 0,000 | 1,481 | 0,397 | 0,397 | 0,397 | 0,394 | 0,394 | 0,056 |
| 20,000 | 37,731 | 99,721 | -3,397 | skid front(in) | 1000000,000 | -5,300 | 0,000 | 1,000 | 100,000 | 0,000 | 1,528 | 0,397 | 0,397 | 0,397 | 0,394 | 0,394 | 0,047 |
| 20,500 | 37,143 | 99,722 | -3,396 | skid front(in) | 1000000,000 | -5,300 | 0,000 | 1,000 | 100,000 | 0,000 | 1,576 | 0,397 | 0,397 | 0,397 | 0,394 | 0,394 | 0,048 |
| 21,000 | 36,546 | 99,722 | -3,395 | skid front(in) | 1000000,000 | -5,300 | 0,000 | 1,000 | 100,000 | 0,000 | 1,625 | 0,397 | 0,397 | 0,397 | 0,394 | 0,394 | 0,049 |
| 21,500 | 35,939 | 99,722 | -3,394 | skid front(in) | 1000000,000 | -5,300 | 0,000 | 1,000 | 100,000 | 0,000 | 1,675 | 0,397 | 0,397 | 0,397 | 0,394 | 0,394 | 0,050 |
| 22,000 | 35,322 | 99,722 | -3,393 | skid front(in) | 1000000,000 | -5,300 | 0,000 | 1,000 | 100,000 | 0,000 | 1,726 | 0,397 | 0,397 | 0,397 | 0,394 | 0,394 | 0,051 |
| 22,500 | 34,694 | 99,722 | -3,392 | skid front(in) | 1000000,000 | -5,300 | 0,000 | 1,000 | 100,000 | 0,000 | 1,777 | 0,397 | 0,397 | 0,397 | 0,394 | 0,394 | 0,051 |
| 23,000 | 34,054 | 99,722 | -3,391 | skid front(in) | 1000000,000 | -5,300 | 0,000 | 1,000 | 100,000 | 0,000 | 1,829 | 0,397 | 0,397 | 0,397 | 0,394 | 0,394 | 0,052 |
| 23,500 | 33,403 | 99,722 | -3,390 | skid front(in) | 1000000,000 | -5,300 | 0,000 | 1,000 | 100,000 | 0,000 | 1,883 | 0,397 | 0,397 | 0,397 | 0,394 | 0,394 | 0,053 |
| 24,000 | 32,739 | 99,721 | -3,389 | skid front(in) | 1000000,000 | -5,300 | 0,000 | 1,000 | 100,000 | 0,001 | 1,937 | 0,397 | 0,397 | 0,397 | 0,394 | 0,394 | 0,054 |
| 24,500 | 32,061 | 99,722 | -3,388 | skid front(in) | 1000000,000 | -5,300 | 0,000 | 1,000 | 100,000 | 0,000 | 1,993 | 0,397 | 0,397 | 0,397 | 0,394 | 0,394 | 0,056 |
| 25,000 | 31,369 | 99,701 | -3,385 | skid front(out) | 1000000,000 | -5,300 | 0,000 | 1,000 | 100,000 | -1,913 | 2,049 | 0,397 | 0,397 | 0,397 | 0,393 | 0,393 | 0,057 |
| 25,500 | 30,662 | 99,771 | -3,386 | skid front(out) | 1000000,000 | -5,300 | 0,000 | 1,000 | 100,000 | -2,190 | 2,107 | 0,397 | 0,397 | 0,397 | 0,394 | 0,394 | 0,058 |
| 26,000 | 29,938 | 99,713 | -3,383 | skid front(out) | 1000000,000 | -5,300 | 0,000 | 1,000 | 100,000 | -1,630 | 2,167 | 0,397 | 0,397 | 0,397 | 0,393 | 0,393 | 0,059 |
| 26,500 | 29,196 | 99,699 | -3,382 | skid front(out) | 1000000,000 | -5,300 | 0,000 | 1,000 | 100,000 | -1,081 | 2,228 | 0,397 | 0,397 | 0,397 | 0,393 | 0,393 | 0,061 |
| 27,000 | 28,435 | 99,765 | -3,383 | skid front(out) | 1000000,000 | -5,300 | 0,000 | 1,000 | 100,000 | -2,064 | 2,290 | 0,397 | 0,397 | 0,397 | 0,394 | 0,394 | 0,062 |
| 27,500 | 27,653 | 99,662 | -3,379 | skid front(out) | 1000000,000 | -5,300 | 0,000 | 1,000 | 100,000 | -0,632 | 2,354 | 0,397 | 0,397 | 0,397 | 0,393 | 0,393 | 0,064 |
| 28,000 | 26,849 | 99,712 | -3,381 | skid front(out) | 1000000,000 | -5,300 | 0,000 | 1,000 | 100,000 | -0,378 | 2,420 | 0,397 | 0,397 | 0,397 | 0,394 | 0,394 | 0,066 |
| 28,500 | 26,021 | 99,698 | -3,377 | skid front(out) | 1000000,000 | -5,300 | 0,000 | 1,000 | 100,000 | -2,555 | 2,489 | 0,397 | 0,397 | 0,397 | 0,393 | 0,393 | 0,068 |
| 29,000 | 25,165 | 99,733 | -3,379 | skid front(out) | 1000000,000 | -5,300 | 0,000 | 1,000 | 100,000 | -1,071 | 2,559 | 0,397 | 0,397 | 0,397 | 0,394 | 0,394 | 0,070 |
| 29,500 | 24,279 | 99,701 | -3,376 | skid front(out) | 1000000,000 | -5,300 | 0,000 | 1,000 | 100,000 | -2,005 | 2,632 | 0,397 | 0,397 | 0,397 | 0,393 | 0,393 | 0,073 |
| 30,000 | 23,361 | 99,716 | -3,375 | skid front(out) | 1000000,000 | -5,300 | 0,000 | 1,000 | 100,000 | -2,949 | 2,707 | 0,397 | 0,397 | 0,397 | 0,393 | 0,393 | 0,076 |
| 30,500 | 22,405 | 99,744 | -3,375 | skid front(out) | 1000000,000 | -5,300 | 0,000 | 1,000 | 100,000 | -2,209 | 2,786 | 0,397 | 0,397 | 0,397 | 0,394 | 0,394 | 0,079 |
| 31,000 | 21,406 | 99,741 | -3,375 | skid front(out) | 1000000,000 | -5,300 | 0,000 | 1,000 | 100,000 | -1,787 | 2,868 | 0,397 | 0,397 | 0,397 | 0,394 | 0,394 | 0,082 |
| 31,500 | 20,359 | 99,706 | -3,372 | skid front(out) | 1000000,000 | -5,300 | 0,000 | 1,000 | 100,000 | -1,800 | 2,954 | 0,397 | 0,397 | 0,397 | 0,393 | 0,393 | 0,086 |
| 32,000 | 19,255 | 99,724 | -3,372 | skid front(out) | 1000000,000 | -5,300 | 0,000 | 1,000 | 100,000 | -1,840 | 3,045 | 0,397 | 0,397 | 0,397 | 0,393 | 0,393 | 0,091 |
| 32,500 | 18,085 | 99,708 | -3,370 | skid front(out) | 1000000,000 | -5,300 | 0,000 | 1,000 | 100,000 | -2,290 | 3,142 | 0,397 | 0,397 | 0,397 | 0,393 | 0,393 | 0,096 |
| 33,000 | 16,833 | 99,749 | -3,370 | skid front(out) | 1000000,000 | -5,300 | 0,000 | 1,000 | 100,000 | -2,782 | 3,245 | 0,397 | 0,397 | 0,397 | 0,394 | 0,394 | 0,103 |
| 33,500 | 15,481 | 99,756 | -3,369 | skid front(out) | 1000000,000 | -5,300 | 0,000 | 1,000 | 100,000 | -3,764 | 3,356 | 0,397 | 0,397 | 0,397 | 0,393 | 0,393 | 0,111 |
| 34,000 | 14,000 | 99,775 | -3,370 | skid front(out) | 1000000,000 | -5,300 | 0,000 | 1,000 | 100,000 | -2,656 | 3,478 | 0,397 | 0,397 | 0,397 | 0,394 | 0,394 | 0,122 |
| 34,500 | 12,341 | 99,759 | -3,369 | skid front(out) | 1000000,000 | -5,300 | 0,000 | 1,000 | 100,000 | -2,016 | 3,615 | 0,397 | 0,397 | 0,397 | 0,394 | 0,394 | 0,137 |
| 35,000 | 10,424 | 99,752 | -3,365 | skid front(out) | 1000000,000 | -5,300 | 0,000 | 1,000 | 100,000 | -4,132 | 3,773 | 0,397 | 0,397 | 0,397 | 0,393 | 0,393 | 0,158 |
| 35,500 | 8,064 | 99,704 | -3,365 | skid front(out) | 1000000,000 | -5,300 | 0,000 | 1,000 | 100,000 | -1,657 | 3,968 | 0,397 | 0,397 | 0,397 | 0,393 | 0,393 | 0,195 |
| 36,000 | 4,626 | 99,664 | -3,362 | skid front(out) | 1000000,000 | -5,300 | 0,000 | 1,000 | 100,000 | -1,975 | 4,251 | 0,397 | 0,397 | 0,397 | 0,393 | 0,393 | 0,284 |
| 36,200 | 1,989 | 99,780 | -3,365 | skid front(out) | 1000000,000 | -5,300 | 0,000 | 1,000 | 100,000 | -2,689 | 4,469 | 0,397 | 0,397 | 0,397 | 0,394 | 0,394 | 0,218 |

Προσδιορισμός Τιμών Πρόσφυσης κατά την Πέδηση Οχημάτων Εφοδιασμένων με Σύστημα ABS σε Αυξημένες κατά Μήκος Κλίσεις

| | | | | | | | | | | | | | | | | | |
|--------|--------|--------|--------|-----------------|-------------|--------|-------|-------|---------|--------|-------|-------|-------|-------|-------|-------|-------|
| 10,000 | 44,933 | 99,269 | -3,484 | skid front(in) | 1000000,000 | -5,300 | 0,000 | 1,000 | 100,000 | 0,000 | 0,727 | 0,407 | 0,407 | 0,407 | 0,397 | 0,397 | 0,040 |
| 10,500 | 44,428 | 99,269 | -3,483 | skid front(in) | 1000000,000 | -5,300 | 0,000 | 1,000 | 100,000 | 0,000 | 0,768 | 0,407 | 0,407 | 0,407 | 0,397 | 0,397 | 0,040 |
| 11,000 | 43,917 | 99,269 | -3,482 | skid front(in) | 1000000,000 | -5,300 | 0,000 | 1,000 | 100,000 | 0,000 | 0,808 | 0,407 | 0,407 | 0,407 | 0,397 | 0,397 | 0,041 |
| 11,500 | 43,400 | 99,269 | -3,481 | skid front(in) | 1000000,000 | -5,300 | 0,000 | 1,000 | 100,000 | 0,000 | 0,850 | 0,407 | 0,407 | 0,407 | 0,397 | 0,397 | 0,041 |
| 12,000 | 42,877 | 99,269 | -3,480 | skid front(in) | 1000000,000 | -5,300 | 0,000 | 1,000 | 100,000 | 0,000 | 0,891 | 0,407 | 0,407 | 0,407 | 0,397 | 0,397 | 0,042 |
| 12,500 | 42,348 | 99,269 | -3,479 | skid front(in) | 1000000,000 | -5,300 | 0,000 | 1,000 | 100,000 | 0,000 | 0,933 | 0,407 | 0,407 | 0,407 | 0,397 | 0,397 | 0,042 |
| 13,000 | 41,813 | 99,269 | -3,478 | skid front(in) | 1000000,000 | -5,300 | 0,000 | 1,000 | 100,000 | 0,000 | 0,976 | 0,407 | 0,407 | 0,407 | 0,397 | 0,397 | 0,043 |
| 13,500 | 41,270 | 99,269 | -3,477 | skid front(in) | 1000000,000 | -5,300 | 0,000 | 1,000 | 100,000 | 0,000 | 1,020 | 0,407 | 0,407 | 0,407 | 0,397 | 0,397 | 0,043 |
| 14,000 | 40,721 | 99,269 | -3,476 | skid front(in) | 1000000,000 | -5,300 | 0,000 | 1,000 | 100,000 | 0,000 | 1,063 | 0,407 | 0,407 | 0,407 | 0,397 | 0,397 | 0,044 |
| 14,500 | 40,164 | 99,269 | -3,475 | skid front(in) | 1000000,000 | -5,300 | 0,000 | 1,000 | 100,000 | 0,000 | 1,108 | 0,407 | 0,407 | 0,407 | 0,397 | 0,397 | 0,045 |
| 15,000 | 39,599 | 99,269 | -3,474 | skid front(in) | 1000000,000 | -5,300 | 0,000 | 1,000 | 100,000 | 0,000 | 1,153 | 0,407 | 0,407 | 0,407 | 0,397 | 0,397 | 0,045 |
| 15,500 | 39,026 | 99,269 | -3,473 | skid front(in) | 1000000,000 | -5,300 | 0,000 | 1,000 | 100,000 | 0,000 | 1,199 | 0,407 | 0,407 | 0,407 | 0,397 | 0,397 | 0,046 |
| 16,000 | 38,445 | 99,269 | -3,472 | skid front(in) | 1000000,000 | -5,300 | 0,000 | 1,000 | 100,000 | 0,000 | 1,245 | 0,407 | 0,407 | 0,407 | 0,397 | 0,397 | 0,046 |
| 16,500 | 37,856 | 99,269 | -3,471 | skid front(in) | 1000000,000 | -5,300 | 0,000 | 1,000 | 100,000 | 0,000 | 1,293 | 0,407 | 0,407 | 0,407 | 0,397 | 0,397 | 0,047 |
| 17,000 | 37,257 | 99,269 | -3,470 | skid front(in) | 1000000,000 | -5,300 | 0,000 | 1,000 | 100,000 | 0,000 | 1,340 | 0,407 | 0,407 | 0,407 | 0,397 | 0,397 | 0,048 |
| 17,500 | 36,648 | 99,269 | -3,469 | skid front(in) | 1000000,000 | -5,300 | 0,000 | 1,000 | 100,000 | 0,000 | 1,389 | 0,407 | 0,407 | 0,407 | 0,397 | 0,397 | 0,049 |
| 18,000 | 36,030 | 99,269 | -3,468 | skid front(in) | 1000000,000 | -5,300 | 0,000 | 1,000 | 100,000 | 0,000 | 1,439 | 0,407 | 0,407 | 0,407 | 0,397 | 0,397 | 0,050 |
| 18,500 | 35,401 | 99,268 | -3,467 | skid front(in) | 1000000,000 | -5,300 | 0,000 | 1,000 | 100,000 | 0,001 | 1,489 | 0,407 | 0,407 | 0,407 | 0,397 | 0,397 | 0,050 |
| 18,900 | 34,889 | 99,269 | -3,467 | skid front(in) | 1000000,000 | -5,300 | 0,000 | 1,000 | 100,000 | 0,000 | 1,530 | 0,407 | 0,407 | 0,407 | 0,397 | 0,397 | 0,041 |
| 19,500 | 34,108 | 99,269 | -3,466 | skid front(in) | 1000000,000 | -5,300 | 0,000 | 1,000 | 100,000 | 0,001 | 1,593 | 0,407 | 0,407 | 0,407 | 0,397 | 0,397 | 0,063 |
| 20,000 | 33,443 | 99,269 | -3,465 | skid front(in) | 1000000,000 | -5,300 | 0,000 | 1,000 | 100,000 | 0,001 | 1,646 | 0,407 | 0,407 | 0,407 | 0,397 | 0,397 | 0,053 |
| 20,500 | 32,765 | 99,269 | -3,464 | skid front(in) | 1000000,000 | -5,300 | 0,000 | 1,000 | 100,000 | 0,000 | 1,700 | 0,407 | 0,407 | 0,407 | 0,397 | 0,397 | 0,054 |
| 21,000 | 32,073 | 99,269 | -3,463 | skid front(in) | 1000000,000 | -5,300 | 0,000 | 1,000 | 100,000 | 0,001 | 1,756 | 0,407 | 0,407 | 0,407 | 0,397 | 0,397 | 0,056 |
| 21,500 | 31,366 | 99,303 | -3,461 | skid front(out) | 1000000,000 | -5,300 | 0,000 | 1,000 | 100,000 | -2,076 | 1,813 | 0,407 | 0,407 | 0,407 | 0,397 | 0,397 | 0,057 |
| 22,000 | 30,642 | 99,254 | -3,459 | skid front(out) | 1000000,000 | -5,300 | 0,000 | 1,000 | 100,000 | -1,533 | 1,871 | 0,407 | 0,406 | 0,406 | 0,397 | 0,397 | 0,058 |
| 22,500 | 29,902 | 99,249 | -3,458 | skid front(out) | 1000000,000 | -5,300 | 0,000 | 1,000 | 100,000 | -0,938 | 1,930 | 0,407 | 0,407 | 0,407 | 0,397 | 0,397 | 0,059 |
| 23,000 | 29,142 | 99,257 | -3,456 | skid front(out) | 1000000,000 | -5,300 | 0,000 | 1,000 | 100,000 | -2,284 | 1,991 | 0,407 | 0,406 | 0,406 | 0,397 | 0,397 | 0,061 |
| 23,500 | 28,363 | 99,278 | -3,456 | skid front(out) | 1000000,000 | -5,300 | 0,000 | 1,000 | 100,000 | -2,108 | 2,054 | 0,407 | 0,407 | 0,407 | 0,397 | 0,397 | 0,063 |
| 24,000 | 27,562 | 99,276 | -3,455 | skid front(out) | 1000000,000 | -5,300 | 0,000 | 1,000 | 100,000 | -2,264 | 2,118 | 0,407 | 0,406 | 0,407 | 0,397 | 0,397 | 0,064 |
| 24,500 | 26,737 | 99,286 | -3,456 | skid front(out) | 1000000,000 | -5,300 | 0,000 | 1,000 | 100,000 | -0,788 | 2,184 | 0,407 | 0,407 | 0,407 | 0,397 | 0,397 | 0,066 |
| 25,000 | 25,887 | 99,236 | -3,452 | skid front(out) | 1000000,000 | -5,300 | 0,000 | 1,000 | 100,000 | -1,678 | 2,253 | 0,407 | 0,406 | 0,406 | 0,397 | 0,397 | 0,068 |
| 25,500 | 25,007 | 99,310 | -3,453 | skid front(out) | 1000000,000 | -5,300 | 0,000 | 1,000 | 100,000 | -2,247 | 2,324 | 0,407 | 0,407 | 0,407 | 0,397 | 0,397 | 0,071 |
| 26,000 | 24,096 | 99,247 | -3,450 | skid front(out) | 1000000,000 | -5,300 | 0,000 | 1,000 | 100,000 | -1,870 | 2,397 | 0,407 | 0,406 | 0,406 | 0,397 | 0,397 | 0,073 |
| 26,500 | 23,149 | 99,233 | -3,449 | skid front(out) | 1000000,000 | -5,300 | 0,000 | 1,000 | 100,000 | -1,460 | 2,473 | 0,407 | 0,406 | 0,406 | 0,397 | 0,397 | 0,076 |
| 27,000 | 22,162 | 99,312 | -3,450 | skid front(out) | 1000000,000 | -5,300 | 0,000 | 1,000 | 100,000 | -2,857 | 2,553 | 0,407 | 0,407 | 0,407 | 0,397 | 0,397 | 0,079 |
| 27,500 | 21,128 | 99,328 | -3,450 | skid front(out) | 1000000,000 | -5,300 | 0,000 | 1,000 | 100,000 | -2,923 | 2,636 | 0,407 | 0,407 | 0,407 | 0,397 | 0,397 | 0,083 |
| 28,000 | 20,043 | 99,274 | -3,448 | skid front(out) | 1000000,000 | -5,300 | 0,000 | 1,000 | 100,000 | -1,504 | 2,723 | 0,407 | 0,407 | 0,407 | 0,397 | 0,397 | 0,087 |
| 28,500 | 18,895 | 99,231 | -3,444 | skid front(out) | 1000000,000 | -5,300 | 0,000 | 1,000 | 100,000 | -2,363 | 2,816 | 0,407 | 0,406 | 0,406 | 0,397 | 0,397 | 0,093 |
| 29,000 | 17,673 | 99,288 | -3,447 | skid front(out) | 1000000,000 | -5,300 | 0,000 | 1,000 | 100,000 | -0,846 | 2,914 | 0,407 | 0,407 | 0,407 | 0,397 | 0,397 | 0,098 |
| 29,500 | 16,360 | 99,275 | -3,444 | skid front(out) | 1000000,000 | -5,300 | 0,000 | 1,000 | 100,000 | -2,270 | 3,020 | 0,407 | 0,406 | 0,406 | 0,397 | 0,397 | 0,106 |
| 30,000 | 14,934 | 99,274 | -3,444 | skid front(out) | 1000000,000 | -5,300 | 0,000 | 1,000 | 100,000 | -1,603 | 3,135 | 0,407 | 0,407 | 0,407 | 0,397 | 0,397 | 0,115 |
| 30,500 | 13,356 | 99,241 | -3,442 | skid front(out) | 1000000,000 | -5,300 | 0,000 | 1,000 | 100,000 | -1,418 | 3,262 | 0,407 | 0,406 | 0,406 | 0,397 | 0,397 | 0,127 |
| 31,000 | 11,565 | 99,321 | -3,442 | skid front(out) | 1000000,000 | -5,300 | 0,000 | 1,000 | 100,000 | -3,475 | 3,407 | 0,407 | 0,407 | 0,407 | 0,397 | 0,397 | 0,145 |
| 31,500 | 9,441 | 99,320 | -3,441 | skid front(out) | 1000000,000 | -5,300 | 0,000 | 1,000 | 100,000 | -3,872 | 3,578 | 0,407 | 0,407 | 0,407 | 0,397 | 0,397 | 0,171 |
| 32,000 | 6,673 | 99,229 | -3,437 | skid front(out) | 1000000,000 | -5,300 | 0,000 | 1,000 | 100,000 | -2,436 | 3,801 | 0,407 | 0,406 | 0,406 | 0,397 | 0,397 | 0,224 |
| 32,500 | 0,254 | 99,194 | -3,436 | skid front(out) | 1000000,000 | -5,300 | 0,000 | 1,000 | 100,000 | -0,896 | 4,319 | 0,407 | 0,406 | 0,406 | 0,397 | 0,397 | 0,519 |

Προσδιορισμός Τιμών Πρόσφυσης κατά την Πέδηση Οχημάτων Εφοδιασμένων με Σύστημα ABS σε Αυξημένες κατά Μήκος Κλίσεις

| run_c_w_ntua_9 | R(m) | br.front (%) | s(%) | e (%) | coeff | effic (%) | time (sec) | | | | | | | | | | |
|----------------|-----------------|--------------|--------|-----------------|-------------|-----------|------------|-------|-----------|-----------|------------|---------|-----------|----------|----------|---------|-----------|
| s= 100,000 | 1000000,00 | 69,50 | -5,3 | 0,0 | 1,00 | 100 | 4,012 | | | | | | | | | 0,963 | |
| step= 0,100 | viewstep= 0,500 | | STEPS | | | | | | | | | | | | | | |
| s (m) | V (km/h) | n (%) | dv/dt | skid check | R(m) | s(%) | e (%) | coeff | effic (%) | decelera | time (sec) | fT | front out | front in | rear out | rear in | checktime |
| 31,600 | 2,263 | 99,117 | -3,597 | skid front(out) | 1000000,000 | -5,300 | 0,000 | 1,000 | 100,000 | -3,013813 | 4,012 | 0,42369 | 0,4234 | 0,4234 | 0,4114 | 0,4114 | |
| 0,000 | 54,590 | 99,129 | -3,664 | O.K | 1000000,000 | -5,300 | 0,000 | 1,000 | 100,000 | 0,000 | 0,000 | 0,424 | | | | | |
| 0,400 | 54,241 | 99,129 | -3,663 | skid front(in) | 1000000,000 | -5,300 | 0,000 | 1,000 | 100,000 | 0,000 | 0,026 | 0,424 | 0,424 | 0,424 | 0,412 | 0,412 | 0,026 |
| 1,000 | 53,713 | 99,129 | -3,662 | skid front(in) | 1000000,000 | -5,300 | 0,000 | 1,000 | 100,000 | 0,000 | 0,066 | 0,424 | 0,424 | 0,424 | 0,412 | 0,412 | 0,040 |
| 1,500 | 53,270 | 99,129 | -3,661 | skid front(in) | 1000000,000 | -5,300 | 0,000 | 1,000 | 100,000 | 0,000 | 0,100 | 0,424 | 0,424 | 0,424 | 0,412 | 0,412 | 0,034 |
| 2,000 | 52,823 | 99,129 | -3,660 | skid front(in) | 1000000,000 | -5,300 | 0,000 | 1,000 | 100,000 | 0,000 | 0,134 | 0,424 | 0,424 | 0,424 | 0,412 | 0,412 | 0,034 |
| 2,500 | 52,372 | 99,129 | -3,659 | skid front(in) | 1000000,000 | -5,300 | 0,000 | 1,000 | 100,000 | 0,000 | 0,168 | 0,424 | 0,424 | 0,424 | 0,412 | 0,412 | 0,034 |
| 3,000 | 51,917 | 99,129 | -3,658 | skid front(in) | 1000000,000 | -5,300 | 0,000 | 1,000 | 100,000 | 0,000 | 0,203 | 0,424 | 0,424 | 0,424 | 0,412 | 0,412 | 0,035 |

Προσδιορισμός Τιμών Πρόσφυσης κατά την Πέδηση Οχημάτων Εφοδιασμένων με Σύστημα ABS σε Αυξημένες κατά Μήκος Κλίσεις

| | | | | | | | | | | | | | | | | | |
|--------|--------|--------|--------|-----------------|-------------|--------|-------|-------|---------|--------|-------|-------|-------|-------|-------|-------|-------|
| 3,500 | 51,459 | 99,129 | -3,657 | skid front(in) | 1000000,000 | -5,300 | 0,000 | 1,000 | 100,000 | 0,000 | 0,238 | 0,424 | 0,424 | 0,424 | 0,412 | 0,412 | 0,035 |
| 4,000 | 50,996 | 99,129 | -3,656 | skid front(in) | 1000000,000 | -5,300 | 0,000 | 1,000 | 100,000 | 0,000 | 0,273 | 0,424 | 0,424 | 0,424 | 0,412 | 0,412 | 0,035 |
| 4,400 | 50,623 | 99,129 | -3,655 | skid front(in) | 1000000,000 | -5,300 | 0,000 | 1,000 | 100,000 | 0,000 | 0,301 | 0,424 | 0,424 | 0,424 | 0,412 | 0,412 | 0,028 |
| 5,000 | 50,059 | 99,129 | -3,654 | skid front(in) | 1000000,000 | -5,300 | 0,000 | 1,000 | 100,000 | 0,000 | 0,344 | 0,424 | 0,424 | 0,424 | 0,412 | 0,412 | 0,043 |
| 5,500 | 49,584 | 99,129 | -3,653 | skid front(in) | 1000000,000 | -5,300 | 0,000 | 1,000 | 100,000 | 0,000 | 0,380 | 0,424 | 0,424 | 0,424 | 0,412 | 0,412 | 0,036 |
| 6,000 | 49,104 | 99,129 | -3,652 | skid front(in) | 1000000,000 | -5,300 | 0,000 | 1,000 | 100,000 | 0,000 | 0,417 | 0,424 | 0,424 | 0,424 | 0,412 | 0,412 | 0,036 |
| 6,500 | 48,620 | 99,129 | -3,651 | skid front(in) | 1000000,000 | -5,300 | 0,000 | 1,000 | 100,000 | 0,000 | 0,453 | 0,424 | 0,424 | 0,424 | 0,412 | 0,412 | 0,037 |
| 7,000 | 48,131 | 99,129 | -3,650 | skid front(in) | 1000000,000 | -5,300 | 0,000 | 1,000 | 100,000 | 0,000 | 0,491 | 0,424 | 0,424 | 0,424 | 0,412 | 0,412 | 0,037 |
| 7,500 | 47,637 | 99,129 | -3,649 | skid front(in) | 1000000,000 | -5,300 | 0,000 | 1,000 | 100,000 | 0,000 | 0,528 | 0,424 | 0,424 | 0,424 | 0,412 | 0,412 | 0,038 |
| 8,000 | 47,138 | 99,129 | -3,648 | skid front(in) | 1000000,000 | -5,300 | 0,000 | 1,000 | 100,000 | 0,000 | 0,566 | 0,424 | 0,424 | 0,424 | 0,412 | 0,412 | 0,038 |
| 8,500 | 46,634 | 99,129 | -3,647 | skid front(in) | 1000000,000 | -5,300 | 0,000 | 1,000 | 100,000 | 0,000 | 0,605 | 0,424 | 0,424 | 0,424 | 0,412 | 0,412 | 0,038 |
| 9,000 | 46,125 | 99,129 | -3,646 | skid front(in) | 1000000,000 | -5,300 | 0,000 | 1,000 | 100,000 | 0,000 | 0,643 | 0,424 | 0,424 | 0,424 | 0,412 | 0,412 | 0,039 |
| 9,500 | 45,610 | 99,129 | -3,645 | skid front(in) | 1000000,000 | -5,300 | 0,000 | 1,000 | 100,000 | 0,000 | 0,683 | 0,424 | 0,424 | 0,424 | 0,412 | 0,412 | 0,039 |
| 10,000 | 45,089 | 99,129 | -3,644 | skid front(in) | 1000000,000 | -5,300 | 0,000 | 1,000 | 100,000 | 0,000 | 0,722 | 0,424 | 0,424 | 0,424 | 0,412 | 0,412 | 0,040 |
| 10,500 | 44,562 | 99,129 | -3,643 | skid front(in) | 1000000,000 | -5,300 | 0,000 | 1,000 | 100,000 | 0,000 | 0,763 | 0,424 | 0,424 | 0,424 | 0,412 | 0,412 | 0,040 |
| 11,000 | 44,029 | 99,129 | -3,642 | skid front(in) | 1000000,000 | -5,300 | 0,000 | 1,000 | 100,000 | 0,000 | 0,803 | 0,424 | 0,424 | 0,424 | 0,412 | 0,412 | 0,041 |
| 11,500 | 43,490 | 99,129 | -3,641 | skid front(in) | 1000000,000 | -5,300 | 0,000 | 1,000 | 100,000 | 0,000 | 0,844 | 0,424 | 0,424 | 0,424 | 0,412 | 0,412 | 0,041 |
| 12,000 | 42,944 | 99,129 | -3,640 | skid front(in) | 1000000,000 | -5,300 | 0,000 | 1,000 | 100,000 | 0,000 | 0,886 | 0,424 | 0,424 | 0,424 | 0,412 | 0,412 | 0,042 |
| 12,500 | 42,392 | 99,130 | -3,639 | skid front(in) | 1000000,000 | -5,300 | 0,000 | 1,000 | 100,000 | 0,000 | 0,928 | 0,424 | 0,424 | 0,424 | 0,412 | 0,412 | 0,042 |
| 13,000 | 41,832 | 99,130 | -3,638 | skid front(in) | 1000000,000 | -5,300 | 0,000 | 1,000 | 100,000 | 0,000 | 0,971 | 0,424 | 0,424 | 0,424 | 0,412 | 0,412 | 0,043 |
| 13,500 | 41,265 | 99,130 | -3,637 | skid front(in) | 1000000,000 | -5,300 | 0,000 | 1,000 | 100,000 | 0,000 | 1,014 | 0,424 | 0,424 | 0,424 | 0,412 | 0,412 | 0,043 |
| 14,000 | 40,690 | 99,130 | -3,636 | skid front(in) | 1000000,000 | -5,300 | 0,000 | 1,000 | 100,000 | 0,000 | 1,058 | 0,424 | 0,424 | 0,424 | 0,412 | 0,412 | 0,044 |
| 14,500 | 40,107 | 99,130 | -3,635 | skid front(in) | 1000000,000 | -5,300 | 0,000 | 1,000 | 100,000 | 0,000 | 1,103 | 0,424 | 0,424 | 0,424 | 0,412 | 0,412 | 0,045 |
| 15,000 | 39,515 | 99,130 | -3,634 | skid front(in) | 1000000,000 | -5,300 | 0,000 | 1,000 | 100,000 | 0,000 | 1,148 | 0,424 | 0,424 | 0,424 | 0,412 | 0,412 | 0,045 |
| 15,500 | 38,915 | 99,130 | -3,633 | skid front(in) | 1000000,000 | -5,300 | 0,000 | 1,000 | 100,000 | 0,000 | 1,194 | 0,424 | 0,424 | 0,424 | 0,412 | 0,412 | 0,046 |
| 16,000 | 38,305 | 99,130 | -3,632 | skid front(in) | 1000000,000 | -5,300 | 0,000 | 1,000 | 100,000 | 0,000 | 1,240 | 0,424 | 0,424 | 0,424 | 0,412 | 0,412 | 0,047 |
| 16,500 | 37,686 | 99,130 | -3,631 | skid front(in) | 1000000,000 | -5,300 | 0,000 | 1,000 | 100,000 | 0,000 | 1,288 | 0,424 | 0,424 | 0,424 | 0,412 | 0,412 | 0,047 |
| 17,000 | 37,056 | 99,130 | -3,630 | skid front(in) | 1000000,000 | -5,300 | 0,000 | 1,000 | 100,000 | 0,000 | 1,336 | 0,424 | 0,424 | 0,424 | 0,412 | 0,412 | 0,048 |
| 17,500 | 36,416 | 99,130 | -3,629 | skid front(in) | 1000000,000 | -5,300 | 0,000 | 1,000 | 100,000 | 0,000 | 1,385 | 0,424 | 0,424 | 0,424 | 0,412 | 0,412 | 0,049 |
| 18,000 | 35,765 | 99,130 | -3,628 | skid front(in) | 1000000,000 | -5,300 | 0,000 | 1,000 | 100,000 | 0,001 | 1,435 | 0,424 | 0,424 | 0,424 | 0,412 | 0,412 | 0,050 |
| 18,500 | 35,101 | 99,130 | -3,627 | skid front(in) | 1000000,000 | -5,300 | 0,000 | 1,000 | 100,000 | 0,000 | 1,486 | 0,424 | 0,424 | 0,424 | 0,412 | 0,412 | 0,051 |
| 18,900 | 34,562 | 99,130 | -3,626 | skid front(in) | 1000000,000 | -5,300 | 0,000 | 1,000 | 100,000 | 0,001 | 1,527 | 0,424 | 0,424 | 0,424 | 0,412 | 0,412 | 0,041 |
| 19,500 | 33,736 | 99,130 | -3,625 | skid front(in) | 1000000,000 | -5,300 | 0,000 | 1,000 | 100,000 | 0,001 | 1,590 | 0,424 | 0,424 | 0,424 | 0,412 | 0,412 | 0,063 |
| 20,000 | 33,033 | 99,130 | -3,624 | skid front(in) | 1000000,000 | -5,300 | 0,000 | 1,000 | 100,000 | 0,000 | 1,644 | 0,424 | 0,424 | 0,424 | 0,412 | 0,412 | 0,054 |
| 20,500 | 32,314 | 99,130 | -3,623 | skid front(in) | 1000000,000 | -5,300 | 0,000 | 1,000 | 100,000 | -0,001 | 1,699 | 0,424 | 0,424 | 0,424 | 0,412 | 0,412 | 0,055 |
| 21,000 | 31,580 | 99,141 | -3,621 | skid front(out) | 1000000,000 | -5,300 | 0,000 | 1,000 | 100,000 | -1,513 | 1,756 | 0,424 | 0,424 | 0,424 | 0,412 | 0,412 | 0,056 |
| 21,500 | 30,828 | 99,119 | -3,619 | skid front(out) | 1000000,000 | -5,300 | 0,000 | 1,000 | 100,000 | -1,284 | 1,813 | 0,424 | 0,424 | 0,424 | 0,412 | 0,412 | 0,058 |
| 22,000 | 30,057 | 99,180 | -3,619 | skid front(out) | 1000000,000 | -5,300 | 0,000 | 1,000 | 100,000 | -2,607 | 1,872 | 0,424 | 0,424 | 0,424 | 0,412 | 0,412 | 0,059 |
| 22,500 | 29,266 | 99,096 | -3,616 | skid front(out) | 1000000,000 | -5,300 | 0,000 | 1,000 | 100,000 | -1,568 | 1,933 | 0,424 | 0,423 | 0,423 | 0,411 | 0,411 | 0,061 |
| 23,000 | 28,454 | 99,162 | -3,617 | skid front(out) | 1000000,000 | -5,300 | 0,000 | 1,000 | 100,000 | -1,709 | 1,995 | 0,424 | 0,424 | 0,424 | 0,412 | 0,412 | 0,062 |
| 23,500 | 27,618 | 99,113 | -3,615 | skid front(out) | 1000000,000 | -5,300 | 0,000 | 1,000 | 100,000 | -0,988 | 2,060 | 0,424 | 0,424 | 0,424 | 0,412 | 0,412 | 0,064 |
| 24,000 | 26,756 | 99,151 | -3,615 | skid front(out) | 1000000,000 | -5,300 | 0,000 | 1,000 | 100,000 | -1,901 | 2,126 | 0,424 | 0,424 | 0,424 | 0,412 | 0,412 | 0,066 |
| 24,500 | 25,866 | 99,138 | -3,614 | skid front(out) | 1000000,000 | -5,300 | 0,000 | 1,000 | 100,000 | -1,526 | 2,194 | 0,424 | 0,424 | 0,424 | 0,412 | 0,412 | 0,068 |
| 25,000 | 24,944 | 99,144 | -3,611 | skid front(out) | 1000000,000 | -5,300 | 0,000 | 1,000 | 100,000 | -3,209 | 2,265 | 0,424 | 0,423 | 0,423 | 0,412 | 0,412 | 0,071 |
| 25,500 | 23,987 | 99,171 | -3,611 | skid front(out) | 1000000,000 | -5,300 | 0,000 | 1,000 | 100,000 | -3,253 | 2,339 | 0,424 | 0,424 | 0,424 | 0,412 | 0,412 | 0,074 |
| 26,000 | 22,991 | 99,144 | -3,610 | skid front(out) | 1000000,000 | -5,300 | 0,000 | 1,000 | 100,000 | -1,951 | 2,415 | 0,424 | 0,424 | 0,424 | 0,412 | 0,412 | 0,077 |
| 26,500 | 21,950 | 99,097 | -3,608 | skid front(out) | 1000000,000 | -5,300 | 0,000 | 1,000 | 100,000 | -0,952 | 2,495 | 0,424 | 0,423 | 0,423 | 0,412 | 0,412 | 0,080 |
| 27,000 | 20,857 | 99,148 | -3,609 | skid front(out) | 1000000,000 | -5,300 | 0,000 | 1,000 | 100,000 | -1,794 | 2,580 | 0,424 | 0,424 | 0,424 | 0,412 | 0,412 | 0,084 |
| 27,500 | 19,703 | 99,143 | -3,608 | skid front(out) | 1000000,000 | -5,300 | 0,000 | 1,000 | 100,000 | -1,210 | 2,668 | 0,424 | 0,424 | 0,424 | 0,412 | 0,412 | 0,089 |
| 28,000 | 18,479 | 99,159 | -3,606 | skid front(out) | 1000000,000 | -5,300 | 0,000 | 1,000 | 100,000 | -3,000 | 2,763 | 0,424 | 0,424 | 0,424 | 0,412 | 0,412 | 0,094 |
| 28,500 | 17,167 | 99,113 | -3,603 | skid front(out) | 1000000,000 | -5,300 | 0,000 | 1,000 | 100,000 | -3,313 | 2,864 | 0,424 | 0,423 | 0,423 | 0,411 | 0,411 | 0,101 |
| 29,000 | 15,748 | 99,131 | -3,602 | skid front(out) | 1000000,000 | -5,300 | 0,000 | 1,000 | 100,000 | -3,650 | 2,973 | 0,424 | 0,423 | 0,423 | 0,411 | 0,411 | 0,109 |
| 29,500 | 14,187 | 99,084 | -3,601 | skid front(out) | 1000000,000 | -5,300 | 0,000 | 1,000 | 100,000 | -2,380 | 3,093 | 0,424 | 0,423 | 0,423 | 0,411 | 0,411 | 0,120 |
| 30,000 | 12,432 | 99,150 | -3,602 | skid front(out) | 1000000,000 | -5,300 | 0,000 | 1,000 | 100,000 | -3,221 | 3,228 | 0,424 | 0,424 | 0,424 | 0,412 | 0,412 | 0,135 |
| 30,500 | 10,386 | 99,150 | -3,601 | skid front(out) | 1000000,000 | -5,300 | 0,000 | 1,000 | 100,000 | -2,344 | 3,386 | 0,424 | 0,424 | 0,424 | 0,412 | 0,412 | 0,158 |
| 31,000 | 7,820 | 99,176 | -3,600 | skid front(out) | 1000000,000 | -5,300 | 0,000 | 1,000 | 100,000 | -4,306 | 3,584 | 0,424 | 0,424 | 0,424 | 0,412 | 0,412 | 0,198 |
| 31,500 | 3,802 | 99,076 | -3,597 | skid front(out) | 1000000,000 | -5,300 | 0,000 | 1,000 | 100,000 | -2,088 | 3,894 | 0,424 | 0,423 | 0,423 | 0,411 | 0,411 | 0,310 |
| 31,600 | 2,263 | 99,117 | -3,597 | skid front(out) | 1000000,000 | -5,300 | 0,000 | 1,000 | 100,000 | -3,014 | 4,012 | 0,424 | 0,423 | 0,423 | 0,411 | 0,411 | 0,119 |

Προσδιορισμός Τιμών Πρόσφυσης κατά την Πέδηση Οχημάτων Εφοδιασμένων με Σύστημα ABS σε Αυξημένες κατά Μήκος Κλίσεις

| | | | | | | | | | | | | | | | | | |
|-----------------|----------|------------|--------------|------------|-------|-------|-----------|------------|-----------|----------|------------|----|-----------|----------|----------|---------|-----------|
| run_c_w_ntua_10 | | R(m) | br.front (%) | s(%) | e (%) | coeff | effic (%) | time (sec) | | | | | | | | | |
| s= | 100,000 | 1000000,00 | 69,00 | -5,3 | 0,0 | 1,00 | 100 | 4,089 | 0,963 | | | | | | | | |
| step= | 0,100 | viewstep= | 0,500 | STEPS | | | | | | | | | | | | | |
| s (m) | V (km/h) | n (%) | dv/dt | skid check | R(m) | s(%) | e (%) | coeff | effic (%) | decelera | time (sec) | fT | front out | front in | rear out | rear in | checktime |

Προσδιορισμός Τιμών Πρόσφυσης κατά την Πέδηση Οχημάτων Εφοδιασμένων με Σύστημα ABS σε Αυξημένες κατά Μήκος Κλίσεις

| 31,600 | 2,357 | 99,266 | -3,444 | skid front(out) | 1000000,000 | -5,300 | 0,000 | 1,000 | 100,000 | -3,062314 | 4,089 | 0,40731 | 0,4070 | 0,4070 | 0,3977 | 0,3977 | |
|--------|--------|--------|--------|-----------------|-------------|--------|-------|-------|---------|-----------|-------|---------|--------|--------|--------|--------|-------|
| 0,000 | 53,430 | 99,295 | -3,510 | Ο.Κ | 1000000,000 | -5,300 | 0,000 | 1,000 | 100,000 | 0,000 | 0,000 | 0,407 | | | | | |
| 0,400 | 53,088 | 99,295 | -3,509 | skid front(in) | 1000000,000 | -5,300 | 0,000 | 1,000 | 100,000 | 0,000 | 0,027 | 0,407 | 0,407 | 0,407 | 0,398 | 0,398 | 0,027 |
| 1,000 | 52,572 | 99,295 | -3,508 | skid front(in) | 1000000,000 | -5,300 | 0,000 | 1,000 | 100,000 | 0,000 | 0,068 | 0,407 | 0,407 | 0,407 | 0,398 | 0,398 | 0,041 |
| 1,500 | 52,138 | 99,295 | -3,507 | skid front(in) | 1000000,000 | -5,300 | 0,000 | 1,000 | 100,000 | 0,000 | 0,102 | 0,407 | 0,407 | 0,407 | 0,398 | 0,398 | 0,034 |
| 2,000 | 51,700 | 99,295 | -3,506 | skid front(in) | 1000000,000 | -5,300 | 0,000 | 1,000 | 100,000 | 0,000 | 0,137 | 0,407 | 0,407 | 0,407 | 0,398 | 0,398 | 0,035 |
| 2,500 | 51,259 | 99,295 | -3,505 | skid front(in) | 1000000,000 | -5,300 | 0,000 | 1,000 | 100,000 | 0,000 | 0,172 | 0,407 | 0,407 | 0,407 | 0,398 | 0,398 | 0,035 |
| 3,000 | 50,814 | 99,295 | -3,504 | skid front(in) | 1000000,000 | -5,300 | 0,000 | 1,000 | 100,000 | 0,000 | 0,207 | 0,407 | 0,407 | 0,407 | 0,398 | 0,398 | 0,035 |
| 3,500 | 50,365 | 99,295 | -3,503 | skid front(in) | 1000000,000 | -5,300 | 0,000 | 1,000 | 100,000 | 0,000 | 0,243 | 0,407 | 0,407 | 0,407 | 0,398 | 0,398 | 0,036 |
| 4,000 | 49,913 | 99,295 | -3,502 | skid front(in) | 1000000,000 | -5,300 | 0,000 | 1,000 | 100,000 | 0,000 | 0,279 | 0,407 | 0,407 | 0,407 | 0,398 | 0,398 | 0,036 |
| 4,400 | 49,548 | 99,295 | -3,501 | skid front(in) | 1000000,000 | -5,300 | 0,000 | 1,000 | 100,000 | 0,000 | 0,308 | 0,407 | 0,407 | 0,407 | 0,398 | 0,398 | 0,029 |
| 5,000 | 48,995 | 99,295 | -3,500 | skid front(in) | 1000000,000 | -5,300 | 0,000 | 1,000 | 100,000 | 0,000 | 0,351 | 0,407 | 0,407 | 0,407 | 0,398 | 0,398 | 0,044 |
| 5,500 | 48,530 | 99,295 | -3,499 | skid front(in) | 1000000,000 | -5,300 | 0,000 | 1,000 | 100,000 | 0,000 | 0,388 | 0,407 | 0,407 | 0,407 | 0,398 | 0,398 | 0,037 |
| 6,000 | 48,061 | 99,295 | -3,498 | skid front(in) | 1000000,000 | -5,300 | 0,000 | 1,000 | 100,000 | 0,000 | 0,426 | 0,407 | 0,407 | 0,407 | 0,398 | 0,398 | 0,037 |
| 6,500 | 47,587 | 99,295 | -3,497 | skid front(in) | 1000000,000 | -5,300 | 0,000 | 1,000 | 100,000 | 0,000 | 0,463 | 0,407 | 0,407 | 0,407 | 0,398 | 0,398 | 0,038 |
| 7,000 | 47,109 | 99,295 | -3,496 | skid front(in) | 1000000,000 | -5,300 | 0,000 | 1,000 | 100,000 | 0,000 | 0,501 | 0,407 | 0,407 | 0,407 | 0,398 | 0,398 | 0,038 |
| 7,500 | 46,625 | 99,296 | -3,495 | skid front(in) | 1000000,000 | -5,300 | 0,000 | 1,000 | 100,000 | 0,000 | 0,540 | 0,407 | 0,407 | 0,407 | 0,398 | 0,398 | 0,038 |
| 8,000 | 46,137 | 99,296 | -3,494 | skid front(in) | 1000000,000 | -5,300 | 0,000 | 1,000 | 100,000 | 0,000 | 0,579 | 0,407 | 0,407 | 0,407 | 0,398 | 0,398 | 0,039 |
| 8,500 | 45,644 | 99,296 | -3,493 | skid front(in) | 1000000,000 | -5,300 | 0,000 | 1,000 | 100,000 | 0,000 | 0,618 | 0,407 | 0,407 | 0,407 | 0,398 | 0,398 | 0,039 |
| 9,000 | 45,145 | 99,296 | -3,492 | skid front(in) | 1000000,000 | -5,300 | 0,000 | 1,000 | 100,000 | 0,000 | 0,657 | 0,407 | 0,407 | 0,407 | 0,398 | 0,398 | 0,040 |
| 9,500 | 44,641 | 99,296 | -3,491 | skid front(in) | 1000000,000 | -5,300 | 0,000 | 1,000 | 100,000 | 0,000 | 0,698 | 0,407 | 0,407 | 0,407 | 0,398 | 0,398 | 0,040 |
| 10,000 | 44,132 | 99,296 | -3,490 | skid front(in) | 1000000,000 | -5,300 | 0,000 | 1,000 | 100,000 | 0,000 | 0,738 | 0,407 | 0,407 | 0,407 | 0,398 | 0,398 | 0,041 |
| 10,500 | 43,616 | 99,296 | -3,489 | skid front(in) | 1000000,000 | -5,300 | 0,000 | 1,000 | 100,000 | 0,000 | 0,779 | 0,407 | 0,407 | 0,407 | 0,398 | 0,398 | 0,041 |
| 11,000 | 43,095 | 99,296 | -3,488 | skid front(in) | 1000000,000 | -5,300 | 0,000 | 1,000 | 100,000 | 0,000 | 0,821 | 0,407 | 0,407 | 0,407 | 0,398 | 0,398 | 0,042 |
| 11,500 | 42,567 | 99,296 | -3,487 | skid front(in) | 1000000,000 | -5,300 | 0,000 | 1,000 | 100,000 | 0,000 | 0,863 | 0,407 | 0,407 | 0,407 | 0,398 | 0,398 | 0,042 |
| 12,000 | 42,033 | 99,296 | -3,486 | skid front(in) | 1000000,000 | -5,300 | 0,000 | 1,000 | 100,000 | 0,000 | 0,905 | 0,407 | 0,407 | 0,407 | 0,398 | 0,398 | 0,043 |
| 12,500 | 41,492 | 99,296 | -3,485 | skid front(in) | 1000000,000 | -5,300 | 0,000 | 1,000 | 100,000 | 0,000 | 0,948 | 0,407 | 0,407 | 0,407 | 0,398 | 0,398 | 0,043 |
| 13,000 | 40,944 | 99,296 | -3,484 | skid front(in) | 1000000,000 | -5,300 | 0,000 | 1,000 | 100,000 | 0,000 | 0,992 | 0,407 | 0,407 | 0,407 | 0,398 | 0,398 | 0,044 |
| 13,500 | 40,389 | 99,296 | -3,483 | skid front(in) | 1000000,000 | -5,300 | 0,000 | 1,000 | 100,000 | 0,000 | 1,036 | 0,407 | 0,407 | 0,407 | 0,398 | 0,398 | 0,044 |
| 14,000 | 39,827 | 99,296 | -3,482 | skid front(in) | 1000000,000 | -5,300 | 0,000 | 1,000 | 100,000 | 0,000 | 1,081 | 0,407 | 0,407 | 0,407 | 0,398 | 0,398 | 0,045 |
| 14,500 | 39,256 | 99,296 | -3,481 | skid front(in) | 1000000,000 | -5,300 | 0,000 | 1,000 | 100,000 | 0,000 | 1,127 | 0,407 | 0,407 | 0,407 | 0,398 | 0,398 | 0,046 |
| 15,000 | 38,677 | 99,296 | -3,480 | skid front(in) | 1000000,000 | -5,300 | 0,000 | 1,000 | 100,000 | 0,000 | 1,173 | 0,407 | 0,407 | 0,407 | 0,398 | 0,398 | 0,046 |
| 15,500 | 38,090 | 99,296 | -3,479 | skid front(in) | 1000000,000 | -5,300 | 0,000 | 1,000 | 100,000 | 0,000 | 1,220 | 0,407 | 0,407 | 0,407 | 0,398 | 0,398 | 0,047 |
| 16,000 | 37,493 | 99,296 | -3,478 | skid front(in) | 1000000,000 | -5,300 | 0,000 | 1,000 | 100,000 | 0,000 | 1,267 | 0,407 | 0,407 | 0,407 | 0,398 | 0,398 | 0,048 |
| 16,500 | 36,887 | 99,296 | -3,477 | skid front(in) | 1000000,000 | -5,300 | 0,000 | 1,000 | 100,000 | 0,000 | 1,316 | 0,407 | 0,407 | 0,407 | 0,398 | 0,398 | 0,048 |
| 17,000 | 36,271 | 99,296 | -3,476 | skid front(in) | 1000000,000 | -5,300 | 0,000 | 1,000 | 100,000 | 0,001 | 1,365 | 0,407 | 0,407 | 0,407 | 0,398 | 0,398 | 0,049 |
| 17,500 | 35,645 | 99,296 | -3,475 | skid front(in) | 1000000,000 | -5,300 | 0,000 | 1,000 | 100,000 | 0,000 | 1,415 | 0,407 | 0,407 | 0,407 | 0,398 | 0,398 | 0,050 |
| 18,000 | 35,008 | 99,296 | -3,474 | skid front(in) | 1000000,000 | -5,300 | 0,000 | 1,000 | 100,000 | 0,000 | 1,466 | 0,407 | 0,407 | 0,407 | 0,398 | 0,398 | 0,051 |
| 18,500 | 34,359 | 99,296 | -3,473 | skid front(in) | 1000000,000 | -5,300 | 0,000 | 1,000 | 100,000 | 0,001 | 1,518 | 0,407 | 0,407 | 0,407 | 0,398 | 0,398 | 0,052 |
| 18,900 | 33,831 | 99,296 | -3,473 | skid front(in) | 1000000,000 | -5,300 | 0,000 | 1,000 | 100,000 | 0,000 | 1,560 | 0,407 | 0,407 | 0,407 | 0,398 | 0,398 | 0,042 |
| 19,500 | 33,023 | 99,296 | -3,471 | skid front(in) | 1000000,000 | -5,300 | 0,000 | 1,000 | 100,000 | 0,001 | 1,625 | 0,407 | 0,407 | 0,407 | 0,398 | 0,398 | 0,065 |
| 20,000 | 32,335 | 99,296 | -3,470 | skid front(in) | 1000000,000 | -5,300 | 0,000 | 1,000 | 100,000 | 0,000 | 1,680 | 0,407 | 0,407 | 0,407 | 0,398 | 0,398 | 0,055 |
| 20,500 | 31,632 | 99,321 | -3,468 | skid front(out) | 1000000,000 | -5,300 | 0,000 | 1,000 | 100,000 | -2,319 | 1,736 | 0,407 | 0,407 | 0,407 | 0,398 | 0,398 | 0,056 |
| 21,000 | 30,913 | 99,327 | -3,468 | skid front(out) | 1000000,000 | -5,300 | 0,000 | 1,000 | 100,000 | -1,438 | 1,794 | 0,407 | 0,407 | 0,407 | 0,398 | 0,398 | 0,058 |
| 21,500 | 30,177 | 99,312 | -3,467 | skid front(out) | 1000000,000 | -5,300 | 0,000 | 1,000 | 100,000 | -0,899 | 1,853 | 0,407 | 0,407 | 0,407 | 0,398 | 0,398 | 0,059 |
| 22,000 | 29,423 | 99,274 | -3,465 | skid front(out) | 1000000,000 | -5,300 | 0,000 | 1,000 | 100,000 | -0,656 | 1,913 | 0,407 | 0,407 | 0,407 | 0,398 | 0,398 | 0,060 |
| 22,500 | 28,649 | 99,318 | -3,465 | skid front(out) | 1000000,000 | -5,300 | 0,000 | 1,000 | 100,000 | -2,026 | 1,975 | 0,407 | 0,407 | 0,407 | 0,398 | 0,398 | 0,062 |
| 23,000 | 27,855 | 99,305 | -3,463 | skid front(out) | 1000000,000 | -5,300 | 0,000 | 1,000 | 100,000 | -2,177 | 2,039 | 0,407 | 0,407 | 0,407 | 0,398 | 0,398 | 0,064 |
| 23,500 | 27,037 | 99,340 | -3,463 | skid front(out) | 1000000,000 | -5,300 | 0,000 | 1,000 | 100,000 | -2,341 | 2,104 | 0,407 | 0,407 | 0,407 | 0,398 | 0,398 | 0,066 |
| 24,000 | 26,194 | 99,316 | -3,462 | skid front(out) | 1000000,000 | -5,300 | 0,000 | 1,000 | 100,000 | -1,222 | 2,172 | 0,407 | 0,407 | 0,407 | 0,398 | 0,398 | 0,068 |
| 24,500 | 25,323 | 99,306 | -3,460 | skid front(out) | 1000000,000 | -5,300 | 0,000 | 1,000 | 100,000 | -2,176 | 2,242 | 0,407 | 0,407 | 0,407 | 0,398 | 0,398 | 0,070 |
| 25,000 | 24,422 | 99,307 | -3,460 | skid front(out) | 1000000,000 | -5,300 | 0,000 | 1,000 | 100,000 | -1,378 | 2,314 | 0,407 | 0,407 | 0,407 | 0,398 | 0,398 | 0,072 |
| 25,500 | 23,486 | 99,322 | -3,458 | skid front(out) | 1000000,000 | -5,300 | 0,000 | 1,000 | 100,000 | -2,752 | 2,389 | 0,407 | 0,407 | 0,407 | 0,398 | 0,398 | 0,075 |
| 26,000 | 22,511 | 99,273 | -3,455 | skid front(out) | 1000000,000 | -5,300 | 0,000 | 1,000 | 100,000 | -2,776 | 2,468 | 0,407 | 0,407 | 0,407 | 0,398 | 0,398 | 0,078 |
| 26,500 | 21,493 | 99,236 | -3,454 | skid front(out) | 1000000,000 | -5,300 | 0,000 | 1,000 | 100,000 | -1,000 | 2,549 | 0,407 | 0,407 | 0,407 | 0,398 | 0,398 | 0,082 |
| 27,000 | 20,424 | 99,334 | -3,456 | skid front(out) | 1000000,000 | -5,300 | 0,000 | 1,000 | 100,000 | -2,869 | 2,635 | 0,407 | 0,407 | 0,407 | 0,398 | 0,398 | 0,086 |
| 27,500 | 19,297 | 99,325 | -3,456 | skid front(out) | 1000000,000 | -5,300 | 0,000 | 1,000 | 100,000 | -1,420 | 2,726 | 0,407 | 0,407 | 0,407 | 0,398 | 0,398 | 0,091 |
| 28,000 | 18,100 | 99,330 | -3,454 | skid front(out) | 100 | | | | | | | | | | | | |

Προσδιορισμός Τιμών Πρόσφυσης κατά την Πέδηση Οχημάτων Εφοδιασμένων με Σύστημα ABS σε Αυξημένες κατά Μήκος Κλίσεις

| | | | | | | | | | | | | | | | | | |
|--------|--------|--------|--------|-----------------|-------------|--------|-------|-------|---------|--------|-------|-------|-------|-------|-------|-------|-------|
| 29,000 | 15,430 | 99,249 | -3,450 | skid front(out) | 1000000,000 | -5,300 | 0,000 | 1,000 | 100,000 | -1,024 | 3,037 | 0,407 | 0,407 | 0,407 | 0,398 | 0,398 | 0,112 |
| 29,500 | 13,905 | 99,348 | -3,452 | skid front(out) | 1000000,000 | -5,300 | 0,000 | 1,000 | 100,000 | -2,500 | 3,160 | 0,407 | 0,407 | 0,407 | 0,398 | 0,398 | 0,123 |
| 30,000 | 12,190 | 99,225 | -3,448 | skid front(out) | 1000000,000 | -5,300 | 0,000 | 1,000 | 100,000 | -0,628 | 3,298 | 0,407 | 0,407 | 0,407 | 0,398 | 0,398 | 0,138 |
| 30,500 | 10,193 | 99,261 | -3,446 | skid front(out) | 1000000,000 | -5,300 | 0,000 | 1,000 | 100,000 | -3,224 | 3,458 | 0,407 | 0,407 | 0,407 | 0,398 | 0,398 | 0,161 |
| 31,000 | 7,693 | 99,264 | -3,447 | skid front(out) | 1000000,000 | -5,300 | 0,000 | 1,000 | 100,000 | -1,226 | 3,660 | 0,407 | 0,407 | 0,407 | 0,398 | 0,398 | 0,201 |
| 31,500 | 3,808 | 99,285 | -3,446 | skid front(out) | 1000000,000 | -5,300 | 0,000 | 1,000 | 100,000 | -2,128 | 3,973 | 0,407 | 0,407 | 0,407 | 0,398 | 0,398 | 0,313 |
| 31,600 | 2,357 | 99,266 | -3,444 | skid front(out) | 1000000,000 | -5,300 | 0,000 | 1,000 | 100,000 | -3,062 | 4,089 | 0,407 | 0,407 | 0,407 | 0,398 | 0,398 | 0,117 |

Προσδιορισμός Τιμών Πρόσφυσης κατά την Πέδηση Οχημάτων Εφοδιασμένων με Σύστημα ABS σε Αυξημένες κατά Μήκος Κλίσεις

| run_c_w_ntua_11 | R(m) | br.front (%) | s(%) | e (%) | coeff | effic (%) | time (sec) | | | | | | | | | | |
|-----------------|-----------------|--------------|--------|-----------------|-------------|-----------|------------|-------|-----------|-----------|------------|---------|-----------|----------|----------|---------|-----------|
| s= 100,000 | 1000000,00 | 69,00 | -5,3 | 0,0 | 1,00 | 100 | 3,783 | | | | | | | | | 0,963 | |
| step= 0,100 | viewstep= 0,500 | STEPS | | | | | | | | | | | | | | | |
| s (m) | V (km/h) | n (%) | dv/dt | skid check | R(m) | s(%) | e (%) | coeff | effic (%) | decelera | time (sec) | fT | front out | front in | rear out | rear in | checktime |
| 26,000 | 1,096 | 99,334 | -3,453 | skid front(out) | 1000000,000 | -5,300 | 0,000 | 1,000 | 100,000 | -1,095867 | 3,783 | 0,40775 | 0,4077 | 0,4077 | 0,3989 | 0,3989 | |
| 0,000 | 48,360 | 99,314 | -3,504 | O.K | 1000000,000 | -5,300 | 0,000 | 1,000 | 100,000 | 0,000 | 0,000 | 0,408 | | | | | |
| 0,400 | 47,983 | 99,314 | -3,503 | skid front(in) | 1000000,000 | -5,300 | 0,000 | 1,000 | 100,000 | 0,000 | 0,030 | 0,408 | 0,408 | 0,408 | 0,399 | 0,399 | 0,030 |
| 1,000 | 47,412 | 99,314 | -3,502 | skid front(in) | 1000000,000 | -5,300 | 0,000 | 1,000 | 100,000 | 0,000 | 0,075 | 0,408 | 0,408 | 0,408 | 0,399 | 0,399 | 0,045 |
| 1,500 | 46,931 | 99,314 | -3,501 | skid front(in) | 1000000,000 | -5,300 | 0,000 | 1,000 | 100,000 | 0,000 | 0,113 | 0,408 | 0,408 | 0,408 | 0,399 | 0,399 | 0,038 |
| 2,000 | 46,445 | 99,314 | -3,500 | skid front(in) | 1000000,000 | -5,300 | 0,000 | 1,000 | 100,000 | 0,000 | 0,152 | 0,408 | 0,408 | 0,408 | 0,399 | 0,399 | 0,039 |
| 2,500 | 45,955 | 99,314 | -3,499 | skid front(in) | 1000000,000 | -5,300 | 0,000 | 1,000 | 100,000 | 0,000 | 0,191 | 0,408 | 0,408 | 0,408 | 0,399 | 0,399 | 0,039 |
| 3,000 | 45,459 | 99,314 | -3,498 | skid front(in) | 1000000,000 | -5,300 | 0,000 | 1,000 | 100,000 | 0,000 | 0,230 | 0,408 | 0,408 | 0,408 | 0,399 | 0,399 | 0,039 |
| 3,500 | 44,957 | 99,314 | -3,497 | skid front(in) | 1000000,000 | -5,300 | 0,000 | 1,000 | 100,000 | 0,000 | 0,270 | 0,408 | 0,408 | 0,408 | 0,399 | 0,399 | 0,040 |
| 4,000 | 44,451 | 99,314 | -3,496 | skid front(in) | 1000000,000 | -5,300 | 0,000 | 1,000 | 100,000 | 0,000 | 0,310 | 0,408 | 0,408 | 0,408 | 0,399 | 0,399 | 0,040 |
| 4,400 | 44,041 | 99,314 | -3,495 | skid front(in) | 1000000,000 | -5,300 | 0,000 | 1,000 | 100,000 | 0,000 | 0,343 | 0,408 | 0,408 | 0,408 | 0,399 | 0,399 | 0,033 |
| 5,000 | 43,420 | 99,314 | -3,494 | skid front(in) | 1000000,000 | -5,300 | 0,000 | 1,000 | 100,000 | 0,000 | 0,392 | 0,408 | 0,408 | 0,408 | 0,399 | 0,399 | 0,049 |
| 5,500 | 42,895 | 99,314 | -3,493 | skid front(in) | 1000000,000 | -5,300 | 0,000 | 1,000 | 100,000 | 0,000 | 0,434 | 0,408 | 0,408 | 0,408 | 0,399 | 0,399 | 0,042 |
| 6,000 | 42,364 | 99,314 | -3,492 | skid front(in) | 1000000,000 | -5,300 | 0,000 | 1,000 | 100,000 | 0,000 | 0,476 | 0,408 | 0,408 | 0,408 | 0,399 | 0,399 | 0,042 |
| 6,500 | 41,827 | 99,314 | -3,491 | skid front(in) | 1000000,000 | -5,300 | 0,000 | 1,000 | 100,000 | 0,000 | 0,519 | 0,408 | 0,408 | 0,408 | 0,399 | 0,399 | 0,043 |
| 7,000 | 41,283 | 99,314 | -3,490 | skid front(in) | 1000000,000 | -5,300 | 0,000 | 1,000 | 100,000 | 0,000 | 0,562 | 0,408 | 0,408 | 0,408 | 0,399 | 0,399 | 0,043 |
| 7,500 | 40,731 | 99,314 | -3,489 | skid front(in) | 1000000,000 | -5,300 | 0,000 | 1,000 | 100,000 | 0,000 | 0,606 | 0,408 | 0,408 | 0,408 | 0,399 | 0,399 | 0,044 |
| 8,000 | 40,173 | 99,314 | -3,488 | skid front(in) | 1000000,000 | -5,300 | 0,000 | 1,000 | 100,000 | 0,000 | 0,651 | 0,408 | 0,408 | 0,408 | 0,399 | 0,399 | 0,044 |
| 8,500 | 39,606 | 99,314 | -3,487 | skid front(in) | 1000000,000 | -5,300 | 0,000 | 1,000 | 100,000 | 0,000 | 0,696 | 0,408 | 0,408 | 0,408 | 0,399 | 0,399 | 0,045 |
| 9,000 | 39,031 | 99,314 | -3,486 | skid front(in) | 1000000,000 | -5,300 | 0,000 | 1,000 | 100,000 | 0,000 | 0,742 | 0,408 | 0,408 | 0,408 | 0,399 | 0,399 | 0,046 |
| 9,500 | 38,448 | 99,314 | -3,485 | skid front(in) | 1000000,000 | -5,300 | 0,000 | 1,000 | 100,000 | 0,000 | 0,788 | 0,408 | 0,408 | 0,408 | 0,399 | 0,399 | 0,046 |
| 10,000 | 37,857 | 99,314 | -3,484 | skid front(in) | 1000000,000 | -5,300 | 0,000 | 1,000 | 100,000 | 0,000 | 0,835 | 0,408 | 0,408 | 0,408 | 0,399 | 0,399 | 0,047 |
| 10,500 | 37,256 | 99,314 | -3,483 | skid front(in) | 1000000,000 | -5,300 | 0,000 | 1,000 | 100,000 | 0,000 | 0,883 | 0,408 | 0,408 | 0,408 | 0,399 | 0,399 | 0,048 |
| 11,000 | 36,645 | 99,314 | -3,482 | skid front(in) | 1000000,000 | -5,300 | 0,000 | 1,000 | 100,000 | 0,000 | 0,932 | 0,408 | 0,408 | 0,408 | 0,399 | 0,399 | 0,049 |
| 11,500 | 36,024 | 99,315 | -3,481 | skid front(in) | 1000000,000 | -5,300 | 0,000 | 1,000 | 100,000 | 0,000 | 0,981 | 0,408 | 0,408 | 0,408 | 0,399 | 0,399 | 0,050 |
| 12,000 | 35,392 | 99,315 | -3,480 | skid front(in) | 1000000,000 | -5,300 | 0,000 | 1,000 | 100,000 | 0,000 | 1,032 | 0,408 | 0,408 | 0,408 | 0,399 | 0,399 | 0,050 |
| 12,500 | 34,750 | 99,315 | -3,479 | skid front(in) | 1000000,000 | -5,300 | 0,000 | 1,000 | 100,000 | 0,001 | 1,083 | 0,408 | 0,408 | 0,408 | 0,399 | 0,399 | 0,051 |
| 13,000 | 34,095 | 99,315 | -3,478 | skid front(in) | 1000000,000 | -5,300 | 0,000 | 1,000 | 100,000 | 0,000 | 1,135 | 0,408 | 0,408 | 0,408 | 0,399 | 0,399 | 0,052 |
| 13,500 | 33,427 | 99,315 | -3,477 | skid front(in) | 1000000,000 | -5,300 | 0,000 | 1,000 | 100,000 | 0,000 | 1,189 | 0,408 | 0,408 | 0,408 | 0,399 | 0,399 | 0,053 |
| 14,000 | 32,746 | 99,315 | -3,476 | skid front(in) | 1000000,000 | -5,300 | 0,000 | 1,000 | 100,000 | 0,001 | 1,243 | 0,408 | 0,408 | 0,408 | 0,399 | 0,399 | 0,054 |
| 14,500 | 32,051 | 99,315 | -3,475 | skid front(in) | 1000000,000 | -5,300 | 0,000 | 1,000 | 100,000 | -0,001 | 1,299 | 0,408 | 0,408 | 0,408 | 0,399 | 0,399 | 0,056 |
| 15,000 | 31,341 | 99,305 | -3,471 | skid front(out) | 1000000,000 | -5,300 | 0,000 | 1,000 | 100,000 | -2,549 | 1,355 | 0,408 | 0,408 | 0,408 | 0,399 | 0,399 | 0,057 |
| 15,500 | 30,615 | 99,365 | -3,472 | skid front(out) | 1000000,000 | -5,300 | 0,000 | 1,000 | 100,000 | -3,160 | 1,414 | 0,408 | 0,408 | 0,408 | 0,399 | 0,399 | 0,058 |
| 16,000 | 29,871 | 99,339 | -3,472 | skid front(out) | 1000000,000 | -5,300 | 0,000 | 1,000 | 100,000 | -1,106 | 1,473 | 0,408 | 0,408 | 0,408 | 0,399 | 0,399 | 0,060 |
| 16,500 | 29,108 | 99,324 | -3,471 | skid front(out) | 1000000,000 | -5,300 | 0,000 | 1,000 | 100,000 | -0,870 | 1,534 | 0,408 | 0,408 | 0,408 | 0,399 | 0,399 | 0,061 |
| 17,000 | 28,324 | 99,288 | -3,468 | skid front(out) | 1000000,000 | -5,300 | 0,000 | 1,000 | 100,000 | -1,040 | 1,597 | 0,408 | 0,408 | 0,408 | 0,399 | 0,399 | 0,063 |
| 17,500 | 27,519 | 99,298 | -3,467 | skid front(out) | 1000000,000 | -5,300 | 0,000 | 1,000 | 100,000 | -1,158 | 1,661 | 0,408 | 0,408 | 0,408 | 0,399 | 0,399 | 0,065 |
| 18,000 | 26,690 | 99,286 | -3,466 | skid front(out) | 1000000,000 | -5,300 | 0,000 | 1,000 | 100,000 | -1,701 | 1,728 | 0,408 | 0,408 | 0,408 | 0,399 | 0,399 | 0,066 |
| 18,500 | 25,834 | 99,323 | -3,466 | skid front(out) | 1000000,000 | -5,300 | 0,000 | 1,000 | 100,000 | -2,223 | 1,796 | 0,408 | 0,408 | 0,408 | 0,399 | 0,399 | 0,069 |
| 18,900 | 25,129 | 99,301 | -3,464 | skid front(out) | 1000000,000 | -5,300 | 0,000 | 1,000 | 100,000 | -1,629 | 1,853 | 0,408 | 0,408 | 0,408 | 0,399 | 0,399 | 0,057 |
| 19,500 | 24,032 | 99,367 | -3,465 | skid front(out) | 1000000,000 | -5,300 | 0,000 | 1,000 | 100,000 | -2,437 | 1,941 | 0,408 | 0,408 | 0,408 | 0,399 | 0,399 | 0,088 |
| 20,000 | 23,079 | 99,294 | -3,461 | skid front(out) | 1000000,000 | -5,300 | 0,000 | 1,000 | 100,000 | -2,460 | 2,017 | 0,408 | 0,407 | 0,407 | 0,398 | 0,398 | 0,076 |
| 20,500 | 22,085 | 99,352 | -3,463 | skid front(out) | 1000000,000 | -5,300 | 0,000 | 1,000 | 100,000 | -2,080 | 2,097 | 0,408 | 0,408 | 0,408 | 0,399 | 0,399 | 0,080 |
| 21,000 | 21,044 | 99,304 | -3,460 | skid front(out) | 1000000,000 | -5,300 | 0,000 | 1,000 | 100,000 | -2,514 | 2,180 | 0,408 | 0,408 | 0,408 | 0,399 | 0,399 | 0,084 |
| 21,500 | 19,950 | 99,268 | -3,459 | skid front(out) | 1000000,000 | -5,300 | 0,000 | 1,000 | 100,000 | -1,071 | 2,268 | 0,408 | 0,408 | 0,408 | 0,399 | 0,399 | 0,088 |
| 22,000 | 18,793 | 99,330 | -3,460 | skid front(out) | 1000000,000 | -5,300 | 0,000 | 1,000 | 100,000 | -1,503 | 2,361 | 0,408 | 0,408 | 0,408 | 0,399 | 0,399 | 0,093 |

Προσδιορισμός Τιμών Πρόσφυσης κατά την Πέδηση Οχημάτων Εφοδιασμένων με Σύστημα ABS σε Αυξημένες κατά Μήκος Κλίσεις

| | | | | | | | | | | | | | | | | | |
|--------|--------|--------|--------|-----------------|-------------|--------|-------|-------|---------|--------|-------|-------|-------|-------|-------|-------|-------|
| 22,500 | 17,559 | 99,367 | -3,459 | skid front(out) | 1000000,000 | -5,300 | 0,000 | 1,000 | 100,000 | -2,424 | 2,460 | 0,408 | 0,408 | 0,408 | 0,399 | 0,399 | 0,099 |
| 23,000 | 16,232 | 99,332 | -3,458 | skid front(out) | 1000000,000 | -5,300 | 0,000 | 1,000 | 100,000 | -1,797 | 2,567 | 0,408 | 0,408 | 0,408 | 0,399 | 0,399 | 0,107 |
| 23,500 | 14,787 | 99,310 | -3,454 | skid front(out) | 1000000,000 | -5,300 | 0,000 | 1,000 | 100,000 | -3,724 | 2,683 | 0,408 | 0,407 | 0,407 | 0,398 | 0,398 | 0,116 |
| 24,000 | 13,186 | 99,255 | -3,453 | skid front(out) | 1000000,000 | -5,300 | 0,000 | 1,000 | 100,000 | -1,418 | 2,811 | 0,408 | 0,407 | 0,407 | 0,398 | 0,398 | 0,129 |
| 24,500 | 11,362 | 99,361 | -3,454 | skid front(out) | 1000000,000 | -5,300 | 0,000 | 1,000 | 100,000 | -3,479 | 2,958 | 0,408 | 0,408 | 0,408 | 0,399 | 0,399 | 0,147 |
| 25,000 | 9,182 | 99,389 | -3,454 | skid front(out) | 1000000,000 | -5,300 | 0,000 | 1,000 | 100,000 | -3,882 | 3,133 | 0,408 | 0,408 | 0,408 | 0,399 | 0,399 | 0,175 |
| 25,500 | 6,290 | 99,383 | -3,452 | skid front(out) | 1000000,000 | -5,300 | 0,000 | 1,000 | 100,000 | -4,876 | 3,366 | 0,408 | 0,408 | 0,408 | 0,399 | 0,399 | 0,233 |
| 26,000 | 1,096 | 99,334 | -3,453 | skid front(out) | 1000000,000 | -5,300 | 0,000 | 1,000 | 100,000 | -1,096 | 3,783 | 0,408 | 0,408 | 0,408 | 0,399 | 0,399 | 0,418 |

| run_c_w_ntua_12 | R(m) | br.front (%) | s(%) | e (%) | coeff | effic (%) | time (sec) | | | | | | | | | | |
|-----------------|-----------------|--------------|--------|-----------------|-------------|-----------|------------|-------|-----------|-----------|------------|-------|-----------|----------|----------|---------|-----------|
| s= 100,000 | 1000000,00 | 70,50 | 6,6 | 0,0 | 1,00 | 100 | 2,409 | | | | | | | | | | 0,963 |
| step= 0,100 | viewstep= 0,500 | STEPS | | | | | | | | | | | | | | | |
| s (m) | V (km/h) | n (%) | dv/dt | skid check | R(m) | s(%) | e (%) | coeff | effic (%) | decelera | time (sec) | fT | front out | front in | rear out | rear in | checktime |
| 16,600 | 2,210 | 99,230 | -5,201 | skid front(out) | 1000000,000 | 6,600 | 0,000 | 1,000 | 100,000 | -2,762794 | 2,409 | 0,468 | 0,4676 | 0,4676 | 0,4561 | 0,4561 | |
| 0,000 | 47,480 | 99,272 | -5,251 | O.K | 1000000,000 | 6,600 | 0,000 | 1,000 | 100,000 | 0,000 | 0,000 | 0,468 | | | | | |
| 0,400 | 46,903 | 99,272 | -5,250 | skid front(in) | 1000000,000 | 6,600 | 0,000 | 1,000 | 100,000 | 0,000 | 0,031 | 0,468 | 0,468 | 0,468 | 0,457 | 0,457 | 0,031 |
| 1,000 | 46,025 | 99,272 | -5,248 | skid front(in) | 1000000,000 | 6,600 | 0,000 | 1,000 | 100,000 | 0,000 | 0,077 | 0,468 | 0,468 | 0,468 | 0,457 | 0,457 | 0,046 |
| 1,500 | 45,280 | 99,272 | -5,247 | skid front(in) | 1000000,000 | 6,600 | 0,000 | 1,000 | 100,000 | 0,000 | 0,116 | 0,468 | 0,468 | 0,468 | 0,457 | 0,457 | 0,039 |
| 2,000 | 44,523 | 99,272 | -5,245 | skid front(in) | 1000000,000 | 6,600 | 0,000 | 1,000 | 100,000 | 0,000 | 0,157 | 0,468 | 0,468 | 0,468 | 0,457 | 0,457 | 0,040 |
| 2,500 | 43,753 | 99,272 | -5,244 | skid front(in) | 1000000,000 | 6,600 | 0,000 | 1,000 | 100,000 | 0,000 | 0,197 | 0,468 | 0,468 | 0,468 | 0,457 | 0,457 | 0,041 |
| 3,000 | 42,969 | 99,273 | -5,243 | skid front(in) | 1000000,000 | 6,600 | 0,000 | 1,000 | 100,000 | 0,000 | 0,239 | 0,468 | 0,468 | 0,468 | 0,457 | 0,457 | 0,042 |
| 3,500 | 42,171 | 99,273 | -5,241 | skid front(in) | 1000000,000 | 6,600 | 0,000 | 1,000 | 100,000 | 0,000 | 0,281 | 0,468 | 0,468 | 0,468 | 0,457 | 0,457 | 0,042 |
| 4,000 | 41,358 | 99,273 | -5,240 | skid front(in) | 1000000,000 | 6,600 | 0,000 | 1,000 | 100,000 | 0,000 | 0,324 | 0,468 | 0,468 | 0,468 | 0,457 | 0,457 | 0,043 |
| 4,400 | 40,696 | 99,273 | -5,239 | skid front(in) | 1000000,000 | 6,600 | 0,000 | 1,000 | 100,000 | 0,000 | 0,359 | 0,468 | 0,468 | 0,468 | 0,457 | 0,457 | 0,035 |
| 5,000 | 39,683 | 99,273 | -5,237 | skid front(in) | 1000000,000 | 6,600 | 0,000 | 1,000 | 100,000 | 0,000 | 0,413 | 0,468 | 0,468 | 0,468 | 0,457 | 0,457 | 0,054 |
| 5,500 | 38,818 | 99,273 | -5,236 | skid front(in) | 1000000,000 | 6,600 | 0,000 | 1,000 | 100,000 | 0,000 | 0,459 | 0,468 | 0,468 | 0,468 | 0,457 | 0,457 | 0,046 |
| 6,000 | 37,934 | 99,273 | -5,234 | skid front(in) | 1000000,000 | 6,600 | 0,000 | 1,000 | 100,000 | 0,000 | 0,506 | 0,468 | 0,468 | 0,468 | 0,457 | 0,457 | 0,047 |
| 6,500 | 37,029 | 99,273 | -5,233 | skid front(in) | 1000000,000 | 6,600 | 0,000 | 1,000 | 100,000 | 0,000 | 0,554 | 0,468 | 0,468 | 0,468 | 0,457 | 0,457 | 0,048 |
| 7,000 | 36,102 | 99,273 | -5,232 | skid front(in) | 1000000,000 | 6,600 | 0,000 | 1,000 | 100,000 | 0,001 | 0,603 | 0,468 | 0,468 | 0,468 | 0,457 | 0,457 | 0,049 |
| 7,500 | 35,151 | 99,273 | -5,230 | skid front(in) | 1000000,000 | 6,600 | 0,000 | 1,000 | 100,000 | 0,000 | 0,654 | 0,468 | 0,468 | 0,468 | 0,457 | 0,457 | 0,051 |
| 8,000 | 34,173 | 99,273 | -5,229 | skid front(in) | 1000000,000 | 6,600 | 0,000 | 1,000 | 100,000 | 0,000 | 0,706 | 0,468 | 0,468 | 0,468 | 0,457 | 0,457 | 0,052 |
| 8,500 | 33,167 | 99,273 | -5,228 | skid front(in) | 1000000,000 | 6,600 | 0,000 | 1,000 | 100,000 | 0,001 | 0,759 | 0,468 | 0,468 | 0,468 | 0,457 | 0,457 | 0,053 |
| 9,000 | 32,130 | 99,272 | -5,226 | skid front(in) | 1000000,000 | 6,600 | 0,000 | 1,000 | 100,000 | -0,001 | 0,814 | 0,468 | 0,468 | 0,468 | 0,457 | 0,457 | 0,055 |
| 9,500 | 31,058 | 99,311 | -5,225 | skid front(out) | 1000000,000 | 6,600 | 0,000 | 1,000 | 100,000 | -2,210 | 0,871 | 0,468 | 0,468 | 0,468 | 0,457 | 0,457 | 0,057 |
| 10,000 | 29,948 | 99,317 | -5,223 | skid front(out) | 1000000,000 | 6,600 | 0,000 | 1,000 | 100,000 | -2,509 | 0,930 | 0,468 | 0,468 | 0,468 | 0,457 | 0,457 | 0,059 |
| 10,500 | 28,796 | 99,254 | -5,219 | skid front(out) | 1000000,000 | 6,600 | 0,000 | 1,000 | 100,000 | -2,306 | 0,991 | 0,468 | 0,468 | 0,468 | 0,456 | 0,456 | 0,061 |
| 11,000 | 27,596 | 99,272 | -5,218 | skid front(out) | 1000000,000 | 6,600 | 0,000 | 1,000 | 100,000 | -2,481 | 1,055 | 0,468 | 0,468 | 0,468 | 0,456 | 0,456 | 0,064 |
| 11,500 | 26,341 | 99,280 | -5,218 | skid front(out) | 1000000,000 | 6,600 | 0,000 | 1,000 | 100,000 | -1,715 | 1,122 | 0,468 | 0,468 | 0,468 | 0,457 | 0,457 | 0,067 |
| 12,000 | 25,025 | 99,213 | -5,215 | skid front(out) | 1000000,000 | 6,600 | 0,000 | 1,000 | 100,000 | -0,393 | 1,192 | 0,468 | 0,468 | 0,468 | 0,456 | 0,456 | 0,070 |
| 12,500 | 23,636 | 99,299 | -5,215 | skid front(out) | 1000000,000 | 6,600 | 0,000 | 1,000 | 100,000 | -2,932 | 1,266 | 0,468 | 0,468 | 0,468 | 0,456 | 0,456 | 0,074 |
| 13,000 | 22,160 | 99,241 | -5,212 | skid front(out) | 1000000,000 | 6,600 | 0,000 | 1,000 | 100,000 | -1,391 | 1,345 | 0,468 | 0,468 | 0,468 | 0,456 | 0,456 | 0,079 |
| 13,500 | 20,579 | 99,309 | -5,214 | skid front(out) | 1000000,000 | 6,600 | 0,000 | 1,000 | 100,000 | -2,034 | 1,429 | 0,468 | 0,468 | 0,468 | 0,457 | 0,457 | 0,084 |
| 14,000 | 18,866 | 99,296 | -5,212 | skid front(out) | 1000000,000 | 6,600 | 0,000 | 1,000 | 100,000 | -2,109 | 1,520 | 0,468 | 0,468 | 0,468 | 0,457 | 0,457 | 0,091 |
| 14,500 | 16,982 | 99,269 | -5,210 | skid front(out) | 1000000,000 | 6,600 | 0,000 | 1,000 | 100,000 | -1,136 | 1,621 | 0,468 | 0,468 | 0,468 | 0,457 | 0,457 | 0,100 |
| 15,000 | 14,862 | 99,306 | -5,208 | skid front(out) | 1000000,000 | 6,600 | 0,000 | 1,000 | 100,000 | -3,114 | 1,734 | 0,468 | 0,468 | 0,468 | 0,457 | 0,457 | 0,113 |
| 15,500 | 12,384 | 99,289 | -5,207 | skid front(out) | 1000000,000 | 6,600 | 0,000 | 1,000 | 100,000 | -1,882 | 1,866 | 0,468 | 0,468 | 0,468 | 0,457 | 0,457 | 0,132 |
| 16,000 | 9,267 | 99,298 | -5,207 | skid front(out) | 1000000,000 | 6,600 | 0,000 | 1,000 | 100,000 | -1,554 | 2,032 | 0,468 | 0,468 | 0,468 | 0,457 | 0,457 | 0,166 |

Προσδιορισμός Τιμών Πρόσφυσης κατά την Πέδηση Οχημάτων Εφοδιασμένων με Σύστημα ABS σε Αυξημένες κατά Μήκος Κλίσεις

| | | | | | | | | | | | | | | | | | |
|--------|-------|--------|--------|-----------------|-------------|-------|-------|-------|---------|--------|-------|-------|-------|-------|-------|-------|-------|
| 16,500 | 4,288 | 99,244 | -5,202 | skid front(out) | 1000000,000 | 6,600 | 0,000 | 1,000 | 100,000 | -2,905 | 2,298 | 0,468 | 0,468 | 0,468 | 0,456 | 0,456 | 0,266 |
| 16,600 | 2,210 | 99,230 | -5,201 | skid front(out) | 1000000,000 | 6,600 | 0,000 | 1,000 | 100,000 | -2,763 | 2,409 | 0,468 | 0,468 | 0,468 | 0,456 | 0,456 | 0,111 |

| run_c_w_ntua_13 | | R(m) | br.front (%) | s(%) | e (%) | coeff | effic (%) | | time (sec) | | | | | | | | 0,963 |
|-----------------|----------|------------|--------------|-----------------|-------------|-------|-----------|-------|------------|-----------|------------|---------|-----------|----------|----------|---------|-----------|
| s= | 100,000 | 1000000,00 | 71,00 | 6,6 | 0,0 | 1,00 | 100 | | 2,214 | | | | | | | | |
| step= | 0,100 | viewstep= | 0,500 | STEPS | | | | | | | | | | | | | |
| s (m) | V (km/h) | n (%) | dv/dt | skid check | R(m) | s(%) | e (%) | coeff | effic (%) | decelera | time (sec) | fT | front out | front in | rear out | rear in | checktime |
| 15,400 | 3,639 | 99,154 | -5,362 | skid front(out) | 1000000,000 | 6,600 | 0,000 | 1,000 | 100,000 | -4,529438 | 2,214 | 0,48503 | 0,4848 | 0,4848 | 0,4704 | 0,4704 | |
| 0,000 | 46,510 | 99,133 | -5,407 | O.K | 1000000,000 | 6,600 | 0,000 | 1,000 | 100,000 | 0,000 | 0,000 | 0,485 | | | | | |
| 0,400 | 45,903 | 99,133 | -5,406 | skid front(in) | 1000000,000 | 6,600 | 0,000 | 1,000 | 100,000 | 0,000 | 0,031 | 0,485 | 0,485 | 0,485 | 0,471 | 0,471 | 0,031 |
| 1,000 | 44,978 | 99,133 | -5,405 | skid front(in) | 1000000,000 | 6,600 | 0,000 | 1,000 | 100,000 | 0,000 | 0,079 | 0,485 | 0,485 | 0,485 | 0,471 | 0,471 | 0,048 |
| 1,500 | 44,193 | 99,133 | -5,403 | skid front(in) | 1000000,000 | 6,600 | 0,000 | 1,000 | 100,000 | 0,000 | 0,119 | 0,485 | 0,485 | 0,485 | 0,471 | 0,471 | 0,040 |
| 2,000 | 43,394 | 99,133 | -5,402 | skid front(in) | 1000000,000 | 6,600 | 0,000 | 1,000 | 100,000 | 0,000 | 0,160 | 0,485 | 0,485 | 0,485 | 0,471 | 0,471 | 0,041 |
| 2,500 | 42,579 | 99,133 | -5,401 | skid front(in) | 1000000,000 | 6,600 | 0,000 | 1,000 | 100,000 | 0,000 | 0,202 | 0,485 | 0,485 | 0,485 | 0,471 | 0,471 | 0,042 |
| 3,000 | 41,749 | 99,133 | -5,399 | skid front(in) | 1000000,000 | 6,600 | 0,000 | 1,000 | 100,000 | 0,000 | 0,245 | 0,485 | 0,485 | 0,485 | 0,471 | 0,471 | 0,043 |
| 3,500 | 40,903 | 99,133 | -5,398 | skid front(in) | 1000000,000 | 6,600 | 0,000 | 1,000 | 100,000 | 0,000 | 0,288 | 0,485 | 0,485 | 0,485 | 0,471 | 0,471 | 0,044 |
| 4,000 | 40,039 | 99,133 | -5,396 | skid front(in) | 1000000,000 | 6,600 | 0,000 | 1,000 | 100,000 | 0,000 | 0,333 | 0,485 | 0,485 | 0,485 | 0,471 | 0,471 | 0,044 |
| 4,400 | 39,334 | 99,134 | -5,395 | skid front(in) | 1000000,000 | 6,600 | 0,000 | 1,000 | 100,000 | 0,000 | 0,369 | 0,485 | 0,485 | 0,485 | 0,471 | 0,471 | 0,036 |
| 5,000 | 38,253 | 99,134 | -5,394 | skid front(in) | 1000000,000 | 6,600 | 0,000 | 1,000 | 100,000 | 0,000 | 0,425 | 0,485 | 0,485 | 0,485 | 0,471 | 0,471 | 0,056 |
| 5,500 | 37,328 | 99,134 | -5,392 | skid front(in) | 1000000,000 | 6,600 | 0,000 | 1,000 | 100,000 | 0,000 | 0,472 | 0,485 | 0,485 | 0,485 | 0,471 | 0,471 | 0,048 |
| 6,000 | 36,380 | 99,134 | -5,391 | skid front(in) | 1000000,000 | 6,600 | 0,000 | 1,000 | 100,000 | 0,000 | 0,521 | 0,485 | 0,485 | 0,485 | 0,471 | 0,471 | 0,049 |
| 6,500 | 35,407 | 99,134 | -5,389 | skid front(in) | 1000000,000 | 6,600 | 0,000 | 1,000 | 100,000 | 0,000 | 0,571 | 0,485 | 0,485 | 0,485 | 0,471 | 0,471 | 0,050 |
| 7,000 | 34,407 | 99,134 | -5,388 | skid front(in) | 1000000,000 | 6,600 | 0,000 | 1,000 | 100,000 | 0,001 | 0,623 | 0,485 | 0,485 | 0,485 | 0,471 | 0,471 | 0,052 |
| 7,500 | 33,377 | 99,134 | -5,387 | skid front(in) | 1000000,000 | 6,600 | 0,000 | 1,000 | 100,000 | 0,001 | 0,676 | 0,485 | 0,485 | 0,485 | 0,471 | 0,471 | 0,053 |
| 8,000 | 32,314 | 99,134 | -5,385 | skid front(in) | 1000000,000 | 6,600 | 0,000 | 1,000 | 100,000 | 0,000 | 0,731 | 0,485 | 0,485 | 0,485 | 0,471 | 0,471 | 0,055 |
| 8,500 | 31,216 | 99,159 | -5,384 | skid front(out) | 1000000,000 | 6,600 | 0,000 | 1,000 | 100,000 | -1,655 | 0,787 | 0,485 | 0,485 | 0,485 | 0,471 | 0,471 | 0,057 |
| 9,000 | 30,077 | 99,143 | -5,382 | skid front(out) | 1000000,000 | 6,600 | 0,000 | 1,000 | 100,000 | -1,098 | 0,846 | 0,485 | 0,485 | 0,485 | 0,471 | 0,471 | 0,059 |
| 9,500 | 28,894 | 99,102 | -5,378 | skid front(out) | 1000000,000 | 6,600 | 0,000 | 1,000 | 100,000 | -1,578 | 0,907 | 0,485 | 0,485 | 0,485 | 0,470 | 0,470 | 0,061 |
| 10,000 | 27,662 | 99,152 | -5,378 | skid front(out) | 1000000,000 | 6,600 | 0,000 | 1,000 | 100,000 | -2,424 | 0,971 | 0,485 | 0,485 | 0,485 | 0,471 | 0,471 | 0,064 |
| 10,500 | 26,371 | 99,118 | -5,376 | skid front(out) | 1000000,000 | 6,600 | 0,000 | 1,000 | 100,000 | -1,177 | 1,038 | 0,485 | 0,485 | 0,485 | 0,471 | 0,471 | 0,067 |
| 11,000 | 25,015 | 99,117 | -5,376 | skid front(out) | 1000000,000 | 6,600 | 0,000 | 1,000 | 100,000 | -0,588 | 1,108 | 0,485 | 0,485 | 0,485 | 0,471 | 0,471 | 0,070 |
| 11,500 | 23,581 | 99,088 | -5,372 | skid front(out) | 1000000,000 | 6,600 | 0,000 | 1,000 | 100,000 | -1,200 | 1,182 | 0,485 | 0,485 | 0,485 | 0,470 | 0,470 | 0,074 |
| 12,000 | 22,055 | 99,161 | -5,373 | skid front(out) | 1000000,000 | 6,600 | 0,000 | 1,000 | 100,000 | -2,275 | 1,261 | 0,485 | 0,485 | 0,485 | 0,471 | 0,471 | 0,079 |

Προσδιορισμός Τιμών Πρόσφυσης κατά την Πέδηση Οχημάτων Εφοδιασμένων με Σύστημα ABS σε Αυξημένες κατά Μήκος Κλίσεις

| | | | | | | | | | | | | | | | | | |
|--------|--------|--------|--------|-----------------|-------------|-------|-------|-------|---------|--------|-------|-------|-------|-------|-------|-------|-------|
| 12,500 | 20,416 | 99,139 | -5,372 | skid front(out) | 1000000,000 | 6,600 | 0,000 | 1,000 | 100,000 | -0,905 | 1,345 | 0,485 | 0,485 | 0,485 | 0,471 | 0,471 | 0,085 |
| 13,000 | 18,633 | 99,119 | -5,368 | skid front(out) | 1000000,000 | 6,600 | 0,000 | 1,000 | 100,000 | -2,728 | 1,438 | 0,485 | 0,485 | 0,485 | 0,470 | 0,470 | 0,092 |
| 13,500 | 16,661 | 99,175 | -5,369 | skid front(out) | 1000000,000 | 6,600 | 0,000 | 1,000 | 100,000 | -3,114 | 1,540 | 0,485 | 0,485 | 0,485 | 0,471 | 0,471 | 0,102 |
| 14,000 | 14,422 | 99,163 | -5,367 | skid front(out) | 1000000,000 | 6,600 | 0,000 | 1,000 | 100,000 | -2,921 | 1,655 | 0,485 | 0,485 | 0,485 | 0,471 | 0,471 | 0,116 |
| 14,500 | 11,766 | 99,151 | -5,367 | skid front(out) | 1000000,000 | 6,600 | 0,000 | 1,000 | 100,000 | -1,439 | 1,793 | 0,485 | 0,485 | 0,485 | 0,471 | 0,471 | 0,137 |
| 15,000 | 8,299 | 99,142 | -5,363 | skid front(out) | 1000000,000 | 6,600 | 0,000 | 1,000 | 100,000 | -3,784 | 1,972 | 0,485 | 0,485 | 0,485 | 0,470 | 0,470 | 0,179 |
| 15,400 | 3,639 | 99,154 | -5,362 | skid front(out) | 1000000,000 | 6,600 | 0,000 | 1,000 | 100,000 | -4,529 | 2,214 | 0,485 | 0,485 | 0,485 | 0,470 | 0,470 | 0,241 |

| run_c_w_ntua_14 | R(m) | br.front (%) | s(%) | e (%) | coeff | effic (%) | time (sec) | | | | | | | | | | |
|-----------------|-----------------|--------------|--------|-----------------|-------------|-----------|------------|-------|-----------|-----------|------------|---------|-----------|----------|----------|---------|-----------|
| s= 100,000 | 1000000,00 | 71,00 | 6,6 | 0,0 | 1,00 | 100 | 2,464 | 0,963 | | | | | | | | | |
| step= 0,100 | viewstep= 0,500 | STEPS | | | | | | | | | | | | | | | |
| s (m) | V (km/h) | n (%) | dv/dt | skid check | R(m) | s(%) | e (%) | coeff | effic (%) | decelera | time (sec) | fT | front out | front in | rear out | rear in | checktime |
| 18,300 | 2,840 | 99,195 | -5,377 | skid front(out) | 1000000,000 | 6,600 | 0,000 | 1,000 | 100,000 | -3,165669 | 2,464 | 0,48627 | 0,4861 | 0,4861 | 0,4725 | 0,4725 | |
| 0,000 | 50,710 | 99,183 | -5,430 | O.K | 1000000,000 | 6,600 | 0,000 | 1,000 | 100,000 | 0,000 | 0,000 | 0,486 | | | | | |
| 0,400 | 50,152 | 99,183 | -5,429 | skid front(in) | 1000000,000 | 6,600 | 0,000 | 1,000 | 100,000 | 0,000 | 0,029 | 0,486 | 0,486 | 0,486 | 0,473 | 0,473 | 0,029 |
| 1,000 | 49,303 | 99,183 | -5,427 | skid front(in) | 1000000,000 | 6,600 | 0,000 | 1,000 | 100,000 | 0,000 | 0,072 | 0,486 | 0,486 | 0,486 | 0,473 | 0,473 | 0,043 |
| 1,500 | 48,585 | 99,184 | -5,426 | skid front(in) | 1000000,000 | 6,600 | 0,000 | 1,000 | 100,000 | 0,000 | 0,109 | 0,486 | 0,486 | 0,486 | 0,473 | 0,473 | 0,037 |
| 2,000 | 47,856 | 99,184 | -5,424 | skid front(in) | 1000000,000 | 6,600 | 0,000 | 1,000 | 100,000 | 0,000 | 0,146 | 0,486 | 0,486 | 0,486 | 0,473 | 0,473 | 0,037 |
| 2,500 | 47,115 | 99,184 | -5,423 | skid front(in) | 1000000,000 | 6,600 | 0,000 | 1,000 | 100,000 | 0,000 | 0,184 | 0,486 | 0,486 | 0,486 | 0,473 | 0,473 | 0,038 |
| 3,000 | 46,364 | 99,184 | -5,422 | skid front(in) | 1000000,000 | 6,600 | 0,000 | 1,000 | 100,000 | 0,000 | 0,223 | 0,486 | 0,486 | 0,486 | 0,473 | 0,473 | 0,039 |
| 3,500 | 45,600 | 99,184 | -5,420 | skid front(in) | 1000000,000 | 6,600 | 0,000 | 1,000 | 100,000 | 0,000 | 0,262 | 0,486 | 0,486 | 0,486 | 0,473 | 0,473 | 0,039 |
| 4,000 | 44,823 | 99,184 | -5,419 | skid front(in) | 1000000,000 | 6,600 | 0,000 | 1,000 | 100,000 | 0,000 | 0,301 | 0,486 | 0,486 | 0,486 | 0,473 | 0,473 | 0,040 |
| 4,400 | 44,192 | 99,184 | -5,418 | skid front(in) | 1000000,000 | 6,600 | 0,000 | 1,000 | 100,000 | 0,000 | 0,334 | 0,486 | 0,486 | 0,486 | 0,473 | 0,473 | 0,032 |
| 5,000 | 43,228 | 99,184 | -5,416 | skid front(in) | 1000000,000 | 6,600 | 0,000 | 1,000 | 100,000 | 0,000 | 0,383 | 0,486 | 0,486 | 0,486 | 0,473 | 0,473 | 0,049 |
| 5,500 | 42,409 | 99,184 | -5,415 | skid front(in) | 1000000,000 | 6,600 | 0,000 | 1,000 | 100,000 | 0,000 | 0,425 | 0,486 | 0,486 | 0,486 | 0,473 | 0,473 | 0,042 |
| 6,000 | 41,573 | 99,184 | -5,413 | skid front(in) | 1000000,000 | 6,600 | 0,000 | 1,000 | 100,000 | 0,000 | 0,468 | 0,486 | 0,486 | 0,486 | 0,473 | 0,473 | 0,043 |
| 6,500 | 40,721 | 99,184 | -5,412 | skid front(in) | 1000000,000 | 6,600 | 0,000 | 1,000 | 100,000 | 0,000 | 0,512 | 0,486 | 0,486 | 0,486 | 0,473 | 0,473 | 0,044 |
| 7,000 | 39,851 | 99,184 | -5,410 | skid front(in) | 1000000,000 | 6,600 | 0,000 | 1,000 | 100,000 | 0,000 | 0,557 | 0,486 | 0,486 | 0,486 | 0,473 | 0,473 | 0,045 |
| 7,500 | 38,961 | 99,184 | -5,409 | skid front(in) | 1000000,000 | 6,600 | 0,000 | 1,000 | 100,000 | 0,000 | 0,602 | 0,486 | 0,486 | 0,486 | 0,473 | 0,473 | 0,046 |
| 8,000 | 38,051 | 99,184 | -5,408 | skid front(in) | 1000000,000 | 6,600 | 0,000 | 1,000 | 100,000 | 0,000 | 0,649 | 0,486 | 0,486 | 0,486 | 0,473 | 0,473 | 0,047 |
| 8,500 | 37,119 | 99,184 | -5,406 | skid front(in) | 1000000,000 | 6,600 | 0,000 | 1,000 | 100,000 | 0,000 | 0,697 | 0,486 | 0,486 | 0,486 | 0,473 | 0,473 | 0,048 |
| 9,000 | 36,163 | 99,184 | -5,405 | skid front(in) | 1000000,000 | 6,600 | 0,000 | 1,000 | 100,000 | 0,000 | 0,746 | 0,486 | 0,486 | 0,486 | 0,473 | 0,473 | 0,049 |
| 9,500 | 35,181 | 99,185 | -5,403 | skid front(in) | 1000000,000 | 6,600 | 0,000 | 1,000 | 100,000 | 0,000 | 0,796 | 0,486 | 0,486 | 0,486 | 0,473 | 0,473 | 0,050 |

Προσδιορισμός Τιμών Πρόσφυσης κατά την Πέδηση Οχημάτων Εφοδιασμένων με Σύστημα ABS σε Αυξημένες κατά Μήκος Κλίσεις

| | | | | | | | | | | | | | | | | | |
|--------|--------|--------|--------|-----------------|-------------|-------|-------|-------|---------|--------|-------|-------|-------|-------|-------|-------|-------|
| 10,000 | 34,171 | 99,185 | -5,402 | skid front(in) | 1000000,000 | 6,600 | 0,000 | 1,000 | 100,000 | 0,001 | 0,848 | 0,486 | 0,486 | 0,486 | 0,473 | 0,473 | 0,052 |
| 10,500 | 33,131 | 99,185 | -5,401 | skid front(in) | 1000000,000 | 6,600 | 0,000 | 1,000 | 100,000 | 0,000 | 0,902 | 0,486 | 0,486 | 0,486 | 0,473 | 0,473 | 0,053 |
| 11,000 | 32,058 | 99,185 | -5,399 | skid front(in) | 1000000,000 | 6,600 | 0,000 | 1,000 | 100,000 | 0,007 | 0,957 | 0,486 | 0,486 | 0,486 | 0,473 | 0,473 | 0,055 |
| 11,500 | 30,947 | 99,207 | -5,398 | skid front(out) | 1000000,000 | 6,600 | 0,000 | 1,000 | 100,000 | -1,524 | 1,014 | 0,486 | 0,486 | 0,486 | 0,473 | 0,473 | 0,057 |
| 12,000 | 29,796 | 99,182 | -5,395 | skid front(out) | 1000000,000 | 6,600 | 0,000 | 1,000 | 100,000 | -1,289 | 1,074 | 0,486 | 0,486 | 0,486 | 0,473 | 0,473 | 0,059 |
| 12,500 | 28,598 | 99,191 | -5,394 | skid front(out) | 1000000,000 | 6,600 | 0,000 | 1,000 | 100,000 | -1,802 | 1,135 | 0,486 | 0,486 | 0,486 | 0,473 | 0,473 | 0,062 |
| 13,000 | 27,349 | 99,235 | -5,393 | skid front(out) | 1000000,000 | 6,600 | 0,000 | 1,000 | 100,000 | -3,029 | 1,200 | 0,486 | 0,486 | 0,486 | 0,473 | 0,473 | 0,064 |
| 13,500 | 26,039 | 99,165 | -5,391 | skid front(out) | 1000000,000 | 6,600 | 0,000 | 1,000 | 100,000 | -0,467 | 1,267 | 0,486 | 0,486 | 0,486 | 0,473 | 0,473 | 0,067 |
| 14,000 | 24,661 | 99,192 | -5,389 | skid front(out) | 1000000,000 | 6,600 | 0,000 | 1,000 | 100,000 | -2,021 | 1,338 | 0,486 | 0,486 | 0,486 | 0,473 | 0,473 | 0,071 |
| 14,500 | 23,202 | 99,192 | -5,389 | skid front(out) | 1000000,000 | 6,600 | 0,000 | 1,000 | 100,000 | -0,899 | 1,413 | 0,486 | 0,486 | 0,486 | 0,473 | 0,473 | 0,075 |
| 15,000 | 21,644 | 99,164 | -5,386 | skid front(out) | 1000000,000 | 6,600 | 0,000 | 1,000 | 100,000 | -0,936 | 1,493 | 0,486 | 0,486 | 0,486 | 0,473 | 0,473 | 0,080 |
| 15,500 | 19,967 | 99,173 | -5,385 | skid front(out) | 1000000,000 | 6,600 | 0,000 | 1,000 | 100,000 | -1,864 | 1,580 | 0,486 | 0,486 | 0,486 | 0,473 | 0,473 | 0,087 |
| 16,000 | 18,135 | 99,188 | -5,384 | skid front(out) | 1000000,000 | 6,600 | 0,000 | 1,000 | 100,000 | -1,748 | 1,674 | 0,486 | 0,486 | 0,486 | 0,473 | 0,473 | 0,095 |
| 16,500 | 16,097 | 99,132 | -5,381 | skid front(out) | 1000000,000 | 6,600 | 0,000 | 1,000 | 100,000 | -0,963 | 1,780 | 0,486 | 0,486 | 0,486 | 0,472 | 0,472 | 0,105 |
| 17,000 | 13,761 | 99,198 | -5,383 | skid front(out) | 1000000,000 | 6,600 | 0,000 | 1,000 | 100,000 | -0,662 | 1,900 | 0,486 | 0,486 | 0,486 | 0,473 | 0,473 | 0,121 |
| 17,500 | 10,937 | 99,148 | -5,377 | skid front(out) | 1000000,000 | 6,600 | 0,000 | 1,000 | 100,000 | -2,337 | 2,046 | 0,486 | 0,486 | 0,486 | 0,472 | 0,472 | 0,146 |
| 18,000 | 7,064 | 99,229 | -5,378 | skid front(out) | 1000000,000 | 6,600 | 0,000 | 1,000 | 100,000 | -4,755 | 2,246 | 0,486 | 0,486 | 0,486 | 0,473 | 0,473 | 0,200 |
| 18,300 | 2,840 | 99,195 | -5,377 | skid front(out) | 1000000,000 | 6,600 | 0,000 | 1,000 | 100,000 | -3,166 | 2,464 | 0,486 | 0,486 | 0,486 | 0,473 | 0,473 | 0,218 |

| run_c_w_ntua_15 | R(m) | br.front (%) | s(%) | e (%) | coeff | effic (%) | time (sec) |
|-----------------|------------|--------------|-------|-------|-------|-----------|------------|
| s= 100,000 | 1000000,00 | 71,00 | 6,6 | 0,0 | 1,00 | 100 | 2,336 |
| step= 0,100 | viewstep= | 0,500 | STEPS | | | | |

0,963

| s (m) | V (km/h) | n (%) | dv/dt | skid check | R(m) | s(%) | e (%) | coeff | effic (%) | decelera | time (sec) | fT | front out | front in | rear out | rear in | checktime |
|--------|----------|--------|--------|-----------------|-------------|-------|-------|-------|-----------|-----------|------------|---------|-----------|----------|----------|---------|-----------|
| 15,500 | 1,261 | 99,129 | -5,369 | skid front(out) | 1000000,000 | 6,600 | 0,000 | 1,000 | 100,000 | -2,713621 | 2,336 | 0,48574 | 0,4854 | 0,4854 | 0,4715 | 0,4715 | |
| 0,000 | 46,570 | 99,162 | -5,416 | O.K | 1000000,000 | 6,600 | 0,000 | 1,000 | 100,000 | 0,000 | 0,000 | 0,486 | | | | | |
| 0,400 | 45,963 | 99,162 | -5,415 | skid front(in) | 1000000,000 | 6,600 | 0,000 | 1,000 | 100,000 | 0,000 | 0,031 | 0,486 | 0,486 | 0,486 | 0,472 | 0,472 | 0,031 |
| 1,000 | 45,038 | 99,162 | -5,413 | skid front(in) | 1000000,000 | 6,600 | 0,000 | 1,000 | 100,000 | 0,000 | 0,079 | 0,486 | 0,486 | 0,486 | 0,472 | 0,472 | 0,047 |
| 1,500 | 44,252 | 99,162 | -5,412 | skid front(in) | 1000000,000 | 6,600 | 0,000 | 1,000 | 100,000 | 0,000 | 0,119 | 0,486 | 0,486 | 0,486 | 0,472 | 0,472 | 0,040 |
| 2,000 | 43,453 | 99,162 | -5,410 | skid front(in) | 1000000,000 | 6,600 | 0,000 | 1,000 | 100,000 | 0,000 | 0,160 | 0,486 | 0,486 | 0,486 | 0,472 | 0,472 | 0,041 |
| 2,500 | 42,639 | 99,163 | -5,409 | skid front(in) | 1000000,000 | 6,600 | 0,000 | 1,000 | 100,000 | 0,000 | 0,202 | 0,486 | 0,486 | 0,486 | 0,472 | 0,472 | 0,042 |
| 3,000 | 41,809 | 99,163 | -5,408 | skid front(in) | 1000000,000 | 6,600 | 0,000 | 1,000 | 100,000 | 0,000 | 0,244 | 0,486 | 0,486 | 0,486 | 0,472 | 0,472 | 0,043 |
| 3,500 | 40,962 | 99,163 | -5,406 | skid front(in) | 1000000,000 | 6,600 | 0,000 | 1,000 | 100,000 | 0,000 | 0,288 | 0,486 | 0,486 | 0,486 | 0,472 | 0,472 | 0,043 |
| 4,000 | 40,098 | 99,163 | -5,405 | skid front(in) | 1000000,000 | 6,600 | 0,000 | 1,000 | 100,000 | 0,000 | 0,332 | 0,486 | 0,486 | 0,486 | 0,472 | 0,472 | 0,044 |
| 4,400 | 39,393 | 99,163 | -5,404 | skid front(in) | 1000000,000 | 6,600 | 0,000 | 1,000 | 100,000 | 0,000 | 0,369 | 0,486 | 0,486 | 0,486 | 0,472 | 0,472 | 0,036 |
| 5,000 | 38,312 | 99,163 | -5,402 | skid front(in) | 1000000,000 | 6,600 | 0,000 | 1,000 | 100,000 | 0,000 | 0,424 | 0,486 | 0,486 | 0,486 | 0,472 | 0,472 | 0,056 |
| 5,500 | 37,387 | 99,163 | -5,401 | skid front(in) | 1000000,000 | 6,600 | 0,000 | 1,000 | 100,000 | 0,000 | 0,472 | 0,486 | 0,486 | 0,486 | 0,472 | 0,472 | 0,048 |

Προσδιορισμός Τιμών Πρόσφυσης κατά την Πέδηση Οχημάτων Εφοδιασμένων με Σύστημα ABS σε Αυξημένες κατά Μήκος Κλίσεις

| | | | | | | | | | | | | | | | | | |
|--------|--------|--------|--------|-----------------|-------------|-------|-------|-------|---------|--------|-------|-------|-------|-------|-------|-------|-------|
| 6,000 | 36,439 | 99,163 | -5,399 | skid front(in) | 1000000,000 | 6,600 | 0,000 | 1,000 | 100,000 | 0,000 | 0,520 | 0,486 | 0,486 | 0,486 | 0,472 | 0,472 | 0,049 |
| 6,500 | 35,466 | 99,163 | -5,398 | skid front(in) | 1000000,000 | 6,600 | 0,000 | 1,000 | 100,000 | 0,001 | 0,571 | 0,486 | 0,486 | 0,486 | 0,472 | 0,472 | 0,050 |
| 7,000 | 34,466 | 99,163 | -5,396 | skid front(in) | 1000000,000 | 6,600 | 0,000 | 1,000 | 100,000 | 0,001 | 0,622 | 0,486 | 0,486 | 0,486 | 0,472 | 0,472 | 0,051 |
| 7,500 | 33,436 | 99,163 | -5,395 | skid front(in) | 1000000,000 | 6,600 | 0,000 | 1,000 | 100,000 | 0,001 | 0,675 | 0,486 | 0,486 | 0,486 | 0,472 | 0,472 | 0,053 |
| 8,000 | 32,373 | 99,163 | -5,394 | skid front(in) | 1000000,000 | 6,600 | 0,000 | 1,000 | 100,000 | 0,002 | 0,730 | 0,486 | 0,486 | 0,486 | 0,472 | 0,472 | 0,055 |
| 8,500 | 31,275 | 99,114 | -5,390 | skid front(out) | 1000000,000 | 6,600 | 0,000 | 1,000 | 100,000 | -0,269 | 0,786 | 0,486 | 0,486 | 0,486 | 0,472 | 0,472 | 0,057 |
| 9,000 | 30,138 | 99,124 | -5,388 | skid front(in) | 1000000,000 | 6,600 | 0,000 | 1,000 | 100,000 | -1,223 | 0,845 | 0,486 | 0,485 | 0,485 | 0,472 | 0,472 | 0,059 |
| 9,500 | 28,956 | 99,140 | -5,387 | skid front(out) | 1000000,000 | 6,600 | 0,000 | 1,000 | 100,000 | -1,353 | 0,906 | 0,486 | 0,486 | 0,486 | 0,472 | 0,472 | 0,061 |
| 10,000 | 27,724 | 99,192 | -5,387 | skid front(out) | 1000000,000 | 6,600 | 0,000 | 1,000 | 100,000 | -2,251 | 0,969 | 0,486 | 0,486 | 0,486 | 0,472 | 0,472 | 0,064 |
| 10,500 | 26,434 | 99,159 | -5,386 | skid front(out) | 1000000,000 | 6,600 | 0,000 | 1,000 | 100,000 | -0,947 | 1,036 | 0,486 | 0,486 | 0,486 | 0,472 | 0,472 | 0,066 |
| 11,000 | 25,079 | 99,193 | -5,385 | skid front(out) | 1000000,000 | 6,600 | 0,000 | 1,000 | 100,000 | -2,098 | 1,106 | 0,486 | 0,486 | 0,486 | 0,472 | 0,472 | 0,070 |
| 11,500 | 23,647 | 99,136 | -5,382 | skid front(out) | 1000000,000 | 6,600 | 0,000 | 1,000 | 100,000 | -0,980 | 1,180 | 0,486 | 0,486 | 0,486 | 0,472 | 0,472 | 0,074 |
| 12,000 | 22,123 | 99,114 | -5,380 | skid front(out) | 1000000,000 | 6,600 | 0,000 | 1,000 | 100,000 | -0,634 | 1,258 | 0,486 | 0,485 | 0,485 | 0,472 | 0,472 | 0,079 |
| 12,500 | 20,486 | 99,128 | -5,378 | skid front(out) | 1000000,000 | 6,600 | 0,000 | 1,000 | 100,000 | -1,057 | 1,343 | 0,486 | 0,486 | 0,486 | 0,472 | 0,472 | 0,085 |
| 13,000 | 18,708 | 99,149 | -5,379 | skid front(out) | 1000000,000 | 6,600 | 0,000 | 1,000 | 100,000 | -0,533 | 1,435 | 0,486 | 0,486 | 0,486 | 0,472 | 0,472 | 0,092 |
| 13,500 | 16,741 | 99,175 | -5,376 | skid front(out) | 1000000,000 | 6,600 | 0,000 | 1,000 | 100,000 | -3,302 | 1,536 | 0,486 | 0,486 | 0,486 | 0,472 | 0,472 | 0,102 |
| 14,000 | 14,511 | 99,169 | -5,375 | skid front(out) | 1000000,000 | 6,600 | 0,000 | 1,000 | 100,000 | -3,068 | 1,651 | 0,486 | 0,486 | 0,486 | 0,472 | 0,472 | 0,115 |
| 14,500 | 11,870 | 99,209 | -5,374 | skid front(out) | 1000000,000 | 6,600 | 0,000 | 1,000 | 100,000 | -3,890 | 1,788 | 0,486 | 0,486 | 0,486 | 0,472 | 0,472 | 0,137 |
| 15,000 | 8,440 | 99,169 | -5,371 | skid front(out) | 1000000,000 | 6,600 | 0,000 | 1,000 | 100,000 | -3,973 | 1,965 | 0,486 | 0,485 | 0,485 | 0,472 | 0,472 | 0,177 |
| 15,500 | 1,261 | 99,129 | -5,369 | skid front(out) | 1000000,000 | 6,600 | 0,000 | 1,000 | 100,000 | -2,714 | 2,336 | 0,486 | 0,485 | 0,485 | 0,471 | 0,471 | 0,371 |

| run_c_w_ntua_16 | R(m) | br.front (%) | s(%) | e (%) | coeff | effic (%) | time (sec) | | | | | | | | | 0,963 | |
|-----------------|------------|--------------|--------|-----------------|-------------|-----------|------------|-------|-----------|-----------|------------|--------|-----------|----------|----------|---------|-----------|
| s= 100,000 | 1000000,00 | 70,50 | 6,6 | 0,0 | 1,00 | 100 | 2,580 | | | | | | | | | | |
| step= 0,100 | viewstep= | 0,500 | STEPS | | | | | | | | | | | | | | |
| s (m) | V (km/h) | n (%) | dv/dt | skid check | R(m) | s(%) | e (%) | coeff | effic (%) | decelera | time (sec) | fT | front out | front in | rear out | rear in | checktime |
| 17,800 | 0,231 | 99,592 | -5,278 | skid front(out) | 1000000,000 | 6,600 | 0,000 | 1,000 | 100,000 | -4,070562 | 2,580 | 0,4743 | 0,4742 | 0,4742 | 0,4668 | 0,4668 | |
| 0,000 | 49,420 | 99,532 | -5,328 | O.K | 1000000,000 | 6,600 | 0,000 | 1,000 | 100,000 | 0,000 | 0,000 | 0,474 | | | | | |
| 0,400 | 48,858 | 99,532 | -5,327 | skid front(in) | 1000000,000 | 6,600 | 0,000 | 1,000 | 100,000 | 0,000 | 0,029 | 0,474 | 0,474 | 0,474 | 0,467 | 0,467 | 0,029 |
| 1,000 | 48,003 | 99,532 | -5,325 | skid front(in) | 1000000,000 | 6,600 | 0,000 | 1,000 | 100,000 | 0,000 | 0,074 | 0,474 | 0,474 | 0,474 | 0,467 | 0,467 | 0,045 |
| 1,500 | 47,279 | 99,532 | -5,324 | skid front(in) | 1000000,000 | 6,600 | 0,000 | 1,000 | 100,000 | 0,000 | 0,112 | 0,474 | 0,474 | 0,474 | 0,467 | 0,467 | 0,038 |
| 2,000 | 46,543 | 99,532 | -5,322 | skid front(in) | 1000000,000 | 6,600 | 0,000 | 1,000 | 100,000 | 0,000 | 0,150 | 0,474 | 0,474 | 0,474 | 0,467 | 0,467 | 0,038 |
| 2,500 | 45,797 | 99,532 | -5,321 | skid front(in) | 1000000,000 | 6,600 | 0,000 | 1,000 | 100,000 | 0,000 | 0,189 | 0,474 | 0,474 | 0,474 | 0,467 | 0,467 | 0,039 |
| 3,000 | 45,038 | 99,532 | -5,319 | skid front(in) | 1000000,000 | 6,600 | 0,000 | 1,000 | 100,000 | 0,000 | 0,229 | 0,474 | 0,474 | 0,474 | 0,467 | 0,467 | 0,040 |

Προσδιορισμός Τιμών Πρόσφυσης κατά την Πέδηση Οχημάτων Εφοδιασμένων με Σύστημα ABS σε Αυξημένες κατά Μήκος Κλίσεις

| | | | | | | | | | | | | | | | | | |
|--------|--------|--------|--------|-----------------|-------------|-------|-------|-------|---------|--------|-------|-------|-------|-------|-------|-------|-------|
| 3,500 | 44,266 | 99,532 | -5,318 | skid front(in) | 1000000,000 | 6,600 | 0,000 | 1,000 | 100,000 | 0,000 | 0,269 | 0,474 | 0,474 | 0,474 | 0,467 | 0,467 | 0,040 |
| 4,000 | 43,480 | 99,532 | -5,317 | skid front(in) | 1000000,000 | 6,600 | 0,000 | 1,000 | 100,000 | 0,000 | 0,310 | 0,474 | 0,474 | 0,474 | 0,467 | 0,467 | 0,041 |
| 4,400 | 42,842 | 99,532 | -5,316 | skid front(in) | 1000000,000 | 6,600 | 0,000 | 1,000 | 100,000 | 0,000 | 0,343 | 0,474 | 0,474 | 0,474 | 0,467 | 0,467 | 0,033 |
| 5,000 | 41,866 | 99,532 | -5,314 | skid front(in) | 1000000,000 | 6,600 | 0,000 | 1,000 | 100,000 | 0,000 | 0,394 | 0,474 | 0,474 | 0,474 | 0,467 | 0,467 | 0,051 |
| 5,500 | 41,035 | 99,533 | -5,312 | skid front(in) | 1000000,000 | 6,600 | 0,000 | 1,000 | 100,000 | 0,000 | 0,438 | 0,474 | 0,474 | 0,474 | 0,467 | 0,467 | 0,043 |
| 6,000 | 40,188 | 99,533 | -5,311 | skid front(in) | 1000000,000 | 6,600 | 0,000 | 1,000 | 100,000 | 0,000 | 0,482 | 0,474 | 0,474 | 0,474 | 0,467 | 0,467 | 0,044 |
| 6,500 | 39,322 | 99,533 | -5,310 | skid front(in) | 1000000,000 | 6,600 | 0,000 | 1,000 | 100,000 | 0,000 | 0,527 | 0,474 | 0,474 | 0,474 | 0,467 | 0,467 | 0,045 |
| 7,000 | 38,437 | 99,533 | -5,308 | skid front(in) | 1000000,000 | 6,600 | 0,000 | 1,000 | 100,000 | 0,000 | 0,574 | 0,474 | 0,474 | 0,474 | 0,467 | 0,467 | 0,046 |
| 7,500 | 37,532 | 99,533 | -5,307 | skid front(in) | 1000000,000 | 6,600 | 0,000 | 1,000 | 100,000 | 0,000 | 0,621 | 0,474 | 0,474 | 0,474 | 0,467 | 0,467 | 0,047 |
| 8,000 | 36,604 | 99,533 | -5,306 | skid front(in) | 1000000,000 | 6,600 | 0,000 | 1,000 | 100,000 | 0,000 | 0,670 | 0,474 | 0,474 | 0,474 | 0,467 | 0,467 | 0,049 |
| 8,500 | 35,653 | 99,533 | -5,304 | skid front(in) | 1000000,000 | 6,600 | 0,000 | 1,000 | 100,000 | 0,000 | 0,719 | 0,474 | 0,474 | 0,474 | 0,467 | 0,467 | 0,050 |
| 9,000 | 34,676 | 99,533 | -5,303 | skid front(in) | 1000000,000 | 6,600 | 0,000 | 1,000 | 100,000 | 0,000 | 0,771 | 0,474 | 0,474 | 0,474 | 0,467 | 0,467 | 0,051 |
| 9,500 | 33,670 | 99,533 | -5,301 | skid front(in) | 1000000,000 | 6,600 | 0,000 | 1,000 | 100,000 | 0,000 | 0,823 | 0,474 | 0,474 | 0,474 | 0,467 | 0,467 | 0,053 |
| 10,000 | 32,634 | 99,533 | -5,300 | skid front(in) | 1000000,000 | 6,600 | 0,000 | 1,000 | 100,000 | 0,000 | 0,878 | 0,474 | 0,474 | 0,474 | 0,467 | 0,467 | 0,054 |
| 10,500 | 31,564 | 99,552 | -5,298 | skid front(out) | 1000000,000 | 6,600 | 0,000 | 1,000 | 100,000 | -1,780 | 0,934 | 0,474 | 0,474 | 0,474 | 0,467 | 0,467 | 0,056 |
| 11,000 | 30,457 | 99,557 | -5,297 | skid front(out) | 1000000,000 | 6,600 | 0,000 | 1,000 | 100,000 | -2,037 | 0,992 | 0,474 | 0,474 | 0,474 | 0,467 | 0,467 | 0,058 |
| 11,500 | 29,309 | 99,560 | -5,296 | skid front(out) | 1000000,000 | 6,600 | 0,000 | 1,000 | 100,000 | -1,473 | 1,052 | 0,474 | 0,474 | 0,474 | 0,467 | 0,467 | 0,060 |
| 12,000 | 28,113 | 99,530 | -5,293 | skid front(out) | 1000000,000 | 6,600 | 0,000 | 1,000 | 100,000 | -1,949 | 1,115 | 0,474 | 0,474 | 0,474 | 0,467 | 0,467 | 0,063 |
| 12,500 | 26,866 | 99,496 | -5,290 | skid front(in) | 1000000,000 | 6,600 | 0,000 | 1,000 | 100,000 | -1,615 | 1,180 | 0,474 | 0,474 | 0,474 | 0,466 | 0,466 | 0,066 |
| 13,000 | 25,557 | 99,551 | -5,291 | skid front(out) | 1000000,000 | 6,600 | 0,000 | 1,000 | 100,000 | -1,567 | 1,249 | 0,474 | 0,474 | 0,474 | 0,467 | 0,467 | 0,069 |
| 13,500 | 24,179 | 99,541 | -5,290 | skid front(out) | 1000000,000 | 6,600 | 0,000 | 1,000 | 100,000 | -1,025 | 1,321 | 0,474 | 0,474 | 0,474 | 0,467 | 0,467 | 0,072 |
| 14,000 | 22,717 | 99,492 | -5,286 | skid front(out) | 1000000,000 | 6,600 | 0,000 | 1,000 | 100,000 | -1,667 | 1,398 | 0,474 | 0,474 | 0,474 | 0,466 | 0,466 | 0,077 |
| 14,500 | 21,155 | 99,504 | -5,285 | skid front(out) | 1000000,000 | 6,600 | 0,000 | 1,000 | 100,000 | -0,894 | 1,480 | 0,474 | 0,474 | 0,474 | 0,467 | 0,467 | 0,082 |
| 15,000 | 19,468 | 99,548 | -5,286 | skid front(out) | 1000000,000 | 6,600 | 0,000 | 1,000 | 100,000 | -0,911 | 1,569 | 0,474 | 0,474 | 0,474 | 0,467 | 0,467 | 0,089 |
| 15,500 | 17,622 | 99,553 | -5,284 | skid front(out) | 1000000,000 | 6,600 | 0,000 | 1,000 | 100,000 | -2,324 | 1,666 | 0,474 | 0,474 | 0,474 | 0,467 | 0,467 | 0,097 |
| 16,000 | 15,558 | 99,514 | -5,282 | skid front(out) | 1000000,000 | 6,600 | 0,000 | 1,000 | 100,000 | -0,660 | 1,774 | 0,474 | 0,474 | 0,474 | 0,467 | 0,467 | 0,109 |
| 16,500 | 13,175 | 99,546 | -5,281 | skid front(out) | 1000000,000 | 6,600 | 0,000 | 1,000 | 100,000 | -2,011 | 1,900 | 0,474 | 0,474 | 0,474 | 0,467 | 0,467 | 0,125 |
| 17,000 | 10,253 | 99,574 | -5,281 | skid front(out) | 1000000,000 | 6,600 | 0,000 | 1,000 | 100,000 | -2,187 | 2,053 | 0,474 | 0,474 | 0,474 | 0,467 | 0,467 | 0,154 |
| 17,500 | 6,058 | 99,506 | -5,277 | skid front(out) | 1000000,000 | 6,600 | 0,000 | 1,000 | 100,000 | -1,688 | 2,274 | 0,474 | 0,474 | 0,474 | 0,466 | 0,466 | 0,221 |
| 17,800 | 0,231 | 99,592 | -5,278 | skid front(out) | 1000000,000 | 6,600 | 0,000 | 1,000 | 100,000 | -4,071 | 2,580 | 0,474 | 0,474 | 0,474 | 0,467 | 0,467 | 0,307 |

| run_c_w_ntua_17 | R(m) | br.front (%) | s(%) | e (%) | coeff | effic (%) | time (sec) |
|-----------------|-----------------|--------------|------|-------|-------|-----------|------------|
| s= 100,000 | 1000000,00 | 70,50 | 6,6 | 0,0 | 1,00 | 100 | 2,606 |
| step= 0,100 | viewstep= 0,500 | STEPS | | | | | |

0,963

| s (m) | V (km/h) | n (%) | dv/dt | skid check | R(m) | s(%) | e (%) | coeff | effic (%) | decelera | time (sec) | fT | front out | front in | rear out | rear in | checktime |
|--------|----------|--------|--------|-----------------|-------------|-------|-------|-------|-----------|-----------|------------|--------|-----------|----------|----------|---------|-----------|
| 18,500 | 1,451 | 98,967 | -5,125 | skid front(out) | 1000000,000 | 6,600 | 0,000 | 1,000 | 100,000 | -2,982129 | 2,606 | 0,4615 | 0,4611 | 0,4611 | 0,4457 | 0,4457 | |
| 0,000 | 49,740 | 99,005 | -5,180 | O.K | 1000000,000 | 6,600 | 0,000 | 1,000 | 100,000 | 0,000 | 0,000 | 0,462 | | | | | |
| 0,400 | 49,197 | 99,005 | -5,179 | skid front(in) | 1000000,000 | 6,600 | 0,000 | 1,000 | 100,000 | 0,000 | 0,029 | 0,462 | 0,461 | 0,462 | 0,446 | 0,446 | 0,029 |
| 1,000 | 48,372 | 99,005 | -5,178 | skid front(in) | 1000000,000 | 6,600 | 0,000 | 1,000 | 100,000 | 0,000 | 0,073 | 0,462 | 0,461 | 0,462 | 0,446 | 0,446 | 0,044 |
| 1,500 | 47,673 | 99,005 | -5,176 | skid front(in) | 1000000,000 | 6,600 | 0,000 | 1,000 | 100,000 | 0,000 | 0,111 | 0,462 | 0,461 | 0,462 | 0,446 | 0,446 | 0,037 |

Προσδιορισμός Τιμών Πρόσφυσης κατά την Πέδηση Οχημάτων Εφοδιασμένων με Σύστημα ABS σε Αυξημένες κατά Μήκος Κλίσεις

| | | | | | | | | | | | | | | | | | |
|--------|--------|--------|--------|-----------------|-------------|-------|-------|-------|---------|--------|-------|-------|-------|-------|-------|-------|-------|
| 2,000 | 46,964 | 99,005 | -5,175 | skid front(in) | 1000000,000 | 6,600 | 0,000 | 1,000 | 100,000 | 0,000 | 0,149 | 0,462 | 0,461 | 0,462 | 0,446 | 0,446 | 0,038 |
| 2,500 | 46,245 | 99,005 | -5,174 | skid front(in) | 1000000,000 | 6,600 | 0,000 | 1,000 | 100,000 | 0,000 | 0,188 | 0,462 | 0,461 | 0,462 | 0,446 | 0,446 | 0,039 |
| 3,000 | 45,514 | 99,005 | -5,172 | skid front(in) | 1000000,000 | 6,600 | 0,000 | 1,000 | 100,000 | 0,000 | 0,227 | 0,462 | 0,461 | 0,462 | 0,446 | 0,446 | 0,039 |
| 3,500 | 44,772 | 99,005 | -5,171 | skid front(in) | 1000000,000 | 6,600 | 0,000 | 1,000 | 100,000 | 0,000 | 0,267 | 0,462 | 0,461 | 0,462 | 0,446 | 0,446 | 0,040 |
| 4,000 | 44,017 | 99,006 | -5,169 | skid front(in) | 1000000,000 | 6,600 | 0,000 | 1,000 | 100,000 | 0,000 | 0,307 | 0,462 | 0,461 | 0,462 | 0,446 | 0,446 | 0,041 |
| 4,400 | 43,404 | 99,006 | -5,168 | skid front(in) | 1000000,000 | 6,600 | 0,000 | 1,000 | 100,000 | 0,000 | 0,340 | 0,462 | 0,461 | 0,462 | 0,446 | 0,446 | 0,033 |
| 5,000 | 42,468 | 99,006 | -5,167 | skid front(in) | 1000000,000 | 6,600 | 0,000 | 1,000 | 100,000 | 0,000 | 0,390 | 0,462 | 0,461 | 0,462 | 0,446 | 0,446 | 0,050 |
| 5,500 | 41,673 | 99,006 | -5,165 | skid front(in) | 1000000,000 | 6,600 | 0,000 | 1,000 | 100,000 | 0,000 | 0,433 | 0,462 | 0,461 | 0,462 | 0,446 | 0,446 | 0,043 |
| 6,000 | 40,862 | 99,006 | -5,164 | skid front(in) | 1000000,000 | 6,600 | 0,000 | 1,000 | 100,000 | 0,000 | 0,477 | 0,462 | 0,461 | 0,462 | 0,446 | 0,446 | 0,044 |
| 6,500 | 40,035 | 99,006 | -5,163 | skid front(in) | 1000000,000 | 6,600 | 0,000 | 1,000 | 100,000 | 0,000 | 0,521 | 0,462 | 0,461 | 0,462 | 0,446 | 0,446 | 0,045 |
| 7,000 | 39,190 | 99,006 | -5,161 | skid front(in) | 1000000,000 | 6,600 | 0,000 | 1,000 | 100,000 | 0,000 | 0,567 | 0,462 | 0,461 | 0,462 | 0,446 | 0,446 | 0,045 |
| 7,500 | 38,327 | 99,006 | -5,160 | skid front(in) | 1000000,000 | 6,600 | 0,000 | 1,000 | 100,000 | 0,000 | 0,613 | 0,462 | 0,461 | 0,462 | 0,446 | 0,446 | 0,046 |
| 8,000 | 37,445 | 99,006 | -5,159 | skid front(in) | 1000000,000 | 6,600 | 0,000 | 1,000 | 100,000 | 0,000 | 0,661 | 0,462 | 0,461 | 0,462 | 0,446 | 0,446 | 0,048 |
| 8,500 | 36,541 | 99,006 | -5,157 | skid front(in) | 1000000,000 | 6,600 | 0,000 | 1,000 | 100,000 | 0,000 | 0,709 | 0,462 | 0,461 | 0,462 | 0,446 | 0,446 | 0,049 |
| 9,000 | 35,615 | 99,006 | -5,156 | skid front(in) | 1000000,000 | 6,600 | 0,000 | 1,000 | 100,000 | 0,000 | 0,759 | 0,462 | 0,461 | 0,462 | 0,446 | 0,446 | 0,050 |
| 9,500 | 34,665 | 99,006 | -5,154 | skid front(in) | 1000000,000 | 6,600 | 0,000 | 1,000 | 100,000 | 0,000 | 0,811 | 0,462 | 0,461 | 0,462 | 0,446 | 0,446 | 0,051 |
| 10,000 | 33,687 | 99,006 | -5,153 | skid front(in) | 1000000,000 | 6,600 | 0,000 | 1,000 | 100,000 | 0,000 | 0,863 | 0,462 | 0,461 | 0,462 | 0,446 | 0,446 | 0,053 |
| 10,500 | 32,681 | 99,006 | -5,152 | skid front(in) | 1000000,000 | 6,600 | 0,000 | 1,000 | 100,000 | 0,001 | 0,917 | 0,462 | 0,461 | 0,462 | 0,446 | 0,446 | 0,054 |
| 11,000 | 31,644 | 98,951 | -5,147 | skid front(out) | 1000000,000 | 6,600 | 0,000 | 1,000 | 100,000 | -0,395 | 0,973 | 0,462 | 0,461 | 0,461 | 0,446 | 0,446 | 0,056 |
| 11,500 | 30,571 | 99,021 | -5,149 | skid front(out) | 1000000,000 | 6,600 | 0,000 | 1,000 | 100,000 | -1,171 | 1,031 | 0,462 | 0,461 | 0,461 | 0,446 | 0,446 | 0,058 |
| 12,000 | 29,459 | 99,018 | -5,147 | skid front(out) | 1000000,000 | 6,600 | 0,000 | 1,000 | 100,000 | -1,425 | 1,091 | 0,462 | 0,461 | 0,461 | 0,446 | 0,446 | 0,060 |
| 12,500 | 28,305 | 99,031 | -5,145 | skid front(out) | 1000000,000 | 6,600 | 0,000 | 1,000 | 100,000 | -2,443 | 1,154 | 0,462 | 0,461 | 0,461 | 0,446 | 0,446 | 0,062 |
| 13,000 | 27,101 | 99,028 | -5,144 | skid front(out) | 1000000,000 | 6,600 | 0,000 | 1,000 | 100,000 | -2,579 | 1,219 | 0,462 | 0,461 | 0,461 | 0,446 | 0,446 | 0,065 |
| 13,500 | 25,842 | 99,008 | -5,142 | skid front(out) | 1000000,000 | 6,600 | 0,000 | 1,000 | 100,000 | -1,820 | 1,287 | 0,462 | 0,461 | 0,461 | 0,446 | 0,446 | 0,068 |
| 14,000 | 24,518 | 99,004 | -5,140 | skid front(out) | 1000000,000 | 6,600 | 0,000 | 1,000 | 100,000 | -1,842 | 1,358 | 0,462 | 0,461 | 0,461 | 0,446 | 0,446 | 0,072 |
| 14,500 | 23,120 | 99,015 | -5,139 | skid front(out) | 1000000,000 | 6,600 | 0,000 | 1,000 | 100,000 | -2,633 | 1,434 | 0,462 | 0,461 | 0,461 | 0,446 | 0,446 | 0,076 |
| 15,000 | 21,631 | 99,009 | -5,137 | skid front(out) | 1000000,000 | 6,600 | 0,000 | 1,000 | 100,000 | -2,486 | 1,514 | 0,462 | 0,461 | 0,461 | 0,446 | 0,446 | 0,080 |
| 15,500 | 20,033 | 98,981 | -5,136 | skid front(out) | 1000000,000 | 6,600 | 0,000 | 1,000 | 100,000 | -1,303 | 1,600 | 0,462 | 0,461 | 0,461 | 0,446 | 0,446 | 0,086 |
| 16,000 | 18,296 | 99,008 | -5,134 | skid front(out) | 1000000,000 | 6,600 | 0,000 | 1,000 | 100,000 | -2,925 | 1,694 | 0,462 | 0,461 | 0,461 | 0,446 | 0,446 | 0,094 |
| 16,500 | 16,376 | 99,015 | -5,133 | skid front(out) | 1000000,000 | 6,600 | 0,000 | 1,000 | 100,000 | -3,535 | 1,798 | 0,462 | 0,461 | 0,461 | 0,446 | 0,446 | 0,104 |
| 17,000 | 14,200 | 98,999 | -5,131 | skid front(out) | 1000000,000 | 6,600 | 0,000 | 1,000 | 100,000 | -3,015 | 1,916 | 0,462 | 0,461 | 0,461 | 0,446 | 0,446 | 0,118 |
| 17,500 | 11,623 | 98,956 | -5,129 | skid front(out) | 1000000,000 | 6,600 | 0,000 | 1,000 | 100,000 | -1,202 | 2,055 | 0,462 | 0,461 | 0,461 | 0,446 | 0,446 | 0,139 |
| 18,000 | 8,283 | 98,974 | -5,127 | skid front(out) | 1000000,000 | 6,600 | 0,000 | 1,000 | 100,000 | -2,690 | 2,236 | 0,462 | 0,461 | 0,461 | 0,446 | 0,446 | 0,181 |
| 18,500 | 1,451 | 98,967 | -5,125 | skid front(out) | 1000000,000 | 6,600 | 0,000 | 1,000 | 100,000 | -2,982 | 2,606 | 0,462 | 0,461 | 0,461 | 0,446 | 0,446 | 0,370 |

| run_c_w_ntua_18 | R(m) | br.front (%) | s(%) | e (%) | coeff | effic (%) | time (sec) |
|-----------------|---------|--------------|-------|-------|-------|-----------|------------|
| s= | 100,000 | 1000000,00 | 70,50 | 6,6 | 0,0 | 1,00 | 100 |
| step= | 0,100 | viewstep= | 0,500 | STEPS | | | |

0,963

| s (m) | V (km/h) | n (%) | dv/dt | skid check | R(m) | s(%) | e (%) | coeff | effic (%) | decelera | time (sec) | fT | front out | front in | rear out | rear in | checktime |
|-------|----------|-------|-------|------------|------|------|-------|-------|-----------|----------|------------|----|-----------|----------|----------|---------|-----------|
|-------|----------|-------|-------|------------|------|------|-------|-------|-----------|----------|------------|----|-----------|----------|----------|---------|-----------|

Προσδιορισμός Τιμών Πρόσφυσης κατά την Πέδηση Οχημάτων Εφοδιασμένων με Σύστημα ABS σε Αυξημένες κατά Μήκος Κλίσεις

| 18,000 | 2,585 | 99,126 | -5,163 | skid front(out) | 1000000,000 | 6,600 | 0,000 | 1,000 | 100,000 | -1,156640 | 2,503 | 0,46446 | 0,4644 | 0,4644 | 0,4509 | 0,4509 | |
|--------|--------|--------|--------|-----------------|-------------|-------|-------|-------|---------|-----------|-------|---------|--------|--------|--------|--------|-------|
| 0,000 | 49,270 | 99,127 | -5,214 | Ο.Κ | 1000000,000 | 6,600 | 0,000 | 1,000 | 100,000 | 0,000 | 0,000 | 0,464 | | | | | |
| 0,400 | 48,718 | 99,127 | -5,213 | skid front(in) | 1000000,000 | 6,600 | 0,000 | 1,000 | 100,000 | 0,000 | 0,029 | 0,464 | 0,464 | 0,464 | 0,451 | 0,451 | 0,029 |
| 1,000 | 47,879 | 99,127 | -5,211 | skid front(in) | 1000000,000 | 6,600 | 0,000 | 1,000 | 100,000 | 0,000 | 0,074 | 0,464 | 0,464 | 0,464 | 0,451 | 0,451 | 0,045 |
| 1,500 | 47,169 | 99,127 | -5,209 | skid front(in) | 1000000,000 | 6,600 | 0,000 | 1,000 | 100,000 | 0,000 | 0,112 | 0,464 | 0,464 | 0,464 | 0,451 | 0,451 | 0,038 |
| 2,000 | 46,448 | 99,127 | -5,208 | skid front(in) | 1000000,000 | 6,600 | 0,000 | 1,000 | 100,000 | 0,000 | 0,150 | 0,464 | 0,464 | 0,464 | 0,451 | 0,451 | 0,038 |
| 2,500 | 45,716 | 99,127 | -5,207 | skid front(in) | 1000000,000 | 6,600 | 0,000 | 1,000 | 100,000 | 0,000 | 0,190 | 0,464 | 0,464 | 0,464 | 0,451 | 0,451 | 0,039 |
| 3,000 | 44,972 | 99,127 | -5,205 | skid front(in) | 1000000,000 | 6,600 | 0,000 | 1,000 | 100,000 | 0,000 | 0,229 | 0,464 | 0,464 | 0,464 | 0,451 | 0,451 | 0,040 |
| 3,500 | 44,215 | 99,127 | -5,204 | skid front(in) | 1000000,000 | 6,600 | 0,000 | 1,000 | 100,000 | 0,000 | 0,270 | 0,464 | 0,464 | 0,464 | 0,451 | 0,451 | 0,040 |
| 4,000 | 43,446 | 99,127 | -5,203 | skid front(in) | 1000000,000 | 6,600 | 0,000 | 1,000 | 100,000 | 0,000 | 0,311 | 0,464 | 0,464 | 0,464 | 0,451 | 0,451 | 0,041 |
| 4,400 | 42,821 | 99,127 | -5,202 | skid front(in) | 1000000,000 | 6,600 | 0,000 | 1,000 | 100,000 | 0,000 | 0,344 | 0,464 | 0,464 | 0,464 | 0,451 | 0,451 | 0,033 |
| 5,000 | 41,866 | 99,127 | -5,200 | skid front(in) | 1000000,000 | 6,600 | 0,000 | 1,000 | 100,000 | 0,000 | 0,395 | 0,464 | 0,464 | 0,464 | 0,451 | 0,451 | 0,051 |
| 5,500 | 41,053 | 99,127 | -5,198 | skid front(in) | 1000000,000 | 6,600 | 0,000 | 1,000 | 100,000 | 0,000 | 0,438 | 0,464 | 0,464 | 0,464 | 0,451 | 0,451 | 0,043 |
| 6,000 | 40,224 | 99,127 | -5,197 | skid front(in) | 1000000,000 | 6,600 | 0,000 | 1,000 | 100,000 | 0,000 | 0,483 | 0,464 | 0,464 | 0,464 | 0,451 | 0,451 | 0,044 |
| 6,500 | 39,378 | 99,127 | -5,196 | skid front(in) | 1000000,000 | 6,600 | 0,000 | 1,000 | 100,000 | 0,000 | 0,528 | 0,464 | 0,464 | 0,464 | 0,451 | 0,451 | 0,045 |
| 7,000 | 38,514 | 99,127 | -5,194 | skid front(in) | 1000000,000 | 6,600 | 0,000 | 1,000 | 100,000 | 0,000 | 0,574 | 0,464 | 0,464 | 0,464 | 0,451 | 0,451 | 0,046 |
| 7,500 | 37,630 | 99,127 | -5,193 | skid front(in) | 1000000,000 | 6,600 | 0,000 | 1,000 | 100,000 | 0,000 | 0,621 | 0,464 | 0,464 | 0,464 | 0,451 | 0,451 | 0,047 |
| 8,000 | 36,725 | 99,128 | -5,192 | skid front(in) | 1000000,000 | 6,600 | 0,000 | 1,000 | 100,000 | 0,000 | 0,670 | 0,464 | 0,464 | 0,464 | 0,451 | 0,451 | 0,048 |
| 8,500 | 35,797 | 99,128 | -5,190 | skid front(in) | 1000000,000 | 6,600 | 0,000 | 1,000 | 100,000 | 0,000 | 0,720 | 0,464 | 0,464 | 0,464 | 0,451 | 0,451 | 0,050 |
| 9,000 | 34,845 | 99,128 | -5,189 | skid front(in) | 1000000,000 | 6,600 | 0,000 | 1,000 | 100,000 | 0,000 | 0,770 | 0,464 | 0,464 | 0,464 | 0,451 | 0,451 | 0,051 |
| 9,500 | 33,867 | 99,128 | -5,188 | skid front(in) | 1000000,000 | 6,600 | 0,000 | 1,000 | 100,000 | 0,001 | 0,823 | 0,464 | 0,464 | 0,464 | 0,451 | 0,451 | 0,052 |
| 10,000 | 32,859 | 99,128 | -5,186 | skid front(in) | 1000000,000 | 6,600 | 0,000 | 1,000 | 100,000 | 0,000 | 0,877 | 0,464 | 0,464 | 0,464 | 0,451 | 0,451 | 0,054 |
| 10,500 | 31,820 | 99,149 | -5,184 | skid front(out) | 1000000,000 | 6,600 | 0,000 | 1,000 | 100,000 | -1,779 | 0,932 | 0,464 | 0,464 | 0,464 | 0,451 | 0,451 | 0,056 |
| 11,000 | 30,746 | 99,139 | -5,183 | skid front(out) | 1000000,000 | 6,600 | 0,000 | 1,000 | 100,000 | -1,397 | 0,990 | 0,464 | 0,464 | 0,464 | 0,451 | 0,451 | 0,058 |
| 11,500 | 29,634 | 99,145 | -5,181 | skid front(out) | 1000000,000 | 6,600 | 0,000 | 1,000 | 100,000 | -1,630 | 1,050 | 0,464 | 0,464 | 0,464 | 0,451 | 0,451 | 0,060 |
| 12,000 | 28,479 | 99,140 | -5,180 | skid front(out) | 1000000,000 | 6,600 | 0,000 | 1,000 | 100,000 | -1,058 | 1,112 | 0,464 | 0,464 | 0,464 | 0,451 | 0,451 | 0,062 |
| 12,500 | 27,274 | 99,091 | -5,176 | skid front(out) | 1000000,000 | 6,600 | 0,000 | 1,000 | 100,000 | -1,562 | 1,176 | 0,464 | 0,464 | 0,464 | 0,451 | 0,451 | 0,065 |
| 13,000 | 26,015 | 99,121 | -5,175 | skid front(out) | 1000000,000 | 6,600 | 0,000 | 1,000 | 100,000 | -2,449 | 1,244 | 0,464 | 0,464 | 0,464 | 0,451 | 0,451 | 0,068 |
| 13,500 | 24,692 | 99,106 | -5,175 | skid front(out) | 1000000,000 | 6,600 | 0,000 | 1,000 | 100,000 | -0,740 | 1,315 | 0,464 | 0,464 | 0,464 | 0,451 | 0,451 | 0,071 |
| 14,000 | 23,295 | 99,144 | -5,175 | skid front(out) | 1000000,000 | 6,600 | 0,000 | 1,000 | 100,000 | -1,554 | 1,390 | 0,464 | 0,464 | 0,464 | 0,451 | 0,451 | 0,075 |
| 14,500 | 21,808 | 99,098 | -5,171 | skid front(out) | 1000000,000 | 6,600 | 0,000 | 1,000 | 100,000 | -1,758 | 1,470 | 0,464 | 0,464 | 0,464 | 0,451 | 0,451 | 0,080 |
| 15,000 | 20,213 | 99,104 | -5,171 | skid front(out) | 1000000,000 | 6,600 | 0,000 | 1,000 | 100,000 | -0,557 | 1,555 | 0,464 | 0,464 | 0,464 | 0,451 | 0,451 | 0,086 |
| 15,500 | 18,481 | 99,095 | -5,167 | skid front(out) | 1000000,000 | 6,600 | 0,000 | 1,000 | 100,000 | -2,549 | 1,648 | 0,464 | 0,464 | 0,464 | 0,451 | 0,451 | 0,093 |
| 16,000 | 16,569 | 99,106 | -5,168 | skid front(out) | 1000000,000 | 6,600 | 0,000 | 1,000 | 100,000 | -1,102 | 1,751 | 0,464 | 0,464 | 0,464 | 0,451 | 0,451 | 0,103 |
| 16,500 | 14,406 | 99,058 | -5,164 | skid front(out) | 1000000,000 | 6,600 | 0,000 | 1,000 | 100,000 | -0,981 | 1,867 | 0,464 | 0,464 | 0,464 | 0,450 | 0,450 | 0,116 |
| 17,000 | 11,857 | 99,113 | -5,165 | skid front(out) | 1000000,000 | 6,600 | 0,000 | 1,000 | 100,000 | -1,332 | 2,004 | 0,464 | 0,464 | 0,464 | 0,451 | 0,451 | 0,137 |
| 17,500 | 8,580 | 99,108 | -5,162 | skid front(out) | 1000000,000 | 6,600 | 0,000 | 1,000 | 100,000 | -3,345 | 2,180 | 0,464 | 0,464 | 0,464 | 0,450 | 0,450 | 0,176 |
| 18,000 | 2,585 | 99,126 | -5,163 | skid front(out) | 1000000,000 | 6,600 | 0,000 | 1,000 | 100,000 | -1,157 | 2,503 | 0,464 | 0,464 | 0,464 | 0,451 | 0,451 | 0,323 |

Προσδιορισμός Τιμών Πρόσφυσης κατά την Πέδηση Οχημάτων Εφοδιασμένων με Σύστημα ABS σε Αυξημένες κατά Μήκος Κλίσεις

| run_c_w_ntua_19 | R(m) | br.front (%) | s(%) | e (%) | coeff | effic (%) | time (sec) | | | | | | | | | | |
|-----------------|-----------------|--------------|--------|-----------------|-------------|-----------|------------|-------|-----------|-----------|------------|---------|-----------|----------|----------|---------|-----------|
| s= 100,000 | 1000000,00 | 70,50 | 6,6 | 0,0 | 1,00 | 100 | 2,561 | | | | | | | | | | |
| step= 0,100 | viewstep= 0,500 | STEPS | | | | | | | | | | | | | | | |
| s (m) | V (km/h) | n (%) | dv/dt | skid check | R(m) | s(%) | e (%) | coeff | effic (%) | decelera | time (sec) | ft | front out | front in | rear out | rear in | checktime |
| 18,900 | 2,591 | 99,267 | -5,192 | skid front(out) | 1000000,000 | 6,600 | 0,000 | 1,000 | 100,000 | -2,768589 | 2,561 | 0,46695 | 0,4669 | 0,4669 | 0,4549 | 0,4549 | |
| 0,000 | 50,630 | 99,229 | -5,245 | O.K | 1000000,000 | 6,600 | 0,000 | 1,000 | 100,000 | 0,000 | 0,000 | 0,467 | | | | | |
| 0,400 | 50,090 | 99,229 | -5,244 | skid front(in) | 1000000,000 | 6,600 | 0,000 | 1,000 | 100,000 | 0,000 | 0,029 | 0,467 | 0,467 | 0,467 | 0,455 | 0,455 | 0,029 |
| 1,000 | 49,269 | 99,229 | -5,242 | skid front(in) | 1000000,000 | 6,600 | 0,000 | 1,000 | 100,000 | 0,000 | 0,072 | 0,467 | 0,467 | 0,467 | 0,455 | 0,455 | 0,043 |
| 1,500 | 48,575 | 99,229 | -5,241 | skid front(in) | 1000000,000 | 6,600 | 0,000 | 1,000 | 100,000 | 0,000 | 0,109 | 0,467 | 0,467 | 0,467 | 0,455 | 0,455 | 0,037 |
| 2,000 | 47,871 | 99,229 | -5,240 | skid front(in) | 1000000,000 | 6,600 | 0,000 | 1,000 | 100,000 | 0,000 | 0,146 | 0,467 | 0,467 | 0,467 | 0,455 | 0,455 | 0,037 |
| 2,500 | 47,157 | 99,229 | -5,238 | skid front(in) | 1000000,000 | 6,600 | 0,000 | 1,000 | 100,000 | 0,000 | 0,184 | 0,467 | 0,467 | 0,467 | 0,455 | 0,455 | 0,038 |
| 3,000 | 46,431 | 99,229 | -5,237 | skid front(in) | 1000000,000 | 6,600 | 0,000 | 1,000 | 100,000 | 0,000 | 0,223 | 0,467 | 0,467 | 0,467 | 0,455 | 0,455 | 0,038 |
| 3,500 | 45,695 | 99,229 | -5,235 | skid front(in) | 1000000,000 | 6,600 | 0,000 | 1,000 | 100,000 | 0,000 | 0,262 | 0,467 | 0,467 | 0,467 | 0,455 | 0,455 | 0,039 |
| 4,000 | 44,946 | 99,229 | -5,234 | skid front(in) | 1000000,000 | 6,600 | 0,000 | 1,000 | 100,000 | 0,000 | 0,301 | 0,467 | 0,467 | 0,467 | 0,455 | 0,455 | 0,040 |
| 4,400 | 44,339 | 99,229 | -5,233 | skid front(in) | 1000000,000 | 6,600 | 0,000 | 1,000 | 100,000 | 0,000 | 0,334 | 0,467 | 0,467 | 0,467 | 0,455 | 0,455 | 0,032 |
| 5,000 | 43,411 | 99,229 | -5,231 | skid front(in) | 1000000,000 | 6,600 | 0,000 | 1,000 | 100,000 | 0,000 | 0,383 | 0,467 | 0,467 | 0,467 | 0,455 | 0,455 | 0,049 |
| 5,500 | 42,623 | 99,229 | -5,230 | skid front(in) | 1000000,000 | 6,600 | 0,000 | 1,000 | 100,000 | 0,000 | 0,425 | 0,467 | 0,467 | 0,467 | 0,455 | 0,455 | 0,042 |
| 6,000 | 41,821 | 99,229 | -5,228 | skid front(in) | 1000000,000 | 6,600 | 0,000 | 1,000 | 100,000 | 0,000 | 0,467 | 0,467 | 0,467 | 0,467 | 0,455 | 0,455 | 0,043 |
| 6,500 | 41,003 | 99,229 | -5,227 | skid front(in) | 1000000,000 | 6,600 | 0,000 | 1,000 | 100,000 | 0,000 | 0,511 | 0,467 | 0,467 | 0,467 | 0,455 | 0,455 | 0,043 |
| 7,000 | 40,168 | 99,229 | -5,226 | skid front(in) | 1000000,000 | 6,600 | 0,000 | 1,000 | 100,000 | 0,000 | 0,555 | 0,467 | 0,467 | 0,467 | 0,455 | 0,455 | 0,044 |
| 7,500 | 39,316 | 99,229 | -5,224 | skid front(in) | 1000000,000 | 6,600 | 0,000 | 1,000 | 100,000 | 0,000 | 0,600 | 0,467 | 0,467 | 0,467 | 0,455 | 0,455 | 0,045 |
| 8,000 | 38,446 | 99,230 | -5,223 | skid front(in) | 1000000,000 | 6,600 | 0,000 | 1,000 | 100,000 | 0,000 | 0,647 | 0,467 | 0,467 | 0,467 | 0,455 | 0,455 | 0,046 |
| 8,500 | 37,555 | 99,230 | -5,222 | skid front(in) | 1000000,000 | 6,600 | 0,000 | 1,000 | 100,000 | 0,000 | 0,694 | 0,467 | 0,467 | 0,467 | 0,455 | 0,455 | 0,047 |
| 9,000 | 36,643 | 99,230 | -5,220 | skid front(in) | 1000000,000 | 6,600 | 0,000 | 1,000 | 100,000 | 0,000 | 0,743 | 0,467 | 0,467 | 0,467 | 0,455 | 0,455 | 0,049 |
| 9,500 | 35,708 | 99,230 | -5,219 | skid front(in) | 1000000,000 | 6,600 | 0,000 | 1,000 | 100,000 | 0,000 | 0,792 | 0,467 | 0,467 | 0,467 | 0,455 | 0,455 | 0,050 |
| 10,000 | 34,748 | 99,230 | -5,218 | skid front(in) | 1000000,000 | 6,600 | 0,000 | 1,000 | 100,000 | 0,000 | 0,843 | 0,467 | 0,467 | 0,467 | 0,455 | 0,455 | 0,051 |
| 10,500 | 33,762 | 99,230 | -5,216 | skid front(in) | 1000000,000 | 6,600 | 0,000 | 1,000 | 100,000 | 0,000 | 0,896 | 0,467 | 0,467 | 0,467 | 0,455 | 0,455 | 0,053 |
| 11,000 | 32,745 | 99,230 | -5,215 | skid front(in) | 1000000,000 | 6,600 | 0,000 | 1,000 | 100,000 | 0,001 | 0,950 | 0,467 | 0,467 | 0,467 | 0,455 | 0,455 | 0,054 |
| 11,500 | 31,697 | 99,241 | -5,213 | skid front(out) | 1000000,000 | 6,600 | 0,000 | 1,000 | 100,000 | -1,255 | 1,006 | 0,467 | 0,467 | 0,467 | 0,455 | 0,455 | 0,056 |
| 12,000 | 30,613 | 99,212 | -5,210 | skid front(out) | 1000000,000 | 6,600 | 0,000 | 1,000 | 100,000 | -1,164 | 1,064 | 0,467 | 0,467 | 0,467 | 0,455 | 0,455 | 0,058 |
| 12,500 | 29,489 | 99,202 | -5,208 | skid front(out) | 1000000,000 | 6,600 | 0,000 | 1,000 | 100,000 | -1,773 | 1,124 | 0,467 | 0,467 | 0,467 | 0,455 | 0,455 | 0,060 |
| 13,000 | 28,321 | 99,243 | -5,209 | skid front(out) | 1000000,000 | 6,600 | 0,000 | 1,000 | 100,000 | -1,205 | 1,186 | 0,467 | 0,467 | 0,467 | 0,455 | 0,455 | 0,062 |
| 13,500 | 27,103 | 99,244 | -5,207 | skid front(out) | 1000000,000 | 6,600 | 0,000 | 1,000 | 100,000 | -1,707 | 1,251 | 0,467 | 0,467 | 0,467 | 0,455 | 0,455 | 0,065 |
| 14,000 | 25,828 | 99,267 | -5,206 | skid front(out) | 1000000,000 | 6,600 | 0,000 | 1,000 | 100,000 | -3,027 | 1,319 | 0,467 | 0,467 | 0,467 | 0,455 | 0,455 | 0,068 |
| 14,500 | 24,487 | 99,246 | -5,204 | skid front(out) | 1000000,000 | 6,600 | 0,000 | 1,000 | 100,000 | -1,697 | 1,390 | 0,467 | 0,467 | 0,467 | 0,455 | 0,455 | 0,072 |
| 15,000 | 23,069 | 99,246 | -5,203 | skid front(out) | 1000000,000 | 6,600 | 0,000 | 1,000 | 100,000 | -1,145 | 1,466 | 0,467 | 0,467 | 0,467 | 0,455 | 0,455 | 0,076 |
| 15,500 | 21,558 | 99,198 | -5,199 | skid front(out) | 1000000,000 | 6,600 | 0,000 | 1,000 | 100,000 | -1,800 | 1,547 | 0,467 | 0,467 | 0,467 | 0,455 | 0,455 | 0,081 |
| 16,000 | 19,934 | 99,241 | -5,199 | skid front(out) | 1000000,000 | 6,600 | 0,000 | 1,000 | 100,000 | -2,911 | 1,634 | 0,467 | 0,467 | 0,467 | 0,455 | 0,455 | 0,087 |
| 16,500 | 18,165 | 99,237 | -5,199 | skid front(out) | 1000000,000 | 6,600 | 0,000 | 1,000 | 100,000 | -1,072 | 1,728 | 0,467 | 0,467 | 0,467 | 0,455 | 0,455 | 0,095 |
| 17,000 | 16,204 | 99,177 | -5,195 | skid front(out) | 1000000,000 | 6,600 | 0,000 | 1,000 | 100,000 | -0,460 | 1,833 | 0,467 | 0,467 | 0,467 | 0,455 | 0,455 | 0,105 |
| 17,500 | 13,972 | 99,260 | -5,196 | skid front(out) | 1000000,000 | 6,600 | 0,000 | 1,000 | 100,000 | -2,452 | 1,952 | 0,467 | 0,467 | 0,467 | 0,455 | 0,455 | 0,119 |
| 18,000 | 11,308 | 99,247 | -5,193 | skid front(out) | 1000000,000 | 6,600 | 0,000 | 1,000 | 100,000 | -3,919 | 2,095 | 0,467 | 0,467 | 0,467 | 0,455 | 0,455 | 0,142 |
| 18,500 | 7,782 | 99,169 | -5,190 | skid front(out) | 1000000,000 | 6,600 | 0,000 | 1,000 | 100,000 | -1,850 | 2,283 | 0,467 | 0,467 | 0,467 | 0,454 | 0,454 | 0,189 |
| 18,900 | 2,591 | 99,267 | -5,192 | skid front(out) | 1000000,000 | 6,600 | 0,000 | 1,000 | 100,000 | -2,769 | 2,561 | 0,467 | 0,467 | 0,467 | 0,455 | 0,455 | 0,278 |

Προσδιορισμός Τιμών Πρόσφυσης κατά την Πέδηση Οχημάτων Εφοδιασμένων με Σύστημα ABS σε Αυξημένες κατά Μήκος Κλίσεις

| run_c_w_ntua_20 | R(m) | br.front (%) | s(%) | e (%) | coeff | effic (%) | time (sec) | | | | | | | | | | |
|-----------------|------------|--------------|--------|-----------------|-------------|-----------|------------|-------|-----------|-----------|------------|-------|-----------|----------|----------|---------|-----------|
| s= 100,000 | 1000000,00 | 71,50 | 6,6 | 0,0 | 1,00 | 100 | 2,365 | | | | | | | | | 0,963 | |
| step= 0,100 | viewstep= | 0,500 | STEPS | | | | | | | | | | | | | | |
| s (m) | V (km/h) | n (%) | dv/dt | skid check | R(m) | s(%) | e (%) | coeff | effic (%) | decelera | time (sec) | fT | front out | front in | rear out | rear in | checktime |
| 17,300 | 2,541 | 99,229 | -5,580 | skid front(out) | 1000000,000 | 6,600 | 0,000 | 1,000 | 100,000 | -3,022672 | 2,365 | 0,507 | 0,5069 | 0,5069 | 0,4929 | 0,4929 | |
| 0,000 | 50,200 | 99,196 | -5,630 | O.K | 1000000,000 | 6,600 | 0,000 | 1,000 | 100,000 | 0,000 | 0,000 | 0,507 | | | | | |
| 0,400 | 49,615 | 99,196 | -5,629 | skid front(in) | 1000000,000 | 6,600 | 0,000 | 1,000 | 100,000 | 0,000 | 0,029 | 0,507 | 0,507 | 0,507 | 0,493 | 0,493 | 0,029 |
| 1,000 | 48,725 | 99,196 | -5,627 | skid front(in) | 1000000,000 | 6,600 | 0,000 | 1,000 | 100,000 | 0,000 | 0,073 | 0,507 | 0,507 | 0,507 | 0,493 | 0,493 | 0,044 |
| 1,500 | 47,971 | 99,197 | -5,626 | skid front(in) | 1000000,000 | 6,600 | 0,000 | 1,000 | 100,000 | 0,000 | 0,110 | 0,507 | 0,507 | 0,507 | 0,493 | 0,493 | 0,037 |
| 2,000 | 47,205 | 99,197 | -5,624 | skid front(in) | 1000000,000 | 6,600 | 0,000 | 1,000 | 100,000 | 0,000 | 0,148 | 0,507 | 0,507 | 0,507 | 0,493 | 0,493 | 0,038 |
| 2,500 | 46,427 | 99,197 | -5,623 | skid front(in) | 1000000,000 | 6,600 | 0,000 | 1,000 | 100,000 | 0,000 | 0,186 | 0,507 | 0,507 | 0,507 | 0,493 | 0,493 | 0,038 |
| 3,000 | 45,635 | 99,197 | -5,622 | skid front(in) | 1000000,000 | 6,600 | 0,000 | 1,000 | 100,000 | 0,000 | 0,225 | 0,507 | 0,507 | 0,507 | 0,493 | 0,493 | 0,039 |
| 3,500 | 44,830 | 99,197 | -5,620 | skid front(in) | 1000000,000 | 6,600 | 0,000 | 1,000 | 100,000 | 0,000 | 0,265 | 0,507 | 0,507 | 0,507 | 0,493 | 0,493 | 0,040 |
| 4,000 | 44,010 | 99,197 | -5,619 | skid front(in) | 1000000,000 | 6,600 | 0,000 | 1,000 | 100,000 | 0,000 | 0,306 | 0,507 | 0,507 | 0,507 | 0,493 | 0,493 | 0,041 |
| 4,400 | 43,343 | 99,197 | -5,618 | skid front(in) | 1000000,000 | 6,600 | 0,000 | 1,000 | 100,000 | 0,000 | 0,339 | 0,507 | 0,507 | 0,507 | 0,493 | 0,493 | 0,033 |
| 5,000 | 42,324 | 99,197 | -5,616 | skid front(in) | 1000000,000 | 6,600 | 0,000 | 1,000 | 100,000 | 0,000 | 0,389 | 0,507 | 0,507 | 0,507 | 0,493 | 0,493 | 0,050 |
| 5,500 | 41,455 | 99,197 | -5,615 | skid front(in) | 1000000,000 | 6,600 | 0,000 | 1,000 | 100,000 | 0,000 | 0,432 | 0,507 | 0,507 | 0,507 | 0,493 | 0,493 | 0,043 |
| 6,000 | 40,568 | 99,197 | -5,613 | skid front(in) | 1000000,000 | 6,600 | 0,000 | 1,000 | 100,000 | 0,000 | 0,476 | 0,507 | 0,507 | 0,507 | 0,493 | 0,493 | 0,044 |
| 6,500 | 39,661 | 99,197 | -5,612 | skid front(in) | 1000000,000 | 6,600 | 0,000 | 1,000 | 100,000 | 0,000 | 0,521 | 0,507 | 0,507 | 0,507 | 0,493 | 0,493 | 0,045 |
| 7,000 | 38,734 | 99,197 | -5,610 | skid front(in) | 1000000,000 | 6,600 | 0,000 | 1,000 | 100,000 | 0,000 | 0,567 | 0,507 | 0,507 | 0,507 | 0,493 | 0,493 | 0,046 |
| 7,500 | 37,784 | 99,197 | -5,609 | skid front(in) | 1000000,000 | 6,600 | 0,000 | 1,000 | 100,000 | 0,000 | 0,614 | 0,507 | 0,507 | 0,507 | 0,493 | 0,493 | 0,047 |
| 8,000 | 36,809 | 99,197 | -5,608 | skid front(in) | 1000000,000 | 6,600 | 0,000 | 1,000 | 100,000 | 0,000 | 0,662 | 0,507 | 0,507 | 0,507 | 0,493 | 0,493 | 0,048 |
| 8,500 | 35,809 | 99,197 | -5,606 | skid front(in) | 1000000,000 | 6,600 | 0,000 | 1,000 | 100,000 | 0,000 | 0,712 | 0,507 | 0,507 | 0,507 | 0,493 | 0,493 | 0,050 |
| 9,000 | 34,780 | 99,198 | -5,605 | skid front(in) | 1000000,000 | 6,600 | 0,000 | 1,000 | 100,000 | 0,001 | 0,763 | 0,507 | 0,507 | 0,507 | 0,493 | 0,493 | 0,051 |
| 9,500 | 33,719 | 99,198 | -5,603 | skid front(in) | 1000000,000 | 6,600 | 0,000 | 1,000 | 100,000 | 0,000 | 0,815 | 0,507 | 0,507 | 0,507 | 0,493 | 0,493 | 0,053 |
| 10,000 | 32,625 | 99,198 | -5,602 | skid front(in) | 1000000,000 | 6,600 | 0,000 | 1,000 | 100,000 | 0,000 | 0,869 | 0,507 | 0,507 | 0,507 | 0,493 | 0,493 | 0,054 |
| 10,500 | 31,493 | 99,232 | -5,600 | skid front(out) | 1000000,000 | 6,600 | 0,000 | 1,000 | 100,000 | -1,961 | 0,926 | 0,507 | 0,507 | 0,507 | 0,493 | 0,493 | 0,056 |
| 11,000 | 30,318 | 99,205 | -5,597 | skid front(out) | 1000000,000 | 6,600 | 0,000 | 1,000 | 100,000 | -2,420 | 0,984 | 0,507 | 0,507 | 0,507 | 0,493 | 0,493 | 0,058 |
| 11,500 | 29,097 | 99,200 | -5,596 | skid front(out) | 1000000,000 | 6,600 | 0,000 | 1,000 | 100,000 | -2,087 | 1,044 | 0,507 | 0,507 | 0,507 | 0,493 | 0,493 | 0,061 |
| 12,000 | 27,823 | 99,160 | -5,593 | skid front(out) | 1000000,000 | 6,600 | 0,000 | 1,000 | 100,000 | -1,223 | 1,108 | 0,507 | 0,507 | 0,507 | 0,493 | 0,493 | 0,063 |
| 12,500 | 26,488 | 99,170 | -5,593 | skid front(out) | 1000000,000 | 6,600 | 0,000 | 1,000 | 100,000 | -1,036 | 1,174 | 0,507 | 0,507 | 0,507 | 0,493 | 0,493 | 0,066 |
| 13,000 | 25,082 | 99,173 | -5,590 | skid front(out) | 1000000,000 | 6,600 | 0,000 | 1,000 | 100,000 | -1,993 | 1,244 | 0,507 | 0,507 | 0,507 | 0,493 | 0,493 | 0,070 |
| 13,500 | 23,593 | 99,201 | -5,590 | skid front(out) | 1000000,000 | 6,600 | 0,000 | 1,000 | 100,000 | -2,059 | 1,318 | 0,507 | 0,507 | 0,507 | 0,493 | 0,493 | 0,074 |
| 14,000 | 22,004 | 99,224 | -5,589 | skid front(out) | 1000000,000 | 6,600 | 0,000 | 1,000 | 100,000 | -3,388 | 1,397 | 0,507 | 0,507 | 0,507 | 0,493 | 0,493 | 0,079 |
| 14,500 | 20,292 | 99,140 | -5,586 | skid front(out) | 1000000,000 | 6,600 | 0,000 | 1,000 | 100,000 | -0,442 | 1,482 | 0,507 | 0,507 | 0,507 | 0,493 | 0,493 | 0,085 |
| 15,000 | 18,421 | 99,178 | -5,585 | skid front(out) | 1000000,000 | 6,600 | 0,000 | 1,000 | 100,000 | -2,066 | 1,575 | 0,507 | 0,507 | 0,507 | 0,493 | 0,493 | 0,093 |
| 15,500 | 16,339 | 99,175 | -5,582 | skid front(in) | 1000000,000 | 6,600 | 0,000 | 1,000 | 100,000 | -3,221 | 1,678 | 0,507 | 0,507 | 0,507 | 0,492 | 0,492 | 0,104 |
| 16,000 | 13,949 | 99,199 | -5,582 | skid front(out) | 1000000,000 | 6,600 | 0,000 | 1,000 | 100,000 | -3,294 | 1,797 | 0,507 | 0,507 | 0,507 | 0,493 | 0,493 | 0,119 |
| 16,500 | 11,055 | 99,174 | -5,580 | skid front(out) | 1000000,000 | 6,600 | 0,000 | 1,000 | 100,000 | -2,629 | 1,941 | 0,507 | 0,507 | 0,507 | 0,493 | 0,493 | 0,144 |
| 17,000 | 7,062 | 99,219 | -5,581 | skid front(out) | 1000000,000 | 6,600 | 0,000 | 1,000 | 100,000 | -3,015 | 2,140 | 0,507 | 0,507 | 0,507 | 0,493 | 0,493 | 0,199 |
| 17,300 | 2,541 | 99,229 | -5,580 | skid front(out) | 1000000,000 | 6,600 | 0,000 | 1,000 | 100,000 | -3,023 | 2,365 | 0,507 | 0,507 | 0,507 | 0,493 | 0,493 | 0,225 |

Προσδιορισμός Τιμών Πρόσφυσης κατά την Πέδηση Οχημάτων Εφοδιασμένων με Σύστημα ABS σε Αυξημένες κατά Μήκος Κλίσεις

| run_c_w_ntua_21 | R(m) | br.front (%) | s(%) | e (%) | coeff | effic (%) | time (sec) | | | | | | | | | | |
|-----------------|------------|--------------|--------|-----------------|-------------|-----------|------------|-------|-----------|-----------|------------|---------|-----------|----------|----------|---------|-----------|
| s= 100,000 | 1000000,00 | 72,00 | 6,6 | 0,0 | 1,00 | 100 | 2,550 | | | | | | | | | 0,963 | |
| step= 0,100 | viewstep= | 0,500 | STEPS | | | | | | | | | | | | | | |
| s (m) | V (km/h) | n (%) | dv/dt | skid check | R(m) | s(%) | e (%) | coeff | effic (%) | decelera | time (sec) | fT | front out | front in | rear out | rear in | checktime |
| 17,000 | 0,174 | 97,031 | -5,155 | skid front(out) | 1000000,000 | 6,600 | 0,000 | 1,000 | 100,000 | -0,692549 | 2,550 | 0,47359 | 0,4735 | 0,4735 | 0,4269 | 0,4269 | |
| 0,000 | 47,640 | 97,032 | -5,202 | O.K | 1000000,000 | 6,600 | 0,000 | 1,000 | 100,000 | 0,000 | 0,000 | 0,474 | | | | | |
| 0,400 | 47,068 | 97,032 | -5,201 | skid front(in) | 1000000,000 | 6,600 | 0,000 | 1,000 | 100,000 | 0,000 | 0,030 | 0,474 | 0,474 | 0,474 | 0,427 | 0,427 | 0,031 |
| 1,000 | 46,201 | 97,032 | -5,199 | skid front(in) | 1000000,000 | 6,600 | 0,000 | 1,000 | 100,000 | 0,000 | 0,077 | 0,474 | 0,474 | 0,474 | 0,427 | 0,427 | 0,046 |
| 1,500 | 45,466 | 97,032 | -5,198 | skid front(in) | 1000000,000 | 6,600 | 0,000 | 1,000 | 100,000 | 0,000 | 0,116 | 0,474 | 0,474 | 0,474 | 0,427 | 0,427 | 0,039 |
| 2,000 | 44,719 | 97,032 | -5,196 | skid front(in) | 1000000,000 | 6,600 | 0,000 | 1,000 | 100,000 | 0,000 | 0,156 | 0,474 | 0,474 | 0,474 | 0,427 | 0,427 | 0,040 |
| 2,500 | 43,960 | 97,032 | -5,195 | skid front(in) | 1000000,000 | 6,600 | 0,000 | 1,000 | 100,000 | 0,000 | 0,197 | 0,474 | 0,474 | 0,474 | 0,427 | 0,427 | 0,041 |
| 3,000 | 43,187 | 97,032 | -5,194 | skid front(in) | 1000000,000 | 6,600 | 0,000 | 1,000 | 100,000 | 0,000 | 0,238 | 0,474 | 0,474 | 0,474 | 0,427 | 0,427 | 0,041 |
| 3,500 | 42,401 | 97,032 | -5,192 | skid front(in) | 1000000,000 | 6,600 | 0,000 | 1,000 | 100,000 | 0,000 | 0,280 | 0,474 | 0,474 | 0,474 | 0,427 | 0,427 | 0,042 |
| 4,000 | 41,600 | 97,032 | -5,191 | skid front(in) | 1000000,000 | 6,600 | 0,000 | 1,000 | 100,000 | 0,000 | 0,323 | 0,474 | 0,474 | 0,474 | 0,427 | 0,427 | 0,043 |
| 4,400 | 40,948 | 97,032 | -5,190 | skid front(in) | 1000000,000 | 6,600 | 0,000 | 1,000 | 100,000 | 0,000 | 0,358 | 0,474 | 0,474 | 0,474 | 0,427 | 0,427 | 0,035 |
| 5,000 | 39,951 | 97,032 | -5,188 | skid front(in) | 1000000,000 | 6,600 | 0,000 | 1,000 | 100,000 | 0,000 | 0,411 | 0,474 | 0,474 | 0,474 | 0,427 | 0,427 | 0,053 |
| 5,500 | 39,100 | 97,032 | -5,187 | skid front(in) | 1000000,000 | 6,600 | 0,000 | 1,000 | 100,000 | 0,000 | 0,457 | 0,474 | 0,474 | 0,474 | 0,427 | 0,427 | 0,046 |
| 6,000 | 38,231 | 97,032 | -5,185 | skid front(in) | 1000000,000 | 6,600 | 0,000 | 1,000 | 100,000 | 0,000 | 0,503 | 0,474 | 0,474 | 0,474 | 0,427 | 0,427 | 0,047 |
| 6,500 | 37,342 | 97,032 | -5,184 | skid front(in) | 1000000,000 | 6,600 | 0,000 | 1,000 | 100,000 | 0,000 | 0,551 | 0,474 | 0,474 | 0,474 | 0,427 | 0,427 | 0,048 |
| 7,000 | 36,432 | 97,032 | -5,183 | skid front(in) | 1000000,000 | 6,600 | 0,000 | 1,000 | 100,000 | 0,000 | 0,600 | 0,474 | 0,474 | 0,474 | 0,427 | 0,427 | 0,049 |
| 7,500 | 35,498 | 97,033 | -5,181 | skid front(in) | 1000000,000 | 6,600 | 0,000 | 1,000 | 100,000 | 0,000 | 0,650 | 0,474 | 0,474 | 0,474 | 0,427 | 0,427 | 0,050 |
| 8,000 | 34,539 | 97,033 | -5,180 | skid front(in) | 1000000,000 | 6,600 | 0,000 | 1,000 | 100,000 | 0,000 | 0,701 | 0,474 | 0,474 | 0,474 | 0,427 | 0,427 | 0,051 |
| 8,500 | 33,554 | 97,033 | -5,178 | skid front(in) | 1000000,000 | 6,600 | 0,000 | 1,000 | 100,000 | 0,001 | 0,754 | 0,474 | 0,474 | 0,474 | 0,427 | 0,427 | 0,053 |
| 9,000 | 32,538 | 97,033 | -5,177 | skid front(in) | 1000000,000 | 6,600 | 0,000 | 1,000 | 100,000 | 0,002 | 0,808 | 0,474 | 0,474 | 0,474 | 0,427 | 0,427 | 0,054 |
| 9,500 | 31,490 | 97,013 | -5,173 | skid front(out) | 1000000,000 | 6,600 | 0,000 | 1,000 | 100,000 | -2,073 | 0,865 | 0,474 | 0,473 | 0,473 | 0,427 | 0,427 | 0,056 |
| 10,000 | 30,407 | 97,035 | -5,173 | skid front(out) | 1000000,000 | 6,600 | 0,000 | 1,000 | 100,000 | -1,631 | 0,923 | 0,474 | 0,473 | 0,473 | 0,427 | 0,427 | 0,058 |
| 10,500 | 29,284 | 97,017 | -5,170 | skid front(out) | 1000000,000 | 6,600 | 0,000 | 1,000 | 100,000 | -2,295 | 0,983 | 0,474 | 0,473 | 0,473 | 0,427 | 0,427 | 0,060 |
| 11,000 | 28,116 | 97,045 | -5,171 | skid front(out) | 1000000,000 | 6,600 | 0,000 | 1,000 | 100,000 | -1,708 | 1,046 | 0,474 | 0,473 | 0,474 | 0,427 | 0,427 | 0,063 |
| 11,500 | 26,898 | 97,030 | -5,168 | skid front(out) | 1000000,000 | 6,600 | 0,000 | 1,000 | 100,000 | -2,212 | 1,111 | 0,474 | 0,473 | 0,473 | 0,427 | 0,427 | 0,065 |
| 12,000 | 25,622 | 97,000 | -5,166 | skid front(out) | 1000000,000 | 6,600 | 0,000 | 1,000 | 100,000 | -1,847 | 1,180 | 0,474 | 0,473 | 0,473 | 0,427 | 0,427 | 0,069 |
| 12,500 | 24,280 | 97,052 | -5,167 | skid front(out) | 1000000,000 | 6,600 | 0,000 | 1,000 | 100,000 | -1,840 | 1,252 | 0,474 | 0,474 | 0,474 | 0,427 | 0,427 | 0,072 |
| 13,000 | 22,859 | 97,058 | -5,165 | skid front(out) | 1000000,000 | 6,600 | 0,000 | 1,000 | 100,000 | -3,074 | 1,328 | 0,474 | 0,473 | 0,473 | 0,427 | 0,427 | 0,076 |
| 13,500 | 21,345 | 97,048 | -5,163 | skid front(out) | 1000000,000 | 6,600 | 0,000 | 1,000 | 100,000 | -3,353 | 1,410 | 0,474 | 0,473 | 0,473 | 0,427 | 0,427 | 0,081 |
| 14,000 | 19,715 | 97,020 | -5,161 | skid front(out) | 1000000,000 | 6,600 | 0,000 | 1,000 | 100,000 | -2,635 | 1,497 | 0,474 | 0,473 | 0,473 | 0,427 | 0,427 | 0,088 |
| 14,500 | 17,938 | 96,971 | -5,159 | skid front(out) | 1000000,000 | 6,600 | 0,000 | 1,000 | 100,000 | -0,743 | 1,593 | 0,474 | 0,473 | 0,473 | 0,427 | 0,427 | 0,096 |
| 15,000 | 15,965 | 97,096 | -5,161 | skid front(out) | 1000000,000 | 6,600 | 0,000 | 1,000 | 100,000 | -3,341 | 1,699 | 0,474 | 0,474 | 0,474 | 0,427 | 0,427 | 0,106 |
| 15,500 | 13,712 | 97,089 | -5,159 | skid front(out) | 1000000,000 | 6,600 | 0,000 | 1,000 | 100,000 | -3,304 | 1,820 | 0,474 | 0,474 | 0,474 | 0,427 | 0,427 | 0,121 |
| 16,000 | 11,007 | 97,060 | -5,157 | skid front(out) | 1000000,000 | 6,600 | 0,000 | 1,000 | 100,000 | -2,065 | 1,966 | 0,474 | 0,474 | 0,474 | 0,427 | 0,427 | 0,146 |
| 16,500 | 7,371 | 97,048 | -5,156 | skid front(out) | 1000000,000 | 6,600 | 0,000 | 1,000 | 100,000 | -1,725 | 2,162 | 0,474 | 0,474 | 0,474 | 0,427 | 0,427 | 0,196 |
| 17,000 | 0,174 | 97,031 | -5,155 | skid front(out) | 1000000,000 | 6,600 | 0,000 | 1,000 | 100,000 | -0,693 | 2,550 | 0,474 | 0,474 | 0,474 | 0,427 | 0,427 | 0,388 |

Προσδιορισμός Τιμών Πρόσφυσης κατά την Πέδηση Οχημάτων Εφοδιασμένων με Σύστημα ABS σε Αυξημένες κατά Μήκος Κλίσεις

| run_c_w_ntua_22 | | R(m) | br.front (%) | s(%) | e (%) | coeff | effic (%) | time (sec) | | | | | | | | | |
|-----------------|----------|------------|--------------|-----------------|-------------|-------|-----------|------------|-----------|-----------|------------|--------|-----------|----------|----------|---------|-----------|
| s= | 100,000 | 1000000,00 | 72,00 | 6,6 | 0,0 | 1,00 | 100 | 2,491 | | | | | | | | | 0,963 |
| step= | 0,100 | viewstep= | 0,500 | STEPS | | | | | | | | | | | | | |
| s (m) | V (km/h) | n (%) | dv/dt | skid check | R(m) | s(%) | e (%) | coeff | effic (%) | decelera | time (sec) | fT | front out | front in | rear out | rear in | checktime |
| 16,500 | 1,709 | 96,216 | -4,925 | skid front(out) | 1000000,000 | 6,600 | 0,000 | 1,000 | 100,000 | -3,113444 | 2,491 | 0,4535 | 0,4531 | 0,4531 | 0,3976 | 0,3976 | |
| 0,000 | 46,050 | 96,248 | -4,974 | O.K | 1000000,000 | 6,600 | 0,000 | 1,000 | 100,000 | 0,000 | 0,000 | 0,453 | | | | | |
| 0,400 | 45,487 | 96,248 | -4,973 | skid front(in) | 1000000,000 | 6,600 | 0,000 | 1,000 | 100,000 | 0,000 | 0,031 | 0,453 | 0,453 | 0,453 | 0,398 | 0,398 | 0,031 |
| 1,000 | 44,629 | 96,248 | -4,971 | skid front(in) | 1000000,000 | 6,600 | 0,000 | 1,000 | 100,000 | 0,000 | 0,079 | 0,453 | 0,453 | 0,453 | 0,398 | 0,398 | 0,048 |
| 1,500 | 43,901 | 96,248 | -4,970 | skid front(in) | 1000000,000 | 6,600 | 0,000 | 1,000 | 100,000 | 0,000 | 0,120 | 0,453 | 0,453 | 0,453 | 0,398 | 0,398 | 0,041 |
| 2,000 | 43,161 | 96,248 | -4,968 | skid front(in) | 1000000,000 | 6,600 | 0,000 | 1,000 | 100,000 | 0,000 | 0,161 | 0,453 | 0,453 | 0,453 | 0,398 | 0,398 | 0,041 |
| 2,500 | 42,409 | 96,248 | -4,967 | skid front(in) | 1000000,000 | 6,600 | 0,000 | 1,000 | 100,000 | 0,000 | 0,203 | 0,453 | 0,453 | 0,453 | 0,398 | 0,398 | 0,042 |
| 3,000 | 41,643 | 96,248 | -4,966 | skid front(in) | 1000000,000 | 6,600 | 0,000 | 1,000 | 100,000 | 0,000 | 0,246 | 0,453 | 0,453 | 0,453 | 0,398 | 0,398 | 0,043 |
| 3,500 | 40,863 | 96,248 | -4,964 | skid front(in) | 1000000,000 | 6,600 | 0,000 | 1,000 | 100,000 | 0,000 | 0,290 | 0,453 | 0,453 | 0,453 | 0,398 | 0,398 | 0,044 |
| 4,000 | 40,068 | 96,248 | -4,963 | skid front(in) | 1000000,000 | 6,600 | 0,000 | 1,000 | 100,000 | 0,000 | 0,334 | 0,453 | 0,453 | 0,453 | 0,398 | 0,398 | 0,044 |
| 4,400 | 39,421 | 96,248 | -4,962 | skid front(in) | 1000000,000 | 6,600 | 0,000 | 1,000 | 100,000 | 0,000 | 0,371 | 0,453 | 0,453 | 0,453 | 0,398 | 0,398 | 0,036 |
| 5,000 | 38,430 | 96,249 | -4,960 | skid front(in) | 1000000,000 | 6,600 | 0,000 | 1,000 | 100,000 | 0,000 | 0,426 | 0,453 | 0,453 | 0,453 | 0,398 | 0,398 | 0,055 |
| 5,500 | 37,584 | 96,249 | -4,959 | skid front(in) | 1000000,000 | 6,600 | 0,000 | 1,000 | 100,000 | 0,000 | 0,474 | 0,453 | 0,453 | 0,453 | 0,398 | 0,398 | 0,047 |
| 6,000 | 36,720 | 96,249 | -4,958 | skid front(in) | 1000000,000 | 6,600 | 0,000 | 1,000 | 100,000 | 0,000 | 0,522 | 0,453 | 0,453 | 0,453 | 0,398 | 0,398 | 0,048 |
| 6,500 | 35,834 | 96,249 | -4,956 | skid front(in) | 1000000,000 | 6,600 | 0,000 | 1,000 | 100,000 | 0,001 | 0,572 | 0,453 | 0,453 | 0,453 | 0,398 | 0,398 | 0,050 |
| 7,000 | 34,926 | 96,249 | -4,955 | skid front(in) | 1000000,000 | 6,600 | 0,000 | 1,000 | 100,000 | 0,001 | 0,622 | 0,453 | 0,453 | 0,453 | 0,398 | 0,398 | 0,051 |
| 7,500 | 33,995 | 96,249 | -4,954 | skid front(in) | 1000000,000 | 6,600 | 0,000 | 1,000 | 100,000 | 0,000 | 0,675 | 0,453 | 0,453 | 0,453 | 0,398 | 0,398 | 0,052 |
| 8,000 | 33,037 | 96,249 | -4,952 | skid front(in) | 1000000,000 | 6,600 | 0,000 | 1,000 | 100,000 | 0,000 | 0,728 | 0,453 | 0,453 | 0,453 | 0,398 | 0,398 | 0,054 |
| 8,500 | 32,051 | 96,248 | -4,951 | skid front(in) | 1000000,000 | 6,600 | 0,000 | 1,000 | 100,000 | 0,003 | 0,784 | 0,453 | 0,453 | 0,453 | 0,398 | 0,398 | 0,055 |
| 9,000 | 31,034 | 96,292 | -4,949 | skid front(out) | 1000000,000 | 6,600 | 0,000 | 1,000 | 100,000 | -2,671 | 0,841 | 0,453 | 0,453 | 0,453 | 0,398 | 0,398 | 0,057 |
| 9,500 | 29,983 | 96,232 | -4,946 | skid front(out) | 1000000,000 | 6,600 | 0,000 | 1,000 | 100,000 | -1,922 | 0,900 | 0,453 | 0,453 | 0,453 | 0,398 | 0,398 | 0,059 |
| 10,000 | 28,894 | 96,231 | -4,945 | skid front(out) | 1000000,000 | 6,600 | 0,000 | 1,000 | 100,000 | -1,464 | 0,961 | 0,453 | 0,453 | 0,453 | 0,398 | 0,398 | 0,061 |
| 10,500 | 27,763 | 96,231 | -4,943 | skid front(out) | 1000000,000 | 6,600 | 0,000 | 1,000 | 100,000 | -1,770 | 1,024 | 0,453 | 0,453 | 0,453 | 0,398 | 0,398 | 0,064 |
| 11,000 | 26,584 | 96,262 | -4,944 | skid front(out) | 1000000,000 | 6,600 | 0,000 | 1,000 | 100,000 | -0,793 | 1,091 | 0,453 | 0,453 | 0,453 | 0,398 | 0,398 | 0,066 |
| 11,500 | 25,350 | 96,228 | -4,941 | skid front(out) | 1000000,000 | 6,600 | 0,000 | 1,000 | 100,000 | -0,918 | 1,160 | 0,453 | 0,453 | 0,453 | 0,398 | 0,398 | 0,069 |
| 12,000 | 24,054 | 96,259 | -4,941 | skid front(out) | 1000000,000 | 6,600 | 0,000 | 1,000 | 100,000 | -1,472 | 1,233 | 0,453 | 0,453 | 0,453 | 0,398 | 0,398 | 0,073 |
| 12,500 | 22,684 | 96,255 | -4,940 | skid front(out) | 1000000,000 | 6,600 | 0,000 | 1,000 | 100,000 | -1,023 | 1,310 | 0,453 | 0,453 | 0,453 | 0,398 | 0,398 | 0,077 |
| 13,000 | 21,226 | 96,250 | -4,938 | skid front(out) | 1000000,000 | 6,600 | 0,000 | 1,000 | 100,000 | -1,429 | 1,392 | 0,453 | 0,453 | 0,453 | 0,398 | 0,398 | 0,082 |
| 13,500 | 19,661 | 96,243 | -4,935 | skid front(out) | 1000000,000 | 6,600 | 0,000 | 1,000 | 100,000 | -2,720 | 1,480 | 0,453 | 0,453 | 0,453 | 0,398 | 0,398 | 0,088 |
| 14,000 | 17,960 | 96,234 | -4,935 | skid front(out) | 1000000,000 | 6,600 | 0,000 | 1,000 | 100,000 | -0,611 | 1,576 | 0,453 | 0,453 | 0,453 | 0,398 | 0,398 | 0,096 |
| 14,500 | 16,081 | 96,262 | -4,934 | skid front(out) | 1000000,000 | 6,600 | 0,000 | 1,000 | 100,000 | -1,323 | 1,681 | 0,453 | 0,453 | 0,453 | 0,398 | 0,398 | 0,106 |

Προσδιορισμός Τιμών Πρόσφυσης κατά την Πέδηση Οχημάτων Εφοδιασμένων με Σύστημα ABS σε Αυξημένες κατά Μήκος Κλίσεις

| | | | | | | | | | | | | | | | | | |
|--------|--------|--------|--------|-----------------|-------------|-------|-------|-------|---------|--------|-------|-------|-------|-------|-------|-------|-------|
| 15,000 | 13,952 | 96,288 | -4,933 | skid front(out) | 1000000,000 | 6,600 | 0,000 | 1,000 | 100,000 | -3,027 | 1,801 | 0,453 | 0,453 | 0,453 | 0,398 | 0,398 | 0,120 |
| 15,500 | 11,434 | 96,270 | -4,930 | skid front(out) | 1000000,000 | 6,600 | 0,000 | 1,000 | 100,000 | -3,708 | 1,943 | 0,453 | 0,453 | 0,453 | 0,398 | 0,398 | 0,142 |
| 16,000 | 8,175 | 96,293 | -4,930 | skid front(out) | 1000000,000 | 6,600 | 0,000 | 1,000 | 100,000 | -2,623 | 2,127 | 0,453 | 0,453 | 0,453 | 0,398 | 0,398 | 0,184 |
| 16,500 | 1,709 | 96,216 | -4,925 | skid front(out) | 1000000,000 | 6,600 | 0,000 | 1,000 | 100,000 | -3,113 | 2,491 | 0,453 | 0,453 | 0,453 | 0,398 | 0,398 | 0,364 |

2.2.3 Γλυφάδα – dry

| run_c_d_glif_1 | R(m) | br.front (%) | s(%) | e (%) | coeff | effic (%) | time (sec) | | | | | | | | | | | | |
|----------------|------------|--------------|--------|----------------|-------------|-----------|------------|-------|-----------|-----------|------------|---------|-----------|----------|----------|---------|-----------|--|-------|
| s= 100,000 | 1000000,00 | 77,50 | 11,5 | 0,0 | 1,00 | 100 | 1,721 | | | | | | | | | | | | 0,963 |
| step= 0,100 | viewstep= | 0,500 | STEPS | | | | | | | | | | | | | | | | |
| s (m) | V (km/h) | n (%) | dv/dt | skid check | R(m) | s(%) | e (%) | coeff | effic (%) | decelera | time (sec) | fT | front out | front in | rear out | rear in | checktime | | |
| 14,600 | 3,285 | 98,908 | -8,791 | skid rear(out) | 1000000,000 | 11,500 | 0,000 | 1,000 | 100,000 | -2,482056 | 1,721 | 0,79001 | 0,7787 | 0,7787 | 0,7896 | 0,7896 | | | |
| 0,000 | 57,850 | 98,906 | -8,836 | O.K | 1000000,000 | 11,500 | 0,000 | 1,000 | 100,000 | 0,000 | 0,000 | 0,790 | | | | | | | |
| 0,400 | 57,053 | 98,906 | -8,835 | skid rear(in) | 1000000,000 | 11,500 | 0,000 | 1,000 | 100,000 | 0,000 | 0,025 | 0,790 | 0,779 | 0,779 | 0,790 | 0,790 | 0,025 | | |
| 1,000 | 55,836 | 98,906 | -8,833 | skid rear(in) | 1000000,000 | 11,500 | 0,000 | 1,000 | 100,000 | 0,000 | 0,063 | 0,790 | 0,779 | 0,779 | 0,790 | 0,790 | 0,038 | | |
| 1,500 | 54,801 | 98,906 | -8,832 | skid rear(in) | 1000000,000 | 11,500 | 0,000 | 1,000 | 100,000 | 0,000 | 0,096 | 0,790 | 0,779 | 0,779 | 0,790 | 0,790 | 0,033 | | |
| 2,000 | 53,747 | 98,906 | -8,830 | skid rear(in) | 1000000,000 | 11,500 | 0,000 | 1,000 | 100,000 | 0,000 | 0,129 | 0,790 | 0,779 | 0,779 | 0,790 | 0,790 | 0,033 | | |
| 2,500 | 52,671 | 98,906 | -8,829 | skid rear(in) | 1000000,000 | 11,500 | 0,000 | 1,000 | 100,000 | 0,000 | 0,163 | 0,790 | 0,779 | 0,779 | 0,790 | 0,790 | 0,034 | | |
| 3,000 | 51,574 | 98,906 | -8,827 | skid rear(in) | 1000000,000 | 11,500 | 0,000 | 1,000 | 100,000 | 0,000 | 0,197 | 0,790 | 0,779 | 0,779 | 0,790 | 0,790 | 0,035 | | |
| 3,500 | 50,453 | 98,907 | -8,826 | skid rear(in) | 1000000,000 | 11,500 | 0,000 | 1,000 | 100,000 | 0,000 | 0,233 | 0,790 | 0,779 | 0,779 | 0,790 | 0,790 | 0,035 | | |
| 4,000 | 49,306 | 98,907 | -8,825 | skid rear(in) | 1000000,000 | 11,500 | 0,000 | 1,000 | 100,000 | 0,000 | 0,269 | 0,790 | 0,779 | 0,779 | 0,790 | 0,790 | 0,036 | | |
| 4,400 | 48,369 | 98,907 | -8,823 | skid rear(in) | 1000000,000 | 11,500 | 0,000 | 1,000 | 100,000 | 0,000 | 0,298 | 0,790 | 0,779 | 0,779 | 0,790 | 0,790 | 0,029 | | |
| 5,000 | 46,930 | 98,907 | -8,822 | skid rear(in) | 1000000,000 | 11,500 | 0,000 | 1,000 | 100,000 | 0,000 | 0,344 | 0,790 | 0,779 | 0,779 | 0,790 | 0,790 | 0,045 | | |
| 5,500 | 45,695 | 98,907 | -8,820 | skid rear(in) | 1000000,000 | 11,500 | 0,000 | 1,000 | 100,000 | 0,000 | 0,382 | 0,790 | 0,779 | 0,779 | 0,790 | 0,790 | 0,039 | | |
| 6,000 | 44,427 | 98,907 | -8,819 | skid rear(in) | 1000000,000 | 11,500 | 0,000 | 1,000 | 100,000 | 0,000 | 0,422 | 0,790 | 0,779 | 0,779 | 0,790 | 0,790 | 0,040 | | |
| 6,500 | 43,122 | 98,907 | -8,817 | skid rear(in) | 1000000,000 | 11,500 | 0,000 | 1,000 | 100,000 | 0,000 | 0,464 | 0,790 | 0,779 | 0,779 | 0,790 | 0,790 | 0,041 | | |
| 7,000 | 41,776 | 98,907 | -8,816 | skid rear(in) | 1000000,000 | 11,500 | 0,000 | 1,000 | 100,000 | 0,000 | 0,506 | 0,790 | 0,779 | 0,779 | 0,790 | 0,790 | 0,042 | | |
| 7,500 | 40,385 | 98,907 | -8,814 | skid rear(in) | 1000000,000 | 11,500 | 0,000 | 1,000 | 100,000 | 0,000 | 0,550 | 0,790 | 0,779 | 0,779 | 0,790 | 0,790 | 0,044 | | |
| 8,000 | 38,946 | 98,907 | -8,813 | skid rear(in) | 1000000,000 | 11,500 | 0,000 | 1,000 | 100,000 | 0,000 | 0,595 | 0,790 | 0,779 | 0,779 | 0,790 | 0,790 | 0,045 | | |
| 8,500 | 37,451 | 98,907 | -8,811 | skid rear(in) | 1000000,000 | 11,500 | 0,000 | 1,000 | 100,000 | 0,000 | 0,642 | 0,790 | 0,779 | 0,779 | 0,790 | 0,790 | 0,047 | | |
| 9,000 | 35,894 | 98,907 | -8,810 | skid rear(in) | 1000000,000 | 11,500 | 0,000 | 1,000 | 100,000 | 0,000 | 0,691 | 0,790 | 0,779 | 0,779 | 0,790 | 0,790 | 0,049 | | |
| 9,500 | 34,267 | 98,907 | -8,809 | skid rear(in) | 1000000,000 | 11,500 | 0,000 | 1,000 | 100,000 | 0,000 | 0,743 | 0,790 | 0,779 | 0,779 | 0,790 | 0,790 | 0,051 | | |
| 10,000 | 32,558 | 98,907 | -8,807 | skid rear(in) | 1000000,000 | 11,500 | 0,000 | 1,000 | 100,000 | 0,000 | 0,797 | 0,790 | 0,779 | 0,779 | 0,790 | 0,790 | 0,054 | | |
| 10,500 | 30,756 | 98,928 | -8,805 | skid rear(out) | 1000000,000 | 11,500 | 0,000 | 1,000 | 100,000 | -1,889 | 0,853 | 0,790 | 0,779 | 0,779 | 0,790 | 0,790 | 0,057 | | |
| 11,000 | 28,841 | 98,881 | -8,802 | skid rear(out) | 1000000,000 | 11,500 | 0,000 | 1,000 | 100,000 | -0,475 | 0,914 | 0,790 | 0,779 | 0,779 | 0,790 | 0,790 | 0,060 | | |
| 11,500 | 26,790 | 98,916 | -8,801 | skid rear(out) | 1000000,000 | 11,500 | 0,000 | 1,000 | 100,000 | -2,147 | 0,978 | 0,790 | 0,779 | 0,779 | 0,790 | 0,790 | 0,065 | | |
| 12,000 | 24,569 | 98,892 | -8,799 | skid rear(out) | 1000000,000 | 11,500 | 0,000 | 1,000 | 100,000 | -1,491 | 1,049 | 0,790 | 0,779 | 0,779 | 0,790 | 0,790 | 0,070 | | |

Προσδιορισμός Τιμών Πρόσφυσης κατά την Πέδηση Οχημάτων Εφοδιασμένων με Σύστημα ABS σε Αυξημένες κατά Μήκος Κλίσεις

| | | | | | | | | | | | | | | | | | |
|--------|--------|--------|--------|----------------|-------------|--------|-------|-------|---------|--------|-------|-------|-------|-------|-------|-------|-------|
| 12,500 | 22,127 | 98,879 | -8,796 | skid rear(out) | 1000000,000 | 11,500 | 0,000 | 1,000 | 100,000 | -1,228 | 1,126 | 0,790 | 0,779 | 0,779 | 0,789 | 0,789 | 0,077 |
| 13,000 | 19,380 | 98,900 | -8,795 | skid rear(out) | 1000000,000 | 11,500 | 0,000 | 1,000 | 100,000 | -3,459 | 1,212 | 0,790 | 0,779 | 0,779 | 0,789 | 0,789 | 0,087 |
| 13,500 | 16,174 | 98,892 | -8,794 | skid rear(out) | 1000000,000 | 11,500 | 0,000 | 1,000 | 100,000 | -2,326 | 1,314 | 0,790 | 0,779 | 0,779 | 0,789 | 0,789 | 0,101 |
| 14,000 | 12,149 | 98,899 | -8,793 | skid rear(out) | 1000000,000 | 11,500 | 0,000 | 1,000 | 100,000 | -1,669 | 1,441 | 0,790 | 0,779 | 0,779 | 0,790 | 0,790 | 0,127 |
| 14,500 | 5,797 | 98,953 | -8,794 | skid rear(out) | 1000000,000 | 11,500 | 0,000 | 1,000 | 100,000 | -3,967 | 1,641 | 0,790 | 0,779 | 0,779 | 0,790 | 0,790 | 0,201 |
| 14,600 | 3,285 | 98,908 | -8,791 | skid rear(out) | 1000000,000 | 11,500 | 0,000 | 1,000 | 100,000 | -2,482 | 1,721 | 0,790 | 0,779 | 0,779 | 0,790 | 0,790 | 0,079 |

| | | | | | | | |
|----------------|------------|--------------|-------|-------|-------|-----------|------------|
| run_c_d_glif_3 | R(m) | br.front (%) | s(%) | e (%) | coeff | effic (%) | time (sec) |
| s= 100,000 | 1000000,00 | 77,50 | 11,5 | 0,0 | 1,00 | 100 | 1,750 |
| step= 0,100 | viewstep= | 0,500 | STEPS | | | | |

0,963

| s (m) | V (km/h) | n (%) | dv/dt | skid check | R(m) | s(%) | e (%) | coeff | effic (%) | decelera | time (sec) | fT | front out | front in | rear out | rear in | checktime |
|--------|----------|--------|--------|-----------------|-------------|--------|-------|-------|-----------|-----------|------------|----------|-----------|----------|----------|---------|-----------|
| 14,600 | 2,784 | 99,846 | -8,639 | skid front(out) | 1000000,000 | 11,500 | 0,000 | 1,000 | 100,000 | -2,884925 | 1,750 | 0,767098 | 0,7670 | 0,7670 | 0,7609 | 0,7609 | |
| 0,000 | 57,320 | 99,820 | -8,683 | O.K | 1000000,000 | 11,500 | 0,000 | 1,000 | 100,000 | 0,000 | 0,000 | 0,767 | | | | | |
| 0,400 | 56,529 | 99,820 | -8,682 | skid front(in) | 1000000,000 | 11,500 | 0,000 | 1,000 | 100,000 | 0,000 | 0,025 | 0,767 | 0,767 | 0,767 | 0,761 | 0,761 | 0,025 |
| 1,000 | 55,322 | 99,820 | -8,680 | skid front(in) | 1000000,000 | 11,500 | 0,000 | 1,000 | 100,000 | 0,000 | 0,064 | 0,767 | 0,767 | 0,767 | 0,761 | 0,761 | 0,039 |
| 1,500 | 54,296 | 99,820 | -8,679 | skid front(in) | 1000000,000 | 11,500 | 0,000 | 1,000 | 100,000 | 0,000 | 0,097 | 0,767 | 0,767 | 0,767 | 0,761 | 0,761 | 0,033 |
| 2,000 | 53,250 | 99,820 | -8,677 | skid front(in) | 1000000,000 | 11,500 | 0,000 | 1,000 | 100,000 | 0,000 | 0,130 | 0,767 | 0,767 | 0,767 | 0,761 | 0,761 | 0,033 |
| 2,500 | 52,184 | 99,820 | -8,676 | skid front(in) | 1000000,000 | 11,500 | 0,000 | 1,000 | 100,000 | 0,000 | 0,164 | 0,767 | 0,767 | 0,767 | 0,761 | 0,761 | 0,034 |
| 3,000 | 51,095 | 99,820 | -8,674 | skid front(in) | 1000000,000 | 11,500 | 0,000 | 1,000 | 100,000 | 0,000 | 0,199 | 0,767 | 0,767 | 0,767 | 0,761 | 0,761 | 0,035 |
| 3,500 | 49,983 | 99,820 | -8,673 | skid front(in) | 1000000,000 | 11,500 | 0,000 | 1,000 | 100,000 | 0,000 | 0,235 | 0,767 | 0,767 | 0,767 | 0,761 | 0,761 | 0,036 |
| 4,000 | 48,846 | 99,820 | -8,671 | skid front(in) | 1000000,000 | 11,500 | 0,000 | 1,000 | 100,000 | 0,000 | 0,271 | 0,767 | 0,767 | 0,767 | 0,761 | 0,761 | 0,036 |
| 4,400 | 47,917 | 99,820 | -8,670 | skid front(in) | 1000000,000 | 11,500 | 0,000 | 1,000 | 100,000 | 0,000 | 0,301 | 0,767 | 0,767 | 0,767 | 0,761 | 0,761 | 0,030 |
| 5,000 | 46,489 | 99,820 | -8,668 | skid front(in) | 1000000,000 | 11,500 | 0,000 | 1,000 | 100,000 | 0,000 | 0,347 | 0,767 | 0,767 | 0,767 | 0,761 | 0,761 | 0,046 |
| 5,500 | 45,264 | 99,821 | -8,667 | skid front(in) | 1000000,000 | 11,500 | 0,000 | 1,000 | 100,000 | 0,000 | 0,386 | 0,767 | 0,767 | 0,767 | 0,761 | 0,761 | 0,039 |
| 6,000 | 44,006 | 99,821 | -8,665 | skid front(in) | 1000000,000 | 11,500 | 0,000 | 1,000 | 100,000 | 0,000 | 0,426 | 0,767 | 0,767 | 0,767 | 0,761 | 0,761 | 0,040 |
| 6,500 | 42,711 | 99,821 | -8,664 | skid front(in) | 1000000,000 | 11,500 | 0,000 | 1,000 | 100,000 | 0,000 | 0,468 | 0,767 | 0,767 | 0,767 | 0,761 | 0,761 | 0,042 |
| 7,000 | 41,376 | 99,821 | -8,662 | skid front(in) | 1000000,000 | 11,500 | 0,000 | 1,000 | 100,000 | 0,000 | 0,511 | 0,767 | 0,767 | 0,767 | 0,761 | 0,761 | 0,043 |
| 7,500 | 39,997 | 99,821 | -8,661 | skid front(in) | 1000000,000 | 11,500 | 0,000 | 1,000 | 100,000 | 0,000 | 0,555 | 0,767 | 0,767 | 0,767 | 0,761 | 0,761 | 0,044 |
| 8,000 | 38,568 | 99,821 | -8,660 | skid front(in) | 1000000,000 | 11,500 | 0,000 | 1,000 | 100,000 | 0,000 | 0,601 | 0,767 | 0,767 | 0,767 | 0,761 | 0,761 | 0,046 |
| 8,500 | 37,085 | 99,821 | -8,658 | skid front(in) | 1000000,000 | 11,500 | 0,000 | 1,000 | 100,000 | 0,000 | 0,648 | 0,767 | 0,767 | 0,767 | 0,761 | 0,761 | 0,048 |
| 9,000 | 35,540 | 99,821 | -8,657 | skid front(in) | 1000000,000 | 11,500 | 0,000 | 1,000 | 100,000 | 0,000 | 0,698 | 0,767 | 0,767 | 0,767 | 0,761 | 0,761 | 0,050 |
| 9,500 | 33,925 | 99,821 | -8,655 | skid front(in) | 1000000,000 | 11,500 | 0,000 | 1,000 | 100,000 | 0,001 | 0,750 | 0,767 | 0,767 | 0,767 | 0,761 | 0,761 | 0,052 |
| 10,000 | 32,229 | 99,822 | -8,654 | skid front(in) | 1000000,000 | 11,500 | 0,000 | 1,000 | 100,000 | 0,001 | 0,804 | 0,767 | 0,767 | 0,767 | 0,761 | 0,761 | 0,054 |

Προσδιορισμός Τιμών Πρόσφυσης κατά την Πέδηση Οχημάτων Εφοδιασμένων με Σύστημα ABS σε Αυξημένες κατά Μήκος Κλίσεις

| | | | | | | | | | | | | | | | | | |
|--------|--------|--------|--------|-----------------|-------------|--------|-------|-------|---------|--------|-------|-------|-------|-------|-------|-------|-------|
| 10,500 | 30,440 | 99,831 | -8,650 | skid front(out) | 1000000,000 | 11,500 | 0,000 | 1,000 | 100,000 | -2,881 | 0,862 | 0,767 | 0,767 | 0,767 | 0,761 | 0,761 | 0,057 |
| 11,000 | 28,539 | 99,827 | -8,649 | skid front(out) | 1000000,000 | 11,500 | 0,000 | 1,000 | 100,000 | -1,966 | 0,923 | 0,767 | 0,767 | 0,767 | 0,761 | 0,761 | 0,061 |
| 11,500 | 26,503 | 99,814 | -8,647 | skid front(out) | 1000000,000 | 11,500 | 0,000 | 1,000 | 100,000 | -1,387 | 0,988 | 0,767 | 0,767 | 0,767 | 0,761 | 0,761 | 0,065 |
| 12,000 | 24,296 | 99,851 | -8,648 | skid front(out) | 1000000,000 | 11,500 | 0,000 | 1,000 | 100,000 | -2,520 | 1,059 | 0,767 | 0,767 | 0,767 | 0,761 | 0,761 | 0,071 |
| 12,500 | 21,869 | 99,798 | -8,643 | skid front(out) | 1000000,000 | 11,500 | 0,000 | 1,000 | 100,000 | -1,141 | 1,137 | 0,767 | 0,767 | 0,767 | 0,761 | 0,761 | 0,078 |
| 13,000 | 19,136 | 99,794 | -8,641 | skid front(out) | 1000000,000 | 11,500 | 0,000 | 1,000 | 100,000 | -1,543 | 1,225 | 0,767 | 0,767 | 0,767 | 0,760 | 0,760 | 0,088 |
| 13,500 | 15,943 | 99,824 | -8,642 | skid front(out) | 1000000,000 | 11,500 | 0,000 | 1,000 | 100,000 | -2,052 | 1,327 | 0,767 | 0,767 | 0,767 | 0,761 | 0,761 | 0,103 |
| 14,000 | 11,923 | 99,820 | -8,641 | skid front(out) | 1000000,000 | 11,500 | 0,000 | 1,000 | 100,000 | -1,085 | 1,457 | 0,767 | 0,767 | 0,767 | 0,761 | 0,761 | 0,129 |
| 14,500 | 5,492 | 99,797 | -8,638 | skid front(out) | 1000000,000 | 11,500 | 0,000 | 1,000 | 100,000 | -0,495 | 1,663 | 0,767 | 0,767 | 0,767 | 0,761 | 0,761 | 0,207 |
| 14,600 | 2,784 | 99,846 | -8,639 | skid front(out) | 1000000,000 | 11,500 | 0,000 | 1,000 | 100,000 | -2,885 | 1,750 | 0,767 | 0,767 | 0,767 | 0,761 | 0,761 | 0,087 |

| run_c_d_glif_4 | R(m) | br.front (%) | s(%) | e (%) | coeff | effic (%) | time (sec) |
|----------------|------------|--------------|-------|-------|-------|-----------|------------|
| s= 100,000 | 1000000,00 | 77,50 | 11,5 | 0,0 | 1,00 | 100 | 1,763 |
| step= 0,100 | viewstep= | 0,500 | STEPS | | | | |

0,963

| s (m) | V (km/h) | n (%) | dv/dt | skid check | R(m) | s(%) | e (%) | coeff | effic (%) | decelera | time (sec) | fT | front out | front in | rear out | rear in | checktime |
|--------|----------|--------|--------|-----------------|-------------|--------|-------|-------|-----------|-----------|------------|----------|-----------|----------|----------|---------|-----------|
| 15,300 | 4,488 | 99,126 | -8,419 | skid front(out) | 1000000,000 | 11,500 | 0,000 | 1,000 | 100,000 | -2,569010 | 1,763 | 0,749972 | 0,7499 | 0,7499 | 0,7211 | 0,7211 | |
| 0,000 | 58,040 | 99,112 | -8,466 | O.K | 1000000,000 | 11,500 | 0,000 | 1,000 | 100,000 | 0,000 | 0,000 | 0,750 | | | | | |
| 0,400 | 57,278 | 99,112 | -8,465 | skid front(in) | 1000000,000 | 11,500 | 0,000 | 1,000 | 100,000 | 0,000 | 0,025 | 0,750 | 0,750 | 0,750 | 0,721 | 0,721 | 0,025 |
| 1,000 | 56,117 | 99,112 | -8,463 | skid front(in) | 1000000,000 | 11,500 | 0,000 | 1,000 | 100,000 | 0,000 | 0,063 | 0,750 | 0,750 | 0,750 | 0,721 | 0,721 | 0,038 |
| 1,500 | 55,131 | 99,112 | -8,462 | skid front(in) | 1000000,000 | 11,500 | 0,000 | 1,000 | 100,000 | 0,000 | 0,095 | 0,750 | 0,750 | 0,750 | 0,721 | 0,721 | 0,032 |
| 2,000 | 54,128 | 99,112 | -8,460 | skid front(in) | 1000000,000 | 11,500 | 0,000 | 1,000 | 100,000 | 0,000 | 0,128 | 0,750 | 0,750 | 0,750 | 0,721 | 0,721 | 0,033 |
| 2,500 | 53,105 | 99,112 | -8,459 | skid front(in) | 1000000,000 | 11,500 | 0,000 | 1,000 | 100,000 | 0,000 | 0,162 | 0,750 | 0,750 | 0,750 | 0,721 | 0,721 | 0,034 |
| 3,000 | 52,063 | 99,112 | -8,457 | skid front(in) | 1000000,000 | 11,500 | 0,000 | 1,000 | 100,000 | 0,000 | 0,196 | 0,750 | 0,750 | 0,750 | 0,721 | 0,721 | 0,034 |
| 3,500 | 51,000 | 99,112 | -8,456 | skid front(in) | 1000000,000 | 11,500 | 0,000 | 1,000 | 100,000 | 0,000 | 0,231 | 0,750 | 0,750 | 0,750 | 0,721 | 0,721 | 0,035 |
| 4,000 | 49,914 | 99,112 | -8,454 | skid front(in) | 1000000,000 | 11,500 | 0,000 | 1,000 | 100,000 | 0,000 | 0,267 | 0,750 | 0,750 | 0,750 | 0,721 | 0,721 | 0,036 |
| 4,400 | 49,028 | 99,112 | -8,453 | skid front(in) | 1000000,000 | 11,500 | 0,000 | 1,000 | 100,000 | 0,000 | 0,296 | 0,750 | 0,750 | 0,750 | 0,721 | 0,721 | 0,029 |
| 5,000 | 47,669 | 99,113 | -8,451 | skid front(in) | 1000000,000 | 11,500 | 0,000 | 1,000 | 100,000 | 0,000 | 0,341 | 0,750 | 0,750 | 0,750 | 0,721 | 0,721 | 0,045 |
| 5,500 | 46,506 | 99,113 | -8,450 | skid front(in) | 1000000,000 | 11,500 | 0,000 | 1,000 | 100,000 | 0,000 | 0,379 | 0,750 | 0,750 | 0,750 | 0,721 | 0,721 | 0,038 |
| 6,000 | 45,313 | 99,113 | -8,448 | skid front(in) | 1000000,000 | 11,500 | 0,000 | 1,000 | 100,000 | 0,000 | 0,418 | 0,750 | 0,750 | 0,750 | 0,721 | 0,721 | 0,039 |
| 6,500 | 44,088 | 99,113 | -8,447 | skid front(in) | 1000000,000 | 11,500 | 0,000 | 1,000 | 100,000 | 0,000 | 0,458 | 0,750 | 0,750 | 0,750 | 0,721 | 0,721 | 0,040 |
| 7,000 | 42,829 | 99,113 | -8,445 | skid front(in) | 1000000,000 | 11,500 | 0,000 | 1,000 | 100,000 | 0,000 | 0,500 | 0,750 | 0,750 | 0,750 | 0,721 | 0,721 | 0,041 |

Προσδιορισμός Τιμών Πρόσφυσης κατά την Πέδηση Οχημάτων Εφοδιασμένων με Σύστημα ABS σε Αυξημένες κατά Μήκος Κλίσεις

| | | | | | | | | | | | | | | | | | |
|--------|--------|--------|--------|-----------------|-------------|--------|-------|-------|---------|--------|-------|-------|-------|-------|-------|-------|-------|
| 7,500 | 41,532 | 99,113 | -8,444 | skid front(in) | 1000000,000 | 11,500 | 0,000 | 1,000 | 100,000 | 0,000 | 0,542 | 0,750 | 0,750 | 0,750 | 0,721 | 0,721 | 0,043 |
| 8,000 | 40,193 | 99,113 | -8,442 | skid front(in) | 1000000,000 | 11,500 | 0,000 | 1,000 | 100,000 | 0,000 | 0,586 | 0,750 | 0,750 | 0,750 | 0,721 | 0,721 | 0,044 |
| 8,500 | 38,808 | 99,113 | -8,441 | skid front(in) | 1000000,000 | 11,500 | 0,000 | 1,000 | 100,000 | 0,000 | 0,632 | 0,750 | 0,750 | 0,750 | 0,721 | 0,721 | 0,046 |
| 9,000 | 37,372 | 99,113 | -8,439 | skid front(in) | 1000000,000 | 11,500 | 0,000 | 1,000 | 100,000 | 0,000 | 0,679 | 0,750 | 0,750 | 0,750 | 0,721 | 0,721 | 0,047 |
| 9,500 | 35,879 | 99,113 | -8,438 | skid front(in) | 1000000,000 | 11,500 | 0,000 | 1,000 | 100,000 | 0,000 | 0,728 | 0,750 | 0,750 | 0,750 | 0,721 | 0,721 | 0,049 |
| 10,000 | 34,322 | 99,114 | -8,436 | skid front(in) | 1000000,000 | 11,500 | 0,000 | 1,000 | 100,000 | 0,000 | 0,780 | 0,750 | 0,750 | 0,750 | 0,721 | 0,721 | 0,051 |
| 10,500 | 32,690 | 99,114 | -8,435 | skid front(in) | 1000000,000 | 11,500 | 0,000 | 1,000 | 100,000 | 0,000 | 0,833 | 0,750 | 0,750 | 0,750 | 0,721 | 0,721 | 0,054 |
| 11,000 | 30,973 | 99,107 | -8,431 | skid front(out) | 1000000,000 | 11,500 | 0,000 | 1,000 | 100,000 | -1,964 | 0,890 | 0,750 | 0,750 | 0,750 | 0,721 | 0,721 | 0,057 |
| 11,500 | 29,156 | 99,109 | -8,430 | skid front(out) | 1000000,000 | 11,500 | 0,000 | 1,000 | 100,000 | -1,323 | 0,950 | 0,750 | 0,750 | 0,750 | 0,721 | 0,721 | 0,060 |
| 12,000 | 27,218 | 99,110 | -8,429 | skid front(out) | 1000000,000 | 11,500 | 0,000 | 1,000 | 100,000 | -0,676 | 1,014 | 0,750 | 0,750 | 0,750 | 0,721 | 0,721 | 0,064 |
| 12,500 | 25,131 | 99,130 | -8,428 | skid front(out) | 1000000,000 | 11,500 | 0,000 | 1,000 | 100,000 | -1,737 | 1,082 | 0,750 | 0,750 | 0,750 | 0,721 | 0,721 | 0,069 |
| 13,000 | 22,854 | 99,108 | -8,424 | skid front(in) | 1000000,000 | 11,500 | 0,000 | 1,000 | 100,000 | -3,365 | 1,157 | 0,750 | 0,750 | 0,750 | 0,721 | 0,721 | 0,075 |
| 13,500 | 20,325 | 99,103 | -8,422 | skid front(out) | 1000000,000 | 11,500 | 0,000 | 1,000 | 100,000 | -2,956 | 1,241 | 0,750 | 0,750 | 0,750 | 0,721 | 0,721 | 0,083 |
| 14,000 | 17,434 | 99,095 | -8,421 | skid front(out) | 1000000,000 | 11,500 | 0,000 | 1,000 | 100,000 | -2,587 | 1,336 | 0,750 | 0,750 | 0,750 | 0,721 | 0,721 | 0,095 |
| 14,500 | 13,956 | 99,157 | -8,423 | skid front(out) | 1000000,000 | 11,500 | 0,000 | 1,000 | 100,000 | -3,893 | 1,451 | 0,750 | 0,750 | 0,750 | 0,721 | 0,721 | 0,115 |
| 15,000 | 9,253 | 99,116 | -8,420 | skid front(out) | 1000000,000 | 11,500 | 0,000 | 1,000 | 100,000 | -1,407 | 1,606 | 0,750 | 0,750 | 0,750 | 0,721 | 0,721 | 0,155 |
| 15,300 | 4,488 | 99,126 | -8,419 | skid front(out) | 1000000,000 | 11,500 | 0,000 | 1,000 | 100,000 | -2,569 | 1,763 | 0,750 | 0,750 | 0,750 | 0,721 | 0,721 | 0,157 |

| run_c_d_glif_5 | R(m) | br.front (%) | s(%) | e (%) | coeff | effic (%) | time (sec) | | | | | | | | | | |
|----------------|------------|--------------|--------|-----------------|-------------|-----------|------------|-------|-----------|-----------|------------|----------|-----------|----------|----------|---------|-----------|
| s= 100,000 | 1000000,00 | 77,50 | 11,5 | 0,0 | 1,00 | 100 | 1,761 | 0,963 | | | | | | | | | |
| step= 0,100 | viewstep= | 0,500 | STEPS | | | | | | | | | | | | | | |
| s (m) | V (km/h) | n (%) | dv/dt | skid check | R(m) | s(%) | e (%) | coeff | effic (%) | decelera | time (sec) | ft | front out | front in | rear out | rear in | checktime |
| 15,500 | 4,333 | 99,754 | -8,618 | skid front(out) | 1000000,000 | 11,500 | 0,000 | 1,000 | 100,000 | -3,003777 | 1,761 | 0,765621 | 0,7654 | 0,7654 | 0,7570 | 0,7570 | |
| 0,000 | 59,090 | 99,758 | -8,667 | O.K | 1000000,000 | 11,500 | 0,000 | 1,000 | 100,000 | 0,000 | 0,000 | 0,766 | | | | | |
| 0,400 | 58,325 | 99,758 | -8,666 | skid front(in) | 1000000,000 | 11,500 | 0,000 | 1,000 | 100,000 | 0,000 | 0,025 | 0,766 | 0,766 | 0,766 | 0,757 | 0,758 | 0,025 |
| 1,000 | 57,158 | 99,758 | -8,664 | skid front(in) | 1000000,000 | 11,500 | 0,000 | 1,000 | 100,000 | 0,000 | 0,062 | 0,766 | 0,766 | 0,766 | 0,757 | 0,758 | 0,037 |
| 1,500 | 56,167 | 99,758 | -8,662 | skid front(in) | 1000000,000 | 11,500 | 0,000 | 1,000 | 100,000 | 0,000 | 0,094 | 0,766 | 0,766 | 0,766 | 0,757 | 0,758 | 0,032 |
| 2,000 | 55,159 | 99,758 | -8,661 | skid front(in) | 1000000,000 | 11,500 | 0,000 | 1,000 | 100,000 | 0,000 | 0,126 | 0,766 | 0,766 | 0,766 | 0,757 | 0,758 | 0,032 |
| 2,500 | 54,132 | 99,758 | -8,660 | skid front(in) | 1000000,000 | 11,500 | 0,000 | 1,000 | 100,000 | 0,000 | 0,159 | 0,766 | 0,766 | 0,766 | 0,757 | 0,758 | 0,033 |
| 3,000 | 53,085 | 99,759 | -8,658 | skid front(in) | 1000000,000 | 11,500 | 0,000 | 1,000 | 100,000 | 0,000 | 0,193 | 0,766 | 0,766 | 0,766 | 0,757 | 0,758 | 0,034 |
| 3,500 | 52,018 | 99,759 | -8,657 | skid front(in) | 1000000,000 | 11,500 | 0,000 | 1,000 | 100,000 | 0,000 | 0,227 | 0,766 | 0,766 | 0,766 | 0,757 | 0,758 | 0,034 |

Προσδιορισμός Τιμών Πρόσφυσης κατά την Πέδηση Οχημάτων Εφοδιασμένων με Σύστημα ABS σε Αυξημένες κατά Μήκος Κλίσεις

| | | | | | | | | | | | | | | | | | |
|--------|--------|--------|--------|-----------------|-------------|--------|-------|-------|---------|--------|-------|-------|-------|-------|-------|-------|-------|
| 4,000 | 50,928 | 99,759 | -8,655 | skid front(in) | 1000000,000 | 11,500 | 0,000 | 1,000 | 100,000 | 0,000 | 0,262 | 0,766 | 0,766 | 0,766 | 0,758 | 0,758 | 0,035 |
| 4,400 | 50,039 | 99,759 | -8,654 | skid front(in) | 1000000,000 | 11,500 | 0,000 | 1,000 | 100,000 | 0,000 | 0,290 | 0,766 | 0,766 | 0,766 | 0,758 | 0,758 | 0,029 |
| 5,000 | 48,676 | 99,759 | -8,652 | skid front(in) | 1000000,000 | 11,500 | 0,000 | 1,000 | 100,000 | 0,000 | 0,334 | 0,766 | 0,766 | 0,766 | 0,758 | 0,758 | 0,044 |
| 5,500 | 47,510 | 99,759 | -8,651 | skid front(in) | 1000000,000 | 11,500 | 0,000 | 1,000 | 100,000 | 0,000 | 0,371 | 0,766 | 0,766 | 0,766 | 0,758 | 0,758 | 0,037 |
| 6,000 | 46,316 | 99,759 | -8,649 | skid front(in) | 1000000,000 | 11,500 | 0,000 | 1,000 | 100,000 | 0,000 | 0,410 | 0,766 | 0,766 | 0,766 | 0,758 | 0,758 | 0,038 |
| 6,500 | 45,089 | 99,759 | -8,648 | skid front(in) | 1000000,000 | 11,500 | 0,000 | 1,000 | 100,000 | 0,000 | 0,449 | 0,766 | 0,766 | 0,766 | 0,758 | 0,758 | 0,039 |
| 7,000 | 43,829 | 99,759 | -8,646 | skid front(in) | 1000000,000 | 11,500 | 0,000 | 1,000 | 100,000 | 0,000 | 0,490 | 0,766 | 0,766 | 0,766 | 0,758 | 0,758 | 0,040 |
| 7,500 | 42,532 | 99,759 | -8,645 | skid front(in) | 1000000,000 | 11,500 | 0,000 | 1,000 | 100,000 | 0,000 | 0,531 | 0,766 | 0,766 | 0,766 | 0,758 | 0,758 | 0,042 |
| 8,000 | 41,194 | 99,760 | -8,643 | skid front(in) | 1000000,000 | 11,500 | 0,000 | 1,000 | 100,000 | 0,000 | 0,574 | 0,766 | 0,766 | 0,766 | 0,758 | 0,758 | 0,043 |
| 8,500 | 39,811 | 99,760 | -8,642 | skid front(in) | 1000000,000 | 11,500 | 0,000 | 1,000 | 100,000 | 0,000 | 0,619 | 0,766 | 0,766 | 0,766 | 0,758 | 0,758 | 0,044 |
| 9,000 | 38,379 | 99,760 | -8,640 | skid front(in) | 1000000,000 | 11,500 | 0,000 | 1,000 | 100,000 | 0,000 | 0,665 | 0,766 | 0,766 | 0,766 | 0,758 | 0,758 | 0,046 |
| 9,500 | 36,891 | 99,760 | -8,639 | skid front(in) | 1000000,000 | 11,500 | 0,000 | 1,000 | 100,000 | 0,000 | 0,713 | 0,766 | 0,766 | 0,766 | 0,758 | 0,758 | 0,048 |
| 10,000 | 35,341 | 99,760 | -8,637 | skid front(in) | 1000000,000 | 11,500 | 0,000 | 1,000 | 100,000 | 0,001 | 0,763 | 0,766 | 0,766 | 0,766 | 0,758 | 0,758 | 0,050 |
| 10,500 | 33,720 | 99,760 | -8,636 | skid front(in) | 1000000,000 | 11,500 | 0,000 | 1,000 | 100,000 | 0,001 | 0,815 | 0,766 | 0,766 | 0,766 | 0,758 | 0,758 | 0,052 |
| 11,000 | 32,018 | 99,743 | -8,632 | skid front(out) | 1000000,000 | 11,500 | 0,000 | 1,000 | 100,000 | -1,036 | 0,869 | 0,766 | 0,765 | 0,765 | 0,757 | 0,757 | 0,055 |
| 11,500 | 30,220 | 99,758 | -8,631 | skid front(out) | 1000000,000 | 11,500 | 0,000 | 1,000 | 100,000 | -1,523 | 0,927 | 0,766 | 0,765 | 0,766 | 0,757 | 0,757 | 0,058 |
| 12,000 | 28,309 | 99,763 | -8,630 | skid front(out) | 1000000,000 | 11,500 | 0,000 | 1,000 | 100,000 | -2,426 | 0,989 | 0,766 | 0,765 | 0,765 | 0,757 | 0,757 | 0,062 |
| 12,500 | 26,259 | 99,777 | -8,630 | skid front(out) | 1000000,000 | 11,500 | 0,000 | 1,000 | 100,000 | -1,879 | 1,055 | 0,766 | 0,766 | 0,766 | 0,757 | 0,757 | 0,066 |
| 13,000 | 24,035 | 99,781 | -8,629 | skid front(out) | 1000000,000 | 11,500 | 0,000 | 1,000 | 100,000 | -1,772 | 1,126 | 0,766 | 0,766 | 0,766 | 0,758 | 0,758 | 0,072 |
| 13,500 | 21,584 | 99,771 | -8,626 | skid front(out) | 1000000,000 | 11,500 | 0,000 | 1,000 | 100,000 | -2,069 | 1,205 | 0,766 | 0,766 | 0,766 | 0,757 | 0,757 | 0,079 |
| 14,000 | 18,816 | 99,746 | -8,622 | skid front(out) | 1000000,000 | 11,500 | 0,000 | 1,000 | 100,000 | -3,010 | 1,294 | 0,766 | 0,765 | 0,765 | 0,757 | 0,757 | 0,089 |
| 14,500 | 15,565 | 99,798 | -8,624 | skid front(out) | 1000000,000 | 11,500 | 0,000 | 1,000 | 100,000 | -3,669 | 1,399 | 0,766 | 0,766 | 0,766 | 0,757 | 0,757 | 0,105 |
| 15,000 | 11,425 | 99,760 | -8,620 | skid front(out) | 1000000,000 | 11,500 | 0,000 | 1,000 | 100,000 | -3,328 | 1,532 | 0,766 | 0,765 | 0,765 | 0,757 | 0,757 | 0,133 |
| 15,500 | 4,333 | 99,754 | -8,618 | skid front(out) | 1000000,000 | 11,500 | 0,000 | 1,000 | 100,000 | -3,004 | 1,761 | 0,766 | 0,765 | 0,765 | 0,757 | 0,757 | 0,229 |

| run_c_d_glif_6 | R(m) | br.front (%) | s(%) | e (%) | Coeff | effic (%) | time (sec) |
|----------------|------------|--------------|-------|-------|-------|-----------|------------|
| s= 100,000 | 1000000,00 | 77,50 | 11,5 | 0,0 | 1,00 | 100 | 1,854 |
| step= 0,100 | viewstep= | 0,500 | STEPS | | | | |

0,963

| s (m) | V (km/h) | n (%) | dv/dt | skid check | R(m) | s(%) | e (%) | coeff | effic (%) | decelera | time (sec) | fT | front out | front in | rear out | rear in | checktime |
|--------|----------|--------|--------|-----------------|-------------|--------|-------|-------|-----------|-----------|------------|----------|-----------|----------|----------|---------|-----------|
| 15,300 | 0,761 | 99,897 | -8,666 | skid front(out) | 1000000,000 | 11,500 | 0,000 | 1,000 | 100,000 | -1,264312 | 1,854 | 0,769266 | 0,7691 | 0,7691 | 0,7659 | 0,7659 | |
| 0,000 | 58,710 | 99,910 | -8,713 | O.K | 1000000,000 | 11,500 | 0,000 | 1,000 | 100,000 | 0,000 | 0,000 | 0,769 | | | | | |
| 0,400 | 57,936 | 99,910 | -8,712 | skid front(in) | 1000000,000 | 11,500 | 0,000 | 1,000 | 100,000 | 0,000 | 0,025 | 0,769 | 0,769 | 0,769 | 0,766 | 0,766 | 0,025 |

Προσδιορισμός Τιμών Πρόσφυσης κατά την Πέδηση Οχημάτων Εφοδιασμένων με Σύστημα ABS σε Αυξημένες κατά Μήκος Κλίσεις

| | | | | | | | | | | | | | | | | | |
|--------|--------|--------|--------|-----------------|-------------|--------|-------|-------|---------|--------|-------|-------|-------|-------|-------|-------|-------|
| 1,000 | 56,754 | 99,910 | -8,710 | skid front(in) | 1000000,000 | 11,500 | 0,000 | 1,000 | 100,000 | 0,000 | 0,062 | 0,769 | 0,769 | 0,769 | 0,766 | 0,766 | 0,038 |
| 1,500 | 55,751 | 99,910 | -8,709 | skid front(in) | 1000000,000 | 11,500 | 0,000 | 1,000 | 100,000 | 0,000 | 0,094 | 0,769 | 0,769 | 0,769 | 0,766 | 0,766 | 0,032 |
| 2,000 | 54,730 | 99,910 | -8,707 | skid front(in) | 1000000,000 | 11,500 | 0,000 | 1,000 | 100,000 | 0,000 | 0,127 | 0,769 | 0,769 | 0,769 | 0,766 | 0,766 | 0,033 |
| 2,500 | 53,689 | 99,910 | -8,706 | skid front(in) | 1000000,000 | 11,500 | 0,000 | 1,000 | 100,000 | 0,000 | 0,160 | 0,769 | 0,769 | 0,769 | 0,766 | 0,766 | 0,033 |
| 3,000 | 52,628 | 99,910 | -8,704 | skid front(in) | 1000000,000 | 11,500 | 0,000 | 1,000 | 100,000 | 0,000 | 0,194 | 0,769 | 0,769 | 0,769 | 0,766 | 0,766 | 0,034 |
| 3,500 | 51,545 | 99,910 | -8,703 | skid front(in) | 1000000,000 | 11,500 | 0,000 | 1,000 | 100,000 | 0,000 | 0,229 | 0,769 | 0,769 | 0,769 | 0,766 | 0,766 | 0,035 |
| 4,000 | 50,439 | 99,911 | -8,701 | skid front(in) | 1000000,000 | 11,500 | 0,000 | 1,000 | 100,000 | 0,000 | 0,264 | 0,769 | 0,769 | 0,769 | 0,766 | 0,766 | 0,035 |
| 4,400 | 49,537 | 99,911 | -8,700 | skid front(in) | 1000000,000 | 11,500 | 0,000 | 1,000 | 100,000 | 0,000 | 0,293 | 0,769 | 0,769 | 0,769 | 0,766 | 0,766 | 0,029 |
| 5,000 | 48,152 | 99,911 | -8,698 | skid front(in) | 1000000,000 | 11,500 | 0,000 | 1,000 | 100,000 | 0,000 | 0,337 | 0,769 | 0,769 | 0,769 | 0,766 | 0,766 | 0,044 |
| 5,500 | 46,967 | 99,911 | -8,697 | skid front(in) | 1000000,000 | 11,500 | 0,000 | 1,000 | 100,000 | 0,000 | 0,375 | 0,769 | 0,769 | 0,769 | 0,766 | 0,766 | 0,038 |
| 6,000 | 45,751 | 99,911 | -8,695 | skid front(in) | 1000000,000 | 11,500 | 0,000 | 1,000 | 100,000 | 0,000 | 0,414 | 0,769 | 0,769 | 0,769 | 0,766 | 0,766 | 0,039 |
| 6,500 | 44,503 | 99,911 | -8,694 | skid front(in) | 1000000,000 | 11,500 | 0,000 | 1,000 | 100,000 | 0,000 | 0,453 | 0,769 | 0,769 | 0,769 | 0,766 | 0,766 | 0,040 |
| 7,000 | 43,218 | 99,911 | -8,692 | skid front(in) | 1000000,000 | 11,500 | 0,000 | 1,000 | 100,000 | 0,000 | 0,494 | 0,769 | 0,769 | 0,769 | 0,766 | 0,766 | 0,041 |
| 7,500 | 41,895 | 99,911 | -8,691 | skid front(in) | 1000000,000 | 11,500 | 0,000 | 1,000 | 100,000 | 0,000 | 0,537 | 0,769 | 0,769 | 0,769 | 0,766 | 0,766 | 0,042 |
| 8,000 | 40,529 | 99,911 | -8,690 | skid front(in) | 1000000,000 | 11,500 | 0,000 | 1,000 | 100,000 | 0,000 | 0,580 | 0,769 | 0,769 | 0,769 | 0,766 | 0,766 | 0,044 |
| 8,500 | 39,115 | 99,911 | -8,688 | skid front(in) | 1000000,000 | 11,500 | 0,000 | 1,000 | 100,000 | 0,000 | 0,626 | 0,769 | 0,769 | 0,769 | 0,766 | 0,766 | 0,045 |
| 9,000 | 37,648 | 99,912 | -8,687 | skid front(in) | 1000000,000 | 11,500 | 0,000 | 1,000 | 100,000 | 0,000 | 0,673 | 0,769 | 0,769 | 0,769 | 0,766 | 0,766 | 0,047 |
| 9,500 | 36,122 | 99,912 | -8,685 | skid front(in) | 1000000,000 | 11,500 | 0,000 | 1,000 | 100,000 | 0,000 | 0,721 | 0,769 | 0,769 | 0,769 | 0,766 | 0,766 | 0,049 |
| 10,000 | 34,529 | 99,912 | -8,684 | skid front(in) | 1000000,000 | 11,500 | 0,000 | 1,000 | 100,000 | 0,000 | 0,772 | 0,769 | 0,769 | 0,769 | 0,766 | 0,766 | 0,051 |
| 10,500 | 32,859 | 99,912 | -8,682 | skid front(in) | 1000000,000 | 11,500 | 0,000 | 1,000 | 100,000 | 0,001 | 0,826 | 0,769 | 0,769 | 0,769 | 0,766 | 0,766 | 0,053 |
| 11,000 | 31,100 | 99,920 | -8,680 | skid front(out) | 1000000,000 | 11,500 | 0,000 | 1,000 | 100,000 | -1,023 | 0,882 | 0,769 | 0,769 | 0,769 | 0,766 | 0,766 | 0,056 |
| 11,500 | 29,236 | 99,892 | -8,677 | skid front(out) | 1000000,000 | 11,500 | 0,000 | 1,000 | 100,000 | -0,890 | 0,942 | 0,769 | 0,769 | 0,769 | 0,766 | 0,766 | 0,060 |
| 12,000 | 27,244 | 99,914 | -8,676 | skid front(out) | 1000000,000 | 11,500 | 0,000 | 1,000 | 100,000 | -2,462 | 1,005 | 0,769 | 0,769 | 0,769 | 0,766 | 0,766 | 0,064 |
| 12,500 | 25,096 | 99,893 | -8,674 | skid front(out) | 1000000,000 | 11,500 | 0,000 | 1,000 | 100,000 | -1,205 | 1,074 | 0,769 | 0,769 | 0,769 | 0,766 | 0,766 | 0,069 |
| 13,000 | 22,746 | 99,948 | -8,674 | skid front(out) | 1000000,000 | 11,500 | 0,000 | 1,000 | 100,000 | -3,472 | 1,149 | 0,769 | 0,769 | 0,769 | 0,766 | 0,766 | 0,075 |
| 13,500 | 20,124 | 99,893 | -8,671 | skid front(out) | 1000000,000 | 11,500 | 0,000 | 1,000 | 100,000 | -1,208 | 1,233 | 0,769 | 0,769 | 0,769 | 0,766 | 0,766 | 0,084 |
| 14,000 | 17,104 | 99,918 | -8,670 | skid front(out) | 1000000,000 | 11,500 | 0,000 | 1,000 | 100,000 | -2,855 | 1,330 | 0,769 | 0,769 | 0,769 | 0,766 | 0,766 | 0,097 |
| 14,500 | 13,423 | 99,887 | -8,668 | skid front(out) | 1000000,000 | 11,500 | 0,000 | 1,000 | 100,000 | -0,890 | 1,448 | 0,769 | 0,769 | 0,769 | 0,766 | 0,766 | 0,118 |
| 15,000 | 8,236 | 99,950 | -8,669 | skid front(out) | 1000000,000 | 11,500 | 0,000 | 1,000 | 100,000 | -3,500 | 1,614 | 0,769 | 0,769 | 0,769 | 0,766 | 0,766 | 0,166 |
| 15,300 | 0,761 | 99,897 | -8,666 | skid front(out) | 1000000,000 | 11,500 | 0,000 | 1,000 | 100,000 | -1,264 | 1,854 | 0,769 | 0,769 | 0,769 | 0,766 | 0,766 | 0,240 |

| run_c_d_glif_8 | R(m) | br.front (%) | s(%) | e (%) | coeff | effic (%) | time (sec) |
|----------------|------------|--------------|------|-------|-------|-----------|------------|
| s= 100,000 | 1000000,00 | 76,50 | 11,5 | 0,0 | 1,00 | 100 | 1,790 |

0,963

Προσδιορισμός Τιμών Πρόσφυσης κατά την Πέδηση Οχημάτων Εφοδιασμένων με Σύστημα ABS σε Αυξημένες κατά Μήκος Κλίσεις

| step= 0,100 | | viewstep= 0,500 | | STEPS | | | | | | | | | | | | | |
|-------------|----------|-----------------|--------|-----------------|-------------|--------|-------|-------|-----------|-----------|------------|----------|-----------|----------|----------|---------|-----------|
| s (m) | V (km/h) | n (%) | dv/dt | skid check | R(m) | s(%) | e (%) | coeff | effic (%) | decelera | time (sec) | ft | front out | front in | rear out | rear in | checktime |
| 15,200 | 4,201 | 99,620 | -8,171 | skid front(out) | 1000000,000 | 11,500 | 0,000 | 1,000 | 100,000 | -3,710957 | 1,790 | 0,720976 | 0,7208 | 0,7208 | 0,7086 | 0,7086 | |
| 0,000 | 56,980 | 99,600 | -8,219 | O.K | 1000000,000 | 11,500 | 0,000 | 1,000 | 100,000 | 0,000 | 0,000 | 0,721 | | | | | |
| 0,400 | 56,227 | 99,600 | -8,218 | skid front(in) | 1000000,000 | 11,500 | 0,000 | 1,000 | 100,000 | 0,000 | 0,025 | 0,721 | 0,721 | 0,721 | 0,709 | 0,709 | 0,025 |
| 1,000 | 55,079 | 99,600 | -8,216 | skid front(in) | 1000000,000 | 11,500 | 0,000 | 1,000 | 100,000 | 0,000 | 0,064 | 0,721 | 0,721 | 0,721 | 0,709 | 0,709 | 0,039 |
| 1,500 | 54,104 | 99,600 | -8,215 | skid front(in) | 1000000,000 | 11,500 | 0,000 | 1,000 | 100,000 | 0,000 | 0,097 | 0,721 | 0,721 | 0,721 | 0,709 | 0,709 | 0,033 |
| 2,000 | 53,111 | 99,600 | -8,213 | skid front(in) | 1000000,000 | 11,500 | 0,000 | 1,000 | 100,000 | 0,000 | 0,131 | 0,721 | 0,721 | 0,721 | 0,709 | 0,709 | 0,034 |
| 2,500 | 52,100 | 99,601 | -8,212 | skid front(in) | 1000000,000 | 11,500 | 0,000 | 1,000 | 100,000 | 0,000 | 0,165 | 0,721 | 0,721 | 0,721 | 0,709 | 0,709 | 0,034 |
| 3,000 | 51,068 | 99,601 | -8,210 | skid front(in) | 1000000,000 | 11,500 | 0,000 | 1,000 | 100,000 | 0,000 | 0,200 | 0,721 | 0,721 | 0,721 | 0,709 | 0,709 | 0,035 |
| 3,500 | 50,016 | 99,601 | -8,208 | skid front(in) | 1000000,000 | 11,500 | 0,000 | 1,000 | 100,000 | 0,000 | 0,236 | 0,721 | 0,721 | 0,721 | 0,709 | 0,709 | 0,036 |
| 4,000 | 48,941 | 99,601 | -8,207 | skid front(in) | 1000000,000 | 11,500 | 0,000 | 1,000 | 100,000 | 0,000 | 0,272 | 0,721 | 0,721 | 0,721 | 0,709 | 0,709 | 0,036 |
| 4,400 | 48,064 | 99,601 | -8,206 | skid front(in) | 1000000,000 | 11,500 | 0,000 | 1,000 | 100,000 | 0,000 | 0,302 | 0,721 | 0,721 | 0,721 | 0,709 | 0,709 | 0,030 |
| 5,000 | 46,717 | 99,601 | -8,204 | skid front(in) | 1000000,000 | 11,500 | 0,000 | 1,000 | 100,000 | 0,000 | 0,347 | 0,721 | 0,721 | 0,721 | 0,709 | 0,709 | 0,046 |
| 5,500 | 45,565 | 99,601 | -8,202 | skid front(in) | 1000000,000 | 11,500 | 0,000 | 1,000 | 100,000 | 0,000 | 0,386 | 0,721 | 0,721 | 0,721 | 0,709 | 0,709 | 0,039 |
| 6,000 | 44,384 | 99,601 | -8,201 | skid front(in) | 1000000,000 | 11,500 | 0,000 | 1,000 | 100,000 | 0,000 | 0,426 | 0,721 | 0,721 | 0,721 | 0,709 | 0,709 | 0,040 |
| 6,500 | 43,170 | 99,601 | -8,199 | skid front(in) | 1000000,000 | 11,500 | 0,000 | 1,000 | 100,000 | 0,000 | 0,467 | 0,721 | 0,721 | 0,721 | 0,709 | 0,709 | 0,041 |
| 7,000 | 41,921 | 99,601 | -8,198 | skid front(in) | 1000000,000 | 11,500 | 0,000 | 1,000 | 100,000 | 0,000 | 0,510 | 0,721 | 0,721 | 0,721 | 0,709 | 0,709 | 0,042 |
| 7,500 | 40,634 | 99,601 | -8,196 | skid front(in) | 1000000,000 | 11,500 | 0,000 | 1,000 | 100,000 | 0,000 | 0,553 | 0,721 | 0,721 | 0,721 | 0,709 | 0,709 | 0,044 |
| 8,000 | 39,305 | 99,602 | -8,195 | skid front(in) | 1000000,000 | 11,500 | 0,000 | 1,000 | 100,000 | 0,000 | 0,598 | 0,721 | 0,721 | 0,721 | 0,709 | 0,709 | 0,045 |
| 8,500 | 37,931 | 99,602 | -8,193 | skid front(in) | 1000000,000 | 11,500 | 0,000 | 1,000 | 100,000 | 0,000 | 0,645 | 0,721 | 0,721 | 0,721 | 0,709 | 0,709 | 0,047 |
| 9,000 | 36,504 | 99,602 | -8,192 | skid front(in) | 1000000,000 | 11,500 | 0,000 | 1,000 | 100,000 | 0,000 | 0,693 | 0,721 | 0,721 | 0,721 | 0,709 | 0,709 | 0,048 |
| 9,500 | 35,020 | 99,602 | -8,190 | skid front(in) | 1000000,000 | 11,500 | 0,000 | 1,000 | 100,000 | 0,000 | 0,744 | 0,721 | 0,721 | 0,721 | 0,709 | 0,709 | 0,050 |
| 10,000 | 33,470 | 99,602 | -8,189 | skid front(in) | 1000000,000 | 11,500 | 0,000 | 1,000 | 100,000 | 0,000 | 0,796 | 0,721 | 0,721 | 0,721 | 0,709 | 0,709 | 0,053 |
| 10,500 | 31,846 | 99,613 | -8,186 | skid front(out) | 1000000,000 | 11,500 | 0,000 | 1,000 | 100,000 | -2,067 | 0,851 | 0,721 | 0,721 | 0,721 | 0,709 | 0,709 | 0,055 |
| 11,000 | 30,134 | 99,579 | -8,183 | skid front(out) | 1000000,000 | 11,500 | 0,000 | 1,000 | 100,000 | -1,322 | 0,909 | 0,721 | 0,721 | 0,721 | 0,708 | 0,708 | 0,058 |
| 11,500 | 28,319 | 99,607 | -8,183 | skid front(out) | 1000000,000 | 11,500 | 0,000 | 1,000 | 100,000 | -1,493 | 0,971 | 0,721 | 0,721 | 0,721 | 0,709 | 0,709 | 0,062 |
| 12,000 | 26,381 | 99,601 | -8,181 | skid front(out) | 1000000,000 | 11,500 | 0,000 | 1,000 | 100,000 | -1,703 | 1,037 | 0,721 | 0,721 | 0,721 | 0,709 | 0,709 | 0,066 |
| 12,500 | 24,288 | 99,601 | -8,180 | skid front(out) | 1000000,000 | 11,500 | 0,000 | 1,000 | 100,000 | -1,704 | 1,108 | 0,721 | 0,721 | 0,721 | 0,709 | 0,709 | 0,071 |
| 13,000 | 21,997 | 99,604 | -8,179 | skid front(out) | 1000000,000 | 11,500 | 0,000 | 1,000 | 100,000 | -1,288 | 1,186 | 0,721 | 0,721 | 0,721 | 0,709 | 0,709 | 0,078 |
| 13,500 | 19,439 | 99,564 | -8,175 | skid front(out) | 1000000,000 | 11,500 | 0,000 | 1,000 | 100,000 | -0,951 | 1,272 | 0,721 | 0,721 | 0,721 | 0,708 | 0,708 | 0,087 |
| 14,000 | 16,490 | 99,599 | -8,175 | skid front(out) | 1000000,000 | 11,500 | 0,000 | 1,000 | 100,000 | -1,745 | 1,373 | 0,721 | 0,721 | 0,721 | 0,709 | 0,709 | 0,100 |
| 14,500 | 12,883 | 99,588 | -8,172 | skid front(out) | 1000000,000 | 11,500 | 0,000 | 1,000 | 100,000 | -2,748 | 1,495 | 0,721 | 0,721 | 0,721 | 0,708 | 0,708 | 0,123 |
| 15,000 | 7,748 | 99,638 | -8,174 | skid front(out) | 1000000,000 | 11,500 | 0,000 | 1,000 | 100,000 | -2,926 | 1,670 | 0,721 | 0,721 | 0,721 | 0,709 | 0,709 | 0,175 |
| 15,200 | 4,201 | 99,620 | -8,171 | skid front(out) | 1000000,000 | 11,500 | 0,000 | 1,000 | 100,000 | -3,711 | 1,790 | 0,721 | 0,721 | 0,721 | 0,709 | 0,709 | 0,121 |

Προσδιορισμός Τιμών Πρόσφυσης κατά την Πέδηση Οχημάτων Εφοδιασμένων με Σύστημα ABS σε Αυξημένες κατά Μήκος Κλίσεις

| run_c_d_glif_9 | R(m) | br.front (%) | s(%) | e (%) | coeff | effic (%) | time (sec) | | | | | | | | | | |
|----------------|-----------------|--------------|--------|-----------------|-------------|-----------|------------|-------|-----------|-----------|------------|----------|-----------|----------|----------|---------|-----------|
| s= 100,000 | 1000000,00 | 77,50 | 11,5 | 0,0 | 1,00 | 100 | 2,078 | 0,963 | | | | | | | | | |
| step= 0,100 | viewstep= 0,500 | STEPS | | | | | | | | | | | | | | | |
| s (m) | V (km/h) | n (%) | dv/dt | skid check | R(m) | s(%) | e (%) | coeff | effic (%) | decelera | time (sec) | ft | front out | front in | rear out | rear in | checktime |
| 19,900 | 2,254 | 99,728 | -8,606 | skid front(out) | 1000000,000 | 11,500 | 0,000 | 1,000 | 100,000 | -1,574136 | 2,078 | 0,764501 | 0,7645 | 0,7645 | 0,7548 | 0,7548 | |
| 0,000 | 66,780 | 99,711 | -8,665 | O.K | 1000000,000 | 11,500 | 0,000 | 1,000 | 100,000 | 0,000 | 0,000 | 0,765 | | | | | |
| 0,400 | 66,104 | 99,711 | -8,664 | skid front(in) | 1000000,000 | 11,500 | 0,000 | 1,000 | 100,000 | 0,000 | 0,022 | 0,765 | 0,764 | 0,765 | 0,755 | 0,755 | 0,022 |
| 1,000 | 65,077 | 99,711 | -8,662 | skid front(in) | 1000000,000 | 11,500 | 0,000 | 1,000 | 100,000 | 0,000 | 0,055 | 0,765 | 0,764 | 0,765 | 0,755 | 0,755 | 0,033 |
| 1,500 | 64,209 | 99,711 | -8,661 | skid front(in) | 1000000,000 | 11,500 | 0,000 | 1,000 | 100,000 | 0,000 | 0,082 | 0,765 | 0,764 | 0,765 | 0,755 | 0,755 | 0,028 |
| 2,000 | 63,329 | 99,711 | -8,659 | skid front(in) | 1000000,000 | 11,500 | 0,000 | 1,000 | 100,000 | 0,000 | 0,111 | 0,765 | 0,764 | 0,765 | 0,755 | 0,755 | 0,028 |
| 2,500 | 62,436 | 99,711 | -8,658 | skid front(in) | 1000000,000 | 11,500 | 0,000 | 1,000 | 100,000 | 0,000 | 0,139 | 0,765 | 0,764 | 0,765 | 0,755 | 0,755 | 0,029 |
| 3,000 | 61,531 | 99,711 | -8,656 | skid front(in) | 1000000,000 | 11,500 | 0,000 | 1,000 | 100,000 | 0,000 | 0,168 | 0,765 | 0,764 | 0,765 | 0,755 | 0,755 | 0,029 |
| 3,500 | 60,613 | 99,711 | -8,655 | skid front(in) | 1000000,000 | 11,500 | 0,000 | 1,000 | 100,000 | 0,000 | 0,198 | 0,765 | 0,764 | 0,765 | 0,755 | 0,755 | 0,029 |
| 4,000 | 59,680 | 99,711 | -8,654 | skid front(in) | 1000000,000 | 11,500 | 0,000 | 1,000 | 100,000 | 0,000 | 0,228 | 0,765 | 0,764 | 0,765 | 0,755 | 0,755 | 0,030 |
| 4,400 | 58,924 | 99,711 | -8,652 | skid front(in) | 1000000,000 | 11,500 | 0,000 | 1,000 | 100,000 | 0,000 | 0,252 | 0,765 | 0,764 | 0,765 | 0,755 | 0,755 | 0,024 |
| 5,000 | 57,771 | 99,712 | -8,651 | skid front(in) | 1000000,000 | 11,500 | 0,000 | 1,000 | 100,000 | 0,000 | 0,289 | 0,765 | 0,764 | 0,765 | 0,755 | 0,755 | 0,037 |
| 5,500 | 56,793 | 99,712 | -8,649 | skid front(in) | 1000000,000 | 11,500 | 0,000 | 1,000 | 100,000 | 0,000 | 0,320 | 0,765 | 0,764 | 0,765 | 0,755 | 0,755 | 0,031 |
| 6,000 | 55,797 | 99,712 | -8,648 | skid front(in) | 1000000,000 | 11,500 | 0,000 | 1,000 | 100,000 | 0,000 | 0,352 | 0,765 | 0,764 | 0,765 | 0,755 | 0,755 | 0,032 |
| 6,500 | 54,784 | 99,712 | -8,646 | skid front(in) | 1000000,000 | 11,500 | 0,000 | 1,000 | 100,000 | 0,000 | 0,385 | 0,765 | 0,764 | 0,765 | 0,755 | 0,755 | 0,033 |
| 7,000 | 53,751 | 99,712 | -8,645 | skid front(in) | 1000000,000 | 11,500 | 0,000 | 1,000 | 100,000 | 0,000 | 0,418 | 0,765 | 0,764 | 0,765 | 0,755 | 0,755 | 0,033 |
| 7,500 | 52,699 | 99,712 | -8,643 | skid front(in) | 1000000,000 | 11,500 | 0,000 | 1,000 | 100,000 | 0,000 | 0,452 | 0,765 | 0,764 | 0,765 | 0,755 | 0,755 | 0,034 |
| 8,000 | 51,625 | 99,712 | -8,642 | skid front(in) | 1000000,000 | 11,500 | 0,000 | 1,000 | 100,000 | 0,000 | 0,486 | 0,765 | 0,764 | 0,765 | 0,755 | 0,755 | 0,035 |
| 8,500 | 50,529 | 99,712 | -8,640 | skid front(in) | 1000000,000 | 11,500 | 0,000 | 1,000 | 100,000 | 0,000 | 0,522 | 0,765 | 0,764 | 0,765 | 0,755 | 0,755 | 0,035 |
| 9,000 | 49,409 | 99,712 | -8,639 | skid front(in) | 1000000,000 | 11,500 | 0,000 | 1,000 | 100,000 | 0,000 | 0,558 | 0,765 | 0,764 | 0,765 | 0,755 | 0,755 | 0,036 |
| 9,500 | 48,263 | 99,712 | -8,637 | skid front(in) | 1000000,000 | 11,500 | 0,000 | 1,000 | 100,000 | 0,000 | 0,595 | 0,765 | 0,764 | 0,765 | 0,755 | 0,755 | 0,037 |
| 10,000 | 47,089 | 99,713 | -8,636 | skid front(in) | 1000000,000 | 11,500 | 0,000 | 1,000 | 100,000 | 0,000 | 0,632 | 0,765 | 0,764 | 0,765 | 0,755 | 0,755 | 0,038 |
| 10,500 | 45,885 | 99,713 | -8,634 | skid front(in) | 1000000,000 | 11,500 | 0,000 | 1,000 | 100,000 | 0,000 | 0,671 | 0,765 | 0,764 | 0,765 | 0,755 | 0,755 | 0,039 |
| 11,000 | 44,649 | 99,713 | -8,633 | skid front(in) | 1000000,000 | 11,500 | 0,000 | 1,000 | 100,000 | 0,000 | 0,711 | 0,765 | 0,764 | 0,765 | 0,755 | 0,755 | 0,040 |
| 11,500 | 43,378 | 99,713 | -8,631 | skid front(in) | 1000000,000 | 11,500 | 0,000 | 1,000 | 100,000 | 0,000 | 0,752 | 0,765 | 0,764 | 0,765 | 0,755 | 0,755 | 0,041 |
| 12,000 | 42,069 | 99,713 | -8,630 | skid front(in) | 1000000,000 | 11,500 | 0,000 | 1,000 | 100,000 | 0,000 | 0,794 | 0,765 | 0,764 | 0,765 | 0,755 | 0,755 | 0,042 |
| 12,500 | 40,718 | 99,713 | -8,628 | skid front(in) | 1000000,000 | 11,500 | 0,000 | 1,000 | 100,000 | 0,000 | 0,837 | 0,765 | 0,764 | 0,765 | 0,755 | 0,755 | 0,043 |
| 13,000 | 39,321 | 99,713 | -8,627 | skid front(in) | 1000000,000 | 11,500 | 0,000 | 1,000 | 100,000 | 0,000 | 0,882 | 0,765 | 0,764 | 0,765 | 0,755 | 0,755 | 0,045 |
| 13,500 | 37,873 | 99,713 | -8,625 | skid front(in) | 1000000,000 | 11,500 | 0,000 | 1,000 | 100,000 | 0,000 | 0,929 | 0,765 | 0,764 | 0,765 | 0,755 | 0,755 | 0,047 |
| 14,000 | 36,368 | 99,713 | -8,624 | skid front(in) | 1000000,000 | 11,500 | 0,000 | 1,000 | 100,000 | 0,000 | 0,977 | 0,765 | 0,764 | 0,765 | 0,755 | 0,755 | 0,048 |
| 14,500 | 34,797 | 99,713 | -8,622 | skid front(in) | 1000000,000 | 11,500 | 0,000 | 1,000 | 100,000 | 0,000 | 1,028 | 0,765 | 0,764 | 0,765 | 0,755 | 0,755 | 0,051 |
| 15,000 | 33,153 | 99,714 | -8,621 | skid front(in) | 1000000,000 | 11,500 | 0,000 | 1,000 | 100,000 | 0,001 | 1,081 | 0,765 | 0,764 | 0,765 | 0,755 | 0,755 | 0,053 |
| 15,500 | 31,423 | 99,721 | -8,619 | skid front(out) | 1000000,000 | 11,500 | 0,000 | 1,000 | 100,000 | -0,944 | 1,137 | 0,765 | 0,764 | 0,764 | 0,755 | 0,755 | 0,056 |
| 16,000 | 29,592 | 99,691 | -8,615 | skid front(out) | 1000000,000 | 11,500 | 0,000 | 1,000 | 100,000 | -1,244 | 1,196 | 0,765 | 0,764 | 0,764 | 0,754 | 0,754 | 0,059 |
| 16,500 | 27,640 | 99,722 | -8,616 | skid front(out) | 1000000,000 | 11,500 | 0,000 | 1,000 | 100,000 | -1,309 | 1,259 | 0,765 | 0,764 | 0,764 | 0,755 | 0,755 | 0,063 |
| 17,000 | 25,541 | 99,702 | -8,612 | skid front(out) | 1000000,000 | 11,500 | 0,000 | 1,000 | 100,000 | -2,254 | 1,326 | 0,765 | 0,764 | 0,764 | 0,754 | 0,754 | 0,068 |
| 17,500 | 23,253 | 99,748 | -8,614 | skid front(out) | 1000000,000 | 11,500 | 0,000 | 1,000 | 100,000 | -2,949 | 1,400 | 0,765 | 0,764 | 0,764 | 0,755 | 0,755 | 0,074 |
| 18,000 | 20,715 | 99,695 | -8,610 | skid front(out) | 1000000,000 | 11,500 | 0,000 | 1,000 | 100,000 | -0,869 | 1,482 | 0,765 | 0,764 | 0,764 | 0,754 | 0,754 | 0,082 |
| 18,500 | 17,819 | 99,711 | -8,608 | skid front(out) | 1000000,000 | 11,500 | 0,000 | 1,000 | 100,000 | -2,630 | 1,575 | 0,765 | 0,764 | 0,764 | 0,754 | 0,754 | 0,093 |
| 18,900 | 15,107 | 99,699 | -8,606 | skid front(out) | 1000000,000 | 11,500 | 0,000 | 1,000 | 100,000 | -2,518 | 1,663 | 0,765 | 0,764 | 0,764 | 0,754 | 0,754 | 0,088 |
| 19,500 | 9,714 | 99,714 | -8,607 | skid front(out) | 1000000,000 | 11,500 | 0,000 | 1,000 | 100,000 | -0,893 | 1,837 | 0,765 | 0,764 | 0,764 | 0,755 | 0,755 | 0,174 |
| 19,900 | 2,254 | 99,728 | -8,606 | skid front(out) | 1000000,000 | 11,500 | 0,000 | 1,000 | 100,000 | -1,574 | 2,078 | 0,765 | 0,764 | 0,764 | 0,755 | 0,755 | 0,241 |

Προσδιορισμός Τιμών Πρόσφυσης κατά την Πέδηση Οχημάτων Εφοδιασμένων με Σύστημα ABS σε Αυξημένες κατά Μήκος Κλίσεις

| run_c_d_glif_10 | R(m) | br.front (%) | s(%) | e (%) | coeff | effic (%) | time (sec) | | | | | | | | | | |
|-----------------|------------|--------------|--------|-----------------|-------------|-----------|------------|-------|-----------|-----------|------------|----------|-----------|----------|----------|---------|-----------|
| s= 100,000 | 1000000,00 | 78,00 | -11,5 | 0,0 | 1,00 | 100 | 2,687 | | | | | | | | | | 0,963 |
| step= 0,100 | viewstep= | 0,500 | STEPS | | | | | | | | | | | | | | |
| s (m) | V (km/h) | n (%) | dv/dt | skid check | R(m) | s(%) | e (%) | coeff | effic (%) | decelera | time (sec) | fT | front out | front in | rear out | rear in | checktime |
| 24,800 | 2,381 | 99,139 | -6,368 | skid front(out) | 1000000,000 | -11,500 | 0,000 | 1,000 | 100,000 | -2,355942 | 2,687 | 0,770965 | 0,7708 | 0,7708 | 0,7413 | 0,7413 | |
| 0,000 | 64,170 | 99,135 | -6,424 | O.K | 1000000,000 | -11,500 | 0,000 | 1,000 | 100,000 | 0,000 | 0,000 | 0,771 | | | | | |
| 0,400 | 63,648 | 99,135 | -6,423 | skid front(in) | 1000000,000 | -11,500 | 0,000 | 1,000 | 100,000 | 0,000 | 0,023 | 0,771 | 0,771 | 0,771 | 0,742 | 0,742 | 0,023 |
| 1,000 | 62,859 | 99,135 | -6,422 | skid front(in) | 1000000,000 | -11,500 | 0,000 | 1,000 | 100,000 | 0,000 | 0,057 | 0,771 | 0,771 | 0,771 | 0,742 | 0,742 | 0,034 |
| 1,500 | 62,193 | 99,135 | -6,421 | skid front(in) | 1000000,000 | -11,500 | 0,000 | 1,000 | 100,000 | 0,000 | 0,085 | 0,771 | 0,771 | 0,771 | 0,742 | 0,742 | 0,029 |
| 2,000 | 61,521 | 99,135 | -6,420 | skid front(in) | 1000000,000 | -11,500 | 0,000 | 1,000 | 100,000 | 0,000 | 0,115 | 0,771 | 0,771 | 0,771 | 0,742 | 0,742 | 0,029 |
| 2,500 | 60,841 | 99,135 | -6,419 | skid front(in) | 1000000,000 | -11,500 | 0,000 | 1,000 | 100,000 | 0,000 | 0,144 | 0,771 | 0,771 | 0,771 | 0,742 | 0,742 | 0,029 |
| 3,000 | 60,153 | 99,135 | -6,417 | skid front(in) | 1000000,000 | -11,500 | 0,000 | 1,000 | 100,000 | 0,000 | 0,174 | 0,771 | 0,771 | 0,771 | 0,742 | 0,742 | 0,030 |
| 3,500 | 59,458 | 99,135 | -6,416 | skid front(in) | 1000000,000 | -11,500 | 0,000 | 1,000 | 100,000 | 0,000 | 0,204 | 0,771 | 0,771 | 0,771 | 0,742 | 0,742 | 0,030 |
| 4,000 | 58,755 | 99,135 | -6,415 | skid front(in) | 1000000,000 | -11,500 | 0,000 | 1,000 | 100,000 | 0,000 | 0,234 | 0,771 | 0,771 | 0,771 | 0,742 | 0,742 | 0,030 |
| 4,400 | 58,186 | 99,135 | -6,414 | skid front(in) | 1000000,000 | -11,500 | 0,000 | 1,000 | 100,000 | 0,000 | 0,259 | 0,771 | 0,771 | 0,771 | 0,742 | 0,742 | 0,025 |
| 5,000 | 57,323 | 99,135 | -6,413 | skid front(in) | 1000000,000 | -11,500 | 0,000 | 1,000 | 100,000 | 0,000 | 0,296 | 0,771 | 0,771 | 0,771 | 0,742 | 0,742 | 0,037 |
| 5,500 | 56,593 | 99,135 | -6,412 | skid front(in) | 1000000,000 | -11,500 | 0,000 | 1,000 | 100,000 | 0,000 | 0,328 | 0,771 | 0,771 | 0,771 | 0,742 | 0,742 | 0,032 |
| 6,000 | 55,854 | 99,135 | -6,411 | skid front(in) | 1000000,000 | -11,500 | 0,000 | 1,000 | 100,000 | 0,000 | 0,360 | 0,771 | 0,771 | 0,771 | 0,742 | 0,742 | 0,032 |
| 6,500 | 55,105 | 99,135 | -6,410 | skid front(in) | 1000000,000 | -11,500 | 0,000 | 1,000 | 100,000 | 0,000 | 0,392 | 0,771 | 0,771 | 0,771 | 0,742 | 0,742 | 0,032 |
| 7,000 | 54,346 | 99,136 | -6,409 | skid front(in) | 1000000,000 | -11,500 | 0,000 | 1,000 | 100,000 | 0,000 | 0,425 | 0,771 | 0,771 | 0,771 | 0,742 | 0,742 | 0,033 |
| 7,500 | 53,577 | 99,136 | -6,408 | skid front(in) | 1000000,000 | -11,500 | 0,000 | 1,000 | 100,000 | 0,000 | 0,459 | 0,771 | 0,771 | 0,771 | 0,742 | 0,742 | 0,033 |
| 8,000 | 52,796 | 99,136 | -6,407 | skid front(in) | 1000000,000 | -11,500 | 0,000 | 1,000 | 100,000 | 0,000 | 0,492 | 0,771 | 0,771 | 0,771 | 0,742 | 0,742 | 0,034 |
| 8,500 | 52,004 | 99,136 | -6,405 | skid front(in) | 1000000,000 | -11,500 | 0,000 | 1,000 | 100,000 | 0,000 | 0,527 | 0,771 | 0,771 | 0,771 | 0,742 | 0,742 | 0,034 |
| 9,000 | 51,200 | 99,136 | -6,404 | skid front(in) | 1000000,000 | -11,500 | 0,000 | 1,000 | 100,000 | 0,000 | 0,562 | 0,771 | 0,771 | 0,771 | 0,742 | 0,742 | 0,035 |
| 9,500 | 50,383 | 99,136 | -6,403 | skid front(in) | 1000000,000 | -11,500 | 0,000 | 1,000 | 100,000 | 0,000 | 0,597 | 0,771 | 0,771 | 0,771 | 0,742 | 0,742 | 0,035 |
| 10,000 | 49,552 | 99,136 | -6,402 | skid front(in) | 1000000,000 | -11,500 | 0,000 | 1,000 | 100,000 | 0,000 | 0,633 | 0,771 | 0,771 | 0,771 | 0,742 | 0,742 | 0,036 |
| 10,500 | 48,708 | 99,136 | -6,401 | skid front(in) | 1000000,000 | -11,500 | 0,000 | 1,000 | 100,000 | 0,000 | 0,670 | 0,771 | 0,771 | 0,771 | 0,742 | 0,742 | 0,037 |
| 11,000 | 47,849 | 99,136 | -6,400 | skid front(in) | 1000000,000 | -11,500 | 0,000 | 1,000 | 100,000 | 0,000 | 0,707 | 0,771 | 0,771 | 0,771 | 0,742 | 0,742 | 0,037 |
| 11,500 | 46,974 | 99,136 | -6,399 | skid front(in) | 1000000,000 | -11,500 | 0,000 | 1,000 | 100,000 | 0,000 | 0,745 | 0,771 | 0,771 | 0,771 | 0,742 | 0,742 | 0,038 |
| 12,000 | 46,083 | 99,136 | -6,398 | skid front(in) | 1000000,000 | -11,500 | 0,000 | 1,000 | 100,000 | 0,000 | 0,784 | 0,771 | 0,771 | 0,771 | 0,742 | 0,742 | 0,039 |
| 12,500 | 45,175 | 99,136 | -6,397 | skid front(in) | 1000000,000 | -11,500 | 0,000 | 1,000 | 100,000 | 0,000 | 0,823 | 0,771 | 0,771 | 0,771 | 0,742 | 0,742 | 0,039 |
| 13,000 | 44,248 | 99,136 | -6,396 | skid front(in) | 1000000,000 | -11,500 | 0,000 | 1,000 | 100,000 | 0,000 | 0,863 | 0,771 | 0,771 | 0,771 | 0,742 | 0,742 | 0,040 |
| 13,500 | 43,301 | 99,137 | -6,395 | skid front(in) | 1000000,000 | -11,500 | 0,000 | 1,000 | 100,000 | 0,000 | 0,905 | 0,771 | 0,771 | 0,771 | 0,742 | 0,742 | 0,041 |
| 14,000 | 42,333 | 99,137 | -6,393 | skid front(in) | 1000000,000 | -11,500 | 0,000 | 1,000 | 100,000 | 0,000 | 0,947 | 0,771 | 0,771 | 0,771 | 0,742 | 0,742 | 0,042 |
| 14,500 | 41,343 | 99,137 | -6,392 | skid front(in) | 1000000,000 | -11,500 | 0,000 | 1,000 | 100,000 | 0,000 | 0,990 | 0,771 | 0,771 | 0,771 | 0,742 | 0,742 | 0,043 |
| 15,000 | 40,329 | 99,137 | -6,391 | skid front(in) | 1000000,000 | -11,500 | 0,000 | 1,000 | 100,000 | 0,000 | 1,034 | 0,771 | 0,771 | 0,771 | 0,742 | 0,742 | 0,044 |
| 15,500 | 39,289 | 99,137 | -6,390 | skid front(in) | 1000000,000 | -11,500 | 0,000 | 1,000 | 100,000 | 0,000 | 1,079 | 0,771 | 0,771 | 0,771 | 0,742 | 0,742 | 0,045 |
| 16,000 | 38,220 | 99,137 | -6,389 | skid front(in) | 1000000,000 | -11,500 | 0,000 | 1,000 | 100,000 | 0,000 | 1,125 | 0,771 | 0,771 | 0,771 | 0,742 | 0,742 | 0,046 |
| 16,500 | 37,121 | 99,137 | -6,388 | skid front(in) | 1000000,000 | -11,500 | 0,000 | 1,000 | 100,000 | 0,000 | 1,173 | 0,771 | 0,771 | 0,771 | 0,742 | 0,742 | 0,048 |
| 17,000 | 35,989 | 99,137 | -6,387 | skid front(in) | 1000000,000 | -11,500 | 0,000 | 1,000 | 100,000 | 0,000 | 1,222 | 0,771 | 0,771 | 0,771 | 0,742 | 0,742 | 0,049 |
| 17,500 | 34,820 | 99,137 | -6,386 | skid front(in) | 1000000,000 | -11,500 | 0,000 | 1,000 | 100,000 | 0,000 | 1,273 | 0,771 | 0,771 | 0,771 | 0,742 | 0,742 | 0,051 |
| 18,000 | 33,611 | 99,137 | -6,385 | skid front(in) | 1000000,000 | -11,500 | 0,000 | 1,000 | 100,000 | 0,000 | 1,326 | 0,771 | 0,771 | 0,771 | 0,742 | 0,742 | 0,053 |
| 18,500 | 32,357 | 99,137 | -6,384 | skid front(in) | 1000000,000 | -11,500 | 0,000 | 1,000 | 100,000 | 0,002 | 1,380 | 0,771 | 0,771 | 0,771 | 0,742 | 0,742 | 0,055 |
| 18,900 | 31,318 | 99,147 | -6,382 | skid front(out) | 1000000,000 | -11,500 | 0,000 | 1,000 | 100,000 | -2,105 | 1,426 | 0,771 | 0,771 | 0,771 | 0,741 | 0,741 | 0,045 |
| 19,500 | 29,691 | 99,141 | -6,381 | skid front(out) | 1000000,000 | -11,500 | 0,000 | 1,000 | 100,000 | -1,372 | 1,496 | 0,771 | 0,771 | 0,771 | 0,741 | 0,741 | 0,071 |
| 20,000 | 28,264 | 99,130 | -6,378 | skid front(out) | 1000000,000 | -11,500 | 0,000 | 1,000 | 100,000 | -1,637 | 1,559 | 0,771 | 0,771 | 0,771 | 0,741 | 0,741 | 0,062 |
| 20,500 | 26,761 | 99,149 | -6,379 | skid front(out) | 1000000,000 | -11,500 | 0,000 | 1,000 | 100,000 | -1,376 | 1,624 | 0,771 | 0,771 | 0,771 | 0,742 | 0,742 | 0,065 |
| 21,000 | 25,169 | 99,123 | -6,376 | skid front(out) | 1000000,000 | -11,500 | 0,000 | 1,000 | 100,000 | -1,344 | 1,693 | 0,771 | 0,771 | 0,771 | 0,741 | 0,741 | 0,069 |
| 21,500 | 23,470 | 99,148 | -6,375 | skid front(out) | 1000000,000 | -11,500 | 0,000 | 1,000 | 100,000 | -2,514 | 1,767 | 0,771 | 0,771 | 0,771 | 0,741 | 0,741 | 0,074 |
| 22,000 | 21,638 | 99,146 | -6,375 | skid front(out) | 1000000,000 | -11,500 | 0,000 | 1,000 | 100,000 | -1,794 | 1,847 | 0,771 | 0,771 | 0,771 | 0,741 | 0,741 | 0,080 |
| 22,500 | 19,636 | 99,156 | -6,374 | skid front(out) | 1000000,000 | -11,500 | 0,000 | 1,000 | 100,000 | -2,696 | 1,934 | 0,771 | 0,771 | 0,771 | 0,741 | 0,741 | 0,087 |
| 23,000 | 17,406 | 99,135 | -6,372 | skid front(out) | 1000000,000 | -11,500 | 0,000 | 1,000 | 100,000 | -1,527 | 2,032 | 0,771 | 0,771 | 0,771 | 0,741 | 0,741 | 0,097 |
| 23,500 | 14,845 | 99,126 | -6,370 | skid front(out) | 1000000,000 | -11,500 | 0,000 | 1,000 | 100,000 | -2,209 | 2,143 | 0,771 | 0,771 | 0,771 | 0,741 | 0,741 | 0,112 |
| 24,000 | 11,738 | 99,157 | -6,371 | skid front(out) | 1000000,000 | -11,500 | 0,000 | 1,000 | 100,000 | -2,191 | 2,279 | 0,771 | 0,771 | 0,771 | 0,742 | 0,742 | 0,135 |

Προσδιορισμός Τιμών Πρόσφυσης κατά την Πέδηση Οχημάτων Εφοδιασμένων με Σύστημα ABS σε Αυξημένες κατά Μήκος Κλίσεις

| | | | | | | | | | | | | | | | | | |
|--------|-------|--------|--------|-----------------|-------------|---------|-------|-------|---------|--------|-------|-------|-------|-------|-------|-------|-------|
| 24,500 | 7,430 | 99,123 | -6,367 | skid front(out) | 1000000,000 | -11,500 | 0,000 | 1,000 | 100,000 | -2,470 | 2,466 | 0,771 | 0,771 | 0,771 | 0,741 | 0,741 | 0,188 |
| 24,800 | 2,381 | 99,139 | -6,368 | skid front(out) | 1000000,000 | -11,500 | 0,000 | 1,000 | 100,000 | -2,356 | 2,687 | 0,771 | 0,771 | 0,771 | 0,741 | 0,741 | 0,220 |

| run_c_d_glif_11 | | R(m) | br.front (%) | s(%) | e (%) | coeff | effic (%) | time (sec) | | | | | | | | | 0,963 |
|-----------------|----------|------------|--------------|-----------------|-------------|---------|-----------|------------|-----------|-----------|------------|----------|-----------|----------|----------|---------|-----------|
| s= | 100,000 | 1000000,00 | 77,00 | -11,5 | 0,0 | 1,00 | 100 | 2,642 | | | | | | | | | |
| step= | 0,100 | viewstep= | 0,500 | STEPS | | | | | | | | | | | | | |
| s (m) | V (km/h) | n (%) | dv/dt | skid check | R(m) | s(%) | e (%) | coeff | effic (%) | decelera | time (sec) | ft | front out | front in | rear out | rear in | checktime |
| 23,500 | 2,965 | 99,510 | -6,096 | skid front(out) | 1000000,000 | -11,500 | 0,000 | 1,000 | 100,000 | -1,845799 | 2,642 | 0,740196 | 0,7398 | 0,7398 | 0,7252 | 0,7252 | |
| 0,000 | 61,160 | 99,550 | -6,152 | O.K | 1000000,000 | -11,500 | 0,000 | 1,000 | 100,000 | 0,000 | 0,000 | 0,740 | | | | | |
| 0,400 | 60,636 | 99,550 | -6,152 | skid front(in) | 1000000,000 | -11,500 | 0,000 | 1,000 | 100,000 | 0,000 | 0,024 | 0,740 | 0,740 | 0,740 | 0,726 | 0,726 | 0,024 |
| 1,000 | 59,842 | 99,550 | -6,150 | skid front(in) | 1000000,000 | -11,500 | 0,000 | 1,000 | 100,000 | 0,000 | 0,060 | 0,740 | 0,740 | 0,740 | 0,726 | 0,726 | 0,036 |
| 1,500 | 59,173 | 99,550 | -6,149 | skid front(in) | 1000000,000 | -11,500 | 0,000 | 1,000 | 100,000 | 0,000 | 0,090 | 0,740 | 0,740 | 0,740 | 0,726 | 0,726 | 0,030 |
| 2,000 | 58,495 | 99,550 | -6,148 | skid front(in) | 1000000,000 | -11,500 | 0,000 | 1,000 | 100,000 | 0,000 | 0,120 | 0,740 | 0,740 | 0,740 | 0,726 | 0,726 | 0,031 |
| 2,500 | 57,810 | 99,550 | -6,147 | skid front(in) | 1000000,000 | -11,500 | 0,000 | 1,000 | 100,000 | 0,000 | 0,151 | 0,740 | 0,740 | 0,740 | 0,726 | 0,726 | 0,031 |
| 3,000 | 57,117 | 99,550 | -6,146 | skid front(in) | 1000000,000 | -11,500 | 0,000 | 1,000 | 100,000 | 0,000 | 0,183 | 0,740 | 0,740 | 0,740 | 0,726 | 0,726 | 0,031 |
| 3,500 | 56,416 | 99,550 | -6,145 | skid front(in) | 1000000,000 | -11,500 | 0,000 | 1,000 | 100,000 | 0,000 | 0,214 | 0,740 | 0,740 | 0,740 | 0,726 | 0,726 | 0,032 |
| 4,000 | 55,706 | 99,551 | -6,144 | skid front(in) | 1000000,000 | -11,500 | 0,000 | 1,000 | 100,000 | 0,000 | 0,246 | 0,740 | 0,740 | 0,740 | 0,726 | 0,726 | 0,032 |
| 4,400 | 55,131 | 99,551 | -6,143 | skid front(in) | 1000000,000 | -11,500 | 0,000 | 1,000 | 100,000 | 0,000 | 0,272 | 0,740 | 0,740 | 0,740 | 0,726 | 0,726 | 0,026 |
| 5,000 | 54,258 | 99,551 | -6,141 | skid front(in) | 1000000,000 | -11,500 | 0,000 | 1,000 | 100,000 | 0,000 | 0,312 | 0,740 | 0,740 | 0,740 | 0,726 | 0,726 | 0,039 |
| 5,500 | 53,519 | 99,551 | -6,140 | skid front(in) | 1000000,000 | -11,500 | 0,000 | 1,000 | 100,000 | 0,000 | 0,345 | 0,740 | 0,740 | 0,740 | 0,726 | 0,726 | 0,033 |
| 6,000 | 52,771 | 99,551 | -6,139 | skid front(in) | 1000000,000 | -11,500 | 0,000 | 1,000 | 100,000 | 0,000 | 0,379 | 0,740 | 0,740 | 0,740 | 0,726 | 0,726 | 0,034 |
| 6,500 | 52,011 | 99,551 | -6,138 | skid front(in) | 1000000,000 | -11,500 | 0,000 | 1,000 | 100,000 | 0,000 | 0,414 | 0,740 | 0,740 | 0,740 | 0,726 | 0,726 | 0,034 |
| 7,000 | 51,241 | 99,551 | -6,137 | skid front(in) | 1000000,000 | -11,500 | 0,000 | 1,000 | 100,000 | 0,000 | 0,448 | 0,740 | 0,740 | 0,740 | 0,726 | 0,726 | 0,035 |
| 7,500 | 50,459 | 99,551 | -6,136 | skid front(in) | 1000000,000 | -11,500 | 0,000 | 1,000 | 100,000 | 0,000 | 0,484 | 0,740 | 0,740 | 0,740 | 0,726 | 0,726 | 0,035 |
| 8,000 | 49,665 | 99,551 | -6,135 | skid front(in) | 1000000,000 | -11,500 | 0,000 | 1,000 | 100,000 | 0,000 | 0,520 | 0,740 | 0,740 | 0,740 | 0,726 | 0,726 | 0,036 |
| 8,500 | 48,858 | 99,551 | -6,134 | skid front(in) | 1000000,000 | -11,500 | 0,000 | 1,000 | 100,000 | 0,000 | 0,556 | 0,740 | 0,740 | 0,740 | 0,726 | 0,726 | 0,037 |
| 9,000 | 48,038 | 99,551 | -6,133 | skid front(in) | 1000000,000 | -11,500 | 0,000 | 1,000 | 100,000 | 0,000 | 0,593 | 0,740 | 0,740 | 0,740 | 0,726 | 0,726 | 0,037 |
| 9,500 | 47,203 | 99,551 | -6,132 | skid front(in) | 1000000,000 | -11,500 | 0,000 | 1,000 | 100,000 | 0,000 | 0,631 | 0,740 | 0,740 | 0,740 | 0,726 | 0,726 | 0,038 |
| 10,000 | 46,354 | 99,551 | -6,130 | skid front(in) | 1000000,000 | -11,500 | 0,000 | 1,000 | 100,000 | 0,000 | 0,670 | 0,740 | 0,740 | 0,740 | 0,726 | 0,726 | 0,038 |
| 10,500 | 45,489 | 99,551 | -6,129 | skid front(in) | 1000000,000 | -11,500 | 0,000 | 1,000 | 100,000 | 0,000 | 0,709 | 0,740 | 0,740 | 0,740 | 0,726 | 0,726 | 0,039 |
| 11,000 | 44,607 | 99,551 | -6,128 | skid front(in) | 1000000,000 | -11,500 | 0,000 | 1,000 | 100,000 | 0,000 | 0,749 | 0,740 | 0,740 | 0,740 | 0,726 | 0,726 | 0,040 |
| 11,500 | 43,708 | 99,552 | -6,127 | skid front(in) | 1000000,000 | -11,500 | 0,000 | 1,000 | 100,000 | 0,000 | 0,790 | 0,740 | 0,740 | 0,740 | 0,726 | 0,726 | 0,041 |
| 12,000 | 42,790 | 99,552 | -6,126 | skid front(in) | 1000000,000 | -11,500 | 0,000 | 1,000 | 100,000 | 0,000 | 0,831 | 0,740 | 0,740 | 0,740 | 0,726 | 0,726 | 0,042 |
| 12,500 | 41,852 | 99,552 | -6,125 | skid front(in) | 1000000,000 | -11,500 | 0,000 | 1,000 | 100,000 | 0,000 | 0,874 | 0,740 | 0,740 | 0,740 | 0,726 | 0,726 | 0,043 |
| 13,000 | 40,893 | 99,552 | -6,124 | skid front(in) | 1000000,000 | -11,500 | 0,000 | 1,000 | 100,000 | 0,000 | 0,917 | 0,740 | 0,740 | 0,740 | 0,726 | 0,726 | 0,044 |
| 13,500 | 39,911 | 99,552 | -6,123 | skid front(in) | 1000000,000 | -11,500 | 0,000 | 1,000 | 100,000 | 0,000 | 0,962 | 0,740 | 0,740 | 0,740 | 0,726 | 0,726 | 0,045 |
| 14,000 | 38,904 | 99,552 | -6,122 | skid front(in) | 1000000,000 | -11,500 | 0,000 | 1,000 | 100,000 | 0,000 | 1,008 | 0,740 | 0,740 | 0,740 | 0,726 | 0,726 | 0,046 |
| 14,500 | 37,871 | 99,552 | -6,121 | skid front(in) | 1000000,000 | -11,500 | 0,000 | 1,000 | 100,000 | 0,000 | 1,054 | 0,740 | 0,740 | 0,740 | 0,726 | 0,726 | 0,047 |
| 15,000 | 36,809 | 99,552 | -6,119 | skid front(in) | 1000000,000 | -11,500 | 0,000 | 1,000 | 100,000 | 0,000 | 1,103 | 0,740 | 0,740 | 0,740 | 0,726 | 0,726 | 0,048 |
| 15,500 | 35,716 | 99,552 | -6,118 | skid front(in) | 1000000,000 | -11,500 | 0,000 | 1,000 | 100,000 | 0,001 | 1,152 | 0,740 | 0,740 | 0,740 | 0,726 | 0,726 | 0,050 |
| 16,000 | 34,588 | 99,552 | -6,117 | skid front(in) | 1000000,000 | -11,500 | 0,000 | 1,000 | 100,000 | 0,001 | 1,203 | 0,740 | 0,740 | 0,740 | 0,726 | 0,726 | 0,051 |
| 16,500 | 33,422 | 99,552 | -6,116 | skid front(in) | 1000000,000 | -11,500 | 0,000 | 1,000 | 100,000 | 0,001 | 1,256 | 0,740 | 0,740 | 0,740 | 0,726 | 0,726 | 0,053 |
| 17,000 | 32,215 | 99,552 | -6,115 | skid front(in) | 1000000,000 | -11,500 | 0,000 | 1,000 | 100,000 | 0,003 | 1,311 | 0,740 | 0,740 | 0,740 | 0,726 | 0,726 | 0,055 |
| 17,500 | 30,960 | 99,545 | -6,112 | skid front(out) | 1000000,000 | -11,500 | 0,000 | 1,000 | 100,000 | -1,795 | 1,368 | 0,740 | 0,740 | 0,740 | 0,726 | 0,726 | 0,057 |
| 18,000 | 29,653 | 99,570 | -6,112 | skid front(out) | 1000000,000 | -11,500 | 0,000 | 1,000 | 100,000 | -2,010 | 1,428 | 0,740 | 0,740 | 0,740 | 0,726 | 0,726 | 0,059 |
| 18,500 | 28,286 | 99,569 | -6,111 | skid front(out) | 1000000,000 | -11,500 | 0,000 | 1,000 | 100,000 | -2,072 | 1,490 | 0,740 | 0,740 | 0,740 | 0,726 | 0,726 | 0,062 |
| 18,900 | 27,143 | 99,565 | -6,110 | skid front(out) | 1000000,000 | -11,500 | 0,000 | 1,000 | 100,000 | -2,387 | 1,542 | 0,740 | 0,740 | 0,740 | 0,726 | 0,726 | 0,052 |
| 19,500 | 25,332 | 99,582 | -6,109 | skid front(out) | 1000000,000 | -11,500 | 0,000 | 1,000 | 100,000 | -2,671 | 1,624 | 0,740 | 0,740 | 0,740 | 0,726 | 0,726 | 0,082 |
| 20,000 | 23,718 | 99,533 | -6,105 | skid front(out) | 1000000,000 | -11,500 | 0,000 | 1,000 | 100,000 | -1,868 | 1,697 | 0,740 | 0,740 | 0,740 | 0,725 | 0,725 | 0,073 |
| 20,500 | 21,986 | 99,558 | -6,106 | skid front(out) | 1000000,000 | -11,500 | 0,000 | 1,000 | 100,000 | -1,856 | 1,776 | 0,740 | 0,740 | 0,740 | 0,726 | 0,726 | 0,079 |

Προσδιορισμός Τιμών Πρόσφυσης κατά την Πέδηση Οχημάτων Εφοδιασμένων με Σύστημα ABS σε Αυξημένες κατά Μήκος Κλίσεις

| | | | | | | | | | | | | | | | | | |
|--------|--------|--------|--------|-----------------|-------------|---------|-------|-------|---------|--------|-------|-------|-------|-------|-------|-------|-------|
| 21,000 | 20,106 | 99,552 | -6,105 | skid front(out) | 1000000,000 | -11,500 | 0,000 | 1,000 | 100,000 | -1,670 | 1,862 | 0,740 | 0,740 | 0,740 | 0,726 | 0,726 | 0,086 |
| 21,500 | 18,032 | 99,583 | -6,105 | skid front(out) | 1000000,000 | -11,500 | 0,000 | 1,000 | 100,000 | -2,825 | 1,956 | 0,740 | 0,740 | 0,740 | 0,726 | 0,726 | 0,094 |
| 22,000 | 15,686 | 99,554 | -6,103 | skid front(out) | 1000000,000 | -11,500 | 0,000 | 1,000 | 100,000 | -1,793 | 2,063 | 0,740 | 0,740 | 0,740 | 0,726 | 0,726 | 0,107 |
| 22,500 | 12,921 | 99,563 | -6,102 | skid front(out) | 1000000,000 | -11,500 | 0,000 | 1,000 | 100,000 | -2,179 | 2,189 | 0,740 | 0,740 | 0,740 | 0,726 | 0,726 | 0,126 |
| 23,000 | 9,374 | 99,530 | -6,098 | skid front(out) | 1000000,000 | -11,500 | 0,000 | 1,000 | 100,000 | -2,367 | 2,350 | 0,740 | 0,740 | 0,740 | 0,725 | 0,725 | 0,162 |
| 23,500 | 2,965 | 99,510 | -6,096 | skid front(out) | 1000000,000 | -11,500 | 0,000 | 1,000 | 100,000 | -1,846 | 2,642 | 0,740 | 0,740 | 0,740 | 0,725 | 0,725 | 0,292 |

| | | | | | | | |
|-----------------|-----------------|--------------|-------|-------|-------|-----------|------------|
| run_c_d_glif_12 | R(m) | br.front (%) | s(%) | e (%) | coeff | effic (%) | time (sec) |
| s= 100,000 | 1000000,00 | 77,00 | -11,5 | 0,0 | 1,00 | 100 | 2,685 |
| step= 0,100 | viewstep= 0,500 | STEPS | | | | | |

0,963

| s (m) | V (km/h) | n (%) | dv/dt | skid check | R(m) | s(%) | e (%) | coeff | effic (%) | decelera | time (sec) | ft | front out | front in | rear out | rear in | checktime |
|--------|----------|--------|--------|-----------------|-------------|---------|-------|-------|-----------|-----------|------------|----------|-----------|----------|----------|---------|-----------|
| 24,800 | 3,808 | 99,476 | -6,080 | skid front(out) | 1000000,000 | -11,500 | 0,000 | 1,000 | 100,000 | -2,649109 | 2,685 | 0,738841 | 0,7385 | 0,7385 | 0,7223 | 0,7223 | |
| 0,000 | 62,790 | 99,494 | -6,138 | O.K | 1000000,000 | -11,500 | 0,000 | 1,000 | 100,000 | 0,000 | 0,000 | 0,739 | | | | | |
| 0,400 | 62,281 | 99,494 | -6,137 | skid front(in) | 1000000,000 | -11,500 | 0,000 | 1,000 | 100,000 | 0,000 | 0,023 | 0,739 | 0,739 | 0,739 | 0,723 | 0,723 | 0,023 |
| 1,000 | 61,510 | 99,494 | -6,136 | skid front(in) | 1000000,000 | -11,500 | 0,000 | 1,000 | 100,000 | 0,000 | 0,058 | 0,739 | 0,739 | 0,739 | 0,723 | 0,723 | 0,035 |
| 1,500 | 60,861 | 99,494 | -6,135 | skid front(in) | 1000000,000 | -11,500 | 0,000 | 1,000 | 100,000 | 0,000 | 0,087 | 0,739 | 0,739 | 0,739 | 0,723 | 0,723 | 0,029 |
| 2,000 | 60,204 | 99,494 | -6,134 | skid front(in) | 1000000,000 | -11,500 | 0,000 | 1,000 | 100,000 | 0,000 | 0,117 | 0,739 | 0,739 | 0,739 | 0,723 | 0,723 | 0,030 |
| 2,500 | 59,540 | 99,494 | -6,133 | skid front(in) | 1000000,000 | -11,500 | 0,000 | 1,000 | 100,000 | 0,000 | 0,147 | 0,739 | 0,739 | 0,739 | 0,723 | 0,723 | 0,030 |
| 3,000 | 58,869 | 99,494 | -6,131 | skid front(in) | 1000000,000 | -11,500 | 0,000 | 1,000 | 100,000 | 0,000 | 0,178 | 0,739 | 0,739 | 0,739 | 0,723 | 0,723 | 0,030 |
| 3,500 | 58,190 | 99,494 | -6,130 | skid front(in) | 1000000,000 | -11,500 | 0,000 | 1,000 | 100,000 | 0,000 | 0,208 | 0,739 | 0,739 | 0,739 | 0,723 | 0,723 | 0,031 |
| 4,000 | 57,503 | 99,494 | -6,129 | skid front(in) | 1000000,000 | -11,500 | 0,000 | 1,000 | 100,000 | 0,000 | 0,239 | 0,739 | 0,739 | 0,739 | 0,723 | 0,723 | 0,031 |
| 4,400 | 56,948 | 99,494 | -6,128 | skid front(in) | 1000000,000 | -11,500 | 0,000 | 1,000 | 100,000 | 0,000 | 0,265 | 0,739 | 0,739 | 0,739 | 0,723 | 0,723 | 0,025 |
| 5,000 | 56,105 | 99,494 | -6,127 | skid front(in) | 1000000,000 | -11,500 | 0,000 | 1,000 | 100,000 | 0,000 | 0,303 | 0,739 | 0,739 | 0,739 | 0,723 | 0,723 | 0,038 |
| 5,500 | 55,393 | 99,494 | -6,126 | skid front(in) | 1000000,000 | -11,500 | 0,000 | 1,000 | 100,000 | 0,000 | 0,335 | 0,739 | 0,739 | 0,739 | 0,723 | 0,723 | 0,032 |
| 6,000 | 54,672 | 99,495 | -6,125 | skid front(in) | 1000000,000 | -11,500 | 0,000 | 1,000 | 100,000 | 0,000 | 0,368 | 0,739 | 0,739 | 0,739 | 0,723 | 0,723 | 0,033 |
| 6,500 | 53,941 | 99,495 | -6,124 | skid front(in) | 1000000,000 | -11,500 | 0,000 | 1,000 | 100,000 | 0,000 | 0,401 | 0,739 | 0,739 | 0,739 | 0,723 | 0,723 | 0,033 |
| 7,000 | 53,201 | 99,495 | -6,123 | skid front(in) | 1000000,000 | -11,500 | 0,000 | 1,000 | 100,000 | 0,000 | 0,435 | 0,739 | 0,739 | 0,739 | 0,723 | 0,723 | 0,034 |
| 7,500 | 52,450 | 99,495 | -6,122 | skid front(in) | 1000000,000 | -11,500 | 0,000 | 1,000 | 100,000 | 0,000 | 0,469 | 0,739 | 0,739 | 0,739 | 0,723 | 0,723 | 0,034 |
| 8,000 | 51,688 | 99,495 | -6,120 | skid front(in) | 1000000,000 | -11,500 | 0,000 | 1,000 | 100,000 | 0,000 | 0,503 | 0,739 | 0,739 | 0,739 | 0,723 | 0,723 | 0,035 |
| 8,500 | 50,915 | 99,495 | -6,119 | skid front(in) | 1000000,000 | -11,500 | 0,000 | 1,000 | 100,000 | 0,000 | 0,538 | 0,739 | 0,739 | 0,739 | 0,723 | 0,723 | 0,035 |
| 9,000 | 50,130 | 99,495 | -6,118 | skid front(in) | 1000000,000 | -11,500 | 0,000 | 1,000 | 100,000 | 0,000 | 0,574 | 0,739 | 0,739 | 0,739 | 0,723 | 0,723 | 0,036 |
| 9,500 | 49,333 | 99,495 | -6,117 | skid front(in) | 1000000,000 | -11,500 | 0,000 | 1,000 | 100,000 | 0,000 | 0,610 | 0,739 | 0,739 | 0,739 | 0,723 | 0,723 | 0,036 |
| 10,000 | 48,523 | 99,495 | -6,116 | skid front(in) | 1000000,000 | -11,500 | 0,000 | 1,000 | 100,000 | 0,000 | 0,647 | 0,739 | 0,739 | 0,739 | 0,723 | 0,723 | 0,037 |
| 10,500 | 47,699 | 99,495 | -6,115 | skid front(in) | 1000000,000 | -11,500 | 0,000 | 1,000 | 100,000 | 0,000 | 0,684 | 0,739 | 0,739 | 0,739 | 0,723 | 0,723 | 0,037 |
| 11,000 | 46,861 | 99,495 | -6,114 | skid front(in) | 1000000,000 | -11,500 | 0,000 | 1,000 | 100,000 | 0,000 | 0,722 | 0,739 | 0,739 | 0,739 | 0,723 | 0,723 | 0,038 |
| 11,500 | 46,008 | 99,495 | -6,113 | skid front(in) | 1000000,000 | -11,500 | 0,000 | 1,000 | 100,000 | 0,000 | 0,761 | 0,739 | 0,739 | 0,739 | 0,723 | 0,723 | 0,039 |
| 12,000 | 45,139 | 99,495 | -6,112 | skid front(in) | 1000000,000 | -11,500 | 0,000 | 1,000 | 100,000 | 0,000 | 0,801 | 0,739 | 0,739 | 0,739 | 0,723 | 0,723 | 0,039 |
| 12,500 | 44,253 | 99,495 | -6,111 | skid front(in) | 1000000,000 | -11,500 | 0,000 | 1,000 | 100,000 | 0,000 | 0,841 | 0,739 | 0,739 | 0,739 | 0,723 | 0,723 | 0,040 |
| 13,000 | 43,349 | 99,496 | -6,109 | skid front(in) | 1000000,000 | -11,500 | 0,000 | 1,000 | 100,000 | 0,000 | 0,882 | 0,739 | 0,739 | 0,739 | 0,723 | 0,723 | 0,041 |
| 13,500 | 42,426 | 99,496 | -6,108 | skid front(in) | 1000000,000 | -11,500 | 0,000 | 1,000 | 100,000 | 0,000 | 0,924 | 0,739 | 0,739 | 0,739 | 0,723 | 0,723 | 0,042 |
| 14,000 | 41,482 | 99,496 | -6,107 | skid front(in) | 1000000,000 | -11,500 | 0,000 | 1,000 | 100,000 | 0,000 | 0,967 | 0,739 | 0,739 | 0,739 | 0,723 | 0,723 | 0,043 |
| 14,500 | 40,517 | 99,496 | -6,106 | skid front(in) | 1000000,000 | -11,500 | 0,000 | 1,000 | 100,000 | 0,000 | 1,011 | 0,739 | 0,739 | 0,739 | 0,723 | 0,723 | 0,044 |
| 15,000 | 39,529 | 99,496 | -6,105 | skid front(in) | 1000000,000 | -11,500 | 0,000 | 1,000 | 100,000 | 0,000 | 1,056 | 0,739 | 0,739 | 0,739 | 0,723 | 0,723 | 0,045 |
| 15,500 | 38,515 | 99,496 | -6,104 | skid front(in) | 1000000,000 | -11,500 | 0,000 | 1,000 | 100,000 | 0,000 | 1,102 | 0,739 | 0,739 | 0,739 | 0,723 | 0,723 | 0,046 |
| 16,000 | 37,474 | 99,496 | -6,103 | skid front(in) | 1000000,000 | -11,500 | 0,000 | 1,000 | 100,000 | 0,000 | 1,149 | 0,739 | 0,739 | 0,739 | 0,723 | 0,723 | 0,047 |
| 16,500 | 36,404 | 99,496 | -6,102 | skid front(in) | 1000000,000 | -11,500 | 0,000 | 1,000 | 100,000 | 0,000 | 1,198 | 0,739 | 0,739 | 0,739 | 0,723 | 0,723 | 0,049 |
| 17,000 | 35,301 | 99,496 | -6,101 | skid front(in) | 1000000,000 | -11,500 | 0,000 | 1,000 | 100,000 | 0,000 | 1,248 | 0,739 | 0,739 | 0,739 | 0,723 | 0,723 | 0,050 |
| 17,500 | 34,163 | 99,496 | -6,100 | skid front(in) | 1000000,000 | -11,500 | 0,000 | 1,000 | 100,000 | 0,000 | 1,300 | 0,739 | 0,739 | 0,739 | 0,723 | 0,723 | 0,052 |
| 18,000 | 32,986 | 99,496 | -6,099 | skid front(in) | 1000000,000 | -11,500 | 0,000 | 1,000 | 100,000 | 0,000 | 1,354 | 0,739 | 0,739 | 0,739 | 0,723 | 0,723 | 0,054 |
| 18,500 | 31,765 | 99,486 | -6,096 | skid front(out) | 1000000,000 | -11,500 | 0,000 | 1,000 | 100,000 | -1,070 | 1,409 | 0,739 | 0,739 | 0,739 | 0,723 | 0,723 | 0,056 |

Προσδιορισμός Τιμών Πρόσφυσης κατά την Πέδηση Οχημάτων Εφοδιασμένων με Σύστημα ABS σε Αυξημένες κατά Μήκος Κλίσεις

| | | | | | | | | | | | | | | | | | |
|--------|--------|--------|--------|-----------------|-------------|---------|-------|-------|---------|--------|-------|-------|-------|-------|-------|-------|-------|
| 18,900 | 30,754 | 99,510 | -6,096 | skid front(out) | 1000000,000 | -11,500 | 0,000 | 1,000 | 100,000 | -1,669 | 1,455 | 0,739 | 0,739 | 0,739 | 0,723 | 0,723 | 0,046 |
| 19,500 | 29,172 | 99,473 | -6,092 | skid front(in) | 1000000,000 | -11,500 | 0,000 | 1,000 | 100,000 | -1,472 | 1,527 | 0,739 | 0,739 | 0,739 | 0,722 | 0,722 | 0,072 |
| 20,000 | 27,785 | 99,510 | -6,094 | skid front(out) | 1000000,000 | -11,500 | 0,000 | 1,000 | 100,000 | -1,497 | 1,591 | 0,739 | 0,739 | 0,739 | 0,723 | 0,723 | 0,063 |
| 20,500 | 26,326 | 99,480 | -6,090 | skid front(out) | 1000000,000 | -11,500 | 0,000 | 1,000 | 100,000 | -1,806 | 1,657 | 0,739 | 0,739 | 0,739 | 0,722 | 0,722 | 0,067 |
| 21,000 | 24,781 | 99,500 | -6,091 | skid front(out) | 1000000,000 | -11,500 | 0,000 | 1,000 | 100,000 | -1,197 | 1,728 | 0,739 | 0,739 | 0,739 | 0,723 | 0,723 | 0,070 |
| 21,500 | 23,133 | 99,510 | -6,090 | skid front(out) | 1000000,000 | -11,500 | 0,000 | 1,000 | 100,000 | -2,107 | 1,803 | 0,739 | 0,739 | 0,739 | 0,723 | 0,723 | 0,075 |
| 22,000 | 21,359 | 99,487 | -6,087 | skid front(out) | 1000000,000 | -11,500 | 0,000 | 1,000 | 100,000 | -2,886 | 1,884 | 0,739 | 0,739 | 0,739 | 0,722 | 0,722 | 0,081 |
| 22,500 | 19,424 | 99,498 | -6,088 | skid front(out) | 1000000,000 | -11,500 | 0,000 | 1,000 | 100,000 | -0,885 | 1,972 | 0,739 | 0,739 | 0,739 | 0,723 | 0,723 | 0,088 |
| 23,000 | 17,274 | 99,520 | -6,087 | skid front(out) | 1000000,000 | -11,500 | 0,000 | 1,000 | 100,000 | -2,454 | 2,070 | 0,739 | 0,739 | 0,739 | 0,723 | 0,723 | 0,098 |
| 23,500 | 14,815 | 99,506 | -6,084 | skid front(out) | 1000000,000 | -11,500 | 0,000 | 1,000 | 100,000 | -4,042 | 2,182 | 0,739 | 0,739 | 0,739 | 0,722 | 0,722 | 0,112 |
| 24,000 | 11,859 | 99,474 | -6,081 | skid front(out) | 1000000,000 | -11,500 | 0,000 | 1,000 | 100,000 | -2,793 | 2,317 | 0,739 | 0,739 | 0,739 | 0,722 | 0,722 | 0,135 |
| 24,500 | 7,861 | 99,479 | -6,080 | skid front(out) | 1000000,000 | -11,500 | 0,000 | 1,000 | 100,000 | -3,063 | 2,500 | 0,739 | 0,739 | 0,739 | 0,722 | 0,722 | 0,183 |
| 24,800 | 3,808 | 99,476 | -6,080 | skid front(out) | 1000000,000 | -11,500 | 0,000 | 1,000 | 100,000 | -2,649 | 2,685 | 0,739 | 0,739 | 0,739 | 0,722 | 0,722 | 0,185 |

| | | | | | | | |
|-----------------|-----------------|--------------|-------|-------|-------|-----------|------------|
| run_c_d_glif_13 | R(m) | br.front (%) | s(%) | e (%) | coeff | effic (%) | time (sec) |
| s= 100,000 | 1000000,00 | 77,00 | -11,5 | 0,0 | 1,00 | 100 | 2,605 |
| step= 0,100 | viewstep= 0,500 | STEPS | | | | | |

0,963

| s (m) | V (km/h) | n (%) | dv/dt | skid check | R(m) | s(%) | e (%) | coeff | effic (%) | decelera | time (sec) | ft | front out | front in | rear out | rear in | checktime |
|--------|----------|--------|--------|-----------------|-------------|---------|-------|-------|-----------|-----------|------------|---------|-----------|----------|----------|---------|-----------|
| 22,200 | 2,739 | 99,061 | -5,947 | skid front(out) | 1000000,000 | -11,500 | 0,000 | 1,000 | 100,000 | -2,460134 | 2,605 | 0,72823 | 0,7281 | 0,7281 | 0,6990 | 0,6990 | |
| 0,000 | 58,690 | 99,057 | -5,997 | O.K | 1000000,000 | -11,500 | 0,000 | 1,000 | 100,000 | 0,000 | 0,000 | 0,728 | | | | | |
| 0,400 | 58,158 | 99,057 | -5,997 | skid front(in) | 1000000,000 | -11,500 | 0,000 | 1,000 | 100,000 | 0,000 | 0,025 | 0,728 | 0,728 | 0,728 | 0,699 | 0,699 | 0,025 |
| 1,000 | 57,351 | 99,057 | -5,995 | skid front(in) | 1000000,000 | -11,500 | 0,000 | 1,000 | 100,000 | 0,000 | 0,062 | 0,728 | 0,728 | 0,728 | 0,699 | 0,699 | 0,037 |
| 1,500 | 56,669 | 99,057 | -5,994 | skid front(in) | 1000000,000 | -11,500 | 0,000 | 1,000 | 100,000 | 0,000 | 0,094 | 0,728 | 0,728 | 0,728 | 0,699 | 0,699 | 0,032 |
| 2,000 | 55,980 | 99,058 | -5,993 | skid front(in) | 1000000,000 | -11,500 | 0,000 | 1,000 | 100,000 | 0,000 | 0,126 | 0,728 | 0,728 | 0,728 | 0,699 | 0,699 | 0,032 |
| 2,500 | 55,282 | 99,058 | -5,992 | skid front(in) | 1000000,000 | -11,500 | 0,000 | 1,000 | 100,000 | 0,000 | 0,158 | 0,728 | 0,728 | 0,728 | 0,699 | 0,699 | 0,032 |
| 3,000 | 54,575 | 99,058 | -5,991 | skid front(in) | 1000000,000 | -11,500 | 0,000 | 1,000 | 100,000 | 0,000 | 0,191 | 0,728 | 0,728 | 0,728 | 0,699 | 0,699 | 0,033 |
| 3,500 | 53,859 | 99,058 | -5,990 | skid front(in) | 1000000,000 | -11,500 | 0,000 | 1,000 | 100,000 | 0,000 | 0,224 | 0,728 | 0,728 | 0,728 | 0,699 | 0,699 | 0,033 |
| 4,000 | 53,133 | 99,058 | -5,989 | skid front(in) | 1000000,000 | -11,500 | 0,000 | 1,000 | 100,000 | 0,000 | 0,258 | 0,728 | 0,728 | 0,728 | 0,699 | 0,699 | 0,034 |
| 4,400 | 52,546 | 99,058 | -5,988 | skid front(in) | 1000000,000 | -11,500 | 0,000 | 1,000 | 100,000 | 0,000 | 0,285 | 0,728 | 0,728 | 0,728 | 0,699 | 0,699 | 0,027 |
| 5,000 | 51,652 | 99,058 | -5,986 | skid front(in) | 1000000,000 | -11,500 | 0,000 | 1,000 | 100,000 | 0,000 | 0,326 | 0,728 | 0,728 | 0,728 | 0,699 | 0,699 | 0,041 |
| 5,500 | 50,896 | 99,058 | -5,985 | skid front(in) | 1000000,000 | -11,500 | 0,000 | 1,000 | 100,000 | 0,000 | 0,361 | 0,728 | 0,728 | 0,728 | 0,699 | 0,699 | 0,035 |
| 6,000 | 50,128 | 99,058 | -5,984 | skid front(in) | 1000000,000 | -11,500 | 0,000 | 1,000 | 100,000 | 0,000 | 0,397 | 0,728 | 0,728 | 0,728 | 0,699 | 0,699 | 0,036 |
| 6,500 | 49,348 | 99,058 | -5,983 | skid front(in) | 1000000,000 | -11,500 | 0,000 | 1,000 | 100,000 | 0,000 | 0,433 | 0,728 | 0,728 | 0,728 | 0,699 | 0,699 | 0,036 |
| 7,000 | 48,556 | 99,058 | -5,982 | skid front(in) | 1000000,000 | -11,500 | 0,000 | 1,000 | 100,000 | 0,000 | 0,470 | 0,728 | 0,728 | 0,728 | 0,699 | 0,699 | 0,037 |
| 7,500 | 47,752 | 99,058 | -5,981 | skid front(in) | 1000000,000 | -11,500 | 0,000 | 1,000 | 100,000 | 0,000 | 0,507 | 0,728 | 0,728 | 0,728 | 0,699 | 0,699 | 0,037 |
| 8,000 | 46,933 | 99,058 | -5,980 | skid front(in) | 1000000,000 | -11,500 | 0,000 | 1,000 | 100,000 | 0,000 | 0,545 | 0,728 | 0,728 | 0,728 | 0,699 | 0,699 | 0,038 |
| 8,500 | 46,100 | 99,058 | -5,979 | skid front(in) | 1000000,000 | -11,500 | 0,000 | 1,000 | 100,000 | 0,000 | 0,584 | 0,728 | 0,728 | 0,728 | 0,699 | 0,699 | 0,039 |
| 9,000 | 45,252 | 99,058 | -5,978 | skid front(in) | 1000000,000 | -11,500 | 0,000 | 1,000 | 100,000 | 0,000 | 0,623 | 0,728 | 0,728 | 0,728 | 0,699 | 0,699 | 0,039 |
| 9,500 | 44,388 | 99,058 | -5,977 | skid front(in) | 1000000,000 | -11,500 | 0,000 | 1,000 | 100,000 | 0,000 | 0,664 | 0,728 | 0,728 | 0,728 | 0,699 | 0,699 | 0,040 |
| 10,000 | 43,507 | 99,059 | -5,975 | skid front(in) | 1000000,000 | -11,500 | 0,000 | 1,000 | 100,000 | 0,000 | 0,705 | 0,728 | 0,728 | 0,728 | 0,699 | 0,699 | 0,041 |
| 10,500 | 42,607 | 99,059 | -5,974 | skid front(in) | 1000000,000 | -11,500 | 0,000 | 1,000 | 100,000 | 0,000 | 0,746 | 0,728 | 0,728 | 0,728 | 0,699 | 0,699 | 0,042 |
| 11,000 | 41,689 | 99,059 | -5,973 | skid front(in) | 1000000,000 | -11,500 | 0,000 | 1,000 | 100,000 | 0,000 | 0,789 | 0,728 | 0,728 | 0,728 | 0,699 | 0,699 | 0,043 |
| 11,500 | 40,750 | 99,059 | -5,972 | skid front(in) | 1000000,000 | -11,500 | 0,000 | 1,000 | 100,000 | 0,000 | 0,833 | 0,728 | 0,728 | 0,728 | 0,699 | 0,699 | 0,044 |
| 12,000 | 39,789 | 99,059 | -5,971 | skid front(in) | 1000000,000 | -11,500 | 0,000 | 1,000 | 100,000 | 0,000 | 0,877 | 0,728 | 0,728 | 0,728 | 0,699 | 0,699 | 0,045 |
| 12,500 | 38,804 | 99,059 | -5,970 | skid front(in) | 1000000,000 | -11,500 | 0,000 | 1,000 | 100,000 | 0,000 | 0,923 | 0,728 | 0,728 | 0,728 | 0,699 | 0,699 | 0,046 |
| 13,000 | 37,794 | 99,059 | -5,969 | skid front(in) | 1000000,000 | -11,500 | 0,000 | 1,000 | 100,000 | 0,000 | 0,970 | 0,728 | 0,728 | 0,728 | 0,699 | 0,699 | 0,047 |
| 13,500 | 36,757 | 99,059 | -5,968 | skid front(in) | 1000000,000 | -11,500 | 0,000 | 1,000 | 100,000 | 0,001 | 1,019 | 0,728 | 0,728 | 0,728 | 0,699 | 0,699 | 0,048 |
| 14,000 | 35,689 | 99,059 | -5,967 | skid front(in) | 1000000,000 | -11,500 | 0,000 | 1,000 | 100,000 | 0,000 | 1,068 | 0,728 | 0,728 | 0,728 | 0,699 | 0,699 | 0,050 |
| 14,500 | 34,589 | 99,059 | -5,966 | skid front(in) | 1000000,000 | -11,500 | 0,000 | 1,000 | 100,000 | 0,001 | 1,119 | 0,728 | 0,728 | 0,728 | 0,699 | 0,699 | 0,051 |
| 15,000 | 33,453 | 99,059 | -5,965 | skid front(in) | 1000000,000 | -11,500 | 0,000 | 1,000 | 100,000 | 0,001 | 1,172 | 0,728 | 0,728 | 0,728 | 0,699 | 0,699 | 0,053 |

Προσδιορισμός Τιμών Πρόσφυσης κατά την Πέδηση Οχημάτων Εφοδιασμένων με Σύστημα ABS σε Αυξημένες κατά Μήκος Κλίσεις

| | | | | | | | | | | | | | | | | | |
|--------|--------|--------|--------|-----------------|-------------|---------|-------|-------|---------|--------|-------|-------|-------|-------|-------|-------|-------|
| 15,500 | 32,277 | 99,059 | -5,963 | skid front(in) | 1000000,000 | -11,500 | 0,000 | 1,000 | 100,000 | 0,001 | 1,227 | 0,728 | 0,728 | 0,728 | 0,699 | 0,699 | 0,055 |
| 16,000 | 31,057 | 99,041 | -5,960 | skid front(out) | 1000000,000 | -11,500 | 0,000 | 1,000 | 100,000 | -1,602 | 1,284 | 0,728 | 0,728 | 0,728 | 0,699 | 0,699 | 0,057 |
| 16,500 | 29,787 | 99,085 | -5,961 | skid front(out) | 1000000,000 | -11,500 | 0,000 | 1,000 | 100,000 | -2,305 | 1,343 | 0,728 | 0,728 | 0,728 | 0,699 | 0,699 | 0,059 |
| 17,000 | 28,461 | 99,073 | -5,960 | skid front(out) | 1000000,000 | -11,500 | 0,000 | 1,000 | 100,000 | -1,263 | 1,405 | 0,728 | 0,728 | 0,728 | 0,699 | 0,699 | 0,062 |
| 17,500 | 27,070 | 99,041 | -5,956 | skid front(out) | 1000000,000 | -11,500 | 0,000 | 1,000 | 100,000 | -1,676 | 1,470 | 0,728 | 0,728 | 0,728 | 0,699 | 0,699 | 0,065 |
| 18,000 | 25,604 | 99,069 | -5,956 | skid front(out) | 1000000,000 | -11,500 | 0,000 | 1,000 | 100,000 | -2,851 | 1,538 | 0,728 | 0,728 | 0,728 | 0,699 | 0,699 | 0,068 |
| 18,500 | 24,049 | 99,079 | -5,957 | skid front(out) | 1000000,000 | -11,500 | 0,000 | 1,000 | 100,000 | -1,879 | 1,611 | 0,728 | 0,728 | 0,728 | 0,699 | 0,699 | 0,073 |
| 18,900 | 22,729 | 99,057 | -5,955 | skid front(out) | 1000000,000 | -11,500 | 0,000 | 1,000 | 100,000 | -0,720 | 1,672 | 0,728 | 0,728 | 0,728 | 0,699 | 0,699 | 0,062 |
| 19,500 | 20,591 | 99,054 | -5,952 | skid front(out) | 1000000,000 | -11,500 | 0,000 | 1,000 | 100,000 | -2,439 | 1,772 | 0,728 | 0,728 | 0,728 | 0,699 | 0,699 | 0,100 |
| 20,000 | 18,624 | 99,039 | -5,950 | skid front(out) | 1000000,000 | -11,500 | 0,000 | 1,000 | 100,000 | -1,839 | 1,864 | 0,728 | 0,728 | 0,728 | 0,699 | 0,699 | 0,092 |
| 20,500 | 16,424 | 99,047 | -5,949 | skid front(out) | 1000000,000 | -11,500 | 0,000 | 1,000 | 100,000 | -2,563 | 1,966 | 0,728 | 0,728 | 0,728 | 0,699 | 0,699 | 0,103 |
| 21,000 | 13,878 | 99,057 | -5,949 | skid front(out) | 1000000,000 | -11,500 | 0,000 | 1,000 | 100,000 | -2,749 | 2,085 | 0,728 | 0,728 | 0,728 | 0,699 | 0,699 | 0,119 |
| 21,500 | 10,745 | 99,067 | -5,949 | skid front(out) | 1000000,000 | -11,500 | 0,000 | 1,000 | 100,000 | -2,125 | 2,231 | 0,728 | 0,728 | 0,728 | 0,699 | 0,699 | 0,146 |
| 22,000 | 6,193 | 99,046 | -5,945 | skid front(out) | 1000000,000 | -11,500 | 0,000 | 1,000 | 100,000 | -3,645 | 2,444 | 0,728 | 0,728 | 0,728 | 0,699 | 0,699 | 0,213 |
| 22,200 | 2,739 | 99,061 | -5,947 | skid front(out) | 1000000,000 | -11,500 | 0,000 | 1,000 | 100,000 | -2,460 | 2,605 | 0,728 | 0,728 | 0,728 | 0,699 | 0,699 | 0,161 |

| run_c_d_glif_14 | R(m) | br.front (%) | s(%) | e (%) | coeff | effic (%) | time (sec) |
|-----------------|-----------------|--------------|-------|-------|-------|-----------|------------|
| s= 100,000 | 1000000,00 | 77,50 | -11,5 | 0,0 | 1,00 | 100 | 2,517 |
| step= 0,100 | viewstep= 0,500 | | STEPS | | | | |

0,963

| s (m) | V (km/h) | n (%) | dv/dt | skid check | R(m) | s(%) | e (%) | coeff | effic (%) | decelera | time (sec) | ft | front out | front in | rear out | rear in | checktime |
|--------|----------|--------|--------|-----------------|-------------|---------|-------|-------|-----------|-----------|------------|----------|-----------|----------|----------|---------|-----------|
| 21,800 | 2,437 | 99,625 | -6,332 | skid front(out) | 1000000,000 | -11,500 | 0,000 | 1,000 | 100,000 | -1,369424 | 2,517 | 0,763453 | 0,7631 | 0,7631 | 0,7516 | 0,7516 | |
| 0,000 | 60,000 | 99,668 | -6,384 | O.K | 1000000,000 | -11,500 | 0,000 | 1,000 | 100,000 | 0,000 | 0,000 | 0,763 | | | | | |
| 0,400 | 59,446 | 99,668 | -6,383 | skid front(in) | 1000000,000 | -11,500 | 0,000 | 1,000 | 100,000 | 0,000 | 0,024 | 0,763 | 0,763 | 0,763 | 0,752 | 0,752 | 0,024 |
| 1,000 | 58,605 | 99,668 | -6,382 | skid front(in) | 1000000,000 | -11,500 | 0,000 | 1,000 | 100,000 | 0,000 | 0,061 | 0,763 | 0,763 | 0,763 | 0,752 | 0,752 | 0,037 |
| 1,500 | 57,895 | 99,668 | -6,381 | skid front(in) | 1000000,000 | -11,500 | 0,000 | 1,000 | 100,000 | 0,000 | 0,092 | 0,763 | 0,763 | 0,763 | 0,752 | 0,752 | 0,031 |
| 2,000 | 57,176 | 99,668 | -6,380 | skid front(in) | 1000000,000 | -11,500 | 0,000 | 1,000 | 100,000 | 0,000 | 0,123 | 0,763 | 0,763 | 0,763 | 0,752 | 0,752 | 0,031 |
| 2,500 | 56,449 | 99,668 | -6,379 | skid front(in) | 1000000,000 | -11,500 | 0,000 | 1,000 | 100,000 | 0,000 | 0,155 | 0,763 | 0,763 | 0,763 | 0,752 | 0,752 | 0,032 |
| 3,000 | 55,712 | 99,668 | -6,378 | skid front(in) | 1000000,000 | -11,500 | 0,000 | 1,000 | 100,000 | 0,000 | 0,187 | 0,763 | 0,763 | 0,763 | 0,752 | 0,752 | 0,032 |
| 3,500 | 54,965 | 99,668 | -6,377 | skid front(in) | 1000000,000 | -11,500 | 0,000 | 1,000 | 100,000 | 0,000 | 0,219 | 0,763 | 0,763 | 0,763 | 0,752 | 0,752 | 0,033 |
| 4,000 | 54,208 | 99,668 | -6,376 | skid front(in) | 1000000,000 | -11,500 | 0,000 | 1,000 | 100,000 | 0,000 | 0,252 | 0,763 | 0,763 | 0,763 | 0,752 | 0,752 | 0,033 |
| 4,400 | 53,595 | 99,668 | -6,375 | skid front(in) | 1000000,000 | -11,500 | 0,000 | 1,000 | 100,000 | 0,000 | 0,279 | 0,763 | 0,763 | 0,763 | 0,752 | 0,752 | 0,027 |
| 5,000 | 52,662 | 99,668 | -6,373 | skid front(in) | 1000000,000 | -11,500 | 0,000 | 1,000 | 100,000 | 0,000 | 0,320 | 0,763 | 0,763 | 0,763 | 0,752 | 0,752 | 0,041 |
| 5,500 | 51,872 | 99,669 | -6,372 | skid front(in) | 1000000,000 | -11,500 | 0,000 | 1,000 | 100,000 | 0,000 | 0,354 | 0,763 | 0,763 | 0,763 | 0,752 | 0,752 | 0,034 |
| 6,000 | 51,070 | 99,669 | -6,371 | skid front(in) | 1000000,000 | -11,500 | 0,000 | 1,000 | 100,000 | 0,000 | 0,389 | 0,763 | 0,763 | 0,763 | 0,752 | 0,752 | 0,035 |
| 6,500 | 50,255 | 99,669 | -6,370 | skid front(in) | 1000000,000 | -11,500 | 0,000 | 1,000 | 100,000 | 0,000 | 0,424 | 0,763 | 0,763 | 0,763 | 0,752 | 0,752 | 0,036 |
| 7,000 | 49,427 | 99,669 | -6,369 | skid front(in) | 1000000,000 | -11,500 | 0,000 | 1,000 | 100,000 | 0,000 | 0,461 | 0,763 | 0,763 | 0,763 | 0,752 | 0,752 | 0,036 |
| 7,500 | 48,585 | 99,669 | -6,368 | skid front(in) | 1000000,000 | -11,500 | 0,000 | 1,000 | 100,000 | 0,000 | 0,497 | 0,763 | 0,763 | 0,763 | 0,752 | 0,752 | 0,037 |
| 8,000 | 47,728 | 99,669 | -6,367 | skid front(in) | 1000000,000 | -11,500 | 0,000 | 1,000 | 100,000 | 0,000 | 0,535 | 0,763 | 0,763 | 0,763 | 0,752 | 0,752 | 0,037 |
| 8,500 | 46,856 | 99,669 | -6,366 | skid front(in) | 1000000,000 | -11,500 | 0,000 | 1,000 | 100,000 | 0,000 | 0,573 | 0,763 | 0,763 | 0,763 | 0,752 | 0,752 | 0,038 |
| 9,000 | 45,967 | 99,669 | -6,365 | skid front(in) | 1000000,000 | -11,500 | 0,000 | 1,000 | 100,000 | 0,000 | 0,612 | 0,763 | 0,763 | 0,763 | 0,752 | 0,752 | 0,039 |
| 9,500 | 45,061 | 99,669 | -6,364 | skid front(in) | 1000000,000 | -11,500 | 0,000 | 1,000 | 100,000 | 0,000 | 0,651 | 0,763 | 0,763 | 0,763 | 0,752 | 0,752 | 0,040 |
| 10,000 | 44,136 | 99,669 | -6,362 | skid front(in) | 1000000,000 | -11,500 | 0,000 | 1,000 | 100,000 | 0,000 | 0,691 | 0,763 | 0,763 | 0,763 | 0,752 | 0,752 | 0,040 |
| 10,500 | 43,192 | 99,669 | -6,361 | skid front(in) | 1000000,000 | -11,500 | 0,000 | 1,000 | 100,000 | 0,000 | 0,733 | 0,763 | 0,763 | 0,763 | 0,752 | 0,752 | 0,041 |
| 11,000 | 42,227 | 99,669 | -6,360 | skid front(in) | 1000000,000 | -11,500 | 0,000 | 1,000 | 100,000 | 0,000 | 0,775 | 0,763 | 0,763 | 0,763 | 0,752 | 0,752 | 0,042 |

Προσδιορισμός Τιμών Πρόσφυσης κατά την Πέδηση Οχημάτων Εφοδιασμένων με Σύστημα ABS σε Αυξημένες κατά Μήκος Κλίσεις

| | | | | | | | | | | | | | | | | | |
|--------|--------|--------|--------|-----------------|-------------|---------|-------|-------|---------|--------|-------|-------|-------|-------|-------|-------|-------|
| 11,500 | 41,240 | 99,669 | -6,359 | skid front(in) | 1000000,000 | -11,500 | 0,000 | 1,000 | 100,000 | 0,000 | 0,818 | 0,763 | 0,763 | 0,763 | 0,752 | 0,752 | 0,043 |
| 12,000 | 40,228 | 99,670 | -6,358 | skid front(in) | 1000000,000 | -11,500 | 0,000 | 1,000 | 100,000 | 0,000 | 0,862 | 0,763 | 0,763 | 0,763 | 0,752 | 0,752 | 0,044 |
| 12,500 | 39,191 | 99,670 | -6,357 | skid front(in) | 1000000,000 | -11,500 | 0,000 | 1,000 | 100,000 | 0,000 | 0,907 | 0,763 | 0,763 | 0,763 | 0,752 | 0,752 | 0,045 |
| 13,000 | 38,125 | 99,670 | -6,356 | skid front(in) | 1000000,000 | -11,500 | 0,000 | 1,000 | 100,000 | 0,000 | 0,954 | 0,763 | 0,763 | 0,763 | 0,752 | 0,752 | 0,047 |
| 13,500 | 37,029 | 99,670 | -6,355 | skid front(in) | 1000000,000 | -11,500 | 0,000 | 1,000 | 100,000 | 0,000 | 1,002 | 0,763 | 0,763 | 0,763 | 0,752 | 0,752 | 0,048 |
| 14,000 | 35,900 | 99,670 | -6,354 | skid front(in) | 1000000,000 | -11,500 | 0,000 | 1,000 | 100,000 | 0,000 | 1,051 | 0,763 | 0,763 | 0,763 | 0,752 | 0,752 | 0,049 |
| 14,500 | 34,734 | 99,670 | -6,353 | skid front(in) | 1000000,000 | -11,500 | 0,000 | 1,000 | 100,000 | 0,001 | 1,102 | 0,763 | 0,763 | 0,763 | 0,752 | 0,752 | 0,051 |
| 15,000 | 33,528 | 99,670 | -6,352 | skid front(in) | 1000000,000 | -11,500 | 0,000 | 1,000 | 100,000 | 0,001 | 1,155 | 0,763 | 0,763 | 0,763 | 0,752 | 0,752 | 0,053 |
| 15,500 | 32,278 | 99,670 | -6,350 | skid front(in) | 1000000,000 | -11,500 | 0,000 | 1,000 | 100,000 | 0,001 | 1,210 | 0,763 | 0,763 | 0,763 | 0,752 | 0,752 | 0,055 |
| 16,000 | 30,976 | 99,652 | -6,347 | skid front(out) | 1000000,000 | -11,500 | 0,000 | 1,000 | 100,000 | -1,618 | 1,267 | 0,763 | 0,763 | 0,763 | 0,752 | 0,752 | 0,057 |
| 16,500 | 29,619 | 99,669 | -6,347 | skid front(out) | 1000000,000 | -11,500 | 0,000 | 1,000 | 100,000 | -1,632 | 1,326 | 0,763 | 0,763 | 0,763 | 0,752 | 0,752 | 0,059 |
| 17,000 | 28,196 | 99,678 | -6,346 | skid front(out) | 1000000,000 | -11,500 | 0,000 | 1,000 | 100,000 | -1,519 | 1,388 | 0,763 | 0,763 | 0,763 | 0,752 | 0,752 | 0,062 |
| 17,500 | 26,697 | 99,678 | -6,346 | skid front(out) | 1000000,000 | -11,500 | 0,000 | 1,000 | 100,000 | -1,266 | 1,454 | 0,763 | 0,763 | 0,763 | 0,752 | 0,752 | 0,066 |
| 18,000 | 25,110 | 99,688 | -6,344 | skid front(out) | 1000000,000 | -11,500 | 0,000 | 1,000 | 100,000 | -2,585 | 1,523 | 0,763 | 0,763 | 0,763 | 0,752 | 0,752 | 0,069 |
| 18,500 | 23,415 | 99,667 | -6,342 | skid front(out) | 1000000,000 | -11,500 | 0,000 | 1,000 | 100,000 | -2,004 | 1,598 | 0,763 | 0,763 | 0,763 | 0,752 | 0,752 | 0,074 |
| 18,900 | 21,966 | 99,656 | -6,340 | skid front(out) | 1000000,000 | -11,500 | 0,000 | 1,000 | 100,000 | -2,371 | 1,661 | 0,763 | 0,763 | 0,763 | 0,752 | 0,752 | 0,063 |
| 19,500 | 19,592 | 99,674 | -6,339 | skid front(out) | 1000000,000 | -11,500 | 0,000 | 1,000 | 100,000 | -3,623 | 1,765 | 0,763 | 0,763 | 0,763 | 0,752 | 0,752 | 0,104 |
| 20,000 | 17,369 | 99,659 | -6,338 | skid front(out) | 1000000,000 | -11,500 | 0,000 | 1,000 | 100,000 | -2,046 | 1,862 | 0,763 | 0,763 | 0,763 | 0,752 | 0,752 | 0,097 |
| 20,500 | 14,816 | 99,653 | -6,336 | skid front(out) | 1000000,000 | -11,500 | 0,000 | 1,000 | 100,000 | -2,294 | 1,974 | 0,763 | 0,763 | 0,763 | 0,752 | 0,752 | 0,112 |
| 21,000 | 11,721 | 99,683 | -6,338 | skid front(out) | 1000000,000 | -11,500 | 0,000 | 1,000 | 100,000 | -1,736 | 2,110 | 0,763 | 0,763 | 0,763 | 0,752 | 0,752 | 0,136 |
| 21,500 | 7,432 | 99,675 | -6,334 | skid front(out) | 1000000,000 | -11,500 | 0,000 | 1,000 | 100,000 | -3,912 | 2,298 | 0,763 | 0,763 | 0,763 | 0,752 | 0,752 | 0,188 |
| 21,800 | 2,437 | 99,625 | -6,332 | skid front(out) | 1000000,000 | -11,500 | 0,000 | 1,000 | 100,000 | -1,369 | 2,517 | 0,763 | 0,763 | 0,763 | 0,752 | 0,752 | 0,219 |

| run_c_d_glif_15 | R(m) | br.front (%) | s(%) | e (%) | coeff | effic (%) | time (sec) |
|-----------------|------------|--------------|-------|-------|-------|-----------|------------|
| s= 100,000 | 1000000,00 | 77,50 | -11,5 | 0,0 | 1,00 | 100 | 2,457 |
| step= 0,100 | viewstep= | 0,500 | STEPS | | | | |

0,963

| s (m) | V (km/h) | n (%) | dv/dt | skid check | R(m) | s(%) | e (%) | coeff | effic (%) | decelera | time (sec) | fT | front out | front in | rear out | rear in | checktime |
|--------|----------|--------|--------|-----------------|-------------|---------|-------|-------|-----------|-----------|------------|----------|-----------|----------|----------|---------|-----------|
| 20,200 | 2,310 | 99,157 | -6,164 | skid front(out) | 1000000,000 | -11,500 | 0,000 | 1,000 | 100,000 | -3,704285 | 2,457 | 0,749987 | 0,7500 | 0,7500 | 0,7213 | 0,7213 | |
| 0,000 | 56,960 | 99,112 | -6,208 | O.K | 1000000,000 | -11,500 | 0,000 | 1,000 | 100,000 | 0,000 | 0,000 | 0,750 | | | | | |
| 0,400 | 56,391 | 99,112 | -6,208 | skid front(in) | 1000000,000 | -11,500 | 0,000 | 1,000 | 100,000 | 0,000 | 0,025 | 0,750 | 0,750 | 0,750 | 0,721 | 0,721 | 0,025 |
| 1,000 | 55,529 | 99,112 | -6,206 | skid front(in) | 1000000,000 | -11,500 | 0,000 | 1,000 | 100,000 | 0,000 | 0,064 | 0,750 | 0,750 | 0,750 | 0,721 | 0,721 | 0,039 |
| 1,500 | 54,800 | 99,113 | -6,205 | skid front(in) | 1000000,000 | -11,500 | 0,000 | 1,000 | 100,000 | 0,000 | 0,097 | 0,750 | 0,750 | 0,750 | 0,721 | 0,721 | 0,033 |
| 2,000 | 54,061 | 99,113 | -6,204 | skid front(in) | 1000000,000 | -11,500 | 0,000 | 1,000 | 100,000 | 0,000 | 0,130 | 0,750 | 0,750 | 0,750 | 0,721 | 0,721 | 0,033 |
| 2,500 | 53,313 | 99,113 | -6,203 | skid front(in) | 1000000,000 | -11,500 | 0,000 | 1,000 | 100,000 | 0,000 | 0,163 | 0,750 | 0,750 | 0,750 | 0,721 | 0,721 | 0,034 |
| 3,000 | 52,553 | 99,113 | -6,202 | skid front(in) | 1000000,000 | -11,500 | 0,000 | 1,000 | 100,000 | 0,000 | 0,197 | 0,750 | 0,750 | 0,750 | 0,721 | 0,721 | 0,034 |
| 3,500 | 51,783 | 99,113 | -6,201 | skid front(in) | 1000000,000 | -11,500 | 0,000 | 1,000 | 100,000 | 0,000 | 0,232 | 0,750 | 0,750 | 0,750 | 0,721 | 0,721 | 0,035 |
| 4,000 | 51,001 | 99,113 | -6,200 | skid front(in) | 1000000,000 | -11,500 | 0,000 | 1,000 | 100,000 | 0,000 | 0,267 | 0,750 | 0,750 | 0,750 | 0,721 | 0,721 | 0,035 |
| 4,400 | 50,367 | 99,113 | -6,199 | skid front(in) | 1000000,000 | -11,500 | 0,000 | 1,000 | 100,000 | 0,000 | 0,295 | 0,750 | 0,750 | 0,750 | 0,721 | 0,721 | 0,028 |
| 5,000 | 49,401 | 99,113 | -6,197 | skid front(in) | 1000000,000 | -11,500 | 0,000 | 1,000 | 100,000 | 0,000 | 0,338 | 0,750 | 0,750 | 0,750 | 0,721 | 0,721 | 0,043 |
| 5,500 | 48,581 | 99,113 | -6,196 | skid front(in) | 1000000,000 | -11,500 | 0,000 | 1,000 | 100,000 | 0,000 | 0,375 | 0,750 | 0,750 | 0,750 | 0,721 | 0,721 | 0,037 |
| 6,000 | 47,748 | 99,113 | -6,195 | skid front(in) | 1000000,000 | -11,500 | 0,000 | 1,000 | 100,000 | 0,000 | 0,413 | 0,750 | 0,750 | 0,750 | 0,721 | 0,721 | 0,037 |
| 6,500 | 46,900 | 99,113 | -6,194 | skid front(in) | 1000000,000 | -11,500 | 0,000 | 1,000 | 100,000 | 0,000 | 0,451 | 0,750 | 0,750 | 0,750 | 0,721 | 0,721 | 0,038 |
| 7,000 | 46,036 | 99,113 | -6,193 | skid front(in) | 1000000,000 | -11,500 | 0,000 | 1,000 | 100,000 | 0,000 | 0,489 | 0,750 | 0,750 | 0,750 | 0,721 | 0,721 | 0,039 |

Προσδιορισμός Τιμών Πρόσφυσης κατά την Πέδηση Οχημάτων Εφοδιασμένων με Σύστημα ABS σε Αυξημένες κατά Μήκος Κλίσεις

| | | | | | | | | | | | | | | | | | |
|--------|--------|--------|--------|-----------------|-------------|---------|-------|-------|---------|--------|-------|-------|-------|-------|-------|-------|-------|
| 7,500 | 45,156 | 99,113 | -6,192 | skid front(in) | 1000000,000 | -11,500 | 0,000 | 1,000 | 100,000 | 0,000 | 0,529 | 0,750 | 0,750 | 0,750 | 0,721 | 0,721 | 0,039 |
| 8,000 | 44,258 | 99,113 | -6,191 | skid front(in) | 1000000,000 | -11,500 | 0,000 | 1,000 | 100,000 | 0,000 | 0,569 | 0,750 | 0,750 | 0,750 | 0,721 | 0,721 | 0,040 |
| 8,500 | 43,343 | 99,114 | -6,190 | skid front(in) | 1000000,000 | -11,500 | 0,000 | 1,000 | 100,000 | 0,000 | 0,610 | 0,750 | 0,750 | 0,750 | 0,721 | 0,721 | 0,041 |
| 9,000 | 42,407 | 99,114 | -6,189 | skid front(in) | 1000000,000 | -11,500 | 0,000 | 1,000 | 100,000 | 0,000 | 0,652 | 0,750 | 0,750 | 0,750 | 0,721 | 0,721 | 0,042 |
| 9,500 | 41,451 | 99,114 | -6,188 | skid front(in) | 1000000,000 | -11,500 | 0,000 | 1,000 | 100,000 | 0,000 | 0,695 | 0,750 | 0,750 | 0,750 | 0,721 | 0,721 | 0,043 |
| 10,000 | 40,472 | 99,114 | -6,186 | skid front(in) | 1000000,000 | -11,500 | 0,000 | 1,000 | 100,000 | 0,000 | 0,739 | 0,750 | 0,750 | 0,750 | 0,721 | 0,721 | 0,044 |
| 10,500 | 39,469 | 99,114 | -6,185 | skid front(in) | 1000000,000 | -11,500 | 0,000 | 1,000 | 100,000 | 0,000 | 0,784 | 0,750 | 0,750 | 0,750 | 0,721 | 0,721 | 0,045 |
| 11,000 | 38,440 | 99,114 | -6,184 | skid front(in) | 1000000,000 | -11,500 | 0,000 | 1,000 | 100,000 | 0,000 | 0,830 | 0,750 | 0,750 | 0,750 | 0,721 | 0,721 | 0,046 |
| 11,500 | 37,383 | 99,114 | -6,183 | skid front(in) | 1000000,000 | -11,500 | 0,000 | 1,000 | 100,000 | 0,000 | 0,878 | 0,750 | 0,750 | 0,750 | 0,721 | 0,721 | 0,047 |
| 12,000 | 36,296 | 99,114 | -6,182 | skid front(in) | 1000000,000 | -11,500 | 0,000 | 1,000 | 100,000 | 0,000 | 0,927 | 0,750 | 0,750 | 0,750 | 0,721 | 0,721 | 0,049 |
| 12,500 | 35,175 | 99,114 | -6,181 | skid front(in) | 1000000,000 | -11,500 | 0,000 | 1,000 | 100,000 | 0,001 | 0,977 | 0,750 | 0,750 | 0,750 | 0,721 | 0,721 | 0,050 |
| 13,000 | 34,017 | 99,114 | -6,180 | skid front(in) | 1000000,000 | -11,500 | 0,000 | 1,000 | 100,000 | 0,000 | 1,029 | 0,750 | 0,750 | 0,750 | 0,721 | 0,721 | 0,052 |
| 13,500 | 32,819 | 99,114 | -6,179 | skid front(in) | 1000000,000 | -11,500 | 0,000 | 1,000 | 100,000 | 0,000 | 1,083 | 0,750 | 0,750 | 0,750 | 0,721 | 0,721 | 0,054 |
| 14,000 | 31,576 | 99,143 | -6,177 | skid front(out) | 1000000,000 | -11,500 | 0,000 | 1,000 | 100,000 | -2,933 | 1,139 | 0,750 | 0,750 | 0,750 | 0,721 | 0,721 | 0,056 |
| 14,500 | 30,281 | 99,124 | -6,176 | skid front(out) | 1000000,000 | -11,500 | 0,000 | 1,000 | 100,000 | -1,668 | 1,197 | 0,750 | 0,750 | 0,750 | 0,721 | 0,721 | 0,058 |
| 15,000 | 28,929 | 99,100 | -6,173 | skid front(out) | 1000000,000 | -11,500 | 0,000 | 1,000 | 100,000 | -1,699 | 1,258 | 0,750 | 0,750 | 0,750 | 0,721 | 0,721 | 0,061 |
| 15,500 | 27,512 | 99,091 | -6,172 | skid front(out) | 1000000,000 | -11,500 | 0,000 | 1,000 | 100,000 | -1,284 | 1,322 | 0,750 | 0,750 | 0,750 | 0,721 | 0,721 | 0,064 |
| 16,000 | 26,017 | 99,117 | -6,172 | skid front(out) | 1000000,000 | -11,500 | 0,000 | 1,000 | 100,000 | -1,914 | 1,389 | 0,750 | 0,750 | 0,750 | 0,721 | 0,721 | 0,067 |
| 16,500 | 24,431 | 99,100 | -6,171 | skid front(out) | 1000000,000 | -11,500 | 0,000 | 1,000 | 100,000 | -0,721 | 1,460 | 0,750 | 0,750 | 0,750 | 0,721 | 0,721 | 0,071 |
| 17,000 | 22,736 | 99,120 | -6,171 | skid front(out) | 1000000,000 | -11,500 | 0,000 | 1,000 | 100,000 | -0,659 | 1,537 | 0,750 | 0,750 | 0,750 | 0,721 | 0,721 | 0,076 |
| 17,500 | 20,903 | 99,137 | -6,170 | skid front(out) | 1000000,000 | -11,500 | 0,000 | 1,000 | 100,000 | -2,301 | 1,619 | 0,750 | 0,750 | 0,750 | 0,721 | 0,721 | 0,082 |
| 18,000 | 18,894 | 99,127 | -6,167 | skid front(out) | 1000000,000 | -11,500 | 0,000 | 1,000 | 100,000 | -3,874 | 1,709 | 0,750 | 0,750 | 0,750 | 0,721 | 0,721 | 0,090 |
| 18,500 | 16,645 | 99,111 | -6,165 | skid front(out) | 1000000,000 | -11,500 | 0,000 | 1,000 | 100,000 | -2,918 | 1,811 | 0,750 | 0,750 | 0,750 | 0,721 | 0,721 | 0,101 |
| 18,900 | 14,598 | 99,127 | -6,164 | skid front(out) | 1000000,000 | -11,500 | 0,000 | 1,000 | 100,000 | -4,124 | 1,903 | 0,750 | 0,750 | 0,750 | 0,721 | 0,721 | 0,092 |
| 19,500 | 10,827 | 99,135 | -6,164 | skid front(out) | 1000000,000 | -11,500 | 0,000 | 1,000 | 100,000 | -3,670 | 2,073 | 0,750 | 0,750 | 0,750 | 0,721 | 0,721 | 0,170 |
| 20,000 | 6,109 | 99,095 | -6,160 | skid front(out) | 1000000,000 | -11,500 | 0,000 | 1,000 | 100,000 | -3,710 | 2,285 | 0,750 | 0,750 | 0,750 | 0,721 | 0,721 | 0,213 |
| 20,200 | 2,310 | 99,157 | -6,164 | skid front(out) | 1000000,000 | -11,500 | 0,000 | 1,000 | 100,000 | -3,704 | 2,457 | 0,750 | 0,750 | 0,750 | 0,721 | 0,721 | 0,171 |

| run_c_d_glif_16 | R(m) | br.front (%) | s(%) | e (%) | coeff | effic (%) | time (sec) |
|-----------------|------------|--------------|-------|-------|-------|-----------|------------|
| s= 100,000 | 1000000,00 | 77,00 | -11,5 | 0,0 | 1,00 | 100 | 2,548 |
| step= 0,100 | viewstep= | 0,500 | STEPS | | | | |

0,963

| s (m) | V (km/h) | n (%) | dv/dt | skid check | R(m) | s(%) | e (%) | coeff | effic (%) | decelera | time (sec) | fT | front out | front in | rear out | rear in | checktime |
|--------|----------|--------|--------|-----------------|-------------|---------|-------|-------|-----------|-----------|------------|----------|-----------|----------|----------|---------|-----------|
| 22,000 | 2,698 | 99,799 | -6,178 | skid front(out) | 1000000,000 | -11,500 | 0,000 | 1,000 | 100,000 | -3,371519 | 2,548 | 0,746537 | 0,7462 | 0,7462 | 0,7398 | 0,7398 | |
| 0,000 | 59,550 | 99,813 | -6,230 | O.K | 1000000,000 | -11,500 | 0,000 | 1,000 | 100,000 | 0,000 | 0,000 | 0,747 | | | | | |
| 0,400 | 59,005 | 99,813 | -6,229 | skid front(in) | 1000000,000 | -11,500 | 0,000 | 1,000 | 100,000 | 0,000 | 0,024 | 0,747 | 0,747 | 0,747 | 0,741 | 0,741 | 0,024 |
| 1,000 | 58,179 | 99,814 | -6,228 | skid front(in) | 1000000,000 | -11,500 | 0,000 | 1,000 | 100,000 | 0,000 | 0,061 | 0,747 | 0,747 | 0,747 | 0,741 | 0,741 | 0,037 |
| 1,500 | 57,481 | 99,814 | -6,227 | skid front(in) | 1000000,000 | -11,500 | 0,000 | 1,000 | 100,000 | 0,000 | 0,092 | 0,747 | 0,747 | 0,747 | 0,741 | 0,741 | 0,031 |
| 2,000 | 56,774 | 99,814 | -6,226 | skid front(in) | 1000000,000 | -11,500 | 0,000 | 1,000 | 100,000 | 0,000 | 0,124 | 0,747 | 0,747 | 0,747 | 0,741 | 0,741 | 0,032 |
| 2,500 | 56,059 | 99,814 | -6,225 | skid front(in) | 1000000,000 | -11,500 | 0,000 | 1,000 | 100,000 | 0,000 | 0,156 | 0,747 | 0,747 | 0,747 | 0,741 | 0,741 | 0,032 |
| 3,000 | 55,335 | 99,814 | -6,224 | skid front(in) | 1000000,000 | -11,500 | 0,000 | 1,000 | 100,000 | 0,000 | 0,188 | 0,747 | 0,747 | 0,747 | 0,741 | 0,741 | 0,032 |
| 3,500 | 54,602 | 99,814 | -6,223 | skid front(in) | 1000000,000 | -11,500 | 0,000 | 1,000 | 100,000 | 0,000 | 0,221 | 0,747 | 0,747 | 0,747 | 0,741 | 0,741 | 0,033 |
| 4,000 | 53,858 | 99,814 | -6,221 | skid front(in) | 1000000,000 | -11,500 | 0,000 | 1,000 | 100,000 | 0,000 | 0,254 | 0,747 | 0,747 | 0,747 | 0,741 | 0,741 | 0,033 |
| 4,400 | 53,256 | 99,814 | -6,221 | skid front(in) | 1000000,000 | -11,500 | 0,000 | 1,000 | 100,000 | 0,000 | 0,281 | 0,747 | 0,747 | 0,747 | 0,741 | 0,741 | 0,027 |
| 5,000 | 52,340 | 99,814 | -6,219 | skid front(in) | 1000000,000 | -11,500 | 0,000 | 1,000 | 100,000 | 0,000 | 0,322 | 0,747 | 0,747 | 0,747 | 0,741 | 0,741 | 0,041 |

Προσδιορισμός Τιμών Πρόσφυσης κατά την Πέδηση Οχημάτων Εφοδιασμένων με Σύστημα ABS σε Αυξημένες κατά Μήκος Κλίσεις

| | | | | | | | | | | | | | | | | | |
|--------|--------|--------|--------|-----------------|-------------|---------|-------|-------|---------|--------|-------|-------|-------|-------|-------|-------|-------|
| 5,500 | 51,564 | 99,814 | -6,218 | skid front(in) | 1000000,000 | -11,500 | 0,000 | 1,000 | 100,000 | 0,000 | 0,356 | 0,747 | 0,747 | 0,747 | 0,741 | 0,741 | 0,035 |
| 6,000 | 50,777 | 99,814 | -6,217 | skid front(in) | 1000000,000 | -11,500 | 0,000 | 1,000 | 100,000 | 0,000 | 0,392 | 0,747 | 0,747 | 0,747 | 0,741 | 0,741 | 0,035 |
| 6,500 | 49,977 | 99,814 | -6,216 | skid front(in) | 1000000,000 | -11,500 | 0,000 | 1,000 | 100,000 | 0,000 | 0,427 | 0,747 | 0,747 | 0,747 | 0,741 | 0,741 | 0,036 |
| 7,000 | 49,165 | 99,814 | -6,215 | skid front(in) | 1000000,000 | -11,500 | 0,000 | 1,000 | 100,000 | 0,000 | 0,464 | 0,747 | 0,747 | 0,747 | 0,741 | 0,741 | 0,036 |
| 7,500 | 48,339 | 99,814 | -6,214 | skid front(in) | 1000000,000 | -11,500 | 0,000 | 1,000 | 100,000 | 0,000 | 0,501 | 0,747 | 0,747 | 0,747 | 0,741 | 0,741 | 0,037 |
| 8,000 | 47,499 | 99,815 | -6,213 | skid front(in) | 1000000,000 | -11,500 | 0,000 | 1,000 | 100,000 | 0,000 | 0,538 | 0,747 | 0,747 | 0,747 | 0,741 | 0,741 | 0,038 |
| 8,500 | 46,644 | 99,815 | -6,212 | skid front(in) | 1000000,000 | -11,500 | 0,000 | 1,000 | 100,000 | 0,000 | 0,576 | 0,747 | 0,747 | 0,747 | 0,741 | 0,741 | 0,038 |
| 9,000 | 45,773 | 99,815 | -6,210 | skid front(in) | 1000000,000 | -11,500 | 0,000 | 1,000 | 100,000 | 0,000 | 0,615 | 0,747 | 0,747 | 0,747 | 0,741 | 0,741 | 0,039 |
| 9,500 | 44,885 | 99,815 | -6,209 | skid front(in) | 1000000,000 | -11,500 | 0,000 | 1,000 | 100,000 | 0,000 | 0,655 | 0,747 | 0,747 | 0,747 | 0,741 | 0,741 | 0,040 |
| 10,000 | 43,979 | 99,815 | -6,208 | skid front(in) | 1000000,000 | -11,500 | 0,000 | 1,000 | 100,000 | 0,000 | 0,696 | 0,747 | 0,747 | 0,747 | 0,741 | 0,741 | 0,041 |
| 10,500 | 43,055 | 99,815 | -6,207 | skid front(in) | 1000000,000 | -11,500 | 0,000 | 1,000 | 100,000 | 0,000 | 0,737 | 0,747 | 0,747 | 0,747 | 0,741 | 0,741 | 0,041 |
| 11,000 | 42,110 | 99,815 | -6,206 | skid front(in) | 1000000,000 | -11,500 | 0,000 | 1,000 | 100,000 | 0,000 | 0,779 | 0,747 | 0,747 | 0,747 | 0,741 | 0,741 | 0,042 |
| 11,500 | 41,144 | 99,815 | -6,205 | skid front(in) | 1000000,000 | -11,500 | 0,000 | 1,000 | 100,000 | 0,000 | 0,822 | 0,747 | 0,747 | 0,747 | 0,741 | 0,741 | 0,043 |
| 12,000 | 40,155 | 99,815 | -6,204 | skid front(in) | 1000000,000 | -11,500 | 0,000 | 1,000 | 100,000 | 0,000 | 0,867 | 0,747 | 0,747 | 0,747 | 0,741 | 0,741 | 0,044 |
| 12,500 | 39,141 | 99,815 | -6,203 | skid front(in) | 1000000,000 | -11,500 | 0,000 | 1,000 | 100,000 | 0,000 | 0,912 | 0,747 | 0,747 | 0,747 | 0,741 | 0,741 | 0,045 |
| 13,000 | 38,101 | 99,815 | -6,202 | skid front(in) | 1000000,000 | -11,500 | 0,000 | 1,000 | 100,000 | 0,000 | 0,959 | 0,747 | 0,747 | 0,747 | 0,741 | 0,741 | 0,047 |
| 13,500 | 37,031 | 99,815 | -6,201 | skid front(in) | 1000000,000 | -11,500 | 0,000 | 1,000 | 100,000 | 0,000 | 1,007 | 0,747 | 0,747 | 0,747 | 0,741 | 0,741 | 0,048 |
| 14,000 | 35,930 | 99,815 | -6,200 | skid front(in) | 1000000,000 | -11,500 | 0,000 | 1,000 | 100,000 | 0,000 | 1,056 | 0,747 | 0,747 | 0,747 | 0,741 | 0,741 | 0,049 |
| 14,500 | 34,794 | 99,815 | -6,198 | skid front(in) | 1000000,000 | -11,500 | 0,000 | 1,000 | 100,000 | 0,000 | 1,107 | 0,747 | 0,747 | 0,747 | 0,741 | 0,741 | 0,051 |
| 15,000 | 33,620 | 99,816 | -6,197 | skid front(in) | 1000000,000 | -11,500 | 0,000 | 1,000 | 100,000 | 0,000 | 1,159 | 0,747 | 0,747 | 0,747 | 0,741 | 0,741 | 0,053 |
| 15,500 | 32,403 | 99,816 | -6,196 | skid front(in) | 1000000,000 | -11,500 | 0,000 | 1,000 | 100,000 | 0,000 | 1,214 | 0,747 | 0,747 | 0,747 | 0,741 | 0,741 | 0,055 |
| 16,000 | 31,140 | 99,789 | -6,193 | skid front(out) | 1000000,000 | -11,500 | 0,000 | 1,000 | 100,000 | -0,707 | 1,271 | 0,747 | 0,746 | 0,746 | 0,740 | 0,740 | 0,057 |
| 16,500 | 29,823 | 99,811 | -6,193 | skid front(out) | 1000000,000 | -11,500 | 0,000 | 1,000 | 100,000 | -1,231 | 1,330 | 0,747 | 0,746 | 0,746 | 0,740 | 0,740 | 0,059 |
| 17,000 | 28,445 | 99,813 | -6,191 | skid front(out) | 1000000,000 | -11,500 | 0,000 | 1,000 | 100,000 | -1,651 | 1,391 | 0,747 | 0,746 | 0,746 | 0,740 | 0,740 | 0,062 |
| 17,500 | 26,998 | 99,832 | -6,192 | skid front(out) | 1000000,000 | -11,500 | 0,000 | 1,000 | 100,000 | -1,534 | 1,456 | 0,747 | 0,747 | 0,747 | 0,741 | 0,741 | 0,065 |
| 18,000 | 25,468 | 99,831 | -6,191 | skid front(out) | 1000000,000 | -11,500 | 0,000 | 1,000 | 100,000 | -1,326 | 1,525 | 0,747 | 0,747 | 0,747 | 0,741 | 0,741 | 0,069 |
| 18,500 | 23,842 | 99,826 | -6,188 | skid front(out) | 1000000,000 | -11,500 | 0,000 | 1,000 | 100,000 | -2,625 | 1,598 | 0,747 | 0,746 | 0,746 | 0,740 | 0,740 | 0,073 |
| 18,900 | 22,455 | 99,819 | -6,188 | skid front(out) | 1000000,000 | -11,500 | 0,000 | 1,000 | 100,000 | -1,312 | 1,660 | 0,747 | 0,746 | 0,746 | 0,740 | 0,740 | 0,062 |
| 19,500 | 20,200 | 99,783 | -6,185 | skid front(out) | 1000000,000 | -11,500 | 0,000 | 1,000 | 100,000 | -0,395 | 1,762 | 0,747 | 0,746 | 0,746 | 0,740 | 0,740 | 0,101 |
| 20,000 | 18,106 | 99,813 | -6,184 | skid front(out) | 1000000,000 | -11,500 | 0,000 | 1,000 | 100,000 | -2,373 | 1,855 | 0,747 | 0,746 | 0,746 | 0,740 | 0,740 | 0,094 |
| 20,500 | 15,738 | 99,791 | -6,181 | skid front(out) | 1000000,000 | -11,500 | 0,000 | 1,000 | 100,000 | -2,264 | 1,962 | 0,747 | 0,746 | 0,746 | 0,740 | 0,740 | 0,106 |
| 21,000 | 12,944 | 99,815 | -6,181 | skid front(out) | 1000000,000 | -11,500 | 0,000 | 1,000 | 100,000 | -3,667 | 2,087 | 0,747 | 0,746 | 0,746 | 0,740 | 0,740 | 0,126 |
| 21,500 | 9,350 | 99,837 | -6,183 | skid front(out) | 1000000,000 | -11,500 | 0,000 | 1,000 | 100,000 | -2,199 | 2,249 | 0,747 | 0,747 | 0,747 | 0,741 | 0,741 | 0,161 |
| 22,000 | 2,698 | 99,799 | -6,178 | skid front(out) | 1000000,000 | -11,500 | 0,000 | 1,000 | 100,000 | -3,372 | 2,548 | 0,747 | 0,746 | 0,746 | 0,740 | 0,740 | 0,299 |

| run_c_d_glif_17 | R(m) | br.front (%) | s(%) | e (%) | coeff | effic (%) | time (sec) |
|-----------------|------------|--------------|-------|-------|-------|-----------|------------|
| s= 100,000 | 1000000,00 | 78,00 | -11,5 | 0,0 | 1,00 | 100 | 2,794 |
| step= 0,100 | viewstep= | 0,500 | STEPS | | | | |

0,963

| s (m) | V (km/h) | n (%) | dv/dt | skid check | R(m) | s(%) | e (%) | coeff | effic (%) | decelera | time (sec) | fT | front out | front in | rear out | rear in | checktime |
|--------|----------|--------|--------|-----------------|-------------|---------|-------|-------|-----------|-----------|------------|----------|-----------|----------|----------|---------|-----------|
| 27,900 | 3,805 | 99,202 | -6,381 | skid front(out) | 1000000,000 | -11,500 | 0,000 | 1,000 | 100,000 | -2,477536 | 2,794 | 0,771849 | 0,7718 | 0,7718 | 0,7437 | 0,7437 | |
| 0,000 | 68,200 | 99,170 | -6,442 | O.K | 1000000,000 | -11,500 | 0,000 | 1,000 | 100,000 | 0,000 | 0,000 | 0,772 | | | | | |
| 0,400 | 67,709 | 99,170 | -6,441 | skid front(in) | 1000000,000 | -11,500 | 0,000 | 1,000 | 100,000 | 0,000 | 0,021 | 0,772 | 0,772 | 0,772 | 0,744 | 0,744 | 0,021 |
| 1,000 | 66,965 | 99,171 | -6,440 | skid front(in) | 1000000,000 | -11,500 | 0,000 | 1,000 | 100,000 | 0,000 | 0,053 | 0,772 | 0,772 | 0,772 | 0,744 | 0,744 | 0,032 |
| 1,500 | 66,339 | 99,171 | -6,439 | skid front(in) | 1000000,000 | -11,500 | 0,000 | 1,000 | 100,000 | 0,000 | 0,080 | 0,772 | 0,772 | 0,772 | 0,744 | 0,744 | 0,027 |
| 2,000 | 65,707 | 99,171 | -6,438 | skid front(in) | 1000000,000 | -11,500 | 0,000 | 1,000 | 100,000 | 0,000 | 0,108 | 0,772 | 0,772 | 0,772 | 0,744 | 0,744 | 0,027 |
| 2,500 | 65,069 | 99,171 | -6,437 | skid front(in) | 1000000,000 | -11,500 | 0,000 | 1,000 | 100,000 | 0,000 | 0,135 | 0,772 | 0,772 | 0,772 | 0,744 | 0,744 | 0,028 |
| 3,000 | 64,425 | 99,171 | -6,436 | skid front(in) | 1000000,000 | -11,500 | 0,000 | 1,000 | 100,000 | 0,000 | 0,163 | 0,772 | 0,772 | 0,772 | 0,744 | 0,744 | 0,028 |
| 3,500 | 63,774 | 99,171 | -6,435 | skid front(in) | 1000000,000 | -11,500 | 0,000 | 1,000 | 100,000 | 0,000 | 0,191 | 0,772 | 0,772 | 0,772 | 0,744 | 0,744 | 0,028 |
| 4,000 | 63,117 | 99,171 | -6,433 | skid front(in) | 1000000,000 | -11,500 | 0,000 | 1,000 | 100,000 | 0,000 | 0,219 | 0,772 | 0,772 | 0,772 | 0,744 | 0,744 | 0,028 |
| 4,400 | 62,586 | 99,171 | -6,433 | skid front(in) | 1000000,000 | -11,500 | 0,000 | 1,000 | 100,000 | 0,000 | 0,242 | 0,772 | 0,772 | 0,772 | 0,744 | 0,744 | 0,023 |
| 5,000 | 61,782 | 99,171 | -6,431 | skid front(in) | 1000000,000 | -11,500 | 0,000 | 1,000 | 100,000 | 0,000 | 0,277 | 0,772 | 0,772 | 0,772 | 0,744 | 0,744 | 0,035 |
| 5,500 | 61,104 | 99,171 | -6,430 | skid front(in) | 1000000,000 | -11,500 | 0,000 | 1,000 | 100,000 | 0,000 | 0,306 | 0,772 | 0,772 | 0,772 | 0,744 | 0,744 | 0,029 |
| 6,000 | 60,418 | 99,171 | -6,429 | skid front(in) | 1000000,000 | -11,500 | 0,000 | 1,000 | 100,000 | 0,000 | 0,336 | 0,772 | 0,772 | 0,772 | 0,744 | 0,744 | 0,030 |

Προσδιορισμός Τιμών Πρόσφυσης κατά την Πέδηση Οχημάτων Εφοδιασμένων με Σύστημα ABS σε Αυξημένες κατά Μήκος Κλίσεις

| | | | | | | | | | | | | | | | | | |
|--------|--------|--------|--------|-----------------|-------------|---------|-------|-------|---------|--------|-------|-------|-------|-------|-------|-------|-------|
| 6,500 | 59,725 | 99,171 | -6,428 | skid front(in) | 1000000,000 | -11,500 | 0,000 | 1,000 | 100,000 | 0,000 | 0,366 | 0,772 | 0,772 | 0,772 | 0,744 | 0,744 | 0,030 |
| 7,000 | 59,023 | 99,171 | -6,427 | skid front(in) | 1000000,000 | -11,500 | 0,000 | 1,000 | 100,000 | 0,000 | 0,396 | 0,772 | 0,772 | 0,772 | 0,744 | 0,744 | 0,030 |
| 7,500 | 58,313 | 99,171 | -6,426 | skid front(in) | 1000000,000 | -11,500 | 0,000 | 1,000 | 100,000 | 0,000 | 0,427 | 0,772 | 0,772 | 0,772 | 0,744 | 0,744 | 0,031 |
| 8,000 | 57,595 | 99,172 | -6,425 | skid front(in) | 1000000,000 | -11,500 | 0,000 | 1,000 | 100,000 | 0,000 | 0,458 | 0,772 | 0,772 | 0,772 | 0,744 | 0,744 | 0,031 |
| 8,500 | 56,868 | 99,172 | -6,424 | skid front(in) | 1000000,000 | -11,500 | 0,000 | 1,000 | 100,000 | 0,000 | 0,489 | 0,772 | 0,772 | 0,772 | 0,744 | 0,744 | 0,031 |
| 9,000 | 56,131 | 99,172 | -6,423 | skid front(in) | 1000000,000 | -11,500 | 0,000 | 1,000 | 100,000 | 0,000 | 0,521 | 0,772 | 0,772 | 0,772 | 0,744 | 0,744 | 0,032 |
| 9,500 | 55,385 | 99,172 | -6,421 | skid front(in) | 1000000,000 | -11,500 | 0,000 | 1,000 | 100,000 | 0,000 | 0,553 | 0,772 | 0,772 | 0,772 | 0,744 | 0,744 | 0,032 |
| 10,000 | 54,628 | 99,172 | -6,420 | skid front(in) | 1000000,000 | -11,500 | 0,000 | 1,000 | 100,000 | 0,000 | 0,586 | 0,772 | 0,772 | 0,772 | 0,744 | 0,744 | 0,033 |
| 10,500 | 53,861 | 99,172 | -6,419 | skid front(in) | 1000000,000 | -11,500 | 0,000 | 1,000 | 100,000 | 0,000 | 0,619 | 0,772 | 0,772 | 0,772 | 0,744 | 0,744 | 0,033 |
| 11,000 | 53,084 | 99,172 | -6,418 | skid front(in) | 1000000,000 | -11,500 | 0,000 | 1,000 | 100,000 | 0,000 | 0,653 | 0,772 | 0,772 | 0,772 | 0,744 | 0,744 | 0,034 |
| 11,500 | 52,294 | 99,172 | -6,417 | skid front(in) | 1000000,000 | -11,500 | 0,000 | 1,000 | 100,000 | 0,000 | 0,687 | 0,772 | 0,772 | 0,772 | 0,744 | 0,744 | 0,034 |
| 12,000 | 51,493 | 99,172 | -6,416 | skid front(in) | 1000000,000 | -11,500 | 0,000 | 1,000 | 100,000 | 0,000 | 0,722 | 0,772 | 0,772 | 0,772 | 0,744 | 0,744 | 0,035 |
| 12,500 | 50,679 | 99,172 | -6,415 | skid front(in) | 1000000,000 | -11,500 | 0,000 | 1,000 | 100,000 | 0,000 | 0,757 | 0,772 | 0,772 | 0,772 | 0,744 | 0,744 | 0,035 |
| 13,000 | 49,852 | 99,172 | -6,414 | skid front(in) | 1000000,000 | -11,500 | 0,000 | 1,000 | 100,000 | 0,000 | 0,793 | 0,772 | 0,772 | 0,772 | 0,744 | 0,744 | 0,036 |
| 13,500 | 49,012 | 99,172 | -6,413 | skid front(in) | 1000000,000 | -11,500 | 0,000 | 1,000 | 100,000 | 0,000 | 0,829 | 0,772 | 0,772 | 0,772 | 0,744 | 0,744 | 0,036 |
| 14,000 | 48,156 | 99,172 | -6,412 | skid front(in) | 1000000,000 | -11,500 | 0,000 | 1,000 | 100,000 | 0,000 | 0,866 | 0,772 | 0,772 | 0,772 | 0,744 | 0,744 | 0,037 |
| 14,500 | 47,286 | 99,172 | -6,411 | skid front(in) | 1000000,000 | -11,500 | 0,000 | 1,000 | 100,000 | 0,000 | 0,904 | 0,772 | 0,772 | 0,772 | 0,744 | 0,744 | 0,038 |
| 15,000 | 46,399 | 99,173 | -6,409 | skid front(in) | 1000000,000 | -11,500 | 0,000 | 1,000 | 100,000 | 0,000 | 0,943 | 0,772 | 0,772 | 0,772 | 0,744 | 0,744 | 0,038 |
| 15,500 | 45,495 | 99,173 | -6,408 | skid front(in) | 1000000,000 | -11,500 | 0,000 | 1,000 | 100,000 | 0,000 | 0,982 | 0,772 | 0,772 | 0,772 | 0,744 | 0,744 | 0,039 |
| 16,000 | 44,573 | 99,173 | -6,407 | skid front(in) | 1000000,000 | -11,500 | 0,000 | 1,000 | 100,000 | 0,000 | 1,022 | 0,772 | 0,772 | 0,772 | 0,744 | 0,744 | 0,040 |
| 16,500 | 43,632 | 99,173 | -6,406 | skid front(in) | 1000000,000 | -11,500 | 0,000 | 1,000 | 100,000 | 0,000 | 1,063 | 0,772 | 0,772 | 0,772 | 0,744 | 0,744 | 0,041 |
| 17,000 | 42,670 | 99,173 | -6,405 | skid front(in) | 1000000,000 | -11,500 | 0,000 | 1,000 | 100,000 | 0,000 | 1,104 | 0,772 | 0,772 | 0,772 | 0,744 | 0,744 | 0,042 |
| 17,500 | 41,686 | 99,173 | -6,404 | skid front(in) | 1000000,000 | -11,500 | 0,000 | 1,000 | 100,000 | 0,000 | 1,147 | 0,772 | 0,772 | 0,772 | 0,744 | 0,744 | 0,043 |
| 18,000 | 40,678 | 99,173 | -6,403 | skid front(in) | 1000000,000 | -11,500 | 0,000 | 1,000 | 100,000 | 0,000 | 1,191 | 0,772 | 0,772 | 0,772 | 0,744 | 0,744 | 0,044 |
| 18,500 | 39,645 | 99,173 | -6,402 | skid front(in) | 1000000,000 | -11,500 | 0,000 | 1,000 | 100,000 | 0,000 | 1,235 | 0,772 | 0,772 | 0,772 | 0,744 | 0,744 | 0,045 |
| 18,900 | 38,799 | 99,173 | -6,401 | skid front(in) | 1000000,000 | -11,500 | 0,000 | 1,000 | 100,000 | 0,000 | 1,272 | 0,772 | 0,772 | 0,772 | 0,744 | 0,744 | 0,037 |
| 19,500 | 37,495 | 99,173 | -6,400 | skid front(in) | 1000000,000 | -11,500 | 0,000 | 1,000 | 100,000 | 0,001 | 1,329 | 0,772 | 0,772 | 0,772 | 0,744 | 0,744 | 0,057 |
| 20,000 | 36,372 | 99,173 | -6,399 | skid front(in) | 1000000,000 | -11,500 | 0,000 | 1,000 | 100,000 | 0,000 | 1,378 | 0,772 | 0,772 | 0,772 | 0,744 | 0,744 | 0,049 |
| 20,500 | 35,214 | 99,173 | -6,397 | skid front(in) | 1000000,000 | -11,500 | 0,000 | 1,000 | 100,000 | 0,000 | 1,428 | 0,772 | 0,772 | 0,772 | 0,744 | 0,744 | 0,050 |
| 21,000 | 34,016 | 99,173 | -6,396 | skid front(in) | 1000000,000 | -11,500 | 0,000 | 1,000 | 100,000 | 0,000 | 1,480 | 0,772 | 0,772 | 0,772 | 0,744 | 0,744 | 0,052 |
| 21,500 | 32,775 | 99,174 | -6,395 | skid front(in) | 1000000,000 | -11,500 | 0,000 | 1,000 | 100,000 | 0,000 | 1,534 | 0,772 | 0,772 | 0,772 | 0,744 | 0,744 | 0,054 |
| 22,000 | 31,486 | 99,166 | -6,392 | skid front(out) | 1000000,000 | -11,500 | 0,000 | 1,000 | 100,000 | -1,695 | 1,590 | 0,772 | 0,772 | 0,772 | 0,743 | 0,743 | 0,056 |
| 22,500 | 30,141 | 99,189 | -6,393 | skid front(out) | 1000000,000 | -11,500 | 0,000 | 1,000 | 100,000 | -1,354 | 1,648 | 0,772 | 0,772 | 0,772 | 0,744 | 0,744 | 0,058 |
| 23,000 | 28,734 | 99,172 | -6,391 | skid front(out) | 1000000,000 | -11,500 | 0,000 | 1,000 | 100,000 | -1,270 | 1,709 | 0,772 | 0,772 | 0,772 | 0,743 | 0,743 | 0,061 |
| 23,500 | 27,254 | 99,148 | -6,388 | skid front(out) | 1000000,000 | -11,500 | 0,000 | 1,000 | 100,000 | -1,053 | 1,774 | 0,772 | 0,772 | 0,772 | 0,743 | 0,743 | 0,064 |
| 24,000 | 25,690 | 99,173 | -6,388 | skid front(out) | 1000000,000 | -11,500 | 0,000 | 1,000 | 100,000 | -1,875 | 1,842 | 0,772 | 0,772 | 0,772 | 0,743 | 0,743 | 0,068 |
| 24,500 | 24,025 | 99,174 | -6,388 | skid front(out) | 1000000,000 | -11,500 | 0,000 | 1,000 | 100,000 | -0,920 | 1,914 | 0,772 | 0,772 | 0,772 | 0,744 | 0,744 | 0,072 |
| 25,000 | 22,235 | 99,189 | -6,387 | skid front(out) | 1000000,000 | -11,500 | 0,000 | 1,000 | 100,000 | -1,577 | 1,992 | 0,772 | 0,772 | 0,772 | 0,744 | 0,744 | 0,078 |
| 25,500 | 20,288 | 99,197 | -6,386 | skid front(out) | 1000000,000 | -11,500 | 0,000 | 1,000 | 100,000 | -2,053 | 2,076 | 0,772 | 0,772 | 0,772 | 0,744 | 0,744 | 0,085 |
| 26,000 | 18,134 | 99,197 | -6,385 | skid front(out) | 1000000,000 | -11,500 | 0,000 | 1,000 | 100,000 | -2,333 | 2,170 | 0,772 | 0,772 | 0,772 | 0,744 | 0,744 | 0,094 |
| 26,500 | 15,688 | 99,189 | -6,383 | skid front(out) | 1000000,000 | -11,500 | 0,000 | 1,000 | 100,000 | -2,556 | 2,277 | 0,772 | 0,772 | 0,772 | 0,743 | 0,743 | 0,106 |
| 27,000 | 12,781 | 99,171 | -6,381 | skid front(out) | 1000000,000 | -11,500 | 0,000 | 1,000 | 100,000 | -2,587 | 2,403 | 0,772 | 0,772 | 0,772 | 0,743 | 0,743 | 0,127 |
| 27,500 | 8,980 | 99,193 | -6,382 | skid front(out) | 1000000,000 | -11,500 | 0,000 | 1,000 | 100,000 | -1,828 | 2,568 | 0,772 | 0,772 | 0,772 | 0,744 | 0,744 | 0,165 |
| 27,900 | 3,805 | 99,202 | -6,381 | skid front(out) | 1000000,000 | -11,500 | 0,000 | 1,000 | 100,000 | -2,478 | 2,794 | 0,772 | 0,772 | 0,772 | 0,744 | 0,744 | 0,225 |

2.2.4 Γλυφάδα - wet

| run_c_w_glif_2 | R(m) | br.front (%) | s(%) | e (%) | coeff | effic (%) | time (sec) | | | | | | | | | | |
|----------------|------------|--------------|--------|-----------------|-------------|-----------|------------|-------|-----------|-----------|------------|---------|-----------|----------|----------|---------|-----------|
| s= 100,000 | 1000000,00 | 76,50 | -11,5 | 0,0 | 1,00 | 100 | 3,196 | | | | | | | | | | |
| step= 0,100 | viewstep= | 0,500 | STEPS | | | | | | | | | | | | | | |
| s (m) | V (km/h) | n (%) | dv/dt | skid check | R(m) | s(%) | e (%) | coeff | effic (%) | decelera | time (sec) | fT | front out | front in | rear out | rear in | checktime |
| 30,300 | 0,631 | 99,216 | -5,808 | skid front(out) | 1000000,000 | -11,500 | 0,000 | 1,000 | 100,000 | -0,367390 | 3,196 | 0,71263 | 0,7124 | 0,7124 | 0,6901 | 0,6901 | |
| 0,000 | 67,750 | 99,254 | -5,878 | O.K | 1000000,000 | -11,500 | 0,000 | 1,000 | 100,000 | 0,000 | 0,000 | 0,713 | | | | | |

Προσδιορισμός Τιμών Πρόσφυσης κατά την Πέδηση Οχημάτων Εφοδιασμένων με Σύστημα ABS σε Αυξημένες κατά Μήκος Κλίσεις

| | | | | | | | | | | | | | | | | | |
|--------|--------|--------|--------|-----------------|-------------|---------|-------|-------|---------|--------|-------|-------|-------|-------|-------|-------|-------|
| 0,400 | 67,299 | 99,254 | -5,877 | skid front(in) | 1000000,000 | -11,500 | 0,000 | 1,000 | 100,000 | 0,000 | 0,021 | 0,713 | 0,713 | 0,713 | 0,691 | 0,691 | 0,021 |
| 1,000 | 66,616 | 99,254 | -5,875 | skid front(in) | 1000000,000 | -11,500 | 0,000 | 1,000 | 100,000 | 0,000 | 0,054 | 0,713 | 0,713 | 0,713 | 0,691 | 0,691 | 0,032 |
| 1,500 | 66,042 | 99,254 | -5,874 | skid front(in) | 1000000,000 | -11,500 | 0,000 | 1,000 | 100,000 | 0,000 | 0,081 | 0,713 | 0,713 | 0,713 | 0,691 | 0,691 | 0,027 |
| 2,000 | 65,464 | 99,254 | -5,873 | skid front(in) | 1000000,000 | -11,500 | 0,000 | 1,000 | 100,000 | 0,000 | 0,108 | 0,713 | 0,713 | 0,713 | 0,691 | 0,691 | 0,027 |
| 2,500 | 64,880 | 99,255 | -5,872 | skid front(in) | 1000000,000 | -11,500 | 0,000 | 1,000 | 100,000 | 0,000 | 0,136 | 0,713 | 0,713 | 0,713 | 0,691 | 0,691 | 0,028 |
| 3,000 | 64,291 | 99,255 | -5,871 | skid front(in) | 1000000,000 | -11,500 | 0,000 | 1,000 | 100,000 | 0,000 | 0,164 | 0,713 | 0,713 | 0,713 | 0,691 | 0,691 | 0,028 |
| 3,500 | 63,696 | 99,255 | -5,870 | skid front(in) | 1000000,000 | -11,500 | 0,000 | 1,000 | 100,000 | 0,000 | 0,192 | 0,713 | 0,713 | 0,713 | 0,691 | 0,691 | 0,028 |
| 4,000 | 63,096 | 99,255 | -5,869 | skid front(in) | 1000000,000 | -11,500 | 0,000 | 1,000 | 100,000 | 0,000 | 0,220 | 0,713 | 0,713 | 0,713 | 0,691 | 0,691 | 0,028 |
| 4,400 | 62,612 | 99,255 | -5,868 | skid front(in) | 1000000,000 | -11,500 | 0,000 | 1,000 | 100,000 | 0,000 | 0,243 | 0,713 | 0,713 | 0,713 | 0,691 | 0,691 | 0,023 |
| 5,000 | 61,879 | 99,255 | -5,866 | skid front(in) | 1000000,000 | -11,500 | 0,000 | 1,000 | 100,000 | 0,000 | 0,278 | 0,713 | 0,713 | 0,713 | 0,691 | 0,691 | 0,035 |
| 5,500 | 61,262 | 99,255 | -5,865 | skid front(in) | 1000000,000 | -11,500 | 0,000 | 1,000 | 100,000 | 0,000 | 0,307 | 0,713 | 0,713 | 0,713 | 0,691 | 0,691 | 0,029 |
| 6,000 | 60,638 | 99,255 | -5,864 | skid front(in) | 1000000,000 | -11,500 | 0,000 | 1,000 | 100,000 | 0,000 | 0,336 | 0,713 | 0,713 | 0,713 | 0,691 | 0,691 | 0,030 |
| 6,500 | 60,009 | 99,255 | -5,863 | skid front(in) | 1000000,000 | -11,500 | 0,000 | 1,000 | 100,000 | 0,000 | 0,366 | 0,713 | 0,713 | 0,713 | 0,691 | 0,691 | 0,030 |
| 7,000 | 59,372 | 99,255 | -5,862 | skid front(in) | 1000000,000 | -11,500 | 0,000 | 1,000 | 100,000 | 0,000 | 0,396 | 0,713 | 0,713 | 0,713 | 0,691 | 0,691 | 0,030 |
| 7,500 | 58,729 | 99,255 | -5,861 | skid front(in) | 1000000,000 | -11,500 | 0,000 | 1,000 | 100,000 | 0,000 | 0,427 | 0,713 | 0,713 | 0,713 | 0,691 | 0,691 | 0,030 |
| 8,000 | 58,079 | 99,255 | -5,860 | skid front(in) | 1000000,000 | -11,500 | 0,000 | 1,000 | 100,000 | 0,000 | 0,458 | 0,713 | 0,713 | 0,713 | 0,691 | 0,691 | 0,031 |
| 8,500 | 57,421 | 99,255 | -5,859 | skid front(in) | 1000000,000 | -11,500 | 0,000 | 1,000 | 100,000 | 0,000 | 0,489 | 0,713 | 0,713 | 0,713 | 0,691 | 0,691 | 0,031 |
| 9,000 | 56,756 | 99,255 | -5,858 | skid front(in) | 1000000,000 | -11,500 | 0,000 | 1,000 | 100,000 | 0,000 | 0,520 | 0,713 | 0,713 | 0,713 | 0,691 | 0,691 | 0,032 |
| 9,500 | 56,084 | 99,255 | -5,857 | skid front(in) | 1000000,000 | -11,500 | 0,000 | 1,000 | 100,000 | 0,000 | 0,552 | 0,713 | 0,713 | 0,713 | 0,691 | 0,691 | 0,032 |
| 10,000 | 55,403 | 99,256 | -5,855 | skid front(in) | 1000000,000 | -11,500 | 0,000 | 1,000 | 100,000 | 0,000 | 0,585 | 0,713 | 0,713 | 0,713 | 0,691 | 0,691 | 0,032 |
| 10,500 | 54,714 | 99,256 | -5,854 | skid front(in) | 1000000,000 | -11,500 | 0,000 | 1,000 | 100,000 | 0,000 | 0,617 | 0,713 | 0,713 | 0,713 | 0,691 | 0,691 | 0,033 |
| 11,000 | 54,016 | 99,256 | -5,853 | skid front(in) | 1000000,000 | -11,500 | 0,000 | 1,000 | 100,000 | 0,000 | 0,650 | 0,713 | 0,713 | 0,713 | 0,691 | 0,691 | 0,033 |
| 11,500 | 53,309 | 99,256 | -5,852 | skid front(in) | 1000000,000 | -11,500 | 0,000 | 1,000 | 100,000 | 0,000 | 0,684 | 0,713 | 0,713 | 0,713 | 0,691 | 0,691 | 0,034 |
| 12,000 | 52,593 | 99,256 | -5,851 | skid front(in) | 1000000,000 | -11,500 | 0,000 | 1,000 | 100,000 | 0,000 | 0,718 | 0,713 | 0,713 | 0,713 | 0,691 | 0,691 | 0,034 |
| 12,500 | 51,867 | 99,256 | -5,850 | skid front(in) | 1000000,000 | -11,500 | 0,000 | 1,000 | 100,000 | 0,000 | 0,752 | 0,713 | 0,713 | 0,713 | 0,691 | 0,691 | 0,034 |
| 13,000 | 51,131 | 99,256 | -5,849 | skid front(in) | 1000000,000 | -11,500 | 0,000 | 1,000 | 100,000 | 0,000 | 0,787 | 0,713 | 0,713 | 0,713 | 0,691 | 0,691 | 0,035 |
| 13,500 | 50,385 | 99,256 | -5,848 | skid front(in) | 1000000,000 | -11,500 | 0,000 | 1,000 | 100,000 | 0,000 | 0,823 | 0,713 | 0,713 | 0,713 | 0,691 | 0,691 | 0,035 |
| 14,000 | 49,627 | 99,256 | -5,847 | skid front(in) | 1000000,000 | -11,500 | 0,000 | 1,000 | 100,000 | 0,000 | 0,859 | 0,713 | 0,713 | 0,713 | 0,691 | 0,691 | 0,036 |
| 14,500 | 48,858 | 99,256 | -5,846 | skid front(in) | 1000000,000 | -11,500 | 0,000 | 1,000 | 100,000 | 0,000 | 0,895 | 0,713 | 0,713 | 0,713 | 0,691 | 0,691 | 0,037 |
| 15,000 | 48,076 | 99,256 | -5,844 | skid front(in) | 1000000,000 | -11,500 | 0,000 | 1,000 | 100,000 | 0,000 | 0,933 | 0,713 | 0,713 | 0,713 | 0,691 | 0,691 | 0,037 |
| 15,500 | 47,282 | 99,256 | -5,843 | skid front(in) | 1000000,000 | -11,500 | 0,000 | 1,000 | 100,000 | 0,000 | 0,970 | 0,713 | 0,713 | 0,713 | 0,691 | 0,691 | 0,038 |
| 16,000 | 46,474 | 99,256 | -5,842 | skid front(in) | 1000000,000 | -11,500 | 0,000 | 1,000 | 100,000 | 0,000 | 1,009 | 0,713 | 0,713 | 0,713 | 0,691 | 0,691 | 0,038 |
| 16,500 | 45,653 | 99,256 | -5,841 | skid front(in) | 1000000,000 | -11,500 | 0,000 | 1,000 | 100,000 | 0,000 | 1,048 | 0,713 | 0,713 | 0,713 | 0,691 | 0,691 | 0,039 |
| 17,000 | 44,816 | 99,256 | -5,840 | skid front(in) | 1000000,000 | -11,500 | 0,000 | 1,000 | 100,000 | 0,000 | 1,088 | 0,713 | 0,713 | 0,713 | 0,691 | 0,691 | 0,040 |
| 17,500 | 43,963 | 99,257 | -5,839 | skid front(in) | 1000000,000 | -11,500 | 0,000 | 1,000 | 100,000 | 0,000 | 1,128 | 0,713 | 0,713 | 0,713 | 0,691 | 0,691 | 0,041 |
| 18,000 | 43,094 | 99,257 | -5,838 | skid front(in) | 1000000,000 | -11,500 | 0,000 | 1,000 | 100,000 | 0,000 | 1,170 | 0,713 | 0,713 | 0,713 | 0,691 | 0,691 | 0,041 |
| 18,500 | 42,207 | 99,257 | -5,837 | skid front(in) | 1000000,000 | -11,500 | 0,000 | 1,000 | 100,000 | 0,000 | 1,212 | 0,713 | 0,713 | 0,713 | 0,691 | 0,691 | 0,042 |
| 18,900 | 41,484 | 99,257 | -5,836 | skid front(in) | 1000000,000 | -11,500 | 0,000 | 1,000 | 100,000 | 0,000 | 1,246 | 0,713 | 0,713 | 0,713 | 0,691 | 0,691 | 0,034 |
| 19,500 | 40,376 | 99,257 | -5,835 | skid front(in) | 1000000,000 | -11,500 | 0,000 | 1,000 | 100,000 | 0,000 | 1,299 | 0,713 | 0,713 | 0,713 | 0,691 | 0,691 | 0,053 |
| 20,000 | 39,428 | 99,257 | -5,833 | skid front(in) | 1000000,000 | -11,500 | 0,000 | 1,000 | 100,000 | 0,000 | 1,344 | 0,713 | 0,713 | 0,713 | 0,691 | 0,691 | 0,045 |
| 20,500 | 38,458 | 99,257 | -5,832 | skid front(in) | 1000000,000 | -11,500 | 0,000 | 1,000 | 100,000 | 0,000 | 1,390 | 0,713 | 0,713 | 0,713 | 0,691 | 0,691 | 0,046 |
| 21,000 | 37,462 | 99,257 | -5,831 | skid front(in) | 1000000,000 | -11,500 | 0,000 | 1,000 | 100,000 | 0,000 | 1,438 | 0,713 | 0,713 | 0,713 | 0,691 | 0,691 | 0,047 |
| 21,500 | 36,440 | 99,257 | -5,830 | skid front(in) | 1000000,000 | -11,500 | 0,000 | 1,000 | 100,000 | 0,000 | 1,486 | 0,713 | 0,713 | 0,713 | 0,691 | 0,691 | 0,049 |
| 22,000 | 35,388 | 99,257 | -5,829 | skid front(in) | 1000000,000 | -11,500 | 0,000 | 1,000 | 100,000 | 0,000 | 1,536 | 0,713 | 0,713 | 0,713 | 0,691 | 0,691 | 0,050 |
| 22,500 | 34,304 | 99,257 | -5,828 | skid front(in) | 1000000,000 | -11,500 | 0,000 | 1,000 | 100,000 | 0,001 | 1,588 | 0,713 | 0,713 | 0,713 | 0,691 | 0,691 | 0,052 |
| 23,000 | 33,185 | 99,257 | -5,827 | skid front(in) | 1000000,000 | -11,500 | 0,000 | 1,000 | 100,000 | 0,000 | 1,641 | 0,713 | 0,713 | 0,713 | 0,691 | 0,691 | 0,053 |
| 23,500 | 32,027 | 99,254 | -5,825 | skid front(out) | 1000000,000 | -11,500 | 0,000 | 1,000 | 100,000 | -1,153 | 1,697 | 0,713 | 0,713 | 0,713 | 0,690 | 0,690 | 0,055 |
| 24,000 | 30,826 | 99,277 | -5,824 | skid front(out) | 1000000,000 | -11,500 | 0,000 | 1,000 | 100,000 | -1,961 | 1,754 | 0,713 | 0,713 | 0,713 | 0,691 | 0,691 | 0,057 |
| 24,500 | 29,576 | 99,234 | -5,821 | skid front(out) | 1000000,000 | -11,500 | 0,000 | 1,000 | 100,000 | -1,095 | 1,814 | 0,713 | 0,712 | 0,712 | 0,690 | 0,690 | 0,060 |
| 25,000 | 28,272 | 99,260 | -5,820 | skid front(out) | 1000000,000 | -11,500 | 0,000 | 1,000 | 100,000 | -2,539 | 1,876 | 0,713 | 0,712 | 0,712 | 0,690 | 0,690 | 0,062 |
| 25,500 | 26,905 | 99,257 | -5,820 | skid front(out) | 1000000,000 | -11,500 | 0,000 | 1,000 | 100,000 | -1,841 | 1,941 | 0,713 | 0,712 | 0,713 | 0,690 | 0,690 | 0,065 |
| 26,000 | 25,464 | 99,266 | -5,819 | skid front(out) | 1000000,000 | -11,500 | 0,000 | 1,000 | 100,000 | -2,310 | 2,010 | 0,713 | 0,713 | 0,713 | 0,690 | 0,690 | 0,069 |
| 26,500 | 23,937 | 99,244 | -5,818 | skid front(out) | 1000000,000 | -11,500 | 0,000 | 1,000 | 100,000 | -0,519 | 2,083 | 0,713 | 0,713 | 0,713 | 0,690 | 0,690 | 0,073 |
| 27,000 | 22,307 | 99,253 | -5,816 | skid front(out) | 1000000,000 | -11,500 | 0,000 | 1,000 | 100,000 | -1,560 | 2,160 | 0,713 | 0,712 | 0,712 | 0,690 | 0,690 | 0,078 |
| 27,500 | 20,548 | 99,253 | -5,815 | skid front(out) | 1000000,000 | -11,500 | 0,000 | 1,000 | 100,000 | -2,135 | 2,244 | 0,713 | 0,712 | 0,712 | 0,690 | 0,690 | 0,084 |
| 28,000 | 18,624 | 99,241 | -5,813 | skid front(out) | 1000000,000 | -11,500 | 0,000 | 1,000 | 100,000 | -2,152 | 2,336 | 0,713 | 0,712 | 0,712 | 0,690 | 0,690 | 0,092 |
| 28,500 | 16,477 | 99,266 | -5,815 | skid front(out) | 1000000,000 | -11,500 | 0,000 | 1,000 | 100,000 | -1,016 | 2,439 | 0,713 | 0,713 | 0,713 | 0,691 | 0,691 | 0,103 |
| 29,000 | 14,005 | 99,280 | -5,812 | skid front(out) | 1000000,000 | -11,500 | 0,000 | 1,000 | 100,000 | -3,917 | 2,557 | 0,713 | 0,712 | 0,712 | 0,690 | 0,690 | 0,118 |
| 29,500 | 10,991 | 99,224 | -5,809 | skid front(out) | 1000000,000 | -11,500 | 0,000 | 1,000 | 100,000 | -1,831 | 2,701 | 0,713 | 0,712 | 0,712 | 0,690 | 0,690 | 0,144 |
| 30,000 | 6,744 | 99,267 | -5,810 | skid front(out) | 1000000,000 | -11,500 | 0,000 | 1,000 | 100,000 | -3,029 | 2,904 | 0,713 | 0,712 | 0,712 | 0,690 | 0,690 | 0,203 |

Προσδιορισμός Τιμών Πρόσφυσης κατά την Πέδηση Οχημάτων Εφοδιασμένων με Σύστημα ABS σε Αυξημένες κατά Μήκος Κλίσεις

| | | | | | | | | | | | | | | | | | |
|--------|-------|--------|--------|-----------------|-------------|---------|-------|-------|---------|--------|-------|-------|-------|-------|-------|-------|-------|
| 30,300 | 0,631 | 99,216 | -5,808 | skid front(out) | 1000000,000 | -11,500 | 0,000 | 1,000 | 100,000 | -0,367 | 3,196 | 0,713 | 0,712 | 0,712 | 0,690 | 0,690 | 0,292 |
|--------|-------|--------|--------|-----------------|-------------|---------|-------|-------|---------|--------|-------|-------|-------|-------|-------|-------|-------|

Προσδιορισμός Τιμών Πρόσφυσης κατά την Πέδηση Οχημάτων Εφοδιασμένων με Σύστημα ABS σε Αυξημένες κατά Μήκος Κλίσεις

| run_c_w_glif_3 | R(m) | br.front (%) | s(%) | e (%) | coeff | effic (%) | time (sec) | | | | | | | | | | |
|----------------|-----------------|--------------|--------|-----------------|-------------|-----------|------------|-------|-----------|-----------|------------|-------|-----------|----------|----------|---------|-----------|
| s= 100,000 | 1000000,00 | 75,00 | -11,5 | 0,0 | 1,00 | 100 | 3,463 | 0,963 | | | | | | | | | |
| step= 0,100 | viewstep= 0,500 | STEPS | | | | | | | | | | | | | | | |
| s (m) | V (km/h) | n (%) | dv/dt | skid check | R(m) | s(%) | e (%) | coeff | effic (%) | decelera | time (sec) | ft | front out | front in | rear out | rear in | checktime |
| 34,000 | 2,637 | 99,302 | -5,230 | skid front(out) | 1000000,000 | -11,500 | 0,000 | 1,000 | 100,000 | -3,219750 | 3,463 | 0,653 | 0,6527 | 0,6527 | 0,6350 | 0,6350 | |
| 0,000 | 68,210 | 99,321 | -5,309 | O.K | 1000000,000 | -11,500 | 0,000 | 1,000 | 100,000 | 0,000 | 0,000 | 0,653 | | | | | |
| 0,400 | 67,805 | 99,321 | -5,308 | skid front(in) | 1000000,000 | -11,500 | 0,000 | 1,000 | 100,000 | 0,000 | 0,021 | 0,653 | 0,653 | 0,653 | 0,636 | 0,636 | 0,021 |
| 1,000 | 67,194 | 99,321 | -5,306 | skid front(in) | 1000000,000 | -11,500 | 0,000 | 1,000 | 100,000 | 0,000 | 0,053 | 0,653 | 0,653 | 0,653 | 0,636 | 0,636 | 0,032 |
| 1,500 | 66,680 | 99,321 | -5,305 | skid front(in) | 1000000,000 | -11,500 | 0,000 | 1,000 | 100,000 | 0,000 | 0,080 | 0,653 | 0,653 | 0,653 | 0,636 | 0,636 | 0,027 |
| 2,000 | 66,163 | 99,321 | -5,304 | skid front(in) | 1000000,000 | -11,500 | 0,000 | 1,000 | 100,000 | 0,000 | 0,107 | 0,653 | 0,653 | 0,653 | 0,636 | 0,636 | 0,027 |
| 2,500 | 65,641 | 99,321 | -5,303 | skid front(in) | 1000000,000 | -11,500 | 0,000 | 1,000 | 100,000 | 0,000 | 0,134 | 0,653 | 0,653 | 0,653 | 0,636 | 0,636 | 0,027 |
| 3,000 | 65,116 | 99,321 | -5,302 | skid front(in) | 1000000,000 | -11,500 | 0,000 | 1,000 | 100,000 | 0,000 | 0,162 | 0,653 | 0,653 | 0,653 | 0,636 | 0,636 | 0,028 |
| 3,500 | 64,586 | 99,321 | -5,301 | skid front(in) | 1000000,000 | -11,500 | 0,000 | 1,000 | 100,000 | 0,000 | 0,190 | 0,653 | 0,653 | 0,653 | 0,636 | 0,636 | 0,028 |
| 4,000 | 64,052 | 99,321 | -5,300 | skid front(in) | 1000000,000 | -11,500 | 0,000 | 1,000 | 100,000 | 0,000 | 0,218 | 0,653 | 0,653 | 0,653 | 0,636 | 0,636 | 0,028 |
| 4,400 | 63,622 | 99,322 | -5,299 | skid front(in) | 1000000,000 | -11,500 | 0,000 | 1,000 | 100,000 | 0,000 | 0,240 | 0,653 | 0,653 | 0,653 | 0,636 | 0,636 | 0,023 |
| 5,000 | 62,971 | 99,322 | -5,298 | skid front(in) | 1000000,000 | -11,500 | 0,000 | 1,000 | 100,000 | 0,000 | 0,274 | 0,653 | 0,653 | 0,653 | 0,636 | 0,636 | 0,034 |
| 5,500 | 62,423 | 99,322 | -5,297 | skid front(in) | 1000000,000 | -11,500 | 0,000 | 1,000 | 100,000 | 0,000 | 0,303 | 0,653 | 0,653 | 0,653 | 0,636 | 0,636 | 0,029 |
| 6,000 | 61,871 | 99,322 | -5,295 | skid front(in) | 1000000,000 | -11,500 | 0,000 | 1,000 | 100,000 | 0,000 | 0,332 | 0,653 | 0,653 | 0,653 | 0,636 | 0,636 | 0,029 |
| 6,500 | 61,314 | 99,322 | -5,294 | skid front(in) | 1000000,000 | -11,500 | 0,000 | 1,000 | 100,000 | 0,000 | 0,361 | 0,653 | 0,653 | 0,653 | 0,636 | 0,636 | 0,029 |
| 7,000 | 60,752 | 99,322 | -5,293 | skid front(in) | 1000000,000 | -11,500 | 0,000 | 1,000 | 100,000 | 0,000 | 0,391 | 0,653 | 0,653 | 0,653 | 0,636 | 0,636 | 0,029 |
| 7,500 | 60,185 | 99,322 | -5,292 | skid front(in) | 1000000,000 | -11,500 | 0,000 | 1,000 | 100,000 | 0,000 | 0,421 | 0,653 | 0,653 | 0,653 | 0,636 | 0,636 | 0,030 |
| 8,000 | 59,612 | 99,322 | -5,291 | skid front(in) | 1000000,000 | -11,500 | 0,000 | 1,000 | 100,000 | 0,000 | 0,451 | 0,653 | 0,653 | 0,653 | 0,636 | 0,636 | 0,030 |
| 8,500 | 59,034 | 99,322 | -5,290 | skid front(in) | 1000000,000 | -11,500 | 0,000 | 1,000 | 100,000 | 0,000 | 0,481 | 0,653 | 0,653 | 0,653 | 0,636 | 0,636 | 0,030 |
| 9,000 | 58,451 | 99,322 | -5,289 | skid front(in) | 1000000,000 | -11,500 | 0,000 | 1,000 | 100,000 | 0,000 | 0,512 | 0,653 | 0,653 | 0,653 | 0,636 | 0,636 | 0,031 |
| 9,500 | 57,862 | 99,322 | -5,288 | skid front(in) | 1000000,000 | -11,500 | 0,000 | 1,000 | 100,000 | 0,000 | 0,543 | 0,653 | 0,653 | 0,653 | 0,636 | 0,636 | 0,031 |
| 10,000 | 57,267 | 99,322 | -5,287 | skid front(in) | 1000000,000 | -11,500 | 0,000 | 1,000 | 100,000 | 0,000 | 0,574 | 0,653 | 0,653 | 0,653 | 0,636 | 0,636 | 0,031 |
| 10,500 | 56,665 | 99,322 | -5,286 | skid front(in) | 1000000,000 | -11,500 | 0,000 | 1,000 | 100,000 | 0,000 | 0,605 | 0,653 | 0,653 | 0,653 | 0,636 | 0,636 | 0,032 |
| 11,000 | 56,058 | 99,322 | -5,285 | skid front(in) | 1000000,000 | -11,500 | 0,000 | 1,000 | 100,000 | 0,000 | 0,637 | 0,653 | 0,653 | 0,653 | 0,636 | 0,636 | 0,032 |
| 11,500 | 55,443 | 99,322 | -5,283 | skid front(in) | 1000000,000 | -11,500 | 0,000 | 1,000 | 100,000 | 0,000 | 0,670 | 0,653 | 0,653 | 0,653 | 0,636 | 0,636 | 0,032 |
| 12,000 | 54,823 | 99,322 | -5,282 | skid front(in) | 1000000,000 | -11,500 | 0,000 | 1,000 | 100,000 | 0,000 | 0,702 | 0,653 | 0,653 | 0,653 | 0,636 | 0,636 | 0,033 |
| 12,500 | 54,195 | 99,322 | -5,281 | skid front(in) | 1000000,000 | -11,500 | 0,000 | 1,000 | 100,000 | 0,000 | 0,735 | 0,653 | 0,653 | 0,653 | 0,636 | 0,636 | 0,033 |
| 13,000 | 53,559 | 99,323 | -5,280 | skid front(in) | 1000000,000 | -11,500 | 0,000 | 1,000 | 100,000 | 0,000 | 0,769 | 0,653 | 0,653 | 0,653 | 0,636 | 0,636 | 0,033 |
| 13,500 | 52,917 | 99,323 | -5,279 | skid front(in) | 1000000,000 | -11,500 | 0,000 | 1,000 | 100,000 | 0,000 | 0,803 | 0,653 | 0,653 | 0,653 | 0,636 | 0,636 | 0,034 |
| 14,000 | 52,266 | 99,323 | -5,278 | skid front(in) | 1000000,000 | -11,500 | 0,000 | 1,000 | 100,000 | 0,000 | 0,837 | 0,653 | 0,653 | 0,653 | 0,636 | 0,636 | 0,034 |
| 14,500 | 51,608 | 99,323 | -5,277 | skid front(in) | 1000000,000 | -11,500 | 0,000 | 1,000 | 100,000 | 0,000 | 0,871 | 0,653 | 0,653 | 0,653 | 0,636 | 0,636 | 0,035 |
| 15,000 | 50,941 | 99,323 | -5,276 | skid front(in) | 1000000,000 | -11,500 | 0,000 | 1,000 | 100,000 | 0,000 | 0,907 | 0,653 | 0,653 | 0,653 | 0,636 | 0,636 | 0,035 |
| 15,500 | 50,266 | 99,323 | -5,275 | skid front(in) | 1000000,000 | -11,500 | 0,000 | 1,000 | 100,000 | 0,000 | 0,942 | 0,653 | 0,653 | 0,653 | 0,636 | 0,636 | 0,036 |
| 16,000 | 49,581 | 99,323 | -5,274 | skid front(in) | 1000000,000 | -11,500 | 0,000 | 1,000 | 100,000 | 0,000 | 0,978 | 0,653 | 0,653 | 0,653 | 0,636 | 0,636 | 0,036 |
| 16,500 | 48,887 | 99,323 | -5,273 | skid front(in) | 1000000,000 | -11,500 | 0,000 | 1,000 | 100,000 | 0,000 | 1,015 | 0,653 | 0,653 | 0,653 | 0,636 | 0,636 | 0,037 |
| 17,000 | 48,183 | 99,323 | -5,271 | skid front(in) | 1000000,000 | -11,500 | 0,000 | 1,000 | 100,000 | 0,000 | 1,052 | 0,653 | 0,653 | 0,653 | 0,636 | 0,636 | 0,037 |
| 17,500 | 47,469 | 99,323 | -5,270 | skid front(in) | 1000000,000 | -11,500 | 0,000 | 1,000 | 100,000 | 0,000 | 1,089 | 0,653 | 0,653 | 0,653 | 0,636 | 0,636 | 0,038 |
| 18,000 | 46,744 | 99,323 | -5,269 | skid front(in) | 1000000,000 | -11,500 | 0,000 | 1,000 | 100,000 | 0,000 | 1,128 | 0,653 | 0,653 | 0,653 | 0,636 | 0,636 | 0,038 |
| 18,500 | 46,008 | 99,323 | -5,268 | skid front(in) | 1000000,000 | -11,500 | 0,000 | 1,000 | 100,000 | 0,000 | 1,166 | 0,653 | 0,653 | 0,653 | 0,636 | 0,636 | 0,039 |
| 18,900 | 45,410 | 99,323 | -5,267 | skid front(in) | 1000000,000 | -11,500 | 0,000 | 1,000 | 100,000 | 0,000 | 1,198 | 0,653 | 0,653 | 0,653 | 0,636 | 0,636 | 0,032 |
| 19,500 | 44,499 | 99,323 | -5,266 | skid front(in) | 1000000,000 | -11,500 | 0,000 | 1,000 | 100,000 | 0,000 | 1,246 | 0,653 | 0,653 | 0,653 | 0,636 | 0,636 | 0,048 |
| 20,000 | 43,726 | 99,323 | -5,265 | skid front(in) | 1000000,000 | -11,500 | 0,000 | 1,000 | 100,000 | 0,000 | 1,287 | 0,653 | 0,653 | 0,653 | 0,636 | 0,636 | 0,041 |
| 20,500 | 42,939 | 99,323 | -5,264 | skid front(in) | 1000000,000 | -11,500 | 0,000 | 1,000 | 100,000 | 0,000 | 1,328 | 0,653 | 0,653 | 0,653 | 0,636 | 0,636 | 0,042 |
| 21,000 | 42,137 | 99,324 | -5,263 | skid front(in) | 1000000,000 | -11,500 | 0,000 | 1,000 | 100,000 | 0,000 | 1,371 | 0,653 | 0,653 | 0,653 | 0,636 | 0,636 | 0,042 |
| 21,500 | 41,320 | 99,324 | -5,262 | skid front(in) | 1000000,000 | -11,500 | 0,000 | 1,000 | 100,000 | 0,000 | 1,414 | 0,653 | 0,653 | 0,653 | 0,636 | 0,636 | 0,043 |
| 22,000 | 40,486 | 99,324 | -5,261 | skid front(in) | 1000000,000 | -11,500 | 0,000 | 1,000 | 100,000 | 0,000 | 1,458 | 0,653 | 0,653 | 0,653 | 0,636 | 0,636 | 0,044 |
| 22,500 | 39,635 | 99,324 | -5,260 | skid front(in) | 1000000,000 | -11,500 | 0,000 | 1,000 | 100,000 | 0,000 | 1,503 | 0,653 | 0,653 | 0,653 | 0,636 | 0,636 | 0,045 |
| 23,000 | 38,766 | 99,324 | -5,258 | skid front(in) | 1000000,000 | -11,500 | 0,000 | 1,000 | 100,000 | 0,000 | 1,549 | 0,653 | 0,653 | 0,653 | 0,636 | 0,636 | 0,046 |
| 23,500 | 37,877 | 99,324 | -5,257 | skid front(in) | 1000000,000 | -11,500 | 0,000 | 1,000 | 100,000 | 0,000 | 1,596 | 0,653 | 0,653 | 0,653 | 0,636 | 0,636 | 0,047 |
| 24,000 | 36,967 | 99,324 | -5,256 | skid front(in) | 1000000,000 | -11,500 | 0,000 | 1,000 | 100,000 | 0,000 | 1,644 | 0,653 | 0,653 | 0,653 | 0,636 | 0,636 | 0,048 |
| 24,500 | 36,034 | 99,324 | -5,255 | skid front(in) | 1000000,000 | -11,500 | 0,000 | 1,000 | 100,000 | 0,001 | 1,693 | 0,653 | 0,653 | 0,653 | 0,636 | 0,636 | 0,049 |
| 25,000 | 35,076 | 99,324 | -5,254 | skid front(in) | 1000000,000 | -11,500 | 0,000 | 1,000 | 100,000 | 0,000 | 1,744 | 0,653 | 0,653 | 0,653 | 0,636 | 0,636 | 0,051 |

Προσδιορισμός Τιμών Πρόσφυσης κατά την Πέδηση Οχημάτων Εφοδιασμένων με Σύστημα ABS σε Αυξημένες κατά Μήκος Κλίσεις

| | | | | | | | | | | | | | | | | | |
|--------|--------|--------|--------|-----------------|-------------|---------|-------|-------|---------|--------|-------|-------|-------|-------|-------|-------|-------|
| 25,500 | 34,092 | 99,324 | -5,253 | skid front(in) | 1000000,000 | -11,500 | 0,000 | 1,000 | 100,000 | 0,001 | 1,796 | 0,653 | 0,653 | 0,653 | 0,636 | 0,636 | 0,052 |
| 26,000 | 33,078 | 99,324 | -5,252 | skid front(in) | 1000000,000 | -11,500 | 0,000 | 1,000 | 100,000 | 0,000 | 1,849 | 0,653 | 0,653 | 0,653 | 0,636 | 0,636 | 0,054 |
| 26,500 | 32,033 | 99,314 | -5,249 | skid front(out) | 1000000,000 | -11,500 | 0,000 | 1,000 | 100,000 | -0,928 | 1,905 | 0,653 | 0,653 | 0,653 | 0,635 | 0,635 | 0,055 |
| 27,000 | 30,953 | 99,343 | -5,249 | skid front(out) | 1000000,000 | -11,500 | 0,000 | 1,000 | 100,000 | -2,030 | 1,962 | 0,653 | 0,653 | 0,653 | 0,636 | 0,636 | 0,057 |
| 27,500 | 29,834 | 99,326 | -5,246 | skid front(out) | 1000000,000 | -11,500 | 0,000 | 1,000 | 100,000 | -2,658 | 2,021 | 0,653 | 0,653 | 0,653 | 0,635 | 0,635 | 0,059 |
| 28,000 | 28,671 | 99,347 | -5,247 | skid front(out) | 1000000,000 | -11,500 | 0,000 | 1,000 | 100,000 | -2,070 | 2,083 | 0,653 | 0,653 | 0,653 | 0,636 | 0,636 | 0,062 |
| 28,500 | 27,459 | 99,321 | -5,245 | skid front(out) | 1000000,000 | -11,500 | 0,000 | 1,000 | 100,000 | -1,016 | 2,147 | 0,653 | 0,653 | 0,653 | 0,636 | 0,636 | 0,064 |
| 29,000 | 26,192 | 99,310 | -5,244 | skid front(out) | 1000000,000 | -11,500 | 0,000 | 1,000 | 100,000 | -0,602 | 2,214 | 0,653 | 0,653 | 0,653 | 0,635 | 0,635 | 0,067 |
| 29,500 | 24,861 | 99,340 | -5,243 | skid front(out) | 1000000,000 | -11,500 | 0,000 | 1,000 | 100,000 | -2,644 | 2,284 | 0,653 | 0,653 | 0,653 | 0,635 | 0,636 | 0,071 |
| 30,000 | 23,454 | 99,343 | -5,243 | skid front(out) | 1000000,000 | -11,500 | 0,000 | 1,000 | 100,000 | -2,129 | 2,359 | 0,653 | 0,653 | 0,653 | 0,636 | 0,636 | 0,075 |
| 30,500 | 21,958 | 99,290 | -5,239 | skid front(out) | 1000000,000 | -11,500 | 0,000 | 1,000 | 100,000 | -0,984 | 2,438 | 0,653 | 0,653 | 0,653 | 0,635 | 0,635 | 0,079 |
| 31,000 | 20,353 | 99,329 | -5,240 | skid front(out) | 1000000,000 | -11,500 | 0,000 | 1,000 | 100,000 | -2,051 | 2,523 | 0,653 | 0,653 | 0,653 | 0,635 | 0,635 | 0,085 |
| 31,500 | 18,610 | 99,312 | -5,237 | skid front(out) | 1000000,000 | -11,500 | 0,000 | 1,000 | 100,000 | -2,617 | 2,616 | 0,653 | 0,653 | 0,653 | 0,635 | 0,635 | 0,092 |
| 32,000 | 16,687 | 99,369 | -5,239 | skid front(out) | 1000000,000 | -11,500 | 0,000 | 1,000 | 100,000 | -3,627 | 2,718 | 0,653 | 0,653 | 0,653 | 0,636 | 0,636 | 0,102 |
| 32,500 | 14,511 | 99,366 | -5,237 | skid front(out) | 1000000,000 | -11,500 | 0,000 | 1,000 | 100,000 | -4,076 | 2,833 | 0,653 | 0,653 | 0,653 | 0,636 | 0,636 | 0,115 |
| 33,000 | 11,945 | 99,356 | -5,236 | skid front(out) | 1000000,000 | -11,500 | 0,000 | 1,000 | 100,000 | -3,408 | 2,969 | 0,653 | 0,653 | 0,653 | 0,636 | 0,636 | 0,136 |
| 33,500 | 8,649 | 99,367 | -5,235 | skid front(out) | 1000000,000 | -11,500 | 0,000 | 1,000 | 100,000 | -3,689 | 3,144 | 0,653 | 0,653 | 0,653 | 0,636 | 0,636 | 0,175 |
| 34,000 | 2,637 | 99,302 | -5,230 | skid front(out) | 1000000,000 | -11,500 | 0,000 | 1,000 | 100,000 | -3,220 | 3,463 | 0,653 | 0,653 | 0,653 | 0,635 | 0,635 | 0,319 |

Προσδιορισμός Τιμών Πρόσφυσης κατά την Πέδηση Οχημάτων Εφοδιασμένων με Σύστημα ABS σε Αυξημένες κατά Μήκος Κλίσεις

| run_c_w_glif_4 | R(m) | br.front (%) | s(%) | e (%) | coeff | effic (%) | time (sec) | | | | | | | | | | |
|----------------|-----------------|--------------|--------|-----------------|-------------|-----------|------------|-------|-----------|-----------|------------|---------|-----------|----------|----------|---------|-----------|
| s= 100,000 | 1000000,00 | 74,50 | -11,5 | 0,0 | 1,00 | 100 | 2,732 | | | | | | | | | | |
| step= 0,100 | viewstep= 0,500 | STEPS | | | | | | | | | | 0,963 | | | | | |
| s (m) | V (km/h) | n (%) | dv/dt | skid check | R(m) | s(%) | e (%) | coeff | effic (%) | decelera | time (sec) | ft | front out | front in | rear out | rear in | checktime |
| 20,600 | 1,644 | 99,796 | -5,167 | skid front(out) | 1000000,000 | -11,500 | 0,000 | 1,000 | 100,000 | -2,862703 | 2,732 | 0,64326 | 0,6432 | 0,6432 | 0,6373 | 0,6373 | |
| 0,000 | 52,610 | 99,765 | -5,212 | O.K | 1000000,000 | -11,500 | 0,000 | 1,000 | 100,000 | 0,000 | 0,000 | 0,643 | | | | | |
| 0,400 | 52,094 | 99,765 | -5,211 | skid front(in) | 1000000,000 | -11,500 | 0,000 | 1,000 | 100,000 | 0,000 | 0,028 | 0,643 | 0,643 | 0,643 | 0,637 | 0,637 | 0,028 |
| 1,000 | 51,310 | 99,765 | -5,210 | skid front(in) | 1000000,000 | -11,500 | 0,000 | 1,000 | 100,000 | 0,000 | 0,069 | 0,643 | 0,643 | 0,643 | 0,637 | 0,637 | 0,042 |
| 1,500 | 50,648 | 99,765 | -5,209 | skid front(in) | 1000000,000 | -11,500 | 0,000 | 1,000 | 100,000 | 0,000 | 0,105 | 0,643 | 0,643 | 0,643 | 0,637 | 0,637 | 0,035 |
| 2,000 | 49,977 | 99,765 | -5,208 | skid front(in) | 1000000,000 | -11,500 | 0,000 | 1,000 | 100,000 | 0,000 | 0,140 | 0,643 | 0,643 | 0,643 | 0,637 | 0,637 | 0,036 |
| 2,500 | 49,298 | 99,765 | -5,207 | skid front(in) | 1000000,000 | -11,500 | 0,000 | 1,000 | 100,000 | 0,000 | 0,177 | 0,643 | 0,643 | 0,643 | 0,637 | 0,637 | 0,036 |
| 3,000 | 48,608 | 99,765 | -5,206 | skid front(in) | 1000000,000 | -11,500 | 0,000 | 1,000 | 100,000 | 0,000 | 0,213 | 0,643 | 0,643 | 0,643 | 0,637 | 0,637 | 0,037 |
| 3,500 | 47,910 | 99,765 | -5,204 | skid front(in) | 1000000,000 | -11,500 | 0,000 | 1,000 | 100,000 | 0,000 | 0,251 | 0,643 | 0,643 | 0,643 | 0,637 | 0,637 | 0,037 |
| 4,000 | 47,200 | 99,765 | -5,203 | skid front(in) | 1000000,000 | -11,500 | 0,000 | 1,000 | 100,000 | 0,000 | 0,289 | 0,643 | 0,643 | 0,643 | 0,637 | 0,637 | 0,038 |
| 4,400 | 46,625 | 99,765 | -5,202 | skid front(in) | 1000000,000 | -11,500 | 0,000 | 1,000 | 100,000 | 0,000 | 0,319 | 0,643 | 0,643 | 0,643 | 0,637 | 0,637 | 0,031 |
| 5,000 | 45,750 | 99,765 | -5,201 | skid front(in) | 1000000,000 | -11,500 | 0,000 | 1,000 | 100,000 | 0,000 | 0,366 | 0,643 | 0,643 | 0,643 | 0,637 | 0,637 | 0,047 |
| 5,500 | 45,007 | 99,765 | -5,200 | skid front(in) | 1000000,000 | -11,500 | 0,000 | 1,000 | 100,000 | 0,000 | 0,406 | 0,643 | 0,643 | 0,643 | 0,637 | 0,637 | 0,040 |
| 6,000 | 44,252 | 99,765 | -5,199 | skid front(in) | 1000000,000 | -11,500 | 0,000 | 1,000 | 100,000 | 0,000 | 0,446 | 0,643 | 0,643 | 0,643 | 0,637 | 0,637 | 0,040 |
| 6,500 | 43,484 | 99,765 | -5,198 | skid front(in) | 1000000,000 | -11,500 | 0,000 | 1,000 | 100,000 | 0,000 | 0,487 | 0,643 | 0,643 | 0,643 | 0,637 | 0,637 | 0,041 |
| 7,000 | 42,703 | 99,766 | -5,197 | skid front(in) | 1000000,000 | -11,500 | 0,000 | 1,000 | 100,000 | 0,000 | 0,529 | 0,643 | 0,643 | 0,643 | 0,637 | 0,637 | 0,042 |
| 7,500 | 41,907 | 99,766 | -5,196 | skid front(in) | 1000000,000 | -11,500 | 0,000 | 1,000 | 100,000 | 0,000 | 0,571 | 0,643 | 0,643 | 0,643 | 0,637 | 0,637 | 0,043 |
| 8,000 | 41,096 | 99,766 | -5,195 | skid front(in) | 1000000,000 | -11,500 | 0,000 | 1,000 | 100,000 | 0,000 | 0,615 | 0,643 | 0,643 | 0,643 | 0,637 | 0,637 | 0,043 |
| 8,500 | 40,268 | 99,766 | -5,194 | skid front(in) | 1000000,000 | -11,500 | 0,000 | 1,000 | 100,000 | 0,000 | 0,659 | 0,643 | 0,643 | 0,643 | 0,637 | 0,637 | 0,044 |
| 9,000 | 39,424 | 99,766 | -5,193 | skid front(in) | 1000000,000 | -11,500 | 0,000 | 1,000 | 100,000 | 0,000 | 0,704 | 0,643 | 0,643 | 0,643 | 0,637 | 0,637 | 0,045 |
| 9,500 | 38,561 | 99,766 | -5,191 | skid front(in) | 1000000,000 | -11,500 | 0,000 | 1,000 | 100,000 | 0,000 | 0,750 | 0,643 | 0,643 | 0,643 | 0,637 | 0,637 | 0,046 |
| 10,000 | 37,678 | 99,766 | -5,190 | skid front(in) | 1000000,000 | -11,500 | 0,000 | 1,000 | 100,000 | 0,000 | 0,798 | 0,643 | 0,643 | 0,643 | 0,637 | 0,637 | 0,047 |
| 10,500 | 36,775 | 99,766 | -5,189 | skid front(in) | 1000000,000 | -11,500 | 0,000 | 1,000 | 100,000 | 0,000 | 0,846 | 0,643 | 0,643 | 0,643 | 0,637 | 0,637 | 0,048 |
| 11,000 | 35,849 | 99,766 | -5,188 | skid front(in) | 1000000,000 | -11,500 | 0,000 | 1,000 | 100,000 | 0,000 | 0,895 | 0,643 | 0,643 | 0,643 | 0,637 | 0,637 | 0,050 |
| 11,500 | 34,899 | 99,766 | -5,187 | skid front(in) | 1000000,000 | -11,500 | 0,000 | 1,000 | 100,000 | 0,000 | 0,946 | 0,643 | 0,643 | 0,643 | 0,637 | 0,637 | 0,051 |
| 12,000 | 33,922 | 99,766 | -5,186 | skid front(in) | 1000000,000 | -11,500 | 0,000 | 1,000 | 100,000 | 0,001 | 0,999 | 0,643 | 0,643 | 0,643 | 0,637 | 0,637 | 0,052 |
| 12,500 | 32,917 | 99,766 | -5,185 | skid front(in) | 1000000,000 | -11,500 | 0,000 | 1,000 | 100,000 | 0,000 | 1,053 | 0,643 | 0,643 | 0,643 | 0,637 | 0,637 | 0,054 |
| 13,000 | 31,880 | 99,753 | -5,182 | skid front(out) | 1000000,000 | -11,500 | 0,000 | 1,000 | 100,000 | -1,469 | 1,108 | 0,643 | 0,643 | 0,643 | 0,637 | 0,637 | 0,056 |
| 13,500 | 30,808 | 99,734 | -5,180 | skid front(in) | 1000000,000 | -11,500 | 0,000 | 1,000 | 100,000 | -1,053 | 1,165 | 0,643 | 0,643 | 0,643 | 0,637 | 0,637 | 0,057 |
| 14,000 | 29,699 | 99,770 | -5,181 | skid front(out) | 1000000,000 | -11,500 | 0,000 | 1,000 | 100,000 | -0,938 | 1,225 | 0,643 | 0,643 | 0,643 | 0,637 | 0,637 | 0,060 |
| 14,500 | 28,546 | 99,777 | -5,180 | skid front(out) | 1000000,000 | -11,500 | 0,000 | 1,000 | 100,000 | -1,884 | 1,287 | 0,643 | 0,643 | 0,643 | 0,637 | 0,637 | 0,062 |
| 15,000 | 27,344 | 99,777 | -5,178 | skid front(out) | 1000000,000 | -11,500 | 0,000 | 1,000 | 100,000 | -2,088 | 1,351 | 0,643 | 0,643 | 0,643 | 0,637 | 0,637 | 0,064 |
| 15,500 | 26,089 | 99,789 | -5,177 | skid front(out) | 1000000,000 | -11,500 | 0,000 | 1,000 | 100,000 | -2,970 | 1,419 | 0,643 | 0,643 | 0,643 | 0,637 | 0,637 | 0,067 |
| 16,000 | 24,769 | 99,793 | -5,176 | skid front(out) | 1000000,000 | -11,500 | 0,000 | 1,000 | 100,000 | -2,995 | 1,489 | 0,643 | 0,643 | 0,643 | 0,637 | 0,637 | 0,071 |
| 16,500 | 23,375 | 99,787 | -5,176 | skid front(out) | 1000000,000 | -11,500 | 0,000 | 1,000 | 100,000 | -2,059 | 1,564 | 0,643 | 0,643 | 0,643 | 0,637 | 0,637 | 0,075 |
| 17,000 | 21,894 | 99,745 | -5,172 | skid front(out) | 1000000,000 | -11,500 | 0,000 | 1,000 | 100,000 | -2,333 | 1,644 | 0,643 | 0,643 | 0,643 | 0,637 | 0,637 | 0,080 |
| 17,500 | 20,304 | 99,741 | -5,172 | skid front(out) | 1000000,000 | -11,500 | 0,000 | 1,000 | 100,000 | -1,154 | 1,729 | 0,643 | 0,643 | 0,643 | 0,637 | 0,637 | 0,085 |
| 18,000 | 18,580 | 99,752 | -5,172 | skid front(out) | 1000000,000 | -11,500 | 0,000 | 1,000 | 100,000 | -0,757 | 1,822 | 0,643 | 0,643 | 0,643 | 0,637 | 0,637 | 0,093 |
| 18,500 | 16,679 | 99,809 | -5,172 | skid front(out) | 1000000,000 | -11,500 | 0,000 | 1,000 | 100,000 | -3,359 | 1,924 | 0,643 | 0,643 | 0,643 | 0,637 | 0,637 | 0,102 |

Προσδιορισμός Τιμών Πρόσφυσης κατά την Πέδηση Οχημάτων Εφοδιασμένων με Σύστημα ABS σε Αυξημένες κατά Μήκος Κλίσεις

| | | | | | | | | | | | | | | | | | |
|--------|--------|--------|--------|-----------------|-------------|---------|-------|-------|---------|--------|-------|-------|-------|-------|-------|-------|-------|
| 18,900 | 14,986 | 99,783 | -5,171 | skid front(out) | 1000000,000 | -11,500 | 0,000 | 1,000 | 100,000 | -1,748 | 2,015 | 0,643 | 0,643 | 0,643 | 0,637 | 0,637 | 0,091 |
| 19,500 | 12,007 | 99,771 | -5,169 | skid front(out) | 1000000,000 | -11,500 | 0,000 | 1,000 | 100,000 | -1,567 | 2,175 | 0,643 | 0,643 | 0,643 | 0,637 | 0,637 | 0,160 |
| 20,000 | 8,784 | 99,727 | -5,165 | skid front(out) | 1000000,000 | -11,500 | 0,000 | 1,000 | 100,000 | -1,171 | 2,348 | 0,643 | 0,643 | 0,643 | 0,637 | 0,637 | 0,173 |
| 20,500 | 3,192 | 99,767 | -5,166 | skid front(out) | 1000000,000 | -11,500 | 0,000 | 1,000 | 100,000 | -1,403 | 2,648 | 0,643 | 0,643 | 0,643 | 0,637 | 0,637 | 0,301 |
| 20,600 | 1,644 | 99,796 | -5,167 | skid front(out) | 1000000,000 | -11,500 | 0,000 | 1,000 | 100,000 | -2,863 | 2,732 | 0,643 | 0,643 | 0,643 | 0,637 | 0,637 | 0,083 |

| run_c_w_glif_5 | R(m) | br.front (%) | s(%) | e (%) | coeff | effic (%) | time (sec) | | | | | | | | | | 0,963 | |
|----------------|----------|--------------|--------|-----------------|-------------|-----------|------------|-------|-----------|-----------|------------|---------|-----------|----------|----------|---------|-----------|--|
| s= | 100,000 | 1000000,00 | 75,00 | -11,5 | 0,0 | 1,00 | 100 | 2,734 | | | | | | | | | | |
| step= | 0,100 | viewstep= | 0,500 | STEPS | | | | | | | | | | | | | | |
| s (m) | V (km/h) | n (%) | dv/dt | skid check | R(m) | s(%) | e (%) | coeff | effic (%) | decelera | time (sec) | fT | front out | front in | rear out | rear in | checktime | |
| 20,000 | 0,325 | 99,453 | -5,268 | skid front(out) | 1000000,000 | -11,500 | 0,000 | 1,000 | 100,000 | -2,650305 | 2,734 | 0,65579 | 0,6557 | 0,6557 | 0,6411 | 0,6411 | | |
| 0,000 | 52,330 | 99,438 | -5,312 | O.K | 1000000,000 | -11,500 | 0,000 | 1,000 | 100,000 | 0,000 | 0,000 | 0,656 | | | | | | |
| 0,400 | 51,801 | 99,437 | -5,312 | skid front(in) | 1000000,000 | -11,500 | 0,000 | 1,000 | 100,000 | 0,000 | 0,028 | 0,656 | 0,656 | 0,656 | 0,641 | 0,641 | 0,028 | |
| 1,000 | 50,997 | 99,438 | -5,310 | skid front(in) | 1000000,000 | -11,500 | 0,000 | 1,000 | 100,000 | 0,000 | 0,070 | 0,656 | 0,656 | 0,656 | 0,641 | 0,641 | 0,042 | |
| 1,500 | 50,318 | 99,438 | -5,309 | skid front(in) | 1000000,000 | -11,500 | 0,000 | 1,000 | 100,000 | 0,000 | 0,105 | 0,656 | 0,656 | 0,656 | 0,641 | 0,641 | 0,036 | |
| 2,000 | 49,630 | 99,438 | -5,308 | skid front(in) | 1000000,000 | -11,500 | 0,000 | 1,000 | 100,000 | 0,000 | 0,141 | 0,656 | 0,656 | 0,656 | 0,641 | 0,641 | 0,036 | |
| 2,500 | 48,932 | 99,438 | -5,307 | skid front(in) | 1000000,000 | -11,500 | 0,000 | 1,000 | 100,000 | 0,000 | 0,178 | 0,656 | 0,656 | 0,656 | 0,641 | 0,641 | 0,037 | |
| 3,000 | 48,224 | 99,438 | -5,306 | skid front(in) | 1000000,000 | -11,500 | 0,000 | 1,000 | 100,000 | 0,000 | 0,215 | 0,656 | 0,656 | 0,656 | 0,641 | 0,641 | 0,037 | |
| 3,500 | 47,506 | 99,438 | -5,305 | skid front(in) | 1000000,000 | -11,500 | 0,000 | 1,000 | 100,000 | 0,000 | 0,252 | 0,656 | 0,656 | 0,656 | 0,641 | 0,641 | 0,038 | |
| 4,000 | 46,777 | 99,438 | -5,304 | skid front(in) | 1000000,000 | -11,500 | 0,000 | 1,000 | 100,000 | 0,000 | 0,291 | 0,656 | 0,656 | 0,656 | 0,641 | 0,641 | 0,038 | |
| 4,400 | 46,185 | 99,438 | -5,303 | skid front(in) | 1000000,000 | -11,500 | 0,000 | 1,000 | 100,000 | 0,000 | 0,322 | 0,656 | 0,656 | 0,656 | 0,641 | 0,641 | 0,031 | |
| 5,000 | 45,284 | 99,438 | -5,302 | skid front(in) | 1000000,000 | -11,500 | 0,000 | 1,000 | 100,000 | 0,000 | 0,369 | 0,656 | 0,656 | 0,656 | 0,641 | 0,641 | 0,047 | |
| 5,500 | 44,519 | 99,438 | -5,300 | skid front(in) | 1000000,000 | -11,500 | 0,000 | 1,000 | 100,000 | 0,000 | 0,409 | 0,656 | 0,656 | 0,656 | 0,641 | 0,641 | 0,040 | |
| 6,000 | 43,740 | 99,439 | -5,299 | skid front(in) | 1000000,000 | -11,500 | 0,000 | 1,000 | 100,000 | 0,000 | 0,450 | 0,656 | 0,656 | 0,656 | 0,641 | 0,641 | 0,041 | |
| 6,500 | 42,948 | 99,439 | -5,298 | skid front(in) | 1000000,000 | -11,500 | 0,000 | 1,000 | 100,000 | 0,000 | 0,491 | 0,656 | 0,656 | 0,656 | 0,641 | 0,641 | 0,042 | |
| 7,000 | 42,141 | 99,439 | -5,297 | skid front(in) | 1000000,000 | -11,500 | 0,000 | 1,000 | 100,000 | 0,000 | 0,534 | 0,656 | 0,656 | 0,656 | 0,641 | 0,641 | 0,042 | |
| 7,500 | 41,319 | 99,439 | -5,296 | skid front(in) | 1000000,000 | -11,500 | 0,000 | 1,000 | 100,000 | 0,000 | 0,577 | 0,656 | 0,656 | 0,656 | 0,641 | 0,641 | 0,043 | |
| 8,000 | 40,480 | 99,439 | -5,295 | skid front(in) | 1000000,000 | -11,500 | 0,000 | 1,000 | 100,000 | 0,000 | 0,621 | 0,656 | 0,656 | 0,656 | 0,641 | 0,641 | 0,044 | |
| 8,500 | 39,623 | 99,439 | -5,294 | skid front(in) | 1000000,000 | -11,500 | 0,000 | 1,000 | 100,000 | 0,000 | 0,666 | 0,656 | 0,656 | 0,656 | 0,641 | 0,641 | 0,045 | |
| 9,000 | 38,748 | 99,439 | -5,293 | skid front(in) | 1000000,000 | -11,500 | 0,000 | 1,000 | 100,000 | 0,000 | 0,712 | 0,656 | 0,656 | 0,656 | 0,641 | 0,641 | 0,046 | |
| 9,500 | 37,852 | 99,439 | -5,292 | skid front(in) | 1000000,000 | -11,500 | 0,000 | 1,000 | 100,000 | 0,000 | 0,759 | 0,656 | 0,656 | 0,656 | 0,641 | 0,641 | 0,047 | |
| 10,000 | 36,935 | 99,439 | -5,291 | skid front(in) | 1000000,000 | -11,500 | 0,000 | 1,000 | 100,000 | 0,000 | 0,807 | 0,656 | 0,656 | 0,656 | 0,641 | 0,641 | 0,048 | |
| 10,500 | 35,995 | 99,439 | -5,290 | skid front(in) | 1000000,000 | -11,500 | 0,000 | 1,000 | 100,000 | 0,000 | 0,856 | 0,656 | 0,656 | 0,656 | 0,641 | 0,641 | 0,049 | |
| 11,000 | 35,030 | 99,439 | -5,289 | skid front(in) | 1000000,000 | -11,500 | 0,000 | 1,000 | 100,000 | 0,000 | 0,907 | 0,656 | 0,656 | 0,656 | 0,641 | 0,641 | 0,051 | |
| 11,500 | 34,038 | 99,439 | -5,287 | skid front(in) | 1000000,000 | -11,500 | 0,000 | 1,000 | 100,000 | 0,000 | 0,959 | 0,656 | 0,656 | 0,656 | 0,641 | 0,641 | 0,052 | |
| 12,000 | 33,016 | 99,439 | -5,286 | skid front(in) | 1000000,000 | -11,500 | 0,000 | 1,000 | 100,000 | 0,000 | 1,013 | 0,656 | 0,656 | 0,656 | 0,641 | 0,641 | 0,054 | |
| 12,500 | 31,962 | 99,460 | -5,285 | skid front(out) | 1000000,000 | -11,500 | 0,000 | 1,000 | 100,000 | -2,053 | 1,068 | 0,656 | 0,656 | 0,641 | 0,641 | 0,055 | | |
| 13,000 | 30,872 | 99,454 | -5,283 | skid front(out) | 1000000,000 | -11,500 | 0,000 | 1,000 | 100,000 | -1,924 | 1,125 | 0,656 | 0,656 | 0,641 | 0,641 | 0,057 | | |
| 13,500 | 29,742 | 99,447 | -5,283 | skid front(out) | 1000000,000 | -11,500 | 0,000 | 1,000 | 100,000 | -1,055 | 1,185 | 0,656 | 0,656 | 0,641 | 0,641 | 0,059 | | |
| 14,000 | 28,568 | 99,436 | -5,279 | skid front(out) | 1000000,000 | -11,500 | 0,000 | 1,000 | 100,000 | -2,721 | 1,246 | 0,656 | 0,656 | 0,641 | 0,641 | 0,062 | | |

Προσδιορισμός Τιμών Πρόσφυσης κατά την Πέδηση Οχημάτων Εφοδιασμένων με Σύστημα ABS σε Αυξημένες κατά Μήκος Κλίσεις

| | | | | | | | | | | | | | | | | | |
|--------|--------|--------|--------|-----------------|-------------|---------|-------|-------|---------|--------|-------|-------|-------|-------|-------|-------|-------|
| 14,500 | 27,344 | 99,445 | -5,280 | skid front(out) | 1000000,000 | -11,500 | 0,000 | 1,000 | 100,000 | -1,671 | 1,311 | 0,656 | 0,656 | 0,656 | 0,641 | 0,641 | 0,064 |
| 15,000 | 26,063 | 99,428 | -5,278 | skid front(out) | 1000000,000 | -11,500 | 0,000 | 1,000 | 100,000 | -1,639 | 1,378 | 0,656 | 0,656 | 0,656 | 0,641 | 0,641 | 0,067 |
| 15,500 | 24,715 | 99,431 | -5,276 | skid front(out) | 1000000,000 | -11,500 | 0,000 | 1,000 | 100,000 | -2,427 | 1,449 | 0,656 | 0,656 | 0,656 | 0,641 | 0,641 | 0,071 |
| 16,000 | 23,290 | 99,431 | -5,275 | skid front(out) | 1000000,000 | -11,500 | 0,000 | 1,000 | 100,000 | -2,311 | 1,524 | 0,656 | 0,656 | 0,656 | 0,641 | 0,641 | 0,075 |
| 16,500 | 21,773 | 99,451 | -5,275 | skid front(out) | 1000000,000 | -11,500 | 0,000 | 1,000 | 100,000 | -2,989 | 1,604 | 0,656 | 0,656 | 0,656 | 0,641 | 0,641 | 0,080 |
| 17,000 | 20,142 | 99,469 | -5,275 | skid front(out) | 1000000,000 | -11,500 | 0,000 | 1,000 | 100,000 | -2,639 | 1,690 | 0,656 | 0,656 | 0,656 | 0,641 | 0,641 | 0,086 |
| 17,500 | 18,367 | 99,458 | -5,272 | skid front(out) | 1000000,000 | -11,500 | 0,000 | 1,000 | 100,000 | -3,655 | 1,783 | 0,656 | 0,656 | 0,656 | 0,641 | 0,641 | 0,094 |
| 18,000 | 16,400 | 99,442 | -5,270 | skid front(out) | 1000000,000 | -11,500 | 0,000 | 1,000 | 100,000 | -3,628 | 1,887 | 0,656 | 0,656 | 0,656 | 0,641 | 0,641 | 0,104 |
| 18,500 | 14,165 | 99,419 | -5,269 | skid front(out) | 1000000,000 | -11,500 | 0,000 | 1,000 | 100,000 | -2,433 | 2,005 | 0,656 | 0,656 | 0,656 | 0,641 | 0,641 | 0,118 |
| 18,900 | 12,083 | 99,462 | -5,271 | skid front(out) | 1000000,000 | -11,500 | 0,000 | 1,000 | 100,000 | -2,287 | 2,114 | 0,656 | 0,656 | 0,656 | 0,641 | 0,641 | 0,110 |
| 19,500 | 8,002 | 99,413 | -5,268 | skid front(out) | 1000000,000 | -11,500 | 0,000 | 1,000 | 100,000 | -0,543 | 2,329 | 0,656 | 0,656 | 0,656 | 0,641 | 0,641 | 0,215 |
| 20,000 | 0,325 | 99,453 | -5,268 | skid front(out) | 1000000,000 | -11,500 | 0,000 | 1,000 | 100,000 | -2,650 | 2,734 | 0,656 | 0,656 | 0,656 | 0,641 | 0,641 | 0,405 |

| run_c_w_glif_6 | R(m) | br.front (%) | s(%) | e (%) | coeff | effic (%) | time (sec) | | | | | | | | | | |
|----------------|-----------------|--------------|--------|-----------------|-------------|-----------|------------|-------|-----------|-----------|------------|---------|-----------|----------|----------|---------|-----------|
| s= 100,000 | 1000000,00 | 75,00 | -11,5 | 0,0 | 1,00 | 100 | 3,021 | | | | | | | | | | 0,963 |
| step= 0,100 | viewstep= 0,500 | STEPS | | | | | | | | | | | | | | | |
| s (m) | V (km/h) | n (%) | dv/dt | skid check | R(m) | s(%) | e (%) | coeff | effic (%) | decelera | time (sec) | fT | front out | front in | rear out | rear in | checktime |
| 26,000 | 2,830 | 99,077 | -5,162 | skid front(out) | 1000000,000 | -11,500 | 0,000 | 1,000 | 100,000 | -3,127465 | 3,021 | 0,64743 | 0,6471 | 0,6471 | 0,6240 | 0,6240 | |
| 0,000 | 59,230 | 99,093 | -5,222 | O.K | 1000000,000 | -11,500 | 0,000 | 1,000 | 100,000 | 0,000 | 0,000 | 0,647 | | | | | |
| 0,400 | 58,771 | 99,093 | -5,221 | skid front(in) | 1000000,000 | -11,500 | 0,000 | 1,000 | 100,000 | 0,000 | 0,024 | 0,647 | 0,647 | 0,647 | 0,625 | 0,625 | 0,024 |
| 1,000 | 58,076 | 99,093 | -5,220 | skid front(in) | 1000000,000 | -11,500 | 0,000 | 1,000 | 100,000 | 0,000 | 0,061 | 0,647 | 0,647 | 0,647 | 0,625 | 0,625 | 0,037 |
| 1,500 | 57,491 | 99,093 | -5,219 | skid front(in) | 1000000,000 | -11,500 | 0,000 | 1,000 | 100,000 | 0,000 | 0,093 | 0,647 | 0,647 | 0,647 | 0,625 | 0,625 | 0,031 |
| 2,000 | 56,900 | 99,093 | -5,218 | skid front(in) | 1000000,000 | -11,500 | 0,000 | 1,000 | 100,000 | 0,000 | 0,124 | 0,647 | 0,647 | 0,647 | 0,625 | 0,625 | 0,031 |
| 2,500 | 56,303 | 99,093 | -5,217 | skid front(in) | 1000000,000 | -11,500 | 0,000 | 1,000 | 100,000 | 0,000 | 0,156 | 0,647 | 0,647 | 0,647 | 0,625 | 0,625 | 0,032 |
| 3,000 | 55,699 | 99,093 | -5,216 | skid front(in) | 1000000,000 | -11,500 | 0,000 | 1,000 | 100,000 | 0,000 | 0,188 | 0,647 | 0,647 | 0,647 | 0,625 | 0,625 | 0,032 |
| 3,500 | 55,089 | 99,093 | -5,214 | skid front(in) | 1000000,000 | -11,500 | 0,000 | 1,000 | 100,000 | 0,000 | 0,220 | 0,647 | 0,647 | 0,647 | 0,625 | 0,625 | 0,032 |
| 4,000 | 54,472 | 99,093 | -5,213 | skid front(in) | 1000000,000 | -11,500 | 0,000 | 1,000 | 100,000 | 0,000 | 0,253 | 0,647 | 0,647 | 0,647 | 0,625 | 0,625 | 0,033 |
| 4,400 | 53,974 | 99,093 | -5,213 | skid front(in) | 1000000,000 | -11,500 | 0,000 | 1,000 | 100,000 | 0,000 | 0,280 | 0,647 | 0,647 | 0,647 | 0,625 | 0,625 | 0,027 |
| 5,000 | 53,218 | 99,093 | -5,211 | skid front(in) | 1000000,000 | -11,500 | 0,000 | 1,000 | 100,000 | 0,000 | 0,320 | 0,647 | 0,647 | 0,647 | 0,625 | 0,625 | 0,040 |
| 5,500 | 52,579 | 99,093 | -5,210 | skid front(in) | 1000000,000 | -11,500 | 0,000 | 1,000 | 100,000 | 0,000 | 0,354 | 0,647 | 0,647 | 0,647 | 0,625 | 0,625 | 0,034 |
| 6,000 | 51,933 | 99,094 | -5,209 | skid front(in) | 1000000,000 | -11,500 | 0,000 | 1,000 | 100,000 | 0,000 | 0,389 | 0,647 | 0,647 | 0,647 | 0,625 | 0,625 | 0,034 |
| 6,500 | 51,279 | 99,094 | -5,208 | skid front(in) | 1000000,000 | -11,500 | 0,000 | 1,000 | 100,000 | 0,000 | 0,424 | 0,647 | 0,647 | 0,647 | 0,625 | 0,625 | 0,035 |
| 7,000 | 50,617 | 99,094 | -5,207 | skid front(in) | 1000000,000 | -11,500 | 0,000 | 1,000 | 100,000 | 0,000 | 0,459 | 0,647 | 0,647 | 0,647 | 0,625 | 0,625 | 0,035 |
| 7,500 | 49,946 | 99,094 | -5,206 | skid front(in) | 1000000,000 | -11,500 | 0,000 | 1,000 | 100,000 | 0,000 | 0,495 | 0,647 | 0,647 | 0,647 | 0,625 | 0,625 | 0,036 |
| 8,000 | 49,266 | 99,094 | -5,205 | skid front(in) | 1000000,000 | -11,500 | 0,000 | 1,000 | 100,000 | 0,000 | 0,531 | 0,647 | 0,647 | 0,647 | 0,625 | 0,625 | 0,036 |
| 8,500 | 48,577 | 99,094 | -5,204 | skid front(in) | 1000000,000 | -11,500 | 0,000 | 1,000 | 100,000 | 0,000 | 0,568 | 0,647 | 0,647 | 0,647 | 0,625 | 0,625 | 0,037 |
| 9,000 | 47,878 | 99,094 | -5,203 | skid front(in) | 1000000,000 | -11,500 | 0,000 | 1,000 | 100,000 | 0,000 | 0,605 | 0,647 | 0,647 | 0,647 | 0,625 | 0,625 | 0,037 |
| 9,500 | 47,168 | 99,094 | -5,201 | skid front(in) | 1000000,000 | -11,500 | 0,000 | 1,000 | 100,000 | 0,000 | 0,643 | 0,647 | 0,647 | 0,647 | 0,625 | 0,625 | 0,038 |
| 10,000 | 46,448 | 99,094 | -5,200 | skid front(in) | 1000000,000 | -11,500 | 0,000 | 1,000 | 100,000 | 0,000 | 0,681 | 0,647 | 0,647 | 0,647 | 0,625 | 0,625 | 0,038 |
| 10,500 | 45,717 | 99,094 | -5,199 | skid front(in) | 1000000,000 | -11,500 | 0,000 | 1,000 | 100,000 | 0,000 | 0,720 | 0,647 | 0,647 | 0,647 | 0,625 | 0,625 | 0,039 |
| 11,000 | 44,974 | 99,094 | -5,198 | skid front(in) | 1000000,000 | -11,500 | 0,000 | 1,000 | 100,000 | 0,000 | 0,760 | 0,647 | 0,647 | 0,647 | 0,625 | 0,625 | 0,040 |
| 11,500 | 44,219 | 99,094 | -5,197 | skid front(in) | 1000000,000 | -11,500 | 0,000 | 1,000 | 100,000 | 0,000 | 0,800 | 0,647 | 0,647 | 0,647 | 0,625 | 0,625 | 0,040 |
| 12,000 | 43,451 | 99,094 | -5,196 | skid front(in) | 1000000,000 | -11,500 | 0,000 | 1,000 | 100,000 | 0,000 | 0,842 | 0,647 | 0,647 | 0,647 | 0,625 | 0,625 | 0,041 |
| 12,500 | 42,669 | 99,094 | -5,195 | skid front(in) | 1000000,000 | -11,500 | 0,000 | 1,000 | 100,000 | 0,000 | 0,883 | 0,647 | 0,647 | 0,647 | 0,625 | 0,625 | 0,042 |
| 13,000 | 41,873 | 99,094 | -5,194 | skid front(in) | 1000000,000 | -11,500 | 0,000 | 1,000 | 100,000 | 0,000 | 0,926 | 0,647 | 0,647 | 0,647 | 0,625 | 0,625 | 0,043 |
| 13,500 | 41,061 | 99,094 | -5,193 | skid front(in) | 1000000,000 | -11,500 | 0,000 | 1,000 | 100,000 | 0,000 | 0,969 | 0,647 | 0,647 | 0,647 | 0,625 | 0,625 | 0,043 |
| 14,000 | 40,233 | 99,094 | -5,192 | skid front(in) | 1000000,000 | -11,500 | 0,000 | 1,000 | 100,000 | 0,000 | 1,014 | 0,647 | 0,647 | 0,647 | 0,625 | 0,625 | 0,044 |
| 14,500 | 39,388 | 99,095 | -5,191 | skid front(in) | 1000000,000 | -11,500 | 0,000 | 1,000 | 100,000 | 0,000 | 1,059 | 0,647 | 0,647 | 0,647 | 0,625 | 0,625 | 0,045 |

Προσδιορισμός Τιμών Πρόσφυσης κατά την Πέδηση Οχημάτων Εφοδιασμένων με Σύστημα ABS σε Αυξημένες κατά Μήκος Κλίσεις

| | | | | | | | | | | | | | | | | | |
|--------|--------|--------|--------|-----------------|-------------|---------|-------|-------|---------|--------|-------|-------|-------|-------|-------|-------|-------|
| 15,000 | 38,525 | 99,095 | -5,190 | skid front(in) | 1000000,000 | -11,500 | 0,000 | 1,000 | 100,000 | 0,000 | 1,105 | 0,647 | 0,647 | 0,647 | 0,625 | 0,625 | 0,046 |
| 15,500 | 37,642 | 99,095 | -5,188 | skid front(in) | 1000000,000 | -11,500 | 0,000 | 1,000 | 100,000 | 0,000 | 1,152 | 0,647 | 0,647 | 0,647 | 0,625 | 0,625 | 0,047 |
| 16,000 | 36,738 | 99,095 | -5,187 | skid front(in) | 1000000,000 | -11,500 | 0,000 | 1,000 | 100,000 | 0,000 | 1,201 | 0,647 | 0,647 | 0,647 | 0,625 | 0,625 | 0,048 |
| 16,500 | 35,812 | 99,095 | -5,186 | skid front(in) | 1000000,000 | -11,500 | 0,000 | 1,000 | 100,000 | 0,000 | 1,250 | 0,647 | 0,647 | 0,647 | 0,625 | 0,625 | 0,050 |
| 17,000 | 34,861 | 99,095 | -5,185 | skid front(in) | 1000000,000 | -11,500 | 0,000 | 1,000 | 100,000 | 0,000 | 1,301 | 0,647 | 0,647 | 0,647 | 0,625 | 0,625 | 0,051 |
| 17,500 | 33,883 | 99,095 | -5,184 | skid front(in) | 1000000,000 | -11,500 | 0,000 | 1,000 | 100,000 | 0,000 | 1,354 | 0,647 | 0,647 | 0,647 | 0,625 | 0,625 | 0,052 |
| 18,000 | 32,877 | 99,095 | -5,183 | skid front(in) | 1000000,000 | -11,500 | 0,000 | 1,000 | 100,000 | 0,001 | 1,408 | 0,647 | 0,647 | 0,647 | 0,625 | 0,625 | 0,054 |
| 18,500 | 31,839 | 99,066 | -5,180 | skid front(out) | 1000000,000 | -11,500 | 0,000 | 1,000 | 100,000 | -0,650 | 1,463 | 0,647 | 0,647 | 0,647 | 0,624 | 0,624 | 0,056 |
| 18,900 | 30,984 | 99,082 | -5,178 | skid front(in) | 1000000,000 | -11,500 | 0,000 | 1,000 | 100,000 | -2,305 | 1,509 | 0,647 | 0,647 | 0,647 | 0,624 | 0,624 | 0,046 |
| 19,500 | 29,656 | 99,109 | -5,179 | skid front(out) | 1000000,000 | -11,500 | 0,000 | 1,000 | 100,000 | -1,612 | 1,580 | 0,647 | 0,647 | 0,647 | 0,625 | 0,625 | 0,071 |
| 20,000 | 28,501 | 99,098 | -5,178 | skid front(out) | 1000000,000 | -11,500 | 0,000 | 1,000 | 100,000 | -1,081 | 1,642 | 0,647 | 0,647 | 0,647 | 0,624 | 0,625 | 0,062 |
| 20,500 | 27,299 | 99,121 | -5,177 | skid front(out) | 1000000,000 | -11,500 | 0,000 | 1,000 | 100,000 | -2,790 | 1,707 | 0,647 | 0,647 | 0,647 | 0,624 | 0,624 | 0,065 |
| 21,000 | 26,041 | 99,114 | -5,176 | skid front(out) | 1000000,000 | -11,500 | 0,000 | 1,000 | 100,000 | -2,109 | 1,774 | 0,647 | 0,647 | 0,647 | 0,625 | 0,625 | 0,067 |
| 21,500 | 24,720 | 99,119 | -5,175 | skid front(out) | 1000000,000 | -11,500 | 0,000 | 1,000 | 100,000 | -2,055 | 1,845 | 0,647 | 0,647 | 0,647 | 0,625 | 0,625 | 0,071 |
| 22,000 | 23,324 | 99,067 | -5,171 | skid front(out) | 1000000,000 | -11,500 | 0,000 | 1,000 | 100,000 | -1,546 | 1,920 | 0,647 | 0,647 | 0,647 | 0,624 | 0,624 | 0,075 |
| 22,500 | 21,839 | 99,101 | -5,171 | skid front(out) | 1000000,000 | -11,500 | 0,000 | 1,000 | 100,000 | -3,177 | 2,000 | 0,647 | 0,647 | 0,647 | 0,624 | 0,624 | 0,080 |
| 23,000 | 20,247 | 99,099 | -5,171 | skid front(out) | 1000000,000 | -11,500 | 0,000 | 1,000 | 100,000 | -2,009 | 2,085 | 0,647 | 0,647 | 0,647 | 0,624 | 0,624 | 0,086 |
| 23,500 | 18,518 | 99,113 | -5,171 | skid front(out) | 1000000,000 | -11,500 | 0,000 | 1,000 | 100,000 | -1,642 | 2,178 | 0,647 | 0,647 | 0,647 | 0,625 | 0,625 | 0,093 |
| 24,000 | 16,610 | 99,088 | -5,167 | skid front(out) | 1000000,000 | -11,500 | 0,000 | 1,000 | 100,000 | -2,703 | 2,281 | 0,647 | 0,647 | 0,647 | 0,624 | 0,624 | 0,103 |
| 24,500 | 14,453 | 99,106 | -5,168 | skid front(out) | 1000000,000 | -11,500 | 0,000 | 1,000 | 100,000 | -2,140 | 2,397 | 0,647 | 0,647 | 0,647 | 0,624 | 0,624 | 0,116 |
| 25,000 | 11,913 | 99,050 | -5,164 | skid front(out) | 1000000,000 | -11,500 | 0,000 | 1,000 | 100,000 | -0,826 | 2,533 | 0,647 | 0,647 | 0,647 | 0,624 | 0,624 | 0,137 |
| 25,500 | 8,658 | 99,102 | -5,165 | skid front(out) | 1000000,000 | -11,500 | 0,000 | 1,000 | 100,000 | -2,277 | 2,708 | 0,647 | 0,647 | 0,647 | 0,624 | 0,624 | 0,175 |
| 26,000 | 2,830 | 99,077 | -5,162 | skid front(out) | 1000000,000 | -11,500 | 0,000 | 1,000 | 100,000 | -3,127 | 3,021 | 0,647 | 0,647 | 0,647 | 0,624 | 0,624 | 0,314 |

| run_c_w_glif_7 | R(m) | br.front (%) | s(%) | e (%) | coeff | effic (%) | time (sec) |
|----------------|-----------------|--------------|-------|-------|-------|-----------|------------|
| s= 100,000 | 1000000,00 | 74,50 | -11,5 | 0,0 | 1,00 | 100 | 3,323 |
| step= 0,100 | viewstep= 0,500 | STEPS | | | | | |

0,963

| s (m) | V (km/h) | n (%) | dv/dt | skid check | R(m) | s(%) | e (%) | coeff | effic (%) | decelera | time (sec) | fT | front out | front in | rear out | rear in | checktime |
|--------|----------|--------|--------|-----------------|-------------|---------|-------|-------|-----------|-----------|------------|---------|-----------|----------|----------|---------|-----------|
| 28,500 | 0,858 | 99,165 | -4,989 | skid front(out) | 1000000,000 | -11,500 | 0,000 | 1,000 | 100,000 | -1,860610 | 3,323 | 0,62899 | 0,6288 | 0,6288 | 0,6088 | 0,6088 | |
| 0,000 | 60,810 | 99,174 | -5,053 | O.K | 1000000,000 | -11,500 | 0,000 | 1,000 | 100,000 | 0,000 | 0,000 | 0,629 | | | | | |
| 0,400 | 60,378 | 99,174 | -5,052 | skid front(in) | 1000000,000 | -11,500 | 0,000 | 1,000 | 100,000 | 0,000 | 0,024 | 0,629 | 0,629 | 0,629 | 0,609 | 0,609 | 0,024 |
| 1,000 | 59,724 | 99,174 | -5,050 | skid front(in) | 1000000,000 | -11,500 | 0,000 | 1,000 | 100,000 | 0,000 | 0,060 | 0,629 | 0,629 | 0,629 | 0,609 | 0,609 | 0,036 |
| 1,500 | 59,173 | 99,174 | -5,049 | skid front(in) | 1000000,000 | -11,500 | 0,000 | 1,000 | 100,000 | 0,000 | 0,090 | 0,629 | 0,629 | 0,629 | 0,609 | 0,609 | 0,030 |
| 2,000 | 58,618 | 99,174 | -5,048 | skid front(in) | 1000000,000 | -11,500 | 0,000 | 1,000 | 100,000 | 0,000 | 0,121 | 0,629 | 0,629 | 0,629 | 0,609 | 0,609 | 0,031 |
| 2,500 | 58,057 | 99,175 | -5,047 | skid front(in) | 1000000,000 | -11,500 | 0,000 | 1,000 | 100,000 | 0,000 | 0,151 | 0,629 | 0,629 | 0,629 | 0,609 | 0,609 | 0,031 |
| 3,000 | 57,491 | 99,175 | -5,046 | skid front(in) | 1000000,000 | -11,500 | 0,000 | 1,000 | 100,000 | 0,000 | 0,183 | 0,629 | 0,629 | 0,629 | 0,609 | 0,609 | 0,031 |
| 3,500 | 56,920 | 99,175 | -5,045 | skid front(in) | 1000000,000 | -11,500 | 0,000 | 1,000 | 100,000 | 0,000 | 0,214 | 0,629 | 0,629 | 0,629 | 0,609 | 0,609 | 0,031 |
| 4,000 | 56,342 | 99,175 | -5,044 | skid front(in) | 1000000,000 | -11,500 | 0,000 | 1,000 | 100,000 | 0,000 | 0,246 | 0,629 | 0,629 | 0,629 | 0,609 | 0,609 | 0,032 |
| 4,400 | 55,876 | 99,175 | -5,043 | skid front(in) | 1000000,000 | -11,500 | 0,000 | 1,000 | 100,000 | 0,000 | 0,272 | 0,629 | 0,629 | 0,629 | 0,609 | 0,609 | 0,026 |
| 5,000 | 55,170 | 99,175 | -5,042 | skid front(in) | 1000000,000 | -11,500 | 0,000 | 1,000 | 100,000 | 0,000 | 0,310 | 0,629 | 0,629 | 0,629 | 0,609 | 0,609 | 0,039 |
| 5,500 | 54,575 | 99,175 | -5,041 | skid front(in) | 1000000,000 | -11,500 | 0,000 | 1,000 | 100,000 | 0,000 | 0,343 | 0,629 | 0,629 | 0,629 | 0,609 | 0,609 | 0,033 |
| 6,000 | 53,973 | 99,175 | -5,040 | skid front(in) | 1000000,000 | -11,500 | 0,000 | 1,000 | 100,000 | 0,000 | 0,376 | 0,629 | 0,629 | 0,629 | 0,609 | 0,609 | 0,033 |
| 6,500 | 53,365 | 99,175 | -5,039 | skid front(in) | 1000000,000 | -11,500 | 0,000 | 1,000 | 100,000 | 0,000 | 0,410 | 0,629 | 0,629 | 0,629 | 0,609 | 0,609 | 0,034 |
| 7,000 | 52,749 | 99,175 | -5,037 | skid front(in) | 1000000,000 | -11,500 | 0,000 | 1,000 | 100,000 | 0,000 | 0,444 | 0,629 | 0,629 | 0,629 | 0,609 | 0,609 | 0,034 |
| 7,500 | 52,127 | 99,175 | -5,036 | skid front(in) | 1000000,000 | -11,500 | 0,000 | 1,000 | 100,000 | 0,000 | 0,478 | 0,629 | 0,629 | 0,629 | 0,609 | 0,609 | 0,034 |
| 8,000 | 51,497 | 99,175 | -5,035 | skid front(in) | 1000000,000 | -11,500 | 0,000 | 1,000 | 100,000 | 0,000 | 0,513 | 0,629 | 0,629 | 0,629 | 0,609 | 0,609 | 0,035 |
| 8,500 | 50,860 | 99,175 | -5,034 | skid front(in) | 1000000,000 | -11,500 | 0,000 | 1,000 | 100,000 | 0,000 | 0,548 | 0,629 | 0,629 | 0,629 | 0,609 | 0,609 | 0,035 |
| 9,000 | 50,214 | 99,175 | -5,033 | skid front(in) | 1000000,000 | -11,500 | 0,000 | 1,000 | 100,000 | 0,000 | 0,584 | 0,629 | 0,629 | 0,629 | 0,609 | 0,609 | 0,036 |
| 9,500 | 49,560 | 99,175 | -5,032 | skid front(in) | 1000000,000 | -11,500 | 0,000 | 1,000 | 100,000 | 0,000 | 0,620 | 0,629 | 0,629 | 0,629 | 0,609 | 0,609 | 0,036 |
| 10,000 | 48,898 | 99,175 | -5,031 | skid front(in) | 1000000,000 | -11,500 | 0,000 | 1,000 | 100,000 | 0,000 | 0,656 | 0,629 | 0,629 | 0,629 | 0,609 | 0,609 | 0,037 |
| 10,500 | 48,227 | 99,175 | -5,030 | skid front(in) | 1000000,000 | -11,500 | 0,000 | 1,000 | 100,000 | 0,000 | 0,693 | 0,629 | 0,629 | 0,629 | 0,609 | 0,609 | 0,037 |
| 11,000 | 47,546 | 99,175 | -5,029 | skid front(in) | 1000000,000 | -11,500 | 0,000 | 1,000 | 100,000 | 0,000 | 0,731 | 0,629 | 0,629 | 0,629 | 0,609 | 0,609 | 0,038 |
| 11,500 | 46,856 | 99,176 | -5,028 | skid front(in) | 1000000,000 | -11,500 | 0,000 | 1,000 | 100,000 | 0,000 | 0,769 | 0,629 | 0,629 | 0,629 | 0,609 | 0,609 | 0,038 |
| 12,000 | 46,156 | 99,176 | -5,027 | skid front(in) | 1000000,000 | -11,500 | 0,000 | 1,000 | 100,000 | 0,000 | 0,808 | 0,629 | 0,629 | 0,629 | 0,609 | 0,609 | 0,039 |
| 12,500 | 45,444 | 99,176 | -5,026 | skid front(in) | 1000000,000 | -11,500 | 0,000 | 1,000 | 100,000 | 0,000 | 0,847 | 0,629 | 0,629 | 0,629 | 0,609 | 0,609 | 0,039 |
| 13,000 | 44,722 | 99,176 | -5,025 | skid front(in) | 1000000,000 | -11,500 | 0,000 | 1,000 | 100,000 | 0,000 | 0,887 | 0,629 | 0,629 | 0,629 | 0,609 | 0,609 | 0,040 |

Προσδιορισμός Τιμών Πρόσφυσης κατά την Πέδηση Οχημάτων Εφοδιασμένων με Σύστημα ABS σε Αυξημένες κατά Μήκος Κλίσεις

| | | | | | | | | | | | | | | | | | |
|--------|--------|--------|--------|-----------------|-------------|---------|-------|-------|---------|--------|-------|-------|-------|-------|-------|-------|-------|
| 13,500 | 43,988 | 99,176 | -5,023 | skid front(in) | 1000000,000 | -11,500 | 0,000 | 1,000 | 100,000 | 0,000 | 0,928 | 0,629 | 0,629 | 0,629 | 0,609 | 0,609 | 0,041 |
| 14,000 | 43,242 | 99,176 | -5,022 | skid front(in) | 1000000,000 | -11,500 | 0,000 | 1,000 | 100,000 | 0,000 | 0,969 | 0,629 | 0,629 | 0,629 | 0,609 | 0,609 | 0,041 |
| 14,500 | 42,483 | 99,176 | -5,021 | skid front(in) | 1000000,000 | -11,500 | 0,000 | 1,000 | 100,000 | 0,000 | 1,011 | 0,629 | 0,629 | 0,629 | 0,609 | 0,609 | 0,042 |
| 15,000 | 41,710 | 99,176 | -5,020 | skid front(in) | 1000000,000 | -11,500 | 0,000 | 1,000 | 100,000 | 0,000 | 1,054 | 0,629 | 0,629 | 0,629 | 0,609 | 0,609 | 0,043 |
| 15,500 | 40,923 | 99,176 | -5,019 | skid front(in) | 1000000,000 | -11,500 | 0,000 | 1,000 | 100,000 | 0,000 | 1,097 | 0,629 | 0,629 | 0,629 | 0,609 | 0,609 | 0,044 |
| 16,000 | 40,120 | 99,176 | -5,018 | skid front(in) | 1000000,000 | -11,500 | 0,000 | 1,000 | 100,000 | 0,000 | 1,142 | 0,629 | 0,629 | 0,629 | 0,609 | 0,609 | 0,044 |
| 16,500 | 39,301 | 99,176 | -5,017 | skid front(in) | 1000000,000 | -11,500 | 0,000 | 1,000 | 100,000 | 0,000 | 1,187 | 0,629 | 0,629 | 0,629 | 0,609 | 0,609 | 0,045 |
| 17,000 | 38,465 | 99,176 | -5,016 | skid front(in) | 1000000,000 | -11,500 | 0,000 | 1,000 | 100,000 | 0,000 | 1,233 | 0,629 | 0,629 | 0,629 | 0,609 | 0,609 | 0,046 |
| 17,500 | 37,611 | 99,176 | -5,015 | skid front(in) | 1000000,000 | -11,500 | 0,000 | 1,000 | 100,000 | 0,000 | 1,281 | 0,629 | 0,629 | 0,629 | 0,609 | 0,609 | 0,047 |
| 18,000 | 36,737 | 99,176 | -5,014 | skid front(in) | 1000000,000 | -11,500 | 0,000 | 1,000 | 100,000 | 0,000 | 1,329 | 0,629 | 0,629 | 0,629 | 0,609 | 0,609 | 0,048 |
| 18,500 | 35,842 | 99,176 | -5,013 | skid front(in) | 1000000,000 | -11,500 | 0,000 | 1,000 | 100,000 | 0,000 | 1,379 | 0,629 | 0,629 | 0,629 | 0,609 | 0,609 | 0,050 |
| 18,900 | 35,109 | 99,176 | -5,012 | skid front(in) | 1000000,000 | -11,500 | 0,000 | 1,000 | 100,000 | 0,000 | 1,419 | 0,629 | 0,629 | 0,629 | 0,609 | 0,609 | 0,041 |
| 19,500 | 33,981 | 99,176 | -5,011 | skid front(in) | 1000000,000 | -11,500 | 0,000 | 1,000 | 100,000 | 0,001 | 1,482 | 0,629 | 0,629 | 0,629 | 0,609 | 0,609 | 0,063 |
| 20,000 | 33,012 | 99,176 | -5,010 | skid front(in) | 1000000,000 | -11,500 | 0,000 | 1,000 | 100,000 | 0,000 | 1,535 | 0,629 | 0,629 | 0,629 | 0,609 | 0,609 | 0,054 |
| 20,500 | 32,014 | 99,173 | -5,007 | skid front(out) | 1000000,000 | -11,500 | 0,000 | 1,000 | 100,000 | -1,004 | 1,591 | 0,629 | 0,629 | 0,629 | 0,609 | 0,609 | 0,055 |
| 21,000 | 30,983 | 99,184 | -5,007 | skid front(out) | 1000000,000 | -11,500 | 0,000 | 1,000 | 100,000 | -1,022 | 1,648 | 0,629 | 0,629 | 0,629 | 0,609 | 0,609 | 0,057 |
| 21,500 | 29,918 | 99,199 | -5,006 | skid front(out) | 1000000,000 | -11,500 | 0,000 | 1,000 | 100,000 | -1,750 | 1,707 | 0,629 | 0,629 | 0,629 | 0,609 | 0,609 | 0,059 |
| 22,000 | 28,813 | 99,197 | -5,005 | skid front(out) | 1000000,000 | -11,500 | 0,000 | 1,000 | 100,000 | -1,711 | 1,768 | 0,629 | 0,629 | 0,629 | 0,609 | 0,609 | 0,061 |
| 22,500 | 27,665 | 99,198 | -5,003 | skid front(out) | 1000000,000 | -11,500 | 0,000 | 1,000 | 100,000 | -2,400 | 1,832 | 0,629 | 0,629 | 0,629 | 0,609 | 0,609 | 0,064 |
| 23,000 | 26,467 | 99,178 | -5,001 | skid front(out) | 1000000,000 | -11,500 | 0,000 | 1,000 | 100,000 | -2,136 | 1,899 | 0,629 | 0,629 | 0,629 | 0,609 | 0,609 | 0,067 |
| 23,500 | 25,212 | 99,185 | -5,002 | skid front(out) | 1000000,000 | -11,500 | 0,000 | 1,000 | 100,000 | -0,598 | 1,968 | 0,629 | 0,629 | 0,629 | 0,609 | 0,609 | 0,070 |
| 24,000 | 23,893 | 99,171 | -4,999 | skid front(out) | 1000000,000 | -11,500 | 0,000 | 1,000 | 100,000 | -1,942 | 2,042 | 0,629 | 0,629 | 0,629 | 0,609 | 0,609 | 0,073 |
| 24,500 | 22,495 | 99,185 | -4,999 | skid front(out) | 1000000,000 | -11,500 | 0,000 | 1,000 | 100,000 | -1,951 | 2,119 | 0,629 | 0,629 | 0,629 | 0,609 | 0,609 | 0,078 |
| 25,000 | 21,006 | 99,203 | -4,998 | skid front(out) | 1000000,000 | -11,500 | 0,000 | 1,000 | 100,000 | -2,807 | 2,202 | 0,629 | 0,629 | 0,629 | 0,609 | 0,609 | 0,083 |
| 25,500 | 19,403 | 99,198 | -4,997 | skid front(out) | 1000000,000 | -11,500 | 0,000 | 1,000 | 100,000 | -2,635 | 2,291 | 0,629 | 0,629 | 0,629 | 0,609 | 0,609 | 0,089 |
| 26,000 | 17,656 | 99,167 | -4,995 | skid front(out) | 1000000,000 | -11,500 | 0,000 | 1,000 | 100,000 | -1,386 | 2,388 | 0,629 | 0,629 | 0,629 | 0,609 | 0,609 | 0,097 |
| 26,500 | 15,715 | 99,167 | -4,992 | skid front(out) | 1000000,000 | -11,500 | 0,000 | 1,000 | 100,000 | -3,098 | 2,496 | 0,629 | 0,629 | 0,629 | 0,609 | 0,609 | 0,108 |
| 27,000 | 13,500 | 99,201 | -4,993 | skid front(out) | 1000000,000 | -11,500 | 0,000 | 1,000 | 100,000 | -3,284 | 2,619 | 0,629 | 0,629 | 0,629 | 0,609 | 0,609 | 0,123 |
| 27,500 | 10,840 | 99,209 | -4,993 | skid front(out) | 1000000,000 | -11,500 | 0,000 | 1,000 | 100,000 | -2,215 | 2,767 | 0,629 | 0,629 | 0,629 | 0,609 | 0,609 | 0,148 |
| 28,000 | 7,267 | 99,152 | -4,988 | skid front(out) | 1000000,000 | -11,500 | 0,000 | 1,000 | 100,000 | -2,675 | 2,966 | 0,629 | 0,629 | 0,629 | 0,609 | 0,609 | 0,199 |
| 28,500 | 0,858 | 99,165 | -4,989 | skid front(out) | 1000000,000 | -11,500 | 0,000 | 1,000 | 100,000 | -1,861 | 3,323 | 0,629 | 0,629 | 0,629 | 0,609 | 0,609 | 0,357 |

| run_c_w_glif_8 | R(m) | br.front (%) | s(%) | e (%) | coeff | effic (%) | time (sec) | | | | | | | | | | |
|----------------|-----------------|--------------|--------|-----------------|-------------|-----------|------------|-------|-----------|-----------|------------|---------|-----------|----------|----------|---------|-----------|
| s= 100,000 | 1000000,00 | 75,00 | -11,5 | 0,0 | 1,00 | 100 | 2,906 | 0,963 | | | | | | | | | |
| step= 0,100 | viewstep= 0,500 | STEPS | | | | | | | | | | | | | | | |
| s (m) | V (km/h) | n (%) | dv/dt | skid check | R(m) | s(%) | e (%) | coeff | effic (%) | decelera | time (sec) | ft | front out | front in | rear out | rear in | checktime |
| 23,100 | 0,444 | 99,722 | -5,366 | skid front(out) | 1000000,000 | -11,500 | 0,000 | 1,000 | 100,000 | -1,314319 | 2,906 | 0,66392 | 0,6635 | 0,6635 | 0,6573 | 0,6573 | |
| 0,000 | 56,800 | 99,774 | -5,421 | O.K | 1000000,000 | -11,500 | 0,000 | 1,000 | 100,000 | 0,000 | 0,000 | 0,664 | | | | | |
| 0,400 | 56,303 | 99,774 | -5,420 | skid front(in) | 1000000,000 | -11,500 | 0,000 | 1,000 | 100,000 | 0,000 | 0,025 | 0,664 | 0,664 | 0,664 | 0,658 | 0,658 | 0,025 |
| 1,000 | 55,550 | 99,774 | -5,418 | skid front(in) | 1000000,000 | -11,500 | 0,000 | 1,000 | 100,000 | 0,000 | 0,064 | 0,664 | 0,664 | 0,664 | 0,658 | 0,658 | 0,039 |
| 1,500 | 54,914 | 99,775 | -5,417 | skid front(in) | 1000000,000 | -11,500 | 0,000 | 1,000 | 100,000 | 0,000 | 0,097 | 0,664 | 0,664 | 0,664 | 0,658 | 0,658 | 0,033 |
| 2,000 | 54,271 | 99,775 | -5,416 | skid front(in) | 1000000,000 | -11,500 | 0,000 | 1,000 | 100,000 | 0,000 | 0,130 | 0,664 | 0,664 | 0,664 | 0,658 | 0,658 | 0,033 |
| 2,500 | 53,621 | 99,775 | -5,415 | skid front(in) | 1000000,000 | -11,500 | 0,000 | 1,000 | 100,000 | 0,000 | 0,163 | 0,664 | 0,664 | 0,664 | 0,658 | 0,658 | 0,033 |
| 3,000 | 52,962 | 99,775 | -5,414 | skid front(in) | 1000000,000 | -11,500 | 0,000 | 1,000 | 100,000 | 0,000 | 0,197 | 0,664 | 0,664 | 0,664 | 0,658 | 0,658 | 0,034 |
| 3,500 | 52,296 | 99,775 | -5,413 | skid front(in) | 1000000,000 | -11,500 | 0,000 | 1,000 | 100,000 | 0,000 | 0,231 | 0,664 | 0,664 | 0,664 | 0,658 | 0,658 | 0,034 |
| 4,000 | 51,621 | 99,775 | -5,412 | skid front(in) | 1000000,000 | -11,500 | 0,000 | 1,000 | 100,000 | 0,000 | 0,266 | 0,664 | 0,664 | 0,664 | 0,658 | 0,658 | 0,035 |
| 4,400 | 51,074 | 99,775 | -5,411 | skid front(in) | 1000000,000 | -11,500 | 0,000 | 1,000 | 100,000 | 0,000 | 0,294 | 0,664 | 0,664 | 0,664 | 0,658 | 0,658 | 0,028 |
| 5,000 | 50,244 | 99,775 | -5,410 | skid front(in) | 1000000,000 | -11,500 | 0,000 | 1,000 | 100,000 | 0,000 | 0,336 | 0,664 | 0,664 | 0,664 | 0,658 | 0,658 | 0,043 |
| 5,500 | 49,541 | 99,775 | -5,409 | skid front(in) | 1000000,000 | -11,500 | 0,000 | 1,000 | 100,000 | 0,000 | 0,372 | 0,664 | 0,664 | 0,664 | 0,658 | 0,658 | 0,036 |
| 6,000 | 48,829 | 99,775 | -5,408 | skid front(in) | 1000000,000 | -11,500 | 0,000 | 1,000 | 100,000 | 0,000 | 0,409 | 0,664 | 0,664 | 0,664 | 0,658 | 0,658 | 0,037 |
| 6,500 | 48,106 | 99,775 | -5,406 | skid front(in) | 1000000,000 | -11,500 | 0,000 | 1,000 | 100,000 | 0,000 | 0,446 | 0,664 | 0,664 | 0,664 | 0,658 | 0,658 | 0,037 |
| 7,000 | 47,372 | 99,775 | -5,405 | skid front(in) | 1000000,000 | -11,500 | 0,000 | 1,000 | 100,000 | 0,000 | 0,484 | 0,664 | 0,664 | 0,664 | 0,658 | 0,658 | 0,038 |
| 7,500 | 46,627 | 99,775 | -5,404 | skid front(in) | 1000000,000 | -11,500 | 0,000 | 1,000 | 100,000 | 0,000 | 0,522 | 0,664 | 0,664 | 0,664 | 0,658 | 0,658 | 0,038 |
| 8,000 | 45,870 | 99,775 | -5,403 | skid front(in) | 1000000,000 | -11,500 | 0,000 | 1,000 | 100,000 | 0,000 | 0,561 | 0,664 | 0,664 | 0,664 | 0,658 | 0,658 | 0,039 |

Προσδιορισμός Τιμών Πρόσφυσης κατά την Πέδηση Οχημάτων Εφοδιασμένων με Σύστημα ABS σε Αυξημένες κατά Μήκος Κλίσεις

| | | | | | | | | | | | | | | | | | |
|--------|--------|--------|--------|-----------------|-------------|---------|-------|-------|---------|--------|-------|-------|-------|-------|-------|-------|-------|
| 8,500 | 45,100 | 99,775 | -5,402 | skid front(in) | 1000000,000 | -11,500 | 0,000 | 1,000 | 100,000 | 0,000 | 0,601 | 0,664 | 0,664 | 0,664 | 0,658 | 0,658 | 0,040 |
| 9,000 | 44,317 | 99,776 | -5,401 | skid front(in) | 1000000,000 | -11,500 | 0,000 | 1,000 | 100,000 | 0,000 | 0,641 | 0,664 | 0,664 | 0,664 | 0,658 | 0,658 | 0,040 |
| 9,500 | 43,520 | 99,776 | -5,400 | skid front(in) | 1000000,000 | -11,500 | 0,000 | 1,000 | 100,000 | 0,000 | 0,682 | 0,664 | 0,664 | 0,664 | 0,658 | 0,658 | 0,041 |
| 10,000 | 42,709 | 99,776 | -5,399 | skid front(in) | 1000000,000 | -11,500 | 0,000 | 1,000 | 100,000 | 0,000 | 0,724 | 0,664 | 0,664 | 0,664 | 0,658 | 0,658 | 0,042 |
| 10,500 | 41,882 | 99,776 | -5,398 | skid front(in) | 1000000,000 | -11,500 | 0,000 | 1,000 | 100,000 | 0,000 | 0,766 | 0,664 | 0,664 | 0,664 | 0,658 | 0,658 | 0,043 |
| 11,000 | 41,038 | 99,776 | -5,397 | skid front(in) | 1000000,000 | -11,500 | 0,000 | 1,000 | 100,000 | 0,000 | 0,810 | 0,664 | 0,664 | 0,664 | 0,658 | 0,658 | 0,043 |
| 11,500 | 40,177 | 99,776 | -5,396 | skid front(in) | 1000000,000 | -11,500 | 0,000 | 1,000 | 100,000 | 0,000 | 0,854 | 0,664 | 0,664 | 0,664 | 0,658 | 0,658 | 0,044 |
| 12,000 | 39,297 | 99,776 | -5,394 | skid front(in) | 1000000,000 | -11,500 | 0,000 | 1,000 | 100,000 | 0,000 | 0,899 | 0,664 | 0,664 | 0,664 | 0,658 | 0,658 | 0,045 |
| 12,500 | 38,398 | 99,776 | -5,393 | skid front(in) | 1000000,000 | -11,500 | 0,000 | 1,000 | 100,000 | 0,000 | 0,946 | 0,664 | 0,664 | 0,664 | 0,658 | 0,658 | 0,046 |
| 13,000 | 37,476 | 99,776 | -5,392 | skid front(in) | 1000000,000 | -11,500 | 0,000 | 1,000 | 100,000 | 0,000 | 0,993 | 0,664 | 0,664 | 0,664 | 0,658 | 0,658 | 0,047 |
| 13,500 | 36,532 | 99,776 | -5,391 | skid front(in) | 1000000,000 | -11,500 | 0,000 | 1,000 | 100,000 | 0,000 | 1,042 | 0,664 | 0,664 | 0,664 | 0,658 | 0,658 | 0,049 |
| 14,000 | 35,563 | 99,776 | -5,390 | skid front(in) | 1000000,000 | -11,500 | 0,000 | 1,000 | 100,000 | 0,000 | 1,092 | 0,664 | 0,664 | 0,664 | 0,658 | 0,658 | 0,050 |
| 14,500 | 34,567 | 99,776 | -5,389 | skid front(in) | 1000000,000 | -11,500 | 0,000 | 1,000 | 100,000 | 0,000 | 1,143 | 0,664 | 0,664 | 0,664 | 0,658 | 0,658 | 0,051 |
| 15,000 | 33,542 | 99,776 | -5,388 | skid front(in) | 1000000,000 | -11,500 | 0,000 | 1,000 | 100,000 | 0,000 | 1,196 | 0,664 | 0,664 | 0,664 | 0,658 | 0,658 | 0,053 |
| 15,500 | 32,484 | 99,776 | -5,387 | skid front(in) | 1000000,000 | -11,500 | 0,000 | 1,000 | 100,000 | 0,001 | 1,250 | 0,664 | 0,664 | 0,664 | 0,658 | 0,658 | 0,055 |
| 16,000 | 31,392 | 99,791 | -5,384 | skid front(out) | 1000000,000 | -11,500 | 0,000 | 1,000 | 100,000 | -2,590 | 1,307 | 0,664 | 0,664 | 0,664 | 0,658 | 0,658 | 0,056 |
| 16,500 | 30,260 | 99,759 | -5,382 | skid front(in) | 1000000,000 | -11,500 | 0,000 | 1,000 | 100,000 | -2,064 | 1,365 | 0,664 | 0,664 | 0,664 | 0,658 | 0,658 | 0,058 |
| 17,000 | 29,084 | 99,793 | -5,383 | skid front(out) | 1000000,000 | -11,500 | 0,000 | 1,000 | 100,000 | -1,875 | 1,426 | 0,664 | 0,664 | 0,664 | 0,658 | 0,658 | 0,061 |
| 17,500 | 27,859 | 99,810 | -5,382 | skid front(out) | 1000000,000 | -11,500 | 0,000 | 1,000 | 100,000 | -2,741 | 1,489 | 0,664 | 0,664 | 0,664 | 0,658 | 0,658 | 0,063 |
| 18,000 | 26,578 | 99,765 | -5,379 | skid front(out) | 1000000,000 | -11,500 | 0,000 | 1,000 | 100,000 | -1,474 | 1,555 | 0,664 | 0,664 | 0,664 | 0,658 | 0,658 | 0,066 |
| 18,500 | 25,231 | 99,767 | -5,377 | skid front(out) | 1000000,000 | -11,500 | 0,000 | 1,000 | 100,000 | -2,609 | 1,625 | 0,664 | 0,664 | 0,664 | 0,658 | 0,658 | 0,070 |
| 18,900 | 24,101 | 99,767 | -5,377 | skid front(out) | 1000000,000 | -11,500 | 0,000 | 1,000 | 100,000 | -2,410 | 1,683 | 0,664 | 0,664 | 0,664 | 0,658 | 0,658 | 0,058 |
| 19,500 | 22,298 | 99,782 | -5,377 | skid front(out) | 1000000,000 | -11,500 | 0,000 | 1,000 | 100,000 | -2,152 | 1,776 | 0,664 | 0,664 | 0,664 | 0,658 | 0,658 | 0,093 |
| 20,000 | 20,676 | 99,745 | -5,374 | skid front(out) | 1000000,000 | -11,500 | 0,000 | 1,000 | 100,000 | -0,775 | 1,860 | 0,664 | 0,664 | 0,664 | 0,658 | 0,658 | 0,084 |
| 20,500 | 18,917 | 99,762 | -5,373 | skid front(out) | 1000000,000 | -11,500 | 0,000 | 1,000 | 100,000 | -2,195 | 1,951 | 0,664 | 0,664 | 0,664 | 0,658 | 0,658 | 0,091 |
| 21,000 | 16,976 | 99,755 | -5,373 | skid front(out) | 1000000,000 | -11,500 | 0,000 | 1,000 | 100,000 | -0,507 | 2,051 | 0,664 | 0,664 | 0,664 | 0,658 | 0,658 | 0,100 |
| 21,500 | 14,783 | 99,752 | -5,370 | skid front(out) | 1000000,000 | -11,500 | 0,000 | 1,000 | 100,000 | -2,317 | 2,164 | 0,664 | 0,664 | 0,664 | 0,657 | 0,657 | 0,113 |
| 22,000 | 12,203 | 99,811 | -5,373 | skid front(out) | 1000000,000 | -11,500 | 0,000 | 1,000 | 100,000 | -2,534 | 2,298 | 0,664 | 0,664 | 0,664 | 0,658 | 0,658 | 0,133 |
| 22,500 | 8,904 | 99,755 | -5,368 | skid front(out) | 1000000,000 | -11,500 | 0,000 | 1,000 | 100,000 | -2,546 | 2,468 | 0,664 | 0,664 | 0,664 | 0,657 | 0,657 | 0,171 |
| 23,000 | 3,109 | 99,762 | -5,369 | skid front(out) | 1000000,000 | -11,500 | 0,000 | 1,000 | 100,000 | -0,648 | 2,768 | 0,664 | 0,664 | 0,664 | 0,658 | 0,658 | 0,300 |
| 23,100 | 0,444 | 99,722 | -5,366 | skid front(out) | 1000000,000 | -11,500 | 0,000 | 1,000 | 100,000 | -1,314 | 2,906 | 0,664 | 0,664 | 0,664 | 0,657 | 0,657 | 0,138 |

| run_c_w_glif_9 | R(m) | br.front (%) | s(%) | e (%) | coeff | effic (%) | time (sec) | | | | | | | | | | |
|----------------|-----------------|--------------|--------|-----------------|-------------|-----------|------------|-------|-----------|-----------|------------|--------|-----------|----------|----------|---------|-----------|
| s= 100,000 | 1000000,00 | 74,00 | -11,5 | 0,0 | 1,00 | 100 | 3,085 | 0,963 | | | | | | | | | |
| step= 0,100 | viewstep= 0,500 | STEPS | | | | | | | | | | | | | | | |
| s (m) | V (km/h) | n (%) | dv/dt | skid check | R(m) | s(%) | e (%) | coeff | effic (%) | decelera | time (sec) | fT | front out | front in | rear out | rear in | checktime |
| 24,900 | 2,099 | 99,311 | -4,830 | skid front(out) | 1000000,000 | -11,500 | 0,000 | 1,000 | 100,000 | -3,348964 | 3,085 | 0,6119 | 0,6116 | 0,6116 | 0,5956 | 0,5956 | |
| 0,000 | 55,980 | 99,312 | -4,886 | O.K | 1000000,000 | -11,500 | 0,000 | 1,000 | 100,000 | 0,000 | 0,000 | 0,612 | | | | | |
| 0,400 | 55,525 | 99,312 | -4,885 | skid front(in) | 1000000,000 | -11,500 | 0,000 | 1,000 | 100,000 | 0,000 | 0,026 | 0,612 | 0,612 | 0,612 | 0,596 | 0,596 | 0,026 |
| 1,000 | 54,837 | 99,312 | -4,884 | skid front(in) | 1000000,000 | -11,500 | 0,000 | 1,000 | 100,000 | 0,000 | 0,065 | 0,612 | 0,612 | 0,612 | 0,596 | 0,596 | 0,039 |
| 1,500 | 54,257 | 99,312 | -4,883 | skid front(in) | 1000000,000 | -11,500 | 0,000 | 1,000 | 100,000 | 0,000 | 0,098 | 0,612 | 0,612 | 0,612 | 0,596 | 0,596 | 0,033 |
| 2,000 | 53,671 | 99,312 | -4,882 | skid front(in) | 1000000,000 | -11,500 | 0,000 | 1,000 | 100,000 | 0,000 | 0,131 | 0,612 | 0,612 | 0,612 | 0,596 | 0,596 | 0,033 |
| 2,500 | 53,078 | 99,312 | -4,881 | skid front(in) | 1000000,000 | -11,500 | 0,000 | 1,000 | 100,000 | 0,000 | 0,165 | 0,612 | 0,612 | 0,612 | 0,596 | 0,596 | 0,034 |
| 3,000 | 52,479 | 99,312 | -4,880 | skid front(in) | 1000000,000 | -11,500 | 0,000 | 1,000 | 100,000 | 0,000 | 0,199 | 0,612 | 0,612 | 0,612 | 0,596 | 0,596 | 0,034 |
| 3,500 | 51,873 | 99,312 | -4,879 | skid front(in) | 1000000,000 | -11,500 | 0,000 | 1,000 | 100,000 | 0,000 | 0,234 | 0,612 | 0,612 | 0,612 | 0,596 | 0,596 | 0,034 |
| 4,000 | 51,260 | 99,312 | -4,878 | skid front(in) | 1000000,000 | -11,500 | 0,000 | 1,000 | 100,000 | 0,000 | 0,269 | 0,612 | 0,612 | 0,612 | 0,596 | 0,596 | 0,035 |
| 4,400 | 50,764 | 99,312 | -4,877 | skid front(in) | 1000000,000 | -11,500 | 0,000 | 1,000 | 100,000 | 0,000 | 0,297 | 0,612 | 0,612 | 0,612 | 0,596 | 0,596 | 0,028 |
| 5,000 | 50,011 | 99,312 | -4,876 | skid front(in) | 1000000,000 | -11,500 | 0,000 | 1,000 | 100,000 | 0,000 | 0,340 | 0,612 | 0,612 | 0,612 | 0,596 | 0,596 | 0,043 |
| 5,500 | 49,376 | 99,312 | -4,875 | skid front(in) | 1000000,000 | -11,500 | 0,000 | 1,000 | 100,000 | 0,000 | 0,376 | 0,612 | 0,612 | 0,612 | 0,596 | 0,596 | 0,036 |

Προσδιορισμός Τιμών Πρόσφυσης κατά την Πέδηση Οχημάτων Εφοδιασμένων με Σύστημα ABS σε Αυξημένες κατά Μήκος Κλίσεις

| | | | | | | | | | | | | | | | | | |
|--------|--------|--------|--------|-----------------|-------------|---------|-------|-------|---------|--------|-------|-------|-------|-------|-------|-------|-------|
| 6,000 | 48,732 | 99,312 | -4,874 | skid front(in) | 1000000,000 | -11,500 | 0,000 | 1,000 | 100,000 | 0,000 | 0,413 | 0,612 | 0,612 | 0,612 | 0,596 | 0,596 | 0,037 |
| 6,500 | 48,080 | 99,312 | -4,872 | skid front(in) | 1000000,000 | -11,500 | 0,000 | 1,000 | 100,000 | 0,000 | 0,450 | 0,612 | 0,612 | 0,612 | 0,596 | 0,596 | 0,037 |
| 7,000 | 47,418 | 99,312 | -4,871 | skid front(in) | 1000000,000 | -11,500 | 0,000 | 1,000 | 100,000 | 0,000 | 0,487 | 0,612 | 0,612 | 0,612 | 0,596 | 0,596 | 0,038 |
| 7,500 | 46,748 | 99,312 | -4,870 | skid front(in) | 1000000,000 | -11,500 | 0,000 | 1,000 | 100,000 | 0,000 | 0,526 | 0,612 | 0,612 | 0,612 | 0,596 | 0,596 | 0,038 |
| 8,000 | 46,068 | 99,312 | -4,869 | skid front(in) | 1000000,000 | -11,500 | 0,000 | 1,000 | 100,000 | 0,000 | 0,564 | 0,612 | 0,612 | 0,612 | 0,596 | 0,596 | 0,039 |
| 8,500 | 45,378 | 99,312 | -4,868 | skid front(in) | 1000000,000 | -11,500 | 0,000 | 1,000 | 100,000 | 0,000 | 0,604 | 0,612 | 0,612 | 0,612 | 0,596 | 0,596 | 0,039 |
| 9,000 | 44,678 | 99,313 | -4,867 | skid front(in) | 1000000,000 | -11,500 | 0,000 | 1,000 | 100,000 | 0,000 | 0,644 | 0,612 | 0,612 | 0,612 | 0,596 | 0,596 | 0,040 |
| 9,500 | 43,966 | 99,313 | -4,866 | skid front(in) | 1000000,000 | -11,500 | 0,000 | 1,000 | 100,000 | 0,000 | 0,684 | 0,612 | 0,612 | 0,612 | 0,596 | 0,596 | 0,041 |
| 10,000 | 43,243 | 99,313 | -4,865 | skid front(in) | 1000000,000 | -11,500 | 0,000 | 1,000 | 100,000 | 0,000 | 0,726 | 0,612 | 0,612 | 0,612 | 0,596 | 0,596 | 0,041 |
| 10,500 | 42,508 | 99,313 | -4,864 | skid front(in) | 1000000,000 | -11,500 | 0,000 | 1,000 | 100,000 | 0,000 | 0,768 | 0,612 | 0,612 | 0,612 | 0,596 | 0,596 | 0,042 |
| 11,000 | 41,760 | 99,313 | -4,863 | skid front(in) | 1000000,000 | -11,500 | 0,000 | 1,000 | 100,000 | 0,000 | 0,810 | 0,612 | 0,612 | 0,612 | 0,596 | 0,596 | 0,043 |
| 11,500 | 40,998 | 99,313 | -4,862 | skid front(in) | 1000000,000 | -11,500 | 0,000 | 1,000 | 100,000 | 0,000 | 0,854 | 0,612 | 0,612 | 0,612 | 0,596 | 0,596 | 0,044 |
| 12,000 | 40,223 | 99,313 | -4,861 | skid front(in) | 1000000,000 | -11,500 | 0,000 | 1,000 | 100,000 | 0,000 | 0,898 | 0,612 | 0,612 | 0,612 | 0,596 | 0,596 | 0,044 |
| 12,500 | 39,432 | 99,313 | -4,860 | skid front(in) | 1000000,000 | -11,500 | 0,000 | 1,000 | 100,000 | 0,000 | 0,943 | 0,612 | 0,612 | 0,612 | 0,596 | 0,596 | 0,045 |
| 13,000 | 38,625 | 99,313 | -4,859 | skid front(in) | 1000000,000 | -11,500 | 0,000 | 1,000 | 100,000 | 0,000 | 0,990 | 0,612 | 0,612 | 0,612 | 0,596 | 0,596 | 0,046 |
| 13,500 | 37,801 | 99,313 | -4,858 | skid front(in) | 1000000,000 | -11,500 | 0,000 | 1,000 | 100,000 | 0,000 | 1,037 | 0,612 | 0,612 | 0,612 | 0,596 | 0,596 | 0,047 |
| 14,000 | 36,959 | 99,313 | -4,857 | skid front(in) | 1000000,000 | -11,500 | 0,000 | 1,000 | 100,000 | 0,000 | 1,085 | 0,612 | 0,612 | 0,612 | 0,596 | 0,596 | 0,048 |
| 14,500 | 36,098 | 99,313 | -4,855 | skid front(in) | 1000000,000 | -11,500 | 0,000 | 1,000 | 100,000 | 0,000 | 1,134 | 0,612 | 0,612 | 0,612 | 0,596 | 0,596 | 0,049 |
| 15,000 | 35,216 | 99,313 | -4,854 | skid front(in) | 1000000,000 | -11,500 | 0,000 | 1,000 | 100,000 | 0,000 | 1,185 | 0,612 | 0,612 | 0,612 | 0,596 | 0,596 | 0,050 |
| 15,500 | 34,311 | 99,313 | -4,853 | skid front(in) | 1000000,000 | -11,500 | 0,000 | 1,000 | 100,000 | 0,001 | 1,236 | 0,612 | 0,612 | 0,612 | 0,596 | 0,596 | 0,052 |
| 16,000 | 33,382 | 99,313 | -4,852 | skid front(in) | 1000000,000 | -11,500 | 0,000 | 1,000 | 100,000 | 0,000 | 1,290 | 0,612 | 0,612 | 0,612 | 0,596 | 0,596 | 0,053 |
| 16,500 | 32,426 | 99,313 | -4,851 | skid front(in) | 1000000,000 | -11,500 | 0,000 | 1,000 | 100,000 | 0,000 | 1,344 | 0,612 | 0,612 | 0,612 | 0,596 | 0,596 | 0,055 |
| 17,000 | 31,442 | 99,311 | -4,849 | skid front(out) | 1000000,000 | -11,500 | 0,000 | 1,000 | 100,000 | -1,089 | 1,401 | 0,612 | 0,612 | 0,612 | 0,596 | 0,596 | 0,056 |
| 17,500 | 30,426 | 99,320 | -4,849 | skid front(out) | 1000000,000 | -11,500 | 0,000 | 1,000 | 100,000 | -0,802 | 1,459 | 0,612 | 0,612 | 0,612 | 0,596 | 0,596 | 0,058 |
| 18,000 | 29,375 | 99,347 | -4,848 | skid front(out) | 1000000,000 | -11,500 | 0,000 | 1,000 | 100,000 | -2,797 | 1,519 | 0,612 | 0,612 | 0,612 | 0,596 | 0,596 | 0,060 |
| 18,500 | 28,286 | 99,300 | -4,845 | skid front(out) | 1000000,000 | -11,500 | 0,000 | 1,000 | 100,000 | -0,821 | 1,581 | 0,612 | 0,612 | 0,612 | 0,596 | 0,596 | 0,062 |
| 18,900 | 27,383 | 99,315 | -4,845 | skid front(out) | 1000000,000 | -11,500 | 0,000 | 1,000 | 100,000 | -1,370 | 1,633 | 0,612 | 0,612 | 0,612 | 0,596 | 0,596 | 0,062 |
| 19,500 | 25,971 | 99,351 | -4,844 | skid front(out) | 1000000,000 | -11,500 | 0,000 | 1,000 | 100,000 | -2,989 | 1,714 | 0,612 | 0,612 | 0,612 | 0,596 | 0,596 | 0,081 |
| 20,000 | 24,733 | 99,308 | -4,842 | skid front(out) | 1000000,000 | -11,500 | 0,000 | 1,000 | 100,000 | -1,128 | 1,785 | 0,612 | 0,612 | 0,612 | 0,596 | 0,596 | 0,071 |
| 20,500 | 23,430 | 99,281 | -4,839 | skid front(in) | 1000000,000 | -11,500 | 0,000 | 1,000 | 100,000 | -1,674 | 1,860 | 0,612 | 0,612 | 0,612 | 0,596 | 0,596 | 0,075 |
| 21,000 | 22,050 | 99,298 | -4,838 | skid front(out) | 1000000,000 | -11,500 | 0,000 | 1,000 | 100,000 | -2,653 | 1,939 | 0,612 | 0,612 | 0,612 | 0,596 | 0,596 | 0,079 |
| 21,500 | 20,578 | 99,337 | -4,840 | skid front(out) | 1000000,000 | -11,500 | 0,000 | 1,000 | 100,000 | -2,263 | 2,023 | 0,612 | 0,612 | 0,612 | 0,596 | 0,596 | 0,084 |
| 22,000 | 18,993 | 99,286 | -4,837 | skid front(out) | 1000000,000 | -11,500 | 0,000 | 1,000 | 100,000 | -1,195 | 2,114 | 0,612 | 0,612 | 0,612 | 0,596 | 0,596 | 0,091 |
| 22,500 | 17,263 | 99,312 | -4,836 | skid front(out) | 1000000,000 | -11,500 | 0,000 | 1,000 | 100,000 | -2,542 | 2,214 | 0,612 | 0,612 | 0,612 | 0,596 | 0,596 | 0,099 |
| 23,000 | 15,340 | 99,270 | -4,834 | skid front(out) | 1000000,000 | -11,500 | 0,000 | 1,000 | 100,000 | -0,797 | 2,324 | 0,612 | 0,612 | 0,612 | 0,596 | 0,596 | 0,110 |
| 23,500 | 13,140 | 99,309 | -4,835 | skid front(out) | 1000000,000 | -11,500 | 0,000 | 1,000 | 100,000 | -1,504 | 2,451 | 0,612 | 0,612 | 0,612 | 0,596 | 0,596 | 0,126 |
| 24,000 | 10,489 | 99,310 | -4,834 | skid front(out) | 1000000,000 | -11,500 | 0,000 | 1,000 | 100,000 | -1,073 | 2,603 | 0,612 | 0,612 | 0,612 | 0,596 | 0,596 | 0,152 |
| 24,500 | 6,881 | 99,302 | -4,832 | skid front(out) | 1000000,000 | -11,500 | 0,000 | 1,000 | 100,000 | -1,732 | 2,810 | 0,612 | 0,612 | 0,612 | 0,596 | 0,596 | 0,207 |
| 24,900 | 2,099 | 99,311 | -4,830 | skid front(out) | 1000000,000 | -11,500 | 0,000 | 1,000 | 100,000 | -3,349 | 3,085 | 0,612 | 0,612 | 0,612 | 0,596 | 0,596 | 0,275 |

| run_c_w_glif_10 | R(m) | br.front (%) | s(%) | e (%) | coeff | effic (%) | time (sec) | | | | | | | | | | |
|-----------------|------------|--------------|--------|-----------------|-------------|-----------|------------|-------|-----------|-----------|------------|---------|-----------|----------|----------|---------|-----------|
| s= 100,000 | 1000000,00 | 74,50 | -11,5 | 0,0 | 1,00 | 100 | 3,138 | 0,963 | | | | | | | | | |
| step= 0,100 | viewstep= | 0,500 | STEPS | | | | | | | | | | | | | | |
| s (m) | V (km/h) | n (%) | dv/dt | skid check | R(m) | s(%) | e (%) | coeff | effic (%) | decelera | time (sec) | fT | front out | front in | rear out | rear in | checktime |
| 26,600 | 1,936 | 99,327 | -5,030 | skid front(out) | 1000000,000 | -11,500 | 0,000 | 1,000 | 100,000 | -3,135761 | 3,138 | 0,63222 | 0,6321 | 0,6321 | 0,6152 | 0,6152 | |
| 0,000 | 59,000 | 99,307 | -5,088 | O.K | 1000000,000 | -11,500 | 0,000 | 1,000 | 100,000 | 0,000 | 0,000 | 0,632 | | | | | |
| 0,400 | 58,551 | 99,307 | -5,087 | skid front(in) | 1000000,000 | -11,500 | 0,000 | 1,000 | 100,000 | 0,000 | 0,024 | 0,632 | 0,632 | 0,632 | 0,615 | 0,615 | 0,024 |
| 1,000 | 57,872 | 99,307 | -5,086 | skid front(in) | 1000000,000 | -11,500 | 0,000 | 1,000 | 100,000 | 0,000 | 0,062 | 0,632 | 0,632 | 0,632 | 0,615 | 0,615 | 0,037 |
| 1,500 | 57,299 | 99,307 | -5,085 | skid front(in) | 1000000,000 | -11,500 | 0,000 | 1,000 | 100,000 | 0,000 | 0,093 | 0,632 | 0,632 | 0,632 | 0,615 | 0,615 | 0,031 |
| 2,000 | 56,722 | 99,307 | -5,084 | skid front(in) | 1000000,000 | -11,500 | 0,000 | 1,000 | 100,000 | 0,000 | 0,124 | 0,632 | 0,632 | 0,632 | 0,615 | 0,615 | 0,032 |
| 2,500 | 56,138 | 99,308 | -5,083 | skid front(in) | 1000000,000 | -11,500 | 0,000 | 1,000 | 100,000 | 0,000 | 0,156 | 0,632 | 0,632 | 0,632 | 0,615 | 0,615 | 0,032 |
| 3,000 | 55,548 | 99,308 | -5,082 | skid front(in) | 1000000,000 | -11,500 | 0,000 | 1,000 | 100,000 | 0,000 | 0,189 | 0,632 | 0,632 | 0,632 | 0,615 | 0,615 | 0,032 |

Προσδιορισμός Τιμών Πρόσφυσης κατά την Πέδηση Οχημάτων Εφοδιασμένων με Σύστημα ABS σε Αυξημένες κατά Μήκος Κλίσεις

| | | | | | | | | | | | | | | | | | |
|--------|--------|--------|--------|-----------------|-------------|---------|-------|-------|---------|--------|-------|-------|-------|-------|-------|-------|-------|
| 3,500 | 54,952 | 99,308 | -5,081 | skid front(in) | 1000000,000 | -11,500 | 0,000 | 1,000 | 100,000 | 0,000 | 0,221 | 0,632 | 0,632 | 0,632 | 0,615 | 0,615 | 0,033 |
| 4,000 | 54,350 | 99,308 | -5,080 | skid front(in) | 1000000,000 | -11,500 | 0,000 | 1,000 | 100,000 | 0,000 | 0,254 | 0,632 | 0,632 | 0,632 | 0,615 | 0,615 | 0,033 |
| 4,400 | 53,863 | 99,308 | -5,079 | skid front(in) | 1000000,000 | -11,500 | 0,000 | 1,000 | 100,000 | 0,000 | 0,281 | 0,632 | 0,632 | 0,632 | 0,615 | 0,615 | 0,027 |
| 5,000 | 53,125 | 99,308 | -5,077 | skid front(in) | 1000000,000 | -11,500 | 0,000 | 1,000 | 100,000 | 0,000 | 0,321 | 0,632 | 0,632 | 0,632 | 0,615 | 0,615 | 0,040 |
| 5,500 | 52,502 | 99,308 | -5,076 | skid front(in) | 1000000,000 | -11,500 | 0,000 | 1,000 | 100,000 | 0,000 | 0,355 | 0,632 | 0,632 | 0,632 | 0,615 | 0,615 | 0,034 |
| 6,000 | 51,872 | 99,308 | -5,075 | skid front(in) | 1000000,000 | -11,500 | 0,000 | 1,000 | 100,000 | 0,000 | 0,390 | 0,632 | 0,632 | 0,632 | 0,615 | 0,615 | 0,034 |
| 6,500 | 51,234 | 99,308 | -5,074 | skid front(in) | 1000000,000 | -11,500 | 0,000 | 1,000 | 100,000 | 0,000 | 0,425 | 0,632 | 0,632 | 0,632 | 0,615 | 0,615 | 0,035 |
| 7,000 | 50,588 | 99,308 | -5,073 | skid front(in) | 1000000,000 | -11,500 | 0,000 | 1,000 | 100,000 | 0,000 | 0,460 | 0,632 | 0,632 | 0,632 | 0,615 | 0,615 | 0,035 |
| 7,500 | 49,934 | 99,308 | -5,072 | skid front(in) | 1000000,000 | -11,500 | 0,000 | 1,000 | 100,000 | 0,000 | 0,496 | 0,632 | 0,632 | 0,632 | 0,615 | 0,615 | 0,036 |
| 8,000 | 49,272 | 99,308 | -5,071 | skid front(in) | 1000000,000 | -11,500 | 0,000 | 1,000 | 100,000 | 0,000 | 0,532 | 0,632 | 0,632 | 0,632 | 0,615 | 0,615 | 0,036 |
| 8,500 | 48,600 | 99,308 | -5,070 | skid front(in) | 1000000,000 | -11,500 | 0,000 | 1,000 | 100,000 | 0,000 | 0,569 | 0,632 | 0,632 | 0,632 | 0,615 | 0,615 | 0,037 |
| 9,000 | 47,919 | 99,308 | -5,069 | skid front(in) | 1000000,000 | -11,500 | 0,000 | 1,000 | 100,000 | 0,000 | 0,606 | 0,632 | 0,632 | 0,632 | 0,615 | 0,615 | 0,037 |
| 9,500 | 47,229 | 99,308 | -5,068 | skid front(in) | 1000000,000 | -11,500 | 0,000 | 1,000 | 100,000 | 0,000 | 0,644 | 0,632 | 0,632 | 0,632 | 0,615 | 0,615 | 0,038 |
| 10,000 | 46,529 | 99,308 | -5,067 | skid front(in) | 1000000,000 | -11,500 | 0,000 | 1,000 | 100,000 | 0,000 | 0,682 | 0,632 | 0,632 | 0,632 | 0,615 | 0,615 | 0,038 |
| 10,500 | 45,818 | 99,308 | -5,066 | skid front(in) | 1000000,000 | -11,500 | 0,000 | 1,000 | 100,000 | 0,000 | 0,721 | 0,632 | 0,632 | 0,632 | 0,615 | 0,615 | 0,039 |
| 11,000 | 45,096 | 99,309 | -5,065 | skid front(in) | 1000000,000 | -11,500 | 0,000 | 1,000 | 100,000 | 0,000 | 0,761 | 0,632 | 0,632 | 0,632 | 0,615 | 0,615 | 0,040 |
| 11,500 | 44,362 | 99,309 | -5,063 | skid front(in) | 1000000,000 | -11,500 | 0,000 | 1,000 | 100,000 | 0,000 | 0,801 | 0,632 | 0,632 | 0,632 | 0,615 | 0,615 | 0,040 |
| 12,000 | 43,616 | 99,309 | -5,062 | skid front(in) | 1000000,000 | -11,500 | 0,000 | 1,000 | 100,000 | 0,000 | 0,842 | 0,632 | 0,632 | 0,632 | 0,615 | 0,615 | 0,041 |
| 12,500 | 42,858 | 99,309 | -5,061 | skid front(in) | 1000000,000 | -11,500 | 0,000 | 1,000 | 100,000 | 0,000 | 0,884 | 0,632 | 0,632 | 0,632 | 0,615 | 0,615 | 0,042 |
| 13,000 | 42,085 | 99,309 | -5,060 | skid front(in) | 1000000,000 | -11,500 | 0,000 | 1,000 | 100,000 | 0,000 | 0,926 | 0,632 | 0,632 | 0,632 | 0,615 | 0,615 | 0,042 |
| 13,500 | 41,299 | 99,309 | -5,059 | skid front(in) | 1000000,000 | -11,500 | 0,000 | 1,000 | 100,000 | 0,000 | 0,969 | 0,632 | 0,632 | 0,632 | 0,615 | 0,615 | 0,043 |
| 14,000 | 40,498 | 99,309 | -5,058 | skid front(in) | 1000000,000 | -11,500 | 0,000 | 1,000 | 100,000 | 0,000 | 1,013 | 0,632 | 0,632 | 0,632 | 0,615 | 0,615 | 0,044 |
| 14,500 | 39,680 | 99,309 | -5,057 | skid front(in) | 1000000,000 | -11,500 | 0,000 | 1,000 | 100,000 | 0,000 | 1,058 | 0,632 | 0,632 | 0,632 | 0,615 | 0,615 | 0,045 |
| 15,000 | 38,845 | 99,309 | -5,056 | skid front(in) | 1000000,000 | -11,500 | 0,000 | 1,000 | 100,000 | 0,000 | 1,104 | 0,632 | 0,632 | 0,632 | 0,615 | 0,615 | 0,046 |
| 15,500 | 37,993 | 99,309 | -5,055 | skid front(in) | 1000000,000 | -11,500 | 0,000 | 1,000 | 100,000 | 0,000 | 1,151 | 0,632 | 0,632 | 0,632 | 0,615 | 0,615 | 0,047 |
| 16,000 | 37,121 | 99,309 | -5,054 | skid front(in) | 1000000,000 | -11,500 | 0,000 | 1,000 | 100,000 | 0,000 | 1,199 | 0,632 | 0,632 | 0,632 | 0,615 | 0,615 | 0,048 |
| 16,500 | 36,228 | 99,309 | -5,053 | skid front(in) | 1000000,000 | -11,500 | 0,000 | 1,000 | 100,000 | 0,000 | 1,248 | 0,632 | 0,632 | 0,632 | 0,615 | 0,615 | 0,049 |
| 17,000 | 35,313 | 99,309 | -5,052 | skid front(in) | 1000000,000 | -11,500 | 0,000 | 1,000 | 100,000 | 0,000 | 1,298 | 0,632 | 0,632 | 0,632 | 0,615 | 0,615 | 0,050 |
| 17,500 | 34,373 | 99,309 | -5,051 | skid front(in) | 1000000,000 | -11,500 | 0,000 | 1,000 | 100,000 | 0,000 | 1,350 | 0,632 | 0,632 | 0,632 | 0,615 | 0,615 | 0,052 |
| 18,000 | 33,408 | 99,309 | -5,049 | skid front(in) | 1000000,000 | -11,500 | 0,000 | 1,000 | 100,000 | 0,001 | 1,403 | 0,632 | 0,632 | 0,632 | 0,615 | 0,615 | 0,053 |
| 18,500 | 32,414 | 99,309 | -5,048 | skid front(in) | 1000000,000 | -11,500 | 0,000 | 1,000 | 100,000 | -0,001 | 1,458 | 0,632 | 0,632 | 0,632 | 0,615 | 0,615 | 0,055 |
| 18,900 | 31,596 | 99,322 | -5,047 | skid front(out) | 1000000,000 | -11,500 | 0,000 | 1,000 | 100,000 | -2,114 | 1,503 | 0,632 | 0,632 | 0,632 | 0,615 | 0,615 | 0,045 |
| 19,500 | 30,329 | 99,309 | -5,046 | skid front(out) | 1000000,000 | -11,500 | 0,000 | 1,000 | 100,000 | -0,418 | 1,572 | 0,632 | 0,632 | 0,632 | 0,615 | 0,615 | 0,070 |
| 20,000 | 29,231 | 99,320 | -5,044 | skid front(out) | 1000000,000 | -11,500 | 0,000 | 1,000 | 100,000 | -1,888 | 1,633 | 0,632 | 0,632 | 0,632 | 0,615 | 0,615 | 0,060 |
| 20,500 | 28,090 | 99,314 | -5,042 | skid front(out) | 1000000,000 | -11,500 | 0,000 | 1,000 | 100,000 | -2,517 | 1,696 | 0,632 | 0,632 | 0,632 | 0,615 | 0,615 | 0,063 |
| 21,000 | 26,901 | 99,268 | -5,040 | skid front(in) | 1000000,000 | -11,500 | 0,000 | 1,000 | 100,000 | -0,716 | 1,761 | 0,632 | 0,632 | 0,632 | 0,615 | 0,615 | 0,065 |
| 21,500 | 25,658 | 99,296 | -5,040 | skid front(out) | 1000000,000 | -11,500 | 0,000 | 1,000 | 100,000 | -0,819 | 1,830 | 0,632 | 0,632 | 0,632 | 0,615 | 0,615 | 0,069 |
| 22,000 | 24,352 | 99,331 | -5,041 | skid front(out) | 1000000,000 | -11,500 | 0,000 | 1,000 | 100,000 | -1,721 | 1,902 | 0,632 | 0,632 | 0,632 | 0,615 | 0,615 | 0,072 |
| 22,500 | 22,971 | 99,299 | -5,037 | skid front(out) | 1000000,000 | -11,500 | 0,000 | 1,000 | 100,000 | -2,155 | 1,978 | 0,632 | 0,632 | 0,632 | 0,615 | 0,615 | 0,076 |
| 23,000 | 21,503 | 99,295 | -5,037 | skid front(out) | 1000000,000 | -11,500 | 0,000 | 1,000 | 100,000 | -1,096 | 2,059 | 0,632 | 0,632 | 0,632 | 0,615 | 0,615 | 0,081 |
| 23,500 | 19,927 | 99,326 | -5,036 | skid front(out) | 1000000,000 | -11,500 | 0,000 | 1,000 | 100,000 | -2,864 | 2,146 | 0,632 | 0,632 | 0,632 | 0,615 | 0,615 | 0,087 |
| 24,000 | 18,216 | 99,336 | -5,035 | skid front(out) | 1000000,000 | -11,500 | 0,000 | 1,000 | 100,000 | -3,623 | 2,240 | 0,632 | 0,632 | 0,632 | 0,615 | 0,615 | 0,094 |
| 24,500 | 16,326 | 99,324 | -5,034 | skid front(out) | 1000000,000 | -11,500 | 0,000 | 1,000 | 100,000 | -3,321 | 2,344 | 0,632 | 0,632 | 0,632 | 0,615 | 0,615 | 0,104 |
| 25,000 | 14,188 | 99,316 | -5,031 | skid front(out) | 1000000,000 | -11,500 | 0,000 | 1,000 | 100,000 | -3,913 | 2,462 | 0,632 | 0,632 | 0,632 | 0,615 | 0,615 | 0,118 |
| 25,500 | 11,665 | 99,347 | -5,033 | skid front(out) | 1000000,000 | -11,500 | 0,000 | 1,000 | 100,000 | -2,946 | 2,601 | 0,632 | 0,632 | 0,632 | 0,615 | 0,615 | 0,139 |
| 26,000 | 8,416 | 99,320 | -5,030 | skid front(out) | 1000000,000 | -11,500 | 0,000 | 1,000 | 100,000 | -3,409 | 2,781 | 0,632 | 0,632 | 0,632 | 0,615 | 0,615 | 0,179 |
| 26,500 | 2,367 | 99,334 | -5,031 | skid front(out) | 1000000,000 | -11,500 | 0,000 | 1,000 | 100,000 | -2,052 | 3,115 | 0,632 | 0,632 | 0,632 | 0,615 | 0,615 | 0,334 |
| 26,600 | 1,936 | 99,327 | -5,030 | skid front(out) | 1000000,000 | -11,500 | 0,000 | 1,000 | 100,000 | -3,136 | 3,138 | 0,632 | 0,632 | 0,632 | 0,615 | 0,615 | 0,024 |

| run_c_w_glif_11 | R(m) | br.front (%) | s(%) | e (%) | coeff | effic (%) | time (sec) |
|-----------------|---------|--------------|-------|-------|-------|-----------|------------|
| s= | 100,000 | 1000000,00 | 73,50 | -11,5 | 0,0 | 1,00 | 2,872 |
| step= | 0,100 | viewstep= | 0,500 | STEPS | | | |

0,963

Προσδιορισμός Τιμών Πρόσφυσης κατά την Πέδηση Οχημάτων Εφοδιασμένων με Σύστημα ABS σε Αυξημένες κατά Μήκος Κλίσεις

| s (m) | V (km/h) | n (%) | dv/dt | skid check | R(m) | s(%) | e (%) | coeff | effic (%) | decelera | time (sec) | fT | front out | front in | rear out | rear in | checktime |
|--------|----------|--------|--------|-----------------|-------------|---------|-------|-------|-----------|-----------|------------|--------|-----------|----------|----------|---------|-----------|
| 20,400 | 1,311 | 99,435 | -4,680 | skid front(out) | 1000000,000 | -11,500 | 0,000 | 1,000 | 100,000 | -2,038891 | 2,872 | 0,5956 | 0,5952 | 0,5952 | 0,5834 | 0,5834 | |
| 0,000 | 49,900 | 99,482 | -4,727 | O.K | 1000000,000 | -11,500 | 0,000 | 1,000 | 100,000 | 0,000 | 0,000 | 0,596 | | | | | |
| 0,400 | 49,406 | 99,482 | -4,727 | skid front(in) | 1000000,000 | -11,500 | 0,000 | 1,000 | 100,000 | 0,000 | 0,029 | 0,596 | 0,596 | 0,596 | 0,584 | 0,584 | 0,029 |
| 1,000 | 48,657 | 99,482 | -4,725 | skid front(in) | 1000000,000 | -11,500 | 0,000 | 1,000 | 100,000 | 0,000 | 0,073 | 0,596 | 0,596 | 0,596 | 0,584 | 0,584 | 0,044 |
| 1,500 | 48,024 | 99,482 | -4,724 | skid front(in) | 1000000,000 | -11,500 | 0,000 | 1,000 | 100,000 | 0,000 | 0,110 | 0,596 | 0,596 | 0,596 | 0,584 | 0,584 | 0,037 |
| 2,000 | 47,382 | 99,482 | -4,723 | skid front(in) | 1000000,000 | -11,500 | 0,000 | 1,000 | 100,000 | 0,000 | 0,148 | 0,596 | 0,596 | 0,596 | 0,584 | 0,584 | 0,038 |
| 2,500 | 46,732 | 99,482 | -4,722 | skid front(in) | 1000000,000 | -11,500 | 0,000 | 1,000 | 100,000 | 0,000 | 0,186 | 0,596 | 0,596 | 0,596 | 0,584 | 0,584 | 0,038 |
| 3,000 | 46,072 | 99,482 | -4,721 | skid front(in) | 1000000,000 | -11,500 | 0,000 | 1,000 | 100,000 | 0,000 | 0,225 | 0,596 | 0,596 | 0,596 | 0,584 | 0,584 | 0,039 |
| 3,500 | 45,403 | 99,482 | -4,720 | skid front(in) | 1000000,000 | -11,500 | 0,000 | 1,000 | 100,000 | 0,000 | 0,264 | 0,596 | 0,596 | 0,596 | 0,584 | 0,584 | 0,039 |
| 4,000 | 44,725 | 99,482 | -4,719 | skid front(in) | 1000000,000 | -11,500 | 0,000 | 1,000 | 100,000 | 0,000 | 0,304 | 0,596 | 0,596 | 0,596 | 0,584 | 0,584 | 0,040 |
| 4,400 | 44,174 | 99,482 | -4,718 | skid front(in) | 1000000,000 | -11,500 | 0,000 | 1,000 | 100,000 | 0,000 | 0,337 | 0,596 | 0,596 | 0,596 | 0,584 | 0,584 | 0,032 |
| 5,000 | 43,336 | 99,482 | -4,717 | skid front(in) | 1000000,000 | -11,500 | 0,000 | 1,000 | 100,000 | 0,000 | 0,386 | 0,596 | 0,596 | 0,596 | 0,584 | 0,584 | 0,049 |
| 5,500 | 42,625 | 99,483 | -4,716 | skid front(in) | 1000000,000 | -11,500 | 0,000 | 1,000 | 100,000 | 0,000 | 0,428 | 0,596 | 0,596 | 0,596 | 0,584 | 0,584 | 0,042 |
| 6,000 | 41,902 | 99,483 | -4,715 | skid front(in) | 1000000,000 | -11,500 | 0,000 | 1,000 | 100,000 | 0,000 | 0,471 | 0,596 | 0,596 | 0,596 | 0,584 | 0,584 | 0,043 |
| 6,500 | 41,167 | 99,483 | -4,714 | skid front(in) | 1000000,000 | -11,500 | 0,000 | 1,000 | 100,000 | 0,000 | 0,514 | 0,596 | 0,596 | 0,596 | 0,584 | 0,584 | 0,043 |
| 7,000 | 40,418 | 99,483 | -4,713 | skid front(in) | 1000000,000 | -11,500 | 0,000 | 1,000 | 100,000 | 0,000 | 0,558 | 0,596 | 0,596 | 0,596 | 0,584 | 0,584 | 0,044 |
| 7,500 | 39,655 | 99,483 | -4,712 | skid front(in) | 1000000,000 | -11,500 | 0,000 | 1,000 | 100,000 | 0,000 | 0,603 | 0,596 | 0,596 | 0,596 | 0,584 | 0,584 | 0,045 |
| 8,000 | 38,878 | 99,483 | -4,711 | skid front(in) | 1000000,000 | -11,500 | 0,000 | 1,000 | 100,000 | 0,000 | 0,649 | 0,596 | 0,596 | 0,596 | 0,584 | 0,584 | 0,046 |
| 8,500 | 38,085 | 99,483 | -4,710 | skid front(in) | 1000000,000 | -11,500 | 0,000 | 1,000 | 100,000 | 0,000 | 0,696 | 0,596 | 0,596 | 0,596 | 0,584 | 0,584 | 0,047 |
| 9,000 | 37,275 | 99,483 | -4,708 | skid front(in) | 1000000,000 | -11,500 | 0,000 | 1,000 | 100,000 | 0,000 | 0,743 | 0,596 | 0,596 | 0,596 | 0,584 | 0,584 | 0,048 |
| 9,500 | 36,447 | 99,483 | -4,707 | skid front(in) | 1000000,000 | -11,500 | 0,000 | 1,000 | 100,000 | 0,000 | 0,792 | 0,596 | 0,596 | 0,596 | 0,584 | 0,584 | 0,049 |
| 10,000 | 35,600 | 99,483 | -4,706 | skid front(in) | 1000000,000 | -11,500 | 0,000 | 1,000 | 100,000 | 0,000 | 0,842 | 0,596 | 0,596 | 0,596 | 0,584 | 0,584 | 0,050 |
| 10,500 | 34,733 | 99,483 | -4,705 | skid front(in) | 1000000,000 | -11,500 | 0,000 | 1,000 | 100,000 | 0,000 | 0,893 | 0,596 | 0,596 | 0,596 | 0,584 | 0,584 | 0,051 |
| 11,000 | 33,844 | 99,483 | -4,704 | skid front(in) | 1000000,000 | -11,500 | 0,000 | 1,000 | 100,000 | 0,000 | 0,946 | 0,596 | 0,596 | 0,596 | 0,584 | 0,584 | 0,052 |
| 11,500 | 32,931 | 99,483 | -4,703 | skid front(in) | 1000000,000 | -11,500 | 0,000 | 1,000 | 100,000 | 0,000 | 1,000 | 0,596 | 0,596 | 0,596 | 0,584 | 0,584 | 0,054 |
| 12,000 | 31,992 | 99,484 | -4,701 | skid front(out) | 1000000,000 | -11,500 | 0,000 | 1,000 | 100,000 | -1,033 | 1,055 | 0,596 | 0,596 | 0,596 | 0,584 | 0,584 | 0,055 |
| 12,500 | 31,026 | 99,468 | -4,699 | skid front(out) | 1000000,000 | -11,500 | 0,000 | 1,000 | 100,000 | -1,509 | 1,112 | 0,596 | 0,595 | 0,595 | 0,584 | 0,584 | 0,057 |
| 13,000 | 30,028 | 99,463 | -4,698 | skid front(out) | 1000000,000 | -11,500 | 0,000 | 1,000 | 100,000 | -0,885 | 1,171 | 0,596 | 0,595 | 0,595 | 0,584 | 0,584 | 0,059 |
| 13,500 | 28,996 | 99,515 | -4,699 | skid front(out) | 1000000,000 | -11,500 | 0,000 | 1,000 | 100,000 | -2,184 | 1,232 | 0,596 | 0,596 | 0,596 | 0,584 | 0,584 | 0,061 |
| 14,000 | 27,927 | 99,458 | -4,695 | skid front(out) | 1000000,000 | -11,500 | 0,000 | 1,000 | 100,000 | -1,358 | 1,296 | 0,596 | 0,595 | 0,595 | 0,584 | 0,584 | 0,063 |
| 14,500 | 26,815 | 99,509 | -4,696 | skid front(out) | 1000000,000 | -11,500 | 0,000 | 1,000 | 100,000 | -2,226 | 1,361 | 0,596 | 0,596 | 0,596 | 0,584 | 0,584 | 0,066 |
| 15,000 | 25,654 | 99,471 | -4,693 | skid front(out) | 1000000,000 | -11,500 | 0,000 | 1,000 | 100,000 | -2,492 | 1,430 | 0,596 | 0,595 | 0,595 | 0,584 | 0,584 | 0,069 |
| 15,500 | 24,440 | 99,520 | -4,694 | skid front(out) | 1000000,000 | -11,500 | 0,000 | 1,000 | 100,000 | -2,842 | 1,502 | 0,596 | 0,596 | 0,596 | 0,584 | 0,584 | 0,072 |
| 16,000 | 23,162 | 99,476 | -4,691 | skid front(out) | 1000000,000 | -11,500 | 0,000 | 1,000 | 100,000 | -2,645 | 1,577 | 0,596 | 0,595 | 0,595 | 0,584 | 0,584 | 0,076 |
| 16,500 | 21,809 | 99,469 | -4,689 | skid front(out) | 1000000,000 | -11,500 | 0,000 | 1,000 | 100,000 | -2,860 | 1,657 | 0,596 | 0,595 | 0,595 | 0,584 | 0,584 | 0,080 |
| 17,000 | 20,368 | 99,470 | -4,690 | skid front(out) | 1000000,000 | -11,500 | 0,000 | 1,000 | 100,000 | -1,567 | 1,743 | 0,596 | 0,595 | 0,595 | 0,584 | 0,584 | 0,085 |
| 17,500 | 18,816 | 99,485 | -4,688 | skid front(out) | 1000000,000 | -11,500 | 0,000 | 1,000 | 100,000 | -3,112 | 1,835 | 0,596 | 0,595 | 0,595 | 0,584 | 0,584 | 0,092 |
| 18,000 | 17,125 | 99,481 | -4,688 | skid front(out) | 1000000,000 | -11,500 | 0,000 | 1,000 | 100,000 | -1,090 | 1,935 | 0,596 | 0,596 | 0,596 | 0,584 | 0,584 | 0,100 |
| 18,500 | 15,248 | 99,491 | -4,687 | skid front(out) | 1000000,000 | -11,500 | 0,000 | 1,000 | 100,000 | -2,068 | 2,046 | 0,596 | 0,595 | 0,595 | 0,584 | 0,584 | 0,111 |
| 18,900 | 13,561 | 99,500 | -4,686 | skid front(out) | 1000000,000 | -11,500 | 0,000 | 1,000 | 100,000 | -3,481 | 2,146 | 0,596 | 0,595 | 0,595 | 0,584 | 0,584 | 0,100 |
| 19,500 | 10,536 | 99,446 | -4,682 | skid front(out) | 1000000,000 | -11,500 | 0,000 | 1,000 | 100,000 | -2,163 | 2,325 | 0,596 | 0,595 | 0,595 | 0,584 | 0,584 | 0,179 |
| 20,000 | 7,093 | 99,494 | -4,683 | skid front(out) | 1000000,000 | -11,500 | 0,000 | 1,000 | 100,000 | -3,067 | 2,530 | 0,596 | 0,595 | 0,595 | 0,584 | 0,584 | 0,204 |
| 20,400 | 1,311 | 99,435 | -4,680 | skid front(out) | 1000000,000 | -11,500 | 0,000 | 1,000 | 100,000 | -2,039 | 2,872 | 0,596 | 0,595 | 0,595 | 0,583 | 0,583 | 0,343 |

Προσδιορισμός Τιμών Πρόσφυσης κατά την Πέδηση Οχημάτων Εφοδιασμένων με Σύστημα ABS σε Αυξημένες κατά Μήκος Κλίσεις

| run_c_w_glif_12 | R(m) | br.front (%) | s(%) | e (%) | coeff | effic (%) | time (sec) | | | | | | | | | | |
|-----------------|------------|--------------|--------|-----------------|-------------|-----------|------------|-------|-----------|-----------|------------|--------|-----------|----------|----------|---------|-----------|
| s= 100,000 | 1000000,00 | 73,50 | -11,5 | 0,0 | 1,00 | 100 | 2,821 | | | | | | | | | | 0,963 |
| step= 0,100 | viewstep= | 0,500 | STEPS | | | | | | | | | | | | | | |
| s (m) | V (km/h) | n (%) | dv/dt | skid check | R(m) | s(%) | e (%) | coeff | effic (%) | decelera | time (sec) | fT | front out | front in | rear out | rear in | checktime |
| 21,200 | 3,399 | 99,399 | -4,649 | skid front(out) | 1000000,000 | -11,500 | 0,000 | 1,000 | 100,000 | -3,376989 | 2,821 | 0,5927 | 0,5926 | 0,5926 | 0,5786 | 0,5786 | |
| 0,000 | 50,780 | 99,362 | -4,694 | O.K | 1000000,000 | -11,500 | 0,000 | 1,000 | 100,000 | 0,000 | 0,000 | 0,593 | | | | | |
| 0,400 | 50,299 | 99,362 | -4,693 | skid front(in) | 1000000,000 | -11,500 | 0,000 | 1,000 | 100,000 | 0,000 | 0,028 | 0,593 | 0,593 | 0,593 | 0,579 | 0,579 | 0,028 |
| 1,000 | 49,568 | 99,362 | -4,692 | skid front(in) | 1000000,000 | -11,500 | 0,000 | 1,000 | 100,000 | 0,000 | 0,072 | 0,593 | 0,593 | 0,593 | 0,579 | 0,579 | 0,043 |
| 1,500 | 48,951 | 99,362 | -4,691 | skid front(in) | 1000000,000 | -11,500 | 0,000 | 1,000 | 100,000 | 0,000 | 0,108 | 0,593 | 0,593 | 0,593 | 0,579 | 0,579 | 0,037 |
| 2,000 | 48,326 | 99,362 | -4,690 | skid front(in) | 1000000,000 | -11,500 | 0,000 | 1,000 | 100,000 | 0,000 | 0,145 | 0,593 | 0,593 | 0,593 | 0,579 | 0,579 | 0,037 |
| 2,500 | 47,693 | 99,362 | -4,689 | skid front(in) | 1000000,000 | -11,500 | 0,000 | 1,000 | 100,000 | 0,000 | 0,183 | 0,593 | 0,593 | 0,593 | 0,579 | 0,579 | 0,037 |
| 3,000 | 47,052 | 99,362 | -4,688 | skid front(in) | 1000000,000 | -11,500 | 0,000 | 1,000 | 100,000 | 0,000 | 0,221 | 0,593 | 0,593 | 0,593 | 0,579 | 0,579 | 0,038 |
| 3,500 | 46,402 | 99,363 | -4,687 | skid front(in) | 1000000,000 | -11,500 | 0,000 | 1,000 | 100,000 | 0,000 | 0,259 | 0,593 | 0,593 | 0,593 | 0,579 | 0,579 | 0,039 |
| 4,000 | 45,742 | 99,363 | -4,686 | skid front(in) | 1000000,000 | -11,500 | 0,000 | 1,000 | 100,000 | 0,000 | 0,298 | 0,593 | 0,593 | 0,593 | 0,579 | 0,579 | 0,039 |
| 4,400 | 45,208 | 99,363 | -4,685 | skid front(in) | 1000000,000 | -11,500 | 0,000 | 1,000 | 100,000 | 0,000 | 0,330 | 0,593 | 0,593 | 0,593 | 0,579 | 0,579 | 0,032 |
| 5,000 | 44,395 | 99,363 | -4,683 | skid front(in) | 1000000,000 | -11,500 | 0,000 | 1,000 | 100,000 | 0,000 | 0,378 | 0,593 | 0,593 | 0,593 | 0,579 | 0,579 | 0,048 |
| 5,500 | 43,707 | 99,363 | -4,682 | skid front(in) | 1000000,000 | -11,500 | 0,000 | 1,000 | 100,000 | 0,000 | 0,419 | 0,593 | 0,593 | 0,593 | 0,579 | 0,579 | 0,041 |
| 6,000 | 43,007 | 99,363 | -4,681 | skid front(in) | 1000000,000 | -11,500 | 0,000 | 1,000 | 100,000 | 0,000 | 0,461 | 0,593 | 0,593 | 0,593 | 0,579 | 0,579 | 0,042 |
| 6,500 | 42,296 | 99,363 | -4,680 | skid front(in) | 1000000,000 | -11,500 | 0,000 | 1,000 | 100,000 | 0,000 | 0,503 | 0,593 | 0,593 | 0,593 | 0,579 | 0,579 | 0,042 |
| 7,000 | 41,573 | 99,363 | -4,679 | skid front(in) | 1000000,000 | -11,500 | 0,000 | 1,000 | 100,000 | 0,000 | 0,546 | 0,593 | 0,593 | 0,593 | 0,579 | 0,579 | 0,043 |
| 7,500 | 40,837 | 99,363 | -4,678 | skid front(in) | 1000000,000 | -11,500 | 0,000 | 1,000 | 100,000 | 0,000 | 0,589 | 0,593 | 0,593 | 0,593 | 0,579 | 0,579 | 0,044 |
| 8,000 | 40,088 | 99,363 | -4,677 | skid front(in) | 1000000,000 | -11,500 | 0,000 | 1,000 | 100,000 | 0,000 | 0,634 | 0,593 | 0,593 | 0,593 | 0,579 | 0,579 | 0,044 |
| 8,500 | 39,324 | 99,363 | -4,676 | skid front(in) | 1000000,000 | -11,500 | 0,000 | 1,000 | 100,000 | 0,000 | 0,679 | 0,593 | 0,593 | 0,593 | 0,579 | 0,579 | 0,045 |
| 9,000 | 38,546 | 99,363 | -4,675 | skid front(in) | 1000000,000 | -11,500 | 0,000 | 1,000 | 100,000 | 0,000 | 0,725 | 0,593 | 0,593 | 0,593 | 0,579 | 0,579 | 0,046 |
| 9,500 | 37,752 | 99,363 | -4,674 | skid front(in) | 1000000,000 | -11,500 | 0,000 | 1,000 | 100,000 | 0,000 | 0,773 | 0,593 | 0,593 | 0,593 | 0,579 | 0,579 | 0,047 |
| 10,000 | 36,941 | 99,363 | -4,673 | skid front(in) | 1000000,000 | -11,500 | 0,000 | 1,000 | 100,000 | 0,000 | 0,821 | 0,593 | 0,593 | 0,593 | 0,579 | 0,579 | 0,048 |
| 10,500 | 36,112 | 99,363 | -4,672 | skid front(in) | 1000000,000 | -11,500 | 0,000 | 1,000 | 100,000 | 0,000 | 0,870 | 0,593 | 0,593 | 0,593 | 0,579 | 0,579 | 0,049 |
| 11,000 | 35,264 | 99,363 | -4,671 | skid front(in) | 1000000,000 | -11,500 | 0,000 | 1,000 | 100,000 | 0,000 | 0,921 | 0,593 | 0,593 | 0,593 | 0,579 | 0,579 | 0,050 |
| 11,500 | 34,395 | 99,363 | -4,670 | skid front(in) | 1000000,000 | -11,500 | 0,000 | 1,000 | 100,000 | 0,001 | 0,972 | 0,593 | 0,593 | 0,593 | 0,579 | 0,579 | 0,052 |
| 12,000 | 33,504 | 99,363 | -4,669 | skid front(in) | 1000000,000 | -11,500 | 0,000 | 1,000 | 100,000 | 0,000 | 1,025 | 0,593 | 0,593 | 0,593 | 0,579 | 0,579 | 0,053 |
| 12,500 | 32,589 | 99,363 | -4,668 | skid front(in) | 1000000,000 | -11,500 | 0,000 | 1,000 | 100,000 | 0,000 | 1,080 | 0,593 | 0,593 | 0,593 | 0,579 | 0,579 | 0,054 |
| 13,000 | 31,647 | 99,375 | -4,665 | skid front(out) | 1000000,000 | -11,500 | 0,000 | 1,000 | 100,000 | -2,452 | 1,136 | 0,593 | 0,593 | 0,593 | 0,578 | 0,579 | 0,056 |
| 13,500 | 30,677 | 99,344 | -4,663 | skid front(out) | 1000000,000 | -11,500 | 0,000 | 1,000 | 100,000 | -1,494 | 1,194 | 0,593 | 0,592 | 0,592 | 0,578 | 0,578 | 0,058 |
| 14,000 | 29,675 | 99,344 | -4,663 | skid front(out) | 1000000,000 | -11,500 | 0,000 | 1,000 | 100,000 | -0,860 | 1,253 | 0,593 | 0,593 | 0,593 | 0,578 | 0,578 | 0,060 |
| 14,500 | 28,638 | 99,329 | -4,661 | skid front(out) | 1000000,000 | -11,500 | 0,000 | 1,000 | 100,000 | -0,955 | 1,315 | 0,593 | 0,592 | 0,592 | 0,578 | 0,578 | 0,062 |
| 15,000 | 27,563 | 99,370 | -4,660 | skid front(out) | 1000000,000 | -11,500 | 0,000 | 1,000 | 100,000 | -3,016 | 1,379 | 0,593 | 0,593 | 0,593 | 0,578 | 0,578 | 0,064 |
| 15,500 | 26,445 | 99,371 | -4,661 | skid front(out) | 1000000,000 | -11,500 | 0,000 | 1,000 | 100,000 | -0,547 | 1,446 | 0,593 | 0,593 | 0,593 | 0,579 | 0,579 | 0,067 |
| 16,000 | 25,277 | 99,356 | -4,658 | skid front(out) | 1000000,000 | -11,500 | 0,000 | 1,000 | 100,000 | -2,520 | 1,515 | 0,593 | 0,592 | 0,592 | 0,578 | 0,578 | 0,070 |
| 16,500 | 24,053 | 99,401 | -4,659 | skid front(out) | 1000000,000 | -11,500 | 0,000 | 1,000 | 100,000 | -2,847 | 1,588 | 0,593 | 0,593 | 0,593 | 0,579 | 0,579 | 0,073 |
| 17,000 | 22,763 | 99,350 | -4,655 | skid front(out) | 1000000,000 | -11,500 | 0,000 | 1,000 | 100,000 | -2,649 | 1,665 | 0,593 | 0,592 | 0,592 | 0,578 | 0,578 | 0,077 |
| 17,500 | 21,396 | 99,389 | -4,657 | skid front(out) | 1000000,000 | -11,500 | 0,000 | 1,000 | 100,000 | -2,429 | 1,747 | 0,593 | 0,593 | 0,593 | 0,579 | 0,579 | 0,082 |
| 18,000 | 19,936 | 99,324 | -4,652 | skid front(in) | 1000000,000 | -11,500 | 0,000 | 1,000 | 100,000 | -1,598 | 1,834 | 0,593 | 0,592 | 0,592 | 0,578 | 0,578 | 0,087 |
| 18,500 | 18,361 | 99,382 | -4,654 | skid front(out) | 1000000,000 | -11,500 | 0,000 | 1,000 | 100,000 | -2,625 | 1,928 | 0,593 | 0,593 | 0,593 | 0,579 | 0,579 | 0,094 |
| 18,900 | 16,996 | 99,365 | -4,654 | skid front(out) | 1000000,000 | -11,500 | 0,000 | 1,000 | 100,000 | -0,558 | 2,009 | 0,593 | 0,593 | 0,593 | 0,579 | 0,579 | 0,081 |
| 19,500 | 14,713 | 99,384 | -4,651 | skid front(out) | 1000000,000 | -11,500 | 0,000 | 1,000 | 100,000 | -3,677 | 2,145 | 0,593 | 0,593 | 0,593 | 0,578 | 0,578 | 0,136 |
| 20,000 | 12,498 | 99,383 | -4,650 | skid front(out) | 1000000,000 | -11,500 | 0,000 | 1,000 | 100,000 | -3,044 | 2,278 | 0,593 | 0,593 | 0,593 | 0,578 | 0,578 | 0,132 |
| 20,500 | 9,793 | 99,324 | -4,648 | skid front(out) | 1000000,000 | -11,500 | 0,000 | 1,000 | 100,000 | -1,149 | 2,439 | 0,593 | 0,592 | 0,592 | 0,578 | 0,578 | 0,162 |
| 21,000 | 5,971 | 99,341 | -4,647 | skid front(out) | 1000000,000 | -11,500 | 0,000 | 1,000 | 100,000 | -1,997 | 2,668 | 0,593 | 0,592 | 0,592 | 0,578 | 0,578 | 0,228 |
| 21,200 | 3,399 | 99,399 | -4,649 | skid front(out) | 1000000,000 | -11,500 | 0,000 | 1,000 | 100,000 | -3,377 | 2,821 | 0,593 | 0,593 | 0,593 | 0,579 | 0,579 | 0,154 |

Προσδιορισμός Τιμών Πρόσφυσης κατά την Πέδηση Οχημάτων Εφοδιασμένων με Σύστημα ABS σε Αυξημένες κατά Μήκος Κλίσεις

| run_c_w_glif_13 | R(m) | br.front (%) | s(%) | e (%) | coeff | effic (%) | time (sec) | | | | | | | | | | |
|-----------------|-----------------|--------------|--------|-----------------|-------------|-----------|------------|-------|-----------|-----------|------------|---------|-----------|----------|----------|---------|-----------|
| s= 100,000 | 1000000,00 | 73,50 | -11,5 | 0,0 | 1,00 | 100 | 3,155 | 0,963 | | | | | | | | | |
| step= 0,100 | viewstep= 0,500 | STEPS | | | | | | | | | | | | | | | |
| s (m) | V (km/h) | n (%) | dv/dt | skid check | R(m) | s(%) | e (%) | coeff | effic (%) | decelera | time (sec) | fT | front out | front in | rear out | rear in | checktime |
| 24,700 | 2,114 | 99,185 | -4,580 | skid front(out) | 1000000,000 | -11,500 | 0,000 | 1,000 | 100,000 | -4,711391 | 3,155 | 0,58707 | 0,5870 | 0,5870 | 0,5681 | 0,5681 | |
| 0,000 | 54,350 | 99,130 | -4,633 | O.K | 1000000,000 | -11,500 | 0,000 | 1,000 | 100,000 | 0,000 | 0,000 | 0,587 | | | | | |
| 0,400 | 53,906 | 99,130 | -4,632 | skid front(in) | 1000000,000 | -11,500 | 0,000 | 1,000 | 100,000 | 0,000 | 0,027 | 0,587 | 0,587 | 0,587 | 0,568 | 0,568 | 0,027 |
| 1,000 | 53,234 | 99,130 | -4,631 | skid front(in) | 1000000,000 | -11,500 | 0,000 | 1,000 | 100,000 | 0,000 | 0,067 | 0,587 | 0,587 | 0,587 | 0,568 | 0,568 | 0,040 |
| 1,500 | 52,667 | 99,130 | -4,630 | skid front(in) | 1000000,000 | -11,500 | 0,000 | 1,000 | 100,000 | 0,000 | 0,101 | 0,587 | 0,587 | 0,587 | 0,568 | 0,568 | 0,034 |
| 2,000 | 52,095 | 99,131 | -4,629 | skid front(in) | 1000000,000 | -11,500 | 0,000 | 1,000 | 100,000 | 0,000 | 0,135 | 0,587 | 0,587 | 0,587 | 0,568 | 0,568 | 0,034 |
| 2,500 | 51,516 | 99,131 | -4,628 | skid front(in) | 1000000,000 | -11,500 | 0,000 | 1,000 | 100,000 | 0,000 | 0,170 | 0,587 | 0,587 | 0,587 | 0,568 | 0,568 | 0,035 |
| 3,000 | 50,930 | 99,131 | -4,626 | skid front(in) | 1000000,000 | -11,500 | 0,000 | 1,000 | 100,000 | 0,000 | 0,205 | 0,587 | 0,587 | 0,587 | 0,568 | 0,568 | 0,035 |
| 3,500 | 50,338 | 99,131 | -4,625 | skid front(in) | 1000000,000 | -11,500 | 0,000 | 1,000 | 100,000 | 0,000 | 0,241 | 0,587 | 0,587 | 0,587 | 0,568 | 0,568 | 0,036 |
| 4,000 | 49,740 | 99,131 | -4,624 | skid front(in) | 1000000,000 | -11,500 | 0,000 | 1,000 | 100,000 | 0,000 | 0,277 | 0,587 | 0,587 | 0,587 | 0,568 | 0,568 | 0,036 |
| 4,400 | 49,255 | 99,131 | -4,624 | skid front(in) | 1000000,000 | -11,500 | 0,000 | 1,000 | 100,000 | 0,000 | 0,306 | 0,587 | 0,587 | 0,587 | 0,568 | 0,568 | 0,029 |
| 5,000 | 48,520 | 99,131 | -4,622 | skid front(in) | 1000000,000 | -11,500 | 0,000 | 1,000 | 100,000 | 0,000 | 0,350 | 0,587 | 0,587 | 0,587 | 0,568 | 0,568 | 0,044 |
| 5,500 | 47,899 | 99,131 | -4,621 | skid front(in) | 1000000,000 | -11,500 | 0,000 | 1,000 | 100,000 | 0,000 | 0,387 | 0,587 | 0,587 | 0,587 | 0,568 | 0,568 | 0,037 |
| 6,000 | 47,269 | 99,131 | -4,620 | skid front(in) | 1000000,000 | -11,500 | 0,000 | 1,000 | 100,000 | 0,000 | 0,425 | 0,587 | 0,587 | 0,587 | 0,568 | 0,568 | 0,038 |
| 6,500 | 46,632 | 99,131 | -4,619 | skid front(in) | 1000000,000 | -11,500 | 0,000 | 1,000 | 100,000 | 0,000 | 0,463 | 0,587 | 0,587 | 0,587 | 0,568 | 0,568 | 0,038 |
| 7,000 | 45,986 | 99,131 | -4,618 | skid front(in) | 1000000,000 | -11,500 | 0,000 | 1,000 | 100,000 | 0,000 | 0,502 | 0,587 | 0,587 | 0,587 | 0,568 | 0,568 | 0,039 |
| 7,500 | 45,330 | 99,131 | -4,617 | skid front(in) | 1000000,000 | -11,500 | 0,000 | 1,000 | 100,000 | 0,000 | 0,542 | 0,587 | 0,587 | 0,587 | 0,568 | 0,568 | 0,039 |
| 8,000 | 44,665 | 99,131 | -4,616 | skid front(in) | 1000000,000 | -11,500 | 0,000 | 1,000 | 100,000 | 0,000 | 0,582 | 0,587 | 0,587 | 0,587 | 0,568 | 0,568 | 0,040 |
| 8,500 | 43,991 | 99,131 | -4,615 | skid front(in) | 1000000,000 | -11,500 | 0,000 | 1,000 | 100,000 | 0,000 | 0,622 | 0,587 | 0,587 | 0,587 | 0,568 | 0,568 | 0,041 |
| 9,000 | 43,306 | 99,131 | -4,614 | skid front(in) | 1000000,000 | -11,500 | 0,000 | 1,000 | 100,000 | 0,000 | 0,664 | 0,587 | 0,587 | 0,587 | 0,568 | 0,568 | 0,041 |
| 9,500 | 42,610 | 99,131 | -4,613 | skid front(in) | 1000000,000 | -11,500 | 0,000 | 1,000 | 100,000 | 0,000 | 0,706 | 0,587 | 0,587 | 0,587 | 0,568 | 0,568 | 0,042 |
| 10,000 | 41,902 | 99,131 | -4,612 | skid front(in) | 1000000,000 | -11,500 | 0,000 | 1,000 | 100,000 | 0,000 | 0,748 | 0,587 | 0,587 | 0,587 | 0,568 | 0,568 | 0,043 |
| 10,500 | 41,183 | 99,131 | -4,611 | skid front(in) | 1000000,000 | -11,500 | 0,000 | 1,000 | 100,000 | 0,000 | 0,791 | 0,587 | 0,587 | 0,587 | 0,568 | 0,568 | 0,043 |
| 11,000 | 40,451 | 99,131 | -4,610 | skid front(in) | 1000000,000 | -11,500 | 0,000 | 1,000 | 100,000 | 0,000 | 0,836 | 0,587 | 0,587 | 0,587 | 0,568 | 0,568 | 0,044 |
| 11,500 | 39,706 | 99,132 | -4,609 | skid front(in) | 1000000,000 | -11,500 | 0,000 | 1,000 | 100,000 | 0,000 | 0,880 | 0,587 | 0,587 | 0,587 | 0,568 | 0,568 | 0,045 |
| 12,000 | 38,947 | 99,132 | -4,608 | skid front(in) | 1000000,000 | -11,500 | 0,000 | 1,000 | 100,000 | 0,000 | 0,926 | 0,587 | 0,587 | 0,587 | 0,568 | 0,568 | 0,046 |
| 12,500 | 38,172 | 99,132 | -4,607 | skid front(in) | 1000000,000 | -11,500 | 0,000 | 1,000 | 100,000 | 0,000 | 0,973 | 0,587 | 0,587 | 0,587 | 0,568 | 0,568 | 0,047 |
| 13,000 | 37,382 | 99,132 | -4,606 | skid front(in) | 1000000,000 | -11,500 | 0,000 | 1,000 | 100,000 | 0,000 | 1,021 | 0,587 | 0,587 | 0,587 | 0,568 | 0,568 | 0,048 |
| 13,500 | 36,575 | 99,132 | -4,605 | skid front(in) | 1000000,000 | -11,500 | 0,000 | 1,000 | 100,000 | 0,000 | 1,069 | 0,587 | 0,587 | 0,587 | 0,568 | 0,568 | 0,049 |
| 14,000 | 35,750 | 99,132 | -4,603 | skid front(in) | 1000000,000 | -11,500 | 0,000 | 1,000 | 100,000 | 0,000 | 1,119 | 0,587 | 0,587 | 0,587 | 0,568 | 0,568 | 0,050 |
| 14,500 | 34,906 | 99,132 | -4,602 | skid front(in) | 1000000,000 | -11,500 | 0,000 | 1,000 | 100,000 | 0,000 | 1,170 | 0,587 | 0,587 | 0,587 | 0,568 | 0,568 | 0,051 |
| 15,000 | 34,041 | 99,132 | -4,601 | skid front(in) | 1000000,000 | -11,500 | 0,000 | 1,000 | 100,000 | 0,000 | 1,222 | 0,587 | 0,587 | 0,587 | 0,568 | 0,568 | 0,052 |
| 15,500 | 33,154 | 99,132 | -4,600 | skid front(in) | 1000000,000 | -11,500 | 0,000 | 1,000 | 100,000 | 0,000 | 1,276 | 0,587 | 0,587 | 0,587 | 0,568 | 0,568 | 0,054 |
| 16,000 | 32,242 | 99,132 | -4,599 | skid front(in) | 1000000,000 | -11,500 | 0,000 | 1,000 | 100,000 | 0,001 | 1,331 | 0,587 | 0,587 | 0,587 | 0,568 | 0,568 | 0,055 |
| 16,500 | 31,304 | 99,125 | -4,596 | skid front(out) | 1000000,000 | -11,500 | 0,000 | 1,000 | 100,000 | -1,723 | 1,387 | 0,587 | 0,587 | 0,587 | 0,568 | 0,568 | 0,057 |
| 17,000 | 30,338 | 99,148 | -4,596 | skid front(out) | 1000000,000 | -11,500 | 0,000 | 1,000 | 100,000 | -1,890 | 1,446 | 0,587 | 0,587 | 0,587 | 0,568 | 0,568 | 0,058 |
| 17,500 | 29,339 | 99,130 | -4,595 | skid front(out) | 1000000,000 | -11,500 | 0,000 | 1,000 | 100,000 | -1,250 | 1,506 | 0,587 | 0,587 | 0,587 | 0,568 | 0,568 | 0,060 |
| 18,000 | 28,306 | 99,141 | -4,595 | skid front(out) | 1000000,000 | -11,500 | 0,000 | 1,000 | 100,000 | -0,971 | 1,569 | 0,587 | 0,587 | 0,587 | 0,568 | 0,568 | 0,062 |
| 18,500 | 27,234 | 99,157 | -4,593 | skid front(out) | 1000000,000 | -11,500 | 0,000 | 1,000 | 100,000 | -3,035 | 1,633 | 0,587 | 0,587 | 0,587 | 0,568 | 0,568 | 0,065 |
| 18,900 | 26,346 | 99,102 | -4,590 | skid front(in) | 1000000,000 | -11,500 | 0,000 | 1,000 | 100,000 | -1,617 | 1,687 | 0,587 | 0,587 | 0,587 | 0,568 | 0,568 | 0,054 |
| 19,500 | 24,954 | 99,129 | -4,590 | skid front(out) | 1000000,000 | -11,500 | 0,000 | 1,000 | 100,000 | -2,199 | 1,771 | 0,587 | 0,587 | 0,587 | 0,568 | 0,568 | 0,084 |
| 20,000 | 23,731 | 99,134 | -4,589 | skid front(out) | 1000000,000 | -11,500 | 0,000 | 1,000 | 100,000 | -2,487 | 1,845 | 0,587 | 0,587 | 0,587 | 0,568 | 0,568 | 0,074 |
| 20,500 | 22,443 | 99,146 | -4,589 | skid front(out) | 1000000,000 | -11,500 | 0,000 | 1,000 | 100,000 | -1,482 | 1,923 | 0,587 | 0,587 | 0,587 | 0,568 | 0,568 | 0,078 |
| 21,000 | 21,076 | 99,135 | -4,588 | skid front(out) | 1000000,000 | -11,500 | 0,000 | 1,000 | 100,000 | -1,237 | 2,006 | 0,587 | 0,587 | 0,587 | 0,568 | 0,568 | 0,083 |
| 21,500 | 19,615 | 99,128 | -4,584 | skid front(out) | 1000000,000 | -11,500 | 0,000 | 1,000 | 100,000 | -3,742 | 2,094 | 0,587 | 0,587 | 0,587 | 0,568 | 0,568 | 0,089 |
| 22,000 | 18,036 | 99,156 | -4,586 | skid front(out) | 1000000,000 | -11,500 | 0,000 | 1,000 | 100,000 | -2,464 | 2,190 | 0,587 | 0,587 | 0,587 | 0,568 | 0,568 | 0,096 |

Προσδιορισμός Τιμών Πρόσφυσης κατά την Πέδηση Οχημάτων Εφοδιασμένων με Σύστημα ABS σε Αυξημένες κατά Μήκος Κλίσεις

| | | | | | | | | | | | | | | | | | |
|--------|--------|--------|--------|-----------------|-------------|---------|-------|-------|---------|--------|-------|-------|-------|-------|-------|-------|-------|
| 22,500 | 16,306 | 99,160 | -4,586 | skid front(out) | 1000000,000 | -11,500 | 0,000 | 1,000 | 100,000 | -2,027 | 2,295 | 0,587 | 0,587 | 0,587 | 0,568 | 0,568 | 0,105 |
| 23,000 | 14,368 | 99,138 | -4,583 | skid front(out) | 1000000,000 | -11,500 | 0,000 | 1,000 | 100,000 | -2,526 | 2,412 | 0,587 | 0,587 | 0,587 | 0,568 | 0,568 | 0,117 |
| 23,500 | 12,126 | 99,119 | -4,582 | skid front(out) | 1000000,000 | -11,500 | 0,000 | 1,000 | 100,000 | -1,323 | 2,548 | 0,587 | 0,587 | 0,587 | 0,568 | 0,568 | 0,136 |
| 24,000 | 9,361 | 99,176 | -4,583 | skid front(out) | 1000000,000 | -11,500 | 0,000 | 1,000 | 100,000 | -2,936 | 2,716 | 0,587 | 0,587 | 0,587 | 0,568 | 0,568 | 0,168 |
| 24,500 | 5,314 | 99,169 | -4,581 | skid front(out) | 1000000,000 | -11,500 | 0,000 | 1,000 | 100,000 | -3,333 | 2,961 | 0,587 | 0,587 | 0,587 | 0,568 | 0,568 | 0,245 |
| 24,700 | 2,114 | 99,185 | -4,580 | skid front(out) | 1000000,000 | -11,500 | 0,000 | 1,000 | 100,000 | -4,711 | 3,155 | 0,587 | 0,587 | 0,587 | 0,568 | 0,568 | 0,194 |

| run_c_w_glif_14 | R(m) | br.front (%) | s(%) | e (%) | coeff | effic (%) | time (sec) | |
|-----------------|---------|--------------|-------|-------|-------|-----------|------------|-------|
| s= | 100,000 | 1000000,00 | 72,00 | -11,5 | 0,0 | 1,00 | 100 | 3,909 |
| step= | 0,100 | viewstep= | 0,500 | STEPS | | | | |

0,963

| s (m) | V (km/h) | n (%) | dv/dt | skid check | R(m) | s(%) | e (%) | coeff | effic (%) | decelera | time (sec) | fT | front out | front in | rear out | rear in | checktime |
|--------|----------|--------|--------|-----------------|-------------|---------|-------|-------|-----------|-----------|------------|---------|-----------|----------|----------|---------|-----------|
| 33,700 | 2,331 | 99,410 | -4,067 | skid front(out) | 1000000,000 | -11,500 | 0,000 | 1,000 | 100,000 | -1,095984 | 3,909 | 0,53276 | 0,5326 | 0,5326 | 0,5217 | 0,5217 | |
| 0,000 | 59,900 | 99,416 | -4,135 | O.K | 1000000,000 | -11,500 | 0,000 | 1,000 | 100,000 | 0,000 | 0,000 | 0,533 | | | | | |
| 0,400 | 59,541 | 99,416 | -4,134 | skid front(in) | 1000000,000 | -11,500 | 0,000 | 1,000 | 100,000 | 0,000 | 0,024 | 0,533 | 0,533 | 0,533 | 0,522 | 0,522 | 0,024 |
| 1,000 | 58,999 | 99,416 | -4,133 | skid front(in) | 1000000,000 | -11,500 | 0,000 | 1,000 | 100,000 | 0,000 | 0,061 | 0,533 | 0,533 | 0,533 | 0,522 | 0,522 | 0,036 |
| 1,500 | 58,543 | 99,416 | -4,132 | skid front(in) | 1000000,000 | -11,500 | 0,000 | 1,000 | 100,000 | 0,000 | 0,091 | 0,533 | 0,533 | 0,533 | 0,522 | 0,522 | 0,031 |
| 2,000 | 58,084 | 99,416 | -4,131 | skid front(in) | 1000000,000 | -11,500 | 0,000 | 1,000 | 100,000 | 0,000 | 0,122 | 0,533 | 0,533 | 0,533 | 0,522 | 0,522 | 0,031 |
| 2,500 | 57,621 | 99,416 | -4,130 | skid front(in) | 1000000,000 | -11,500 | 0,000 | 1,000 | 100,000 | 0,000 | 0,153 | 0,533 | 0,533 | 0,533 | 0,522 | 0,522 | 0,031 |
| 3,000 | 57,155 | 99,416 | -4,129 | skid front(in) | 1000000,000 | -11,500 | 0,000 | 1,000 | 100,000 | 0,000 | 0,185 | 0,533 | 0,533 | 0,533 | 0,522 | 0,522 | 0,031 |
| 3,500 | 56,685 | 99,416 | -4,128 | skid front(in) | 1000000,000 | -11,500 | 0,000 | 1,000 | 100,000 | 0,000 | 0,216 | 0,533 | 0,533 | 0,533 | 0,522 | 0,522 | 0,032 |
| 4,000 | 56,211 | 99,416 | -4,127 | skid front(in) | 1000000,000 | -11,500 | 0,000 | 1,000 | 100,000 | 0,000 | 0,248 | 0,533 | 0,533 | 0,533 | 0,522 | 0,522 | 0,032 |
| 4,400 | 55,829 | 99,416 | -4,126 | skid front(in) | 1000000,000 | -11,500 | 0,000 | 1,000 | 100,000 | 0,000 | 0,274 | 0,533 | 0,533 | 0,533 | 0,522 | 0,522 | 0,026 |
| 5,000 | 55,252 | 99,416 | -4,125 | skid front(in) | 1000000,000 | -11,500 | 0,000 | 1,000 | 100,000 | 0,000 | 0,313 | 0,533 | 0,533 | 0,533 | 0,522 | 0,522 | 0,039 |
| 5,500 | 54,766 | 99,416 | -4,124 | skid front(in) | 1000000,000 | -11,500 | 0,000 | 1,000 | 100,000 | 0,000 | 0,345 | 0,533 | 0,533 | 0,533 | 0,522 | 0,522 | 0,033 |
| 6,000 | 54,276 | 99,416 | -4,123 | skid front(in) | 1000000,000 | -11,500 | 0,000 | 1,000 | 100,000 | 0,000 | 0,378 | 0,533 | 0,533 | 0,533 | 0,522 | 0,522 | 0,033 |
| 6,500 | 53,781 | 99,416 | -4,122 | skid front(in) | 1000000,000 | -11,500 | 0,000 | 1,000 | 100,000 | 0,000 | 0,412 | 0,533 | 0,533 | 0,533 | 0,522 | 0,522 | 0,033 |
| 7,000 | 53,282 | 99,416 | -4,121 | skid front(in) | 1000000,000 | -11,500 | 0,000 | 1,000 | 100,000 | 0,000 | 0,445 | 0,533 | 0,533 | 0,533 | 0,522 | 0,522 | 0,034 |
| 7,500 | 52,779 | 99,416 | -4,120 | skid front(in) | 1000000,000 | -11,500 | 0,000 | 1,000 | 100,000 | 0,000 | 0,479 | 0,533 | 0,533 | 0,533 | 0,522 | 0,522 | 0,034 |
| 8,000 | 52,271 | 99,416 | -4,119 | skid front(in) | 1000000,000 | -11,500 | 0,000 | 1,000 | 100,000 | 0,000 | 0,514 | 0,533 | 0,533 | 0,533 | 0,522 | 0,522 | 0,034 |
| 8,500 | 51,758 | 99,416 | -4,118 | skid front(in) | 1000000,000 | -11,500 | 0,000 | 1,000 | 100,000 | 0,000 | 0,548 | 0,533 | 0,533 | 0,533 | 0,522 | 0,522 | 0,035 |
| 9,000 | 51,239 | 99,416 | -4,117 | skid front(in) | 1000000,000 | -11,500 | 0,000 | 1,000 | 100,000 | 0,000 | 0,583 | 0,533 | 0,533 | 0,533 | 0,522 | 0,522 | 0,035 |
| 9,500 | 50,716 | 99,417 | -4,116 | skid front(in) | 1000000,000 | -11,500 | 0,000 | 1,000 | 100,000 | 0,000 | 0,618 | 0,533 | 0,533 | 0,533 | 0,522 | 0,522 | 0,035 |
| 10,000 | 50,188 | 99,417 | -4,115 | skid front(in) | 1000000,000 | -11,500 | 0,000 | 1,000 | 100,000 | 0,000 | 0,654 | 0,533 | 0,533 | 0,533 | 0,522 | 0,522 | 0,036 |
| 10,500 | 49,653 | 99,417 | -4,114 | skid front(in) | 1000000,000 | -11,500 | 0,000 | 1,000 | 100,000 | 0,000 | 0,690 | 0,533 | 0,533 | 0,533 | 0,522 | 0,522 | 0,036 |
| 11,000 | 49,114 | 99,417 | -4,113 | skid front(in) | 1000000,000 | -11,500 | 0,000 | 1,000 | 100,000 | 0,000 | 0,727 | 0,533 | 0,533 | 0,533 | 0,522 | 0,522 | 0,036 |
| 11,500 | 48,568 | 99,417 | -4,112 | skid front(in) | 1000000,000 | -11,500 | 0,000 | 1,000 | 100,000 | 0,000 | 0,763 | 0,533 | 0,533 | 0,533 | 0,522 | 0,522 | 0,037 |
| 12,000 | 48,016 | 99,417 | -4,111 | skid front(in) | 1000000,000 | -11,500 | 0,000 | 1,000 | 100,000 | 0,000 | 0,801 | 0,533 | 0,533 | 0,533 | 0,522 | 0,522 | 0,037 |
| 12,500 | 47,458 | 99,417 | -4,110 | skid front(in) | 1000000,000 | -11,500 | 0,000 | 1,000 | 100,000 | 0,000 | 0,838 | 0,533 | 0,533 | 0,533 | 0,522 | 0,522 | 0,038 |
| 13,000 | 46,894 | 99,417 | -4,109 | skid front(in) | 1000000,000 | -11,500 | 0,000 | 1,000 | 100,000 | 0,000 | 0,877 | 0,533 | 0,533 | 0,533 | 0,522 | 0,522 | 0,038 |
| 13,500 | 46,323 | 99,417 | -4,108 | skid front(in) | 1000000,000 | -11,500 | 0,000 | 1,000 | 100,000 | 0,000 | 0,915 | 0,533 | 0,533 | 0,533 | 0,522 | 0,522 | 0,039 |
| 14,000 | 45,744 | 99,417 | -4,107 | skid front(in) | 1000000,000 | -11,500 | 0,000 | 1,000 | 100,000 | 0,000 | 0,954 | 0,533 | 0,533 | 0,533 | 0,522 | 0,522 | 0,039 |
| 14,500 | 45,159 | 99,417 | -4,106 | skid front(in) | 1000000,000 | -11,500 | 0,000 | 1,000 | 100,000 | 0,000 | 0,994 | 0,533 | 0,533 | 0,533 | 0,522 | 0,522 | 0,040 |
| 15,000 | 44,566 | 99,417 | -4,105 | skid front(in) | 1000000,000 | -11,500 | 0,000 | 1,000 | 100,000 | 0,000 | 1,034 | 0,533 | 0,533 | 0,533 | 0,522 | 0,522 | 0,040 |
| 15,500 | 43,965 | 99,417 | -4,104 | skid front(in) | 1000000,000 | -11,500 | 0,000 | 1,000 | 100,000 | 0,000 | 1,075 | 0,533 | 0,533 | 0,533 | 0,522 | 0,522 | 0,041 |
| 16,000 | 43,356 | 99,417 | -4,103 | skid front(in) | 1000000,000 | -11,500 | 0,000 | 1,000 | 100,000 | 0,000 | 1,116 | 0,533 | 0,533 | 0,533 | 0,522 | 0,522 | 0,041 |
| 16,500 | 42,739 | 99,417 | -4,102 | skid front(in) | 1000000,000 | -11,500 | 0,000 | 1,000 | 100,000 | 0,000 | 1,158 | 0,533 | 0,533 | 0,533 | 0,522 | 0,522 | 0,042 |
| 17,000 | 42,112 | 99,417 | -4,101 | skid front(in) | 1000000,000 | -11,500 | 0,000 | 1,000 | 100,000 | 0,000 | 1,200 | 0,533 | 0,533 | 0,533 | 0,522 | 0,522 | 0,042 |
| 17,500 | 41,476 | 99,417 | -4,100 | skid front(in) | 1000000,000 | -11,500 | 0,000 | 1,000 | 100,000 | 0,000 | 1,243 | 0,533 | 0,533 | 0,533 | 0,522 | 0,522 | 0,043 |
| 18,000 | 40,831 | 99,417 | -4,099 | skid front(in) | 1000000,000 | -11,500 | 0,000 | 1,000 | 100,000 | 0,000 | 1,287 | 0,533 | 0,533 | 0,533 | 0,522 | 0,522 | 0,044 |
| 18,500 | 40,175 | 99,417 | -4,098 | skid front(in) | 1000000,000 | -11,500 | 0,000 | 1,000 | 100,000 | 0,000 | 1,331 | 0,533 | 0,533 | 0,533 | 0,522 | 0,522 | 0,044 |
| 18,900 | 39,643 | 99,417 | -4,097 | skid front(in) | 1000000,000 | -11,500 | 0,000 | 1,000 | 100,000 | 0,000 | 1,367 | 0,533 | 0,533 | 0,533 | 0,522 | 0,522 | 0,036 |
| 19,500 | 38,831 | 99,417 | -4,096 | skid front(in) | 1000000,000 | -11,500 | 0,000 | 1,000 | 100,000 | 0,000 | 1,423 | 0,533 | 0,533 | 0,533 | 0,522 | 0,522 | 0,055 |
| 20,000 | 38,141 | 99,417 | -4,095 | skid front(in) | 1000000,000 | -11,500 | 0,000 | 1,000 | 100,000 | 0,000 | 1,469 | 0,533 | 0,533 | 0,533 | 0,522 | 0,522 | 0,047 |
| 20,500 | 37,439 | 99,418 | -4,094 | skid front(in) | 1000000,000 | -11,500 | 0,000 | 1,000 | 100,000 | 0,000 | 1,517 | 0,533 | 0,533 | 0,533 | 0,522 | 0,522 | 0,048 |

Προσδιορισμός Τιμών Πρόσφυσης κατά την Πέδηση Οχημάτων Εφοδιασμένων με Σύστημα ABS σε Αυξημένες κατά Μήκος Κλίσεις

| | | | | | | | | | | | | | | | | | |
|--------|--------|--------|--------|-----------------|-------------|---------|-------|-------|---------|--------|-------|-------|-------|-------|-------|-------|-------|
| 21,000 | 36,724 | 99,418 | -4,093 | skid front(in) | 1000000,000 | -11,500 | 0,000 | 1,000 | 100,000 | 0,000 | 1,565 | 0,533 | 0,533 | 0,533 | 0,522 | 0,522 | 0,049 |
| 21,500 | 35,994 | 99,418 | -4,092 | skid front(in) | 1000000,000 | -11,500 | 0,000 | 1,000 | 100,000 | 0,000 | 1,615 | 0,533 | 0,533 | 0,533 | 0,522 | 0,522 | 0,050 |
| 22,000 | 35,250 | 99,418 | -4,091 | skid front(in) | 1000000,000 | -11,500 | 0,000 | 1,000 | 100,000 | 0,001 | 1,666 | 0,533 | 0,533 | 0,533 | 0,522 | 0,522 | 0,051 |
| 22,500 | 34,490 | 99,418 | -4,090 | skid front(in) | 1000000,000 | -11,500 | 0,000 | 1,000 | 100,000 | 0,000 | 1,717 | 0,533 | 0,533 | 0,533 | 0,522 | 0,522 | 0,052 |
| 23,000 | 33,713 | 99,418 | -4,089 | skid front(in) | 1000000,000 | -11,500 | 0,000 | 1,000 | 100,000 | 0,000 | 1,770 | 0,533 | 0,533 | 0,533 | 0,522 | 0,522 | 0,053 |
| 23,500 | 32,917 | 99,418 | -4,088 | skid front(in) | 1000000,000 | -11,500 | 0,000 | 1,000 | 100,000 | 0,001 | 1,824 | 0,533 | 0,533 | 0,533 | 0,522 | 0,522 | 0,054 |
| 24,000 | 32,103 | 99,418 | -4,087 | skid front(in) | 1000000,000 | -11,500 | 0,000 | 1,000 | 100,000 | 0,002 | 1,879 | 0,533 | 0,533 | 0,533 | 0,522 | 0,522 | 0,055 |
| 24,500 | 31,267 | 99,410 | -4,085 | skid front(out) | 1000000,000 | -11,500 | 0,000 | 1,000 | 100,000 | -1,184 | 1,936 | 0,533 | 0,533 | 0,533 | 0,522 | 0,522 | 0,057 |
| 25,000 | 30,409 | 99,391 | -4,083 | skid front(out) | 1000000,000 | -11,500 | 0,000 | 1,000 | 100,000 | -1,169 | 1,994 | 0,533 | 0,533 | 0,533 | 0,521 | 0,522 | 0,058 |
| 25,500 | 29,526 | 99,456 | -4,084 | skid front(out) | 1000000,000 | -11,500 | 0,000 | 1,000 | 100,000 | -2,715 | 2,055 | 0,533 | 0,533 | 0,533 | 0,522 | 0,522 | 0,060 |
| 26,000 | 28,615 | 99,424 | -4,082 | skid front(out) | 1000000,000 | -11,500 | 0,000 | 1,000 | 100,000 | -1,883 | 2,116 | 0,533 | 0,533 | 0,533 | 0,522 | 0,522 | 0,062 |
| 26,500 | 27,675 | 99,397 | -4,080 | skid front(out) | 1000000,000 | -11,500 | 0,000 | 1,000 | 100,000 | -1,383 | 2,180 | 0,533 | 0,533 | 0,533 | 0,522 | 0,522 | 0,064 |
| 27,000 | 26,703 | 99,431 | -4,081 | skid front(out) | 1000000,000 | -11,500 | 0,000 | 1,000 | 100,000 | -0,866 | 2,247 | 0,533 | 0,533 | 0,533 | 0,522 | 0,522 | 0,066 |
| 27,500 | 25,693 | 99,417 | -4,079 | skid front(out) | 1000000,000 | -11,500 | 0,000 | 1,000 | 100,000 | -1,099 | 2,315 | 0,533 | 0,533 | 0,533 | 0,522 | 0,522 | 0,069 |
| 28,000 | 24,643 | 99,408 | -4,077 | skid front(out) | 1000000,000 | -11,500 | 0,000 | 1,000 | 100,000 | -1,670 | 2,387 | 0,533 | 0,533 | 0,533 | 0,522 | 0,522 | 0,072 |
| 28,500 | 23,546 | 99,376 | -4,075 | skid front(out) | 1000000,000 | -11,500 | 0,000 | 1,000 | 100,000 | -0,949 | 2,462 | 0,533 | 0,533 | 0,533 | 0,521 | 0,521 | 0,075 |
| 29,000 | 22,395 | 99,441 | -4,077 | skid front(out) | 1000000,000 | -11,500 | 0,000 | 1,000 | 100,000 | -2,008 | 2,540 | 0,533 | 0,533 | 0,533 | 0,522 | 0,522 | 0,078 |
| 29,500 | 21,183 | 99,392 | -4,075 | skid front(out) | 1000000,000 | -11,500 | 0,000 | 1,000 | 100,000 | -0,287 | 2,623 | 0,533 | 0,533 | 0,533 | 0,522 | 0,522 | 0,083 |
| 30,000 | 19,897 | 99,410 | -4,072 | skid front(out) | 1000000,000 | -11,500 | 0,000 | 1,000 | 100,000 | -2,678 | 2,710 | 0,533 | 0,533 | 0,533 | 0,521 | 0,521 | 0,088 |
| 30,500 | 18,523 | 99,436 | -4,074 | skid front(out) | 1000000,000 | -11,500 | 0,000 | 1,000 | 100,000 | -1,267 | 2,804 | 0,533 | 0,533 | 0,533 | 0,522 | 0,522 | 0,094 |
| 31,000 | 17,039 | 99,438 | -4,072 | skid front(out) | 1000000,000 | -11,500 | 0,000 | 1,000 | 100,000 | -2,761 | 2,905 | 0,533 | 0,533 | 0,533 | 0,522 | 0,522 | 0,101 |
| 31,500 | 15,412 | 99,411 | -4,070 | skid front(out) | 1000000,000 | -11,500 | 0,000 | 1,000 | 100,000 | -2,675 | 3,016 | 0,533 | 0,533 | 0,533 | 0,521 | 0,521 | 0,111 |
| 32,000 | 13,593 | 99,390 | -4,067 | skid front(in) | 1000000,000 | -11,500 | 0,000 | 1,000 | 100,000 | -3,106 | 3,140 | 0,533 | 0,532 | 0,532 | 0,521 | 0,521 | 0,124 |
| 32,500 | 11,490 | 99,451 | -4,069 | skid front(out) | 1000000,000 | -11,500 | 0,000 | 1,000 | 100,000 | -3,589 | 3,284 | 0,533 | 0,533 | 0,533 | 0,522 | 0,522 | 0,144 |
| 33,000 | 8,904 | 99,407 | -4,066 | skid front(out) | 1000000,000 | -11,500 | 0,000 | 1,000 | 100,000 | -2,863 | 3,460 | 0,533 | 0,532 | 0,532 | 0,521 | 0,521 | 0,177 |
| 33,500 | 5,151 | 99,450 | -4,068 | skid front(out) | 1000000,000 | -11,500 | 0,000 | 1,000 | 100,000 | -2,027 | 3,716 | 0,533 | 0,533 | 0,533 | 0,522 | 0,522 | 0,256 |
| 33,700 | 2,331 | 99,410 | -4,067 | skid front(out) | 1000000,000 | -11,500 | 0,000 | 1,000 | 100,000 | -1,096 | 3,909 | 0,533 | 0,533 | 0,533 | 0,522 | 0,522 | 0,193 |

Προσδιορισμός Τιμών Πρόσφυσης κατά την Πέδηση Οχημάτων Εφοδιασμένων με Σύστημα ABS σε Αυξημένες κατά Μήκος Κλίσεις

| run_c_w_glif_15 | | R(m) | br.front (%) | s(%) | e (%) | coeff | effic (%) | time (sec) | | | | | | | | | |
|-----------------|----------|------------|--------------|-----------------|-------------|---------|-----------|------------|-----------|-----------|------------|---------|-----------|----------|----------|---------|-----------|
| s= | 100,000 | 1000000,00 | 74,00 | -11,5 | 0,0 | 1,00 | 100 | 3,393 | | | | | | | | | |
| step= | 0,100 | viewstep= | 0,500 | STEPS | | | | | | | | | 0,963 | | | | |
| s (m) | V (km/h) | n (%) | dv/dt | skid check | R(m) | s(%) | e (%) | coeff | effic (%) | decelera | time (sec) | fT | front out | front in | rear out | rear in | checktime |
| 30,700 | 2,729 | 99,472 | -4,876 | skid front(out) | 1000000,000 | -11,500 | 0,000 | 1,000 | 100,000 | -1,476040 | 3,393 | 0,61541 | 0,6154 | 0,6154 | 0,6027 | 0,6027 | |
| 0,000 | 62,560 | 99,455 | -4,942 | O.K | 1000000,000 | -11,500 | 0,000 | 1,000 | 100,000 | 0,000 | 0,000 | 0,615 | | | | | |
| 0,400 | 62,149 | 99,455 | -4,941 | skid front(in) | 1000000,000 | -11,500 | 0,000 | 1,000 | 100,000 | 0,000 | 0,023 | 0,615 | 0,615 | 0,615 | 0,603 | 0,603 | 0,023 |
| 1,000 | 61,528 | 99,456 | -4,940 | skid front(in) | 1000000,000 | -11,500 | 0,000 | 1,000 | 100,000 | 0,000 | 0,058 | 0,615 | 0,615 | 0,615 | 0,603 | 0,603 | 0,035 |
| 1,500 | 61,006 | 99,456 | -4,939 | skid front(in) | 1000000,000 | -11,500 | 0,000 | 1,000 | 100,000 | 0,000 | 0,087 | 0,615 | 0,615 | 0,615 | 0,603 | 0,603 | 0,029 |
| 2,000 | 60,479 | 99,456 | -4,938 | skid front(in) | 1000000,000 | -11,500 | 0,000 | 1,000 | 100,000 | 0,000 | 0,117 | 0,615 | 0,615 | 0,615 | 0,603 | 0,603 | 0,030 |
| 2,500 | 59,947 | 99,456 | -4,937 | skid front(in) | 1000000,000 | -11,500 | 0,000 | 1,000 | 100,000 | 0,000 | 0,147 | 0,615 | 0,615 | 0,615 | 0,603 | 0,603 | 0,030 |
| 3,000 | 59,411 | 99,456 | -4,936 | skid front(in) | 1000000,000 | -11,500 | 0,000 | 1,000 | 100,000 | 0,000 | 0,177 | 0,615 | 0,615 | 0,615 | 0,603 | 0,603 | 0,030 |
| 3,500 | 58,871 | 99,456 | -4,934 | skid front(in) | 1000000,000 | -11,500 | 0,000 | 1,000 | 100,000 | 0,000 | 0,208 | 0,615 | 0,615 | 0,615 | 0,603 | 0,603 | 0,030 |
| 4,000 | 58,325 | 99,456 | -4,933 | skid front(in) | 1000000,000 | -11,500 | 0,000 | 1,000 | 100,000 | 0,000 | 0,238 | 0,615 | 0,615 | 0,615 | 0,603 | 0,603 | 0,031 |
| 4,400 | 57,885 | 99,456 | -4,933 | skid front(in) | 1000000,000 | -11,500 | 0,000 | 1,000 | 100,000 | 0,000 | 0,263 | 0,615 | 0,615 | 0,615 | 0,603 | 0,603 | 0,025 |
| 5,000 | 57,219 | 99,456 | -4,931 | skid front(in) | 1000000,000 | -11,500 | 0,000 | 1,000 | 100,000 | 0,000 | 0,301 | 0,615 | 0,615 | 0,615 | 0,603 | 0,603 | 0,038 |
| 5,500 | 56,657 | 99,456 | -4,930 | skid front(in) | 1000000,000 | -11,500 | 0,000 | 1,000 | 100,000 | 0,000 | 0,332 | 0,615 | 0,615 | 0,615 | 0,603 | 0,603 | 0,032 |
| 6,000 | 56,091 | 99,456 | -4,929 | skid front(in) | 1000000,000 | -11,500 | 0,000 | 1,000 | 100,000 | 0,000 | 0,364 | 0,615 | 0,615 | 0,615 | 0,603 | 0,603 | 0,032 |
| 6,500 | 55,519 | 99,456 | -4,928 | skid front(in) | 1000000,000 | -11,500 | 0,000 | 1,000 | 100,000 | 0,000 | 0,396 | 0,615 | 0,615 | 0,615 | 0,603 | 0,603 | 0,032 |
| 7,000 | 54,940 | 99,456 | -4,927 | skid front(in) | 1000000,000 | -11,500 | 0,000 | 1,000 | 100,000 | 0,000 | 0,429 | 0,615 | 0,615 | 0,615 | 0,603 | 0,603 | 0,033 |
| 7,500 | 54,356 | 99,456 | -4,926 | skid front(in) | 1000000,000 | -11,500 | 0,000 | 1,000 | 100,000 | 0,000 | 0,462 | 0,615 | 0,615 | 0,615 | 0,603 | 0,603 | 0,033 |
| 8,000 | 53,766 | 99,456 | -4,925 | skid front(in) | 1000000,000 | -11,500 | 0,000 | 1,000 | 100,000 | 0,000 | 0,495 | 0,615 | 0,615 | 0,615 | 0,603 | 0,603 | 0,033 |
| 8,500 | 53,169 | 99,456 | -4,924 | skid front(in) | 1000000,000 | -11,500 | 0,000 | 1,000 | 100,000 | 0,000 | 0,529 | 0,615 | 0,615 | 0,615 | 0,603 | 0,603 | 0,034 |
| 9,000 | 52,566 | 99,456 | -4,923 | skid front(in) | 1000000,000 | -11,500 | 0,000 | 1,000 | 100,000 | 0,000 | 0,563 | 0,615 | 0,615 | 0,615 | 0,603 | 0,603 | 0,034 |
| 9,500 | 51,955 | 99,457 | -4,922 | skid front(in) | 1000000,000 | -11,500 | 0,000 | 1,000 | 100,000 | 0,000 | 0,597 | 0,615 | 0,615 | 0,615 | 0,603 | 0,603 | 0,034 |
| 10,000 | 51,338 | 99,457 | -4,921 | skid front(in) | 1000000,000 | -11,500 | 0,000 | 1,000 | 100,000 | 0,000 | 0,632 | 0,615 | 0,615 | 0,615 | 0,603 | 0,603 | 0,035 |
| 10,500 | 50,713 | 99,457 | -4,919 | skid front(in) | 1000000,000 | -11,500 | 0,000 | 1,000 | 100,000 | 0,000 | 0,667 | 0,615 | 0,615 | 0,615 | 0,603 | 0,603 | 0,035 |
| 11,000 | 50,081 | 99,457 | -4,918 | skid front(in) | 1000000,000 | -11,500 | 0,000 | 1,000 | 100,000 | 0,000 | 0,703 | 0,615 | 0,615 | 0,615 | 0,603 | 0,603 | 0,036 |
| 11,500 | 49,440 | 99,457 | -4,917 | skid front(in) | 1000000,000 | -11,500 | 0,000 | 1,000 | 100,000 | 0,000 | 0,739 | 0,615 | 0,615 | 0,615 | 0,603 | 0,603 | 0,036 |
| 12,000 | 48,791 | 99,457 | -4,916 | skid front(in) | 1000000,000 | -11,500 | 0,000 | 1,000 | 100,000 | 0,000 | 0,776 | 0,615 | 0,615 | 0,615 | 0,603 | 0,603 | 0,037 |
| 12,500 | 48,134 | 99,457 | -4,915 | skid front(in) | 1000000,000 | -11,500 | 0,000 | 1,000 | 100,000 | 0,000 | 0,813 | 0,615 | 0,615 | 0,615 | 0,603 | 0,603 | 0,037 |
| 13,000 | 47,468 | 99,457 | -4,914 | skid front(in) | 1000000,000 | -11,500 | 0,000 | 1,000 | 100,000 | 0,000 | 0,851 | 0,615 | 0,615 | 0,615 | 0,603 | 0,603 | 0,038 |
| 13,500 | 46,792 | 99,457 | -4,913 | skid front(in) | 1000000,000 | -11,500 | 0,000 | 1,000 | 100,000 | 0,000 | 0,889 | 0,615 | 0,615 | 0,615 | 0,603 | 0,603 | 0,038 |
| 14,000 | 46,107 | 99,457 | -4,912 | skid front(in) | 1000000,000 | -11,500 | 0,000 | 1,000 | 100,000 | 0,000 | 0,928 | 0,615 | 0,615 | 0,615 | 0,603 | 0,603 | 0,039 |
| 14,500 | 45,412 | 99,457 | -4,911 | skid front(in) | 1000000,000 | -11,500 | 0,000 | 1,000 | 100,000 | 0,000 | 0,967 | 0,615 | 0,615 | 0,615 | 0,603 | 0,603 | 0,039 |
| 15,000 | 44,705 | 99,457 | -4,910 | skid front(in) | 1000000,000 | -11,500 | 0,000 | 1,000 | 100,000 | 0,000 | 1,007 | 0,615 | 0,615 | 0,615 | 0,603 | 0,603 | 0,040 |
| 15,500 | 43,988 | 99,457 | -4,909 | skid front(in) | 1000000,000 | -11,500 | 0,000 | 1,000 | 100,000 | 0,000 | 1,048 | 0,615 | 0,615 | 0,615 | 0,603 | 0,603 | 0,041 |

Προσδιορισμός Τιμών Πρόσφυσης κατά την Πέδηση Οχημάτων Εφοδιασμένων με Σύστημα ABS σε Αυξημένες κατά Μήκος Κλίσεις

| | | | | | | | | | | | | | | | | | |
|--------|--------|--------|--------|-----------------|-------------|---------|-------|-------|---------|--------|-------|-------|-------|-------|-------|-------|-------|
| 16,000 | 43,259 | 99,457 | -4,908 | skid front(in) | 1000000,000 | -11,500 | 0,000 | 1,000 | 100,000 | 0,000 | 1,089 | 0,615 | 0,615 | 0,615 | 0,603 | 0,603 | 0,041 |
| 16,500 | 42,517 | 99,457 | -4,907 | skid front(in) | 1000000,000 | -11,500 | 0,000 | 1,000 | 100,000 | 0,000 | 1,131 | 0,615 | 0,615 | 0,615 | 0,603 | 0,603 | 0,042 |
| 17,000 | 41,763 | 99,457 | -4,906 | skid front(in) | 1000000,000 | -11,500 | 0,000 | 1,000 | 100,000 | 0,000 | 1,174 | 0,615 | 0,615 | 0,615 | 0,603 | 0,603 | 0,043 |
| 17,500 | 40,995 | 99,457 | -4,905 | skid front(in) | 1000000,000 | -11,500 | 0,000 | 1,000 | 100,000 | 0,000 | 1,217 | 0,615 | 0,615 | 0,615 | 0,603 | 0,603 | 0,044 |
| 18,000 | 40,212 | 99,457 | -4,903 | skid front(in) | 1000000,000 | -11,500 | 0,000 | 1,000 | 100,000 | 0,000 | 1,261 | 0,615 | 0,615 | 0,615 | 0,603 | 0,603 | 0,044 |
| 18,500 | 39,414 | 99,457 | -4,902 | skid front(in) | 1000000,000 | -11,500 | 0,000 | 1,000 | 100,000 | 0,000 | 1,307 | 0,615 | 0,615 | 0,615 | 0,603 | 0,603 | 0,045 |
| 18,900 | 38,764 | 99,458 | -4,902 | skid front(in) | 1000000,000 | -11,500 | 0,000 | 1,000 | 100,000 | 0,000 | 1,343 | 0,615 | 0,615 | 0,615 | 0,603 | 0,603 | 0,037 |
| 19,500 | 37,768 | 99,458 | -4,900 | skid front(in) | 1000000,000 | -11,500 | 0,000 | 1,000 | 100,000 | 0,001 | 1,400 | 0,615 | 0,615 | 0,615 | 0,603 | 0,603 | 0,056 |
| 20,000 | 36,918 | 99,458 | -4,899 | skid front(in) | 1000000,000 | -11,500 | 0,000 | 1,000 | 100,000 | 0,000 | 1,448 | 0,615 | 0,615 | 0,615 | 0,603 | 0,603 | 0,048 |
| 20,500 | 36,048 | 99,458 | -4,898 | skid front(in) | 1000000,000 | -11,500 | 0,000 | 1,000 | 100,000 | 0,001 | 1,497 | 0,615 | 0,615 | 0,615 | 0,603 | 0,603 | 0,049 |
| 21,000 | 35,157 | 99,458 | -4,897 | skid front(in) | 1000000,000 | -11,500 | 0,000 | 1,000 | 100,000 | 0,000 | 1,548 | 0,615 | 0,615 | 0,615 | 0,603 | 0,603 | 0,051 |
| 21,500 | 34,242 | 99,458 | -4,896 | skid front(in) | 1000000,000 | -11,500 | 0,000 | 1,000 | 100,000 | 0,000 | 1,600 | 0,615 | 0,615 | 0,615 | 0,603 | 0,603 | 0,052 |
| 22,000 | 33,303 | 99,458 | -4,895 | skid front(in) | 1000000,000 | -11,500 | 0,000 | 1,000 | 100,000 | 0,000 | 1,653 | 0,615 | 0,615 | 0,615 | 0,603 | 0,603 | 0,053 |
| 22,500 | 32,337 | 99,458 | -4,894 | skid front(in) | 1000000,000 | -11,500 | 0,000 | 1,000 | 100,000 | 0,000 | 1,708 | 0,615 | 0,615 | 0,615 | 0,603 | 0,603 | 0,055 |
| 23,000 | 31,341 | 99,439 | -4,890 | skid front(out) | 1000000,000 | -11,500 | 0,000 | 1,000 | 100,000 | -1,861 | 1,765 | 0,615 | 0,615 | 0,615 | 0,602 | 0,602 | 0,057 |
| 23,500 | 30,313 | 99,438 | -4,889 | skid front(in) | 1000000,000 | -11,500 | 0,000 | 1,000 | 100,000 | -1,931 | 1,823 | 0,615 | 0,615 | 0,615 | 0,602 | 0,602 | 0,058 |
| 24,000 | 29,248 | 99,480 | -4,890 | skid front(out) | 1000000,000 | -11,500 | 0,000 | 1,000 | 100,000 | -2,399 | 1,883 | 0,615 | 0,615 | 0,615 | 0,603 | 0,603 | 0,060 |
| 24,500 | 28,144 | 99,450 | -4,887 | skid front(out) | 1000000,000 | -11,500 | 0,000 | 1,000 | 100,000 | -2,301 | 1,946 | 0,615 | 0,615 | 0,615 | 0,602 | 0,602 | 0,063 |
| 25,000 | 26,995 | 99,464 | -4,887 | skid front(out) | 1000000,000 | -11,500 | 0,000 | 1,000 | 100,000 | -2,640 | 2,011 | 0,615 | 0,615 | 0,615 | 0,602 | 0,602 | 0,065 |
| 25,500 | 25,795 | 99,451 | -4,885 | skid front(out) | 1000000,000 | -11,500 | 0,000 | 1,000 | 100,000 | -2,080 | 2,080 | 0,615 | 0,615 | 0,615 | 0,602 | 0,602 | 0,068 |
| 26,000 | 24,537 | 99,483 | -4,886 | skid front(out) | 1000000,000 | -11,500 | 0,000 | 1,000 | 100,000 | -1,806 | 2,151 | 0,615 | 0,615 | 0,615 | 0,603 | 0,603 | 0,072 |
| 26,500 | 23,211 | 99,436 | -4,883 | skid front(out) | 1000000,000 | -11,500 | 0,000 | 1,000 | 100,000 | -1,006 | 2,227 | 0,615 | 0,615 | 0,615 | 0,602 | 0,602 | 0,075 |
| 27,000 | 21,805 | 99,461 | -4,882 | skid front(out) | 1000000,000 | -11,500 | 0,000 | 1,000 | 100,000 | -2,376 | 2,306 | 0,615 | 0,615 | 0,615 | 0,602 | 0,602 | 0,080 |
| 27,500 | 20,302 | 99,429 | -4,881 | skid front(out) | 1000000,000 | -11,500 | 0,000 | 1,000 | 100,000 | -0,969 | 2,392 | 0,615 | 0,615 | 0,615 | 0,602 | 0,602 | 0,086 |
| 28,000 | 18,679 | 99,475 | -4,882 | skid front(out) | 1000000,000 | -11,500 | 0,000 | 1,000 | 100,000 | -1,832 | 2,484 | 0,615 | 0,615 | 0,615 | 0,603 | 0,603 | 0,092 |
| 28,500 | 16,900 | 99,432 | -4,878 | skid front(out) | 1000000,000 | -11,500 | 0,000 | 1,000 | 100,000 | -2,116 | 2,586 | 0,615 | 0,615 | 0,615 | 0,602 | 0,602 | 0,101 |
| 29,000 | 14,912 | 99,441 | -4,876 | skid front(out) | 1000000,000 | -11,500 | 0,000 | 1,000 | 100,000 | -2,905 | 2,699 | 0,615 | 0,615 | 0,615 | 0,602 | 0,602 | 0,113 |
| 29,500 | 12,615 | 99,476 | -4,878 | skid front(out) | 1000000,000 | -11,500 | 0,000 | 1,000 | 100,000 | -2,064 | 2,829 | 0,615 | 0,615 | 0,615 | 0,603 | 0,603 | 0,131 |
| 30,000 | 9,794 | 99,441 | -4,875 | skid front(out) | 1000000,000 | -11,500 | 0,000 | 1,000 | 100,000 | -2,660 | 2,990 | 0,615 | 0,615 | 0,615 | 0,602 | 0,602 | 0,161 |
| 30,500 | 5,721 | 99,466 | -4,874 | skid front(out) | 1000000,000 | -11,500 | 0,000 | 1,000 | 100,000 | -3,977 | 3,222 | 0,615 | 0,615 | 0,615 | 0,602 | 0,602 | 0,232 |
| 30,700 | 2,729 | 99,472 | -4,876 | skid front(out) | 1000000,000 | -11,500 | 0,000 | 1,000 | 100,000 | -1,476 | 3,393 | 0,615 | 0,615 | 0,615 | 0,603 | 0,603 | 0,171 |

Προσδιορισμός Τιμών Πρόσφυσης κατά την Πέδηση Οχημάτων Εφοδιασμένων με Σύστημα ABS σε Αυξημένες κατά Μήκος Κλίσεις

| run_c_w_glif_16 | R(m) | br.front (%) | s(%) | e (%) | coeff | effic (%) | time (sec) | | | | | | | | | | |
|-----------------|-----------------|--------------|--------|-----------------|-------------|-----------|------------|-------|-----------|-----------|------------|---------|-----------|----------|----------|---------|-----------|
| s= 100,000 | 1000000,00 | 73,00 | -11,5 | 0,0 | 1,00 | 100 | 2,989 | | | | | | | | | | 0,963 |
| step= 0,100 | viewstep= 0,500 | STEPS | | | | | | | | | | | | | | | |
| s (m) | V (km/h) | n (%) | dv/dt | skid check | R(m) | s(%) | e (%) | coeff | effic (%) | decelera | time (sec) | fT | front out | front in | rear out | rear in | checktime |
| 21,000 | 1,432 | 99,283 | -4,418 | skid front(out) | 1000000,000 | -11,500 | 0,000 | 1,000 | 100,000 | -2,062083 | 2,989 | 0,56963 | 0,5696 | 0,5696 | 0,5542 | 0,5542 | |
| 0,000 | 49,130 | 99,253 | -4,461 | O.K | 1000000,000 | -11,500 | 0,000 | 1,000 | 100,000 | 0,000 | 0,000 | 0,570 | | | | | |
| 0,400 | 48,657 | 99,253 | -4,461 | skid front(in) | 1000000,000 | -11,500 | 0,000 | 1,000 | 100,000 | 0,000 | 0,029 | 0,570 | 0,570 | 0,570 | 0,554 | 0,554 | 0,029 |
| 1,000 | 47,939 | 99,253 | -4,459 | skid front(in) | 1000000,000 | -11,500 | 0,000 | 1,000 | 100,000 | 0,000 | 0,074 | 0,570 | 0,570 | 0,570 | 0,554 | 0,554 | 0,045 |
| 1,500 | 47,332 | 99,253 | -4,458 | skid front(in) | 1000000,000 | -11,500 | 0,000 | 1,000 | 100,000 | 0,000 | 0,112 | 0,570 | 0,570 | 0,570 | 0,554 | 0,554 | 0,038 |
| 2,000 | 46,718 | 99,253 | -4,457 | skid front(in) | 1000000,000 | -11,500 | 0,000 | 1,000 | 100,000 | 0,000 | 0,150 | 0,570 | 0,570 | 0,570 | 0,554 | 0,554 | 0,038 |
| 2,500 | 46,096 | 99,253 | -4,456 | skid front(in) | 1000000,000 | -11,500 | 0,000 | 1,000 | 100,000 | 0,000 | 0,189 | 0,570 | 0,570 | 0,570 | 0,554 | 0,554 | 0,039 |
| 3,000 | 45,465 | 99,253 | -4,455 | skid front(in) | 1000000,000 | -11,500 | 0,000 | 1,000 | 100,000 | 0,000 | 0,228 | 0,570 | 0,570 | 0,570 | 0,554 | 0,554 | 0,039 |
| 3,500 | 44,826 | 99,253 | -4,454 | skid front(in) | 1000000,000 | -11,500 | 0,000 | 1,000 | 100,000 | 0,000 | 0,268 | 0,570 | 0,570 | 0,570 | 0,554 | 0,554 | 0,040 |
| 4,000 | 44,177 | 99,253 | -4,453 | skid front(in) | 1000000,000 | -11,500 | 0,000 | 1,000 | 100,000 | 0,000 | 0,309 | 0,570 | 0,570 | 0,570 | 0,554 | 0,554 | 0,040 |
| 4,400 | 43,652 | 99,253 | -4,452 | skid front(in) | 1000000,000 | -11,500 | 0,000 | 1,000 | 100,000 | 0,000 | 0,341 | 0,570 | 0,570 | 0,570 | 0,554 | 0,554 | 0,033 |
| 5,000 | 42,851 | 99,253 | -4,451 | skid front(in) | 1000000,000 | -11,500 | 0,000 | 1,000 | 100,000 | 0,000 | 0,391 | 0,570 | 0,570 | 0,570 | 0,554 | 0,554 | 0,050 |
| 5,500 | 42,173 | 99,253 | -4,450 | skid front(in) | 1000000,000 | -11,500 | 0,000 | 1,000 | 100,000 | 0,000 | 0,434 | 0,570 | 0,570 | 0,570 | 0,554 | 0,554 | 0,042 |
| 6,000 | 41,484 | 99,253 | -4,449 | skid front(in) | 1000000,000 | -11,500 | 0,000 | 1,000 | 100,000 | 0,000 | 0,477 | 0,570 | 0,570 | 0,570 | 0,554 | 0,554 | 0,043 |
| 6,500 | 40,783 | 99,254 | -4,448 | skid front(in) | 1000000,000 | -11,500 | 0,000 | 1,000 | 100,000 | 0,000 | 0,521 | 0,570 | 0,570 | 0,570 | 0,554 | 0,554 | 0,044 |

Προσδιορισμός Τιμών Πρόσφυσης κατά την Πέδηση Οχημάτων Εφοδιασμένων με Σύστημα ABS σε Αυξημένες κατά Μήκος Κλίσεις

| | | | | | | | | | | | | | | | | | |
|--------|--------|--------|--------|-----------------|-------------|---------|-------|-------|---------|--------|-------|-------|-------|-------|-------|-------|-------|
| 7,000 | 40,070 | 99,254 | -4,447 | skid front(in) | 1000000,000 | -11,500 | 0,000 | 1,000 | 100,000 | 0,000 | 0,565 | 0,570 | 0,570 | 0,570 | 0,554 | 0,554 | 0,045 |
| 7,500 | 39,344 | 99,254 | -4,446 | skid front(in) | 1000000,000 | -11,500 | 0,000 | 1,000 | 100,000 | 0,000 | 0,610 | 0,570 | 0,570 | 0,570 | 0,554 | 0,554 | 0,045 |
| 8,000 | 38,605 | 99,254 | -4,445 | skid front(in) | 1000000,000 | -11,500 | 0,000 | 1,000 | 100,000 | 0,000 | 0,657 | 0,570 | 0,570 | 0,570 | 0,554 | 0,554 | 0,046 |
| 8,500 | 37,852 | 99,254 | -4,444 | skid front(in) | 1000000,000 | -11,500 | 0,000 | 1,000 | 100,000 | 0,000 | 0,704 | 0,570 | 0,570 | 0,570 | 0,554 | 0,554 | 0,047 |
| 9,000 | 37,083 | 99,254 | -4,443 | skid front(in) | 1000000,000 | -11,500 | 0,000 | 1,000 | 100,000 | 0,000 | 0,752 | 0,570 | 0,570 | 0,570 | 0,554 | 0,554 | 0,048 |
| 9,500 | 36,299 | 99,254 | -4,442 | skid front(in) | 1000000,000 | -11,500 | 0,000 | 1,000 | 100,000 | 0,000 | 0,801 | 0,570 | 0,570 | 0,570 | 0,554 | 0,554 | 0,049 |
| 10,000 | 35,497 | 99,254 | -4,441 | skid front(in) | 1000000,000 | -11,500 | 0,000 | 1,000 | 100,000 | 0,000 | 0,851 | 0,570 | 0,570 | 0,570 | 0,554 | 0,554 | 0,050 |
| 10,500 | 34,677 | 99,254 | -4,440 | skid front(in) | 1000000,000 | -11,500 | 0,000 | 1,000 | 100,000 | 0,000 | 0,902 | 0,570 | 0,570 | 0,570 | 0,554 | 0,554 | 0,051 |
| 11,000 | 33,837 | 99,254 | -4,439 | skid front(in) | 1000000,000 | -11,500 | 0,000 | 1,000 | 100,000 | 0,001 | 0,955 | 0,570 | 0,570 | 0,570 | 0,554 | 0,554 | 0,053 |
| 11,500 | 32,976 | 99,254 | -4,438 | skid front(in) | 1000000,000 | -11,500 | 0,000 | 1,000 | 100,000 | 0,000 | 1,009 | 0,570 | 0,570 | 0,570 | 0,554 | 0,554 | 0,054 |
| 12,000 | 32,093 | 99,254 | -4,437 | skid front(in) | 1000000,000 | -11,500 | 0,000 | 1,000 | 100,000 | 0,002 | 1,064 | 0,570 | 0,570 | 0,570 | 0,554 | 0,554 | 0,055 |
| 12,500 | 31,184 | 99,279 | -4,435 | skid front(out) | 1000000,000 | -11,500 | 0,000 | 1,000 | 100,000 | -1,935 | 1,121 | 0,570 | 0,570 | 0,570 | 0,554 | 0,554 | 0,057 |
| 13,000 | 30,248 | 99,259 | -4,433 | skid front(out) | 1000000,000 | -11,500 | 0,000 | 1,000 | 100,000 | -1,805 | 1,179 | 0,570 | 0,570 | 0,570 | 0,554 | 0,554 | 0,059 |
| 13,500 | 29,283 | 99,259 | -4,432 | skid front(out) | 1000000,000 | -11,500 | 0,000 | 1,000 | 100,000 | -1,979 | 1,240 | 0,570 | 0,569 | 0,570 | 0,554 | 0,554 | 0,060 |
| 14,000 | 28,285 | 99,257 | -4,432 | skid front(out) | 1000000,000 | -11,500 | 0,000 | 1,000 | 100,000 | -0,983 | 1,302 | 0,570 | 0,570 | 0,570 | 0,554 | 0,554 | 0,063 |
| 14,500 | 27,251 | 99,226 | -4,429 | skid front(out) | 1000000,000 | -11,500 | 0,000 | 1,000 | 100,000 | -0,707 | 1,367 | 0,570 | 0,569 | 0,569 | 0,554 | 0,554 | 0,065 |
| 15,000 | 26,177 | 99,216 | -4,428 | skid front(out) | 1000000,000 | -11,500 | 0,000 | 1,000 | 100,000 | -0,743 | 1,435 | 0,570 | 0,569 | 0,569 | 0,554 | 0,554 | 0,067 |
| 15,500 | 25,056 | 99,255 | -4,427 | skid front(out) | 1000000,000 | -11,500 | 0,000 | 1,000 | 100,000 | -2,875 | 1,505 | 0,570 | 0,569 | 0,569 | 0,554 | 0,554 | 0,070 |
| 16,000 | 23,883 | 99,265 | -4,427 | skid front(out) | 1000000,000 | -11,500 | 0,000 | 1,000 | 100,000 | -2,033 | 1,578 | 0,570 | 0,570 | 0,570 | 0,554 | 0,554 | 0,074 |
| 16,500 | 22,650 | 99,244 | -4,425 | skid front(out) | 1000000,000 | -11,500 | 0,000 | 1,000 | 100,000 | -1,986 | 1,656 | 0,570 | 0,569 | 0,569 | 0,554 | 0,554 | 0,077 |
| 17,000 | 21,346 | 99,246 | -4,424 | skid front(out) | 1000000,000 | -11,500 | 0,000 | 1,000 | 100,000 | -2,342 | 1,738 | 0,570 | 0,569 | 0,569 | 0,554 | 0,554 | 0,082 |
| 17,500 | 19,958 | 99,244 | -4,424 | skid front(out) | 1000000,000 | -11,500 | 0,000 | 1,000 | 100,000 | -1,256 | 1,825 | 0,570 | 0,569 | 0,569 | 0,554 | 0,554 | 0,087 |
| 18,000 | 18,465 | 99,236 | -4,421 | skid front(out) | 1000000,000 | -11,500 | 0,000 | 1,000 | 100,000 | -2,916 | 1,919 | 0,570 | 0,569 | 0,569 | 0,554 | 0,554 | 0,094 |
| 18,500 | 16,842 | 99,287 | -4,423 | skid front(out) | 1000000,000 | -11,500 | 0,000 | 1,000 | 100,000 | -2,680 | 2,020 | 0,570 | 0,570 | 0,570 | 0,554 | 0,554 | 0,102 |
| 18,900 | 15,420 | 99,253 | -4,421 | skid front(out) | 1000000,000 | -11,500 | 0,000 | 1,000 | 100,000 | -1,702 | 2,110 | 0,570 | 0,569 | 0,569 | 0,554 | 0,554 | 0,089 |
| 19,500 | 13,001 | 99,211 | -4,418 | skid front(out) | 1000000,000 | -11,500 | 0,000 | 1,000 | 100,000 | -0,806 | 2,262 | 0,570 | 0,569 | 0,569 | 0,554 | 0,554 | 0,152 |
| 20,000 | 10,571 | 99,284 | -4,420 | skid front(out) | 1000000,000 | -11,500 | 0,000 | 1,000 | 100,000 | -2,534 | 2,414 | 0,570 | 0,570 | 0,570 | 0,554 | 0,554 | 0,153 |
| 20,500 | 7,380 | 99,283 | -4,418 | skid front(out) | 1000000,000 | -11,500 | 0,000 | 1,000 | 100,000 | -3,095 | 2,615 | 0,570 | 0,570 | 0,570 | 0,554 | 0,554 | 0,201 |
| 21,000 | 1,432 | 99,283 | -4,418 | skid front(out) | 1000000,000 | -11,500 | 0,000 | 1,000 | 100,000 | -2,062 | 2,989 | 0,570 | 0,570 | 0,570 | 0,554 | 0,554 | 0,374 |

| run_c_w_glif_19 | R(m) | br.front (%) | s(%) | e (%) | coeff | effic (%) | time (sec) |
|-----------------|---------|--------------|-------|-------|-------|-----------|------------|
| s= | 100,000 | 1000000,00 | 74,00 | 11,5 | 0,0 | 1,00 | 1,831 |
| step= | 0,100 | viewstep= | 0,500 | STEPS | | | |

0,963

| s (m) | V (km/h) | n (%) | dv/dt | skid check | R(m) | s(%) | e (%) | coeff | effic (%) | decelera | time (sec) | fT | front out | front in | rear out | rear in | checktime |
|--------|----------|--------|--------|-----------------|-------------|--------|-------|-------|-----------|-----------|------------|---------|-----------|----------|----------|---------|-----------|
| 12,800 | 2,048 | 99,085 | -7,009 | skid front(out) | 1000000,000 | 11,500 | 0,000 | 1,000 | 100,000 | -4,372503 | 1,831 | 0,60541 | 0,6053 | 0,6053 | 0,5836 | 0,5836 | |
| 0,000 | 48,340 | 99,046 | -7,051 | O.K | 1000000,000 | 11,500 | 0,000 | 1,000 | 100,000 | 0,000 | 0,000 | 0,605 | | | | | |

Προσδιορισμός Τιμών Πρόσφυσης κατά την Πέδηση Οχημάτων Εφοδιασμένων με Σύστημα ABS σε Αυξημένες κατά Μήκος Κλίσεις

| | | | | | | | | | | | | | | | | | |
|--------|--------|--------|--------|-----------------|-------------|--------|-------|-------|---------|--------|-------|-------|-------|-------|-------|-------|-------|
| 0,400 | 47,578 | 99,046 | -7,049 | skid front(in) | 1000000,000 | 11,500 | 0,000 | 1,000 | 100,000 | 0,000 | 0,030 | 0,605 | 0,605 | 0,605 | 0,584 | 0,584 | 0,030 |
| 1,000 | 46,412 | 99,046 | -7,047 | skid front(in) | 1000000,000 | 11,500 | 0,000 | 1,000 | 100,000 | 0,000 | 0,076 | 0,605 | 0,605 | 0,605 | 0,584 | 0,584 | 0,046 |
| 1,500 | 45,417 | 99,046 | -7,046 | skid front(in) | 1000000,000 | 11,500 | 0,000 | 1,000 | 100,000 | 0,000 | 0,115 | 0,605 | 0,605 | 0,605 | 0,584 | 0,584 | 0,039 |
| 2,000 | 44,401 | 99,046 | -7,044 | skid front(in) | 1000000,000 | 11,500 | 0,000 | 1,000 | 100,000 | 0,000 | 0,155 | 0,605 | 0,605 | 0,605 | 0,584 | 0,584 | 0,040 |
| 2,500 | 43,360 | 99,046 | -7,043 | skid front(in) | 1000000,000 | 11,500 | 0,000 | 1,000 | 100,000 | 0,000 | 0,196 | 0,605 | 0,605 | 0,605 | 0,584 | 0,584 | 0,041 |
| 3,000 | 42,295 | 99,046 | -7,041 | skid front(in) | 1000000,000 | 11,500 | 0,000 | 1,000 | 100,000 | 0,000 | 0,238 | 0,605 | 0,605 | 0,605 | 0,584 | 0,584 | 0,042 |
| 3,500 | 41,202 | 99,046 | -7,040 | skid front(in) | 1000000,000 | 11,500 | 0,000 | 1,000 | 100,000 | 0,000 | 0,281 | 0,605 | 0,605 | 0,605 | 0,584 | 0,584 | 0,043 |
| 4,000 | 40,080 | 99,046 | -7,038 | skid front(in) | 1000000,000 | 11,500 | 0,000 | 1,000 | 100,000 | 0,000 | 0,326 | 0,605 | 0,605 | 0,605 | 0,584 | 0,584 | 0,044 |
| 4,400 | 39,159 | 99,046 | -7,037 | skid front(in) | 1000000,000 | 11,500 | 0,000 | 1,000 | 100,000 | 0,000 | 0,362 | 0,605 | 0,605 | 0,605 | 0,584 | 0,584 | 0,036 |
| 5,000 | 37,736 | 99,046 | -7,035 | skid front(in) | 1000000,000 | 11,500 | 0,000 | 1,000 | 100,000 | 0,000 | 0,418 | 0,605 | 0,605 | 0,605 | 0,584 | 0,584 | 0,056 |
| 5,500 | 36,508 | 99,046 | -7,033 | skid front(in) | 1000000,000 | 11,500 | 0,000 | 1,000 | 100,000 | 0,000 | 0,467 | 0,605 | 0,605 | 0,605 | 0,584 | 0,584 | 0,048 |
| 6,000 | 35,238 | 99,047 | -7,032 | skid front(in) | 1000000,000 | 11,500 | 0,000 | 1,000 | 100,000 | 0,000 | 0,517 | 0,605 | 0,605 | 0,605 | 0,584 | 0,584 | 0,050 |
| 6,500 | 33,920 | 99,047 | -7,030 | skid front(in) | 1000000,000 | 11,500 | 0,000 | 1,000 | 100,000 | 0,001 | 0,569 | 0,605 | 0,605 | 0,605 | 0,584 | 0,584 | 0,052 |
| 7,000 | 32,550 | 99,047 | -7,029 | skid front(in) | 1000000,000 | 11,500 | 0,000 | 1,000 | 100,000 | 0,002 | 0,623 | 0,605 | 0,605 | 0,605 | 0,584 | 0,584 | 0,054 |
| 7,500 | 31,119 | 99,044 | -7,026 | skid front(out) | 1000000,000 | 11,500 | 0,000 | 1,000 | 100,000 | -0,859 | 0,680 | 0,605 | 0,605 | 0,605 | 0,584 | 0,584 | 0,057 |
| 8,000 | 29,620 | 99,074 | -7,026 | skid front(out) | 1000000,000 | 11,500 | 0,000 | 1,000 | 100,000 | -2,000 | 0,739 | 0,605 | 0,605 | 0,605 | 0,584 | 0,584 | 0,059 |
| 8,500 | 28,041 | 99,048 | -7,022 | skid front(out) | 1000000,000 | 11,500 | 0,000 | 1,000 | 100,000 | -2,204 | 0,801 | 0,605 | 0,605 | 0,605 | 0,584 | 0,584 | 0,062 |
| 9,000 | 26,368 | 99,056 | -7,023 | skid front(out) | 1000000,000 | 11,500 | 0,000 | 1,000 | 100,000 | -0,626 | 0,868 | 0,605 | 0,605 | 0,605 | 0,584 | 0,584 | 0,066 |
| 9,500 | 24,582 | 99,052 | -7,020 | skid front(out) | 1000000,000 | 11,500 | 0,000 | 1,000 | 100,000 | -1,239 | 0,938 | 0,605 | 0,605 | 0,605 | 0,584 | 0,584 | 0,071 |
| 10,000 | 22,656 | 99,060 | -7,018 | skid front(out) | 1000000,000 | 11,500 | 0,000 | 1,000 | 100,000 | -2,184 | 1,014 | 0,605 | 0,605 | 0,605 | 0,584 | 0,584 | 0,076 |
| 10,500 | 20,551 | 99,081 | -7,017 | skid front(out) | 1000000,000 | 11,500 | 0,000 | 1,000 | 100,000 | -3,429 | 1,098 | 0,605 | 0,605 | 0,605 | 0,584 | 0,584 | 0,083 |
| 11,000 | 18,205 | 99,088 | -7,016 | skid front(out) | 1000000,000 | 11,500 | 0,000 | 1,000 | 100,000 | -3,113 | 1,191 | 0,605 | 0,605 | 0,605 | 0,584 | 0,584 | 0,093 |
| 11,500 | 15,508 | 99,018 | -7,012 | skid front(out) | 1000000,000 | 11,500 | 0,000 | 1,000 | 100,000 | -1,479 | 1,297 | 0,605 | 0,605 | 0,605 | 0,583 | 0,583 | 0,107 |
| 12,000 | 12,231 | 99,049 | -7,012 | skid front(out) | 1000000,000 | 11,500 | 0,000 | 1,000 | 100,000 | -1,603 | 1,427 | 0,605 | 0,605 | 0,605 | 0,584 | 0,584 | 0,130 |
| 12,500 | 7,663 | 99,028 | -7,008 | skid front(out) | 1000000,000 | 11,500 | 0,000 | 1,000 | 100,000 | -2,602 | 1,608 | 0,605 | 0,605 | 0,605 | 0,583 | 0,583 | 0,181 |
| 12,800 | 2,048 | 99,085 | -7,009 | skid front(out) | 1000000,000 | 11,500 | 0,000 | 1,000 | 100,000 | -4,373 | 1,831 | 0,605 | 0,605 | 0,605 | 0,584 | 0,584 | 0,223 |

| run_c_w_glif_20 | R(m) | br.front (%) | s(%) | e (%) | coeff | effic (%) | time (sec) |
|-----------------|------|--------------|------|-------|-------|-----------|------------|
|-----------------|------|--------------|------|-------|-------|-----------|------------|

Προσδιορισμός Τιμών Πρόσφυσης κατά την Πέδηση Οχημάτων Εφοδιασμένων με Σύστημα ABS σε Αυξημένες κατά Μήκος Κλίσεις

| s= | 100,000 | 1000000,00 | 76,50 | 11,5 | 0,0 | 1,00 | 100 | | 1,612 | | | | | | | | | | 0,963 |
|--------|----------|------------|--------|-----------------|-------------|--------|-------|-------|-----------|-----------|------------|---------|-----------|----------|----------|---------|-----------|--|-------|
| step= | 0,100 | viewstep= | 0,500 | STEPS | | | | | | | | | | | | | | | |
| s (m) | V (km/h) | n (%) | dv/dt | skid check | R(m) | s(%) | e (%) | coeff | effic (%) | decelera | time (sec) | fT | front out | front in | rear out | rear in | checktime | | |
| 12,600 | 4,470 | 99,497 | -8,145 | skid front(out) | 1000000,000 | 11,500 | 0,000 | 1,000 | 100,000 | -2,356267 | 1,612 | 0,71903 | 0,7187 | 0,7187 | 0,7040 | 0,7040 | | | |
| 0,000 | 51,840 | 99,520 | -8,187 | O.K | 1000000,000 | 11,500 | 0,000 | 1,000 | 100,000 | 0,000 | 0,000 | 0,719 | | | | | | | |
| 0,400 | 51,015 | 99,520 | -8,185 | skid front(in) | 1000000,000 | 11,500 | 0,000 | 1,000 | 100,000 | 0,000 | 0,028 | 0,719 | 0,719 | 0,719 | 0,705 | 0,705 | 0,028 | | |
| 1,000 | 49,752 | 99,520 | -8,184 | skid front(in) | 1000000,000 | 11,500 | 0,000 | 1,000 | 100,000 | 0,000 | 0,071 | 0,719 | 0,719 | 0,719 | 0,705 | 0,705 | 0,043 | | |
| 1,500 | 48,674 | 99,520 | -8,182 | skid front(in) | 1000000,000 | 11,500 | 0,000 | 1,000 | 100,000 | 0,000 | 0,107 | 0,719 | 0,719 | 0,719 | 0,705 | 0,705 | 0,037 | | |
| 2,000 | 47,573 | 99,520 | -8,181 | skid front(in) | 1000000,000 | 11,500 | 0,000 | 1,000 | 100,000 | 0,000 | 0,145 | 0,719 | 0,719 | 0,719 | 0,705 | 0,705 | 0,037 | | |
| 2,500 | 46,445 | 99,520 | -8,179 | skid front(in) | 1000000,000 | 11,500 | 0,000 | 1,000 | 100,000 | 0,000 | 0,183 | 0,719 | 0,719 | 0,719 | 0,705 | 0,705 | 0,038 | | |
| 3,000 | 45,290 | 99,520 | -8,177 | skid front(in) | 1000000,000 | 11,500 | 0,000 | 1,000 | 100,000 | 0,000 | 0,222 | 0,719 | 0,719 | 0,719 | 0,705 | 0,705 | 0,039 | | |
| 3,500 | 44,104 | 99,521 | -8,176 | skid front(in) | 1000000,000 | 11,500 | 0,000 | 1,000 | 100,000 | 0,000 | 0,263 | 0,719 | 0,719 | 0,719 | 0,705 | 0,705 | 0,040 | | |
| 4,000 | 42,886 | 99,521 | -8,174 | skid front(in) | 1000000,000 | 11,500 | 0,000 | 1,000 | 100,000 | 0,000 | 0,304 | 0,719 | 0,719 | 0,719 | 0,705 | 0,705 | 0,041 | | |
| 4,400 | 41,887 | 99,521 | -8,173 | skid front(in) | 1000000,000 | 11,500 | 0,000 | 1,000 | 100,000 | 0,000 | 0,338 | 0,719 | 0,719 | 0,719 | 0,705 | 0,705 | 0,043 | | |
| 5,000 | 40,341 | 99,521 | -8,171 | skid front(in) | 1000000,000 | 11,500 | 0,000 | 1,000 | 100,000 | 0,000 | 0,391 | 0,719 | 0,719 | 0,719 | 0,705 | 0,705 | 0,053 | | |
| 5,500 | 39,006 | 99,521 | -8,170 | skid front(in) | 1000000,000 | 11,500 | 0,000 | 1,000 | 100,000 | 0,000 | 0,436 | 0,719 | 0,719 | 0,719 | 0,705 | 0,705 | 0,045 | | |
| 6,000 | 37,625 | 99,521 | -8,168 | skid front(in) | 1000000,000 | 11,500 | 0,000 | 1,000 | 100,000 | 0,000 | 0,483 | 0,719 | 0,719 | 0,719 | 0,705 | 0,705 | 0,047 | | |
| 6,500 | 36,191 | 99,521 | -8,167 | skid front(in) | 1000000,000 | 11,500 | 0,000 | 1,000 | 100,000 | 0,000 | 0,532 | 0,719 | 0,719 | 0,719 | 0,705 | 0,705 | 0,049 | | |
| 7,000 | 34,698 | 99,521 | -8,165 | skid front(in) | 1000000,000 | 11,500 | 0,000 | 1,000 | 100,000 | 0,000 | 0,582 | 0,719 | 0,719 | 0,719 | 0,705 | 0,705 | 0,051 | | |
| 7,500 | 33,138 | 99,521 | -8,164 | skid front(in) | 1000000,000 | 11,500 | 0,000 | 1,000 | 100,000 | 0,000 | 0,636 | 0,719 | 0,719 | 0,719 | 0,705 | 0,705 | 0,053 | | |
| 8,000 | 31,501 | 99,557 | -8,162 | skid front(out) | 1000000,000 | 11,500 | 0,000 | 1,000 | 100,000 | -3,056 | 0,691 | 0,719 | 0,719 | 0,719 | 0,705 | 0,705 | 0,056 | | |
| 8,500 | 29,775 | 99,516 | -8,159 | skid front(out) | 1000000,000 | 11,500 | 0,000 | 1,000 | 100,000 | -1,145 | 0,750 | 0,719 | 0,719 | 0,719 | 0,704 | 0,704 | 0,059 | | |
| 9,000 | 27,943 | 99,514 | -8,157 | skid front(out) | 1000000,000 | 11,500 | 0,000 | 1,000 | 100,000 | -2,061 | 0,812 | 0,719 | 0,719 | 0,719 | 0,704 | 0,704 | 0,062 | | |
| 9,500 | 25,982 | 99,513 | -8,155 | skid front(out) | 1000000,000 | 11,500 | 0,000 | 1,000 | 100,000 | -2,677 | 0,879 | 0,719 | 0,719 | 0,719 | 0,704 | 0,704 | 0,067 | | |
| 10,000 | 23,861 | 99,491 | -8,153 | skid front(out) | 1000000,000 | 11,500 | 0,000 | 1,000 | 100,000 | -1,306 | 0,951 | 0,719 | 0,719 | 0,719 | 0,704 | 0,704 | 0,072 | | |
| 10,500 | 21,533 | 99,513 | -8,151 | skid front(out) | 1000000,000 | 11,500 | 0,000 | 1,000 | 100,000 | -3,134 | 1,031 | 0,719 | 0,719 | 0,719 | 0,704 | 0,704 | 0,079 | | |
| 11,000 | 18,920 | 99,514 | -8,150 | skid front(out) | 1000000,000 | 11,500 | 0,000 | 1,000 | 100,000 | -2,906 | 1,120 | 0,719 | 0,719 | 0,719 | 0,704 | 0,704 | 0,089 | | |
| 11,500 | 15,885 | 99,514 | -8,149 | skid front(out) | 1000000,000 | 11,500 | 0,000 | 1,000 | 100,000 | -2,249 | 1,223 | 0,719 | 0,719 | 0,719 | 0,704 | 0,704 | 0,103 | | |
| 12,000 | 12,113 | 99,513 | -8,149 | skid front(out) | 1000000,000 | 11,500 | 0,000 | 1,000 | 100,000 | -1,105 | 1,352 | 0,719 | 0,719 | 0,719 | 0,704 | 0,704 | 0,129 | | |
| 12,500 | 6,412 | 99,541 | -8,149 | skid front(out) | 1000000,000 | 11,500 | 0,000 | 1,000 | 100,000 | -1,741 | 1,546 | 0,719 | 0,719 | 0,719 | 0,705 | 0,705 | 0,194 | | |
| 12,600 | 4,470 | 99,497 | -8,145 | skid front(out) | 1000000,000 | 11,500 | 0,000 | 1,000 | 100,000 | -2,356 | 1,612 | 0,719 | 0,719 | 0,719 | 0,704 | 0,704 | 0,066 | | |

Προσδιορισμός Τιμών Πρόσφυσης κατά την Πέδηση Οχημάτων Εφοδιασμένων με Σύστημα ABS σε Αυξημένες κατά Μήκος Κλίσεις

| run_c_w_glif_21 | R(m) | br.front (%) | s(%) | e (%) | coeff | effic (%) | time (sec) | | | | | | | | | | | | |
|-----------------|------------|--------------|--------|-----------------|-------------|-----------|------------|-------|-----------|-----------|------------|---------|-----------|----------|----------|---------|-----------|--|--|
| s= 100,000 | 1000000,00 | 76,00 | 11,5 | 0,0 | 1,00 | 100 | 1,745 | | | | | | | | | 0,963 | | | |
| step= 0,100 | viewstep= | 0,500 | STEPS | | | | | | | | | | | | | | | | |
| s (m) | V (km/h) | n (%) | dv/dt | skid check | R(m) | s(%) | e (%) | coeff | effic (%) | decelera | time (sec) | fT | front out | front in | rear out | rear in | checktime | | |
| 12,500 | 0,883 | 99,413 | -7,921 | skid front(out) | 1000000,000 | 11,500 | 0,000 | 1,000 | 100,000 | -1,823841 | 1,745 | 0,69672 | 0,6964 | 0,6964 | 0,6802 | 0,6802 | | | |
| 0,000 | 50,740 | 99,442 | -7,963 | O.K | 1000000,000 | 11,500 | 0,000 | 1,000 | 100,000 | 0,000 | 0,000 | 0,697 | | | | | | | |
| 0,400 | 49,920 | 99,442 | -7,962 | skid front(in) | 1000000,000 | 11,500 | 0,000 | 1,000 | 100,000 | 0,000 | 0,029 | 0,697 | 0,697 | 0,697 | 0,681 | 0,681 | 0,029 | | |
| 1,000 | 48,664 | 99,442 | -7,960 | skid front(in) | 1000000,000 | 11,500 | 0,000 | 1,000 | 100,000 | 0,000 | 0,072 | 0,697 | 0,697 | 0,697 | 0,681 | 0,681 | 0,044 | | |
| 1,500 | 47,592 | 99,442 | -7,959 | skid front(in) | 1000000,000 | 11,500 | 0,000 | 1,000 | 100,000 | 0,000 | 0,110 | 0,697 | 0,697 | 0,697 | 0,681 | 0,681 | 0,037 | | |
| 2,000 | 46,496 | 99,442 | -7,957 | skid front(in) | 1000000,000 | 11,500 | 0,000 | 1,000 | 100,000 | 0,000 | 0,148 | 0,697 | 0,697 | 0,697 | 0,681 | 0,681 | 0,038 | | |
| 2,500 | 45,374 | 99,442 | -7,956 | skid front(in) | 1000000,000 | 11,500 | 0,000 | 1,000 | 100,000 | 0,000 | 0,187 | 0,697 | 0,697 | 0,697 | 0,681 | 0,681 | 0,039 | | |
| 3,000 | 44,223 | 99,442 | -7,954 | skid front(in) | 1000000,000 | 11,500 | 0,000 | 1,000 | 100,000 | 0,000 | 0,227 | 0,697 | 0,697 | 0,697 | 0,681 | 0,681 | 0,040 | | |
| 3,500 | 43,042 | 99,442 | -7,952 | skid front(in) | 1000000,000 | 11,500 | 0,000 | 1,000 | 100,000 | 0,000 | 0,269 | 0,697 | 0,697 | 0,697 | 0,681 | 0,681 | 0,041 | | |
| 4,000 | 41,828 | 99,443 | -7,951 | skid front(in) | 1000000,000 | 11,500 | 0,000 | 1,000 | 100,000 | 0,000 | 0,311 | 0,697 | 0,697 | 0,697 | 0,681 | 0,681 | 0,042 | | |
| 4,400 | 40,830 | 99,443 | -7,950 | skid front(in) | 1000000,000 | 11,500 | 0,000 | 1,000 | 100,000 | 0,000 | 0,346 | 0,697 | 0,697 | 0,697 | 0,681 | 0,681 | 0,035 | | |
| 5,000 | 39,288 | 99,443 | -7,948 | skid front(in) | 1000000,000 | 11,500 | 0,000 | 1,000 | 100,000 | 0,000 | 0,400 | 0,697 | 0,697 | 0,697 | 0,681 | 0,681 | 0,054 | | |
| 5,500 | 37,954 | 99,443 | -7,946 | skid front(in) | 1000000,000 | 11,500 | 0,000 | 1,000 | 100,000 | 0,000 | 0,447 | 0,697 | 0,697 | 0,697 | 0,681 | 0,681 | 0,047 | | |
| 6,000 | 36,572 | 99,443 | -7,945 | skid front(in) | 1000000,000 | 11,500 | 0,000 | 1,000 | 100,000 | 0,000 | 0,495 | 0,697 | 0,697 | 0,697 | 0,681 | 0,681 | 0,048 | | |
| 6,500 | 35,137 | 99,443 | -7,943 | skid front(in) | 1000000,000 | 11,500 | 0,000 | 1,000 | 100,000 | 0,001 | 0,545 | 0,697 | 0,697 | 0,697 | 0,681 | 0,681 | 0,050 | | |
| 7,000 | 33,640 | 99,443 | -7,942 | skid front(in) | 1000000,000 | 11,500 | 0,000 | 1,000 | 100,000 | 0,000 | 0,597 | 0,697 | 0,697 | 0,697 | 0,681 | 0,681 | 0,052 | | |
| 7,500 | 32,074 | 99,443 | -7,940 | skid front(in) | 1000000,000 | 11,500 | 0,000 | 1,000 | 100,000 | 0,005 | 0,652 | 0,697 | 0,697 | 0,697 | 0,681 | 0,681 | 0,055 | | |
| 8,000 | 30,428 | 99,464 | -7,939 | skid front(out) | 1000000,000 | 11,500 | 0,000 | 1,000 | 100,000 | -1,619 | 0,710 | 0,697 | 0,697 | 0,697 | 0,681 | 0,681 | 0,058 | | |
| 8,500 | 28,687 | 99,445 | -7,936 | skid front(out) | 1000000,000 | 11,500 | 0,000 | 1,000 | 100,000 | -1,217 | 0,771 | 0,697 | 0,697 | 0,697 | 0,681 | 0,681 | 0,061 | | |
| 9,000 | 26,835 | 99,459 | -7,935 | skid front(out) | 1000000,000 | 11,500 | 0,000 | 1,000 | 100,000 | -1,762 | 0,835 | 0,697 | 0,697 | 0,697 | 0,681 | 0,681 | 0,065 | | |
| 9,500 | 24,845 | 99,444 | -7,932 | skid front(out) | 1000000,000 | 11,500 | 0,000 | 1,000 | 100,000 | -2,015 | 0,905 | 0,697 | 0,697 | 0,697 | 0,681 | 0,681 | 0,070 | | |
| 10,000 | 22,682 | 99,440 | -7,931 | skid front(out) | 1000000,000 | 11,500 | 0,000 | 1,000 | 100,000 | -1,556 | 0,981 | 0,697 | 0,697 | 0,697 | 0,681 | 0,681 | 0,076 | | |
| 10,500 | 20,290 | 99,425 | -7,928 | skid front(out) | 1000000,000 | 11,500 | 0,000 | 1,000 | 100,000 | -2,607 | 1,065 | 0,697 | 0,696 | 0,696 | 0,680 | 0,680 | 0,084 | | |
| 11,000 | 17,576 | 99,474 | -7,929 | skid front(out) | 1000000,000 | 11,500 | 0,000 | 1,000 | 100,000 | -2,476 | 1,160 | 0,697 | 0,697 | 0,697 | 0,681 | 0,681 | 0,095 | | |
| 11,500 | 14,358 | 99,437 | -7,925 | skid front(out) | 1000000,000 | 11,500 | 0,000 | 1,000 | 100,000 | -2,457 | 1,272 | 0,697 | 0,697 | 0,697 | 0,680 | 0,680 | 0,113 | | |
| 12,000 | 10,169 | 99,409 | -7,923 | skid front(out) | 1000000,000 | 11,500 | 0,000 | 1,000 | 100,000 | -1,495 | 1,419 | 0,697 | 0,696 | 0,696 | 0,680 | 0,680 | 0,147 | | |
| 12,500 | 0,883 | 99,413 | -7,921 | skid front(out) | 1000000,000 | 11,500 | 0,000 | 1,000 | 100,000 | -1,824 | 1,745 | 0,697 | 0,696 | 0,696 | 0,680 | 0,680 | 0,326 | | |

Προσδιορισμός Τιμών Πρόσφυσης κατά την Πέδηση Οχημάτων Εφοδιασμένων με Σύστημα ABS σε Αυξημένες κατά Μήκος Κλίσεις

| run_c_w_glif_22 | | R(m) | br.front (%) | s(%) | e (%) | coeff | effic (%) | time (sec) | | | | | | | | | |
|-----------------|----------|------------|--------------|-----------------|-------------|--------|-----------|------------|-----------|-----------|------------|---------|-----------|----------|----------|---------|-----------|
| s= | 100,000 | 1000000,00 | 75,50 | 11,5 | 0,0 | 1,00 | 100 | 1,731 | | | | | | | | | |
| step= | 0,100 | viewstep= | 0,500 | STEPS | | | | | | | | | 0,963 | | | | |
| s (m) | V (km/h) | n (%) | dv/dt | skid check | R(m) | s(%) | e (%) | coeff | effic (%) | decelera | time (sec) | FT | front out | front in | rear out | rear in | checktime |
| 12,900 | 2,989 | 99,133 | -7,639 | skid front(out) | 1000000,000 | 11,500 | 0,000 | 1,000 | 100,000 | -0,355128 | 1,731 | 0,66949 | 0,6693 | 0,6693 | 0,6468 | 0,6468 | |
| 0,000 | 50,700 | 99,161 | -7,681 | O.K | 1000000,000 | 11,500 | 0,000 | 1,000 | 100,000 | 0,000 | 0,000 | 0,669 | | | | | |
| 0,400 | 49,909 | 99,161 | -7,680 | skid front(in) | 1000000,000 | 11,500 | 0,000 | 1,000 | 100,000 | 0,000 | 0,029 | 0,669 | 0,669 | 0,669 | 0,647 | 0,647 | 0,029 |
| 1,000 | 48,697 | 99,161 | -7,678 | skid front(in) | 1000000,000 | 11,500 | 0,000 | 1,000 | 100,000 | 0,000 | 0,072 | 0,669 | 0,669 | 0,669 | 0,647 | 0,647 | 0,044 |
| 1,500 | 47,665 | 99,161 | -7,676 | skid front(in) | 1000000,000 | 11,500 | 0,000 | 1,000 | 100,000 | 0,000 | 0,110 | 0,669 | 0,669 | 0,669 | 0,647 | 0,647 | 0,037 |
| 2,000 | 46,610 | 99,161 | -7,675 | skid front(in) | 1000000,000 | 11,500 | 0,000 | 1,000 | 100,000 | 0,000 | 0,148 | 0,669 | 0,669 | 0,669 | 0,647 | 0,647 | 0,038 |
| 2,500 | 45,530 | 99,161 | -7,673 | skid front(in) | 1000000,000 | 11,500 | 0,000 | 1,000 | 100,000 | 0,000 | 0,187 | 0,669 | 0,669 | 0,669 | 0,647 | 0,647 | 0,039 |
| 3,000 | 44,425 | 99,162 | -7,672 | skid front(in) | 1000000,000 | 11,500 | 0,000 | 1,000 | 100,000 | 0,000 | 0,227 | 0,669 | 0,669 | 0,669 | 0,647 | 0,647 | 0,040 |
| 3,500 | 43,292 | 99,162 | -7,670 | skid front(in) | 1000000,000 | 11,500 | 0,000 | 1,000 | 100,000 | 0,000 | 0,268 | 0,669 | 0,669 | 0,669 | 0,647 | 0,647 | 0,041 |
| 4,000 | 42,128 | 99,162 | -7,668 | skid front(in) | 1000000,000 | 11,500 | 0,000 | 1,000 | 100,000 | 0,000 | 0,310 | 0,669 | 0,669 | 0,669 | 0,647 | 0,647 | 0,042 |
| 4,400 | 41,174 | 99,162 | -7,667 | skid front(in) | 1000000,000 | 11,500 | 0,000 | 1,000 | 100,000 | 0,000 | 0,345 | 0,669 | 0,669 | 0,669 | 0,647 | 0,647 | 0,035 |
| 5,000 | 39,700 | 99,162 | -7,665 | skid front(in) | 1000000,000 | 11,500 | 0,000 | 1,000 | 100,000 | 0,000 | 0,398 | 0,669 | 0,669 | 0,669 | 0,647 | 0,647 | 0,053 |
| 5,500 | 38,428 | 99,162 | -7,664 | skid front(in) | 1000000,000 | 11,500 | 0,000 | 1,000 | 100,000 | 0,000 | 0,444 | 0,669 | 0,669 | 0,669 | 0,647 | 0,647 | 0,046 |
| 6,000 | 37,114 | 99,162 | -7,662 | skid front(in) | 1000000,000 | 11,500 | 0,000 | 1,000 | 100,000 | 0,000 | 0,492 | 0,669 | 0,669 | 0,669 | 0,647 | 0,647 | 0,048 |
| 6,500 | 35,751 | 99,162 | -7,661 | skid front(in) | 1000000,000 | 11,500 | 0,000 | 1,000 | 100,000 | 0,000 | 0,541 | 0,669 | 0,669 | 0,669 | 0,647 | 0,647 | 0,049 |
| 7,000 | 34,334 | 99,162 | -7,659 | skid front(in) | 1000000,000 | 11,500 | 0,000 | 1,000 | 100,000 | 0,000 | 0,593 | 0,669 | 0,669 | 0,669 | 0,647 | 0,647 | 0,051 |
| 7,500 | 32,857 | 99,162 | -7,658 | skid front(in) | 1000000,000 | 11,500 | 0,000 | 1,000 | 100,000 | 0,001 | 0,646 | 0,669 | 0,669 | 0,669 | 0,647 | 0,647 | 0,054 |
| 8,000 | 31,311 | 99,168 | -7,655 | skid front(out) | 1000000,000 | 11,500 | 0,000 | 1,000 | 100,000 | -1,933 | 0,702 | 0,669 | 0,669 | 0,669 | 0,647 | 0,647 | 0,056 |
| 8,500 | 29,684 | 99,170 | -7,653 | skid front(out) | 1000000,000 | 11,500 | 0,000 | 1,000 | 100,000 | -2,657 | 0,761 | 0,669 | 0,669 | 0,669 | 0,647 | 0,647 | 0,059 |
| 9,000 | 27,964 | 99,170 | -7,653 | skid front(out) | 1000000,000 | 11,500 | 0,000 | 1,000 | 100,000 | -0,826 | 0,824 | 0,669 | 0,669 | 0,669 | 0,647 | 0,647 | 0,062 |
| 9,500 | 26,130 | 99,146 | -7,649 | skid front(out) | 1000000,000 | 11,500 | 0,000 | 1,000 | 100,000 | -1,903 | 0,890 | 0,669 | 0,669 | 0,669 | 0,647 | 0,647 | 0,067 |
| 10,000 | 24,159 | 99,139 | -7,647 | skid front(out) | 1000000,000 | 11,500 | 0,000 | 1,000 | 100,000 | -1,922 | 0,962 | 0,669 | 0,669 | 0,669 | 0,647 | 0,647 | 0,072 |
| 10,500 | 22,012 | 99,178 | -7,647 | skid front(out) | 1000000,000 | 11,500 | 0,000 | 1,000 | 100,000 | -2,669 | 1,040 | 0,669 | 0,669 | 0,669 | 0,647 | 0,647 | 0,078 |
| 11,000 | 19,632 | 99,192 | -7,646 | skid front(out) | 1000000,000 | 11,500 | 0,000 | 1,000 | 100,000 | -2,690 | 1,126 | 0,669 | 0,669 | 0,669 | 0,647 | 0,647 | 0,086 |
| 11,500 | 16,921 | 99,175 | -7,645 | skid front(out) | 1000000,000 | 11,500 | 0,000 | 1,000 | 100,000 | -1,826 | 1,225 | 0,669 | 0,669 | 0,669 | 0,647 | 0,647 | 0,099 |
| 12,000 | 13,684 | 99,149 | -7,641 | skid front(out) | 1000000,000 | 11,500 | 0,000 | 1,000 | 100,000 | -2,121 | 1,343 | 0,669 | 0,669 | 0,669 | 0,647 | 0,647 | 0,118 |
| 12,500 | 9,391 | 99,178 | -7,640 | skid front(out) | 1000000,000 | 11,500 | 0,000 | 1,000 | 100,000 | -3,414 | 1,499 | 0,669 | 0,669 | 0,669 | 0,647 | 0,647 | 0,156 |
| 12,900 | 2,989 | 99,133 | -7,639 | skid front(out) | 1000000,000 | 11,500 | 0,000 | 1,000 | 100,000 | -0,355 | 1,731 | 0,669 | 0,669 | 0,669 | 0,647 | 0,647 | 0,233 |

Προσδιορισμός Τιμών Πρόσφυσης κατά την Πέδηση Οχημάτων Εφοδιασμένων με Σύστημα ABS σε Αυξημένες κατά Μήκος Κλίσεις

| run_c_w_glif_23 | R(m) | br.front (%) | s(%) | e (%) | coeff | effic (%) | time (sec) | | | | | | | | | | |
|-----------------|------------|--------------|--------|-----------------|-------------|-----------|------------|-------|-----------|-----------|------------|---------|-----------|----------|----------|---------|-----------|
| s= 100,000 | 1000000,00 | 75,00 | 11,5 | 0,0 | 1,00 | 100 | 1,846 | | | | | | | | | 0,963 | |
| step= 0,100 | viewstep= | 0,500 | STEPS | | | | | | | | | | | | | | |
| s (m) | V (km/h) | n (%) | dv/dt | skid check | R(m) | s(%) | e (%) | coeff | effic (%) | decelera | time (sec) | fT | front out | front in | rear out | rear in | checktime |
| 14,200 | 2,718 | 99,381 | -7,507 | skid front(out) | 1000000,000 | 11,500 | 0,000 | 1,000 | 100,000 | -1,773889 | 1,846 | 0,65449 | 0,6543 | 0,6543 | 0,6384 | 0,6384 | |
| 0,000 | 52,720 | 99,384 | -7,553 | O.K | 1000000,000 | 11,500 | 0,000 | 1,000 | 100,000 | 0,000 | 0,000 | 0,654 | | | | | |
| 0,400 | 51,972 | 99,384 | -7,552 | skid front(in) | 1000000,000 | 11,500 | 0,000 | 1,000 | 100,000 | 0,000 | 0,028 | 0,654 | 0,654 | 0,654 | 0,639 | 0,639 | 0,028 |
| 1,000 | 50,830 | 99,384 | -7,550 | skid front(in) | 1000000,000 | 11,500 | 0,000 | 1,000 | 100,000 | 0,000 | 0,070 | 0,654 | 0,654 | 0,654 | 0,639 | 0,639 | 0,042 |
| 1,500 | 49,858 | 99,384 | -7,549 | skid front(in) | 1000000,000 | 11,500 | 0,000 | 1,000 | 100,000 | 0,000 | 0,105 | 0,654 | 0,654 | 0,654 | 0,639 | 0,639 | 0,036 |
| 2,000 | 48,867 | 99,384 | -7,547 | skid front(in) | 1000000,000 | 11,500 | 0,000 | 1,000 | 100,000 | 0,000 | 0,142 | 0,654 | 0,654 | 0,654 | 0,639 | 0,639 | 0,036 |
| 2,500 | 47,856 | 99,384 | -7,546 | skid front(in) | 1000000,000 | 11,500 | 0,000 | 1,000 | 100,000 | 0,000 | 0,179 | 0,654 | 0,654 | 0,654 | 0,639 | 0,639 | 0,037 |
| 3,000 | 46,823 | 99,385 | -7,544 | skid front(in) | 1000000,000 | 11,500 | 0,000 | 1,000 | 100,000 | 0,000 | 0,217 | 0,654 | 0,654 | 0,654 | 0,639 | 0,639 | 0,038 |
| 3,500 | 45,767 | 99,385 | -7,543 | skid front(in) | 1000000,000 | 11,500 | 0,000 | 1,000 | 100,000 | 0,000 | 0,256 | 0,654 | 0,654 | 0,654 | 0,639 | 0,639 | 0,039 |
| 4,000 | 44,687 | 99,385 | -7,541 | skid front(in) | 1000000,000 | 11,500 | 0,000 | 1,000 | 100,000 | 0,000 | 0,296 | 0,654 | 0,654 | 0,654 | 0,639 | 0,639 | 0,040 |
| 4,400 | 43,803 | 99,385 | -7,540 | skid front(in) | 1000000,000 | 11,500 | 0,000 | 1,000 | 100,000 | 0,000 | 0,328 | 0,654 | 0,654 | 0,654 | 0,639 | 0,639 | 0,033 |
| 5,000 | 42,444 | 99,385 | -7,538 | skid front(in) | 1000000,000 | 11,500 | 0,000 | 1,000 | 100,000 | 0,000 | 0,378 | 0,654 | 0,654 | 0,654 | 0,639 | 0,639 | 0,050 |
| 5,500 | 41,277 | 99,385 | -7,536 | skid front(in) | 1000000,000 | 11,500 | 0,000 | 1,000 | 100,000 | 0,000 | 0,421 | 0,654 | 0,654 | 0,654 | 0,639 | 0,639 | 0,043 |
| 6,000 | 40,077 | 99,385 | -7,535 | skid front(in) | 1000000,000 | 11,500 | 0,000 | 1,000 | 100,000 | 0,000 | 0,466 | 0,654 | 0,654 | 0,654 | 0,639 | 0,639 | 0,044 |
| 6,500 | 38,839 | 99,385 | -7,533 | skid front(in) | 1000000,000 | 11,500 | 0,000 | 1,000 | 100,000 | 0,000 | 0,511 | 0,654 | 0,654 | 0,654 | 0,639 | 0,639 | 0,046 |
| 7,000 | 37,562 | 99,385 | -7,532 | skid front(in) | 1000000,000 | 11,500 | 0,000 | 1,000 | 100,000 | 0,000 | 0,558 | 0,654 | 0,654 | 0,654 | 0,639 | 0,639 | 0,047 |
| 7,500 | 36,239 | 99,385 | -7,530 | skid front(in) | 1000000,000 | 11,500 | 0,000 | 1,000 | 100,000 | 0,001 | 0,607 | 0,654 | 0,654 | 0,654 | 0,639 | 0,639 | 0,049 |
| 8,000 | 34,867 | 99,385 | -7,529 | skid front(in) | 1000000,000 | 11,500 | 0,000 | 1,000 | 100,000 | 0,000 | 0,658 | 0,654 | 0,654 | 0,654 | 0,639 | 0,639 | 0,051 |
| 8,500 | 33,439 | 99,386 | -7,527 | skid front(in) | 1000000,000 | 11,500 | 0,000 | 1,000 | 100,000 | 0,000 | 0,710 | 0,654 | 0,654 | 0,654 | 0,639 | 0,639 | 0,053 |
| 9,000 | 31,947 | 99,401 | -7,524 | skid front(out) | 1000000,000 | 11,500 | 0,000 | 1,000 | 100,000 | -2,870 | 0,765 | 0,654 | 0,654 | 0,654 | 0,638 | 0,638 | 0,055 |
| 9,500 | 30,382 | 99,366 | -7,521 | skid front(in) | 1000000,000 | 11,500 | 0,000 | 1,000 | 100,000 | -1,851 | 0,823 | 0,654 | 0,654 | 0,654 | 0,638 | 0,638 | 0,058 |
| 10,000 | 28,733 | 99,398 | -7,522 | skid front(out) | 1000000,000 | 11,500 | 0,000 | 1,000 | 100,000 | -1,041 | 0,884 | 0,654 | 0,654 | 0,654 | 0,639 | 0,639 | 0,061 |
| 10,500 | 26,983 | 99,369 | -7,518 | skid front(out) | 1000000,000 | 11,500 | 0,000 | 1,000 | 100,000 | -1,528 | 0,949 | 0,654 | 0,654 | 0,654 | 0,638 | 0,638 | 0,065 |
| 11,000 | 25,113 | 99,410 | -7,519 | skid front(out) | 1000000,000 | 11,500 | 0,000 | 1,000 | 100,000 | -2,265 | 1,018 | 0,654 | 0,654 | 0,654 | 0,639 | 0,639 | 0,069 |
| 11,500 | 23,091 | 99,408 | -7,517 | skid front(out) | 1000000,000 | 11,500 | 0,000 | 1,000 | 100,000 | -2,257 | 1,093 | 0,654 | 0,654 | 0,654 | 0,639 | 0,639 | 0,075 |
| 12,000 | 20,875 | 99,359 | -7,513 | skid front(out) | 1000000,000 | 11,500 | 0,000 | 1,000 | 100,000 | -1,618 | 1,174 | 0,654 | 0,654 | 0,654 | 0,638 | 0,638 | 0,082 |
| 12,500 | 18,396 | 99,411 | -7,514 | skid front(out) | 1000000,000 | 11,500 | 0,000 | 1,000 | 100,000 | -3,021 | 1,266 | 0,654 | 0,654 | 0,654 | 0,639 | 0,639 | 0,092 |
| 13,000 | 15,525 | 99,388 | -7,512 | skid front(out) | 1000000,000 | 11,500 | 0,000 | 1,000 | 100,000 | -1,768 | 1,372 | 0,654 | 0,654 | 0,654 | 0,638 | 0,638 | 0,106 |
| 13,500 | 11,986 | 99,393 | -7,511 | skid front(out) | 1000000,000 | 11,500 | 0,000 | 1,000 | 100,000 | -1,030 | 1,503 | 0,654 | 0,654 | 0,654 | 0,639 | 0,639 | 0,131 |
| 14,000 | 6,807 | 99,366 | -7,507 | skid front(out) | 1000000,000 | 11,500 | 0,000 | 1,000 | 100,000 | -1,702 | 1,695 | 0,654 | 0,654 | 0,654 | 0,638 | 0,638 | 0,192 |
| 14,200 | 2,718 | 99,381 | -7,507 | skid front(out) | 1000000,000 | 11,500 | 0,000 | 1,000 | 100,000 | -1,774 | 1,846 | 0,654 | 0,654 | 0,654 | 0,638 | 0,638 | 0,151 |

Προσδιορισμός Τιμών Πρόσφυσης κατά την Πέδηση Οχημάτων Εφοδιασμένων με Σύστημα ABS σε Αυξημένες κατά Μήκος Κλίσεις

| run_c_w_glif_24 | | R(m) | br.front (%) | s(%) | e (%) | coeff | effic (%) | time (sec) | | | | | | | | | | |
|-----------------|----------|------------|--------------|-----------------|-----------------|-------------|-----------|------------|-----------|----------|------------|-------|-----------|----------|----------|---------|-----------|--|
| s= | 100,000 | 1000000,00 | 76,50 | 11,5 | 0,0 | 1,00 | 100 | 1,792 | | | | | | | | | | |
| step= | 0,100 | viewstep= | 0,500 | STEPS | | | | | | | | | 0,963 | | | | | |
| s (m) | V (km/h) | n (%) | dv/dt | skid check | R(m) | s(%) | e (%) | coeff | effic (%) | decelera | time (sec) | fT | front out | front in | rear out | rear in | checktime | |
| 0,000 | 13,600 | 1,417 | 99,158 | -8,026 | skid front(out) | 1000000,000 | 11,500 | 0,000 | 1,000 | 100,000 | -3,811254 | 1,792 | 0,70941 | 0,7093 | 0,7093 | 0,6836 | 0,6836 | |
| 0,000 | 53,280 | 99,123 | -8,068 | O.K | 1000000,000 | 11,500 | 0,000 | 1,000 | 100,000 | 0,000 | 0,000 | 0,709 | | | | | | |
| 0,400 | 52,489 | 99,123 | -8,067 | skid front(in) | 1000000,000 | 11,500 | 0,000 | 1,000 | 100,000 | 0,000 | 0,027 | 0,709 | 0,709 | 0,709 | 0,684 | 0,684 | 0,027 | |
| 1,000 | 51,280 | 99,123 | -8,065 | skid front(in) | 1000000,000 | 11,500 | 0,000 | 1,000 | 100,000 | 0,000 | 0,069 | 0,709 | 0,709 | 0,709 | 0,684 | 0,684 | 0,042 | |
| 1,500 | 50,251 | 99,123 | -8,063 | skid front(in) | 1000000,000 | 11,500 | 0,000 | 1,000 | 100,000 | 0,000 | 0,104 | 0,709 | 0,709 | 0,709 | 0,684 | 0,684 | 0,035 | |
| 2,000 | 49,200 | 99,124 | -8,062 | skid front(in) | 1000000,000 | 11,500 | 0,000 | 1,000 | 100,000 | 0,000 | 0,141 | 0,709 | 0,709 | 0,709 | 0,684 | 0,684 | 0,036 | |
| 2,500 | 48,127 | 99,124 | -8,060 | skid front(in) | 1000000,000 | 11,500 | 0,000 | 1,000 | 100,000 | 0,000 | 0,178 | 0,709 | 0,709 | 0,709 | 0,684 | 0,684 | 0,037 | |
| 3,000 | 47,029 | 99,124 | -8,059 | skid front(in) | 1000000,000 | 11,500 | 0,000 | 1,000 | 100,000 | 0,000 | 0,215 | 0,709 | 0,709 | 0,709 | 0,684 | 0,684 | 0,038 | |
| 3,500 | 45,905 | 99,124 | -8,057 | skid front(in) | 1000000,000 | 11,500 | 0,000 | 1,000 | 100,000 | 0,000 | 0,254 | 0,709 | 0,709 | 0,709 | 0,684 | 0,684 | 0,039 | |
| 4,000 | 44,754 | 99,124 | -8,056 | skid front(in) | 1000000,000 | 11,500 | 0,000 | 1,000 | 100,000 | 0,000 | 0,294 | 0,709 | 0,709 | 0,709 | 0,684 | 0,684 | 0,040 | |
| 4,400 | 43,811 | 99,124 | -8,055 | skid front(in) | 1000000,000 | 11,500 | 0,000 | 1,000 | 100,000 | 0,000 | 0,326 | 0,709 | 0,709 | 0,709 | 0,684 | 0,684 | 0,033 | |
| 5,000 | 42,357 | 99,124 | -8,053 | skid front(in) | 1000000,000 | 11,500 | 0,000 | 1,000 | 100,000 | 0,000 | 0,376 | 0,709 | 0,709 | 0,709 | 0,684 | 0,684 | 0,050 | |
| 5,500 | 41,107 | 99,124 | -8,051 | skid front(in) | 1000000,000 | 11,500 | 0,000 | 1,000 | 100,000 | 0,000 | 0,420 | 0,709 | 0,709 | 0,709 | 0,684 | 0,684 | 0,043 | |
| 6,000 | 39,817 | 99,124 | -8,050 | skid front(in) | 1000000,000 | 11,500 | 0,000 | 1,000 | 100,000 | 0,000 | 0,464 | 0,709 | 0,709 | 0,709 | 0,684 | 0,684 | 0,044 | |
| 6,500 | 38,485 | 99,124 | -8,048 | skid front(in) | 1000000,000 | 11,500 | 0,000 | 1,000 | 100,000 | 0,000 | 0,510 | 0,709 | 0,709 | 0,709 | 0,684 | 0,684 | 0,046 | |
| 7,000 | 37,105 | 99,124 | -8,047 | skid front(in) | 1000000,000 | 11,500 | 0,000 | 1,000 | 100,000 | 0,000 | 0,558 | 0,709 | 0,709 | 0,709 | 0,684 | 0,684 | 0,048 | |
| 7,500 | 35,673 | 99,125 | -8,045 | skid front(in) | 1000000,000 | 11,500 | 0,000 | 1,000 | 100,000 | 0,000 | 0,607 | 0,709 | 0,709 | 0,709 | 0,684 | 0,684 | 0,049 | |
| 8,000 | 34,180 | 99,125 | -8,044 | skid front(in) | 1000000,000 | 11,500 | 0,000 | 1,000 | 100,000 | 0,000 | 0,659 | 0,709 | 0,709 | 0,709 | 0,684 | 0,684 | 0,052 | |
| 8,500 | 32,620 | 99,125 | -8,042 | skid front(in) | 1000000,000 | 11,500 | 0,000 | 1,000 | 100,000 | 0,001 | 0,713 | 0,709 | 0,709 | 0,709 | 0,684 | 0,684 | 0,054 | |
| 9,000 | 30,981 | 99,136 | -8,040 | skid front(out) | 1000000,000 | 11,500 | 0,000 | 1,000 | 100,000 | -1,866 | 0,769 | 0,709 | 0,709 | 0,709 | 0,684 | 0,684 | 0,057 | |
| 9,500 | 29,251 | 99,105 | -8,036 | skid front(out) | 1000000,000 | 11,500 | 0,000 | 1,000 | 100,000 | -1,469 | 0,829 | 0,709 | 0,709 | 0,709 | 0,683 | 0,683 | 0,060 | |
| 10,000 | 27,413 | 99,118 | -8,035 | skid front(out) | 1000000,000 | 11,500 | 0,000 | 1,000 | 100,000 | -1,980 | 0,892 | 0,709 | 0,709 | 0,709 | 0,683 | 0,683 | 0,064 | |
| 10,500 | 25,443 | 99,117 | -8,033 | skid front(out) | 1000000,000 | 11,500 | 0,000 | 1,000 | 100,000 | -2,299 | 0,961 | 0,709 | 0,709 | 0,709 | 0,683 | 0,683 | 0,068 | |
| 11,000 | 23,307 | 99,143 | -8,034 | skid front(out) | 1000000,000 | 11,500 | 0,000 | 1,000 | 100,000 | -1,872 | 1,034 | 0,709 | 0,709 | 0,709 | 0,684 | 0,684 | 0,074 | |
| 11,500 | 20,955 | 99,107 | -8,030 | skid front(out) | 1000000,000 | 11,500 | 0,000 | 1,000 | 100,000 | -1,477 | 1,116 | 0,709 | 0,709 | 0,709 | 0,683 | 0,683 | 0,081 | |
| 12,000 | 18,303 | 99,122 | -8,029 | skid front(out) | 1000000,000 | 11,500 | 0,000 | 1,000 | 100,000 | -2,178 | 1,207 | 0,709 | 0,709 | 0,709 | 0,683 | 0,683 | 0,092 | |
| 12,500 | 15,197 | 99,116 | -8,027 | skid front(out) | 1000000,000 | 11,500 | 0,000 | 1,000 | 100,000 | -2,576 | 1,315 | 0,709 | 0,709 | 0,709 | 0,683 | 0,683 | 0,107 | |
| 13,000 | 11,264 | 99,145 | -8,028 | skid front(out) | 1000000,000 | 11,500 | 0,000 | 1,000 | 100,000 | -2,187 | 1,451 | 0,709 | 0,709 | 0,709 | 0,684 | 0,684 | 0,136 | |
| 13,500 | 4,777 | 99,123 | -8,023 | skid front(out) | 1000000,000 | 11,500 | 0,000 | 1,000 | 100,000 | -4,248 | 1,675 | 0,709 | 0,709 | 0,709 | 0,683 | 0,683 | 0,225 | |

Προσδιορισμός Τιμών Πρόσφυσης κατά την Πέδηση Οχημάτων Εφοδιασμένων με Σύστημα ABS σε Αυξημένες κατά Μήκος Κλίσεις

| | | | | | | | | | | | | | | | | | |
|--------|-------|--------|--------|-----------------|-------------|--------|-------|-------|---------|--------|-------|-------|-------|-------|-------|-------|-------|
| 13,600 | 1,417 | 99,158 | -8,026 | skid front(out) | 1000000,000 | 11,500 | 0,000 | 1,000 | 100,000 | -3,811 | 1,792 | 0,709 | 0,709 | 0,709 | 0,684 | 0,684 | 0,116 |
|--------|-------|--------|--------|-----------------|-------------|--------|-------|-------|---------|--------|-------|-------|-------|-------|-------|-------|-------|

| run_c_w_glif_25 | | R(m) | br.front (%) | s(%) | e (%) | coeff | effic (%) | time (sec) | | | | | | | | | |
|-----------------|----------|------------|--------------|-----------------|-------------|--------|-----------|------------|-----------|-----------|------------|---------|-----------|----------|----------|---------|-----------|
| s= | 100,000 | 1000000,00 | 74,00 | 11,5 | 0,0 | 1,00 | 100 | 1,945 | | | | | | | | | 0,963 |
| step= | 0,100 | viewstep= | 0,500 | STEPS | | | | | | | | | | | | | |
| s (m) | V (km/h) | n (%) | dv/dt | skid check | R(m) | s(%) | e (%) | coeff | effic (%) | decelera | time (sec) | fT | front out | front in | rear out | rear in | checktime |
| 14,400 | 1,469 | 99,620 | -7,179 | skid front(out) | 1000000,000 | 11,500 | 0,000 | 1,000 | 100,000 | -3,722459 | 1,945 | 0,61951 | 0,6192 | 0,6192 | 0,6102 | 0,6102 | |
| 0,000 | 51,880 | 99,626 | -7,228 | O.K | 1000000,000 | 11,500 | 0,000 | 1,000 | 100,000 | 0,000 | 0,000 | 0,620 | | | | | |
| 0,400 | 51,153 | 99,627 | -7,227 | skid front(in) | 1000000,000 | 11,500 | 0,000 | 1,000 | 100,000 | 0,000 | 0,028 | 0,620 | 0,619 | 0,620 | 0,611 | 0,611 | 0,028 |
| 1,000 | 50,042 | 99,627 | -7,225 | skid front(in) | 1000000,000 | 11,500 | 0,000 | 1,000 | 100,000 | 0,000 | 0,071 | 0,620 | 0,619 | 0,620 | 0,611 | 0,611 | 0,043 |
| 1,500 | 49,098 | 99,627 | -7,223 | skid front(in) | 1000000,000 | 11,500 | 0,000 | 1,000 | 100,000 | 0,000 | 0,107 | 0,620 | 0,619 | 0,620 | 0,611 | 0,611 | 0,036 |
| 2,000 | 48,135 | 99,627 | -7,222 | skid front(in) | 1000000,000 | 11,500 | 0,000 | 1,000 | 100,000 | 0,000 | 0,144 | 0,620 | 0,619 | 0,620 | 0,611 | 0,611 | 0,037 |
| 2,500 | 47,153 | 99,627 | -7,220 | skid front(in) | 1000000,000 | 11,500 | 0,000 | 1,000 | 100,000 | 0,000 | 0,182 | 0,620 | 0,619 | 0,620 | 0,611 | 0,611 | 0,038 |
| 3,000 | 46,150 | 99,627 | -7,218 | skid front(in) | 1000000,000 | 11,500 | 0,000 | 1,000 | 100,000 | 0,000 | 0,220 | 0,620 | 0,619 | 0,620 | 0,611 | 0,611 | 0,039 |
| 3,500 | 45,126 | 99,627 | -7,217 | skid front(in) | 1000000,000 | 11,500 | 0,000 | 1,000 | 100,000 | 0,000 | 0,260 | 0,620 | 0,619 | 0,620 | 0,611 | 0,611 | 0,039 |
| 4,000 | 44,077 | 99,627 | -7,215 | skid front(in) | 1000000,000 | 11,500 | 0,000 | 1,000 | 100,000 | 0,000 | 0,300 | 0,620 | 0,619 | 0,620 | 0,611 | 0,611 | 0,040 |
| 4,400 | 43,220 | 99,627 | -7,214 | skid front(in) | 1000000,000 | 11,500 | 0,000 | 1,000 | 100,000 | 0,000 | 0,333 | 0,620 | 0,619 | 0,620 | 0,611 | 0,611 | 0,033 |
| 5,000 | 41,902 | 99,627 | -7,212 | skid front(in) | 1000000,000 | 11,500 | 0,000 | 1,000 | 100,000 | 0,000 | 0,384 | 0,620 | 0,619 | 0,620 | 0,611 | 0,611 | 0,051 |
| 5,500 | 40,772 | 99,627 | -7,211 | skid front(in) | 1000000,000 | 11,500 | 0,000 | 1,000 | 100,000 | 0,000 | 0,427 | 0,620 | 0,619 | 0,620 | 0,611 | 0,611 | 0,044 |
| 6,000 | 39,610 | 99,627 | -7,209 | skid front(in) | 1000000,000 | 11,500 | 0,000 | 1,000 | 100,000 | 0,000 | 0,472 | 0,620 | 0,619 | 0,620 | 0,611 | 0,611 | 0,045 |
| 6,500 | 38,412 | 99,628 | -7,208 | skid front(in) | 1000000,000 | 11,500 | 0,000 | 1,000 | 100,000 | 0,000 | 0,518 | 0,620 | 0,619 | 0,620 | 0,611 | 0,611 | 0,046 |
| 7,000 | 37,177 | 99,628 | -7,206 | skid front(in) | 1000000,000 | 11,500 | 0,000 | 1,000 | 100,000 | 0,000 | 0,566 | 0,620 | 0,619 | 0,620 | 0,611 | 0,611 | 0,048 |
| 7,500 | 35,899 | 99,628 | -7,204 | skid front(in) | 1000000,000 | 11,500 | 0,000 | 1,000 | 100,000 | 0,000 | 0,615 | 0,620 | 0,619 | 0,620 | 0,611 | 0,611 | 0,049 |
| 8,000 | 34,574 | 99,628 | -7,203 | skid front(in) | 1000000,000 | 11,500 | 0,000 | 1,000 | 100,000 | 0,000 | 0,666 | 0,620 | 0,620 | 0,620 | 0,611 | 0,611 | 0,051 |
| 8,500 | 33,197 | 99,628 | -7,201 | skid front(in) | 1000000,000 | 11,500 | 0,000 | 1,000 | 100,000 | 0,000 | 0,719 | 0,620 | 0,620 | 0,620 | 0,611 | 0,611 | 0,053 |
| 9,000 | 31,760 | 99,628 | -7,198 | skid front(out) | 1000000,000 | 11,500 | 0,000 | 1,000 | 100,000 | -1,657 | 0,775 | 0,620 | 0,619 | 0,619 | 0,611 | 0,611 | 0,055 |
| 9,500 | 30,256 | 99,633 | -7,197 | skid front(out) | 1000000,000 | 11,500 | 0,000 | 1,000 | 100,000 | -1,578 | 0,833 | 0,620 | 0,619 | 0,619 | 0,611 | 0,611 | 0,058 |
| 10,000 | 28,673 | 99,626 | -7,195 | skid front(out) | 1000000,000 | 11,500 | 0,000 | 1,000 | 100,000 | -2,163 | 0,894 | 0,620 | 0,619 | 0,619 | 0,610 | 0,610 | 0,061 |
| 10,500 | 26,998 | 99,626 | -7,194 | skid front(out) | 1000000,000 | 11,500 | 0,000 | 1,000 | 100,000 | -1,292 | 0,959 | 0,620 | 0,619 | 0,619 | 0,611 | 0,611 | 0,065 |

Προσδιορισμός Τιμών Πρόσφυσης κατά την Πέδηση Οχημάτων Εφοδιασμένων με Σύστημα ABS σε Αυξημένες κατά Μήκος Κλίσεις

| | | | | | | | | | | | | | | | | | |
|--------|--------|--------|--------|-----------------|-------------|--------|-------|-------|---------|--------|-------|-------|-------|-------|-------|-------|-------|
| 11,000 | 25,212 | 99,611 | -7,192 | skid front(out) | 1000000,000 | 11,500 | 0,000 | 1,000 | 100,000 | -1,014 | 1,028 | 0,620 | 0,619 | 0,619 | 0,610 | 0,610 | 0,069 |
| 11,500 | 23,290 | 99,655 | -7,191 | skid front(out) | 1000000,000 | 11,500 | 0,000 | 1,000 | 100,000 | -2,732 | 1,102 | 0,620 | 0,619 | 0,619 | 0,611 | 0,611 | 0,074 |
| 12,000 | 21,195 | 99,658 | -7,189 | skid front(out) | 1000000,000 | 11,500 | 0,000 | 1,000 | 100,000 | -3,403 | 1,183 | 0,620 | 0,619 | 0,619 | 0,611 | 0,611 | 0,081 |
| 12,500 | 18,869 | 99,587 | -7,186 | skid front(out) | 1000000,000 | 11,500 | 0,000 | 1,000 | 100,000 | -1,019 | 1,273 | 0,620 | 0,619 | 0,619 | 0,610 | 0,610 | 0,090 |
| 13,000 | 16,214 | 99,574 | -7,184 | skid front(out) | 1000000,000 | 11,500 | 0,000 | 1,000 | 100,000 | -0,612 | 1,375 | 0,620 | 0,619 | 0,619 | 0,610 | 0,610 | 0,103 |
| 13,500 | 13,029 | 99,632 | -7,184 | skid front(out) | 1000000,000 | 11,500 | 0,000 | 1,000 | 100,000 | -2,675 | 1,498 | 0,620 | 0,619 | 0,619 | 0,610 | 0,610 | 0,123 |
| 14,000 | 8,755 | 99,606 | -7,182 | skid front(out) | 1000000,000 | 11,500 | 0,000 | 1,000 | 100,000 | -1,208 | 1,664 | 0,620 | 0,619 | 0,619 | 0,610 | 0,610 | 0,165 |
| 14,400 | 1,469 | 99,620 | -7,179 | skid front(out) | 1000000,000 | 11,500 | 0,000 | 1,000 | 100,000 | -3,722 | 1,945 | 0,620 | 0,619 | 0,619 | 0,610 | 0,610 | 0,282 |

| run_c_w_glif_26 | R(m) | br.front (%) | s(%) | e (%) | coeff | effic (%) | time (sec) | | | | | | | | | | |
|-----------------|------------|--------------|--------|-----------------|-------------|-----------|------------|-------|-----------|-----------|------------|---------|-----------|----------|----------|---------|-----------|
| s= 100,000 | 1000000,00 | 75,50 | 11,5 | 0,0 | 1,00 | 100 | 1,930 | | | | | | | | | | 0,963 |
| step= 0,100 | viewstep= | 0,500 | STEPS | | | | | | | | | | | | | | |
| s (m) | V (km/h) | n (%) | dv/dt | skid check | R(m) | s(%) | e (%) | coeff | effic (%) | decelera | time (sec) | fT | front out | front in | rear out | rear in | checktime |
| 15,200 | 1,577 | 99,391 | -7,698 | skid front(out) | 1000000,000 | 11,500 | 0,000 | 1,000 | 100,000 | -3,709113 | 1,930 | 0,67412 | 0,6741 | 0,6741 | 0,6566 | 0,6566 | |
| 0,000 | 55,180 | 99,352 | -7,745 | O.K | 1000000,000 | 11,500 | 0,000 | 1,000 | 100,000 | 0,000 | 0,000 | 0,674 | | | | | |
| 0,400 | 54,448 | 99,352 | -7,744 | skid front(in) | 1000000,000 | 11,500 | 0,000 | 1,000 | 100,000 | 0,000 | 0,026 | 0,674 | 0,674 | 0,674 | 0,657 | 0,657 | 0,026 |
| 1,000 | 53,330 | 99,352 | -7,742 | skid front(in) | 1000000,000 | 11,500 | 0,000 | 1,000 | 100,000 | 0,000 | 0,066 | 0,674 | 0,674 | 0,674 | 0,657 | 0,657 | 0,040 |
| 1,500 | 52,381 | 99,352 | -7,741 | skid front(in) | 1000000,000 | 11,500 | 0,000 | 1,000 | 100,000 | 0,000 | 0,100 | 0,674 | 0,674 | 0,674 | 0,657 | 0,657 | 0,034 |
| 2,000 | 51,415 | 99,352 | -7,739 | skid front(in) | 1000000,000 | 11,500 | 0,000 | 1,000 | 100,000 | 0,000 | 0,135 | 0,674 | 0,674 | 0,674 | 0,657 | 0,657 | 0,035 |
| 2,500 | 50,430 | 99,352 | -7,738 | skid front(in) | 1000000,000 | 11,500 | 0,000 | 1,000 | 100,000 | 0,000 | 0,170 | 0,674 | 0,674 | 0,674 | 0,657 | 0,657 | 0,035 |
| 3,000 | 49,426 | 99,352 | -7,736 | skid front(in) | 1000000,000 | 11,500 | 0,000 | 1,000 | 100,000 | 0,000 | 0,206 | 0,674 | 0,674 | 0,674 | 0,657 | 0,657 | 0,036 |
| 3,500 | 48,401 | 99,352 | -7,735 | skid front(in) | 1000000,000 | 11,500 | 0,000 | 1,000 | 100,000 | 0,000 | 0,243 | 0,674 | 0,674 | 0,674 | 0,657 | 0,657 | 0,037 |
| 4,000 | 47,354 | 99,352 | -7,733 | skid front(in) | 1000000,000 | 11,500 | 0,000 | 1,000 | 100,000 | 0,000 | 0,281 | 0,674 | 0,674 | 0,674 | 0,657 | 0,657 | 0,038 |
| 4,400 | 46,500 | 99,352 | -7,732 | skid front(in) | 1000000,000 | 11,500 | 0,000 | 1,000 | 100,000 | 0,000 | 0,312 | 0,674 | 0,674 | 0,674 | 0,657 | 0,657 | 0,031 |
| 5,000 | 45,189 | 99,352 | -7,730 | skid front(in) | 1000000,000 | 11,500 | 0,000 | 1,000 | 100,000 | 0,000 | 0,359 | 0,674 | 0,674 | 0,674 | 0,657 | 0,657 | 0,047 |
| 5,500 | 44,066 | 99,352 | -7,729 | skid front(in) | 1000000,000 | 11,500 | 0,000 | 1,000 | 100,000 | 0,000 | 0,399 | 0,674 | 0,674 | 0,674 | 0,657 | 0,657 | 0,040 |
| 6,000 | 42,915 | 99,353 | -7,727 | skid front(in) | 1000000,000 | 11,500 | 0,000 | 1,000 | 100,000 | 0,000 | 0,440 | 0,674 | 0,674 | 0,674 | 0,657 | 0,657 | 0,041 |
| 6,500 | 41,732 | 99,353 | -7,725 | skid front(in) | 1000000,000 | 11,500 | 0,000 | 1,000 | 100,000 | 0,000 | 0,483 | 0,674 | 0,674 | 0,674 | 0,657 | 0,657 | 0,043 |
| 7,000 | 40,515 | 99,353 | -7,724 | skid front(in) | 1000000,000 | 11,500 | 0,000 | 1,000 | 100,000 | 0,000 | 0,527 | 0,674 | 0,674 | 0,674 | 0,657 | 0,657 | 0,044 |
| 7,500 | 39,260 | 99,353 | -7,722 | skid front(in) | 1000000,000 | 11,500 | 0,000 | 1,000 | 100,000 | 0,000 | 0,572 | 0,674 | 0,674 | 0,674 | 0,657 | 0,657 | 0,045 |
| 8,000 | 37,964 | 99,353 | -7,721 | skid front(in) | 1000000,000 | 11,500 | 0,000 | 1,000 | 100,000 | 0,000 | 0,618 | 0,674 | 0,674 | 0,674 | 0,657 | 0,657 | 0,047 |
| 8,500 | 36,623 | 99,353 | -7,719 | skid front(in) | 1000000,000 | 11,500 | 0,000 | 1,000 | 100,000 | 0,000 | 0,667 | 0,674 | 0,674 | 0,674 | 0,657 | 0,657 | 0,048 |
| 9,000 | 35,231 | 99,353 | -7,718 | skid front(in) | 1000000,000 | 11,500 | 0,000 | 1,000 | 100,000 | 0,000 | 0,717 | 0,674 | 0,674 | 0,674 | 0,657 | 0,657 | 0,050 |

Προσδιορισμός Τιμών Πρόσφυσης κατά την Πέδηση Οχημάτων Εφοδιασμένων με Σύστημα ABS σε Αυξημένες κατά Μήκος Κλίσεις

| | | | | | | | | | | | | | | | | | |
|--------|--------|--------|--------|-----------------|-------------|--------|-------|-------|---------|--------|-------|-------|-------|-------|-------|-------|-------|
| 9,500 | 33,782 | 99,353 | -7,716 | skid front(in) | 1000000,000 | 11,500 | 0,000 | 1,000 | 100,000 | 0,000 | 0,769 | 0,674 | 0,674 | 0,674 | 0,657 | 0,657 | 0,052 |
| 10,000 | 32,268 | 99,353 | -7,715 | skid front(in) | 1000000,000 | 11,500 | 0,000 | 1,000 | 100,000 | 0,001 | 0,823 | 0,674 | 0,674 | 0,674 | 0,657 | 0,657 | 0,055 |
| 10,500 | 30,680 | 99,369 | -7,712 | skid front(out) | 1000000,000 | 11,500 | 0,000 | 1,000 | 100,000 | -2,319 | 0,881 | 0,674 | 0,674 | 0,674 | 0,657 | 0,657 | 0,057 |
| 11,000 | 29,005 | 99,342 | -7,710 | skid front(out) | 1000000,000 | 11,500 | 0,000 | 1,000 | 100,000 | -1,372 | 0,941 | 0,674 | 0,674 | 0,674 | 0,656 | 0,656 | 0,060 |
| 11,500 | 27,228 | 99,362 | -7,710 | skid front(out) | 1000000,000 | 11,500 | 0,000 | 1,000 | 100,000 | -0,991 | 1,005 | 0,674 | 0,674 | 0,674 | 0,657 | 0,657 | 0,064 |
| 12,000 | 25,327 | 99,344 | -7,706 | skid front(out) | 1000000,000 | 11,500 | 0,000 | 1,000 | 100,000 | -1,918 | 1,074 | 0,674 | 0,674 | 0,674 | 0,656 | 0,656 | 0,069 |
| 12,500 | 23,272 | 99,352 | -7,705 | skid front(out) | 1000000,000 | 11,500 | 0,000 | 1,000 | 100,000 | -1,786 | 1,148 | 0,674 | 0,674 | 0,674 | 0,656 | 0,656 | 0,074 |
| 13,000 | 21,017 | 99,366 | -7,704 | skid front(out) | 1000000,000 | 11,500 | 0,000 | 1,000 | 100,000 | -2,748 | 1,229 | 0,674 | 0,674 | 0,674 | 0,656 | 0,656 | 0,081 |
| 13,500 | 18,489 | 99,361 | -7,702 | skid front(out) | 1000000,000 | 11,500 | 0,000 | 1,000 | 100,000 | -3,043 | 1,320 | 0,674 | 0,674 | 0,674 | 0,656 | 0,656 | 0,091 |
| 14,000 | 15,557 | 99,330 | -7,699 | skid front(out) | 1000000,000 | 11,500 | 0,000 | 1,000 | 100,000 | -2,453 | 1,426 | 0,674 | 0,674 | 0,674 | 0,656 | 0,656 | 0,106 |
| 14,500 | 11,925 | 99,330 | -7,699 | skid front(out) | 1000000,000 | 11,500 | 0,000 | 1,000 | 100,000 | -0,448 | 1,557 | 0,674 | 0,674 | 0,674 | 0,656 | 0,656 | 0,131 |
| 15,000 | 6,513 | 99,364 | -7,698 | skid front(out) | 1000000,000 | 11,500 | 0,000 | 1,000 | 100,000 | -1,858 | 1,752 | 0,674 | 0,674 | 0,674 | 0,657 | 0,657 | 0,195 |
| 15,200 | 1,577 | 99,391 | -7,698 | skid front(out) | 1000000,000 | 11,500 | 0,000 | 1,000 | 100,000 | -3,709 | 1,930 | 0,674 | 0,674 | 0,674 | 0,657 | 0,657 | 0,178 |

| run_c_w_glif_27 | R(m) | br.front (%) | s(%) | e (%) | coeff | effic (%) | time (sec) | | | | | | | | | | |
|-----------------|-----------------|--------------|--------|-----------------|-------------|-----------|------------|-------|-----------|-----------|------------|---------|-----------|----------|----------|---------|-----------|
| s= 100,000 | 1000000,00 | 75,00 | 11,5 | 0,0 | 1,00 | 100 | 1,793 | 0,963 | | | | | | | | | |
| step= 0,100 | viewstep= 0,500 | STEPS | | | | | | | | | | | | | | | |
| s (m) | V (km/h) | n (%) | dv/dt | skid check | R(m) | s(%) | e (%) | coeff | effic (%) | decelera | time (sec) | fT | front out | front in | rear out | rear in | checktime |
| 12,300 | 0,345 | 99,379 | -7,512 | skid front(out) | 1000000,000 | 11,500 | 0,000 | 1,000 | 100,000 | -1,868932 | 1,793 | 0,65503 | 0,6547 | 0,6547 | 0,6392 | 0,6392 | |
| 0,000 | 48,950 | 99,407 | -7,554 | O.K | 1000000,000 | 11,500 | 0,000 | 1,000 | 100,000 | 0,000 | 0,000 | 0,655 | | | | | |
| 0,400 | 48,143 | 99,407 | -7,553 | skid front(in) | 1000000,000 | 11,500 | 0,000 | 1,000 | 100,000 | 0,000 | 0,030 | 0,655 | 0,655 | 0,655 | 0,640 | 0,640 | 0,030 |
| 1,000 | 46,908 | 99,407 | -7,551 | skid front(in) | 1000000,000 | 11,500 | 0,000 | 1,000 | 100,000 | 0,000 | 0,075 | 0,655 | 0,655 | 0,655 | 0,640 | 0,640 | 0,045 |
| 1,500 | 45,853 | 99,407 | -7,549 | skid front(in) | 1000000,000 | 11,500 | 0,000 | 1,000 | 100,000 | 0,000 | 0,114 | 0,655 | 0,655 | 0,655 | 0,640 | 0,640 | 0,039 |
| 2,000 | 44,773 | 99,407 | -7,548 | skid front(in) | 1000000,000 | 11,500 | 0,000 | 1,000 | 100,000 | 0,000 | 0,154 | 0,655 | 0,655 | 0,655 | 0,640 | 0,640 | 0,040 |
| 2,500 | 43,668 | 99,407 | -7,546 | skid front(in) | 1000000,000 | 11,500 | 0,000 | 1,000 | 100,000 | 0,000 | 0,194 | 0,655 | 0,655 | 0,655 | 0,640 | 0,640 | 0,041 |
| 3,000 | 42,533 | 99,407 | -7,545 | skid front(in) | 1000000,000 | 11,500 | 0,000 | 1,000 | 100,000 | 0,000 | 0,236 | 0,655 | 0,655 | 0,655 | 0,640 | 0,640 | 0,042 |
| 3,500 | 41,368 | 99,407 | -7,543 | skid front(in) | 1000000,000 | 11,500 | 0,000 | 1,000 | 100,000 | 0,000 | 0,279 | 0,655 | 0,655 | 0,655 | 0,640 | 0,640 | 0,043 |
| 4,000 | 40,169 | 99,408 | -7,542 | skid front(in) | 1000000,000 | 11,500 | 0,000 | 1,000 | 100,000 | 0,000 | 0,323 | 0,655 | 0,655 | 0,655 | 0,640 | 0,640 | 0,044 |
| 4,400 | 39,184 | 99,408 | -7,540 | skid front(in) | 1000000,000 | 11,500 | 0,000 | 1,000 | 100,000 | 0,001 | 0,359 | 0,655 | 0,655 | 0,655 | 0,640 | 0,640 | 0,036 |
| 5,000 | 37,658 | 99,408 | -7,539 | skid front(in) | 1000000,000 | 11,500 | 0,000 | 1,000 | 100,000 | 0,000 | 0,416 | 0,655 | 0,655 | 0,655 | 0,640 | 0,640 | 0,056 |

Προσδιορισμός Τιμών Πρόσφυσης κατά την Πέδηση Οχημάτων Εφοδιασμένων με Σύστημα ABS σε Αυξημένες κατά Μήκος Κλίσεις

| | | | | | | | | | | | | | | | | | |
|--------|--------|--------|--------|-----------------|-------------|--------|-------|-------|---------|--------|-------|-------|-------|-------|-------|-------|-------|
| 5,500 | 36,338 | 99,408 | -7,537 | skid front(in) | 1000000,000 | 11,500 | 0,000 | 1,000 | 100,000 | 0,000 | 0,464 | 0,655 | 0,655 | 0,655 | 0,640 | 0,640 | 0,049 |
| 6,000 | 34,968 | 99,408 | -7,535 | skid front(in) | 1000000,000 | 11,500 | 0,000 | 1,000 | 100,000 | 0,000 | 0,515 | 0,655 | 0,655 | 0,655 | 0,640 | 0,640 | 0,050 |
| 6,500 | 33,543 | 99,408 | -7,534 | skid front(in) | 1000000,000 | 11,500 | 0,000 | 1,000 | 100,000 | 0,000 | 0,567 | 0,655 | 0,655 | 0,655 | 0,640 | 0,640 | 0,053 |
| 7,000 | 32,054 | 99,407 | -7,532 | skid front(in) | 1000000,000 | 11,500 | 0,000 | 1,000 | 100,000 | -0,003 | 0,622 | 0,655 | 0,655 | 0,655 | 0,640 | 0,640 | 0,055 |
| 7,500 | 30,494 | 99,418 | -7,530 | skid front(out) | 1000000,000 | 11,500 | 0,000 | 1,000 | 100,000 | -2,133 | 0,680 | 0,655 | 0,655 | 0,655 | 0,640 | 0,640 | 0,058 |
| 8,000 | 28,849 | 99,393 | -7,527 | skid front(out) | 1000000,000 | 11,500 | 0,000 | 1,000 | 100,000 | -1,669 | 0,740 | 0,655 | 0,655 | 0,655 | 0,639 | 0,639 | 0,061 |
| 8,500 | 27,106 | 99,393 | -7,525 | skid front(out) | 1000000,000 | 11,500 | 0,000 | 1,000 | 100,000 | -1,781 | 0,805 | 0,655 | 0,655 | 0,655 | 0,639 | 0,639 | 0,064 |
| 9,000 | 25,242 | 99,421 | -7,525 | skid front(out) | 1000000,000 | 11,500 | 0,000 | 1,000 | 100,000 | -2,572 | 0,874 | 0,655 | 0,655 | 0,655 | 0,640 | 0,640 | 0,069 |
| 9,500 | 23,230 | 99,382 | -7,522 | skid front(out) | 1000000,000 | 11,500 | 0,000 | 1,000 | 100,000 | -0,884 | 0,948 | 0,655 | 0,655 | 0,655 | 0,639 | 0,639 | 0,074 |
| 10,000 | 21,027 | 99,391 | -7,521 | skid front(out) | 1000000,000 | 11,500 | 0,000 | 1,000 | 100,000 | -1,485 | 1,029 | 0,655 | 0,655 | 0,655 | 0,639 | 0,639 | 0,081 |
| 10,500 | 18,565 | 99,406 | -7,520 | skid front(out) | 1000000,000 | 11,500 | 0,000 | 1,000 | 100,000 | -1,006 | 1,120 | 0,655 | 0,655 | 0,655 | 0,640 | 0,640 | 0,091 |
| 11,000 | 15,722 | 99,426 | -7,518 | skid front(out) | 1000000,000 | 11,500 | 0,000 | 1,000 | 100,000 | -3,773 | 1,225 | 0,655 | 0,655 | 0,655 | 0,639 | 0,639 | 0,105 |
| 11,500 | 12,237 | 99,389 | -7,516 | skid front(out) | 1000000,000 | 11,500 | 0,000 | 1,000 | 100,000 | -0,947 | 1,354 | 0,655 | 0,655 | 0,655 | 0,639 | 0,639 | 0,129 |
| 12,000 | 7,233 | 99,415 | -7,516 | skid front(out) | 1000000,000 | 11,500 | 0,000 | 1,000 | 100,000 | -1,036 | 1,539 | 0,655 | 0,655 | 0,655 | 0,640 | 0,640 | 0,185 |
| 12,300 | 0,345 | 99,379 | -7,512 | skid front(out) | 1000000,000 | 11,500 | 0,000 | 1,000 | 100,000 | -1,869 | 1,793 | 0,655 | 0,655 | 0,655 | 0,639 | 0,639 | 0,255 |

| run_c_w_glif_29 | R(m) | br.front (%) | s(%) | e (%) | coeff | effc (%) | time (sec) | | | | | | | | | | |
|-----------------|------------|--------------|--------|-----------------|-------------|----------|------------|-------|----------|-----------|------------|---------|-----------|----------|----------|---------|-----------|
| s= 100,000 | 1000000,00 | 74,50 | 11,5 | 0,0 | 1,00 | 100 | 2,011 | | | | | | | | | | 0,963 |
| step= 0,100 | viewstep= | 0,500 | STEPS | | | | | | | | | | | | | | |
| s (m) | V (km/h) | n (%) | dv/dt | skid check | R(m) | s(%) | e (%) | coeff | effc (%) | decelera | time (sec) | fT | front out | front in | rear out | rear in | checktime |
| 16,600 | 2,949 | 99,638 | -7,386 | skid front(out) | 1000000,000 | 11,500 | 0,000 | 1,000 | 100,000 | -2,288132 | 2,011 | 0,64044 | 0,6402 | 0,6402 | 0,6313 | 0,6313 | |
| 0,000 | 56,560 | 99,647 | -7,441 | O.K | 1000000,000 | 11,500 | 0,000 | 1,000 | 100,000 | 0,000 | 0,000 | 0,640 | | | | | |
| 0,400 | 55,874 | 99,647 | -7,439 | skid front(in) | 1000000,000 | 11,500 | 0,000 | 1,000 | 100,000 | 0,000 | 0,026 | 0,640 | 0,640 | 0,640 | 0,632 | 0,632 | 0,026 |
| 1,000 | 54,829 | 99,648 | -7,437 | skid front(in) | 1000000,000 | 11,500 | 0,000 | 1,000 | 100,000 | 0,000 | 0,065 | 0,640 | 0,640 | 0,640 | 0,632 | 0,632 | 0,039 |
| 1,500 | 53,943 | 99,648 | -7,436 | skid front(in) | 1000000,000 | 11,500 | 0,000 | 1,000 | 100,000 | 0,000 | 0,098 | 0,640 | 0,640 | 0,640 | 0,632 | 0,632 | 0,033 |
| 2,000 | 53,042 | 99,648 | -7,434 | skid front(in) | 1000000,000 | 11,500 | 0,000 | 1,000 | 100,000 | 0,000 | 0,131 | 0,640 | 0,640 | 0,640 | 0,632 | 0,632 | 0,034 |
| 2,500 | 52,126 | 99,648 | -7,433 | skid front(in) | 1000000,000 | 11,500 | 0,000 | 1,000 | 100,000 | 0,000 | 0,166 | 0,640 | 0,640 | 0,640 | 0,632 | 0,632 | 0,034 |
| 3,000 | 51,194 | 99,648 | -7,431 | skid front(in) | 1000000,000 | 11,500 | 0,000 | 1,000 | 100,000 | 0,000 | 0,200 | 0,640 | 0,640 | 0,640 | 0,632 | 0,632 | 0,035 |
| 3,500 | 50,245 | 99,648 | -7,430 | skid front(in) | 1000000,000 | 11,500 | 0,000 | 1,000 | 100,000 | 0,000 | 0,236 | 0,640 | 0,640 | 0,640 | 0,632 | 0,632 | 0,035 |
| 4,000 | 49,277 | 99,648 | -7,428 | skid front(in) | 1000000,000 | 11,500 | 0,000 | 1,000 | 100,000 | 0,000 | 0,272 | 0,640 | 0,640 | 0,640 | 0,632 | 0,632 | 0,036 |

Προσδιορισμός Τιμών Πρόσφυσης κατά την Πέδηση Οχημάτων Εφοδιασμένων με Σύστημα ABS σε Αυξημένες κατά Μήκος Κλίσεις

| | | | | | | | | | | | | | | | | | |
|--------|--------|--------|--------|-----------------|-------------|--------|-------|-------|---------|--------|-------|-------|-------|-------|-------|-------|-------|
| 4,400 | 48,489 | 99,648 | -7,427 | skid front(in) | 1000000,000 | 11,500 | 0,000 | 1,000 | 100,000 | 0,000 | 0,302 | 0,640 | 0,640 | 0,640 | 0,632 | 0,632 | 0,029 |
| 5,000 | 47,284 | 99,648 | -7,425 | skid front(in) | 1000000,000 | 11,500 | 0,000 | 1,000 | 100,000 | 0,000 | 0,347 | 0,640 | 0,640 | 0,640 | 0,632 | 0,632 | 0,045 |
| 5,500 | 46,255 | 99,648 | -7,423 | skid front(in) | 1000000,000 | 11,500 | 0,000 | 1,000 | 100,000 | 0,000 | 0,385 | 0,640 | 0,640 | 0,640 | 0,632 | 0,632 | 0,038 |
| 6,000 | 45,203 | 99,648 | -7,422 | skid front(in) | 1000000,000 | 11,500 | 0,000 | 1,000 | 100,000 | 0,000 | 0,425 | 0,640 | 0,640 | 0,640 | 0,632 | 0,632 | 0,039 |
| 6,500 | 44,126 | 99,648 | -7,420 | skid front(in) | 1000000,000 | 11,500 | 0,000 | 1,000 | 100,000 | 0,000 | 0,465 | 0,640 | 0,640 | 0,640 | 0,632 | 0,632 | 0,040 |
| 7,000 | 43,023 | 99,649 | -7,419 | skid front(in) | 1000000,000 | 11,500 | 0,000 | 1,000 | 100,000 | 0,000 | 0,506 | 0,640 | 0,640 | 0,640 | 0,632 | 0,632 | 0,041 |
| 7,500 | 41,891 | 99,649 | -7,417 | skid front(in) | 1000000,000 | 11,500 | 0,000 | 1,000 | 100,000 | 0,000 | 0,549 | 0,640 | 0,640 | 0,640 | 0,632 | 0,632 | 0,042 |
| 8,000 | 40,728 | 99,649 | -7,416 | skid front(in) | 1000000,000 | 11,500 | 0,000 | 1,000 | 100,000 | 0,000 | 0,592 | 0,640 | 0,640 | 0,640 | 0,632 | 0,632 | 0,044 |
| 8,500 | 39,530 | 99,649 | -7,414 | skid front(in) | 1000000,000 | 11,500 | 0,000 | 1,000 | 100,000 | 0,000 | 0,637 | 0,640 | 0,640 | 0,640 | 0,632 | 0,632 | 0,045 |
| 9,000 | 38,296 | 99,649 | -7,413 | skid front(in) | 1000000,000 | 11,500 | 0,000 | 1,000 | 100,000 | 0,000 | 0,683 | 0,640 | 0,640 | 0,640 | 0,632 | 0,632 | 0,046 |
| 9,500 | 37,020 | 99,649 | -7,411 | skid front(in) | 1000000,000 | 11,500 | 0,000 | 1,000 | 100,000 | 0,000 | 0,731 | 0,640 | 0,640 | 0,640 | 0,632 | 0,632 | 0,048 |
| 10,000 | 35,700 | 99,649 | -7,410 | skid front(in) | 1000000,000 | 11,500 | 0,000 | 1,000 | 100,000 | 0,000 | 0,781 | 0,640 | 0,640 | 0,640 | 0,632 | 0,632 | 0,050 |
| 10,500 | 34,328 | 99,649 | -7,408 | skid front(in) | 1000000,000 | 11,500 | 0,000 | 1,000 | 100,000 | 0,001 | 0,832 | 0,640 | 0,640 | 0,640 | 0,632 | 0,632 | 0,051 |
| 11,000 | 32,901 | 99,649 | -7,406 | skid front(in) | 1000000,000 | 11,500 | 0,000 | 1,000 | 100,000 | 0,000 | 0,885 | 0,640 | 0,640 | 0,640 | 0,632 | 0,632 | 0,054 |
| 11,500 | 31,408 | 99,649 | -7,404 | skid front(out) | 1000000,000 | 11,500 | 0,000 | 1,000 | 100,000 | -0,927 | 0,941 | 0,640 | 0,640 | 0,640 | 0,632 | 0,632 | 0,056 |
| 12,000 | 29,842 | 99,628 | -7,401 | skid front(out) | 1000000,000 | 11,500 | 0,000 | 1,000 | 100,000 | -1,437 | 1,000 | 0,640 | 0,640 | 0,640 | 0,631 | 0,631 | 0,059 |
| 12,500 | 28,188 | 99,661 | -7,401 | skid front(out) | 1000000,000 | 11,500 | 0,000 | 1,000 | 100,000 | -2,202 | 1,062 | 0,640 | 0,640 | 0,640 | 0,632 | 0,632 | 0,062 |
| 13,000 | 26,432 | 99,615 | -7,397 | skid front(out) | 1000000,000 | 11,500 | 0,000 | 1,000 | 100,000 | -0,692 | 1,128 | 0,640 | 0,640 | 0,640 | 0,631 | 0,631 | 0,066 |
| 13,500 | 24,552 | 99,648 | -7,398 | skid front(out) | 1000000,000 | 11,500 | 0,000 | 1,000 | 100,000 | -1,024 | 1,199 | 0,640 | 0,640 | 0,640 | 0,632 | 0,632 | 0,071 |
| 14,000 | 22,515 | 99,645 | -7,395 | skid front(out) | 1000000,000 | 11,500 | 0,000 | 1,000 | 100,000 | -2,436 | 1,275 | 0,640 | 0,640 | 0,640 | 0,631 | 0,631 | 0,077 |
| 14,500 | 20,275 | 99,678 | -7,395 | skid front(out) | 1000000,000 | 11,500 | 0,000 | 1,000 | 100,000 | -2,343 | 1,359 | 0,640 | 0,640 | 0,640 | 0,632 | 0,632 | 0,084 |
| 15,000 | 17,755 | 99,643 | -7,392 | skid front(out) | 1000000,000 | 11,500 | 0,000 | 1,000 | 100,000 | -1,370 | 1,454 | 0,640 | 0,640 | 0,640 | 0,631 | 0,631 | 0,095 |
| 15,500 | 14,814 | 99,644 | -7,389 | skid front(out) | 1000000,000 | 11,500 | 0,000 | 1,000 | 100,000 | -3,242 | 1,565 | 0,640 | 0,640 | 0,640 | 0,631 | 0,631 | 0,111 |
| 16,000 | 11,120 | 99,690 | -7,390 | skid front(out) | 1000000,000 | 11,500 | 0,000 | 1,000 | 100,000 | -3,410 | 1,703 | 0,640 | 0,640 | 0,640 | 0,632 | 0,632 | 0,139 |
| 16,500 | 5,279 | 99,652 | -7,387 | skid front(out) | 1000000,000 | 11,500 | 0,000 | 1,000 | 100,000 | -2,522 | 1,923 | 0,640 | 0,640 | 0,640 | 0,631 | 0,631 | 0,220 |
| 16,600 | 2,949 | 99,638 | -7,386 | skid front(out) | 1000000,000 | 11,500 | 0,000 | 1,000 | 100,000 | -2,288 | 2,011 | 0,640 | 0,640 | 0,640 | 0,631 | 0,631 | 0,088 |

| run_c_w_glif_30 | | R(m) | br.front (%) | s(%) | e (%) | coeff | effic (%) | time (sec) | | | | | | | | | |
|-----------------|----------|------------|--------------|-----------------|-------------|--------|-----------|------------|-----------|-----------|------------|---------|-----------|----------|----------|---------|-----------|
| s= | 100,000 | 1000000,00 | 75,00 | 11,5 | 0,0 | 1,00 | 100 | 2,052 | | | | | | | | | |
| step= | 0,100 | viewstep= | 0,500 | STEPS | | | | | | | | | 0,963 | | | | |
| s (m) | V (km/h) | n (%) | dv/dt | skid check | R(m) | s(%) | e (%) | coeff | effic (%) | decelera | time (sec) | fT | front out | front in | rear out | rear in | checktime |
| 17,100 | 1,960 | 99,531 | -7,546 | skid front(out) | 1000000,000 | 11,500 | 0,000 | 1,000 | 100,000 | -2,580349 | 2,052 | 0,65754 | 0,6575 | 0,6575 | 0,6447 | 0,6447 | |
| 0,000 | 57,840 | 99,510 | -7,600 | O.K | 1000000,000 | 11,500 | 0,000 | 1,000 | 100,000 | 0,000 | 0,000 | 0,658 | | | | | |
| 0,400 | 57,155 | 99,510 | -7,599 | skid front(in) | 1000000,000 | 11,500 | 0,000 | 1,000 | 100,000 | 0,000 | 0,025 | 0,658 | 0,658 | 0,658 | 0,645 | 0,645 | 0,025 |
| 1,000 | 56,112 | 99,510 | -7,597 | skid front(in) | 1000000,000 | 11,500 | 0,000 | 1,000 | 100,000 | 0,000 | 0,063 | 0,658 | 0,658 | 0,658 | 0,645 | 0,645 | 0,038 |

Προσδιορισμός Τιμών Πρόσφυσης κατά την Πέδηση Οχημάτων Εφοδιασμένων με Σύστημα ABS σε Αυξημένες κατά Μήκος Κλίσεις

| | | | | | | | | | | | | | | | | | |
|--------|--------|--------|--------|-----------------|-------------|--------|-------|-------|---------|--------|-------|-------|-------|-------|-------|-------|-------|
| 1,500 | 55,227 | 99,510 | -7,595 | skid front(in) | 1000000,000 | 11,500 | 0,000 | 1,000 | 100,000 | 0,000 | 0,096 | 0,658 | 0,658 | 0,658 | 0,645 | 0,645 | 0,032 |
| 2,000 | 54,329 | 99,510 | -7,594 | skid front(in) | 1000000,000 | 11,500 | 0,000 | 1,000 | 100,000 | 0,000 | 0,128 | 0,658 | 0,658 | 0,658 | 0,645 | 0,645 | 0,033 |
| 2,500 | 53,416 | 99,510 | -7,592 | skid front(in) | 1000000,000 | 11,500 | 0,000 | 1,000 | 100,000 | 0,000 | 0,162 | 0,658 | 0,658 | 0,658 | 0,645 | 0,645 | 0,033 |
| 3,000 | 52,487 | 99,510 | -7,591 | skid front(in) | 1000000,000 | 11,500 | 0,000 | 1,000 | 100,000 | 0,000 | 0,196 | 0,658 | 0,658 | 0,658 | 0,645 | 0,645 | 0,034 |
| 3,500 | 51,541 | 99,510 | -7,589 | skid front(in) | 1000000,000 | 11,500 | 0,000 | 1,000 | 100,000 | 0,000 | 0,230 | 0,658 | 0,658 | 0,658 | 0,645 | 0,645 | 0,035 |
| 4,000 | 50,578 | 99,510 | -7,588 | skid front(in) | 1000000,000 | 11,500 | 0,000 | 1,000 | 100,000 | 0,000 | 0,266 | 0,658 | 0,658 | 0,658 | 0,645 | 0,645 | 0,035 |
| 4,400 | 49,794 | 99,510 | -7,586 | skid front(in) | 1000000,000 | 11,500 | 0,000 | 1,000 | 100,000 | 0,000 | 0,294 | 0,658 | 0,658 | 0,658 | 0,645 | 0,645 | 0,029 |
| 5,000 | 48,595 | 99,511 | -7,584 | skid front(in) | 1000000,000 | 11,500 | 0,000 | 1,000 | 100,000 | 0,000 | 0,338 | 0,658 | 0,658 | 0,658 | 0,645 | 0,645 | 0,044 |
| 5,500 | 47,573 | 99,511 | -7,583 | skid front(in) | 1000000,000 | 11,500 | 0,000 | 1,000 | 100,000 | 0,000 | 0,376 | 0,658 | 0,658 | 0,658 | 0,645 | 0,645 | 0,037 |
| 6,000 | 46,529 | 99,511 | -7,581 | skid front(in) | 1000000,000 | 11,500 | 0,000 | 1,000 | 100,000 | 0,000 | 0,414 | 0,658 | 0,658 | 0,658 | 0,645 | 0,645 | 0,038 |
| 6,500 | 45,461 | 99,511 | -7,580 | skid front(in) | 1000000,000 | 11,500 | 0,000 | 1,000 | 100,000 | 0,000 | 0,453 | 0,658 | 0,658 | 0,658 | 0,645 | 0,645 | 0,039 |
| 7,000 | 44,368 | 99,511 | -7,578 | skid front(in) | 1000000,000 | 11,500 | 0,000 | 1,000 | 100,000 | 0,000 | 0,493 | 0,658 | 0,658 | 0,658 | 0,645 | 0,645 | 0,040 |
| 7,500 | 43,247 | 99,511 | -7,577 | skid front(in) | 1000000,000 | 11,500 | 0,000 | 1,000 | 100,000 | 0,000 | 0,534 | 0,658 | 0,658 | 0,658 | 0,645 | 0,645 | 0,041 |
| 8,000 | 42,097 | 99,511 | -7,575 | skid front(in) | 1000000,000 | 11,500 | 0,000 | 1,000 | 100,000 | 0,000 | 0,576 | 0,658 | 0,658 | 0,658 | 0,645 | 0,645 | 0,042 |
| 8,500 | 40,914 | 99,511 | -7,574 | skid front(in) | 1000000,000 | 11,500 | 0,000 | 1,000 | 100,000 | 0,000 | 0,620 | 0,658 | 0,658 | 0,658 | 0,645 | 0,645 | 0,043 |
| 9,000 | 39,696 | 99,511 | -7,572 | skid front(in) | 1000000,000 | 11,500 | 0,000 | 1,000 | 100,000 | 0,000 | 0,664 | 0,658 | 0,658 | 0,658 | 0,645 | 0,645 | 0,045 |
| 9,500 | 38,441 | 99,511 | -7,570 | skid front(in) | 1000000,000 | 11,500 | 0,000 | 1,000 | 100,000 | 0,000 | 0,711 | 0,658 | 0,658 | 0,658 | 0,645 | 0,645 | 0,046 |
| 10,000 | 37,143 | 99,511 | -7,569 | skid front(in) | 1000000,000 | 11,500 | 0,000 | 1,000 | 100,000 | 0,000 | 0,758 | 0,658 | 0,658 | 0,658 | 0,645 | 0,645 | 0,048 |
| 10,500 | 35,798 | 99,511 | -7,567 | skid front(in) | 1000000,000 | 11,500 | 0,000 | 1,000 | 100,000 | 0,000 | 0,808 | 0,658 | 0,658 | 0,658 | 0,645 | 0,645 | 0,049 |
| 11,000 | 34,401 | 99,512 | -7,566 | skid front(in) | 1000000,000 | 11,500 | 0,000 | 1,000 | 100,000 | 0,001 | 0,859 | 0,658 | 0,658 | 0,658 | 0,645 | 0,645 | 0,051 |
| 11,500 | 32,945 | 99,512 | -7,564 | skid front(in) | 1000000,000 | 11,500 | 0,000 | 1,000 | 100,000 | 0,001 | 0,912 | 0,658 | 0,658 | 0,658 | 0,645 | 0,645 | 0,053 |
| 12,000 | 31,423 | 99,486 | -7,561 | skid front(out) | 1000000,000 | 11,500 | 0,000 | 1,000 | 100,000 | -0,606 | 0,968 | 0,658 | 0,657 | 0,657 | 0,645 | 0,645 | 0,056 |
| 12,500 | 29,823 | 99,523 | -7,560 | skid front(out) | 1000000,000 | 11,500 | 0,000 | 1,000 | 100,000 | -1,763 | 1,027 | 0,658 | 0,657 | 0,657 | 0,645 | 0,645 | 0,059 |
| 13,000 | 28,132 | 99,507 | -7,559 | skid front(out) | 1000000,000 | 11,500 | 0,000 | 1,000 | 100,000 | -0,803 | 1,089 | 0,658 | 0,657 | 0,657 | 0,645 | 0,645 | 0,062 |
| 13,500 | 26,333 | 99,475 | -7,555 | skid front(out) | 1000000,000 | 11,500 | 0,000 | 1,000 | 100,000 | -0,781 | 1,155 | 0,658 | 0,657 | 0,657 | 0,644 | 0,644 | 0,066 |
| 14,000 | 24,403 | 99,518 | -7,556 | skid front(out) | 1000000,000 | 11,500 | 0,000 | 1,000 | 100,000 | -0,878 | 1,226 | 0,658 | 0,658 | 0,658 | 0,645 | 0,645 | 0,071 |
| 14,500 | 22,307 | 99,475 | -7,552 | skid front(out) | 1000000,000 | 11,500 | 0,000 | 1,000 | 100,000 | -0,725 | 1,303 | 0,658 | 0,657 | 0,657 | 0,644 | 0,644 | 0,077 |
| 15,000 | 19,992 | 99,539 | -7,553 | skid front(out) | 1000000,000 | 11,500 | 0,000 | 1,000 | 100,000 | -2,702 | 1,388 | 0,658 | 0,657 | 0,657 | 0,645 | 0,645 | 0,085 |
| 15,500 | 17,372 | 99,536 | -7,552 | skid front(out) | 1000000,000 | 11,500 | 0,000 | 1,000 | 100,000 | -2,060 | 1,485 | 0,658 | 0,658 | 0,658 | 0,645 | 0,645 | 0,096 |
| 16,000 | 14,281 | 99,511 | -7,548 | skid front(out) | 1000000,000 | 11,500 | 0,000 | 1,000 | 100,000 | -2,624 | 1,598 | 0,658 | 0,657 | 0,657 | 0,645 | 0,645 | 0,114 |
| 16,500 | 10,301 | 99,488 | -7,546 | skid front(out) | 1000000,000 | 11,500 | 0,000 | 1,000 | 100,000 | -1,756 | 1,745 | 0,658 | 0,657 | 0,657 | 0,644 | 0,644 | 0,146 |
| 17,000 | 2,878 | 99,541 | -7,545 | skid front(out) | 1000000,000 | 11,500 | 0,000 | 1,000 | 100,000 | -4,182 | 2,018 | 0,658 | 0,657 | 0,657 | 0,645 | 0,645 | 0,273 |
| 17,100 | 1,960 | 99,531 | -7,546 | skid front(out) | 1000000,000 | 11,500 | 0,000 | 1,000 | 100,000 | -2,580 | 2,052 | 0,658 | 0,657 | 0,657 | 0,645 | 0,645 | 0,034 |

| run_c_w_glif_31 | R(m) | br.front (%) | s(%) | e (%) | coeff | effic (%) | time (sec) | | | | | | | | | | |
|-----------------|------------|--------------|--------|-----------------|-------------|-----------|------------|-------|-----------|-----------|------------|---------|-----------|----------|----------|---------|-----------|
| s= 100,000 | 1000000,00 | 74,50 | 11,5 | 0,0 | 1,00 | 100 | 2,465 | 0,963 | | | | | | | | | |
| step= 0,100 | viewstep= | 0,500 | STEPS | | | | | | | | | | | | | | |
| s (m) | V (km/h) | n (%) | dv/dt | skid check | R(m) | s(%) | e (%) | coeff | effic (%) | decelera | time (sec) | fT | front out | front in | rear out | rear in | checktime |
| 25,300 | 4,079 | 99,677 | -7,393 | skid front(out) | 1000000,000 | 11,500 | 0,000 | 1,000 | 100,000 | -3,023228 | 2,465 | 0,64088 | 0,6407 | 0,6407 | 0,6323 | 0,6323 | |
| 0,000 | 69,940 | 99,664 | -7,473 | O.K | 1000000,000 | 11,500 | 0,000 | 1,000 | 100,000 | 0,000 | 0,000 | 0,641 | | | | | |
| 0,400 | 69,384 | 99,664 | -7,472 | skid front(in) | 1000000,000 | 11,500 | 0,000 | 1,000 | 100,000 | 0,000 | 0,021 | 0,641 | 0,641 | 0,641 | 0,633 | 0,633 | 0,021 |
| 1,000 | 68,541 | 99,664 | -7,470 | skid front(in) | 1000000,000 | 11,500 | 0,000 | 1,000 | 100,000 | 0,000 | 0,052 | 0,641 | 0,641 | 0,641 | 0,633 | 0,633 | 0,031 |
| 1,500 | 67,832 | 99,664 | -7,469 | skid front(in) | 1000000,000 | 11,500 | 0,000 | 1,000 | 100,000 | 0,000 | 0,078 | 0,641 | 0,641 | 0,641 | 0,633 | 0,633 | 0,026 |
| 2,000 | 67,114 | 99,664 | -7,467 | skid front(in) | 1000000,000 | 11,500 | 0,000 | 1,000 | 100,000 | 0,000 | 0,105 | 0,641 | 0,641 | 0,641 | 0,633 | 0,633 | 0,027 |

Προσδιορισμός Τιμών Πρόσφυσης κατά την Πέδηση Οχημάτων Εφοδιασμένων με Σύστημα ABS σε Αυξημένες κατά Μήκος Κλίσεις

| | | | | | | | | | | | | | | | | | |
|--------|--------|--------|--------|-----------------|-------------|--------|-------|-------|---------|--------|-------|-------|-------|-------|-------|-------|-------|
| 2,500 | 66,390 | 99,664 | -7,465 | skid front(in) | 1000000,000 | 11,500 | 0,000 | 1,000 | 100,000 | 0,000 | 0,132 | 0,641 | 0,641 | 0,641 | 0,633 | 0,633 | 0,027 |
| 3,000 | 65,657 | 99,664 | -7,464 | skid front(in) | 1000000,000 | 11,500 | 0,000 | 1,000 | 100,000 | 0,000 | 0,159 | 0,641 | 0,641 | 0,641 | 0,633 | 0,633 | 0,027 |
| 3,500 | 64,916 | 99,665 | -7,462 | skid front(in) | 1000000,000 | 11,500 | 0,000 | 1,000 | 100,000 | 0,000 | 0,187 | 0,641 | 0,641 | 0,641 | 0,633 | 0,633 | 0,028 |
| 4,000 | 64,167 | 99,665 | -7,461 | skid front(in) | 1000000,000 | 11,500 | 0,000 | 1,000 | 100,000 | 0,000 | 0,215 | 0,641 | 0,641 | 0,641 | 0,633 | 0,633 | 0,028 |
| 4,400 | 63,562 | 99,665 | -7,460 | skid front(in) | 1000000,000 | 11,500 | 0,000 | 1,000 | 100,000 | 0,000 | 0,237 | 0,641 | 0,641 | 0,641 | 0,633 | 0,633 | 0,023 |
| 5,000 | 62,642 | 99,665 | -7,458 | skid front(in) | 1000000,000 | 11,500 | 0,000 | 1,000 | 100,000 | 0,000 | 0,272 | 0,641 | 0,641 | 0,641 | 0,633 | 0,633 | 0,034 |
| 5,500 | 61,866 | 99,665 | -7,456 | skid front(in) | 1000000,000 | 11,500 | 0,000 | 1,000 | 100,000 | 0,000 | 0,300 | 0,641 | 0,641 | 0,641 | 0,633 | 0,633 | 0,029 |
| 6,000 | 61,080 | 99,665 | -7,455 | skid front(in) | 1000000,000 | 11,500 | 0,000 | 1,000 | 100,000 | 0,000 | 0,330 | 0,641 | 0,641 | 0,641 | 0,633 | 0,633 | 0,029 |
| 6,500 | 60,284 | 99,665 | -7,453 | skid front(in) | 1000000,000 | 11,500 | 0,000 | 1,000 | 100,000 | 0,000 | 0,359 | 0,641 | 0,641 | 0,641 | 0,633 | 0,633 | 0,030 |
| 7,000 | 59,478 | 99,665 | -7,451 | skid front(in) | 1000000,000 | 11,500 | 0,000 | 1,000 | 100,000 | 0,000 | 0,389 | 0,641 | 0,641 | 0,641 | 0,633 | 0,633 | 0,030 |
| 7,500 | 58,661 | 99,665 | -7,450 | skid front(in) | 1000000,000 | 11,500 | 0,000 | 1,000 | 100,000 | 0,000 | 0,420 | 0,641 | 0,641 | 0,641 | 0,633 | 0,633 | 0,030 |
| 8,000 | 57,832 | 99,665 | -7,448 | skid front(in) | 1000000,000 | 11,500 | 0,000 | 1,000 | 100,000 | 0,000 | 0,451 | 0,641 | 0,641 | 0,641 | 0,633 | 0,633 | 0,031 |
| 8,500 | 56,991 | 99,665 | -7,447 | skid front(in) | 1000000,000 | 11,500 | 0,000 | 1,000 | 100,000 | 0,000 | 0,482 | 0,641 | 0,641 | 0,641 | 0,633 | 0,633 | 0,031 |
| 9,000 | 56,138 | 99,666 | -7,445 | skid front(in) | 1000000,000 | 11,500 | 0,000 | 1,000 | 100,000 | 0,000 | 0,514 | 0,641 | 0,641 | 0,641 | 0,633 | 0,633 | 0,032 |
| 9,500 | 55,272 | 99,666 | -7,444 | skid front(in) | 1000000,000 | 11,500 | 0,000 | 1,000 | 100,000 | 0,000 | 0,546 | 0,641 | 0,641 | 0,641 | 0,633 | 0,633 | 0,032 |
| 10,000 | 54,393 | 99,666 | -7,442 | skid front(in) | 1000000,000 | 11,500 | 0,000 | 1,000 | 100,000 | 0,000 | 0,579 | 0,641 | 0,641 | 0,641 | 0,633 | 0,633 | 0,033 |
| 10,500 | 53,499 | 99,666 | -7,441 | skid front(in) | 1000000,000 | 11,500 | 0,000 | 1,000 | 100,000 | 0,000 | 0,613 | 0,641 | 0,641 | 0,641 | 0,633 | 0,633 | 0,033 |
| 11,000 | 52,590 | 99,666 | -7,439 | skid front(in) | 1000000,000 | 11,500 | 0,000 | 1,000 | 100,000 | 0,000 | 0,646 | 0,641 | 0,641 | 0,641 | 0,633 | 0,633 | 0,034 |
| 11,500 | 51,665 | 99,666 | -7,437 | skid front(in) | 1000000,000 | 11,500 | 0,000 | 1,000 | 100,000 | 0,000 | 0,681 | 0,641 | 0,641 | 0,641 | 0,633 | 0,633 | 0,035 |
| 12,000 | 50,724 | 99,666 | -7,436 | skid front(in) | 1000000,000 | 11,500 | 0,000 | 1,000 | 100,000 | 0,000 | 0,716 | 0,641 | 0,641 | 0,641 | 0,633 | 0,633 | 0,035 |
| 12,500 | 49,765 | 99,666 | -7,434 | skid front(in) | 1000000,000 | 11,500 | 0,000 | 1,000 | 100,000 | 0,000 | 0,752 | 0,641 | 0,641 | 0,641 | 0,633 | 0,633 | 0,036 |
| 13,000 | 48,788 | 99,666 | -7,433 | skid front(in) | 1000000,000 | 11,500 | 0,000 | 1,000 | 100,000 | 0,000 | 0,788 | 0,641 | 0,641 | 0,641 | 0,633 | 0,633 | 0,037 |
| 13,500 | 47,790 | 99,666 | -7,431 | skid front(in) | 1000000,000 | 11,500 | 0,000 | 1,000 | 100,000 | 0,000 | 0,826 | 0,641 | 0,641 | 0,641 | 0,633 | 0,633 | 0,037 |
| 14,000 | 46,772 | 99,666 | -7,430 | skid front(in) | 1000000,000 | 11,500 | 0,000 | 1,000 | 100,000 | 0,000 | 0,864 | 0,641 | 0,641 | 0,641 | 0,633 | 0,633 | 0,038 |
| 14,500 | 45,731 | 99,666 | -7,428 | skid front(in) | 1000000,000 | 11,500 | 0,000 | 1,000 | 100,000 | 0,000 | 0,903 | 0,641 | 0,641 | 0,641 | 0,633 | 0,633 | 0,039 |
| 15,000 | 44,666 | 99,666 | -7,427 | skid front(in) | 1000000,000 | 11,500 | 0,000 | 1,000 | 100,000 | 0,000 | 0,943 | 0,641 | 0,641 | 0,641 | 0,633 | 0,633 | 0,040 |
| 15,500 | 43,576 | 99,667 | -7,425 | skid front(in) | 1000000,000 | 11,500 | 0,000 | 1,000 | 100,000 | 0,000 | 0,983 | 0,641 | 0,641 | 0,641 | 0,633 | 0,633 | 0,041 |
| 16,000 | 42,457 | 99,667 | -7,423 | skid front(in) | 1000000,000 | 11,500 | 0,000 | 1,000 | 100,000 | 0,000 | 1,025 | 0,641 | 0,641 | 0,641 | 0,633 | 0,633 | 0,042 |
| 16,500 | 41,309 | 99,667 | -7,422 | skid front(in) | 1000000,000 | 11,500 | 0,000 | 1,000 | 100,000 | 0,000 | 1,068 | 0,641 | 0,641 | 0,641 | 0,633 | 0,633 | 0,043 |
| 17,000 | 40,128 | 99,667 | -7,420 | skid front(in) | 1000000,000 | 11,500 | 0,000 | 1,000 | 100,000 | 0,000 | 1,112 | 0,641 | 0,641 | 0,641 | 0,633 | 0,633 | 0,044 |
| 17,500 | 38,911 | 99,667 | -7,419 | skid front(in) | 1000000,000 | 11,500 | 0,000 | 1,000 | 100,000 | 0,000 | 1,158 | 0,641 | 0,641 | 0,641 | 0,633 | 0,633 | 0,046 |
| 18,000 | 37,656 | 99,667 | -7,417 | skid front(in) | 1000000,000 | 11,500 | 0,000 | 1,000 | 100,000 | 0,000 | 1,205 | 0,641 | 0,641 | 0,641 | 0,633 | 0,633 | 0,047 |
| 18,500 | 36,357 | 99,667 | -7,416 | skid front(in) | 1000000,000 | 11,500 | 0,000 | 1,000 | 100,000 | 0,000 | 1,254 | 0,641 | 0,641 | 0,641 | 0,633 | 0,633 | 0,049 |
| 18,900 | 35,284 | 99,667 | -7,414 | skid front(in) | 1000000,000 | 11,500 | 0,000 | 1,000 | 100,000 | 0,000 | 1,294 | 0,641 | 0,641 | 0,641 | 0,633 | 0,633 | 0,040 |
| 19,500 | 33,611 | 99,667 | -7,413 | skid front(in) | 1000000,000 | 11,500 | 0,000 | 1,000 | 100,000 | 0,000 | 1,357 | 0,641 | 0,641 | 0,641 | 0,633 | 0,633 | 0,063 |
| 20,000 | 32,150 | 99,667 | -7,411 | skid front(in) | 1000000,000 | 11,500 | 0,000 | 1,000 | 100,000 | -0,001 | 1,411 | 0,641 | 0,641 | 0,641 | 0,633 | 0,633 | 0,055 |
| 20,500 | 30,620 | 99,674 | -7,408 | skid front(out) | 1000000,000 | 11,500 | 0,000 | 1,000 | 100,000 | -2,059 | 1,469 | 0,641 | 0,641 | 0,641 | 0,632 | 0,632 | 0,057 |
| 21,000 | 29,010 | 99,656 | -7,405 | skid front(out) | 1000000,000 | 11,500 | 0,000 | 1,000 | 100,000 | -2,107 | 1,529 | 0,641 | 0,641 | 0,641 | 0,632 | 0,632 | 0,060 |
| 21,500 | 27,305 | 99,693 | -7,406 | skid front(out) | 1000000,000 | 11,500 | 0,000 | 1,000 | 100,000 | -2,362 | 1,593 | 0,641 | 0,641 | 0,641 | 0,633 | 0,633 | 0,064 |
| 22,000 | 25,487 | 99,674 | -7,404 | skid front(out) | 1000000,000 | 11,500 | 0,000 | 1,000 | 100,000 | -1,945 | 1,661 | 0,641 | 0,641 | 0,641 | 0,632 | 0,632 | 0,068 |
| 22,500 | 23,529 | 99,665 | -7,401 | skid front(out) | 1000000,000 | 11,500 | 0,000 | 1,000 | 100,000 | -2,148 | 1,735 | 0,641 | 0,641 | 0,641 | 0,632 | 0,632 | 0,073 |
| 23,000 | 21,394 | 99,668 | -7,399 | skid front(out) | 1000000,000 | 11,500 | 0,000 | 1,000 | 100,000 | -3,105 | 1,815 | 0,641 | 0,641 | 0,641 | 0,632 | 0,632 | 0,080 |
| 23,500 | 19,020 | 99,628 | -7,397 | skid front(out) | 1000000,000 | 11,500 | 0,000 | 1,000 | 100,000 | -0,875 | 1,904 | 0,641 | 0,641 | 0,641 | 0,632 | 0,632 | 0,089 |
| 24,000 | 16,305 | 99,625 | -7,395 | skid front(out) | 1000000,000 | 11,500 | 0,000 | 1,000 | 100,000 | -1,267 | 2,006 | 0,641 | 0,641 | 0,641 | 0,632 | 0,632 | 0,102 |
| 24,500 | 13,038 | 99,693 | -7,397 | skid front(out) | 1000000,000 | 11,500 | 0,000 | 1,000 | 100,000 | -1,926 | 2,128 | 0,641 | 0,641 | 0,641 | 0,633 | 0,633 | 0,123 |
| 25,000 | 8,611 | 99,687 | -7,395 | skid front(out) | 1000000,000 | 11,500 | 0,000 | 1,000 | 100,000 | -1,823 | 2,295 | 0,641 | 0,641 | 0,641 | 0,633 | 0,633 | 0,166 |
| 25,300 | 4,079 | 99,677 | -7,393 | skid front(out) | 1000000,000 | 11,500 | 0,000 | 1,000 | 100,000 | -3,023 | 2,465 | 0,641 | 0,641 | 0,641 | 0,632 | 0,632 | 0,170 |

3. ΑΠΟΤΕΛΕΣΜΑΤΑ ΔΥΝΑΜΙΚΟΥ ΜΟΝΤΕΛΟΥ ΜΕ ΧΡΗΣΗ ΤΗΣ ΜΕΣΗΣ f

3.1 VOLVO S40

Προσδιορισμός Τιμών Πρόσφυσης κατά την Πέδηση Οχημάτων Εφοδιασμένων με Σύστημα ABS σε Αυξημένες κατά Μήκος Κλίσεις

3.1.1 NTUA - dry

| run_v_d_ntua_1 | R(m) | br.front (%) | s(%) | e (%) | coeff | effic (%) | time (sec) | | | | | | | | | | |
|----------------|----------|--------------|--------|-----------------|-------|-----------|------------|-------|-----------|-----------|------------|-------|-----------|----------|----------|---------|-----------|
| s= | 100,000 | ##### | 69,00 | 6,6 | 0,0 | 1,00 | 100 | 1,884 | | | | | | | | | 0,963 |
| step= | 0,100 | viewstep= | 0,500 | STEPS | | | | | | | | | | | | | |
| s (m) | V (km/h) | n (%) | dv/dt | skid check | R(m) | s(%) | e (%) | coeff | effic (%) | decelera | time (sec) | fT | front out | front in | rear out | rear in | checktime |
| 15,300 | 2,597 | 99,035 | -7,845 | skid front(out) | ##### | 6,600 | 0,000 | 1,000 | 100,000 | -2,759351 | 1,884 | 0,741 | 0,7409 | 0,7409 | 0,7181 | 0,7181 | |
| 0,000 | 55,920 | 99,036 | -7,890 | O.K | ##### | 6,600 | 0,000 | 1,000 | 100,000 | 0,000 | 0,000 | 0,741 | | | | | |
| 0,400 | 55,183 | 99,030 | -7,888 | skid front(in) | ##### | 6,600 | 0,000 | 1,000 | 100,000 | 0,000 | 0,026 | 0,741 | 0,741 | 0,741 | 0,718 | 0,718 | 0,026 |
| 1,000 | 54,060 | 99,030 | -7,887 | skid front(in) | ##### | 6,600 | 0,000 | 1,000 | 100,000 | 0,000 | 0,065 | 0,741 | 0,741 | 0,741 | 0,718 | 0,718 | 0,040 |
| 1,500 | 53,107 | 99,031 | -7,885 | skid front(in) | ##### | 6,600 | 0,000 | 1,000 | 100,000 | 0,000 | 0,099 | 0,741 | 0,741 | 0,741 | 0,718 | 0,718 | 0,034 |
| 2,000 | 52,136 | 99,031 | -7,884 | skid front(in) | ##### | 6,600 | 0,000 | 1,000 | 100,000 | 0,000 | 0,133 | 0,741 | 0,741 | 0,741 | 0,718 | 0,718 | 0,034 |
| 2,500 | 51,147 | 99,031 | -7,883 | skid front(in) | ##### | 6,600 | 0,000 | 1,000 | 100,000 | 0,000 | 0,168 | 0,741 | 0,741 | 0,741 | 0,718 | 0,718 | 0,035 |
| 3,000 | 50,138 | 99,031 | -7,881 | skid front(in) | ##### | 6,600 | 0,000 | 1,000 | 100,000 | 0,000 | 0,204 | 0,741 | 0,741 | 0,741 | 0,718 | 0,718 | 0,036 |
| 3,500 | 49,109 | 99,031 | -7,880 | skid front(in) | ##### | 6,600 | 0,000 | 1,000 | 100,000 | 0,000 | 0,240 | 0,741 | 0,741 | 0,741 | 0,718 | 0,718 | 0,036 |
| 4,000 | 48,058 | 99,031 | -7,878 | skid front(in) | ##### | 6,600 | 0,000 | 1,000 | 100,000 | 0,000 | 0,277 | 0,741 | 0,741 | 0,741 | 0,718 | 0,718 | 0,037 |
| 4,400 | 47,201 | 99,031 | -7,877 | skid front(in) | ##### | 6,600 | 0,000 | 1,000 | 100,000 | 0,000 | 0,307 | 0,741 | 0,741 | 0,741 | 0,718 | 0,718 | 0,030 |
| 5,000 | 45,885 | 99,031 | -7,875 | skid front(in) | ##### | 6,600 | 0,000 | 1,000 | 100,000 | 0,000 | 0,354 | 0,741 | 0,741 | 0,741 | 0,718 | 0,718 | 0,046 |
| 5,500 | 44,759 | 99,031 | -7,874 | skid front(in) | ##### | 6,600 | 0,000 | 1,000 | 100,000 | 0,000 | 0,393 | 0,741 | 0,741 | 0,741 | 0,718 | 0,718 | 0,040 |
| 6,000 | 43,604 | 99,031 | -7,873 | skid front(in) | ##### | 6,600 | 0,000 | 1,000 | 100,000 | 0,000 | 0,434 | 0,741 | 0,741 | 0,741 | 0,718 | 0,718 | 0,041 |
| 6,500 | 42,418 | 99,031 | -7,871 | skid front(in) | ##### | 6,600 | 0,000 | 1,000 | 100,000 | 0,000 | 0,476 | 0,741 | 0,741 | 0,741 | 0,718 | 0,718 | 0,042 |
| 7,000 | 41,198 | 99,032 | -7,870 | skid front(in) | ##### | 6,600 | 0,000 | 1,000 | 100,000 | 0,000 | 0,519 | 0,741 | 0,741 | 0,741 | 0,718 | 0,718 | 0,043 |
| 7,500 | 39,941 | 99,032 | -7,868 | skid front(in) | ##### | 6,600 | 0,000 | 1,000 | 100,000 | 0,000 | 0,563 | 0,741 | 0,741 | 0,741 | 0,718 | 0,718 | 0,044 |
| 8,000 | 38,644 | 99,032 | -7,867 | skid front(in) | ##### | 6,600 | 0,000 | 1,000 | 100,000 | 0,000 | 0,609 | 0,741 | 0,741 | 0,741 | 0,718 | 0,718 | 0,046 |
| 8,500 | 37,301 | 99,032 | -7,866 | skid front(in) | ##### | 6,600 | 0,000 | 1,000 | 100,000 | 0,000 | 0,657 | 0,741 | 0,741 | 0,741 | 0,718 | 0,718 | 0,047 |
| 9,000 | 35,909 | 99,032 | -7,864 | skid front(in) | ##### | 6,600 | 0,000 | 1,000 | 100,000 | 0,000 | 0,706 | 0,741 | 0,741 | 0,741 | 0,718 | 0,718 | 0,049 |
| 9,500 | 34,461 | 99,032 | -7,863 | skid front(in) | ##### | 6,600 | 0,000 | 1,000 | 100,000 | 0,000 | 0,757 | 0,741 | 0,741 | 0,741 | 0,718 | 0,718 | 0,051 |
| 10,000 | 32,949 | 99,032 | -7,861 | skid front(in) | ##### | 6,600 | 0,000 | 1,000 | 100,000 | 0,001 | 0,810 | 0,741 | 0,741 | 0,741 | 0,718 | 0,718 | 0,053 |
| 10,500 | 31,365 | 99,032 | -7,860 | skid front(in) | ##### | 6,600 | 0,000 | 1,000 | 100,000 | 0,001 | 0,866 | 0,741 | 0,741 | 0,741 | 0,718 | 0,718 | 0,056 |
| 11,000 | 29,697 | 99,032 | -7,859 | skid front(in) | ##### | 6,600 | 0,000 | 1,000 | 100,000 | 0,000 | 0,925 | 0,741 | 0,741 | 0,741 | 0,718 | 0,718 | 0,059 |
| 11,500 | 27,930 | 99,032 | -7,857 | skid front(in) | ##### | 6,600 | 0,000 | 1,000 | 100,000 | 0,001 | 0,988 | 0,741 | 0,741 | 0,741 | 0,718 | 0,718 | 0,062 |
| 12,000 | 26,044 | 99,016 | -7,854 | skid front(out) | ##### | 6,600 | 0,000 | 1,000 | 100,000 | -1,320 | 1,054 | 0,741 | 0,741 | 0,741 | 0,718 | 0,718 | 0,067 |
| 12,500 | 24,010 | 99,036 | -7,854 | skid front(out) | ##### | 6,600 | 0,000 | 1,000 | 100,000 | -1,278 | 1,126 | 0,741 | 0,741 | 0,741 | 0,718 | 0,718 | 0,072 |
| 13,000 | 21,787 | 99,034 | -7,852 | skid front(out) | ##### | 6,600 | 0,000 | 1,000 | 100,000 | -1,026 | 1,205 | 0,741 | 0,741 | 0,741 | 0,718 | 0,718 | 0,079 |
| 13,500 | 19,311 | 99,005 | -7,849 | skid front(out) | ##### | 6,600 | 0,000 | 1,000 | 100,000 | -0,407 | 1,293 | 0,741 | 0,741 | 0,741 | 0,718 | 0,718 | 0,088 |
| 14,000 | 16,468 | 99,010 | -7,847 | skid front(out) | ##### | 6,600 | 0,000 | 1,000 | 100,000 | -1,460 | 1,393 | 0,741 | 0,741 | 0,741 | 0,718 | 0,718 | 0,101 |
| 14,500 | 13,019 | 99,051 | -7,847 | skid front(out) | ##### | 6,600 | 0,000 | 1,000 | 100,000 | -4,186 | 1,515 | 0,741 | 0,741 | 0,741 | 0,718 | 0,718 | 0,122 |
| 15,000 | 8,233 | 98,997 | -7,845 | skid front(out) | ##### | 6,600 | 0,000 | 1,000 | 100,000 | 0,471 | 1,685 | 0,741 | 0,741 | 0,741 | 0,718 | 0,718 | 0,169 |
| 15,300 | 2,597 | 99,035 | -7,845 | skid front(out) | ##### | 6,600 | 0,000 | 1,000 | 100,000 | -2,759 | 1,884 | 0,741 | 0,741 | 0,741 | 0,718 | 0,718 | 0,200 |

Προσδιορισμός Τιμών Πρόσφυσης κατά την Πέδηση Οχημάτων Εφοδιασμένων με Σύστημα ABS σε Αυξημένες κατά Μήκος Κλίσεις

| run_v_d_ntua_2 | | R(m) | br.front (%) | s(%) | e (%) | coeff | effic (%) | | | time (sec) | | | | | | | 0,963 |
|----------------|----------|-----------|--------------|-----------------|-------|-------|-----------|-------|-----------|------------|------------|-------|-----------|----------|----------|---------|-----------|
| s= | 100,000 | ##### | 69,00 | 6,6 | 0,0 | 1,00 | 100 | | | 2,084 | | | | | | | |
| step= | 0,100 | viewstep= | 0,500 | STEPS | | | | | | | | | | | | | |
| s (m) | V (km/h) | n (%) | dv/dt | skid check | R(m) | s(%) | e (%) | coeff | effic (%) | decelera | time (sec) | fT | front out | front in | rear out | rear in | checktime |
| 17,200 | 0,187 | 99,016 | -7,845 | skid front(out) | ##### | 6,600 | 0,000 | 1,000 | 100,000 | -0,705765 | 2,084 | 0,741 | 0,7409 | 0,7409 | 0,7181 | 0,7181 | |
| 0,000 | 59,180 | 99,036 | -7,895 | O.K | ##### | 6,600 | 0,000 | 1,000 | 100,000 | 0,000 | 0,000 | 0,741 | | | | | |
| 0,400 | 58,484 | 99,030 | -7,894 | skid front(in) | ##### | 6,600 | 0,000 | 1,000 | 100,000 | 0,000 | 0,024 | 0,741 | 0,741 | 0,741 | 0,718 | 0,718 | 0,024 |
| 1,000 | 57,425 | 99,030 | -7,892 | skid front(in) | ##### | 6,600 | 0,000 | 1,000 | 100,000 | 0,000 | 0,062 | 0,741 | 0,741 | 0,741 | 0,718 | 0,718 | 0,037 |
| 1,500 | 56,528 | 99,030 | -7,891 | skid front(in) | ##### | 6,600 | 0,000 | 1,000 | 100,000 | 0,000 | 0,093 | 0,741 | 0,741 | 0,741 | 0,718 | 0,718 | 0,032 |
| 2,000 | 55,616 | 99,030 | -7,889 | skid front(in) | ##### | 6,600 | 0,000 | 1,000 | 100,000 | 0,000 | 0,125 | 0,741 | 0,741 | 0,741 | 0,718 | 0,718 | 0,032 |
| 2,500 | 54,689 | 99,030 | -7,888 | skid front(in) | ##### | 6,600 | 0,000 | 1,000 | 100,000 | 0,000 | 0,158 | 0,741 | 0,741 | 0,741 | 0,718 | 0,718 | 0,033 |
| 3,000 | 53,747 | 99,030 | -7,886 | skid front(in) | ##### | 6,600 | 0,000 | 1,000 | 100,000 | 0,000 | 0,191 | 0,741 | 0,741 | 0,741 | 0,718 | 0,718 | 0,033 |
| 3,500 | 52,787 | 99,031 | -7,885 | skid front(in) | ##### | 6,600 | 0,000 | 1,000 | 100,000 | 0,000 | 0,225 | 0,741 | 0,741 | 0,741 | 0,718 | 0,718 | 0,034 |
| 4,000 | 51,810 | 99,031 | -7,883 | skid front(in) | ##### | 6,600 | 0,000 | 1,000 | 100,000 | 0,000 | 0,259 | 0,741 | 0,741 | 0,741 | 0,718 | 0,718 | 0,034 |
| 4,400 | 51,016 | 99,031 | -7,882 | skid front(in) | ##### | 6,600 | 0,000 | 1,000 | 100,000 | 0,000 | 0,287 | 0,741 | 0,741 | 0,741 | 0,718 | 0,718 | 0,028 |
| 5,000 | 49,800 | 99,031 | -7,881 | skid front(in) | ##### | 6,600 | 0,000 | 1,000 | 100,000 | 0,000 | 0,330 | 0,741 | 0,741 | 0,741 | 0,718 | 0,718 | 0,043 |
| 5,500 | 48,764 | 99,031 | -7,879 | skid front(in) | ##### | 6,600 | 0,000 | 1,000 | 100,000 | 0,000 | 0,367 | 0,741 | 0,741 | 0,741 | 0,718 | 0,718 | 0,037 |
| 6,000 | 47,705 | 99,031 | -7,878 | skid front(in) | ##### | 6,600 | 0,000 | 1,000 | 100,000 | 0,000 | 0,404 | 0,741 | 0,741 | 0,741 | 0,718 | 0,718 | 0,037 |
| 6,500 | 46,623 | 99,031 | -7,876 | skid front(in) | ##### | 6,600 | 0,000 | 1,000 | 100,000 | 0,000 | 0,442 | 0,741 | 0,741 | 0,741 | 0,718 | 0,718 | 0,038 |
| 7,000 | 45,515 | 99,031 | -7,875 | skid front(in) | ##### | 6,600 | 0,000 | 1,000 | 100,000 | 0,000 | 0,481 | 0,741 | 0,741 | 0,741 | 0,718 | 0,718 | 0,039 |
| 7,500 | 44,380 | 99,031 | -7,874 | skid front(in) | ##### | 6,600 | 0,000 | 1,000 | 100,000 | 0,000 | 0,521 | 0,741 | 0,741 | 0,741 | 0,718 | 0,718 | 0,040 |
| 8,000 | 43,215 | 99,031 | -7,872 | skid front(in) | ##### | 6,600 | 0,000 | 1,000 | 100,000 | 0,000 | 0,563 | 0,741 | 0,741 | 0,741 | 0,718 | 0,718 | 0,041 |
| 8,500 | 42,018 | 99,031 | -7,871 | skid front(in) | ##### | 6,600 | 0,000 | 1,000 | 100,000 | 0,000 | 0,605 | 0,741 | 0,741 | 0,741 | 0,718 | 0,718 | 0,042 |
| 9,000 | 40,787 | 99,032 | -7,869 | skid front(in) | ##### | 6,600 | 0,000 | 1,000 | 100,000 | 0,000 | 0,648 | 0,741 | 0,741 | 0,741 | 0,718 | 0,718 | 0,043 |
| 9,500 | 39,517 | 99,032 | -7,868 | skid front(in) | ##### | 6,600 | 0,000 | 1,000 | 100,000 | 0,000 | 0,693 | 0,741 | 0,741 | 0,741 | 0,718 | 0,718 | 0,045 |
| 10,000 | 38,205 | 99,032 | -7,867 | skid front(in) | ##### | 6,600 | 0,000 | 1,000 | 100,000 | 0,000 | 0,739 | 0,741 | 0,741 | 0,741 | 0,718 | 0,718 | 0,046 |
| 10,500 | 36,846 | 99,032 | -7,865 | skid front(in) | ##### | 6,600 | 0,000 | 1,000 | 100,000 | 0,000 | 0,787 | 0,741 | 0,741 | 0,741 | 0,718 | 0,718 | 0,048 |
| 11,000 | 35,436 | 99,032 | -7,864 | skid front(in) | ##### | 6,600 | 0,000 | 1,000 | 100,000 | 0,000 | 0,837 | 0,741 | 0,741 | 0,741 | 0,718 | 0,718 | 0,050 |
| 11,500 | 33,968 | 99,032 | -7,862 | skid front(in) | ##### | 6,600 | 0,000 | 1,000 | 100,000 | 0,000 | 0,889 | 0,741 | 0,741 | 0,741 | 0,718 | 0,718 | 0,052 |
| 12,000 | 32,434 | 99,032 | -7,861 | skid front(in) | ##### | 6,600 | 0,000 | 1,000 | 100,000 | 0,001 | 0,943 | 0,741 | 0,741 | 0,741 | 0,718 | 0,718 | 0,054 |
| 12,500 | 30,823 | 99,032 | -7,860 | skid front(in) | ##### | 6,600 | 0,000 | 1,000 | 100,000 | 0,000 | 1,000 | 0,741 | 0,741 | 0,741 | 0,718 | 0,718 | 0,057 |
| 13,000 | 29,124 | 99,032 | -7,858 | skid front(in) | ##### | 6,600 | 0,000 | 1,000 | 100,000 | 0,001 | 1,060 | 0,741 | 0,741 | 0,741 | 0,718 | 0,718 | 0,060 |
| 13,500 | 27,320 | 99,032 | -7,857 | skid front(in) | ##### | 6,600 | 0,000 | 1,000 | 100,000 | -0,001 | 1,124 | 0,741 | 0,741 | 0,741 | 0,718 | 0,718 | 0,064 |
| 14,000 | 25,389 | 99,007 | -7,853 | skid front(out) | ##### | 6,600 | 0,000 | 1,000 | 100,000 | -0,082 | 1,192 | 0,741 | 0,741 | 0,741 | 0,718 | 0,718 | 0,068 |
| 14,500 | 23,298 | 99,027 | -7,853 | skid front(out) | ##### | 6,600 | 0,000 | 1,000 | 100,000 | -0,876 | 1,266 | 0,741 | 0,741 | 0,741 | 0,718 | 0,718 | 0,074 |
| 15,000 | 21,001 | 99,054 | -7,851 | skid front(out) | ##### | 6,600 | 0,000 | 1,000 | 100,000 | -4,691 | 1,348 | 0,741 | 0,741 | 0,741 | 0,718 | 0,718 | 0,081 |
| 15,500 | 18,420 | 99,057 | -7,850 | skid front(out) | ##### | 6,600 | 0,000 | 1,000 | 100,000 | -3,827 | 1,439 | 0,741 | 0,741 | 0,741 | 0,718 | 0,718 | 0,091 |
| 16,000 | 15,412 | 99,032 | -7,848 | skid front(out) | ##### | 6,600 | 0,000 | 1,000 | 100,000 | -2,569 | 1,545 | 0,741 | 0,741 | 0,741 | 0,718 | 0,718 | 0,106 |
| 16,500 | 11,654 | 99,043 | -7,847 | skid front(out) | ##### | 6,600 | 0,000 | 1,000 | 100,000 | -2,934 | 1,678 | 0,741 | 0,741 | 0,741 | 0,718 | 0,718 | 0,133 |
| 17,000 | 5,840 | 99,024 | -7,844 | skid front(out) | ##### | 6,600 | 0,000 | 1,000 | 100,000 | -3,088 | 1,884 | 0,741 | 0,741 | 0,741 | 0,718 | 0,718 | 0,206 |
| 17,200 | 0,187 | 99,016 | -7,845 | skid front(out) | ##### | 6,600 | 0,000 | 1,000 | 100,000 | -0,706 | 2,084 | 0,741 | 0,741 | 0,741 | 0,718 | 0,718 | 0,200 |

Προσδιορισμός Τιμών Πρόσφυσης κατά την Πέδηση Οχημάτων Εφοδιασμένων με Σύστημα ABS σε Αυξημένες κατά Μήκος Κλίσεις

| run_v_d ntua_3 | | R(m) | br.front (%) | s(%) | e (%) | coeff | effic (%) | | | time (sec) | | | | | | | 0,963 |
|----------------|----------|-----------|--------------|-----------------|-------|-------|-----------|-------|-----------|------------|------------|-------|-----------|----------|----------|---------|-----------|
| s= | 100,000 | ##### | 69,00 | 6,6 | 0,0 | 1,00 | 100 | | | 2,001 | | | | | | | |
| step= | 0,100 | viewstep= | 0,500 | STEPS | | | | | | | | | | | | | |
| s (m) | V (km/h) | n (%) | dv/dt | skid check | R(m) | s(%) | e (%) | coeff | effic (%) | decelera | time (sec) | fT | front out | front in | rear out | rear in | checktime |
| 18,000 | 4,079 | 99,040 | -7,846 | skid front(out) | ##### | 6,600 | 0,000 | 1,000 | 100,000 | -1,894792 | 2,001 | 0,741 | 0,7409 | 0,7409 | 0,7183 | 0,7183 | |
| 0,000 | 60,740 | 99,036 | -7,898 | O.K | ##### | 6,600 | 0,000 | 1,000 | 100,000 | 0,000 | 0,000 | 0,741 | | | | | |
| 0,400 | 60,062 | 99,030 | -7,896 | skid front(in) | ##### | 6,600 | 0,000 | 1,000 | 100,000 | 0,000 | 0,024 | 0,741 | 0,741 | 0,741 | 0,718 | 0,718 | 0,024 |
| 1,000 | 59,031 | 99,030 | -7,895 | skid front(in) | ##### | 6,600 | 0,000 | 1,000 | 100,000 | 0,000 | 0,060 | 0,741 | 0,741 | 0,741 | 0,718 | 0,718 | 0,036 |
| 1,500 | 58,158 | 99,030 | -7,893 | skid front(in) | ##### | 6,600 | 0,000 | 1,000 | 100,000 | 0,000 | 0,091 | 0,741 | 0,741 | 0,741 | 0,718 | 0,718 | 0,031 |
| 2,000 | 57,272 | 99,030 | -7,892 | skid front(in) | ##### | 6,600 | 0,000 | 1,000 | 100,000 | 0,000 | 0,122 | 0,741 | 0,741 | 0,741 | 0,718 | 0,718 | 0,031 |
| 2,500 | 56,372 | 99,030 | -7,890 | skid front(in) | ##### | 6,600 | 0,000 | 1,000 | 100,000 | 0,000 | 0,154 | 0,741 | 0,741 | 0,741 | 0,718 | 0,718 | 0,032 |
| 3,000 | 55,458 | 99,030 | -7,889 | skid front(in) | ##### | 6,600 | 0,000 | 1,000 | 100,000 | 0,000 | 0,186 | 0,741 | 0,741 | 0,741 | 0,718 | 0,718 | 0,032 |
| 3,500 | 54,528 | 99,030 | -7,887 | skid front(in) | ##### | 6,600 | 0,000 | 1,000 | 100,000 | 0,000 | 0,219 | 0,741 | 0,741 | 0,741 | 0,718 | 0,718 | 0,033 |
| 4,000 | 53,583 | 99,030 | -7,886 | skid front(in) | ##### | 6,600 | 0,000 | 1,000 | 100,000 | 0,000 | 0,252 | 0,741 | 0,741 | 0,741 | 0,718 | 0,718 | 0,033 |
| 4,400 | 52,815 | 99,031 | -7,885 | skid front(in) | ##### | 6,600 | 0,000 | 1,000 | 100,000 | 0,000 | 0,279 | 0,741 | 0,741 | 0,741 | 0,718 | 0,718 | 0,027 |
| 5,000 | 51,641 | 99,031 | -7,883 | skid front(in) | ##### | 6,600 | 0,000 | 1,000 | 100,000 | 0,000 | 0,320 | 0,741 | 0,741 | 0,741 | 0,718 | 0,718 | 0,041 |
| 5,500 | 50,642 | 99,031 | -7,882 | skid front(in) | ##### | 6,600 | 0,000 | 1,000 | 100,000 | 0,000 | 0,356 | 0,741 | 0,741 | 0,741 | 0,718 | 0,718 | 0,035 |
| 6,000 | 49,623 | 99,031 | -7,880 | skid front(in) | ##### | 6,600 | 0,000 | 1,000 | 100,000 | 0,000 | 0,391 | 0,741 | 0,741 | 0,741 | 0,718 | 0,718 | 0,036 |
| 6,500 | 48,583 | 99,031 | -7,879 | skid front(in) | ##### | 6,600 | 0,000 | 1,000 | 100,000 | 0,000 | 0,428 | 0,741 | 0,741 | 0,741 | 0,718 | 0,718 | 0,037 |
| 7,000 | 47,521 | 99,031 | -7,878 | skid front(in) | ##### | 6,600 | 0,000 | 1,000 | 100,000 | 0,000 | 0,466 | 0,741 | 0,741 | 0,741 | 0,718 | 0,718 | 0,037 |
| 7,500 | 46,434 | 99,031 | -7,876 | skid front(in) | ##### | 6,600 | 0,000 | 1,000 | 100,000 | 0,000 | 0,504 | 0,741 | 0,741 | 0,741 | 0,718 | 0,718 | 0,038 |
| 8,000 | 45,322 | 99,031 | -7,875 | skid front(in) | ##### | 6,600 | 0,000 | 1,000 | 100,000 | 0,000 | 0,543 | 0,741 | 0,741 | 0,741 | 0,718 | 0,718 | 0,039 |
| 8,500 | 44,182 | 99,031 | -7,873 | skid front(in) | ##### | 6,600 | 0,000 | 1,000 | 100,000 | 0,000 | 0,583 | 0,741 | 0,741 | 0,741 | 0,718 | 0,718 | 0,040 |
| 9,000 | 43,012 | 99,031 | -7,872 | skid front(in) | ##### | 6,600 | 0,000 | 1,000 | 100,000 | 0,000 | 0,625 | 0,741 | 0,741 | 0,741 | 0,718 | 0,718 | 0,041 |
| 9,500 | 41,809 | 99,031 | -7,871 | skid front(in) | ##### | 6,600 | 0,000 | 1,000 | 100,000 | 0,000 | 0,667 | 0,741 | 0,741 | 0,741 | 0,718 | 0,718 | 0,042 |
| 10,000 | 40,571 | 99,032 | -7,869 | skid front(in) | ##### | 6,600 | 0,000 | 1,000 | 100,000 | 0,000 | 0,711 | 0,741 | 0,741 | 0,741 | 0,718 | 0,718 | 0,044 |
| 10,500 | 39,294 | 99,032 | -7,868 | skid front(in) | ##### | 6,600 | 0,000 | 1,000 | 100,000 | 0,000 | 0,756 | 0,741 | 0,741 | 0,741 | 0,718 | 0,718 | 0,045 |
| 11,000 | 37,975 | 99,032 | -7,866 | skid front(in) | ##### | 6,600 | 0,000 | 1,000 | 100,000 | 0,000 | 0,802 | 0,741 | 0,741 | 0,741 | 0,718 | 0,718 | 0,047 |
| 11,500 | 36,608 | 99,032 | -7,865 | skid front(in) | ##### | 6,600 | 0,000 | 1,000 | 100,000 | 0,000 | 0,851 | 0,741 | 0,741 | 0,741 | 0,718 | 0,718 | 0,048 |
| 12,000 | 35,188 | 99,032 | -7,863 | skid front(in) | ##### | 6,600 | 0,000 | 1,000 | 100,000 | 0,000 | 0,901 | 0,741 | 0,741 | 0,741 | 0,718 | 0,718 | 0,050 |
| 12,500 | 33,709 | 99,032 | -7,862 | skid front(in) | ##### | 6,600 | 0,000 | 1,000 | 100,000 | 0,000 | 0,953 | 0,741 | 0,741 | 0,741 | 0,718 | 0,718 | 0,052 |
| 13,000 | 32,163 | 99,032 | -7,861 | skid front(in) | ##### | 6,600 | 0,000 | 1,000 | 100,000 | 0,001 | 1,008 | 0,741 | 0,741 | 0,741 | 0,718 | 0,718 | 0,055 |
| 13,500 | 30,538 | 99,032 | -7,859 | skid front(in) | ##### | 6,600 | 0,000 | 1,000 | 100,000 | 0,000 | 1,065 | 0,741 | 0,741 | 0,741 | 0,718 | 0,718 | 0,057 |
| 14,000 | 28,822 | 99,032 | -7,858 | skid front(in) | ##### | 6,600 | 0,000 | 1,000 | 100,000 | 0,000 | 1,126 | 0,741 | 0,741 | 0,741 | 0,718 | 0,718 | 0,061 |
| 14,500 | 26,998 | 99,032 | -7,856 | skid front(in) | ##### | 6,600 | 0,000 | 1,000 | 100,000 | -0,001 | 1,190 | 0,741 | 0,741 | 0,741 | 0,718 | 0,718 | 0,064 |
| 15,000 | 25,042 | 99,005 | -7,853 | skid front(out) | ##### | 6,600 | 0,000 | 1,000 | 100,000 | -0,625 | 1,259 | 0,741 | 0,741 | 0,741 | 0,718 | 0,718 | 0,069 |
| 15,500 | 22,920 | 99,058 | -7,854 | skid front(out) | ##### | 6,600 | 0,000 | 1,000 | 100,000 | -2,924 | 1,335 | 0,741 | 0,741 | 0,741 | 0,718 | 0,718 | 0,075 |
| 16,000 | 20,580 | 99,030 | -7,850 | skid front(out) | ##### | 6,600 | 0,000 | 1,000 | 100,000 | -3,286 | 1,417 | 0,741 | 0,741 | 0,741 | 0,718 | 0,718 | 0,083 |
| 16,500 | 17,938 | 99,065 | -7,851 | skid front(out) | ##### | 6,600 | 0,000 | 1,000 | 100,000 | -3,729 | 1,511 | 0,741 | 0,741 | 0,741 | 0,718 | 0,718 | 0,093 |
| 17,000 | 14,834 | 99,011 | -7,846 | skid front(out) | ##### | 6,600 | 0,000 | 1,000 | 100,000 | -2,047 | 1,621 | 0,741 | 0,741 | 0,741 | 0,718 | 0,718 | 0,110 |
| 17,500 | 10,878 | 99,057 | -7,847 | skid front(out) | ##### | 6,600 | 0,000 | 1,000 | 100,000 | -3,969 | 1,761 | 0,741 | 0,741 | 0,741 | 0,718 | 0,718 | 0,140 |
| 18,000 | 4,079 | 99,040 | -7,846 | skid front(out) | ##### | 6,600 | 0,000 | 1,000 | 100,000 | -1,895 | 2,001 | 0,741 | 0,741 | 0,741 | 0,718 | 0,718 | 0,241 |

Προσδιορισμός Τιμών Πρόσφυσης κατά την Πέδηση Οχημάτων Εφοδιασμένων με Σύστημα ABS σε Αυξημένες κατά Μήκος Κλίσεις

| run v d ntua 4 | | R(m) | br.front (%) | s(%) | e (%) | coeff | effic (%) | time (sec) | | | | | | | | | | 0,963 |
|----------------|----------|-----------|--------------|-----------------|-------|-------|-----------|------------|-----------|-----------|------------|-------|-----------|----------|----------|---------|-----------|-------|
| s= | 100,000 | ##### | 69,00 | 6,6 | 0,0 | 1,00 | 100 | 1,872 | | | | | | | | | | |
| step= | 0,100 | viewstep= | 0,500 | STEPS | | | | | | | | | | | | | | |
| s (m) | V (km/h) | n (%) | dv/dt | skid check | R(m) | s(%) | e (%) | coeff | effic (%) | decelera | time (sec) | ft | front out | front in | rear out | rear in | checktime | |
| 15,400 | 3,140 | 99,059 | -7,846 | skid front(out) | ##### | 6,600 | 0,000 | 1,000 | 100,000 | -3,711943 | 1,872 | 0,741 | 0,7410 | 0,7410 | 0,7183 | 0,7183 | | |
| 0,000 | 56,130 | 99,036 | -7,890 | O.K | ##### | 6,600 | 0,000 | 1,000 | 100,000 | 0,000 | 0,000 | 0,741 | 0,7410 | 0,7410 | 0,7183 | 0,7183 | | |
| 0,400 | 55,397 | 99,030 | -7,889 | skid front(in) | ##### | 6,600 | 0,000 | 1,000 | 100,000 | 0,000 | 0,026 | 0,741 | 0,741 | 0,741 | 0,718 | 0,718 | 0,026 | |
| 1,000 | 54,278 | 99,030 | -7,887 | skid front(in) | ##### | 6,600 | 0,000 | 1,000 | 100,000 | 0,000 | 0,065 | 0,741 | 0,741 | 0,741 | 0,718 | 0,718 | 0,039 | |
| 1,500 | 53,328 | 99,031 | -7,886 | skid front(in) | ##### | 6,600 | 0,000 | 1,000 | 100,000 | 0,000 | 0,099 | 0,741 | 0,741 | 0,741 | 0,718 | 0,718 | 0,033 | |
| 2,000 | 52,361 | 99,031 | -7,884 | skid front(in) | ##### | 6,600 | 0,000 | 1,000 | 100,000 | 0,000 | 0,133 | 0,741 | 0,741 | 0,741 | 0,718 | 0,718 | 0,034 | |
| 2,500 | 51,376 | 99,031 | -7,883 | skid front(in) | ##### | 6,600 | 0,000 | 1,000 | 100,000 | 0,000 | 0,167 | 0,741 | 0,741 | 0,741 | 0,718 | 0,718 | 0,035 | |
| 3,000 | 50,372 | 99,031 | -7,881 | skid front(in) | ##### | 6,600 | 0,000 | 1,000 | 100,000 | 0,000 | 0,203 | 0,741 | 0,741 | 0,741 | 0,718 | 0,718 | 0,035 | |
| 3,500 | 49,348 | 99,031 | -7,880 | skid front(in) | ##### | 6,600 | 0,000 | 1,000 | 100,000 | 0,000 | 0,239 | 0,741 | 0,741 | 0,741 | 0,718 | 0,718 | 0,036 | |
| 4,000 | 48,303 | 99,031 | -7,879 | skid front(in) | ##### | 6,600 | 0,000 | 1,000 | 100,000 | 0,000 | 0,276 | 0,741 | 0,741 | 0,741 | 0,718 | 0,718 | 0,037 | |
| 4,400 | 47,449 | 99,031 | -7,877 | skid front(in) | ##### | 6,600 | 0,000 | 1,000 | 100,000 | 0,000 | 0,306 | 0,741 | 0,741 | 0,741 | 0,718 | 0,718 | 0,030 | |
| 5,000 | 46,141 | 99,031 | -7,876 | skid front(in) | ##### | 6,600 | 0,000 | 1,000 | 100,000 | 0,000 | 0,352 | 0,741 | 0,741 | 0,741 | 0,718 | 0,718 | 0,046 | |
| 5,500 | 45,021 | 99,031 | -7,874 | skid front(in) | ##### | 6,600 | 0,000 | 1,000 | 100,000 | 0,000 | 0,392 | 0,741 | 0,741 | 0,741 | 0,718 | 0,718 | 0,039 | |
| 6,000 | 43,873 | 99,031 | -7,873 | skid front(in) | ##### | 6,600 | 0,000 | 1,000 | 100,000 | 0,000 | 0,432 | 0,741 | 0,741 | 0,741 | 0,718 | 0,718 | 0,040 | |
| 6,500 | 42,695 | 99,031 | -7,872 | skid front(in) | ##### | 6,600 | 0,000 | 1,000 | 100,000 | 0,000 | 0,474 | 0,741 | 0,741 | 0,741 | 0,718 | 0,718 | 0,042 | |
| 7,000 | 41,483 | 99,031 | -7,870 | skid front(in) | ##### | 6,600 | 0,000 | 1,000 | 100,000 | 0,001 | 0,516 | 0,741 | 0,741 | 0,741 | 0,718 | 0,718 | 0,043 | |
| 7,500 | 40,235 | 99,032 | -7,869 | skid front(in) | ##### | 6,600 | 0,000 | 1,000 | 100,000 | 0,001 | 0,560 | 0,741 | 0,741 | 0,741 | 0,718 | 0,718 | 0,044 | |
| 8,000 | 38,947 | 99,032 | -7,867 | skid front(in) | ##### | 6,600 | 0,000 | 1,000 | 100,000 | 0,000 | 0,606 | 0,741 | 0,741 | 0,741 | 0,718 | 0,718 | 0,045 | |
| 8,500 | 37,615 | 99,032 | -7,866 | skid front(in) | ##### | 6,600 | 0,000 | 1,000 | 100,000 | 0,000 | 0,653 | 0,741 | 0,741 | 0,741 | 0,718 | 0,718 | 0,047 | |
| 9,000 | 36,235 | 99,032 | -7,865 | skid front(in) | ##### | 6,600 | 0,000 | 1,000 | 100,000 | 0,000 | 0,702 | 0,741 | 0,741 | 0,741 | 0,718 | 0,718 | 0,049 | |
| 9,500 | 34,800 | 99,032 | -7,863 | skid front(in) | ##### | 6,600 | 0,000 | 1,000 | 100,000 | 0,000 | 0,752 | 0,741 | 0,741 | 0,741 | 0,718 | 0,718 | 0,051 | |
| 10,000 | 33,304 | 99,032 | -7,862 | skid front(in) | ##### | 6,600 | 0,000 | 1,000 | 100,000 | 0,000 | 0,805 | 0,741 | 0,741 | 0,741 | 0,718 | 0,718 | 0,053 | |
| 10,500 | 31,738 | 99,032 | -7,860 | skid front(in) | ##### | 6,600 | 0,000 | 1,000 | 100,000 | 0,000 | 0,861 | 0,741 | 0,741 | 0,741 | 0,718 | 0,718 | 0,055 | |
| 11,000 | 30,090 | 99,032 | -7,859 | skid front(in) | ##### | 6,600 | 0,000 | 1,000 | 100,000 | 0,001 | 0,919 | 0,741 | 0,741 | 0,741 | 0,718 | 0,718 | 0,058 | |
| 11,500 | 28,348 | 99,032 | -7,857 | skid front(in) | ##### | 6,600 | 0,000 | 1,000 | 100,000 | 0,001 | 0,980 | 0,741 | 0,741 | 0,741 | 0,718 | 0,718 | 0,062 | |
| 12,000 | 26,491 | 99,036 | -7,855 | skid front(out) | ##### | 6,600 | 0,000 | 1,000 | 100,000 | -2,717 | 1,046 | 0,741 | 0,741 | 0,741 | 0,718 | 0,718 | 0,066 | |
| 12,500 | 24,494 | 99,006 | -7,852 | skid front(in) | ##### | 6,600 | 0,000 | 1,000 | 100,000 | -1,424 | 1,117 | 0,741 | 0,741 | 0,741 | 0,718 | 0,718 | 0,071 | |
| 13,000 | 22,320 | 99,008 | -7,850 | skid front(out) | ##### | 6,600 | 0,000 | 1,000 | 100,000 | -1,559 | 1,194 | 0,741 | 0,741 | 0,741 | 0,718 | 0,718 | 0,077 | |
| 13,500 | 19,910 | 99,045 | -7,851 | skid front(out) | ##### | 6,600 | 0,000 | 1,000 | 100,000 | -3,271 | 1,279 | 0,741 | 0,741 | 0,741 | 0,718 | 0,718 | 0,085 | |
| 14,000 | 17,166 | 99,026 | -7,849 | skid front(out) | ##### | 6,600 | 0,000 | 1,000 | 100,000 | -1,408 | 1,376 | 0,741 | 0,741 | 0,741 | 0,718 | 0,718 | 0,097 | |
| 14,500 | 13,891 | 99,074 | -7,849 | skid front(out) | ##### | 6,600 | 0,000 | 1,000 | 100,000 | -4,603 | 1,492 | 0,741 | 0,741 | 0,741 | 0,718 | 0,718 | 0,116 | |
| 15,000 | 9,552 | 99,029 | -7,847 | skid front(out) | ##### | 6,600 | 0,000 | 1,000 | 100,000 | -0,482 | 1,645 | 0,741 | 0,741 | 0,741 | 0,718 | 0,718 | 0,154 | |
| 15,400 | 3,140 | 99,059 | -7,846 | skid front(out) | ##### | 6,600 | 0,000 | 1,000 | 100,000 | -3,712 | 1,872 | 0,741 | 0,741 | 0,741 | 0,718 | 0,718 | 0,227 | |

Προσδιορισμός Τιμών Πρόσφυσης κατά την Πέδηση Οχημάτων Εφοδιασμένων με Σύστημα ABS σε Αυξημένες κατά Μήκος Κλίσεις

| run_v_d_ntua_6 | R(m) | br.front (%) | s(%) | e (%) | coeff | effic (%) | time (sec) | | | | | | | | | | |
|----------------|-----------|--------------|--------|-----------------|-------|-----------|------------|-------|-----------|-----------|------------|-------|-----------|----------|----------|---------|-----------|
| s= 100,000 | ##### | 69,00 | 6,6 | 0,0 | 1,00 | 100 | 1,866 | | | | | | | | | | |
| step= 0,100 | viewstep= | 0,500 | STEPS | | | | | | | | | | | | | | |
| s (m) | V (km/h) | n (%) | dv/dt | skid check | R(m) | s(%) | e (%) | coeff | effic (%) | decelera | time (sec) | fT | front out | front in | rear out | rear in | checktime |
| 15,900 | 4,306 | 99,032 | -7,845 | skid front(out) | ##### | 6,600 | 0,000 | 1,000 | 100,000 | -2,381922 | 1,866 | 0,741 | 0,7409 | 0,7409 | 0,7181 | 0,7181 | |
| 0,000 | 57,110 | 99,036 | -7,892 | O.K | ##### | 6,600 | 0,000 | 1,000 | 100,000 | 0,000 | 0,000 | 0,741 | | | | | |
| 0,400 | 56,389 | 99,030 | -7,890 | skid front(in) | ##### | 6,600 | 0,000 | 1,000 | 100,000 | 0,000 | 0,025 | 0,741 | 0,741 | 0,741 | 0,718 | 0,718 | 0,025 |
| 1,000 | 55,291 | 99,030 | -7,889 | skid front(in) | ##### | 6,600 | 0,000 | 1,000 | 100,000 | 0,000 | 0,064 | 0,741 | 0,741 | 0,741 | 0,718 | 0,718 | 0,039 |
| 1,500 | 54,358 | 99,030 | -7,887 | skid front(in) | ##### | 6,600 | 0,000 | 1,000 | 100,000 | 0,000 | 0,097 | 0,741 | 0,741 | 0,741 | 0,718 | 0,718 | 0,033 |
| 2,000 | 53,410 | 99,030 | -7,886 | skid front(in) | ##### | 6,600 | 0,000 | 1,000 | 100,000 | 0,000 | 0,130 | 0,741 | 0,741 | 0,741 | 0,718 | 0,718 | 0,033 |
| 2,500 | 52,444 | 99,031 | -7,884 | skid front(in) | ##### | 6,600 | 0,000 | 1,000 | 100,000 | 0,000 | 0,164 | 0,741 | 0,741 | 0,741 | 0,718 | 0,718 | 0,034 |
| 3,000 | 51,461 | 99,031 | -7,883 | skid front(in) | ##### | 6,600 | 0,000 | 1,000 | 100,000 | 0,000 | 0,199 | 0,741 | 0,741 | 0,741 | 0,718 | 0,718 | 0,035 |
| 3,500 | 50,459 | 99,031 | -7,882 | skid front(in) | ##### | 6,600 | 0,000 | 1,000 | 100,000 | 0,000 | 0,234 | 0,741 | 0,741 | 0,741 | 0,718 | 0,718 | 0,035 |
| 4,000 | 49,436 | 99,031 | -7,880 | skid front(in) | ##### | 6,600 | 0,000 | 1,000 | 100,000 | 0,000 | 0,270 | 0,741 | 0,741 | 0,741 | 0,718 | 0,718 | 0,036 |
| 4,400 | 48,603 | 99,031 | -7,879 | skid front(in) | ##### | 6,600 | 0,000 | 1,000 | 100,000 | 0,000 | 0,300 | 0,741 | 0,741 | 0,741 | 0,718 | 0,718 | 0,029 |
| 5,000 | 47,326 | 99,031 | -7,877 | skid front(in) | ##### | 6,600 | 0,000 | 1,000 | 100,000 | 0,000 | 0,345 | 0,741 | 0,741 | 0,741 | 0,718 | 0,718 | 0,045 |
| 5,500 | 46,235 | 99,031 | -7,876 | skid front(in) | ##### | 6,600 | 0,000 | 1,000 | 100,000 | 0,000 | 0,383 | 0,741 | 0,741 | 0,741 | 0,718 | 0,718 | 0,038 |
| 6,000 | 45,118 | 99,031 | -7,875 | skid front(in) | ##### | 6,600 | 0,000 | 1,000 | 100,000 | 0,000 | 0,423 | 0,741 | 0,741 | 0,741 | 0,718 | 0,718 | 0,039 |
| 6,500 | 43,972 | 99,031 | -7,873 | skid front(in) | ##### | 6,600 | 0,000 | 1,000 | 100,000 | 0,000 | 0,463 | 0,741 | 0,741 | 0,741 | 0,718 | 0,718 | 0,040 |
| 7,000 | 42,796 | 99,031 | -7,872 | skid front(in) | ##### | 6,600 | 0,000 | 1,000 | 100,000 | 0,000 | 0,505 | 0,741 | 0,741 | 0,741 | 0,718 | 0,718 | 0,041 |
| 7,500 | 41,587 | 99,031 | -7,870 | skid front(in) | ##### | 6,600 | 0,000 | 1,000 | 100,000 | 0,000 | 0,547 | 0,741 | 0,741 | 0,741 | 0,718 | 0,718 | 0,043 |
| 8,000 | 40,343 | 99,032 | -7,869 | skid front(in) | ##### | 6,600 | 0,000 | 1,000 | 100,000 | 0,000 | 0,591 | 0,741 | 0,741 | 0,741 | 0,718 | 0,718 | 0,044 |
| 8,500 | 39,058 | 99,032 | -7,867 | skid front(in) | ##### | 6,600 | 0,000 | 1,000 | 100,000 | 0,000 | 0,636 | 0,741 | 0,741 | 0,741 | 0,718 | 0,718 | 0,045 |
| 9,000 | 37,731 | 99,032 | -7,866 | skid front(in) | ##### | 6,600 | 0,000 | 1,000 | 100,000 | 0,000 | 0,683 | 0,741 | 0,741 | 0,741 | 0,718 | 0,718 | 0,047 |
| 9,500 | 36,355 | 99,032 | -7,865 | skid front(in) | ##### | 6,600 | 0,000 | 1,000 | 100,000 | 0,001 | 0,732 | 0,741 | 0,741 | 0,741 | 0,718 | 0,718 | 0,049 |
| 10,000 | 34,925 | 99,032 | -7,863 | skid front(in) | ##### | 6,600 | 0,000 | 1,000 | 100,000 | 0,000 | 0,782 | 0,741 | 0,741 | 0,741 | 0,718 | 0,718 | 0,051 |
| 10,500 | 33,434 | 99,032 | -7,862 | skid front(in) | ##### | 6,600 | 0,000 | 1,000 | 100,000 | 0,000 | 0,835 | 0,741 | 0,741 | 0,741 | 0,718 | 0,718 | 0,053 |
| 11,000 | 31,874 | 99,032 | -7,860 | skid front(in) | ##### | 6,600 | 0,000 | 1,000 | 100,000 | 0,001 | 0,890 | 0,741 | 0,741 | 0,741 | 0,718 | 0,718 | 0,055 |
| 11,500 | 30,234 | 99,032 | -7,859 | skid front(in) | ##### | 6,600 | 0,000 | 1,000 | 100,000 | 0,000 | 0,948 | 0,741 | 0,741 | 0,741 | 0,718 | 0,718 | 0,058 |
| 12,000 | 28,500 | 99,032 | -7,858 | skid front(in) | ##### | 6,600 | 0,000 | 1,000 | 100,000 | -0,001 | 1,009 | 0,741 | 0,741 | 0,741 | 0,718 | 0,718 | 0,061 |
| 12,500 | 26,654 | 99,017 | -7,854 | skid front(out) | ##### | 6,600 | 0,000 | 1,000 | 100,000 | -2,248 | 1,075 | 0,741 | 0,741 | 0,741 | 0,718 | 0,718 | 0,065 |
| 13,000 | 24,670 | 99,042 | -7,855 | skid front(out) | ##### | 6,600 | 0,000 | 1,000 | 100,000 | -1,357 | 1,145 | 0,741 | 0,741 | 0,741 | 0,718 | 0,718 | 0,070 |
| 13,500 | 22,513 | 99,044 | -7,851 | skid front(out) | ##### | 6,600 | 0,000 | 1,000 | 100,000 | -4,581 | 1,221 | 0,741 | 0,741 | 0,741 | 0,718 | 0,718 | 0,076 |
| 14,000 | 20,127 | 99,021 | -7,849 | skid front(out) | ##### | 6,600 | 0,000 | 1,000 | 100,000 | -3,137 | 1,306 | 0,741 | 0,741 | 0,741 | 0,718 | 0,718 | 0,084 |
| 14,500 | 17,416 | 99,000 | -7,848 | skid front(out) | ##### | 6,600 | 0,000 | 1,000 | 100,000 | 0,158 | 1,401 | 0,741 | 0,741 | 0,741 | 0,718 | 0,718 | 0,096 |

Προσδιορισμός Τιμών Πρόσφυσης κατά την Πέδηση Οχημάτων Εφοδιασμένων με Σύστημα ABS σε Αυξημένες κατά Μήκος Κλίσεις

| | | | | | | | | | | | | | | | | | |
|--------|--------|--------|--------|-----------------|-------|-------|-------|-------|---------|--------|-------|-------|-------|-------|-------|-------|-------|
| 15,000 | 14,199 | 99,014 | -7,846 | skid front(out) | ##### | 6,600 | 0,000 | 1,000 | 100,000 | -2,953 | 1,515 | 0,741 | 0,741 | 0,741 | 0,718 | 0,718 | 0,114 |
| 15,500 | 9,995 | 98,999 | -7,845 | skid front(out) | ##### | 6,600 | 0,000 | 1,000 | 100,000 | -0,816 | 1,664 | 0,741 | 0,741 | 0,741 | 0,718 | 0,718 | 0,149 |
| 15,900 | 4,306 | 99,032 | -7,845 | skid front(out) | ##### | 6,600 | 0,000 | 1,000 | 100,000 | -2,382 | 1,866 | 0,741 | 0,741 | 0,741 | 0,718 | 0,718 | 0,201 |

| run_v_d ntua 8 | | R(m) | br.front (%) | s(%) | e (%) | coeff | effic (%) | time (sec) | | | | | | | | | |
|----------------|----------|-----------|--------------|-----------------|-------|--------|-----------|------------|-----------|-----------|------------|-------|-----------|----------|----------|---------|-----------|
| s= | 100,000 | ##### | 67,50 | -5,3 | 0,0 | 1,00 | 100 | 2,920 | | | | | | | | | |
| step= | 0,100 | viewstep= | 0,500 | STEPS | | | | | | | | | | | | | |
| s (m) | V (km/h) | n (%) | dv/dt | skid check | R(m) | s(%) | e (%) | coeff | effic (%) | decelera | time (sec) | fT | front out | front in | rear out | rear in | checktime |
| 27,300 | 1,724 | 98,995 | -6,061 | skid front(out) | ##### | -5,300 | 0,000 | 1,000 | 100,000 | -4,466497 | 2,920 | 0,678 | 0,6777 | 0,6777 | 0,6571 | 0,6571 | |
| 0,000 | 65,700 | 99,007 | -6,127 | O.K | ##### | -5,300 | 0,000 | 1,000 | 100,000 | 0,000 | 0,000 | 0,678 | | | | | |
| 0,400 | 65,215 | 99,000 | -6,126 | skid front(in) | ##### | -5,300 | 0,000 | 1,000 | 100,000 | 0,000 | 0,022 | 0,678 | 0,678 | 0,678 | 0,658 | 0,658 | 0,022 |
| 1,000 | 64,480 | 99,000 | -6,125 | skid front(in) | ##### | -5,300 | 0,000 | 1,000 | 100,000 | 0,000 | 0,055 | 0,678 | 0,678 | 0,678 | 0,658 | 0,658 | 0,033 |
| 1,500 | 63,862 | 99,000 | -6,123 | skid front(in) | ##### | -5,300 | 0,000 | 1,000 | 100,000 | 0,000 | 0,083 | 0,678 | 0,678 | 0,678 | 0,658 | 0,658 | 0,028 |
| 2,000 | 63,238 | 99,000 | -6,122 | skid front(in) | ##### | -5,300 | 0,000 | 1,000 | 100,000 | 0,000 | 0,112 | 0,678 | 0,678 | 0,678 | 0,658 | 0,658 | 0,028 |
| 2,500 | 62,607 | 99,000 | -6,121 | skid front(in) | ##### | -5,300 | 0,000 | 1,000 | 100,000 | 0,000 | 0,140 | 0,678 | 0,678 | 0,678 | 0,658 | 0,658 | 0,029 |
| 3,000 | 61,970 | 99,000 | -6,120 | skid front(in) | ##### | -5,300 | 0,000 | 1,000 | 100,000 | 0,000 | 0,169 | 0,678 | 0,678 | 0,678 | 0,658 | 0,658 | 0,029 |
| 3,500 | 61,327 | 99,000 | -6,119 | skid front(in) | ##### | -5,300 | 0,000 | 1,000 | 100,000 | 0,000 | 0,198 | 0,678 | 0,678 | 0,678 | 0,658 | 0,658 | 0,029 |
| 4,000 | 60,677 | 99,000 | -6,118 | skid front(in) | ##### | -5,300 | 0,000 | 1,000 | 100,000 | 0,000 | 0,228 | 0,678 | 0,678 | 0,678 | 0,658 | 0,658 | 0,030 |
| 4,400 | 60,152 | 99,000 | -6,117 | skid front(in) | ##### | -5,300 | 0,000 | 1,000 | 100,000 | 0,000 | 0,252 | 0,678 | 0,678 | 0,678 | 0,658 | 0,658 | 0,024 |
| 5,000 | 59,356 | 99,000 | -6,115 | skid front(in) | ##### | -5,300 | 0,000 | 1,000 | 100,000 | 0,000 | 0,288 | 0,678 | 0,678 | 0,678 | 0,658 | 0,658 | 0,036 |
| 5,500 | 58,685 | 99,000 | -6,114 | skid front(in) | ##### | -5,300 | 0,000 | 1,000 | 100,000 | 0,000 | 0,318 | 0,678 | 0,678 | 0,678 | 0,658 | 0,658 | 0,030 |
| 6,000 | 58,006 | 99,000 | -6,113 | skid front(in) | ##### | -5,300 | 0,000 | 1,000 | 100,000 | 0,000 | 0,349 | 0,678 | 0,678 | 0,678 | 0,658 | 0,658 | 0,031 |
| 6,500 | 57,319 | 99,000 | -6,112 | skid front(in) | ##### | -5,300 | 0,000 | 1,000 | 100,000 | 0,000 | 0,380 | 0,678 | 0,678 | 0,678 | 0,658 | 0,658 | 0,031 |
| 7,000 | 56,624 | 99,000 | -6,111 | skid front(in) | ##### | -5,300 | 0,000 | 1,000 | 100,000 | 0,000 | 0,412 | 0,678 | 0,678 | 0,678 | 0,658 | 0,658 | 0,032 |
| 7,500 | 55,920 | 99,001 | -6,110 | skid front(in) | ##### | -5,300 | 0,000 | 1,000 | 100,000 | 0,000 | 0,444 | 0,678 | 0,678 | 0,678 | 0,658 | 0,658 | 0,032 |
| 8,000 | 55,208 | 99,001 | -6,109 | skid front(in) | ##### | -5,300 | 0,000 | 1,000 | 100,000 | 0,000 | 0,476 | 0,678 | 0,678 | 0,678 | 0,658 | 0,658 | 0,032 |
| 8,500 | 54,486 | 99,001 | -6,108 | skid front(in) | ##### | -5,300 | 0,000 | 1,000 | 100,000 | 0,000 | 0,509 | 0,678 | 0,678 | 0,678 | 0,658 | 0,658 | 0,033 |
| 9,000 | 53,755 | 99,001 | -6,106 | skid front(in) | ##### | -5,300 | 0,000 | 1,000 | 100,000 | 0,000 | 0,542 | 0,678 | 0,678 | 0,678 | 0,658 | 0,658 | 0,033 |
| 9,500 | 53,014 | 99,001 | -6,105 | skid front(in) | ##### | -5,300 | 0,000 | 1,000 | 100,000 | 0,000 | 0,576 | 0,678 | 0,678 | 0,678 | 0,658 | 0,658 | 0,034 |
| 10,000 | 52,262 | 99,001 | -6,104 | skid front(in) | ##### | -5,300 | 0,000 | 1,000 | 100,000 | 0,000 | 0,610 | 0,678 | 0,678 | 0,678 | 0,658 | 0,658 | 0,034 |
| 10,500 | 51,500 | 99,001 | -6,103 | skid front(in) | ##### | -5,300 | 0,000 | 1,000 | 100,000 | 0,000 | 0,645 | 0,678 | 0,678 | 0,678 | 0,658 | 0,658 | 0,035 |
| 11,000 | 50,726 | 99,001 | -6,102 | skid front(in) | ##### | -5,300 | 0,000 | 1,000 | 100,000 | 0,000 | 0,680 | 0,678 | 0,678 | 0,678 | 0,658 | 0,658 | 0,035 |
| 11,500 | 49,941 | 99,001 | -6,101 | skid front(in) | ##### | -5,300 | 0,000 | 1,000 | 100,000 | 0,000 | 0,716 | 0,678 | 0,678 | 0,678 | 0,658 | 0,658 | 0,036 |
| 12,000 | 49,143 | 99,001 | -6,100 | skid front(in) | ##### | -5,300 | 0,000 | 1,000 | 100,000 | 0,000 | 0,752 | 0,678 | 0,678 | 0,678 | 0,658 | 0,658 | 0,036 |
| 12,500 | 48,332 | 99,001 | -6,098 | skid front(in) | ##### | -5,300 | 0,000 | 1,000 | 100,000 | 0,000 | 0,789 | 0,678 | 0,678 | 0,678 | 0,658 | 0,658 | 0,037 |
| 13,000 | 47,507 | 99,001 | -6,097 | skid front(in) | ##### | -5,300 | 0,000 | 1,000 | 100,000 | 0,000 | 0,827 | 0,678 | 0,678 | 0,678 | 0,658 | 0,658 | 0,038 |
| 13,500 | 46,668 | 99,001 | -6,096 | skid front(in) | ##### | -5,300 | 0,000 | 1,000 | 100,000 | 0,000 | 0,865 | 0,678 | 0,678 | 0,678 | 0,658 | 0,658 | 0,038 |
| 14,000 | 45,814 | 99,001 | -6,095 | skid front(in) | ##### | -5,300 | 0,000 | 1,000 | 100,000 | 0,000 | 0,904 | 0,678 | 0,678 | 0,678 | 0,658 | 0,658 | 0,039 |
| 14,500 | 44,944 | 99,002 | -6,094 | skid front(in) | ##### | -5,300 | 0,000 | 1,000 | 100,000 | 0,000 | 0,944 | 0,678 | 0,678 | 0,678 | 0,658 | 0,658 | 0,040 |
| 15,000 | 44,057 | 99,002 | -6,093 | skid front(in) | ##### | -5,300 | 0,000 | 1,000 | 100,000 | 0,000 | 0,984 | 0,678 | 0,678 | 0,678 | 0,658 | 0,658 | 0,040 |
| 15,500 | 43,151 | 99,002 | -6,092 | skid front(in) | ##### | -5,300 | 0,000 | 1,000 | 100,000 | 0,000 | 1,025 | 0,678 | 0,678 | 0,678 | 0,658 | 0,658 | 0,041 |
| 16,000 | 42,227 | 99,002 | -6,091 | skid front(in) | ##### | -5,300 | 0,000 | 1,000 | 100,000 | 0,000 | 1,068 | 0,678 | 0,678 | 0,678 | 0,658 | 0,658 | 0,042 |

Προσδιορισμός Τιμών Πρόσφυσης κατά την Πέδηση Οχημάτων Εφοδιασμένων με Σύστημα ABS σε Αυξημένες κατά Μήκος Κλίσεις

| | | | | | | | | | | | | | | | | | |
|--------|--------|--------|--------|-----------------|-------|--------|-------|-------|---------|--------|-------|-------|-------|-------|-------|-------|-------|
| 16,500 | 41,282 | 99,002 | -6,089 | skid front(in) | ##### | -5,300 | 0,000 | 1,000 | 100,000 | 0,000 | 1,111 | 0,678 | 0,678 | 0,678 | 0,658 | 0,658 | 0,043 |
| 17,000 | 40,314 | 99,002 | -6,088 | skid front(in) | ##### | -5,300 | 0,000 | 1,000 | 100,000 | 0,000 | 1,155 | 0,678 | 0,678 | 0,678 | 0,658 | 0,658 | 0,044 |
| 17,500 | 39,324 | 99,002 | -6,087 | skid front(in) | ##### | -5,300 | 0,000 | 1,000 | 100,000 | 0,000 | 1,200 | 0,678 | 0,678 | 0,678 | 0,658 | 0,658 | 0,045 |
| 18,000 | 38,308 | 99,002 | -6,086 | skid front(in) | ##### | -5,300 | 0,000 | 1,000 | 100,000 | 0,000 | 1,246 | 0,678 | 0,678 | 0,678 | 0,658 | 0,658 | 0,046 |
| 18,500 | 37,264 | 99,002 | -6,085 | skid front(in) | ##### | -5,300 | 0,000 | 1,000 | 100,000 | 0,000 | 1,294 | 0,678 | 0,678 | 0,678 | 0,658 | 0,658 | 0,048 |
| 18,900 | 36,408 | 99,002 | -6,084 | skid front(in) | ##### | -5,300 | 0,000 | 1,000 | 100,000 | 0,000 | 1,333 | 0,678 | 0,678 | 0,678 | 0,658 | 0,658 | 0,039 |
| 19,500 | 35,084 | 99,002 | -6,083 | skid front(in) | ##### | -5,300 | 0,000 | 1,000 | 100,000 | 0,000 | 1,394 | 0,678 | 0,678 | 0,678 | 0,658 | 0,658 | 0,060 |
| 20,000 | 33,943 | 99,002 | -6,081 | skid front(in) | ##### | -5,300 | 0,000 | 1,000 | 100,000 | 0,000 | 1,446 | 0,678 | 0,678 | 0,678 | 0,658 | 0,658 | 0,052 |
| 20,500 | 32,761 | 99,002 | -6,080 | skid front(in) | ##### | -5,300 | 0,000 | 1,000 | 100,000 | 0,001 | 1,500 | 0,678 | 0,678 | 0,678 | 0,658 | 0,658 | 0,054 |
| 21,000 | 31,536 | 99,002 | -6,079 | skid front(in) | ##### | -5,300 | 0,000 | 1,000 | 100,000 | 0,001 | 1,556 | 0,678 | 0,678 | 0,678 | 0,658 | 0,658 | 0,056 |
| 21,500 | 30,261 | 99,002 | -6,078 | skid front(in) | ##### | -5,300 | 0,000 | 1,000 | 100,000 | 0,001 | 1,614 | 0,678 | 0,678 | 0,678 | 0,658 | 0,658 | 0,058 |
| 22,000 | 28,930 | 99,003 | -6,077 | skid front(in) | ##### | -5,300 | 0,000 | 1,000 | 100,000 | 0,001 | 1,675 | 0,678 | 0,678 | 0,678 | 0,658 | 0,658 | 0,061 |
| 22,500 | 27,535 | 99,003 | -6,076 | skid front(in) | ##### | -5,300 | 0,000 | 1,000 | 100,000 | 0,000 | 1,739 | 0,678 | 0,678 | 0,678 | 0,658 | 0,658 | 0,064 |
| 23,000 | 26,067 | 98,987 | -6,073 | skid front(out) | ##### | -5,300 | 0,000 | 1,000 | 100,000 | -0,389 | 1,806 | 0,678 | 0,678 | 0,678 | 0,657 | 0,657 | 0,067 |
| 23,500 | 24,510 | 99,014 | -6,072 | skid front(out) | ##### | -5,300 | 0,000 | 1,000 | 100,000 | -2,915 | 1,877 | 0,678 | 0,678 | 0,678 | 0,657 | 0,657 | 0,071 |
| 24,000 | 22,849 | 98,998 | -6,071 | skid front(out) | ##### | -5,300 | 0,000 | 1,000 | 100,000 | -1,640 | 1,953 | 0,678 | 0,678 | 0,678 | 0,657 | 0,657 | 0,076 |
| 24,500 | 21,056 | 99,000 | -6,069 | skid front(out) | ##### | -5,300 | 0,000 | 1,000 | 100,000 | -2,532 | 2,035 | 0,678 | 0,678 | 0,678 | 0,657 | 0,657 | 0,082 |
| 25,000 | 19,097 | 98,990 | -6,067 | skid front(out) | ##### | -5,300 | 0,000 | 1,000 | 100,000 | -2,764 | 2,125 | 0,678 | 0,678 | 0,678 | 0,657 | 0,657 | 0,090 |
| 25,500 | 16,913 | 99,033 | -6,068 | skid front(out) | ##### | -5,300 | 0,000 | 1,000 | 100,000 | -3,946 | 2,225 | 0,678 | 0,678 | 0,678 | 0,658 | 0,658 | 0,100 |
| 26,000 | 14,401 | 98,995 | -6,066 | skid front(out) | ##### | -5,300 | 0,000 | 1,000 | 100,000 | -2,377 | 2,339 | 0,678 | 0,678 | 0,678 | 0,657 | 0,657 | 0,115 |
| 26,500 | 11,348 | 99,012 | -6,066 | skid front(out) | ##### | -5,300 | 0,000 | 1,000 | 100,000 | -1,811 | 2,479 | 0,678 | 0,678 | 0,678 | 0,658 | 0,658 | 0,140 |
| 27,000 | 7,082 | 99,014 | -6,063 | skid front(out) | ##### | -5,300 | 0,000 | 1,000 | 100,000 | -5,572 | 2,675 | 0,678 | 0,678 | 0,678 | 0,657 | 0,657 | 0,195 |
| 27,300 | 1,724 | 98,995 | -6,061 | skid front(out) | ##### | -5,300 | 0,000 | 1,000 | 100,000 | -4,466 | 2,920 | 0,678 | 0,678 | 0,678 | 0,657 | 0,657 | 0,246 |

| run | v | d | ntua | 9 | R(m) | br.front (%) | s(%) | e (%) | coeff | effic (%) | time (sec) | | | | | | checktime | |
|--------|----------|--------|--------|-----------------|-----------|--------------|-------|-------|-----------|-----------|------------|-------|-----------|----------|----------|---------|-----------|-------|
| s= | 100,000 | | | | ##### | 67,50 | -5,3 | 0,0 | 1,00 | 100 | 2,202 | | | | | | | 0,963 |
| step= | 0,100 | | | | viewstep= | 0,500 | STEPS | | | | | | | | | | | |
| s (m) | V (km/h) | n (%) | dv/dt | skid check | R(m) | s(%) | e (%) | coeff | effic (%) | decelera | time (sec) | fT | front out | front in | rear out | rear in | checktime | |
| 16,700 | 3,237 | 98,998 | -6,062 | skid front(out) | ##### | -5,300 | 0,000 | 1,000 | 100,000 | -4,295206 | 2,202 | 0,678 | 0,6777 | 0,6777 | 0,6571 | 0,6571 | | |
| 0,000 | 51,420 | 99,006 | -6,103 | O.K | ##### | -5,300 | 0,000 | 1,000 | 100,000 | 0,000 | 0,000 | 0,678 | | | | | | |
| 0,400 | 50,801 | 99,001 | -6,102 | skid front(in) | ##### | -5,300 | 0,000 | 1,000 | 100,000 | 0,000 | 0,028 | 0,678 | 0,678 | 0,678 | 0,658 | 0,658 | 0,028 | |
| 1,000 | 49,858 | 99,001 | -6,101 | skid front(in) | ##### | -5,300 | 0,000 | 1,000 | 100,000 | 0,000 | 0,071 | 0,678 | 0,678 | 0,678 | 0,658 | 0,658 | 0,043 | |
| 1,500 | 49,059 | 99,001 | -6,099 | skid front(in) | ##### | -5,300 | 0,000 | 1,000 | 100,000 | 0,000 | 0,107 | 0,678 | 0,678 | 0,678 | 0,658 | 0,658 | 0,036 | |
| 2,000 | 48,247 | 99,001 | -6,098 | skid front(in) | ##### | -5,300 | 0,000 | 1,000 | 100,000 | 0,000 | 0,144 | 0,678 | 0,678 | 0,678 | 0,658 | 0,658 | 0,037 | |
| 2,500 | 47,421 | 99,001 | -6,097 | skid front(in) | ##### | -5,300 | 0,000 | 1,000 | 100,000 | 0,000 | 0,182 | 0,678 | 0,678 | 0,678 | 0,658 | 0,658 | 0,038 | |
| 3,000 | 46,580 | 99,001 | -6,096 | skid front(in) | ##### | -5,300 | 0,000 | 1,000 | 100,000 | 0,000 | 0,220 | 0,678 | 0,678 | 0,678 | 0,658 | 0,658 | 0,038 | |
| 3,500 | 45,724 | 99,002 | -6,095 | skid front(in) | ##### | -5,300 | 0,000 | 1,000 | 100,000 | 0,000 | 0,259 | 0,678 | 0,678 | 0,678 | 0,658 | 0,658 | 0,039 | |
| 4,000 | 44,852 | 99,002 | -6,094 | skid front(in) | ##### | -5,300 | 0,000 | 1,000 | 100,000 | 0,000 | 0,299 | 0,678 | 0,678 | 0,678 | 0,658 | 0,658 | 0,040 | |
| 4,400 | 44,143 | 99,002 | -6,093 | skid front(in) | ##### | -5,300 | 0,000 | 1,000 | 100,000 | 0,000 | 0,332 | 0,678 | 0,678 | 0,678 | 0,658 | 0,658 | 0,032 | |
| 5,000 | 43,056 | 99,002 | -6,092 | skid front(in) | ##### | -5,300 | 0,000 | 1,000 | 100,000 | 0,000 | 0,381 | 0,678 | 0,678 | 0,678 | 0,658 | 0,658 | 0,050 | |
| 5,500 | 42,129 | 99,002 | -6,090 | skid front(in) | ##### | -5,300 | 0,000 | 1,000 | 100,000 | 0,000 | 0,423 | 0,678 | 0,678 | 0,678 | 0,658 | 0,658 | 0,042 | |
| 6,000 | 41,182 | 99,002 | -6,089 | skid front(in) | ##### | -5,300 | 0,000 | 1,000 | 100,000 | 0,000 | 0,467 | 0,678 | 0,678 | 0,678 | 0,658 | 0,658 | 0,043 | |
| 6,500 | 40,212 | 99,002 | -6,088 | skid front(in) | ##### | -5,300 | 0,000 | 1,000 | 100,000 | 0,000 | 0,511 | 0,678 | 0,678 | 0,678 | 0,658 | 0,658 | 0,044 | |
| 7,000 | 39,219 | 99,002 | -6,087 | skid front(in) | ##### | -5,300 | 0,000 | 1,000 | 100,000 | 0,000 | 0,556 | 0,678 | 0,678 | 0,678 | 0,658 | 0,658 | 0,045 | |
| 7,500 | 38,200 | 99,002 | -6,086 | skid front(in) | ##### | -5,300 | 0,000 | 1,000 | 100,000 | 0,000 | 0,603 | 0,678 | 0,678 | 0,678 | 0,658 | 0,658 | 0,046 | |
| 8,000 | 37,154 | 99,002 | -6,085 | skid front(in) | ##### | -5,300 | 0,000 | 1,000 | 100,000 | 0,000 | 0,650 | 0,678 | 0,678 | 0,678 | 0,658 | 0,658 | 0,048 | |
| 8,500 | 36,077 | 99,002 | -6,084 | skid front(in) | ##### | -5,300 | 0,000 | 1,000 | 100,000 | 0,001 | 0,700 | 0,678 | 0,678 | 0,678 | 0,658 | 0,658 | 0,049 | |
| 9,000 | 34,967 | 99,002 | -6,082 | skid front(in) | ##### | -5,300 | 0,000 | 1,000 | 100,000 | 0,000 | 0,750 | 0,678 | 0,678 | 0,678 | 0,658 | 0,658 | 0,051 | |

Προσδιορισμός Τιμών Πρόσφυσης κατά την Πέδηση Οχημάτων Εφοδιασμένων με Σύστημα ABS σε Αυξημένες κατά Μήκος Κλίσεις

| | | | | | | | | | | | | | | | | | |
|--------|--------|--------|--------|-----------------|-------|--------|-------|-------|---------|--------|-------|-------|-------|-------|-------|-------|-------|
| 9,500 | 33,821 | 99,002 | -6,081 | skid front(in) | ##### | -5,300 | 0,000 | 1,000 | 100,000 | 0,000 | 0,803 | 0,678 | 0,678 | 0,678 | 0,658 | 0,658 | 0,052 |
| 10,000 | 32,636 | 99,002 | -6,080 | skid front(in) | ##### | -5,300 | 0,000 | 1,000 | 100,000 | 0,000 | 0,857 | 0,678 | 0,678 | 0,678 | 0,658 | 0,658 | 0,054 |
| 10,500 | 31,405 | 99,002 | -6,079 | skid front(in) | ##### | -5,300 | 0,000 | 1,000 | 100,000 | 0,000 | 0,913 | 0,678 | 0,678 | 0,678 | 0,658 | 0,658 | 0,056 |
| 11,000 | 30,125 | 99,003 | -6,078 | skid front(in) | ##### | -5,300 | 0,000 | 1,000 | 100,000 | 0,000 | 0,971 | 0,678 | 0,678 | 0,678 | 0,658 | 0,658 | 0,059 |
| 11,500 | 28,788 | 99,003 | -6,077 | skid front(in) | ##### | -5,300 | 0,000 | 1,000 | 100,000 | 0,000 | 1,033 | 0,678 | 0,678 | 0,678 | 0,658 | 0,658 | 0,061 |
| 12,000 | 27,386 | 99,003 | -6,076 | skid front(in) | ##### | -5,300 | 0,000 | 1,000 | 100,000 | -0,001 | 1,097 | 0,678 | 0,678 | 0,678 | 0,658 | 0,658 | 0,064 |
| 12,500 | 25,909 | 99,014 | -6,074 | skid front(out) | ##### | -5,300 | 0,000 | 1,000 | 100,000 | -2,650 | 1,164 | 0,678 | 0,678 | 0,678 | 0,657 | 0,657 | 0,068 |
| 13,000 | 24,342 | 98,997 | -6,071 | skid front(out) | ##### | -5,300 | 0,000 | 1,000 | 100,000 | -3,422 | 1,236 | 0,678 | 0,678 | 0,678 | 0,657 | 0,657 | 0,072 |
| 13,500 | 22,668 | 98,999 | -6,071 | skid front(out) | ##### | -5,300 | 0,000 | 1,000 | 100,000 | -2,106 | 1,312 | 0,678 | 0,678 | 0,678 | 0,657 | 0,657 | 0,077 |
| 14,000 | 20,861 | 98,989 | -6,070 | skid front(out) | ##### | -5,300 | 0,000 | 1,000 | 100,000 | 0,004 | 1,395 | 0,678 | 0,678 | 0,678 | 0,657 | 0,657 | 0,083 |
| 14,500 | 18,881 | 98,998 | -6,070 | skid front(out) | ##### | -5,300 | 0,000 | 1,000 | 100,000 | -0,108 | 1,486 | 0,678 | 0,678 | 0,678 | 0,658 | 0,658 | 0,091 |
| 15,000 | 16,668 | 99,028 | -6,069 | skid front(out) | ##### | -5,300 | 0,000 | 1,000 | 100,000 | -2,684 | 1,587 | 0,678 | 0,678 | 0,678 | 0,658 | 0,658 | 0,101 |
| 15,500 | 14,113 | 99,010 | -6,068 | skid front(out) | ##### | -5,300 | 0,000 | 1,000 | 100,000 | -1,075 | 1,704 | 0,678 | 0,678 | 0,678 | 0,658 | 0,658 | 0,117 |
| 16,000 | 10,979 | 99,048 | -6,066 | skid front(out) | ##### | -5,300 | 0,000 | 1,000 | 100,000 | -5,528 | 1,847 | 0,678 | 0,678 | 0,678 | 0,658 | 0,658 | 0,143 |
| 16,500 | 6,475 | 98,998 | -6,064 | skid front(out) | ##### | -5,300 | 0,000 | 1,000 | 100,000 | -2,022 | 2,054 | 0,678 | 0,678 | 0,678 | 0,657 | 0,657 | 0,206 |
| 16,700 | 3,237 | 98,998 | -6,062 | skid front(out) | ##### | -5,300 | 0,000 | 1,000 | 100,000 | -4,295 | 2,202 | 0,678 | 0,678 | 0,678 | 0,657 | 0,657 | 0,148 |

| run_v_d_ntua_10 | R(m) | br.front (%) | s(%) | e (%) | coeff | effic (%) | time (sec) | | | | | | | | | | |
|-----------------|-----------|--------------|--------|-----------------|-------|-----------|------------|-------|-----------|-----------|------------|-------|-----------|----------|----------|---------|-----------|
| s= 100,000 | ##### | 67,50 | -5,3 | 0,0 | 1,00 | 100 | 2,472 | | | | | | | | | 0,963 | |
| step= 0,100 | viewstep= | 0,500 | STEPS | | | | | | | | | | | | | | |
| s (m) | V (km/h) | n (%) | dv/dt | skid check | R(m) | s(%) | e (%) | coeff | effic (%) | decelera | time (sec) | fT | front out | front in | rear out | rear in | checktime |
| 21,000 | 3,565 | 98,962 | -6,062 | skid front(out) | ##### | -5,300 | 0,000 | 1,000 | 100,000 | -1.026923 | 2,472 | 0,678 | 0,6777 | 0,6777 | 0,6571 | 0,6571 | |
| 0,000 | 57,680 | 99,006 | -6,113 | O.K | ##### | -5,300 | 0,000 | 1,000 | 100,000 | 0,000 | 0,000 | 0,678 | | | | | |
| 0,400 | 57,128 | 99,000 | -6,112 | skid front(in) | ##### | -5,300 | 0,000 | 1,000 | 100,000 | 0,000 | 0,025 | 0,678 | 0,678 | 0,678 | 0,658 | 0,658 | 0,025 |
| 1,000 | 56,290 | 99,001 | -6,110 | skid front(in) | ##### | -5,300 | 0,000 | 1,000 | 100,000 | 0,000 | 0,063 | 0,678 | 0,678 | 0,678 | 0,658 | 0,658 | 0,038 |
| 1,500 | 55,582 | 99,001 | -6,109 | skid front(in) | ##### | -5,300 | 0,000 | 1,000 | 100,000 | 0,000 | 0,095 | 0,678 | 0,678 | 0,678 | 0,658 | 0,658 | 0,032 |
| 2,000 | 54,865 | 99,001 | -6,108 | skid front(in) | ##### | -5,300 | 0,000 | 1,000 | 100,000 | 0,000 | 0,128 | 0,678 | 0,678 | 0,678 | 0,658 | 0,658 | 0,033 |
| 2,500 | 54,139 | 99,001 | -6,107 | skid front(in) | ##### | -5,300 | 0,000 | 1,000 | 100,000 | 0,000 | 0,161 | 0,678 | 0,678 | 0,678 | 0,658 | 0,658 | 0,033 |
| 3,000 | 53,403 | 99,001 | -6,106 | skid front(in) | ##### | -5,300 | 0,000 | 1,000 | 100,000 | 0,000 | 0,194 | 0,678 | 0,678 | 0,678 | 0,658 | 0,658 | 0,033 |
| 3,500 | 52,657 | 99,001 | -6,105 | skid front(in) | ##### | -5,300 | 0,000 | 1,000 | 100,000 | 0,000 | 0,228 | 0,678 | 0,678 | 0,678 | 0,658 | 0,658 | 0,034 |
| 4,000 | 51,901 | 99,001 | -6,104 | skid front(in) | ##### | -5,300 | 0,000 | 1,000 | 100,000 | 0,000 | 0,263 | 0,678 | 0,678 | 0,678 | 0,658 | 0,658 | 0,034 |
| 4,400 | 51,288 | 99,001 | -6,103 | skid front(in) | ##### | -5,300 | 0,000 | 1,000 | 100,000 | 0,000 | 0,291 | 0,678 | 0,678 | 0,678 | 0,658 | 0,658 | 0,028 |
| 5,000 | 50,354 | 99,001 | -6,101 | skid front(in) | ##### | -5,300 | 0,000 | 1,000 | 100,000 | 0,000 | 0,333 | 0,678 | 0,678 | 0,678 | 0,658 | 0,658 | 0,043 |
| 5,500 | 49,563 | 99,001 | -6,100 | skid front(in) | ##### | -5,300 | 0,000 | 1,000 | 100,000 | 0,000 | 0,369 | 0,678 | 0,678 | 0,678 | 0,658 | 0,658 | 0,036 |
| 6,000 | 48,759 | 99,001 | -6,099 | skid front(in) | ##### | -5,300 | 0,000 | 1,000 | 100,000 | 0,000 | 0,406 | 0,678 | 0,678 | 0,678 | 0,658 | 0,658 | 0,037 |
| 6,500 | 47,941 | 99,001 | -6,098 | skid front(in) | ##### | -5,300 | 0,000 | 1,000 | 100,000 | 0,000 | 0,443 | 0,678 | 0,678 | 0,678 | 0,658 | 0,658 | 0,037 |
| 7,000 | 47,110 | 99,001 | -6,097 | skid front(in) | ##### | -5,300 | 0,000 | 1,000 | 100,000 | 0,000 | 0,481 | 0,678 | 0,678 | 0,678 | 0,658 | 0,658 | 0,038 |
| 7,500 | 46,264 | 99,001 | -6,096 | skid front(in) | ##### | -5,300 | 0,000 | 1,000 | 100,000 | 0,000 | 0,520 | 0,678 | 0,678 | 0,678 | 0,658 | 0,658 | 0,039 |

Προσδιορισμός Τιμών Πρόσφυσης κατά την Πέδηση Οχημάτων Εφοδιασμένων με Σύστημα ABS σε Αυξημένες κατά Μήκος Κλίσεις

| | | | | | | | | | | | | | | | | | |
|--------|--------|--------|--------|-----------------|-------|--------|-------|-------|---------|--------|-------|-------|-------|-------|-------|-------|-------|
| 8,000 | 45,402 | 99,001 | -6,095 | skid front(in) | ##### | -5,300 | 0,000 | 1,000 | 100,000 | 0,000 | 0,559 | 0,678 | 0,678 | 0,678 | 0,658 | 0,658 | 0,039 |
| 8,500 | 44,524 | 99,002 | -6,093 | skid front(in) | ##### | -5,300 | 0,000 | 1,000 | 100,000 | 0,000 | 0,599 | 0,678 | 0,678 | 0,678 | 0,658 | 0,658 | 0,040 |
| 9,000 | 43,628 | 99,002 | -6,092 | skid front(in) | ##### | -5,300 | 0,000 | 1,000 | 100,000 | 0,000 | 0,640 | 0,678 | 0,678 | 0,678 | 0,658 | 0,658 | 0,041 |
| 9,500 | 42,714 | 99,002 | -6,091 | skid front(in) | ##### | -5,300 | 0,000 | 1,000 | 100,000 | 0,000 | 0,681 | 0,678 | 0,678 | 0,678 | 0,658 | 0,658 | 0,042 |
| 10,000 | 41,779 | 99,002 | -6,090 | skid front(in) | ##### | -5,300 | 0,000 | 1,000 | 100,000 | 0,000 | 0,724 | 0,678 | 0,678 | 0,678 | 0,658 | 0,658 | 0,043 |
| 10,500 | 40,824 | 99,002 | -6,089 | skid front(in) | ##### | -5,300 | 0,000 | 1,000 | 100,000 | 0,000 | 0,768 | 0,678 | 0,678 | 0,678 | 0,658 | 0,658 | 0,044 |
| 11,000 | 39,846 | 99,002 | -6,088 | skid front(in) | ##### | -5,300 | 0,000 | 1,000 | 100,000 | 0,000 | 0,812 | 0,678 | 0,678 | 0,678 | 0,658 | 0,658 | 0,045 |
| 11,500 | 38,843 | 99,002 | -6,087 | skid front(in) | ##### | -5,300 | 0,000 | 1,000 | 100,000 | 0,000 | 0,858 | 0,678 | 0,678 | 0,678 | 0,658 | 0,658 | 0,046 |
| 12,000 | 37,814 | 99,002 | -6,085 | skid front(in) | ##### | -5,300 | 0,000 | 1,000 | 100,000 | 0,000 | 0,905 | 0,678 | 0,678 | 0,678 | 0,658 | 0,658 | 0,047 |
| 12,500 | 36,757 | 99,002 | -6,084 | skid front(in) | ##### | -5,300 | 0,000 | 1,000 | 100,000 | 0,000 | 0,953 | 0,678 | 0,678 | 0,678 | 0,658 | 0,658 | 0,048 |
| 13,000 | 35,668 | 99,002 | -6,083 | skid front(in) | ##### | -5,300 | 0,000 | 1,000 | 100,000 | 0,000 | 1,003 | 0,678 | 0,678 | 0,678 | 0,658 | 0,658 | 0,050 |
| 13,500 | 34,545 | 99,002 | -6,082 | skid front(in) | ##### | -5,300 | 0,000 | 1,000 | 100,000 | 0,000 | 1,054 | 0,678 | 0,678 | 0,678 | 0,658 | 0,658 | 0,051 |
| 14,000 | 33,385 | 99,002 | -6,081 | skid front(in) | ##### | -5,300 | 0,000 | 1,000 | 100,000 | 0,000 | 1,107 | 0,678 | 0,678 | 0,678 | 0,658 | 0,658 | 0,053 |
| 14,500 | 32,183 | 99,002 | -6,080 | skid front(in) | ##### | -5,300 | 0,000 | 1,000 | 100,000 | 0,000 | 1,162 | 0,678 | 0,678 | 0,678 | 0,658 | 0,658 | 0,055 |
| 15,000 | 30,935 | 99,002 | -6,079 | skid front(in) | ##### | -5,300 | 0,000 | 1,000 | 100,000 | 0,000 | 1,219 | 0,678 | 0,678 | 0,678 | 0,658 | 0,658 | 0,057 |
| 15,500 | 29,635 | 99,003 | -6,078 | skid front(in) | ##### | -5,300 | 0,000 | 1,000 | 100,000 | 0,001 | 1,279 | 0,678 | 0,678 | 0,678 | 0,658 | 0,658 | 0,059 |
| 16,000 | 28,275 | 99,003 | -6,076 | skid front(in) | ##### | -5,300 | 0,000 | 1,000 | 100,000 | 0,000 | 1,341 | 0,678 | 0,678 | 0,678 | 0,658 | 0,658 | 0,062 |
| 16,500 | 26,846 | 99,030 | -6,074 | skid front(out) | ##### | -5,300 | 0,000 | 1,000 | 100,000 | -4,307 | 1,406 | 0,678 | 0,678 | 0,678 | 0,657 | 0,657 | 0,065 |
| 17,000 | 25,338 | 99,028 | -6,073 | skid front(out) | ##### | -5,300 | 0,000 | 1,000 | 100,000 | -4,213 | 1,475 | 0,678 | 0,678 | 0,678 | 0,657 | 0,657 | 0,069 |
| 17,500 | 23,734 | 98,983 | -6,071 | skid front(out) | ##### | -5,300 | 0,000 | 1,000 | 100,000 | -0,291 | 1,548 | 0,678 | 0,678 | 0,678 | 0,657 | 0,657 | 0,073 |
| 18,000 | 22,013 | 98,987 | -6,070 | skid front(out) | ##### | -5,300 | 0,000 | 1,000 | 100,000 | -1,560 | 1,627 | 0,678 | 0,678 | 0,678 | 0,657 | 0,657 | 0,079 |
| 18,500 | 20,147 | 98,979 | -6,068 | skid front(in) | ##### | -5,300 | 0,000 | 1,000 | 100,000 | -2,172 | 1,712 | 0,678 | 0,678 | 0,678 | 0,657 | 0,657 | 0,085 |
| 18,900 | 18,520 | 99,020 | -6,068 | skid front(out) | ##### | -5,300 | 0,000 | 1,000 | 100,000 | -4,476 | 1,787 | 0,678 | 0,678 | 0,678 | 0,657 | 0,657 | 0,075 |
| 19,500 | 15,767 | 98,988 | -6,066 | skid front(out) | ##### | -5,300 | 0,000 | 1,000 | 100,000 | -2,657 | 1,913 | 0,678 | 0,678 | 0,678 | 0,657 | 0,657 | 0,126 |
| 20,000 | 13,037 | 99,007 | -6,066 | skid front(out) | ##### | -5,300 | 0,000 | 1,000 | 100,000 | -2,569 | 2,038 | 0,678 | 0,678 | 0,678 | 0,657 | 0,657 | 0,125 |
| 20,500 | 9,557 | 99,012 | -6,066 | skid front(out) | ##### | -5,300 | 0,000 | 1,000 | 100,000 | -1,523 | 2,197 | 0,678 | 0,678 | 0,678 | 0,658 | 0,658 | 0,159 |
| 21,000 | 3,565 | 98,962 | -6,062 | skid front(out) | ##### | -5,300 | 0,000 | 1,000 | 100,000 | -1,027 | 2,472 | 0,678 | 0,678 | 0,678 | 0,657 | 0,657 | 0,274 |

| run_v_d_ntua_11 | | R(m) | br.front (%) | s(%) | e (%) | coeff | effic (%) | time (sec) | | | | | | | | | |
|-----------------|----------|-----------|--------------|-----------------|-------|--------|-----------|------------|-----------|-----------|------------|-------|-----------|----------|----------|---------|-----------|
| s= | 100,000 | ##### | 67,50 | -5,3 | 0,0 | 1,00 | 100 | 2,445 | | 0,963 | | | | | | | |
| step= | 0,100 | viewstep= | 0,500 | STEPS | | | | | | | | | | | | | |
| s (m) | V (km/h) | n (%) | dv/dt | skid check | R(m) | s(%) | e (%) | coeff | effic (%) | decelera | time (sec) | fT | front out | front in | rear out | rear in | checktime |
| 19,700 | 2,192 | 99,018 | -6,063 | skid front(out) | ##### | -5,300 | 0,000 | 1,000 | 100,000 | -5,024794 | 2,445 | 0,678 | 0,6778 | 0,6778 | 0,6573 | 0,6573 | |
| 0,000 | 55,720 | 99,006 | -6,110 | O.K | ##### | -5,300 | 0,000 | 1,000 | 100,000 | 0,000 | 0,000 | 0,678 | | | | | |
| 0,400 | 55,149 | 99,001 | -6,109 | skid front(in) | ##### | -5,300 | 0,000 | 1,000 | 100,000 | 0,000 | 0,026 | 0,678 | 0,678 | 0,678 | 0,658 | 0,658 | 0,026 |
| 1,000 | 54,281 | 99,001 | -6,107 | skid front(in) | ##### | -5,300 | 0,000 | 1,000 | 100,000 | 0,000 | 0,065 | 0,678 | 0,678 | 0,678 | 0,658 | 0,658 | 0,039 |
| 1,500 | 53,547 | 99,001 | -6,106 | skid front(in) | ##### | -5,300 | 0,000 | 1,000 | 100,000 | 0,000 | 0,099 | 0,678 | 0,678 | 0,678 | 0,658 | 0,658 | 0,033 |
| 2,000 | 52,803 | 99,001 | -6,105 | skid front(in) | ##### | -5,300 | 0,000 | 1,000 | 100,000 | 0,000 | 0,133 | 0,678 | 0,678 | 0,678 | 0,658 | 0,658 | 0,034 |
| 2,500 | 52,048 | 99,001 | -6,104 | skid front(in) | ##### | -5,300 | 0,000 | 1,000 | 100,000 | 0,000 | 0,167 | 0,678 | 0,678 | 0,678 | 0,658 | 0,658 | 0,034 |
| 3,000 | 51,283 | 99,001 | -6,103 | skid front(in) | ##### | -5,300 | 0,000 | 1,000 | 100,000 | 0,000 | 0,202 | 0,678 | 0,678 | 0,678 | 0,658 | 0,658 | 0,035 |
| 3,500 | 50,506 | 99,001 | -6,102 | skid front(in) | ##### | -5,300 | 0,000 | 1,000 | 100,000 | 0,000 | 0,237 | 0,678 | 0,678 | 0,678 | 0,658 | 0,658 | 0,035 |
| 4,000 | 49,717 | 99,001 | -6,100 | skid front(in) | ##### | -5,300 | 0,000 | 1,000 | 100,000 | 0,000 | 0,273 | 0,678 | 0,678 | 0,678 | 0,658 | 0,658 | 0,036 |

Προσδιορισμός Τιμών Πρόσφυσης κατά την Πέδηση Οχημάτων Εφοδιασμένων με Σύστημα ABS σε Αυξημένες κατά Μήκος Κλίσεις

| | | | | | | | | | | | | | | | | | |
|--------|--------|--------|--------|-----------------|-------|--------|-------|-------|---------|--------|-------|-------|-------|-------|-------|-------|-------|
| 4,400 | 49,077 | 99,001 | -6,100 | skid front(in) | ##### | -5,300 | 0,000 | 1,000 | 100,000 | 0,000 | 0,302 | 0,678 | 0,678 | 0,678 | 0,658 | 0,658 | 0,029 |
| 5,000 | 48,101 | 99,001 | -6,098 | skid front(in) | ##### | -5,300 | 0,000 | 1,000 | 100,000 | 0,000 | 0,347 | 0,678 | 0,678 | 0,678 | 0,658 | 0,658 | 0,044 |
| 5,500 | 47,272 | 99,001 | -6,097 | skid front(in) | ##### | -5,300 | 0,000 | 1,000 | 100,000 | 0,000 | 0,385 | 0,678 | 0,678 | 0,678 | 0,658 | 0,658 | 0,038 |
| 6,000 | 46,429 | 99,001 | -6,096 | skid front(in) | ##### | -5,300 | 0,000 | 1,000 | 100,000 | 0,000 | 0,423 | 0,678 | 0,678 | 0,678 | 0,658 | 0,658 | 0,038 |
| 6,500 | 45,570 | 99,001 | -6,095 | skid front(in) | ##### | -5,300 | 0,000 | 1,000 | 100,000 | 0,000 | 0,462 | 0,678 | 0,678 | 0,678 | 0,658 | 0,658 | 0,039 |
| 7,000 | 44,695 | 99,002 | -6,094 | skid front(in) | ##### | -5,300 | 0,000 | 1,000 | 100,000 | 0,000 | 0,502 | 0,678 | 0,678 | 0,678 | 0,658 | 0,658 | 0,040 |
| 7,500 | 43,803 | 99,002 | -6,092 | skid front(in) | ##### | -5,300 | 0,000 | 1,000 | 100,000 | 0,000 | 0,543 | 0,678 | 0,678 | 0,678 | 0,658 | 0,658 | 0,041 |
| 8,000 | 42,892 | 99,002 | -6,091 | skid front(in) | ##### | -5,300 | 0,000 | 1,000 | 100,000 | 0,000 | 0,584 | 0,678 | 0,678 | 0,678 | 0,658 | 0,658 | 0,042 |
| 8,500 | 41,962 | 99,002 | -6,090 | skid front(in) | ##### | -5,300 | 0,000 | 1,000 | 100,000 | 0,000 | 0,627 | 0,678 | 0,678 | 0,678 | 0,658 | 0,658 | 0,042 |
| 9,000 | 41,011 | 99,002 | -6,089 | skid front(in) | ##### | -5,300 | 0,000 | 1,000 | 100,000 | 0,000 | 0,670 | 0,678 | 0,678 | 0,678 | 0,658 | 0,658 | 0,043 |
| 9,500 | 40,037 | 99,002 | -6,088 | skid front(in) | ##### | -5,300 | 0,000 | 1,000 | 100,000 | 0,000 | 0,714 | 0,678 | 0,678 | 0,678 | 0,658 | 0,658 | 0,044 |
| 10,000 | 39,039 | 99,002 | -6,087 | skid front(in) | ##### | -5,300 | 0,000 | 1,000 | 100,000 | 0,000 | 0,760 | 0,678 | 0,678 | 0,678 | 0,658 | 0,658 | 0,046 |
| 10,500 | 38,016 | 99,002 | -6,086 | skid front(in) | ##### | -5,300 | 0,000 | 1,000 | 100,000 | 0,000 | 0,807 | 0,678 | 0,678 | 0,678 | 0,658 | 0,658 | 0,047 |
| 11,000 | 36,964 | 99,002 | -6,085 | skid front(in) | ##### | -5,300 | 0,000 | 1,000 | 100,000 | 0,000 | 0,855 | 0,678 | 0,678 | 0,678 | 0,658 | 0,658 | 0,048 |
| 11,500 | 35,882 | 99,002 | -6,083 | skid front(in) | ##### | -5,300 | 0,000 | 1,000 | 100,000 | 0,000 | 0,904 | 0,678 | 0,678 | 0,678 | 0,658 | 0,658 | 0,049 |
| 12,000 | 34,766 | 99,002 | -6,082 | skid front(in) | ##### | -5,300 | 0,000 | 1,000 | 100,000 | 0,000 | 0,955 | 0,678 | 0,678 | 0,678 | 0,658 | 0,658 | 0,051 |
| 12,500 | 33,613 | 99,002 | -6,081 | skid front(in) | ##### | -5,300 | 0,000 | 1,000 | 100,000 | 0,000 | 1,008 | 0,678 | 0,678 | 0,678 | 0,658 | 0,658 | 0,053 |
| 13,000 | 32,420 | 99,002 | -6,080 | skid front(in) | ##### | -5,300 | 0,000 | 1,000 | 100,000 | 0,001 | 1,062 | 0,678 | 0,678 | 0,678 | 0,658 | 0,658 | 0,055 |
| 13,500 | 31,181 | 99,002 | -6,079 | skid front(in) | ##### | -5,300 | 0,000 | 1,000 | 100,000 | 0,001 | 1,119 | 0,678 | 0,678 | 0,678 | 0,658 | 0,658 | 0,057 |
| 14,000 | 29,891 | 99,003 | -6,078 | skid front(in) | ##### | -5,300 | 0,000 | 1,000 | 100,000 | 0,000 | 1,178 | 0,678 | 0,678 | 0,678 | 0,658 | 0,658 | 0,059 |
| 14,500 | 28,543 | 99,003 | -6,077 | skid front(in) | ##### | -5,300 | 0,000 | 1,000 | 100,000 | 0,000 | 1,239 | 0,678 | 0,678 | 0,678 | 0,658 | 0,658 | 0,062 |
| 15,000 | 27,129 | 99,003 | -6,076 | skid front(in) | ##### | -5,300 | 0,000 | 1,000 | 100,000 | 0,001 | 1,304 | 0,678 | 0,678 | 0,678 | 0,658 | 0,658 | 0,065 |
| 15,500 | 25,636 | 99,020 | -6,074 | skid front(out) | ##### | -5,300 | 0,000 | 1,000 | 100,000 | -2,790 | 1,372 | 0,678 | 0,678 | 0,678 | 0,658 | 0,658 | 0,068 |
| 16,000 | 24,052 | 99,034 | -6,073 | skid front(out) | ##### | -5,300 | 0,000 | 1,000 | 100,000 | -3,547 | 1,445 | 0,678 | 0,678 | 0,678 | 0,658 | 0,658 | 0,072 |
| 16,500 | 22,356 | 99,006 | -6,072 | skid front(out) | ##### | -5,300 | 0,000 | 1,000 | 100,000 | -0,556 | 1,522 | 0,678 | 0,678 | 0,678 | 0,658 | 0,658 | 0,078 |
| 17,000 | 20,521 | 98,995 | -6,071 | skid front(out) | ##### | -5,300 | 0,000 | 1,000 | 100,000 | 0,346 | 1,606 | 0,678 | 0,678 | 0,678 | 0,658 | 0,658 | 0,084 |
| 17,500 | 18,505 | 99,005 | -6,069 | skid front(out) | ##### | -5,300 | 0,000 | 1,000 | 100,000 | -1,246 | 1,698 | 0,678 | 0,678 | 0,678 | 0,658 | 0,658 | 0,092 |
| 18,000 | 16,242 | 99,000 | -6,067 | skid front(out) | ##### | -5,300 | 0,000 | 1,000 | 100,000 | -1,924 | 1,802 | 0,678 | 0,678 | 0,678 | 0,657 | 0,657 | 0,104 |
| 18,500 | 13,607 | 99,016 | -6,065 | skid front(out) | ##### | -5,300 | 0,000 | 1,000 | 100,000 | -5,279 | 1,923 | 0,678 | 0,678 | 0,678 | 0,657 | 0,657 | 0,121 |
| 18,900 | 11,057 | 99,009 | -6,064 | skid front(out) | ##### | -5,300 | 0,000 | 1,000 | 100,000 | -4,027 | 2,039 | 0,678 | 0,678 | 0,678 | 0,657 | 0,657 | 0,117 |
| 19,500 | 5,283 | 99,004 | -6,062 | skid front(out) | ##### | -5,300 | 0,000 | 1,000 | 100,000 | -4,439 | 2,304 | 0,678 | 0,678 | 0,678 | 0,657 | 0,657 | 0,265 |
| 19,700 | 2,192 | 99,018 | -6,063 | skid front(out) | ##### | -5,300 | 0,000 | 1,000 | 100,000 | -5,025 | 2,445 | 0,678 | 0,678 | 0,678 | 0,657 | 0,657 | 0,142 |

| run_v_d_ntua_12 | R(m) | br.front (%) | s(%) | e (%) | coeff | effic (%) | time (sec) | | | | | | | | | | |
|-----------------|-----------|--------------|--------|-----------------|-------|-----------|------------|-------|-----------|-----------|------------|-------|-----------|----------|----------|---------|-----------|
| s= 100,000 | ##### | 67,50 | -5,3 | 0,0 | 1,00 | 100 | 2,452 | 0,963 | | | | | | | | | |
| step= 0,100 | viewstep= | 0,500 | STEPS | | | | | | | | | | | | | | |
| s (m) | V (km/h) | n (%) | dv/dt | skid check | R(m) | s(%) | e (%) | coeff | effic (%) | decelera | time (sec) | fT | front out | front in | rear out | rear in | checktime |
| 18,500 | 0,371 | 98,986 | -6,064 | skid front(out) | ##### | -5,300 | 0,000 | 1,000 | 100,000 | -0,185103 | 2,452 | 0,678 | 0,6779 | 0,6779 | 0,6574 | 0,6574 | |
| 0,000 | 54,020 | 99,006 | -6,107 | O.K | ##### | -5,300 | 0,000 | 1,000 | 100,000 | 0,000 | 0,000 | 0,678 | | | | | |
| 0,400 | 53,431 | 99,001 | -6,106 | skid front(in) | ##### | -5,300 | 0,000 | 1,000 | 100,000 | 0,000 | 0,027 | 0,678 | 0,678 | 0,678 | 0,658 | 0,658 | 0,027 |

Προσδιορισμός Τιμών Πρόσφυσης κατά την Πέδηση Οχημάτων Εφοδιασμένων με Σύστημα ABS σε Αυξημένες κατά Μήκος Κλίσεις

| | | | | | | | | | | | | | | | | | |
|--------|--------|--------|--------|-----------------|-------|--------|-------|-------|---------|--------|-------|-------|-------|-------|-------|-------|-------|
| 1,000 | 52,535 | 99,001 | -6,105 | skid front(in) | ##### | -5,300 | 0,000 | 1,000 | 100,000 | 0,000 | 0,068 | 0,678 | 0,678 | 0,678 | 0,658 | 0,658 | 0,041 |
| 1,500 | 51,776 | 99,001 | -6,103 | skid front(in) | ##### | -5,300 | 0,000 | 1,000 | 100,000 | 0,000 | 0,102 | 0,678 | 0,678 | 0,678 | 0,658 | 0,658 | 0,035 |
| 2,000 | 51,007 | 99,001 | -6,102 | skid front(in) | ##### | -5,300 | 0,000 | 1,000 | 100,000 | 0,000 | 0,137 | 0,678 | 0,678 | 0,678 | 0,658 | 0,658 | 0,035 |
| 2,500 | 50,226 | 99,001 | -6,101 | skid front(in) | ##### | -5,300 | 0,000 | 1,000 | 100,000 | 0,000 | 0,173 | 0,678 | 0,678 | 0,678 | 0,658 | 0,658 | 0,036 |
| 3,000 | 49,432 | 99,001 | -6,100 | skid front(in) | ##### | -5,300 | 0,000 | 1,000 | 100,000 | 0,000 | 0,209 | 0,678 | 0,678 | 0,678 | 0,658 | 0,658 | 0,036 |
| 3,500 | 48,626 | 99,001 | -6,099 | skid front(in) | ##### | -5,300 | 0,000 | 1,000 | 100,000 | 0,000 | 0,246 | 0,678 | 0,678 | 0,678 | 0,658 | 0,658 | 0,037 |
| 4,000 | 47,807 | 99,001 | -6,098 | skid front(in) | ##### | -5,300 | 0,000 | 1,000 | 100,000 | 0,000 | 0,283 | 0,678 | 0,678 | 0,678 | 0,658 | 0,658 | 0,037 |
| 4,400 | 47,141 | 99,001 | -6,097 | skid front(in) | ##### | -5,300 | 0,000 | 1,000 | 100,000 | 0,000 | 0,313 | 0,678 | 0,678 | 0,678 | 0,658 | 0,658 | 0,030 |
| 5,000 | 46,124 | 99,001 | -6,095 | skid front(in) | ##### | -5,300 | 0,000 | 1,000 | 100,000 | 0,000 | 0,359 | 0,678 | 0,678 | 0,678 | 0,658 | 0,658 | 0,046 |
| 5,500 | 45,260 | 99,001 | -6,094 | skid front(in) | ##### | -5,300 | 0,000 | 1,000 | 100,000 | 0,000 | 0,399 | 0,678 | 0,678 | 0,678 | 0,658 | 0,658 | 0,039 |
| 6,000 | 44,379 | 99,002 | -6,093 | skid front(in) | ##### | -5,300 | 0,000 | 1,000 | 100,000 | 0,000 | 0,439 | 0,678 | 0,678 | 0,678 | 0,658 | 0,658 | 0,040 |
| 6,500 | 43,480 | 99,002 | -6,092 | skid front(in) | ##### | -5,300 | 0,000 | 1,000 | 100,000 | 0,000 | 0,480 | 0,678 | 0,678 | 0,678 | 0,658 | 0,658 | 0,041 |
| 7,000 | 42,563 | 99,002 | -6,091 | skid front(in) | ##### | -5,300 | 0,000 | 1,000 | 100,000 | 0,000 | 0,522 | 0,678 | 0,678 | 0,678 | 0,658 | 0,658 | 0,042 |
| 7,500 | 41,625 | 99,002 | -6,090 | skid front(in) | ##### | -5,300 | 0,000 | 1,000 | 100,000 | 0,000 | 0,565 | 0,678 | 0,678 | 0,678 | 0,658 | 0,658 | 0,043 |
| 8,000 | 40,666 | 99,002 | -6,089 | skid front(in) | ##### | -5,300 | 0,000 | 1,000 | 100,000 | 0,000 | 0,608 | 0,678 | 0,678 | 0,678 | 0,658 | 0,658 | 0,044 |
| 8,500 | 39,684 | 99,002 | -6,088 | skid front(in) | ##### | -5,300 | 0,000 | 1,000 | 100,000 | 0,000 | 0,653 | 0,678 | 0,678 | 0,678 | 0,658 | 0,658 | 0,045 |
| 9,000 | 38,677 | 99,002 | -6,086 | skid front(in) | ##### | -5,300 | 0,000 | 1,000 | 100,000 | 0,000 | 0,699 | 0,678 | 0,678 | 0,678 | 0,658 | 0,658 | 0,046 |
| 9,500 | 37,644 | 99,002 | -6,085 | skid front(in) | ##### | -5,300 | 0,000 | 1,000 | 100,000 | 0,000 | 0,746 | 0,678 | 0,678 | 0,678 | 0,658 | 0,658 | 0,047 |
| 10,000 | 36,582 | 99,002 | -6,084 | skid front(in) | ##### | -5,300 | 0,000 | 1,000 | 100,000 | 0,000 | 0,795 | 0,678 | 0,678 | 0,678 | 0,658 | 0,658 | 0,049 |
| 10,500 | 35,488 | 99,002 | -6,083 | skid front(in) | ##### | -5,300 | 0,000 | 1,000 | 100,000 | 0,000 | 0,845 | 0,678 | 0,678 | 0,678 | 0,658 | 0,658 | 0,050 |
| 11,000 | 34,359 | 99,002 | -6,082 | skid front(in) | ##### | -5,300 | 0,000 | 1,000 | 100,000 | 0,000 | 0,896 | 0,678 | 0,678 | 0,678 | 0,658 | 0,658 | 0,052 |
| 11,500 | 33,192 | 99,002 | -6,081 | skid front(in) | ##### | -5,300 | 0,000 | 1,000 | 100,000 | 0,000 | 0,950 | 0,678 | 0,678 | 0,678 | 0,658 | 0,658 | 0,053 |
| 12,000 | 31,983 | 99,002 | -6,080 | skid front(in) | ##### | -5,300 | 0,000 | 1,000 | 100,000 | 0,001 | 1,005 | 0,678 | 0,678 | 0,678 | 0,658 | 0,658 | 0,055 |
| 12,500 | 30,727 | 99,002 | -6,078 | skid front(in) | ##### | -5,300 | 0,000 | 1,000 | 100,000 | 0,000 | 1,062 | 0,678 | 0,678 | 0,678 | 0,658 | 0,658 | 0,057 |
| 13,000 | 29,417 | 99,003 | -6,077 | skid front(in) | ##### | -5,300 | 0,000 | 1,000 | 100,000 | 0,000 | 1,122 | 0,678 | 0,678 | 0,678 | 0,658 | 0,658 | 0,060 |
| 13,500 | 28,047 | 99,003 | -6,076 | skid front(in) | ##### | -5,300 | 0,000 | 1,000 | 100,000 | 0,001 | 1,185 | 0,678 | 0,678 | 0,678 | 0,658 | 0,658 | 0,063 |
| 14,000 | 26,606 | 98,992 | -6,074 | skid front(out) | ##### | -5,300 | 0,000 | 1,000 | 100,000 | -0,224 | 1,251 | 0,678 | 0,678 | 0,678 | 0,657 | 0,657 | 0,066 |
| 14,500 | 25,083 | 98,987 | -6,072 | skid front(out) | ##### | -5,300 | 0,000 | 1,000 | 100,000 | -1,380 | 1,320 | 0,678 | 0,678 | 0,678 | 0,657 | 0,657 | 0,070 |
| 15,000 | 23,461 | 99,001 | -6,072 | skid front(out) | ##### | -5,300 | 0,000 | 1,000 | 100,000 | -0,428 | 1,394 | 0,678 | 0,678 | 0,678 | 0,658 | 0,658 | 0,074 |
| 15,500 | 21,720 | 99,003 | -6,070 | skid front(out) | ##### | -5,300 | 0,000 | 1,000 | 100,000 | -3,087 | 1,474 | 0,678 | 0,678 | 0,678 | 0,657 | 0,657 | 0,080 |
| 16,000 | 19,826 | 98,992 | -6,070 | skid front(out) | ##### | -5,300 | 0,000 | 1,000 | 100,000 | -0,470 | 1,561 | 0,678 | 0,678 | 0,678 | 0,657 | 0,657 | 0,087 |
| 16,500 | 17,731 | 99,035 | -6,069 | skid front(out) | ##### | -5,300 | 0,000 | 1,000 | 100,000 | -3,488 | 1,657 | 0,678 | 0,678 | 0,678 | 0,658 | 0,658 | 0,096 |
| 17,000 | 15,354 | 98,997 | -6,065 | skid front(out) | ##### | -5,300 | 0,000 | 1,000 | 100,000 | -3,890 | 1,765 | 0,678 | 0,678 | 0,678 | 0,657 | 0,657 | 0,109 |
| 17,500 | 12,535 | 98,976 | -6,064 | skid front(out) | ##### | -5,300 | 0,000 | 1,000 | 100,000 | -1,801 | 1,894 | 0,678 | 0,678 | 0,678 | 0,657 | 0,657 | 0,129 |
| 18,000 | 8,861 | 98,976 | -6,063 | skid front(out) | ##### | -5,300 | 0,000 | 1,000 | 100,000 | -2,327 | 2,063 | 0,678 | 0,678 | 0,678 | 0,657 | 0,657 | 0,168 |
| 18,500 | 0,371 | 98,986 | -6,064 | skid front(out) | ##### | -5,300 | 0,000 | 1,000 | 100,000 | -0,185 | 2,452 | 0,678 | 0,678 | 0,678 | 0,657 | 0,657 | 0,389 |

| | | | | | | | | |
|-----------------|---------|-----------|--------------|-------|-------|-------|-----------|------------|
| run_v_d ntua_14 | | R(m) | br.front (%) | s(%) | e (%) | coeff | effic (%) | time (sec) |
| s= | 100,000 | ##### | 67,50 | -5,3 | 0,0 | 1,00 | 100 | 2,442 |
| step= | 0,100 | viewstep= | 0,500 | STEPS | | | | |

0,963

Προσδιορισμός Τιμών Πρόσφυσης κατά την Πέδηση Οχημάτων Εφοδιασμένων με Σύστημα ABS σε Αυξημένες κατά Μήκος Κλίσεις

| s (m) | V (km/h) | n (%) | dv/dt | skid check | R(m) | s(%) | e (%) | coeff | effic (%) | decelera | time (sec) | fT | front out | front in | rear out | rear in | checktime |
|--------|----------|--------|--------|-----------------|-------|--------|-------|-------|-----------|-----------|------------|-------|-----------|----------|----------|---------|-----------|
| 20,300 | 3,219 | 99,004 | -6,062 | skid front(out) | ##### | -5,300 | 0,000 | 1,000 | 100,000 | -4,288162 | 2,442 | 0,678 | 0,6778 | 0,6778 | 0,6572 | 0,6572 | |
| 0,000 | 56,690 | 99,006 | -6,111 | O.K | ##### | -5,300 | 0,000 | 1,000 | 100,000 | 0,000 | 0,000 | 0,678 | | | | | |
| 0,400 | 56,128 | 99,001 | -6,110 | skid front(in) | ##### | -5,300 | 0,000 | 1,000 | 100,000 | 0,000 | 0,026 | 0,678 | 0,678 | 0,678 | 0,658 | 0,658 | 0,026 |
| 1,000 | 55,276 | 99,001 | -6,109 | skid front(in) | ##### | -5,300 | 0,000 | 1,000 | 100,000 | 0,000 | 0,064 | 0,678 | 0,678 | 0,678 | 0,658 | 0,658 | 0,039 |
| 1,500 | 54,555 | 99,001 | -6,108 | skid front(in) | ##### | -5,300 | 0,000 | 1,000 | 100,000 | 0,000 | 0,097 | 0,678 | 0,678 | 0,678 | 0,658 | 0,658 | 0,033 |
| 2,000 | 53,824 | 99,001 | -6,107 | skid front(in) | ##### | -5,300 | 0,000 | 1,000 | 100,000 | 0,000 | 0,130 | 0,678 | 0,678 | 0,678 | 0,658 | 0,658 | 0,033 |
| 2,500 | 53,084 | 99,001 | -6,105 | skid front(in) | ##### | -5,300 | 0,000 | 1,000 | 100,000 | 0,000 | 0,164 | 0,678 | 0,678 | 0,678 | 0,658 | 0,658 | 0,034 |
| 3,000 | 52,334 | 99,001 | -6,104 | skid front(in) | ##### | -5,300 | 0,000 | 1,000 | 100,000 | 0,000 | 0,198 | 0,678 | 0,678 | 0,678 | 0,658 | 0,658 | 0,034 |
| 3,500 | 51,572 | 99,001 | -6,103 | skid front(in) | ##### | -5,300 | 0,000 | 1,000 | 100,000 | 0,000 | 0,233 | 0,678 | 0,678 | 0,678 | 0,658 | 0,658 | 0,035 |
| 4,000 | 50,800 | 99,001 | -6,102 | skid front(in) | ##### | -5,300 | 0,000 | 1,000 | 100,000 | 0,000 | 0,268 | 0,678 | 0,678 | 0,678 | 0,658 | 0,658 | 0,035 |
| 4,400 | 50,173 | 99,001 | -6,101 | skid front(in) | ##### | -5,300 | 0,000 | 1,000 | 100,000 | 0,000 | 0,296 | 0,678 | 0,678 | 0,678 | 0,658 | 0,658 | 0,029 |
| 5,000 | 49,219 | 99,001 | -6,100 | skid front(in) | ##### | -5,300 | 0,000 | 1,000 | 100,000 | 0,000 | 0,340 | 0,678 | 0,678 | 0,678 | 0,658 | 0,658 | 0,043 |
| 5,500 | 48,409 | 99,001 | -6,099 | skid front(in) | ##### | -5,300 | 0,000 | 1,000 | 100,000 | 0,000 | 0,377 | 0,678 | 0,678 | 0,678 | 0,658 | 0,658 | 0,037 |
| 6,000 | 47,586 | 99,001 | -6,097 | skid front(in) | ##### | -5,300 | 0,000 | 1,000 | 100,000 | 0,000 | 0,414 | 0,678 | 0,678 | 0,678 | 0,658 | 0,658 | 0,038 |
| 6,500 | 46,748 | 99,001 | -6,096 | skid front(in) | ##### | -5,300 | 0,000 | 1,000 | 100,000 | 0,000 | 0,452 | 0,678 | 0,678 | 0,678 | 0,658 | 0,658 | 0,038 |
| 7,000 | 45,896 | 99,001 | -6,095 | skid front(in) | ##### | -5,300 | 0,000 | 1,000 | 100,000 | 0,000 | 0,491 | 0,678 | 0,678 | 0,678 | 0,658 | 0,658 | 0,039 |
| 7,500 | 45,027 | 99,002 | -6,094 | skid front(in) | ##### | -5,300 | 0,000 | 1,000 | 100,000 | 0,000 | 0,531 | 0,678 | 0,678 | 0,678 | 0,658 | 0,658 | 0,040 |
| 8,000 | 44,141 | 99,002 | -6,093 | skid front(in) | ##### | -5,300 | 0,000 | 1,000 | 100,000 | 0,000 | 0,571 | 0,678 | 0,678 | 0,678 | 0,658 | 0,658 | 0,040 |
| 8,500 | 43,238 | 99,002 | -6,092 | skid front(in) | ##### | -5,300 | 0,000 | 1,000 | 100,000 | 0,000 | 0,612 | 0,678 | 0,678 | 0,678 | 0,658 | 0,658 | 0,041 |
| 9,000 | 42,315 | 99,002 | -6,091 | skid front(in) | ##### | -5,300 | 0,000 | 1,000 | 100,000 | 0,000 | 0,655 | 0,678 | 0,678 | 0,678 | 0,658 | 0,658 | 0,042 |
| 9,500 | 41,372 | 99,002 | -6,090 | skid front(in) | ##### | -5,300 | 0,000 | 1,000 | 100,000 | 0,000 | 0,698 | 0,678 | 0,678 | 0,678 | 0,658 | 0,658 | 0,043 |
| 10,000 | 40,407 | 99,002 | -6,088 | skid front(in) | ##### | -5,300 | 0,000 | 1,000 | 100,000 | 0,000 | 0,742 | 0,678 | 0,678 | 0,678 | 0,658 | 0,658 | 0,044 |
| 10,500 | 39,418 | 99,002 | -6,087 | skid front(in) | ##### | -5,300 | 0,000 | 1,000 | 100,000 | 0,000 | 0,787 | 0,678 | 0,678 | 0,678 | 0,658 | 0,658 | 0,045 |
| 11,000 | 38,405 | 99,002 | -6,086 | skid front(in) | ##### | -5,300 | 0,000 | 1,000 | 100,000 | 0,000 | 0,833 | 0,678 | 0,678 | 0,678 | 0,658 | 0,658 | 0,046 |
| 11,500 | 37,364 | 99,002 | -6,085 | skid front(in) | ##### | -5,300 | 0,000 | 1,000 | 100,000 | 0,000 | 0,880 | 0,678 | 0,678 | 0,678 | 0,658 | 0,658 | 0,048 |
| 12,000 | 36,293 | 99,002 | -6,084 | skid front(in) | ##### | -5,300 | 0,000 | 1,000 | 100,000 | 0,000 | 0,929 | 0,678 | 0,678 | 0,678 | 0,658 | 0,658 | 0,049 |
| 12,500 | 35,190 | 99,002 | -6,083 | skid front(in) | ##### | -5,300 | 0,000 | 1,000 | 100,000 | 0,001 | 0,980 | 0,678 | 0,678 | 0,678 | 0,658 | 0,658 | 0,050 |
| 13,000 | 34,052 | 99,002 | -6,082 | skid front(in) | ##### | -5,300 | 0,000 | 1,000 | 100,000 | 0,000 | 1,032 | 0,678 | 0,678 | 0,678 | 0,658 | 0,658 | 0,052 |
| 13,500 | 32,874 | 99,002 | -6,080 | skid front(in) | ##### | -5,300 | 0,000 | 1,000 | 100,000 | 0,000 | 1,085 | 0,678 | 0,678 | 0,678 | 0,658 | 0,658 | 0,054 |
| 14,000 | 31,653 | 99,002 | -6,079 | skid front(in) | ##### | -5,300 | 0,000 | 1,000 | 100,000 | 0,000 | 1,141 | 0,678 | 0,678 | 0,678 | 0,658 | 0,658 | 0,056 |
| 14,500 | 30,383 | 99,002 | -6,078 | skid front(in) | ##### | -5,300 | 0,000 | 1,000 | 100,000 | 0,001 | 1,199 | 0,678 | 0,678 | 0,678 | 0,658 | 0,658 | 0,058 |
| 15,000 | 29,058 | 99,003 | -6,077 | skid front(in) | ##### | -5,300 | 0,000 | 1,000 | 100,000 | 0,001 | 1,260 | 0,678 | 0,678 | 0,678 | 0,658 | 0,658 | 0,061 |
| 15,500 | 27,670 | 99,003 | -6,076 | skid front(in) | ##### | -5,300 | 0,000 | 1,000 | 100,000 | 0,001 | 1,323 | 0,678 | 0,678 | 0,678 | 0,658 | 0,658 | 0,063 |
| 16,000 | 26,209 | 99,010 | -6,074 | skid front(out) | ##### | -5,300 | 0,000 | 1,000 | 100,000 | -1,254 | 1,390 | 0,678 | 0,678 | 0,678 | 0,658 | 0,658 | 0,067 |
| 16,500 | 24,661 | 98,989 | -6,072 | skid front(out) | ##### | -5,300 | 0,000 | 1,000 | 100,000 | -0,644 | 1,461 | 0,678 | 0,678 | 0,678 | 0,657 | 0,657 | 0,071 |
| 17,000 | 23,010 | 98,988 | -6,070 | skid front(out) | ##### | -5,300 | 0,000 | 1,000 | 100,000 | -2,404 | 1,536 | 0,678 | 0,678 | 0,678 | 0,657 | 0,657 | 0,076 |
| 17,500 | 21,231 | 99,006 | -6,070 | skid front(out) | ##### | -5,300 | 0,000 | 1,000 | 100,000 | -2,037 | 1,618 | 0,678 | 0,678 | 0,678 | 0,657 | 0,657 | 0,081 |
| 18,000 | 19,290 | 99,044 | -6,070 | skid front(out) | ##### | -5,300 | 0,000 | 1,000 | 100,000 | -3,976 | 1,707 | 0,678 | 0,678 | 0,678 | 0,658 | 0,658 | 0,089 |
| 18,500 | 17,130 | 99,004 | -6,067 | skid front(out) | ##### | -5,300 | 0,000 | 1,000 | 100,000 | -3,388 | 1,806 | 0,678 | 0,678 | 0,678 | 0,657 | 0,657 | 0,099 |
| 18,900 | 15,183 | 98,991 | -6,065 | skid front(out) | ##### | -5,300 | 0,000 | 1,000 | 100,000 | -2,938 | 1,895 | 0,678 | 0,678 | 0,678 | 0,657 | 0,657 | 0,089 |
| 19,500 | 11,669 | 99,015 | -6,065 | skid front(out) | ##### | -5,300 | 0,000 | 1,000 | 100,000 | -3,251 | 2,056 | 0,678 | 0,678 | 0,678 | 0,657 | 0,657 | 0,161 |
| 20,000 | 7,585 | 98,997 | -6,064 | skid front(out) | ##### | -5,300 | 0,000 | 1,000 | 100,000 | -1,659 | 2,242 | 0,678 | 0,678 | 0,678 | 0,657 | 0,657 | 0,187 |
| 20,300 | 3,219 | 99,004 | -6,062 | skid front(out) | ##### | -5,300 | 0,000 | 1,000 | 100,000 | -4,288 | 2,442 | 0,678 | 0,678 | 0,678 | 0,657 | 0,657 | 0,200 |

Προσδιορισμός Τιμών Πρόσφυσης κατά την Πέδηση Οχημάτων Εφοδιασμένων με Σύστημα ABS σε Αυξημένες κατά Μήκος Κλίσεις

| run_v_d_ntua_15 | | R(m) | br.front (%) | s(%) | e (%) | coeff | effic (%) | | | time (sec) | | | | | | | 0,963 |
|-----------------|----------|-----------|--------------|-----------------|-------|--------|-----------|-------|-----------|------------|------------|-------|-----------|----------|----------|---------|-----------|
| s= | 100,000 | ##### | 67,50 | -5,3 | 0,0 | 1,00 | 100 | | | 2,604 | | | | | | | |
| step= | 0,100 | viewstep= | 0,500 | STEPS | | | | | | | | | | | | | |
| s (m) | V (km/h) | n (%) | dv/dt | skid check | R(m) | s(%) | e (%) | coeff | effic (%) | decelera | time (sec) | ft | front out | front in | rear out | rear in | checktime |
| 21,200 | 0,724 | 98,966 | -6,062 | skid front(out) | ##### | -5,300 | 0,000 | 1,000 | 100,000 | -0,191644 | 2,604 | 0,678 | 0,6778 | 0,6778 | 0,6572 | 0,6572 | |
| 0,000 | 57,730 | 99,006 | -6,113 | O.K | ##### | -5,300 | 0,000 | 1,000 | 100,000 | 0,000 | 0,000 | 0,678 | | | | | |
| 0,400 | 57,178 | 99,000 | -6,112 | skid front(in) | ##### | -5,300 | 0,000 | 1,000 | 100,000 | 0,000 | 0,025 | 0,678 | 0,678 | 0,678 | 0,658 | 0,658 | 0,025 |
| 1,000 | 56,341 | 99,001 | -6,110 | skid front(in) | ##### | -5,300 | 0,000 | 1,000 | 100,000 | 0,000 | 0,063 | 0,678 | 0,678 | 0,678 | 0,658 | 0,658 | 0,038 |
| 1,500 | 55,634 | 99,001 | -6,109 | skid front(in) | ##### | -5,300 | 0,000 | 1,000 | 100,000 | 0,000 | 0,095 | 0,678 | 0,678 | 0,678 | 0,658 | 0,658 | 0,032 |
| 2,000 | 54,918 | 99,001 | -6,108 | skid front(in) | ##### | -5,300 | 0,000 | 1,000 | 100,000 | 0,000 | 0,128 | 0,678 | 0,678 | 0,678 | 0,658 | 0,658 | 0,033 |
| 2,500 | 54,193 | 99,001 | -6,107 | skid front(in) | ##### | -5,300 | 0,000 | 1,000 | 100,000 | 0,000 | 0,161 | 0,678 | 0,678 | 0,678 | 0,658 | 0,658 | 0,033 |
| 3,000 | 53,457 | 99,001 | -6,106 | skid front(in) | ##### | -5,300 | 0,000 | 1,000 | 100,000 | 0,000 | 0,194 | 0,678 | 0,678 | 0,678 | 0,658 | 0,658 | 0,033 |
| 3,500 | 52,712 | 99,001 | -6,105 | skid front(in) | ##### | -5,300 | 0,000 | 1,000 | 100,000 | 0,000 | 0,228 | 0,678 | 0,678 | 0,678 | 0,658 | 0,658 | 0,034 |
| 4,000 | 51,956 | 99,001 | -6,104 | skid front(in) | ##### | -5,300 | 0,000 | 1,000 | 100,000 | 0,000 | 0,263 | 0,678 | 0,678 | 0,678 | 0,658 | 0,658 | 0,034 |
| 4,400 | 51,344 | 99,001 | -6,103 | skid front(in) | ##### | -5,300 | 0,000 | 1,000 | 100,000 | 0,000 | 0,290 | 0,678 | 0,678 | 0,678 | 0,658 | 0,658 | 0,028 |
| 5,000 | 50,411 | 99,001 | -6,101 | skid front(in) | ##### | -5,300 | 0,000 | 1,000 | 100,000 | 0,000 | 0,333 | 0,678 | 0,678 | 0,678 | 0,658 | 0,658 | 0,042 |
| 5,500 | 49,621 | 99,001 | -6,100 | skid front(in) | ##### | -5,300 | 0,000 | 1,000 | 100,000 | 0,000 | 0,369 | 0,678 | 0,678 | 0,678 | 0,658 | 0,658 | 0,036 |
| 6,000 | 48,818 | 99,001 | -6,099 | skid front(in) | ##### | -5,300 | 0,000 | 1,000 | 100,000 | 0,000 | 0,405 | 0,678 | 0,678 | 0,678 | 0,658 | 0,658 | 0,037 |
| 6,500 | 48,001 | 99,001 | -6,098 | skid front(in) | ##### | -5,300 | 0,000 | 1,000 | 100,000 | 0,000 | 0,443 | 0,678 | 0,678 | 0,678 | 0,658 | 0,658 | 0,037 |
| 7,000 | 47,171 | 99,001 | -6,097 | skid front(in) | ##### | -5,300 | 0,000 | 1,000 | 100,000 | 0,000 | 0,480 | 0,678 | 0,678 | 0,678 | 0,658 | 0,658 | 0,038 |
| 7,500 | 46,326 | 99,001 | -6,096 | skid front(in) | ##### | -5,300 | 0,000 | 1,000 | 100,000 | 0,000 | 0,519 | 0,678 | 0,678 | 0,678 | 0,658 | 0,658 | 0,039 |
| 8,000 | 45,465 | 99,001 | -6,095 | skid front(in) | ##### | -5,300 | 0,000 | 1,000 | 100,000 | 0,000 | 0,558 | 0,678 | 0,678 | 0,678 | 0,658 | 0,658 | 0,039 |
| 8,500 | 44,588 | 99,002 | -6,093 | skid front(in) | ##### | -5,300 | 0,000 | 1,000 | 100,000 | 0,000 | 0,598 | 0,678 | 0,678 | 0,678 | 0,658 | 0,658 | 0,040 |
| 9,000 | 43,694 | 99,002 | -6,092 | skid front(in) | ##### | -5,300 | 0,000 | 1,000 | 100,000 | 0,000 | 0,639 | 0,678 | 0,678 | 0,678 | 0,658 | 0,658 | 0,041 |
| 9,500 | 42,781 | 99,002 | -6,091 | skid front(in) | ##### | -5,300 | 0,000 | 1,000 | 100,000 | 0,000 | 0,681 | 0,678 | 0,678 | 0,678 | 0,658 | 0,658 | 0,042 |
| 10,000 | 41,848 | 99,002 | -6,090 | skid front(in) | ##### | -5,300 | 0,000 | 1,000 | 100,000 | 0,000 | 0,723 | 0,678 | 0,678 | 0,678 | 0,658 | 0,658 | 0,043 |
| 10,500 | 40,894 | 99,002 | -6,089 | skid front(in) | ##### | -5,300 | 0,000 | 1,000 | 100,000 | 0,000 | 0,767 | 0,678 | 0,678 | 0,678 | 0,658 | 0,658 | 0,044 |
| 11,000 | 39,918 | 99,002 | -6,088 | skid front(in) | ##### | -5,300 | 0,000 | 1,000 | 100,000 | 0,000 | 0,811 | 0,678 | 0,678 | 0,678 | 0,658 | 0,658 | 0,045 |
| 11,500 | 38,917 | 99,002 | -6,087 | skid front(in) | ##### | -5,300 | 0,000 | 1,000 | 100,000 | 0,000 | 0,857 | 0,678 | 0,678 | 0,678 | 0,658 | 0,658 | 0,046 |
| 12,000 | 37,890 | 99,002 | -6,086 | skid front(in) | ##### | -5,300 | 0,000 | 1,000 | 100,000 | 0,001 | 0,904 | 0,678 | 0,678 | 0,678 | 0,658 | 0,658 | 0,047 |
| 12,500 | 36,835 | 99,002 | -6,084 | skid front(in) | ##### | -5,300 | 0,000 | 1,000 | 100,000 | 0,000 | 0,952 | 0,678 | 0,678 | 0,678 | 0,658 | 0,658 | 0,048 |
| 13,000 | 35,749 | 99,002 | -6,083 | skid front(in) | ##### | -5,300 | 0,000 | 1,000 | 100,000 | 0,000 | 1,001 | 0,678 | 0,678 | 0,678 | 0,658 | 0,658 | 0,050 |
| 13,500 | 34,628 | 99,002 | -6,082 | skid front(in) | ##### | -5,300 | 0,000 | 1,000 | 100,000 | 0,000 | 1,053 | 0,678 | 0,678 | 0,678 | 0,658 | 0,658 | 0,051 |
| 14,000 | 33,471 | 99,002 | -6,081 | skid front(in) | ##### | -5,300 | 0,000 | 1,000 | 100,000 | 0,000 | 1,106 | 0,678 | 0,678 | 0,678 | 0,658 | 0,658 | 0,053 |
| 14,500 | 32,272 | 99,002 | -6,080 | skid front(in) | ##### | -5,300 | 0,000 | 1,000 | 100,000 | 0,001 | 1,160 | 0,678 | 0,678 | 0,678 | 0,658 | 0,658 | 0,055 |
| 15,000 | 31,028 | 99,002 | -6,079 | skid front(in) | ##### | -5,300 | 0,000 | 1,000 | 100,000 | 0,000 | 1,217 | 0,678 | 0,678 | 0,678 | 0,658 | 0,658 | 0,057 |
| 15,500 | 29,731 | 99,002 | -6,078 | skid front(in) | ##### | -5,300 | 0,000 | 1,000 | 100,000 | 0,000 | 1,276 | 0,678 | 0,678 | 0,678 | 0,658 | 0,658 | 0,059 |
| 16,000 | 28,376 | 99,003 | -6,077 | skid front(in) | ##### | -5,300 | 0,000 | 1,000 | 100,000 | 0,001 | 1,338 | 0,678 | 0,678 | 0,678 | 0,658 | 0,658 | 0,062 |
| 16,500 | 26,953 | 99,003 | -6,075 | skid front(in) | ##### | -5,300 | 0,000 | 1,000 | 100,000 | 0,004 | 1,403 | 0,678 | 0,678 | 0,678 | 0,658 | 0,658 | 0,065 |
| 17,000 | 25,450 | 99,020 | -6,073 | skid front(out) | ##### | -5,300 | 0,000 | 1,000 | 100,000 | -3,297 | 1,472 | 0,678 | 0,678 | 0,678 | 0,657 | 0,657 | 0,069 |
| 17,500 | 23,854 | 98,993 | -6,071 | skid front(out) | ##### | -5,300 | 0,000 | 1,000 | 100,000 | -2,356 | 1,545 | 0,678 | 0,678 | 0,678 | 0,657 | 0,657 | 0,073 |
| 18,000 | 22,143 | 99,017 | -6,071 | skid front(out) | ##### | -5,300 | 0,000 | 1,000 | 100,000 | -2,441 | 1,623 | 0,678 | 0,678 | 0,678 | 0,658 | 0,658 | 0,078 |
| 18,500 | 20,288 | 98,997 | -6,068 | skid front(out) | ##### | -5,300 | 0,000 | 1,000 | 100,000 | -3,051 | 1,708 | 0,678 | 0,678 | 0,678 | 0,657 | 0,657 | 0,085 |
| 18,900 | 18,673 | 98,993 | -6,068 | skid front(out) | ##### | -5,300 | 0,000 | 1,000 | 100,000 | -2,003 | 1,782 | 0,678 | 0,678 | 0,678 | 0,657 | 0,657 | 0,074 |
| 19,500 | 15,946 | 99,014 | -6,068 | skid front(out) | ##### | -5,300 | 0,000 | 1,000 | 100,000 | -2,115 | 1,907 | 0,678 | 0,678 | 0,678 | 0,658 | 0,658 | 0,125 |
| 20,000 | 13,253 | 99,019 | -6,067 | skid front(out) | ##### | -5,300 | 0,000 | 1,000 | 100,000 | -1,926 | 2,030 | 0,678 | 0,678 | 0,678 | 0,658 | 0,658 | 0,123 |
| 20,500 | 9,849 | 99,047 | -6,066 | skid front(out) | ##### | -5,300 | 0,000 | 1,000 | 100,000 | -4,517 | 2,186 | 0,678 | 0,678 | 0,678 | 0,658 | 0,658 | 0,156 |
| 21,000 | 4,288 | 99,022 | -6,065 | skid front(out) | ##### | -5,300 | 0,000 | 1,000 | 100,000 | -2,538 | 2,441 | 0,678 | 0,678 | 0,678 | 0,658 | 0,658 | 0,255 |
| 21,200 | 0,724 | 98,966 | -6,062 | skid front(out) | ##### | -5,300 | 0,000 | 1,000 | 100,000 | -0,192 | 2,604 | 0,678 | 0,678 | 0,678 | 0,657 | 0,657 | 0,163 |

Προσδιορισμός Τιμών Πρόσφυσης κατά την Πέδηση Οχημάτων Εφοδιασμένων με Σύστημα ABS σε Αυξημένες κατά Μήκος Κλίσεις

3.1.2 NTUA – wet

| run_v_w_ntua_3 | R(m) | br.front (%) | s(%) | e (%) | coeff | effic (%) | | time (sec) | | | | | | | | | |
|----------------|-----------|--------------|--------|-----------------|-------|-----------|-------|------------|-----------|-----------|------------|-------|-----------|----------|----------|---------|-----------|
| s= 100,000 | ##### | 64,50 | -5,3 | 0,0 | 1,00 | 100 | | 2,762 | 0,963 | | | | | | | | |
| step= 0,100 | viewstep= | 0,500 | STEPS | | | | | | | | | | | | | | |
| s (m) | V (km/h) | n (%) | dv/dt | skid check | R(m) | s(%) | e (%) | coeff | effic (%) | decelera | time (sec) | fT | front out | front in | rear out | rear in | checktime |
| 21,000 | 3,214 | 99,020 | -4,850 | skid front(out) | ##### | -5,300 | 0,000 | 1,000 | 100,000 | -3,122956 | 2,762 | 0,553 | 0,5530 | 0,5530 | 0,5375 | 0,5375 | |
| 0,000 | 51,590 | 98,993 | -4,891 | O.K | ##### | -5,300 | 0,000 | 1,000 | 100,000 | 0,000 | 0,000 | 0,553 | | | | | |
| 0,400 | 51,096 | 98,988 | -4,890 | skid front(in) | ##### | -5,300 | 0,000 | 1,000 | 100,000 | 0,000 | 0,028 | 0,553 | 0,553 | 0,553 | 0,538 | 0,538 | 0,028 |
| 1,000 | 50,347 | 98,988 | -4,889 | skid front(in) | ##### | -5,300 | 0,000 | 1,000 | 100,000 | 0,000 | 0,071 | 0,553 | 0,553 | 0,553 | 0,538 | 0,538 | 0,043 |
| 1,500 | 49,713 | 98,988 | -4,888 | skid front(in) | ##### | -5,300 | 0,000 | 1,000 | 100,000 | 0,000 | 0,107 | 0,553 | 0,553 | 0,553 | 0,538 | 0,538 | 0,036 |
| 2,000 | 49,072 | 98,988 | -4,887 | skid front(in) | ##### | -5,300 | 0,000 | 1,000 | 100,000 | 0,000 | 0,143 | 0,553 | 0,553 | 0,553 | 0,538 | 0,538 | 0,036 |
| 2,500 | 48,422 | 98,988 | -4,886 | skid front(in) | ##### | -5,300 | 0,000 | 1,000 | 100,000 | 0,000 | 0,180 | 0,553 | 0,553 | 0,553 | 0,538 | 0,538 | 0,037 |
| 3,000 | 47,764 | 98,989 | -4,885 | skid front(in) | ##### | -5,300 | 0,000 | 1,000 | 100,000 | 0,000 | 0,217 | 0,553 | 0,553 | 0,553 | 0,538 | 0,538 | 0,037 |
| 3,500 | 47,097 | 98,989 | -4,884 | skid front(in) | ##### | -5,300 | 0,000 | 1,000 | 100,000 | 0,000 | 0,255 | 0,553 | 0,553 | 0,553 | 0,538 | 0,538 | 0,038 |
| 4,000 | 46,420 | 98,989 | -4,883 | skid front(in) | ##### | -5,300 | 0,000 | 1,000 | 100,000 | 0,000 | 0,294 | 0,553 | 0,553 | 0,553 | 0,538 | 0,538 | 0,038 |
| 4,400 | 45,871 | 98,989 | -4,883 | skid front(in) | ##### | -5,300 | 0,000 | 1,000 | 100,000 | 0,000 | 0,325 | 0,553 | 0,553 | 0,553 | 0,538 | 0,538 | 0,031 |
| 5,000 | 45,036 | 98,989 | -4,881 | skid front(in) | ##### | -5,300 | 0,000 | 1,000 | 100,000 | 0,000 | 0,373 | 0,553 | 0,553 | 0,553 | 0,538 | 0,538 | 0,048 |
| 5,500 | 44,328 | 98,989 | -4,880 | skid front(in) | ##### | -5,300 | 0,000 | 1,000 | 100,000 | 0,000 | 0,413 | 0,553 | 0,553 | 0,553 | 0,538 | 0,538 | 0,040 |
| 6,000 | 43,609 | 98,989 | -4,879 | skid front(in) | ##### | -5,300 | 0,000 | 1,000 | 100,000 | 0,000 | 0,454 | 0,553 | 0,553 | 0,553 | 0,538 | 0,538 | 0,041 |
| 6,500 | 42,878 | 98,989 | -4,879 | skid front(in) | ##### | -5,300 | 0,000 | 1,000 | 100,000 | 0,000 | 0,495 | 0,553 | 0,553 | 0,553 | 0,538 | 0,538 | 0,042 |
| 7,000 | 42,134 | 98,989 | -4,878 | skid front(in) | ##### | -5,300 | 0,000 | 1,000 | 100,000 | 0,000 | 0,538 | 0,553 | 0,553 | 0,553 | 0,538 | 0,538 | 0,042 |
| 7,500 | 41,378 | 98,989 | -4,877 | skid front(in) | ##### | -5,300 | 0,000 | 1,000 | 100,000 | 0,000 | 0,581 | 0,553 | 0,553 | 0,553 | 0,538 | 0,538 | 0,043 |
| 8,000 | 40,607 | 98,989 | -4,876 | skid front(in) | ##### | -5,300 | 0,000 | 1,000 | 100,000 | 0,000 | 0,625 | 0,553 | 0,553 | 0,553 | 0,538 | 0,538 | 0,044 |
| 8,500 | 39,821 | 98,989 | -4,875 | skid front(in) | ##### | -5,300 | 0,000 | 1,000 | 100,000 | 0,000 | 0,670 | 0,553 | 0,553 | 0,553 | 0,538 | 0,538 | 0,045 |
| 9,000 | 39,020 | 98,989 | -4,874 | skid front(in) | ##### | -5,300 | 0,000 | 1,000 | 100,000 | 0,000 | 0,715 | 0,553 | 0,553 | 0,553 | 0,538 | 0,538 | 0,046 |
| 9,500 | 38,202 | 98,989 | -4,873 | skid front(in) | ##### | -5,300 | 0,000 | 1,000 | 100,000 | 0,000 | 0,762 | 0,553 | 0,553 | 0,553 | 0,538 | 0,538 | 0,047 |
| 10,000 | 37,367 | 98,989 | -4,872 | skid front(in) | ##### | -5,300 | 0,000 | 1,000 | 100,000 | 0,001 | 0,809 | 0,553 | 0,553 | 0,553 | 0,538 | 0,538 | 0,048 |
| 10,500 | 36,512 | 98,989 | -4,871 | skid front(in) | ##### | -5,300 | 0,000 | 1,000 | 100,000 | 0,000 | 0,858 | 0,553 | 0,553 | 0,553 | 0,538 | 0,538 | 0,049 |
| 11,000 | 35,637 | 98,989 | -4,870 | skid front(in) | ##### | -5,300 | 0,000 | 1,000 | 100,000 | 0,000 | 0,908 | 0,553 | 0,553 | 0,553 | 0,538 | 0,538 | 0,050 |
| 11,500 | 34,741 | 98,989 | -4,869 | skid front(in) | ##### | -5,300 | 0,000 | 1,000 | 100,000 | 0,000 | 0,959 | 0,553 | 0,553 | 0,553 | 0,538 | 0,538 | 0,051 |
| 12,000 | 33,820 | 98,989 | -4,868 | skid front(in) | ##### | -5,300 | 0,000 | 1,000 | 100,000 | 0,000 | 1,012 | 0,553 | 0,553 | 0,553 | 0,538 | 0,538 | 0,053 |
| 12,500 | 32,874 | 98,990 | -4,867 | skid front(in) | ##### | -5,300 | 0,000 | 1,000 | 100,000 | 0,001 | 1,066 | 0,553 | 0,553 | 0,553 | 0,538 | 0,538 | 0,054 |
| 13,000 | 31,901 | 98,990 | -4,866 | skid front(in) | ##### | -5,300 | 0,000 | 1,000 | 100,000 | 0,000 | 1,121 | 0,553 | 0,553 | 0,553 | 0,538 | 0,538 | 0,056 |
| 13,500 | 30,897 | 98,990 | -4,865 | skid front(in) | ##### | -5,300 | 0,000 | 1,000 | 100,000 | 0,000 | 1,179 | 0,553 | 0,553 | 0,553 | 0,538 | 0,538 | 0,057 |
| 14,000 | 29,859 | 98,990 | -4,864 | skid front(in) | ##### | -5,300 | 0,000 | 1,000 | 100,000 | 0,000 | 1,238 | 0,553 | 0,553 | 0,553 | 0,538 | 0,538 | 0,059 |
| 14,500 | 28,784 | 98,990 | -4,863 | skid front(in) | ##### | -5,300 | 0,000 | 1,000 | 100,000 | 0,001 | 1,299 | 0,553 | 0,553 | 0,553 | 0,538 | 0,538 | 0,061 |
| 15,000 | 27,668 | 98,990 | -4,862 | skid front(in) | ##### | -5,300 | 0,000 | 1,000 | 100,000 | 0,001 | 1,363 | 0,553 | 0,553 | 0,553 | 0,538 | 0,538 | 0,064 |
| 15,500 | 26,505 | 98,984 | -4,858 | skid front(out) | ##### | -5,300 | 0,000 | 1,000 | 100,000 | -3,484 | 1,430 | 0,553 | 0,553 | 0,553 | 0,537 | 0,537 | 0,066 |
| 16,000 | 25,289 | 98,999 | -4,858 | skid front(out) | ##### | -5,300 | 0,000 | 1,000 | 100,000 | -3,146 | 1,499 | 0,553 | 0,553 | 0,553 | 0,537 | 0,537 | 0,070 |
| 16,500 | 24,012 | 99,010 | -4,859 | skid front(out) | ##### | -5,300 | 0,000 | 1,000 | 100,000 | -2,433 | 1,572 | 0,553 | 0,553 | 0,553 | 0,537 | 0,537 | 0,073 |
| 17,000 | 22,663 | 98,976 | -4,856 | skid front(out) | ##### | -5,300 | 0,000 | 1,000 | 100,000 | -2,553 | 1,649 | 0,553 | 0,553 | 0,553 | 0,537 | 0,537 | 0,077 |
| 17,500 | 21,229 | 98,976 | -4,856 | skid front(out) | ##### | -5,300 | 0,000 | 1,000 | 100,000 | -0,969 | 1,731 | 0,553 | 0,553 | 0,553 | 0,537 | 0,537 | 0,082 |
| 18,000 | 19,691 | 99,011 | -4,856 | skid front(out) | ##### | -5,300 | 0,000 | 1,000 | 100,000 | -2,093 | 1,819 | 0,553 | 0,553 | 0,553 | 0,538 | 0,538 | 0,088 |
| 18,500 | 18,022 | 99,000 | -4,853 | skid front(out) | ##### | -5,300 | 0,000 | 1,000 | 100,000 | -4,256 | 1,915 | 0,553 | 0,553 | 0,553 | 0,537 | 0,537 | 0,095 |
| 18,900 | 16,567 | 99,027 | -4,854 | skid front(out) | ##### | -5,300 | 0,000 | 1,000 | 100,000 | -3,017 | 1,998 | 0,553 | 0,553 | 0,553 | 0,538 | 0,538 | 0,083 |
| 19,500 | 14,105 | 99,001 | -4,853 | skid front(out) | ##### | -5,300 | 0,000 | 1,000 | 100,000 | -1,102 | 2,139 | 0,553 | 0,553 | 0,553 | 0,538 | 0,538 | 0,141 |

Προσδιορισμός Τιμών Πρόσφυσης κατά την Πέδηση Οχημάτων Εφοδιασμένων με Σύστημα ABS σε Αυξημένες κατά Μήκος Κλίσεις

| | | | | | | | | | | | | | | | | | |
|--------|--------|--------|--------|-----------------|-------|--------|-------|-------|---------|--------|-------|-------|-------|-------|-------|-------|-------|
| 20,000 | 11,665 | 98,969 | -4,850 | skid front(out) | ##### | -5,300 | 0,000 | 1,000 | 100,000 | -1,993 | 2,278 | 0,553 | 0,553 | 0,553 | 0,537 | 0,537 | 0,140 |
| 20,500 | 8,555 | 99,020 | -4,850 | skid front(out) | ##### | -5,300 | 0,000 | 1,000 | 100,000 | -4,595 | 2,456 | 0,553 | 0,553 | 0,553 | 0,537 | 0,537 | 0,178 |
| 21,000 | 3,214 | 99,020 | -4,850 | skid front(out) | ##### | -5,300 | 0,000 | 1,000 | 100,000 | -3,123 | 2,762 | 0,553 | 0,553 | 0,553 | 0,537 | 0,537 | 0,306 |

| run | v | w | ntua | 4 | R(m) | br.front (%) | s(%) | e (%) | coeff | effic (%) | time (sec) | | | | | | 0,963 |
|--------|----------|-----------|--------|-----------------|-------|--------------|-------|-------|-----------|-----------|------------|-------|-----------|----------|----------|---------|-----------|
| s= | 100,000 | ##### | 64,50 | -5,3 | 0,0 | 1,00 | 100 | 2,875 | | | | | | | | | |
| step= | 0,100 | viewstep= | 0,500 | STEPS | | | | | | | | | | | | | |
| s (m) | V (km/h) | n (%) | dv/dt | skid check | R(m) | s(%) | e (%) | coeff | effic (%) | decelera | time (sec) | fT | front out | front in | rear out | rear in | checktime |
| 21,300 | 1,539 | 98,992 | -4,849 | skid front(out) | ##### | -5,300 | 0,000 | 1,000 | 100,000 | -1,578099 | 2,875 | 0,553 | 0,5529 | 0,5529 | 0,5374 | 0,5374 | |
| 0,000 | 51,880 | 98,993 | -4,892 | O.K | ##### | -5,300 | 0,000 | 1,000 | 100,000 | 0,000 | 0,000 | 0,553 | | | | | |
| 0,400 | 51,389 | 98,988 | -4,891 | skid front(in) | ##### | -5,300 | 0,000 | 1,000 | 100,000 | 0,000 | 0,028 | 0,553 | 0,553 | 0,553 | 0,538 | 0,538 | 0,028 |
| 1,000 | 50,644 | 98,988 | -4,890 | skid front(in) | ##### | -5,300 | 0,000 | 1,000 | 100,000 | 0,000 | 0,070 | 0,553 | 0,553 | 0,553 | 0,538 | 0,538 | 0,042 |
| 1,500 | 50,014 | 98,988 | -4,889 | skid front(in) | ##### | -5,300 | 0,000 | 1,000 | 100,000 | 0,000 | 0,106 | 0,553 | 0,553 | 0,553 | 0,538 | 0,538 | 0,036 |
| 2,000 | 49,377 | 98,988 | -4,888 | skid front(in) | ##### | -5,300 | 0,000 | 1,000 | 100,000 | 0,000 | 0,142 | 0,553 | 0,553 | 0,553 | 0,538 | 0,538 | 0,036 |
| 2,500 | 48,731 | 98,988 | -4,887 | skid front(in) | ##### | -5,300 | 0,000 | 1,000 | 100,000 | 0,000 | 0,179 | 0,553 | 0,553 | 0,553 | 0,538 | 0,538 | 0,037 |
| 3,000 | 48,077 | 98,988 | -4,886 | skid front(in) | ##### | -5,300 | 0,000 | 1,000 | 100,000 | 0,000 | 0,216 | 0,553 | 0,553 | 0,553 | 0,538 | 0,538 | 0,037 |
| 3,500 | 47,414 | 98,989 | -4,885 | skid front(in) | ##### | -5,300 | 0,000 | 1,000 | 100,000 | 0,000 | 0,254 | 0,553 | 0,553 | 0,553 | 0,538 | 0,538 | 0,038 |
| 4,000 | 46,742 | 98,989 | -4,884 | skid front(in) | ##### | -5,300 | 0,000 | 1,000 | 100,000 | 0,000 | 0,292 | 0,553 | 0,553 | 0,553 | 0,538 | 0,538 | 0,038 |
| 4,400 | 46,197 | 98,989 | -4,883 | skid front(in) | ##### | -5,300 | 0,000 | 1,000 | 100,000 | 0,000 | 0,323 | 0,553 | 0,553 | 0,553 | 0,538 | 0,538 | 0,031 |
| 5,000 | 45,368 | 98,989 | -4,882 | skid front(in) | ##### | -5,300 | 0,000 | 1,000 | 100,000 | 0,000 | 0,370 | 0,553 | 0,553 | 0,553 | 0,538 | 0,538 | 0,047 |
| 5,500 | 44,665 | 98,989 | -4,881 | skid front(in) | ##### | -5,300 | 0,000 | 1,000 | 100,000 | 0,000 | 0,410 | 0,553 | 0,553 | 0,553 | 0,538 | 0,538 | 0,040 |
| 6,000 | 43,951 | 98,989 | -4,880 | skid front(in) | ##### | -5,300 | 0,000 | 1,000 | 100,000 | 0,000 | 0,451 | 0,553 | 0,553 | 0,553 | 0,538 | 0,538 | 0,041 |
| 6,500 | 43,226 | 98,989 | -4,879 | skid front(in) | ##### | -5,300 | 0,000 | 1,000 | 100,000 | 0,000 | 0,492 | 0,553 | 0,553 | 0,553 | 0,538 | 0,538 | 0,041 |
| 7,000 | 42,488 | 98,989 | -4,878 | skid front(in) | ##### | -5,300 | 0,000 | 1,000 | 100,000 | 0,000 | 0,534 | 0,553 | 0,553 | 0,553 | 0,538 | 0,538 | 0,042 |
| 7,500 | 41,738 | 98,989 | -4,877 | skid front(in) | ##### | -5,300 | 0,000 | 1,000 | 100,000 | 0,000 | 0,577 | 0,553 | 0,553 | 0,553 | 0,538 | 0,538 | 0,043 |
| 8,000 | 40,973 | 98,989 | -4,876 | skid front(in) | ##### | -5,300 | 0,000 | 1,000 | 100,000 | 0,000 | 0,620 | 0,553 | 0,553 | 0,553 | 0,538 | 0,538 | 0,044 |
| 8,500 | 40,195 | 98,989 | -4,875 | skid front(in) | ##### | -5,300 | 0,000 | 1,000 | 100,000 | 0,000 | 0,665 | 0,553 | 0,553 | 0,553 | 0,538 | 0,538 | 0,044 |
| 9,000 | 39,401 | 98,989 | -4,874 | skid front(in) | ##### | -5,300 | 0,000 | 1,000 | 100,000 | 0,001 | 0,710 | 0,553 | 0,553 | 0,553 | 0,538 | 0,538 | 0,045 |
| 9,500 | 38,591 | 98,989 | -4,873 | skid front(in) | ##### | -5,300 | 0,000 | 1,000 | 100,000 | 0,000 | 0,756 | 0,553 | 0,553 | 0,553 | 0,538 | 0,538 | 0,046 |
| 10,000 | 37,764 | 98,989 | -4,872 | skid front(in) | ##### | -5,300 | 0,000 | 1,000 | 100,000 | 0,000 | 0,803 | 0,553 | 0,553 | 0,553 | 0,538 | 0,538 | 0,047 |
| 10,500 | 36,919 | 98,989 | -4,871 | skid front(in) | ##### | -5,300 | 0,000 | 1,000 | 100,000 | 0,000 | 0,851 | 0,553 | 0,553 | 0,553 | 0,538 | 0,538 | 0,048 |
| 11,000 | 36,054 | 98,989 | -4,870 | skid front(in) | ##### | -5,300 | 0,000 | 1,000 | 100,000 | 0,000 | 0,901 | 0,553 | 0,553 | 0,553 | 0,538 | 0,538 | 0,049 |
| 11,500 | 35,168 | 98,989 | -4,869 | skid front(in) | ##### | -5,300 | 0,000 | 1,000 | 100,000 | 0,000 | 0,951 | 0,553 | 0,553 | 0,553 | 0,538 | 0,538 | 0,051 |
| 12,000 | 34,259 | 98,989 | -4,868 | skid front(in) | ##### | -5,300 | 0,000 | 1,000 | 100,000 | 0,001 | 1,003 | 0,553 | 0,553 | 0,553 | 0,538 | 0,538 | 0,052 |
| 12,500 | 33,326 | 98,989 | -4,867 | skid front(in) | ##### | -5,300 | 0,000 | 1,000 | 100,000 | 0,000 | 1,056 | 0,553 | 0,553 | 0,553 | 0,538 | 0,538 | 0,053 |
| 13,000 | 32,365 | 98,990 | -4,866 | skid front(in) | ##### | -5,300 | 0,000 | 1,000 | 100,000 | 0,000 | 1,111 | 0,553 | 0,553 | 0,553 | 0,538 | 0,538 | 0,055 |
| 13,500 | 31,376 | 98,990 | -4,865 | skid front(in) | ##### | -5,300 | 0,000 | 1,000 | 100,000 | 0,000 | 1,168 | 0,553 | 0,553 | 0,553 | 0,538 | 0,538 | 0,056 |
| 14,000 | 30,355 | 98,990 | -4,864 | skid front(in) | ##### | -5,300 | 0,000 | 1,000 | 100,000 | 0,000 | 1,226 | 0,553 | 0,553 | 0,553 | 0,538 | 0,538 | 0,058 |
| 14,500 | 29,298 | 98,990 | -4,863 | skid front(in) | ##### | -5,300 | 0,000 | 1,000 | 100,000 | 0,000 | 1,286 | 0,553 | 0,553 | 0,553 | 0,538 | 0,538 | 0,060 |
| 15,000 | 28,202 | 98,990 | -4,862 | skid front(in) | ##### | -5,300 | 0,000 | 1,000 | 100,000 | 0,000 | 1,349 | 0,553 | 0,553 | 0,553 | 0,538 | 0,538 | 0,063 |
| 15,500 | 27,062 | 98,990 | -4,861 | skid front(in) | ##### | -5,300 | 0,000 | 1,000 | 100,000 | 0,000 | 1,414 | 0,553 | 0,553 | 0,553 | 0,538 | 0,538 | 0,065 |
| 16,000 | 25,872 | 98,977 | -4,858 | skid front(out) | ##### | -5,300 | 0,000 | 1,000 | 100,000 | -2,479 | 1,482 | 0,553 | 0,553 | 0,553 | 0,537 | 0,537 | 0,068 |
| 16,500 | 24,624 | 99,011 | -4,858 | skid front(out) | ##### | -5,300 | 0,000 | 1,000 | 100,000 | -3,399 | 1,553 | 0,553 | 0,553 | 0,553 | 0,537 | 0,537 | 0,071 |
| 17,000 | 23,311 | 98,965 | -4,856 | skid front(out) | ##### | -5,300 | 0,000 | 1,000 | 100,000 | -2,276 | 1,629 | 0,553 | 0,553 | 0,553 | 0,537 | 0,537 | 0,075 |
| 17,500 | 21,919 | 98,990 | -4,856 | skid front(out) | ##### | -5,300 | 0,000 | 1,000 | 100,000 | -2,459 | 1,708 | 0,553 | 0,553 | 0,553 | 0,537 | 0,537 | 0,080 |

Προσδιορισμός Τιμών Πρόσφυσης κατά την Πέδηση Οχημάτων Εφοδιασμένων με Σύστημα ABS σε Αυξημένες κατά Μήκος Κλίσεις

| | | | | | | | | | | | | | | | | | |
|--------|--------|--------|--------|-----------------|-------|--------|-------|-------|---------|--------|-------|-------|-------|-------|-------|-------|-------|
| 18,000 | 20,433 | 99,050 | -4,856 | skid front(out) | ##### | -5,300 | 0,000 | 1,000 | 100,000 | -5,349 | 1,793 | 0,553 | 0,553 | 0,553 | 0,537 | 0,538 | 0,085 |
| 18,500 | 18,830 | 98,985 | -4,853 | skid front(out) | ##### | -5,300 | 0,000 | 1,000 | 100,000 | -2,899 | 1,885 | 0,553 | 0,553 | 0,553 | 0,537 | 0,537 | 0,092 |
| 18,900 | 17,442 | 98,966 | -4,852 | skid front(out) | ##### | -5,300 | 0,000 | 1,000 | 100,000 | -1,629 | 1,964 | 0,553 | 0,553 | 0,553 | 0,537 | 0,537 | 0,079 |
| 19,500 | 15,124 | 98,955 | -4,851 | skid front(out) | ##### | -5,300 | 0,000 | 1,000 | 100,000 | -1,657 | 2,097 | 0,553 | 0,553 | 0,553 | 0,537 | 0,537 | 0,133 |
| 20,000 | 12,878 | 98,951 | -4,851 | skid front(out) | ##### | -5,300 | 0,000 | 1,000 | 100,000 | 0,434 | 2,225 | 0,553 | 0,553 | 0,553 | 0,537 | 0,537 | 0,129 |
| 20,500 | 10,147 | 99,030 | -4,851 | skid front(out) | ##### | -5,300 | 0,000 | 1,000 | 100,000 | -4,086 | 2,382 | 0,553 | 0,553 | 0,553 | 0,537 | 0,537 | 0,156 |
| 21,000 | 6,333 | 98,966 | -4,848 | skid front(out) | ##### | -5,300 | 0,000 | 1,000 | 100,000 | -2,543 | 2,600 | 0,553 | 0,553 | 0,553 | 0,537 | 0,537 | 0,219 |
| 21,300 | 1,539 | 98,992 | -4,849 | skid front(out) | ##### | -5,300 | 0,000 | 1,000 | 100,000 | -1,578 | 2,875 | 0,553 | 0,553 | 0,553 | 0,537 | 0,537 | 0,275 |

| run_v_w_ntua_6 | R(m) | br.front (%) | s(%) | e (%) | coeff | effic (%) | time (sec) | | | | | | | | | | |
|----------------|-----------|--------------|--------|-----------------|-------|-----------|------------|-------|-----------|-----------|------------|-------|-----------|----------|----------|---------|-----------|
| s= 100,000 | ##### | 64,50 | -5,3 | 0,0 | 1,00 | 100 | 3,265 | | | | | | | | | | |
| step= 0,100 | viewstep= | 0,500 | STEPS | | | | | | | | | | | | | | |
| s (m) | V (km/h) | n (%) | dv/dt | skid check | R(m) | s(%) | e (%) | coeff | effic (%) | decelera | time (sec) | ft | front out | front in | rear out | rear in | checktime |
| 26,900 | 1,102 | 99,003 | -4,849 | skid front(out) | ##### | -5,300 | 0,000 | 1,000 | 100,000 | -3,252178 | 3,265 | 0,553 | 0,5529 | 0,5529 | 0,5373 | 0,5373 | |
| 0,000 | 58,320 | 98,993 | -4,903 | O.K | ##### | -5,300 | 0,000 | 1,000 | 100,000 | 0,000 | 0,000 | 0,553 | | | | | |
| 0,400 | 57,883 | 98,988 | -4,902 | skid front(in) | ##### | -5,300 | 0,000 | 1,000 | 100,000 | 0,000 | 0,025 | 0,553 | 0,553 | 0,553 | 0,538 | 0,538 | 0,025 |
| 1,000 | 57,220 | 98,988 | -4,901 | skid front(in) | ##### | -5,300 | 0,000 | 1,000 | 100,000 | 0,000 | 0,062 | 0,553 | 0,553 | 0,553 | 0,538 | 0,538 | 0,038 |
| 1,500 | 56,663 | 98,988 | -4,900 | skid front(in) | ##### | -5,300 | 0,000 | 1,000 | 100,000 | 0,000 | 0,094 | 0,553 | 0,553 | 0,553 | 0,538 | 0,538 | 0,032 |
| 2,000 | 56,100 | 98,988 | -4,899 | skid front(in) | ##### | -5,300 | 0,000 | 1,000 | 100,000 | 0,000 | 0,126 | 0,553 | 0,553 | 0,553 | 0,538 | 0,538 | 0,032 |
| 2,500 | 55,531 | 98,988 | -4,898 | skid front(in) | ##### | -5,300 | 0,000 | 1,000 | 100,000 | 0,000 | 0,158 | 0,553 | 0,553 | 0,553 | 0,538 | 0,538 | 0,032 |
| 3,000 | 54,957 | 98,988 | -4,897 | skid front(in) | ##### | -5,300 | 0,000 | 1,000 | 100,000 | 0,000 | 0,191 | 0,553 | 0,553 | 0,553 | 0,538 | 0,538 | 0,033 |
| 3,500 | 54,376 | 98,988 | -4,896 | skid front(in) | ##### | -5,300 | 0,000 | 1,000 | 100,000 | 0,000 | 0,224 | 0,553 | 0,553 | 0,553 | 0,538 | 0,538 | 0,033 |
| 4,000 | 53,790 | 98,988 | -4,895 | skid front(in) | ##### | -5,300 | 0,000 | 1,000 | 100,000 | 0,000 | 0,257 | 0,553 | 0,553 | 0,553 | 0,538 | 0,538 | 0,033 |
| 4,400 | 53,316 | 98,988 | -4,894 | skid front(in) | ##### | -5,300 | 0,000 | 1,000 | 100,000 | 0,000 | 0,284 | 0,553 | 0,553 | 0,553 | 0,538 | 0,538 | 0,027 |
| 5,000 | 52,597 | 98,988 | -4,893 | skid front(in) | ##### | -5,300 | 0,000 | 1,000 | 100,000 | 0,000 | 0,325 | 0,553 | 0,553 | 0,553 | 0,538 | 0,538 | 0,041 |
| 5,500 | 51,991 | 98,988 | -4,892 | skid front(in) | ##### | -5,300 | 0,000 | 1,000 | 100,000 | 0,000 | 0,359 | 0,553 | 0,553 | 0,553 | 0,538 | 0,538 | 0,034 |
| 6,000 | 51,378 | 98,988 | -4,891 | skid front(in) | ##### | -5,300 | 0,000 | 1,000 | 100,000 | 0,000 | 0,394 | 0,553 | 0,553 | 0,553 | 0,538 | 0,538 | 0,035 |
| 6,500 | 50,757 | 98,988 | -4,890 | skid front(in) | ##### | -5,300 | 0,000 | 1,000 | 100,000 | 0,000 | 0,429 | 0,553 | 0,553 | 0,553 | 0,538 | 0,538 | 0,035 |
| 7,000 | 50,129 | 98,988 | -4,889 | skid front(in) | ##### | -5,300 | 0,000 | 1,000 | 100,000 | 0,000 | 0,465 | 0,553 | 0,553 | 0,553 | 0,538 | 0,538 | 0,036 |
| 7,500 | 49,493 | 98,988 | -4,888 | skid front(in) | ##### | -5,300 | 0,000 | 1,000 | 100,000 | 0,000 | 0,501 | 0,553 | 0,553 | 0,553 | 0,538 | 0,538 | 0,036 |
| 8,000 | 48,849 | 98,988 | -4,887 | skid front(in) | ##### | -5,300 | 0,000 | 1,000 | 100,000 | 0,000 | 0,537 | 0,553 | 0,553 | 0,553 | 0,538 | 0,538 | 0,037 |
| 8,500 | 48,197 | 98,988 | -4,886 | skid front(in) | ##### | -5,300 | 0,000 | 1,000 | 100,000 | 0,000 | 0,575 | 0,553 | 0,553 | 0,553 | 0,538 | 0,538 | 0,037 |
| 9,000 | 47,535 | 98,989 | -4,885 | skid front(in) | ##### | -5,300 | 0,000 | 1,000 | 100,000 | 0,000 | 0,612 | 0,553 | 0,553 | 0,553 | 0,538 | 0,538 | 0,038 |
| 9,500 | 46,865 | 98,989 | -4,884 | skid front(in) | ##### | -5,300 | 0,000 | 1,000 | 100,000 | 0,000 | 0,650 | 0,553 | 0,553 | 0,553 | 0,538 | 0,538 | 0,038 |
| 10,000 | 46,185 | 98,989 | -4,883 | skid front(in) | ##### | -5,300 | 0,000 | 1,000 | 100,000 | 0,000 | 0,689 | 0,553 | 0,553 | 0,553 | 0,538 | 0,538 | 0,039 |
| 10,500 | 45,494 | 98,989 | -4,882 | skid front(in) | ##### | -5,300 | 0,000 | 1,000 | 100,000 | 0,000 | 0,728 | 0,553 | 0,553 | 0,553 | 0,538 | 0,538 | 0,039 |
| 11,000 | 44,794 | 98,989 | -4,881 | skid front(in) | ##### | -5,300 | 0,000 | 1,000 | 100,000 | 0,000 | 0,768 | 0,553 | 0,553 | 0,553 | 0,538 | 0,538 | 0,040 |
| 11,500 | 44,082 | 98,989 | -4,880 | skid front(in) | ##### | -5,300 | 0,000 | 1,000 | 100,000 | 0,000 | 0,809 | 0,553 | 0,553 | 0,553 | 0,538 | 0,538 | 0,041 |
| 12,000 | 43,359 | 98,989 | -4,879 | skid front(in) | ##### | -5,300 | 0,000 | 1,000 | 100,000 | 0,000 | 0,850 | 0,553 | 0,553 | 0,553 | 0,538 | 0,538 | 0,041 |
| 12,500 | 42,623 | 98,989 | -4,878 | skid front(in) | ##### | -5,300 | 0,000 | 1,000 | 100,000 | 0,000 | 0,892 | 0,553 | 0,553 | 0,553 | 0,538 | 0,538 | 0,042 |
| 13,000 | 41,875 | 98,989 | -4,877 | skid front(in) | ##### | -5,300 | 0,000 | 1,000 | 100,000 | 0,000 | 0,934 | 0,553 | 0,553 | 0,553 | 0,538 | 0,538 | 0,043 |
| 13,500 | 41,114 | 98,989 | -4,876 | skid front(in) | ##### | -5,300 | 0,000 | 1,000 | 100,000 | 0,000 | 0,978 | 0,553 | 0,553 | 0,553 | 0,538 | 0,538 | 0,043 |
| 14,000 | 40,338 | 98,989 | -4,875 | skid front(in) | ##### | -5,300 | 0,000 | 1,000 | 100,000 | 0,000 | 1,022 | 0,553 | 0,553 | 0,553 | 0,538 | 0,538 | 0,044 |
| 14,500 | 39,547 | 98,989 | -4,874 | skid front(in) | ##### | -5,300 | 0,000 | 1,000 | 100,000 | 0,000 | 1,067 | 0,553 | 0,553 | 0,553 | 0,538 | 0,538 | 0,045 |
| 15,000 | 38,740 | 98,989 | -4,873 | skid front(in) | ##### | -5,300 | 0,000 | 1,000 | 100,000 | 0,000 | 1,113 | 0,553 | 0,553 | 0,553 | 0,538 | 0,538 | 0,046 |
| 15,500 | 37,916 | 98,989 | -4,872 | skid front(in) | ##### | -5,300 | 0,000 | 1,000 | 100,000 | 0,000 | 1,160 | 0,553 | 0,553 | 0,553 | 0,538 | 0,538 | 0,047 |
| 16,000 | 37,074 | 98,989 | -4,871 | skid front(in) | ##### | -5,300 | 0,000 | 1,000 | 100,000 | 0,000 | 1,208 | 0,553 | 0,553 | 0,553 | 0,538 | 0,538 | 0,048 |
| 16,500 | 36,213 | 98,989 | -4,870 | skid front(in) | ##### | -5,300 | 0,000 | 1,000 | 100,000 | 0,000 | 1,257 | 0,553 | 0,553 | 0,553 | 0,538 | 0,538 | 0,049 |
| 17,000 | 35,331 | 98,989 | -4,869 | skid front(in) | ##### | -5,300 | 0,000 | 1,000 | 100,000 | 0,001 | 1,307 | 0,553 | 0,553 | 0,553 | 0,538 | 0,538 | 0,050 |
| 17,500 | 34,426 | 98,989 | -4,868 | skid front(in) | ##### | -5,300 | 0,000 | 1,000 | 100,000 | 0,000 | 1,359 | 0,553 | 0,553 | 0,553 | 0,538 | 0,538 | 0,052 |
| 18,000 | 33,497 | 98,989 | -4,867 | skid front(in) | ##### | -5,300 | 0,000 | 1,000 | 100,000 | 0,000 | 1,412 | 0,553 | 0,553 | 0,553 | 0,538 | 0,538 | 0,053 |
| 18,500 | 32,542 | 98,990 | -4,867 | skid front(in) | ##### | -5,300 | 0,000 | 1,000 | 100,000 | 0,000 | 1,466 | 0,553 | 0,553 | 0,553 | 0,538 | 0,538 | 0,055 |
| 18,900 | 31,758 | 98,990 | -4,866 | skid front(in) | ##### | -5,300 | 0,000 | 1,000 | 100,000 | 0,000 | 1,511 | 0,553 | 0,553 | 0,553 | 0,538 | 0,538 | 0,045 |

Προσδιορισμός Τιμών Πρόσφυσης κατά την Πέδηση Οχημάτων Εφοδιασμένων με Σύστημα ABS σε Αυξημένες κατά Μήκος Κλίσεις

| | | | | | | | | | | | | | | | | | |
|--------|--------|--------|--------|-----------------|-------|--------|-------|-------|---------|--------|-------|-------|-------|-------|-------|-------|-------|
| 19,500 | 30,543 | 98,990 | -4,865 | skid front(in) | ##### | -5,300 | 0,000 | 1,000 | 100,000 | 0,000 | 1,581 | 0,553 | 0,553 | 0,553 | 0,538 | 0,538 | 0,069 |
| 20,000 | 29,493 | 98,990 | -4,864 | skid front(in) | ##### | -5,300 | 0,000 | 1,000 | 100,000 | 0,000 | 1,641 | 0,553 | 0,553 | 0,553 | 0,538 | 0,538 | 0,060 |
| 20,500 | 28,405 | 98,990 | -4,863 | skid front(in) | ##### | -5,300 | 0,000 | 1,000 | 100,000 | 0,001 | 1,703 | 0,553 | 0,553 | 0,553 | 0,538 | 0,538 | 0,062 |
| 21,000 | 27,273 | 98,990 | -4,862 | skid front(in) | ##### | -5,300 | 0,000 | 1,000 | 100,000 | -0,001 | 1,767 | 0,553 | 0,553 | 0,553 | 0,538 | 0,538 | 0,065 |
| 21,500 | 26,092 | 98,992 | -4,859 | skid front(out) | ##### | -5,300 | 0,000 | 1,000 | 100,000 | -1,961 | 1,835 | 0,553 | 0,553 | 0,553 | 0,537 | 0,537 | 0,067 |
| 22,000 | 24,856 | 98,970 | -4,859 | skid front(out) | ##### | -5,300 | 0,000 | 1,000 | 100,000 | 0,059 | 1,906 | 0,553 | 0,553 | 0,553 | 0,537 | 0,537 | 0,071 |
| 22,500 | 23,555 | 99,018 | -4,858 | skid front(out) | ##### | -5,300 | 0,000 | 1,000 | 100,000 | -3,506 | 1,980 | 0,553 | 0,553 | 0,553 | 0,537 | 0,537 | 0,074 |
| 23,000 | 22,178 | 98,984 | -4,857 | skid front(out) | ##### | -5,300 | 0,000 | 1,000 | 100,000 | -0,535 | 2,059 | 0,553 | 0,553 | 0,553 | 0,537 | 0,537 | 0,079 |
| 23,500 | 20,711 | 99,023 | -4,856 | skid front(out) | ##### | -5,300 | 0,000 | 1,000 | 100,000 | -3,407 | 2,143 | 0,553 | 0,553 | 0,553 | 0,537 | 0,537 | 0,084 |
| 24,000 | 19,131 | 99,018 | -4,855 | skid front(out) | ##### | -5,300 | 0,000 | 1,000 | 100,000 | -2,776 | 2,233 | 0,553 | 0,553 | 0,553 | 0,538 | 0,538 | 0,090 |
| 24,500 | 17,409 | 99,006 | -4,855 | skid front(out) | ##### | -5,300 | 0,000 | 1,000 | 100,000 | -1,627 | 2,331 | 0,553 | 0,553 | 0,553 | 0,538 | 0,538 | 0,099 |
| 25,000 | 15,497 | 99,031 | -4,854 | skid front(out) | ##### | -5,300 | 0,000 | 1,000 | 100,000 | -3,458 | 2,441 | 0,553 | 0,553 | 0,553 | 0,538 | 0,538 | 0,109 |
| 25,500 | 13,314 | 99,051 | -4,853 | skid front(out) | ##### | -5,300 | 0,000 | 1,000 | 100,000 | -4,877 | 2,566 | 0,553 | 0,553 | 0,553 | 0,538 | 0,538 | 0,125 |
| 26,000 | 10,694 | 99,019 | -4,852 | skid front(out) | ##### | -5,300 | 0,000 | 1,000 | 100,000 | -2,317 | 2,716 | 0,553 | 0,553 | 0,553 | 0,538 | 0,538 | 0,150 |
| 26,500 | 7,176 | 99,025 | -4,851 | skid front(out) | ##### | -5,300 | 0,000 | 1,000 | 100,000 | -2,879 | 2,917 | 0,553 | 0,553 | 0,553 | 0,538 | 0,538 | 0,201 |
| 26,900 | 1,102 | 99,003 | -4,849 | skid front(out) | ##### | -5,300 | 0,000 | 1,000 | 100,000 | -3,252 | 3,265 | 0,553 | 0,553 | 0,553 | 0,537 | 0,537 | 0,348 |

| run v w ntua 7 | | R(m) | br.front (%) | s(%) | e (%) | coeff | effic (%) | | | time (sec) | | | | | | | |
|----------------|----------|-----------|--------------|-----------------|-------|--------|-----------|-------|-----------|------------|------------|-------|-----------|----------|----------|---------|-----------|
| s= | 100,000 | ##### | 64,50 | -5,3 | 0,0 | 1,00 | 100 | | | 2,773 | | | | | | | |
| step= | 0,100 | viewstep= | 0,500 | STEPS | | | | | | | | 0,963 | | | | | |
| s (m) | V (km/h) | n (%) | dv/dt | skid check | R(m) | s(%) | e (%) | coeff | effic (%) | decelera | time (sec) | fT | front out | front in | rear out | rear in | checktime |
| 21,300 | 3,408 | 99,050 | -4,850 | skid front(out) | ##### | -5,300 | 0,000 | 1,000 | 100,000 | -5,217689 | 2,773 | 0,553 | 0,5530 | 0,5530 | 0,5375 | 0,5375 | |
| 0,000 | 51,970 | 98,993 | -4,892 | O.K | ##### | -5,300 | 0,000 | 1,000 | 100,000 | 0,000 | 0,000 | 0,553 | | | | | |
| 0,400 | 51,480 | 98,988 | -4,891 | skid front(in) | ##### | -5,300 | 0,000 | 1,000 | 100,000 | 0,000 | 0,028 | 0,553 | 0,553 | 0,553 | 0,538 | 0,538 | 0,028 |
| 1,000 | 50,736 | 98,988 | -4,890 | skid front(in) | ##### | -5,300 | 0,000 | 1,000 | 100,000 | 0,000 | 0,070 | 0,553 | 0,553 | 0,553 | 0,538 | 0,538 | 0,042 |
| 1,500 | 50,107 | 98,988 | -4,889 | skid front(in) | ##### | -5,300 | 0,000 | 1,000 | 100,000 | 0,000 | 0,106 | 0,553 | 0,553 | 0,553 | 0,538 | 0,538 | 0,036 |
| 2,000 | 49,471 | 98,988 | -4,888 | skid front(in) | ##### | -5,300 | 0,000 | 1,000 | 100,000 | 0,000 | 0,142 | 0,553 | 0,553 | 0,553 | 0,538 | 0,538 | 0,036 |
| 2,500 | 48,827 | 98,988 | -4,887 | skid front(in) | ##### | -5,300 | 0,000 | 1,000 | 100,000 | 0,000 | 0,179 | 0,553 | 0,553 | 0,553 | 0,538 | 0,538 | 0,037 |
| 3,000 | 48,174 | 98,988 | -4,886 | skid front(in) | ##### | -5,300 | 0,000 | 1,000 | 100,000 | 0,000 | 0,216 | 0,553 | 0,553 | 0,553 | 0,538 | 0,538 | 0,037 |
| 3,500 | 47,512 | 98,989 | -4,885 | skid front(in) | ##### | -5,300 | 0,000 | 1,000 | 100,000 | 0,000 | 0,253 | 0,553 | 0,553 | 0,553 | 0,538 | 0,538 | 0,038 |
| 4,000 | 46,841 | 98,989 | -4,884 | skid front(in) | ##### | -5,300 | 0,000 | 1,000 | 100,000 | 0,000 | 0,291 | 0,553 | 0,553 | 0,553 | 0,538 | 0,538 | 0,038 |
| 4,400 | 46,298 | 98,989 | -4,883 | skid front(in) | ##### | -5,300 | 0,000 | 1,000 | 100,000 | 0,000 | 0,322 | 0,553 | 0,553 | 0,553 | 0,538 | 0,538 | 0,031 |
| 5,000 | 45,470 | 98,989 | -4,882 | skid front(in) | ##### | -5,300 | 0,000 | 1,000 | 100,000 | 0,000 | 0,369 | 0,553 | 0,553 | 0,553 | 0,538 | 0,538 | 0,047 |
| 5,500 | 44,769 | 98,989 | -4,881 | skid front(in) | ##### | -5,300 | 0,000 | 1,000 | 100,000 | 0,000 | 0,409 | 0,553 | 0,553 | 0,553 | 0,538 | 0,538 | 0,040 |
| 6,000 | 44,057 | 98,989 | -4,880 | skid front(in) | ##### | -5,300 | 0,000 | 1,000 | 100,000 | 0,000 | 0,450 | 0,553 | 0,553 | 0,553 | 0,538 | 0,538 | 0,041 |
| 6,500 | 43,333 | 98,989 | -4,879 | skid front(in) | ##### | -5,300 | 0,000 | 1,000 | 100,000 | 0,000 | 0,491 | 0,553 | 0,553 | 0,553 | 0,538 | 0,538 | 0,041 |
| 7,000 | 42,598 | 98,989 | -4,878 | skid front(in) | ##### | -5,300 | 0,000 | 1,000 | 100,000 | 0,000 | 0,533 | 0,553 | 0,553 | 0,553 | 0,538 | 0,538 | 0,042 |
| 7,500 | 41,849 | 98,989 | -4,877 | skid front(in) | ##### | -5,300 | 0,000 | 1,000 | 100,000 | 0,000 | 0,576 | 0,553 | 0,553 | 0,553 | 0,538 | 0,538 | 0,043 |
| 8,000 | 41,087 | 98,989 | -4,876 | skid front(in) | ##### | -5,300 | 0,000 | 1,000 | 100,000 | 0,000 | 0,619 | 0,553 | 0,553 | 0,553 | 0,538 | 0,538 | 0,043 |
| 8,500 | 40,311 | 98,989 | -4,875 | skid front(in) | ##### | -5,300 | 0,000 | 1,000 | 100,000 | 0,000 | 0,663 | 0,553 | 0,553 | 0,553 | 0,538 | 0,538 | 0,044 |
| 9,000 | 39,519 | 98,989 | -4,874 | skid front(in) | ##### | -5,300 | 0,000 | 1,000 | 100,000 | 0,000 | 0,708 | 0,553 | 0,553 | 0,553 | 0,538 | 0,538 | 0,045 |
| 9,500 | 38,712 | 98,989 | -4,873 | skid front(in) | ##### | -5,300 | 0,000 | 1,000 | 100,000 | 0,000 | 0,754 | 0,553 | 0,553 | 0,553 | 0,538 | 0,538 | 0,046 |
| 10,000 | 37,887 | 98,989 | -4,872 | skid front(in) | ##### | -5,300 | 0,000 | 1,000 | 100,000 | 0,001 | 0,801 | 0,553 | 0,553 | 0,553 | 0,538 | 0,538 | 0,047 |
| 10,500 | 37,045 | 98,989 | -4,871 | skid front(in) | ##### | -5,300 | 0,000 | 1,000 | 100,000 | 0,000 | 0,849 | 0,553 | 0,553 | 0,553 | 0,538 | 0,538 | 0,048 |
| 11,000 | 36,183 | 98,989 | -4,870 | skid front(in) | ##### | -5,300 | 0,000 | 1,000 | 100,000 | 0,001 | 0,899 | 0,553 | 0,553 | 0,553 | 0,538 | 0,538 | 0,049 |
| 11,500 | 35,300 | 98,989 | -4,869 | skid front(in) | ##### | -5,300 | 0,000 | 1,000 | 100,000 | 0,000 | 0,949 | 0,553 | 0,553 | 0,553 | 0,538 | 0,538 | 0,050 |
| 12,000 | 34,394 | 98,989 | -4,868 | skid front(in) | ##### | -5,300 | 0,000 | 1,000 | 100,000 | 0,000 | 1,001 | 0,553 | 0,553 | 0,553 | 0,538 | 0,538 | 0,052 |
| 12,500 | 33,465 | 98,990 | -4,867 | skid front(in) | ##### | -5,300 | 0,000 | 1,000 | 100,000 | 0,000 | 1,054 | 0,553 | 0,553 | 0,553 | 0,538 | 0,538 | 0,053 |
| 13,000 | 32,509 | 98,990 | -4,866 | skid front(in) | ##### | -5,300 | 0,000 | 1,000 | 100,000 | 0,001 | 1,108 | 0,553 | 0,553 | 0,553 | 0,538 | 0,538 | 0,055 |

Προσδιορισμός Τιμών Πρόσφυσης κατά την Πέδηση Οχημάτων Εφοδιασμένων με Σύστημα ABS σε Αυξημένες κατά Μήκος Κλίσεις

| | | | | | | | | | | | | | | | | | |
|--------|--------|--------|--------|-----------------|-------|--------|-------|-------|---------|--------|-------|-------|-------|-------|-------|-------|-------|
| 13,500 | 31,524 | 98,990 | -4,866 | skid front(in) | ##### | -5,300 | 0,000 | 1,000 | 100,000 | 0,000 | 1,164 | 0,553 | 0,553 | 0,553 | 0,538 | 0,538 | 0,056 |
| 14,000 | 30,507 | 98,990 | -4,865 | skid front(in) | ##### | -5,300 | 0,000 | 1,000 | 100,000 | 0,000 | 1,222 | 0,553 | 0,553 | 0,553 | 0,538 | 0,538 | 0,058 |
| 14,500 | 29,456 | 98,990 | -4,864 | skid front(in) | ##### | -5,300 | 0,000 | 1,000 | 100,000 | 0,000 | 1,282 | 0,553 | 0,553 | 0,553 | 0,538 | 0,538 | 0,060 |
| 15,000 | 28,366 | 98,990 | -4,863 | skid front(in) | ##### | -5,300 | 0,000 | 1,000 | 100,000 | 0,001 | 1,345 | 0,553 | 0,553 | 0,553 | 0,538 | 0,538 | 0,062 |
| 15,500 | 27,233 | 98,989 | -4,862 | skid front(in) | ##### | -5,300 | 0,000 | 1,000 | 100,000 | 0,003 | 1,409 | 0,553 | 0,553 | 0,553 | 0,538 | 0,538 | 0,065 |
| 16,000 | 26,051 | 98,964 | -4,859 | skid front(out) | ##### | -5,300 | 0,000 | 1,000 | 100,000 | -0,279 | 1,477 | 0,553 | 0,553 | 0,553 | 0,537 | 0,537 | 0,068 |
| 16,500 | 24,812 | 99,020 | -4,858 | skid front(out) | ##### | -5,300 | 0,000 | 1,000 | 100,000 | -4,209 | 1,548 | 0,553 | 0,553 | 0,553 | 0,537 | 0,537 | 0,071 |
| 17,000 | 23,509 | 98,996 | -4,858 | skid front(out) | ##### | -5,300 | 0,000 | 1,000 | 100,000 | -1,711 | 1,622 | 0,553 | 0,553 | 0,553 | 0,537 | 0,537 | 0,075 |
| 17,500 | 22,129 | 99,005 | -4,857 | skid front(out) | ##### | -5,300 | 0,000 | 1,000 | 100,000 | -1,866 | 1,701 | 0,553 | 0,553 | 0,553 | 0,537 | 0,537 | 0,079 |
| 18,000 | 20,658 | 99,049 | -4,857 | skid front(out) | ##### | -5,300 | 0,000 | 1,000 | 100,000 | -4,791 | 1,785 | 0,553 | 0,553 | 0,553 | 0,538 | 0,538 | 0,084 |
| 18,500 | 19,074 | 98,968 | -4,853 | skid front(out) | ##### | -5,300 | 0,000 | 1,000 | 100,000 | -2,390 | 1,876 | 0,553 | 0,553 | 0,553 | 0,537 | 0,537 | 0,091 |
| 18,900 | 17,705 | 99,017 | -4,855 | skid front(out) | ##### | -5,300 | 0,000 | 1,000 | 100,000 | -2,929 | 1,954 | 0,553 | 0,553 | 0,553 | 0,537 | 0,537 | 0,078 |
| 19,500 | 15,427 | 98,986 | -4,852 | skid front(out) | ##### | -5,300 | 0,000 | 1,000 | 100,000 | -2,999 | 2,085 | 0,553 | 0,553 | 0,553 | 0,537 | 0,537 | 0,130 |
| 20,000 | 13,232 | 99,008 | -4,851 | skid front(out) | ##### | -5,300 | 0,000 | 1,000 | 100,000 | -4,435 | 2,210 | 0,553 | 0,553 | 0,553 | 0,537 | 0,537 | 0,126 |
| 20,500 | 10,593 | 99,025 | -4,850 | skid front(out) | ##### | -5,300 | 0,000 | 1,000 | 100,000 | -5,485 | 2,361 | 0,553 | 0,553 | 0,553 | 0,537 | 0,537 | 0,151 |
| 21,000 | 7,024 | 98,989 | -4,849 | skid front(out) | ##### | -5,300 | 0,000 | 1,000 | 100,000 | -2,409 | 2,566 | 0,553 | 0,553 | 0,553 | 0,537 | 0,537 | 0,204 |
| 21,300 | 3,408 | 99,050 | -4,850 | skid front(out) | ##### | -5,300 | 0,000 | 1,000 | 100,000 | -5,218 | 2,773 | 0,553 | 0,553 | 0,553 | 0,538 | 0,538 | 0,207 |

| run_v_w_ntua_8 | R(m) | br.front (%) | s(%) | e (%) | coeff | effic (%) | time (sec) | | | | | | | | | | |
|----------------|-----------|--------------|--------|-----------------|-------|-----------|------------|-------|-----------|-----------|------------|-------|-----------|----------|----------|---------|-----------|
| s= 100,000 | ##### | 64,50 | -5,3 | 0,0 | 1,00 | 100 | 3,179 | 0,963 | | | | | | | | | |
| step= 0,100 | viewstep= | 0,500 | STEPS | | | | | | | | | | | | | | |
| s (m) | V (km/h) | n (%) | dv/dt | skid check | R(m) | s(%) | e (%) | coeff | effic (%) | decelera | time (sec) | fT | front out | front in | rear out | rear in | checktime |
| 25,200 | 0,662 | 98,947 | -4,847 | skid front(out) | ##### | -5,300 | 0,000 | 1,000 | 100,000 | -1,123511 | 3,179 | 0,553 | 0,5527 | 0,5527 | 0,5371 | 0,5371 | |
| 0,000 | 56,360 | 98,993 | -4,899 | O.K | ##### | -5,300 | 0,000 | 1,000 | 100,000 | 0,000 | 0,000 | 0,553 | | | | | |
| 0,400 | 55,908 | 98,988 | -4,898 | skid front(in) | ##### | -5,300 | 0,000 | 1,000 | 100,000 | 0,000 | 0,026 | 0,553 | 0,553 | 0,553 | 0,538 | 0,538 | 0,026 |
| 1,000 | 55,222 | 98,988 | -4,897 | skid front(in) | ##### | -5,300 | 0,000 | 1,000 | 100,000 | 0,000 | 0,065 | 0,553 | 0,553 | 0,553 | 0,538 | 0,538 | 0,039 |
| 1,500 | 54,645 | 98,988 | -4,896 | skid front(in) | ##### | -5,300 | 0,000 | 1,000 | 100,000 | 0,000 | 0,097 | 0,553 | 0,553 | 0,553 | 0,538 | 0,538 | 0,033 |
| 2,000 | 54,061 | 98,988 | -4,895 | skid front(in) | ##### | -5,300 | 0,000 | 1,000 | 100,000 | 0,000 | 0,130 | 0,553 | 0,553 | 0,553 | 0,538 | 0,538 | 0,033 |
| 2,500 | 53,471 | 98,988 | -4,894 | skid front(in) | ##### | -5,300 | 0,000 | 1,000 | 100,000 | 0,000 | 0,164 | 0,553 | 0,553 | 0,553 | 0,538 | 0,538 | 0,033 |
| 3,000 | 52,875 | 98,988 | -4,893 | skid front(in) | ##### | -5,300 | 0,000 | 1,000 | 100,000 | 0,000 | 0,198 | 0,553 | 0,553 | 0,553 | 0,538 | 0,538 | 0,034 |
| 3,500 | 52,272 | 98,988 | -4,892 | skid front(in) | ##### | -5,300 | 0,000 | 1,000 | 100,000 | 0,000 | 0,232 | 0,553 | 0,553 | 0,553 | 0,538 | 0,538 | 0,034 |
| 4,000 | 51,662 | 98,988 | -4,891 | skid front(in) | ##### | -5,300 | 0,000 | 1,000 | 100,000 | 0,000 | 0,267 | 0,553 | 0,553 | 0,553 | 0,538 | 0,538 | 0,035 |
| 4,400 | 51,168 | 98,988 | -4,890 | skid front(in) | ##### | -5,300 | 0,000 | 1,000 | 100,000 | 0,000 | 0,295 | 0,553 | 0,553 | 0,553 | 0,538 | 0,538 | 0,028 |
| 5,000 | 50,420 | 98,988 | -4,889 | skid front(in) | ##### | -5,300 | 0,000 | 1,000 | 100,000 | 0,000 | 0,337 | 0,553 | 0,553 | 0,553 | 0,538 | 0,538 | 0,043 |
| 5,500 | 49,788 | 98,988 | -4,888 | skid front(in) | ##### | -5,300 | 0,000 | 1,000 | 100,000 | 0,000 | 0,373 | 0,553 | 0,553 | 0,553 | 0,538 | 0,538 | 0,036 |
| 6,000 | 49,147 | 98,988 | -4,887 | skid front(in) | ##### | -5,300 | 0,000 | 1,000 | 100,000 | 0,000 | 0,409 | 0,553 | 0,553 | 0,553 | 0,538 | 0,538 | 0,036 |
| 6,500 | 48,499 | 98,988 | -4,886 | skid front(in) | ##### | -5,300 | 0,000 | 1,000 | 100,000 | 0,000 | 0,446 | 0,553 | 0,553 | 0,553 | 0,538 | 0,538 | 0,037 |
| 7,000 | 47,841 | 98,989 | -4,885 | skid front(in) | ##### | -5,300 | 0,000 | 1,000 | 100,000 | 0,000 | 0,484 | 0,553 | 0,553 | 0,553 | 0,538 | 0,538 | 0,037 |
| 7,500 | 47,175 | 98,989 | -4,884 | skid front(in) | ##### | -5,300 | 0,000 | 1,000 | 100,000 | 0,000 | 0,522 | 0,553 | 0,553 | 0,553 | 0,538 | 0,538 | 0,038 |
| 8,000 | 46,499 | 98,989 | -4,883 | skid front(in) | ##### | -5,300 | 0,000 | 1,000 | 100,000 | 0,000 | 0,560 | 0,553 | 0,553 | 0,553 | 0,538 | 0,538 | 0,038 |
| 8,500 | 45,814 | 98,989 | -4,883 | skid front(in) | ##### | -5,300 | 0,000 | 1,000 | 100,000 | 0,000 | 0,599 | 0,553 | 0,553 | 0,553 | 0,538 | 0,538 | 0,039 |
| 9,000 | 45,118 | 98,989 | -4,882 | skid front(in) | ##### | -5,300 | 0,000 | 1,000 | 100,000 | 0,000 | 0,639 | 0,553 | 0,553 | 0,553 | 0,538 | 0,538 | 0,040 |
| 9,500 | 44,411 | 98,989 | -4,881 | skid front(in) | ##### | -5,300 | 0,000 | 1,000 | 100,000 | 0,000 | 0,679 | 0,553 | 0,553 | 0,553 | 0,538 | 0,538 | 0,040 |
| 10,000 | 43,694 | 98,989 | -4,880 | skid front(in) | ##### | -5,300 | 0,000 | 1,000 | 100,000 | 0,000 | 0,720 | 0,553 | 0,553 | 0,553 | 0,538 | 0,538 | 0,041 |
| 10,500 | 42,964 | 98,989 | -4,879 | skid front(in) | ##### | -5,300 | 0,000 | 1,000 | 100,000 | 0,000 | 0,761 | 0,553 | 0,553 | 0,553 | 0,538 | 0,538 | 0,042 |
| 11,000 | 42,222 | 98,989 | -4,878 | skid front(in) | ##### | -5,300 | 0,000 | 1,000 | 100,000 | 0,000 | 0,803 | 0,553 | 0,553 | 0,553 | 0,538 | 0,538 | 0,042 |
| 11,500 | 41,467 | 98,989 | -4,877 | skid front(in) | ##### | -5,300 | 0,000 | 1,000 | 100,000 | 0,001 | 0,846 | 0,553 | 0,553 | 0,553 | 0,538 | 0,538 | 0,043 |

Προσδιορισμός Τιμών Πρόσφυσης κατά την Πέδηση Οχημάτων Εφοδιασμένων με Σύστημα ABS σε Αυξημένες κατά Μήκος Κλίσεις

| | | | | | | | | | | | | | | | | | |
|--------|--------|--------|--------|-----------------|-------|--------|-------|-------|---------|--------|-------|-------|-------|-------|-------|-------|-------|
| 12,000 | 40,697 | 98,989 | -4,876 | skid front(in) | ##### | -5,300 | 0,000 | 1,000 | 100,000 | 0,000 | 0,890 | 0,553 | 0,553 | 0,553 | 0,538 | 0,538 | 0,044 |
| 12,500 | 39,914 | 98,989 | -4,875 | skid front(in) | ##### | -5,300 | 0,000 | 1,000 | 100,000 | 0,000 | 0,935 | 0,553 | 0,553 | 0,553 | 0,538 | 0,538 | 0,045 |
| 13,000 | 39,114 | 98,989 | -4,874 | skid front(in) | ##### | -5,300 | 0,000 | 1,000 | 100,000 | 0,001 | 0,981 | 0,553 | 0,553 | 0,553 | 0,538 | 0,538 | 0,046 |
| 13,500 | 38,298 | 98,989 | -4,873 | skid front(in) | ##### | -5,300 | 0,000 | 1,000 | 100,000 | 0,000 | 1,027 | 0,553 | 0,553 | 0,553 | 0,538 | 0,538 | 0,047 |
| 14,000 | 37,465 | 98,989 | -4,872 | skid front(in) | ##### | -5,300 | 0,000 | 1,000 | 100,000 | 0,000 | 1,075 | 0,553 | 0,553 | 0,553 | 0,538 | 0,538 | 0,048 |
| 14,500 | 36,613 | 98,989 | -4,871 | skid front(in) | ##### | -5,300 | 0,000 | 1,000 | 100,000 | 0,000 | 1,123 | 0,553 | 0,553 | 0,553 | 0,538 | 0,538 | 0,049 |
| 15,000 | 35,740 | 98,989 | -4,870 | skid front(in) | ##### | -5,300 | 0,000 | 1,000 | 100,000 | 0,000 | 1,173 | 0,553 | 0,553 | 0,553 | 0,538 | 0,538 | 0,050 |
| 15,500 | 34,846 | 98,989 | -4,869 | skid front(in) | ##### | -5,300 | 0,000 | 1,000 | 100,000 | 0,000 | 1,224 | 0,553 | 0,553 | 0,553 | 0,538 | 0,538 | 0,051 |
| 16,000 | 33,929 | 98,989 | -4,868 | skid front(in) | ##### | -5,300 | 0,000 | 1,000 | 100,000 | 0,000 | 1,276 | 0,553 | 0,553 | 0,553 | 0,538 | 0,538 | 0,052 |
| 16,500 | 32,986 | 98,990 | -4,867 | skid front(in) | ##### | -5,300 | 0,000 | 1,000 | 100,000 | 0,000 | 1,330 | 0,553 | 0,553 | 0,553 | 0,538 | 0,538 | 0,054 |
| 17,000 | 32,016 | 98,990 | -4,866 | skid front(in) | ##### | -5,300 | 0,000 | 1,000 | 100,000 | 0,000 | 1,385 | 0,553 | 0,553 | 0,553 | 0,538 | 0,538 | 0,055 |
| 17,500 | 31,015 | 98,990 | -4,865 | skid front(in) | ##### | -5,300 | 0,000 | 1,000 | 100,000 | 0,001 | 1,443 | 0,553 | 0,553 | 0,553 | 0,538 | 0,538 | 0,057 |
| 18,000 | 29,982 | 98,990 | -4,864 | skid front(in) | ##### | -5,300 | 0,000 | 1,000 | 100,000 | 0,001 | 1,502 | 0,553 | 0,553 | 0,553 | 0,538 | 0,538 | 0,059 |
| 18,500 | 28,912 | 98,990 | -4,863 | skid front(in) | ##### | -5,300 | 0,000 | 1,000 | 100,000 | 0,001 | 1,563 | 0,553 | 0,553 | 0,553 | 0,538 | 0,538 | 0,061 |
| 18,900 | 28,026 | 98,990 | -4,862 | skid front(in) | ##### | -5,300 | 0,000 | 1,000 | 100,000 | 0,000 | 1,613 | 0,553 | 0,553 | 0,553 | 0,538 | 0,538 | 0,051 |
| 19,500 | 26,643 | 98,982 | -4,859 | skid front(out) | ##### | -5,300 | 0,000 | 1,000 | 100,000 | -2,586 | 1,692 | 0,553 | 0,553 | 0,537 | 0,537 | 0,079 | |
| 20,000 | 25,434 | 98,984 | -4,858 | skid front(out) | ##### | -5,300 | 0,000 | 1,000 | 100,000 | -2,206 | 1,761 | 0,553 | 0,553 | 0,537 | 0,537 | 0,069 | |
| 20,500 | 24,164 | 98,982 | -4,858 | skid front(out) | ##### | -5,300 | 0,000 | 1,000 | 100,000 | -1,447 | 1,834 | 0,553 | 0,553 | 0,537 | 0,537 | 0,073 | |
| 21,000 | 22,824 | 98,975 | -4,857 | skid front(out) | ##### | -5,300 | 0,000 | 1,000 | 100,000 | -0,313 | 1,911 | 0,553 | 0,553 | 0,537 | 0,537 | 0,077 | |
| 21,500 | 21,400 | 99,001 | -4,857 | skid front(out) | ##### | -5,300 | 0,000 | 1,000 | 100,000 | -1,795 | 1,992 | 0,553 | 0,553 | 0,537 | 0,537 | 0,081 | |
| 22,000 | 19,875 | 99,023 | -4,856 | skid front(out) | ##### | -5,300 | 0,000 | 1,000 | 100,000 | -2,930 | 2,079 | 0,553 | 0,553 | 0,538 | 0,538 | 0,087 | |
| 22,500 | 18,223 | 98,958 | -4,852 | skid front(out) | ##### | -5,300 | 0,000 | 1,000 | 100,000 | -1,829 | 2,174 | 0,553 | 0,553 | 0,537 | 0,537 | 0,095 | |
| 23,000 | 16,407 | 98,967 | -4,852 | skid front(out) | ##### | -5,300 | 0,000 | 1,000 | 100,000 | -2,139 | 2,278 | 0,553 | 0,553 | 0,537 | 0,537 | 0,104 | |
| 23,500 | 14,362 | 98,971 | -4,851 | skid front(out) | ##### | -5,300 | 0,000 | 1,000 | 100,000 | -2,029 | 2,395 | 0,553 | 0,553 | 0,537 | 0,537 | 0,117 | |
| 24,000 | 11,974 | 98,968 | -4,850 | skid front(out) | ##### | -5,300 | 0,000 | 1,000 | 100,000 | -1,434 | 2,531 | 0,553 | 0,553 | 0,537 | 0,537 | 0,137 | |
| 24,500 | 8,972 | 98,958 | -4,849 | skid front(out) | ##### | -5,300 | 0,000 | 1,000 | 100,000 | -0,324 | 2,703 | 0,553 | 0,553 | 0,537 | 0,537 | 0,172 | |
| 25,000 | 4,201 | 98,985 | -4,849 | skid front(out) | ##### | -5,300 | 0,000 | 1,000 | 100,000 | -2,377 | 2,977 | 0,553 | 0,553 | 0,537 | 0,537 | 0,273 | |
| 25,200 | 0,662 | 98,947 | -4,847 | skid front(out) | ##### | -5,300 | 0,000 | 1,000 | 100,000 | -1,124 | 3,179 | 0,553 | 0,553 | 0,537 | 0,537 | 0,203 | |

| run_v_w_ntua_9 | R(m) | br.front (%) | s(%) | e (%) | coeff | effic (%) | time (sec) |
|----------------|-----------|--------------|-------|-------|-------|-----------|------------|
| s= 100,000 | ##### | 64,50 | -5,3 | 0,0 | 1,00 | 100 | 3,013 |
| step= 0,100 | viewstep= | 0,500 | STEPS | | | | |

0,963

| s (m) | V (km/h) | n (%) | dv/dt | skid check | R(m) | s(%) | e (%) | coeff | effic (%) | decelera | time (sec) | ft | front out | front in | rear out | rear in | checktime |
|--------|----------|--------|--------|-----------------|-------|--------|-------|-------|-----------|-----------|------------|-------|-----------|----------|----------|---------|-----------|
| 23,900 | 2,200 | 99,010 | -4,850 | skid front(out) | ##### | -5,300 | 0,000 | 1,000 | 100,000 | -2,056603 | 3,013 | 0,553 | 0,5530 | 0,5530 | 0,5375 | 0,5375 | |
| 0,000 | 54,990 | 98,993 | -4,897 | O.K | ##### | -5,300 | 0,000 | 1,000 | 100,000 | 0,000 | 0,000 | 0,553 | | | | | |
| 0,400 | 54,526 | 98,988 | -4,896 | skid front(in) | ##### | -5,300 | 0,000 | 1,000 | 100,000 | 0,000 | 0,026 | 0,553 | 0,553 | 0,553 | 0,538 | 0,538 | 0,026 |
| 1,000 | 53,824 | 98,988 | -4,895 | skid front(in) | ##### | -5,300 | 0,000 | 1,000 | 100,000 | 0,000 | 0,066 | 0,553 | 0,553 | 0,553 | 0,538 | 0,538 | 0,040 |
| 1,500 | 53,231 | 98,988 | -4,894 | skid front(in) | ##### | -5,300 | 0,000 | 1,000 | 100,000 | 0,000 | 0,100 | 0,553 | 0,553 | 0,553 | 0,538 | 0,538 | 0,034 |
| 2,000 | 52,632 | 98,988 | -4,893 | skid front(in) | ##### | -5,300 | 0,000 | 1,000 | 100,000 | 0,000 | 0,134 | 0,553 | 0,553 | 0,553 | 0,538 | 0,538 | 0,034 |
| 2,500 | 52,026 | 98,988 | -4,892 | skid front(in) | ##### | -5,300 | 0,000 | 1,000 | 100,000 | 0,000 | 0,168 | 0,553 | 0,553 | 0,553 | 0,538 | 0,538 | 0,034 |
| 3,000 | 51,414 | 98,988 | -4,891 | skid front(in) | ##### | -5,300 | 0,000 | 1,000 | 100,000 | 0,000 | 0,203 | 0,553 | 0,553 | 0,553 | 0,538 | 0,538 | 0,035 |
| 3,500 | 50,793 | 98,988 | -4,890 | skid front(in) | ##### | -5,300 | 0,000 | 1,000 | 100,000 | 0,000 | 0,238 | 0,553 | 0,553 | 0,553 | 0,538 | 0,538 | 0,035 |
| 4,000 | 50,166 | 98,988 | -4,889 | skid front(in) | ##### | -5,300 | 0,000 | 1,000 | 100,000 | 0,000 | 0,274 | 0,553 | 0,553 | 0,553 | 0,538 | 0,538 | 0,036 |
| 4,400 | 49,658 | 98,988 | -4,888 | skid front(in) | ##### | -5,300 | 0,000 | 1,000 | 100,000 | 0,000 | 0,303 | 0,553 | 0,553 | 0,553 | 0,538 | 0,538 | 0,029 |
| 5,000 | 48,887 | 98,988 | -4,887 | skid front(in) | ##### | -5,300 | 0,000 | 1,000 | 100,000 | 0,000 | 0,347 | 0,553 | 0,553 | 0,553 | 0,538 | 0,538 | 0,044 |
| 5,500 | 48,235 | 98,988 | -4,886 | skid front(in) | ##### | -5,300 | 0,000 | 1,000 | 100,000 | 0,000 | 0,384 | 0,553 | 0,553 | 0,553 | 0,538 | 0,538 | 0,037 |
| 6,000 | 47,574 | 98,989 | -4,885 | skid front(in) | ##### | -5,300 | 0,000 | 1,000 | 100,000 | 0,000 | 0,421 | 0,553 | 0,553 | 0,553 | 0,538 | 0,538 | 0,038 |
| 6,500 | 46,904 | 98,989 | -4,884 | skid front(in) | ##### | -5,300 | 0,000 | 1,000 | 100,000 | 0,000 | 0,459 | 0,553 | 0,553 | 0,553 | 0,538 | 0,538 | 0,038 |
| 7,000 | 46,224 | 98,989 | -4,883 | skid front(in) | ##### | -5,300 | 0,000 | 1,000 | 100,000 | 0,000 | 0,498 | 0,553 | 0,553 | 0,553 | 0,538 | 0,538 | 0,039 |

Προσδιορισμός Τιμών Πρόσφυσης κατά την Πέδηση Οχημάτων Εφοδιασμένων με Σύστημα ABS σε Αυξημένες κατά Μήκος Κλίσεις

| | | | | | | | | | | | | | | | | | |
|--------|--------|--------|--------|-----------------|-------|--------|-------|-------|---------|--------|-------|-------|-------|-------|-------|-------|-------|
| 7,500 | 45,535 | 98,989 | -4,882 | skid front(in) | ##### | -5,300 | 0,000 | 1,000 | 100,000 | 0,000 | 0,537 | 0,553 | 0,553 | 0,553 | 0,538 | 0,538 | 0,039 |
| 8,000 | 44,834 | 98,989 | -4,881 | skid front(in) | ##### | -5,300 | 0,000 | 1,000 | 100,000 | 0,000 | 0,577 | 0,553 | 0,553 | 0,553 | 0,538 | 0,538 | 0,040 |
| 8,500 | 44,123 | 98,989 | -4,880 | skid front(in) | ##### | -5,300 | 0,000 | 1,000 | 100,000 | 0,000 | 0,618 | 0,553 | 0,553 | 0,553 | 0,538 | 0,538 | 0,040 |
| 9,000 | 43,401 | 98,989 | -4,879 | skid front(in) | ##### | -5,300 | 0,000 | 1,000 | 100,000 | 0,000 | 0,659 | 0,553 | 0,553 | 0,553 | 0,538 | 0,538 | 0,041 |
| 9,500 | 42,666 | 98,989 | -4,878 | skid front(in) | ##### | -5,300 | 0,000 | 1,000 | 100,000 | 0,000 | 0,700 | 0,553 | 0,553 | 0,553 | 0,538 | 0,538 | 0,042 |
| 10,000 | 41,919 | 98,989 | -4,877 | skid front(in) | ##### | -5,300 | 0,000 | 1,000 | 100,000 | 0,000 | 0,743 | 0,553 | 0,553 | 0,553 | 0,538 | 0,538 | 0,043 |
| 10,500 | 41,158 | 98,989 | -4,876 | skid front(in) | ##### | -5,300 | 0,000 | 1,000 | 100,000 | 0,000 | 0,786 | 0,553 | 0,553 | 0,553 | 0,538 | 0,538 | 0,043 |
| 11,000 | 40,383 | 98,989 | -4,875 | skid front(in) | ##### | -5,300 | 0,000 | 1,000 | 100,000 | 0,000 | 0,831 | 0,553 | 0,553 | 0,553 | 0,538 | 0,538 | 0,044 |
| 11,500 | 39,593 | 98,989 | -4,874 | skid front(in) | ##### | -5,300 | 0,000 | 1,000 | 100,000 | 0,000 | 0,876 | 0,553 | 0,553 | 0,553 | 0,538 | 0,538 | 0,045 |
| 12,000 | 38,787 | 98,989 | -4,873 | skid front(in) | ##### | -5,300 | 0,000 | 1,000 | 100,000 | 0,000 | 0,921 | 0,553 | 0,553 | 0,553 | 0,538 | 0,538 | 0,046 |
| 12,500 | 37,964 | 98,989 | -4,872 | skid front(in) | ##### | -5,300 | 0,000 | 1,000 | 100,000 | 0,000 | 0,968 | 0,553 | 0,553 | 0,553 | 0,538 | 0,538 | 0,047 |
| 13,000 | 37,124 | 98,989 | -4,871 | skid front(in) | ##### | -5,300 | 0,000 | 1,000 | 100,000 | 0,000 | 1,016 | 0,553 | 0,553 | 0,553 | 0,538 | 0,538 | 0,048 |
| 13,500 | 36,263 | 98,989 | -4,870 | skid front(in) | ##### | -5,300 | 0,000 | 1,000 | 100,000 | 0,000 | 1,065 | 0,553 | 0,553 | 0,553 | 0,538 | 0,538 | 0,049 |
| 14,000 | 35,382 | 98,989 | -4,869 | skid front(in) | ##### | -5,300 | 0,000 | 1,000 | 100,000 | 0,000 | 1,116 | 0,553 | 0,553 | 0,553 | 0,538 | 0,538 | 0,050 |
| 14,500 | 34,479 | 98,989 | -4,869 | skid front(in) | ##### | -5,300 | 0,000 | 1,000 | 100,000 | 0,000 | 1,167 | 0,553 | 0,553 | 0,553 | 0,538 | 0,538 | 0,052 |
| 15,000 | 33,552 | 98,990 | -4,868 | skid front(in) | ##### | -5,300 | 0,000 | 1,000 | 100,000 | 0,000 | 1,220 | 0,553 | 0,553 | 0,553 | 0,538 | 0,538 | 0,053 |
| 15,500 | 32,598 | 98,990 | -4,867 | skid front(in) | ##### | -5,300 | 0,000 | 1,000 | 100,000 | 0,001 | 1,274 | 0,553 | 0,553 | 0,553 | 0,538 | 0,538 | 0,054 |
| 16,000 | 31,616 | 98,990 | -4,866 | skid front(in) | ##### | -5,300 | 0,000 | 1,000 | 100,000 | 0,000 | 1,331 | 0,553 | 0,553 | 0,553 | 0,538 | 0,538 | 0,056 |
| 16,500 | 30,603 | 98,990 | -4,865 | skid front(in) | ##### | -5,300 | 0,000 | 1,000 | 100,000 | 0,001 | 1,388 | 0,553 | 0,553 | 0,553 | 0,538 | 0,538 | 0,058 |
| 17,000 | 29,555 | 98,990 | -4,864 | skid front(in) | ##### | -5,300 | 0,000 | 1,000 | 100,000 | 0,001 | 1,448 | 0,553 | 0,553 | 0,553 | 0,538 | 0,538 | 0,060 |
| 17,500 | 28,469 | 98,990 | -4,863 | skid front(in) | ##### | -5,300 | 0,000 | 1,000 | 100,000 | 0,000 | 1,510 | 0,553 | 0,553 | 0,553 | 0,538 | 0,538 | 0,062 |
| 18,000 | 27,340 | 98,990 | -4,862 | skid front(in) | ##### | -5,300 | 0,000 | 1,000 | 100,000 | 0,001 | 1,575 | 0,553 | 0,553 | 0,553 | 0,538 | 0,538 | 0,065 |
| 18,500 | 26,162 | 98,952 | -4,858 | skid front(out) | ##### | -5,300 | 0,000 | 1,000 | 100,000 | -0,662 | 1,642 | 0,553 | 0,553 | 0,553 | 0,537 | 0,537 | 0,067 |
| 18,900 | 25,181 | 99,010 | -4,859 | skid front(out) | ##### | -5,300 | 0,000 | 1,000 | 100,000 | -2,768 | 1,698 | 0,553 | 0,553 | 0,553 | 0,537 | 0,537 | 0,066 |
| 19,500 | 23,633 | 98,963 | -4,856 | skid front(out) | ##### | -5,300 | 0,000 | 1,000 | 100,000 | -2,125 | 1,787 | 0,553 | 0,553 | 0,553 | 0,537 | 0,537 | 0,089 |
| 20,000 | 22,261 | 99,039 | -4,858 | skid front(out) | ##### | -5,300 | 0,000 | 1,000 | 100,000 | -4,037 | 1,865 | 0,553 | 0,553 | 0,553 | 0,538 | 0,538 | 0,078 |
| 20,500 | 20,799 | 99,034 | -4,857 | skid front(out) | ##### | -5,300 | 0,000 | 1,000 | 100,000 | -3,859 | 1,949 | 0,553 | 0,553 | 0,553 | 0,538 | 0,538 | 0,084 |
| 21,000 | 19,226 | 99,023 | -4,855 | skid front(out) | ##### | -5,300 | 0,000 | 1,000 | 100,000 | -3,233 | 2,039 | 0,553 | 0,553 | 0,553 | 0,537 | 0,537 | 0,090 |
| 21,500 | 17,513 | 99,004 | -4,854 | skid front(out) | ##### | -5,300 | 0,000 | 1,000 | 100,000 | -2,074 | 2,137 | 0,553 | 0,553 | 0,553 | 0,537 | 0,537 | 0,098 |
| 22,000 | 15,614 | 99,021 | -4,853 | skid front(out) | ##### | -5,300 | 0,000 | 1,000 | 100,000 | -3,861 | 2,245 | 0,553 | 0,553 | 0,553 | 0,537 | 0,537 | 0,109 |
| 22,500 | 13,449 | 98,990 | -4,852 | skid front(out) | ##### | -5,300 | 0,000 | 1,000 | 100,000 | -1,864 | 2,369 | 0,553 | 0,553 | 0,553 | 0,537 | 0,537 | 0,124 |
| 23,000 | 10,863 | 98,994 | -4,850 | skid front(out) | ##### | -5,300 | 0,000 | 1,000 | 100,000 | -2,792 | 2,517 | 0,553 | 0,553 | 0,553 | 0,537 | 0,537 | 0,148 |
| 23,500 | 7,425 | 98,945 | -4,849 | skid front(out) | ##### | -5,300 | 0,000 | 1,000 | 100,000 | 0,344 | 2,714 | 0,553 | 0,553 | 0,553 | 0,537 | 0,537 | 0,197 |
| 23,900 | 2,200 | 99,010 | -4,850 | skid front(out) | ##### | -5,300 | 0,000 | 1,000 | 100,000 | -2,057 | 3,013 | 0,553 | 0,553 | 0,553 | 0,538 | 0,538 | 0,299 |

| run v w ntu a 10 | R(m) | br.front (%) | s(%) | e (%) | coeff | effic (%) | time (sec) | | | | | | | | | | |
|------------------|-----------|--------------|--------|-----------------|-------|-----------|------------|-------|-----------|-----------|------------|-------|-----------|----------|----------|---------|-----------|
| s= 100,000 | ##### | 64,50 | -5,3 | 0,0 | 1,00 | 100 | 2,921 | 0,963 | | | | | | | | | |
| step= 0,100 | viewstep= | 0,500 | STEPS | | | | | | | | | | | | | | |
| s (m) | V (km/h) | n (%) | dv/dt | skid check | R(m) | s(%) | e (%) | coeff | effic (%) | decelera | time (sec) | ft | front out | front in | rear out | rear in | checktime |
| 22,500 | 2,197 | 99,011 | -4,850 | skid front(out) | ##### | -5,300 | 0,000 | 1,000 | 100,000 | -2,091524 | 2,921 | 0,553 | 0,5530 | 0,5530 | 0,5375 | 0,5375 | |
| 0,000 | 53,350 | 98,993 | -4,894 | O.K | ##### | -5,300 | 0,000 | 1,000 | 100,000 | 0,000 | 0,000 | 0,553 | | | | | |
| 0,400 | 52,872 | 98,988 | -4,893 | skid front(in) | ##### | -5,300 | 0,000 | 1,000 | 100,000 | 0,000 | 0,027 | 0,553 | 0,553 | 0,553 | 0,538 | 0,538 | 0,027 |
| 1,000 | 52,148 | 98,988 | -4,892 | skid front(in) | ##### | -5,300 | 0,000 | 1,000 | 100,000 | 0,000 | 0,068 | 0,553 | 0,553 | 0,553 | 0,538 | 0,538 | 0,041 |
| 1,500 | 51,536 | 98,988 | -4,891 | skid front(in) | ##### | -5,300 | 0,000 | 1,000 | 100,000 | 0,000 | 0,103 | 0,553 | 0,553 | 0,553 | 0,538 | 0,538 | 0,035 |
| 2,000 | 50,918 | 98,988 | -4,890 | skid front(in) | ##### | -5,300 | 0,000 | 1,000 | 100,000 | 0,000 | 0,138 | 0,553 | 0,553 | 0,553 | 0,538 | 0,538 | 0,035 |
| 2,500 | 50,292 | 98,988 | -4,889 | skid front(in) | ##### | -5,300 | 0,000 | 1,000 | 100,000 | 0,000 | 0,174 | 0,553 | 0,553 | 0,553 | 0,538 | 0,538 | 0,036 |
| 3,000 | 49,658 | 98,988 | -4,888 | skid front(in) | ##### | -5,300 | 0,000 | 1,000 | 100,000 | 0,000 | 0,210 | 0,553 | 0,553 | 0,553 | 0,538 | 0,538 | 0,036 |
| 3,500 | 49,016 | 98,988 | -4,887 | skid front(in) | ##### | -5,300 | 0,000 | 1,000 | 100,000 | 0,000 | 0,246 | 0,553 | 0,553 | 0,553 | 0,538 | 0,538 | 0,036 |
| 4,000 | 48,365 | 98,988 | -4,886 | skid front(in) | ##### | -5,300 | 0,000 | 1,000 | 100,000 | 0,000 | 0,283 | 0,553 | 0,553 | 0,553 | 0,538 | 0,538 | 0,037 |
| 4,400 | 47,839 | 98,989 | -4,885 | skid front(in) | ##### | -5,300 | 0,000 | 1,000 | 100,000 | 0,000 | 0,313 | 0,553 | 0,553 | 0,553 | 0,538 | 0,538 | 0,030 |

Προσδιορισμός Τιμών Πρόσφυσης κατά την Πέδηση Οχημάτων Εφοδιασμένων με Σύστημα ABS σε Αυξημένες κατά Μήκος Κλίσεις

| | | | | | | | | | | | | | | | | | |
|--------|--------|--------|--------|-----------------|-------|--------|-------|-------|---------|--------|-------|-------|-------|-------|-------|-------|-------|
| 5,000 | 47,038 | 98,989 | -4,884 | skid front(in) | ##### | -5,300 | 0,000 | 1,000 | 100,000 | 0,000 | 0,359 | 0,553 | 0,553 | 0,553 | 0,538 | 0,538 | 0,046 |
| 5,500 | 46,361 | 98,989 | -4,883 | skid front(in) | ##### | -5,300 | 0,000 | 1,000 | 100,000 | 0,000 | 0,397 | 0,553 | 0,553 | 0,553 | 0,538 | 0,538 | 0,039 |
| 6,000 | 45,673 | 98,989 | -4,882 | skid front(in) | ##### | -5,300 | 0,000 | 1,000 | 100,000 | 0,000 | 0,436 | 0,553 | 0,553 | 0,553 | 0,538 | 0,538 | 0,039 |
| 6,500 | 44,975 | 98,989 | -4,881 | skid front(in) | ##### | -5,300 | 0,000 | 1,000 | 100,000 | 0,000 | 0,476 | 0,553 | 0,553 | 0,553 | 0,538 | 0,538 | 0,040 |
| 7,000 | 44,266 | 98,989 | -4,880 | skid front(in) | ##### | -5,300 | 0,000 | 1,000 | 100,000 | 0,000 | 0,516 | 0,553 | 0,553 | 0,553 | 0,538 | 0,538 | 0,040 |
| 7,500 | 43,546 | 98,989 | -4,879 | skid front(in) | ##### | -5,300 | 0,000 | 1,000 | 100,000 | 0,000 | 0,557 | 0,553 | 0,553 | 0,553 | 0,538 | 0,538 | 0,041 |
| 8,000 | 42,814 | 98,989 | -4,878 | skid front(in) | ##### | -5,300 | 0,000 | 1,000 | 100,000 | 0,000 | 0,599 | 0,553 | 0,553 | 0,553 | 0,538 | 0,538 | 0,042 |
| 8,500 | 42,069 | 98,989 | -4,877 | skid front(in) | ##### | -5,300 | 0,000 | 1,000 | 100,000 | 0,000 | 0,641 | 0,553 | 0,553 | 0,553 | 0,538 | 0,538 | 0,042 |
| 9,000 | 41,311 | 98,989 | -4,876 | skid front(in) | ##### | -5,300 | 0,000 | 1,000 | 100,000 | 0,000 | 0,685 | 0,553 | 0,553 | 0,553 | 0,538 | 0,538 | 0,043 |
| 9,500 | 40,539 | 98,989 | -4,876 | skid front(in) | ##### | -5,300 | 0,000 | 1,000 | 100,000 | 0,001 | 0,729 | 0,553 | 0,553 | 0,553 | 0,538 | 0,538 | 0,044 |
| 10,000 | 39,752 | 98,989 | -4,875 | skid front(in) | ##### | -5,300 | 0,000 | 1,000 | 100,000 | 0,000 | 0,773 | 0,553 | 0,553 | 0,553 | 0,538 | 0,538 | 0,045 |
| 10,500 | 38,949 | 98,989 | -4,874 | skid front(in) | ##### | -5,300 | 0,000 | 1,000 | 100,000 | 0,000 | 0,819 | 0,553 | 0,553 | 0,553 | 0,538 | 0,538 | 0,046 |
| 11,000 | 38,130 | 98,989 | -4,873 | skid front(in) | ##### | -5,300 | 0,000 | 1,000 | 100,000 | 0,000 | 0,866 | 0,553 | 0,553 | 0,553 | 0,538 | 0,538 | 0,047 |
| 11,500 | 37,293 | 98,989 | -4,872 | skid front(in) | ##### | -5,300 | 0,000 | 1,000 | 100,000 | 0,000 | 0,914 | 0,553 | 0,553 | 0,553 | 0,538 | 0,538 | 0,048 |
| 12,000 | 36,437 | 98,989 | -4,871 | skid front(in) | ##### | -5,300 | 0,000 | 1,000 | 100,000 | 0,000 | 0,962 | 0,553 | 0,553 | 0,553 | 0,538 | 0,538 | 0,049 |
| 12,500 | 35,560 | 98,989 | -4,870 | skid front(in) | ##### | -5,300 | 0,000 | 1,000 | 100,000 | 0,001 | 1,012 | 0,553 | 0,553 | 0,553 | 0,538 | 0,538 | 0,050 |
| 13,000 | 34,661 | 98,989 | -4,869 | skid front(in) | ##### | -5,300 | 0,000 | 1,000 | 100,000 | 0,000 | 1,064 | 0,553 | 0,553 | 0,553 | 0,538 | 0,538 | 0,051 |
| 13,500 | 33,739 | 98,989 | -4,868 | skid front(in) | ##### | -5,300 | 0,000 | 1,000 | 100,000 | 0,000 | 1,116 | 0,553 | 0,553 | 0,553 | 0,538 | 0,538 | 0,053 |
| 14,000 | 32,791 | 98,990 | -4,867 | skid front(in) | ##### | -5,300 | 0,000 | 1,000 | 100,000 | 0,000 | 1,170 | 0,553 | 0,553 | 0,553 | 0,538 | 0,538 | 0,054 |
| 14,500 | 31,815 | 98,990 | -4,866 | skid front(in) | ##### | -5,300 | 0,000 | 1,000 | 100,000 | 0,000 | 1,226 | 0,553 | 0,553 | 0,553 | 0,538 | 0,538 | 0,056 |
| 15,000 | 30,808 | 98,990 | -4,865 | skid front(in) | ##### | -5,300 | 0,000 | 1,000 | 100,000 | 0,000 | 1,284 | 0,553 | 0,553 | 0,553 | 0,538 | 0,538 | 0,057 |
| 15,500 | 29,767 | 98,990 | -4,864 | skid front(in) | ##### | -5,300 | 0,000 | 1,000 | 100,000 | 0,000 | 1,343 | 0,553 | 0,553 | 0,553 | 0,538 | 0,538 | 0,059 |
| 16,000 | 28,689 | 98,990 | -4,863 | skid front(in) | ##### | -5,300 | 0,000 | 1,000 | 100,000 | 0,000 | 1,405 | 0,553 | 0,553 | 0,553 | 0,538 | 0,538 | 0,062 |
| 16,500 | 27,569 | 98,990 | -4,862 | skid front(in) | ##### | -5,300 | 0,000 | 1,000 | 100,000 | 0,001 | 1,469 | 0,553 | 0,553 | 0,553 | 0,538 | 0,538 | 0,064 |
| 17,000 | 26,401 | 98,950 | -4,859 | skid front(out) | ##### | -5,300 | 0,000 | 1,000 | 100,000 | -0,221 | 1,535 | 0,553 | 0,553 | 0,553 | 0,537 | 0,537 | 0,067 |
| 17,500 | 25,180 | 99,011 | -4,859 | skid front(out) | ##### | -5,300 | 0,000 | 1,000 | 100,000 | -2,790 | 1,605 | 0,553 | 0,553 | 0,553 | 0,537 | 0,537 | 0,070 |
| 18,000 | 23,897 | 98,955 | -4,857 | skid front(out) | ##### | -5,300 | 0,000 | 1,000 | 100,000 | -0,308 | 1,679 | 0,553 | 0,553 | 0,553 | 0,537 | 0,537 | 0,073 |
| 18,500 | 22,541 | 99,008 | -4,858 | skid front(out) | ##### | -5,300 | 0,000 | 1,000 | 100,000 | -2,173 | 1,756 | 0,553 | 0,553 | 0,553 | 0,537 | 0,537 | 0,078 |
| 18,900 | 21,395 | 99,007 | -4,857 | skid front(out) | ##### | -5,300 | 0,000 | 1,000 | 100,000 | -1,732 | 1,822 | 0,553 | 0,553 | 0,553 | 0,538 | 0,538 | 0,066 |
| 19,500 | 19,550 | 99,024 | -4,856 | skid front(out) | ##### | -5,300 | 0,000 | 1,000 | 100,000 | -3,027 | 1,927 | 0,553 | 0,553 | 0,553 | 0,538 | 0,538 | 0,106 |
| 20,000 | 17,868 | 98,983 | -4,853 | skid front(out) | ##### | -5,300 | 0,000 | 1,000 | 100,000 | -1,972 | 2,023 | 0,553 | 0,553 | 0,553 | 0,537 | 0,537 | 0,096 |
| 20,500 | 16,011 | 99,017 | -4,854 | skid front(out) | ##### | -5,300 | 0,000 | 1,000 | 100,000 | -2,237 | 2,130 | 0,553 | 0,553 | 0,553 | 0,538 | 0,538 | 0,106 |
| 21,000 | 13,909 | 99,004 | -4,851 | skid front(out) | ##### | -5,300 | 0,000 | 1,000 | 100,000 | -3,625 | 2,250 | 0,553 | 0,553 | 0,553 | 0,537 | 0,537 | 0,120 |
| 21,500 | 11,426 | 98,984 | -4,852 | skid front(out) | ##### | -5,300 | 0,000 | 1,000 | 100,000 | 0,448 | 2,392 | 0,553 | 0,553 | 0,553 | 0,538 | 0,538 | 0,142 |
| 22,000 | 8,227 | 98,954 | -4,849 | skid front(out) | ##### | -5,300 | 0,000 | 1,000 | 100,000 | 0,061 | 2,575 | 0,553 | 0,553 | 0,553 | 0,537 | 0,537 | 0,183 |
| 22,500 | 2,197 | 99,011 | -4,850 | skid front(out) | ##### | -5,300 | 0,000 | 1,000 | 100,000 | -2,092 | 2,921 | 0,553 | 0,553 | 0,553 | 0,538 | 0,538 | 0,345 |

| | | | | | | | |
|-----------------|-------|--------------|------|-------|-------|-----------|------------|
| run v w ntua 11 | R(m) | br.front (%) | s(%) | e (%) | coeff | effic (%) | time (sec) |
| s= 100,000 | ##### | 67,00 | 6,6 | 0,0 | 1,00 | 100 | 1,964 |

0,963

Προσδιορισμός Τιμών Πρόσφυσης κατά την Πέδηση Οχημάτων Εφοδιασμένων με Σύστημα ABS σε Αυξημένες κατά Μήκος Κλίσεις

| step= 0,100 | | viewstep= 0,500 | | STEPS | | | | | | | | | | | | | |
|-------------|----------|-----------------|--------|-----------------|-------|-------|-------|-------|-----------|----------|------------|-------|-----------|----------|----------|---------|-----------|
| s (m) | V (km/h) | n (%) | dv/dt | skid check | R(m) | s(%) | e (%) | coeff | effic (%) | decelera | time (sec) | fT | front out | front in | rear out | rear in | checktime |
| 13,900 | 0,230 | 99,187 | -7,089 | skid front(out) | ##### | 6,600 | 0,000 | 1,000 | 100,000 | 0,112598 | 1,964 | 0,662 | 0,6618 | 0,6618 | 0,6464 | 0,6464 | |
| 0,000 | 50,460 | 99,229 | -7,129 | O.K | ##### | 6,600 | 0,000 | 1,000 | 100,000 | 0,000 | 0,000 | 0,662 | | | | | |
| 0,400 | 49,722 | 99,224 | -7,127 | skid front(in) | ##### | 6,600 | 0,000 | 1,000 | 100,000 | 0,000 | 0,029 | 0,662 | 0,662 | 0,662 | 0,647 | 0,647 | 0,029 |
| 1,000 | 48,595 | 99,224 | -7,126 | skid front(in) | ##### | 6,600 | 0,000 | 1,000 | 100,000 | 0,000 | 0,073 | 0,662 | 0,662 | 0,662 | 0,647 | 0,647 | 0,044 |
| 1,500 | 47,636 | 99,225 | -7,124 | skid front(in) | ##### | 6,600 | 0,000 | 1,000 | 100,000 | 0,000 | 0,110 | 0,662 | 0,662 | 0,662 | 0,647 | 0,647 | 0,037 |
| 2,000 | 46,656 | 99,225 | -7,123 | skid front(in) | ##### | 6,600 | 0,000 | 1,000 | 100,000 | 0,000 | 0,148 | 0,662 | 0,662 | 0,662 | 0,647 | 0,647 | 0,038 |
| 2,500 | 45,656 | 99,225 | -7,122 | skid front(in) | ##### | 6,600 | 0,000 | 1,000 | 100,000 | 0,000 | 0,187 | 0,662 | 0,662 | 0,662 | 0,647 | 0,647 | 0,039 |
| 3,000 | 44,634 | 99,225 | -7,120 | skid front(in) | ##### | 6,600 | 0,000 | 1,000 | 100,000 | 0,000 | 0,227 | 0,662 | 0,662 | 0,662 | 0,647 | 0,647 | 0,040 |
| 3,500 | 43,589 | 99,225 | -7,119 | skid front(in) | ##### | 6,600 | 0,000 | 1,000 | 100,000 | 0,000 | 0,268 | 0,662 | 0,662 | 0,662 | 0,647 | 0,647 | 0,041 |
| 4,000 | 42,517 | 99,225 | -7,118 | skid front(in) | ##### | 6,600 | 0,000 | 1,000 | 100,000 | 0,000 | 0,310 | 0,662 | 0,662 | 0,662 | 0,647 | 0,647 | 0,042 |
| 4,400 | 41,640 | 99,225 | -7,117 | skid front(in) | ##### | 6,600 | 0,000 | 1,000 | 100,000 | 0,000 | 0,344 | 0,662 | 0,662 | 0,662 | 0,647 | 0,647 | 0,034 |
| 5,000 | 40,290 | 99,225 | -7,115 | skid front(in) | ##### | 6,600 | 0,000 | 1,000 | 100,000 | 0,000 | 0,397 | 0,662 | 0,662 | 0,662 | 0,647 | 0,647 | 0,053 |
| 5,500 | 39,129 | 99,225 | -7,114 | skid front(in) | ##### | 6,600 | 0,000 | 1,000 | 100,000 | 0,000 | 0,442 | 0,662 | 0,662 | 0,662 | 0,647 | 0,647 | 0,045 |
| 6,000 | 37,932 | 99,225 | -7,112 | skid front(in) | ##### | 6,600 | 0,000 | 1,000 | 100,000 | 0,001 | 0,489 | 0,662 | 0,662 | 0,662 | 0,647 | 0,647 | 0,047 |
| 6,500 | 36,697 | 99,225 | -7,111 | skid front(in) | ##### | 6,600 | 0,000 | 1,000 | 100,000 | 0,000 | 0,537 | 0,662 | 0,662 | 0,662 | 0,647 | 0,647 | 0,048 |
| 7,000 | 35,420 | 99,225 | -7,110 | skid front(in) | ##### | 6,600 | 0,000 | 1,000 | 100,000 | 0,000 | 0,587 | 0,662 | 0,662 | 0,662 | 0,647 | 0,647 | 0,050 |
| 7,500 | 34,094 | 99,225 | -7,108 | skid front(in) | ##### | 6,600 | 0,000 | 1,000 | 100,000 | 0,000 | 0,639 | 0,662 | 0,662 | 0,662 | 0,647 | 0,647 | 0,052 |
| 8,000 | 32,716 | 99,226 | -7,107 | skid front(in) | ##### | 6,600 | 0,000 | 1,000 | 100,000 | 0,000 | 0,693 | 0,662 | 0,662 | 0,662 | 0,647 | 0,647 | 0,054 |
| 8,500 | 31,276 | 99,226 | -7,106 | skid front(in) | ##### | 6,600 | 0,000 | 1,000 | 100,000 | 0,001 | 0,749 | 0,662 | 0,662 | 0,662 | 0,647 | 0,647 | 0,056 |
| 9,000 | 29,768 | 99,226 | -7,104 | skid front(in) | ##### | 6,600 | 0,000 | 1,000 | 100,000 | 0,001 | 0,808 | 0,662 | 0,662 | 0,662 | 0,647 | 0,647 | 0,059 |
| 9,500 | 28,179 | 99,226 | -7,103 | skid front(in) | ##### | 6,600 | 0,000 | 1,000 | 100,000 | 0,000 | 0,870 | 0,662 | 0,662 | 0,662 | 0,647 | 0,647 | 0,062 |
| 10,000 | 26,496 | 99,190 | -7,099 | skid front(in) | ##### | 6,600 | 0,000 | 1,000 | 100,000 | -0,700 | 0,936 | 0,662 | 0,662 | 0,662 | 0,646 | 0,646 | 0,066 |
| 10,500 | 24,698 | 99,245 | -7,100 | skid front(out) | ##### | 6,600 | 0,000 | 1,000 | 100,000 | -2,088 | 1,006 | 0,662 | 0,662 | 0,662 | 0,647 | 0,647 | 0,070 |
| 11,000 | 22,759 | 99,206 | -7,096 | skid front(out) | ##### | 6,600 | 0,000 | 1,000 | 100,000 | -1,954 | 1,082 | 0,662 | 0,662 | 0,662 | 0,646 | 0,646 | 0,076 |
| 11,500 | 20,640 | 99,230 | -7,096 | skid front(out) | ##### | 6,600 | 0,000 | 1,000 | 100,000 | -2,364 | 1,165 | 0,662 | 0,662 | 0,662 | 0,647 | 0,647 | 0,083 |
| 12,000 | 18,276 | 99,220 | -7,094 | skid front(out) | ##### | 6,600 | 0,000 | 1,000 | 100,000 | -2,994 | 1,257 | 0,662 | 0,662 | 0,662 | 0,646 | 0,646 | 0,093 |
| 12,500 | 15,559 | 99,207 | -7,092 | skid front(out) | ##### | 6,600 | 0,000 | 1,000 | 100,000 | -2,307 | 1,364 | 0,662 | 0,662 | 0,662 | 0,646 | 0,646 | 0,106 |
| 13,000 | 12,253 | 99,228 | -7,091 | skid front(out) | ##### | 6,600 | 0,000 | 1,000 | 100,000 | -3,724 | 1,493 | 0,662 | 0,662 | 0,662 | 0,646 | 0,646 | 0,129 |
| 13,500 | 7,629 | 99,248 | -7,091 | skid front(out) | ##### | 6,600 | 0,000 | 1,000 | 100,000 | -3,788 | 1,674 | 0,662 | 0,662 | 0,662 | 0,647 | 0,647 | 0,181 |
| 13,900 | 0,230 | 99,187 | -7,089 | skid front(out) | ##### | 6,600 | 0,000 | 1,000 | 100,000 | 0,113 | 1,964 | 0,662 | 0,662 | 0,662 | 0,646 | 0,646 | 0,290 |

| | | | | | | | |
|-----------------|------|--------------|------|-------|-------|-----------|------------|
| run_v_w_ntua_14 | R(m) | br.front (%) | s(%) | e (%) | coeff | effic (%) | time (sec) |
|-----------------|------|--------------|------|-------|-------|-----------|------------|

Προσδιορισμός Τιμών Πρόσφυσης κατά την Πέδηση Οχημάτων Εφοδιασμένων με Σύστημα ABS σε Αυξημένες κατά Μήκος Κλίσεις

| s (m) | V (km/h) | n (%) | dv/dt | skid check | R(m) | s(%) | e (%) | coeff | effic (%) | decelera | time (sec) | FT | front out | front in | rear out | rear in | checktime |
|--------|----------|--------|--------|-----------------|-------|-------|-------|-------|-----------|-----------|------------|-------|-----------|----------|----------|---------|-----------|
| 16,200 | 1,806 | 99,228 | -7,091 | skid front(out) | ##### | 6,600 | 0,000 | 1,000 | 100,000 | -0,865611 | 2,064 | 0,662 | 0,6620 | 0,6620 | 0,6466 | 0,6466 | |
| 0,000 | 54,610 | 99,229 | -7,135 | O.K | ##### | 6,600 | 0,000 | 1,000 | 100,000 | 0,000 | 0,000 | 0,662 | | | | | |
| 0,400 | 53,929 | 99,224 | -7,134 | skid front(in) | ##### | 6,600 | 0,000 | 1,000 | 100,000 | 0,000 | 0,027 | 0,662 | 0,662 | 0,662 | 0,647 | 0,647 | 0,027 |
| 1,000 | 52,890 | 99,224 | -7,132 | skid front(in) | ##### | 6,600 | 0,000 | 1,000 | 100,000 | 0,000 | 0,067 | 0,662 | 0,662 | 0,662 | 0,647 | 0,647 | 0,040 |
| 1,500 | 52,009 | 99,224 | -7,131 | skid front(in) | ##### | 6,600 | 0,000 | 1,000 | 100,000 | 0,000 | 0,101 | 0,662 | 0,662 | 0,662 | 0,647 | 0,647 | 0,034 |
| 2,000 | 51,113 | 99,224 | -7,129 | skid front(in) | ##### | 6,600 | 0,000 | 1,000 | 100,000 | 0,000 | 0,136 | 0,662 | 0,662 | 0,662 | 0,647 | 0,647 | 0,035 |
| 2,500 | 50,201 | 99,224 | -7,128 | skid front(in) | ##### | 6,600 | 0,000 | 1,000 | 100,000 | 0,000 | 0,172 | 0,662 | 0,662 | 0,662 | 0,647 | 0,647 | 0,036 |
| 3,000 | 49,272 | 99,224 | -7,127 | skid front(in) | ##### | 6,600 | 0,000 | 1,000 | 100,000 | 0,000 | 0,208 | 0,662 | 0,662 | 0,662 | 0,647 | 0,647 | 0,036 |
| 3,500 | 48,326 | 99,224 | -7,125 | skid front(in) | ##### | 6,600 | 0,000 | 1,000 | 100,000 | 0,000 | 0,245 | 0,662 | 0,662 | 0,662 | 0,647 | 0,647 | 0,037 |
| 4,000 | 47,361 | 99,225 | -7,124 | skid front(in) | ##### | 6,600 | 0,000 | 1,000 | 100,000 | 0,000 | 0,282 | 0,662 | 0,662 | 0,662 | 0,647 | 0,647 | 0,038 |
| 4,400 | 46,575 | 99,225 | -7,123 | skid front(in) | ##### | 6,600 | 0,000 | 1,000 | 100,000 | 0,000 | 0,313 | 0,662 | 0,662 | 0,662 | 0,647 | 0,647 | 0,031 |
| 5,000 | 45,370 | 99,225 | -7,121 | skid front(in) | ##### | 6,600 | 0,000 | 1,000 | 100,000 | 0,000 | 0,360 | 0,662 | 0,662 | 0,662 | 0,647 | 0,647 | 0,047 |
| 5,500 | 44,342 | 99,225 | -7,120 | skid front(in) | ##### | 6,600 | 0,000 | 1,000 | 100,000 | 0,000 | 0,400 | 0,662 | 0,662 | 0,662 | 0,647 | 0,647 | 0,040 |
| 6,000 | 43,289 | 99,225 | -7,119 | skid front(in) | ##### | 6,600 | 0,000 | 1,000 | 100,000 | 0,000 | 0,441 | 0,662 | 0,662 | 0,662 | 0,647 | 0,647 | 0,041 |
| 6,500 | 42,210 | 99,225 | -7,117 | skid front(in) | ##### | 6,600 | 0,000 | 1,000 | 100,000 | 0,000 | 0,483 | 0,662 | 0,662 | 0,662 | 0,647 | 0,647 | 0,042 |
| 7,000 | 41,103 | 99,225 | -7,116 | skid front(in) | ##### | 6,600 | 0,000 | 1,000 | 100,000 | 0,000 | 0,527 | 0,662 | 0,662 | 0,662 | 0,647 | 0,647 | 0,043 |
| 7,500 | 39,965 | 99,225 | -7,115 | skid front(in) | ##### | 6,600 | 0,000 | 1,000 | 100,000 | 0,000 | 0,571 | 0,662 | 0,662 | 0,662 | 0,647 | 0,647 | 0,044 |
| 8,000 | 38,795 | 99,225 | -7,113 | skid front(in) | ##### | 6,600 | 0,000 | 1,000 | 100,000 | 0,000 | 0,617 | 0,662 | 0,662 | 0,662 | 0,647 | 0,647 | 0,046 |
| 8,500 | 37,588 | 99,225 | -7,112 | skid front(in) | ##### | 6,600 | 0,000 | 1,000 | 100,000 | 0,000 | 0,664 | 0,662 | 0,662 | 0,662 | 0,647 | 0,647 | 0,047 |
| 9,000 | 36,341 | 99,225 | -7,111 | skid front(in) | ##### | 6,600 | 0,000 | 1,000 | 100,000 | 0,001 | 0,713 | 0,662 | 0,662 | 0,662 | 0,647 | 0,647 | 0,049 |
| 9,500 | 35,051 | 99,225 | -7,109 | skid front(in) | ##### | 6,600 | 0,000 | 1,000 | 100,000 | 0,000 | 0,763 | 0,662 | 0,662 | 0,662 | 0,647 | 0,647 | 0,050 |
| 10,000 | 33,711 | 99,226 | -7,108 | skid front(in) | ##### | 6,600 | 0,000 | 1,000 | 100,000 | 0,000 | 0,815 | 0,662 | 0,662 | 0,662 | 0,647 | 0,647 | 0,052 |
| 10,500 | 32,316 | 99,226 | -7,107 | skid front(in) | ##### | 6,600 | 0,000 | 1,000 | 100,000 | 0,000 | 0,870 | 0,662 | 0,662 | 0,662 | 0,647 | 0,647 | 0,055 |
| 11,000 | 30,858 | 99,226 | -7,105 | skid front(in) | ##### | 6,600 | 0,000 | 1,000 | 100,000 | 0,000 | 0,927 | 0,662 | 0,662 | 0,662 | 0,647 | 0,647 | 0,057 |
| 11,500 | 29,328 | 99,226 | -7,104 | skid front(in) | ##### | 6,600 | 0,000 | 1,000 | 100,000 | 0,001 | 0,987 | 0,662 | 0,662 | 0,662 | 0,647 | 0,647 | 0,060 |
| 12,000 | 27,715 | 99,226 | -7,103 | skid front(in) | ##### | 6,600 | 0,000 | 1,000 | 100,000 | 0,000 | 1,050 | 0,662 | 0,662 | 0,662 | 0,647 | 0,647 | 0,063 |
| 12,500 | 26,001 | 99,230 | -7,101 | skid front(out) | ##### | 6,600 | 0,000 | 1,000 | 100,000 | -0,881 | 1,117 | 0,662 | 0,662 | 0,662 | 0,647 | 0,647 | 0,067 |
| 13,000 | 24,167 | 99,241 | -7,099 | skid front(out) | ##### | 6,600 | 0,000 | 1,000 | 100,000 | -3,301 | 1,189 | 0,662 | 0,662 | 0,662 | 0,647 | 0,647 | 0,072 |
| 13,500 | 22,182 | 99,251 | -7,097 | skid front(out) | ##### | 6,600 | 0,000 | 1,000 | 100,000 | -4,526 | 1,266 | 0,662 | 0,662 | 0,662 | 0,646 | 0,647 | 0,078 |
| 14,000 | 20,001 | 99,227 | -7,096 | skid front(out) | ##### | 6,600 | 0,000 | 1,000 | 100,000 | -1,409 | 1,352 | 0,662 | 0,662 | 0,662 | 0,647 | 0,647 | 0,085 |
| 14,500 | 17,553 | 99,200 | -7,093 | skid front(out) | ##### | 6,600 | 0,000 | 1,000 | 100,000 | -1,554 | 1,447 | 0,662 | 0,662 | 0,662 | 0,646 | 0,646 | 0,096 |
| 15,000 | 14,702 | 99,241 | -7,094 | skid front(out) | ##### | 6,600 | 0,000 | 1,000 | 100,000 | -2,328 | 1,559 | 0,662 | 0,662 | 0,662 | 0,647 | 0,647 | 0,112 |
| 15,500 | 11,145 | 99,246 | -7,092 | skid front(out) | ##### | 6,600 | 0,000 | 1,000 | 100,000 | -3,309 | 1,698 | 0,662 | 0,662 | 0,662 | 0,647 | 0,647 | 0,139 |
| 16,000 | 5,682 | 99,248 | -7,091 | skid front(out) | ##### | 6,600 | 0,000 | 1,000 | 100,000 | -2,863 | 1,912 | 0,662 | 0,662 | 0,662 | 0,647 | 0,647 | 0,214 |
| 16,200 | 1,806 | 99,228 | -7,091 | skid front(out) | ##### | 6,600 | 0,000 | 1,000 | 100,000 | -0,866 | 2,064 | 0,662 | 0,662 | 0,662 | 0,647 | 0,647 | 0,152 |

Προσδιορισμός Τιμών Πρόσφυσης κατά την Πέδηση Οχημάτων Εφοδιασμένων με Σύστημα ABS σε Αυξημένες κατά Μήκος Κλίσεις

| run_v_w_ntua_15 | | R(m) | br.front (%) | s(%) | e (%) | coeff | effic (%) | time (sec) | | | | | | | | | |
|-----------------|----------|-----------|--------------|-----------------|-------|-------|-----------|------------|-----------|-----------|------------|-------|-----------|----------|----------|---------|-----------|
| s= | 100,000 | ##### | 67,00 | 6,6 | 0,0 | 1,00 | 100 | 1,849 | | | | | | | | | |
| step= | 0,100 | viewstep= | 0,500 | STEPS | | | | | | | | | | | | | |
| s (m) | V (km/h) | n (%) | dv/dt | skid check | R(m) | s(%) | e (%) | coeff | effic (%) | decelera | time (sec) | fT | front out | front in | rear out | rear in | checktime |
| 13,900 | 3,442 | 99,258 | -7,090 | skid front(out) | ##### | 6,600 | 0,000 | 1,000 | 100,000 | -5,035028 | 1,849 | 0,662 | 0,6619 | 0,6619 | 0,6465 | 0,6465 | |
| 0,000 | 50,730 | 99,229 | -7,129 | O.K | ##### | 6,600 | 0,000 | 1,000 | 100,000 | 0,000 | 0,000 | 0,662 | | | | | |
| 0,400 | 49,996 | 99,224 | -7,128 | skid front(in) | ##### | 6,600 | 0,000 | 1,000 | 100,000 | 0,000 | 0,029 | 0,662 | 0,662 | 0,662 | 0,647 | 0,647 | 0,029 |
| 1,000 | 48,875 | 99,224 | -7,126 | skid front(in) | ##### | 6,600 | 0,000 | 1,000 | 100,000 | 0,000 | 0,072 | 0,662 | 0,662 | 0,662 | 0,647 | 0,647 | 0,044 |
| 1,500 | 47,921 | 99,224 | -7,125 | skid front(in) | ##### | 6,600 | 0,000 | 1,000 | 100,000 | 0,000 | 0,109 | 0,662 | 0,662 | 0,662 | 0,647 | 0,647 | 0,037 |
| 2,000 | 46,948 | 99,225 | -7,123 | skid front(in) | ##### | 6,600 | 0,000 | 1,000 | 100,000 | 0,000 | 0,147 | 0,662 | 0,662 | 0,662 | 0,647 | 0,647 | 0,038 |
| 2,500 | 45,954 | 99,225 | -7,122 | skid front(in) | ##### | 6,600 | 0,000 | 1,000 | 100,000 | 0,000 | 0,186 | 0,662 | 0,662 | 0,662 | 0,647 | 0,647 | 0,039 |
| 3,000 | 44,939 | 99,225 | -7,121 | skid front(in) | ##### | 6,600 | 0,000 | 1,000 | 100,000 | 0,000 | 0,226 | 0,662 | 0,662 | 0,662 | 0,647 | 0,647 | 0,040 |
| 3,500 | 43,900 | 99,225 | -7,119 | skid front(in) | ##### | 6,600 | 0,000 | 1,000 | 100,000 | 0,000 | 0,266 | 0,662 | 0,662 | 0,662 | 0,647 | 0,647 | 0,041 |
| 4,000 | 42,837 | 99,225 | -7,118 | skid front(in) | ##### | 6,600 | 0,000 | 1,000 | 100,000 | 0,000 | 0,308 | 0,662 | 0,662 | 0,662 | 0,647 | 0,647 | 0,042 |
| 4,400 | 41,967 | 99,225 | -7,117 | skid front(in) | ##### | 6,600 | 0,000 | 1,000 | 100,000 | 0,000 | 0,342 | 0,662 | 0,662 | 0,662 | 0,647 | 0,647 | 0,034 |
| 5,000 | 40,627 | 99,225 | -7,115 | skid front(in) | ##### | 6,600 | 0,000 | 1,000 | 100,000 | 0,000 | 0,394 | 0,662 | 0,662 | 0,662 | 0,647 | 0,647 | 0,052 |
| 5,500 | 39,476 | 99,225 | -7,114 | skid front(in) | ##### | 6,600 | 0,000 | 1,000 | 100,000 | 0,000 | 0,439 | 0,662 | 0,662 | 0,662 | 0,647 | 0,647 | 0,045 |
| 6,000 | 38,290 | 99,225 | -7,113 | skid front(in) | ##### | 6,600 | 0,000 | 1,000 | 100,000 | 0,001 | 0,485 | 0,662 | 0,662 | 0,662 | 0,647 | 0,647 | 0,046 |
| 6,500 | 37,067 | 99,225 | -7,111 | skid front(in) | ##### | 6,600 | 0,000 | 1,000 | 100,000 | 0,001 | 0,533 | 0,662 | 0,662 | 0,662 | 0,647 | 0,647 | 0,048 |
| 7,000 | 35,802 | 99,225 | -7,110 | skid front(in) | ##### | 6,600 | 0,000 | 1,000 | 100,000 | 0,000 | 0,582 | 0,662 | 0,662 | 0,662 | 0,647 | 0,647 | 0,049 |
| 7,500 | 34,492 | 99,225 | -7,109 | skid front(in) | ##### | 6,600 | 0,000 | 1,000 | 100,000 | 0,000 | 0,634 | 0,662 | 0,662 | 0,662 | 0,647 | 0,647 | 0,051 |
| 8,000 | 33,129 | 99,226 | -7,107 | skid front(in) | ##### | 6,600 | 0,000 | 1,000 | 100,000 | 0,000 | 0,687 | 0,662 | 0,662 | 0,662 | 0,647 | 0,647 | 0,053 |
| 8,500 | 31,709 | 99,226 | -7,106 | skid front(in) | ##### | 6,600 | 0,000 | 1,000 | 100,000 | 0,000 | 0,742 | 0,662 | 0,662 | 0,662 | 0,647 | 0,647 | 0,056 |
| 9,000 | 30,222 | 99,226 | -7,105 | skid front(in) | ##### | 6,600 | 0,000 | 1,000 | 100,000 | 0,001 | 0,801 | 0,662 | 0,662 | 0,662 | 0,647 | 0,647 | 0,058 |
| 9,500 | 28,658 | 99,226 | -7,103 | skid front(in) | ##### | 6,600 | 0,000 | 1,000 | 100,000 | 0,000 | 0,862 | 0,662 | 0,662 | 0,662 | 0,647 | 0,647 | 0,061 |
| 10,000 | 27,004 | 99,225 | -7,102 | skid front(in) | ##### | 6,600 | 0,000 | 1,000 | 100,000 | 0,001 | 0,926 | 0,662 | 0,662 | 0,662 | 0,647 | 0,647 | 0,065 |
| 10,500 | 25,243 | 99,206 | -7,098 | skid front(out) | ##### | 6,600 | 0,000 | 1,000 | 100,000 | -2,163 | 0,995 | 0,662 | 0,662 | 0,662 | 0,646 | 0,646 | 0,069 |
| 11,000 | 23,350 | 99,209 | -7,097 | skid front(out) | ##### | 6,600 | 0,000 | 1,000 | 100,000 | -1,146 | 1,069 | 0,662 | 0,662 | 0,662 | 0,646 | 0,646 | 0,074 |
| 11,500 | 21,289 | 99,245 | -7,098 | skid front(out) | ##### | 6,600 | 0,000 | 1,000 | 100,000 | -2,006 | 1,150 | 0,662 | 0,662 | 0,662 | 0,647 | 0,647 | 0,081 |
| 12,000 | 19,006 | 99,213 | -7,096 | skid front(out) | ##### | 6,600 | 0,000 | 1,000 | 100,000 | 0,290 | 1,239 | 0,662 | 0,662 | 0,662 | 0,647 | 0,647 | 0,089 |
| 12,500 | 16,409 | 99,248 | -7,095 | skid front(out) | ##### | 6,600 | 0,000 | 1,000 | 100,000 | -2,698 | 1,341 | 0,662 | 0,662 | 0,662 | 0,647 | 0,647 | 0,102 |
| 13,000 | 13,316 | 99,211 | -7,091 | skid front(out) | ##### | 6,600 | 0,000 | 1,000 | 100,000 | -2,648 | 1,462 | 0,662 | 0,662 | 0,662 | 0,646 | 0,646 | 0,121 |
| 13,500 | 9,240 | 99,206 | -7,092 | skid front(out) | ##### | 6,600 | 0,000 | 1,000 | 100,000 | 0,466 | 1,622 | 0,662 | 0,662 | 0,662 | 0,647 | 0,647 | 0,160 |
| 13,900 | 3,442 | 99,258 | -7,090 | skid front(out) | ##### | 6,600 | 0,000 | 1,000 | 100,000 | -5,035 | 1,849 | 0,662 | 0,662 | 0,662 | 0,647 | 0,647 | 0,227 |

Προσδιορισμός Τιμών Πρόσφυσης κατά την Πέδηση Οχημάτων Εφοδιασμένων με Σύστημα ABS σε Αυξημένες κατά Μήκος Κλίσεις

| run_v_w_ntua_17 | R(m) | br.front (%) | s(%) | e (%) | coeff | effic (%) | | time (sec) | | | | | | | | | |
|-----------------|-----------|--------------|--------|-----------------|-------|-----------|-------|------------|-----------|-----------|------------|-------|-----------|----------|----------|---------|-----------|
| s= 100,000 | ##### | 67,00 | 6,6 | 0,0 | 1,00 | 100 | | 1,934 | 0,963 | | | | | | | | |
| step= 0,100 | viewstep= | 0,500 | STEPS | | | | | | | | | | | | | | |
| s (m) | V (km/h) | n (%) | dv/dt | skid check | R(m) | s(%) | e (%) | coeff | effic (%) | decelera | time (sec) | ft | front out | front in | rear out | rear in | checktime |
| 14,100 | 1,552 | 99,241 | -7,091 | skid front(out) | ##### | 6,600 | 0,000 | 1,000 | 100,000 | -2,535420 | 1,934 | 0,662 | 0,6619 | 0,6619 | 0,6466 | 0,6466 | |
| 0,000 | 51,000 | 99,229 | -7,129 | O.K | ##### | 6,600 | 0,000 | 1,000 | 100,000 | 0,000 | 0,000 | 0,662 | | | | | |
| 0,400 | 50,270 | 99,224 | -7,128 | skid front(in) | ##### | 6,600 | 0,000 | 1,000 | 100,000 | 0,000 | 0,028 | 0,662 | 0,662 | 0,662 | 0,647 | 0,647 | 0,028 |
| 1,000 | 49,155 | 99,224 | -7,126 | skid front(in) | ##### | 6,600 | 0,000 | 1,000 | 100,000 | 0,000 | 0,072 | 0,662 | 0,662 | 0,662 | 0,647 | 0,647 | 0,043 |
| 1,500 | 48,207 | 99,224 | -7,125 | skid front(in) | ##### | 6,600 | 0,000 | 1,000 | 100,000 | 0,000 | 0,109 | 0,662 | 0,662 | 0,662 | 0,647 | 0,647 | 0,037 |
| 2,000 | 47,239 | 99,225 | -7,124 | skid front(in) | ##### | 6,600 | 0,000 | 1,000 | 100,000 | 0,000 | 0,147 | 0,662 | 0,662 | 0,662 | 0,647 | 0,647 | 0,038 |
| 2,500 | 46,252 | 99,225 | -7,122 | skid front(in) | ##### | 6,600 | 0,000 | 1,000 | 100,000 | 0,000 | 0,185 | 0,662 | 0,662 | 0,662 | 0,647 | 0,647 | 0,039 |
| 3,000 | 45,243 | 99,225 | -7,121 | skid front(in) | ##### | 6,600 | 0,000 | 1,000 | 100,000 | 0,000 | 0,224 | 0,662 | 0,662 | 0,662 | 0,647 | 0,647 | 0,039 |
| 3,500 | 44,212 | 99,225 | -7,120 | skid front(in) | ##### | 6,600 | 0,000 | 1,000 | 100,000 | 0,000 | 0,265 | 0,662 | 0,662 | 0,662 | 0,647 | 0,647 | 0,040 |
| 4,000 | 43,156 | 99,225 | -7,118 | skid front(in) | ##### | 6,600 | 0,000 | 1,000 | 100,000 | 0,000 | 0,306 | 0,662 | 0,662 | 0,662 | 0,647 | 0,647 | 0,041 |
| 4,400 | 42,292 | 99,225 | -7,117 | skid front(in) | ##### | 6,600 | 0,000 | 1,000 | 100,000 | 0,000 | 0,340 | 0,662 | 0,662 | 0,662 | 0,647 | 0,647 | 0,034 |
| 5,000 | 40,963 | 99,225 | -7,116 | skid front(in) | ##### | 6,600 | 0,000 | 1,000 | 100,000 | 0,000 | 0,391 | 0,662 | 0,662 | 0,662 | 0,647 | 0,647 | 0,052 |
| 5,500 | 39,821 | 99,225 | -7,114 | skid front(in) | ##### | 6,600 | 0,000 | 1,000 | 100,000 | 0,000 | 0,436 | 0,662 | 0,662 | 0,662 | 0,647 | 0,647 | 0,045 |
| 6,000 | 38,646 | 99,225 | -7,113 | skid front(in) | ##### | 6,600 | 0,000 | 1,000 | 100,000 | 0,000 | 0,482 | 0,662 | 0,662 | 0,662 | 0,647 | 0,647 | 0,046 |
| 6,500 | 37,435 | 99,225 | -7,112 | skid front(in) | ##### | 6,600 | 0,000 | 1,000 | 100,000 | 0,000 | 0,529 | 0,662 | 0,662 | 0,662 | 0,647 | 0,647 | 0,047 |
| 7,000 | 36,183 | 99,225 | -7,110 | skid front(in) | ##### | 6,600 | 0,000 | 1,000 | 100,000 | 0,000 | 0,578 | 0,662 | 0,662 | 0,662 | 0,647 | 0,647 | 0,049 |
| 7,500 | 34,886 | 99,225 | -7,109 | skid front(in) | ##### | 6,600 | 0,000 | 1,000 | 100,000 | 0,000 | 0,629 | 0,662 | 0,662 | 0,662 | 0,647 | 0,647 | 0,051 |
| 8,000 | 33,540 | 99,226 | -7,108 | skid front(in) | ##### | 6,600 | 0,000 | 1,000 | 100,000 | 0,001 | 0,681 | 0,662 | 0,662 | 0,662 | 0,647 | 0,647 | 0,053 |
| 8,500 | 32,138 | 99,226 | -7,106 | skid front(in) | ##### | 6,600 | 0,000 | 1,000 | 100,000 | 0,000 | 0,736 | 0,662 | 0,662 | 0,662 | 0,647 | 0,647 | 0,055 |
| 9,000 | 30,671 | 99,226 | -7,105 | skid front(in) | ##### | 6,600 | 0,000 | 1,000 | 100,000 | 0,001 | 0,794 | 0,662 | 0,662 | 0,662 | 0,647 | 0,647 | 0,057 |
| 9,500 | 29,132 | 99,226 | -7,104 | skid front(in) | ##### | 6,600 | 0,000 | 1,000 | 100,000 | 0,001 | 0,854 | 0,662 | 0,662 | 0,662 | 0,647 | 0,647 | 0,060 |
| 10,000 | 27,506 | 99,226 | -7,102 | skid front(in) | ##### | 6,600 | 0,000 | 1,000 | 100,000 | 0,001 | 0,917 | 0,662 | 0,662 | 0,662 | 0,647 | 0,647 | 0,064 |
| 10,500 | 25,779 | 99,220 | -7,100 | skid front(out) | ##### | 6,620 | 0,000 | 1,000 | 100,000 | -1,050 | 0,985 | 0,662 | 0,662 | 0,662 | 0,647 | 0,647 | 0,068 |
| 11,000 | 23,928 | 99,202 | -7,097 | skid front(out) | ##### | 6,600 | 0,000 | 1,000 | 100,000 | -1,678 | 1,057 | 0,662 | 0,662 | 0,662 | 0,646 | 0,646 | 0,072 |
| 11,500 | 21,921 | 99,248 | -7,098 | skid front(out) | ##### | 6,600 | 0,000 | 1,000 | 100,000 | -2,902 | 1,136 | 0,662 | 0,662 | 0,662 | 0,647 | 0,647 | 0,079 |
| 12,000 | 19,712 | 99,262 | -7,096 | skid front(out) | ##### | 6,600 | 0,000 | 1,000 | 100,000 | -4,396 | 1,222 | 0,662 | 0,662 | 0,662 | 0,647 | 0,647 | 0,086 |
| 12,500 | 17,222 | 99,206 | -7,093 | skid front(out) | ##### | 6,600 | 0,000 | 1,000 | 100,000 | -2,756 | 1,320 | 0,662 | 0,662 | 0,662 | 0,646 | 0,646 | 0,098 |
| 13,000 | 14,306 | 99,215 | -7,093 | skid front(out) | ##### | 6,600 | 0,000 | 1,000 | 100,000 | -1,558 | 1,434 | 0,662 | 0,662 | 0,662 | 0,646 | 0,646 | 0,114 |
| 13,500 | 10,616 | 99,223 | -7,090 | skid front(out) | ##### | 6,600 | 0,000 | 1,000 | 100,000 | -4,038 | 1,578 | 0,662 | 0,662 | 0,662 | 0,646 | 0,646 | 0,145 |
| 14,000 | 4,561 | 99,189 | -7,088 | skid front(out) | ##### | 6,600 | 0,000 | 1,000 | 100,000 | -1,588 | 1,816 | 0,662 | 0,662 | 0,662 | 0,646 | 0,646 | 0,237 |
| 14,100 | 1,552 | 99,241 | -7,091 | skid front(out) | ##### | 6,600 | 0,000 | 1,000 | 100,000 | -2,535 | 1,934 | 0,662 | 0,662 | 0,662 | 0,647 | 0,647 | 0,118 |

Προσδιορισμός Τιμών Πρόσφυσης κατά την Πέδηση Οχημάτων Εφοδιασμένων με Σύστημα ABS σε Αυξημένες κατά Μήκος Κλίσεις

| run v w ntua 18 | | R(m) | br.front (%) | s(%) | e (%) | coeff | effic (%) | | | time (sec) | | | | | | | 0,963 |
|-----------------|----------|-----------|--------------|-----------------|-------|-------|-----------|-------|-----------|------------|------------|-------|-----------|----------|----------|---------|-----------|
| s= | 100,000 | ##### | 67,00 | 6,6 | 0,0 | 1,00 | 100 | | | 1,784 | | | | | | | |
| step= | 0,100 | viewstep= | 0,500 | STEPS | | | | | | | | | | | | | |
| s (m) | V (km/h) | n (%) | dv/dt | skid check | R(m) | s(%) | e (%) | coeff | effic (%) | decelera | time (sec) | fT | front out | front in | rear out | rear in | checktime |
| 13,300 | 4,034 | 99,266 | -7,091 | skid front(out) | ##### | 6,600 | 0,000 | 1,000 | 100,000 | -4,385274 | 1,784 | 0,662 | 0,6620 | 0,6620 | 0,6467 | 0,6467 | |
| 0,000 | 49,670 | 99,229 | -7,127 | O.K | ##### | 6,600 | 0,000 | 1,000 | 100,000 | 0,000 | 0,000 | 0,662 | | | | | |
| 0,400 | 48,921 | 99,224 | -7,126 | skid front(in) | ##### | 6,600 | 0,000 | 1,000 | 100,000 | 0,000 | 0,029 | 0,662 | 0,662 | 0,662 | 0,647 | 0,647 | 0,029 |
| 1,000 | 47,775 | 99,225 | -7,124 | skid front(in) | ##### | 6,600 | 0,000 | 1,000 | 100,000 | 0,000 | 0,074 | 0,662 | 0,662 | 0,662 | 0,647 | 0,647 | 0,045 |
| 1,500 | 46,798 | 99,225 | -7,123 | skid front(in) | ##### | 6,600 | 0,000 | 1,000 | 100,000 | 0,000 | 0,112 | 0,662 | 0,662 | 0,662 | 0,647 | 0,647 | 0,038 |
| 2,000 | 45,801 | 99,225 | -7,122 | skid front(in) | ##### | 6,600 | 0,000 | 1,000 | 100,000 | 0,000 | 0,151 | 0,662 | 0,662 | 0,662 | 0,647 | 0,647 | 0,039 |
| 2,500 | 44,783 | 99,225 | -7,120 | skid front(in) | ##### | 6,600 | 0,000 | 1,000 | 100,000 | 0,000 | 0,191 | 0,662 | 0,662 | 0,662 | 0,647 | 0,647 | 0,040 |
| 3,000 | 43,740 | 99,225 | -7,119 | skid front(in) | ##### | 6,600 | 0,000 | 1,000 | 100,000 | 0,000 | 0,231 | 0,662 | 0,662 | 0,662 | 0,647 | 0,647 | 0,041 |
| 3,500 | 42,673 | 99,225 | -7,118 | skid front(in) | ##### | 6,600 | 0,000 | 1,000 | 100,000 | 0,000 | 0,273 | 0,662 | 0,662 | 0,662 | 0,647 | 0,647 | 0,042 |
| 4,000 | 41,578 | 99,225 | -7,116 | skid front(in) | ##### | 6,600 | 0,000 | 1,000 | 100,000 | 0,000 | 0,316 | 0,662 | 0,662 | 0,662 | 0,647 | 0,647 | 0,043 |
| 4,400 | 40,681 | 99,225 | -7,115 | skid front(in) | ##### | 6,600 | 0,000 | 1,000 | 100,000 | 0,000 | 0,351 | 0,662 | 0,662 | 0,662 | 0,647 | 0,647 | 0,035 |
| 5,000 | 39,298 | 99,225 | -7,114 | skid front(in) | ##### | 6,600 | 0,000 | 1,000 | 100,000 | 0,000 | 0,405 | 0,662 | 0,662 | 0,662 | 0,647 | 0,647 | 0,054 |
| 5,500 | 38,107 | 99,225 | -7,112 | skid front(in) | ##### | 6,600 | 0,000 | 1,000 | 100,000 | 0,000 | 0,451 | 0,662 | 0,662 | 0,662 | 0,647 | 0,647 | 0,047 |
| 6,000 | 36,877 | 99,225 | -7,111 | skid front(in) | ##### | 6,600 | 0,000 | 1,000 | 100,000 | 0,001 | 0,499 | 0,662 | 0,662 | 0,662 | 0,647 | 0,647 | 0,048 |
| 6,500 | 35,606 | 99,225 | -7,110 | skid front(in) | ##### | 6,600 | 0,000 | 1,000 | 100,000 | 0,000 | 0,549 | 0,662 | 0,662 | 0,662 | 0,647 | 0,647 | 0,050 |
| 7,000 | 34,288 | 99,225 | -7,108 | skid front(in) | ##### | 6,600 | 0,000 | 1,000 | 100,000 | 0,000 | 0,600 | 0,662 | 0,662 | 0,662 | 0,647 | 0,647 | 0,052 |
| 7,500 | 32,917 | 99,226 | -7,107 | skid front(in) | ##### | 6,600 | 0,000 | 1,000 | 100,000 | 0,000 | 0,654 | 0,662 | 0,662 | 0,662 | 0,647 | 0,647 | 0,054 |
| 8,000 | 31,487 | 99,226 | -7,106 | skid front(in) | ##### | 6,600 | 0,000 | 1,000 | 100,000 | 0,000 | 0,710 | 0,662 | 0,662 | 0,662 | 0,647 | 0,647 | 0,056 |
| 8,500 | 29,989 | 99,226 | -7,104 | skid front(in) | ##### | 6,600 | 0,000 | 1,000 | 100,000 | 0,000 | 0,768 | 0,662 | 0,662 | 0,662 | 0,647 | 0,647 | 0,059 |
| 9,000 | 28,413 | 99,226 | -7,103 | skid front(in) | ##### | 6,600 | 0,000 | 1,000 | 100,000 | 0,000 | 0,830 | 0,662 | 0,662 | 0,662 | 0,647 | 0,647 | 0,062 |
| 9,500 | 26,744 | 99,233 | -7,101 | skid front(out) | ##### | 6,600 | 0,000 | 1,000 | 100,000 | -2,163 | 0,895 | 0,662 | 0,662 | 0,662 | 0,647 | 0,647 | 0,065 |
| 10,000 | 24,964 | 99,249 | -7,099 | skid front(out) | ##### | 6,600 | 0,000 | 1,000 | 100,000 | -3,621 | 0,965 | 0,662 | 0,662 | 0,662 | 0,647 | 0,647 | 0,070 |
| 10,500 | 23,048 | 99,233 | -7,099 | skid front(out) | ##### | 6,600 | 0,000 | 1,000 | 100,000 | -0,884 | 1,040 | 0,662 | 0,662 | 0,662 | 0,647 | 0,647 | 0,075 |
| 11,000 | 20,958 | 99,248 | -7,096 | skid front(out) | ##### | 6,600 | 0,000 | 1,000 | 100,000 | -4,410 | 1,122 | 0,662 | 0,662 | 0,662 | 0,646 | 0,646 | 0,082 |
| 11,500 | 18,634 | 99,229 | -7,094 | skid front(out) | ##### | 6,600 | 0,000 | 1,000 | 100,000 | -3,673 | 1,213 | 0,662 | 0,662 | 0,662 | 0,646 | 0,646 | 0,091 |
| 12,000 | 15,977 | 99,207 | -7,093 | skid front(out) | ##### | 6,600 | 0,000 | 1,000 | 100,000 | -1,568 | 1,317 | 0,662 | 0,662 | 0,662 | 0,646 | 0,646 | 0,104 |
| 12,500 | 12,780 | 99,254 | -7,092 | skid front(out) | ##### | 6,600 | 0,000 | 1,000 | 100,000 | -4,892 | 1,442 | 0,662 | 0,662 | 0,662 | 0,646 | 0,646 | 0,125 |
| 13,000 | 8,450 | 99,187 | -7,089 | skid front(out) | ##### | 6,600 | 0,000 | 1,000 | 100,000 | -1,376 | 1,611 | 0,662 | 0,662 | 0,662 | 0,646 | 0,646 | 0,170 |
| 13,300 | 4,034 | 99,266 | -7,091 | skid front(out) | ##### | 6,600 | 0,000 | 1,000 | 100,000 | -4,385 | 1,784 | 0,662 | 0,662 | 0,662 | 0,647 | 0,647 | 0,173 |

Προσδιορισμός Τιμών Πρόσφυσης κατά την Πέδηση Οχημάτων Εφοδιασμένων με Σύστημα ABS σε Αυξημένες κατά Μήκος Κλίσεις

| run v w ntua_19 | | R(m) | br.front (%) | s(%) | e (%) | coeff | effic (%) | | | time (sec) | | | | | | | |
|-----------------|----------|-----------|--------------|-----------------|-------|-------|-----------|-------|-----------|------------|------------|-------|-----------|----------|----------|---------|-----------|
| s= | 100,000 | ##### | 67,00 | 6,6 | 0,0 | 1,00 | 100 | | | 1,904 | | | | | | | 0,963 |
| step= | 0,100 | viewstep= | 0,500 | STEPS | | | | | | | | | | | | | |
| s (m) | V (km/h) | n (%) | dv/dt | skid check | R(m) | s(%) | e (%) | coeff | effic (%) | decelera | time (sec) | FT | front out | front in | rear out | rear in | checktime |
| 13,900 | 1,944 | 99,236 | -7,089 | skid front(out) | ##### | 6,600 | 0,000 | 1,000 | 100,000 | -4,688588 | 1,904 | 0,662 | 0,6618 | 0,6618 | 0,6463 | 0,6463 | |
| 0,000 | 50,650 | 99,229 | -7,129 | O.K | ##### | 6,600 | 0,000 | 1,000 | 100,000 | 0,000 | 0,000 | 0,662 | | | | | |
| 0,400 | 49,915 | 99,224 | -7,127 | skid front(in) | ##### | 6,600 | 0,000 | 1,000 | 100,000 | 0,000 | 0,029 | 0,662 | 0,662 | 0,662 | 0,647 | 0,647 | 0,029 |
| 1,000 | 48,792 | 99,224 | -7,126 | skid front(in) | ##### | 6,600 | 0,000 | 1,000 | 100,000 | 0,000 | 0,072 | 0,662 | 0,662 | 0,662 | 0,647 | 0,647 | 0,044 |
| 1,500 | 47,837 | 99,225 | -7,125 | skid front(in) | ##### | 6,600 | 0,000 | 1,000 | 100,000 | 0,000 | 0,110 | 0,662 | 0,662 | 0,662 | 0,647 | 0,647 | 0,037 |
| 2,000 | 46,862 | 99,225 | -7,123 | skid front(in) | ##### | 6,600 | 0,000 | 1,000 | 100,000 | 0,000 | 0,148 | 0,662 | 0,662 | 0,662 | 0,647 | 0,647 | 0,038 |
| 2,500 | 45,866 | 99,225 | -7,122 | skid front(in) | ##### | 6,600 | 0,000 | 1,000 | 100,000 | 0,000 | 0,186 | 0,662 | 0,662 | 0,662 | 0,647 | 0,647 | 0,039 |
| 3,000 | 44,849 | 99,225 | -7,121 | skid front(in) | ##### | 6,600 | 0,000 | 1,000 | 100,000 | 0,000 | 0,226 | 0,662 | 0,662 | 0,662 | 0,647 | 0,647 | 0,040 |
| 3,500 | 43,808 | 99,225 | -7,119 | skid front(in) | ##### | 6,600 | 0,000 | 1,000 | 100,000 | 0,000 | 0,267 | 0,662 | 0,662 | 0,662 | 0,647 | 0,647 | 0,041 |
| 4,000 | 42,742 | 99,225 | -7,118 | skid front(in) | ##### | 6,600 | 0,000 | 1,000 | 100,000 | 0,000 | 0,308 | 0,662 | 0,662 | 0,662 | 0,647 | 0,647 | 0,042 |
| 4,400 | 41,870 | 99,225 | -7,117 | skid front(in) | ##### | 6,600 | 0,000 | 1,000 | 100,000 | 0,000 | 0,342 | 0,662 | 0,662 | 0,662 | 0,647 | 0,647 | 0,034 |
| 5,000 | 40,527 | 99,225 | -7,115 | skid front(in) | ##### | 6,600 | 0,000 | 1,000 | 100,000 | 0,000 | 0,395 | 0,662 | 0,662 | 0,662 | 0,647 | 0,647 | 0,052 |
| 5,500 | 39,373 | 99,225 | -7,114 | skid front(in) | ##### | 6,600 | 0,000 | 1,000 | 100,000 | 0,000 | 0,440 | 0,662 | 0,662 | 0,662 | 0,647 | 0,647 | 0,045 |
| 6,000 | 38,184 | 99,225 | -7,113 | skid front(in) | ##### | 6,600 | 0,000 | 1,000 | 100,000 | 0,000 | 0,486 | 0,662 | 0,662 | 0,662 | 0,647 | 0,647 | 0,046 |
| 6,500 | 36,958 | 99,225 | -7,111 | skid front(in) | ##### | 6,600 | 0,000 | 1,000 | 100,000 | 0,000 | 0,534 | 0,662 | 0,662 | 0,662 | 0,647 | 0,647 | 0,048 |
| 7,000 | 35,689 | 99,225 | -7,110 | skid front(in) | ##### | 6,600 | 0,000 | 1,000 | 100,000 | 0,000 | 0,584 | 0,662 | 0,662 | 0,662 | 0,647 | 0,647 | 0,050 |
| 7,500 | 34,374 | 99,225 | -7,109 | skid front(in) | ##### | 6,600 | 0,000 | 1,000 | 100,000 | 0,000 | 0,635 | 0,662 | 0,662 | 0,662 | 0,647 | 0,647 | 0,051 |
| 8,000 | 33,007 | 99,226 | -7,107 | skid front(in) | ##### | 6,600 | 0,000 | 1,000 | 100,000 | 0,001 | 0,689 | 0,662 | 0,662 | 0,662 | 0,647 | 0,647 | 0,053 |
| 8,500 | 31,581 | 99,226 | -7,106 | skid front(in) | ##### | 6,600 | 0,000 | 1,000 | 100,000 | 0,000 | 0,744 | 0,662 | 0,662 | 0,662 | 0,647 | 0,647 | 0,056 |
| 9,000 | 30,088 | 99,226 | -7,105 | skid front(in) | ##### | 6,600 | 0,000 | 1,000 | 100,000 | 0,000 | 0,803 | 0,662 | 0,662 | 0,662 | 0,647 | 0,647 | 0,058 |
| 9,500 | 28,517 | 99,226 | -7,103 | skid front(in) | ##### | 6,600 | 0,000 | 1,000 | 100,000 | 0,000 | 0,864 | 0,662 | 0,662 | 0,662 | 0,647 | 0,647 | 0,061 |
| 10,000 | 26,854 | 99,243 | -7,100 | skid front(out) | ##### | 6,600 | 0,000 | 1,000 | 100,000 | -4,201 | 0,929 | 0,662 | 0,662 | 0,662 | 0,646 | 0,646 | 0,065 |
| 10,500 | 25,082 | 99,210 | -7,098 | skid front(in) | ##### | 6,600 | 0,000 | 1,000 | 100,000 | -2,708 | 0,998 | 0,662 | 0,662 | 0,662 | 0,646 | 0,646 | 0,069 |
| 11,000 | 23,176 | 99,239 | -7,099 | skid front(out) | ##### | 6,600 | 0,000 | 1,000 | 100,000 | -1,738 | 1,073 | 0,662 | 0,662 | 0,662 | 0,647 | 0,647 | 0,075 |
| 11,500 | 21,098 | 99,202 | -7,095 | skid front(out) | ##### | 6,600 | 0,000 | 1,000 | 100,000 | -2,107 | 1,154 | 0,662 | 0,662 | 0,662 | 0,646 | 0,646 | 0,081 |
| 12,000 | 18,793 | 99,229 | -7,095 | skid front(out) | ##### | 6,600 | 0,000 | 1,000 | 100,000 | -3,080 | 1,245 | 0,662 | 0,662 | 0,662 | 0,646 | 0,646 | 0,090 |

Προσδιορισμός Τιμών Πρόσφυσης κατά την Πέδηση Οχημάτων Εφοδιασμένων με Σύστημα ABS σε Αυξημένες κατά Μήκος Κλίσεις

| | | | | | | | | | | | | | | | | | |
|--------|--------|--------|--------|-----------------|-------|-------|-------|-------|---------|--------|-------|-------|-------|-------|-------|-------|-------|
| 12,500 | 16,162 | 99,187 | -7,092 | skid front(out) | ##### | 6,600 | 0,000 | 1,000 | 100,000 | -1,009 | 1,348 | 0,662 | 0,662 | 0,662 | 0,646 | 0,646 | 0,103 |
| 13,000 | 13,010 | 99,248 | -7,093 | skid front(out) | ##### | 6,600 | 0,000 | 1,000 | 100,000 | -2,770 | 1,471 | 0,662 | 0,662 | 0,662 | 0,647 | 0,647 | 0,123 |
| 13,500 | 8,794 | 99,236 | -7,092 | skid front(out) | ##### | 6,600 | 0,000 | 1,000 | 100,000 | -1,215 | 1,636 | 0,662 | 0,662 | 0,662 | 0,647 | 0,647 | 0,165 |
| 13,900 | 1,944 | 99,236 | -7,089 | skid front(out) | ##### | 6,600 | 0,000 | 1,000 | 100,000 | -4,689 | 1,904 | 0,662 | 0,662 | 0,662 | 0,646 | 0,646 | 0,268 |

| run_v_w_ntua_20 | | R(m) | br.front (%) | s(%) | e (%) | coeff | effic (%) | | time (sec) | | | | | | | | | |
|-----------------|----------|-----------|--------------|-----------------|-------|-------|-----------|-------|------------|-----------|------------|-------|-----------|----------|----------|---------|-----------|-------|
| s= | 100,000 | ##### | 67,00 | 6,6 | 0,0 | 1,00 | 100 | | 1,988 | | | | | | | | | 0,963 |
| step= | 0,100 | viewstep= | 0,500 | STEPS | | | | | | | | | | | | | | |
| s (m) | V (km/h) | n (%) | dv/dt | skid check | R(m) | s(%) | e (%) | coeff | effic (%) | decelera | time (sec) | fT | front out | front in | rear out | rear in | checktime | |
| 14,600 | 0,870 | 99,224 | -7,090 | skid front(out) | ##### | 6,600 | 0,000 | 1,000 | 100,000 | -2,098939 | 1,988 | 0,662 | 0,6619 | 0,6619 | 0,6465 | 0,6465 | | |
| 0,000 | 51,710 | 99,229 | -7,130 | O.K | ##### | 6,600 | 0,000 | 1,000 | 100,000 | 0,000 | 0,000 | 0,662 | | | | | | |
| 0,400 | 50,990 | 99,224 | -7,129 | skid front(in) | ##### | 6,600 | 0,000 | 1,000 | 100,000 | 0,000 | 0,028 | 0,662 | 0,662 | 0,662 | 0,647 | 0,647 | 0,028 | |
| 1,000 | 49,891 | 99,224 | -7,127 | skid front(in) | ##### | 6,600 | 0,000 | 1,000 | 100,000 | 0,000 | 0,071 | 0,662 | 0,662 | 0,662 | 0,647 | 0,647 | 0,043 | |
| 1,500 | 48,957 | 99,224 | -7,126 | skid front(in) | ##### | 6,600 | 0,000 | 1,000 | 100,000 | 0,000 | 0,107 | 0,662 | 0,662 | 0,662 | 0,647 | 0,647 | 0,036 | |
| 2,000 | 48,005 | 99,225 | -7,125 | skid front(in) | ##### | 6,600 | 0,000 | 1,000 | 100,000 | 0,000 | 0,144 | 0,662 | 0,662 | 0,662 | 0,647 | 0,647 | 0,037 | |
| 2,500 | 47,033 | 99,225 | -7,123 | skid front(in) | ##### | 6,600 | 0,000 | 1,000 | 100,000 | 0,000 | 0,182 | 0,662 | 0,662 | 0,662 | 0,647 | 0,647 | 0,038 | |
| 3,000 | 46,041 | 99,225 | -7,122 | skid front(in) | ##### | 6,600 | 0,000 | 1,000 | 100,000 | 0,000 | 0,221 | 0,662 | 0,662 | 0,662 | 0,647 | 0,647 | 0,039 | |
| 3,500 | 45,028 | 99,225 | -7,121 | skid front(in) | ##### | 6,600 | 0,000 | 1,000 | 100,000 | 0,000 | 0,261 | 0,662 | 0,662 | 0,662 | 0,647 | 0,647 | 0,040 | |
| 4,000 | 43,991 | 99,225 | -7,119 | skid front(in) | ##### | 6,600 | 0,000 | 1,000 | 100,000 | 0,000 | 0,301 | 0,662 | 0,662 | 0,662 | 0,647 | 0,647 | 0,040 | |
| 4,400 | 43,144 | 99,225 | -7,118 | skid front(in) | ##### | 6,600 | 0,000 | 1,000 | 100,000 | 0,000 | 0,334 | 0,662 | 0,662 | 0,662 | 0,647 | 0,647 | 0,033 | |
| 5,000 | 41,842 | 99,225 | -7,117 | skid front(in) | ##### | 6,600 | 0,000 | 1,000 | 100,000 | 0,000 | 0,385 | 0,662 | 0,662 | 0,662 | 0,647 | 0,647 | 0,051 | |
| 5,500 | 40,725 | 99,225 | -7,115 | skid front(in) | ##### | 6,600 | 0,000 | 1,000 | 100,000 | 0,000 | 0,428 | 0,662 | 0,662 | 0,662 | 0,647 | 0,647 | 0,044 | |
| 6,000 | 39,576 | 99,225 | -7,114 | skid front(in) | ##### | 6,600 | 0,000 | 1,000 | 100,000 | 0,000 | 0,473 | 0,662 | 0,662 | 0,662 | 0,647 | 0,647 | 0,045 | |
| 6,500 | 38,394 | 99,225 | -7,113 | skid front(in) | ##### | 6,600 | 0,000 | 1,000 | 100,000 | 0,000 | 0,519 | 0,662 | 0,662 | 0,662 | 0,647 | 0,647 | 0,046 | |
| 7,000 | 37,174 | 99,225 | -7,111 | skid front(in) | ##### | 6,600 | 0,000 | 1,000 | 100,000 | 0,000 | 0,567 | 0,662 | 0,662 | 0,662 | 0,647 | 0,647 | 0,048 | |
| 7,500 | 35,913 | 99,225 | -7,110 | skid front(in) | ##### | 6,600 | 0,000 | 1,000 | 100,000 | 0,000 | 0,616 | 0,662 | 0,662 | 0,662 | 0,647 | 0,647 | 0,049 | |
| 8,000 | 34,607 | 99,225 | -7,109 | skid front(in) | ##### | 6,600 | 0,000 | 1,000 | 100,000 | 0,000 | 0,667 | 0,662 | 0,662 | 0,662 | 0,647 | 0,647 | 0,051 | |
| 8,500 | 33,249 | 99,226 | -7,107 | skid front(in) | ##### | 6,600 | 0,000 | 1,000 | 100,000 | 0,000 | 0,720 | 0,662 | 0,662 | 0,662 | 0,647 | 0,647 | 0,053 | |
| 9,000 | 31,834 | 99,226 | -7,106 | skid front(in) | ##### | 6,600 | 0,000 | 1,000 | 100,000 | 0,000 | 0,776 | 0,662 | 0,662 | 0,662 | 0,647 | 0,647 | 0,055 | |

Προσδιορισμός Τιμών Πρόσφυσης κατά την Πέδηση Οχημάτων Εφοδιασμένων με Σύστημα ABS σε Αυξημένες κατά Μήκος Κλίσεις

| | | | | | | | | | | | | | | | | | |
|--------|--------|--------|--------|-----------------|-------|-------|-------|-------|---------|--------|-------|-------|-------|-------|-------|-------|-------|
| 9,500 | 30,353 | 99,226 | -7,105 | skid front(in) | ##### | 6,600 | 0,000 | 1,000 | 100,000 | 0,001 | 0,834 | 0,662 | 0,662 | 0,662 | 0,647 | 0,647 | 0,058 |
| 10,000 | 28,797 | 99,226 | -7,103 | skid front(in) | ##### | 6,600 | 0,000 | 1,000 | 100,000 | 0,000 | 0,894 | 0,662 | 0,662 | 0,662 | 0,647 | 0,647 | 0,061 |
| 10,500 | 27,151 | 99,226 | -7,102 | skid front(in) | ##### | 6,600 | 0,000 | 1,000 | 100,000 | 0,000 | 0,959 | 0,662 | 0,662 | 0,662 | 0,647 | 0,647 | 0,064 |
| 11,000 | 25,400 | 99,209 | -7,098 | skid front(out) | ##### | 6,600 | 0,000 | 1,000 | 100,000 | -1,727 | 1,027 | 0,662 | 0,662 | 0,662 | 0,646 | 0,646 | 0,069 |
| 11,500 | 23,519 | 99,219 | -7,096 | skid front(in) | ##### | 6,600 | 0,000 | 1,000 | 100,000 | -3,651 | 1,101 | 0,662 | 0,662 | 0,662 | 0,646 | 0,646 | 0,074 |
| 12,000 | 21,474 | 99,196 | -7,095 | skid front(out) | ##### | 6,600 | 0,000 | 1,000 | 100,000 | -1,379 | 1,181 | 0,662 | 0,662 | 0,662 | 0,646 | 0,646 | 0,080 |
| 12,500 | 19,214 | 99,205 | -7,095 | skid front(out) | ##### | 6,600 | 0,000 | 1,000 | 100,000 | -1,035 | 1,269 | 0,662 | 0,662 | 0,662 | 0,646 | 0,646 | 0,088 |
| 13,000 | 16,650 | 99,247 | -7,095 | skid front(out) | ##### | 6,600 | 0,000 | 1,000 | 100,000 | -2,587 | 1,370 | 0,662 | 0,662 | 0,662 | 0,647 | 0,647 | 0,100 |
| 13,500 | 13,612 | 99,254 | -7,093 | skid front(out) | ##### | 6,600 | 0,000 | 1,000 | 100,000 | -4,490 | 1,489 | 0,662 | 0,662 | 0,662 | 0,647 | 0,647 | 0,119 |
| 14,000 | 9,662 | 99,259 | -7,091 | skid front(out) | ##### | 6,600 | 0,000 | 1,000 | 100,000 | -5,037 | 1,643 | 0,662 | 0,662 | 0,662 | 0,647 | 0,647 | 0,155 |
| 14,500 | 1,203 | 99,221 | -7,091 | skid front(out) | ##### | 6,600 | 0,000 | 1,000 | 100,000 | -0,420 | 1,975 | 0,662 | 0,662 | 0,662 | 0,647 | 0,647 | 0,331 |
| 14,600 | 0,870 | 99,224 | -7,090 | skid front(out) | ##### | 6,600 | 0,000 | 1,000 | 100,000 | -2,099 | 1,988 | 0,662 | 0,662 | 0,662 | 0,646 | 0,646 | 0,013 |

3.1.3 Γλωφάδα – dry

| run_v_d_glif_3 | R(m) | br.front (%) | s(%) | e (%) | coeff | effic (%) | | time (sec) | | | | | | | | | |
|----------------|-----------|--------------|--------|-----------------|-------|-----------|-------|------------|-----------|-----------|------------|-------|-----------|----------|----------|---------|-----------|
| s= 100,000 | ##### | 70,00 | -11,5 | 0,0 | 1,00 | 100 | | 2,243 | 0,963 | | | | | | | | |
| step= 0,100 | viewstep= | 0,500 | STEPS | | | | | | | | | | | | | | |
| s (m) | V (km/h) | n (%) | dv/dt | skid check | R(m) | s(%) | e (%) | coeff | effic (%) | decelera | time (sec) | fT | front out | front in | rear out | rear in | checktime |
| 19,300 | 3,919 | 99,833 | -6,694 | skid front(out) | ##### | -11,500 | 0,000 | 1,000 | 100,000 | -4,124045 | 2,243 | 0,799 | 0,7990 | 0,7990 | 0,7937 | 0,7937 | |
| 0,000 | 58,100 | 99,806 | -6,740 | O.K | ##### | -11,500 | 0,000 | 1,000 | 100,000 | 0,000 | 0,000 | 0,799 | | | | | |
| 0,400 | 57,496 | 99,801 | -6,739 | skid front(in) | ##### | -11,500 | 0,000 | 1,000 | 100,000 | 0,000 | 0,025 | 0,799 | 0,799 | 0,799 | 0,794 | 0,794 | 0,025 |
| 1,000 | 56,577 | 99,801 | -6,737 | skid front(in) | ##### | -11,500 | 0,000 | 1,000 | 100,000 | 0,000 | 0,063 | 0,799 | 0,799 | 0,799 | 0,794 | 0,794 | 0,038 |
| 1,500 | 55,800 | 99,801 | -6,736 | skid front(in) | ##### | -11,500 | 0,000 | 1,000 | 100,000 | 0,000 | 0,095 | 0,799 | 0,799 | 0,799 | 0,794 | 0,794 | 0,032 |
| 2,000 | 55,012 | 99,801 | -6,735 | skid front(in) | ##### | -11,500 | 0,000 | 1,000 | 100,000 | 0,000 | 0,127 | 0,799 | 0,799 | 0,799 | 0,794 | 0,794 | 0,032 |
| 2,500 | 54,213 | 99,801 | -6,734 | skid front(in) | ##### | -11,500 | 0,000 | 1,000 | 100,000 | 0,000 | 0,160 | 0,799 | 0,799 | 0,799 | 0,794 | 0,794 | 0,033 |
| 3,000 | 53,402 | 99,801 | -6,733 | skid front(in) | ##### | -11,500 | 0,000 | 1,000 | 100,000 | 0,000 | 0,194 | 0,799 | 0,799 | 0,799 | 0,794 | 0,794 | 0,033 |
| 3,500 | 52,579 | 99,801 | -6,731 | skid front(in) | ##### | -11,500 | 0,000 | 1,000 | 100,000 | 0,000 | 0,228 | 0,799 | 0,799 | 0,799 | 0,794 | 0,794 | 0,034 |
| 4,000 | 51,743 | 99,801 | -6,730 | skid front(in) | ##### | -11,500 | 0,000 | 1,000 | 100,000 | 0,000 | 0,262 | 0,799 | 0,799 | 0,799 | 0,794 | 0,794 | 0,035 |
| 4,400 | 51,064 | 99,801 | -6,729 | skid front(in) | ##### | -11,500 | 0,000 | 1,000 | 100,000 | 0,000 | 0,290 | 0,799 | 0,799 | 0,799 | 0,794 | 0,794 | 0,028 |
| 5,000 | 50,029 | 99,801 | -6,728 | skid front(in) | ##### | -11,500 | 0,000 | 1,000 | 100,000 | 0,000 | 0,333 | 0,799 | 0,799 | 0,799 | 0,794 | 0,794 | 0,043 |
| 5,500 | 49,150 | 99,801 | -6,727 | skid front(in) | ##### | -11,500 | 0,000 | 1,000 | 100,000 | 0,000 | 0,369 | 0,799 | 0,799 | 0,799 | 0,794 | 0,794 | 0,036 |
| 6,000 | 48,255 | 99,801 | -6,726 | skid front(in) | ##### | -11,500 | 0,000 | 1,000 | 100,000 | 0,000 | 0,406 | 0,799 | 0,799 | 0,799 | 0,794 | 0,794 | 0,037 |
| 6,500 | 47,344 | 99,801 | -6,724 | skid front(in) | ##### | -11,500 | 0,000 | 1,000 | 100,000 | 0,000 | 0,444 | 0,799 | 0,799 | 0,799 | 0,794 | 0,794 | 0,038 |
| 7,000 | 46,414 | 99,802 | -6,723 | skid front(in) | ##### | -11,500 | 0,000 | 1,000 | 100,000 | 0,000 | 0,482 | 0,799 | 0,799 | 0,799 | 0,794 | 0,794 | 0,038 |
| 7,500 | 45,466 | 99,802 | -6,722 | skid front(in) | ##### | -11,500 | 0,000 | 1,000 | 100,000 | 0,000 | 0,521 | 0,799 | 0,799 | 0,799 | 0,794 | 0,794 | 0,039 |
| 8,000 | 44,498 | 99,802 | -6,721 | skid front(in) | ##### | -11,500 | 0,000 | 1,000 | 100,000 | 0,000 | 0,561 | 0,799 | 0,799 | 0,799 | 0,794 | 0,794 | 0,040 |

Προσδιορισμός Τιμών Πρόσφυσης κατά την Πέδηση Οχημάτων Εφοδιασμένων με Σύστημα ABS σε Αυξημένες κατά Μήκος Κλίσεις

| | | | | | | | | | | | | | | | | | |
|--------|--------|--------|--------|-----------------|-------|---------|-------|-------|---------|--------|-------|-------|-------|-------|-------|-------|-------|
| 8,500 | 43,508 | 99,802 | -6,720 | skid front(in) | ##### | -11,500 | 0,000 | 1,000 | 100,000 | 0,000 | 0,602 | 0,799 | 0,799 | 0,799 | 0,794 | 0,794 | 0,041 |
| 9,000 | 42,495 | 99,802 | -6,719 | skid front(in) | ##### | -11,500 | 0,000 | 1,000 | 100,000 | 0,000 | 0,644 | 0,799 | 0,799 | 0,799 | 0,794 | 0,794 | 0,042 |
| 9,500 | 41,458 | 99,802 | -6,717 | skid front(in) | ##### | -11,500 | 0,000 | 1,000 | 100,000 | 0,000 | 0,687 | 0,799 | 0,799 | 0,799 | 0,794 | 0,794 | 0,043 |
| 10,000 | 40,395 | 99,802 | -6,716 | skid front(in) | ##### | -11,500 | 0,000 | 1,000 | 100,000 | 0,000 | 0,731 | 0,799 | 0,799 | 0,799 | 0,794 | 0,794 | 0,044 |
| 10,500 | 39,303 | 99,802 | -6,715 | skid front(in) | ##### | -11,500 | 0,000 | 1,000 | 100,000 | 0,000 | 0,776 | 0,799 | 0,799 | 0,799 | 0,794 | 0,794 | 0,045 |
| 11,000 | 38,180 | 99,802 | -6,714 | skid front(in) | ##### | -11,500 | 0,000 | 1,000 | 100,000 | 0,000 | 0,823 | 0,799 | 0,799 | 0,799 | 0,794 | 0,794 | 0,046 |
| 11,500 | 37,023 | 99,802 | -6,713 | skid front(in) | ##### | -11,500 | 0,000 | 1,000 | 100,000 | 0,000 | 0,871 | 0,799 | 0,799 | 0,799 | 0,794 | 0,794 | 0,048 |
| 12,000 | 35,829 | 99,802 | -6,712 | skid front(in) | ##### | -11,500 | 0,000 | 1,000 | 100,000 | 0,000 | 0,920 | 0,799 | 0,799 | 0,799 | 0,794 | 0,794 | 0,049 |
| 12,500 | 34,593 | 99,802 | -6,711 | skid front(in) | ##### | -11,500 | 0,000 | 1,000 | 100,000 | 0,000 | 0,971 | 0,799 | 0,799 | 0,799 | 0,794 | 0,794 | 0,051 |
| 13,000 | 33,313 | 99,802 | -6,709 | skid front(in) | ##### | -11,500 | 0,000 | 1,000 | 100,000 | 0,000 | 1,024 | 0,799 | 0,799 | 0,799 | 0,794 | 0,794 | 0,053 |
| 13,500 | 31,981 | 99,802 | -6,708 | skid front(in) | ##### | -11,500 | 0,000 | 1,000 | 100,000 | 0,000 | 1,079 | 0,799 | 0,799 | 0,799 | 0,794 | 0,794 | 0,055 |
| 14,000 | 30,592 | 99,803 | -6,707 | skid front(in) | ##### | -11,500 | 0,000 | 1,000 | 100,000 | 0,000 | 1,137 | 0,799 | 0,799 | 0,799 | 0,794 | 0,794 | 0,058 |
| 14,500 | 29,137 | 99,803 | -6,706 | skid front(in) | ##### | -11,500 | 0,000 | 1,000 | 100,000 | 0,000 | 1,197 | 0,799 | 0,799 | 0,799 | 0,794 | 0,794 | 0,060 |
| 15,000 | 27,605 | 99,803 | -6,705 | skid front(in) | ##### | -11,500 | 0,000 | 1,000 | 100,000 | 0,001 | 1,261 | 0,799 | 0,799 | 0,799 | 0,794 | 0,794 | 0,063 |
| 15,500 | 25,984 | 99,785 | -6,701 | skid front(in) | ##### | -11,500 | 0,000 | 1,000 | 100,000 | -2,140 | 1,328 | 0,799 | 0,799 | 0,793 | 0,793 | 0,067 | |
| 16,000 | 24,255 | 99,819 | -6,701 | skid front(out) | ##### | -11,500 | 0,000 | 1,000 | 100,000 | -4,388 | 1,399 | 0,799 | 0,799 | 0,793 | 0,793 | 0,072 | |
| 16,500 | 22,393 | 99,788 | -6,698 | skid front(out) | ##### | -11,500 | 0,000 | 1,000 | 100,000 | -2,360 | 1,477 | 0,799 | 0,799 | 0,793 | 0,793 | 0,077 | |
| 17,000 | 20,362 | 99,799 | -6,697 | skid front(in) | ##### | -11,500 | 0,000 | 1,000 | 100,000 | -4,053 | 1,561 | 0,799 | 0,799 | 0,793 | 0,793 | 0,084 | |
| 17,500 | 18,105 | 99,798 | -6,696 | skid front(out) | ##### | -11,500 | 0,000 | 1,000 | 100,000 | -3,232 | 1,654 | 0,799 | 0,799 | 0,793 | 0,793 | 0,094 | |
| 18,000 | 15,524 | 99,811 | -6,697 | skid front(out) | ##### | -11,500 | 0,000 | 1,000 | 100,000 | -2,779 | 1,761 | 0,799 | 0,799 | 0,794 | 0,794 | 0,107 | |
| 18,500 | 12,417 | 99,781 | -6,694 | skid front(out) | ##### | -11,500 | 0,000 | 1,000 | 100,000 | -0,989 | 1,890 | 0,799 | 0,799 | 0,793 | 0,793 | 0,129 | |
| 18,900 | 9,207 | 99,825 | -6,694 | skid front(out) | ##### | -11,500 | 0,000 | 1,000 | 100,000 | -5,634 | 2,023 | 0,799 | 0,799 | 0,793 | 0,793 | 0,133 | |
| 19,300 | 3,919 | 99,833 | -6,694 | skid front(out) | ##### | -11,500 | 0,000 | 1,000 | 100,000 | -4,124 | 2,243 | 0,799 | 0,799 | 0,794 | 0,794 | 0,219 | |

| run v d qlif 6 | | R(m) | br.front (%) | s(%) | e (%) | coeff | effic (%) | | time (sec) | | | | | | | | |
|----------------|----------|-----------|--------------|-----------------|-------|---------|-----------|-------|------------|-----------|------------|-------|-----------|----------|----------|---------|-----------|
| s= | 100,000 | ##### | 70,00 | -11,5 | 0,0 | 1,00 | 100 | | 2,271 | 0,963 | | | | | | | |
| step= | 0,100 | viewstep= | 0,500 | STEPS | | | | | | | | | | | | | |
| s (m) | V (km/h) | n (%) | dv/dt | skid check | R(m) | s(%) | e (%) | coeff | effic (%) | decelera | time (sec) | FT | front out | front in | rear out | rear in | checktime |
| 18,800 | 2,415 | 99,828 | -6,693 | skid front(out) | ##### | -11,500 | 0,000 | 1,000 | 100,000 | -5,452265 | 2,271 | 0,799 | 0,7989 | 0,7989 | 0,7935 | 0,7935 | |
| 0,000 | 57,260 | 99,806 | -6,739 | O.K | ##### | -11,500 | 0,000 | 1,000 | 100,000 | 0,000 | 0,000 | 0,799 | | | | | |
| 0,400 | 56,647 | 99,801 | -6,737 | skid front(in) | ##### | -11,500 | 0,000 | 1,000 | 100,000 | 0,000 | 0,025 | 0,799 | 0,799 | 0,799 | 0,794 | 0,794 | 0,025 |
| 1,000 | 55,714 | 99,801 | -6,736 | skid front(in) | ##### | -11,500 | 0,000 | 1,000 | 100,000 | 0,000 | 0,064 | 0,799 | 0,799 | 0,799 | 0,794 | 0,794 | 0,038 |
| 1,500 | 54,925 | 99,801 | -6,735 | skid front(in) | ##### | -11,500 | 0,000 | 1,000 | 100,000 | 0,000 | 0,096 | 0,799 | 0,799 | 0,799 | 0,794 | 0,794 | 0,033 |
| 2,000 | 54,125 | 99,801 | -6,734 | skid front(in) | ##### | -11,500 | 0,000 | 1,000 | 100,000 | 0,000 | 0,129 | 0,799 | 0,799 | 0,799 | 0,794 | 0,794 | 0,033 |
| 2,500 | 53,313 | 99,801 | -6,732 | skid front(in) | ##### | -11,500 | 0,000 | 1,000 | 100,000 | 0,000 | 0,163 | 0,799 | 0,799 | 0,799 | 0,794 | 0,794 | 0,034 |
| 3,000 | 52,488 | 99,801 | -6,731 | skid front(in) | ##### | -11,500 | 0,000 | 1,000 | 100,000 | 0,000 | 0,197 | 0,799 | 0,799 | 0,799 | 0,794 | 0,794 | 0,034 |
| 3,500 | 51,651 | 99,801 | -6,730 | skid front(in) | ##### | -11,500 | 0,000 | 1,000 | 100,000 | 0,000 | 0,231 | 0,799 | 0,799 | 0,799 | 0,794 | 0,794 | 0,035 |
| 4,000 | 50,799 | 99,801 | -6,729 | skid front(in) | ##### | -11,500 | 0,000 | 1,000 | 100,000 | 0,000 | 0,267 | 0,799 | 0,799 | 0,799 | 0,794 | 0,794 | 0,035 |
| 4,400 | 50,108 | 99,801 | -6,728 | skid front(in) | ##### | -11,500 | 0,000 | 1,000 | 100,000 | 0,000 | 0,295 | 0,799 | 0,799 | 0,799 | 0,794 | 0,794 | 0,029 |

Προσδιορισμός Τιμών Πρόσφυσης κατά την Πέδηση Οχημάτων Εφοδιασμένων με Σύστημα ABS σε Αυξημένες κατά Μήκος Κλίσεις

| | | | | | | | | | | | | | | | | | |
|--------|--------|--------|--------|-----------------|-------|---------|-------|-------|---------|--------|-------|-------|-------|-------|-------|-------|-------|
| 5,000 | 49,053 | 99,801 | -6,727 | skid front(in) | ##### | -11,500 | 0,000 | 1,000 | 100,000 | 0,000 | 0,339 | 0,799 | 0,799 | 0,799 | 0,794 | 0,794 | 0,044 |
| 5,500 | 48,156 | 99,801 | -6,725 | skid front(in) | ##### | -11,500 | 0,000 | 1,000 | 100,000 | 0,000 | 0,376 | 0,799 | 0,799 | 0,799 | 0,794 | 0,794 | 0,037 |
| 6,000 | 47,243 | 99,801 | -6,724 | skid front(in) | ##### | -11,500 | 0,000 | 1,000 | 100,000 | 0,000 | 0,413 | 0,799 | 0,799 | 0,799 | 0,794 | 0,794 | 0,038 |
| 6,500 | 46,311 | 99,802 | -6,723 | skid front(in) | ##### | -11,500 | 0,000 | 1,000 | 100,000 | 0,000 | 0,452 | 0,799 | 0,799 | 0,799 | 0,794 | 0,794 | 0,038 |
| 7,000 | 45,361 | 99,802 | -6,722 | skid front(in) | ##### | -11,500 | 0,000 | 1,000 | 100,000 | 0,000 | 0,491 | 0,799 | 0,799 | 0,799 | 0,794 | 0,794 | 0,039 |
| 7,500 | 44,390 | 99,802 | -6,721 | skid front(in) | ##### | -11,500 | 0,000 | 1,000 | 100,000 | 0,000 | 0,531 | 0,799 | 0,799 | 0,799 | 0,794 | 0,794 | 0,040 |
| 8,000 | 43,398 | 99,802 | -6,720 | skid front(in) | ##### | -11,500 | 0,000 | 1,000 | 100,000 | 0,000 | 0,572 | 0,799 | 0,799 | 0,799 | 0,794 | 0,794 | 0,041 |
| 8,500 | 42,383 | 99,802 | -6,719 | skid front(in) | ##### | -11,500 | 0,000 | 1,000 | 100,000 | 0,000 | 0,614 | 0,799 | 0,799 | 0,799 | 0,794 | 0,794 | 0,042 |
| 9,000 | 41,343 | 99,802 | -6,717 | skid front(in) | ##### | -11,500 | 0,000 | 1,000 | 100,000 | 0,000 | 0,657 | 0,799 | 0,799 | 0,799 | 0,794 | 0,794 | 0,043 |
| 9,500 | 40,277 | 99,802 | -6,716 | skid front(in) | ##### | -11,500 | 0,000 | 1,000 | 100,000 | 0,000 | 0,701 | 0,799 | 0,799 | 0,799 | 0,794 | 0,794 | 0,044 |
| 10,000 | 39,181 | 99,802 | -6,715 | skid front(in) | ##### | -11,500 | 0,000 | 1,000 | 100,000 | 0,000 | 0,747 | 0,799 | 0,799 | 0,799 | 0,794 | 0,794 | 0,045 |
| 10,500 | 38,055 | 99,802 | -6,714 | skid front(in) | ##### | -11,500 | 0,000 | 1,000 | 100,000 | 0,001 | 0,793 | 0,799 | 0,799 | 0,799 | 0,794 | 0,794 | 0,047 |
| 11,000 | 36,894 | 99,802 | -6,713 | skid front(in) | ##### | -11,500 | 0,000 | 1,000 | 100,000 | 0,000 | 0,841 | 0,799 | 0,799 | 0,799 | 0,794 | 0,794 | 0,048 |
| 11,500 | 35,695 | 99,802 | -6,712 | skid front(in) | ##### | -11,500 | 0,000 | 1,000 | 100,000 | 0,000 | 0,891 | 0,799 | 0,799 | 0,799 | 0,794 | 0,794 | 0,050 |
| 12,000 | 34,455 | 99,802 | -6,710 | skid front(in) | ##### | -11,500 | 0,000 | 1,000 | 100,000 | 0,000 | 0,942 | 0,799 | 0,799 | 0,799 | 0,794 | 0,794 | 0,051 |
| 12,500 | 33,170 | 99,802 | -6,709 | skid front(in) | ##### | -11,500 | 0,000 | 1,000 | 100,000 | 0,000 | 0,995 | 0,799 | 0,799 | 0,799 | 0,794 | 0,794 | 0,053 |
| 13,000 | 31,832 | 99,802 | -6,708 | skid front(in) | ##### | -11,500 | 0,000 | 1,000 | 100,000 | 0,000 | 1,051 | 0,799 | 0,799 | 0,799 | 0,794 | 0,794 | 0,055 |
| 13,500 | 30,436 | 99,803 | -6,707 | skid front(in) | ##### | -11,500 | 0,000 | 1,000 | 100,000 | 0,000 | 1,109 | 0,799 | 0,799 | 0,799 | 0,794 | 0,794 | 0,058 |
| 14,000 | 28,973 | 99,803 | -6,706 | skid front(in) | ##### | -11,500 | 0,000 | 1,000 | 100,000 | 0,001 | 1,169 | 0,799 | 0,799 | 0,799 | 0,794 | 0,794 | 0,061 |
| 14,500 | 27,432 | 99,803 | -6,705 | skid front(in) | ##### | -11,500 | 0,000 | 1,000 | 100,000 | -0,001 | 1,233 | 0,799 | 0,799 | 0,799 | 0,794 | 0,794 | 0,064 |
| 15,000 | 25,800 | 99,799 | -6,701 | skid front(out) | ##### | -11,500 | 0,000 | 1,000 | 100,000 | -2,643 | 1,301 | 0,799 | 0,799 | 0,799 | 0,793 | 0,793 | 0,068 |
| 15,500 | 24,058 | 99,802 | -6,700 | skid front(out) | ##### | -11,500 | 0,000 | 1,000 | 100,000 | -3,144 | 1,373 | 0,799 | 0,799 | 0,799 | 0,793 | 0,793 | 0,072 |
| 16,000 | 22,180 | 99,821 | -6,700 | skid front(out) | ##### | -11,500 | 0,000 | 1,000 | 100,000 | -4,330 | 1,451 | 0,799 | 0,799 | 0,799 | 0,794 | 0,794 | 0,078 |
| 16,500 | 20,127 | 99,828 | -6,700 | skid front(out) | ##### | -11,500 | 0,000 | 1,000 | 100,000 | -2,865 | 1,536 | 0,799 | 0,799 | 0,799 | 0,794 | 0,794 | 0,085 |
| 17,000 | 17,840 | 99,823 | -6,698 | skid front(out) | ##### | -11,500 | 0,000 | 1,000 | 100,000 | -3,354 | 1,631 | 0,799 | 0,799 | 0,799 | 0,794 | 0,794 | 0,095 |
| 17,500 | 15,214 | 99,833 | -6,697 | skid front(out) | ##### | -11,500 | 0,000 | 1,000 | 100,000 | -4,475 | 1,740 | 0,799 | 0,799 | 0,799 | 0,794 | 0,794 | 0,109 |
| 18,000 | 12,028 | 99,797 | -6,693 | skid front(out) | ##### | -11,500 | 0,000 | 1,000 | 100,000 | -4,214 | 1,872 | 0,799 | 0,799 | 0,799 | 0,793 | 0,793 | 0,132 |
| 18,500 | 7,610 | 99,807 | -6,694 | skid front(out) | ##### | -11,500 | 0,000 | 1,000 | 100,000 | -3,077 | 2,055 | 0,799 | 0,799 | 0,799 | 0,793 | 0,793 | 0,183 |
| 18,800 | 2,415 | 99,828 | -6,693 | skid front(out) | ##### | -11,500 | 0,000 | 1,000 | 100,000 | -5,452 | 2,271 | 0,799 | 0,799 | 0,799 | 0,793 | 0,793 | 0,216 |

| run_v_d_glif 8 | R(m) | br.front (%) | s(%) | e (%) | coeff | effic (%) | | time (sec) | | | | | | | | | | |
|----------------|-----------|--------------|--------|-----------------|-------|-----------|-------|------------|-----------|-----------|------------|-------|-----------|----------|----------|---------|-----------|-------|
| s= 100,000 | ##### | 70,00 | -11,5 | 0,0 | 1,00 | 100 | | 2,056 | | | | | | | | | | 0,963 |
| step= 0,100 | viewstep= | 0,500 | STEPS | | | | | | | | | | | | | | | |
| s (m) | V (km/h) | n (%) | dv/dt | skid check | R(m) | s(%) | e (%) | coeff | effic (%) | decelera | time (sec) | ft | front out | front in | rear out | rear in | checktime | |
| 16,300 | 3,743 | 99,798 | -6,692 | skid front(out) | ##### | -11,500 | 0,000 | 1,000 | 100,000 | -3,587163 | 2,056 | 0,799 | 0,7988 | 0,7988 | 0,7933 | 0,7933 | | |
| 0,000 | 53,390 | 99,806 | -6,733 | O.K | ##### | -11,500 | 0,000 | 1,000 | 100,000 | 0,000 | 0,000 | 0,799 | | | | | | |
| 0,400 | 52,732 | 99,801 | -6,732 | skid front(in) | ##### | -11,500 | 0,000 | 1,000 | 100,000 | 0,000 | 0,027 | 0,799 | 0,799 | 0,799 | 0,794 | 0,794 | 0,027 | |
| 1,000 | 51,730 | 99,801 | -6,730 | skid front(in) | ##### | -11,500 | 0,000 | 1,000 | 100,000 | 0,000 | 0,068 | 0,799 | 0,799 | 0,799 | 0,794 | 0,794 | 0,041 | |
| 1,500 | 50,880 | 99,801 | -6,729 | skid front(in) | ##### | -11,500 | 0,000 | 1,000 | 100,000 | 0,000 | 0,104 | 0,799 | 0,799 | 0,799 | 0,794 | 0,794 | 0,035 | |

Προσδιορισμός Τιμών Πρόσφυσης κατά την Πέδηση Οχημάτων Εφοδιασμένων με Σύστημα ABS σε Αυξημένες κατά Μήκος Κλίσεις

| | | | | | | | | | | | | | | | | | |
|--------|--------|--------|--------|-----------------|-------|---------|-------|-------|---------|--------|-------|-------|-------|-------|-------|-------|-------|
| 2,000 | 50,016 | 99,801 | -6,728 | skid front(in) | ##### | -11,500 | 0,000 | 1,000 | 100,000 | 0,000 | 0,139 | 0,799 | 0,799 | 0,799 | 0,794 | 0,794 | 0,036 |
| 2,500 | 49,137 | 99,801 | -6,727 | skid front(in) | ##### | -11,500 | 0,000 | 1,000 | 100,000 | 0,000 | 0,176 | 0,799 | 0,799 | 0,799 | 0,794 | 0,794 | 0,036 |
| 3,000 | 48,241 | 99,801 | -6,726 | skid front(in) | ##### | -11,500 | 0,000 | 1,000 | 100,000 | 0,000 | 0,213 | 0,799 | 0,799 | 0,799 | 0,794 | 0,794 | 0,037 |
| 3,500 | 47,330 | 99,801 | -6,724 | skid front(in) | ##### | -11,500 | 0,000 | 1,000 | 100,000 | 0,000 | 0,250 | 0,799 | 0,799 | 0,799 | 0,794 | 0,794 | 0,038 |
| 4,000 | 46,400 | 99,802 | -6,723 | skid front(in) | ##### | -11,500 | 0,000 | 1,000 | 100,000 | 0,000 | 0,289 | 0,799 | 0,799 | 0,799 | 0,794 | 0,794 | 0,038 |
| 4,400 | 45,643 | 99,802 | -6,722 | skid front(in) | ##### | -11,500 | 0,000 | 1,000 | 100,000 | 0,000 | 0,320 | 0,799 | 0,799 | 0,799 | 0,794 | 0,794 | 0,031 |
| 5,000 | 44,483 | 99,802 | -6,721 | skid front(in) | ##### | -11,500 | 0,000 | 1,000 | 100,000 | 0,000 | 0,368 | 0,799 | 0,799 | 0,799 | 0,794 | 0,794 | 0,048 |
| 5,500 | 43,493 | 99,802 | -6,720 | skid front(in) | ##### | -11,500 | 0,000 | 1,000 | 100,000 | 0,000 | 0,409 | 0,799 | 0,799 | 0,799 | 0,794 | 0,794 | 0,041 |
| 6,000 | 42,480 | 99,802 | -6,719 | skid front(in) | ##### | -11,500 | 0,000 | 1,000 | 100,000 | 0,000 | 0,451 | 0,799 | 0,799 | 0,799 | 0,794 | 0,794 | 0,042 |
| 6,500 | 41,442 | 99,802 | -6,717 | skid front(in) | ##### | -11,500 | 0,000 | 1,000 | 100,000 | 0,000 | 0,494 | 0,799 | 0,799 | 0,799 | 0,794 | 0,794 | 0,043 |
| 7,000 | 40,378 | 99,802 | -6,716 | skid front(in) | ##### | -11,500 | 0,000 | 1,000 | 100,000 | 0,000 | 0,538 | 0,799 | 0,799 | 0,799 | 0,794 | 0,794 | 0,044 |
| 7,500 | 39,286 | 99,802 | -6,715 | skid front(in) | ##### | -11,500 | 0,000 | 1,000 | 100,000 | 0,000 | 0,583 | 0,799 | 0,799 | 0,799 | 0,794 | 0,794 | 0,045 |
| 8,000 | 38,162 | 99,802 | -6,714 | skid front(in) | ##### | -11,500 | 0,000 | 1,000 | 100,000 | 0,000 | 0,629 | 0,799 | 0,799 | 0,799 | 0,794 | 0,794 | 0,046 |
| 8,500 | 37,005 | 99,802 | -6,713 | skid front(in) | ##### | -11,500 | 0,000 | 1,000 | 100,000 | 0,001 | 0,677 | 0,799 | 0,799 | 0,799 | 0,794 | 0,794 | 0,048 |
| 9,000 | 35,810 | 99,802 | -6,712 | skid front(in) | ##### | -11,500 | 0,000 | 1,000 | 100,000 | 0,000 | 0,727 | 0,799 | 0,799 | 0,799 | 0,794 | 0,794 | 0,049 |
| 9,500 | 34,574 | 99,802 | -6,711 | skid front(in) | ##### | -11,500 | 0,000 | 1,000 | 100,000 | 0,000 | 0,778 | 0,799 | 0,799 | 0,799 | 0,794 | 0,794 | 0,051 |
| 10,000 | 33,293 | 99,802 | -6,709 | skid front(in) | ##### | -11,500 | 0,000 | 1,000 | 100,000 | 0,000 | 0,831 | 0,799 | 0,799 | 0,799 | 0,794 | 0,794 | 0,053 |
| 10,500 | 31,961 | 99,803 | -6,708 | skid front(in) | ##### | -11,500 | 0,000 | 1,000 | 100,000 | 0,001 | 0,886 | 0,799 | 0,799 | 0,799 | 0,794 | 0,794 | 0,055 |
| 11,000 | 30,570 | 99,803 | -6,707 | skid front(in) | ##### | -11,500 | 0,000 | 1,000 | 100,000 | 0,000 | 0,943 | 0,799 | 0,799 | 0,799 | 0,794 | 0,794 | 0,058 |
| 11,500 | 29,114 | 99,803 | -6,706 | skid front(in) | ##### | -11,500 | 0,000 | 1,000 | 100,000 | 0,000 | 1,004 | 0,799 | 0,799 | 0,799 | 0,794 | 0,794 | 0,060 |
| 12,000 | 27,581 | 99,803 | -6,705 | skid front(in) | ##### | -11,500 | 0,000 | 1,000 | 100,000 | 0,000 | 1,067 | 0,799 | 0,799 | 0,799 | 0,794 | 0,794 | 0,063 |
| 12,500 | 25,959 | 99,811 | -6,703 | skid front(out) | ##### | -11,500 | 0,000 | 1,000 | 100,000 | -2,070 | 1,135 | 0,799 | 0,799 | 0,799 | 0,794 | 0,794 | 0,067 |
| 13,000 | 24,228 | 99,770 | -6,700 | skid front(out) | ##### | -11,500 | 0,000 | 1,000 | 100,000 | 0,386 | 1,206 | 0,799 | 0,799 | 0,799 | 0,793 | 0,793 | 0,072 |
| 13,500 | 22,364 | 99,823 | -6,701 | skid front(out) | ##### | -11,500 | 0,000 | 1,000 | 100,000 | -2,465 | 1,284 | 0,799 | 0,799 | 0,799 | 0,794 | 0,794 | 0,077 |
| 14,000 | 20,330 | 99,838 | -6,700 | skid front(out) | ##### | -11,500 | 0,000 | 1,000 | 100,000 | -4,105 | 1,368 | 0,799 | 0,799 | 0,799 | 0,794 | 0,794 | 0,084 |
| 14,500 | 18,068 | 99,813 | -6,697 | skid front(out) | ##### | -11,500 | 0,000 | 1,000 | 100,000 | -4,663 | 1,462 | 0,799 | 0,799 | 0,799 | 0,793 | 0,793 | 0,094 |
| 15,000 | 15,481 | 99,830 | -6,697 | skid front(out) | ##### | -11,500 | 0,000 | 1,000 | 100,000 | -4,305 | 1,569 | 0,799 | 0,799 | 0,799 | 0,794 | 0,794 | 0,107 |
| 15,500 | 12,364 | 99,804 | -6,695 | skid front(out) | ##### | -11,500 | 0,000 | 1,000 | 100,000 | -2,527 | 1,698 | 0,799 | 0,799 | 0,799 | 0,794 | 0,794 | 0,129 |
| 16,000 | 8,129 | 99,824 | -6,694 | skid front(out) | ##### | -11,500 | 0,000 | 1,000 | 100,000 | -5,008 | 1,874 | 0,799 | 0,799 | 0,799 | 0,793 | 0,793 | 0,176 |
| 16,300 | 3,743 | 99,798 | -6,692 | skid front(out) | ##### | -11,500 | 0,000 | 1,000 | 100,000 | -3,587 | 2,056 | 0,799 | 0,799 | 0,799 | 0,793 | 0,793 | 0,182 |

| run_v_d_glif 10 | R(m) | br.front (%) | s(%) | e (%) | coeff | effic (%) | time (sec) |
|-----------------|-----------|--------------|-------|-------|-------|-----------|------------|
| s= 100,000 | ##### | 70,00 | -11,5 | 0,0 | 1,00 | 100 | 2,485 |
| step= 0,100 | viewstep= | 0,500 | STEPS | | | | |

0,963

| s (m) | V (km/h) | n (%) | dv/dt | skid check | R(m) | s(%) | e (%) | coeff | effic (%) | decelera | time (sec) | ft | front out | front in | rear out | rear in | checktime |
|--------|----------|--------|--------|-----------------|-------|---------|-------|-------|-----------|-----------|------------|-------|-----------|----------|----------|---------|-----------|
| 21,000 | 0,387 | 99,772 | -6,692 | skid front(out) | ##### | -11,500 | 0,000 | 1,000 | 100,000 | -0,152926 | 2,485 | 0,799 | 0,7988 | 0,7988 | 0,7934 | 0,7934 | |
| 0,000 | 60,430 | 99,807 | -6,744 | O.K | ##### | -11,500 | 0,000 | 1,000 | 100,000 | 0,000 | 0,000 | 0,799 | | | | | |
| 0,400 | 59,849 | 99,800 | -6,742 | skid front(in) | ##### | -11,500 | 0,000 | 1,000 | 100,000 | 0,000 | 0,024 | 0,799 | 0,799 | 0,799 | 0,794 | 0,794 | 0,024 |

Προσδιορισμός Τιμών Πρόσφυσης κατά την Πέδηση Οχημάτων Εφοδιασμένων με Σύστημα ABS σε Αυξημένες κατά Μήκος Κλίσεις

| | | | | | | | | | | | | | | | | | |
|--------|--------|--------|--------|-----------------|-------|---------|-------|-------|---------|--------|-------|-------|-------|-------|-------|-------|-------|
| 1,000 | 58,966 | 99,800 | -6,741 | skid front(in) | ##### | -11,500 | 0,000 | 1,000 | 100,000 | 0,000 | 0,060 | 0,799 | 0,799 | 0,799 | 0,794 | 0,794 | 0,036 |
| 1,500 | 58,221 | 99,800 | -6,740 | skid front(in) | ##### | -11,500 | 0,000 | 1,000 | 100,000 | 0,000 | 0,091 | 0,799 | 0,799 | 0,799 | 0,794 | 0,794 | 0,031 |
| 2,000 | 57,466 | 99,801 | -6,739 | skid front(in) | ##### | -11,500 | 0,000 | 1,000 | 100,000 | 0,000 | 0,122 | 0,799 | 0,799 | 0,799 | 0,794 | 0,794 | 0,031 |
| 2,500 | 56,701 | 99,801 | -6,737 | skid front(in) | ##### | -11,500 | 0,000 | 1,000 | 100,000 | 0,000 | 0,154 | 0,799 | 0,799 | 0,799 | 0,794 | 0,794 | 0,032 |
| 3,000 | 55,926 | 99,801 | -6,736 | skid front(in) | ##### | -11,500 | 0,000 | 1,000 | 100,000 | 0,000 | 0,186 | 0,799 | 0,799 | 0,799 | 0,794 | 0,794 | 0,032 |
| 3,500 | 55,140 | 99,801 | -6,735 | skid front(in) | ##### | -11,500 | 0,000 | 1,000 | 100,000 | 0,000 | 0,218 | 0,799 | 0,799 | 0,799 | 0,794 | 0,794 | 0,032 |
| 4,000 | 54,343 | 99,801 | -6,734 | skid front(in) | ##### | -11,500 | 0,000 | 1,000 | 100,000 | 0,000 | 0,251 | 0,799 | 0,799 | 0,799 | 0,794 | 0,794 | 0,033 |
| 4,400 | 53,697 | 99,801 | -6,733 | skid front(in) | ##### | -11,500 | 0,000 | 1,000 | 100,000 | 0,000 | 0,278 | 0,799 | 0,799 | 0,799 | 0,794 | 0,794 | 0,027 |
| 5,000 | 52,713 | 99,801 | -6,732 | skid front(in) | ##### | -11,500 | 0,000 | 1,000 | 100,000 | 0,000 | 0,318 | 0,799 | 0,799 | 0,799 | 0,794 | 0,794 | 0,041 |
| 5,500 | 51,879 | 99,801 | -6,730 | skid front(in) | ##### | -11,500 | 0,000 | 1,000 | 100,000 | 0,000 | 0,353 | 0,799 | 0,799 | 0,799 | 0,794 | 0,794 | 0,034 |
| 6,000 | 51,031 | 99,801 | -6,729 | skid front(in) | ##### | -11,500 | 0,000 | 1,000 | 100,000 | 0,000 | 0,388 | 0,799 | 0,799 | 0,799 | 0,794 | 0,794 | 0,035 |
| 6,500 | 50,169 | 99,801 | -6,728 | skid front(in) | ##### | -11,500 | 0,000 | 1,000 | 100,000 | 0,000 | 0,423 | 0,799 | 0,799 | 0,799 | 0,794 | 0,794 | 0,036 |
| 7,000 | 49,293 | 99,801 | -6,727 | skid front(in) | ##### | -11,500 | 0,000 | 1,000 | 100,000 | 0,000 | 0,459 | 0,799 | 0,799 | 0,799 | 0,794 | 0,794 | 0,036 |
| 7,500 | 48,400 | 99,801 | -6,726 | skid front(in) | ##### | -11,500 | 0,000 | 1,000 | 100,000 | 0,000 | 0,496 | 0,799 | 0,799 | 0,799 | 0,794 | 0,794 | 0,037 |
| 8,000 | 47,492 | 99,801 | -6,725 | skid front(in) | ##### | -11,500 | 0,000 | 1,000 | 100,000 | 0,000 | 0,534 | 0,799 | 0,799 | 0,799 | 0,794 | 0,794 | 0,038 |
| 8,500 | 46,565 | 99,802 | -6,723 | skid front(in) | ##### | -11,500 | 0,000 | 1,000 | 100,000 | 0,000 | 0,572 | 0,799 | 0,799 | 0,799 | 0,794 | 0,794 | 0,038 |
| 9,000 | 45,620 | 99,802 | -6,722 | skid front(in) | ##### | -11,500 | 0,000 | 1,000 | 100,000 | 0,000 | 0,611 | 0,799 | 0,799 | 0,799 | 0,794 | 0,794 | 0,039 |
| 9,500 | 44,655 | 99,802 | -6,721 | skid front(in) | ##### | -11,500 | 0,000 | 1,000 | 100,000 | 0,000 | 0,651 | 0,799 | 0,799 | 0,799 | 0,794 | 0,794 | 0,040 |
| 10,000 | 43,669 | 99,802 | -6,720 | skid front(in) | ##### | -11,500 | 0,000 | 1,000 | 100,000 | 0,000 | 0,692 | 0,799 | 0,799 | 0,799 | 0,794 | 0,794 | 0,041 |
| 10,500 | 42,660 | 99,802 | -6,719 | skid front(in) | ##### | -11,500 | 0,000 | 1,000 | 100,000 | 0,000 | 0,733 | 0,799 | 0,799 | 0,799 | 0,794 | 0,794 | 0,042 |
| 11,000 | 41,627 | 99,802 | -6,718 | skid front(in) | ##### | -11,500 | 0,000 | 1,000 | 100,000 | 0,000 | 0,776 | 0,799 | 0,799 | 0,799 | 0,794 | 0,794 | 0,043 |
| 11,500 | 40,568 | 99,802 | -6,717 | skid front(in) | ##### | -11,500 | 0,000 | 1,000 | 100,000 | 0,000 | 0,820 | 0,799 | 0,799 | 0,799 | 0,794 | 0,794 | 0,044 |
| 12,000 | 39,481 | 99,802 | -6,715 | skid front(in) | ##### | -11,500 | 0,000 | 1,000 | 100,000 | 0,000 | 0,865 | 0,799 | 0,799 | 0,799 | 0,794 | 0,794 | 0,045 |
| 12,500 | 38,363 | 99,802 | -6,714 | skid front(in) | ##### | -11,500 | 0,000 | 1,000 | 100,000 | 0,000 | 0,911 | 0,799 | 0,799 | 0,799 | 0,794 | 0,794 | 0,046 |
| 13,000 | 37,211 | 99,802 | -6,713 | skid front(in) | ##### | -11,500 | 0,000 | 1,000 | 100,000 | 0,000 | 0,959 | 0,799 | 0,799 | 0,799 | 0,794 | 0,794 | 0,048 |
| 13,500 | 36,023 | 99,802 | -6,712 | skid front(in) | ##### | -11,500 | 0,000 | 1,000 | 100,000 | 0,000 | 1,008 | 0,799 | 0,799 | 0,799 | 0,794 | 0,794 | 0,049 |
| 14,000 | 34,795 | 99,802 | -6,711 | skid front(in) | ##### | -11,500 | 0,000 | 1,000 | 100,000 | 0,000 | 1,059 | 0,799 | 0,799 | 0,799 | 0,794 | 0,794 | 0,051 |
| 14,500 | 33,522 | 99,802 | -6,710 | skid front(in) | ##### | -11,500 | 0,000 | 1,000 | 100,000 | 0,000 | 1,111 | 0,799 | 0,799 | 0,799 | 0,794 | 0,794 | 0,053 |
| 15,000 | 32,199 | 99,803 | -6,708 | skid front(in) | ##### | -11,500 | 0,000 | 1,000 | 100,000 | 0,000 | 1,166 | 0,799 | 0,799 | 0,799 | 0,794 | 0,794 | 0,055 |
| 15,500 | 30,820 | 99,803 | -6,707 | skid front(in) | ##### | -11,500 | 0,000 | 1,000 | 100,000 | 0,001 | 1,223 | 0,799 | 0,799 | 0,799 | 0,794 | 0,794 | 0,057 |
| 16,000 | 29,376 | 99,803 | -6,706 | skid front(in) | ##### | -11,500 | 0,000 | 1,000 | 100,000 | 0,001 | 1,283 | 0,799 | 0,799 | 0,799 | 0,794 | 0,794 | 0,060 |
| 16,500 | 27,858 | 99,803 | -6,705 | skid front(in) | ##### | -11,500 | 0,000 | 1,000 | 100,000 | 0,002 | 1,346 | 0,799 | 0,799 | 0,799 | 0,794 | 0,794 | 0,063 |
| 17,000 | 26,252 | 99,786 | -6,702 | skid front(out) | ##### | -11,500 | 0,000 | 1,000 | 100,000 | -0,671 | 1,413 | 0,799 | 0,799 | 0,793 | 0,793 | 0,067 | |
| 17,500 | 24,542 | 99,815 | -6,702 | skid front(out) | ##### | -11,500 | 0,000 | 1,000 | 100,000 | -1,639 | 1,483 | 0,799 | 0,799 | 0,799 | 0,794 | 0,794 | 0,071 |
| 18,000 | 22,703 | 99,832 | -6,701 | skid front(out) | ##### | -11,500 | 0,000 | 1,000 | 100,000 | -4,372 | 1,560 | 0,799 | 0,799 | 0,799 | 0,794 | 0,794 | 0,076 |
| 18,500 | 20,702 | 99,811 | -6,700 | skid front(out) | ##### | -11,500 | 0,000 | 1,000 | 100,000 | -1,585 | 1,643 | 0,799 | 0,799 | 0,799 | 0,794 | 0,794 | 0,083 |
| 18,900 | 18,951 | 99,822 | -6,698 | skid front(out) | ##### | -11,500 | 0,000 | 1,000 | 100,000 | -3,584 | 1,715 | 0,799 | 0,799 | 0,799 | 0,794 | 0,794 | 0,073 |
| 19,500 | 15,967 | 99,812 | -6,697 | skid front(out) | ##### | -11,500 | 0,000 | 1,000 | 100,000 | -2,087 | 1,839 | 0,799 | 0,799 | 0,799 | 0,794 | 0,794 | 0,124 |
| 20,000 | 12,968 | 99,805 | -6,695 | skid front(out) | ##### | -11,500 | 0,000 | 1,000 | 100,000 | -2,181 | 1,963 | 0,799 | 0,799 | 0,799 | 0,794 | 0,794 | 0,124 |
| 20,500 | 9,021 | 99,815 | -6,695 | skid front(out) | ##### | -11,500 | 0,000 | 1,000 | 100,000 | -3,068 | 2,127 | 0,799 | 0,799 | 0,799 | 0,794 | 0,794 | 0,164 |
| 21,000 | 0,387 | 99,772 | -6,692 | skid front(out) | ##### | -11,500 | 0,000 | 1,000 | 100,000 | -0,153 | 2,485 | 0,799 | 0,799 | 0,799 | 0,793 | 0,793 | 0,358 |

| run_v_d_glif_12 | R(m) | br.front (%) | s(%) | e (%) | coeff | effic (%) | time (sec) |
|-----------------|-------|--------------|-------|-------|-------|-----------|------------|
| s= 100,000 | ##### | 70,00 | -11,5 | 0,0 | 1,00 | 100 | 2,393 |

0,963

| s (m) | V (km/h) | n (%) | dv/dt | skid check | R(m) | s(%) | e (%) | coeff | effic (%) | decelera | time (sec) | ft | front out | front in | rear out | rear in | checktime |
|-------|----------|-------|-------|------------|------|------|-------|-------|-----------|----------|------------|----|-----------|----------|----------|---------|-----------|
|-------|----------|-------|-------|------------|------|------|-------|-------|-----------|----------|------------|----|-----------|----------|----------|---------|-----------|

Προσδιορισμός Τιμών Πρόσφυσης κατά την Πέδηση Οχημάτων Εφοδιασμένων με Σύστημα ABS σε Αυξημένες κατά Μήκος Κλίσεις

| 20,400 | 1,826 | 99,783 | -6,691 | skid front(out) | ##### | -11,500 | 0,000 | 1,000 | 100,000 | -2,771941 | 2,393 | 0,799 | 0,7987 | 0,7987 | 0,7932 | 0,7932 | |
|--------|--------|--------|--------|-----------------|-------|---------|-------|-------|---------|-----------|-------|-------|--------|--------|--------|--------|-------|
| 0,000 | 59,630 | 99,807 | -6,742 | O.K | ##### | -11,500 | 0,000 | 1,000 | 100,000 | 0,000 | 0,000 | 0,799 | | | | | |
| 0,400 | 59,041 | 99,800 | -6,741 | skid front(in) | ##### | -11,500 | 0,000 | 1,000 | 100,000 | 0,000 | 0,024 | 0,799 | 0,799 | 0,799 | 0,794 | 0,794 | 0,024 |
| 1,000 | 58,147 | 99,800 | -6,740 | skid front(in) | ##### | -11,500 | 0,000 | 1,000 | 100,000 | 0,000 | 0,061 | 0,799 | 0,799 | 0,799 | 0,794 | 0,794 | 0,037 |
| 1,500 | 57,391 | 99,801 | -6,738 | skid front(in) | ##### | -11,500 | 0,000 | 1,000 | 100,000 | 0,000 | 0,092 | 0,799 | 0,799 | 0,799 | 0,794 | 0,794 | 0,031 |
| 2,000 | 56,625 | 99,801 | -6,737 | skid front(in) | ##### | -11,500 | 0,000 | 1,000 | 100,000 | 0,000 | 0,124 | 0,799 | 0,799 | 0,799 | 0,794 | 0,794 | 0,032 |
| 2,500 | 55,848 | 99,801 | -6,736 | skid front(in) | ##### | -11,500 | 0,000 | 1,000 | 100,000 | 0,000 | 0,156 | 0,799 | 0,799 | 0,799 | 0,794 | 0,794 | 0,032 |
| 3,000 | 55,061 | 99,801 | -6,735 | skid front(in) | ##### | -11,500 | 0,000 | 1,000 | 100,000 | 0,000 | 0,188 | 0,799 | 0,799 | 0,799 | 0,794 | 0,794 | 0,032 |
| 3,500 | 54,263 | 99,801 | -6,734 | skid front(in) | ##### | -11,500 | 0,000 | 1,000 | 100,000 | 0,000 | 0,221 | 0,799 | 0,799 | 0,799 | 0,794 | 0,794 | 0,033 |
| 4,000 | 53,453 | 99,801 | -6,733 | skid front(in) | ##### | -11,500 | 0,000 | 1,000 | 100,000 | 0,000 | 0,255 | 0,799 | 0,799 | 0,799 | 0,794 | 0,794 | 0,033 |
| 4,400 | 52,796 | 99,801 | -6,732 | skid front(in) | ##### | -11,500 | 0,000 | 1,000 | 100,000 | 0,000 | 0,282 | 0,799 | 0,799 | 0,799 | 0,794 | 0,794 | 0,027 |
| 5,000 | 51,795 | 99,801 | -6,730 | skid front(in) | ##### | -11,500 | 0,000 | 1,000 | 100,000 | 0,000 | 0,323 | 0,799 | 0,799 | 0,799 | 0,794 | 0,794 | 0,041 |
| 5,500 | 50,946 | 99,801 | -6,729 | skid front(in) | ##### | -11,500 | 0,000 | 1,000 | 100,000 | 0,000 | 0,358 | 0,799 | 0,799 | 0,799 | 0,794 | 0,794 | 0,035 |
| 6,000 | 50,083 | 99,801 | -6,728 | skid front(in) | ##### | -11,500 | 0,000 | 1,000 | 100,000 | 0,000 | 0,394 | 0,799 | 0,799 | 0,799 | 0,794 | 0,794 | 0,036 |
| 6,500 | 49,205 | 99,801 | -6,727 | skid front(in) | ##### | -11,500 | 0,000 | 1,000 | 100,000 | 0,000 | 0,430 | 0,799 | 0,799 | 0,799 | 0,794 | 0,794 | 0,036 |
| 7,000 | 48,311 | 99,801 | -6,726 | skid front(in) | ##### | -11,500 | 0,000 | 1,000 | 100,000 | 0,000 | 0,467 | 0,799 | 0,799 | 0,799 | 0,794 | 0,794 | 0,037 |
| 7,500 | 47,400 | 99,801 | -6,724 | skid front(in) | ##### | -11,500 | 0,000 | 1,000 | 100,000 | 0,000 | 0,505 | 0,799 | 0,799 | 0,799 | 0,794 | 0,794 | 0,038 |
| 8,000 | 46,472 | 99,802 | -6,723 | skid front(in) | ##### | -11,500 | 0,000 | 1,000 | 100,000 | 0,000 | 0,543 | 0,799 | 0,799 | 0,799 | 0,794 | 0,794 | 0,038 |
| 8,500 | 45,525 | 99,802 | -6,722 | skid front(in) | ##### | -11,500 | 0,000 | 1,000 | 100,000 | 0,000 | 0,582 | 0,799 | 0,799 | 0,799 | 0,794 | 0,794 | 0,039 |
| 9,000 | 44,558 | 99,802 | -6,721 | skid front(in) | ##### | -11,500 | 0,000 | 1,000 | 100,000 | 0,000 | 0,622 | 0,799 | 0,799 | 0,799 | 0,794 | 0,794 | 0,040 |
| 9,500 | 43,570 | 99,802 | -6,720 | skid front(in) | ##### | -11,500 | 0,000 | 1,000 | 100,000 | 0,000 | 0,663 | 0,799 | 0,799 | 0,799 | 0,794 | 0,794 | 0,041 |
| 10,000 | 42,559 | 99,802 | -6,719 | skid front(in) | ##### | -11,500 | 0,000 | 1,000 | 100,000 | 0,000 | 0,705 | 0,799 | 0,799 | 0,799 | 0,794 | 0,794 | 0,042 |
| 10,500 | 41,523 | 99,802 | -6,718 | skid front(in) | ##### | -11,500 | 0,000 | 1,000 | 100,000 | 0,000 | 0,747 | 0,799 | 0,799 | 0,799 | 0,794 | 0,794 | 0,043 |
| 11,000 | 40,461 | 99,802 | -6,716 | skid front(in) | ##### | -11,500 | 0,000 | 1,000 | 100,000 | 0,000 | 0,791 | 0,799 | 0,799 | 0,799 | 0,794 | 0,794 | 0,044 |
| 11,500 | 39,371 | 99,802 | -6,715 | skid front(in) | ##### | -11,500 | 0,000 | 1,000 | 100,000 | 0,000 | 0,836 | 0,799 | 0,799 | 0,799 | 0,794 | 0,794 | 0,045 |
| 12,000 | 38,250 | 99,802 | -6,714 | skid front(in) | ##### | -11,500 | 0,000 | 1,000 | 100,000 | 0,000 | 0,883 | 0,799 | 0,799 | 0,799 | 0,794 | 0,794 | 0,046 |
| 12,500 | 37,095 | 99,802 | -6,713 | skid front(in) | ##### | -11,500 | 0,000 | 1,000 | 100,000 | 0,000 | 0,931 | 0,799 | 0,799 | 0,799 | 0,794 | 0,794 | 0,048 |
| 13,000 | 35,904 | 99,802 | -6,712 | skid front(in) | ##### | -11,500 | 0,000 | 1,000 | 100,000 | 0,000 | 0,980 | 0,799 | 0,799 | 0,799 | 0,794 | 0,794 | 0,049 |
| 13,500 | 34,671 | 99,802 | -6,711 | skid front(in) | ##### | -11,500 | 0,000 | 1,000 | 100,000 | 0,000 | 1,031 | 0,799 | 0,799 | 0,799 | 0,794 | 0,794 | 0,051 |
| 14,000 | 33,394 | 99,802 | -6,709 | skid front(in) | ##### | -11,500 | 0,000 | 1,000 | 100,000 | 0,001 | 1,084 | 0,799 | 0,799 | 0,799 | 0,794 | 0,794 | 0,053 |
| 14,500 | 32,065 | 99,803 | -6,708 | skid front(in) | ##### | -11,500 | 0,000 | 1,000 | 100,000 | 0,001 | 1,139 | 0,799 | 0,799 | 0,799 | 0,794 | 0,794 | 0,055 |
| 15,000 | 30,680 | 99,803 | -6,707 | skid front(in) | ##### | -11,500 | 0,000 | 1,000 | 100,000 | 0,000 | 1,196 | 0,799 | 0,799 | 0,799 | 0,794 | 0,794 | 0,057 |
| 15,500 | 29,229 | 99,803 | -6,706 | skid front(in) | ##### | -11,500 | 0,000 | 1,000 | 100,000 | 0,000 | 1,256 | 0,799 | 0,799 | 0,799 | 0,794 | 0,794 | 0,060 |
| 16,000 | 27,703 | 99,803 | -6,705 | skid front(in) | ##### | -11,500 | 0,000 | 1,000 | 100,000 | 0,001 | 1,320 | 0,799 | 0,799 | 0,799 | 0,794 | 0,794 | 0,063 |
| 16,500 | 26,087 | 99,804 | -6,701 | skid front(out) | ##### | -11,500 | 0,000 | 1,000 | 100,000 | -4,104 | 1,386 | 0,799 | 0,799 | 0,799 | 0,793 | 0,793 | 0,067 |
| 17,000 | 24,365 | 99,801 | -6,700 | skid front(out) | ##### | -11,500 | 0,000 | 1,000 | 100,000 | -3,481 | 1,458 | 0,799 | 0,799 | 0,799 | 0,793 | 0,793 | 0,071 |
| 17,500 | 22,513 | 99,811 | -6,700 | skid front(out) | ##### | -11,500 | 0,000 | 1,000 | 100,000 | -3,178 | 1,535 | 0,799 | 0,799 | 0,799 | 0,794 | 0,794 | 0,077 |
| 18,000 | 20,493 | 99,810 | -6,697 | skid front(out) | ##### | -11,500 | 0,000 | 1,000 | 100,000 | -4,920 | 1,618 | 0,799 | 0,799 | 0,799 | 0,793 | 0,793 | 0,084 |
| 18,500 | 18,252 | 99,796 | -6,699 | skid front(out) | ##### | -11,500 | 0,000 | 1,000 | 100,000 | 0,629 | 1,711 | 0,799 | 0,799 | 0,799 | 0,794 | 0,794 | 0,093 |
| 18,900 | 16,239 | 99,796 | -6,696 | skid front(out) | ##### | -11,500 | 0,000 | 1,000 | 100,000 | -1,933 | 1,795 | 0,799 | 0,799 | 0,799 | 0,793 | 0,793 | 0,084 |
| 19,500 | 12,631 | 99,812 | -6,695 | skid front(out) | ##### | -11,500 | 0,000 | 1,000 | 100,000 | -3,944 | 1,944 | 0,799 | 0,799 | 0,799 | 0,793 | 0,793 | 0,150 |
| 20,000 | 8,530 | 99,782 | -6,692 | skid front(in) | ##### | -11,500 | 0,000 | 1,000 | 100,000 | -2,786 | 2,115 | 0,799 | 0,799 | 0,799 | 0,793 | 0,793 | 0,170 |
| 20,400 | 1,826 | 99,783 | -6,691 | skid front(out) | ##### | -11,500 | 0,000 | 1,000 | 100,000 | -2,772 | 2,393 | 0,799 | 0,799 | 0,799 | 0,793 | 0,793 | 0,278 |

Προσδιορισμός Τιμών Πρόσφυσης κατά την Πέδηση Οχημάτων Εφοδιασμένων με Σύστημα ABS σε Αυξημένες κατά Μήκος Κλίσεις

| run_v_d_glif_9 | R(m) | br.front (%) | s(%) | e (%) | coeff | effic (%) | time (sec) | | | | | | | | | | |
|----------------|-----------|--------------|--------|-----------------|-------|-----------|------------|-------|-----------|-----------|------------|-------|-----------|----------|----------|---------|-----------|
| s= 100,000 | ##### | 70,50 | 11,5 | 0,0 | 1,00 | 100 | 1,416 | | | | | | | | | | |
| step= 0,100 | viewstep= | 0,500 | STEPS | | | | | | | | | | | | | | |
| s (m) | V (km/h) | n (%) | dv/dt | skid check | R(m) | s(%) | e (%) | coeff | effic (%) | decelera | time (sec) | ft | front out | front in | rear out | rear in | checktime |
| 10,500 | 3,471 | 99,586 | -9,100 | skid front(out) | ##### | 11,500 | 0,000 | 1,000 | 100,000 | -0,797329 | 1,416 | 0,816 | 0,8157 | 0,8157 | 0,8051 | 0,8051 | |
| 0,000 | 49,940 | 99,627 | -9,136 | O.K | ##### | 11,500 | 0,000 | 1,000 | 100,000 | 0,000 | 0,000 | 0,816 | | | | | |
| 0,400 | 48,983 | 99,623 | -9,135 | skid front(in) | ##### | 11,500 | 0,000 | 1,000 | 100,000 | 0,000 | 0,029 | 0,816 | 0,816 | 0,816 | 0,806 | 0,806 | 0,029 |
| 1,000 | 47,510 | 99,623 | -9,133 | skid front(in) | ##### | 11,500 | 0,000 | 1,000 | 100,000 | 0,000 | 0,074 | 0,816 | 0,816 | 0,816 | 0,806 | 0,806 | 0,045 |
| 1,500 | 46,248 | 99,623 | -9,131 | skid front(in) | ##### | 11,500 | 0,000 | 1,000 | 100,000 | 0,000 | 0,112 | 0,816 | 0,816 | 0,816 | 0,806 | 0,806 | 0,038 |
| 2,000 | 44,951 | 99,623 | -9,130 | skid front(in) | ##### | 11,500 | 0,000 | 1,000 | 100,000 | 0,000 | 0,152 | 0,816 | 0,816 | 0,816 | 0,806 | 0,806 | 0,039 |
| 2,500 | 43,615 | 99,623 | -9,128 | skid front(in) | ##### | 11,500 | 0,000 | 1,000 | 100,000 | 0,000 | 0,192 | 0,816 | 0,816 | 0,816 | 0,806 | 0,806 | 0,041 |
| 3,000 | 42,237 | 99,623 | -9,127 | skid front(in) | ##### | 11,500 | 0,000 | 1,000 | 100,000 | 0,000 | 0,234 | 0,816 | 0,816 | 0,816 | 0,806 | 0,806 | 0,042 |
| 3,500 | 40,813 | 99,623 | -9,125 | skid front(in) | ##### | 11,500 | 0,000 | 1,000 | 100,000 | 0,000 | 0,278 | 0,816 | 0,816 | 0,816 | 0,806 | 0,806 | 0,043 |
| 4,000 | 39,338 | 99,623 | -9,123 | skid front(in) | ##### | 11,500 | 0,000 | 1,000 | 100,000 | 0,000 | 0,323 | 0,816 | 0,816 | 0,816 | 0,806 | 0,806 | 0,045 |
| 4,400 | 38,116 | 99,623 | -9,122 | skid front(in) | ##### | 11,500 | 0,000 | 1,000 | 100,000 | 0,000 | 0,360 | 0,816 | 0,816 | 0,816 | 0,806 | 0,806 | 0,037 |
| 5,000 | 36,208 | 99,624 | -9,120 | skid front(in) | ##### | 11,500 | 0,000 | 1,000 | 100,000 | 0,000 | 0,418 | 0,816 | 0,816 | 0,816 | 0,806 | 0,806 | 0,058 |
| 5,500 | 34,537 | 99,624 | -9,119 | skid front(in) | ##### | 11,500 | 0,000 | 1,000 | 100,000 | 0,000 | 0,469 | 0,816 | 0,816 | 0,816 | 0,806 | 0,806 | 0,051 |
| 6,000 | 32,782 | 99,624 | -9,117 | skid front(in) | ##### | 11,500 | 0,000 | 1,000 | 100,000 | 0,000 | 0,522 | 0,816 | 0,816 | 0,816 | 0,806 | 0,806 | 0,053 |
| 6,500 | 30,927 | 99,624 | -9,116 | skid front(in) | ##### | 11,500 | 0,000 | 1,000 | 100,000 | 0,000 | 0,579 | 0,816 | 0,816 | 0,816 | 0,806 | 0,806 | 0,057 |
| 7,000 | 28,955 | 99,624 | -9,114 | skid front(in) | ##### | 11,500 | 0,000 | 1,000 | 100,000 | 0,001 | 0,639 | 0,816 | 0,816 | 0,816 | 0,806 | 0,806 | 0,060 |
| 7,500 | 26,838 | 99,642 | -9,112 | skid front(out) | ##### | 11,500 | 0,000 | 1,000 | 100,000 | -2,699 | 0,703 | 0,816 | 0,816 | 0,816 | 0,806 | 0,806 | 0,065 |
| 8,000 | 24,539 | 99,632 | -9,109 | skid front(out) | ##### | 11,500 | 0,000 | 1,000 | 100,000 | -3,127 | 0,773 | 0,816 | 0,816 | 0,816 | 0,805 | 0,805 | 0,070 |
| 8,500 | 22,003 | 99,621 | -9,107 | skid front(out) | ##### | 11,500 | 0,000 | 1,000 | 100,000 | -2,489 | 0,851 | 0,816 | 0,816 | 0,816 | 0,805 | 0,805 | 0,077 |
| 9,000 | 19,133 | 99,609 | -9,106 | skid front(out) | ##### | 11,500 | 0,000 | 1,000 | 100,000 | -0,711 | 0,938 | 0,816 | 0,816 | 0,816 | 0,805 | 0,805 | 0,088 |
| 9,500 | 15,750 | 99,652 | -9,106 | skid front(out) | ##### | 11,500 | 0,000 | 1,000 | 100,000 | -4,351 | 1,042 | 0,816 | 0,816 | 0,816 | 0,806 | 0,806 | 0,103 |
| 10,000 | 11,404 | 99,607 | -9,102 | skid front(out) | ##### | 11,500 | 0,000 | 1,000 | 100,000 | -1,551 | 1,174 | 0,816 | 0,816 | 0,816 | 0,805 | 0,805 | 0,133 |
| 10,500 | 3,471 | 99,586 | -9,100 | skid front(out) | ##### | 11,500 | 0,000 | 1,000 | 100,000 | -0,797 | 1,416 | 0,816 | 0,816 | 0,816 | 0,805 | 0,805 | 0,242 |

Προσδιορισμός Τιμών Πρόσφυσης κατά την Πέδηση Οχημάτων Εφοδιασμένων με Σύστημα ABS σε Αυξημένες κατά Μήκος Κλίσεις

| run_v_d_glif_11 | R(m) | br.front (%) | s(%) | e (%) | coeff | effic (%) | time (sec) | | | | | | | | | | |
|-----------------|-----------------|--------------|--------|-----------------|-------|-----------|------------|-------|-----------|-----------|------------|-------|-----------|----------|----------|---------|-----------|
| s= 100,000 | ##### | 70,50 | 11,5 | 0,0 | 1,00 | 100 | 1,460 | 0,963 | | | | | | | | | |
| step= 0,100 | viewstep= 0,500 | STEPS | | | | | | | | | | | | | | | |
| s (m) | V (km/h) | n (%) | dv/dt | skid check | R(m) | s(%) | e (%) | coeff | effic (%) | decelera | time (sec) | FT | front out | front in | rear out | rear in | checktime |
| 10,400 | 1,701 | 99,655 | -9,102 | skid front(out) | ##### | 11,500 | 0,000 | 1,000 | 100,000 | -5,473685 | 1,460 | 0,816 | 0,8159 | 0,8159 | 0,8055 | 0,8055 | |
| 0,000 | 49,610 | 99,627 | -9,136 | O.K | ##### | 11,500 | 0,000 | 1,000 | 100,000 | 0,000 | 0,000 | 0,816 | | | | | |
| 0,400 | 48,646 | 99,623 | -9,134 | skid front(in) | ##### | 11,500 | 0,000 | 1,000 | 100,000 | 0,000 | 0,029 | 0,816 | 0,816 | 0,816 | 0,806 | 0,806 | 0,029 |
| 1,000 | 47,164 | 99,623 | -9,132 | skid front(in) | ##### | 11,500 | 0,000 | 1,000 | 100,000 | 0,000 | 0,074 | 0,816 | 0,816 | 0,816 | 0,806 | 0,806 | 0,045 |
| 1,500 | 45,892 | 99,623 | -9,131 | skid front(in) | ##### | 11,500 | 0,000 | 1,000 | 100,000 | 0,000 | 0,113 | 0,816 | 0,816 | 0,816 | 0,806 | 0,806 | 0,039 |
| 2,000 | 44,584 | 99,623 | -9,129 | skid front(in) | ##### | 11,500 | 0,000 | 1,000 | 100,000 | 0,000 | 0,153 | 0,816 | 0,816 | 0,816 | 0,806 | 0,806 | 0,040 |
| 2,500 | 43,237 | 99,623 | -9,128 | skid front(in) | ##### | 11,500 | 0,000 | 1,000 | 100,000 | 0,000 | 0,194 | 0,816 | 0,816 | 0,816 | 0,806 | 0,806 | 0,041 |
| 3,000 | 41,847 | 99,623 | -9,126 | skid front(in) | ##### | 11,500 | 0,000 | 1,000 | 100,000 | 0,000 | 0,236 | 0,816 | 0,816 | 0,816 | 0,806 | 0,806 | 0,042 |
| 3,500 | 40,409 | 99,623 | -9,125 | skid front(in) | ##### | 11,500 | 0,000 | 1,000 | 100,000 | 0,000 | 0,280 | 0,816 | 0,816 | 0,816 | 0,806 | 0,806 | 0,044 |
| 4,000 | 38,918 | 99,623 | -9,123 | skid front(in) | ##### | 11,500 | 0,000 | 1,000 | 100,000 | 0,000 | 0,325 | 0,816 | 0,816 | 0,816 | 0,806 | 0,806 | 0,045 |
| 4,400 | 37,684 | 99,623 | -9,122 | skid front(in) | ##### | 11,500 | 0,000 | 1,000 | 100,000 | 0,000 | 0,363 | 0,816 | 0,816 | 0,816 | 0,806 | 0,806 | 0,038 |
| 5,000 | 35,752 | 99,624 | -9,120 | skid front(in) | ##### | 11,500 | 0,000 | 1,000 | 100,000 | 0,000 | 0,422 | 0,816 | 0,816 | 0,816 | 0,806 | 0,806 | 0,059 |
| 5,500 | 34,059 | 99,624 | -9,118 | skid front(in) | ##### | 11,500 | 0,000 | 1,000 | 100,000 | 0,000 | 0,473 | 0,816 | 0,816 | 0,816 | 0,806 | 0,806 | 0,052 |
| 6,000 | 32,278 | 99,624 | -9,117 | skid front(in) | ##### | 11,500 | 0,000 | 1,000 | 100,000 | 0,000 | 0,528 | 0,816 | 0,816 | 0,816 | 0,806 | 0,806 | 0,054 |
| 6,500 | 30,393 | 99,624 | -9,115 | skid front(in) | ##### | 11,500 | 0,000 | 1,000 | 100,000 | 0,001 | 0,585 | 0,816 | 0,816 | 0,816 | 0,806 | 0,806 | 0,057 |
| 7,000 | 28,383 | 99,624 | -9,114 | skid front(in) | ##### | 11,500 | 0,000 | 1,000 | 100,000 | 0,000 | 0,646 | 0,816 | 0,816 | 0,816 | 0,806 | 0,806 | 0,061 |
| 7,500 | 26,220 | 99,612 | -9,110 | skid front(out) | ##### | 11,500 | 0,000 | 1,000 | 100,000 | -1,134 | 0,712 | 0,816 | 0,816 | 0,816 | 0,805 | 0,805 | 0,066 |
| 8,000 | 23,862 | 99,633 | -9,110 | skid front(out) | ##### | 11,500 | 0,000 | 1,000 | 100,000 | -2,333 | 0,784 | 0,816 | 0,816 | 0,816 | 0,806 | 0,806 | 0,072 |
| 8,500 | 21,245 | 99,630 | -9,107 | skid front(out) | ##### | 11,500 | 0,000 | 1,000 | 100,000 | -4,071 | 0,864 | 0,816 | 0,816 | 0,816 | 0,805 | 0,805 | 0,080 |
| 9,000 | 18,257 | 99,597 | -9,104 | skid front(in) | ##### | 11,500 | 0,000 | 1,000 | 100,000 | -1,423 | 0,955 | 0,816 | 0,816 | 0,816 | 0,805 | 0,805 | 0,091 |
| 9,500 | 14,673 | 99,647 | -9,106 | skid front(out) | ##### | 11,500 | 0,000 | 1,000 | 100,000 | -2,691 | 1,064 | 0,816 | 0,816 | 0,816 | 0,806 | 0,806 | 0,109 |
| 10,000 | 9,864 | 99,610 | -9,101 | skid front(out) | ##### | 11,500 | 0,000 | 1,000 | 100,000 | -2,515 | 1,211 | 0,816 | 0,816 | 0,816 | 0,805 | 0,805 | 0,147 |
| 10,400 | 1,701 | 99,655 | -9,102 | skid front(out) | ##### | 11,500 | 0,000 | 1,000 | 100,000 | -5,474 | 1,460 | 0,816 | 0,816 | 0,816 | 0,805 | 0,805 | 0,249 |

Προσδιορισμός Τιμών Πρόσφυσης κατά την Πέδηση Οχημάτων Εφοδιασμένων με Σύστημα ABS σε Αυξημένες κατά Μήκος Κλίσεις

| run_v_d_glif_13 | | R(m) | br.front (%) | s(%) | e (%) | coeff | effic (%) | | time (sec) | | | | | | | | | |
|-----------------|----------|-----------|--------------|-----------------|-------|--------|-----------|-------|------------|-----------|------------|-------|-----------|----------|----------|---------|-----------|-------|
| s= | 100,000 | ##### | 70,50 | 11,5 | 0,0 | 1,00 | 100 | | 1,515 | | | | | | | | | 0,963 |
| step= | 0,100 | viewstep= | 0,500 | STEPS | | | | | | | | | | | | | | |
| s (m) | V (km/h) | n (%) | dv/dt | skid check | R(m) | s(%) | e (%) | coeff | effic (%) | decelera | time (sec) | FT | front out | front in | rear out | rear in | checktime | |
| 10,600 | 0,279 | 99,642 | -9,101 | skid front(out) | ##### | 11,500 | 0,000 | 1,000 | 100,000 | -4,481224 | 1,515 | 0,816 | 0,8159 | 0,8159 | 0,8054 | 0,8054 | | |
| 0,000 | 49,980 | 99,627 | -9,136 | O.K | ##### | 11,500 | 0,000 | 1,000 | 100,000 | 0,000 | 0,000 | 0,816 | | | | | | |
| 0,400 | 49,023 | 99,623 | -9,135 | skid front(in) | ##### | 11,500 | 0,000 | 1,000 | 100,000 | 0,000 | 0,029 | 0,816 | 0,816 | 0,816 | 0,806 | 0,806 | 0,029 | |
| 1,000 | 47,552 | 99,623 | -9,133 | skid front(in) | ##### | 11,500 | 0,000 | 1,000 | 100,000 | 0,000 | 0,074 | 0,816 | 0,816 | 0,816 | 0,806 | 0,806 | 0,045 | |
| 1,500 | 46,291 | 99,623 | -9,131 | skid front(in) | ##### | 11,500 | 0,000 | 1,000 | 100,000 | 0,000 | 0,112 | 0,816 | 0,816 | 0,816 | 0,806 | 0,806 | 0,038 | |
| 2,000 | 44,995 | 99,623 | -9,130 | skid front(in) | ##### | 11,500 | 0,000 | 1,000 | 100,000 | 0,000 | 0,152 | 0,816 | 0,816 | 0,816 | 0,806 | 0,806 | 0,039 | |
| 2,500 | 43,661 | 99,623 | -9,128 | skid front(in) | ##### | 11,500 | 0,000 | 1,000 | 100,000 | 0,000 | 0,192 | 0,816 | 0,816 | 0,816 | 0,806 | 0,806 | 0,041 | |
| 3,000 | 42,284 | 99,623 | -9,127 | skid front(in) | ##### | 11,500 | 0,000 | 1,000 | 100,000 | 0,000 | 0,234 | 0,816 | 0,816 | 0,816 | 0,806 | 0,806 | 0,042 | |
| 3,500 | 40,862 | 99,623 | -9,125 | skid front(in) | ##### | 11,500 | 0,000 | 1,000 | 100,000 | 0,000 | 0,277 | 0,816 | 0,816 | 0,816 | 0,806 | 0,806 | 0,043 | |
| 4,000 | 39,388 | 99,623 | -9,123 | skid front(in) | ##### | 11,500 | 0,000 | 1,000 | 100,000 | 0,000 | 0,322 | 0,816 | 0,816 | 0,816 | 0,806 | 0,806 | 0,045 | |
| 4,400 | 38,169 | 99,623 | -9,122 | skid front(in) | ##### | 11,500 | 0,000 | 1,000 | 100,000 | 0,000 | 0,359 | 0,816 | 0,816 | 0,816 | 0,806 | 0,806 | 0,037 | |
| 5,000 | 36,263 | 99,624 | -9,120 | skid front(in) | ##### | 11,500 | 0,000 | 1,000 | 100,000 | 0,000 | 0,417 | 0,816 | 0,816 | 0,816 | 0,806 | 0,806 | 0,058 | |
| 5,500 | 34,595 | 99,624 | -9,119 | skid front(in) | ##### | 11,500 | 0,000 | 1,000 | 100,000 | 0,001 | 0,468 | 0,816 | 0,816 | 0,816 | 0,806 | 0,806 | 0,051 | |
| 6,000 | 32,843 | 99,624 | -9,117 | skid front(in) | ##### | 11,500 | 0,000 | 1,000 | 100,000 | 0,000 | 0,522 | 0,816 | 0,816 | 0,816 | 0,806 | 0,806 | 0,053 | |
| 6,500 | 30,992 | 99,624 | -9,116 | skid front(in) | ##### | 11,500 | 0,000 | 1,000 | 100,000 | 0,000 | 0,578 | 0,816 | 0,816 | 0,816 | 0,806 | 0,806 | 0,056 | |
| 7,000 | 29,023 | 99,624 | -9,114 | skid front(in) | ##### | 11,500 | 0,000 | 1,000 | 100,000 | 0,000 | 0,638 | 0,816 | 0,816 | 0,816 | 0,806 | 0,806 | 0,060 | |
| 7,500 | 26,912 | 99,617 | -9,110 | skid front(out) | ##### | 11,500 | 0,000 | 1,000 | 100,000 | -3,094 | 0,702 | 0,816 | 0,816 | 0,816 | 0,805 | 0,805 | 0,064 | |
| 8,000 | 24,620 | 99,616 | -9,109 | skid front(out) | ##### | 11,500 | 0,000 | 1,000 | 100,000 | -2,306 | 0,772 | 0,816 | 0,816 | 0,816 | 0,805 | 0,805 | 0,070 | |
| 8,500 | 22,093 | 99,614 | -9,108 | skid front(out) | ##### | 11,500 | 0,000 | 1,000 | 100,000 | -0,278 | 0,849 | 0,816 | 0,816 | 0,816 | 0,806 | 0,806 | 0,077 | |
| 9,000 | 19,237 | 99,611 | -9,106 | skid front(out) | ##### | 11,500 | 0,000 | 1,000 | 100,000 | -1,605 | 0,936 | 0,816 | 0,816 | 0,816 | 0,805 | 0,805 | 0,087 | |
| 9,500 | 15,876 | 99,606 | -9,104 | skid front(out) | ##### | 11,500 | 0,000 | 1,000 | 100,000 | -1,837 | 1,039 | 0,816 | 0,816 | 0,816 | 0,805 | 0,805 | 0,103 | |
| 10,000 | 11,578 | 99,599 | -9,102 | skid front(out) | ##### | 11,500 | 0,000 | 1,000 | 100,000 | -0,888 | 1,170 | 0,816 | 0,816 | 0,816 | 0,805 | 0,805 | 0,131 | |
| 10,500 | 4,007 | 99,622 | -9,101 | skid front(out) | ##### | 11,500 | 0,000 | 1,000 | 100,000 | -2,349 | 1,401 | 0,816 | 0,816 | 0,816 | 0,805 | 0,805 | 0,231 | |
| 10,600 | 0,279 | 99,642 | -9,101 | skid front(out) | ##### | 11,500 | 0,000 | 1,000 | 100,000 | -4,481 | 1,515 | 0,816 | 0,816 | 0,816 | 0,805 | 0,805 | 0,114 | |

Προσδιορισμός Τιμών Πρόσφυσης κατά την Πέδηση Οχημάτων Εφοδιασμένων με Σύστημα ABS σε Αυξημένες κατά Μήκος Κλίσεις

3.1.4 Γλωφάδα – wet

| run | v | w | glif | 1 | R(m) | br.front (%) | s(%) | e (%) | coeff | effic (%) | time (sec) | | | | | | |
|--------|----------|-----------|--------|-----------------|-------|--------------|-------|-------|-----------|-----------|------------|-------|-----------|----------|----------|---------|-----------|
| s= | 100,000 | ##### | 68,00 | -11,5 | 0,0 | 1,00 | 100 | 2,353 | | | | | | 0,963 | | | |
| step= | 0,100 | viewstep= | 0,500 | STEPS | | | | | | | | | | | | | |
| s (m) | V (km/h) | n (%) | dv/dt | skid check | R(m) | s(%) | e (%) | coeff | effic (%) | decelera | time (sec) | FT | front out | front in | rear out | rear in | checktime |
| 17,000 | 1,944 | 99,092 | -5,674 | skid front(out) | ##### | -11,500 | 0,000 | 1,000 | 100,000 | -3,580979 | 2,353 | 0,7 | 0,7000 | 0,7000 | 0,6798 | 0,6798 | |
| 0,000 | 50,120 | 99,062 | -5,710 | O.K | ##### | -11,500 | 0,000 | 1,000 | 100,000 | 0,000 | 0,000 | 0,700 | | | | | |
| 0,400 | 49,525 | 99,058 | -5,709 | skid front(in) | ##### | -11,500 | 0,000 | 1,000 | 100,000 | 0,000 | 0,029 | 0,700 | 0,700 | 0,700 | 0,680 | 0,680 | 0,029 |
| 1,000 | 48,620 | 99,058 | -5,708 | skid front(in) | ##### | -11,500 | 0,000 | 1,000 | 100,000 | 0,000 | 0,073 | 0,700 | 0,700 | 0,700 | 0,680 | 0,680 | 0,044 |
| 1,500 | 47,854 | 99,058 | -5,707 | skid front(in) | ##### | -11,500 | 0,000 | 1,000 | 100,000 | 0,000 | 0,110 | 0,700 | 0,700 | 0,700 | 0,680 | 0,680 | 0,037 |
| 2,000 | 47,075 | 99,058 | -5,706 | skid front(in) | ##### | -11,500 | 0,000 | 1,000 | 100,000 | 0,000 | 0,148 | 0,700 | 0,700 | 0,700 | 0,680 | 0,680 | 0,038 |
| 2,500 | 46,283 | 99,058 | -5,705 | skid front(in) | ##### | -11,500 | 0,000 | 1,000 | 100,000 | 0,000 | 0,187 | 0,700 | 0,700 | 0,700 | 0,680 | 0,680 | 0,039 |
| 3,000 | 45,477 | 99,058 | -5,704 | skid front(in) | ##### | -11,500 | 0,000 | 1,000 | 100,000 | 0,000 | 0,226 | 0,700 | 0,700 | 0,700 | 0,680 | 0,680 | 0,039 |
| 3,500 | 44,657 | 99,058 | -5,703 | skid front(in) | ##### | -11,500 | 0,000 | 1,000 | 100,000 | 0,000 | 0,266 | 0,700 | 0,700 | 0,700 | 0,680 | 0,680 | 0,040 |
| 4,000 | 43,822 | 99,058 | -5,701 | skid front(in) | ##### | -11,500 | 0,000 | 1,000 | 100,000 | 0,000 | 0,307 | 0,700 | 0,700 | 0,700 | 0,680 | 0,680 | 0,041 |
| 4,400 | 43,142 | 99,058 | -5,701 | skid front(in) | ##### | -11,500 | 0,000 | 1,000 | 100,000 | 0,000 | 0,340 | 0,700 | 0,700 | 0,700 | 0,680 | 0,680 | 0,033 |
| 5,000 | 42,102 | 99,058 | -5,699 | skid front(in) | ##### | -11,500 | 0,000 | 1,000 | 100,000 | 0,000 | 0,390 | 0,700 | 0,700 | 0,700 | 0,680 | 0,680 | 0,051 |
| 5,500 | 41,216 | 99,058 | -5,698 | skid front(in) | ##### | -11,500 | 0,000 | 1,000 | 100,000 | 0,000 | 0,434 | 0,700 | 0,700 | 0,700 | 0,680 | 0,680 | 0,043 |
| 6,000 | 40,310 | 99,058 | -5,697 | skid front(in) | ##### | -11,500 | 0,000 | 1,000 | 100,000 | 0,000 | 0,478 | 0,700 | 0,700 | 0,700 | 0,680 | 0,680 | 0,044 |
| 6,500 | 39,384 | 99,058 | -5,696 | skid front(in) | ##### | -11,500 | 0,000 | 1,000 | 100,000 | 0,000 | 0,523 | 0,700 | 0,700 | 0,700 | 0,680 | 0,680 | 0,045 |
| 7,000 | 38,435 | 99,058 | -5,695 | skid front(in) | ##### | -11,500 | 0,000 | 1,000 | 100,000 | 0,000 | 0,569 | 0,700 | 0,700 | 0,700 | 0,680 | 0,680 | 0,046 |
| 7,500 | 37,463 | 99,059 | -5,694 | skid front(in) | ##### | -11,500 | 0,000 | 1,000 | 100,000 | 0,001 | 0,617 | 0,700 | 0,700 | 0,700 | 0,680 | 0,680 | 0,047 |
| 8,000 | 36,464 | 99,059 | -5,693 | skid front(in) | ##### | -11,500 | 0,000 | 1,000 | 100,000 | 0,000 | 0,665 | 0,700 | 0,700 | 0,700 | 0,680 | 0,680 | 0,049 |
| 8,500 | 35,438 | 99,059 | -5,692 | skid front(in) | ##### | -11,500 | 0,000 | 1,000 | 100,000 | 0,000 | 0,715 | 0,700 | 0,700 | 0,700 | 0,680 | 0,680 | 0,050 |
| 9,000 | 34,382 | 99,059 | -5,691 | skid front(in) | ##### | -11,500 | 0,000 | 1,000 | 100,000 | 0,001 | 0,767 | 0,700 | 0,700 | 0,700 | 0,680 | 0,680 | 0,052 |
| 9,500 | 33,292 | 99,059 | -5,690 | skid front(in) | ##### | -11,500 | 0,000 | 1,000 | 100,000 | 0,000 | 0,820 | 0,700 | 0,700 | 0,700 | 0,680 | 0,680 | 0,053 |
| 10,000 | 32,166 | 99,059 | -5,689 | skid front(in) | ##### | -11,500 | 0,000 | 1,000 | 100,000 | 0,001 | 0,875 | 0,700 | 0,700 | 0,700 | 0,680 | 0,680 | 0,055 |
| 10,500 | 30,999 | 99,059 | -5,688 | skid front(in) | ##### | -11,500 | 0,000 | 1,000 | 100,000 | 0,001 | 0,932 | 0,700 | 0,700 | 0,700 | 0,680 | 0,680 | 0,057 |
| 11,000 | 29,786 | 99,059 | -5,687 | skid front(in) | ##### | -11,500 | 0,000 | 1,000 | 100,000 | 0,001 | 0,991 | 0,700 | 0,700 | 0,700 | 0,680 | 0,680 | 0,059 |
| 11,500 | 28,522 | 99,059 | -5,686 | skid front(in) | ##### | -11,500 | 0,000 | 1,000 | 100,000 | 0,001 | 1,053 | 0,700 | 0,700 | 0,700 | 0,680 | 0,680 | 0,062 |
| 12,000 | 27,200 | 99,059 | -5,685 | skid front(in) | ##### | -11,500 | 0,000 | 1,000 | 100,000 | -0,001 | 1,118 | 0,700 | 0,700 | 0,700 | 0,680 | 0,680 | 0,065 |
| 12,500 | 25,810 | 99,049 | -5,681 | skid front(out) | ##### | -11,500 | 0,000 | 1,000 | 100,000 | -2,558 | 1,186 | 0,700 | 0,700 | 0,700 | 0,679 | 0,679 | 0,068 |
| 13,000 | 24,342 | 99,055 | -5,681 | skid front(out) | ##### | -11,500 | 0,000 | 1,000 | 100,000 | -1,481 | 1,257 | 0,700 | 0,700 | 0,700 | 0,680 | 0,680 | 0,072 |
| 13,500 | 22,779 | 99,050 | -5,679 | skid front(out) | ##### | -11,500 | 0,000 | 1,000 | 100,000 | -2,703 | 1,334 | 0,700 | 0,700 | 0,700 | 0,679 | 0,679 | 0,076 |
| 14,000 | 21,101 | 99,063 | -5,681 | skid front(out) | ##### | -11,500 | 0,000 | 1,000 | 100,000 | -0,414 | 1,416 | 0,700 | 0,700 | 0,700 | 0,680 | 0,680 | 0,082 |
| 14,500 | 19,278 | 99,032 | -5,676 | skid front(out) | ##### | -11,500 | 0,000 | 1,000 | 100,000 | -1,809 | 1,505 | 0,700 | 0,700 | 0,700 | 0,679 | 0,679 | 0,089 |
| 15,000 | 17,264 | 99,050 | -5,676 | skid front(out) | ##### | -11,500 | 0,000 | 1,000 | 100,000 | -2,796 | 1,603 | 0,700 | 0,700 | 0,700 | 0,679 | 0,679 | 0,099 |

Προσδιορισμός Τιμών Πρόσφυσης κατά την Πέδηση Οχημάτων Εφοδιασμένων με Σύστημα ABS σε Αυξημένες κατά Μήκος Κλίσεις

| | | | | | | | | | | | | | | | | | |
|--------|--------|--------|--------|-----------------|-------|---------|-------|-------|---------|--------|-------|-------|-------|-------|-------|-------|-------|
| 15,500 | 14,982 | 99,056 | -5,676 | skid front(out) | ##### | -11,500 | 0,000 | 1,000 | 100,000 | -1,515 | 1,715 | 0,700 | 0,700 | 0,700 | 0,680 | 0,680 | 0,112 |
| 16,000 | 12,284 | 99,048 | -5,674 | skid front(out) | ##### | -11,500 | 0,000 | 1,000 | 100,000 | -2,837 | 1,847 | 0,700 | 0,700 | 0,700 | 0,679 | 0,679 | 0,132 |
| 16,500 | 8,794 | 99,058 | -5,675 | skid front(out) | ##### | -11,500 | 0,000 | 1,000 | 100,000 | 0,035 | 2,018 | 0,700 | 0,700 | 0,700 | 0,680 | 0,680 | 0,171 |
| 17,000 | 1,944 | 99,092 | -5,674 | skid front(out) | ##### | -11,500 | 0,000 | 1,000 | 100,000 | -3,581 | 2,353 | 0,700 | 0,700 | 0,700 | 0,680 | 0,680 | 0,335 |

| run v w glif 2 | | R(m) | br.front (%) | s(%) | e (%) | coeff | effic (%) | | | time (sec) | | | | | | | 0,963 | |
|----------------|----------|-----------|--------------|-----------------|-------|---------|-----------|-------|-----------|------------|------------|-------|-----------|----------|----------|---------|-----------|--|
| s= | 100,000 | ##### | 68,00 | -11,5 | 0,0 | 1,00 | 100 | | | 2,310 | | | | | | | | |
| step= | 0,100 | viewstep= | 0,500 | STEPS | | | | | | | | | | | | | | |
| s (m) | V (km/h) | n (%) | dv/dt | skid check | R(m) | s(%) | e (%) | coeff | effic (%) | decelera | time (sec) | FT | front out | front in | rear out | rear in | checktime | |
| 17,100 | 3,020 | 99,069 | -5,672 | skid front(out) | ##### | -11,500 | 0,000 | 1,000 | 100,000 | -4,580768 | 2,310 | 0,7 | 0,6998 | 0,6998 | 0,6795 | 0,6795 | | |
| 0,000 | 50,320 | 99,062 | -5,710 | O.K | ##### | -11,500 | 0,000 | 1,000 | 100,000 | 0,000 | 0,000 | 0,700 | | | | | | |
| 0,400 | 49,728 | 99,058 | -5,709 | skid front(in) | ##### | -11,500 | 0,000 | 1,000 | 100,000 | 0,000 | 0,029 | 0,700 | 0,700 | 0,700 | 0,680 | 0,680 | 0,029 | |
| 1,000 | 48,827 | 99,058 | -5,708 | skid front(in) | ##### | -11,500 | 0,000 | 1,000 | 100,000 | 0,000 | 0,073 | 0,700 | 0,700 | 0,700 | 0,680 | 0,680 | 0,044 | |
| 1,500 | 48,064 | 99,058 | -5,707 | skid front(in) | ##### | -11,500 | 0,000 | 1,000 | 100,000 | 0,000 | 0,110 | 0,700 | 0,700 | 0,700 | 0,680 | 0,680 | 0,037 | |
| 2,000 | 47,288 | 99,058 | -5,706 | skid front(in) | ##### | -11,500 | 0,000 | 1,000 | 100,000 | 0,000 | 0,148 | 0,700 | 0,700 | 0,700 | 0,680 | 0,680 | 0,038 | |
| 2,500 | 46,500 | 99,058 | -5,705 | skid front(in) | ##### | -11,500 | 0,000 | 1,000 | 100,000 | 0,000 | 0,186 | 0,700 | 0,700 | 0,700 | 0,680 | 0,680 | 0,038 | |
| 3,000 | 45,698 | 99,058 | -5,704 | skid front(in) | ##### | -11,500 | 0,000 | 1,000 | 100,000 | 0,000 | 0,225 | 0,700 | 0,700 | 0,700 | 0,680 | 0,680 | 0,039 | |
| 3,500 | 44,882 | 99,058 | -5,703 | skid front(in) | ##### | -11,500 | 0,000 | 1,000 | 100,000 | 0,000 | 0,265 | 0,700 | 0,700 | 0,700 | 0,680 | 0,680 | 0,040 | |
| 4,000 | 44,051 | 99,058 | -5,702 | skid front(in) | ##### | -11,500 | 0,000 | 1,000 | 100,000 | 0,000 | 0,305 | 0,700 | 0,700 | 0,700 | 0,680 | 0,680 | 0,040 | |
| 4,400 | 43,375 | 99,058 | -5,701 | skid front(in) | ##### | -11,500 | 0,000 | 1,000 | 100,000 | 0,000 | 0,338 | 0,700 | 0,700 | 0,700 | 0,680 | 0,680 | 0,033 | |
| 5,000 | 42,341 | 99,058 | -5,700 | skid front(in) | ##### | -11,500 | 0,000 | 1,000 | 100,000 | 0,000 | 0,389 | 0,700 | 0,700 | 0,700 | 0,680 | 0,680 | 0,050 | |
| 5,500 | 41,459 | 99,058 | -5,699 | skid front(in) | ##### | -11,500 | 0,000 | 1,000 | 100,000 | 0,000 | 0,431 | 0,700 | 0,700 | 0,700 | 0,680 | 0,680 | 0,043 | |
| 6,000 | 40,559 | 99,058 | -5,698 | skid front(in) | ##### | -11,500 | 0,000 | 1,000 | 100,000 | 0,000 | 0,475 | 0,700 | 0,700 | 0,700 | 0,680 | 0,680 | 0,044 | |
| 6,500 | 39,638 | 99,058 | -5,697 | skid front(in) | ##### | -11,500 | 0,000 | 1,000 | 100,000 | 0,000 | 0,520 | 0,700 | 0,700 | 0,700 | 0,680 | 0,680 | 0,045 | |
| 7,000 | 38,696 | 99,058 | -5,695 | skid front(in) | ##### | -11,500 | 0,000 | 1,000 | 100,000 | 0,000 | 0,566 | 0,700 | 0,700 | 0,700 | 0,680 | 0,680 | 0,046 | |
| 7,500 | 37,730 | 99,059 | -5,694 | skid front(in) | ##### | -11,500 | 0,000 | 1,000 | 100,000 | 0,000 | 0,613 | 0,700 | 0,700 | 0,700 | 0,680 | 0,680 | 0,047 | |
| 8,000 | 36,739 | 99,059 | -5,693 | skid front(in) | ##### | -11,500 | 0,000 | 1,000 | 100,000 | 0,000 | 0,662 | 0,700 | 0,700 | 0,700 | 0,680 | 0,680 | 0,048 | |
| 8,500 | 35,721 | 99,059 | -5,692 | skid front(in) | ##### | -11,500 | 0,000 | 1,000 | 100,000 | 0,000 | 0,711 | 0,700 | 0,700 | 0,700 | 0,680 | 0,680 | 0,050 | |
| 9,000 | 34,673 | 99,059 | -5,691 | skid front(in) | ##### | -11,500 | 0,000 | 1,000 | 100,000 | 0,000 | 0,762 | 0,700 | 0,700 | 0,700 | 0,680 | 0,680 | 0,051 | |
| 9,500 | 33,593 | 99,059 | -5,690 | skid front(in) | ##### | -11,500 | 0,000 | 1,000 | 100,000 | 0,000 | 0,815 | 0,700 | 0,700 | 0,700 | 0,680 | 0,680 | 0,053 | |
| 10,000 | 32,477 | 99,059 | -5,689 | skid front(in) | ##### | -11,500 | 0,000 | 1,000 | 100,000 | 0,000 | 0,870 | 0,700 | 0,700 | 0,700 | 0,680 | 0,680 | 0,054 | |
| 10,500 | 31,321 | 99,059 | -5,688 | skid front(in) | ##### | -11,500 | 0,000 | 1,000 | 100,000 | 0,001 | 0,926 | 0,700 | 0,700 | 0,700 | 0,680 | 0,680 | 0,056 | |
| 11,000 | 30,122 | 99,059 | -5,687 | skid front(in) | ##### | -11,500 | 0,000 | 1,000 | 100,000 | 0,000 | 0,985 | 0,700 | 0,700 | 0,700 | 0,680 | 0,680 | 0,059 | |

Προσδιορισμός Τιμών Πρόσφυσης κατά την Πέδηση Οχημάτων Εφοδιασμένων με Σύστημα ABS σε Αυξημένες κατά Μήκος Κλίσεις

| | | | | | | | | | | | | | | | | | |
|--------|--------|--------|--------|-----------------|-------|---------|-------|-------|---------|--------|-------|-------|-------|-------|-------|-------|-------|
| 11,500 | 28,872 | 99,059 | -5,686 | skid front(in) | ##### | -11,500 | 0,000 | 1,000 | 100,000 | 0,001 | 1,046 | 0,700 | 0,700 | 0,700 | 0,680 | 0,680 | 0,061 |
| 12,000 | 27,567 | 99,059 | -5,685 | skid front(in) | ##### | -11,500 | 0,000 | 1,000 | 100,000 | 0,000 | 1,110 | 0,700 | 0,700 | 0,700 | 0,680 | 0,680 | 0,064 |
| 12,500 | 26,197 | 99,094 | -5,683 | skid front(out) | ##### | -11,500 | 0,000 | 1,000 | 100,000 | -4,458 | 1,177 | 0,700 | 0,700 | 0,700 | 0,680 | 0,680 | 0,067 |
| 13,000 | 24,751 | 99,065 | -5,681 | skid front(out) | ##### | -11,500 | 0,000 | 1,000 | 100,000 | -3,500 | 1,247 | 0,700 | 0,700 | 0,700 | 0,680 | 0,680 | 0,071 |
| 13,500 | 23,215 | 99,022 | -5,679 | skid front(out) | ##### | -11,500 | 0,000 | 1,000 | 100,000 | -0,362 | 1,322 | 0,700 | 0,700 | 0,700 | 0,679 | 0,679 | 0,075 |
| 14,000 | 21,572 | 99,026 | -5,678 | skid front(in) | ##### | -11,500 | 0,000 | 1,000 | 100,000 | -1,106 | 1,403 | 0,700 | 0,700 | 0,700 | 0,679 | 0,679 | 0,080 |
| 14,500 | 19,792 | 99,050 | -5,677 | skid front(out) | ##### | -11,500 | 0,000 | 1,000 | 100,000 | -2,955 | 1,490 | 0,700 | 0,700 | 0,700 | 0,679 | 0,679 | 0,087 |
| 15,000 | 17,836 | 99,061 | -5,677 | skid front(out) | ##### | -11,500 | 0,000 | 1,000 | 100,000 | -2,562 | 1,585 | 0,700 | 0,700 | 0,700 | 0,680 | 0,680 | 0,096 |
| 15,500 | 15,637 | 99,058 | -5,674 | skid front(out) | ##### | -11,500 | 0,000 | 1,000 | 100,000 | -4,642 | 1,693 | 0,700 | 0,700 | 0,700 | 0,679 | 0,679 | 0,108 |
| 16,000 | 13,075 | 99,076 | -5,676 | skid front(in) | ##### | -11,500 | 0,000 | 1,000 | 100,000 | -2,978 | 1,818 | 0,700 | 0,700 | 0,700 | 0,680 | 0,680 | 0,125 |
| 16,500 | 9,869 | 99,079 | -5,674 | skid front(out) | ##### | -11,500 | 0,000 | 1,000 | 100,000 | -3,830 | 1,975 | 0,700 | 0,700 | 0,700 | 0,680 | 0,680 | 0,157 |
| 17,000 | 4,883 | 99,066 | -5,674 | skid front(out) | ##### | -11,500 | 0,000 | 1,000 | 100,000 | -2,117 | 2,219 | 0,700 | 0,700 | 0,700 | 0,680 | 0,680 | 0,244 |
| 17,100 | 3,020 | 99,069 | -5,672 | skid front(out) | ##### | -11,500 | 0,000 | 1,000 | 100,000 | -4,581 | 2,310 | 0,700 | 0,700 | 0,700 | 0,679 | 0,679 | 0,091 |

| run v w glif 3 | R(m) | br.front (%) | s(%) | e (%) | coeff | effic (%) | time (sec) | | | | | | | | | | |
|----------------|-----------|--------------|--------|-----------------|-------|-----------|------------|-------|-----------|-----------|------------|-------|-----------|----------|----------|---------|-----------|
| s= 100,000 | ##### | 68,00 | -11,5 | 0,0 | 1,00 | 100 | 2,367 | 0,963 | | | | | | | | | |
| step= 0,100 | viewstep= | 0,500 | STEPS | | | | | | | | | | | | | | |
| s (m) | V (km/h) | n (%) | dv/dt | skid check | R(m) | s(%) | e (%) | coeff | effic (%) | decelera | time (sec) | FT | front out | front in | rear out | rear in | checktime |
| 16,700 | 1,209 | 99,087 | -5,674 | skid front(out) | ##### | -11,500 | 0,000 | 1,000 | 100,000 | -3,057989 | 2,367 | 0,7 | 0,7000 | 0,7000 | 0,6798 | 0,6798 | |
| 0,000 | 49,650 | 99,062 | -5,709 | O.K | ##### | -11,500 | 0,000 | 1,000 | 100,000 | 0,000 | 0,000 | 0,700 | | | | | |
| 0,400 | 49,050 | 99,058 | -5,708 | skid front(in) | ##### | -11,500 | 0,000 | 1,000 | 100,000 | 0,000 | 0,029 | 0,700 | 0,700 | 0,700 | 0,680 | 0,680 | 0,029 |
| 1,000 | 48,137 | 99,058 | -5,707 | skid front(in) | ##### | -11,500 | 0,000 | 1,000 | 100,000 | 0,000 | 0,074 | 0,700 | 0,700 | 0,700 | 0,680 | 0,680 | 0,044 |
| 1,500 | 47,363 | 99,058 | -5,706 | skid front(in) | ##### | -11,500 | 0,000 | 1,000 | 100,000 | 0,000 | 0,111 | 0,700 | 0,700 | 0,700 | 0,680 | 0,680 | 0,038 |
| 2,000 | 46,575 | 99,058 | -5,705 | skid front(in) | ##### | -11,500 | 0,000 | 1,000 | 100,000 | 0,000 | 0,150 | 0,700 | 0,700 | 0,700 | 0,680 | 0,680 | 0,038 |
| 2,500 | 45,775 | 99,058 | -5,704 | skid front(in) | ##### | -11,500 | 0,000 | 1,000 | 100,000 | 0,000 | 0,189 | 0,700 | 0,700 | 0,700 | 0,680 | 0,680 | 0,039 |
| 3,000 | 44,960 | 99,058 | -5,703 | skid front(in) | ##### | -11,500 | 0,000 | 1,000 | 100,000 | 0,000 | 0,228 | 0,700 | 0,700 | 0,700 | 0,680 | 0,680 | 0,040 |
| 3,500 | 44,131 | 99,058 | -5,702 | skid front(in) | ##### | -11,500 | 0,000 | 1,000 | 100,000 | 0,000 | 0,269 | 0,700 | 0,700 | 0,700 | 0,680 | 0,680 | 0,040 |
| 4,000 | 43,285 | 99,058 | -5,701 | skid front(in) | ##### | -11,500 | 0,000 | 1,000 | 100,000 | 0,000 | 0,310 | 0,700 | 0,700 | 0,700 | 0,680 | 0,680 | 0,041 |
| 4,400 | 42,597 | 99,058 | -5,700 | skid front(in) | ##### | -11,500 | 0,000 | 1,000 | 100,000 | 0,000 | 0,343 | 0,700 | 0,700 | 0,700 | 0,680 | 0,680 | 0,034 |
| 5,000 | 41,544 | 99,058 | -5,699 | skid front(in) | ##### | -11,500 | 0,000 | 1,000 | 100,000 | 0,000 | 0,395 | 0,700 | 0,700 | 0,700 | 0,680 | 0,680 | 0,051 |
| 5,500 | 40,645 | 99,058 | -5,698 | skid front(in) | ##### | -11,500 | 0,000 | 1,000 | 100,000 | 0,000 | 0,439 | 0,700 | 0,700 | 0,700 | 0,680 | 0,680 | 0,044 |
| 6,000 | 39,727 | 99,058 | -5,697 | skid front(in) | ##### | -11,500 | 0,000 | 1,000 | 100,000 | 0,000 | 0,483 | 0,700 | 0,700 | 0,700 | 0,680 | 0,680 | 0,045 |
| 6,500 | 38,786 | 99,058 | -5,696 | skid front(in) | ##### | -11,500 | 0,000 | 1,000 | 100,000 | 0,000 | 0,529 | 0,700 | 0,700 | 0,700 | 0,680 | 0,680 | 0,046 |
| 7,000 | 37,823 | 99,058 | -5,695 | skid front(in) | ##### | -11,500 | 0,000 | 1,000 | 100,000 | 0,001 | 0,576 | 0,700 | 0,700 | 0,700 | 0,680 | 0,680 | 0,047 |
| 7,500 | 36,835 | 99,059 | -5,693 | skid front(in) | ##### | -11,500 | 0,000 | 1,000 | 100,000 | 0,000 | 0,624 | 0,700 | 0,700 | 0,700 | 0,680 | 0,680 | 0,048 |

Προσδιορισμός Τιμών Πρόσφυσης κατά την Πέδηση Οχημάτων Εφοδιασμένων με Σύστημα ABS σε Αυξημένες κατά Μήκος Κλίσεις

| | | | | | | | | | | | | | | | | | |
|--------|--------|--------|--------|-----------------|-------|---------|-------|-------|---------|--------|-------|-------|-------|-------|-------|-------|-------|
| 8,000 | 35,819 | 99,059 | -5,692 | skid front(in) | ##### | -11,500 | 0,000 | 1,000 | 100,000 | 0,000 | 0,674 | 0,700 | 0,700 | 0,700 | 0,680 | 0,680 | 0,050 |
| 8,500 | 34,774 | 99,059 | -5,691 | skid front(in) | ##### | -11,500 | 0,000 | 1,000 | 100,000 | 0,000 | 0,725 | 0,700 | 0,700 | 0,700 | 0,680 | 0,680 | 0,051 |
| 9,000 | 33,697 | 99,059 | -5,690 | skid front(in) | ##### | -11,500 | 0,000 | 1,000 | 100,000 | 0,000 | 0,778 | 0,700 | 0,700 | 0,700 | 0,680 | 0,680 | 0,053 |
| 9,500 | 32,584 | 99,059 | -5,689 | skid front(in) | ##### | -11,500 | 0,000 | 1,000 | 100,000 | 0,000 | 0,832 | 0,700 | 0,700 | 0,700 | 0,680 | 0,680 | 0,054 |
| 10,000 | 31,433 | 99,059 | -5,688 | skid front(in) | ##### | -11,500 | 0,000 | 1,000 | 100,000 | 0,000 | 0,888 | 0,700 | 0,700 | 0,700 | 0,680 | 0,680 | 0,056 |
| 10,500 | 30,237 | 99,059 | -5,687 | skid front(in) | ##### | -11,500 | 0,000 | 1,000 | 100,000 | 0,001 | 0,946 | 0,700 | 0,700 | 0,700 | 0,680 | 0,680 | 0,058 |
| 11,000 | 28,993 | 99,059 | -5,686 | skid front(in) | ##### | -11,500 | 0,000 | 1,000 | 100,000 | 0,001 | 1,007 | 0,700 | 0,700 | 0,700 | 0,680 | 0,680 | 0,061 |
| 11,500 | 27,693 | 99,059 | -5,685 | skid front(in) | ##### | -11,500 | 0,000 | 1,000 | 100,000 | 0,000 | 1,071 | 0,700 | 0,700 | 0,700 | 0,680 | 0,680 | 0,064 |
| 12,000 | 26,329 | 99,047 | -5,683 | skid front(out) | ##### | -11,500 | 0,000 | 1,000 | 100,000 | -0,573 | 1,137 | 0,700 | 0,700 | 0,700 | 0,680 | 0,680 | 0,067 |
| 12,500 | 24,892 | 99,063 | -5,682 | skid front(out) | ##### | -11,500 | 0,000 | 1,000 | 100,000 | -1,222 | 1,208 | 0,700 | 0,700 | 0,700 | 0,680 | 0,680 | 0,070 |
| 13,000 | 23,366 | 99,067 | -5,680 | skid front(out) | ##### | -11,500 | 0,000 | 1,000 | 100,000 | -4,128 | 1,282 | 0,700 | 0,700 | 0,700 | 0,679 | 0,679 | 0,075 |
| 13,500 | 21,733 | 99,090 | -5,681 | skid front(out) | ##### | -11,500 | 0,000 | 1,000 | 100,000 | -3,654 | 1,362 | 0,700 | 0,700 | 0,700 | 0,680 | 0,680 | 0,080 |
| 14,000 | 19,968 | 99,070 | -5,679 | skid front(out) | ##### | -11,500 | 0,000 | 1,000 | 100,000 | -2,379 | 1,448 | 0,700 | 0,700 | 0,700 | 0,680 | 0,680 | 0,086 |
| 14,500 | 18,031 | 99,067 | -5,678 | skid front(out) | ##### | -11,500 | 0,000 | 1,000 | 100,000 | -1,951 | 1,543 | 0,700 | 0,700 | 0,700 | 0,680 | 0,680 | 0,095 |
| 15,000 | 15,860 | 99,050 | -5,678 | skid front(out) | ##### | -11,500 | 0,000 | 1,000 | 100,000 | 0,803 | 1,649 | 0,700 | 0,700 | 0,700 | 0,680 | 0,680 | 0,106 |
| 15,500 | 13,341 | 99,052 | -5,675 | skid front(out) | ##### | -11,500 | 0,000 | 1,000 | 100,000 | -2,371 | 1,773 | 0,700 | 0,700 | 0,700 | 0,680 | 0,680 | 0,123 |
| 16,000 | 10,219 | 99,073 | -5,676 | skid front(out) | ##### | -11,500 | 0,000 | 1,000 | 100,000 | -1,561 | 1,925 | 0,700 | 0,700 | 0,700 | 0,680 | 0,680 | 0,153 |
| 16,500 | 5,557 | 99,081 | -5,674 | skid front(out) | ##### | -11,500 | 0,000 | 1,000 | 100,000 | -3,563 | 2,154 | 0,700 | 0,700 | 0,700 | 0,680 | 0,680 | 0,228 |
| 16,700 | 1,209 | 99,087 | -5,674 | skid front(out) | ##### | -11,500 | 0,000 | 1,000 | 100,000 | -3,058 | 2,367 | 0,700 | 0,700 | 0,700 | 0,680 | 0,680 | 0,213 |

| run v w glif 5 | R(m) | br.front (%) | s(%) | e (%) | coeff | effic (%) | time (sec) | | | | | | | | | | |
|----------------|-----------|--------------|--------|-----------------|-------|-----------|------------|-------|-----------|-----------|------------|-------|-----------|----------|----------|---------|-----------|
| s= 100,000 | ##### | 68,00 | -11,5 | 0,0 | 1,00 | 100 | 2,844 | 0,963 | | | | | | | | | |
| step= 0,100 | viewstep= | 0,500 | STEPS | | | | | | | | | | | | | | |
| s (m) | V (km/h) | n (%) | dv/dt | skid check | R(m) | s(%) | e (%) | coeff | effic (%) | decelera | time (sec) | fT | front out | front in | rear out | rear in | checktime |
| 23,500 | 0,612 | 99,063 | -5,674 | skid front(out) | ##### | -11,500 | 0,000 | 1,000 | 100,000 | -0,961819 | 2,844 | 0,7 | 0,7000 | 0,7000 | 0,6798 | 0,6798 | |
| 0,000 | 58,880 | 99,063 | -5,724 | O.K | ##### | -11,500 | 0,000 | 1,000 | 100,000 | 0,000 | 0,000 | 0,700 | | | | | |
| 0,400 | 58,374 | 99,057 | -5,723 | skid front(in) | ##### | -11,500 | 0,000 | 1,000 | 100,000 | 0,000 | 0,025 | 0,700 | 0,700 | 0,700 | 0,680 | 0,680 | 0,025 |
| 1,000 | 57,607 | 99,057 | -5,721 | skid front(in) | ##### | -11,500 | 0,000 | 1,000 | 100,000 | 0,000 | 0,062 | 0,700 | 0,700 | 0,700 | 0,680 | 0,680 | 0,037 |
| 1,500 | 56,960 | 99,057 | -5,720 | skid front(in) | ##### | -11,500 | 0,000 | 1,000 | 100,000 | 0,000 | 0,093 | 0,700 | 0,700 | 0,700 | 0,680 | 0,680 | 0,031 |
| 2,000 | 56,305 | 99,057 | -5,719 | skid front(in) | ##### | -11,500 | 0,000 | 1,000 | 100,000 | 0,000 | 0,125 | 0,700 | 0,700 | 0,700 | 0,680 | 0,680 | 0,032 |
| 2,500 | 55,643 | 99,057 | -5,718 | skid front(in) | ##### | -11,500 | 0,000 | 1,000 | 100,000 | 0,000 | 0,157 | 0,700 | 0,700 | 0,700 | 0,680 | 0,680 | 0,032 |
| 3,000 | 54,973 | 99,057 | -5,717 | skid front(in) | ##### | -11,500 | 0,000 | 1,000 | 100,000 | 0,000 | 0,190 | 0,700 | 0,700 | 0,700 | 0,680 | 0,680 | 0,033 |
| 3,500 | 54,295 | 99,057 | -5,716 | skid front(in) | ##### | -11,500 | 0,000 | 1,000 | 100,000 | 0,000 | 0,223 | 0,700 | 0,700 | 0,700 | 0,680 | 0,680 | 0,033 |
| 4,000 | 53,609 | 99,057 | -5,715 | skid front(in) | ##### | -11,500 | 0,000 | 1,000 | 100,000 | 0,000 | 0,256 | 0,700 | 0,700 | 0,700 | 0,680 | 0,680 | 0,033 |
| 4,400 | 53,053 | 99,057 | -5,714 | skid front(in) | ##### | -11,500 | 0,000 | 1,000 | 100,000 | 0,000 | 0,283 | 0,700 | 0,700 | 0,700 | 0,680 | 0,680 | 0,027 |
| 5,000 | 52,209 | 99,057 | -5,713 | skid front(in) | ##### | -11,500 | 0,000 | 1,000 | 100,000 | 0,000 | 0,324 | 0,700 | 0,700 | 0,700 | 0,680 | 0,680 | 0,041 |
| 5,500 | 51,495 | 99,057 | -5,712 | skid front(in) | ##### | -11,500 | 0,000 | 1,000 | 100,000 | 0,000 | 0,359 | 0,700 | 0,700 | 0,700 | 0,680 | 0,680 | 0,035 |
| 6,000 | 50,771 | 99,058 | -5,711 | skid front(in) | ##### | -11,500 | 0,000 | 1,000 | 100,000 | 0,000 | 0,394 | 0,700 | 0,700 | 0,700 | 0,680 | 0,680 | 0,035 |
| 6,500 | 50,037 | 99,058 | -5,710 | skid front(in) | ##### | -11,500 | 0,000 | 1,000 | 100,000 | 0,000 | 0,430 | 0,700 | 0,700 | 0,700 | 0,680 | 0,680 | 0,036 |
| 7,000 | 49,292 | 99,058 | -5,709 | skid front(in) | ##### | -11,500 | 0,000 | 1,000 | 100,000 | 0,000 | 0,466 | 0,700 | 0,700 | 0,700 | 0,680 | 0,680 | 0,036 |
| 7,500 | 48,536 | 99,058 | -5,708 | skid front(in) | ##### | -11,500 | 0,000 | 1,000 | 100,000 | 0,000 | 0,503 | 0,700 | 0,700 | 0,700 | 0,680 | 0,680 | 0,037 |
| 8,000 | 47,768 | 99,058 | -5,707 | skid front(in) | ##### | -11,500 | 0,000 | 1,000 | 100,000 | 0,000 | 0,540 | 0,700 | 0,700 | 0,700 | 0,680 | 0,680 | 0,037 |
| 8,500 | 46,988 | 99,058 | -5,706 | skid front(in) | ##### | -11,500 | 0,000 | 1,000 | 100,000 | 0,000 | 0,578 | 0,700 | 0,700 | 0,700 | 0,680 | 0,680 | 0,038 |

Προσδιορισμός Τιμών Πρόσφυσης κατά την Πέδηση Οχημάτων Εφοδιασμένων με Σύστημα ABS σε Αυξημένες κατά Μήκος Κλίσεις

| | | | | | | | | | | | | | | | | | |
|--------|--------|--------|--------|-----------------|-------|---------|-------|-------|---------|--------|-------|-------|-------|-------|-------|-------|-------|
| 9,000 | 46,194 | 99,058 | -5,704 | skid front(in) | ##### | -11,500 | 0,000 | 1,000 | 100,000 | 0,000 | 0,617 | 0,700 | 0,700 | 0,700 | 0,680 | 0,680 | 0,039 |
| 9,500 | 45,387 | 99,058 | -5,703 | skid front(in) | ##### | -11,500 | 0,000 | 1,000 | 100,000 | 0,000 | 0,656 | 0,700 | 0,700 | 0,700 | 0,680 | 0,680 | 0,039 |
| 10,000 | 44,565 | 99,058 | -5,702 | skid front(in) | ##### | -11,500 | 0,000 | 1,000 | 100,000 | 0,000 | 0,696 | 0,700 | 0,700 | 0,700 | 0,680 | 0,680 | 0,040 |
| 10,500 | 43,728 | 99,058 | -5,701 | skid front(in) | ##### | -11,500 | 0,000 | 1,000 | 100,000 | 0,000 | 0,737 | 0,700 | 0,700 | 0,700 | 0,680 | 0,680 | 0,041 |
| 11,000 | 42,875 | 99,058 | -5,700 | skid front(in) | ##### | -11,500 | 0,000 | 1,000 | 100,000 | 0,000 | 0,778 | 0,700 | 0,700 | 0,700 | 0,680 | 0,680 | 0,042 |
| 11,500 | 42,005 | 99,058 | -5,699 | skid front(in) | ##### | -11,500 | 0,000 | 1,000 | 100,000 | 0,000 | 0,821 | 0,700 | 0,700 | 0,700 | 0,680 | 0,680 | 0,042 |
| 12,000 | 41,117 | 99,058 | -5,698 | skid front(in) | ##### | -11,500 | 0,000 | 1,000 | 100,000 | 0,000 | 0,864 | 0,700 | 0,700 | 0,700 | 0,680 | 0,680 | 0,043 |
| 12,500 | 40,209 | 99,058 | -5,697 | skid front(in) | ##### | -11,500 | 0,000 | 1,000 | 100,000 | 0,000 | 0,908 | 0,700 | 0,700 | 0,700 | 0,680 | 0,680 | 0,044 |
| 13,000 | 39,280 | 99,058 | -5,696 | skid front(in) | ##### | -11,500 | 0,000 | 1,000 | 100,000 | 0,000 | 0,954 | 0,700 | 0,700 | 0,700 | 0,680 | 0,680 | 0,045 |
| 13,500 | 38,329 | 99,058 | -5,695 | skid front(in) | ##### | -11,500 | 0,000 | 1,000 | 100,000 | 0,000 | 1,000 | 0,700 | 0,700 | 0,700 | 0,680 | 0,680 | 0,046 |
| 14,000 | 37,353 | 99,059 | -5,694 | skid front(in) | ##### | -11,500 | 0,000 | 1,000 | 100,000 | 0,000 | 1,048 | 0,700 | 0,700 | 0,700 | 0,680 | 0,680 | 0,048 |
| 14,500 | 36,352 | 99,059 | -5,693 | skid front(in) | ##### | -11,500 | 0,000 | 1,000 | 100,000 | 0,000 | 1,096 | 0,700 | 0,700 | 0,700 | 0,680 | 0,680 | 0,049 |
| 15,000 | 35,323 | 99,059 | -5,692 | skid front(in) | ##### | -11,500 | 0,000 | 1,000 | 100,000 | 0,000 | 1,147 | 0,700 | 0,700 | 0,700 | 0,680 | 0,680 | 0,050 |
| 15,500 | 34,263 | 99,059 | -5,691 | skid front(in) | ##### | -11,500 | 0,000 | 1,000 | 100,000 | 0,000 | 1,198 | 0,700 | 0,700 | 0,700 | 0,680 | 0,680 | 0,052 |
| 16,000 | 33,169 | 99,059 | -5,690 | skid front(in) | ##### | -11,500 | 0,000 | 1,000 | 100,000 | 0,000 | 1,252 | 0,700 | 0,700 | 0,700 | 0,680 | 0,680 | 0,053 |
| 16,500 | 32,039 | 99,059 | -5,689 | skid front(in) | ##### | -11,500 | 0,000 | 1,000 | 100,000 | 0,000 | 1,307 | 0,700 | 0,700 | 0,700 | 0,680 | 0,680 | 0,055 |
| 17,000 | 30,867 | 99,059 | -5,688 | skid front(in) | ##### | -11,500 | 0,000 | 1,000 | 100,000 | 0,000 | 1,364 | 0,700 | 0,700 | 0,700 | 0,680 | 0,680 | 0,057 |
| 17,500 | 29,649 | 99,059 | -5,687 | skid front(in) | ##### | -11,500 | 0,000 | 1,000 | 100,000 | 0,000 | 1,424 | 0,700 | 0,700 | 0,700 | 0,680 | 0,680 | 0,059 |
| 18,000 | 28,379 | 99,059 | -5,686 | skid front(in) | ##### | -11,500 | 0,000 | 1,000 | 100,000 | 0,002 | 1,486 | 0,700 | 0,700 | 0,700 | 0,680 | 0,680 | 0,062 |
| 18,500 | 27,050 | 99,059 | -5,685 | skid front(in) | ##### | -11,500 | 0,000 | 1,000 | 100,000 | 0,003 | 1,551 | 0,700 | 0,700 | 0,700 | 0,680 | 0,680 | 0,065 |
| 18,900 | 25,937 | 99,036 | -5,681 | skid front(out) | ##### | -11,500 | 0,000 | 1,000 | 100,000 | -1,649 | 1,605 | 0,700 | 0,700 | 0,700 | 0,679 | 0,679 | 0,054 |
| 19,500 | 24,174 | 99,057 | -5,682 | skid front(out) | ##### | -11,500 | 0,000 | 1,000 | 100,000 | -0,704 | 1,691 | 0,700 | 0,700 | 0,700 | 0,680 | 0,680 | 0,086 |
| 20,000 | 22,599 | 99,068 | -5,681 | skid front(out) | ##### | -11,500 | 0,000 | 1,000 | 100,000 | -1,938 | 1,768 | 0,700 | 0,700 | 0,700 | 0,680 | 0,680 | 0,077 |
| 20,500 | 20,908 | 99,097 | -5,680 | skid front(out) | ##### | -11,500 | 0,000 | 1,000 | 100,000 | -4,140 | 1,851 | 0,700 | 0,700 | 0,700 | 0,680 | 0,680 | 0,083 |
| 21,000 | 19,066 | 99,051 | -5,677 | skid front(out) | ##### | -11,500 | 0,000 | 1,000 | 100,000 | -2,397 | 1,941 | 0,700 | 0,700 | 0,700 | 0,679 | 0,680 | 0,090 |
| 21,500 | 17,026 | 99,054 | -5,678 | skid front(out) | ##### | -11,500 | 0,000 | 1,000 | 100,000 | -0,068 | 2,041 | 0,700 | 0,700 | 0,700 | 0,680 | 0,680 | 0,100 |
| 22,000 | 14,708 | 99,043 | -5,676 | skid front(out) | ##### | -11,500 | 0,000 | 1,000 | 100,000 | -0,195 | 2,154 | 0,700 | 0,700 | 0,700 | 0,680 | 0,680 | 0,113 |
| 22,500 | 11,948 | 99,087 | -5,675 | skid front(out) | ##### | -11,500 | 0,000 | 1,000 | 100,000 | -5,015 | 2,289 | 0,700 | 0,700 | 0,700 | 0,680 | 0,680 | 0,135 |
| 23,000 | 8,318 | 99,081 | -5,674 | skid front(out) | ##### | -11,500 | 0,000 | 1,000 | 100,000 | -3,853 | 2,467 | 0,700 | 0,700 | 0,700 | 0,680 | 0,680 | 0,178 |
| 23,500 | 0,612 | 99,063 | -5,674 | skid front(out) | ##### | -11,500 | 0,000 | 1,000 | 100,000 | -0,962 | 2,844 | 0,700 | 0,700 | 0,700 | 0,680 | 0,680 | 0,377 |

| run v w glif 8 | R(m) | br.front (%) | s(%) | e (%) | coeff | effic (%) | time (sec) | | | | | | | | | | |
|----------------|-----------|--------------|--------|-----------------|-------|-----------|------------|-------|-----------|-----------|------------|-------|-----------|----------|----------|---------|-----------|
| s= 100,000 | ##### | 68,00 | -11,5 | 0,0 | 1,00 | 100 | 2,536 | 0,963 | | | | | | | | | |
| step= 0,100 | viewstep= | 0,500 | STEPS | | | | | | | | | | | | | | |
| s (m) | V (km/h) | n (%) | dvd/dt | skid check | R(m) | s(%) | e (%) | coeff | effic (%) | decelera | time (sec) | ft | front out | front in | rear out | rear in | checktime |
| 20,700 | 3,452 | 99,090 | -5,674 | skid front(out) | ##### | -11,500 | 0,000 | 1,000 | 100,000 | -3,434057 | 2,536 | 0,7 | 0,7000 | 0,7000 | 0,6798 | 0,6798 | |
| 0,000 | 55,390 | 99,062 | -5,718 | O.K | ##### | -11,500 | 0,000 | 1,000 | 100,000 | 0,000 | 0,000 | 0,700 | | | | | |
| 0,400 | 54,852 | 99,057 | -5,717 | skid front(in) | ##### | -11,500 | 0,000 | 1,000 | 100,000 | 0,000 | 0,026 | 0,700 | 0,700 | 0,700 | 0,680 | 0,680 | 0,026 |
| 1,000 | 54,036 | 99,057 | -5,716 | skid front(in) | ##### | -11,500 | 0,000 | 1,000 | 100,000 | 0,000 | 0,066 | 0,700 | 0,700 | 0,700 | 0,680 | 0,680 | 0,040 |
| 1,500 | 53,346 | 99,057 | -5,715 | skid front(in) | ##### | -11,500 | 0,000 | 1,000 | 100,000 | 0,000 | 0,099 | 0,700 | 0,700 | 0,700 | 0,680 | 0,680 | 0,034 |
| 2,000 | 52,647 | 99,057 | -5,714 | skid front(in) | ##### | -11,500 | 0,000 | 1,000 | 100,000 | 0,000 | 0,133 | 0,700 | 0,700 | 0,700 | 0,680 | 0,680 | 0,034 |
| 2,500 | 51,940 | 99,057 | -5,712 | skid front(in) | ##### | -11,500 | 0,000 | 1,000 | 100,000 | 0,000 | 0,168 | 0,700 | 0,700 | 0,700 | 0,680 | 0,680 | 0,034 |
| 3,000 | 51,222 | 99,057 | -5,711 | skid front(in) | ##### | -11,500 | 0,000 | 1,000 | 100,000 | 0,000 | 0,203 | 0,700 | 0,700 | 0,700 | 0,680 | 0,680 | 0,035 |
| 3,500 | 50,494 | 99,058 | -5,710 | skid front(in) | ##### | -11,500 | 0,000 | 1,000 | 100,000 | 0,000 | 0,238 | 0,700 | 0,700 | 0,700 | 0,680 | 0,680 | 0,035 |
| 4,000 | 49,756 | 99,058 | -5,709 | skid front(in) | ##### | -11,500 | 0,000 | 1,000 | 100,000 | 0,000 | 0,274 | 0,700 | 0,700 | 0,700 | 0,680 | 0,680 | 0,036 |

Προσδιορισμός Τιμών Πρόσφυσης κατά την Πέδηση Οχημάτων Εφοδιασμένων με Σύστημα ABS σε Αυξημένες κατά Μήκος Κλίσεις

| | | | | | | | | | | | | | | | | | |
|--------|--------|--------|--------|-----------------|-------|---------|-------|-------|---------|--------|-------|-------|-------|-------|-------|-------|-------|
| 4,400 | 49,158 | 99,058 | -5,708 | skid front(in) | ##### | -11,500 | 0,000 | 1,000 | 100,000 | 0,000 | 0,303 | 0,700 | 0,700 | 0,700 | 0,680 | 0,680 | 0,029 |
| 5,000 | 48,246 | 99,058 | -5,707 | skid front(in) | ##### | -11,500 | 0,000 | 1,000 | 100,000 | 0,000 | 0,347 | 0,700 | 0,700 | 0,700 | 0,680 | 0,680 | 0,044 |
| 5,500 | 47,474 | 99,058 | -5,706 | skid front(in) | ##### | -11,500 | 0,000 | 1,000 | 100,000 | 0,000 | 0,385 | 0,700 | 0,700 | 0,700 | 0,680 | 0,680 | 0,038 |
| 6,000 | 46,688 | 99,058 | -5,705 | skid front(in) | ##### | -11,500 | 0,000 | 1,000 | 100,000 | 0,000 | 0,423 | 0,700 | 0,700 | 0,700 | 0,680 | 0,680 | 0,038 |
| 6,500 | 45,890 | 99,058 | -5,704 | skid front(in) | ##### | -11,500 | 0,000 | 1,000 | 100,000 | 0,000 | 0,462 | 0,700 | 0,700 | 0,700 | 0,680 | 0,680 | 0,039 |
| 7,000 | 45,077 | 99,058 | -5,703 | skid front(in) | ##### | -11,500 | 0,000 | 1,000 | 100,000 | 0,000 | 0,502 | 0,700 | 0,700 | 0,700 | 0,680 | 0,680 | 0,040 |
| 7,500 | 44,250 | 99,058 | -5,702 | skid front(in) | ##### | -11,500 | 0,000 | 1,000 | 100,000 | 0,000 | 0,542 | 0,700 | 0,700 | 0,700 | 0,680 | 0,680 | 0,040 |
| 8,000 | 43,407 | 99,058 | -5,701 | skid front(in) | ##### | -11,500 | 0,000 | 1,000 | 100,000 | 0,000 | 0,583 | 0,700 | 0,700 | 0,700 | 0,680 | 0,680 | 0,041 |
| 8,500 | 42,547 | 99,058 | -5,700 | skid front(in) | ##### | -11,500 | 0,000 | 1,000 | 100,000 | 0,000 | 0,625 | 0,700 | 0,700 | 0,700 | 0,680 | 0,680 | 0,042 |
| 9,000 | 41,670 | 99,058 | -5,699 | skid front(in) | ##### | -11,500 | 0,000 | 1,000 | 100,000 | 0,000 | 0,668 | 0,700 | 0,700 | 0,700 | 0,680 | 0,680 | 0,043 |
| 9,500 | 40,775 | 99,058 | -5,698 | skid front(in) | ##### | -11,500 | 0,000 | 1,000 | 100,000 | 0,000 | 0,711 | 0,700 | 0,700 | 0,700 | 0,680 | 0,680 | 0,044 |
| 10,000 | 39,859 | 99,058 | -5,697 | skid front(in) | ##### | -11,500 | 0,000 | 1,000 | 100,000 | 0,000 | 0,756 | 0,700 | 0,700 | 0,700 | 0,680 | 0,680 | 0,045 |
| 10,500 | 38,922 | 99,058 | -5,696 | skid front(in) | ##### | -11,500 | 0,000 | 1,000 | 100,000 | 0,000 | 0,802 | 0,700 | 0,700 | 0,700 | 0,680 | 0,680 | 0,046 |
| 11,000 | 37,962 | 99,058 | -5,695 | skid front(in) | ##### | -11,500 | 0,000 | 1,000 | 100,000 | 0,000 | 0,849 | 0,700 | 0,700 | 0,700 | 0,680 | 0,680 | 0,047 |
| 11,500 | 36,977 | 99,059 | -5,694 | skid front(in) | ##### | -11,500 | 0,000 | 1,000 | 100,000 | 0,000 | 0,897 | 0,700 | 0,700 | 0,700 | 0,680 | 0,680 | 0,048 |
| 12,000 | 35,966 | 99,059 | -5,693 | skid front(in) | ##### | -11,500 | 0,000 | 1,000 | 100,000 | 0,000 | 0,946 | 0,700 | 0,700 | 0,700 | 0,680 | 0,680 | 0,049 |
| 12,500 | 34,925 | 99,059 | -5,692 | skid front(in) | ##### | -11,500 | 0,000 | 1,000 | 100,000 | 0,000 | 0,997 | 0,700 | 0,700 | 0,700 | 0,680 | 0,680 | 0,051 |
| 13,000 | 33,853 | 99,059 | -5,691 | skid front(in) | ##### | -11,500 | 0,000 | 1,000 | 100,000 | 0,000 | 1,049 | 0,700 | 0,700 | 0,700 | 0,680 | 0,680 | 0,052 |
| 13,500 | 32,745 | 99,059 | -5,689 | skid front(in) | ##### | -11,500 | 0,000 | 1,000 | 100,000 | 0,001 | 1,103 | 0,700 | 0,700 | 0,700 | 0,680 | 0,680 | 0,054 |
| 14,000 | 31,599 | 99,059 | -5,688 | skid front(in) | ##### | -11,500 | 0,000 | 1,000 | 100,000 | 0,000 | 1,159 | 0,700 | 0,700 | 0,700 | 0,680 | 0,680 | 0,056 |
| 14,500 | 30,411 | 99,059 | -5,687 | skid front(in) | ##### | -11,500 | 0,000 | 1,000 | 100,000 | 0,001 | 1,217 | 0,700 | 0,700 | 0,700 | 0,680 | 0,680 | 0,058 |
| 15,000 | 29,174 | 99,059 | -5,686 | skid front(in) | ##### | -11,500 | 0,000 | 1,000 | 100,000 | 0,001 | 1,278 | 0,700 | 0,700 | 0,700 | 0,680 | 0,680 | 0,060 |
| 15,500 | 27,882 | 99,059 | -5,685 | skid front(in) | ##### | -11,500 | 0,000 | 1,000 | 100,000 | 0,000 | 1,341 | 0,700 | 0,700 | 0,700 | 0,680 | 0,680 | 0,063 |
| 16,000 | 26,528 | 99,081 | -5,684 | skid front(out) | ##### | -11,500 | 0,000 | 1,000 | 100,000 | -2,994 | 1,407 | 0,700 | 0,700 | 0,700 | 0,680 | 0,680 | 0,066 |
| 16,500 | 25,102 | 99,079 | -5,682 | skid front(out) | ##### | -11,500 | 0,000 | 1,000 | 100,000 | -3,765 | 1,476 | 0,700 | 0,700 | 0,700 | 0,680 | 0,680 | 0,070 |
| 17,000 | 23,589 | 99,064 | -5,681 | skid front(out) | ##### | -11,500 | 0,000 | 1,000 | 100,000 | -2,349 | 1,550 | 0,700 | 0,700 | 0,700 | 0,680 | 0,680 | 0,074 |
| 17,500 | 21,973 | 99,066 | -5,680 | skid front(out) | ##### | -11,500 | 0,000 | 1,000 | 100,000 | -1,749 | 1,629 | 0,700 | 0,700 | 0,700 | 0,680 | 0,680 | 0,079 |
| 18,000 | 20,229 | 99,056 | -5,677 | skid front(out) | ##### | -11,500 | 0,000 | 1,000 | 100,000 | -3,625 | 1,715 | 0,700 | 0,700 | 0,700 | 0,679 | 0,679 | 0,085 |
| 18,500 | 18,320 | 99,064 | -5,678 | skid front(out) | ##### | -11,500 | 0,000 | 1,000 | 100,000 | -1,836 | 1,808 | 0,700 | 0,700 | 0,700 | 0,680 | 0,680 | 0,093 |
| 18,900 | 16,635 | 99,028 | -5,675 | skid front(out) | ##### | -11,500 | 0,000 | 1,000 | 100,000 | -1,293 | 1,891 | 0,700 | 0,700 | 0,700 | 0,679 | 0,679 | 0,082 |
| 19,500 | 13,728 | 99,038 | -5,675 | skid front(out) | ##### | -11,500 | 0,000 | 1,000 | 100,000 | -0,641 | 2,033 | 0,700 | 0,700 | 0,700 | 0,680 | 0,680 | 0,142 |
| 20,000 | 10,719 | 99,072 | -5,674 | skid front(out) | ##### | -11,500 | 0,000 | 1,000 | 100,000 | -3,437 | 2,180 | 0,700 | 0,700 | 0,700 | 0,680 | 0,680 | 0,147 |
| 20,500 | 6,429 | 99,056 | -5,675 | skid front(out) | ##### | -11,500 | 0,000 | 1,000 | 100,000 | -0,140 | 2,390 | 0,700 | 0,700 | 0,700 | 0,680 | 0,680 | 0,210 |
| 20,700 | 3,452 | 99,090 | -5,674 | skid front(out) | ##### | -11,500 | 0,000 | 1,000 | 100,000 | -3,434 | 2,536 | 0,700 | 0,700 | 0,700 | 0,680 | 0,680 | 0,146 |

| run v w glif 9 | R(m) | br.front (%) | s(%) | e (%) | coeff | effic (%) | time (sec) |
|----------------|-----------|--------------|-------|-------|-------|-----------|------------|
| s= 100,000 | ##### | 68,00 | -11,5 | 0,0 | 1,00 | 100 | 2,830 |
| step= 0,100 | viewstep= | 0,500 | STEPS | | | | |

0,963

| s (m) | V (km/h) | n (%) | dv/dt | skid check | R(m) | s(%) | e (%) | coeff | effic (%) | decelera | time (sec) | fT | front out | front in | rear out | rear in | checktime |
|--------|----------|--------|--------|-----------------|-------|---------|-------|-------|-----------|-----------|------------|-------|-----------|----------|----------|---------|-----------|
| 25,200 | 3,097 | 99,085 | -5,674 | skid front(out) | ##### | -11,500 | 0,000 | 1,000 | 100,000 | -2,944440 | 2,830 | 0,7 | 0,7000 | 0,7000 | 0,6798 | 0,6798 | |
| 0,000 | 61,100 | 99,063 | -5,728 | O.K | ##### | -11,500 | 0,000 | 1,000 | 100,000 | 0,000 | 0,000 | 0,700 | | | | | |
| 0,400 | 60,612 | 99,057 | -5,726 | skid front(in) | ##### | -11,500 | 0,000 | 1,000 | 100,000 | 0,000 | 0,024 | 0,700 | 0,700 | 0,700 | 0,680 | 0,680 | 0,024 |
| 1,000 | 59,873 | 99,057 | -5,725 | skid front(in) | ##### | -11,500 | 0,000 | 1,000 | 100,000 | 0,000 | 0,060 | 0,700 | 0,700 | 0,700 | 0,680 | 0,680 | 0,036 |
| 1,500 | 59,250 | 99,057 | -5,724 | skid front(in) | ##### | -11,500 | 0,000 | 1,000 | 100,000 | 0,000 | 0,090 | 0,700 | 0,700 | 0,700 | 0,680 | 0,680 | 0,030 |
| 2,000 | 58,621 | 99,057 | -5,723 | skid front(in) | ##### | -11,500 | 0,000 | 1,000 | 100,000 | 0,000 | 0,120 | 0,700 | 0,700 | 0,700 | 0,680 | 0,680 | 0,031 |

Προσδιορισμός Τιμών Πρόσφυσης κατά την Πέδηση Οχημάτων Εφοδιασμένων με Σύστημα ABS σε Αυξημένες κατά Μήκος Κλίσεις

| | | | | | | | | | | | | | | | | | |
|--------|--------|--------|--------|-----------------|-------|---------|-------|-------|---------|--------|-------|-------|-------|-------|-------|-------|-------|
| 2,500 | 57,985 | 99,057 | -5,722 | skid front(in) | ##### | -11,500 | 0,000 | 1,000 | 100,000 | 0,000 | 0,151 | 0,700 | 0,700 | 0,700 | 0,680 | 0,680 | 0,031 |
| 3,000 | 57,342 | 99,057 | -5,721 | skid front(in) | ##### | -11,500 | 0,000 | 1,000 | 100,000 | 0,000 | 0,182 | 0,700 | 0,700 | 0,700 | 0,680 | 0,680 | 0,031 |
| 3,500 | 56,692 | 99,057 | -5,720 | skid front(in) | ##### | -11,500 | 0,000 | 1,000 | 100,000 | 0,000 | 0,214 | 0,700 | 0,700 | 0,700 | 0,680 | 0,680 | 0,032 |
| 4,000 | 56,034 | 99,057 | -5,719 | skid front(in) | ##### | -11,500 | 0,000 | 1,000 | 100,000 | 0,000 | 0,246 | 0,700 | 0,700 | 0,700 | 0,680 | 0,680 | 0,032 |
| 4,400 | 55,503 | 99,057 | -5,718 | skid front(in) | ##### | -11,500 | 0,000 | 1,000 | 100,000 | 0,000 | 0,272 | 0,700 | 0,700 | 0,700 | 0,680 | 0,680 | 0,026 |
| 5,000 | 54,696 | 99,057 | -5,717 | skid front(in) | ##### | -11,500 | 0,000 | 1,000 | 100,000 | 0,000 | 0,311 | 0,700 | 0,700 | 0,700 | 0,680 | 0,680 | 0,039 |
| 5,500 | 54,015 | 99,057 | -5,716 | skid front(in) | ##### | -11,500 | 0,000 | 1,000 | 100,000 | 0,000 | 0,344 | 0,700 | 0,700 | 0,700 | 0,680 | 0,680 | 0,033 |
| 6,000 | 53,325 | 99,057 | -5,715 | skid front(in) | ##### | -11,500 | 0,000 | 1,000 | 100,000 | 0,000 | 0,378 | 0,700 | 0,700 | 0,700 | 0,680 | 0,680 | 0,034 |
| 6,500 | 52,626 | 99,057 | -5,713 | skid front(in) | ##### | -11,500 | 0,000 | 1,000 | 100,000 | 0,000 | 0,412 | 0,700 | 0,700 | 0,700 | 0,680 | 0,680 | 0,034 |
| 7,000 | 51,917 | 99,057 | -5,712 | skid front(in) | ##### | -11,500 | 0,000 | 1,000 | 100,000 | 0,000 | 0,446 | 0,700 | 0,700 | 0,700 | 0,680 | 0,680 | 0,034 |
| 7,500 | 51,199 | 99,057 | -5,711 | skid front(in) | ##### | -11,500 | 0,000 | 1,000 | 100,000 | 0,000 | 0,481 | 0,700 | 0,700 | 0,700 | 0,680 | 0,680 | 0,035 |
| 8,000 | 50,471 | 99,058 | -5,710 | skid front(in) | ##### | -11,500 | 0,000 | 1,000 | 100,000 | 0,000 | 0,516 | 0,700 | 0,700 | 0,700 | 0,680 | 0,680 | 0,035 |
| 8,500 | 49,733 | 99,058 | -5,709 | skid front(in) | ##### | -11,500 | 0,000 | 1,000 | 100,000 | 0,000 | 0,552 | 0,700 | 0,700 | 0,700 | 0,680 | 0,680 | 0,036 |
| 9,000 | 48,984 | 99,058 | -5,708 | skid front(in) | ##### | -11,500 | 0,000 | 1,000 | 100,000 | 0,000 | 0,589 | 0,700 | 0,700 | 0,700 | 0,680 | 0,680 | 0,036 |
| 9,500 | 48,223 | 99,058 | -5,707 | skid front(in) | ##### | -11,500 | 0,000 | 1,000 | 100,000 | 0,000 | 0,626 | 0,700 | 0,700 | 0,700 | 0,680 | 0,680 | 0,037 |
| 10,000 | 47,449 | 99,058 | -5,706 | skid front(in) | ##### | -11,500 | 0,000 | 1,000 | 100,000 | 0,000 | 0,663 | 0,700 | 0,700 | 0,700 | 0,680 | 0,680 | 0,038 |
| 10,500 | 46,664 | 99,058 | -5,705 | skid front(in) | ##### | -11,500 | 0,000 | 1,000 | 100,000 | 0,000 | 0,702 | 0,700 | 0,700 | 0,700 | 0,680 | 0,680 | 0,038 |
| 11,000 | 45,865 | 99,058 | -5,704 | skid front(in) | ##### | -11,500 | 0,000 | 1,000 | 100,000 | 0,000 | 0,741 | 0,700 | 0,700 | 0,700 | 0,680 | 0,680 | 0,039 |
| 11,500 | 45,052 | 99,058 | -5,703 | skid front(in) | ##### | -11,500 | 0,000 | 1,000 | 100,000 | 0,000 | 0,780 | 0,700 | 0,700 | 0,700 | 0,680 | 0,680 | 0,040 |
| 12,000 | 44,224 | 99,058 | -5,702 | skid front(in) | ##### | -11,500 | 0,000 | 1,000 | 100,000 | 0,000 | 0,820 | 0,700 | 0,700 | 0,700 | 0,680 | 0,680 | 0,040 |
| 12,500 | 43,380 | 99,058 | -5,701 | skid front(in) | ##### | -11,500 | 0,000 | 1,000 | 100,000 | 0,000 | 0,862 | 0,700 | 0,700 | 0,700 | 0,680 | 0,680 | 0,041 |
| 13,000 | 42,520 | 99,058 | -5,700 | skid front(in) | ##### | -11,500 | 0,000 | 1,000 | 100,000 | 0,000 | 0,903 | 0,700 | 0,700 | 0,700 | 0,680 | 0,680 | 0,042 |
| 13,500 | 41,643 | 99,058 | -5,699 | skid front(in) | ##### | -11,500 | 0,000 | 1,000 | 100,000 | 0,000 | 0,946 | 0,700 | 0,700 | 0,700 | 0,680 | 0,680 | 0,043 |
| 14,000 | 40,746 | 99,058 | -5,698 | skid front(in) | ##### | -11,500 | 0,000 | 1,000 | 100,000 | 0,000 | 0,990 | 0,700 | 0,700 | 0,700 | 0,680 | 0,680 | 0,044 |
| 14,500 | 39,830 | 99,058 | -5,697 | skid front(in) | ##### | -11,500 | 0,000 | 1,000 | 100,000 | 0,000 | 1,035 | 0,700 | 0,700 | 0,700 | 0,680 | 0,680 | 0,045 |
| 15,000 | 38,892 | 99,058 | -5,696 | skid front(in) | ##### | -11,500 | 0,000 | 1,000 | 100,000 | 0,000 | 1,080 | 0,700 | 0,700 | 0,700 | 0,680 | 0,680 | 0,046 |
| 15,500 | 37,932 | 99,058 | -5,695 | skid front(in) | ##### | -11,500 | 0,000 | 1,000 | 100,000 | 0,000 | 1,127 | 0,700 | 0,700 | 0,700 | 0,680 | 0,680 | 0,047 |
| 16,000 | 36,946 | 99,059 | -5,694 | skid front(in) | ##### | -11,500 | 0,000 | 1,000 | 100,000 | 0,000 | 1,175 | 0,700 | 0,700 | 0,700 | 0,680 | 0,680 | 0,048 |
| 16,500 | 35,934 | 99,059 | -5,693 | skid front(in) | ##### | -11,500 | 0,000 | 1,000 | 100,000 | 0,000 | 1,225 | 0,700 | 0,700 | 0,700 | 0,680 | 0,680 | 0,049 |
| 17,000 | 34,892 | 99,059 | -5,692 | skid front(in) | ##### | -11,500 | 0,000 | 1,000 | 100,000 | 0,000 | 1,275 | 0,700 | 0,700 | 0,700 | 0,680 | 0,680 | 0,051 |
| 17,500 | 33,819 | 99,059 | -5,690 | skid front(in) | ##### | -11,500 | 0,000 | 1,000 | 100,000 | 0,001 | 1,328 | 0,700 | 0,700 | 0,700 | 0,680 | 0,680 | 0,052 |
| 18,000 | 32,710 | 99,059 | -5,689 | skid front(in) | ##### | -11,500 | 0,000 | 1,000 | 100,000 | 0,000 | 1,382 | 0,700 | 0,700 | 0,700 | 0,680 | 0,680 | 0,054 |
| 18,500 | 31,563 | 99,059 | -5,688 | skid front(in) | ##### | -11,500 | 0,000 | 1,000 | 100,000 | 0,000 | 1,438 | 0,700 | 0,700 | 0,700 | 0,680 | 0,680 | 0,056 |
| 18,900 | 30,615 | 99,059 | -5,688 | skid front(in) | ##### | -11,500 | 0,000 | 1,000 | 100,000 | 0,001 | 1,484 | 0,700 | 0,700 | 0,700 | 0,680 | 0,680 | 0,046 |
| 19,500 | 29,134 | 99,059 | -5,686 | skid front(in) | ##### | -11,500 | 0,000 | 1,000 | 100,000 | 0,000 | 1,557 | 0,700 | 0,700 | 0,700 | 0,680 | 0,680 | 0,072 |
| 20,000 | 27,841 | 99,059 | -5,685 | skid front(in) | ##### | -11,500 | 0,000 | 1,000 | 100,000 | 0,000 | 1,620 | 0,700 | 0,700 | 0,700 | 0,680 | 0,680 | 0,063 |
| 20,500 | 26,485 | 99,096 | -5,684 | skid front(out) | ##### | -11,500 | 0,000 | 1,000 | 100,000 | -4,367 | 1,686 | 0,700 | 0,700 | 0,700 | 0,680 | 0,680 | 0,066 |
| 21,000 | 25,056 | 99,067 | -5,682 | skid front(out) | ##### | -11,500 | 0,000 | 1,000 | 100,000 | -1,986 | 1,756 | 0,700 | 0,700 | 0,700 | 0,680 | 0,680 | 0,070 |
| 21,500 | 23,540 | 99,057 | -5,682 | skid front(out) | ##### | -11,500 | 0,000 | 1,000 | 100,000 | -0,630 | 1,830 | 0,700 | 0,700 | 0,700 | 0,680 | 0,680 | 0,074 |
| 22,000 | 21,920 | 99,033 | -5,678 | skid front(out) | ##### | -11,500 | 0,000 | 1,000 | 100,000 | -1,365 | 1,909 | 0,700 | 0,700 | 0,700 | 0,679 | 0,679 | 0,079 |
| 22,500 | 20,171 | 99,058 | -5,679 | skid front(out) | ##### | -11,500 | 0,000 | 1,000 | 100,000 | -1,768 | 1,995 | 0,700 | 0,700 | 0,700 | 0,680 | 0,680 | 0,086 |
| 23,000 | 18,256 | 99,039 | -5,677 | skid front(out) | ##### | -11,500 | 0,000 | 1,000 | 100,000 | -1,349 | 2,088 | 0,700 | 0,700 | 0,700 | 0,679 | 0,679 | 0,094 |
| 23,500 | 16,115 | 99,072 | -5,675 | skid front(out) | ##### | -11,500 | 0,000 | 1,000 | 100,000 | -5,413 | 2,193 | 0,700 | 0,700 | 0,700 | 0,679 | 0,679 | 0,105 |
| 24,000 | 13,642 | 99,056 | -5,674 | skid front(out) | ##### | -11,500 | 0,000 | 1,000 | 100,000 | -3,642 | 2,314 | 0,700 | 0,700 | 0,700 | 0,679 | 0,679 | 0,121 |
| 24,500 | 10,610 | 99,060 | -5,674 | skid front(out) | ##### | -11,500 | 0,000 | 1,000 | 100,000 | -2,953 | 2,463 | 0,700 | 0,700 | 0,700 | 0,680 | 0,680 | 0,148 |
| 25,000 | 6,246 | 99,086 | -5,674 | skid front(out) | ##### | -11,500 | 0,000 | 1,000 | 100,000 | -3,405 | 2,676 | 0,700 | 0,700 | 0,700 | 0,680 | 0,680 | 0,214 |
| 25,200 | 3,097 | 99,085 | -5,674 | skid front(out) | ##### | -11,500 | 0,000 | 1,000 | 100,000 | -2,944 | 2,830 | 0,700 | 0,700 | 0,700 | 0,680 | 0,680 | 0,154 |

| run_v_w_glif 10 | R(m) | br.front (%) | s(%) | e (%) | coeff | effc (%) | time (sec) |
|-----------------|---------|--------------|-------|-------|-------|----------|------------|
| s= | 100,000 | ##### | 68,00 | -11,5 | 0,0 | 1,00 | 100 |
| step= | 0,100 | viewstep= | 0,500 | STEPS | | | 2,614 |

0,963

Προσδιορισμός Τιμών Πρόσφυσης κατά την Πέδηση Οχημάτων Εφοδιασμένων με Σύστημα ABS σε Αυξημένες κατά Μήκος Κλίσεις

| s (m) | V (km/h) | n (%) | dv/dt | skid check | R(m) | s(%) | e (%) | coeff | effic (%) | decelera | time (sec) | ΓT | front out | front in | rear out | rear in | checktime |
|--------|----------|--------|--------|-----------------|-------|---------|-------|-------|-----------|-----------|------------|-------|-----------|----------|----------|---------|-----------|
| 22,000 | 3,561 | 99,054 | -5,672 | skid front(out) | ##### | -11,500 | 0,000 | 1,000 | 100,000 | -3,378487 | 2,614 | 0,7 | 0,6998 | 0,6998 | 0,6794 | 0,6794 | |
| 0,000 | 57,110 | 99,063 | -5,721 | O.K | ##### | -11,500 | 0,000 | 1,000 | 100,000 | 0,000 | 0,000 | 0,700 | | | | | |
| 0,400 | 56,588 | 99,056 | -5,720 | skid front(in) | ##### | -11,500 | 0,000 | 1,000 | 100,000 | 0,000 | 0,025 | 0,700 | 0,700 | 0,700 | 0,680 | 0,680 | 0,025 |
| 1,000 | 55,797 | 99,057 | -5,718 | skid front(in) | ##### | -11,500 | 0,000 | 1,000 | 100,000 | 0,000 | 0,064 | 0,700 | 0,700 | 0,700 | 0,680 | 0,680 | 0,038 |
| 1,500 | 55,129 | 99,057 | -5,717 | skid front(in) | ##### | -11,500 | 0,000 | 1,000 | 100,000 | 0,000 | 0,096 | 0,700 | 0,700 | 0,700 | 0,680 | 0,680 | 0,032 |
| 2,000 | 54,453 | 99,057 | -5,716 | skid front(in) | ##### | -11,500 | 0,000 | 1,000 | 100,000 | 0,000 | 0,129 | 0,700 | 0,700 | 0,700 | 0,680 | 0,680 | 0,033 |
| 2,500 | 53,768 | 99,057 | -5,715 | skid front(in) | ##### | -11,500 | 0,000 | 1,000 | 100,000 | 0,000 | 0,162 | 0,700 | 0,700 | 0,700 | 0,680 | 0,680 | 0,033 |
| 3,000 | 53,075 | 99,057 | -5,714 | skid front(in) | ##### | -11,500 | 0,000 | 1,000 | 100,000 | 0,000 | 0,196 | 0,700 | 0,700 | 0,700 | 0,680 | 0,680 | 0,034 |
| 3,500 | 52,373 | 99,057 | -5,713 | skid front(in) | ##### | -11,500 | 0,000 | 1,000 | 100,000 | 0,000 | 0,230 | 0,700 | 0,700 | 0,700 | 0,680 | 0,680 | 0,034 |
| 4,000 | 51,661 | 99,057 | -5,712 | skid front(in) | ##### | -11,500 | 0,000 | 1,000 | 100,000 | 0,000 | 0,265 | 0,700 | 0,700 | 0,700 | 0,680 | 0,680 | 0,035 |
| 4,400 | 51,085 | 99,057 | -5,711 | skid front(in) | ##### | -11,500 | 0,000 | 1,000 | 100,000 | 0,000 | 0,293 | 0,700 | 0,700 | 0,700 | 0,680 | 0,680 | 0,028 |
| 5,000 | 50,208 | 99,058 | -5,710 | skid front(in) | ##### | -11,500 | 0,000 | 1,000 | 100,000 | 0,000 | 0,335 | 0,700 | 0,700 | 0,700 | 0,680 | 0,680 | 0,043 |
| 5,500 | 49,466 | 99,058 | -5,709 | skid front(in) | ##### | -11,500 | 0,000 | 1,000 | 100,000 | 0,000 | 0,372 | 0,700 | 0,700 | 0,700 | 0,680 | 0,680 | 0,036 |
| 6,000 | 48,712 | 99,058 | -5,708 | skid front(in) | ##### | -11,500 | 0,000 | 1,000 | 100,000 | 0,000 | 0,408 | 0,700 | 0,700 | 0,700 | 0,680 | 0,680 | 0,037 |
| 6,500 | 47,947 | 99,058 | -5,707 | skid front(in) | ##### | -11,500 | 0,000 | 1,000 | 100,000 | 0,000 | 0,445 | 0,700 | 0,700 | 0,700 | 0,680 | 0,680 | 0,037 |
| 7,000 | 47,170 | 99,058 | -5,706 | skid front(in) | ##### | -11,500 | 0,000 | 1,000 | 100,000 | 0,000 | 0,483 | 0,700 | 0,700 | 0,700 | 0,680 | 0,680 | 0,038 |
| 7,500 | 46,379 | 99,058 | -5,705 | skid front(in) | ##### | -11,500 | 0,000 | 1,000 | 100,000 | 0,000 | 0,522 | 0,700 | 0,700 | 0,700 | 0,680 | 0,680 | 0,038 |
| 8,000 | 45,575 | 99,058 | -5,704 | skid front(in) | ##### | -11,500 | 0,000 | 1,000 | 100,000 | 0,000 | 0,561 | 0,700 | 0,700 | 0,700 | 0,680 | 0,680 | 0,039 |
| 8,500 | 44,757 | 99,058 | -5,703 | skid front(in) | ##### | -11,500 | 0,000 | 1,000 | 100,000 | 0,000 | 0,601 | 0,700 | 0,700 | 0,700 | 0,680 | 0,680 | 0,040 |
| 9,000 | 43,924 | 99,058 | -5,702 | skid front(in) | ##### | -11,500 | 0,000 | 1,000 | 100,000 | 0,000 | 0,641 | 0,700 | 0,700 | 0,700 | 0,680 | 0,680 | 0,041 |
| 9,500 | 43,074 | 99,058 | -5,701 | skid front(in) | ##### | -11,500 | 0,000 | 1,000 | 100,000 | 0,000 | 0,683 | 0,700 | 0,700 | 0,700 | 0,680 | 0,680 | 0,041 |
| 10,000 | 42,208 | 99,058 | -5,700 | skid front(in) | ##### | -11,500 | 0,000 | 1,000 | 100,000 | 0,000 | 0,725 | 0,700 | 0,700 | 0,700 | 0,680 | 0,680 | 0,042 |
| 10,500 | 41,324 | 99,058 | -5,698 | skid front(in) | ##### | -11,500 | 0,000 | 1,000 | 100,000 | 0,000 | 0,768 | 0,700 | 0,700 | 0,700 | 0,680 | 0,680 | 0,043 |
| 11,000 | 40,421 | 99,058 | -5,697 | skid front(in) | ##### | -11,500 | 0,000 | 1,000 | 100,000 | 0,001 | 0,812 | 0,700 | 0,700 | 0,700 | 0,680 | 0,680 | 0,044 |
| 11,500 | 39,497 | 99,058 | -5,696 | skid front(in) | ##### | -11,500 | 0,000 | 1,000 | 100,000 | 0,000 | 0,857 | 0,700 | 0,700 | 0,700 | 0,680 | 0,680 | 0,045 |
| 12,000 | 38,551 | 99,058 | -5,695 | skid front(in) | ##### | -11,500 | 0,000 | 1,000 | 100,000 | 0,000 | 0,903 | 0,700 | 0,700 | 0,700 | 0,680 | 0,680 | 0,046 |
| 12,500 | 37,581 | 99,059 | -5,694 | skid front(in) | ##### | -11,500 | 0,000 | 1,000 | 100,000 | 0,000 | 0,951 | 0,700 | 0,700 | 0,700 | 0,680 | 0,680 | 0,047 |
| 13,000 | 36,587 | 99,059 | -5,693 | skid front(in) | ##### | -11,500 | 0,000 | 1,000 | 100,000 | 0,000 | 0,999 | 0,700 | 0,700 | 0,700 | 0,680 | 0,680 | 0,049 |
| 13,500 | 35,564 | 99,059 | -5,692 | skid front(in) | ##### | -11,500 | 0,000 | 1,000 | 100,000 | 0,000 | 1,049 | 0,700 | 0,700 | 0,700 | 0,680 | 0,680 | 0,050 |
| 14,000 | 34,511 | 99,059 | -5,691 | skid front(in) | ##### | -11,500 | 0,000 | 1,000 | 100,000 | 0,000 | 1,100 | 0,700 | 0,700 | 0,700 | 0,680 | 0,680 | 0,051 |
| 14,500 | 33,426 | 99,059 | -5,690 | skid front(in) | ##### | -11,500 | 0,000 | 1,000 | 100,000 | 0,000 | 1,153 | 0,700 | 0,700 | 0,700 | 0,680 | 0,680 | 0,053 |
| 15,000 | 32,304 | 99,059 | -5,689 | skid front(in) | ##### | -11,500 | 0,000 | 1,000 | 100,000 | 0,000 | 1,208 | 0,700 | 0,700 | 0,700 | 0,680 | 0,680 | 0,055 |
| 15,500 | 31,142 | 99,059 | -5,688 | skid front(in) | ##### | -11,500 | 0,000 | 1,000 | 100,000 | 0,000 | 1,265 | 0,700 | 0,700 | 0,700 | 0,680 | 0,680 | 0,057 |
| 16,000 | 29,935 | 99,059 | -5,687 | skid front(in) | ##### | -11,500 | 0,000 | 1,000 | 100,000 | 0,000 | 1,324 | 0,700 | 0,700 | 0,700 | 0,680 | 0,680 | 0,059 |
| 16,500 | 28,678 | 99,059 | -5,686 | skid front(in) | ##### | -11,500 | 0,000 | 1,000 | 100,000 | -0,001 | 1,385 | 0,700 | 0,700 | 0,700 | 0,680 | 0,680 | 0,061 |
| 17,000 | 27,363 | 99,059 | -5,685 | skid front(in) | ##### | -11,500 | 0,000 | 1,000 | 100,000 | 0,002 | 1,450 | 0,700 | 0,700 | 0,700 | 0,680 | 0,680 | 0,064 |
| 17,500 | 25,982 | 99,078 | -5,684 | skid front(out) | ##### | -11,500 | 0,000 | 1,000 | 100,000 | -2,016 | 1,517 | 0,700 | 0,700 | 0,700 | 0,680 | 0,680 | 0,067 |
| 18,000 | 24,524 | 99,069 | -5,683 | skid front(out) | ##### | -11,500 | 0,000 | 1,000 | 100,000 | -1,024 | 1,588 | 0,700 | 0,700 | 0,700 | 0,680 | 0,680 | 0,071 |
| 18,500 | 22,974 | 99,047 | -5,679 | skid front(out) | ##### | -11,500 | 0,000 | 1,000 | 100,000 | -2,215 | 1,664 | 0,700 | 0,700 | 0,700 | 0,679 | 0,679 | 0,076 |
| 18,900 | 21,654 | 99,088 | -5,681 | skid front(out) | ##### | -11,500 | 0,000 | 1,000 | 100,000 | -3,303 | 1,729 | 0,700 | 0,700 | 0,700 | 0,680 | 0,680 | 0,065 |
| 19,500 | 19,507 | 99,025 | -5,677 | skid front(out) | ##### | -11,500 | 0,000 | 1,000 | 100,000 | 0,163 | 1,834 | 0,700 | 0,700 | 0,700 | 0,679 | 0,679 | 0,105 |
| 20,000 | 17,520 | 99,025 | -5,676 | skid front(out) | ##### | -11,500 | 0,000 | 1,000 | 100,000 | -0,779 | 1,931 | 0,700 | 0,700 | 0,700 | 0,679 | 0,679 | 0,097 |
| 20,500 | 15,276 | 99,045 | -5,675 | skid front(out) | ##### | -11,500 | 0,000 | 1,000 | 100,000 | -2,849 | 2,041 | 0,700 | 0,700 | 0,700 | 0,679 | 0,679 | 0,110 |
| 21,000 | 12,641 | 99,052 | -5,674 | skid front(out) | ##### | -11,500 | 0,000 | 1,000 | 100,000 | -2,666 | 2,170 | 0,700 | 0,700 | 0,700 | 0,679 | 0,679 | 0,129 |
| 21,500 | 9,285 | 99,043 | -5,674 | skid front(out) | ##### | -11,500 | 0,000 | 1,000 | 100,000 | 0,178 | 2,334 | 0,700 | 0,700 | 0,700 | 0,680 | 0,680 | 0,164 |
| 22,000 | 3,561 | 99,054 | -5,672 | skid front(out) | ##### | -11,500 | 0,000 | 1,000 | 100,000 | -3,378 | 2,614 | 0,700 | 0,700 | 0,700 | 0,679 | 0,679 | 0,280 |

| | | | | | | | |
|-----------------|-------|--------------|-------|-------|-------|-----------|------------|
| run_v_w_glif_11 | R(m) | br.front (%) | s(%) | e (%) | coeff | effic (%) | time (sec) |
| s= 100,000 | ##### | 68,00 | -11,5 | 0,0 | 1,00 | 100 | 3,030 |

0,963

Προσδιορισμός Τιμών Πρόσφυσης κατά την Πέδηση Οχημάτων Εφοδιασμένων με Σύστημα ABS σε Αυξημένες κατά Μήκος Κλίσεις

| step= | 0,100 | viewstep= | 0,500 | STEPS | | | | | | | | | | | | | | | |
|--------|----------|-----------|--------|-----------------|-------|---------|-------|-------|-----------|-----------|------------|-------|-----------|----------|----------|---------|-----------|--|-------|
| s (m) | V (km/h) | n (%) | dv/dt | skid check | R(m) | s(%) | e (%) | coeff | effic (%) | decelera | time (sec) | FT | front out | front in | rear out | rear in | checktime | | |
| 27,800 | 1,960 | 99,089 | -5,674 | skid front(out) | ##### | -11,500 | 0,000 | 1,000 | 100,000 | -3,577144 | 3,030 | 0,7 | 0,7000 | 0,7000 | 0,6798 | 0,6798 | | | |
| 0,000 | 64,080 | 99,063 | -5,733 | O.K | ##### | -11,500 | 0,000 | 1,000 | 100,000 | 0,000 | 0,000 | 0,700 | | | | | | | |
| 0,400 | 63,615 | 99,056 | -5,732 | skid front(in) | ##### | -11,500 | 0,000 | 1,000 | 100,000 | 0,000 | 0,023 | 0,700 | 0,700 | 0,700 | 0,680 | 0,680 | | | 0,023 |
| 1,000 | 62,910 | 99,056 | -5,730 | skid front(in) | ##### | -11,500 | 0,000 | 1,000 | 100,000 | 0,000 | 0,057 | 0,700 | 0,700 | 0,700 | 0,680 | 0,680 | | | 0,034 |
| 1,500 | 62,317 | 99,056 | -5,729 | skid front(in) | ##### | -11,500 | 0,000 | 1,000 | 100,000 | 0,000 | 0,085 | 0,700 | 0,700 | 0,700 | 0,680 | 0,680 | | | 0,029 |
| 2,000 | 61,719 | 99,056 | -5,728 | skid front(in) | ##### | -11,500 | 0,000 | 1,000 | 100,000 | 0,000 | 0,114 | 0,700 | 0,700 | 0,700 | 0,680 | 0,680 | | | 0,029 |
| 2,500 | 61,114 | 99,057 | -5,727 | skid front(in) | ##### | -11,500 | 0,000 | 1,000 | 100,000 | 0,000 | 0,144 | 0,700 | 0,700 | 0,700 | 0,680 | 0,680 | | | 0,029 |
| 3,000 | 60,504 | 99,057 | -5,726 | skid front(in) | ##### | -11,500 | 0,000 | 1,000 | 100,000 | 0,000 | 0,173 | 0,700 | 0,700 | 0,700 | 0,680 | 0,680 | | | 0,030 |
| 3,500 | 59,888 | 99,057 | -5,725 | skid front(in) | ##### | -11,500 | 0,000 | 1,000 | 100,000 | 0,000 | 0,203 | 0,700 | 0,700 | 0,700 | 0,680 | 0,680 | | | 0,030 |
| 4,000 | 59,265 | 99,057 | -5,724 | skid front(in) | ##### | -11,500 | 0,000 | 1,000 | 100,000 | 0,000 | 0,233 | 0,700 | 0,700 | 0,700 | 0,680 | 0,680 | | | 0,030 |
| 4,400 | 58,762 | 99,057 | -5,723 | skid front(in) | ##### | -11,500 | 0,000 | 1,000 | 100,000 | 0,000 | 0,258 | 0,700 | 0,700 | 0,700 | 0,680 | 0,680 | | | 0,024 |
| 5,000 | 58,000 | 99,057 | -5,722 | skid front(in) | ##### | -11,500 | 0,000 | 1,000 | 100,000 | 0,000 | 0,295 | 0,700 | 0,700 | 0,700 | 0,680 | 0,680 | | | 0,037 |
| 5,500 | 57,357 | 99,057 | -5,721 | skid front(in) | ##### | -11,500 | 0,000 | 1,000 | 100,000 | 0,000 | 0,326 | 0,700 | 0,700 | 0,700 | 0,680 | 0,680 | | | 0,031 |
| 6,000 | 56,707 | 99,057 | -5,720 | skid front(in) | ##### | -11,500 | 0,000 | 1,000 | 100,000 | 0,000 | 0,358 | 0,700 | 0,700 | 0,700 | 0,680 | 0,680 | | | 0,032 |
| 6,500 | 56,050 | 99,057 | -5,719 | skid front(in) | ##### | -11,500 | 0,000 | 1,000 | 100,000 | 0,000 | 0,390 | 0,700 | 0,700 | 0,700 | 0,680 | 0,680 | | | 0,032 |
| 7,000 | 55,385 | 99,057 | -5,718 | skid front(in) | ##### | -11,500 | 0,000 | 1,000 | 100,000 | 0,000 | 0,422 | 0,700 | 0,700 | 0,700 | 0,680 | 0,680 | | | 0,032 |
| 7,500 | 54,712 | 99,057 | -5,717 | skid front(in) | ##### | -11,500 | 0,000 | 1,000 | 100,000 | 0,000 | 0,455 | 0,700 | 0,700 | 0,700 | 0,680 | 0,680 | | | 0,033 |
| 8,000 | 54,031 | 99,057 | -5,716 | skid front(in) | ##### | -11,500 | 0,000 | 1,000 | 100,000 | 0,000 | 0,488 | 0,700 | 0,700 | 0,700 | 0,680 | 0,680 | | | 0,033 |
| 8,500 | 53,341 | 99,057 | -5,715 | skid front(in) | ##### | -11,500 | 0,000 | 1,000 | 100,000 | 0,000 | 0,521 | 0,700 | 0,700 | 0,700 | 0,680 | 0,680 | | | 0,034 |
| 9,000 | 52,642 | 99,057 | -5,714 | skid front(in) | ##### | -11,500 | 0,000 | 1,000 | 100,000 | 0,000 | 0,555 | 0,700 | 0,700 | 0,700 | 0,680 | 0,680 | | | 0,034 |
| 9,500 | 51,934 | 99,057 | -5,713 | skid front(in) | ##### | -11,500 | 0,000 | 1,000 | 100,000 | 0,000 | 0,590 | 0,700 | 0,700 | 0,700 | 0,680 | 0,680 | | | 0,034 |
| 10,000 | 51,216 | 99,057 | -5,711 | skid front(in) | ##### | -11,500 | 0,000 | 1,000 | 100,000 | 0,000 | 0,625 | 0,700 | 0,700 | 0,700 | 0,680 | 0,680 | | | 0,035 |
| 10,500 | 50,489 | 99,058 | -5,710 | skid front(in) | ##### | -11,500 | 0,000 | 1,000 | 100,000 | 0,000 | 0,660 | 0,700 | 0,700 | 0,700 | 0,680 | 0,680 | | | 0,035 |
| 11,000 | 49,750 | 99,058 | -5,709 | skid front(in) | ##### | -11,500 | 0,000 | 1,000 | 100,000 | 0,000 | 0,696 | 0,700 | 0,700 | 0,700 | 0,680 | 0,680 | | | 0,036 |
| 11,500 | 49,001 | 99,058 | -5,708 | skid front(in) | ##### | -11,500 | 0,000 | 1,000 | 100,000 | 0,000 | 0,732 | 0,700 | 0,700 | 0,700 | 0,680 | 0,680 | | | 0,036 |
| 12,000 | 48,241 | 99,058 | -5,707 | skid front(in) | ##### | -11,500 | 0,000 | 1,000 | 100,000 | 0,000 | 0,769 | 0,700 | 0,700 | 0,700 | 0,680 | 0,680 | | | 0,037 |
| 12,500 | 47,468 | 99,058 | -5,706 | skid front(in) | ##### | -11,500 | 0,000 | 1,000 | 100,000 | 0,000 | 0,807 | 0,700 | 0,700 | 0,700 | 0,680 | 0,680 | | | 0,038 |
| 13,000 | 46,682 | 99,058 | -5,705 | skid front(in) | ##### | -11,500 | 0,000 | 1,000 | 100,000 | 0,000 | 0,845 | 0,700 | 0,700 | 0,700 | 0,680 | 0,680 | | | 0,038 |
| 13,500 | 45,884 | 99,058 | -5,704 | skid front(in) | ##### | -11,500 | 0,000 | 1,000 | 100,000 | 0,000 | 0,884 | 0,700 | 0,700 | 0,700 | 0,680 | 0,680 | | | 0,039 |
| 14,000 | 45,071 | 99,058 | -5,703 | skid front(in) | ##### | -11,500 | 0,000 | 1,000 | 100,000 | 0,000 | 0,924 | 0,700 | 0,700 | 0,700 | 0,680 | 0,680 | | | 0,040 |
| 14,500 | 44,244 | 99,058 | -5,702 | skid front(in) | ##### | -11,500 | 0,000 | 1,000 | 100,000 | 0,000 | 0,964 | 0,700 | 0,700 | 0,700 | 0,680 | 0,680 | | | 0,040 |
| 15,000 | 43,400 | 99,058 | -5,701 | skid front(in) | ##### | -11,500 | 0,000 | 1,000 | 100,000 | 0,000 | 1,005 | 0,700 | 0,700 | 0,700 | 0,680 | 0,680 | | | 0,041 |
| 15,500 | 42,541 | 99,058 | -5,700 | skid front(in) | ##### | -11,500 | 0,000 | 1,000 | 100,000 | 0,000 | 1,047 | 0,700 | 0,700 | 0,700 | 0,680 | 0,680 | | | 0,042 |
| 16,000 | 41,664 | 99,058 | -5,699 | skid front(in) | ##### | -11,500 | 0,000 | 1,000 | 100,000 | 0,000 | 1,090 | 0,700 | 0,700 | 0,700 | 0,680 | 0,680 | | | 0,043 |
| 16,500 | 40,768 | 99,058 | -5,698 | skid front(in) | ##### | -11,500 | 0,000 | 1,000 | 100,000 | 0,000 | 1,133 | 0,700 | 0,700 | 0,700 | 0,680 | 0,680 | | | 0,044 |
| 17,000 | 39,852 | 99,058 | -5,697 | skid front(in) | ##### | -11,500 | 0,000 | 1,000 | 100,000 | 0,000 | 1,178 | 0,700 | 0,700 | 0,700 | 0,680 | 0,680 | | | 0,045 |
| 17,500 | 38,915 | 99,058 | -5,696 | skid front(in) | ##### | -11,500 | 0,000 | 1,000 | 100,000 | 0,000 | 1,224 | 0,700 | 0,700 | 0,700 | 0,680 | 0,680 | | | 0,046 |
| 18,000 | 37,954 | 99,058 | -5,695 | skid front(in) | ##### | -11,500 | 0,000 | 1,000 | 100,000 | 0,000 | 1,271 | 0,700 | 0,700 | 0,700 | 0,680 | 0,680 | | | 0,047 |
| 18,500 | 36,969 | 99,058 | -5,694 | skid front(in) | ##### | -11,500 | 0,000 | 1,000 | 100,000 | 0,000 | 1,319 | 0,700 | 0,700 | 0,700 | 0,680 | 0,680 | | | 0,048 |
| 18,900 | 36,162 | 99,059 | -5,693 | skid front(in) | ##### | -11,500 | 0,000 | 1,000 | 100,000 | 0,000 | 1,358 | 0,700 | 0,700 | 0,700 | 0,680 | 0,680 | | | 0,039 |
| 19,500 | 34,917 | 99,059 | -5,692 | skid front(in) | ##### | -11,500 | 0,000 | 1,000 | 100,000 | 0,000 | 1,419 | 0,700 | 0,700 | 0,700 | 0,680 | 0,680 | | | 0,061 |
| 20,000 | 33,844 | 99,059 | -5,690 | skid front(in) | ##### | -11,500 | 0,000 | 1,000 | 100,000 | 0,000 | 1,471 | 0,700 | 0,700 | 0,700 | 0,680 | 0,680 | | | 0,052 |
| 20,500 | 32,737 | 99,059 | -5,689 | skid front(in) | ##### | -11,500 | 0,000 | 1,000 | 100,000 | 0,000 | 1,525 | 0,700 | 0,700 | 0,700 | 0,680 | 0,680 | | | 0,054 |
| 21,000 | 31,591 | 99,059 | -5,688 | skid front(in) | ##### | -11,500 | 0,000 | 1,000 | 100,000 | 0,000 | 1,581 | 0,700 | 0,700 | 0,700 | 0,680 | 0,680 | | | 0,056 |
| 21,500 | 30,401 | 99,059 | -5,687 | skid front(in) | ##### | -11,500 | 0,000 | 1,000 | 100,000 | 0,001 | 1,639 | 0,700 | 0,700 | 0,700 | 0,680 | 0,680 | | | 0,058 |
| 22,000 | 29,164 | 99,059 | -5,686 | skid front(in) | ##### | -11,500 | 0,000 | 1,000 | 100,000 | 0,001 | 1,700 | 0,700 | 0,700 | 0,700 | 0,680 | 0,680 | | | 0,060 |
| 22,500 | 27,872 | 99,059 | -5,685 | skid front(in) | ##### | -11,500 | 0,000 | 1,000 | 100,000 | 0,001 | 1,763 | 0,700 | 0,700 | 0,700 | 0,680 | 0,680 | | | 0,063 |
| 23,000 | 26,518 | 99,034 | -5,682 | skid front(out) | ##### | -11,500 | 0,000 | 1,000 | 100,000 | -1,408 | 1,829 | 0,700 | 0,700 | 0,700 | 0,679 | 0,679 | | | 0,066 |
| 23,500 | 25,090 | 99,090 | -5,683 | skid front(out) | ##### | -11,500 | 0,000 | 1,000 | 100,000 | -3,686 | 1,899 | 0,700 | 0,700 | 0,700 | 0,680 | 0,680 | | | 0,070 |
| 24,000 | 23,577 | 99,077 | -5,682 | skid front(out) | ##### | -11,500 | 0,000 | 1,000 | 100,000 | -2,341 | 1,973 | 0,700 | 0,700 | 0,700 | 0,680 | 0,680 | | | 0,074 |
| 24,500 | 21,960 | 99,050 | -5,678 | skid front(out) | ##### | -11,500 | 0,000 | 1,000 | 100,000 | -3,136 | 2,052 | 0,700 | 0,700 | 0,700 | 0,679 | 0,679 | | | 0,079 |
| 25,000 | 20,215 | 99,040 | -5,678 | skid front(out) | ##### | -11,500 | 0,000 | 1,000 | 100,000 | -0,372 | 2,137 | 0,700 | 0,700 | 0,700 | 0,680 | 0,680 | | | 0,085 |
| 25,500 | 18,304 | 99,050 | -5,676 | skid front(out) | ##### | -11,500 | 0,000 | 1,000 | 100,000 | -3,296 | 2,231 | 0,700 | 0,700 | 0,700 | 0,679 | 0,679 | | | 0,093 |
| 26,000 | 16,170 | 99,078 | -5,678 | skid front(out) | ##### | -11,500 | 0,000 | 1,000 | 100,000 | -2,436 | 2,335 | 0,700 | 0,700 | 0,700 | 0,680 | 0,680 | | | 0,104 |
| 26,500 | 13,706 | 99,060 | -5,677 | skid front(out) | ##### | -11,500 | 0,000 | 1,000 | 100,000 | -0,659 | 2,455 | 0,700 | 0,700 | 0,700 | 0,680 | 0,680 | | | 0,121 |
| 27,000 | 10,692 | 99,024 | -5,673 | skid front(out) | ##### | -11,500 | 0,000 | 1,000 | 100,000 | -1,374 | 2,603 | 0,700 | 0,700</ | | | | | | |

Προσδιορισμός Τιμών Πρόσφυσης κατά την Πέδηση Οχημάτων Εφοδιασμένων με Σύστημα ABS σε Αυξημένες κατά Μήκος Κλίσεις

| | | | | | | | | | | | | | | | | | |
|--------|-------|--------|--------|-----------------|-------|---------|-------|-------|---------|--------|-------|-------|-------|-------|-------|-------|-------|
| 27,500 | 6,383 | 99,082 | -5,673 | skid front(out) | ##### | -11,500 | 0,000 | 1,000 | 100,000 | -5,463 | 2,814 | 0,700 | 0,700 | 0,700 | 0,680 | 0,680 | 0,211 |
| 27,800 | 1,960 | 99,089 | -5,674 | skid front(out) | ##### | -11,500 | 0,000 | 1,000 | 100,000 | -3,577 | 3,030 | 0,700 | 0,700 | 0,700 | 0,680 | 0,680 | 0,217 |

| | | | | | | | |
|-----------------|-----------|--------------|-------|-------|-------|-----------|------------|
| run v w glif 12 | R(m) | br.front (%) | s(%) | e (%) | coeff | effic (%) | time (sec) |
| s= 100,000 | ##### | 68,00 | -11,5 | 0,0 | 1,00 | 100 | 3,222 |
| step= 0,100 | viewstep= | 0,500 | STEPS | | | | |

0,963

| s (m) | V (km/h) | n (%) | dv/dt | skid check | R(m) | s(%) | e (%) | coeff | effic (%) | decelera | time (sec) | FT | front out | front in | rear out | rear in | checktime |
|--------|----------|--------|--------|-----------------|-------|---------|-------|-------|-----------|-----------|------------|-------|-----------|----------|----------|---------|-----------|
| 31,600 | 2,234 | 99,073 | -5,674 | skid front(out) | ##### | -11,500 | 0,000 | 1,000 | 100,000 | -1,909137 | 3,222 | 0,7 | 0,7000 | 0,7000 | 0,6798 | 0,6798 | |
| 0,000 | 68,310 | 99,064 | -5,741 | O.K | ##### | -11,500 | 0,000 | 1,000 | 100,000 | 0,000 | 0,000 | 0,700 | | | | | |
| 0,400 | 67,873 | 99,056 | -5,740 | skid front(in) | ##### | -11,500 | 0,000 | 1,000 | 100,000 | 0,000 | 0,021 | 0,700 | 0,700 | 0,700 | 0,680 | 0,680 | 0,021 |
| 1,000 | 67,212 | 99,056 | -5,738 | skid front(in) | ##### | -11,500 | 0,000 | 1,000 | 100,000 | 0,000 | 0,053 | 0,700 | 0,700 | 0,700 | 0,680 | 0,680 | 0,032 |
| 1,500 | 66,657 | 99,056 | -5,737 | skid front(in) | ##### | -11,500 | 0,000 | 1,000 | 100,000 | 0,000 | 0,080 | 0,700 | 0,700 | 0,700 | 0,680 | 0,680 | 0,027 |
| 2,000 | 66,097 | 99,056 | -5,736 | skid front(in) | ##### | -11,500 | 0,000 | 1,000 | 100,000 | 0,000 | 0,107 | 0,700 | 0,700 | 0,700 | 0,680 | 0,680 | 0,027 |
| 2,500 | 65,532 | 99,056 | -5,735 | skid front(in) | ##### | -11,500 | 0,000 | 1,000 | 100,000 | 0,000 | 0,134 | 0,700 | 0,700 | 0,700 | 0,680 | 0,680 | 0,027 |
| 3,000 | 64,963 | 99,056 | -5,734 | skid front(in) | ##### | -11,500 | 0,000 | 1,000 | 100,000 | 0,000 | 0,162 | 0,700 | 0,700 | 0,700 | 0,680 | 0,680 | 0,028 |
| 3,500 | 64,388 | 99,056 | -5,733 | skid front(in) | ##### | -11,500 | 0,000 | 1,000 | 100,000 | 0,000 | 0,190 | 0,700 | 0,700 | 0,700 | 0,680 | 0,680 | 0,028 |
| 4,000 | 63,809 | 99,056 | -5,732 | skid front(in) | ##### | -11,500 | 0,000 | 1,000 | 100,000 | 0,000 | 0,218 | 0,700 | 0,700 | 0,700 | 0,680 | 0,680 | 0,028 |
| 4,400 | 63,341 | 99,056 | -5,731 | skid front(in) | ##### | -11,500 | 0,000 | 1,000 | 100,000 | 0,000 | 0,241 | 0,700 | 0,700 | 0,700 | 0,680 | 0,680 | 0,023 |
| 5,000 | 62,634 | 99,056 | -5,730 | skid front(in) | ##### | -11,500 | 0,000 | 1,000 | 100,000 | 0,000 | 0,275 | 0,700 | 0,700 | 0,700 | 0,680 | 0,680 | 0,034 |
| 5,500 | 62,038 | 99,056 | -5,729 | skid front(in) | ##### | -11,500 | 0,000 | 1,000 | 100,000 | 0,000 | 0,304 | 0,700 | 0,700 | 0,700 | 0,680 | 0,680 | 0,029 |
| 6,000 | 61,437 | 99,056 | -5,728 | skid front(in) | ##### | -11,500 | 0,000 | 1,000 | 100,000 | 0,000 | 0,333 | 0,700 | 0,700 | 0,700 | 0,680 | 0,680 | 0,029 |
| 6,500 | 60,830 | 99,057 | -5,727 | skid front(in) | ##### | -11,500 | 0,000 | 1,000 | 100,000 | 0,000 | 0,362 | 0,700 | 0,700 | 0,700 | 0,680 | 0,680 | 0,029 |
| 7,000 | 60,217 | 99,057 | -5,726 | skid front(in) | ##### | -11,500 | 0,000 | 1,000 | 100,000 | 0,000 | 0,392 | 0,700 | 0,700 | 0,700 | 0,680 | 0,680 | 0,030 |
| 7,500 | 59,598 | 99,057 | -5,725 | skid front(in) | ##### | -11,500 | 0,000 | 1,000 | 100,000 | 0,000 | 0,422 | 0,700 | 0,700 | 0,700 | 0,680 | 0,680 | 0,030 |
| 8,000 | 58,972 | 99,057 | -5,724 | skid front(in) | ##### | -11,500 | 0,000 | 1,000 | 100,000 | 0,000 | 0,453 | 0,700 | 0,700 | 0,700 | 0,680 | 0,680 | 0,030 |
| 8,500 | 58,340 | 99,057 | -5,722 | skid front(in) | ##### | -11,500 | 0,000 | 1,000 | 100,000 | 0,000 | 0,483 | 0,700 | 0,700 | 0,700 | 0,680 | 0,680 | 0,031 |
| 9,000 | 57,701 | 99,057 | -5,721 | skid front(in) | ##### | -11,500 | 0,000 | 1,000 | 100,000 | 0,000 | 0,514 | 0,700 | 0,700 | 0,700 | 0,680 | 0,680 | 0,031 |
| 9,500 | 57,054 | 99,057 | -5,720 | skid front(in) | ##### | -11,500 | 0,000 | 1,000 | 100,000 | 0,000 | 0,546 | 0,700 | 0,700 | 0,700 | 0,680 | 0,680 | 0,031 |
| 10,000 | 56,401 | 99,057 | -5,719 | skid front(in) | ##### | -11,500 | 0,000 | 1,000 | 100,000 | 0,000 | 0,577 | 0,700 | 0,700 | 0,700 | 0,680 | 0,680 | 0,032 |
| 10,500 | 55,740 | 99,057 | -5,718 | skid front(in) | ##### | -11,500 | 0,000 | 1,000 | 100,000 | 0,000 | 0,609 | 0,700 | 0,700 | 0,700 | 0,680 | 0,680 | 0,032 |
| 11,000 | 55,071 | 99,057 | -5,717 | skid front(in) | ##### | -11,500 | 0,000 | 1,000 | 100,000 | 0,000 | 0,642 | 0,700 | 0,700 | 0,700 | 0,680 | 0,680 | 0,032 |
| 11,500 | 54,395 | 99,057 | -5,716 | skid front(in) | ##### | -11,500 | 0,000 | 1,000 | 100,000 | 0,000 | 0,675 | 0,700 | 0,700 | 0,700 | 0,680 | 0,680 | 0,033 |
| 12,000 | 53,709 | 99,057 | -5,715 | skid front(in) | ##### | -11,500 | 0,000 | 1,000 | 100,000 | 0,000 | 0,708 | 0,700 | 0,700 | 0,700 | 0,680 | 0,680 | 0,033 |
| 12,500 | 53,015 | 99,057 | -5,714 | skid front(in) | ##### | -11,500 | 0,000 | 1,000 | 100,000 | 0,000 | 0,742 | 0,700 | 0,700 | 0,700 | 0,680 | 0,680 | 0,034 |
| 13,000 | 52,312 | 99,057 | -5,713 | skid front(in) | ##### | -11,500 | 0,000 | 1,000 | 100,000 | 0,000 | 0,776 | 0,700 | 0,700 | 0,700 | 0,680 | 0,680 | 0,034 |
| 13,500 | 51,600 | 99,057 | -5,712 | skid front(in) | ##### | -11,500 | 0,000 | 1,000 | 100,000 | 0,000 | 0,811 | 0,700 | 0,700 | 0,700 | 0,680 | 0,680 | 0,035 |
| 14,000 | 50,878 | 99,058 | -5,711 | skid front(in) | ##### | -11,500 | 0,000 | 1,000 | 100,000 | 0,000 | 0,846 | 0,700 | 0,700 | 0,700 | 0,680 | 0,680 | 0,035 |
| 14,500 | 50,145 | 99,058 | -5,710 | skid front(in) | ##### | -11,500 | 0,000 | 1,000 | 100,000 | 0,000 | 0,881 | 0,700 | 0,700 | 0,700 | 0,680 | 0,680 | 0,036 |
| 15,000 | 49,402 | 99,058 | -5,709 | skid front(in) | ##### | -11,500 | 0,000 | 1,000 | 100,000 | 0,000 | 0,918 | 0,700 | 0,700 | 0,700 | 0,680 | 0,680 | 0,036 |
| 15,500 | 48,647 | 99,058 | -5,708 | skid front(in) | ##### | -11,500 | 0,000 | 1,000 | 100,000 | 0,000 | 0,954 | 0,700 | 0,700 | 0,700 | 0,680 | 0,680 | 0,037 |
| 16,000 | 47,881 | 99,058 | -5,707 | skid front(in) | ##### | -11,500 | 0,000 | 1,000 | 100,000 | 0,000 | 0,992 | 0,700 | 0,700 | 0,700 | 0,680 | 0,680 | 0,037 |
| 16,500 | 47,102 | 99,058 | -5,706 | skid front(in) | ##### | -11,500 | 0,000 | 1,000 | 100,000 | 0,000 | 1,030 | 0,700 | 0,700 | 0,700 | 0,680 | 0,680 | 0,038 |
| 17,000 | 46,311 | 99,058 | -5,705 | skid front(in) | ##### | -11,500 | 0,000 | 1,000 | 100,000 | 0,000 | 1,068 | 0,700 | 0,700 | 0,700 | 0,680 | 0,680 | 0,039 |
| 17,500 | 45,506 | 99,058 | -5,704 | skid front(in) | ##### | -11,500 | 0,000 | 1,000 | 100,000 | 0,000 | 1,107 | 0,700 | 0,700 | 0,700 | 0,680 | 0,680 | 0,039 |
| 18,000 | 44,686 | 99,058 | -5,703 | skid front(in) | ##### | -11,500 | 0,000 | 1,000 | 100,000 | 0,000 | 1,147 | 0,700 | 0,700 | 0,700 | 0,680 | 0,680 | 0,040 |
| 18,500 | 43,852 | 99,058 | -5,702 | skid front(in) | ##### | -11,500 | 0,000 | 1,000 | 100,000 | 0,000 | 1,188 | 0,700 | 0,700 | 0,700 | 0,680 | 0,680 | 0,041 |
| 18,900 | 43,172 | 99,058 | -5,701 | skid front(in) | ##### | -11,500 | 0,000 | 1,000 | 100,000 | 0,000 | 1,221 | 0,700 | 0,700 | 0,700 | 0,680 | 0,680 | 0,033 |
| 19,500 | 42,133 | 99,058 | -5,699 | skid front(in) | ##### | -11,500 | 0,000 | 1,000 | 100,000 | 0,000 | 1,272 | 0,700 | 0,700 | 0,700 | 0,680 | 0,680 | 0,051 |
| 20,000 | 41,247 | 99,058 | -5,698 | skid front(in) | ##### | -11,500 | 0,000 | 1,000 | 100,000 | 0,000 | 1,315 | 0,700 | 0,700 | 0,700 | 0,680 | 0,680 | 0,043 |
| 20,500 | 40,342 | 99,058 | -5,697 | skid front(in) | ##### | -11,500 | 0,000 | 1,000 | 100,000 | 0,000 | 1,359 | 0,700 | 0,700 | 0,700 | 0,680 | 0,680 | 0,044 |
| 21,000 | 39,417 | 99,058 | -5,696 | skid front(in) | ##### | -11,500 | 0,000 | 1,000 | 100,000 | 0,000 | 1,404 | 0,700 | 0,700 | 0,700 | 0,680 | 0,680 | 0,045 |
| 21,500 | 38,469 | 99,058 | -5,695 | skid front(in) | ##### | -11,500 | 0,000 | 1,000 | 100,000 | 0,000 | 1,450 | 0,700 | 0,700 | 0,700 | 0,680 | 0,680 | 0,046 |
| 22,000 | 37,497 | 99,059 | -5,694 | skid front(in) | ##### | -11,500 | 0,000 | 1,000 | 100,000 | 0,000 | 1,498 | 0,700 | 0,700 | 0,700 | 0,680 | 0,680 | 0,047 |
| 22,500 | 36,500 | 99,059 | -5,693 | skid front(in) | ##### | -11,500 | 0,000 | 1,000 | 100,000 | 0,000 | 1,546 | 0,700 | 0,700 | 0,700 | 0,680 | 0,680 | 0,049 |
| 23,000 | 35,475 | 99,059 | -5,692 | skid front(in) | ##### | -11,500 | 0,000 | 1,000 | 100,000 | 0,001 | 1,596 | 0,700 | 0,700 | 0,700 | 0,680 | 0,680 | 0,050 |
| 23,500 | 34,420 | 99,059 | -5,691 | skid front(in) | ##### | -11,500 | 0,000 | 1,000 | 100,000 | 0,000 | 1,648 | 0,700 | 0,700 | 0,700 | 0,680 | 0,680 | 0,052 |

Προσδιορισμός Τιμών Πρόσφυσης κατά την Πέδηση Οχημάτων Εφοδιασμένων με Σύστημα ABS σε Αυξημένες κατά Μήκος Κλίσεις

| | | | | | | | | | | | | | | | | | |
|--------|--------|--------|--------|-----------------|-------|---------|-------|-------|---------|--------|-------|-------|-------|-------|-------|-------|-------|
| 24,000 | 33,331 | 99,059 | -5,690 | skid front(in) | ##### | -11,500 | 0,000 | 1,000 | 100,000 | 0,000 | 1,701 | 0,700 | 0,700 | 0,700 | 0,680 | 0,680 | 0,053 |
| 24,500 | 32,206 | 99,059 | -5,689 | skid front(in) | ##### | -11,500 | 0,000 | 1,000 | 100,000 | 0,001 | 1,756 | 0,700 | 0,700 | 0,700 | 0,680 | 0,680 | 0,055 |
| 25,000 | 31,041 | 99,059 | -5,688 | skid front(in) | ##### | -11,500 | 0,000 | 1,000 | 100,000 | 0,000 | 1,813 | 0,700 | 0,700 | 0,700 | 0,680 | 0,680 | 0,057 |
| 25,500 | 29,830 | 99,059 | -5,687 | skid front(in) | ##### | -11,500 | 0,000 | 1,000 | 100,000 | 0,001 | 1,872 | 0,700 | 0,700 | 0,700 | 0,680 | 0,680 | 0,059 |
| 26,000 | 28,568 | 99,059 | -5,686 | skid front(in) | ##### | -11,500 | 0,000 | 1,000 | 100,000 | 0,001 | 1,934 | 0,700 | 0,700 | 0,700 | 0,680 | 0,680 | 0,062 |
| 26,500 | 27,248 | 99,059 | -5,685 | skid front(in) | ##### | -11,500 | 0,000 | 1,000 | 100,000 | 0,001 | 1,998 | 0,700 | 0,700 | 0,700 | 0,680 | 0,680 | 0,064 |
| 27,000 | 25,860 | 99,085 | -5,684 | skid front(out) | ##### | -11,500 | 0,000 | 1,000 | 100,000 | -2,902 | 2,066 | 0,700 | 0,700 | 0,700 | 0,680 | 0,680 | 0,068 |
| 27,500 | 24,395 | 99,028 | -5,680 | skid front(out) | ##### | -11,500 | 0,000 | 1,000 | 100,000 | -0,192 | 2,138 | 0,700 | 0,700 | 0,700 | 0,679 | 0,679 | 0,072 |
| 28,000 | 22,836 | 99,079 | -5,681 | skid front(out) | ##### | -11,500 | 0,000 | 1,000 | 100,000 | -3,165 | 2,214 | 0,700 | 0,700 | 0,700 | 0,680 | 0,680 | 0,076 |
| 28,500 | 21,162 | 99,056 | -5,679 | skid front(out) | ##### | -11,500 | 0,000 | 1,000 | 100,000 | -2,194 | 2,296 | 0,700 | 0,700 | 0,700 | 0,680 | 0,680 | 0,082 |
| 29,000 | 19,345 | 99,052 | -5,678 | skid front(out) | ##### | -11,500 | 0,000 | 1,000 | 100,000 | -2,289 | 2,384 | 0,700 | 0,700 | 0,700 | 0,680 | 0,680 | 0,089 |
| 29,500 | 17,339 | 99,066 | -5,677 | skid front(out) | ##### | -11,500 | 0,000 | 1,000 | 100,000 | -3,300 | 2,483 | 0,700 | 0,700 | 0,700 | 0,680 | 0,680 | 0,098 |
| 30,000 | 15,068 | 99,066 | -5,677 | skid front(out) | ##### | -11,500 | 0,000 | 1,000 | 100,000 | -1,959 | 2,594 | 0,700 | 0,700 | 0,700 | 0,680 | 0,680 | 0,111 |
| 30,500 | 12,388 | 99,017 | -5,674 | skid front(out) | ##### | -11,500 | 0,000 | 1,000 | 100,000 | 0,309 | 2,725 | 0,700 | 0,700 | 0,700 | 0,679 | 0,679 | 0,131 |
| 31,000 | 8,940 | 99,057 | -5,675 | skid front(out) | ##### | -11,500 | 0,000 | 1,000 | 100,000 | -0,434 | 2,894 | 0,700 | 0,700 | 0,700 | 0,680 | 0,680 | 0,169 |
| 31,500 | 2,522 | 99,085 | -5,673 | skid front(out) | ##### | -11,500 | 0,000 | 1,000 | 100,000 | -4,116 | 3,208 | 0,700 | 0,700 | 0,700 | 0,680 | 0,680 | 0,314 |
| 31,600 | 2,234 | 99,073 | -5,674 | skid front(out) | ##### | -11,500 | 0,000 | 1,000 | 100,000 | -1,909 | 3,222 | 0,700 | 0,700 | 0,700 | 0,680 | 0,680 | 0,014 |

Προσδιορισμός Τιμών Πρόσφυσης κατά την Πέδηση Οχημάτων Εφοδιασμένων με Σύστημα ABS σε Αυξημένες κατά Μήκος Κλίσεις

| run v w glif 13 | | R(m) | br.front (%) | s(%) | e (%) | coeff | effic (%) | | | time (sec) | | | | | | | |
|-----------------|----------|-----------|--------------|-----------------|-------|--------|-----------|-------|-----------|------------|------------|-------|-----------|----------|----------|---------|-----------|
| s= | 100,000 | ##### | 69,00 | 11,5 | 0,0 | 1,00 | 100 | | | 1,588 | | | | | | | |
| step= | 0,100 | viewstep= | 0,500 | STEPS | | | | | | | | 0,963 | | | | | |
| s (m) | V (km/h) | n (%) | dv/dt | skid check | R(m) | s(%) | e (%) | coeff | effic (%) | decelera | time (sec) | fT | front out | front in | rear out | rear in | checktime |
| 11,700 | 2,069 | 99,838 | -8,550 | skid front(out) | ##### | 11,500 | 0,000 | 1,000 | 100,000 | -3,418867 | 1,588 | 0,758 | 0,7579 | 0,7579 | 0,7536 | 0,7536 | |
| 0,000 | 51,020 | 99,833 | -8,587 | O.K | ##### | 11,500 | 0,000 | 1,000 | 100,000 | 0,000 | 0,000 | 0,758 | | | | | |
| 0,400 | 50,140 | 99,828 | -8,586 | skid front(in) | ##### | 11,500 | 0,000 | 1,000 | 100,000 | 0,000 | 0,028 | 0,758 | 0,758 | 0,758 | 0,754 | 0,754 | 0,028 |
| 1,000 | 48,790 | 99,829 | -8,584 | skid front(in) | ##### | 11,500 | 0,000 | 1,000 | 100,000 | 0,000 | 0,072 | 0,758 | 0,758 | 0,758 | 0,754 | 0,754 | 0,044 |
| 1,500 | 47,637 | 99,829 | -8,582 | skid front(in) | ##### | 11,500 | 0,000 | 1,000 | 100,000 | 0,000 | 0,109 | 0,758 | 0,758 | 0,758 | 0,754 | 0,754 | 0,037 |
| 2,000 | 46,455 | 99,829 | -8,581 | skid front(in) | ##### | 11,500 | 0,000 | 1,000 | 100,000 | 0,000 | 0,148 | 0,758 | 0,758 | 0,758 | 0,754 | 0,754 | 0,038 |
| 2,500 | 45,242 | 99,829 | -8,579 | skid front(in) | ##### | 11,500 | 0,000 | 1,000 | 100,000 | 0,000 | 0,187 | 0,758 | 0,758 | 0,758 | 0,754 | 0,754 | 0,039 |
| 3,000 | 43,996 | 99,829 | -8,578 | skid front(in) | ##### | 11,500 | 0,000 | 1,000 | 100,000 | 0,000 | 0,227 | 0,758 | 0,758 | 0,758 | 0,754 | 0,754 | 0,040 |
| 3,500 | 42,714 | 99,829 | -8,576 | skid front(in) | ##### | 11,500 | 0,000 | 1,000 | 100,000 | 0,000 | 0,269 | 0,758 | 0,758 | 0,758 | 0,754 | 0,754 | 0,042 |
| 4,000 | 41,393 | 99,829 | -8,575 | skid front(in) | ##### | 11,500 | 0,000 | 1,000 | 100,000 | 0,000 | 0,312 | 0,758 | 0,758 | 0,758 | 0,754 | 0,754 | 0,043 |
| 4,400 | 40,305 | 99,829 | -8,574 | skid front(in) | ##### | 11,500 | 0,000 | 1,000 | 100,000 | 0,001 | 0,347 | 0,758 | 0,758 | 0,758 | 0,754 | 0,754 | 0,035 |
| 5,000 | 38,615 | 99,829 | -8,572 | skid front(in) | ##### | 11,500 | 0,000 | 1,000 | 100,000 | 0,000 | 0,402 | 0,758 | 0,758 | 0,758 | 0,754 | 0,754 | 0,055 |
| 5,500 | 37,149 | 99,829 | -8,570 | skid front(in) | ##### | 11,500 | 0,000 | 1,000 | 100,000 | 0,000 | 0,449 | 0,758 | 0,758 | 0,758 | 0,754 | 0,754 | 0,048 |
| 6,000 | 35,623 | 99,830 | -8,569 | skid front(in) | ##### | 11,500 | 0,000 | 1,000 | 100,000 | 0,000 | 0,499 | 0,758 | 0,758 | 0,758 | 0,754 | 0,754 | 0,049 |
| 6,500 | 34,029 | 99,830 | -8,567 | skid front(in) | ##### | 11,500 | 0,000 | 1,000 | 100,000 | 0,001 | 0,550 | 0,758 | 0,758 | 0,758 | 0,754 | 0,754 | 0,052 |
| 7,000 | 32,356 | 99,830 | -8,566 | skid front(in) | ##### | 11,500 | 0,000 | 1,000 | 100,000 | 0,001 | 0,605 | 0,758 | 0,758 | 0,758 | 0,754 | 0,754 | 0,054 |
| 7,500 | 30,593 | 99,830 | -8,564 | skid front(in) | ##### | 11,500 | 0,000 | 1,000 | 100,000 | 0,001 | 0,662 | 0,758 | 0,758 | 0,758 | 0,754 | 0,754 | 0,057 |
| 8,000 | 28,722 | 99,830 | -8,563 | skid front(in) | ##### | 11,500 | 0,000 | 1,000 | 100,000 | 0,000 | 0,722 | 0,758 | 0,758 | 0,758 | 0,754 | 0,754 | 0,061 |
| 8,500 | 26,721 | 99,835 | -8,561 | skid front(out) | ##### | 11,500 | 0,000 | 1,000 | 100,000 | -1,632 | 0,787 | 0,758 | 0,758 | 0,758 | 0,754 | 0,754 | 0,065 |
| 9,000 | 24,557 | 99,806 | -8,557 | skid front(out) | ##### | 11,500 | 0,000 | 1,000 | 100,000 | -0,968 | 0,858 | 0,758 | 0,758 | 0,758 | 0,753 | 0,753 | 0,070 |
| 9,500 | 22,184 | 99,853 | -8,557 | skid front(out) | ##### | 11,500 | 0,000 | 1,000 | 100,000 | -4,432 | 0,935 | 0,758 | 0,758 | 0,758 | 0,754 | 0,754 | 0,077 |
| 10,000 | 19,525 | 99,837 | -8,557 | skid front(out) | ##### | 11,500 | 0,000 | 1,000 | 100,000 | -0,981 | 1,021 | 0,758 | 0,758 | 0,758 | 0,754 | 0,754 | 0,086 |
| 10,500 | 16,442 | 99,812 | -8,553 | skid front(out) | ##### | 11,500 | 0,000 | 1,000 | 100,000 | -1,469 | 1,121 | 0,758 | 0,758 | 0,758 | 0,753 | 0,753 | 0,100 |
| 11,000 | 12,629 | 99,805 | -8,552 | skid front(out) | ##### | 11,500 | 0,000 | 1,000 | 100,000 | 0,441 | 1,245 | 0,758 | 0,758 | 0,758 | 0,754 | 0,754 | 0,124 |
| 11,500 | 6,975 | 99,855 | -8,551 | skid front(out) | ##### | 11,500 | 0,000 | 1,000 | 100,000 | -4,122 | 1,428 | 0,758 | 0,758 | 0,758 | 0,754 | 0,754 | 0,184 |
| 11,700 | 2,069 | 99,838 | -8,550 | skid front(out) | ##### | 11,500 | 0,000 | 1,000 | 100,000 | -3,419 | 1,588 | 0,758 | 0,758 | 0,758 | 0,754 | 0,754 | 0,159 |

| run v w glif 14 | | R(m) | br.front (%) | s(%) | e (%) | coeff | effic (%) | | | time (sec) | | | | | | | |
|-----------------|----------|-----------|--------------|-----------------|-------|--------|-----------|-------|-----------|------------|------------|-------|-----------|----------|----------|---------|-----------|
| s= | 100,000 | ##### | 69,00 | 11,5 | 0,0 | 1,00 | 100 | | | 1,526 | | | | | | | |
| step= | 0,100 | viewstep= | 0,500 | STEPS | | | | | | | | 0,963 | | | | | |
| s (m) | V (km/h) | n (%) | dv/dt | skid check | R(m) | s(%) | e (%) | coeff | effic (%) | decelera | time (sec) | fT | front out | front in | rear out | rear in | checktime |
| 11,200 | 2,918 | 99,807 | -8,548 | skid front(out) | ##### | 11,500 | 0,000 | 1,000 | 100,000 | -2,730420 | 1,526 | 0,758 | 0,7577 | 0,7577 | 0,7533 | 0,7533 | |
| 0,000 | 49,960 | 99,833 | -8,586 | O.K | ##### | 11,500 | 0,000 | 1,000 | 100,000 | 0,000 | 0,000 | 0,758 | | | | | |
| 0,400 | 49,061 | 99,829 | -8,584 | skid front(in) | ##### | 11,500 | 0,000 | 1,000 | 100,000 | 0,000 | 0,029 | 0,758 | 0,758 | 0,758 | 0,754 | 0,754 | 0,029 |
| 1,000 | 47,681 | 99,829 | -8,583 | skid front(in) | ##### | 11,500 | 0,000 | 1,000 | 100,000 | 0,000 | 0,074 | 0,758 | 0,758 | 0,758 | 0,754 | 0,754 | 0,045 |
| 1,500 | 46,500 | 99,829 | -8,581 | skid front(in) | ##### | 11,500 | 0,000 | 1,000 | 100,000 | 0,000 | 0,112 | 0,758 | 0,758 | 0,758 | 0,754 | 0,754 | 0,038 |

Προσδιορισμός Τιμών Πρόσφυσης κατά την Πέδηση Οχημάτων Εφοδιασμένων με Σύστημα ABS σε Αυξημένες κατά Μήκος Κλίσεις

| | | | | | | | | | | | | | | | | | |
|--------|--------|--------|--------|-----------------|-------|--------|-------|-------|---------|--------|-------|-------|-------|-------|-------|-------|-------|
| 2,000 | 45,289 | 99,829 | -8,579 | skid front(in) | ##### | 11,500 | 0,000 | 1,000 | 100,000 | 0,000 | 0,151 | 0,758 | 0,758 | 0,758 | 0,754 | 0,754 | 0,039 |
| 2,500 | 44,044 | 99,829 | -8,578 | skid front(in) | ##### | 11,500 | 0,000 | 1,000 | 100,000 | 0,000 | 0,191 | 0,758 | 0,758 | 0,758 | 0,754 | 0,754 | 0,040 |
| 3,000 | 42,764 | 99,829 | -8,576 | skid front(in) | ##### | 11,500 | 0,000 | 1,000 | 100,000 | 0,000 | 0,233 | 0,758 | 0,758 | 0,758 | 0,754 | 0,754 | 0,041 |
| 3,500 | 41,444 | 99,829 | -8,575 | skid front(in) | ##### | 11,500 | 0,000 | 1,000 | 100,000 | 0,000 | 0,276 | 0,758 | 0,758 | 0,758 | 0,754 | 0,754 | 0,043 |
| 4,000 | 40,081 | 99,829 | -8,573 | skid front(in) | ##### | 11,500 | 0,000 | 1,000 | 100,000 | 0,000 | 0,320 | 0,758 | 0,758 | 0,758 | 0,754 | 0,754 | 0,044 |
| 4,400 | 38,956 | 99,829 | -8,572 | skid front(in) | ##### | 11,500 | 0,000 | 1,000 | 100,000 | 0,000 | 0,356 | 0,758 | 0,758 | 0,758 | 0,754 | 0,754 | 0,036 |
| 5,000 | 37,206 | 99,829 | -8,570 | skid front(in) | ##### | 11,500 | 0,000 | 1,000 | 100,000 | 0,000 | 0,413 | 0,758 | 0,758 | 0,758 | 0,754 | 0,754 | 0,057 |
| 5,500 | 35,682 | 99,829 | -8,569 | skid front(in) | ##### | 11,500 | 0,000 | 1,000 | 100,000 | 0,000 | 0,462 | 0,758 | 0,758 | 0,758 | 0,754 | 0,754 | 0,049 |
| 6,000 | 34,091 | 99,830 | -8,567 | skid front(in) | ##### | 11,500 | 0,000 | 1,000 | 100,000 | 0,000 | 0,514 | 0,758 | 0,758 | 0,758 | 0,754 | 0,754 | 0,052 |
| 6,500 | 32,422 | 99,830 | -8,566 | skid front(in) | ##### | 11,500 | 0,000 | 1,000 | 100,000 | 0,000 | 0,568 | 0,758 | 0,758 | 0,758 | 0,754 | 0,754 | 0,054 |
| 7,000 | 30,662 | 99,830 | -8,564 | skid front(in) | ##### | 11,500 | 0,000 | 1,000 | 100,000 | 0,001 | 0,625 | 0,758 | 0,758 | 0,758 | 0,754 | 0,754 | 0,057 |
| 7,500 | 28,795 | 99,830 | -8,563 | skid front(in) | ##### | 11,500 | 0,000 | 1,000 | 100,000 | 0,001 | 0,686 | 0,758 | 0,758 | 0,758 | 0,754 | 0,754 | 0,061 |
| 8,000 | 26,800 | 99,834 | -8,561 | skid front(out) | ##### | 11,500 | 0,000 | 1,000 | 100,000 | -0,714 | 0,751 | 0,758 | 0,758 | 0,758 | 0,754 | 0,754 | 0,065 |
| 8,500 | 24,643 | 99,844 | -8,560 | skid front(out) | ##### | 11,500 | 0,000 | 1,000 | 100,000 | -1,788 | 0,820 | 0,758 | 0,758 | 0,758 | 0,754 | 0,754 | 0,070 |
| 9,000 | 22,279 | 99,846 | -8,558 | skid front(out) | ##### | 11,500 | 0,000 | 1,000 | 100,000 | -2,103 | 0,897 | 0,758 | 0,758 | 0,758 | 0,754 | 0,754 | 0,077 |
| 9,500 | 19,633 | 99,842 | -8,556 | skid front(out) | ##### | 11,500 | 0,000 | 1,000 | 100,000 | -1,879 | 0,983 | 0,758 | 0,758 | 0,758 | 0,754 | 0,754 | 0,086 |
| 10,000 | 16,570 | 99,859 | -8,555 | skid front(out) | ##### | 11,500 | 0,000 | 1,000 | 100,000 | -4,176 | 1,083 | 0,758 | 0,758 | 0,758 | 0,754 | 0,754 | 0,099 |
| 10,500 | 12,795 | 99,837 | -8,553 | skid front(out) | ##### | 11,500 | 0,000 | 1,000 | 100,000 | -2,546 | 1,205 | 0,758 | 0,758 | 0,758 | 0,754 | 0,754 | 0,123 |
| 11,000 | 7,271 | 99,835 | -8,550 | skid front(out) | ##### | 11,500 | 0,000 | 1,000 | 100,000 | -3,535 | 1,385 | 0,758 | 0,758 | 0,758 | 0,754 | 0,754 | 0,179 |
| 11,200 | 2,918 | 99,807 | -8,548 | skid front(out) | ##### | 11,500 | 0,000 | 1,000 | 100,000 | -2,730 | 1,526 | 0,758 | 0,758 | 0,758 | 0,753 | 0,753 | 0,141 |

| run v w glif 15 | R(m) | br.front (%) | s(%) | e (%) | coeff | effic (%) | time (sec) |
|-----------------|-----------|--------------|-------|-------|-------|-----------|------------|
| s= 100,000 | ##### | 69,00 | 11,5 | 0,0 | 1,00 | 100 | 1,625 |
| step= 0,100 | viewstep= | 0,500 | STEPS | | | | |

0,963

| s (m) | V (km/h) | n (%) | dv/dt | skid check | R(m) | s(%) | e (%) | coeff | effic (%) | decelera | time (sec) | FT | front out | front in | rear out | rear in | checktime |
|--------|----------|--------|--------|-----------------|-------|--------|-------|-------|-----------|-----------|------------|-------|-----------|----------|----------|---------|-----------|
| 12,600 | 2,770 | 99,791 | -8,548 | skid front(out) | ##### | 11,500 | 0,000 | 1,000 | 100,000 | -0,506237 | 1,625 | 0,758 | 0,7578 | 0,7578 | 0,7533 | 0,7533 | |
| 0,000 | 52,860 | 99,833 | -8,590 | O.K | ##### | 11,500 | 0,000 | 1,000 | 100,000 | 0,000 | 0,000 | 0,758 | | | | | |
| 0,400 | 52,011 | 99,828 | -8,588 | skid front(in) | ##### | 11,500 | 0,000 | 1,000 | 100,000 | 0,000 | 0,027 | 0,758 | 0,758 | 0,758 | 0,754 | 0,754 | 0,027 |
| 1,000 | 50,711 | 99,828 | -8,587 | skid front(in) | ##### | 11,500 | 0,000 | 1,000 | 100,000 | 0,000 | 0,070 | 0,758 | 0,758 | 0,758 | 0,754 | 0,754 | 0,042 |
| 1,500 | 49,601 | 99,828 | -8,585 | skid front(in) | ##### | 11,500 | 0,000 | 1,000 | 100,000 | 0,000 | 0,105 | 0,758 | 0,758 | 0,758 | 0,754 | 0,754 | 0,036 |
| 2,000 | 48,467 | 99,829 | -8,584 | skid front(in) | ##### | 11,500 | 0,000 | 1,000 | 100,000 | 0,000 | 0,142 | 0,758 | 0,758 | 0,758 | 0,754 | 0,754 | 0,037 |
| 2,500 | 47,306 | 99,829 | -8,582 | skid front(in) | ##### | 11,500 | 0,000 | 1,000 | 100,000 | 0,000 | 0,180 | 0,758 | 0,758 | 0,758 | 0,754 | 0,754 | 0,038 |
| 3,000 | 46,115 | 99,829 | -8,581 | skid front(in) | ##### | 11,500 | 0,000 | 1,000 | 100,000 | 0,000 | 0,218 | 0,758 | 0,758 | 0,758 | 0,754 | 0,754 | 0,039 |
| 3,500 | 44,893 | 99,829 | -8,579 | skid front(in) | ##### | 11,500 | 0,000 | 1,000 | 100,000 | 0,000 | 0,258 | 0,758 | 0,758 | 0,758 | 0,754 | 0,754 | 0,040 |
| 4,000 | 43,638 | 99,829 | -8,577 | skid front(in) | ##### | 11,500 | 0,000 | 1,000 | 100,000 | 0,000 | 0,298 | 0,758 | 0,758 | 0,758 | 0,754 | 0,754 | 0,041 |
| 4,400 | 42,606 | 99,829 | -8,576 | skid front(in) | ##### | 11,500 | 0,000 | 1,000 | 100,000 | 0,000 | 0,332 | 0,758 | 0,758 | 0,758 | 0,754 | 0,754 | 0,033 |
| 5,000 | 41,012 | 99,829 | -8,574 | skid front(in) | ##### | 11,500 | 0,000 | 1,000 | 100,000 | 0,000 | 0,384 | 0,758 | 0,758 | 0,758 | 0,754 | 0,754 | 0,052 |
| 5,500 | 39,634 | 99,829 | -8,573 | skid front(in) | ##### | 11,500 | 0,000 | 1,000 | 100,000 | 0,000 | 0,428 | 0,758 | 0,758 | 0,758 | 0,754 | 0,754 | 0,045 |
| 6,000 | 38,206 | 99,829 | -8,571 | skid front(in) | ##### | 11,500 | 0,000 | 1,000 | 100,000 | 0,000 | 0,474 | 0,758 | 0,758 | 0,758 | 0,754 | 0,754 | 0,046 |
| 6,500 | 36,724 | 99,829 | -8,570 | skid front(in) | ##### | 11,500 | 0,000 | 1,000 | 100,000 | 0,000 | 0,522 | 0,758 | 0,758 | 0,758 | 0,754 | 0,754 | 0,048 |
| 7,000 | 35,180 | 99,830 | -8,568 | skid front(in) | ##### | 11,500 | 0,000 | 1,000 | 100,000 | 0,001 | 0,573 | 0,758 | 0,758 | 0,758 | 0,754 | 0,754 | 0,050 |
| 7,500 | 33,564 | 99,830 | -8,567 | skid front(in) | ##### | 11,500 | 0,000 | 1,000 | 100,000 | 0,000 | 0,625 | 0,758 | 0,758 | 0,758 | 0,754 | 0,754 | 0,052 |
| 8,000 | 31,868 | 99,830 | -8,565 | skid front(in) | ##### | 11,500 | 0,000 | 1,000 | 100,000 | 0,000 | 0,680 | 0,758 | 0,758 | 0,758 | 0,754 | 0,754 | 0,055 |
| 8,500 | 30,076 | 99,830 | -8,564 | skid front(in) | ##### | 11,500 | 0,000 | 1,000 | 100,000 | 0,000 | 0,738 | 0,758 | 0,758 | 0,758 | 0,754 | 0,754 | 0,058 |
| 9,000 | 28,170 | 99,830 | -8,562 | skid front(in) | ##### | 11,500 | 0,000 | 1,000 | 100,000 | 0,002 | 0,800 | 0,758 | 0,758 | 0,758 | 0,754 | 0,754 | 0,062 |

Προσδιορισμός Τιμών Πρόσφυσης κατά την Πέδηση Οχημάτων Εφοδιασμένων με Σύστημα ABS σε Αυξημένες κατά Μήκος Κλίσεις

| | | | | | | | | | | | | | | | | | |
|--------|--------|--------|--------|-----------------|-------|--------|-------|-------|---------|--------|-------|-------|-------|-------|-------|-------|-------|
| 9,500 | 26,127 | 99,825 | -8,558 | skid front(out) | ##### | 11,500 | 0,000 | 1,000 | 100,000 | -3,310 | 0,866 | 0,758 | 0,758 | 0,758 | 0,753 | 0,753 | 0,066 |
| 10,000 | 23,910 | 99,836 | -8,558 | skid front(out) | ##### | 11,500 | 0,000 | 1,000 | 100,000 | -2,270 | 0,938 | 0,758 | 0,758 | 0,758 | 0,754 | 0,754 | 0,072 |
| 10,500 | 21,465 | 99,812 | -8,555 | skid front(out) | ##### | 11,500 | 0,000 | 1,000 | 100,000 | -1,841 | 1,017 | 0,758 | 0,758 | 0,758 | 0,753 | 0,753 | 0,079 |
| 11,000 | 18,704 | 99,838 | -8,555 | skid front(out) | ##### | 11,500 | 0,000 | 1,000 | 100,000 | -2,596 | 1,107 | 0,758 | 0,758 | 0,758 | 0,754 | 0,754 | 0,090 |
| 11,500 | 15,458 | 99,795 | -8,552 | skid front(out) | ##### | 11,500 | 0,000 | 1,000 | 100,000 | -0,689 | 1,212 | 0,758 | 0,758 | 0,758 | 0,753 | 0,753 | 0,105 |
| 12,000 | 11,319 | 99,835 | -8,551 | skid front(out) | ##### | 11,500 | 0,000 | 1,000 | 100,000 | -3,491 | 1,347 | 0,758 | 0,758 | 0,758 | 0,754 | 0,754 | 0,134 |
| 12,500 | 4,156 | 99,834 | -8,551 | skid front(out) | ##### | 11,500 | 0,000 | 1,000 | 100,000 | -1,903 | 1,580 | 0,758 | 0,758 | 0,758 | 0,754 | 0,754 | 0,233 |
| 12,600 | 2,770 | 99,791 | -8,548 | skid front(out) | ##### | 11,500 | 0,000 | 1,000 | 100,000 | -0,506 | 1,625 | 0,758 | 0,758 | 0,758 | 0,753 | 0,753 | 0,045 |

| run_v_w_glif_16 | R(m) | br.front (%) | s(%) | e (%) | coeff | effic (%) | time (sec) |
|-----------------|-----------------|--------------|------|-------|-------|-----------|------------|
| s= 100,000 | ##### | 69,00 | 11,5 | 0,0 | 1,00 | 100 | 1,496 |
| step= 0,100 | viewstep= 0,500 | STEPS | | | | | |

0,963

| s (m) | V (km/h) | n (%) | dv/dt | skid check | R(m) | s(%) | e (%) | coeff | effic (%) | decelera | time (sec) | fT | front out | front in | rear out | rear in | checktime |
|--------|----------|--------|--------|-----------------|-------|--------|-------|-------|-----------|-----------|------------|-------|-----------|----------|----------|---------|-----------|
| 11,500 | 4,612 | 99,820 | -8,550 | skid front(out) | ##### | 11,500 | 0,000 | 1,000 | 100,000 | -1,193173 | 1,496 | 0,758 | 0,7579 | 0,7579 | 0,7536 | 0,7536 | |
| 0,000 | 50,750 | 99,833 | -8,587 | O.K | ##### | 11,500 | 0,000 | 1,000 | 100,000 | 0,000 | 0,000 | 0,758 | | | | | |
| 0,400 | 49,865 | 99,828 | -8,585 | skid front(in) | ##### | 11,500 | 0,000 | 1,000 | 100,000 | 0,000 | 0,029 | 0,758 | 0,758 | 0,758 | 0,754 | 0,754 | 0,029 |
| 1,000 | 48,508 | 99,829 | -8,584 | skid front(in) | ##### | 11,500 | 0,000 | 1,000 | 100,000 | 0,000 | 0,073 | 0,758 | 0,758 | 0,758 | 0,754 | 0,754 | 0,044 |
| 1,500 | 47,348 | 99,829 | -8,582 | skid front(in) | ##### | 11,500 | 0,000 | 1,000 | 100,000 | 0,000 | 0,110 | 0,758 | 0,758 | 0,758 | 0,754 | 0,754 | 0,038 |
| 2,000 | 46,158 | 99,829 | -8,581 | skid front(in) | ##### | 11,500 | 0,000 | 1,000 | 100,000 | 0,000 | 0,149 | 0,758 | 0,758 | 0,758 | 0,754 | 0,754 | 0,039 |
| 2,500 | 44,938 | 99,829 | -8,579 | skid front(in) | ##### | 11,500 | 0,000 | 1,000 | 100,000 | 0,000 | 0,188 | 0,758 | 0,758 | 0,758 | 0,754 | 0,754 | 0,040 |
| 3,000 | 43,683 | 99,829 | -8,578 | skid front(in) | ##### | 11,500 | 0,000 | 1,000 | 100,000 | 0,000 | 0,229 | 0,758 | 0,758 | 0,758 | 0,754 | 0,754 | 0,041 |
| 3,500 | 42,392 | 99,829 | -8,576 | skid front(in) | ##### | 11,500 | 0,000 | 1,000 | 100,000 | 0,000 | 0,271 | 0,758 | 0,758 | 0,758 | 0,754 | 0,754 | 0,042 |
| 4,000 | 41,060 | 99,829 | -8,575 | skid front(in) | ##### | 11,500 | 0,000 | 1,000 | 100,000 | 0,000 | 0,314 | 0,758 | 0,758 | 0,758 | 0,754 | 0,754 | 0,043 |
| 4,400 | 39,963 | 99,829 | -8,573 | skid front(in) | ##### | 11,500 | 0,000 | 1,000 | 100,000 | 0,000 | 0,349 | 0,758 | 0,758 | 0,758 | 0,754 | 0,754 | 0,043 |
| 5,000 | 38,259 | 99,829 | -8,571 | skid front(in) | ##### | 11,500 | 0,000 | 1,000 | 100,000 | 0,000 | 0,404 | 0,758 | 0,758 | 0,758 | 0,754 | 0,754 | 0,055 |
| 5,500 | 36,778 | 99,829 | -8,570 | skid front(in) | ##### | 11,500 | 0,000 | 1,000 | 100,000 | 0,000 | 0,452 | 0,758 | 0,758 | 0,758 | 0,754 | 0,754 | 0,048 |
| 6,000 | 35,236 | 99,830 | -8,568 | skid front(in) | ##### | 11,500 | 0,000 | 1,000 | 100,000 | 0,000 | 0,502 | 0,758 | 0,758 | 0,758 | 0,754 | 0,754 | 0,050 |
| 6,500 | 33,624 | 99,830 | -8,567 | skid front(in) | ##### | 11,500 | 0,000 | 1,000 | 100,000 | 0,001 | 0,555 | 0,758 | 0,758 | 0,758 | 0,754 | 0,754 | 0,052 |
| 7,000 | 31,930 | 99,830 | -8,565 | skid front(in) | ##### | 11,500 | 0,000 | 1,000 | 100,000 | 0,000 | 0,610 | 0,758 | 0,758 | 0,758 | 0,754 | 0,754 | 0,055 |

Προσδιορισμός Τιμών Πρόσφυσης κατά την Πέδηση Οχημάτων Εφοδιασμένων με Σύστημα ABS σε Αυξημένες κατά Μήκος Κλίσεις

| | | | | | | | | | | | | | | | | | |
|--------|--------|--------|--------|-----------------|-------|--------|-------|-------|---------|--------|-------|-------|-------|-------|-------|-------|-------|
| 7,500 | 30,142 | 99,830 | -8,564 | skid front(in) | ##### | 11,500 | 0,000 | 1,000 | 100,000 | 0,001 | 0,668 | 0,758 | 0,758 | 0,758 | 0,754 | 0,754 | 0,058 |
| 8,000 | 28,241 | 99,830 | -8,562 | skid front(in) | ##### | 11,500 | 0,000 | 1,000 | 100,000 | 0,002 | 0,729 | 0,758 | 0,758 | 0,758 | 0,754 | 0,754 | 0,062 |
| 8,500 | 26,203 | 99,826 | -8,559 | skid front(out) | ##### | 11,500 | 0,000 | 1,000 | 100,000 | -2,388 | 0,795 | 0,758 | 0,758 | 0,758 | 0,754 | 0,754 | 0,066 |
| 9,000 | 23,993 | 99,821 | -8,558 | skid front(out) | ##### | 11,500 | 0,000 | 1,000 | 100,000 | -1,301 | 0,867 | 0,758 | 0,758 | 0,758 | 0,754 | 0,754 | 0,072 |
| 9,500 | 21,558 | 99,837 | -8,557 | skid front(out) | ##### | 11,500 | 0,000 | 1,000 | 100,000 | -2,638 | 0,946 | 0,758 | 0,758 | 0,758 | 0,754 | 0,754 | 0,079 |
| 10,000 | 18,811 | 99,818 | -8,555 | skid front(out) | ##### | 11,500 | 0,000 | 1,000 | 100,000 | -0,220 | 1,035 | 0,758 | 0,758 | 0,758 | 0,754 | 0,754 | 0,089 |
| 10,500 | 15,587 | 99,818 | -8,554 | skid front(out) | ##### | 11,500 | 0,000 | 1,000 | 100,000 | -0,117 | 1,140 | 0,758 | 0,758 | 0,758 | 0,754 | 0,754 | 0,105 |
| 11,000 | 11,494 | 99,841 | -8,552 | skid front(out) | ##### | 11,500 | 0,000 | 1,000 | 100,000 | -2,791 | 1,273 | 0,758 | 0,758 | 0,758 | 0,754 | 0,754 | 0,133 |
| 11,500 | 4,612 | 99,820 | -8,550 | skid front(out) | ##### | 11,500 | 0,000 | 1,000 | 100,000 | -1,193 | 1,496 | 0,758 | 0,758 | 0,758 | 0,754 | 0,754 | 0,224 |

| | | | | | | | |
|-----------------|-----------|--------------|-------|-------|-------|-----------|------------|
| run_v_w_glif_17 | R(m) | br.front (%) | s(%) | e (%) | coeff | effic (%) | time (sec) |
| s= 100,000 | ##### | 69,00 | 11,5 | 0,0 | 1,00 | 100 | 1,703 |
| step= 0,100 | viewstep= | 0,500 | STEPS | | | | |

0,963

| s (m) | V (km/h) | n (%) | dv/dt | skid check | R(m) | s(%) | e (%) | coeff | effic (%) | decelera | time (sec) | fT | front out | front in | rear out | rear in | checktime |
|--------|----------|--------|--------|-----------------|-------|--------|-------|-------|-----------|-----------|------------|-------|-----------|----------|----------|---------|-----------|
| 13,700 | 2,712 | 99,847 | -8,550 | skid front(out) | ##### | 11,500 | 0,000 | 1,000 | 100,000 | -4,332224 | 1,703 | 0,758 | 0,7579 | 0,7579 | 0,7536 | 0,7536 | |
| 0,000 | 55,240 | 99,833 | -8,594 | O.K | ##### | 11,500 | 0,000 | 1,000 | 100,000 | 0,000 | 0,000 | 0,758 | | | | | |
| 0,400 | 54,428 | 99,828 | -8,592 | skid front(in) | ##### | 11,500 | 0,000 | 1,000 | 100,000 | 0,000 | 0,026 | 0,758 | 0,758 | 0,758 | 0,754 | 0,754 | 0,026 |
| 1,000 | 53,186 | 99,828 | -8,590 | skid front(in) | ##### | 11,500 | 0,000 | 1,000 | 100,000 | 0,000 | 0,066 | 0,758 | 0,758 | 0,758 | 0,754 | 0,754 | 0,040 |
| 1,500 | 52,129 | 99,828 | -8,589 | skid front(in) | ##### | 11,500 | 0,000 | 1,000 | 100,000 | 0,000 | 0,101 | 0,758 | 0,758 | 0,758 | 0,754 | 0,754 | 0,034 |
| 2,000 | 51,050 | 99,828 | -8,587 | skid front(in) | ##### | 11,500 | 0,000 | 1,000 | 100,000 | 0,000 | 0,135 | 0,758 | 0,758 | 0,758 | 0,754 | 0,754 | 0,035 |
| 2,500 | 49,949 | 99,828 | -8,586 | skid front(in) | ##### | 11,500 | 0,000 | 1,000 | 100,000 | 0,000 | 0,171 | 0,758 | 0,758 | 0,758 | 0,754 | 0,754 | 0,036 |
| 3,000 | 48,822 | 99,829 | -8,584 | skid front(in) | ##### | 11,500 | 0,000 | 1,000 | 100,000 | 0,000 | 0,208 | 0,758 | 0,758 | 0,758 | 0,754 | 0,754 | 0,036 |

Προσδιορισμός Τιμών Πρόσφυσης κατά την Πέδηση Οχημάτων Εφοδιασμένων με Σύστημα ABS σε Αυξημένες κατά Μήκος Κλίσεις

| | | | | | | | | | | | | | | | | | |
|--------|--------|--------|--------|-----------------|-------|--------|-------|-------|---------|--------|-------|-------|-------|-------|-------|-------|-------|
| 3,500 | 47,669 | 99,829 | -8,583 | skid front(in) | ##### | 11,500 | 0,000 | 1,000 | 100,000 | 0,000 | 0,245 | 0,758 | 0,758 | 0,758 | 0,754 | 0,754 | 0,037 |
| 4,000 | 46,488 | 99,829 | -8,581 | skid front(in) | ##### | 11,500 | 0,000 | 1,000 | 100,000 | 0,000 | 0,283 | 0,758 | 0,758 | 0,758 | 0,754 | 0,754 | 0,038 |
| 4,400 | 45,521 | 99,829 | -8,580 | skid front(in) | ##### | 11,500 | 0,000 | 1,000 | 100,000 | 0,000 | 0,314 | 0,758 | 0,758 | 0,758 | 0,754 | 0,754 | 0,031 |
| 5,000 | 44,031 | 99,829 | -8,578 | skid front(in) | ##### | 11,500 | 0,000 | 1,000 | 100,000 | 0,000 | 0,363 | 0,758 | 0,758 | 0,758 | 0,754 | 0,754 | 0,048 |
| 5,500 | 42,751 | 99,829 | -8,576 | skid front(in) | ##### | 11,500 | 0,000 | 1,000 | 100,000 | 0,000 | 0,404 | 0,758 | 0,758 | 0,758 | 0,754 | 0,754 | 0,041 |
| 6,000 | 41,430 | 99,829 | -8,575 | skid front(in) | ##### | 11,500 | 0,000 | 1,000 | 100,000 | 0,000 | 0,447 | 0,758 | 0,758 | 0,758 | 0,754 | 0,754 | 0,043 |
| 6,500 | 40,067 | 99,829 | -8,573 | skid front(in) | ##### | 11,500 | 0,000 | 1,000 | 100,000 | 0,000 | 0,491 | 0,758 | 0,758 | 0,758 | 0,754 | 0,754 | 0,044 |
| 7,000 | 38,655 | 99,829 | -8,572 | skid front(in) | ##### | 11,500 | 0,000 | 1,000 | 100,000 | 0,000 | 0,537 | 0,758 | 0,758 | 0,758 | 0,754 | 0,754 | 0,046 |
| 7,500 | 37,191 | 99,829 | -8,570 | skid front(in) | ##### | 11,500 | 0,000 | 1,000 | 100,000 | 0,000 | 0,584 | 0,758 | 0,758 | 0,758 | 0,754 | 0,754 | 0,047 |
| 8,000 | 35,667 | 99,830 | -8,569 | skid front(in) | ##### | 11,500 | 0,000 | 1,000 | 100,000 | 0,000 | 0,634 | 0,758 | 0,758 | 0,758 | 0,754 | 0,754 | 0,049 |
| 8,500 | 34,074 | 99,830 | -8,567 | skid front(in) | ##### | 11,500 | 0,000 | 1,000 | 100,000 | 0,001 | 0,685 | 0,758 | 0,758 | 0,758 | 0,754 | 0,754 | 0,052 |
| 9,000 | 32,404 | 99,830 | -8,566 | skid front(in) | ##### | 11,500 | 0,000 | 1,000 | 100,000 | 0,001 | 0,739 | 0,758 | 0,758 | 0,758 | 0,754 | 0,754 | 0,054 |
| 9,500 | 30,644 | 99,830 | -8,564 | skid front(in) | ##### | 11,500 | 0,000 | 1,000 | 100,000 | 0,000 | 0,797 | 0,758 | 0,758 | 0,758 | 0,754 | 0,754 | 0,057 |
| 10,000 | 28,776 | 99,830 | -8,563 | skid front(in) | ##### | 11,500 | 0,000 | 1,000 | 100,000 | 0,001 | 0,857 | 0,758 | 0,758 | 0,758 | 0,754 | 0,754 | 0,061 |
| 10,500 | 26,778 | 99,836 | -8,560 | skid front(out) | ##### | 11,500 | 0,000 | 1,000 | 100,000 | -1,985 | 0,922 | 0,758 | 0,758 | 0,758 | 0,754 | 0,754 | 0,065 |
| 11,000 | 24,620 | 99,850 | -8,559 | skid front(out) | ##### | 11,500 | 0,000 | 1,000 | 100,000 | -3,020 | 0,992 | 0,758 | 0,758 | 0,758 | 0,754 | 0,754 | 0,070 |
| 11,500 | 22,254 | 99,858 | -8,558 | skid front(out) | ##### | 11,500 | 0,000 | 1,000 | 100,000 | -3,470 | 1,069 | 0,758 | 0,758 | 0,758 | 0,754 | 0,754 | 0,077 |
| 12,000 | 19,604 | 99,830 | -8,557 | skid front(out) | ##### | 11,500 | 0,000 | 1,000 | 100,000 | -0,102 | 1,155 | 0,758 | 0,758 | 0,758 | 0,754 | 0,754 | 0,086 |
| 12,500 | 16,536 | 99,851 | -8,555 | skid front(out) | ##### | 11,500 | 0,000 | 1,000 | 100,000 | -2,280 | 1,254 | 0,758 | 0,758 | 0,758 | 0,754 | 0,754 | 0,100 |
| 13,000 | 12,750 | 99,834 | -8,554 | skid front(out) | ##### | 11,500 | 0,000 | 1,000 | 100,000 | -0,489 | 1,377 | 0,758 | 0,758 | 0,758 | 0,754 | 0,754 | 0,123 |
| 13,500 | 7,192 | 99,871 | -8,552 | skid front(out) | ##### | 11,500 | 0,000 | 1,000 | 100,000 | -5,104 | 1,558 | 0,758 | 0,758 | 0,758 | 0,754 | 0,754 | 0,181 |
| 13,700 | 2,712 | 99,847 | -8,550 | skid front(out) | ##### | 11,500 | 0,000 | 1,000 | 100,000 | -4,332 | 1,703 | 0,758 | 0,758 | 0,758 | 0,754 | 0,754 | 0,146 |

| run_v_w_glif_18 | R(m) | br.front (%) | s(%) | e (%) | coeff | effic (%) | time (sec) |
|-----------------|-----------|--------------|-------|-------|-------|-----------|------------|
| s= 100,000 | ##### | 69,00 | 11,5 | 0,0 | 1,00 | 100 | 1,797 |
| step= 0,100 | viewstep= | 0,500 | STEPS | | | | |

0,963

| s (m) | V (km/h) | n (%) | dv/dt | skid check | R(m) | s(%) | e (%) | coeff | effic (%) | decelera | time (sec) | ft | front out | front in | rear out | rear in | checktime |
|--------|----------|--------|--------|-----------------|-------|--------|-------|-------|-----------|-----------|------------|-------|-----------|----------|----------|---------|-----------|
| 14,400 | 1,173 | 99,818 | -8,549 | skid front(out) | ##### | 11,500 | 0,000 | 1,000 | 100,000 | -2,440611 | 1,797 | 0,758 | 0,7578 | 0,7578 | 0,7535 | 0,7535 | |
| 0,000 | 56,580 | 99,833 | -8,596 | O.K | ##### | 11,500 | 0,000 | 1,000 | 100,000 | 0,000 | 0,000 | 0,758 | | | | | |

Προσδιορισμός Τιμών Πρόσφυσης κατά την Πέδηση Οχημάτων Εφοδιασμένων με Σύστημα ABS σε Αυξημένες κατά Μήκος Κλίσεις

| | | | | | | | | | | | | | | | | | |
|--------|--------|--------|--------|-----------------|-------|--------|-------|-------|---------|--------|-------|-------|-------|-------|-------|-------|-------|
| 0,400 | 55,787 | 99,828 | -8,594 | skid front(in) | ##### | 11,500 | 0,000 | 1,000 | 100,000 | 0,000 | 0,026 | 0,758 | 0,758 | 0,758 | 0,754 | 0,754 | 0,026 |
| 1,000 | 54,576 | 99,828 | -8,592 | skid front(in) | ##### | 11,500 | 0,000 | 1,000 | 100,000 | 0,000 | 0,065 | 0,758 | 0,758 | 0,758 | 0,754 | 0,754 | 0,039 |
| 1,500 | 53,546 | 99,828 | -8,591 | skid front(in) | ##### | 11,500 | 0,000 | 1,000 | 100,000 | 0,000 | 0,098 | 0,758 | 0,758 | 0,758 | 0,754 | 0,754 | 0,033 |
| 2,000 | 52,496 | 99,828 | -8,589 | skid front(in) | ##### | 11,500 | 0,000 | 1,000 | 100,000 | 0,000 | 0,132 | 0,758 | 0,758 | 0,758 | 0,754 | 0,754 | 0,034 |
| 2,500 | 51,425 | 99,828 | -8,588 | skid front(in) | ##### | 11,500 | 0,000 | 1,000 | 100,000 | 0,000 | 0,167 | 0,758 | 0,758 | 0,758 | 0,754 | 0,754 | 0,035 |
| 3,000 | 50,332 | 99,828 | -8,586 | skid front(in) | ##### | 11,500 | 0,000 | 1,000 | 100,000 | 0,000 | 0,202 | 0,758 | 0,758 | 0,758 | 0,754 | 0,754 | 0,035 |
| 3,500 | 49,214 | 99,828 | -8,585 | skid front(in) | ##### | 11,500 | 0,000 | 1,000 | 100,000 | 0,000 | 0,238 | 0,758 | 0,758 | 0,758 | 0,754 | 0,754 | 0,036 |
| 4,000 | 48,071 | 99,829 | -8,583 | skid front(in) | ##### | 11,500 | 0,000 | 1,000 | 100,000 | 0,000 | 0,275 | 0,758 | 0,758 | 0,758 | 0,754 | 0,754 | 0,037 |
| 4,400 | 47,136 | 99,829 | -8,582 | skid front(in) | ##### | 11,500 | 0,000 | 1,000 | 100,000 | 0,000 | 0,305 | 0,758 | 0,758 | 0,758 | 0,754 | 0,754 | 0,030 |
| 5,000 | 45,698 | 99,829 | -8,580 | skid front(in) | ##### | 11,500 | 0,000 | 1,000 | 100,000 | 0,000 | 0,352 | 0,758 | 0,758 | 0,758 | 0,754 | 0,754 | 0,047 |
| 5,500 | 44,465 | 99,829 | -8,578 | skid front(in) | ##### | 11,500 | 0,000 | 1,000 | 100,000 | 0,000 | 0,392 | 0,758 | 0,758 | 0,758 | 0,754 | 0,754 | 0,040 |
| 6,000 | 43,197 | 99,829 | -8,577 | skid front(in) | ##### | 11,500 | 0,000 | 1,000 | 100,000 | 0,000 | 0,433 | 0,758 | 0,758 | 0,758 | 0,754 | 0,754 | 0,041 |
| 6,500 | 41,891 | 99,829 | -8,575 | skid front(in) | ##### | 11,500 | 0,000 | 1,000 | 100,000 | 0,000 | 0,475 | 0,758 | 0,758 | 0,758 | 0,754 | 0,754 | 0,042 |
| 7,000 | 40,543 | 99,829 | -8,574 | skid front(in) | ##### | 11,500 | 0,000 | 1,000 | 100,000 | 0,000 | 0,519 | 0,758 | 0,758 | 0,758 | 0,754 | 0,754 | 0,044 |
| 7,500 | 39,149 | 99,829 | -8,572 | skid front(in) | ##### | 11,500 | 0,000 | 1,000 | 100,000 | 0,000 | 0,564 | 0,758 | 0,758 | 0,758 | 0,754 | 0,754 | 0,045 |
| 8,000 | 37,703 | 99,829 | -8,571 | skid front(in) | ##### | 11,500 | 0,000 | 1,000 | 100,000 | 0,000 | 0,611 | 0,758 | 0,758 | 0,758 | 0,754 | 0,754 | 0,047 |
| 8,500 | 36,200 | 99,829 | -8,569 | skid front(in) | ##### | 11,500 | 0,000 | 1,000 | 100,000 | 0,001 | 0,660 | 0,758 | 0,758 | 0,758 | 0,754 | 0,754 | 0,049 |
| 9,000 | 34,632 | 99,830 | -8,568 | skid front(in) | ##### | 11,500 | 0,000 | 1,000 | 100,000 | 0,000 | 0,711 | 0,758 | 0,758 | 0,758 | 0,754 | 0,754 | 0,051 |
| 9,500 | 32,990 | 99,830 | -8,566 | skid front(in) | ##### | 11,500 | 0,000 | 1,000 | 100,000 | 0,000 | 0,764 | 0,758 | 0,758 | 0,758 | 0,754 | 0,754 | 0,053 |
| 10,000 | 31,263 | 99,830 | -8,565 | skid front(in) | ##### | 11,500 | 0,000 | 1,000 | 100,000 | 0,000 | 0,820 | 0,758 | 0,758 | 0,758 | 0,754 | 0,754 | 0,056 |
| 10,500 | 29,434 | 99,830 | -8,563 | skid front(in) | ##### | 11,500 | 0,000 | 1,000 | 100,000 | 0,000 | 0,879 | 0,758 | 0,758 | 0,758 | 0,754 | 0,754 | 0,059 |
| 11,000 | 27,484 | 99,830 | -8,562 | skid front(in) | ##### | 11,500 | 0,000 | 1,000 | 100,000 | 0,002 | 0,942 | 0,758 | 0,758 | 0,758 | 0,754 | 0,754 | 0,063 |
| 11,500 | 25,386 | 99,824 | -8,558 | skid front(out) | ##### | 11,500 | 0,000 | 1,000 | 100,000 | -2,564 | 1,010 | 0,758 | 0,758 | 0,758 | 0,754 | 0,754 | 0,068 |
| 12,000 | 23,098 | 99,846 | -8,557 | skid front(out) | ##### | 11,500 | 0,000 | 1,000 | 100,000 | -3,692 | 1,085 | 0,758 | 0,758 | 0,758 | 0,754 | 0,754 | 0,074 |
| 12,500 | 20,558 | 99,863 | -8,557 | skid front(out) | ##### | 11,500 | 0,000 | 1,000 | 100,000 | -4,357 | 1,167 | 0,758 | 0,758 | 0,758 | 0,754 | 0,754 | 0,082 |
| 13,000 | 17,655 | 99,813 | -8,553 | skid front(out) | ##### | 11,500 | 0,000 | 1,000 | 100,000 | -2,453 | 1,261 | 0,758 | 0,758 | 0,758 | 0,753 | 0,753 | 0,094 |
| 13,500 | 14,172 | 99,843 | -8,552 | skid front(out) | ##### | 11,500 | 0,000 | 1,000 | 100,000 | -5,046 | 1,374 | 0,758 | 0,758 | 0,758 | 0,753 | 0,753 | 0,113 |
| 14,000 | 9,487 | 99,799 | -8,551 | skid front(out) | ##### | 11,500 | 0,000 | 1,000 | 100,000 | 0,216 | 1,527 | 0,758 | 0,758 | 0,758 | 0,754 | 0,754 | 0,152 |
| 14,400 | 1,173 | 99,818 | -8,549 | skid front(out) | ##### | 11,500 | 0,000 | 1,000 | 100,000 | -2,441 | 1,797 | 0,758 | 0,758 | 0,758 | 0,753 | 0,753 | 0,270 |

run v w glif 19 R(m) br.front (%) s(%) e (%) coeff effc (%) time (sec)

Προσδιορισμός Τιμών Πρόσφυσης κατά την Πέδηση Οχημάτων Εφοδιασμένων με Σύστημα ABS σε Αυξημένες κατά Μήκος Κλίσεις

| s (m) | V (km/h) | n (%) | dv/dt | skid check | R(m) | s(%) | e (%) | coeff | effic (%) | decelera | time (sec) | ΓT | front out | front in | rear out | rear in | checktime |
|--------|----------|--------|--------|-----------------|-------|--------|-------|-------|-----------|-----------|------------|-------|-----------|----------|----------|---------|-----------|
| 14,200 | 4,452 | 99,844 | -8,550 | skid front(out) | ##### | 11,500 | 0,000 | 1,000 | 100,000 | -4,514826 | 1,683 | 0,758 | 0,7578 | 0,7578 | 0,7535 | 0,7535 | |
| 0,000 | 56,350 | 99,833 | -8,595 | O.K | ##### | 11,500 | 0,000 | 1,000 | 100,000 | 0,000 | 0,000 | 0,758 | | | | | |
| 0,400 | 55,554 | 99,828 | -8,594 | skid front(in) | ##### | 11,500 | 0,000 | 1,000 | 100,000 | 0,000 | 0,026 | 0,758 | 0,758 | 0,758 | 0,754 | 0,754 | 0,026 |
| 1,000 | 54,338 | 99,828 | -8,592 | skid front(in) | ##### | 11,500 | 0,000 | 1,000 | 100,000 | 0,000 | 0,065 | 0,758 | 0,758 | 0,758 | 0,754 | 0,754 | 0,039 |
| 1,500 | 53,303 | 99,828 | -8,590 | skid front(in) | ##### | 11,500 | 0,000 | 1,000 | 100,000 | 0,000 | 0,098 | 0,758 | 0,758 | 0,758 | 0,754 | 0,754 | 0,033 |
| 2,000 | 52,249 | 99,828 | -8,589 | skid front(in) | ##### | 11,500 | 0,000 | 1,000 | 100,000 | 0,000 | 0,133 | 0,758 | 0,758 | 0,758 | 0,754 | 0,754 | 0,034 |
| 2,500 | 51,172 | 99,828 | -8,587 | skid front(in) | ##### | 11,500 | 0,000 | 1,000 | 100,000 | 0,000 | 0,167 | 0,758 | 0,758 | 0,758 | 0,754 | 0,754 | 0,035 |
| 3,000 | 50,073 | 99,828 | -8,586 | skid front(in) | ##### | 11,500 | 0,000 | 1,000 | 100,000 | 0,000 | 0,203 | 0,758 | 0,758 | 0,758 | 0,754 | 0,754 | 0,036 |
| 3,500 | 48,950 | 99,829 | -8,584 | skid front(in) | ##### | 11,500 | 0,000 | 1,000 | 100,000 | 0,000 | 0,239 | 0,758 | 0,758 | 0,758 | 0,754 | 0,754 | 0,036 |
| 4,000 | 47,800 | 99,829 | -8,583 | skid front(in) | ##### | 11,500 | 0,000 | 1,000 | 100,000 | 0,000 | 0,277 | 0,758 | 0,758 | 0,758 | 0,754 | 0,754 | 0,037 |
| 4,400 | 46,860 | 99,829 | -8,581 | skid front(in) | ##### | 11,500 | 0,000 | 1,000 | 100,000 | 0,000 | 0,307 | 0,758 | 0,758 | 0,758 | 0,754 | 0,754 | 0,030 |
| 5,000 | 45,414 | 99,829 | -8,580 | skid front(in) | ##### | 11,500 | 0,000 | 1,000 | 100,000 | 0,000 | 0,354 | 0,758 | 0,758 | 0,758 | 0,754 | 0,754 | 0,047 |
| 5,500 | 44,173 | 99,829 | -8,578 | skid front(in) | ##### | 11,500 | 0,000 | 1,000 | 100,000 | 0,000 | 0,394 | 0,758 | 0,758 | 0,758 | 0,754 | 0,754 | 0,040 |
| 6,000 | 42,896 | 99,829 | -8,577 | skid front(in) | ##### | 11,500 | 0,000 | 1,000 | 100,000 | 0,000 | 0,435 | 0,758 | 0,758 | 0,758 | 0,754 | 0,754 | 0,041 |
| 6,500 | 41,580 | 99,829 | -8,575 | skid front(in) | ##### | 11,500 | 0,000 | 1,000 | 100,000 | 0,000 | 0,478 | 0,758 | 0,758 | 0,758 | 0,754 | 0,754 | 0,043 |
| 7,000 | 40,222 | 99,829 | -8,574 | skid front(in) | ##### | 11,500 | 0,000 | 1,000 | 100,000 | 0,000 | 0,522 | 0,758 | 0,758 | 0,758 | 0,754 | 0,754 | 0,044 |
| 7,500 | 38,816 | 99,829 | -8,572 | skid front(in) | ##### | 11,500 | 0,000 | 1,000 | 100,000 | 0,000 | 0,567 | 0,758 | 0,758 | 0,758 | 0,754 | 0,754 | 0,046 |
| 8,000 | 37,358 | 99,829 | -8,571 | skid front(in) | ##### | 11,500 | 0,000 | 1,000 | 100,000 | 0,000 | 0,615 | 0,758 | 0,758 | 0,758 | 0,754 | 0,754 | 0,047 |
| 8,500 | 35,841 | 99,829 | -8,569 | skid front(in) | ##### | 11,500 | 0,000 | 1,000 | 100,000 | 0,000 | 0,664 | 0,758 | 0,758 | 0,758 | 0,754 | 0,754 | 0,049 |
| 9,000 | 34,256 | 99,830 | -8,568 | skid front(in) | ##### | 11,500 | 0,000 | 1,000 | 100,000 | 0,000 | 0,715 | 0,758 | 0,758 | 0,758 | 0,754 | 0,754 | 0,051 |
| 9,500 | 32,596 | 99,830 | -8,566 | skid front(in) | ##### | 11,500 | 0,000 | 1,000 | 100,000 | 0,000 | 0,769 | 0,758 | 0,758 | 0,758 | 0,754 | 0,754 | 0,054 |
| 10,000 | 30,846 | 99,830 | -8,565 | skid front(in) | ##### | 11,500 | 0,000 | 1,000 | 100,000 | 0,000 | 0,826 | 0,758 | 0,758 | 0,758 | 0,754 | 0,754 | 0,057 |
| 10,500 | 28,991 | 99,830 | -8,563 | skid front(in) | ##### | 11,500 | 0,000 | 1,000 | 100,000 | 0,000 | 0,886 | 0,758 | 0,758 | 0,758 | 0,754 | 0,754 | 0,060 |
| 11,000 | 27,010 | 99,829 | -8,561 | skid front(in) | ##### | 11,500 | 0,000 | 1,000 | 100,000 | 0,000 | 0,950 | 0,758 | 0,758 | 0,758 | 0,754 | 0,754 | 0,064 |
| 11,500 | 24,871 | 99,836 | -8,558 | skid front(out) | ##### | 11,500 | 0,000 | 1,000 | 100,000 | -3,278 | 1,020 | 0,758 | 0,758 | 0,758 | 0,754 | 0,754 | 0,069 |
| 12,000 | 22,531 | 99,822 | -8,556 | skid front(out) | ##### | 11,500 | 0,000 | 1,000 | 100,000 | -2,397 | 1,096 | 0,758 | 0,758 | 0,758 | 0,754 | 0,754 | 0,076 |
| 12,500 | 19,919 | 99,829 | -8,554 | skid front(out) | ##### | 11,500 | 0,000 | 1,000 | 100,000 | -4,012 | 1,180 | 0,758 | 0,758 | 0,758 | 0,753 | 0,753 | 0,085 |
| 13,000 | 16,908 | 99,857 | -8,555 | skid front(out) | ##### | 11,500 | 0,000 | 1,000 | 100,000 | -3,438 | 1,278 | 0,758 | 0,758 | 0,758 | 0,754 | 0,754 | 0,098 |
| 13,500 | 13,229 | 99,815 | -8,553 | skid front(out) | ##### | 11,500 | 0,000 | 1,000 | 100,000 | -0,169 | 1,398 | 0,758 | 0,758 | 0,758 | 0,754 | 0,754 | 0,119 |
| 14,000 | 8,010 | 99,826 | -8,550 | skid front(out) | ##### | 11,500 | 0,000 | 1,000 | 100,000 | -3,189 | 1,567 | 0,758 | 0,758 | 0,758 | 0,753 | 0,753 | 0,170 |
| 14,200 | 4,452 | 99,844 | -8,550 | skid front(out) | ##### | 11,500 | 0,000 | 1,000 | 100,000 | -4,515 | 1,683 | 0,758 | 0,758 | 0,758 | 0,754 | 0,754 | 0,116 |

Προσδιορισμός Τιμών Πρόσφυσης κατά την Πέδηση Οχημάτων Εφοδιασμένων με Σύστημα ABS σε Αυξημένες κατά Μήκος Κλίσεις

| run_v_w_glif_20 | | R(m) | br.front (%) | s(%) | e (%) | coeff | effic (%) | | | time (sec) | | | | | | | |
|-----------------|----------|-----------|--------------|-----------------|-------|--------|-----------|-------|-----------|------------|------------|-------|-----------|----------|----------|---------|-----------|
| s= 100,000 | | ##### | 69,00 | 11,5 | 0,0 | 1,00 | 100 | | | 1,629 | | | | | | | |
| step= 0,100 | | viewstep= | 0,500 | STEPS | | | | | | | | | | | | | |
| s (m) | V (km/h) | n (%) | dv/dt | skid check | R(m) | s(%) | e (%) | coeff | effic (%) | decelera | time (sec) | fT | front out | front in | rear out | rear in | checktime |
| 12,100 | 1,642 | 99,801 | -8,550 | skid front(out) | ##### | 11,500 | 0,000 | 1,000 | 100,000 | 0,959466 | 1,629 | 0,758 | 0,7579 | 0,7579 | 0,7536 | 0,7536 | |
| 0,000 | 51,870 | 99,833 | -8,589 | O.K | ##### | 11,500 | 0,000 | 1,000 | 100,000 | 0,000 | 0,000 | 0,758 | | | | | |
| 0,400 | 51,005 | 99,828 | -8,587 | skid front(in) | ##### | 11,500 | 0,000 | 1,000 | 100,000 | 0,000 | 0,028 | 0,758 | 0,758 | 0,758 | 0,754 | 0,754 | 0,028 |
| 1,000 | 49,678 | 99,828 | -8,585 | skid front(in) | ##### | 11,500 | 0,000 | 1,000 | 100,000 | 0,000 | 0,071 | 0,758 | 0,758 | 0,758 | 0,754 | 0,754 | 0,043 |
| 1,500 | 48,546 | 99,829 | -8,584 | skid front(in) | ##### | 11,500 | 0,000 | 1,000 | 100,000 | 0,000 | 0,108 | 0,758 | 0,758 | 0,758 | 0,754 | 0,754 | 0,037 |
| 2,000 | 47,386 | 99,829 | -8,582 | skid front(in) | ##### | 11,500 | 0,000 | 1,000 | 100,000 | 0,000 | 0,145 | 0,758 | 0,758 | 0,758 | 0,754 | 0,754 | 0,038 |
| 2,500 | 46,198 | 99,829 | -8,581 | skid front(in) | ##### | 11,500 | 0,000 | 1,000 | 100,000 | 0,000 | 0,184 | 0,758 | 0,758 | 0,758 | 0,754 | 0,754 | 0,038 |
| 3,000 | 44,978 | 99,829 | -8,579 | skid front(in) | ##### | 11,500 | 0,000 | 1,000 | 100,000 | 0,000 | 0,223 | 0,758 | 0,758 | 0,758 | 0,754 | 0,754 | 0,039 |
| 3,500 | 43,725 | 99,829 | -8,578 | skid front(in) | ##### | 11,500 | 0,000 | 1,000 | 100,000 | 0,000 | 0,264 | 0,758 | 0,758 | 0,758 | 0,754 | 0,754 | 0,041 |
| 4,000 | 42,435 | 99,829 | -8,576 | skid front(in) | ##### | 11,500 | 0,000 | 1,000 | 100,000 | 0,000 | 0,305 | 0,758 | 0,758 | 0,758 | 0,754 | 0,754 | 0,042 |
| 4,400 | 41,374 | 99,829 | -8,575 | skid front(in) | ##### | 11,500 | 0,000 | 1,000 | 100,000 | 0,000 | 0,340 | 0,758 | 0,758 | 0,758 | 0,754 | 0,754 | 0,034 |
| 5,000 | 39,730 | 99,829 | -8,573 | skid front(in) | ##### | 11,500 | 0,000 | 1,000 | 100,000 | 0,000 | 0,393 | 0,758 | 0,758 | 0,758 | 0,754 | 0,754 | 0,053 |
| 5,500 | 38,306 | 99,829 | -8,572 | skid front(in) | ##### | 11,500 | 0,000 | 1,000 | 100,000 | 0,000 | 0,439 | 0,758 | 0,758 | 0,758 | 0,754 | 0,754 | 0,046 |
| 6,000 | 36,828 | 99,829 | -8,570 | skid front(in) | ##### | 11,500 | 0,000 | 1,000 | 100,000 | 0,000 | 0,487 | 0,758 | 0,758 | 0,758 | 0,754 | 0,754 | 0,048 |
| 6,500 | 35,288 | 99,830 | -8,569 | skid front(in) | ##### | 11,500 | 0,000 | 1,000 | 100,000 | 0,000 | 0,537 | 0,758 | 0,758 | 0,758 | 0,754 | 0,754 | 0,050 |
| 7,000 | 33,678 | 99,830 | -8,567 | skid front(in) | ##### | 11,500 | 0,000 | 1,000 | 100,000 | 0,000 | 0,589 | 0,758 | 0,758 | 0,758 | 0,754 | 0,754 | 0,052 |
| 7,500 | 31,987 | 99,830 | -8,565 | skid front(in) | ##### | 11,500 | 0,000 | 1,000 | 100,000 | 0,000 | 0,644 | 0,758 | 0,758 | 0,758 | 0,754 | 0,754 | 0,055 |
| 8,000 | 30,202 | 99,830 | -8,564 | skid front(in) | ##### | 11,500 | 0,000 | 1,000 | 100,000 | 0,001 | 0,702 | 0,758 | 0,758 | 0,758 | 0,754 | 0,754 | 0,058 |
| 8,500 | 28,305 | 99,830 | -8,562 | skid front(in) | ##### | 11,500 | 0,000 | 1,000 | 100,000 | 0,000 | 0,763 | 0,758 | 0,758 | 0,758 | 0,754 | 0,754 | 0,062 |
| 9,000 | 26,272 | 99,837 | -8,560 | skid front(out) | ##### | 11,500 | 0,000 | 1,000 | 100,000 | -1,457 | 0,829 | 0,758 | 0,758 | 0,758 | 0,754 | 0,754 | 0,066 |
| 9,500 | 24,068 | 99,819 | -8,558 | skid front(out) | ##### | 11,500 | 0,000 | 1,000 | 100,000 | -0,469 | 0,901 | 0,758 | 0,758 | 0,758 | 0,754 | 0,754 | 0,072 |
| 10,000 | 21,642 | 99,820 | -8,556 | skid front(out) | ##### | 11,500 | 0,000 | 1,000 | 100,000 | -1,717 | 0,980 | 0,758 | 0,758 | 0,758 | 0,754 | 0,754 | 0,079 |
| 10,500 | 18,907 | 99,813 | -8,553 | skid front(out) | ##### | 11,500 | 0,000 | 1,000 | 100,000 | -2,392 | 1,068 | 0,758 | 0,758 | 0,758 | 0,753 | 0,753 | 0,089 |
| 11,000 | 15,704 | 99,829 | -8,554 | skid front(out) | ##### | 11,500 | 0,000 | 1,000 | 100,000 | -1,040 | 1,172 | 0,758 | 0,758 | 0,758 | 0,754 | 0,754 | 0,104 |
| 11,500 | 11,651 | 99,835 | -8,551 | skid front(out) | ##### | 11,500 | 0,000 | 1,000 | 100,000 | -3,737 | 1,304 | 0,758 | 0,758 | 0,758 | 0,754 | 0,754 | 0,132 |
| 12,000 | 4,989 | 99,867 | -8,552 | skid front(out) | ##### | 11,500 | 0,000 | 1,000 | 100,000 | -4,354 | 1,520 | 0,758 | 0,758 | 0,758 | 0,754 | 0,754 | 0,216 |
| 12,100 | 1,642 | 99,801 | -8,550 | skid front(out) | ##### | 11,500 | 0,000 | 1,000 | 100,000 | 0,959 | 1,629 | 0,758 | 0,758 | 0,758 | 0,754 | 0,754 | 0,109 |

Προσδιορισμός Τιμών Πρόσφυσης κατά την Πέδηση Οχημάτων Εφοδιασμένων με Σύστημα ABS σε Αυξημένες κατά Μήκος Κλίσεις

| run v w glif 21 | | R(m) | br.front (%) | s(%) | e (%) | coeff | effic (%) | time (sec) | | | | | | | | | | |
|-----------------|----------|-----------|--------------|-----------------|-------|--------|-----------|------------|-----------|-----------|------------|-------|-----------|----------|----------|---------|-----------|--|
| s= | 100,000 | ##### | 69,00 | 11,5 | 0,0 | 1,00 | 100 | 1,830 | | 0,963 | | | | | | | | |
| step= | 0,100 | viewstep= | 0,500 | STEPS | | | | | | | | | | | | | | |
| s (m) | V (km/h) | n (%) | dvd/dt | skid check | R(m) | s(%) | e (%) | coeff | effic (%) | decelera | time (sec) | ft | front out | front in | rear out | rear in | checktime | |
| 14,900 | 1,064 | 99,833 | -8,550 | skid front(out) | ##### | 11,500 | 0,000 | 1,000 | 100,000 | -2,346768 | 1,830 | 0,758 | 0,7579 | 0,7579 | 0,7536 | 0,7536 | | |
| 0,000 | 57,490 | 99,834 | -8,597 | O.K | ##### | 11,500 | 0,000 | 1,000 | 100,000 | 0,000 | 0,000 | 0,758 | | | | | | |
| 0,400 | 56,710 | 99,828 | -8,595 | skid front(in) | ##### | 11,500 | 0,000 | 1,000 | 100,000 | 0,000 | 0,025 | 0,758 | 0,758 | 0,758 | 0,754 | 0,754 | 0,025 | |
| 1,000 | 55,519 | 99,828 | -8,594 | skid front(in) | ##### | 11,500 | 0,000 | 1,000 | 100,000 | 0,000 | 0,064 | 0,758 | 0,758 | 0,758 | 0,754 | 0,754 | 0,038 | |
| 1,500 | 54,506 | 99,828 | -8,592 | skid front(in) | ##### | 11,500 | 0,000 | 1,000 | 100,000 | 0,000 | 0,096 | 0,758 | 0,758 | 0,758 | 0,754 | 0,754 | 0,033 | |
| 2,000 | 53,475 | 99,828 | -8,591 | skid front(in) | ##### | 11,500 | 0,000 | 1,000 | 100,000 | 0,000 | 0,130 | 0,758 | 0,758 | 0,758 | 0,754 | 0,754 | 0,033 | |
| 2,500 | 52,424 | 99,828 | -8,589 | skid front(in) | ##### | 11,500 | 0,000 | 1,000 | 100,000 | 0,000 | 0,164 | 0,758 | 0,758 | 0,758 | 0,754 | 0,754 | 0,034 | |
| 3,000 | 51,352 | 99,828 | -8,587 | skid front(in) | ##### | 11,500 | 0,000 | 1,000 | 100,000 | 0,000 | 0,198 | 0,758 | 0,758 | 0,758 | 0,754 | 0,754 | 0,035 | |
| 3,500 | 50,256 | 99,828 | -8,586 | skid front(in) | ##### | 11,500 | 0,000 | 1,000 | 100,000 | 0,000 | 0,234 | 0,758 | 0,758 | 0,758 | 0,754 | 0,754 | 0,035 | |
| 4,000 | 49,137 | 99,829 | -8,584 | skid front(in) | ##### | 11,500 | 0,000 | 1,000 | 100,000 | 0,000 | 0,270 | 0,758 | 0,758 | 0,758 | 0,754 | 0,754 | 0,036 | |
| 4,400 | 48,223 | 99,829 | -8,583 | skid front(in) | ##### | 11,500 | 0,000 | 1,000 | 100,000 | 0,000 | 0,300 | 0,758 | 0,758 | 0,758 | 0,754 | 0,754 | 0,030 | |
| 5,000 | 46,818 | 99,829 | -8,581 | skid front(in) | ##### | 11,500 | 0,000 | 1,000 | 100,000 | 0,000 | 0,345 | 0,758 | 0,758 | 0,758 | 0,754 | 0,754 | 0,045 | |
| 5,500 | 45,615 | 99,829 | -8,580 | skid front(in) | ##### | 11,500 | 0,000 | 1,000 | 100,000 | 0,000 | 0,384 | 0,758 | 0,758 | 0,758 | 0,754 | 0,754 | 0,039 | |
| 6,000 | 44,380 | 99,829 | -8,578 | skid front(in) | ##### | 11,500 | 0,000 | 1,000 | 100,000 | 0,000 | 0,424 | 0,758 | 0,758 | 0,758 | 0,754 | 0,754 | 0,040 | |
| 6,500 | 43,109 | 99,829 | -8,577 | skid front(in) | ##### | 11,500 | 0,000 | 1,000 | 100,000 | 0,000 | 0,465 | 0,758 | 0,758 | 0,758 | 0,754 | 0,754 | 0,041 | |
| 7,000 | 41,800 | 99,829 | -8,575 | skid front(in) | ##### | 11,500 | 0,000 | 1,000 | 100,000 | 0,000 | 0,508 | 0,758 | 0,758 | 0,758 | 0,754 | 0,754 | 0,042 | |
| 7,500 | 40,449 | 99,829 | -8,574 | skid front(in) | ##### | 11,500 | 0,000 | 1,000 | 100,000 | 0,000 | 0,551 | 0,758 | 0,758 | 0,758 | 0,754 | 0,754 | 0,044 | |
| 8,000 | 39,052 | 99,829 | -8,572 | skid front(in) | ##### | 11,500 | 0,000 | 1,000 | 100,000 | 0,000 | 0,597 | 0,758 | 0,758 | 0,758 | 0,754 | 0,754 | 0,045 | |
| 8,500 | 37,602 | 99,829 | -8,571 | skid front(in) | ##### | 11,500 | 0,000 | 1,000 | 100,000 | 0,000 | 0,644 | 0,758 | 0,758 | 0,758 | 0,754 | 0,754 | 0,047 | |
| 9,000 | 36,095 | 99,829 | -8,569 | skid front(in) | ##### | 11,500 | 0,000 | 1,000 | 100,000 | 0,000 | 0,693 | 0,758 | 0,758 | 0,758 | 0,754 | 0,754 | 0,049 | |
| 9,500 | 34,523 | 99,830 | -8,568 | skid front(in) | ##### | 11,500 | 0,000 | 1,000 | 100,000 | 0,000 | 0,743 | 0,758 | 0,758 | 0,758 | 0,754 | 0,754 | 0,051 | |
| 10,000 | 32,875 | 99,830 | -8,566 | skid front(in) | ##### | 11,500 | 0,000 | 1,000 | 100,000 | 0,000 | 0,797 | 0,758 | 0,758 | 0,758 | 0,754 | 0,754 | 0,053 | |
| 10,500 | 31,141 | 99,830 | -8,565 | skid front(in) | ##### | 11,500 | 0,000 | 1,000 | 100,000 | 0,001 | 0,853 | 0,758 | 0,758 | 0,758 | 0,754 | 0,754 | 0,056 | |
| 11,000 | 29,305 | 99,830 | -8,563 | skid front(in) | ##### | 11,500 | 0,000 | 1,000 | 100,000 | 0,000 | 0,913 | 0,758 | 0,758 | 0,758 | 0,754 | 0,754 | 0,060 | |
| 11,500 | 27,346 | 99,830 | -8,562 | skid front(in) | ##### | 11,500 | 0,000 | 1,000 | 100,000 | 0,001 | 0,976 | 0,758 | 0,758 | 0,758 | 0,754 | 0,754 | 0,064 | |
| 12,000 | 25,237 | 99,822 | -8,560 | skid front(out) | ##### | 11,500 | 0,000 | 1,000 | 100,000 | -0,058 | 1,045 | 0,758 | 0,758 | 0,758 | 0,754 | 0,754 | 0,068 | |
| 12,500 | 22,934 | 99,847 | -8,558 | skid front(out) | ##### | 11,500 | 0,000 | 1,000 | 100,000 | -2,546 | 1,119 | 0,758 | 0,758 | 0,758 | 0,754 | 0,754 | 0,075 | |
| 13,000 | 20,373 | 99,837 | -8,557 | skid front(out) | ##### | 11,500 | 0,000 | 1,000 | 100,000 | -1,341 | 1,203 | 0,758 | 0,758 | 0,758 | 0,754 | 0,754 | 0,083 | |
| 13,500 | 17,440 | 99,848 | -8,555 | skid front(out) | ##### | 11,500 | 0,000 | 1,000 | 100,000 | -2,622 | 1,298 | 0,758 | 0,758 | 0,758 | 0,754 | 0,754 | 0,095 | |
| 14,000 | 13,902 | 99,851 | -8,554 | skid front(out) | ##### | 11,500 | 0,000 | 1,000 | 100,000 | -3,212 | 1,413 | 0,758 | 0,758 | 0,758 | 0,754 | 0,754 | 0,115 | |
| 14,500 | 9,079 | 99,844 | -8,551 | skid front(out) | ##### | 11,500 | 0,000 | 1,000 | 100,000 | -3,165 | 1,569 | 0,758 | 0,758 | 0,758 | 0,754 | 0,754 | 0,157 | |
| 14,900 | 1,064 | 99,833 | -8,550 | skid front(out) | ##### | 11,500 | 0,000 | 1,000 | 100,000 | -2,347 | 1,830 | 0,758 | 0,758 | 0,758 | 0,754 | 0,754 | 0,260 | |

Προσδιορισμός Τιμών Πρόσφυσης κατά την Πέδηση Οχημάτων Εφοδιασμένων με Σύστημα ABS σε Αυξημένες κατά Μήκος Κλίσεις

| run v w glif 22 | | R(m) | br.front (%) | s(%) | e (%) | coeff | effic (%) | time (sec) | | | | | | | | | |
|-----------------|----------|-----------|--------------|-----------------|-------|--------|-----------|------------|-----------|-----------|------------|-------|-----------|----------|----------|---------|-----------|
| s= | 100,000 | ##### | 69,00 | 11,5 | 0,0 | 1,00 | 100 | 1,654 | | | | | | | | | |
| step= | 0,100 | viewstep= | 0,500 | STEPS | | | | | | | | | | | | | |
| s (m) | V (km/h) | n (%) | dv/dt | skid check | R(m) | s(%) | e (%) | coeff | effic (%) | decelera | time (sec) | ft | front out | front in | rear out | rear in | checktime |
| 13,300 | 3,459 | 99,862 | -8,550 | skid front(out) | ##### | 11,500 | 0,000 | 1,000 | 100,000 | -5,824823 | 1,654 | 0,758 | 0,7579 | 0,7579 | 0,7536 | 0,7536 | |
| 0,000 | 54,470 | 99,833 | -8,592 | O.K | ##### | 11,500 | 0,000 | 1,000 | 100,000 | 0,000 | 0,000 | 0,758 | | | | | |
| 0,400 | 53,646 | 99,828 | -8,591 | skid front(in) | ##### | 11,500 | 0,000 | 1,000 | 100,000 | 0,000 | 0,027 | 0,758 | 0,758 | 0,758 | 0,754 | 0,754 | 0,027 |
| 1,000 | 52,386 | 99,828 | -8,589 | skid front(in) | ##### | 11,500 | 0,000 | 1,000 | 100,000 | 0,000 | 0,067 | 0,758 | 0,758 | 0,758 | 0,754 | 0,754 | 0,041 |
| 1,500 | 51,313 | 99,828 | -8,587 | skid front(in) | ##### | 11,500 | 0,000 | 1,000 | 100,000 | 0,000 | 0,102 | 0,758 | 0,758 | 0,758 | 0,754 | 0,754 | 0,035 |
| 2,000 | 50,217 | 99,828 | -8,586 | skid front(in) | ##### | 11,500 | 0,000 | 1,000 | 100,000 | 0,000 | 0,138 | 0,758 | 0,758 | 0,758 | 0,754 | 0,754 | 0,035 |
| 2,500 | 49,096 | 99,829 | -8,584 | skid front(in) | ##### | 11,500 | 0,000 | 1,000 | 100,000 | 0,000 | 0,174 | 0,758 | 0,758 | 0,758 | 0,754 | 0,754 | 0,036 |
| 3,000 | 47,950 | 99,829 | -8,583 | skid front(in) | ##### | 11,500 | 0,000 | 1,000 | 100,000 | 0,000 | 0,211 | 0,758 | 0,758 | 0,758 | 0,754 | 0,754 | 0,037 |
| 3,500 | 46,776 | 99,829 | -8,581 | skid front(in) | ##### | 11,500 | 0,000 | 1,000 | 100,000 | 0,000 | 0,249 | 0,758 | 0,758 | 0,758 | 0,754 | 0,754 | 0,038 |
| 4,000 | 45,572 | 99,829 | -8,580 | skid front(in) | ##### | 11,500 | 0,000 | 1,000 | 100,000 | 0,000 | 0,288 | 0,758 | 0,758 | 0,758 | 0,754 | 0,754 | 0,039 |
| 4,400 | 44,585 | 99,829 | -8,579 | skid front(in) | ##### | 11,500 | 0,000 | 1,000 | 100,000 | 0,000 | 0,320 | 0,758 | 0,758 | 0,758 | 0,754 | 0,754 | 0,032 |
| 5,000 | 43,063 | 99,829 | -8,577 | skid front(in) | ##### | 11,500 | 0,000 | 1,000 | 100,000 | 0,000 | 0,369 | 0,758 | 0,758 | 0,758 | 0,754 | 0,754 | 0,049 |
| 5,500 | 41,753 | 99,829 | -8,575 | skid front(in) | ##### | 11,500 | 0,000 | 1,000 | 100,000 | 0,001 | 0,412 | 0,758 | 0,758 | 0,758 | 0,754 | 0,754 | 0,042 |
| 6,000 | 40,400 | 99,829 | -8,574 | skid front(in) | ##### | 11,500 | 0,000 | 1,000 | 100,000 | 0,000 | 0,455 | 0,758 | 0,758 | 0,758 | 0,754 | 0,754 | 0,044 |
| 6,500 | 39,001 | 99,829 | -8,572 | skid front(in) | ##### | 11,500 | 0,000 | 1,000 | 100,000 | 0,000 | 0,501 | 0,758 | 0,758 | 0,758 | 0,754 | 0,754 | 0,045 |
| 7,000 | 37,550 | 99,829 | -8,571 | skid front(in) | ##### | 11,500 | 0,000 | 1,000 | 100,000 | 0,000 | 0,548 | 0,758 | 0,758 | 0,758 | 0,754 | 0,754 | 0,047 |
| 7,500 | 36,040 | 99,829 | -8,569 | skid front(in) | ##### | 11,500 | 0,000 | 1,000 | 100,000 | 0,000 | 0,597 | 0,758 | 0,758 | 0,758 | 0,754 | 0,754 | 0,049 |
| 8,000 | 34,465 | 99,830 | -8,568 | skid front(in) | ##### | 11,500 | 0,000 | 1,000 | 100,000 | 0,000 | 0,648 | 0,758 | 0,758 | 0,758 | 0,754 | 0,754 | 0,051 |
| 8,500 | 32,815 | 99,830 | -8,566 | skid front(in) | ##### | 11,500 | 0,000 | 1,000 | 100,000 | 0,000 | 0,701 | 0,758 | 0,758 | 0,758 | 0,754 | 0,754 | 0,054 |
| 9,000 | 31,078 | 99,830 | -8,565 | skid front(in) | ##### | 11,500 | 0,000 | 1,000 | 100,000 | 0,000 | 0,758 | 0,758 | 0,758 | 0,758 | 0,754 | 0,754 | 0,056 |
| 9,500 | 29,238 | 99,830 | -8,563 | skid front(in) | ##### | 11,500 | 0,000 | 1,000 | 100,000 | 0,000 | 0,817 | 0,758 | 0,758 | 0,758 | 0,754 | 0,754 | 0,060 |
| 10,000 | 27,274 | 99,830 | -8,562 | skid front(in) | ##### | 11,500 | 0,000 | 1,000 | 100,000 | 0,003 | 0,881 | 0,758 | 0,758 | 0,758 | 0,754 | 0,754 | 0,064 |
| 10,500 | 25,158 | 99,855 | -8,559 | skid front(out) | ##### | 11,500 | 0,000 | 1,000 | 100,000 | -3,990 | 0,950 | 0,758 | 0,758 | 0,758 | 0,754 | 0,754 | 0,069 |
| 11,000 | 22,847 | 99,812 | -8,556 | skid front(out) | ##### | 11,500 | 0,000 | 1,000 | 100,000 | -1,718 | 1,025 | 0,758 | 0,758 | 0,758 | 0,753 | 0,753 | 0,075 |
| 11,500 | 20,275 | 99,817 | -8,556 | skid front(out) | ##### | 11,500 | 0,000 | 1,000 | 100,000 | -0,433 | 1,108 | 0,758 | 0,758 | 0,758 | 0,754 | 0,754 | 0,084 |
| 12,000 | 17,326 | 99,845 | -8,555 | skid front(out) | ##### | 11,500 | 0,000 | 1,000 | 100,000 | -1,783 | 1,204 | 0,758 | 0,758 | 0,758 | 0,754 | 0,754 | 0,096 |
| 12,500 | 13,759 | 99,833 | -8,552 | skid front(out) | ##### | 11,500 | 0,000 | 1,000 | 100,000 | -3,828 | 1,320 | 0,758 | 0,758 | 0,758 | 0,753 | 0,753 | 0,116 |
| 13,000 | 8,858 | 99,844 | -8,551 | skid front(out) | ##### | 11,500 | 0,000 | 1,000 | 100,000 | -3,823 | 1,479 | 0,758 | 0,758 | 0,758 | 0,754 | 0,754 | 0,159 |
| 13,300 | 3,459 | 99,862 | -8,550 | skid front(out) | ##### | 11,500 | 0,000 | 1,000 | 100,000 | -5,825 | 1,654 | 0,758 | 0,758 | 0,758 | 0,754 | 0,754 | 0,175 |

Προσδιορισμός Τιμών Πρόσφυσης κατά την Πέδηση Οχημάτων Εφοδιασμένων με Σύστημα ABS σε Αυξημένες κατά Μήκος Κλίσεις

3.2 Opel Corsa

3.2.1 NTUA - dry

| run_c_d_ntua_1 | R(m) | br.front (%) | s(%) | e (%) | coeff | effic (%) | time (sec) | | | | | | | | | | |
|----------------|-----------|--------------|--------|-----------------|-------|-----------|------------|-------|-----------|-----------|------------|-------|-----------|----------|----------|---------|-----------|
| s= 100,000 | ##### | 76,00 | 6,6 | 0,0 | 1,00 | 100 | 1,958 | | | | | | | | | | |
| step= 0,100 | viewstep= | 0,500 | STEPS | | | | | | | | | | 0,963 | | | | |
| s (m) | V (km/h) | n (%) | dv/dt | skid check | R(m) | s(%) | e (%) | coeff | effic (%) | decelera | time (sec) | ft | front out | front in | rear out | rear in | checktime |
| 15,000 | 0,876 | 99,797 | -7,547 | skid front(out) | ##### | 6,600 | 0,000 | 1,000 | 100,000 | -2,380650 | 1,958 | 0,705 | 0,7049 | 0,7049 | 0,6986 | 0,6986 | |
| 0,000 | 54,200 | 99,790 | -7,592 | O.K | ##### | 6,600 | 0,000 | 1,000 | 100,000 | 0,000 | 0,000 | 0,705 | | | | | |
| 0,400 | 53,469 | 99,785 | -7,591 | skid front(in) | ##### | 6,600 | 0,000 | 1,000 | 100,000 | 0,000 | 0,027 | 0,705 | 0,705 | 0,705 | 0,699 | 0,699 | 0,027 |
| 1,000 | 52,354 | 99,785 | -7,589 | skid front(in) | ##### | 6,600 | 0,000 | 1,000 | 100,000 | 0,000 | 0,068 | 0,705 | 0,705 | 0,705 | 0,699 | 0,699 | 0,041 |
| 1,500 | 51,406 | 99,785 | -7,587 | skid front(in) | ##### | 6,600 | 0,000 | 1,000 | 100,000 | 0,000 | 0,102 | 0,705 | 0,705 | 0,705 | 0,699 | 0,699 | 0,035 |
| 2,000 | 50,440 | 99,785 | -7,586 | skid front(in) | ##### | 6,600 | 0,000 | 1,000 | 100,000 | 0,000 | 0,138 | 0,705 | 0,705 | 0,705 | 0,699 | 0,699 | 0,035 |
| 2,500 | 49,456 | 99,785 | -7,585 | skid front(in) | ##### | 6,600 | 0,000 | 1,000 | 100,000 | 0,000 | 0,174 | 0,705 | 0,705 | 0,705 | 0,699 | 0,699 | 0,036 |
| 3,000 | 48,452 | 99,785 | -7,583 | skid front(in) | ##### | 6,600 | 0,000 | 1,000 | 100,000 | 0,000 | 0,210 | 0,705 | 0,705 | 0,705 | 0,699 | 0,699 | 0,037 |
| 3,500 | 47,428 | 99,785 | -7,582 | skid front(in) | ##### | 6,600 | 0,000 | 1,000 | 100,000 | 0,000 | 0,248 | 0,705 | 0,705 | 0,705 | 0,699 | 0,699 | 0,038 |
| 4,000 | 46,380 | 99,785 | -7,580 | skid front(in) | ##### | 6,600 | 0,000 | 1,000 | 100,000 | 0,000 | 0,286 | 0,705 | 0,705 | 0,705 | 0,699 | 0,699 | 0,038 |
| 4,400 | 45,525 | 99,786 | -7,579 | skid front(in) | ##### | 6,600 | 0,000 | 1,000 | 100,000 | 0,000 | 0,318 | 0,705 | 0,705 | 0,705 | 0,699 | 0,699 | 0,031 |
| 5,000 | 44,212 | 99,786 | -7,577 | skid front(in) | ##### | 6,600 | 0,000 | 1,000 | 100,000 | 0,000 | 0,366 | 0,705 | 0,705 | 0,705 | 0,699 | 0,699 | 0,048 |
| 5,500 | 43,087 | 99,786 | -7,576 | skid front(in) | ##### | 6,600 | 0,000 | 1,000 | 100,000 | 0,000 | 0,407 | 0,705 | 0,705 | 0,705 | 0,699 | 0,699 | 0,041 |
| 6,000 | 41,932 | 99,786 | -7,574 | skid front(in) | ##### | 6,600 | 0,000 | 1,000 | 100,000 | 0,000 | 0,449 | 0,705 | 0,705 | 0,705 | 0,699 | 0,699 | 0,042 |
| 6,500 | 40,745 | 99,786 | -7,573 | skid front(in) | ##### | 6,600 | 0,000 | 1,000 | 100,000 | 0,000 | 0,493 | 0,705 | 0,705 | 0,705 | 0,699 | 0,699 | 0,044 |
| 7,000 | 39,522 | 99,786 | -7,572 | skid front(in) | ##### | 6,600 | 0,000 | 1,000 | 100,000 | 0,000 | 0,538 | 0,705 | 0,705 | 0,705 | 0,699 | 0,699 | 0,045 |
| 7,500 | 38,261 | 99,786 | -7,570 | skid front(in) | ##### | 6,600 | 0,000 | 1,000 | 100,000 | 0,000 | 0,584 | 0,705 | 0,705 | 0,705 | 0,699 | 0,699 | 0,046 |
| 8,000 | 36,957 | 99,786 | -7,569 | skid front(in) | ##### | 6,600 | 0,000 | 1,000 | 100,000 | 0,000 | 0,632 | 0,705 | 0,705 | 0,705 | 0,699 | 0,699 | 0,048 |
| 8,500 | 35,605 | 99,786 | -7,567 | skid front(in) | ##### | 6,600 | 0,000 | 1,000 | 100,000 | 0,001 | 0,682 | 0,705 | 0,705 | 0,705 | 0,699 | 0,699 | 0,050 |
| 9,000 | 34,200 | 99,786 | -7,566 | skid front(in) | ##### | 6,600 | 0,000 | 1,000 | 100,000 | 0,000 | 0,733 | 0,705 | 0,705 | 0,705 | 0,699 | 0,699 | 0,052 |
| 9,500 | 32,736 | 99,786 | -7,564 | skid front(in) | ##### | 6,600 | 0,000 | 1,000 | 100,000 | 0,002 | 0,787 | 0,705 | 0,705 | 0,705 | 0,699 | 0,699 | 0,054 |
| 10,000 | 31,202 | 99,763 | -7,561 | skid front(out) | ##### | 6,600 | 0,000 | 1,000 | 100,000 | -0,981 | 0,843 | 0,705 | 0,705 | 0,705 | 0,698 | 0,698 | 0,056 |
| 10,500 | 29,590 | 99,798 | -7,560 | skid front(out) | ##### | 6,600 | 0,000 | 1,000 | 100,000 | -2,537 | 0,902 | 0,705 | 0,705 | 0,705 | 0,699 | 0,699 | 0,059 |
| 11,000 | 27,885 | 99,783 | -7,558 | skid front(out) | ##### | 6,600 | 0,000 | 1,000 | 100,000 | -2,007 | 0,965 | 0,705 | 0,705 | 0,705 | 0,698 | 0,698 | 0,063 |
| 11,500 | 26,069 | 99,795 | -7,558 | skid front(out) | ##### | 6,600 | 0,000 | 1,000 | 100,000 | -1,982 | 1,032 | 0,705 | 0,705 | 0,705 | 0,699 | 0,699 | 0,067 |
| 12,000 | 24,118 | 99,771 | -7,555 | skid front(out) | ##### | 6,600 | 0,000 | 1,000 | 100,000 | -1,197 | 1,104 | 0,705 | 0,705 | 0,705 | 0,698 | 0,698 | 0,072 |
| 12,500 | 21,994 | 99,799 | -7,554 | skid front(out) | ##### | 6,600 | 0,000 | 1,000 | 100,000 | -2,880 | 1,182 | 0,705 | 0,705 | 0,705 | 0,698 | 0,699 | 0,078 |
| 13,000 | 19,643 | 99,764 | -7,551 | skid front(out) | ##### | 6,600 | 0,000 | 1,000 | 100,000 | -2,006 | 1,268 | 0,705 | 0,705 | 0,705 | 0,698 | 0,698 | 0,086 |
| 13,500 | 16,969 | 99,759 | -7,550 | skid front(out) | ##### | 6,600 | 0,000 | 1,000 | 100,000 | -1,754 | 1,366 | 0,705 | 0,705 | 0,705 | 0,698 | 0,698 | 0,098 |
| 14,000 | 13,786 | 99,789 | -7,550 | skid front(out) | ##### | 6,600 | 0,000 | 1,000 | 100,000 | -2,313 | 1,483 | 0,705 | 0,705 | 0,705 | 0,698 | 0,698 | 0,117 |
| 14,500 | 9,603 | 99,771 | -7,547 | skid front(out) | ##### | 6,600 | 0,000 | 1,000 | 100,000 | -1,933 | 1,637 | 0,705 | 0,705 | 0,705 | 0,698 | 0,698 | 0,154 |

Προσδιορισμός Τιμών Πρόσφυσης κατά την Πέδηση Οχημάτων Εφοδιασμένων με Σύστημα ABS σε Αυξημένες κατά Μήκος Κλίσεις

| | | | | | | | | | | | | | | | | | |
|--------|-------|--------|--------|-----------------|-------|-------|-------|-------|---------|--------|-------|-------|-------|-------|-------|-------|-------|
| 15,000 | 0,876 | 99,797 | -7,547 | skid front(out) | ##### | 6,600 | 0,000 | 1,000 | 100,000 | -2,381 | 1,958 | 0,705 | 0,705 | 0,705 | 0,699 | 0,699 | 0,321 |
|--------|-------|--------|--------|-----------------|-------|-------|-------|-------|---------|--------|-------|-------|-------|-------|-------|-------|-------|

0,963

| run c d ntua 2 | R(m) | br.front (%) | s(%) | e (%) | coeff | effic (%) | time (sec) | | | | | | | | | | |
|----------------|-----------|--------------|--------|-----------------|-------|-----------|------------|-------|-----------|-----------|------------|-------|-----------|----------|----------|---------|-----------|
| s= 100,000 | ##### | 76,00 | 6,6 | 0,0 | 1,00 | 100 | 2,068 | | | | | | | | | | |
| step= 0,100 | viewstep= | 0,500 | STEPS | | | | | | | | | | | | | | |
| s (m) | V (km/h) | n (%) | dv/dt | skid check | R(m) | s(%) | e (%) | coeff | effic (%) | decelera | time (sec) | FT | front out | front in | rear out | rear in | checktime |
| 16,500 | 0,389 | 99,794 | -7,547 | skid front(out) | ##### | 6,600 | 0,000 | 1,000 | 100,000 | -2,951091 | 2,068 | 0,705 | 0,7048 | 0,7048 | 0,6984 | 0,6984 | |
| 0,000 | 56,700 | 99,790 | -7,596 | O.K | ##### | 6,600 | 0,000 | 1,000 | 100,000 | 0,000 | 0,000 | 0,705 | | | | | |
| 0,400 | 56,001 | 99,785 | -7,595 | skid front(in) | ##### | 6,600 | 0,000 | 1,000 | 100,000 | 0,000 | 0,026 | 0,705 | 0,705 | 0,705 | 0,699 | 0,699 | 0,026 |
| 1,000 | 54,937 | 99,785 | -7,593 | skid front(in) | ##### | 6,600 | 0,000 | 1,000 | 100,000 | 0,000 | 0,064 | 0,705 | 0,705 | 0,705 | 0,699 | 0,699 | 0,039 |
| 1,500 | 54,034 | 99,785 | -7,591 | skid front(in) | ##### | 6,600 | 0,000 | 1,000 | 100,000 | 0,000 | 0,098 | 0,705 | 0,705 | 0,705 | 0,699 | 0,699 | 0,033 |
| 2,000 | 53,116 | 99,785 | -7,590 | skid front(in) | ##### | 6,600 | 0,000 | 1,000 | 100,000 | 0,000 | 0,131 | 0,705 | 0,705 | 0,705 | 0,699 | 0,699 | 0,034 |
| 2,500 | 52,182 | 99,785 | -7,589 | skid front(in) | ##### | 6,600 | 0,000 | 1,000 | 100,000 | 0,000 | 0,165 | 0,705 | 0,705 | 0,705 | 0,699 | 0,699 | 0,034 |
| 3,000 | 51,231 | 99,785 | -7,587 | skid front(in) | ##### | 6,600 | 0,000 | 1,000 | 100,000 | 0,000 | 0,200 | 0,705 | 0,705 | 0,705 | 0,699 | 0,699 | 0,035 |
| 3,500 | 50,262 | 99,785 | -7,586 | skid front(in) | ##### | 6,600 | 0,000 | 1,000 | 100,000 | 0,000 | 0,236 | 0,705 | 0,705 | 0,705 | 0,699 | 0,699 | 0,035 |
| 4,000 | 49,274 | 99,785 | -7,584 | skid front(in) | ##### | 6,600 | 0,000 | 1,000 | 100,000 | 0,000 | 0,272 | 0,705 | 0,705 | 0,705 | 0,699 | 0,699 | 0,036 |
| 4,400 | 48,470 | 99,785 | -7,583 | skid front(in) | ##### | 6,600 | 0,000 | 1,000 | 100,000 | 0,000 | 0,301 | 0,705 | 0,705 | 0,705 | 0,699 | 0,699 | 0,029 |
| 5,000 | 47,238 | 99,785 | -7,581 | skid front(in) | ##### | 6,600 | 0,000 | 1,000 | 100,000 | 0,000 | 0,346 | 0,705 | 0,705 | 0,705 | 0,699 | 0,699 | 0,045 |
| 5,500 | 46,186 | 99,786 | -7,580 | skid front(in) | ##### | 6,600 | 0,000 | 1,000 | 100,000 | 0,000 | 0,385 | 0,705 | 0,705 | 0,705 | 0,699 | 0,699 | 0,039 |
| 6,000 | 45,110 | 99,786 | -7,579 | skid front(in) | ##### | 6,600 | 0,000 | 1,000 | 100,000 | 0,000 | 0,424 | 0,705 | 0,705 | 0,705 | 0,699 | 0,699 | 0,039 |
| 6,500 | 44,008 | 99,786 | -7,577 | skid front(in) | ##### | 6,600 | 0,000 | 1,000 | 100,000 | 0,000 | 0,465 | 0,705 | 0,705 | 0,705 | 0,699 | 0,699 | 0,040 |
| 7,000 | 42,878 | 99,786 | -7,576 | skid front(in) | ##### | 6,600 | 0,000 | 1,000 | 100,000 | 0,000 | 0,506 | 0,705 | 0,705 | 0,705 | 0,699 | 0,699 | 0,041 |
| 7,500 | 41,718 | 99,786 | -7,574 | skid front(in) | ##### | 6,600 | 0,000 | 1,000 | 100,000 | 0,000 | 0,549 | 0,705 | 0,705 | 0,705 | 0,699 | 0,699 | 0,043 |
| 8,000 | 40,524 | 99,786 | -7,573 | skid front(in) | ##### | 6,600 | 0,000 | 1,000 | 100,000 | 0,000 | 0,592 | 0,705 | 0,705 | 0,705 | 0,699 | 0,699 | 0,044 |
| 8,500 | 39,295 | 99,786 | -7,571 | skid front(in) | ##### | 6,600 | 0,000 | 1,000 | 100,000 | 0,000 | 0,638 | 0,705 | 0,705 | 0,705 | 0,699 | 0,699 | 0,045 |
| 9,000 | 38,026 | 99,786 | -7,570 | skid front(in) | ##### | 6,600 | 0,000 | 1,000 | 100,000 | 0,000 | 0,684 | 0,705 | 0,705 | 0,705 | 0,699 | 0,699 | 0,047 |
| 9,500 | 36,713 | 99,786 | -7,568 | skid front(in) | ##### | 6,600 | 0,000 | 1,000 | 100,000 | 0,000 | 0,732 | 0,705 | 0,705 | 0,705 | 0,699 | 0,699 | 0,048 |
| 10,000 | 35,352 | 99,786 | -7,567 | skid front(in) | ##### | 6,600 | 0,000 | 1,000 | 100,000 | 0,000 | 0,782 | 0,705 | 0,705 | 0,705 | 0,699 | 0,699 | 0,050 |
| 10,500 | 33,937 | 99,786 | -7,566 | skid front(in) | ##### | 6,600 | 0,000 | 1,000 | 100,000 | 0,000 | 0,834 | 0,705 | 0,705 | 0,705 | 0,699 | 0,699 | 0,052 |
| 11,000 | 32,461 | 99,786 | -7,564 | skid front(in) | ##### | 6,600 | 0,000 | 1,000 | 100,000 | 0,001 | 0,888 | 0,705 | 0,705 | 0,705 | 0,699 | 0,699 | 0,054 |
| 11,500 | 30,914 | 99,775 | -7,561 | skid front(out) | ##### | 6,600 | 0,000 | 1,000 | 100,000 | -0,930 | 0,945 | 0,705 | 0,705 | 0,705 | 0,699 | 0,699 | 0,057 |
| 12,000 | 29,286 | 99,763 | -7,558 | skid front(in) | ##### | 6,600 | 0,000 | 1,000 | 100,000 | -1,610 | 1,005 | 0,705 | 0,705 | 0,705 | 0,698 | 0,698 | 0,060 |
| 12,500 | 27,562 | 99,779 | -7,557 | skid front(in) | ##### | 6,600 | 0,000 | 1,000 | 100,000 | -2,990 | 1,068 | 0,705 | 0,705 | 0,705 | 0,698 | 0,698 | 0,063 |
| 13,000 | 25,724 | 99,782 | -7,557 | skid front(out) | ##### | 6,600 | 0,000 | 1,000 | 100,000 | -1,687 | 1,136 | 0,705 | 0,705 | 0,705 | 0,698 | 0,698 | 0,068 |
| 13,500 | 23,744 | 99,794 | -7,555 | skid front(out) | ##### | 6,600 | 0,000 | 1,000 | 100,000 | -3,123 | 1,209 | 0,705 | 0,705 | 0,705 | 0,698 | 0,698 | 0,073 |
| 14,000 | 21,584 | 99,791 | -7,555 | skid front(out) | ##### | 6,600 | 0,000 | 1,000 | 100,000 | -1,592 | 1,288 | 0,705 | 0,705 | 0,705 | 0,699 | 0,699 | 0,079 |
| 14,500 | 19,182 | 99,771 | -7,552 | skid front(out) | ##### | 6,600 | 0,000 | 1,000 | 100,000 | -1,142 | 1,376 | 0,705 | 0,705 | 0,705 | 0,698 | 0,698 | 0,088 |
| 15,000 | 16,434 | 99,782 | -7,551 | skid front(out) | ##### | 6,600 | 0,000 | 1,000 | 100,000 | -1,295 | 1,478 | 0,705 | 0,705 | 0,705 | 0,699 | 0,699 | 0,101 |

Προσδιορισμός Τιμών Πρόσφυσης κατά την Πέδηση Οχημάτων Εφοδιασμένων με Σύστημα ABS σε Αυξημένες κατά Μήκος Κλίσεις

| | | | | | | | | | | | | | | | | | |
|--------|--------|--------|--------|-----------------|-------|-------|-------|-------|---------|--------|-------|-------|-------|-------|-------|-------|-------|
| 15,500 | 13,122 | 99,775 | -7,548 | skid front(out) | ##### | 6,600 | 0,000 | 1,000 | 100,000 | -2,806 | 1,599 | 0,705 | 0,705 | 0,705 | 0,698 | 0,698 | 0,122 |
| 16,000 | 8,623 | 99,773 | -7,546 | skid front(out) | ##### | 6,600 | 0,000 | 1,000 | 100,000 | -2,996 | 1,765 | 0,705 | 0,705 | 0,705 | 0,698 | 0,698 | 0,166 |
| 16,500 | 0,389 | 99,794 | -7,547 | skid front(out) | ##### | 6,600 | 0,000 | 1,000 | 100,000 | -2,951 | 2,068 | 0,705 | 0,705 | 0,705 | 0,698 | 0,698 | 0,303 |

| run_c_d_ntua_3 | | R(m) | br.front (%) | s(%) | e (%) | coeff | effic (%) | | | time (sec) | | | | | | | |
|----------------|----------|-----------|--------------|-----------------|-------|-------|-----------|-------|-----------|------------|------------|-------|-----------|----------|----------|---------|-----------|
| s= | 100,000 | ##### | 76,00 | 6,6 | 0,0 | 1,00 | 100 | | | 1,908 | | | | | | | |
| step= | 0,100 | viewstep= | 0,500 | STEPS | | | | | | | | | | | | | |
| s (m) | V (km/h) | n (%) | dv/dt | skid check | R(m) | s(%) | e (%) | coeff | effic (%) | decelera | time (sec) | fT | front out | front in | rear out | rear in | checktime |
| 15,400 | 3,093 | 99,791 | -7,547 | skid front(out) | ##### | 6,600 | 0,000 | 1,000 | 100,000 | -3,034966 | 1,908 | 0,705 | 0,7048 | 0,7048 | 0,6984 | 0,6984 | |
| 0,000 | 55,060 | 99,790 | -7,593 | O.K | ##### | 6,600 | 0,000 | 1,000 | 100,000 | 0,000 | 0,000 | 0,705 | | | | | |
| 0,400 | 54,340 | 99,785 | -7,592 | skid front(in) | ##### | 6,600 | 0,000 | 1,000 | 100,000 | 0,000 | 0,026 | 0,705 | 0,705 | 0,705 | 0,699 | 0,699 | 0,026 |
| 1,000 | 53,243 | 99,785 | -7,590 | skid front(in) | ##### | 6,600 | 0,000 | 1,000 | 100,000 | 0,000 | 0,066 | 0,705 | 0,705 | 0,705 | 0,699 | 0,699 | 0,040 |
| 1,500 | 52,311 | 99,785 | -7,589 | skid front(in) | ##### | 6,600 | 0,000 | 1,000 | 100,000 | 0,000 | 0,101 | 0,705 | 0,705 | 0,705 | 0,699 | 0,699 | 0,034 |
| 2,000 | 51,363 | 99,785 | -7,587 | skid front(in) | ##### | 6,600 | 0,000 | 1,000 | 100,000 | 0,000 | 0,135 | 0,705 | 0,705 | 0,705 | 0,699 | 0,699 | 0,035 |
| 2,500 | 50,396 | 99,785 | -7,586 | skid front(in) | ##### | 6,600 | 0,000 | 1,000 | 100,000 | 0,000 | 0,171 | 0,705 | 0,705 | 0,705 | 0,699 | 0,699 | 0,035 |
| 3,000 | 49,412 | 99,785 | -7,584 | skid front(in) | ##### | 6,600 | 0,000 | 1,000 | 100,000 | 0,000 | 0,207 | 0,705 | 0,705 | 0,705 | 0,699 | 0,699 | 0,036 |
| 3,500 | 48,407 | 99,785 | -7,583 | skid front(in) | ##### | 6,600 | 0,000 | 1,000 | 100,000 | 0,000 | 0,244 | 0,705 | 0,705 | 0,705 | 0,699 | 0,699 | 0,037 |
| 4,000 | 47,381 | 99,785 | -7,582 | skid front(in) | ##### | 6,600 | 0,000 | 1,000 | 100,000 | 0,000 | 0,281 | 0,705 | 0,705 | 0,705 | 0,699 | 0,699 | 0,038 |
| 4,400 | 46,544 | 99,785 | -7,580 | skid front(in) | ##### | 6,600 | 0,000 | 1,000 | 100,000 | 0,000 | 0,312 | 0,705 | 0,705 | 0,705 | 0,699 | 0,699 | 0,031 |
| 5,000 | 45,260 | 99,786 | -7,579 | skid front(in) | ##### | 6,600 | 0,000 | 1,000 | 100,000 | 0,000 | 0,359 | 0,705 | 0,705 | 0,705 | 0,699 | 0,699 | 0,047 |
| 5,500 | 44,162 | 99,786 | -7,577 | skid front(in) | ##### | 6,600 | 0,000 | 1,000 | 100,000 | 0,000 | 0,399 | 0,705 | 0,705 | 0,705 | 0,699 | 0,699 | 0,040 |
| 6,000 | 43,036 | 99,786 | -7,576 | skid front(in) | ##### | 6,600 | 0,000 | 1,000 | 100,000 | 0,000 | 0,440 | 0,705 | 0,705 | 0,705 | 0,699 | 0,699 | 0,041 |
| 6,500 | 41,880 | 99,786 | -7,574 | skid front(in) | ##### | 6,600 | 0,000 | 1,000 | 100,000 | 0,000 | 0,483 | 0,705 | 0,705 | 0,705 | 0,699 | 0,699 | 0,042 |
| 7,000 | 40,691 | 99,786 | -7,573 | skid front(in) | ##### | 6,600 | 0,000 | 1,000 | 100,000 | 0,000 | 0,526 | 0,705 | 0,705 | 0,705 | 0,699 | 0,699 | 0,044 |
| 7,500 | 39,466 | 99,786 | -7,572 | skid front(in) | ##### | 6,600 | 0,000 | 1,000 | 100,000 | 0,000 | 0,571 | 0,705 | 0,705 | 0,705 | 0,699 | 0,699 | 0,045 |
| 8,000 | 38,203 | 99,786 | -7,570 | skid front(in) | ##### | 6,600 | 0,000 | 1,000 | 100,000 | 0,000 | 0,618 | 0,705 | 0,705 | 0,705 | 0,699 | 0,699 | 0,046 |
| 8,500 | 36,897 | 99,786 | -7,569 | skid front(in) | ##### | 6,600 | 0,000 | 1,000 | 100,000 | 0,000 | 0,666 | 0,705 | 0,705 | 0,705 | 0,699 | 0,699 | 0,048 |
| 9,000 | 35,543 | 99,786 | -7,567 | skid front(in) | ##### | 6,600 | 0,000 | 1,000 | 100,000 | 0,000 | 0,715 | 0,705 | 0,705 | 0,705 | 0,699 | 0,699 | 0,050 |
| 9,500 | 34,136 | 99,786 | -7,566 | skid front(in) | ##### | 6,600 | 0,000 | 1,000 | 100,000 | 0,000 | 0,767 | 0,705 | 0,705 | 0,705 | 0,699 | 0,699 | 0,052 |
| 10,000 | 32,668 | 99,786 | -7,564 | skid front(in) | ##### | 6,600 | 0,000 | 1,000 | 100,000 | 0,000 | 0,821 | 0,705 | 0,705 | 0,705 | 0,699 | 0,699 | 0,054 |
| 10,500 | 31,131 | 99,787 | -7,561 | skid front(out) | ##### | 6,600 | 0,000 | 1,000 | 100,000 | -2,006 | 0,877 | 0,705 | 0,705 | 0,705 | 0,698 | 0,698 | 0,056 |
| 11,000 | 29,516 | 99,776 | -7,559 | skid front(out) | ##### | 6,600 | 0,000 | 1,000 | 100,000 | -2,403 | 0,937 | 0,705 | 0,705 | 0,705 | 0,698 | 0,698 | 0,059 |
| 11,500 | 27,806 | 99,773 | -7,558 | skid front(out) | ##### | 6,600 | 0,000 | 1,000 | 100,000 | -1,844 | 0,999 | 0,705 | 0,705 | 0,705 | 0,698 | 0,698 | 0,063 |
| 12,000 | 25,985 | 99,798 | -7,558 | skid front(out) | ##### | 6,600 | 0,000 | 1,000 | 100,000 | -1,817 | 1,066 | 0,705 | 0,705 | 0,705 | 0,699 | 0,699 | 0,067 |

Προσδιορισμός Τιμών Πρόσφυσης κατά την Πέδηση Οχημάτων Εφοδιασμένων με Σύστημα ABS σε Αυξημένες κατά Μήκος Κλίσεις

| | | | | | | | | | | | | | | | | | |
|--------|--------|--------|--------|-----------------|-------|-------|-------|-------|---------|--------|-------|-------|-------|-------|-------|-------|-------|
| 12,500 | 24,027 | 99,788 | -7,556 | skid front(out) | ##### | 6,600 | 0,000 | 1,000 | 100,000 | -1,010 | 1,138 | 0,705 | 0,705 | 0,705 | 0,699 | 0,699 | 0,072 |
| 13,000 | 21,894 | 99,763 | -7,553 | skid front(out) | ##### | 6,600 | 0,000 | 1,000 | 100,000 | -1,300 | 1,217 | 0,705 | 0,705 | 0,705 | 0,698 | 0,698 | 0,078 |
| 13,500 | 19,531 | 99,766 | -7,551 | skid front(out) | ##### | 6,600 | 0,000 | 1,000 | 100,000 | -2,289 | 1,304 | 0,705 | 0,705 | 0,705 | 0,698 | 0,698 | 0,087 |
| 14,000 | 16,839 | 99,777 | -7,550 | skid front(out) | ##### | 6,600 | 0,000 | 1,000 | 100,000 | -2,082 | 1,403 | 0,705 | 0,705 | 0,705 | 0,698 | 0,698 | 0,099 |
| 14,500 | 13,627 | 99,769 | -7,548 | skid front(out) | ##### | 6,600 | 0,000 | 1,000 | 100,000 | -3,070 | 1,521 | 0,705 | 0,705 | 0,705 | 0,698 | 0,698 | 0,118 |
| 15,000 | 9,373 | 99,769 | -7,546 | skid front(out) | ##### | 6,600 | 0,000 | 1,000 | 100,000 | -2,806 | 1,677 | 0,705 | 0,705 | 0,705 | 0,698 | 0,698 | 0,157 |
| 15,400 | 3,093 | 99,791 | -7,547 | skid front(out) | ##### | 6,600 | 0,000 | 1,000 | 100,000 | -3,035 | 1,908 | 0,705 | 0,705 | 0,705 | 0,698 | 0,698 | 0,231 |

| run_c_d_ntua_4 | R(m) | br.front (%) | s(%) | e (%) | coeff | effic (%) | | time (sec) | | | | | | | | | | |
|----------------|-----------|--------------|--------|-----------------|-------|-----------|-------|------------|-----------|-----------|------------|-------|-----------|----------|----------|---------|-----------|-------|
| s= 100,000 | ##### | 76,00 | 6,6 | 0,0 | 1,00 | 100 | | 1,961 | | | | | | | | | | 0,963 |
| step= 0,100 | viewstep= | 0,500 | STEPS | | | | | | | | | | | | | | | |
| s (m) | V (km/h) | n (%) | dv/dt | skid check | R(m) | s(%) | e (%) | coeff | effic (%) | decelera | time (sec) | FT | front out | front in | rear out | rear in | checktime | |
| 15,700 | 2,159 | 99,795 | -7,545 | skid front(out) | ##### | 6,600 | 0,000 | 1,000 | 100,000 | -4,498807 | 1,961 | 0,705 | 0,7047 | 0,7047 | 0,6982 | 0,6982 | | |
| 0,000 | 55,550 | 99,790 | -7,594 | O.K | ##### | 6,600 | 0,000 | 1,000 | 100,000 | 0,000 | 0,000 | 0,705 | | | | | | |
| 0,400 | 54,837 | 99,785 | -7,593 | skid front(in) | ##### | 6,600 | 0,000 | 1,000 | 100,000 | 0,000 | 0,026 | 0,705 | 0,705 | 0,705 | 0,699 | 0,699 | 0,026 | |
| 1,000 | 53,749 | 99,785 | -7,591 | skid front(in) | ##### | 6,600 | 0,000 | 1,000 | 100,000 | 0,000 | 0,066 | 0,705 | 0,705 | 0,705 | 0,699 | 0,699 | 0,040 | |
| 1,500 | 52,826 | 99,785 | -7,590 | skid front(in) | ##### | 6,600 | 0,000 | 1,000 | 100,000 | 0,000 | 0,100 | 0,705 | 0,705 | 0,705 | 0,699 | 0,699 | 0,034 | |
| 2,000 | 51,887 | 99,785 | -7,588 | skid front(in) | ##### | 6,600 | 0,000 | 1,000 | 100,000 | 0,000 | 0,134 | 0,705 | 0,705 | 0,705 | 0,699 | 0,699 | 0,034 | |
| 2,500 | 50,931 | 99,785 | -7,587 | skid front(in) | ##### | 6,600 | 0,000 | 1,000 | 100,000 | 0,000 | 0,169 | 0,705 | 0,705 | 0,705 | 0,699 | 0,699 | 0,035 | |
| 3,000 | 49,956 | 99,785 | -7,585 | skid front(in) | ##### | 6,600 | 0,000 | 1,000 | 100,000 | 0,000 | 0,205 | 0,705 | 0,705 | 0,705 | 0,699 | 0,699 | 0,036 | |
| 3,500 | 48,963 | 99,785 | -7,584 | skid front(in) | ##### | 6,600 | 0,000 | 1,000 | 100,000 | 0,000 | 0,241 | 0,705 | 0,705 | 0,705 | 0,699 | 0,699 | 0,036 | |
| 4,000 | 47,949 | 99,785 | -7,582 | skid front(in) | ##### | 6,600 | 0,000 | 1,000 | 100,000 | 0,000 | 0,278 | 0,705 | 0,705 | 0,705 | 0,699 | 0,699 | 0,037 | |
| 4,400 | 47,122 | 99,785 | -7,581 | skid front(in) | ##### | 6,600 | 0,000 | 1,000 | 100,000 | 0,000 | 0,309 | 0,705 | 0,705 | 0,705 | 0,699 | 0,699 | 0,030 | |
| 5,000 | 45,854 | 99,786 | -7,580 | skid front(in) | ##### | 6,600 | 0,000 | 1,000 | 100,000 | 0,000 | 0,355 | 0,705 | 0,705 | 0,705 | 0,699 | 0,699 | 0,046 | |
| 5,500 | 44,770 | 99,786 | -7,578 | skid front(in) | ##### | 6,600 | 0,000 | 1,000 | 100,000 | 0,000 | 0,395 | 0,705 | 0,705 | 0,705 | 0,699 | 0,699 | 0,040 | |
| 6,000 | 43,659 | 99,786 | -7,577 | skid front(in) | ##### | 6,600 | 0,000 | 1,000 | 100,000 | 0,000 | 0,435 | 0,705 | 0,705 | 0,705 | 0,699 | 0,699 | 0,041 | |
| 6,500 | 42,520 | 99,786 | -7,575 | skid front(in) | ##### | 6,600 | 0,000 | 1,000 | 100,000 | 0,000 | 0,477 | 0,705 | 0,705 | 0,705 | 0,699 | 0,699 | 0,042 | |
| 7,000 | 41,350 | 99,786 | -7,574 | skid front(in) | ##### | 6,600 | 0,000 | 1,000 | 100,000 | 0,000 | 0,520 | 0,705 | 0,705 | 0,705 | 0,699 | 0,699 | 0,043 | |
| 7,500 | 40,145 | 99,786 | -7,572 | skid front(in) | ##### | 6,600 | 0,000 | 1,000 | 100,000 | 0,000 | 0,564 | 0,705 | 0,705 | 0,705 | 0,699 | 0,699 | 0,044 | |
| 8,000 | 38,904 | 99,786 | -7,571 | skid front(in) | ##### | 6,600 | 0,000 | 1,000 | 100,000 | 0,000 | 0,610 | 0,705 | 0,705 | 0,705 | 0,699 | 0,699 | 0,046 | |
| 8,500 | 37,622 | 99,786 | -7,569 | skid front(in) | ##### | 6,600 | 0,000 | 1,000 | 100,000 | 0,000 | 0,657 | 0,705 | 0,705 | 0,705 | 0,699 | 0,699 | 0,047 | |

Προσδιορισμός Τιμών Πρόσφυσης κατά την Πέδηση Οχημάτων Εφοδιασμένων με Σύστημα ABS σε Αυξημένες κατά Μήκος Κλίσεις

| | | | | | | | | | | | | | | | | | |
|--------|--------|--------|--------|-----------------|-------|-------|-------|-------|---------|--------|-------|-------|-------|-------|-------|-------|-------|
| 9,000 | 36,295 | 99,786 | -7,568 | skid front(in) | ##### | 6,600 | 0,000 | 1,000 | 100,000 | 0,000 | 0,706 | 0,705 | 0,705 | 0,705 | 0,699 | 0,699 | 0,049 |
| 9,500 | 34,918 | 99,786 | -7,567 | skid front(in) | ##### | 6,600 | 0,000 | 1,000 | 100,000 | 0,000 | 0,756 | 0,705 | 0,705 | 0,705 | 0,699 | 0,699 | 0,051 |
| 10,000 | 33,484 | 99,786 | -7,565 | skid front(in) | ##### | 6,600 | 0,000 | 1,000 | 100,000 | 0,001 | 0,809 | 0,705 | 0,705 | 0,705 | 0,699 | 0,699 | 0,053 |
| 10,500 | 31,987 | 99,794 | -7,562 | skid front(out) | ##### | 6,600 | 0,000 | 1,000 | 100,000 | -2,242 | 0,864 | 0,705 | 0,705 | 0,705 | 0,699 | 0,699 | 0,055 |
| 11,000 | 30,416 | 99,805 | -7,561 | skid front(out) | ##### | 6,600 | 0,000 | 1,000 | 100,000 | -2,812 | 0,921 | 0,705 | 0,705 | 0,705 | 0,699 | 0,699 | 0,058 |
| 11,500 | 28,760 | 99,764 | -7,558 | skid front(out) | ##### | 6,600 | 0,000 | 1,000 | 100,000 | -1,124 | 0,982 | 0,705 | 0,705 | 0,705 | 0,698 | 0,698 | 0,061 |
| 12,000 | 27,003 | 99,769 | -7,557 | skid front(out) | ##### | 6,600 | 0,000 | 1,000 | 100,000 | -1,561 | 1,047 | 0,705 | 0,705 | 0,705 | 0,698 | 0,698 | 0,065 |
| 12,500 | 25,124 | 99,805 | -7,557 | skid front(out) | ##### | 6,600 | 0,000 | 1,000 | 100,000 | -2,741 | 1,116 | 0,705 | 0,705 | 0,705 | 0,699 | 0,699 | 0,069 |
| 13,000 | 23,092 | 99,783 | -7,555 | skid front(out) | ##### | 6,600 | 0,000 | 1,000 | 100,000 | -1,447 | 1,191 | 0,705 | 0,705 | 0,705 | 0,699 | 0,699 | 0,075 |
| 13,500 | 20,865 | 99,814 | -7,555 | skid front(out) | ##### | 6,600 | 0,000 | 1,000 | 100,000 | -2,559 | 1,272 | 0,705 | 0,705 | 0,705 | 0,699 | 0,699 | 0,082 |
| 14,000 | 18,369 | 99,781 | -7,552 | skid front(out) | ##### | 6,600 | 0,000 | 1,000 | 100,000 | -0,983 | 1,364 | 0,705 | 0,705 | 0,705 | 0,699 | 0,699 | 0,092 |
| 14,500 | 15,477 | 99,806 | -7,552 | skid front(out) | ##### | 6,600 | 0,000 | 1,000 | 100,000 | -2,147 | 1,471 | 0,705 | 0,705 | 0,705 | 0,699 | 0,699 | 0,106 |
| 15,000 | 11,903 | 99,784 | -7,548 | skid front(out) | ##### | 6,600 | 0,000 | 1,000 | 100,000 | -2,496 | 1,602 | 0,705 | 0,705 | 0,705 | 0,698 | 0,698 | 0,131 |
| 15,500 | 6,620 | 99,799 | -7,547 | skid front(out) | ##### | 6,600 | 0,000 | 1,000 | 100,000 | -3,778 | 1,796 | 0,705 | 0,705 | 0,705 | 0,698 | 0,698 | 0,194 |
| 15,700 | 2,159 | 99,795 | -7,545 | skid front(out) | ##### | 6,600 | 0,000 | 1,000 | 100,000 | -4,499 | 1,961 | 0,705 | 0,705 | 0,705 | 0,698 | 0,698 | 0,164 |

| run_c_d_ntua_5 | R(m) | br.front (%) | s(%) | e (%) | coeff | effic (%) | time (sec) | | | | | | | | | | |
|----------------|-----------|--------------|--------|-----------------|-------|-----------|------------|-------|-----------|-----------|------------|-------|-----------|----------|----------|---------|-----------|
| s= 100,000 | ##### | 76,00 | 6,6 | 0,0 | 1,00 | 100 | 1,930 | | | | | | | | | | |
| step= 0,100 | viewstep= | 0,500 | STEPS | | | | | | | | | | | | | | |
| s (m) | V (km/h) | n (%) | dv/dt | skid check | R(m) | s(%) | e (%) | coeff | effic (%) | decelera | time (sec) | fT | front out | front in | rear out | rear in | checktime |
| 15,500 | 2,510 | 99,730 | -7,544 | skid front(out) | ##### | 6,600 | 0,000 | 1,000 | 100,000 | -0,903865 | 1,930 | 0,705 | 0,7046 | 0,7046 | 0,6980 | 0,6980 | |
| 0,000 | 55,050 | 99,790 | -7,593 | O.K | ##### | 6,600 | 0,000 | 1,000 | 100,000 | 0,000 | 0,000 | 0,705 | | | | | |
| 0,400 | 54,330 | 99,785 | -7,592 | skid front(in) | ##### | 6,600 | 0,000 | 1,000 | 100,000 | 0,000 | 0,026 | 0,705 | 0,705 | 0,705 | 0,699 | 0,699 | 0,026 |
| 1,000 | 53,233 | 99,785 | -7,590 | skid front(in) | ##### | 6,600 | 0,000 | 1,000 | 100,000 | 0,000 | 0,066 | 0,705 | 0,705 | 0,705 | 0,699 | 0,699 | 0,040 |
| 1,500 | 52,301 | 99,785 | -7,589 | skid front(in) | ##### | 6,600 | 0,000 | 1,000 | 100,000 | 0,000 | 0,101 | 0,705 | 0,705 | 0,705 | 0,699 | 0,699 | 0,034 |
| 2,000 | 51,352 | 99,785 | -7,587 | skid front(in) | ##### | 6,600 | 0,000 | 1,000 | 100,000 | 0,000 | 0,135 | 0,705 | 0,705 | 0,705 | 0,699 | 0,699 | 0,035 |
| 2,500 | 50,386 | 99,785 | -7,586 | skid front(in) | ##### | 6,600 | 0,000 | 1,000 | 100,000 | 0,000 | 0,171 | 0,705 | 0,705 | 0,705 | 0,699 | 0,699 | 0,035 |
| 3,000 | 49,400 | 99,785 | -7,584 | skid front(in) | ##### | 6,600 | 0,000 | 1,000 | 100,000 | 0,000 | 0,207 | 0,705 | 0,705 | 0,705 | 0,699 | 0,699 | 0,036 |
| 3,500 | 48,395 | 99,785 | -7,583 | skid front(in) | ##### | 6,600 | 0,000 | 1,000 | 100,000 | 0,000 | 0,244 | 0,705 | 0,705 | 0,705 | 0,699 | 0,699 | 0,037 |
| 4,000 | 47,369 | 99,785 | -7,582 | skid front(in) | ##### | 6,600 | 0,000 | 1,000 | 100,000 | 0,000 | 0,281 | 0,705 | 0,705 | 0,705 | 0,699 | 0,699 | 0,038 |
| 4,400 | 46,532 | 99,785 | -7,580 | skid front(in) | ##### | 6,600 | 0,000 | 1,000 | 100,000 | 0,000 | 0,312 | 0,705 | 0,705 | 0,705 | 0,699 | 0,699 | 0,031 |
| 5,000 | 45,248 | 99,786 | -7,579 | skid front(in) | ##### | 6,600 | 0,000 | 1,000 | 100,000 | 0,000 | 0,359 | 0,705 | 0,705 | 0,705 | 0,699 | 0,699 | 0,047 |

Προσδιορισμός Τιμών Πρόσφυσης κατά την Πέδηση Οχημάτων Εφοδιασμένων με Σύστημα ABS σε Αυξημένες κατά Μήκος Κλίσεις

| | | | | | | | | | | | | | | | | | |
|--------|--------|--------|--------|-----------------|-------|-------|-------|-------|---------|--------|-------|-------|-------|-------|-------|-------|-------|
| 5,500 | 44,149 | 99,786 | -7,577 | skid front(in) | ##### | 6,600 | 0,000 | 1,000 | 100,000 | 0,000 | 0,399 | 0,705 | 0,705 | 0,705 | 0,699 | 0,699 | 0,040 |
| 6,000 | 43,023 | 99,786 | -7,576 | skid front(in) | ##### | 6,600 | 0,000 | 1,000 | 100,000 | 0,000 | 0,441 | 0,705 | 0,705 | 0,705 | 0,699 | 0,699 | 0,041 |
| 6,500 | 41,866 | 99,786 | -7,574 | skid front(in) | ##### | 6,600 | 0,000 | 1,000 | 100,000 | 0,000 | 0,483 | 0,705 | 0,705 | 0,705 | 0,699 | 0,699 | 0,042 |
| 7,000 | 40,677 | 99,786 | -7,573 | skid front(in) | ##### | 6,600 | 0,000 | 1,000 | 100,000 | 0,000 | 0,527 | 0,705 | 0,705 | 0,705 | 0,699 | 0,699 | 0,044 |
| 7,500 | 39,453 | 99,786 | -7,572 | skid front(in) | ##### | 6,600 | 0,000 | 1,000 | 100,000 | 0,000 | 0,571 | 0,705 | 0,705 | 0,705 | 0,699 | 0,699 | 0,045 |
| 8,000 | 38,189 | 99,786 | -7,570 | skid front(in) | ##### | 6,600 | 0,000 | 1,000 | 100,000 | 0,000 | 0,618 | 0,705 | 0,705 | 0,705 | 0,699 | 0,699 | 0,046 |
| 8,500 | 36,882 | 99,786 | -7,569 | skid front(in) | ##### | 6,600 | 0,000 | 1,000 | 100,000 | 0,000 | 0,666 | 0,705 | 0,705 | 0,705 | 0,699 | 0,699 | 0,048 |
| 9,000 | 35,528 | 99,786 | -7,567 | skid front(in) | ##### | 6,600 | 0,000 | 1,000 | 100,000 | 0,000 | 0,715 | 0,705 | 0,705 | 0,705 | 0,699 | 0,699 | 0,050 |
| 9,500 | 34,120 | 99,786 | -7,566 | skid front(in) | ##### | 6,600 | 0,000 | 1,000 | 100,000 | 0,000 | 0,767 | 0,705 | 0,705 | 0,705 | 0,699 | 0,699 | 0,052 |
| 10,000 | 32,651 | 99,786 | -7,564 | skid front(in) | ##### | 6,600 | 0,000 | 1,000 | 100,000 | 0,001 | 0,821 | 0,705 | 0,705 | 0,705 | 0,699 | 0,699 | 0,054 |
| 10,500 | 31,114 | 99,783 | -7,561 | skid front(out) | ##### | 6,600 | 0,000 | 1,000 | 100,000 | -2,329 | 0,878 | 0,705 | 0,705 | 0,705 | 0,698 | 0,698 | 0,056 |
| 11,000 | 29,497 | 99,816 | -7,561 | skid front(out) | ##### | 6,600 | 0,000 | 1,000 | 100,000 | -2,463 | 0,937 | 0,705 | 0,705 | 0,705 | 0,699 | 0,699 | 0,059 |
| 11,500 | 27,786 | 99,755 | -7,557 | skid front(out) | ##### | 6,600 | 0,000 | 1,000 | 100,000 | -0,551 | 1,000 | 0,705 | 0,705 | 0,705 | 0,698 | 0,698 | 0,063 |
| 12,000 | 25,964 | 99,804 | -7,558 | skid front(out) | ##### | 6,600 | 0,000 | 1,000 | 100,000 | -2,150 | 1,067 | 0,705 | 0,705 | 0,705 | 0,699 | 0,699 | 0,067 |
| 12,500 | 24,004 | 99,798 | -7,557 | skid front(out) | ##### | 6,600 | 0,000 | 1,000 | 100,000 | -1,408 | 1,139 | 0,705 | 0,705 | 0,705 | 0,699 | 0,699 | 0,072 |
| 13,000 | 21,869 | 99,777 | -7,554 | skid front(out) | ##### | 6,600 | 0,000 | 1,000 | 100,000 | -1,716 | 1,217 | 0,705 | 0,705 | 0,705 | 0,698 | 0,698 | 0,078 |
| 13,500 | 19,502 | 99,785 | -7,552 | skid front(out) | ##### | 6,600 | 0,000 | 1,000 | 100,000 | -2,684 | 1,304 | 0,705 | 0,705 | 0,705 | 0,698 | 0,698 | 0,087 |
| 14,000 | 16,806 | 99,802 | -7,552 | skid front(out) | ##### | 6,600 | 0,000 | 1,000 | 100,000 | -2,517 | 1,403 | 0,705 | 0,705 | 0,705 | 0,699 | 0,699 | 0,099 |
| 14,500 | 13,586 | 99,801 | -7,549 | skid front(out) | ##### | 6,600 | 0,000 | 1,000 | 100,000 | -3,575 | 1,522 | 0,705 | 0,705 | 0,705 | 0,698 | 0,698 | 0,118 |
| 15,000 | 9,313 | 99,809 | -7,549 | skid front(out) | ##### | 6,600 | 0,000 | 1,000 | 100,000 | -3,370 | 1,679 | 0,705 | 0,705 | 0,705 | 0,699 | 0,699 | 0,157 |
| 15,500 | 2,510 | 99,730 | -7,544 | skid front(out) | ##### | 6,600 | 0,000 | 1,000 | 100,000 | -0,904 | 1,930 | 0,705 | 0,705 | 0,705 | 0,698 | 0,698 | 0,250 |

| run_c_d_ntua_6 | | R(m) | br.front (%) | s(%) | e (%) | coeff | effic (%) | time (sec) | | | | | | | | | |
|----------------|----------|-----------|--------------|-----------------|-------|-------|-----------|------------|-----------|-----------|------------|-------|-----------|----------|----------|---------|-----------|
| s= | 100,000 | ##### | 76,00 | 6,6 | 0,0 | 1,00 | 100 | 1,888 | | | | | | | | | |
| step= | 0,100 | viewstep= | 0,500 | STEPS | | | | | | | | | 0,963 | | | | |
| s (m) | V (km/h) | n (%) | dv/dt | skid check | R(m) | s(%) | e (%) | coeff | effic (%) | decelera | time (sec) | ft | front out | front in | rear out | rear in | checktime |
| 15,700 | 4,243 | 99,824 | -7,548 | skid front(out) | ##### | 6,600 | 0,000 | 1,000 | 100,000 | -3,718968 | 1,888 | 0,705 | 0,7049 | 0,7049 | 0,6987 | 0,6987 | |
| 0,000 | 55,670 | 99,790 | -7,594 | O.K | ##### | 6,600 | 0,000 | 1,000 | 100,000 | 0,000 | 0,000 | 0,705 | | | | | |
| 0,400 | 54,958 | 99,785 | -7,593 | skid front(in) | ##### | 6,600 | 0,000 | 1,000 | 100,000 | 0,000 | 0,026 | 0,705 | 0,705 | 0,705 | 0,699 | 0,699 | 0,026 |
| 1,000 | 53,873 | 99,785 | -7,591 | skid front(in) | ##### | 6,600 | 0,000 | 1,000 | 100,000 | 0,000 | 0,066 | 0,705 | 0,705 | 0,705 | 0,699 | 0,699 | 0,040 |
| 1,500 | 52,953 | 99,785 | -7,590 | skid front(in) | ##### | 6,600 | 0,000 | 1,000 | 100,000 | 0,000 | 0,099 | 0,705 | 0,705 | 0,705 | 0,699 | 0,699 | 0,034 |
| 2,000 | 52,016 | 99,785 | -7,588 | skid front(in) | ##### | 6,600 | 0,000 | 1,000 | 100,000 | 0,000 | 0,134 | 0,705 | 0,705 | 0,705 | 0,699 | 0,699 | 0,034 |
| 2,500 | 51,062 | 99,785 | -7,587 | skid front(in) | ##### | 6,600 | 0,000 | 1,000 | 100,000 | 0,000 | 0,169 | 0,705 | 0,705 | 0,705 | 0,699 | 0,699 | 0,035 |
| 3,000 | 50,090 | 99,785 | -7,585 | skid front(in) | ##### | 6,600 | 0,000 | 1,000 | 100,000 | 0,000 | 0,204 | 0,705 | 0,705 | 0,705 | 0,699 | 0,699 | 0,036 |
| 3,500 | 49,099 | 99,785 | -7,584 | skid front(in) | ##### | 6,600 | 0,000 | 1,000 | 100,000 | 0,000 | 0,241 | 0,705 | 0,705 | 0,705 | 0,699 | 0,699 | 0,036 |

Προσδιορισμός Τιμών Πρόσφυσης κατά την Πέδηση Οχημάτων Εφοδιασμένων με Σύστημα ABS σε Αυξημένες κατά Μήκος Κλίσεις

| | | | | | | | | | | | | | | | | | |
|--------|--------|--------|--------|-----------------|-------|-------|-------|-------|---------|--------|-------|-------|-------|-------|-------|-------|-------|
| 4,000 | 48,087 | 99,785 | -7,583 | skid front(in) | ##### | 6,600 | 0,000 | 1,000 | 100,000 | 0,000 | 0,278 | 0,705 | 0,705 | 0,705 | 0,699 | 0,699 | 0,037 |
| 4,400 | 47,263 | 99,785 | -7,581 | skid front(in) | ##### | 6,600 | 0,000 | 1,000 | 100,000 | 0,000 | 0,308 | 0,705 | 0,705 | 0,705 | 0,699 | 0,699 | 0,030 |
| 5,000 | 45,999 | 99,786 | -7,580 | skid front(in) | ##### | 6,600 | 0,000 | 1,000 | 100,000 | 0,000 | 0,354 | 0,705 | 0,705 | 0,705 | 0,699 | 0,699 | 0,046 |
| 5,500 | 44,918 | 99,786 | -7,578 | skid front(in) | ##### | 6,600 | 0,000 | 1,000 | 100,000 | 0,000 | 0,394 | 0,705 | 0,705 | 0,705 | 0,699 | 0,699 | 0,040 |
| 6,000 | 43,812 | 99,786 | -7,577 | skid front(in) | ##### | 6,600 | 0,000 | 1,000 | 100,000 | 0,000 | 0,434 | 0,705 | 0,705 | 0,705 | 0,699 | 0,699 | 0,041 |
| 6,500 | 42,676 | 99,786 | -7,575 | skid front(in) | ##### | 6,600 | 0,000 | 1,000 | 100,000 | 0,000 | 0,476 | 0,705 | 0,705 | 0,705 | 0,699 | 0,699 | 0,042 |
| 7,000 | 41,510 | 99,786 | -7,574 | skid front(in) | ##### | 6,600 | 0,000 | 1,000 | 100,000 | 0,000 | 0,519 | 0,705 | 0,705 | 0,705 | 0,699 | 0,699 | 0,043 |
| 7,500 | 40,311 | 99,786 | -7,573 | skid front(in) | ##### | 6,600 | 0,000 | 1,000 | 100,000 | 0,000 | 0,563 | 0,705 | 0,705 | 0,705 | 0,699 | 0,699 | 0,044 |
| 8,000 | 39,075 | 99,786 | -7,571 | skid front(in) | ##### | 6,600 | 0,000 | 1,000 | 100,000 | 0,000 | 0,608 | 0,705 | 0,705 | 0,705 | 0,699 | 0,699 | 0,045 |
| 8,500 | 37,798 | 99,786 | -7,570 | skid front(in) | ##### | 6,600 | 0,000 | 1,000 | 100,000 | 0,000 | 0,655 | 0,705 | 0,705 | 0,705 | 0,699 | 0,699 | 0,047 |
| 9,000 | 36,478 | 99,786 | -7,568 | skid front(in) | ##### | 6,600 | 0,000 | 1,000 | 100,000 | 0,000 | 0,703 | 0,705 | 0,705 | 0,705 | 0,699 | 0,699 | 0,048 |
| 9,500 | 35,108 | 99,786 | -7,567 | skid front(in) | ##### | 6,600 | 0,000 | 1,000 | 100,000 | 0,000 | 0,754 | 0,705 | 0,705 | 0,705 | 0,699 | 0,699 | 0,050 |
| 10,000 | 33,682 | 99,786 | -7,565 | skid front(in) | ##### | 6,600 | 0,000 | 1,000 | 100,000 | 0,000 | 0,806 | 0,705 | 0,705 | 0,705 | 0,699 | 0,699 | 0,052 |
| 10,500 | 32,194 | 99,786 | -7,564 | skid front(in) | ##### | 6,600 | 0,000 | 1,000 | 100,000 | 0,001 | 0,861 | 0,705 | 0,705 | 0,705 | 0,699 | 0,699 | 0,055 |
| 11,000 | 30,634 | 99,774 | -7,561 | skid front(out) | ##### | 6,600 | 0,000 | 1,000 | 100,000 | -0,874 | 0,918 | 0,705 | 0,705 | 0,705 | 0,699 | 0,699 | 0,057 |
| 11,500 | 28,990 | 99,773 | -7,558 | skid front(out) | ##### | 6,600 | 0,000 | 1,000 | 100,000 | -1,935 | 0,978 | 0,705 | 0,705 | 0,705 | 0,698 | 0,698 | 0,060 |
| 12,000 | 27,248 | 99,779 | -7,557 | skid front(out) | ##### | 6,600 | 0,000 | 1,000 | 100,000 | -2,011 | 1,042 | 0,705 | 0,705 | 0,705 | 0,698 | 0,698 | 0,064 |
| 12,500 | 25,387 | 99,795 | -7,558 | skid front(out) | ##### | 6,600 | 0,000 | 1,000 | 100,000 | -1,135 | 1,111 | 0,705 | 0,705 | 0,705 | 0,699 | 0,699 | 0,068 |
| 13,000 | 23,378 | 99,796 | -7,557 | skid front(out) | ##### | 6,600 | 0,000 | 1,000 | 100,000 | -1,069 | 1,184 | 0,705 | 0,705 | 0,705 | 0,699 | 0,699 | 0,074 |
| 13,500 | 21,181 | 99,782 | -7,553 | skid front(out) | ##### | 6,600 | 0,000 | 1,000 | 100,000 | -2,215 | 1,265 | 0,705 | 0,705 | 0,705 | 0,698 | 0,698 | 0,081 |
| 14,000 | 18,727 | 99,774 | -7,551 | skid front(out) | ##### | 6,600 | 0,000 | 1,000 | 100,000 | -2,158 | 1,355 | 0,705 | 0,705 | 0,705 | 0,698 | 0,698 | 0,090 |
| 14,500 | 15,901 | 99,799 | -7,551 | skid front(out) | ##### | 6,600 | 0,000 | 1,000 | 100,000 | -2,926 | 1,459 | 0,705 | 0,705 | 0,705 | 0,698 | 0,698 | 0,104 |
| 15,000 | 12,448 | 99,779 | -7,548 | skid front(out) | ##### | 6,600 | 0,000 | 1,000 | 100,000 | -2,811 | 1,586 | 0,705 | 0,705 | 0,705 | 0,698 | 0,698 | 0,127 |
| 15,500 | 7,559 | 99,762 | -7,547 | skid front(out) | ##### | 6,600 | 0,000 | 1,000 | 100,000 | -1,152 | 1,766 | 0,705 | 0,705 | 0,705 | 0,698 | 0,698 | 0,180 |
| 15,700 | 4,243 | 99,824 | -7,548 | skid front(out) | ##### | 6,600 | 0,000 | 1,000 | 100,000 | -3,719 | 1,888 | 0,705 | 0,705 | 0,705 | 0,699 | 0,699 | 0,122 |

| run_c_d_ntua 7 | R(m) | br.front (%) | s(%) | e (%) | coeff | effic (%) | time (sec) | | | | | | | | | | |
|----------------|-----------|--------------|--------|-----------------|-------|-----------|------------|-------|-----------|-----------|------------|-------|-----------|----------|----------|---------|-----------|
| s= 100,000 | ##### | 76,00 | 6,6 | 0,0 | 1,00 | 100 | 1,972 | 0,963 | | | | | | | | | |
| step= 0,100 | viewstep= | 0,500 | STEPS | | | | | | | | | | | | | | |
| s (m) | V (km/h) | n (%) | dv/dt | skid check | R(m) | s(%) | e (%) | coeff | effic (%) | decelera | time (sec) | ft | front out | front in | rear out | rear in | checktime |
| 16,400 | 3,101 | 99,786 | -7,546 | skid front(out) | ##### | 6,600 | 0,000 | 1,000 | 100,000 | -3,026994 | 1,972 | 0,705 | 0,7048 | 0,7048 | 0,6983 | 0,6983 | |
| 0,000 | 56,820 | 99,790 | -7,596 | O.K | ##### | 6,600 | 0,000 | 1,000 | 100,000 | 0,000 | 0,000 | 0,705 | | | | | |
| 0,400 | 56,123 | 99,785 | -7,595 | skid front(in) | ##### | 6,600 | 0,000 | 1,000 | 100,000 | 0,000 | 0,025 | 0,705 | 0,705 | 0,705 | 0,699 | 0,699 | 0,025 |

Προσδιορισμός Τιμών Πρόσφυσης κατά την Πέδηση Οχημάτων Εφοδιασμένων με Σύστημα ABS σε Αυξημένες κατά Μήκος Κλίσεις

| | | | | | | | | | | | | | | | | | |
|--------|--------|--------|--------|-----------------|-------|-------|-------|-------|---------|--------|-------|-------|-------|-------|-------|-------|-------|
| 1,000 | 55,061 | 99,785 | -7,593 | skid front(in) | ##### | 6,600 | 0,000 | 1,000 | 100,000 | 0,000 | 0,064 | 0,705 | 0,705 | 0,705 | 0,699 | 0,699 | 0,039 |
| 1,500 | 54,160 | 99,785 | -7,592 | skid front(in) | ##### | 6,600 | 0,000 | 1,000 | 100,000 | 0,000 | 0,097 | 0,705 | 0,705 | 0,705 | 0,699 | 0,699 | 0,033 |
| 2,000 | 53,244 | 99,785 | -7,590 | skid front(in) | ##### | 6,600 | 0,000 | 1,000 | 100,000 | 0,000 | 0,131 | 0,705 | 0,705 | 0,705 | 0,699 | 0,699 | 0,034 |
| 2,500 | 52,312 | 99,785 | -7,589 | skid front(in) | ##### | 6,600 | 0,000 | 1,000 | 100,000 | 0,000 | 0,165 | 0,705 | 0,705 | 0,705 | 0,699 | 0,699 | 0,034 |
| 3,000 | 51,363 | 99,785 | -7,587 | skid front(in) | ##### | 6,600 | 0,000 | 1,000 | 100,000 | 0,000 | 0,200 | 0,705 | 0,705 | 0,705 | 0,699 | 0,699 | 0,035 |
| 3,500 | 50,397 | 99,785 | -7,586 | skid front(in) | ##### | 6,600 | 0,000 | 1,000 | 100,000 | 0,000 | 0,235 | 0,705 | 0,705 | 0,705 | 0,699 | 0,699 | 0,035 |
| 4,000 | 49,412 | 99,785 | -7,584 | skid front(in) | ##### | 6,600 | 0,000 | 1,000 | 100,000 | 0,000 | 0,271 | 0,705 | 0,705 | 0,705 | 0,699 | 0,699 | 0,036 |
| 4,400 | 48,610 | 99,785 | -7,583 | skid front(in) | ##### | 6,600 | 0,000 | 1,000 | 100,000 | 0,000 | 0,300 | 0,705 | 0,705 | 0,705 | 0,699 | 0,699 | 0,029 |
| 5,000 | 47,382 | 99,785 | -7,582 | skid front(in) | ##### | 6,600 | 0,000 | 1,000 | 100,000 | 0,000 | 0,345 | 0,705 | 0,705 | 0,705 | 0,699 | 0,699 | 0,045 |
| 5,500 | 46,333 | 99,786 | -7,580 | skid front(in) | ##### | 6,600 | 0,000 | 1,000 | 100,000 | 0,000 | 0,384 | 0,705 | 0,705 | 0,705 | 0,699 | 0,699 | 0,038 |
| 6,000 | 45,261 | 99,786 | -7,579 | skid front(in) | ##### | 6,600 | 0,000 | 1,000 | 100,000 | 0,000 | 0,423 | 0,705 | 0,705 | 0,705 | 0,699 | 0,699 | 0,039 |
| 6,500 | 44,162 | 99,786 | -7,577 | skid front(in) | ##### | 6,600 | 0,000 | 1,000 | 100,000 | 0,000 | 0,463 | 0,705 | 0,705 | 0,705 | 0,699 | 0,699 | 0,040 |
| 7,000 | 43,036 | 99,786 | -7,576 | skid front(in) | ##### | 6,600 | 0,000 | 1,000 | 100,000 | 0,000 | 0,505 | 0,705 | 0,705 | 0,705 | 0,699 | 0,699 | 0,041 |
| 7,500 | 41,880 | 99,786 | -7,574 | skid front(in) | ##### | 6,600 | 0,000 | 1,000 | 100,000 | 0,000 | 0,547 | 0,705 | 0,705 | 0,705 | 0,699 | 0,699 | 0,042 |
| 8,000 | 40,691 | 99,786 | -7,573 | skid front(in) | ##### | 6,600 | 0,000 | 1,000 | 100,000 | 0,000 | 0,591 | 0,705 | 0,705 | 0,705 | 0,699 | 0,699 | 0,044 |
| 8,500 | 39,467 | 99,786 | -7,572 | skid front(in) | ##### | 6,600 | 0,000 | 1,000 | 100,000 | 0,000 | 0,636 | 0,705 | 0,705 | 0,705 | 0,699 | 0,699 | 0,045 |
| 9,000 | 38,204 | 99,786 | -7,570 | skid front(in) | ##### | 6,600 | 0,000 | 1,000 | 100,000 | 0,000 | 0,682 | 0,705 | 0,705 | 0,705 | 0,699 | 0,699 | 0,046 |
| 9,500 | 36,898 | 99,786 | -7,569 | skid front(in) | ##### | 6,600 | 0,000 | 1,000 | 100,000 | 0,000 | 0,730 | 0,705 | 0,705 | 0,705 | 0,699 | 0,699 | 0,048 |
| 10,000 | 35,544 | 99,786 | -7,567 | skid front(in) | ##### | 6,600 | 0,000 | 1,000 | 100,000 | 0,000 | 0,780 | 0,705 | 0,705 | 0,705 | 0,699 | 0,699 | 0,050 |
| 10,500 | 34,136 | 99,786 | -7,566 | skid front(in) | ##### | 6,600 | 0,000 | 1,000 | 100,000 | 0,000 | 0,831 | 0,705 | 0,705 | 0,705 | 0,699 | 0,699 | 0,052 |
| 11,000 | 32,669 | 99,786 | -7,564 | skid front(in) | ##### | 6,600 | 0,000 | 1,000 | 100,000 | 0,000 | 0,885 | 0,705 | 0,705 | 0,705 | 0,699 | 0,699 | 0,054 |
| 11,500 | 31,132 | 99,785 | -7,561 | skid front(out) | ##### | 6,600 | 0,000 | 1,000 | 100,000 | -1,991 | 0,942 | 0,705 | 0,705 | 0,705 | 0,698 | 0,698 | 0,056 |
| 12,000 | 29,517 | 99,774 | -7,559 | skid front(in) | ##### | 6,600 | 0,000 | 1,000 | 100,000 | -2,389 | 1,001 | 0,705 | 0,705 | 0,705 | 0,698 | 0,698 | 0,059 |
| 12,500 | 27,807 | 99,771 | -7,557 | skid front(out) | ##### | 6,600 | 0,000 | 1,000 | 100,000 | -1,853 | 1,064 | 0,705 | 0,705 | 0,705 | 0,698 | 0,698 | 0,063 |
| 13,000 | 25,986 | 99,795 | -7,558 | skid front(out) | ##### | 6,600 | 0,000 | 1,000 | 100,000 | -1,764 | 1,131 | 0,705 | 0,705 | 0,705 | 0,699 | 0,699 | 0,067 |
| 13,500 | 24,028 | 99,786 | -7,556 | skid front(out) | ##### | 6,600 | 0,000 | 1,000 | 100,000 | -1,077 | 1,203 | 0,705 | 0,705 | 0,705 | 0,699 | 0,699 | 0,072 |
| 14,000 | 21,895 | 99,759 | -7,553 | skid front(out) | ##### | 6,600 | 0,000 | 1,000 | 100,000 | -1,275 | 1,281 | 0,705 | 0,705 | 0,705 | 0,698 | 0,698 | 0,078 |
| 14,500 | 19,532 | 99,762 | -7,551 | skid front(in) | ##### | 6,600 | 0,000 | 1,000 | 100,000 | -2,300 | 1,368 | 0,705 | 0,705 | 0,705 | 0,698 | 0,698 | 0,087 |
| 15,000 | 16,841 | 99,773 | -7,550 | skid front(out) | ##### | 6,600 | 0,000 | 1,000 | 100,000 | -2,071 | 1,467 | 0,705 | 0,705 | 0,705 | 0,698 | 0,698 | 0,099 |
| 15,500 | 13,629 | 99,766 | -7,547 | skid front(out) | ##### | 6,600 | 0,000 | 1,000 | 100,000 | -3,087 | 1,585 | 0,705 | 0,705 | 0,705 | 0,698 | 0,698 | 0,118 |
| 16,000 | 9,375 | 99,765 | -7,546 | skid front(out) | ##### | 6,600 | 0,000 | 1,000 | 100,000 | -2,815 | 1,742 | 0,705 | 0,705 | 0,705 | 0,698 | 0,698 | 0,157 |
| 16,400 | 3,101 | 99,786 | -7,546 | skid front(out) | ##### | 6,600 | 0,000 | 1,000 | 100,000 | -3,027 | 1,972 | 0,705 | 0,705 | 0,705 | 0,698 | 0,698 | 0,231 |

| run c d ntu a 8 | | R(m) | br.front (%) | s(%) | e (%) | coeff | effic (%) | time (sec) | | | | | | | | | |
|-----------------|----------|-----------|--------------|-----------------|-------|--------|-----------|------------|-----------|-----------|------------|-------|-----------|----------|----------|---------|-----------|
| s= | 100,000 | ##### | 76,00 | -5,3 | 0,0 | 1,00 | 100 | 2,848 | | 0,963 | | | | | | | |
| step= | 0,100 | viewstep= | 0,500 | STEPS | | | | | | | | | | | | | |
| s (m) | V (km/h) | n (%) | dv/dt | skid check | R(m) | s(%) | e (%) | coeff | effic (%) | decelera | time (sec) | FT | front out | front in | rear out | rear in | checktime |
| 26,400 | 1,304 | 99,299 | -6,238 | skid front(out) | ##### | -5,300 | 0,000 | 1,000 | 100,000 | -2,467113 | 2,848 | 0,694 | 0,6936 | 0,6936 | 0,6743 | 0,6743 | |
| 0,000 | 65,540 | 99,336 | -6,307 | O.K | ##### | -5,300 | 0,000 | 1,000 | 100,000 | 0,000 | 0,000 | 0,694 | | | | | |
| 0,400 | 65,039 | 99,327 | -6,306 | skid front(in) | ##### | -5,300 | 0,000 | 1,000 | 100,000 | 0,000 | 0,022 | 0,694 | 0,694 | 0,694 | 0,675 | 0,675 | 0,022 |
| 1,000 | 64,281 | 99,328 | -6,304 | skid front(in) | ##### | -5,300 | 0,000 | 1,000 | 100,000 | 0,000 | 0,055 | 0,694 | 0,694 | 0,694 | 0,675 | 0,675 | 0,033 |

Προσδιορισμός Τιμών Πρόσφυσης κατά την Πέδηση Οχημάτων Εφοδιασμένων με Σύστημα ABS σε Αυξημένες κατά Μήκος Κλίσεις

| | | | | | | | | | | | | | | | | | |
|--------|--------|--------|--------|-----------------|-------|--------|-------|-------|---------|--------|-------|-------|-------|-------|-------|-------|-------|
| 1,500 | 63,642 | 99,328 | -6,303 | skid front(in) | ##### | -5,300 | 0,000 | 1,000 | 100,000 | 0,000 | 0,084 | 0,694 | 0,694 | 0,694 | 0,675 | 0,675 | 0,028 |
| 2,000 | 62,997 | 99,328 | -6,302 | skid front(in) | ##### | -5,300 | 0,000 | 1,000 | 100,000 | 0,000 | 0,112 | 0,694 | 0,694 | 0,694 | 0,675 | 0,675 | 0,028 |
| 2,500 | 62,345 | 99,328 | -6,301 | skid front(in) | ##### | -5,300 | 0,000 | 1,000 | 100,000 | 0,000 | 0,141 | 0,694 | 0,694 | 0,694 | 0,675 | 0,675 | 0,029 |
| 3,000 | 61,687 | 99,328 | -6,300 | skid front(in) | ##### | -5,300 | 0,000 | 1,000 | 100,000 | 0,000 | 0,170 | 0,694 | 0,694 | 0,694 | 0,675 | 0,675 | 0,029 |
| 3,500 | 61,022 | 99,329 | -6,298 | skid front(in) | ##### | -5,300 | 0,000 | 1,000 | 100,000 | 0,000 | 0,199 | 0,694 | 0,694 | 0,694 | 0,675 | 0,675 | 0,029 |
| 4,000 | 60,349 | 99,329 | -6,297 | skid front(in) | ##### | -5,300 | 0,000 | 1,000 | 100,000 | 0,000 | 0,229 | 0,694 | 0,694 | 0,694 | 0,675 | 0,675 | 0,030 |
| 4,400 | 59,806 | 99,329 | -6,296 | skid front(in) | ##### | -5,300 | 0,000 | 1,000 | 100,000 | 0,000 | 0,253 | 0,694 | 0,694 | 0,694 | 0,675 | 0,675 | 0,024 |
| 5,000 | 58,982 | 99,329 | -6,295 | skid front(in) | ##### | -5,300 | 0,000 | 1,000 | 100,000 | 0,000 | 0,289 | 0,694 | 0,694 | 0,694 | 0,675 | 0,675 | 0,036 |
| 5,500 | 58,286 | 99,329 | -6,293 | skid front(in) | ##### | -5,300 | 0,000 | 1,000 | 100,000 | 0,000 | 0,320 | 0,694 | 0,694 | 0,694 | 0,675 | 0,675 | 0,031 |
| 6,000 | 57,582 | 99,329 | -6,292 | skid front(in) | ##### | -5,300 | 0,000 | 1,000 | 100,000 | 0,000 | 0,351 | 0,694 | 0,694 | 0,694 | 0,675 | 0,675 | 0,031 |
| 6,500 | 56,870 | 99,329 | -6,291 | skid front(in) | ##### | -5,300 | 0,000 | 1,000 | 100,000 | 0,000 | 0,382 | 0,694 | 0,694 | 0,694 | 0,675 | 0,675 | 0,031 |
| 7,000 | 56,149 | 99,329 | -6,290 | skid front(in) | ##### | -5,300 | 0,000 | 1,000 | 100,000 | 0,000 | 0,414 | 0,694 | 0,694 | 0,694 | 0,675 | 0,675 | 0,032 |
| 7,500 | 55,418 | 99,329 | -6,289 | skid front(in) | ##### | -5,300 | 0,000 | 1,000 | 100,000 | 0,000 | 0,446 | 0,694 | 0,694 | 0,694 | 0,675 | 0,675 | 0,032 |
| 8,000 | 54,678 | 99,329 | -6,287 | skid front(in) | ##### | -5,300 | 0,000 | 1,000 | 100,000 | 0,000 | 0,479 | 0,694 | 0,694 | 0,694 | 0,675 | 0,675 | 0,033 |
| 8,500 | 53,928 | 99,329 | -6,286 | skid front(in) | ##### | -5,300 | 0,000 | 1,000 | 100,000 | 0,000 | 0,512 | 0,694 | 0,694 | 0,694 | 0,675 | 0,675 | 0,033 |
| 9,000 | 53,167 | 99,329 | -6,285 | skid front(in) | ##### | -5,300 | 0,000 | 1,000 | 100,000 | 0,000 | 0,546 | 0,694 | 0,694 | 0,694 | 0,675 | 0,675 | 0,034 |
| 9,500 | 52,395 | 99,329 | -6,284 | skid front(in) | ##### | -5,300 | 0,000 | 1,000 | 100,000 | 0,000 | 0,580 | 0,694 | 0,694 | 0,694 | 0,675 | 0,675 | 0,034 |
| 10,000 | 51,613 | 99,330 | -6,283 | skid front(in) | ##### | -5,300 | 0,000 | 1,000 | 100,000 | 0,000 | 0,615 | 0,694 | 0,694 | 0,694 | 0,675 | 0,675 | 0,035 |
| 10,500 | 50,818 | 99,330 | -6,281 | skid front(in) | ##### | -5,300 | 0,000 | 1,000 | 100,000 | 0,000 | 0,650 | 0,694 | 0,694 | 0,694 | 0,675 | 0,675 | 0,035 |
| 11,000 | 50,010 | 99,330 | -6,280 | skid front(in) | ##### | -5,300 | 0,000 | 1,000 | 100,000 | 0,000 | 0,685 | 0,694 | 0,694 | 0,694 | 0,675 | 0,675 | 0,036 |
| 11,500 | 49,190 | 99,330 | -6,279 | skid front(in) | ##### | -5,300 | 0,000 | 1,000 | 100,000 | 0,000 | 0,722 | 0,694 | 0,694 | 0,694 | 0,675 | 0,675 | 0,036 |
| 12,000 | 48,356 | 99,330 | -6,278 | skid front(in) | ##### | -5,300 | 0,000 | 1,000 | 100,000 | 0,000 | 0,759 | 0,694 | 0,694 | 0,694 | 0,675 | 0,675 | 0,037 |
| 12,500 | 47,507 | 99,330 | -6,276 | skid front(in) | ##### | -5,300 | 0,000 | 1,000 | 100,000 | 0,000 | 0,796 | 0,694 | 0,694 | 0,694 | 0,675 | 0,675 | 0,038 |
| 13,000 | 46,643 | 99,330 | -6,275 | skid front(in) | ##### | -5,300 | 0,000 | 1,000 | 100,000 | 0,000 | 0,834 | 0,694 | 0,694 | 0,694 | 0,675 | 0,675 | 0,038 |
| 13,500 | 45,763 | 99,330 | -6,274 | skid front(in) | ##### | -5,300 | 0,000 | 1,000 | 100,000 | 0,000 | 0,873 | 0,694 | 0,694 | 0,694 | 0,675 | 0,675 | 0,039 |
| 14,000 | 44,866 | 99,330 | -6,273 | skid front(in) | ##### | -5,300 | 0,000 | 1,000 | 100,000 | 0,000 | 0,913 | 0,694 | 0,694 | 0,694 | 0,675 | 0,675 | 0,040 |
| 14,500 | 43,951 | 99,330 | -6,272 | skid front(in) | ##### | -5,300 | 0,000 | 1,000 | 100,000 | 0,000 | 0,954 | 0,694 | 0,694 | 0,694 | 0,675 | 0,675 | 0,041 |
| 15,000 | 43,017 | 99,330 | -6,270 | skid front(in) | ##### | -5,300 | 0,000 | 1,000 | 100,000 | 0,000 | 0,995 | 0,694 | 0,694 | 0,694 | 0,675 | 0,675 | 0,041 |
| 15,500 | 42,061 | 99,330 | -6,269 | skid front(in) | ##### | -5,300 | 0,000 | 1,000 | 100,000 | 0,000 | 1,037 | 0,694 | 0,694 | 0,694 | 0,675 | 0,675 | 0,042 |
| 16,000 | 41,084 | 99,330 | -6,268 | skid front(in) | ##### | -5,300 | 0,000 | 1,000 | 100,000 | 0,000 | 1,081 | 0,694 | 0,694 | 0,694 | 0,675 | 0,675 | 0,043 |
| 16,500 | 40,084 | 99,330 | -6,267 | skid front(in) | ##### | -5,300 | 0,000 | 1,000 | 100,000 | 0,000 | 1,125 | 0,694 | 0,694 | 0,694 | 0,675 | 0,675 | 0,044 |
| 17,000 | 39,058 | 99,330 | -6,266 | skid front(in) | ##### | -5,300 | 0,000 | 1,000 | 100,000 | 0,000 | 1,171 | 0,694 | 0,694 | 0,694 | 0,675 | 0,675 | 0,045 |
| 17,500 | 38,004 | 99,331 | -6,264 | skid front(in) | ##### | -5,300 | 0,000 | 1,000 | 100,000 | 0,000 | 1,217 | 0,694 | 0,694 | 0,694 | 0,675 | 0,675 | 0,047 |
| 18,000 | 36,920 | 99,331 | -6,263 | skid front(in) | ##### | -5,300 | 0,000 | 1,000 | 100,000 | 0,000 | 1,265 | 0,694 | 0,694 | 0,694 | 0,675 | 0,675 | 0,048 |
| 18,500 | 35,804 | 99,331 | -6,262 | skid front(in) | ##### | -5,300 | 0,000 | 1,000 | 100,000 | 0,000 | 1,315 | 0,694 | 0,694 | 0,694 | 0,675 | 0,675 | 0,050 |
| 18,900 | 34,886 | 99,331 | -6,261 | skid front(in) | ##### | -5,300 | 0,000 | 1,000 | 100,000 | 0,000 | 1,356 | 0,694 | 0,694 | 0,694 | 0,675 | 0,675 | 0,041 |
| 19,500 | 33,462 | 99,331 | -6,259 | skid front(in) | ##### | -5,300 | 0,000 | 1,000 | 100,000 | 0,001 | 1,419 | 0,694 | 0,694 | 0,694 | 0,675 | 0,675 | 0,063 |
| 20,000 | 32,227 | 99,331 | -6,258 | skid front(in) | ##### | -5,300 | 0,000 | 1,000 | 100,000 | 0,003 | 1,474 | 0,694 | 0,694 | 0,694 | 0,675 | 0,675 | 0,055 |
| 20,500 | 30,943 | 99,338 | -6,256 | skid front(out) | ##### | -5,300 | 0,000 | 1,000 | 100,000 | -1,974 | 1,531 | 0,694 | 0,694 | 0,694 | 0,675 | 0,675 | 0,057 |
| 21,000 | 29,604 | 99,335 | -6,255 | skid front(out) | ##### | -5,300 | 0,000 | 1,000 | 100,000 | -1,699 | 1,590 | 0,694 | 0,694 | 0,694 | 0,675 | 0,675 | 0,059 |
| 21,500 | 28,201 | 99,334 | -6,252 | skid front(out) | ##### | -5,300 | 0,000 | 1,000 | 100,000 | -2,849 | 1,652 | 0,694 | 0,694 | 0,694 | 0,675 | 0,675 | 0,062 |
| 22,000 | 26,726 | 99,335 | -6,252 | skid front(out) | ##### | -5,300 | 0,000 | 1,000 | 100,000 | -1,859 | 1,718 | 0,694 | 0,694 | 0,694 | 0,675 | 0,675 | 0,066 |
| 22,500 | 25,164 | 99,339 | -6,251 | skid front(out) | ##### | -5,300 | 0,000 | 1,000 | 100,000 | -2,365 | 1,787 | 0,694 | 0,694 | 0,694 | 0,675 | 0,675 | 0,069 |
| 23,000 | 23,499 | 99,300 | -6,248 | skid front(out) | ##### | -5,300 | 0,000 | 1,000 | 100,000 | -1,005 | 1,861 | 0,694 | 0,694 | 0,694 | 0,675 | 0,675 | 0,074 |
| 23,500 | 21,707 | 99,331 | -6,247 | skid front(out) | ##### | -5,300 | 0,000 | 1,000 | 100,000 | -2,626 | 1,941 | 0,694 | 0,694 | 0,694 | 0,675 | 0,675 | 0,080 |
| 24,000 | 19,754 | 99,317 | -6,246 | skid front(out) | ##### | -5,300 | 0,000 | 1,000 | 100,000 | -2,303 | 2,028 | 0,694 | 0,694 | 0,694 | 0,675 | 0,675 | 0,087 |
| 24,500 | 17,586 | 99,355 | -6,246 | skid front(out) | ##### | -5,300 | 0,000 | 1,000 | 100,000 | -3,308 | 2,124 | 0,694 | 0,694 | 0,694 | 0,675 | 0,675 | 0,096 |
| 25,000 | 15,110 | 99,346 | -6,245 | skid front(out) | ##### | -5,300 | 0,000 | 1,000 | 100,000 | -2,174 | 2,234 | 0,694 | 0,694 | 0,694 | 0,675 | 0,675 | 0,110 |
| 25,500 | 12,140 | 99,306 | -6,243 | skid front(out) | ##### | -5,300 | 0,000 | 1,000 | 100,000 | -0,601 | 2,366 | 0,694 | 0,694 | 0,694 | 0,675 | 0,675 | 0,132 |
| 26,000 | 8,152 | 99,356 | -6,243 | skid front(out) | ##### | -5,300 | 0,000 | 1,000 | 100,000 | -2,892 | 2,544 | 0,694 | 0,694 | 0,694 | 0,675 | 0,675 | 0,177 |
| 26,400 | 1,304 | 99,299 | -6,238 | skid front(out) | ##### | -5,300 | 0,000 | 1,000 | 100,000 | -2,467 | 2,848 | 0,694 | 0,694 | 0,694 | 0,674 | 0,674 | 0,305 |

Προσδιορισμός Τιμών Πρόσφυσης κατά την Πέδηση Οχημάτων Εφοδιασμένων με Σύστημα ABS σε Αυξημένες κατά Μήκος Κλίσεις

| run_c_d_ntua 9 | R(m) | br.front (%) | s(%) | e (%) | coeff | effic (%) | time (sec) | | | | | | | | | | |
|----------------|-----------|--------------|--------|-----------------|-------|-----------|------------|-------|-----------|-----------|------------|-------|-----------|----------|----------|---------|-----------|
| s= 100,000 | ##### | 76,00 | -5,3 | 0,0 | 1,00 | 100 | 2,634 | 0,963 | | | | | | | | | |
| step= 0,100 | viewstep= | 0,500 | STEPS | | | | | | | | | | | | | | |
| s (m) | V (km/h) | n (%) | dv/dt | skid check | R(m) | s(%) | e (%) | coeff | effic (%) | decelera | time (sec) | FT | front out | front in | rear out | rear in | checktime |
| 23,300 | 2,200 | 99,330 | -6,240 | skid front(out) | ##### | -5,300 | 0,000 | 1,000 | 100,000 | -2,663716 | 2,634 | 0,694 | 0,6938 | 0,6938 | 0,6747 | 0,6747 | |
| 0,000 | 61,580 | 99,335 | -6,300 | O.K | ##### | -5,300 | 0,000 | 1,000 | 100,000 | 0,000 | 0,000 | 0,694 | | | | | |
| 0,400 | 61,047 | 99,328 | -6,298 | skid front(in) | ##### | -5,300 | 0,000 | 1,000 | 100,000 | 0,000 | 0,023 | 0,694 | 0,694 | 0,694 | 0,675 | 0,675 | 0,023 |
| 1,000 | 60,240 | 99,329 | -6,297 | skid front(in) | ##### | -5,300 | 0,000 | 1,000 | 100,000 | 0,000 | 0,059 | 0,694 | 0,694 | 0,694 | 0,675 | 0,675 | 0,036 |
| 1,500 | 59,559 | 99,329 | -6,296 | skid front(in) | ##### | -5,300 | 0,000 | 1,000 | 100,000 | 0,000 | 0,089 | 0,694 | 0,694 | 0,694 | 0,675 | 0,675 | 0,030 |
| 2,000 | 58,870 | 99,329 | -6,294 | skid front(in) | ##### | -5,300 | 0,000 | 1,000 | 100,000 | 0,000 | 0,120 | 0,694 | 0,694 | 0,694 | 0,675 | 0,675 | 0,030 |
| 2,500 | 58,173 | 99,329 | -6,293 | skid front(in) | ##### | -5,300 | 0,000 | 1,000 | 100,000 | 0,000 | 0,150 | 0,694 | 0,694 | 0,694 | 0,675 | 0,675 | 0,031 |
| 3,000 | 57,468 | 99,329 | -6,292 | skid front(in) | ##### | -5,300 | 0,000 | 1,000 | 100,000 | 0,000 | 0,181 | 0,694 | 0,694 | 0,694 | 0,675 | 0,675 | 0,031 |
| 3,500 | 56,754 | 99,329 | -6,291 | skid front(in) | ##### | -5,300 | 0,000 | 1,000 | 100,000 | 0,000 | 0,213 | 0,694 | 0,694 | 0,694 | 0,675 | 0,675 | 0,032 |
| 4,000 | 56,031 | 99,329 | -6,290 | skid front(in) | ##### | -5,300 | 0,000 | 1,000 | 100,000 | 0,000 | 0,245 | 0,694 | 0,694 | 0,694 | 0,675 | 0,675 | 0,032 |
| 4,400 | 55,446 | 99,329 | -6,289 | skid front(in) | ##### | -5,300 | 0,000 | 1,000 | 100,000 | 0,000 | 0,271 | 0,694 | 0,694 | 0,694 | 0,675 | 0,675 | 0,026 |
| 5,000 | 54,557 | 99,329 | -6,287 | skid front(in) | ##### | -5,300 | 0,000 | 1,000 | 100,000 | 0,000 | 0,310 | 0,694 | 0,694 | 0,694 | 0,675 | 0,675 | 0,039 |
| 5,500 | 53,805 | 99,329 | -6,286 | skid front(in) | ##### | -5,300 | 0,000 | 1,000 | 100,000 | 0,000 | 0,343 | 0,694 | 0,694 | 0,694 | 0,675 | 0,675 | 0,033 |
| 6,000 | 53,043 | 99,329 | -6,285 | skid front(in) | ##### | -5,300 | 0,000 | 1,000 | 100,000 | 0,000 | 0,377 | 0,694 | 0,694 | 0,694 | 0,675 | 0,675 | 0,034 |
| 6,500 | 52,270 | 99,329 | -6,284 | skid front(in) | ##### | -5,300 | 0,000 | 1,000 | 100,000 | 0,000 | 0,411 | 0,694 | 0,694 | 0,694 | 0,675 | 0,675 | 0,034 |
| 7,000 | 51,485 | 99,330 | -6,282 | skid front(in) | ##### | -5,300 | 0,000 | 1,000 | 100,000 | 0,000 | 0,446 | 0,694 | 0,694 | 0,694 | 0,675 | 0,675 | 0,035 |
| 7,500 | 50,688 | 99,330 | -6,281 | skid front(in) | ##### | -5,300 | 0,000 | 1,000 | 100,000 | 0,000 | 0,481 | 0,694 | 0,694 | 0,694 | 0,675 | 0,675 | 0,035 |
| 8,000 | 49,879 | 99,330 | -6,280 | skid front(in) | ##### | -5,300 | 0,000 | 1,000 | 100,000 | 0,000 | 0,517 | 0,694 | 0,694 | 0,694 | 0,675 | 0,675 | 0,036 |
| 8,500 | 49,056 | 99,330 | -6,279 | skid front(in) | ##### | -5,300 | 0,000 | 1,000 | 100,000 | 0,000 | 0,553 | 0,694 | 0,694 | 0,694 | 0,675 | 0,675 | 0,036 |
| 9,000 | 48,220 | 99,330 | -6,277 | skid front(in) | ##### | -5,300 | 0,000 | 1,000 | 100,000 | 0,000 | 0,590 | 0,694 | 0,694 | 0,694 | 0,675 | 0,675 | 0,037 |
| 9,500 | 47,369 | 99,330 | -6,276 | skid front(in) | ##### | -5,300 | 0,000 | 1,000 | 100,000 | 0,000 | 0,628 | 0,694 | 0,694 | 0,694 | 0,675 | 0,675 | 0,038 |
| 10,000 | 46,502 | 99,330 | -6,275 | skid front(in) | ##### | -5,300 | 0,000 | 1,000 | 100,000 | 0,000 | 0,666 | 0,694 | 0,694 | 0,694 | 0,675 | 0,675 | 0,038 |
| 10,500 | 45,620 | 99,330 | -6,274 | skid front(in) | ##### | -5,300 | 0,000 | 1,000 | 100,000 | 0,000 | 0,705 | 0,694 | 0,694 | 0,694 | 0,675 | 0,675 | 0,039 |
| 11,000 | 44,720 | 99,330 | -6,273 | skid front(in) | ##### | -5,300 | 0,000 | 1,000 | 100,000 | 0,000 | 0,745 | 0,694 | 0,694 | 0,694 | 0,675 | 0,675 | 0,040 |
| 11,500 | 43,801 | 99,330 | -6,271 | skid front(in) | ##### | -5,300 | 0,000 | 1,000 | 100,000 | 0,000 | 0,786 | 0,694 | 0,694 | 0,694 | 0,675 | 0,675 | 0,041 |
| 12,000 | 42,864 | 99,330 | -6,270 | skid front(in) | ##### | -5,300 | 0,000 | 1,000 | 100,000 | 0,000 | 0,827 | 0,694 | 0,694 | 0,694 | 0,675 | 0,675 | 0,042 |
| 12,500 | 41,905 | 99,330 | -6,269 | skid front(in) | ##### | -5,300 | 0,000 | 1,000 | 100,000 | 0,000 | 0,870 | 0,694 | 0,694 | 0,694 | 0,675 | 0,675 | 0,042 |
| 13,000 | 40,924 | 99,330 | -6,268 | skid front(in) | ##### | -5,300 | 0,000 | 1,000 | 100,000 | 0,000 | 0,913 | 0,694 | 0,694 | 0,694 | 0,675 | 0,675 | 0,043 |
| 13,500 | 39,920 | 99,330 | -6,267 | skid front(in) | ##### | -5,300 | 0,000 | 1,000 | 100,000 | 0,000 | 0,958 | 0,694 | 0,694 | 0,694 | 0,675 | 0,675 | 0,045 |
| 14,000 | 38,889 | 99,331 | -6,265 | skid front(in) | ##### | -5,300 | 0,000 | 1,000 | 100,000 | 0,000 | 1,003 | 0,694 | 0,694 | 0,694 | 0,675 | 0,675 | 0,046 |
| 14,500 | 37,831 | 99,331 | -6,264 | skid front(in) | ##### | -5,300 | 0,000 | 1,000 | 100,000 | 0,000 | 1,050 | 0,694 | 0,694 | 0,694 | 0,675 | 0,675 | 0,047 |
| 15,000 | 36,742 | 99,331 | -6,263 | skid front(in) | ##### | -5,300 | 0,000 | 1,000 | 100,000 | 0,000 | 1,099 | 0,694 | 0,694 | 0,694 | 0,675 | 0,675 | 0,048 |
| 15,500 | 35,621 | 99,331 | -6,262 | skid front(in) | ##### | -5,300 | 0,000 | 1,000 | 100,000 | 0,001 | 1,148 | 0,694 | 0,694 | 0,694 | 0,675 | 0,675 | 0,050 |
| 16,000 | 34,463 | 99,331 | -6,260 | skid front(in) | ##### | -5,300 | 0,000 | 1,000 | 100,000 | 0,000 | 1,200 | 0,694 | 0,694 | 0,694 | 0,675 | 0,675 | 0,051 |
| 16,500 | 33,265 | 99,331 | -6,259 | skid front(in) | ##### | -5,300 | 0,000 | 1,000 | 100,000 | 0,000 | 1,253 | 0,694 | 0,694 | 0,694 | 0,675 | 0,675 | 0,053 |
| 17,000 | 32,023 | 99,341 | -6,257 | skid front(out) | ##### | -5,300 | 0,000 | 1,000 | 100,000 | -1,464 | 1,308 | 0,694 | 0,694 | 0,694 | 0,675 | 0,675 | 0,055 |
| 17,500 | 30,730 | 99,342 | -6,256 | skid front(out) | ##### | -5,300 | 0,000 | 1,000 | 100,000 | -1,716 | 1,365 | 0,694 | 0,694 | 0,694 | 0,675 | 0,675 | 0,057 |
| 18,000 | 29,382 | 99,324 | -6,254 | skid front(out) | ##### | -5,300 | 0,000 | 1,000 | 100,000 | -1,726 | 1,425 | 0,694 | 0,694 | 0,694 | 0,675 | 0,675 | 0,060 |
| 18,500 | 27,968 | 99,350 | -6,253 | skid front(out) | ##### | -5,300 | 0,000 | 1,000 | 100,000 | -2,913 | 1,488 | 0,694 | 0,694 | 0,694 | 0,675 | 0,675 | 0,063 |
| 18,900 | 26,784 | 99,330 | -6,251 | skid front(out) | ##### | -5,300 | 0,000 | 1,000 | 100,000 | -2,779 | 1,541 | 0,694 | 0,694 | 0,694 | 0,675 | 0,675 | 0,053 |
| 19,500 | 24,903 | 99,303 | -6,249 | skid front(in) | ##### | -5,300 | 0,000 | 1,000 | 100,000 | -1,525 | 1,624 | 0,694 | 0,694 | 0,694 | 0,675 | 0,675 | 0,084 |
| 20,000 | 23,219 | 99,315 | -6,248 | skid front(out) | ##### | -5,300 | 0,000 | 1,000 | 100,000 | -1,916 | 1,699 | 0,694 | 0,694 | 0,694 | 0,675 | 0,675 | 0,075 |
| 20,500 | 21,404 | 99,354 | -6,250 | skid front(out) | ##### | -5,300 | 0,000 | 1,000 | 100,000 | -1,761 | 1,780 | 0,694 | 0,694 | 0,694 | 0,675 | 0,675 | 0,081 |
| 21,000 | 19,421 | 99,323 | -6,246 | skid front(out) | ##### | -5,300 | 0,000 | 1,000 | 100,000 | -1,762 | 1,868 | 0,694 | 0,694 | 0,694 | 0,675 | 0,675 | 0,088 |
| 21,500 | 17,210 | 99,319 | -6,245 | skid front(out) | ##### | -5,300 | 0,000 | 1,000 | 100,000 | -1,257 | 1,966 | 0,694 | 0,694 | 0,694 | 0,675 | 0,675 | 0,098 |
| 22,000 | 14,671 | 99,315 | -6,243 | skid front(out) | ##### | -5,300 | 0,000 | 1,000 | 100,000 | -2,501 | 2,079 | 0,694 | 0,694 | 0,694 | 0,675 | 0,675 | 0,113 |
| 22,500 | 11,589 | 99,312 | -6,243 | skid front(out) | ##### | -5,300 | 0,000 | 1,000 | 100,000 | -0,992 | 2,216 | 0,694 | 0,694 | 0,694 | 0,675 | 0,675 | 0,137 |
| 23,000 | 7,307 | 99,309 | -6,241 | skid front(out) | ##### | -5,300 | 0,000 | 1,000 | 100,000 | -1,451 | 2,407 | 0,694 | 0,694 | 0,694 | 0,675 | 0,675 | 0,191 |
| 23,300 | 2,200 | 99,330 | -6,240 | skid front(out) | ##### | -5,300 | 0,000 | 1,000 | 100,000 | -2,664 | 2,634 | 0,694 | 0,694 | 0,694 | 0,675 | 0,675 | 0,227 |

Προσδιορισμός Τιμών Πρόσφυσης κατά την Πέδηση Οχημάτων Εφοδιασμένων με Σύστημα ABS σε Αυξημένες κατά Μήκος Κλίσεις

| run | c | d | ntua | 10 | R(m) | br.front (%) | s(%) | e (%) | coeff | effic (%) | time (sec) | | | | | | 0,963 |
|--------|----------|-----------|--------|-----------------|-------|--------------|-----------|------------|-----------|-----------|------------|-------|-----------|----------|----------|---------|-----------|
| s= | 100,000 | ##### | 76,00 | -5,3 | e (%) | coeff | effic (%) | time (sec) | | | | | | 0,963 | | | |
| step= | 0,100 | viewstep= | 0,500 | STEPS | | | | | | | | | | | | | |
| s (m) | V (km/h) | n (%) | dv/dt | skid check | R(m) | s(%) | e (%) | coeff | effic (%) | decelera | time (sec) | FT | front out | front in | rear out | rear in | checktime |
| 25,800 | 1,306 | 99,298 | -6,238 | skid front(out) | ##### | -5,300 | 0,000 | 1,000 | 100,000 | -2,420624 | 2,811 | 0,694 | 0,6936 | 0,6936 | 0,6743 | 0,6743 | |
| 0,000 | 64,700 | 99,336 | -6,306 | O.K | ##### | -5,300 | 0,000 | 1,000 | 100,000 | 0,000 | 0,000 | 0,694 | | | | | |
| 0,400 | 64,193 | 99,328 | -6,304 | skid front(in) | ##### | -5,300 | 0,000 | 1,000 | 100,000 | 0,000 | 0,022 | 0,694 | 0,694 | 0,694 | 0,675 | 0,675 | 0,022 |
| 1,000 | 63,425 | 99,328 | -6,303 | skid front(in) | ##### | -5,300 | 0,000 | 1,000 | 100,000 | 0,000 | 0,056 | 0,694 | 0,694 | 0,694 | 0,675 | 0,675 | 0,034 |
| 1,500 | 62,777 | 99,328 | -6,302 | skid front(in) | ##### | -5,300 | 0,000 | 1,000 | 100,000 | 0,000 | 0,085 | 0,694 | 0,694 | 0,694 | 0,675 | 0,675 | 0,029 |
| 2,000 | 62,124 | 99,328 | -6,300 | skid front(in) | ##### | -5,300 | 0,000 | 1,000 | 100,000 | 0,000 | 0,114 | 0,694 | 0,694 | 0,694 | 0,675 | 0,675 | 0,029 |
| 2,500 | 61,463 | 99,329 | -6,299 | skid front(in) | ##### | -5,300 | 0,000 | 1,000 | 100,000 | 0,000 | 0,143 | 0,694 | 0,694 | 0,694 | 0,675 | 0,675 | 0,029 |
| 3,000 | 60,795 | 99,329 | -6,298 | skid front(in) | ##### | -5,300 | 0,000 | 1,000 | 100,000 | 0,000 | 0,172 | 0,694 | 0,694 | 0,694 | 0,675 | 0,675 | 0,029 |
| 3,500 | 60,120 | 99,329 | -6,297 | skid front(in) | ##### | -5,300 | 0,000 | 1,000 | 100,000 | 0,000 | 0,202 | 0,694 | 0,694 | 0,694 | 0,675 | 0,675 | 0,030 |
| 4,000 | 59,438 | 99,329 | -6,296 | skid front(in) | ##### | -5,300 | 0,000 | 1,000 | 100,000 | 0,000 | 0,232 | 0,694 | 0,694 | 0,694 | 0,675 | 0,675 | 0,030 |
| 4,400 | 58,886 | 99,329 | -6,295 | skid front(in) | ##### | -5,300 | 0,000 | 1,000 | 100,000 | 0,000 | 0,256 | 0,694 | 0,694 | 0,694 | 0,675 | 0,675 | 0,024 |
| 5,000 | 58,049 | 99,329 | -6,293 | skid front(in) | ##### | -5,300 | 0,000 | 1,000 | 100,000 | 0,000 | 0,293 | 0,694 | 0,694 | 0,694 | 0,675 | 0,675 | 0,037 |
| 5,500 | 57,343 | 99,329 | -6,292 | skid front(in) | ##### | -5,300 | 0,000 | 1,000 | 100,000 | 0,000 | 0,324 | 0,694 | 0,694 | 0,694 | 0,675 | 0,675 | 0,031 |
| 6,000 | 56,627 | 99,329 | -6,291 | skid front(in) | ##### | -5,300 | 0,000 | 1,000 | 100,000 | 0,000 | 0,356 | 0,694 | 0,694 | 0,694 | 0,675 | 0,675 | 0,032 |
| 6,500 | 55,903 | 99,329 | -6,289 | skid front(in) | ##### | -5,300 | 0,000 | 1,000 | 100,000 | 0,000 | 0,388 | 0,694 | 0,694 | 0,694 | 0,675 | 0,675 | 0,032 |
| 7,000 | 55,169 | 99,329 | -6,288 | skid front(in) | ##### | -5,300 | 0,000 | 1,000 | 100,000 | 0,000 | 0,420 | 0,694 | 0,694 | 0,694 | 0,675 | 0,675 | 0,032 |
| 7,500 | 54,425 | 99,329 | -6,287 | skid front(in) | ##### | -5,300 | 0,000 | 1,000 | 100,000 | 0,000 | 0,453 | 0,694 | 0,694 | 0,694 | 0,675 | 0,675 | 0,033 |
| 8,000 | 53,672 | 99,329 | -6,286 | skid front(in) | ##### | -5,300 | 0,000 | 1,000 | 100,000 | 0,000 | 0,487 | 0,694 | 0,694 | 0,694 | 0,675 | 0,675 | 0,033 |
| 8,500 | 52,907 | 99,329 | -6,285 | skid front(in) | ##### | -5,300 | 0,000 | 1,000 | 100,000 | 0,000 | 0,520 | 0,694 | 0,694 | 0,694 | 0,675 | 0,675 | 0,034 |
| 9,000 | 52,132 | 99,329 | -6,283 | skid front(in) | ##### | -5,300 | 0,000 | 1,000 | 100,000 | 0,000 | 0,555 | 0,694 | 0,694 | 0,694 | 0,675 | 0,675 | 0,034 |
| 9,500 | 51,345 | 99,330 | -6,282 | skid front(in) | ##### | -5,300 | 0,000 | 1,000 | 100,000 | 0,000 | 0,589 | 0,694 | 0,694 | 0,694 | 0,675 | 0,675 | 0,035 |
| 10,000 | 50,546 | 99,330 | -6,281 | skid front(in) | ##### | -5,300 | 0,000 | 1,000 | 100,000 | 0,000 | 0,625 | 0,694 | 0,694 | 0,694 | 0,675 | 0,675 | 0,035 |
| 10,500 | 49,735 | 99,330 | -6,280 | skid front(in) | ##### | -5,300 | 0,000 | 1,000 | 100,000 | 0,000 | 0,661 | 0,694 | 0,694 | 0,694 | 0,675 | 0,675 | 0,036 |
| 11,000 | 48,910 | 99,330 | -6,278 | skid front(in) | ##### | -5,300 | 0,000 | 1,000 | 100,000 | 0,000 | 0,697 | 0,694 | 0,694 | 0,694 | 0,675 | 0,675 | 0,036 |
| 11,500 | 48,071 | 99,330 | -6,277 | skid front(in) | ##### | -5,300 | 0,000 | 1,000 | 100,000 | 0,000 | 0,734 | 0,694 | 0,694 | 0,694 | 0,675 | 0,675 | 0,037 |
| 12,000 | 47,217 | 99,330 | -6,276 | skid front(in) | ##### | -5,300 | 0,000 | 1,000 | 100,000 | 0,000 | 0,772 | 0,694 | 0,694 | 0,694 | 0,675 | 0,675 | 0,038 |
| 12,500 | 46,348 | 99,330 | -6,275 | skid front(in) | ##### | -5,300 | 0,000 | 1,000 | 100,000 | 0,000 | 0,811 | 0,694 | 0,694 | 0,694 | 0,675 | 0,675 | 0,038 |
| 13,000 | 45,462 | 99,330 | -6,274 | skid front(in) | ##### | -5,300 | 0,000 | 1,000 | 100,000 | 0,000 | 0,850 | 0,694 | 0,694 | 0,694 | 0,675 | 0,675 | 0,039 |
| 13,500 | 44,559 | 99,330 | -6,272 | skid front(in) | ##### | -5,300 | 0,000 | 1,000 | 100,000 | 0,000 | 0,890 | 0,694 | 0,694 | 0,694 | 0,675 | 0,675 | 0,040 |
| 14,000 | 43,637 | 99,330 | -6,271 | skid front(in) | ##### | -5,300 | 0,000 | 1,000 | 100,000 | 0,000 | 0,931 | 0,694 | 0,694 | 0,694 | 0,675 | 0,675 | 0,041 |
| 14,500 | 42,696 | 99,330 | -6,270 | skid front(in) | ##### | -5,300 | 0,000 | 1,000 | 100,000 | 0,000 | 0,972 | 0,694 | 0,694 | 0,694 | 0,675 | 0,675 | 0,042 |
| 15,000 | 41,734 | 99,330 | -6,269 | skid front(in) | ##### | -5,300 | 0,000 | 1,000 | 100,000 | 0,000 | 1,015 | 0,694 | 0,694 | 0,694 | 0,675 | 0,675 | 0,043 |
| 15,500 | 40,749 | 99,330 | -6,268 | skid front(in) | ##### | -5,300 | 0,000 | 1,000 | 100,000 | 0,000 | 1,059 | 0,694 | 0,694 | 0,694 | 0,675 | 0,675 | 0,044 |
| 16,000 | 39,740 | 99,330 | -6,266 | skid front(in) | ##### | -5,300 | 0,000 | 1,000 | 100,000 | 0,000 | 1,103 | 0,694 | 0,694 | 0,694 | 0,675 | 0,675 | 0,045 |
| 16,500 | 38,705 | 99,331 | -6,265 | skid front(in) | ##### | -5,300 | 0,000 | 1,000 | 100,000 | 0,000 | 1,149 | 0,694 | 0,694 | 0,694 | 0,675 | 0,675 | 0,046 |
| 17,000 | 37,641 | 99,331 | -6,264 | skid front(in) | ##### | -5,300 | 0,000 | 1,000 | 100,000 | 0,000 | 1,196 | 0,694 | 0,694 | 0,694 | 0,675 | 0,675 | 0,047 |
| 17,500 | 36,547 | 99,331 | -6,263 | skid front(in) | ##### | -5,300 | 0,000 | 1,000 | 100,000 | 0,000 | 1,245 | 0,694 | 0,694 | 0,694 | 0,675 | 0,675 | 0,049 |
| 18,000 | 35,419 | 99,331 | -6,261 | skid front(in) | ##### | -5,300 | 0,000 | 1,000 | 100,000 | 0,000 | 1,295 | 0,694 | 0,694 | 0,694 | 0,675 | 0,675 | 0,050 |
| 18,500 | 34,255 | 99,331 | -6,260 | skid front(in) | ##### | -5,300 | 0,000 | 1,000 | 100,000 | 0,000 | 1,347 | 0,694 | 0,694 | 0,694 | 0,675 | 0,675 | 0,052 |
| 18,900 | 33,294 | 99,331 | -6,259 | skid front(in) | ##### | -5,300 | 0,000 | 1,000 | 100,000 | 0,001 | 1,389 | 0,694 | 0,694 | 0,694 | 0,675 | 0,675 | 0,043 |
| 19,500 | 31,799 | 99,315 | -6,255 | skid front(out) | ##### | -5,300 | 0,000 | 1,000 | 100,000 | -1,570 | 1,456 | 0,694 | 0,694 | 0,694 | 0,675 | 0,675 | 0,066 |
| 20,000 | 30,497 | 99,342 | -6,256 | skid front(out) | ##### | -5,300 | 0,000 | 1,000 | 100,000 | -1,723 | 1,513 | 0,694 | 0,694 | 0,694 | 0,675 | 0,675 | 0,058 |
| 20,500 | 29,138 | 99,333 | -6,255 | skid front(out) | ##### | -5,300 | 0,000 | 1,000 | 100,000 | -0,214 | 1,574 | 0,694 | 0,694 | 0,694 | 0,675 | 0,675 | 0,060 |
| 21,000 | 27,712 | 99,347 | -6,254 | skid front(out) | ##### | -5,300 | 0,000 | 1,000 | 100,000 | -1,697 | 1,637 | 0,694 | 0,694 | 0,694 | 0,675 | 0,675 | 0,063 |
| 21,500 | 26,209 | 99,344 | -6,251 | skid front(out) | ##### | -5,300 | 0,000 | 1,000 | 100,000 | -3,148 | 1,704 | 0,694 | 0,694 | 0,694 | 0,675 | 0,675 | 0,067 |
| 22,000 | 24,614 | 99,320 | -6,250 | skid front(out) | ##### | -5,300 | 0,000 | 1,000 | 100,000 | -0,637 | 1,775 | 0,694 | 0,694 | 0,694 | 0,675 | 0,675 | 0,071 |
| 22,500 | 22,910 | 99,320 | -6,249 | skid front(out) | ##### | -5,300 | 0,000 | 1,000 | 100,000 | -1,407 | 1,850 | 0,694 | 0,694 | 0,694 | 0,675 | 0,675 | 0,076 |
| 23,000 | 21,068 | 99,346 | -6,249 | skid front(out) | ##### | -5,300 | 0,000 | 1,000 | 100,000 | -1,620 | 1,932 | 0,694 | 0,694 | 0,694 | 0,675 | 0,675 | 0,082 |
| 23,500 | 19,049 | 99,351 | -6,248 | skid front(out) | ##### | -5,300 | 0,000 | 1,000 | 100,000 | -1,666 | 2,022 | 0,694 | 0,694 | 0,694 | 0,675 | 0,675 | 0,090 |
| 24,000 | 16,789 | 99,334 | -6,246 | skid front(out) | ##### | -5,300 | 0,000 | 1,000 | 100,000 | -1,621 | 2,122 | 0,694 | 0,694 | 0,694 | 0,675 | 0,675 | 0,100 |
| 24,500 | 14,175 | 99,287 | -6,242 | skid front(in) | ##### | -5,300 | 0,000 | 1,000 | 100,000 | -1,289 | 2,239 | 0,694 | 0,694 | 0,694 | 0,674 | 0,674 | 0,116 |
| 25,000 | 10,955 | 99,383 | -6,244 | skid front(out) | ##### | -5,300 | 0,000 | 1,000 | 100,000 | -4,237 | 2,382 | 0,694 | 0,694 | 0,694 | 0,675 | 0,675 | 0,143 |

Προσδιορισμός Τιμών Πρόσφυσης κατά την Πέδηση Οχημάτων Εφοδιασμένων με Σύστημα ABS σε Αυξημένες κατά Μήκος Κλίσεις

| | | | | | | | | | | | | | | | | | |
|--------|-------|--------|--------|-----------------|-------|--------|-------|-------|---------|--------|-------|-------|-------|-------|-------|-------|-------|
| 25,500 | 6,252 | 99,336 | -6,241 | skid front(out) | ##### | -5,300 | 0,000 | 1,000 | 100,000 | -3,025 | 2,591 | 0,694 | 0,694 | 0,694 | 0,675 | 0,675 | 0,209 |
| 25,800 | 1,306 | 99,298 | -6,238 | skid front(out) | ##### | -5,300 | 0,000 | 1,000 | 100,000 | -2,421 | 2,811 | 0,694 | 0,694 | 0,694 | 0,674 | 0,674 | 0,220 |

| run_c_d_ntua_11 | | R(m) | br.front (%) | s(%) | e (%) | coeff | effic (%) | | | time (sec) | | | | | | | |
|-----------------|----------|-----------|--------------|-----------------|-------|--------|-----------|-------|-----------|------------|------------|-------|-----------|----------|----------|---------|-----------|
| s= | 100,000 | ##### | 76,00 | -5,3 | 0,0 | 1,00 | 100 | | | 2,694 | 0,963 | | | | | | |
| step= | 0,100 | viewstep= | 0,500 | STEPS | | | | | | | | | | | | | |
| s (m) | V (km/h) | n (%) | dv/dt | skid check | R(m) | s(%) | e (%) | coeff | effic (%) | decelera | time (sec) | ft | front out | front in | rear out | rear in | checktime |
| 24,000 | 1,693 | 99,364 | -6,242 | skid front(out) | ##### | -5,300 | 0,000 | 1,000 | 100,000 | -3,815104 | 2,694 | 0,694 | 0,6939 | 0,6939 | 0,6749 | 0,6749 | |
| 0,000 | 62,430 | 99,335 | -6,301 | O.K | ##### | -5,300 | 0,000 | 1,000 | 100,000 | 0,000 | 0,000 | 0,694 | | | | | |
| 0,400 | 61,905 | 99,328 | -6,300 | skid front(in) | ##### | -5,300 | 0,000 | 1,000 | 100,000 | 0,000 | 0,023 | 0,694 | 0,694 | 0,694 | 0,675 | 0,675 | 0,023 |
| 1,000 | 61,108 | 99,329 | -6,299 | skid front(in) | ##### | -5,300 | 0,000 | 1,000 | 100,000 | 0,000 | 0,058 | 0,694 | 0,694 | 0,694 | 0,675 | 0,675 | 0,035 |
| 1,500 | 60,437 | 99,329 | -6,297 | skid front(in) | ##### | -5,300 | 0,000 | 1,000 | 100,000 | 0,000 | 0,088 | 0,694 | 0,694 | 0,694 | 0,675 | 0,675 | 0,030 |
| 2,000 | 59,758 | 99,329 | -6,296 | skid front(in) | ##### | -5,300 | 0,000 | 1,000 | 100,000 | 0,000 | 0,118 | 0,694 | 0,694 | 0,694 | 0,675 | 0,675 | 0,030 |
| 2,500 | 59,071 | 99,329 | -6,295 | skid front(in) | ##### | -5,300 | 0,000 | 1,000 | 100,000 | 0,000 | 0,148 | 0,694 | 0,694 | 0,694 | 0,675 | 0,675 | 0,030 |
| 3,000 | 58,377 | 99,329 | -6,294 | skid front(in) | ##### | -5,300 | 0,000 | 1,000 | 100,000 | 0,000 | 0,179 | 0,694 | 0,694 | 0,694 | 0,675 | 0,675 | 0,031 |
| 3,500 | 57,674 | 99,329 | -6,292 | skid front(in) | ##### | -5,300 | 0,000 | 1,000 | 100,000 | 0,000 | 0,210 | 0,694 | 0,694 | 0,694 | 0,675 | 0,675 | 0,031 |
| 4,000 | 56,963 | 99,329 | -6,291 | skid front(in) | ##### | -5,300 | 0,000 | 1,000 | 100,000 | 0,000 | 0,241 | 0,694 | 0,694 | 0,694 | 0,675 | 0,675 | 0,031 |
| 4,400 | 56,387 | 99,329 | -6,290 | skid front(in) | ##### | -5,300 | 0,000 | 1,000 | 100,000 | 0,000 | 0,267 | 0,694 | 0,694 | 0,694 | 0,675 | 0,675 | 0,025 |
| 5,000 | 55,513 | 99,329 | -6,289 | skid front(in) | ##### | -5,300 | 0,000 | 1,000 | 100,000 | 0,000 | 0,305 | 0,694 | 0,694 | 0,694 | 0,675 | 0,675 | 0,039 |
| 5,500 | 54,774 | 99,329 | -6,288 | skid front(in) | ##### | -5,300 | 0,000 | 1,000 | 100,000 | 0,000 | 0,338 | 0,694 | 0,694 | 0,694 | 0,675 | 0,675 | 0,033 |
| 6,000 | 54,025 | 99,329 | -6,286 | skid front(in) | ##### | -5,300 | 0,000 | 1,000 | 100,000 | 0,000 | 0,371 | 0,694 | 0,694 | 0,694 | 0,675 | 0,675 | 0,033 |
| 6,500 | 53,266 | 99,329 | -6,285 | skid front(in) | ##### | -5,300 | 0,000 | 1,000 | 100,000 | 0,000 | 0,405 | 0,694 | 0,694 | 0,694 | 0,675 | 0,675 | 0,034 |
| 7,000 | 52,496 | 99,329 | -6,284 | skid front(in) | ##### | -5,300 | 0,000 | 1,000 | 100,000 | 0,000 | 0,439 | 0,694 | 0,694 | 0,694 | 0,675 | 0,675 | 0,034 |
| 7,500 | 51,714 | 99,330 | -6,283 | skid front(in) | ##### | -5,300 | 0,000 | 1,000 | 100,000 | 0,000 | 0,473 | 0,694 | 0,694 | 0,694 | 0,675 | 0,675 | 0,035 |
| 8,000 | 50,921 | 99,330 | -6,281 | skid front(in) | ##### | -5,300 | 0,000 | 1,000 | 100,000 | 0,000 | 0,508 | 0,694 | 0,694 | 0,694 | 0,675 | 0,675 | 0,035 |
| 8,500 | 50,115 | 99,330 | -6,280 | skid front(in) | ##### | -5,300 | 0,000 | 1,000 | 100,000 | 0,000 | 0,544 | 0,694 | 0,694 | 0,694 | 0,675 | 0,675 | 0,036 |
| 9,000 | 49,297 | 99,330 | -6,279 | skid front(in) | ##### | -5,300 | 0,000 | 1,000 | 100,000 | 0,000 | 0,580 | 0,694 | 0,694 | 0,694 | 0,675 | 0,675 | 0,036 |
| 9,500 | 48,465 | 99,330 | -6,278 | skid front(in) | ##### | -5,300 | 0,000 | 1,000 | 100,000 | 0,000 | 0,617 | 0,694 | 0,694 | 0,694 | 0,675 | 0,675 | 0,037 |
| 10,000 | 47,618 | 99,330 | -6,277 | skid front(in) | ##### | -5,300 | 0,000 | 1,000 | 100,000 | 0,000 | 0,654 | 0,694 | 0,694 | 0,694 | 0,675 | 0,675 | 0,037 |
| 10,500 | 46,756 | 99,330 | -6,275 | skid front(in) | ##### | -5,300 | 0,000 | 1,000 | 100,000 | 0,000 | 0,692 | 0,694 | 0,694 | 0,694 | 0,675 | 0,675 | 0,038 |
| 11,000 | 45,878 | 99,330 | -6,274 | skid front(in) | ##### | -5,300 | 0,000 | 1,000 | 100,000 | 0,000 | 0,731 | 0,694 | 0,694 | 0,694 | 0,675 | 0,675 | 0,039 |
| 11,500 | 44,983 | 99,330 | -6,273 | skid front(in) | ##### | -5,300 | 0,000 | 1,000 | 100,000 | 0,000 | 0,771 | 0,694 | 0,694 | 0,694 | 0,675 | 0,675 | 0,040 |
| 12,000 | 44,070 | 99,330 | -6,272 | skid front(in) | ##### | -5,300 | 0,000 | 1,000 | 100,000 | 0,000 | 0,811 | 0,694 | 0,694 | 0,694 | 0,675 | 0,675 | 0,040 |
| 12,500 | 43,138 | 99,330 | -6,271 | skid front(in) | ##### | -5,300 | 0,000 | 1,000 | 100,000 | 0,000 | 0,853 | 0,694 | 0,694 | 0,694 | 0,675 | 0,675 | 0,041 |
| 13,000 | 42,186 | 99,330 | -6,269 | skid front(in) | ##### | -5,300 | 0,000 | 1,000 | 100,000 | 0,000 | 0,895 | 0,694 | 0,694 | 0,694 | 0,675 | 0,675 | 0,042 |
| 13,500 | 41,212 | 99,330 | -6,268 | skid front(in) | ##### | -5,300 | 0,000 | 1,000 | 100,000 | 0,000 | 0,938 | 0,694 | 0,694 | 0,694 | 0,675 | 0,675 | 0,043 |
| 14,000 | 40,214 | 99,330 | -6,267 | skid front(in) | ##### | -5,300 | 0,000 | 1,000 | 100,000 | 0,000 | 0,982 | 0,694 | 0,694 | 0,694 | 0,675 | 0,675 | 0,044 |
| 14,500 | 39,192 | 99,330 | -6,266 | skid front(in) | ##### | -5,300 | 0,000 | 1,000 | 100,000 | 0,000 | 1,028 | 0,694 | 0,694 | 0,694 | 0,675 | 0,675 | 0,045 |
| 15,000 | 38,142 | 99,331 | -6,264 | skid front(in) | ##### | -5,300 | 0,000 | 1,000 | 100,000 | 0,000 | 1,074 | 0,694 | 0,694 | 0,694 | 0,675 | 0,675 | 0,047 |
| 15,500 | 37,062 | 99,331 | -6,263 | skid front(in) | ##### | -5,300 | 0,000 | 1,000 | 100,000 | 0,001 | 1,122 | 0,694 | 0,694 | 0,694 | 0,675 | 0,675 | 0,048 |
| 16,000 | 35,951 | 99,331 | -6,262 | skid front(in) | ##### | -5,300 | 0,000 | 1,000 | 100,000 | 0,000 | 1,171 | 0,694 | 0,694 | 0,694 | 0,675 | 0,675 | 0,049 |
| 16,500 | 34,804 | 99,331 | -6,261 | skid front(in) | ##### | -5,300 | 0,000 | 1,000 | 100,000 | 0,000 | 1,222 | 0,694 | 0,694 | 0,694 | 0,675 | 0,675 | 0,051 |
| 17,000 | 33,618 | 99,331 | -6,260 | skid front(in) | ##### | -5,300 | 0,000 | 1,000 | 100,000 | 0,001 | 1,275 | 0,694 | 0,694 | 0,694 | 0,675 | 0,675 | 0,053 |
| 17,500 | 32,389 | 99,331 | -6,258 | skid front(in) | ##### | -5,300 | 0,000 | 1,000 | 100,000 | 0,001 | 1,329 | 0,694 | 0,694 | 0,694 | 0,675 | 0,675 | 0,055 |
| 18,000 | 31,112 | 99,311 | -6,255 | skid front(out) | ##### | -5,300 | 0,000 | 1,000 | 100,000 | -1,397 | 1,386 | 0,694 | 0,694 | 0,694 | 0,675 | 0,675 | 0,057 |
| 18,500 | 29,781 | 99,325 | -6,255 | skid front(out) | ##### | -5,300 | 0,000 | 1,000 | 100,000 | -0,732 | 1,445 | 0,694 | 0,694 | 0,694 | 0,675 | 0,675 | 0,059 |
| 18,900 | 28,671 | 99,338 | -6,253 | skid front(out) | ##### | -5,300 | 0,000 | 1,000 | 100,000 | -2,280 | 1,494 | 0,694 | 0,694 | 0,694 | 0,675 | 0,675 | 0,049 |
| 19,500 | 26,922 | 99,344 | -6,252 | skid front(out) | ##### | -5,300 | 0,000 | 1,000 | 100,000 | -2,195 | 1,572 | 0,694 | 0,694 | 0,694 | 0,675 | 0,675 | 0,078 |
| 20,000 | 25,372 | 99,303 | -6,250 | skid front(out) | ##### | -5,300 | 0,000 | 1,000 | 100,000 | -1,006 | 1,641 | 0,694 | 0,694 | 0,694 | 0,675 | 0,675 | 0,069 |
| 20,500 | 23,722 | 99,307 | -6,249 | skid front(out) | ##### | -5,300 | 0,000 | 1,000 | 100,000 | -0,985 | 1,714 | 0,694 | 0,694 | 0,694 | 0,675 | 0,675 | 0,073 |
| 21,000 | 21,948 | 99,290 | -6,246 | skid front(in) | ##### | -5,300 | 0,000 | 1,000 | 100,000 | -0,767 | 1,793 | 0,694 | 0,694 | 0,694 | 0,674 | 0,674 | 0,079 |

Προσδιορισμός Τιμών Πρόσφυσης κατά την Πέδηση Οχημάτων Εφοδιασμένων με Σύστημα ABS σε Αυξημένες κατά Μήκος Κλίσεις

| | | | | | | | | | | | | | | | | | |
|--------|--------|--------|--------|-----------------|-------|--------|-------|-------|---------|--------|-------|-------|-------|-------|-------|-------|-------|
| 21,500 | 20,018 | 99,322 | -6,246 | skid front(out) | ##### | -5,300 | 0,000 | 1,000 | 100,000 | -1,819 | 1,879 | 0,694 | 0,694 | 0,694 | 0,675 | 0,675 | 0,086 |
| 22,000 | 17,882 | 99,334 | -6,245 | skid front(out) | ##### | -5,300 | 0,000 | 1,000 | 100,000 | -2,812 | 1,974 | 0,694 | 0,694 | 0,694 | 0,675 | 0,675 | 0,095 |
| 22,500 | 15,454 | 99,294 | -6,242 | skid front(out) | ##### | -5,300 | 0,000 | 1,000 | 100,000 | -1,582 | 2,082 | 0,694 | 0,694 | 0,694 | 0,674 | 0,674 | 0,108 |
| 23,000 | 12,565 | 99,336 | -6,242 | skid front(out) | ##### | -5,300 | 0,000 | 1,000 | 100,000 | -3,951 | 2,210 | 0,694 | 0,694 | 0,694 | 0,675 | 0,675 | 0,129 |
| 23,500 | 8,773 | 99,325 | -6,240 | skid front(out) | ##### | -5,300 | 0,000 | 1,000 | 100,000 | -4,032 | 2,379 | 0,694 | 0,694 | 0,694 | 0,674 | 0,674 | 0,169 |
| 24,000 | 1,693 | 99,364 | -6,242 | skid front(out) | ##### | -5,300 | 0,000 | 1,000 | 100,000 | -3,815 | 2,694 | 0,694 | 0,694 | 0,694 | 0,675 | 0,675 | 0,315 |

| run | c | d | ntua | 12 | R(m) | br.front (%) | s(%) | e (%) | coeff | effic (%) | time (sec) | | | | | | | 0,963 |
|--------|----------|-----------|--------|-----------------|-------|--------------|-------|-------|-----------|-----------|------------|-------|-----------|----------|----------|---------|-----------|-------|
| s= | 100,000 | ##### | 76,00 | -5,3 | 0,0 | 1,00 | 100 | 2,733 | | | | | | | | | | |
| step= | 0,100 | viewstep= | 0,500 | STEPS | | | | | | | | | | | | | | |
| s (m) | V (km/h) | n (%) | dv/dt | skid check | R(m) | s(%) | e (%) | coeff | effic (%) | decelera | time (sec) | FT | front out | front in | rear out | rear in | checktime | |
| 23,600 | 0,041 | 99,278 | -6,238 | skid front(out) | ##### | -5,300 | 0,000 | 1,000 | 100,000 | -1,105381 | 2,733 | 0,694 | 0,6936 | 0,6936 | 0,6743 | 0,6743 | | |
| 0,000 | 61,640 | 99,335 | -6,300 | O.K | ##### | -5,300 | 0,000 | 1,000 | 100,000 | 0,000 | 0,000 | 0,694 | | | | | | |
| 0,400 | 61,108 | 99,329 | -6,299 | skid front(in) | ##### | -5,300 | 0,000 | 1,000 | 100,000 | 0,000 | 0,023 | 0,694 | 0,694 | 0,694 | 0,675 | 0,675 | 0,023 | |
| 1,000 | 60,301 | 99,329 | -6,297 | skid front(in) | ##### | -5,300 | 0,000 | 1,000 | 100,000 | 0,000 | 0,059 | 0,694 | 0,694 | 0,694 | 0,675 | 0,675 | 0,036 | |
| 1,500 | 59,621 | 99,329 | -6,296 | skid front(in) | ##### | -5,300 | 0,000 | 1,000 | 100,000 | 0,000 | 0,089 | 0,694 | 0,694 | 0,694 | 0,675 | 0,675 | 0,030 | |
| 2,000 | 58,933 | 99,329 | -6,295 | skid front(in) | ##### | -5,300 | 0,000 | 1,000 | 100,000 | 0,000 | 0,119 | 0,694 | 0,694 | 0,694 | 0,675 | 0,675 | 0,030 | |
| 2,500 | 58,236 | 99,329 | -6,293 | skid front(in) | ##### | -5,300 | 0,000 | 1,000 | 100,000 | 0,000 | 0,150 | 0,694 | 0,694 | 0,694 | 0,675 | 0,675 | 0,031 | |
| 3,000 | 57,532 | 99,329 | -6,292 | skid front(in) | ##### | -5,300 | 0,000 | 1,000 | 100,000 | 0,000 | 0,181 | 0,694 | 0,694 | 0,694 | 0,675 | 0,675 | 0,031 | |
| 3,500 | 56,819 | 99,329 | -6,291 | skid front(in) | ##### | -5,300 | 0,000 | 1,000 | 100,000 | 0,000 | 0,213 | 0,694 | 0,694 | 0,694 | 0,675 | 0,675 | 0,031 | |
| 4,000 | 56,097 | 99,329 | -6,290 | skid front(in) | ##### | -5,300 | 0,000 | 1,000 | 100,000 | 0,000 | 0,245 | 0,694 | 0,694 | 0,694 | 0,675 | 0,675 | 0,032 | |
| 4,400 | 55,513 | 99,329 | -6,289 | skid front(in) | ##### | -5,300 | 0,000 | 1,000 | 100,000 | 0,000 | 0,270 | 0,694 | 0,694 | 0,694 | 0,675 | 0,675 | 0,026 | |
| 5,000 | 54,625 | 99,329 | -6,287 | skid front(in) | ##### | -5,300 | 0,000 | 1,000 | 100,000 | 0,000 | 0,310 | 0,694 | 0,694 | 0,694 | 0,675 | 0,675 | 0,039 | |
| 5,500 | 53,874 | 99,329 | -6,286 | skid front(in) | ##### | -5,300 | 0,000 | 1,000 | 100,000 | 0,000 | 0,343 | 0,694 | 0,694 | 0,694 | 0,675 | 0,675 | 0,033 | |
| 6,000 | 53,112 | 99,329 | -6,285 | skid front(in) | ##### | -5,300 | 0,000 | 1,000 | 100,000 | 0,000 | 0,376 | 0,694 | 0,694 | 0,694 | 0,675 | 0,675 | 0,034 | |
| 6,500 | 52,340 | 99,329 | -6,284 | skid front(in) | ##### | -5,300 | 0,000 | 1,000 | 100,000 | 0,000 | 0,411 | 0,694 | 0,694 | 0,694 | 0,675 | 0,675 | 0,034 | |
| 7,000 | 51,556 | 99,330 | -6,282 | skid front(in) | ##### | -5,300 | 0,000 | 1,000 | 100,000 | 0,000 | 0,445 | 0,694 | 0,694 | 0,694 | 0,675 | 0,675 | 0,035 | |
| 7,500 | 50,761 | 99,330 | -6,281 | skid front(in) | ##### | -5,300 | 0,000 | 1,000 | 100,000 | 0,000 | 0,480 | 0,694 | 0,694 | 0,694 | 0,675 | 0,675 | 0,035 | |
| 8,000 | 49,952 | 99,330 | -6,280 | skid front(in) | ##### | -5,300 | 0,000 | 1,000 | 100,000 | 0,000 | 0,516 | 0,694 | 0,694 | 0,694 | 0,675 | 0,675 | 0,036 | |
| 8,500 | 49,131 | 99,330 | -6,279 | skid front(in) | ##### | -5,300 | 0,000 | 1,000 | 100,000 | 0,000 | 0,553 | 0,694 | 0,694 | 0,694 | 0,675 | 0,675 | 0,036 | |
| 9,000 | 48,296 | 99,330 | -6,278 | skid front(in) | ##### | -5,300 | 0,000 | 1,000 | 100,000 | 0,000 | 0,589 | 0,694 | 0,694 | 0,694 | 0,675 | 0,675 | 0,037 | |
| 9,500 | 47,446 | 99,330 | -6,276 | skid front(in) | ##### | -5,300 | 0,000 | 1,000 | 100,000 | 0,000 | 0,627 | 0,694 | 0,694 | 0,694 | 0,675 | 0,675 | 0,038 | |
| 10,000 | 46,581 | 99,330 | -6,275 | skid front(in) | ##### | -5,300 | 0,000 | 1,000 | 100,000 | 0,000 | 0,665 | 0,694 | 0,694 | 0,694 | 0,675 | 0,675 | 0,038 | |
| 10,500 | 45,700 | 99,330 | -6,274 | skid front(in) | ##### | -5,300 | 0,000 | 1,000 | 100,000 | 0,000 | 0,704 | 0,694 | 0,694 | 0,694 | 0,675 | 0,675 | 0,039 | |
| 11,000 | 44,802 | 99,330 | -6,273 | skid front(in) | ##### | -5,300 | 0,000 | 1,000 | 100,000 | 0,000 | 0,744 | 0,694 | 0,694 | 0,694 | 0,675 | 0,675 | 0,040 | |
| 11,500 | 43,885 | 99,330 | -6,271 | skid front(in) | ##### | -5,300 | 0,000 | 1,000 | 100,000 | 0,000 | 0,785 | 0,694 | 0,694 | 0,694 | 0,675 | 0,675 | 0,041 | |
| 12,000 | 42,949 | 99,330 | -6,270 | skid front(in) | ##### | -5,300 | 0,000 | 1,000 | 100,000 | 0,000 | 0,826 | 0,694 | 0,694 | 0,694 | 0,675 | 0,675 | 0,041 | |
| 12,500 | 41,993 | 99,330 | -6,269 | skid front(in) | ##### | -5,300 | 0,000 | 1,000 | 100,000 | 0,000 | 0,869 | 0,694 | 0,694 | 0,694 | 0,675 | 0,675 | 0,042 | |
| 13,000 | 41,014 | 99,330 | -6,268 | skid front(in) | ##### | -5,300 | 0,000 | 1,000 | 100,000 | 0,000 | 0,912 | 0,694 | 0,694 | 0,694 | 0,675 | 0,675 | 0,043 | |
| 13,500 | 40,012 | 99,330 | -6,267 | skid front(in) | ##### | -5,300 | 0,000 | 1,000 | 100,000 | 0,000 | 0,956 | 0,694 | 0,694 | 0,694 | 0,675 | 0,675 | 0,044 | |
| 14,000 | 38,984 | 99,331 | -6,265 | skid front(in) | ##### | -5,300 | 0,000 | 1,000 | 100,000 | 0,000 | 1,002 | 0,694 | 0,694 | 0,694 | 0,675 | 0,675 | 0,046 | |
| 14,500 | 37,928 | 99,331 | -6,264 | skid front(in) | ##### | -5,300 | 0,000 | 1,000 | 100,000 | 0,000 | 1,049 | 0,694 | 0,694 | 0,694 | 0,675 | 0,675 | 0,047 | |
| 15,000 | 36,842 | 99,331 | -6,263 | skid front(in) | ##### | -5,300 | 0,000 | 1,000 | 100,000 | 0,000 | 1,097 | 0,694 | 0,694 | 0,694 | 0,675 | 0,675 | 0,048 | |
| 15,500 | 35,724 | 99,331 | -6,262 | skid front(in) | ##### | -5,300 | 0,000 | 1,000 | 100,000 | 0,000 | 1,147 | 0,694 | 0,694 | 0,694 | 0,675 | 0,675 | 0,050 | |
| 16,000 | 34,569 | 99,331 | -6,261 | skid front(in) | ##### | -5,300 | 0,000 | 1,000 | 100,000 | 0,000 | 1,198 | 0,694 | 0,694 | 0,694 | 0,675 | 0,675 | 0,051 | |
| 16,500 | 33,375 | 99,331 | -6,259 | skid front(in) | ##### | -5,300 | 0,000 | 1,000 | 100,000 | 0,000 | 1,251 | 0,694 | 0,694 | 0,694 | 0,675 | 0,675 | 0,053 | |
| 17,000 | 32,137 | 99,331 | -6,258 | skid front(in) | ##### | -5,300 | 0,000 | 1,000 | 100,000 | 0,001 | 1,306 | 0,694 | 0,694 | 0,694 | 0,675 | 0,675 | 0,055 | |

Προσδιορισμός Τιμών Πρόσφυσης κατά την Πέδηση Οχημάτων Εφοδιασμένων με Σύστημα ABS σε Αυξημένες κατά Μήκος Κλίσεις

| | | | | | | | | | | | | | | | | | |
|--------|--------|--------|--------|-----------------|-------|--------|-------|-------|---------|--------|-------|-------|-------|-------|-------|-------|-------|
| 17,500 | 30,850 | 99,318 | -6,254 | skid front(out) | ##### | -5,300 | 0,000 | 1,000 | 100,000 | -1,839 | 1,363 | 0,694 | 0,694 | 0,694 | 0,675 | 0,675 | 0,057 |
| 18,000 | 29,506 | 99,325 | -6,254 | skid front(out) | ##### | -5,300 | 0,000 | 1,000 | 100,000 | -1,526 | 1,422 | 0,694 | 0,694 | 0,694 | 0,675 | 0,675 | 0,060 |
| 18,500 | 28,099 | 99,335 | -6,252 | skid front(out) | ##### | -5,300 | 0,000 | 1,000 | 100,000 | -2,647 | 1,485 | 0,694 | 0,694 | 0,694 | 0,675 | 0,675 | 0,063 |
| 18,900 | 26,921 | 99,324 | -6,253 | skid front(out) | ##### | -5,300 | 0,000 | 1,000 | 100,000 | -0,530 | 1,537 | 0,694 | 0,694 | 0,694 | 0,675 | 0,675 | 0,052 |
| 19,500 | 25,050 | 99,300 | -6,249 | skid front(out) | ##### | -5,300 | 0,000 | 1,000 | 100,000 | -0,942 | 1,620 | 0,694 | 0,694 | 0,694 | 0,675 | 0,675 | 0,083 |
| 20,000 | 23,377 | 99,340 | -6,251 | skid front(out) | ##### | -5,300 | 0,000 | 1,000 | 100,000 | -0,839 | 1,695 | 0,694 | 0,694 | 0,694 | 0,675 | 0,675 | 0,074 |
| 20,500 | 21,575 | 99,316 | -6,248 | skid front(out) | ##### | -5,300 | 0,000 | 1,000 | 100,000 | -1,087 | 1,775 | 0,694 | 0,694 | 0,694 | 0,675 | 0,675 | 0,080 |
| 21,000 | 19,608 | 99,340 | -6,247 | skid front(out) | ##### | -5,300 | 0,000 | 1,000 | 100,000 | -2,555 | 1,862 | 0,694 | 0,694 | 0,694 | 0,675 | 0,675 | 0,087 |
| 21,500 | 17,422 | 99,317 | -6,244 | skid front(out) | ##### | -5,300 | 0,000 | 1,000 | 100,000 | -2,042 | 1,959 | 0,694 | 0,694 | 0,694 | 0,675 | 0,675 | 0,097 |
| 22,000 | 14,919 | 99,347 | -6,245 | skid front(out) | ##### | -5,300 | 0,000 | 1,000 | 100,000 | -2,902 | 2,071 | 0,694 | 0,694 | 0,694 | 0,675 | 0,675 | 0,111 |
| 22,500 | 11,902 | 99,324 | -6,243 | skid front(out) | ##### | -5,300 | 0,000 | 1,000 | 100,000 | -1,381 | 2,205 | 0,694 | 0,694 | 0,694 | 0,675 | 0,675 | 0,134 |
| 23,000 | 7,794 | 99,330 | -6,240 | skid front(out) | ##### | -5,300 | 0,000 | 1,000 | 100,000 | -4,287 | 2,388 | 0,694 | 0,694 | 0,694 | 0,674 | 0,674 | 0,183 |
| 23,500 | 1,018 | 99,354 | -6,242 | skid front(out) | ##### | -5,300 | 0,000 | 1,000 | 100,000 | -2,453 | 2,689 | 0,694 | 0,694 | 0,694 | 0,675 | 0,675 | 0,302 |
| 23,600 | 0,041 | 99,278 | -6,238 | skid front(out) | ##### | -5,300 | 0,000 | 1,000 | 100,000 | -1,105 | 2,733 | 0,694 | 0,694 | 0,694 | 0,674 | 0,674 | 0,043 |

| run_c_d ntu_a_13 | R(m) | br.front (%) | s(%) | e (%) | coeff | effic (%) | time (sec) | | | | | | | | | | |
|------------------|-----------|--------------|--------|-----------------|-------|-----------|------------|-------|-----------|-----------|------------|-------|-----------|----------|----------|---------|-----------|
| s= 100,000 | ##### | 76,00 | -5,3 | 0,0 | 1,00 | 100 | 2,835 | 0,963 | | | | | | | | | |
| step= 0,100 | viewstep= | 0,500 | STEPS | | | | | | | | | | | | | | |
| s (m) | V (km/h) | n (%) | dv/dt | skid check | R(m) | s(%) | e (%) | coeff | effic (%) | decelera | time (sec) | fT | front out | front in | rear out | rear in | checktime |
| 26,500 | 1,678 | 99,369 | -6,242 | skid front(out) | ##### | -5,300 | 0,000 | 1,000 | 100,000 | -3,868909 | 2,835 | 0,694 | 0,6939 | 0,6939 | 0,6749 | 0,6749 | |
| 0,000 | 65,620 | 99,336 | -6,308 | O.K | ##### | -5,300 | 0,000 | 1,000 | 100,000 | 0,000 | 0,000 | 0,694 | | | | | |
| 0,400 | 65,120 | 99,328 | -6,306 | skid front(in) | ##### | -5,300 | 0,000 | 1,000 | 100,000 | 0,000 | 0,022 | 0,694 | 0,694 | 0,694 | 0,675 | 0,675 | 0,022 |
| 1,000 | 64,363 | 99,328 | -6,305 | skid front(in) | ##### | -5,300 | 0,000 | 1,000 | 100,000 | 0,000 | 0,055 | 0,694 | 0,694 | 0,694 | 0,675 | 0,675 | 0,033 |
| 1,500 | 63,725 | 99,328 | -6,303 | skid front(in) | ##### | -5,300 | 0,000 | 1,000 | 100,000 | 0,000 | 0,083 | 0,694 | 0,694 | 0,694 | 0,675 | 0,675 | 0,028 |
| 2,000 | 63,081 | 99,328 | -6,302 | skid front(in) | ##### | -5,300 | 0,000 | 1,000 | 100,000 | 0,000 | 0,112 | 0,694 | 0,694 | 0,694 | 0,675 | 0,675 | 0,028 |
| 2,500 | 62,430 | 99,328 | -6,301 | skid front(in) | ##### | -5,300 | 0,000 | 1,000 | 100,000 | 0,000 | 0,141 | 0,694 | 0,694 | 0,694 | 0,675 | 0,675 | 0,029 |
| 3,000 | 61,772 | 99,328 | -6,300 | skid front(in) | ##### | -5,300 | 0,000 | 1,000 | 100,000 | 0,000 | 0,170 | 0,694 | 0,694 | 0,694 | 0,675 | 0,675 | 0,029 |
| 3,500 | 61,108 | 99,329 | -6,299 | skid front(in) | ##### | -5,300 | 0,000 | 1,000 | 100,000 | 0,000 | 0,199 | 0,694 | 0,694 | 0,694 | 0,675 | 0,675 | 0,029 |
| 4,000 | 60,437 | 99,329 | -6,297 | skid front(in) | ##### | -5,300 | 0,000 | 1,000 | 100,000 | 0,000 | 0,228 | 0,694 | 0,694 | 0,694 | 0,675 | 0,675 | 0,030 |
| 4,400 | 59,894 | 99,329 | -6,296 | skid front(in) | ##### | -5,300 | 0,000 | 1,000 | 100,000 | 0,000 | 0,252 | 0,694 | 0,694 | 0,694 | 0,675 | 0,675 | 0,024 |
| 5,000 | 59,071 | 99,329 | -6,295 | skid front(in) | ##### | -5,300 | 0,000 | 1,000 | 100,000 | 0,000 | 0,289 | 0,694 | 0,694 | 0,694 | 0,675 | 0,675 | 0,036 |
| 5,500 | 58,376 | 99,329 | -6,294 | skid front(in) | ##### | -5,300 | 0,000 | 1,000 | 100,000 | 0,000 | 0,319 | 0,694 | 0,694 | 0,694 | 0,675 | 0,675 | 0,031 |
| 6,000 | 57,674 | 99,329 | -6,292 | skid front(in) | ##### | -5,300 | 0,000 | 1,000 | 100,000 | 0,000 | 0,350 | 0,694 | 0,694 | 0,694 | 0,675 | 0,675 | 0,031 |
| 6,500 | 56,962 | 99,329 | -6,291 | skid front(in) | ##### | -5,300 | 0,000 | 1,000 | 100,000 | 0,000 | 0,382 | 0,694 | 0,694 | 0,694 | 0,675 | 0,675 | 0,031 |
| 7,000 | 56,242 | 99,329 | -6,290 | skid front(in) | ##### | -5,300 | 0,000 | 1,000 | 100,000 | 0,000 | 0,414 | 0,694 | 0,694 | 0,694 | 0,675 | 0,675 | 0,032 |
| 7,500 | 55,513 | 99,329 | -6,289 | skid front(in) | ##### | -5,300 | 0,000 | 1,000 | 100,000 | 0,000 | 0,446 | 0,694 | 0,694 | 0,694 | 0,675 | 0,675 | 0,032 |
| 8,000 | 54,774 | 99,329 | -6,288 | skid front(in) | ##### | -5,300 | 0,000 | 1,000 | 100,000 | 0,000 | 0,478 | 0,694 | 0,694 | 0,694 | 0,675 | 0,675 | 0,033 |
| 8,500 | 54,025 | 99,329 | -6,286 | skid front(in) | ##### | -5,300 | 0,000 | 1,000 | 100,000 | 0,000 | 0,512 | 0,694 | 0,694 | 0,694 | 0,675 | 0,675 | 0,033 |
| 9,000 | 53,266 | 99,329 | -6,285 | skid front(in) | ##### | -5,300 | 0,000 | 1,000 | 100,000 | 0,000 | 0,545 | 0,694 | 0,694 | 0,694 | 0,675 | 0,675 | 0,034 |
| 9,500 | 52,496 | 99,329 | -6,284 | skid front(in) | ##### | -5,300 | 0,000 | 1,000 | 100,000 | 0,000 | 0,579 | 0,694 | 0,694 | 0,694 | 0,675 | 0,675 | 0,034 |
| 10,000 | 51,714 | 99,330 | -6,283 | skid front(in) | ##### | -5,300 | 0,000 | 1,000 | 100,000 | 0,000 | 0,614 | 0,694 | 0,694 | 0,694 | 0,675 | 0,675 | 0,035 |
| 10,500 | 50,921 | 99,330 | -6,281 | skid front(in) | ##### | -5,300 | 0,000 | 1,000 | 100,000 | 0,000 | 0,649 | 0,694 | 0,694 | 0,694 | 0,675 | 0,675 | 0,035 |
| 11,000 | 50,115 | 99,330 | -6,280 | skid front(in) | ##### | -5,300 | 0,000 | 1,000 | 100,000 | 0,000 | 0,684 | 0,694 | 0,694 | 0,694 | 0,675 | 0,675 | 0,036 |
| 11,500 | 49,297 | 99,330 | -6,279 | skid front(in) | ##### | -5,300 | 0,000 | 1,000 | 100,000 | 0,000 | 0,721 | 0,694 | 0,694 | 0,694 | 0,675 | 0,675 | 0,036 |
| 12,000 | 48,464 | 99,330 | -6,278 | skid front(in) | ##### | -5,300 | 0,000 | 1,000 | 100,000 | 0,000 | 0,757 | 0,694 | 0,694 | 0,694 | 0,675 | 0,675 | 0,037 |
| 12,500 | 47,618 | 99,330 | -6,277 | skid front(in) | ##### | -5,300 | 0,000 | 1,000 | 100,000 | 0,000 | 0,795 | 0,694 | 0,694 | 0,694 | 0,675 | 0,675 | 0,037 |
| 13,000 | 46,756 | 99,330 | -6,275 | skid front(in) | ##### | -5,300 | 0,000 | 1,000 | 100,000 | 0,000 | 0,833 | 0,694 | 0,694 | 0,694 | 0,675 | 0,675 | 0,038 |
| 13,500 | 45,878 | 99,330 | -6,274 | skid front(in) | ##### | -5,300 | 0,000 | 1,000 | 100,000 | 0,000 | 0,872 | 0,694 | 0,694 | 0,694 | 0,675 | 0,675 | 0,039 |
| 14,000 | 44,983 | 99,330 | -6,273 | skid front(in) | ##### | -5,300 | 0,000 | 1,000 | 100,000 | 0,000 | 0,912 | 0,694 | 0,694 | 0,694 | 0,675 | 0,675 | 0,040 |
| 14,500 | 44,070 | 99,330 | -6,272 | skid front(in) | ##### | -5,300 | 0,000 | 1,000 | 100,000 | 0,000 | 0,952 | 0,694 | 0,694 | 0,694 | 0,675 | 0,675 | 0,040 |
| 15,000 | 43,138 | 99,330 | -6,271 | skid front(in) | ##### | -5,300 | 0,000 | 1,000 | 100,000 | 0,000 | 0,993 | 0,694 | 0,694 | 0,694 | 0,675 | 0,675 | 0,041 |
| 15,500 | 42,186 | 99,330 | -6,269 | skid front(in) | ##### | -5,300 | 0,000 | 1,000 | 100,000 | 0,000 | 1,035 | 0,694 | 0,694 | 0,694 | 0,675 | 0,675 | 0,042 |
| 16,000 | 41,212 | 99,330 | -6,268 | skid front(in) | ##### | -5,300 | 0,000 | 1,000 | 100,000 | 0,000 | 1,079 | 0,694 | 0,694 | 0,694 | 0,675 | 0,675 | 0,043 |

Προσδιορισμός Τιμών Πρόσφυσης κατά την Πέδηση Οχημάτων Εφοδιασμένων με Σύστημα ABS σε Αυξημένες κατά Μήκος Κλίσεις

| | | | | | | | | | | | | | | | | | |
|--------|--------|--------|--------|-----------------|-------|--------|-------|-------|---------|--------|-------|-------|-------|-------|-------|-------|-------|
| 16,500 | 40,214 | 99,330 | -6,267 | skid front(in) | ##### | -5,300 | 0,000 | 1,000 | 100,000 | 0,000 | 1,123 | 0,694 | 0,694 | 0,694 | 0,675 | 0,675 | 0,044 |
| 17,000 | 39,191 | 99,331 | -6,266 | skid front(in) | ##### | -5,300 | 0,000 | 1,000 | 100,000 | 0,000 | 1,168 | 0,694 | 0,694 | 0,694 | 0,675 | 0,675 | 0,045 |
| 17,500 | 38,142 | 99,331 | -6,264 | skid front(in) | ##### | -5,300 | 0,000 | 1,000 | 100,000 | 0,000 | 1,215 | 0,694 | 0,694 | 0,694 | 0,675 | 0,675 | 0,047 |
| 18,000 | 37,062 | 99,331 | -6,263 | skid front(in) | ##### | -5,300 | 0,000 | 1,000 | 100,000 | 0,000 | 1,263 | 0,694 | 0,694 | 0,694 | 0,675 | 0,675 | 0,048 |
| 18,500 | 35,950 | 99,331 | -6,262 | skid front(in) | ##### | -5,300 | 0,000 | 1,000 | 100,000 | 0,000 | 1,312 | 0,694 | 0,694 | 0,694 | 0,675 | 0,675 | 0,049 |
| 18,900 | 35,036 | 99,331 | -6,261 | skid front(in) | ##### | -5,300 | 0,000 | 1,000 | 100,000 | 0,000 | 1,352 | 0,694 | 0,694 | 0,694 | 0,675 | 0,675 | 0,041 |
| 19,500 | 33,618 | 99,331 | -6,260 | skid front(in) | ##### | -5,300 | 0,000 | 1,000 | 100,000 | 0,000 | 1,415 | 0,694 | 0,694 | 0,694 | 0,675 | 0,675 | 0,063 |
| 20,000 | 32,389 | 99,331 | -6,258 | skid front(in) | ##### | -5,300 | 0,000 | 1,000 | 100,000 | 0,000 | 1,470 | 0,694 | 0,694 | 0,694 | 0,675 | 0,675 | 0,055 |
| 20,500 | 31,112 | 99,312 | -6,255 | skid front(out) | ##### | -5,300 | 0,000 | 1,000 | 100,000 | -1,443 | 1,527 | 0,694 | 0,694 | 0,694 | 0,675 | 0,675 | 0,057 |
| 21,000 | 29,780 | 99,326 | -6,255 | skid front(out) | ##### | -5,300 | 0,000 | 1,000 | 100,000 | -0,774 | 1,586 | 0,694 | 0,694 | 0,694 | 0,675 | 0,675 | 0,059 |
| 21,500 | 28,387 | 99,344 | -6,254 | skid front(out) | ##### | -5,300 | 0,000 | 1,000 | 100,000 | -1,548 | 1,648 | 0,694 | 0,694 | 0,694 | 0,675 | 0,675 | 0,062 |
| 22,000 | 26,921 | 99,344 | -6,253 | skid front(out) | ##### | -5,300 | 0,000 | 1,000 | 100,000 | -2,152 | 1,713 | 0,694 | 0,694 | 0,694 | 0,675 | 0,675 | 0,065 |
| 22,500 | 25,372 | 99,304 | -6,250 | skid front(out) | ##### | -5,300 | 0,000 | 1,000 | 100,000 | -1,035 | 1,782 | 0,694 | 0,694 | 0,694 | 0,675 | 0,675 | 0,069 |
| 23,000 | 23,721 | 99,307 | -6,249 | skid front(out) | ##### | -5,300 | 0,000 | 1,000 | 100,000 | -0,930 | 1,855 | 0,694 | 0,694 | 0,694 | 0,675 | 0,675 | 0,073 |
| 23,500 | 21,948 | 99,290 | -6,246 | skid front(out) | ##### | -5,300 | 0,000 | 1,000 | 100,000 | -0,716 | 1,934 | 0,694 | 0,694 | 0,694 | 0,674 | 0,674 | 0,079 |
| 24,000 | 20,018 | 99,323 | -6,247 | skid front(out) | ##### | -5,300 | 0,000 | 1,000 | 100,000 | -1,839 | 2,019 | 0,694 | 0,694 | 0,694 | 0,675 | 0,675 | 0,086 |
| 24,500 | 17,882 | 99,334 | -6,245 | skid front(out) | ##### | -5,300 | 0,000 | 1,000 | 100,000 | -2,775 | 2,114 | 0,694 | 0,694 | 0,694 | 0,675 | 0,675 | 0,095 |
| 25,000 | 15,453 | 99,294 | -6,242 | skid front(out) | ##### | -5,300 | 0,000 | 1,000 | 100,000 | -1,539 | 2,222 | 0,694 | 0,694 | 0,694 | 0,674 | 0,674 | 0,108 |
| 25,500 | 12,565 | 99,337 | -6,242 | skid front(out) | ##### | -5,300 | 0,000 | 1,000 | 100,000 | -3,979 | 2,351 | 0,694 | 0,694 | 0,694 | 0,675 | 0,675 | 0,129 |
| 26,000 | 8,772 | 99,326 | -6,240 | skid front(out) | ##### | -5,300 | 0,000 | 1,000 | 100,000 | -4,029 | 2,520 | 0,694 | 0,694 | 0,694 | 0,674 | 0,674 | 0,169 |
| 26,500 | 1,678 | 99,369 | -6,242 | skid front(out) | ##### | -5,300 | 0,000 | 1,000 | 100,000 | -3,869 | 2,835 | 0,694 | 0,694 | 0,694 | 0,675 | 0,675 | 0,316 |

| run | c | d | ntua | 14 | R(m) | br.front (%) | s(%) | e (%) | coeff | effic (%) | time (sec) | | | | | | |
|--------|----------|---------|-----------|-----------------|-------|--------------|-------|-------|-----------|-----------|------------|-------|-----------|----------|----------|---------|-----------|
| | s= | 100,000 | ##### | | 76,00 | | -5,3 | 0,0 | 1,00 | 100 | 2,817 | | | | | | 0,963 |
| | step= | 0,100 | viewstep= | 0,500 | STEPS | | | | | | | | | | | | |
| s (m) | V (km/h) | n (%) | dv/dt | skid check | R(m) | s(%) | e (%) | coeff | effic (%) | decelera | time (sec) | fT | front out | front in | rear out | rear in | checktime |
| 25,600 | 0,846 | 99,316 | -6,239 | skid front(out) | ##### | -5,300 | 0,000 | 1,000 | 100,000 | -3,054276 | 2,817 | 0,694 | 0,6937 | 0,6937 | 0,6744 | 0,6744 | |
| 0,000 | 64,360 | 99,336 | -6,305 | O.K | ##### | -5,300 | 0,000 | 1,000 | 100,000 | 0,000 | 0,000 | 0,694 | | | | | |
| 0,400 | 63,850 | 99,328 | -6,304 | skid front(in) | ##### | -5,300 | 0,000 | 1,000 | 100,000 | 0,000 | 0,022 | 0,694 | 0,694 | 0,694 | 0,675 | 0,675 | 0,022 |
| 1,000 | 63,078 | 99,328 | -6,302 | skid front(in) | ##### | -5,300 | 0,000 | 1,000 | 100,000 | 0,000 | 0,056 | 0,694 | 0,694 | 0,694 | 0,675 | 0,675 | 0,034 |
| 1,500 | 62,427 | 99,328 | -6,301 | skid front(in) | ##### | -5,300 | 0,000 | 1,000 | 100,000 | 0,000 | 0,085 | 0,694 | 0,694 | 0,694 | 0,675 | 0,675 | 0,029 |
| 2,000 | 61,770 | 99,328 | -6,300 | skid front(in) | ##### | -5,300 | 0,000 | 1,000 | 100,000 | 0,000 | 0,114 | 0,694 | 0,694 | 0,694 | 0,675 | 0,675 | 0,029 |
| 2,500 | 61,105 | 99,329 | -6,299 | skid front(in) | ##### | -5,300 | 0,000 | 1,000 | 100,000 | 0,000 | 0,143 | 0,694 | 0,694 | 0,694 | 0,675 | 0,675 | 0,029 |
| 3,000 | 60,434 | 99,329 | -6,297 | skid front(in) | ##### | -5,300 | 0,000 | 1,000 | 100,000 | 0,000 | 0,173 | 0,694 | 0,694 | 0,694 | 0,675 | 0,675 | 0,030 |
| 3,500 | 59,755 | 99,329 | -6,296 | skid front(in) | ##### | -5,300 | 0,000 | 1,000 | 100,000 | 0,000 | 0,203 | 0,694 | 0,694 | 0,694 | 0,675 | 0,675 | 0,030 |
| 4,000 | 59,068 | 99,329 | -6,295 | skid front(in) | ##### | -5,300 | 0,000 | 1,000 | 100,000 | 0,000 | 0,233 | 0,694 | 0,694 | 0,694 | 0,675 | 0,675 | 0,030 |
| 4,400 | 58,513 | 99,329 | -6,294 | skid front(in) | ##### | -5,300 | 0,000 | 1,000 | 100,000 | 0,000 | 0,258 | 0,694 | 0,694 | 0,694 | 0,675 | 0,675 | 0,024 |
| 5,000 | 57,671 | 99,329 | -6,292 | skid front(in) | ##### | -5,300 | 0,000 | 1,000 | 100,000 | 0,000 | 0,295 | 0,694 | 0,694 | 0,694 | 0,675 | 0,675 | 0,037 |
| 5,500 | 56,959 | 99,329 | -6,291 | skid front(in) | ##### | -5,300 | 0,000 | 1,000 | 100,000 | 0,000 | 0,326 | 0,694 | 0,694 | 0,694 | 0,675 | 0,675 | 0,031 |
| 6,000 | 56,239 | 99,329 | -6,290 | skid front(in) | ##### | -5,300 | 0,000 | 1,000 | 100,000 | 0,000 | 0,358 | 0,694 | 0,694 | 0,694 | 0,675 | 0,675 | 0,032 |
| 6,500 | 55,510 | 99,329 | -6,289 | skid front(in) | ##### | -5,300 | 0,000 | 1,000 | 100,000 | 0,000 | 0,390 | 0,694 | 0,694 | 0,694 | 0,675 | 0,675 | 0,032 |
| 7,000 | 54,771 | 99,329 | -6,288 | skid front(in) | ##### | -5,300 | 0,000 | 1,000 | 100,000 | 0,000 | 0,423 | 0,694 | 0,694 | 0,694 | 0,675 | 0,675 | 0,033 |
| 7,500 | 54,022 | 99,329 | -6,286 | skid front(in) | ##### | -5,300 | 0,000 | 1,000 | 100,000 | 0,000 | 0,456 | 0,694 | 0,694 | 0,694 | 0,675 | 0,675 | 0,033 |
| 8,000 | 53,263 | 99,329 | -6,285 | skid front(in) | ##### | -5,300 | 0,000 | 1,000 | 100,000 | 0,000 | 0,490 | 0,694 | 0,694 | 0,694 | 0,675 | 0,675 | 0,034 |
| 8,500 | 52,492 | 99,329 | -6,284 | skid front(in) | ##### | -5,300 | 0,000 | 1,000 | 100,000 | 0,000 | 0,524 | 0,694 | 0,694 | 0,694 | 0,675 | 0,675 | 0,034 |
| 9,000 | 51,711 | 99,330 | -6,283 | skid front(in) | ##### | -5,300 | 0,000 | 1,000 | 100,000 | 0,000 | 0,558 | 0,694 | 0,694 | 0,694 | 0,675 | 0,675 | 0,035 |
| 9,500 | 50,918 | 99,330 | -6,281 | skid front(in) | ##### | -5,300 | 0,000 | 1,000 | 100,000 | 0,000 | 0,593 | 0,694 | 0,694 | 0,694 | 0,675 | 0,675 | 0,035 |
| 10,000 | 50,112 | 99,330 | -6,280 | skid front(in) | ##### | -5,300 | 0,000 | 1,000 | 100,000 | 0,000 | 0,629 | 0,694 | 0,694 | 0,694 | 0,675 | 0,675 | 0,036 |
| 10,500 | 49,293 | 99,330 | -6,279 | skid front(in) | ##### | -5,300 | 0,000 | 1,000 | 100,000 | 0,000 | 0,665 | 0,694 | 0,694 | 0,694 | 0,675 | 0,675 | 0,036 |
| 11,000 | 48,461 | 99,330 | -6,278 | skid front(in) | ##### | -5,300 | 0,000 | 1,000 | 100,000 | 0,000 | 0,702 | 0,694 | 0,694 | 0,694 | 0,675 | 0,675 | 0,037 |
| 11,500 | 47,614 | 99,330 | -6,277 | skid front(in) | ##### | -5,300 | 0,000 | 1,000 | 100,000 | 0,000 | 0,740 | 0,694 | 0,694 | 0,694 | 0,675 | 0,675 | 0,037 |
| 12,000 | 46,752 | 99,330 | -6,275 | skid front(in) | ##### | -5,300 | 0,000 | 1,000 | 100,000 | 0,000 | 0,778 | 0,694 | 0,694 | 0,694 | 0,675 | 0,675 | 0,038 |
| 12,500 | 45,874 | 99,330 | -6,274 | skid front(in) | ##### | -5,300 | 0,000 | 1,000 | 100,000 | 0,000 | 0,817 | 0,694 | 0,694 | 0,694 | 0,675 | 0,675 | 0,039 |
| 13,000 | 44,979 | 99,330 | -6,273 | skid front(in) | ##### | -5,300 | 0,000 | 1,000 | 100,000 | 0,000 | 0,856 | 0,694 | 0,694 | 0,694 | 0,675 | 0,675 | 0,040 |
| 13,500 | 44,067 | 99,330 | -6,272 | skid front(in) | ##### | -5,300 | 0,000 | 1,000 | 100,000 | 0,000 | 0,897 | 0,694 | 0,694 | 0,694 | 0,675 | 0,675 | 0,040 |
| 14,000 | 43,134 | 99,330 | -6,271 | skid front(in) | ##### | -5,300 | 0,000 | 1,000 | 100,000 | 0,000 | 0,938 | 0,694 | 0,694 | 0,694 | 0,675 | 0,675 | 0,041 |

Προσδιορισμός Τιμών Πρόσφυσης κατά την Πέδηση Οχημάτων Εφοδιασμένων με Σύστημα ABS σε Αυξημένες κατά Μήκος Κλίσεις

| | | | | | | | | | | | | | | | | | |
|--------|--------|--------|--------|-----------------|-------|--------|-------|-------|---------|--------|-------|-------|-------|-------|-------|-------|-------|
| 14,500 | 42,182 | 99,330 | -6,269 | skid front(in) | ##### | -5,300 | 0,000 | 1,000 | 100,000 | 0,000 | 0,980 | 0,694 | 0,694 | 0,694 | 0,675 | 0,675 | 0,042 |
| 15,000 | 41,208 | 99,330 | -6,268 | skid front(in) | ##### | -5,300 | 0,000 | 1,000 | 100,000 | 0,000 | 1,023 | 0,694 | 0,694 | 0,694 | 0,675 | 0,675 | 0,043 |
| 15,500 | 40,210 | 99,330 | -6,267 | skid front(in) | ##### | -5,300 | 0,000 | 1,000 | 100,000 | 0,000 | 1,067 | 0,694 | 0,694 | 0,694 | 0,675 | 0,675 | 0,044 |
| 16,000 | 39,187 | 99,331 | -6,266 | skid front(in) | ##### | -5,300 | 0,000 | 1,000 | 100,000 | 0,000 | 1,113 | 0,694 | 0,694 | 0,694 | 0,675 | 0,675 | 0,045 |
| 16,500 | 38,137 | 99,331 | -6,264 | skid front(in) | ##### | -5,300 | 0,000 | 1,000 | 100,000 | 0,000 | 1,159 | 0,694 | 0,694 | 0,694 | 0,675 | 0,675 | 0,047 |
| 17,000 | 37,058 | 99,331 | -6,263 | skid front(in) | ##### | -5,300 | 0,000 | 1,000 | 100,000 | 0,000 | 1,207 | 0,694 | 0,694 | 0,694 | 0,675 | 0,675 | 0,048 |
| 17,500 | 35,946 | 99,331 | -6,262 | skid front(in) | ##### | -5,300 | 0,000 | 1,000 | 100,000 | 0,000 | 1,257 | 0,694 | 0,694 | 0,694 | 0,675 | 0,675 | 0,049 |
| 18,000 | 34,799 | 99,331 | -6,261 | skid front(in) | ##### | -5,300 | 0,000 | 1,000 | 100,000 | 0,000 | 1,307 | 0,694 | 0,694 | 0,694 | 0,675 | 0,675 | 0,051 |
| 18,500 | 33,613 | 99,331 | -6,260 | skid front(in) | ##### | -5,300 | 0,000 | 1,000 | 100,000 | 0,001 | 1,360 | 0,694 | 0,694 | 0,694 | 0,675 | 0,675 | 0,053 |
| 18,900 | 32,633 | 99,331 | -6,259 | skid front(in) | ##### | -5,300 | 0,000 | 1,000 | 100,000 | 0,000 | 1,404 | 0,694 | 0,694 | 0,694 | 0,675 | 0,675 | 0,043 |
| 19,500 | 31,106 | 99,320 | -6,255 | skid front(out) | ##### | -5,300 | 0,000 | 1,000 | 100,000 | -1,385 | 1,471 | 0,694 | 0,694 | 0,694 | 0,675 | 0,675 | 0,068 |
| 20,000 | 29,775 | 99,356 | -6,256 | skid front(out) | ##### | -5,300 | 0,000 | 1,000 | 100,000 | -2,314 | 1,530 | 0,694 | 0,694 | 0,694 | 0,675 | 0,675 | 0,059 |
| 20,500 | 28,380 | 99,314 | -6,252 | skid front(out) | ##### | -5,300 | 0,000 | 1,000 | 100,000 | -1,862 | 1,592 | 0,694 | 0,694 | 0,694 | 0,675 | 0,675 | 0,062 |
| 21,000 | 26,915 | 99,336 | -6,253 | skid front(out) | ##### | -5,300 | 0,000 | 1,000 | 100,000 | -0,545 | 1,657 | 0,694 | 0,694 | 0,694 | 0,675 | 0,675 | 0,065 |
| 21,500 | 25,365 | 99,339 | -6,250 | skid front(out) | ##### | -5,300 | 0,000 | 1,000 | 100,000 | -2,687 | 1,726 | 0,694 | 0,694 | 0,694 | 0,675 | 0,675 | 0,069 |
| 22,000 | 23,714 | 99,323 | -6,250 | skid front(out) | ##### | -5,300 | 0,000 | 1,000 | 100,000 | -0,997 | 1,800 | 0,694 | 0,694 | 0,694 | 0,675 | 0,675 | 0,073 |
| 22,500 | 21,940 | 99,330 | -6,248 | skid front(out) | ##### | -5,300 | 0,000 | 1,000 | 100,000 | -2,564 | 1,879 | 0,694 | 0,694 | 0,694 | 0,675 | 0,675 | 0,079 |
| 23,000 | 20,009 | 99,341 | -6,248 | skid front(out) | ##### | -5,300 | 0,000 | 1,000 | 100,000 | -1,826 | 1,964 | 0,694 | 0,694 | 0,694 | 0,675 | 0,675 | 0,086 |
| 23,500 | 17,872 | 99,354 | -6,247 | skid front(out) | ##### | -5,300 | 0,000 | 1,000 | 100,000 | -2,763 | 2,059 | 0,694 | 0,694 | 0,694 | 0,675 | 0,675 | 0,095 |
| 24,000 | 15,441 | 99,317 | -6,244 | skid front(out) | ##### | -5,300 | 0,000 | 1,000 | 100,000 | -1,562 | 2,167 | 0,694 | 0,694 | 0,694 | 0,675 | 0,675 | 0,108 |
| 24,500 | 12,550 | 99,363 | -6,244 | skid front(out) | ##### | -5,300 | 0,000 | 1,000 | 100,000 | -3,966 | 2,296 | 0,694 | 0,694 | 0,694 | 0,675 | 0,675 | 0,129 |
| 25,000 | 8,750 | 99,356 | -6,242 | skid front(out) | ##### | -5,300 | 0,000 | 1,000 | 100,000 | -4,064 | 2,465 | 0,694 | 0,694 | 0,694 | 0,675 | 0,675 | 0,169 |
| 25,500 | 1,133 | 99,334 | -6,241 | skid front(out) | ##### | -5,300 | 0,000 | 1,000 | 100,000 | -2,494 | 2,804 | 0,694 | 0,694 | 0,694 | 0,675 | 0,675 | 0,339 |
| 25,600 | 0,846 | 99,316 | -6,239 | skid front(out) | ##### | -5,300 | 0,000 | 1,000 | 100,000 | -3,054 | 2,817 | 0,694 | 0,694 | 0,694 | 0,674 | 0,674 | 0,013 |

3.2.2 NTUA – wet

| run_c_d ntua_3 | | R(m) | br.front (%) | s(%) | e (%) | coeff | effic (%) | | | time (sec) | | | | | | | | |
|----------------|----------|-----------|--------------|-----------------|-------|--------|-----------|-------|-----------|------------|------------|-------|-----------|----------|----------|---------|-----------|-------|
| s= | 100,000 | ##### | 69,50 | -5,3 | 0,0 | 1,00 | 100 | | | 3,934 | | | | | | | | 0,963 |
| step= | 0,100 | viewstep= | 0,500 | STEPS | | | | | | | | | | | | | | |
| s (m) | V (km/h) | n (%) | dv/dt | skid check | R(m) | s(%) | e (%) | coeff | effic (%) | decelera | time (sec) | fT | front out | front in | rear out | rear in | checktime | |
| 28,500 | 0,659 | 99,029 | -3,578 | skid front(out) | ##### | -5,300 | 0,000 | 1,000 | 100,000 | -1,953444 | 3,934 | 0,422 | 0,4217 | 0,4217 | 0,4089 | 0,4089 | | |
| 0,000 | 51,640 | 99,064 | -3,638 | O.K | ##### | -5,300 | 0,000 | 1,000 | 100,000 | 0,000 | 0,000 | 0,422 | | | | | | |
| 0,400 | 51,274 | 99,060 | -3,637 | skid front(in) | ##### | -5,300 | 0,000 | 1,000 | 100,000 | 0,000 | 0,028 | 0,422 | 0,422 | 0,422 | 0,409 | 0,409 | 0,028 | |
| 1,000 | 50,719 | 99,060 | -3,636 | skid front(in) | ##### | -5,300 | 0,000 | 1,000 | 100,000 | 0,000 | 0,070 | 0,422 | 0,422 | 0,422 | 0,409 | 0,409 | 0,042 | |
| 1,500 | 50,252 | 99,060 | -3,635 | skid front(in) | ##### | -5,300 | 0,000 | 1,000 | 100,000 | 0,000 | 0,106 | 0,422 | 0,422 | 0,422 | 0,409 | 0,409 | 0,036 | |
| 2,000 | 49,781 | 99,060 | -3,634 | skid front(in) | ##### | -5,300 | 0,000 | 1,000 | 100,000 | 0,000 | 0,142 | 0,422 | 0,422 | 0,422 | 0,409 | 0,409 | 0,036 | |
| 2,500 | 49,306 | 99,060 | -3,633 | skid front(in) | ##### | -5,300 | 0,000 | 1,000 | 100,000 | 0,000 | 0,178 | 0,422 | 0,422 | 0,422 | 0,409 | 0,409 | 0,036 | |
| 3,000 | 48,826 | 99,060 | -3,632 | skid front(in) | ##### | -5,300 | 0,000 | 1,000 | 100,000 | 0,000 | 0,215 | 0,422 | 0,422 | 0,422 | 0,409 | 0,409 | 0,037 | |
| 3,500 | 48,342 | 99,060 | -3,631 | skid front(in) | ##### | -5,300 | 0,000 | 1,000 | 100,000 | 0,000 | 0,252 | 0,422 | 0,422 | 0,422 | 0,409 | 0,409 | 0,037 | |
| 4,000 | 47,853 | 99,060 | -3,630 | skid front(in) | ##### | -5,300 | 0,000 | 1,000 | 100,000 | 0,000 | 0,289 | 0,422 | 0,422 | 0,422 | 0,409 | 0,409 | 0,037 | |
| 4,400 | 47,458 | 99,060 | -3,629 | skid front(in) | ##### | -5,300 | 0,000 | 1,000 | 100,000 | 0,000 | 0,320 | 0,422 | 0,422 | 0,422 | 0,409 | 0,409 | 0,030 | |
| 5,000 | 46,860 | 99,060 | -3,628 | skid front(in) | ##### | -5,300 | 0,000 | 1,000 | 100,000 | 0,000 | 0,365 | 0,422 | 0,422 | 0,422 | 0,409 | 0,409 | 0,046 | |
| 5,500 | 46,356 | 99,060 | -3,627 | skid front(in) | ##### | -5,300 | 0,000 | 1,000 | 100,000 | 0,000 | 0,404 | 0,422 | 0,422 | 0,422 | 0,409 | 0,409 | 0,039 | |
| 6,000 | 45,846 | 99,060 | -3,626 | skid front(in) | ##### | -5,300 | 0,000 | 1,000 | 100,000 | 0,000 | 0,443 | 0,422 | 0,422 | 0,422 | 0,409 | 0,409 | 0,039 | |
| 6,500 | 45,330 | 99,060 | -3,625 | skid front(in) | ##### | -5,300 | 0,000 | 1,000 | 100,000 | 0,000 | 0,483 | 0,422 | 0,422 | 0,422 | 0,409 | 0,409 | 0,039 | |
| 7,000 | 44,809 | 99,060 | -3,624 | skid front(in) | ##### | -5,300 | 0,000 | 1,000 | 100,000 | 0,000 | 0,523 | 0,422 | 0,422 | 0,422 | 0,409 | 0,409 | 0,040 | |
| 7,500 | 44,282 | 99,060 | -3,623 | skid front(in) | ##### | -5,300 | 0,000 | 1,000 | 100,000 | 0,000 | 0,563 | 0,422 | 0,422 | 0,422 | 0,409 | 0,409 | 0,040 | |
| 8,000 | 43,749 | 99,060 | -3,622 | skid front(in) | ##### | -5,300 | 0,000 | 1,000 | 100,000 | 0,000 | 0,604 | 0,422 | 0,422 | 0,422 | 0,409 | 0,409 | 0,041 | |
| 8,500 | 43,209 | 99,060 | -3,621 | skid front(in) | ##### | -5,300 | 0,000 | 1,000 | 100,000 | 0,000 | 0,645 | 0,422 | 0,422 | 0,422 | 0,409 | 0,409 | 0,041 | |
| 9,000 | 42,663 | 99,060 | -3,620 | skid front(in) | ##### | -5,300 | 0,000 | 1,000 | 100,000 | 0,000 | 0,687 | 0,422 | 0,422 | 0,422 | 0,409 | 0,409 | 0,042 | |

Προσδιορισμός Τιμών Πρόσφυσης κατά την Πέδηση Οχημάτων Εφοδιασμένων με Σύστημα ABS σε Αυξημένες κατά Μήκος Κλίσεις

| | | | | | | | | | | | | | | | | | |
|--------|--------|--------|--------|-----------------|-------|--------|-------|-------|---------|--------|-------|-------|-------|-------|-------|-------|-------|
| 9,500 | 42,109 | 99,060 | -3,619 | skid front(in) | ##### | -5,300 | 0,000 | 1,000 | 100,000 | 0,000 | 0,730 | 0,422 | 0,422 | 0,422 | 0,409 | 0,409 | 0,042 |
| 10,000 | 41,549 | 99,060 | -3,618 | skid front(in) | ##### | -5,300 | 0,000 | 1,000 | 100,000 | 0,000 | 0,773 | 0,422 | 0,422 | 0,422 | 0,409 | 0,409 | 0,043 |
| 10,500 | 40,981 | 99,060 | -3,617 | skid front(in) | ##### | -5,300 | 0,000 | 1,000 | 100,000 | 0,000 | 0,816 | 0,422 | 0,422 | 0,422 | 0,409 | 0,409 | 0,044 |
| 11,000 | 40,405 | 99,061 | -3,616 | skid front(in) | ##### | -5,300 | 0,000 | 1,000 | 100,000 | 0,000 | 0,861 | 0,422 | 0,422 | 0,422 | 0,409 | 0,409 | 0,044 |
| 11,500 | 39,821 | 99,061 | -3,615 | skid front(in) | ##### | -5,300 | 0,000 | 1,000 | 100,000 | 0,000 | 0,905 | 0,422 | 0,422 | 0,422 | 0,409 | 0,409 | 0,045 |
| 12,000 | 39,228 | 99,061 | -3,614 | skid front(in) | ##### | -5,300 | 0,000 | 1,000 | 100,000 | 0,000 | 0,951 | 0,422 | 0,422 | 0,422 | 0,409 | 0,409 | 0,046 |
| 12,500 | 38,627 | 99,061 | -3,613 | skid front(in) | ##### | -5,300 | 0,000 | 1,000 | 100,000 | 0,000 | 0,997 | 0,422 | 0,422 | 0,422 | 0,409 | 0,409 | 0,046 |
| 13,000 | 38,016 | 99,061 | -3,612 | skid front(in) | ##### | -5,300 | 0,000 | 1,000 | 100,000 | 0,000 | 1,044 | 0,422 | 0,422 | 0,422 | 0,409 | 0,409 | 0,047 |
| 13,500 | 37,395 | 99,061 | -3,611 | skid front(in) | ##### | -5,300 | 0,000 | 1,000 | 100,000 | 0,000 | 1,092 | 0,422 | 0,422 | 0,422 | 0,409 | 0,409 | 0,048 |
| 14,000 | 36,764 | 99,061 | -3,610 | skid front(in) | ##### | -5,300 | 0,000 | 1,000 | 100,000 | 0,001 | 1,140 | 0,422 | 0,422 | 0,422 | 0,409 | 0,409 | 0,049 |
| 14,500 | 36,122 | 99,061 | -3,609 | skid front(in) | ##### | -5,300 | 0,000 | 1,000 | 100,000 | 0,000 | 1,190 | 0,422 | 0,422 | 0,422 | 0,409 | 0,409 | 0,049 |
| 15,000 | 35,469 | 99,061 | -3,608 | skid front(in) | ##### | -5,300 | 0,000 | 1,000 | 100,000 | 0,000 | 1,240 | 0,422 | 0,422 | 0,422 | 0,409 | 0,409 | 0,050 |
| 15,500 | 34,804 | 99,061 | -3,607 | skid front(in) | ##### | -5,300 | 0,000 | 1,000 | 100,000 | 0,000 | 1,291 | 0,422 | 0,422 | 0,422 | 0,409 | 0,409 | 0,051 |
| 16,000 | 34,126 | 99,061 | -3,606 | skid front(in) | ##### | -5,300 | 0,000 | 1,000 | 100,000 | 0,000 | 1,344 | 0,422 | 0,422 | 0,422 | 0,409 | 0,409 | 0,052 |
| 16,500 | 33,434 | 99,061 | -3,605 | skid front(in) | ##### | -5,300 | 0,000 | 1,000 | 100,000 | 0,000 | 1,397 | 0,422 | 0,422 | 0,422 | 0,409 | 0,409 | 0,053 |
| 17,000 | 32,728 | 99,061 | -3,604 | skid front(in) | ##### | -5,300 | 0,000 | 1,000 | 100,000 | 0,002 | 1,451 | 0,422 | 0,422 | 0,422 | 0,409 | 0,409 | 0,054 |
| 17,500 | 32,007 | 99,098 | -3,603 | skid front(out) | ##### | -5,300 | 0,000 | 1,000 | 100,000 | -1,945 | 1,507 | 0,422 | 0,422 | 0,422 | 0,409 | 0,409 | 0,056 |
| 18,000 | 31,269 | 99,036 | -3,599 | skid front(out) | ##### | -5,300 | 0,000 | 1,000 | 100,000 | -1,760 | 1,564 | 0,422 | 0,422 | 0,422 | 0,409 | 0,409 | 0,057 |
| 18,500 | 30,513 | 99,119 | -3,601 | skid front(out) | ##### | -5,300 | 0,000 | 1,000 | 100,000 | -2,748 | 1,622 | 0,422 | 0,422 | 0,422 | 0,409 | 0,409 | 0,058 |
| 18,900 | 29,895 | 99,092 | -3,600 | skid front(out) | ##### | -5,300 | 0,000 | 1,000 | 100,000 | -1,490 | 1,670 | 0,422 | 0,422 | 0,422 | 0,409 | 0,409 | 0,048 |
| 19,500 | 28,944 | 99,078 | -3,598 | skid front(out) | ##### | -5,300 | 0,000 | 1,000 | 100,000 | -1,490 | 1,743 | 0,422 | 0,422 | 0,422 | 0,409 | 0,409 | 0,073 |
| 20,000 | 28,127 | 99,084 | -3,597 | skid front(out) | ##### | -5,300 | 0,000 | 1,000 | 100,000 | -2,027 | 1,806 | 0,422 | 0,422 | 0,422 | 0,409 | 0,409 | 0,063 |
| 20,500 | 27,286 | 99,039 | -3,595 | skid front(out) | ##### | -5,300 | 0,000 | 1,000 | 100,000 | -1,303 | 1,871 | 0,422 | 0,422 | 0,422 | 0,409 | 0,409 | 0,065 |
| 21,000 | 26,418 | 99,080 | -3,595 | skid front(out) | ##### | -5,300 | 0,000 | 1,000 | 100,000 | -2,174 | 1,938 | 0,422 | 0,422 | 0,422 | 0,409 | 0,409 | 0,067 |
| 21,500 | 25,521 | 99,071 | -3,594 | skid front(out) | ##### | -5,300 | 0,000 | 1,000 | 100,000 | -1,811 | 2,008 | 0,422 | 0,422 | 0,422 | 0,409 | 0,409 | 0,069 |
| 22,000 | 24,591 | 99,044 | -3,592 | skid front(out) | ##### | -5,300 | 0,000 | 1,000 | 100,000 | -1,837 | 2,079 | 0,422 | 0,422 | 0,422 | 0,409 | 0,409 | 0,072 |
| 22,500 | 23,626 | 99,071 | -3,592 | skid front(out) | ##### | -5,300 | 0,000 | 1,000 | 100,000 | -1,839 | 2,154 | 0,422 | 0,422 | 0,422 | 0,409 | 0,409 | 0,075 |
| 23,000 | 22,619 | 99,081 | -3,591 | skid front(out) | ##### | -5,300 | 0,000 | 1,000 | 100,000 | -2,263 | 2,232 | 0,422 | 0,422 | 0,422 | 0,409 | 0,409 | 0,078 |
| 23,500 | 21,566 | 99,034 | -3,589 | skid front(out) | ##### | -5,300 | 0,000 | 1,000 | 100,000 | -1,301 | 2,313 | 0,422 | 0,422 | 0,422 | 0,409 | 0,409 | 0,082 |
| 24,000 | 20,459 | 99,084 | -3,589 | skid front(out) | ##### | -5,300 | 0,000 | 1,000 | 100,000 | -2,141 | 2,399 | 0,422 | 0,422 | 0,422 | 0,409 | 0,409 | 0,086 |
| 24,500 | 19,288 | 99,076 | -3,588 | skid front(out) | ##### | -5,300 | 0,000 | 1,000 | 100,000 | -1,541 | 2,490 | 0,422 | 0,422 | 0,422 | 0,409 | 0,409 | 0,091 |
| 25,000 | 18,043 | 99,089 | -3,586 | skid front(out) | ##### | -5,300 | 0,000 | 1,000 | 100,000 | -3,376 | 2,586 | 0,422 | 0,422 | 0,422 | 0,409 | 0,409 | 0,096 |
| 25,500 | 16,705 | 99,123 | -3,587 | skid front(out) | ##### | -5,300 | 0,000 | 1,000 | 100,000 | -3,208 | 2,690 | 0,422 | 0,422 | 0,422 | 0,409 | 0,409 | 0,104 |
| 26,000 | 15,250 | 99,004 | -3,582 | skid front(out) | ##### | -5,300 | 0,000 | 1,000 | 100,000 | -1,938 | 2,802 | 0,422 | 0,422 | 0,422 | 0,409 | 0,409 | 0,113 |
| 26,500 | 13,643 | 99,083 | -3,584 | skid front(out) | ##### | -5,300 | 0,000 | 1,000 | 100,000 | -2,267 | 2,927 | 0,422 | 0,422 | 0,422 | 0,409 | 0,409 | 0,125 |
| 27,000 | 11,818 | 99,001 | -3,580 | skid front(out) | ##### | -5,300 | 0,000 | 1,000 | 100,000 | -1,383 | 3,068 | 0,422 | 0,422 | 0,422 | 0,409 | 0,409 | 0,141 |
| 27,500 | 9,656 | 99,035 | -3,580 | skid front(out) | ##### | -5,300 | 0,000 | 1,000 | 100,000 | -2,737 | 3,236 | 0,422 | 0,422 | 0,422 | 0,409 | 0,409 | 0,168 |
| 28,000 | 6,841 | 99,099 | -3,582 | skid front(out) | ##### | -5,300 | 0,000 | 1,000 | 100,000 | -1,830 | 3,454 | 0,422 | 0,422 | 0,422 | 0,409 | 0,409 | 0,218 |
| 28,500 | 0,659 | 99,029 | -3,578 | skid front(out) | ##### | -5,300 | 0,000 | 1,000 | 100,000 | -1,953 | 3,934 | 0,422 | 0,422 | 0,422 | 0,409 | 0,409 | 0,480 |

| run c d ntua 4 | R(m) | br.front (%) | s(%) | e (%) | coeff | effic (%) | time (sec) | | | | | | | | | | |
|----------------|-----------|--------------|--------|-----------------|-------|-----------|------------|-------|-----------|-----------|------------|-------|-----------|----------|----------|---------|-----------|
| s= 100,000 | ##### | 69,50 | -5,3 | 0,0 | 1,00 | 100 | 4,249 | 0,963 | | | | | | | | | |
| step= 0,100 | viewstep= | 0,500 | STEPS | | | | | | | | | | | | | | |
| s (m) | V (km/h) | n (%) | dv/dt | skid check | R(m) | s(%) | e (%) | coeff | effic (%) | decelera | time (sec) | fT | front out | front in | rear out | rear in | checktime |
| 33,200 | 0,576 | 99,037 | -3,578 | skid front(out) | ##### | -5,300 | 0,000 | 1,000 | 100,000 | -1,952944 | 4,249 | 0,422 | 0,4218 | 0,4218 | 0,4089 | 0,4089 | |
| 0,000 | 55,690 | 99,065 | -3,648 | O.K | ##### | -5,300 | 0,000 | 1,000 | 100,000 | 0,000 | 0,000 | 0,422 | | | | | |
| 0,400 | 55,349 | 99,059 | -3,647 | skid front(in) | ##### | -5,300 | 0,000 | 1,000 | 100,000 | 0,000 | 0,026 | 0,422 | 0,422 | 0,422 | 0,409 | 0,409 | 0,026 |
| 1,000 | 54,835 | 99,059 | -3,645 | skid front(in) | ##### | -5,300 | 0,000 | 1,000 | 100,000 | 0,000 | 0,065 | 0,422 | 0,422 | 0,422 | 0,409 | 0,409 | 0,039 |
| 1,500 | 54,402 | 99,059 | -3,644 | skid front(in) | ##### | -5,300 | 0,000 | 1,000 | 100,000 | 0,000 | 0,098 | 0,422 | 0,422 | 0,422 | 0,409 | 0,409 | 0,033 |
| 2,000 | 53,967 | 99,059 | -3,643 | skid front(in) | ##### | -5,300 | 0,000 | 1,000 | 100,000 | 0,000 | 0,131 | 0,422 | 0,422 | 0,422 | 0,409 | 0,409 | 0,033 |
| 2,500 | 53,527 | 99,059 | -3,642 | skid front(in) | ##### | -5,300 | 0,000 | 1,000 | 100,000 | 0,000 | 0,165 | 0,422 | 0,422 | 0,422 | 0,409 | 0,409 | 0,033 |
| 3,000 | 53,085 | 99,059 | -3,641 | skid front(in) | ##### | -5,300 | 0,000 | 1,000 | 100,000 | 0,000 | 0,199 | 0,422 | 0,422 | 0,422 | 0,409 | 0,409 | 0,034 |
| 3,500 | 52,638 | 99,060 | -3,640 | skid front(in) | ##### | -5,300 | 0,000 | 1,000 | 100,000 | 0,000 | 0,233 | 0,422 | 0,422 | 0,422 | 0,409 | 0,409 | 0,034 |
| 4,000 | 52,188 | 99,060 | -3,639 | skid front(in) | ##### | -5,300 | 0,000 | 1,000 | 100,000 | 0,000 | 0,267 | 0,422 | 0,422 | 0,422 | 0,409 | 0,409 | 0,034 |
| 4,400 | 51,826 | 99,060 | -3,639 | skid front(in) | ##### | -5,300 | 0,000 | 1,000 | 100,000 | 0,000 | 0,295 | 0,422 | 0,422 | 0,422 | 0,409 | 0,409 | 0,028 |
| 5,000 | 51,277 | 99,060 | -3,637 | skid front(in) | ##### | -5,300 | 0,000 | 1,000 | 100,000 | 0,000 | 0,337 | 0,422 | 0,422 | 0,422 | 0,409 | 0,409 | 0,042 |
| 5,500 | 50,815 | 99,060 | -3,636 | skid front(in) | ##### | -5,300 | 0,000 | 1,000 | 100,000 | 0,000 | 0,372 | 0,422 | 0,422 | 0,422 | 0,409 | 0,409 | 0,035 |

Προσδιορισμός Τιμών Πρόσφυσης κατά την Πέδηση Οχημάτων Εφοδιασμένων με Σύστημα ABS σε Αυξημένες κατά Μήκος Κλίσεις

| | | | | | | | | | | | | | | | | | |
|--------|--------|--------|--------|-----------------|-------|--------|-------|-------|---------|--------|-------|-------|-------|-------|-------|-------|-------|
| 6,000 | 50,350 | 99,060 | -3,635 | skid front(in) | ##### | -5,300 | 0,000 | 1,000 | 100,000 | 0,000 | 0,407 | 0,422 | 0,422 | 0,422 | 0,409 | 0,409 | 0,036 |
| 6,500 | 49,880 | 99,060 | -3,634 | skid front(in) | ##### | -5,300 | 0,000 | 1,000 | 100,000 | 0,000 | 0,443 | 0,422 | 0,422 | 0,422 | 0,409 | 0,409 | 0,036 |
| 7,000 | 49,405 | 99,060 | -3,633 | skid front(in) | ##### | -5,300 | 0,000 | 1,000 | 100,000 | 0,000 | 0,480 | 0,422 | 0,422 | 0,422 | 0,409 | 0,409 | 0,036 |
| 7,500 | 48,926 | 99,060 | -3,632 | skid front(in) | ##### | -5,300 | 0,000 | 1,000 | 100,000 | 0,000 | 0,516 | 0,422 | 0,422 | 0,422 | 0,409 | 0,409 | 0,037 |
| 8,000 | 48,443 | 99,060 | -3,631 | skid front(in) | ##### | -5,300 | 0,000 | 1,000 | 100,000 | 0,000 | 0,553 | 0,422 | 0,422 | 0,422 | 0,409 | 0,409 | 0,037 |
| 8,500 | 47,955 | 99,060 | -3,630 | skid front(in) | ##### | -5,300 | 0,000 | 1,000 | 100,000 | 0,000 | 0,591 | 0,422 | 0,422 | 0,422 | 0,409 | 0,409 | 0,037 |
| 9,000 | 47,462 | 99,060 | -3,629 | skid front(in) | ##### | -5,300 | 0,000 | 1,000 | 100,000 | 0,000 | 0,628 | 0,422 | 0,422 | 0,422 | 0,409 | 0,409 | 0,038 |
| 9,500 | 46,964 | 99,060 | -3,628 | skid front(in) | ##### | -5,300 | 0,000 | 1,000 | 100,000 | 0,000 | 0,666 | 0,422 | 0,422 | 0,422 | 0,409 | 0,409 | 0,038 |
| 10,000 | 46,461 | 99,060 | -3,627 | skid front(in) | ##### | -5,300 | 0,000 | 1,000 | 100,000 | 0,000 | 0,705 | 0,422 | 0,422 | 0,422 | 0,409 | 0,409 | 0,039 |
| 10,500 | 45,952 | 99,060 | -3,626 | skid front(in) | ##### | -5,300 | 0,000 | 1,000 | 100,000 | 0,000 | 0,744 | 0,422 | 0,422 | 0,422 | 0,409 | 0,409 | 0,039 |
| 11,000 | 45,438 | 99,060 | -3,625 | skid front(in) | ##### | -5,300 | 0,000 | 1,000 | 100,000 | 0,000 | 0,783 | 0,422 | 0,422 | 0,422 | 0,409 | 0,409 | 0,039 |
| 11,500 | 44,918 | 99,060 | -3,624 | skid front(in) | ##### | -5,300 | 0,000 | 1,000 | 100,000 | 0,000 | 0,823 | 0,422 | 0,422 | 0,422 | 0,409 | 0,409 | 0,040 |
| 12,000 | 44,392 | 99,060 | -3,623 | skid front(in) | ##### | -5,300 | 0,000 | 1,000 | 100,000 | 0,000 | 0,863 | 0,422 | 0,422 | 0,422 | 0,409 | 0,409 | 0,040 |
| 12,500 | 43,860 | 99,060 | -3,622 | skid front(in) | ##### | -5,300 | 0,000 | 1,000 | 100,000 | 0,000 | 0,904 | 0,422 | 0,422 | 0,422 | 0,409 | 0,409 | 0,041 |
| 13,000 | 43,322 | 99,060 | -3,621 | skid front(in) | ##### | -5,300 | 0,000 | 1,000 | 100,000 | 0,000 | 0,945 | 0,422 | 0,422 | 0,422 | 0,409 | 0,409 | 0,041 |
| 13,500 | 42,777 | 99,060 | -3,620 | skid front(in) | ##### | -5,300 | 0,000 | 1,000 | 100,000 | 0,000 | 0,987 | 0,422 | 0,422 | 0,422 | 0,409 | 0,409 | 0,042 |
| 14,000 | 42,225 | 99,060 | -3,619 | skid front(in) | ##### | -5,300 | 0,000 | 1,000 | 100,000 | 0,000 | 1,030 | 0,422 | 0,422 | 0,422 | 0,409 | 0,409 | 0,042 |
| 14,500 | 41,666 | 99,060 | -3,618 | skid front(in) | ##### | -5,300 | 0,000 | 1,000 | 100,000 | 0,000 | 1,073 | 0,422 | 0,422 | 0,422 | 0,409 | 0,409 | 0,043 |
| 15,000 | 41,099 | 99,060 | -3,617 | skid front(in) | ##### | -5,300 | 0,000 | 1,000 | 100,000 | 0,000 | 1,116 | 0,422 | 0,422 | 0,422 | 0,409 | 0,409 | 0,043 |
| 15,500 | 40,525 | 99,061 | -3,616 | skid front(in) | ##### | -5,300 | 0,000 | 1,000 | 100,000 | 0,000 | 1,160 | 0,422 | 0,422 | 0,422 | 0,409 | 0,409 | 0,044 |
| 16,000 | 39,943 | 99,061 | -3,615 | skid front(in) | ##### | -5,300 | 0,000 | 1,000 | 100,000 | 0,000 | 1,205 | 0,422 | 0,422 | 0,422 | 0,409 | 0,409 | 0,045 |
| 16,500 | 39,352 | 99,061 | -3,614 | skid front(in) | ##### | -5,300 | 0,000 | 1,000 | 100,000 | 0,000 | 1,250 | 0,422 | 0,422 | 0,422 | 0,409 | 0,409 | 0,045 |
| 17,000 | 38,752 | 99,061 | -3,613 | skid front(in) | ##### | -5,300 | 0,000 | 1,000 | 100,000 | 0,000 | 1,296 | 0,422 | 0,422 | 0,422 | 0,409 | 0,409 | 0,046 |
| 17,500 | 38,143 | 99,061 | -3,612 | skid front(in) | ##### | -5,300 | 0,000 | 1,000 | 100,000 | 0,000 | 1,343 | 0,422 | 0,422 | 0,422 | 0,409 | 0,409 | 0,047 |
| 18,000 | 37,525 | 99,061 | -3,611 | skid front(in) | ##### | -5,300 | 0,000 | 1,000 | 100,000 | 0,000 | 1,391 | 0,422 | 0,422 | 0,422 | 0,409 | 0,409 | 0,048 |
| 18,500 | 36,896 | 99,061 | -3,610 | skid front(in) | ##### | -5,300 | 0,000 | 1,000 | 100,000 | 0,000 | 1,439 | 0,422 | 0,422 | 0,422 | 0,409 | 0,409 | 0,048 |
| 18,900 | 36,385 | 99,061 | -3,609 | skid front(in) | ##### | -5,300 | 0,000 | 1,000 | 100,000 | 0,000 | 1,478 | 0,422 | 0,422 | 0,422 | 0,409 | 0,409 | 0,039 |
| 19,500 | 35,606 | 99,061 | -3,608 | skid front(in) | ##### | -5,300 | 0,000 | 1,000 | 100,000 | 0,000 | 1,538 | 0,422 | 0,422 | 0,422 | 0,409 | 0,409 | 0,060 |
| 20,000 | 34,943 | 99,061 | -3,607 | skid front(in) | ##### | -5,300 | 0,000 | 1,000 | 100,000 | 0,001 | 1,589 | 0,422 | 0,422 | 0,422 | 0,409 | 0,409 | 0,051 |
| 20,500 | 34,268 | 99,061 | -3,606 | skid front(in) | ##### | -5,300 | 0,000 | 1,000 | 100,000 | 0,000 | 1,642 | 0,422 | 0,422 | 0,422 | 0,409 | 0,409 | 0,052 |
| 21,000 | 33,579 | 99,061 | -3,605 | skid front(in) | ##### | -5,300 | 0,000 | 1,000 | 100,000 | 0,001 | 1,695 | 0,422 | 0,422 | 0,422 | 0,409 | 0,409 | 0,053 |
| 21,500 | 32,876 | 99,061 | -3,604 | skid front(in) | ##### | -5,300 | 0,000 | 1,000 | 100,000 | 0,000 | 1,749 | 0,422 | 0,422 | 0,422 | 0,409 | 0,409 | 0,054 |
| 22,000 | 32,158 | 99,061 | -3,603 | skid front(in) | ##### | -5,300 | 0,000 | 1,000 | 100,000 | 0,000 | 1,804 | 0,422 | 0,422 | 0,422 | 0,409 | 0,409 | 0,055 |
| 22,500 | 31,423 | 99,049 | -3,601 | skid front(out) | ##### | -5,300 | 0,000 | 1,000 | 100,000 | -0,408 | 1,861 | 0,422 | 0,422 | 0,422 | 0,409 | 0,409 | 0,057 |
| 23,000 | 30,672 | 99,057 | -3,600 | skid front(out) | ##### | -5,300 | 0,000 | 1,000 | 100,000 | -1,706 | 1,919 | 0,422 | 0,422 | 0,422 | 0,409 | 0,409 | 0,058 |
| 23,500 | 29,901 | 99,083 | -3,600 | skid front(out) | ##### | -5,300 | 0,000 | 1,000 | 100,000 | -1,507 | 1,978 | 0,422 | 0,422 | 0,422 | 0,409 | 0,409 | 0,059 |
| 24,000 | 29,111 | 99,093 | -3,599 | skid front(out) | ##### | -5,300 | 0,000 | 1,000 | 100,000 | -1,636 | 2,039 | 0,422 | 0,422 | 0,422 | 0,409 | 0,409 | 0,061 |
| 24,500 | 28,298 | 99,055 | -3,597 | skid front(out) | ##### | -5,300 | 0,000 | 1,000 | 100,000 | -0,579 | 2,102 | 0,422 | 0,422 | 0,422 | 0,409 | 0,409 | 0,063 |
| 25,000 | 27,462 | 99,032 | -3,595 | skid front(out) | ##### | -5,300 | 0,000 | 1,000 | 100,000 | -1,410 | 2,166 | 0,422 | 0,422 | 0,422 | 0,409 | 0,409 | 0,065 |
| 25,500 | 26,601 | 99,063 | -3,594 | skid front(out) | ##### | -5,300 | 0,000 | 1,000 | 100,000 | -2,347 | 2,233 | 0,422 | 0,422 | 0,422 | 0,409 | 0,409 | 0,067 |
| 26,000 | 25,710 | 99,006 | -3,593 | skid front(out) | ##### | -5,300 | 0,000 | 1,000 | 100,000 | -0,286 | 2,302 | 0,422 | 0,422 | 0,422 | 0,409 | 0,409 | 0,069 |
| 26,500 | 24,788 | 99,111 | -3,593 | skid front(out) | ##### | -5,300 | 0,000 | 1,000 | 100,000 | -3,322 | 2,373 | 0,422 | 0,422 | 0,422 | 0,409 | 0,409 | 0,071 |
| 27,000 | 23,829 | 99,128 | -3,593 | skid front(out) | ##### | -5,300 | 0,000 | 1,000 | 100,000 | -3,329 | 2,447 | 0,422 | 0,422 | 0,422 | 0,409 | 0,409 | 0,074 |
| 27,500 | 22,832 | 99,090 | -3,592 | skid front(out) | ##### | -5,300 | 0,000 | 1,000 | 100,000 | -2,021 | 2,524 | 0,422 | 0,422 | 0,422 | 0,409 | 0,409 | 0,077 |
| 28,000 | 21,789 | 99,070 | -3,589 | skid front(out) | ##### | -5,300 | 0,000 | 1,000 | 100,000 | -2,873 | 2,605 | 0,422 | 0,422 | 0,422 | 0,409 | 0,409 | 0,081 |
| 28,500 | 20,693 | 99,069 | -3,589 | skid front(out) | ##### | -5,300 | 0,000 | 1,000 | 100,000 | -1,895 | 2,690 | 0,422 | 0,422 | 0,422 | 0,409 | 0,409 | 0,085 |
| 29,000 | 19,537 | 99,088 | -3,588 | skid front(out) | ##### | -5,300 | 0,000 | 1,000 | 100,000 | -3,199 | 2,779 | 0,422 | 0,422 | 0,422 | 0,409 | 0,409 | 0,090 |
| 29,500 | 18,308 | 99,047 | -3,585 | skid front(out) | ##### | -5,300 | 0,000 | 1,000 | 100,000 | -3,092 | 2,874 | 0,422 | 0,422 | 0,422 | 0,409 | 0,409 | 0,095 |
| 30,000 | 16,991 | 99,023 | -3,585 | skid front(out) | ##### | -5,300 | 0,000 | 1,000 | 100,000 | -0,889 | 2,976 | 0,422 | 0,422 | 0,422 | 0,409 | 0,409 | 0,102 |
| 30,500 | 15,563 | 99,022 | -3,584 | skid front(out) | ##### | -5,300 | 0,000 | 1,000 | 100,000 | -1,205 | 3,087 | 0,422 | 0,422 | 0,422 | 0,409 | 0,409 | 0,111 |
| 31,000 | 13,991 | 99,086 | -3,585 | skid front(out) | ##### | -5,300 | 0,000 | 1,000 | 100,000 | -1,455 | 3,209 | 0,422 | 0,422 | 0,422 | 0,409 | 0,409 | 0,122 |
| 31,500 | 12,219 | 99,037 | -3,581 | skid front(out) | ##### | -5,300 | 0,000 | 1,000 | 100,000 | -2,792 | 3,346 | 0,422 | 0,422 | 0,422 | 0,409 | 0,409 | 0,137 |
| 32,000 | 10,142 | 99,010 | -3,579 | skid front(out) | ##### | -5,300 | 0,000 | 1,000 | 100,000 | -1,930 | 3,507 | 0,422 | 0,422 | 0,422 | 0,409 | 0,409 | 0,161 |
| 32,500 | 7,512 | 99,106 | -3,581 | skid front(out) | ##### | -5,300 | 0,000 | 1,000 | 100,000 | -3,341 | 3,711 | 0,422 | 0,422 | 0,422 | 0,409 | 0,409 | 0,204 |
| 33,000 | 3,160 | 98,973 | -3,577 | skid front(out) | ##### | -5,300 | 0,000 | 1,000 | 100,000 | -1,041 | 4,048 | 0,422 | 0,422 | 0,422 | 0,409 | 0,409 | 0,338 |
| 33,200 | 0,576 | 99,037 | -3,578 | skid front(out) | ##### | -5,300 | 0,000 | 1,000 | 100,000 | -1,953 | 4,249 | 0,422 | 0,422 | 0,422 | 0,409 | 0,409 | 0,201 |

Προσδιορισμός Τιμών Πρόσφυσης κατά την Πέδηση Οχημάτων Εφοδιασμένων με Σύστημα ABS σε Αυξημένες κατά Μήκος Κλίσεις

| run_c d ntu5 | | R(m) | br.front (%) | s(%) | e (%) | coeff | effic (%) | time (sec) | | | | | | | | | | |
|--------------|----------|-----------|--------------|-----------------|-------|--------|-----------|------------|-----------|-----------|------------|-------|-----------|----------|----------|---------|-----------|-------|
| s= 100,000 | | ##### | 69,50 | -5,3 | 0,0 | 1,00 | 100 | 3,836 | | | | | | | | | | 0,963 |
| step= 0,100 | | viewstep= | 0,500 | STEPS | | | | | | | | | | | | | | |
| s (m) | V (km/h) | n (%) | dv/dt | skid check | R(m) | s(%) | e (%) | coeff | effic (%) | decelera | time (sec) | fT | front out | front in | rear out | rear in | checktime | |
| 28,000 | 1,481 | 99,051 | -3,577 | skid front(out) | ##### | -5,300 | 0,000 | 1,000 | 100,000 | -3,912050 | 3,836 | 0,422 | 0,4217 | 0,4217 | 0,4088 | 0,4088 | | |
| 0,000 | 51,200 | 99,064 | -3,637 | O.K | ##### | -5,300 | 0,000 | 1,000 | 100,000 | 0,000 | 0,000 | 0,422 | | | | | | |
| 0,400 | 50,830 | 99,060 | -3,636 | skid front(in) | ##### | -5,300 | 0,000 | 1,000 | 100,000 | 0,000 | 0,028 | 0,422 | 0,422 | 0,422 | 0,409 | 0,409 | 0,028 | |
| 1,000 | 50,271 | 99,060 | -3,635 | skid front(in) | ##### | -5,300 | 0,000 | 1,000 | 100,000 | 0,000 | 0,071 | 0,422 | 0,422 | 0,422 | 0,409 | 0,409 | 0,043 | |
| 1,500 | 49,800 | 99,060 | -3,634 | skid front(in) | ##### | -5,300 | 0,000 | 1,000 | 100,000 | 0,000 | 0,107 | 0,422 | 0,422 | 0,422 | 0,409 | 0,409 | 0,036 | |
| 2,000 | 49,325 | 99,060 | -3,633 | skid front(in) | ##### | -5,300 | 0,000 | 1,000 | 100,000 | 0,000 | 0,143 | 0,422 | 0,422 | 0,422 | 0,409 | 0,409 | 0,036 | |
| 2,500 | 48,846 | 99,060 | -3,632 | skid front(in) | ##### | -5,300 | 0,000 | 1,000 | 100,000 | 0,000 | 0,180 | 0,422 | 0,422 | 0,422 | 0,409 | 0,409 | 0,037 | |
| 3,000 | 48,362 | 99,060 | -3,631 | skid front(in) | ##### | -5,300 | 0,000 | 1,000 | 100,000 | 0,000 | 0,217 | 0,422 | 0,422 | 0,422 | 0,409 | 0,409 | 0,037 | |
| 3,500 | 47,873 | 99,060 | -3,630 | skid front(in) | ##### | -5,300 | 0,000 | 1,000 | 100,000 | 0,000 | 0,254 | 0,422 | 0,422 | 0,422 | 0,409 | 0,409 | 0,037 | |
| 4,000 | 47,379 | 99,060 | -3,629 | skid front(in) | ##### | -5,300 | 0,000 | 1,000 | 100,000 | 0,000 | 0,292 | 0,422 | 0,422 | 0,422 | 0,409 | 0,409 | 0,038 | |
| 4,400 | 46,980 | 99,060 | -3,628 | skid front(in) | ##### | -5,300 | 0,000 | 1,000 | 100,000 | 0,000 | 0,323 | 0,422 | 0,422 | 0,422 | 0,409 | 0,409 | 0,031 | |
| 5,000 | 46,376 | 99,060 | -3,627 | skid front(in) | ##### | -5,300 | 0,000 | 1,000 | 100,000 | 0,000 | 0,369 | 0,422 | 0,422 | 0,422 | 0,409 | 0,409 | 0,046 | |
| 5,500 | 45,866 | 99,060 | -3,626 | skid front(in) | ##### | -5,300 | 0,000 | 1,000 | 100,000 | 0,000 | 0,408 | 0,422 | 0,422 | 0,422 | 0,409 | 0,409 | 0,039 | |
| 6,000 | 45,351 | 99,060 | -3,625 | skid front(in) | ##### | -5,300 | 0,000 | 1,000 | 100,000 | 0,000 | 0,447 | 0,422 | 0,422 | 0,422 | 0,409 | 0,409 | 0,039 | |
| 6,500 | 44,830 | 99,060 | -3,624 | skid front(in) | ##### | -5,300 | 0,000 | 1,000 | 100,000 | 0,000 | 0,487 | 0,422 | 0,422 | 0,422 | 0,409 | 0,409 | 0,040 | |
| 7,000 | 44,303 | 99,060 | -3,623 | skid front(in) | ##### | -5,300 | 0,000 | 1,000 | 100,000 | 0,000 | 0,528 | 0,422 | 0,422 | 0,422 | 0,409 | 0,409 | 0,040 | |
| 7,500 | 43,770 | 99,060 | -3,622 | skid front(in) | ##### | -5,300 | 0,000 | 1,000 | 100,000 | 0,000 | 0,569 | 0,422 | 0,422 | 0,422 | 0,409 | 0,409 | 0,041 | |
| 8,000 | 43,231 | 99,060 | -3,621 | skid front(in) | ##### | -5,300 | 0,000 | 1,000 | 100,000 | 0,000 | 0,610 | 0,422 | 0,422 | 0,422 | 0,409 | 0,409 | 0,041 | |
| 8,500 | 42,685 | 99,060 | -3,620 | skid front(in) | ##### | -5,300 | 0,000 | 1,000 | 100,000 | 0,000 | 0,652 | 0,422 | 0,422 | 0,422 | 0,409 | 0,409 | 0,042 | |
| 9,000 | 42,132 | 99,060 | -3,619 | skid front(in) | ##### | -5,300 | 0,000 | 1,000 | 100,000 | 0,000 | 0,694 | 0,422 | 0,422 | 0,422 | 0,409 | 0,409 | 0,042 | |
| 9,500 | 41,571 | 99,060 | -3,618 | skid front(in) | ##### | -5,300 | 0,000 | 1,000 | 100,000 | 0,000 | 0,737 | 0,422 | 0,422 | 0,422 | 0,409 | 0,409 | 0,043 | |
| 10,000 | 41,004 | 99,060 | -3,617 | skid front(in) | ##### | -5,300 | 0,000 | 1,000 | 100,000 | 0,000 | 0,781 | 0,422 | 0,422 | 0,422 | 0,409 | 0,409 | 0,044 | |
| 10,500 | 40,428 | 99,061 | -3,616 | skid front(in) | ##### | -5,300 | 0,000 | 1,000 | 100,000 | 0,000 | 0,825 | 0,422 | 0,422 | 0,422 | 0,409 | 0,409 | 0,044 | |
| 11,000 | 39,844 | 99,061 | -3,615 | skid front(in) | ##### | -5,300 | 0,000 | 1,000 | 100,000 | 0,000 | 0,870 | 0,422 | 0,422 | 0,422 | 0,409 | 0,409 | 0,045 | |
| 11,500 | 39,252 | 99,061 | -3,614 | skid front(in) | ##### | -5,300 | 0,000 | 1,000 | 100,000 | 0,000 | 0,916 | 0,422 | 0,422 | 0,422 | 0,409 | 0,409 | 0,046 | |
| 12,000 | 38,651 | 99,061 | -3,613 | skid front(in) | ##### | -5,300 | 0,000 | 1,000 | 100,000 | 0,000 | 0,962 | 0,422 | 0,422 | 0,422 | 0,409 | 0,409 | 0,046 | |
| 12,500 | 38,041 | 99,061 | -3,612 | skid front(in) | ##### | -5,300 | 0,000 | 1,000 | 100,000 | 0,000 | 1,009 | 0,422 | 0,422 | 0,422 | 0,409 | 0,409 | 0,047 | |
| 13,000 | 37,420 | 99,061 | -3,611 | skid front(in) | ##### | -5,300 | 0,000 | 1,000 | 100,000 | 0,000 | 1,056 | 0,422 | 0,422 | 0,422 | 0,409 | 0,409 | 0,048 | |
| 13,500 | 36,790 | 99,061 | -3,610 | skid front(in) | ##### | -5,300 | 0,000 | 1,000 | 100,000 | 0,000 | 1,105 | 0,422 | 0,422 | 0,422 | 0,409 | 0,409 | 0,049 | |
| 14,000 | 36,148 | 99,061 | -3,609 | skid front(in) | ##### | -5,300 | 0,000 | 1,000 | 100,000 | 0,001 | 1,154 | 0,422 | 0,422 | 0,422 | 0,409 | 0,409 | 0,049 | |
| 14,500 | 35,496 | 99,061 | -3,608 | skid front(in) | ##### | -5,300 | 0,000 | 1,000 | 100,000 | 0,000 | 1,205 | 0,422 | 0,422 | 0,422 | 0,409 | 0,409 | 0,050 | |
| 15,000 | 34,831 | 99,061 | -3,607 | skid front(in) | ##### | -5,300 | 0,000 | 1,000 | 100,000 | 0,000 | 1,256 | 0,422 | 0,422 | 0,422 | 0,409 | 0,409 | 0,051 | |
| 15,500 | 34,153 | 99,061 | -3,606 | skid front(in) | ##### | -5,300 | 0,000 | 1,000 | 100,000 | 0,001 | 1,308 | 0,422 | 0,422 | 0,422 | 0,409 | 0,409 | 0,052 | |
| 16,000 | 33,462 | 99,061 | -3,605 | skid front(in) | ##### | -5,300 | 0,000 | 1,000 | 100,000 | 0,000 | 1,361 | 0,422 | 0,422 | 0,422 | 0,409 | 0,409 | 0,053 | |
| 16,500 | 32,757 | 99,061 | -3,604 | skid front(in) | ##### | -5,300 | 0,000 | 1,000 | 100,000 | 0,001 | 1,415 | 0,422 | 0,422 | 0,422 | 0,409 | 0,409 | 0,054 | |
| 17,000 | 32,036 | 99,054 | -3,601 | skid front(out) | ##### | -5,300 | 0,000 | 1,000 | 100,000 | -1,978 | 1,471 | 0,422 | 0,422 | 0,422 | 0,409 | 0,409 | 0,056 | |
| 17,500 | 31,299 | 99,085 | -3,600 | skid front(out) | ##### | -5,300 | 0,000 | 1,000 | 100,000 | -2,943 | 1,528 | 0,422 | 0,422 | 0,422 | 0,409 | 0,409 | 0,057 | |
| 18,000 | 30,544 | 99,037 | -3,599 | skid front(out) | ##### | -5,300 | 0,000 | 1,000 | 100,000 | -1,227 | 1,586 | 0,422 | 0,422 | 0,422 | 0,409 | 0,409 | 0,058 | |
| 18,500 | 29,770 | 99,104 | -3,600 | skid front(out) | ##### | -5,300 | 0,000 | 1,000 | 100,000 | -2,571 | 1,646 | 0,422 | 0,422 | 0,422 | 0,409 | 0,409 | 0,060 | |
| 18,900 | 29,137 | 99,049 | -3,597 | skid front(out) | ##### | -5,300 | 0,000 | 1,000 | 100,000 | -1,660 | 1,695 | 0,422 | 0,422 | 0,422 | 0,409 | 0,409 | 0,049 | |
| 19,500 | 28,161 | 99,093 | -3,598 | skid front(out) | ##### | -5,300 | 0,000 | 1,000 | 100,000 | -1,653 | 1,770 | 0,422 | 0,422 | 0,422 | 0,409 | 0,409 | 0,075 | |
| 20,000 | 27,320 | 99,046 | -3,596 | skid front(out) | ##### | -5,300 | 0,000 | 1,000 | 100,000 | -0,915 | 1,835 | 0,422 | 0,422 | 0,422 | 0,409 | 0,409 | 0,065 | |
| 20,500 | 26,453 | 99,086 | -3,595 | skid front(out) | ##### | -5,300 | 0,000 | 1,000 | 100,000 | -1,809 | 1,902 | 0,422 | 0,422 | 0,422 | 0,409 | 0,409 | 0,067 | |
| 21,000 | 25,557 | 99,110 | -3,594 | skid front(out) | ##### | -5,300 | 0,000 | 1,000 | 100,000 | -3,103 | 1,971 | 0,422 | 0,422 | 0,422 | 0,409 | 0,409 | 0,069 | |
| 21,500 | 24,629 | 99,045 | -3,592 | skid front(out) | ##### | -5,300 | 0,000 | 1,000 | 100,000 | -1,441 | 2,043 | 0,422 | 0,422 | 0,422 | 0,409 | 0,409 | 0,072 | |
| 22,000 | 23,665 | 99,070 | -3,592 | skid front(out) | ##### | -5,300 | 0,000 | 1,000 | 100,000 | -1,424 | 2,117 | 0,422 | 0,422 | 0,422 | 0,409 | 0,409 | 0,075 | |
| 22,500 | 22,660 | 99,078 | -3,591 | skid front(out) | ##### | -5,300 | 0,000 | 1,000 | 100,000 | -1,846 | 2,195 | 0,422 | 0,422 | 0,422 | 0,409 | 0,409 | 0,078 | |
| 23,000 | 21,609 | 99,029 | -3,589 | skid front(out) | ##### | -5,300 | 0,000 | 1,000 | 100,000 | -0,887 | 2,276 | 0,422 | 0,422 | 0,422 | 0,409 | 0,409 | 0,081 | |
| 23,500 | 20,504 | 99,076 | -3,589 | skid front(out) | ##### | -5,300 | 0,000 | 1,000 | 100,000 | -1,692 | 2,362 | 0,422 | 0,422 | 0,422 | 0,409 | 0,409 | 0,086 | |
| 24,000 | 19,336 | 99,066 | -3,588 | skid front(out) | ##### | -5,300 | 0,000 | 1,000 | 100,000 | -1,110 | 2,452 | 0,422 | 0,422 | 0,422 | 0,409 | 0,409 | 0,090 | |
| 24,500 | 18,094 | 99,076 | -3,586 | skid front(out) | ##### | -5,300 | 0,000 | 1,000 | 100,000 | -2,905 | 2,548 | 0,422 | 0,422 | 0,422 | 0,409 | 0,409 | 0,096 | |
| 25,000 | 16,760 | 99,108 | -3,587 | skid front(out) | ##### | -5,300 | 0,000 | 1,000 | 100,000 | -2,752 | 2,652 | 0,422 | 0,422 | 0,422 | 0,409 | 0,409 | 0,103 | |
| 25,500 | 15,310 | 99,075 | -3,586 | skid front(out) | ##### | -5,300 | 0,000 | 1,000 | 100,000 | -0,988 | 2,764 | 0,422 | 0,422 | 0,422 | 0,409 | 0,409 | 0,112 | |
| 26,000 | 13,709 | 99,062 | -3,584 | skid front(out) | ##### | -5,300 | 0,000 | 1,000 | 100,000 | -1,751 | 2,888 | 0,422 | 0,422 | 0,422 | 0,409 | 0,409 | 0,124 | |

Προσδιορισμός Τιμών Πρόσφυσης κατά την Πέδηση Οχημάτων Εφοδιασμένων με Σύστημα ABS σε Αυξημένες κατά Μήκος Κλίσεις

| | | | | | | | | | | | | | | | | | |
|--------|--------|--------|--------|-----------------|-------|--------|-------|-------|---------|--------|-------|-------|-------|-------|-------|-------|-------|
| 26,500 | 11,895 | 99,025 | -3,580 | skid front(out) | ##### | -5,300 | 0,000 | 1,000 | 100,000 | -3,123 | 3,029 | 0,422 | 0,422 | 0,422 | 0,409 | 0,409 | 0,141 |
| 27,000 | 9,750 | 99,008 | -3,579 | skid front(out) | ##### | -5,300 | 0,000 | 1,000 | 100,000 | -2,247 | 3,195 | 0,422 | 0,422 | 0,422 | 0,409 | 0,409 | 0,166 |
| 27,500 | 6,974 | 99,118 | -3,581 | skid front(out) | ##### | -5,300 | 0,000 | 1,000 | 100,000 | -3,709 | 3,410 | 0,422 | 0,422 | 0,422 | 0,409 | 0,409 | 0,215 |
| 28,000 | 1,481 | 99,051 | -3,577 | skid front(out) | ##### | -5,300 | 0,000 | 1,000 | 100,000 | -3,912 | 3,836 | 0,422 | 0,422 | 0,422 | 0,409 | 0,409 | 0,426 |

| run c d ntua 6 | | R(m) | br.front (%) | s(%) | e (%) | coeff | effic (%) | | | time (sec) | | | | | | | | |
|----------------|----------|-----------|--------------|-----------------|-------|--------|-----------|-------|-----------|------------|------------|-------|-----------|----------|----------|---------|-----------|--|
| s= | 100,000 | ##### | 69,50 | -5,3 | 0,0 | 1,00 | 100 | | | 3,943 | | | | | | | | |
| step= | 0,100 | viewstep= | 0,500 | STEPS | | | | | | | | | 0,963 | | | | | |
| s (m) | V (km/h) | n (%) | dv/dt | skid check | R(m) | s(%) | e (%) | coeff | effic (%) | decelera | time (sec) | fT | front out | front in | rear out | rear in | checktime | |
| 31,100 | 2,899 | 99,043 | -3,577 | skid front(out) | ##### | -5,300 | 0,000 | 1,000 | 100,000 | -4,100047 | 3,943 | 0,422 | 0,4216 | 0,4216 | 0,4087 | 0,4087 | | |
| 0,000 | 54,040 | 99,065 | -3,644 | O.K | ##### | -5,300 | 0,000 | 1,000 | 100,000 | 0,000 | 0,000 | 0,422 | | | | | | |
| 0,400 | 53,689 | 99,059 | -3,643 | skid front(in) | ##### | -5,300 | 0,000 | 1,000 | 100,000 | 0,000 | 0,027 | 0,422 | 0,422 | 0,422 | 0,409 | 0,409 | 0,027 | |
| 1,000 | 53,159 | 99,059 | -3,641 | skid front(in) | ##### | -5,300 | 0,000 | 1,000 | 100,000 | 0,000 | 0,067 | 0,422 | 0,422 | 0,422 | 0,409 | 0,409 | 0,040 | |
| 1,500 | 52,714 | 99,060 | -3,640 | skid front(in) | ##### | -5,300 | 0,000 | 1,000 | 100,000 | 0,000 | 0,101 | 0,422 | 0,422 | 0,422 | 0,409 | 0,409 | 0,034 | |
| 2,000 | 52,264 | 99,060 | -3,639 | skid front(in) | ##### | -5,300 | 0,000 | 1,000 | 100,000 | 0,000 | 0,135 | 0,422 | 0,422 | 0,422 | 0,409 | 0,409 | 0,034 | |
| 2,500 | 51,811 | 99,060 | -3,638 | skid front(in) | ##### | -5,300 | 0,000 | 1,000 | 100,000 | 0,000 | 0,170 | 0,422 | 0,422 | 0,422 | 0,409 | 0,409 | 0,035 | |
| 3,000 | 51,354 | 99,060 | -3,637 | skid front(in) | ##### | -5,300 | 0,000 | 1,000 | 100,000 | 0,000 | 0,205 | 0,422 | 0,422 | 0,422 | 0,409 | 0,409 | 0,035 | |
| 3,500 | 50,893 | 99,060 | -3,636 | skid front(in) | ##### | -5,300 | 0,000 | 1,000 | 100,000 | 0,000 | 0,240 | 0,422 | 0,422 | 0,422 | 0,409 | 0,409 | 0,035 | |
| 4,000 | 50,428 | 99,060 | -3,635 | skid front(in) | ##### | -5,300 | 0,000 | 1,000 | 100,000 | 0,000 | 0,276 | 0,422 | 0,422 | 0,422 | 0,409 | 0,409 | 0,036 | |
| 4,400 | 50,053 | 99,060 | -3,635 | skid front(in) | ##### | -5,300 | 0,000 | 1,000 | 100,000 | 0,000 | 0,304 | 0,422 | 0,422 | 0,422 | 0,409 | 0,409 | 0,029 | |
| 5,000 | 49,485 | 99,060 | -3,633 | skid front(in) | ##### | -5,300 | 0,000 | 1,000 | 100,000 | 0,000 | 0,348 | 0,422 | 0,422 | 0,422 | 0,409 | 0,409 | 0,043 | |
| 5,500 | 49,007 | 99,060 | -3,632 | skid front(in) | ##### | -5,300 | 0,000 | 1,000 | 100,000 | 0,000 | 0,384 | 0,422 | 0,422 | 0,422 | 0,409 | 0,409 | 0,037 | |
| 6,000 | 48,524 | 99,060 | -3,631 | skid front(in) | ##### | -5,300 | 0,000 | 1,000 | 100,000 | 0,000 | 0,421 | 0,422 | 0,422 | 0,422 | 0,409 | 0,409 | 0,037 | |
| 6,500 | 48,037 | 99,060 | -3,630 | skid front(in) | ##### | -5,300 | 0,000 | 1,000 | 100,000 | 0,000 | 0,458 | 0,422 | 0,422 | 0,422 | 0,409 | 0,409 | 0,037 | |
| 7,000 | 47,545 | 99,060 | -3,629 | skid front(in) | ##### | -5,300 | 0,000 | 1,000 | 100,000 | 0,000 | 0,496 | 0,422 | 0,422 | 0,422 | 0,409 | 0,409 | 0,038 | |
| 7,500 | 47,048 | 99,060 | -3,628 | skid front(in) | ##### | -5,300 | 0,000 | 1,000 | 100,000 | 0,000 | 0,534 | 0,422 | 0,422 | 0,422 | 0,409 | 0,409 | 0,038 | |
| 8,000 | 46,545 | 99,060 | -3,627 | skid front(in) | ##### | -5,300 | 0,000 | 1,000 | 100,000 | 0,000 | 0,573 | 0,422 | 0,422 | 0,422 | 0,409 | 0,409 | 0,038 | |
| 8,500 | 46,038 | 99,060 | -3,626 | skid front(in) | ##### | -5,300 | 0,000 | 1,000 | 100,000 | 0,000 | 0,612 | 0,422 | 0,422 | 0,422 | 0,409 | 0,409 | 0,039 | |
| 9,000 | 45,524 | 99,060 | -3,625 | skid front(in) | ##### | -5,300 | 0,000 | 1,000 | 100,000 | 0,000 | 0,651 | 0,422 | 0,422 | 0,422 | 0,409 | 0,409 | 0,039 | |
| 9,500 | 45,006 | 99,060 | -3,624 | skid front(in) | ##### | -5,300 | 0,000 | 1,000 | 100,000 | 0,000 | 0,691 | 0,422 | 0,422 | 0,422 | 0,409 | 0,409 | 0,040 | |
| 10,000 | 44,481 | 99,060 | -3,623 | skid front(in) | ##### | -5,300 | 0,000 | 1,000 | 100,000 | 0,000 | 0,731 | 0,422 | 0,422 | 0,422 | 0,409 | 0,409 | 0,040 | |
| 10,500 | 43,950 | 99,060 | -3,622 | skid front(in) | ##### | -5,300 | 0,000 | 1,000 | 100,000 | 0,000 | 0,772 | 0,422 | 0,422 | 0,422 | 0,409 | 0,409 | 0,041 | |
| 11,000 | 43,412 | 99,060 | -3,621 | skid front(in) | ##### | -5,300 | 0,000 | 1,000 | 100,000 | 0,000 | 0,813 | 0,422 | 0,422 | 0,422 | 0,409 | 0,409 | 0,041 | |
| 11,500 | 42,869 | 99,060 | -3,620 | skid front(in) | ##### | -5,300 | 0,000 | 1,000 | 100,000 | 0,000 | 0,855 | 0,422 | 0,422 | 0,422 | 0,409 | 0,409 | 0,042 | |
| 12,000 | 42,318 | 99,060 | -3,619 | skid front(in) | ##### | -5,300 | 0,000 | 1,000 | 100,000 | 0,000 | 0,897 | 0,422 | 0,422 | 0,422 | 0,409 | 0,409 | 0,042 | |
| 12,500 | 41,760 | 99,060 | -3,618 | skid front(in) | ##### | -5,300 | 0,000 | 1,000 | 100,000 | 0,000 | 0,940 | 0,422 | 0,422 | 0,422 | 0,409 | 0,409 | 0,043 | |
| 13,000 | 41,195 | 99,060 | -3,617 | skid front(in) | ##### | -5,300 | 0,000 | 1,000 | 100,000 | 0,000 | 0,983 | 0,422 | 0,422 | 0,422 | 0,409 | 0,409 | 0,043 | |
| 13,500 | 40,622 | 99,060 | -3,616 | skid front(in) | ##### | -5,300 | 0,000 | 1,000 | 100,000 | 0,000 | 1,027 | 0,422 | 0,422 | 0,422 | 0,409 | 0,409 | 0,044 | |
| 14,000 | 40,041 | 99,061 | -3,615 | skid front(in) | ##### | -5,300 | 0,000 | 1,000 | 100,000 | 0,000 | 1,072 | 0,422 | 0,422 | 0,422 | 0,409 | 0,409 | 0,045 | |
| 14,500 | 39,452 | 99,061 | -3,614 | skid front(in) | ##### | -5,300 | 0,000 | 1,000 | 100,000 | 0,000 | 1,117 | 0,422 | 0,422 | 0,422 | 0,409 | 0,409 | 0,045 | |
| 15,000 | 38,854 | 99,061 | -3,613 | skid front(in) | ##### | -5,300 | 0,000 | 1,000 | 100,000 | 0,000 | 1,163 | 0,422 | 0,422 | 0,422 | 0,409 | 0,409 | 0,046 | |
| 15,500 | 38,246 | 99,061 | -3,612 | skid front(in) | ##### | -5,300 | 0,000 | 1,000 | 100,000 | 0,000 | 1,210 | 0,422 | 0,422 | 0,422 | 0,409 | 0,409 | 0,047 | |
| 16,000 | 37,629 | 99,061 | -3,611 | skid front(in) | ##### | -5,300 | 0,000 | 1,000 | 100,000 | 0,000 | 1,257 | 0,422 | 0,422 | 0,422 | 0,409 | 0,409 | 0,047 | |
| 16,500 | 37,002 | 99,061 | -3,610 | skid front(in) | ##### | -5,300 | 0,000 | 1,000 | 100,000 | 0,000 | 1,305 | 0,422 | 0,422 | 0,422 | 0,409 | 0,409 | 0,048 | |
| 17,000 | 36,365 | 99,061 | -3,609 | skid front(in) | ##### | -5,300 | 0,000 | 1,000 | 100,000 | 0,000 | 1,354 | 0,422 | 0,422 | 0,422 | 0,409 | 0,409 | 0,049 | |
| 17,500 | 35,716 | 99,061 | -3,608 | skid front(in) | ##### | -5,300 | 0,000 | 1,000 | 100,000 | 0,000 | 1,404 | 0,422 | 0,422 | 0,422 | 0,409 | 0,409 | 0,050 | |
| 18,000 | 35,055 | 99,061 | -3,607 | skid front(in) | ##### | -5,300 | 0,000 | 1,000 | 100,000 | 0,000 | 1,455 | 0,422 | 0,422 | 0,422 | 0,409 | 0,409 | 0,051 | |
| 18,500 | 34,382 | 99,061 | -3,606 | skid front(in) | ##### | -5,300 | 0,000 | 1,000 | 100,000 | 0,000 | 1,507 | 0,422 | 0,422 | 0,422 | 0,409 | 0,409 | 0,052 | |
| 18,900 | 33,834 | 99,061 | -3,606 | skid front(in) | ##### | -5,300 | 0,000 | 1,000 | 100,000 | 0,000 | 1,549 | 0,422 | 0,422 | 0,422 | 0,409 | 0,409 | 0,042 | |
| 19,500 | 32,995 | 99,061 | -3,604 | skid front(in) | ##### | -5,300 | 0,000 | 1,000 | 100,000 | 0,000 | 1,614 | 0,422 | 0,422 | 0,422 | 0,409 | 0,409 | 0,065 | |
| 20,000 | 32,279 | 99,061 | -3,603 | skid front(in) | ##### | -5,300 | 0,000 | 1,000 | 100,000 | 0,002 | 1,669 | 0,422 | 0,422 | 0,422 | 0,409 | 0,409 | 0,055 | |
| 20,500 | 31,548 | 99,109 | -3,602 | skid front(out) | ##### | -5,300 | 0,000 | 1,000 | 100,000 | -2,367 | 1,725 | 0,422 | 0,422 | 0,422 | 0,409 | 0,409 | 0,056 | |
| 21,000 | 30,799 | 99,077 | -3,600 | skid front(out) | ##### | -5,300 | 0,000 | 1,000 | 100,000 | -2,160 | 1,783 | 0,422 | 0,422 | 0,422 | 0,409 | 0,409 | 0,058 | |
| 21,500 | 30,032 | 99,095 | -3,600 | skid front(out) | ##### | -5,300 | 0,000 | 1,000 | 100,000 | -1,974 | 1,842 | 0,422 | 0,422 | 0,422 | 0,409 | 0,409 | 0,059 | |
| 22,000 | 29,245 | 99,098 | -3,599 | skid front(out) | ##### | -5,300 | 0,000 | 1,000 | 100,000 | -2,149 | 1,903 | 0,422 | 0,422 | 0,422 | 0,409 | 0,409 | 0,061 | |
| 22,500 | 28,436 | 99,084 | -3,597 | skid front(out) | ##### | -5,300 | 0,000 | 1,000 | 100,000 | -2,640 | 1,965 | 0,422 | 0,422 | 0,422 | 0,409 | 0,409 | 0,062 | |

Προσδιορισμός Τιμών Πρόσφυσης κατά την Πέδηση Οχημάτων Εφοδιασμένων με Σύστημα ABS σε Αυξημένες κατά Μήκος Κλίσεις

| | | | | | | | | | | | | | | | | | |
|--------|--------|--------|--------|-----------------|-------|--------|-------|-------|---------|--------|-------|-------|-------|-------|-------|-------|-------|
| 23,000 | 27,604 | 99,088 | -3,597 | skid front(out) | ##### | -5,300 | 0,000 | 1,000 | 100,000 | -1,562 | 2,030 | 0,422 | 0,422 | 0,422 | 0,409 | 0,409 | 0,064 |
| 23,500 | 26,746 | 99,076 | -3,596 | skid front(out) | ##### | -5,300 | 0,000 | 1,000 | 100,000 | -0,814 | 2,096 | 0,422 | 0,422 | 0,422 | 0,409 | 0,409 | 0,066 |
| 24,000 | 25,861 | 99,082 | -3,594 | skid front(out) | ##### | -5,300 | 0,000 | 1,000 | 100,000 | -2,130 | 2,164 | 0,422 | 0,422 | 0,422 | 0,409 | 0,409 | 0,068 |
| 24,500 | 24,944 | 99,035 | -3,591 | skid front(out) | ##### | -5,300 | 0,000 | 1,000 | 100,000 | -2,150 | 2,235 | 0,422 | 0,422 | 0,422 | 0,409 | 0,409 | 0,071 |
| 25,000 | 23,992 | 99,041 | -3,591 | skid front(out) | ##### | -5,300 | 0,000 | 1,000 | 100,000 | -2,137 | 2,309 | 0,422 | 0,422 | 0,422 | 0,409 | 0,409 | 0,074 |
| 25,500 | 23,001 | 99,105 | -3,592 | skid front(out) | ##### | -5,300 | 0,000 | 1,000 | 100,000 | -2,186 | 2,385 | 0,422 | 0,422 | 0,422 | 0,409 | 0,409 | 0,077 |
| 26,000 | 21,966 | 99,037 | -3,589 | skid front(out) | ##### | -5,300 | 0,000 | 1,000 | 100,000 | -1,206 | 2,465 | 0,422 | 0,422 | 0,422 | 0,409 | 0,409 | 0,080 |
| 26,500 | 20,880 | 99,065 | -3,589 | skid front(out) | ##### | -5,300 | 0,000 | 1,000 | 100,000 | -2,039 | 2,549 | 0,422 | 0,422 | 0,422 | 0,409 | 0,409 | 0,084 |
| 27,000 | 19,734 | 99,074 | -3,587 | skid front(out) | ##### | -5,300 | 0,000 | 1,000 | 100,000 | -3,368 | 2,638 | 0,422 | 0,422 | 0,422 | 0,409 | 0,409 | 0,089 |
| 27,500 | 18,519 | 99,104 | -3,588 | skid front(out) | ##### | -5,300 | 0,000 | 1,000 | 100,000 | -2,778 | 2,732 | 0,422 | 0,422 | 0,422 | 0,409 | 0,409 | 0,094 |
| 28,000 | 17,217 | 99,073 | -3,587 | skid front(out) | ##### | -5,300 | 0,000 | 1,000 | 100,000 | -0,635 | 2,833 | 0,422 | 0,422 | 0,422 | 0,409 | 0,409 | 0,101 |
| 28,500 | 15,810 | 99,106 | -3,586 | skid front(out) | ##### | -5,300 | 0,000 | 1,000 | 100,000 | -2,999 | 2,942 | 0,422 | 0,422 | 0,422 | 0,409 | 0,409 | 0,109 |
| 29,000 | 14,264 | 99,071 | -3,582 | skid front(out) | ##### | -5,300 | 0,000 | 1,000 | 100,000 | -3,792 | 3,062 | 0,422 | 0,422 | 0,422 | 0,409 | 0,409 | 0,120 |
| 29,500 | 12,531 | 99,058 | -3,582 | skid front(out) | ##### | -5,300 | 0,000 | 1,000 | 100,000 | -2,486 | 3,196 | 0,422 | 0,422 | 0,422 | 0,409 | 0,409 | 0,134 |
| 30,000 | 10,516 | 99,068 | -3,580 | skid front(out) | ##### | -5,300 | 0,000 | 1,000 | 100,000 | -3,906 | 3,352 | 0,422 | 0,422 | 0,422 | 0,409 | 0,409 | 0,156 |
| 30,500 | 8,009 | 99,103 | -3,581 | skid front(out) | ##### | -5,300 | 0,000 | 1,000 | 100,000 | -3,021 | 3,547 | 0,422 | 0,422 | 0,422 | 0,409 | 0,409 | 0,194 |
| 31,000 | 4,206 | 99,116 | -3,581 | skid front(out) | ##### | -5,300 | 0,000 | 1,000 | 100,000 | -2,619 | 3,841 | 0,422 | 0,422 | 0,422 | 0,409 | 0,409 | 0,295 |
| 31,100 | 2,899 | 99,043 | -3,577 | skid front(out) | ##### | -5,300 | 0,000 | 1,000 | 100,000 | -4,100 | 3,943 | 0,422 | 0,422 | 0,422 | 0,409 | 0,409 | 0,101 |

| run_c_d ntu_a_7 | | R(m) | br.front (%) | s(%) | e (%) | coeff | effic (%) | | | time (sec) | | | | | | | |
|-----------------|----------|-----------|--------------|-----------------|-------|--------|-----------|-------|-----------|------------|------------|-------|-----------|----------|----------|---------|-----------|
| s= | 100,000 | ##### | 69,50 | -5,3 | 0,0 | 1,00 | 100 | | | 4,130 | | | | | | | 0,963 |
| step= | 0,100 | viewstep= | 0,500 | STEPS | | | | | | | | | | | | | |
| s (m) | V (km/h) | n (%) | dv/dt | skid check | R(m) | s(%) | e (%) | coeff | effic (%) | decelera | time (sec) | fT | front out | front in | rear out | rear in | checktime |
| 34,000 | 2,923 | 99,033 | -3,576 | skid front(out) | ##### | -5,300 | 0,000 | 1,000 | 100,000 | -4,131082 | 4,130 | 0,422 | 0,4216 | 0,4216 | 0,4087 | 0,4087 | |
| 0,000 | 56,520 | 99,065 | -3,650 | O.K | ##### | -5,300 | 0,000 | 1,000 | 100,000 | 0,000 | 0,000 | 0,422 | | | | | |
| 0,400 | 56,184 | 99,059 | -3,649 | skid front(in) | ##### | -5,300 | 0,000 | 1,000 | 100,000 | 0,000 | 0,026 | 0,422 | 0,422 | 0,422 | 0,409 | 0,409 | 0,026 |
| 1,000 | 55,677 | 99,059 | -3,647 | skid front(in) | ##### | -5,300 | 0,000 | 1,000 | 100,000 | 0,000 | 0,064 | 0,422 | 0,422 | 0,422 | 0,409 | 0,409 | 0,039 |
| 1,500 | 55,251 | 99,059 | -3,646 | skid front(in) | ##### | -5,300 | 0,000 | 1,000 | 100,000 | 0,000 | 0,097 | 0,422 | 0,422 | 0,422 | 0,409 | 0,409 | 0,032 |
| 2,000 | 54,822 | 99,059 | -3,645 | skid front(in) | ##### | -5,300 | 0,000 | 1,000 | 100,000 | 0,000 | 0,129 | 0,422 | 0,422 | 0,422 | 0,409 | 0,409 | 0,033 |
| 2,500 | 54,389 | 99,059 | -3,644 | skid front(in) | ##### | -5,300 | 0,000 | 1,000 | 100,000 | 0,000 | 0,162 | 0,422 | 0,422 | 0,422 | 0,409 | 0,409 | 0,033 |
| 3,000 | 53,953 | 99,059 | -3,643 | skid front(in) | ##### | -5,300 | 0,000 | 1,000 | 100,000 | 0,000 | 0,196 | 0,422 | 0,422 | 0,422 | 0,409 | 0,409 | 0,033 |
| 3,500 | 53,514 | 99,059 | -3,642 | skid front(in) | ##### | -5,300 | 0,000 | 1,000 | 100,000 | 0,000 | 0,229 | 0,422 | 0,422 | 0,422 | 0,409 | 0,409 | 0,033 |
| 4,000 | 53,071 | 99,059 | -3,641 | skid front(in) | ##### | -5,300 | 0,000 | 1,000 | 100,000 | 0,000 | 0,263 | 0,422 | 0,422 | 0,422 | 0,409 | 0,409 | 0,034 |
| 4,400 | 52,714 | 99,060 | -3,640 | skid front(in) | ##### | -5,300 | 0,000 | 1,000 | 100,000 | 0,000 | 0,290 | 0,422 | 0,422 | 0,422 | 0,409 | 0,409 | 0,027 |
| 5,000 | 52,175 | 99,060 | -3,639 | skid front(in) | ##### | -5,300 | 0,000 | 1,000 | 100,000 | 0,000 | 0,331 | 0,422 | 0,422 | 0,422 | 0,409 | 0,409 | 0,041 |
| 5,500 | 51,721 | 99,060 | -3,638 | skid front(in) | ##### | -5,300 | 0,000 | 1,000 | 100,000 | 0,000 | 0,366 | 0,422 | 0,422 | 0,422 | 0,409 | 0,409 | 0,035 |
| 6,000 | 51,263 | 99,060 | -3,637 | skid front(in) | ##### | -5,300 | 0,000 | 1,000 | 100,000 | 0,000 | 0,401 | 0,422 | 0,422 | 0,422 | 0,409 | 0,409 | 0,035 |
| 6,500 | 50,801 | 99,060 | -3,636 | skid front(in) | ##### | -5,300 | 0,000 | 1,000 | 100,000 | 0,000 | 0,436 | 0,422 | 0,422 | 0,422 | 0,409 | 0,409 | 0,035 |
| 7,000 | 50,335 | 99,060 | -3,635 | skid front(in) | ##### | -5,300 | 0,000 | 1,000 | 100,000 | 0,000 | 0,472 | 0,422 | 0,422 | 0,422 | 0,409 | 0,409 | 0,036 |
| 7,500 | 49,865 | 99,060 | -3,634 | skid front(in) | ##### | -5,300 | 0,000 | 1,000 | 100,000 | 0,000 | 0,508 | 0,422 | 0,422 | 0,422 | 0,409 | 0,409 | 0,036 |
| 8,000 | 49,391 | 99,060 | -3,633 | skid front(in) | ##### | -5,300 | 0,000 | 1,000 | 100,000 | 0,000 | 0,544 | 0,422 | 0,422 | 0,422 | 0,409 | 0,409 | 0,036 |
| 8,500 | 48,912 | 99,060 | -3,632 | skid front(in) | ##### | -5,300 | 0,000 | 1,000 | 100,000 | 0,000 | 0,581 | 0,422 | 0,422 | 0,422 | 0,409 | 0,409 | 0,037 |
| 9,000 | 48,428 | 99,060 | -3,631 | skid front(in) | ##### | -5,300 | 0,000 | 1,000 | 100,000 | 0,000 | 0,617 | 0,422 | 0,422 | 0,422 | 0,409 | 0,409 | 0,037 |
| 9,500 | 47,940 | 99,060 | -3,630 | skid front(in) | ##### | -5,300 | 0,000 | 1,000 | 100,000 | 0,000 | 0,655 | 0,422 | 0,422 | 0,422 | 0,409 | 0,409 | 0,037 |
| 10,000 | 47,447 | 99,060 | -3,629 | skid front(in) | ##### | -5,300 | 0,000 | 1,000 | 100,000 | 0,000 | 0,693 | 0,422 | 0,422 | 0,422 | 0,409 | 0,409 | 0,038 |
| 10,500 | 46,949 | 99,060 | -3,628 | skid front(in) | ##### | -5,300 | 0,000 | 1,000 | 100,000 | 0,000 | 0,731 | 0,422 | 0,422 | 0,422 | 0,409 | 0,409 | 0,038 |
| 11,000 | 46,445 | 99,060 | -3,627 | skid front(in) | ##### | -5,300 | 0,000 | 1,000 | 100,000 | 0,000 | 0,769 | 0,422 | 0,422 | 0,422 | 0,409 | 0,409 | 0,039 |
| 11,500 | 45,937 | 99,060 | -3,626 | skid front(in) | ##### | -5,300 | 0,000 | 1,000 | 100,000 | 0,000 | 0,808 | 0,422 | 0,422 | 0,422 | 0,409 | 0,409 | 0,039 |
| 12,000 | 45,422 | 99,060 | -3,625 | skid front(in) | ##### | -5,300 | 0,000 | 1,000 | 100,000 | 0,000 | 0,848 | 0,422 | 0,422 | 0,422 | 0,409 | 0,409 | 0,039 |
| 12,500 | 44,902 | 99,060 | -3,624 | skid front(in) | ##### | -5,300 | 0,000 | 1,000 | 100,000 | 0,000 | 0,887 | 0,422 | 0,422 | 0,422 | 0,409 | 0,409 | 0,040 |
| 13,000 | 44,376 | 99,060 | -3,623 | skid front(in) | ##### | -5,300 | 0,000 | 1,000 | 100,000 | 0,000 | 0,928 | 0,422 | 0,422 | 0,422 | 0,409 | 0,409 | 0,040 |
| 13,500 | 43,844 | 99,060 | -3,622 | skid front(in) | ##### | -5,300 | 0,000 | 1,000 | 100,000 | 0,000 | 0,969 | 0,422 | 0,422 | 0,422 | 0,409 | 0,409 | 0,041 |
| 14,000 | 43,305 | 99,060 | -3,621 | skid front(in) | ##### | -5,300 | 0,000 | 1,000 | 100,000 | 0,000 | 1,010 | 0,422 | 0,422 | 0,422 | 0,409 | 0,409 | 0,041 |
| 14,500 | 42,760 | 99,060 | -3,620 | skid front(in) | ##### | -5,300 | 0,000 | 1,000 | 100,000 | 0,000 | 1,052 | 0,422 | 0,422 | 0,422 | 0,409 | 0,409 | 0,042 |
| 15,000 | 42,208 | 99,060 | -3,619 | skid front(in) | ##### | -5,300 | 0,000 | 1,000 | 100,000 | 0,000 | 1,094 | 0,422 | 0,422 | 0,422 | 0,409 | 0,409 | 0,042 |
| 15,500 | 41,649 | 99,060 | -3,618 | skid front(in) | ##### | -5,300 | 0,000 | 1,000 | 100,000 | 0,000 | 1,137 | 0,422 | 0,422 | 0,422 | 0,409 | 0,409 | 0,043 |

Προσδιορισμός Τιμών Πρόσφυσης κατά την Πέδηση Οχημάτων Εφοδιασμένων με Σύστημα ABS σε Αυξημένες κατά Μήκος Κλίσεις

| | | | | | | | | | | | | | | | | | |
|--------|--------|--------|--------|-----------------|-------|--------|-------|-------|---------|--------|-------|-------|-------|-------|-------|-------|-------|
| 16,000 | 41,082 | 99,060 | -3,617 | skid front(in) | ##### | -5,300 | 0,000 | 1,000 | 100,000 | 0,000 | 1,181 | 0,422 | 0,422 | 0,422 | 0,409 | 0,409 | 0,044 |
| 16,500 | 40,508 | 99,061 | -3,616 | skid front(in) | ##### | -5,300 | 0,000 | 1,000 | 100,000 | 0,000 | 1,225 | 0,422 | 0,422 | 0,422 | 0,409 | 0,409 | 0,044 |
| 17,000 | 39,925 | 99,061 | -3,615 | skid front(in) | ##### | -5,300 | 0,000 | 1,000 | 100,000 | 0,000 | 1,269 | 0,422 | 0,422 | 0,422 | 0,409 | 0,409 | 0,045 |
| 17,500 | 39,334 | 99,061 | -3,614 | skid front(in) | ##### | -5,300 | 0,000 | 1,000 | 100,000 | 0,000 | 1,315 | 0,422 | 0,422 | 0,422 | 0,409 | 0,409 | 0,045 |
| 18,000 | 38,734 | 99,061 | -3,613 | skid front(in) | ##### | -5,300 | 0,000 | 1,000 | 100,000 | 0,000 | 1,361 | 0,422 | 0,422 | 0,422 | 0,409 | 0,409 | 0,046 |
| 18,500 | 38,125 | 99,061 | -3,612 | skid front(in) | ##### | -5,300 | 0,000 | 1,000 | 100,000 | 0,000 | 1,408 | 0,422 | 0,422 | 0,422 | 0,409 | 0,409 | 0,047 |
| 18,900 | 37,631 | 99,061 | -3,611 | skid front(in) | ##### | -5,300 | 0,000 | 1,000 | 100,000 | 0,000 | 1,446 | 0,422 | 0,422 | 0,422 | 0,409 | 0,409 | 0,038 |
| 19,500 | 36,877 | 99,061 | -3,610 | skid front(in) | ##### | -5,300 | 0,000 | 1,000 | 100,000 | 0,000 | 1,504 | 0,422 | 0,422 | 0,422 | 0,409 | 0,409 | 0,058 |
| 20,000 | 36,237 | 99,061 | -3,609 | skid front(in) | ##### | -5,300 | 0,000 | 1,000 | 100,000 | 0,000 | 1,553 | 0,422 | 0,422 | 0,422 | 0,409 | 0,409 | 0,049 |
| 20,500 | 35,586 | 99,061 | -3,608 | skid front(in) | ##### | -5,300 | 0,000 | 1,000 | 100,000 | 0,000 | 1,603 | 0,422 | 0,422 | 0,422 | 0,409 | 0,409 | 0,050 |
| 21,000 | 34,923 | 99,061 | -3,607 | skid front(in) | ##### | -5,300 | 0,000 | 1,000 | 100,000 | 0,000 | 1,654 | 0,422 | 0,422 | 0,422 | 0,409 | 0,409 | 0,051 |
| 21,500 | 34,247 | 99,061 | -3,606 | skid front(in) | ##### | -5,300 | 0,000 | 1,000 | 100,000 | 0,000 | 1,706 | 0,422 | 0,422 | 0,422 | 0,409 | 0,409 | 0,052 |
| 22,000 | 33,558 | 99,061 | -3,605 | skid front(in) | ##### | -5,300 | 0,000 | 1,000 | 100,000 | 0,000 | 1,759 | 0,422 | 0,422 | 0,422 | 0,409 | 0,409 | 0,053 |
| 22,500 | 32,854 | 99,061 | -3,604 | skid front(in) | ##### | -5,300 | 0,000 | 1,000 | 100,000 | 0,001 | 1,814 | 0,422 | 0,422 | 0,422 | 0,409 | 0,409 | 0,054 |
| 23,000 | 32,136 | 99,060 | -3,603 | skid front(in) | ##### | -5,300 | 0,000 | 1,000 | 100,000 | 0,001 | 1,869 | 0,422 | 0,422 | 0,422 | 0,409 | 0,409 | 0,055 |
| 23,500 | 31,401 | 99,052 | -3,600 | skid front(out) | ##### | -5,300 | 0,000 | 1,000 | 100,000 | -2,235 | 1,926 | 0,422 | 0,422 | 0,422 | 0,409 | 0,409 | 0,057 |
| 24,000 | 30,649 | 99,094 | -3,601 | skid front(out) | ##### | -5,300 | 0,000 | 1,000 | 100,000 | -1,702 | 1,984 | 0,422 | 0,422 | 0,422 | 0,409 | 0,409 | 0,058 |
| 24,500 | 29,877 | 99,056 | -3,598 | skid front(out) | ##### | -5,300 | 0,000 | 1,000 | 100,000 | -1,826 | 2,043 | 0,422 | 0,422 | 0,422 | 0,409 | 0,409 | 0,060 |
| 25,000 | 29,086 | 99,035 | -3,598 | skid front(out) | ##### | -5,300 | 0,000 | 1,000 | 100,000 | -2,414 | 2,104 | 0,422 | 0,422 | 0,422 | 0,409 | 0,409 | 0,061 |
| 25,500 | 28,273 | 99,065 | -3,596 | skid front(out) | ##### | -5,300 | 0,000 | 1,000 | 100,000 | -2,529 | 2,167 | 0,422 | 0,422 | 0,422 | 0,409 | 0,409 | 0,063 |
| 26,000 | 27,436 | 99,079 | -3,597 | skid front(out) | ##### | -5,300 | 0,000 | 1,000 | 100,000 | -1,435 | 2,232 | 0,422 | 0,422 | 0,422 | 0,409 | 0,409 | 0,065 |
| 26,500 | 26,573 | 99,008 | -3,593 | skid front(out) | ##### | -5,300 | 0,000 | 1,000 | 100,000 | -1,077 | 2,298 | 0,422 | 0,422 | 0,422 | 0,409 | 0,409 | 0,067 |
| 27,000 | 25,682 | 99,094 | -3,595 | skid front(out) | ##### | -5,300 | 0,000 | 1,000 | 100,000 | -1,990 | 2,367 | 0,422 | 0,422 | 0,422 | 0,409 | 0,409 | 0,069 |
| 27,500 | 24,758 | 99,057 | -3,592 | skid front(out) | ##### | -5,300 | 0,000 | 1,000 | 100,000 | -1,998 | 2,439 | 0,422 | 0,422 | 0,422 | 0,409 | 0,409 | 0,071 |
| 28,000 | 23,799 | 99,075 | -3,592 | skid front(out) | ##### | -5,300 | 0,000 | 1,000 | 100,000 | -2,017 | 2,513 | 0,422 | 0,422 | 0,422 | 0,409 | 0,409 | 0,074 |
| 28,500 | 22,800 | 99,037 | -3,591 | skid front(out) | ##### | -5,300 | 0,000 | 1,000 | 100,000 | -0,642 | 2,590 | 0,422 | 0,422 | 0,422 | 0,409 | 0,409 | 0,077 |
| 29,000 | 21,756 | 99,017 | -3,588 | skid front(out) | ##### | -5,300 | 0,000 | 1,000 | 100,000 | -1,456 | 2,671 | 0,422 | 0,422 | 0,422 | 0,409 | 0,409 | 0,081 |
| 29,500 | 20,659 | 99,056 | -3,588 | skid front(out) | ##### | -5,300 | 0,000 | 1,000 | 100,000 | -2,280 | 2,756 | 0,422 | 0,422 | 0,422 | 0,409 | 0,409 | 0,085 |
| 30,000 | 19,500 | 99,077 | -3,587 | skid front(out) | ##### | -5,300 | 0,000 | 1,000 | 100,000 | -3,641 | 2,845 | 0,422 | 0,422 | 0,422 | 0,409 | 0,409 | 0,090 |
| 30,500 | 18,269 | 99,120 | -3,588 | skid front(out) | ##### | -5,300 | 0,000 | 1,000 | 100,000 | -3,065 | 2,941 | 0,422 | 0,422 | 0,422 | 0,409 | 0,409 | 0,095 |
| 31,000 | 16,949 | 99,016 | -3,584 | skid front(out) | ##### | -5,300 | 0,000 | 1,000 | 100,000 | -1,384 | 3,043 | 0,422 | 0,422 | 0,422 | 0,409 | 0,409 | 0,102 |
| 31,500 | 15,517 | 99,016 | -3,583 | skid front(out) | ##### | -5,300 | 0,000 | 1,000 | 100,000 | -1,668 | 3,154 | 0,422 | 0,422 | 0,422 | 0,409 | 0,409 | 0,111 |
| 32,000 | 13,940 | 99,128 | -3,584 | skid front(out) | ##### | -5,300 | 0,000 | 1,000 | 100,000 | -4,107 | 3,276 | 0,422 | 0,422 | 0,422 | 0,409 | 0,409 | 0,122 |
| 32,500 | 12,159 | 98,989 | -3,580 | skid front(out) | ##### | -5,300 | 0,000 | 1,000 | 100,000 | -1,053 | 3,414 | 0,422 | 0,422 | 0,422 | 0,409 | 0,409 | 0,138 |
| 33,000 | 10,071 | 99,011 | -3,579 | skid front(out) | ##### | -5,300 | 0,000 | 1,000 | 100,000 | -2,457 | 3,576 | 0,422 | 0,422 | 0,422 | 0,409 | 0,409 | 0,162 |
| 33,500 | 7,415 | 99,110 | -3,581 | skid front(out) | ##### | -5,300 | 0,000 | 1,000 | 100,000 | -3,896 | 3,782 | 0,422 | 0,422 | 0,422 | 0,409 | 0,409 | 0,206 |
| 34,000 | 2,923 | 99,033 | -3,576 | skid front(out) | ##### | -5,300 | 0,000 | 1,000 | 100,000 | -4,131 | 4,130 | 0,422 | 0,422 | 0,422 | 0,409 | 0,409 | 0,349 |

| run_c_d ntua_8 | R(m) | br.front (%) | s(%) | e (%) | coeff | effic (%) | time (sec) | | | | | | | | | 0,963 | |
|----------------|-----------|--------------|--------|-----------------|-------|-----------|------------|-------|-----------|-----------|------------|-------|-----------|----------|----------|---------|-----------|
| s= 100,000 | ##### | 69,50 | -5,3 | 0,0 | 1,00 | 100 | 4,025 | | | | | | | | | | |
| step= 0,100 | viewstep= | 0,500 | STEPS | | | | | | | | | | | | | | |
| s (m) | V (km/h) | n (%) | dv/dt | skid check | R(m) | s(%) | e (%) | coeff | effic (%) | decelera | time (sec) | fT | front out | front in | rear out | rear in | checktime |
| 31,200 | 1,879 | 99,053 | -3,578 | skid front(out) | ##### | -5,300 | 0,000 | 1,000 | 100,000 | -3,356009 | 4,025 | 0,422 | 0,4217 | 0,4217 | 0,4089 | 0,4089 | |
| 0,000 | 54,080 | 99,065 | -3,644 | O.K | ##### | -5,300 | 0,000 | 1,000 | 100,000 | 0,000 | 0,000 | 0,422 | | | | | |
| 0,400 | 53,730 | 99,059 | -3,643 | skid front(in) | ##### | -5,300 | 0,000 | 1,000 | 100,000 | 0,000 | 0,027 | 0,422 | 0,422 | 0,422 | 0,409 | 0,409 | 0,027 |
| 1,000 | 53,200 | 99,059 | -3,642 | skid front(in) | ##### | -5,300 | 0,000 | 1,000 | 100,000 | 0,000 | 0,067 | 0,422 | 0,422 | 0,422 | 0,409 | 0,409 | 0,040 |
| 1,500 | 52,755 | 99,060 | -3,641 | skid front(in) | ##### | -5,300 | 0,000 | 1,000 | 100,000 | 0,000 | 0,101 | 0,422 | 0,422 | 0,422 | 0,409 | 0,409 | 0,034 |
| 2,000 | 52,306 | 99,060 | -3,640 | skid front(in) | ##### | -5,300 | 0,000 | 1,000 | 100,000 | 0,000 | 0,135 | 0,422 | 0,422 | 0,422 | 0,409 | 0,409 | 0,034 |
| 2,500 | 51,853 | 99,060 | -3,639 | skid front(in) | ##### | -5,300 | 0,000 | 1,000 | 100,000 | 0,000 | 0,170 | 0,422 | 0,422 | 0,422 | 0,409 | 0,409 | 0,035 |
| 3,000 | 51,396 | 99,060 | -3,638 | skid front(in) | ##### | -5,300 | 0,000 | 1,000 | 100,000 | 0,000 | 0,205 | 0,422 | 0,422 | 0,422 | 0,409 | 0,409 | 0,035 |
| 3,500 | 50,935 | 99,060 | -3,637 | skid front(in) | ##### | -5,300 | 0,000 | 1,000 | 100,000 | 0,000 | 0,240 | 0,422 | 0,422 | 0,422 | 0,409 | 0,409 | 0,035 |
| 4,000 | 50,471 | 99,060 | -3,636 | skid front(in) | ##### | -5,300 | 0,000 | 1,000 | 100,000 | 0,000 | 0,275 | 0,422 | 0,422 | 0,422 | 0,409 | 0,409 | 0,036 |
| 4,400 | 50,096 | 99,060 | -3,635 | skid front(in) | ##### | -5,300 | 0,000 | 1,000 | 100,000 | 0,000 | 0,304 | 0,422 | 0,422 | 0,422 | 0,409 | 0,409 | 0,029 |
| 5,000 | 49,529 | 99,060 | -3,634 | skid front(in) | ##### | -5,300 | 0,000 | 1,000 | 100,000 | 0,000 | 0,347 | 0,422 | 0,422 | 0,422 | 0,409 | 0,409 | 0,043 |
| 5,500 | 49,051 | 99,060 | -3,633 | skid front(in) | ##### | -5,300 | 0,000 | 1,000 | 100,000 | 0,000 | 0,384 | 0,422 | 0,422 | 0,422 | 0,409 | 0,409 | 0,037 |
| 6,000 | 48,569 | 99,060 | -3,632 | skid front(in) | ##### | -5,300 | 0,000 | 1,000 | 100,000 | 0,000 | 0,421 | 0,422 | 0,422 | 0,422 | 0,409 | 0,409 | 0,037 |

Προσδιορισμός Τιμών Πρόσφυσης κατά την Πέδηση Οχημάτων Εφοδιασμένων με Σύστημα ABS σε Αυξημένες κατά Μήκος Κλίσεις

| | | | | | | | | | | | | | | | | | |
|--------|--------|--------|--------|-----------------|-------|--------|-------|-------|---------|--------|-------|-------|-------|-------|-------|-------|-------|
| 6,500 | 48,082 | 99,060 | -3,631 | skid front(in) | ##### | -5,300 | 0,000 | 1,000 | 100,000 | 0,000 | 0,458 | 0,422 | 0,422 | 0,422 | 0,409 | 0,409 | 0,037 |
| 7,000 | 47,590 | 99,060 | -3,629 | skid front(in) | ##### | -5,300 | 0,000 | 1,000 | 100,000 | 0,000 | 0,496 | 0,422 | 0,422 | 0,422 | 0,409 | 0,409 | 0,038 |
| 7,500 | 47,094 | 99,060 | -3,628 | skid front(in) | ##### | -5,300 | 0,000 | 1,000 | 100,000 | 0,000 | 0,534 | 0,422 | 0,422 | 0,422 | 0,409 | 0,409 | 0,038 |
| 8,000 | 46,592 | 99,060 | -3,627 | skid front(in) | ##### | -5,300 | 0,000 | 1,000 | 100,000 | 0,000 | 0,572 | 0,422 | 0,422 | 0,422 | 0,409 | 0,409 | 0,038 |
| 8,500 | 46,084 | 99,060 | -3,626 | skid front(in) | ##### | -5,300 | 0,000 | 1,000 | 100,000 | 0,000 | 0,611 | 0,422 | 0,422 | 0,422 | 0,409 | 0,409 | 0,039 |
| 9,000 | 45,572 | 99,060 | -3,625 | skid front(in) | ##### | -5,300 | 0,000 | 1,000 | 100,000 | 0,000 | 0,650 | 0,422 | 0,422 | 0,422 | 0,409 | 0,409 | 0,039 |
| 9,500 | 45,053 | 99,060 | -3,624 | skid front(in) | ##### | -5,300 | 0,000 | 1,000 | 100,000 | 0,000 | 0,690 | 0,422 | 0,422 | 0,422 | 0,409 | 0,409 | 0,040 |
| 10,000 | 44,529 | 99,060 | -3,623 | skid front(in) | ##### | -5,300 | 0,000 | 1,000 | 100,000 | 0,000 | 0,730 | 0,422 | 0,422 | 0,422 | 0,409 | 0,409 | 0,040 |
| 10,500 | 43,999 | 99,060 | -3,622 | skid front(in) | ##### | -5,300 | 0,000 | 1,000 | 100,000 | 0,000 | 0,771 | 0,422 | 0,422 | 0,422 | 0,409 | 0,409 | 0,041 |
| 11,000 | 43,462 | 99,060 | -3,621 | skid front(in) | ##### | -5,300 | 0,000 | 1,000 | 100,000 | 0,000 | 0,812 | 0,422 | 0,422 | 0,422 | 0,409 | 0,409 | 0,041 |
| 11,500 | 42,919 | 99,060 | -3,620 | skid front(in) | ##### | -5,300 | 0,000 | 1,000 | 100,000 | 0,000 | 0,854 | 0,422 | 0,422 | 0,422 | 0,409 | 0,409 | 0,042 |
| 12,000 | 42,369 | 99,060 | -3,619 | skid front(in) | ##### | -5,300 | 0,000 | 1,000 | 100,000 | 0,000 | 0,896 | 0,422 | 0,422 | 0,422 | 0,409 | 0,409 | 0,042 |
| 12,500 | 41,811 | 99,060 | -3,618 | skid front(in) | ##### | -5,300 | 0,000 | 1,000 | 100,000 | 0,000 | 0,939 | 0,422 | 0,422 | 0,422 | 0,409 | 0,409 | 0,043 |
| 13,000 | 41,247 | 99,060 | -3,617 | skid front(in) | ##### | -5,300 | 0,000 | 1,000 | 100,000 | 0,000 | 0,982 | 0,422 | 0,422 | 0,422 | 0,409 | 0,409 | 0,043 |
| 13,500 | 40,675 | 99,060 | -3,616 | skid front(in) | ##### | -5,300 | 0,000 | 1,000 | 100,000 | 0,000 | 1,026 | 0,422 | 0,422 | 0,422 | 0,409 | 0,409 | 0,044 |
| 14,000 | 40,095 | 99,061 | -3,615 | skid front(in) | ##### | -5,300 | 0,000 | 1,000 | 100,000 | 0,000 | 1,071 | 0,422 | 0,422 | 0,422 | 0,409 | 0,409 | 0,045 |
| 14,500 | 39,506 | 99,061 | -3,614 | skid front(in) | ##### | -5,300 | 0,000 | 1,000 | 100,000 | 0,000 | 1,116 | 0,422 | 0,422 | 0,422 | 0,409 | 0,409 | 0,045 |
| 15,000 | 38,909 | 99,061 | -3,613 | skid front(in) | ##### | -5,300 | 0,000 | 1,000 | 100,000 | 0,000 | 1,162 | 0,422 | 0,422 | 0,422 | 0,409 | 0,409 | 0,046 |
| 15,500 | 38,302 | 99,061 | -3,612 | skid front(in) | ##### | -5,300 | 0,000 | 1,000 | 100,000 | 0,000 | 1,208 | 0,422 | 0,422 | 0,422 | 0,409 | 0,409 | 0,047 |
| 16,000 | 37,686 | 99,061 | -3,611 | skid front(in) | ##### | -5,300 | 0,000 | 1,000 | 100,000 | 0,000 | 1,256 | 0,422 | 0,422 | 0,422 | 0,409 | 0,409 | 0,047 |
| 16,500 | 37,060 | 99,061 | -3,610 | skid front(in) | ##### | -5,300 | 0,000 | 1,000 | 100,000 | 0,000 | 1,304 | 0,422 | 0,422 | 0,422 | 0,409 | 0,409 | 0,048 |
| 17,000 | 36,423 | 99,061 | -3,609 | skid front(in) | ##### | -5,300 | 0,000 | 1,000 | 100,000 | 0,000 | 1,353 | 0,422 | 0,422 | 0,422 | 0,409 | 0,409 | 0,049 |
| 17,500 | 35,776 | 99,061 | -3,608 | skid front(in) | ##### | -5,300 | 0,000 | 1,000 | 100,000 | 0,000 | 1,403 | 0,422 | 0,422 | 0,422 | 0,409 | 0,409 | 0,050 |
| 18,000 | 35,116 | 99,061 | -3,607 | skid front(in) | ##### | -5,300 | 0,000 | 1,000 | 100,000 | 0,000 | 1,453 | 0,422 | 0,422 | 0,422 | 0,409 | 0,409 | 0,051 |
| 18,500 | 34,444 | 99,061 | -3,606 | skid front(in) | ##### | -5,300 | 0,000 | 1,000 | 100,000 | 0,000 | 1,505 | 0,422 | 0,422 | 0,422 | 0,409 | 0,409 | 0,052 |
| 18,900 | 33,897 | 99,061 | -3,606 | skid front(in) | ##### | -5,300 | 0,000 | 1,000 | 100,000 | 0,001 | 1,547 | 0,422 | 0,422 | 0,422 | 0,409 | 0,409 | 0,042 |
| 19,500 | 33,060 | 99,061 | -3,604 | skid front(in) | ##### | -5,300 | 0,000 | 1,000 | 100,000 | 0,000 | 1,612 | 0,422 | 0,422 | 0,422 | 0,409 | 0,409 | 0,065 |
| 20,000 | 32,346 | 99,061 | -3,603 | skid front(in) | ##### | -5,300 | 0,000 | 1,000 | 100,000 | 0,003 | 1,667 | 0,422 | 0,422 | 0,422 | 0,409 | 0,409 | 0,055 |
| 20,500 | 31,616 | 99,067 | -3,601 | skid front(out) | ##### | -5,300 | 0,000 | 1,000 | 100,000 | -2,017 | 1,723 | 0,422 | 0,422 | 0,422 | 0,409 | 0,409 | 0,056 |
| 21,000 | 30,868 | 99,031 | -3,599 | skid front(out) | ##### | -5,300 | 0,000 | 1,000 | 100,000 | -1,860 | 1,781 | 0,422 | 0,422 | 0,422 | 0,409 | 0,409 | 0,058 |
| 21,500 | 30,103 | 99,043 | -3,598 | skid front(out) | ##### | -5,300 | 0,000 | 1,000 | 100,000 | -1,644 | 1,840 | 0,422 | 0,422 | 0,422 | 0,409 | 0,409 | 0,059 |
| 22,000 | 29,318 | 99,040 | -3,597 | skid front(out) | ##### | -5,300 | 0,000 | 1,000 | 100,000 | -1,783 | 1,900 | 0,422 | 0,422 | 0,422 | 0,409 | 0,409 | 0,061 |
| 22,500 | 28,512 | 99,088 | -3,598 | skid front(out) | ##### | -5,300 | 0,000 | 1,000 | 100,000 | -1,938 | 1,963 | 0,422 | 0,422 | 0,422 | 0,409 | 0,409 | 0,062 |
| 23,000 | 27,682 | 99,053 | -3,595 | skid front(out) | ##### | -5,300 | 0,000 | 1,000 | 100,000 | -2,814 | 2,027 | 0,422 | 0,422 | 0,422 | 0,409 | 0,409 | 0,064 |
| 23,500 | 26,827 | 99,035 | -3,594 | skid front(out) | ##### | -5,300 | 0,000 | 1,000 | 100,000 | -2,117 | 2,093 | 0,422 | 0,422 | 0,422 | 0,409 | 0,409 | 0,066 |
| 24,000 | 25,944 | 99,070 | -3,595 | skid front(out) | ##### | -5,300 | 0,000 | 1,000 | 100,000 | -1,357 | 2,161 | 0,422 | 0,422 | 0,422 | 0,409 | 0,409 | 0,068 |
| 24,500 | 25,030 | 99,054 | -3,591 | skid front(out) | ##### | -5,300 | 0,000 | 1,000 | 100,000 | -3,071 | 2,232 | 0,422 | 0,422 | 0,422 | 0,409 | 0,409 | 0,071 |
| 25,000 | 24,081 | 99,019 | -3,590 | skid front(out) | ##### | -5,300 | 0,000 | 1,000 | 100,000 | -1,382 | 2,305 | 0,422 | 0,422 | 0,422 | 0,409 | 0,409 | 0,073 |
| 25,500 | 23,095 | 99,076 | -3,592 | skid front(out) | ##### | -5,300 | 0,000 | 1,000 | 100,000 | -1,369 | 2,381 | 0,422 | 0,422 | 0,422 | 0,409 | 0,409 | 0,076 |
| 26,000 | 22,064 | 99,040 | -3,589 | skid front(out) | ##### | -5,300 | 0,000 | 1,000 | 100,000 | -2,176 | 2,461 | 0,422 | 0,422 | 0,422 | 0,409 | 0,409 | 0,080 |
| 26,500 | 20,983 | 99,023 | -3,588 | skid front(out) | ##### | -5,300 | 0,000 | 1,000 | 100,000 | -1,183 | 2,545 | 0,422 | 0,422 | 0,422 | 0,409 | 0,409 | 0,084 |
| 27,000 | 19,844 | 98,984 | -3,586 | skid front(in) | ##### | -5,300 | 0,000 | 1,000 | 100,000 | -0,571 | 2,633 | 0,422 | 0,422 | 0,422 | 0,409 | 0,409 | 0,088 |
| 27,500 | 18,636 | 99,047 | -3,586 | skid front(out) | ##### | -5,300 | 0,000 | 1,000 | 100,000 | -1,899 | 2,726 | 0,422 | 0,422 | 0,422 | 0,409 | 0,409 | 0,094 |
| 28,000 | 17,343 | 99,051 | -3,586 | skid front(out) | ##### | -5,300 | 0,000 | 1,000 | 100,000 | -1,757 | 2,826 | 0,422 | 0,422 | 0,422 | 0,409 | 0,409 | 0,100 |
| 28,500 | 15,947 | 99,032 | -3,583 | skid front(out) | ##### | -5,300 | 0,000 | 1,000 | 100,000 | -2,032 | 2,935 | 0,422 | 0,422 | 0,422 | 0,409 | 0,409 | 0,108 |
| 29,000 | 14,417 | 99,079 | -3,584 | skid front(out) | ##### | -5,300 | 0,000 | 1,000 | 100,000 | -2,336 | 3,053 | 0,422 | 0,422 | 0,422 | 0,409 | 0,409 | 0,119 |
| 29,500 | 12,704 | 99,106 | -3,584 | skid front(out) | ##### | -5,300 | 0,000 | 1,000 | 100,000 | -3,170 | 3,186 | 0,422 | 0,422 | 0,422 | 0,409 | 0,409 | 0,133 |
| 30,000 | 10,721 | 99,063 | -3,582 | skid front(out) | ##### | -5,300 | 0,000 | 1,000 | 100,000 | -2,297 | 3,340 | 0,422 | 0,422 | 0,422 | 0,409 | 0,409 | 0,154 |
| 30,500 | 8,278 | 99,089 | -3,582 | skid front(out) | ##### | -5,300 | 0,000 | 1,000 | 100,000 | -1,376 | 3,529 | 0,422 | 0,422 | 0,422 | 0,409 | 0,409 | 0,189 |
| 31,000 | 4,700 | 99,041 | -3,577 | skid front(out) | ##### | -5,300 | 0,000 | 1,000 | 100,000 | -3,990 | 3,806 | 0,422 | 0,422 | 0,422 | 0,409 | 0,409 | 0,278 |
| 31,200 | 1,879 | 99,053 | -3,578 | skid front(out) | ##### | -5,300 | 0,000 | 1,000 | 100,000 | -3,356 | 4,025 | 0,422 | 0,422 | 0,422 | 0,409 | 0,409 | 0,219 |

| run_c_d ntua_9 | R(m) | br.front (%) | s(%) | e (%) | coeff | effic (%) | time (sec) |
|----------------|-----------|--------------|-------|-------|-------|-----------|------------|
| s= 100,000 | ##### | 69,50 | -5,3 | 0,0 | 1,00 | 100 | 4,095 |
| step= 0,100 | viewstep= | 0,500 | STEPS | | | | |

0,963

| s (m) | V (km/h) | n (%) | dv/dt | skid check | R(m) | s(%) | e (%) | coeff | effic (%) | decelera | time (sec) | ft | front out | front in | rear out | rear in | checktime |
|-------|----------|-------|-------|------------|------|------|-------|-------|-----------|----------|------------|----|-----------|----------|----------|---------|-----------|
|-------|----------|-------|-------|------------|------|------|-------|-------|-----------|----------|------------|----|-----------|----------|----------|---------|-----------|

Προσδιορισμός Τιμών Πρόσφυσης κατά την Πέδηση Οχημάτων Εφοδιασμένων με Σύστημα ABS σε Αυξημένες κατά Μήκος Κλίσεις

| 31,800 | 1,483 | 99,050 | -3,577 | skid front(out) | ##### | -5,300 | 0,000 | 1,000 | 100,000 | -3,884531 | 4,095 | 0,422 | 0,4217 | 0,4217 | 0,4088 | 0,4088 |
|--------|--------|--------|--------|-----------------|-------|--------|-------|-------|---------|-----------|-------|-------|--------|--------|--------|--------|
| 0,000 | 54,590 | 99,065 | -3,645 | O.K | ##### | -5,300 | 0,000 | 1,000 | 100,000 | 0,000 | 0,000 | 0,422 | | | | |
| 0,400 | 54,243 | 99,059 | -3,644 | skid front(in) | ##### | -5,300 | 0,000 | 1,000 | 100,000 | 0,000 | 0,026 | 0,422 | 0,422 | 0,422 | 0,409 | 0,409 |
| 1,000 | 53,718 | 99,059 | -3,643 | skid front(in) | ##### | -5,300 | 0,000 | 1,000 | 100,000 | 0,000 | 0,066 | 0,422 | 0,422 | 0,422 | 0,409 | 0,409 |
| 1,500 | 53,277 | 99,059 | -3,642 | skid front(in) | ##### | -5,300 | 0,000 | 1,000 | 100,000 | 0,000 | 0,100 | 0,422 | 0,422 | 0,422 | 0,409 | 0,409 |
| 2,000 | 52,832 | 99,060 | -3,641 | skid front(in) | ##### | -5,300 | 0,000 | 1,000 | 100,000 | 0,000 | 0,134 | 0,422 | 0,422 | 0,422 | 0,409 | 0,409 |
| 2,500 | 52,384 | 99,060 | -3,640 | skid front(in) | ##### | -5,300 | 0,000 | 1,000 | 100,000 | 0,000 | 0,168 | 0,422 | 0,422 | 0,422 | 0,409 | 0,409 |
| 3,000 | 51,932 | 99,060 | -3,639 | skid front(in) | ##### | -5,300 | 0,000 | 1,000 | 100,000 | 0,000 | 0,203 | 0,422 | 0,422 | 0,422 | 0,409 | 0,409 |
| 3,500 | 51,476 | 99,060 | -3,638 | skid front(in) | ##### | -5,300 | 0,000 | 1,000 | 100,000 | 0,000 | 0,238 | 0,422 | 0,422 | 0,422 | 0,409 | 0,409 |
| 4,000 | 51,016 | 99,060 | -3,637 | skid front(in) | ##### | -5,300 | 0,000 | 1,000 | 100,000 | 0,000 | 0,273 | 0,422 | 0,422 | 0,422 | 0,409 | 0,409 |
| 4,400 | 50,645 | 99,060 | -3,636 | skid front(in) | ##### | -5,300 | 0,000 | 1,000 | 100,000 | 0,000 | 0,301 | 0,422 | 0,422 | 0,422 | 0,409 | 0,409 |
| 5,000 | 50,083 | 99,060 | -3,635 | skid front(in) | ##### | -5,300 | 0,000 | 1,000 | 100,000 | 0,000 | 0,344 | 0,422 | 0,422 | 0,422 | 0,409 | 0,409 |
| 5,500 | 49,611 | 99,060 | -3,634 | skid front(in) | ##### | -5,300 | 0,000 | 1,000 | 100,000 | 0,000 | 0,380 | 0,422 | 0,422 | 0,422 | 0,409 | 0,409 |
| 6,000 | 49,134 | 99,060 | -3,633 | skid front(in) | ##### | -5,300 | 0,000 | 1,000 | 100,000 | 0,000 | 0,417 | 0,422 | 0,422 | 0,422 | 0,409 | 0,409 |
| 6,500 | 48,653 | 99,060 | -3,632 | skid front(in) | ##### | -5,300 | 0,000 | 1,000 | 100,000 | 0,000 | 0,453 | 0,422 | 0,422 | 0,422 | 0,409 | 0,409 |
| 7,000 | 48,167 | 99,060 | -3,631 | skid front(in) | ##### | -5,300 | 0,000 | 1,000 | 100,000 | 0,000 | 0,490 | 0,422 | 0,422 | 0,422 | 0,409 | 0,409 |
| 7,500 | 47,676 | 99,060 | -3,630 | skid front(in) | ##### | -5,300 | 0,000 | 1,000 | 100,000 | 0,000 | 0,528 | 0,422 | 0,422 | 0,422 | 0,409 | 0,409 |
| 8,000 | 47,180 | 99,060 | -3,629 | skid front(in) | ##### | -5,300 | 0,000 | 1,000 | 100,000 | 0,000 | 0,566 | 0,422 | 0,422 | 0,422 | 0,409 | 0,409 |
| 8,500 | 46,679 | 99,060 | -3,628 | skid front(in) | ##### | -5,300 | 0,000 | 1,000 | 100,000 | 0,000 | 0,604 | 0,422 | 0,422 | 0,422 | 0,409 | 0,409 |
| 9,000 | 46,173 | 99,060 | -3,627 | skid front(in) | ##### | -5,300 | 0,000 | 1,000 | 100,000 | 0,000 | 0,643 | 0,422 | 0,422 | 0,422 | 0,409 | 0,409 |
| 9,500 | 45,661 | 99,060 | -3,626 | skid front(in) | ##### | -5,300 | 0,000 | 1,000 | 100,000 | 0,000 | 0,682 | 0,422 | 0,422 | 0,422 | 0,409 | 0,409 |
| 10,000 | 45,144 | 99,060 | -3,625 | skid front(in) | ##### | -5,300 | 0,000 | 1,000 | 100,000 | 0,000 | 0,722 | 0,422 | 0,422 | 0,422 | 0,409 | 0,409 |
| 10,500 | 44,620 | 99,060 | -3,624 | skid front(in) | ##### | -5,300 | 0,000 | 1,000 | 100,000 | 0,000 | 0,762 | 0,422 | 0,422 | 0,422 | 0,409 | 0,409 |
| 11,000 | 44,091 | 99,060 | -3,623 | skid front(in) | ##### | -5,300 | 0,000 | 1,000 | 100,000 | 0,000 | 0,803 | 0,422 | 0,422 | 0,422 | 0,409 | 0,409 |
| 11,500 | 43,556 | 99,060 | -3,622 | skid front(in) | ##### | -5,300 | 0,000 | 1,000 | 100,000 | 0,000 | 0,844 | 0,422 | 0,422 | 0,422 | 0,409 | 0,409 |
| 12,000 | 43,013 | 99,060 | -3,621 | skid front(in) | ##### | -5,300 | 0,000 | 1,000 | 100,000 | 0,000 | 0,885 | 0,422 | 0,422 | 0,422 | 0,409 | 0,409 |
| 12,500 | 42,465 | 99,060 | -3,620 | skid front(in) | ##### | -5,300 | 0,000 | 1,000 | 100,000 | 0,000 | 0,927 | 0,422 | 0,422 | 0,422 | 0,409 | 0,409 |
| 13,000 | 41,909 | 99,060 | -3,619 | skid front(in) | ##### | -5,300 | 0,000 | 1,000 | 100,000 | 0,000 | 0,970 | 0,422 | 0,422 | 0,422 | 0,409 | 0,409 |
| 13,500 | 41,345 | 99,060 | -3,618 | skid front(in) | ##### | -5,300 | 0,000 | 1,000 | 100,000 | 0,000 | 1,013 | 0,422 | 0,422 | 0,422 | 0,409 | 0,409 |
| 14,000 | 40,775 | 99,060 | -3,617 | skid front(in) | ##### | -5,300 | 0,000 | 1,000 | 100,000 | 0,000 | 1,057 | 0,422 | 0,422 | 0,422 | 0,409 | 0,409 |
| 14,500 | 40,196 | 99,060 | -3,616 | skid front(in) | ##### | -5,300 | 0,000 | 1,000 | 100,000 | 0,000 | 1,102 | 0,422 | 0,422 | 0,422 | 0,409 | 0,409 |
| 15,000 | 39,609 | 99,061 | -3,615 | skid front(in) | ##### | -5,300 | 0,000 | 1,000 | 100,000 | 0,000 | 1,147 | 0,422 | 0,422 | 0,422 | 0,409 | 0,409 |
| 15,500 | 39,013 | 99,061 | -3,614 | skid front(in) | ##### | -5,300 | 0,000 | 1,000 | 100,000 | 0,000 | 1,193 | 0,422 | 0,422 | 0,422 | 0,409 | 0,409 |
| 16,000 | 38,408 | 99,061 | -3,613 | skid front(in) | ##### | -5,300 | 0,000 | 1,000 | 100,000 | 0,000 | 1,239 | 0,422 | 0,422 | 0,422 | 0,409 | 0,409 |
| 16,500 | 37,794 | 99,061 | -3,612 | skid front(in) | ##### | -5,300 | 0,000 | 1,000 | 100,000 | 0,000 | 1,286 | 0,422 | 0,422 | 0,422 | 0,409 | 0,409 |
| 17,000 | 37,169 | 99,061 | -3,611 | skid front(in) | ##### | -5,300 | 0,000 | 1,000 | 100,000 | 0,000 | 1,334 | 0,422 | 0,422 | 0,422 | 0,409 | 0,409 |
| 17,500 | 36,535 | 99,061 | -3,610 | skid front(in) | ##### | -5,300 | 0,000 | 1,000 | 100,000 | 0,001 | 1,383 | 0,422 | 0,422 | 0,422 | 0,409 | 0,409 |
| 18,000 | 35,889 | 99,061 | -3,609 | skid front(in) | ##### | -5,300 | 0,000 | 1,000 | 100,000 | 0,000 | 1,433 | 0,422 | 0,422 | 0,422 | 0,409 | 0,409 |
| 18,500 | 35,231 | 99,061 | -3,608 | skid front(in) | ##### | -5,300 | 0,000 | 1,000 | 100,000 | 0,000 | 1,483 | 0,422 | 0,422 | 0,422 | 0,409 | 0,409 |
| 18,900 | 34,697 | 99,061 | -3,607 | skid front(in) | ##### | -5,300 | 0,000 | 1,000 | 100,000 | 0,000 | 1,525 | 0,422 | 0,422 | 0,422 | 0,409 | 0,409 |
| 19,500 | 33,879 | 99,061 | -3,606 | skid front(in) | ##### | -5,300 | 0,000 | 1,000 | 100,000 | 0,000 | 1,588 | 0,422 | 0,422 | 0,422 | 0,409 | 0,409 |
| 20,000 | 33,182 | 99,061 | -3,605 | skid front(in) | ##### | -5,300 | 0,000 | 1,000 | 100,000 | 0,001 | 1,641 | 0,422 | 0,422 | 0,422 | 0,409 | 0,409 |
| 20,500 | 32,471 | 99,061 | -3,604 | skid front(in) | ##### | -5,300 | 0,000 | 1,000 | 100,000 | 0,001 | 1,696 | 0,422 | 0,422 | 0,422 | 0,409 | 0,409 |
| 21,000 | 31,743 | 99,092 | -3,602 | skid front(out) | ##### | -5,300 | 0,000 | 1,000 | 100,000 | -2,526 | 1,752 | 0,422 | 0,422 | 0,422 | 0,409 | 0,409 |
| 21,500 | 30,999 | 99,047 | -3,599 | skid front(out) | ##### | -5,300 | 0,000 | 1,000 | 100,000 | -2,330 | 1,810 | 0,422 | 0,422 | 0,422 | 0,409 | 0,409 |
| 22,000 | 30,237 | 99,051 | -3,598 | skid front(out) | ##### | -5,300 | 0,000 | 1,000 | 100,000 | -2,141 | 1,868 | 0,422 | 0,422 | 0,422 | 0,409 | 0,409 |
| 22,500 | 29,455 | 99,039 | -3,597 | skid front(out) | ##### | -5,300 | 0,000 | 1,000 | 100,000 | -2,268 | 1,929 | 0,422 | 0,422 | 0,422 | 0,409 | 0,409 |
| 23,000 | 28,653 | 99,078 | -3,597 | skid front(out) | ##### | -5,300 | 0,000 | 1,000 | 100,000 | -2,441 | 1,991 | 0,422 | 0,422 | 0,422 | 0,409 | 0,409 |
| 23,500 | 27,828 | 99,068 | -3,597 | skid front(out) | ##### | -5,300 | 0,000 | 1,000 | 100,000 | -1,354 | 2,054 | 0,422 | 0,422 | 0,422 | 0,409 | 0,409 |
| 24,000 | 26,977 | 99,076 | -3,595 | skid front(out) | ##### | -5,300 | 0,000 | 1,000 | 100,000 | -2,246 | 2,120 | 0,422 | 0,422 | 0,422 | 0,409 | 0,409 |
| 24,500 | 26,099 | 99,033 | -3,593 | skid front(out) | ##### | -5,300 | 0,000 | 1,000 | 100,000 | -1,896 | 2,188 | 0,422 | 0,422 | 0,422 | 0,409 | 0,409 |
| 25,000 | 25,190 | 99,078 | -3,592 | skid front(out) | ##### | -5,300 | 0,000 | 1,000 | 100,000 | -3,220 | 2,258 | 0,422 | 0,422 | 0,422 | 0,409 | 0,409 |
| 25,500 | 24,248 | 99,034 | -3,591 | skid front(out) | ##### | -5,300 | 0,000 | 1,000 | 100,000 | -1,535 | 2,331 | 0,422 | 0,422 | 0,422 | 0,409 | 0,409 |
| 26,000 | 23,268 | 99,081 | -3,592 | skid front(out) | ##### | -5,300 | 0,000 | 1,000 | 100,000 | -1,505 | 2,407 | 0,422 | 0,422 | 0,422 | 0,409 | 0,409 |
| 26,500 | 22,246 | 99,036 | -3,589 | skid front(out) | ##### | -5,300 | 0,000 | 1,000 | 100,000 | -2,350 | 2,486 | 0,422 | 0,422 | 0,422 | 0,409 | 0,409 |
| 27,000 | 21,174 | 99,048 | -3,587 | skid front(out) | ##### | -5,300 | 0,000 | 1,000 | 100,000 | -3,234 | 2,569 | 0,422 | 0,422 | 0,422 | 0,409 | 0,409 |
| 27,500 | 20,045 | 99,081 | -3,588 | skid front(out) | ##### | -5,300 | 0,000 | 1,000 | 100,000 | -2,244 | 2,656 | 0,422 | 0,422 | 0,422 | 0,409 | 0,409 |
| 28,000 | 18,849 | 99,095 | -3,589 | skid front(out) | ##### | -5,300 | 0,000 | 1,000 | 100,000 | -1,619 | 2,749 | 0,422 | 0,422 | 0,422 | 0,409 | 0,409 |
| 28,500 | 17,572 | 99,132 | -3,588 | skid front(out) | ##### | -5,300 | 0,000 | 1,000 | 100,000 | -3,489 | 2,847 | 0,422 | 0,422 | 0,422 | 0,409 | 0,409 |

Προσδιορισμός Τιμών Πρόσφυσης κατά την Πέδηση Οχημάτων Εφοδιασμένων με Σύστημα ABS σε Αυξημένες κατά Μήκος Κλίσεις

| | | | | | | | | | | | | | | | | | |
|--------|--------|--------|--------|-----------------|-------|--------|-------|-------|---------|--------|-------|-------|-------|-------|-------|-------|-------|
| 29,000 | 16,196 | 99,061 | -3,585 | skid front(out) | ##### | -5,300 | 0,000 | 1,000 | 100,000 | -1,760 | 2,954 | 0,422 | 0,422 | 0,422 | 0,409 | 0,409 | 0,107 |
| 29,500 | 14,691 | 99,142 | -3,585 | skid front(out) | ##### | -5,300 | 0,000 | 1,000 | 100,000 | -4,173 | 3,071 | 0,422 | 0,422 | 0,422 | 0,409 | 0,409 | 0,117 |
| 30,000 | 13,014 | 99,066 | -3,584 | skid front(out) | ##### | -5,300 | 0,000 | 1,000 | 100,000 | -0,663 | 3,201 | 0,422 | 0,422 | 0,422 | 0,409 | 0,409 | 0,130 |
| 30,500 | 11,087 | 99,058 | -3,582 | skid front(out) | ##### | -5,300 | 0,000 | 1,000 | 100,000 | -2,024 | 3,350 | 0,422 | 0,422 | 0,422 | 0,409 | 0,409 | 0,149 |
| 31,000 | 8,747 | 99,120 | -3,582 | skid front(out) | ##### | -5,300 | 0,000 | 1,000 | 100,000 | -3,408 | 3,531 | 0,422 | 0,422 | 0,422 | 0,409 | 0,409 | 0,181 |
| 31,500 | 5,482 | 99,062 | -3,581 | skid front(out) | ##### | -5,300 | 0,000 | 1,000 | 100,000 | -0,626 | 3,784 | 0,422 | 0,422 | 0,422 | 0,409 | 0,409 | 0,253 |
| 31,800 | 1,483 | 99,050 | -3,577 | skid front(out) | ##### | -5,300 | 0,000 | 1,000 | 100,000 | -3,885 | 4,095 | 0,422 | 0,422 | 0,422 | 0,409 | 0,409 | 0,310 |

| run_c_d_ntua_10 | R(m) | br.front (%) | s(%) | e (%) | coeff | effic (%) | time (sec) | | | | | | | | | | |
|-----------------|-----------|--------------|--------|-----------------|-------|-----------|------------|-------|-----------|-----------|------------|-------|-----------|----------|----------|---------|-----------|
| s= 100,000 | ##### | 69,50 | -5,3 | 0,0 | 1,00 | 100 | 4,118 | 0,963 | | | | | | | | | |
| step= 0,100 | viewstep= | 0,500 | STEPS | | | | | | | | | | | | | | |
| s (m) | V (km/h) | n (%) | dv/dt | skid check | R(m) | s(%) | e (%) | coeff | effic (%) | decelera | time (sec) | fT | front out | front in | rear out | rear in | checktime |
| 30,500 | 0,046 | 99,063 | -3,579 | skid front(out) | ##### | -5,300 | 0,000 | 1,000 | 100,000 | -1,954240 | 4,118 | 0,422 | 0,4219 | 0,4219 | 0,4091 | 0,4091 | |
| 0,000 | 53,430 | 99,064 | -3,642 | O.K | ##### | -5,300 | 0,000 | 1,000 | 100,000 | 0,000 | 0,000 | 0,422 | | | | | |
| 0,400 | 53,075 | 99,059 | -3,641 | skid front(in) | ##### | -5,300 | 0,000 | 1,000 | 100,000 | 0,000 | 0,027 | 0,422 | 0,422 | 0,422 | 0,409 | 0,409 | 0,027 |
| 1,000 | 52,539 | 99,059 | -3,640 | skid front(in) | ##### | -5,300 | 0,000 | 1,000 | 100,000 | 0,000 | 0,068 | 0,422 | 0,422 | 0,422 | 0,409 | 0,409 | 0,041 |
| 1,500 | 52,089 | 99,060 | -3,639 | skid front(in) | ##### | -5,300 | 0,000 | 1,000 | 100,000 | 0,000 | 0,102 | 0,422 | 0,422 | 0,422 | 0,409 | 0,409 | 0,034 |
| 2,000 | 51,634 | 99,060 | -3,638 | skid front(in) | ##### | -5,300 | 0,000 | 1,000 | 100,000 | 0,000 | 0,137 | 0,422 | 0,422 | 0,422 | 0,409 | 0,409 | 0,035 |
| 2,500 | 51,175 | 99,060 | -3,637 | skid front(in) | ##### | -5,300 | 0,000 | 1,000 | 100,000 | 0,000 | 0,172 | 0,422 | 0,422 | 0,422 | 0,409 | 0,409 | 0,035 |
| 3,000 | 50,713 | 99,060 | -3,636 | skid front(in) | ##### | -5,300 | 0,000 | 1,000 | 100,000 | 0,000 | 0,207 | 0,422 | 0,422 | 0,422 | 0,409 | 0,409 | 0,035 |
| 3,500 | 50,246 | 99,060 | -3,635 | skid front(in) | ##### | -5,300 | 0,000 | 1,000 | 100,000 | 0,000 | 0,243 | 0,422 | 0,422 | 0,422 | 0,409 | 0,409 | 0,036 |
| 4,000 | 49,775 | 99,060 | -3,634 | skid front(in) | ##### | -5,300 | 0,000 | 1,000 | 100,000 | 0,000 | 0,279 | 0,422 | 0,422 | 0,422 | 0,409 | 0,409 | 0,036 |
| 4,400 | 49,395 | 99,060 | -3,633 | skid front(in) | ##### | -5,300 | 0,000 | 1,000 | 100,000 | 0,000 | 0,308 | 0,422 | 0,422 | 0,422 | 0,409 | 0,409 | 0,029 |
| 5,000 | 48,820 | 99,060 | -3,632 | skid front(in) | ##### | -5,300 | 0,000 | 1,000 | 100,000 | 0,000 | 0,352 | 0,422 | 0,422 | 0,422 | 0,409 | 0,409 | 0,044 |
| 5,500 | 48,336 | 99,060 | -3,631 | skid front(in) | ##### | -5,300 | 0,000 | 1,000 | 100,000 | 0,000 | 0,389 | 0,422 | 0,422 | 0,422 | 0,409 | 0,409 | 0,037 |
| 6,000 | 47,846 | 99,060 | -3,630 | skid front(in) | ##### | -5,300 | 0,000 | 1,000 | 100,000 | 0,000 | 0,427 | 0,422 | 0,422 | 0,422 | 0,409 | 0,409 | 0,037 |
| 6,500 | 47,352 | 99,060 | -3,629 | skid front(in) | ##### | -5,300 | 0,000 | 1,000 | 100,000 | 0,000 | 0,464 | 0,422 | 0,422 | 0,422 | 0,409 | 0,409 | 0,038 |
| 7,000 | 46,853 | 99,060 | -3,628 | skid front(in) | ##### | -5,300 | 0,000 | 1,000 | 100,000 | 0,000 | 0,503 | 0,422 | 0,422 | 0,422 | 0,409 | 0,409 | 0,038 |
| 7,500 | 46,349 | 99,060 | -3,627 | skid front(in) | ##### | -5,300 | 0,000 | 1,000 | 100,000 | 0,000 | 0,541 | 0,422 | 0,422 | 0,422 | 0,409 | 0,409 | 0,039 |
| 8,000 | 45,839 | 99,060 | -3,626 | skid front(in) | ##### | -5,300 | 0,000 | 1,000 | 100,000 | 0,000 | 0,580 | 0,422 | 0,422 | 0,422 | 0,409 | 0,409 | 0,039 |
| 8,500 | 45,324 | 99,060 | -3,625 | skid front(in) | ##### | -5,300 | 0,000 | 1,000 | 100,000 | 0,000 | 0,620 | 0,422 | 0,422 | 0,422 | 0,409 | 0,409 | 0,039 |
| 9,000 | 44,802 | 99,060 | -3,624 | skid front(in) | ##### | -5,300 | 0,000 | 1,000 | 100,000 | 0,000 | 0,660 | 0,422 | 0,422 | 0,422 | 0,409 | 0,409 | 0,040 |
| 9,500 | 44,275 | 99,060 | -3,623 | skid front(in) | ##### | -5,300 | 0,000 | 1,000 | 100,000 | 0,000 | 0,700 | 0,422 | 0,422 | 0,422 | 0,409 | 0,409 | 0,040 |
| 10,000 | 43,742 | 99,060 | -3,622 | skid front(in) | ##### | -5,300 | 0,000 | 1,000 | 100,000 | 0,000 | 0,741 | 0,422 | 0,422 | 0,422 | 0,409 | 0,409 | 0,041 |
| 10,500 | 43,202 | 99,060 | -3,621 | skid front(in) | ##### | -5,300 | 0,000 | 1,000 | 100,000 | 0,000 | 0,782 | 0,422 | 0,422 | 0,422 | 0,409 | 0,409 | 0,041 |
| 11,000 | 42,655 | 99,060 | -3,620 | skid front(in) | ##### | -5,300 | 0,000 | 1,000 | 100,000 | 0,000 | 0,824 | 0,422 | 0,422 | 0,422 | 0,409 | 0,409 | 0,042 |
| 11,500 | 42,102 | 99,060 | -3,619 | skid front(in) | ##### | -5,300 | 0,000 | 1,000 | 100,000 | 0,000 | 0,867 | 0,422 | 0,422 | 0,422 | 0,409 | 0,409 | 0,042 |
| 12,000 | 41,541 | 99,060 | -3,618 | skid front(in) | ##### | -5,300 | 0,000 | 1,000 | 100,000 | 0,000 | 0,910 | 0,422 | 0,422 | 0,422 | 0,409 | 0,409 | 0,043 |
| 12,500 | 40,973 | 99,060 | -3,617 | skid front(in) | ##### | -5,300 | 0,000 | 1,000 | 100,000 | 0,000 | 0,954 | 0,422 | 0,422 | 0,422 | 0,409 | 0,409 | 0,044 |
| 13,000 | 40,397 | 99,060 | -3,616 | skid front(in) | ##### | -5,300 | 0,000 | 1,000 | 100,000 | 0,000 | 0,998 | 0,422 | 0,422 | 0,422 | 0,409 | 0,409 | 0,044 |
| 13,500 | 39,813 | 99,061 | -3,615 | skid front(in) | ##### | -5,300 | 0,000 | 1,000 | 100,000 | 0,000 | 1,043 | 0,422 | 0,422 | 0,422 | 0,409 | 0,409 | 0,045 |
| 14,000 | 39,220 | 99,061 | -3,614 | skid front(in) | ##### | -5,300 | 0,000 | 1,000 | 100,000 | 0,000 | 1,088 | 0,422 | 0,422 | 0,422 | 0,409 | 0,409 | 0,046 |
| 14,500 | 38,619 | 99,061 | -3,613 | skid front(in) | ##### | -5,300 | 0,000 | 1,000 | 100,000 | 0,000 | 1,134 | 0,422 | 0,422 | 0,422 | 0,409 | 0,409 | 0,046 |
| 15,000 | 38,008 | 99,061 | -3,612 | skid front(in) | ##### | -5,300 | 0,000 | 1,000 | 100,000 | 0,000 | 1,181 | 0,422 | 0,422 | 0,422 | 0,409 | 0,409 | 0,047 |
| 15,500 | 37,387 | 99,061 | -3,611 | skid front(in) | ##### | -5,300 | 0,000 | 1,000 | 100,000 | 0,000 | 1,229 | 0,422 | 0,422 | 0,422 | 0,409 | 0,409 | 0,048 |
| 16,000 | 36,756 | 99,061 | -3,610 | skid front(in) | ##### | -5,300 | 0,000 | 1,000 | 100,000 | 0,000 | 1,278 | 0,422 | 0,422 | 0,422 | 0,409 | 0,409 | 0,049 |

Προσδιορισμός Τιμών Πρόσφυσης κατά την Πέδηση Οχημάτων Εφοδιασμένων με Σύστημα ABS σε Αυξημένες κατά Μήκος Κλίσεις

| | | | | | | | | | | | | | | | | | |
|--------|--------|--------|--------|-----------------|-------|--------|-------|-------|---------|--------|-------|-------|-------|-------|-------|-------|-------|
| 16,500 | 36,114 | 99,061 | -3,609 | skid front(in) | ##### | -5,300 | 0,000 | 1,000 | 100,000 | 0,000 | 1,327 | 0,422 | 0,422 | 0,422 | 0,409 | 0,409 | 0,049 |
| 17,000 | 35,460 | 99,061 | -3,608 | skid front(in) | ##### | -5,300 | 0,000 | 1,000 | 100,000 | 0,000 | 1,377 | 0,422 | 0,422 | 0,422 | 0,409 | 0,409 | 0,050 |
| 17,500 | 34,795 | 99,061 | -3,607 | skid front(in) | ##### | -5,300 | 0,000 | 1,000 | 100,000 | 0,001 | 1,429 | 0,422 | 0,422 | 0,422 | 0,409 | 0,409 | 0,051 |
| 18,000 | 34,117 | 99,061 | -3,606 | skid front(in) | ##### | -5,300 | 0,000 | 1,000 | 100,000 | 0,000 | 1,481 | 0,422 | 0,422 | 0,422 | 0,409 | 0,409 | 0,052 |
| 18,500 | 33,425 | 99,061 | -3,605 | skid front(in) | ##### | -5,300 | 0,000 | 1,000 | 100,000 | 0,000 | 1,534 | 0,422 | 0,422 | 0,422 | 0,409 | 0,409 | 0,053 |
| 18,900 | 32,861 | 99,061 | -3,604 | skid front(in) | ##### | -5,300 | 0,000 | 1,000 | 100,000 | 0,000 | 1,578 | 0,422 | 0,422 | 0,422 | 0,409 | 0,409 | 0,043 |
| 19,500 | 31,997 | 99,018 | -3,600 | skid front(out) | ##### | -5,300 | 0,000 | 1,000 | 100,000 | -0,791 | 1,644 | 0,422 | 0,422 | 0,422 | 0,409 | 0,409 | 0,067 |
| 20,000 | 31,259 | 99,052 | -3,600 | skid front(out) | ##### | -5,300 | 0,000 | 1,000 | 100,000 | -1,787 | 1,701 | 0,422 | 0,422 | 0,422 | 0,409 | 0,409 | 0,057 |
| 20,500 | 30,503 | 99,038 | -3,599 | skid front(out) | ##### | -5,300 | 0,000 | 1,000 | 100,000 | -1,555 | 1,759 | 0,422 | 0,422 | 0,422 | 0,409 | 0,409 | 0,058 |
| 21,000 | 29,729 | 99,075 | -3,599 | skid front(out) | ##### | -5,300 | 0,000 | 1,000 | 100,000 | -1,365 | 1,819 | 0,422 | 0,422 | 0,422 | 0,409 | 0,409 | 0,060 |
| 21,500 | 28,933 | 99,030 | -3,596 | skid front(out) | ##### | -5,300 | 0,000 | 1,000 | 100,000 | -1,854 | 1,881 | 0,422 | 0,422 | 0,422 | 0,409 | 0,409 | 0,061 |
| 22,000 | 28,116 | 99,103 | -3,598 | skid front(out) | ##### | -5,300 | 0,000 | 1,000 | 100,000 | -1,990 | 1,944 | 0,422 | 0,422 | 0,422 | 0,409 | 0,409 | 0,063 |
| 22,500 | 27,274 | 99,094 | -3,596 | skid front(out) | ##### | -5,300 | 0,000 | 1,000 | 100,000 | -2,890 | 2,009 | 0,422 | 0,422 | 0,422 | 0,409 | 0,409 | 0,065 |
| 23,000 | 26,406 | 99,068 | -3,596 | skid front(out) | ##### | -5,300 | 0,000 | 1,000 | 100,000 | -0,513 | 2,076 | 0,422 | 0,422 | 0,422 | 0,409 | 0,409 | 0,067 |
| 23,500 | 25,508 | 99,095 | -3,595 | skid front(out) | ##### | -5,300 | 0,000 | 1,000 | 100,000 | -1,806 | 2,145 | 0,422 | 0,422 | 0,422 | 0,409 | 0,409 | 0,069 |
| 24,000 | 24,578 | 99,106 | -3,593 | skid front(out) | ##### | -5,300 | 0,000 | 1,000 | 100,000 | -3,571 | 2,217 | 0,422 | 0,422 | 0,422 | 0,409 | 0,409 | 0,072 |
| 24,500 | 23,612 | 99,098 | -3,593 | skid front(out) | ##### | -5,300 | 0,000 | 1,000 | 100,000 | -1,837 | 2,292 | 0,422 | 0,422 | 0,422 | 0,409 | 0,409 | 0,075 |
| 25,000 | 22,604 | 99,033 | -3,588 | skid front(in) | ##### | -5,300 | 0,000 | 1,000 | 100,000 | -2,644 | 2,370 | 0,422 | 0,422 | 0,422 | 0,409 | 0,409 | 0,078 |
| 25,500 | 21,550 | 99,064 | -3,590 | skid front(out) | ##### | -5,300 | 0,000 | 1,000 | 100,000 | -1,305 | 2,451 | 0,422 | 0,422 | 0,422 | 0,409 | 0,409 | 0,082 |
| 26,000 | 20,443 | 99,036 | -3,587 | skid front(out) | ##### | -5,300 | 0,000 | 1,000 | 100,000 | -2,579 | 2,537 | 0,422 | 0,422 | 0,422 | 0,409 | 0,409 | 0,086 |
| 26,500 | 19,272 | 99,026 | -3,586 | skid front(out) | ##### | -5,300 | 0,000 | 1,000 | 100,000 | -1,986 | 2,627 | 0,422 | 0,422 | 0,422 | 0,409 | 0,409 | 0,091 |
| 27,000 | 18,025 | 99,122 | -3,588 | skid front(out) | ##### | -5,300 | 0,000 | 1,000 | 100,000 | -3,370 | 2,724 | 0,422 | 0,422 | 0,422 | 0,409 | 0,409 | 0,097 |
| 27,500 | 16,685 | 99,072 | -3,584 | skid front(out) | ##### | -5,300 | 0,000 | 1,000 | 100,000 | -3,676 | 2,828 | 0,422 | 0,422 | 0,422 | 0,409 | 0,409 | 0,104 |
| 28,000 | 15,229 | 99,041 | -3,583 | skid front(out) | ##### | -5,300 | 0,000 | 1,000 | 100,000 | -1,937 | 2,941 | 0,422 | 0,422 | 0,422 | 0,409 | 0,409 | 0,113 |
| 28,500 | 13,619 | 99,032 | -3,581 | skid front(out) | ##### | -5,300 | 0,000 | 1,000 | 100,000 | -2,779 | 3,065 | 0,422 | 0,422 | 0,422 | 0,409 | 0,409 | 0,125 |
| 29,000 | 11,790 | 99,092 | -3,582 | skid front(out) | ##### | -5,300 | 0,000 | 1,000 | 100,000 | -3,638 | 3,207 | 0,422 | 0,422 | 0,422 | 0,409 | 0,409 | 0,142 |
| 29,500 | 9,622 | 99,081 | -3,581 | skid front(out) | ##### | -5,300 | 0,000 | 1,000 | 100,000 | -2,755 | 3,375 | 0,422 | 0,422 | 0,422 | 0,409 | 0,409 | 0,168 |
| 30,000 | 6,794 | 99,045 | -3,579 | skid front(out) | ##### | -5,300 | 0,000 | 1,000 | 100,000 | -2,393 | 3,594 | 0,422 | 0,422 | 0,422 | 0,409 | 0,409 | 0,219 |
| 30,500 | 0,046 | 99,063 | -3,579 | skid front(out) | ##### | -5,300 | 0,000 | 1,000 | 100,000 | -1,954 | 4,118 | 0,422 | 0,422 | 0,422 | 0,409 | 0,409 | 0,524 |

| run c d ntua 11 | | R(m) | br.front (%) | s(%) | e (%) | coeff | effic (%) | | | time (sec) | | | | | | | |
|-----------------|----------|-----------|--------------|-----------------|-------|--------|-----------|-------|-----------|------------|------------|-------|-----------|----------|----------|---------|-----------|
| s= | 100,000 | ##### | 69,50 | -5,3 | 0,0 | 1,00 | 100 | | | 3,623 | | | | | | | |
| step= | 0,100 | viewstep= | 0,500 | STEPS | | | | | | | | | | | | | |
| s (m) | V (km/h) | n (%) | dv/dt | skid check | R(m) | s(%) | e (%) | coeff | effic (%) | decelera | time (sec) | ft | front out | front in | rear out | rear in | checktime |
| 25,000 | 1,430 | 99,062 | -3,578 | skid front(out) | ##### | -5,300 | 0,000 | 1,000 | 100,000 | -3,887377 | 3,623 | 0,422 | 0,4217 | 0,4217 | 0,4088 | 0,4088 | |
| 0,000 | 48,360 | 99,064 | -3,631 | O.K | ##### | -5,300 | 0,000 | 1,000 | 100,000 | 0,000 | 0,000 | 0,422 | | | | | |
| 0,400 | 47,969 | 99,060 | -3,630 | skid front(in) | ##### | -5,300 | 0,000 | 1,000 | 100,000 | 0,000 | 0,030 | 0,422 | 0,422 | 0,422 | 0,409 | 0,409 | 0,030 |
| 1,000 | 47,377 | 99,060 | -3,629 | skid front(in) | ##### | -5,300 | 0,000 | 1,000 | 100,000 | 0,000 | 0,075 | 0,422 | 0,422 | 0,422 | 0,409 | 0,409 | 0,045 |
| 1,500 | 46,878 | 99,060 | -3,628 | skid front(in) | ##### | -5,300 | 0,000 | 1,000 | 100,000 | 0,000 | 0,113 | 0,422 | 0,422 | 0,422 | 0,409 | 0,409 | 0,038 |
| 2,000 | 46,374 | 99,060 | -3,627 | skid front(in) | ##### | -5,300 | 0,000 | 1,000 | 100,000 | 0,000 | 0,152 | 0,422 | 0,422 | 0,422 | 0,409 | 0,409 | 0,039 |
| 2,500 | 45,865 | 99,060 | -3,626 | skid front(in) | ##### | -5,300 | 0,000 | 1,000 | 100,000 | 0,000 | 0,191 | 0,422 | 0,422 | 0,422 | 0,409 | 0,409 | 0,039 |
| 3,000 | 45,349 | 99,060 | -3,625 | skid front(in) | ##### | -5,300 | 0,000 | 1,000 | 100,000 | 0,000 | 0,231 | 0,422 | 0,422 | 0,422 | 0,409 | 0,409 | 0,039 |
| 3,500 | 44,829 | 99,060 | -3,624 | skid front(in) | ##### | -5,300 | 0,000 | 1,000 | 100,000 | 0,000 | 0,270 | 0,422 | 0,422 | 0,422 | 0,409 | 0,409 | 0,040 |
| 4,000 | 44,302 | 99,060 | -3,623 | skid front(in) | ##### | -5,300 | 0,000 | 1,000 | 100,000 | 0,000 | 0,311 | 0,422 | 0,422 | 0,422 | 0,409 | 0,409 | 0,040 |
| 4,400 | 43,876 | 99,060 | -3,622 | skid front(in) | ##### | -5,300 | 0,000 | 1,000 | 100,000 | 0,000 | 0,343 | 0,422 | 0,422 | 0,422 | 0,409 | 0,409 | 0,033 |
| 5,000 | 43,229 | 99,060 | -3,621 | skid front(in) | ##### | -5,300 | 0,000 | 1,000 | 100,000 | 0,000 | 0,393 | 0,422 | 0,422 | 0,422 | 0,409 | 0,409 | 0,050 |
| 5,500 | 42,683 | 99,060 | -3,620 | skid front(in) | ##### | -5,300 | 0,000 | 1,000 | 100,000 | 0,000 | 0,435 | 0,422 | 0,422 | 0,422 | 0,409 | 0,409 | 0,042 |
| 6,000 | 42,130 | 99,060 | -3,619 | skid front(in) | ##### | -5,300 | 0,000 | 1,000 | 100,000 | 0,000 | 0,477 | 0,422 | 0,422 | 0,422 | 0,409 | 0,409 | 0,042 |
| 6,500 | 41,570 | 99,060 | -3,618 | skid front(in) | ##### | -5,300 | 0,000 | 1,000 | 100,000 | 0,000 | 0,520 | 0,422 | 0,422 | 0,422 | 0,409 | 0,409 | 0,043 |
| 7,000 | 41,002 | 99,060 | -3,617 | skid front(in) | ##### | -5,300 | 0,000 | 1,000 | 100,000 | 0,000 | 0,564 | 0,422 | 0,422 | 0,422 | 0,409 | 0,409 | 0,044 |
| 7,500 | 40,426 | 99,061 | -3,616 | skid front(in) | ##### | -5,300 | 0,000 | 1,000 | 100,000 | 0,000 | 0,608 | 0,422 | 0,422 | 0,422 | 0,409 | 0,409 | 0,044 |
| 8,000 | 39,842 | 99,061 | -3,615 | skid front(in) | ##### | -5,300 | 0,000 | 1,000 | 100,000 | 0,000 | 0,653 | 0,422 | 0,422 | 0,422 | 0,409 | 0,409 | 0,045 |
| 8,500 | 39,250 | 99,061 | -3,614 | skid front(in) | ##### | -5,300 | 0,000 | 1,000 | 100,000 | 0,000 | 0,699 | 0,422 | 0,422 | 0,422 | 0,409 | 0,409 | 0,046 |
| 9,000 | 38,649 | 99,061 | -3,613 | skid front(in) | ##### | -5,300 | 0,000 | 1,000 | 100,000 | 0,000 | 0,745 | 0,422 | 0,422 | 0,422 | 0,409 | 0,409 | 0,046 |
| 9,500 | 38,038 | 99,061 | -3,612 | skid front(in) | ##### | -5,300 | 0,000 | 1,000 | 100,000 | 0,000 | 0,792 | 0,422 | 0,422 | 0,422 | 0,409 | 0,409 | 0,047 |

Προσδιορισμός Τιμών Πρόσφυσης κατά την Πέδηση Οχημάτων Εφοδιασμένων με Σύστημα ABS σε Αυξημένες κατά Μήκος Κλίσεις

| | | | | | | | | | | | | | | | | | |
|--------|--------|--------|--------|-----------------|-------|--------|-------|-------|---------|--------|-------|-------|-------|-------|-------|-------|-------|
| 10,000 | 37,418 | 99,061 | -3,611 | skid front(in) | ##### | -5,300 | 0,000 | 1,000 | 100,000 | 0,000 | 0,839 | 0,422 | 0,422 | 0,422 | 0,409 | 0,409 | 0,048 |
| 10,500 | 36,788 | 99,061 | -3,610 | skid front(in) | ##### | -5,300 | 0,000 | 1,000 | 100,000 | 0,000 | 0,888 | 0,422 | 0,422 | 0,422 | 0,409 | 0,409 | 0,049 |
| 11,000 | 36,146 | 99,061 | -3,609 | skid front(in) | ##### | -5,300 | 0,000 | 1,000 | 100,000 | 0,000 | 0,937 | 0,422 | 0,422 | 0,422 | 0,409 | 0,409 | 0,049 |
| 11,500 | 35,493 | 99,061 | -3,608 | skid front(in) | ##### | -5,300 | 0,000 | 1,000 | 100,000 | 0,000 | 0,988 | 0,422 | 0,422 | 0,422 | 0,409 | 0,409 | 0,050 |
| 12,000 | 34,829 | 99,061 | -3,607 | skid front(in) | ##### | -5,300 | 0,000 | 1,000 | 100,000 | 0,000 | 1,039 | 0,422 | 0,422 | 0,422 | 0,409 | 0,409 | 0,051 |
| 12,500 | 34,151 | 99,061 | -3,606 | skid front(in) | ##### | -5,300 | 0,000 | 1,000 | 100,000 | 0,001 | 1,091 | 0,422 | 0,422 | 0,422 | 0,409 | 0,409 | 0,052 |
| 13,000 | 33,460 | 99,061 | -3,605 | skid front(in) | ##### | -5,300 | 0,000 | 1,000 | 100,000 | 0,000 | 1,144 | 0,422 | 0,422 | 0,422 | 0,409 | 0,409 | 0,053 |
| 13,500 | 32,754 | 99,061 | -3,604 | skid front(in) | ##### | -5,300 | 0,000 | 1,000 | 100,000 | 0,000 | 1,199 | 0,422 | 0,422 | 0,422 | 0,409 | 0,409 | 0,054 |
| 14,000 | 32,033 | 99,026 | -3,601 | skid front(out) | ##### | -5,300 | 0,000 | 1,000 | 100,000 | -0,477 | 1,254 | 0,422 | 0,422 | 0,422 | 0,409 | 0,409 | 0,056 |
| 14,500 | 31,296 | 99,057 | -3,601 | skid front(out) | ##### | -5,300 | 0,000 | 1,000 | 100,000 | -1,436 | 1,311 | 0,422 | 0,422 | 0,422 | 0,409 | 0,409 | 0,057 |
| 15,000 | 30,541 | 99,041 | -3,599 | skid front(out) | ##### | -5,300 | 0,000 | 1,000 | 100,000 | -1,213 | 1,369 | 0,422 | 0,422 | 0,422 | 0,409 | 0,409 | 0,058 |
| 15,500 | 29,768 | 99,108 | -3,600 | skid front(out) | ##### | -5,300 | 0,000 | 1,000 | 100,000 | -2,550 | 1,429 | 0,422 | 0,422 | 0,422 | 0,409 | 0,409 | 0,060 |
| 16,000 | 28,974 | 99,028 | -3,596 | skid front(out) | ##### | -5,300 | 0,000 | 1,000 | 100,000 | -1,505 | 1,490 | 0,422 | 0,422 | 0,422 | 0,409 | 0,409 | 0,061 |
| 16,500 | 28,158 | 98,997 | -3,595 | skid front(out) | ##### | -5,300 | 0,000 | 1,000 | 100,000 | -0,430 | 1,553 | 0,422 | 0,422 | 0,422 | 0,409 | 0,409 | 0,063 |
| 17,000 | 27,317 | 99,051 | -3,596 | skid front(out) | ##### | -5,300 | 0,000 | 1,000 | 100,000 | -0,894 | 1,618 | 0,422 | 0,422 | 0,422 | 0,409 | 0,409 | 0,065 |
| 17,500 | 26,450 | 99,092 | -3,596 | skid front(out) | ##### | -5,300 | 0,000 | 1,000 | 100,000 | -1,816 | 1,685 | 0,422 | 0,422 | 0,422 | 0,409 | 0,409 | 0,067 |
| 18,000 | 25,554 | 99,081 | -3,595 | skid front(out) | ##### | -5,300 | 0,000 | 1,000 | 100,000 | -1,455 | 1,754 | 0,422 | 0,422 | 0,422 | 0,409 | 0,409 | 0,069 |
| 18,500 | 24,626 | 99,051 | -3,592 | skid front(out) | ##### | -5,300 | 0,000 | 1,000 | 100,000 | -1,433 | 1,826 | 0,422 | 0,422 | 0,422 | 0,409 | 0,409 | 0,072 |
| 18,900 | 23,857 | 99,038 | -3,591 | skid front(out) | ##### | -5,300 | 0,000 | 1,000 | 100,000 | -1,594 | 1,885 | 0,422 | 0,422 | 0,422 | 0,409 | 0,409 | 0,059 |
| 19,500 | 22,656 | 99,086 | -3,591 | skid front(out) | ##### | -5,300 | 0,000 | 1,000 | 100,000 | -1,871 | 1,978 | 0,422 | 0,422 | 0,422 | 0,409 | 0,409 | 0,093 |
| 20,000 | 21,605 | 99,037 | -3,589 | skid front(out) | ##### | -5,300 | 0,000 | 1,000 | 100,000 | -0,885 | 2,060 | 0,422 | 0,422 | 0,422 | 0,409 | 0,409 | 0,081 |
| 20,500 | 20,500 | 99,085 | -3,589 | skid front(out) | ##### | -5,300 | 0,000 | 1,000 | 100,000 | -1,729 | 2,145 | 0,422 | 0,422 | 0,422 | 0,409 | 0,409 | 0,086 |
| 21,000 | 19,332 | 99,075 | -3,589 | skid front(out) | ##### | -5,300 | 0,000 | 1,000 | 100,000 | -1,115 | 2,236 | 0,422 | 0,422 | 0,422 | 0,409 | 0,409 | 0,090 |
| 21,500 | 18,089 | 99,085 | -3,586 | skid front(out) | ##### | -5,300 | 0,000 | 1,000 | 100,000 | -2,895 | 2,332 | 0,422 | 0,422 | 0,422 | 0,409 | 0,409 | 0,096 |
| 22,000 | 16,754 | 99,118 | -3,587 | skid front(out) | ##### | -5,300 | 0,000 | 1,000 | 100,000 | -2,766 | 2,435 | 0,422 | 0,422 | 0,422 | 0,409 | 0,409 | 0,103 |
| 22,500 | 15,304 | 98,997 | -3,582 | skid front(out) | ##### | -5,300 | 0,000 | 1,000 | 100,000 | -1,488 | 2,547 | 0,422 | 0,422 | 0,422 | 0,409 | 0,409 | 0,112 |
| 23,000 | 13,703 | 99,072 | -3,584 | skid front(out) | ##### | -5,300 | 0,000 | 1,000 | 100,000 | -1,753 | 2,671 | 0,422 | 0,422 | 0,422 | 0,409 | 0,409 | 0,124 |
| 23,500 | 11,888 | 99,035 | -3,580 | skid front(out) | ##### | -5,300 | 0,000 | 1,000 | 100,000 | -3,115 | 2,812 | 0,422 | 0,422 | 0,422 | 0,409 | 0,409 | 0,141 |
| 24,000 | 9,742 | 99,019 | -3,579 | skid front(out) | ##### | -5,300 | 0,000 | 1,000 | 100,000 | -2,226 | 2,979 | 0,422 | 0,422 | 0,422 | 0,409 | 0,409 | 0,167 |
| 24,500 | 6,963 | 99,129 | -3,582 | skid front(out) | ##### | -5,300 | 0,000 | 1,000 | 100,000 | -3,695 | 3,194 | 0,422 | 0,422 | 0,422 | 0,409 | 0,409 | 0,216 |
| 25,000 | 1,430 | 99,062 | -3,578 | skid front(out) | ##### | -5,300 | 0,000 | 1,000 | 100,000 | -3,887 | 3,623 | 0,422 | 0,422 | 0,422 | 0,409 | 0,409 | 0,429 |

| run_c_d_ntua_12 | R(m) | br.front (%) | s(%) | e (%) | coeff | effic (%) | time (sec) | | | | | | | | | 0,963 | |
|-----------------|-----------|--------------|--------|-----------------|-------|-----------|------------|-------|-----------|-----------|------------|-------|-----------|----------|----------|---------|-----------|
| s= 100,000 | ##### | 70,50 | 6,6 | 0,0 | 1,00 | 100 | 2,469 | | | | | | | | | | |
| step= 0,100 | viewstep= | 0,500 | STEPS | | | | | | | | | | | | | | |
| s (m) | V (km/h) | n (%) | dv/dt | skid check | R(m) | s(%) | e (%) | coeff | effic (%) | decelera | time (sec) | fT | front out | front in | rear out | rear in | checktime |
| 16,600 | 0,453 | 99,496 | -5,272 | skid front(out) | ##### | 6,600 | 0,000 | 1,000 | 100,000 | -2,117471 | 2,469 | 0,474 | 0,4737 | 0,4737 | 0,4660 | 0,4660 | |
| 0,000 | 47,480 | 99,524 | -5,321 | O.K | ##### | 6,600 | 0,000 | 1,000 | 100,000 | 0,000 | 0,000 | 0,474 | | | | | |
| 0,400 | 46,896 | 99,520 | -5,319 | skid front(in) | ##### | 6,600 | 0,000 | 1,000 | 100,000 | 0,000 | 0,031 | 0,474 | 0,474 | 0,474 | 0,466 | 0,466 | 0,031 |
| 1,000 | 46,005 | 99,520 | -5,318 | skid front(in) | ##### | 6,600 | 0,000 | 1,000 | 100,000 | 0,000 | 0,077 | 0,474 | 0,474 | 0,474 | 0,466 | 0,466 | 0,047 |
| 1,500 | 45,250 | 99,520 | -5,316 | skid front(in) | ##### | 6,600 | 0,000 | 1,000 | 100,000 | 0,000 | 0,116 | 0,474 | 0,474 | 0,474 | 0,466 | 0,466 | 0,039 |
| 2,000 | 44,482 | 99,520 | -5,315 | skid front(in) | ##### | 6,600 | 0,000 | 1,000 | 100,000 | 0,000 | 0,157 | 0,474 | 0,474 | 0,474 | 0,466 | 0,466 | 0,040 |
| 2,500 | 43,701 | 99,520 | -5,314 | skid front(in) | ##### | 6,600 | 0,000 | 1,000 | 100,000 | 0,000 | 0,197 | 0,474 | 0,474 | 0,474 | 0,466 | 0,466 | 0,041 |
| 3,000 | 42,906 | 99,520 | -5,312 | skid front(in) | ##### | 6,600 | 0,000 | 1,000 | 100,000 | 0,000 | 0,239 | 0,474 | 0,474 | 0,474 | 0,466 | 0,466 | 0,042 |
| 3,500 | 42,096 | 99,520 | -5,311 | skid front(in) | ##### | 6,600 | 0,000 | 1,000 | 100,000 | 0,000 | 0,281 | 0,474 | 0,474 | 0,474 | 0,466 | 0,466 | 0,042 |
| 4,000 | 41,271 | 99,520 | -5,309 | skid front(in) | ##### | 6,600 | 0,000 | 1,000 | 100,000 | 0,000 | 0,325 | 0,474 | 0,474 | 0,474 | 0,466 | 0,466 | 0,043 |
| 4,400 | 40,599 | 99,520 | -5,308 | skid front(in) | ##### | 6,600 | 0,000 | 1,000 | 100,000 | 0,000 | 0,360 | 0,474 | 0,474 | 0,474 | 0,466 | 0,466 | 0,035 |
| 5,000 | 39,569 | 99,520 | -5,307 | skid front(in) | ##### | 6,600 | 0,000 | 1,000 | 100,000 | 0,000 | 0,414 | 0,474 | 0,474 | 0,474 | 0,466 | 0,466 | 0,054 |

Προσδιορισμός Τιμών Πρόσφυσης κατά την Πέδηση Οχημάτων Εφοδιασμένων με Σύστημα ABS σε Αυξημένες κατά Μήκος Κλίσεις

| | | | | | | | | | | | | | | | | | |
|--------|--------|--------|--------|-----------------|-------|-------|-------|-------|---------|--------|-------|-------|-------|-------|-------|-------|-------|
| 5,500 | 38,690 | 99,520 | -5,305 | skid front(in) | ##### | 6,600 | 0,000 | 1,000 | 100,000 | 0,001 | 0,460 | 0,474 | 0,474 | 0,474 | 0,466 | 0,466 | 0,046 |
| 6,000 | 37,792 | 99,521 | -5,304 | skid front(in) | ##### | 6,600 | 0,000 | 1,000 | 100,000 | 0,000 | 0,507 | 0,474 | 0,474 | 0,474 | 0,466 | 0,466 | 0,047 |
| 6,500 | 36,871 | 99,521 | -5,303 | skid front(in) | ##### | 6,600 | 0,000 | 1,000 | 100,000 | 0,000 | 0,555 | 0,474 | 0,474 | 0,474 | 0,466 | 0,466 | 0,048 |
| 7,000 | 35,927 | 99,521 | -5,301 | skid front(in) | ##### | 6,600 | 0,000 | 1,000 | 100,000 | 0,000 | 0,604 | 0,474 | 0,474 | 0,474 | 0,466 | 0,466 | 0,049 |
| 7,500 | 34,958 | 99,521 | -5,300 | skid front(in) | ##### | 6,600 | 0,000 | 1,000 | 100,000 | 0,000 | 0,655 | 0,474 | 0,474 | 0,474 | 0,466 | 0,466 | 0,051 |
| 8,000 | 33,962 | 99,521 | -5,298 | skid front(in) | ##### | 6,600 | 0,000 | 1,000 | 100,000 | 0,000 | 0,707 | 0,474 | 0,474 | 0,474 | 0,466 | 0,466 | 0,052 |
| 8,500 | 32,935 | 99,521 | -5,297 | skid front(in) | ##### | 6,600 | 0,000 | 1,000 | 100,000 | 0,000 | 0,761 | 0,474 | 0,474 | 0,474 | 0,466 | 0,466 | 0,054 |
| 9,000 | 31,876 | 99,552 | -5,296 | skid front(out) | ##### | 6,600 | 0,000 | 1,000 | 100,000 | -1,680 | 0,817 | 0,474 | 0,474 | 0,474 | 0,466 | 0,466 | 0,056 |
| 9,500 | 30,781 | 99,514 | -5,292 | skid front(out) | ##### | 6,600 | 0,000 | 1,000 | 100,000 | -1,957 | 0,874 | 0,474 | 0,474 | 0,474 | 0,466 | 0,466 | 0,057 |
| 10,000 | 29,646 | 99,530 | -5,292 | skid front(out) | ##### | 6,600 | 0,000 | 1,000 | 100,000 | -1,037 | 0,934 | 0,474 | 0,474 | 0,474 | 0,466 | 0,466 | 0,060 |
| 10,500 | 28,465 | 99,544 | -5,290 | skid front(out) | ##### | 6,600 | 0,000 | 1,000 | 100,000 | -2,759 | 0,996 | 0,474 | 0,474 | 0,474 | 0,466 | 0,466 | 0,062 |
| 11,000 | 27,234 | 99,525 | -5,288 | skid front(out) | ##### | 6,600 | 0,000 | 1,000 | 100,000 | -2,066 | 1,060 | 0,474 | 0,474 | 0,474 | 0,466 | 0,466 | 0,065 |
| 11,500 | 25,945 | 99,532 | -5,287 | skid front(out) | ##### | 6,600 | 0,000 | 1,000 | 100,000 | -2,053 | 1,128 | 0,474 | 0,474 | 0,474 | 0,466 | 0,466 | 0,068 |
| 12,000 | 24,589 | 99,536 | -5,287 | skid front(out) | ##### | 6,600 | 0,000 | 1,000 | 100,000 | -1,127 | 1,199 | 0,474 | 0,474 | 0,474 | 0,466 | 0,466 | 0,071 |
| 12,500 | 23,154 | 99,502 | -5,284 | skid front(out) | ##### | 6,600 | 0,000 | 1,000 | 100,000 | -1,320 | 1,275 | 0,474 | 0,474 | 0,474 | 0,466 | 0,466 | 0,075 |
| 13,000 | 21,625 | 99,496 | -5,281 | skid front(out) | ##### | 6,600 | 0,000 | 1,000 | 100,000 | -2,408 | 1,355 | 0,474 | 0,474 | 0,474 | 0,466 | 0,466 | 0,080 |
| 13,500 | 19,979 | 99,555 | -5,283 | skid front(out) | ##### | 6,600 | 0,000 | 1,000 | 100,000 | -2,060 | 1,442 | 0,474 | 0,474 | 0,474 | 0,466 | 0,466 | 0,087 |
| 14,000 | 18,185 | 99,540 | -5,282 | skid front(out) | ##### | 6,600 | 0,000 | 1,000 | 100,000 | -1,089 | 1,536 | 0,474 | 0,474 | 0,474 | 0,466 | 0,466 | 0,094 |
| 14,500 | 16,194 | 99,478 | -5,277 | skid front(out) | ##### | 6,600 | 0,000 | 1,000 | 100,000 | -1,448 | 1,641 | 0,474 | 0,474 | 0,474 | 0,466 | 0,466 | 0,105 |
| 15,000 | 13,922 | 99,524 | -5,277 | skid front(out) | ##### | 6,600 | 0,000 | 1,000 | 100,000 | -2,281 | 1,760 | 0,474 | 0,474 | 0,474 | 0,466 | 0,466 | 0,120 |
| 15,500 | 11,199 | 99,481 | -5,274 | skid front(out) | ##### | 6,600 | 0,000 | 1,000 | 100,000 | -2,492 | 1,903 | 0,474 | 0,474 | 0,474 | 0,466 | 0,466 | 0,143 |
| 16,000 | 7,553 | 99,561 | -5,275 | skid front(out) | ##### | 6,600 | 0,000 | 1,000 | 100,000 | -3,292 | 2,095 | 0,474 | 0,474 | 0,474 | 0,466 | 0,466 | 0,192 |
| 16,500 | 0,996 | 99,510 | -5,273 | skid front(out) | ##### | 6,600 | 0,000 | 1,000 | 100,000 | -1,546 | 2,441 | 0,474 | 0,474 | 0,474 | 0,466 | 0,466 | 0,345 |
| 16,600 | 0,453 | 99,496 | -5,272 | skid front(out) | ##### | 6,600 | 0,000 | 1,000 | 100,000 | -2,117 | 2,469 | 0,474 | 0,474 | 0,474 | 0,466 | 0,466 | 0,029 |

| run_c_d ntua 13 | | R(m) | br.front (%) | s(%) | e (%) | coeff | effic (%) | time (sec) | | | | | | | | | |
|-----------------|----------|-----------|--------------|-----------------|-------|-------|-----------|------------|-----------|-----------|------------|-------|-----------|----------|----------|---------|-----------|
| s= | 100,000 | ##### | 70,50 | 6,6 | 0,0 | 1,00 | 100 | 2,297 | | | | | | | | | 0,963 |
| step= | 0,100 | viewstep= | 0,500 | STEPS | | | | | | | | | | | | | |
| s (m) | V (km/h) | n (%) | dv/dt | skid check | R(m) | s(%) | e (%) | coeff | effic (%) | decelera | time (sec) | fT | front out | front in | rear out | rear in | checktime |
| 15,700 | 2,771 | 99,488 | -5,271 | skid front(out) | ##### | 6,600 | 0,000 | 1,000 | 100,000 | -3,153761 | 2,297 | 0,474 | 0,4736 | 0,4736 | 0,4658 | 0,4658 | |
| 0,000 | 46,510 | 99,524 | -5,319 | O.K | ##### | 6,600 | 0,000 | 1,000 | 100,000 | 0,000 | 0,000 | 0,474 | | | | | |
| 0,400 | 45,913 | 99,520 | -5,318 | skid front(in) | ##### | 6,600 | 0,000 | 1,000 | 100,000 | 0,000 | 0,031 | 0,474 | 0,474 | 0,474 | 0,466 | 0,466 | 0,031 |
| 1,000 | 45,004 | 99,520 | -5,316 | skid front(in) | ##### | 6,600 | 0,000 | 1,000 | 100,000 | 0,000 | 0,079 | 0,474 | 0,474 | 0,474 | 0,466 | 0,466 | 0,048 |
| 1,500 | 44,232 | 99,520 | -5,315 | skid front(in) | ##### | 6,600 | 0,000 | 1,000 | 100,000 | 0,000 | 0,119 | 0,474 | 0,474 | 0,474 | 0,466 | 0,466 | 0,040 |
| 2,000 | 43,447 | 99,520 | -5,313 | skid front(in) | ##### | 6,600 | 0,000 | 1,000 | 100,000 | 0,000 | 0,160 | 0,474 | 0,474 | 0,474 | 0,466 | 0,466 | 0,041 |
| 2,500 | 42,647 | 99,520 | -5,312 | skid front(in) | ##### | 6,600 | 0,000 | 1,000 | 100,000 | 0,000 | 0,202 | 0,474 | 0,474 | 0,474 | 0,466 | 0,466 | 0,042 |

Προσδιορισμός Τιμών Πρόσφυσης κατά την Πέδηση Οχημάτων Εφοδιασμένων με Σύστημα ABS σε Αυξημένες κατά Μήκος Κλίσεις

| | | | | | | | | | | | | | | | | | |
|--------|--------|--------|--------|-----------------|-------|-------|-------|-------|---------|--------|-------|-------|-------|-------|-------|-------|-------|
| 3,000 | 41,832 | 99,520 | -5,310 | skid front(in) | ##### | 6,600 | 0,000 | 1,000 | 100,000 | 0,000 | 0,245 | 0,474 | 0,474 | 0,474 | 0,466 | 0,466 | 0,043 |
| 3,500 | 41,001 | 99,520 | -5,309 | skid front(in) | ##### | 6,600 | 0,000 | 1,000 | 100,000 | 0,000 | 0,288 | 0,474 | 0,474 | 0,474 | 0,466 | 0,466 | 0,043 |
| 4,000 | 40,154 | 99,520 | -5,308 | skid front(in) | ##### | 6,600 | 0,000 | 1,000 | 100,000 | 0,000 | 0,332 | 0,474 | 0,474 | 0,474 | 0,466 | 0,466 | 0,044 |
| 4,400 | 39,463 | 99,520 | -5,306 | skid front(in) | ##### | 6,600 | 0,000 | 1,000 | 100,000 | 0,000 | 0,369 | 0,474 | 0,474 | 0,474 | 0,466 | 0,466 | 0,036 |
| 5,000 | 38,403 | 99,521 | -5,305 | skid front(in) | ##### | 6,600 | 0,000 | 1,000 | 100,000 | 0,000 | 0,424 | 0,474 | 0,474 | 0,474 | 0,466 | 0,466 | 0,055 |
| 5,500 | 37,497 | 99,521 | -5,303 | skid front(in) | ##### | 6,600 | 0,000 | 1,000 | 100,000 | 0,000 | 0,471 | 0,474 | 0,474 | 0,474 | 0,466 | 0,466 | 0,047 |
| 6,000 | 36,569 | 99,521 | -5,302 | skid front(in) | ##### | 6,600 | 0,000 | 1,000 | 100,000 | 0,001 | 0,520 | 0,474 | 0,474 | 0,474 | 0,466 | 0,466 | 0,049 |
| 6,500 | 35,618 | 99,521 | -5,301 | skid front(in) | ##### | 6,600 | 0,000 | 1,000 | 100,000 | 0,001 | 0,570 | 0,474 | 0,474 | 0,474 | 0,466 | 0,466 | 0,050 |
| 7,000 | 34,640 | 99,521 | -5,299 | skid front(in) | ##### | 6,600 | 0,000 | 1,000 | 100,000 | 0,001 | 0,621 | 0,474 | 0,474 | 0,474 | 0,466 | 0,466 | 0,051 |
| 7,500 | 33,634 | 99,521 | -5,298 | skid front(in) | ##### | 6,600 | 0,000 | 1,000 | 100,000 | 0,000 | 0,674 | 0,474 | 0,474 | 0,474 | 0,466 | 0,466 | 0,053 |
| 8,000 | 32,597 | 99,521 | -5,297 | skid front(in) | ##### | 6,600 | 0,000 | 1,000 | 100,000 | 0,001 | 0,728 | 0,474 | 0,474 | 0,474 | 0,466 | 0,466 | 0,054 |
| 8,500 | 31,527 | 99,490 | -5,293 | skid front(out) | ##### | 6,600 | 0,000 | 1,000 | 100,000 | -1,259 | 0,784 | 0,474 | 0,474 | 0,474 | 0,466 | 0,466 | 0,056 |
| 9,000 | 30,420 | 99,496 | -5,291 | skid front(out) | ##### | 6,600 | 0,000 | 1,000 | 100,000 | -1,532 | 0,842 | 0,474 | 0,474 | 0,474 | 0,466 | 0,466 | 0,058 |
| 9,500 | 29,271 | 99,499 | -5,291 | skid front(out) | ##### | 6,600 | 0,000 | 1,000 | 100,000 | -0,948 | 0,903 | 0,474 | 0,474 | 0,474 | 0,466 | 0,466 | 0,060 |
| 10,000 | 28,075 | 99,530 | -5,290 | skid front(out) | ##### | 6,600 | 0,000 | 1,000 | 100,000 | -1,115 | 0,966 | 0,474 | 0,474 | 0,474 | 0,466 | 0,466 | 0,063 |
| 10,500 | 26,826 | 99,527 | -5,288 | skid front(out) | ##### | 6,600 | 0,000 | 1,000 | 100,000 | -2,326 | 1,031 | 0,474 | 0,474 | 0,474 | 0,466 | 0,466 | 0,066 |
| 11,000 | 25,517 | 99,520 | -5,286 | skid front(out) | ##### | 6,600 | 0,000 | 1,000 | 100,000 | -2,714 | 1,100 | 0,474 | 0,474 | 0,474 | 0,466 | 0,466 | 0,069 |
| 11,500 | 24,137 | 99,477 | -5,284 | skid front(out) | ##### | 6,600 | 0,000 | 1,000 | 100,000 | -0,467 | 1,172 | 0,474 | 0,474 | 0,474 | 0,466 | 0,466 | 0,073 |
| 12,000 | 22,674 | 99,493 | -5,284 | skid front(out) | ##### | 6,600 | 0,000 | 1,000 | 100,000 | -0,651 | 1,249 | 0,474 | 0,474 | 0,474 | 0,466 | 0,466 | 0,077 |
| 12,500 | 21,109 | 99,576 | -5,284 | skid front(out) | ##### | 6,600 | 0,000 | 1,000 | 100,000 | -3,572 | 1,332 | 0,474 | 0,474 | 0,474 | 0,466 | 0,466 | 0,082 |
| 13,000 | 19,420 | 99,515 | -5,280 | skid front(out) | ##### | 6,600 | 0,000 | 1,000 | 100,000 | -2,237 | 1,420 | 0,474 | 0,474 | 0,474 | 0,466 | 0,466 | 0,089 |
| 13,500 | 17,569 | 99,518 | -5,278 | skid front(out) | ##### | 6,600 | 0,000 | 1,000 | 100,000 | -3,692 | 1,518 | 0,474 | 0,474 | 0,474 | 0,466 | 0,466 | 0,097 |
| 14,000 | 15,500 | 99,476 | -5,276 | skid front(out) | ##### | 6,600 | 0,000 | 1,000 | 100,000 | -2,107 | 1,627 | 0,474 | 0,474 | 0,474 | 0,466 | 0,466 | 0,109 |
| 14,500 | 13,108 | 99,464 | -5,275 | skid front(out) | ##### | 6,600 | 0,000 | 1,000 | 100,000 | -1,268 | 1,752 | 0,474 | 0,474 | 0,474 | 0,466 | 0,466 | 0,126 |
| 15,000 | 10,169 | 99,486 | -5,274 | skid front(out) | ##### | 6,600 | 0,000 | 1,000 | 100,000 | -1,454 | 1,907 | 0,474 | 0,474 | 0,474 | 0,466 | 0,466 | 0,155 |
| 15,500 | 5,919 | 99,501 | -5,275 | skid front(out) | ##### | 6,600 | 0,000 | 1,000 | 100,000 | -0,314 | 2,131 | 0,474 | 0,474 | 0,474 | 0,466 | 0,466 | 0,224 |
| 15,700 | 2,771 | 99,488 | -5,271 | skid front(out) | ##### | 6,600 | 0,000 | 1,000 | 100,000 | -3,154 | 2,297 | 0,474 | 0,474 | 0,474 | 0,466 | 0,466 | 0,166 |

| run_c_d_ntua_14 | | R(m) | br.front (%) | s(%) | e (%) | coeff | effic (%) | | | time (sec) | | | | | | | 0,963 |
|-----------------|----------|-----------|--------------|-----------------|-------|-------|-----------|-------|-----------|------------|------------|-------|-----------|----------|----------|---------|-----------|
| s= | 100,000 | ##### | 70,50 | 6,6 | 0,0 | 1,00 | 100 | | | 2,585 | | | | | | | |
| step= | 0,100 | viewstep= | 0,500 | STEPS | | | | | | | | | | | | | |
| s (m) | V (km/h) | n (%) | dv/dt | skid check | R(m) | s(%) | e (%) | coeff | effic (%) | decelera | time (sec) | fT | front out | front in | rear out | rear in | checktime |
| 18,700 | 1,450 | 99,538 | -5,273 | skid front(out) | ##### | 6,600 | 0,000 | 1,000 | 100,000 | -3,485783 | 2,585 | 0,474 | 0,4738 | 0,4738 | 0,4661 | 0,4661 | |
| 0,000 | 50,710 | 99,524 | -5,327 | O.K | ##### | 6,600 | 0,000 | 1,000 | 100,000 | 0,000 | 0,000 | 0,474 | | | | | |
| 0,400 | 50,163 | 99,520 | -5,326 | skid front(in) | ##### | 6,600 | 0,000 | 1,000 | 100,000 | 0,000 | 0,029 | 0,474 | 0,474 | 0,474 | 0,466 | 0,466 | 0,029 |

Προσδιορισμός Τιμών Πρόσφυσης κατά την Πέδηση Οχημάτων Εφοδιασμένων με Σύστημα ABS σε Αυξημένες κατά Μήκος Κλίσεις

| | | | | | | | | | | | | | | | | | |
|--------|--------|--------|--------|-----------------|-------|-------|-------|-------|---------|--------|-------|-------|-------|-------|-------|-------|-------|
| 1,000 | 49,330 | 99,520 | -5,324 | skid front(in) | ##### | 6,600 | 0,000 | 1,000 | 100,000 | 0,000 | 0,072 | 0,474 | 0,474 | 0,474 | 0,466 | 0,466 | 0,043 |
| 1,500 | 48,626 | 99,520 | -5,323 | skid front(in) | ##### | 6,600 | 0,000 | 1,000 | 100,000 | 0,000 | 0,109 | 0,474 | 0,474 | 0,474 | 0,466 | 0,466 | 0,037 |
| 2,000 | 47,911 | 99,520 | -5,321 | skid front(in) | ##### | 6,600 | 0,000 | 1,000 | 100,000 | 0,000 | 0,146 | 0,474 | 0,474 | 0,474 | 0,466 | 0,466 | 0,037 |
| 2,500 | 47,186 | 99,520 | -5,320 | skid front(in) | ##### | 6,600 | 0,000 | 1,000 | 100,000 | 0,000 | 0,184 | 0,474 | 0,474 | 0,474 | 0,466 | 0,466 | 0,038 |
| 3,000 | 46,450 | 99,520 | -5,319 | skid front(in) | ##### | 6,600 | 0,000 | 1,000 | 100,000 | 0,000 | 0,222 | 0,474 | 0,474 | 0,474 | 0,466 | 0,466 | 0,038 |
| 3,500 | 45,702 | 99,520 | -5,317 | skid front(in) | ##### | 6,600 | 0,000 | 1,000 | 100,000 | 0,000 | 0,261 | 0,474 | 0,474 | 0,474 | 0,466 | 0,466 | 0,039 |
| 4,000 | 44,942 | 99,520 | -5,316 | skid front(in) | ##### | 6,600 | 0,000 | 1,000 | 100,000 | 0,000 | 0,301 | 0,474 | 0,474 | 0,474 | 0,466 | 0,466 | 0,040 |
| 4,400 | 44,325 | 99,520 | -5,315 | skid front(in) | ##### | 6,600 | 0,000 | 1,000 | 100,000 | 0,000 | 0,333 | 0,474 | 0,474 | 0,474 | 0,466 | 0,466 | 0,032 |
| 5,000 | 43,382 | 99,520 | -5,313 | skid front(in) | ##### | 6,600 | 0,000 | 1,000 | 100,000 | 0,000 | 0,383 | 0,474 | 0,474 | 0,474 | 0,466 | 0,466 | 0,049 |
| 5,500 | 42,582 | 99,520 | -5,312 | skid front(in) | ##### | 6,600 | 0,000 | 1,000 | 100,000 | 0,000 | 0,424 | 0,474 | 0,474 | 0,474 | 0,466 | 0,466 | 0,042 |
| 6,000 | 41,766 | 99,520 | -5,310 | skid front(in) | ##### | 6,600 | 0,000 | 1,000 | 100,000 | 0,000 | 0,467 | 0,474 | 0,474 | 0,474 | 0,466 | 0,466 | 0,043 |
| 6,500 | 40,933 | 99,520 | -5,309 | skid front(in) | ##### | 6,600 | 0,000 | 1,000 | 100,000 | 0,000 | 0,511 | 0,474 | 0,474 | 0,474 | 0,466 | 0,466 | 0,044 |
| 7,000 | 40,084 | 99,520 | -5,307 | skid front(in) | ##### | 6,600 | 0,000 | 1,000 | 100,000 | 0,000 | 0,555 | 0,474 | 0,474 | 0,474 | 0,466 | 0,466 | 0,044 |
| 7,500 | 39,217 | 99,520 | -5,306 | skid front(in) | ##### | 6,600 | 0,000 | 1,000 | 100,000 | 0,000 | 0,601 | 0,474 | 0,474 | 0,474 | 0,466 | 0,466 | 0,045 |
| 8,000 | 38,330 | 99,521 | -5,305 | skid front(in) | ##### | 6,600 | 0,000 | 1,000 | 100,000 | 0,000 | 0,647 | 0,474 | 0,474 | 0,474 | 0,466 | 0,466 | 0,046 |
| 8,500 | 37,423 | 99,521 | -5,303 | skid front(in) | ##### | 6,600 | 0,000 | 1,000 | 100,000 | 0,000 | 0,694 | 0,474 | 0,474 | 0,474 | 0,466 | 0,466 | 0,048 |
| 9,000 | 36,493 | 99,521 | -5,302 | skid front(in) | ##### | 6,600 | 0,000 | 1,000 | 100,000 | 0,000 | 0,743 | 0,474 | 0,474 | 0,474 | 0,466 | 0,466 | 0,049 |
| 9,500 | 35,539 | 99,521 | -5,301 | skid front(in) | ##### | 6,600 | 0,000 | 1,000 | 100,000 | 0,000 | 0,793 | 0,474 | 0,474 | 0,474 | 0,466 | 0,466 | 0,050 |
| 10,000 | 34,560 | 99,521 | -5,299 | skid front(in) | ##### | 6,600 | 0,000 | 1,000 | 100,000 | 0,000 | 0,845 | 0,474 | 0,474 | 0,474 | 0,466 | 0,466 | 0,051 |
| 10,500 | 33,551 | 99,521 | -5,298 | skid front(in) | ##### | 6,600 | 0,000 | 1,000 | 100,000 | 0,001 | 0,897 | 0,474 | 0,474 | 0,474 | 0,466 | 0,466 | 0,053 |
| 11,000 | 32,512 | 99,521 | -5,296 | skid front(in) | ##### | 6,600 | 0,000 | 1,000 | 100,000 | 0,000 | 0,952 | 0,474 | 0,474 | 0,474 | 0,466 | 0,466 | 0,054 |
| 11,500 | 31,439 | 99,556 | -5,295 | skid front(out) | ##### | 6,600 | 0,000 | 1,000 | 100,000 | -1,965 | 1,008 | 0,474 | 0,474 | 0,474 | 0,466 | 0,466 | 0,056 |
| 12,000 | 30,328 | 99,488 | -5,291 | skid front(out) | ##### | 6,600 | 0,000 | 1,000 | 100,000 | -1,060 | 1,066 | 0,474 | 0,474 | 0,474 | 0,466 | 0,466 | 0,058 |
| 12,500 | 29,175 | 99,533 | -5,291 | skid front(out) | ##### | 6,600 | 0,000 | 1,000 | 100,000 | -2,049 | 1,127 | 0,474 | 0,474 | 0,474 | 0,466 | 0,466 | 0,061 |
| 13,000 | 27,975 | 99,516 | -5,288 | skid front(out) | ##### | 6,600 | 0,000 | 1,000 | 100,000 | -2,561 | 1,190 | 0,474 | 0,474 | 0,474 | 0,466 | 0,466 | 0,063 |
| 13,500 | 26,722 | 99,494 | -5,286 | skid front(in) | ##### | 6,600 | 0,000 | 1,000 | 100,000 | -2,191 | 1,256 | 0,474 | 0,474 | 0,474 | 0,466 | 0,466 | 0,066 |
| 14,000 | 25,407 | 99,500 | -5,285 | skid front(in) | ##### | 6,600 | 0,000 | 1,000 | 100,000 | -2,592 | 1,325 | 0,474 | 0,474 | 0,474 | 0,466 | 0,466 | 0,069 |
| 14,500 | 24,021 | 99,501 | -5,284 | skid front(out) | ##### | 6,600 | 0,000 | 1,000 | 100,000 | -2,046 | 1,398 | 0,474 | 0,474 | 0,474 | 0,466 | 0,466 | 0,073 |
| 15,000 | 22,550 | 99,532 | -5,284 | skid front(out) | ##### | 6,600 | 0,000 | 1,000 | 100,000 | -2,307 | 1,475 | 0,474 | 0,474 | 0,474 | 0,466 | 0,466 | 0,077 |
| 15,500 | 20,977 | 99,490 | -5,281 | skid front(out) | ##### | 6,600 | 0,000 | 1,000 | 100,000 | -1,987 | 1,558 | 0,474 | 0,474 | 0,474 | 0,466 | 0,466 | 0,083 |
| 16,000 | 19,276 | 99,548 | -5,282 | skid front(out) | ##### | 6,600 | 0,000 | 1,000 | 100,000 | -2,052 | 1,647 | 0,474 | 0,474 | 0,474 | 0,466 | 0,466 | 0,089 |
| 16,500 | 17,410 | 99,531 | -5,280 | skid front(out) | ##### | 6,600 | 0,000 | 1,000 | 100,000 | -1,554 | 1,745 | 0,474 | 0,474 | 0,474 | 0,466 | 0,466 | 0,098 |
| 17,000 | 15,319 | 99,544 | -5,279 | skid front(out) | ##### | 6,600 | 0,000 | 1,000 | 100,000 | -1,907 | 1,855 | 0,474 | 0,474 | 0,474 | 0,466 | 0,466 | 0,110 |
| 17,500 | 12,894 | 99,468 | -5,275 | skid front(out) | ##### | 6,600 | 0,000 | 1,000 | 100,000 | -1,594 | 1,983 | 0,474 | 0,474 | 0,474 | 0,466 | 0,466 | 0,128 |
| 18,000 | 9,892 | 99,507 | -5,275 | skid front(out) | ##### | 6,600 | 0,000 | 1,000 | 100,000 | -1,774 | 2,141 | 0,474 | 0,474 | 0,474 | 0,466 | 0,466 | 0,158 |
| 18,500 | 5,427 | 99,451 | -5,271 | skid front(out) | ##### | 6,600 | 0,000 | 1,000 | 100,000 | -1,222 | 2,376 | 0,474 | 0,474 | 0,474 | 0,466 | 0,466 | 0,235 |
| 18,700 | 1,450 | 99,538 | -5,273 | skid front(out) | ##### | 6,600 | 0,000 | 1,000 | 100,000 | -3,486 | 2,585 | 0,474 | 0,474 | 0,474 | 0,466 | 0,466 | 0,210 |

run c d ntua 15 R(m) br.front (%) s(%) e (%) coeff effic (%) time (sec)

Προσδιορισμός Τιμών Πρόσφυσης κατά την Πέδηση Οχημάτων Εφοδιασμένων με Σύστημα ABS σε Αυξημένες κατά Μήκος Κλίσεις

| s (m) | V (km/h) | n (%) | dv/dt | skid check | R(m) | s(%) | e (%) | coeff | effic (%) | decelera | time (sec) | fT | front out | front in | rear out | rear in | checktime |
|--------|----------|--------|--------|-----------------|-------|-------|-------|-------|-----------|-----------|------------|-------|-----------|----------|----------|---------|-----------|
| 15,700 | 3,634 | 99,538 | -5,274 | skid front(out) | ##### | 6,600 | 0,000 | 1,000 | 100,000 | -2,216160 | 2,254 | 0,474 | 0,4739 | 0,4739 | 0,4662 | 0,4662 | |
| 0,000 | 46,570 | 99,524 | -5,319 | O.K | ##### | 6,600 | 0,000 | 1,000 | 100,000 | 0,000 | 0,000 | 0,474 | | | | | |
| 0,400 | 45,974 | 99,520 | -5,318 | skid front(in) | ##### | 6,600 | 0,000 | 1,000 | 100,000 | 0,000 | 0,031 | 0,474 | 0,474 | 0,474 | 0,466 | 0,466 | 0,031 |
| 1,000 | 45,066 | 99,520 | -5,316 | skid front(in) | ##### | 6,600 | 0,000 | 1,000 | 100,000 | 0,000 | 0,079 | 0,474 | 0,474 | 0,474 | 0,466 | 0,466 | 0,047 |
| 1,500 | 44,295 | 99,520 | -5,315 | skid front(in) | ##### | 6,600 | 0,000 | 1,000 | 100,000 | 0,000 | 0,119 | 0,474 | 0,474 | 0,474 | 0,466 | 0,466 | 0,040 |
| 2,000 | 43,511 | 99,520 | -5,313 | skid front(in) | ##### | 6,600 | 0,000 | 1,000 | 100,000 | 0,000 | 0,160 | 0,474 | 0,474 | 0,474 | 0,466 | 0,466 | 0,041 |
| 2,500 | 42,712 | 99,520 | -5,312 | skid front(in) | ##### | 6,600 | 0,000 | 1,000 | 100,000 | 0,000 | 0,202 | 0,474 | 0,474 | 0,474 | 0,466 | 0,466 | 0,042 |
| 3,000 | 41,899 | 99,520 | -5,310 | skid front(in) | ##### | 6,600 | 0,000 | 1,000 | 100,000 | 0,000 | 0,244 | 0,474 | 0,474 | 0,474 | 0,466 | 0,466 | 0,043 |
| 3,500 | 41,069 | 99,520 | -5,309 | skid front(in) | ##### | 6,600 | 0,000 | 1,000 | 100,000 | 0,000 | 0,288 | 0,474 | 0,474 | 0,474 | 0,466 | 0,466 | 0,043 |
| 4,000 | 40,223 | 99,520 | -5,308 | skid front(in) | ##### | 6,600 | 0,000 | 1,000 | 100,000 | 0,000 | 0,332 | 0,474 | 0,474 | 0,474 | 0,466 | 0,466 | 0,044 |
| 4,400 | 39,533 | 99,520 | -5,307 | skid front(in) | ##### | 6,600 | 0,000 | 1,000 | 100,000 | 0,000 | 0,368 | 0,474 | 0,474 | 0,474 | 0,466 | 0,466 | 0,036 |
| 5,000 | 38,475 | 99,520 | -5,305 | skid front(in) | ##### | 6,600 | 0,000 | 1,000 | 100,000 | 0,000 | 0,423 | 0,474 | 0,474 | 0,474 | 0,466 | 0,466 | 0,055 |
| 5,500 | 37,571 | 99,521 | -5,304 | skid front(in) | ##### | 6,600 | 0,000 | 1,000 | 100,000 | 0,000 | 0,471 | 0,474 | 0,474 | 0,474 | 0,466 | 0,466 | 0,047 |
| 6,000 | 36,645 | 99,521 | -5,302 | skid front(in) | ##### | 6,600 | 0,000 | 1,000 | 100,000 | 0,001 | 0,519 | 0,474 | 0,474 | 0,474 | 0,466 | 0,466 | 0,049 |
| 6,500 | 35,696 | 99,521 | -5,301 | skid front(in) | ##### | 6,600 | 0,000 | 1,000 | 100,000 | 0,001 | 0,569 | 0,474 | 0,474 | 0,474 | 0,466 | 0,466 | 0,050 |
| 7,000 | 34,720 | 99,521 | -5,299 | skid front(in) | ##### | 6,600 | 0,000 | 1,000 | 100,000 | 0,000 | 0,620 | 0,474 | 0,474 | 0,474 | 0,466 | 0,466 | 0,051 |
| 7,500 | 33,717 | 99,521 | -5,298 | skid front(in) | ##### | 6,600 | 0,000 | 1,000 | 100,000 | 0,000 | 0,673 | 0,474 | 0,474 | 0,474 | 0,466 | 0,466 | 0,053 |
| 8,000 | 32,683 | 99,521 | -5,297 | skid front(in) | ##### | 6,600 | 0,000 | 1,000 | 100,000 | 0,001 | 0,727 | 0,474 | 0,474 | 0,474 | 0,466 | 0,466 | 0,054 |
| 8,500 | 31,615 | 99,511 | -5,293 | skid front(out) | ##### | 6,600 | 0,000 | 1,000 | 100,000 | -1,770 | 0,783 | 0,474 | 0,474 | 0,474 | 0,466 | 0,466 | 0,056 |
| 9,000 | 30,511 | 99,506 | -5,291 | skid front(out) | ##### | 6,600 | 0,000 | 1,000 | 100,000 | -2,045 | 0,841 | 0,474 | 0,474 | 0,474 | 0,466 | 0,466 | 0,058 |
| 9,500 | 29,365 | 99,498 | -5,290 | skid front(out) | ##### | 6,600 | 0,000 | 1,000 | 100,000 | -1,486 | 0,901 | 0,474 | 0,474 | 0,474 | 0,466 | 0,466 | 0,060 |
| 10,000 | 28,173 | 99,516 | -5,289 | skid front(out) | ##### | 6,600 | 0,000 | 1,000 | 100,000 | -1,603 | 0,964 | 0,474 | 0,474 | 0,474 | 0,466 | 0,466 | 0,063 |
| 10,500 | 26,929 | 99,563 | -5,289 | skid front(out) | ##### | 6,600 | 0,000 | 1,000 | 100,000 | -2,493 | 1,029 | 0,474 | 0,474 | 0,474 | 0,466 | 0,466 | 0,065 |
| 11,000 | 25,625 | 99,514 | -5,287 | skid front(out) | ##### | 6,600 | 0,000 | 1,000 | 100,000 | -1,226 | 1,097 | 0,474 | 0,474 | 0,474 | 0,466 | 0,466 | 0,069 |
| 11,500 | 24,251 | 99,523 | -5,285 | skid front(out) | ##### | 6,600 | 0,000 | 1,000 | 100,000 | -2,376 | 1,170 | 0,474 | 0,474 | 0,474 | 0,466 | 0,466 | 0,072 |
| 12,000 | 22,795 | 99,494 | -5,284 | skid front(out) | ##### | 6,600 | 0,000 | 1,000 | 100,000 | -0,834 | 1,246 | 0,474 | 0,474 | 0,474 | 0,466 | 0,466 | 0,077 |
| 12,500 | 21,239 | 99,528 | -5,283 | skid front(out) | ##### | 6,600 | 0,000 | 1,000 | 100,000 | -1,898 | 1,328 | 0,474 | 0,474 | 0,474 | 0,466 | 0,466 | 0,082 |
| 13,000 | 19,561 | 99,559 | -5,283 | skid front(out) | ##### | 6,600 | 0,000 | 1,000 | 100,000 | -1,999 | 1,416 | 0,474 | 0,474 | 0,474 | 0,466 | 0,466 | 0,088 |
| 13,500 | 17,725 | 99,512 | -5,280 | skid front(out) | ##### | 6,600 | 0,000 | 1,000 | 100,000 | -1,461 | 1,513 | 0,474 | 0,474 | 0,474 | 0,466 | 0,466 | 0,097 |
| 14,000 | 15,676 | 99,532 | -5,277 | skid front(out) | ##### | 6,600 | 0,000 | 1,000 | 100,000 | -3,863 | 1,620 | 0,474 | 0,474 | 0,474 | 0,466 | 0,466 | 0,108 |
| 14,500 | 13,317 | 99,465 | -5,275 | skid front(out) | ##### | 6,600 | 0,000 | 1,000 | 100,000 | -0,972 | 1,745 | 0,474 | 0,474 | 0,474 | 0,466 | 0,466 | 0,124 |
| 15,000 | 10,438 | 99,513 | -5,274 | skid front(out) | ##### | 6,600 | 0,000 | 1,000 | 100,000 | -3,467 | 1,896 | 0,474 | 0,474 | 0,474 | 0,466 | 0,466 | 0,152 |
| 15,500 | 6,368 | 99,513 | -5,273 | skid front(out) | ##### | 6,600 | 0,000 | 1,000 | 100,000 | -2,437 | 2,110 | 0,474 | 0,474 | 0,474 | 0,466 | 0,466 | 0,214 |
| 15,700 | 3,634 | 99,538 | -5,274 | skid front(out) | ##### | 6,600 | 0,000 | 1,000 | 100,000 | -2,216 | 2,254 | 0,474 | 0,474 | 0,474 | 0,466 | 0,466 | 0,144 |

Προσδιορισμός Τιμών Πρόσφυσης κατά την Πέδηση Οχημάτων Εφοδιασμένων με Σύστημα ABS σε Αυξημένες κατά Μήκος Κλίσεις

| run c d ntua 16 | | R(m) | br.front (%) | s(%) | e (%) | coeff | effic (%) | | | time (sec) | | | | | | | 0,963 |
|-----------------|----------|-----------|--------------|-----------------|-------|-------|-----------|-------|-----------|------------|------------|-------|-----------|----------|----------|---------|-----------|
| s= | 100,000 | ##### | 70,50 | 6,6 | 0,0 | 1,00 | 100 | | | 2,568 | | | | | | | |
| step= | 0,100 | viewstep= | 0,500 | STEPS | | | | | | | | | | | | | |
| s (m) | V (km/h) | n (%) | dv/dt | skid check | R(m) | s(%) | e (%) | coeff | effic (%) | decelera | time (sec) | fT | front out | front in | rear out | rear in | checktime |
| 17,900 | 0,503 | 99,491 | -5,272 | skid front(out) | ##### | 6,600 | 0,000 | 1,000 | 100,000 | -2,114804 | 2,568 | 0,474 | 0,4737 | 0,4737 | 0,4659 | 0,4659 | |
| 0,000 | 49,420 | 99,524 | -5,324 | O.K | ##### | 6,600 | 0,000 | 1,000 | 100,000 | 0,000 | 0,000 | 0,474 | | | | | |
| 0,400 | 48,858 | 99,520 | -5,323 | skid front(in) | ##### | 6,600 | 0,000 | 1,000 | 100,000 | 0,000 | 0,029 | 0,474 | 0,474 | 0,474 | 0,466 | 0,466 | 0,029 |
| 1,000 | 48,004 | 99,520 | -5,322 | skid front(in) | ##### | 6,600 | 0,000 | 1,000 | 100,000 | 0,000 | 0,074 | 0,474 | 0,474 | 0,474 | 0,466 | 0,466 | 0,045 |
| 1,500 | 47,280 | 99,520 | -5,320 | skid front(in) | ##### | 6,600 | 0,000 | 1,000 | 100,000 | 0,000 | 0,112 | 0,474 | 0,474 | 0,474 | 0,466 | 0,466 | 0,038 |
| 2,000 | 46,545 | 99,520 | -5,319 | skid front(in) | ##### | 6,600 | 0,000 | 1,000 | 100,000 | 0,000 | 0,150 | 0,474 | 0,474 | 0,474 | 0,466 | 0,466 | 0,038 |
| 2,500 | 45,799 | 99,520 | -5,317 | skid front(in) | ##### | 6,600 | 0,000 | 1,000 | 100,000 | 0,000 | 0,189 | 0,474 | 0,474 | 0,474 | 0,466 | 0,466 | 0,039 |
| 3,000 | 45,040 | 99,520 | -5,316 | skid front(in) | ##### | 6,600 | 0,000 | 1,000 | 100,000 | 0,000 | 0,229 | 0,474 | 0,474 | 0,474 | 0,466 | 0,466 | 0,040 |
| 3,500 | 44,269 | 99,520 | -5,315 | skid front(in) | ##### | 6,600 | 0,000 | 1,000 | 100,000 | 0,000 | 0,269 | 0,474 | 0,474 | 0,474 | 0,466 | 0,466 | 0,040 |
| 4,000 | 43,484 | 99,520 | -5,313 | skid front(in) | ##### | 6,600 | 0,000 | 1,000 | 100,000 | 0,000 | 0,310 | 0,474 | 0,474 | 0,474 | 0,466 | 0,466 | 0,041 |
| 4,400 | 42,846 | 99,520 | -5,312 | skid front(in) | ##### | 6,600 | 0,000 | 1,000 | 100,000 | 0,000 | 0,343 | 0,474 | 0,474 | 0,474 | 0,466 | 0,466 | 0,033 |
| 5,000 | 41,871 | 99,520 | -5,310 | skid front(in) | ##### | 6,600 | 0,000 | 1,000 | 100,000 | 0,000 | 0,394 | 0,474 | 0,474 | 0,474 | 0,466 | 0,466 | 0,051 |
| 5,500 | 41,041 | 99,520 | -5,309 | skid front(in) | ##### | 6,600 | 0,000 | 1,000 | 100,000 | 0,000 | 0,438 | 0,474 | 0,474 | 0,474 | 0,466 | 0,466 | 0,043 |
| 6,000 | 40,194 | 99,520 | -5,308 | skid front(in) | ##### | 6,600 | 0,000 | 1,000 | 100,000 | 0,000 | 0,482 | 0,474 | 0,474 | 0,474 | 0,466 | 0,466 | 0,044 |
| 6,500 | 39,330 | 99,520 | -5,306 | skid front(in) | ##### | 6,600 | 0,000 | 1,000 | 100,000 | 0,000 | 0,527 | 0,474 | 0,474 | 0,474 | 0,466 | 0,466 | 0,045 |
| 7,000 | 38,446 | 99,520 | -5,305 | skid front(in) | ##### | 6,600 | 0,000 | 1,000 | 100,000 | 0,000 | 0,574 | 0,474 | 0,474 | 0,474 | 0,466 | 0,466 | 0,046 |
| 7,500 | 37,541 | 99,521 | -5,304 | skid front(in) | ##### | 6,600 | 0,000 | 1,000 | 100,000 | 0,000 | 0,621 | 0,474 | 0,474 | 0,474 | 0,466 | 0,466 | 0,047 |
| 8,000 | 36,614 | 99,521 | -5,302 | skid front(in) | ##### | 6,600 | 0,000 | 1,000 | 100,000 | 0,000 | 0,670 | 0,474 | 0,474 | 0,474 | 0,466 | 0,466 | 0,049 |
| 8,500 | 35,663 | 99,521 | -5,301 | skid front(in) | ##### | 6,600 | 0,000 | 1,000 | 100,000 | 0,000 | 0,719 | 0,474 | 0,474 | 0,474 | 0,466 | 0,466 | 0,050 |
| 9,000 | 34,687 | 99,521 | -5,299 | skid front(in) | ##### | 6,600 | 0,000 | 1,000 | 100,000 | 0,000 | 0,771 | 0,474 | 0,474 | 0,474 | 0,466 | 0,466 | 0,051 |
| 9,500 | 33,683 | 99,521 | -5,298 | skid front(in) | ##### | 6,600 | 0,000 | 1,000 | 100,000 | 0,000 | 0,823 | 0,474 | 0,474 | 0,474 | 0,466 | 0,466 | 0,053 |
| 10,000 | 32,648 | 99,521 | -5,297 | skid front(in) | ##### | 6,600 | 0,000 | 1,000 | 100,000 | 0,000 | 0,877 | 0,474 | 0,474 | 0,474 | 0,466 | 0,466 | 0,054 |
| 10,500 | 31,579 | 99,527 | -5,294 | skid front(out) | ##### | 6,600 | 0,000 | 1,000 | 100,000 | -2,087 | 0,934 | 0,474 | 0,474 | 0,474 | 0,466 | 0,466 | 0,056 |
| 11,000 | 30,473 | 99,499 | -5,292 | skid front(out) | ##### | 6,600 | 0,000 | 1,000 | 100,000 | -0,883 | 0,992 | 0,474 | 0,474 | 0,474 | 0,466 | 0,466 | 0,058 |
| 11,500 | 29,326 | 99,524 | -5,291 | skid front(out) | ##### | 6,600 | 0,000 | 1,000 | 100,000 | -1,803 | 1,052 | 0,474 | 0,474 | 0,474 | 0,466 | 0,466 | 0,060 |
| 12,000 | 28,133 | 99,518 | -5,291 | skid front(out) | ##### | 6,600 | 0,000 | 1,000 | 100,000 | -0,350 | 1,114 | 0,474 | 0,474 | 0,474 | 0,466 | 0,466 | 0,063 |
| 12,500 | 26,887 | 99,539 | -5,288 | skid front(out) | ##### | 6,600 | 0,000 | 1,000 | 100,000 | -3,225 | 1,180 | 0,474 | 0,474 | 0,474 | 0,466 | 0,466 | 0,065 |
| 13,000 | 25,580 | 99,494 | -5,285 | skid front(out) | ##### | 6,600 | 0,000 | 1,000 | 100,000 | -1,954 | 1,248 | 0,474 | 0,474 | 0,474 | 0,466 | 0,466 | 0,069 |
| 13,500 | 24,204 | 99,475 | -5,284 | skid front(in) | ##### | 6,600 | 0,000 | 1,000 | 100,000 | -1,399 | 1,321 | 0,474 | 0,474 | 0,474 | 0,466 | 0,466 | 0,072 |
| 14,000 | 22,745 | 99,518 | -5,282 | skid front(out) | ##### | 6,600 | 0,000 | 1,000 | 100,000 | -3,465 | 1,397 | 0,474 | 0,474 | 0,474 | 0,466 | 0,466 | 0,077 |
| 14,500 | 21,186 | 99,523 | -5,282 | skid front(out) | ##### | 6,600 | 0,000 | 1,000 | 100,000 | -2,729 | 1,479 | 0,474 | 0,474 | 0,474 | 0,466 | 0,466 | 0,082 |
| 15,000 | 19,503 | 99,560 | -5,282 | skid front(out) | ##### | 6,600 | 0,000 | 1,000 | 100,000 | -2,850 | 1,568 | 0,474 | 0,474 | 0,474 | 0,466 | 0,466 | 0,088 |
| 15,500 | 17,661 | 99,519 | -5,279 | skid front(out) | ##### | 6,600 | 0,000 | 1,000 | 100,000 | -2,334 | 1,665 | 0,474 | 0,474 | 0,474 | 0,466 | 0,466 | 0,097 |
| 16,000 | 15,604 | 99,468 | -5,277 | skid front(out) | ##### | 6,600 | 0,000 | 1,000 | 100,000 | -0,657 | 1,773 | 0,474 | 0,474 | 0,474 | 0,466 | 0,466 | 0,108 |
| 16,500 | 13,232 | 99,485 | -5,275 | skid front(out) | ##### | 6,600 | 0,000 | 1,000 | 100,000 | -1,973 | 1,898 | 0,474 | 0,474 | 0,474 | 0,466 | 0,466 | 0,125 |
| 17,000 | 10,329 | 99,498 | -5,274 | skid front(out) | ##### | 6,600 | 0,000 | 1,000 | 100,000 | -2,221 | 2,051 | 0,474 | 0,474 | 0,474 | 0,466 | 0,466 | 0,153 |
| 17,500 | 6,189 | 99,549 | -5,274 | skid front(out) | ##### | 6,600 | 0,000 | 1,000 | 100,000 | -3,566 | 2,269 | 0,474 | 0,474 | 0,474 | 0,466 | 0,466 | 0,218 |
| 17,900 | 0,503 | 99,491 | -5,272 | skid front(out) | ##### | 6,600 | 0,000 | 1,000 | 100,000 | -2,115 | 2,568 | 0,474 | 0,474 | 0,474 | 0,466 | 0,466 | 0,300 |

Προσδιορισμός Τιμών Πρόσφυσης κατά την Πέδηση Οχημάτων Εφοδιασμένων με Σύστημα ABS σε Αυξημένες κατά Μήκος Κλίσεις

| run c d ntua 17 | | R(m) | br.front (%) | s(%) | e (%) | coeff | effic (%) | time (sec) | | | | | | | | | 0,963 |
|-----------------|----------|-----------|--------------|-----------------|-------|-------|-----------|------------|-----------|-----------|------------|-------|-----------|----------|----------|---------|-----------|
| s= | 100,000 | ##### | 70,50 | 6,6 | 0,0 | 1,00 | 100 | 2,549 | | | | | | | | | |
| step= | 0,100 | viewstep= | 0,500 | STEPS | | | | | | | | | | | | | |
| s (m) | V (km/h) | n (%) | dv/dt | skid check | R(m) | s(%) | e (%) | coeff | effic (%) | decelera | time (sec) | fT | front out | front in | rear out | rear in | checktime |
| 18,000 | 1,178 | 99,469 | -5,271 | skid front(out) | ##### | 6,600 | 0,000 | 1,000 | 100,000 | -1,534535 | 2,549 | 0,474 | 0,4737 | 0,4737 | 0,4659 | 0,4659 | |
| 0,000 | 49,740 | 99,524 | -5,325 | O.K | ##### | 6,600 | 0,000 | 1,000 | 100,000 | 0,000 | 0,000 | 0,474 | | | | | |
| 0,400 | 49,182 | 99,520 | -5,324 | skid front(in) | ##### | 6,600 | 0,000 | 1,000 | 100,000 | 0,000 | 0,029 | 0,474 | 0,474 | 0,474 | 0,466 | 0,466 | 0,029 |
| 1,000 | 48,333 | 99,520 | -5,322 | skid front(in) | ##### | 6,600 | 0,000 | 1,000 | 100,000 | 0,000 | 0,073 | 0,474 | 0,474 | 0,474 | 0,466 | 0,466 | 0,044 |
| 1,500 | 47,614 | 99,520 | -5,321 | skid front(in) | ##### | 6,600 | 0,000 | 1,000 | 100,000 | 0,000 | 0,111 | 0,474 | 0,474 | 0,474 | 0,466 | 0,466 | 0,038 |
| 2,000 | 46,885 | 99,520 | -5,319 | skid front(in) | ##### | 6,600 | 0,000 | 1,000 | 100,000 | 0,000 | 0,149 | 0,474 | 0,474 | 0,474 | 0,466 | 0,466 | 0,038 |
| 2,500 | 46,144 | 99,520 | -5,318 | skid front(in) | ##### | 6,600 | 0,000 | 1,000 | 100,000 | 0,000 | 0,188 | 0,474 | 0,474 | 0,474 | 0,466 | 0,466 | 0,039 |
| 3,000 | 45,391 | 99,520 | -5,317 | skid front(in) | ##### | 6,600 | 0,000 | 1,000 | 100,000 | 0,000 | 0,227 | 0,474 | 0,474 | 0,474 | 0,466 | 0,466 | 0,039 |
| 3,500 | 44,625 | 99,520 | -5,315 | skid front(in) | ##### | 6,600 | 0,000 | 1,000 | 100,000 | 0,000 | 0,267 | 0,474 | 0,474 | 0,474 | 0,466 | 0,466 | 0,040 |
| 4,000 | 43,847 | 99,520 | -5,314 | skid front(in) | ##### | 6,600 | 0,000 | 1,000 | 100,000 | 0,000 | 0,308 | 0,474 | 0,474 | 0,474 | 0,466 | 0,466 | 0,041 |
| 4,400 | 43,214 | 99,520 | -5,313 | skid front(in) | ##### | 6,600 | 0,000 | 1,000 | 100,000 | 0,000 | 0,341 | 0,474 | 0,474 | 0,474 | 0,466 | 0,466 | 0,033 |
| 5,000 | 42,248 | 99,520 | -5,311 | skid front(in) | ##### | 6,600 | 0,000 | 1,000 | 100,000 | 0,000 | 0,391 | 0,474 | 0,474 | 0,474 | 0,466 | 0,466 | 0,051 |
| 5,500 | 41,425 | 99,520 | -5,310 | skid front(in) | ##### | 6,600 | 0,000 | 1,000 | 100,000 | 0,000 | 0,434 | 0,474 | 0,474 | 0,474 | 0,466 | 0,466 | 0,043 |
| 6,000 | 40,586 | 99,520 | -5,308 | skid front(in) | ##### | 6,600 | 0,000 | 1,000 | 100,000 | 0,000 | 0,478 | 0,474 | 0,474 | 0,474 | 0,466 | 0,466 | 0,044 |
| 6,500 | 39,730 | 99,520 | -5,307 | skid front(in) | ##### | 6,600 | 0,000 | 1,000 | 100,000 | 0,000 | 0,523 | 0,474 | 0,474 | 0,474 | 0,466 | 0,466 | 0,045 |
| 7,000 | 38,855 | 99,520 | -5,306 | skid front(in) | ##### | 6,600 | 0,000 | 1,000 | 100,000 | 0,000 | 0,569 | 0,474 | 0,474 | 0,474 | 0,466 | 0,466 | 0,046 |
| 7,500 | 37,959 | 99,521 | -5,304 | skid front(in) | ##### | 6,600 | 0,000 | 1,000 | 100,000 | 0,000 | 0,616 | 0,474 | 0,474 | 0,474 | 0,466 | 0,466 | 0,047 |
| 8,000 | 37,043 | 99,521 | -5,303 | skid front(in) | ##### | 6,600 | 0,000 | 1,000 | 100,000 | 0,000 | 0,664 | 0,474 | 0,474 | 0,474 | 0,466 | 0,466 | 0,048 |
| 8,500 | 36,104 | 99,521 | -5,301 | skid front(in) | ##### | 6,600 | 0,000 | 1,000 | 100,000 | 0,000 | 0,713 | 0,474 | 0,474 | 0,474 | 0,466 | 0,466 | 0,049 |
| 9,000 | 35,139 | 99,521 | -5,300 | skid front(in) | ##### | 6,600 | 0,000 | 1,000 | 100,000 | 0,000 | 0,764 | 0,474 | 0,474 | 0,474 | 0,466 | 0,466 | 0,051 |
| 9,500 | 34,148 | 99,521 | -5,299 | skid front(in) | ##### | 6,600 | 0,000 | 1,000 | 100,000 | 0,000 | 0,815 | 0,474 | 0,474 | 0,474 | 0,466 | 0,466 | 0,052 |
| 10,000 | 33,128 | 99,521 | -5,297 | skid front(in) | ##### | 6,600 | 0,000 | 1,000 | 100,000 | 0,000 | 0,869 | 0,474 | 0,474 | 0,474 | 0,466 | 0,466 | 0,054 |
| 10,500 | 32,075 | 99,520 | -5,296 | skid front(in) | ##### | 6,600 | 0,000 | 1,000 | 100,000 | 0,005 | 0,924 | 0,474 | 0,474 | 0,474 | 0,466 | 0,466 | 0,055 |
| 11,000 | 30,987 | 99,516 | -5,293 | skid front(out) | ##### | 6,600 | 0,000 | 1,000 | 100,000 | -1,078 | 0,981 | 0,474 | 0,474 | 0,474 | 0,466 | 0,466 | 0,057 |
| 11,500 | 29,859 | 99,535 | -5,292 | skid front(out) | ##### | 6,600 | 0,000 | 1,000 | 100,000 | -1,709 | 1,040 | 0,474 | 0,474 | 0,474 | 0,466 | 0,466 | 0,059 |
| 12,000 | 28,688 | 99,491 | -5,289 | skid front(out) | ##### | 6,600 | 0,000 | 1,000 | 100,000 | -1,802 | 1,102 | 0,474 | 0,474 | 0,474 | 0,466 | 0,466 | 0,062 |
| 12,500 | 27,467 | 99,503 | -5,289 | skid front(out) | ##### | 6,600 | 0,000 | 1,000 | 100,000 | -0,700 | 1,166 | 0,474 | 0,474 | 0,474 | 0,466 | 0,466 | 0,064 |
| 13,000 | 26,190 | 99,481 | -5,286 | skid front(out) | ##### | 6,600 | 0,000 | 1,000 | 100,000 | -0,672 | 1,233 | 0,474 | 0,474 | 0,474 | 0,466 | 0,466 | 0,067 |
| 13,500 | 24,847 | 99,518 | -5,285 | skid front(out) | ##### | 6,600 | 0,000 | 1,000 | 100,000 | -3,141 | 1,304 | 0,474 | 0,474 | 0,474 | 0,466 | 0,466 | 0,071 |
| 14,000 | 23,428 | 99,487 | -5,283 | skid front(out) | ##### | 6,600 | 0,000 | 1,000 | 100,000 | -1,259 | 1,378 | 0,474 | 0,474 | 0,474 | 0,466 | 0,466 | 0,075 |
| 14,500 | 21,918 | 99,516 | -5,283 | skid front(out) | ##### | 6,600 | 0,000 | 1,000 | 100,000 | -1,889 | 1,458 | 0,474 | 0,474 | 0,474 | 0,466 | 0,466 | 0,079 |
| 15,000 | 20,296 | 99,544 | -5,283 | skid front(out) | ##### | 6,600 | 0,000 | 1,000 | 100,000 | -1,534 | 1,543 | 0,474 | 0,474 | 0,474 | 0,466 | 0,466 | 0,085 |
| 15,500 | 18,532 | 99,532 | -5,280 | skid front(out) | ##### | 6,600 | 0,000 | 1,000 | 100,000 | -2,533 | 1,636 | 0,474 | 0,474 | 0,474 | 0,466 | 0,466 | 0,093 |
| 16,000 | 16,583 | 99,512 | -5,278 | skid front(out) | ##### | 6,600 | 0,000 | 1,000 | 100,000 | -2,476 | 1,738 | 0,474 | 0,474 | 0,474 | 0,466 | 0,466 | 0,103 |
| 16,500 | 14,373 | 99,523 | -5,276 | skid front(out) | ##### | 6,600 | 0,000 | 1,000 | 100,000 | -3,337 | 1,854 | 0,474 | 0,474 | 0,474 | 0,466 | 0,466 | 0,116 |
| 17,000 | 11,755 | 99,528 | -5,276 | skid front(out) | ##### | 6,600 | 0,000 | 1,000 | 100,000 | -3,094 | 1,992 | 0,474 | 0,474 | 0,474 | 0,466 | 0,466 | 0,138 |
| 17,500 | 8,353 | 99,571 | -5,275 | skid front(out) | ##### | 6,600 | 0,000 | 1,000 | 100,000 | -3,920 | 2,171 | 0,474 | 0,474 | 0,474 | 0,466 | 0,466 | 0,179 |
| 18,000 | 1,178 | 99,469 | -5,271 | skid front(out) | ##### | 6,600 | 0,000 | 1,000 | 100,000 | -1,535 | 2,549 | 0,474 | 0,474 | 0,474 | 0,466 | 0,466 | 0,378 |

Προσδιορισμός Τιμών Πρόσφυσης κατά την Πέδηση Οχημάτων Εφοδιασμένων με Σύστημα ABS σε Αυξημένες κατά Μήκος Κλίσεις

| run_c_d ntua 18 | | R(m) | br.front (%) | s(%) | e (%) | coeff | effic (%) | time (sec) | | | | | | | | | |
|-----------------|----------|-----------|--------------|-----------------|-------|-------|-----------|------------|-----------|-----------|------------|-------|-----------|----------|----------|---------|-----------|
| s= | 100,000 | ##### | 70,50 | 6,6 | 0,0 | 1,00 | 100 | 2,538 | | | | | | | | | |
| step= | 0,100 | viewstep= | 0,500 | STEPS | | | | | | | | | | | | | |
| s (m) | V (km/h) | n (%) | dv/dt | skid check | R(m) | s(%) | e (%) | coeff | effic (%) | decelera | time (sec) | fT | front out | front in | rear out | rear in | checktime |
| 17,700 | 0,926 | 99,524 | -5,274 | skid front(out) | ##### | 6,600 | 0,000 | 1,000 | 100,000 | -1,556492 | 2,538 | 0,474 | 0,4739 | 0,4739 | 0,4662 | 0,4662 | |
| 0,000 | 49,270 | 99,524 | -5,324 | O.K | ##### | 6,600 | 0,000 | 1,000 | 100,000 | 0,000 | 0,000 | 0,474 | | | | | |
| 0,400 | 48,707 | 99,520 | -5,323 | skid front(in) | ##### | 6,600 | 0,000 | 1,000 | 100,000 | 0,000 | 0,029 | 0,474 | 0,474 | 0,474 | 0,466 | 0,466 | 0,029 |
| 1,000 | 47,849 | 99,520 | -5,321 | skid front(in) | ##### | 6,600 | 0,000 | 1,000 | 100,000 | 0,000 | 0,074 | 0,474 | 0,474 | 0,474 | 0,466 | 0,466 | 0,045 |
| 1,500 | 47,123 | 99,520 | -5,320 | skid front(in) | ##### | 6,600 | 0,000 | 1,000 | 100,000 | 0,000 | 0,112 | 0,474 | 0,474 | 0,474 | 0,466 | 0,466 | 0,038 |
| 2,000 | 46,386 | 99,520 | -5,318 | skid front(in) | ##### | 6,600 | 0,000 | 1,000 | 100,000 | 0,000 | 0,151 | 0,474 | 0,474 | 0,474 | 0,466 | 0,466 | 0,038 |
| 2,500 | 45,637 | 99,520 | -5,317 | skid front(in) | ##### | 6,600 | 0,000 | 1,000 | 100,000 | 0,000 | 0,190 | 0,474 | 0,474 | 0,474 | 0,466 | 0,466 | 0,039 |
| 3,000 | 44,876 | 99,520 | -5,316 | skid front(in) | ##### | 6,600 | 0,000 | 1,000 | 100,000 | 0,000 | 0,229 | 0,474 | 0,474 | 0,474 | 0,466 | 0,466 | 0,040 |
| 3,500 | 44,102 | 99,520 | -5,314 | skid front(in) | ##### | 6,600 | 0,000 | 1,000 | 100,000 | 0,000 | 0,270 | 0,474 | 0,474 | 0,474 | 0,466 | 0,466 | 0,040 |
| 4,000 | 43,314 | 99,520 | -5,313 | skid front(in) | ##### | 6,600 | 0,000 | 1,000 | 100,000 | 0,000 | 0,311 | 0,474 | 0,474 | 0,474 | 0,466 | 0,466 | 0,041 |
| 4,400 | 42,674 | 99,520 | -5,312 | skid front(in) | ##### | 6,600 | 0,000 | 1,000 | 100,000 | 0,000 | 0,345 | 0,474 | 0,474 | 0,474 | 0,466 | 0,466 | 0,033 |
| 5,000 | 41,695 | 99,520 | -5,310 | skid front(in) | ##### | 6,600 | 0,000 | 1,000 | 100,000 | 0,000 | 0,396 | 0,474 | 0,474 | 0,474 | 0,466 | 0,466 | 0,051 |
| 5,500 | 40,861 | 99,520 | -5,309 | skid front(in) | ##### | 6,600 | 0,000 | 1,000 | 100,000 | 0,000 | 0,439 | 0,474 | 0,474 | 0,474 | 0,466 | 0,466 | 0,044 |
| 6,000 | 40,010 | 99,520 | -5,307 | skid front(in) | ##### | 6,600 | 0,000 | 1,000 | 100,000 | 0,000 | 0,484 | 0,474 | 0,474 | 0,474 | 0,466 | 0,466 | 0,045 |
| 6,500 | 39,142 | 99,520 | -5,306 | skid front(in) | ##### | 6,600 | 0,000 | 1,000 | 100,000 | 0,000 | 0,529 | 0,474 | 0,474 | 0,474 | 0,466 | 0,466 | 0,045 |
| 7,000 | 38,253 | 99,521 | -5,305 | skid front(in) | ##### | 6,600 | 0,000 | 1,000 | 100,000 | 0,000 | 0,576 | 0,474 | 0,474 | 0,474 | 0,466 | 0,466 | 0,047 |
| 7,500 | 37,344 | 99,521 | -5,303 | skid front(in) | ##### | 6,600 | 0,000 | 1,000 | 100,000 | 0,000 | 0,624 | 0,474 | 0,474 | 0,474 | 0,466 | 0,466 | 0,048 |
| 8,000 | 36,412 | 99,521 | -5,302 | skid front(in) | ##### | 6,600 | 0,000 | 1,000 | 100,000 | 0,000 | 0,672 | 0,474 | 0,474 | 0,474 | 0,466 | 0,466 | 0,049 |
| 8,500 | 35,456 | 99,521 | -5,300 | skid front(in) | ##### | 6,600 | 0,000 | 1,000 | 100,000 | 0,001 | 0,722 | 0,474 | 0,474 | 0,474 | 0,466 | 0,466 | 0,050 |
| 9,000 | 34,474 | 99,521 | -5,299 | skid front(in) | ##### | 6,600 | 0,000 | 1,000 | 100,000 | 0,000 | 0,774 | 0,474 | 0,474 | 0,474 | 0,466 | 0,466 | 0,051 |
| 9,500 | 33,463 | 99,521 | -5,298 | skid front(in) | ##### | 6,600 | 0,000 | 1,000 | 100,000 | 0,000 | 0,827 | 0,474 | 0,474 | 0,474 | 0,466 | 0,466 | 0,053 |
| 10,000 | 32,421 | 99,521 | -5,296 | skid front(in) | ##### | 6,600 | 0,000 | 1,000 | 100,000 | 0,000 | 0,882 | 0,474 | 0,474 | 0,474 | 0,466 | 0,466 | 0,055 |
| 10,500 | 31,345 | 99,548 | -5,295 | skid front(out) | ##### | 6,600 | 0,000 | 1,000 | 100,000 | -1,464 | 0,938 | 0,474 | 0,474 | 0,474 | 0,466 | 0,466 | 0,056 |
| 11,000 | 30,231 | 99,521 | -5,292 | skid front(out) | ##### | 6,600 | 0,000 | 1,000 | 100,000 | -2,090 | 0,996 | 0,474 | 0,474 | 0,474 | 0,466 | 0,466 | 0,058 |
| 11,500 | 29,074 | 99,550 | -5,292 | skid front(out) | ##### | 6,600 | 0,000 | 1,000 | 100,000 | -1,563 | 1,057 | 0,474 | 0,474 | 0,474 | 0,466 | 0,466 | 0,061 |
| 12,000 | 27,870 | 99,546 | -5,290 | skid front(out) | ##### | 6,600 | 0,000 | 1,000 | 100,000 | -2,053 | 1,120 | 0,474 | 0,474 | 0,474 | 0,466 | 0,466 | 0,063 |
| 12,500 | 26,612 | 99,538 | -5,289 | skid front(out) | ##### | 6,600 | 0,000 | 1,000 | 100,000 | -1,683 | 1,186 | 0,474 | 0,474 | 0,474 | 0,466 | 0,466 | 0,066 |
| 13,000 | 25,291 | 99,558 | -5,288 | skid front(out) | ##### | 6,600 | 0,000 | 1,000 | 100,000 | -2,037 | 1,256 | 0,474 | 0,474 | 0,474 | 0,466 | 0,466 | 0,069 |
| 13,500 | 23,898 | 99,510 | -5,284 | skid front(out) | ##### | 6,600 | 0,000 | 1,000 | 100,000 | -1,903 | 1,329 | 0,474 | 0,474 | 0,474 | 0,466 | 0,466 | 0,073 |
| 14,000 | 22,419 | 99,555 | -5,285 | skid front(out) | ##### | 6,600 | 0,000 | 1,000 | 100,000 | -2,139 | 1,407 | 0,474 | 0,474 | 0,474 | 0,466 | 0,466 | 0,078 |
| 14,500 | 20,836 | 99,563 | -5,283 | skid front(out) | ##### | 6,600 | 0,000 | 1,000 | 100,000 | -3,660 | 1,490 | 0,474 | 0,474 | 0,474 | 0,466 | 0,466 | 0,083 |
| 15,000 | 19,122 | 99,531 | -5,281 | skid front(out) | ##### | 6,600 | 0,000 | 1,000 | 100,000 | -2,338 | 1,580 | 0,474 | 0,474 | 0,474 | 0,466 | 0,466 | 0,090 |
| 15,500 | 17,240 | 99,528 | -5,280 | skid front(out) | ##### | 6,600 | 0,000 | 1,000 | 100,000 | -1,796 | 1,679 | 0,474 | 0,474 | 0,474 | 0,466 | 0,466 | 0,099 |
| 16,000 | 15,125 | 99,557 | -5,280 | skid front(out) | ##### | 6,600 | 0,000 | 1,000 | 100,000 | -2,157 | 1,790 | 0,474 | 0,474 | 0,474 | 0,466 | 0,466 | 0,111 |
| 16,500 | 12,663 | 99,541 | -5,276 | skid front(out) | ##### | 6,600 | 0,000 | 1,000 | 100,000 | -4,078 | 1,920 | 0,474 | 0,474 | 0,474 | 0,466 | 0,466 | 0,130 |
| 17,000 | 9,590 | 99,603 | -5,277 | skid front(out) | ##### | 6,600 | 0,000 | 1,000 | 100,000 | -4,455 | 2,082 | 0,474 | 0,474 | 0,474 | 0,466 | 0,466 | 0,162 |
| 17,500 | 4,856 | 99,571 | -5,274 | skid front(out) | ##### | 6,600 | 0,000 | 1,000 | 100,000 | -4,038 | 2,331 | 0,474 | 0,474 | 0,474 | 0,466 | 0,466 | 0,249 |
| 17,700 | 0,926 | 99,524 | -5,274 | skid front(out) | ##### | 6,600 | 0,000 | 1,000 | 100,000 | -1,556 | 2,538 | 0,474 | 0,474 | 0,474 | 0,466 | 0,466 | 0,207 |

Προσδιορισμός Τιμών Πρόσφυσης κατά την Πέδηση Οχημάτων Εφοδιασμένων με Σύστημα ABS σε Αυξημένες κατά Μήκος Κλίσεις

| run_c_d ntua 19 | | R(m) | br.front (%) | s(%) | e (%) | coeff | effic (%) | | | time (sec) | | | | | | | checktime |
|-----------------|----------|-----------|--------------|-----------------|-------|-------|-----------|-------|-----------|------------|------------|-------|-----------|----------|----------|---------|-----------|
| s= | 100,000 | ##### | 70,50 | 6,6 | 0,0 | 1,00 | 100 | | | 2,510 | | | | | | | 0,963 |
| step= | 0,100 | viewstep= | 0,500 | STEPS | | | | | | | | | | | | | |
| s (m) | V (km/h) | n (%) | dv/dt | skid check | R(m) | s(%) | e (%) | coeff | effic (%) | decelera | time (sec) | fT | front out | front in | rear out | rear in | checktime |
| 18,600 | 2,794 | 99,569 | -5,275 | skid front(out) | ##### | 6,600 | 0,000 | 1,000 | 100,000 | -2,567034 | 2,510 | 0,474 | 0,4740 | 0,4740 | 0,4664 | 0,4664 | |
| 0,000 | 50,630 | 99,524 | -5,327 | O.K | ##### | 6,600 | 0,000 | 1,000 | 100,000 | 0,000 | 0,000 | 0,474 | | | | | |
| 0,400 | 50,082 | 99,520 | -5,326 | skid front(in) | ##### | 6,600 | 0,000 | 1,000 | 100,000 | 0,000 | 0,029 | 0,474 | 0,474 | 0,474 | 0,466 | 0,466 | 0,029 |
| 1,000 | 49,248 | 99,520 | -5,324 | skid front(in) | ##### | 6,600 | 0,000 | 1,000 | 100,000 | 0,000 | 0,072 | 0,474 | 0,474 | 0,474 | 0,466 | 0,466 | 0,043 |
| 1,500 | 48,543 | 99,520 | -5,323 | skid front(in) | ##### | 6,600 | 0,000 | 1,000 | 100,000 | 0,000 | 0,109 | 0,474 | 0,474 | 0,474 | 0,466 | 0,466 | 0,037 |
| 2,000 | 47,827 | 99,520 | -5,321 | skid front(in) | ##### | 6,600 | 0,000 | 1,000 | 100,000 | 0,000 | 0,146 | 0,474 | 0,474 | 0,474 | 0,466 | 0,466 | 0,037 |
| 2,500 | 47,100 | 99,520 | -5,320 | skid front(in) | ##### | 6,600 | 0,000 | 1,000 | 100,000 | 0,000 | 0,184 | 0,474 | 0,474 | 0,474 | 0,466 | 0,466 | 0,038 |
| 3,000 | 46,363 | 99,520 | -5,318 | skid front(in) | ##### | 6,600 | 0,000 | 1,000 | 100,000 | 0,000 | 0,223 | 0,474 | 0,474 | 0,474 | 0,466 | 0,466 | 0,039 |
| 3,500 | 45,614 | 99,520 | -5,317 | skid front(in) | ##### | 6,600 | 0,000 | 1,000 | 100,000 | 0,000 | 0,262 | 0,474 | 0,474 | 0,474 | 0,466 | 0,466 | 0,039 |
| 4,000 | 44,852 | 99,520 | -5,316 | skid front(in) | ##### | 6,600 | 0,000 | 1,000 | 100,000 | 0,000 | 0,302 | 0,474 | 0,474 | 0,474 | 0,466 | 0,466 | 0,040 |
| 4,400 | 44,233 | 99,520 | -5,315 | skid front(in) | ##### | 6,600 | 0,000 | 1,000 | 100,000 | 0,000 | 0,334 | 0,474 | 0,474 | 0,474 | 0,466 | 0,466 | 0,032 |
| 5,000 | 43,289 | 99,520 | -5,313 | skid front(in) | ##### | 6,600 | 0,000 | 1,000 | 100,000 | 0,000 | 0,383 | 0,474 | 0,474 | 0,474 | 0,466 | 0,466 | 0,049 |
| 5,500 | 42,487 | 99,520 | -5,311 | skid front(in) | ##### | 6,600 | 0,000 | 1,000 | 100,000 | 0,000 | 0,425 | 0,474 | 0,474 | 0,474 | 0,466 | 0,466 | 0,042 |
| 6,000 | 41,669 | 99,520 | -5,310 | skid front(in) | ##### | 6,600 | 0,000 | 1,000 | 100,000 | 0,000 | 0,468 | 0,474 | 0,474 | 0,474 | 0,466 | 0,466 | 0,043 |
| 6,500 | 40,835 | 99,520 | -5,309 | skid front(in) | ##### | 6,600 | 0,000 | 1,000 | 100,000 | 0,000 | 0,512 | 0,474 | 0,474 | 0,474 | 0,466 | 0,466 | 0,044 |
| 7,000 | 39,983 | 99,520 | -5,307 | skid front(in) | ##### | 6,600 | 0,000 | 1,000 | 100,000 | 0,000 | 0,556 | 0,474 | 0,474 | 0,474 | 0,466 | 0,466 | 0,045 |
| 7,500 | 39,114 | 99,520 | -5,306 | skid front(in) | ##### | 6,600 | 0,000 | 1,000 | 100,000 | 0,000 | 0,602 | 0,474 | 0,474 | 0,474 | 0,466 | 0,466 | 0,046 |
| 8,000 | 38,225 | 99,521 | -5,305 | skid front(in) | ##### | 6,600 | 0,000 | 1,000 | 100,000 | 0,000 | 0,648 | 0,474 | 0,474 | 0,474 | 0,466 | 0,466 | 0,047 |
| 8,500 | 37,315 | 99,521 | -5,303 | skid front(in) | ##### | 6,600 | 0,000 | 1,000 | 100,000 | 0,000 | 0,696 | 0,474 | 0,474 | 0,474 | 0,466 | 0,466 | 0,048 |
| 9,000 | 36,383 | 99,521 | -5,302 | skid front(in) | ##### | 6,600 | 0,000 | 1,000 | 100,000 | 0,000 | 0,745 | 0,474 | 0,474 | 0,474 | 0,466 | 0,466 | 0,049 |
| 9,500 | 35,426 | 99,521 | -5,300 | skid front(in) | ##### | 6,600 | 0,000 | 1,000 | 100,000 | 0,000 | 0,795 | 0,474 | 0,474 | 0,474 | 0,466 | 0,466 | 0,050 |
| 10,000 | 34,443 | 99,521 | -5,299 | skid front(in) | ##### | 6,600 | 0,000 | 1,000 | 100,000 | 0,001 | 0,846 | 0,474 | 0,474 | 0,474 | 0,466 | 0,466 | 0,052 |
| 10,500 | 33,431 | 99,521 | -5,298 | skid front(in) | ##### | 6,600 | 0,000 | 1,000 | 100,000 | 0,000 | 0,900 | 0,474 | 0,474 | 0,474 | 0,466 | 0,466 | 0,053 |
| 11,000 | 32,388 | 99,521 | -5,296 | skid front(in) | ##### | 6,600 | 0,000 | 1,000 | 100,000 | 0,001 | 0,954 | 0,474 | 0,474 | 0,474 | 0,466 | 0,466 | 0,055 |
| 11,500 | 31,311 | 99,476 | -5,292 | skid front(out) | ##### | 6,600 | 0,000 | 1,000 | 100,000 | -0,642 | 1,011 | 0,474 | 0,474 | 0,474 | 0,466 | 0,466 | 0,057 |
| 12,000 | 30,196 | 99,510 | -5,292 | skid front(out) | ##### | 6,600 | 0,000 | 1,000 | 100,000 | -0,917 | 1,069 | 0,474 | 0,474 | 0,474 | 0,466 | 0,466 | 0,059 |
| 12,500 | 29,038 | 99,483 | -5,290 | skid front(out) | ##### | 6,600 | 0,000 | 1,000 | 100,000 | -0,677 | 1,130 | 0,474 | 0,474 | 0,474 | 0,466 | 0,466 | 0,061 |
| 13,000 | 27,832 | 99,512 | -5,288 | skid front(out) | ##### | 6,600 | 0,000 | 1,000 | 100,000 | -2,770 | 1,193 | 0,474 | 0,474 | 0,474 | 0,466 | 0,466 | 0,063 |
| 13,500 | 26,572 | 99,477 | -5,287 | skid front(out) | ##### | 6,600 | 0,000 | 1,000 | 100,000 | -0,781 | 1,260 | 0,474 | 0,474 | 0,474 | 0,466 | 0,466 | 0,066 |
| 14,000 | 25,250 | 99,531 | -5,286 | skid front(out) | ##### | 6,600 | 0,000 | 1,000 | 100,000 | -2,802 | 1,329 | 0,474 | 0,474 | 0,474 | 0,466 | 0,466 | 0,069 |
| 14,500 | 23,854 | 99,552 | -5,286 | skid front(out) | ##### | 6,600 | 0,000 | 1,000 | 100,000 | -2,271 | 1,402 | 0,474 | 0,474 | 0,474 | 0,466 | 0,466 | 0,073 |
| 15,000 | 22,373 | 99,536 | -5,283 | skid front(out) | ##### | 6,600 | 0,000 | 1,000 | 100,000 | -2,962 | 1,480 | 0,474 | 0,474 | 0,474 | 0,466 | 0,466 | 0,078 |
| 15,500 | 20,785 | 99,515 | -5,281 | skid front(out) | ##### | 6,600 | 0,000 | 1,000 | 100,000 | -2,670 | 1,564 | 0,474 | 0,474 | 0,474 | 0,466 | 0,466 | 0,083 |

Προσδιορισμός Τιμών Πρόσφυσης κατά την Πέδηση Οχημάτων Εφοδιασμένων με Σύστημα ABS σε Αυξημένες κατά Μήκος Κλίσεις

| | | | | | | | | | | | | | | | | | |
|--------|--------|--------|--------|-----------------|-------|-------|-------|-------|---------|--------|-------|-------|-------|-------|-------|-------|-------|
| 16,000 | 19,068 | 99,522 | -5,280 | skid front(out) | ##### | 6,600 | 0,000 | 1,000 | 100,000 | -3,219 | 1,654 | 0,474 | 0,474 | 0,474 | 0,466 | 0,466 | 0,090 |
| 16,500 | 17,179 | 99,524 | -5,279 | skid front(out) | ##### | 6,600 | 0,000 | 1,000 | 100,000 | -2,746 | 1,753 | 0,474 | 0,474 | 0,474 | 0,466 | 0,466 | 0,099 |
| 17,000 | 15,056 | 99,559 | -5,279 | skid front(out) | ##### | 6,600 | 0,000 | 1,000 | 100,000 | -3,142 | 1,865 | 0,474 | 0,474 | 0,474 | 0,466 | 0,466 | 0,112 |
| 17,500 | 12,580 | 99,508 | -5,275 | skid front(out) | ##### | 6,600 | 0,000 | 1,000 | 100,000 | -2,919 | 1,995 | 0,474 | 0,474 | 0,474 | 0,466 | 0,466 | 0,130 |
| 18,000 | 9,480 | 99,574 | -5,277 | skid front(out) | ##### | 6,600 | 0,000 | 1,000 | 100,000 | -3,178 | 2,158 | 0,474 | 0,474 | 0,474 | 0,466 | 0,466 | 0,163 |
| 18,500 | 4,636 | 99,547 | -5,274 | skid front(out) | ##### | 6,600 | 0,000 | 1,000 | 100,000 | -2,685 | 2,413 | 0,474 | 0,474 | 0,474 | 0,466 | 0,466 | 0,255 |
| 18,600 | 2,794 | 99,569 | -5,275 | skid front(out) | ##### | 6,600 | 0,000 | 1,000 | 100,000 | -2,567 | 2,510 | 0,474 | 0,474 | 0,474 | 0,466 | 0,466 | 0,097 |

| run_c_d_ntua_20 | | R(m) | br.front (%) | s(%) | e (%) | coeff | effic (%) | | | time (sec) | | | | | | | 0,963 |
|-----------------|----------|-----------|--------------|-----------------|-------|-------|-----------|-------|-----------|------------|------------|-------|-----------|----------|----------|---------|-----------|
| s= | 100,000 | ##### | 70,50 | 6,6 | 0,0 | 1,00 | 100 | | | 2,400 | | | | | | | |
| step= | 0,100 | viewstep= | 0,500 | STEPS | | | | | | | | | | | | | |
| s (m) | V (km/h) | n (%) | dv/dt | skid check | R(m) | s(%) | e (%) | coeff | effic (%) | decelera | time (sec) | fT | front out | front in | rear out | rear in | checktime |
| 16.500 | 1,931 | 99,561 | -5,275 | skid front(out) | ##### | 6,600 | 0,000 | 1,000 | 100,000 | -2,367997 | 2,400 | 0,474 | 0,4740 | 0,4740 | 0,4664 | 0,4664 | |
| 0,000 | 47,640 | 99,524 | -5,321 | O.K | ##### | 6,600 | 0,000 | 1,000 | 100,000 | 0,000 | 0,000 | 0,474 | | | | | |
| 0,400 | 47,058 | 99,520 | -5,320 | skid front(in) | ##### | 6,600 | 0,000 | 1,000 | 100,000 | 0,000 | 0,030 | 0,474 | 0,474 | 0,474 | 0,466 | 0,466 | 0,030 |
| 1,000 | 46,170 | 99,520 | -5,318 | skid front(in) | ##### | 6,600 | 0,000 | 1,000 | 100,000 | 0,000 | 0,077 | 0,474 | 0,474 | 0,474 | 0,466 | 0,466 | 0,046 |
| 1,500 | 45,418 | 99,520 | -5,317 | skid front(in) | ##### | 6,600 | 0,000 | 1,000 | 100,000 | 0,000 | 0,116 | 0,474 | 0,474 | 0,474 | 0,466 | 0,466 | 0,039 |
| 2,000 | 44,653 | 99,520 | -5,315 | skid front(in) | ##### | 6,600 | 0,000 | 1,000 | 100,000 | 0,000 | 0,156 | 0,474 | 0,474 | 0,474 | 0,466 | 0,466 | 0,040 |
| 2,500 | 43,875 | 99,520 | -5,314 | skid front(in) | ##### | 6,600 | 0,000 | 1,000 | 100,000 | 0,000 | 0,197 | 0,474 | 0,474 | 0,474 | 0,466 | 0,466 | 0,041 |
| 3,000 | 43,083 | 99,520 | -5,312 | skid front(in) | ##### | 6,600 | 0,000 | 1,000 | 100,000 | 0,000 | 0,238 | 0,474 | 0,474 | 0,474 | 0,466 | 0,466 | 0,041 |
| 3,500 | 42,277 | 99,520 | -5,311 | skid front(in) | ##### | 6,600 | 0,000 | 1,000 | 100,000 | 0,000 | 0,280 | 0,474 | 0,474 | 0,474 | 0,466 | 0,466 | 0,042 |
| 4,000 | 41,455 | 99,520 | -5,310 | skid front(in) | ##### | 6,600 | 0,000 | 1,000 | 100,000 | 0,000 | 0,323 | 0,474 | 0,474 | 0,474 | 0,466 | 0,466 | 0,043 |
| 4,400 | 40,785 | 99,520 | -5,309 | skid front(in) | ##### | 6,600 | 0,000 | 1,000 | 100,000 | 0,000 | 0,358 | 0,474 | 0,474 | 0,474 | 0,466 | 0,466 | 0,035 |
| 5,000 | 39,760 | 99,520 | -5,307 | skid front(in) | ##### | 6,600 | 0,000 | 1,000 | 100,000 | 0,000 | 0,412 | 0,474 | 0,474 | 0,474 | 0,466 | 0,466 | 0,054 |
| 5,500 | 38,886 | 99,520 | -5,306 | skid front(in) | ##### | 6,600 | 0,000 | 1,000 | 100,000 | 0,000 | 0,458 | 0,474 | 0,474 | 0,474 | 0,466 | 0,466 | 0,046 |
| 6,000 | 37,992 | 99,521 | -5,304 | skid front(in) | ##### | 6,600 | 0,000 | 1,000 | 100,000 | 0,000 | 0,505 | 0,474 | 0,474 | 0,474 | 0,466 | 0,466 | 0,047 |
| 6,500 | 37,076 | 99,521 | -5,303 | skid front(in) | ##### | 6,600 | 0,000 | 1,000 | 100,000 | 0,000 | 0,552 | 0,474 | 0,474 | 0,474 | 0,466 | 0,466 | 0,048 |
| 7,000 | 36,138 | 99,521 | -5,301 | skid front(in) | ##### | 6,600 | 0,000 | 1,000 | 100,000 | 0,000 | 0,602 | 0,474 | 0,474 | 0,474 | 0,466 | 0,466 | 0,049 |
| 7,500 | 35,174 | 99,521 | -5,300 | skid front(in) | ##### | 6,600 | 0,000 | 1,000 | 100,000 | 0,000 | 0,652 | 0,474 | 0,474 | 0,474 | 0,466 | 0,466 | 0,050 |
| 8,000 | 34,184 | 99,521 | -5,299 | skid front(in) | ##### | 6,600 | 0,000 | 1,000 | 100,000 | 0,000 | 0,704 | 0,474 | 0,474 | 0,474 | 0,466 | 0,466 | 0,052 |
| 8,500 | 33,164 | 99,521 | -5,297 | skid front(in) | ##### | 6,600 | 0,000 | 1,000 | 100,000 | 0,000 | 0,757 | 0,474 | 0,474 | 0,474 | 0,466 | 0,466 | 0,053 |
| 9,000 | 32,113 | 99,520 | -5,296 | skid front(in) | ##### | 6,600 | 0,000 | 1,000 | 100,000 | 0,004 | 0,813 | 0,474 | 0,474 | 0,474 | 0,466 | 0,466 | 0,055 |
| 9,500 | 31,026 | 99,491 | -5,293 | skid front(out) | ##### | 6,600 | 0,000 | 1,000 | 100,000 | -0,712 | 0,870 | 0,474 | 0,474 | 0,474 | 0,466 | 0,466 | 0,057 |

Προσδιορισμός Τιμών Πρόσφυσης κατά την Πέδηση Οχημάτων Εφοδιασμένων με Σύστημα ABS σε Αυξημένες κατά Μήκος Κλίσεις

| | | | | | | | | | | | | | | | | | |
|--------|--------|--------|--------|-----------------|-------|-------|-------|-------|---------|--------|-------|-------|-------|-------|-------|-------|-------|
| 10,000 | 29,900 | 99,504 | -5,291 | skid front(out) | ##### | 6,600 | 0,000 | 1,000 | 100,000 | -1,310 | 0,929 | 0,474 | 0,474 | 0,474 | 0,466 | 0,466 | 0,059 |
| 10,500 | 28,730 | 99,515 | -5,291 | skid front(out) | ##### | 6,600 | 0,000 | 1,000 | 100,000 | -1,083 | 0,990 | 0,474 | 0,474 | 0,474 | 0,466 | 0,466 | 0,061 |
| 11,000 | 27,511 | 99,493 | -5,287 | skid front(out) | ##### | 6,600 | 0,000 | 1,000 | 100,000 | -1,987 | 1,054 | 0,474 | 0,474 | 0,474 | 0,466 | 0,466 | 0,064 |
| 11,500 | 26,236 | 99,528 | -5,288 | skid front(out) | ##### | 6,600 | 0,000 | 1,000 | 100,000 | -1,600 | 1,121 | 0,474 | 0,474 | 0,474 | 0,466 | 0,466 | 0,067 |
| 12,000 | 24,895 | 99,529 | -5,286 | skid front(out) | ##### | 6,600 | 0,000 | 1,000 | 100,000 | -2,351 | 1,192 | 0,474 | 0,474 | 0,474 | 0,466 | 0,466 | 0,070 |
| 12,500 | 23,479 | 99,527 | -5,285 | skid front(out) | ##### | 6,600 | 0,000 | 1,000 | 100,000 | -2,237 | 1,266 | 0,474 | 0,474 | 0,474 | 0,466 | 0,466 | 0,074 |
| 13,000 | 21,972 | 99,519 | -5,284 | skid front(out) | ##### | 6,600 | 0,000 | 1,000 | 100,000 | -1,092 | 1,345 | 0,474 | 0,474 | 0,474 | 0,466 | 0,466 | 0,079 |
| 13,500 | 20,353 | 99,505 | -5,280 | skid front(out) | ##### | 6,600 | 0,000 | 1,000 | 100,000 | -2,982 | 1,430 | 0,474 | 0,474 | 0,474 | 0,466 | 0,466 | 0,085 |
| 14,000 | 18,596 | 99,522 | -5,281 | skid front(out) | ##### | 6,600 | 0,000 | 1,000 | 100,000 | -1,618 | 1,523 | 0,474 | 0,474 | 0,474 | 0,466 | 0,466 | 0,092 |
| 14,500 | 16,654 | 99,534 | -5,278 | skid front(out) | ##### | 6,600 | 0,000 | 1,000 | 100,000 | -3,580 | 1,625 | 0,474 | 0,474 | 0,474 | 0,466 | 0,466 | 0,102 |
| 15,000 | 14,455 | 99,499 | -5,276 | skid front(out) | ##### | 6,600 | 0,000 | 1,000 | 100,000 | -2,399 | 1,741 | 0,474 | 0,474 | 0,474 | 0,466 | 0,466 | 0,116 |
| 15,500 | 11,854 | 99,539 | -5,275 | skid front(out) | ##### | 6,600 | 0,000 | 1,000 | 100,000 | -4,360 | 1,877 | 0,474 | 0,474 | 0,474 | 0,466 | 0,466 | 0,137 |
| 16,000 | 8,492 | 99,531 | -5,275 | skid front(out) | ##### | 6,600 | 0,000 | 1,000 | 100,000 | -2,849 | 2,054 | 0,474 | 0,474 | 0,474 | 0,466 | 0,466 | 0,177 |
| 16,500 | 1,931 | 99,561 | -5,275 | skid front(out) | ##### | 6,600 | 0,000 | 1,000 | 100,000 | -2,368 | 2,400 | 0,474 | 0,474 | 0,474 | 0,466 | 0,466 | 0,345 |

3.2.3 Γλυφάδα – dry

| run_c_d_glif_1 | R(m) | br.front (%) | s(%) | e (%) | coeff | effic (%) | time (sec) | | | | | | | | | | |
|----------------|-----------|--------------|--------|-----------------|-------|-----------|------------|-------|-----------|-----------|------------|-------|-----------|----------|----------|---------|-----------|
| s= 100,000 | ##### | 78,00 | 11,5 | 0,0 | 1,00 | 100 | 1,778 | 0,963 | | | | | | | | | |
| step= 0,100 | viewstep= | 0,500 | STEPS | | | | | | | | | | | | | | |
| s (m) | V (km/h) | n (%) | dv/dt | skid check | R(m) | s(%) | e (%) | coeff | effic (%) | decelera | time (sec) | ft | front out | front in | rear out | rear in | checktime |
| 14,900 | 2,547 | 99,151 | -8,625 | skid front(out) | ##### | 11,500 | 0,000 | 1,000 | 100,000 | -3,228384 | 1,778 | 0,771 | 0,7708 | 0,7708 | 0,7414 | 0,7414 | |
| 0,000 | 57,850 | 99,143 | -8,671 | O.K | ##### | 11,500 | 0,000 | 1,000 | 100,000 | 0,000 | 0,000 | 0,771 | | | | | |
| 0,400 | 57,068 | 99,137 | -8,669 | skid front(in) | ##### | 11,500 | 0,000 | 1,000 | 100,000 | 0,000 | 0,025 | 0,771 | 0,771 | 0,771 | 0,742 | 0,742 | 0,025 |
| 1,000 | 55,874 | 99,137 | -8,668 | skid front(in) | ##### | 11,500 | 0,000 | 1,000 | 100,000 | 0,000 | 0,063 | 0,771 | 0,771 | 0,771 | 0,742 | 0,742 | 0,038 |
| 1,500 | 54,860 | 99,137 | -8,666 | skid front(in) | ##### | 11,500 | 0,000 | 1,000 | 100,000 | 0,000 | 0,096 | 0,771 | 0,771 | 0,771 | 0,742 | 0,742 | 0,033 |
| 2,000 | 53,826 | 99,137 | -8,665 | skid front(in) | ##### | 11,500 | 0,000 | 1,000 | 100,000 | 0,000 | 0,129 | 0,771 | 0,771 | 0,771 | 0,742 | 0,742 | 0,033 |
| 2,500 | 52,773 | 99,137 | -8,663 | skid front(in) | ##### | 11,500 | 0,000 | 1,000 | 100,000 | 0,000 | 0,163 | 0,771 | 0,771 | 0,771 | 0,742 | 0,742 | 0,034 |
| 3,000 | 51,699 | 99,137 | -8,662 | skid front(in) | ##### | 11,500 | 0,000 | 1,000 | 100,000 | 0,000 | 0,197 | 0,771 | 0,771 | 0,771 | 0,742 | 0,742 | 0,034 |
| 3,500 | 50,601 | 99,137 | -8,660 | skid front(in) | ##### | 11,500 | 0,000 | 1,000 | 100,000 | 0,000 | 0,232 | 0,771 | 0,771 | 0,771 | 0,742 | 0,742 | 0,035 |
| 4,000 | 49,480 | 99,137 | -8,659 | skid front(in) | ##### | 11,500 | 0,000 | 1,000 | 100,000 | 0,000 | 0,268 | 0,771 | 0,771 | 0,771 | 0,742 | 0,742 | 0,036 |
| 4,400 | 48,564 | 99,138 | -8,658 | skid front(in) | ##### | 11,500 | 0,000 | 1,000 | 100,000 | 0,000 | 0,298 | 0,771 | 0,771 | 0,771 | 0,742 | 0,742 | 0,029 |
| 5,000 | 47,158 | 99,138 | -8,656 | skid front(in) | ##### | 11,500 | 0,000 | 1,000 | 100,000 | 0,000 | 0,343 | 0,771 | 0,771 | 0,771 | 0,742 | 0,742 | 0,045 |
| 5,500 | 45,953 | 99,138 | -8,654 | skid front(in) | ##### | 11,500 | 0,000 | 1,000 | 100,000 | 0,000 | 0,382 | 0,771 | 0,771 | 0,771 | 0,742 | 0,742 | 0,039 |
| 6,000 | 44,716 | 99,138 | -8,653 | skid front(in) | ##### | 11,500 | 0,000 | 1,000 | 100,000 | 0,000 | 0,421 | 0,771 | 0,771 | 0,771 | 0,742 | 0,742 | 0,040 |

Προσδιορισμός Τιμών Πρόσφυσης κατά την Πέδηση Οχημάτων Εφοδιασμένων με Σύστημα ABS σε Αυξημένες κατά Μήκος Κλίσεις

| | | | | | | | | | | | | | | | | | |
|--------|--------|--------|--------|-----------------|-------|--------|-------|-------|---------|--------|-------|-------|-------|-------|-------|-------|-------|
| 6,500 | 43,444 | 99,138 | -8,651 | skid front(in) | ##### | 11,500 | 0,000 | 1,000 | 100,000 | 0,000 | 0,462 | 0,771 | 0,771 | 0,771 | 0,742 | 0,742 | 0,041 |
| 7,000 | 42,134 | 99,138 | -8,650 | skid front(in) | ##### | 11,500 | 0,000 | 1,000 | 100,000 | 0,000 | 0,504 | 0,771 | 0,771 | 0,771 | 0,742 | 0,742 | 0,042 |
| 7,500 | 40,782 | 99,138 | -8,648 | skid front(in) | ##### | 11,500 | 0,000 | 1,000 | 100,000 | 0,000 | 0,548 | 0,771 | 0,771 | 0,771 | 0,742 | 0,742 | 0,043 |
| 8,000 | 39,384 | 99,138 | -8,647 | skid front(in) | ##### | 11,500 | 0,000 | 1,000 | 100,000 | 0,000 | 0,592 | 0,771 | 0,771 | 0,771 | 0,742 | 0,742 | 0,045 |
| 8,500 | 37,935 | 99,138 | -8,646 | skid front(in) | ##### | 11,500 | 0,000 | 1,000 | 100,000 | 0,000 | 0,639 | 0,771 | 0,771 | 0,771 | 0,742 | 0,742 | 0,047 |
| 9,000 | 36,429 | 99,138 | -8,644 | skid front(in) | ##### | 11,500 | 0,000 | 1,000 | 100,000 | 0,001 | 0,687 | 0,771 | 0,771 | 0,771 | 0,742 | 0,742 | 0,048 |
| 9,500 | 34,857 | 99,139 | -8,643 | skid front(in) | ##### | 11,500 | 0,000 | 1,000 | 100,000 | 0,000 | 0,738 | 0,771 | 0,771 | 0,771 | 0,742 | 0,742 | 0,051 |
| 10,000 | 33,212 | 99,139 | -8,641 | skid front(in) | ##### | 11,500 | 0,000 | 1,000 | 100,000 | 0,001 | 0,791 | 0,771 | 0,771 | 0,771 | 0,742 | 0,742 | 0,053 |
| 10,500 | 31,481 | 99,111 | -8,637 | skid front(in) | ##### | 11,500 | 0,000 | 1,000 | 100,000 | -0,822 | 0,846 | 0,771 | 0,771 | 0,771 | 0,741 | 0,741 | 0,056 |
| 11,000 | 29,650 | 99,140 | -8,636 | skid front(out) | ##### | 11,500 | 0,000 | 1,000 | 100,000 | -2,358 | 0,905 | 0,771 | 0,771 | 0,771 | 0,741 | 0,741 | 0,059 |
| 11,500 | 27,697 | 99,125 | -8,634 | skid front(out) | ##### | 11,500 | 0,000 | 1,000 | 100,000 | -1,277 | 0,968 | 0,771 | 0,771 | 0,771 | 0,741 | 0,741 | 0,063 |
| 12,000 | 25,597 | 99,156 | -8,635 | skid front(out) | ##### | 11,500 | 0,000 | 1,000 | 100,000 | -1,824 | 1,036 | 0,771 | 0,771 | 0,771 | 0,742 | 0,742 | 0,068 |
| 12,500 | 23,309 | 99,116 | -8,631 | skid front(out) | ##### | 11,500 | 0,000 | 1,000 | 100,000 | -1,453 | 1,109 | 0,771 | 0,771 | 0,771 | 0,741 | 0,741 | 0,074 |
| 13,000 | 20,771 | 99,167 | -8,632 | skid front(out) | ##### | 11,500 | 0,000 | 1,000 | 100,000 | -2,631 | 1,191 | 0,771 | 0,771 | 0,771 | 0,742 | 0,742 | 0,082 |
| 13,500 | 17,877 | 99,119 | -8,628 | skid front(out) | ##### | 11,500 | 0,000 | 1,000 | 100,000 | -0,977 | 1,284 | 0,771 | 0,771 | 0,771 | 0,741 | 0,741 | 0,093 |
| 14,000 | 14,414 | 99,122 | -8,627 | skid front(out) | ##### | 11,500 | 0,000 | 1,000 | 100,000 | -1,361 | 1,396 | 0,771 | 0,771 | 0,771 | 0,741 | 0,741 | 0,112 |
| 14,500 | 9,795 | 99,160 | -8,628 | skid front(out) | ##### | 11,500 | 0,000 | 1,000 | 100,000 | -1,834 | 1,544 | 0,771 | 0,771 | 0,771 | 0,742 | 0,742 | 0,149 |
| 14,900 | 2,547 | 99,151 | -8,625 | skid front(out) | ##### | 11,500 | 0,000 | 1,000 | 100,000 | -3,228 | 1,778 | 0,771 | 0,771 | 0,771 | 0,741 | 0,741 | 0,233 |

| run c d gliif 3 | | R(m) | br.front (%) | s(%) | e (%) | coeff | effic (%) | | | time (sec) | | | | | | | |
|-----------------|----------|-----------|--------------|-----------------|-------|--------|-----------|-------|-----------|------------|------------|-------|-----------|----------|----------|---------|-----------|
| s= | 100,000 | ##### | 78,00 | 11,5 | 0,0 | 1,00 | 100 | | | 1,727 | | | | | | | |
| step= | 0,100 | viewstep= | 0,500 | STEPS | | | | | | | | | | | | | |
| s (m) | V (km/h) | n (%) | dv/dt | skid check | R(m) | s(%) | e (%) | coeff | effic (%) | decelera | time (sec) | fT | front out | front in | rear out | rear in | checktime |
| 14,600 | 3,577 | 99,144 | -8,625 | skid front(out) | ##### | 11,500 | 0,000 | 1,000 | 100,000 | -2,488523 | 1,727 | 0,771 | 0,7709 | 0,7709 | 0,7414 | 0,7414 | |
| 0,000 | 57,320 | 99,143 | -8,670 | O.K | ##### | 11,500 | 0,000 | 1,000 | 100,000 | 0,000 | 0,000 | 0,771 | | | | | |
| 0,400 | 56,531 | 99,137 | -8,669 | skid front(in) | ##### | 11,500 | 0,000 | 1,000 | 100,000 | 0,000 | 0,025 | 0,771 | 0,771 | 0,771 | 0,742 | 0,742 | 0,025 |
| 1,000 | 55,325 | 99,137 | -8,667 | skid front(in) | ##### | 11,500 | 0,000 | 1,000 | 100,000 | 0,000 | 0,064 | 0,771 | 0,771 | 0,771 | 0,742 | 0,742 | 0,039 |
| 1,500 | 54,301 | 99,137 | -8,665 | skid front(in) | ##### | 11,500 | 0,000 | 1,000 | 100,000 | 0,000 | 0,097 | 0,771 | 0,771 | 0,771 | 0,742 | 0,742 | 0,033 |
| 2,000 | 53,257 | 99,137 | -8,664 | skid front(in) | ##### | 11,500 | 0,000 | 1,000 | 100,000 | 0,000 | 0,130 | 0,771 | 0,771 | 0,771 | 0,742 | 0,742 | 0,033 |
| 2,500 | 52,192 | 99,137 | -8,662 | skid front(in) | ##### | 11,500 | 0,000 | 1,000 | 100,000 | 0,000 | 0,164 | 0,771 | 0,771 | 0,771 | 0,742 | 0,742 | 0,034 |
| 3,000 | 51,105 | 99,137 | -8,661 | skid front(in) | ##### | 11,500 | 0,000 | 1,000 | 100,000 | 0,000 | 0,199 | 0,771 | 0,771 | 0,771 | 0,742 | 0,742 | 0,035 |
| 3,500 | 49,995 | 99,137 | -8,659 | skid front(in) | ##### | 11,500 | 0,000 | 1,000 | 100,000 | 0,000 | 0,235 | 0,771 | 0,771 | 0,771 | 0,742 | 0,742 | 0,036 |
| 4,000 | 48,860 | 99,137 | -8,658 | skid front(in) | ##### | 11,500 | 0,000 | 1,000 | 100,000 | 0,000 | 0,271 | 0,771 | 0,771 | 0,771 | 0,742 | 0,742 | 0,036 |
| 4,400 | 47,933 | 99,138 | -8,657 | skid front(in) | ##### | 11,500 | 0,000 | 1,000 | 100,000 | 0,000 | 0,301 | 0,771 | 0,771 | 0,771 | 0,742 | 0,742 | 0,030 |

Προσδιορισμός Τιμών Πρόσφυσης κατά την Πέδηση Οχημάτων Εφοδιασμένων με Σύστημα ABS σε Αυξημένες κατά Μήκος Κλίσεις

| | | | | | | | | | | | | | | | | | |
|--------|--------|--------|--------|-----------------|-------|--------|-------|-------|---------|--------|-------|-------|-------|-------|-------|-------|-------|
| 5,000 | 46,507 | 99,138 | -8,655 | skid front(in) | ##### | 11,500 | 0,000 | 1,000 | 100,000 | 0,000 | 0,347 | 0,771 | 0,771 | 0,771 | 0,742 | 0,742 | 0,046 |
| 5,500 | 45,285 | 99,138 | -8,654 | skid front(in) | ##### | 11,500 | 0,000 | 1,000 | 100,000 | 0,000 | 0,386 | 0,771 | 0,771 | 0,771 | 0,742 | 0,742 | 0,039 |
| 6,000 | 44,030 | 99,138 | -8,652 | skid front(in) | ##### | 11,500 | 0,000 | 1,000 | 100,000 | 0,000 | 0,426 | 0,771 | 0,771 | 0,771 | 0,742 | 0,742 | 0,040 |
| 6,500 | 42,738 | 99,138 | -8,651 | skid front(in) | ##### | 11,500 | 0,000 | 1,000 | 100,000 | 0,000 | 0,468 | 0,771 | 0,771 | 0,771 | 0,742 | 0,742 | 0,041 |
| 7,000 | 41,405 | 99,138 | -8,649 | skid front(in) | ##### | 11,500 | 0,000 | 1,000 | 100,000 | 0,000 | 0,511 | 0,771 | 0,771 | 0,771 | 0,742 | 0,742 | 0,043 |
| 7,500 | 40,029 | 99,138 | -8,648 | skid front(in) | ##### | 11,500 | 0,000 | 1,000 | 100,000 | 0,000 | 0,555 | 0,771 | 0,771 | 0,771 | 0,742 | 0,742 | 0,044 |
| 8,000 | 38,604 | 99,138 | -8,646 | skid front(in) | ##### | 11,500 | 0,000 | 1,000 | 100,000 | 0,000 | 0,601 | 0,771 | 0,771 | 0,771 | 0,742 | 0,742 | 0,046 |
| 8,500 | 37,124 | 99,138 | -8,645 | skid front(in) | ##### | 11,500 | 0,000 | 1,000 | 100,000 | 0,000 | 0,648 | 0,771 | 0,771 | 0,771 | 0,742 | 0,742 | 0,048 |
| 9,000 | 35,584 | 99,139 | -8,643 | skid front(in) | ##### | 11,500 | 0,000 | 1,000 | 100,000 | 0,000 | 0,698 | 0,771 | 0,771 | 0,771 | 0,742 | 0,742 | 0,050 |
| 9,500 | 33,973 | 99,139 | -8,642 | skid front(in) | ##### | 11,500 | 0,000 | 1,000 | 100,000 | 0,001 | 0,749 | 0,771 | 0,771 | 0,771 | 0,742 | 0,742 | 0,052 |
| 10,000 | 32,283 | 99,139 | -8,640 | skid front(in) | ##### | 11,500 | 0,000 | 1,000 | 100,000 | 0,002 | 0,804 | 0,771 | 0,771 | 0,771 | 0,742 | 0,742 | 0,054 |
| 10,500 | 30,500 | 99,147 | -8,638 | skid front(out) | ##### | 11,500 | 0,000 | 1,000 | 100,000 | -1,719 | 0,861 | 0,771 | 0,771 | 0,771 | 0,742 | 0,742 | 0,057 |
| 11,000 | 28,606 | 99,117 | -8,635 | skid front(out) | ##### | 11,500 | 0,000 | 1,000 | 100,000 | -0,719 | 0,922 | 0,771 | 0,771 | 0,771 | 0,741 | 0,741 | 0,061 |
| 11,500 | 26,577 | 99,132 | -8,634 | skid front(out) | ##### | 11,500 | 0,000 | 1,000 | 100,000 | -1,372 | 0,987 | 0,771 | 0,771 | 0,771 | 0,741 | 0,741 | 0,065 |
| 12,000 | 24,381 | 99,116 | -8,632 | skid front(out) | ##### | 11,500 | 0,000 | 1,000 | 100,000 | -0,790 | 1,058 | 0,771 | 0,771 | 0,771 | 0,741 | 0,741 | 0,071 |
| 12,500 | 21,967 | 99,151 | -8,632 | skid front(out) | ##### | 11,500 | 0,000 | 1,000 | 100,000 | -2,142 | 1,135 | 0,771 | 0,771 | 0,771 | 0,742 | 0,742 | 0,078 |
| 13,000 | 19,253 | 99,153 | -8,631 | skid front(out) | ##### | 11,500 | 0,000 | 1,000 | 100,000 | -2,099 | 1,223 | 0,771 | 0,771 | 0,771 | 0,742 | 0,742 | 0,087 |
| 13,500 | 16,088 | 99,141 | -8,628 | skid front(out) | ##### | 11,500 | 0,000 | 1,000 | 100,000 | -2,737 | 1,325 | 0,771 | 0,771 | 0,771 | 0,741 | 0,741 | 0,102 |
| 14,000 | 12,124 | 99,135 | -8,627 | skid front(out) | ##### | 11,500 | 0,000 | 1,000 | 100,000 | -1,249 | 1,452 | 0,771 | 0,771 | 0,771 | 0,741 | 0,741 | 0,128 |
| 14,500 | 5,930 | 99,138 | -8,625 | skid front(out) | ##### | 11,500 | 0,000 | 1,000 | 100,000 | -2,640 | 1,652 | 0,771 | 0,771 | 0,771 | 0,741 | 0,741 | 0,199 |
| 14,600 | 3,577 | 99,144 | -8,625 | skid front(out) | ##### | 11,500 | 0,000 | 1,000 | 100,000 | -2,489 | 1,727 | 0,771 | 0,771 | 0,771 | 0,741 | 0,741 | 0,076 |

| run_c_d_glif 5 | R(m) | br.front (%) | s(%) | e (%) | coeff | effic (%) | time (sec) | | | | | | | | | | |
|----------------|-----------|--------------|--------|-----------------|-------|-----------|------------|-------|-----------|-----------|------------|-------|-----------|----------|----------|---------|-----------|
| s= 100,000 | ##### | 78,00 | 11,5 | 0,0 | 1,00 | 100 | 1,848 | 0,963 | | | | | | | | | |
| step= 0,100 | viewstep= | 0,500 | STEPS | | | | | | | | | | | | | | |
| s (m) | V (km/h) | n (%) | dv/dt | skid check | R(m) | s(%) | e (%) | coeff | effic (%) | decelera | time (sec) | fT | front out | front in | rear out | rear in | checktime |
| 15,600 | 1,608 | 99,173 | -8,626 | skid front(out) | ##### | 11,500 | 0,000 | 1,000 | 100,000 | -4,120072 | 1,848 | 0,771 | 0,7709 | 0,7709 | 0,7415 | 0,7415 | |
| 0,000 | 59,090 | 99,143 | -8,673 | O.K | ##### | 11,500 | 0,000 | 1,000 | 100,000 | 0,000 | 0,000 | 0,771 | | | | | |
| 0,400 | 58,324 | 99,137 | -8,671 | skid front(in) | ##### | 11,500 | 0,000 | 1,000 | 100,000 | 0,000 | 0,025 | 0,771 | 0,771 | 0,771 | 0,742 | 0,742 | 0,025 |
| 1,000 | 57,157 | 99,137 | -8,670 | skid front(in) | ##### | 11,500 | 0,000 | 1,000 | 100,000 | 0,000 | 0,062 | 0,771 | 0,771 | 0,771 | 0,742 | 0,742 | 0,037 |
| 1,500 | 56,165 | 99,137 | -8,668 | skid front(in) | ##### | 11,500 | 0,000 | 1,000 | 100,000 | 0,000 | 0,094 | 0,771 | 0,771 | 0,771 | 0,742 | 0,742 | 0,032 |
| 2,000 | 55,156 | 99,137 | -8,667 | skid front(in) | ##### | 11,500 | 0,000 | 1,000 | 100,000 | 0,000 | 0,126 | 0,771 | 0,771 | 0,771 | 0,742 | 0,742 | 0,032 |

Προσδιορισμός Τιμών Πρόσφυσης κατά την Πέδηση Οχημάτων Εφοδιασμένων με Σύστημα ABS σε Αυξημένες κατά Μήκος Κλίσεις

| | | | | | | | | | | | | | | | | | |
|--------|--------|--------|--------|-----------------|-------|--------|-------|-------|---------|--------|-------|-------|-------|-------|-------|-------|-------|
| 2,500 | 54,128 | 99,137 | -8,665 | skid front(in) | ##### | 11,500 | 0,000 | 1,000 | 100,000 | 0,000 | 0,159 | 0,771 | 0,771 | 0,771 | 0,742 | 0,742 | 0,033 |
| 3,000 | 53,081 | 99,137 | -8,664 | skid front(in) | ##### | 11,500 | 0,000 | 1,000 | 100,000 | 0,000 | 0,193 | 0,771 | 0,771 | 0,771 | 0,742 | 0,742 | 0,034 |
| 3,500 | 52,013 | 99,137 | -8,662 | skid front(in) | ##### | 11,500 | 0,000 | 1,000 | 100,000 | 0,000 | 0,227 | 0,771 | 0,771 | 0,771 | 0,742 | 0,742 | 0,034 |
| 4,000 | 50,922 | 99,137 | -8,661 | skid front(in) | ##### | 11,500 | 0,000 | 1,000 | 100,000 | 0,000 | 0,262 | 0,771 | 0,771 | 0,771 | 0,742 | 0,742 | 0,035 |
| 4,400 | 50,033 | 99,137 | -8,660 | skid front(in) | ##### | 11,500 | 0,000 | 1,000 | 100,000 | 0,000 | 0,290 | 0,771 | 0,771 | 0,771 | 0,742 | 0,742 | 0,029 |
| 5,000 | 48,669 | 99,138 | -8,658 | skid front(in) | ##### | 11,500 | 0,000 | 1,000 | 100,000 | 0,000 | 0,334 | 0,771 | 0,771 | 0,771 | 0,742 | 0,742 | 0,044 |
| 5,500 | 47,502 | 99,138 | -8,656 | skid front(in) | ##### | 11,500 | 0,000 | 1,000 | 100,000 | 0,000 | 0,372 | 0,771 | 0,771 | 0,771 | 0,742 | 0,742 | 0,037 |
| 6,000 | 46,306 | 99,138 | -8,655 | skid front(in) | ##### | 11,500 | 0,000 | 1,000 | 100,000 | 0,000 | 0,410 | 0,771 | 0,771 | 0,771 | 0,742 | 0,742 | 0,038 |
| 6,500 | 45,079 | 99,138 | -8,653 | skid front(in) | ##### | 11,500 | 0,000 | 1,000 | 100,000 | 0,000 | 0,449 | 0,771 | 0,771 | 0,771 | 0,742 | 0,742 | 0,039 |
| 7,000 | 43,817 | 99,138 | -8,652 | skid front(in) | ##### | 11,500 | 0,000 | 1,000 | 100,000 | 0,000 | 0,490 | 0,771 | 0,771 | 0,771 | 0,742 | 0,742 | 0,040 |
| 7,500 | 42,519 | 99,138 | -8,650 | skid front(in) | ##### | 11,500 | 0,000 | 1,000 | 100,000 | 0,000 | 0,531 | 0,771 | 0,771 | 0,771 | 0,742 | 0,742 | 0,042 |
| 8,000 | 41,179 | 99,138 | -8,649 | skid front(in) | ##### | 11,500 | 0,000 | 1,000 | 100,000 | 0,000 | 0,574 | 0,771 | 0,771 | 0,771 | 0,742 | 0,742 | 0,043 |
| 8,500 | 39,795 | 99,138 | -8,647 | skid front(in) | ##### | 11,500 | 0,000 | 1,000 | 100,000 | 0,000 | 0,619 | 0,771 | 0,771 | 0,771 | 0,742 | 0,742 | 0,044 |
| 9,000 | 38,361 | 99,138 | -8,646 | skid front(in) | ##### | 11,500 | 0,000 | 1,000 | 100,000 | 0,000 | 0,665 | 0,771 | 0,771 | 0,771 | 0,742 | 0,742 | 0,046 |
| 9,500 | 36,872 | 99,138 | -8,644 | skid front(in) | ##### | 11,500 | 0,000 | 1,000 | 100,000 | 0,000 | 0,713 | 0,771 | 0,771 | 0,771 | 0,742 | 0,742 | 0,048 |
| 10,000 | 35,321 | 99,139 | -8,643 | skid front(in) | ##### | 11,500 | 0,000 | 1,000 | 100,000 | 0,000 | 0,763 | 0,771 | 0,771 | 0,771 | 0,742 | 0,742 | 0,050 |
| 10,500 | 33,698 | 99,139 | -8,642 | skid front(in) | ##### | 11,500 | 0,000 | 1,000 | 100,000 | 0,000 | 0,815 | 0,771 | 0,771 | 0,771 | 0,742 | 0,742 | 0,052 |
| 11,000 | 31,993 | 99,131 | -8,639 | skid front(out) | ##### | 11,500 | 0,000 | 1,000 | 100,000 | -0,675 | 0,870 | 0,771 | 0,771 | 0,771 | 0,742 | 0,742 | 0,055 |
| 11,500 | 30,193 | 99,120 | -8,636 | skid front(out) | ##### | 11,500 | 0,000 | 1,000 | 100,000 | -1,451 | 0,928 | 0,771 | 0,771 | 0,771 | 0,741 | 0,741 | 0,058 |
| 12,000 | 28,278 | 99,137 | -8,635 | skid front(out) | ##### | 11,500 | 0,000 | 1,000 | 100,000 | -2,488 | 0,989 | 0,771 | 0,771 | 0,771 | 0,741 | 0,741 | 0,062 |
| 12,500 | 26,225 | 99,124 | -8,633 | skid front(out) | ##### | 11,500 | 0,000 | 1,000 | 100,000 | -2,247 | 1,055 | 0,771 | 0,771 | 0,771 | 0,741 | 0,741 | 0,066 |
| 13,000 | 23,996 | 99,140 | -8,632 | skid front(out) | ##### | 11,500 | 0,000 | 1,000 | 100,000 | -2,138 | 1,127 | 0,771 | 0,771 | 0,771 | 0,741 | 0,741 | 0,072 |
| 13,500 | 21,539 | 99,145 | -8,631 | skid front(out) | ##### | 11,500 | 0,000 | 1,000 | 100,000 | -2,528 | 1,206 | 0,771 | 0,771 | 0,771 | 0,741 | 0,741 | 0,079 |
| 14,000 | 18,764 | 99,136 | -8,628 | skid front(out) | ##### | 11,500 | 0,000 | 1,000 | 100,000 | -3,408 | 1,295 | 0,771 | 0,771 | 0,771 | 0,741 | 0,741 | 0,089 |
| 14,500 | 15,499 | 99,136 | -8,627 | skid front(out) | ##### | 11,500 | 0,000 | 1,000 | 100,000 | -2,513 | 1,400 | 0,771 | 0,771 | 0,771 | 0,741 | 0,741 | 0,105 |
| 15,000 | 11,332 | 99,118 | -8,625 | skid front(out) | ##### | 11,500 | 0,000 | 1,000 | 100,000 | -2,084 | 1,535 | 0,771 | 0,771 | 0,771 | 0,741 | 0,741 | 0,134 |
| 15,500 | 4,073 | 99,135 | -8,625 | skid front(out) | ##### | 11,500 | 0,000 | 1,000 | 100,000 | -1,598 | 1,768 | 0,771 | 0,771 | 0,771 | 0,741 | 0,741 | 0,234 |
| 15,600 | 1,608 | 99,173 | -8,626 | skid front(out) | ##### | 11,500 | 0,000 | 1,000 | 100,000 | -4,120 | 1,848 | 0,771 | 0,771 | 0,771 | 0,742 | 0,742 | 0,079 |

| | | | | | | | |
|----------------|-----------|--------------|-------|-------|-------|-----------|------------|
| run_c_d_glif_6 | R(m) | br.front (%) | s(%) | e (%) | coeff | effic (%) | time (sec) |
| s= 100,000 | ##### | 78,00 | 11,5 | 0,0 | 1,00 | 100 | 1,829 |
| step= 0,100 | viewstep= | 0,500 | STEPS | | | | |

0,963

| s (m) | V (km/h) | n (%) | dv/dt | skid check | R(m) | s(%) | e (%) | coeff | effic (%) | decelera | time (sec) | ft | front out | front in | rear out | rear in | checktime |
|-------|----------|-------|-------|------------|------|------|-------|-------|-----------|----------|------------|----|-----------|----------|----------|---------|-----------|
|-------|----------|-------|-------|------------|------|------|-------|-------|-----------|----------|------------|----|-----------|----------|----------|---------|-----------|

Προσδιορισμός Τιμών Πρόσφυσης κατά την Πέδηση Οχημάτων Εφοδιασμένων με Σύστημα ABS σε Αυξημένες κατά Μήκος Κλίσεις

| | | | | | | | | | | | | | | | | | |
|--------|--------|--------|--------|-----------------|-------|--------|-------|-------|---------|-----------|-------|-------|--------|--------|--------|--------|-------|
| 15,400 | 1,819 | 99,157 | -8,625 | skid front(out) | ##### | 11,500 | 0,000 | 1,000 | 100,000 | -3,564017 | 1,829 | 0,771 | 0,7709 | 0,7709 | 0,7414 | 0,7414 | |
| 0,000 | 58,710 | 99,143 | -8,672 | O.K | ##### | 11,500 | 0,000 | 1,000 | 100,000 | 0,000 | 0,000 | 0,771 | | | | | |
| 0,400 | 57,939 | 99,137 | -8,671 | skid front(in) | ##### | 11,500 | 0,000 | 1,000 | 100,000 | 0,000 | 0,025 | 0,771 | 0,771 | 0,771 | 0,742 | 0,742 | 0,025 |
| 1,000 | 56,764 | 99,137 | -8,669 | skid front(in) | ##### | 11,500 | 0,000 | 1,000 | 100,000 | 0,000 | 0,062 | 0,771 | 0,771 | 0,771 | 0,742 | 0,742 | 0,038 |
| 1,500 | 55,765 | 99,137 | -8,667 | skid front(in) | ##### | 11,500 | 0,000 | 1,000 | 100,000 | 0,000 | 0,094 | 0,771 | 0,771 | 0,771 | 0,742 | 0,742 | 0,032 |
| 2,000 | 54,749 | 99,137 | -8,666 | skid front(in) | ##### | 11,500 | 0,000 | 1,000 | 100,000 | 0,000 | 0,127 | 0,771 | 0,771 | 0,771 | 0,742 | 0,742 | 0,033 |
| 2,500 | 53,714 | 99,137 | -8,665 | skid front(in) | ##### | 11,500 | 0,000 | 1,000 | 100,000 | 0,000 | 0,160 | 0,771 | 0,771 | 0,771 | 0,742 | 0,742 | 0,033 |
| 3,000 | 52,658 | 99,137 | -8,663 | skid front(in) | ##### | 11,500 | 0,000 | 1,000 | 100,000 | 0,000 | 0,194 | 0,771 | 0,771 | 0,771 | 0,742 | 0,742 | 0,034 |
| 3,500 | 51,581 | 99,137 | -8,662 | skid front(in) | ##### | 11,500 | 0,000 | 1,000 | 100,000 | 0,000 | 0,228 | 0,771 | 0,771 | 0,771 | 0,742 | 0,742 | 0,035 |
| 4,000 | 50,481 | 99,137 | -8,660 | skid front(in) | ##### | 11,500 | 0,000 | 1,000 | 100,000 | 0,000 | 0,264 | 0,771 | 0,771 | 0,771 | 0,742 | 0,742 | 0,035 |
| 4,400 | 49,584 | 99,137 | -8,659 | skid front(in) | ##### | 11,500 | 0,000 | 1,000 | 100,000 | 0,000 | 0,293 | 0,771 | 0,771 | 0,771 | 0,742 | 0,742 | 0,029 |
| 5,000 | 48,207 | 99,138 | -8,657 | skid front(in) | ##### | 11,500 | 0,000 | 1,000 | 100,000 | 0,000 | 0,337 | 0,771 | 0,771 | 0,771 | 0,742 | 0,742 | 0,044 |
| 5,500 | 47,029 | 99,138 | -8,656 | skid front(in) | ##### | 11,500 | 0,000 | 1,000 | 100,000 | 0,000 | 0,375 | 0,771 | 0,771 | 0,771 | 0,742 | 0,742 | 0,038 |
| 6,000 | 45,821 | 99,138 | -8,654 | skid front(in) | ##### | 11,500 | 0,000 | 1,000 | 100,000 | 0,000 | 0,413 | 0,771 | 0,771 | 0,771 | 0,742 | 0,742 | 0,039 |
| 6,500 | 44,581 | 99,138 | -8,653 | skid front(in) | ##### | 11,500 | 0,000 | 1,000 | 100,000 | 0,000 | 0,453 | 0,771 | 0,771 | 0,771 | 0,742 | 0,742 | 0,040 |
| 7,000 | 43,305 | 99,138 | -8,651 | skid front(in) | ##### | 11,500 | 0,000 | 1,000 | 100,000 | 0,000 | 0,494 | 0,771 | 0,771 | 0,771 | 0,742 | 0,742 | 0,041 |
| 7,500 | 41,990 | 99,138 | -8,650 | skid front(in) | ##### | 11,500 | 0,000 | 1,000 | 100,000 | 0,000 | 0,536 | 0,771 | 0,771 | 0,771 | 0,742 | 0,742 | 0,042 |
| 8,000 | 40,634 | 99,138 | -8,648 | skid front(in) | ##### | 11,500 | 0,000 | 1,000 | 100,000 | 0,000 | 0,580 | 0,771 | 0,771 | 0,771 | 0,742 | 0,742 | 0,044 |
| 8,500 | 39,230 | 99,138 | -8,647 | skid front(in) | ##### | 11,500 | 0,000 | 1,000 | 100,000 | 0,000 | 0,625 | 0,771 | 0,771 | 0,771 | 0,742 | 0,742 | 0,045 |
| 9,000 | 37,775 | 99,138 | -8,645 | skid front(in) | ##### | 11,500 | 0,000 | 1,000 | 100,000 | 0,000 | 0,672 | 0,771 | 0,771 | 0,771 | 0,742 | 0,742 | 0,047 |
| 9,500 | 36,262 | 99,138 | -8,644 | skid front(in) | ##### | 11,500 | 0,000 | 1,000 | 100,000 | 0,000 | 0,720 | 0,771 | 0,771 | 0,771 | 0,742 | 0,742 | 0,049 |
| 10,000 | 34,683 | 99,139 | -8,642 | skid front(in) | ##### | 11,500 | 0,000 | 1,000 | 100,000 | 0,000 | 0,771 | 0,771 | 0,771 | 0,771 | 0,742 | 0,742 | 0,051 |
| 10,500 | 33,029 | 99,139 | -8,641 | skid front(in) | ##### | 11,500 | 0,000 | 1,000 | 100,000 | 0,001 | 0,824 | 0,771 | 0,771 | 0,771 | 0,742 | 0,742 | 0,053 |
| 11,000 | 31,288 | 99,117 | -8,637 | skid front(out) | ##### | 11,500 | 0,000 | 1,000 | 100,000 | -1,213 | 0,880 | 0,771 | 0,771 | 0,771 | 0,741 | 0,741 | 0,056 |
| 11,500 | 29,445 | 99,135 | -8,636 | skid front(out) | ##### | 11,500 | 0,000 | 1,000 | 100,000 | -1,624 | 0,939 | 0,771 | 0,771 | 0,771 | 0,741 | 0,741 | 0,059 |
| 12,000 | 27,479 | 99,143 | -8,635 | skid front(out) | ##### | 11,500 | 0,000 | 1,000 | 100,000 | -2,402 | 1,003 | 0,771 | 0,771 | 0,771 | 0,741 | 0,741 | 0,063 |
| 12,500 | 25,361 | 99,122 | -8,632 | skid front(out) | ##### | 11,500 | 0,000 | 1,000 | 100,000 | -2,096 | 1,071 | 0,771 | 0,771 | 0,771 | 0,741 | 0,741 | 0,068 |
| 13,000 | 23,049 | 99,149 | -8,631 | skid front(out) | ##### | 11,500 | 0,000 | 1,000 | 100,000 | -3,619 | 1,145 | 0,771 | 0,771 | 0,771 | 0,741 | 0,741 | 0,074 |
| 13,500 | 20,479 | 99,122 | -8,629 | skid front(out) | ##### | 11,500 | 0,000 | 1,000 | 100,000 | -2,019 | 1,228 | 0,771 | 0,771 | 0,771 | 0,741 | 0,741 | 0,083 |
| 14,000 | 17,536 | 99,148 | -8,629 | skid front(out) | ##### | 11,500 | 0,000 | 1,000 | 100,000 | -2,303 | 1,323 | 0,771 | 0,771 | 0,771 | 0,741 | 0,741 | 0,095 |
| 14,500 | 13,989 | 99,160 | -8,628 | skid front(out) | ##### | 11,500 | 0,000 | 1,000 | 100,000 | -3,168 | 1,437 | 0,771 | 0,771 | 0,771 | 0,742 | 0,742 | 0,114 |
| 15,000 | 9,158 | 99,130 | -8,625 | skid front(out) | ##### | 11,500 | 0,000 | 1,000 | 100,000 | -2,536 | 1,592 | 0,771 | 0,771 | 0,771 | 0,741 | 0,741 | 0,156 |
| 15,400 | 1,819 | 99,157 | -8,625 | skid front(out) | ##### | 11,500 | 0,000 | 1,000 | 100,000 | -3,564 | 1,829 | 0,771 | 0,771 | 0,771 | 0,741 | 0,741 | 0,236 |

| run_c_d_glif 9 | R(m) | br.front (%) | s(%) | e (%) | coeff | effic (%) | time (sec) |
|----------------|------|--------------|------|-------|-------|-----------|------------|
|----------------|------|--------------|------|-------|-------|-----------|------------|

Προσδιορισμός Τιμών Πρόσφυσης κατά την Πέδηση Οχημάτων Εφοδιασμένων με Σύστημα ABS σε Αυξημένες κατά Μήκος Κλίσεις

| s= | 100,000 | ##### | 78,00 | 11,5 | 0,0 | 1,00 | 100 | 2,067 | | | | | | | | | | 0,963 |
|--------|----------|-----------|--------|-----------------|-------|--------|-------|-------|-----------|-----------|------------|-------|-----------|----------|----------|---------|-----------|-------|
| step= | 0,100 | viewstep= | 0,500 | STEPS | | | | | | | | | | | | | | |
| s (m) | V (km/h) | n (%) | dv/dt | skid check | R(m) | s(%) | e (%) | coeff | effic (%) | decelera | time (sec) | fT | front out | front in | rear out | rear in | checktime | |
| 19,900 | 2,445 | 99,116 | -8,624 | skid front(out) | ##### | 11,500 | 0,000 | 1,000 | 100,000 | -1,309197 | 2,067 | 0,771 | 0,7708 | 0,7708 | 0,7412 | 0,7412 | | |
| 0,000 | 66,780 | 99,144 | -8,686 | O.K | ##### | 11,500 | 0,000 | 1,000 | 100,000 | 0,000 | 0,000 | 0,771 | | | | | | |
| 0,400 | 66,102 | 99,136 | -8,684 | skid front(in) | ##### | 11,500 | 0,000 | 1,000 | 100,000 | 0,000 | 0,022 | 0,771 | 0,771 | 0,771 | 0,742 | 0,742 | 0,022 | |
| 1,000 | 65,073 | 99,136 | -8,682 | skid front(in) | ##### | 11,500 | 0,000 | 1,000 | 100,000 | 0,000 | 0,055 | 0,771 | 0,771 | 0,771 | 0,742 | 0,742 | 0,033 | |
| 1,500 | 64,203 | 99,136 | -8,681 | skid front(in) | ##### | 11,500 | 0,000 | 1,000 | 100,000 | 0,000 | 0,082 | 0,771 | 0,771 | 0,771 | 0,742 | 0,742 | 0,028 | |
| 2,000 | 63,320 | 99,136 | -8,679 | skid front(in) | ##### | 11,500 | 0,000 | 1,000 | 100,000 | 0,000 | 0,111 | 0,771 | 0,771 | 0,771 | 0,742 | 0,742 | 0,028 | |
| 2,500 | 62,426 | 99,136 | -8,678 | skid front(in) | ##### | 11,500 | 0,000 | 1,000 | 100,000 | 0,000 | 0,139 | 0,771 | 0,771 | 0,771 | 0,742 | 0,742 | 0,029 | |
| 3,000 | 61,519 | 99,136 | -8,676 | skid front(in) | ##### | 11,500 | 0,000 | 1,000 | 100,000 | 0,000 | 0,168 | 0,771 | 0,771 | 0,771 | 0,742 | 0,742 | 0,029 | |
| 3,500 | 60,598 | 99,136 | -8,675 | skid front(in) | ##### | 11,500 | 0,000 | 1,000 | 100,000 | 0,000 | 0,198 | 0,771 | 0,771 | 0,771 | 0,742 | 0,742 | 0,029 | |
| 4,000 | 59,663 | 99,136 | -8,673 | skid front(in) | ##### | 11,500 | 0,000 | 1,000 | 100,000 | 0,000 | 0,228 | 0,771 | 0,771 | 0,771 | 0,742 | 0,742 | 0,030 | |
| 4,400 | 58,905 | 99,137 | -8,672 | skid front(in) | ##### | 11,500 | 0,000 | 1,000 | 100,000 | 0,000 | 0,252 | 0,771 | 0,771 | 0,771 | 0,742 | 0,742 | 0,024 | |
| 5,000 | 57,749 | 99,137 | -8,670 | skid front(in) | ##### | 11,500 | 0,000 | 1,000 | 100,000 | 0,000 | 0,289 | 0,771 | 0,771 | 0,771 | 0,742 | 0,742 | 0,037 | |
| 5,500 | 56,768 | 99,137 | -8,669 | skid front(in) | ##### | 11,500 | 0,000 | 1,000 | 100,000 | 0,000 | 0,321 | 0,771 | 0,771 | 0,771 | 0,742 | 0,742 | 0,031 | |
| 6,000 | 55,769 | 99,137 | -8,668 | skid front(in) | ##### | 11,500 | 0,000 | 1,000 | 100,000 | 0,000 | 0,353 | 0,771 | 0,771 | 0,771 | 0,742 | 0,742 | 0,032 | |
| 6,500 | 54,753 | 99,137 | -8,666 | skid front(in) | ##### | 11,500 | 0,000 | 1,000 | 100,000 | 0,000 | 0,385 | 0,771 | 0,771 | 0,771 | 0,742 | 0,742 | 0,033 | |
| 7,000 | 53,718 | 99,137 | -8,665 | skid front(in) | ##### | 11,500 | 0,000 | 1,000 | 100,000 | 0,000 | 0,418 | 0,771 | 0,771 | 0,771 | 0,742 | 0,742 | 0,033 | |
| 7,500 | 52,662 | 99,137 | -8,663 | skid front(in) | ##### | 11,500 | 0,000 | 1,000 | 100,000 | 0,000 | 0,452 | 0,771 | 0,771 | 0,771 | 0,742 | 0,742 | 0,034 | |
| 8,000 | 51,585 | 99,137 | -8,662 | skid front(in) | ##### | 11,500 | 0,000 | 1,000 | 100,000 | 0,000 | 0,487 | 0,771 | 0,771 | 0,771 | 0,742 | 0,742 | 0,035 | |
| 8,500 | 50,486 | 99,137 | -8,660 | skid front(in) | ##### | 11,500 | 0,000 | 1,000 | 100,000 | 0,000 | 0,522 | 0,771 | 0,771 | 0,771 | 0,742 | 0,742 | 0,035 | |
| 9,000 | 49,362 | 99,137 | -8,659 | skid front(in) | ##### | 11,500 | 0,000 | 1,000 | 100,000 | 0,000 | 0,558 | 0,771 | 0,771 | 0,771 | 0,742 | 0,742 | 0,036 | |
| 9,500 | 48,212 | 99,138 | -8,657 | skid front(in) | ##### | 11,500 | 0,000 | 1,000 | 100,000 | 0,000 | 0,595 | 0,771 | 0,771 | 0,771 | 0,742 | 0,742 | 0,037 | |
| 10,000 | 47,034 | 99,138 | -8,656 | skid front(in) | ##### | 11,500 | 0,000 | 1,000 | 100,000 | 0,000 | 0,633 | 0,771 | 0,771 | 0,771 | 0,742 | 0,742 | 0,038 | |
| 10,500 | 45,826 | 99,138 | -8,654 | skid front(in) | ##### | 11,500 | 0,000 | 1,000 | 100,000 | 0,000 | 0,671 | 0,771 | 0,771 | 0,771 | 0,742 | 0,742 | 0,039 | |
| 11,000 | 44,585 | 99,138 | -8,653 | skid front(in) | ##### | 11,500 | 0,000 | 1,000 | 100,000 | 0,000 | 0,711 | 0,771 | 0,771 | 0,771 | 0,742 | 0,742 | 0,040 | |
| 11,500 | 43,310 | 99,138 | -8,651 | skid front(in) | ##### | 11,500 | 0,000 | 1,000 | 100,000 | 0,000 | 0,752 | 0,771 | 0,771 | 0,771 | 0,742 | 0,742 | 0,041 | |
| 12,000 | 41,996 | 99,138 | -8,650 | skid front(in) | ##### | 11,500 | 0,000 | 1,000 | 100,000 | 0,000 | 0,794 | 0,771 | 0,771 | 0,771 | 0,742 | 0,742 | 0,042 | |
| 12,500 | 40,639 | 99,138 | -8,648 | skid front(in) | ##### | 11,500 | 0,000 | 1,000 | 100,000 | 0,000 | 0,838 | 0,771 | 0,771 | 0,771 | 0,742 | 0,742 | 0,044 | |
| 13,000 | 39,236 | 99,138 | -8,647 | skid front(in) | ##### | 11,500 | 0,000 | 1,000 | 100,000 | 0,000 | 0,883 | 0,771 | 0,771 | 0,771 | 0,742 | 0,742 | 0,045 | |
| 13,500 | 37,781 | 99,138 | -8,645 | skid front(in) | ##### | 11,500 | 0,000 | 1,000 | 100,000 | 0,000 | 0,930 | 0,771 | 0,771 | 0,771 | 0,742 | 0,742 | 0,047 | |
| 14,000 | 36,268 | 99,138 | -8,644 | skid front(in) | ##### | 11,500 | 0,000 | 1,000 | 100,000 | 0,000 | 0,978 | 0,771 | 0,771 | 0,771 | 0,742 | 0,742 | 0,049 | |
| 14,500 | 34,689 | 99,139 | -8,642 | skid front(in) | ##### | 11,500 | 0,000 | 1,000 | 100,000 | 0,000 | 1,029 | 0,771 | 0,771 | 0,771 | 0,742 | 0,742 | 0,051 | |
| 15,000 | 33,036 | 99,139 | -8,641 | skid front(in) | ##### | 11,500 | 0,000 | 1,000 | 100,000 | 0,001 | 1,082 | 0,771 | 0,771 | 0,771 | 0,742 | 0,742 | 0,053 | |
| 15,500 | 31,295 | 99,138 | -8,639 | skid front(out) | ##### | 11,500 | 0,000 | 1,000 | 100,000 | -0,885 | 1,138 | 0,771 | 0,771 | 0,771 | 0,742 | 0,742 | 0,056 | |
| 16,000 | 29,452 | 99,119 | -8,635 | skid front(in) | ##### | 11,500 | 0,000 | 1,000 | 100,000 | -1,608 | 1,198 | 0,771 | 0,771 | 0,771 | 0,741 | 0,741 | 0,059 | |
| 16,500 | 27,486 | 99,163 | -8,637 | skid front(out) | ##### | 11,500 | 0,000 | 1,000 | 100,000 | -2,059 | 1,261 | 0,771 | 0,771 | 0,771 | 0,742 | 0,742 | 0,063 | |
| 17,000 | 25,369 | 99,142 | -8,634 | skid front(out) | ##### | 11,500 | 0,000 | 1,000 | 100,000 | -1,746 | 1,329 | 0,771 | 0,771 | 0,771 | 0,741 | 0,741 | 0,068 | |
| 17,500 | 23,058 | 99,168 | -8,633 | skid front(out) | ##### | 11,500 | 0,000 | 1,000 | 100,000 | -3,176 | 1,403 | 0,771 | 0,771 | 0,771 | 0,742 | 0,742 | 0,074 | |
| 18,000 | 20,489 | 99,141 | -8,631 | skid front(out) | ##### | 11,500 | 0,000 | 1,000 | 100,000 | -1,581 | 1,486 | 0,771 | 0,771 | 0,771 | 0,742 | 0,742 | 0,083 | |
| 18,500 | 17,548 | 99,118 | -8,627 | skid front(out) | ##### | 11,500 | 0,000 | 1,000 | 100,000 | -2,312 | 1,581 | 0,771 | 0,771 | 0,771 | 0,741 | 0,741 | 0,095 | |
| 18,900 | 14,781 | 99,096 | -8,626 | skid front(out) | ##### | 11,500 | 0,000 | 1,000 | 100,000 | -0,456 | 1,670 | 0,771 | 0,771 | 0,771 | 0,741 | 0,741 | 0,089 | |
| 19,500 | 9,183 | 99,169 | -8,626 | skid front(out) | ##### | 11,500 | 0,000 | 1,000 | 100,000 | -4,347 | 1,850 | 0,771 | 0,771 | 0,771 | 0,741 | 0,741 | 0,180 | |
| 19,900 | 2,445 | 99,116 | -8,624 | skid front(out) | ##### | 11,500 | 0,000 | 1,000 | 100,000 | -1,309 | 2,067 | 0,771 | 0,771 | 0,771 | 0,741 | 0,741 | 0,217 | |

Προσδιορισμός Τιμών Πρόσφυσης κατά την Πέδηση Οχημάτων Εφοδιασμένων με Σύστημα ABS σε Αυξημένες κατά Μήκος Κλίσεις

| | | | | | | | | | | | | | | | | | |
|--------|-------|--------|--------|-----------------|-------|---------|-------|-------|---------|--------|-------|-------|-------|-------|-------|-------|-------|
| 25,800 | 0,885 | 99,093 | -6,150 | skid front(out) | ##### | -11,500 | 0,000 | 1,000 | 100,000 | -3,262 | 2,849 | 0,749 | 0,749 | 0,749 | 0,719 | 0,719 | 0,220 |
|--------|-------|--------|--------|-----------------|-------|---------|-------|-------|---------|--------|-------|-------|-------|-------|-------|-------|-------|

| run_c_d_glif_11 | R(m) | br.front (%) | s(%) | e (%) | coeff | effic (%) | time (sec) | | | | | | | | | | |
|-----------------|-----------|--------------|--------|-----------------|-------|-----------|------------|-------|-----------|-----------|------------|-------|-----------|----------|----------|---------|-----------|
| s= 100,000 | ##### | 77,50 | -11,5 | 0,0 | 1,00 | 100 | 2,612 | | | | | | | | | | |
| step= 0,100 | viewstep= | 0,500 | STEPS | | | | | | | | | | | | | | |
| s (m) | V (km/h) | n (%) | dv/dt | skid check | R(m) | s(%) | e (%) | coeff | effic (%) | decelera | time (sec) | fT | front out | front in | rear out | rear in | checktime |
| 23,300 | 3,159 | 99,058 | -6,148 | skid front(out) | ##### | -11,500 | 0,000 | 1,000 | 100,000 | -2,547407 | 2,612 | 0,749 | 0,7487 | 0,7487 | 0,7185 | 0,7185 | |
| 0,000 | 61,160 | 99,078 | -6,203 | O.K | ##### | -11,500 | 0,000 | 1,000 | 100,000 | 0,000 | 0,000 | 0,749 | | | | | |
| 0,400 | 60,632 | 99,071 | -6,202 | skid front(in) | ##### | -11,500 | 0,000 | 1,000 | 100,000 | 0,000 | 0,024 | 0,749 | 0,749 | 0,749 | 0,719 | 0,719 | 0,024 |
| 1,000 | 59,831 | 99,072 | -6,201 | skid front(in) | ##### | -11,500 | 0,000 | 1,000 | 100,000 | 0,000 | 0,060 | 0,749 | 0,749 | 0,749 | 0,719 | 0,719 | 0,036 |
| 1,500 | 59,156 | 99,072 | -6,199 | skid front(in) | ##### | -11,500 | 0,000 | 1,000 | 100,000 | 0,000 | 0,090 | 0,749 | 0,749 | 0,749 | 0,719 | 0,719 | 0,030 |
| 2,000 | 58,473 | 99,072 | -6,198 | skid front(in) | ##### | -11,500 | 0,000 | 1,000 | 100,000 | 0,000 | 0,120 | 0,749 | 0,749 | 0,749 | 0,719 | 0,719 | 0,031 |
| 2,500 | 57,782 | 99,072 | -6,197 | skid front(in) | ##### | -11,500 | 0,000 | 1,000 | 100,000 | 0,000 | 0,151 | 0,749 | 0,749 | 0,749 | 0,719 | 0,719 | 0,031 |
| 3,000 | 57,083 | 99,072 | -6,196 | skid front(in) | ##### | -11,500 | 0,000 | 1,000 | 100,000 | 0,000 | 0,183 | 0,749 | 0,749 | 0,749 | 0,719 | 0,719 | 0,031 |
| 3,500 | 56,375 | 99,072 | -6,195 | skid front(in) | ##### | -11,500 | 0,000 | 1,000 | 100,000 | 0,000 | 0,214 | 0,749 | 0,749 | 0,749 | 0,719 | 0,719 | 0,032 |
| 4,000 | 55,659 | 99,072 | -6,194 | skid front(in) | ##### | -11,500 | 0,000 | 1,000 | 100,000 | 0,000 | 0,247 | 0,749 | 0,749 | 0,749 | 0,719 | 0,719 | 0,032 |
| 4,400 | 55,079 | 99,072 | -6,193 | skid front(in) | ##### | -11,500 | 0,000 | 1,000 | 100,000 | 0,000 | 0,273 | 0,749 | 0,749 | 0,749 | 0,719 | 0,719 | 0,026 |
| 5,000 | 54,198 | 99,072 | -6,192 | skid front(in) | ##### | -11,500 | 0,000 | 1,000 | 100,000 | 0,000 | 0,312 | 0,749 | 0,749 | 0,749 | 0,719 | 0,719 | 0,040 |
| 5,500 | 53,452 | 99,072 | -6,191 | skid front(in) | ##### | -11,500 | 0,000 | 1,000 | 100,000 | 0,000 | 0,346 | 0,749 | 0,749 | 0,749 | 0,719 | 0,719 | 0,033 |
| 6,000 | 52,696 | 99,072 | -6,190 | skid front(in) | ##### | -11,500 | 0,000 | 1,000 | 100,000 | 0,000 | 0,379 | 0,749 | 0,749 | 0,749 | 0,719 | 0,719 | 0,034 |
| 6,500 | 51,930 | 99,072 | -6,188 | skid front(in) | ##### | -11,500 | 0,000 | 1,000 | 100,000 | 0,000 | 0,414 | 0,749 | 0,749 | 0,749 | 0,719 | 0,719 | 0,034 |
| 7,000 | 51,152 | 99,072 | -6,187 | skid front(in) | ##### | -11,500 | 0,000 | 1,000 | 100,000 | 0,000 | 0,449 | 0,749 | 0,749 | 0,749 | 0,719 | 0,719 | 0,035 |
| 7,500 | 50,362 | 99,072 | -6,186 | skid front(in) | ##### | -11,500 | 0,000 | 1,000 | 100,000 | 0,000 | 0,484 | 0,749 | 0,749 | 0,749 | 0,719 | 0,719 | 0,035 |
| 8,000 | 49,560 | 99,073 | -6,185 | skid front(in) | ##### | -11,500 | 0,000 | 1,000 | 100,000 | 0,000 | 0,520 | 0,749 | 0,749 | 0,749 | 0,719 | 0,719 | 0,036 |
| 8,500 | 48,744 | 99,073 | -6,184 | skid front(in) | ##### | -11,500 | 0,000 | 1,000 | 100,000 | 0,000 | 0,557 | 0,749 | 0,749 | 0,749 | 0,719 | 0,719 | 0,037 |
| 9,000 | 47,915 | 99,073 | -6,183 | skid front(in) | ##### | -11,500 | 0,000 | 1,000 | 100,000 | 0,000 | 0,594 | 0,749 | 0,749 | 0,749 | 0,719 | 0,719 | 0,037 |
| 9,500 | 47,072 | 99,073 | -6,182 | skid front(in) | ##### | -11,500 | 0,000 | 1,000 | 100,000 | 0,000 | 0,632 | 0,749 | 0,749 | 0,749 | 0,719 | 0,719 | 0,038 |
| 10,000 | 46,213 | 99,073 | -6,181 | skid front(in) | ##### | -11,500 | 0,000 | 1,000 | 100,000 | 0,000 | 0,671 | 0,749 | 0,749 | 0,749 | 0,719 | 0,719 | 0,039 |
| 10,500 | 45,338 | 99,073 | -6,180 | skid front(in) | ##### | -11,500 | 0,000 | 1,000 | 100,000 | 0,000 | 0,710 | 0,749 | 0,749 | 0,749 | 0,719 | 0,719 | 0,039 |
| 11,000 | 44,446 | 99,073 | -6,179 | skid front(in) | ##### | -11,500 | 0,000 | 1,000 | 100,000 | 0,000 | 0,750 | 0,749 | 0,749 | 0,749 | 0,719 | 0,719 | 0,040 |
| 11,500 | 43,536 | 99,073 | -6,177 | skid front(in) | ##### | -11,500 | 0,000 | 1,000 | 100,000 | 0,000 | 0,791 | 0,749 | 0,749 | 0,749 | 0,719 | 0,719 | 0,041 |
| 12,000 | 42,607 | 99,073 | -6,176 | skid front(in) | ##### | -11,500 | 0,000 | 1,000 | 100,000 | 0,000 | 0,833 | 0,749 | 0,749 | 0,749 | 0,719 | 0,719 | 0,042 |
| 12,500 | 41,657 | 99,073 | -6,175 | skid front(in) | ##### | -11,500 | 0,000 | 1,000 | 100,000 | 0,000 | 0,875 | 0,749 | 0,749 | 0,749 | 0,719 | 0,719 | 0,043 |
| 13,000 | 40,685 | 99,073 | -6,174 | skid front(in) | ##### | -11,500 | 0,000 | 1,000 | 100,000 | 0,000 | 0,919 | 0,749 | 0,749 | 0,749 | 0,719 | 0,719 | 0,044 |
| 13,500 | 39,690 | 99,073 | -6,173 | skid front(in) | ##### | -11,500 | 0,000 | 1,000 | 100,000 | 0,000 | 0,964 | 0,749 | 0,749 | 0,749 | 0,719 | 0,719 | 0,045 |
| 14,000 | 38,669 | 99,073 | -6,172 | skid front(in) | ##### | -11,500 | 0,000 | 1,000 | 100,000 | 0,000 | 1,010 | 0,749 | 0,749 | 0,749 | 0,719 | 0,719 | 0,046 |
| 14,500 | 37,620 | 99,073 | -6,171 | skid front(in) | ##### | -11,500 | 0,000 | 1,000 | 100,000 | 0,000 | 1,057 | 0,749 | 0,749 | 0,749 | 0,719 | 0,719 | 0,047 |
| 15,000 | 36,542 | 99,073 | -6,170 | skid front(in) | ##### | -11,500 | 0,000 | 1,000 | 100,000 | 0,000 | 1,106 | 0,749 | 0,749 | 0,749 | 0,719 | 0,719 | 0,049 |
| 15,500 | 35,431 | 99,074 | -6,169 | skid front(in) | ##### | -11,500 | 0,000 | 1,000 | 100,000 | 0,000 | 1,156 | 0,749 | 0,749 | 0,749 | 0,719 | 0,719 | 0,050 |
| 16,000 | 34,285 | 99,074 | -6,168 | skid front(in) | ##### | -11,500 | 0,000 | 1,000 | 100,000 | 0,001 | 1,207 | 0,749 | 0,749 | 0,749 | 0,719 | 0,719 | 0,052 |
| 16,500 | 33,098 | 99,074 | -6,167 | skid front(in) | ##### | -11,500 | 0,000 | 1,000 | 100,000 | 0,000 | 1,261 | 0,749 | 0,749 | 0,749 | 0,719 | 0,719 | 0,053 |
| 17,000 | 31,868 | 99,058 | -6,163 | skid front(out) | ##### | -11,500 | 0,000 | 1,000 | 100,000 | -0,923 | 1,316 | 0,749 | 0,749 | 0,749 | 0,719 | 0,719 | 0,055 |
| 17,500 | 30,589 | 99,051 | -6,162 | skid front(out) | ##### | -11,500 | 0,000 | 1,000 | 100,000 | -0,765 | 1,374 | 0,749 | 0,749 | 0,749 | 0,719 | 0,719 | 0,058 |
| 18,000 | 29,255 | 99,076 | -6,162 | skid front(out) | ##### | -11,500 | 0,000 | 1,000 | 100,000 | -1,614 | 1,434 | 0,749 | 0,749 | 0,749 | 0,719 | 0,719 | 0,060 |
| 18,500 | 27,856 | 99,080 | -6,160 | skid front(out) | ##### | -11,500 | 0,000 | 1,000 | 100,000 | -2,459 | 1,497 | 0,749 | 0,749 | 0,749 | 0,719 | 0,719 | 0,063 |
| 18,900 | 26,685 | 99,087 | -6,161 | skid front(out) | ##### | -11,500 | 0,000 | 1,000 | 100,000 | -1,566 | 1,550 | 0,749 | 0,749 | 0,749 | 0,719 | 0,719 | 0,053 |
| 19,500 | 24,825 | 99,073 | -6,159 | skid front(out) | ##### | -11,500 | 0,000 | 1,000 | 100,000 | -1,159 | 1,634 | 0,749 | 0,749 | 0,749 | 0,719 | 0,719 | 0,084 |
| 20,000 | 23,162 | 99,062 | -6,155 | skid front(in) | ##### | -11,500 | 0,000 | 1,000 | 100,000 | -2,902 | 1,709 | 0,749 | 0,749 | 0,749 | 0,719 | 0,719 | 0,075 |
| 20,500 | 21,370 | 99,088 | -6,157 | skid front(out) | ##### | -11,500 | 0,000 | 1,000 | 100,000 | -1,927 | 1,790 | 0,749 | 0,749 | 0,749 | 0,719 | 0,719 | 0,081 |
| 21,000 | 19,413 | 99,042 | -6,153 | skid front(out) | ##### | -11,500 | 0,000 | 1,000 | 100,000 | -1,153 | 1,878 | 0,749 | 0,749 | 0,749 | 0,719 | 0,719 | 0,088 |
| 21,500 | 17,236 | 99,081 | -6,155 | skid front(out) | ##### | -11,500 | 0,000 | 1,000 | 100,000 | -1,199 | 1,976 | 0,749 | 0,749 | 0,749 | 0,719 | 0,719 | 0,098 |
| 22,000 | 14,742 | 99,066 | -6,151 | skid front(out) | ##### | -11,500 | 0,000 | 1,000 | 100,000 | -3,607 | 2,089 | 0,749 | 0,749 | 0,749 | 0,718 | 0,718 | 0,113 |

Προσδιορισμός Τιμών Πρόσφυσης κατά την Πέδηση Οχημάτων Εφοδιασμένων με Σύστημα ABS σε Αυξημένες κατά Μήκος Κλίσεις

| | | | | | | | | | | | | | | | | | |
|--------|--------|--------|--------|-----------------|-------|---------|-------|-------|---------|--------|-------|-------|-------|-------|-------|-------|-------|
| 22,500 | 11,729 | 99,069 | -6,152 | skid front(out) | ##### | -11,500 | 0,000 | 1,000 | 100,000 | -0,629 | 2,225 | 0,749 | 0,749 | 0,749 | 0,719 | 0,719 | 0,136 |
| 23,000 | 7,604 | 99,093 | -6,152 | skid front(out) | ##### | -11,500 | 0,000 | 1,000 | 100,000 | -1,906 | 2,411 | 0,749 | 0,749 | 0,749 | 0,719 | 0,719 | 0,186 |
| 23,300 | 3,159 | 99,058 | -6,148 | skid front(out) | ##### | -11,500 | 0,000 | 1,000 | 100,000 | -2,547 | 2,612 | 0,749 | 0,749 | 0,749 | 0,719 | 0,719 | 0,201 |

| run c d glif 12 | | R(m) | br.front (%) | s(%) | e (%) | coeff | effic (%) | | time (sec) | | | | | | | | | checktime |
|-----------------|----------|-----------|--------------|-----------------|-------|---------|-----------|-------|------------|-----------|------------|-------|-----------|----------|----------|---------|-----------|-----------|
| s= | 100,000 | ##### | 77,50 | -11,5 | 0,0 | 1,00 | 100 | | 2,749 | | | | | | | | | 0,963 |
| step= | 0,100 | viewstep= | 0,500 | STEPS | | | | | | | | | | | | | | |
| s (m) | V (km/h) | n (%) | dv/dt | skid check | R(m) | s(%) | e (%) | coeff | effic (%) | decelera | time (sec) | fT | front out | front in | rear out | rear in | checktime | |
| 24,600 | 1,737 | 99,043 | -6,147 | skid front(out) | ##### | -11,500 | 0,000 | 1,000 | 100,000 | -2,046459 | 2,749 | 0,749 | 0,7487 | 0,7487 | 0,7184 | 0,7184 | | |
| 0,000 | 62,790 | 99,078 | -6,206 | O.K | ##### | -11,500 | 0,000 | 1,000 | 100,000 | 0,000 | 0,000 | 0,749 | | | | | | |
| 0,400 | 62,276 | 99,071 | -6,205 | skid front(in) | ##### | -11,500 | 0,000 | 1,000 | 100,000 | 0,000 | 0,023 | 0,749 | 0,749 | 0,749 | 0,719 | 0,719 | 0,023 | |
| 1,000 | 61,496 | 99,071 | -6,203 | skid front(in) | ##### | -11,500 | 0,000 | 1,000 | 100,000 | 0,000 | 0,058 | 0,749 | 0,749 | 0,749 | 0,719 | 0,719 | 0,035 | |
| 1,500 | 60,839 | 99,071 | -6,202 | skid front(in) | ##### | -11,500 | 0,000 | 1,000 | 100,000 | 0,000 | 0,087 | 0,749 | 0,749 | 0,749 | 0,719 | 0,719 | 0,029 | |
| 2,000 | 60,175 | 99,072 | -6,201 | skid front(in) | ##### | -11,500 | 0,000 | 1,000 | 100,000 | 0,000 | 0,117 | 0,749 | 0,749 | 0,749 | 0,719 | 0,719 | 0,030 | |
| 2,500 | 59,503 | 99,072 | -6,200 | skid front(in) | ##### | -11,500 | 0,000 | 1,000 | 100,000 | 0,000 | 0,147 | 0,749 | 0,749 | 0,749 | 0,719 | 0,719 | 0,030 | |
| 3,000 | 58,824 | 99,072 | -6,199 | skid front(in) | ##### | -11,500 | 0,000 | 1,000 | 100,000 | 0,000 | 0,178 | 0,749 | 0,749 | 0,749 | 0,719 | 0,719 | 0,030 | |
| 3,500 | 58,137 | 99,072 | -6,198 | skid front(in) | ##### | -11,500 | 0,000 | 1,000 | 100,000 | 0,000 | 0,208 | 0,749 | 0,749 | 0,749 | 0,719 | 0,719 | 0,031 | |
| 4,000 | 57,443 | 99,072 | -6,197 | skid front(in) | ##### | -11,500 | 0,000 | 1,000 | 100,000 | 0,000 | 0,240 | 0,749 | 0,749 | 0,749 | 0,719 | 0,719 | 0,031 | |
| 4,400 | 56,881 | 99,072 | -6,196 | skid front(in) | ##### | -11,500 | 0,000 | 1,000 | 100,000 | 0,000 | 0,265 | 0,749 | 0,749 | 0,749 | 0,719 | 0,719 | 0,025 | |
| 5,000 | 56,027 | 99,072 | -6,195 | skid front(in) | ##### | -11,500 | 0,000 | 1,000 | 100,000 | 0,000 | 0,303 | 0,749 | 0,749 | 0,749 | 0,719 | 0,719 | 0,038 | |
| 5,500 | 55,306 | 99,072 | -6,193 | skid front(in) | ##### | -11,500 | 0,000 | 1,000 | 100,000 | 0,000 | 0,335 | 0,749 | 0,749 | 0,749 | 0,719 | 0,719 | 0,032 | |
| 6,000 | 54,576 | 99,072 | -6,192 | skid front(in) | ##### | -11,500 | 0,000 | 1,000 | 100,000 | 0,000 | 0,368 | 0,749 | 0,749 | 0,749 | 0,719 | 0,719 | 0,033 | |
| 6,500 | 53,836 | 99,072 | -6,191 | skid front(in) | ##### | -11,500 | 0,000 | 1,000 | 100,000 | 0,000 | 0,401 | 0,749 | 0,749 | 0,749 | 0,719 | 0,719 | 0,033 | |
| 7,000 | 53,085 | 99,072 | -6,190 | skid front(in) | ##### | -11,500 | 0,000 | 1,000 | 100,000 | 0,000 | 0,435 | 0,749 | 0,749 | 0,749 | 0,719 | 0,719 | 0,034 | |
| 7,500 | 52,324 | 99,072 | -6,189 | skid front(in) | ##### | -11,500 | 0,000 | 1,000 | 100,000 | 0,000 | 0,469 | 0,749 | 0,749 | 0,749 | 0,719 | 0,719 | 0,034 | |
| 8,000 | 51,552 | 99,072 | -6,188 | skid front(in) | ##### | -11,500 | 0,000 | 1,000 | 100,000 | 0,000 | 0,504 | 0,749 | 0,749 | 0,749 | 0,719 | 0,719 | 0,035 | |
| 8,500 | 50,769 | 99,072 | -6,187 | skid front(in) | ##### | -11,500 | 0,000 | 1,000 | 100,000 | 0,000 | 0,539 | 0,749 | 0,749 | 0,749 | 0,719 | 0,719 | 0,035 | |
| 9,000 | 49,973 | 99,073 | -6,186 | skid front(in) | ##### | -11,500 | 0,000 | 1,000 | 100,000 | 0,000 | 0,575 | 0,749 | 0,749 | 0,749 | 0,719 | 0,719 | 0,036 | |
| 9,500 | 49,164 | 99,073 | -6,185 | skid front(in) | ##### | -11,500 | 0,000 | 1,000 | 100,000 | 0,000 | 0,611 | 0,749 | 0,749 | 0,749 | 0,719 | 0,719 | 0,036 | |
| 10,000 | 48,342 | 99,073 | -6,184 | skid front(in) | ##### | -11,500 | 0,000 | 1,000 | 100,000 | 0,000 | 0,648 | 0,749 | 0,749 | 0,749 | 0,719 | 0,719 | 0,037 | |
| 10,500 | 47,506 | 99,073 | -6,182 | skid front(in) | ##### | -11,500 | 0,000 | 1,000 | 100,000 | 0,000 | 0,685 | 0,749 | 0,749 | 0,749 | 0,719 | 0,719 | 0,038 | |
| 11,000 | 46,655 | 99,073 | -6,181 | skid front(in) | ##### | -11,500 | 0,000 | 1,000 | 100,000 | 0,000 | 0,724 | 0,749 | 0,749 | 0,749 | 0,719 | 0,719 | 0,038 | |
| 11,500 | 45,789 | 99,073 | -6,180 | skid front(in) | ##### | -11,500 | 0,000 | 1,000 | 100,000 | 0,000 | 0,763 | 0,749 | 0,749 | 0,749 | 0,719 | 0,719 | 0,039 | |
| 12,000 | 44,906 | 99,073 | -6,179 | skid front(in) | ##### | -11,500 | 0,000 | 1,000 | 100,000 | 0,000 | 0,802 | 0,749 | 0,749 | 0,749 | 0,719 | 0,719 | 0,040 | |
| 12,500 | 44,005 | 99,073 | -6,178 | skid front(in) | ##### | -11,500 | 0,000 | 1,000 | 100,000 | 0,000 | 0,843 | 0,749 | 0,749 | 0,749 | 0,719 | 0,719 | 0,040 | |
| 13,000 | 43,086 | 99,073 | -6,177 | skid front(in) | ##### | -11,500 | 0,000 | 1,000 | 100,000 | 0,000 | 0,884 | 0,749 | 0,749 | 0,749 | 0,719 | 0,719 | 0,041 | |
| 13,500 | 42,147 | 99,073 | -6,176 | skid front(in) | ##### | -11,500 | 0,000 | 1,000 | 100,000 | 0,000 | 0,926 | 0,749 | 0,749 | 0,749 | 0,719 | 0,719 | 0,042 | |
| 14,000 | 41,186 | 99,073 | -6,175 | skid front(in) | ##### | -11,500 | 0,000 | 1,000 | 100,000 | 0,000 | 0,970 | 0,749 | 0,749 | 0,749 | 0,719 | 0,719 | 0,043 | |
| 14,500 | 40,203 | 99,073 | -6,174 | skid front(in) | ##### | -11,500 | 0,000 | 1,000 | 100,000 | 0,000 | 1,014 | 0,749 | 0,749 | 0,749 | 0,719 | 0,719 | 0,044 | |
| 15,000 | 39,196 | 99,073 | -6,173 | skid front(in) | ##### | -11,500 | 0,000 | 1,000 | 100,000 | 0,000 | 1,059 | 0,749 | 0,749 | 0,749 | 0,719 | 0,719 | 0,045 | |
| 15,500 | 38,161 | 99,073 | -6,171 | skid front(in) | ##### | -11,500 | 0,000 | 1,000 | 100,000 | 0,000 | 1,106 | 0,749 | 0,749 | 0,749 | 0,719 | 0,719 | 0,047 | |
| 16,000 | 37,099 | 99,073 | -6,170 | skid front(in) | ##### | -11,500 | 0,000 | 1,000 | 100,000 | 0,000 | 1,154 | 0,749 | 0,749 | 0,749 | 0,719 | 0,719 | 0,048 | |
| 16,500 | 36,005 | 99,074 | -6,169 | skid front(in) | ##### | -11,500 | 0,000 | 1,000 | 100,000 | 0,000 | 1,203 | 0,749 | 0,749 | 0,749 | 0,719 | 0,719 | 0,049 | |
| 17,000 | 34,877 | 99,074 | -6,168 | skid front(in) | ##### | -11,500 | 0,000 | 1,000 | 100,000 | 0,000 | 1,254 | 0,749 | 0,749 | 0,749 | 0,719 | 0,719 | 0,051 | |
| 17,500 | 33,712 | 99,074 | -6,167 | skid front(in) | ##### | -11,500 | 0,000 | 1,000 | 100,000 | 0,000 | 1,306 | 0,749 | 0,749 | 0,749 | 0,719 | 0,719 | 0,052 | |
| 18,000 | 32,505 | 99,074 | -6,166 | skid front(in) | ##### | -11,500 | 0,000 | 1,000 | 100,000 | 0,002 | 1,360 | 0,749 | 0,749 | 0,749 | 0,719 | 0,719 | 0,054 | |
| 18,500 | 31,252 | 99,057 | -6,163 | skid front(out) | ##### | -11,500 | 0,000 | 1,000 | 100,000 | -1,216 | 1,417 | 0,749 | 0,749 | 0,749 | 0,719 | 0,719 | 0,056 | |
| 18,900 | 30,212 | 99,070 | -6,163 | skid front(out) | ##### | -11,500 | 0,000 | 1,000 | 100,000 | -0,997 | 1,464 | 0,749 | 0,749 | 0,749 | 0,719 | 0,719 | 0,047 | |
| 19,500 | 28,581 | 99,087 | -6,162 | skid front(out) | ##### | -11,500 | 0,000 | 1,000 | 100,000 | -1,446 | 1,537 | 0,749 | 0,749 | 0,749 | 0,719 | 0,719 | 0,073 | |

Προσδιορισμός Τιμών Πρόσφυσης κατά την Πέδηση Οχημάτων Εφοδιασμένων με Σύστημα ABS σε Αυξημένες κατά Μήκος Κλίσεις

| | | | | | | | | | | | | | | | | | |
|--------|--------|--------|--------|-----------------|-------|---------|-------|-------|---------|--------|-------|-------|-------|-------|-------|-------|-------|
| 20,000 | 27,148 | 99,068 | -6,160 | skid front(out) | ##### | -11,500 | 0,000 | 1,000 | 100,000 | -1,364 | 1,602 | 0,749 | 0,749 | 0,749 | 0,719 | 0,719 | 0,065 |
| 20,500 | 25,636 | 99,082 | -6,159 | skid front(out) | ##### | -11,500 | 0,000 | 1,000 | 100,000 | -2,391 | 1,670 | 0,749 | 0,749 | 0,749 | 0,719 | 0,719 | 0,068 |
| 21,000 | 24,029 | 99,052 | -6,156 | skid front(out) | ##### | -11,500 | 0,000 | 1,000 | 100,000 | -1,675 | 1,743 | 0,749 | 0,749 | 0,749 | 0,719 | 0,719 | 0,073 |
| 21,500 | 22,306 | 99,056 | -6,155 | skid front(out) | ##### | -11,500 | 0,000 | 1,000 | 100,000 | -2,032 | 1,820 | 0,749 | 0,749 | 0,749 | 0,719 | 0,719 | 0,078 |
| 22,000 | 20,439 | 99,078 | -6,156 | skid front(out) | ##### | -11,500 | 0,000 | 1,000 | 100,000 | -1,858 | 1,904 | 0,749 | 0,749 | 0,749 | 0,719 | 0,719 | 0,084 |
| 22,500 | 18,384 | 99,072 | -6,155 | skid front(out) | ##### | -11,500 | 0,000 | 1,000 | 100,000 | -1,514 | 1,997 | 0,749 | 0,749 | 0,749 | 0,719 | 0,719 | 0,093 |
| 23,000 | 16,068 | 99,033 | -6,151 | skid front(out) | ##### | -11,500 | 0,000 | 1,000 | 100,000 | -0,877 | 2,102 | 0,749 | 0,749 | 0,749 | 0,718 | 0,718 | 0,105 |
| 23,500 | 13,358 | 99,113 | -6,154 | skid front(out) | ##### | -11,500 | 0,000 | 1,000 | 100,000 | -3,402 | 2,224 | 0,749 | 0,749 | 0,749 | 0,719 | 0,719 | 0,122 |
| 24,000 | 9,935 | 99,056 | -6,150 | skid front(out) | ##### | -11,500 | 0,000 | 1,000 | 100,000 | -1,878 | 2,379 | 0,749 | 0,749 | 0,749 | 0,719 | 0,719 | 0,155 |
| 24,500 | 4,357 | 99,041 | -6,148 | skid front(out) | ##### | -11,500 | 0,000 | 1,000 | 100,000 | -1,822 | 2,630 | 0,749 | 0,749 | 0,749 | 0,718 | 0,718 | 0,252 |
| 24,600 | 1,737 | 99,043 | -6,147 | skid front(out) | ##### | -11,500 | 0,000 | 1,000 | 100,000 | -2,046 | 2,749 | 0,749 | 0,749 | 0,749 | 0,718 | 0,718 | 0,118 |

| run_c_d_glif_13 | | R(m) | br.front (%) | s(%) | e (%) | coeff | effic (%) | time (sec) | | | | | | | | | |
|-----------------|----------|-----------|--------------|-----------------|-------|---------|-----------|------------|-----------|-----------|------------|-------|-----------|----------|----------|---------|-----------|
| s= | 100,000 | ##### | 77,50 | -11,5 | 0,0 | 1,00 | 100 | 2,562 | | | | | | | | | |
| step= | 0,100 | viewstep= | 0,500 | STEPS | | | | | | | | | 0,963 | | | | |
| s (m) | V (km/h) | n (%) | dv/dt | skid check | R(m) | s(%) | e (%) | coeff | effic (%) | decelera | time (sec) | fT | front out | front in | rear out | rear in | checktime |
| 21,500 | 1,805 | 99,115 | -6,151 | skid front(out) | ##### | -11,500 | 0,000 | 1,000 | 100,000 | -3,995459 | 2,562 | 0,749 | 0,7490 | 0,7490 | 0,7191 | 0,7191 | |
| 0,000 | 58,690 | 99,078 | -6,199 | O.K | ##### | -11,500 | 0,000 | 1,000 | 100,000 | 0,000 | 0,000 | 0,749 | | | | | |
| 0,400 | 58,140 | 99,072 | -6,198 | skid front(in) | ##### | -11,500 | 0,000 | 1,000 | 100,000 | 0,000 | 0,025 | 0,749 | 0,749 | 0,749 | 0,719 | 0,719 | 0,025 |
| 1,000 | 57,305 | 99,072 | -6,196 | skid front(in) | ##### | -11,500 | 0,000 | 1,000 | 100,000 | 0,000 | 0,062 | 0,749 | 0,749 | 0,749 | 0,719 | 0,719 | 0,037 |
| 1,500 | 56,600 | 99,072 | -6,195 | skid front(in) | ##### | -11,500 | 0,000 | 1,000 | 100,000 | 0,000 | 0,094 | 0,749 | 0,749 | 0,749 | 0,719 | 0,719 | 0,032 |
| 2,000 | 55,886 | 99,072 | -6,194 | skid front(in) | ##### | -11,500 | 0,000 | 1,000 | 100,000 | 0,000 | 0,126 | 0,749 | 0,749 | 0,749 | 0,719 | 0,719 | 0,032 |
| 2,500 | 55,164 | 99,072 | -6,193 | skid front(in) | ##### | -11,500 | 0,000 | 1,000 | 100,000 | 0,000 | 0,158 | 0,749 | 0,749 | 0,749 | 0,719 | 0,719 | 0,032 |
| 3,000 | 54,431 | 99,072 | -6,192 | skid front(in) | ##### | -11,500 | 0,000 | 1,000 | 100,000 | 0,000 | 0,191 | 0,749 | 0,749 | 0,749 | 0,719 | 0,719 | 0,033 |
| 3,500 | 53,689 | 99,072 | -6,191 | skid front(in) | ##### | -11,500 | 0,000 | 1,000 | 100,000 | 0,000 | 0,224 | 0,749 | 0,749 | 0,749 | 0,719 | 0,719 | 0,033 |
| 4,000 | 52,937 | 99,072 | -6,190 | skid front(in) | ##### | -11,500 | 0,000 | 1,000 | 100,000 | 0,000 | 0,258 | 0,749 | 0,749 | 0,749 | 0,719 | 0,719 | 0,034 |
| 4,400 | 52,327 | 99,072 | -6,189 | skid front(in) | ##### | -11,500 | 0,000 | 1,000 | 100,000 | 0,000 | 0,285 | 0,749 | 0,749 | 0,749 | 0,719 | 0,719 | 0,027 |
| 5,000 | 51,399 | 99,072 | -6,188 | skid front(in) | ##### | -11,500 | 0,000 | 1,000 | 100,000 | 0,000 | 0,327 | 0,749 | 0,749 | 0,749 | 0,719 | 0,719 | 0,042 |
| 5,500 | 50,613 | 99,072 | -6,187 | skid front(in) | ##### | -11,500 | 0,000 | 1,000 | 100,000 | 0,000 | 0,362 | 0,749 | 0,749 | 0,749 | 0,719 | 0,719 | 0,035 |
| 6,000 | 49,815 | 99,072 | -6,186 | skid front(in) | ##### | -11,500 | 0,000 | 1,000 | 100,000 | 0,000 | 0,398 | 0,749 | 0,749 | 0,749 | 0,719 | 0,719 | 0,036 |
| 6,500 | 49,004 | 99,073 | -6,184 | skid front(in) | ##### | -11,500 | 0,000 | 1,000 | 100,000 | 0,000 | 0,435 | 0,749 | 0,749 | 0,749 | 0,719 | 0,719 | 0,036 |
| 7,000 | 48,179 | 99,073 | -6,183 | skid front(in) | ##### | -11,500 | 0,000 | 1,000 | 100,000 | 0,000 | 0,472 | 0,749 | 0,749 | 0,749 | 0,719 | 0,719 | 0,037 |
| 7,500 | 47,340 | 99,073 | -6,182 | skid front(in) | ##### | -11,500 | 0,000 | 1,000 | 100,000 | 0,000 | 0,509 | 0,749 | 0,749 | 0,749 | 0,719 | 0,719 | 0,038 |
| 8,000 | 46,486 | 99,073 | -6,181 | skid front(in) | ##### | -11,500 | 0,000 | 1,000 | 100,000 | 0,000 | 0,548 | 0,749 | 0,749 | 0,749 | 0,719 | 0,719 | 0,038 |
| 8,500 | 45,617 | 99,073 | -6,180 | skid front(in) | ##### | -11,500 | 0,000 | 1,000 | 100,000 | 0,000 | 0,587 | 0,749 | 0,749 | 0,749 | 0,719 | 0,719 | 0,039 |
| 9,000 | 44,730 | 99,073 | -6,179 | skid front(in) | ##### | -11,500 | 0,000 | 1,000 | 100,000 | 0,000 | 0,627 | 0,749 | 0,749 | 0,749 | 0,719 | 0,719 | 0,040 |
| 9,500 | 43,826 | 99,073 | -6,178 | skid front(in) | ##### | -11,500 | 0,000 | 1,000 | 100,000 | 0,000 | 0,667 | 0,749 | 0,749 | 0,749 | 0,719 | 0,719 | 0,041 |
| 10,000 | 42,903 | 99,073 | -6,177 | skid front(in) | ##### | -11,500 | 0,000 | 1,000 | 100,000 | 0,000 | 0,709 | 0,749 | 0,749 | 0,749 | 0,719 | 0,719 | 0,042 |
| 10,500 | 41,960 | 99,073 | -6,176 | skid front(in) | ##### | -11,500 | 0,000 | 1,000 | 100,000 | 0,000 | 0,751 | 0,749 | 0,749 | 0,749 | 0,719 | 0,719 | 0,042 |
| 11,000 | 40,995 | 99,073 | -6,175 | skid front(in) | ##### | -11,500 | 0,000 | 1,000 | 100,000 | 0,000 | 0,795 | 0,749 | 0,749 | 0,749 | 0,719 | 0,719 | 0,043 |
| 11,500 | 40,007 | 99,073 | -6,173 | skid front(in) | ##### | -11,500 | 0,000 | 1,000 | 100,000 | 0,000 | 0,839 | 0,749 | 0,749 | 0,749 | 0,719 | 0,719 | 0,044 |
| 12,000 | 38,995 | 99,073 | -6,172 | skid front(in) | ##### | -11,500 | 0,000 | 1,000 | 100,000 | 0,000 | 0,885 | 0,749 | 0,749 | 0,749 | 0,719 | 0,719 | 0,046 |
| 12,500 | 37,955 | 99,073 | -6,171 | skid front(in) | ##### | -11,500 | 0,000 | 1,000 | 100,000 | 0,000 | 0,931 | 0,749 | 0,749 | 0,749 | 0,719 | 0,719 | 0,047 |
| 13,000 | 36,886 | 99,073 | -6,170 | skid front(in) | ##### | -11,500 | 0,000 | 1,000 | 100,000 | 0,001 | 0,979 | 0,749 | 0,749 | 0,749 | 0,719 | 0,719 | 0,048 |
| 13,500 | 35,786 | 99,074 | -6,169 | skid front(in) | ##### | -11,500 | 0,000 | 1,000 | 100,000 | 0,000 | 1,029 | 0,749 | 0,749 | 0,749 | 0,719 | 0,719 | 0,050 |
| 14,000 | 34,651 | 99,074 | -6,168 | skid front(in) | ##### | -11,500 | 0,000 | 1,000 | 100,000 | 0,000 | 1,080 | 0,749 | 0,749 | 0,749 | 0,719 | 0,719 | 0,051 |
| 14,500 | 33,478 | 99,074 | -6,167 | skid front(in) | ##### | -11,500 | 0,000 | 1,000 | 100,000 | 0,000 | 1,133 | 0,749 | 0,749 | 0,749 | 0,719 | 0,719 | 0,053 |
| 15,000 | 32,262 | 99,074 | -6,166 | skid front(in) | ##### | -11,500 | 0,000 | 1,000 | 100,000 | 0,002 | 1,188 | 0,749 | 0,749 | 0,749 | 0,719 | 0,719 | 0,055 |
| 15,500 | 30,999 | 99,077 | -6,164 | skid front(out) | ##### | -11,500 | 0,000 | 1,000 | 100,000 | -1,319 | 1,245 | 0,749 | 0,749 | 0,749 | 0,719 | 0,719 | 0,057 |

Προσδιορισμός Τιμών Πρόσφυσης κατά την Πέδηση Οχημάτων Εφοδιασμένων με Σύστημα ABS σε Αυξημένες κατά Μήκος Κλίσεις

| | | | | | | | | | | | | | | | | | |
|--------|--------|--------|--------|-----------------|-------|---------|-------|-------|---------|--------|-------|-------|-------|-------|-------|-------|-------|
| 16,000 | 29,683 | 99,094 | -6,163 | skid front(out) | ##### | -11,500 | 0,000 | 1,000 | 100,000 | -1,810 | 1,304 | 0,749 | 0,749 | 0,749 | 0,719 | 0,719 | 0,059 |
| 16,500 | 28,306 | 99,090 | -6,162 | skid front(out) | ##### | -11,500 | 0,000 | 1,000 | 100,000 | -2,288 | 1,366 | 0,749 | 0,749 | 0,749 | 0,719 | 0,719 | 0,062 |
| 17,000 | 26,858 | 99,100 | -6,161 | skid front(out) | ##### | -11,500 | 0,000 | 1,000 | 100,000 | -2,172 | 1,431 | 0,749 | 0,749 | 0,749 | 0,719 | 0,719 | 0,065 |
| 17,500 | 25,328 | 99,087 | -6,160 | skid front(out) | ##### | -11,500 | 0,000 | 1,000 | 100,000 | -1,998 | 1,500 | 0,749 | 0,749 | 0,749 | 0,719 | 0,719 | 0,069 |
| 18,000 | 23,700 | 99,088 | -6,159 | skid front(out) | ##### | -11,500 | 0,000 | 1,000 | 100,000 | -1,180 | 1,574 | 0,749 | 0,749 | 0,749 | 0,719 | 0,719 | 0,073 |
| 18,500 | 21,951 | 99,084 | -6,157 | skid front(out) | ##### | -11,500 | 0,000 | 1,000 | 100,000 | -1,981 | 1,653 | 0,749 | 0,749 | 0,749 | 0,719 | 0,719 | 0,079 |
| 18,900 | 20,445 | 99,066 | -6,155 | skid front(out) | ##### | -11,500 | 0,000 | 1,000 | 100,000 | -1,863 | 1,721 | 0,749 | 0,749 | 0,749 | 0,719 | 0,719 | 0,068 |
| 19,500 | 17,952 | 99,079 | -6,154 | skid front(out) | ##### | -11,500 | 0,000 | 1,000 | 100,000 | -2,304 | 1,833 | 0,749 | 0,749 | 0,749 | 0,719 | 0,719 | 0,113 |
| 20,000 | 15,573 | 99,078 | -6,154 | skid front(out) | ##### | -11,500 | 0,000 | 1,000 | 100,000 | -1,700 | 1,940 | 0,749 | 0,749 | 0,749 | 0,719 | 0,719 | 0,107 |
| 20,500 | 12,757 | 99,071 | -6,151 | skid front(out) | ##### | -11,500 | 0,000 | 1,000 | 100,000 | -3,133 | 2,067 | 0,749 | 0,749 | 0,749 | 0,719 | 0,719 | 0,127 |
| 21,000 | 9,111 | 99,081 | -6,150 | skid front(out) | ##### | -11,500 | 0,000 | 1,000 | 100,000 | -3,935 | 2,232 | 0,749 | 0,749 | 0,749 | 0,719 | 0,719 | 0,165 |
| 21,500 | 1,805 | 99,115 | -6,151 | skid front(out) | ##### | -11,500 | 0,000 | 1,000 | 100,000 | -3,995 | 2,562 | 0,749 | 0,749 | 0,749 | 0,719 | 0,719 | 0,330 |

| run c d glif 16 | | R(m) | br.front (%) | s(%) | e (%) | coeff | effic (%) | | | time (sec) | | | | | | | |
|-----------------|----------|-----------|--------------|-----------------|-------|---------|-----------|-------|-----------|------------|------------|-------|-----------|----------|----------|---------|-----------|
| s= | 100,000 | ##### | 77,50 | -11,5 | 0,0 | 1,00 | 100 | | | 2,550 | | | | | | | 0,963 |
| step= | 0,100 | viewstep= | 0,500 | STEPS | | | | | | | | | | | | | |
| s (m) | V (km/h) | n (%) | dv/dt | skid check | R(m) | s(%) | e (%) | coeff | effic (%) | decelera | time (sec) | fT | front out | front in | rear out | rear in | checktime |
| 22,100 | 2,923 | 99,106 | -6,151 | skid front(out) | ##### | -11,500 | 0,000 | 1,000 | 100,000 | -3,124517 | 2,550 | 0,749 | 0,7490 | 0,7490 | 0,7191 | 0,7191 | |
| 0,000 | 59,550 | 99,078 | -6,201 | O.K | ##### | -11,500 | 0,000 | 1,000 | 100,000 | 0,000 | 0,000 | 0,749 | | | | | |
| 0,400 | 59,008 | 99,072 | -6,199 | skid front(in) | ##### | -11,500 | 0,000 | 1,000 | 100,000 | 0,000 | 0,024 | 0,749 | 0,749 | 0,749 | 0,719 | 0,719 | 0,024 |
| 1,000 | 58,185 | 99,072 | -6,198 | skid front(in) | ##### | -11,500 | 0,000 | 1,000 | 100,000 | 0,000 | 0,061 | 0,749 | 0,749 | 0,749 | 0,719 | 0,719 | 0,037 |
| 1,500 | 57,491 | 99,072 | -6,197 | skid front(in) | ##### | -11,500 | 0,000 | 1,000 | 100,000 | 0,000 | 0,092 | 0,749 | 0,749 | 0,749 | 0,719 | 0,719 | 0,031 |
| 2,000 | 56,788 | 99,072 | -6,196 | skid front(in) | ##### | -11,500 | 0,000 | 1,000 | 100,000 | 0,000 | 0,124 | 0,749 | 0,749 | 0,749 | 0,719 | 0,719 | 0,032 |
| 2,500 | 56,077 | 99,072 | -6,195 | skid front(in) | ##### | -11,500 | 0,000 | 1,000 | 100,000 | 0,000 | 0,156 | 0,749 | 0,749 | 0,749 | 0,719 | 0,719 | 0,032 |
| 3,000 | 55,356 | 99,072 | -6,193 | skid front(in) | ##### | -11,500 | 0,000 | 1,000 | 100,000 | 0,000 | 0,188 | 0,749 | 0,749 | 0,749 | 0,719 | 0,719 | 0,032 |
| 3,500 | 54,627 | 99,072 | -6,192 | skid front(in) | ##### | -11,500 | 0,000 | 1,000 | 100,000 | 0,000 | 0,221 | 0,749 | 0,749 | 0,749 | 0,719 | 0,719 | 0,033 |
| 4,000 | 53,887 | 99,072 | -6,191 | skid front(in) | ##### | -11,500 | 0,000 | 1,000 | 100,000 | 0,000 | 0,254 | 0,749 | 0,749 | 0,749 | 0,719 | 0,719 | 0,033 |
| 4,400 | 53,288 | 99,072 | -6,190 | skid front(in) | ##### | -11,500 | 0,000 | 1,000 | 100,000 | 0,000 | 0,281 | 0,749 | 0,749 | 0,749 | 0,719 | 0,719 | 0,027 |
| 5,000 | 52,377 | 99,072 | -6,189 | skid front(in) | ##### | -11,500 | 0,000 | 1,000 | 100,000 | 0,000 | 0,322 | 0,749 | 0,749 | 0,749 | 0,719 | 0,719 | 0,041 |
| 5,500 | 51,606 | 99,072 | -6,188 | skid front(in) | ##### | -11,500 | 0,000 | 1,000 | 100,000 | 0,000 | 0,356 | 0,749 | 0,749 | 0,749 | 0,719 | 0,719 | 0,035 |
| 6,000 | 50,823 | 99,072 | -6,187 | skid front(in) | ##### | -11,500 | 0,000 | 1,000 | 100,000 | 0,000 | 0,391 | 0,749 | 0,749 | 0,749 | 0,719 | 0,719 | 0,035 |
| 6,500 | 50,028 | 99,072 | -6,186 | skid front(in) | ##### | -11,500 | 0,000 | 1,000 | 100,000 | 0,000 | 0,427 | 0,749 | 0,749 | 0,749 | 0,719 | 0,719 | 0,036 |
| 7,000 | 49,220 | 99,073 | -6,185 | skid front(in) | ##### | -11,500 | 0,000 | 1,000 | 100,000 | 0,000 | 0,463 | 0,749 | 0,749 | 0,749 | 0,719 | 0,719 | 0,036 |
| 7,500 | 48,399 | 99,073 | -6,184 | skid front(in) | ##### | -11,500 | 0,000 | 1,000 | 100,000 | 0,000 | 0,500 | 0,749 | 0,749 | 0,749 | 0,719 | 0,719 | 0,037 |
| 8,000 | 47,564 | 99,073 | -6,183 | skid front(in) | ##### | -11,500 | 0,000 | 1,000 | 100,000 | 0,000 | 0,538 | 0,749 | 0,749 | 0,749 | 0,719 | 0,719 | 0,038 |
| 8,500 | 46,715 | 99,073 | -6,181 | skid front(in) | ##### | -11,500 | 0,000 | 1,000 | 100,000 | 0,000 | 0,576 | 0,749 | 0,749 | 0,749 | 0,719 | 0,719 | 0,038 |
| 9,000 | 45,849 | 99,073 | -6,180 | skid front(in) | ##### | -11,500 | 0,000 | 1,000 | 100,000 | 0,000 | 0,615 | 0,749 | 0,749 | 0,749 | 0,719 | 0,719 | 0,039 |
| 9,500 | 44,967 | 99,073 | -6,179 | skid front(in) | ##### | -11,500 | 0,000 | 1,000 | 100,000 | 0,000 | 0,654 | 0,749 | 0,749 | 0,749 | 0,719 | 0,719 | 0,040 |
| 10,000 | 44,068 | 99,073 | -6,178 | skid front(in) | ##### | -11,500 | 0,000 | 1,000 | 100,000 | 0,000 | 0,695 | 0,749 | 0,749 | 0,749 | 0,719 | 0,719 | 0,040 |
| 10,500 | 43,150 | 99,073 | -6,177 | skid front(in) | ##### | -11,500 | 0,000 | 1,000 | 100,000 | 0,000 | 0,736 | 0,749 | 0,749 | 0,749 | 0,719 | 0,719 | 0,041 |
| 11,000 | 42,212 | 99,073 | -6,176 | skid front(in) | ##### | -11,500 | 0,000 | 1,000 | 100,000 | 0,000 | 0,778 | 0,749 | 0,749 | 0,749 | 0,719 | 0,719 | 0,042 |
| 11,500 | 41,253 | 99,073 | -6,175 | skid front(in) | ##### | -11,500 | 0,000 | 1,000 | 100,000 | 0,000 | 0,822 | 0,749 | 0,749 | 0,749 | 0,719 | 0,719 | 0,043 |
| 12,000 | 40,272 | 99,073 | -6,174 | skid front(in) | ##### | -11,500 | 0,000 | 1,000 | 100,000 | 0,000 | 0,866 | 0,749 | 0,749 | 0,749 | 0,719 | 0,719 | 0,044 |
| 12,500 | 39,266 | 99,073 | -6,173 | skid front(in) | ##### | -11,500 | 0,000 | 1,000 | 100,000 | 0,000 | 0,911 | 0,749 | 0,749 | 0,749 | 0,719 | 0,719 | 0,045 |
| 13,000 | 38,234 | 99,073 | -6,172 | skid front(in) | ##### | -11,500 | 0,000 | 1,000 | 100,000 | 0,000 | 0,957 | 0,749 | 0,749 | 0,749 | 0,719 | 0,719 | 0,046 |

Προσδιορισμός Τιμών Πρόσφυσης κατά την Πέδηση Οχημάτων Εφοδιασμένων με Σύστημα ABS σε Αυξημένες κατά Μήκος Κλίσεις

| | | | | | | | | | | | | | | | | | |
|--------|--------|--------|--------|-----------------|-------|---------|-------|-------|---------|--------|-------|-------|-------|-------|-------|-------|-------|
| 13,500 | 37,173 | 99,073 | -6,170 | skid front(in) | ##### | -11,500 | 0,000 | 1,000 | 100,000 | 0,000 | 1,005 | 0,749 | 0,749 | 0,749 | 0,719 | 0,719 | 0,048 |
| 14,000 | 36,082 | 99,074 | -6,169 | skid front(in) | ##### | -11,500 | 0,000 | 1,000 | 100,000 | 0,000 | 1,054 | 0,749 | 0,749 | 0,749 | 0,719 | 0,719 | 0,049 |
| 14,500 | 34,956 | 99,074 | -6,168 | skid front(in) | ##### | -11,500 | 0,000 | 1,000 | 100,000 | 0,000 | 1,105 | 0,749 | 0,749 | 0,749 | 0,719 | 0,719 | 0,051 |
| 15,000 | 33,794 | 99,074 | -6,167 | skid front(in) | ##### | -11,500 | 0,000 | 1,000 | 100,000 | 0,000 | 1,157 | 0,749 | 0,749 | 0,749 | 0,719 | 0,719 | 0,052 |
| 15,500 | 32,590 | 99,074 | -6,166 | skid front(in) | ##### | -11,500 | 0,000 | 1,000 | 100,000 | 0,001 | 1,212 | 0,749 | 0,749 | 0,749 | 0,719 | 0,719 | 0,054 |
| 16,000 | 31,340 | 99,105 | -6,165 | skid front(out) | ##### | -11,500 | 0,000 | 1,000 | 100,000 | -2,894 | 1,268 | 0,749 | 0,749 | 0,749 | 0,719 | 0,719 | 0,056 |
| 16,500 | 30,038 | 99,066 | -6,162 | skid front(out) | ##### | -11,500 | 0,000 | 1,000 | 100,000 | -1,878 | 1,326 | 0,749 | 0,749 | 0,749 | 0,719 | 0,719 | 0,059 |
| 17,000 | 28,678 | 99,060 | -6,160 | skid front(out) | ##### | -11,500 | 0,000 | 1,000 | 100,000 | -1,993 | 1,388 | 0,749 | 0,749 | 0,749 | 0,719 | 0,719 | 0,061 |
| 17,500 | 27,250 | 99,068 | -6,160 | skid front(out) | ##### | -11,500 | 0,000 | 1,000 | 100,000 | -1,538 | 1,452 | 0,749 | 0,749 | 0,749 | 0,719 | 0,719 | 0,064 |
| 18,000 | 25,744 | 99,052 | -6,158 | skid front(out) | ##### | -11,500 | 0,000 | 1,000 | 100,000 | -0,918 | 1,520 | 0,749 | 0,749 | 0,749 | 0,719 | 0,719 | 0,068 |
| 18,500 | 24,144 | 99,071 | -6,158 | skid front(out) | ##### | -11,500 | 0,000 | 1,000 | 100,000 | -1,409 | 1,592 | 0,749 | 0,749 | 0,749 | 0,719 | 0,719 | 0,072 |
| 18,900 | 22,783 | 99,078 | -6,158 | skid front(out) | ##### | -11,500 | 0,000 | 1,000 | 100,000 | -1,426 | 1,654 | 0,749 | 0,749 | 0,749 | 0,719 | 0,719 | 0,061 |
| 19,500 | 20,574 | 99,074 | -6,156 | skid front(out) | ##### | -11,500 | 0,000 | 1,000 | 100,000 | -1,590 | 1,753 | 0,749 | 0,749 | 0,749 | 0,719 | 0,719 | 0,100 |
| 20,000 | 18,534 | 99,055 | -6,154 | skid front(out) | ##### | -11,500 | 0,000 | 1,000 | 100,000 | -1,249 | 1,845 | 0,749 | 0,749 | 0,749 | 0,719 | 0,719 | 0,092 |
| 20,500 | 16,240 | 99,077 | -6,153 | skid front(out) | ##### | -11,500 | 0,000 | 1,000 | 100,000 | -2,237 | 1,949 | 0,749 | 0,749 | 0,749 | 0,719 | 0,719 | 0,104 |
| 21,000 | 13,564 | 99,067 | -6,151 | skid front(out) | ##### | -11,500 | 0,000 | 1,000 | 100,000 | -3,054 | 2,070 | 0,749 | 0,749 | 0,749 | 0,719 | 0,719 | 0,121 |
| 21,500 | 10,210 | 99,075 | -6,150 | skid front(out) | ##### | -11,500 | 0,000 | 1,000 | 100,000 | -3,312 | 2,221 | 0,749 | 0,749 | 0,749 | 0,719 | 0,719 | 0,151 |
| 22,000 | 4,950 | 99,106 | -6,152 | skid front(out) | ##### | -11,500 | 0,000 | 1,000 | 100,000 | -2,845 | 2,459 | 0,749 | 0,749 | 0,749 | 0,719 | 0,719 | 0,238 |
| 22,100 | 2,923 | 99,106 | -6,151 | skid front(out) | ##### | -11,500 | 0,000 | 1,000 | 100,000 | -3,125 | 2,550 | 0,749 | 0,749 | 0,749 | 0,719 | 0,719 | 0,092 |

| run c d glif 17 | | R(m) | br.front (%) | s(%) | e (%) | coeff | effic (%) | | | time (sec) | | | | | | | |
|-----------------|----------|-----------|--------------|-----------------|-------|---------|-----------|-------|-----------|------------|------------|-------|-----------|----------|----------|---------|-----------|
| s= | 100,000 | ##### | 77,50 | -11,5 | 0,0 | 1,00 | 100 | | | 2,987 | | | | | | | 0,963 |
| step= | 0,100 | viewstep= | 0,500 | STEPS | | | | | | | | | | | | | |
| s (m) | V (km/h) | n (%) | dv/dt | skid check | R(m) | s(%) | e (%) | coeff | effic (%) | decelera | time (sec) | fT | front out | front in | rear out | rear in | checktime |
| 29,000 | 1,816 | 99,112 | -6,151 | skid front(out) | ##### | -11,500 | 0,000 | 1,000 | 100,000 | -4,002343 | 2,987 | 0,749 | 0,7489 | 0,7489 | 0,7190 | 0,7190 | |
| 0,000 | 68,200 | 99,079 | -6,216 | O.K | ##### | -11,500 | 0,000 | 1,000 | 100,000 | 0,000 | 0,000 | 0,749 | | | | | |
| 0,400 | 67,726 | 99,071 | -6,214 | skid front(in) | ##### | -11,500 | 0,000 | 1,000 | 100,000 | 0,000 | 0,021 | 0,749 | 0,749 | 0,749 | 0,719 | 0,719 | 0,021 |
| 1,000 | 67,009 | 99,071 | -6,213 | skid front(in) | ##### | -11,500 | 0,000 | 1,000 | 100,000 | 0,000 | 0,053 | 0,749 | 0,749 | 0,749 | 0,719 | 0,719 | 0,032 |
| 1,500 | 66,405 | 99,071 | -6,212 | skid front(in) | ##### | -11,500 | 0,000 | 1,000 | 100,000 | 0,000 | 0,080 | 0,749 | 0,749 | 0,749 | 0,719 | 0,719 | 0,027 |
| 2,000 | 65,796 | 99,071 | -6,211 | skid front(in) | ##### | -11,500 | 0,000 | 1,000 | 100,000 | 0,000 | 0,107 | 0,749 | 0,749 | 0,749 | 0,719 | 0,719 | 0,027 |
| 2,500 | 65,182 | 99,071 | -6,210 | skid front(in) | ##### | -11,500 | 0,000 | 1,000 | 100,000 | 0,000 | 0,135 | 0,749 | 0,749 | 0,749 | 0,719 | 0,719 | 0,027 |
| 3,000 | 64,562 | 99,071 | -6,209 | skid front(in) | ##### | -11,500 | 0,000 | 1,000 | 100,000 | 0,000 | 0,163 | 0,749 | 0,749 | 0,749 | 0,719 | 0,719 | 0,028 |
| 3,500 | 63,935 | 99,071 | -6,207 | skid front(in) | ##### | -11,500 | 0,000 | 1,000 | 100,000 | 0,000 | 0,191 | 0,749 | 0,749 | 0,749 | 0,719 | 0,719 | 0,028 |
| 4,000 | 63,303 | 99,071 | -6,206 | skid front(in) | ##### | -11,500 | 0,000 | 1,000 | 100,000 | 0,000 | 0,219 | 0,749 | 0,749 | 0,749 | 0,719 | 0,719 | 0,028 |
| 4,400 | 62,793 | 99,071 | -6,206 | skid front(in) | ##### | -11,500 | 0,000 | 1,000 | 100,000 | 0,000 | 0,242 | 0,749 | 0,749 | 0,749 | 0,719 | 0,719 | 0,023 |
| 5,000 | 62,020 | 99,071 | -6,204 | skid front(in) | ##### | -11,500 | 0,000 | 1,000 | 100,000 | 0,000 | 0,276 | 0,749 | 0,749 | 0,749 | 0,719 | 0,719 | 0,035 |
| 5,500 | 61,368 | 99,071 | -6,203 | skid front(in) | ##### | -11,500 | 0,000 | 1,000 | 100,000 | 0,000 | 0,306 | 0,749 | 0,749 | 0,749 | 0,719 | 0,719 | 0,029 |
| 6,000 | 60,710 | 99,071 | -6,202 | skid front(in) | ##### | -11,500 | 0,000 | 1,000 | 100,000 | 0,000 | 0,335 | 0,749 | 0,749 | 0,749 | 0,719 | 0,719 | 0,029 |
| 6,500 | 60,044 | 99,072 | -6,201 | skid front(in) | ##### | -11,500 | 0,000 | 1,000 | 100,000 | 0,000 | 0,365 | 0,749 | 0,749 | 0,749 | 0,719 | 0,719 | 0,030 |
| 7,000 | 59,371 | 99,072 | -6,200 | skid front(in) | ##### | -11,500 | 0,000 | 1,000 | 100,000 | 0,000 | 0,395 | 0,749 | 0,749 | 0,749 | 0,719 | 0,719 | 0,030 |
| 7,500 | 58,691 | 99,072 | -6,199 | skid front(in) | ##### | -11,500 | 0,000 | 1,000 | 100,000 | 0,000 | 0,426 | 0,749 | 0,749 | 0,749 | 0,719 | 0,719 | 0,030 |
| 8,000 | 58,002 | 99,072 | -6,198 | skid front(in) | ##### | -11,500 | 0,000 | 1,000 | 100,000 | 0,000 | 0,456 | 0,749 | 0,749 | 0,749 | 0,719 | 0,719 | 0,031 |
| 8,500 | 57,306 | 99,072 | -6,196 | skid front(in) | ##### | -11,500 | 0,000 | 1,000 | 100,000 | 0,000 | 0,488 | 0,749 | 0,749 | 0,749 | 0,719 | 0,719 | 0,031 |
| 9,000 | 56,601 | 99,072 | -6,195 | skid front(in) | ##### | -11,500 | 0,000 | 1,000 | 100,000 | 0,000 | 0,519 | 0,749 | 0,749 | 0,749 | 0,719 | 0,719 | 0,032 |
| 9,500 | 55,887 | 99,072 | -6,194 | skid front(in) | ##### | -11,500 | 0,000 | 1,000 | 100,000 | 0,000 | 0,551 | 0,749 | 0,749 | 0,749 | 0,719 | 0,719 | 0,032 |
| 10,000 | 55,164 | 99,072 | -6,193 | skid front(in) | ##### | -11,500 | 0,000 | 1,000 | 100,000 | 0,000 | 0,584 | 0,749 | 0,749 | 0,749 | 0,719 | 0,719 | 0,032 |
| 10,500 | 54,432 | 99,072 | -6,192 | skid front(in) | ##### | -11,500 | 0,000 | 1,000 | 100,000 | 0,000 | 0,617 | 0,749 | 0,749 | 0,749 | 0,719 | 0,719 | 0,033 |
| 11,000 | 53,690 | 99,072 | -6,191 | skid front(in) | ##### | -11,500 | 0,000 | 1,000 | 100,000 | 0,000 | 0,650 | 0,749 | 0,749 | 0,749 | 0,719 | 0,719 | 0,033 |
| 11,500 | 52,938 | 99,072 | -6,190 | skid front(in) | ##### | -11,500 | 0,000 | 1,000 | 100,000 | 0,000 | 0,684 | 0,749 | 0,749 | 0,749 | 0,719 | 0,719 | 0,034 |
| 12,000 | 52,174 | 99,072 | -6,189 | skid front(in) | ##### | -11,500 | 0,000 | 1,000 | 100,000 | 0,000 | 0,718 | 0,749 | 0,749 | 0,749 | 0,719 | 0,719 | 0,034 |
| 12,500 | 51,400 | 99,072 | -6,188 | skid front(in) | ##### | -11,500 | 0,000 | 1,000 | 100,000 | 0,000 | 0,753 | 0,749 | 0,749 | 0,749 | 0,719 | 0,719 | 0,035 |
| 13,000 | 50,614 | 99,072 | -6,187 | skid front(in) | ##### | -11,500 | 0,000 | 1,000 | 100,000 | 0,000 | 0,788 | 0,749 | 0,749 | 0,749 | 0,719 | 0,719 | 0,035 |

Προσδιορισμός Τιμών Πρόσφυσης κατά την Πέδηση Οχημάτων Εφοδιασμένων με Σύστημα ABS σε Αυξημένες κατά Μήκος Κλίσεις

| | | | | | | | | | | | | | | | | | |
|--------|--------|--------|--------|-----------------|-------|---------|-------|-------|---------|--------|-------|-------|-------|-------|-------|-------|-------|
| 13,500 | 49,816 | 99,072 | -6,186 | skid front(in) | ##### | -11,500 | 0,000 | 1,000 | 100,000 | 0,000 | 0,824 | 0,749 | 0,749 | 0,749 | 0,719 | 0,719 | 0,036 |
| 14,000 | 49,005 | 99,073 | -6,184 | skid front(in) | ##### | -11,500 | 0,000 | 1,000 | 100,000 | 0,000 | 0,860 | 0,749 | 0,749 | 0,749 | 0,719 | 0,719 | 0,036 |
| 14,500 | 48,180 | 99,073 | -6,183 | skid front(in) | ##### | -11,500 | 0,000 | 1,000 | 100,000 | 0,000 | 0,897 | 0,749 | 0,749 | 0,749 | 0,719 | 0,719 | 0,037 |
| 15,000 | 47,341 | 99,073 | -6,182 | skid front(in) | ##### | -11,500 | 0,000 | 1,000 | 100,000 | 0,000 | 0,935 | 0,749 | 0,749 | 0,749 | 0,719 | 0,719 | 0,038 |
| 15,500 | 46,487 | 99,073 | -6,181 | skid front(in) | ##### | -11,500 | 0,000 | 1,000 | 100,000 | 0,000 | 0,973 | 0,749 | 0,749 | 0,749 | 0,719 | 0,719 | 0,038 |
| 16,000 | 45,618 | 99,073 | -6,180 | skid front(in) | ##### | -11,500 | 0,000 | 1,000 | 100,000 | 0,000 | 1,012 | 0,749 | 0,749 | 0,749 | 0,719 | 0,719 | 0,039 |
| 16,500 | 44,731 | 99,073 | -6,179 | skid front(in) | ##### | -11,500 | 0,000 | 1,000 | 100,000 | 0,000 | 1,052 | 0,749 | 0,749 | 0,749 | 0,719 | 0,719 | 0,040 |
| 17,000 | 43,827 | 99,073 | -6,178 | skid front(in) | ##### | -11,500 | 0,000 | 1,000 | 100,000 | 0,000 | 1,093 | 0,749 | 0,749 | 0,749 | 0,719 | 0,719 | 0,041 |
| 17,500 | 42,904 | 99,073 | -6,177 | skid front(in) | ##### | -11,500 | 0,000 | 1,000 | 100,000 | 0,000 | 1,134 | 0,749 | 0,749 | 0,749 | 0,719 | 0,719 | 0,042 |
| 18,000 | 41,961 | 99,073 | -6,176 | skid front(in) | ##### | -11,500 | 0,000 | 1,000 | 100,000 | 0,000 | 1,177 | 0,749 | 0,749 | 0,749 | 0,719 | 0,719 | 0,042 |
| 18,500 | 40,996 | 99,073 | -6,175 | skid front(in) | ##### | -11,500 | 0,000 | 1,000 | 100,000 | 0,000 | 1,220 | 0,749 | 0,749 | 0,749 | 0,719 | 0,719 | 0,043 |
| 18,900 | 40,208 | 99,073 | -6,174 | skid front(in) | ##### | -11,500 | 0,000 | 1,000 | 100,000 | 0,000 | 1,256 | 0,749 | 0,749 | 0,749 | 0,719 | 0,719 | 0,043 |
| 19,500 | 38,996 | 99,073 | -6,172 | skid front(in) | ##### | -11,500 | 0,000 | 1,000 | 100,000 | 0,000 | 1,310 | 0,749 | 0,749 | 0,749 | 0,719 | 0,719 | 0,055 |
| 20,000 | 37,956 | 99,073 | -6,171 | skid front(in) | ##### | -11,500 | 0,000 | 1,000 | 100,000 | 0,000 | 1,357 | 0,749 | 0,749 | 0,749 | 0,719 | 0,719 | 0,047 |
| 20,500 | 36,888 | 99,073 | -6,170 | skid front(in) | ##### | -11,500 | 0,000 | 1,000 | 100,000 | 0,001 | 1,405 | 0,749 | 0,749 | 0,749 | 0,719 | 0,719 | 0,048 |
| 21,000 | 35,788 | 99,074 | -6,169 | skid front(in) | ##### | -11,500 | 0,000 | 1,000 | 100,000 | 0,001 | 1,455 | 0,749 | 0,749 | 0,749 | 0,719 | 0,719 | 0,050 |
| 21,500 | 34,653 | 99,074 | -6,168 | skid front(in) | ##### | -11,500 | 0,000 | 1,000 | 100,000 | 0,000 | 1,506 | 0,749 | 0,749 | 0,749 | 0,719 | 0,719 | 0,051 |
| 22,000 | 33,479 | 99,074 | -6,167 | skid front(in) | ##### | -11,500 | 0,000 | 1,000 | 100,000 | 0,001 | 1,559 | 0,749 | 0,749 | 0,749 | 0,719 | 0,719 | 0,053 |
| 22,500 | 32,264 | 99,074 | -6,166 | skid front(in) | ##### | -11,500 | 0,000 | 1,000 | 100,000 | 0,000 | 1,613 | 0,749 | 0,749 | 0,749 | 0,719 | 0,719 | 0,055 |
| 23,000 | 31,001 | 99,075 | -6,164 | skid front(out) | ##### | -11,500 | 0,000 | 1,000 | 100,000 | -1,326 | 1,670 | 0,749 | 0,749 | 0,749 | 0,719 | 0,719 | 0,057 |
| 23,500 | 29,685 | 99,092 | -6,163 | skid front(out) | ##### | -11,500 | 0,000 | 1,000 | 100,000 | -1,839 | 1,730 | 0,749 | 0,749 | 0,749 | 0,719 | 0,719 | 0,059 |
| 24,000 | 28,307 | 99,087 | -6,161 | skid front(out) | ##### | -11,500 | 0,000 | 1,000 | 100,000 | -2,239 | 1,792 | 0,749 | 0,749 | 0,749 | 0,719 | 0,719 | 0,062 |
| 24,500 | 26,860 | 99,098 | -6,161 | skid front(out) | ##### | -11,500 | 0,000 | 1,000 | 100,000 | -2,228 | 1,857 | 0,749 | 0,749 | 0,749 | 0,719 | 0,719 | 0,065 |
| 25,000 | 25,330 | 99,084 | -6,159 | skid front(out) | ##### | -11,500 | 0,000 | 1,000 | 100,000 | -1,982 | 1,926 | 0,749 | 0,749 | 0,749 | 0,719 | 0,719 | 0,069 |
| 25,500 | 23,701 | 99,085 | -6,159 | skid front(out) | ##### | -11,500 | 0,000 | 1,000 | 100,000 | -1,167 | 1,999 | 0,749 | 0,749 | 0,749 | 0,719 | 0,719 | 0,073 |
| 26,000 | 21,953 | 99,080 | -6,157 | skid front(out) | ##### | -11,500 | 0,000 | 1,000 | 100,000 | -1,939 | 2,078 | 0,749 | 0,749 | 0,749 | 0,719 | 0,719 | 0,079 |
| 26,500 | 20,053 | 99,092 | -6,156 | skid front(out) | ##### | -11,500 | 0,000 | 1,000 | 100,000 | -2,182 | 2,164 | 0,749 | 0,749 | 0,749 | 0,719 | 0,719 | 0,086 |
| 27,000 | 17,954 | 99,075 | -6,154 | skid front(out) | ##### | -11,500 | 0,000 | 1,000 | 100,000 | -2,297 | 2,259 | 0,749 | 0,749 | 0,749 | 0,719 | 0,719 | 0,095 |
| 27,500 | 15,575 | 99,100 | -6,153 | skid front(out) | ##### | -11,500 | 0,000 | 1,000 | 100,000 | -3,838 | 2,366 | 0,749 | 0,749 | 0,749 | 0,719 | 0,719 | 0,107 |
| 28,000 | 12,760 | 99,040 | -6,150 | skid front(out) | ##### | -11,500 | 0,000 | 1,000 | 100,000 | -0,874 | 2,493 | 0,749 | 0,749 | 0,749 | 0,719 | 0,719 | 0,127 |
| 28,500 | 9,114 | 99,077 | -6,149 | skid front(out) | ##### | -11,500 | 0,000 | 1,000 | 100,000 | -3,883 | 2,658 | 0,749 | 0,749 | 0,749 | 0,719 | 0,719 | 0,165 |
| 29,000 | 1,816 | 99,112 | -6,151 | skid front(out) | ##### | -11,500 | 0,000 | 1,000 | 100,000 | -4,002 | 2,987 | 0,749 | 0,749 | 0,749 | 0,719 | 0,719 | 0,330 |

3.2.4 Γλυφάδα – wet

| run_c_w_glif_3 | R(m) | br.front (%) | s(%) | e (%) | coeff | effic (%) | time (sec) | | | | | | | | | | |
|----------------|-----------|--------------|--------|-----------------|-------|-----------|------------|-------|-----------|-----------|------------|-------|-----------|----------|----------|---------|-----------|
| s= 100,000 | ##### | 74,00 | -11,5 | 0,0 | 1,00 | 100 | 3,914 | 0,963 | | | | | | | | | |
| step= 0,100 | viewstep= | 0,500 | STEPS | | | | | | | | | | | | | | |
| s (m) | V (km/h) | n (%) | dv/dt | skid check | R(m) | s(%) | e (%) | coeff | effic (%) | decelera | time (sec) | fT | front out | front in | rear out | rear in | checktime |
| 37,200 | 0,414 | 99,185 | -4,785 | skid front(out) | ##### | -11,500 | 0,000 | 1,000 | 100,000 | -3,192585 | 3,914 | 0,608 | 0,6079 | 0,6079 | 0,5885 | 0,5885 | |
| 0,000 | 68,210 | 99,158 | -4,865 | O.K | ##### | -11,500 | 0,000 | 1,000 | 100,000 | 0,000 | 0,000 | 0,608 | | | | | |
| 0,400 | 67,839 | 99,150 | -4,864 | skid front(in) | ##### | -11,500 | 0,000 | 1,000 | 100,000 | 0,000 | 0,021 | 0,608 | 0,608 | 0,608 | 0,589 | 0,589 | 0,021 |
| 1,000 | 67,280 | 99,150 | -4,863 | skid front(in) | ##### | -11,500 | 0,000 | 1,000 | 100,000 | 0,000 | 0,053 | 0,608 | 0,608 | 0,608 | 0,589 | 0,589 | 0,032 |
| 1,500 | 66,810 | 99,150 | -4,862 | skid front(in) | ##### | -11,500 | 0,000 | 1,000 | 100,000 | 0,000 | 0,080 | 0,608 | 0,608 | 0,608 | 0,589 | 0,589 | 0,027 |
| 2,000 | 66,336 | 99,150 | -4,861 | skid front(in) | ##### | -11,500 | 0,000 | 1,000 | 100,000 | 0,000 | 0,107 | 0,608 | 0,608 | 0,608 | 0,589 | 0,589 | 0,027 |
| 2,500 | 65,860 | 99,150 | -4,860 | skid front(in) | ##### | -11,500 | 0,000 | 1,000 | 100,000 | 0,000 | 0,134 | 0,608 | 0,608 | 0,608 | 0,589 | 0,589 | 0,027 |
| 3,000 | 65,380 | 99,150 | -4,859 | skid front(in) | ##### | -11,500 | 0,000 | 1,000 | 100,000 | 0,000 | 0,162 | 0,608 | 0,608 | 0,608 | 0,589 | 0,589 | 0,027 |
| 3,500 | 64,897 | 99,150 | -4,857 | skid front(in) | ##### | -11,500 | 0,000 | 1,000 | 100,000 | 0,000 | 0,189 | 0,608 | 0,608 | 0,608 | 0,589 | 0,589 | 0,028 |
| 4,000 | 64,410 | 99,150 | -4,856 | skid front(in) | ##### | -11,500 | 0,000 | 1,000 | 100,000 | 0,000 | 0,217 | 0,608 | 0,608 | 0,608 | 0,589 | 0,589 | 0,028 |
| 4,400 | 64,018 | 99,150 | -4,856 | skid front(in) | ##### | -11,500 | 0,000 | 1,000 | 100,000 | 0,000 | 0,240 | 0,608 | 0,608 | 0,608 | 0,589 | 0,589 | 0,022 |
| 5,000 | 63,426 | 99,150 | -4,854 | skid front(in) | ##### | -11,500 | 0,000 | 1,000 | 100,000 | 0,000 | 0,273 | 0,608 | 0,608 | 0,608 | 0,589 | 0,589 | 0,034 |
| 5,500 | 62,928 | 99,150 | -4,853 | skid front(in) | ##### | -11,500 | 0,000 | 1,000 | 100,000 | 0,000 | 0,302 | 0,608 | 0,608 | 0,608 | 0,589 | 0,589 | 0,028 |
| 6,000 | 62,426 | 99,150 | -4,852 | skid front(in) | ##### | -11,500 | 0,000 | 1,000 | 100,000 | 0,000 | 0,331 | 0,608 | 0,608 | 0,608 | 0,589 | 0,589 | 0,029 |
| 6,500 | 61,920 | 99,150 | -4,851 | skid front(in) | ##### | -11,500 | 0,000 | 1,000 | 100,000 | 0,000 | 0,360 | 0,608 | 0,608 | 0,608 | 0,589 | 0,589 | 0,029 |

Προσδιορισμός Τιμών Πρόσφυσης κατά την Πέδηση Οχημάτων Εφοδιασμένων με Σύστημα ABS σε Αυξημένες κατά Μήκος Κλίσεις

| | | | | | | | | | | | | | | | | | |
|--------|--------|--------|--------|-----------------|-------|---------|-------|-------|---------|--------|-------|-------|-------|-------|-------|-------|-------|
| 7,000 | 61,411 | 99,150 | -4,850 | skid front(in) | ##### | -11,500 | 0,000 | 1,000 | 100,000 | 0,000 | 0,389 | 0,608 | 0,608 | 0,608 | 0,589 | 0,589 | 0,029 |
| 7,500 | 60,897 | 99,151 | -4,849 | skid front(in) | ##### | -11,500 | 0,000 | 1,000 | 100,000 | 0,000 | 0,418 | 0,608 | 0,608 | 0,608 | 0,589 | 0,589 | 0,029 |
| 8,000 | 60,379 | 99,151 | -4,848 | skid front(in) | ##### | -11,500 | 0,000 | 1,000 | 100,000 | 0,000 | 0,448 | 0,608 | 0,608 | 0,608 | 0,589 | 0,589 | 0,030 |
| 8,500 | 59,856 | 99,151 | -4,847 | skid front(in) | ##### | -11,500 | 0,000 | 1,000 | 100,000 | 0,000 | 0,478 | 0,608 | 0,608 | 0,608 | 0,589 | 0,589 | 0,030 |
| 9,000 | 59,329 | 99,151 | -4,846 | skid front(in) | ##### | -11,500 | 0,000 | 1,000 | 100,000 | 0,000 | 0,508 | 0,608 | 0,608 | 0,608 | 0,589 | 0,589 | 0,030 |
| 9,500 | 58,798 | 99,151 | -4,845 | skid front(in) | ##### | -11,500 | 0,000 | 1,000 | 100,000 | 0,000 | 0,539 | 0,608 | 0,608 | 0,608 | 0,589 | 0,589 | 0,030 |
| 10,000 | 58,261 | 99,151 | -4,844 | skid front(in) | ##### | -11,500 | 0,000 | 1,000 | 100,000 | 0,000 | 0,569 | 0,608 | 0,608 | 0,608 | 0,589 | 0,589 | 0,031 |
| 10,500 | 57,720 | 99,151 | -4,842 | skid front(in) | ##### | -11,500 | 0,000 | 1,000 | 100,000 | 0,000 | 0,600 | 0,608 | 0,608 | 0,608 | 0,589 | 0,589 | 0,031 |
| 11,000 | 57,174 | 99,151 | -4,841 | skid front(in) | ##### | -11,500 | 0,000 | 1,000 | 100,000 | 0,000 | 0,632 | 0,608 | 0,608 | 0,608 | 0,589 | 0,589 | 0,031 |
| 11,500 | 56,623 | 99,151 | -4,840 | skid front(in) | ##### | -11,500 | 0,000 | 1,000 | 100,000 | 0,000 | 0,663 | 0,608 | 0,608 | 0,608 | 0,589 | 0,589 | 0,032 |
| 12,000 | 56,066 | 99,151 | -4,839 | skid front(in) | ##### | -11,500 | 0,000 | 1,000 | 100,000 | 0,000 | 0,695 | 0,608 | 0,608 | 0,608 | 0,589 | 0,589 | 0,032 |
| 12,500 | 55,504 | 99,151 | -4,838 | skid front(in) | ##### | -11,500 | 0,000 | 1,000 | 100,000 | 0,000 | 0,728 | 0,608 | 0,608 | 0,608 | 0,589 | 0,589 | 0,032 |
| 13,000 | 54,936 | 99,151 | -4,837 | skid front(in) | ##### | -11,500 | 0,000 | 1,000 | 100,000 | 0,000 | 0,760 | 0,608 | 0,608 | 0,608 | 0,589 | 0,589 | 0,033 |
| 13,500 | 54,363 | 99,151 | -4,836 | skid front(in) | ##### | -11,500 | 0,000 | 1,000 | 100,000 | 0,000 | 0,793 | 0,608 | 0,608 | 0,608 | 0,589 | 0,589 | 0,033 |
| 14,000 | 53,783 | 99,151 | -4,835 | skid front(in) | ##### | -11,500 | 0,000 | 1,000 | 100,000 | 0,000 | 0,826 | 0,608 | 0,608 | 0,608 | 0,589 | 0,589 | 0,033 |
| 14,500 | 53,198 | 99,151 | -4,834 | skid front(in) | ##### | -11,500 | 0,000 | 1,000 | 100,000 | 0,000 | 0,860 | 0,608 | 0,608 | 0,608 | 0,589 | 0,589 | 0,034 |
| 15,000 | 52,606 | 99,151 | -4,833 | skid front(in) | ##### | -11,500 | 0,000 | 1,000 | 100,000 | 0,000 | 0,894 | 0,608 | 0,608 | 0,608 | 0,589 | 0,589 | 0,034 |
| 15,500 | 52,007 | 99,151 | -4,832 | skid front(in) | ##### | -11,500 | 0,000 | 1,000 | 100,000 | 0,000 | 0,928 | 0,608 | 0,608 | 0,608 | 0,589 | 0,589 | 0,034 |
| 16,000 | 51,401 | 99,151 | -4,831 | skid front(in) | ##### | -11,500 | 0,000 | 1,000 | 100,000 | 0,000 | 0,963 | 0,608 | 0,608 | 0,608 | 0,589 | 0,589 | 0,035 |
| 16,500 | 50,789 | 99,152 | -4,830 | skid front(in) | ##### | -11,500 | 0,000 | 1,000 | 100,000 | 0,000 | 0,999 | 0,608 | 0,608 | 0,608 | 0,589 | 0,589 | 0,035 |
| 17,000 | 50,169 | 99,152 | -4,829 | skid front(in) | ##### | -11,500 | 0,000 | 1,000 | 100,000 | 0,000 | 1,034 | 0,608 | 0,608 | 0,608 | 0,589 | 0,589 | 0,036 |
| 17,500 | 49,541 | 99,152 | -4,828 | skid front(in) | ##### | -11,500 | 0,000 | 1,000 | 100,000 | 0,000 | 1,070 | 0,608 | 0,608 | 0,608 | 0,589 | 0,589 | 0,036 |
| 18,000 | 48,906 | 99,152 | -4,827 | skid front(in) | ##### | -11,500 | 0,000 | 1,000 | 100,000 | 0,000 | 1,107 | 0,608 | 0,608 | 0,608 | 0,589 | 0,589 | 0,037 |
| 18,500 | 48,262 | 99,152 | -4,825 | skid front(in) | ##### | -11,500 | 0,000 | 1,000 | 100,000 | 0,000 | 1,144 | 0,608 | 0,608 | 0,608 | 0,589 | 0,589 | 0,037 |
| 18,900 | 47,741 | 99,152 | -4,825 | skid front(in) | ##### | -11,500 | 0,000 | 1,000 | 100,000 | 0,000 | 1,174 | 0,608 | 0,608 | 0,608 | 0,589 | 0,589 | 0,030 |
| 19,500 | 46,949 | 99,152 | -4,823 | skid front(in) | ##### | -11,500 | 0,000 | 1,000 | 100,000 | 0,000 | 1,220 | 0,608 | 0,608 | 0,608 | 0,589 | 0,589 | 0,046 |
| 20,000 | 46,279 | 99,152 | -4,822 | skid front(in) | ##### | -11,500 | 0,000 | 1,000 | 100,000 | 0,000 | 1,258 | 0,608 | 0,608 | 0,608 | 0,589 | 0,589 | 0,039 |
| 20,500 | 45,598 | 99,152 | -4,821 | skid front(in) | ##### | -11,500 | 0,000 | 1,000 | 100,000 | 0,000 | 1,297 | 0,608 | 0,608 | 0,608 | 0,589 | 0,589 | 0,039 |
| 21,000 | 44,908 | 99,152 | -4,820 | skid front(in) | ##### | -11,500 | 0,000 | 1,000 | 100,000 | 0,000 | 1,337 | 0,608 | 0,608 | 0,608 | 0,589 | 0,589 | 0,040 |
| 21,500 | 44,207 | 99,152 | -4,819 | skid front(in) | ##### | -11,500 | 0,000 | 1,000 | 100,000 | 0,000 | 1,377 | 0,608 | 0,608 | 0,608 | 0,589 | 0,589 | 0,040 |
| 22,000 | 43,495 | 99,152 | -4,818 | skid front(in) | ##### | -11,500 | 0,000 | 1,000 | 100,000 | 0,000 | 1,419 | 0,608 | 0,608 | 0,608 | 0,589 | 0,589 | 0,041 |
| 22,500 | 42,771 | 99,152 | -4,817 | skid front(in) | ##### | -11,500 | 0,000 | 1,000 | 100,000 | 0,000 | 1,460 | 0,608 | 0,608 | 0,608 | 0,589 | 0,589 | 0,042 |
| 23,000 | 42,035 | 99,152 | -4,816 | skid front(in) | ##### | -11,500 | 0,000 | 1,000 | 100,000 | 0,000 | 1,503 | 0,608 | 0,608 | 0,608 | 0,589 | 0,589 | 0,042 |
| 23,500 | 41,286 | 99,152 | -4,815 | skid front(in) | ##### | -11,500 | 0,000 | 1,000 | 100,000 | 0,000 | 1,546 | 0,608 | 0,608 | 0,608 | 0,589 | 0,589 | 0,043 |
| 24,000 | 40,524 | 99,152 | -4,814 | skid front(in) | ##### | -11,500 | 0,000 | 1,000 | 100,000 | 0,000 | 1,590 | 0,608 | 0,608 | 0,608 | 0,589 | 0,589 | 0,044 |
| 24,500 | 39,747 | 99,152 | -4,813 | skid front(in) | ##### | -11,500 | 0,000 | 1,000 | 100,000 | 0,000 | 1,635 | 0,608 | 0,608 | 0,608 | 0,589 | 0,589 | 0,045 |
| 25,000 | 38,954 | 99,152 | -4,812 | skid front(in) | ##### | -11,500 | 0,000 | 1,000 | 100,000 | 0,000 | 1,681 | 0,608 | 0,608 | 0,608 | 0,589 | 0,589 | 0,046 |
| 25,500 | 38,145 | 99,152 | -4,811 | skid front(in) | ##### | -11,500 | 0,000 | 1,000 | 100,000 | 0,000 | 1,727 | 0,608 | 0,608 | 0,608 | 0,589 | 0,589 | 0,047 |
| 26,000 | 37,319 | 99,153 | -4,810 | skid front(in) | ##### | -11,500 | 0,000 | 1,000 | 100,000 | 0,000 | 1,775 | 0,608 | 0,608 | 0,608 | 0,589 | 0,589 | 0,048 |
| 26,500 | 36,475 | 99,153 | -4,808 | skid front(in) | ##### | -11,500 | 0,000 | 1,000 | 100,000 | 0,000 | 1,824 | 0,608 | 0,608 | 0,608 | 0,589 | 0,589 | 0,049 |
| 27,000 | 35,610 | 99,153 | -4,807 | skid front(in) | ##### | -11,500 | 0,000 | 1,000 | 100,000 | 0,000 | 1,874 | 0,608 | 0,608 | 0,608 | 0,589 | 0,589 | 0,050 |
| 27,500 | 34,725 | 99,153 | -4,806 | skid front(in) | ##### | -11,500 | 0,000 | 1,000 | 100,000 | 0,000 | 1,925 | 0,608 | 0,608 | 0,608 | 0,589 | 0,589 | 0,051 |
| 28,000 | 33,816 | 99,153 | -4,805 | skid front(in) | ##### | -11,500 | 0,000 | 1,000 | 100,000 | 0,001 | 1,977 | 0,608 | 0,608 | 0,608 | 0,589 | 0,589 | 0,053 |
| 28,500 | 32,882 | 99,153 | -4,804 | skid front(in) | ##### | -11,500 | 0,000 | 1,000 | 100,000 | 0,000 | 2,031 | 0,608 | 0,608 | 0,608 | 0,589 | 0,589 | 0,054 |
| 29,000 | 31,922 | 99,176 | -4,803 | skid front(out) | ##### | -11,500 | 0,000 | 1,000 | 100,000 | -1,783 | 2,087 | 0,608 | 0,608 | 0,608 | 0,589 | 0,589 | 0,056 |
| 29,500 | 30,932 | 99,160 | -4,802 | skid front(out) | ##### | -11,500 | 0,000 | 1,000 | 100,000 | -1,151 | 2,144 | 0,608 | 0,608 | 0,608 | 0,589 | 0,589 | 0,057 |
| 30,000 | 29,909 | 99,137 | -4,799 | skid front(out) | ##### | -11,500 | 0,000 | 1,000 | 100,000 | -1,237 | 2,203 | 0,608 | 0,608 | 0,608 | 0,588 | 0,588 | 0,059 |
| 30,500 | 28,850 | 99,151 | -4,798 | skid front(out) | ##### | -11,500 | 0,000 | 1,000 | 100,000 | -1,669 | 2,265 | 0,608 | 0,608 | 0,608 | 0,588 | 0,588 | 0,061 |
| 31,000 | 27,751 | 99,133 | -4,797 | skid front(out) | ##### | -11,500 | 0,000 | 1,000 | 100,000 | -1,202 | 2,328 | 0,608 | 0,608 | 0,608 | 0,588 | 0,588 | 0,064 |
| 31,500 | 26,607 | 99,154 | -4,797 | skid front(out) | ##### | -11,500 | 0,000 | 1,000 | 100,000 | -1,079 | 2,394 | 0,608 | 0,608 | 0,608 | 0,589 | 0,589 | 0,066 |
| 32,000 | 25,412 | 99,168 | -4,796 | skid front(out) | ##### | -11,500 | 0,000 | 1,000 | 100,000 | -1,784 | 2,464 | 0,608 | 0,608 | 0,608 | 0,589 | 0,589 | 0,069 |
| 32,500 | 24,158 | 99,174 | -4,794 | skid front(out) | ##### | -11,500 | 0,000 | 1,000 | 100,000 | -3,302 | 2,536 | 0,608 | 0,608 | 0,608 | 0,588 | 0,588 | 0,073 |
| 33,000 | 22,836 | 99,170 | -4,794 | skid front(out) | ##### | -11,500 | 0,000 | 1,000 | 100,000 | -1,697 | 2,613 | 0,608 | 0,608 | 0,608 | 0,589 | 0,589 | 0,077 |
| 33,500 | 21,432 | 99,156 | -4,793 | skid front(out) | ##### | -11,500 | 0,000 | 1,000 | 100,000 | -0,861 | 2,694 | 0,608 | 0,608 | 0,608 | 0,589 | 0,589 | 0,081 |
| 34,000 | 19,931 | 99,159 | -4,791 | skid front(out) | ##### | -11,500 | 0,000 | 1,000 | 100,000 | -2,740 | 2,781 | 0,608 | 0,608 | 0,608 | 0,588 | 0,588 | 0,087 |
| 34,500 | 18,306 | 99,180 | -4,790 | skid front(out) | ##### | -11,500 | 0,000 | 1,000 | 100,000 | -3,231 | 2,875 | 0,608 | 0,608 | 0,608 | 0,588 | 0,588 | 0,094 |
| 35,000 | 16,524 | 99,131 | -4,789 | skid front(out) | ##### | -11,500 | 0,000 | 1,000 | 100,000 | -0,584 | 2,979 | 0,608 | 0,608 | 0,608 | 0,588 | 0,588 | 0,103 |
| 35,500 | 14,525 | 99,128 | -4,785 | skid front(out) | ##### | -11,500 | 0,000 | 1,000 | 100,000 | -2,955 | 3,095 | 0,608 | 0,608 | 0,608 | 0,588 | 0,588 | 0,116 |
| 36,000 | 12,202 | 99,113 | -4,785 | skid front(out) | ##### | -11,500 | 0,000 | 1,000 | 100,000 | -1,620 | 3,229 | 0,608 | 0,608 | 0,608 | 0,588 | 0,588 | 0,135 |
| 36,500 | 9,320 | 99,184 | -4,787 | skid front(out) | ##### | -11,500 | 0,000 | 1,000 | 100,000 | -2,967 | 3,397 | 0,608 | 0,608 | 0,608 | 0,589 | 0,589 | 0,167 |

Προσδιορισμός Τιμών Πρόσφυσης κατά την Πέδηση Οχημάτων Εφοδιασμένων με Σύστημα ABS σε Αυξημένες κατά Μήκος Κλίσεις

| | | | | | | | | | | | | | | | | | |
|--------|-------|--------|--------|-----------------|-------|---------|-------|-------|---------|--------|-------|-------|-------|-------|-------|-------|-------|
| 37,000 | 4,983 | 99,104 | -4,782 | skid front(out) | ##### | -11,500 | 0,000 | 1,000 | 100,000 | -1,225 | 3,648 | 0,608 | 0,608 | 0,608 | 0,588 | 0,588 | 0,252 |
| 37,200 | 0,414 | 99,185 | -4,785 | skid front(out) | ##### | -11,500 | 0,000 | 1,000 | 100,000 | -3,193 | 3,914 | 0,608 | 0,608 | 0,608 | 0,589 | 0,589 | 0,265 |

| | | | | | | | |
|----------------|-----------------|--------------|-------|-------|-------|-----------|------------|
| run_c_w_glif_7 | R(m) | br.front (%) | s(%) | e (%) | coeff | effic (%) | time (sec) |
| s= 100,000 | ##### | 74,00 | -11,5 | 0,0 | 1,00 | 100 | 3,432 |
| step= 0,100 | viewstep= 0,500 | STEPS | | | | | |

0,963

| s (m) | V (km/h) | n (%) | dv/dt | skid check | R(m) | s(%) | e (%) | coeff | effic (%) | decelera | time (sec) | fT | front out | front in | rear out | rear in | checktime |
|--------|----------|--------|--------|-----------------|-------|---------|-------|-------|-----------|-----------|------------|-------|-----------|----------|----------|---------|-----------|
| 29,600 | 1,415 | 99,126 | -4,782 | skid front(out) | ##### | -11,500 | 0,000 | 1,000 | 100,000 | -2,629460 | 3,432 | 0,608 | 0,6077 | 0,6077 | 0,5881 | 0,5881 | |
| 0,000 | 60,810 | 99,157 | -4,849 | O.K | ##### | -11,500 | 0,000 | 1,000 | 100,000 | 0,000 | 0,000 | 0,608 | | | | | |
| 0,400 | 60,395 | 99,151 | -4,848 | skid front(in) | ##### | -11,500 | 0,000 | 1,000 | 100,000 | 0,000 | 0,024 | 0,608 | 0,608 | 0,608 | 0,589 | 0,589 | 0,024 |
| 1,000 | 59,768 | 99,151 | -4,847 | skid front(in) | ##### | -11,500 | 0,000 | 1,000 | 100,000 | 0,000 | 0,060 | 0,608 | 0,608 | 0,608 | 0,589 | 0,589 | 0,036 |
| 1,500 | 59,240 | 99,151 | -4,846 | skid front(in) | ##### | -11,500 | 0,000 | 1,000 | 100,000 | 0,000 | 0,090 | 0,608 | 0,608 | 0,608 | 0,589 | 0,589 | 0,030 |
| 2,000 | 58,708 | 99,151 | -4,844 | skid front(in) | ##### | -11,500 | 0,000 | 1,000 | 100,000 | 0,000 | 0,120 | 0,608 | 0,608 | 0,608 | 0,589 | 0,589 | 0,031 |
| 2,500 | 58,171 | 99,151 | -4,843 | skid front(in) | ##### | -11,500 | 0,000 | 1,000 | 100,000 | 0,000 | 0,151 | 0,608 | 0,608 | 0,608 | 0,589 | 0,589 | 0,031 |
| 3,000 | 57,629 | 99,151 | -4,842 | skid front(in) | ##### | -11,500 | 0,000 | 1,000 | 100,000 | 0,000 | 0,182 | 0,608 | 0,608 | 0,608 | 0,589 | 0,589 | 0,031 |
| 3,500 | 57,082 | 99,151 | -4,841 | skid front(in) | ##### | -11,500 | 0,000 | 1,000 | 100,000 | 0,000 | 0,214 | 0,608 | 0,608 | 0,608 | 0,589 | 0,589 | 0,031 |
| 4,000 | 56,529 | 99,151 | -4,840 | skid front(in) | ##### | -11,500 | 0,000 | 1,000 | 100,000 | 0,000 | 0,245 | 0,608 | 0,608 | 0,608 | 0,589 | 0,589 | 0,032 |
| 4,400 | 56,084 | 99,151 | -4,839 | skid front(in) | ##### | -11,500 | 0,000 | 1,000 | 100,000 | 0,000 | 0,271 | 0,608 | 0,608 | 0,608 | 0,589 | 0,589 | 0,026 |
| 5,000 | 55,409 | 99,151 | -4,838 | skid front(in) | ##### | -11,500 | 0,000 | 1,000 | 100,000 | 0,000 | 0,310 | 0,608 | 0,608 | 0,608 | 0,589 | 0,589 | 0,039 |
| 5,500 | 54,840 | 99,151 | -4,837 | skid front(in) | ##### | -11,500 | 0,000 | 1,000 | 100,000 | 0,000 | 0,342 | 0,608 | 0,608 | 0,608 | 0,589 | 0,589 | 0,033 |
| 6,000 | 54,266 | 99,151 | -4,836 | skid front(in) | ##### | -11,500 | 0,000 | 1,000 | 100,000 | 0,000 | 0,375 | 0,608 | 0,608 | 0,608 | 0,589 | 0,589 | 0,033 |
| 6,500 | 53,685 | 99,151 | -4,835 | skid front(in) | ##### | -11,500 | 0,000 | 1,000 | 100,000 | 0,000 | 0,409 | 0,608 | 0,608 | 0,608 | 0,589 | 0,589 | 0,033 |
| 7,000 | 53,099 | 99,151 | -4,834 | skid front(in) | ##### | -11,500 | 0,000 | 1,000 | 100,000 | 0,000 | 0,442 | 0,608 | 0,608 | 0,608 | 0,589 | 0,589 | 0,034 |
| 7,500 | 52,505 | 99,151 | -4,833 | skid front(in) | ##### | -11,500 | 0,000 | 1,000 | 100,000 | 0,000 | 0,477 | 0,608 | 0,608 | 0,608 | 0,589 | 0,589 | 0,034 |
| 8,000 | 51,906 | 99,151 | -4,832 | skid front(in) | ##### | -11,500 | 0,000 | 1,000 | 100,000 | 0,000 | 0,511 | 0,608 | 0,608 | 0,608 | 0,589 | 0,589 | 0,034 |
| 8,500 | 51,299 | 99,151 | -4,831 | skid front(in) | ##### | -11,500 | 0,000 | 1,000 | 100,000 | 0,000 | 0,546 | 0,608 | 0,608 | 0,608 | 0,589 | 0,589 | 0,035 |
| 9,000 | 50,685 | 99,152 | -4,830 | skid front(in) | ##### | -11,500 | 0,000 | 1,000 | 100,000 | 0,000 | 0,581 | 0,608 | 0,608 | 0,608 | 0,589 | 0,589 | 0,035 |
| 9,500 | 50,064 | 99,152 | -4,828 | skid front(in) | ##### | -11,500 | 0,000 | 1,000 | 100,000 | 0,000 | 0,617 | 0,608 | 0,608 | 0,608 | 0,589 | 0,589 | 0,036 |
| 10,000 | 49,435 | 99,152 | -4,827 | skid front(in) | ##### | -11,500 | 0,000 | 1,000 | 100,000 | 0,000 | 0,653 | 0,608 | 0,608 | 0,608 | 0,589 | 0,589 | 0,036 |
| 10,500 | 48,798 | 99,152 | -4,826 | skid front(in) | ##### | -11,500 | 0,000 | 1,000 | 100,000 | 0,000 | 0,690 | 0,608 | 0,608 | 0,608 | 0,589 | 0,589 | 0,037 |
| 11,000 | 48,153 | 99,152 | -4,825 | skid front(in) | ##### | -11,500 | 0,000 | 1,000 | 100,000 | 0,000 | 0,727 | 0,608 | 0,608 | 0,608 | 0,589 | 0,589 | 0,037 |
| 11,500 | 47,500 | 99,152 | -4,824 | skid front(in) | ##### | -11,500 | 0,000 | 1,000 | 100,000 | 0,000 | 0,765 | 0,608 | 0,608 | 0,608 | 0,589 | 0,589 | 0,038 |
| 12,000 | 46,837 | 99,152 | -4,823 | skid front(in) | ##### | -11,500 | 0,000 | 1,000 | 100,000 | 0,000 | 0,803 | 0,608 | 0,608 | 0,608 | 0,589 | 0,589 | 0,038 |
| 12,500 | 46,165 | 99,152 | -4,822 | skid front(in) | ##### | -11,500 | 0,000 | 1,000 | 100,000 | 0,000 | 0,841 | 0,608 | 0,608 | 0,608 | 0,589 | 0,589 | 0,039 |
| 13,000 | 45,483 | 99,152 | -4,821 | skid front(in) | ##### | -11,500 | 0,000 | 1,000 | 100,000 | 0,000 | 0,881 | 0,608 | 0,608 | 0,608 | 0,589 | 0,589 | 0,039 |
| 13,500 | 44,791 | 99,152 | -4,820 | skid front(in) | ##### | -11,500 | 0,000 | 1,000 | 100,000 | 0,000 | 0,921 | 0,608 | 0,608 | 0,608 | 0,589 | 0,589 | 0,040 |
| 14,000 | 44,088 | 99,152 | -4,819 | skid front(in) | ##### | -11,500 | 0,000 | 1,000 | 100,000 | 0,000 | 0,961 | 0,608 | 0,608 | 0,608 | 0,589 | 0,589 | 0,041 |
| 14,500 | 43,374 | 99,152 | -4,818 | skid front(in) | ##### | -11,500 | 0,000 | 1,000 | 100,000 | 0,000 | 1,002 | 0,608 | 0,608 | 0,608 | 0,589 | 0,589 | 0,041 |
| 15,000 | 42,648 | 99,152 | -4,817 | skid front(in) | ##### | -11,500 | 0,000 | 1,000 | 100,000 | 0,000 | 1,044 | 0,608 | 0,608 | 0,608 | 0,589 | 0,589 | 0,042 |
| 15,500 | 41,910 | 99,152 | -4,816 | skid front(in) | ##### | -11,500 | 0,000 | 1,000 | 100,000 | 0,000 | 1,087 | 0,608 | 0,608 | 0,608 | 0,589 | 0,589 | 0,043 |
| 16,000 | 41,159 | 99,152 | -4,815 | skid front(in) | ##### | -11,500 | 0,000 | 1,000 | 100,000 | 0,000 | 1,130 | 0,608 | 0,608 | 0,608 | 0,589 | 0,589 | 0,043 |
| 16,500 | 40,394 | 99,152 | -4,814 | skid front(in) | ##### | -11,500 | 0,000 | 1,000 | 100,000 | 0,000 | 1,174 | 0,608 | 0,608 | 0,608 | 0,589 | 0,589 | 0,044 |
| 17,000 | 39,614 | 99,152 | -4,813 | skid front(in) | ##### | -11,500 | 0,000 | 1,000 | 100,000 | 0,000 | 1,219 | 0,608 | 0,608 | 0,608 | 0,589 | 0,589 | 0,045 |
| 17,500 | 38,819 | 99,152 | -4,811 | skid front(in) | ##### | -11,500 | 0,000 | 1,000 | 100,000 | 0,000 | 1,265 | 0,608 | 0,608 | 0,608 | 0,589 | 0,589 | 0,046 |
| 18,000 | 38,008 | 99,153 | -4,810 | skid front(in) | ##### | -11,500 | 0,000 | 1,000 | 100,000 | 0,000 | 1,312 | 0,608 | 0,608 | 0,608 | 0,589 | 0,589 | 0,047 |
| 18,500 | 37,179 | 99,153 | -4,809 | skid front(in) | ##### | -11,500 | 0,000 | 1,000 | 100,000 | 0,000 | 1,360 | 0,608 | 0,608 | 0,608 | 0,589 | 0,589 | 0,048 |
| 18,900 | 36,502 | 99,153 | -4,809 | skid front(in) | ##### | -11,500 | 0,000 | 1,000 | 100,000 | 0,000 | 1,399 | 0,608 | 0,608 | 0,608 | 0,589 | 0,589 | 0,039 |
| 19,500 | 35,463 | 99,153 | -4,807 | skid front(in) | ##### | -11,500 | 0,000 | 1,000 | 100,000 | 0,000 | 1,459 | 0,608 | 0,608 | 0,608 | 0,589 | 0,589 | 0,060 |
| 20,000 | 34,574 | 99,153 | -4,806 | skid front(in) | ##### | -11,500 | 0,000 | 1,000 | 100,000 | 0,000 | 1,510 | 0,608 | 0,608 | 0,608 | 0,589 | 0,589 | 0,051 |
| 20,500 | 33,661 | 99,153 | -4,805 | skid front(in) | ##### | -11,500 | 0,000 | 1,000 | 100,000 | 0,000 | 1,563 | 0,608 | 0,608 | 0,608 | 0,589 | 0,589 | 0,053 |
| 21,000 | 32,723 | 99,153 | -4,804 | skid front(in) | ##### | -11,500 | 0,000 | 1,000 | 100,000 | 0,001 | 1,617 | 0,608 | 0,608 | 0,608 | 0,589 | 0,589 | 0,054 |
| 21,500 | 31,757 | 99,166 | -4,802 | skid front(out) | ##### | -11,500 | 0,000 | 1,000 | 100,000 | -1,975 | 1,673 | 0,608 | 0,608 | 0,608 | 0,589 | 0,589 | 0,056 |
| 22,000 | 30,762 | 99,164 | -4,801 | skid front(out) | ##### | -11,500 | 0,000 | 1,000 | 100,000 | -1,344 | 1,731 | 0,608 | 0,608 | 0,608 | 0,589 | 0,589 | 0,058 |
| 22,500 | 29,733 | 99,155 | -4,800 | skid front(out) | ##### | -11,500 | 0,000 | 1,000 | 100,000 | -1,450 | 1,790 | 0,608 | 0,608 | 0,608 | 0,588 | 0,588 | 0,060 |
| 23,000 | 28,668 | 99,137 | -4,797 | skid front(out) | ##### | -11,500 | 0,000 | 1,000 | 100,000 | -2,237 | 1,852 | 0,608 | 0,608 | 0,608 | 0,588 | 0,588 | 0,062 |
| 23,500 | 27,562 | 99,133 | -4,796 | skid front(out) | ##### | -11,500 | 0,000 | 1,000 | 100,000 | -1,775 | 1,916 | 0,608 | 0,608 | 0,608 | 0,588 | 0,588 | 0,064 |

Προσδιορισμός Τιμών Πρόσφυσης κατά την Πέδηση Οχημάτων Εφοδιασμένων με Σύστημα ABS σε Αυξημένες κατά Μήκος Κλίσεις

| | | | | | | | | | | | | | | | | | |
|--------|--------|--------|--------|-----------------|-------|---------|-------|-------|---------|--------|-------|-------|-------|-------|-------|-------|-------|
| 24,000 | 26,410 | 99,194 | -4,797 | skid front(out) | ##### | -11,500 | 0,000 | 1,000 | 100,000 | -3,375 | 1,983 | 0,608 | 0,608 | 0,608 | 0,589 | 0,589 | 0,067 |
| 24,500 | 25,206 | 99,124 | -4,794 | skid front(out) | ##### | -11,500 | 0,000 | 1,000 | 100,000 | -1,067 | 2,052 | 0,608 | 0,608 | 0,608 | 0,588 | 0,588 | 0,070 |
| 25,000 | 23,941 | 99,145 | -4,793 | skid front(out) | ##### | -11,500 | 0,000 | 1,000 | 100,000 | -2,596 | 2,126 | 0,608 | 0,608 | 0,608 | 0,588 | 0,588 | 0,073 |
| 25,500 | 22,606 | 99,156 | -4,794 | skid front(out) | ##### | -11,500 | 0,000 | 1,000 | 100,000 | -0,993 | 2,203 | 0,608 | 0,608 | 0,608 | 0,589 | 0,589 | 0,077 |
| 26,000 | 21,187 | 99,103 | -4,790 | skid front(out) | ##### | -11,500 | 0,000 | 1,000 | 100,000 | -0,500 | 2,285 | 0,608 | 0,608 | 0,608 | 0,588 | 0,588 | 0,082 |
| 26,500 | 19,667 | 99,177 | -4,792 | skid front(out) | ##### | -11,500 | 0,000 | 1,000 | 100,000 | -1,957 | 2,373 | 0,608 | 0,608 | 0,608 | 0,589 | 0,589 | 0,088 |
| 27,000 | 18,020 | 99,158 | -4,789 | skid front(out) | ##### | -11,500 | 0,000 | 1,000 | 100,000 | -2,852 | 2,469 | 0,608 | 0,608 | 0,608 | 0,588 | 0,588 | 0,096 |
| 27,500 | 16,205 | 99,157 | -4,789 | skid front(out) | ##### | -11,500 | 0,000 | 1,000 | 100,000 | -2,255 | 2,574 | 0,608 | 0,608 | 0,608 | 0,588 | 0,588 | 0,105 |
| 28,000 | 14,161 | 99,144 | -4,786 | skid front(out) | ##### | -11,500 | 0,000 | 1,000 | 100,000 | -2,613 | 2,693 | 0,608 | 0,608 | 0,608 | 0,588 | 0,588 | 0,119 |
| 28,500 | 11,768 | 99,147 | -4,787 | skid front(out) | ##### | -11,500 | 0,000 | 1,000 | 100,000 | -1,180 | 2,831 | 0,608 | 0,608 | 0,608 | 0,588 | 0,588 | 0,139 |
| 29,000 | 8,744 | 99,173 | -4,786 | skid front(out) | ##### | -11,500 | 0,000 | 1,000 | 100,000 | -3,102 | 3,007 | 0,608 | 0,608 | 0,608 | 0,588 | 0,588 | 0,176 |
| 29,500 | 3,797 | 99,114 | -4,783 | skid front(out) | ##### | -11,500 | 0,000 | 1,000 | 100,000 | -1,353 | 3,294 | 0,608 | 0,608 | 0,608 | 0,588 | 0,588 | 0,287 |
| 29,600 | 1,415 | 99,126 | -4,782 | skid front(out) | ##### | -11,500 | 0,000 | 1,000 | 100,000 | -2,629 | 3,432 | 0,608 | 0,608 | 0,608 | 0,588 | 0,588 | 0,138 |

| run_c_w_glif_9 | R(m) | br.front (%) | s(%) | e (%) | coeff | effic (%) | time (sec) |
|----------------|---------|--------------|-------|-------|-------|-----------|------------|
| s= | 100,000 | ##### | 74,00 | -11,5 | 0,0 | 1,00 | 100 |
| step= | 0,100 | viewstep= | 0,500 | STEPS | | | 3,140 |

0,963

| s (m) | V (km/h) | n (%) | dv/dt | skid check | R(m) | s(%) | e (%) | coeff | effic (%) | decelera | time (sec) | fT | front out | front in | rear out | rear in | checktime |
|--------|----------|--------|--------|-----------------|-------|---------|-------|-------|-----------|-----------|------------|-------|-----------|----------|----------|---------|-----------|
| 25,100 | 1,679 | 99,140 | -4,783 | skid front(out) | ##### | -11,500 | 0,000 | 1,000 | 100,000 | -2,023417 | 3,140 | 0,608 | 0,6078 | 0,6078 | 0,5883 | 0,5883 | |
| 0,000 | 55,980 | 99,157 | -4,839 | O.K | ##### | -11,500 | 0,000 | 1,000 | 100,000 | 0,000 | 0,000 | 0,608 | | | | | |
| 0,400 | 55,530 | 99,151 | -4,838 | skid front(in) | ##### | -11,500 | 0,000 | 1,000 | 100,000 | 0,000 | 0,026 | 0,608 | 0,608 | 0,608 | 0,589 | 0,589 | 0,026 |
| 1,000 | 54,848 | 99,151 | -4,837 | skid front(in) | ##### | -11,500 | 0,000 | 1,000 | 100,000 | 0,000 | 0,065 | 0,608 | 0,608 | 0,608 | 0,589 | 0,589 | 0,039 |
| 1,500 | 54,274 | 99,151 | -4,836 | skid front(in) | ##### | -11,500 | 0,000 | 1,000 | 100,000 | 0,000 | 0,098 | 0,608 | 0,608 | 0,608 | 0,589 | 0,589 | 0,033 |
| 2,000 | 53,694 | 99,151 | -4,835 | skid front(in) | ##### | -11,500 | 0,000 | 1,000 | 100,000 | 0,000 | 0,131 | 0,608 | 0,608 | 0,608 | 0,589 | 0,589 | 0,033 |
| 2,500 | 53,107 | 99,151 | -4,834 | skid front(in) | ##### | -11,500 | 0,000 | 1,000 | 100,000 | 0,000 | 0,165 | 0,608 | 0,608 | 0,608 | 0,589 | 0,589 | 0,034 |
| 3,000 | 52,514 | 99,151 | -4,833 | skid front(in) | ##### | -11,500 | 0,000 | 1,000 | 100,000 | 0,000 | 0,199 | 0,608 | 0,608 | 0,608 | 0,589 | 0,589 | 0,034 |
| 3,500 | 51,914 | 99,151 | -4,832 | skid front(in) | ##### | -11,500 | 0,000 | 1,000 | 100,000 | 0,000 | 0,234 | 0,608 | 0,608 | 0,608 | 0,589 | 0,589 | 0,034 |
| 4,000 | 51,308 | 99,151 | -4,831 | skid front(in) | ##### | -11,500 | 0,000 | 1,000 | 100,000 | 0,000 | 0,268 | 0,608 | 0,608 | 0,608 | 0,589 | 0,589 | 0,035 |
| 4,400 | 50,817 | 99,152 | -4,830 | skid front(in) | ##### | -11,500 | 0,000 | 1,000 | 100,000 | 0,000 | 0,297 | 0,608 | 0,608 | 0,608 | 0,589 | 0,589 | 0,028 |
| 5,000 | 50,073 | 99,152 | -4,828 | skid front(in) | ##### | -11,500 | 0,000 | 1,000 | 100,000 | 0,000 | 0,339 | 0,608 | 0,608 | 0,608 | 0,589 | 0,589 | 0,043 |
| 5,500 | 49,444 | 99,152 | -4,827 | skid front(in) | ##### | -11,500 | 0,000 | 1,000 | 100,000 | 0,000 | 0,376 | 0,608 | 0,608 | 0,608 | 0,589 | 0,589 | 0,036 |
| 6,000 | 48,808 | 99,152 | -4,826 | skid front(in) | ##### | -11,500 | 0,000 | 1,000 | 100,000 | 0,000 | 0,412 | 0,608 | 0,608 | 0,608 | 0,589 | 0,589 | 0,037 |
| 6,500 | 48,163 | 99,152 | -4,825 | skid front(in) | ##### | -11,500 | 0,000 | 1,000 | 100,000 | 0,000 | 0,449 | 0,608 | 0,608 | 0,608 | 0,589 | 0,589 | 0,037 |
| 7,000 | 47,509 | 99,152 | -4,824 | skid front(in) | ##### | -11,500 | 0,000 | 1,000 | 100,000 | 0,000 | 0,487 | 0,608 | 0,608 | 0,608 | 0,589 | 0,589 | 0,038 |
| 7,500 | 46,846 | 99,152 | -4,823 | skid front(in) | ##### | -11,500 | 0,000 | 1,000 | 100,000 | 0,000 | 0,525 | 0,608 | 0,608 | 0,608 | 0,589 | 0,589 | 0,038 |
| 8,000 | 46,175 | 99,152 | -4,822 | skid front(in) | ##### | -11,500 | 0,000 | 1,000 | 100,000 | 0,000 | 0,564 | 0,608 | 0,608 | 0,608 | 0,589 | 0,589 | 0,039 |
| 8,500 | 45,493 | 99,152 | -4,821 | skid front(in) | ##### | -11,500 | 0,000 | 1,000 | 100,000 | 0,000 | 0,603 | 0,608 | 0,608 | 0,608 | 0,589 | 0,589 | 0,039 |
| 9,000 | 44,801 | 99,152 | -4,820 | skid front(in) | ##### | -11,500 | 0,000 | 1,000 | 100,000 | 0,000 | 0,643 | 0,608 | 0,608 | 0,608 | 0,589 | 0,589 | 0,040 |
| 9,500 | 44,098 | 99,152 | -4,819 | skid front(in) | ##### | -11,500 | 0,000 | 1,000 | 100,000 | 0,000 | 0,684 | 0,608 | 0,608 | 0,608 | 0,589 | 0,589 | 0,040 |
| 10,000 | 43,385 | 99,152 | -4,818 | skid front(in) | ##### | -11,500 | 0,000 | 1,000 | 100,000 | 0,000 | 0,725 | 0,608 | 0,608 | 0,608 | 0,589 | 0,589 | 0,041 |
| 10,500 | 42,659 | 99,152 | -4,817 | skid front(in) | ##### | -11,500 | 0,000 | 1,000 | 100,000 | 0,000 | 0,767 | 0,608 | 0,608 | 0,608 | 0,589 | 0,589 | 0,042 |
| 11,000 | 41,921 | 99,152 | -4,816 | skid front(in) | ##### | -11,500 | 0,000 | 1,000 | 100,000 | 0,000 | 0,809 | 0,608 | 0,608 | 0,608 | 0,589 | 0,589 | 0,043 |
| 11,500 | 41,170 | 99,152 | -4,815 | skid front(in) | ##### | -11,500 | 0,000 | 1,000 | 100,000 | 0,000 | 0,852 | 0,608 | 0,608 | 0,608 | 0,589 | 0,589 | 0,043 |
| 12,000 | 40,405 | 99,152 | -4,814 | skid front(in) | ##### | -11,500 | 0,000 | 1,000 | 100,000 | 0,000 | 0,897 | 0,608 | 0,608 | 0,608 | 0,589 | 0,589 | 0,044 |
| 12,500 | 39,626 | 99,152 | -4,813 | skid front(in) | ##### | -11,500 | 0,000 | 1,000 | 100,000 | 0,000 | 0,942 | 0,608 | 0,608 | 0,608 | 0,589 | 0,589 | 0,045 |
| 13,000 | 38,831 | 99,152 | -4,811 | skid front(in) | ##### | -11,500 | 0,000 | 1,000 | 100,000 | 0,000 | 0,987 | 0,608 | 0,608 | 0,608 | 0,589 | 0,589 | 0,046 |
| 13,500 | 38,019 | 99,152 | -4,810 | skid front(in) | ##### | -11,500 | 0,000 | 1,000 | 100,000 | 0,000 | 1,034 | 0,608 | 0,608 | 0,608 | 0,589 | 0,589 | 0,047 |
| 14,000 | 37,191 | 99,153 | -4,809 | skid front(in) | ##### | -11,500 | 0,000 | 1,000 | 100,000 | 0,000 | 1,082 | 0,608 | 0,608 | 0,608 | 0,589 | 0,589 | 0,048 |
| 14,500 | 36,343 | 99,153 | -4,808 | skid front(in) | ##### | -11,500 | 0,000 | 1,000 | 100,000 | 0,000 | 1,131 | 0,608 | 0,608 | 0,608 | 0,589 | 0,589 | 0,049 |
| 15,000 | 35,476 | 99,153 | -4,807 | skid front(in) | ##### | -11,500 | 0,000 | 1,000 | 100,000 | 0,000 | 1,181 | 0,608 | 0,608 | 0,608 | 0,589 | 0,589 | 0,050 |
| 15,500 | 34,586 | 99,153 | -4,806 | skid front(in) | ##### | -11,500 | 0,000 | 1,000 | 100,000 | 0,000 | 1,233 | 0,608 | 0,608 | 0,608 | 0,589 | 0,589 | 0,051 |
| 16,000 | 33,674 | 99,153 | -4,805 | skid front(in) | ##### | -11,500 | 0,000 | 1,000 | 100,000 | 0,000 | 1,285 | 0,608 | 0,608 | 0,608 | 0,589 | 0,589 | 0,053 |
| 16,500 | 32,736 | 99,153 | -4,804 | skid front(in) | ##### | -11,500 | 0,000 | 1,000 | 100,000 | 0,000 | 1,340 | 0,608 | 0,608 | 0,608 | 0,589 | 0,589 | 0,054 |
| 17,000 | 31,771 | 99,124 | -4,801 | skid front(out) | ##### | -11,500 | 0,000 | 1,000 | 100,000 | -0,466 | 1,395 | 0,608 | 0,608 | 0,608 | 0,588 | 0,588 | 0,056 |
| 17,500 | 30,776 | 99,165 | -4,800 | skid front(out) | ##### | -11,500 | 0,000 | 1,000 | 100,000 | -2,870 | 1,453 | 0,608 | 0,608 | 0,608 | 0,588 | 0,588 | 0,058 |
| 18,000 | 29,748 | 99,132 | -4,798 | skid front(out) | ##### | -11,500 | 0,000 | 1,000 | 100,000 | -1,441 | 1,512 | 0,608 | 0,608 | 0,608 | 0,588 | 0,588 | 0,060 |
| 18,500 | 28,683 | 99,159 | -4,799 | skid front(out) | ##### | -11,500 | 0,000 | 1,000 | 100,000 | -1,873 | 1,574 | 0,608 | 0,608 | 0,608 | 0,588 | 0,588 | 0,062 |

Προσδιορισμός Τιμών Πρόσφυσης κατά την Πέδηση Οχημάτων Εφοδιασμένων με Σύστημα ABS σε Αυξημένες κατά Μήκος Κλίσεις

| | | | | | | | | | | | | | | | | | |
|--------|--------|--------|--------|-----------------|-------|---------|-------|-------|---------|--------|-------|-------|-------|-------|-------|-------|-------|
| 18,900 | 27,802 | 99,167 | -4,798 | skid front(out) | ##### | -11,500 | 0,000 | 1,000 | 100,000 | -2,047 | 1,625 | 0,608 | 0,608 | 0,608 | 0,589 | 0,589 | 0,051 |
| 19,500 | 26,426 | 99,142 | -4,796 | skid front(out) | ##### | -11,500 | 0,000 | 1,000 | 100,000 | -1,709 | 1,705 | 0,608 | 0,608 | 0,608 | 0,588 | 0,588 | 0,080 |
| 20,000 | 25,223 | 99,145 | -4,796 | skid front(out) | ##### | -11,500 | 0,000 | 1,000 | 100,000 | -0,739 | 1,774 | 0,608 | 0,608 | 0,608 | 0,588 | 0,588 | 0,070 |
| 20,500 | 23,959 | 99,164 | -4,794 | skid front(out) | ##### | -11,500 | 0,000 | 1,000 | 100,000 | -2,189 | 1,848 | 0,608 | 0,608 | 0,608 | 0,588 | 0,588 | 0,073 |
| 21,000 | 22,625 | 99,149 | -4,792 | skid front(out) | ##### | -11,500 | 0,000 | 1,000 | 100,000 | -2,781 | 1,925 | 0,608 | 0,608 | 0,608 | 0,588 | 0,588 | 0,077 |
| 21,500 | 21,208 | 99,149 | -4,792 | skid front(out) | ##### | -11,500 | 0,000 | 1,000 | 100,000 | -1,945 | 2,007 | 0,608 | 0,608 | 0,608 | 0,588 | 0,588 | 0,082 |
| 22,000 | 19,689 | 99,140 | -4,790 | skid front(out) | ##### | -11,500 | 0,000 | 1,000 | 100,000 | -1,985 | 2,095 | 0,608 | 0,608 | 0,608 | 0,588 | 0,588 | 0,088 |
| 22,500 | 18,043 | 99,176 | -4,791 | skid front(out) | ##### | -11,500 | 0,000 | 1,000 | 100,000 | -2,418 | 2,190 | 0,608 | 0,608 | 0,608 | 0,589 | 0,589 | 0,095 |
| 23,000 | 16,232 | 99,174 | -4,790 | skid front(out) | ##### | -11,500 | 0,000 | 1,000 | 100,000 | -1,826 | 2,295 | 0,608 | 0,608 | 0,608 | 0,589 | 0,589 | 0,105 |
| 23,500 | 14,191 | 99,159 | -4,788 | skid front(out) | ##### | -11,500 | 0,000 | 1,000 | 100,000 | -2,073 | 2,414 | 0,608 | 0,608 | 0,608 | 0,588 | 0,588 | 0,118 |
| 24,000 | 11,803 | 99,196 | -4,788 | skid front(out) | ##### | -11,500 | 0,000 | 1,000 | 100,000 | -2,916 | 2,552 | 0,608 | 0,608 | 0,608 | 0,589 | 0,589 | 0,139 |
| 24,500 | 8,791 | 99,188 | -4,787 | skid front(out) | ##### | -11,500 | 0,000 | 1,000 | 100,000 | -2,577 | 2,727 | 0,608 | 0,608 | 0,608 | 0,589 | 0,589 | 0,175 |
| 25,000 | 3,904 | 99,129 | -4,784 | skid front(out) | ##### | -11,500 | 0,000 | 1,000 | 100,000 | -0,828 | 3,011 | 0,608 | 0,608 | 0,608 | 0,588 | 0,588 | 0,284 |
| 25,100 | 1,679 | 99,140 | -4,783 | skid front(out) | ##### | -11,500 | 0,000 | 1,000 | 100,000 | -2,023 | 3,140 | 0,608 | 0,608 | 0,608 | 0,588 | 0,588 | 0,129 |

| run c w glif 12 | R(m) | br.front (%) | s(%) | e (%) | coeff | effic (%) | time (sec) |
|-----------------|-----------|--------------|-------|-------|-------|-----------|------------|
| s= 100,000 | ##### | 74,00 | -11,5 | 0,0 | 1,00 | 100 | 2,741 |
| step= 0,100 | viewstep= | 0,500 | STEPS | | | | |

0,963

| s (m) | V (km/h) | n (%) | dv/dt | skid check | R(m) | s(%) | e (%) | coeff | effic (%) | decelera | time (sec) | FT | front out | front in | rear out | rear in | checktime |
|--------|----------|--------|--------|-----------------|-------|---------|-------|-------|-----------|-----------|------------|-------|-----------|----------|----------|---------|-----------|
| 20,600 | 3,396 | 99,174 | -4,785 | skid front(out) | ##### | -11,500 | 0,000 | 1,000 | 100,000 | -2,495365 | 2,741 | 0,608 | 0,6079 | 0,6079 | 0,5885 | 0,5885 | |
| 0,000 | 50,780 | 99,156 | -4,830 | O.K | ##### | -11,500 | 0,000 | 1,000 | 100,000 | 0,000 | 0,000 | 0,608 | | | | | |
| 0,400 | 50,285 | 99,152 | -4,829 | skid front(in) | ##### | -11,500 | 0,000 | 1,000 | 100,000 | 0,000 | 0,028 | 0,608 | 0,608 | 0,608 | 0,589 | 0,589 | 0,028 |
| 1,000 | 49,532 | 99,152 | -4,828 | skid front(in) | ##### | -11,500 | 0,000 | 1,000 | 100,000 | 0,000 | 0,072 | 0,608 | 0,608 | 0,608 | 0,589 | 0,589 | 0,043 |
| 1,500 | 48,897 | 99,152 | -4,826 | skid front(in) | ##### | -11,500 | 0,000 | 1,000 | 100,000 | 0,000 | 0,108 | 0,608 | 0,608 | 0,608 | 0,589 | 0,589 | 0,037 |
| 2,000 | 48,253 | 99,152 | -4,825 | skid front(in) | ##### | -11,500 | 0,000 | 1,000 | 100,000 | 0,000 | 0,145 | 0,608 | 0,608 | 0,608 | 0,589 | 0,589 | 0,037 |
| 2,500 | 47,601 | 99,152 | -4,824 | skid front(in) | ##### | -11,500 | 0,000 | 1,000 | 100,000 | 0,000 | 0,183 | 0,608 | 0,608 | 0,608 | 0,589 | 0,589 | 0,038 |
| 3,000 | 46,939 | 99,152 | -4,823 | skid front(in) | ##### | -11,500 | 0,000 | 1,000 | 100,000 | 0,000 | 0,221 | 0,608 | 0,608 | 0,608 | 0,589 | 0,589 | 0,038 |
| 3,500 | 46,269 | 99,152 | -4,822 | skid front(in) | ##### | -11,500 | 0,000 | 1,000 | 100,000 | 0,000 | 0,260 | 0,608 | 0,608 | 0,608 | 0,589 | 0,589 | 0,039 |
| 4,000 | 45,588 | 99,152 | -4,821 | skid front(in) | ##### | -11,500 | 0,000 | 1,000 | 100,000 | 0,000 | 0,299 | 0,608 | 0,608 | 0,608 | 0,589 | 0,589 | 0,039 |
| 4,400 | 45,037 | 99,152 | -4,820 | skid front(in) | ##### | -11,500 | 0,000 | 1,000 | 100,000 | 0,000 | 0,331 | 0,608 | 0,608 | 0,608 | 0,589 | 0,589 | 0,032 |
| 5,000 | 44,197 | 99,152 | -4,819 | skid front(in) | ##### | -11,500 | 0,000 | 1,000 | 100,000 | 0,000 | 0,379 | 0,608 | 0,608 | 0,608 | 0,589 | 0,589 | 0,048 |
| 5,500 | 43,485 | 99,152 | -4,818 | skid front(in) | ##### | -11,500 | 0,000 | 1,000 | 100,000 | 0,000 | 0,420 | 0,608 | 0,608 | 0,608 | 0,589 | 0,589 | 0,041 |
| 6,000 | 42,761 | 99,152 | -4,817 | skid front(in) | ##### | -11,500 | 0,000 | 1,000 | 100,000 | 0,000 | 0,462 | 0,608 | 0,608 | 0,608 | 0,589 | 0,589 | 0,042 |
| 6,500 | 42,025 | 99,152 | -4,816 | skid front(in) | ##### | -11,500 | 0,000 | 1,000 | 100,000 | 0,000 | 0,504 | 0,608 | 0,608 | 0,608 | 0,589 | 0,589 | 0,042 |
| 7,000 | 41,275 | 99,152 | -4,815 | skid front(in) | ##### | -11,500 | 0,000 | 1,000 | 100,000 | 0,000 | 0,548 | 0,608 | 0,608 | 0,608 | 0,589 | 0,589 | 0,043 |
| 7,500 | 40,513 | 99,152 | -4,814 | skid front(in) | ##### | -11,500 | 0,000 | 1,000 | 100,000 | 0,000 | 0,592 | 0,608 | 0,608 | 0,608 | 0,589 | 0,589 | 0,044 |
| 8,000 | 39,735 | 99,152 | -4,813 | skid front(in) | ##### | -11,500 | 0,000 | 1,000 | 100,000 | 0,000 | 0,636 | 0,608 | 0,608 | 0,608 | 0,589 | 0,589 | 0,045 |
| 8,500 | 38,943 | 99,152 | -4,812 | skid front(in) | ##### | -11,500 | 0,000 | 1,000 | 100,000 | 0,000 | 0,682 | 0,608 | 0,608 | 0,608 | 0,589 | 0,589 | 0,046 |
| 9,000 | 38,134 | 99,152 | -4,811 | skid front(in) | ##### | -11,500 | 0,000 | 1,000 | 100,000 | 0,000 | 0,729 | 0,608 | 0,608 | 0,608 | 0,589 | 0,589 | 0,047 |
| 9,500 | 37,307 | 99,153 | -4,810 | skid front(in) | ##### | -11,500 | 0,000 | 1,000 | 100,000 | 0,000 | 0,777 | 0,608 | 0,608 | 0,608 | 0,589 | 0,589 | 0,048 |
| 10,000 | 36,462 | 99,153 | -4,808 | skid front(in) | ##### | -11,500 | 0,000 | 1,000 | 100,000 | 0,000 | 0,825 | 0,608 | 0,608 | 0,608 | 0,589 | 0,589 | 0,049 |
| 10,500 | 35,598 | 99,153 | -4,807 | skid front(in) | ##### | -11,500 | 0,000 | 1,000 | 100,000 | 0,000 | 0,875 | 0,608 | 0,608 | 0,608 | 0,589 | 0,589 | 0,050 |
| 11,000 | 34,712 | 99,153 | -4,806 | skid front(in) | ##### | -11,500 | 0,000 | 1,000 | 100,000 | 0,000 | 0,927 | 0,608 | 0,608 | 0,608 | 0,589 | 0,589 | 0,051 |
| 11,500 | 33,803 | 99,153 | -4,805 | skid front(in) | ##### | -11,500 | 0,000 | 1,000 | 100,000 | 0,000 | 0,979 | 0,608 | 0,608 | 0,608 | 0,589 | 0,589 | 0,053 |
| 12,000 | 32,869 | 99,153 | -4,804 | skid front(in) | ##### | -11,500 | 0,000 | 1,000 | 100,000 | 0,000 | 1,033 | 0,608 | 0,608 | 0,608 | 0,589 | 0,589 | 0,054 |
| 12,500 | 31,908 | 99,152 | -4,801 | skid front(out) | ##### | -11,500 | 0,000 | 1,000 | 100,000 | -2,129 | 1,089 | 0,608 | 0,608 | 0,608 | 0,588 | 0,588 | 0,056 |
| 13,000 | 30,917 | 99,137 | -4,800 | skid front(out) | ##### | -11,500 | 0,000 | 1,000 | 100,000 | -1,510 | 1,146 | 0,608 | 0,608 | 0,608 | 0,588 | 0,588 | 0,057 |
| 13,500 | 29,894 | 99,159 | -4,800 | skid front(out) | ##### | -11,500 | 0,000 | 1,000 | 100,000 | -1,198 | 1,205 | 0,608 | 0,608 | 0,608 | 0,589 | 0,589 | 0,059 |
| 14,000 | 28,835 | 99,175 | -4,800 | skid front(out) | ##### | -11,500 | 0,000 | 1,000 | 100,000 | -1,667 | 1,266 | 0,608 | 0,608 | 0,608 | 0,589 | 0,589 | 0,061 |
| 14,500 | 27,735 | 99,182 | -4,798 | skid front(out) | ##### | -11,500 | 0,000 | 1,000 | 100,000 | -2,775 | 1,330 | 0,608 | 0,608 | 0,608 | 0,589 | 0,589 | 0,064 |
| 15,000 | 26,590 | 99,134 | -4,795 | skid front(out) | ##### | -11,500 | 0,000 | 1,000 | 100,000 | -1,481 | 1,396 | 0,608 | 0,608 | 0,608 | 0,588 | 0,588 | 0,066 |
| 15,500 | 25,394 | 99,124 | -4,795 | skid front(out) | ##### | -11,500 | 0,000 | 1,000 | 100,000 | -0,481 | 1,466 | 0,608 | 0,608 | 0,608 | 0,588 | 0,588 | 0,069 |
| 16,000 | 24,140 | 99,130 | -4,793 | skid front(out) | ##### | -11,500 | 0,000 | 1,000 | 100,000 | -1,971 | 1,538 | 0,608 | 0,608 | 0,608 | 0,588 | 0,588 | 0,073 |
| 16,500 | 22,816 | 99,152 | -4,793 | skid front(out) | ##### | -11,500 | 0,000 | 1,000 | 100,000 | -2,122 | 1,615 | 0,608 | 0,608 | 0,608 | 0,588 | 0,588 | 0,077 |
| 17,000 | 21,412 | 99,139 | -4,792 | skid front(out) | ##### | -11,500 | 0,000 | 1,000 | 100,000 | -1,298 | 1,696 | 0,608 | 0,608 | 0,608 | 0,588 | 0,588 | 0,081 |
| 17,500 | 19,908 | 99,115 | -4,789 | skid front(out) | ##### | -11,500 | 0,000 | 1,000 | 100,000 | -1,290 | 1,783 | 0,608 | 0,608 | 0,608 | 0,588 | 0,588 | 0,087 |
| 18,000 | 18,282 | 99,136 | -4,789 | skid front(out) | ##### | -11,500 | 0,000 | 1,000 | 100,000 | -1,731 | 1,878 | 0,608 | 0,608 | 0,608 | 0,588 | 0,588 | 0,094 |

Προσδιορισμός Τιμών Πρόσφυσης κατά την Πέδηση Οχημάτων Εφοδιασμένων με Σύστημα ABS σε Αυξημένες κατά Μήκος Κλίσεις

| | | | | | | | | | | | | | | | | | |
|--------|--------|--------|--------|-----------------|-------|---------|-------|-------|---------|--------|-------|-------|-------|-------|-------|-------|-------|
| 18,500 | 16,497 | 99,117 | -4,787 | skid front(out) | ##### | -11,500 | 0,000 | 1,000 | 100,000 | -1,067 | 1,981 | 0,608 | 0,608 | 0,608 | 0,588 | 0,588 | 0,104 |
| 18,900 | 14,916 | 99,182 | -4,789 | skid front(out) | ##### | -11,500 | 0,000 | 1,000 | 100,000 | -2,413 | 2,073 | 0,608 | 0,608 | 0,608 | 0,589 | 0,589 | 0,092 |
| 19,500 | 12,166 | 99,166 | -4,788 | skid front(out) | ##### | -11,500 | 0,000 | 1,000 | 100,000 | -1,579 | 2,232 | 0,608 | 0,608 | 0,608 | 0,589 | 0,589 | 0,160 |
| 20,000 | 9,272 | 99,139 | -4,785 | skid front(out) | ##### | -11,500 | 0,000 | 1,000 | 100,000 | -1,192 | 2,400 | 0,608 | 0,608 | 0,608 | 0,588 | 0,588 | 0,168 |
| 20,500 | 4,894 | 99,203 | -4,786 | skid front(out) | ##### | -11,500 | 0,000 | 1,000 | 100,000 | -3,750 | 2,655 | 0,608 | 0,608 | 0,608 | 0,589 | 0,589 | 0,254 |
| 20,600 | 3,396 | 99,174 | -4,785 | skid front(out) | ##### | -11,500 | 0,000 | 1,000 | 100,000 | -2,495 | 2,741 | 0,608 | 0,608 | 0,608 | 0,589 | 0,589 | 0,087 |

| | | | | | | | | |
|-----------------|---------|--------------|-------|-------|-------|-----------|------------|-------|
| run c w glif 13 | R(m) | br.front (%) | s(%) | e (%) | coeff | effic (%) | time (sec) | |
| s= | 100,000 | ##### | 74,00 | -11,5 | 0,0 | 1,00 | 100 | 2,951 |
| step= | 0,100 | viewstep= | 0,500 | STEPS | | | | |

0,963

| s (m) | V (km/h) | n (%) | dv/dt | skid check | R(m) | s(%) | e (%) | coeff | effic (%) | decelera | time (sec) | FT | front out | front in | rear out | rear in | checktime |
|--------|----------|--------|--------|-----------------|-------|---------|-------|-------|-----------|-----------|------------|-------|-----------|----------|----------|---------|-----------|
| 23,600 | 3,322 | 99,136 | -4,782 | skid front(out) | ##### | -11,500 | 0,000 | 1,000 | 100,000 | -3,035353 | 2,951 | 0,608 | 0,6077 | 0,6077 | 0,5881 | 0,5881 | |
| 0,000 | 54,350 | 99,156 | -4,836 | O.K | ##### | -11,500 | 0,000 | 1,000 | 100,000 | 0,000 | 0,000 | 0,608 | | | | | |
| 0,400 | 53,887 | 99,151 | -4,835 | skid front(in) | ##### | -11,500 | 0,000 | 1,000 | 100,000 | 0,000 | 0,027 | 0,608 | 0,608 | 0,608 | 0,589 | 0,589 | 0,027 |
| 1,000 | 53,185 | 99,151 | -4,834 | skid front(in) | ##### | -11,500 | 0,000 | 1,000 | 100,000 | 0,000 | 0,067 | 0,608 | 0,608 | 0,608 | 0,589 | 0,589 | 0,040 |
| 1,500 | 52,592 | 99,151 | -4,833 | skid front(in) | ##### | -11,500 | 0,000 | 1,000 | 100,000 | 0,000 | 0,101 | 0,608 | 0,608 | 0,608 | 0,589 | 0,589 | 0,034 |
| 2,000 | 51,994 | 99,151 | -4,832 | skid front(in) | ##### | -11,500 | 0,000 | 1,000 | 100,000 | 0,000 | 0,135 | 0,608 | 0,608 | 0,608 | 0,589 | 0,589 | 0,034 |
| 2,500 | 51,388 | 99,151 | -4,831 | skid front(in) | ##### | -11,500 | 0,000 | 1,000 | 100,000 | 0,000 | 0,170 | 0,608 | 0,608 | 0,608 | 0,589 | 0,589 | 0,035 |
| 3,000 | 50,775 | 99,152 | -4,830 | skid front(in) | ##### | -11,500 | 0,000 | 1,000 | 100,000 | 0,000 | 0,205 | 0,608 | 0,608 | 0,608 | 0,589 | 0,589 | 0,035 |
| 3,500 | 50,155 | 99,152 | -4,829 | skid front(in) | ##### | -11,500 | 0,000 | 1,000 | 100,000 | 0,000 | 0,241 | 0,608 | 0,608 | 0,608 | 0,589 | 0,589 | 0,036 |
| 4,000 | 49,527 | 99,152 | -4,828 | skid front(in) | ##### | -11,500 | 0,000 | 1,000 | 100,000 | 0,000 | 0,277 | 0,608 | 0,608 | 0,608 | 0,589 | 0,589 | 0,036 |
| 4,400 | 49,020 | 99,152 | -4,827 | skid front(in) | ##### | -11,500 | 0,000 | 1,000 | 100,000 | 0,000 | 0,306 | 0,608 | 0,608 | 0,608 | 0,589 | 0,589 | 0,029 |
| 5,000 | 48,248 | 99,152 | -4,825 | skid front(in) | ##### | -11,500 | 0,000 | 1,000 | 100,000 | 0,000 | 0,351 | 0,608 | 0,608 | 0,608 | 0,589 | 0,589 | 0,044 |
| 5,500 | 47,595 | 99,152 | -4,824 | skid front(in) | ##### | -11,500 | 0,000 | 1,000 | 100,000 | 0,000 | 0,388 | 0,608 | 0,608 | 0,608 | 0,589 | 0,589 | 0,038 |
| 6,000 | 46,934 | 99,152 | -4,823 | skid front(in) | ##### | -11,500 | 0,000 | 1,000 | 100,000 | 0,000 | 0,427 | 0,608 | 0,608 | 0,608 | 0,589 | 0,589 | 0,038 |
| 6,500 | 46,263 | 99,152 | -4,822 | skid front(in) | ##### | -11,500 | 0,000 | 1,000 | 100,000 | 0,000 | 0,465 | 0,608 | 0,608 | 0,608 | 0,589 | 0,589 | 0,039 |
| 7,000 | 45,583 | 99,152 | -4,821 | skid front(in) | ##### | -11,500 | 0,000 | 1,000 | 100,000 | 0,000 | 0,504 | 0,608 | 0,608 | 0,608 | 0,589 | 0,589 | 0,039 |
| 7,500 | 44,893 | 99,152 | -4,820 | skid front(in) | ##### | -11,500 | 0,000 | 1,000 | 100,000 | 0,000 | 0,544 | 0,608 | 0,608 | 0,608 | 0,589 | 0,589 | 0,040 |
| 8,000 | 44,191 | 99,152 | -4,819 | skid front(in) | ##### | -11,500 | 0,000 | 1,000 | 100,000 | 0,000 | 0,585 | 0,608 | 0,608 | 0,608 | 0,589 | 0,589 | 0,040 |
| 8,500 | 43,479 | 99,152 | -4,818 | skid front(in) | ##### | -11,500 | 0,000 | 1,000 | 100,000 | 0,000 | 0,626 | 0,608 | 0,608 | 0,608 | 0,589 | 0,589 | 0,041 |
| 9,000 | 42,755 | 99,152 | -4,817 | skid front(in) | ##### | -11,500 | 0,000 | 1,000 | 100,000 | 0,000 | 0,667 | 0,608 | 0,608 | 0,608 | 0,589 | 0,589 | 0,042 |
| 9,500 | 42,019 | 99,152 | -4,816 | skid front(in) | ##### | -11,500 | 0,000 | 1,000 | 100,000 | 0,000 | 0,710 | 0,608 | 0,608 | 0,608 | 0,589 | 0,589 | 0,042 |
| 10,000 | 41,270 | 99,152 | -4,815 | skid front(in) | ##### | -11,500 | 0,000 | 1,000 | 100,000 | 0,000 | 0,753 | 0,608 | 0,608 | 0,608 | 0,589 | 0,589 | 0,043 |
| 10,500 | 40,507 | 99,152 | -4,814 | skid front(in) | ##### | -11,500 | 0,000 | 1,000 | 100,000 | 0,000 | 0,797 | 0,608 | 0,608 | 0,608 | 0,589 | 0,589 | 0,044 |
| 11,000 | 39,729 | 99,152 | -4,813 | skid front(in) | ##### | -11,500 | 0,000 | 1,000 | 100,000 | 0,000 | 0,842 | 0,608 | 0,608 | 0,608 | 0,589 | 0,589 | 0,045 |
| 11,500 | 38,936 | 99,152 | -4,812 | skid front(in) | ##### | -11,500 | 0,000 | 1,000 | 100,000 | 0,000 | 0,888 | 0,608 | 0,608 | 0,608 | 0,589 | 0,589 | 0,046 |
| 12,000 | 38,127 | 99,152 | -4,811 | skid front(in) | ##### | -11,500 | 0,000 | 1,000 | 100,000 | 0,000 | 0,934 | 0,608 | 0,608 | 0,608 | 0,589 | 0,589 | 0,047 |
| 12,500 | 37,301 | 99,153 | -4,810 | skid front(in) | ##### | -11,500 | 0,000 | 1,000 | 100,000 | 0,000 | 0,982 | 0,608 | 0,608 | 0,608 | 0,589 | 0,589 | 0,048 |
| 13,000 | 36,456 | 99,153 | -4,808 | skid front(in) | ##### | -11,500 | 0,000 | 1,000 | 100,000 | 0,000 | 1,031 | 0,608 | 0,608 | 0,608 | 0,589 | 0,589 | 0,049 |
| 13,500 | 35,591 | 99,153 | -4,807 | skid front(in) | ##### | -11,500 | 0,000 | 1,000 | 100,000 | 0,000 | 1,081 | 0,608 | 0,608 | 0,608 | 0,589 | 0,589 | 0,050 |
| 14,000 | 34,705 | 99,153 | -4,806 | skid front(in) | ##### | -11,500 | 0,000 | 1,000 | 100,000 | 0,000 | 1,132 | 0,608 | 0,608 | 0,608 | 0,589 | 0,589 | 0,051 |
| 14,500 | 33,795 | 99,153 | -4,805 | skid front(in) | ##### | -11,500 | 0,000 | 1,000 | 100,000 | 0,000 | 1,185 | 0,608 | 0,608 | 0,608 | 0,589 | 0,589 | 0,053 |
| 15,000 | 32,861 | 99,153 | -4,804 | skid front(in) | ##### | -11,500 | 0,000 | 1,000 | 100,000 | 0,001 | 1,239 | 0,608 | 0,608 | 0,608 | 0,589 | 0,589 | 0,054 |
| 15,500 | 31,900 | 99,163 | -4,802 | skid front(out) | ##### | -11,500 | 0,000 | 1,000 | 100,000 | -2,147 | 1,294 | 0,608 | 0,608 | 0,608 | 0,588 | 0,588 | 0,056 |
| 16,000 | 30,909 | 99,149 | -4,801 | skid front(out) | ##### | -11,500 | 0,000 | 1,000 | 100,000 | -1,518 | 1,352 | 0,608 | 0,608 | 0,608 | 0,588 | 0,588 | 0,057 |
| 16,500 | 29,885 | 99,127 | -4,798 | skid front(in) | ##### | -11,500 | 0,000 | 1,000 | 100,000 | -1,592 | 1,411 | 0,608 | 0,608 | 0,608 | 0,588 | 0,588 | 0,059 |
| 17,000 | 28,826 | 99,142 | -4,798 | skid front(out) | ##### | -11,500 | 0,000 | 1,000 | 100,000 | -1,994 | 1,472 | 0,608 | 0,608 | 0,608 | 0,588 | 0,588 | 0,061 |
| 17,500 | 27,726 | 99,126 | -4,796 | skid front(out) | ##### | -11,500 | 0,000 | 1,000 | 100,000 | -1,557 | 1,536 | 0,608 | 0,608 | 0,608 | 0,588 | 0,588 | 0,064 |
| 18,000 | 26,581 | 99,149 | -4,796 | skid front(out) | ##### | -11,500 | 0,000 | 1,000 | 100,000 | -1,474 | 1,602 | 0,608 | 0,608 | 0,608 | 0,588 | 0,588 | 0,066 |
| 18,500 | 25,385 | 99,140 | -4,796 | skid front(out) | ##### | -11,500 | 0,000 | 1,000 | 100,000 | -0,473 | 1,671 | 0,608 | 0,608 | 0,608 | 0,588 | 0,588 | 0,069 |
| 18,900 | 24,386 | 99,158 | -4,794 | skid front(out) | ##### | -11,500 | 0,000 | 1,000 | 100,000 | -2,225 | 1,729 | 0,608 | 0,608 | 0,608 | 0,588 | 0,588 | 0,058 |
| 19,500 | 22,806 | 99,171 | -4,794 | skid front(out) | ##### | -11,500 | 0,000 | 1,000 | 100,000 | -2,123 | 1,821 | 0,608 | 0,608 | 0,608 | 0,589 | 0,589 | 0,092 |
| 20,000 | 21,400 | 99,159 | -4,793 | skid front(out) | ##### | -11,500 | 0,000 | 1,000 | 100,000 | -1,305 | 1,902 | 0,608 | 0,608 | 0,608 | 0,589 | 0,589 | 0,081 |
| 20,500 | 19,896 | 99,164 | -4,790 | skid front(out) | ##### | -11,500 | 0,000 | 1,000 | 100,000 | -3,169 | 1,989 | 0,608 | 0,608 | 0,608 | 0,588 | 0,588 | 0,087 |
| 21,000 | 18,269 | 99,159 | -4,790 | skid front(out) | ##### | -11,500 | 0,000 | 1,000 | 100,000 | -1,739 | 2,084 | 0,608 | 0,608 | 0,608 | 0,588 | 0,588 | 0,094 |

Προσδιορισμός Τιμών Πρόσφυσης κατά την Πέδηση Οχημάτων Εφοδιασμένων με Σύστημα ABS σε Αυξημένες κατά Μήκος Κλίσεις

| | | | | | | | | | | | | | | | | | |
|--------|--------|--------|--------|-----------------|-------|---------|-------|-------|---------|--------|-------|-------|-------|-------|-------|-------|-------|
| 21,500 | 16,482 | 99,141 | -4,789 | skid front(out) | ##### | -11,500 | 0,000 | 1,000 | 100,000 | -1,033 | 2,187 | 0,608 | 0,608 | 0,608 | 0,588 | 0,588 | 0,104 |
| 22,000 | 14,477 | 99,142 | -4,786 | skid front(out) | ##### | -11,500 | 0,000 | 1,000 | 100,000 | -3,464 | 2,304 | 0,608 | 0,608 | 0,608 | 0,588 | 0,588 | 0,116 |
| 22,500 | 12,145 | 99,130 | -4,785 | skid front(out) | ##### | -11,500 | 0,000 | 1,000 | 100,000 | -2,093 | 2,439 | 0,608 | 0,608 | 0,608 | 0,588 | 0,588 | 0,135 |
| 23,000 | 9,245 | 99,102 | -4,783 | skid front(in) | ##### | -11,500 | 0,000 | 1,000 | 100,000 | -1,687 | 2,607 | 0,608 | 0,608 | 0,608 | 0,588 | 0,588 | 0,168 |
| 23,500 | 4,842 | 99,166 | -4,783 | skid front(out) | ##### | -11,500 | 0,000 | 1,000 | 100,000 | -4,305 | 2,863 | 0,608 | 0,608 | 0,608 | 0,588 | 0,588 | 0,256 |
| 23,600 | 3,322 | 99,136 | -4,782 | skid front(out) | ##### | -11,500 | 0,000 | 1,000 | 100,000 | -3,035 | 2,951 | 0,608 | 0,608 | 0,608 | 0,588 | 0,588 | 0,088 |

| | | | | | | | |
|-----------------|-----------|--------------|-------|-------|-------|-----------|------------|
| run c w glif 15 | R(m) | br.front (%) | s(%) | e (%) | coeff | effic (%) | time (sec) |
| s= 100,000 | ##### | 74,00 | -11,5 | 0,0 | 1,00 | 100 | 3,498 |
| step= 0,100 | viewstep= | 0,500 | STEPS | | | | |

0,963

| s (m) | V (km/h) | n (%) | dv/dt | skid check | R(m) | s(%) | e (%) | coeff | effic (%) | decelera | time (sec) | fT | front out | front in | rear out | rear in | checktime |
|--------|----------|--------|--------|-----------------|-------|---------|-------|-------|-----------|-----------|------------|-------|-----------|----------|----------|---------|-----------|
| 31,300 | 2,007 | 99,163 | -4,783 | skid front(out) | ##### | -11,500 | 0,000 | 1,000 | 100,000 | -3,956851 | 3,498 | 0,608 | 0,6078 | 0,6078 | 0,5882 | 0,5882 | |
| 0,000 | 62,560 | 99,157 | -4,853 | O.K | ##### | -11,500 | 0,000 | 1,000 | 100,000 | 0,000 | 0,000 | 0,608 | | | | | |
| 0,400 | 62,157 | 99,150 | -4,852 | skid front(in) | ##### | -11,500 | 0,000 | 1,000 | 100,000 | 0,000 | 0,023 | 0,608 | 0,608 | 0,608 | 0,589 | 0,589 | 0,023 |
| 1,000 | 61,547 | 99,150 | -4,850 | skid front(in) | ##### | -11,500 | 0,000 | 1,000 | 100,000 | 0,000 | 0,058 | 0,608 | 0,608 | 0,608 | 0,589 | 0,589 | 0,035 |
| 1,500 | 61,034 | 99,151 | -4,849 | skid front(in) | ##### | -11,500 | 0,000 | 1,000 | 100,000 | 0,000 | 0,087 | 0,608 | 0,608 | 0,608 | 0,589 | 0,589 | 0,029 |
| 2,000 | 60,517 | 99,151 | -4,848 | skid front(in) | ##### | -11,500 | 0,000 | 1,000 | 100,000 | 0,000 | 0,117 | 0,608 | 0,608 | 0,608 | 0,589 | 0,589 | 0,030 |
| 2,500 | 59,996 | 99,151 | -4,847 | skid front(in) | ##### | -11,500 | 0,000 | 1,000 | 100,000 | 0,000 | 0,147 | 0,608 | 0,608 | 0,608 | 0,589 | 0,589 | 0,030 |
| 3,000 | 59,470 | 99,151 | -4,846 | skid front(in) | ##### | -11,500 | 0,000 | 1,000 | 100,000 | 0,000 | 0,177 | 0,608 | 0,608 | 0,608 | 0,589 | 0,589 | 0,030 |
| 3,500 | 58,940 | 99,151 | -4,845 | skid front(in) | ##### | -11,500 | 0,000 | 1,000 | 100,000 | 0,000 | 0,207 | 0,608 | 0,608 | 0,608 | 0,589 | 0,589 | 0,030 |
| 4,000 | 58,405 | 99,151 | -4,844 | skid front(in) | ##### | -11,500 | 0,000 | 1,000 | 100,000 | 0,000 | 0,238 | 0,608 | 0,608 | 0,608 | 0,589 | 0,589 | 0,031 |
| 4,400 | 57,973 | 99,151 | -4,843 | skid front(in) | ##### | -11,500 | 0,000 | 1,000 | 100,000 | 0,000 | 0,263 | 0,608 | 0,608 | 0,608 | 0,589 | 0,589 | 0,025 |
| 5,000 | 57,320 | 99,151 | -4,842 | skid front(in) | ##### | -11,500 | 0,000 | 1,000 | 100,000 | 0,000 | 0,300 | 0,608 | 0,608 | 0,608 | 0,589 | 0,589 | 0,037 |
| 5,500 | 56,770 | 99,151 | -4,841 | skid front(in) | ##### | -11,500 | 0,000 | 1,000 | 100,000 | 0,000 | 0,332 | 0,608 | 0,608 | 0,608 | 0,589 | 0,589 | 0,032 |
| 6,000 | 56,215 | 99,151 | -4,840 | skid front(in) | ##### | -11,500 | 0,000 | 1,000 | 100,000 | 0,000 | 0,364 | 0,608 | 0,608 | 0,608 | 0,589 | 0,589 | 0,032 |
| 6,500 | 55,654 | 99,151 | -4,838 | skid front(in) | ##### | -11,500 | 0,000 | 1,000 | 100,000 | 0,000 | 0,396 | 0,608 | 0,608 | 0,608 | 0,589 | 0,589 | 0,032 |
| 7,000 | 55,088 | 99,151 | -4,837 | skid front(in) | ##### | -11,500 | 0,000 | 1,000 | 100,000 | 0,000 | 0,428 | 0,608 | 0,608 | 0,608 | 0,589 | 0,589 | 0,033 |
| 7,500 | 54,516 | 99,151 | -4,836 | skid front(in) | ##### | -11,500 | 0,000 | 1,000 | 100,000 | 0,000 | 0,461 | 0,608 | 0,608 | 0,608 | 0,589 | 0,589 | 0,033 |
| 8,000 | 53,938 | 99,151 | -4,835 | skid front(in) | ##### | -11,500 | 0,000 | 1,000 | 100,000 | 0,000 | 0,494 | 0,608 | 0,608 | 0,608 | 0,589 | 0,589 | 0,033 |
| 8,500 | 53,354 | 99,151 | -4,834 | skid front(in) | ##### | -11,500 | 0,000 | 1,000 | 100,000 | 0,000 | 0,528 | 0,608 | 0,608 | 0,608 | 0,589 | 0,589 | 0,034 |
| 9,000 | 52,764 | 99,151 | -4,833 | skid front(in) | ##### | -11,500 | 0,000 | 1,000 | 100,000 | 0,000 | 0,562 | 0,608 | 0,608 | 0,608 | 0,589 | 0,589 | 0,034 |
| 9,500 | 52,167 | 99,151 | -4,832 | skid front(in) | ##### | -11,500 | 0,000 | 1,000 | 100,000 | 0,000 | 0,596 | 0,608 | 0,608 | 0,608 | 0,589 | 0,589 | 0,034 |
| 10,000 | 51,563 | 99,151 | -4,831 | skid front(in) | ##### | -11,500 | 0,000 | 1,000 | 100,000 | 0,000 | 0,631 | 0,608 | 0,608 | 0,608 | 0,589 | 0,589 | 0,035 |
| 10,500 | 50,953 | 99,151 | -4,830 | skid front(in) | ##### | -11,500 | 0,000 | 1,000 | 100,000 | 0,000 | 0,666 | 0,608 | 0,608 | 0,608 | 0,589 | 0,589 | 0,035 |
| 11,000 | 50,335 | 99,152 | -4,829 | skid front(in) | ##### | -11,500 | 0,000 | 1,000 | 100,000 | 0,000 | 0,702 | 0,608 | 0,608 | 0,608 | 0,589 | 0,589 | 0,036 |
| 11,500 | 49,709 | 99,152 | -4,828 | skid front(in) | ##### | -11,500 | 0,000 | 1,000 | 100,000 | 0,000 | 0,738 | 0,608 | 0,608 | 0,608 | 0,589 | 0,589 | 0,036 |
| 12,000 | 49,076 | 99,152 | -4,827 | skid front(in) | ##### | -11,500 | 0,000 | 1,000 | 100,000 | 0,000 | 0,774 | 0,608 | 0,608 | 0,608 | 0,589 | 0,589 | 0,036 |
| 12,500 | 48,435 | 99,152 | -4,826 | skid front(in) | ##### | -11,500 | 0,000 | 1,000 | 100,000 | 0,000 | 0,811 | 0,608 | 0,608 | 0,608 | 0,589 | 0,589 | 0,037 |
| 13,000 | 47,785 | 99,152 | -4,825 | skid front(in) | ##### | -11,500 | 0,000 | 1,000 | 100,000 | 0,000 | 0,848 | 0,608 | 0,608 | 0,608 | 0,589 | 0,589 | 0,037 |
| 13,500 | 47,126 | 99,152 | -4,824 | skid front(in) | ##### | -11,500 | 0,000 | 1,000 | 100,000 | 0,000 | 0,886 | 0,608 | 0,608 | 0,608 | 0,589 | 0,589 | 0,038 |
| 14,000 | 46,458 | 99,152 | -4,823 | skid front(in) | ##### | -11,500 | 0,000 | 1,000 | 100,000 | 0,000 | 0,925 | 0,608 | 0,608 | 0,608 | 0,589 | 0,589 | 0,038 |
| 14,500 | 45,780 | 99,152 | -4,821 | skid front(in) | ##### | -11,500 | 0,000 | 1,000 | 100,000 | 0,000 | 0,964 | 0,608 | 0,608 | 0,608 | 0,589 | 0,589 | 0,039 |
| 15,000 | 45,093 | 99,152 | -4,820 | skid front(in) | ##### | -11,500 | 0,000 | 1,000 | 100,000 | 0,000 | 1,003 | 0,608 | 0,608 | 0,608 | 0,589 | 0,589 | 0,040 |
| 15,500 | 44,395 | 99,152 | -4,819 | skid front(in) | ##### | -11,500 | 0,000 | 1,000 | 100,000 | 0,000 | 1,044 | 0,608 | 0,608 | 0,608 | 0,589 | 0,589 | 0,040 |
| 16,000 | 43,686 | 99,152 | -4,818 | skid front(in) | ##### | -11,500 | 0,000 | 1,000 | 100,000 | 0,000 | 1,085 | 0,608 | 0,608 | 0,608 | 0,589 | 0,589 | 0,041 |
| 16,500 | 42,965 | 99,152 | -4,817 | skid front(in) | ##### | -11,500 | 0,000 | 1,000 | 100,000 | 0,000 | 1,126 | 0,608 | 0,608 | 0,608 | 0,589 | 0,589 | 0,042 |
| 17,000 | 42,233 | 99,152 | -4,816 | skid front(in) | ##### | -11,500 | 0,000 | 1,000 | 100,000 | 0,000 | 1,168 | 0,608 | 0,608 | 0,608 | 0,589 | 0,589 | 0,042 |
| 17,500 | 41,487 | 99,152 | -4,815 | skid front(in) | ##### | -11,500 | 0,000 | 1,000 | 100,000 | 0,000 | 1,211 | 0,608 | 0,608 | 0,608 | 0,589 | 0,589 | 0,043 |
| 18,000 | 40,728 | 99,152 | -4,814 | skid front(in) | ##### | -11,500 | 0,000 | 1,000 | 100,000 | 0,000 | 1,255 | 0,608 | 0,608 | 0,608 | 0,589 | 0,589 | 0,044 |
| 18,500 | 39,955 | 99,152 | -4,813 | skid front(in) | ##### | -11,500 | 0,000 | 1,000 | 100,000 | 0,000 | 1,300 | 0,608 | 0,608 | 0,608 | 0,589 | 0,589 | 0,045 |
| 18,900 | 39,326 | 99,152 | -4,812 | skid front(in) | ##### | -11,500 | 0,000 | 1,000 | 100,000 | 0,000 | 1,336 | 0,608 | 0,608 | 0,608 | 0,589 | 0,589 | 0,036 |
| 19,500 | 38,362 | 99,152 | -4,811 | skid front(in) | ##### | -11,500 | 0,000 | 1,000 | 100,000 | 0,001 | 1,392 | 0,608 | 0,608 | 0,608 | 0,589 | 0,589 | 0,056 |
| 20,000 | 37,541 | 99,153 | -4,810 | skid front(in) | ##### | -11,500 | 0,000 | 1,000 | 100,000 | 0,000 | 1,439 | 0,608 | 0,608 | 0,608 | 0,589 | 0,589 | 0,047 |
| 20,500 | 36,702 | 99,153 | -4,809 | skid front(in) | ##### | -11,500 | 0,000 | 1,000 | 100,000 | 0,000 | 1,488 | 0,608 | 0,608 | 0,608 | 0,589 | 0,589 | 0,048 |
| 21,000 | 35,843 | 99,153 | -4,808 | skid front(in) | ##### | -11,500 | 0,000 | 1,000 | 100,000 | 0,000 | 1,537 | 0,608 | 0,608 | 0,608 | 0,589 | 0,589 | 0,050 |
| 21,500 | 34,963 | 99,153 | -4,807 | skid front(in) | ##### | -11,500 | 0,000 | 1,000 | 100,000 | 0,000 | 1,588 | 0,608 | 0,608 | 0,608 | 0,589 | 0,589 | 0,051 |

Προσδιορισμός Τιμών Πρόσφυσης κατά την Πέδηση Οχημάτων Εφοδιασμένων με Σύστημα ABS σε Αυξημένες κατά Μήκος Κλίσεις

| | | | | | | | | | | | | | | | | | |
|--------|--------|--------|--------|-----------------|-------|---------|-------|-------|---------|--------|-------|-------|-------|-------|-------|-------|-------|
| 22,000 | 34,060 | 99,153 | -4,806 | skid front(in) | ##### | -11,500 | 0,000 | 1,000 | 100,000 | 0,000 | 1,640 | 0,608 | 0,608 | 0,608 | 0,589 | 0,589 | 0,052 |
| 22,500 | 33,133 | 99,153 | -4,805 | skid front(in) | ##### | -11,500 | 0,000 | 1,000 | 100,000 | 0,000 | 1,694 | 0,608 | 0,608 | 0,608 | 0,589 | 0,589 | 0,054 |
| 23,000 | 32,180 | 99,153 | -4,803 | skid front(in) | ##### | -11,500 | 0,000 | 1,000 | 100,000 | 0,001 | 1,749 | 0,608 | 0,608 | 0,608 | 0,589 | 0,589 | 0,055 |
| 23,500 | 31,198 | 99,172 | -4,802 | skid front(out) | ##### | -11,500 | 0,000 | 1,000 | 100,000 | -1,434 | 1,806 | 0,608 | 0,608 | 0,608 | 0,589 | 0,589 | 0,057 |
| 24,000 | 30,184 | 99,127 | -4,798 | skid front(out) | ##### | -11,500 | 0,000 | 1,000 | 100,000 | -1,507 | 1,864 | 0,608 | 0,608 | 0,608 | 0,588 | 0,588 | 0,059 |
| 24,500 | 29,135 | 99,164 | -4,800 | skid front(out) | ##### | -11,500 | 0,000 | 1,000 | 100,000 | -1,574 | 1,925 | 0,608 | 0,608 | 0,608 | 0,589 | 0,589 | 0,061 |
| 25,000 | 28,048 | 99,124 | -4,796 | skid front(out) | ##### | -11,500 | 0,000 | 1,000 | 100,000 | -1,137 | 1,988 | 0,608 | 0,608 | 0,608 | 0,588 | 0,588 | 0,063 |
| 25,500 | 26,916 | 99,122 | -4,795 | skid front(out) | ##### | -11,500 | 0,000 | 1,000 | 100,000 | -1,013 | 2,053 | 0,608 | 0,608 | 0,608 | 0,588 | 0,588 | 0,066 |
| 26,000 | 25,735 | 99,161 | -4,796 | skid front(out) | ##### | -11,500 | 0,000 | 1,000 | 100,000 | -1,326 | 2,122 | 0,608 | 0,608 | 0,608 | 0,589 | 0,589 | 0,068 |
| 26,500 | 24,497 | 99,142 | -4,793 | skid front(out) | ##### | -11,500 | 0,000 | 1,000 | 100,000 | -2,802 | 2,194 | 0,608 | 0,608 | 0,608 | 0,588 | 0,588 | 0,072 |
| 27,000 | 23,194 | 99,191 | -4,795 | skid front(out) | ##### | -11,500 | 0,000 | 1,000 | 100,000 | -2,583 | 2,269 | 0,608 | 0,608 | 0,608 | 0,589 | 0,589 | 0,076 |
| 27,500 | 21,814 | 99,152 | -4,792 | skid front(out) | ##### | -11,500 | 0,000 | 1,000 | 100,000 | -1,817 | 2,349 | 0,608 | 0,608 | 0,608 | 0,588 | 0,588 | 0,080 |
| 28,000 | 20,340 | 99,183 | -4,792 | skid front(out) | ##### | -11,500 | 0,000 | 1,000 | 100,000 | -3,252 | 2,434 | 0,608 | 0,608 | 0,608 | 0,589 | 0,589 | 0,085 |
| 28,500 | 18,752 | 99,148 | -4,790 | skid front(out) | ##### | -11,500 | 0,000 | 1,000 | 100,000 | -1,793 | 2,526 | 0,608 | 0,608 | 0,608 | 0,588 | 0,588 | 0,092 |
| 29,000 | 17,016 | 99,189 | -4,790 | skid front(out) | ##### | -11,500 | 0,000 | 1,000 | 100,000 | -2,730 | 2,627 | 0,608 | 0,608 | 0,608 | 0,589 | 0,589 | 0,101 |
| 29,500 | 15,081 | 99,191 | -4,790 | skid front(out) | ##### | -11,500 | 0,000 | 1,000 | 100,000 | -2,595 | 2,739 | 0,608 | 0,608 | 0,608 | 0,589 | 0,589 | 0,112 |
| 30,000 | 12,859 | 99,180 | -4,787 | skid front(out) | ##### | -11,500 | 0,000 | 1,000 | 100,000 | -3,431 | 2,868 | 0,608 | 0,608 | 0,608 | 0,588 | 0,588 | 0,129 |
| 30,500 | 10,164 | 99,188 | -4,787 | skid front(out) | ##### | -11,500 | 0,000 | 1,000 | 100,000 | -2,546 | 3,025 | 0,608 | 0,608 | 0,608 | 0,589 | 0,589 | 0,156 |
| 31,000 | 6,424 | 99,183 | -4,786 | skid front(out) | ##### | -11,500 | 0,000 | 1,000 | 100,000 | -2,707 | 3,242 | 0,608 | 0,608 | 0,608 | 0,589 | 0,589 | 0,217 |
| 31,300 | 2,007 | 99,163 | -4,783 | skid front(out) | ##### | -11,500 | 0,000 | 1,000 | 100,000 | -3,957 | 3,498 | 0,608 | 0,608 | 0,608 | 0,588 | 0,588 | 0,256 |

| run c w glif 16 | R(m) | br.front (%) | s(%) | e (%) | coeff | effic (%) | time (sec) | | | | | | | | | | |
|-----------------|-----------|--------------|--------|-----------------|-------|-----------|------------|-------|-----------|-----------|------------|-------|-----------|----------|----------|---------|-----------|
| s= 100,000 | ##### | 74,00 | -11,5 | 0,0 | 1,00 | 100 | 2,756 | 0,963 | | | | | | | | | |
| step= 0,100 | viewstep= | 0,500 | STEPS | | | | | | | | | | | | | | |
| s (m) | V (km/h) | n (%) | dv/dt | skid check | R(m) | s(%) | e (%) | coeff | effic (%) | decelera | time (sec) | ft | front out | front in | rear out | rear in | checktime |
| 19,400 | 1,512 | 99,179 | -4,786 | skid front(out) | ##### | -11,500 | 0,000 | 1,000 | 100,000 | -2,034803 | 2,756 | 0,608 | 0,6080 | 0,6080 | 0,5886 | 0,5886 | |
| 0,000 | 49,130 | 99,156 | -4,827 | O.K | ##### | -11,500 | 0,000 | 1,000 | 100,000 | 0,000 | 0,000 | 0,608 | | | | | |
| 0,400 | 48,618 | 99,152 | -4,826 | skid front(in) | ##### | -11,500 | 0,000 | 1,000 | 100,000 | 0,000 | 0,029 | 0,608 | 0,608 | 0,608 | 0,589 | 0,589 | 0,029 |
| 1,000 | 47,840 | 99,152 | -4,825 | skid front(in) | ##### | -11,500 | 0,000 | 1,000 | 100,000 | 0,000 | 0,074 | 0,608 | 0,608 | 0,608 | 0,589 | 0,589 | 0,045 |
| 1,500 | 47,182 | 99,152 | -4,824 | skid front(in) | ##### | -11,500 | 0,000 | 1,000 | 100,000 | 0,000 | 0,112 | 0,608 | 0,608 | 0,608 | 0,589 | 0,589 | 0,038 |
| 2,000 | 46,515 | 99,152 | -4,823 | skid front(in) | ##### | -11,500 | 0,000 | 1,000 | 100,000 | 0,000 | 0,151 | 0,608 | 0,608 | 0,608 | 0,589 | 0,589 | 0,038 |
| 2,500 | 45,838 | 99,152 | -4,822 | skid front(in) | ##### | -11,500 | 0,000 | 1,000 | 100,000 | 0,000 | 0,190 | 0,608 | 0,608 | 0,608 | 0,589 | 0,589 | 0,039 |
| 3,000 | 45,152 | 99,152 | -4,821 | skid front(in) | ##### | -11,500 | 0,000 | 1,000 | 100,000 | 0,000 | 0,229 | 0,608 | 0,608 | 0,608 | 0,589 | 0,589 | 0,040 |
| 3,500 | 44,454 | 99,152 | -4,819 | skid front(in) | ##### | -11,500 | 0,000 | 1,000 | 100,000 | 0,000 | 0,269 | 0,608 | 0,608 | 0,608 | 0,589 | 0,589 | 0,040 |
| 4,000 | 43,746 | 99,152 | -4,818 | skid front(in) | ##### | -11,500 | 0,000 | 1,000 | 100,000 | 0,000 | 0,310 | 0,608 | 0,608 | 0,608 | 0,589 | 0,589 | 0,041 |
| 4,400 | 43,172 | 99,152 | -4,818 | skid front(in) | ##### | -11,500 | 0,000 | 1,000 | 100,000 | 0,000 | 0,343 | 0,608 | 0,608 | 0,608 | 0,589 | 0,589 | 0,033 |
| 5,000 | 42,295 | 99,152 | -4,816 | skid front(in) | ##### | -11,500 | 0,000 | 1,000 | 100,000 | 0,000 | 0,394 | 0,608 | 0,608 | 0,608 | 0,589 | 0,589 | 0,051 |
| 5,500 | 41,551 | 99,152 | -4,815 | skid front(in) | ##### | -11,500 | 0,000 | 1,000 | 100,000 | 0,000 | 0,437 | 0,608 | 0,608 | 0,608 | 0,589 | 0,589 | 0,043 |
| 6,000 | 40,793 | 99,152 | -4,814 | skid front(in) | ##### | -11,500 | 0,000 | 1,000 | 100,000 | 0,000 | 0,480 | 0,608 | 0,608 | 0,608 | 0,589 | 0,589 | 0,044 |
| 6,500 | 40,021 | 99,152 | -4,813 | skid front(in) | ##### | -11,500 | 0,000 | 1,000 | 100,000 | 0,000 | 0,525 | 0,608 | 0,608 | 0,608 | 0,589 | 0,589 | 0,045 |
| 7,000 | 39,234 | 99,152 | -4,812 | skid front(in) | ##### | -11,500 | 0,000 | 1,000 | 100,000 | 0,000 | 0,570 | 0,608 | 0,608 | 0,608 | 0,589 | 0,589 | 0,045 |
| 7,500 | 38,431 | 99,152 | -4,811 | skid front(in) | ##### | -11,500 | 0,000 | 1,000 | 100,000 | 0,000 | 0,617 | 0,608 | 0,608 | 0,608 | 0,589 | 0,589 | 0,046 |
| 8,000 | 37,611 | 99,153 | -4,810 | skid front(in) | ##### | -11,500 | 0,000 | 1,000 | 100,000 | 0,000 | 0,664 | 0,608 | 0,608 | 0,608 | 0,589 | 0,589 | 0,047 |
| 8,500 | 36,773 | 99,153 | -4,809 | skid front(in) | ##### | -11,500 | 0,000 | 1,000 | 100,000 | 0,000 | 0,712 | 0,608 | 0,608 | 0,608 | 0,589 | 0,589 | 0,048 |
| 9,000 | 35,916 | 99,153 | -4,808 | skid front(in) | ##### | -11,500 | 0,000 | 1,000 | 100,000 | 0,000 | 0,762 | 0,608 | 0,608 | 0,608 | 0,589 | 0,589 | 0,050 |
| 9,500 | 35,038 | 99,153 | -4,807 | skid front(in) | ##### | -11,500 | 0,000 | 1,000 | 100,000 | 0,001 | 0,813 | 0,608 | 0,608 | 0,608 | 0,589 | 0,589 | 0,051 |
| 10,000 | 34,138 | 99,153 | -4,806 | skid front(in) | ##### | -11,500 | 0,000 | 1,000 | 100,000 | 0,000 | 0,865 | 0,608 | 0,608 | 0,608 | 0,589 | 0,589 | 0,052 |
| 10,500 | 33,213 | 99,153 | -4,805 | skid front(in) | ##### | -11,500 | 0,000 | 1,000 | 100,000 | 0,000 | 0,918 | 0,608 | 0,608 | 0,608 | 0,589 | 0,589 | 0,053 |
| 11,000 | 32,262 | 99,153 | -4,804 | skid front(in) | ##### | -11,500 | 0,000 | 1,000 | 100,000 | 0,003 | 0,973 | 0,608 | 0,608 | 0,608 | 0,589 | 0,589 | 0,055 |
| 11,500 | 31,283 | 99,161 | -4,801 | skid front(out) | ##### | -11,500 | 0,000 | 1,000 | 100,000 | -2,275 | 1,030 | 0,608 | 0,608 | 0,608 | 0,588 | 0,588 | 0,057 |
| 12,000 | 30,272 | 99,153 | -4,800 | skid front(out) | ##### | -11,500 | 0,000 | 1,000 | 100,000 | -1,990 | 1,088 | 0,608 | 0,608 | 0,608 | 0,588 | 0,588 | 0,058 |
| 12,500 | 29,226 | 99,184 | -4,800 | skid front(out) | ##### | -11,500 | 0,000 | 1,000 | 100,000 | -2,097 | 1,149 | 0,608 | 0,608 | 0,608 | 0,589 | 0,589 | 0,061 |
| 13,000 | 28,142 | 99,137 | -4,797 | skid front(out) | ##### | -11,500 | 0,000 | 1,000 | 100,000 | -1,662 | 1,212 | 0,608 | 0,608 | 0,608 | 0,588 | 0,588 | 0,063 |
| 13,500 | 27,014 | 99,128 | -4,795 | skid front(out) | ##### | -11,500 | 0,000 | 1,000 | 100,000 | -1,590 | 1,277 | 0,608 | 0,608 | 0,608 | 0,588 | 0,588 | 0,065 |

Προσδιορισμός Τιμών Πρόσφυσης κατά την Πέδηση Οχημάτων Εφοδιασμένων με Σύστημα ABS σε Αυξημένες κατά Μήκος Κλίσεις

| | | | | | | | | | | | | | | | | | |
|--------|--------|--------|--------|-----------------|-------|---------|-------|-------|---------|--------|-------|-------|-------|-------|-------|-------|-------|
| 14,000 | 25,838 | 99,158 | -4,796 | skid front(out) | ##### | -11,500 | 0,000 | 1,000 | 100,000 | -1,859 | 1,345 | 0,608 | 0,608 | 0,608 | 0,588 | 0,588 | 0,608 |
| 14,500 | 24,606 | 99,156 | -4,795 | skid front(out) | ##### | -11,500 | 0,000 | 1,000 | 100,000 | -1,226 | 1,416 | 0,608 | 0,608 | 0,608 | 0,589 | 0,589 | 0,608 |
| 15,000 | 23,308 | 99,145 | -4,793 | skid front(out) | ##### | -11,500 | 0,000 | 1,000 | 100,000 | -1,366 | 1,492 | 0,608 | 0,608 | 0,608 | 0,588 | 0,588 | 0,608 |
| 15,500 | 21,935 | 99,177 | -4,794 | skid front(out) | ##### | -11,500 | 0,000 | 1,000 | 100,000 | -1,982 | 1,571 | 0,608 | 0,608 | 0,608 | 0,589 | 0,589 | 0,608 |
| 16,000 | 20,471 | 99,172 | -4,793 | skid front(out) | ##### | -11,500 | 0,000 | 1,000 | 100,000 | -1,511 | 1,656 | 0,608 | 0,608 | 0,608 | 0,589 | 0,589 | 0,608 |
| 16,500 | 18,893 | 99,158 | -4,790 | skid front(out) | ##### | -11,500 | 0,000 | 1,000 | 100,000 | -1,997 | 1,747 | 0,608 | 0,608 | 0,608 | 0,588 | 0,588 | 0,608 |
| 17,000 | 17,171 | 99,190 | -4,790 | skid front(out) | ##### | -11,500 | 0,000 | 1,000 | 100,000 | -2,935 | 1,847 | 0,608 | 0,608 | 0,608 | 0,589 | 0,589 | 0,608 |
| 17,500 | 15,256 | 99,150 | -4,789 | skid front(out) | ##### | -11,500 | 0,000 | 1,000 | 100,000 | -0,634 | 1,958 | 0,608 | 0,608 | 0,608 | 0,589 | 0,589 | 0,608 |
| 18,000 | 13,065 | 99,158 | -4,786 | skid front(out) | ##### | -11,500 | 0,000 | 1,000 | 100,000 | -3,575 | 2,085 | 0,608 | 0,608 | 0,608 | 0,588 | 0,588 | 0,608 |
| 18,500 | 10,424 | 99,154 | -4,785 | skid front(out) | ##### | -11,500 | 0,000 | 1,000 | 100,000 | -2,740 | 2,239 | 0,608 | 0,608 | 0,608 | 0,588 | 0,588 | 0,608 |
| 18,900 | 7,682 | 99,145 | -4,785 | skid front(out) | ##### | -11,500 | 0,000 | 1,000 | 100,000 | -1,730 | 2,398 | 0,608 | 0,608 | 0,608 | 0,588 | 0,588 | 0,608 |
| 19,400 | 1,512 | 99,179 | -4,786 | skid front(out) | ##### | -11,500 | 0,000 | 1,000 | 100,000 | -2,035 | 2,756 | 0,608 | 0,608 | 0,608 | 0,589 | 0,589 | 0,608 |

| run c_w_glif_19 | R(m) | br.front (%) | s(%) | e (%) | coeff | effic (%) | time (sec) | | | | | | | | | | |
|-----------------|-----------|--------------|--------|-----------------|-------|-----------|------------|-------|-----------|-----------|------------|-------|-----------|----------|----------|---------|-----------|
| s= 100,000 | ##### | 75,00 | 11,5 | 0,0 | 1,00 | 100 | 1,675 | 0,963 | | | | | | | | | |
| step= 0,100 | viewstep= | 0,500 | STEPS | | | | | | | | | | | | | | |
| s (m) | V (km/h) | n (%) | dv/dt | skid check | R(m) | s(%) | e (%) | coeff | effic (%) | decelera | time (sec) | FT | front out | front in | rear out | rear in | checktime |
| 11,800 | 2,425 | 99,696 | -7,601 | skid front(out) | ##### | 11,500 | 0,000 | 1,000 | 100,000 | -2,135281 | 1,675 | 0,662 | 0,6618 | 0,6618 | 0,6537 | 0,6537 | |
| 0,000 | 48,340 | 99,700 | -7,640 | O.K | ##### | 11,500 | 0,000 | 1,000 | 100,000 | 0,000 | 0,000 | 0,662 | | | | | |
| 0,400 | 47,514 | 99,695 | -7,638 | skid front(in) | ##### | 11,500 | 0,000 | 1,000 | 100,000 | 0,000 | 0,030 | 0,662 | 0,662 | 0,662 | 0,654 | 0,654 | 0,030 |
| 1,000 | 46,247 | 99,696 | -7,636 | skid front(in) | ##### | 11,500 | 0,000 | 1,000 | 100,000 | 0,000 | 0,076 | 0,662 | 0,662 | 0,662 | 0,654 | 0,654 | 0,046 |
| 1,500 | 45,164 | 99,696 | -7,635 | skid front(in) | ##### | 11,500 | 0,000 | 1,000 | 100,000 | 0,000 | 0,116 | 0,662 | 0,662 | 0,662 | 0,654 | 0,654 | 0,039 |
| 2,000 | 44,056 | 99,696 | -7,633 | skid front(in) | ##### | 11,500 | 0,000 | 1,000 | 100,000 | 0,000 | 0,156 | 0,662 | 0,662 | 0,662 | 0,654 | 0,654 | 0,040 |
| 2,500 | 42,918 | 99,696 | -7,632 | skid front(in) | ##### | 11,500 | 0,000 | 1,000 | 100,000 | 0,000 | 0,197 | 0,662 | 0,662 | 0,662 | 0,654 | 0,654 | 0,041 |
| 3,000 | 41,750 | 99,696 | -7,630 | skid front(in) | ##### | 11,500 | 0,000 | 1,000 | 100,000 | 0,000 | 0,240 | 0,662 | 0,662 | 0,662 | 0,654 | 0,654 | 0,043 |
| 3,500 | 40,549 | 99,696 | -7,628 | skid front(in) | ##### | 11,500 | 0,000 | 1,000 | 100,000 | 0,000 | 0,284 | 0,662 | 0,662 | 0,662 | 0,654 | 0,654 | 0,044 |
| 4,000 | 39,311 | 99,696 | -7,627 | skid front(in) | ##### | 11,500 | 0,000 | 1,000 | 100,000 | 0,000 | 0,329 | 0,662 | 0,662 | 0,662 | 0,654 | 0,654 | 0,045 |
| 4,400 | 38,292 | 99,696 | -7,626 | skid front(in) | ##### | 11,500 | 0,000 | 1,000 | 100,000 | 0,000 | 0,366 | 0,662 | 0,662 | 0,662 | 0,654 | 0,654 | 0,037 |
| 5,000 | 36,711 | 99,696 | -7,624 | skid front(in) | ##### | 11,500 | 0,000 | 1,000 | 100,000 | 0,000 | 0,423 | 0,662 | 0,662 | 0,662 | 0,654 | 0,654 | 0,058 |
| 5,500 | 35,340 | 99,696 | -7,622 | skid front(in) | ##### | 11,500 | 0,000 | 1,000 | 100,000 | 0,000 | 0,473 | 0,662 | 0,662 | 0,662 | 0,654 | 0,654 | 0,050 |
| 6,000 | 33,914 | 99,696 | -7,621 | skid front(in) | ##### | 11,500 | 0,000 | 1,000 | 100,000 | 0,000 | 0,525 | 0,662 | 0,662 | 0,662 | 0,654 | 0,654 | 0,052 |
| 6,500 | 32,425 | 99,697 | -7,619 | skid front(in) | ##### | 11,500 | 0,000 | 1,000 | 100,000 | 0,001 | 0,580 | 0,662 | 0,662 | 0,662 | 0,654 | 0,654 | 0,054 |
| 7,000 | 30,865 | 99,679 | -7,615 | skid front(out) | ##### | 11,500 | 0,000 | 1,000 | 100,000 | -1,490 | 0,636 | 0,662 | 0,662 | 0,662 | 0,654 | 0,654 | 0,057 |
| 7,500 | 29,222 | 99,668 | -7,613 | skid front(out) | ##### | 11,500 | 0,000 | 1,000 | 100,000 | -1,047 | 0,696 | 0,662 | 0,662 | 0,662 | 0,654 | 0,654 | 0,060 |
| 8,000 | 27,482 | 99,714 | -7,613 | skid front(out) | ##### | 11,500 | 0,000 | 1,000 | 100,000 | -2,746 | 0,760 | 0,662 | 0,662 | 0,662 | 0,654 | 0,654 | 0,063 |
| 8,500 | 25,624 | 99,711 | -7,612 | skid front(out) | ##### | 11,500 | 0,000 | 1,000 | 100,000 | -2,172 | 0,828 | 0,662 | 0,662 | 0,662 | 0,654 | 0,654 | 0,068 |
| 9,000 | 23,621 | 99,677 | -7,609 | skid front(out) | ##### | 11,500 | 0,000 | 1,000 | 100,000 | -0,924 | 0,901 | 0,662 | 0,662 | 0,662 | 0,654 | 0,654 | 0,073 |
| 9,500 | 21,431 | 99,704 | -7,609 | skid front(out) | ##### | 11,500 | 0,000 | 1,000 | 100,000 | -2,007 | 0,981 | 0,662 | 0,662 | 0,662 | 0,654 | 0,654 | 0,080 |
| 10,000 | 18,992 | 99,697 | -7,606 | skid front(out) | ##### | 11,500 | 0,000 | 1,000 | 100,000 | -2,357 | 1,070 | 0,662 | 0,662 | 0,662 | 0,654 | 0,654 | 0,089 |
| 10,500 | 16,190 | 99,707 | -7,606 | skid front(out) | ##### | 11,500 | 0,000 | 1,000 | 100,000 | -1,519 | 1,172 | 0,662 | 0,662 | 0,662 | 0,654 | 0,654 | 0,102 |
| 11,000 | 12,788 | 99,705 | -7,604 | skid front(out) | ##### | 11,500 | 0,000 | 1,000 | 100,000 | -1,835 | 1,296 | 0,662 | 0,662 | 0,662 | 0,654 | 0,654 | 0,124 |
| 11,500 | 8,063 | 99,655 | -7,600 | skid front(out) | ##### | 11,500 | 0,000 | 1,000 | 100,000 | -1,189 | 1,469 | 0,662 | 0,662 | 0,662 | 0,653 | 0,653 | 0,173 |
| 11,800 | 2,425 | 99,696 | -7,601 | skid front(out) | ##### | 11,500 | 0,000 | 1,000 | 100,000 | -2,135 | 1,675 | 0,662 | 0,662 | 0,662 | 0,654 | 0,654 | 0,206 |

Προσδιορισμός Τιμών Πρόσφυσης κατά την Πέδηση Οχημάτων Εφοδιασμένων με Σύστημα ABS σε Αυξημένες κατά Μήκος Κλίσεις

| run c w glif 20 | | R(m) | br.front (%) | s(%) | e (%) | coeff | effic (%) | time (sec) | | | | | | | | | |
|-----------------|----------|-----------|--------------|-----------------|-------|--------|-----------|------------|-----------|-----------|------------|-------|-----------|----------|----------|---------|-----------|
| s= | 100,000 | ##### | 75,00 | 11,5 | 0,0 | 1,00 | 100 | 1,873 | | | | | | | | | |
| step= | 0,100 | viewstep= | 0,500 | STEPS | | | | | | | | | | | | | |
| s (m) | V (km/h) | n (%) | dv/dt | skid check | R(m) | s(%) | e (%) | coeff | effic (%) | decelera | time (sec) | fT | front out | front in | rear out | rear in | checktime |
| 13,600 | 0,477 | 99,684 | -7,600 | skid front(out) | ##### | 11,500 | 0,000 | 1,000 | 100,000 | -1,690322 | 1,873 | 0,662 | 0,6618 | 0,6618 | 0,6537 | 0,6537 | |
| 0,000 | 51,840 | 99,700 | -7,645 | O.K | ##### | 11,500 | 0,000 | 1,000 | 100,000 | 0,000 | 0,000 | 0,662 | | | | | |
| 0,400 | 51,070 | 99,695 | -7,644 | skid front(in) | ##### | 11,500 | 0,000 | 1,000 | 100,000 | 0,000 | 0,028 | 0,662 | 0,662 | 0,662 | 0,654 | 0,654 | 0,028 |
| 1,000 | 49,893 | 99,695 | -7,642 | skid front(in) | ##### | 11,500 | 0,000 | 1,000 | 100,000 | 0,000 | 0,071 | 0,662 | 0,662 | 0,662 | 0,654 | 0,654 | 0,043 |
| 1,500 | 48,890 | 99,695 | -7,640 | skid front(in) | ##### | 11,500 | 0,000 | 1,000 | 100,000 | 0,000 | 0,107 | 0,662 | 0,662 | 0,662 | 0,654 | 0,654 | 0,036 |
| 2,000 | 47,867 | 99,695 | -7,639 | skid front(in) | ##### | 11,500 | 0,000 | 1,000 | 100,000 | 0,000 | 0,144 | 0,662 | 0,662 | 0,662 | 0,654 | 0,654 | 0,037 |
| 2,500 | 46,822 | 99,696 | -7,637 | skid front(in) | ##### | 11,500 | 0,000 | 1,000 | 100,000 | 0,000 | 0,182 | 0,662 | 0,662 | 0,662 | 0,654 | 0,654 | 0,038 |
| 3,000 | 45,752 | 99,696 | -7,635 | skid front(in) | ##### | 11,500 | 0,000 | 1,000 | 100,000 | 0,000 | 0,221 | 0,662 | 0,662 | 0,662 | 0,654 | 0,654 | 0,039 |
| 3,500 | 44,658 | 99,696 | -7,634 | skid front(in) | ##### | 11,500 | 0,000 | 1,000 | 100,000 | 0,000 | 0,261 | 0,662 | 0,662 | 0,662 | 0,654 | 0,654 | 0,040 |
| 4,000 | 43,536 | 99,696 | -7,632 | skid front(in) | ##### | 11,500 | 0,000 | 1,000 | 100,000 | 0,000 | 0,302 | 0,662 | 0,662 | 0,662 | 0,654 | 0,654 | 0,041 |
| 4,400 | 42,618 | 99,696 | -7,631 | skid front(in) | ##### | 11,500 | 0,000 | 1,000 | 100,000 | 0,000 | 0,335 | 0,662 | 0,662 | 0,662 | 0,654 | 0,654 | 0,033 |
| 5,000 | 41,202 | 99,696 | -7,629 | skid front(in) | ##### | 11,500 | 0,000 | 1,000 | 100,000 | 0,000 | 0,387 | 0,662 | 0,662 | 0,662 | 0,654 | 0,654 | 0,052 |
| 5,500 | 39,985 | 99,696 | -7,628 | skid front(in) | ##### | 11,500 | 0,000 | 1,000 | 100,000 | 0,000 | 0,431 | 0,662 | 0,662 | 0,662 | 0,654 | 0,654 | 0,044 |
| 6,000 | 38,729 | 99,696 | -7,626 | skid front(in) | ##### | 11,500 | 0,000 | 1,000 | 100,000 | 0,000 | 0,477 | 0,662 | 0,662 | 0,662 | 0,654 | 0,654 | 0,046 |
| 6,500 | 37,431 | 99,696 | -7,625 | skid front(in) | ##### | 11,500 | 0,000 | 1,000 | 100,000 | 0,000 | 0,524 | 0,662 | 0,662 | 0,662 | 0,654 | 0,654 | 0,047 |
| 7,000 | 36,087 | 99,696 | -7,623 | skid front(in) | ##### | 11,500 | 0,000 | 1,000 | 100,000 | 0,000 | 0,573 | 0,662 | 0,662 | 0,662 | 0,654 | 0,654 | 0,049 |
| 7,500 | 34,692 | 99,696 | -7,622 | skid front(in) | ##### | 11,500 | 0,000 | 1,000 | 100,000 | 0,000 | 0,624 | 0,662 | 0,662 | 0,662 | 0,654 | 0,654 | 0,051 |
| 8,000 | 33,238 | 99,696 | -7,620 | skid front(in) | ##### | 11,500 | 0,000 | 1,000 | 100,000 | 0,000 | 0,677 | 0,662 | 0,662 | 0,662 | 0,654 | 0,654 | 0,053 |
| 8,500 | 31,717 | 99,728 | -7,618 | skid front(out) | ##### | 11,500 | 0,000 | 1,000 | 100,000 | -2,842 | 0,733 | 0,662 | 0,662 | 0,662 | 0,654 | 0,654 | 0,055 |
| 9,000 | 30,121 | 99,679 | -7,614 | skid front(out) | ##### | 11,500 | 0,000 | 1,000 | 100,000 | -1,429 | 0,791 | 0,662 | 0,662 | 0,662 | 0,654 | 0,654 | 0,058 |
| 9,500 | 28,435 | 99,684 | -7,613 | skid front(out) | ##### | 11,500 | 0,000 | 1,000 | 100,000 | -2,028 | 0,852 | 0,662 | 0,662 | 0,662 | 0,654 | 0,654 | 0,062 |
| 10,000 | 26,643 | 99,704 | -7,613 | skid front(out) | ##### | 11,500 | 0,000 | 1,000 | 100,000 | -1,600 | 0,918 | 0,662 | 0,662 | 0,662 | 0,654 | 0,654 | 0,065 |

Προσδιορισμός Τιμών Πρόσφυσης κατά την Πέδηση Οχημάτων Εφοδιασμένων με Σύστημα ABS σε Αυξημένες κατά Μήκος Κλίσεις

| | | | | | | | | | | | | | | | | | |
|--------|--------|--------|--------|-----------------|-------|--------|-------|-------|---------|--------|-------|-------|-------|-------|-------|-------|-------|
| 10,500 | 24,723 | 99,718 | -7,612 | skid front(out) | ##### | 11,500 | 0,000 | 1,000 | 100,000 | -2,197 | 0,988 | 0,662 | 0,662 | 0,662 | 0,654 | 0,654 | 0,070 |
| 11,000 | 22,640 | 99,701 | -7,609 | skid front(out) | ##### | 11,500 | 0,000 | 1,000 | 100,000 | -2,108 | 1,064 | 0,662 | 0,662 | 0,662 | 0,654 | 0,654 | 0,076 |
| 11,500 | 20,345 | 99,723 | -7,609 | skid front(out) | ##### | 11,500 | 0,000 | 1,000 | 100,000 | -2,635 | 1,147 | 0,662 | 0,662 | 0,662 | 0,654 | 0,654 | 0,084 |
| 12,000 | 17,758 | 99,683 | -7,606 | skid front(out) | ##### | 11,500 | 0,000 | 1,000 | 100,000 | -0,474 | 1,242 | 0,662 | 0,662 | 0,662 | 0,654 | 0,654 | 0,094 |
| 12,500 | 14,723 | 99,682 | -7,602 | skid front(out) | ##### | 11,500 | 0,000 | 1,000 | 100,000 | -3,484 | 1,353 | 0,662 | 0,662 | 0,662 | 0,653 | 0,653 | 0,111 |
| 13,000 | 10,873 | 99,730 | -7,604 | skid front(out) | ##### | 11,500 | 0,000 | 1,000 | 100,000 | -2,749 | 1,493 | 0,662 | 0,662 | 0,662 | 0,654 | 0,654 | 0,141 |
| 13,500 | 4,436 | 99,672 | -7,600 | skid front(out) | ##### | 11,500 | 0,000 | 1,000 | 100,000 | -1,399 | 1,729 | 0,662 | 0,662 | 0,662 | 0,654 | 0,654 | 0,235 |
| 13,600 | 0,477 | 99,684 | -7,600 | skid front(out) | ##### | 11,500 | 0,000 | 1,000 | 100,000 | -1,690 | 1,873 | 0,662 | 0,662 | 0,662 | 0,654 | 0,654 | 0,145 |

| run c w glif 21 | R(m) | br.front (%) | s(%) | e (%) | coeff | effic (%) | time (sec) | | | | | | | | | | |
|-----------------|-----------|--------------|--------|-----------------|-------|-----------|------------|-------|-----------|-----------|------------|-------|-----------|----------|----------|---------|-----------|
| s= 100,000 | ##### | 75,00 | 11,5 | 0,0 | 1,00 | 100 | 1,761 | 0,963 | | | | | | | | | |
| step= 0,100 | viewstep= | 0,500 | STEPS | | | | | | | | | | | | | | |
| s (m) | V (km/h) | n (%) | dv/dt | skid check | R(m) | s(%) | e (%) | coeff | effic (%) | decelera | time (sec) | FT | front out | front in | rear out | rear in | checktime |
| 13,000 | 2,450 | 99,684 | -7,600 | skid front(out) | ##### | 11,500 | 0,000 | 1,000 | 100,000 | -2,123657 | 1,761 | 0,662 | 0,6618 | 0,6618 | 0,6536 | 0,6536 | |
| 0,000 | 50,740 | 99,700 | -7,643 | O.K | ##### | 11,500 | 0,000 | 1,000 | 100,000 | 0,000 | 0,000 | 0,662 | | | | | |
| 0,400 | 49,953 | 99,695 | -7,642 | skid front(in) | ##### | 11,500 | 0,000 | 1,000 | 100,000 | 0,000 | 0,029 | 0,662 | 0,662 | 0,662 | 0,654 | 0,654 | 0,029 |
| 1,000 | 48,749 | 99,695 | -7,640 | skid front(in) | ##### | 11,500 | 0,000 | 1,000 | 100,000 | 0,000 | 0,072 | 0,662 | 0,662 | 0,662 | 0,654 | 0,654 | 0,044 |
| 1,500 | 47,723 | 99,695 | -7,638 | skid front(in) | ##### | 11,500 | 0,000 | 1,000 | 100,000 | 0,000 | 0,110 | 0,662 | 0,662 | 0,662 | 0,654 | 0,654 | 0,037 |
| 2,000 | 46,674 | 99,696 | -7,637 | skid front(in) | ##### | 11,500 | 0,000 | 1,000 | 100,000 | 0,000 | 0,148 | 0,662 | 0,662 | 0,662 | 0,654 | 0,654 | 0,038 |
| 2,500 | 45,602 | 99,696 | -7,635 | skid front(in) | ##### | 11,500 | 0,000 | 1,000 | 100,000 | 0,000 | 0,187 | 0,662 | 0,662 | 0,662 | 0,654 | 0,654 | 0,039 |
| 3,000 | 44,504 | 99,696 | -7,634 | skid front(in) | ##### | 11,500 | 0,000 | 1,000 | 100,000 | 0,000 | 0,227 | 0,662 | 0,662 | 0,662 | 0,654 | 0,654 | 0,040 |
| 3,500 | 43,378 | 99,696 | -7,632 | skid front(in) | ##### | 11,500 | 0,000 | 1,000 | 100,000 | 0,000 | 0,268 | 0,662 | 0,662 | 0,662 | 0,654 | 0,654 | 0,041 |
| 4,000 | 42,223 | 99,696 | -7,631 | skid front(in) | ##### | 11,500 | 0,000 | 1,000 | 100,000 | 0,000 | 0,310 | 0,662 | 0,662 | 0,662 | 0,654 | 0,654 | 0,042 |
| 4,400 | 41,275 | 99,696 | -7,629 | skid front(in) | ##### | 11,500 | 0,000 | 1,000 | 100,000 | 0,000 | 0,344 | 0,662 | 0,662 | 0,662 | 0,654 | 0,654 | 0,034 |
| 5,000 | 39,812 | 99,696 | -7,628 | skid front(in) | ##### | 11,500 | 0,000 | 1,000 | 100,000 | 0,000 | 0,398 | 0,662 | 0,662 | 0,662 | 0,654 | 0,654 | 0,053 |
| 5,500 | 38,551 | 99,696 | -7,626 | skid front(in) | ##### | 11,500 | 0,000 | 1,000 | 100,000 | 0,000 | 0,444 | 0,662 | 0,662 | 0,662 | 0,654 | 0,654 | 0,046 |
| 6,000 | 37,247 | 99,696 | -7,624 | skid front(in) | ##### | 11,500 | 0,000 | 1,000 | 100,000 | 0,001 | 0,491 | 0,662 | 0,662 | 0,662 | 0,654 | 0,654 | 0,047 |
| 6,500 | 35,896 | 99,696 | -7,623 | skid front(in) | ##### | 11,500 | 0,000 | 1,000 | 100,000 | 0,000 | 0,540 | 0,662 | 0,662 | 0,662 | 0,654 | 0,654 | 0,049 |

Προσδιορισμός Τιμών Πρόσφυσης κατά την Πέδηση Οχημάτων Εφοδιασμένων με Σύστημα ABS σε Αυξημένες κατά Μήκος Κλίσεις

| | | | | | | | | | | | | | | | | | |
|--------|--------|--------|--------|-----------------|-------|--------|-------|-------|---------|--------|-------|-------|-------|-------|-------|-------|-------|
| 7,000 | 34,493 | 99,696 | -7,621 | skid front(in) | ##### | 11,500 | 0,000 | 1,000 | 100,000 | 0,000 | 0,591 | 0,662 | 0,662 | 0,662 | 0,654 | 0,654 | 0,051 |
| 7,500 | 33,030 | 99,696 | -7,620 | skid front(in) | ##### | 11,500 | 0,000 | 1,000 | 100,000 | 0,001 | 0,645 | 0,662 | 0,662 | 0,662 | 0,654 | 0,654 | 0,053 |
| 8,000 | 31,500 | 99,711 | -7,618 | skid front(out) | ##### | 11,500 | 0,000 | 1,000 | 100,000 | -1,779 | 0,700 | 0,662 | 0,662 | 0,662 | 0,654 | 0,654 | 0,056 |
| 8,500 | 29,892 | 99,682 | -7,614 | skid front(out) | ##### | 11,500 | 0,000 | 1,000 | 100,000 | -2,196 | 0,759 | 0,662 | 0,662 | 0,662 | 0,654 | 0,654 | 0,059 |
| 9,000 | 28,193 | 99,730 | -7,615 | skid front(out) | ##### | 11,500 | 0,000 | 1,000 | 100,000 | -2,767 | 0,821 | 0,662 | 0,662 | 0,662 | 0,654 | 0,654 | 0,062 |
| 9,500 | 26,385 | 99,686 | -7,612 | skid front(out) | ##### | 11,500 | 0,000 | 1,000 | 100,000 | -1,521 | 0,887 | 0,662 | 0,662 | 0,662 | 0,654 | 0,654 | 0,066 |
| 10,000 | 24,444 | 99,700 | -7,610 | skid front(out) | ##### | 11,500 | 0,000 | 1,000 | 100,000 | -2,467 | 0,958 | 0,662 | 0,662 | 0,662 | 0,654 | 0,654 | 0,071 |
| 10,500 | 22,336 | 99,658 | -7,607 | skid front(out) | ##### | 11,500 | 0,000 | 1,000 | 100,000 | -1,022 | 1,035 | 0,662 | 0,662 | 0,662 | 0,653 | 0,653 | 0,077 |
| 11,000 | 20,007 | 99,678 | -7,606 | skid front(out) | ##### | 11,500 | 0,000 | 1,000 | 100,000 | -1,989 | 1,120 | 0,662 | 0,662 | 0,662 | 0,654 | 0,654 | 0,085 |
| 11,500 | 17,369 | 99,716 | -7,607 | skid front(out) | ##### | 11,500 | 0,000 | 1,000 | 100,000 | -1,738 | 1,216 | 0,662 | 0,662 | 0,662 | 0,654 | 0,654 | 0,096 |
| 12,000 | 14,252 | 99,691 | -7,603 | skid front(out) | ##### | 11,500 | 0,000 | 1,000 | 100,000 | -3,249 | 1,330 | 0,662 | 0,662 | 0,662 | 0,654 | 0,654 | 0,114 |
| 12,500 | 10,225 | 99,678 | -7,600 | skid front(out) | ##### | 11,500 | 0,000 | 1,000 | 100,000 | -3,450 | 1,477 | 0,662 | 0,662 | 0,662 | 0,653 | 0,653 | 0,147 |
| 13,000 | 2,450 | 99,684 | -7,600 | skid front(out) | ##### | 11,500 | 0,000 | 1,000 | 100,000 | -2,124 | 1,761 | 0,662 | 0,662 | 0,662 | 0,654 | 0,654 | 0,284 |

| run c_w_glif_22 | R(m) | br.front (%) | s(%) | e (%) | coeff | effic (%) | time (sec) |
|-----------------|-----------|--------------|-------|-------|-------|-----------|------------|
| s= 100,000 | ##### | 75,00 | 11,5 | 0,0 | 1,00 | 100 | 1,798 |
| step= 0,100 | viewstep= | 0,500 | STEPS | | | | |

0,963

| s (m) | V (km/h) | n (%) | dv/dt | skid check | R(m) | s(%) | e (%) | coeff | effic (%) | decelera | time (sec) | fT | front out | front in | rear out | rear in | checktime |
|--------|----------|--------|--------|-----------------|-------|--------|-------|-------|-----------|-----------|------------|-------|-----------|----------|----------|---------|-----------|
| 13,000 | 1,388 | 99,673 | -7,599 | skid front(out) | ##### | 11,500 | 0,000 | 1,000 | 100,000 | -3,064834 | 1,798 | 0,662 | 0,6617 | 0,6617 | 0,6534 | 0,6534 | |
| 0,000 | 50,700 | 99,700 | -7,643 | O.K | ##### | 11,500 | 0,000 | 1,000 | 100,000 | 0,000 | 0,000 | 0,662 | | | | | |
| 0,400 | 49,912 | 99,695 | -7,642 | skid front(in) | ##### | 11,500 | 0,000 | 1,000 | 100,000 | 0,000 | 0,029 | 0,662 | 0,662 | 0,662 | 0,654 | 0,654 | 0,029 |
| 1,000 | 48,708 | 99,695 | -7,640 | skid front(in) | ##### | 11,500 | 0,000 | 1,000 | 100,000 | 0,000 | 0,072 | 0,662 | 0,662 | 0,662 | 0,654 | 0,654 | 0,044 |
| 1,500 | 47,680 | 99,695 | -7,638 | skid front(in) | ##### | 11,500 | 0,000 | 1,000 | 100,000 | 0,000 | 0,110 | 0,662 | 0,662 | 0,662 | 0,654 | 0,654 | 0,037 |
| 2,000 | 46,631 | 99,696 | -7,637 | skid front(in) | ##### | 11,500 | 0,000 | 1,000 | 100,000 | 0,000 | 0,148 | 0,662 | 0,662 | 0,662 | 0,654 | 0,654 | 0,038 |
| 2,500 | 45,557 | 99,696 | -7,635 | skid front(in) | ##### | 11,500 | 0,000 | 1,000 | 100,000 | 0,000 | 0,187 | 0,662 | 0,662 | 0,662 | 0,654 | 0,654 | 0,039 |
| 3,000 | 44,458 | 99,696 | -7,634 | skid front(in) | ##### | 11,500 | 0,000 | 1,000 | 100,000 | 0,000 | 0,227 | 0,662 | 0,662 | 0,662 | 0,654 | 0,654 | 0,040 |
| 3,500 | 43,331 | 99,696 | -7,632 | skid front(in) | ##### | 11,500 | 0,000 | 1,000 | 100,000 | 0,000 | 0,268 | 0,662 | 0,662 | 0,662 | 0,654 | 0,654 | 0,041 |

Προσδιορισμός Τιμών Πρόσφυσης κατά την Πέδηση Οχημάτων Εφοδιασμένων με Σύστημα ABS σε Αυξημένες κατά Μήκος Κλίσεις

| | | | | | | | | | | | | | | | | | |
|--------|--------|--------|--------|-----------------|-------|--------|-------|-------|---------|--------|-------|-------|-------|-------|-------|-------|-------|
| 4,000 | 42,175 | 99,696 | -7,631 | skid front(in) | ##### | 11,500 | 0,000 | 1,000 | 100,000 | 0,000 | 0,310 | 0,662 | 0,662 | 0,662 | 0,654 | 0,654 | 0,042 |
| 4,400 | 41,226 | 99,696 | -7,629 | skid front(in) | ##### | 11,500 | 0,000 | 1,000 | 100,000 | 0,000 | 0,345 | 0,662 | 0,662 | 0,662 | 0,654 | 0,654 | 0,035 |
| 5,000 | 39,761 | 99,696 | -7,627 | skid front(in) | ##### | 11,500 | 0,000 | 1,000 | 100,000 | 0,000 | 0,398 | 0,662 | 0,662 | 0,662 | 0,654 | 0,654 | 0,053 |
| 5,500 | 38,498 | 99,696 | -7,626 | skid front(in) | ##### | 11,500 | 0,000 | 1,000 | 100,000 | 0,000 | 0,444 | 0,662 | 0,662 | 0,662 | 0,654 | 0,654 | 0,046 |
| 6,000 | 37,193 | 99,696 | -7,624 | skid front(in) | ##### | 11,500 | 0,000 | 1,000 | 100,000 | 0,000 | 0,492 | 0,662 | 0,662 | 0,662 | 0,654 | 0,654 | 0,048 |
| 6,500 | 35,840 | 99,696 | -7,623 | skid front(in) | ##### | 11,500 | 0,000 | 1,000 | 100,000 | 0,000 | 0,541 | 0,662 | 0,662 | 0,662 | 0,654 | 0,654 | 0,049 |
| 7,000 | 34,434 | 99,696 | -7,621 | skid front(in) | ##### | 11,500 | 0,000 | 1,000 | 100,000 | 0,000 | 0,592 | 0,662 | 0,662 | 0,662 | 0,654 | 0,654 | 0,051 |
| 7,500 | 32,969 | 99,696 | -7,620 | skid front(in) | ##### | 11,500 | 0,000 | 1,000 | 100,000 | 0,000 | 0,645 | 0,662 | 0,662 | 0,662 | 0,654 | 0,654 | 0,053 |
| 8,000 | 31,436 | 99,701 | -7,617 | skid front(out) | ##### | 11,500 | 0,000 | 1,000 | 100,000 | -1,268 | 0,701 | 0,662 | 0,662 | 0,662 | 0,654 | 0,654 | 0,056 |
| 8,500 | 29,825 | 99,685 | -7,614 | skid front(out) | ##### | 11,500 | 0,000 | 1,000 | 100,000 | -1,698 | 0,760 | 0,662 | 0,662 | 0,662 | 0,654 | 0,654 | 0,059 |
| 9,000 | 28,121 | 99,682 | -7,613 | skid front(out) | ##### | 11,500 | 0,000 | 1,000 | 100,000 | -1,073 | 0,822 | 0,662 | 0,662 | 0,662 | 0,654 | 0,654 | 0,062 |
| 9,500 | 26,308 | 99,672 | -7,611 | skid front(out) | ##### | 11,500 | 0,000 | 1,000 | 100,000 | -1,382 | 0,888 | 0,662 | 0,662 | 0,662 | 0,654 | 0,654 | 0,066 |
| 10,000 | 24,361 | 99,700 | -7,610 | skid front(out) | ##### | 11,500 | 0,000 | 1,000 | 100,000 | -2,373 | 0,959 | 0,662 | 0,662 | 0,662 | 0,654 | 0,654 | 0,071 |
| 10,500 | 22,245 | 99,696 | -7,608 | skid front(out) | ##### | 11,500 | 0,000 | 1,000 | 100,000 | -2,612 | 1,037 | 0,662 | 0,662 | 0,662 | 0,654 | 0,654 | 0,077 |
| 11,000 | 19,905 | 99,709 | -7,608 | skid front(out) | ##### | 11,500 | 0,000 | 1,000 | 100,000 | -1,774 | 1,122 | 0,662 | 0,662 | 0,662 | 0,654 | 0,654 | 0,085 |
| 11,500 | 17,252 | 99,711 | -7,607 | skid front(out) | ##### | 11,500 | 0,000 | 1,000 | 100,000 | -1,990 | 1,219 | 0,662 | 0,662 | 0,662 | 0,654 | 0,654 | 0,097 |
| 12,000 | 14,108 | 99,704 | -7,603 | skid front(out) | ##### | 11,500 | 0,000 | 1,000 | 100,000 | -3,546 | 1,334 | 0,662 | 0,662 | 0,662 | 0,654 | 0,654 | 0,115 |
| 12,500 | 10,024 | 99,680 | -7,602 | skid front(out) | ##### | 11,500 | 0,000 | 1,000 | 100,000 | -1,453 | 1,483 | 0,662 | 0,662 | 0,662 | 0,654 | 0,654 | 0,149 |
| 13,000 | 1,388 | 99,673 | -7,599 | skid front(out) | ##### | 11,500 | 0,000 | 1,000 | 100,000 | -3,065 | 1,798 | 0,662 | 0,662 | 0,662 | 0,653 | 0,653 | 0,316 |

| run_c_w_glif_23 | R(m) | br.front (%) | s(%) | e (%) | coeff | effic (%) | time (sec) | | | | | | | | | | |
|-----------------|-----------|--------------|--------|-----------------|-------|-----------|------------|-------|-----------|-----------|------------|-------|-----------|----------|----------|---------|-----------|
| s= 100,000 | ##### | 75,00 | 11,5 | 0,0 | 1,00 | 100 | 1,793 | | | | | | | | | | |
| step= 0,100 | viewstep= | 0,500 | STEPS | | | | | | | | | | | | | | |
| s (m) | V (km/h) | n (%) | dv/dt | skid check | R(m) | s(%) | e (%) | coeff | effic (%) | decelera | time (sec) | fT | front out | front in | rear out | rear in | checktime |
| 14,000 | 3,555 | 99,663 | -7,599 | skid front(out) | ##### | 11,500 | 0,000 | 1,000 | 100,000 | -2,035333 | 1,793 | 0,662 | 0,6617 | 0,6617 | 0,6534 | 0,6534 | |
| 0,000 | 52,720 | 99,700 | -7,647 | O.K | ##### | 11,500 | 0,000 | 1,000 | 100,000 | 0,000 | 0,000 | 0,662 | | | | | |
| 0,400 | 51,963 | 99,695 | -7,645 | skid front(in) | ##### | 11,500 | 0,000 | 1,000 | 100,000 | 0,000 | 0,028 | 0,662 | 0,662 | 0,662 | 0,654 | 0,654 | 0,028 |
| 1,000 | 50,806 | 99,695 | -7,643 | skid front(in) | ##### | 11,500 | 0,000 | 1,000 | 100,000 | 0,000 | 0,070 | 0,662 | 0,662 | 0,662 | 0,654 | 0,654 | 0,042 |
| 1,500 | 49,822 | 99,695 | -7,642 | skid front(in) | ##### | 11,500 | 0,000 | 1,000 | 100,000 | 0,000 | 0,105 | 0,662 | 0,662 | 0,662 | 0,654 | 0,654 | 0,036 |

Προσδιορισμός Τιμών Πρόσφυσης κατά την Πέδηση Οχημάτων Εφοδιασμένων με Σύστημα ABS σε Αυξημένες κατά Μήκος Κλίσεις

| | | | | | | | | | | | | | | | | | |
|--------|--------|--------|--------|-----------------|-------|--------|-------|-------|---------|--------|-------|-------|-------|-------|-------|-------|-------|
| 2,000 | 48,818 | 99,695 | -7,640 | skid front(in) | ##### | 11,500 | 0,000 | 1,000 | 100,000 | 0,000 | 0,142 | 0,662 | 0,662 | 0,662 | 0,654 | 0,654 | 0,036 |
| 2,500 | 47,793 | 99,695 | -7,638 | skid front(in) | ##### | 11,500 | 0,000 | 1,000 | 100,000 | 0,000 | 0,179 | 0,662 | 0,662 | 0,662 | 0,654 | 0,654 | 0,037 |
| 3,000 | 46,746 | 99,695 | -7,637 | skid front(in) | ##### | 11,500 | 0,000 | 1,000 | 100,000 | 0,000 | 0,217 | 0,662 | 0,662 | 0,662 | 0,654 | 0,654 | 0,038 |
| 3,500 | 45,675 | 99,696 | -7,635 | skid front(in) | ##### | 11,500 | 0,000 | 1,000 | 100,000 | 0,000 | 0,256 | 0,662 | 0,662 | 0,662 | 0,654 | 0,654 | 0,039 |
| 4,000 | 44,579 | 99,696 | -7,634 | skid front(in) | ##### | 11,500 | 0,000 | 1,000 | 100,000 | 0,000 | 0,296 | 0,662 | 0,662 | 0,662 | 0,654 | 0,654 | 0,040 |
| 4,400 | 43,682 | 99,696 | -7,633 | skid front(in) | ##### | 11,500 | 0,000 | 1,000 | 100,000 | 0,000 | 0,329 | 0,662 | 0,662 | 0,662 | 0,654 | 0,654 | 0,033 |
| 5,000 | 42,302 | 99,696 | -7,631 | skid front(in) | ##### | 11,500 | 0,000 | 1,000 | 100,000 | 0,000 | 0,379 | 0,662 | 0,662 | 0,662 | 0,654 | 0,654 | 0,050 |
| 5,500 | 41,117 | 99,696 | -7,629 | skid front(in) | ##### | 11,500 | 0,000 | 1,000 | 100,000 | 0,000 | 0,422 | 0,662 | 0,662 | 0,662 | 0,654 | 0,654 | 0,043 |
| 6,000 | 39,896 | 99,696 | -7,628 | skid front(in) | ##### | 11,500 | 0,000 | 1,000 | 100,000 | 0,000 | 0,466 | 0,662 | 0,662 | 0,662 | 0,654 | 0,654 | 0,044 |
| 6,500 | 38,638 | 99,696 | -7,626 | skid front(in) | ##### | 11,500 | 0,000 | 1,000 | 100,000 | 0,000 | 0,512 | 0,662 | 0,662 | 0,662 | 0,654 | 0,654 | 0,046 |
| 7,000 | 37,337 | 99,696 | -7,625 | skid front(in) | ##### | 11,500 | 0,000 | 1,000 | 100,000 | 0,000 | 0,560 | 0,662 | 0,662 | 0,662 | 0,654 | 0,654 | 0,047 |
| 7,500 | 35,989 | 99,696 | -7,623 | skid front(in) | ##### | 11,500 | 0,000 | 1,000 | 100,000 | 0,000 | 0,609 | 0,662 | 0,662 | 0,662 | 0,654 | 0,654 | 0,049 |
| 8,000 | 34,590 | 99,696 | -7,621 | skid front(in) | ##### | 11,500 | 0,000 | 1,000 | 100,000 | 0,000 | 0,660 | 0,662 | 0,662 | 0,662 | 0,654 | 0,654 | 0,051 |
| 8,500 | 33,131 | 99,696 | -7,620 | skid front(in) | ##### | 11,500 | 0,000 | 1,000 | 100,000 | 0,000 | 0,713 | 0,662 | 0,662 | 0,662 | 0,654 | 0,654 | 0,053 |
| 9,000 | 31,606 | 99,714 | -7,618 | skid front(out) | ##### | 11,500 | 0,000 | 1,000 | 100,000 | -1,586 | 0,769 | 0,662 | 0,662 | 0,662 | 0,654 | 0,654 | 0,056 |
| 9,500 | 30,004 | 99,706 | -7,616 | skid front(out) | ##### | 11,500 | 0,000 | 1,000 | 100,000 | -1,627 | 0,827 | 0,662 | 0,662 | 0,662 | 0,654 | 0,654 | 0,058 |
| 10,000 | 28,311 | 99,669 | -7,613 | skid front(out) | ##### | 11,500 | 0,000 | 1,000 | 100,000 | -0,981 | 0,889 | 0,662 | 0,662 | 0,662 | 0,654 | 0,654 | 0,062 |
| 10,500 | 26,512 | 99,689 | -7,611 | skid front(out) | ##### | 11,500 | 0,000 | 1,000 | 100,000 | -2,548 | 0,954 | 0,662 | 0,662 | 0,662 | 0,654 | 0,654 | 0,066 |
| 11,000 | 24,581 | 99,704 | -7,611 | skid front(out) | ##### | 11,500 | 0,000 | 1,000 | 100,000 | -1,509 | 1,025 | 0,662 | 0,662 | 0,662 | 0,654 | 0,654 | 0,070 |
| 11,500 | 22,485 | 99,735 | -7,610 | skid front(out) | ##### | 11,500 | 0,000 | 1,000 | 100,000 | -3,170 | 1,101 | 0,662 | 0,662 | 0,662 | 0,654 | 0,654 | 0,076 |
| 12,000 | 20,173 | 99,709 | -7,608 | skid front(out) | ##### | 11,500 | 0,000 | 1,000 | 100,000 | -2,309 | 1,186 | 0,662 | 0,662 | 0,662 | 0,654 | 0,654 | 0,084 |
| 12,500 | 17,560 | 99,723 | -7,607 | skid front(out) | ##### | 11,500 | 0,000 | 1,000 | 100,000 | -2,080 | 1,281 | 0,662 | 0,662 | 0,662 | 0,654 | 0,654 | 0,095 |
| 13,000 | 14,483 | 99,699 | -7,605 | skid front(out) | ##### | 11,500 | 0,000 | 1,000 | 100,000 | -0,999 | 1,393 | 0,662 | 0,662 | 0,662 | 0,654 | 0,654 | 0,112 |
| 13,500 | 10,545 | 99,688 | -7,601 | skid front(out) | ##### | 11,500 | 0,000 | 1,000 | 100,000 | -3,344 | 1,537 | 0,662 | 0,662 | 0,662 | 0,653 | 0,653 | 0,144 |
| 14,000 | 3,555 | 99,663 | -7,599 | skid front(out) | ##### | 11,500 | 0,000 | 1,000 | 100,000 | -2,035 | 1,793 | 0,662 | 0,662 | 0,662 | 0,653 | 0,653 | 0,255 |

| run_c_w_glif_24 | R(m) | br.front (%) | s(%) | e (%) | coeff | effic (%) | time (sec) |
|-----------------|-----------|--------------|-------|-------|-------|-----------|------------|
| s= 100,000 | ##### | 75,00 | 11,5 | 0,0 | 1,00 | 100 | 1,813 |
| step= 0,100 | viewstep= | 0,500 | STEPS | | | | |

0,963

| s (m) | V (km/h) | n (%) | dv/dt | skid check | R(m) | s(%) | e (%) | coeff | effic (%) | decelera | time (sec) | FT | front out | front in | rear out | rear in | checktime |
|-------|----------|-------|-------|------------|------|------|-------|-------|-----------|----------|------------|----|-----------|----------|----------|---------|-----------|
|-------|----------|-------|-------|------------|------|------|-------|-------|-----------|----------|------------|----|-----------|----------|----------|---------|-----------|

Προσδιορισμός Τιμών Πρόσφυσης κατά την Πέδηση Οχημάτων Εφοδιασμένων με Σύστημα ABS σε Αυξημένες κατά Μήκος Κλίσεις

| 14,300 | 3,543 | 99,672 | -7,600 | skid front(out) | ##### | 11,500 | 0,000 | 1,000 | 100,000 | -2,025984 | 1,813 | 0,662 | 0,6617 | 0,6617 | 0,6535 | 0,6535 | |
|--------|--------|--------|--------|-----------------|-------|--------|-------|-------|---------|-----------|-------|-------|--------|--------|--------|--------|-------|
| 0,000 | 53,280 | 99,700 | -7,647 | O.K | ##### | 11,500 | 0,000 | 1,000 | 100,000 | 0,000 | 0,000 | 0,662 | | | | | |
| 0,400 | 52,531 | 99,695 | -7,646 | skid front(in) | ##### | 11,500 | 0,000 | 1,000 | 100,000 | 0,000 | 0,027 | 0,662 | 0,662 | 0,662 | 0,654 | 0,654 | 0,027 |
| 1,000 | 51,387 | 99,695 | -7,644 | skid front(in) | ##### | 11,500 | 0,000 | 1,000 | 100,000 | 0,000 | 0,069 | 0,662 | 0,662 | 0,662 | 0,654 | 0,654 | 0,042 |
| 1,500 | 50,414 | 99,695 | -7,642 | skid front(in) | ##### | 11,500 | 0,000 | 1,000 | 100,000 | 0,000 | 0,104 | 0,662 | 0,662 | 0,662 | 0,654 | 0,654 | 0,035 |
| 2,000 | 49,422 | 99,695 | -7,641 | skid front(in) | ##### | 11,500 | 0,000 | 1,000 | 100,000 | 0,000 | 0,140 | 0,662 | 0,662 | 0,662 | 0,654 | 0,654 | 0,036 |
| 2,500 | 48,409 | 99,695 | -7,639 | skid front(in) | ##### | 11,500 | 0,000 | 1,000 | 100,000 | 0,000 | 0,177 | 0,662 | 0,662 | 0,662 | 0,654 | 0,654 | 0,037 |
| 3,000 | 47,376 | 99,695 | -7,638 | skid front(in) | ##### | 11,500 | 0,000 | 1,000 | 100,000 | 0,000 | 0,215 | 0,662 | 0,662 | 0,662 | 0,654 | 0,654 | 0,038 |
| 3,500 | 46,320 | 99,696 | -7,636 | skid front(in) | ##### | 11,500 | 0,000 | 1,000 | 100,000 | 0,000 | 0,253 | 0,662 | 0,662 | 0,662 | 0,654 | 0,654 | 0,038 |
| 4,000 | 45,239 | 99,696 | -7,635 | skid front(in) | ##### | 11,500 | 0,000 | 1,000 | 100,000 | 0,000 | 0,292 | 0,662 | 0,662 | 0,662 | 0,654 | 0,654 | 0,039 |
| 4,400 | 44,355 | 99,696 | -7,633 | skid front(in) | ##### | 11,500 | 0,000 | 1,000 | 100,000 | 0,000 | 0,324 | 0,662 | 0,662 | 0,662 | 0,654 | 0,654 | 0,032 |
| 5,000 | 42,996 | 99,696 | -7,632 | skid front(in) | ##### | 11,500 | 0,000 | 1,000 | 100,000 | 0,000 | 0,374 | 0,662 | 0,662 | 0,662 | 0,654 | 0,654 | 0,049 |
| 5,500 | 41,831 | 99,696 | -7,630 | skid front(in) | ##### | 11,500 | 0,000 | 1,000 | 100,000 | 0,000 | 0,416 | 0,662 | 0,662 | 0,662 | 0,654 | 0,654 | 0,042 |
| 6,000 | 40,632 | 99,696 | -7,629 | skid front(in) | ##### | 11,500 | 0,000 | 1,000 | 100,000 | 0,000 | 0,460 | 0,662 | 0,662 | 0,662 | 0,654 | 0,654 | 0,044 |
| 6,500 | 39,396 | 99,696 | -7,627 | skid front(in) | ##### | 11,500 | 0,000 | 1,000 | 100,000 | 0,000 | 0,505 | 0,662 | 0,662 | 0,662 | 0,654 | 0,654 | 0,045 |
| 7,000 | 38,121 | 99,696 | -7,625 | skid front(in) | ##### | 11,500 | 0,000 | 1,000 | 100,000 | 0,000 | 0,551 | 0,662 | 0,662 | 0,662 | 0,654 | 0,654 | 0,046 |
| 7,500 | 36,802 | 99,696 | -7,624 | skid front(in) | ##### | 11,500 | 0,000 | 1,000 | 100,000 | 0,001 | 0,600 | 0,662 | 0,662 | 0,662 | 0,654 | 0,654 | 0,048 |
| 8,000 | 35,435 | 99,696 | -7,622 | skid front(in) | ##### | 11,500 | 0,000 | 1,000 | 100,000 | 0,000 | 0,649 | 0,662 | 0,662 | 0,662 | 0,654 | 0,654 | 0,050 |
| 8,500 | 34,012 | 99,696 | -7,621 | skid front(in) | ##### | 11,500 | 0,000 | 1,000 | 100,000 | 0,000 | 0,701 | 0,662 | 0,662 | 0,662 | 0,654 | 0,654 | 0,052 |
| 9,000 | 32,528 | 99,696 | -7,619 | skid front(in) | ##### | 11,500 | 0,000 | 1,000 | 100,000 | 0,000 | 0,755 | 0,662 | 0,662 | 0,662 | 0,654 | 0,654 | 0,054 |
| 9,500 | 30,973 | 99,694 | -7,615 | skid front(out) | ##### | 11,500 | 0,000 | 1,000 | 100,000 | -2,766 | 0,812 | 0,662 | 0,662 | 0,662 | 0,654 | 0,654 | 0,057 |
| 10,000 | 29,337 | 99,705 | -7,615 | skid front(out) | ##### | 11,500 | 0,000 | 1,000 | 100,000 | -2,052 | 0,872 | 0,662 | 0,662 | 0,662 | 0,654 | 0,654 | 0,060 |
| 10,500 | 27,604 | 99,709 | -7,614 | skid front(out) | ##### | 11,500 | 0,000 | 1,000 | 100,000 | -2,174 | 0,935 | 0,662 | 0,662 | 0,662 | 0,654 | 0,654 | 0,063 |
| 11,000 | 25,755 | 99,683 | -7,611 | skid front(out) | ##### | 11,500 | 0,000 | 1,000 | 100,000 | -1,603 | 1,002 | 0,662 | 0,662 | 0,662 | 0,654 | 0,654 | 0,067 |
| 11,500 | 23,762 | 99,694 | -7,610 | skid front(out) | ##### | 11,500 | 0,000 | 1,000 | 100,000 | -1,623 | 1,075 | 0,662 | 0,662 | 0,662 | 0,654 | 0,654 | 0,073 |
| 12,000 | 21,588 | 99,672 | -7,608 | skid front(out) | ##### | 11,500 | 0,000 | 1,000 | 100,000 | -0,880 | 1,154 | 0,662 | 0,662 | 0,662 | 0,654 | 0,654 | 0,079 |
| 12,500 | 19,168 | 99,691 | -7,607 | skid front(out) | ##### | 11,500 | 0,000 | 1,000 | 100,000 | -0,832 | 1,243 | 0,662 | 0,662 | 0,662 | 0,654 | 0,654 | 0,088 |
| 13,000 | 16,396 | 99,700 | -7,605 | skid front(out) | ##### | 11,500 | 0,000 | 1,000 | 100,000 | -1,892 | 1,344 | 0,662 | 0,662 | 0,662 | 0,654 | 0,654 | 0,101 |
| 13,500 | 13,047 | 99,669 | -7,602 | skid front(out) | ##### | 11,500 | 0,000 | 1,000 | 100,000 | -2,200 | 1,466 | 0,662 | 0,662 | 0,662 | 0,653 | 0,653 | 0,122 |
| 14,000 | 8,467 | 99,681 | -7,600 | skid front(out) | ##### | 11,500 | 0,000 | 1,000 | 100,000 | -3,447 | 1,634 | 0,662 | 0,662 | 0,662 | 0,653 | 0,653 | 0,167 |
| 14,300 | 3,543 | 99,672 | -7,600 | skid front(out) | ##### | 11,500 | 0,000 | 1,000 | 100,000 | -2,026 | 1,813 | 0,662 | 0,662 | 0,662 | 0,653 | 0,653 | 0,180 |

Προσδιορισμός Τιμών Πρόσφυσης κατά την Πέδηση Οχημάτων Εφοδιασμένων με Σύστημα ABS σε Αυξημένες κατά Μήκος Κλίσεις

| run c w glif 25 | | R(m) | br.front (%) | s(%) | e (%) | coeff | effic (%) | | | time (sec) | | | | | | | 0,963 |
|-----------------|----------|-----------|--------------|-----------------|-------|--------|-----------|-------|-----------|------------|------------|-------|-----------|----------|----------|---------|-----------|
| s= | 100,000 | ##### | 75,00 | 11,5 | 0,0 | 1,00 | 100 | | | 1,819 | | | | | | | |
| step= | 0,100 | viewstep= | 0,500 | STEPS | | | | | | | | | | | | | |
| s (m) | V (km/h) | n (%) | dv/dt | skid check | R(m) | s(%) | e (%) | coeff | effic (%) | decelera | time (sec) | FT | front out | front in | rear out | rear in | checktime |
| 13,600 | 2,011 | 99,688 | -7,599 | skid front(out) | ##### | 11,500 | 0,000 | 1,000 | 100,000 | -3,891596 | 1,819 | 0,662 | 0,6617 | 0,6617 | 0,6534 | 0,6534 | |
| 0,000 | 51,880 | 99,700 | -7,645 | O.K | ##### | 11,500 | 0,000 | 1,000 | 100,000 | 0,000 | 0,000 | 0,662 | | | | | |
| 0,400 | 51,110 | 99,695 | -7,644 | skid front(in) | ##### | 11,500 | 0,000 | 1,000 | 100,000 | 0,000 | 0,028 | 0,662 | 0,662 | 0,662 | 0,654 | 0,654 | 0,028 |
| 1,000 | 49,934 | 99,695 | -7,642 | skid front(in) | ##### | 11,500 | 0,000 | 1,000 | 100,000 | 0,000 | 0,071 | 0,662 | 0,662 | 0,662 | 0,654 | 0,654 | 0,043 |
| 1,500 | 48,933 | 99,695 | -7,640 | skid front(in) | ##### | 11,500 | 0,000 | 1,000 | 100,000 | 0,000 | 0,107 | 0,662 | 0,662 | 0,662 | 0,654 | 0,654 | 0,036 |
| 2,000 | 47,910 | 99,695 | -7,639 | skid front(in) | ##### | 11,500 | 0,000 | 1,000 | 100,000 | 0,000 | 0,144 | 0,662 | 0,662 | 0,662 | 0,654 | 0,654 | 0,037 |
| 2,500 | 46,866 | 99,696 | -7,637 | skid front(in) | ##### | 11,500 | 0,000 | 1,000 | 100,000 | 0,000 | 0,182 | 0,662 | 0,662 | 0,662 | 0,654 | 0,654 | 0,038 |
| 3,000 | 45,798 | 99,696 | -7,636 | skid front(in) | ##### | 11,500 | 0,000 | 1,000 | 100,000 | 0,000 | 0,221 | 0,662 | 0,662 | 0,662 | 0,654 | 0,654 | 0,039 |
| 3,500 | 44,704 | 99,696 | -7,634 | skid front(in) | ##### | 11,500 | 0,000 | 1,000 | 100,000 | 0,000 | 0,261 | 0,662 | 0,662 | 0,662 | 0,654 | 0,654 | 0,040 |
| 4,000 | 43,584 | 99,696 | -7,632 | skid front(in) | ##### | 11,500 | 0,000 | 1,000 | 100,000 | 0,000 | 0,302 | 0,662 | 0,662 | 0,662 | 0,654 | 0,654 | 0,041 |
| 4,400 | 42,667 | 99,696 | -7,631 | skid front(in) | ##### | 11,500 | 0,000 | 1,000 | 100,000 | 0,000 | 0,335 | 0,662 | 0,662 | 0,662 | 0,654 | 0,654 | 0,033 |
| 5,000 | 41,253 | 99,696 | -7,629 | skid front(in) | ##### | 11,500 | 0,000 | 1,000 | 100,000 | 0,000 | 0,387 | 0,662 | 0,662 | 0,662 | 0,654 | 0,654 | 0,051 |
| 5,500 | 40,036 | 99,696 | -7,628 | skid front(in) | ##### | 11,500 | 0,000 | 1,000 | 100,000 | 0,000 | 0,431 | 0,662 | 0,662 | 0,662 | 0,654 | 0,654 | 0,044 |
| 6,000 | 38,782 | 99,696 | -7,626 | skid front(in) | ##### | 11,500 | 0,000 | 1,000 | 100,000 | 0,000 | 0,477 | 0,662 | 0,662 | 0,662 | 0,654 | 0,654 | 0,046 |
| 6,500 | 37,486 | 99,696 | -7,625 | skid front(in) | ##### | 11,500 | 0,000 | 1,000 | 100,000 | 0,000 | 0,524 | 0,662 | 0,662 | 0,662 | 0,654 | 0,654 | 0,047 |
| 7,000 | 36,145 | 99,696 | -7,623 | skid front(in) | ##### | 11,500 | 0,000 | 1,000 | 100,000 | 0,000 | 0,573 | 0,662 | 0,662 | 0,662 | 0,654 | 0,654 | 0,049 |
| 7,500 | 34,751 | 99,696 | -7,622 | skid front(in) | ##### | 11,500 | 0,000 | 1,000 | 100,000 | 0,000 | 0,623 | 0,662 | 0,662 | 0,662 | 0,654 | 0,654 | 0,051 |
| 8,000 | 33,300 | 99,696 | -7,620 | skid front(in) | ##### | 11,500 | 0,000 | 1,000 | 100,000 | 0,001 | 0,676 | 0,662 | 0,662 | 0,662 | 0,654 | 0,654 | 0,053 |
| 8,500 | 31,783 | 99,716 | -7,618 | skid front(out) | ##### | 11,500 | 0,000 | 1,000 | 100,000 | -1,854 | 0,732 | 0,662 | 0,662 | 0,662 | 0,654 | 0,654 | 0,055 |
| 9,000 | 30,190 | 99,715 | -7,617 | skid front(out) | ##### | 11,500 | 0,000 | 1,000 | 100,000 | -1,536 | 0,790 | 0,662 | 0,662 | 0,662 | 0,654 | 0,654 | 0,058 |
| 9,500 | 28,508 | 99,708 | -7,614 | skid front(out) | ##### | 11,500 | 0,000 | 1,000 | 100,000 | -2,134 | 0,851 | 0,662 | 0,662 | 0,662 | 0,654 | 0,654 | 0,061 |
| 10,000 | 26,721 | 99,716 | -7,614 | skid front(out) | ##### | 11,500 | 0,000 | 1,000 | 100,000 | -1,781 | 0,916 | 0,662 | 0,662 | 0,662 | 0,654 | 0,654 | 0,065 |
| 10,500 | 24,806 | 99,716 | -7,611 | skid front(out) | ##### | 11,500 | 0,000 | 1,000 | 100,000 | -2,375 | 0,986 | 0,662 | 0,662 | 0,662 | 0,654 | 0,654 | 0,070 |
| 11,000 | 22,731 | 99,683 | -7,608 | skid front(out) | ##### | 11,500 | 0,000 | 1,000 | 100,000 | -2,269 | 1,062 | 0,662 | 0,662 | 0,662 | 0,654 | 0,654 | 0,076 |
| 11,500 | 20,448 | 99,688 | -7,606 | skid front(out) | ##### | 11,500 | 0,000 | 1,000 | 100,000 | -2,846 | 1,145 | 0,662 | 0,662 | 0,662 | 0,654 | 0,654 | 0,083 |
| 12,000 | 17,875 | 99,710 | -7,607 | skid front(out) | ##### | 11,500 | 0,000 | 1,000 | 100,000 | -2,212 | 1,239 | 0,662 | 0,662 | 0,662 | 0,654 | 0,654 | 0,094 |
| 12,500 | 14,863 | 99,724 | -7,605 | skid front(out) | ##### | 11,500 | 0,000 | 1,000 | 100,000 | -2,747 | 1,349 | 0,662 | 0,662 | 0,662 | 0,654 | 0,654 | 0,110 |
| 13,000 | 11,060 | 99,696 | -7,602 | skid front(out) | ##### | 11,500 | 0,000 | 1,000 | 100,000 | -2,394 | 1,488 | 0,662 | 0,662 | 0,662 | 0,654 | 0,654 | 0,139 |
| 13,500 | 4,876 | 99,716 | -7,602 | skid front(out) | ##### | 11,500 | 0,000 | 1,000 | 100,000 | -2,920 | 1,714 | 0,662 | 0,662 | 0,662 | 0,654 | 0,654 | 0,226 |

Προσδιορισμός Τιμών Πρόσφυσης κατά την Πέδηση Οχημάτων Εφοδιασμένων με Σύστημα ABS σε Αυξημένες κατά Μήκος Κλίσεις

| run_c_w_glif_26 | R(m) | br.front (%) | s(%) | e (%) | coeff | effic (%) | | time (sec) | | | | | | | | | |
|-----------------|-----------|--------------|--------|-----------------|-------|-----------|-------|------------|-----------|-----------|------------|-------|-----------|----------|----------|---------|-----------|
| s= 100,000 | ##### | 75,00 | 11,5 | 0,0 | 1,00 | 100 | | 1,981 | | | | | | | | | 0,963 |
| step= 0,100 | viewstep= | 0,500 | STEPS | | | | | | | | | | | | | | |
| s (m) | V (km/h) | n (%) | dv/dt | skid check | R(m) | s(%) | e (%) | coeff | effic (%) | decelera | time (sec) | FT | front out | front in | rear out | rear in | checktime |
| 15,400 | 0,850 | 99,699 | -7,602 | skid front(out) | ##### | 11,500 | 0,000 | 1,000 | 100,000 | -1,150620 | 1,981 | 0,662 | 0,6619 | 0,6619 | 0,6539 | 0,6539 | |
| 0,000 | 55,180 | 99,700 | -7,651 | O.K | ##### | 11,500 | 0,000 | 1,000 | 100,000 | 0,000 | 0,000 | 0,662 | | | | | |
| 0,400 | 54,457 | 99,695 | -7,649 | skid front(in) | ##### | 11,500 | 0,000 | 1,000 | 100,000 | 0,000 | 0,026 | 0,662 | 0,662 | 0,662 | 0,654 | 0,654 | 0,026 |
| 1,000 | 53,353 | 99,695 | -7,647 | skid front(in) | ##### | 11,500 | 0,000 | 1,000 | 100,000 | 0,000 | 0,066 | 0,662 | 0,662 | 0,662 | 0,654 | 0,654 | 0,040 |
| 1,500 | 52,416 | 99,695 | -7,646 | skid front(in) | ##### | 11,500 | 0,000 | 1,000 | 100,000 | 0,000 | 0,100 | 0,662 | 0,662 | 0,662 | 0,654 | 0,654 | 0,034 |
| 2,000 | 51,463 | 99,695 | -7,644 | skid front(in) | ##### | 11,500 | 0,000 | 1,000 | 100,000 | 0,000 | 0,135 | 0,662 | 0,662 | 0,662 | 0,654 | 0,654 | 0,035 |
| 2,500 | 50,491 | 99,695 | -7,643 | skid front(in) | ##### | 11,500 | 0,000 | 1,000 | 100,000 | 0,000 | 0,170 | 0,662 | 0,662 | 0,662 | 0,654 | 0,654 | 0,035 |
| 3,000 | 49,501 | 99,695 | -7,641 | skid front(in) | ##### | 11,500 | 0,000 | 1,000 | 100,000 | 0,000 | 0,206 | 0,662 | 0,662 | 0,662 | 0,654 | 0,654 | 0,036 |
| 3,500 | 48,490 | 99,695 | -7,639 | skid front(in) | ##### | 11,500 | 0,000 | 1,000 | 100,000 | 0,000 | 0,243 | 0,662 | 0,662 | 0,662 | 0,654 | 0,654 | 0,037 |
| 4,000 | 47,458 | 99,695 | -7,638 | skid front(in) | ##### | 11,500 | 0,000 | 1,000 | 100,000 | 0,000 | 0,281 | 0,662 | 0,662 | 0,662 | 0,654 | 0,654 | 0,038 |
| 4,400 | 46,617 | 99,696 | -7,637 | skid front(in) | ##### | 11,500 | 0,000 | 1,000 | 100,000 | 0,000 | 0,311 | 0,662 | 0,662 | 0,662 | 0,654 | 0,654 | 0,031 |
| 5,000 | 45,325 | 99,696 | -7,635 | skid front(in) | ##### | 11,500 | 0,000 | 1,000 | 100,000 | 0,000 | 0,358 | 0,662 | 0,662 | 0,662 | 0,654 | 0,654 | 0,047 |
| 5,500 | 44,220 | 99,696 | -7,633 | skid front(in) | ##### | 11,500 | 0,000 | 1,000 | 100,000 | 0,000 | 0,398 | 0,662 | 0,662 | 0,662 | 0,654 | 0,654 | 0,040 |
| 6,000 | 43,087 | 99,696 | -7,632 | skid front(in) | ##### | 11,500 | 0,000 | 1,000 | 100,000 | 0,000 | 0,440 | 0,662 | 0,662 | 0,662 | 0,654 | 0,654 | 0,041 |
| 6,500 | 41,924 | 99,696 | -7,630 | skid front(in) | ##### | 11,500 | 0,000 | 1,000 | 100,000 | 0,000 | 0,482 | 0,662 | 0,662 | 0,662 | 0,654 | 0,654 | 0,042 |
| 7,000 | 40,727 | 99,696 | -7,629 | skid front(in) | ##### | 11,500 | 0,000 | 1,000 | 100,000 | 0,000 | 0,526 | 0,662 | 0,662 | 0,662 | 0,654 | 0,654 | 0,044 |
| 7,500 | 39,495 | 99,696 | -7,627 | skid front(in) | ##### | 11,500 | 0,000 | 1,000 | 100,000 | 0,000 | 0,570 | 0,662 | 0,662 | 0,662 | 0,654 | 0,654 | 0,045 |
| 8,000 | 38,223 | 99,696 | -7,626 | skid front(in) | ##### | 11,500 | 0,000 | 1,000 | 100,000 | 0,000 | 0,617 | 0,662 | 0,662 | 0,662 | 0,654 | 0,654 | 0,046 |
| 8,500 | 36,908 | 99,696 | -7,624 | skid front(in) | ##### | 11,500 | 0,000 | 1,000 | 100,000 | 0,000 | 0,665 | 0,662 | 0,662 | 0,662 | 0,654 | 0,654 | 0,048 |
| 9,000 | 35,545 | 99,696 | -7,622 | skid front(in) | ##### | 11,500 | 0,000 | 1,000 | 100,000 | 0,000 | 0,714 | 0,662 | 0,662 | 0,662 | 0,654 | 0,654 | 0,050 |
| 9,500 | 34,127 | 99,696 | -7,621 | skid front(in) | ##### | 11,500 | 0,000 | 1,000 | 100,000 | 0,001 | 0,766 | 0,662 | 0,662 | 0,662 | 0,654 | 0,654 | 0,052 |
| 10,000 | 32,648 | 99,696 | -7,619 | skid front(in) | ##### | 11,500 | 0,000 | 1,000 | 100,000 | 0,001 | 0,820 | 0,662 | 0,662 | 0,662 | 0,654 | 0,654 | 0,054 |
| 10,500 | 31,099 | 99,695 | -7,616 | skid front(out) | ##### | 11,500 | 0,000 | 1,000 | 100,000 | -2,247 | 0,876 | 0,662 | 0,662 | 0,662 | 0,654 | 0,654 | 0,056 |
| 11,000 | 29,469 | 99,681 | -7,614 | skid front(out) | ##### | 11,500 | 0,000 | 1,000 | 100,000 | -1,461 | 0,936 | 0,662 | 0,662 | 0,662 | 0,654 | 0,654 | 0,059 |
| 11,500 | 27,744 | 99,725 | -7,614 | skid front(out) | ##### | 11,500 | 0,000 | 1,000 | 100,000 | -2,835 | 0,999 | 0,662 | 0,662 | 0,662 | 0,654 | 0,654 | 0,063 |
| 12,000 | 25,905 | 99,718 | -7,613 | skid front(out) | ##### | 11,500 | 0,000 | 1,000 | 100,000 | -1,863 | 1,066 | 0,662 | 0,662 | 0,662 | 0,654 | 0,654 | 0,067 |
| 12,500 | 23,925 | 99,705 | -7,611 | skid front(out) | ##### | 11,500 | 0,000 | 1,000 | 100,000 | -1,958 | 1,138 | 0,662 | 0,662 | 0,662 | 0,654 | 0,654 | 0,072 |
| 13,000 | 21,766 | 99,730 | -7,610 | skid front(out) | ##### | 11,500 | 0,000 | 1,000 | 100,000 | -2,662 | 1,217 | 0,662 | 0,662 | 0,662 | 0,654 | 0,654 | 0,079 |
| 13,500 | 19,369 | 99,721 | -7,608 | skid front(out) | ##### | 11,500 | 0,000 | 1,000 | 100,000 | -2,648 | 1,304 | 0,662 | 0,662 | 0,662 | 0,654 | 0,654 | 0,088 |
| 14,000 | 16,630 | 99,673 | -7,604 | skid front(out) | ##### | 11,500 | 0,000 | 1,000 | 100,000 | -1,826 | 1,404 | 0,662 | 0,662 | 0,662 | 0,654 | 0,654 | 0,100 |
| 14,500 | 13,342 | 99,692 | -7,602 | skid front(out) | ##### | 11,500 | 0,000 | 1,000 | 100,000 | -3,802 | 1,525 | 0,662 | 0,662 | 0,662 | 0,653 | 0,653 | 0,120 |
| 15,000 | 8,914 | 99,702 | -7,602 | skid front(out) | ##### | 11,500 | 0,000 | 1,000 | 100,000 | -2,285 | 1,686 | 0,662 | 0,662 | 0,662 | 0,654 | 0,654 | 0,162 |
| 15,400 | 0,850 | 99,699 | -7,602 | skid front(out) | ##### | 11,500 | 0,000 | 1,000 | 100,000 | -1,151 | 1,981 | 0,662 | 0,662 | 0,662 | 0,654 | 0,654 | 0,295 |

Προσδιορισμός Τιμών Πρόσφυσης κατά την Πέδηση Οχημάτων Εφοδιασμένων με Σύστημα ABS σε Αυξημένες κατά Μήκος Κλίσεις

| run_c_w_glif_27 | | R(m) | br.front (%) | s(%) | e (%) | coeff | effic (%) | | | time (sec) | | | | | | | |
|-----------------|----------|-----------|--------------|-----------------|-------|--------|-----------|-------|-----------|------------|------------|-------|-----------|----------|----------|---------|-----------|
| s= 100,000 | | ##### | 75,00 | 11,5 | 0,0 | 1,00 | 100 | | | 1,697 | | | | | | | 0,963 |
| step= 0,100 | | viewstep= | 0,500 | STEPS | | | | | | | | | | | | | |
| s (m) | V (km/h) | n (%) | dv/dt | skid check | R(m) | s(%) | e (%) | coeff | effic (%) | decelera | time (sec) | fT | front out | front in | rear out | rear in | checktime |
| 12,100 | 2,413 | 99,702 | -7,601 | skid front(out) | ##### | 11,500 | 0,000 | 1,000 | 100,000 | -2,120775 | 1,697 | 0,662 | 0,6619 | 0,6619 | 0,6538 | 0,6538 | |
| 0,000 | 48,950 | 99,700 | -7,640 | O.K | ##### | 11,500 | 0,000 | 1,000 | 100,000 | 0,000 | 0,000 | 0,662 | | | | | |
| 0,400 | 48,134 | 99,695 | -7,639 | skid front(in) | ##### | 11,500 | 0,000 | 1,000 | 100,000 | 0,000 | 0,030 | 0,662 | 0,662 | 0,662 | 0,654 | 0,654 | 0,030 |
| 1,000 | 46,884 | 99,696 | -7,637 | skid front(in) | ##### | 11,500 | 0,000 | 1,000 | 100,000 | 0,000 | 0,075 | 0,662 | 0,662 | 0,662 | 0,654 | 0,654 | 0,045 |
| 1,500 | 45,816 | 99,696 | -7,636 | skid front(in) | ##### | 11,500 | 0,000 | 1,000 | 100,000 | 0,000 | 0,114 | 0,662 | 0,662 | 0,662 | 0,654 | 0,654 | 0,039 |
| 2,000 | 44,724 | 99,696 | -7,634 | skid front(in) | ##### | 11,500 | 0,000 | 1,000 | 100,000 | 0,000 | 0,154 | 0,662 | 0,662 | 0,662 | 0,654 | 0,654 | 0,040 |
| 2,500 | 43,604 | 99,696 | -7,632 | skid front(in) | ##### | 11,500 | 0,000 | 1,000 | 100,000 | 0,000 | 0,194 | 0,662 | 0,662 | 0,662 | 0,654 | 0,654 | 0,041 |
| 3,000 | 42,454 | 99,696 | -7,631 | skid front(in) | ##### | 11,500 | 0,000 | 1,000 | 100,000 | 0,000 | 0,236 | 0,662 | 0,662 | 0,662 | 0,654 | 0,654 | 0,042 |
| 3,500 | 41,273 | 99,696 | -7,629 | skid front(in) | ##### | 11,500 | 0,000 | 1,000 | 100,000 | 0,000 | 0,279 | 0,662 | 0,662 | 0,662 | 0,654 | 0,654 | 0,043 |
| 4,000 | 40,058 | 99,696 | -7,628 | skid front(in) | ##### | 11,500 | 0,000 | 1,000 | 100,000 | 0,000 | 0,324 | 0,662 | 0,662 | 0,662 | 0,654 | 0,654 | 0,044 |
| 4,400 | 39,058 | 99,696 | -7,627 | skid front(in) | ##### | 11,500 | 0,000 | 1,000 | 100,000 | 0,000 | 0,360 | 0,662 | 0,662 | 0,662 | 0,654 | 0,654 | 0,036 |
| 5,000 | 37,509 | 99,696 | -7,625 | skid front(in) | ##### | 11,500 | 0,000 | 1,000 | 100,000 | 0,000 | 0,416 | 0,662 | 0,662 | 0,662 | 0,654 | 0,654 | 0,056 |
| 5,500 | 36,168 | 99,696 | -7,623 | skid front(in) | ##### | 11,500 | 0,000 | 1,000 | 100,000 | 0,000 | 0,465 | 0,662 | 0,662 | 0,662 | 0,654 | 0,654 | 0,049 |
| 6,000 | 34,776 | 99,696 | -7,622 | skid front(in) | ##### | 11,500 | 0,000 | 1,000 | 100,000 | 0,000 | 0,516 | 0,662 | 0,662 | 0,662 | 0,654 | 0,654 | 0,051 |
| 6,500 | 33,325 | 99,696 | -7,620 | skid front(in) | ##### | 11,500 | 0,000 | 1,000 | 100,000 | 0,001 | 0,569 | 0,662 | 0,662 | 0,662 | 0,654 | 0,654 | 0,053 |
| 7,000 | 31,809 | 99,700 | -7,618 | skid front(out) | ##### | 11,500 | 0,000 | 1,000 | 100,000 | -1,476 | 0,624 | 0,662 | 0,662 | 0,662 | 0,654 | 0,654 | 0,055 |
| 7,500 | 30,218 | 99,694 | -7,616 | skid front(out) | ##### | 11,500 | 0,000 | 1,000 | 100,000 | -1,193 | 0,682 | 0,662 | 0,662 | 0,662 | 0,654 | 0,654 | 0,058 |
| 8,000 | 28,538 | 99,680 | -7,613 | skid front(out) | ##### | 11,500 | 0,000 | 1,000 | 100,000 | -1,761 | 0,743 | 0,662 | 0,662 | 0,662 | 0,654 | 0,654 | 0,061 |
| 8,500 | 26,753 | 99,681 | -7,612 | skid front(out) | ##### | 11,500 | 0,000 | 1,000 | 100,000 | -1,382 | 0,809 | 0,662 | 0,662 | 0,662 | 0,654 | 0,654 | 0,065 |
| 9,000 | 24,841 | 99,674 | -7,609 | skid front(out) | ##### | 11,500 | 0,000 | 1,000 | 100,000 | -1,976 | 0,878 | 0,662 | 0,662 | 0,662 | 0,654 | 0,654 | 0,070 |
| 9,500 | 22,769 | 99,681 | -7,609 | skid front(out) | ##### | 11,500 | 0,000 | 1,000 | 100,000 | -1,406 | 0,954 | 0,662 | 0,662 | 0,662 | 0,654 | 0,654 | 0,076 |
| 10,000 | 20,489 | 99,680 | -7,606 | skid front(out) | ##### | 11,500 | 0,000 | 1,000 | 100,000 | -1,959 | 1,037 | 0,662 | 0,662 | 0,662 | 0,654 | 0,654 | 0,083 |
| 10,500 | 17,923 | 99,695 | -7,606 | skid front(out) | ##### | 11,500 | 0,000 | 1,000 | 100,000 | -1,320 | 1,131 | 0,662 | 0,662 | 0,662 | 0,654 | 0,654 | 0,094 |
| 11,000 | 14,921 | 99,699 | -7,605 | skid front(out) | ##### | 11,500 | 0,000 | 1,000 | 100,000 | -1,733 | 1,241 | 0,662 | 0,662 | 0,662 | 0,654 | 0,654 | 0,110 |
| 11,500 | 11,139 | 99,661 | -7,601 | skid front(out) | ##### | 11,500 | 0,000 | 1,000 | 100,000 | -1,359 | 1,379 | 0,662 | 0,662 | 0,662 | 0,653 | 0,653 | 0,138 |
| 12,000 | 5,054 | 99,667 | -7,600 | skid front(out) | ##### | 11,500 | 0,000 | 1,000 | 100,000 | -1,823 | 1,601 | 0,662 | 0,662 | 0,662 | 0,653 | 0,653 | 0,222 |
| 12,100 | 2,413 | 99,702 | -7,601 | skid front(out) | ##### | 11,500 | 0,000 | 1,000 | 100,000 | -2,121 | 1,697 | 0,662 | 0,662 | 0,662 | 0,654 | 0,654 | 0,097 |

Προσδιορισμός Τιμών Πρόσφυσης κατά την Πέδηση Οχημάτων Εφοδιασμένων με Σύστημα ABS σε Αυξημένες κατά Μήκος Κλίσεις

| run_c_w_glif_28 | R(m) | br.front (%) | s(%) | e (%) | coeff | effic (%) | time (sec) | | | | | | | | | | |
|-----------------|-----------|--------------|--------|-----------------|-------|-----------|------------|-------|-----------|-----------|------------|-------|-----------|----------|----------|---------|-----------|
| s= 100,000 | ##### | 75,00 | 11,5 | 0,0 | 1,00 | 100 | 1,916 | | | | | | | | | | |
| step= 0,100 | viewstep= | 0,500 | STEPS | | | | | | | | | | | | | | |
| s (m) | V (km/h) | n (%) | dv/dt | skid check | R(m) | s(%) | e (%) | coeff | effic (%) | decelera | time (sec) | fT | front out | front in | rear out | rear in | checktime |
| 16,100 | 3,983 | 99,697 | -7,601 | skid front(out) | ##### | 11,500 | 0,000 | 1,000 | 100,000 | -1,712055 | 1,916 | 0,662 | 0,6619 | 0,6619 | 0,6538 | 0,6538 | |
| 0,000 | 56,560 | 99,700 | -7,653 | O.K | ##### | 11,500 | 0,000 | 1,000 | 100,000 | 0,000 | 0,000 | 0,662 | | | | | |
| 0,400 | 55,854 | 99,695 | -7,652 | skid front(in) | ##### | 11,500 | 0,000 | 1,000 | 100,000 | 0,000 | 0,026 | 0,662 | 0,662 | 0,662 | 0,654 | 0,654 | 0,026 |
| 1,000 | 54,779 | 99,695 | -7,650 | skid front(in) | ##### | 11,500 | 0,000 | 1,000 | 100,000 | 0,000 | 0,065 | 0,662 | 0,662 | 0,662 | 0,654 | 0,654 | 0,039 |
| 1,500 | 53,866 | 99,695 | -7,648 | skid front(in) | ##### | 11,500 | 0,000 | 1,000 | 100,000 | 0,000 | 0,098 | 0,662 | 0,662 | 0,662 | 0,654 | 0,654 | 0,033 |
| 2,000 | 52,938 | 99,695 | -7,647 | skid front(in) | ##### | 11,500 | 0,000 | 1,000 | 100,000 | 0,000 | 0,132 | 0,662 | 0,662 | 0,662 | 0,654 | 0,654 | 0,034 |
| 2,500 | 51,994 | 99,695 | -7,645 | skid front(in) | ##### | 11,500 | 0,000 | 1,000 | 100,000 | 0,000 | 0,166 | 0,662 | 0,662 | 0,662 | 0,654 | 0,654 | 0,034 |
| 3,000 | 51,033 | 99,695 | -7,643 | skid front(in) | ##### | 11,500 | 0,000 | 1,000 | 100,000 | 0,000 | 0,201 | 0,662 | 0,662 | 0,662 | 0,654 | 0,654 | 0,035 |
| 3,500 | 50,053 | 99,695 | -7,642 | skid front(in) | ##### | 11,500 | 0,000 | 1,000 | 100,000 | 0,000 | 0,236 | 0,662 | 0,662 | 0,662 | 0,654 | 0,654 | 0,036 |
| 4,000 | 49,053 | 99,695 | -7,640 | skid front(in) | ##### | 11,500 | 0,000 | 1,000 | 100,000 | 0,000 | 0,273 | 0,662 | 0,662 | 0,662 | 0,654 | 0,654 | 0,036 |
| 4,400 | 48,239 | 99,695 | -7,639 | skid front(in) | ##### | 11,500 | 0,000 | 1,000 | 100,000 | 0,000 | 0,302 | 0,662 | 0,662 | 0,662 | 0,654 | 0,654 | 0,030 |
| 5,000 | 46,992 | 99,695 | -7,637 | skid front(in) | ##### | 11,500 | 0,000 | 1,000 | 100,000 | 0,000 | 0,348 | 0,662 | 0,662 | 0,662 | 0,654 | 0,654 | 0,045 |
| 5,500 | 45,927 | 99,696 | -7,636 | skid front(in) | ##### | 11,500 | 0,000 | 1,000 | 100,000 | 0,000 | 0,386 | 0,662 | 0,662 | 0,662 | 0,654 | 0,654 | 0,039 |
| 6,000 | 44,837 | 99,696 | -7,634 | skid front(in) | ##### | 11,500 | 0,000 | 1,000 | 100,000 | 0,000 | 0,426 | 0,662 | 0,662 | 0,662 | 0,654 | 0,654 | 0,040 |
| 6,500 | 43,720 | 99,696 | -7,633 | skid front(in) | ##### | 11,500 | 0,000 | 1,000 | 100,000 | 0,000 | 0,467 | 0,662 | 0,662 | 0,662 | 0,654 | 0,654 | 0,041 |
| 7,000 | 42,573 | 99,696 | -7,631 | skid front(in) | ##### | 11,500 | 0,000 | 1,000 | 100,000 | 0,000 | 0,508 | 0,662 | 0,662 | 0,662 | 0,654 | 0,654 | 0,042 |
| 7,500 | 41,396 | 99,696 | -7,630 | skid front(in) | ##### | 11,500 | 0,000 | 1,000 | 100,000 | 0,000 | 0,551 | 0,662 | 0,662 | 0,662 | 0,654 | 0,654 | 0,043 |
| 8,000 | 40,184 | 99,696 | -7,628 | skid front(in) | ##### | 11,500 | 0,000 | 1,000 | 100,000 | 0,000 | 0,595 | 0,662 | 0,662 | 0,662 | 0,654 | 0,654 | 0,044 |
| 8,500 | 38,934 | 99,696 | -7,626 | skid front(in) | ##### | 11,500 | 0,000 | 1,000 | 100,000 | 0,000 | 0,641 | 0,662 | 0,662 | 0,662 | 0,654 | 0,654 | 0,046 |
| 9,000 | 37,644 | 99,696 | -7,625 | skid front(in) | ##### | 11,500 | 0,000 | 1,000 | 100,000 | 0,000 | 0,688 | 0,662 | 0,662 | 0,662 | 0,654 | 0,654 | 0,047 |
| 9,500 | 36,308 | 99,696 | -7,623 | skid front(in) | ##### | 11,500 | 0,000 | 1,000 | 100,000 | 0,001 | 0,737 | 0,662 | 0,662 | 0,662 | 0,654 | 0,654 | 0,049 |
| 10,000 | 34,921 | 99,696 | -7,622 | skid front(in) | ##### | 11,500 | 0,000 | 1,000 | 100,000 | 0,001 | 0,787 | 0,662 | 0,662 | 0,662 | 0,654 | 0,654 | 0,051 |
| 10,500 | 33,477 | 99,696 | -7,620 | skid front(in) | ##### | 11,500 | 0,000 | 1,000 | 100,000 | 0,001 | 0,840 | 0,662 | 0,662 | 0,662 | 0,654 | 0,654 | 0,053 |
| 11,000 | 31,968 | 99,700 | -7,617 | skid front(out) | ##### | 11,500 | 0,000 | 1,000 | 100,000 | -2,129 | 0,895 | 0,662 | 0,662 | 0,662 | 0,654 | 0,654 | 0,055 |
| 11,500 | 30,384 | 99,704 | -7,616 | skid front(out) | ##### | 11,500 | 0,000 | 1,000 | 100,000 | -1,486 | 0,953 | 0,662 | 0,662 | 0,662 | 0,654 | 0,654 | 0,058 |
| 12,000 | 28,714 | 99,702 | -7,614 | skid front(out) | ##### | 11,500 | 0,000 | 1,000 | 100,000 | -1,747 | 1,013 | 0,662 | 0,662 | 0,662 | 0,654 | 0,654 | 0,061 |
| 12,500 | 26,941 | 99,692 | -7,611 | skid front(out) | ##### | 11,500 | 0,000 | 1,000 | 100,000 | -2,933 | 1,078 | 0,662 | 0,662 | 0,662 | 0,654 | 0,654 | 0,065 |
| 13,000 | 25,043 | 99,673 | -7,610 | skid front(out) | ##### | 11,500 | 0,000 | 1,000 | 100,000 | -1,471 | 1,147 | 0,662 | 0,662 | 0,662 | 0,654 | 0,654 | 0,069 |
| 13,500 | 22,990 | 99,693 | -7,610 | skid front(out) | ##### | 11,500 | 0,000 | 1,000 | 100,000 | -0,554 | 1,222 | 0,662 | 0,662 | 0,662 | 0,654 | 0,654 | 0,075 |
| 14,000 | 20,734 | 99,680 | -7,606 | skid front(in) | ##### | 11,500 | 0,000 | 1,000 | 100,000 | -2,901 | 1,305 | 0,662 | 0,662 | 0,662 | 0,653 | 0,653 | 0,082 |
| 14,500 | 18,201 | 99,709 | -7,607 | skid front(out) | ##### | 11,500 | 0,000 | 1,000 | 100,000 | -1,857 | 1,397 | 0,662 | 0,662 | 0,662 | 0,654 | 0,654 | 0,092 |
| 15,000 | 15,254 | 99,673 | -7,603 | skid front(out) | ##### | 11,500 | 0,000 | 1,000 | 100,000 | -2,335 | 1,505 | 0,662 | 0,662 | 0,662 | 0,653 | 0,653 | 0,108 |
| 15,500 | 11,581 | 99,710 | -7,605 | skid front(out) | ##### | 11,500 | 0,000 | 1,000 | 100,000 | -0,996 | 1,639 | 0,662 | 0,662 | 0,662 | 0,654 | 0,654 | 0,134 |
| 16,000 | 5,965 | 99,706 | -7,600 | skid front(out) | ##### | 11,500 | 0,000 | 1,000 | 100,000 | -3,842 | 1,844 | 0,662 | 0,662 | 0,662 | 0,654 | 0,654 | 0,205 |
| 16,100 | 3,983 | 99,697 | -7,601 | skid front(out) | ##### | 11,500 | 0,000 | 1,000 | 100,000 | -1,712 | 1,916 | 0,662 | 0,662 | 0,662 | 0,654 | 0,654 | 0,072 |

Προσδιορισμός Τιμών Πρόσφυσης κατά την Πέδηση Οχημάτων Εφοδιασμένων με Σύστημα ABS σε Αυξημένες κατά Μήκος Κλίσεις

| run_c_w_glif_29 | R(m) | br.front (%) | s(%) | e (%) | coeff | effic (%) | time (sec) | | | | | | | | | | |
|-----------------|-----------------|--------------|--------|-----------------|-------|-----------|------------|-------|-----------|-----------|------------|-------|-----------|----------|----------|---------|-----------|
| s= 100,000 | ##### | 75,00 | 11,5 | 0,0 | 1,00 | 100 | 2,039 | 0,963 | | | | | | | | | |
| step= 0,100 | viewstep= 0,500 | STEPS | | | | | | | | | | | | | | | |
| s (m) | V (km/h) | n (%) | dv/dt | skid check | R(m) | s(%) | e (%) | coeff | effic (%) | decelera | time (sec) | fT | front out | front in | rear out | rear in | checktime |
| 16,900 | 1,915 | 99,726 | -7,601 | skid front(out) | ##### | 11,500 | 0,000 | 1,000 | 100,000 | -3,833783 | 2,039 | 0,662 | 0,6619 | 0,6619 | 0,6538 | 0,6538 | |
| 0,000 | 57,840 | 99,701 | -7,655 | O.K | ##### | 11,500 | 0,000 | 1,000 | 100,000 | 0,000 | 0,000 | 0,662 | | | | | |
| 0,400 | 57,150 | 99,695 | -7,654 | skid front(in) | ##### | 11,500 | 0,000 | 1,000 | 100,000 | 0,000 | 0,025 | 0,662 | 0,662 | 0,662 | 0,654 | 0,654 | 0,025 |
| 1,000 | 56,099 | 99,695 | -7,652 | skid front(in) | ##### | 11,500 | 0,000 | 1,000 | 100,000 | 0,000 | 0,063 | 0,662 | 0,662 | 0,662 | 0,654 | 0,654 | 0,038 |
| 1,500 | 55,208 | 99,695 | -7,650 | skid front(in) | ##### | 11,500 | 0,000 | 1,000 | 100,000 | 0,000 | 0,096 | 0,662 | 0,662 | 0,662 | 0,654 | 0,654 | 0,032 |
| 2,000 | 54,303 | 99,695 | -7,649 | skid front(in) | ##### | 11,500 | 0,000 | 1,000 | 100,000 | 0,000 | 0,128 | 0,662 | 0,662 | 0,662 | 0,654 | 0,654 | 0,033 |
| 2,500 | 53,382 | 99,695 | -7,647 | skid front(in) | ##### | 11,500 | 0,000 | 1,000 | 100,000 | 0,000 | 0,162 | 0,662 | 0,662 | 0,662 | 0,654 | 0,654 | 0,033 |
| 3,000 | 52,446 | 99,695 | -7,646 | skid front(in) | ##### | 11,500 | 0,000 | 1,000 | 100,000 | 0,000 | 0,196 | 0,662 | 0,662 | 0,662 | 0,654 | 0,654 | 0,034 |
| 3,500 | 51,493 | 99,695 | -7,644 | skid front(in) | ##### | 11,500 | 0,000 | 1,000 | 100,000 | 0,000 | 0,230 | 0,662 | 0,662 | 0,662 | 0,654 | 0,654 | 0,035 |
| 4,000 | 50,522 | 99,695 | -7,643 | skid front(in) | ##### | 11,500 | 0,000 | 1,000 | 100,000 | 0,000 | 0,266 | 0,662 | 0,662 | 0,662 | 0,654 | 0,654 | 0,035 |
| 4,400 | 49,731 | 99,695 | -7,641 | skid front(in) | ##### | 11,500 | 0,000 | 1,000 | 100,000 | 0,000 | 0,295 | 0,662 | 0,662 | 0,662 | 0,654 | 0,654 | 0,029 |
| 5,000 | 48,522 | 99,695 | -7,640 | skid front(in) | ##### | 11,500 | 0,000 | 1,000 | 100,000 | 0,000 | 0,338 | 0,662 | 0,662 | 0,662 | 0,654 | 0,654 | 0,044 |
| 5,500 | 47,491 | 99,695 | -7,638 | skid front(in) | ##### | 11,500 | 0,000 | 1,000 | 100,000 | 0,000 | 0,376 | 0,662 | 0,662 | 0,662 | 0,654 | 0,654 | 0,037 |
| 6,000 | 46,437 | 99,696 | -7,636 | skid front(in) | ##### | 11,500 | 0,000 | 1,000 | 100,000 | 0,000 | 0,414 | 0,662 | 0,662 | 0,662 | 0,654 | 0,654 | 0,038 |
| 6,500 | 45,359 | 99,696 | -7,635 | skid front(in) | ##### | 11,500 | 0,000 | 1,000 | 100,000 | 0,000 | 0,454 | 0,662 | 0,662 | 0,662 | 0,654 | 0,654 | 0,039 |
| 7,000 | 44,255 | 99,696 | -7,633 | skid front(in) | ##### | 11,500 | 0,000 | 1,000 | 100,000 | 0,000 | 0,494 | 0,662 | 0,662 | 0,662 | 0,654 | 0,654 | 0,040 |
| 7,500 | 43,123 | 99,696 | -7,632 | skid front(in) | ##### | 11,500 | 0,000 | 1,000 | 100,000 | 0,000 | 0,535 | 0,662 | 0,662 | 0,662 | 0,654 | 0,654 | 0,041 |
| 8,000 | 41,961 | 99,696 | -7,630 | skid front(in) | ##### | 11,500 | 0,000 | 1,000 | 100,000 | 0,000 | 0,577 | 0,662 | 0,662 | 0,662 | 0,654 | 0,654 | 0,042 |
| 8,500 | 40,765 | 99,696 | -7,629 | skid front(in) | ##### | 11,500 | 0,000 | 1,000 | 100,000 | 0,000 | 0,621 | 0,662 | 0,662 | 0,662 | 0,654 | 0,654 | 0,044 |
| 9,000 | 39,534 | 99,696 | -7,627 | skid front(in) | ##### | 11,500 | 0,000 | 1,000 | 100,000 | 0,000 | 0,666 | 0,662 | 0,662 | 0,662 | 0,654 | 0,654 | 0,045 |
| 9,500 | 38,264 | 99,696 | -7,626 | skid front(in) | ##### | 11,500 | 0,000 | 1,000 | 100,000 | 0,000 | 0,712 | 0,662 | 0,662 | 0,662 | 0,654 | 0,654 | 0,046 |
| 10,000 | 36,950 | 99,696 | -7,624 | skid front(in) | ##### | 11,500 | 0,000 | 1,000 | 100,000 | 0,000 | 0,760 | 0,662 | 0,662 | 0,662 | 0,654 | 0,654 | 0,048 |
| 10,500 | 35,588 | 99,696 | -7,623 | skid front(in) | ##### | 11,500 | 0,000 | 1,000 | 100,000 | 0,000 | 0,809 | 0,662 | 0,662 | 0,662 | 0,654 | 0,654 | 0,050 |
| 11,000 | 34,172 | 99,696 | -7,621 | skid front(in) | ##### | 11,500 | 0,000 | 1,000 | 100,000 | 0,000 | 0,861 | 0,662 | 0,662 | 0,662 | 0,654 | 0,654 | 0,052 |
| 11,500 | 32,695 | 99,697 | -7,619 | skid front(in) | ##### | 11,500 | 0,000 | 1,000 | 100,000 | 0,001 | 0,915 | 0,662 | 0,662 | 0,662 | 0,654 | 0,654 | 0,054 |
| 12,000 | 31,148 | 99,672 | -7,615 | skid front(in) | ##### | 11,500 | 0,000 | 1,000 | 100,000 | -1,550 | 0,971 | 0,662 | 0,662 | 0,662 | 0,654 | 0,654 | 0,056 |
| 12,500 | 29,521 | 99,711 | -7,616 | skid front(out) | ##### | 11,500 | 0,000 | 1,000 | 100,000 | -1,965 | 1,030 | 0,662 | 0,662 | 0,662 | 0,654 | 0,654 | 0,059 |
| 13,000 | 27,800 | 99,659 | -7,612 | skid front(out) | ##### | 11,500 | 0,000 | 1,000 | 100,000 | -0,496 | 1,093 | 0,662 | 0,662 | 0,662 | 0,654 | 0,654 | 0,063 |
| 13,500 | 25,964 | 99,662 | -7,610 | skid front(in) | ##### | 11,500 | 0,000 | 1,000 | 100,000 | -1,141 | 1,160 | 0,662 | 0,662 | 0,662 | 0,654 | 0,654 | 0,067 |
| 14,000 | 23,990 | 99,705 | -7,610 | skid front(out) | ##### | 11,500 | 0,000 | 1,000 | 100,000 | -2,498 | 1,232 | 0,662 | 0,662 | 0,662 | 0,654 | 0,654 | 0,072 |
| 14,500 | 21,837 | 99,694 | -7,609 | skid front(out) | ##### | 11,500 | 0,000 | 1,000 | 100,000 | -1,375 | 1,311 | 0,662 | 0,662 | 0,662 | 0,654 | 0,654 | 0,079 |

Προσδιορισμός Τιμών Πρόσφυσης κατά την Πέδηση Οχημάτων Εφοδιασμένων με Σύστημα ABS σε Αυξημένες κατά Μήκος Κλίσεις

| | | | | | | | | | | | | | | | | | |
|--------|--------|--------|--------|-----------------|-------|--------|-------|-------|---------|--------|-------|-------|-------|-------|-------|-------|-------|
| 15,000 | 19,448 | 99,673 | -7,606 | skid front(out) | ##### | 11,500 | 0,000 | 1,000 | 100,000 | -1,342 | 1,398 | 0,662 | 0,662 | 0,662 | 0,654 | 0,654 | 0,087 |
| 15,500 | 16,722 | 99,692 | -7,605 | skid front(out) | ##### | 11,500 | 0,000 | 1,000 | 100,000 | -1,971 | 1,498 | 0,662 | 0,662 | 0,662 | 0,654 | 0,654 | 0,100 |
| 16,000 | 13,456 | 99,672 | -7,602 | skid front(out) | ##### | 11,500 | 0,000 | 1,000 | 100,000 | -1,812 | 1,617 | 0,662 | 0,662 | 0,662 | 0,654 | 0,654 | 0,119 |
| 16,500 | 9,084 | 99,698 | -7,602 | skid front(out) | ##### | 11,500 | 0,000 | 1,000 | 100,000 | -2,514 | 1,777 | 0,662 | 0,662 | 0,662 | 0,654 | 0,654 | 0,160 |
| 16,900 | 1,915 | 99,726 | -7,601 | skid front(out) | ##### | 11,500 | 0,000 | 1,000 | 100,000 | -3,834 | 2,039 | 0,662 | 0,662 | 0,662 | 0,654 | 0,654 | 0,262 |

| run c w glif 30 | R(m) | br.front (%) | s(%) | e (%) | coeff | effic (%) | time (sec) | | | | | | | | | | | |
|-----------------|-----------|--------------|--------|-----------------|-------|-----------|------------|-------|-----------|-----------|------------|-------|-----------|----------|----------|---------|-----------|-------|
| s= 100,000 | ##### | 75,00 | 11,5 | 0,0 | 1,00 | 100 | 2,535 | | | | | | | | | | | 0,963 |
| step= 0,100 | viewstep= | 0,500 | STEPS | | | | | | | | | | | | | | | |
| s (m) | V (km/h) | n (%) | dv/dt | skid check | R(m) | s(%) | e (%) | coeff | effic (%) | decelera | time (sec) | FT | front out | front in | rear out | rear in | checktime | |
| 24,700 | 0,328 | 99,696 | -7,601 | skid front(out) | ##### | 11,500 | 0,000 | 1,000 | 100,000 | -1,707633 | 2,535 | 0,662 | 0,6619 | 0,6619 | 0,6538 | 0,6538 | | |
| 0,000 | 69,940 | 99,702 | -7,680 | O.K | ##### | 11,500 | 0,000 | 1,000 | 100,000 | 0,000 | 0,000 | 0,662 | | | | | | |
| 0,400 | 69,369 | 99,693 | -7,678 | skid front(in) | ##### | 11,500 | 0,000 | 1,000 | 100,000 | 0,000 | 0,021 | 0,662 | 0,662 | 0,662 | 0,654 | 0,654 | 0,021 | |
| 1,000 | 68,503 | 99,693 | -7,676 | skid front(in) | ##### | 11,500 | 0,000 | 1,000 | 100,000 | 0,000 | 0,052 | 0,662 | 0,662 | 0,662 | 0,654 | 0,654 | 0,031 | |
| 1,500 | 67,773 | 99,693 | -7,675 | skid front(in) | ##### | 11,500 | 0,000 | 1,000 | 100,000 | 0,000 | 0,078 | 0,662 | 0,662 | 0,662 | 0,654 | 0,654 | 0,026 | |
| 2,000 | 67,035 | 99,693 | -7,673 | skid front(in) | ##### | 11,500 | 0,000 | 1,000 | 100,000 | 0,000 | 0,105 | 0,662 | 0,662 | 0,662 | 0,654 | 0,654 | 0,027 | |
| 2,500 | 66,289 | 99,694 | -7,671 | skid front(in) | ##### | 11,500 | 0,000 | 1,000 | 100,000 | 0,000 | 0,132 | 0,662 | 0,662 | 0,662 | 0,654 | 0,654 | 0,027 | |
| 3,000 | 65,535 | 99,694 | -7,670 | skid front(in) | ##### | 11,500 | 0,000 | 1,000 | 100,000 | 0,000 | 0,159 | 0,662 | 0,662 | 0,662 | 0,654 | 0,654 | 0,027 | |
| 3,500 | 64,772 | 99,694 | -7,668 | skid front(in) | ##### | 11,500 | 0,000 | 1,000 | 100,000 | 0,000 | 0,187 | 0,662 | 0,662 | 0,662 | 0,654 | 0,654 | 0,028 | |
| 4,000 | 64,001 | 99,694 | -7,667 | skid front(in) | ##### | 11,500 | 0,000 | 1,000 | 100,000 | 0,000 | 0,215 | 0,662 | 0,662 | 0,662 | 0,654 | 0,654 | 0,028 | |
| 4,400 | 63,377 | 99,694 | -7,666 | skid front(in) | ##### | 11,500 | 0,000 | 1,000 | 100,000 | 0,000 | 0,238 | 0,662 | 0,662 | 0,662 | 0,654 | 0,654 | 0,023 | |
| 5,000 | 62,429 | 99,694 | -7,664 | skid front(in) | ##### | 11,500 | 0,000 | 1,000 | 100,000 | 0,000 | 0,272 | 0,662 | 0,662 | 0,662 | 0,654 | 0,654 | 0,034 | |
| 5,500 | 61,629 | 99,694 | -7,662 | skid front(in) | ##### | 11,500 | 0,000 | 1,000 | 100,000 | 0,000 | 0,301 | 0,662 | 0,662 | 0,662 | 0,654 | 0,654 | 0,029 | |
| 6,000 | 60,818 | 99,694 | -7,661 | skid front(in) | ##### | 11,500 | 0,000 | 1,000 | 100,000 | 0,000 | 0,330 | 0,662 | 0,662 | 0,662 | 0,654 | 0,654 | 0,029 | |
| 6,500 | 59,996 | 99,694 | -7,659 | skid front(in) | ##### | 11,500 | 0,000 | 1,000 | 100,000 | 0,000 | 0,360 | 0,662 | 0,662 | 0,662 | 0,654 | 0,654 | 0,030 | |
| 7,000 | 59,163 | 99,694 | -7,657 | skid front(in) | ##### | 11,500 | 0,000 | 1,000 | 100,000 | 0,000 | 0,390 | 0,662 | 0,662 | 0,662 | 0,654 | 0,654 | 0,030 | |
| 7,500 | 58,318 | 99,694 | -7,656 | skid front(in) | ##### | 11,500 | 0,000 | 1,000 | 100,000 | 0,000 | 0,421 | 0,662 | 0,662 | 0,662 | 0,654 | 0,654 | 0,031 | |
| 8,000 | 57,461 | 99,695 | -7,654 | skid front(in) | ##### | 11,500 | 0,000 | 1,000 | 100,000 | 0,000 | 0,452 | 0,662 | 0,662 | 0,662 | 0,654 | 0,654 | 0,031 | |
| 8,500 | 56,592 | 99,695 | -7,653 | skid front(in) | ##### | 11,500 | 0,000 | 1,000 | 100,000 | 0,000 | 0,484 | 0,662 | 0,662 | 0,662 | 0,654 | 0,654 | 0,032 | |
| 9,000 | 55,709 | 99,695 | -7,651 | skid front(in) | ##### | 11,500 | 0,000 | 1,000 | 100,000 | 0,000 | 0,516 | 0,662 | 0,662 | 0,662 | 0,654 | 0,654 | 0,032 | |
| 9,500 | 54,812 | 99,695 | -7,650 | skid front(in) | ##### | 11,500 | 0,000 | 1,000 | 100,000 | 0,000 | 0,548 | 0,662 | 0,662 | 0,662 | 0,654 | 0,654 | 0,033 | |
| 10,000 | 53,900 | 99,695 | -7,648 | skid front(in) | ##### | 11,500 | 0,000 | 1,000 | 100,000 | 0,000 | 0,581 | 0,662 | 0,662 | 0,662 | 0,654 | 0,654 | 0,033 | |
| 10,500 | 52,972 | 99,695 | -7,647 | skid front(in) | ##### | 11,500 | 0,000 | 1,000 | 100,000 | 0,000 | 0,615 | 0,662 | 0,662 | 0,662 | 0,654 | 0,654 | 0,034 | |
| 11,000 | 52,029 | 99,695 | -7,645 | skid front(in) | ##### | 11,500 | 0,000 | 1,000 | 100,000 | 0,000 | 0,649 | 0,662 | 0,662 | 0,662 | 0,654 | 0,654 | 0,034 | |
| 11,500 | 51,068 | 99,695 | -7,644 | skid front(in) | ##### | 11,500 | 0,000 | 1,000 | 100,000 | 0,000 | 0,684 | 0,662 | 0,662 | 0,662 | 0,654 | 0,654 | 0,035 | |
| 12,000 | 50,089 | 99,695 | -7,642 | skid front(in) | ##### | 11,500 | 0,000 | 1,000 | 100,000 | 0,000 | 0,720 | 0,662 | 0,662 | 0,662 | 0,654 | 0,654 | 0,036 | |
| 12,500 | 49,090 | 99,695 | -7,640 | skid front(in) | ##### | 11,500 | 0,000 | 1,000 | 100,000 | 0,000 | 0,756 | 0,662 | 0,662 | 0,662 | 0,654 | 0,654 | 0,036 | |
| 13,000 | 48,071 | 99,695 | -7,639 | skid front(in) | ##### | 11,500 | 0,000 | 1,000 | 100,000 | 0,000 | 0,793 | 0,662 | 0,662 | 0,662 | 0,654 | 0,654 | 0,037 | |
| 13,500 | 47,030 | 99,695 | -7,637 | skid front(in) | ##### | 11,500 | 0,000 | 1,000 | 100,000 | 0,000 | 0,831 | 0,662 | 0,662 | 0,662 | 0,654 | 0,654 | 0,038 | |
| 14,000 | 45,966 | 99,696 | -7,636 | skid front(in) | ##### | 11,500 | 0,000 | 1,000 | 100,000 | 0,000 | 0,870 | 0,662 | 0,662 | 0,662 | 0,654 | 0,654 | 0,039 | |
| 14,500 | 44,877 | 99,696 | -7,634 | skid front(in) | ##### | 11,500 | 0,000 | 1,000 | 100,000 | 0,000 | 0,909 | 0,662 | 0,662 | 0,662 | 0,654 | 0,654 | 0,040 | |
| 15,000 | 43,761 | 99,696 | -7,633 | skid front(in) | ##### | 11,500 | 0,000 | 1,000 | 100,000 | 0,000 | 0,950 | 0,662 | 0,662 | 0,662 | 0,654 | 0,654 | 0,041 | |

Προσδιορισμός Τιμών Πρόσφυσης κατά την Πέδηση Οχημάτων Εφοδιασμένων με Σύστημα ABS σε Αυξημένες κατά Μήκος Κλίσεις

| | | | | | | | | | | | | | | | | | |
|--------|--------|--------|--------|-----------------|-------|--------|-------|-------|---------|--------|-------|-------|-------|-------|-------|-------|-------|
| 15,500 | 42,615 | 99,696 | -7,631 | skid front(in) | ##### | 11,500 | 0,000 | 1,000 | 100,000 | 0,000 | 0,992 | 0,662 | 0,662 | 0,662 | 0,654 | 0,654 | 0,042 |
| 16,000 | 41,439 | 99,696 | -7,630 | skid front(in) | ##### | 11,500 | 0,000 | 1,000 | 100,000 | 0,000 | 1,035 | 0,662 | 0,662 | 0,662 | 0,654 | 0,654 | 0,043 |
| 16,500 | 40,228 | 99,696 | -7,628 | skid front(in) | ##### | 11,500 | 0,000 | 1,000 | 100,000 | 0,000 | 1,079 | 0,662 | 0,662 | 0,662 | 0,654 | 0,654 | 0,044 |
| 17,000 | 38,980 | 99,696 | -7,626 | skid front(in) | ##### | 11,500 | 0,000 | 1,000 | 100,000 | 0,000 | 1,124 | 0,662 | 0,662 | 0,662 | 0,654 | 0,654 | 0,045 |
| 17,500 | 37,691 | 99,696 | -7,625 | skid front(in) | ##### | 11,500 | 0,000 | 1,000 | 100,000 | 0,000 | 1,171 | 0,662 | 0,662 | 0,662 | 0,654 | 0,654 | 0,047 |
| 18,000 | 36,357 | 99,696 | -7,623 | skid front(in) | ##### | 11,500 | 0,000 | 1,000 | 100,000 | 0,000 | 1,220 | 0,662 | 0,662 | 0,662 | 0,654 | 0,654 | 0,049 |
| 18,500 | 34,972 | 99,696 | -7,622 | skid front(in) | ##### | 11,500 | 0,000 | 1,000 | 100,000 | 0,001 | 1,270 | 0,662 | 0,662 | 0,662 | 0,654 | 0,654 | 0,050 |
| 18,900 | 33,823 | 99,696 | -7,621 | skid front(in) | ##### | 11,500 | 0,000 | 1,000 | 100,000 | 0,000 | 1,312 | 0,662 | 0,662 | 0,662 | 0,654 | 0,654 | 0,042 |
| 19,500 | 32,024 | 99,707 | -7,619 | skid front(out) | ##### | 11,500 | 0,000 | 1,000 | 100,000 | -1,099 | 1,378 | 0,662 | 0,662 | 0,662 | 0,654 | 0,654 | 0,066 |
| 20,000 | 30,443 | 99,721 | -7,617 | skid front(out) | ##### | 11,500 | 0,000 | 1,000 | 100,000 | -1,955 | 1,435 | 0,662 | 0,662 | 0,662 | 0,654 | 0,654 | 0,058 |
| 20,500 | 28,776 | 99,708 | -7,614 | skid front(out) | ##### | 11,500 | 0,000 | 1,000 | 100,000 | -2,236 | 1,496 | 0,662 | 0,662 | 0,662 | 0,654 | 0,654 | 0,061 |
| 21,000 | 27,007 | 99,709 | -7,614 | skid front(out) | ##### | 11,500 | 0,000 | 1,000 | 100,000 | -1,475 | 1,561 | 0,662 | 0,662 | 0,662 | 0,654 | 0,654 | 0,065 |
| 21,500 | 25,114 | 99,725 | -7,612 | skid front(out) | ##### | 11,500 | 0,000 | 1,000 | 100,000 | -3,332 | 1,630 | 0,662 | 0,662 | 0,662 | 0,654 | 0,654 | 0,069 |
| 22,000 | 23,067 | 99,687 | -7,608 | skid front(out) | ##### | 11,500 | 0,000 | 1,000 | 100,000 | -2,911 | 1,704 | 0,662 | 0,662 | 0,662 | 0,654 | 0,654 | 0,075 |
| 22,500 | 20,819 | 99,686 | -7,606 | skid front(out) | ##### | 11,500 | 0,000 | 1,000 | 100,000 | -3,065 | 1,786 | 0,662 | 0,662 | 0,662 | 0,653 | 0,653 | 0,082 |
| 23,000 | 18,299 | 99,701 | -7,606 | skid front(out) | ##### | 11,500 | 0,000 | 1,000 | 100,000 | -2,026 | 1,878 | 0,662 | 0,662 | 0,662 | 0,654 | 0,654 | 0,092 |
| 23,500 | 15,371 | 99,705 | -7,605 | skid front(out) | ##### | 11,500 | 0,000 | 1,000 | 100,000 | -2,055 | 1,985 | 0,662 | 0,662 | 0,662 | 0,654 | 0,654 | 0,107 |
| 24,000 | 11,735 | 99,666 | -7,602 | skid front(out) | ##### | 11,500 | 0,000 | 1,000 | 100,000 | -1,164 | 2,118 | 0,662 | 0,662 | 0,662 | 0,654 | 0,654 | 0,133 |
| 24,500 | 6,259 | 99,705 | -7,601 | skid front(out) | ##### | 11,500 | 0,000 | 1,000 | 100,000 | -3,469 | 2,318 | 0,662 | 0,662 | 0,662 | 0,654 | 0,654 | 0,200 |
| 24,700 | 0,328 | 99,696 | -7,601 | skid front(out) | ##### | 11,500 | 0,000 | 1,000 | 100,000 | -1,708 | 2,535 | 0,662 | 0,662 | 0,662 | 0,654 | 0,654 | 0,217 |